

АКАДЕМИЯ НАУК СССР
ИНСТИТУТ НАУЧНОЙ ИНФОРМАЦИИ

РЕФЕРАТИВНЫЙ ЖУРНАЛ

ХИМИЯ

РЕФЕРАТЫ

42160—45848

*

№ 14

1956

ИЗДАТЕЛЬСТВО АКАДЕМИИ НАУК СССР
МОСКВА

ГЛАВНАЯ РЕДАКЦИОННАЯ КОЛЛЕГИЯ
РЕФЕРАТИВНОГО ЖУРНАЛА

*Н. В. Агеев, В. В. Алматов, Г. Д. Афанасьев, В. И. Дикунин, В. Ю. Ломоносов,
С. М. Никольский, К. Ф. Огородников, Д. Ю. Панов (председатель редколлегии),
В. В. Покиншевский, Л. Н. Седов, В. В. Серпинский, Э. В. Школьский*

СОДЕРЖАНИЕ

ОБЩИЕ ВОПРОСЫ	1	Минеральные соли. Оилы. Кислоты. Основания.	281
Методология. История. Научные учреждения и конференция. Преподавание. Вопросы библиографии и научной документации.	1	Удобрения.	285
ФИЗИЧЕСКАЯ ХИМИЯ	3	Пестициды.	287
Общие вопросы.	3	Электрохимические производства. Электроосаждение.	272
Атомное ядро.	3	Химические источники тока.	304
Атом	7	Силикаты. Стекло. Керамика. Вяжущие материалы.	278
Молекула. Химическая связь.	8	Получение и разделение газов.	304
Кристаллы	28	Подготовка воды. Сточные воды	305
Жидкости и аморфные тела. Газы.	48	Переработка твердых горючих ископаемых.	310
Общие вопросы химии изотопов	51	Переработка природных газов и нефти. Моторное топливо. Смазки	314
Термодинамика. Термохимия. Равновесия. Физико-химический анализ. Фазовые переходы.	53	Промышленный органический синтез	326
Кинетика. Горение. Взрывы. Топохимия. Катализ.	63	Промышленный синтез красителей	345
Фотохимия. Радиационная химия. Теория фотографического процесса.	76	Крашение и химическая обработка текстильных материалов.	349
Растворы. Теория кислот и оснований.	79	Взрывчатые вещества. Пиротехнические составы	359
Электрохимия	86	Лекарственные вещества. Витамины. Антибиотики.	360
Поверхностные явления. Адсорбция. Хроматография. Ионный обмен.	94	Фотографические материалы	374
Химия коллоидов. Дисперсные системы.	96	Душистые вещества. Эфирные масла. Парфюмерия и косметика	378
НЕОРГАНИЧЕСКАЯ ХИМИЯ. КОМПЛЕКСНЫЕ СОЕДИНЕНИЯ.	99	Каучук натуральный и синтетический. Резина.	380
КОСМОХИМИЯ. ГЕОХИМИЯ. ГИДРОХИМИЯ.	107	Синтетические полимеры. Пластмассы	383
ОРГАНИЧЕСКАЯ ХИМИЯ	119	Лаки. Краски. Эмали. Олифы. Сиккативы.	404
Теоретические и общие вопросы органической химии.	119	Лесохимические продукты. Целлюлоза и ее производные. Бумага.	410
Синтетическая органическая химия	128	Искусственное и синтетическое волокно.	416
Природные вещества и их синтетические аналоги.	179	Жиры и масла. Воски. Мыла. Моющие средства. Фотореагенты	423
ХИМИЯ ВЫСОКОМОЛЕКУЛЯРНЫХ ВЕЩЕСТВ	207	Углеводы и их переработка.	432
АНАЛИТИЧЕСКАЯ ХИМИЯ	223	Вредильная промышленность	440
Общие вопросы.	223	Пищевая промышленность	447
Анализ неорганических веществ.	228	Кожа. Мех. Желатина. Дубители. Технические белки.	456
Анализ органических веществ.	240	Прочие производства.	459
ОБОРУДОВАНИЕ ЛАБОРАТОРИЙ. ПРИБОРЫ, ИХ ТЕОРИЯ, КОНСТРУКЦИЯ, ПРИМЕНЕНИЕ.	246	КОРРОЗИЯ. ЗАЩИТА ОТ КОРРОЗИИ	461
ХИМИЧЕСКАЯ ТЕХНОЛОГИЯ. ХИМИЧЕСКИЕ ПРОДУКТЫ И ИХ ПРИМЕНЕНИЕ.	259	ПРОЦЕССЫ И ОБОРУДОВАНИЕ ХИМИЧЕСКИХ ПРОИЗВОДСТВА.	473
Общие вопросы.	259	Процессы и аппараты химической технологии.	473
Серная кислота, сера и ее соединения	260	Контрольно-измерительные приборы. Автоматическое регулирование.	487
Азотная промышленность.	281	ТЕХНИКА БЕЗОПАСНОСТИ. САНИТАРНАЯ ТЕХНИКА	492
Содовая промышленность.	—	НОВЫЕ КНИГИ, ПОСТУПИВШИЕ В РЕДАКЦИЮ	496
		АВТОРСКИЙ УКАЗАТЕЛЬ	496
		УКАЗАТЕЛЬ ДЕРЖАТЕЛЕЙ ПАТЕНТОВ.	514

I

РУС
М.

Рес

4216
Be
Pa
сѣз

4216
те
Be

4216
в
Cl
П

боти
креп
проб

4216
ст
ra
sc
ga
b
N

4216
(Z
C
49
C

4216
в
19

4216
en
6
зі
ст
19

4216
N
O
я O

4216
B
A
4216
M
3

РЕФЕРАТИВНЫЙ ЖУРНАЛ ХИМИЯ

ГЛАВНЫЙ РЕДАКТОР В. В. Серпинский, УЧЕНЫЙ СЕКРЕТАРЬ Н. А. Зайцев

РУКОВОДИТЕЛИ СЕКТОРОВ И ГРУПП: Х. С. Багдасарьян, Д. А. Бочвар, Л. М. Броуде, А. Н. Бусев, М. Е. Дяткина, В. В. Кафаров, В. Л. Кретович, Д. Н. Курсанов, Б. А. Сасс-Тисовский, В. А. Соколов, К. С. Топчиев, Н. А. Фукс

Рефераты 42160—45848

№ 14

25 июля 1956 г.

ОБЩИЕ ВОПРОСЫ

МЕТОДОЛОГИЯ. ИСТОРИЯ. НАУЧНЫЕ УЧРЕЖДЕНИЯ И КОНФЕРЕНЦИИ.
ПРЕПОДАВАНИЕ. ВОПРОСЫ БИБЛИОГРАФИИ И НАУЧНОЙ ДОКУМЕНТАЦИИ

42160. Советская наука перед новыми задачами. — Вестн. АН СССР, 1956, 26, № 3, 3—7.

Рассмотрены задачи, вытекающие из решений XX съезда КПСС. Д. Т.

42161. Основные задачи науки в Казахстане в свете решений XX съезда КПСС. Сатпаев К. И., Вестн. АН КазССР, 1956, № 5, 1—XXVI

42162. О методике исследовательской работы. Но-
вак (O methodice výzkumné práce. Novák J. a r),
Chem. průmysl, 1955, 5, № 7, 273—276 (чеш.)

Подробно рассматриваются общие принципы разработки рациональной методики исследования; дана конкретная иллюстрация на примере решения технологич. проблемы в киноплёночном произ-ве. А. Б.

42163. История организации Исследовательского ин-
ститута по катализу (Росток, ГДР) и задачи его ор-
ганизического отделения. Лангенбек (Baugeschichte des Instituts für Katalysforschung und Auf-
gaben seiner organischen Abteilung. Langen-
beck W.), Wiss. Z. Univ. Rostock, 1952/1953, 2,
№ 2, 67—71 (нем.)

42164. Из истории мыла. Кликовстрём
(Zur Geschichte der Seife. Klinckowskstroem
Carl von), Parfüm. und Kosmetik, 1954, 35, № 12,
494, 496—497 (нем.)

Сведения из эпохи средних веков (Европа). З. М.

42165. Из истории производства животного жира
в России. Миркин Е., Мясная индустрия СССР,
1956, № 1, 63

42166. Исследования зависимости физических
свойств стекла от состава в XVIII—XIX веках. Бе-
збородов М. А., (Даследаванні залежнасці фі-
зічных уласцівасцей шкла ад саставу ў XVIII—XIX
стагоддзях. Безбародаў М. А.), Изв. АН БССР,
1954, № 5, 111—122 (русс.); Весці АН БССР, 1954,
№ 5, 106—116 (белорусс.)

О работах Ломоносова, Менделеева, А. Винкельмана
и О. Шотта. Библ. 21 назв. Е. С.

42167. Ломоносов и вопросы механики. Котов
В. Ф., Тр. Ин-та истории естествозн. и техн.
АН СССР, 1955, 5, 52—68

42168. Несколько слов о кристаллографии в трудах
М. В. Ломоносова. Шафрановский Н. И.,
Зап. Всес. минералог. о-ва, 1956, 85, № 1, 106—108

Поправки и уточнения в связи со статьей
Т. Н. Агафоновой (РЖХим, 1954, 45958). Д. Т.

42169. Письмо в редакцию. Майлс (To the Editor.
Miles Wyndham), J. Chem. Educ., 1953, 30,
№ 9, 479 (англ.)

В связи со статьей Локкемана и Эспера (РЖХим,
1953, 8017) автор отмечает, что учебные хим. лаборатории
появились около 1810 г. — за 15 лет до открытия ла-
боратории Либиха в Гиссене. Б. Б.

42170. К вопросу о приоритете русских ученых в
синтезах с применением металлоорганических со-
единений типа RMgX. Болдырев Б. Г., Науч.
зап. Львовск. политехн. ин-та, 1955, вып. 29, 3—6

О работах А. М. Бутлерова, А. М. Зайцева,
Е. Е. Вагнера и Н. Гробовского в области цинкорга-
нич. соединений. Библ. 10 назв. Д. Т.

42171. К 20-летию открытия искусственной радиоак-
тивности. Ратнер А. П. (Douăzeci de ani de la
descoperirea radioactivității artificiale. Ratner
A. P.), An. Rom.-Sov. Ser. chim., 1955, 9, № 3,
5—9 (рум.)

Перевод. См. РЖХим, 1955, 51099.

42172. Пьер Кюри (К 50-летию со дня смерти). Со-
минский М. С., Физика в школе, 1956, № 2, 19—24

42173. 25 лет со дня смерти Н. А. Шилова. — Вестн.
АН СССР, 1956, 26, № 3, 137—138

Краткий отчет о заседании, проведенном Отделением
хим. наук и Институтом физ. химии АН СССР 26 де-
кабря 1955 г. См. также РЖХим, 1956, 8929, 11963. Д. Т.

42174. Памяти профессора Н. А. Валяшко (1871—
1955). Луцкий А. Е., Атрощенко В. И.,
Ж. общ. химии, 1956, 26, № 2, 289—294

Некролог. Приведен список научных трудов. См.
также РЖХим, 1955, 54265. Д. Т.

42175. Глеб Пантелеймонович Миклухин. — Укр. хим.
ж., 1956, 22, № 1, 126—128

Некролог Г. П. Миклухина (1912—1955), известного
своими исследованиями механизмов органич. р-ций
с помощью меченых атомов (Ин-т физ. химии АН
УССР). Приведен список основных работ. Д. Т.

42176. Памяти проф. С. М. Прокошева. Ильин
Г. С., Биохимия, 1956, 21, № 1, 168

Некролог С. М. Прокошева (1905—1955), исследо-
вателя в области биохимии растений, зав. лабораторией
Ин-та биохимии им. А. Н. Баха АН СССР. Д. Т.

42177. Некролог академика Йозефа Гануша. Илек (Posmrtná vzpomínka na akademika Josefa Hanuše. Jilek Ant.), Chem. přímýsl, 1956, 6, № 2, 83 (чеш.) И. Гануш (1872—1955) — видный чешский педагог и крупный исследователь в области аналитич. химии. А. Б.
42178. I. Пересмотр определений в области химии, строение веществ и преподавание общей и неорганической химии. II. Программа по общей и неорганической химии для теоретического (университетского или эквивалентного) курса, основанного на строении веществ. Баргальо (I. Una revisión de la concepciones químicas, la estructura de las sustancias y la enseñanza de la Química General e inorgánica. II. Programa de Química General e inorgánica, basado en la estructura de las sustancias y destinado a un curso teórico, universitario e equivalente. Bargallo Modesto), Bol. Soc. quim. Peru, 1953, 9, № 1, 3—14; 15—29 (исп.)
42179. Методы улучшения подготовки химиков-технологов. Холло (Módszerek a technológiai oktatás megjavítására. Holló János), Budapesti műszaki egyetem mezőgazd. kem. technol. tanszékének évk., 1952—1954 (1954), 5—17 (венг.; реэ. русс., англ.)
- Методическая статья. Рассматриваются вопросы профиля инженера, лекц. курсов, практич. занятий, производственной практики, дипломных работ. Д. Т.
42180. Обучение химиков в университете г. Киото. Кимура (京都大学に於ける化学教育. 木村作治郎), 化学と工業, Kagaku to kōgō, Chem. and Chem. Ind., 1953, 6, № 7, 326—328 (япон.)
42181. Улучшение обучения в высших технических учебных заведениях Японии. Икэда (實業高校教育の振興・池田龜三郎), 化学と工業, Kagaku to kōgō, Chem. and Chem. Ind., 1953, 6, № 12, 621 (япон.)
42182. Лекции, читанные на курсах по технологии пищевых масел (Lectures of the 1953 Short Course on engineering aspects of processing edible oils), J. Amer. Oil Chemists' Soc., 1953, 30, № 11, 473—582 (англ.)
- Краткосрочные курсы периодически организуются Американским о-вом химиков масляной пром-сти. Приведено изложение 20 лекций, прочитанных на курсах 1953 года (27—31 июля). Цифры указывают № страниц оригинала. Предисловие. Ливдсей, Томсон (Lindsay J. D., Thomson Procter), 473. 1) Общий обзор технологии. процесса переработки семян и пищевых масел. Финчер (Fincher H. D.), 474—481. 2) Некоторые факторы, влияющие на процесс отжима хлопкового масла на гидравлич. прессах. Хиккок (Hickox G. H.), 481—486. 3) История развития и новые усовершенствования процессов получения хлопкового масла на винтовых и шнековых прессах. Даннинг (Dunning J. W.), 486—492. 4) Процессы рафинации растительных масел. Терман, Маттиков (Thurman B. H., Mattikow Morris), 493—496. 5) Экстрагирование в системе жидкость — жидкость. Пратт (Pratt Thomas W.), 497—505. 6) Гидроенизация жирных масел. Хьюз (Hughes J. P.), 506—515. 7) Дезодоризация. Уайт (White F. B.), 515—526. 8) Пластификация пищевых жиров. Джойнер (Joyner N. T.), 526—535. 9) Универсальный экстрактор (корзиночного типа). Хатчине (Hutchins R. P.), 535—537. 10) Процесс экстрагирования растворителем в экстракторе иммерсионного типа. Мур (Moore W. Hunt), 538—539. 11) Статистич. методы и контроль качества. Томсон (Thomson Procter), 540—544. 12) Основная теория автоматич. регулирования. Бауден (Bowden C. W., Jr), 544—554. 13) Экономика процессов получения масла из хлопковых семян. Беккер, Мак-Каббин (Becker K. W., McCubbin Keator), 554—557. 14) Теплопередача. Хейворд (Hayward James W.), 557—561. 15) Техника безопасности на хлопкомасло-
- бойных заводах. Фри (Free E. B.), 561—563. 16) Современная практика водоподготовки в промышленности. Торнгрен (Thorngren Bert I.), 563—567. 17) Обработка и перемещение материалов в масляной пром-сте. Верко (Vercoe Carl S.), 567—570. 18) Коррозия и антикоррозионная защита на заводе. Ренч (Rench Joe), 571—574. 19) Фильтрация в промышленности жиров и масел. Рейшик (Rayshich A.), 575—578. 20) Насосы, их выбор и установка. Гаррис (Harris W. D.), 579—582. Д. Т.
42183. Демонстрационный опыт по парамагнетизму кислорода. Науман, Остер (Schauversuch zum Paramagnetismus des Sauerstoffs. Naumann A., Oster H.), Arch. techn. Messen, 1955, № 230, Zeitschriftenteil, 17—20 (нем.)
- Описана установка, приведены конструктивный чертеж, схемы и фотографии. Явление «магнитного ветра», на котором основано действие большинства магнитных газоанализаторов на O_2 , делается видимым благодаря добавлению к газу паров NH_4Cl ; изображение циркулирующего потока проектируется на экран. В. Б.
42184. Определение кривой сублимации, кривой испарения и тройной точки. Смит, Костич (Sublimation curve, vaporization curve, and triple point determination. Smith Norman O., Costich Constance M.), J. Chem. Educ., 1954, 31, № 8, 421—422 (англ.)
- Подробное описание прибора и методика проведения опытов в учебном практикуме. В. Ш.
42185. Проверка уравнения Гендерсона—Хассельбалля. Блэкуэлл, Фосдик (Verification of the Henderson-Hasselbalch equation. Blackwell R. Quentin, Fosdick Leonard S.), J. Chem. Educ., 1954, 31, № 3, 138 (англ.)
- Описана лабораторная работа для студентов-биохимиков (определение pH буферных р-ров и сравнение с pH, вычисленным по уравнению). А. С.
42186. Производственные экскурсии по химии с учащимися томежских школ. Лейкина Г. Н., Уч. зап. Томского гос. пед. ин-та, 1954, 12, 193—212
42187. Аппарат для получения соляной кислоты, аммиака и других водных растворов газов. Кожиков А. П. (製取鹽酸、氨和其他水溶液氣體的裝置. А. П. 柯茲科夫), 化學通報, Хуасюэ тунбао, 1955, № 10, 629—630 (кит.)
- Перевод. См. РХХим, 1955, 30915.
42188. Получение растворимых бариевых солей из сульфата бария. Саморуков В. Р., Химия в школе, 1954, № 4, 56; (由硫酸鉍製取可溶性鉍鹽. В. Р. 薩摩如羅夫), 化學通報, Хуасюэ тунбао, 1955, № 6, 370 (кит.)
- Чистые р-ры Ва-солей, а также $Ba(OH)_2$ получают восстановлением $BaSO_4$ (медицинского) до BaS нагреванием с крахмалом и обработкой к-той или водой. Д. Т.
42189. История японского химического реферативного журнала «Нихон кагаку соран». Фудзисэ (日本化学雑誌のことども. 藤澤新一郎), 化学の領域, Кагаку-но рэнки, J. Japan. Chem. 1953, 7, № 10, 35—40 (япон.)
42190. Быстрый рост научно-технической литературы и проблемы редактирования. Майатт (The technical editor's approach to an expanding literature. Myatt D. O.), Chemist, 1953, 30, № 3, 127—137 (англ.)
- На примере журнала Industrial and Engineering Chemistry показано, какие мероприятия и редакционные усовершенствования осуществляются в наше время редакцией технич. журнала, чтобы сделать публикуемый материал, при всем его обилии, легко обозримым и доступным с наименьшей затратой труда и времени читателя. Д. Т.

- 42191 К. Статистический справочник по химии. (Chemical statistics handbook (formerly Chemical facts and figures). Washington, Manufact. chem. assoc. inc., 1955, 412 pp., 3 doll.) (англ.)
- 42192 К. Основы химии. Изд. 6-е. Лурое (Essentials of chemistry. 6th ed. Luros Gretchen O. Philadelphia, Lippincott; London, Pitman Med. Publ. Co., 1955, xx, 544 pp., ill., 40 sh.) (англ.)
- 42193 К. Очерки общей химии. Часть 2. Атом, химическая связь, кристаллография, неорганические вещества. Ред. Франки, Раджьеро (Appunti di chimica generale. 2 parte: atomica, legame chimico, cristallografia, inorganica. Red. Franchi L., Raggiro G.), Genova, Ed. tip. Fabiobooks, 1953, 315 p., 2300 L. (итал.)
- 42194 К. Очерки по истории химии в Армении. Казанджян Т. Т. Ереван, Изд-во Ереванск. ун-та, 1955, 240 стр., илл., 9 p. 10 к.
- 42195 К. Организация заводских химических лабораторий в металлургической промышленности. [Учебное пособие для техникумов]. Гапон И. И., Харьков, металлургиздат, 1955, 171 стр., илл., 5 p. 45 к.
- 42196 К. Учебник общей химии (Lehrbuch der allgemeinen Chemie. Bukarest, Techn. Verl., 1954, 325 p., il., 16, 65 lei (нем.))
- 42197 К. Химия. Часть 1. Изд. 5-е перераб. Печник (Kémia. 1. r., 5 átd. kiad. Peczник János. Budapest, Mezőgazd. Kiadó, 1955, 210 l., ill., 8 Ft) (венг.)
- 42198 К. Химия. Часть 2. Печник (Kémia. 2. r. Peczник János. Budapest, Mezőgazd Kiadó, 1954, 178 l., 6.50. Ft) (венг.)
- 42199 К. Физика и химия. Для IV класса дополнительных курсов и современных колледжей. Эшар (Physique et chimie, cours complémentaires et collèges modernes, classe de 4^e. Echar R. Paris, Charles-Lavauzelle, 1953, 364 p., ill., 710 fr.) (франц.)
- 42200 К. Неорганическая химия. Учебник для VII класса. (Chimia neorganica. Manual pentru clasa VII. Bucuresti, Editura de stat didactica si pedagogica, 1954, 150 p.) (рум.)
- 42201 К. Химия. Для VII класса. Левицкий. Перев. с польск. (Chémia. Pre 7-riedu. Lewicki Wladyslaw. Z polsk. Warszawa, Państw. Zakl. Wydawn. Szkol., 1955, 85, 1 nlb. s., 1.35 zl.) (словац.)
- 42202 К. Химия для VIII класса общеобразовательной школы. Тртилек (Chemie pro osmý postupný ročník všeobecné vzdělávacích škol. Trtilka Josef. Praha, SPN, 1954, 169 s. il., 4 Kčs) (чеш.)
- 42203 К. Химия. Учебник для VIII—X классов (Chemie. Lehrbuch der VIII—X. Klasse. Bukarest, Staatsverl. didakt. und pädagog. Lit., 1954, 583 S., ill. (нем.))
- 42204 К. Химия. Учебник для VIII—X классов (Vegytan. Tankönyv a VIII—X osztály számára. Bukarest, Állami Tanügyi és Pedagóg. Könyvkiadó, 1954, 487 l., il. (венг.))
- 42205 К. Химия для XI класса общеобразовательной школы. Ред. Тртилек (Chemie pro jedenáctý postupný ročník všeobecné vzdělávacích škol., za red. Trtilka Josefa. Praha, SPN, 1954, 143, [16]s., il., 7,80 Kčs) (чеш.)
- 42206 К. Общая и неорганическая химия для студентов фармацевтических учебных заведений. Кретсмар, Шмогровиц (Všeobecná a anorganická chemia pre poslucháčov farmácie. Krätsmar Jura J., Šmogrovič. Bratislava, SPN, 1955, 268 s., il., 21,40 Kčs) (словац.)
- 42207 К. Агрохимическая химия. Неорганическая часть. Т. 2. Система элементов. Губачек, Штефль (Zemědělská chemie. Část anorganická. Díl 2. (System prvků). Hubáček Jaromír, Štefl Miroslav. Praha, SPN, 1955, 413 s. il., 30,30 Kčs) (чеш.)
- 42208 К. Лабораторный практикум по неорганической химии для промышленных техникумов. Часть 3. Фараго, Папп (Szervetlen laboratóriumi gyakorlatok. Az ipari technikumok számára. 3. r. Farago Lajos, Papp Tibor. Budapest, Műszaki Kiadó, 1955, 367 l., 6 Ft) (венг.)
- 42209 К. Химия для 2-го курса техникумов общественного питания. Часть 2. (Kémia a közétkeztetési technikum 2. oszt. számára. 2. r. Budapest, Tankönyvkiadó, 1953, 276 l.) (венг.)

См. также: Общие вопр. 42210, 42570, 42577, 42579, 43446; 13113Бх, 13117Бх, 13863Бх, 14036Бх. Период. система 42212, 42264, 42265. Вопр. классиф., номенкл., терминол. обознач., стандартизации 42373, 42556, 43049, 44582, 45331, 45833. История 44005, 44014, 44178, 44189, 44241, 44766, 45108, 45523. Персоналии 45400. Институты 42556, 42868, 43863, 44216, 45115, 45410, 45833. Конференции 42342, 42435, 42461, 43722, 43723, 44138, 45094, 45284, 45411, 45416; 13112Бх, 13128Бх, 13141Бх, 13860Бх. Уч. лит-ра: по хим. дисц. 42867, 42886—42888, 42933, 43480—42485, по технол. дисц. 43731, 43732, 45859, 45463. Справ. лит-ра 43486, 43739, 44805, 44806

ФИЗИЧЕСКАЯ ХИМИЯ

ОБЩИЕ ВОПРОСЫ

42210. Возможна ли новая интерпретация волновой механики? де Бройль (Une interprétation nouvelle de la mécanique ondulatoire est-elle possible? Broglie L. de), Nouvo cimento, 1955, 1, № 1, 37—50 (франц.; реза. итал.)
42211. Коллективное описание систем из многих частиц (Обобщенная теория полей Хартри). Киносита, Намбу (The Collective description of many-particle systems (a Generalized theory of Hartree fields). Kinoshita Toichiro, Nambu Yoichiro), Phys. Rev., 1954, 94, № 3, 598—617 (англ.)
- См. РЖФиз, 1955, 15674

42212. Изучение периодической системы элементов. Лопес-Вигуэрас (Estudio cuántico de los elementos. López Viguera J.), Ion, 1954, 14, № 159, 599—607 (исп.)
- Элементарное рассмотрение периодической системы с точки зрения строения атома. А. Н.
42213. Современные результаты исследований в области ультразвука. Ричардсон (Recent developments in ultrasonics. Richardson E. G.), Sci. Progr., 1955, 43, № 172, 606—615 (англ.)

АТОМНОЕ ЯДРО

42214. Массы ядер с $Z \geq 40$. Буссетти (Masse dei nuclei con $Z \geq 40$. Bussetti G.), Nuovo

cimento, 1955, 2, № 6, 1301—1307 (итал.; рез. англ.)

Приведены значения масс ядер с $z \geq 40$, вычисленные по полуэмпирич. ф-ле капельной модели. Р. Ф.

42215. Магнитный момент уровня Ta^{181} с энергией 480 кэв. Гер, Рюэчи, Шеррер (Das magnetische Moment des 480 kV-Niveau von Ta^{181} , Heer Ernst, Rüetschi Rudolf, Scherrer Paul, Z. Naturforsch., 1955, 10a, № 11, 834—838; Diskuss., 838 (нем.)

С помощью невозмущенной функции корреляции γ -лучей из Ta^{181} от величины магнитного поля гироманитное отношение ядра Ta^{181} , возбужденного до E 480 кэв, найдено равным $g = 1,30 \pm 0,07$. В предположении, что спин ядра равен $5/2$, магнитный момент указанного уровня оказывается равным $(3,25 \pm 0,17) \mu_N$. Р. Ф.

42216. Распределение заряда и массы в ядрах. Миятаке, Гудман (Observations on the charge and mass distributions in nuclei. Miyatake Osamu, Goodman Clark), Phys. Rev., 1955, 99, № 3, 1040—1042 (англ.)

42217. Электронный захват Na^{23} . Аллен, Берчам, Чаккетт, Манди, Риебек (Electron capture in the decay of sodium 22. Allen R. A., Burcham W. E., Chackett K. F., Munday G. L., Reasbeck P.), Proc. Phys. Soc., 1955, A 68, № 8, 681—685 (англ.)

При помощи спектрографич. метода и 4П-счетчика Гейгера было установлено, что отношение электронного захвата к позитронному распаду равно $0,122 \pm 0,010$. Л. Ш.

42218. Долгоживущий изотоп Al^{26} . Хандли, Лайон (Long-lived isomer of Al^{26} . Handley T. H., Lyon W. S.), Phys. Rev., 1955, 99, № 3, 755—756 (англ.)

Долгоживущий Al^{23m} был выделен хим. способом из Al -мишеней, облученных 22,4 Мэв протонами в 86-дюймовом циклотроне. Основную часть излучения распада Al^{26} составляют позитроны с E $1,30 \pm 0,15$ Мэв, находящиеся в совпадении с γ -лучами с E 1,82 Мэв. Найдены также γ -излучения с E 0,717 и 2,91 Мэв. Г. С.

42219. Короткоживущие радиоактивные изотопы P^{28} и Cl^{32} . Гласе, Дженсен, Ричардсон (The short-lived radioisotopes P^{28} and Cl^{32} . Glass Neel W., Jensen Louis K., Richardson J., Reginald), Phys. Rev., 1953, 90, № 2, 320 (англ.)

Исследовалась радиоактивность P^{28} и Cl^{32} . Cl^{32} испускает позитроны, а также γ -кванты с E $4,8 \pm 0,2$ Мэв. $T_{1/2}$ Cl^{32} $0,306 \pm 0,004$ сек. P^{28} испускает позитроны и γ -лучи с E до 7 Мэв. $T_{1/2}$ P^{28} $0,280 \pm 0,010$ сек. Порог р-ций $S^{32}(p, n) Cl^{32}$ $14,3 \pm 0,5$ Мэв, $Si^{28}(p, n) P^{28}$ $15,6 \pm 0,5$ Мэв. Найдены по значениям порогов массы изотопов равны 31,9963 \pm 0,0007 ат. ед. массы для Cl^{32} и 28,0012 \pm 0,0007 для P^{28} . Исследовалась также р-ция $Mg^{24}(p, n) Al^{24}$. Найдены γ -лучи с E $7,1 \pm 0,2$; $5,3 \pm 0,2$; $4,3 \pm 0,2$ и $2,9 \pm 0,2$ Мэв. Период полураспада Al^{24} равен $2,10 \pm 0,04$ сек. О. В.

42220. β^+ -Распад V^{47} . Даниэль (Der β^+ -Zerfall des V^{47} . Daniel H.), Z. Naturforsch., 1954, 9a, № 11, 974—975 (нем.)

Изучен β^+ -распад V^{47} . $T_{1/2}$ V^{47} найден равным 31 \pm 1 мин. Верхняя граница β^+ -спектра равна $1,89 \pm 0,01$ Мэв. Предполагается, что параллельно с β^+ -распадом имеет место К-захват. А. Б.

42221. Данные о существовании 23-часового V^{53} . Шилайн, Уилкинсон, Дропеский, Шала (Evidence against the existence of 23-hour

V^{53} . Sheline Raymond K., Wilkinson Joseph R., Dropesky Bruce J., Shull Theodore T.), Phys. Rev., 1955, 99, № 3, 1055 (англ.)

V^{53} был получен по трем различным р-циям. Исследовалось β^- - и γ -излучение V^{53} . Л. Ш.

42222. Распад Co^{57} . Леммер, Сегарт, Грейс (The decay of cobalt 57. Lemmer H. R., Segart O. J. A., Grace M. A.), Proc. Phys. Soc., 1955, A 68, № 8, 701—708 (англ.)

В результате исследования рентгеновского и γ -излучения Co^{57} при помощи люминесцентного и пропорционального счетчиков была установлена корреляция γ -лучей $E = 14,4 \pm 0,1$ кэв с γ -лучами 123 кэв. $T_{1/2}$ уровня с $E = 14$ кэв оказался равным $1,0 \pm 0,1 \cdot 10^{-7}$ сек, а соответствующий коэфф. конверсии $\sigma_{\text{полн}} = 15 \pm 1$. Приведена предполагаемая схема распада Co^{57} . Л. Ш.

42223. О возможности распада Cu^{69} путем К-захвата. Юаса, Ренар (Sur la possibilité de désintégration par capture K du ^{69}Cu . Yuasa Tosiko, m-lle, Renard G. A.), J. phys. et radium, 1955, 16, № 11, 889—890 (франц.)

Изучалось отношение (η) числа распадов путем К-захвата к числу β -распадов в случае Cu^{69} . Число К-захватов определялось по числу γ -квантов с К-оболочки (E 7,4 кэв), измеряемому при помощи пропорционального счетчика и 50-канального анализатора. Число β^+ -частиц определялось при помощи отдельного счетчика. Показано, что существование изомера Cu^{69} маловероятно. И. Л.

42224. Уровни энергии As^{75} . Шардт, Уэлкер (Energy levels of As^{75} . Schardt A. W., Welker Ionan P.), Phys. Rev., 1955, 99, № 3, 810—824 (англ.)

Возбужденные уровни As^{75} исследовались с помощью схем распада Se^{75} и Ge^{75} . Коэфф. внутренней конверсии в As^{75} были получены с помощью спектрометра с магнитными линзами. Найдена мультипольность следующих переходов (энергия в кэв): 25,66 ($M1 + E2$); 81,97 ($E2$); 121 ($M1 + E2$); 136 ($M1 + E2$); 199 ($M1 + E2$); 265 ($M1 + E2$); 280 ($E2$); 305, 402 ($M1$). Конечные энергии β^- -групп равны: 1,19; 0,98; 0,92; 0,72 и 0,55 Мэв. Предложена схема распада. Показано, что большинство уровней As^{75} имеют спин $1/2$ или $3/2$. Г. С.

42225. Распад As^{70} , полученного бомбардировкой Cu ионами N^{14} Сау (Decay of ^{70}As produced by ^{14}N bombardment of Cu. South A. E.), Proc. Phys. Soc., 1955, A68, № 8, 760—761 (англ.)

As^{70} с $T_{1/2}$ 47 ± 2 мин. получался по р-циям $Cu^{63}(N^{14}, 3p4n) As^{70}$ и $Cu^{65}(N^{14}, 3p2n) As^{70}$. β -Спектр As^{70} , исследованный при помощи β -спектрометра с полукруговой фокусировкой, оказался сложным с E_{β} $1,35 \pm 0,03$ и $2,45 \pm 0,04$ Мэв. При помощи люминесцентного γ -спектрометра обнаружено несколько γ -линий. Л. Ш.

42226. γ -Излучение при распаде Ga^{67} . Риттс, Болд (Gamma radiation in the decay of ^{67}Ga . Rietjens L. H. Th., Bold H. J. van den), Physica, 1955, 21, № 9, 701—718 (англ.)

Схема уровней Zn^{67} получена методом совпадений. Найдены спины основного и возбужденных уровней Zn^{67} , получ. при распаде Ga^{67} под действием дейтронов. Г. С.

42227. Распад Ge^{75m} (49 сек.), Ge^{77m} (52 сек.) и Ge^{77} (12 час.). Берсон, Джордон, Ле-Бланк (Decay of ^{75m}Ge (49 sec), ^{77m}Ge (52 sec), and ^{77}Ge (12 hr). Burson S. B., Jordan W. C., LeBlanc J. M.), Phys. Rev., 1954, 96, № 6, 1555—1562 (англ.)

Изучался распад Ge^{75} и Ge^{77} . Изотопы Ge^{75} и Ge^{77} получены облучением в реакторе (CP-3') природного

и обогащенного Ge. $T_{1/2} \text{Ge}^{75m} (49 \pm 2 \text{ сек.})$ $T_{1/2} \text{Ge}^{77m}$ $52 \pm 2 \text{ сек.}$ Изомерное состояние Ge^{77m} распадается по трем ветвям: изомерный переход на основное состояние Ge^{77} с испусканием γ -лучей $159 \pm 3 \text{ кэв}$; β -переход $\sim 2,7 \text{ Мэв}$ на уровень 215 кэв As^{77} ; β -переход $\sim 2,9 \text{ Мэв}$ в основное состояние As^{77} . При исследовании 12-часовой активности Ge^{77} обнаружено присутствие 18 групп γ -лучей. Предложена схема распада Ge^{77} , включающая метастабильное состояние Ge^{77} ($T_{1/2} 52 \text{ сек.}$) и девять возбужденных уровней As^{77} .

В. Л.

42228. Исследование излучения $\text{Zr}^{95} + \text{Nb}^{95}$. Зарубин П. П., Изв. АН СССР, сер. физ., 1954, 18, № 5, 563—579

Исследовалось излучение $\text{Zr}^{95} + \text{Nb}^{95}$. Граничные энергии парц. β -спектров Zr^{95} оказались равными 250 ± 30 , 364 ± 8 , 404 ± 8 , 900 ± 30 и $1130 \pm 40 \text{ кэв}$, а относительные интенсивности 11, 53, 34, 0,9 и 0,4% соответственно. Установлена новая компонента $E_{\text{гр}}$ 404 кэв .

Р. Ф.

42229. $T_{1/2}$ иттрия-90. Маратхе (The half-life of yttrium-90. Marathe E. V.), J. Scient. and Industr. Res., 1955, (B-C), 14, № 7, B354—B355 (англ.)

Измерен $T_{1/2} \text{Y}^{90}$, равный 64,8 часа.

Р. Ф.

42230. Получение и идентификация долгоживущих изотопов Tc с массовыми числами 97, 98 и 99. Бойд, Сайте, Ларсон, Балдок (Production and identification of long-lived technetium isotopes at masses 97, 98, and 99. Boyd G. E., Sites J. R., Larson Q. V., Baldock C. R.), Phys. Rev., 1955, 99, № 3, 1030—1031 (англ.)

При бомбардировке Mo протонами из циклотрона получены 3 долгоживущих изотопа Tc. Из существования максимумов на спектрограмме, соответствующих массовым числам 97, 98 и 99, следует большая величина $T_{1/2}$ для Tc⁹⁸ и невозможность существования Tc^{100m} с большим $T_{1/2}$.

Л. Д.

42231. Спин и магнитный момент 3,1-часового Cs^{134m}. Гудман, Уэкселер (Nuclear spin and magnetic moment of 3,1-hr Cs^{134m}. Goodman L. S., Wexler S.), Phys. Rev., 1955, 99, № 1, 192—198 (англ.)

42232. Распад ¹⁵⁹Gd и ¹⁶¹Tb. Барлуто, Баллини (Radioactivité de ¹⁵⁹Gd et ¹⁶¹Tb. Barloutaud Roland, Ballini René), C. r. Acad. sci., 1955, 241, № 4, 389—391 (франц.)

42233. γ -Излучение и схема распада La¹⁴⁰. Архангельский Л. В., Железов Б. С., Жуковский Н. Н., Приходцева В. П., Хольнов Ю. В., Изв. АН СССР, сер. физ., 1955, 19, № 3, 251—270

γ -Излучение La¹⁴⁰ с $T_{1/2} 40,22 \pm 0,02$ часа изучается с помощью γ -спектрометра, использующего электроны отдачи. Предложена схема распада.

Ю. Х.

42234. Распад Pm¹⁵⁰. Кистяковская-Фишер (Decay of Pm¹⁵⁰. Kistiakowsky Fischer Vera), Phys. Rev., 1954, 96, № 6, 1549—1553 (англ.)

Приведены данные β -распада Pm¹⁵⁰, полученные при помощи сцинтилляционного γ -спектрометра. Pm¹⁵⁰ получен бомбардировкой образца Nd₂O₃ (обогащенного Nd¹⁵⁰) протонами 9 Мэв. Наблюдены γ -линии с E 3,0; 2,6; 2,0; 1,67; 1,32; 1,17; 0,82; 0,43 и 0,34 Мэв. Изучены совпадения этих линий с β -излучением 2,01 и 3,00 Мэв. Предложена схема распада Pm¹⁵⁰. Показано, что для Nd¹⁵⁰ $T_{1/2} 10^{18}$ лет.

В. Л.

42235. Распад ¹⁵⁹Gd. Марти (Sur la désintégration de ¹⁵⁹Gd. Marty N.), C. r. Acad. sci., 1955, 241, № 4, 385—387 (франц.)

β Спектр ¹⁵⁹Gd оказался сложным с верхними границами $948 \pm 10 \text{ кэв}$ и $198 \pm 8 \text{ кэв}$. Приведена предпологаемая схема распада ¹⁵⁹Gd.

Л. Ш.

42236. К вопросу о распаде Ta¹⁸⁰. Эберхардт, Гейсс, Ланг, Герр, Мерц (Zur Frage des Zerfalls von ¹⁸⁰Ta. Eberhardt P., Geiss J., Lang C., Herr W., Merz E.), Z. Naturforsch., 1955, 10a, № 9—10, 796 (нем.)

42237. О схеме распада Ir¹⁹². Граф, Данги, Франо (Contribution à l'étude du schéma de désintégration de ¹⁹²Ir. Grard F., Danguy L., Franeau J.), J. phys. et radium, 1955, 16, № 11, 839—843 (франц.)

С помощью спектрографа с двойной фокусировкой типа Зигбана — Свартхольма изучен спектр электронов внутренней конверсии и фотоэлектронов при конверсии γ -излучения Ir¹⁹² в Pb с целью определения точных значений энергии малоинтенсивных линий и выяснения их происхождения при β -распаде Ir¹⁹² \rightarrow Pt¹⁹² или K-захватом в переходе Ir¹⁹² \rightarrow Os¹⁹². Дана схема распада Ir¹⁹² в Pt¹⁹² и Os¹⁹² и приведены энергии γ -квантов, испускаемых, по данным авторов, при распаде Ir¹⁹². Авторы указывают на возможность испускания позитронов или испуск. пар при распаде Ir¹⁹². И. Л.

42238. γ -Спектр Ir¹⁹². Глазунов М. П., Железов Б. С., Хольнов Ю. В., Изв. АН СССР, сер. физ., 1955, 19, № 3, 294—295

γ -Излучение Ir¹⁹² исследовалось с помощью спектрометра, использующего электроны отдачи. Определены относительные интенсивности жестких γ -линий и группы неразрешенных прибором мягких γ -линий.

Ю. Х.

42239. Изомеры Os¹⁹⁰ и Ir¹⁹⁰. Атен, Фейфер, Стерк, Ванстра (The isomers of ¹⁹⁰Os and ¹⁹⁰Ir. Aten Junior A. H. W., De Feyfer G. D., Sterk M. I., Wapstra A. H.), Physica, 1955, 21, № 9, 740—742 (англ.)

На основании результатов измерения $\gamma\gamma$ -совпадений и известных величин интенсивностей рентгеновых лучей, испускаемых при внутренней конверсии, построена схема распада Ir^{190m} с $T_{1/2}$ 3 час. Исследована также схема распада 10-минутного Os^{190m}, который является продуктом K-, L-, M-захватов и позитронного распада ядра Ir^{190m}.

Б. Ш.

42240. Излучение Pt¹⁹⁵, Pt¹⁹³ и Pt¹⁹¹. Потнис, Мандевилл, Берлу (Radiations from Pt¹⁹⁵, Pt¹⁹³, and Pt¹⁹¹. Potnis V. R., Mandeville C. E., Burlew John S.), J. Franklin Inst., 1955, 260, № 3, 239 (англ.)

При помощи люминесцентного γ -спектрометра исследовалось излучение Pt¹⁹⁵, Pt¹⁹³ и Pt¹⁹¹. У Pt¹⁹⁵ обнаружены γ -лучи с E_{γ} 31,99 и 130 кэв. У Pt¹⁹³ обнаружены γ -лучи с E_{γ} 133 кэв. У Pt¹⁹¹ наблюдаются рентгеновские и γ -лучи с E 130, 170, 220, 270, 355, 409, 539 и 620 кэв.

Л. Ш.

42241. Радиоактивность Pt¹⁹¹ и Pt^{193m}. Суон, Портной, Хилл (Radioactivity of Pt¹⁹¹ and Pt^{193m}. Swan J. B., Portnoy W. M., Hill R. D.), Phys. Rev., 1953, 80, № 2, 257—258 (англ.)

Исследовались активности Pt¹⁹¹ и Pt¹⁹³ с $T_{1/2}$ 3,2 и 4,5 дней соответственно. Изучено γ -излучение, сопровождающее захват электрона Pt¹⁹¹. Из величины $T_{1/2}$ для перехода с E 125 кэв и величин коэф. конверсии следует, что этот переход можно отнести к типу M₄.

Г. С.

42242. γ -Излучение Au¹⁹⁶. Железов Б. С., Жуковский Н. Н., Приходцева В. П.,

Хольнов Ю. В., Изв. АН СССР, сер. физ., 1955, 19, № 3, 271—276
 γ-Спектр Au^{198} изучался с помощью магнитного спектрометра. Найлены γ-линии с E 412, 680 и 1088 кэВ и интенсивности 100; 1,14 ± 0,05 и 0,26 ± 0,02 соответственно. Приводится схема распада Au^{198} . γ-Кванты с E 680 и 412 кэВ испускаются каскадно. Второе возбужденное состояние может разряжаться путем прямого перехода в основное состояние с испусканием γ-лучей с E 1088 кэВ.

Ю. Х.
 42243. Сечение захвата тепловых нейтронов Au^{198} и период полураспада Au^{199} . Белл, Грехам, Яфф (The thermal neutron capture cross section of Au^{198} and the half-life of Au^{199} Bell R. E., Graham R. L., Yaffe L.), Canad. J. Phys., 1955, 33, № 8, 457—465 (англ.)

Была получена смесь изотопов Au^{198} и Au^{199} из р-ций $Au^{197}(n, \gamma)Au^{198}(n, \gamma)Au^{199}$. $T_{1/2}$ Au^{199} оказался равным $3,148 \pm 0,010$ дня. Исследование β-спектров образцов из смеси изотопов Au^{198} и Au^{199} и из чистого Au^{199} проводилось на β-спектрометре с магнитной линзой, описанном ранее (Bell R. E. и др., Canad. J. Phys., 1952, 30, 35). Определено отношение активностей Au^{198} и Au^{199} . Определена также средняя величина сечения захвата Au^{198} , равная $26\,000 \pm 1200$ барн.

Л. Д.
 42244. Время жизни состояния Ti^{203} с E 279 кэВ. Вард (Lifetime of the 279-kev excited state of Ti^{203} . Ward H. d. e), Phys. Rev., 1955, 99, № 3, 1045—1046 (англ.)

$T_{1/2}$ состояния Ti^{203} с E 279 кэВ измерялся методом совпадений и найден равным $(1,2 \pm 0,3) \cdot 10^{-10}$. В предположении, что переход с 279 кэВ на 30% M1 и на 70% E2, парц. $T_{1/2}$ для этого распада равны: $(7,2 \pm 1,3) \cdot 10^{-10}$ и $(3,1 \pm 0,6) \cdot 10^{-10}$ соответственно. Эксперим. результаты указывают на $d_{1/2}$ и $S_{1/2}$ для уровня 279 кэВ и основного уровня.

Г. С.
 42245. К схеме распада ядра Bi^{214} . Риччи, Триверо (Sullo schema di decadimento del ^{214}Bi (RaC). Ricci R. A., Trivero G.), Nuovo cimento, 1955, 2, № 4, 745—759 (итал.; рез. англ.)

Исследован спектр Bi^{214} . Анализ спектра указывает на наличие перехода с E 2,56 МэВ в первое возбужденное состояние Po^{214} , а также на наличие других β-переходов с E соответственно 1,720 (относительная вероятность 7%), 1,44 (30%) и 1,03 МэВ (22%). Переходы с $E > 1$ МэВ несомненно существуют и относительная вероятность их, по данным авторов, должна равняться ~22%. На основании полученных результатов составлена схема β-превращения ядра Bi^{214} .

Б. Ш.
 42246. Каскадные γ-лучи из Po^{214} (RaC'). Роуленд (Cascade Gamma rays from ^{214}Po (RaC'). Rowland R. E.), Phys. Rev., 1955, 99, № 3, 757—759 (англ.)

С помощью сцинтилляционного спектрометра идентифицированы γ-каскады из Po^{214} . γ-Лучи с E 0,77; 0,93; 1,12; 1,24; 1,38; 1,52 и 1,85 МэВ находятся в совпадении с 0,607 МэВ — переходом на основное состояние Po^{214} . Существует также слабый β-переход на уровень с E 0,617 МэВ. γ-Лучи с E 0,83; 1,77; 2,20 и 2,40 МэВ связаны с прямыми переходами на основное состояние.

Г. С.
 42247. Распад RaD и возбужденное состояние RaE с 46,5 кэВ. Льюис (The decay of RaD and the 46,5 keV excited state of RaE . Lewis G. M.), Proc. Phys. Soc., 1955, A68, № 8, 735—740 (англ.)
 Методом запаздывающих совпадений измерен $T_{1/2}$ возбужденного состояния с E 46,5 кэВ изотопа RaE , образованного при β-распаде RaD . Исследование β-спектра RaD показало, что менее 5% всех β-распадов идет через метастабильные состояния. $T_{1/2}$ найден $< 3 \cdot 10^{-9}$ сек.

42248. Радиоактивный распад Th^{232} . Пит, Росс (Radioactive disintegration of Th^{232} . Peat S. W., Ross M. A. S.), Proc. Phys. Soc., 1955, A68, № 10, 923—925 (англ.)

С целью устранить расхождения в значениях энергии первого возбужденного уровня Ra^{228} , полученных при исследовании α-распада Th^{232} : (Albony G., J. Phys. Radium, 1952, 13, 309; Dunlavy D. C., Seaborg G. T., Phys. Rev., 1952, 87, 165) проведено новое исследование. Измерение велось путем анализа следов α-частиц и конверсионных электронов в ядерной эмульсии. Величина абс. интенсивности электронов конверсии согласуется с первой из цит. работ. Энергия возбуждения Ra^{228} найдена равной 60 ± 12 кэВ.

Г. С.
 42249. Характеристика распада U^{232} . Асаро, Перлман, (Decay properties of U^{232} . Asaro Frank, Perlman I.), Phys. Rev., 1955, 99, № 1, 37—41 (англ.)

При помощи α-спектрографа, люминесцентного γ-спектрометра и счетчиков было установлено, что в излучении U^{232} присутствуют α-группы с $E = 5,318$ МэВ (68%), 5,261 МэВ (32%) и 5,134 МэВ (0,32%); а также γ-лучи с $E = 57,9$ кэВ (0,21%), 131 кэВ (0,075%), 268 кэВ (0,004%) и 326 кэВ (0,004%). Период полураспада первого возбужденного уровня Th^{228} с $E = 58$ кэВ оказался меньше 10 мсек. Уровням приписаны значения спин и четности.

Л. Ш.
 42250. Захват электронов Am^{244} и полупериод спонтанного распада Pu^{244} . Филдс, Гиндлер, Харкнесс, Студьер, Хёйзенга, Фридман (Electron capture decay of Am^{244} and the spontaneous fission half-life of Pu^{244} . Fields P. R., Gindler J. E., Harkness A. L., Studier M. H., Huizenga J. R., Friedman A. M.), Phys. Rev., 1955, 100, № 1, 172—173 (англ.)
 Отношение ветвей захвата электронов и β-излучения найдено равным $0,039 \pm 0,003\%$. Из результатов эксперимента получено значение $T_{1/2}$ для Pu^{244} , равное $(2,5 \pm 0,8) \cdot 10^{10}$ лет, что хорошо согласуется с $T_{1/2}$ $(1,5-2) \cdot 10^{10}$, полученным из экстраполяции кривой зависимости $\ln T_{1/2}$ от A (РЖХим, 1956, 8966).

Г. С.
 42251. Распад U^{232} (74 года). Шарфф-Гольдхабер, Матеосян, Харботл, Мак-Кьюэн (Decay of U^{232} (74 yr). Scharff-Goldhaber Gertrude, Mateosian E. der, Harbottle G., McKewen M.), Phys. Rev., 1955, 99, № 1, 180—183 (англ.)

При помощи люминесцентного γ-спектрометра исследовалось излучение U^{232} (74 года). Получено, что ротационные уровни типа 2+ и 4+ имеют E 60 кэВ и 190 кэВ соответственно. Третий уровень при E 330 кэВ, повидимому, типа 1—.

Л. Ш.
 42252. Изотоп 99^{254} . Харви, Томпсон, Чоппин, Гюрсо (Nuclide 99^{254} . Harvey B. G., Thompson S. G., Choppin G. R., Ghiorso A.), Phys. Rev., 1955, 99, № 1, 337 (англ.)

Проведенные исследования показали, что 99^{254} имеет два изомера. У долгоживущего изомера, испускающего α-частицы с E $6,44 \pm 0,01$ МэВ, $T_{1/2}$ больше двух лет. У 99^{254} с $T_{1/2}$ 36 час. наблюдался β-распад и в значительно меньшей степени электронный захват.

Л. Ш.
 42253. Мезон и мезонная теория. Далиц (Meson phenomena and the meson theory. Dalitz R. H.), Progr. Nuclear. Phys., vol. 4, London, New York, 1955, 95—141 (англ.)

42254. Тяжелые нестабильные частицы (гипероны и K-мезоны). Вайсенберг А. О., Успехи физ. наук 1955, 57, № 3, 361—434
 Обзор.

Г. С.

42255. Некоторые вопросы теории деления ядра. Гейликман Б. Т. В сб.: Физические исследования. М., Изд-во АН СССР, 1955, 310—318

42256. Исследование уровней легких ядер методом магнитного анализа. Хромченко Л. М., Изв. АН СССР, сер. физ. 1955, 19, № 3, 277—293
С помощью магнитного спектрометра с фотографич. регистрацией анализировались заряженные частицы, возникающие в результате ядерных р-ций, под действием дейтронов с E 4,7 мэв. Мишени содержали ядра легких элементов — от Li до Si. Почти во всех случаях наблюдалась р-ция (d, p). Было зарегистрировано и определена энергия ~ 100 уровней ^{13}C , ^{17}O , ^{17}Li , ^{18}Li , ^{21}B , ^{22}B , ^{25}Mg , ^{29}Al , ^{29}Si . Полученные результаты кратко рассматриваются с точки зрения оболочечной модели. Ю. Х.

42257. Деление гяжелых ядер нейтронами высокой энергии. Гольданский В. И., Тарумов Э. З., Пенькина В. С., Докл. АН СССР, 1955, 101, № 6, 1027—1030

Исследовалось деление ядер U^{235} и U^{238} под действием нейтронов 120 и 380 мэв, функция возбуждения деления Bi в интервале 120—380 Мэв и деление ядер Th, Pb, Tl, Au, Pt, W нейтронами 380 мэв. Н. П.

42258. Определение абсолютного выхода Ba^{140} при делении U^{235} тепловыми нейтронами. Яффс, Тод, Мерритт, Хокинге, Браун, Бартоломью (Determination of the absolute fission yield of Ba^{140} in thermal neutron fission of U^{235} . Yaffe L., Thode H. G., Merritt W. F., Hawkins R. C., Brown F., Bartholomew Rosalie M.), Canad. J. Phys., 1954, 32, № 11, 1017—1024 (англ.)

Абсолютный выход Ba^{140} при делении U^{235} тепловыми нейтронами найден равным $6,32 \pm 0,24\%$. Скорость распада Ba^{140} определялась методом счета активности в 4 π -геометрии. $T_{1/2}$ La^{140} найден равным $40,31 \pm 0,06$ часа. Р. Ф.

42259. Развал дейтронов на Н, Т, He^3 и He^4 . Хенкел, Перри, Смит (Breakup of deuterons on Н, Т, He^3 and He^4 . Henkel R. L., Perry J. E., Jr., Smith R. K.), Phys. Rev., 1955, 99, № 3, 1050—1052 (англ.)

См. также: Элементар. частицы, атомное ядро 42348, 42350. Ядерная аппаратура 43623—43626. Радиактивные изотопы 42550—42554, 42556—42558

АТОМ

42260. Решения уравнения Томаса — Ферми при температурном возмущении. Гилварри, Пиблс (Solutions of the temperature-perturbed Thomas-Fermi equation. Gilvarry J. J., Peebles G. H.), Phys. Rev., 1955, 99, № 2, 550—552 (англ.)

Уточнена и дополнена вычисленная в предыдущей работе (РЖХим, 1955, 48241) зависимость начального и граничного параметров χ_1 и χ_b температурного возмущения первого порядка χ_1 атома Томаса — Ферми от радиуса атома χ_b . Для вычисления дополнительных точек на кривых $\chi_1(\chi_b)$ и $\chi_b(\chi_b)$ использованы функции Томаса — Ферми, табулированные ранее (Slater J. C., Krutter H. M., Phys. Rev., 1935, 47, 557). Приведены уточненные графики функций $\chi_1(\chi_b)$ и $\chi_b(\chi_b)$, а также графики зависимости температурных возмущений термодинамич. характеристик атома Томаса — Ферми (выражающихся через χ_1 и χ_b) от ра-

диуса атома. Уточнены также приближенные аналитич. выражения функций χ_1 и χ_b , предложенные ранее.

Т. Р.
42261. Самосогласованное поле Фока в двухконфигурационном приближении для атома бора. Глембоцкий И. И., Кибартас В. В., Юцис А. П., Ж. эксперим. и теор. физики, 1955, 29, № 5, 617—622

Приводятся результаты расчета в двухконфигурационном приближении $1s^2 2s^2 2p - 1s^2 2p^3$ полного потенциала T и радиального распределения вероятности нахождения электронов W для атома бора. Сравнение с результатами расчета в одноконфигурационном приближении показывает, что различие в T , и в функции W незначительно. Учет второй конфигурации всюду, за исключением малых r , несколько увеличивает экранирование электронами заряда ядра. Теоретич. значение энергии в результате учета конфигурации $1s^2 2p^3$ улучшается на 0,033 ат. ед. М. П.

42262. Самосогласованное поле Фока в трехконфигурационном приближении для атома бериллия. Кибартас В. В., Кавецкие В. И., Юцис А. П., Ж. эксперим. и теор. физики, 1955, 29, № 5, 632—638

Показывается, что расчет по методу самосогласованного поля Фока в многоконфигурационном приближении практически сводится к решению обычных уравнений Фока для основной конфигурации и к решению упрощенных двухконфигурационных уравнений Фока для некоторых волновых функций учитываемых конфигураций. Рассматривается трехконфигурационное приближение $1s^2 2s^2 - 1s^2 2p^2 - 2s^2 2p^2$ для атома Be. Результаты расчета функции полного потенциала и радиального распределения вероятности незначительно отличаются от результатов расчета в одноконфигурационном приближении. Учет трех конфигураций улучшает значение энергии на 0,064 ат. ед. М. П.

42263. Вычисление уровней энергии валентного электрона атома натрия. Симонс (Calculation of energy levels of the valence electron in sodium. Simons Lennart), Comment. phys.-math., 1955, 17, № 7, 10 (англ.)

Предлагается метод нахождения собственных значений и собственных функций $u(r)$ для валентного электрона одновалентного атома, близкий к обычно применяемому при расчетах методу самосогласованного поля. Автор отмечает, что использование в случае атома Na потенциала экранирования, полученного Прокофьевым полуэмпирич. методом, приводит к лучшим результатам для энергетич. уровней валентного электрона, чем использование теоретич. потенциала Хартри-Фока. М. П.

42264. Система атомов. Майтак Г. П., Ж. общ. химии, 1955, 25, № 10, 1829—1843

Составлена таблица «система атомов». Особенностью таблицы по сравнению с ранее построенными является разделение атомов на два типа: с четным и нечетным Z . В полосе атомов с четным Z устойчивые атомы образуют сплошное поле, а в полосе с нечетным Z отдельные устойчивые атомы и небольшие группы их отделены радиоактивными атомами. Выявлены и другие различия (границы устойчивых и β -радиоактивных атомов, распространенность устойчивых атомов, дефекты масс атомных ядер). Атомы с четным Z , свойства которых отклоняются от общих закономерностей, по группам и рядам таблицы образуют зоны упорочения. Центральные части зон упорочения выражаются общим ур-нием $Z + N \approx \text{const}$. Отмечается связь зон упорочения (которые, возможно, связаны друг с другом ответвлениями) с периодичностью в системе Д. И. Менделеева. Э. Т.

42265. О аномалиях атомных весов в периодической системе Д. И. Менделеева. Майтак Г. П., Ж. общ. химии, 1955, 25, № 11, 2017—2023

На основе «системы атомов», составленной автором, и понятия зоны упорочения (см. пред. реф.) рассмотрены отклонения от равномерного увеличения атомных весов элементов в порядке размещения их в периодической системе Д. И. Менделеева. Сделан вывод, что аномалии и отклонения только подтверждают фундаментальное значение атомных весов в периодической системе. А. С.

42266. Современные вопросы атомной спектроскопии. Ричль (Az atomspektroszkópia időszéri kérdései. Ritschl R.), Magyar tud. akad. musz. tud. oszt. közl., 1955, 16, № 2-4, 353—363 (венг.).

Дан краткий обзор по основным теоретич. и эксперим. достижениям атомной спектроскопии. Рассмотрены вопросы спектроскопич. техники, а именно: источники света, интерферометры, приготовление решеток спектрографа, измерение интенсивности света и методы радио-спектроскопии. Коротко упомянуто об использовании спектроскопич. методов в определении эталона длины, в хим. анализе. Указано на те выводы о структуре атома и ядра, которые получены из данных по тонкой и сверхтонкой структуре оптич. спектра, а также методом магнитного резонанса. Р. З.

42267. Основные первичные процессы в газовых разрядах. Мессе (Fundamental primary processes in gaseous discharges. Massey H. S. W.), Appl. Scient. Res., 1955, B5, № 1-4, 1—9 (англ.).

Обзор. Н. Я. 42268. Новые измерения функций возбуждения. Смит, Йонгерийус (Renewed measurement of excitation functions. Smit J. A., Jongerius H. M.), Appl. Scient. Res., 1955, B5, № 1-4, 59—62 (англ.).

Определены функции возбуждения для различных линий ртути и полученные функции сравниваются с функциями возбуждения, полученными другими исследователями. Для линии 5461 Å функция возбуждения имеет 4 максимума. Функции возбуждения для линий 4047, 4078, 4358 и 4916 Å также имеют более одного максимума. Н. Я.

42269. Об уровнях p^2 -конфигурации в дуговом спектре Zn, Cd и Hg. Гартон, Раджаратнам (On the levels of the p^2 -configuration in the arc spectra of Zn, Cd and Hg. Garton W. R. S., Rajaratnam A.), Proc. Phys. Soc., 1955, A68, № 12, 1107—1112 (англ.).

Наблюдая дуговой спектр Zn, Cd и Hg в области 1700—2300 Å, авторы обнаружили уширенный автоионизационный уровень p^2P_2 в Zn, Cd и Hg. Отмечается, что к наблюдению этого уровня в спектре Hg надо относиться с некоторым недоверием. Изучен контур линии Cd 2212 Å и по измеренной полуширине $\Delta\nu = 176,1 \text{ см}^{-1}$ вычислена величина вероятности автоионизации для p^2P_2 уровня $3,32 \cdot 10^{13} \text{ сек}^{-1}$. Авторы считают, что положение уровня p^2P_0 , интерпретированного ранее, не соответствует действительности. Н. Я.

42270. Исследование формы и ширины спектральных линий в электрической дуге постоянного тока. Китаева В. Ф., Изв. АН СССР, сер. физ., 1955, 19, № 1, 27—28

Исследовались форма и ширина спектральных линий, обладающих квадратичным эффектом Штарка. Проведены измерения формы и ширины для линий: Na 6160,7; 5153,6; 4752; 5890; 4982,8 Å и Ti 5350 Å. Среди линий Na наиболее широкими оказались линии диффузной серии (для λ 4982,8 Å полуширина 0,5 Å), наиболее узка резонансная линия. С ростом номера члена серии ширина спектральных линий одной серии возрастает. Эксперим. данные сопоставлены с теор. рассчитан-

ными. Сделан вывод, что форма наиболее узких линий определяется эффектом Доплера и лоренцовскими соударениями с нейтр. частицами, а форма широких линий существенно зависит от электр. поля плазмы создаваемого электронами и ионами. Н. П.

42271. Метод перезаселения уровней сверхтонкой структуры основных состояний натрия. Букка (Eine Methode der Umbesetzung der Hyperfeinstrukturterme des Natrium-Grundzustandes. Bueckhaans), Z. Phys., 1955, 141, № 1/2, 49—58 (нем.).

Описан метод перезаселения уровней сверхтонкой структуры основного состояния. Метод основан на освещении атомов Na доплеровски смещенным светом от D-линий Na; причем смещение равно половине величины сверхтонкого расщепления основного уровня, и в соответствии с этим возбуждается только один из сверхтонких уровней. Изменения в заселенности обнаруживаются изменениями интенсивности резонансного излучения. Н. Я.

42272. Зависимость соотношения интенсивностей двух изотопических линий от относительной концентрации изотопов. Стриганов А. Р., Завод. лаборатория, 1955, 21, № 12, 1476—1482

Теоретически рассматривается связь относительной интенсивности двух изотопич. линий с конц-ией изотопов в применении к изотопному спектральному анализу. При отсутствии самопоглощения в случае средних и тяжелых элементов $I_1/I_2 = C_1/C_2$, где I — интенсивность линий, C — конц-ия изотопа. В случае легких элементов градуировочный график $\lg(C_1/C_2)$, $\lg(I_1/I_2)$ смещается в результате различного доплеровского уширения у линий разных изотопов и различия некоторых др. физ. свойств изотопов. Это смещение может быть оценено теор. и найдено эксперим. Для получения надежных результатов изотопного спектрального анализа необходима эталонировка для установления фактич. зависимости между I_1/I_2 и C_1/C_2 . А. Г.

42273. Об изотопном смещении в спектре Cu I. Вагнер (Zur Isotopieverschiebung im Cu I-spektrum. Wagner Siegfried), Z. Phys., 1955, 141, № 1—2, 122—145 (нем.).

На эталоне Фабри — Перо исследовано изотопическое смещение в спектре CuI, полученном при возбуждении чистых образцов изотопов Cu^{63} и Cu^{65} . Смещение составляет в среднем $+20 \cdot 10^{-3} \text{ см}^{-1}$ для резонансных линий $3d^{10} 4s ({}^2S_{1/2}) \rightarrow 3d^{10} 4p ({}^2P_{1/2, 3/2})$ и 12 линий переходов $3d^9 4s (m^2D_{3/2, 5/2}) \rightarrow 3d^9 4s 4p$; $+74 \cdot 10^{-3} \text{ см}^{-1}$ для интеркомбинационных переходов $m^2D_{3/2, 5/2} \rightarrow 4p {}^2P_{1/2, 3/2}$ (или $5p {}^2P^0$ и $-28 \cdot 10^{-3} \text{ см}^{-1}$ для интеркомбинационных переходов $3d^{10} 4s ({}^2S_{1/2}) \rightarrow 3d^9 4s 4p \times (z^4 P_{1/2, 3/2}^0)$. Полученные данные находятся в согласии с теорией и укладываются в единую схему. Отмечается отличие изотопич. смещения термов замкнутой конфигурации $3d^{10} n l$ от изотопич. смещения термов конфигураций $3d^9 4s^2$ или $3d^9 4s 4p$, что объясняется влиянием эффекта связи электронов и движением ядра. Эффект связи для термов в конфигурациях, содержащих $3d^{10}$ -электроны, больше, чем у термов конфигураций, содержащих $3d^9$ -электроны. Теоретич. расчеты показывают, что эта разница может быть лишь частично объяснена отсутствием одного $3d$ -электрона у последних, в основном будучи обусловленной дополнительной связью типа $[3d 2p]$ и $[3d 3p]$. В. А.

[МОЛЕКУЛА. ХИМИЧЕСКАЯ СВЯЗЬ]

42274. Представление ошибки с помощью потенциала и решение уравнения Шредингера последова-

вается то обстоятельство, что конфигурация многих рассмотренных молекул не плоская.

В. А. 42279. Двоесвязность сопряженных связей углерод-хлор. Берсон (Double-bond character of conjugated carbon-chlorine bonds. Bersohn R.), J. Chem. Phys., 1954, 22, 2078—2083 (англ.)

Обычный метод МО применен для исследования связи C—Cl в хлорпроизводных с сопряженными связями. Учитывались по одному π -электрону каждого атома C и два π -электрона атома Cl. За меру сопряжения связи C—Cl принята убыль заряда у атома хлора $\rho = 2 - q_{Cl}$, где q_{Cl} — плотность заряда у атома Cl. В качестве волновых функций нулевого приближения взяты функции сопряженной системы (без C—Cl), получающиеся при расчете методом МО. При учете в следующем приближении взаимодействия сопряженной системы с C—Cl кулоновский интеграл α_{Cl} был принят равным $\alpha_C + (x_{Cl} - x_C)\beta_C$, где α_C и β_C — соответственно кулоновский и резонансный интегралы атома C, $x_{Cl} - x_C$ — разность электроотрицательностей Cl и C. Величина β_{CCl} принята равной $\lambda\beta_C$, где $\lambda = \sim 1/3$. Для ρ получено выражение $\rho = 2\lambda^2 \sum |c_i|^2 \beta^2 / (\alpha_{Cl} - \alpha_C + \epsilon_i)^2$, где c_i — коэфф. при атомной функции i -го атома C в i -ой МО, ϵ_i — соответствующая энергия. Суммирование производится по всем занятым уровням системы. Аналогичным методом рассмотрены также полихлорзамещенные системы и получены соответствующие выражения для ρ . Учитывая, что сопряжение C—Cl с остатком молекулы нарушает осевую симметрию связи C—Cl, автор связывает отклонение связи C—Cl от осевой симметрии $\eta = [(\partial^2 V / \partial x^2)_0 - (\partial^2 V / \partial y^2)_0] / (\partial^2 V / \partial z^2)_0$ с квадрупольной резонансной частотой ν и получает выражение $\eta = \sqrt{4/109.6} \rho / \nu$, допускающее сопоставление расчетных данных с эксперим. Такое сопоставление сделано для ряда хлорзамещенных олефинов, моно- и полициклич. ароматич. углеводородов, для хлорангидридов и хлорзамещенных производных бензола, содержащих различные функциональные группы. Найденно, что степень двоесвязности связи C—Cl достигает до 10—15% в хлорангидридах, что объясняется сродством к электрону атома кислорода, а в некоторых случаях до 18% (хлоранил). В производных бензола электронодонорные группы (OH, NH₂), расположенные в орто- и пара-положении, уменьшают ρ , а электроноакцепторные группы (CHO, NO₂) увеличивают ρ . Полученные данные позволяют выявить ряд других особенностей связи C—Cl в сопряженных системах, а именно, меньшее значение дипольного момента по сравнению с соответствующими алкилхлоридами и укороченное расстояние C—Cl. Описанный метод может быть применен также для исследования особенностей взаимодействия связей C—Br и C—I в сопряженных системах.

В. А. 42280. Электронная структура сопряженных соединений серы. I. Тиофен и изотионафтен. Хир (The electronic structure of conjugated sulfur compounds. I. Thiophene and isothianaphthene. Heer Joseph de), J. Amer. Chem. Soc., 1954, 76, N 19, 4802—4806 (англ.)

При помощи ранее предложенной модификации метода молекулярных орбит (Longuet-Higgins H. C., Trans. Faraday Soc., 1949, 45, 173) рассчитаны порядки связей, свободные валентности и самополяризуемости различных центров в тиофене (I) и изотионафтене (II). Полученные данные сопоставляются с соответствующими величинами для бензола, бутадиена, нафталина и антрацена. Найденно, что в то время как значения свободных валентностей для α -центров I и II являются промежуточными, соответственно, между бензолом и нафталином, с одной стороны, и нафта-

лином и антраценом, с другой (будучи в обоих случаях по величине ближе к первым двум названным молекулам), значения самополяризуемостей указанных центров совпадают по величине с соответствующими значениями для α -центров нафталина и антрацена. Такая аномалия не имеет места для β -центров I и II и для более далеких центров в II. Полученные данные объясняют ранее замеченные различия в гомолитической и гетеролитической реакционных способностях α - и β -центров рассматриваемых молекул (РЖХим, 1954, 48062, 48063; 1956, 3884), если учесть, что гомолитич. реакционная способность определяется главным образом свободной валентностью реакционного центра, а гетеролитическая — величиной самополяризуемости.

В. А.

42281. Сверхсопряжение. I. Общая теория и ее применение к расчетам по простому методу МО-ЛКАО. II. Электронная структура и энергия сопряжения алкилпроизводных бензола. Ихая (Hyperconjugation. I. General theory and its applications to simple LCAO MO calculations. II. The electronic structures and conjugation energies of alkylbenzenes. I'haya Yasumasa), Bull. Chem. Soc. Japan, 1955, 28, № 5, 369—376; 377—381 (англ.)

I. Развита теория сверхсопряжения в применении к расчету электронной структуры метил- и этилпроизводных ацетиленов и бензола простым методом ЛКАО с использованием эмпирич. значений параметров. Принято: $\beta_{rs} = (S_{rs} / S) \beta \equiv \rho_{rs} \beta$; для всех атомов C кулоновские интегралы равны α , за исключением атома C, соседнего с квазиатомом H₂ (или H₂). Для квазиатома H₂ (или H₂) $C = \alpha + \lambda\beta$, а для соседнего с ним атома C $C = \alpha + \lambda_2\beta$. Интегралы β , S , и α взяты из расчета бензола. Считая, что квазиатом H₂ имеет одну π -орбиту (типа π_x), а квазиатом H₂ — две π -орбиты (типов π_x и π_y), рассмотрены молекулы метилацетилен (I) и этилацетилен (II). В I имеется восемь делокализованных π -орбит, сопряженных в двух измерениях: сопряжение распространяется на π_x - и π_y -орбиты трех атомов C и квазиатома H₂. В II, имеющем десять делокализованных π -электронов, π_x -сопряжение распространяется на шесть π_x -орбит: на четыре π_x -орбиты атомов C и на две π_x -орбиты квазиатомов H₂ и H₂, а π_y -сопряжение включает три π_y -орбиты атомов C и одну орбиту типа π_y , составленную из орбит квазиатома H и атома C, входящего в метильную группу: $\Phi_y = N \{ 2 \times 2 \cos - (\psi_a + \psi_b) / (2 + 2S)^{1/2} \}$, где $2 \cos$ — тетраэдрич. орбита атома C, входящего в метильную группу, ψ_a и ψ_b — орбиты атомов H_a и H_b в квазиатоме H₂, S — их интеграл неортогональности. Используются значения параметров: для I $\lambda_1 = -0.5$, $\lambda_2 = -0.1$, $\rho_{12} = 2.92$, $\rho_{23} = 0.879$, (при C₂—C₃ 1,469 Å), $\rho_{34} = 1.356$, (при 1,205 Å); для II $\lambda_1 = -0.5$, $\lambda_2 = -0.1$, $\rho_{12} = 2.92$, $\rho_{24} = 0.834$ (при 1,50 Å), $\rho_{45} = 0.879$ (при 1,47 Å), $\rho_{56} = 1.356$, $\rho^* = 2.35$, ρ^* характеризует неортогональность орбиты Φ_y и π_y -орбиты ближайшего атома C. На диаграмме приведена нумерация атомов, вычисленное распределение заряда π -электронов и вычисленные порядки π -электронных связей: a в I, с учетом сверхсопряжения обоих типов (π_x и π_y); b в II, учтено только π_x -сверхсопряжение, c в II, учтено только π_y -сверхсопряжение. Ось x \perp к плоскости диаграммы (см. стр. 11). Из зависимости «порядок связи—длина связи» (Coulson C. A., Proc. Roy. Soc., 1951, A207, 91) найдены длины связей для I в согласии с опытом. Вычислены энергии молекулярных орбит и дипольные моменты μ , обусловленные смещением π -электронов от алкильных

lieu sur la région K. Roux Monique, m-me, Daudel Raymond, C. r. Acad. sci., 1953, 236, № 13, 2241—2242 (франц.)

Выдвигая гипотезу, что канцерогенность молекулы зависит от ее склонности к р-циям присоединения, авторы пытаются найти факторы, определяющие потенциальный барьер последних. На примере бензола (I), толуола (II), пиридина (III), *n*-метилпиридина (IV) изучается влияние метильной группы на потенциальный барьер р-ций присоединения. Ниже приведены вычисленные значения общего заряда двух атомов в *o*- и *m*-положении к заместителю или гетероатому (1-ая цифра) и потенциальные барьеры р-ций присоединения — радикальной, электрофильной с переходом 1 и 2 π -электронов: I 2; 3,528; 4,146, 4,764; II 2,015; 3,51; 4,071; 4,631; III 1,89; 3,470; 4,380; 5,291; IV —, 3,439; 4,288; 5,137. Понижение потенциального барьера р-ций присоединения с отдачей одного π -электрона под влиянием метильной группы в 3 раза меньше повышения под влиянием атома N, хотя заряд отдаваемый группой CH_3 в 7 раз меньше заряда оттягиваемого азотом. Дополнительное понижение потенциального барьера объясняется сверхсопряжением с метильной группой. Способностью метильной группы облегчать р-ции электрофильного присоединения не только за счет отдаваемого ею заряда, но и за счет сверхсопряжения, авторы надеются объяснить непонятную с точки зрения распределения зарядов канцерогенную активность 1,3,10-триметил-5,6-бензакридина. Н. Г.

42285. Расчет электронного спектра *trans*-бутадиена при помощи полумпирического метода молекулярных орбит. Мозер (Calculations on the electronic spectra of *trans*-butadiene by a semi-empirical molecular-orbital approximation. Moser Carl M., J. Chem. Soc., 1954, Oct., 3455—3461 (англ.))

Полумпирическим методом молекулярных орбит (РЖХим, 1954, 12388; 1955, 83) вычислены энергии низких электронных уровней в молекуле *trans*-бутадиена. Наилучшие функции состояний, полученные путем учета взаимодействия всех конфигураций, участвующих в рассматриваемых состояниях, дают для энергий переходов $^1A_g \rightarrow ^1B_u$ и $^1A_g \rightarrow ^1A_g$ значения соответственно 6,45 и 7,27 эв, хорошо согласующиеся с эксперим. данными. Также хорошо согласуется с последними вычисленное значение для силы осциллятора первого перехода (0,51). Исследован вопрос о том, какими конфигурациями можно пренебречь при учете взаимодействия последних. Показано, что конфигурации, отличающиеся от рассматриваемой, по крайней мере, двумя электронными орбитами, уже практически не влияют на результаты расчета. Указанное обстоятельство позволяет значительно упростить громоздкие расчеты по учету взаимодействия конфигураций. Отмечается плохое согласие с эксперим. данными результатов расчета, выполненных с функциями, определяемыми в самосогласованном варианте метода молекулярных орбит. В. А.

42286. Низшие синглетные возбужденные уровни нафталина. I. Мозер, Лефевр (Lowest singlet excited levels of naphthalene. I. Moser Carl M., Lefebvre Roland, J. Chem. Phys., 1955, 23, № 3, 598 (англ.))

Теоретически исследованы первые синглетные возбужденные электронные состояния молекулы нафталина. Молекулярные интегралы вычислены по методу Паризера и Парра (РЖХим, 1955, 83). Расчеты произведены с молекулярными орбитами типа Гюккеля, с циклич. и с самосогласованными молекулярными орбитами. Учтено взаимодействие только двух низших

конфигураций в каждом из классов симметрии $^1B_{1u}$ и $^1B_{2u}$. Во всех рассмотренных авторами случаях первый электронный переход поляризован вдоль длинной оси молекулы ($^1B_{1u}$), второй электронный переход — вдоль короткой оси ($^1B_{2u}$). Учет взаимодействия конфигураций приводит к значительному уменьшению интенсивности первого электронного перехода по сравнению с интенсивностью перехода, вычисленной с молекулярными орбитами типа Гюккеля. Т. Р.

42287. Низшие синглетные возбужденные уровни нафталина. II. Лефевр, Мозер (Lowest singlet excited levels of naphthalene. II. Lefebvre Roland, Moser Carl M., J. Chem. Phys., 1955, 23, № 4, 754—755 (англ.))

Ранее (РЖХим, 1956, 38661) было предположено, что возбужденные конфигурации, получаемые из основной электронной конфигурации ароматич. молекулы возбуждениями электрона $\Phi_m \rightarrow \Phi'_n$ или $\Phi_n \rightarrow \Phi'_m$ (Φ_m и Φ_n — две высшие занятые орбиты, Φ'_n и Φ'_m — низшие свободные орбиты), точно вырождены. Это возможно, если коэфф. ЛКАО образуют унитарную матрицу, $J_{mn'} = J_{nm'}$, $K_{mn'} = K_{nm'}$, $\int \chi_K H \chi_{K'} dt$ не зависит от K , а $\int \chi_K H_{\text{остову}} \chi_{K'} dt$ не равно нулю только для $K = 1$ и для соседних атомов. Т. Р.

42288. Структуры и π -электронные спектры. II. Матрица преобразования. Симпсон, Луни. III. Трифенилметановые красители. Луни, Симпсон (Structures and π -electron spectra. II. The transformation matrix. Simpson William T., Looney Catherine Worsfold. III. Triphenylmethane dyes. Looney Catherine Worsfold, Simpson William T., J. Amer. Chem. Soc., 1954, 76, № 24, 6285—6292; 6293—6300 (англ.))

II. Рассматривается процедура построения матрицы ортогонального преобразования S , приводящего диагональную матрицу эксперим. значений π -электронных термов E к матрице E' , базисом представления которой являются волновые функции отдельных канонич. структур (предыдущее сообщение, РЖХим, 1954, 23102): $E' = S^{-1}ES$. Известными являются элементы матрицы E (энергии термов), E_1, E_2, \dots, E_n , виды симметрии соответствующих волновых функций, а также l структур $1, \dots, n$ и их виды симметрии, совпадающие с симметрией соответствующих им волновых функций. Так как матрица S приводит матрицу E' к диагональному виду E , то для (полного или частичного) определения матрицы S применима процедура понижения степени векового ур-ния на основе использования свойств симметрии молекулы. Если все n рассматриваемых структур эквивалентны, т. е. переводятся друг в друга операциями симметрии молекулы, то вековая матрица диагонализуется полностью (а матрица S полностью определяется) с помощью учета свойств симметрии молекулы. Если среди рассматриваемых структур имеются неэквивалентные, то невозможно полностью привести вековую матрицу (соответственно: однозначно определить матрицу S), исходя только из свойств симметрии молекулы и не используя дополнительных предположений. У бензола при учете двух структур Кекуле матрица S определена однозначно симметрией молекулы. Разность энергий одной структуры Кекуле и основного состояния молекулы (вертикальная энергия резонанса) равна $1,91 \cdot 10^4 \text{ см}^{-1} = 55 \text{ ккал/мол.}$ Рассмотрены трифенилметановые красители: кристаллич. фиолетовый и метоксималахитовый зеленый, для которых найдены соответствующие матрицы S и энергии при учете 3 и 4 структур.

III. Получены спектры поглощения красителей:

кристаллич. фиолетового (I), *n*-метоксималахитового зеленого (II), малахитового зеленого (III), *n*-нитромалахитового зеленого (IV) и голубого гидрола Михлера (V). Приведены $\lambda_{\text{макс}}$ энергии возбуждения, дипольные моменты переходов и поляризации (x, y) полос поглощения в видимой и УФ-областях. Полученные результаты использованы для теоретич. рассмотрения молекул I и II (сообщение II). Вычислено расстояние основных состояний молекул III и I, равное $x = 0,140$. Диагонализацией найденной таким путем матрицы E' III вычислены энергии π -электронных переходов в молекуле III, равные 1,62; 2,23, 3,26; эксперимент: 1,62; 2,36; 3,14. У IV авторы считают, что симметрия 3-го π -электронного перехода отлична от симметрии этого перехода в молекулах I, II, III. Предполагается, однако, что в матрице E' IV только элемент E'_{11} отличен от соответствующего элемента матрицы E' I. Эмпирически, по частоте перехода в IV, найдено: $\delta E'_{11} = 2,800$. Диагонализацией матрицы E' IV вычислены следующие энергии переходов: (1,56), 2,29; 4,43; (опыт 1,55; 2,36). Для V диагонализацией матрицы E' V вычислена частота 2,66 (опыт 2,58). Для вычисления матричных элементов дипольного момента авторы исходят из матриц электр. дипольного момента молекулы I; в структурном представлении — $x' I$ и $y' I$. Постулируя, что недиагональные элементы этих матриц равны нулю, используя эксперим. значения дипольных моментов в представлении Гейзенберга ($x = Sx'S^{-1}, y = Sy'S^{-1}$), авторы построили матрицы дипольного момента молекулы I в структурном представлении. Авторы считают, что матрицы дипольного момента молекулы II в структурном представлении совпадают с соответствующими матрицами для молекулы I. Матрицей S II совершается переход к распределению Гейзенберга. Найденные таким путем значения дипольных моментов переходов 1,96; 1,40; 0,43 — хорошо согласуются с опытом: 1,95; 1,33; 0,44. Аналогично вычислены дипольные моменты переходов для молекул III — V. Значения E'_{11} сопоставлены с основностью замещающих групп, вычислены энергии резонанса и теплоты образования карбинолов красителей.

T. P.

42289. π -Электроны в органических соединениях. Матага, Кондауми (有機化合物の電子状態に關連せる π 電子理論. 又實昇, 小泉正夫), 科學, Kagaku, Chemistry (Kyoto), 1955, 10, № 9, 4—7 (япон.). Обзор. Библ. 8 назв. М. Д.

42290. О спектрах поглощения комплексных ионов. I. II. Танабе, Сугано (On the absorption spectra of complex ions. I. II. Tanabe Yukito, Sugano Satoru), J. Phys. Soc. Japan, 1954, 9, № 5, 753—779 (англ.)

I. С целью интерпретации спектров поглощения октаэдрич. комплексных ионов металлов переходной группы железа с помощью метода Рака (Racah G., Phys. Rev., 1943, 63, 367; 1949, 76, 1352) вычислены элементы матрицы энергии для конфигураций d^n ($n = 1, 2, \dots, 9$) в поле кубич. симметрии. При рассмотрении возбужденных состояний f и e_2 учитывалось введение измененных параметров Рака B и C то обстоятельство, что эти состояния уже не являются чисто d -состоянием и частично смешаны с орбитами аддендов.

II. Выполнены расчеты матриц энергии конфигураций d^n ($n = 1, 2, \dots, 9$), найденных в предыдущем сообщении, применительно к комплексным ионам группы железа. Параметры Рака B и C определялись из литературных данных по атомным спектрам соответствующих ионов. Данные расчета представлены в виде графиков зависимости уровней энергий термов иона от отношений Dq/B , где Dq — параметр силы кристаллич.

поля. Вычисленные энергии переходов при подходящем подборе параметра Dq хорошо согласуются с эксперим. данным по спектрам двухвалентных комплексных ионов, а соответствующие Dq согласуются со значениями, полученными из измерений по методу парамагнитного резонанса. Для трехвалентных ионов согласие с эксперим. данными достигается при пользовании несколько меньшими значениями параметров B и C по сравнению с вычисленными из атомных спектров, что связано, повидимому, с примесью орбит аддендов в возбужденных состояниях и возмущенных состояниях f_2 и e d -электронов в кристаллическом поле. Авторам удалось интерпретировать спектры $[\text{Co}(\text{NH}_3)_6]^{3+}$ и $[\text{Co}(\text{H}_2\text{O})_6]^{3+}$ в рамках ионной модели, в предположении, что кристаллич. поле в указанных комплексных ионах по сравнению с остальными сильнее, в результате чего основным состоянием в поле является синглетное, обуславливающее диамагнитные свойства этих комплексных ионов. Теоретич. расчет сил осцилляторов переходов в комплексных ионах показывает, что переходы, ответственные за наблюдаемые спектры, являются запрещенными и появляются в спектрах в большинстве случаев за счет снятия запрета при колебаниях. Полосы таких переходов широкие, и силы осцилляторов в соответствии с теорией равны $\sim 10^{-4}$. Узкие полосы, наблюдаемые в спектрах рассматриваемых комплексных ионов, имеют $f \sim 10^{-6} - 10^{-7}$ и интерпретируются как переходы квадрупольного и магнитодипольного типа. Разница в силах осциллятора в спектрах двухвалентных и трехвалентных ионов ($f_{2+} \approx 0,1 f_{3+}$) объясняется главным образом более сильным полем в случае последних.

B. A.

42291. Связь между поглощением света комплексными ионами и их строением. VI. Об изменениях системы термов ионов Ni^{2+} при построении комплексных ионов с тетраэдрической и тетрагональной конфигурацией. Хартман, Фишер-Вазельс (Lichtabsorption und Konstitution von Komplexionen. 6. Mitteilung: Über die Änderungen des Termsystems des Ni^{2+} -Ions beim Einbau in tetraedrische und tetragonale Komplexe. Hartmann Hermann, Fischer-Wasels Horst), Z. phys. Chem. (Frankfurt), 1955, 4, № 5/6, 297—334 (нем.)

Произведены квантово-механические расчеты энергетич. уровней иона Ni^{2+} в тетраэдрич. и тетрагональных комплексах. Значения слейтеровских интегралов F_2 и F_4 свободного иона определялись путем интегрирования эмпирич. радиальной функции вида $R = \sqrt{8/45} f r^2 e^{-fr}$, где параметр f определялся из известного значения разности термов ${}^3P - {}^3F = 16\,400 \text{ см}^{-1}$. Влияние аддендов определялось по теории возмущения на базе электростатич. модели Магнуса. В расчете учитывалось так же дополнительное возмущение за счет взаимодействия термов свободного иона в поле комплексного иона. Найдено, что независимо от характера адденда (ион, диполь), в интервале расстояния R_{AB} между центральным ионом и аддендом 1,5—1,8 Å, основное состояние Ni^{2+} в ионах с тетрагональной конфигурацией является триплетным, тогда как взаимное положение низших синглетных и триплетных термов в ионах с тетрагональной конфигурацией сильно зависит от R_{AB} . Расчет показывает, что при $R_{AB} = 1,5 \text{ Å}$ низшим является синглетный терм и комплексный ион становится диамагнитным. Полученные результаты находятся в согласии с эксперим. данными. Последнее имеет место так же и для вычисленных с $R_{AB} = 1,5 \text{ Å}$ значений энергий переходов между мультиплетными компонентами термина 3F в ионах с тетраэдрич. конфигурацией. См. также, РЖХим, 1956, 3162. B. A.

42292. Спектры комплексов металлов переходных групп. Оргел (Spectra of transition-metal complexes. Orgel L. E.), J. Chem. Phys., 1955, 23, № 6, 1004—1014 (англ.)

Рассчитаны энергетич. уровни ионов металлов переходных групп в комплексных соединениях как функции от эмпирич. параметра Dq , определяемого как $1/10$ часть разделения уровней t_{2g} и e_g иона в кристаллич. поле. Анализ имеющегося литературного материала показывает, что порядок величины параметра Dq для двухвалентных гидратированных ионов составляет ~ 1000 см $^{-1}$, принимая в ряду ионов V^{2+} , Cr^{2+} и Ni^{2+} соответственно значения 1220, 1260 и 850 см $^{-1}$. Для трехвалентных ионов Dq приблизительно равно 2000 см $^{-1}$. Величина параметра Dq в октаэдрич. комплексных ионах значительно больше, чем в тетраэдрич. и существенно зависит от адденда комплексного иона, возрастающая в ряду $J^- < Br^- < Cl^- < F^- < H_2O < C_2O_4^{2-} < C_6H_5N < NH_3 < C_2H_4(NH_2)_2 < NO_2^- < CN^-$. На основе расчета дана интерпретация литературных данных по спектрам комплексных ионов металлов первой переходной группы с электронной конфигурацией свободных ионов от d^1 до d^9 . В. А.

42293. Электронное строение комплексов металлов переходных групп. Оргел (Electronic structures of transition-metal complexes. Orgel L. E.), J. Chem. Phys., 1955, 23, № 10, 1819—1823 (англ.)

Рассмотрен физ. смысл параметра Dq (см. пред. реф.), определяющего одну десятую величины расщепления под влиянием аддендов t_{2g} и e_g , $3d$ -орбит в октаэдрич. комплексах t_1 и e $3d$ -орбит в тетраэдрич. комплексах металлов переходных групп. Согласно автору величина $10Dq$ тождественна со связывающей или разрыхляющей энергией $3d$ -электрона в состоянии e_g в комплексном ионе. Конкретные расчеты при помощи метода Слейтера дают возможность, зная значение Dq данного комплексного иона, определить характер связей иона металла с аддендами. Идея расчета заключается в определении энергии свободного иона в сильном кристаллич. поле с учетом энергии возбуждения, необходимой для осуществления в кристалле состояний меньшей мультиплетности. Для ряда типов комплексов определены значения Dq , выше которых связь М—адденд имеет ковалентный характер. При переходе к комплексам металла 2-ой и 3-ей переходных групп осуществление ковалентных связей облегчается из-за уменьшения энергии возбуждения. Развиваемые представления используются при анализе конкретных примеров. Приведены численные значения интегралов Слейтера F_2 и F_4 для различных конфигураций ионов металлов переходных групп. В. А.

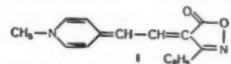
42294. Ширина полос в спектрах поглощения комплексных соединений марганца и других металлов переходных групп. Оргел (Band widths in the spectra of manganous and other transition-metal complexes. Orgel L. E.), J. Chem. Phys., 1955, 23, № 10, 1824—1826 (англ.)

Рассматривая вопрос о ширине полос в спектре поглощения комплексов марганца, автор отмечает, что порядок, в котором растут ширина полос ${}^4G(A_{1g}) \approx {}^4G(E_g) < {}^4D(E_g) < {}^4D(T_{2g}) < {}^4G(T_{2g}) < {}^4G(T_{1g})$, совпадает с порядком, в котором растут наклоны кривых зависимости энергии термов от постоянной кристаллич. поля куб. симметрии в области $Dq = 780$ см $^{-1}$. Указанный факт качественно объясняется: 1) зависимостью радиуса центрального иона от распределения электронов по состояниям t_{2g} и e_g d -орбит (соответственно n_1 и n_2), определяемым соотношением $dE/d(Dq) =$

$= 4n_1 - 6n_2$, где E — энергия уровня; при переходе между уровнями, характеризующимися различными $dE/d(Dq)$, распределение электронов меняется, что ведет за собой изменения равновесного значения расстояния М — адденд, поэтому, согласно принципу Франка — Кондона, электрическое возбуждение ведет к переходу иона на различные колебательные уровни верхнего состояния и, как следствие этого, к уширению полос; 2) влиянием флуктуаций конфигурации, что также приводит к уширению полосы, определяемой в первом приближении значением величины $d(h\nu)/d(Dq)$, где $h\nu$ — энергия перехода. Указанные причины позволяют понять наличие в спектрах комплексных соединений металлов переходных групп узких и широких полос. Малая ширина полос в спектре редкозамещенных ионов может быть объяснена малым значением $dE/d(Dq)$. Развиваемые представления привлекаются для интерпретации литературных данных. В. А.

42295. Спектры поглощения красителей в растворах. Ошика (Absorption spectra of dyes in solution. Ooshika Yuzuru), J. Phys. Soc. Japan, 1954, 9, № 4, 594—602 (англ.)

Метод теории возмущения применен для исследования влияния р-рителя на спектр поглощения растворенного красителя. Молекула растворенного в-ва рассматривается в окружении N молекулами р-рителя. Невозмущенная волновая функция р-ра представлена в виде $\Phi = \varphi_m \Psi_n$, где φ_m — волновая функция m -го состояния молекулы красителя, Ψ_n — волновая функция n -го состояния молекулы красителя. Возмущение ΔE , вносимое р-рителем, определяется решением ур-ния: $\Delta E = (\Phi_{mm}|V|\Phi_{mm})$, где $V = -\sum \mu_0 \mu_i / r_i^3 \theta_i$, μ_0 и μ_i — соответственно дипольные моменты молекулы красителя и р-рителя, θ_i — величина, определяющая их взаимную ориентацию. При решении задачи теории возмущения учитывается также и возможность нахождения молекул р-рителя в возбужденном состоянии. В результате для смещения полосы поглощения красителя получено следующее выражение: $\Delta h\nu = \Delta E_e - \Delta E_g = [2(D-1)/(2D+1)]\alpha + [D(n^2-1)/(2n^2+1)](\beta - \gamma/\sigma_0) + \{2(D-1)(2D+1)\}^2 \delta + [(2D+1)(D-n^2)/(2D+n^2)]D\epsilon$, где σ_0 — частота электронного перехода молекулы р-рителя, D и n — соответственно диэлектрич. постоянные его и показатель преломления $\alpha = (\mu_g^2 - \mu_e \mu_e)/a^3$, $\beta = (\mu_g \mu_e - \mu_e^2)/a^3 + [\sum m \pm g(g|\mu_0|, m)^2 - \sum m \pm e(e|\mu_0|m)^2]/a^3$, $\gamma = \sim 2(g|\mu_0|e)^2 \sigma_0/a^3$, $\delta = \sim (2/a^6)\{\bar{\mu}g(g|\mu_0|e)^2\} \{2\mu_g - \mu_e\}(g|\mu_0|e)/(\epsilon_m - \epsilon_g)$, $\epsilon = \sim (4kT/3a^3)(g|\mu_0|e/hc\sigma_0)$ и $\sigma_0 = \epsilon_e - \epsilon_g/hc$ (индексы g и e относятся соответственно к основному и возбужденному состоянию. Автор замечает, что смещение $\Delta\nu$ определяется не только D и n , но также и длиной волны полосы поглощения р-рителя, что объясняет, напр., различное влияние как р-рителей хлороформ, пиридина и ацетона с одной стороны и нитробензола с другой стороны на спектры поглощения красителей типа I. В тех случаях, когда D мало, смещение в сторону длинных волн ввиду преобладающего значения первого члена имеет место лишь при $\mu_g^2 < \mu_e \mu_e$, что обычно имеет место для обычных красителей. При увеличении D р-рителя может произойти изменение знака смещения, что согласуется с эксперим. данными (Brooker L. G. S. и др., J. Amer. Chem. Soc., 1951, 73, 5332). Для молекул, у которых $\mu_g^2 > \mu_e \mu_e$, должно иметь место смещение в сторону коротких волн. Особо рассмотрен случай неполярных



р-рите
X (+
нейная
шения
литера
Mod. P
42296.
(Isol
en)
п е
1091
Обз
назв.
42297.
тен
dray
Bul
(англ
Под
(РХХ
42298.
Кон
(М
ныс
В и
Par
p-R
and
in
A.
Для
связи
Si, G
диссо
C₆H₅
0.71·
R = C
R = C
венно
что в
двойн
центо
с нез
п-ком
d-орб
дово)
Соед.
образ
R₂C—
переп
вызв
Sn,
М
тель
силф
инф
Част
42299.
С
str
tra
Pa
—А
расп
исхо
терм
не и
ΔH₂
ΣΔ

р-рителей, для которых $hc\Delta\nu = 2(n^2 - 1)/(2n^2 + 1) \times (\alpha + \beta - \gamma/\sigma_p)$. В этом случае ожидается прямолинейная зависимость $\Delta\nu$ от длины волны полосы поглощения р-рителя, что подтверждается имеющимися в литературе эксперим. данными (Sheppard S. E., Rev. Mod. Phys., 1942, 14, 303). В. А.

42296. Изомерия и электромерия. Часть II. Е н и е н (Isomerie en electromerie. (Deel II). Formulering en additiereacties van labiele electromeren. J e n n e n J. J.), Ind. chim. belge, 1955, 20, № 10, 1067—1091 (фламанд.; рез. франц., нем., англ.)

Обзор. Часть I см. РЖХим, 1955, 28770. Библ. 80 назв. М. Д.

42297. Новый метод построения поверхностей потенциальной энергии. С а т о (A new method of drawing the potential energy surface. S a t o S h i n), Bull. Chem. Soc. Japan, 1955, 28, № 7, 450—453 (англ.)

Подробное изложение опубликованной ранее работы (РЖХим, 1956, 3139). М. Д.

42298. Природа координационной связи. Часть IX. Константы диссоциации кислот π -R₃M-C₆H₄CO₂H (M = C, Si, Ge и Sn и R = CH₃ и C₂H₅) и относительные доли d_{π} - π -связи в связи M—C. Ч а т т, В и л ь я м с (The nature of the co-ordinate link. Part IX. The dissociation constants of the acids π -R₃M-C₆H₄CO₂H (M = C, Si, Ge, and Sn and R = Me and Et) and the relative strengths of d_{π} - π -bonding in the M—C₆H₄ bond. C h a t t J., W i l l i a m s A. A.), J. Chem. Soc., 1954, Dec., 4403—4411 (англ.)

Для оценки относительной степени двесвязности связи M—C_{ар} в ряду к-т π -R₃MC₆H₄CO₂H, где M = C, Si, Ge, Sn и R = CH₃ и C₂H₅, определены их константы диссоциации (K_a) в 60%-ном водн. сп. Для π -R₃C—C₆H₄CO₂H при R = CH₃ и C₂H₅ $K_a = 0,70 \cdot 10^{-6}$ и $0,71 \cdot 10^{-6}$, для π -R₃M-C₆H₄CO₂H при M = Si, Ge, Sn и R = CH₃ $K_a = 1,13 \cdot 10^{-6}$; $1,08 \cdot 10^{-6}$; $1,17 \cdot 10^{-6}$; при R = C₂H₅ $K_a = 1,11 \cdot 10^{-6}$; $1,07 \cdot 10^{-6}$; $1,05 \cdot 10^{-6}$ соответственно. На основании полученных данных предположено, что в случае M = Si, Ge, Sn связь M—C имеет частичный двойной характер. В связи такого типа между атомом-акцептором с заполненными d -орбитами и атомом-донором с незаполненными близко лежащими d -или p -орбитами π -компонента связи образуется за счет перекрывания d -орбиты акцептора со свободной d - или p -орбитой донора. Эта связь названа донорной π -связью (J. Chem. Soc., 1952, 273, 43(0)). В случае M—C донорной π -связи образоваться не может (2 d -орбит не существует) и связь R₃C—C_{ар} является чистой σ -связью. Двоярная π -связь перекрывает положительный индуктивный эффект, вызванный большей электроположительностью Si, Ge, Sn, чем C. Индуктивный эффект слабо меняется в ряду M—Si, Ge, Sn, так как разница в их электроотрицательности мала, все к-ты примерно одной силы и сильнее бензойной к-ты. При замене C ароматич. на C алифатич. к-ты становятся слабее, чем бензойная к-та. Часть VIII, РЖХим, 1955, 26015. Н. Н.

42299. Термохимия реакций перераспределения. С к и н н е р (The thermochemistry of some redistribution reactions. S k i n n e r H. A.), Recueil trav. chim., 1954, 73, № 11, 991—1000 (англ.)

Рассматриваются значения теплот р-ций типа A—X—A+B—X—B→2A—X—B, называемых р-циями перераспределения (РЖХим, 1955, 25761), которые, если исходить из постоянства энергий связей, должны быть термонейтральными [$\Delta H_2 = 0$], что однако практически не имеет места. Для ряда р-ций вычислены значения ΔH_2 из ур-ня $\Delta H_2 = \Sigma \Delta H_0$ (конечные продукты) — $\Sigma \Delta H_0$ (начальные продукты). Полученные значения ΔH_2

связываются с особенностями строения начальных и конечных компонент р-ции в рамках представлений о σ - и π -сверхсопряжениях и влиянии ионных структур. Особый интерес представляет отрицательный знак ΔH_2 для р-ции $\frac{1}{2}$ CH₃CO·COCH₃ + $\frac{1}{2}$ C₂H₆ → CH₃COCH₃ ($\Delta H_2 = -2,7$ ккал/моль) и $\frac{1}{2}$ NCN·CN + $\frac{1}{2}$ C₂H₆ → CH₃CN (—5,7 ккал/моль), где ввиду потери в ходе р-ций энергии сопряжения π -электронов в молекулах диацетила и дициана предполагалось обратное. Знак ΔH_2 и его небольшая величина в р-ции $\frac{1}{2}$ C₆H₅·C₆H₅ + $\frac{1}{2}$ C₂H₆ — C₆H₅CH₃ (+0,76 ккал/моль) свидетельствуют о слабом взаимодействии друг с другом двух бензольных колец в дифениле, повидимому, из-за некопланарности его молекулы. Из ΔH_2 р-ции $\frac{1}{2}$ C₆H₅CH₂CH₃·C₆H₅ + $\frac{1}{2}$ C₂H₆ → C₆H₅CH₂CH₃ (+1,94 ккал/моль) автор заключает, что молекула дибензила дополнительно стабилизирована на ~4 ккал возможно за счет π -сверхсопряжения. Положительный тепловой эффект р-ции $\frac{3}{4}$ CF₄ + $\frac{1}{4}$ CCl₄ → CF₃Cl (+7,5 ккал/моль), $\frac{1}{2}$ CF₄ + $\frac{1}{2}$ CCl₄ → CF₂Cl₂ (+8,3 ккал/моль) и $\frac{1}{4}$ CF₄ + $\frac{3}{4}$ CCl₄ → CFCF₃ (+5,2 ккал/моль) объясняется особой прочностью связи C—F в CF₄, что подтверждается также и расчетами (Warhurst E., Proc. Roy. Soc., 1951, A207, 32). В. А.

42300. Ротационный анализ полос систем A³P₀₊, B³P₁—X¹Σ⁺ монофторида индия. Барроу, Глейзер, Зеemann (Rotational analysis of bands of the A³P₀₊, B³P₁—X¹Σ⁺ systems of indium monofluoride, Barrow R. F., Glaser D. V., Zeeman P. B.), Proc. Phys. Soc., 1955, A68, № 11, 962—968 (англ.)

Проведен ротационный анализ 1,0; 0,0; 0,1 и 1,2 полос системы A—X и 1,0; 0,0; 0,1 полос системы B—X спектра InF, возбужденного в разрядной трубке с полым катодом. В полосах системы A—X найдено две ветви; в полосах системы B—X—три, что подтверждает их интерпретацию как A³P₀₊ и B³P₁. В ИК- и видимой областях полос, подобных наблюдаемым для AlF, не обнаружено. Межатомное расстояние InF найдено равным $r_f = 1,985$ А. Приведены значения состояний вращательных постоянных D, C¹P, B³P, A³P₀₊, X¹Σ⁺. В. Д.-К.

42301. Изучение поглощения света метастабильными атомами и молекулами гелия. Фелпс (Absorption studies of helium metastable atoms and molecules. P h e l p s A. V.), Phys. Rev., 1955, 99, № 4, 1307—1313 (англ.)

Исследовался распад метастабильных состояний He и He₂ по изменению интенсивности спектра поглощения после выключения источника возбуждения. Метастабильные атомы создавались в разрядной трубке кратковременными импульсами. Исследовалось разрушение уровней 2¹S и 2³S He₂ по поглощению линий 5016 и 3889 А и уровня 2³Σ He₂ по полосе 4650 А. Наиболее быстро спадает плотность 2¹S атомов—за время порядка 1 мсек. Число 2³S атомов несколько возрастает в течение первой мсек., а затем экспоненциально затухает на протяжении 5—6 мсек. Плотность молекул He₂ 2³Σ возрастает на протяжении 2³ мсек., и затем сравнительно медленно затухает, причем закон затухания отличается от экспоненциального. Помимо изменения поглощения со временем приводится также зависимость скорости разрушения метастабильных состояний от электронной плотности и от давления при малой плотности электронов. Все полученные результаты хорошо согласуются со следующей картиной. Состояние 2¹S разрушается за счет диффузии, парных столкновений с нейтральным атомом He, приводящих к индуцированному излучению, а за счет столкновений II рода с электронами, вызывающих переход 2¹S—2³S.

Состояние 2^3S пополяется в начальной стадии за счет последнего процесса и разрушается благодаря диффузии и тройным столкновениям с нейтр. атомами. Тройные столкновения приводят в свою очередь к созданию молекулы He_2 в $2^3\Sigma$ состоянии. Измерения дают следующие атомные характеристики (средние для 300°K). Сечение процесса $He(2^1S) + e \rightarrow He(2^3S) + e$: $3,0 \cdot 10^{-14} \text{ см}^2$, сечение столкновений $He(2^1S)$ с нейтр. атомом, индуцирующих излучение: $3 \cdot 10^{-20} \text{ см}^2$; коэфф. тройных столкновений $A = 2,5 \cdot 10^{-34} \text{ см}^3/\text{сек}$. Частота столкновений равна AN^2 ; коэфф. диффузии: $1,4 \cdot 10^{10} N^{-1} \text{ см}^{-1} \text{ сек}^{-1}$ (2^1S), $1,5 \cdot 10^{10} N^{-1} \text{ см}^{-1} \text{ сек}^{-1}$ (2^3S), $1,0 \cdot 10^{10} N^{-1} \text{ см}^{-1} \text{ сек}^{-1}$ ($2^3\Sigma$). Показано, что естественное время жизни состояния $2^3\Sigma He_2 > 0,05 \text{ сек}$. Л. В.

42302. Влияние аргона на спектр паров J_2 . Агъричану, Гицэ, Цопа, Вейнер (Actiunea argonului asupra spectrului vaporilor de J_2 . Agirbiceanu I., Ghiță C., Tora V., Weiner R.), *Comun. Acad. R. P. Române*, 1955, 5, № 10, 1439—1448 (рум.; рез. рус., франц.)

Исследовано влияние Ar на спектр испускания паров йода в УФ- и видимой области при различных давлениях Ar. В области λ 3100—3450 Å под влиянием Ar диффузные полосы спектра испускания приобретают структуру. Подтверждается прекращение испускания в видимой части спектра в присутствии Ar (при 10 мм рт. ст.), что является доказательством нарушения возбужденного состояния линиями атомарного йода. Подтверждено исчезновение спектра испускания паров йода в присутствии воздуха при давл. $\sim 12 \text{ мм рт. ст.}$. Исследовано влияние Ar на линии поглощения йода. Исследовалось влияние линий поглощения J_2 в отсутствие и в присутствии Ar на картину сопутствующих линий сверхтонкой структуры Hg $\lambda 5461$ Å. Констатировалось большее расширение линий поглощения в присутствии Ar, чем в присутствии воздуха при том же давлении (50 мм рт. ст.) и значительно большее расширение, чем в присутствии только йода. М. Д.

42303. Фотодиссоциация и фотоионизация кислорода (O_2) по измерениям коэффициентов поглощения. Ли (Photodissociation and photoionization of Oxygen (O_2) as inferred from measured absorption coefficients. Lee P. O.), *J. Opt. Soc. America*, 1955, 45, № 9, 703—709 (англ.)

Измерены коэффициенты поглощения (K) для O_2 в области 1320—200 Å. Исследованы три слабых диссоциационных континуума: 1320—1270 Å (максимум при 1295 Å; $K = 13 \text{ см}^{-1}$); 1220—1096 Å ($K = 0,23 \text{ см}^{-1}$) и 1096—1040 Å ($K = 3 \text{ см}^{-1}$). Между 1040 и 740 Å обнаружены сильные диффузные полосы поглощения, налагающиеся на первый ионизационный континуум с $K_{\text{макс}} = 100 \text{ см}^{-1}$ при 920 Å. Главный ионизационный континуум со стороны длинных волн кончается на 683 Å и имеет плоский максимум ($K = 590 \text{ см}^{-1}$) при 510 Å. Попутно измерено малоинтенсивное поглощение N_2 ($K \leq 1 \text{ см}^{-1}$) в области 1040—910 Å. На основании полученных результатов расчетом показано, что образование E-слоя атмосферы на высоте 100 км может объясняться поглощением солнечного излучения первым ионизационным континуумом O_2 . Показано также, что солнечное излучение в области 1220—1100 Å может достигать высоты D-слоя вследствие прохождения через «окна» в спектре поглощения атмосферы. В. Д.-Р.

42304. О некоторых закономерностях в спектре поглощения жидкого кислорода в области 6300—3150 Å. Дианов-Клоков В. И., Докл. АН СССР, 1955, 105, № 2, 290—293

Для проверки гипотезы о димеризации O_2 в «Вандер-ваальсовы молекулы» (O_2) $_2$ на автоматич. спектрофотометре (РЖХим, 1955, 18950, 43200) определены абс. коэфф. поглощения жидкого кислорода в области

6800—3150 Å при t -рах 78, 91 и 300°K. Найдено, что эквивалентная ширина полосы $(\Delta\nu)_0 = \epsilon/\epsilon_m$ для полосы 6290 Å равна $\sim 350 \text{ см}^{-1}$; а для остальных полос $\sim 300 \text{ см}^{-1}$; предполагается, что полоса 6290 Å двойная. Распределение интенсивностей в спектре позволяет сгруппировать полосы в 3 группы (по комбинационному принципу Эллиса — Кнезера): I $2^3\Sigma \rightarrow 2^1\Delta$; II $2^3\Sigma \rightarrow 1^1\Delta + 1^1\Sigma$; III $2^3\Sigma \rightarrow 2^1\Sigma$. В группах I и III головные полосы 6290 и 3808 Å менее интенсивны, чем вторые, с которых начинается монотонный спад интенсивности, а в группе II спад начинается с головной полосы. Температурная зависимость интенсивностей в группах I и III одинаковы, а для группы II меньше, чем для I и III. Ширина, форма и положение полос в жидком кислороде таковы же, как в сжатом кислороде (РЖХим, 1955, 36647). Очевидно, что спектр жидкого и сжатого кислорода в области 6300—3150 Å связан не с наружными электронами, а с более глубоко расположенными не чувствительными к межмолекулярному взаимодействию. Е. П.

42305. Зависимость интенсивностей полос поглощения жидкого кислорода от содержания его в смеси с жидким азотом (область 6300—3150 Å). Дианов-Клоков В. И., Докл. АН СССР, 1955, 105, № 3, 504—506

При исследовании зависимости интенсивностей полос поглощения жидкого кислорода в жидком азоте от концентрации найдено, что интенсивность полос в области 6300—3150 Å изменяется более сильно, чем пропорционально квадрату концентрации O_2 . Этот факт нельзя объяснить образованием ассоциаций $2O_2 \rightleftharpoons (O_2)_2$; очевидно, происходит снятие запрета исследуемых электронных переходов благодаря влиянию возмущающего поля нескольких соседних молекул. Е. П.

42306. Методика изучения спектров испускания многоатомных молекул; спектры бензальдегида и ацетофенона. Робинсон (Techniques in the study of emission spectra of polyatomic molecules. The spectra of benzaldehyde and acetophenone. Robinson G. W.), *J. Chem. Phys.*, 1954, 22, № 8, 1384—1388 (англ.)

Источником возбуждения спектра являлся безэлектронный разряд, который поддерживался высокочастотным генератором типа Гарли при частоте $\sim 10 \text{ Мгц}$ и мощности до 60 Вт. Пары исследуемых в-в протягивались с помощью ротационного масляного насоса через разрядную трубку из стекла притес с наклеенным на конце кварцевым окошком. Спектр разряда фотографировался кварцевым спектрографом с большой дисперсией. В парах бензальдегида наблюдается излучение в области 3650—5450 Å, состоящее из большого числа (свыше 100) резких полос. Наиболее интенсивные из них совпадают с полосами, наблюдавшимися ранее другими авторами в спектре флуоресценции и в спектре испускания бензальдегида в тлеющем разряде. В парах ацетофенона также наблюдается излучение в области 3650—5250 Å, содержащее ~ 20 широких полос. Составляя эти результаты с результатами ряда других работ, автор приходит к выводу, что наблюдаемые спектры в обеих молекулах соответствуют переходам между двумя синглетными состояниями. Обсуждается возможность применения разработанной методики для возбуждения спектров испускания других сложных молекул. Н. П.

42307. Спектр поглощения бензохинона. Асунди, Сингх (Absorption spectrum of benzoquinone. Asundi R. K., Singh Ram a Shankar), *Nature*, 1955, 176, № 4495, 1223—1224 (англ.)

Исследован спектр поглощения паров бензохинона в УФ- и видимой области в интервале 0—100°. Найдено три системы полос с максимумами при 2500, 2800 и

4100—5000 А. Полосы первой системы, диффузные и широкие, монотонно спадают по интенсивности в сторону меньших и больших длин волн, в то время как полосы второй системы (~100 полос) спадают по интенсивности только в сторону длинных волн. Длинноволновая система состоит из 175 очень резких полос, большинство которых двойные или тройные. В этой системе наблюдаются постоянные разности частот 37, 64 и 92 см^{-1} с длинноволновой стороны и 36 см^{-1} с коротковолновой. Первые две системы интерпретируются в предположении симметрии молекулы D_{2h} как разрешенные переходы $B_{1u} \leftarrow A_{1g}$ (2500 А) и $B_{3u} \leftarrow A_{1g}$ (2800 А); третья система полос, повидимому, относится к запрещенному переходу $A_{1u} \leftarrow A_{1g}$, запрет с которого частично снимается при комбинации с несимметричным колебанием. Полоса чисто электронного перехода этой системы расположена при 21512 см^{-1} . В. А.

42308. Колебательная структура спектра флуоресценции нафталина. II. Нафталин в дуроле. Вольф (Die Schwingungsstruktur des Naphthalin-Fluoreszenzspektrums. II. Naphthalin in Durol. Wolf Hans Christoph, Z. Naturforsch., 1955, 10a, № 244—245 (нем.))

На установке, описанной ранее (Сообщение I, РЖХим, 1956, 38685), исследовалась колебательная структура спектра флуоресценции р-ра нафталина в дуроле при т-ре жидкого воздуха. Спектр флуоресценции твердого р-ра отличается от соответствующего спектра р-ра в сп. повышенной интенсивностью полосы 0—0 и иной колебательной структурой. В спектре выделяется так называемая «разрешенная» часть, начинающаяся от полосы 0—0 и содержащая полносимметрич. колебания 510, 760, 1025 и 1380 см^{-1} , и «запрещенная» часть, идущая от полосы, соответствующей сочетанию перехода 0—0 с колебанием 510 см^{-1} , и также содержащая те же колебания. Спектр флуоресценции р-ра нафталина в спирте сопоставляется «запрещенной» части спектра р-ра в дуроле. В работе показывается, что трактовка Мак-Клуром этих серий полос как двух взаимно перпендикулярно поляризованных переходов в молекуле нафталина (РЖХим, 1956, 38684) необоснована, так как является следствием произвольного выбора этим автором ориентации молекулы нафталина в кристалле дуролы. В. Б.

42309. Теоретическое и экспериментальное исследование ультрафиолетовых спектров поглощения некоторых метилазамещенных бензакридинов. Штетен, Буу-Хой, Шальве, Додель, Паж, Ру, Руайе (Étude théorique et expérimentale des spectres d'absorption dans l'ultraviolet de quelques dérivés méthylés des benzacridines angulaires. Chéutin Andrée, m-lle, Buu-Hoi N. P., Châvet Odilon, Daudel Raymond, Pages Monique, m-me, Roux Monique, m-me, Royer René, C. r. Acad. sci., 1955, 241, № 1, 52—54 (франц.))

Исследованы УФ-спектры поглощения 1,2-бензантрацена, 5,6-бензакридина и его 2- и 10-метил- (I и II), 1,10-, 2,10-диметил- (III и IV), 1,3,10-триметилпроизводных, 7,8-бензакридина и его 2-, 4- и 10-метил- (V, VI и VII), 1,10-, 2,10- и 3,10- диметил- (VIII, IX и X), 1, 3, 10-триметил- и 1, 3, 4, 10-тетраметилпроизводных. У V метильная группа не вызывает смещения $\lambda_{\text{макс}}$ по сравнению с неметилированным углеводородом, у I, II, IV и IX наблюдается bathochromный сдвиг, у VI, VIII и X — гипсохромный. Наблюдаемые сдвиги сопоставляются с предсказанными теоретически с помощью: а) метода ЛКАО, б) метода Коулсона (Proc. Roy. Soc., 1952, 65, 933), в) правила Брауна (Nature, 1952, 169, 286). Показано, что опытные данные не подтверждают предсказаний теории. Т. Р.

42310. К вопросу об относительном порядке расположения алкильных групп, присоединенных к неспаренным электроноакцепторным системам, по способности к отдаче электрона. Сунни, Шуберт (Regarding the inherent order of electron release by alkyl groups attached to electron demanding unsaturated systems. Sweeney W. A., Schubert W. M., J. Amer. Chem. Soc., 1954, 76, № 18, 4625—4626 (англ.))

Исследование УФ-спектров поглощения соединений типа $R-C_6H_4-Y$ показывает, что относительный порядок расположения алкильных групп по способности к передаче электрона группе Y не совпадает с порядком, следующим из теории, основанной на представлении о сверхсопряжении CO (связями C—H). Наибольший разброс $\lambda_{\text{макс}}$ и ϵ наблюдается в тех случаях, когда группа Y обладает большим сродством к электрону. Наблюдаемое расхождение между спектральными данными и данными по измерениям ионизационных потенциалов, с одной стороны, и кинетическими данными, с другой, может быть объяснено стерич. препятствиями сольватации, играющими значительную роль в кинетике р-ций, требующих значительного переноса заряда в переходном состоянии. Указанное обстоятельство не играет существенной роли в процессе поглощения света молекулой, совершающемся за короткое время, в течение которого перестройки сольватного комплекса не происходит. Указывается также ряд других причин, которые могут играть большую роль, чем сверхсопряжение связей C—H, напр. сверхсопряжение связей C—C, индуктивный эффект и внутреннее дисперсионное взаимодействие. В. А.

42311. Стерические эффекты и спектры тетрациклонов. Шапиро, Беккер (Steric effects and spectra in the tetracyclones. Shapiro Elliot L., Becker Ernest I., J. Amer. Chem. Soc., 1953, 75, № 19, 4769—4775 (англ.))

В продолжение предыдущей работы (РЖХим, 1954, 12617) изучены спектры поглощения о-замещ. тетрафенилциклопентадиенов (I): 2-(2'-хлорфенил)-3, 4, 5-трифенил-, 3-(2'-хлорфенил)-2, 4, 5-трифенил-, 2, 5-бис-(2'-хлорфенил)-3,4-дифенил- и 3,4-бис-(2'-хлорфенил)-2,5-дифенилциклопентадиенов в бензоле. I получены конденсацией соответствующих замещенных бензиллов и дибензилкетонов (с катализатором $(C_6H_5CH_2)(CH_3)_3NOH$). Приведены кривые поглощения. При замещении в фенильных кольцах в α -положениях пик незащ. 512 мμ сдвигается сильно гипсохромно и гипсохромно, а второй пик 342 мμ характеризуется гиперхромным сдвигом; при замещении в фенильных кольцах в β -положениях эффект обратный. Полученные результаты, по мнению авторов, показывают, 1) что данное ранее отнесение максимумов поглощения в спектрах тетрациклонов к определенным электронным переходам (РЖХим, 1954, 12617) подтверждается и 2) что при введении ортозаместителей в одну часть тетрациклоновой системы последняя выводится из плоскости центрального кольца, и интенсивность соответствующего ей пика в спектре уменьшается (гипсохромный сдвиг) с одновременным увеличением ϵ пика незащ. части (гиперхромный сдвиг). Отмечено, что ϵ более чувствительно к изменению угла между кольцами, чем $\lambda_{\text{макс}}$. О. Г.

42312. Спектры поглощения нитро- и фторпроизводных фенантрена, трифенилена и пирена. Бейвин, Дьюар (Absorption spectra of nitro- and fluoro-derivatives of phenanthrene, triphenylene, and pyrene. Bavin P. M. G., Dewar H. J. S., J. Chem. Soc., 1955, Dec., 4486—4487 (англ.))

Получены УФ-спектры поглощения 1-, 2-, 3-, 4- и 9-фторфенантренов; 1-, 2-, 3-, 4- и 9-нитрофенан-

тренов; 1- и 2-фтортрифениленов; 1- и 2-нитротрифениленов; 1-фтор- и 1-нитропиренов. Приведены $\lambda_{\text{макс}}$ и $\lg \epsilon_{\text{макс}}$ М. Д.

42313. Потенциометрическое и спектрофотометрическое исследование 8-оксихинолина и его производных. XIII. Растворимость и ультрафиолетовые спектры внутрикомплексных соединений некоторых металлов с 7-нитро-8-оксихинолин-5-сульфоновой кислотой. Нясänen, Уусitalo (Potentiometric and spectrophotometric studies on 8-quinolinol and its derivatives. XIII. Solubility and ultraviolet spectra of some metal chelates of 7-nitro-8-quinolinol-5-sulphonic acid. Näsänen Reino, Uusitalo Einö, Acta chem. scand., 1955, 9, № 7, 1222—1229 (англ.))

Спектр поглощения 7-нитро-8-оксихинолин-5-сульфоновой к-ты (H_2A) в УФ-области имеет максимумы при 365 и 284 мμ. Анион HA^- имеет 3 максимума поглощения 238, 293 и 381 мμ, причем последний максимум авторы приписывают нитрогруппам. Анион A^{2-} имеет 4 максимума 235, 294, 334 и 420 мμ. Спектры поглощения внутрикомплексных соединений H_2A с Mn^{2+} , Cd^{2+} , Zn^{2+} , Pb^{2+} , Cu^{2+} , Co^{2+} и Ni^{2+} очень сходны между собой и имеют 3 максимума при 290—291; 340—345 и 395—403 мμ. Основываясь на сходстве этих спектров и спектров поглощения аниона A^{2-} , авторы считают связь между металлом-комплексобразователем и аддендами главным образом ионной. H_2A образует с двухвалентными металлами (М) 2 ряда сравнительно мало растворимых соединений: $\text{M}(\text{HA})_2$ и MA . Произведения растворимости (ПР) образующихся соединений, определенные ранее описанным потенциометрич. (РЖХим, 1955, 23510) и спектрофотометрич. методами, хорошо согласуются между собой. Добавки посторонних электролитов (KCl и NaNO_3), как обычно, вызывают уменьшение показателя ПР, причем эксперим. данные укладываются для соединений $\text{M}(\text{HA})_2$ и MA в следующие ур-ния: $p\text{PR}_{\text{M}(\text{HA})_2} = p\text{PR}_{\text{M}(\text{HA})_2}^\circ - [3,05 V T / (1 + 1,5 V T)] + BI$ и $p\text{PR}_{\text{MA}} = p\text{PR}_{\text{MA}}^\circ - [4,07 V T / (1 + 1,5 V T)] + BI$, где I — ионная сила р-ра. Показатели термодинамич. значений $\text{PR}_{\text{M}(\text{HA})_2}^\circ$ для соединений Ba, Sr и Ca при 25° составляют соответственно 8,75; 9,42 и 9,54. Для соединений Ba, Sr, Ca, Mg, Cd, Mn, Zn, Pb, Co, Ni и Cu типа MA , показатели термодинамич. значений $\text{PR}_{\text{MA}}^\circ$ при 25° соответственно равны 7,76; 7,86; 9,49, 6,50; 8,90; 8,11; 9,08; 10,35; 8,96; 9,66 и 11,87. Во всех случаях, кроме соединений Ba, Sr и Ca с их аномально низкой растворимостью, величины ПР уменьшаются с увеличением второго ионизационного потенциала атома металла. Сообщение XII см. РЖХим, 1956, 18855.

Н. П.
42314. Спектры поглощения и строение молекул. Сообщение 4. Влияние характера заместителя на цветность солянокислых солей производных фенилгидразон-9-акридилового альдегида. 5. Спектральные исследования спиртовосолокислых растворов хлорпроизводных хлоргидрата фенилгидразон-9-акридилового альдегида. Хархаров А. А., Изв. АН СССР, Отд. хим. н., № 5, 880—889; 1955; № 6, 1071—1077

4. Исследованы спектры поглощения в области 210—800 мμ производных хлоргидрата фенилгидразон-9-акридилового альдегида (I), содержащих в положении 4' фенильного ядра различные заместители (R). Эти соединения имеют три полосы поглощения с максимумами в зонах 240—260, 350—370 и 520—715 мμ. Обсуждается влияние R в I на положение $\lambda_{\text{макс}}$ длинноволновой полосы для R = H, NO_2 , CHO, COCH_3 , SO_2NH_2 , COOH,

NH_2 , Cl, SO_3H , Br, SCN, J, $\text{CH}=\text{N}-\text{NHC}_6\text{H}_5$, $\text{N}=\text{NC}_6\text{H}_5$, CH_3 , $\text{N}=\text{NC}_6\text{H}_4\text{OCH}_3$, NHCOC_6H_5 , OH, OCH_3 , OC_6H_5 , NHC_6H_5 , $\text{NHC}_6\text{H}_4\text{OCH}_3$. Кроме того, было изменено поглощение дихлоргидрата дигидразона из 4',4'-дигидразиндифениламина и 9-акридилового альдегида. Введение электроположительных заместителей и удлинение сопряженной цепи вызывает bathochromное, а введение электроотрицательных заместителей — гипсоchromное смещение $\lambda_{\text{макс}}$. Действие заместителя складывается из его индуктивного влияния и его взаимодействия с системой π-электронов молекулы — эффекта сопряжения. На основании наблюдаемых сдвигов $\lambda_{\text{макс}}$ автор располагает заместители в приведенном выше порядке, начиная с сильно электроотрицательных и кончая сильно электроположительными группами. На примере группы SCN и NHOR показано, что введение электроотрицательных группировок ($-\text{CN}$, $-\text{COR}$) в электроположительные группы ($-\text{SH}$, NH_2) сильно ослабляет электроположительные свойства последних. Увеличение длины сопряженной цепи вызывает bathochromный сдвиг.

5. Измерены спектры поглощения в видимой и УФ-области (210—700 мμ) производных фенилгидразона 9-акридилового альдегида (I), содержащих в фенильном остатке 1,2,3 и 4 атома хлора, в этиловом спирте и их хлоргидратов (II) в 0,2 н. спирт. р-ре HCl. Приведены кривые поглощения II и таблицы $\lambda_{\text{макс}}$ длинноволновых полос. Все исследованные II имеют 3 полосы поглощения с $\lambda_{\text{1макс}}$ 250 мμ, $\lambda_{\text{2макс}}$ 360 мμ и $\lambda_{\text{3макс}}$ от 509 до 562 мμ, причем $\epsilon_1 > \epsilon_3 > \epsilon_2$ за исключением тетрахлорпроизводных, у которых $\epsilon_1 > \epsilon_2 > \epsilon_3$. Вступление атомов Cl в I и II не влияет на положение λ_1 и λ_2 , но вызывает гипсоchromные сдвиги (ГС) λ_3 , причем в случае монохлорпроизводных ГС изменяются в порядке $o > m > p$ в соответствии с индуктивным влиянием заместителя. По мере накопления атомов Cl ГС увеличиваются, причем наблюдаются небольшие отклонения от аддитивности действия заместителей в сторону увеличения реальных ГС по сравнению с вычисленными. В тетрахлорзамещ. наборот ГС $\text{опытн} < \text{ГС}_{\text{вычисл.}}$ что объясняется наличием в этом случае пространственных препятствий копланарному расположению молекулы. Сообщение III см. РЖХим, 1956, 35000.

Н. С.
42315. Спектрохимическое исследование микрокоспических кристаллов. VII. Спектры поглощения комплексов транс-дигалогено-бис-(этилендиамин)-кобальта (III). Ямада, Накахаара, Симура, Цутида (Spectrochemical study of microscopic crystals. VII. Absorption spectra of trans-dihalogenobis (ethylenediamine)-cobalt (III) complexes. Yamada Shoichiro, Nakahara Akit-sugu, Shimura Yoichi, Tsuchida Ryutaro R.), Bull. Chem. Soc. Japan, 1955, 28, № 3, 222—227 (англ.)

Исследованы кривые поглощения кристаллов перхлората транс-дихлор-бис-(этилендиамин)-кобальта (III) (I), бромид бромгидрата дигидрата транс-дибром-бис-(этилендиамин)-кобальта (III) (II) и хлорида хлоргидрата дигидрата транс-дихлор-бис-(этилендиамин)-кобальта III (III) в поляризованном свете. Все эти кристаллы окрашены в зеленоватые цвета и показывают заметный дихроизм. Более ранние измерения дихроизма III (Yamada S., Tsuchida R., Bull. Chem. Soc. Japan, 1952, 25, 127) признаны авторами неточными, так как результаты противоречат рентгеноструктурным исследованиям (Nakahara A., Saito Y., Kuroya H., Bull. Chem. Soc. Japan, 1952, 25, 331). В спектрах I и III найдены три полосы поглощения: 625, 428 и 300 мμ. Предположив, что первая полоса спектра принадлежит поглощению, поляризованному

вдоль направления цепочки $\text{Cl}-\text{Co}-\text{Cl}$ в кристалле III, авторы находят согласие между своими и рентгено-структурными данными (расчет ведется по модели ориентированного газа). Следствием этого явилась интерпретация второй полосы как поглощения, поляризованного в плоскости, которая образована атомом Co и четырьмя атомами азота. Подобие спектров I и III объясняется идентичностью как в строении самого комплекса, так и в поляризации поглощения в нем. Обнаруженные в спектре II полосы 667, 461 и 349 м μ интерпретируются как аналоги полос спектров I и III и расшифровываются так же. Полученные результаты позволяют авторам сделать вывод, что первые полосы в спектрах любых *транс*-дигалогенокомплексов должны быть поляризованы вдоль цепочки $\text{X}-\text{Co}-\text{X}$, а вторые — в плоскости, образованной атомом Co и четырьмя атомами азота. Сообщение VI см. РЖХим, 1956, 6127.

42316. Спектрохимическое исследование микро-оптических кристаллов. VIII. Спектры поглощения *бис*-циклопентадиенильных соединений железа и кобальта. Ямада, Накаха, Цутида (Spectrochemical study of microscopical crystals. VIII. Absorption spectra of dicyclopentadienyl-compounds of iron and cobalt. Yamada Shoichiro, Nakahara Akitsugu, Tsuchida Ryutaro), Bull. Chem. Soc. Japan, 1955, 28, № 7, 465—469 (англ.)

Более подробное изложение опубликованного ранее сообщения (РЖХим, 1955, 6988). Указано новое значение 3-го максимума $120 \cdot 10^{13}$ сек.⁻¹ Дополнительно проведено аналогичное исследование для микро-оптических кристаллов перхлората *бис*-циклопентадиенила $\text{Co}(\text{III})$ (I) в области 2400—2700 Å. Обнаружены максимумы при 74, 96 и $115 \cdot 10^{13}$ сек.⁻¹ Для первых двух $\alpha=1,62$ и $1,38$ (обозначения см. ссылку). Интерпретация аналогична данной для ферроцена (II). Авторы выводят общие правила дихроизма для I и II: 1) две полосы поглощения в более длинноволновой области обуславливаются главным образом электронными координационными связями атома металла; поглощение, перпендикулярное плоскости колец, сильно гиперхромно по сравнению с поглощением в плоскости колец, 2) для полос циклопентадиенильных колец поглощение в плоскости колец несколько батохромно по сравнению с перпендикулярным поглощением. Сравнение полученных данных с данными по дихроизму соединений с бензолными кольцами показывает, что электронное состояние циклопентадиенильных радикалов в I и II отличается от электронного состояния π -электронных систем в обычных комплексах металлов и в производных бензола. Предполагается, что в I и II π -электроны циклопентадиенильных колец оттянуты к атому металла и образуют с ним координационную связь. Из сопоставления положения полосы циклопентадиенильных колец в I, II, а также $\text{Ni}(\text{C}_5\text{H}_5)_2$ (97,5), $\text{Ru}(\text{C}_5\text{H}_5)_2$ (142,9) авторы заключают, что в I и II и особенно в $\text{Ru}(\text{C}_5\text{H}_5)_2$ π -электроны колец оттянуты к атому металла и образуют более прочные связи, чем в $\text{Ni}(\text{C}_5\text{H}_5)_2$.

42317. Изучение комплексов трехвалентного кобальта с диметилглиоксимом. II. Спектры поглощения комплексов *бис*-(диметилглиоксимато)-кобальта и *бис*-(моно-О-метил-диметилглиоксимато)-кобальта. Накаха (Studies on dimethylglyoximate-cobalt (III) complexes. II. Absorption spectra of bis-(dimethylglyoximate)- and bis-(mono-O-methyl-dimethylglyoximate)-cobalt (III) complexes. Nakahara Akitsugu), Bull. Chem. Soc. Japan, 1955, 28, № 3, 207—212 (англ.)

Получены спектры поглощения $[\text{Co}(\text{NH}_3)_2(\text{DCH}_3)_2]\text{Cl} \cdot 1,5\text{H}_2\text{O}$ (I), $[\text{Co}(\text{DCH}_3)_2(\text{NO}_2)_2]$ (II), $[\text{Co}(\text{NH}_3)_2(\text{DH})_2]\text{Cl} \cdot 5\text{H}_2\text{O}$ (III), $[\text{Co}(\text{DH})_2(\text{DCH}_3)_2]$ (IV), $[\text{Co}(\text{DH})_2\text{Br}_2]$ (V), $[\text{Co}(\text{NH}_3)(\text{DH})_2\text{Cl}]$ (VI), $\text{NH}_4[\text{Co}(\text{DH})_2(\text{NO}_2)_2] \cdot \text{H}_2\text{O}$ (VII), $[\text{Co}(\text{H}_2\text{O})(\text{DH})_2(\text{NO}_2)]$ (VIII), $[\text{Co}(\text{NH}_3)(\text{DH})_2(\text{NO}_2)]$ (IX), $[\text{Co}(\text{DH})_2(\text{NO}_2)_2]$ (X), где $\text{DCH}_3 = \text{H}_3\text{CC}(\text{NOCH}_3)\text{C}(\text{NO})\text{CH}_3$ (XI) и $\text{DH} = \text{H}_3\text{CC}(\text{NOH})\text{C}(\text{NO})\text{CH}_3$ (XII) в области 200—650 м μ в воде, метило-

вом спирте с добавками HCl или HBr , 50%-ной уксусной к-те и этиловом спирте. В спектрах комплексов Co обычно наблюдаются два максимума: в видимой области, обусловленный электронным переходом в нена-сыщ. оболочке центрального иона, и в ближней УФ-области, приписываемый переходам в координацион-ных электронах. Темнокоричневый цвет III, IV и VI и подобие их спектров автор объясняет тем, что упо-мянутый второй максимум комплекса Co перекрывает сильной полосой «собственного» поглощения иона ди-метилглиоксимата. Кривые поглощения VII, VIII и IX также сходны между собой и имеют заметный ма-ксимум около 345 м μ , обусловленный собственным поглощением нитрогруппы. Спектры поглощения *бис*-(моно-О-метилдиметилглиоксиматных) комплексов (I и II) похожи на спектры соответствующих диметил-глиоксиматных комплексов (III и X), но первые сме-щены в длинноволновую сторону. Автор объясняет этот сдвиг отсутствием водородных связей в первых из упомянутых производных кобальта и наличием их во вторых. Это обуславливает большую стабильность диметилглиоксиматных комплексов. Два диметилгли-оксиматных иона, соединенных водородными связями, представляют собой тетраденатную группу. I получен кипячением в течение 10—15 часов хлористого хлоро-пектаминокобальта III, монометилового эфира ди-метилглиоксима (XI) и активированного угля в спирто-водной смеси на водяной бане; II получен колич. осаж-дением из горячего р-ра гексанитристокобальтата Na при добавлении XI; II почти не растворим в воде и спирте, плохо растворим в CH_3COOH ; при взаимодей-ствии с конц. H_2SO_4 воспламеняется со взрывом, ди-амагнитен; IV и V получены окислением на воздухе смеси конц. водн. р-ра $(\text{CH}_3\text{COO})_2\text{Co}$ и небольшого избытка диметилглиоксима и осажден добавлением конц. HCl или HBr . Сообщение I, РЖХим, 1955, 42803.

42318. Изучение комплексов трехвалентного ко-бальта с диметилглиоксимом. III. Прямое до-казательство плоской координации двух диметилгли-оксиматных ионов в комплексах *бис*-диметилглиокси-матокобальта (III). Накаха (Studies on dimethylglyoximate cobalt (III) complexes. III. Direct evidence for the planar coordination of two dimethylglyoximate ions in bis-(dimethylglyoximate)-cobalt (III) complexes. Nakahara Akitsugu), Bull. Chem. Soc., Japan, 1955, 28, № 7, 473—475 (англ.)

В сообщении II автор высказал предположение, что исключительная устойчивость комплексов *бис*-диметилглиоксимато-кобальта (III) связана главным образом с наличием водородных связей $\text{O}-\text{H} \cdots \text{O}$ в ком-плексном радикале. Прочные водородные связи могут образоваться только в том случае, если два остатка диметилглиоксима (DH) находятся в одной плоскости. Исследованы ИК-спектры поглощения $[\text{Co}(\text{DH})_2\text{Cl}_2]$ (I) и $\text{Co}(\text{DH})_3$ (II) (РЖХим, 1955, 9372). Кривая по-глощения I сходна с кривой для никельдиметилгли-оксима (III), а кривая поглощения II в значительной степени отличается от кривых I и III, напр. в области 3600—3300 cm^{-1} или 1800—1670 cm^{-1} . Рентгеноструктур-ный анализ показал, что молекула III имеет плоское строение и содержит четыре пятичленных кольца с очень короткими водородными связями $\text{O}-\text{H} \cdots \text{O}$ (РЖХим, 1954, 15975) и частота колебания этой водо-родной связи равна только 1775 cm^{-1} . Сходство спектров

I и III в области от 5000 до 1670 см^{-1} заставляет предположить плоскостную координацию двух ДН вокруг Со в I. С другой стороны, кривая II, в котором нельзя ожидать плоскостной координации ДН-ионов, отличается в значительной мере от кривых I и III. Частота колебания водородной связи I равна 1725 см^{-1} и не обнаружена у III. Это является прямым доказательством плоской конфигурации двух ионов ДН в I, так как такого рода водородная связь не возможна при другой конфигурации остатков ДН вокруг центрального атома. Полоса колебания О—Н на кривой I широкая и сдвинута слегка к более длинным волнам по сравнению с кривой III. Это можно объяснить наличием дополнительного протона, который имеется только у I, но не у III. Расстояние О—Н—О в I оценивается из наблюдаемой частоты в $< 2,5$ А.

42319. Колебательная структура полосы интеркомбинационного перехода гексахлоренната (IV). Иёргенсен (Vibrational structure of a spin-forbidden band of hexachlororhenate (IV). Jørgensen Chr. Klíxbüll), Acta chem. Scand., 1955, 9, № 4, 710—712 (англ.)

Исследованы спектры поглощения ионов ReCl_6^{2-} (I) и ReBr_6^{2-} (II) в водн. р-рах соответствующих галоидоводородных к-т. В спектре I в длинноволновой области наблюдаются две полосы поглощения, одна из которых (длинноволновая) обнаруживает отчетливую тонкую структуру и состоит из семи компонент, расположенных при 13730, 13900, 14030, 14180, 14330, 14510 и 14630 см^{-1} , соответствующих изменениям колебательного кванта (~ 150 см^{-1}) соответственно на $\Delta n = -2, -1, 0, 1, 2, 3$ и 4. В спектре II тонкая структура длинноволновой полосы выражена менее отчетливо. Для величины колебательного кванта найдено значение $\Delta v = 100$ см^{-1} , что согласуется с различием во влиянии масс Cl и Br на величину колебательного кванта. Автор отвергает данную ранее интерпретацию (РЖХим, 1956, 42294), согласно которой ширина полосы в спектрах соединений переходных элементов определяется различием геометрич. параметров иона в основном и возбужденном состояниях, так как в случае I и II ввиду малой величины колебательных квантов, это соответствовало бы большому Δn и, вследствие значительной ангармоничности колебаний этих ионов, — большим смещениям от равновесного положения ($\sim 0,4$ А). Автор придерживается другой точки зрения (Степанов Б. Н., Ж. эксперим. и теор. физики, 1951, 21, 1158), согласно которой расширение полосы связано с действием соотношения неопределенностей на передачу энергии возбужденного состояния механич. колебаниям окружающих молекул. При скорости передачи 10^8 $\text{см}/\text{сек}$ это будет соответствовать полуширине $\Delta v \approx 3300$ см^{-1} .

42320. Закон Вавилова. Степанов Б. Н., Успехи физ. наук, 1956, 58, № 1, 3—36
Обзор работ С. Н. Вавилова по зависимости выхода люминесценции от длины волны возбуждающего света.

42321. Межмолекулярный перенос энергии в явлениях сенсibilизированной люминесценции органических систем. П. Теренин А. Н., Ермолаев В. Л., Успехи физ. наук, 1956, 58, № 1, 37—68
Обзор. Часть I см. Успехи физ. наук, 1951, 43, 347.

42322. Динамика бинарных гидридов. Лонгет-Хиггинс, Браун (The dynamics of binary hydrides. Longuet-Higgins H. C., Brown D. A.), J. Inorg. and Nuclear Chem., 1955, 1, № 1-2, 60—67 (англ.)

Расчет частот колебаний молекул основан на теореме, гласящей, что сила, действующая на ядро в молекуле, равна сумме сил отталкивания от других ядер и сил

притяжения, исходящих от электронного облака. Для гидридов CH_4 , SiH_4 , GeH_4 внутримолекулярный потенциал имеет вид: $V = \text{const} - (3e^2/8r_0^2) \sum_i \delta r_{ij} + (3V\bar{e}^2/8r_0^2) \sum_i \delta r_{ii} + (3V\bar{e}^2/32r_0^2) \sum_i \delta r_{ij}^2 + (2\pi\rho_n - (3V\bar{e}^2/8r_0^2)) e^2 \sum_i \delta r_{ii}^2$, где r_i — расстояние протона H_i от центрального атома, r_{ij} — расстояние между двумя протонами, r_0 — равновесная длина связи, ρ_n — электронная плотность на расстоянии r_0 от центрального атома. Из приравнивания V и потенциала в центрально-силовой системе координат, найденного Деннисоном (Dennison D. M., Astrophys. J., 1925, 62, 84), следуют ур-ния для квадратов частот колебаний. В частности, для частот вырожденных деформационных колебаний ν_2 : $\lambda_2 = 4\pi^2 \nu_2^2 = 9V\bar{e}^2/32mr_0^3$. Таким образом, эта частота зависит только от r_0 и не зависит от ρ_n . Для гидридов XH_2 потенциал является функцией межмолекулярных расстояний, расстояния центра электронного облака от X и значений ρ в точках X и H. ρ_X вычисляется из элементарных ур-ний электростатистики, а ρ_H выражается через частоту антисимметричных колебаний ν_3 . Затем по найденным ρ_X и ρ_H вычислены ν_1 и ν_2 для H_2O , H_2S , H_2Se . Аналогичный метод расчета используется для вычисления ρ_X , ρ_H и частот колебаний NH_3 , PH_3 , AsH_3 . Вычислены также дипольные моменты названных шести молекул. Согласно расчету, дипольные моменты возрастают с возрастанием порядкового номера центрального атома, тогда как в действительности имеет место их убывание.

42323. Молекулярная потенциальная функция нового вида и применение ее к анализу молекулярных колебаний. Словинский (New form of molecular potential function for use in molecular vibrational analysis. Slowinski Emil J., Jr), J. Chem. Phys., 1955, 23, № 10, 1933—1935 (англ.)

Взамен обычно применяемой в расчетах функции потенциальной энергии молекулы вида $V = \frac{1}{2} \sum_i k_i \Delta L_{ii}^2 + \frac{1}{2} \sum_j k_j \Delta A_j^2$, где ΔL_{ii} и ΔA_j — соответственно изменения равновесных расстояний и углов, k_{ii} и k_j — силовые постоянные, предлагается новая функция $V = \frac{1}{2} k_{ii} [L_{ii} - \lambda_{i10}]^2 + \frac{1}{2} \sum_j k_j (A_j - \alpha_{j0})^2$, где λ_{i10} и α_{j0} — расстояния и углы для конфигурации, характеризующейся полным отсутствием внутримолекулярного напряжения. Замена ΔL_{ii} и ΔA_j соответственно на $L_{ii} - \lambda_{i10}$ и $A_j - \alpha_{j0}$ мотивируется тем, что параметры равновесной конфигурации молекулы в общем случае не совпадают с λ_{i10} и α_{j0} . Для нелинейной молекулы XY_2 получены соотношения, связывающие частоты молекул с силовыми постоянными и с λ_{i10} и α_{j0} . При этом учитывается, что в конфигурации, характеризующейся отсутствием напряжения, имеет место равенство сил, выражаемое дополнительными соотношениями: $(k_s/L_{120}^2)(A_{s0} - \alpha_{s0}) = (k_{XY}D/C)(1 - \lambda_{120}/L_{120})$ и $k_{XY}(1 - \lambda_{120}/L_{120}) + 2k_{XY}C^2(1 - \lambda_{130}/L_{130}) = 0$, где $C = \sin(A_{s0}/2)$, $D = \cos(A_{s0}/2)$, $\lambda_{120} = \lambda_{230}$ и $L_{120} = L_{130}$. Спец. расчеты с привлечением данных по изотопич. молекулам показали, что постоянная k_{XY} мала (для H_2O составляет $\sim 1\%$ от k_{XY}) и ею можно пренебречь. В этом случае определение силовых постоянных может быть выполнено независимо из данных по частотам каждой конкретной молекулы. Предложенным методом вычислены постоянные A_{s0}^0 , k_{XY} , k_s/L_{120}^2 , α_{s0}^0 и $\lambda_{120}/L_{120} - 1$ (A_{s0} и α_{s0} в градусах, k_{XY} и k_s^2/L_{120} в

10^5 дн/см : H_2O 105; 7,5823; 0,8544; 120,5; 0,0397; D_2O 105; 7,7075; 0,8986; 122,7; 0,0470; H_2Se 90; 2,9716; 0,4852; 121,3; 0,0893; D_2Se 90; 3,0412; 0,4651; 122,7; 0,0874; F_2O 104; 4,7565; 1,4264; 145,9; 0,2805; Cl_2O 111; 4,4255; 1,0241; 150,8; 0,2337; SO_2 120; 9,8886; 0,9442; 129,9; 0,0285. Основываясь на том, что вычисленные $\alpha_{10} > \Delta_{10}$, автор делает заключение о наличии сил притяжения между несвязанными атомами Y.

42324. Внутримолекулярный потенциал. Симаноути (分子内ポテンシャルについて. 島内武彦), 日本化学雑誌, Нихон кагаку дзасси, J. Chem. Soc. Japan, Pure Chem. Sec., 1953, 74, № 4, 266—269 (япон.)

Предложено выражение для внутримолекулярного потенциала: $V = \sum K'_{ij} r_{0ij} \Delta r_{ij} + \frac{1}{2} \sum K_i (\Delta r_i)^2 + \sum H'_{ij} \times r_{0ij} r_{0ij} \Delta \alpha_{ij} + \frac{1}{2} \sum H_{ij} r_{0ij} r_{0ij} (\Delta \alpha_{ij})^2 + \sum F'_{ij} q_{0ij} \Delta q_{ij} + \frac{1}{2} \sum F_{ij} (\Delta q_{ij})^2$, где r — длина связи, α — валентный угол, q — расстояний между несвязанными атомами, индекс «0» означает равновесные значения, K, H, F — силовые постоянные. Сопоставлены силовые постоянные для 18 молекул типа AB_4 . При этом выражении большое число наблюдаемых частот можно описать с помощью относительно небольшого числа силовых постоянных. Силовые постоянные для несвязанных атомов согласуются с силами отталкивания между атомами соответствующего инертного газа. Силовые постоянные, найденные из одних молекул могут быть использованы для расчета колебательных частот других молекул в хорошем согласии с эксперим. данными для многих случаев.

Chem. Abstrs, 1954, 48, № 3, 1086. М. Кабо.

42325. Колебательные спектры геликоидальных молекул: правила отбора в инфракрасном спектре и спектре комбинационного рассеяния, интенсивности и приближенные значения частот. Хигс (The vibration spectra of helical molecules: infra-red and Raman selection rules, intensities and approximate frequencies. Higgs P. W.), Proc. Roy. Soc., 1953, A220, № 1143, 472—485 (англ.)

Выведены правила отбора в ИК-спектре и спектре комб. расс., выражения для интенсивностей и приближенных значений частот для геликоидальных цепочечных молекул бесконечной длины с периодически повторяющимися чередованием атомов (тип полипептидов). При выводе соотношений для интенсивности авторы предполагали, что повторяющиеся звенья молекулы слабо взаимодействуют друг с другом. При применении соотношений для частот основных колебаний геликоидальных молекул к молекулам полипептидов существенно образование водородных связей между различными частями молекулы, что, однако, также не учитывалось в расчете. Указывается, что большинство теоретич. выводов работы может быть применено к реальным молекулам, где предполагаемая геликоидальная симметрия нарушена различными алкильными привесками.

42326. Инфракрасный спектр монофторида серы. Барсело, Отеро (El espectro infrarrojo del monofluoruro de azufre. Barceló José R., Otero Clara), An. Real soc. española fis. y quim., 1955, V 51, № 3, 223—226 (исп.; рез. англ.)

Исследовался ИК-спектр газообразного F_2S_2 в области 400—2000 см^{-1} . Наблюдались полосы 526, 745, 807 и 1332 см^{-1} . Первые полосы имеют вращательную структуру. Авторы считают частоту 1332 см^{-1} составной 807 + 526 и приходят к выводу, что молекула $\text{F}-\text{S}-\text{S}-\text{F}$ имеет либо *цис*-строение с симметрией C_{2v} , либо неплоское строение с симметрией C_2 . *Транс*-форма C_{2h} исключается.

42327. Валентное колебание $\text{C}=\text{O}$ кетонов в жидком состоянии. Жозьен, Лакомб, Леконт, Матьё (La vibration de valence $\nu(\text{C}=\text{O})$ des cétones a l'état liquide. Josien Marie-Louise, m-lle, Lascombe Jean, Lecomte Jean, Mathieu Jean-Paul), C. r. Acad. sci., 1955, 240, № 20, 1982—1983 (франц.)

Сопоставление положения частот валентных колебаний $\text{C}=\text{O}$, найденных по спектрам комб. расс. и ИК-спектрам поглощения в кетонах, показывает, что отклонение не превосходит $\sim 3 \text{ см}^{-1}$ (для ацетона, диэтил- и дипропилкетонов) и 1 см^{-1} (для метилонилкетона и др.) при ошибке опыта в 2 см^{-1} . Эти результаты отвергают предположение о димеризации молекул кетонов по карбонильной группе с появлением двух колебаний $\text{C}=\text{O}$: симметричного, проявляющегося в спектрах комб. расс., и антисимметричного, наблюдаемого в ИК-спектрах.

42328. Колебательные частоты карбонильной группы некоторых алифатических кетонов. Лаккомб, Жозьен (Fréquences de vibration du groupement carbonyle pour quelques cétones aliphatiques. Lascombe Jean, Josien Marie-Louise, m-lle), Bull. Soc. chem. France, 1955, № 10, 1227—1229 (франц.)

Тщательно измерено положение частот вал. кол. $\text{C}=\text{O}$ ацетона, диэтил-, дипропил-, дибутил-, метилэтил-, метилпропил-, метилизобутил-, метиламил-, метилгексил-, метилонил- и этилпропилкетонов в ИК-спектрах ν -ров в CCl_4 и жидких кетонах, а также в спектрах комб. расс. жидкостей. Установлено повышение частот $\text{C}=\text{O}$ при переходе от жидкости к ν -ру в CCl_4 , равное + 4 см^{-1} для кетонов с короткой алифатич. цепочкой (ацетон, диэтилкетон и др.) и + 2 см^{-1} для кетонов с более длинной цепью (дипропил-, метилгексилкетон и др.). Понижение частот в жидкостях объясняется межмолекулярным взаимодействием ориентированных диполей — групп $\text{C}=\text{O}$. При этом меньшая разница (+ 2 см^{-1}) для более длинных молекул объясняется тем, что такая ориентация затруднена. Разветвление алифатич. цепочки почти не влияет на положение частоты $\text{C}=\text{O}$.

42329. Инфракрасные спектры замещенных ароматических соединений и их связь с химической реакционной способностью заместителей. Беллами (The infrared spectra of substituted aromatic compounds in relation to the chemical reactivities of their substituents. Bellamy L. J.), J. Chem. Soc., 1955, Aug., 2818—2821 (англ.)

Частоты деформационных CH -колебаний ароматич. кольца в области 770—850 см^{-1} в ИК-спектрах 1,3-, 1,3,5- и 1,4-замещ. бензола (с замещающими группами CH_3 , C_2H_5 , OH , NO_2 , OCH_3 , Cl , Br , J и др.) сопоставлены с суммой соответствующих постоянных Гаммета (σ) этих заместителей. Установлена линейная зависимость между σ и ν (в см^{-1}). Для каждого типа изменения существует своя характерная прямая. Частоты в галогензамещ. попадают на эти прямые при условии равенства нулю σ для галогенов. Для 1,4-производных линейная зависимость имеет место, если хотя бы один заместитель содержит двойную связь, сопряженную с кольцом (напр., NO_2). Для алкилбензолов с большим числом атомов C представляется возможным вычислить положения частот CH , исходя из полученной зависимости и величин σ в хорошем согласии с опытом.

42330. Строение силилизотиоцианата. Мак-Дармид, Маддок (The structure of silyl isothiocyanate. MacDiarmid A. G., Maddock A. G.), J. Inorg. and Nuclear Chem., 1955, 1, № 6, 411 (англ.)

Продукт взаимодействия силилиодида с тиоцианатом Ag является силилизотиоцианатом. Это подтверждается

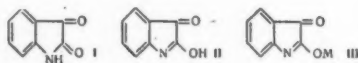
ИК-спектром. Полоса деф. кол. SiH_3 с центром 947 см^{-1} характеризуется чередованием интенсивностей вращательной структуры: с., сл., сл., так что молекула является симм. волчком с атомами Si, N, C, S на одной линии. При таком расположении естественно ожидать, что связь Si в значительной степени двойная. М. Д.

42331. Инфракрасные спектры поглощения тиюфена, его моно- и дипроизводных. (Отнесение наблюдаемых полос к нормальным колебаниям). И д а л ь г о [Spectres d'absorption infrarouge du thiophene et de dérivés mono et disubstitués (attribution des modes de vibration aux bandes enregistrées). H i d a l g o A n t o n i o], J. phys. et radium, 1955, 16, № 5, 366—372 (франц.)

Получены ИК-спектры тиюфена, 2-метил-, 3-метил-, 2-этил-, 2-винил-, 2-ацетил-, 2-хлор-, 2-бром-, 2,5-диметил-, 2-ацетил-3-метил-, 2-ацетил-4-метил-, 2-ацетил-5-метил-, 2-ацетил-5-хлор-, 2-ацетил-5-бром-, 2-ацетил-5-нитро-, 2,3-дихлор-, 2,4-дихлор-, 2,5-дихлор и 3,4-дихлортюфенов в области 2—25 μ . Дано следующее отнесение основных частот тиюфена (симметрия C_{2v}) 469 (ν_{20} , B_2 , непл. кол. СН), 604 (ν_8 , A_1 , деф. кол. кольца), 710 (ν_{10} , B_2 , непл. кол. СН), 830 (ν_3 , A_1 , вал. кол. кольца), 869 (ν_{17} , B_1 , деф. кол. кольца), 902 (ν_{16} , B_1 , деф. кол. СН), 1033 (ν_5 , A_1 , вал. кол. кольца), 1082 (ν_7 , A_1 , деф. кол. СН), 1250 (ν_{15} , B_1 , деф. кол. СН), 1358 (ν_4 , A_1 , вал. кол. кольца), 1410 (ν_6 , A_1 , деф. кол. СН), 1586 (ν_{14} , B_1 , вал. кол. C=C), 3086 (ν_{13} , B_1 , вал. кол. СН), 3120 (ν_{12} , B_1 , вал. кол. СН); частоты в спектре комб. расс. 375 (ν_{21} , B_2 , непл. кол. кольца), 565 (ν_{11} , A_2 , непл. кол. СН), 686 (ν_{10} , A_2 , непл. кол. СН), 748 (ν_{18} , A_2 , деф. кол. кольца), 3078 (ν_2 , A_1 , вал. кол. СН), 3108 (ν_1 , A_1 , вал. кол. СН). В монопроизводных тиюфена наблюдается аналогичная совокупность частот, сходящихся в сторону коротких длин волн с ростом массы заместителя, напр. частота полносим. колебания ν_3 равна в 2-метилтюфене 742, 2-хлортюфене 686 см^{-1} . Различие между 2- и 3-замещенными наблюдается в области колебаний СН. Частоты кратных связей (C=C) в 2-винили (C=O) в 2-ацетилтюфене повышены благодаря сопряжению до 1620 и 1675 см^{-1} соответственно. В спектре 2-винилтюфена характерны частоты непл. кол. группы CH_2 900 и 980 см^{-1} . В дипроизводных можно обнаружить соответствующие частоты тиюфена, напр. частота ν_3 смещается в 2,5-диметилтюфене до 718 см^{-1} , в остальных соединениях она расположена в области 680—700 см^{-1} . Карбонильные полосы ацетилпроизводных находятся в области 1650—1665 см^{-1} . Ю. Е.

42332. Исследование химического строения изатина и его солей методом инфракрасных спектров поглощения. Ш и г о р и н Д. Н., Ж. физ. химии, 1955, 29, № 6, 1033—1041

Измерены положения полос колебаний связей N—H и C=O в ИК-спектрах поглощения твердого, жидкого и газообразного изатина (I), насыщ. р-ров I в диоксане, ацетоне, этиловом спирте, пиридине и натриевой, серебряной и ртутной солей I в твердом виде. В спектрах солей полоса N—H отсутствует и наблюдается по одной полосе группы C=O (соответственно при 1695, 1735 и 1665 см^{-1}). Эксперим. данные показывают, что изатин в твердом и жидком состоянии, а также в исследованных р-рителях существ-



вует в виде амидной формы (I). Об этом свидетельствует наличие в исследованных спектрах двух полос групп C=O. Полоса N—H сильно размыта и смещена в область меньших частот, повидимому, вследствие образо-

вания водородных связей. В парах частота полосы N—H резко повышена, так как при высокой т-ре водородные связи разрываются. Неспособность изатина к образованию знольной формы объясняется неэффективностью π -электронного взаимодействия в форме (II), имеющей нечетное число π -электронов. Предполагается, что в твердом изатине и в расплаве молекулы последнего образуют ассоциаты-димеры. Наличие в спектрах солей одной полосы C=O и отсутствие полосы N—H, напротив, свидетельствует об знольном строении последних (III). Изменение частоты валентного колебания группы C=O в зависимости от природы металла объясняется в рамках ранее развитых представлений (РЖХим, 1954, 47723; 1955, 3640, 18151, 48318, 51300) влиянием полярности связи O—M на σ - π -деформацию в связи C=O. Последняя больше для более полярной связи O—Na, в соответствии с чем частота C=O для натриевой соли изатина больше, чем для серебряной. Причина резкого снижения частоты C=O в ртутной соли иная. Предполагается, что оно обусловлено образованием дополнительных металл-чл. связей группы C=O с атомом ртути. В. А.

42333. Инфракрасный спектр поглощения гексаметилентетрамина. Ш ё т е н, М а т ь е (Spectre d'absorption infrarouge de l'hexaméthylènetétramine. Cheutin André, Mathieu Jean-Paul), J. Chim. phys. et phys.-chim. biol., 1956, 53, № 1, 106—107 (франц.)

В ИК-спектре монокристалла гексаметилентетрамина в области 500—4000 см^{-1} найдено 55 полос. К основным частотам симметрии F_2 отнесены: 513 (ν_7), 674 (ν_8), 1007 (ν_9), 1240 (ν_{10})—колебания в цикле, 2884 и 2948 см^{-1} вал. кол. СН, 1438 деф. кол. CH_2 , а также либрационные колебания 812 (L_y) и 1370 см^{-1} (L_z). Остальные полосы отнесены к оборотам и составным тонам, Ю. Е.

42334. Письмо в редакцию. Леконт (Lettre à la rédaction. Lecomte J.), Bull. Soc. chim. France, 1955, № 7-8, 1026 (франц.)

Ответ на замечания ряда лиц относительно ИК-спектров ирозов и иононов, опубликованных в обзоре автора (РЖХим, 1955, 42395). Е. П.

42335. Инфракрасная спектроскопия — метод исследования в органической химии. Джонс (Infrared spectrometry — a tool in organic chemistry. Jones R. Norman), Rec. Chem. Progr., 1955, 16, № 4, 270—290 (англ.)

Обзор применений ИК-спектров к исследованию строения стероидов. М. Д.

42336. Низкие частоты в спектре комбинационного рассеяния жидкого четыреххлористого углерода. И. П. Симова П. Д., Минчев Я. Хр., Докл. Болгар. АН, 1955, 8, № 1, 5—12 (рез. нем.)

I. При исследовании контура линии 459 см^{-1} в спектре комб. расс. CCl_4 было обнаружено присутствие малоинтенсивных максимумов, смещенных по отношению к частоте 459 см^{-1} на 11, 18 и 26 см^{-1} . Высказано предположение, что эти максимумы являются комбинационными частотами полносимметричного колебания CCl_4 459 см^{-1} с межмолекулярными колебаниями с частотой $\approx 7 \text{ см}^{-1}$. Малая частота межмолекулярных колебаний по сравнению с другими молекулами (CS_2 50 см^{-1} , CHCl_3 50 см^{-1}) объясняется большей массой молекулы и более слабым межмолекулярным взаимодействием.

II. Продолжение исследования контура линии CCl_4 . В р-ре CH_3OH также наблюдается структура линии 459 см^{-1} с максимумами на расстоянии 14 и 27 см^{-1} . При 200° в жидкости не наблюдается ожидаемого уменьшения интенсивности линий комб. расс. составных частот полносимметричного колебания CCl_4 $\nu = 459 \text{ см}^{-1}$ с межмолекулярными колебаниями ν' . Обнаружено су-

ществование 4 частот $\nu + \nu' \approx \nu \approx 6 \text{ см}^{-1}$. При повышении ν -ры наблюдается ряд изменений относительной интенсивности и полуширин, различных для Stokesовых и антиStokesовых частот.

Е. П. 42337. Исследования по спектрам комбинационного рассеяния. Наблюдения частот двойных связей $\text{C}=\text{C}$ и $\text{C}=\text{O}$. Кирман, Федерлен, Бибер (Etudes sur l'effet Raman. Observations sur la fréquence des doubles liaisons $\text{C}=\text{C}$ et $\text{C}=\text{O}$. Kirrmann Albert, Federlin Paul, Bieber Paul). Bull. Soc. chim. France, 1954, № 11-12, 1466-1470 (франц.)

Исследовано влияние заместителей на положение частот вал. кол. $\text{C}=\text{C}$ и $\text{C}=\text{O}$. Частоты $\text{C}=\text{C}$ и $\text{C}=\text{O}$ в соединениях типа $\text{R}_2\text{C}=\text{CH}_2$ и $\text{R}_2\text{C}=\text{O}$ изменяются под влиянием R в противоположных направлениях. R = Cl вызывает понижение $\nu_{\text{C}=\text{C}}$ и повышение $\nu_{\text{C}=\text{O}}$, R = CH_3 вызывает повышение $\nu_{\text{C}=\text{C}}$ и понижение $\nu_{\text{C}=\text{O}}$. То же имеет место, когда заместитель находится у соседних атомов C. Смещение возрастает с числом атомов галогена. У соединений $\text{R}_2\text{C}=\text{X}$ и $-\text{CH}=\text{CHCH}_2$ смещение больше для Br, чем для Cl, у $-\text{CH}=\text{CH}-\text{O}$ положение обратное. При сопряжении кратных связей отмечается понижение частот обеих связей. Введение атома галогена и в сопряженных системах вызывает понижение частот $\text{C}=\text{C}$ и повышение частот $\text{C}=\text{O}$. В отдельных случаях наблюдается удвоение частот ($\text{CH}_2\text{Cl}-\text{CCl}=\text{CH}-\text{COOC}_2\text{H}_5$). Изменения частот $\text{C}=\text{C}$ и $\text{C}=\text{O}$ объясняются авторами мезомерными и индукционными влияниями. Получены спектры комб. расс. (в скобках частоты $\text{C}=\text{C}$ и $\text{C}=\text{O}$ в см^{-1}): этил- α -хлоракрилат (1611, 1732), метакрилатов метил- (1639, 1723), этил- (1637, 1716), изопропил- (1639, 1716), бутил- (1638, 1717), метакрилатов к-ты (1638, 1656), ее хлорангирида (1634, 1738, 1764), метил- β -хлорметакрилата (1619, 1723), метил- β -бромметакрилата (1613, 1720), этил- β -этоксиметакрилата (1647, 1702), метил- β -метоксиметакрилата (1648, 1709), 2-хлор- (1734), 2-бром- (1726), 2-дибромасляных альдегидов (1730), трибромуксусного альдегида (1744), этил- β -дихлоркротоната (1616, 1638, 1721), этил-, α , β , γ -трихлоркротоната (1633, 1723). Отмечается наличие характеристик. частот в метакрилатах: 380, 595, 840, 944, 1010 см^{-1} , относящихся, вероятно, к колебаниям углеродного скелета, и 1298, 1320, 1378, 1403, 1445, относящихся к деф. кол. CH (1403 см^{-1} в CH_2).

Ю. Е. 42338. Спектр комбинационного рассеяния и строение молекулы 1,3,5-трифенилбензола. Мукерджи, Сингх, Сингх (On the Raman spectrum and structure of 1,3,5-triphenyl benzene. Mukerji S. K., Singh L., Singh R. S.), Indian J. Phys., 1953, 27, № 7, 341-346 (англ.)

Исследован спектр комб. расс. 1,3,5-трифенилбензола (I) в CS_2 , CCl_4 , CH_3COOH , CHCl_3 . Спектр I сходен со спектрами дифенила и α -, β -, и особенно, γ -трифенила, но несколько беднее последних благодаря более высокой симметрии. Частота 3084 см^{-1} отнесена к вал. кол. CH, 1458 см^{-1} — к перпендикулярному движению атомов H, 603 см^{-1} — к удлинению и сужению 6-членного цикла, 384, 234 и 146 см^{-1} — к деф. кол. молекулы, 87 и 42 см^{-1} — к колебаниям решетки твердого I. На основании сходства спектров I и плоских молекул дифенила и β -трифенила авторы полагают, что молекула I — также плоская.

М. Д. 42339. Смешанные производные соединений ряда бортрихлорид — бортрибромид и их колебательные спектры. Губо, Рихтер, Бехер (Gemischt substituierte Verbindungen in der Reihe Bortrichlorid-Bortribromid und ihre Schwingungsspektren. Goubeau J., Richter D. E., Becher

H. J.), Z. anorgan. und allgem. Chem., 1955, 278, № 1-2, 12-23 (нем.)

Изучается возможность существования соединений типа BCl_2Br (I) и BBr_2Cl (II) в равновесной смеси BCl_3 (III) и BBr_3 (IV) в жидком состоянии. С этой целью получены спектры комб. расс. смесей III и IV в различных соотношениях. Установлены частоты I 215, 222, 407, 876 (или 903), 944 и II 169, 198, 345, 876 (или 903), 804 см^{-1} . Авторы вычислили силовые постоянные III и IV, исходя из модели валентных сил, и, предполагая их применимость для I и II, определили колебательные частоты этих молекул. Найдено (10^{-5} дин/см) $f_{\text{B}-\text{Cl}}=3,21$, $f_{\text{B}-\text{Br}}=2,50$, $f_{\text{ClBCl}}=0,313$, $f_{\text{BrBBr}}=0,252$. Совпадение вычисленных и опытных частот хорошее и позволяет с большей вероятностью отнести частоты 876 и 941 к I и 903, 804 к II. Частоты $> 800 \text{ см}^{-1}$ относятся к вал. кол. B—Cl и B—Br, $< 800 \text{ см}^{-1}$ к деф. кол. Сопоставление интенсивностей частот 407(I), 345(II), 471(III), 279(IV) в разных смесях III—IV позволило установить колич. соотношение компонент, напр. в смеси III с I состава 2,07:1 найдено I 48,67, II 17,32, III 31,22, IV 2,79 мол. % с константой равновесия $K_c=9,7$. Средняя величина K_c р-ции $\text{BCl}_3 + \text{BBr}_3 \rightleftharpoons \text{BCl}_2\text{Br} + \text{BBr}_2\text{Cl}$ равна 7,8.

Ю. Е. 42340. Определение вращательных постоянных термов двухатомной молекулы при наличии возмущения. Ковач (A kétatomos molekulatérnek rotációs állandóinak számítása perturbáció-adatok alapján. Kovács István), Magyar tud. akad. Közép. fiz. kutató, intéz. közl., 1953, 1, № 1-2, 4-13 (венг.)

Предложено соотношение $B_s = 2B - B_g \pm f_x(J) + f_x^*(J)$, позволяющее определить вращательную постоянную терма двухатомной молекулы при наличии возмущения, где B_s и B_g — соответственно вращательные постоянные в области и вне области возмущения, $x = Q$, PR и \overline{PR} ; $f_Q = [Q(J) - Q(J-1)]/2J$; $f_{PR} = \{1/2 [P(J+1) + R(J-1)] - 1/2 [P(J) + R(J-2)]\}/2J$; $f_{\overline{PR}} = \{1/2 [P(J) + R(J)] - 1/2 [P(J-1) + R(J-1)]\}/2J$; f_x относится к возмущенному состоянию, знак (+) — и случаю, когда возмущено верхнее состояние ($B=B''$), знак (—) — к нижнему состоянию ($B=B'$). Показано, что существует постоянная g_x , связанная простым соотношением с v_x , которая при отсутствии возмущения может быть вычислена по соотношениям: $g_Q = 1/2 [(J+1)Q(J-1) - (J-1)Q(J)] = v_0 = v_Q$, $g_{PR} = 1/4 \{[(J+1)[P(J)+R(J-2)] - (J-1)[P(J-1)+R(J-1)]\} = v_0 - B'' = v_{PR}$, $g_{\overline{PR}} = 1/4 \{[(J+1) \times [P(J-1)+R(J-1)] - (J-1)[P(J)-R(J)]]\} = v_0 + B' = v_{\overline{PR}}$, где $v_0 = C - B'\Lambda'^2 + B''\Lambda''^2$, C — постоянная, Λ'' и Λ' — соответственно квантовые числа проекции орбитального момента движения электронов на ось молекулы в нижнем и верхнем состояниях. При наличии возмущения приведенные ф-лы имеют вид: $g_x(J) = 1/2 \{C_g + C_s \pm (B_g\Lambda_g^2 + B_s\Lambda_s^2 - [2\Lambda^2 - 1 + (-1)^2])B - [(J+1)U(J-1) - (J-1)U(J)]\}$, $g_x^*(J) = 1/2 \{C_g + C_s \pm (B_g\Lambda_g^2 + B_s\Lambda_s^2 - [2\Lambda^2 - 1 + (-1)^2])B + [(J+1) \times U(J-1) - (J-1)U(J)]\}$, где $U(J) = \sqrt{1/4 [C_s - C_g + (B_s - B_g)J(J+1) - B_s\Lambda_s^2 + B_g\Lambda_g^2] + [H]^2}$, $[H]$ — матричный элемент возмущения. Последний исключается, если исходить из разницы $C_s - C_g = C_{sg} = g_x(J) + g_x^*(J) - 2C_g \pm \{B_g\Lambda_g^2 + B_s\Lambda_s^2 - [2\Lambda^2 - 1 + (-1)^2]B\}$. Здесь $\Sigma = 0$ для Q-ветви и равна 1

для PR - и \overline{PR} -ветвей. Выведенные соотношения обобщены на случай необходимости учета вращательных постоянной D . Приведены примеры применения полученных соотношений для определения вращательных постоянных двухатомных молекул по литературным данным. В. А.

42341. Расширенные таблицы уровней энергии жесткого асимметрического волчка. Эрландссон (Extended energy level tables for the rigid asymmetric rotor. Erlandsson Gunnar, Arkiv fys., 1956, 10, № 1, 65—88 (англ.))

42342. Конференция по спектроскопии в Тарту. Росинский (Konferencja spektroskopowa w Tartu. Rosinski Kazimierz, Postępy fiz., 1955, 6, № 6, 653—656 (польск.))

42343. Парамагнитный резонанс в нонах семихинонов замещенных o -бензохинонов. Хоскинс (Paramagnetic resonance in semiquinone ions of substituted o -benzoquinones. Hoskins Raymond, J. Chem. Phys., 1955, 23, № 10, 1975—1976 (англ.))

На частоте 9000 Мгц исследован электронный парамагнитный резонанс семихинонов, получающихся при окислении воздухом незамещ. 1,2-диоксибензола (I) и его производных, 4-*tert*-бутил- (II), 4-фенил- (III), 3,6-диаллил-4-*tert*-бутил- (IV), 3-фенил- (V). Спектр продукта окисления I состоит из трех групп по три линии и обусловлен сверхтонким взаимодействием неспаренного электрона с протонами кольца. Два эквивалентных протона в параположениях (по отношению к кислороду) дают триплет с расщеплением в 4,0 гс и отношением интенсивностей (ОИ) (1, 2, 1). Два эквивалентных протона в ортоположениях расщепляют каждую из линий триплета на три, с расщеплением 1,0 гс и ОИ (1, 2, 1), что согласуется с эксперим. ОИ. Спектр семихинона из II состоит из дублета (4,1 гс) с плохо разрешенным дополнительным расщеплением (~25 линий). Дублетное расщепление обусловлено, вероятно, протоном в положении 5, добавочное расщепление — остальными протонами молекулы. Аналогичные спектры получились в случае III (3,4 гс) и в IV (3,6 гс). Спектр семихинона из V состоит из центрального триплета и двух дублетов по бокам; его можно объяснить, если принять, что неспаренный электрон взаимодействует только с протонами кольца, а константы взаимодействия относятся как 1:4:5, причем наименьшая из них равна 0,7 гс. Из такой модели следует семь линий в трех группах с ОИ (1,1) (1,2,1) (1,1), что примерно совпадает с опытом. Наименьшее расщепление дает, вероятно, протон в параположении (по отношению к группе C_6H_5). По спектрограммам заметно убывание кон-ции семихинонов за время опыта (~3 мин.). Л. Ш.

42344. Ядерный магнитный резонанс; структура аминогруппы. 1. Кромхаут, Моултон (Nuclear magnetic resonance; structure of the amino group. I. Kromhout R. A., Moulton W. G., J. Chem. Phys., 1955, 23, № 9, 1673—1679 (англ.))

Изучалась форма линий протонного резонанса (ПР) в различных аминах, амидах, и аминокислотах в магнитном поле 5255 гс. Второй момент (ВМ) кривой поглощения в бензидине (I) при -196° равен 14,2 гс². В интервале t -р от -70 до $+20^\circ$ происходит уменьшение ВМ до 10,9 гс². Средняя точка интервала (t -ра перехода, ТП) -40° . Принимая, что ВМ для дифенила такой же, как для нафталина и расстояние $N-H$ такое же, как в NH_3 (1,014 А), авторы нашли, что уменьшение ВМ хорошо объясняется началом (при ТП) вращения группы NH_2 вокруг оси, перпендикулярной линии $N-H$ (ось B). ВМ изобутиламина (II) при -196° равен 23,3 гс². Для трихлорацетамида (III) ВМ выше

ТП (-60°) равен 12,5 гс², ниже ТП 17,7 гс². Изменение ВМ слишком мало, чтобы быть обязанным вращению группы NH_2 или CCl_3 . Согласно с опытом можно получить, если предположить, что группа NH_2 начинает совершать крутильные колебания (КК) около оси B с амплитудой 35° . В формамиде (IV) значения ВМ до и после ТП (-62°) равны 12,4 и 9,4 гс² соответственно; переход можно объяснить КК группы NH_2 с амплитудой 29° . Значение ВМ ниже ТП можно согласовать с теорией, если расстояние $N-H$ принять равным 1,07 А. Форма линии и ВМ (11,5 гс²) в ацетамиде (V) не изменяются с t -рой от -196 до $+64^\circ$. Для объяснения относительно малого ВМ можно предположить одновременное вращение группы NH_2 и CH_3 и $N-H=1,07$ А. ВМ в мочеине (VI) равен 20,8 гс² ниже ТП и 6,9 гс² выше ТП. Изменение ВМ объясняется вращением групп NH_2 . Эксперим. значения ВМ получаются, если длина связи $N-H$ равна $1,036 \pm 0,009$ А. Тонкой структуры (ТС) линий в I, II, III, IV, V, и VI не обнаружено. Линия ПР в глицине (VII), α -аланине (VIII) и β -аланине (IX) имеет дублетную структуру. В VII ТП равна -85° , ВМ равны 30,3 и 12,7 гс². Вычислены ВМ для 9 различных моделей молекулы VII в кристалле. Наилучшее согласие с опытом получено для модели с расстоянием $N-H$ $1,074 \pm 0,014$ А, в которой NH_2^+ является правильным тетраэдром, протоны расположены на линиях водородных связей. Изменение ВМ приписывается вращению групп NH_2 . ТС наблюдается от -200° до $+150^\circ$. Температурный ход и числовые значения ВМ dl -VIII и l -VIII совпадают; имеются два перехода (t -ры -130 и -150°); ВМ равны 31,8; 27,2 и 9,2 гс². Выше -50° ТС исчезает. В IX ТП равна -25° , а ВМ 34,9 и 15,0 гс². Переход можно объяснить вращением групп NH_2^+ . Исследованы при комнатной t -ре d - и dl -атролактамы. ВМ равны 7,5 и 10,8 гс² соответственно. Авторы считают, что увеличение расстояния $N-H$ в VI и VII и затрудненное вращение групп NH_2 в VI (высокая ТП) обусловлены водородными связями $N-H...O$ в кристаллах этих в-в. Л. Ш.

42345. Заторможенное вращение молекул гидратационной воды в $Mg(H_2O)_6Cl_2$ и $Mg(H_2O)_6Br_2$. Си деи, Яно (Hindered rotation of water molecules of hydration in $Mg(H_2O)_6Cl_2$ and $Mg(H_2O)_6Br_2$. Si dei Tunahiko, Yano Syukiko, J. Chem. Phys., 1955, 23, № 8, 1554—1555 (англ.))

Исследован протонный магнитный резонанс (поле 3100 гс) молекул гидратационной воды в порошках $Mg(H_2O)_6Cl_2$ (I) и $Mg(H_2O)_6Br_2$ (II) при t -рах от -50° до $+120^\circ$. Спектр в I состоит из двух не вполне разрешенных пиков. При t -рах ниже -20° расщепление равно 6 гс, а средняя квадратичная ширина (СКШ) 26 гс. При повышении t -ры кривая сужается и, начиная от 0° до 105° , расщепление равно 3 гс, а СКШ 6 гс². После 110° остается один очень узкий пик, что связано, вероятно, с разложением I и образованием HCl . Для II результаты совершенно аналогичные. Сужение линии при комнатной t -ре авторы объясняют наличием у молекул воды при этих t -рах заторможенного вращения (Gutowsky H. S., Pake G. E., J. Chem. Phys., 1950, 18, 162) Л. Ш.

42346. Химические сдвиги азота. Холдер, Клейн (Chemical shifts of nitrogen. Holder B. E., Klein M. P., J. Chem. Phys., 1955, 23, № 10, 1956 (англ.))

Измерены хим. сдвиги для N^{14} (в гс $\cdot 10^4$) по отношению к NO_2^- : $n-C_5H_7NO_2$ 2,28; $C_6H_5NO_2$ 2,52; NO_3^- 2,54; N_2 2,68; C_5H_5N 2,76; $C(NO_2)_4$ и $C_2(NO_2)_4$ 3,00; CN^- и CH_3SCN 3,80; CH_3-CN 3,85; $(SCN)^-$ 4,06; $CH_3-C(NH_2)=O$ 4,98; $NH_2OH \cdot HCl$ 5,20; $O=C(NH_2)_2$

5,36; NH_3 5,44; $(\text{CH}_3)_4\text{NBr}$ 5,52; N_2H_4 5,66; $(\text{C}_2\text{H}_5)_2\text{NH}$ и $(\text{CH}_3-\text{CH}_2)_3\text{N}$ 5,75 и NH_4^+ 6,02. Все смещения положительны. Сдвиги в NO_2^- , NO_3^- и NH_4^+ зависят от концентрации и pH. Авторы связывают хим. сдвиги с ионным характером связей. Н. Я.

42347. Наблюдение химических сдвигов для ядра O^{17} в различных химических окружениях. Уинвер, Толберт, Ла-Форс (Observation of chemical shifts of O^{17} nuclei in various chemical environments. Weaver H. E., Tolbert B. M., La Force R. C., J. Chem. Phys., 1955, 23, № 10, 1956—1957 (англ.))

Измерены хим. сдвиги для O^{17} ($2\pi \cdot 10^{-4}$) по отношению к воде; NaNO_2 6,9; ацетон 6,4; SO_2 (жидк.) 5,4; этилнитрат 4,7 и 3,4; NaNO_3 4,3; *n*-бутилнитрат 3,8; формамид 3,2; HCO_2Na 3,0; HCO_2H 2,7; CH_3COOH 2,2; H_2O_2 (30%) 1,9; *m*-бутилнитрат 1,7; октаметилциклотетрасилоксан 0,8; тетраметилортосиликат 0,2. Величины сдвигов отрицательны. Отмечается равенство величин относительных сдвигов для N^{14} и O^{17} в NO_3^- и NO_2^- . Два сдвига в $\text{C}_2\text{H}_5\text{ONO}_2$ отнесены к О в связях $\text{C}-\text{O}-\text{N}$ и $\text{O}=\text{N}-\text{O}$. Н. Я.

42348. Ядерный квадрупольный резонанс в твердых телах. Демелт (Nuclear quadrupole resonance in solids. Dehmelt H. G.), Disc. Faraday Soc., 1955, № 19, 263—274, Discuss. 274—281 (англ.) Обзорный доклад. М. Д.

42349. Применение чисто квадрупольных спектров к химии. Нагита (純四重極スペクトルの化学への應用. 藤宜田久男), 化学と工業, Karaky to kōei, Chem. and Chem. Ind., 1955, 8, № 10, 415—423 (япон.) Обзор. Библ. 36 назв. М. Д.

42350. Ядерный магнетизм. Блох (Nuclear magnetism. Bloch Felix), Amer. Scientist, 1955, 43, № 1, 48—62 (англ.)

Популярная статья о ядерной индукции и ее применении для изучения строения молекул. М. Д.

42351. Исследование явления Фарадея безводных и гидратированных парамагнитных солей при 3000 МГц. Сутиф-Гийер (Étude de l'effet Faraday de sels paramagnétiques anhydres et hydratés à 3000 MHz. Soutif-Guicherd Jeanne, m-me), C. r. Acad. sci., 1955, 240, № 22, 2126—2128 (франц.)

При помощи весьма чувствительной установки, описанной ранее (Soutif-Guicherd, Lambinet, C. r. Acad. sci., 1950, 231, 1460) исследовано магнитное вращение плоскости поляризации в солях Mn^{2+} и Cu^{2+} . Поле достигало 2000 э. Приведены кривые зависимости угла вращения от приложенного поля для MnSO_4 , $\text{MnSO}_4 \cdot \text{H}_2\text{O}$, CuSO_4 и $\text{CuSO}_4 \cdot 5\text{H}_2\text{O}$, обнаруживающие инверсию. Для гидратированного и безвод. MnSO_4 обе кривые проходят через нуль при $H \sim 950$ э, для CuSO_4 — при 1000 э. Проводится качеств. обсуждение формы кривых. М. В.

42352. Молекулярная поляризуемость. Ее анизотропия в алифатических и ароматических соединениях. Ле-Февр, Ле-Февр (Molecular polarisability. Its anisotropy in aliphatic and aromatic structures. Le Fèvre C. G., Mrs., Le Fèvre R. J.), J. Chem. Soc., 1954, May, 1577—1588 (англ.)

Из данных по средней электронной поляризуемости P_E и постоянной Керра $\omega(mK_2)$ вычисляются главные поляризуемости молекул b_1 , b_2 и b_3 . Вследствие малого кол-ва и неточности эксперим. данных по деполаризации рассеянного света — Δ , авторы пытаются высчитать b_1 , b_2 и b_3 , не привлекая данных по Δ . Измерены mK_2 р-ров 26 соединений в CCl_4 и экстраполированы к бесконечному разбавлению. Результаты приведены в таб-

лице. Проверены эксперим. значения Δ для 15 молекул, у которых $b_1 = b_2$ или $b_2 = b_3$. Соответствия между вычисленными и эксперим. значениями Δ не наблюдаются. Вычисляются миним. поляризуемости b_3 для производных C_6H_6 с $b_1 = b_2$ и исследуется вклад Δb_3 различных заместителей в b_3 . На основе этих данных оценивается b_3 несимметричных замещ. и вычисляются их b_1 и b_2 . Из имеющихся данных по $b_1 = b_2$ и b_3 метана вычисляется Δb_3 , вносимое заместителями — F, J, CN. Сумма полученного Δb_3 с b_3 C_6H_6 полагается равной b_3 соответствующего монозамещ. C_6H_6 . Поляризуемости $\text{C}_6\text{H}_5\text{Cl}$ и $\text{C}_6\text{H}_5\text{Br}$ вычисляются обоими методами и хорошо совпадают. Подобные вычисления произведены для 29 молекул. Результаты приведены в таблицах. Критикуются результаты вычисления рядом авторов продольных (b_L) и поперечных (b_T и b_V) поляризуемостей отдельных связей. Указывается на невозможность нахождения b_L , b_T и b_V путем сопоставления данных по эффекту Керра и поляризуемости различных молекул. Считая округленно $b_{\text{C}-\text{H}}^{\text{C}} = 0,08$, $b_{\text{C}-\text{H}}^{\text{C}} = b_{\text{C}-\text{H}}^{\text{V}} = 0,06$, авторы получают b_L , b_T и b_V различных связей $\text{C}-\text{X}$. После вычисления b_1 , b_2 и b_3 метилового и фенильного радикалов, вычисляются поляризуемости большого числа молекул CH_3-X и $\text{C}_6\text{H}_5-\text{X}$. Знак самой большой из разностей Δb совпадает со знаком экзальтации рефракции для всех связей кроме связи $\text{C}=\text{CH}_2$. В результатах по ксилолам и толуолу возможна ошибка вследствие неточности вычисления поляризуемостей CH_3-C алифатич. связи. Из b_L и b_T связи $\text{C}-\text{H}$ получается удовлетворительное ($1,7 \text{ см}^3$) значение рефракции $\text{C}-\text{H}$. В заключение вычисляются b_1 , b_2 и b_3 производных *m*-пет-бутила. Из неудачи расчета b_1 , b_2 и b_3 гексахлорэтана автор делает вывод о невозможности считать анизотропные поляризуемости связей одинаковыми во всевозможных положениях в разных молекулах. Э. Б.

42353. Поляризуемости связей $\text{C}-\text{C}$. Ле-Февр, Ле-Февр (The polarisabilities of the $\text{C}-\text{C}$ link. Le Fèvre C. G., Le Fèvre R. J. W.), Chemistry and Industry, 1955, № 18, 506—507 (англ.)

В связи с опубликованной ранее работой (РЖХим, 1955, 25616) авторы указывают, что расчеты анизотропной поляризуемости нафталина с учетом влияния соседних молекул (1) и без такого учета (2) дают разные результаты (1) и (2). Величины b_1 , b_2 и b_3 равны соответственно: (1) 2,15, 1,76, 1,03 и (2) 2,09, 1,88 и 0,97 10^{-23} см^3 . Здесь b_1 , b_2 и b_3 — поляризуемости в направлении вдоль длинной оси, вдоль короткой оси и перпендикулярно плоскости молекулы соответственно. Авторы подчеркивают, что анизотропные поляризуемости могут меняться от *v*-ва и *v*-ву и иллюстрируют это положение расчетом поляризуемости $\text{C}_{\text{арил}}-\text{C}_{\text{алкил}}$ в мезитиле и гексаметилбензоле, выполненным на основе валентно-оптической схемы. Они находят для мезитилена $b_1 = 0,123 \cdot 10^{-23}$, $b_2 = 0,037 \cdot 10^{-23}$, для гексаметилбензола $b_1 = 0,131 \cdot 10^{-23}$, $b_2 = 0,024 \cdot 10^{-23}$. Оценивая влияние метильных групп, авторы приводят гипотетич. значения поляризуемостей для связи $\text{C}_{\text{арил}}-\text{C}_{\text{алкил}}$ в отсутствие метильных радикалов: $b_1 = 0,115 \cdot 10^{-23}$, $b_2 = 0,050 \cdot 10^{-23}$. М. В.

42354. Поляризуемость молекул. Эллипсоиды электрооптических тензоров поляризуемости нафталина и его α - и β -галогенопроизводных. Ле-Февр, Ле-Февр (Molecular polarisability. The electro-optical polarisability tensor ellipsoids of naphthalene, and the α - and β -fluoro-, -chloro-, -bromo-, and -iodo-naphthalenes. Le Fèvre C. G., Le Fèvre R. J. W.), J. Chem. Soc., 1955, June, 1641—1646 (англ.)

Обычный способ вычисления компонент b_1 , b_2 и b_3 тензора поляризуемости молекул по трем соотношениям, связывающим эти величины с рефракцией, константой Керра и со степенью деполаризации рассеянного света (РЖХим, 1955, 48312) непригоден для таких молекул, как нафталин, не имеющих дипольного момента, так как одно из указанных соотношений перестает быть линейно независимым. Поэтому авторы предварительно определили значения b_1 нафталина из рентгеноструктурных данных (Robertson, Proc. Roy. Soc., 1939, A142, 674). Результаты расчета b_1 , b_2 и b_3 для нафталина приведены ранее (см. пред. реф.). Измерены постоянные Керра и молекулярные рефракции для восьми α - и β -галогеннафталинов. Последние были использованы для вычисления b_1 и b_2 , причем постоянная b_3 ввиду отсутствия данных по степени деполаризации рассеянного света определялась из соотношения $b_{C_{10}H_7X} = b_{C_{10}H_8} - b_T(C-H) + b_T(C-X)$ с использованием ранее найденных авторами значений $b_T(C-H)$ и $b_T(C-X)$ (РЖХим, 1956, 42352). Приведены результаты вычислений для α -C₁₀H₇F, β -C₁₀H₇F, α -C₁₀H₇Cl, β -C₁₀H₇Cl, α -C₁₀H₇Br, β -C₁₀H₇Br, α -C₁₀H₇I, β -C₁₀H₇I. Сравнения найденных b_1 и b_2 с вычисленными при помощи соотношений аддитивности показывают, что за одним исключением [α -C₁₀H₇F] во всех случаях наблюдается положительная величина экзальтации для α -изомеров и отрицательная для β -изомеров. В то же время для молекулярной рефракции сколь-нибудь заметной экзальтации не наблюдается.

42355. Поляризуемость молекул. Эллипсоиды электрооптических тензоров поляризуемости пиридина, хинолина и изохинолина. Ле-Февр, Ле-Февр (Molecular polarisability. Electro-optical polarisability tensor ellipsoids for pyridine, quinoline, and isoquinoline. Le Fèvre C. G., Mrs., Le Fèvre R. J. W.), J. Chem. Soc., 1955, Aug., 2750—2753 (англ.)

Ранее предложенный метод (РЖХим, 1956, 42352, 42354) применен для определения главных осей тензора поляризуемости пиридина (I), хинолина (II) и изохинолина (III). Необходимые данные по рефракции и степени поляризации рассеянного света исследованных соединений взяты из литературы. Дополнительно были измерены молекулярные постоянные Керра, для которых получены значения ($\cdot 10^{12}$) соответственно 150, 150,0; 149,1 и 571,7. Полученные следующие значения для главных осей тензора поляризуемости ($\cdot 10^{23}$ см³): I 1,06, 1,13, 0,553; II 1,65, 2,24; 0,79; III 2,00; 1,91; 0,752. Сравнение b_1 , b_2 и b_3 с соответствующими величинами бензола и нафталина показывает, что замена СН на изoeлектронный атом азота приводит к увеличению b_2 , связанному по предположению авторов с наличием неподеленной пары электронов. В то же время средняя поляризуемость молекул уменьшается на соответственно — 0,073 (I), — 0,087 (II) и — 0,095 $\cdot 10^{23}$ см³ (III).

42356. Моменты связей, надежность и определения аддитивности; диоксид серы и ацетилен. Эггерс, Хисатуне, Ван Алтен (Bond moments, their reliability and additivity: sulfur dioxide and acetylene. Eggers D. F., Hisatsune I. C., Van Alten L.), J. Phys. Chem., 1955, 59, № 11, 1124—1129 (англ.)

Измерены абс. интегральные интенсивности A_i активных в ИК-спектре полос поглощения основных колебаний SO₂, C₂H₂, C₂D₂ и C₂HD. Получены следующие данные: SO₂ ν_1 A_i 226, ν_1 257, ν_2 1606; C₂H₂ ν_3 925, ν_5 2400; C₂D₂ ν_3 408, ν_5 945; C₂HD ν_1 327, ν_2 8,4, ν_3 250, ν_4 261, ν_5 1116. Из найденных A_i вычислены

моменты связей SO, C—H, C—D и их соответствующие производные $\partial\mu_i/\partial r_i$; получено соответственно $\pm 1,048$ и $\pm 0,868$ (CH в C₂H₂); $\pm 0,893$ и $\pm 0,785$ (CD в C₂D₂); $\pm 0,899$ и $\pm 0,790$ (CH в C₂HD) и $\pm 0,916$ и $\pm 0,783$ (CD в C₂HD). Ни одно из вычисленных μ для связи СН не согласуется удовлетворительно с значением 1,59D, выведенным из микроволнового спектра. В отличие от ацетиленов значения моментов S—O в различных колебаниях отличаются друг от друга, как и в случае CO₂ и CHF₃, что объясняется возможным влиянием неподеленных пар электронов кислорода и фтора. Найденные интенсивности полос в спектрах C₂H₂, C₂HD и C₂D₂ в пределах эксперим. погрешности согласуются с теоретическими для изотопных молекул (Crawford B. L., J. Chem. Phys., 1952 20, 977; Decius J. C., J. Chem. Phys., 1952, 20, 1039).

42357. Дипольный момент N-ацетилпиррола. Маринанджели (Momento elettrico dell'N-acetilpirrolo. Marinangeli Annamaria), Ann. Chimica, 1954, 44, № 11, 880—883 (итал.)

Измерен дипольный момент N-ацетилпиррола в бензоле и диоксане. Полученные значения для обоих р-ров, соответственно 2,44 D и 2,52 D, приблизительно одинаковы, в то время как для пиррола, α -ацетилпиррола и α -пирролальдегида наблюдается заметное различие (РЖХим, 1956, 35055). Этот факт подтверждает высказанное в цит. работе предположение, что взаимодействие пиррола и его производных с р-рителем осуществляется главным образом через связь N—H. Вычисленное путем векторного сложения значение дипольного момента N-ацетилпиррола не согласуется с экспериментальным.

42358. Дипольный момент и электронное строение возбужденных молекул. Липперт (Dipolmoment und Elektronenstruktur von angeregten Molekülen. Lippert Ernst), Z. Naturforsch., 1955, 10a, № 7, 541—545 (нем.)

Исследован вопрос о возможности определения дипольных моментов в возбужденных состояниях молекул. Для полярных в-в в первом приближении справедливо равенство $\nu_{\Pi} - \nu_{\Phi} = m\Delta f + \text{const}$ (меньшие члены), представляющее собой у-рние прямой с наклоном $m = (\mu_{\text{в}} - \mu_0)^2/hc\alpha^3$; $\Delta f = (\epsilon - 1)/(2\epsilon + 1) - (n_D^2 - 1)/(2n_D^2 + 1)$, ν_{Π} и ν_{Φ} частоты длинноволнового максимума поглощения и флуоресценции в р-ре, h — постоянная Планка, C_0 — скорость света, ϵ и n_D — диэлектрическая проницаемость и, соответственно, коэфф. преломления р-рителя, μ_0 и $\mu_{\text{в}}$ дипольный момент молекулы в основном и в возбужденном состоянии, a — радиус молекулы. Определив m , можно найти $\mu_{\text{в}} = \mu_0 \pm 0,010 \sqrt{ma^3}$. 4-Диметиламино-4-нитростильбен (I), 4-диметиламино-4-цианостильбен (II) и 1,2-бенз-6-диметиламинофеназин (III), которые имеют большие значения μ_0 и $\mu_{\text{в}}$, сравнительно слабо вступают в донорно-акцепторное протонное взаимодействие и флуоресцируют в различных р-рителях. Измерения производились в 35 различных р-рителях. У-рние удовлетворяется лучше всего в случае сильнополярных в-в в слабополярных р-рителях. Найдено $\mu_{\text{в}}$ (D) для I 32, II 29 и III 12. Большое значение $\mu_{\text{в}}$ для I можно объяснить наличием полярной резонансной структуры с $\mu = 62D$. Полученные данные показывают, что доля этой структуры в электронной структуре возбужденного состояния составляет $\sim 50\%$.

42359. Диэлектрические свойства галогеноводородов. II. Хлористый водород. Суансон, Кол (Dielectric properties of hydrogen halides. II. Hydrogen chloride. Swenson Richard W., Cole

Robert H.), J. Chem. Phys., 1954, 22, № 2, 284—288 (англ.)

Измерены диэлектрич. проницаемость (ϵ') и диэлектрич. потери (ϵ'') жидкого и твердого HCl в области т-р 63—190° K и частот от 20 μ до 1 Mc. Вблизи т. пл. (158,9° K) статич. ϵ'_0 жидкости равна 14,3. Для двух твердых фаз ϵ'_0 равны: I 62,4° K 3,7₂; 90° K 4,0₆; II 98,4° K 24,7; 158,9° K 15,2₅. Эксперим. значения ϵ'_0 для жидкости и твердой фазы II линейно зависят от $1/T$ в соответствии с ф-лой Онзагера для полярных жидкостей; вычисленный по этой ф-ле дипольный момент равен 1,14D. Из полученных данных следует, что HCl является нормальной полярной жидкостью без водородных связей. В низкотемпературной твердой фазе I обнаружена дисперсия с максимумом диэлектрич. потерь в области частот 10^3 — 10^5 μ (ϵ'' 0,1—0,15). Характерно наличие седловины на кривых ϵ'' в области максимума ϵ'' при т-рах ниже 78° K. Вычисленное время релаксации пропорционально $1/T$ и описывается ур-нием: $\tau_{\text{сек}} = 1,01 \cdot 10^{-13} \exp(2620/RT)$. Энергия активации 2,62 ккал/моль. Предельное значение ϵ'' при высоких частотах $\sim 3,2$ больше n^2 . Сообщение 1, РЖХим, 1956, 38730.

42360. Конфигурация молекулы H₂O₂. Л у ф т (Di^e Konfiguration des H₂O₂-Moleküls. Luft N. W.), Monatsh. Chem., 1955, 86, № 3, 528—534 (нем.)

Молекула H₂O₂ является простейшей молекулой, в которой возможно внутреннее вращение. Анализируя имеющиеся спектроскопич. данные, автор приходит к выводу, что потенциал внутреннего вращения в H₂O₂ имеет вид $V = c_2^2/8c_2 + c_2 - c_1 \cos \theta + c_2 \cos 2\theta$ (1) с максимумами при $\theta = 0$ $V = V_2$ (транс) и при $\theta = 180^\circ$ $V = V_1$ (цис), и минимумом при $\theta_e \sim 70^\circ$. Отсюда $V_1/V_2 \sim 4$. Строгое решение волнового ур-ния для (1) отсутствует. Из приближенного решения для потенциала $V = (2/\pi)^2 V_1 (\theta \pm \pi/2)^2 \pi - 2\theta > -\pi$; $V = (V_2/2) (1 + \cos 2\theta) - \pi < 2\theta < \pi$ и наблюдаемого расщепления колебательных частот вследствие туннельного эффекта получается $V_2 \leq 1,0$, $V_1 \leq 15$ ккал/моль. Нижние границы V_1 , V_2 оцениваются как $V_1 > 2,5$, $V_2 > 0,5$ ккал/моль. Эти результаты приводятся в соответствие с эксперим. значениями энтропии. Автор считает наиболее надежными величины $V_1 \sim 15$, $V_2 \sim 0,9$ ккал/моль и крутильные частоты (первый обертоны) $\delta_4 (1 - 0_+)$ 584, $\delta_4 (1_+ - 0_-)$ 472 см⁻¹.

42361. Использование секторного метода электронной дифракции для локализации водорода в газовых молекулах. А л ь м е н н и н г е н, Б а с т и а н с е н (The use of the electron diffraction sector method for location of hydrogen in gas molecules. Almenningen A., Bastiansen O.), Acta chem. scand., 1955, 9, № 5, 815—820 (англ.)

На примере NH₃ и C₂H₆ исследована возможность применения секторного метода дифракции электронов к определению положения атомов H в газообразных молекулах. В случае NH₃ на кривой радиального распределения (KRP) обнаружены пики: 1,015А, отнесенный к связи N—H, и 1,584А, отнесенный к связи N—H, на основании чего угол HNH принят равным (с учетом положения центра тяжести пика) $106,6^\circ \pm 4^\circ$. В случае C₂H₆ на KRP обнаружены пики 1,107, 1,536 и 2,173А, отнесенные соответственно к связям C—H, C—C и C...H, на основании чего углы CCH и HCH приняты равными 109,54° и 109,40°. Рассмотрено влияние расстояний H—H в случаях цис-, транс- и повернутых изомеров на характер KRP. Наблюдаемое положение пика H...H соответствует расстояниям H...H в CH₄ 1,83А, H...H_{транс} 3,09 и H...H_{поверн} 2,44А. На основании полученных таким образом дан-

ных сделан вывод, что молекула этана имеет транс-конфигурацию.

42362. Ионные радиусы катионов гистадила и пиридамина. А н д р ю с, Д ж о н с о н, Л а й о н с (Ionic radii of the hystadyl and pyrilamine cations. Andrews A. C., Johnson H. B., Lyons T. D.), J. Amer. Chem. Soc., 1955, 77, № 21, 5498 (англ.)

Определены радиусы катионов гистадила (хлоргидрата N,N'-диметил-N',2-тенил-N'- α -пиридилэтилендиамина) и пиридамина (малеата N-параметоксибензил-N,N'-диметил-N- α -пиридил-этилендиамина) из измерений ионной проводимости в водн. р-рах. Получено соответственно 3,96 и 3,75 А. Радиус катиона гистадила был определен также из кажущихся молярных объемов в р-рах. Найденное значение (3,84А) согласуется с найденным по первому методу.

42363. О растворимости эфиров в воде. Фергусон (On the water solubilities of ethers. Ferguson Lloyd N.), J. Amer. Chem. Soc., 1955, 77, № 20, 5288—5289 (англ.)

Малая растворимость диалкилэфиров в воде по сравнению с изомерными спиртами обычно приписывается тому, что водородная связь в случае эфиров образуется труднее, чем у спиртов. Автор возражает против такой точки зрения, указывая, что подобная разница наблюдается только для первых членов гомологич. рядов; начиная с диэтилового эфира, растворимости как правило, приблизительно одинаковы. С другой стороны, циклич. эфиры (тетрагидрофуран, диоксан, окис этилена) полностью растворимы в воде. Эксперим. данные можно объяснить стерич. препятствиями при осуществлении водородной связи, которые малы для перечисленных циклич. эфиров (кислород не экранируется алкильными группами) и могут быть особенно велики для алифатич. эфиров, у которых в термодинамически наиболее выгодной конфигурации может иметь место значительное экранирование кислорода алкильными группами. Такое же экранирование имеет место и для некоторых циклич. эфиров, напр. 1,1-диметилэтиленоксида.

42364. Изучение водородных связей в ряду нафтолов АС и родственных соединений с помощью ИК-спектров. Х о й е р (Ultrarotspektroskopische Untersuchung über Wasserstoffbrücken in Naphthol-as und verwandten Verbindungen. Hoyer Herbert), Kolloid Z., 1953, 133, № 1, 7—11 (нем.)

В связи с соображениями о зависимости процесса окрашения нафтолами типа АС от их строения (РЖХим, 1954, 29742) изучены ИК-спектры некоторых красителей этого типа: ализарина, анилида, 1'- и 2'-нафтиламида, 2',5'-диметоксианилида, 4'-хлоранилида и 3'-нитроанилида 2,3-оксинафтойной к-ты и 2',5'-диметоксианилида 3-оксифениленоксид-2-карбоновой к-ты в расплавленном гексахлорбензоле при т-ре и конц-ях, предотвращающих ассоциацию молекул. У красителей отсутствует полоса невозмущенной группы OH 2,75—2,86 μ , имеются полосы 2,95 (NH) и 3,3—3,45 μ (CH). Автор полагает, что красители находятся не в лактимных, а в лактамных формах с водородной связью OH с атомом O = амидной группы.

42365. Влияние плотности на спектр комбинационного рассеяния аммиака. П л и н т, С м о л л, У э л л (Density effects in the Raman spectrum of ammonia. Plint C. A., Small R. M. B., Welsh H. L.), Canad. J. Phys., 1954, 32, № 10, 653—661 (англ.)

Получен спектр комб. расс. NH₃ в виде газа при давл. до 80 атм, жидкости, твердого в-ва при т-рах до -190° и водн. р-ра. Колебания $2\nu_4$, ν_1 и ν_2 соответствуют полосам: в жидкости 3218, 3300 и 3373 см⁻¹;

в твердом состоянии при -190° 3220, 3265 и 3365 см^{-1} ; в газе 3219, 3334 и 3444 см^{-1} ; в водн. р-ре (28%) 3222, 3309 и 3398 см^{-1} . Повышение давления газа не вызывает существенных изменений спектра, но уже при 40 атм исчезает тонкая структура; кроме того, появляется спутник линии ν_1 $3351 \pm 2 \text{ см}^{-1}$. В жидкости при изменении т-ры полоса ν_1 остается неизменной, а интенсивность полос $2\nu_4$ и ν_3 с повышением т-ры увеличивается. Эти изменения связаны с изменением полуширины линий, которая сильно зависит от т-ры. Полуширина полосы ν_3 уменьшается с понижением т-ры до 45 см^{-1} при -190° , а полосы ν_1 увеличивается до 132 см^{-1} при -190° . Так как влияние р-рителя (H_2O) меньше ожидаемого, то предполагается, что на изменение частоты влияют не только диэлектрич. свойства среды, но и резонансное взаимодействие между колебаниями диполей. Е. П.

42366. Влияние растворителя на спектры поглощения и флуоресценции замещенных нитростильбена. Липперт (L'influence du solvant sur les spectres d'absorption et de fluorescence de nitrostilbènes substitués. Lippert E.), J. Phys. et Radium, 1954, 15, № 7-8-9, 627—629 (франц.)

Исследовано влияние 65 органич. р-рителей (алифатич. нафтеновых и ароматич. углеводородов, спиртов, эфиров и др.) на спектры поглощения в УФ- и видимой областях и спектры флуоресценции *n*-нитро-*n'*-диметил-аминостильбена (I). Спектры поглощения I смещаются (в сравнении с р-ром в изоктане) в отдельных случаях до 2000 м^{-1} в сторону длинных волн (C_6H_{12} 24000, пиридин 22000, спирты $\sim 23000 \text{ см}^{-1}$). Одновременно в том же направлении смещаются спектры флуоресценции: от голубой в циклогексане до красной в ароматич. р-рителях и ИК-области в пиридине и спиртах. То же наблюдается у *n*-нитро-*n'*-метокси- и *n*-нитро-*n'*-метил-стильбенов. Величина смещения возрастает с ростом диэлектрич. постоянной р-рителя. В отдельных случаях (спирты) понижение возбужденного уровня сопровождается еще большим понижением уровня флуоресценции. Эти эффекты объясняются ориентационной поляризацией и индукционным влиянием. Разница в смещении поглощения и флуоресценции может рассматриваться как мера взаимодействия между возбужденной молекулой I и р-рителем. Ю. Е.

42367. Соединения внедрения. Крамер (Inclusion compounds. Cramer Friedrich D.), Revs Pure and Appl. Chem., 1955, 5, № 3, 143—164 (англ.)

Обзор. Библ. 80 назв. М. П.

42368. Исследование некоторых комплексов, образующихся в растворах кофеина. II. Бензойная кислота и ион бензоата. III. Взаимодействие кофеина с аспирином, *n*-оксибензойной кислотой, *m*-оксибензойной кислотой, салициловой кислотой, ионом салицилата и бутилпарабеном. Хигути, Зак (Investigation of some complexes formed in solution by caffeine. II. Benzoic acid and benzoate ion. III. Interactions between caffeine and aspirin, *p*-hydroxybenzoic acid, *m*-hydroxybenzoic acid, salicylic acid, salicylate ion, and butyl paraben. Higuchi Taketani, Zuck D. A.), J. Amer. Pharmac. Assoc. Scient. Ed., 1953, 42, № 3, 132—138; 138—145 (англ.)

II. Исследовано комплексобразование кофеина (I) с бензойной к-той (II) и ионом бензоата (III) в р-рах. Найдено, что в р-ре I образует с II и III комплексы по типовым р-циям: $\text{I} + \text{II} (\text{III}) \rightarrow \text{I} \cdot \text{II} (\text{III})$; $\text{I} \cdot \text{II} (\text{III}) + \text{II} (\text{III}) \rightarrow \text{I} \cdot \text{II} \cdot \text{II} (\text{III})$. Определены константы равновесия при т-рах 0° , 15 и 30° и значения ΔH и ΔS° соответственно 3000 кал/моль и -4 ккал/моль град $\text{I} \cdot \text{II}$; 4000, -10 для $\text{I} \cdot \text{II}_2$; 3300, -6 для $\text{I} \cdot \text{II}_3$.

III. Исследовано комплексобразование аспирином (IV), *n*-оксибензойной к-той (V), *m*-оксибензойной к-той

(VI), салициловой к-той (VII), ионом салицилата (VIII) и бутилпарабеном (IX). Во всех случаях имеет место в основном образование комплекса типа АВ [$A = \text{I}$]. Соединения VII и VIII образуют также комплексы типа A_2B . Для исследованных комплексов определены константы равновесия при 0° , 15 и 30° , для некоторых (I-IV, I-IX) определены также значения ΔH и ΔS° . В ряду изомерных оксикислот прочность комплексов убывает в порядке V, VI, VII. Сообщение I, J. Amer. Pharmac. Assoc. Scient. Ed., 1951, 41, 10. В. А.

42369 Д. Инфракрасные спектры *транс*-дихлорэтиленов, полученные с большим разрешением. Эдвардс (The high-resolution infrared spectra of trans-dichloroethylenes. Edwards Thomas Harvey. Doct. diss. Univ. Michigan, 1955), Dissert. Abstrs, 1955, 15, № 5, 849—850 (англ.)

42370 Д. Парамагнитное резонансное поглощение ионов меди и ванадия в аморфных фазах. Сандс (Paramagnetic resonance absorption of copper and vanadium ions in amorphous phases. Sands Richard Hamilton. Doct. diss. Washington Univ., 1954), Dissert. Abstrs., 1955, 15, № 5, 851—852 (англ.)

См. также: Структура молекул: неорганич. 42645, 42781, 42917; 43043; органич. 43052, 43306; по рентген. данным 42387, 42391, 42398, 42399, 42405, 42407, 42460. Энергия связей 42585—42587, 42590, 42591. Силы 42445, 43046, 43047, 43094, 43109, 43117, 43121, 43130, 43145, 43151, 43152, 43165, 43168, 43175, 43187, 43196, 43225, 43263, 43278, 43280, 43282, 43285, 43286, 43290, 43292, 43293, 43299, 43302, 43306, 43307, 43309, 43312, 43314, 43328, 43335—43337, 43361, 43362, 43422, 43439, 43441—43443. Дипольные моменты и диэлектрич. св-ва 43417, 42419, 42467, 42532, 42540, 42628, 42776, 42798. Магнитные св-ва 42480, 43234, 42501, 42502, 42504, 42507, 42919. Приборы для исслед. строения молекул 43601—43603, 43608—43616, 42627—43631, 43636, 43639, 43640. Др. вопр. 42183

КРИСТАЛЛЫ

42371. К соотношению между структурой и морфологией кристаллов. II, III. Хартман, Пердок (On the relations between structure and morphology of crystals. II, III. Hartman P., Perdok W. G.), Acta crystallogr., 1955, 8, № 9, 521—524; 525—529 (англ.)

II. Детально исследуются характерные особенности *S*-граней (грани, параллельные хотя бы одной периодич. цепи связей). Обсуждаются факторы, определяющие морфологию. Важность *S*-граней, и утверждается, что *S*-грань какой-нибудь зоны могут быть определены с помощью аддитивной схемы индексов. Указывается также, что *S*-грань имеет тем большую морфологию. значимость, чем больше сравнительная величина параллельного ей вектора цепи сильных связей. Дается несколько конкретных правил для выбора истинных *F*-граней и вывода из них производных *S*-граней. Намечается путь, с помощью которого морфология кристалла может быть выведена из его структуры. На примере кристаллов с плотнейшей куб. упаковки показано, что при кристаллизации из пара самой вероятной гранью является октаэдр, а затем куб (кристаллы Ag). При кристаллизации из расплава следует учитывать предконденсационный эффект. В этом случае влияние наиболее сильных связей ослабляется, а слабые связи становятся более важными. Это ведет к тому, что куб становится более важной формой, чем октаэдр, что действительно имеет место для кристаллов меди.

III. Рассмотрение морфологии кристаллов барита. [Для них установлено 6 *F*-форм: {001}, {010}, {210}, {200}, {101} и {100}. Оценка сравнительной важности этих граней получена из приближенного вычисления на основе структурных данных из энергии связи. Результат находится в согласии с наблюдающимися факторами. Форма {011} определена как *K*-форма. Ее сравнительно высокая морфологич. значимость объясняется дегидратацией и загрязнениями. Все другие встречающиеся формы являются *S*-формами. Кристаллы некоторых соединений, изоструктурных бариту и выражавшихся из чистых водн. р-ров, обнаруживают только 6 *F*-форм и {011}-форму. Это подтверждает предположение о том, что грани *K* и *S* появляются при росте кристалла в период растворения или в результате окружающих его примесей. Часть I см. РЖХим, 1956, 18544.

Л. Ц.
42372. Очерки по структурной минералогии. В. Белов Н. В., Минералог. сб. Львовск. геол. о-ва, 1954, № 8, 13—40

Рассматриваются следующие вопросы: 1) некоторые особенности геохимии бора в свете его кристаллохимии; 2) структура хризотила-антigorита; 3) структура хлоритоид; 4) борнит; 5) структура реалгара и аурипигмента и некоторые вопросы геохимии *S* и *As*; 6) связь между структурой и распространенностью в природе минералов ряда рутил — анатаз — брукит — шлемит — гематит — колумбит. Сообщение IV см. РЖХим, 1955, 15799.

Г. С.
42373. К вопросу о кристаллохимической классификации боратов. Поваренных А. С., Тр. Минералог. музея АН СССР, 1955, вып. 7, 104—111

На основании кристаллохим. данных, а также анализа хим. и физ. свойств структурно мало изученных минералов предпринята попытка рациональной классификации боратов. Основные подразделы классификации: 1) Каркасные бораты (2 минерала — боратит и роднит); 2) Островные бораты (11 минералов); 3) Цепные бораты (21 минерал); 4) Слоистые бораты (2 минерала — тиллит и бандилит).

Ю. П.
42374. Предполагаемая структура некоторых шпинелей при высокой температуре. Холсер (Proposed structure of certain spinels at high temperature. Holser William T.), J. Chem. Phys., 1955, 23, № 4, 764 (англ.)

На основании рассмотрения кривой $D_i = n_i/(n_n + n_i) = f(T)$ делается вывод, что при высокой *т-ре* Fe_2CuO_4 , Fe_2MgO_4 , Fe_2ZnO_4 , Ga_2MgO_4 имеют, повидимому, структуру, промежуточную между нормальной и инвертированной, с небольшой неупорядоченностью в размещении катионов по тетраэдрич. и октаэдрич. пустотам. Результаты недостаточно точны, чтобы определить, какие факторы (взаимодействие обеих видов структур, разупорядочение в октаэдрич. положениях или уменьшение степени ковалентности) обуславливают эту промежуточную структуру.

Н. С.
42375. Опыт моделирования тонкой структуры угля. Хук, Карвейль (Versuch einer Modellvorstellung vom Feinbau der Kohle. Hück G., Karweil J.), Brennstoff-Chemie, 1953, 34, № 9-10, 129—135 (нем.)

На основе предложенной ранее (РЖХим, 1954, 14334) модели тонкой структуры углей в виде ароматич. ядра с присоединенной к нему боковой цепью рассмотрен процесс обуглероживания углей в пласте. На обуглероживание влияет *т-ра*, зависящая от глубины залегания, от экзотермич. процессов при обуглероживании и от пластич. деформаций в угле под действием давления. Давление не приводит к непосредственному разрыву связей в молекуле, а лишь смещает равновесие системы в сторону обуглероживания. Такое влияние да-

вления возможно вследствие пористого строения углей; оно вызывает ускорение обуглероживания под действием тектонич. процессов. Рассмотрены при дополнительных упрощениях и допущениях некоторые физ.-хим. характеристики углей: уд. объем, мол. вес, модуль упругости, прочность, экстрагируемость, теплота сгорания и теплота сжигания. Объяснены случаи несовпадения эксперим. и рассчитанных по предложенной модели значений этих характеристик.

Л. Р.
42376. К вопросу о возможности существования изоморфного ряда оливинит — либетинит. Сумин Н. Г., Тр. Минералог. музея АН СССР, 1955, вып. 7, 165—169

На основании генетич. родства минералов либетинита $Cu_2[OHPO_4]$ (I) и оливинита $Cu_2[OHAsO_4]$ (II), а также большого сходства их физ., кристаллографич. и кристаллохим. свойств, предположено существование изоморфного ряда I—II. Значительное содержание P_2O_5 во многих II и As_2O_5 в I является существенным указанием на возможность изоморфной смешимости между I и II. По мнению автора, минералы группы элита и подобные им образования арсенатов типа деревянистой медной руды являются, повидимому, промежуточными членами ряда I—II.

Ю. П.
42377. Преобразование индексов при двойниковом скольжении. Пабст (Transformation of indices in twin gliding. Pabst A.), Bull. Geol. Soc. America, 1955, 66, № 7, 897—912 (англ.)

Указывается, что наиболее удобной для расчетов формой преобразования индексов является матрица, подобная употребляемой при перемене выбора координатных осей. Рассматриваются три различных случая двойникового скольжения: 1) простой сдвиг центров атомов (Au), 2) сдвиг, сопровождающийся вращением отдельных групп атомов (CO_3^{2-} в кальците), 3) отсутствие определено выраженной плоскости контакта двух двойниковых компонент (переходные слои со структурой вюрцитита в сфалерите).

А. У.
42378. О сильных и слабых статистических соотношениях между знаками структурных амплитуд. Белов Н. В., Головастиков Н. И., Докл. АН СССР, 1955, 105, № 5, 978—980

С помощью наглядных геометрич. построений оценивается вероятность выполнения статистич. равенств между знаками структурных амплитуд при линейных комбинациях индексов *H* и *K*. Все выводы относятся к плоской ячейке (проекции), содержащей 2 атома, связанные центром симметрии. Получены следующие результаты. 1. Вероятность выполнения соотношений типа $S_{H+2nK} = S_H S_K$ для амплитуд любой величины равна 0,5; вероятность не увеличивается при ограничении величин амплитуд снизу. 2. Максим. вероятность выполнения статистич. равенств типа $S_{H+(2n+1)K} = S_H S_K$ равна 0,6. При ограничении модулей единичных структурных амплитуд снизу вероятность возрастает, но остается значительно меньшей, чем в случае $S_{H+K} = S_H S_K$. Отсюда сделан вывод, что из линейных комбинаций *H* и *K* наиболее выгодной является $H + K$. 3. Для комбинации индексов *H* с индексами, кратными *H* (напр. *H*, *H*, 2*H*; *H*, 2*H*, 3*H* и т. д.), показано, что наибольшую силу имеет равенство $S_{2H} = S_H S_{2H}$, выполняющееся (в случае 2 атомов) с вероятностью $10/12 = 0,833$. Наиболее слабым из рассмотренных является соотношение $S_{2H} = S_H S_H$ с вероятностью 0,5. 4. Из-за низкой вероятности выполнения соответствующих статистич. равенств при определении знаков структурных амплитуд не рекомендуется составлять соотношения между амплитудами симметрично связанных отражений.

Ю. П.

42379. Об основных предположениях и правильности соотношений Сахарисена между знаками в рентгеноструктурном анализе. Берто, Пепинский (On the basic assumptions and the validity of Zachariasen's sign relations in X-ray crystal analysis. Bertaut E. F., Pepinsky R.), Acta crystallogr., 1954, 7, part 2, 214—215 (англ.)

Дан вывод основного соотношения Сахарисена $S_H = S(S_{k_1} S_{H+k_1})$ и обсуждаются условия его выполнения.

42380. Интенсивность рентгеновского диффузного рассеяния, обусловленного тепловым колебанием атомов. Лаваль (Intensité des rayons X diffusés par l'agitation thermique des atomes. Laval Jean), C. r. Acad. sci., 1953, 236, № 18, 1765—1767 (франц.)

42381. Количественная рентгенографическая методика для многокомпонентных систем. Блэк (A quantitative X-ray diffraction technique for multi-component systems. Black R. H.), Chem. in Canada, 1953, 5, № 10, 90 (англ.)

Описана методика рентгенофазового анализа образцов бокситов. Использован прибор с автоматич. регистрацией интенсивности дифракционных максимумов, а соответствующие расчеты выполнялись с помощью спец. устройства. Анализ образца занимает ~ 10 мин.

42382. Съемка по методу Дебая — Шеррера с изогнутым кристаллом-монокроматором. Плитт, Рёйбер (Debye — Scherrer-Aufnahmen mit gebogenem Monochromatorkristall. Plüth Karl, Reuber Ellen), Z. anorgan. und allgem. Chem., 1955, 280, № 4, 197—204 (нем.)

Описывается применение шлифованных и изогнутых кристаллов-монокроматоров при съемке дебаграмм. Для точных измерений интенсивности должны быть введены поправки на поляризацию: а) отраженные лучи от монокроматора и препарата лежат в одной плоскости; $P_{\parallel} = (1 + \cos^2 2\varphi \cos^2 2\theta) / (1 + \cos^2 2\varphi)$; б) отражающие плоскости взаимно перпендикулярны; $P_{\perp} = (\cos^2 2\varphi + \cos^2 2\theta) / 2$ (где φ — угол скольжения на кристалле-монокроматоре, θ — угол скольжения на препарате). При съемке по способу Брегга — Брентано вводятся обычные поправки, съемка по способу Гинье требует замены фактора $1/\sin 2\theta$ на $1/\sin 2\theta \cos(2\theta \pm \beta)$, где β — угол установки камеры. Камера с монокроматором жестко крепится против окошка рентгеновской трубки. При помощи щели, середина которой совпадает с фокальной линией, предусмотрена возможность изменения расходимости пучка рентгеновских лучей. Наиболее благоприятные условия в опытах авторов были найдены при длине диафрагмы 50 мм и щели $0,3 \times 2$ мм², при которой расходимость составляла 21'. Авторы указывают на преимущества съемки образцов в виде пластинок, так как в этом случае выполняются условия фокусировки.

42383. Новый тип рентгенограммы — высоковольтная лауэграмма. Пейзер, Рейт (A new type of X-ray diffraction picture (high-voltage Laue photographs). Peiser H. S., Rait J. R.), Acta crystallogr., 1955, 8, № 11, 738 (англ.)

Если направить на поликристаллич. образец, напр., стали, толщиной 5—6 мм пучок «белого» рентгеновского излучения от трубки, работающей при высоком электрич. напряжении ~190 кВ, то в проходящем пучке получается рентгенограмма с вытянутыми пятнами, соответствующими отражению излучения разных длин волн от одних и тех же плоскостей кристалликов (полихроматич. «хвосты»). Образец поглощает мягкое излучение (примерно до эквивалента 90 кВ). Пропускаемому более жесткому излучению соответствуют дифракционные сферы большого радиуса. Ур-ние Вульфа —

Брега удовлетворяется для целого набора длин волн. Указывается, что новый вид рентгеновской съемки открывает возможности исследования размеров зерна внутренних напряжений и т. д. в глубинах образцов, недоступных при другой методике рентгенографич. исследований.

42384. Структура $\text{Re}_{24}\text{Ti}_5$. Тшебятковский, Немец (Struktur $\text{Re}_{24}\text{Ti}_5$. Trzebiatowski Włodzimierz Niemiec Jan), Roczn. chem., 1955, 29, № 2-3, 277—283 (польск.; рез. англ., русс.)

При исследовании двойной системы Re — Ti найдено интерметаллич. соединение $\text{Re}_{24}\text{Ti}_5$, устойчивое в интервале 600—1700°. Рентгенографически (методом порошка) определена куб. обменноцентрированная структура типа $A12$ (α -Mn) с a 9,59 кХ. $\rho_{\text{рент}}$ 17,73, $\rho_{\text{плки}}$ 17,55. Анализы интенсивности показывают, что возможное упорядоченное распределение атомов в положениях: 24Re в uuv , 24Re в $u'u'v'$, 2Ti в 000, 8Ti в www , где w 0,317, u 0,356 v 0,042, u' 0,089, v' 0,278.

42385. Система платина — рений. Тшебятковский, Берак (The platinum — rhenium system. Trzebiatowski W., Berak J.), Bull. Acad. polon. sci., 1954, 2, № 1, 37—40 (англ.)

См. РЖХим, 1956, 9334.

42386. О распределении электронной плотности в цинковой обманке. Юмперц (Über die Elektronendichteverteilung in der Zinkblende. Jumperz E. A.), Z. Elektrochem., 1955, 59, № 5, 419—425 (нем.)

Исследуется распределение электронной плотности в кристалле ZnS в проекции на плоскость (110). Значения фазовых углов α_{hkl} рассчитаны автором (для построения синтеза Фурье) по новому методу. Полагая $\lg \alpha_{hkl} = \Sigma_r f_r \sin 2\pi (hx_r + ky_r + lz_r) / \Sigma_r f_r \cos 2\pi (hx_r + ky_r + lz_r)$, автор получает для ф. гр. F_{420} , к которой принадлежат кристаллы ZnS, значения: $\lg \alpha = 0$ для $h+k+l=2n$ и $\lg \alpha = f_s/f_{Zn}$ для $h+k+l=(4n+1)$ (f_r — функция атомного рассеяния, x_r, y_r, z_r — координаты r -го атома). Для использования измеренных структурных амплитуд к определению фазового угла ф-лы преобразуются в виде: $\lg \alpha_{(F_s)} = (F_1 - F_2) / (F_1 + F_2)$, где $F_1 = 4(f_{Zn} + f_s)$; $F_2 = 4(f_{Zn} - f_s)$; $F_s = (f_{Zn} \pm f_s)$. Кривые f_{Zn} и f_s по Хартри исправлены для комнатной т-ры путем расчета характеристик. т-р для S ($\theta = 334 \pm 5^\circ$) и ZnS ($\theta = 248 \pm 5^\circ$) и приняв $\theta_{Zn} = 232 \pm 5^\circ$. Построены одномерные проекции электронной плотности на направления [001] и [111], двумерная проекция на плоскость [110] и линейное сечение вдоль [111]. Установлено, что в куб. кристаллах ZnS осуществляется смешанный тип связи, в котором наряду с отчетливой металлич. связью принимают участие гетерополярные и гомополярные компоненты (соответственно в колич. отношении $2/3$ и $1/3$).

42387. Кристаллическая структура P_4S_3 . Хаутен, Вое, Вигерс (The crystal structure of P_4S_3 . Houten S. van, Vos Aafje, Wiegers G. A.), Recueil trav. chim., 1955, 74, № 8-9, 1167—1170 (англ.)

Проведено рентгенографич. исследование P_4S_3 с целью установления его структурной ф-лы. Кристаллы P_4S_3 ромбич. Параметры решетки: a 10,63, b 9,69, c 13,72 Å, $n = 8$, ф. гр. $R\bar{3}m$. Первоначальные сведения о структуре получены из трехмерного синтеза Паттерсона с последующим уточнением координат по проекциям Фурье. Молекула в кристалле имеет ту же конфигурацию, что и в газе (Hassel O., Pettersen A., Tidsskr. kjemi Bergves. og metallurgi, 1941, 1, 57). Средние расстояния P — S и P — P равны 2,10 и 2,24 Å со-

ответственно. Те же расстояния в P_4S_{10} и P_4S_7 составляют 2,08 и 2,37 Å (РЖХим, 1956, 31732). Е. Ш.

42388. Рентгенографическое исследование переходных продуктов обезвоживания гидрата окиси алюминия. Терсян, Папе, Шарье (Étude aux rayons X des alumines anhydres de transition. Tertian Robert, Paré Denis, Charrier Jacques), C. r. Acad. sci., 1954, 238, № 1, 98—99 (франц.)

Установлено, что продукты термич. распада гидратов Al_2O_3 (гидрагиллита разной степени измельчения, байерита и бёмита при атмосферном давлении и в вакууме) всегда представляют собой смеси различных модификаций, причем подтверждено существование трех кристаллич. модификаций: 8,6 и К. А. С.

42389. О высокотемпературном кристобалите в опалах, бентонитах и стеклах. Флёрке (Zur Frage des «Hoch»-Cristobalit in Opalen, Bentoniten und Gläsern. Flörke Otto W.), Neues Jahrb. Mineralogie. Monatsh., 1955, № 10, 217—223 (нем.)

В результате рентгенографич. исследования в камере типа Гинье ($\lambda Cu-K\alpha$) установлено, что кристобалит, присутствующий в некоторых опалах, бентонитах и стеклах (расстеклованных), представлен не высокотемпературной, как считалось прежде, а низкотемпературной модификацией с одномерной неупорядоченностью вдоль [111], обуславливающей сокращение числа линий на рентгенограммах порошков и размытость некоторых отражений. Одновременное присутствие линий низкотемпературного кристобалита и тримита на рентгенограммах нескольких проб объясняется, по мнению автора, не наличием механич. смеси модификаций SiO_2 , а тем, что в отдельных кристаллитах существуют участки, внутри которых слои, образуемые атомами О, наложены друг на друга по закону либо кубич. (кристобалит), либо гексагональной (тримит) упаковки. Отмечается, что чем больше разупорядоченность структуры кристобалита, тем ниже т-ра образования этого минерала. Ю. П.

42390. Исследование структуры моноклинной модификации трехокиси мышьяка — клаудетита П. Беккер, Плит, Странский (Strukturuntersuchung der monoklinen Arsenikmodifikation Claudetit II. Becker K. A., Plieth K., Stranski I. N.), Z. anorgan. und allgem. Chem., 1954, 275, № 6, 297—300 (нем.)

Игольчатые монокристаллы As_2O_3 образуют две внешне неразличимые модификации. Структура одной из них (I) была описана авторами ранее (Z. anorgan. und allgem. Chem., 1951, 266, 293). Исследование второй модификации, названной клаудетит II, производилось методами вращения и Вейсберга (вокруг оси иглы). Элементарная ячейка: a 7,99, b 4,57, c 9,11 Å, β 78°19'. $\rho_{\text{рент}}$ 4,02; $n = 4$; ф. гр. Pn . Ось иглы [010]. Определение структуры производилось методами синтеза F_2 - и F -рядов. Из 12 атомов определены только 8. Координаты атомов не приводятся. Имеется аналогия со структурой I. Ю. Т.

42391. Оптико-дифракционные методы для установления эффекта водородных атомов на интенсивность лучей. Пиннок, Липсон (Optical-diffraction methods for deducing the effects of hydrogen atoms on X-ray intensities. Pinnock P. R., Lipson H.), Acta crystallogr., 1954, 7, № 8-9, 594 (англ.)

При исследовании структуры трифенилена методом Фурье-проекций (Taylor C. A., частное сообщение) имелись признаки обнаружения атомов Н в проекции (001). Для проверки этого и определения доли интенсивности 12 атомов Н во всех отражениях типа $hk0$ применен оптич. метод (РЖХим, 1956, 35081). Из известных

положений атомов С в этой структуре и принятого расстояния С — Н 1,07 Å рассчитаны возможные положения атомов Н. Затем изготовлен макет структуры, при помощи которого получена дифракционная оптич. картина. Учет интенсивности, рассчитанной по найденным таким образом положениям атомов Н, значительно улучшает соотношение между $F_{\text{оп}}$ и $F_{\text{выч}}$. Для устранения систематич. расхождения между этими значениями в области малых $\sin \theta/\lambda$ необходимо введение, по мнению авторов, поправки на поглощение. Г. Г.

42392. Переход порядок — беспорядок в борогидридах щелочных металлов. Стивенсон, Райс, Стокмейер (Order — disorder transitions in the alkali borohydrides. Stephenson C. C., Rice D. W., Stockmayer W. H.), J. Chem. Phys., 1955, 23, № 10, 1960 (англ.)

Найдены т-ры превращения (T_c) низкотемпературных тетрагональных модификаций борогидридов щел. металлов в высокотемпературные куб.: KBH_4 76°K, $RbBH_4$ 44°K, $CsBH_4$ 27°K. Показано, что расстояние r между центрами соседних ионов BH_4^- (РЖХим, 1955, 1722) и $lg T_c$ связаны линейной зависимостью. Авторы считают, что этим подтверждено предположение (РЖХим, 1956, 15571) о том, что превращение является переходом порядок — беспорядок, связанным с ориентацией тетраэдрич. иона BH_4^- , так как увеличение энергии неупорядоченной фазы ΔE приблизительно пропорционально $\exp(-r/\rho)$. Наклон прямой $T_c = f(r)$ дает для r значение 0,45 Å. Е. Ш.

42393. Элементарные ячейки титанатов бария $BaO \cdot 2TiO_2$ и $BaO \cdot 4TiO_2$. Лукашевич, Тшебатовский (Komórki sieciowe tytanianów baru $BaO \cdot 2TiO_2$ i $BaO \cdot 4TiO_2$. Łukaszewicz K., Trzebiatowski W.), Roczn. chem., 1955, 29, № 2-3, 943—944 (польск.; рез. англ.)

Рентгенографически (излучение $Cu-K\alpha$) определены параметры решетки для моноклинной $BaO \cdot 2TiO_2$ (a 9,32; b 3,90, c 8,38 Å, β 102°, $\rho_{\text{англ}}$ 5,20, $\rho_{\text{рент}}$ 5,24, $n = 3$) и ромбич. $BaO \cdot 4TiO_2$ (a 14,53, b 6,3, c 3,79 Å, $\rho_{\text{англ}}$ 4,58, $\rho_{\text{рент}}$ 4,55, $n = 2$, ф. гр. Pmm или Pnn). В. Г.

42394. Прохождение рентгеновских лучей через кальцит при лауэвской дифракции. Рогоса, Шварц (X-Ray path through calcite in Laue diffraction. Rogosa George L., Schwarz Guenter), J. Appl. Phys., 1955, 26, № 8, 967—968 (англ.)

Интенсивность первичного пучка рентгеновских лучей, проходящих через идеальный монокристалл, может возрастать (аномальное пропускание), уменьшаться (экстинкция), проходить через максимум или минимум, когда кристалл поворачивается относительно положения, в котором возникает дифракционный максимум (Bortmann G., Physik. Z., 1941, 43, 157; Z. Phys., 1950, 127, 297). Экспериментально исследовано прохождение излучения $Mo-K\alpha$ через кристаллы кальцита с помощью спектрометра с Г.—М.-счетчиком. В тонком кристалле кальцита (0,4 мм; случай экстинкции) первичный пучок не смещается, когда кристалл попадает в положение отражения. В кристаллах же толщиной 2,27 и 3,5 мм (аномальное пропускание) обнаружено, что один край первичного пучка сохраняет свое положение, а другой смещается на величину, согласующуюся с теоретически вычисленной (Laue M. von, Acta crystallogr., 1952, 5, 619). Наличие несмещенного края означает, что первичный пучок частично распространяется прямолинейно, начиная отражаться от плоскостей в глубине кристалла. Б. П.

42395. Свойства феррита лития $LiFeO_2$. Коллонг (Sur les propriétés du ferrite de lithium $FeLiO_2$. Col-

Iongues Robert), C. r. Acad. sci., 1955, 241, № 22, 1577—1580 (франц.)

Полученный при t -рах $> 700^\circ$ и быстро охлажденный LiFeO_2 имеет структуру типа NaCl с параметром a 4,138 Å. Ионы Fe^{3+} и Li^+ распределены беспорядочно. Изучено влияние нагрева на степень упорядочения в расположении катионов. При 600 — 670° образуется тетрагональная структура (Q_1) с параметрами $a = b = 4,04$ Å, $c = 2c' = 8,68$ Å. Ионы Fe^{3+} и Li^+ расположены так же, как катионы в халькопирите (Barblan и др. *Helv. chim. acta*, 1944, 27, 88; Braun P., *Nature*, 1952, 170, 1123). Неупорядоченный феррит, нагретый до t -р $< 400^\circ$, обнаруживает тетрагональную решетку Q_2 , отличную от Q_1 , с параметрами: $a = b = 4,07$, c 4,28 Å; на рентгенограмме Q_2 появляется очень интенсивная линия (001), свидетельствующая о существовании плоскостей типа (001) с чередованием ионов Fe^{3+} и Li^+ . Новая структура, по мнению автора, является упорядоченной, типа AuCu . При нагревании упорядоченного феррита до некоторой промежуточной t -ры (напр. до 500°) сначала появляется форма Q_2 , которая затем постепенно переходит в Q_1 . После 25 дней нагрева при 500° форма Q_2 исчезает полностью. Г. Г.

42396. Влияние замещений на тетрагональную деформацию в феррите и хромите меди. Делорм (Influence des substitutions sur la déformation quadratique dans les ferrite et chromite de cuivre. Delorme Claude), C. r. Acad. sci., 1955, 241, № 22, 1588—1589 (франц.)

Изучено изменение отношения $c : a$ в тетрагональных ферритах $\text{Fe}_2\text{Cu}_{1-x}\text{M}_x\text{O}_4$ и хромитах $\text{Cr}_2\text{Cu}_{1-x}\text{M}_x\text{O}_4$ ($\text{M} = \text{Ni}, \text{Co}, \text{Mg}, \text{Zn}, \text{Cd}, \text{Ca}$) как функции величины x и радиуса иона M . Медленно охлажд. феррит Cu имеет почти обратную шпинельную тетрагональную ячейку $c : a = 1,06$; хромит Cu имеет $c : a = 0,92$ и является нормальной шпинелью. Соединения различных составов получены путем обжига смесей нитратов. Показано, что отношение $c : a$ приближается к единице по мере увеличения конц-ии заместителя. За исключением $\text{Fe}_2\text{Cu}_{0,75}\text{Mg}_{0,75}\text{O}_4$, $\text{Fe}_2\text{Cu}_{0,9}\text{Zn}_{0,1}\text{O}_4$ и $\text{Cr}_2\text{Cu}_{0,45}\text{Zn}_{0,55}\text{O}_4$, обнаруживающих 2 фазы (куб. и тетрагональную), все смеси однофазные (куб. или тетрагональные). Предельное содержание x , при котором хромит или феррит сохраняет тетрагональную симметрию, понижается с увеличением полного радиуса заместителя. Введение 2-валентного иона в феррит Cu ($c : a > 1$) и в хромит Cu ($c : a < 1$) приводит к уменьшению деформации ($c : a \approx 1$). Г. Г.

42397. О структурах модификаций Ca_2SiO_4 . Зальфельд (Zur Struktur des Dicalciumsilikats. Salfeld H.), *Neues Jahrb. Mineralogie* (Monatsh.), 1953, № 3-4, 82—90 (нем.)

Рентгенографически (высокотемпературная съемка, пониционная регистрация интенсивности) исследован процесс полиморфных превращений синтетич. (свободных от примесей) образцов Ca_2SiO_4 в широком температурном интервале вплоть до 1600° . При 1200° $\text{SiO}_2 \cdot 2\text{CaO}$ превращается в α' -фазу: дальнейшие превращения: $\alpha' \rightarrow \gamma$ (850°), $\alpha' \rightarrow \beta'$ (675°) и $\alpha' \rightarrow \alpha$ (1450°) $\rightarrow ?$ (1600°) (необязательные структурные изменения). Обсуждается на основе структурных данных вопрос о причинах, способствующих переходу $\alpha' \rightarrow \beta'$ или $\alpha' \rightarrow \gamma$. Монокристаллы γ -формы исследованы рентгенографически (методом колебаний) до и после нагревания. Определена взаимная ориентация α' — γ -решеток, что позволило кристаллохимически объяснить процесс перехода $\alpha' \rightarrow \gamma$, сопровождающийся значительным увеличением объема (распадение в порошок) образцов. Э. Г.

42398. Структура Hg_2NHBr_2 . Бродерсен (Die Struktur von Hg_2NHBr_2 . Brodersen Klaus), *Acta crystallogr.*, 1955, 8, № 11, 723—726 (нем.)

Подробное изложение ранее опубликованных данных (РЖХим, 1954, 46066). Отмечено, что особенностью соединений $\text{Hg}(\text{NH}_3)_2\text{X}_2$ (MacGillavry C. H., Bijvoet J. M., Z. Kristallogr., 1936, A94, 240), HgNH_2X (РЖХим, 1954, 35585), Hg_2NHBr_2 и Hg_2NX (РЖХим, 1954, 35586) является четверная координация атома Hg и линейная конфигурация атома Hg . В ряду этих соединений наблюдается переход от структуры с изолированными группами $\text{H}_3\text{N} - \text{Hg} - \text{NH}_3$ в $\text{Hg}(\text{NH}_3)_2\text{X}_2$ к цепной структуре — $\text{NH}_2 - \text{Hg} - \text{NH}_2 - \text{Hg} - \text{NH}_2$ в HgNH_2X , далее к слоистой в Hg_2NHBr_2 и, наконец, к каркасной (из групп Hg_2N) в Hg_2NX . Е. Ш.

42399. Исследование кристаллической структуры гидрата трисульфимида серебра ($\text{AgNSO}_3 \cdot \text{H}_2\text{O}$). Фишер, Андреас (Untersuchung über die Kristallstruktur des Silbertrisulfimid-Hydrates ($\text{AgNSO}_3 \cdot \text{H}_2\text{O}$). Fischer K., Andress K. R.), Z. anorg. und allgem. Chem., 1955, 281, № 3-4, 169—182 (нем.)

Соединение ($\text{AgNSO}_3 \cdot \text{H}_2\text{O}$) (РЖХим, 1955, 28726) образует гексагональные кристаллы. Параметры решетки: a 10, 59, c 5,37 Å, $n = 6$, ф. гр. $P6_3c$. Исследование структуры проведено построением одномерных сечений Паттерсона — Харкера и методом проб. Выдвинут следующий вариант структуры: атомы Ag занимают положение 6 (h); центры тяжести тримерных анионов (NSO_3) $_3^{3-}$, в которых атомы N и S образуют замкнутую кольцеобразную плоскую группировку, находятся в положении 2 (d). Структура построена из тримерных молекул ($\text{AgNSO}_3 \cdot \text{H}_2\text{O}$). Спектры поглощения (CH_3NSO_3) $_3$, (NH_4NSO_3) $_3$ и (HNSO_3) $_3$ в области 210—400 м μ показывают, по мнению авторов, что плоское строение колец не обусловлено явлениями мезомерии. Е. Ш.

42400. О джемсоните из Бейерланда (Оберпальц). Хиллер (Über Jamesonit von Bayerland (Oberpfalz). Hiller Joh.-E.), *Neues Jahrb. Mineralogie*. Monatsh., 1955, № 10, 238 (нем.)

Исправление к статье автора (РЖХим, 1955, 36734) о том, что минерал, принятый ранее за фалькманит, оказался джемсонитом. Предполагается, что сростки джемсонита и будажерита являются ориентированными, причем плоскостью сростания являются (110) джемсонита и (100) будажерита. Ю. П.

42401. Новый минерал ликазит $\text{Cu}_{12}(\text{OH})_{14}(\text{NO}_3)_4(\text{PO}_4)_2$. Шёп, Борхерт, Колер (La likasite $\text{Cu}_{12}(\text{OH})_{14}(\text{NO}_3)_4(\text{PO}_4)_2$ nouveau minéral. Schoep A., Borchert W., Kohler K.), *Bull. Soc. franc. minéral. et cristallogr.*, 1955, 78, № 1-3, 84—88 (франц.)

Ликазит — новый минерал, найденный в руднике Ликази (Бельгийское Конго). Кристаллы ромбич., плоские таблочки. Простые формы: {001}, {010}, {100}, {101}, {012}, {014}, {018}, {105}, {108}, совершенная спайность по (001). Параметры решетки: a 5,79; b 6,72; c 21,65 Å, $\rho = 2,97$, ф. гр. D_{2h}^9 . Показатели преломления: 1,61 ($\parallel a$) и 1,69 ($\parallel b$). Минерал голубоватого цвета, растворяется в к-тах. В. Г.

42402. Определение состава и термической истории плагиоклазов при помощи рентгеновского исследования методом порошка. Гудьер, Даффин (The determination of composition and thermal history of plagioclase by the X-ray powder method. Goodyeat J., Duffin W. J.), *Mineral. Mag.*, 1955, 30, № 229, 648—656 (англ.)

Составляется дифференциальная картина для синтетич. и природных плагиоклазов различного состава, подвергнутых нагреванию при 1050—1400° в течение 2—21 дней. Исследование проведено методом порошка на излучении Cu-K_α в фокусирующей камере диам. 20 см. Полученные данные сопоставлены с дифракцией ненагретых образцов. Установлено, что в большинстве на-

гравившихся образцов илагиноклаза наблюдается некоторое изменение порошкового дифракционного узора, причем это различие возрастает с уменьшением содержания апоритовой составляющей. У апоритов и битовитов такого различия практически не обнаружено. В. Ф. К.

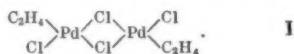
42403. Рентгенографические исследования разных видов асбеста. Фрейер (Badania rentgenograficzne różnych rodzajów azbestu. Freyer Günther, Przegl. geol., 1954, № 10, 434—436 (польск.). Обобщение ранее опубликованных результатов исследования (РЖХим, 1954, 24130, 24131, 47007). Г. Г.

42404. Ромбический шамозит из руд Сент-Барб. Дёдон (La chamosite orthorhombique du minerai de Sainte-Barbe, couche grise. Deudon Madeleine, Bull. Soc. franç. minéral. et cristallogr., 1955, 78, № 7—9, 475—480 (франц.).

Описан шамозит, содержащийся в железных рудах Сент-Барб (Мерт и Мозель, Франция). По порошковой диаграмме определены характерные для шамозита межплоскостные расстояния. Приведены электронные микрофотографии ($\times 20\,000$), указывающие на преобладание кристаллов гексагонального габитуса. На основании хим. анализа установлена структурная ф-ла: $(\text{Si}_{1.54}\text{Al}_{0.46})(\text{Fe}_{1.75}^{2+}\text{Mg}_{0.50}\text{Mn}_{0.05}\text{Al}_{0.50})\text{O}_5(\text{OH}) \cdot 1.5\text{H}_2\text{O}$. Г. Г.

42405. Кристаллическая структура комплекса этилен—хлорид палладия. Демпси, Бензигер (The crystal structure of an ethylene—palladium chloride complex. Dempsey J. N., Baenziger N. C., J. Amer. Chem. Soc., 1955, 77, № 19, 4984—4987 (англ.).

$\text{PdCl}_2 \cdot \text{C}_2\text{H}_4$ образует ромбич. кристаллы. Параметры решетки: $a\,15,41$, $b\,9,29$, $c\,7,23\text{Å}$, $n = 4$, ф. гр. $Pbam$ или $Pba\,2$. Исследование структуры проведено методом проекций и сечений Паттерсона и Фурье. Молекулы комплекса образуют димер, в котором 2 атома Cl являются общими для двух атомов Pd и образуют



мостик (II). Координация атома Pd — плоский квадрат, димер имеет *trans*-конфигурацию. Расстояния внутри молекулы: Pd—Cl 2,33; 2,43; 2,18Å, Pd—C 2,34—2,28Å. Углы при атоме Pd составляют в среднем 86° и 94° . Анализ построенных синтезов позволяет предположить, что ось группы C_2H_4 перпендикулярна плоскости димера, а центр ее двойной связи лежит в этой плоскости. Е. Ш.

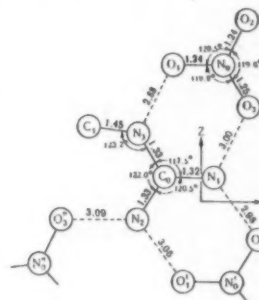
42406. Кристаллическая структура стирол — хлорид палладия. Холден, Бензигер (The crystal structure of styrene—palladium chloride. Holden J. R., Baenziger N. C., J. Amer. Chem. Soc., 1955, 77, № 19, 4987—4990 (англ.).

$\text{PdCl}_2 \cdot \text{C}_6\text{H}_5\text{CH} = \text{CH}_2$ образует моноклинные кристаллы. Параметры решетки: $a\,13,50$, $b\,4,99$, $c\,19,19\text{Å}$, $\beta\,135^\circ$, $n = 4$, ф. гр. $P2_1/c$. Структура $h0l$ и $hk0$ определена по проекциям Паттерсона и Фурье (разрешены не только атомы Pd и Cl, но и атомы C) и уточнена с помощью трехмерных синтезов. Молекулы комплекса образуют димеры около центра симметрии, аналогичные $\text{PdCl}_2 \cdot \text{C}_2\text{H}_4$ (см. пред. реф.). Квадратная конфигурация связей около атома Pd требует размещения всех атомов Pd и Cl в одной плоскости. Однако 2 атома Cl₍₂₎ (не образующие мостика) выходят из этой плоскости на 0,13 Å. Межатомные расстояния: Pd—Cl₍₁₎ 2,27, Pd—Cl₍₂₎ 2,41 (против связи Pd—C) 1,232, Pd—Pd 3,46 Å. Плоскость димера почти перпендикулярна двойной связи C=C. Это подтверждает предположение (РЖХим, 1954, 30233), что связь атома

Pd с этиленовой группой обусловлена взаимодействием одной из гибридных орбит dsp^2 атома Pd и π -орбитой связи $>C=C<$.

42407. Кристаллическая структура нитрата метилгуанидина. Кертис, Пастернак (The crystal structure of methylguanidinium nitrate. Curtis Richard M., Pasternak R. A., Acta crystallogr., 1955, 8, № 11, 675—681 (англ.).

Нитрат метилгуанидина ($\text{C}_2\text{H}_5\text{O}_3\text{N}_4$) с т. пл. 150° образует ромбич. кристаллы с параметрами решетки: $a\,13,243$, $b\,6,427$, $c\,7,289\text{Å}$, $\rho_{\text{изм}}\,1,459$, $\rho_{\text{рент}}\,1,457$, $n = 4$, ф. гр. $Pnma$. Кристаллы имеют спайность перпендикулярно оси b . Исследование производилось в камере типа Страуманиса и в эквинакльной камере Вейсенберга на излучении Cu-K α и Mo-K α . Для определения структуры применялся метод построения обобщенных проекций



Паттерсона (РЖХим, 1955, 33916). Уточнение параметров структуры проведено с помощью обобщенных проекций Фурье. Среднее стандартное отклонение межатомных расстояний 0,007 Å и углов $0,5^\circ$. Структура слоистая, расстояние между слоями $1/2\,b$. Связи между слоями ионные (каждый катион окружен двумя анионами, и наоборот). В слоях ионы свя-

заны четырьмя водородными связями $\text{NH} \dots \text{O}$ вдоль оси c и одной — вдоль оси a . Группа CN_3 в ионе $[\text{CH}_3\text{NHC}(\text{NH}_2)_2]^+$ и группа NO_3^- — являются плоскими и обладают тригональной симметрией. В. П.

42408. Кристаллографические данные для ряда алкалоидов. III. Лавелла (Crystallographic data for certain alkaloids. III. Lovell F. M., Acta Crystallogr., 1953, 6, № 11—12, 869 (англ.).

Рентгенографически определены параметры решетки и плотности эфедрина, сульфата горденина, гоматропина, бромидрата гоматропина, физостигмина, наркотина, бензойнокислого хинидина. В. Г.

42409. Об электронограммах от CuO. Хейденрейк, Сторкс (Note on electron diffraction patterns of CuO. Heidenreich R. D., Storks K. H., J. Appl. Phys., 1955, 26, № 8, 1056 (англ.).

Подтверждено наличие описанных ранее (РЖХим, 1955, 45353) аномалий в интенсивностях на электронограммах от CuO, обусловленных, по мнению авторов, не игольчатым габитусом кристаллов, а существованием предпочтительной ориентировки или взаимодействием дифрагированных лучей в кристалле (динамич. эффекты). Н. Ш.

42410. Центры окрашивания в кристаллах KCl и KCl-Ag и влияние гамма-лучей Co^{60} на процессы их образования. Политов Н. Г. (შეფერხების ცენტრების KCl-ისა და KCl-Ag-ის კრისტალებში და Co^{60} -ის გამა-სხივების გავლენა მათი წარმოშობის პროცესებზე. პოლიტოვი ნ. გ., სპ. სსრ მეცნ. აკად. მოამბე, Собр. АН ГрузССР, 1955, 16, № 7, 517—523 (груз. рус.). В спектре поглощения (при 293°K) неокрашенных монокристаллов KCl-Ag (0,02 мол. % AgCl в расплаве), выращенных по Кирополосу, наблюдаются полосы при 220, 230 и 245 мμ. Окрашивание γ -лучами Co^{60} создает довольно слабые полосы при 290 и 440 мμ и интенсивную F-полосу при 565 мμ. Аддитивное окрашивание в парах K при $t\text{-ре} \leq 500^\circ\text{C}$ создает интенсив-

ные полосы при 290 мμ (расщепленную на максимумы при 280 и 295 мμ) и 440 мμ и очень слабую F-полосу; кристалл окрашивается в желтый цвет. Последующее облучение γ-лучами окрашивает кристалл в фиолетовый цвет, усиливает полосу при 440 мμ и создает интенсивную F-полосу (значительно более интенсивную, чем при облучении исходного кристалла). Полоса при 440 мμ смещается к 465 мμ в спектре KCl-Ag, окрашенного электролизом с K-катода, в спектре зеленых участков аддитивно окрашенных кристаллов KCl-Ag и в спектре KCl, окрашенного электролизом при 500°C с одновременным освещением лампой накаливания. Полосу при 440 или 465 мμ автор отождествляет с K-полосой, ранее наблюдавшейся в KCl (РЖХим, 1956, 12222). K-полоса в KCl-Ag обусловлена теми же K-центрами, что в KCl, но смещена к 440 мμ в связи с особенностями структуры и способа окрашивания. Относительная интенсивность F- и K-полос зависит от способа окрашивания, поэтому K-полоса не может быть обусловлена переходами электронов в F-центрах на высшие возбужденные уровни (РЖХим, 1955, 23167). На основании следующих данных автор приписывает ее частицам шел. металла в решетке KCl: 1) положение K-полосы не зависит от т-ры; 2) при низкой т-ре наибольшей фотоэлектрич. чувствительностью из длинноволновых центров обладают K- и R₁-центры (Oberly J., Phys. Rev., 1952, 86, 799); 3) положение K-полосы близко к полосе селективного фотоэффекта с K. В кристаллах KCl-Ag искажения решетки способствуют образованию K-центров. Ч. М.

42411. К вопросу о межатомном и решеточном потенциалах в кристаллической решетке твердого гелия. Хотон (A note on the interatomic and lattice potentials in solid helium. Hooton D. J.), Philos. Mag., 1955, 46, № 378, 707—710 (англ.)

Исследован вид межатомного потенциала $\phi(r)$ (где r — расстояние между ближайшими атомами) и потенциала решетки $\Phi(a)$ (где a — расстояние между следующими ближайшими соседними атомами) в кристаллич. решетке твердого He. $\Phi(a)$ определен по данным теории газов (см. Yntema J. L., Schneider W. G., J. Chem. Phys., 1950, 18, 646; РЖХим, 1956, 21871) для куб. и компактной гексагональной решеток. Предполагается, что для теории кристаллич. решетки твердого He наилучшим приближением для $\phi(r)$ является потенциал типа Ленард-Джонса, выбранный путем прямого его совмещения в области кристалла r (r от 2,9 до 3,7 Å) с наиболее точными определениями $\phi(r)$ из данных теории газов. Вычислены $\phi(r)$ и его производные для потенциалов Интема и Шнейдера (см. ссылку выше) и 6—12 потенциала Ленард-Джонса; результаты отличаются на ~8%. Определены точки минимума и точки перегиба кривых $\Phi(a)$. Различие в абс. величине $\Phi(a)$ для обоих типов потенциалов составляет ~7,5%. Вычислены точки минимума и точки перегиба кривой $\phi(r)$ для потенциалов типа Интема—Шнейдера, Мэзон—Райса и Де-Бура—Мичелса (Boer J. de, Michels A., Physica, 1938, 5, 945). Показана эквивалентность кривых $\Phi(a)$ для куб. и гексагональной плотноупакованных решеток. К. Р.

42412. Измерение упругости твердого аргона с помощью ультразвукового интерферометра. Баркер, Добе (Measurement of the elasticity of solid argon with an ultrasonic interferometer. Barker J. R., Dobbs E. R.), Philos. Mag., 1955, 46, № 381, 1069—1080 (англ.)

Интерферометрически измерена скорость (в м/сек) продольных v_l и поперечных v_t волн в поликристаллич. образце Ar в интервале т-р 65—80° К. При 70° К $v_l = 1375$, $v_t = 735$; при 80° К $v_l = 1320$, $v_t = 715$. Интерполяцией найдено, что сжимаемость изменяется от

$0,42 \cdot 10^{-10}$ см²/дин при 0° К до $0,62 \cdot 10^{-10}$ см²/дин при т-ре плавления. Эксперим. данные согласуются с расчетными. Результаты согласуются со значением постоянной Грюнаизена $\gamma = \alpha V / \kappa_s c_p = 1,2$. Б. К.

42413. Методы расчета электрического поля в кристалле. Канамори, Мория, Мотидзукки, Нагамия (Methods of calculating the crystalline electric field. Kanamori J., Moriya T., Motizuki K., Nagamiya T.), J. Phys. Soc. Japan, 1955, 10, № 2, 93—102 (англ.)

Предложены два метода расчета коэфф. разложения потенциала кристалла по сферич. функциям. Первый — развитие метода расчета постоянной Маделунга (Eijzen H. M., Phys. Rev., 1932, 39, 675); он состоит в разложении кристалла на нейтр. ячейки наибольшей симметрии, расположенные наиболее симметричным образом, и суммировании потенциалов таких ячеек. Второй — применение ряда Фурье по методу Берто (Bertaut F., J. phys. et radium, 1952, 13, 499; РЖФиз, 1954, 11540) для нахождения электростатич. энергии точечной или дипольной решетки. Точечные заряды заменяются сферич., что улучшает сходимость ряда без изменения величины потенциала. Рассчитаны коэфф. 4-го и 6-го порядков для решеток типа NaCl и CsCl и точечной 4-го порядка для решеток FeF₂ и CoF₂. К. Т.

42414. Энергии адсорбции и миграции на поверхности KCl. Хов (Surface adsorption and migration energies for KCl. Hove John E.), Phys. Rev., 1955, 99, № 2, 430—434 (англ.)

Вычислены энергии иона K⁺ и молекулы KCl в зависимости от их положения над поверхностью (100) кристалла KCl. Наиболее устойчивое положение K⁺ на расстоянии ~0,9а над ионом Cl⁻ (а — кратчайшее расстояние между ионами в решетке KCl). Энергии связи K⁺ и KCl с кристаллом равны соответственно 0,68 и 0,36 эв. Энергия активации для миграции K⁺ вдоль поверхности составляет 0,23 эв. Предполагается, что для миграции KCl она имеет тот же порядок величины. Прежде чем испариться, K⁺ проходит вдоль поверхности ~2·10⁻⁴ см. Этого, по-видимому, достаточно для того, чтобы он застрял на каком-либо дефекте поверхности. Молекула же KCl испаряется до того, как она успеет пройти одно-два межатомных расстояния. Делается вывод, что скорость роста кристаллов KCl из пересыщенной газовой фазы, состоящей в основном из молекул KCl, должна быть очень мала. Ионизация пара привела бы к увеличению скорости роста кристаллов. Ш. К.

42415. Средний потенциал в кристалле. Берман (Average crystal potential. Birman Joseph L.), Phys. Rev., 1955, 98, № 6, 1863—1864 (англ.)

Средний потенциал в бесконечном неполярном кристалле вычислен путем решения ур-ния Пуассона при помощи ряда Фурье. Плотность заряда выбирается в виде $R(r) = Z[\delta(r) - R_s(r)]$, где Z — атомный номер, а $R_s(r)$ — сферически симметричная плотность электронов. Результаты совпадают с вычисленными по ф-ле Френкеля—Бете (Frenkel J., Z. Phys., 1930, 59, 649; Bethe H., Ann. Phys., 1928, 87, 55). Каждый тип частиц дает в средний потенциал вклад, который может быть определен из соответствующего атомного фактора рассеяния, содержащего коэфф. Фурье $R_s(r)$. При этом главную роль играет валентные электроны, а так как ее значение в кристалле может сильно отличаться от значения в свободном атоме, то использование атомного фактора последнего для определения среднего потенциала в кристалле а priori невозможно. Метод допускает обобщение на ионные кристаллы путем добавления точечных зарядов, нейтрализующих ионы. К. Т.

42416. Физико-химические свойства двухатомных кристаллов с примесями чужеродных атомов различной валентности. Крёгер, Винк (Physico-chemical properties of diatomic crystals in relation to the incorporation of foreign atoms with deviating valency. K r ö g e r F. A., V i n k H. J.), *Physica*, 1954, 20, № 11, 950—964 (англ.)

Рассмотрены ионные и электронные свойства двухатомных ионных кристаллов; содержащих примеси ионов, с валентностью, отличной от валентности ионов основной решетки (напр., CdS с примесью Ga³⁺). Рассмотрены возможности восстановления электро-нейтральности кристалла путем: 1) образования вакансий; 2) восстановления или окисления основной решетки (введение электронов или дырок) и 3) образования вакансий катионов, захвативших дырку. Используя условия нейтральности кристалла, постоянства общего кол-ва примеси и закон действующих масс для различных мыслимых процессов между дефектами, авторы показывают, что все три пути восстановления нейтральности могут быть рассмотрены с единой точки зрения, но существенны при различных значениях параметров процесса (напр., давления пара металла, с которым находится в равновесии кристалл). Теоретич. зависимости конц-ий дырок, электронов и различных дефектов от давления пара металла удовлетворительно согласуются с эксперим. данными для CdS. М. Д.

42417. К термодинамике кристаллической решетки с вакансиями. Фастов Н. С., Пробл. металловед. и физ. металлов, 1955, сб. 4, 388—398

Выражения для термодинамич. потенциала решетки с вакансиями и хим. потенциалов вакансий и р-рителя получены на основе теории слабых р-ров. Рассмотрены термодинамич. устойчивость решетки с вакансиями, равновесная конц-ия вакансий, влияние упругой деформации и скалывающих напряжений на термодинамич. устойчивость твердого тела, тепловые эффекты, обусловленные образованием вакансий. А. Х.

42418. Электронная эмиссия с поверхностей твердых тел после механической обработки и облучения. Нассенштейн (Die Elektronenemission von Festkörperoberflächen nach mechanischer Bearbeitung und Bestrahlung. Nassenstein Heinrich), *Z. Naturforsch.*, 1955, 10a, № 12, 944—953 (нем.)

Дан критич. анализ эксперим. данных по эмиссии (Э) электронов с поверхностей металлов и неметаллов после их механич. обработки или облучения рентгеновским, корпускулярным или УФ-излучением и развита единая теория, согласно которой механич. обработка создает на поверхности твердых тел высоколежащие энергетич. уровни, заполненные электронами, а облучение либо заполняет уже имеющиеся уровни, либо создает новые. Запоздавающая Э («послеток») обусловлена термич. освобождением электронов с этих уровней уже при комнатной т-ре. Повышение т-ры освобождает электроны из все более глубоко лежащих уровней. Облучение снова заполняет их. Цикл может быть повторен до тех пор, пока не исчезнут (путем возврата или диффузии) дефекты решетки, ответственные за уровни. Максимумы кривой термоэмиссии, аналогично пикам термолюминесценции в люминесценции, позволяют определить глубину уровней. Сдвиг границы внешнего фотоэффекта в сторону длинных волн обусловлен возможностью оптич. освобождения электронов с высоколежащих уровней вполне аналогично оптич. высвечиванию фосфоров. На основе этой аналогии автор получил теоретич. ур-ния для зависимости интенсивности Э от времени, т-ры, глубины уровней и их распределения в запрещенной зоне. Указано, что исследование запоздающей Э является ценным методом изучения поверхностных уровней и дефектов твердых тел и поэтому важно для теории гетерог. катализа. А. Х.

42419. Кристаллизационная вода мальтозы и глюкозы и состояние сорбционной воды в крахмале на основании изучения радиочастотного спектра. Абади, Шарбоньер, Жидель, Жирар, Гильбо (L'eau dans la cristallisation du maltose et du glucose et états de l'eau de sorption de l'amidon d'après les spectres d'absorption en radiofréquences. Abadie P., Charbonniere R., Gidel A., Girard P., Guilbot A.), *J. chim. phys. et phys.-chim. biol.*, 1953, 50, № 7-8, C46—C52 (франц.)

Диэлектрические потери гидратированной глюкозы, мальтозы и крахмала измерены в частотном диапазоне 25 *mc* — 24 000 *Mc*. Частотный ход потерь указывает, что они обусловлены одними и теми же полярными гидроксильными и свободными спиртовыми группами глюкозного кольца. В крахмале идентифицирована химически связанная и адсорбированная вода. При содержании воды <15—16% молекулы H₂O связаны химически. При более высокой конц-ии молекулы H₂O обуславливают сильные потери и дисперсию, и их время релаксации значительно выше, чем для химически связанной воды. В. Д.-К.

42420. Вычисление концентрации электронных ловушек в облученном нейтронами графите на основании измерений температурной зависимости коэффициента Холла. Джонстон (A calculation of the density of electrontrapping defects in neutron-irradiated graphite from measurements of the temperature variation of the Hall coefficient. Johnston D. F.), *J. Nuclear Energy*, 1955, 1, № 4, 311—318 (англ.)

Дана модель для расчета коэфф. Холла *R* в графите. Приведены теоретич. кривые для 200 и 300° К, связывающие *R* с числом захваченных электронов *n*. Из наблюдаемого значения *R* определено, что *n* в облученном графите равно $\sim 2.8 \cdot 10^{19} \text{ см}^{-3}$ при 200° К и $\sim 3.4 \cdot 10^{19} \text{ см}^{-3}$ при 300° К (доза — $5 \cdot 10^{19}$ тепловых нейтронов на 1 *см*²). В зависимости от т-ры и *n* вычислен хим. потенциал монокристалла ϵ_0 . Рассмотрено влияние спинового и орбитального вырождения ω на заполнение ловушек. В предположении, что имеется единственный уровень захвата ϵ_t , рассчитана плотность акцепторных дефектов $N = n \{1 + (2\omega)^{-1} \exp(\epsilon_t - \epsilon_0)/kT\}$, где ϵ_t находят эмпирически по температурному изменению *n*. Рассмотрен случай нескольких типов ловушек. Вероятное значение *N* для указанной дозы равно $\sim 1 \cdot 10^{20} \text{ см}^{-3}$. К. Т.

42421. Структурные изменения напыленных слоев германия в электронном микроскопе. Фишер, Рихтер (Struktur-Änderungen von Ge-Aufdampfschichten im Elektronenmikroskop. Fischer E. W., Richter H.), *Ann. Physik*, 1955, 16, № 5—8, 193—209 (нем.)

Изучены изменения структуры тонких пленок Ge, происходящие в электронном микроскопе под действием интенсивного электронного облучения. Пленки, напыленные из пара на коллоидную подложку, аморфны. При нагревании их до 250—500° образуются кристаллы размером в 100—200 Å, которые в слоях толщиной ≥ 300 —400 Å при резком нагревании превращаются вследствие собирательной рекристаллизации в крупные кристаллы слоистого строения. Разработанная авторами методика одновременного получения в электронном микроскопе теневого изображения объекта и соответствующей ему дифракционной картины позволила установить, что слоистые кристаллы представляют собой двойниковые образования с границей между двойниками, проходящей по плоскости (111). И. Т.

42422. Изменение параметра решетки KCl при облучении мягкими рентгеновскими лучами. Берри

(Change in KCl lattice by soft X-rays. Berry Ches-ter R.), Phys. Rev., 1955, 98, № 4, 934—936 (англ.)

Исследовано изменение параметра решетки a порошковых образцов KCl в процессе облучения мягкими рентгеновскими лучами (РЛ). Часть образцов окрашивалась при рентгенизации, а часть предохранялась от окрашивания путем одновременного освещения белым светом. a возрастает при рентгенизации, стремясь к насыщению, равному для всех образцов $\Delta a/a = 1 \cdot 10^{-5}$. Для неокрашенных образцов состояние насыщения достигается при меньших дозах РЛ, чем для окрашенных. Увеличение линейных размеров $\Delta l/l$ кристаллов KCl при рентгенизации в состоянии насыщения равно $20 \cdot 10^{-5}$ и приписано образованию дефектов по Шоттки, а не ростом a . Объемная доля этих дефектов равна $6 \cdot 10^{-4}$ и $\Delta a = 0,05a$ на 1 дефект, что согласуется с расчетом Мотта и Литтлтона (Mott N. F., Littleton M. J., Trans. Faraday Soc., 1938, 34, 485). Отсутствие уменьшения Δa в окрашенных образцах относительно неокрашенных приписано образованию значительно большего числа дефектов по Шоттки, чем F -центров. А. Х.

42423. Измерение пропускания длинноволновых нейтронов как метод определения концентрации дефектов решетки в кристаллах. Антал, Уайс, Дие-нш (Long-wavelength neutron transmission as an absolute method for determining the concentration of lattice defects in crystals. Antal J. J., Weiss R. J., Dienes G. J.), Phys. Rev., 1955, 99, № 4, 1081—1085 (англ.)

Показано, что длинноволновые нейтроны ($0,001 \text{ эв}$) могут быть использованы для обнаружения изолированных точечных дефектов, на которых они рассеиваются. Так как поперечник рассеяния хорошо известен, то нетрудно найти абс. число междоузельных атомов и вакансий. Произведен расчет дополнительного рассеяния на дефектах и измерено рассеяние в графите, в котором дефекты создавались облучением нейтронами в ядерном реакторе. Для контроля исследовались образцы графита, не подвергавшиеся облучению. После сообщения дозы $1,1 \cdot 10^{20}$ нейтронов на 1 см^2 доля смещенных атомов равна $0,0263$, что отлично согласуется с ожидаемым на основании теории Зейца (Seitz F., Disc. Faraday Soc., 1949, № 5, 271). Обсуждаются преимущества этого метода определения конц-ии дефектов по сравнению с методами измерения оптич. поглощения и остаточного сопротивления. В. П.

42424. Химическая реакция для обнаружения эффекта Крамера. Феррони (A chemical test to reveal the Kramer effect. Ferroni E.), Research, 1955, 8, № 10, S49—S50 (англ.)

Предложена р-ция для обнаружения эффекта Крамера—Руссела. При погружении свежезачищенного куска Al в насыщ. водн. р-р акрилонитрила (I) через несколько дней образуется обильный осадок флуоресцирующего полимера. Незачищенный Al не действует на I даже за 4 месяца. Предложены схемы р-ций с участием свободных радикалов под действием крамеровских электронов. В отсутствие I: $e + H_2O \rightarrow H^{\cdot} + (OH)^{\cdot}$; $H^{\cdot} + O_2 \rightarrow HO_2^{\cdot}$; $HO_2^{\cdot} + H_2O \rightarrow H_2O_2 + OH^{\cdot}$; $2OH^{\cdot} \rightarrow H_2O_2$ (эффект Руссела). В присутствии I: $OH^{\cdot} + CH_2CHCN \rightarrow NOCH_2CHCN^{\cdot}$; $ONCH_2CHCN^{\cdot} + CH_2CHCN \rightarrow ONCH_2CHCNCH_2CHCN^{\cdot}$ и т. д. А. Х.

42425. Диффузия хрома в твердых растворах на основе никеля. Грузин П. Л., Федоров Г. Б., Докл. АН СССР, 1955, 105, № 2, 264—267. Методом снятия слоев изучена диффузия Cr^{51} в Ni (I) и в сплавы Ni-Cr (19,8%) (II), Ni-Cr (20,35%)—Ti (2,55%)—Al (0,82%) (III) и Ni-Cr (19,73%)—Ti (1,85%) (IV) в интервале t -р 875—1250°. Для всех сплавов зависимость коэфф. диффузии D от t -ры описывается ур-нием $D = D_0 \exp(-Q/RT)$, где D_0 ($\text{см}^2/\text{сек}$) и

Q (кал/г-атом) равны соответственно: I $4 \cdot 10^{-3}$, 48; II 10^{-1} , 58; III 2, 66; IV $4 \cdot 10^2$, 81. В ряду I—II—III Q изменяется подобно среднеквадратичной величине динамич. смещений атомов (РЖХим, 1955, 41074; РЖМет, 1956, 639) и, по мнению авторов, указывает на упрочнение связей атомов в решетке. Все прямые $\lg D = f(1/T)$ пересекаются в одной точке при $\sim 1180^\circ$, откуда найдено $D_0 \approx 2 \cdot 10^{-10} \exp(Q/3000)$. Такая зависимость D_0 от Q справедлива для многих других твердых р-ров замещения, что, по мнению авторов, указывает на одинаковый механизм диффузии. Принимая, что в изученных сплавах D при t -ре плавления одинаковы, авторы вычислили, что t -ры плавления II, III и IV равны соответственно 1425, 1370 и 1330° , что близко к опытным данным и объясняет повышение Q с понижением t -ры плавления. А. Х.

42426. Энергии активации и коэффициенты диффузии кислорода и азота в ниобии и тантале. Анг (Activation energies and diffusion coefficients of oxygen and nitrogen in niobium and tantalum. Ang C. Y.), Acta metallurgica, 1953, 1, № 2, 123—125 (англ.; рез. франц., нем.)

Путем измерения температурной зависимости внутреннего трения методом крутильного маятника с подвесом из исследуемого образца определены теплоты активации ΔH диффузии кислорода и азота в Nb и Ta. ΔH кислорода и азота в Nb, измеренные на низких частотах осцилляций, равны соответственно 27 600 и 38 600 кал/моль. При измерении диффузии в Ta использована новая методика с высокой частотой осцилляций (37 кГц). Для диффузии кислорода и азота ΔH составляет 27 300 и 39 800 кал/моль. С помощью ф-лы $D = (\pi/18) a^2 f$, связывающей коэфф. диффузии D с параметром решетки a и частотой осцилляций f , при которой внутреннее трение максимально, вычислены множители D_0 в выражении $D = D_0 \exp(-\Delta H/RT)$ и энтропии активации диффузии ΔS . Значения последних согласуются с теоретич. ур-нием $\Delta S = \beta(\Delta H/T_{пл})$, где $\beta \approx 0,4$, а $T_{пл}$ — t -ра плавления металла. Ш. Р.

42427. Диффузия серебра в сплавы серебро-цинк и серебро-кадмий. Хироно, Кимура, Китагаки, Кунитоми, Сугита (Diffusion of silver in silver-zinc and silver-cadmium alloys. Hirone Tokutaro, Kimura Motoharu, Kitagaki Toshio, Kunitomi Nobuhiko, Sugita Yosimitsu), J. Phys. Soc. Japan, 1955, 10, № 11, 967—970 (англ.)

Установлено, что коэфф. диффузии D Ag в сплавы Ag-Zn и Ag-Cd (~ 30 ат. % Zn или Cd) с границей ориентированной куб. решеткой описываются ур-ниями: $D = 0,09 \exp(-36\,000/RT) \text{ см}^2/\text{сек}$ и $D = 10,0 \exp(-46\,000/RT) \text{ см}^2/\text{сек}$. В обоих случаях D больше, а энергия активации E меньше, чем для самодиффузии Ag, в согласии с теорией Лазаруса. Однако существование различий в значениях D в обоих сплавах противоречит этой теории, поскольку и Zn и Cd имеют по 2 валентных электрона. Меньшее значение E для Ag-Zn приписано меньшей величине радиуса атома Zn и поэтому меньшему значению энергии отталкивания замкнутых оболочек. А. Х.

42428. Зависимость упругих постоянных кварца от давления до 1000 атм. Сюсс (Variation des constantes élastiques du quartz en fonction de la pression jusqu'à 1000 atm. Süss C.), J. phys. et radium, 1955, 16, № 4, 348—349 (франц.)

Зависимость упругих постоянных кварца от давления (до 1000 атм), определенная динамич. методом, имеет вид: $dc_{66}/c_{66} dp = -6,8 \cdot 10^{-6}$, $dc_{44}/c_{44} dp = 4,9 \cdot 10^{-6}$, $dc_{14}/c_{14} dp = -9,0 \cdot 10^{-6} \text{ см}^2/\text{кг}$. В. К.

42429. Упругие постоянные германия в интервале от 1,7 до 80° К . Файн (Elastic constants of germa-

nium between 1.7° and 80° K. Fine M. E.), J. Appl. Phys., 1955, 26, № 7, 862—863 (англ.)

Упругие модули кристалла Ge_{11} , c_{12} и c_{44} возрастают при охлаждении, достигая постоянных значений (13,10; 4,90; 6,877 дин/см^2) при очень низких т-рах.

В. К.
42430. Вычисление четырех упругих постоянных некоторых кубических кристаллов. Раман, Кришнамурти (Evaluation of the four elastic constants of some cubic crystals. Raman C. V., Krishnamurti D.), Proc. Indian Acad. Sci., 1955, A42, № 3, 111—130 (англ.)

42431. Упругие свойства цирконата свинца. Марутака, Икеда (Elastic properties of lead zirconate. Marutake Masakazu, Ikeda Takuro), J. Phys. Soc. Japan., 1955, 10, № 6, 424—428 (англ.)

Измерены коэфф. упругости керамики PbZrO_3 и его твердых р-ров с PbTiO_3 , BaZrO_3 и SrZrO_3 . В антисегнетоэлектрич. состоянии упругие свойства PbZrO_3 близки к свойствам BaTiO_3 . Для объяснения этого явления развита теория микро-пьезоэлектрического эффекта антипараллельно ориентированных диполей. Обнаружена новая фаза состава $(\text{Pb}_{0.85}, \text{Sr}_{0.15})\text{ZrO}_3$.

В. К.
42432. О зависимости упругих постоянных монокристаллов хлористого натрия и хлористого серебра от температуры. Степанов А. В., Эйдус Н. М., Ж. эксперим. и теор. физики, 1955, 29, № 5, 669—675

Измерены упругие постоянные монокристаллов NaCl и AgCl в интервале от комнатной т-ры до т-ры плавления.

А. Х.
42433. Тепловое расширение нодида калия. Сринивасан (Thermal expansion of potassium iodide. Srinivasan R.), Proc. Indian Acad. Sci., 1955, A42, № 5, 255—260 (англ.)

Интерференционным методом измерен термич. коэфф. линейного расширения α двух синтетич. монокристаллов KJ различного происхождения в интервале от -143 до $+150^\circ$. Ниже 0° наблюдаются аномалии расширения: на кривой $\alpha = f(t)$ имеются два максимума при -95 и -40° и два минимума при -60 и -25° . Положение и высота максимумов и минимумов слегка колеблется для различных образцов и серий измерений. Так как длина образцов монотонно изменяется с т-рой в интервале от -140 до 0° , то сделан вывод о гомоморфном переходе в KJ (Zwicker. Physical properties of solid materials. London, Pergamon Press, 1954, p. 173). Выше 0° все кривые сливаются в одну и α линейно возрастает с т-рой. Вискозотемпературная кривая не зависит от термич. обработки кристалла. Значения α табулированы.

А. Х.
42434. Термические константы пирофиллита и их изменение при нагревании. Карт (Thermal constants of pyrophyllite and their change on heating. Carte A. E.), Brit. J. Appl. Phys., 1955, 6, № 9, 326—328 (англ.)

Исследованы уд. теплопроводность λ , уд. теплоемкость c и температуропроводность k пирофиллита (I) до и после нагревания вплоть до 1200° . До нагревания I анизотропен. k при 10° и λ при 40° в направлении, перпендикулярном плоскости напластования, вдвое меньше, чем параллельно этой плоскости. При медленном (3° в мин.) нагревании и выдерживание в течение 3 час. при какой-либо т-ре k , λ , c и плотность уменьшаются, причем I становится термически изотропным при т-ре $>1200^\circ$. λ монотонно уменьшается с ростом т-ры до 400° ; при более высоких т-рах происходит резкий необратимый скачок.

В. Ф.

42435. Разработка вопросов люминесценции (Совещание в Минске). Жевандров Н. Д., Вести. АН СССР, 1955, № 12, 81—82

Сообщение о совещании по молекулярной люминесценции и люминесцентному анализу, состоявшемся 20—25 июня 1955 г.

А. Х.
42436. О спектральном распределении свечения при ИК-высвечивании фосфоров типа ZnS , активированных Pb. Асано (On the spectral distribution of infrared-stimulated phosphorescence of Pb-activated ZnS-type phosphors. Asano Sumitada), J. Phys. Soc. Japan, 1955, 10, № 10, 903—905 (англ.)

Спектральный максимум излучения при ИК-высвечивании фосфора ZnS-Pb не смещается при введении 2—20 мол. % ZnSe , CdS или CdSe , хотя максимум обычной фосфоресценции, которая гасится ИК-лучами, при этом смещается в длинноволновую сторону. Яркость и продолжительность вспышки при ИК-высвечивании увеличиваются при введении этих добавок до нескольких мол. %, а при больших конц-ях уменьшаются. Для одного и того же фосфора спектр излучения при ИК-высвечивании не зависит от промежутка между окончанием УФ-возбуждения и началом высвечивания. В фосфоре ZnS-(Pb, Mn) одновременно наблюдаются два максимума в излучении вспышки: один при 5900 Å, отвечающий Mn-центрам, второй при 4950 Å, отвечающий Pb-центрам. Предполагается, что центрами вспышки служат только те Pb-центры, вблизи которых нет атомов добавок, замещающих атомы основания. Остальные Pb-центры служат центрами фосфоресценции, тушащейся ИК-светом, а те из них, которые не связаны с уровнями локализации, быстро рекомбинируют с электронами по прекращении УФ-возбуждения. Конца центров вспышки и фосфоресценции уменьшается при введении добавок.

Б. Г.
42437. Количественные измерения элементарного процесса возбуждения свечения люминофоров отдельными α -частицами. П. Брозер, Рёйбер (Quantitative Messungen über den Elementarprozess der Lichtanregung von Leuchtstoffen durch einzelne α -Teilchen. P. Broser, I. Manuel, R. Reuber Clauss), Z. Naturforsch., 1954, 9a, № 7/8, 689—693 (нем.)

С помощью описанного ранее метода (часть I, Broser I., Kallmann H., Reuber C., Z. Naturforsch., 1950, 5a, 79) исследовано затухание световых вспышек, вызываемых в кристаллофосфорах α -частицами препарата RaC' . Вспышки в ZnS-Ag , ZnS/ZnSe-Ag и крупнозернистом ZnS-Cu затухают по гиперболич. закону, а в ZnO и растертом ZnS-Cu — по экспоненциальному. Оценив общее число электронов, возбуждаемых одной α -частицей ($N = 8 \cdot 10^5$), и объем, в котором содержатся эти электроны ($V = 62 \cdot 10^{-15} \text{ см}^3$), авторы вычислили, что вероятности переходов β в фосфорах с гиперболич. законом затухания равны $\sim 2 \cdot 10^{-13} \text{ сек}^{-1} \cdot \text{см}^3$. Число мест захвата в растертых фосфорах ZnS-Cu , вычисленное по значениям α и β , равно $\sim 10^{19} \text{ см}^{-3}$. П. Ф.

42438. Связь спектров поглощения тиазиновых красителей с состоянием их фиксации на кристаллической поверхности. Веденеева Н. Е., Докл. АН СССР, 1954, 98, № 4, 585—588

На основе идеи о дублетной адсорбции (ДА) катионов метилового голубого (I) объясняются изменения спектра поглощения при адсорбции I на глинистых минералах. Предполагается, что при ДА связь катионов I и родственными ему красителей с поверхностью осуществляется помимо одной из аминогрупп также и с помощью центрального атома N тиазиновой группировки. В состоянии ДА максимум полосы поглощения (III) I лежит $\sim 580 \text{ мμ}$, тогда как в условиях только ионной связи он расположен $\sim 670 \text{ мμ}$, т. е. в непосредственной близости к максимуму III мономера в водн. р-рах.

ДА I возможна лишь при достаточном структурном совершенстве грани (001) глинистых минералов. Такое условие соблюдается у кристалликов каолинита и отсутствует у высокодисперсных частиц типичных бейделитов. Промежуточное положение занимает монтмориллонит. Дублетная фиксация на его кристалликах разрушается при добавлении окрашенной суспензии ионов K^+ , NH_4^+ , Cs^+ и H_3O^+ . Обменные катионы Na^+ , Ca^{2+} , Mg^{2+} с большей величиной отношения заряда к радиусу способствуют ДА.

Н. В. 42439. Действие нейтронной бомбардировки на цинк-сульфидный фосфор. Смит, Туркевич (Effect of neutron bombardment on a zinc sulfide phosphor. Smith Alan W., Turkevich John), Phys. Rev., 1954, 94, № 4, 857—865 (англ.)

Исследовано влияние облучения быстрыми нейтронами в реакторе (т-ра $< 200^\circ$) на следующие свойства фосфора $ZnS-Cu$ (0,006) $NaCl$ (5), 1250° , 7 мин.: выход свечения η при УФ- и рентгеновском возбуждении, термолюминесценцию, разгорание и затухание свечения и диэлектрич. проницаемость ϵ . η экспоненциально падает с дозой нейтронов; показатель степени сильно зависит от вида возбуждения. В отличие от исходного образца, яркость свечения облученного образца возрастает с интенсивностью возбуждения нелинейно. Облучение изменяет число и положение пиков термовысвечивания (в интервале от -190 до $+100^\circ$) и увеличивает их резкость; спектр излучения почти не изменяется. ϵ не изменяется при нейтронном облучении и резко возрастает при оптич. возбуждении облученного и необлученного образцов. Кривая изменения ϵ при нагревании подобна кривой термовысвечивания. По мнению авторов, нейтроны создают локальные группы смещенных атомов вокруг ионов Zn^{2+} или S^{2-} . Эти дефекты являются центрами тушения с большим поперечником захвата фотоэлектронов; они создают глубокие локальные уровни.

А. Х. 42440. Электролюминесценция, возбуждаемая короткими импульсами напряжения. Матосси, Ньюделман (Electroluminescence excited by short field pulses. Matossi Frank, Nudelman A Sol), Phys. Rev., 1955, 99, № 4, 1100—1103 (англ.)

Исследовано затухание свечения ряда электрофосфоров, возбужденных периодич. импульсами напряжения длительностью 40—2500 мсек.

А. Х. 42441. О спектральных свойствах твердых растворов (активированных кристаллофосфоров). Клемент Ф. Д., Тр. Ин-та физ. и астроном. АН ЭССР, 1955, № 1, 3—43

Критический обзор люминесцентных свойств кристаллофосфоров. Рассмотрены теория свечения, эксперим. данные, эмпирич. закономерности и методич. приложения спектроскопии твердых р-ров. Библ. 44 назв.

А. Х. 42442. Оптические и электрические свойства $GaAs$, InP и GaP . Велькер (Optical and electrical properties of $GaAs$, InP and GaP . Welker H.), J. Electronics, 1955, 1, № 2, 181—185 (англ.)

Обзор подлежащих опубликованию работ. Библ. 4 назв.

А. Х. 42443. Дополнительное поглощение смешанных кристаллов галогенного серебра с примесями. Совенье (Sur l'absorption additionnelle des cristaux mixtes d'halogénure d'argent et d'impuretés. Sauvenier H.), Mém. Soc. roy. sci. Liège, 1955, 4 sér., 16, № 2, 64 (франц.)

Обзор работ Стасива (Stasiwo) по фотохимии кристаллов $AgBr$ и $AgCl$ с примесями Ag_2S и Ag_2Se . Библ. 16 назв.

А. Х. 42444. Фосфиры на основе фторосиликата магния.

Ранби, Хендерсон (Magnesium fluorosilica-

te phosphors. Ranby P. W., Henderson S. T.), J. Electrochem. Soc., 1955, 102, № 11, 631—635 (англ.)

Фосфор получают прокаливанием при $1100-1200^\circ$ на воздухе смеси $1 MgO : 1SiO_2 : 2MgF_2 : 0,015 TiO_2$. Так как часть Si и F улетучивается, то для идентификации фосфора приведены линии дебаграммы. Возбуждение λ 2537А дает свечение с $\lambda_{max} \sim 5500\text{А}$. Оно тушится примесями Fe , Co , Ni , Cu , Cr и V . Тушение не связано с изменением окраски кристалла. При введении Mn свечение сдвигается в красную область. Фосфор стабилен в люминесцентных лампах. Спектральное распределение энергии излучения фосфора, не содержащего Mn , близко к кривой Гаусса с вершиной при 17700 см^{-1} . Вершина состоит из двух максимумов. При введении Mn максимумы расходятся. Главный максимум излучения Mn лежит при 16400 см^{-1} . В отличие от других фосфоров, активированных Ti , Mn является коактиватором, свечение которого сенсibilизируется Ti . Это приписано малой концентрации Ti . Расстояние между максимумами Ti и Mn равно 1300 см^{-1} , полосы сильно перекрываются и сенсibilизация малоэффективна, так как некоторые кванты излучения Ti имеют слишком малую энергию для возбуждения Mn . Для оптимальной сенсibilизации расстояние между максимумами должно составлять $\sim 3000\text{ см}^{-1}$, что отвечает галофосфату $Ca-(Sb, Mn)$. Для фторосиликата Mg квантовый выход превращения излучения Ti в излучение $Mn \approx 71\%$; для галофосфата $Ca-(Sb, Mn)$ он $\approx 110\%$.

Б. Г. 42445. Оптические свойства нитрида цезия. Родин (Optical properties of cesium iodide. Rodney William S.), J. Opt. Soc. America, 1955, 45, № 11, 987—992 (англ.)

Измерены показатели преломления n монокристалла CsJ при ~ 15 , ~ 24 и $\sim 34^\circ$ в области λ 0,296728—53,12 μ . Для каждой λ определены температурные коэфф. dn/dt , с помощью которых значения n приведены к 24° и усреднены. С ростом λ n сначала резко падает, почти не изменяется в области $1,5-15\text{ м}$ и снова резко падает. Зависимость n от λ хорошо описывается классич. дисперсионной ф-лой $n^2 - 1 = B \sum_j k_j^2 / (\lambda^2 - \lambda_j^2)$, если в качестве постоянных используются измеренные значения λ в максимумах поглощения (0,023, 0,1466, 0,1810, 0,2120 и 161,0 μ). Экстраполяция дисперсионной ф-лы на $\lambda = \infty$ дает $n_\infty^2 = 6,40$ в согласии с опытной диэлектрич. проницаемостью при $\lambda = 30\text{ см}$, равной 6,42. Это указывает на отсутствие полос поглощения в области 160 μ — 30 μ . В близкой УФ-, видимой и близкой ИК-областях дисперсия $\Delta n / \Delta \lambda$ для CsJ , $CsBr$ и KBr одинакова. Изменение n с т-рой обусловлено изменением плотности CsJ , за исключением границ области пропускания.

А. Х. 42446. Исследование фотопроводимости и фотоэффекта записи меди в рентгеновых лучах. Кронгауз А. Н., Тр. Центр. н.-и. ин-та рентгенол. и радиологии, 1955, 9, 77—85

Исследована фотопроводимость σ_f естественного куприта в рентгеновских лучах (РЛ). В сильных электрич. полях наблюдается отрицательная σ_f . σ_f пропорциональна интенсивности РЛ. Исследована возможность использования куприта для дозиметрии РЛ.

А. Х. 42447. Люминесцирующие вещества. Части I—III. Уэхара (螢光體. I—III, 上原康夫), 東芝レビュー, Тосиба рэвю, 1954, 9, № 3, 255—267; № 5, 467—479; № 6, 569—580 (япон.; рез. англ.)

I. Для интерпретации явлений люминесценции в конденсированной системе используются представления о поглощении и излучении света в газовой фазе. Явления внутренней конверсии света в тепло в многоатомной молекуле или кристалле интерпретируются с помощью

модель электр. виде кристалла ме или С этой землед. дентий 11. ных к ление перен 111. и теор. дотич. форов чающ. между ным с ные Теори центн 42448. как п е als К е № Нисо СаСо. лучам запас чения а так ров, с возбу квант на кр. бужд. ниже бужд. тосум свечи стном ства 42449. кри (РВ В Н Су Пр (q₁₁ —11. —1, леве в ед 42450. нп с к и По фиф и у свия раст чива реко чени к бе к то

модели конфигурационных координат. В кристалле электронное возбуждение атома распространяется в виде волны возбуждения или экситона. В беспримесном кристалле локализация возбуждения на отдельном атоме или дефекте решетки ведет к фотолюминесценции. С этой точки зрения рассмотрено свечение солей редких земель, уранила, а также сульфидов или окислов 2-валентных элементов.

11. Рассмотрено применение модели конфигурационных координат к нефотопроводящим фосфорам, применение зонной теории к проводящим фосфорам и механизм переноса энергии в сенсibilизированных фосфорах.

111. На основе модели конфигурационных координат и теории абс. скоростей хим. р-ции развита феноменологич. теория люминесценции нефотопроводящих фосфоров. Учитываются 3 состояния: нормальное, излучающее и метастабильное. Оптич. переходы разрешены между излучающим (но не метастабильным) и нормальным состояниями. Вводятся резонансные безизлучательные переходы между возбужденными состояниями. Теория количественно объясняет различные люминесцентные свойства.

42448. Сульфат кальция, активированный самарием, как термолюминесцирующая система. Риль, Кеппель (Mit Samarium aktiviertes Calciumsulfat als thermolumineszierendes System. Riehl N., Kerpel H.), Naturwissenschaften, 1955, 42, № 23, 624—625 (нем.)

Исследованы люминесцентные свойства фосфора $\text{CaSO}_4\text{-Sm}$ (I). I возбуждается γ - и рентгеновскими лучами, а также УФ-лучами с $\lambda \leq 260$ мк. Светосумма, запасаемая при рентгенизации, высвечивается при облучении длинноволновыми УФ-лучами (~ 366 мк), а также видимым светом с $\lambda \leq 545$ мк. По мнению авторов, свечение I представляет собой фосфоресценцию, для возбуждения и высвечивания которой необходимы кванты аномально высокой энергии. Главный максимум на кривой термовысвечивания лежит выше 100° . Возбуждение при т-ре жидкого воздуха дает еще один пик ниже 20° . При 20° термолюминесценция ничтожна. Возбуждение линий 253,7 мк не создает столь большой светосуммы, как рентгенизация, что приписано либо высвечивающему действию этой линии, либо ее поверхностному поглощению. Следы Mn сильно изменяют свойства I.

42449. Фотоупругие свойства некоторых кубических кристаллов. Бхагавантам, Кришна Рао (Photoelastic behaviour of some cubic crystals. Bhagavantam S., Krishna Rao K. V.), Current Sci., 1954, 23, № 8, 257—258 (англ.)

Приведены фотоупругие постоянные ($q_{11} - q_{12}$), ($q_{11} - q_{12}$), q_{44} для кристаллов $\text{Sn}(\text{NO}_3)_2$ (—15,95; —11,27; —1,38), хромовых квасцов (—5,70; —4,98; —1,14), таллиевых квасцов (—5,72; —4,65; +0,81), калиево-аммониевых квасцов (—5,06; —4,51; —1,02) (все в единицах 10^{-13} CGS).

42450. О снижении выхода свечения фосфоров при интенсивном возбуждении. Антонов-Романовский В. В., Винокуров Л. А., Ж. эксперим. и теор. физики, 1955, 29, № 6, 830—833

Показано, что причины снижения выхода свечения фосфора $\text{ZnS}(\text{Cu}, \text{Co})$ вне области «плато» такие же, как и у ZnS-Cu (РЖХим, 1955, 23171). При малых интенсивностях возбуждения это снижение вызывается возрастанием внешнего тушения, при больших — высвечивающим действием возбуждающего света и тем, что рекомбинация тепловых электронов приводит к излучению, а рекомбинация оптич. электронов или дырок — к безизлучательным переходам. Эти причины приводят к тому, что при интенсивном возбуждении световая

сумма, определенная из кривой разгорания, меньше световой суммы, определенной из кривой затухания.

42451. Уровни локализации очень малой энергетической глубины в сульфиде цинка. Риль, Ортман (Über Elektronen-Anlagerungsstellen sehr geringer energetischer Tiefe in Zinksulfid. Riehl N., Oртman H.), Z. Naturforsch., 1955, 10a, № 11, 896—897 (нем.) Обнаружен новый очень резкий пик термовысвечивания в области между -210 и -180°C у возбужденных около -210°C безактиваторных фосфоров ZnS и содержащих различные кол-ва O_2 фосфоров ZnS-Cu . Положение пика не зависит от вида возбуждения (366 или 435,8 мк) и несколько изменяется для различных фосфоров. Сделан вывод, что весьма близко ко дну зоны проводимости расположены дискретные уровни прилипания. Указано, что высокая температурная чувствительность фосфоров в области $60-80^\circ \text{K}$ (яркость возрастает в ~ 10 раз при увеличении т-ры на 1°) позволяет регистрировать незначительные изменения т-ры. Высокая чувствительность к ИК-лучам в области низких т-р позволяет с большей точностью, чем до сих пор, наблюдать изображения в ИК-лучах.

42452. Магнитные свойства фосфоров на основе сульфидов цинка и кадмия. Ларак, Туркевич (Magnetic properties of zinc sulfide and cadmium sulfide phosphors. Larach Simon, Turkevich John), Phys. Rev., 1955, 98, № 4, 1015—1019 (англ.)

Магнитная восприимчивость χ фосфоров на основе ZnS и CdS измерена методом Гюй в интервале от -196 до $+27^\circ$. Спектрально чистые нелюминесцирующие осажденные ZnS и CdS кристаллизовали при $800-1200^\circ$ в смеси с плавнями (Cl^- , Al^{3+}) и активаторами (Ag^+) в атмосфере N_2 , H_2S или воздуха и удаляли растворимый Cl^- промывкой. Получены следующие значения $\chi (10^6)$: ZnS , осажденный, куб., $-0,36$; кристаллич., куб., 800° , N_2 , $-0,262$; кристаллич., гексагон., 1200° , N_2 , $-0,290$; куб., воздух, $-0,373$; гексагон., H_2S , $-0,387$; ZnS-NaCl , куб., воздух, $-0,402$; ZnS-Ag (0,01 вес.%) -NaCl , воздух, $-0,406$; ZnS-Al (0,01 вес. %), куб., H_2S , $-0,357$; ZnS-Al (0,1 вес. %), H_2S , $-0,409$; CdS , осажденный, $-0,268$; 650° , N_2 , $-0,254$; 900° , N_2 , $-0,158$; CdS-Cl 900° , N_2 , $-0,253$. Результаты интерпретируются в основном для ZnS ; CdS обладает близкими свойствами. Все фосфоры диамагнитны. При кристаллизации ZnS в N_2 положение линий на рентгенограммах не изменяется, они становятся более резкими, а χ уменьшается; последнее приписано уменьшению поверхности, где электроны обладают большими орбитальными радиусами и диамагнетизмом, чем в объеме. Возрастание χ при кристаллизации в H_2S или на воздухе приписано образованию дефектов по Шоттки в результате диффузии Zn к поверхности. Сильное увеличение диамагнетизма при введении Cl^- и Al^{3+} и независимость χ от т-ры опровергают гипотезу (РЖХим, 1955, 1744) об образовании в таких фосфорах активаторных центров, содержащих одновалентный Zn^+ . Увеличение χ приписано искажению решетки вблизи Cl^- или Al^{3+} . Из результатов измерения χ вычислено, что диаметр области искажения равен ~ 100 А, т. е. близок к расстоянию 115 А между ионами Cl^- и расстоянию 83 А между ионами Ag^+ в оптимально активированном фосфоре. На этом основании сделан вывод, что центр свечения в фосфорах ZnS-Ag-Cl состоит из иона Ag^+ , расположенного в искаженной области решетки.

42453. Зависимость яркости электролюминесценции от напряжения. I. Фосфоры, погруженные в диэлектрик. Шверц, Мазенко, Михалик (Voltage-dependence of electroluminescent brightness. I. Dielectric-imbedded phosphors. Schwartz F. A.,

Mazenko J. J., Michalik E. R.), Phys. Rev., 1955, 98, № 4, 1133—1134 (англ.)

Зависимость яркости L от переменного напряжения V описывается ф-лой: $L = aV \exp(-b/V^{1/2})$. Приведены значения a и b для фосфоров $Zn(Al)S-Cu$, $ZnS-Cu$, $ZnS(Se)-Cu$, $ZnS-(Cu, Mn)$ и $ZnS-(Cu, Pb)$ для разных частот. А. Х.

42454. Исследование аккумуляционной способности и происхождение уровней локализации электронов в цинк-сульфидных фосфорах. Жукова Н. В., Докл. АН СССР, 1955, 103, № 6, 1001—1004

Кривые термовысвечивания фосфора $ZnS-Cu$ ($3 \cdot 10^{-6}$ — 10^{-3} g/g) имеют 3 пика при -120° (I), -50° (II) и $+20^\circ$ (III). I пик приписан избыточному Zn. Он почти не зависит от содержания Cu. Интенсивность III пика возрастает с конц-ией Cu до 10^{-4} g/g , а затем падает почти до нуля при 10^{-3} g/g , что объясняется внедрением Cu в ZnS. II пик приписан соединению Cu с O₂. На заполнение локальных уровней электронами влияет не только т-ра, но и степень заполнения более мелких уровней. Увеличение т-ры при возбуждении фосфора уменьшает светосумму для данного уровня локализации. Затухание свечения отдельных полос уровней локализации на средних и далеких стадиях протекает по гиперболе. Л. Ш.

42455. Активация кристаллов CdS. Вильке (Die Aktivierung von CdS-Kristallen. Wilke Klaus-Thomas), Z. phys. Chem. (Leipzig), 1955, 205, № 1/2, 73—77 (нем.)

Беспримесные пластинчатые кристаллы CdS (I) получали сублимацией порошка I в токе H₂S — H₂ при 1000°. Определены кол-ва активатора, введенные в I либо путем совместной сублимации I и Cu₂S, Ag₂S или As₂S₃ при 1000°, либо диффузией в I этих сульфидов. Макс. кол-ва активатора (в вес. %), введенного сублимацией или диффузией, соответственно равны: Cu $3 \cdot 10^{-5}$, $5 \cdot 10^{-4}$; Ag $1 \cdot 10^{-3}$, $2 \cdot 10^{-5}$; As $3 \cdot 10^{-5}$, $3 \cdot 10^{-4}$. Микроскопич. наблюдения показывают, что при содержании Ag $> 2 \cdot 10^{-3}$ Ag₂S выделяется на поверхностях кристалла I в виде самостоятельной фазы. Аналогичное разделение на фазы наблюдается и для Cu₂S и As₂S₃. Если предположить, что Cu и Ag входят в междоузлия, то их кол-ва, введенные диффузией, подчиняются правилу Тиде — Рилы, т. е. обратно пропорциональны атомным радиусам. As замещает S в решетке I и поэтому входит в решетку в больших кол-вах, чем Ag, несмотря на близкие радиусы. По мнению автора, только диффузия позволяет определить максим. «емкость» основания для данного активатора. А. Х.

42456. Структура центров окраски в дымчатом кварце. О'Брайен (The structure of the colour centres in smoky quartz. O'Brien Mary C. M.), Proc. Roy. Soc., 1955, A 231, № 1186, 404—414 (англ.)

Предложена модель центров окраски в рентгенизованном кварце. Сверхтонкая структура спектра парамагнитного резонанса показывает, что каждый центр связан с атомом Al. Предполагается, что последний замещает атом Si в узле решетки и образует четыре ковалентных связи с ближайшими атомами O. Так как Al имеет только 3 валентных электрона, то один из электронов атома O оказывается неспаренным и обуславливает оптич. и парамагнитное поглощение центра окраски. Оси g -тензора и изменение g с направлением предсказываются с достоверностью, как оси квадратного взаимодействия. Величина и оси магнитной сверхтонкой структуры не могут быть предсказаны, но объясняются на основе модели. Уровни энергии, полученные теоретически из данных по парамагнитному резонансу, используются для интерпретации оптич. спектров поглощения. Обсуждаются эффекты, связанные с взаимодействием центров окраски, образованных электронами двух

атомов O, между которыми находится атом Al, в частности эффект расщепления основного уровня. К. Т.

42457. Оптические исследования полупроводниковых свойств слоев As и ZnAs₂. Харбеке, Лауц (Optische Untersuchungen über die Halbleitereigenschaften von As- und ZnAs₂-Schichten. Harbecke Günter, Lautz Günter, Abhandl. Braun-schweig. Wiss. Ges., 1955, 7, 36—45 (нем.; рез. англ.)

Слои As и сплава Zn-As получали сублимацией в вакууме (10^{-7} мм рт. ст.). При медленных скоростях сублимации или т-рах испарителя < 1000 — 1050° образуется аморфный As, при больших скоростях — ромбоидрич. As. В случае Zn-As измерения проводили на участках, состоявших только из ZnAs₂ (по данным рентгеноструктурного анализа). На основании результатов измерений пропускания и отражения вычислены показатели преломления n и поглощения k в области 0,5—2,7 μ . Принимая за длинноволновую границу поглощения точку кривой поглощения, в которой коэфф. поглощения $K = 1 \text{ мм}^{-1}$ ($K = k/4\pi\lambda$), найдено, что граница поглощения As и ZnAs₂ лежит соответственно при 1,16 и 2,44 μ , что отвечает ширине запрещенной зоны 1,07 и 0,51 эв. А. Х.

42458. Спектр поглощения избыточного серебра в низкотемпературной и высокотемпературной модификациях иодистого серебра. Коханенко П. П., Григорук Л. В., Ж. эксперим. и теор. физики, 1955, 29, № 5, 676—679

Пленки AgI (I) с большим избытком Ag получали сублимацией в вакууме на кварц. В спектре низкотемпературной модификации I с решеткой типа вюрцита избыточные атомы (или ионы) Ag дают более или менее резкий максимум при 3340 Å и резкий — при 4290 Å. Эти максимумы исчезают при переходе в высокотемпературную модификацию I с куб. объемно-центрированной иодной решеткой. Т-ра перехода, судя по спектру, у различных образцов лежит между 150 и 160°, т. е. на 5—15° выше, чем у чистого I (145,8°). При охлаждении максимумы восстанавливаются. Исчезновение максимумов прина-сому тому, что в полностью разупорядоченной Ag-решетке высокотемпературной модификации I избыточные атомы или ионы Ag не могут занимать какие-либо определенные регулярные места в кристалле. А. Х.

42459. Исследование происхождения уровней локализации электронов в цинк-сульфидных фосфорах. Жукова Н. В., Ж. эксперим. и теор. физики, 1955, 29, № 5, 680—692

Исследовано влияние Cu и O₂, а также примесей Fe, Ni и Co на интенсивность пиков термовысвечивания ZnS- и ZnS-Cu-фосфоров. Фосфоры ZnS-Cu ($3 \cdot 10^{-6}$ — 10^{-3} g/g) получали прокалкой при 1100°, возбуждали λ 436—360 мμ и нагревали от -190 до $+100^\circ$. Кривые имеют три основных пика I, II и III при -120 , -60 и $+20^\circ$. Пик I состоит из трех полос, ограниченных т-рами от -90 до -60° , от -60 до -40° и от -40 до 0° . Уровни локализации, обуславливающие эти полосы, связаны с присутствием в решетке ZnS соответственно O, соединения Cu с O и Cu. Пик III обусловлен Cu-центрами. Пик I и полоса свечения с $\lambda_{\text{макс}}$ 460 мμ обусловлены избыточным Zn. Исследование влияния примесей Co и Ni (10^{-7} — 10^{-5} g/g) и Fe (10^{-7} — 10^{-4} g/g) на ZnS-Cu ($6 \cdot 10^{-5}$ g/g) показывает: Co гасит низкотемпературные пики сильнее, чем высокотемпературные, при конц-ии 10^{-6} g/g образует новый пик при 80°, а при конц-ии 10^{-5} g/g гасит пики I, II и III. Fe гасит высокотемпературные пики сильнее, чем низкотемпературные. Ni и особенно Fe в конц-иях 10^{-7} — 10^{-6} g/g резко усиливают пик при -120° , не влияя на пики II и III. А. Х.

42460. Расщепление термина иона Pb^{3+} и симметрия кристаллического поля в тригональных монокристал-

лах солей Pr. Хельвеге, Хельвеге (Die Aufspaltung der Pr^{++} Terme und die Symmetrie des Kristallfeldes in trigonalen Einkristallen von Presodymsalzen. Hellwege A. M., Hellwege K. H.), Z. Physik, 1953, 135, № 1, 92—100 (нем.)

При понижении t -ры от 58°K до 14°K разрешена двойная линия группы ${}^3H_4 \rightarrow {}^3P_2$. Из определенной таким образом полной структуры этой группы линий получается также расщепление термина 3P_2 в кристаллич. поле тригональной симметрии. Симметрия этого поля определена как C_{3v} (из интенсивности π -компонент). Приведены квантовые числа μ и $\bar{\nu}$, связанные с обоими независимыми элементами симметрии. Кристаллич. поле ближе к октаэдрич., чем к аксиально-симметрич. Указаны вероятные положения основных структурных единиц в элем. ячейке.

Э. Г.
42461. Об окраске и других свойствах твердых растворов типа шпинели в системе $\text{MgO} \cdot \text{Al}_2\text{O}_3 - \text{MgO} \cdot \text{Cr}_2\text{O}_3$. Тило, Зауэр (Über die Farbe und andere Eigenschaften der Spinell-Mischkristalle des Systems $\text{MgO} \cdot \text{Al}_2\text{O}_3 - \text{MgO} \cdot \text{Cr}_2\text{O}_3$. Thilo Erich, Sauer Rudolf), Chem. Erde, 1955, 17, № 3, 165—175 (нем.)

Исследованы твердые р-ры типа шпинели в системе $\text{MgO} \cdot \text{Al}_2\text{O}_3 - \text{MgO} \cdot \text{Cr}_2\text{O}_3$. Установлено, что они при малом содержании Cr имеют красную окраску, ослабевающую при его увеличении, а начиная с 15 мол. % $\text{MgO} \cdot \text{Cr}_2\text{O}_3$ постепенно превращающуюся в зеленую (при комнатной t -ре и дневном свете). С повышением t -ры окраска сдвигается в сторону зеленого цвета, а с понижением — в сторону красного. Высказано предположение, что красный цвет объясняется «изолированными» ионами Cr^{3+} , а зеленый цвет — ионами Cr^{3+} , контактирующими друг с другом в решетке. Параметры решетки при составах 0—15 мол. % $\text{MgO} \cdot \text{Cr}_2\text{O}_3$ неизменны, а в интервале 15—100 мол. % $\text{MgO} \cdot \text{Cr}_2\text{O}_3$ увеличиваются линейно с увеличением содержания Cr. Плотность резко возрастает до 15 мол. % $\text{MgO} \cdot \text{Cr}_2\text{O}_3$ (более легкие ионы Al^{3+} замещаются более тяжелыми ионами Cr^{3+}), а далее изменяется менее заметно (за счет увеличения элементарной ячейки).

В. С.
42462. Частичная поляризация флуоресценции органических монокристаллов. Гангули, Чоудхури (Der prozentuale Polarisationsanteil der Fluoreszenz organischer Einkristalle. Ganguly S. C., Choudhury N. K.), Z. Physik, 1953, 135, № 3, 256—259 (нем.)

См. РЖФиз, 1954, 5398.

42463. Исследование трехвалентных окислов со структурой перовскита в качестве люминофоров. Тероль, Уорд (Preliminary studies of the perovskite-type ternary oxides as luminophors. Terol Salvador, Ward Roland), J. Electrochem. Soc., 1955, 102, № 9, 524—528 (англ.)

Исследована возможность получения люминофоров на основе LaAlO_3 с активаторами Ce, Pr, Nd, Sm, Eu, Gd, Cr, V, Mn, Cu, Bi и Sb. Люминофоры готовили прокаливанием смеси окислов Al и La с активаторами при 1150° в течение 12 час. Образцы имеют структуру перовскита ($a_0 = 3,79 \text{ \AA}$). При прокаливании в H_2 получают бесцветные, при прокаливании на воздухе — окрашенные образцы (из-за присутствия в исходном La_2O_3 примесей Pr и Sm в кол-вах, не открывающихся спектральным анализом). Образцы, активированные Sm и Pr, имеют сильную катодолуминесценцию. Аналогичное свечение имеет и неактивированный LaAlO_3 . Как основание для люминофоров LaAlO_3 ближе к La_2O_3 , чем к Al_2O_3 . Свечение наблюдается и при активации другими редкими землями (Ce, Nd, Eu, Gd). Переходные элементы (Cr, V, Mn, Cu, Bi и Sb) не влияют на свечение, за исключением V,

дающего широкую полосу около 700 м\mu . Это приписано наличию примесей Pr и Sm, которые препятствуют переходу поглощенной кристаллом энергии к элементу переходной группы. Окрашивание LaAlO_3 при прокаливании на воздухе и наличие свечения у неактивированных образцов из спектрально чистых окислов указывают на возможность использования этих явлений при очистке соединений La.

Б. Г.
42464. Валентные состояния европия в фосфорах на основе окислов и сульфидов щелочно-земельных металлов. Джафф, Банке (Oxidation states of europium in the alkaline earth oxide and sulfide phosphors. Jaffe P. M., Banks E.), J. Electrochem. Soc., 1955, 102, № 9, 518—523 (англ.)

Исследованы спектры излучения (СИ) и поглощения (СП) сульфидов и окислов щел.-зем. металлов, активированных Eu и прокаленных в N_2 или H_2 . Для сульфидов всех металлов и для SrO, прокаленного в H_2 , СИ и СП представляют собой полосы. Для CaO и BaO, прокаленных в H_2 , СИ представляют собой полосы. СИ CaO представляет собой полосу в синей части и полосу с линиями в красной, причем уд. вес красной полосы и линий повышается с ростом конц-ии Eu. СИ BaO состоит из линий в красной части спектра. CaO, SrO и BaO, прокаленные в N_2 , имеют линейчатый СИ и слабое поглощение в полосе активатора. СИ MgO, прокаленного в H_2 или N_2 , состоит из широких линий, а поглощение в полосе активатора отсутствует. Линейчатый СИ связывается с присутствием в фосфоре Eu^{3+} , а полосатый спектр — с Eu^{2+} . Устойчивым является 3-валентное состояние. Стабилизации EuO в решетке MgO (и BaO) не происходит из-за большой разницы в ионных радиусах Mg^{2+} и Eu^{2+} , и EuO снова переходит в Eu_2O_3 . В случае CaO эта разница меньше и некоторая часть EuO стабилизируется. Наиболее благоприятен SrO, где радиусы Eu^{2+} и Sr^{2+} почти одинаковы и стабилизируются большие кол-ва EuO.

Б. Г.
42465. О флуоресценции органических соединений при возбуждении рентгеновскими лучами. Нейнхёффер, Розаль (Über die Fluoreszenz organischer Verbindungen bei der Anregung durch Röntgenstrahlen. Neunhoeffter Otto, Rosahl Dietrich), Z. Elektrochem., 1953, 57, № 2, 81—87 (нем.)

См. РЖФиз, 1954, 4378.

42466. Измерения на $p-n$ -переходах в сульфиде свинца. Моссе (Measurements on $p-n$ junctions in lead sulphide. Moss T. S.), Proc. Phys. Soc., 1955, B68, № 10, 697—700 (англ.)

Исследованы выпрямляющие характеристики и распределение потенциала перпендикулярно естественным $p-n$ -переходам монокристаллов галенита. Из полученных данных вычислено, что собственное сопротивление этих кристаллов равно $3,1 \text{ ом}\cdot\text{см}$, конц-ия собственных носителей тока $2,7 \cdot 10^{15}$ электронов или дырок в 1 см^3 и ширина запрещенной зоны $0,40 \text{ эв}$ в хорошем согласии с величиной оптич. энергии активации (РЖХим, 1955, 23174).

Ч. М.
42467. Диэлектрические аномалии кристаллогидратов, испытывающих и не испытывающих структурных превращений. Хельвеге, Йонсен (Dielektrische Anomalie wasserhaltiger Kristalle mit und ohne Strukturumwandlung. Hellwege K. H., Johnson U.), Z. Phys., 1954, 139, № 4, 484—488 (нем.)

Исследована температурная зависимость (в интервале $14-250^\circ\text{K}$) диэлектрич. проницаемости ϵ порошкообразного $\text{Pr}(\text{BrO}_3)_3 \cdot 9\text{H}_2\text{O}$ (I) и монокристаллов $\text{M}(\text{BrO}_3)_3 \cdot 9\text{H}_2\text{O}$ (где M автор обозначает символом Di) (II) и $\text{Pr}_2\text{Zn}_3(\text{NO}_3)_{12} \cdot 24\text{H}_2\text{O}$ (III) на частоте 380 кгц . ϵ I монотонно уменьшается при понижении t -ры, при 76°K наблюдается максимум («горб»), за которым следует крутое падение ϵ . В случае II ϵ в направлении, нор-

маленьком к гексагональной оси, изменяется так же, как для I («горб» при 76°K и затем крутое падение). ϵ_{\parallel} в направлении гексагональной оси линейно убывает с падением t -ры во всей области аномального поведения ϵ для I и ϵ_{\perp} для II. Сделан вывод, что аномальный ход ϵ наблюдается в той же температурной области, в которой происходят структурные превращения, обнаруженные оптич. измерениями (Hellwege A. M., Hellwege K. H., Z. Phys., 1950, 127, 334; Hellwege K. H., Kahle H. G., Z. Phys., 1951, 129, 85). Согласно оптич. данным III не испытывает структурных превращений в исследованной области t -р. ϵ в направлении оси 3-го порядка обнаруживает петлю гистерезиса в области 210 — 250°K и далее линейно убывает с падением t -ры.

42468. Электропроводность интерметаллических соединений Ca_2Si , Ca_2Sn , Ca_2Pb и ZnSb . Буш, Жюно, Кац, Винклер (Conductibilité électrique des combinaisons intermétalliques Ca_2Si , Ca_2Sn , Ca_2Pb , ZnSb . Busch G., Junod P., Katz U., Winkler U.), Helv. phys. acta, 1954, 27, № 3, 193—195 (франц.)

Образцы получали сплавлением элементов в графитовых тиглях в атмосфере Ar с давл. 2 — 5 ат . Ca_2Si (I) и Ca_2Sn (II) кристаллизуются в тетрагональной системе с параметрами: I a 9,43, c 10,19 Å; II a 12,15, c 11,93 Å. Расшировка порошковграмм затруднена хим. неустойчивостью всех в-в, а в случае Ca_2Pb (III), кроме того, образование смешанных кристаллов с Ca . ZnSb (IV) изоморфен с CdSb (Lautz G., Z. Naturforsch., 1952, 7a, 603). Все в-ва обладают полупроводниковыми свойствами. Из кривых зависимости проводимости от t -ры найдены энергии активации (в эв): I 1,9; II 0,9; III 0,46; IV 0,56.

42469. Диэлектрическая проницаемость двухфазных смесей. Пирс (The permittivity of two phase mixtures. Pearce C. A. R.), Brit. J. Appl. Phys., 1955, 6, № 10, 358—361 (англ.)

Известные эксперим. данные по диэлектрич. проницаемости с порошков твердых диэлектриков в жидкостях, газах и вакууме сравниваются с предложенными различными авторами теоретич. ф-лами. Показано, что наилучшее согласие дает ф-ла Бруггемана (Bruggeman D. A. G., Ann. Phys. (Leipzig), 1935, 24, 636), тогда как другие ф-лы пригодны лишь в ограниченном интервале ϵ . Предложена эмпирич. ф-ла, охватывающая имеющиеся эксперим. данные.

42470. Электропроводность спеченных смесей $\text{MgO} \cdot \text{Cr}_2\text{O}_3$. Белянский, Дерень (Przewodnictwo elektryczne spieków MgO i Cr_2O_3 . Białynski A., Dereń J.), Roczn. chem., 1955, 29, № 4, 1145—1147 (польск.; рез. англ.)

Электропроводность σ смесей $\text{MgO} \cdot \text{Cr}_2\text{O}_3$ различного состава измерена в интервале t -р 100 — 800° . Некоторые образцы предварительно спекались при t -рах 800 — 1300° . Для неспеченных образцов кривые $\lg \sigma = f(1/T)$, полученные при нагревании, лежат ниже соответствующих кривых, полученных при охлаждении. На кривых σ — состав для спеченных и неспеченных образцов имеются максимумы и минимумы σ : образец, спеченный при 1100° , имеет максимум при $3\text{MgO} \cdot \text{Cr}_2\text{O}_3$, минимум при $\text{MgO} \cdot 2\text{Cr}_2\text{O}_3$; образец, спеченный при 1200 — 1300° , — максимум при $\text{MgO} \cdot \text{Cr}_2\text{O}_3$, минимум при $\text{MgO} \cdot 2\text{Cr}_2\text{O}_3$.

42471. Критические поля некоторых сверхпроводников. Максвелл, Люте (Threshold field properties of some superconductors. Maxwell E., Lutes O. S.), Phys. Rev., 1954, 95, № 2, 333—338 (англ.)

Магнитным нулевым методом измерены температурные зависимости критич. поля $H_{\text{кр}}$ для Sn^{112} , Sn^{118} ,

Sn^{124} природного Tl , Tl^{203} , Tl^{205} , природного In и природной Hg . У Hg зависимость $H_{\text{кр}}$ от t -ры параболическая. В остальных металлах эта зависимость отклоняется от параболической по мере приближения t -ры к T_0 — критич. t -ре в отсутствие поля. Результаты обсуждаются на основе двух вариантов двухжидкостной модели сверхпроводимости — теории Гортера и Казимира и теории Коппе. Ни та, ни другая теория не охватывают всех эксперим. данных. Сообщается об обнаружении изотопич. эффекта у Tl .

42472. Электропроводность окиси алюминия и окиси цинка при высоких температурах. Орешкин П. Т., Ж. техн. физики, 1955, 25, № 14, 2447—2450

Проводимость Al_2O_3 при 1300° значительно выше, чем у ZnO . Al_2O_3 при высоких t -рах обладает выпрямляющими свойствами.

42473. Влияние адсорбции дипольных молекул окиси бария на фотоэлектронную эмиссию сурьмяно-цинкового катода. Гаврилюк В. М., Ж. техн. физики, 1955, 25, № 14, 2469—2476

Установлено, что увеличение концентрации дипольных молекул BaO , адсорбированных на поверхности Sb-Cs фотокатода, уменьшает работу выхода ϕ электронов из этого катода. Миним. ϕ ($\Delta \phi \approx 0,1 \text{ эв}$) достигается при $\lambda = 2 \cdot 10^{14} \text{ см}^{-2}$. При дальнейшем росте λ ϕ снова возрастает и при $\lambda = 1,5 \cdot 10^{15} \text{ см}^{-2}$ становится равной ϕ исходного Sb-Cs -катода. Небольшая величина снижения ϕ приписана тому, что внешняя ϕ слоя Sb-Cs заранее сильно снижена адсорбционным слоем атомов Cs так, что скачок потенциала между уровнем вакуума и дном зоны проводимости не превышает $0,2 \pm 0,1 \text{ эв}$.

42474. Электрические свойства сульфидов хрома. Факидов Н. Г., Гражданкина Н. П., Тр. Ин-та физики металлов (Уральский филиал АН СССР), 1954, вып. 15, 65—69

Сульфиды Cr , содержащие 50—59 ат. % S , получали сплавлением Cr и S при 800° в эвакуированных кварцевых ампулах или вакуумным обжигом при 900 — 1100° смеси порошков Cr и S , спрессованных при давл. 25000 кг/см^2 . Зависимость проводимости σ от t -ры исследована в интервале $1,8$ — 400° . Максимум σ достигается для ферромагнитного сульфида Cr (54 ат. % S). На основании измерений сделан вывод, что сульфиды Cr с 50—57 ат. % S являются полупроводниками с примесными уровнями в зоне проводимости. Ширина запрещенной зоны мала, и поэтому эффект Холла отсутствует. Сплавы, содержащие > 57 ат. % S , являются изоляторами при очень низких t -рах.

42475. Действие кислорода на пленки PbS . Минден (Effects of oxygen on PbS films. Minden Henry T.), J. Chem. Phys., 1955, 23, № 10, 1948—1955 (англ.)

Исследовано влияние O_2 на проводимость σ сублимированных в вакууме пленок PbS , толщиной $0,5$ — $0,7 \mu$. После обезгаживания эти пленки являются примесными полупроводниками n -типа. O_2 при t -рах $< 200^\circ$ вызывает быстрое и обратимое падение σ на 1 —3 порядка. σ уменьшается с ростом p_{O_2} и проходит через минимум при $\sim 10^{-2} \text{ мм рт. ст.}$ Вблизи минимума знак термо-э. д. с. изменяется с минуса на плюс. Эти явления не сопровождаются измеримой сорбцией O_2 ($< 10^{-3}$ моля O_2 на 1 моль PbS). При t -рах $> 200^\circ$ O_2 вызывает моментальное падение σ и сильное уменьшение термо-э. д. с. Пленка постепенно поглощает весь O_2 и выделяет SO_2 . После окончания этой р-ции σ и термо-э. д. с. восстанавливаются до исходного значения. При повторном выпуске O_2 все явления повторяются. Результаты объясняются сложной структурой пленки. Нижний зеркальный слой толщиной $\sim 0,1 \mu$ обуславливает всю измеряемую σ пленки. Он хемисорбирует O_2 , но не реагирует

42485. Температурный ход спонтанной поляризации в кристаллах KH_2PO_4 и KD_2PO_4 . Пиренн (Spontaneous polarisation of KH_2PO_4 and KD_2PO_4 crystals versus temperature. Pirenne Jean), Physica, 1955, 21, № 3, 219—222 (англ.)

Развита квантово-механич. теория сегнетоэлектричества в кристаллах KH_2PO_4 и KD_2PO_4 , объясняющая аномально большой изотопич. эффект. В. К.

42486. Фотоэффект сурьмяно-цезиевых катодов, сенсибилизированных кислородом. Дятловская Б. И., Ж. техн. физики, 1955, 25, № 13, 2264—2276

Эксперим. результаты по сенсибилизации объясняются образованием поверхностного слоя молекул с большим дипольным моментом, что уменьшает работу выхода. А. Х.

42487. Поверхностные состояния германия. Лиз, Уолтон (Surface states on germanium. Lees J., Walton S.), Proc. Phys. Soc., 1955, B68, № 12, 1152—1153 (англ.)

Исследованы вольтамперные характеристики контакта W с p- и n-Ge. Результаты согласуются с теорией поверхностных состояний Бардина и показывают, что на поверхности Ge имеются дополнительные энергетич. уровни, заполненные электронами до высоты ϵ_0 над поверхностной валентной зоной. Найдено, что для Ge $\epsilon_0 \approx 0,27$ эв. А. Х.

42488. Взаимодействие между электронами зоны проводимости и электронами валентной зоны. I. Упрощенная модель «электронного полярона». Тоёдзава (傳導帯電子と充満帯電子の相互作用について. I. 簡単化したモデルによる「Electronic Polaron」の理論. 渡澤 豊), 物性論研究, Буссэйрон кенкю, 1953, № 64, 93—107 (япон.)

42489. Электрическое взаимодействие дислокации и растворенного атома. Коттрелл, Хантер, Набарро (Electrical interaction of a dislocation and a solute atom. Cottrell A. H., Hunter S. C., Nabarro F. R. N.), Philos. Mag., 1955, 44, № 357, 1064—1067 (англ.)

Теоретически рассмотрены взаимоотношения между упрочняющим влиянием на свойства меди растворенных элементов (Zn, Ga, Ge, As), эффективным зарядом элементов и линейными дислокациями, в поле которых изменяется основное состояние электронов проводимости и энергия Ферми; постоянною последней достигается смещением зарядов в результате перераспределения электронов и возникновения электрич. диполей на дислокациях. Энергия электрич. взаимодействия, составляющая $1/3 - 1/6$ упругой энергии, возрастает от 0,062 до 0,130 эв при повышении валентности растворенного элемента; возрастает при этом и упрочняющее действие, что авторы объясняют местным расширением кристаллич. решетки, вызванным локализацией дополнительного кол-ва электронов около атомов с высокой валентностью. И. Р.

42490. Диэлектрическая анизотропия в кристаллических длинноцепочечных спиртах. Хеймон, Микне (Dielectric anisotropy in crystalline long-chain alcohols. Hamon B. V., Meakins R. J.), Austral. J. Chem., 1953, 6, № 1, 27—32 (англ.)

Диски, спрессованные из порошка кристаллич. длинноцепочечных первичных и вторичных n-спиртов, обнаруживают анизотропию диэлектрич. потерь в радиальном и поперечном направлениях, связанную с ориентировкой пластинчатых кристаллов спирта параллельно поверхности диска. В. К.

42491. Электронный эффект Холла в алмазе. Редфилд (Electronic Hall effect in diamond. Redfield Alfred G.), Phys. Rev., 1954, 94, № 3, 526—537 (англ.)

См. РЖФиз, 1955, 24895.

42492. Химические явления, обусловленные ионизацией примесей в полупроводниках. Рейсс (Chemical effects due to the ionization of impurities in semiconductors. Reiss Howard), J. Chem. Phys., 1953, 21, № 7, 1209—1217 (англ.)

Явление ионизации донорных и акцепторных примесей в полупроводнике рассматривается как хим. процесс диссоциации, аналогичный процессу диссоциации какой-либо соли в р-ре. Предполагается, что конц-ия примесей настолько мала, что, во-первых, распределение электронов в зоне проводимости или дырок в заполненной зоне подчиняется классич. статистике; во-вторых, парц. давление атомов доноров или акцепторов подчиняется закону Генри. Разработана теория этого «слабого электролита». Установлена связь между параметрами, характеризующими зонную модель полупроводника, с параметрами, характеризующими электролит. О. С.

42493. Свойства коллоидных сегнетоэлектриков. III. Титанат бария BaTiO_3 . Анликер, Бруггер, Кеинг (Das Verhalten von kolloidalen Seignetteelektrika III, Bariumtitanat BaTiO_3 . Anliker M., Brugger H. R., Känzig W.), Helv. phys. acta, 1954, 27, № 2, 99—124 (нем.)

Свойства очень маленьких кристаллов BaTiO_3 изучены методами рентгеновской и электронной дифракции, электронной микроскопии и диэлектрич. измерений. Аномалии в поведении таких кристаллов объясняются различиями в структуре поверхности и объема кристалликов. Часть II. см. РЖХим, 1955, 36789. В. К.

42494. Подвижность электронов в AgCl и AgBr . Альман, Россель (Mobilité électronique dans AgCl et AgBr . Allemand Ch., Rossel J.), Helv. phys. acta, 1954, 27, № 3, 212—216 (франц.)

Измерена подвижность электронов u , создаваемых β -лучами RaE (1,17 Мэв) в хорошо отожженных монокристаллах AgBr (I) и AgCl (II). При 77°K $u = 240 \pm 20 \text{ см}^2 \text{ в}^{-1} \text{ сек}^{-1}$ для I и $u = 72 \pm 8 \text{ см}^2 \text{ в}^{-1} \text{ сек}^{-1}$ для II. Конц-ия центров захвата в I и II равна соответственно $\sim 3 \cdot 10^{13}$ и $1,5 \cdot 10^{14} \text{ см}^{-3}$, конц-ия ионизованных примесных атомов $\sim 5 \cdot 10^{17}$ и $1,7 \cdot 10^{18} \text{ см}^{-3}$. А. Х.

42495. Фотоэлектрическая работа выхода боридов лантана, празеодима и неодима. Деккер, Стеббинс (Photoelectric work functions of the borides of lanthanum, praseodymium and neodymium. Dekker Richard W., Stebbins Dean W.), J. Appl. Phys., 1955, 26, № 8, 1004—1006 (англ.)

Методом Дю-Бриджа (Du Bridge L. A., Phys. Rev., 1932, 39, 108) по данным измерения фотозмиссии определены фотоэлектрич. работы выхода LaB_6 , PrB_6 и NdB_6 , равные соответственно $2,74 \pm 0,05$; $3,12 \pm 0,08$ и $4,57 \pm 0,06$ эв. А. Х.

42496. Распространение общей теории Фрëлиха статической диэлектрической постоянной на диэлектрически анизотропные материалы. Поулс (Extension of Fröhlich's general theory of the static dielectric constant to dielectrically anisotropic materials. Powles J. G.), Trans. Faraday Soc., 1955, 51, № 3, 377—382 (англ.)

Обсуждается возможность обобщения теории Фрëлиха на случай анизотропных материалов. Даже в простом случае свободного вращения диполей в одной плоскости расчет не удастся довести до конца. Вычисление главных осей эллипсоида диэлектрич. проницаемости требует учета дипольного взаимодействия, особенностей кристаллич. структуры, анизотропии поляризуемости отдельных молекул, ионных групп и должно быть проведено для каждого кристалла в отдельности с учетом указанных факторов. Д. М.

42497. Циклотронный резонанс электронов и дырок в кристаллах кремния и германия. Дресслхаус,

Кип, Киттел (Cyclotron resonance of electrons and holes in silicon and germanium crystals. Dresselhaus G., Kip A. F., Kittel C.), Phys. Rev., 1955, 98, № 2, 368—384 (англ.)

Измерен циклотронный резонанс в монокристаллах Si и Ge при $\sim 4^\circ \text{K}$. Изучен эффект анизотропии. Электронная энергетич. поверхность (ЭП) вблизи края зоны Ge это эллипсоид, ориентированный вдоль оси [111] с продольной эффективной массой $m_l = (1,58 \pm 0,4) m$, где m — масса свободного электрона, и поперечной массой $m_t = (0,082 \pm 0,001) m$. Электронная ЭП в Si — эллипсоид, ориентированный вдоль оси [100] с $m_l = (0,97 \pm 0,02) m$ и $m_t = (0,19 \pm 0,01) m$. ЭП для дырок в Ge и Si имеет вид: $E(k) = Ak^2 \pm [B^2 k^4 + C^2 \times (k_x^2 k_y^2 + k_y^2 k_z^2 + k_z^2 k_x^2)]^{1/2}$. Для Ge найдено $A = -(13,0 \pm 0,2) \text{ кэВ}/2m$, $|B| = (8,9 \pm 0,1) \text{ кэВ}/2m$, $|C| = (10,3 \pm 0,2) \text{ кэВ}/2m$. Для Si $A = -(4,1 \pm 0,2) \text{ кэВ}/2m$, $|B| = (1,6 \pm 0,2) \text{ кэВ}/2m$, $|C| = (3,3 \pm 0,5) \text{ кэВ}/2m$. М. Д. 42498.

О термояонной эмиссии силикатных и алюмосиликатных монообменников. Панченко Г. М., Акишин П. А., Васильев Н. Н., Вести. Моск. ун-та, 1955, № 8, 3—15; Докл. АН СССР, 1955, 104, № 4, 571—574

В качестве эмиттера ионов для масс-спектрометрич. анализа в-в в твердой фазе использован алюмосиликат — монообменник состава $\text{Al}_2\text{O}_3 \cdot n\text{SiO}_2$ ($n = 1-8$), полученный по методу Г. М. Панченко и К. В. Топчиной (Вести. Моск. ун-та, 1946, № 2, 39), активированный р-ром HCl, прокаленный и насыщ. р-ром исследуемой соли. Для алюмосиликатов, насыщ. ионом $(\text{Li}^+)^2$, максимум эмиссии иона Li^+ наблюдается при $n = 4$, совпадает с максимумом каталитич. активности в различных р-циях. Прогрев этих алюмосиликатов в течение 50 час. при т-рах 300—1000° вызывает симбатное изменение эмиссионных свойств и каталитич. активности. Обнаружена связь между т-рой начала термояонной эмиссии и потенциалом ионизации элемента. С помощью разработанного эмиттера исследован изотопный состав элементов 1-й и 2-й групп и исследована эмиссия ионов элементов IV периода периодич. системы. Эмиссионными свойствами обладают также глины, силикагели, силикаты Mg и другие термостойкие ионообменники. Примеси некоторых в-в сильно влияют на эмиссию. Ч. М.

42499 **Фотогальванический эффект в кристаллах сульфида кадмия. Наджаков, Андрейчин** (Effet photo-voltaïque dans la sulfure de cadmium cristalline. Nadjakov G., Andreitchine R.), Докл. Болгар. АН, 1954, 7, № 2, 13—16 (франц.; рез. русс.)

Описан фотоэлемент, состоящий из кристалла CdS, с прижатыми к его концам электродами из металлов с различными работами выхода (напр., Zn и Cu). Направление фото-э. д. с. совпадает с направлением контактной разности потенциалов между электродами. Фото-э. д. с. растет с увеличением разности работ выхода материалов электродов, с увеличением интенсивности падающего света и с уменьшением его длины волны. Темновой ток составляет величину $10^{-9} - 10^{-10} \text{ а}$; фотоэлемент практически безинерционен. Ф. П.

42500. **Исследование магнетизма двумерного электронного газа. Пако, Маршан** (Étude du magnétisme d'un gaz d'électrons à deux dimensions. Pascault Adolphe, Marchand André), C. r. Acad. sci., 1955, 241, № 5, 489—491 (франц.)

Рассчитана диамагнитная восприимчивость χ электронного газа в плоской (двумерной) изотропной кристаллич. решетке. Полученная ф-ла дает χ как функцию т-ры. Этот результат позволяет интерпретировать эксперим. кривые температурной зависимости χ сажи и гра-

фита (РЖХим, 1956, 15453; Ganguli N., Krishnan K. S., Proc. Roy. Soc., 1941, A177, 168). χ сажи и графита представляется как сумма двух слагаемых: 1) не зависящей от т-ры предельной восприимчивости сажи, равной $-0,85 \cdot 10^{-6}$, соответствующей среднему диаметру кристаллитов графита, стремящемуся к нулю; 2) зависящей от т-ры анизотропной восприимчивости электронного газа. Теоретич. зависимость находится в удовлетворительном согласии с эксперим. кривыми. Л. С.

42501. **О магнитных свойствах электролитического хрома. Лингельбах** (Über das magnetische Verhalten von Elektrolytchrom. Lingelbach R.), Z. phys. Chem. (Frankfurt), 1955, 5, № 5—6, 273—283 (нем.)

Измерена магнитная восприимчивость χ образцов отожженного и неотожженного электролитич. Cr, а также Cr_2O_3 при т-рах 66—293°K. Результаты сравнены с данными измерений других авторов (McGuire T. R., Kriessman C. R., Phys. Rev., 1952, 85, 452; Söchtig H., Ann. Phys., 1940, 38, 97). По мнению автора полученные в указанных работах различные температурные зависимости при т-рах от комнатной до т-ры жидкого воздуха объясняются тем, что в первой работе измерения проводились на отожженных, а во второй — на неотожженных образцах (неотожженные образцы содержат значительные кол-ва водорода и кислорода; при отжиге водород удаляется, а кислород образует с хромом Cr_2O_3). Полученные данные расходятся с результатами прежних измерений (РЖХим, 1954, 26762). А. П.

42502. **Магнитная восприимчивость антимонида индия. Стивенс, Крофорд** (Magnetic susceptibility of indium antimonide. Stevens D. K., Crawford J. H., Jr), Phys. Rev., 1955, 99, № 2, 487—488 (англ.)

Измерена магнитная восприимчивость n - и p -InSb в интервале 65—650°K. Полученные результаты показывают, что ширина энергетич. щели при 0° K равна 0,262 эв, а эффективная масса электрона составляет 0,028 m_0 . Ш. К.

42503. **Электронная восприимчивость в некоторых сплавах. Адамс, Зиттер** (Electronic susceptibility in certain alloys. Adams E. N., II, Zitter R.), Phys. Rev., 1954, 96, № 6, 1705—1707 (англ.)

Измерения магнитной восприимчивости в системе MgCu_2 — MgZn_2 показали наличие двух максимумов в зависимости χ от конц-ии валентных электронов (РЖХим, 1955, 48397). В приближении почти свободных электронов χ складывается из восприимчивости $\chi_0 + \chi_1$, соответствующей приближению Пауэрса (Peierls R., Z. Phys., 1933, 80, 763), и добавки χ_2 , обязанной взаимодействию различных зон Бриллюэна (РЖХим, 1955, 28261). Расчет дает максимумы на кривой восприимчивости нужной высоты, когда поверхность Ферми касается одной из граней зон Бриллюэна, причем существенный вклад вносит составляющая χ_2 . Таким образом указанные измерения доказывают большую роль взаимодействия различных зон Бриллюэна в магнитной восприимчивости валентных электронов. К. Т.

42504. **Попытка интерпретации магнитных свойств полупрозрачных ромбоэдрических окислов титана, ванадия, хрома и железа (Ti_2O_3 , V_2O_3 , Cr_2O_3 и Fe_2O_3) при высоких температурах. Вучер** (Essai d'interprétation des propriétés magnétiques aux températures élevées des sesquioxides rhomboédriques de titane, vanadium, chrome et fer (Ti_2O_3 , V_2O_3 , Cr_2O_3 , et Fe_2O_3). Wucher Jules), C. r. Acad. sci., 1955, 241, № 3, 288—290 (франц.)

λ -Переход в полупрозрачных окислах рассматривается как переход от антиферромагнетизма кристаллич. решетки к антиферромагнетизму молекула, т. е. спариванию спи-

нов двух соседних магнитных ионов. Имеющиеся эксперим. данные (РЖХим, 1956, 12264; Foëx G., Wucher J., C. r. Acad. Sci., 1949, 229, 882; Wucher J., J. de Recherches du CNRS, 1952, № 21; Néel L., Ann. Phys., 1949, 4, 249; Guillaud C., J. phys. et radium 1951, 12, 341) хорошо согласуются с теоретич. кривыми зависимости $\chi_c T$ от T для определенных значений разности энергий параллельной и антипараллельной ориентации спинов (~ 1600 к для Ti_2O_3 , ~ 400 к для V_2O_5 и ~ 280 к для Cr_2O_3 и Fe_2O_3 , где κ — постоянная Больцмана). Исключение составляет Cr_2O_3 ниже 700° К.

В. Б.

42505. О существовании определяемой магнитным методом промежуточной фазы при осаждении из пересыщенных медно-хромовых смешанных кристаллов. Кнаппвост, Цейгер (Über die Existenz einer magnetisch faßbaren Zwischenphase bei der Ausscheidung aus übersättigten Kupfer-Chrom-Mischkristallen. Knappwost Adolf, Zeiger Hans), Naturwissenschaften, 1955, 42, № 10, 297 (нем.)

По методу, описанному ранее (Knappwost A., Z. phys. Chem., 1941, A188, 246), были определены магнитные восприимчивости χ образцов гетерог. сплавов и твердых т-р сплавов Cu и Cr с конц-ией Cr до 1 вес. %, отожженных в атмосфере H_2 и быстро охлажденных. В пределах области гомогенности χ твердых т-р сплавов Cu и Cr линейно возрастает с увеличением конц-ии Cr благодаря незначительному взаимодействию атомов Cr друг с другом. В гетерог. области χ не зависит от конц-ии. По точкам перегиба кривых зависимости χ от конц-ии Cr для различных образцов сплавов Cu и Cr, быстро охлажденных от разных т-р (изотермы охлаждения), можно определить кривую границы фаз на диаграмме состояния этих сплавов. Найденная таким образом кривая границы фаз достаточно хорошо совпадает с кривой, определенной другими методами. Отмечено, что при низких т-рах на изотермах охлаждения в гетерог. области при конц-иях Cr $\sim 0,3$ вес. % обнаруживаются неожиданные скачки, указывающие на быстрое увеличение χ . Авторы объясняют эти скачки χ тем, что при определенных условиях охлаждения и слабом пересыщении т-ра Cr осаждается в виде промежуточной слабомагнитной (антиферромагнитной) фазы.

А. П.

42506. Спиновый резонанс в металлах как функция эффекта Оверхаузера. Каплан (Spin resonance in metals as a function of the Overhauser effect. Kaplan J. G. et al., Phys. Rev., 1955, 99, № 4, 1322—1323 (англ.))

Рассматривается вопрос о влиянии эффекта Оверхаузера (РЖХим, 1955, 54444) на форму линии поглощения при электронном спиновом резонансе в металлах. Частоты, размеры которых малы, так что скин-эффектом можно пренебречь. Установлено, что если тангенс угла наклона касательной в точке перегиба кривой Лорентца, представляющей форму линии поглощения, больше единицы, то кривые зависимости энергии поглощения от напряженности постоянного магнитного поля H_0 , снятые соответственно при увеличении и уменьшении H_0 , не будут совпадать: вторая кривая окажется шире первой, причем расширение произойдет в сторону меньших значений H_0 .

Н. П.

42507. Кратный резонанс в феррите кобальта. Танпенуолд (Multiple resonances in cobalt ferrite. Tappenwald P. E.), Phys. Rev., 1955, 99, № 2, 463—464 (англ.)

Снимались кривые поглощения в феррите кобальта в зависимости от величины внешнего магнитного поля H при 90° К на частоте 23800 МГц. Если H находится в плоскости (110), то при некоторых ориентациях H наблюдаются не 1, а 2 резонансных пика. Найденны значения g -фактора ($2,7 \pm 0,3$) и крит. поля ($H_c = K_1/M =$

$= 2200 \pm 200$ эс, где K_1 — первая константа анизотропии, а M — начальная намагниченность).

Л. Ш.

42508. Ферромагнетизм сплавов благородных металлов с марганцем. Оттер, Фландер, Клохольм (Ferromagnetism in noble metal alloys containing manganese. Otter F. A., Jr., Flanders P. J., Klockholm E.), Phys. Rev., 1955, 99, № 2, 599—600 (англ.)

Температурная зависимость уд. сопротивления бинарных сплавов благородных металлов с Mn при содержании Mn > 8 ат. % отклоняется от линейной при низких т-рах. Измерение магнитных моментов образцов показало, что они ферромагнитны. На основании этого авторы предполагают, что все бинарные сплавы благородных металлов с Mn ферромагнитны при содержании Mn > 8 ат. %.

Л. С.

42509. К исключению ферромагнитной восприимчивости при магнетохимических исследованиях по методу цилиндра. Кнаппвост (Zur Ausschaltung der ferromagnetischen Suszeptibilität bei magnetochemischen Untersuchungen nach der Zylindermethode. Knappwost Adolf), Naturwissenschaften, 1955, 42, № 7, 175 (нем.)

Предложен графо-аналитический способ исключения влияния ферромагнитных примесей на результаты измерений восприимчивости пара- и диамагнитных в-в методом Гуи. Способ основан на использовании зависимости суммарной восприимчивости χ от напряженности магнитного поля H (Z. phys. Chem., 1941, A188, 246; 1942, 191, 261):

$$\chi = \chi_0 + 2I_0 q_1 / q H_{\text{макс}} - H_0 I_0 q_1 / q H_{\text{макс}}^2 \quad (1)$$

где χ_0 — восприимчивость пара- или диамагнитного в-ва, I_0 — спонтанная намагниченность ферромагнитной примеси, H_0 — напряженность поля насыщения, q_1/q — отношение поперечного сечения ферромагнитной примеси к поперечному сечению всего образца. Кривая $\chi = \chi(1/H_{\text{макс}})$, имеющая вид параболы, для получения $\chi = \chi_0$ путем экстраполяции ее к $1/H_{\text{макс}} = 0$ непригодна. Поэтому, чтобы получить удобную для экстраполяции прямую линию в координатах $\chi - 1/H_{\text{макс}}$, можно либо вычислять $H_0 = N I_0$ (N — размагничивающий фактор), либо назначить H_0 определенное значение, в то время как величину $I_0 q_1 / q$ можно найти по начальному наклону кривой (1). Зная $I_0 q_1 / q$, можно вычислять χ для двух значений $1/H_{\text{макс}}$, что даст две точки прямой, которую уже можно экстраполировать к $1/H_{\text{макс}} = 0$. Можно также с самого начала использовать координаты $\chi - 2H_{\text{макс}} - H_0 H_{\text{макс}}^2$, в которых соотношение (1) сразу выражается прямой линией. Если N и I_0 ферромагнитных примесей неизвестны, то автор предлагает использовать значение $H_0 = 3000$ э, которое, как он указывает, может быть использовано во всех случаях без существенных ошибок.

Н. П.

42510. Об аномальной асимметрии оптической индикатрисы апортклоза и санидина. Варданян (Об аномальной асимметрии оптической индикатрисы апортклоза и санидина. Варданян Л. А., Докл. АН АрмССР, 1953, 17, № 2, 51—53 (рез. арм.))

При оптич. исследовании калиево-натриевых полевых шпатов Кавказских изверженных пород обнаружена в ряде случаев асимметрия индикатрисы: угол осей N_x и N_y , а также осей N_m и N_p оказался равным $80-81^\circ$ (либо $99-100^\circ$), а не 90° . Хотя точные причины проявления указанной аномалии остаются пока не установленными, сам факт наличия таких явлений у апортклозов и санидинов заставляет, по мнению авторов, относиться с большей осторожностью к тем определе-

ниям моноклинности этих минералов, которые были основаны на непосредственном измерении положений только двух осей индикатрисы (N_p и N_m). Указывается, что при исследовании апортотазов и сангидинов на пятисом федоровском столике исключена возможность обнаружения такого рода аномалий. С. Б.

42511. Искривление мраморных плит. Штаусс (Krumm gewordene Marmorplatten. Stauss K.), Kolloid-Z., 1954, 139, № 3, 173 (нем.)

Сообщается о случаях изгиба со временем мраморных плит, что свидетельствует о наличии у мрамора реологич. свойств даже при обычном давлении и т-ре.

42512. К теории роста кристаллов. Салли Н. В., Ж. эксперим. и теор. физики, 1953, 25, № 2, 208—214

Производится расчет скорости роста изолированного центра кристаллизации в условиях изотермич. распада насыщ. р-ров или кристаллизации однокомпонентной системы. Исследование полученных ур-ний показывает: 1) скорость роста пропорциональна истинной величине переохлаждения (или пересыщения); последняя зависит от радиуса кривизны фронта кристаллизации, причем при увеличении радиуса кривизны эта величина возрастает; 2) кол-во в-ва, диффундирующего к фронту кристаллизации, зависит от величины «дворика кристаллизации», уменьшающейся с увеличением радиуса кристалла; 3) с увеличением расстояния от внутренней до внешней сферы «дворика кристаллизации» увеличивается толщина слоя, сквозь который диффундирует в-во. Изменение этих трех факторов приводит к образованию различных форм растущих кристаллов и к изменению кинетики роста. Л. И.

42513. О сцеплении между глиноземными цементами и схватываемыми материалами. Фарран (Sur l'adhérence entre ciments aluminés et matériaux enrobés. Farraan Jacques), C. r. Acad. sci., 1955, 240, № 11, 1235—1237 (франц.)

Микроскопически и рентгенографически последовательно изучен рост кристалликов $Al_2O_3 \cdot CaO \cdot 6-8 H_2O$ в тонком пограничном слое между цементом и схватываемым им материалом. Процесс развития кристалликов заканчивается лишь после длительного времени, вплоть до 6 месяцев. Причиной схватывания цементов считается эпитакс. сцепление кристалликов. М. Ш.

42514. Фигуры роста на кристаллах длинноцепочечных соединений. I. Амелинке (Growth features on crystals of long — chain compounds. I. Amelink S.), Acta crystallogr., 1955, 8, № 9, 530—537 (англ.)

Изучен ряд кристаллов n -карбоксильных к-т и n -спиртов и по фигурам роста для них установлена политика (предварительные сообщения см. РЖХим, 1954, 47790; 1955, 13538). Подробно рассматривается способ построения полярных диаграмм скоростей роста и выводы символа структур роста, представленных в виде переплетающихся спиралей. Приводятся примеры обнаруженных политипных форм. Обсуждается природа переплетающихся узоров роста. Н. Г.

42515. Спиральные кристаллы парафина. Яги (パラフィンの螺旋状結晶・八木 三郎), 科学, Кагаку, 1955, 23, № 8, 427 (япон.)

Произведено микроскопич. (фазово-контрастным методом) исследование кристаллов продажного парафина ARAMA. Наблюдалась спиральная структура со ступеньками высотой 2000 Å. Если принять длину каждой молекулы равной 30—40 Å, то в каждой ступеньке уложится 50—70 молекул. Л. Л.

42516. Волокнистый рост $NaClO_3$ на монокристалле. Като (Fibrous growth of $NaClO_3$ on single crystal. Kato Norio), J. Phys. Soc. Japan, 1955, 10, № 11, 1024—1025 (англ.)

На монокристаллах $NaClO_3$, ограниченных плоскостя-

ми {100} и помещенных из маточного р-ра влажными в эксикатор, вырастали волокна с осью \parallel [100] или [111]. Толщина волокон в первом случае 10—20 μ , во втором 1—5 μ ; длина 1—10 мм. Рентгеновское исследование показывает, что структура и ориентировка волокон такая же, как и в монокристалле. Автор считает, что рост волокон имеет место при их вершинах, но не при основаниях и что их росту способствует влажность поверхности кристалла. Н. Ш.

42517. Наблюдения игообразных кристаллов калия. Нейман, Дитмар (Beobachtungen an nadel-förmigen Kaliumkristallen. Neumann Kurt, Dittmar Werner), Naturwissenschaften, 1955, 42, № 18, 510 (нем.)

Описывается явление перестройки монокристаллов К примерно шарообразной формы, полученных в высоком вакууме при застывании переохлажд. жидких капелек на тонкой Ag-нити в атмосфере пересыщ. паров К. Наблюдался очень быстрый рост на этих кристаллах тонких игл диаметром несколько μ в виде призм с квадратным сечением и четырехгранной вершиной и с шестигульным сечением и трехгранной вершиной, образованных плоскостями (110), вытянутыми в направлениях [100] и [111]. Скорость роста превышает примерно в 150 раз скорость, обеспечиваемую за счет подвода материала из газовой фазы. Делается вывод относительно роста игл за счет материнского кристалла. Отмечается прекращение быстрого роста игообразных кристаллов по достижении ими длины 0,5—0,8 мм и последующее поглощение игл материнским кристаллом, причем в результате последнего вершина иглы занимает положение вершины соответствующего угла большого кристалла. К. Р.

42518. Зависимость форм природных кристаллов льда от метеорологических условий. Голд, Пауэр (Dependence of the forms of natural snow crystals on meteorological conditions. Gold L. W., Power B. A.), J. Meteorol., 1954, 11, № 1, 35—42 (англ.)

42519. Изучение роста, формы и структуры электроосажденных металлов. Вранглен (Studies on the growth, form and structure of electrodeposited metals. Wranglén Gösta), Svensk kem. tidskr., 1955, 67, № 10, 463—471 (англ.)

Сводка работ автора (Svensk kem. tidskr., 1949, 61, 100—113, 246—252; 1950, 62, 43—49; Trans. Roy. Inst., Stockholm, 1950, № 37; Acta Polytechnica, 1950, 69; РЖХим, 1954, 43624; 1956, 29674. В. Г.

42520 Д. Измерение пьезомоторных сил при 1500° в рентгенографическом исследовании в системах $FeO - Al_2O_3$ и $MgO - Al_2O_3$. Гофман (Messung der elektromotorischen Kräfte bei 1500°C und Röntgenuntersuchungen in den Systemen $FeO - Al_2O_3$ und $MgO - Al_2O_3$. Hoffmann Alfred. Diss., Math.-naturwiss. F., Bonn, 1954), Dtsch. Nationalbibliogr., 1955, B, № 19, 1368 (нем.)

42521 Д. Рентгенографическое исследование поверхностных слоев металлов при сухом трении. Комаров А. И. Автореф. дисс. канд. физ.-матем. н., Ленингр. гос. пед. ин-т, Л., 1955

42522 Д. Исследование структурных изменений при распаде пересыщенных твердых растворов никеля и алюминия и бериллия в меди методом аномального рассеяния рентгеновских лучей. Клещев Г. В. Автореф. дисс. канд. физ.-матем. н., Ленингр. гос. пед. ин-т, Л., 1956

42523 Д. К исследованию твердых источников ионов, применение для вторичной электронной эмиссии и для ионной эмиссионной микроскопии. Куше (Contribution à l'étude des sources solides ioniques, application à l'émission électronique secondaire et à la microscopie ionique par émission. Couchet

Georges. Thèse. Paris, Masson, 1954), Bibliogr. France, 1955, 144, № 20, 466 (франц.)

42524 Д. Квантовый выход фотоэффекта в кристаллах бромистого серебра. Егорова М. С. Автореф. дисс. канд. физ.-матем. н., Молотовск. ун-т, Молотов, 1956

42525 Д. О триболомлюминесценции. Гросс (Beiträge zur Tribolumineszenz. Gross Günther.— Diss. F. f. allg. Ingenieurwiss. T. U., Berlin, 1954), Dtsch. Nationalbibliogr., 1955, B, № 19, 1367 (нем.)

42526 Д. Влияние примеси сурьмы на самодиффузию серебра. Сондер (Effect of antimony impurity on self-diffusion of silver. Sonder Edward.— Univ. Illinois, 1955), Dissert. Abstrs, 1955, 15, № 5, 852—853 (англ.)

42527 Д. Затухание послесвечения $ZnS-Cu$ и $ZnS-Cu,Co$ фосфоров вблизи и в области температурного гашения. Гастинг Н. Л. Автореф. дисс. канд. физ.-матем. н., Томский ун-т, Томск, 1955

42528 Д. Влияние электрического поля на линейную скорость кристаллизации. Чесноков Л. П. Автореф. дисс. канд. физ.-матем. н., Одесск. ун-т, Одесса, 1955

42529 Д. Влияние электрических полей на фосфоры сульфида цинка. Нюдельман (Influence of electric fields on zinc sulfide phosphors. Nudelman A. Sol. Doct. diss., Univ. Maryland, 1955), Dissert. Abstrs, 1955, 15, № 6, 1090 (англ.)

См. также: Кристаллические структуры, рентгеногр., электроногр., нейтроногр. исслед. 42606, 42614, 42622, 42682, 42712, 42724, 42917, 42919, 42932, 42975, 42980, 43004, 43364, 43388, 43389, 43392, 43938, 44172, 45523, 13185Bx, 13267Bx, 13268Bx. Магнитный резонанс 42345, 42348, 42350. Фаз. превращения 42620, 42637, 42905, 43917. Спектры и др. оптич. св-ва кристаллов 42293, 42315, 42316, 42615, 42999, 43001, 43393. Рост кристаллов 42609, 42611, 42735, 42895, 42977, 42978, 42996, 43396, 43397, 43753, 43852, 45287, 45288, 45344. Природа хим. связи в кристаллах 42291, 42612. Приборы и оборудование 43609, 43619, 43622, 43632, 43633, 43635. Др. вопр. 42168, 42193, 42359, 42686, 42690, 42692, 42696, 42702, 42707, 42835, 42976, 43363, 43394, 43395, 43399, 43406, 43591, 45336, 45570

ЖИДКОСТИ И АМОРФНЫЕ ТЕЛА. ГАЗЫ

42530. Вероятность перехода при молекулярных столкновениях. Часть 1. Оценка интегралов возмущения. Коттрелл, Рим (Transition probability in molecular encounters. Part 1. The evaluation of perturbation integrals. Cottrell T. L., Ream N.), Trans. Faraday Soc., 1955, 51, № 2, 159—171 (англ.)

Расчет вероятности внутримолекулярных возбуждений при столкновениях проведен в два этапа: классически рассчитано движение молекул относительно их центра инерции и квантовомеханически — вероятность перехода R_{01} из одного состояния (0) в другое (1). Последняя учитывалась в первом приближении теории возмущений. Оценка интеграла возмущения дана для потенциалов Леннарда-Джонса с показателями 12-6 и 9-6 и Морзе. Колич. данные получены для CH_4 при возбуждении колебаний 1306 см^{-1} . Приводятся графики зависимости логарифма интеграла возмущений от относительной скорости молекул. В. Ц.

42531. Виральные коэффициенты и модели молекул газов. В. Кихара (Virial coefficients and models of molecules in gases. B. Kihara Taro), Revs Mod. Phys., 1955, 27, № 4, Part I., 412—423 (англ.)

Обзор. Изложены следующие вопросы: второй виральный коэфф. (ВК) гелия («параметр глубины», кванто-

вомеханич. выражение для второго ВК, низкотемпературное разложение второго ВК, второй ВК для модели прямоугольного потенциального ящика, высокотемпературное разложение второго ВК, второй ВК для потенциала Леннарда-Джонса), третий ВК гелия (высокотемпературное разложение, модель Леннарда-Джонса, неаддитивность межмолекулярного потенциала), ВК смесей (изотопы гелия, модель твердых шариков, третий ВК бинарных смесей). Библ. 19 назв. Часть А, РЖХим, 1955, 36821. В. Ц.

42532. Исследование структурных жидкостей по температурной зависимости диэлектрической проницаемости. Эме (Die Temperaturabhängigkeit der Dielektrizitätskonstanten als Mittel zur Strukturuntersuchung von Flüssigkeiten. Ohme F.), Chem. Technik, 1954, 6, № 9, 503 (нем.)

Исследуются связь между изменением диэлектрич. проницаемости в зависимости от t -ры $\Delta\epsilon = \epsilon_{20} - \epsilon_{50}$ и дипольным моментом μ в области частот, где дисперсия отсутствует. Результаты представляются диаграммой $\Delta\epsilon/\mu$, при этом μ подсчитывается по теории Онзагера. Из сопоставления измеренного значения $\Delta\epsilon$ и диаграммы $\Delta\epsilon/\mu$ устанавливается, что для слабоассоциированных и неассоциированных жидкостей получается одинаковое значение μ по теории Дебая и Онзагера, тогда как для сильноассоциированных в-в и соединений, содержащих вращающиеся друг относительно друга полярные группы, обнаруживается большое расхождение. Для слабоассоциированных и неассоциированных жидкостей при отсутствии дисперсии дается эмпирич. выражение $\mu = \Delta\epsilon/(0,26 - 0,20 \Delta\epsilon)$, позволяющее определить дипольный момент из измерений ϵ . М. Ч.

42533. Метод экстраполяции данных уравнения состояния к высоким температурам. Стрелов (Method of extrapolating equation-of-state data to higher temperatures. Strehlow Roger A.), J. Chem. Phys., 1955, 23, № 8, 1562 (англ.)

Предложен метод экстраполяции $P-V-T$ -данных в область высоких давлений (до 2500 атм) и, одновременно, высоких t -р (до 2000° K). Метод основан на графике экстраполяции кривой зависимости величины $Z = pV/RT$ от $1/T$ при постоянном давлении. Пределы, случаю, когда T стремится к бесконечности соответствует $Z = 1$ (ид. газ). При экстраполяции использовались также виральное разложение $Z = 1 + B/V + C/V^2$. Значение виральных коэфф. взяты из другой работы (Hirschfelder, Curtis, Bird, Molecular Theory of Gases, New York, 1954). Экстраполяция законна только для таких t -р, при которых еще нет заметной диссоциации или ионизации. Экстраполяция была практически проведена для Ar , N_2 и CO_2 . Полученные данные хорошо смыкаются с низкотемпературными эксперим. значениями во всех случаях за исключением CO_2 при высоких давлениях. В последнем случае имеется существенное отклонение от ожидаемых значений, вызванное, по-видимому, неприменимостью теории Хиршфельдера к неферрич. молекулам CO_2 . Максим. возможная ошибка метода, при условии правильности теории, для Ar и $N_2 \sim 1\%$ в значении Z . Ошибка, происходящая от возможного несоответствия действительности модели Леннарда-Джонса, не оценивается. Н. В.

42534. Потенциальная энергия молекулы в жидкости. Джирифалко (Potential energy of a molecule in a liquid. Girifalco L. A.), J. Chem. Phys., 1955, 23, № 9, 1728 (англ.)

Предложен метод нахождения потенциальной энергии молекул в жидкости, который независимо от ячеечной модели дает возможность представить полную потенциальную энергию в виде суммы N идентичных членов. Потенциальная энергия молекулы, находящейся на расстоянии r от своего среднего положения, может быть выражена с помощью межмолекулярной

потенциальной энергии, предел распределения молекул, положение, жидкое, по величине, между, dR с, рассто, Полно, предс, чение

$(KT)^{-2}$ найде, 42535, стел, сти, пар, фат, ны, X а, (а, 級, 點, 雜誌, Рун, (ап, Пре, + [T, + [T, = T, число, да, па, же, дл, то, же, насы, тана, тило, четк, 42536, зоо, мо, I v, K, 181, На, данн, (РЖ, коле, тодом, что, 2, выпол, ных, даже, ка/м, для, нами, Прив, нени, чени

42537, вел, Ж,

4 х

потенциальной функции ϵ и радиальной функции распределения $\rho(r)$. Использование радиальной функции распределения позволяет учесть взаимодействие одной молекулы жидкости с остальными без каких-либо предположений о координационном числе. Полная потенциальная энергия взаимодействия одной молекулы жидкости с остальными, полученная интегрированием по всему объему выражения для энергии взаимодействия между молекулами сферич. слоя радиуса R , толщины dR с молекулой в центре сферы, является функцией расстояния молекулы от ее среднего положения $\phi = \phi(r)$. Полная потенциальная энергия жидкости может быть представлена в виде суммы N членов, что дает значение для статистич. интеграла: $Z = [4\pi \int_0^\infty \exp(-\phi(r)) / (kT)^3 r^2 dr]^N$. Таким образом при известных ϵ и ρ могут быть найдены термодинамич. функции жидкости. Н. В.

42535. Правило определения точки кипения жидкостей. I. Соотношение между точкой кипения жидкости и её молекулярной структурой для углеводородов парафинового ряда, насыщенных одноосновных алифатических спиртов, первичных аминов и насыщенных одноосновных жирных кислот. Коцука, Хамамура (液体の沸點に關する法則について. (第1報). パラフィン系炭化水素, 飽和1価アルコール, 第1級アミン, および飽和一価基性脂肪酸の分子および沸點の關連について. 小塚多吉, 浜村保次, 日本化學雜誌, Нихон катэку дзасси, J. Chem. Soc. Japan. Pure Chem. Sec., 1955, 76, № 11, 1275—1278 (япон.)

Предложены следующие ур-ния: $T_n(-OH) = T_n + [T(-OH) - T]/[1 + 0,32(n-1)]$, $T_n(-NH_2) = T_n + [T(-NH_2) - T]/[1 + 0,32(n-1)]$, $T_n(-COOH) = T_n + [T(-COOH) - T]/[1 + 0,2(n-1)]$. Здесь n — число молекул углерода, T_n — точка кип. углеводорода парафинового ряда при данном n , $T_n(-OH)$ — то же для насыщ. основного алифатич. спирта, $T_n(-NH_2)$ — то же для первичного амина, $T_n(-COOH)$ — то же для насыщ. одноосновной жидкой к-ты, T — т-ра кип. метана, $T(-OH)$ — метилового спирта, $T(-NH_2)$ — метилового амина, $T(-COOH)$ — муравьиной к-ты. Расчетные данные согласуются с наблюдаемыми. Л. Л.

42536. Термодинамические свойства идеального газозобразного метанола. Айваши, Пизер (Thermodynamic properties of ideal gaseous methanol. Ivash E. V., Li James C. M., Pitzer Kenneth S.), J. Chem. Phys., 1955, 23, № 10, 1814—1818 (англ.)

На основе полученных из новейших спектроскопич. данных значений молекулярных параметров CH_3OH (РЖХим. 1955, 7021) вычислена энергия крутильных колебаний молекулы CH_3OH для нижних 4 уровней методом приближения непрерывными дробями; найдено, что 2-е приближение теории возмущений также дает вполне удовлетворительные результаты. Влияние ядерных спинов не учитывалось; подсчетом показано, что даже при 50° К оно меняет C_p не более чем на 0,01 кал./моль град. Полученные значения использованы для расчета вклада внутренних вращений в термодинамич. функции F/T , H , S и C_p для т-р от 100 до 1000° К. Приводится таблица термодинамич. функций. Сравнение с имеющимися для ряда т-р эксперим. значениями обнаруживает удовлетворительное согласие. В. У.

42537. К теории вязкости и пластичности аморфных веществ и дисперсных систем. Бартенов Г. М., Ж. физ. химии, 1955, 29, № 11, 2007—2017

Из молекулярно-кинетических представлений о тепловом движении в аморфных телах и дисперсных системах для установившегося ламинарного течения получены более точные, чем предложенные ранее, ф-лы текучести (законы течения) и вязкости, учитывающие влияние напряжений и описывающие как жидкое (вязкотекучее), так и твердое (пластическое) состояния аморфных в-в. Для дисперсных систем (тиксотропных) ф-лы верны лишь качественно. При малых тангенциальных напряжениях закон течения переходит в ньютоновский, а ф-ла вязкости — в ф-лу Френкеля, по с иным значением предэкспоненциального множителя. В связи с условностью понятий вязкотекучего(жидкого) и пластич. (твердого) состояния аморфных в-в и дисперсных систем переход от одного состояния к другому характеризуется условной т-рой, зависящей от выбора масштаба измерений и не зависящей (в отличие от т-ры стеклования) от временного режима испытания, так как рассматриваются установившиеся процессы течения. Условная т-ра перехода для различных в-в характеризуется одинаковым временем «оседлой жизни», но неодинаковым значением вязкости, в отличие от т-ры хрупкости, которой соответствует всегда одинаковое значение вязкости $\sim 10^{13}$ пуаз. Разность между условной т-рой перехода и т-рой хрупкости определяет ширину интервала пластичности: чем больше размеры частиц в-ва или дисперсной системы, тем шире интервал пластичности. Для силикатных стекол он узок, а для дисперсных систем широк. Дана трактовка реологии кривой тиксотропных систем (РЖХим. 1955, 31375; Ребиндер П. А., тр. Ин-та физ. химии АН СССР, 1950, вып. 1,5; Коллоид. ж., 1946, 8, 157).

В. Ц. 42538. Основные проблемы вискозиметрии не-ньютоновских жидкостей. Меррилл (Basic problems in the viscometry of non-newtonian fluids. Merrill Edward W.), ISA Journal, 1955, 2, № 10, 462—465, 466 (англ.)

Обзор. Библ. 9 назв.

В. Ц. 42539. Некоторые свойства некоторых вязкоупругих жидкостей. Пилпел (Some properties of certain viscoelastic liquids. Pilpel N.), Trans. Faraday Soc., 1955, 51, № 9, 1307—1310 (англ.)

Вязкость р-ров олеата К в воде, лаурата А1 в бензине и полиметилметакрилата в толуоле измерялась в капиллярном вискозиметре при различных давлениях. Упругие свойства изучались при тех же скоростях сдвига в реонометре по способу, описанному ранее (РЖХим. 1956, 3588). Для всех изученных р-ров с увеличением скорости сдвига растут тангенциальное давление и «модуль жесткости», а время релаксации падает. Это свидетельствует об аналогичной природе механич. свойств указанных систем, связанной сетчатой структурой. Развиваются представления о функции распределения продолжительности существования контакта и связи ее с упругими параметрами. Б. Ш.

42540. Диэлектрические свойства жидких этилового и изо-пропилового спиртов. Хассьон, Кола (Dielectric properties of liquid ethanol and 2-propanol. Hassion F. X., Cole R. H.), J. Chem. Phys., 1955, 23, № 10, 1756—1761 (англ.)

В продолжение работы, посвященной н-пропиловому спирту и гликолям (Cole R. H., Davidson D. W., J. Chem. Phys., 1952, 20, 1389), измерения в интервале т-ры от комнатной до -160° диэлектрич. постоянная ϵ_0 и диэлектрич. потеря чистых этилового (I) и изо-пропилового (II) спиртов, а также I и II содержащих небольшие кол-ва воды для облегчения переохлаждения. Равновесные (для статич. поля) значения ϵ_0 описываются эмпирич. ф-лой $\epsilon_0 = A + B/T$, где $A = 18,60$; $21,53$ и $B \cdot 10^3 = 12,80$; $12,20$ для I и II соответственно; для 99 и 95,6%-ных I и 99%-ного II эти константы несколько больше. Низкочастотная дисперсия отнесена

за счет переориентации моментов групп ОН благодаря разрыву межмолекулярной водородной связи с последующим образованием водородной связи с кислородом другой молекулы, высокочастотная — за счет переориентации моментов групп О — R при перемещении водородной связи. Высокочастотная дисперсия более отчетлива, поскольку ее механизм не включает непосредственно участия второй молекулы. В. У.

42541. Второй звук в смесях He^3 — He^4 ниже 1°K . Кинг, Фербанк (Second sound in He^3 — He^4 mixtures below 1°K . King J. C., Fairbank H. G., Phys. Rev., 1954, 93, № 1, 21—27 См. РЖХим, 1955, 33990).

42542. Свойства явлений переноса в газообразных углеводородах. Ламберт, Коттон, Пейлторп, Робинсон Скривинс, Вейл, Янг (Transport properties of gaseous hydrocarbons. Lambert J. D., Cotton K. J., Pailthorpe M. W., Robinson A. M., Scrivins J., Vale W. R. F., Young R. W.), Proc. Roy. Soc., 1955, A231, № 1185, 280—290 (англ.).

На аппаратуре, описанной ранее (РЖХим, 1956, 35250; Gaven P. M., Lambert J. D., Proc. Roy. Soc., 1951, A 205, 439), измерены в г/сек см следующие величины вязкостей η газов (в скобках указаны в соответствующей последовательности интервалы t -р в $^\circ \text{C}$, в которых производились измерения): метана 112,2—123,8 (35,0—77,2), этана 96,1—109,6 (35,0—78,0), *цис*-2-бутена 85,4—92,9 (50,0—78,0), 1,3-бутадиена 89,2—99,8 (35,0—78,6), изопентана 78,8—84,7 (50,0—78,0) *нео*-пентана 78,8—84,1 (50,0—78,0), *нео*-гексана 76,0—83,6 (50,0—78,0), *н*-гексана 71,4—77,5 (50,0—78,0) этилена 105,9—125,1 (35,0—91,2), пропана 86,2—101,4 (35,0—90,6), пропилена 96,2—108,0 (35,0—90,8), циклопропана 92,1—104,5 (35,0—78,0), изобутана 80,9—93,6 (35,0—90,2), *транс*-2-бутена 84,2—91,6 (50,0—78,0), *н*-пентана 77,1—85,9 (35,0—90,2), циклопентана 81,4—92,1 (50,0—90,2), *н*-гептана 71,2—75,9 (65,0—90,8), 2,4-диметилпентана 75,1—80,7 (69,8—98,7), *н*-октана 73,0—74,1 (90,2—100,2), 2,2,4-триметилпентана 75,8—78,7 (81,8—98,8), *н*-бутана 80,3—94,2 (35,0—90,4).

Измерения производились с интервалами от 15 до $2,5^\circ$. Измерение теплопроводности (метод: Lambert J. D. и др. Proc. Roy. Soc., 1950, A200, 262) дало для коэфф. теплопроводности k перечисленных в-в (кал/см сек град) 10^6 значения, заключенные между 63,7 (этан) и 3,5 (цикло-пентан), за исключением метана (95,4). В результате теоретич. обсуждения наблюдений показано, что газы со свободной гнущимися молекулами имеют более низкую величину отношения k/η , чем газы с молекулами другого вида. Предполагается, что это связано с особым видом столкновений, при которых происходит «запутывание» молекул. Обсуждается соотношение между трансляционной, колебательной и вращательной частями теплоемкости. Для каждого из перечисленных газов приведены значения констант в ф-лах, выражающих связь этих составляющих теплоемкости с полной. В. Ц.

42543. Теплопроводность жидкого и газообразного кислорода. Зибланд, Бертон (The thermal conductivity of liquid and gaseous oxygen. Ziebland H., Burton J. T. A.), Brit. J. Appl. Phys., 1955, 6, № 12, 416—420 (англ.).

Методом вертикальных коаксиальных цилиндров (Sellschopp W., Forschg. Ing. Wes., 1934, 5, 162) измерена теплопроводность кислорода в интервале давл. 1—130 атм и t -р 80—200° К. Результаты представлены таблицей и графиками. В. Ц.

42544. Дисперсия ультразвука в парах галоидопримесных этилена. Фогг, Ламберт (Ultrasonic dispersion in halo-ethylene vapours. Fogg P. G. T., Lambert J. D.), Proc. Roy. Soc.,

1955, A232, № 1191, 537—542, Discuss. 542—547 (англ.).

Экспериментально определены скорости и коэфф. поглощения μ ультразвука (частота f) при 100° в винилиден-фториде, -хлориде, -бромиде, -иодиде; винилиден-фториде, *цис*- и *транс*-дихлорэтилене, трихлорэтилене и тетрафторэтилене при разных давлениях p . С поправкой, учитывающей отклонения от идеальности, вычислены молекулярные теплоемкости C_p при разных значениях f/p . Графики $C_p - \phi(\lg f/p)$ и $\mu - \phi_1(\lg f/p)$ свидетельствуют о наличии дисперсии. В изученном интервале значений f/p от 100 Kcycm^{-1} до 15 Mcycm^{-1} результаты для всех исследованных в-в могут быть объяснены релаксационными явлениями с учетом в каждом случае только одного времени релаксации β , а дисперсионные явления — задержкой возбуждения всех колебательных состояний молекулы. Определены величины $\beta \sim 10^{-8}$ сек. и вычислены числа соударений Z_{10} , необходимые для потери молекулой колебательного кванта. Как показывает опыт, величина Z_{10} связана с частотой низшего колебательного состояния молекулы $\nu_{\text{мин}}$ ф-лой $Z_{10} = \exp(X \nu_{\text{мин}})$, в которой X — константа. При этом метил- и винил- галоиды образуют I класс, характеризующийся меньшим значением X , а другие галоидометаны и галоидоэтилены II класс с большим значением X (исключения: метил- и винилиден-фториды, входящие в I класс и *транс*-дихлорэтилен, занимающий промежуточное положение). К I классу, за некоторым исключением, относятся молекулы, у которых низшие колебательные частоты активны в ИК-области спектра; в этом случае $X = 0,0084$, остальные в-ва относятся ко II классу, для которого $X = 0,0175$. Таким образом, вероятность возбуждения колебательного состояния молекул II класса меньше, чем молекул I класса. Приводятся данные о вторых вириальных коэфф. всех исследованных соединений. Б. К.

42545. Поглощение ультразвуковых волн в некоторых органических жидкостях в зависимости от температуры по линии насыщения. Леднева Т. М., Вестн. Моск. ун-та, 1955, № 10, 71—80

Описанным ранее методом (Леднева Т. М. Диссертация, МГУ, 1953) со средней квадратичной ошибкой 5% измерены по линии насыщения коэфф. поглощения α ультразвука на различных частотах ν в зависимости от t -ры изопентана ($\nu = 6,7 \text{ Mcycm}^{-1}$, 16—160°), *н*-гексана ($\nu = 8,53 \text{ Mcycm}^{-1}$, 20—80°, $\nu = 8,5 \text{ Mcycm}^{-1}$ и $6,61 \text{ Mcycm}^{-1}$, 80—188°), *н*-гептана ($\nu = 8,5 \text{ Mcycm}^{-1}$, 18—100°, $\nu = 6,55 \text{ Mcycm}^{-1}$, 100—219°), *н*-октана ($\nu = 10,42 \text{ Mcycm}^{-1}$, 18—102°, $\nu = 8,45 \text{ Mcycm}^{-1}$, 102—155°, $\nu = 6,5 \text{ Mcycm}^{-1}$, 155—240°), толуола ($\nu = 6,6 \text{ Mcycm}^{-1}$, 16—220°), метилового спирта (14,21—6,59 Mcycm^{-1} , 30—201°) и пропилового спирта (6,55—8,59 Mcycm^{-1} , 23—228°). Кривые зависимости α/ν^2 от t -ры, построенные по эксперим. точкам, для всех исследованных в-в, за исключением толуола, лежат выше соответствующих кривых, построенных по классич. теории так, что последние даже качественно не всегда удовлетворительно описывают явления. В спиртах наряду с отрицательным температурным коэфф. поглощения наблюдается также и положительный. В. Ц.

42546. Стекло из двуокиси германия и фосфора. Додли (Germanium oxide-titanium phosphate glass. Dudley H. C.), Science, 1954, 119, № 3093, 478—479 (англ.).

Сплавление GeO_2 с $\text{Ti}_2(\text{PO}_4)_3$ приводит к образованию стеклообразного сплава. При увеличении содержания Ti растворимость заметно понижается, так что сплавление 50% GeO_2 и 50% $\text{Ti}_2(\text{PO}_4)_3$ дает устойчивое стекло, не растворимое в воде. Приведен рецепт приготовления $\text{Ti}_2(\text{PO}_4)_3$ и его сплава с GeO_2 . Изучена оптич. прозрачность образца стекла 50% GeO_2 , 50% $\text{Ti}_2(\text{PO}_4)_3$. Установлено, что в области 0,5—0,7 μ пропускание $\sim 80\%$.

Указ
терия
42547
лен
тео
про
риа
за
вод
М
и
157
I,
пове
терис
вален
номер
ским
тов
конц
[В-О
влия
поля
ходит
Это с
ларн
того,
струн
твон
получ
ларн
теле.
мини
в бор
метал
движ
ангид
стекл
де по
что по
литич
ности
поним
дам
II.
катио
сдела
ларн
свобод
деле
моля
и лаб
рени
среде
В ста
прово
X (и
катио
энтро
вом с
S в р
ни д
экспо
Рассм
ошпен
ний к
бильн
экспе
III
менем

Указано на возможность применения описанного материала в ИК-спектроскопии. Д. Б.

42547. Электропроводность твердых ионно-атомовалентных веществ. I. Введение. II. Экспериментально-теоретические выражения для молярной электропроводности боросиликатов. III. К вопросу о поляризации во внешнем поле. IV. К вопросу о поляризационно-электрических явлениях. V. Электропроводность боросиликатов в стабильном состоянии. Мюллер Р. Л., Ж. техн. физики, 1955, 25, № 2, 236—245, 246—255; № 9, 1556—1566, 1567—1574, № 11, 1868—1877

I. Качественно рассмотрены особенности электрохим. поведения боросиликатов. Дана общая физ.-хим. характеристика электропроводности σ твердых ионно-атомовалентных в-в (ИАВ). Указано, что электрохим. закономерности ИАВ определяются их структурно-химическими и кинетич. особенностями. Для силикатов и боратов σ определяется колич. соотношением и объемной конц-ей неполярных $[\text{BO}_{1/2}]$, $[\text{SiO}_{1/2}]$ и полярных $[\text{B-O}_{1/2}\text{M}^+]$, $[\text{SiO}_{1/2}\text{O-M}^+]$ структурных элементов. Под влиянием внешнего или локального ионного электр. поля внутри полярных структурных элементов происходит относительно смещение одновалентных катионов. Это смещение автор считает подобным ориентации полярных молекул в ионно-молекулярных р-рах. За счет того, что диссоциированный катион в среде полярных структурных элементов, содержащих одновалентные катионы, находится под влиянием окружающей среды, получается эффект, аналогичный автосольватации полярными молекулами электролита в неполярном р-теле. Эффектом автосольватации объясняется наличие минимума в концентрационной зависимости молярной σ в боросиликатах, содержащих окислы одновалентных металлов. При малой их конц-ии σ стекол определяется движением диссоциированных катионов в неполярной ангидридной среде. В случае больших конц-ий σ в щел. стеклах обуславливается перемещением вакансий в среде полярных структурных элементов. Подчеркивается, что по электрохим. свойствам (слабая степень электролитич. диссоциации при сравнительно хорошей подвижности диссоциированных катионов) ИАВ отличаются от ионных р-ров в полярных р-телях и близки к твердым ионным кристаллам. К. В.

II. На основании весьма сильной зависимости чисто катионной σ боросиликатных стекол от т-ры и состава сделан вывод о слабой электролитич. диссоциации полярных структурных элементов $[\text{B-O}_{1/2}\text{M}^+]$ с высокой свободной энергией диссоциации $\Delta\Phi$, которая и определяет величину σ . Выведены теоретич. уравнения для молярной σ борных и силикатных стекол в стабильном и лабильном (в крит. области т-р) состояниях. Рассмотрены случаи движения диссоциированных катионов в среде неполярных и полярных структурных элементов. В стабильном состоянии энергетич. величина электропроводности $\Psi = \Delta\Phi + 2E_a$ (в ур-нии $\sigma = A \exp \times X (-\Psi/2RT)$, где E_a — энергия активации смещения катиона, не зависит от т-ры вследствие постоянства энтропии S при электролитич. диссоциации. В лабильном состоянии диссоциация сопровождается изменением S в результате локальных изменений структуры. В ур-нии для температурной зависимости σ S входит в предэкспоненциальный член и $\Delta\Phi$ становится функцией т-ры. Рассмотрены эксперим.-теоретич. соотношения, позволяющие производить колич. проверку теоретич. выражений и определять S электролитич. диссоциации в лабильном состоянии. Даны ф-лы для определения Ψ из эксперим. данных. А. Х.

III. Анализируются причины спада тока со временем у боросиликатов и обсуждается вопрос об ано-

мально повышенной поляризации диэлектриков со структурой рутила и перовскита, принадлежащих, как и боросиликаты, к ионно-атомовалентным системам. Аномалии связываются с ориентацией полярных ионно-атомных комплексов $[\text{TiO}]^{2+}$ и $[\text{TiO}_2]^{2-}$, которые создаются за счет термич. колебаний ионов Ti^{4+} и O^{2-} .

IV. Показано, что физически наиболее строго обоснованной величиной σ , однозначно характеризующей боросиликаты данного хим. состава, является стационарная σ , определяемая с помощью обратимых активных электродов в условиях отсутствия приэлектродной концентрации поляризации. Поправка на снижение внешнего поля поляризационными явлениями мало влияет на выражение молекулярной σ . Приближенные расчеты $\Delta\Phi$ у стеклообразных боратов щел. металлов в неполярной и в полярной средах указывают на снижающее действие автосольватационного эффекта на $\Delta\Phi$. В. Г.

V. На основе анализа литературных эксперим. данных по σ стеклообразных боросиликатов при т-рах ниже крит. области показана правильность вычисленных значений статистич. предэкспоненциального члена в теоретич. ур-нии молярной σ боросиликатов (сообщение II). Для стабильных боросиликатов обоснована энергич. природа температурного коэфф. A в эмпирич. ур-нии $\ln \sigma = -A/T + B$ и вычисление его с помощью энергетич. величины $\psi = 2AR$. Высказаны соображения в пользу перехода проводимости неполярной составной части боросиликатов в проводимость полярной структуры вблизи отношения содержания неполярных структурных элементов к полярным, равного ~ 6 . Эксперим. подтверждение теоретич. ур-ния для σ свидетельствует о правильности положенного в основу последнего допущения термодинамически равновесной электролитич. диссоциации полярных структурных элементов. Одновременно независимость ψ , а вместе с ней и $\Delta\Phi$ от т-ры доказывают отсутствие изменения S системы при диссоциации. Этим подтверждается замороженность термодинамически неравновесной атомовалентной системы боросиликатов ниже крит. области т-р и отсутствие у них при электролитич. диссоциации локальных структурных изменений. В. Ц.

42548 Д. Определение структуры жидкого гелия с помощью рентгеновского рассеяния. Гордон (The determination of the structure of liquid helium by X-ray scattering. Gordon William Livingston. Doct. diss., Ohio State Univ., 1954), Disert. Abstrs. 1955, 15, № 6, 1087 (англ.)

42549 Д. Вязкость сжиженных газов при постоянной плотности их. Жданова Н. Ф. Автореф. дисс. канд. физ.-матем. н., Харьковск. ун-т. Харьков, 1956

См. также: Термодинамика 42569, 42572, 42617. Межмолек. взаимодействие 42352—42355, 42357, 42359, 42364, 42368. Др. вопр. 42166, 42213

ОБЩИЕ ВОПРОСЫ ХИМИИ ИЗОТОПОВ

42550. Атомный реактор и молекулы, меченные изотопами. Нырек (Reaktor atomowy a cząsteczki izotopowo znakowane. Nyrek Stefan), Wojskowy przegl. weteryn., 1955, 26, № 4, 14—26 (польск.)

Обзор методов получения изотопных индикаторов и областей их применения. Б. К.

42551. Получение радиоизотопов. Атен, Халберштадт (Die Erzeugung von Radioisotopen. Aten A. H. W., Jr., Halberstadt J.),

Philips' techn. Rundschau, 1954, 15, № 12, 357—369 (нем.)

Обзор. Л. Ш.

42552. Разделение ядерных изомеров. Криво-хатский А. С., Успехи химии, 1955, 24, № 3, 302—312

Обзор. Приведена таблица ядерных изомеров. Библ. 88 назв. Л. Ш.

42553. Очистка радиоактивных изотопов, отделение и получение радиоактивных изотопов без носителей. Кимура, Икэда (放射同位元素の精製, 分離及び無擔體放射性同位元素の調製. 木村健二郎, 池田長生), 化学の領域, Караку-но рэнки, J. Japan Chem., 1954, 8, № 9, 1—9 (япон.)

Обзор. Библ. 56 назв. Л. Ш.

42554. Получение меченого C^{14} бензола из его клатратного соединения с моноаммиаком цианида никеля, облученного нейтронами. Вулф, Редванли, Андерсон (Benzene- ^{14}C , from the neutron irradiation of the clathrate with ammoniacal nickel cyanide. Wolf Alfred P., Redvanly Carol S., Anderson R. Christian), Nature, 1955, 176, № 4487, 831—832 (англ.)

После облучения нейтронами клатратного соединения (КС) бензола (I) с моноаммиаком цианида Ni (РЖХим, 1955, 48438) КС было разложено, I выделен и очищен фракционной перегонкой. Из полученного меченого I была приготовлена ортобензоилбензойная к-та, а из последней — антрахинон. Приведены данные по уд. активности C^{14} в I и в КС после тщательной очистки. Выход C^{14} в виде I соответствует 1,44%, от всего полученного C^{14} . В. Л.

42555. Химические формы, в которых существует C^{14} , образующийся при нейтронном облучении в реакторе бромид аммония; мишень растворяется в воде. Янквич, Вон (Chemical forms assumed by C^{14} produced by pile neutron irradiation of ammonium bromide: Target dissolved in water. Yankwich Peter E., Vaughan J. D.), J. Amer. Chem. Soc., 1954, 76, № 22, 5851—5853 (англ.)

Произведен радиохим. анализ водн. р-ра, приготовленного из кристаллов NH_4Br , облученных в реакторе (10^{12} нейтронов на $1\text{ см}^2\text{сек}$) в течение 1172 час. Распределение активности C^{14} (в %): CH_3NH_2 79,1; CH_4 7,5; $HCHO$ 5,8; HCN 2,0; CH_3Br 1,8; CO_2 1,7; $HCOOH$ 1,3; CO 1,3; CH_3OH 0,4; $CO(NH_2)_2$ 0,4. В. Л.

42556. Стандартизация радиоактивности Национальным бюро стандартов (NBS Radioactivity Standards), Techn. News Bull. Nat. Standards, 1954, 38, № 5, 72—77 (англ.)

Деятельность Национального бюро стандартов (НБС) США в области стандартизации радиоактивности осуществляется в 6 лабораториях: γ -излучения, радоновой, стандартизации радиоизотопов, ядерной спектроскопии, измерения α -излучения и радиохимии. Производятся измерения интенсивности Ra- и Co-источников γ -излучения и калибровка приборов. НБС поставляет стандартные образцы (СО), приготовленные из Ra, а также из U- и Th-минералов с известным содержанием Ra, $CO\text{ }P^{32}$, I^{131} , C^{14} , H^3 , Na^{22} , Co^{60} , Sr^{90}/Y^{90} , Ti^{204} , Au^{198} , $CO\text{ }\beta$ -излучения Ra(D+E), $CO\text{ }\alpha$ -излучения Ra(D+E+F) (PO^{210}) и U_3O_8 . В. Л.

42557. Определение содержания мезотория в нитрате тория. Аллисон, Мур, Ричардсон, Питерсон, Войт (Determining mesothorium content of thorium nitrate. Allison M., Moore R. W., Richardson A. E., Peterson D. T., Voigt A. F.), Nucleonics, 1954, 12, № 5, 32—34 (англ.)

Предложен метод определения $MsTh_1$ (Ra^{226}) в Th, основанный на выделении дочернего продукта $MsTh_2$ (Ac^{228}) и измерении его активности. Из исходной пробы

извлекают Th экстракцией теноилтрифтороацетоном (I) при pH 2 (Hagemann F., J. Amer. Chem. Soc., 1950, 172, 768) в присутствии носителей La и Pb. Из продуктов распада Th, оставшихся в водн. фазе, извлекают La, Ac и Pb экстракцией I при pH 6. Затем Pb отделяют в виде сульфида, а La и Ac осаждают в виде оксалатов и измеряют активность осадка. Ошибка определения Ra^{226} не превышает 3,3%. В. Л.

42558. Измерение активности радиоуглерода в газовых счетчиках. Хенсон (The measurement of radioactive carbon in gas counters. Henson A. F.), Brit. J. Appl. Phys., 1953, 4, № 7, 217—219 (англ.)

При измерении в газовых счетчиках активности C^{14} в виде CO_2 , смешанной с CS_2 , применена модифицированная гасящая схема (Cooke-Yarborough, J. Scient. Instrum., 1949, 26, 124). При этом счетчики хорошо работают на больших скоростях счета и имеют плато с наклоном 2—4% на 100 г на протяжении 200 г и более. В. Л.

42559. Работа с плутонием в лабораториях; меры предосторожности. Данстер, Беннеллик (The handling of plutonium in laboratories: precautions. Dunster H. J., Bennellick E. J.), Atomics, 1955, 6, № 10, 312—320 (англ.)

Приведены основные радиационные свойства Pu и британские нормы допустимых конц-ий. В воздухе допускается $2 \cdot 10^{-12}$ до $6 \cdot 10^{-12}$ $\mu\text{кюри/мл}$, в воде $3 \cdot 10^{-6}$ $\mu\text{кюри/мл}$ и в человеческом теле $0,04$ $\mu\text{кюри}$ ($0,6\text{ }\mu\text{э}$). В костях задерживается $0,18$ вдыхаемого Pu, 10^{-4} проглотченного и $0,7$ Pu, попавшего в кровь. Авторы подразделяют лаборатории, в которых работают с Pu, на следующие классы: 1) кол-ва Pu больше $10\text{ }\mu\text{кюри}$ (до $10\text{ }\mu\text{кюри}$), 2) от $100\text{ }\mu\text{кюри}$ до $1\text{ }\mu\text{кюри}$ и 3) до $10\text{ }\mu\text{кюри}$. Для класса 1 и иногда 2 требуется спец. оборудование — шкафы с длинными резиновыми перчатками, прикрепленными к спец. патрубкам на передней стенке. Шкаф стальной с рабочей стороной из органич. стекла; его стенки герметизированы и внутри поддерживается небольшой вакуум. Внесение и удаление предметов из шкафа производится без сообщения шкафа с атмосферой лаборатории. Для удаления загрязненных предметов последние перемещают через спец. патрубок в хлорвиниловый мешок, заклеивают мешок горячим инструментом и отрезают мешок по месту склейки. Воздух лаборатории должен систематически анализироваться на α -активность. Приведены указания к выполнению анализов, проведению ремонта шкафов и ликвидации аварий. В. Л.

42560. Максимальные допустимые концентрации радиоизотопов в пище, в воде и воздухе и максимальные допустимые равновесные количества в организме. Морган (Maximum permissible concentration of radioisotopes in food, water and air and maximum permissible equilibrium amounts in the body. Morgan K. A. Z.), Acta radiol., 1954, 41, № 1, 30—46, (англ.; рез. нем., франц.)

Приведены величины максим. допустимого содержания в организме (ДСО) и максим. допустимых конц-ий (ДК) в воздухе и воде для большого числа радиоизотопов. ДСО соответствует кол-ву $\mu\text{кюри}$ радиоизотопа, содержащегося во всем теле и создающему мощность дозы $0,3$ рентген в неделю в органе, в котором поглощение излучения вызывает наибольший вред для организма. ДК соответствуют конц-ям радиоизотопов в воздухе и воде, которые приводят к накоплению в организме кол-ва активности ДСО (при исключительном использовании воздуха и воды с указанными конц-ями активности в течение длительного времени). В большинстве случаев равновесие достигается через несколько недель. Приведены ф-лы для расчета средней дозы, получаемой тканями, окружающими частицу радиоактивной пыли, попавшей в организм (в частности, в легкие), и та-

блида значений этой величины на разных расстояниях от частицы с активностью в 1 мкюри с энергией излучения 0,8 Мэв при облучении в течение 10 дней. В. Л. 42561. Состав и очистка смесей радиоактивных газов.

Бьюси (Composition, decontamination of radioactive gas mixtures. Busey Harold M.), Nuclearonics, 1954, 12, № 5, 9—13 (англ.).

Описаны методика и результаты анализа отходящих газов (ОГ) Лос-Аламосского атомного реактора при помощи микрогазоанализатора. При продувке р-ра уранилнитрата в реакторе воздухом и Аг основную массу ОГ составляют O_2 , N_2 , H_2 и небольшое кол-во инертных газов; активность ОГ определяется почти исключительно радиоактивными Хе и Кг. Рассматриваются 3 метода очистки ОГ: 1) короткая выдержка для распада и сильное разбавление воздухом в дымовой трубе, 2) длительная выдержка перед сбросом в атмосферу в спец. цистернах и 3) адсорбция радиоактивных компонентов ОГ активированным углем. В. Л. 42562. Авторадиографический метод исследования

металлов и сплавов с помощью радиоактивных изотопов. Студниц М. А., Малючков О. Т., Металловедение и обработка металлов, 1955, № 6, 15—21

42563. Радиогрaфия с применением гамма-излучения. Нейвейлер (La radiographie par rayons gamma. Neuweiler N. G.), Schweiz techn. Z., 1954, 51, № 14, 212—217; № 15, 225—231 (франц; рез. нем.) Обзор. В. Л.

42564. Экспериментальное определение грамм-рентгена в эргах. Пиммер К. Г., Ж. эксперим. и теор. физики, 1954, 26, № 3, 367—369

Определение величины грамм-рентгена производилось в баке с водой, в центре которого был помещен источник γ -излучения (100 мкюри Co^{60}). Конденсаторной ионизационной камерой измерялось изменение мощности дозы при удалении от источника на 5—60 см. Мощность дозы для расстояний >60 см взята из литературных данных (White G. R., Phys. Rev., 1950, 80, 154). Рассчитанная на основании этих данных величина грамм-рентгена равна 84 эрг/г рентген. Л. Б.

См. также: Получение 42230, 42824. Радиоактив. св-ва 42218—42223, 42225—42229, 43231—42242, 42244—42252, 42258. Введение в молекулу 42649, 43043, 43237—43241. Изотопные эффекты 42272, 42273, 42323, 42346, 42347, 42356, 42485, 42691. Изотопный обмен 42645, 42646, 42917. Измерение активности 43599, 43623. Применения: в исслед. кинетики и механизма р-ций 42618, 42640, 42648, 42653, 42655, 42684, 42931; в физ. процессах 42425, 42526; в биохимии 13131—13139 Бх, 13153Бх, 13303Бх, 13306Бх, 13326Бх, 13373Бх, 13428Бх, 13429Бх, 13455Бх, 13472Бх, 13571Бх, 13611Бх, 13633Бх, 13643Бх, 13653Бх, 13685Бх, 13697Бх, 13731Бх, 13737Бх, 13748Бх, 13749Бх, 13767Бх, 13774Бх, 13804Бх, 13811—13813Бх, 13827Бх, 13840—13842Бх, 13849Бх, 13854Бх, 14034—14037Бх; в пром-сти 43477, 43496, 43728, 43729, 43804, 43869, 45667. Изотопы в геохимии 42947, 42948, 42950, 42591, 42953, 42954, 42956, 42959, 43016, 43041. Др. вопр. 42410, 42967, 42889, 43421, 43604, 45763, 45816, 45817

ТЕРМОДИНАМИКА. ТЕРМОХИМИЯ. РАВНОВЕСИЯ. ФИЗИКО-ХИМИЧЕСКИЙ АНАЛИЗ. ФАЗОВЫЕ ПЕРЕХОДЫ

42565. К квантовомеханическому обоснованию классической физики. II. Статистическая механика и термодинамика. Кюммель (Zur quantentheoretischen Begründung der klassischen Physik. II.—Statistische Mechanik und Thermodynamik. Kümmel H.),

Nuovo cimento, 1955, 2, № 5, 877—897 (нем.; рез. итал.)

На основе результатов сообщения I (РЖХим, 1956, 6281) дано квантовомеханич. обоснование статистики и термодинамики как обратимых, так и необратимых процессов. Показано, в частности, что классич. понятия фазового пространства, распределения скоростей и пр. могут быть получены на основе представлений микроскопич. физики. Таким образом, макрофизика (для не слишком низких T -р) обоснована с точки зрения микрофизики. В. Ц.

42566. Термодинамическое обоснование квантовой механики (дополнение к одноименной работе). Ланде (Thermodynamische Begründung der Quantenmechanik (Nachtrag zu der Arbeit des gleichen Titels). Landé Alfred), Naturwissenschaften, 1954, 41, № 22, 524—525 (нем.)

В работе автора (РЖХим, 1955, 51428) возможность существования только симметричной или антисимметричной Ψ -функции (статистики Бозе и Ферми) выводилась из формального требования непрерывности класса симметрии при присоединении новых частиц к системе из двух частиц. Предлагается заменить это более физ. требованием, чтобы вероятность конфигурации из N одинаковых частиц не менялась при перестановке частиц; очевидно, симметрия $|\Psi|^2$ имеет место только для симметричной или антисимметричной Ψ , но не для остальных $N!$ —2 возможных несимметричных взаимодействий. Термодинамически это можно вывести из принципа Нернста, который требует, чтобы состояния с наименьшей энергией были невырождены, в то время как можно показать, что $N!$ —2 несимметричных взаимодействий все вырождены. Формальные правила перестановки и соответствующую им замену импульсов дифференцированием по сопряженным координатам можно также вывести из нового физ. определения канонич. сопряженности (РЖХим, 1956, 35260). В. У.

42567. О центрифуговании. Версхаффелт (Sur la centrifugation. Verschaffelt J. E.), Bull. cl. sci. Acad. roy. Belgique, 1955, 41, № 7, 709—717 (франц.)

Обсуждается поведение многокомпонентной текучей системы во вращающейся системе координат в рамках термодинамики необратимых процессов. В. Ц.

42568. О необратимости динамических систем. Такэа (力学系の非可逆性について. 竹田愛郎), 物性論研究, Буссейрон кэнкю, 1955, № 86, 1—11 (япон.; рез. англ.)

Обсуждаются вопросы необратимости динамич. системы со многими степенями свободы. Рассматривается упрощенная модель одномерного ряда частиц, описывающего в фазовом пространстве скручивающуюся спираль; методом произвольных функций, предложенных для исследования таких систем Пуанкаре, показано динамически, что такая система стремится к состоянию равновесия. Исследуются также системы с конечным числом степеней свободы и физ. смысл полученных результатов. В. Ц.

42569. Попытки применения расчетных методов статистической механики к неравновесному тепловому состоянию (явления переноса). Классическая газовая динамика. II. Общие соображения (продолжение). Кога (非平衡状態(輸送現象を伴う状態)に統計力学の方法を適用する試み. (古典力学的気体について. II.)—一般的な考え. 古賀豊城), 物性論研究, Буссейрон кэнкю, 1953, № 60, 19—27 (япон.)

Рассматриваются неопубликованные критические замечания, высказанные по поводу работы автора (сообщение I, Буссейрон кэнкю, 1952, 54, 15) по расчету неравновесных состояний. Л. Л.

42570. Термодинамический анализ жизненных процессов. I. Термодинамика неуставившихся про-

цессов. II. О принципе максимума в неуставившихся процессах. III. Математический анализ метаболизма. Сугита (Thermodynamical analysis of life. I. Thermodynamics of transient phenomena. II. On the maximum principle of transient phenomena. III. Mathematical analysis of metabolism. Sugita M. o t o y o s i), J. Phys. Soc. Japan, 1953, 8, № 6, 697—703, 704—709, 709—713 (англ.)

I. Рассматривается квазиим. р-ция типа $\sum v_{js} A_j \rightarrow \sum v_{ks} A_k$, скорость которой \dot{q}_s . Если G — свободная энергия системы, а n_i и μ_i — функция распределения и хим. потенциал компонента A_i , то $\dot{G} = \sum \mu_i \dot{n}_i = - \sum_s (\sum_j v_{js} \mu_j - \sum_k v_{ks} \mu_k) \dot{q}_s$. В неуставившемся состоянии значения некоторых \dot{q}_s очень малы; эти \dot{q}_s названы «вторыми координатами»; при этом $\sum v_{js} \mu_j - \sum v_{ks} \mu_k = 0$; последнее выражение представляет обобщение условия локального равновесия. В выражении для \dot{G} соответствующими членами можно пренебречь. Конечные числа \dot{q}_s , которыми пренебречь нельзя, названы «первыми координатами». Изменение состояния, выражаемое конечными параметрами, названо «обобщенным квазистатическим»; предполагается, что живые системы находятся в таком состоянии. Выражение $(\sum v_{js} \mu_j - \sum v_{ks} \mu_k) \dot{q}_s$, где \dot{q}_s — первая координата, дает тепло виртуальных источников тепла. Термодинамика не может быть применена к первым координатам, но можно предположить эмпирич. зависимость между \dot{q}_s и «полем термодинамич. потенциалов», которое можно ввести термодинамически.

II. Проделано приложение к ряду вопросов механики, электродинамики и статистики механики принципа наименьшего рассеяния энергии Рэлея в духе развитого в сообщении I метода. Предположено обоснование, обобщение и развитие (особенно в применении к биофизике) этого принципа в форме принципа предптимости, при неуставившемся процессе, пути с наибольшей скоростью этого процесса. Показано, что последнее может быть сформулировано в виде $\dot{q}_s = 0$, $\Delta \mu_s = 0$, что означает требование равновесия для вторых координат \dot{q}_s (введенных в сообщении I). Ввиду большой важности этого принципа его, по мнению автора, можно назвать четвертым законом термодинамики.

III. Живой организм трактуется как открытая термодинамич. система, обменивающаяся в-вом со своим окружением. Если Z_1 и Z_2 — свободная энергия поступающих и выделяемых в-в, то изменение свободной энергии организма $\dot{G}_k = Z_1 - Z_2 - D$, где D — свободная энергия, идущая на поддержание жизни и выполнение внешних работ W . Если G_a — свободная энергия внешней системы, то $Z_1 - Z_2 = -\dot{G}_a$, и тогда второе начало термодинамики дает $\dot{G}_a + \dot{G}_k = -D < 0$. С другой стороны, анализ баланса энергии в организме позволяет записать основное ур-ние метаболизма: $\dot{G}_k = R - D_r$, где R — возмещение свободной энергии организмом вследствие анаболизма, D_r — ее убыль вследствие катаболизма, причем $R = Z_1 - Z_2 - W - D_f$ и $D_r = D - W - D_f$, где D_f — потеря энергии в организме. Обсуждаются частные случаи $R = 0$ и $\dot{G}_k = 0$.

В. У.
42571. Метаболический кругооборот и поддержание нижнего уровня энтропии. Сугита (The metabo-

lic turnover and the maintenance of the low entropy level. Sugita M. o t o y o s i), J. Phys. Soc. Japan, 1955, 10, № 4, 316—317 (англ.)

В дополнение к предыдущей работе автора (см. пред. реф.), где рассматривался кругооборот свободной энергии при метаболизме, рассмотрен кругооборот энтропии и энтальпии; получены аналогичные соотношения. Кратко обсуждаются изменения энтропии, вызываемые процессами анаболизма и катаболизма. В. У.
42572. Исследование спектра системы многих частиц методом квантового кинетического уравнения. Силин В. П., Тр. физ. ин-та АН СССР, 1955, 6, 199—268.

Рассмотрены некоторые основные свойства квантовой функции распределения (матрицы плотности в смешанном представлении, являющейся функцией координат и импульсов). Из квантового кинетич. ур-ния получено дисперсионное ур-ние, связывающее частоту и декремент затухания с волновым вектором; найдены его решения для систем Бозе- и Ферми-частиц при $T = 0$. В. Ц.

42573. Статистическая сумма для взаимодействующих частиц Бозе — Эйнштейна. Батлер, Фридман (Partition function for a system of interacting Bose — Einstein particles. Butler S. T., Friedman M. H.), Phys. Rev., 1955, 98, № 2, 287—293 (англ.)
Предложен новый метод вычисления статистич. сумм системы Бозе-частиц, дающий возможность при известном виде взаимодействия частиц находить эту сумму последовательными приближениями к более низким т-рам. При этом нулевому приближению соответствует идеальный газ. В качестве примера рассмотрен He⁴ при т-рах ~ несколько градусов. А. З.

42574. Конденсация неидеального газа Бозе — Эйнштейна. Фридман, Батлер (Bose — Einstein condensation of an imperfect gas. Friedman M. H., Butler S. T.), Phys. Rev., 1955, 98, № 2, 294—299 (англ.)

Приближенно вычисляется статистич. сумма, полученная ранее (см. пред. реф.). Получена и сравнена с опытом C_v для жидкого He; λ -точка оказывается немного выше эксперим., но значительно ниже, чем для идеального газа. Ниже точки λ -перехода C_v уменьшается по закону T^6 , а при $T \leq 1,2$ — приблизительно по $T^{3/2}$. Последнее относится к области столь малых т-р, при которых длина тепловой волны превосходит расстояние между частицами; при этом излагаемая теория неприменима. А. З.

42575. Связь функций атомного распределения с некоторыми термодинамическими величинами двойных смесей. Рузин Ф. В., Науч. зап. Днепротр. ун-та, 1953, 41, 51—63

Исходя из канонич. распределения и используя функцию атомного распределения Боголюбова, автор получает выражение для среднего значения потенциальной энергии взаимодействия в двухкомпонентной системе, которое для частного случая чистой жидкости дает ф-лу Борна — Грина. Далее получено ур-ние состояния двойной смеси; из него сразу получается ур-ние состояния Боголюбова для однокомпонентной системы. Введена также ф-ла для относительной флуктуации плотности в бинарной смеси. Автор указывает, что развитый в данной работе метод может быть распространен на многокомпонентные системы. В. У.

42576. Адиабатические превращения конечной амплитуды. Бордини (Transformazioni adiabatiche di ampiezza finita. Bordini Piero Giorgio), Ricerca scient. 1953, 23, № 9, 1569—1578 (итал.)

42577. Простой вывод закона действующих масс. Монозон А. М., Тр. Моск. автомоб.-дор. ин-та, 1955, 17, 109—110

Пре-
на осн-
ф-лы

42578.

соиз-

(Luc-

rela-

В а

A7,

Ана

при к

автом

ратим

ва pV

понят

лы со

рого

тропы

абати

42579.

M c

sad-

Zes-

(по-

Рас-

начал

42580.

тро-

tem-

of

195

C

K. I.

Techn

емко-

53,42

Экст-

ранес

1929,

энтр.

42581.

до

hes

О з

g a

Ch

(ав

Тел

гонк

опре-

2324

что с

(Brig

Знач

соот-

± 6

позв

(при

и до

4258

во

Ш

на

М

М

К

М

19

Предложен простой вывод закона действующих масс на основе законов идеальных газов, гипсометрической ф-лы и второго закона термодинамики. Г. Б.

42578. Работа газа при расширении и уравнение Пуассона на основе кинетической теории газов. Балтак (Lucrul mecanic produs de un gaz în destindere și relația lui Poisson, bazate pe teoria cinetică a gazelor. Baltac Alexandru, Gaz mat. și fiz., 1955, A7, №7, 333—343 (рум.; рез. русс., франц.)

Анализируя в рамках кинетич. теории газов условия, при которых работа L выражается ф-лой $L = \int_{V_B}^{V_A} p dV$,

автор показывает, что из этого соотношения в случае обратимого адиабатич. процесса вытекает ур-ние Пуассона $pV = \text{const}$. Указывается на необходимость различать понятия «совершенный газ» (молекулы которого лишены собственных размеров) и «идеальный газ», для которого возможно $i > 3$ степеней свободы. В ур-нии политропы $pV^k = \text{const}$ $k > \gamma$ при любом осуществимом адиабатическом сжатии. В. Ц.

42579. По поводу третьего начала термодинамики. Мостовский (Rozmazania na temat trzeciej zasady termodynamiki. Mostowski Ignacy, Zesz. nauk. Politechn. łódzkiej, 1955, № 7, 3—50 (польск.; рез. русс., англ.)

Рассматриваются различные вопросы, связанные с началами термодинамики. В. Ц.

42580. Теплоемкость при низкой температуре и энтропия при 298,16°K аналита. Кинг (Low temperature heat capacity and entropy at 298.16°K of analcite. King E. G., J. Amer. Chem. Soc., 1955, 77, № 8, 2191—2193 (англ.)

С помощью ранее описанной аппаратуры (Kelley K. K., Naylor B. F., Shomate C. H., U. S. Bur. Mines Techn. Paper, 1946, 686) измерена изобарная теплоемкость C_p аналита $\text{NaAlSi}_3\text{O}_8 \cdot \text{H}_2\text{O}$ в интервале 53,42—296,21°K, равная 50,17 кал./моль·град. Экстраполяция ниже 51°K произведена по описанному ранее методу (Kelley K. K. и др. J. Phys. Chem., 1929, 33, 1802). Вычислено значение $S_{298,16}^\circ = 56,0 \pm 0,6$ энтр. ед. М. К.

42581. Теплоемкость четырехфтористого урана от 5 до 300°K. Осборн, Уэстмун, Лор (The heat capacity of uranium tetrafluoride from 5 to 300°K. Osborne Darrell W., Westrum Edgar F., Jr., Lohr Harold R., J. Amer. Chem. Soc., 1955, 77, № 10, 2737—2739 (англ.)

Теплоемкость UF_4 , полученного двукратной перегонкой стандартного образца в высоком вакууме, определена в адиабатном калориметре (РЖХим, 1955, 23240) в интервале т-р от 5 до 300°K и обнаружено, что она расходится с результатами прежних измерений (Brickwedde F. G. и др., J. Chem. Phys., 1948, 16, 429).

Значения C_p , $H^\circ - H_5^\circ$ и $S^\circ - S_5^\circ$ при 298,16°K равны соответственно $27,73 \pm 0,03$ кал./град·моль⁻¹, $5389 \pm \pm 6$ кал./моль⁻¹ и $36,13 \pm 0,04$ энтр. ед. Новые данные позволяют лучше оценить магнитную энтропию выше 5°K (при 298,16°K магнитная энтропия равна 2,98 энтр. ед.) и допускают вероятность термич. аномалии ниже 5°K. Ю. Т.

42582. Термодинамические свойства галогенпропеновых этана и этилена. Мире, Стал, Орфео, Шейр, Томпсон, Мак-Кани (Thermodynamic properties of halogenated ethanes and ethylenes. Mears Whitney H., Stahl Richard F., Orfeo S. Robert, Shair Robert C., Kells Lyman F., Thompson Walter, McCann Harold, Industr. and Engng Chem., 1955, 47, № 7, 1449—1454 (англ.)

Исследованы CH_3CHF_2 (I), $\text{CH}_3\text{CF}_2\text{Cl}$ (II), CH_3CF_3 (III), CF_3CFCl_2 (IV), $\text{CH}_2 = \text{CF}_2$ (V), $\text{CHCl} = \text{CF}_2$ (VI). Измерены давления газа как функции т-ры при разных объемах; из полученных данных вычислены константы ур-ния состояния Битти — Бриджмена, которому они хорошо удовлетворяют. В случае V это ур-ние описывает и жидкость, для которой также получены эксперим. изохоры. Измерены давления насыщ. паров при разных т-рах. Приведены $P - T$ -кривые равновесия жидкость — газ. Эксперим. данные удовлетворяют ур-нию $\lg P = A - (B/T)$; для VI необходим добавочный член $-C/T^2$. Приведены значения констант A , B и C , а также нормальные точки кипения. Измерены плотности жидкости при разных т-рах: I от $-41,4$ до $+79,9^\circ$; II от $-40,9$ до $+126,0^\circ$; III от $25,3$ до $64,6^\circ$; IV от $-44,4$ до $+128,2^\circ$; V от $-44,4$ до $+275^\circ$; VI от $-47,9$ до $+84,1^\circ$. Вычислены коэфф. ур-ния $A - B \cdot 10^{-3} t^\circ$ «прямолинейного диаметра» и найдены крит. плотности, которые приводятся вместе с крит. т-рами и давлениями. Измерены вязкости I от $-30,6$ до 60° , II от $-30,9$ до $60,0^\circ$ и IV от $18,5$ до $70,1^\circ$. Вычислена и табулирована температурная зависимость теплот испарения, энтальпии жидкости, насыщ. пара и идеального газа. В. У.

42583. Некоторые физико-химические свойства 3,4-диметилфенола. Егер, Бирош, Эрдеши (Einige physikalisch-chemische Eigenschaften des 3,4-Dimethylphenols. Jäger L., Biroš J., Erdős E.), Сб. чехосл. хим. работ, 1955, 20, № 2, 376—380 (нем., резюме русс.)

См. РЖХим, 1956, 6374.

42584. Воздействие хлора и его соединений на металлы и окислы металлов. Доманский (Działanie chloru i związków chlorowych na metale i ich tlenki. Domański Władysław, Arch. gorn. i hutn., 1955, 3, № 3, 401—435 (польск.; рез. русск., англ.)

На основании литературных данных рассчитаны изменения свободной энергии р-ций: $2/y\text{M}_{(k)} + \text{Cl}_2 = 2/y\text{MCl}_{y(k)}$; $1/y\text{M}_2\text{O}_{y(k)} + \text{Cl}_2 = 2/y\text{MCl}_{y(k)} + 1/2\text{O}_2$; $1/y\text{M}_2\text{O}_{(k)} + 2\text{HCl} = 2/y\text{MCl}_{y(k)} + \text{H}_2\text{O}$, где $\text{M} - \text{Li}, \text{Na}, \text{K}, \text{Ca}, \text{Mg}, \text{Al}, \text{Ti}, \text{Zn}, \text{Cd}, \text{Pb}, \text{Fe}^{2+}, \text{Sn}^{2+}, \text{Cu}^+, \text{Ag}, \text{Sb}^{3+}, \text{Hg}^{2+}$ в интервале т-р 298,1—1500°K (индекс (k) означает конденсированное состояние). Проведен термодинамич. расчет процесса обесцинкивания расплавленного свинца с помощью хлора, применяемый при рафинировании свинца. Полученные результаты согласуются с опытными данными. Н. П.

42585. Теплота и свободная энергия образования и парообразования сульфида олова. Ричардс (The heat and free energy of formation and vaporization of stannous sulphide. Richards A. W., Trans. Faraday Soc., 1955, 51, № 9, 1193—1197 (англ.)

Измерены давления пара твердого SnS в температурной области 950—1075°K; эксперим. результаты выражены ур-нием $\lg p = -10470/T + 7,088 (\pm 0,02)$. Отсюда для парообразования $\Delta H_{1000}^\circ = 47,9 \pm 1,0$ ккал./моль и $\Delta S^\circ = 32,4 \pm 1,0$ энтр. ед. Используя значения для газа $S_{298}^\circ = 57,9 \pm 0,3$ и $S_{1000}^\circ = 68,36 \pm 0,3$, автор получил для SnS (тв.) $S_{298}^\circ = 19,4 \pm 1,0$ энтр. ед. Изучено равновесие SnS (тв.) + H_2 (газ) = Sn (ж) + H_2S (газ) при этих же т-рах и найдено, что в ур-ниях $\Delta H = -RT \ln K + f(T)$ и $\Delta C_p(\pm 330) = 18,035 - f(T)f(T) = 8,87T - 6,1T(1000/T) + \ln(T/1000) - 1$, причем в области 770—950°K можно принять $\lg K = -3960/T + 1,939$ (приводится график); для ΔH приводится таблица. Используя известные значения ΔH и ΔS° для равновесия Sn (тв.) + H_2S (газ) = SnS (тв.) + H_2 (газ) при 298°K, автор на-

ходит $\Delta G_{298}^\circ = -16,32 \pm 0,70$ ккал/моль и для р-ции $\text{Sn (тв.)} + \text{S (ромбич.)} = \text{SnS (тв.)}$ $\Delta H_{298}^\circ = -24,34 \pm 1,10$ ккал/моль и $\Delta G_{298}^\circ = -24,19 \pm 0,70$ ккал/моль. Эти результаты сравниваются с данными Судо (Sudo, Sci. Rep. Tohoku., 1951, A3, 187).

42586. Теплота образования и энтропия четыреххлористого титана из данных исследования равновесия: $\text{TiO}_2(\text{тв.}) + 4\text{HCl (газ)} = \text{TiCl}_4(\text{газ}) + 2\text{H}_2\text{O (газ)}$. Фарбер, Дарнелл (Heat of formation and entropy of titanium tetrachloride from an investigation of the equilibrium: $\text{TiO}_2(\text{s}) + 4\text{HCl (г)} = \text{TiCl}_4(\text{г}) + 2\text{H}_2\text{O (г)}$). Farber Milton, Darnell A. J., J. Chem. Phys., 1955, 23, № 8, 1460—1463 (англ.).

В интервале 800—1400°K при давлении HCl 1 атм поточным методом изучено равновесие TiO_2 (рутил) + $4\text{HCl (газ)} = \text{TiCl}_4(\text{газ}) + 2\text{H}_2\text{O (газ)}$ (I). Рутил получен нагреванием анатаза при 1050°K в течение 3 час.; полнота перехода подтверждена рентгенографически. Показано, что не происходит образования оксидов титана ни при р-ции (I), ни при пропускании TiCl_4 над TiO_2 при 1122°K, ни при р-ции $\text{TiO}_2 + 2\text{Cl}_2 = \text{TiCl}_4 + \text{O}_2$. Теплота р-ции (I) 12,9 ккал/моль, откуда $\Delta H_{298}^\circ(\text{TiCl}_4(\text{газ})) = (182,9 \pm 0,5)$ ккал/моль, $\Delta H_{298}^\circ(\text{TiCl}_4(\text{жидк.})) = -(192,5 \pm 0,5)$ ккал/моль и $S_{1100}^\circ(\text{TiCl}_4(\text{газ.})) = 124$ энтр. ед.

42587. Термодинамические свойства некоторых газообразных соединений галогенов. Эванс, Мансон, Уагман (Thermodynamic properties of some gaseous halogen compounds. Evans William H., Munson Thomas R., Wagman Donald D., J. Res. Nat. Bur. Standards, 1955, 55, № 3, 147—164 (англ.).

По литературным данным рассчитаны $(F^\circ - H_0^\circ)/T$, $(H^\circ - H_0^\circ)/T$, S , $(H^\circ - H_0^\circ)$, C_p , теплота образования (ΔH_f°) , свободная энергия образования (ΔF_f°) и логарифм константы равновесия образования $(\lg K_f)$. Значения даются через 100, 250° от 0°K до высоких т-р для F_2 , F_2O , Cl_2 , Cl_2O , ClO_2 , Cl_2O , ClF , ClF_3 , Br_2 , BrF , BrF_3 , BrCl , J_2 , JF , JF_3 , JF_5 , JCl и JBr . Библ. 128 назв.

42588. Диаграммы $\lg p$, W для CO и O_2 . Кеезом, Бейл, Ерланд (Les diagrammes log p , W du monoxyde de carbone et de l'oxygène. Keesom W. H., Bijl A., Ierland J. F. A. A. van), Appl. Scient. Rev., 1955, A5, № 5, 349—358 (франц.).

Пользуясь литературными данными, авторы построили диаграммы $\lg p$ —энтальпия для CO в интервале т-р от -205 до $+200^\circ$ и давл. 0,15—300 атм, для O_2 в интервале т-р от -200 до $+200^\circ$ и давл. 0,11—300 атм. Подробно изложен ход вычислений.

42589. Сульфат кадмия и его гидраты. Теплоемкости и теплоты гидратации. Применение третьего закона термодинамики. Панадопулос, Гнок (Cadmium sulfate and its hydrates. Heat capacities and heats of hydration application of the third law of thermodynamics. Panadopoulos M. N., Giannakopoulos W. F.), J. Amer. Chem. Soc., 1955, 77, № 10, 2740—2744 (англ.).

Измерен теплоемкости CdSO_4 (I), $\text{CdSO}_4 \cdot \text{H}_2\text{O}$ (II) и $\text{CdSO}_4 \cdot \frac{1}{2}\text{H}_2\text{O}$ (III) в интервале 15—315°K. Экстраполяция до 0°K производилась по Дебаю. Значения энтропии $S_{298,16}^\circ$ (энтр. ед.) составляют I 29,41 II 36,82 и III 54,89. Значения C_p равны I 23,81. II 32,16, III 50,97. Значения C_p , S , $(H^\circ - H_0^\circ)/T$ и $-(F^\circ - H_0^\circ)/T$ табулированы в интервале 15—320°K. Те-

плота растворения (кал/моль) в 400 молях H_2O : I -10977 ± 2 II -6095 ± 5 и III -2899 ± 1 . Для р-ции $\text{CdSO}_4 \cdot \text{H}_2\text{O}_{\text{тв}} + \frac{1}{2}\text{H}_2\text{O}_{\text{ж}} = \text{CdSO}_4 \cdot \frac{1}{2}\text{H}_2\text{O}_{\text{тв}}$ $\Delta H_{298,16}^\circ = -3196$ ккал/моль. Для р-ции $\text{CdSO}_4 \cdot \text{H}_2\text{O}_{\text{тв}} + \frac{1}{2}\text{H}_2\text{O}_{\text{газ}} = \text{CdSO}_4 \cdot \frac{1}{2}\text{H}_2\text{O}_{\text{тв}}$ $\Delta H_{298,16}^\circ = -20729$ ккал/моль, что хорошо согласуется со значением 20738, полученным по третьему закону термодинамики. Теплота р-ции $\text{CdSO}_4 \cdot \text{H}_2\text{O}_{\text{газ}} = \text{CdSO}_4 \cdot \text{H}_2\text{O}_{\text{тв}}$ $\Delta H_{298,16}^\circ = -15402$ ккал/моль удовлетворительно подтверждает величину, полученную ранее (Ishikawa F., Murooka H., Sci. Repts. Tokoku Imp. Univ., 1933, 22, 138), $\Delta H_{298,16}^\circ = -15451$ ккал/моль. Такое согласование указывает, что энтропия I, II и III стремится к нулю при предельно низких т-рах.

42590. Термохимические исследования фтораэтиленовых углеводородов. Теплота образования CF_4 , C_2F_4 , C_2F_6 , димера и полимера C_2F_4 . Дус (Thermochemical studies on fluorocarbons. Heat of formation of CF_4 , C_2F_4 , C_2F_6 , C_2F_4 dimer, and C_2F_4 polymer. D u s. H. C.), Industr. and Engng Chem., 1955, 47, № 7, 1445—1449 (англ.).

Измерена теплота, выделяющаяся в р-циях разложения со взрывом C_2F_4 (I): $\text{C}_2\text{F}_4 \rightarrow \text{C} + \text{CF}_4$; гидрогенизации I: $\text{C}_2\text{F}_4 + \text{H}_2 \rightarrow 2\text{C} + 4\text{HF}$ и сгорания I, дающего 2 рода продуктов: $\text{C}_2\text{F}_4 + \text{O}_2 \rightarrow \text{CO}_2 + \text{CF}_4$ и $\text{C}_2\text{F}_4 + \text{O}_2 \rightarrow 2\text{COF}_2$. Р-ция сгорания является общей для I, гексафторпропена (II), октафтордихлорэтана (III), полимера C_2F_4 (IV) (тефлона). При сочетании результатов этих измерений с известными данными для HF и CO_2 , вычислена теплота образования (в ккал/моль) CF_4 212,7; I 151,3; II 257,8; III 352,0 и IV 199,9. Используя данные Ли (Li, S.-W., J. Chinese Chem. Soc., 1944, 11, 14), по равновесию р-ции $\text{CO}_2(\text{газ}) + \text{CF}_4(\text{газ}) \rightarrow 2\text{COF}_2(\text{газ})$, определена теплота образования COF_2 : 166,6 ккал/моль.

42591. Теплота образования двуокиси и трехокиси молибдена. Стаскевич, Таккер, Снайдер (The heat of formation of molybdenum dioxide and molybdenum trioxide. Staskiewicz Bernard A., Tucker James R., Snyder Paul E.), J. Amer. Chem. Soc., 1955, 77, № 11, 2987—2989 (англ.).

Вследствие расхождения данных по теплотам образования MoO_2 (I) и MoO_3 (II) определены сожжением в ранее описанной бомбе (Snyder P. E., Seltz H., J. Amer. Chem. Soc., 1945, 67, 683) теплоты сгорания Mo и I. Для сожжения использовалась молибденовая проволока (99,98% Mo); I приготавливался восстановлением II водородом. При сожжении Mo в кислороде (40 атм; 300, 36°K) только 80% Mo переходило в II, остальное кол-во окислялось до I. При сожжении I выход II не превышал 70%, остальное кол-во I оставалось неизменным. Ввиду неполного окисления в обоих случаях кол-во присутствовавшего I определялось окислением содержимого бомбы в трубчатой печи при 450° в токе чистого O_2 . Из полученных данных определены теплоты р-ции (инт. кдж): $\text{Mo} + \frac{3}{2}\text{O}_2 = \text{MoO}_3$, $\Delta H_{298,16}^\circ = -744,65 \pm 0,40$; $\text{MoO}_3 + \frac{1}{2}\text{O}_2 = \text{MoO}_2$, $\Delta H_{298,16}^\circ = -155,30 \pm 0,127$; $\text{Mo} + \text{O}_2 = \text{MoO}_2$, $\Delta H_{298,16}^\circ = -589,36 \pm 0,53$.

42592. Изучение теплоты образования твердых растворов $\text{RbCl} - \text{RbBr}$ и $\text{NaCl} - \text{NaBr}$ в дифференциальном калориметре. Хови (Differential calorimetric studies on the heat of formation of $\text{RbCl} - \text{RbBr}$ and $\text{NaCl} - \text{NaBr}$ solid solutions. H o v i V ä i n ö), Suomalais. tiedekat. toimituks., 1955, sar. A1, № 190, 8 p.) (англ.).

В дифференциальном калориметре, описанном ранее (Ann. Acad. Scient. Fenn., 1948, A1, № 55), определены теплоты образования некоторых твердых р-ров RbCl

(I) — RbBr (II) и NaCl (III) — NaBr (IV). Из-за разложения II вблизи точки плавления и чувствительности I и II к атмосферной влаге смешанные кристаллы I и II приготавливались длительным отжигом механич. смеси солей при t -ре ниже t -ры плавления II или сплавлением компонентов в тщательно эвакуированной кварцевой трубке. Теплота образования твердых р-ров (u) для кристаллов I—II состава 1 : 1, приготовленных отжигом, составляет 159 кал/моль, для твердых р-ров, полученных сплавлением $u = 190$ кал/моль; для кристаллов III — IV состава 1 : 1, полученных сплавлением с последующим отжигом, $u = 377$ кал/моль. Полученные величины находятся в хорошем согласовании с теоретич. значениями u , полученными автором из статистич. теории (Wasastjerna J., Soc. Scient. Fenn., Comment. Phys.—Math., 1948, XIV, № 3, 7; 1949, XV, № 3).

Ю. Т.
42593. Графики пересчета (номограмма № 28). Расчет равновесия при испарении. Орлицек (Graphische Umrechnungsbilder (Nomogramm Nr. 28). Die Berechnung des Verdampfungsgleichgewichtes. Orlicek A. F.), Mitt. Chem. Forschungsinst. Wirtsch. Österr., 1955, 9, № 2, 36—37 (нем.)

Приводится номограмма для расчета констант равновесия $K = y/x$, где y и x — содержание в-ва в паре и жидкости, составленная для 18 углеводородов с числом углеродных атомов от 1 до 14. Предыдущую номограмму см. РЖХим 1955, 52701

В. К.
42594. Давление пара и теплота испарения бензола. Готсхал, Корвезе (Vapour pressures and heats of vaporization of benzene. Gottschal A. J., Korveze A. E.), Recueil trav. chim., 1953, 72, № 9-10, 931—932 (англ.)

Несколько уточняющих замечаний к опубликованной ранее работе (РЖХим, 1954, 35635). Показано, что при пользовании ур-нием $\lg p = a - b/(t + c)$ максимальное расхождение расчета с экспериментом (см. ссылку выше, а также РЖХим, 1953, 6154) для интервала 20—80° не превышает 0,11 мм рт. ст. (вблизи 60°).

С. Б.
42595. Давление пара метанола. Дивер, Финч, Грунвальд (The vapour pressure of methanol. Dever David F., Finch Arthur, Grunwald Ernest), J. Phys. Chem., 1955, 59, № 7, 668—669 (англ.)

Статическим методом в интервале 13,88—34,11° (39 точек) измерено давление насыщ. пара метанола (I). I подвергался предварительному обезвоживанию и разгонке на 30-тарельчатой ректификационной колонке; $t_{\text{кип}} = 64,7^\circ$; $n_D^{25} = 1,3267$; содержание воды $< 0,03\%$.

Точность измерения давления $\pm 0,03$ мм рт. ст., t -ры $\pm 0,005^\circ$. Авторы указывают три основных источника ошибок при пользовании статич. методом: 1) преждевременная конденсация паров; 2) растворение газа в образце; 3) загрязнения, попадающие с вакуумной смазкой, и излагают способы их устранения. Точность прибора проверялась путем измерения в нем давления пара воды в интервале 25—35°. Среднее отклонение эксперим. данных от литературных составляет для воды 0,17%, для I 0,25%. Для проверки полученных результатов по ур-нию Клаузиуса—Клапейрона были вычислены значения $d \ln p / d(1/T)$. Молярная теплота испарения рассчитывалась из эмпирич. ур-ния (Fick E. F. и др., J. Res. Nat. Bur. Standards, 1931, 6, 881), изменение молярного объема — из вириальных коэффициентов паров I и плотности I в жидком состоянии. Для интервала 15—65° с погрешностью $\leq 0,02\%$ справедливо эмпирич. ур-ние $d \ln p / d(1/T) = 5472 - 2,9440/T$, откуда $\lg p_{\text{атм}} = 14,47865 - 2376,4/T - 2,9440 \lg T$. Экстраполицией до $p = 1$ атм найдена t -ра кипения I = 64,67°, что хорошо совпадает с наиболее надежными литературными данными (64,65°). Полученные результаты на 2—4% выше опубликованных ранее. С. Б.

42596. Исследование равновесия жидкость — пар в системе аргон — кислород. Фастовский В. Г., Петровский Ю. В., Ж. физ. химии, 1955, 29, № 7, 1311—1317

Описаны установка и методика. Изучено фазовое равновесие жидкость — пар в системе аргон — кислород при давл. 1,2; 1,5; 1,7; 2,0 атм. Получены данные о равновесных составах жидкости и пара и соответствующих им t -рах для шести различных смесей, построена зависимость t -ры кипения от состава жидкости. Опытные данные о составе равновесного пара находятся в хорошем согласии с расчетными значениями, что делает возможным применение ур-ния ван-Лаара. Коэфф. ур-ния ван-Лаара приведены для четырех исследованных давлений. Полученные данные позволяют уточнить необходимое число тарелок в ректификационной колонне.

С. З.

42597. Некоторые физико-химические константы тяжелоокислородной воды. Жаворонков Н. М., Уваров О. В., Севрюгова Н. Н. В сб.: Применение меченых атомов в аналитической химии. М., Изд-во АН СССР, 1955, 223—233

Коэффициент относительной летучести ($\alpha = N_1/N_2 : n_1/n_2$, где N и n — доли компонентов соответственно в жидкой и газовой фазах) системы $\text{H}_2\text{O}^{18} - \text{H}_2\text{O}^{16}$ в интервале 20—92° определяется методом испарения до равновесного состава паров в приборе Отмера (Otmer D., Ind. Engng Chem., 1932, 4, 232) и методом выпаривания большого (500 мл) объема воды (предварительно обогащенной H_2O^{18} до 1,1—1,4 мол.%) до небольшого остатка (30—60 мл) с расчетом по ф-ле: $N^\alpha / (1 - N) = V^{\alpha-1} N_0^\alpha / (1 - N_0)$, где $V = V_0/V_k$ — отношение начального кол-ва жидкости к остатку; N_0 и N — содержание тяжелого компонента в исходном материале и в остатке; $(1 - N_0)$ и $(1 - N)$ — содержание легкого компонента в исходном материале и в остатке. Оба метода дают хорошую сходимость. Обогащенная H_2O^{18} получалась ректификацией природной воды в насадочных колонках с последующим удалением дейтерия разложением воды железо-паровым способом. Приведена схема установки. $\lg \alpha = 3,4492 / T - 0,00781$. Значения α близки к литературным данным.

Из значений α рассчитаны разность теплот испарения $\lambda_{\text{H}_2\text{O}^{18}} - \lambda_{\text{H}_2\text{O}^{16}} = 5,8$ ккал/моль при 100° и давление пара в интервале 15—100°; t -ра кипения $\text{H}_2\text{O}^{18} = 100,09^\circ$.

Э. Ч.

42598. Давление пара растворов азотной кислоты. Часть I. Новые азеотропы в системе вода — азотный ангидрид. Ллойд, Уайатт (The vapour pressures of nitric acid solutions. Part I. New azeotropes in the water — dinitrogen pentoxide system. Lloyd L., Wyatt P. A. H.), J. Chem. Soc., 1955, July, 2248—2252 (англ.)

Давление пара системы вода — азотный ангидрид (I), содержащей от 62 до 90 вес.% I, было измерено статич. методом при t -рах —10, 0, +10 и +20°. Подробно описана конструкция прибора и методика измерений. Данные по давлению пара и составу паровой фазы указывают на существование двух азеотропов: 1-й (с максимумом давления) близок к составу к HNO_3 , 2-й (с минимумом давления) содержит от 87 до 88% I. При увеличении t -ры минимуму давления пара смещается в сторону чистой HNO_3 . Авторы полагают, что существование минимума давления является следствием значительной ионизации I в разб. р-рах.

Л. Б.

42599. Равновесное давление паров воды над водными растворами серной кислоты. Варламов М. Л., Науч. зап. Одесск. Политехн. ин-та, 1955, 2, № 1, 67—80

Произведен критич. анализ эксперим. данных по равновесному давлению паров H_2O над р-рами H_2SO_4 (I). Отмечается, что водн. р-ры I следует разбить на две группы: для р-ров с конц-ей C ниже 64,5% давление паров H_2O описывается ф-лой $P = 10^{A_1}$, где $A_1 = (0,972 + 0,002C) \lg p - 0,000515 \cdot C^2 + 0,01864 \cdot C - 0,2235$, p — равновесное давление насыщ. водяного пара над водой при t -ре, при которой определяется давление пара над р-ром I; для $C \geq 64,5\%$ $P = 10^{A_2}$, где $A_2 = (0,021 \cdot C - 0,3) \lg p - 0,004036 \cdot C^2 + 0,48 \cdot C - 15,43$. В последней области эксперим. данные плохо совпадают между собой. Рассчитанные величины для t -ры кипения и теплоты паробразования H_2O из р-ров I удовлетворительно согласуются с опытом. Найденно, что величина P связана с вязкостью р-ров η ; в координатах $\lg P - \lg \eta$ эта зависимость выражается прямой линией.

42600. О влиянии присадок солей на равновесие пар-жидкость водной муравьиной кислоты. Гийе, Гийе, Йонсен (Über den Einfluss von Salzzusätzen auf das Dampf-Flüssigkeits-Gleichgewicht wässriger Ameisensäure. Guyer A., Guyer A., Jr. Johnsen B., Karth, Helv. chim. acta, 1955, 38, № 4, 946—954 (нем.).

Изучено влияние присадок солей, употребляемых для полного разделения в-в, образующих азеотропные смеси. Измерена зависимость содержания HCN в паре v от содержания HCN в жидкости n (результаты приводятся в виде графиков). Присадка $CaCl_2$ и $MgCl_2$ повышает относительную летучесть k -ты при всех n . При увеличении содержания соли конц-я k -ты в азеотропной смеси убывает; при $f = 2,4$ для $CaCl_2$ и $f = 3$ и $2,4$ для $MgCl_2$ (f — вес. % H_2O /вес. % соли) азеотропная точка отсутствует. Влияние $NaCl$ невелико, причем до $n = 68\%$ присадка повышает, а выше 68% понижает летучесть k -ты. Присадка сульфатов ($CaSO_4$, $(NH_4)_2SO_4$ и Na_2SO_4) до $n \approx 50$ вес. % не оказывает никакого влияния, при $n \approx 50$ вес. % влияет очень слабо (в сторону понижения v). Присадка $Ca(HCO_3)_2$ и $Mg(HCO_3)_2$ не влияет на v при всех n . Присадка $NaHCO_3$ (ее конц-я измерялась по отношению ко всей жидкости) понижает v и отодвигает азеотропную точку к более высоким n ; при 36,5 вес. % $NaHCO_3$ азеотропная точка отсутствует.

42601. Равновесие пар — жидкость в тройной системе бензол — циклогексан — нитрометан и в трех двойных системах. Уэк, Хант (Vapor-liquid equilibria the ternary system benzene-cyclohexane-nitromethane and the three binaries. Weck H. I., Hunt H. H., Industr. and Engng. Chem., 1954, 46, № 12, 2521—2523 (англ.).

Равновесие пар — жидкость в системах бензол (I) — циклогексан (II), 1-нитрометан (III), I — II и I — III при давл. 760 $\pm 0,9$ мм изучалось в аппарате, подобном применявшемуся ранее (Schumacher J. E., Hunt H., Industr. and Engng. Chem., 1942, 34, 701—704). Взаимная р-имость компонентов изучалась при $25 \pm 0,05^\circ$. Результаты представлены в виде таблиц диаграмм равновесия и кривых равновесия пар — жидкость.

42602. Равновесное давление паров некоторых растворов сероуглерода. Ридд, Осбери (The equilibrium vapor pressures of some carbon disulfide solutions. Reed Robert H., Osburn James O.), Proc. Iowa Acad. Sci., 1953 (1954), 60, 308—314 (англ.).

Для изучения способов удаления из воздуха паров сероуглерода (I), вредно действующих на организм, предпринято исследование абсорбции паров I соответствующими р-рительми. Были выбраны неполярные жидкости, имеющие низкое давление пара и неболь-

шую теплоту смешения с I: абсорбционное масло, тетралин и о-дихлорбензол. В этих жидкостях р-ры I ведут себя, почти как идеальные. Равновесное давление паров I в зависимости от его конц-ии при 25° измерялось с помощью усовершенствованного изотенсископа (прибор описан), результаты сопоставлены с вычисленными по закону Рауля.

42603. Поведение бозе-систем. Честер (Behavior of a Bose system. Chester G. V.), Phys. Rev., 1955, 99, № 4, 1062—1063 (англ.).

Показано, что системы слабо взаимодействующих бозе-частиц претерпевают фазовый переход второго рода как при условии постоянства давления, так и при условии постоянства объема. Оба типа переходов качественно идентичны наблюдающемуся в жидком гелии.

42604. λ -Аномалия в теплоемкости водорода. Хилл, Риккетсон, Саймон (A λ -anomaly in the specific heat of hydrogen. Hill R. W., Ricketson B. W., Simon Francis), Bull. Inst. internat. froid, 1955, annexe, № 2, 113—114 (англ.; реф. франц.).

Краткое сообщение об обнаруженной при измерениях теплоемкости твердого водорода между 0,7 и $2^\circ K$ аномалии в теплоемкости. В «нормальном» (75% орто-Н) водороде имеется узкий максимум (10 кал/град) при $1,63^\circ K$; при 65% орто-Н максимум шире и ниже и приходится на $1,27^\circ K$; при конц-ии орто-Н ниже 58% аномалия отсутствует. Общая аномальная энтропия составляет $R \ln 3$ на моль орто-Н в согласии с предположением, что аномалия связана с упорядочением вращений в молекулах орто-Н.

42605. Точка плавления германия как функция давления до 180 000 атмосфер. Холл (The melting point of germanium as a function of pressure to 180,000 atmospheres. Hall H. T. R. a. c. y.), J. Phys. Chem., 1955, 59, № 11, 1144—1146 (англ.).

Найдено, что t -ра плавления Ge убывает линейно при повышении давления от 936° при $p=1$ ат до $347 \pm 18^\circ$ при 180000 ат. Отсутствие изломов на графике указывает на отсутствие новых модификаций. Измерения электросопротивления показали, что твердый Ge остается полупроводником, а жидкий имеет свойства металлического проводника.

42606. О полиморфных превращениях сульфата натрия. Хланова А. Н., Докл. АН СССР, 1955, 105, № 3, 500—503.

Рентгенографически исследованы полиморфные превращения сульфата натрия. Объектами исследования служили: природный тенардит (I), искусственный тенардит (II), полученный из горячего насыщ. р-ра и высушенный при 110° , и II, переплавленный (III). I и II имеют структуру тенардита (Т), отличную от структуры III. Превращения I и II происходят по

схеме $T \rightarrow \gamma-Na_2SO_4 \xrightarrow{570-600^\circ} \delta-Na_2SO_4$, при охлаждении:

$\delta-Na_2SO_4 \xrightarrow{570-600^\circ} \gamma-Na_2SO_4$ ниже $240^\circ \rightarrow \beta-Na_2SO_4$ ниже $180^\circ \rightarrow \alpha-Na_2SO_4$.

$\alpha-Na_2SO_4 \rightarrow T$. Переход $\alpha-Na_2SO_4$ в Т происходит при обычных условиях медленно в присутствии влаги. Структура Т устойчива при содержании в кристаллах не менее 0,05 вес. % H_2O ; полное обезвоживание при 240° сопровождается превращением в $\gamma-Na_2SO_4$. Для III (до 600°) найдены

следующие фазовые переходы: $\alpha-Na_2SO_4 \xrightarrow{180-200^\circ} \beta-Na_2SO_4$.

$\beta-Na_2SO_4 \xrightarrow{240^\circ} \gamma-Na_2SO_4 \xrightarrow{570-600^\circ} \delta-Na_2SO_4$.

42607. Опаlescенция и флюктуации концентрации в двойных жидких смесях вблизи критической точки смешения. I. Эксперимент. Куонти, Н. Теория. Фюрт, Вильямс (Opalescence and concentra-

tion fluctuations in binary liquid mixtures near the critical mixing point. I. Experimental. Quantie Chow. II. Theoretical. Fürth R., Williams C. L., Proc. Roy. Soc., 1954, A224, № 1156, 90—119 (англ.)

I. Исследовано когерентное рассеяние света в 9 двойных смесях органич. жидкостей между собой и с водой вблизи их крит. точек смешения; компоненты смесей подбирались так, чтобы их $T_{\text{крит}}$ находились в области комнатных т-р. Фотоэлектрич. методом измерено кажущееся затухание (т. е. ослабление) падающего светового луча и угловое распределение интенсивности рассеянного света в широком диапазоне длин волны — в видимой и УФ-областях — и в малом интервале т-р выше крит. точек ($\Delta T \leq 1,6^\circ$). Найден, что коэфф. затухания τ пропорционален λ^{-m_1} , причем изученные смеси можно разбить на два класса: класс I с $\Delta n = 0,299 - 0,155$ (Δn — разность показателей преломления компонентов), для которого $m_1 \approx 4$, и класс II с $\Delta n = 0,098 - 0,04$, для которого $m_1 \approx 2$; далее, $\tau \sim 1/\Delta T$ для класса I и $\tau \sim 1/(\Delta T + t)$, $t \approx 0,2^\circ$ для класса II. Вообще в смесях класса I опалесценция сильнее. Угловое распределение интенсивности рассеянного света измерялось для углов θ между 10° и 150° . При $\Delta T > 0,5^\circ$ соблюдается релеевский закон. При малых ΔT для смесей класса I имеется максимум при $\theta \sim 90^\circ$; для смесей класса II кривая монотонно и резко убывает с увеличением θ .

II. Зависимость интенсивности рассеянного света от длины волны и от угла рассеяния может быть выведена из теоретич. соотношений, если известна корреляция флюктуации $g(r)$ в двух элементах объема как функция расстояния r между элементами. Авторы решают обратную задачу, определяя (путем численного интегрирования) $g(r)$ для ряда двойных смесей из измеренного углового распределения интенсивности рассеянного света (приводятся графики). Найден, что для смеси класса II $g(r)$ является функцией примерно гауссовского типа, а для смесей класса I $g(r)$ проходит через отрицательные значения. Из эксперим. данных вычислены также абс. значения флюктуаций концентрации вблизи крит. точки смешения; для смесей класса II они имеют порядок 0,1% и мало меняются при изменении ΔT от 0 до $0,3^\circ$, а для смесей класса I они в ~ 10 раз больше (при $\Delta T < 0,05^\circ$) и быстро убывают при увеличении ΔT . В. У.

42608. К теории процесса выделения в пересыщенных твердых растворах. Вепнер (Zur Theorie der Ausscheidungsvorgänge in übersättigten festen Lösungen. Wepner Wolfgang), Arch. Eisenhüttenwesen, 1953, 24, № 5/6, 275—279 (нем.)

Результаты ранее опубликованных теоретических исследований (Cottrell A. H., Bilby B. A., Proc. Phys. Soc., 1949, A 62, 49; 1950, 63, 191; Harper S., Phys. Rev., 1951, 83, 709; Wert Ch. A., Zener C., J. Appl. Phys., 1949, 20, 943, 950; 1950, 21, 5) согласованы с экспериментом. Предложена модель, пользуясь которой, автор получил ур-ние, описывающее процесс выделения новой фазы из пересыщ. твердого р-ра. Результаты расчета лучше согласуются с экспериментом для случая не деформированных на холоду образцов, чем расчет по теории Верта и Ценера. В. С.

42609. Рост кристаллов хлорида свинца из водных растворов. Левин (The crystal growth of lead chloride from aqueous solutions. Lewin S. Z.), J. Phys. Chem., 1955, 59, № 10, 1030—1034 (англ.)

Исследованы размеры, форма и прозрачность кристаллов $PbCl_2$ (I), образующихся из водн. р-ров $NaCl$, HCl (II) и $HClO_4$ (III) при 25° в зависимости от степени пересыщения и скорости охлаждения. Из водн. р-ров и р-ров $NaCl$ образуются непрозрачные кристаллы I,

причем увеличение степени пересыщения и скорости охлаждения изменяет внешний вид и размер кристаллов. В р-рах II или III степень пересыщения и скорость охлаждения не влияют на форму кристаллов. Прозрачность кристаллов, образующихся из этих р-ров, авторы объясняют уменьшением числа включений и дефектов решетки за счет удаления адсорбированного слоя воды под действием иона водорода. Резкое уменьшение скорости кристаллизации I из р-ров, содержащих большую конц-ию Cl^- , авторы объясняют присутствием ионов $PbCl_2$ и $PbCl_4^{2-}$, также адсорбцией Cl_2^{2-} поверхностью кристаллов. В. Ф.

42610. Исследование кристаллизации солей из пересыщенных водных растворов. Шлыков А. В., Горбачев С. В., Ж. физ. химии, 1955, 29, № 4, 607—614

На основании положения о возможности самопроизвольной кристаллизации из р-ров определено численное значение абс. предельного пересыщения (ПП) для водн. р-ров KNO_3 (I). Тщательная очистка р-ра от дисперсных и растворенных примесей, длительные нагревание и встряхивание при более высокой т-ре, чем это необходимо для растворения соли, обусловили при охлаждении достижение ПП, отвечающего границе метастабильности. Заполненные р-ром известной конц-ии и нагретые до 100° ампулы охлаждались до появления видимых кристаллов. Достоверными считались результаты, полученные для случаев кристаллизации при наиболее низкой т-ре. Такой метод отбора исключал искажения за счет возможного попадания в р-р примесей при загрузке ампул на воздухе. Средняя т-ра кристаллизации из р-ра с содержанием I 8,782 г-моль/кг составила $30,0^\circ$. Растворимость I при $30,0^\circ$ равна 4,55 г-моль/кг. Отсюда абсолютное ПП $\Delta C = 8,78 - 4,55 = 4,23$ г-моль/кг. Установлена практич. независимость т-ры кристаллизации I из р-ра от хим. состава стекла и от состояния его поверхности. Показано повышение средней т-ры кристаллизации при увеличении свободного объема ампул и независимость ПП от объема р-ра. Т. Д.

42611. Влияние степени очистки раствора на предельное пересыщение. Горбачев С. В., Шлыков А. В., Ж. физ. химии, 1955, 29, № 5, 797—801

Исследовалась кристаллизация KNO_3 из водн. р-ра. Применена более совершенная методика очистки р-ра от дисперсных и растворенных примесей: фильтрация р-ра KNO_3 через стеклянный фильтр № 4 и керамич. свечу с верхним диаметром пор $0,2\mu$, затем 5-кратная перекристаллизация и фильтрация через плотный ультрафильтр. Полученный р-р имел конц-ию $C = 8,78$ г-моль/кг. Часть р-ра кристаллизовалась в ампулах без всяких примесей. Средняя т-ра кристаллизации $30,0^\circ \pm 0,2^\circ$. Длительная тренировка ампул не изменила результат. Поэтому относительное пересыщение $\rho = (C - C_0)/C_0 = 0,93$ определяется как максим. пересыщение при 30° и принятых условиях охлаждения. Другая часть р-ра кристаллизовалась в присутствии активированного угля или бумажной массы соответственно в интервалах т-р $32,8 - 36,8$ и $34,4 - 34,9^\circ$. Это снижение предельного пересыщения в присутствии неизоморфных примесей связано с адсорбцией ионов на поверхности этих примесей, облегчающей процесс образования кристаллич. зародышей. Д. Т.

42612. К вопросу о теории растворимости солей в водной среде. Растворимость солей редких земель. Дармуа, Пти (Essai sur une théorie de la solubilité saline en phase aqueuse. Solubilité des sels de terres rares. Darmon Geneviève m-me, Petit Georges), C. r. Acad. sci., 1955, 241, № 3, 299—301 (франц.)

Принимается, что растворение — это плавление растворенного в-ва в присутствии р-рителя, которое за-

висит, по меньшей мере, от двух взаимно противоположных факторов: 1) ковалентных связей в трехмерной решетке исходного твердого в-ва; 2) сольватации, облегчающей разрушение электронной структуры кристалла. Предполагается, что энергия сольватации примерно равна энергии ионизации и что сольватированный ион в известной мере приобретает энергетический характер атома (но значительно увеличенного в своих размерах). Для солей с общим анионом, катионами которых служат элементы одной и той же группы периодической системы, ковалентные связи в образуемых ими кристаллич. решетках отличаются друг от друга в зависимости от порядкового номера элемента (Z), потенциала ионизации (V) и атомного радиуса (R) катиона, так что $\Phi = KZV/R^2$, где Φ — степень ковалентности, K — константа. В случае солей редких элементов как величина Φ , так и энергия сольватации должны возрастать в направлении от La к Lu, т.е. кривая растворимости этих солей должна проходить через минимум. Эксперим. данные различных авторов для этилсульфатов, нитратов, гидратированных сульфатов, оксалатов и броматов редкоземельных элементов указывают, что минимум растворимости расположен вблизи Eu или Gd, что подтверждает правильность высказанных предположений. Ф. П.

42613. О новом соединении Курнакова Fe_3V в системе железо—ванадий. Корнилов И. И., Михеев В. С., Докл. АН СССР, 1955, 104, № 1, 88—90

Приведены предварительные результаты исследования сплавов системы Fe—V в интервале конц-ий 0—46 ат. % V. Изучались: уд. электросопротивление (ρ) при 25 и 100°, температурный коэфф. ρ и твердость при комнатной т-ре. Результаты исследований табулированы и представлены на диаграммах состав-свойство. Полученные при 25 и 100° кривые ρ закаленных и отожженных сплавов проходят через минимум при 25 ат. % V, имея при этом составе сингулярную точку (СТ). Температурный коэфф. ρ , имеющий максимум при 25 ат. % V, для закаленных сплавов значительно ниже, чем для отожженных. Кривые твердости сплавов имеют СТ при том же составе. Опытные данные указывают на существование соединения Курнакова состава Fe_3V . Наличие СТ на кривых состав-свойство закаленных сплавов свидетельствует или о большой скорости образования Fe_3V , или о том, что указанное соединение образуется при т-рах выше 1300—1320°. Ю. З.

42614. Фазовая диаграмма системы $KNbO_3$ — $KTaO_3$ по данным методов дифференциального термического анализа и электросопротивления. Рейсман, Трибуассер, Холцберг (Phase diagram of the system $KNbO_3$ — $KTaO_3$ by the methods of differential thermal and resistance analysis. Reisman Arnold, Triebwasser Sol, Holtzberg Frederic), J. Amer. Chem. Soc., 1955, 77, № 16, 4228—4230 (англ.)

Ввиду трудности получения линии солидуса из данных термич. анализа, линия солидуса была получена также из кривой т-ра — электропроводность, на которой имеется излом при т-ре плавления. Данные термич. анализа и метода электропроводности согласуются с точностью до $\pm 3^\circ$. В системе образуется непрерывный ряд твердых р-ров. Рентгенофазовый анализ показал полную гомогенность твердых р-ров во всей области конц-ий. Л. Р.

42615. О твердых растворах алюмоферритов кальция. Торопов Н. А., Бойкова А. И., Изв. АН СССР, Отд. хим. н., 1955, № 6, 972—980

Кристаллооптически изучены медленно охлажденные (1,5 град/мин.) алюмоферриты Ca (АФ). Установлено, что в состав твердых р-ров АФ входят ромбич. модификация $5CaO \cdot 3Al_2O_3 (\alpha')$, $2CaO \cdot Fe_2O_3$ и некоторое кол-во свободной CaO . АФ с максим. содержанием Fe_2O_3 (17,5 вес. %), состав которого может быть выражен ф-лой

$8CaO \cdot 3Al_2O_3 \cdot Fe_2O_3 \cdot 3CaO \cdot Al_2O_3$, не образует твердых р-ров в $4CaO \cdot Al_2O_3 \cdot Fe_2O_3$, а разлагается при плавлении с образованием $5CaO \cdot 3Al_2O_3$ и свободной CaO . АФ производственных клинкеров, а также в смесях с силикатами Ca, алюминатами Ca и в смесях с повышенным содержанием CaO имеют переменный состав. Для расчета минералогич. состава клинкера целесообразно учитывать образование АФ, состав которого определяется на основе микроскопич. исследования. Н. А.

42616. Вязкость и электрическое сопротивление расплавленных боратов щелочных металлов. Шартисе, Кане, Спиннер (Viscosity and electrical resistivity of molten alkali borates. Shartsis L., Capps W., Spinner S.), J. Amer. Ceram. Soc., 1953, 36, № 10, 319—326 (англ.)

Измерены вязкость η и электрич. уд. сопротивление ρ систем $R_2O - B_2O_3$ ($R - Li, Na$ и K) при 600—1000°. На графике $\lg \eta$ — состав при 600—800° наблюдался минимум при 5—10 мол. % R_2O и максимум при 15—20 мол. % R_2O . Аналогичные результаты были получены для боратов натрия (Воларович М. П., Толстой Д. М., Бюлл. АН СССР, Отд. физ.-матем. н., 1930, 897—906). Аномальное изменение η боратов объясняется противоположным влиянием ослабления связей в стекле из-за наличия R^+ и увеличения плотности и уменьшения «свободного пространства для вязкого течения» при увеличении содержания R_2O . Предлагается следующее качественное правильное уравнение $\eta + 15,33 = 1/[0,1478F + 0,0026fd/M]$, где F — относительное изменение объема, f — весовая доля R_2O , M — мол. вес R_2O , d — плотность стекла ρ монотонно уменьшается с ростом конц-ии R_2O . Эквивалентная электропроводность растет с конц-ией R_2O . Кривые $\lg \rho - \lg \eta$ линейные и наклон их уменьшается с ростом конц-ии R_2O . Постоянство отношения между температурными коэффициентами $\lg \rho$ и $\lg \eta$ объяснено тем, что η и ρ связаны с конц-ией слабых связей в стекле. И. С.

42617. Применение визуально-политермического метода к изучению силикатных систем. Бергман А. Г., Нестерова А. К., Бычкова Н. А., Докл. АН СССР, 1955, 101, № 3, 483—486

В системе Li_2SiO_3 (I) — Na_2SiO_3 (II) образуются два инконгруэнтно плавящихся соединения предполагаемого состава 1 : 2 и 2 : 1; обнаружено полиморфное превращение I при 986°. В системе II — $BaSiO_3$ (III) найдена эвтектика при 45 мол. % III и 929°. По данным авторов, в системе I — $CaSiO_3$ (IV) эвтектической точке соответствует 1024° и 45,5 мол. % IV, а в системе I—III 960° и 55 мол. % III. В системе I — K_2SiO_3 (V) обнаружено конгруэнтно плавящееся при 850° соединение 1 : 3 и инконгруэнтно плавящееся соединение, предполагаемого состава 3 : 2. В системе Li_2F_2 — I указано на соединение предполагаемого состава 2 : 1. В системах Na_2SO_4 — II и Na_2WO_4 — II на ветви II имеется пологий участок, указывающий на тенденцию к расщеплению. В системе K_2F_2 — V обнаружена эвтектика при 730°, а в системе BaF_2 — III, изученной в области составов от 32,5 до 45 мол. % III, — инконгруэнтно плавящееся соединение предполагаемого состава 2 : 1. Изучение диагональных сечений с участием фторида, пиррофосфата и метаванадата натрия и силиката бария показало, что силикат бария хорошо растворяется в указанных солях. Системы с молибдатом и вольфраматом натрия и силикатом бария характеризуются очень крутым подъемом ветви кристаллизации и наличием горизонтальных участков, возможно, отражающих расслоение. С. Б.

42618. Распределение изотопов свинца между кристаллами и насыщенным раствором подытого аммония при температуре 25°. Меркулова М. С., Ж. физ. химии, 1955, 29, № 10, 1915—1920

Для выяснения причин сокристаллизации изотопов Рb с галогенидами щел. металлов изучено при 25° распределение ThV между кристаллами и насыщ. р-ром NH_4J . Для исследования использована методика, разработанная ранее (Хлопин В. Г., Тр. Радиового ин-та, 1938, 4, 34; Хлопин В. Г., Меркулова М. С., Радиохимия, сб. работ МГУ, 1952). Установлено, что распределение ThV между жидкой и твердой фазами подчиняется закону Хлопина; коэфф. кристаллизации (D) имеет постоянное значение 9,3 и не зависит от присутствия в р-ре легко адсорбирующихся ионов алюминия. Показано, что в системе $\text{NH}_4\text{J} - \text{PbJ}_2 - \text{H}_2\text{O}$ нижняя граница смешиваемости отсутствует и, следовательно, при соосаждении Рb с галогенидами щел. металлов, кристаллизующимися в структуре NaCl, не происходит образования аномальных смешанных кристаллов (Хлопин В. Г., Толстая М. А., Ж. физ. химии, 1940, 14, 941). При увеличении конц-ии распределяющегося в-ва в р-ре величина D падает, что свидетельствует против образования истинных смешанных кристаллов и делает вероятным предположение о специфич. адсорбции ионов Рb на определенных гранях поверхности кристалла или о чисто статистич. захвате их кристаллич. решеткой. Ю. З.

42619. Образование комплексных соединений хлоридов щелочоземельных металлов с хлоридом калия. Часть III. Система $\text{KCl} - \text{CaCl}_2 - \text{H}_2\text{O}$. Вязкость и электропроводность. Босе, Сринастава (Formation of complex compounds between alkaline earth chlorides and potassium chloride. Part III. System $\text{KCl} - \text{CaCl}_2 - \text{H}_2\text{O}$. Viscosity and conductivity. Bose P. C., Srinastava L. N., J. Indian Chem. Soc., 1955, 32, № 6, 389—390 (англ.))

Исследована электропроводность и вязкость системы $\text{CaCl}_2 - \text{KCl} - \text{H}_2\text{O}$. Вязкость определялась вискозиметром Оствальда, электропроводность — методом Кольрауша. Из полученных кривых зависимости электропроводности и вязкости от конц-ии CaCl_2 авторы делают заключение об образовании комплексных соединений: $2\text{KCl} \cdot \text{CaCl}_2$; $3\text{KCl} \cdot 2\text{CaCl}_2$ (I), $\text{KCl} \cdot \text{CaCl}_2$; $3\text{KCl} \cdot 4\text{CaCl}_2$ (II); $2\text{KCl} \cdot 3\text{CaCl}_2$ и $\text{KCl} \cdot 2\text{CaCl}_2$ (III), из которых I, II и III ранее не были описаны. Часть II, см. РЖХим, 1955, 23506. Н. А.

42620. Изотермы растворимости при 150° систем $\text{Na}_2\text{SO}_4 - \text{Na}_2\text{CO}_3 - \text{H}_2\text{O}$ и $\text{K}_2\text{SO}_4 - \text{K}_2\text{CO}_3 - \text{H}_2\text{O}$. Иткина Л. С., Кохова, В. Ф., Изв. Сектора физ.-хим. анализа ИОНХ АН СССР, 1955, 26, 242—247

Изучены при 150° растворимость и твердые фазы систем Na_2SO_4 (I) — Na_2CO_3 (II) — H_2O и K_2SO_4 (III) — K_2CO_3 (IV) — H_2O . Описание методики см. РЖХим, 1956, 18763. Изотерма растворимости системы I—II — H_2O состоит из трех ветвей, отвечающих кристаллизации I, II и двойной соли $2\text{Na}_2\text{SO}_4 \cdot \text{Na}_2\text{CO}_3$ (беркент) (V), образующей с компонентами двусторонние твердые р-ры. Область существования V с повышением т-ры сильно расширяется за счет уменьшения области существования I. Эвтонич. точки (в вес. %): а) 29,7 I; 1,7 II; тв. фазы I и V; б) 3,8 I; 25,4 II; тв. фазы II и V. Изотерма растворимости системы III—IV — H_2O состоит из двух ветвей, отвечающих кристаллизации III и $\text{K}_2\text{CO}_3 \cdot \frac{1}{2}\text{H}_2\text{O}$ (VI). Эвтонич. точка отвечает составу 0,2 III; 68,6 IV тв. фазы III и VI. С повышением т-ры от 25 до 150° растворимость III в эвтонич. точке повышается от 0,02 до 0,2 %, а IV от 53 до 68,6 %. IV сильнее высаливает III, понижая его растворимость от 21,8 вес. % до 0,2 % при насыщении р-ра двумя твердыми фазами. Л. А.

42621. Взаимная растворимость солей в системе из хлоридов и нитратов бария и кальция от температур полного замерзания до +60°. Успенская

Л. Н., Глушкова Н. П., Бергман А. Г. Ж. общ. химии, 1955, 25, № 9, 1658—1673

Визуально-политермическим методом изучены тройные системы: 1) $\text{BaCl}_2 - \text{Ba}(\text{NO}_3)_2 - \text{H}_2\text{O}$; 2) $\text{CaCl}_2 - \text{Ba}(\text{NO}_3)_2 - \text{H}_2\text{O}$ (диагональное сечение); 3) $\text{BaCl}_2 - \text{Ca}(\text{NO}_3)_2 - \text{H}_2\text{O}$ (диагональное сечение). На основании политермич. разрезов приведены значения растворимостей для изотерм 20, 40 и 60°. Сильное понижение растворимости нитрата бария в присутствии хлорида кальция авторы объясняют большой гидратацией последнего. Н. Д.

42622. Растворимость ортофосфатов урана (IV) в растворах фосфорной кислоты. Шрейер (The solubility of uranium (IV) orthophosphates in phosphoric acid solutions. Schreyer James M., J. Amer. Chem. Soc., 1955, 77, № 11, 2972—2974 (англ.))

Исследована система $\text{UO}_2 - \text{P}_2\text{O}_5 - \text{H}_2\text{O}$ при 25 ± 0,1° в области конц-ий 1,5—15,24 M (в расчете на общее содержание растворенного фосфата). Подробно излагается методика получения и очистки исходного препарата $\text{U}(\text{HPO}_4)_2 \cdot 4\text{H}_2\text{O}$. Установлено, что р-ры ортофосфата U^{4+} в фосфорной к-те различной конц-ии не окисляются кислородом воздуха. Автор отмечает, что состояние равновесия достигается в течение 1—2 недель, а в области конц-ий > 9,8 M PO_4^{3-} в течение > 3 недель. В исследованном интервале конц-ий существуют две твердые фазы: $\text{U}(\text{HPO}_4)_2 \cdot 6\text{H}_2\text{O}$, устойчивая при конц-ии < 9,8 ± 0,1 M PO_4^{3-} , и $\text{UHPO}_4 \cdot \text{H}_3\text{PO}_4 \cdot \text{H}_2\text{O}$, стабильная при конц-ии > 9,8 ± 0,1 M PO_4^{3-} . Состав твердых фаз был определен методом остатков, а также рентгенографически. Получено эмпирическое уравнение, характеризующее растворимость $\text{U}(\text{HPO}_4)_2 \cdot 6\text{H}_2\text{O}$ в р-ре фосфорной к-ты при 25° $[\text{U}^{4+}] = 2,55 \cdot 10^{-6} [\text{PO}_4^{3-}]^{4,41}$. С. Б.

42623. Измерения растворимости, электропроводности и вязкости в системах водных растворов CrO_3 и HClO_4 . Вольф, Кристофчик (Löslichkeits-, Leitfähigkeits- und Viskositäts-Messungen im System wäflriger Lösungen von CrO_3 und HClO_4 . Wolf Leopold, Christofzik Paul, J. prakt. Chem., 1955, 1, № 4, 237—247 (нем.))

Измерена растворимость, электропроводность (κ) и вязкость (η) системы HClO_4 (I) — CrO_3 (II) — H_2O (III). При постоянной конц-ии I на кривой κ имеется максимум, который при увеличении конц-ии I смещается в область меньших конц-ий II; максим. значение электропроводности при этом увеличивается. Кривые зависимости η от общей молярной конц-ии для р-ров системы I—II—III расположены между кривыми для систем II—III и I—III. Растворимость II в водной I уменьшается с повышением конц-ии I и в области 65—75 вес. % I практически равна нулю; при дальнейшем повышении конц-ии I растворимость II возрастает и составляет для абс. I при 22,5° 258,21 г/а, т. е. $6\text{HClO}_4 : 1\text{CrO}_3$. Авторы считают, что высокое значение κ этого р-ра (0,0469 ом⁻¹·см⁻¹) сравнительно с абс. I ($\kappa = 0,00597$ ом⁻¹·см⁻¹) заставляет предположить образование сверхкомплексов I и II за счет Н-мостиков. Н. К.

42624. Растворимость сульфата кальция в растворах соляной кислоты при 25°. Рысс Н. Г., Нилус Э. Л. Ж. общ. химии, 1955, 25, № 6, 1076—1081

С целью выяснения возможности снижения содержания SO_4^{2-} в соляной к-те производимой сульфатным методом, изучена растворимость CaSO_4 (II) в р-рах соляной к-ты и смесях I + CaCl_2 , I + H_2SO_4 при 25°, а также условия осаждения II. Из полученных данных следует, что растворимость II достигает максимума при конц-ии I ~ 9 вес. %. Показано, что $\text{CaSO}_4 \cdot 2\text{H}_2\text{O}$ оста-

ся устойчивой донной фазой в р-рах, содержащих до 21,15 вес. % I; переход $\text{CaSO}_4 \cdot 2\text{H}_2\text{O}$ в II происходит очень медленно при конц-ях до 27 вес. % и быстро при 30,61 вес. % I. Авторами предложен метод расчета очистки I от примеси SO_4^{2-} введением CaCl_2 . Г. Б.

42625. Равновесие жидкость — жидкость в системе циклогексан — жидкий аммиак. Хазанова Н. Е., Тр. Н.-и. и проект. ин-та азот. пром-сти, 1954, вып. 4, 5—12

Равновесие в системе циклогексан (I) — аммиак (II) изучалось методом Алексева в толстостенных запаянных стеклянных ампулах. Подробно описана конструкция термостата и методика работы. Получена бинальная кривая с верхней крит. точкой при 58,5° и 56,3 вес. % I. Изучено влияние воды на равновесие в системе I — II (5,1, 9,3 и 17,1 вес. % воды в II). Присутствие воды значительно увеличивает область гетерогенности, повышает крит. т-ру растворения; при этом равновесные кривые резко меняют свой характер и крит. точка не совпадает с максим. т-рой растворения. Локализовать точно крит. т-ру не удалось. При содержании 17,1 вес. % воды в II критич. явления не наблюдались вплоть до 60 вес. % I. К. Г.

42626. Активности бензола в системе $\text{AlBr}_3 + \text{C}_6\text{H}_6$. Андреевский Д. Н., Докл. АН СССР, 1955, 104, № 1, 85—87

В целях исследования влияния галогенидов алюминия, добавляемых в реакционную смесь в качестве катализатора, на величину активности углеводородов изучались кривые охлаждения р-ров AlBr_3 в C_6H_6 с конц-ей AlBr_3 до 10 мол. %. Полученные результаты близки к данным Б. И. Меншуткина (Ж. Русс. физ.-хим. о-ва, 1909, 41, 1089). Показано, что если считать AlBr_3 в данной системе димером, то активности компонентов совпадают с их молярными долями. О. К.

42627. Диаграмма плавления системы гексахлоран — нафталин. Гавриш Н. П., Ж. общ. химии, 1955, 25, № 9, 1700—1701.

Методом термич. анализа исследована система гексахлоран — нафталин. Обнаружено соединение $2\text{C}_{10}\text{H}_8 \cdot \text{C}_6\text{H}_6\text{Cl}_6$ с т. пл. 58,25°. Н. Д.

42628. Измерение диэлектрической проницаемости жидких смесей в широком интервале концентраций и температур в целях физико-химического анализа. Дулицкая К. А., Тр. Моск. авиац. ин-та, 1955, вып. 52, 56—62

Изучалась зависимость диэлектрич. проницаемости системы ацетон (I) — хлороформ (II) в интервале т-р от +20 до —30°. Кривые $\Delta\epsilon - C$ ($\Delta\epsilon$ — разность между диэлектрич. проницаемостью эксп-им. и вычисленной из аддитивности, C — конц-я I) проходят при всех т-рах через максимум при отношении I : II = 1 : 1, что является указанием на хим. взаимодействие в системе. Л. Р.

42629. Электропроводность, вязкость и плотность систем анилин — этиловый спирт. Мигаль П. К., Глебко Н. Г., Мочарнюк Р. Ф. (Питома электропроводность, вязкость та плотність системи анілін — етиловий спирт. Мигаль П. К., Глебко Н. Г., Мочарнюк Р. Ф.), Наук. зап. Чернівецьк. ун-ту, 1955, 11, 13—20 (укр.; рез. русс.) Исследованы электропроводность, вязкость и плотность системы этиловый спирт (I) — анилин (II) при т-рах 0, 20, 30, 40, 50° во всем интервале конц-ий. На изотермах электропроводности имеется минимум, соответствующий составу 47,6 мол. % I, который при изменении т-ры не смещается, что говорит о наличии хим. соединения состава 1 : 1. Изотермы вязкости монотонно убывают от значений для чистого II до значений для чистого I, т. е. имеют вид, характерный для систем без хим. взаимодействия. Изотермы плотности

представляют кривые, слегка выпуклые (без максимума) от оси состава. В. У.

42630. Диаграмма смешиваемости и равновесие растворимости системы вода — бензол — морфин. Тальявини, Арик, Бьянчани (Diagramma di miscibilità ed equilibrio di ripartizione nel sistema acqua-benzene-morfina. Tagliavini Giuseppe, Arich Guido, Bianciani Manfredi), Chimica e industria, 1955, 37, № 11, 882—887 (итал.; рез. англ., нем., франц.)

Изучена взаимная растворимость в тройной системе вода — бензол — морфин при т-рах 20, 40, 60, 80 и 100°. Приводятся данные о составе сопряженных фаз в области расслаивания. Н. А.

42631. Вязкость двойных смесей в водных растворах. Пушин, Милер (Вискозитет бинарных смесей в водном растворе. Пушин Н. А., Милер Р. З.), Гласник хем. друштва, 1954, 19, № 5, 253—265 (серб.; рез. англ.)

Изучена вязкость водн. р-ров 5 двойных систем: пиридин (I) — серная к-та в 50%-ном и 20%-ном водн. р-рах, I — фосфорная к-та в 50%-ном р-ре, I — лимонная к-та в 50%-ном р-ре; винная к-та — уретан в 40%-ном р-ре и винная к-та — глюкоза в 40%-ном р-ре. Найдено, что в водн. р-рах существуют следующие комплексы: $\text{C}_5\text{H}_5\text{NH} \cdot \text{HSO}_4$, $(\text{C}_5\text{H}_5\text{NH})_2\text{SO}_4$, $\text{C}_5\text{H}_5\text{NH} \cdot \text{H}_2\text{PO}_4$, $\text{C}_5\text{H}_5\text{N} \cdot \text{C}_6\text{H}_4(\text{OH})(\text{COOH})_2$ и $(\text{C}_5\text{H}_5\text{N})_2\text{C}_6\text{H}_4(\text{OH})(\text{COOH})_2$. В остальных двух системах комплексы не образуются. С. Б.

42632 Д. Исследование теплот образования селенистого водорода и селенистого дейтерия. Каньковский Р. Т. Автореф. дисс. канд. хим. н., Моск. хим.-технол. ин-т, М., 1955

42633 Д. К теории конвективных явлений в бинарных смесях. Герасимова С. Б. Автореф. дисс. канд. физ.-матем. н., Молотовск. ун-т, Молотов, 1955

42634 Д. Кинетика абсорбционных процессов, сопровождающихся химическими реакциями. Кишиневский М. Х. Автореф. дисс. докт. техн. н., Моск. хим.-технол. ин-т, М., 1955

42635 Д. Изучение условий образования различных модификаций карбоната кальция при искусственном его получении. Ошине Ф. Э. Автореф. дисс. канд. хим. н., Латв. ун-т, Рига, 1955

42636 Д. Исследование взаимодействий мочевины с предельными одноосновными кислотами в растворах и водных растворах методами физико-химического анализа. Кузнецова М. Н. Автореф. дисс. канд. хим. н., Новочеркас. политехн. ин-т, Новочеркасск, 1955

42637 Д. Термодинамическое и электрохимическое исследования системы кубического и моноклинного мышьяковистого ангидрида. Область стабильности модификаций. Кирилинг (Thermodynamische und elektrochemische Untersuchungen am System der kubischen und monoklinen Arsenitrioxydmodifikationen. Stabilitätsbereiche d. Modifikationen. Kirshning Hans Joachim. Diss. T. U., F. f. allg. Ingenieurwiss. Berlin, 1954, Maschinenschr.). Dtsch. Nationalbibliogr., 1955, B, № 17, 1231 (нем.)

42638 Д. 1. Система Al — Te. 2. К вопросу о существовании газообразного Al_2Te . 3. Опыт с алюминием и нитридом алюминия. Штенкен (1. Das System Aluminium — Tellur. 2. Zur Frage der Existenz der Verbindung Al_2Te . 3. Versuche mit Aluminium und Aluminiumnitrid. Steenken Gerhard. Diss. Phil. F., Kiel, 1954, Maschinenschr.). Dtsch. Nationalbibliogr., 1955, B, № 17, 1231 (нем.)

42639 Д. Равновесие между дислордом и серой в жидкой меди при 1150° С. Кукеман (Das Gleichgewicht zwischen Sauerstoff und Schwefel in flüss-

sigem Kupfer bei 1150° C. K u x m a n n U l r i c h. Diss. Bergak F. f. Bergbau u. Hüttenw., Clausthal, 1954), Dtsch. Nationalbibliogr., 1955, B, № 21, 1537 (нем.)

42640 Д. Изучение методом меченых атомов распределения мода при низких концентрациях между CS_2 и H_2O . Гуд (A tracer study of the distribution of iodine at low concentrations between carbon disulfide and water. Good Mary Lowe. Doct. Diss., Univ. Arkansas, 1955), Dissert. Abstrs, 1955, 15, № 3, 334 (англ.)

42641 Д. Измерение давления паров гексаметилен-тетрамина и наблюдение его термического разложения. Клиппинг (Messung des Dampfdruckes von Hexamethylentetramin und Beobachtung seiner thermischen Zersetzung. Klipping Gustav. Diss. T. U., F. f. allg. Ingenieurwiss., Berlin, 1954, Maschinenschr.), Dtsch. Nationalbibliogr., 1955, B, № 17, 1226 (нем.)

См. также: Фазовые переходы 42390, 42392, 42397, 42458, 42504, 42505, 42512, 42936, 44000. Термохимия 42299, 42664. Термодинамика кристаллов: 42411, 42413—42415, 42417; жидкостей и газов 42534, 42536, 42774, 42775, 44109, Ур-ния состояния 42533. Равновесия 42644, 42916, 42920, 42921, 42924. Физ.-хим. анализ систем: металл. 42384, 32385, 42427, 42503; неорганич. 42470, 42520, 42827, 42897, 43901, 43902, 43912; органич. 42660, 42779, 42784, 42860, 42909, 42912. Приборы и методы 43649—43664. Др. вопр. 42363, 42810, 42811, 42855, 42881, 43386, 43387, 45708, 45712, 45720, 45721

КИНЕТИКА. ГОРЕНИЕ. ВЗРЫВЫ. ТОПОХИМИЯ. КАТАЛИЗ

42642. Прикладная химическая кинетика. XII. Энциклопедический катализ. Юнгерс, Элен. (Cinétique chimique appliquée. XII. La catalyse enzymatique. Junger J. C., Hellin M.), Rev. Inst. franc. pétrole, 1955, 10, № 6, 595—635, № 7, 755—785 (франц.)

Часть XI см. РЖХим 1956, 15647 Э. Б. 42643. Вычисление реакций с статистическим равновесием. Бёслер, Будрусс (Berechnung von Reaktionen mit statistischem Gleichgewicht. Boesler Joh., Budruss Reinhold), J. pract. Chem., 1955, 1, № 5-6, 305—317 (нем.)

Дано математич. рассмотрение вычисления состава продуктов р-ции для р-ции типа: $\text{CH}_4 + \text{Cl}_2 \rightarrow \text{CH}_3\text{Cl} + \text{HCl}$, $\text{CH}_3\text{Cl} + \text{Cl}_2 \rightarrow \text{CH}_2\text{Cl}_2 + \text{HCl}$ и т. д. и, с другой стороны, скоростей р-ций из экспериментальных данных. Х. Б.

42644. К расчету равновесной конверсии из константы равновесия. Мориц (Az egyensúlyi konverzióinak az egyensúlyi állandóból való kiszámításáról. Móritz Péter.), Magyar tud. akad. kém. tud. oszt. közl., 1954, 4, № 1-2, 19—21 (венг.)

Доказывается, что ур-ние $K = (mx)^m (nx)^n \dots / (a - ax)^a (b' - bx)^b \dots K_y \{ [a' + (\mu - a)x]^{k-a} \}^1$, определяющее равновесную конверсию р-ции $aA + bB + \dots \rightleftharpoons mM + nN + \dots$, имеет только один корень, имеющий физ. смысл, независимо от состава исходной смеси и численного значения константы равновесия, a', b', \dots — кол-во молей А, В, ... в начале р-ции, $\mu = m + n + \dots$; K_y — отношение произведений коэфф. активности. Э. Н.

42645. Зависимость изотопного обмена водорода и кислорода в растворах от строения молекул. Бродский А. И. В сб.: Вопр. хим. кинетики, катализа

и реакционной способности, М., Изд-во АН СССР, 1955, 18—23

Скорость обмена изотопов водорода и кислорода в связях $\text{X}-\text{H}$ и $\text{X}-\text{O}$ определяется не природой атома Х, а строением электронных оболочек около него в данном соединении. Детализированы развитые ранее представления (Бродский, Изв. АН СССР, ОХН, 1949, 3; РЖХим, 1955, 3456) о двух типах обмена Н в зависимости от наличия или отсутствия незамещенных электронных пар около атома Х и приведены новые эксперим. доказательства в их пользу. Быстрый обмен в слабых электролитах при наличии таких пар идет через промежуточный комплекс, а не путем электролитич. диссоциации, которая дает параллельный более медленный путь обмена. При отсутствии незамещ. пар обмен идет, как правило, с значительной энергией активации и для него возможен как ассоциативный, так и ионизационный механизм в зависимости от строения и соотношения кислотностей. Рассмотрены предлагавшиеся разными авторами механизмы кислородного обмена в оксидионах и отмечены противоречия с опытными данными. Сопоставление скорости обмена $\text{O}^{16}-\text{O}^{18}$ в к-тах фосфора (РЖХим 1955, 28502) подтверждает механизм обмена через промежуточное присоединение воды с образованием ортоформы $\text{P}^+ - \text{O}^- + \text{H}_2\text{O}^{18} \rightarrow \text{P}(\text{OH}) - \text{O}^{18}\text{H} \rightarrow \text{P}^+ - \text{O}^{18} + \text{H}_2\text{O}$, с которым согласуется ряд других известных из литературы данных. Этот механизм также объясняет неизмеримо быстрый обмен в H_2O_4 и отсутствие его в HClO_4 (РЖХим, 1955, 28502). Рассматриваемый механизм предполагает способность атома Х к координативному присоединению и поляризацию связей $\text{X}^+ - \text{O}^-$ электроакцепторными группами или в результате σ-π-сопряжения. А. Б.

42646. Реакции между атомным и молекулярным кислородом. Огг, Сатфен (Reactions of atomic oxygen with molecular oxygen. Ogg Richard A., Jr, Sutphen William T.), Disc. Faraday Soc., 1954, № 17, 47—54; discuss. 90—113 (англ.)

Кислород, обогащенный изотопом O^{18} (25—30% O^{18}), использовался для изучения обменной р-ции: $\text{O}^{16}\text{O}^{16} + \text{O}^{18}\text{O}^{18} \rightleftharpoons 2\text{O}^{16}\text{O}^{18}$ (1). Опыты проводились в статич. условиях при 0—97° в присутствии нормального изотопа озона и CO_2 . Продукты р-ции анализировались масс-спектрометрически. Озон сильно катализирует р-цию (1), в то время как обмен с озоном $\text{O}^{16}\text{O}^{16} + \text{O}^{18}\text{O}^{16}\text{O}^{16} \rightleftharpoons \text{O}^{16}\text{O}^{18} + \text{O}^{18}\text{O}^{16}\text{O}^{16}$ протекает значительно медленнее. Катализирующее действие озона авторы объясняют наличием р-ции $\text{O} + \text{OO}^{18} \rightarrow \text{OO} + \text{O}^{18}$. Стационарная конц-ия атомного кислорода значительно превышает конц-ию, соответствующую равновесию между O_3 и O_2 . Для объяснения этого факта авторы выдвигают предположение о возникновении энергетич. цепей. Р. К.

42647. Реакция метильных радикалов с окисью азота. Брайс, Ингольд (Reaction of methyl radicals with nitric oxide. Bryce W. A., Ingold K. U.), J. Chem. Phys., 1955, 23, № 10, 1968 (англ.)

Масс-спектрометрически изучалась р-ция радикалов CH_3 , образующихся при термич. разложении $(\text{CH}_3)_2\text{Hg}$ с NO . При времени контакта 5·10⁻³ сек. образуются NH_3 , H_2O , HCN , CO , N_2 , CO_2 , CH_3CN и CH_3NO , при уменьшении времени контакта основным продуктом р-ции становится CH_3NO . Константа скорости р-ции при 900 и 480° и давл. ~10 мм рт. ст. равна соответственно 1,4·10¹¹ и 1,3·10¹¹ (моль/см³)⁻¹сек⁻¹. Полученные результаты согласуются с данными предыдущих исследований (РЖХим, 1956, 3478), свидетельствующих о нулевой энергии активации р-ции. З. М.

42648. Фотолиз ацетона в присутствии диметил-ртут. Осунн, Ребберт, Стисен (Photolysis of acetone in the presence of mercury dimethyl.

Oswin H. G., Rebbert R., Steacie E. W. R.), Canad. J. Chem., 1955, 33, №3, 472—479 (англ.). Изучалась р-ция радикалов CH_3 и CD_3 , образующихся при фотоллизе $(\text{CH}_3)_2\text{CO}$ и $(\text{CD}_3)_2\text{CO}$ с диметилртутью. Фотолизу подвергались смеси $\text{Hg}(\text{CH}_3)_2$ и ацетона (1 : 1) при 120—200° и давлении 80—100 мм рт. ст. Продукты р-ции анализировались масс-спектрометрически. Скорость р-ции $\text{CH}_3 + \text{Hg}(\text{CH}_3)_2 \rightarrow \text{CH}_4 + \text{CH}_3\text{HgCH}_3$ (1) измерялась по разности между суммарной скоростью образования CH_4 и скоростью р-ции $\text{CH}_3 + (\text{CH}_3)_2\text{CO} \rightarrow \text{CH}_4 + \text{CH}_3\text{COCCH}_3$. Энергия активации р-ции (1) для CH_3 и CD_3 равна 10,2 и 10 ккал/моль соответственно. В случае $(\text{CD}_3)_2\text{CO}$ в продуктах р-ции обнаружен $\text{C}_2\text{D}_5\text{H}_3$ что, по мнению авторов, указывает на возможность р-ции $\text{CD}_3 + (\text{CH}_3)_2\text{Hg} \rightarrow \text{CD}_3 - \text{CH}_3 + \text{Hg} + \text{CH}_3$. Р. К.

42649. Образование CH_3D при разложении *n*-бутана в присутствии дейтерия. Данби, Сполл, Стабс, Хиншелвуд (The formation of CH_3D by the decomposition of *n*-butane in the presence of deuterium. Danby C. J., Spall B. C., Stubbs F. J., Hinshelwood Cyril), Proc. Roy. Soc., 1955, A228, № 1175, 448—454 (англ.).

Смеси CH_4 , *n*-бутана, и 1-бутилена с D_2 подвергались пиролизу при 560° в присутствии NO и без добавок NO в пустых и заполненных насадкой сосудах. Образование CH_3D при пиролизе смесей, содержащих по 100 мм рт. ст. CH_4 и D_2 , уменьшается в присутствии NO и при увеличении поверхности сосуда. Разложение CH_4 протекает приблизительно в 15 раз медленнее, чем образование CH_3D . В случае смесей *n*- C_4H_{10} - D_2 также наблюдается некоторое тормозящее действие NO , однако отношение $\text{CH}_3\text{D} : \text{CH}_4$ остается неизменным. При пиролизе смесей 1-бутилена (в тех кол-вах, в которых он образуется при пиролизе *n*-бутана) с D_2 образуется CH_3D в кол-вах, сравнимых с его выходом при пиролизе *n*-бутана. Принимая, что пиролиз бутана не является цепной р-цией (Molera M. J., Stubbs F. J., J. Chem. Soc., 1952, 381), авторы считают, что полученные данные указывают на ненадежность использования дейтерного обмена для обнаружения свободных радикалов в р-ции разложения *n*-бутана. З. М.

42650. Кинетика окисления двуокиси серы закисью азота. Белл, Робинсон, Тренунт (The kinetics of the oxidation of sulphur dioxide by nitrous oxide. Bell T. N., Robinson P. L., Trenwith A. B.), J. Chem. Soc., 1955, May, 1440—1444 (англ.).

Скорость р-ции $\text{SO}_2 + \text{N}_2\text{O}$ (v) при 650—736° измерялась по кол-ву выделяющегося N_2 при разных составах смеси. Зависимость скорости р-ции от конц-ии реагентов выражается эмпирич. ур-нием $v = k' [\text{N}_2\text{O}]^{1.45} + k'' [\text{N}_2\text{O}]^{0.58} [\text{SO}_2]$, аналогичным ур-нию, полученному ранее (Robinson, Smith, J. Chem. Soc., 1952, 8395) для р-ции $\text{CH}_4 + \text{N}_2\text{O}$. Авторы предлагают механизм р-ции, согласно которому активированные за счет соударений $\text{N}_2\text{O} + \text{N}_2\text{O}$ и $\text{N}_2\text{O} + \text{SO}_2$ молекулы N_2O^* разлагаются на N_2 и атомы O , быстро реагирующие с SO_2 . Скорость р-ции, рассчитанная, исходя из предложенного механизма (рекомбинацией и р-циями атомов O с N_2O авторы пренебрегают), соответствует полученному эмпирич. ур-нию. З. М.

42651. Термическая стабильность FCIO_2 . Шумхер, Басуальдо (Die thermische Stabilität des Chlorylfluorids (FCIO_2). Schumacher H. J., Basualdo W. H.), Angew. Chemie, 1955, 67, № 8, 231 (нем.).

В связи с высказанным ранее (Z. Anorg. u. Allgem. Chem. 1951, 266, 275) предположением о взрывчатых свойствах FCIO_2 , образующегося при взаимодействии F с солями хлорноватой к-ты, изучался термич. распад FCIO_2 . Показано, что распад чистого FCIO_2 в кварцевом

сосуде протекает с измеримой скоростью при t -рах $>300^\circ$, поверхность стеклянных сосудов оказывает катализирующее действие. Р-ция ускоряется также малыми добавками паров воды. Взрывной распад чистого FCIO_2 не наблюдался. При взаимодействии FCIO_2 с органич. в-вами, напр. с крапивоной смазкой, образуется ClO_2 и смесь оказывается взрывчатой. З. М.

42652. Термическое разложение окиси триметиленна. Биткер, Уолтере (The thermal decomposition of trimethylene oxide. Bittker D. A., Walters W. D.), J. Amer. Chem. Soc., 1955, 77, № 6, 1429—1434 (англ.).

Термическое разложение (ТР) окиси триметиленна (I) изучалось при 420—460°, давл. I 54—330 мм рт. ст., в сосудах с различным отношением поверхности к объему. Пропилен, толугол и NO оказывают одинаковое ингибирующее действие на ТР I: скорость р-ции уменьшается на 20%. Продуктами ингибированной р-ции являются CH_2O и C_2H_4 , эта р-ция гомогенна и следует первому порядку. В продуктах ТР I в отсутствие ингибиторов обнаружены, кроме того, C_2H_6 , CO и H_2 , образующиеся из CH_2O и C_2H_4 в результате вторичных р-ций. Энергия активации р-ции равна 60 ккал/моль как при ТР чистой I, так и при добавках ингибиторов, PZ в первом случае равен $6,1 \cdot 10^{14}$, во втором $6,6 \cdot 10^{14}$ сек⁻¹. Авторы считают, что ТР I представляет собой сложный процесс, состоящий из р-ции, протекающей без участия свободных радикалов (р-ция, идущая в присутствии ингибиторов) и радикальной р-ции (часть процесса, подавляемая ингибиторами). З. М.

42653. Диффузионная кинетика атомно-радикальной рекомбинации при радиационном нейтронном захвате галогенов в жидких галогеналкилах. Рой, Вильямс, Хеймилл (Diffusion kinetics of, atom-radical recombination in radiative neutron capture by halogenes in liquid alkyl halides. Roy J. C., Williams R. R., Jr., Hamill W. H.), J. Amer. Chem. Soc., 1954, 76, № 12, 3274—3278 (англ.).

Исследован эффект прибавления галогенов и галогенолефинов на «органич. выход» (ОВ) радиоактивных галогенов при радиационном нейтронном захвате в жидких галогеналкилах. Интенсивность Ra-Be источника 10^6 нейтрон / сек. С увеличением конц-ии I_2 и Br_2 ОВ в $\text{C}_2\text{H}_5\text{I}$ (при —78 и 20°) и в $\text{C}_2\text{H}_5\text{Br}$ (при —78 и 0°) постепенно понижается, достигая предельно низкой величины $A_{\text{мин}}$ (25 и 20%) при молярной доле (X) галогенов, равной 0,01. Дальнейшее увеличение X уже не влияет на ОВ. α , β -дибромэтилен (I) повышает ОВ $\text{C}_2\text{H}_5\text{Br}$ (при 0 и 25°). Предельно высокий ОВ $A_{\text{макс}} = 60\%$ достигается при молярной доле I равной 10^{-4} . Зависимость ОВ от конц-ии примесей в данных и в ранее исследованных системах подобного типа (РЖХим, 1955, 18293) аналогичны. Предполагается, что при каждом радиационном захвате образуется (эффективно) одна пара радикал-атом, вероятность рекомбинации которой определяется скоростью диффузии. Галогены понижают ОВ, так как их р-ция с органич. радикалами конкурирует с р-цией рекомбинации. Приближенный расчет указанного механизма приводит к соотношению:

$$-\ln(A_{\text{макс}} - A_0) / (A_{\text{макс}} - A_{\text{мин}}) = 1 / \sqrt{2\pi\rho_0\gamma},$$

где A_0 — ОВ чистых галогеналкилов (38,6% для $\text{C}_2\text{H}_5\text{I}$ при 20° и 37% при —78°; 31,8% для $\text{C}_2\text{H}_5\text{Br}$ при 0° и 34,5% при —78°), ρ_0 — отношение среднего начального расстояния двух рекомбинирующих частиц к их среднему диаметру и γ — отношение среднего свободного пути этих частиц к их среднему диаметру. Расчет

по эксперим. данным дает для C_2H_5 $\rho_0 = 3,6$ и $\gamma = 0,32$ и для C_2H_5Br $\rho_0 = 2,5$ и $\gamma = 0,47$. Действие I объясняется обменом между I и радиоактивными атомами Br. Энергия активации этой р-ции на ~ 11 ккал/моль ниже энергии активации конкурирующей р-ции: $C_2H_5Br + Br^* \rightarrow C_2H_5Br + HBr^*$, ведущей к понижению ОВ. Опыты по облучению C_2H_5Br при совместном присутствии I ($X = 0,00015$) и Br_2 ($X = 5 \cdot 10^{-5} - 5 \cdot 10^{-3}$) свидетельствуют об аддитивности действий добавок. Б. К.

42654. О саморазложении озона в водном растворе. Абель (Über die Selbstzersetzung von Ozon in wässriger Lösung. Abel E.), Monatsh. Chem., 1955, 86, № 1, 44—51 (нем.)

Предложен механизм р-ции $2O_3 \rightarrow 3O_2$: $O_3 + OH^- \rightleftharpoons \bar{O} \cdot O \cdot O \cdot OH$; $\bar{O} \cdot O \cdot O \cdot OH \rightarrow O_2 + HO_2$ (медленная стадия); $O_2 + O_3 \rightarrow \bar{O} \cdot O \cdot O + O_2$; $HO_2 + \bar{O} \cdot O \cdot O \rightarrow \bar{O} \cdot O \cdot \bar{O} + H^+ + O_2$; $\bar{O} \cdot O \cdot \bar{O} \rightarrow O_2 + O_2$. Выведены кинетические уравнения для кислой и щел. среды. Б. З.

42655. Кинетика обмена воды между $Cr(H_2O)_6^{3+}$ и растворителем. Хант, Плейн (The kinetics of the exchange of water between $Cr(H_2O)_6^{3+}$ and solvent. Hunt John P., Plane Robert A.), J. Amer. Chem. Soc., 1954, 76, № 23, 5960—5962 (англ.)

В развитие прежних исследований (Plane R. A., Taube H., J. Phys. Chem., 1952, 56, 33) измерены скорости р-ции обмена $Cr(H_2O)_6^{3+}$ с H_2O^{18} в разб. р-рах перхлората и нитрата при 27,5 и 34,5°. Скорость обмена пропорциональна $[Cr(H_2O)_6^{3+}]$ в области значений ионной силы μ 0,4—9,0. Экстраполяция к $\mu = 0$ дает для константы скорости при 27° значение $2,07 \cdot 10^{-4}$ мин⁻¹. Энергия активации, вычисленная при $\mu = 0,7$, равна 27,6 ккал/моль. С. Г.

42656. Механизм каталитической активации молекулярного водорода ионами металлов. Халперн, Питерс (Mechanism of the catalytic activation of molecular hydrogen by metal ions. Halpern J., Peters E.), J. Chem. Phys., 1955, 23, № 3, 605 (англ.)

В присутствии ионов Cu^{2+} (особенно в виде $(CH_3COO)_2Cu$) и Hg^{2+} растворенный H_2 восстанавливает $Cr_2O_7^{2-}$, Ce^{4+} и IO_3^- . Основываясь на том, что скорость р-ции пропорциональна $[H_2] [(CH_3COO)_2Cu]$, авторы считают образование комплекса $[M^+ \dots H_2]$ стадией, определяющей скорость р-ции. Промотирующее действие иона CH_3COO^- связано с образованием мостика между M^+ и H_2^+ , снижающего электростатич. отталкивание этих ионов. И. М.

42657. Спектрофотометрическое изучение кинетики реакции тиосульфата железа (3+). Патнаик, Махататра (Spectrophotometric study of the kinetics of ferric thiosulphate reaction. Patnaik D., Mahapatra G. N.), Current Sci., 1955, 24, № 6, 195—196 (англ.)

Кинетика р-ции разложения ферритиосульфата изучалась спектрофотометрически в видимой области спектра ($\lambda = 5000$ Å). Кривые процент пропускания — время имеют обычный S-образный характер. Величина ионной силы р-ра не влияет на р-цию, присутствие избытка ионов H^+ замедляет ее. Р-ция ускоряется в присутствии ионов Cu и при увеличении концентрации тиосульфата. В. П.

42658. Кинетика восстановления иона трехвалентного железа гидрохиноном в присутствии 1,10-фенантролина. Дьюк, Парчен (Kinetics of the

reduction of ferric ion by hydroquinone in the presence of 1,10-phenanthroline. Duke Frederick R., Parchen Frank R.), J. Amer. Chem. Soc., 1955, 77, № 12, 3198—3199 (англ.)

Определялась скорость восстановления иона Fe^{3+} гидрохиноном (А) в присутствии 1,10-фенантролина (Ph) при 25° и конц-ях Fe^{3+} , А и Ph порядка $10^{-4} - 10^{-5}$ М. Конц-я Fe^{3+} в ходе р-ции измерялась с помощью спектрофотометра. Скорость р-ции подчиняется ур-нию: $-d[Fe^{3+}]/dt = \{k_1 K_1 K_2 [A] / (1 + K_1 [Ph])\} [Fe^{3+}]$, выведенному в предположении, что окисление А проходит через промежуточную стадию образования комплекса с Fe^{3+} , конкурирующую с р-цией комплексобразования Fe^{3+} с Ph. Здесь k_1 — константа скорости превращения комплекса в продукты р-ции, K_1 — константа равновесия $Fe - Ph_{n-1}^{3+} + Ph \rightleftharpoons Fe - Ph_n^{3+}$ и K_2 — константа равновесия $Fe - Ph_n^{3+} + A \rightleftharpoons (Fe - Ph_{n-1} - A)^{3+} + Ph$ ($n = 2$ или 3). Т. Г.

42659. Кинетика и механизм реакции ферроцианида калия с нитрозобензолом, катализируемой ионами одно- и двухвалентной ртути и ртутиорганическими соединениями. Ашпергер, Павлович (The kinetics and mechanism of the reaction of potassium ferrocyanide and nitrosobenzene catalysed by mercuric and mercurous ions and organic mercuric compounds. Asperger S., Pavlovic D.), J. Chem. Soc., 1955, May, 1449—1454 (англ.)

Скорость (W) р-ции $K_4[Fe(CN)_6]$ с нитрозобензолом, катализированной Hg^{2+} , в водн. р-рах при т-ре 20° зависит от конц-й $K_4[Fe(CN)_6]$ и не зависит от конц-й нитрозобензола, когда последняя превосходит некоторую величину. Протекание р-ции регистрировалось спектрофотометрически по накоплению фиолетового продукта $[Fe(CN)_5, C_6H_5NO]^{2-}$. Энергия активации (15 ккал/моль) на 5 ккал/моль ниже, чем для некатализируемой р-ции. W уменьшается с увеличением ионной силы р-ра. Кроме Hg^{2+} , р-ция катализируется Hg_2^{2+} в той же степени, что и Hg^{2+} , и в гораздо меньшей степени $C_6H_5HgCOCH_3O$, CH_3HgBr , CH_3HgI , $Hg(N \cdot C_4H_9O_2)$ и о- и м-оксисбензоатом $Hg(2+)$. Полученные кинетич. зависимости согласуются с механизмом: $[Fe(CN)_6]^{4-} + H_2O \rightleftharpoons [Fe(CN)_5 \cdot H_2O]^{3-} + CN^-$ (1), $[Fe(CN)_5 \cdot H_2O]^{3-} + C_6H_5NO \rightarrow [Fe(CN)_5, C_6H_5NO]^{2-} + H_2O$ (2), $CN^- + H_2O \rightleftharpoons HCN + OH^-$ (3) при условии, что (1) является лимитирующей стадией. Ионы Au и Pt также катализируют р-цию, причем каталитич. действие возрастает в ряду: $Pt^{4+} < Au^{3+} < Hg^{2+} \approx Hg_2^{2+}$. Предложен метод обнаружения следов Hg по ее каталитич. действию. Г. К.

42660. Неравновесное ингибирование системы катализа — перекись водорода. Бирс (Non-equilibrium inhibition of the catalase-hydrogen peroxide system. Beers Roland F., Jr.), J. Phys. Chem., 1955, 59, № 6, 552—556 (англ.)

Рассмотрена аналитически кинетика в системе катализа — H_2O_2 в случае неравновесного ингибирования субстратом. Ход р-ции описывается схемой $E + S \rightarrow ES$ (1); $ES + S \rightarrow E + \text{продукты}$ (2); $E + I \rightleftharpoons EI$ (3); $ES + I \rightleftharpoons ESI$ (4), где E — фермент, S — субстрат, I — ингибитор, EI — первичный, ESI — вторичный неактивный комплекс. Показано, что благодаря стационарности отношение (1)/(EI) не зависит от (S) и остается постоянным, даже если оба его члена непрерывно меняются в ходе р-ции. На основании литературных данных автор предполагает, что ингибирование азидом включает конкурирующую р-цию азидов и H_2O_2 за первичный комплекс, которая следует ур-нию скорости простой обратимой р-ции первого порядка, независимой от S. См. также РИХИМ, БХ 1955, 15314. А. Р.

42661. Полярграфический метод определения скорости диссоциации кислот (Предварительное сообщение). Рючи, Фильштих (Polarographische Methode zur Bestimmung der Dissoziationsgeschwindigkeit von Säuren (Vorläufige Mitteilung). R. ü. e. t. s. c. h. i. Paul, Vielstich Wolf), Z. phys. Chem. (Frankfurt), 1955, 4, № 1/2, 124—125 (нем.).

Отмечается возможность измерения скорости диссоциации (СД) к-т полярграфич. методом на Hg-электроде в условиях увеличения скорости разряда H⁺ путем введения в р-р восстанавливающихся в-в, напр. азобензола. Измерение СД осуществимо тогда при условии: $V k_1 K_1 / [A^-] \ll 4$ (k — константа СД, K — константа диссоциации, t — период капания Hg, $[A^-]$ — конц-ия анионов к-ты. В области высоких рН СД ограничена величиной тока чем и следует объяснить часто наблюдаемые аномалии при полярграфии в указанной области. В. А.

42662. Экспериментальное изучение реакций медленного окисления. II. Окисление аммиака кислородом. Вервимп, Ван-Тиггелен (Etude expérimentale de l'oxydation lente. II. Réaction des mélanges d'ammoniac et d'oxygène. Verwimp J., Van Tiggelen A.), Bull. Soc. chim. belges, 1953, 62, № 3-4, 205—222 (франц.).

Изучено влияние общего давления на кинетику р-ции $\text{NH}_3 + \text{O}_2$ для смесей различного состава при 490—540° в статич. условиях в пирексовом сосуде. Скорость р-ции возрастает при увеличении содержания O_2 в смеси. При изменении общего давления смеси (63% O_2 и 37% NH_3) до $p = 80$ мм рт. ст. происходит переход медленной р-ции в быструю: скорость возрастает в 10 раз. Порядок медленной р-ции 1,7, энергия активации E для всех составов смеси равна 49 500 кал/моль. Добавление O_2 увеличивает скорость р-ции, не изменяя E , причем резкий переход от медленной р-ции к быстрой исчезает. Ускорение р-ции при увеличении конц-ии O_2 связано с р-цией удаления NO ($2\text{NO} + \text{O}_2 \rightleftharpoons 2\text{NO}_2$), ингибирующей окисление. Переход медленной р-ции в быструю происходит при достижении O_2/NH_3 предельного значения. Сообщение I см. Bull. Soc. chim. belges, 1950, 59, 558. С. П.

42663. Экспериментальное изучение реакций медленного окисления. III. Влияние водорода и окислов азота на окисление аммиака. Вольдерс, Ван-Тиггелен (Etude expérimentale de l'oxydation lente. III. Influence de l'hydrogène et de l'oxyde d'azote dans l'oxydation de l'ammoniac. Volders A., Van Tiggelen A.), Bull. Soc. chim. belges, 1954, 63, № 11—12, 542—561 (франц.).

Для выяснения действия H_2 и NO при горении NH_3 изучалась медленная р-ция 2 смесей: $\text{NH}_3 + \text{H}_2 + \text{O}_2$ в пирексовом сосуде ($V = 78,6 \text{ см}^3$) при 410° и $\text{NH}_3 + \text{NO}$ в кварцевом сосуде ($V = 80,1 \text{ см}^3$) при 530 и 675°. Для смеси $\text{NH}_3 + \text{H}_2 + \text{O}_2$ порядок р-ции по общему давлению 2-й, по O_2 0,5, по H_2 0,3—1, по NH_3 1 (при больших P_{NH_3}). Т-ра окисления на 100° ниже окисления смеси $\text{NH}_3 + \text{O}_2$. Не обнаружена область медленного окисления, наблюдающаяся в смеси $\text{NH}_3 + \text{O}_2$, объясняемая ингибирующим действием NO . Энергии активации для этой смеси и смеси $\text{NH}_3 + \text{O}_2$ одинаковы и равны 50 000 кал/моль что объясняется одинаковым зарождением цепей в обеих смесях. Ускорение р-ции, вызванное добавлением H_2 к смеси $\text{NH}_3 + \text{O}_2$, объясняется возникновением р-ции разветвления $\text{H} + \text{O}_2 \rightarrow \text{OH} + \text{O}$. Для смеси $\text{NH}_3 + \text{NO}$ наблюдается резкое изменение механизма р-ции при изменении состава смеси. При $P_{\text{NO}} < 14\%$ порядок р-ции по общему давлению 0,5, по NH_3 0,35, по NO 0,15. Энергия активации 11 000 кал/моль. При $P_{\text{NO}} > 14\%$ порядок р-ции по общему давлению 1,7, по NH_3 0,5, по NO 1,3. Энергия

активации 50 000 кал/моль. Авторы приводят радикально-цепную схему окисления NH_3 . Цеп развивается с участием радикалов NH_2 и OH . Ингибирование NO объясняется р-цией обрыва $\text{NO} + \text{OH} \rightarrow \text{HNO}_2$ (1). Ускорение р-ции при $P_{\text{NO}} < 14\%$ объясняется либо уменьшением вероятности р-ции (1), либо появлением р-ции разветвления $\text{NH} + \text{NH}_3 \rightarrow 2\text{NH}_2$. С. П.

42664. Термохимическое исследование автоокисления бензальдегида. Исправление (прежней) интерпретации термохимических данных. Результаты новых опытов. Бринер, Шатоне (Etude thermochimique de l'autoxydation de l'aldéhyde benzoïque. Rectification de l'interprétation des données thermochimiques; résultats de nouveaux essais. Briner E., Chastonay Ph. de), Helv. chim. acta, 1954, 37, № 6, 1904—1907 (франц.).

Дана новая интерпретация результатов термохимич. исследования, основанная на том, что первичным продуктом процесса является надбензойная к-та: теплота автоокисления бензальдегида равна сумме теплот образования надбензойной к-ты и р-ции между надбензойной к-той и бензальдегидом. См. также РЖХим 1956, 22322. Б. М.

42665. К кинетике каталитического автоокисления диолефинов средней степени полимеризации. Вильборн, Моргнер (Zur Kinetik der katalysierten Autoxydation eines mittelpolymeren Diolefins. Wilborn F., Morgner J.), Dtsch. Forben-Z., 1955, 9, № 12, 457—462 (нем.).

Скорость окисления (высыхания) при 20—160° низкомолекулярного Na -бутадиенового полимера в присутствии добавок солей Mn , Co , Fe , Ce , Cu , Pb , Th , Ni заметно увеличивается (элементы записаны в порядке убывания активности). Соли первых четырех элементов являются катализаторами окисления не только на свету, но и в темноте. Уменьшение кол-ва двойных связей в полимере в присутствии добавок протекает во времени по ур-нию первого порядка. Фенолы, ароматич. амины и пиридин ингибируют окисление, причем n -аминофенол $>$ α -нафтол $>$ дифениламин $>$ β -нафтол $>$ резорцин, пиридин, анилин; фенол не ингибирует окисление. Максим. кол-во присоединившегося к полимеру O_2 , равное $\sim 23\%$, несколько уменьшается при повышении т-ры р-ции; одновременно увеличивается выход продуктов деструкции полимера. Эластичность и пластичность полимера в ходе окисления уменьшаются, причем пластичность теряется полностью уже при поглощении O_2 , равном $\sim 6\%$. Рефракция возрастает линейно с увеличением содержания O в полимере. А. П.

42666. О механизме термического разложения формамида. Лүфт (Zum Mechanismus der thermischen Formamidzersetzung. Luft Norbert W.), Monatsh. Chem., 1955, 86, № 4, 671—676 (нем.).

Автор отвергает предположенный ранее (Schwab G.-M., Z. organ. allgem. Chem., 1950, 262, 41) механизм прямого гетероэлектронного распада формамида и предлагает радикально-цепную схему р-ции; возможно также протекание ионных р-ций, особенно в присутствии катализаторов. А. Р.

42667. Основной катализ гидролиза некоторых алифатических амидов и n -алкилбензоамидов. Паккер, Томсон, Вон (The base-catalysed hydrolysis of certain aliphatic amides and n -alkylbenzamides. Packer J., Thomson A. L., Vaughan J.), J. Chem. Soc., 1955, Aug., 2601—2603 (англ.).

Скорость щел. гидролиза возрастает в последовательности: $(\text{CH}_3)_3\text{CCONH}_2$, $(\text{CH}_3)_2\text{CHCONH}_2$, $\text{CH}_3\text{CH}_2\text{CONH}_2$, CH_3CONH_2 . Энергии активации ≈ 15 ккал/моль. Гидролиз ароматич. аминов ($\text{C}_6\text{H}_5\text{CONH}_2$, n - $\text{CH}_2\text{C}_6\text{H}_4\text{CONH}_2$, n - $\text{C}_2\text{H}_5\text{C}_6\text{H}_4\text{CONH}_2$, n - $\text{isoo-C}_3\text{H}_7\text{C}_6\text{H}_4\text{CONH}_2$, n - tert-

$C_4H_9C_6H_4CONH_2$) протекает с одинаковой скоростью и значительно медленнее, чем гидролиз соответствующих алифатич. аминов. Р. К.

42668. Сольволиз 1-хлор-2-метилпропан-2-ола. Харви, Риггс, Стимсон (The solvolysis of 1-chloro-2-methylpropan-2-ol. Harvey G. J., Riggs N. V., Stimson V. R.), J. Chem. Soc., 1955, Sept., 3267—3269 (англ.)

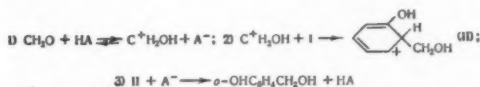
Кинетика сольволиза 1-хлор-2-метилпропан-2-ола (I) изучалась при 85 и 97° в воде и в р-рах C_2H_5OH разной конц-ии. Скорость р-ции, величины энергии активации и предэкспоненциального множителя уменьшаются с увеличением кол-ва C_2H_5OH в р-ре. Скорость образования HCl -к-ты при сольволизе I следует ур-нию первого порядка вплоть до 75% превращения. Изомасляный альдегид (II) образуется со 100%-ным выходом. Авторы предполагают, что первой стадией р-ции является образование 2-метилпропан-1,2-диола, который затем переходит в II.

А. Р. 42669. Щелочной гидролиз метилпропионата в смесях ацетон-вода и растворах различной ионной силы. Куинлан, Эймис (The alkaline hydrolysis of methyl propionate in acetone-water mixtures and solutions of different ionic strength. Quinlan John E., Amis Edward S.), J. Amer. Chem. Soc., 1955, 77, № 16, 4187—4191 (англ.)

В смесях ацетон-вода с разной диэлектрич. постоянной ϵ и в водн. р-рах $NaNO_3$ при 15—35° р-ция следует второму порядку. Зависимости констант скорости р-ции от ϵ и ионной силы μ подчиняются установленным ранее ур-ниям (РЖХим, 1954, 44432; Amis E. S., Jaffé G. J., J. Chem. Phys., 1942, 10, 532). Величина энергии активации р-ции лежит в интервале 10,0—12,5 ккал/моль, а $\lg A$ равен 6,47—8,39 (A — предэкспоненциальный множитель в л/моль сек).

А. Р. 42670. Кинетика реакции фенола с формальдегидом. Нонге, Дейкстра (La cinétique de la réaction entre le phénol et le formaldéhyde. Jonge J. der, Dijkstra R.), Bull. Soc. chim. France, 1955, № 1, 136—138 (франц.)

При взаимодействии фенола (I) с формальдегидом в щел. среде образуются o - и p -оксиметилфенол, в кислой среде — диоксидифенилметаны. Кинетика введения первичной оксиметильной группы в фенол изучалась в разб. водн. р-рах (0,1—0,4 моль/л) при pH 2—11 и малых долях превращения (~10%). Скорость р-ции измерялась изменением конц-ии CH_2O . Р-ция бимолекулярная, 1-го порядка по I и по CH_2O . Константа скорости зависит от pH среды. При постоянной конц-ии CH_2O и $pH < 4$ скорость р-ции пропорциональна конц-ии иона H^+ , при pH 5—9 пропорциональна конц-ии иона OH^- , при $pH > 9$ не зависит от конц-ии OH^- . Минимум скорости при pH 4,5. Авторы предлагают следующий механизм р-ции в кислой среде (стадия 2 определяет скорость р-ции). В щел. среде р-ция идет



между ионом фенолята и молекулами CH_2O . Отношение скоростей замещения в орто- и пара-положениях не зависит от pH р-ра. С. П.

42671. Влияние растворителя на скорость реакции.

XI. Щелочной гидролиз этилбромида в смесях ацетон-вода. Томмила, Антикайнен (The influence of the solvent on reaction velocity. XI. Alkaline hydrolysis of ethyl bromide in acetone-water mixtures. Tommila Eero, Antikainen P. J.), Acta chem. scand., 1955, 9, № 5, 825—831 (англ.)

Изучался гидролиз этилбромида в присутствии небольших кол-в $NaOH$ в смесях ацетон-вода разного состава при t -рах 25—75°. Скорость р-ции мало зависит от состава р-рителя. Константа скорости р-ции k имеет максимум при 18—27 вес. % ацетона в смеси; положение максимума зависит от t -ры. Энергия активации E и предэкспоненциальный множитель A также проходят через максимум при ~18% ацетона; в этой точке $E = 22,0$ ккал/моль, энтропия активации равна $-7,9$ энтр. ед. Различную зависимость этих величин от состава р-рителя при щел. гидролизе и сольволизе авторы объясняют тем, что в последнем случае переходный комплекс более полярен, чем начальное состояние, а в случае р-ции этилбромида и OH^- менее полярен, т. е. влияние сольватации в этих двух случаях противоположно. Зависимость $\lg k$ от $1/D$ (D — диэлектрич. постоянная р-рителя) проходит через максимум при 18—27 вес. % ацетона; положительная ветвь зависимости нелинейна, отрицательная — линейна. В противоположность некатализированному гидролизу, E и A в изодиэлектрич. точке мало отличаются от E и A в р-рителях постоянного состава. Предыдущ. сообщение см. РЖХим, 1956, 28508. А. Р.

42672. Влияние растворителя на скорость реакции. XII. Сольволиз алкилбензолсульфонатов в смесях ацетон-вода и диоксан-вода. Томмила (The influence of the solvent on reaction velocity. XII. The solvolysis of alkyl benzenesulphonates in acetone-water and dioxan-water mixtures. Tommila Eero), Acta chem. scand., 1955, 9, № 6, 975—978 (англ.)

Кинетика некатализированного гидролиза этил-, n -пропил-(II) и изопропилбензолсульфоната (III) в смесях ацетон-вода и диоксан-вода протекает по 1-му порядку относительно I, II и III. Скорость гидролиза увеличивается с увеличением кол-ва воды в смеси для III в гораздо большей степени, чем для I и II. При содержании H_2O в смесях $> 50\%$ р-ция с III идет по 6-му порядку, а с I и II по порядку 3,6—3,8 относительно конц-ии H_2O ; при меньшем кол-ве H_2O порядок составляет 2,5—1,7 для всех трех эфиров. Зависимость E и $\lg A$ от состава р-рителя имеет сложный характер; кривые для смесей ацетон-вода и диоксан-вода значительно расходятся в случае III и лежат близко для I и II. Зависимость $\lg k$ от D (k — константа скорости р-ции, D — диэлектрич. постоянная р-рителя) линейна в области от чистой воды до ~80% ацетона. Автор принимает, что р-ция гидролиза может идти по механизму, промежуточному между $S_N 1$ и $S_N 2$. В р-рителях с высоким содержанием воды I и II реагируют по промежуточному механизму, а при кол-ве воды $< 50\%$ по механизму $S_N 2$. Гидролиз III идет по механизму $S_N 1$.

А. Р.

42673. Влияние растворителя на скорость реакции.

XIII. Алкоголиз сульфонов эфиров. Томмила, Ниёминен (The influence of the solvent on reaction velocity XIII. Alcoholysis of sulphonic esters. Tommila Eero, Nieminen Aila), Acta chem. scand., 1955, 9, № 6, 989—996 (англ.)

Скорость алкоголиза этилбензолсульфоната (I) в 3 раза меньше, чем изопропилбензолсульфоната (II). При этом величины E и A больше для II, чем для I. Алкоголиз протекает для I по механизму $S_N 2$, для II по промежуточному между $S_N 1$ и $S_N 2$. Прибавление ацетона и, в особенности, бензола к C_2H_5OH увеличивает E и A . Алкоголиз II в изопропанол-е и смесях изопропанол-бензол идет медленнее, чем в этаноле и смесях этанол-бензол. Во всех случаях найдена линейная зависимость $\lg A$ от E . Изучена также кинетика р-ции II с изопропилом Na в сухом изопропанол-е при 40—60°.

А. Р.

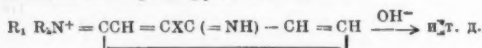
42674. Кинетика щелочного разложения 1,3-динитро-1,3-дизаацетопентана. Джонс (Kinetics of the alkaline decomposition of 1,3-dinitro-1,3-diazaacetylopentane. Jones Walter H.), J. Amer. Chem. Soc., 1954, 76, № 3, 928—929 (англ.)

Константа скорости р-ции $\text{CH}_2\text{N}(\text{NO}_2)\text{CH}_2\text{N}(\text{NO}_2)\text{CH}_2$ (I) (РЖХим, 1954, 17996) с Na-метилатом в абс. метаноле в области т-р 30—58° изменяется от 0,00131 до 0,078 л/моль мин. Энергия и энтропия активации составляют 29,51 ккал/моль и 17,10 энтр. ед. Продукты р-ции не выделены. Предполагается, что р-ция протекает в две стадии (первая стадия определяет скорость р-ции): $\text{I} + \text{OCH}_3^- \rightarrow \text{A} + \text{CH}_3\text{OH} + \text{NO}_2^-$, $\text{A} + \text{OCH}_3^- \rightarrow \text{B}^- + \text{CH}_3\text{OH}$, где A—1,3-дизаа-3-нитроциклопентен-1. Проведено сравнение поведения I и циклотриметилэтринитрамина, исследованного ранее (РЖХим, 1955, 42621) И. С.-3.

42675. Кинетика деаминирования окисленных N,N-дизамещенных п-фенилендиамин. Дун (Kinetics of deamination of oxidized N, N-disubstituted p-phenylenediamines. Tong L. K. J.), J. Phys. Chem., 1954, 58, № 12, 1090—1097 (англ.)

Изучена кинетика деаминирования окисленных N,N-дизамещенных п-фенилендиамин (имеющих важное значение при образовании красителей в цветной фото-

графии) строения $\text{R}_1\text{R}_2\text{NCCHCX}(\text{NH}_2\text{Y})\text{CH}_2\text{CH}_2$, где R_1 и $\text{R}_2 = \text{H}$, CH_3 , C_2H_5 , $\text{CH}_2\text{SO}_2\text{NHC}_2\text{H}_5$, $\text{CH}_2\text{SO}_2\text{N}(\text{CH}_3)_2$, $\text{Y} = \text{HCl}$ или H_2SO_4 . Исследованы также п-НОСН₄NH₂·1/2(COOH)₂ и солинокислый 2-метил-4-гидроксианилин. Указанные в-ва количественно окислялись феррицианидом калия; р-ция деаминирования образующихся хинондииминов проводилась при постоянном рН 7—12 в водн. р-ре при 25° и останавливалась введением кислого буфера до рН ~ 6. Вводимый затем α-нафтол образует с исходным хинондииминном краситель, кол-во которого определялось спектрофотометрически после экстракции бутилацетатом. Хинондиимины реагируют по схеме:



Образование семихинонов в указанных условиях пренебрежимо мало. Авторы предполагают, что стадией, определяющей скорость р-ции, является взаимодействие OH- с атомом С кольца, к которому присоединен замещенный атом N. Заместитель в кольце, который наводит на реагирующий атом С положительный заряд, повышает скорость р-ции. В соответствии с этим диимин с $\text{R}_1 = \text{R}_2 = \text{C}_2\text{H}_5$, $\text{X} = \text{H}$ реагирует медленнее, чем диимин с $\text{R}_1 = \text{R}_2 = \text{C}_2\text{H}_5$, $\text{X} = \text{CH}_3$ благодаря дезактивирующему влиянию группы CH_3 на нуклеофильную атаку в мета-положении. Аналогично объясняется изменение скорости в случае других заместителей. Диимин с $\text{R}_1 = \text{R}_2 = \text{X} = \text{H}$ реагирует с OH- гораздо медленнее других в-в, и скорость деаминирования мало зависит от рН при рН > 8; в кислой среде скорость увеличивается благодаря присоединению протона к одной из NH-групп. Авторы предполагают, что и для всех в-в в механизм отщепления группы NH состоит в гидролизе, катализируемом или некатализируемом Н⁺. А. Р.

42676. Изменение концентрации перекиси водорода в продуктах горения смесей пропана или метана с воздухом при низких давлениях. Про, Дельбурго, Лаффитт (Sur les variations de la concentration en peroxyde d'hydrogene dans les produits de combustion de melanges de propane ou de methane avec l'air aux basses pressions. Prot Nicole P. M-me, Delbourgo Ralph,

Laffitte Paul), C. r. Acad. sci., 1955, 241, № 19, 1306—1308 (франц.)

Область воспламенения смесей некоторых углеводородов с воздухом при низких давлениях (искровое поджигание) ограничена кривой, имеющей максимум и два минимума. Связь этого явления с изменением концентрации H_2O_2 была изучена при горении смесей C_3H_8 или CH_4 с воздухом. Опыты проводились в струе в конич. трубке, охлаждаемой водой при $P = 250$ мм рт. ст. Пламя возникало при поджигании искрой, положение его зависело от состава смеси. Кривая изменения концентрации H_2O_2 в зависимости от состава смеси C_3H_8 с воздухом имеет 2 максимума и минимум, соответствующие кривой воспламенения. В случае воспламенения смесей CH_4 с воздухом ни кривая области воспламенения, ни кривая H_2O_2 не имеют подобного хода. С. П.

42677. О пригодности одномерной модели фронта пламени. Фристром (Note on the validity of one-dimensional flame front models. Fristrom Robert M.), J. Chem. Phys., 1955, 23, № 7, 1360—1361 (англ.)

Экспериментально проверялась обоснованность применения одномерной модели фронта пламени (РЖХим, 1955, 51534). Нормальные скорости пламени измерялись методом трассирующих частиц (РЖХим, 1955, 7191) в пламени бедной смеси пропана при различных скоростях потока (80—125 см/сек) и геометрич. формах пламени. Независимость полученных значений нормальной скорости от положения относительно оси симметрии пламени подтверждает обоснованность одномерной модели. А. С.

42678. Зона свечения при детонации эквимолекулярной ацетилен-кислородной смеси. Беннетт, Уэда (Luminous zone in the detonation of equimolar acetylene-oxygen. Bennett Arthur L., Weda Henry W.), J. Chem. Phys., 1955, 23, № 7, 1359—1360 (англ.)

Длительность и ширина зоны свечения в детонационной волне в смеси $\text{C}_2\text{H}_2 + \text{O}_2$ исследовались при давл. 2—50 мм рт. ст. в трубе квадратного сечения 10 см², отделенной диафрагмой от длинной трубы диам. 12 см, в которой смесь поджигалась искрой и устанавливалась стационарная детонационная волна. Длительность зоны свечения измерялась путем осциллографии, регистрации свечения с помощью фотоумножителя, а скорость волны — с помощью ионизационных щупов. С понижением давления от 50 до 2 мм рт. ст. длительность свечения возрастает от 1,5 до 7,6 мксек., а ширина зоны свечения — от 0,7 до 16 мм. Кол-во испускаемого света остается почти постоянным (16—20 усл. ед.) при снижении максим. интенсивности свечения от 29 до 6 усл. ед. А. С.

42679. О структуре детонационного фронта. Гилкерсон, Дейвидсон (On the structure of a detonation front. Gilkerson W. R., Davidson Norman), J. Chem. Phys., 1955, 23, № 4, 687—692 (англ.)

Структура фронта детонационной волны (ДВ) в смеси $\text{H}_2 + \text{O}_2$ исследовалась при начальном давл. 0,035 атм в ударной трубе диам. 15 см по изменению поглощения света, вызванного диссоциацией примешанного к горячей смеси J_2 (1%) при сжатии в ударной волне (УВ) до сгорания (детали метода см. РЖХим, 1956, 31975). Регистрация поглощения света производилась с помощью осциллографа и фотоэлектронных умножителей в 3 точках. ДВ устанавливалась при разрыве диафрагмы с перепадом давления > 87, что соответствует т-ре в УВ > 1140° К. Регистрация собственного свечения ДВ непосредственно следует за скачком интенсивности света, соответствующего прохождению УВ и уменьшению поглощения света J_2 . Длитель-

тельность р-ции в ДВ оценивается $< 2-3$ мсек., а длина зоны $< 4-6$ мм, что соответствует по расчету $< 10^4$ столкновениям. В приведенном примечании Кистяковского указывается, что по его опытам в смеси $2H_2 + O_2$ при давл. $85-20$ мм рт. ст. длительность р-ции в ДВ достигает 20 мсек. Расхождение приписывается особенностям ДВ в ударной трубе, не сопровождающейся волной разрежения и действием J_2 . А. С.

42680. О гипотетической роли фотонного газа при детонации и горении твердых или жидких взрывчатых веществ. Зенгер (Über die hypothetische Rolle des Photonengases bei der Detonation und Verbrennung fester oder flüssiger Explosivstoffe. Sängner Eugen), Explosivstoffe, 1955, 3, № 7, 85-88 (нем.)

Рассматривается гипотеза, согласно которой неравновесные излучения продуктов горения играют большую роль в процессе детонации твердых и жидких взрывчатых в-в, а также при горении пороха. Согласно этой гипотезе детонация твердых или жидких взрывчатых в-в сводится к трем следующим друг за другом стадиям: испарению взрывчатого в-ва, сжатию его паров и их горению. Испарение взрывчатого в-ва происходит под действием люминесцентного излучения. В случае горения пороха эта гипотеза приводит к выводу, что передача тепла от горящего газа к поверхности пороха происходит главным образом при помощи люминесцентного излучения, испускаемого зоной, в которой происходят хим. р-ции. М. Ф.

42681. О кинетике восстановления окислов железа газообразными восстановителями при низких температурах. Москвичева А. Г. Чуфаров Г. И., Докл. АН СССР, 1955, 105, № 3, 510-513

Изучена кинетика восстановления окислов железа водородом и СО при $200-300^\circ$, при $240-260$ мм рт. ст., а также при $0,01-0,1$ мм рт. ст. Кривые восстановления мелкокристаллич. Fe_2O_3 водородом и СО имеют минимум при 11% восстановления, соответствующий окончанию перехода $Fe_2O_3 \rightarrow Fe_3O_4$ и началу перехода $Fe_3O_4 \rightarrow \alpha-Fe$. Скорость восстановления Fe_2O_3 окисью углерода выше, чем водородом. Кривые восстановления крупных кристаллов Fe_2O_3 не имеют минимума при 11% восстановления, что объясняется авторами медленностью диффузии ионов Fe вглубь кристалла и одновременным протеканием восстановления до Fe_3O_4 и Fe. Скорость восстановления Fe_3O_4 до Fe окисью углерода ниже скорости восстановления Fe_3O_4 водородом, по мнению авторов, из-за меньшей адсорбции СО на Fe_3O_4 . Энергия активации восстановления Fe_2O_3 водородом 16 200, Fe_3O_4 водородом 14 000, Fe_2O_3 окисью углерода 15 000 ккал/моль. О. К.

42682. Электронномикроскопическое изучение гидратации активной окиси алюминия. Добычин Д. И., Докл. АН СССР, 1955, 105, № 4, 744-746

Методом электронной микроскопии обнаружена происходящая при комнатной т-ре медленная гидратация поверхности частиц активной γ -окиси алюминия атмосферной влагой. Д. Д.

42683. Термическое разложение гипонитрита серебра. Оза, Тхакер (The thermal decomposition of silver hyponitrite. Oza Trambaklal Mohanlal, Thaker Rajnikant Hariprasad), J. Amer. Chem. Soc., 1955, 77, № 19, 4976-4980 (англ.)

Изучено термич. разложение гипонитрита серебра $Ag_2N_2O_2$ (I) в вакууме при $160-480^\circ$, а также смесей $I + Ag_2O$ при $150-480^\circ$ и $I + AgNO_3$ при $120-160^\circ$. Показано, что первичной стадией является процесс: $I = Ag_2O + N_2O$, за которым немедленно следует р-ция $I + 2Ag_2O = 2AgNO_3 + 4Ag$. Среди продуктов р-ции обнаружены также NO, NO_2 , $AgNO_3$, образу-

ющиеся, по мнению авторов, при р-циях: $2AgNO_3 = AgNO_3 + Ag + NO$; $Ag_2O + NO_2 = AgNO_3 + Ag$; $AgNO_3 + NO = AgNO_2 + NO_2$. Процесс $I = 2Ag + 2NO$ авторами в условиях опыта не наблюдался, ниже 150° I не окисляется оксидами азота. В продуктах р-ции содержится также азот, происхождение которого авторы не объясняют. О. К.

42684. Термическое разложение стибина. Тамару (The thermal decomposition of stibine. Tamaguchi Kenzi), J. Phys. Chem., 1955, 59, № 10, 1084-1088 (англ.)

Показано, что в статич. условиях при начальном давлении стибина (P_{SbH_3}) $100-500$ мм рт. ст. и т-ре $10-45^\circ$ SbH_3 очень медленно разлагается на стеклянной поверхности, но на поверхности Sb разлагается быстро и, по достижении определенной толщины слоя Sb, с воспроизводимой скоростью. Порядок р-ции — нулевой по H_2 и изменяется от 0,75 при 10° до 1 при 45° по SbH_3 . Энергия активации 8,8 ккал/моль при P_{SbH_3} , 400 мм рт. ст. и уменьшается с падением P_{SbH_3} . Хотя опытные данные удовлетворительно описываются уравнением Лэнгмюра, однако входящие в это уравнение константы, по мнению автора, не имеют физ. смысла. Анализ данных указывает на возможность капиллярной конденсации в условиях опыта. При разложении SbH_3 в D_2 при 25° не образуется HD, что указывает на отсутствие обмена H — D на поверхности Sb. Разложение смеси SbH_3 и дейтеростибина привело к образованию больших кол-в HD. По мнению автора, при высоких т-рах скорость процесса определяется хемосорбцией SbH_3 на поверхности Sb, при низких — десорбцией хемосорбированного H_2 с поверхности Sb. О. К.

42685. О каталитическом действии металлического серебра при термическом распаде оксалата серебра. Ерофеев Б. В., Осиновик Е. С., Изв. АН БССР, 1955, № 5, 177-180; Весці АН БССР, 1955, № 5, 164-166 (белорус.)

Изучено термич. разложение при $120, 125$ и 130° препаратов оксалата серебра (I), не подвергавшихся обработке, подвергнутых облучению рассеянным солнечным светом, а также подвергнутых облучению, а затем растертых в агатовой ступке. Скорость р-ции во всех случаях сначала мала, затем проходит через максимум и снова падает. Максим. значение скорости разложения облученных препаратов I в 7-8 раз выше скорости разложения необлученных. Растирание вновь понижает максим. скорость в 3-16 раз. Полученные данные, по мнению авторов, доказывают каталитич. действие металлич. Ag, образующегося при разложении I. О. К.

42686. Изучение процесса распространения реакции в твердых фазах. Белькевич П. И., Осиновик Е. С., Изв. АН БССР, 1955, № 5, 149-160; Весці АН БССР, 1955, № 5, 140-151 (белорус.)

Изучена кинетика термич. разложения оксалата серебра (I) при т-рах $105, 110, 115$ и 120° при одновременном измерении электропроводности образцов во время р-ции. При достижении максим. скорости р-ции, соответствующей 17-30% разложения, наблюдается резкий рост электропроводности, сопровождающийся взрывом препаратов. Кинетика распада до достижения максим. скорости описывается топкинетич. уравнением Колмогорова — Ерофеева. Взрывное разложение I, по мнению авторов, доказывает автокаталитич. характер его распада, катализируемого твердыми продуктами р-ции Ag. Ag, внесенное извне в реакционную среду, не ускоряет процесса. По мнению авторов, автокаталитич. процесс при топочим. р-циях вызывается возникающей твердой фазой, связанной с кристаллич. решеткой исходного в-ва. О. К.

42687. Кинетика и механизм гетерогенных химических реакций, протекающих с участием твердых тел. Павлюченко М. М., Ж. физ. химии, 1955, 29, № 1, 39—47

Экспериментальные данные по кинетике гетерог. хим. р-ций, протекающих с участием твердых тел, показывают, по мнению автора, что твердый продукт р-ции в контакте с кристаллами исходного в-ва не увеличивает скорости р-ции, за исключением р-ций разложения взрывчатых в-в. Ускорение р-ции во время ее протекания, по мнению автора, не может быть сведено к автокатализу продуктами р-ции и объясняется особенностями образования и роста зародышей новой фазы, распространением р-ции, начавшейся от активного центра, а в некоторых случаях и саморазогревом твердого тела в процессе р-ции.

42688. О кинетике и механизме реакций, протекающих с участием твердых тел. Ерофеев Б. В., Ж. физ. хим., 1955, 29, № 6, 1136—1138

Критические замечания к статье М. М. Павлюченко (см. пред. реф.)

42689. О каталитическом действии твердого продукта в гетерогенных химических реакциях (Ответ Б. В. Ерофееву). Павлюченко М. М., Уч. зап. Белорус. ун-та, 1955, вып. 24, 183—192

Дискуссионная статья (См. пред. реф.).

42690. Кинетическое исследование реакции углерода с водяным паром. Влияние температуры, парциального давления пара и природы угля на скорость газификации. Пилчер, Уокер, Райт (Kinetic study of the steam-carbon reaction. Influence of temperature, partial pressure of water vapor, and nature of carbon on gasification rates. Pilcher J. M., Walker P. L., Jr., Wright C. C.), Industr. and Engng Chem., 1955, 47, № 9, part 1, 1742—1749 (англ.)

Показано, что скорость газификации углей при парц. давлении паров воды p 31—358 мм рт. ст. растет при повышении t -ры от 1000—1450°. При 1000—1100° энергия активации E равна 40,7 ккал/моль, при более высокой t -ре наблюдаемая E падает, по мнению авторов, из-за диффузионных осложнений. Ниже 1100° на кинетич. кривых наблюдается период индукции, в течение которого поверхность углей делается пористой. Скорость р-ции зависит от p : $w = ap^{0.66}$ (a — константа) и растет с увеличением степени рентгеновской аморфности углей. При 1300° в газовом потоке достигается равновесие р-ции конверсии СО водяным паром. Предположено, что скорость р-ции определяется конц-ией адсорбированных газов на поверхности.

42691. Изотопный эффект кислорода (O^{18}) в реакции кислорода с медью. Бернштейн (Oxygen-18 isotope effect in the reaction of oxygen with copper. Bernstein Richard H.), J. Chem. Phys., 1955, 23, № 10, 1797—1802 (англ.)

Изучено окисление Cu кислородом природного изотопного состава при 68—256° и 300—400°. Толщина полученных окисных пленок 150—2500 Å. После р-ции наблюдалось накопление в окисной пленке O^{18} . Величина изотопного эффекта падает с ростом t -ры от 1,0254 до 1,0157. Наблюдаемая энергия активации 17 ккал/моль. Изотопный эффект не зависит от давления O_2 в интервале 20—250 мм рт. ст. и от толщины окисной пленки. Механизм фракционирования O^{18} — O^{16} при окислении Cu, по мнению авторов, может определяться равновесием изотопного обмена между газообразным O_2 и хемосорбированными атомами O.

42692. Электронная структура и каталитическая активность твердых тел. Некоторые следствия из теории активированной адсорбции на катализаторах-полупроводниках. Жермен (Structure électronique et activité catalytique des solides. Quelques consé-

quences de la théorie de l'adsorption activée sur les catalyseurs semi-conducteurs. Germain Jean-Eugène), J. chim. phys. et phys.-chim. biol., 1954, 51, № 11—12, 691—701; Discussion 701 (франц.)

Рассматривая литературные и собственные данные по теории активированной адсорбции на полупроводниках и по их каталитич. свойствам, показавшие существование зависимости между каталитич. активностью и электронной структурой полупроводников, автор предлагает теорию, согласно которой уменьшение теплоты адсорбции и увеличение энергии активации адсорбции по мере роста кол-ва адсорбированного в-ва зависят от высоты электронного уровня Ферми в катализаторах-полупроводниках. Эмпирич. способы приготовления катализаторов, как, напр., промотирование, предварительная обработка и т. п., по мнению автора, вызывают смещение уровня Ферми и соответственно изменение электронной структуры твердого тела. Предложенная теория позволяет аналитич. путем связать форму кривой изотермы адсорбции с кинетикой адсорбции и с каталитич. активностью полупроводников. См. также РЖХим, 1955, 9227, 23304; 1956, 25186.

42693. Электронные явления в катализе и адсорбции. Рогинский С. З. (Phenomenes electronique in catalise et adsorbition. Roghinski S. Z.), An. Rom.-Sov. Ser. chim., 1955, 9, № 3, 10—16 (рум.)

См. РЖХим, 1956, 9385.

42694. Динамический механизм гетерогенного катализа. Кук, Облад (Dynamic mechanism of heterogeneous catalysis. Cook Melvin A., Obblad Alex G.), Industr. and Engng Chem., 1953, 45, № 7, 1456—1461 (англ.)

Методом теории переходного состояния рассматривается вопрос об изменении адсорбционного потенциала по мере заполнения поверхности в так называемой полосе хемосорбции. Результаты теоретич. анализа применены для объяснения опытных данных о скоростях активированной адсорбции. При простейших каталитич. процессах (орто-пара-превращение H_2 , дейтеробмен) р-ция осуществляется просто в полосе хемосорбции; в более сложных случаях (напр., при каталитич. крекинге) необходимо рассматривать как полосу хемосорбции, так и активные центры катализатора. Предложена схема каталитич. действия, согласно которой на поверхности катализатора происходят быстрые флюктуационные переходы («flip — flop-переходы») между нормальным состоянием и состоянием активированного комплекса, представляющим собой некоторое определенное хим. соединение. С этой точки зрения рассмотрены р-ции гидрогенизации этилена на Ni, каталитич. крекинга и окислительно-восстановительных процессов.

42695. Влияние метода введения модифицирующей добавки на свойства окисных катализаторов. Жаброва Г. М., Фокина Е. А. Изв. АН СССР, Отд. хим. н., 1955, № 6, 963—971

Изучено разложение H_2O_2 при 5—90° на MgO, чистой и с добавками 0,01—6,4% SnO_2 . При пропитке MgO р-рами $(C_6H_5)_3Sn$ или $SnCl_4$ наблюдается резкий максимум каталитич. активности при малых кол-вах введенной SnO_2 . Энергия активации E для пропитанных $(C_6H_5)_3Sn$ образцов MgO повышается от 13,0 для чистой MgO до 18,0 для MgO с добавкой 0,086% SnO_2 (в точке максимума активности) с последующим падением до 16,5 ккал/моль. Симбатно с E изменяется логарифм предэкспоненциального множителя в ур-нии Аррениуса. Зависимость активности катализаторов, полученных методом совместного осаждения солей Mg и Sn, от их состава характеризуется кривой с максимумом при 0,02% SnO_2 и минимумом при 1,0% SnO_2 . Адсорбцион-

ная спо-
ками Si
разов,
дения,
добавки
сущест-

в MgO

42696.

ские

гране

Catal

faces

All

J. ch

497—

Пока

криста

на ско

вызыв

типа р

Zn и

порош

измене

По мн

для о

42697.

чек

К о

chro

reac

m e

5860

Опи

родов

лиза

рореа

проду

термо

жашу

или

параф

для р

ности

нен д

бутан

дал у

также

изото

чик.

механ

зован

ниях.

42698.

ти

ma

S a

Am

Pa

(РЖХ

учен

летн

ченн

Ni-к

в ин

оказ

сещ

Ni

Адс

перс

ная способность и уд. поверхность образцов с добавками SnO_2 , внесенными в готовую MgO , растут, а образцов, приготовленных методом совместного осаждения, не изменяются при увеличении содержания добавки SnO_2 ; это, по мнению авторов, указывает на существование двух различных типов внедрения SnO_2 в MgO . О. К.

42696. Влияние посторонних атомов на каталитические свойства и поверхностную структуру различных граней монокристалла меди. Г у о т т и, К а н н и н г е м (Influence d'atomes étrangers sur les propriétés catalytiques et la structure superficielle de certaines faces d'un monocristal de cuivre. G w a t h m e y Allan T., Cunningham Robert E.), J. chim. phys. et phys. chim. biol., 1954, 56, № 9, 497—504 (франц.)

Показано, что нанесение на различные грани монокристалла Cu небольших кол-в Zn , Ag (распылением в вакууме) или Cr_2O_3 (мокрым путем) сильно влияет на скорость каталитич. окисления H_2 на этих гранях и вызывает изменение формы кинетич. кривых, а также типа разработки поверхности граней. В случае добавок Zn и Cr_2O_3 наблюдалось очень быстрое образование порошкообразной Cu при р-ции. Добавки Ag вызывают изменение ориентации вновь образующихся граней. По мнению авторов полученные данные могут служить для объяснения действия промоторов. В. В.

42697. Новый микрокаталитический хроматографический метод изучения каталитических реакций. К о к с, Т о б и н, Э м м е т т (New microcatalytic-chromatographic technique for studying catalytic reactions. K o k e s R J., T o b i n H., Jr., E m m e t t P. H.), J. Amer. Chem. Soc., 1955, 77, № 22, 5860—5862 (англ.)

Описан метод изучения каталитич. р-ций углеводородов с помощью непрерывного хроматографич. анализа жидких и газообразных продуктов р-ции. Из микрореактора, в котором проводят каталитич. р-цию, продукты р-ции в струе H_2 , He или N_2 поступают в термостатированную хроматографич. колонку, содержащую адсорбент в тонкораздробленном состоянии или взвешенный в подходящей жидкости (напр., в парафиновом масле, диоктилфталате) и далее в ячейку для регистрации временной зависимости теплопроводности газов, прошедших через колонку. Метод применен для изучения продуктов разложения 2,3-диметилбутана на промышленном катализаторе крекинга и дал удовлетворительные результаты. Метод может быть также применен для изучения р-ций с участием радиоизотопов, для чего в установку вводится Г.—М.—счетчик. Отмечена перспективность метода для изучения механизма процессов, а также возможность его использования для homog. р-ций и р-ций при высоких давлениях. С. К.

42698. Термомагнитный анализ каталитически активного никеля. С а б а т к а, С е л в у д (Thermomagnetic analysis of catalytically active nickel. S a b a t k a Jean A., S e l w o o d P. W.), J. Amer. Chem. Soc., 1955, 77, № 22, 5799—5802 (англ.)

Ранее описанный метод термомагнитного анализа (РЖХим, 1956, 28548) улучшен и применен для изучения никелевых катализаторов: массивного Ni , скелетного Ni , никель-силикателевого катализатора, полученного соосаждением, и нескольких образцов техник. Ni -катализаторов. Уд. намагниченность, измеренная в интервале т-р 20—670°K, при экстраполяции к 0°K оказалась одинаковой для разных образцов и не зависела от их дисперсности, т. е. массивный и дисперсный Ni имеют одинаковый магнитный момент при 0°K. Адсорбированный H_2 уменьшает намагниченность дисперсного Ni . О. К.

42699. Термографический анализ магнийсиликатных катализаторов. Ростовцева Н. В., Тр. Грозненск. нефт. ин-та, 1955, № 17, 82—89

Термографический анализ магнийсиликатных катализаторов показал наличие двух эндотермич. эффектов: при 150—160°, связанного с потерей адсорбированной воды, и при 375—525° с минимумом при 460—475°, связанного с потерей конституционной воды, а также одного экзотермич. эффекта при 825—850°. Экзотермич. эффект отсутствует у смесей $\text{Mg}(\text{OH})_2$ и геля кремневой к-ты, просушенных до смешения, но наблюдается у систем, полученных совместным осаждением или смешением гидроксидов во влажной среде; автор объясняет его взаимодействием MgO и SiO_2 с образованием MgSiO_3 и Mg_2SiO_4 . Образование безводной силиката магния при прокаливании выше 800° ведет к полной потере активности катализатора. О. К.

42700. Текстура катализаторов и ферромагнитные свойства при очень низких температурах. Вейль (Texture des catalyseurs et propriétés ferromagnétiques a très basse température. W e i l L.), J. chim. phys. et phys.-chim. biol., 1954, 51, № 11—12, 715—717; Discuss. 717—718 (франц.)

Измеряя при различных т-рах время релаксации после намагничивания мелкодисперсных ферромагнитных порошков (у которых каждое отдельное зерно представляет собой единичный домен Вейса), можно с помощью ф-лы Нееля (Néel L., C. r. Acad. sci., 1949, 228, 664) определить размеры зерен. Определяя для скелетного Ni -катализатора коэрцитивное поле и отношение остаточного магнетизма к предельному при т-рах от 2°K до комнатной, автор нашел, что в скелетном Ni -катализаторе имеется два типа зерен — относительно крупные (средний диам. ~ 120 Å) и мелкие (средний диам. < 40 Å). Обсуждается возможность применения этого метода к гранулометрич. анализу других металлич. катализаторов. В. В.

42701. Структура и текстура катализаторов: никель на диоксиде кремния, согласно данным об их ферромагнитных свойствах. Хёкелом, Брудер, Рейен (Structure et texture des catalyseurs nickel sur silice d'après les propriétés ferromagnétiques. H e u k e l o m W., B r o e d e r J. J., R e i j e n L. L. van), J. chim. phys. et phys.-chim. biol., 1954, 56, № 9, 474—481 (франц.)

На основании анализа кривых намагничивания частично восстановленных Ni -катализаторов, нанесенных на SiO_2 , авторы приходят к выводу, что процесс восстановления этих катализаторов складывается из двух стадий: собственно восстановления и спекания с энергиями активации соответственно 20 и 42 ккал/моль. Магнитные и адсорбционные измерения показали, что диаметр частиц восстановленного Ni ~ 50 Å. Мельчайшие частицы Ni ферромагнитны и каждая представляет собой, по мнению авторов, один домен Вейса; зависимость степени намагничивания от напряженности поля подчиняется ф-ле Ланжевена. Авторы считают, что магнитный метод вполне пригоден для быстрого определения степени восстановления и спекания катализаторов. В. В.

42702. Структура и текстура никелевых катализаторов, нанесенных на SiO_2 . Схейт, де-Бур (Structure et texture des catalyseurs nickel sur silice. S c h u i t G. C. A., B o e r N. H. de), J. chim. phys. et phys.-chim. biol., 1954, 51, № 9, 482—490 (франц.)

Изучение низкотемпературной адсорбции H_2 , CO , N_2 , C_2H_4 , а также образования $\text{Ni}(\text{CO})_4$ в струе CO и гидрирования C_2H_4 и C_6H_6 на серии приготовленных различными методами 10 Ni -катализаторах, нанесенных на SiO_2 , показало, что доступность поверхности Ni для различных газов варьирует для изученных катализаторов от 0,28—0,96, и позволило сделать ряд заключе-

ний о структуре контактов (пористые структуры или тесно прилегающие к носителю кристаллы). Молекула N_2 , адсорбированная при -196° на Ni , занимает площадь всего $7A^2$, это истолковывается авторами как указание либо на двухслойную адсорбцию N_2 (хим. $+$ вандерваальсову), либо на ориентацию молекулы N_2 перпендикулярно к поверхности. Площадка, занимаемая атомом H (или молекулой CO), равна $6A^2$, что, по мнению авторов, указывает на преимущественное развитие граней (100) и (111) на поверхности кристаллов Ni . О. К.

42703. Лабораторная установка для испытания катализаторов при атмосферном давлении. Шполянский М. А., Тр. Н.-и. и проектного ин-та азотной пром-сти, 1954, вып. 4, 257—261

Описана струевая лабор. установка для испытания катализаторов при взаимодействии паров двух хорошо смешивающихся жидкостей при атмосферном давлении. Установка позволяет в широких пределах варьировать условия испытания катализаторов, состав пропускаемой смеси, объемную скорость, т-ру (от 150 до 1100°). См. также: Шполянский М. А., Лихачева А. С., Завод. лаборатория. 1950, 16, № 12, 1500. О. К.

42704. Способ ускоренного определения длительности действия катализаторов. Паумов А. И., Липтева З. Г., Хим. пром-сть, 1955, № 7, 43—44

Способ ускоренного определения длительности действия катализаторов (периода с начала его работы до потери активности) заключается в измельчении его зерен и переводе при этом р-ции из диффузионной области в кинетич. При этом увеличивается скорость р-ции, а следовательно, можно значительно увеличить и скорость подачи реагентов. Эксперим. проверка метода показала, что при измельчении кусочков Al_2O_3 -катализатора от $4-5$ мм до $150-270\mu$ время действия катализатора до потери активности снижалось от $700-1500$ до $40-70$ час. О. К.

42705. Смешанные адсорбционные катализаторы. I. Активность смешанных металлических катализаторов на сульфатах щелочно-земельных металлов при разложении перекиси водорода. II. Активность смешанных металлических катализаторов на сульфатах щелочно-земельных металлов при восстановлении м-нитрофенола. Зубович Н. А., Ж. физ. химии, 1955, 29, № 5, 917—929; № 9, 1696—1705

I. Изучалась активность смешанных катализаторов типа $A+B$ ($A=0,01-0,1$ вес. % Pt , Pd ; $B=0-0,7$ вес. % Ag , Au , Pt), нанесенных на сульфаты Ca , Sr или Ba , в р-ции разложения H_2O_2 при $15-50^\circ$. Р-ция протекает по ур-нию 1-го порядка. Активность Pt и Pd при введении Ag до $0,055\%$ уменьшается, при этом одновременно энергия активации возрастает от $6,6$ до $21,5$ ккал/моль. Введение Au приводит к уменьшению активности Pt , но оказывает положительное действие на активность Pd . Отмечено, что максимумы отравляющего или активирующего действия одного компонента на другой наблюдаются при их простейших стехиометрич. атомных соотношениях. С. К.

II. На тех же катализаторах проводилось восстановление м-нитрофенола. Ag оказывает в $Pt-Ag$ и $Pd-Ag$ катализаторах сильное отравляющее действие, зависимость которого от содержания Ag подчиняется экспоненциальному закону и, по мнению автора, согласуется с выводами теории активных ансамблей. Pd , наоборот, активирует Pt . Au активирует Pd и не дезактивирует Pt , максимум активации наблюдается при соотношении атомов $Pd:Au=1:2$. В. В.

42706. Окисление окиси углерода на окиси хрома. Волц, Уэллер (The oxidation of carbon monoxide over chromic oxide. Voltz Sterling E., Weller Sol W.), J. Phys. Chem, 1955, 59, № 6, 566—569 (англ.)

Показано, что во время окисления CO в смеси $70,9\%$ $CO+29,1\%$ O_2 при 100° на окиснохромовых катализаторах (K) восстановленных при 500° в H_2 , резко падает электр. сопротивление K (с $16,5\cdot 10^3$ до $1,4\cdot 10^3$ омсм), и имеет место значительное взаимодействие O_2 из объема с K , идущее, по мнению авторов, за счет водорода, необратимо адсорбированного на поверхности K ; образующаяся H_2O отравляет K . На невосстановленных K эти эффекты не наблюдаются. Каталитич. активность K не зависит от их предварительной обработки в H_2 или O_2 . С. К.

42707. Об окислах церия. III. Брауэр, Хольтшмидт (Über die Oxyde des Cers. III. Brauer G., Holschmidt U.), Z. anorgan. und allgem. Chem., 1955, 279, № 3-4, 129—137 (нем.)

Изучалось каталитич. действие различных окислов на скорость восстановления SeO_2 водородом при 1000° . Наибольшим каталитич. действием обладают окислы Tb и Pg , что авторы связывают с образованием «искусственных» дефектных мест в решетке, а также со способностью этих элементов сравнительно легко изменять свое валентное состояние. Наименьший эффект вызывают окислы Al , La и Nd . Восстановление SeO_2 идет через образование новой фазы промежуточного окисла. Скорость процесса уменьшается по мере расщепления SeO_2 , что авторы объясняют образованием плотных нарастающих друг на друга слоев новой фазы. Полное восстановление чистого SeO_2 до Se_2O_3 происходит за ~ 85 час., а SeO_2 с примесью $0,5\%$ окислов La , Nd , U , Pg или Tb , соответственно, за $70, 71, 42, 26$ и 25 час. Большие добавки окислов не вызывают дальнейшего увеличения скорости восстановления SeO_2 . Сообщение II см. РЖХим, 1956, 15581. Н. П.

42708. Очистка газов от сернистых соединений методом окисления на активированном угле. Зельвенский Я. Д. В сб.: Гетерогенный катализ в хим. пром-сти, М., Госхимиздат, 1955, 399—405

Показано, что скорость каталитич. окисления H_2S кислородом на активированном угле в присутствии ускоряющего р-цию NH_3 определяется условиями транспорта реагирующих в-к поверхности угля. Максим. кол-во образующейся S , поглощаемой активным углем, при $20-50^\circ$ не зависит от т-ры и от относительной влажности газа, уменьшается в присутствии паров углеводородов, возрастает после удаления из угля минеральных примесей и при уменьшении размеров зерен угля. Найден эффективный сорт отечественного угля («С-уголь»), рекомендуемый автором для промышленной очистки от H_2S . При окислении сероокиси углерода эффективен уголь с иной пористой структурой, требуется больший расход NH_3 , наблюдается резкий оптимум влажности и большая часть продуктов окисления задерживается в виде связанной серы. Сероуглерод при обычных т-рах не окисляется, а лишь адсорбируется. С. К.

42709. Каталитические реакции с переходом электронов. Уэйнд (Catalysed electron-transfer reactions. Waind G. M.), Chemistry and Industry, 1955, № 43, 1388 (англ.)

Р-ция $PtF_6^{2-}+6J^- \rightleftharpoons PtJ_6^{2-}+6F^-$ (1), так же как р-ция между Fe^{3+} и J^- -ионами, ускоряется платиновой чернью, но не ускоряется углем. По мнению авторов, р-ция (1) включает переход $Pt(4+)\rightarrow Pt(3+)$, т. е. в этом случае, как и в ряде других неорганич. р-ций, одной из стадий процесса является переход электронов, а не атомов или групп, а катализатор действует как проводник. О. К.

42710. Удельная каталитическая активность металлов IV периода в отношении реакции синтеза аммиака. Щеглов О. Ф., Боресков Г. К.,

С. К.
№ 1,
Изууч,
в р-ции
точным
отвечает
физ. хим
ни с дль
энергия
для Fe в
Уд. кат
3 поряд
чем у С
чистого
По мнен
обуслов
этого к
42711.

лизат
пичес
Осу
№ 2,
дасс
74, м
Полу
бражен
тализат
ионов,
нения и
этих к
кая эм
42712.

ката
обла
и их
ложе
стях
fused
ferro
gau
feren
Chem
№ 3
III.

ных ра
Pure,
рошко
теза М
К₂O,
А могу
рен В
ильну
скопе.
а в зе
л 2,41
На ре
Al₂O₃,
FeO,
други
Крист
K₂O и
торов)
Fe₂O₃
введе
магне
IV.
А, В
при 4
ной д
(2—3
AB, с

Слинько М. Г., Докл. АН СССР, 1955, 105, № 1, 123—125

Изучалась каталитич. активность Cr, Fe, Co, Ni в р-ции синтеза NH_3 проточно-циркуляционным и проточным методами при т-рах 375—650°. Кинетика р-ции отвечает ур-нию М. И. Темкина и В. А. Пыжева (Ж. физ. химии, 1939, 13, 851) со значением показателя степени α для Cr, Fe, Co, Ni соответственно 0,8; 0,5; 0,1 и 0,25; энергия активации для Cr, Co, Ni $\sim 55\ 000$ ккал/моль, для Fe в интервале 425—450° 40 000—44 000 ккал/моль. Уд. каталитич. активность Fe максимальна, она на 3 порядка больше, чем у Ni, на 4 порядка больше, чем у Cr, и в 30 раз больше, чем у Co. Уд. активности чистого Fe и Fe, промотированного K_2O и Al_2O_3 , близки. По мнению авторов, максим. каталитич. активность Fe обусловлена оптимальной величиной энергии связи этого катализатора с N_2 . С. К.

42711. Микроскопическое изучение плавненных катализаторов синтеза аммиака. II. Электронномикроскопические и ионномикроскопические исследования. О суми (アモニア合成用熔融触媒の顕微鏡的研究. 第2報. 陰極電子顕微鏡及び表面イオン顕微鏡による観察. 大隅義男), Япон. хим. журн., Нихон кагаку дзасси, J. Chem. Soc. Japan, Pure Chem. Sec., 1953, 74, № 4, 308—311 (япон.)

Получены электронные и ионные эмиссионные изображения восстановленных H_2 промотированных катализаторов синтеза NH_3 . Эмиссия положительных ионов, являющихся, как было показано путем отклонения их в магнитном поле, ионами K, имеет место у этих катализаторов при тех же т-рах, что и электронная эмиссия. Часть I см. там же, 1952, 73, 808. Ю. М.

42712. Микроскопическое исследование плавненных катализаторов синтеза аммиака. III. Включения, обладающие слабыми ферромагнитными свойствами, и их выделение для рентгеновского анализа. IV. Разложение аммиака на двух различных составных частях катализатора. О суми (Microscopic studies on fused catalysts for ammonia synthesis. III. Weak ferromagnetic inclusions and their isolation for X-ray study. IV. Decomposition of ammonia over two different constituents. Osumi Yoshio), Bull. Chem. Soc. Japan, 1953, 26, № 9, 519—523; 1955, 28, № 3, 156—161 (англ.)

III. Получены данные о природе и составе обнаруженных ранее (Нихон кагаку дзасси, J. Chem. Soc. Japan, Pure Chem. Sec., 1952, 73, 808) типах зерен порошкообразных плавненных Fe-катализаторов (K) синтеза NH_3 , промотированных 0—10% Al_2O_3 , 0—1% K_2O , CaO или MgO . Более ферромагнитные частицы A могут быть отделены от слабее ферромагнитных зерен B с помощью магнита. Порошок B обнаруживает сильную эмиссию в эмиссионном электронном микроскопе. Содержание K_2O в зернах A не выше 0,58%, а в зернах B 1,98—4,00%, CaO — соответственно 0,46 и 2,41%. В K содержится 92,0—96,9% A и 3,1—8,0% B. На рентгенограммах A из образцов, не содержащих Al_2O_3 , найдены линии магнетита, а также $\alpha\text{-Fe}_2\text{O}_3$ или FeO, а при наличии в образцах Al_2O_3 независимо от других промоторов, — только линии магнетита. Кристаллич. структуры A и B из образцов, содержащих K_2O и Al_2O_3 (независимо от содержания других промоторов), а также образцов, полученного сплавлением Fe_3O_4 с K_2O и 5% Al_2O_3 , близки. По мнению автора, введение K_2O видоизменяет шпинельную структуру магнетита, снижая степень симметрии решетки. Е. К.

IV. Исследована каталитич. активность образцов A, B и исходного АВ по отношению к распаду NH_3 при 400—500° в проточной аппаратуре, приспособленной для работы с малыми кол-вами K (0,5 г) и газов (2—3 см³/мин). Активности неразмешанного порошка АВ, содержащего 1% K_2O , 5% Al_2O_3 и выделенного из

него А, близки между собой и больше активности В. Кажущаяся энергия активации разложения NH_3 в смеси 30% NH_3 + 70% H_2 на В равна 30 ккал/моль, на А 25 ккал/моль. Пары воды и СО отравляют В в той же степени, как А и АВ. При 830° за 1 час происходит незначительное и обратимое для АВ, но заметное и необратимое для его фракции В падение активности, объясняемое автором миграцией и испарением K_2O . Промотированный 5% Al_2O_3 K и смесь его с 3% порошка В активнее В и меньше дезактивируется при 830°. Активность K, не содержащего K_2O , не повышается при добавке порошка В, богатого K_2O . Д. Д.

42713. Определение стехиометрического числа реакции синтеза аммиака при 29,5 атм. Энмото, Хориути, Кобаяши (Determination of stoichiometric number of ammonia synthesis reaction at 29.5 atm. Enomoto Saburo, Horiuti Juro, Kobayashi Haruo), (北海道大學觸媒研究所紀要, Хоккайдо дайгаку сёкубай кэнкюдзё кё, J. Res. Inst. Catalysis, Hokkaido Univ., 1955, 3, № 3, 185—203 (англ.)

В продолжение предыдущей работы (РЖХим, 1956, 15661) изучались р-ции синтеза и разложения NH_3 в статич. системе при 29,5 атм и т-рах 450—492° на дважды промотированном железном катализаторе вблизи равновесия, с использованием изотопа N^{15} . Стехиометрич. число ν в среднем близко к 2, откуда сделан вывод, что скорость синтеза NH_3 определяется скоростью взаимодействия адсорбированного азота (или промежуточных продуктов его гидрирования) с водородом. С. К.

42714. Влияние поверхностноактивных веществ на свойства магнийсиликатных катализаторов. Ростовцева И. В., Тр. Грозненск. нефт. ин-та, 1955, № 17, 90—109

Изучено изменение свойств магнийсиликатного катализатора (K), приготовленного методом совместного осаждения гидроокисей Si и Mg при добавка K перед высушиванием поверхностноактивных (ПА) в-в. В качестве ПА добавок использованы изомыловый, циклогексилловый и октиловый спирты, масляная, олеиновая и нафтенновые к-ты при конц-ях 0,001—0,15 моль/л. ПА добавки вызывают уменьшение насыщенного веса K и повышение их каталитич. активности по отношению к крекингу газойля при 475° в 1,3—1,6 раза. При увеличении кол-ва введенных ПА добавок активность проходит через максимум. С увеличением мол. веса добавки эффективность ее действия снижается. Показано, что в присутствии ПА в-в структура K делается более крупнопористой, растет доступность его внутренней поверхности и приблизительно пропорционально ей его каталитич. активность. Полученные данные, по мнению автора, свидетельствуют о роли сил капиллярной контракции при формировании магнийсиликатных K. О. К.

42715. Образование ацетонитрила при взаимодействии олефинов с аммиаком в присутствии окисных катализаторов. Плате А. Ф., Вольпин М. Е. В сб.: Гетерогенный катализ в хим. пром-сти. М., Госхимиздат, 1955, 481—492

Показано, что при взаимодействии этилена, пропилена, изобутилена, триметилэтилена, гентена с NH_3 в проточной системе при атмосферном давлении и т-рах 350—630° на окисных алюмополибденовых, U-, W-, V-, Cr-катализаторах (K) образуется ацетонитрил (14,7—41,6 мол.%), а также диаминный аммоний и продукты гидрирования и крекинга углеводородов и разложения NH_3 . Образование CH_3CN начинается при 420° и с ростом т-ры проходит через резкий максимум. Выход CH_3CN увеличивается с ростом парц. давления олефина, а также с возрастанием до определенного предела продолжительности предваритель-

ного восстановления К и снижается при введении небольших кол-в O_2 . H_2S необратимо отравляет К. Изучено влияние содержания окисла металла, а также щел. и кислых добавок на активность К. Предложен механизм процесса — присоединение NH_3 по правилу Марковникова с последующим дегидрированием и крекингом. С. К.

42716. Предвидение состава катализаторов синтеза углеводородов из окиси углерода и водорода. Полин Ю. Л., Тр. Грозненск. нефт. ин-та, 1955, № 17, 27—57

Рассмотрено большое число эксперим. и теоретич. данных, подтверждающих концепцию автора, согласно которой промежуточными стадиями синтеза являются гидроконденсация CH_3 -радикалов с СО и последующая дегидратация, протекающие на границе металл/окисел. Считая необходимым условием гидроконденсации правильное чередование CH_3 и СО на расстояниях, соответствующих образующейся молекуле углеводорода, автор формулирует основные требования, которым должны удовлетворять компоненты катализаторов синтеза. Рассчитаны оптимальные соотношения компонентов, обеспечивающие наивысшую каталитич. активность за счет максим. протяженности межфазовых границ. Показано, что приведенные положения объясняют многочисленные факты, касающиеся катализаторов синтеза углеводородов из СО и H_2 . Библ. 100 назв. М. С.

42717. Кинетика реакции декарбоксилирования жирных кислот на двуокиси тория. Курнакосе, Юнгере (La cinétique de la décarboxylation des acides gras sur la thorie. Kuriacose J. C., Jungers J. C.), Bull. Soc. chim. belges, 1955, 64, № 9—10, 502—534 (франц.; рез. англ.)

В статич. условиях изучена кинетика р-ций разложения CH_3COOH (1) и C_2H_5COOH (2) до соответствующих кетонов над ThO_2 при 250—300°. Р-ция (1) подчиняется ур-нию 1-го порядка, р-ция (2) — ур-нию 3-го порядка. Р-ции (1) и (2), а также разложение валериановой и изовалериановой к-т, изучались и в динамич. условиях, причем было показано, что на поверхности катализатора р-ция протекает по 2-му порядку. При р-ции (1) установлено тормозящее влияние продуктов р-ции и определены их относительные адсорбционные коэфф. при 275°, равные для CH_3COCH_3 0,05—0,068; $C_2H_5COCH_3$ 0,52—0,6; CO_2 0,118—0,21; H_2O 0,51—0,68. Торможение водой сильнее сказывается вначале и слабее в конце р-ции. Авторы указывают, что полученные ими результаты могут быть полностью объяснены с позиций теории Лэнгмюра и Хиншелвуда и что кетонизация жирных к-т является поверхностной каталитич. р-цией 2-го порядка, идущей через промежуточное образование ацетата тория. В. В.

42718. Превращения углеводородов на окисно-металлических катализаторах при повышенных температурах и давлениях водорода. Шуйкин Н. И., Уч. зап. Азерб. ун-та, 1955, № 8, 23—37 (рез. азерб.)

Обзор опубликованных работ автора и его сотрудников по исследованию каталитич. превращений циклопентана, метилциклопентана, циклогексана, *n*-гексана, *n*-гептана и *n*-октана над платиноглиноземным катализатором при 460° и давлении H_2 15—20 атм. Рассмотрены также превращения *n*-гептана в контакте с низкопроцентными Pt-, Pd-, Rh- и Ru-катализаторами, нанесенными на силикагель, и превращения *m*-декана в присутствии Pt-глинозема при давлениях H_2 20—30 атм. В. В.

42719. Кинетика каталитической дегидрогенизации аминов. Баладий А. А., Васюнин А. А., Докл. АН СССР, 1955, 105, № 5, 981—984

Каталитическая дегидрогенизация 2-аминопентана, 2-метил-4-аминопентана, 2,4-диметил-3-аминопентана

и 1-диэтиламино-4-аминопентана над Pd-асбестом и Ni/Al_2O_3 при 270—340° протекает без побочных р-ций с образованием соответствующих кетиминов и водорода, согласно ранее выведенному кинетич. ур-нию (Ж. общ. химии, 1942, 12, 135). Энергия активации E зависит от строения соответствующего амина и равна ~10 000 кал/мол над Pd и ~9600 кал/мол над Ni/Al_2O_3 . Авторы считают, что приблизительное постоянство E свидетельствует об одинаковой ориентации молекул аминов. В 1-фенил-1-аминопропане над ThO_2 при 360—460° параллельно с дегидрогенизацией протекает и дезаминирование, причем E для обеих р-ций одинакова, а скорость первой р-ции в 2 раза больше скорости второй. В. В.

42720. Определение стабильности активности алюмосиликатного катализатора. Рабинович Э. И. В сб.: Методы исследования нефтей и нефтепродуктов, М., Гостоптехиздат, 1955, 297—302

Описан метод быстрого искусств. отравления алюмосиликатного катализатора обработкой его водным паром при 750° в течение 1, 6, 12, 18 и 24 час. с определением активности после каждого этапа обработки. Метод хорошо воспроизводит отравление катализаторов, наблюдающееся при длительной работе в промышленных условиях, и позволяет проводить лабор. оценку стабильности катализаторов и уровня стабильной активности. Описан также метод и аппаратура для ускоренного определения стабильности (так называемого индекса стабильности активности катализатора) путем определения индекса активности и насыпного веса образца после 6-часовой обработки водным паром при 750°. В. В.

42721. Природа активных центров алюмосиликатных катализаторов и кинетика каталитического крекинга углеводородов. Панченко Г. М. (La nature des centres actifs des catalyseurs aluminosiliciques et la cinétique du cracking catalytique des hydrocarbures. Pantchenko G.-M.), J. chim. phys. et phys.-chim. biol., 1954, 51, № 11-12, 740—750, Discuss. 751 (франц.)

Изложение результатов автора по изучению структуры и каталитич. свойств природных и синтетич. алюмосиликатов, а также кинетики и механизма крекинга углеводородов. А. Ш.

42722. Исследование окисно-алюминиевых катализаторов. IV. Образование диэтиланилина путем конденсации этилового спирта с этиланилином. Манро, Вашингтон (Studies on alumina catalysts. IV. The production of diethylaniline by condensation of ethanol and ethylaniline. Munro L. A., Washington R. A.), Canad. J. Chem., 1955, 33, № 10, 1502—1507 (англ.)

Реакция исследована при 300° над различными Al_2O_3 -катализаторами, содержащими от 0 до 9,4% остаточной H_2O . Максим. активностью при образовании диэтиланилина, как и при дегидратации C_2H_5OH в муравьиной к-те, обладают катализаторы с 5,2% H_2O . Минимумы активности во всех трех р-циях также приходятся на катализаторы с одинаковым содержанием H_2O . Рентгенографически показано, что эти колебания активности не связаны со структурными изменениями при дегидратации. Предложен механизм р-ции получения диэтиланилина через промежуточное образование диэтилового эфира. Предыдущее сообщение см. Canad. J. Res., 1943, 21, 21.

42723. Механизм реакции разложения гексанола-1 и ди-*n*-гексилового эфира над окисью алюминия в проточной системе. Лангер, Уокер (Reaction mechanism of 1-hexanol and di-*n*-hexyl ether over alumina in a flow system. Langer Robert M., Walker Charles A.), Industr. and Engng. Chem., 1954, 46, № 6, 1299—1305 (англ.)

Изучено образование эф. при 320° разложение 1 при распаде от т-скорости сосуда, ношение = 0,70. На осн. к выводу, скорости скорости 42724. погл. тивн. хим. М., Авто. высоко, которые радикала. Сохран. измене. автора и тем. блюде. различ. что реп. катал. подтве. 42725. ства. ск. 1955. Изу. винил. нола-2. тинди. сплав. (K-II). ур-ни. по см. читель. рован. среде. цнал. ствует. биров. среде. зующ. изуче. лено. неник. больш. 42726. на. Е р. № 2. Изу. вания. сплав. вания. вания. если. прекр. ной. идет. прекр.

Изучено разложение гексанола-1 (I) и ди-*n*-гексилового эфира (II) над продажной активированной Al_2O_3 при 320—370°. Определены выход олефина (III) при разложении I и II, выход II при разложении I и выход I при разложении II. Показано, что при данной глубине распада I или II состав продуктов р-ции не зависит от т-ры, кол-ва катализатора, давления, объемной скорости струи, а также от диаметра реакционного сосуда. Найдены следующие не зависящие от т-ры отношения констант скоростей р-ций: $K_{1 \rightarrow 3} : K_{1 \rightarrow 2} = 0,70$; $K_{2 \rightarrow 3} : K_{1 \rightarrow 2} = 0,50$; $K_{2 \rightarrow 1} : K_{1 \rightarrow 2} = 1,04$. На основании кинетич. расчетов авторы приходят к выводу, что общая скорость р-ции определяется либо скоростью адсорбции исходных в-в, либо истинной скоростью р-ции на поверхности катализатора. В. В. 42724.

О химическом строении веществ, обладающих поглотительной способностью и каталитической активностью. Алесковский В. Б. В сб.: *Вопр. хим. кинетики, катализа и реакционной способности*. М., Изд-во АН СССР, 1955, 569—587

Автор рассматривает сорбенты и катализаторы как высокомолекулярные в-ва, в одностороннем строении которых он различает «остов (ненасыщенный макро-радикал) и облегающие его атомы или группы атомов». Сохранение активности катализаторов при их хим. изменениях во время работы обусловлено, по мнению автора, образованием псевдоморфоз — «в-в с одним и тем же остовом, но разным составом». Описаны наблюдения над свойствами силикагеля при сорбции им различных в-в при термич. обработке. Автор считает, что рентгеновские исследования окиси железа в процессе катализируемого ею беспламенного горения водорода подтверждают его точку зрения. С. К. 42725.

Электрохимические и каталитические свойства платино-палладиевого сплава (1:10). Соколовский Д. В., Омарова С. Р., Докл. АН СССР, 1955, 102, № 5, 977—979

Изучалась гидрирование этилметилвинилкарбинола, винилфенилового эфира, 1-метил-2-винилгексаметиленола-2, диметилацетиленкарбинола и тетраметилбутиндиола в жидкой фазе при т-рах 20—50° на Pt-Pd-сплаве (1 : 10), компактном (K-I) и порошкообразном (K-II). Гидрирование двойных связей протекает по у-ряням 1-го порядка, гидрирование тройных связей по смешанному порядку. Скорость р-ции на K-II значительно больше, чем на K-I, в обоих случаях гидрирование идет при одинаковых потенциалах. В кислой среде активность K-I и K-II выше, чем в щел., потенциал катализатора, как указывают авторы, соответствует покрытию поверхности во время р-ции адсорбированным водородом. Активность K-I и K-II в щел. среде быстро падает вследствие отравления полимеризующимися продуктами р-ции. Отмечено, что свойства изученных катализаторов напоминают свойства скелетного Ni; большая активность K-I и K-II, по сравнению с чистым Pd, связана, по мнению авторов, с большим кол-вом хим. адсорбированного водорода. С. К. 42726.

К вопросу о влиянии природы растворителя на скорость гидрирования. Соколовский Д. В., Ержанова М. С., Вестн. АН КазССР, 1955, № 2, 75—79

Изучалась влияние pH среды на скорость гидрирования циклогексена, гексина и гексена-1 на Pt-Pd сплаве в спирт. р-рах при 25, 40, 50°. При гидрировании гексина в р-ре КОН р-ция идет лишь до образования гексена-1, который начинает гидрироваться, если в р-р добавляется к-та. Гидрирование гексена прекращается уже в 0,007 н. р-ре КОН, а при постепенной нейтр-ции р-ром H_2SO_4 — вновь начинается и идет с большей скоростью. Гидрирование гексена-1 прекращается при той же конц-ии КОН. Указанные

явления связываются авторами с изменением прочности связи водорода с катализатором. С. К. 42727.

Гидрирование тетраметилбутиндиола на скелетном никелевом катализаторе под повышенным давлением. Попов О. С., Соколовский Д. В., Докл. АН СССР, 1955, 105, № 4, 731—734

На основании измерений электрохим. потенциала (Докл. АН СССР, 1952, 83, 873) скелетного Ni-катализатора, а также скорости поглощения H_2 в процессе гидрирования тетраметилбутиндиола авторы делают вывод о ступенчатом избирательном течении процесса. Гидрирование ацетиленового гликоля происходит при более анодном значении потенциала катализатора, чем гидрирование этиленового гликоля, и при меньших значениях энергии активации. С повышением т-ры от 0 до 60° энергия активации падает от 4500 до 2200 для ацетиленового гликоля и от 8500 до 4500 ккал/моль для этиленового гликоля. Авторы объясняют избирательное гидрирование и остальные наблюдаемые факты избирательной адсорбцией сначала тройной связи ацетиленового гликоля, а затем образующейся двойной связи этиленового гликоля. Д. Д. 42728.

Изменение катализаторов Pt на угле со временем. Соколовский Д. В., Гильдебранд Е. И., Ж. физ. химии, 1955, 29, № 5, 766—771

Изучалась активность Pt-катализаторов, нанесенных на уголь, в р-циях гидрирования диметилацетиленкарбинола (I) и пикриновой к-ты (II) в жидкой фазе при т-ре 35°. Уд. активность катализаторов при изменении степени покрытия поверхности угля платиной от 0,001 до 0,008 проходит через два максимума и минимума; после хранения 1 год максимумы сдвигаются в сторону больших конц-ий Pt. На кривых общей активности, после хранения катализаторов 1 год, точки перегиба делаются более отчетливыми. Потенциал катализаторов, измеренный по ранее разработанному методу (Соколовский Д. В., Друзь В. А., Ж. физ. химии, 1952, 26, 364), в процессе р-ции возрастает. Кинетич. кривые гидрирования I отвечают р-ции первого порядка, в случае гидрирования II — кривые имеют S-образную форму. С. К. 42729.

Кинетика каталитической гидрогенизации в жидкой фазе. Соколовский Д. В. В сб.: *Вопр. хим. кинетики, катализа и реакционной способности*. М., Изд-во АН СССР, 1955, 588—607

Изложение работ, выполненных в лаборатории автора, по гидрогенизации жидких непредельных соединений на катализаторах VIII группы периодической системы. Высказаны представления о механизме процесса, частично изложенные ранее (РЖХим, 1955, 54675); С. К. 42730.

Модифицирование как каталитический процесс. Тютчева Н. Д., Изв. Томского политех. ин-та, 1954, 75, 422—427

Предположено, что при быстром охлаждении металлич. слитков захватываются примеси («модификаторы»), активирующие поверхность металла, промотирующие образование карбидов и твердых р-ров и вызывающие изменения микротвердости, режущих свойств и т. д. На кривых зависимостей свойств сплава от кол-ва модификатора наблюдается максимум, аналогичный максимуму на кривой зависимости константы скорости каталитич. р-ции от содержания модифицирующей добавки. О. К. 42731 К.

Катализ. Том 3. Гидрогенизация и дегидрогенизация. Эмметт (Catalysis. Vol. 3. Hydrogenation and dehydrogenation. Ed. Emmett Paul Hugh Reinhold, 1955, 504 p., 12.50 doll.) (англ.)

42732 Д. Изучение кремнийорганических свободных радикалов. Кертис (A study of organosilicon free radicals. Curtice Jay Stephen. Abstr. doct. thes. Chem., Iowa State Coll., 1953—1954), Iowa State Coll. J. Sci., 1955, 29, № 3, 399—400 (англ.)

42733 Д. Аналитическое изучение автоокисления олефиновых жиров. Фогель (Analytisch-chemische Studien über die Autoxydation der olefinischen Fette. Vogel Roland. Diss., Math.-naturwiss. F., Berlin., 1954, Maschinschr.), Dtsch. Nationalbibliogr., 1955, В, № 19, 1377 (нем.)

42734 Д. Измерения скорости и фотографическое изучение горения и детонации взрывчатых газовых смесей. Шюллер (Über Geschwindigkeitmessungen und fotografische Untersuchungen der Verbrennung und Detonation explosibler Gasgemische. Schüller Walter. Diss. T. H. F. f. Math. u Physik, Darmstadt, 1954, Maschinschr.), Dtsch. Nationalbibliogr., 1955, В, № 21, 1541 (нем.)

42735 Д. Опыты по каталитическому воздействию на кристаллизацию германия. Балтерс (Versuche zur katalytischen Beeinflussung der Kristallisation des Germaniums. Balters Helmut. Diss. Math.-naturwiss. F., Bonn, 1954), Dtsch. Nationalbibliogr., 1955, В, № 19, 1364 (нем.)

42736 Д. Кинетика восстановления окислов железа твердым углеродом. Лисеняк С. С. Автореф. дисс. канд. техн. н., Уральский политех. ин-т, Свердловск, 1955

См. также: Реакционная способность и строение 42280, 42283, 42284, 42329. Кинетика и механизмы р-ций 42741, 42916, 43051—43053, 43059—43061, 43064, 43097, 43141, 43228, 43339, 43427, 43434. Гетерогенный катализ: неорг. катализ 43746, 44112; орг. катализ 43068, 43108, 43133, 43137, 43140, 43145—43147, 43164, 43172, 43178, 43193, 43263, 43283, 43285, 43286, 43297, 43300, 43306, 43730, 44226, 44227, 44278, 44279, 44286, 44287, 44297, 44298, 44300, 44317, 44320, 44368, 44372, 44374, 44377, 44380—44383, 44390, 44391, 44406, 44408, 44412, 44413, 44438, 44439, 44441, 44443, 44467, 44472, 44475, 44485, 44488. Катализаторы 44290—44292, 44319, 44395, 45550—45554, Топохимия 43751, 43902, 44512. Др. вопр. 42163, 43665

ФОТОХИМИЯ. РАДИАЦИОННАЯ ХИМИЯ. ТЕОРИЯ ФОТОГРАФИЧЕСКОГО ПРОЦЕССА

42737. Сенсibilизированный ртутью фотораспад азотной кислоты. Цветанович (Mercury photosensitized decomposition of nitrous oxide. Svetanović R. J.), J. Chem. Phys., 1955, 23, № 7, 1203—1207 (англ.)

Исследована р-ция N_2O с атомами Hg (3P_1) с целью установления первичного акта взаимодействия: $Hg(^3P_1) + N_2O \rightarrow NO(^2\Pi) + N(^4S)$ или $Hg(^1S_0)$ или $Hg(^3P_1) + N_2O \rightarrow N_2(^1\Sigma) + O(^3P)$ или 1D и $Hg(^1S_0)$ (1). Р-ция проводилась в статич. и циркуляционных условиях при 23° и давл. 10—600 мм рт. ст. Основными продуктами являются N_2 и O_2 в отношении близком 2:1. Автор приходит к выводу, что первичным актом является р-ция (1). Г. Л.

42738. Относительные эффективности тушения резонансного излучения ртути и отсутствие их температурной зависимости. Механизм сенсibilизированного ртутью фоторазложения насыщенных углеводородов. Цветанович (Relative efficiencies of quenching of mercury resonance radiation and their temperature independence. Mechanism of mercury photosensitized decomposition of saturated hydrocarbons. Svetanović R. J.), J. Chem. Phys., 1955, 23, № 7, 1208—1214 (англ.)

Относительные эффективности тушения возбужденных атомов ртути Hg6 (3P_1) изучались в бинарных смесях N_2O с $n-C_4H_{10}$, C_2H_6 и C_2H_4 при 23 и 14° в статич. и циркуляционных условиях. Не конденсируемые в жидком N_2 продукты состоят из N_2 , H_2 , CO и малых кол-в CH_4 . Квантовый выход $N_2(Ф_{N_2})$ не зависит от т-ры и подчиняется ур-нию $1/Ф_{N_2} = \alpha[1 + \beta(RH)/(N_2O)]$, где $\alpha \approx 1.3$, а β представляет относительные суммарные эффективности тушения для смеси. Из этих данных вычислены относительные поперечные сечения тушения (σ) для N_2O , C_2H_6 и C_2H_4 , равные 12,6; 0,10 и 22 Å² в предположении, что $\sigma_{n-C_4H_{10}} = 3,6$ Å². Для смеси N_2O с $n-C_4H_{10}$ наблюдается линейная зависимость $1/Ф_{N_2}$ от $(N_2O)/(n-C_4H_{10})$. Для N_2O и $n-C_4H_{10}$ определены относительные эффективности тушения в основном состоянии и соотношение между тушением в основном и метастабильном Hg6 (3P_0) состоянии и не обнаружено зависимости этих величин от т-ры. Г. Л.

42739. Фотохимическое разложение иона MnO_4^- в воде. Зиммерман (Photochemical decomposition of aqueous permanganate ion. Zimmerman George), J. Chem. Phys., 1955, 23, № 5, 825—832 (англ.)

Квантовый выход (КВ) фотохим. разложения иона MnO_4^- в воде (образование O_2) составляет для λ 2537, $5,4 \cdot 10^{-2}$, λ 3650 $2,1 \cdot 10^{-3}$, λ 5640 $1,4 \cdot 10^{-6}$. КВ не зависит от pH в области 6,8—14, а также от интенсивности света. Опыты с водой, содержащей O^{18} , показали, что образование O_2 происходит исключительно из MnO_4^- . Высказано предположение, что возбужденный ион MnO_4^- быстро переходит на высокие колебательные уровни основного состояния. Величина КВ определяется соотношением между скоростью распада и скоростью установления теплового равновесия со средой. Конц-ия образующегося O_2 определялась по тушению фосфоресценции триафлавина, адсорбированного на силикагеле. В. К.

42740. Скорость обратного превращения облученного твердого нитропентаминокобальт (3+) хлорида. Аделль (Die Geschwindigkeit der Rückwandlung von bestrahltem festem Nitropentammincobalt (III)—chlorid. Adell Birger), Z. anorgan und allgem. Chem., 1955, 279, № 3-4, 219—224 (нем.)

Желтый нитропентаминокобальт (3+) хлорид при действии солнечных лучей переходит в красное соединение, которое затем в темноте снова принимает первоначальную окраску. Темновое превращение протекает как р-ция 1-го порядка; константа скорости $3,3 \cdot 10^{-3}$ час⁻¹ совпадает с константой скорости изомеризации: $[ONO-Co(NH_3)_5]Cl_2 \rightarrow [NO_2-Co(NH_3)_5]Cl_2$. В. П.

42741. Фотосенсibilизированный распад перекиси ацетилла. Лунер, Шварц (Photosensitized decomposition of acetyl peroxide. Luner C., Schwarz M.), J. Chem. Phys., 1955, 23, № 10, 1978—1979 (англ.)

При освещении (λ 2537 Å) р-ров перекиси ацетилла (I) в бензоле I распадается с выделением CO_2 . То же происходит при освещении (λ 3650 Å) р-ров I в изоктане в присутствии антрацена (II) ($\sim 10^{-4}$ M). Отношение CH_4/CO_2 уменьшается с ростом конц-ии II, отношение C_2H_4/CO_2 не зависит от конц-ии I и II (при 25° $C_2H_4/CO_2 = 0,13$). Авторы считают, что C_2H_6 и II сенсibilизируют распад I. Уменьшение CH_4/CO_2 происходит благодаря взаимодействию радикала CH_3 с ароматич. молекулой; C_2H_6 образуется в результате первичной рекомбинации радикалов (клеточный эффект). Р. М.

42742. Образование симметричных семихинонов при обратимом фотоокислении и фотовосстановлении. Линшиц, Реннерт, Кори (Symmetrical semiquinone formation by reversible photooxidation

№ 14
and p
n e g
Chem
P-ры
л-фенил
лентан
Наблюд
полосы
живани
станавл
фотохим
зующег
Fe³⁺ ил
SnCl₂.
р-ра I
мхино
нанса.
при 41
и гидр
42743.
нов I
ных
минес
Бер
ted e
oxid
сепсе
В ег
J. А
(англ
При
жидким
триэтил
лосы
полосы
ся поя
которо
чения
а затем
щения
объясн
симляе
р-рите
в друг
жестко
р-рите
дифени
калия
в той
иониза
спектр
ции, а
радика
стояни
42744.
цис-
cis-a
R o m
1040.
В к
разб. (3
фотоме
мум по
циклоб
ранее
не обн
апетон
стильб
лагае
42745.
ческо
лер

and photoreduction. Linschitz Henry, Renner Joseph, Korn T. Marc, J. Amer. Chem. Soc., 1954, 76, № 22, 5839—5842 (англ.)

Р-ры дифенил-*n*-фенилендиамина (I) или дифенил-*n*-фенилендиимина (II) в смеси эфир + спирт + изопентан при т-ре жидкого N₂ освещались Hg-лампой. Наблюдалось образование нового в-ва, имеющего полосы поглощения при 7100 и 3900 Å. При размораживании р-ров и переходе их в жидкое состояние восстанавливается спектр исходных в-в. Спектр продукта фотохим. р-ции идентичен спектру семихинона, образующегося при отщеплении электрона от I окислением Fe³⁺ или присоединении протона к II восстановлением SnCl₂. Это же в-во образуется в смеси подкисленного р-ра I и II. Радикальный характер образующегося семихинона подтвержден методом парамагнитного резонанса. Образование семихинона (полоса поглощения при 4140 Å) обнаружено также при освещении хинона и гидрoхинона в аналогичных условиях. Г. К.

42743. Идентификация сольватированных электронов и радикалов в твердых растворах фотоокисленных органических молекул; рекомбинационная люминесценция в органических фосфорах. Линшиц, Берри, Швейцер (The identification of solvated electrons and radicals in rigid solutions of photo-oxidized organic molecules; recombination luminescence in organic phosphors. Linschitz Henry, Berry Myron G., Schweitzer Donald, J. Amer. Chem. Soc., 1954, 76, № 22, 5833—5839 (англ.))

При облучении светом $\lambda < 540$ мμ замороженных жидким N₂ р-ров Li и K в смеси эфира, изопентана и триэтилалана наблюдается исчезновение узкой полосы поглощения при 600 мμ и появление широкой полосы в ближней ИК-области. Явление сопровождается появлением длительного свечения, интенсивность которого зависит от жесткости р-ра: по мере размягчения р-ра интенсивность свечения сначала возрастает, а затем исчезает полностью. При этом спектр поглощения восстанавливается. Предлагается следующее объяснение: при растворении Li или K электроны максимально сольватированы (полная ориентация диполей р-рителя). При облучении электроны перемещаются в другую область твердого р-ра, где вследствие жесткости р-ра отсутствует полная ориентация диполей р-рителя. При освещении в указанных условиях лития дифениламина, *N*-лития карбазола и трифенилметилкалия происходит образование полосы поглощения в той же области ИК-спектра, что указывает на фотоионизацию этих соединений. Длительное свечение, спектр которого совпадает со спектром фосфоресценции, авторы объясняют рекомбинацией электронов и радикалов с образованием молекул в триплетном состоянии. В. К.

42744. Действие УФ-света на разбавленные растворы *цис*- и *транс*-стильбенов. Баклае (Illumination of *cis*- and *trans*-stilbenes in dilute solutions. Buckles Robert E.), J. Amer. Chem. Soc., 1955, 77, № 4, 1040—1041 (англ.)

В качестве главного продукта фотохим. разложения разб. ($5 \cdot 10^{-5}$ M) р-ров *цис*- и *транс*-стильбенов спектрофотометрически идентифицирован фенантрен (максимум поглощения ~ 250 мμ). Димер 1, 2, 3, 4-тетрафенилциклобутан, об образовании которого сообщалось ранее (Pailer M., Miller U., Monatsch, 1948, 79, 615), не обнаружен. В р-рах в диклогексане, C₂H₅OH и ацетонитриле в фенантрен переходит 70—95% *цис*-стильбена, в CCl₄ образующийся фенантрен быстро разлагается. З. М.

42745. Общ. основной катализ при электролитической диссоциации возбужденного нафта. Веллер (Allgemeine Basenkatalyse bei der elektrolyti-

schen Dissoziation angeregter Naphthole. Weller Albert), Z. Electrochem., 1954, 58, № 10, 849—853 (нем.)

Возбужденные светом молекулы нафта диссоциируют в водн. р-рах согласно ур-нию: $\text{RON}^* + \text{H}_2\text{O} \rightarrow \text{RO}^- + \text{H}_3\text{O}^+$. RON^* излучает в УФ-области, а RO^- — в синей. Изменение относительного выхода флуоресценции этих соединений позволяет судить о величине константы скорости этой р-ции. При увеличении конц-ии основания (соответствующих буферных р-ров) относительный выход синей флуоресценции растет, а УФ — падает, что авторы объясняют р-цией: $\text{RON}^* + \text{B}^- \rightarrow \text{RO}^- + \text{HB}$. Константа скорости этой р-ции зависит от константы диссоциации K_{HB} соответствующей к-ты, а также от коэфф. диффузии основания B⁻. См. также РЖХим, 1956, 9417. В. К.

42746. Фототрония растворов хлорофилла. Лингстон, Портер, Уиндзор (Phototropy of chlorophyll solutions. Livingston Robert, Porter George, Windsor Maurice), Nature, 1954, 173, № 4402, 485—486 (англ.)

Спектры дегазированных р-ров хлорофиллов а и b, феофитина а и корпорпорфина в C₆H₆ и CH₃ОН изучались методом импульсной спектроскопии (РЖХим, 1954, 33769). Энергия импульса в освещающей лампе составляла 75—126 дж. Наблюдалось уменьшение поглощения в основном состоянии и появление новых полос поглощения в течение $2 \cdot 10^{-4}$ — $5 \cdot 10^{-4}$ сек. с момента освещающей вспышки. Эти явления авторы объясняют переходом молекул пигментов в триплетное состояние. В вязком р-рителе — циклогексаноле время жизни триплетного состояния достигает нескольких мсек. Г. К.

42747. Закон Вавилова о постоянстве квантового выхода фотолуминесценции в случае паров органических веществ. Кундзич Г. А., Шишловский А. А., Докл. АН СССР, 1954, 97, № 3, 429—432

Показано, что квантовый выход фотолуминесценции паров антрацена, 3,6-тетраметилдиаминфталимида, 3,6-диаминфталимида, 3-диметиламино-6-аминофталимида и 3-ацетида-6-аминофталимида может превышать выход р-ров тех же в-в, что указывает на тушащее действие р-рителя. Квантовый выход фотолуминесценции паров не зависит от длины волны возбуждающего света в согласии с законом Вавилова. В случае фталимидов наблюдается уменьшение величины квантового выхода при уменьшении длины волны возбуждающего света. В. К.

42748. Тушение флуоресценции антрацена в газовой фазе. Меткаф (The quenching of the fluorescence of anthracene gas. Metcalf W. S.), J. Chem. Soc., 1954, July, 2485—2486 (англ.)

Константы тушения флуоресценции паров антрацена различными газами (в потоке N₂) уменьшаются в следующем порядке: SO₂, O₂, H₂, C₆H₁₁J, C₂H₅J, C₆H₅NH₂, CH₃J. Константа тушения определялась из ур-ния Штерна — Фольмера. Константа тушения при 200° в 1,02—1,9 раза больше, чем при 300°, что указывает на значение ван-дер-ваальсовского взаимодействия между возбужденными молекулами антрацена и молекулами тушителя. Возрастание константы тушения при возрастании длины алкильных групп тушителей авторы объясняют увеличением радиуса молекулы тушителя. В. К.

42749. Концентрационное изменение флуоресценции пирена. Фёрстер, Каспер (Ein Konzentrationsumschlag der Fluoreszenz des Pyrens. Förster Th., Kasper K.), Z. Elektrochem., 1955, 59, № 10, 976—980 (нем.)

См. РЖХим, 1955, 45280.

42750. Тушение флуоресценции иона эозина. Свэр-бл, Шарплесс (The quenching of the fluorescence of the eosin ion. Svirbely W. J., Sharpless N. E.), J. Amer. Chem. Soc., 1954, 76, № 5, 1404—1409 (англ.)

Константа тушения флуоресценции k иона эозина (E^{2-}) посредством КJ в зависимости от диэлектрич. постоянной D , вязкости η и т-ры T р-ров в воде и в смесях вода—органич. р-ритель при постоянной ионной силе μ определяется экспериментально найденным соотношением: $k_{\text{эксп}} = (AD^{1/2}T^{1/2})/\eta$. Расхождение экперим. значений k от теоретически вычисленных из числа столкновений объясняется тем, что эффективность столкновений не равна 1. По отношению $k_{\text{теор}}/k_{\text{эксп}}$ вычисляется число столкновений на один акт тушения (7—38). При постоянном значении μ константа тушения линейно зависит от конц-ии тушителя. С ростом μ константа тушения увеличивается. Наблюдается также и самотушение с k тушения того же порядка, как и тушение КJ. В. К.

42751. Разложение двуокиси углерода под действием ионизирующего излучения. Часть I. Хартек, Донде (Decomposition of carbon dioxide by ionizing radiation. Part I. Hartek P., Dondes S.), J. Chem. Phys., 1955, 23, № 5, 902—908 (англ.)

При действии излучения Rn на твердую CO_2 при 77°K образуются CO и O_2 , выход G разложения составляет 9—10 молекул на 100 эв. При облучении газообразной CO_2 радоном при т-рах 100—180° и при действии излучения ядерного реактора (поток $3.3 \cdot 10^{12}$ нейтрон/см² сек в течение 7—10 суток) при 140° разлагается ~0,1% CO_2 . В обоих случаях G увеличивается при добавлении NO_2 вследствие подавления обратных р-ций. При добавке 0,5% NO_2 G 9—10. Предложен механизм разложения CO_2 : $\text{CO}_2 \rightarrow \text{CO} + \text{O}$ и $\rightarrow \text{C} + \text{O} + \text{O}$; $\text{NO}_2 + \text{O} \rightarrow \text{NO} + \text{O}_2$; $\text{NO}_2 + \text{C} \rightarrow \text{NO} + \text{CO}$; $2\text{NO} + \text{O}_2 \rightarrow 2\text{NO}_2$. На основании прежних экперим. данных (Lind S. C. The chemical effects of alpha particles and Electrons, 1928) предложен механизм р-ции радиолиза CO . И. В.

42752. Радиационно-химические процессы в неорганических системах. (Электрoхимическое действие излучений. Сенсибилизация радиационно-химических реакций). Веселовский В. И. В сб.: Исследования в обл. геологии, химии и металлургии. М., Изд-во АН СССР, 1955, 320—345. Обзор. Библ. 18 назв. X. Б.

42753. Разложение серной кислоты γ -лучами кобальта. Хоканадель, Гормли, Сворский (The decomposition of sulfuric acid by cobalt γ -rays. Hockanadel C. J., Gormley J. A., Sworski T. J.), J. Amer. Chem. Soc., 1955, 77, № 12, 3215 (англ.)

При действии γ -излучения Co^{60} на водн. р-ры H_2SO_4 происходит образование SO_2 , который уносится током He и определяется по восстановлению сульфата $\text{Ce}(\text{IV})$. В р-рах, содержащих менее 60% H_2SO_4 , образование SO_2 не происходит. В р-рах, содержащих более 60% H_2SO_4 , скорость образования SO_2 увеличивается с ростом конц-ии H_2SO_4 , выход достигает в 100% H_2SO_4 1 молекулы на 100 эв. С ростом дозы скорость образования SO_2 уменьшается, что объясняется накапливанием нелетучего окислителя или первоначальным присутствием восстанавливающих затравлений. Добавление H_2O_2 в р-ры H_2SO_4 препятствует образованию SO_2 , пропускание O_2 сильно уменьшает выход SO_2 , пропускание H_2 дает такие же результаты, как и пропускание He. Л. Р.

42754. Непрямое и прямое действие радиации тяжелых частиц на водные растворы уксусной кислоты. Гаррисон, Беннетт, Кол, Хеймонд,

Уикс (Indirect and direct action of heavy particle radiation on acetic acid in aqueous solution. Garrison Warrin M., Bennett Winifred, Cole Sibyl, Haymond Herman R., Weeks Boyd M.), J. Amer. Chem. Soc., 1955, 77, № 10, 2720—2727 (англ.)

Исследовались прямое и не прямое действия ионов гелия (35 Mev) и дейтронов (18 Mev) на водн. р-ры CH_3COOH (I) в интервале конц-ий 0,0625—16 М. Метод исследования описан ранее (РЖХим, 1954, 16073). В р-ре I, свободном от O_2 , при дозах ниже $5 \cdot 10^{20}$ эв/мл образуются H_2 , H_2O_2 , янтарная к-та (II), CO_2 , CO, CH_4 , C_2H_6 , карбонильные соединения (III). Радиационный выход G всех продуктов растет с увеличением конц-ии I в пределах 0,0625—1 М, выше 1 М наблюдается уменьшение G для H_2 , H_2O_2 и II. $G_{\text{макс}}$ равно для H_2 1,5, для H_2O_2 0,4, для II 0,7. G для H_2 , CO_2 , CH_4 и II практически не зависит от pH р-ра (при постоянной конц-ии I). G для H_2O_2 и II уменьшаются до нуля в 16 М р-ре I. G для CO_2 , CH_4 , C_2H_6 и CO увеличиваются с конц-ией I. В 16 М р-ре I G равны для CO_2 3,8; CH_4 1,25; C_2H_6 0,7—0,8; CO 0,3. Из III в 16 М р-ре I обнаружен один ацетон. В 4 М р-ре I соотношение ацетон : ацетальдегид равно 3. G для III в 4 и 16 М р-ре I равен 0,25 и 1,10 соответственно. Авторы считают, что II образуется за счет взаимодействия радикалов H и OH, возникающих при радиолизе H_2O , с молекулами I: $\text{OH} + \text{CH}_3\text{COOH} \rightarrow \text{CH}_3\text{COOH} + \text{H}_2\text{O}$, $\text{H} + \text{CH}_3\text{COOH} \rightarrow \text{CH}_3\text{COOH} + \text{H}_2$ (1), $2\text{CH}_3\text{COOH} \rightarrow \text{COOHCH}_2\text{CH}_2\text{COOH}$. Выход HD в р-ре I в D_2O по р-ции (1) составляет свыше 35% от образующегося водорода. Увеличение выходов CH_4 , CO_2 , C_2H_6 и CO с ростом конц-ии I связано с прямым действием излучения на молекулы I. Облучение р-ров I в присутствии J_2 и HJ показало, что G для H_2 , CO_2 , CO и C_2H_6 практически не изменяется, II не образуется, G CH_4 уменьшается в 2,5 раза независимо от конц-ии I. Это указывает на то, что CH_4 образуется по двум механизмам: через свободные радикалы и за счет распада молекул I на CH_4 и CO_2 . Образование C_2H_6 в основном идет по р-ции: $\text{CH}_3\text{COOH}^* + \text{CH}_3\text{COOH} \rightarrow \text{C}_2\text{H}_6 + \text{продукты}$. Образование ацетона также происходит по молекулярному механизму. В. С.

42755. Радиолитическое окисление органических соединений. Бах Н. В. В сб.: Исследования в обл. геологии, химии и металлургии. М. Изд-во АН СССР, 1955, 346—364. Обзор. Библ. 20 назв. X. Б.

42756. Эффекты Гершеля и Дебо в бромо-хлоросеребряных эмульсиях. Ото, Совенье (Effects Herschel et Debot dans les émulsions au bromure et au chlorure d'argent. Hautot Antoine, Sauvenie Henri), Sci. et inds. photogr., 1955, 26, № 8, 304—311 (франц.)

Так как красный и ИК-свет вызывает два одновременно протекающих и конкурирующих друг с другом процесса: диспергирование поверхностного и внутреннего скрытого изображений (ПСИ и ВСИ) и переход первого внутрь кристалла, а второго — на его поверхность, авторы рассматривают возможные результаты этих процессов: эффекты Гершеля и Дебо для ПСИ и ВСИ. Исследовано действие света с $\lambda > 720 \text{ мμ}$ на ПСИ, ВСИ и полное скрытое изображение (ПСИ + ВСИ) в чистых AgBr- и AgCl-эмульсиях, нечувствительных к свету с $\lambda > 720 \text{ мμ}$. ВСИ проявлял глубинным проявителем после окисления ПСИ. Для данной AgBr-эмульсии диспергирование ПСИ всегда идет скорей, чем ВСИ. В результате для ПСИ и (ПСИ + ВСИ) всегда наблюдаются эффекты Гершеля, а ВСИ остается неизменным. Действие красного света после окисления ПСИ снова создает последнее, т. е. дает эффект Дебо в чистом виде. Для AgCl-эмульсий получены качественно те же закономерности. Для AgBr-эмульсий

эффект для AgBr-эмульсии в 620 мμ AgCl у пробир том из

42757. Сов

gure nie 7.

Пять

личных

получе

экспон

нии 1

ного п

тельную

мично

(0,8—1

тивных

сти, ко

объема

из кри

скрыт

42758. скр

эмуль

chro

au bi

to i

phot

AgBr

не под

экспон

р-рами

явитель

CrO₂ р

жение

тельно

При к

возрас

10%-н

KCl,

при н

при э

переде

при н

р-ров

разде

При б

объем

AgCl-э

ствил.

рушае

прини

чему н

ся др

р-рите

верхн

42759. раз

лотт

тлен

物の

化水

の分

кага

195

эффект Дебо наблюдается в области 720—1200 м μ , для AgCl-эмульсий, в области 520—950 м μ с максимумом около 620 м μ . Максимумы эффекта Гершеля для AgBr- и AgCl-эмульсий лежат соответственно при 820 и 620 м μ . Совпадение максимумов обоих эффектов для AgCl указывает на их единый механизм. Свободный пробег фотоэлектронов, освобожденных красным светом из центров скрытого изображения, равен $\sim 1\mu$.

А. Х. 42757. Соляризация хлоросеребряных эмульсий. Ото, Совенье (La solarisation des émulsions au chlorure d'argent. Hautot Antoine, Sauvenier Henri), Sci. et inds. fotogr., 1955, 26, № 7, 259—260 (франц.)

Пять аммиачных AgCl-эмульсий, полученных в различных условиях, подвергали физ. созреванию для получения среднего размера кристалла $\sim 0,8\mu$. После экспонирования за клином в течение 2 час. на расстоянии 1 м от Hg-лампы высокого давления и поверхностного проявления все эмульсии обнаруживают значительную соляризацию, сравнимую с таковой для аммиачной AgBr-эмульсии с близким размером кристаллов (0,8—1 μ). Отсутствие соляризации у коммерч. позитивных AgCl-эмульсий приписано их мелкозернистости, которая, вследствие большой величины отношения объема к поверхности, облегчает улетучивание галогена из кристаллов без взаимодействия с поверхностным скрытым изображением.

А. Х. 42758. Действие хромовой кислоты на внутреннее скрытое изображение в бромо- и хлоросеребряных эмульсиях. Ото, Совенье (Action de l'acide chromique sur l'image latente interne des émulsions au bromure et au chlorure d'argent. Hautot Antoine, Sauvenier Henri), Sci. et inds. fotogr., 1955, 26, № 6, 201—206 (франц.)

AgBr- и AgCl-эмульсии (диам. кристаллов $\sim 0,8\mu$), не подвергнутые хим. созреванию, обрабатывали после экспонирования под клином 0,25—10%-ными водн. р-рами CrO $_3$ и проявляли метол-гидрохиноновым проявителем, содержащим 1% Na $_2$ S $_2$ O $_3$. 0,25%-ный р-р CrO $_3$ разрушает лишь поверхностное скрытое изображение AgBr-эмульсий, но не влияет на порог чувствительности внутреннего скрытого изображения (ВСИ). При конц-ях 2—10% степень окисления ВСИ быстро возрастает с конц-ией и со временем обработки. 0,25—10%-ные р-ры CrO $_3$, содержащие 1—10 г/л KBr или KCl, гораздо быстрее и полностью окисляют ВСИ при нормальных экспозициях и почти не разрушают его при экспозициях, значительно превосходящих область передержек. По мнению авторов, ВСИ, образующееся при нормальных экспозициях и доступное действию р-ров CrO $_3$ и CrO $_3$ + KBr, расположено по поверхности раздела блоков, образующих эмульсионные кристаллы. При больших экспозициях ВСИ расположено в самом объеме блоков. 0,25—5%-ные р-ры CrO $_3$ не окисляют ВСИ AgCl-эмульсий даже при весьма длительном воздействии. В присутствии 1—10 г/л KBr ВСИ полностью разрушается. Различие между AgBr- и AgCl-эмульсиями приписано большей растворимости AgCl, благодаря чему в процессе физ. созревания блоки плотно срастаются друг с другом и ионы окислителя в отсутствие р-рителя (KBr, KCl) не могут проникнуть вдоль поверхностей раздела блоков.

А. Х. 42759. Разложение циановых соединений в электро-разряде. IV. Разложение цианитоводородной кислоты в тихом разряде. V. Разложение дициана в тлеющем разряде. Кондо (放電によるシアン化合物の分解反応の研究. 第4報. 無聲放電によるシアン化水素の分解反応. 第5報. グロー放電によるシアンの分解, 重合反応. 近藤正春), 日本化学雑誌, Нихон какаку дзасси, J. Chem. Soc. Japan. Pure Chem. Sec., 1954, 75, № 2, 156—158, 159—160 (япон.)

IV. Продукты разложения HCN в тихом разряде — Н и парадиан. Вначале скорость разложения HCN (W) является линейной функцией времени действия разряда, а затем W постепенно замедляется. Разложение полностью прекращается через 5—6 мин. Отношение кол-ва разложившейся HCN к ее начальной конц-ии возрастает с возрастанием силы тока в разряде.

V. Дициан в тлеющем разряде легко разлагается с образованием парадиана. Разложение прекращается через ~ 20 сек. независимо от начального давления и силы тока (I) в разряде. Отношение кол-ва разложившегося дициана к его начальной конц-ии после достижения стационарного состояния не зависит ни от начальной конц-ии, ни от I. Часть III см. РЖХим, 1955, 39828.

Chem. Abstrs, 1954, 48, № 9, 4983; Masaji Kubo.

42760 Д. Изучение механизма фотографического проявления. Шмидт (Untersuchungen über den Mechanismus der photographischen Entwicklung. Schmidt Irene, Diss. Techn. H., Dresden. Maschinenschr., Dtsch. Nationalbibliogr., 1954, B, № 19, 1592 (нем.)

См. также: Фотохимия 42303, 42321. Радиация химия 42465, 43408, 43421. Теория фотографич. процесса 42443, 42524

РАСТВОРЫ. ТЕОРИЯ КИСЛОТ И ОСНОВАНИЙ

42761. Предельные законы для бесконечного разбавления как следствие общего закона для концентрированных смесей. Хаасе (Die Grenzgesetze für unendliche Verdünnung als Folge eines universellen Satzes über konzentrierte Mischungen. Haase Rolf), Z. Naturforsch., 1953, 8a, № 6, 380—393 (нем.)

Предельные законы для бесконечного разбавления выводятся из одного общего положения о концентрационном ходе хим. потенциалов в смесях любых конц-ий: логарифмы коэф. активностей всех родов частиц в функции независимых конц-ий выражаются степенными рядами с положительными показателями. Это положение согласуется с опытом и является обобщением известных положений статистич. механики. В качестве примера рассмотрены р-ры электролитов и неэлектролитов, кривые точек плавления при одновременной диссоциации р-рителя и растворенного в-ва. Исследовано, в каких случаях и в какой форме справедливы предельные законы Генри, Рауля и Вант-Гоффа. Для р-ров неэлектролитов при отсутствии ассоциации и диссоциации предельный закон для парц. давления растворенного в-ва переходит в закон Генри, а для р-рителя — в закон Рауля. Для электролитов и других в-в, у которых молекулярное состояние в паре и р-ре не одинаково, закон Генри не имеет места. Ур-ние для понижения точек плавления при одновременной диссоциации р-рителя и растворенного в-ва в пределе дает ур-ние для бесконечного разбавления, имеющее большое значение для исследования молекулярных состояний расплавов. Ур-ние для случая бесконечного разбавления переходит в ф-лу Вант-Гоффа, когда растворенное в-во и р-ритель не содержат частиц одного и того же вида.

Е. З. 42762. Ячеечная теория жидких смесей. Поппл (The cell theory of liquid mixtures. Pople J. A.), Trans. Faraday Soc., 1953, 49, № 6, 591—599 (англ.)

Предложено расширение ячейечной теории Леннарда-Джонса и Девоншайра на случай смесей без упрощающих предположений. Использован метод «возмущения»,

который тесно связан с теорией соответственных р-ров (Longuet-Higgins, Proc. Roy. Soc., 1951, A205, 247). В основе лежит предположение, что взаимодействия между всеми рассматриваемыми видами молекул не отличаются сильно от взаимодействия между молекулами одного вида. Тогда любую термодинамич. функцию смеси можно выразить через соответствующую термодинамич. функцию чистого в-ва, причем малое различие этих функций рассматривается как «возмущение». Это достигается разложением в ряд любой термодинамич. функции до любого порядка. Статистич. задача состоит в оценке членов разложения в членах, характеризующих потенциальную энергию взаимодействия пар АА, ВВ, АВ. Метод не зависит от статистич. модели и может быть применен к любой плотности и не только к центральным, но и к направленным силам. В настоящей статье рассматриваются только молекулы с центральным полем сил. При использовании улучшенной ячеечной теории (Wentorf R. H. и др., J. Chem. Phys., 1950, 18, 1484) предполагается, что межмолекулярные потенциалы отличаются только в параметрах и что ϵ_{AA} , ϵ_{BB} , ϵ_{AB} близки к $\epsilon^{(0)}$ — параметру рассматриваемой жидкости (одинаковых частей). Расчет производится вначале в предположении беспорядочного смешения, а затем с учетом поправки на небеспорядочное смешение. В отличие от модели сглаженного потенциала в данном случае можно считать избыток энтропии происходящим от двух причин: непосредственного изменения размера ячейки и изменения вибранионного движения частиц в их ячейках. Сравнение с эксперим. данными (Scatchard и др., J. Amer. Chem. Soc., 1940, 62, 713) для неполярных смесей показывает, что хотя теория удовлетворительно объясняет знаки различных избытков термодинамич. функций, она не может дать ни правильной величины избытка энтропии, ни часто наблюдаемой асимметрии в термодинамич. свойствах как функций состава смеси. Е. З. 42763. Теория термодиффузии в жидкостях. Дорри, Дриккамер (A theory of thermal diffusion in liquids. Dougherty E. L., Jr., Drickamer H. G.), J. Chem. Phys., 1955, 23, № 2, 295—309 (англ.).

Дальнейшее развитие теории термодиффузии в жидкостях (РЖХим, 1956, 39134). Дается новая интерпретация величины энергии отделения молекулы от ее соседей W_H , не содержащая никаких представлений относительно типа взаимодействия между различными молекулами. Внутренняя энергия моля чистого компонента двухкомпонентного р-ра $\bar{u}_1^* = \bar{u}_1^g + u_1$, где u_1^g — энергия идеального газа при нулевом давлении и той же самой т-ре, что и в жидкости; u_1 — энергия сцепления в жидкости. W_H пропорциональна парц. молярной энергии сцепления компонентов в р-ре, являющейся по существу молярной энергией испарения, взятой с обратным знаком. Поэтому для каждого вида молекул коэфф. пропорциональности $1/\tau$ представляет собой отношение энергии испарения к энергии активации вязкого течения. ϕ_1 представлена как $\phi_1 = V_1/V(1 + \eta_1/V_1)$, где η_1/V_1 — мера эффективности упаковки. α зависит, кроме параметров ϕ_1 и $1/\tau$, еще от теплот испарения и избыточных термодинамич. величин смешения, которые могут быть также определены из свойств чистых компонентов (Hildebrand J. H., Scott R. L., The Solubility of Nonelectrolytes, Reinhold Publ. Co., 1950). Вблизи крит. т-ры α резко возрастает. Теория применяется также к данным для высоких давлений. Результаты, имеющиеся для ряда двойных систем, подтверждают справедливость теории: при $\eta_1/V_1 = 0$, $\phi_1 = V_1/V$, что указывает на идентичность эффектив-

ностей упаковок для двух видов молекул; $\eta_1/V_1 < 0$ соответствует неэффективности упаковки в дырке, оставленной молекулой. Рассмотрено влияние упорядоченности, которое оказывается ничтожным для неассоциированных р-ров, а для ассоциированных — иногда значительным. Теория применима к тройным идеальным смесям. Е. З.

42764. Зависимость диффузии в водных растворах от температуры. Лонгсуэрт (Temperature dependence of diffusion in aqueous solutions. Longworth L. G.), J. Phys. Chem., 1954, 58, № 9, 770—773 (англ.).

Интерференционным методом измерены с точностью до 0,1% коэфф. диффузии (D) HDO (I), мочевины (II), глицина (III), аланина (IV), декстрозы (V), циклогептаамилозы (VI) и альбумина плазмы с мол. весом 68 000 (VIII) в разб. водн. р-рах (конц-ии соответственно равны: 0,00; 0,38; 0,30; 0,32; 0,38; 0,38 и 0,25 вес.%) при 1, 13, 25 и 37°. Величины $D \cdot 10^6$ составляют: при 1° для I, II, III, IV, V, VI и VII — 11,28; 6,885; 5,151; 4,317; 3,137; 1,492 и 0,3066 $\text{см}^2/\text{сек}$; при 13° для II, III, IV, V, VI и VII — 10,043; 7,606; 6,484; 4,736; 2,274 и 0,4626 $\text{см}^2/\text{сек}$; при 25° для I, II, III, IV, V, VI и VII — 22,61; 13,781; 10,554; 9,097; 6,728; 3,224 и 0,6577 $\text{см}^2/\text{сек}$; при 37° для II, III, IV, V и VI — 18,08; 13,97; 12,17; 9,088 и 4,362 $\text{см}^2/\text{сек}$. На основании эксперим. данных обнаружено, что температурный коэфф. диффузии незначительно возрастает с увеличением размеров диффундирующих частиц, что находится в противоречии с выводом (Taylor H. S., J. Chem. Phys., 1938, 6, 331), сделанным ранее на основании менее точных измерений. Показано, что температурная зависимость диффузии в разб. водн. р-рах удовлетворительно описывается соотношением Стокса-Эйнштейна. Для случая диффузии частиц настолько малых размеров, что р-ритель по отношению к ним не может рассматриваться в качестве непрерывной среды, величина температурного коэфф. диффузии меньше величины, предсказываемой уравнением Стокса-Эйнштейна. Б. Ц.

42765. Исследование диффузии фенилуксусной кислоты в воде по изменению поверхностного натяжения. Коллер, Уошберн (The diffusion of phenylacetic acid in water as measured by changes of surface tension. Koller James E., Washburn Roger E.), J. Amer. Chem. Soc., 1954, 76, № 9, 2562—2565 (англ.).

На примере диффузии фенилуксусной кислоты (I) в воде произведено дальнейшее рассмотрение метода определения коэфф. диффузии манометрич. капилляриметром по понижению поверхностного натяжения (T) на границе жидкостной/воздух при диффузии растворенного в-ва из сосуда с р-ром определенной конц-ии (c) через столб р-рителя в капилляре (Dunning H. N., Washburn E. R., J. Phys. Chem., 1952, 56, 235). Коэфф. диффузии, вычисленные из начальных измерений, больше, чем коэфф. диффузии, рассчитанные из последующих измерений, вследствие 1) механич. попадания исходного р-ра в капилляр, 2) постепенного понижения конц-ии р-ра в сосуде и удлинения вследствие этого величины столба воды (L) и 3) переноса растворенного в-ва по стенкам капилляра адсорбционным механизмом. Найдено способ вычисления истинной величины коэфф. диффузии D_0 , не зависящей от L , путем введения в исходное уравнение для расчета D вместо L величины $L_0 = L + C$, так что $L/\bar{V}D = L_0/\bar{V}D + c/\bar{V}D_0$; последнее соотношение позволяет определять c и D_0 графически. В результате установлено, что коэфф. диффузии I в воде при конц-иях ниже 0,01 г/см³ и т-ре 25° составляет $(8,44 \pm 0,14) \cdot 10^{-6}$ $\text{см}^2/\text{сек}$. В ходе исследования измерены необходимые для вычисления

D значения плотности (d) и T для водн. р-ров I. Получены эмпирич. ур-ния: $d = 0,00158 c + 0,99702 c^2$ в интервале конц-ий 0—0,844 вес. %; $T = 72,07 - 15,71 c - 19,73 c^2$ и $T = 73,27 - 28,29 c + 9,61 c^2$ при конц-иях, соответственно 0—0,300 вес. % и 0,300—1,003 вес. %.

42766. Коэффициенты диффузии хлористого кальция и хлористого цезия в водных растворах при 25°. Лайонс, Райли (Diffusion coefficients for aqueous solutions of calcium chloride and cesium chloride at 25°. Lyons Philip A., Riley John F., J. Amer. Chem. Soc., 1954, 76, № 20, 5216—5220 (англ.)) Определены коэфф. диффузии (D), молярные инкременты рефракции, инкременты плотности и значения относительной вязкости водн. р-ров CaCl_2 (I) в пределах конц-ий 0,03—6 М и р-ров CsCl (II) в пределах конц-ий 0,06—6 М. D измерены интерференционным методом Гуи. В согласии с данными, полученными из электропроводности, значения D для II, найденные экспериментально при низких конц-иях, близки к данным, рассчитанным из теории Онзагера — Фуосса. При высоких конц-иях II установлено положительное отклонение D от теоретич. значения. Значения D для р-ров I дополняют существующие и указывают на отрицательное отклонение от теории Онзагера — Фуосса. Значения D , полученные методом Гуи, не совпадают с данными, определенными кондуктометрич. методом. Показано, что диффузиометр Гуи дает для очень разб. р-ров электролитов неточные и завышенные значения D .

42767. Коэффициенты диффузии хлористого цезия в разбавленном водном растворе при 25°. Харнед, Бландер, Хилдрет (The diffusion coefficient of cesium chloride in dilute aqueous solution at 25°. Harned Herbert S., Blander Milton, Hildreth Clarence L., Jr., J. Amer. Chem. Soc., 1954, 76, № 16, 4219—4220 (англ.))

Кондуктометрич. методом определен дифференциальный коэфф. диффузии D хлористого цезия в разб. водн. р-ре в пределах конц-ий 0,001—0,012 М при 25°. При данных низких конц-иях экспериментально найденные D находятся в хорошем согласии с величинами, рассчитанными по ур-ниям теории Нернста — Онзагера и Фуосса.

42768. Дифференциальные коэффициенты диффузии хлоридов магния и бария в разбавленных водных растворах при 25°. Харнед, Полестра (The differential diffusion coefficients of magnesium and barium chlorides in dilute aqueous solutions at 25°. Harned Herbert S., Polestra Francesco M., J. Amer. Chem. Soc., 1954, 76, № 8, 2064—2065 (англ.))

Кондуктометрич. методом определены дифференциальные коэфф. диффузии (D) хлоридов магния (I) и бария (II) в разб. водн. р-рах в пределах конц-ий 0,0005—0,006 М при 25°. Полученные данные дополняют результаты по D хлоридов кальция и стронция, найденные ранее (Harned H. S., Levy A. L., J. Amer. Chem. Soc., 1949, 71, 2781; РЖХим, 1955, 267). Эксперим. значения D I и II хорошо согласуются со значениями, рассчитанными по ур-ниям теории Нернста — Онзагера и Фуосса. Показано, что в ряду хлоридов щел.-зем. металлов для конц-ий 0,001 и 0,002 М экспериментально найденные величины D растут от I к II.

42769. Диффузия в растворах сахара. III. Диффузия сахарозы в растворитель — раствор глюкозы. Кларк, Дол (Diffusion in sugar solutions. III. Diffusion of sucrose in glucose solutions as solvent. Clarke David M., Dole Malcolm, J. Amer. Chem. Soc., 1954, 76, № 14, 3745—3751 (англ.))

Интерференционным методом Гуи изучена диффузия (D) в тройных системах вода-глюкоза-сахароза, содержащих малые кол-ва сахарозы (I). Р-р приготавлился добавлением определенного кол-ва I к известному весовому кол-ву водн. р-ра глюкозы (II). Отношение $\Delta C_2 / \Delta C_1$, где ΔC_2 и ΔC_1 — соответственно изменение конц-ий глюкозы и сахарозы вдоль границ раздела, всегда отрицательно и постоянно. Коэфф. D I в водн. р-рах II, содержащие 30, 40, 50, 60 и 70 вес. % II при 25° и 60 вес. % II при 35°, рассчитаны при бесконечном разбавлении методом «высота — площадь» по измерению высоты максимума и площади под кривой Гаусса. Найдено большое расхождение между коэфф. D , рассчитанными по методу «высота-площадь» и средневесовыми коэфф. D . Показано, что D двух растворенных в-в (I и II) не происходит независимо. Коэфф. D I в р-рах II больше, чем в свой собственный р-р при одной и той же общей молярной доле I. Энергия активации D I в р-рах II по величине приближается к энергии активации D II в свой собственный р-р. Сообщения II, РЖХим, 1955, 1850.

42770. Микрометод для измерения коэффициентов самодиффузии растворов. Ролф (A micro-method for the measurement of self-diffusion coefficients of solutions. Rolfe J., Proc. Phys. Soc., 1954, B67, № 5, 401—408 (англ.))

Описан видоизмененный микродиффузионный метод Фюрта и Цубера (Fürth R., and Zuber R., Z. Phys., 1934, 91, 617) для измерения диффузии β -активного р-ра в нерадиоактивный. Аппаратура состоит из подвижной диффузионной ячейки, которая через систему щелей сообщается с Г.—М.-счетчиком и пригодна для определения коэфф. самодиффузии (D) ионов и зависимости D от конц-ий. Автором получены значения D для J^{131} в р-рах NaJ пяти конц-ий и P^{32} в р-рах H_3PO_4 . Все значения коэфф. самодиффузии пересчитаны для стандартной t -ры 18°. Из-за низкой чувствительности аппаратуры применимы только те изотопы, которые свободны от носителей. При использовании других изотопов чувствительность аппаратуры должна быть повышена в 1000 раз. Данный метод пригоден для определения D в молекулярных р-рах, где радиоактивный атом есть часть большой молекулы, и в опытах по «меченой диффузии».

42771. Поглощение ультразвука в растворах. Део (Ultrasonic absorption in solutions. Deo Bibhuti Bhusan, Indian J. Phys., 1955, 29, № 7, 352—356 (англ.))

Получено ур-ие для расчета добавочного поглощения ультразвука, обусловленного протеканием в р-ре хим. р-ции, сопровождающейся изменением объема ΔV . Для р-ций типа $A \rightleftharpoons B$ максим. значение коэфф. $\mu_{\text{макс}}$, учитывающего добавочное поглощение ультразвука, рассчитанного на длину волны: $\mu_{\text{макс}} = (\pi / V) \times [(\Delta V)^2 / \beta_0 RT] \alpha (1 - \alpha)$, где V — объем, β_0 — эффективная сжимаемость, α — доля образовавшегося в-ва В. Аналогичное выражение найдено для р-ций типа $AB \rightleftharpoons A + B$. Полученные ур-ния применимы в водн. р-рах электролитов, при этом поглощение зависит как от степени диссоциации, так и от коэфф. активности. На основании развитой теории объяснено anomalous поглощение ультразвука в водн. р-рах сернистых солей двухвалентных металлов и обсуждена диссоциация этих солей.

42772. Исследование сольватации методом измерения скорости распространения ультразвуковых волн. Сообщение 2. Роль отдельных гидратирующихся групп в общем процессе гидратации. Сообщение 3. Гидратация органических соединений электролитной природы. Новодранов Ю.К., Синьков С.Н.,

Уч. зап. Ленингр. ун-та, № 169. Сер. хим., 1953, вып. 13, 72—79, 165—172

Сообщение 2. Методом ультразвука определено участие гидратирующихся групп в гидратации (Г) предельных и непредельных органич. соединений: спиртов (аллиловый, *n*-пропиловый), к-т (кротоновая, метакриловая, масляная), эфиров (этиловый, винилэтиловый, окись пропилен) и соединений, содержащих несколько сольватирующихся групп (малеиновый ангидрид, *n*-бутин-1,4-диол). Установлено, что Г убывает с конц-ией, причем более резко для непредельных соединений. Исключение составляет Г эфиров, для которых Г растет с конц-ией до определенного предела. Величина Г, соответствующая бесконечному разбавлению, составляет: 2 H₂O на двойную связь, 1 H₂O на тройную связь и ~1,5 H₂O на кислородный атом в эфире.

Сообщение 3. Исследована Г двух групп колл. электролитов: низкомолекулярной природы (I) (соли пропиламина и к-т каприловой, нониловой, каприновой, лауриновой, миристиновой, стеариновой) и высокомолекулярной природы (II) (соли альгинатной к-ты и оснований аммония, этил-, пропил-бутил-, гексил- и гептиламинов). При конц-ии < 0,025 М уменьшение Г с конц-ией постоянно и равно 1 молекуле воды (исключение — стеарат пропиламина). При конц-ии > 0,025 М такой зависимости не наблюдается, что свидетельствует о влиянии на мицеллообразование длины углеводородного радикала аниона соли. Величина Г при бесконечном разбавлении равна для всех солей и составляет 27 H₂O на молекулу соли. Зависимость Г от числа радикалов в замещенном аминне мала. Для I и II на кривых зависимости Г от конц-ии точек перегиба, соответствующих $C_{кр}$, не обнаружено, что, возможно, связано с недостаточной чувствительностью и точностью метода. Сообщение I см. Уч. зап. ЛГУ, 1951, № 150, вып. 10, 163. Е. П.

42773. Измерение количества связанной воды с помощью ультразвукового интерферометра. Сино, Огава, Посихаси (Measurement of the amount of bound water by ultrasonic interferometer. Shio Hazime, Ogawa Toshio, Yoshihashi Hiroshi), J. Amer. Chem. Soc., 1955, 77, № 19, 4980—4982 (англ.)

Интерферометрически измерены скорости ультразвука при 20° в спирто-водных р-рах глюкозы, мальтозы и декстрина с различным содержанием этанола. На основании данных о скоростях звука и плотностях р-ров определены сжимаемости. В р-рах в-в с малым мол. весом сжимаемостью растворенных молекул в первом приближении пренебрегают, в р-рах высокополимеров нет. Получено выражение для вычисления на основании акустич. данных кол-ва связанной воды в водн. р-рах неэлектролитов и полимеров, считая, что адиабатич. сжимаемость р-ра аддитивна по отношению р-рителя, растворенного в-ва и связанной воды. Кол-во связанной воды в р-рах глюкозы, мальтозы и декстрина соответственно равно: 0,43; 0,23; 0,40 см³/г. Сжимаемость молекул декстрина в водн. р-рах составляет 9,2·10⁻¹² 8-1.

42774. Термодинамические свойства водных растворов глюкозы. Тейлор, Роулинсон (The thermodynamic properties of aqueous solutions of glucose. Taylor J. B., Rowlinson J. S.), Trans. Faraday Soc., 1955, 51, № 9, 1183—1192 (англ.)

Произведены измерения 1) упругости пара водн. р-ров глюкозы между 25 и 65° при молальных долях ее в р-ре $X \leq 0,195$, 2) теплоты разведения при 25° и $X \leq 0,245$, 3) теплоемкости при 25°, 4) теплот растворения при 25° α - и β -глюкозы и α -моногидрата глюкозы, 5) плотностей р-ров при 25,45 и 65° и $X \leq 0,270$. Вычислены изменения свободной энтальпии ($G = RT \ln \gamma_1$,

где γ_1 — коэфф. активности р-рителя), энтальпии, связанной энергии и парц. молярного объема, отнесенные к р-рителю, и результаты сопоставлены с данными для р-ров сахарозы (Vallender, Perman, Trans. Faraday Soc., 1931, 27, 124). Установлено, что в обоих случаях образуются водородные связи между молекулами сахаров и водой более прочные, чем между молекулами воды. Р-ры сахаров сходны с водн. р-рами H₂O₂ и отличаются от р-ров метанола и этанола. Связь молекул H₂O с глюкозой прочнее, чем с сахарозой.

42775. Термодинамика электролитов при больших концентрациях. Эйген, Викке (The thermodynamics of electrolytes at higher concentration. Eigen M., Wicke E.), J. Phys. Chem., 1954, 58, № 9, 702—714 (англ.)

Изложены физ. основы и приведены основные у-ния развитой ранее (РЖХим, 1955, 11342) авторами теории электролитов в конц. р-рах, учитывающей собственные объемы гидратированных ионов и неполную диссоциацию электролитов. Для отдельных электролитов валентных типов 1—1; 1—2; 2—2; 1—3 теоретически рассчитанные коэфф. активности, интегральные теплоты разбавления и кажущиеся молярные теплоемкости сопоставлены с опытными данными и показано их согласие при конц-ии < 4 М. Обсуждена связь релаксационных эффектов гидратационных оболочек ионов ионной атмосферы и скорости установления равновесия электролитич. диссоциации с теплопроводностью, электропроводностью, поглощением звука р-рами электролитов. Указана возможность использования этих эффектов при изучении кинетики быстрых ионных р-ций. Н. Х.

42776. Исследование диэлектрических свойств разбавленных растворов сильных электролитов. I. Диэлектрическая константа. Мандель (Étude des propriétés diélectriques de solutions aqueuses diluées d'électrolytes forts. I. La constante diélectrique. Mandel M.), Bull. Soc. chim. belges, 1955, 64, № 7—8, 442—469 (франц.; рез. англ.)

Описан новый высокочастотный метод и прибор для измерения емкостей (C) и приведены результаты вычисления диэлектрич. постоянных (ϵ) р-ров электролитов. Теоретич. анализ данных для р-ров NaCl, KCl, KJ и BaCl₂ при конц-иях 10⁻⁴—5·10⁻³ М, подтверждает электродный эффект, вследствие чего значения ϵ определяются экстраполяцией до бесконечной частоты. Найдено, что ϵ р-ров мало отличается от ϵ_0 чистой воды; небольшое повышение их в р-рах с конц-ией < 1 М, по видимому, можно отнести за счет трансляционной поляризации Дебая — Фалькенхагена. При большей конц-ии ϵ заметно ниже ϵ_0 , очевидно, вследствие эффекта насыщения и уменьшения кол-ва свободных молекул H₂O в результате гидратации ионов; колич. объяснение затруднительно вследствие расхождения данных. В. А.

42777. Вычисление электрического потенциала вблизи дипольной молекулы, окруженной ионами. Дюбуа, Бартель (Calcul du potentiel électrique au voisinage d'une molécule dipolaire entourée d'ions. Dubois Jacques-Emile, Barthel Josef), C. r. Acad. sci., 1955, 241, № 2, 201—203 (франц.)

Для расчета констант скоростей р-ций в жидкой фазе, согласно теории Бренстеда — Христиансена — Скатчарда — Ами, необходимо вычисление электрич. потенциала вблизи дипольной молекулы. Исходя из теории Дебая — Хюккеля, авторы рассматривают дипольную молекулу как сферу с радиусом a и моментом m , считая взаимодействие между диполями пренебрежимо малым. Авторы решают задачу введением выражения для ψ_1 — потенциала внутри сферич. молекулы и ψ_2 — во вне сферы. Эти выражения позволяют с большим приближением исследовать реальные си-

стемы, полях»

42778.

водн.

city

L o n

1954.

Науч.

электр.

и водн.

N(CH₃)₃

Na-бенз.

лено, ч

НЭ в во

C₈ lg

анионов

отвечает

инверсии

высалин

ности к

для пип

полярны

молекул

объясне

модейс

ионов.

42779.

натри

M i u

M i u

J. Sci

(англ.)

Опред

р-рителе

при 15

в р-ре

Ф NaCl,

туры жи

ультате

нения и

больше Ф

ины, Ф

р-ров с р

42780.

жидком

changes

s h a l

Amer.

Вычисл

Johnson

(1842) изм

Li в жид

конц-ии

42781.

ш е р р

ques. F

France,

Методам

роматогр

анизмы

инии р-р

шная окс

ассоциац

2+ образ

образно в

изменени

м) образ

В₂O₄4+, г

при x = 1

стем, чем представления о гипотетич. «точечных диполях».

В. А.
42778. Коэффициенты активности пиперидина в водных растворах солей. Лонг, Берген (Activity coefficients of piperidine in aqueous salt solution. Long F. A., Bergen R. L., Jr., J. Phys. Chem., 1954, 58, № 2, 166—168 (англ.))

Изучено распределение пиперидина (полярный неэлектролит (НЭ) основного характера) между бензолом и водн. р-рами солей: Na_2SO_4 , NaCl , KCl , RbCl , LiCl , $\text{N}(\text{C}_2\text{H}_5)_4\text{Cl}$, NaBr , $\text{N}(\text{C}_2\text{H}_5)_4\text{Br}$, NaI , NaClO_4 , Na-бензоат , $\text{Na-бензолсульфонат}$ в конц-ях 0,2—1,5 н. Установлено, что во всех случаях логарифм коэфф. активности НЭ в водн. фазе $\lg f$ линейно зависит от конц-ии соли C_s . $\lg f = k_s C_s$. Порядок расположения катионов и анионов по их высаливающему действию в основном отвечает «нормальному» для неполярных НЭ, кроме инверсии последовательности Na^+ и K^+ , большему высаливающему действию Li^+ и большей чувствительности к анионам, чем к катионам. Данные, полученные для пиперидина, сравнены с результатами для других полярных НЭ кислотного и основного характера с молекулами сходных размеров. Предложено качеств. объяснение, основанное на сравнении механизма взаимодействия молекул НЭ с гидратными оболочками ионов.

В. А.
42779. О кажущемся молярном объеме хлористого натрия в смешанном растворителе вода — мочевины. Миура, Мураками (On the apparent molal volume of sodium chloride in water-urea mixed solvent. Miura Masaji, Murakami Akiyo, J. Sci. Hiroshima Univ., 1955, A18, № 3, 403—407 (англ.))

Определены уд. веса 0,5 М р-ров NaCl в смешанном р-рителе вода-мочевина, конц-ия мочевины 0—40%, при 15, 20 и 25°. При увеличении конц-ии мочевины в р-ре имеет место увеличение кажущегося объема ΦNaCl , что может быть объяснено разрушением структуры жидкой воды при прибавлении мочевины, в результате чего остается мало свободных мест для помещения ионов. В то время как в водн. р-рах ΦLiCl больше ΦNaCl , в р-рах, содержащих более 10% мочевины, ΦLiCl меньше ΦNaCl . Для всех изученных р-ров с ростом т-ры ΦNaCl увеличивается.

С. Д.
42780. Изменение объема растворов металлов в жидком аммиаке. Маршалл, Хант (Volume changes for metal solutions in liquid ammonia. Marshall Philip, Hunt Herschel, J. Amer. Chem. Soc., 1955, 77, № 19, 5016 (англ.))

Вычисленные на основании ранее полученных данных (Johnson W. C. и др., J. Amer. Chem. Soc., 1950, 72, (842)) изменения объема при растворении металлич. Li в жидком NH_3 не обнаруживают максимума при конц-ии $\sim 3\text{М}$, характерного для р-ров Na и K .

С. Д.
42781. О строении основных ионов металлов. Фощерр (Sur la constitution des ions basiques métalliques. Faucherre Jacques), Bull. Soc. chim. France, 1954, № 2, 253—267 (франц.)

Методами потенциометрии, полярографии и электрохроматографии на бумаге установлены различные механизмы превращения ионов металлов при подщелачивании р-ров их солей. Ионы Ag^+ , Fe^{3+} , Y^{3+} и Ce^{3+} , являясь основными солями, образуют гидроокиси. Константа диссоциации AgOH равна $6 \cdot 10^{-5}$. Bi^{3+} , Pb^{2+} , UO_2^{2+} , Fe^{2+} образуют несколько основных ионов со скачкообразно возрастающей степенью полимеризации. При изменении x от 0 до 2 (x — число эквивалентов щелочи) образуется тетрамерный гидролизированный ион $[\text{Bi}_4\text{O}_4]^{4+}$, переходящий при $x \geq 2$ в октамер $[\text{Bi}_6\text{O}_6]^{4+}$. При $x = 1$ в 0,1 М р-рах $\text{UO}_2(\text{NO}_3)_2$ или $\text{UO}_2(\text{ClO}_4)_2$

из UO_2^{2+} образуется гидролизированный димер $[(\text{UO}_2)_2\text{O}]^{2+}$, переходящий в тример $[(\text{UO}_2)_3\text{O}_2]^{2+}$. Константа р-ции гидролиза, приводящей к димеру, равна $1,07 \cdot 10^{-6}$ и $1,90 \cdot 10^{-6}$ при ионных силах (μ) 0,6 и 0,06. Не дает несколько гидролизированных ионов, однако при $x = 1$ идентифицирован только $(\text{Be}_4\text{O}_4)^{4+}$. При $x > 1$ получены малорастворимые основные соли. Ионы Al^{3+} , Cr^{3+} , Th^{4+} дают основной ион и непрерывный ряд ионов возрастающей степени полимеризации. При конц-ии $\text{Al}(\text{NO}_3)_3 > 1 \cdot 10^{-2} \text{М}$ преобладает димер $[\text{Al}_2(\text{OH})_2]^{4+}$. Константа гидролиза при μ 0,6 и 0,12 соответственно равна $5,82 \cdot 10^{-9}$ и $8,72 \cdot 10^{-9}$. При конц-ии $\text{Al}(\text{NO}_3)_3 < 5 \cdot 10^{-3} \text{М}$ больше основного мономера; константы гидролиза при тех же μ равны $1,07 \cdot 10^{-6}$ и $1,83 \cdot 10^{-6}$. В промежуточной области конц-ий $1 \cdot 10^{-2} > c > 5 \cdot 10^{-3}$ мономер и димер сосуществуют в соизмеримых кол-вах. Cr^{3+} также дает димер $(\text{Cr}_2\text{O})^{4+}$. При $x > 1$ получена смесь основных солей. С увеличением x они переходят в колл. частицы, а затем седиментируют. В р-рах нитрата и перхлората Th^{4+} при x до 2 образуется тетрамер $[\text{Th}_4\text{O}_4]^{4+}$, переходящий при $x > 2$ в высокополимерные ионы. Предыдущее сообщение см. РЖХим, 1955, 23492.

Н. П.
42782. Изучение кислотности ассоциированных молекул. Эфиры шавелевоуксусной и малоновой кислот. Румпф (Recherches sur l'acidité de molécules associées: esters oxalacétiques et maloniques. Rumpf Paul), Bull. Soc. chim. France, 1955, № 1, 122—126 (франц.)

Изучена кислотная диссоциация производных этилового эфира шавелевоуксусной к-ты $\text{C}_2\text{H}_5\text{CO}_2\text{COCCHRCO}_2\text{C}_2\text{H}_5$, где $\text{R} = \text{H}$ (I), CH_3 (II), C_2H_5 (III), C_6H_5 (IV), OC_2H_5 (V) и этилового эфира малеиновой к-ты $\text{C}_2\text{H}_5\text{CO}_2\text{CHRCO}_2\text{C}_2\text{H}_5$, где $\text{R} = \text{H}$ (VI), CH_3 (VII), C_2H_5 (VIII), C_6H_5 (IX), OC_2H_5 (X). Потенциометрически при полунейтрализации для I разбавлением 0,005 н. найдено значение pH при 20° равным $7,49 \pm 0,03$; константы диссоциации для II, III соответственно равны $10^{-7,03 \pm 0,02}$, $10^{-6,89 \pm 0,02}$. Для неустойчивого фенольного производного IV при полунейтрализации разбавлением 0,0025 н. pH равно 5,45—5,50; для V разбавление 0,01 н. при полунейтрализации pH $6,72 \pm 0,03$. Увеличение кислотности при введении CH_3 и C_2H_5 объясняется стерич. препятствиями. Спектрофотометрич. исследованиями I—V показано, что относительные кол-ва енольной и кетонной форм меняются с pH . Кроме того, pH точки полунейтрализации изменяется с разбавлением, что затрудняет объяснение полученных результатов. Сравнением кислотности VI—X с кислотностью ряда индикаторов в абс. этаноле показано, что для VI $\text{pK} = 15,75 \pm 0,2$; для XI $\text{pK} = 15,85 \pm 0,2$; для VII, VIII, X $\text{pK} > 16$. Обсуждается влияние кислотности на реакционную способность изученных соединений.

Н. С.
42783. Ионизация растворов диоксида азота в азотной кислоте по данным оптической абсорбции. Линн, Мейсон, Коркоран (Ionization in solutions of nitrogen dioxide in nitric acid from optical-absorbance measurements. Lynn Scott, Mason D. M., Corcoran W. H.), J. Phys. Chem., 1955, 59, № 3, 238—240 (англ.)

Измерено поглощение при 425 $\text{m}\mu/0^\circ$, 1 атм/ NO_2 (I), растворенной в чистой HNO_3 (II), в смеси II с водой (воды 0,003 и 0,006%) и в водн. р-ре KNO_3 (KNO_3 0,02 и 0,04%). Полученные данные использованы для исследования ионизации в указанных р-рах. Показано, что I в р-ре II на 70% диссоциирована на ион NO^+ (при содержании I меньше 1 вес.%), тогда как II на $\sim 5\%$ диссоциирована на ионы NO_2^+ . Точность результатов незначительна.

Ф. М.

42784. Термодинамические константы динитрофенолов в смесях диоксан-вода. Кертес (Thermodynamic indicator constants of dinitrophenols in dioxan-water mixtures. Kertesz S.), J. Chem. Soc., 1955, Apr., 1386—1388 (англ.)

Вычислены при 20° термодинамич. константы равновесия K' для 2,4-, 2,5- и 2,6-динитрофенолов в смесях, содержащих 0—82% диоксана в воде. K' изменяется соответственно в интервале 4,13—9,50; 3,75—8,80 и 5,23—11,40 линейно в зависимости от молярной доли диоксана в смеси. Ф. М.

42785. Дополнительные данные о пиридиндикарбоновых кислотах. Цанич (Прилог познavaњу пиридиндикарбоновых киселина. Цанич Велимир Д.), Гласник хем. друштва, 1955 20, № 1, 29—38 (серб.; рез. франц.)

Потенциометрич. методом определены константы диссоциации K_1 и K_2 хинолиновой, цинхомероновой, изонцихомероновой, лутидиновой и дипиколоиновой к-т. Установлено, что введение карбоксильной группы приводит к увеличению K_1 и незначительному изменению K_2 по сравнению с фталевой к-той. Различие в силе пиридиндикарбоновых к-т автор объясняет разницей величин констант диссоциации монокарбоновых к-т. Большая хим. активность карбоксильной группы в α - и γ -положениях, чем в β -положении для хинолиновой и цинхомероновой к-т объясняется меньшей диссоциацией первых. В. С.

42786. Диссоциация фосфорной кислоты. Увеберг (Über die Dissoziation der Phosphorsäure. Owe Berg T. G.), Z. anorgan. und allgem. Chem., 1954, 275, № 4—5, 283—288 (нем.)

На основе литературных данных по рентгеноструктурному анализу (Bastiansen O., Finbak Chr., Tidsskr. kjemi, bergves. og metallurgi, 1944, 4, 40) и спектрам комб. расс. (Simon A., Schulze G., Z. anorgan. und allgem. Chem., 1939, 242, 313) в развитие предыдущих исследований (РЖХим, 1954, 17855; 1956, 35457) водн. р-ров H_3PO_4 автор считает, что структура этого р-ра, а следовательно, и диссоциация подобна наблюдаемой в р-рах H_2SO_4 . Поскольку необходимым и достаточным условием диссоциации является присоединение молекулы H_2O к атому О к-ты с образованием водородной связи, автор рассматривает вероятность таких актов гидратации. По терминологии автора число ионов H^+ на диссоциированную молекулу к-ты определяется выражением: $\alpha = 2 + (m - 4)/8$ при $4 < m < 12$ и $\alpha = 3$ при $m \geq 12$ (α — степень диссоциации, m — число молекул воды на молекулу к-ты. Сопоставлены литературные данные по скорости растворения Ti и Zr в H_3PO_4 (Golden L. B. и др., Industr. Engng. Chem., 1952, 44, 1930) с вычисленными значениями. В. А.

42787. Состояние боратов в водных растворах. II.

Бораты щелочно-земельных металлов и магния. Кешан А. Д., Шварц Е. М., Вимба С. Г., Изв. АН ЛатвССР, 1955, № 8, 125—131 (рез. латв.) В развитие работы (часть I см. РЖХим, 1956, 32087) исследован ионный распад природных боратов щел.-зем. металлов (ЩЗМ) и магния в водн. р-ре. Установлено, что бораты ЩЗМ в отличие от боратов щел. металлов существуют не в форме пентаборатов $[M(B_5O_{10})_2]$, а в виде MB_5O_{10} . Показано, что ионы гексабората устойчивы только в р-ре борной к-ты, а в воде подвергаются гидролизу. Дибораты ЩЗМ в р-ре борной к-ты превращаются в гексабораты. Октобораты калия и ЩЗМ являются соединениями типа двойных тетраборатов: $K_2B_4O_7 \cdot aq \cdot MB_4O_7 \cdot aq$ и ведут себя так же, как тетрабораты щел. металлов и аммония. Н. К.

42788. Стекловидное состояние водных растворов разбавленных кислот. Вюйар (État vitreux des solutions aqueuses d'acides dilués. Vuillard

G u y), C. r. Acad. sci., 1955, 241, № 17, 1126—1128 (франц.)

В развитие работы (РЖХим, 1956, 384) приводятся результаты дифференциального термич. анализа стекловидного состояния 22—0,5 мол. %-ных водн. р-ров H_2SO_4 , H_2SeO_4 , HCl , $HClO_4$ и H_3PO_4 . Указан графич. способ определения т-ры структурного превращения в стекловидной фазе (T_g). Найдено, что T_g для каждой к-ты сохраняет постоянство, независимо от конц-ии, и лежит в пределах от -138 (HCl) до -114° (H_3PO_4). В. А.

42789. Исследование растворов рефрактометрическим методом. Константинеску, Джимэреску (Contribuții la studiul soluțiilor prin metoda refractometrică. Constantinescu A., Dîjmarescu I.), Farmacia, 1955, 3, № 1, 46—51 (рум.; рез. русс., франц.)

Приведены результаты рефрактометрич. исследования р-ров KNO_3 , $NaNO_3$, $NaCl$, сахарозы различной конц-ии по выявлению водородных мостиков, ранее обнаруженных спектрографич., рентгеноскопич., криоскопич. и другими методами. Коэфф. преломления (n_D) измерен рефрактометром КИП. Установлено, что для первых трех р-ров n_D пропорционален конц-ии, что совпадает с ранее высказанным Шеневу (Cheneveau) предположением. Для р-ров сахарозы с конц-ией $>10\%$ эта пропорциональность нарушается в сторону увеличения, что объясняется ассоциацией молекул сахарозы в конц. р-рах с образованием водородных мостиков. n_D масла, подвергнутого продолжительному кипению в присутствии воздуха, возрастает, что объясняется полимеризацией ретиновой к-ты. Авторы считают, что в р-рах, в которых не существует взаимодействия между молекулами растворенного в-ва и р-рителя, n_D растет пропорционально конц-ии в конц. р-рах в-в (сахароза); при наличии межмолекулярной ассоциации отсутствует пропорциональность, что объясняется образованием водородных связей. Я. М.

42790. Рентгенографическое исследование структуры насыщенного раствора серы в сероуглероде. Грётхейм, Крог-Му (Röntgenographische Strukturuntersuchung einer gesättigten Lösung von Schwefel in Schwefelkohlenstoff. Grottheim Kai, Krogh-Moe Jan), Z. phys. Chem. (Frankfurt), 1955, 5, № 5-6, 284—293 (нем.)

Изложена теория метода рентгеноструктурного анализа р-ров неэлектролитов (Finbak Chr., Acta chem. scand., 1949, 3, 1279) и приведены эксперим. результаты. В согласии с эбулиоскопич. данными установлено наличие в р-ре молекул S_8 при растворении в CS_2 ромбич. серы. Наиболее вероятной считается циклич. структура молекулы S_8 . В. А.

42791. Теплопроводность растворов ассоциированных жидкостей. Филиппов Л. П., Вестн. Моск. ун-та, 1955, № 8, 67—70

В развитие работ (РЖХим, 1956, 7231, 9337) приводятся результаты измерений теплопроводности бинарных смесей ряда ассоциированных жидкостей (сложные эфиры, спирты, ацетон, хлорзамещенные) в функции состава смеси (p_1 и p_2 — вес. %). Найдено, что величина α в выражении: $\lambda = \lambda_1 p_1 + \lambda_2 p_2 - \alpha p_1 p_2$ изменяется параллельно разности $\lambda_2 - \lambda_1$, но отношение $k = \alpha/(\lambda_2 - \lambda_1)$ менее постоянно, чем в случае нормальных жидкостей (НЖ), хотя среднее значение $k = 0,75$ близко к значению для нормальных жидкостей (0,7). Для практич. расчетов пользуются единым значением $k = 0,72$, при этом ошибка не более 1—3%. В. А.

42792. Закономерности в плотностях разбавленных растворов монохлорбензотригалогенидов. Майерс, Хобс, Гросс (Regularities in the densities of

dilute solutions of some monochlorobenzotrihalides. Myers Richard H., Hobbs Marcus E., Gross Paul M., J. Amer. Chem. Soc., 1954, 76, № 18, 4737—4739 (англ.)

Измерение плотности разбавленных р-ров монохлорбензотригалогенидов (F, Cl, Br) в бензоле показало, что зависимость молярного инкремента плотности (ИП) от конц-ии $\Delta d/f_2 = f(f_2)$ (Δd — повышение плотности р-ра над плотностью р-рителя, f_2 — молярная доля растворенного в-ва) в общем случае не совпадает с зависимостью, полученной расчетным путем в предположении отсутствия изменения объемов при смешении. ИП при бесконечном разбавлении $\Delta d/f_2$ (lim) можно получить сложением предельных ИП хлорбензола и соответствующего бензотригалогенида. *o*-Хлорбензотрибромид приготовлен видоизмененной р-цией замены галогена (взаимодействием $AlBr_3$ и *o*-хлорбензотрифторида в р-ре CS_2). Н. Ш.

42793. Метод расчета вязкости водных солевых растворов сложного состава. Эрохи Л. Л., Тр. Всесоюз. н.-и. ин-та галургии, 1953, № 27, 132—141. Приведена эмпирич. ф-ла для расчета вязкости водн. р-ров сложного состава, содержащих хлориды и сульфаты натрия, калия и магния: $\lg \psi_\Sigma = \Sigma (A_i c_i + D_i c_i C^{n-1})$, где ψ_Σ — относительная вязкость сложного р-ра (отношение абсолютной динамич. вязкости р-ра к вязкости воды при той же т-ре), c_i — конц-ия данных соли в *э-эке/л* р-ра, C — суммарная конц-ия всех солей в р-ре, A_i и D_i — эмпирич. коэфф. для данной соли; $n = 2$ для р-ров $NaCl$, Na_2SO_4 , KCl , K_2SO_4 и $MgO \cdot O_4$; $n = 3$ для р-ров $MgCl_2$. Значения A_i и D_i приведены для т-р 0—100°. Проведенное сопоставление вычисленных по ф-ле и измеренных значений вязкости указанных р-ров показало, что в большинстве случаев расхождение не превышает 1—2%; максимум расхождения не превышает 5%. Б. Ц.

42794. Поляриметрические наблюдения гидратации неионных детергентов. Карабинос, Хаздра, Баллун (Polarimetric observations on hydration of nonionics. Karabinos J. V., Hazdra J. J., Ballun A. T.), Euclides, 1955, 15, № 171—172, 145—149 (англ.; рез. исп.)

Исследована мутаротация и ее температурная зависимость у водн. р-ров оптически деятельных тетраэнокс- и октаэноксимиловых эфиров полиоксизетилена, а также полиэтеноксисаллата. Результаты опытов указывают, по мнению авторов, на присоединение молекул воды к О-атому полиэфира. Гидратация протекает с измеримой скоростью и повышение т-ры способствует присоединению большого числа молекул H_2O , но при достижении точки помутнения наступает обратный процесс дегидратации и выпадение детергента в осадок. В. А.

42795. Димеризация уксусной кислоты в четыреххлористом углеороде и хлороформе. Барроу, Перджер (The dimerization of acetic acid in carbon tetrachloride and chloroform. Barrow Gordon M., Yergger E. Anne), J. Amer. Chem. Soc., 1954, 76, № 20, 5248—5249 (англ.)

Изучена р-ция димеризации безводн. CH_3COOH (I) в CCl_4 (II) и в $CHCl_3$ (III). Конц-ии мономера и димера определены из оптич. плотности. Константа равновесия K_p р-ции $2CH_3COOH \rightleftharpoons (CH_3COOH)_2$ в II при конц-ии I $1,7 \cdot 10^{-1} - 1,12 \cdot 10^{-4}$ M изменяется с 1000 до 2650 л/моль, а в III при конц-ии I $3,49 \cdot 10^{-1} - 1,86 \cdot 10^{-4}$ M — с 90 до 420 л/моль, т. е. K_p мало зависит от конц-ии р-ров. Возможна ассоциация I с III за счет образования водородной связи с карбонильном мономера по у-нию $CH_3COOH + HCCl_3 \rightleftharpoons CH_3COOH \cdot HCCl_3$. Если димер не реагирует с III, то для этой р-ции $K_p = 0,2$. Т. К.

42796. Димеризация хлоруксусных кислот в растворе.

Браун, Матисон (Dimerization of the chloroacetic acids in solution. Brown C. P., Mathieson A. R.), J. Phys. Chem., 1954, 58, № 12, 1057—1059 (англ.)

Распределение органич. к-т [OK] между водной и органич. р-рителем описывается ур-нием $c'/cf = K_1 + 2K_2cf/K_2$ (1), где c и f — конц-ия (в M) и коэфф. активности в водн. фазе, c' — конц-ия в органич. фазе, $K_1 = [OK]/[к-та (aq)]$, $K_2 = [OK]^2/[OK]_2$ (прямые скобки обозначают активности). Из литературных данных для уксусной, моно-, ди- и трихлоруксусной к-т вычислены f при 25° и K_1 и K_2 в различных органич. р-рителях; приведены системы, для которых ур-ние (1) не выполняется. По влиянию на равновесие образования димеров к-т за счет водородной связи р-рителем делятся на: 1) не образующие водородной связи; 2) образующие водородную связь преимущественно с другими молекулами, напр. эфирами; 3) образующие структуру с водородной связью, напр. CH_3OH . А. Р.

42797. Смеси мышьяковой и соляной кислот в ледяной уксусной кислоте. Садек (Mixtures of arsenic and hydrochloric acids in glacial acetic acid. Sadek Hussein), J. Indian Chem. Soc., 1955, 32, № 3, 176—178 (англ.)

Измерена при 35° эквивалентная электропроводность λ мышьяковой к-ты (I) в лед. уксусной к-те (II). С ростом конц-ии I (c) λ увеличивается, причем при одинаковых c λ в 200 раз больше, чем λ для фосфорной к-ты (J. Indian Chem. Soc., 1952, 29, 846), что, по мнению автора, объясняется переносом протона с сольватированного атома водорода на нейтр. молекулу I. Измеренная уд. электропроводность κ смесей I с HCl (III) при $c_1 = 0,02$ M и $c_{HCl} = 0,04 - 0,14$ M в несколько раз больше вычисленной из аддитивности, что обусловлено взаимодействием I и III в р-ре II, приводящим к образованию соединений, в которых I — положительный ион. Аналогичные результаты получены для смесей III и фосфорной к-ты. А. Г.

42798. Диэлектрическое поведение разбавленных растворов полиэлектролитов. Бруккер, Вое (Le comportement diélectrique des solutions diluées de polyélectrolytes. Brouckere Lucia de, Vos Gilbert), Bull. Soc. chim. belges, 1955, 64, № 1-2, 24—57 (франц.)

Изучена диэлектрич. постоянная (ДП) разб. р-ров полиакриловой к-ты (I), полностью или частично нейтрализованной NaOH, и полиметакрилатов Na (II), Li (III) и Ba (IV) со средней степенью полимеризации 325—3500 и конц-ией 0,1—10 ммоль мономера на 1 л. Измерения проводились в пределах 10—500 кГц при 25°. Найдено, что ДП р-ров I, II, III и IV увеличивается с ростом частоты; кривые имеют точку перегиба при 100 кГц, которая не зависит от степени нейтр-ции, природы катионов, конц-ии или степени полимеризации полиэлектролита. Время релаксации определено в 1 мкс. При постоянной частоте ДП увеличивается до $\alpha = 0,5$ с увеличением степени нейтр-ции, не зависит от степени полимеризации и не пропорциональна конц-ии полимера. ДП для солей двухвалентного катиона (Ba) ниже, чем для Na и Li, причем для подвижного Na немного выше, чем для Li. Установлено, что диэлектрич. поведение полиэлектролитов обусловлено ориентационной поляризацией, а поляризацией от смешения ионной атмосферы, окружающей полиионы. Л. Д.

42799. Удаление воды из органических растворов. Вольбен (Entfernung von Wasser aus organischen Lösungsmitteln. Wohleben Günther), Angew. Chemie, 1955, 67, № 23, 741—743 (нем.; рез. англ., франц.)

Автор предлагает фильтровать органич. р-ритель через колонку с Al_2O_3 активности класса I по Вельму. По полноте обезвоживания р-рители располагаются в следующий ряд: бензол > хлороформ > эфир > уксусный эфир > ацетон. Алкоголи не обезвоживаются. Вместе с водой сорбируются и многие другие загрязнители. Регенерация использованной Al_2O_3 не рекомендуется. В. А.

42800 Д. Термодиффузия в водных растворах под давлением. Кова (Thermal diffusion in aqueous solutions under pressure. Coval Dario Riccardo. Doct. diss. Univ. Illinois, 1955), Dissert Abstrs, 1955, 15, № 5, 774—775 (англ.)

См. также: Растворимость 42295, 42313, 42363, 42612, 42620—42624, 43363. Диффузия 42425, 42427, 42803. Структура р-ров 42359, 42368, 42532. Кислотно-основные равновесия 42298. Твердые р-ры 42441, 42461, 42592, 42608, 42615. Др. вопр. 42213, 42544, 42545, 43376

ЭЛЕКТРОХИМИЯ

42801. Электропроводность электролитов и их молекулярное состояние в растворе. Санита-ди-Тонни (La conducibilità degli elettroliti e il loro stato molecolare in soluzione. Sanità di Torpì Nicola), Chimica, 1955, 31, № 10, 375—382 (итал.)

Краткий обзор.

В. Л.

42802. Электропроводность неводных растворов. Оути (非水溶液の電気伝導, 大内謙一), 電気化学雑誌, Дэнки кагаку дзасси, J. Electrochem. Soc. Japan, 1955, 23, № 8, 418—424 (япон.)

Лекция.

М. П.

42803. Феноменологическая теория электротермодиффузионного метода в жидкостях. Барановский (Fenomenologiczna teoria metody elektrottermodyfuzyjnej w cieczach. Baranowski Bogdan), Roczn. chem., 1954, 28, № 4, 587—600 (польск.; рез. англ.)

Разработана феноменологич. теория описанного ранее (Roczn. chem., 1952, 26, 488; РЖХим, 1955, 20834) электротермодиффузионного метода с применением капилляров (К) с малым внутренним сечением. Предполагая линейную зависимость электропроводности от т-ры, автор приводит дифф. ур-ние для теплопроводности, решение которого дает выражения для значения градиента т-ры (ГТ) и максим. разности т-ры в К. Применяя ур-ние Навье — Стокса и выражение для ГТ, автор решает дифф. ур-ние для скорости конвекции в К. Полученные ур-ния могут быть использованы для определения коэфф. Соре. В. Л.

42804. Электропроводности растворов полиэлектролитов при высоких частотах. Чадуик, Нил (Conductivities of polyelectrolyte solutions at high frequencies. Chadwick C. S., Neale S. M.), Nature, 1954, 173, № 4402, 493 (англ.)

Электропроводность (Э) водн. р-ров полиметакрилата Na (I) при увеличении частоты ν переменного тока начинает возрастать при $\nu \sim 0,1$ Мгц, тогда как Э р-ров KCl в тех же условиях возрастает при $\nu = 10$ Мгц. Различие объясняется действием переменного электрич. поля на цилиндрич. ионную атмосферу не скрученных длинноцепочечных полиионов I. С. Ж.

42805. Измерения электропроводности растворов пикриновой кислоты и хлористого водорода в смесях воды с этанолом. Кортюм, Вильский (Über Leitfähigkeitsmessungen an Pikrinsäure und Chlorwasserstoff in Wasser-Äthanol-Mischungen. K o r t i u m G., W i l s k i H.), Z. phys. Chem. (Frankfurt), 1954, 2, № 5—6, 256—275 (нем.)

В продолжение работы авторов (РЖХим, 1954, 25033) показано, что в смесях, содержащих < 94 мол. % этанола (I), Λ пикриновой к-ты (II) линейно зависит от \sqrt{c} и Λ_0 может быть определена линейной экстраполяцией. В смесях, содержащих > 94 мол. % I, II является слабым электролитом и Λ_0 можно определить только по способу Фуосса и Крауса. Показано, что при малой величине диэлектрич. постоянной р-рителя только по Λ невозможно определить Λ_0 и константы диссоциации слабых электролитов, так как теория Дебая и Гюккеля к таким р-рам неприменима. При сравнении коэфф. А ур-ния $\Lambda = \Lambda_0 - A\sqrt{c}$, рассчитанных по ур-нию Дебая — Гюккеля — Онзагера ($A_{теор}$), с опытными ($A_{оп}$) найдено, что для II $A_{теор} = A_{оп}$ при содержании I в р-рителе 30—70 мол. % и $A_{оп} > A_{теор}$ в других случаях. Для HCl $A_{теор} = A_{оп}$ при содержании 80 мол. % I. Своеобразное поведение II связывается авторами с большими размерами пикриновой. З. Т.

42806. Об измерении электропроводности подистого тетраэтиламмония в смесях растворителей. Кортюм, Гокхале, Вильский (Über Leitfähigkeitsmessungen an Tetraäthylammoniumjodid in Lösungsmittelgemischen. Kortüm G., Gokhale S. D., Wilski H.), Z. phys. Chem. (Frankfurt), 1955, 4, № 5/6, 286—296 (нем.)

С целью выяснения применимости ур-ния Дебая — Гюккеля — Онзагера $\Lambda = \Lambda_0 - A\sqrt{c}$ к разб. р-рам электролитов в смешанных р-рителях (СР) изучена зависимость Λ от c для р-ров подистого тетраэтиламмония (I) в СР (ацетонитрил + нитробензол) (II) и (ацетонитрил + вода) (III) различного состава при 25°, а также вязкость, плотность и диэлектрич. постоянная этих СР. Для р-ров I в II наблюдается линейная зависимость между Λ и \sqrt{c} , причем наклон прямых (Λ/\sqrt{c}) несколько больше теоретич., что обусловлено, по мнению авторов, незначительной ассоциацией ионов I. Для р-ров I в III также наблюдается линейная зависимость между Λ и \sqrt{c} . В смесях, богатых ацетонитрилом, эксперим. наклон прямых (Λ/\sqrt{c}) больше теоретич., но при содержании воды в III > 50 мол. % оба значения совпадают, что обусловлено почти полной диссоциацией I в этих смесях. Указанные р-ры занимают, по мнению авторов, промежуточное положение между «нормальными» системами с системами с ярко выраженными аномалиями. Б. М.

42807. Эквивалентная электропроводность электролитов в смешанных растворителях. I. KCl в системе вода — метанол. Фостер, Эймис (The equivalent conductance of electrolytes in mixed solvent. I. Potassium chloride in the water-methanol system. Foster Norman G., Amis Edward S.), Z. phys. Chem. (Frankfurt), 1955, 3, № 5/6, 365—381 (англ.)

Определены Λ р-ров KCl ($5 \cdot 10^{-2}$ — $4 \cdot 10^{-5}$ н.) при 25, 35 и 45° в воде, метаноле (I) и их смесях с содержанием 20, 40, 60 и 80 вес. % I. Коэфф. наклона прямых (Λ/\sqrt{c}) отличаются от рассчитанных по ур-нию Онзагера. Найденные путем экстраполяции значения Λ_0 хорошо согласуются с литературными данными. Предположив, что в I KCl частично ассоциирован в ионные пары, авторы находят, что степень ассоциации KCl равна 5,5% при $c = 5,252 \cdot 10^{-2}$. Изучено влияние т-ры, вязкости η и диэлектрич. постоянной на Λ_0 . На кривой зависимости Λ_0 от состава р-рителя наблюдается минимум, положение которого не соответствует положению максимума η . Значения Λ_0 р-ров KCl при

данной
имеющ
ние, чт
тели (и
его
1955, 2
42808
сол
г е р
Salzsä
sati m
g e r
1955.
Прив
ция яч
электр
усилие
селек
ных яв
при р
(341,5
4000 г
экстра
ние о.
данн
ур-ния
и для
Отмеч
турны
und ab
чины
42809.
ност
мо
所に
Дэв
22,
Обз
42810
дин
те
elet
R o
665
Рас
идеал
позво
намя
идеал
марн
дина
элект
о вл
элект
42811
(О
Н
400
Ис
выве
каю
помо
(РЖ
42812
л о
Р
Н
89
На
из э.

данной т-ре в смесях с разным содержанием I, имеющих одинаковую η , различны. Сделано заключение, что на A_0 , кроме т-ры и η , влияет состав р-рита (вследствие избирательной сольватации ионов) и его диэлектрич. постоянная. См. также РЖХим, 1955, 25867.

42808. Измерение электропроводности расплавленных солей с учетом поляризационных явлений. Крёгер, Вейсгербер (Leitfähigkeitsmessungen an Salzschmelzen unter Berücksichtigung der Polarisationserscheinungen. Kröger Carl, Weisgerber Peter), Z. phys. Chem. (Frankfurt), 1955, 5, № 3—4, 192—203 (нем.)

Приводится схема измерительного моста и конструкция ячейки с гладкими Pt-электродами для определения электропроводности (κ) расплавленных солей. Для усиления напряжения в измеряемую схему вводился селективный усилитель. Для устранения поляризационных явлений сопротивление расплавов R_x определялось при различных частотах ω . Для расплавов KNO_3 (341,5—410°) и $NaNO_3$ (333—402°) в интервале ω 1000—4000 с^{-1} R_x пропорционально $(1/\sqrt{\omega})$, что позволяет экстраполировать R_x на $\omega = \infty$ и устранить влияние ω . Воспроизводимость значений R_x 0,1%. Опытные данные выражены с точностью $\pm 0,15\%$ эмпирич. уравнениями: для KNO_3 $\kappa = 2,87 \cdot 10^{-3} (t - 339) + 0,6440 \text{ ом}^{-1} \text{ см}^{-1}$ и для $NaNO_3$ $\kappa = 4,57 \cdot 10^{-3} (t - 312) + 1,009 \text{ ом}^{-1} \text{ см}^{-1}$. Отмечено совпадение значений κ для KNO_3 с литературными данными (Jaeger F. M., Karpa B., Z. anorgan. und allgem. Chem., 1920, 113, 27) и рассмотрены причины расхождений в случае $NaNO_3$.

42809. О развитии взглядов на возникновение разности потенциалов в гальваническом элементе. Окамото (電氣化學史の一断章. 電池内の電位差發生の場所についての論争を中心として). 岡本剛), 電氣化學, Дэнки какаку, J. Electrochem. Soc. Japan, 1954, 22, № 10, 535—538 (япон.)

Обзор. Библ. 13 назв. М. М. 42810. Аспекты и проблемы электрохимической термодинамики. Сообщение I. Идеальные цепи. Пьетелли (Aspetti e problemi della termodinamica elettrochimica. Nota I. Catene ideali. Piontelli Roberto), Gaz. chim. ital., 1955, 85, № 5—6, 665—693 (итал.)

Рассматриваются различные электрохим. свойства идеальных гальванич. цепей. Принятые определения позволяют осуществить последовательное термодинамич. рассмотрение электрохим. систем, в частности идеальных гальванич. цепей как в целом, с учетом суммарной хим. р-ции и с применением суммарных термодинамич. функций, так и по отношению к парц. электрохим. процессам. Рассмотрены также вопросы о влиянии т-ры на э. д. с. и о термодинамич. толковании электродных потенциалов.

42811. К теории неизотермических систем. Хольтан (On the theory of non-isothermal systems. Holtn H a n s, Jr), Acta chem. scand., 1954, 8, № 3, 402—406 (англ.)

Исходя из принципа термич. взаимодействия, автор вывел выражения для разности потенциалов, возникающей в термоэлементах, полученные ранее при помощи термодинамики необратимых процессов (РЖХим, 1955, 3487, 3488, 9171).

42812. Ряд напряжений в формамиде. Павлопулос, Штрелов (Die Spannungsreihe in Formamid. Pavlopoulos Theodor, Strehlow H a n s), Z. phys. Chem. (Frankfurt), 1954, 2, № 1—2, 89—103 (нем.)

Измерены э. д. с. цепей без переноса, составленных из электрода сравнения $Cd/CdCl_2$ и электродов $Pt(H_2)/$

$(HCl, Hg, Rb (0,231\%)/RbCl, Hg, K (0,212\%)/KCl$ при различных конц-ях хлоридов с применением формамида (I) в качестве р-рителя. Измерены также э. д. с. цепей с переносом в I, содержащих электроды $Zn/ZnCl_2, Cd/Cd(NO_3)_2, Ti/TiNO_3, Pb/Pb(NO_3)_2, Cu/CuBr_2$. На основании проведенных измерений получен ряд напряжений в I при 25°: $K - 2,872 \pm 0,005, Rb - 2,855 \pm 0,005, Zn - 0,757 \pm 0,008, Cd - 0,408 \pm 0,009, Ti - 0,344 \pm 0,014, Pb - 0,193 \pm 0,012, Cu - 0,279 \pm 0,012$. Определены также растворимости (в моль/л) $NaBr (3,30), KCl (0,90), KI (3,71), RbBr (1,87)$ и $CsJ (1,66)$ в I, что позволило установить, что нормальный потенциал водорода в I на 71 мВ отрицательнее, чем нормальный потенциал водорода в H_2O . В целом ряд напряжений в I незначительно смещен в отрицательную сторону по отношению к ряду напряжений в воде.

42813. Водные концентрационные цепи с неводной промежуточной фазой. Бонхёффер, Кальвейт, Штрелов (Über wäßrige Konzentrationsketten mit nichtwäßriger Zwischenphase. Bonhoeffer K. F., Kahlweit M., Strehlow H.), Z. phys. Chem. (Frankfurt), 1954, 1, № 1—2, 21—41 (нем.)

Более подробное изложение опубликованной ранее работы (РЖХим, 1954, 46169).

42814. Водные концентрационные цепи с неводной промежуточной фазой. II. Кальвейт, Штрелов, Хоккинг (Über wäßrige Konzentrationsketten mit nichtwäßriger Zwischenphase. II. Kahlweit M., Strehlow H., Hocking C. S.), Z. phys. Chem. (Frankfurt), 1955, 4, № 3/4, 212—219 (нем.)

Измерены э. д. с. ϕ цепей с р-ром фенилхинолин-карбонowego калия (I) и хинолине (II), аналогичным катиониту (K), в качестве невод. промежуточной фазы (РЖХим, 1954, 46169); электролитом водн. фаз служил KCl . Изучены цепи, приготовленные тремя различными способами; в цепи a , наиболее близкой к цепи с K_2 , 2 водн. р-ра KCl приведены в соприкосновение с 0,124 н. I в II; в цепи b I предварительно равномерно распределен между водой и II, после чего к водн. фазам добавлен KCl ; в цепь с входят р-ры I в II, в которых I предварительно равномерно распределен между II и прилегающим р-ром KCl . Кривая ($\phi, \lg c$) (c — конц-я KCl) для цепи a наиболее близка к аналогичной кривой для цепи с K . Для цепи с выведено ур-ние для суммы скачков потенциалов на границах фаз $\Delta\phi_g$. Показано, что диффузионные потенциалы не превышают 1 мВ и, следовательно, $\phi = \Delta\phi_g$, т. е. измеренные значения ϕ можно сравнивать с вычисленными по этому ур-нию. Вычисленная и опытная кривые ($\phi, \lg c$) хорошо сходятся.

42815. Об образовании сложных катионов в кислых растворах ацетона и щавелевой кислоты. Антропов Л. Н., Смирнова М. Г., Ж. физ. химии, 1955, 29, № 5, 850—854

Метод электрокапиллярных кривых использован для решения вопроса о природе частиц ацетона (I) и щавелевой к-ты (II), растворенных в воде. Сопоставление кривых (σ, ϕ) для р-ров I (0,03—3,0 М) и II (0,03—0,6 М) в 0,01; 0,1 и 1,0 н. H_2SO_4 и 0,1 н. KOH с соответствующими кривыми для р-ров, содержащих типичные по поверхностноактивным катионы, анионы и молекулы, показывает, что в водн. р-рах I находится в виде молекул, а II — в виде молекул и анионов. Катионы $[(CH_3COCH_3)H]^+$ и $[(COOH)_2H]^+$, существование которых неоднократно предполагалось, не были обнаружены. Установлено значительное повышение поверхностной активности I при переходе от кислых р-ров к щел., что является,

по мнению авторов, следствием смещения кето-енольного равновесия в сторону енольной формы. Е. М.

42816. Электролит при постоянном электродном потенциале. I. Зависимость тока от времени при замедленном разряде с диффузионным переносом и выводы относительно кинетики. II. Исследования кинетики выделения простых ионов цинка и комплексных ионов серебра. Фильштин, Герисчер (Zur Elektrolyse bei konstantem Elektrodenpotential. I. Der Strom-Zeit-Verlauf bei gehemmter Entladung mit Nachlieferung durch Diffusion und Rückschlüsse auf die Kinetik. II. Untersuchungen über die Kinetik der Abscheidung einfacher Zink- und komplexer Silber-Ionen. Vielstich W., Gerischer H.), Z. phys. Chem. (Frankfurt), 1955, 3, № 1-2, 16-33; 4, № 1/2, 10-23 (нем.)

I. Произведен математич. анализ кинетики переходного процесса на электроде при наложении постоянной поляризации относительно электрода сравнения (потенциостатич. метод (ПМ)). Путем экстраполяции кривых ток — время к моменту наложения заданной поляризации (η) получают величину так называемой начальной силы тока (I_0), которая определяется только скоростью процесса разряда — ионизации. Методами операционного исчисления получено решение системы дифф. ур-ний для рассматриваемой задачи при одновременном наличии активационной и концентрационной поляризации и нестационарной диффузии исходных и конечных продуктов. Решение имеет вид: $j(t) = I_0 \exp(\lambda^2 t) \cdot \operatorname{erfc}(\lambda \sqrt{t})$ (1), где j — плотность тока, $\lambda = (j_0/nF) \{ \exp(\alpha n \eta / \Phi) / \phi_c \sqrt{D_r} \} + \{ \exp(-\{1-\alpha\} \times n \eta / \Phi) / \phi_{ox} \sqrt{D_{ox}} \}$, $\Phi = RT/F$, ϕ_c и ϕ_{ox} — объемные концентрации потенциалопределяющих восстановленных и окисленных частиц. Анализ ур-ния (1) показывает, что при $t \rightarrow 0$ $j \rightarrow I_0(\eta)$, что служит обоснованием вышеупомянутого экстраполяционного метода нахождения I_0 . При $\lambda \sqrt{t} \ll 1$ линейно зависит от \sqrt{t} (активационный контроль), а при $\lambda \sqrt{t} \gg 1$ — от $1/\sqrt{t}$ (диффузионный контроль). Изучение кривых (I_0 , η) позволяет делать заключения о кинетике р-ций разряда — ионизации. Так, j_0 определяется по формуле $j_0 = (\Phi/n) \times (\partial I_0 / \partial \eta)_{\eta=0}$ (2), для чего достаточно измерить I_0 при малых ($\pm 2-5$ мв) значениях η ; α определяется из эксперим. кривых (I_0 , η_0), полученных из данных для более высоких η . Полученные выводы обобщаются на случай, когда разряду должна предшествовать хим. р-ция в р-ре (напр., р-ция диссоциации комплексных ионов), если допустить, что равновесие этой р-ции устанавливается практически мгновенно (РЖХим, 1955, 42683, 42684). В последнем случае ПМ дает возможность особенно просто проанализировать механизм р-ции, в частности, определить состав разряжающихся комплексов. Напр., потенциалопределяющей р-ции: $M + vX \rightleftharpoons (MX_v)^{n+} + ne$ предшествует диссоциация $[MX_v]^{n+} + (\mu - v)X \rightleftharpoons [MX_\mu]^{n+}$, то при условии большого избытка в р-ре комплексообразователя (X) истинный анодный ток $I_a^+ = I_0 / [1 - \exp(-n\eta/\Phi)]$ пропорционален $\phi_{CM}^v \phi_X^\mu$, откуда может быть найдено v : $v = (\partial \lg I_a^+ / \partial \lg \phi_X^\mu)_{\phi_{CM} = \text{const}}$ (3) при постоянном потенциале ϵ . ПМ применим и в случае очень малых j_0 , когда метод переменного тока непригоден; напротив, при очень больших j_0 следует предпочесть последний.

II. С помощью спец. потенциостата (приведено описание схемы) исследована кинетика выделения ионов $Zn(2+)$ на амальгамном Zn-электроде (~ 1 мол. %)

из $2,1 \cdot 10^{-3}$ M $ZnClO_4 + 1$ M $NaClO_4$ и кинетика выделения $Ag(+)$ на твердом Ag-электроде из цианистых и аммиачных р-ров при большом избытке комплексообразователей (конц-ия $Ag(+)$ порядка $10^{-3}-10^{-2}$ M, конц-ия CN^- или NH_3 от 10^{-2} до 1 M). Для Zn-электрода по ур-нию (2) найдено $j_0 = 2,1$ ма/см² и получено $\alpha = 0,7$, что хорошо согласуется с результатами, найденными ранее (РЖХим, 1955, 42684). Для Ag-электрода в цианистых р-рах определены j_0 при различных конц-иях CN^- , найдено $\alpha = 0,5$, и описанным ранее способом (РЖХим, 1955, 42683) показано, что при $[CN^-] < 0,1$ M разряжаются $AgCN$, при $[CN^-] > 0,2$ M разряжаются ионы $[Ag(CN)_2]^-$, тогда как в р-ре преобладают ионы $[Ag(CN)_3]^{2-}$. Для Ag-электрода в аммиачных р-рах эксперим. значения I_0 не совпадают с теоретич. кривой (I_0 , η) вблизи от равновесного ϵ , что связано, возможно, с медленностью стадии вхождения в кристаллич. решетку (в еще большей степени такое расхождение наблюдалось в случае разряда простых ионов Ag^+). По ур-нию (3) при $\epsilon = \text{const}$ из опытных значений I_0 найдено значение $v = 2$, т. е. в этом случае разряжаются ионы $[Ag(NH_3)_2]^+$, являющиеся одновременно преобладающей формой комплексных ионов в р-ре.

И. 3. 42817. Введение в методы исследования кинетики электродных процессов. Герисчер (Eine Einführung in die Methoden zur Untersuchung der Kinetik von Elektrodenprozessen. Gerischer Heinz), Z. Elektrochem., 1955, 59, № 7-8, 604-612 (нем.). Доклад на 54-м общем собрании Бунзеновского физ. хим. о-ва. Рассмотрены 4 метода исследования кинетики электродных процессов: 1) снятие стационарной поляризационной кривой (ПК); 2) осциллографич. регистрация изменения потенциала ϕ электрода (Э) при поляризации Э током i постоянной силы — гальваностатич. процесс; 3) осциллографич. регистрация изменения i при наложении на электрод заданной постоянной поляризации (П) «потенциостатич. процесс» (см. пред. реф.); 4) определение тока обмена j_0 путем измерения кажущегося сопротивления Э в переменном токе. Применение метода 1 в случае одновременного наличия концентрационной и активационной П иллюстрируется на примере анодно-катодной ПК в системе Fe^{3+}/Fe^{2+} в 1 M H_2SO_4 . Из наклона ПК при равновесном ϕ может быть непосредственно вычислен j_0 , а из общего хода ПК найден коэфф. α . В приведенном примере эксперимент дает $\alpha \approx 0,7$ и $j_0/i_d \approx 1$, где i_d — предельный диффузионный ток. В отличие от 1, нестационарные методы 2 и 3 (а также 4) позволяют изучать более быстрые процессы разряда ионизации при наличии концентрационной П. На примере системы амальгама Zn (1 мол. %)/0,02 M Zn^{2+} на фоне 1 M $NaClO_4$ показано отличное совпадение опытных «начальных» ПК (т. е. ПК, построенных с использованием значений, полученных путем экстраполяции осциллографич. кривых (ϕ , t) (2) и (i , t) (3) на $t = 0$) с теоретическими рассчитанными для $\alpha = 0,75$ и $j_0 = 5,4$ ма/см² (2) или $j_0 = 5,8$ ма/см² (3). В дискуссии участвовал Ланге (Lange E.).

И. 3. 42818. Влияние смеси поверхностноактивных веществ (камфоры и желатин) на электродные процессы на кадмиевом амальгамном электроде. Загайнова Л. С., Стромберг А. Г., Докл. АН СССР, 1955, 105, № 4, 747-750. Исследовано влияние желатина (I) на катодную и анодную поляризацию Cd на амальгамном капельном Cd-электроде в р-рах 10^{-3} M $CdCl_2$, насыщ. камфорой (II). Добавка II к р-ру $CdCl_2$ сдвигает анодную волну в положительную, катодную — в отрицательную сторону, причем разность катодного и анодного $\phi_{1/2}$ ($\Delta\phi_{1/2}$) составляет 0,865 в. При $\phi = -1,3$ в (насыщ. к. э.)

наблюда-
цией II.
в средне
0,30 в в
 $\Delta\phi_{1/2}$ ак
без I, в
ложито
чем вып
мой ано
ного эле
нии о по
активных
и прив
= — $\alpha\phi$
увеличе
0,0021 д
в — в пр
найденн
вые совп
подтвер
результ
нии.
42819.
никель
Сообщ
дин
25, 43
В про
1952, 22
на фоне
(II) и в
волна I
изменяе
(особенн
пательн
комплекс
 $lg i/i_d$
повлени
среде.
уменьш
зависимо
 NH_4OH
в отриц
в амми
почти
конц-ия
ионов M
пательн
3-7, ч
р-ции.
смешае
и CN у
в II не
(1-20%
Ni и Co
ле изме
рН 10 м
определ
щается
при бо
III Ni
При не
нии ко
с волно
III (в з

наблюдается резкое возрастание i , связанное с десорбцией II. П сильно снижает электрокапиллярную кривую в средней части, причем ее максимум сдвигается на 0,30 в в положительную сторону. В присутствии II и I $\Delta\varphi_{1/2}$ ак уменьшается, по сравнению с р-ром с II, но без I, в основном за счет сдвига катодной волны в положительную сторону. Это уменьшение тем сильнее, чем выше конц-ия I (с). Пользуясь ур-нием необратимой анодно-катодной волны для амальгамного капельного электрода (РЖХим, 1956, 28637) при предположении о постоянстве поверхностной плотности поверхностно-активных в-в при разных φ , авторы рассчитали α , β и приведенный ток обмена $i_0^0 (\lg i_0^0 = \lg (i_0/I_a^\alpha I_k^\beta) = -\alpha\beta\Delta\varphi_{1/2} \text{ ат}/b)$ (обозначения см. ссылку). При увеличении c от 0 до 0,1 вес. % $i_0^0 \cdot 10^3$ возрастает от 0,0021 до 0,46 $\mu\text{а}$, α колеблется в пределах 0,31—0,57, β — в пределах 0,52—0,73. Вычисленные с помощью найденных α , β и i_0^0 теоретич. поляризационные кривые совпадают с опытными; по мнению авторов, это подтверждает возможность объяснения полученных результатов теорией замедленного разряда — ионизации. Г. Ф.

42819. Электродная поляризация при электролизе никеля и кобальта на капельном ртутном катоде. Сообщение II. Коваленко П. Н., Надеждина Л. С., Уч. зап. Ростовск. и/Д. ун-та, 1955, 25, 45—56.

В продолжение работы авторов (Ж. общ. химии, 1952, 22, 740) изучалось восстановление ионов Ni и Co на фоне лимоннокислого натрия (I), салициловой к-ты (II) и виннокислого натрия (III). В I при pH < 6,2 волна H^+ маскирует волны Ni и Co. При pH 6—8 i_d изменяется мало; при больших pH (10—12) i_d возрастает (особенно сильно у Co), причем $E_{1/2}$ смещается в отрицательную сторону, что объясняется изменением состава комплексов ионов (КИ). Судя по наклону прямой $[\lg i/(i_d - i), E]$, степень необратимости (СН) восстановления ионов Co и Ni в I наибольшая в нейтр. среде. При увеличении конц-ии I (pH 12) i_d Ni и Co уменьшаются, а СН р-ции возрастает благодаря образованию более прочных КИ. При увеличении конц-ии NH_4OH значения i_d возрастают, а $E_{1/2}$ — сдвигаются в отрицательную сторону (превращение пикарных КИ в аммиачные). В 1 M NH_4OH Co восстанавливается почти обратимо. i_d Ni и Co в I пропорциональны конц-иям, а их $E_{1/2}$ совпадают. На фоне 0,2% II i_d ионов Ni и Co уменьшаются, а $E_{1/2}$ смещаются в отрицательную сторону при увеличении pH в интервале 3—7, что указывает на возрастание прочности КИ и СН р-ции. При увеличении конц-ии II от 0,2 до 0,4% $E_{1/2}$ смещается в отрицательную сторону, i_d возрастает и СН увеличивается. Совместное определение Ni и Co в II невозможно из-за слияния их волн. На фоне III (1—20%) при увеличении pH от 4,2 до 6,1 i_d ионов Ni и Co сильно уменьшается; при pH 6,1—12 i_d Ni не изменяется, а i_d Co продолжает уменьшаться. При pH 10 волна Co исчезает (в этих условиях возможно определение Ni при наличии избытка Co). $E_{1/2}$ смещается в отрицательную сторону при pH 4,2—6,1; при более высоких pH $E_{1/2}$ не зависит от pH. На фоне III Ni восстанавливается более необратимо, чем Co. При переходе от pH 4 к pH 7 СН возрастает, а при более высоких pH остается постоянной. При увеличении конц-ии III до 6% (pH 6,3) волна Ni сливается с волной фона, а волна Co остается четкой даже в 20% III (в этих условиях возможно определение Co в при-

сутствии избытка Ni). При увеличении конц-ии III СН несколько возрастает. Увеличение конц-ии NH_4OH при постоянной конц-ии III (2%) приводит к увеличению i_d Ni и сдвигу $E_{1/2}$ в отрицательную сторону, однако почти не влияет на i_d и $E_{1/2}$ Co. На фоне 0,5—1 M NH_4OH Ni и Co восстанавливаются обратимо. С. Ж.

42820. Некоторые свойства растворов сульфатов двухвалентного олова и их роль в электроосаждении олова. III. Растворы, содержащие сульфат двухвалентного олова, серную кислоту и добавки. Дисчер (Some properties of tin (II) sulfate solutions and their role in electrodeposition of tin. III. Solutions with tin (II) sulfate, sulfuric acid, and addition agents. Discher C. A.), J. Electrochem. Soc., 1955, 102, № 11, 617—622 (англ.).

Изучено действие различных органич. добавок на свойства сернистого электролита для осаждения Sn и результаты сопоставлены с их влиянием на качество Sn-осадков. Осадки Sn классифицированы на 5 типов: блестящие I, матовые II, неплотные и изолированные кристаллы различных видов III, IV и V. Показано, что величина поверхностного натяжения σ , молярной рефракции R , коэфф. Вант-Гоффа i и эквивалентной электропроводности Λ р-ров непосредственно связаны с качеством осадка Sn. Электролиты, дающие осадки I и II, имеют относительно высокую R и $\sigma < 60 \text{ дн/см}$. Область Λ и i , характерная для оптимальных электролитов для осаждения Sn, определяется из трехмерных графиков (Λ, i, R), в которых каждый тип осадков занимает определенный объем. Вязкость и числа переноса ионов влияют в меньшей степени. Электролиты с добавками, свойства которых приближаются к свойствам электролитов без добавок (кроме Λ), дают осадки плохого качества (III, IV, V). Электролит с $R = 28$, $\sigma = 35 \text{ дн/см}$, $i = 3,95$ и $\Lambda = 340 \text{ ом}^{-1} \text{ см}^2$, дает блестящие осадки Sn. Высказываются соображения о механизме влияния изученных свойств электролита на процесс электроосаждения Sn. Сообщение II см. РЖХим, 1954, 47867. З. С.

42821. Полная теоретическая поляризационная кривая для окислительно-восстановительного электрода H^+/H_2 для случая механизма Фольмера — Гориучи («электрохимический механизм») и сопоставление с механизмом Фольмера — Тафеля. Феттер (Die vollständige theoretische Stromspannungsbeziehung beim Volmer-Horiutischen («elektrochemischen») Mechanismus der H^+/H_2 -Redoxelektrode und die Beziehung zum Volmer-Tafelschen Mechanismus. Vetter K. A. J.), Z. Elektrochem., 1955, 59, № 5, 435—440 (нем.).

Рассмотрены различные теории перенапряжения (η) водорода ур-ния для катодного и анодного η для сочетания механизмов Фольмера и Тафеля ($\text{H}^+ + e \rightarrow \text{H}; 2\text{H} \rightarrow \text{H}_2$) (1). Полученные автором ранее соотношения (Z. Naturforsch., 1952, 7a, 328; Z. Elektrochem., 1952, 56, 797) использованы для вывода полных анодных и катодных поляризационных кривых для случая сочетания механизмов Фольмера и Гориучи ($\text{H}^+ + e \rightarrow \text{H}; \text{H} + \text{H}^+ + e \rightarrow \text{H}_2$) (2) и рассмотрены некоторые предельные случаи. Для случаев 1 и 2 получены выражения для $(d\eta/di)_{i=0}$ и для стехиометрич. множителя $\mu = (2i_0 F/RT) (d\eta/di)_{i=0}$ в зависимости от величин токов обмена отдельных стадий. Показано, что критерий $\mu = 2$ для механизма 1 и $\mu = 1$ для механизма 2 соблюдаются лишь в предельных случаях, когда ток обмена процесса $\text{H}^+ + e \rightarrow \text{H}$ меньше, чем ток обмена последующей стадии. Г. Т.

42822. Об определяемых с помощью кривых зарядки количествах водорода, адсорбированного на электродах из благородных металлов при различных

стационарных значениях перенапряжения. Брейтер, Кнорр, Фёлькль (Über die bei verschiedenen stationären Überspannungswerten auf Edelmetallelektroden adsorbierten, mittels Ladekurven bestimmbarer Wasserstoffmengen. Breiter M., Knorr C. A., Völkl W.), Z. Elektrochem., 1955, 59, № 7-8, 681-688 (нем.)

В описанных ранее ячейках (РЖХим, 1956, 3527) в р-рах 2 н. H_2SO_4 в атмосфере H_2 и N_2 снимались осциллографич. кривые заряджения (КЗ) на Pt-, Ir-, Rh- и Au-электродах, активированных предварительной анодной поляризацией и периодич. импульсами анодного тока плотностью i_a ($i_a \gg i_{пр}$, где $i_{пр}$ — предельная плотность анодного тока по H_2). Кол-во электричества Q_1 , отвечающее адсорбции кислорода, не зависит от i_a и составляет для гладкой Pt $6,8-7,7 \cdot 10^{-4}$ к/см² видимой поверхности; для Rh, Ir и Au $Q_1 \approx 10^{-3}$ к/см² и с учетом поправки на истинную поверхность соответствует образованию монослоя кислорода. Из КЗ рассчитано относительное покрытие поверхности H-атомами $\theta = 2Q_2/Q_1$, где Q_2 — кол-во электричества, отвечающее ионизации адсорбированных H-атомов. Показано, что θ зависит от стационарного перенапряжения $\eta_{ст}$ на электроде до снятия КЗ; при $\eta_{ст} = 0$ для Pt и Rh $\theta \sim 1$, для Ir $\sim 0,8$, для гладкого Au $\sim 0,04$. С ростом $\eta_{ст}$ значения θ уменьшаются и обращаются в нуль при $\eta_{ст} = 350$ мв для Pt и $\eta_{ст} = 150$ мв для Ir и Rh. В случае предварительной катодной поляризации Pt при $i_k \leq 1$ ма/см² θ не зависит от i_a , при $i_k > 1$ ма/см² (выделение газообразного H_2) θ сильно зависит от i_a . Кривые (θ , $\eta_{ст}$) для Pt в области 50 мв $\leq \eta_{ст} \leq 300$ мв почти линейны и близки к стационарной кривой (θ , η), вычисленной из одной КЗ, снятой для $\eta_{ст} = 0$. Для Ir и Rh кривые (θ , $\eta_{ст}$) имеют больший наклон и не совпадают с соответствующими стационарными кривыми. Присутствие даже ничтожных кол-в ионов посторонних металлов в р-ре, напр. Cu, приводит к росту $\eta_{ст}$ во времени при $i_k = \text{const}$ на Pt и Au (после их анодного активирования); на КЗ при этом уменьшается длина водородной ветви и появляется новая ветвь, соответствующая переходу в р-р выделившихся ранее атомов Cu. С помощью полученных ранее соотношений (РЖХим, 1955, 36967) выведено ур-ние для зависимости η от времени, которое согласуется с эксперим. данными для Pt при $\alpha = 0,38$ и $i_0 = 600$ ма/см². Г. Ф.

42823. Процессы на водородных электродах. Часть I. Платино-водородные электроды. Казене, Иве, Сварона. Часть II. Золото-водородные электроды. Иве, Сварона (Hydrogen electrode processes. Part I. Platinum-hydrogen electrodes. Cousens R. H., Ives D. J. G., Swaroora S. Part II. Gold-hydrogen electrodes. Ives D. J. G., Swaroora S.), J. Chem. Soc., 1955, Oct., 3482-3497 (англ.)

I. Измерялись кривые катодной поляризации гладкой Pt в 0,1 н. HCl в атмосфере H_2 при перемагнивании р-ра. Кривые (η , lg i) линейны и имеют коэфф. наклона b , близкий к 0,118 в. Результаты плохо воспроизводимы, что связано, по мнению авторов, с изменением состояния поверхности Pt под влиянием следующих факторов: 1) продолжительности катодной поляризации в р-ре, насыщенном H_2 , и 2) повторного неодиократного использования электрода, сопряженного с соприкосновением электрода с воздухом и с очищающими реагентами. Попытка устранить неконтролируемое изменение в свойствах электрода предварительной обработкой его поверхности нагреванием в атмосфере H_2 не привела к положительным результатам. В 0,1 н.

HCl, насыщенной H_2 , потенциалы без тока ϕ (по в. э. в том же р-ре) равны +340 мв для Pt и +420 мв для Au и уменьшаются с ростом т-ры. При соединении Pt или Au с планированным Pt-электродом в цепи протекает ток ~ 10 μ а, быстро убывающий до 0,5 μ а и снова возрастающий при встряхивании ячейки. При стоянии электродов в разомкнутом состоянии ϕ изменяется крайне медленно. Полученные результаты обсуждаются с точки зрения теории водородного электрода (Hills G. J., Ives D. J. G., J. Chem. Soc., 1951, Febr., 305).

II. Исследовано поведение Au-электрода в 0,1 н. HCl. Результаты измерений для Au-электрода без предварительной термич. обработки в H_2 в основном аналогичны результатам, полученным при тех же условиях для Pt: коэфф. b близок 0,118 в, результаты плохо воспроизводимы. Для придания поверхности Au воспроизводимого стандартного состояния электрод нагревали в H_2 (6 час. при 750-800° и 17 час. при 500°), причем свойства такого прокаленного электрода (ПЭ) сильно отличались от свойств непрокаленного электрода (НЭ). При установлении некоторой i η для НЭ быстро растет во времени и принимает постоянное значение, для ПЭ — растет сначала быстро, а затем медленно, не достигая постоянного значения даже через 6 час.; η на ПЭ больше, чем на НЭ. После продолжительной катодной поляризации (КП) ПЭ его потенциал ϕ после замыкания цепи сдвигается в положительную сторону до +400 мв (по в. э. в том же растворе), причем вид кривой спада η зависит от длительности КП при $i = \text{const}$, а также от i . При продолжительной КП НЭ наблюдается образование пузырьков H_2 и прилипание их к электроду, что не имеет места для ПЭ. Указывается, что H_2 , применявшийся для получения ПЭ, содержал пары H_2O . При отсутствии следов H_2O в H_2 свойства ПЭ и НЭ почти не отличаются. Полученные результаты с ПЭ авторы объясняют дезактивацией электрода при его прокаливании в H_2 и рассматривают ПЭ как неравновесный атомарный водородный электрод. Рост η на ПЭ связан с накоплением H на его поверхности. В более поздних стадиях роста η происходит проникновение H в решетку Au, что подтверждается зависимостью вида кривых спада η от продолжительности КП. Рассматриваются рекомбинационный и электрохим. механизмы десорбции применительно к явлениям, наблюдаемым на ПЭ. Г. Ф.

42824. Исследование коэффициента разделения тяжелого водорода при электролизе. Цике, Фодор (A nehézhidrogén elektrolitlos szétválasztási tényezőjére vonatkozó vizsgálatok. Cziike Kálmán, Fodor Józsefné), Magyar tud. akad. Közp. fiz. kutató intéz. közl., 1954, 2, № 2, 252-260 (венг.)

Начато систематич. исследование влияния различных факторов (материал, величина и форма электродов; плотность тока i ; конц-ия, состав и т-ра электролита и др.) на величину коэфф. электролитич. разделения (α) дейтерия и водорода при длительном электролизе водн. р-ров щелочи. Наибольшие значения $\alpha = 8,0 \pm 0,5$ получены при электролизе 0,5 н. КОН при 15-16° и $i = 1,2$ а/см² в электролизерах с коаксиальными цилиндрич. Ni-электродами или электродами из никелированного Fe. При использовании Fe-электродов значения α ниже (6,7-7,0).

И. З. 42825. Перенапряжение водорода на кадмии в водных растворах электролитов. Бельмонди (La sovratensione di idrogeno su cadmio in soluzioni acquose di elettroliti. Belmondi G. G. G.), Gazz. chim. ital., 1955, 85, № 1-2, 124-129 (итал.)

Измерялось перенапряжение η водорода на Cd-электроде (99,99% Cd) в 1 н. HCl, 1 н. H_2SO_4 , 1 н.

HClO_4 , 1. н. KCl и 0,5 н. HCl + 0,5 н. HClO_4 . В р-рах H_2SO_4 , HClO_4 и KCl соблюдается ур-ние Тафеля (коэфф. b равны соответственно 0,137; 0,144 и 0,185 е.). В р-ре 0,5 н. HCl + 0,5 н. HClO_4 на кривой (η , $\lg i$) наблюдается спад η . При данном значении i происходит уменьшение η в ряду $\text{HClO}_4 > \text{H}_2\text{SO}_4 > \text{HCl}$. См. также РЖХим, 1955, 5344.

42826. Перенапряжение водорода на кадмии в щелочной среде. Джента, Бельмонди (La sovratensione di idrogeno su cadmio in ambiente alcalino. Genta Vinicio, Belmondi Giorgio), Gazz. chim. ital., 1955, 85, № 1—2, 111—123 (итал.) Измерялось перенапряжение η водорода на Cd-электрод (99,99% Cd) при 25° в р-рах КОН (1, 3, 4, 6 и 8 н.) в интервале i $1,10^{-5}$ — $0,1$ а/см². В этих условиях соблюдается ур-ние Тафеля, причем постоянная b меняется от 0,160 до 0,099 е с ростом конц-ии КОН от 1 до 8 н. Полученные данные подверглись обработке с целью выяснения их соответствия с теорией абс. скоростей р-ций. В координатах $[(i/c), c]$, где c — конц-ия H_2O , при $\eta = \text{const}$ получаются кривые с максимумом.

42827. Исследование электрохимического поведения системы $\text{O}_2 - \text{H}_2\text{O}_2 - \text{H}_2\text{O}$. Потенциометрические измерения с платиновым электродом. Бьянки, Ривольта (Ricerche sul comportamento elettrochimico del sistema $\text{O}_2 - \text{H}_2\text{O}_2 - \text{H}_2\text{O}$. Misure potenziometriche su elettrodo di platino. Bianchi G., Rivolta B.), Chimica e industria, 1954, 36, № 5, 358—365 (итал.; рез. франц., англ., нем.)

Изучалось катодное восстановление (KB) O_2 на Pt-электрод в 0,5 М Na_2SO_4 + 0,5 М H_3BO_3 (рН 6,1), а также KB и анодное окисление H_2O_2 (от 1,47 до $1,6 \cdot 10^{-4}$ М) в р-рах с рН 3,1; 6,4 и 9,5 и влияние добавок солей Hg, Cd и As на эти процессы. Показано, что KB O_2 и H_2O_2 характеризуется небольшим перенапряжением (II); KB H_2O_2 сильно зависит от конц-ии H_2O_2 . При малых конц-иях H_2O_2 наряду с KB H_2O_2 идет процесс KB O_2 . Анодное окисление H_2O_2 происходит при потенциалах, близких к равновесным. Рост т-ры (25—45°) приводит к уменьшению KB H_2O_2 и мало влияет на KB O_2 . Добавление следов солей Hg, Cd и As не влияет на KB H_2O_2 . Состав р-ра не влияет заметно на KB O_2 и H_2O_2 ; рН не влияет на KB O_2 .

42828. Поведение хлорит-иона на ртутном капельном электроде. Сообщение 2. Поведение в щелочной среде. Конопник, Вернер (Das Verhalten des Chloritons an der Hg-Tropfelektrode. II. Mitt.: In stark alkalischen Medium. Konopnik N., Werner E.), Monatsh. Chem., 1955, 86, № 6, 937—951 (нем.)

В смеси $\text{NaOH} + \text{NaCl}$ (рН 11—14,5) при постоянной конц-ии Na^+ (~ 4 н.) ClO_2^- дает две волны в интервале от $-0,7$ до $-1,0$ е и при $-1,61$ е (насыщ. к. э.). Первая волна появляется только при рН 10—11. Ее высота вначале очень мала, медленно увеличивается до рН 13,8, а до рН 14,2 быстро возрастает почти в 8 раз; при увеличении рН $E_{1/2}$ сдвигается в отрицательную сторону. Высота 2-ой волны до рН 14 не меняется, а затем заметно уменьшается; до рН 14 $E_{1/2}$ не зависит от рН, а затем становится более отрицательным. В смеси $\text{NaOH} + \text{NaClO}_4$ (конц-ия $\text{Na}^+ \sim 8,5$ н.) обе волны ниже, чем в смеси $\text{NaOH} + \text{NaCl}$. $E_{1/2}$ второй волны при рН 13,9—14,2 не изменяется ($\sim -1,53$ е), при рН $> 14,25$ $dE_{1/2}/d\text{pH} = -240$ мв. При рН 14,3 волны ClO_2^- не зависят от конц-ии катиона. При рН 13,6 при конц-ии фона $c = 0,5$ н. на первой волне при $-1,55$ е наблюдается минимум тока (2-я волна отсутствует); при увеличении c высота волны сначала заметно возрастает (до $c = 1,3$ н. Na^+), затем умень-

шается, а $E_{1/2}$ становится более положительным. Высота 2-ой волны, которая появляется при $c = 1,3$ н. Na^+ , не зависит от c , а $E_{1/2}$ меняется по ур-нию: $E_{1/2} = -1,974 + 0,540 \lg c$. При $c = 2$ —4 н. сила тока после минимума на 1-ой волне возрастает; минимум становится более плоским, а затем исчезает. При рН 13,6 и 14,6 сумма высот обеих волн пропорциональна конц-ии ClO_2^- ; при увеличении конц-ии ClO_2^- их $E_{1/2}$ становятся более отрицательными. Сообщение 1 см. РЖХим, 1954, 32166.

42829. Кинетика полярографического восстановления ацетофенона и бензальдегида в умеренно кислых растворах. Черников, Лошкарёв (Кинетика полярографического восстановления ацетофенона и бензальдегида в умеренно кислых растворах. Черников О. И., Лошкарёв М. О.), Доклады АН УРСР, 1955, № 6, 545—550 (укр.; рез. русс.)

В умеренно кислых спиртоводных р-рах ацетофенона (I) и бензальдегида (II) дают две волны. Начиная с конц-ии 0,01 М для I и 0,012 М для II высота первой волны перестает зависеть от конц-ии I и II, но продолжает зависеть от конц-ии ионов H^+ . Характер зависимости $i_{\text{пр}}$ от конц-ии к-ты соответствует первому порядку р-ции по H^+ . Предполагается, что первая волна (кинетическая) соответствует восстановлению I или II при наличии адсорбционной пленки, а вторая — при ее отсутствии. Это подтверждается результатами электрокапиллярных измерений (десорбция II при сильноотрицательных E), а также наличием на второй волне максимумов, вызываемых десорбцией I или II. Зависимость E первой волны II от рН выражается ур-ниями: $E = \text{const} - 0,06 \text{ рН}$ (рН 3—5) и $E = \text{const} - 0,11 \text{ рН}$ (рН 5—6). Настройчатом Hg-электродом адсорбционные явления ослабевают: первая волна II пропорциональна конц-ии II даже при конц-ии 0,04 М и выше.

42830. Получение оксикарбонильных соединений электролитическим восстановлением соединений, содержащих карбонильную группу. Виман, Паже (Hydroxycarbonylation par réduction électrolytique de composés carbonyles. Wiemann J. Joseph, Paget Michel), Bull. Soc. Chim. France, 1955, № 2, 285—287 (франц.)

Изучено электровосстановление кротового альдегида (I) на Pb, Cd, Sn и окиси мезитила (II) на Hg, Pb, Sn при т-рах от -5 до 20° в атмосфере CO_2 . Для I выход продуктов фуранового ряда (18—22%) не зависит от природы катода, а выход гликоля на Pb, Cd и Sn равен соответственно 7, 10 и 25%. Для II выход соединений фуранового ряда не зависит от катода, кол-во гликоля мало, отношения выходов *цис*- и *транс*-форм для различных катодов не одинаковы.

42831. Перенапряжение в расплавленных электролитах. Пионтелли, Штернхейм (Overvoltages in melted electrolytes. Piontelli R., Sternheim G.), J. Chem. Phys., 1955, 23, № 10, 1971—1972 (англ.)

В продолжение работы авторов (РЖХим, 1955, 13665; 1956, 22103) измерялись анодное и катодное перенапряжения (ϵ) электродов (Э) $\text{Pb}/\text{PbCl}_2 + \text{KCl}$ (40 и 55 вес.%) при 560° и 670° ; Cd/CdCl_2 и $\text{Cd}/\text{CdCl}_2 + \text{KCl}$ при 590° ; Sn/SnCl_2 и $\text{Sn}/\text{SnCl}_2 + \text{KCl}$ при 350° ; Zn/ZnCl_2 и $\text{Zn}/\text{ZnCl}_2 + \text{KCl}$ при 490° . Зависимость ϵ от плотности тока для всех изученных систем выражается прямыми, коэфф. наклона которых определяется расстоянием между поляризованным Э и Э сравнения. Вычитая омич. сопротивление в слое электролита между изучаемым Э и Э сравнения, авторы находят, что истинное перенапряжение равно нулю в пределах точности измерений.

42832. Электрохимическое разделение двойных сплавов свинца с висмутом, сурьмой, мышьяком и оловом в расплавленном электролите. Делмарский Ю. К., Туров П. П., Гитман Е. Б., Укр. хим. ж., 1955, 21, № 6, 687—693

С целью выяснения возможности отделения Pb от Bi, Sb, As и Sn проведены опыты анодного растворения двойных сплавов в расплавленном электролите, состоящем из эвтектик. смеси $PbCl_2$, KCl и $NaCl$ при 500° . Исходя из величин относительных электродных потенциалов указанных металлов в расплавленных солях (РЖХим, 1955, 34131), можно предполагать, что электрохим. разделение этих металлов возможно. При растворении сплава Pb-Bi при анодной плотности тока $i = 0,42 \text{ а/см}^2$ катодный Pb содержал $<0,001\%$ Bi независимо от степени излучения Pb из анодного сплава. При $i = 0,5 \text{ а/см}^2$ и содержании Sb до 23 ат. % в анодном сплаве на катоде выделялся Pb с содержанием $\sim 0,05\%$ Sb; если содержание Sb в аноде не превышало 1%, то при $i = 1 \text{ а/см}^2$ катодный Pb содержал только 0,01—0,02% Sb. Сплавы Pb-As также разделяются электрохимически, тогда как разделение сплава Pb-Sn затруднено. Наблюдавшаяся анодная поляризация обусловлена конц. изменениями в солевой фазе. Б. М.

42833. Электролитическое окисление хромита в карбонатных расплавах. Рахман, Зоха, Хундкар (Electrolytic oxidation of chromite in fused carbonate melts. Rahman A., Zoha M.S., Khundkar M. H.), Pakistan, J. Scient. Res., 1955, 7, № 1, 12—22 (англ.)

Более подробное изложение опубликованной ранее статьи (РЖХим, 1955, 23366). С повышением продолжительности электролиза расплава хромита (I) в K_2CO_3 от 1 до 5 час. выход CrO_3 увеличивается от 47,6 до 83,1% при 700° и от 41,2 до 77,8% при 800° . Линейная зависимость между $\lg c$ и t (c — % I, t — время) показывает, что окисление I является р-цией 1-го порядка. С увеличением i от 10 до 20 а/см^2 выход CrO_3 падает от 88 до 75,2%. Разбавление расплава I карбонатом приводит к увеличению излучения CrO_3 . При окислении I в смеси K_2CO_3 и Na_2CO_3 (1 : 1) наблюдается более низкий выход CrO_3 (при 725° в течение 4 час. окислилось 15,3% I). Б. Л.

42834. Влияние внешнего сопротивления и сопротивления электролита на работу электрохимического элемента с одним легко поляризуемым электродом. Шварц (Der Einfluß der Außen und Elektrolytwiderstände auf die Arbeitsweise elektrochemischer Modellelemente mit einer leicht polarisierbaren Elektrode. Schwarz Wolfgang), Werkstoffe und Korrosion, 1953, 4, № 6, 211—216 (нем.)

Проанализировано распределение потенциала (φ) на различных участках замкнутых и разомкнутых цепей, состоящих из гальванич. элемента с одним легко поляризуемым электродом и внешнего (переменного) сопротивления, а также распределения φ при введении в электролит электродов сравнения. И. З.

42835. Электрохимическое исследование коррозии монокристаллов α -железа в разбавленных кислотах. Энгель (Elektrochemische Untersuchungen der Korrosion von α -Eisen-Einkristallen in verdünnten Säuren. Engell Hans-Jürgen), Arch. Eisenhüttenwesen, 1955, 26, № 7, 393—404 (нем.)

Путем аналитич. определения кол-ва Fe, переходящего в р-р при катодной и анодной поляризации Fe-электрода, исследована зависимость скорости анодного процесса растворения монокристаллов Fe с различной ориентировкой (O) граней в разб. р-рах H_2SO_4 , $HClO_4$ и HNO_3 при перемешивании от потенциала. Показано, что влияние O наблюдается лишь при больших скоростях анодного процесса $Fe \rightarrow Fe^{2+} + 2e$ и выра-

жается в расхождении анодных поляризационных кривых (АПК), снятых для различных граней. Октаэдрич. грани (111) обладали при этом наибольшей, куб. грани (100) — наименьшей скоростью растворения (при данном потенциале). В области малых значений плотности анодного тока i этот эффект O исчезает и АПК сливаются в одну общую ветвь. Существование двух областей на АПК связано, по мнению автора, с тем, что растворение Fe протекает в две стадии: переход наименее прочно связанных ион-атомов из кристаллич. решетки в адсорбционный слой (АС) и переход ионов металла из АС в р-р. Равновесие в пределах АС при малых i существенно не нарушается, и скорость процесса определяется второй стадией, на которую O граней почти не оказывает влияния. При более высоких i контролирующей становится 1-я стадия (так как энергия активации второй стадии понижается под влиянием электрол. поля в двойном слое), скорость которой зависит от кристаллографич. О растворяющихся граней. А. Ш.

42836. Электрохимия ингибирующего действия. Мирс (The electrochemistry of inhibitor action. Mears R. B.), Corrosion, 1955, 11, № 8, 50—52 (англ.)

Обзорная лекция. Е. М.

42837. Исследование неорганических ингибиторов. Бертоцци (Contributo allo studio degli inibitori inorganici. Bertocci U.), Metallurgia ital., 1954, 46, Suppl. al., № 5, 64—66 (итал.)

Исследовано ингибирующее действие Sb, As и Sn на растворение Fe, Co и Ni в HCl (1—11,73 н.) при 25° . При данной конц-ии HCl (c) по мере возрастания конц-ии Sb в р-ре на поверхности металла образуется вначале губчатое покрытие (ГП), затем макрокристаллич. покрытие (МП) и, наконец, зеркальное покрытие (ЗП), полностью ингибирующее растворение Fe, Co и Ni в HCl. МП ингибирует частично, ГП усиливает растворение. При возрастании c миним. содержание Sb в р-ре, необходимое для образования ЗП, снижается. При $c < 3$ н. ЗП вообще не образуется. Аналогичные явления наблюдаются при добавлении As. Ингибирующее действие Sn менее четко выражено и наблюдается только при высоких c . В. Ш.

42838. Окисно-никелевый электрод. Часть 1. Бригс, Джонс, Уинн-Джонс (The nickel oxide electrode. Part 1. Briggs G. W. D., Jones Elizabeth, Wynne-Jones W. F. K.), Trans. Faraday Soc., 1955, 51, № 10, 1433—1442 (англ.)

Подробное изучение поведения положительных электродов щел. аккумуляторов затруднено из-за того, что известные способы изготовления окиси Ni не дают воспроизводимых результатов. Авторами установлено, что электроды, полученные хим. воздействием р-ра $NaClO$ на Ni при 70 — 80° в течение 2 мин. или электроосаждением окислов Ni на Ni или Pt из р-ра $0,1 \text{ н. } NiSO_4 + 0,1 \text{ н. } CH_3COONa + 0,001 \text{ н. } KOH$ при 25° , пригодны для подробных колич. исследований. Анодные и катодные кривые зависимости потенциала от времени при постоянной плотности тока i , полученные на этих электродах в 0,1; 1 и 5 н. KOH, в основном сходны с кривыми, полученными другими авторами; не наблюдалась, однако, площадка, приписываемая образованию промежуточных окислов Ni_2O_4 или $Ni_3O_2(OH)_4$ (Glemser, Eimerhand, Z. Elektrochem., 1950, 54, 302). Изменение i не влияет на форму кривых, но сдвигает их в положительную сторону при заряде и, в немого меньшей степени, в отрицательную сторону при разряде. Разбавление электролита вызывает незначительный сдвиг в положительную сторону. Исследование состава окислов дает цифры, не соответствующие стехиометрич. ур-ниям: при окислении осадок имеет со-

став, соответствующий ф-ле $\text{NiO}_{1,8}$, при восстановлении — ф-ле $\text{NiO}_{1,6}$. В. Л.

42839. Исследования в области полярграфии с переменным током. I. Теория. Тати, Камбара II. Основная электрическая схема и некоторые экспериментальные результаты. Сэнда, Окуда, Тати. III. Обратимые волны. Окуда, Тати. IV. Обратимое поведение анионов. Такэмор, Тати (Studies on A. C. polarography. I. Theoretical treatment. Tachi Isamu, Kambara Tomihito. II. Fundamental circuit and some experimental results. Senda Mitsugi, Okuda Mitsuko, Tachi Isamu. III. Reversible wave. Okuda Mitsuko, Tachi Isamu. IV. Reversible behaviour of anions. Takemori Yoshio, Tachi Isamu), Bull. Chem. Soc. Japan, 1955, 28, № 1, 25—41; № 3, 151—156 (англ.)

I. Рассмотрены изменения конц-ий окисленной и восстановленной форм в-ва в приэлектродном пространстве при наложении на электрод помимо постоянного напряжения $E_{\text{ст}}$ переменного синусоидального напряжения $E_{\text{н}} = A \sin \omega t$. При выводе ур-ний предполагалось, что электрохим. равновесие на электроде достигается мгновенно. Для упрощения синусоидальное $E_{\text{н}}$ заменялось эквивалентным ему напряжением, изменяющимся с той же частотой по прямоугольной форме с амплитудой $\pm A/\sqrt{2}$. Эффект наложения прямоугольного $E_{\text{н}}$ рассмотрен ранее (РЖХим, 1955, 42677); в данной работе найдено, что постоянная слагающая суммарного тока $\bar{i} = (\bar{i}_1 + \bar{i}_2)$, где \bar{i}_1 и \bar{i}_2 — соответственно токи при потенциалах $E_{\text{ст}} = \pm A/\sqrt{2}$.

Для переменной составляющей найдено $\bar{i}_{\text{н}} = \pi [1,195 \times \times V(\omega/2\pi) - (1/4)] (\bar{i}_1 - \bar{i}_2) \cdot \sin \omega t$. Измерение $\bar{i}_{\text{н}} = f(E_{\text{ст}})$ соответствует снятию полярграмм типа Фурнье (Ф) (Fournier M., G. r. Acad. sci., 1951, 232, 1673), тогда как кривые $\bar{i}_{\text{н}} = f(E_{\text{ст}})$ отвечают полярграммам Брейера (Б) (РЖХим, 1956, 507). Показано, что для необратимых систем волны Ф следуют ур-нию $E = E_{1/2} + (RT/znF) \ln \cosh (znFA/RT) + (RT/znF) \times \times \ln [(I_d - I)/I]$. Если $A > 100$ мВ, то $\Delta E_{1/2} = E_{1/2}(\Phi) - E_{1/2} \approx \Delta E + RT/znF \ln 1/2$, т. е. сдвиг между волной Ф и обычной волной пропорционален приложенному $E_{\text{н}}$. При малых значениях A $\Delta E_{1/2} \approx znF (\Delta E)^2 / 2RT$.

II. Приведена универсальная электрич. схема, позволяющая автоматически регистрировать обычные полярграммы, волны типа Ф и Б, причем последние также при наложении $E_{\text{н}}$ с плавно меняющейся амплитудой. Эксперим. показано, что высота пика волн Б падает при уменьшении электропроводности р-ра (при уменьшении конц-ий фона). На примере полярграмм Ф для Ni^{2+} в 0,1 н. КСl показано, что зависимость $\Delta E_{1/2}$ от $E_{\text{н}}$ при $E_{\text{н}} > 100$ мВ становится линейной; путем графич. экстраполяции этой зависимости найден коэфф. $\alpha (\sim 0,3)$. На примере восстановления Ti^{4+} и нитробензола в р-ре КСl показано, что если в р-ре имеются два в-ва с очень близкими $E_{1/2}$, но восстанавливающиеся с разной степенью обратимости, то на волне Ф наблюдаются две ступени, а пик волн Б почти целиком отвечает в-ву, восстанавливающемуся обратимо.

III. Сняты полярграммы Ф и Б для Ti^{4+} в р-ре 0,1 н. КСl. Волны Ф с различной величиной $E_{\text{н}}$ пересекаются в точке $E_{1/2}$ и их форма совпадает с теоретич. Волны Б имеют пик немного положительнее (на ~ 20 мВ), чем $E_{1/2}$. Небольшой пик Б появляется в области E , соответствующий электрокапиллярному максимуму Hg,

вследствие перезарядки двойного слоя на границе Hg — р-р и в отсутствие Ti^{4+} . Как на Ф, так и на Б-волнах при некоторых $E_{\text{н}}$ наблюдаются скачкообразные изменения тока, вызываемые изменением периода капания при наложении $E_{\text{н}}$. Высота пика (i_p) волн Б ниже, чем предсказано теорией. При изменении амплитуды $E_{\text{н}}$ волны Ф почти следует теоретич. ур-ниям. i_p волн Б для Ti^{4+} линейно изменяется с $E_{\text{н}}$ при $E_{\text{н}} > 40$ мВ; в случае Cd^{2+} пик волн Б возрастает с $E_{\text{н}}$ не линейно, а медленнее, стремясь к некоторому пределу. Различие в поведении Ti^{4+} и Cd^{2+} приписано различной обратимости электродных процессов. При изменении высоты h столба Hg i_d волны Ф изменяется линейно с \sqrt{h} ; i_p волны Б не зависит от h . i_d волн Ф, как и i_d обычных волн пропорционален конц-ии деполаризатора. i_p волн Б для Ti^{4+} изменяется линейно с конц-ией Ti^{4+} в пределах 10^{-4} — 10^{-3} М. Для Cd^{2+} при конц-ии $> 10^{-3}$ М волна Б увеличивается с ростом конц-ии не линейно, а медленнее, стремясь к некоторому пределу.

IV. Сняты обычные полярграммы, а также волны Ф и Б Cl^- , Br^- , J^- и $\text{S}_2\text{O}_3^{2-}$ на фоне 0,2 н. KNO_3 и CN^- на фоне 0,2 н. NaOH . Показано, что в случае Cl^- и J^- потенциал пика (E_1) волн Б лежит близко от потенциала резкого подъема обычных волн (E_2). Для Br^- обычная волна имеет предволну (адсорбционного типа), поэтому $E_1 > E_2$. Волны Б для $\text{S}_2\text{O}_3^{2-}$ и CN^- несимметричны, их E_1 в согласии с теорией, лежит вблизи потенциала, соответствующего $i = (\sqrt{2}-1) i_d$ обычных волн. Общий вид волн Б близок к производным кривым обычных полярграмм. Волны Ф для Cl^- и CN^- пересекаются с обычными волнами в точке перегиба последних, у $\text{S}_2\text{O}_3^{2-}$ — при более отрицательном потенциале; у Br^- и J^- волны Ф сдвинуты относительно обычных волн. Высоты волн Б пропорциональны конц-иям анионов лишь в пределах от $0,2 \cdot 10^{-3}$ до $0,8 \cdot 10^{-3}$ М, что связано, повидимому, с увеличением относительного сопротивления внешней цепи. С. М.

42840. Влияние переменных полей на период капания полярграфических электродов. Бьюкенен (Effect of alternating fields on the drop times of polarographic electrodes. Buchanan G. S.), Austral. J. Sci., 1954, 17, № 3, 103—104 (англ.)

В продолжение работы (РЖХим, 1956, 505, см. также РЖХим, 1955, 34150) изучено влияние частоты f (20—90 пер/сек) налагаемого переменного напряжения $E_{\text{н}}$ на период капания T Hg-электрода при различных потенциалах $E_{\text{ст}}$ последнего. При $E_{\text{ст}} = \text{const}$ с ростом f величина $T_{\text{н}}$ постепенно уменьшается по сравнению с $T_{\text{ст}}$ ($T_{\text{ст}}$ — период капания при том же $E_{\text{ст}}$, но без наложения $E_{\text{н}}$). По достижении некоторой критич. $f = f_k$ значение $T_{\text{н}}$ резко увеличивается (на ΔT), делаясь равным $T_{\text{ст}}$; дальнейшее увеличение f не влияет на T ; f_k линейно возрастает с амплитудой $E_{\text{н}}$. При $E_{\text{ст}}$, соответствующем максимуму электрокапиллярной кривой, наложение $E_{\text{н}}$ не влияет на T . В присутствии поверхностноактивных в-в расширяется диапазон $E_{\text{ст}}$, внутри которого наложение $E_{\text{н}}$ не изменяет T (при добавлении n -гептилового спирта и 0,1 н. КJ этот диапазон возрастает от 50 до 700 мВ). С. М.

42841. Полярграфическое поведение тионатов. Субрахманья (Polarographic behaviour of thionates. Subrahmanya R. S.), Proc. Indian Acad. Sci., 1955, A42, № 5, 267—278 (англ.)

Исследовалось полярграфич. восстановление ди- (I), три- (II), тетра- (III) и пента- (IV) тионатов в водн. и

спиртово-води. р-рах на фоне различных солей. При применении Ва-соли I волна I не обнаружена вплоть до начала разряда Na^+ . $E_{1/2}$ волны II на фоне KCl равен $-1,652$ в (насыщ. к. э.) для $0,1$ M KCl и $-1,243$ в для 2 M KCl. На фоне $0,05$ M KJ II образует две волны сливающиеся в одну при увеличении конц-ии KJ до 2 M. Для III на фоне 1 M HCl $E_{1/2} = -0,285$ в. На фоне $0,06$ M KJ III образует две волны с $E_{1/2} = -0,60$ и $-1,32$ в. С ростом конц-ии KJ происходит слияние волн в одну (для 3 M KJ $E_{1/2} = -0,80$ в). В присутствии 50% спирта III дает четкую волну на фоне KCl и KJ. Для IV в 1 M HCl $E_{1/2} = -0,211$ в; при уменьшении конц-ии HCl $E_{1/2}$ сдвигается в отрицательную сторону. Анализ волн показывает, что II и III восстанавливаются необратимо, IV — обратимо с участием соответственно 2; 2 и 4 электронов. Для полярографич. определения II и III в смеси следует определять III на фоне 1 M HCl, а содержание II + III на фоне 1 M KCl (KJ) в присутствии 50% спирта и $0,01\%$ желатин. IV определяется в присутствии III в 2 M HCl с добавкой 50% спирта. Г. Ф.

42842 К. Введение в практическую полярографию. Гейровский, Зуман (Bevezetés a gyakorlati polarográfiába. Heugov-sky J., Zuman P. Csehböl. Ford. Budapest, Akad. Kiadó, 1955, 204 l., ill., 30 ft.) (венг.)

42843 Д. Электрокинетические свойства тонких слоев на поверхности раздела фаз. Варвае Ю. А. Автореф. дисс. канд. хим. н., Уральский политех. ин-т, Свердловск, 1955

42844 Д. О кинетике растворения никеля в растворах некоторых электролитов. Павловская Н. Н. Автореф. дисс. канд. хим. н., Ленингр. гос. пед. ин-т, Л., 1955

42845 Д. Перенапряжение водорода на палладии, платине, золоте и меди. Кламрот (Wasserstoff-überspannung an Palladium, Platin, Gold und Kupfer. Clamroth Rudolf. Diss. Techn. H., München, 1953, Maschinenschr.), Dtsch. Nationalbibliogr., 1955, B, № 15, 943 (нем.)

42846 Д. О процессах, происходящих на палладиевом катоде и на палладиево-водородном диффузионном катоде. Бишофф (Über die Vorgänge an der Palladium Kathode und an der Palladium-Wasserstoff-Diffusionskathode. Bischoff Hans. Diss. Math.-naturwiss. F., Bonn, 1954), Dtsch. Nationalbibliogr., 1955, B, № 19, 1365 (нем.)

42847 Д. Исследование кинетики электрохимического окисления и восстановления хингидрона. Нопински Хр. П. В. Автореф. дисс. канд. хим. н., Моск. хим.-технол. ин-т, М., 1955

42848 Д. Электровосстановление и электроокисление в растворах солей кислородных кислот серы (на примере персульфата аммония). Кравцов Е. Е. Автореф. дисс. канд. хим. н., Ростовск.-н/Д. ун-т, Ростов-на-Дону, 1955

42849 Д. Исследование свинцовых пирофосфатных электролитов. Гудович Н. В. Автореф. дисс. канд. хим. н., Киевск. политех. ин-т, Киев, 1956

42850 Д. Полярографические исследования в органических растворителях. Штурм-цу-Фелинген (Polarographische Untersuchungen in organischen Lösungsmitteln. Sturm zu Vehlingen Ferdinand von. Diss. Math.-naturwiss. F., Bonn, 1954, Maschinenschr.), Dtsch. Nationalbibliogr., 1955, B, № 19, 1376 (нем.)

См. также: Электроосаждение металлов 43853, 43857, 43870, 43874, 43876, 43879, 43898. Коррозия 45564,

45570, 45572—45574, 45576, 45588, 45600—45602, 45610—45612, 45619, 45621. Полярография 42661, 42781, 42794, 42923, 43088, 43503, 43533, 43536, 43568, 43573, 43583, 43593, 45356, 45358, 45626, 45793; 13141Бх, 13142Бх, 13891Бх. Хим. источники тока 43895. Электропроводность 42616, 42619, 42623, 42797, 42879, 42912. Методика электрохим. измерений 43469, 43470—43472, 43588, 43669—43672, 43683, 43718, 44132, 45810; 13143Бх. Газовая электрохимия 42759, 43744. Др. вопр. 42547, 42637, 42725, 42727, 42918, 43852, 43896, 44135, 44311; 14099Бх.

ПОВЕРХНОСТНЫЕ ЯВЛЕНИЯ. АДСОРБЦИЯ. ХРОМАТОГРАФИЯ. ИОННЫЙ ОБМЕН

42851. Адсорбционное влияние среды на механические свойства твердых тел. Ребиндер П. А. В сб.: Некоторые вопр. усталостной прочности стали с учетом влияния активной среды. Киев, АН УССР, 1955, 5—14

Обзор работ советских ученых по указанному в заголовке вопросу. Библ. 22 назв. Н. Ф.

42852. Флотация. — (Flotation.—), Chem. Engng Progr. Symposium. Ser., 1954, 50, № 15, 1—3 (англ.). Симпозиум по теории и практике флотации. В. А.

42853. Флотация кварца с анионными коллекторами. Годен, Фюрстенау (Quartz flotation with anionic collectors. Gaudin A. M., Fuerstenau D. W.), Mining Engng, 1955, 7, № 1, 66—72 (англ.)

По потенциалам течения через слой кварцевого порошка 48/65 меш измерены ζ -потенциалы кварца в воде и водн. р-рах NaCl, NaNO_3 , NaOH , HCl, $\text{Ba}(\text{NO}_3)_2$, $\text{Al}(\text{NO}_3)_3$, лаурата и олеата Na. Показано, что потенциалопределяющими ионами для кварца являются ионы H^+ и OH^- . Поэтому pH р-ра существенно влияет на адсорбцию всех прочих ионов на кварце. Противоионы Na^+ поверхностно неактивны, а ионы Ca^{2+} и Al^{3+} притягиваются к кварцу хим. силами и могут изменить знак ζ -потенциала. Ионы мыл не могут сами по себе адсорбироваться на отрицательной поверхности кварца. При добавке же ионов Ca^{2+} и Ba^{2+} (активаторов) последние адсорбируются, частично дегидратируются и ассоциируются с ионами мыл, что и приводит к гидрофобизации поверхности кварца. Н. Ф.

42854. Молекулярно-кинетическая теория эффекта Коста Рибейро. Маскареньяс (Molecular collision theory of the Costa Ribeiro effect. Mascarenhas S.), Anais. acad. brasileira scienc., 1954, 26, 335—343

Образование электр. двойного слоя на границе твердое тело — жидкость рассмотрено с учетом влияния молекулярных ударов. Механизм процесса характеризуется ионизацией молекул твердой структуры активированными молекулами жидкости. На основе максвелл-больцмановской статистики исследовано распределение зарядов на жидкой стороне слоя. Предложена схема механизма, объясняющего эффект Рибейро захватом зарядов твердой стороной двойного слоя. Показано, что в эксперим. условиях Рибейро теоретич. значение остаточного заряда для каждого в-ва может быть согласовано с константой Рибейро, зависящей от кристаллич. структуры и ориентации, а также от энергетич. уровней молекул. Chem. Abstrs., 1955, 49, № 8, 5072. Jaffe H. N.

42855. Термодинамика проникновения молекул в монослой при постоянной площади последнего. Часть 1. Петтика (The thermodynamics of monolayer penetration at constant area. Part I. Pethica B. A.), Trans. Faraday Soc., 1955, 51, № 10, 1402—1411 (англ.). С помощью поверхностных весов Ленгмюра измерено изменение поверхностного давления π монослоев холе-

стерина
буфером
Na (II),
C₁₂H₂₅SO
гента из
ной об
Изотерм
гмюра
с — кон
вения
II > III
Ленгмю
никнове
затрудн
расчете
Для жи
что при
шанных
лита у
большо
слоя и
Термод
в монос
танним
42856.
(Ioni
lips
рез.
Изуч
шой уг
воздух
водит к
верхно
жений
ностное
при обр
с элект

 $\Delta\pi = \int$
о
потенци
на π
соотно
таких р
неполн
двойно
термы
на р-р
вой эф
 π больш
цена пр
слоя ч
к-ты н
выше
теории
против
ристик
к-ты в
аниона
на част
свобод
расчете
по Бор
42857.
бин
ски
carb
Ser
1760
Указ
щей со

стерина (I) на воде и на 0,145 М NaCl с боратным буфером pH 7 при добавлении к р-ру додецилсульфата Na (II), а также $C_{12}H_{25}SO_3Na$ (III), $C_{12}H_{25}NH_2HCl$ (IV), $C_{12}H_{25}COONa$ (V), $C_{12}H_{25}N(CH_3)_3$ (VI). Молекулы детергента из р-ра проникают в монослой I, и при постоянной общей площади наблюдается рост давления $\Delta\pi$. Изотермы проникновения описываются ур-нием Ленгмюра $1/\Delta\pi = (1/\Delta\pi_{\text{макс}})[1 + (k/c)]$, где k — постоянная, c — конц-ия детергента в р-ре. По степени проникновения в монослой детергенты располагаются в ряд $II > III > IV > V > VI$. При площади $> 38 \text{ \AA}^2$ ур-ние Ленгмюра неприменимо. Для описания процесса проникновения использовано ур-ние Гиббса. Основное затруднение при термодинамич. описании состоит в расчете парц. молярной площади \bar{A} для I в монослое. Для жидко-конденсированной области можно принять, что при одинаковом π \bar{A} одинакова в чистых и в смешанных монослоях. В присутствии избытка электролита устраняются также затруднения, связанные с большой толщиной диффузного ионного двойного слоя и с ионным обменом (поверхностным гидролизом). Термодинамически рассчитанные площади на молекулу в монослоях I + II совпадают с эксперим. и с рассчитанными для геометрич. модели.

П. С.
42856. Ионизированные монослои. Пайенс (Ionized monolayers. Pajens Th. A. J.), Philips Res. Repts, 1955, 10, № 6, 425—481 (англ.; рез. франц., нем.)

Изучены монослои (М) слабых электролитов с большой углеводородной цепью на поверхностях раздела воздух/вода и масло/вода. Ионизация таких М приводит к образованию электр. двойного слоя на поверхности раздела. Из общих термодинамич. соображений определено влияние двойного слоя на поверхностное давление π . Показано, что для всех типов М при образовании растворимых и нерастворимых пленок, с электр. двойным слоем связано увеличение π :

$$\Delta\pi = \int_0^\psi \sigma d\psi, \text{ где } \sigma — \text{заряд на см}^2 \text{ и } \psi_0 — \text{электр. потенциал}$$

М. Для расчета влияния pH и ионной силы на π ионизированных М необходимо термодинамич. соотношения дополнить моделью двойного слоя. Для таких расчетов, а также для вывода ур-ния состояния полностью ионизированного М, использована теория двойного слоя Гуи. Экспериментально изучены изотермы π для ряда поверхностноактивных слабых к-т на р-рах различного состава. Обнаружен новый солевой эффект, подтверждающий выведенную теорию: π большей частью растет при прибавлении солей. Изучена применимость теории Гуи для описания двойного слоя частично ионизированной стеарилфосфоновой к-ты на поверхности масло/вода. При конц-ии NaCl выше 0,1 наступают заметные отклонения от теории Гуи, они могут быть объяснены проникновением противоионов в М. Обнаружено понижение характеристик. константы диссоциации стеарилфосфоновой к-ты в М, объясняющееся частичной дегидратацией аниона при адсорбции на поверхности раздела. Замена части воды на петр. эфир приводит к уменьшению свободной энергии гидратации на $\approx 3 \text{ кТ}$ в согласии с расчетом, проведенным с помощью модели сольватации по Борну.

П. С.
42857. Сорбция паров воды активным углем. Дубинин М. М., Заверина Е. Д., Серпинский В. В. (The sorption of water vapour by active carbon. Dubinin M. M., Zaverina E. D., Serpinsky V. V.), J. Chem. Soc., 1955, June, 1760—1766 (англ.)

Указано на несостоятельность концепции, объясняющей сорбцию паров воды активным углем, в области рез-

кого подъема изотермы, капиллярной конденсацией в микропорах, и экспериментально обосновано представление об образовании в этой области мономолекулярного слоя благодаря водородным связям. Приведен и обсужден эксперим. материал (см. РЖХим, 1954, 30398; 1955, 7251), подтверждающий изложенную точку зрения. Рассмотрено ур-ние (РЖХим, 1955, 36994) изотермы адсорбции воды на углеродных адсорбентах. В. Л.

42858. Исследование пористой структуры активных углей комплексными методами. Дубинин М. М. (A study of the porous structure of active carbons using a variety of methods. Dubinin M. M.), Quart. Revs. London. Chem. Soc., 1955, 9, № 2, 101—114 (англ.)

Рассмотрена и обоснована классификация пор активных углей (АУ). Самые крупные — макропоры (методы исследования: оптич. микроскоп, вдавливание ртути), их объемы v составляют $0,2—0,5 \text{ см}^3/\text{г}$, наиболее вероятные значения радиуса $r = 5 \cdot 10^{-5}—2 \cdot 10^{-4} \text{ см}$; уд. поверхность $s = 0,6—1,3 \text{ см}^2/\text{г}$. Переходные поры (электронный микроскоп, вдавливание ртути; изотермы адсорбции — капиллярная конденсация паров) — $v = 0,02—0,1 \text{ см}^3/\text{г}$, $r = 4 \cdot 10^{-7}—2 \cdot 10^{-6} \text{ см}$, $s = 20—50 \text{ м}^2/\text{г}$. Самые мелкие поры — микропоры (изотермы адсорбции) — $v = 0,15—0,50 \text{ см}^3/\text{г}$, $r \leq 10 \text{ \AA}$, $s = 400—900 \text{ м}^2/\text{г}$. Дифференциальная кривая распределения объема пор АУ по размерам в общем случае имеет 3 максимума, отвечающих соответственно макропорам, переходным порам и микропорам. Развиты колич. представления о предельных структурных типах АУ (Дубинин М. М., Заверина Е. Д., Ж. физ. химии, 1949, 23, 993; 1129). См. также РЖХим, 1955, 16056, 28613. В. Л.

42859. Зависимость между сорбционной способностью и условиями активации углей из поливинилхлорида. Хигути, Уцуги, Нейкава (ポリ塩化ビニリデンより製造した活性炭の吸着能と炭化及び賦活条件との關係 樋口泉, 宇津木弘, 石川隆郎), 日本化学雑誌, Нихон какаку дзаси, J. Chem. Soc. Japan Pure Chem. Sec., 1954, 75, № 6, 634—637 (япон.)

Изучены условия получения активных углей (АУ) с большой уд. поверхностью из поливинилхлорида. По мнению авторов, механизм активации заключается в сжигании и удалении углерода, а специфич. строение АУ можно объяснить на основе гипотезы Райли (Riley H. L., Hey F., J. Chem. Soc., 1948, 1362). Л. Л.

42860. Равновесие жидкость — пар в микроскопических капиллярах. II. Неводные системы. Фолман, Шерешевский (Liquid-vapor equilibrium in microscopic capillaries. II. Non-aqueous systems. Folman M., Shereshefsky J. L.), J. Phys. Chem., 1955, 59, № 7, 607—610 (англ.)

Измерено понижение упругости паров толуола (I) и изопропанола (II) над вогнутыми менисками жидких I и II в конич. капиллярах радиусом r 0,8—3,0 μ . В случае I $r_{\text{набл}} : r_{\text{выч}}$ равно 2,9—5,4, а в случае II 4,9—12,6,

что свидетельствует о неприменимости ф-лы Кельвина для этих условий. Ранее (сообщение I, J. Amer. Chem. Soc., 1950, 72, 3682) было показано, что для паров более полярной, чем II, воды отклонения от ф-лы Кельвина еще больше. Это явление объяснено влиянием твердой поверхности стенок капилляров на свойства сконденсированных в них жидкостей; чем более полярна жидкость, тем сильнее это влияние, распространяющееся на значительное расстояние от стенки. З. В.

42861. Адсорбция некоторых алкалоидов различными глинами. Эвсним, Барр (Adsorption of some alkaloids by different clays. Evsime Nur, Barr Martin), J. Amer. Pharm. Assoc. Sci. Ed., 1955, 44, № 9, 570—573 (англ.)

При t -ре $24 \pm 1^\circ$ сняты изотермы адсорбции стрихнина, атропина и хинина образцами шести различных

глин (аттапульгит, пермагель, галлоизит, дикит, каолинит и каолин марки N. F.). Найдено, что все три алкалоиды адсорбируются одним и тем же образом глины примерно в равной степени. Пермагель, аттапульгит и галлоизит адсорбируют алкалоиды лучше, чем каолин, дикит адсорбирует плохо. Адсорбция стрихнина аттапульгитом слегка уменьшается при уменьшении pH от 7,6 до 1,2.

И. Г. 42862. Физико-химическое исследование крахмала.

III. Сорбция воды α - и β -амилозой. Адазума, Накадзима, Сюто (Physiko-chemical studies of starches. III. Water sorption by α - and β -amiloses. Azumi Hiroshi, Nakajima Takeshi, Shuto Minoru), 東北大学理科学部報告, Тохоку дайгаку рика хококу, Sci. Repts Tohoku Univ., 1953, ser. 1, 37, № 1, 149—154 (англ.).

Изучена сорбция воды α -(I) и β -(II) амилозой весовым методом при 0—30°. В начальной стадии процесса сорбции I больше, чем II, в дальнейшем это соотношение меняется на обратное. Полученные результаты служат подтверждением предложенных ранее (сообщение II Sci. Repts Tohoku Univ., 1952, ser. 1, 36, 284) стереохимич. моделей I и II. В молекуле I атомы расположены по спирали, что обеспечивает высокую скорость сорбции в начале процесса за счет образования H-связей с внешними OH-группами. Молекула II имеет линейное расположение атомов, ограничивающее возможность образования H-связей. Большее кол-во сорбированной H₂O у II по сравнению с I объясняется большей уд. поверхностью. Изобары сорбции имеют максимум между 20 и 30°, особенно отчетливый у I. Отсюда авторы заключают, что сорбция за счет H-связей превалирует над ван-дер-ваальсовой адсорбцией. Эффективная сорбирующая поверхность у II в ~2. раза больше, чем у I, однако теплота сорбции в первом монослое у I больше, чем у II.

И. Т. 42863. Применения газовой хроматографии. Кеплер (Uebersicht der gaschromatografie. Kessler J. G.), Chem. weekbl., 1955, 51, № 51, 911—914 (голл.). Краткий обзор. Библ. 27 назв. В. А.

42864. Ацелирование бумаги для хроматографии. Зейп (Acetyleren van chromatographiepapier. Zijp J. W. H.), Chem. weekbl., 1955, 51, № 30, 547—548 (голл.).

Описан простой метод исчерпывающего ацелирования хроматографич. бумаги с сохранением ее волокнистой структуры.

Н. Ф. 42865. О зависимости между величиной R_f и химическим строением органических соединений при хроматографии на бумаге. Шауэр, Булирш (Über die Beziehungen zwischen R_f -Wert und chemischer Konstitution organischer Verbindungen in der Papierchromatographie. Schauer H. K., Bulirsch R.), Z. Naturforsch., 1955, 10в, № 12, 683—693 (нем.).

Авторы исходят из положения, что свободная энергия, а следовательно, и разность хим. потенциалов ($\Delta\mu$) при переносе в-ва из одной фазы (S) в другую (L) является функцией, аддитивной относительно μ отдельных атомов, функциональных групп и инкрементов видов связи. На этой основе дается новая интерпретация известного выражения Мартина (Martin A. J. P., Biochem. Soc. Symposia, 1949, № 3, 4) для членов гомологии ряда A, B и т. д.: $R_M^{(B)} = \lg(e\Delta\mu_B)/RT + \lg(A_S/A_L)$, где $R_M = \lg([1/R_f] - 1)$; A_S/A_L — коэфф. распределения, характерный для данного сорта бумаги, $e = 2,718 \dots$ (ср. РЖХим, 1955, 51633). Для расчета значений R_f членов ряда с $(n-1)$ конституциональными группами на основе л хроматографич. опытов предлагается матричная схема вычис-

лений. Приводятся примеры таких расчетов и таблицы основных констант для различных атомных групп и видов связи. Дается анализ степени точности определений R_f указанным способом, влияния на нее искажающих факторов (изменение т-ры, конц-ии, неомогенность бумаги и т. п.) и зависимости R_f гидрофильных в-в от содержания воды в подвижной жидкой фазе, неограниченно смешивающейся с водой. На основе опытных значений R_f легко решается обратная задача — установление неизвестной структуры в-ва. В. А. 42866. Эмпирическая формула ионообменного равновесия, основанная на законе действия масс. Ямабэ (質量作用法則を基礎としたイオン交換平衡式論について. 山邊武郎), 工業化学雑誌, Korô kagaku dzasshi, J. Chem. Soc. Japan Industr. Chem. Sec., 1955, 58, № 3, 188—191 (япон.).

На примерах обмена анионов $SO_4^{2-} - Cl^-$ и $OH^- - Cl^-$ на амберлитах IRA-400 и 410 и катионов $Mg^{2+} - H^+$ на катионите проверена приложимость ур-ния $\lg P_A = \lg K + n \lg P_B$, где P_A и P_B — равновесные отношения содержания ионов A и B в р-ре и в смоле, n и K — константы. При условии постоянства соотношения компонентов в реакционной смеси, ур-ние хорошо оправдывается в широких пределах значений p . Л. Л.

42867 К. Хроматографические методы. Руководство для химических и пищевых техникумов. Шимек (Chromatografické metody. Pomocná kniha pro prům. školy chem. a potravinářské. Šimek Jaroslav. Praha, SNTL, 1955, 77 [2] str., ill., 2,50 Kčs.) (чеш.).

42868 К. Ионообмен и его применения. Доклады, прочитанные на конференции в Лондоне 5—7 апреля 1954, и дискуссия по ним (Ion exchange and its applications: papers read at the conference in the William Beveridge Hall, London University, 5th—7th april, 1954, with the discussions that followed. London, Soc. Chem. Ind., 1955, 173 p., ill., 50sh)(англ.).

42869 Д. Диэлектрические и вискозиметрические измерения в тонких слоях смазочных материалов. Землер (Dielektrische und viskosimetrische Messungen an dünnen Schmiermittelschichten. Semmler Jürgen. Diss. T.H.F.f. Math. u. Physik. Darmstadt, 1954, Maschinenschr.), Dtsch. Nationalbibliogr., 1955, B, № 21, 1541 (нем.).

42870 Д. Экспериментальное и теоретическое исследование смешанных адсорбентов с аномальными γ -фазовыми диаграммами. Шольце (Experimentelle und theoretische Untersuchungen zur Mischadsorption an Systemen mit anomalen γ -Phasendiagrammen. Scholze Horst. Drss. Naturwiss. F., Wurzburg, 1953, Maschinenschr.), Dtsch. Nationalbibliogr., 1955, B, № 17, 1230 (нем.).

См. также: Поверхн. натяжение 43673. Исслед. поверхностей 43693. Хроматография 43466—43468, 43530, 43543, 43558, 43569, 43578, 43584—43587, 43590, 43674—43677. Ионный обмен 43496, 43512, 43607

ХИМИЯ КОЛЛОИДОВ. ДИСПЕРСНЫЕ СИСТЕМЫ

42871. Определение молекулярного веса по светорассеянию. I, II. Кёрёши (Revezetés a fényszórás mérésé útján végzett molekulahúly meghatározás elméletébe. I, II. Kőrösy Ferenc), Magyar kémik. lapja, 1955, 10, № 2, 51—56; № 3, 85—89 (венг.). Обзор. Библ. 30 назв. В. А.

42872. Пенны: образование, устойчивость, разрушение. Дервишан (Les mousses: formation, sta-

bilité, destruction. Dervichian D. G.), Bull. Soc. chim. France, 1956, № 1, 15—22 (франц.).
Обзор. Библ. 23 назв. В. А.

42873. Связь между скошенными кривыми диффузионного градиента и осевыми отношениями стержневидных частиц. Полсон (Relationship between skew diffusion gradient curves and axial ratios of rod-shaped particles. Polson Alfred), Biochim. et biophys. acta, 1955, 18, № 4, 567—569 (англ.)

Предложен метод оценки осевых отношений стержневидных молекул по асимметрии диффузионных диаграмм. Эта асимметрия, как известно, позволяет определить отношение коэфф. диффузии D_c , соответствующего исходной конц-ии p -ра c , и D_0 , соответствующего бесконечному разбавлению. Выведена ф-ла $D_c/D_0 = 1 + (l/d) (c/\delta) = 1 + (l/d) cV$, где V — парц. уд. объем, l/d — осевое отношение. Ф-ла проверена на литературных данных для нитроцеллюлозы. Значения l/d удовлетворительно согласуются с рассчитанными обычным путем по данным седиментации и диффузии. С. Ф.

42874. Разрушение тиксотропных материалов. Дальгрэн (On the break-down of thixotropic materials. Dahlgren Sven-Eric), Chalmers tekn. högskol. handl., 1955, № 155, 185 (англ.)

Дан теоретич. анализ процесса разрушения тиксотропных структур на основе опытов Грина и Вельмана (Green H., Industrial rheology and rheological structures. N. Y. 1949). Н. Ф.

42875. Исследования явлений коагуляции и флокуляции (Некоторые итоги дискуссии в Фармацевт. обществе). Дерягин Б. В., Вест. АН СССР, 1955, № 2, 66—70

42876. Электроосмотическое течение в гомеоинном каолините. Баллу (Electroosmotic flow in homoionic kaolinite. Ballou Vernon E.), J. Colloid Sci., 1955, 10, № 5, 450—460 (англ.)

Измерена скорость электроосмоса и гидравлич. проницаемость каолинита (I). Ис конообменной емкости 312 мэкв на 100 г насыщали соответствующими катионами и производили измерения при различном содержании воды в I. Средний диаметр пор, рассчитанный по ур-нию Пуазейля, составлял 1100—2800 Å. Кол-во протекающей при электроосмосе воды достигает 3 000 молекул H_2O на 1 ион в I; не обнаружено никакой связи между этим кол-вом и степенью гидратации ионов. Соотношение между скоростью электроосмоса и гидравлической проницаемостью удовлетворительно объясняется ур-нием Гельмгольца — Смолуховского. Электрокинетич. потенциал ξ для I, насыщенного H^+ , Na^+ , Li^+ , Cs^+ , Ca^{2+} и Th^{3+} , равен соответственно —5,2; —45; —28; —26; —12; +12 мВ. ζ максимален, если кол-во противоиона в I равно ионообменной емкости. Ур-ние Шмида (Schmid G., Z. Elektrochem., 1950, 54, 424) неприменимо к изученным системам с малым диаметром пор. И. С.

42877. Рассеяние света коллоидными частицами и определение их размеров. Наик, Сохони (Scattering of light by colloidal particles and the determination of their sizes. Naik Y. G., Sohoni D. K.), Indian J. Phys., 1955, 29, № 2, 55—64 (англ.)

Для определения размеров колл. частиц использованы два оптич. метода, основанные на теории рассеяния света сферич. частицами Ми. По одному методу экспериментально наблюдаемое распределение интенсивности света, рассеянного колл. частицей по разным направлениям, сравнивается с теоретич. распределением, ожидаемым для частиц различных размеров. Другой метод основан на сравнении диссимметрии рассеянного света с теоретич. диссимметрией, рассчитанной для таких же частиц. В опытах с золями Fe_2O_3

и As_2S_3 найдено, что оба метода дают хорошо согласующиеся результаты. В. А.

42878. Тензиометрическое и колориметрическое изучение гомологического ряда четвертичных аммониевых солей. I. Образование монослоев и адсорбция; применение уравнения Гиббса. II. Взаимодействие между некоторыми окрашенными индикаторами и катионными детергентами. Определение критической концентрации мицеллообразования. Цутрауэн (Etude tensiométrique et colorimétrique d'une série homologue de sels d'ammonium quaternaires. I. Etallement et adsorption; application de l'équation de Gibbs. II. Interaction entre certains indicateurs colorés et les détergents cationiques. Détermination de la concentration critique micellaire. Zutrauen Hermann A.), J. chim. phys. et phys.-chim. biol., 1956, 53, № 1, 54—61, 62—70 (франц.)

I. Изучены p -ры и поверхностные слои четвертичных аммониевых солей (I) с общей ф-лой $[C_nH_{2n+1}N^+(CH_3)_3]X^-$, где $X = Cl^-$ или Br^- и $n = 12, 14, 16, 18 (C_{12} - C_{18})$. С помощью тензиометра со стеклянной пластиной измерено поверхностное натяжение σ p -ров I, содержащих 0—4,0 M KCl, и рассчитаны по Гиббсу изотермы адсорбции и поверхностного давления π на поверхности p -ров. Для монослоев I, нанесенных из p -ров I в хлороформе на поверхность воды и водн. KCl, поверхностным манометром Гасталла (Guastalla, C. r. Acad. sci., 1939, 208, 973) сняты эксперим. изотермы π . Ур-ние Гиббса полностью применимо к p -рам C_{12} . Для C_{14} наблюдается максимум π , связанный с частичным поверхностным гидролизом — заменой Cl^- или Br^- в монослое на OH^- . В 1 M KCl гидролиз C_{14} подавляется и теоретич. изотермы совпадают с экспериментальными. У C_{16} и C_{18} в отсутствие KCl происходит полный гидролиз. Кроме того они образуют в p -рах димерные молекулы — дублеты, адсорбирующиеся на поверхности p -ров лишь в присутствии избытка KCl. При увеличении конц-ии C_{16} и C_{18} в 1 M KCl могут также возникать предмицеллярные агломераты, так как с ростом углеводородной цепи силы притяжения между молекулами увеличиваются, а избыток электролита уменьшает отталкивание полярных групп.

II. Исследовано изменение спектров поглощения и σ p -ров бромфенолового синего (II) и флуоресценции (III) в присутствии I. Показано, что II соединяется с детергентами (D) в комплексы, образующие смешанные мицеллы. Крит. конц-ия мицеллообразования $c_{кр}$ для последних значительно ниже, чем для чистых мицелл D, и не зависит от конц-ии KCl в p -ре. Изменение окраски II соответствует $c_{кр}$ смешанных мицелл. Лучшим методом определения $c_{кр}$ катионных D с помощью II является титрование в присутствии органич. p -рителя, напр. хлороформа. III полимеризуется в присутствии I ниже $c_{кр}$, вероятно, образуя комплексы с I. При разбавлении p -ра I, содержащего III, в момент перехода от мицеллярного к молекулярному p -ру исчезает флуоресценция и цвет меняется из желто-зеленого в оранжевый. И. С.

42879. О связи между поверхностноактивными и диэлектрическими свойствами алкилсульфатов натрия. Вемелль (Sur la corrélation entre les propriétés tensio-actives et diélectriques des alcoylsulfates de sodium. Wemelle Robert), J. chim. phys. et phys.-chim. biol., 1956, 53, № 1, 96—100 (франц.)
Измерено поверхностное давление π и электропроводность κ водн. p -ров алкилсульфатов Na (I) C_8 , C_{10} , C_{12} и C_{14} при разных конц-иях c . Кривые (π , κ) p -ров индивидуальных I имеют характерную для поверхностноактивных v -в S-образную форму. Зона быстрого роста π , начало которой соответствует $c_{кр}$, сужается и

смещается в сторону меньших κ с ростом углеводородной цепи I. При больших κ для всех I π стремится к предельному значению $\sim 35 \text{ дн/см.}$ κ р-ров I не зависит от частоты в пределах 50 гц —3300 Мгц . Изменение κ с κ аналогично изменению π . Для р-ров двойных смесей $C_{10} + C_{12}$ кривые (π , состав) проходят через 2 максимума при молярном соотношении $C_{10}:C_{12} = 1:1$ и 9:1 и через 2 минимума при $C_{10}:C_{12} = 1:3$ и 3:1. Для смесей $C_{12} + C_{14}$ π максимально при $C_{12}:C_{14} = 1:1$ и минимально при $C_{12}:C_{14} = 1:3$ и 3:1. Максимуму π соответствует минимум κ и наоборот. Повидимому, мицеллы I не обладают постоянным электрич. моментом благодаря симметричной структуре, по окончательный вывод может быть сделан только на основании измерений в области частот $< 50 \text{ гц}$.

И. С.

42880. Исследование взаимодействия алифатических спиртов с ассоциированными коллоидами. II. Влияние деканола-1 на электропроводность растворов мыл жирных кислот. III. Влияние деканола-1 на электропроводность растворов алкилсульфатов натрия. Пассинен, Эквалл (Studies on the interaction of paraffin chain alcohols and association colloids. II. The effect of decanol-1 on the conductance of fatty acid soap solutions. III. The effect of decanol-1 on the conductance of sodium alkyl sulphate solutions. Passinen, Kaapo, Ekwall Per), Acta chem. scand., 1955, 9, № 9, 1438—1458 (англ.).

II. Изучено влияние деканола-1 (I) на уд. электропроводность κ р-ров олеата Na (II) и лаурата Na (III). При добавлении к р-ру II небольших кол-в I последний полностью растворится и κ несколько уменьшается. Дальнейшее прибавление I ведет к образованию новой фазы (НФ) (сообщение I, РЖХим, 1955, 25945) и κ резко падает. По уменьшению κ рассчитан состав НФ. В момент, когда наступает помутнение р-ра при концентрации $c_{II} = 0,1$ — $0,4 \text{ M}$, НФ содержит 0,5 моля I/моль II, а при $c_{II} = 0,02 \text{ M}$ — 1,2 моля I/моль II. Последующее увеличение кол-ва I в системе почти не изменяет κ ; содержание I в выпавшей фазе растет до 2—3 молей I/моль II при малых c_{II} и часть I выделяется в виде капель. κ р-ров III при $c > c_{кр}$ изменяется при добавлении I так же, как и у р-ров II.

III. Изменение κ р-ров миристилсульфата Na (IV) и лаурилсульфата Na (V) при прибавлении I аналогично соответствующим изменениям в р-рах II. В 0,18— $0,3 \text{ M}$ IV НФ в момент помутнения содержит 0,8 моля I/моль IV; в 0,07 M IV—1,2 моля I/моль IV; при избытке I выпадает до 2 молей I/моль II. Из р-ров V выпадает НФ, содержащая 0,8—1,0 моля I/моль V. Некоторое уменьшение κ р-ров ассоциированных коллоидов под влиянием небольших кол-в алифатич. спиртов связано с проникновением молекул спирта в мицеллу (M), вызывающим увеличение объема и плотности M, а также вязкости р-ра. Этот эффект частично компенсируется уменьшением числа противоионов, связанных с M. Быстрое падение κ при помутнении р-ра объясняется переходом значительной части коллоида из водн. р-ра в отделяющуюся фазу.

И. С.

42881. Электростатическая свободная энергия ионов глобулярных белков в водных растворах солей. Танфорд (The electrostatic free energy of globular protein ions in aqueous salt solution. Tanford Charles), J. Phys. Chem., 1955, 59, № 8, 788—793 (англ.).

Выведены новые ф-лы для свободной энергии E указанных в заголовке систем, указывающие на значительное убывание E при проникании ионов солей внутрь белковых ионов (БИ). Если часть фиксированных зарядов БИ также находится внутри их, E убывает лишь

при высокой ионной силе р-ров, но возрастает при малой ионной силе. Путем сравнения с опытными данными о влиянии зарядов на диссоциацию карбоксильных групп сычужочного альбумина показано, что выведенные ф-лы применимы к вытянутым БИ (ионам сычужочного альбумина в кислых р-рах), но не к нормальным слабо гидратированным БИ. Тесно связанные с последними молекулы гидратационной воды делают, по мнению автора, невозможным проникновение ионов солей внутрь БИ.

Н. Ф.

42882. Теория действия ингибиторов пенообразования в водных растворах. Вильяр (Teoría sobre la acción de los inhibidores de la formación de espumas en soluciones acuosas. Villar G. E.), Bol. Fac. ingr. y agrimensura Montevideo, 1955, 6, № 8, 199—210, 211—217 (исп.).

42883. Теория устойчивости эмульсий. Гринуолд (Theory of emulsion stability. Greenwald Harold L.), Amer. Perfumer and Essent. Oil Rev., 1955, 66, № 6, 26—32; J. Soc. cosmetic chemists, 1955, 6, № 3, 164—177 (англ.).

Популярная статья.

Н. Ф.

42884. Измерение концентрации газа в эмульсии газа в жидкости по поглощению γ -лучей. Ур (Measure de la concentration en gaz d'une émulsion gazeuse par absorption de rayons γ . Hours R.), Houille blanche, 1955, 10, № 3, 636—645 (франц.; рез. англ.).

Предложен метод определения объемной концентрации газа в жидкости, содержащей большое число мелких газовых пузырьков. Поглощение γ -лучей в такой системе происходит только в жидкой фазе, так как поглощением в газообразной фазе можно пренебречь. Выведена ф-ла $c = (\mu D)^{-1} \ln(I_c/I_0)$ (I), где μ — коэфф. поглощения γ -лучей жидкостью, I_c и I_0 — активности γ -лучей, прошедших соответственно слой эмульсии и чистой жидкости толщиной D. При соблюдении известных условий таким путем можно измерить с точностью 1%. Применимость ф-лы (I) исследована статистич. методами; рассмотрены возможные источники ошибок. Метод может быть распространен на суспензии.

С. Ф.

42885. Максимум кривой распределения размеров частиц в полидисперсных аэрозолях. Керкер, Коэкс, Шёнберг (Maximum particle sizes in polydispersed aerosols. Kerker Milton, Cox A. Lucile, Shoenberg Melvin D.), Colloid Sci., 1955, 10, № 5, 413—427 (англ.).

Изучено распределение размеров частиц в полидисперсных аэрозолях Hg и S, полученных с помощью генератора Синклера — Ла Мера при т-рах 190—230° (Hg) и 100—150° (S). Кривые распределения (КР) построены: 1) по падению интенсивности светорассеяния в оседающем в замкнутом объеме аэрозоле и 2) при помощи электронного микроскопа. Для более грубых аэрозолей (с максимумом КР при $r \approx 0,6 \mu$) полученные по обоим методам КР заметно отличаются друг от друга, но их максимумы совпадают. Для более высокодисперсных аэрозолей (с максимумом КР, построенной по методу 2, при $r \approx 0,1 \mu$) КР, полученная по методу 1, не имеет максимума и непрерывно поднимается с уменьшением размеров частиц. Расхождения обусловлены, по мнению авторов, конвекцией и коагуляцией аэрозолей. Из микрофотографий следует, что аэрозоль S состоит из жидких частиц.

И. Г.

42886 К. Краткий курс коллоидной химии. Джергенсонс, Страуманис Перевод с нем. (A short textbook of colloid chemistry. Jirgensons Bruno, Straumanis Martin-

- Edward. Transl. from the German, London, Pergamon Press, 1954, XVI+420 p., ill., 40 sh.) (англ.)
- 42887 К. Упражнения по физической и коллоидной химии. Валента, Кутацек (Cvičení z fyzikální a koloidní chemie. Valenta Miloslav, Kutaček Milan. Praha, SPN, 1954, 273 str., ill, 20,70 Kčs.) (чеш.)
- 42888 К. Коллоидная химия кремнезема и силикатов. Айлер (The colloid chemistry of silica and silicates. Iler Ralph Kringsley. Ithaca (N. Y.), Cornell Univ. Press; London, Oxford Univ. Press, 1955, xii, 324 p. 45 sh.) (англ.)
- 42889 К. Радиоактивные аэрозоли. Ех (Radioaktivní aerosoly. Jech Čestmír. Praha, ČSAV, 1955, 41 [3] str.+ill., 4,20 Kčs.) (чеш.)
- 42890 Д. Влияние размера капелек и других факторов на поглощение аэрозолей. Велькер (Über den Einfluß der Tröpfchengröße und anderer Nebenbedingungen auf die Resorption von Aerosolen. Welcker Hans. Diss. Med. F., München, 1953, Maschinschr.), Dtsch. Nationalbibliogr., 1955, В, № 13, 939 (нем.)
- См. также: Структурно-механич. свойства 43643—43645. Пены 43682

НЕОРГАНИЧЕСКАЯ ХИМИЯ. КОМПЛЕКСНЫЕ СОЕДИНЕНИЯ

42891. Уран — ядерное топливо. Ванч (Uraniul, combustibil nuclear. Vanci G.h.), Rev. minelor, 1955, 6, № 10, 314—326 (рум.; рез. русс.)
- Рассмотрены значение урана как энергетич. источника, распространение урана в природе, добыча урана и способы, применяемые для разработки урановых руд.
42892. Получение урана. — (우라늄 제조) ; 과학과 기술, Квахак ка кисуль, 1955, № 4, 35—41 (кор.)
42893. Метод экстракционного выделения плутония из продуктов облучения урана в ядерных реакторах. Гольдшмидт, Реньо, Прево (Un procédé par solvant pour l'extraction du plutonium de l'uranium irradié dans les piles. Goldschmidt Bertrand, Regnaut Pierre, Prévot Isabelle), Bul. Soc. chim. France, 1956, № 1, 103—106 (франц.)
- Метод основан на различии коэфф. распределения (КР) U, Pu и продуктов деления (ПД) между кислыми водн. р-рами соответствующих нитратов и трибутилфосфатом (I). В ряду U—Pu—ПД величины КР убывают. Урановые блоки растворяют при кипячении в 12 н. HNO₃, окисляя нитритсодержащие пары кислородом. После охлаждения р-р разбавляют до 1,65 М по U и 1,7 н. по HNO₃. U+Pu экстрагируют противоточным методом с помощью 40%-ного р-ра I, не содержащего моно- и дибутилфосфорной к-ты, в предельном углеводороде с высокой т-рой кипения. ПД рекстрагируют из органич. слоя промыванием 3—4 н. HNO₃. Малые кол-ва Pu в экстракте восстанавливают до Pu (3+) 0,3 н. N₂H₄ в 0,2 н. к-те. При конц-ии Pu > 2 г/л в качестве восстановителя применяют сульфамат Fe (2+). Восстановленный Pu переходит в водн. фазу вместе с небольшим кол-вом U (6+), которое экстрагируют свежим р-рителем. Водн. р-р Pu, еще содержащий ~0,5 г/л U, подщелачивают до pH 8—9 р-ром NaOH. Осадок диураната Na, сорбиравший Pu, удаляют центрифугированием, растворяют в HCl или HNO₃ и производят окончательную очистку Pu либо экстракцией I и другими р-рителями, либо методом оксидатного осаждения, либо сорбцией Pu(NO₃)₂-смолами типа четвертичных аммониевых оснований. U рекстрагируют водой, а последние следы его извлекают промыванием р-ром Na₂CO₃. Урансодержащий р-р дополнительно очищают экстракцией, а затем осаждают U щавелевой к-той. Выход U и Pu составляет соответственно 99 и >97%; степень дезактивации по β-γ-излучению имеет порядок 10⁶—10⁷. Метод применен для выделения и очистки Pu в промышленных масштабах. Н. П.
42894. Амфотерные гидроокиси металлов как стабилизаторы H₂O₂. Борковский (Amfoteryczne wodorotlenki metali jako stabilizatory nadtlenku wodoru. Borkowski B.), Przem. chem., 1955, 11, № 4, 184—186 (польск.; рез. русс., англ.)
- При 80° 0,5 н. H₂O₂ количественно разлагается в течение 30 мин. За то же время и в тех же условиях р-р H₂O₂, содержащий стабилизаторы WO₃·n H₂O, H₂TeO₆, V₂O₅, Sb₂O₃·n H₂O, As₂O₃, Sb₂O₃·n H₂O, WO₃·Al(OH)₃, Zn(OH)₂, SnO₂·n H₂O (50 мг, в пересчете на безводн. окислы, в 600 мл 0,5 н. H₂O₂), разлагается на 85,7; 71,0; 50,0; 38,0; 20,4; 20,0; 10,8; 10,2; 3,4; 2,8% соответственно (за 100% принималось разложение 0,5 н. H₂O₂). Стабилизирующее действие амфотерных соединений, по мнению автора, обусловлено тем, что они связывают ионы OH⁻ р-рителя или образующиеся при частичном растворении стекла. В. С.
42895. Физико-химические исследования в области арсената кальция. Шогам С. М. В сб.: Исследования по прикл. химии. М.—Л., Изд-во АН СССР, 1955, 213—224
- В развитие прежней работы (Белопольский А. П., Шогам С. М., Ж. физ. химии, 1949, 11, 1267) изучались условия кристаллизации арсенатов Ca (распространенный ядохимикат) из р-ра арсената Na (I) и суспензии Ca(OH)₂ (II). Установлено, что при 20° образуется CaNaAsO₄·8H₂O (III), а при >20° CaNaAsO₄·4H₂O (IV). III метастабилен и при отношении CaO : As₂O₅ > 2 переходит в 4CaOAs₂O₅·5H₂O (V). Р-ция между I и II при 20° протекает в 2 стадии: Na₂AsO₄+Ca(OH)₂=CaNaAsO₄+2NaOH; 2CaNaAsO₄+2Ca(OH)₂=4CaO·As₂O₅+2NaOH+H₂O. IV метастабилен даже при отношении CaO : As₂O₅ = 2 : 1 и переходит при повышенной т-ре, в зависимости от условий кристаллизации, в V или в твердые р-ры II в дигидрате трикальцийарсената (VI). При этих превращениях установлено образование промежуточной фазы: CaNaAsO₄·4H₂O → 3CaOAs₂O₅·10H₂O (VII) → 4CaOAs₂O₅·5H₂O. Превращение в тетракальцийарсенат протекает «через р-р» с некоторым индукционным периодом. Появление и рост кристаллов V происходит в первую очередь на углах и ребрах VII, который и является основой для зародышей новой фазы. Термографич. и рентгенографич. исследования показали, что VII при нагревании до 500°, кроме потери кристаллизационной воды (90—100°), не претерпевает никаких превращений. V при 200—215° теряет кристаллизационную воду, а при 350° переходит в твердый р-р. VI и твердые р-ры II в VI при нагревании до 500° не изменяют параметров решетки. Л. Х.
42896. Гидролиз и устойчивость трихлорогерманиа. Сравнение с аналогичными соединениями углерода, кремния и олова. Эверест (Hydrolysis and stability of trichlorogermane — comparison with similar compounds of carbon, silicon and tin. Everest P. A.); Research, 1955, 8, № 2, S61—S62 (англ.)

На основании литературных данных автор считает, что GeHCl_3 , а также SnHCl_3 и SiHCl_3 можно рассматривать как производные 2-валентных элементов. При диссоциации они образуют анионы типа MCl_2^- . GeCl_4 легко образуется в присутствии HCl ; образование CCl_4 подтверждается обменом дейтерия между SnHCl_3 и H_2O . Трихлоростантин неизвестен, но получены хлоростаннины, содержащие ион SnCl_2^- . При гидролизе GeHCl_3 , хлоростаннинов и SnHCl_3 образуются соответственно GeO , SnO и CO . SiHCl_3 дает при гидролизе р-ром щелочи силикаты из-за неустойчивости SiO в твердой фазе.

42897. Строение и реакционная способность системы $\text{NO}_2-\text{N}_2\text{O}_4$. Грей, Иоффе (Structure and reactivity of the nitrogen dioxide-dinitrogen tetroxide system. Gray Peter, Yoffe A. D.), Quart. Revs. London Chem. Soc., 1955, 9, № 4, 362—390 (англ.)

Обзор. Библ. 148 назв.

В. Ш.

42898. О химических свойствах гексафторида селена. Дагрон (Sur les propriétés chimiques de l'hexafluorure de sélénium. Dagron Christian), C. r. Acad. sci., 1955, 241, № 4, 418—420 (франц.) Исследованы некоторые хим. свойства SeF_6 (I), полученного действием F_2 на Se . I субимизируется при -110° и 3 мм рт. ст., мало растворим в воде; при действии электрич. разряда на смеси I с H_2 и I с H_2S образуются HF -газ и Se в первом случае и HF -газ, Se и S — во втором. При взаимодействии I с AsH_3 образуются HF -газ, Se , As , AsF_3 и SeF_4 . Изучено взаимодействие I с металлами и неметаллами. CAs р-ция начинается при 180° , с Sb при 100° и с Si при 250° . Щел. металлы взаимодействуют соответственно при $60^\circ(\text{K})$ и $500^\circ(\text{Li, Na})$. Sn, Hg, Pb и Bi при обычной т-ре покрываются тонким слоем фторида и селенида соответствующего металла; в виде опилок названные металлы энергично реагируют при $220^\circ(\text{Sn})$ и $150^\circ(\text{Bi, Pb})$. Mg несколько изменяется с поверхности при 700° ; Fe в измельченном виде реагирует при т-ре $\sim 100^\circ$; Cr при $\sim 300^\circ$, Zn при $\sim 400^\circ$, Cu при $\sim 180^\circ$, Ag при $\sim 270^\circ$, U при $\sim 180^\circ$. Au не реагирует с I при т-рах $< 700^\circ$.

Д. Т.

42899. Некоторые условия синтеза ферритов цинка. Торопов Н. А., Борисенко А. И., Ж. прикл. химии, 1955, 28, № 12, 1347—1348

Состав ферритов Zn , полученных обжигом смеси эквивалентных кол-в окислов Zn и Fe , в связи с улетучиванием ZnO , может заметно изменяться при термообработке. Уд. активность образцов $\text{ZnO} + \text{Fe}_2\text{O}_3$, меченных изотопом Zn^{65} , с повышением т-ры обжига сначала понижается, при 500° достигает минимума, а затем быстро возрастает в интервале $500-700^\circ$. Увеличение летучести с т-рой до 500° авторы связывают с разрушением анионной части решетки ZnO в результате удаления ионов Zn . Дальнейшее повышение т-ры приводит к образованию шпиннели и связанному с этим уменьшению летучести. Уменьшение активности не наблюдается, если обжигу образцов, меченных Zn^{65} , предшествует их термич. обработка при 800° в течение 5 час. При этой т-ре практически заканчивается р-ция образования феррита Zn . Следовательно, для получения одинаковых по свойствам Zn -содержащих ферритных материалов нужно поддерживать тождественные условия не только при окончательных, но и при предварительных термообработках.

Н. П.

42900. Неорганическая химия. Бороводороды. Цутида, Нимитсура (無機化学・水素化合物とその誘導体・堀田龍太郎, 新村陽一), 科学, Kagaku, Chemistiy (Kyoto), 1955, 10, № 9, 2—4 (япон.)

Обзор за 1954 год. Библ. 16 назв.

В. Ш.

42901. Применение сведбергского метода коллоидного распыления для химического синтеза. Ка-

утский, Каутский (Anwendung der Svedbergschen Kolloidzerstäubungsmethode zur chemischen Synthese. Kautsky Hans, Kautsky Hans, jun.), Z. Naturforsch., 1954, 9b, № 3, 235—236 (нем.)

При получении колл. р-ров по Сведбергу распылением с помощью электрич. искр высокого напряжения переменного тока между Cu -электродами и расположенными между ними кусочками распыляемого в-ва в охлажденной жидкости идут хим. р-ции между в-вом и р-рителем. Метод может быть использован для синтеза. При распылении Si в ацетоне из темнокоричневого колл. р-ра центрифугированием и упариванием р-ра получен гель состава $\text{SiO}_{1,6}\text{C}_{2,3}\text{H}_{4,2}$, структура которого включает, повидимому, мостики $\text{Si}-\text{O}-\text{Si}$. Гель растворяется в NaOH с выделением H_2 и выпадает при подкислении. После экстракции ацетоном получается в-во среднего состава $\text{SiO}_{2,0}\text{C}_{1,3}\text{H}_{3,3}$; вероятно, атомы C связаны в нем непосредственно с Si . При распылении Si в SiCl_4 образуется темнокоричневый золь. После удаления осадка Si и отгонки р-рителя остается темно-красная смола, плавящаяся при 100° . При вакуум-перегонке выделены хлориды Si с разными длинами цепей. Последняя фракция, отгоняемая при $200-215^\circ$ и 0,1 мм рт. ст., состоит из $\text{Si}_6\text{Cl}_{14}$; выше 220° остаток диспропорционируется на низко- и высокополимерные хлориды кремния.

И. С.

42902. Литийсодержащие производные силоксена. Каутский, Фриц, Рихтер (Lithiumhaltige Siloxenderivate. Kautsky Hans, Fritz Gerhard, Richter Hans), Z. Naturforsch., 1954, 9b, № 3, 236—237 (нем.)

При р-ции силоксена с Li -алкилами или Li -ариллами в эфирном р-ре по схеме $2\text{SiH} + 2\text{LiR} \rightarrow \text{SiLi} + \text{SiR} + \text{LiH} + \text{RH}$ образуются алкил- или арил- Li -силоксены (I), представляющие собой поверх-

ностные соединения типа I, $\text{Si}_6\text{O}_8\text{R}_m\text{Li}_n$, где m и n достигают 3. I окрашены в желтый, желто-коричневый или темнокрасный цвет; причем глубина окраски растет с ростом содержания Li . I весьма реакционноспособны, возгораются на воздухе, реагируют с HCl с разогреванием и частичным разложением. Под действием алкилгалогенидов (RX) I обменивают Li на R , причем глубина окраски уменьшается.

И. С.

42903. К химии серы. XX. Пространственная химия сульфидов натрия и калия. Фехер, Бертольд. XXI. О получении высших галогенсульфатов S_xCl_2 и S_xBr_2 в трубке с большим температурным градиентом. Фехер, Кремер, Ремпе. XXII. Реакция между сульфанами H_2S_n и хлорсульфанами S_mCl_2 . Фехер, Лауэ, Кремер. XXIII. Получение высших бромсульфатов S_xBr_2 . Фехер, Ремпе. XXV. Получение высших сульфидов типа $\text{Cl}_3\text{C}-\text{S}_x-\text{CCl}_3$ с помощью сульфатов. Фехер, Бертольд (Beiträge zur Chemie des Schwefels. XX. Die Raumchemie der Sulfide von Natrium und Kalium. Fehér F., Berthold H. J. XXI. Zur Darstellung von höheren Halogensulfanen S_xCl_2 und S_xBr_2 im heiß-kalten Rohr. Fehér F., Kraemer J., Rempe G. XXII. Die Reaktion zwischen Sulfanen H_2S_n und Chlorsulfanen S_mCl_2 . Fehér F., Laue W. Kraemer J. XXIII. Zur Darstellung höherer Bromsulfane S_xBr_2 . Fehér F., Rempe G. XXV. Darstellung höherer Sulfide vom Typ $\text{Cl}_3\text{C}-\text{S}_x-\text{CCl}_3$ mit Hilfe von Sulfanen. Fehér Franz, Berthold Hans Joachim). Z. anorgan. und allgem. Chem., 1954, 275, № 4—5, 241—248; 1955, 279, № 1—2, 18—27;

281, № 3—4, 151—168; Chem. Ber., 1955, 88, № 11, 1634—1640 (нем.)

XX. Из измеренных пикнометрически значений плотности полисульфидов Na и K вычислены инкременты молярного объема серы в этих соединениях. Ниже приведены плотности при 20° и инкременты в см³ (в скобках): Na₂S 1,85 (29,2); Na₂S₂ 2,05 (20,4); Na₂S₄ 2,08 (17,7); Na₂S₅ 2,08 (17,2); K₂S 1,80 (29,1); K₂S₂ 1,97 (20,1); K₂S₃ 2,10 (17,0); K₂S₄ 2,04 (17,3); K₂S₅ 2,13 (16,0); K₂S₆ 2,02 (17,0). На основании полученных данных авторами сделан вывод о различии инкрементов серы в дисульфидах и в цепях полисульфидов (~15 см³ на атом S).

XXI. В улучшенной аппаратуре продолжены опыты (Fehér F., Baudler M., Z. anorgan. und allgem. Chem., 1952, 267, 293) по получению высших галогенсульфидов. На основании данных анализов, определений мол. веса и исследований спектров комб. расс. масел, полученных при взаимодействии S₂Cl₂ (или S₂Br₂) с H₂, сделан вывод, что эти масла содержат высшие хлор- и бромсульфаны S_xCl₂ и S_xBr₂ и растворенную в них S₈-А.Н.

XXII. Высшие сульфаны и хлорсульфаны получают при р-ции между H₂S_n и S_mCl₂. При избытке H₂S_n в исходной смеси ($a > b$) образуются сульфаны: $aH_2S_n + bS_mCl_2 = (a - b)H_2S_x + 2bHCl$ (1), а при избытке S_mCl₂ ($b > a$) — хлорсульфаны: $bS_mCl_2 + aH_2S_n = (b - a)S_xCl_2 + 2aHCl$ (2). Продукты обеих р-ций содержат растворенную S₈. В смеси продуктов р-ции (1) могут содержаться лишь гомологи H₂S_{k(n+m)+n}, где $k = 0, 1, 2, 3, \dots$; по р-ции (2) образуются S_{k(n+m)+m}Cl₂. Получающиеся по р-ции (1) сульфаны представляют собой вязкие желтые сильно преломляющие свет жидкости со слабым запахом. В присутствии щелочи и поверхностно-активных в-в они разлагаются на H₂S и ромбич. серу. Растворимость в H₂S₂ и CCl₄ для низших гомологов велика, но падает с ростом цепи. Хлорсульфаны, образующиеся по (2), — желтые или оранжево-красные вязкие жидкости, легко распадающиеся на S₂Cl₂ и S. Перегонкой в вакууме (Fehér F., Baudler M., Z. anorgan. und allgem. Chem., 1949, 258, 132) из смеси хлорсульфанов выделены S₂Cl₂ и S₄Cl₂; спектры комб. расс. показывают, что они представляют собой индивидуальные в-ва. Для S₂Cl₂ $d^{20}_4 = 1,725$; $n_D = 1,715$; вязкость при 20° 0,01773 пуаз; поверхностное натяжение при 20° $\sigma = 47,8$ дин/см; молярная рефракция R = 29,46 см³; парадор P = 205,3. Для S₄Cl₂ $d^{20}_4 = 1,75$; $n_D = 1,762$; $\sigma = 52,5$ дин/см; R = 38,10 см³; P = 254,6.

XXIII. При пропускании H₂S через дибромсульфан образуются смесь бромсульфанов по р-ции: $aH_2S + bS_2Br_2 = (b - a)S_xBr_2 + 2aHBr$ (3). При времени пропускания H₂S 1,5—10 час. образующаяся смесь имеет состав S_{3,05}Br₂—S_{8,93}Br₂. Кол-во растворенной серы доходит через 10 час. до 13 мол. %. Р-цию, аналогичную (3), можно провести также с жидкими сульфанами H₂S_n вместо H₂S. Масло H₂S_n прибавляют к S₂Br₂ при перемешивании током N₂ или H₂ и охлаждении льдом. Выделение индивидуальных бромсульфанов из смеси продуктов р-ции (3) не удается из-за разложения при перегонке. Индивидуальные бромсульфаны и их смеси могут быть получены из соответствующих хлорсульфанов пропусканием HBr в течение 8—9 час. по р-ции $S_mCl_2 + 2HBr = S_mBr_2 + 2HCl$. Смеси бромсульфанов — жидкости гранатово-красного до темнокоричневого цвета. С ростом содержания S от S_{3,72}Br₂ до S_{11,8}Br₂ вязкость растет от 0,0960 до 2,80 пуаз, d^{20}_4 — от 2,449 до 2,262 и поверхностное натяжение от 44,9 до 68,3 дин/см. Высшие

бромсульфаны неустойчивы и при комнатной т-ре за 3 недели распадаются на S₂Br₂ и S.

XXIV. Описан синтез перхлордиметилдисульфида (I), перхлордиметилтрисульфида (II) и перхлордиметилтетрасульфида (III). I получают по р-ции $2Cl_3CSCl + 2Ag \rightarrow Cl_3CSSCCl_3 + 2AgCl$. 1100 мл перхлорметилмеркаптана перемешивают с 366 г Ag-порошка и нагревают 72 часа при 85—90°. Отгоняют непрореагировавший меркаптан с паром и очищают I рядом последовательных вакуум-перегонок. I — бесцветная жидкость, т. пл. — 6°, $d^{20}_4 = 1,7760$, $n^{20}_D = 1,5926$, молярная рефракция $R_D = 57,38$. Для получения II по р-ции $2Cl_3CSCl + H_2S \rightarrow Cl_3CSSSCCl_3 + 2HCl$ в 1,5 л Cl₃CSCl при 80—85° в течение 30 час. пропускают сухой H₂S, затем отгоняют избыток меркаптана и очищают II вакуум-перегонкой и сублимацией. Бесцветные кристаллы II растворимы в большинстве органич. р-рителей, хуже — в метаноле и этаноле. Т. пл. II 57,4°, $d^{20}_4 = 2,004$. Для жидкого II при 61,1° $d^{61,1}_4 = 1,726$, $n^{61,1}_D = 1,6039$, $R_D = 66,34$. Для получения III по р-ции $2Cl_3CSCl + H_2S_2 \rightarrow Cl_3CSSSSCCl_3 + 2HCl$ нагревают 932 г Cl₃CSCl и 71 г H₂S₂ при 85° 20 час. Выделяют III из реакционной смеси отгонкой и сублимацией в вакууме. Блестящие бесцветные кристаллы III, т. пл. 37°, растворяются в органич. р-рителях, хуже — в метаноле и этаноле. III легко переохлаждается. Для твердого III $d^{20}_4 = 1,9820$.

Для жидкого III $d^{20}_4 = 1,7957$, $n^{10}_D = 1,6582$, $R_D = 74,88$. Атомная рефракция S в I равна 8,37, в II и III 8,56. Приведены частоты спектров комб. расс. I, II и III. Сообщение XIX см. РЖХим, 1956, 624. И. С.

42904. Неорганическая химия. Соединения серы. Цутида, Нинимура (無機化学硫黄の化合物。田龍太郎, 新村陽一), 科學, Karaky, Chemistry (Kyoto), 1955, 10, № 1, 8—11 (япон.) Обзор за 1953 год. Библ. 34 назв. В. III.

42905. Изучение перекисных соединений молибдена. Шово, Сусе, Тридо (Étude des composés permolybdiques. Chauveau Françoise, Souchay Pierre, Tridot Gabriel), Bull. Soc. chim. France, 1955, № 11—12, 1519—1524 (франц.)

Спектрофотометрическим методом изучены соединения, образуемые Mo(6+) в кислых р-рах в присутствии H₂O₂. В 0,01 M р-рах молибденовой к-ты (I) в присутствии различных кол-в H₂O₂ образуется соединение, содержащее 2 атома активного O на 1 атом Mo, и, по мнению авторов, представляющее собой H₂[Mo₂O₇(O₄)] (II). Соединения с меньшим содержанием активного O не образуются. II образуется и в сильнокислой среде (HClO₄). Присутствие катиона надмолибденовой к-ты ни в одном случае не обнаружено. В отсутствие H₂O₂ I образует катион HMo₂O₆⁺. По мнению авторов, «мононадмолибденовая к-та» является продуктом взаимодействия этого катиона с анионом II и представляет собой [Mo₂O₇(O₄)]H(HMo₂O₆)·3H₂O (III). III ведет себя в р-ре как смесь эквимольных кол-в I+II и содержит 1 атом активного O на 1 атом Mo. В 0,01 M р-рах I в H₂SO₄ с конц-ией <6M, содержащих 0,04 M H₂O₂ образуется II. Однако, при более высоких конц-иях H₂SO₄, спектр поглощения р-ра изменяется и на месте максимума, характерного для II, появляется минимум и новый максимум в более длинноволновой области. Образование нового катиона заканчивается при конц-ии H₂SO₄ > 11 M. По предположению авторов, этот катион, содержащий 1 атом активного O на 1 атом Mo, имеет ф-лу [HMo₂O₄(O₂)HSO₄]⁴⁺. Н. П.

42906. Хлориты, их получение, применение и свойства. Чернышев А. С., Штуцер В. В.,

- Семенова Н. Г., Успехи химии, 1956, 25, № 1, 91—104.
Обзор. Библ. 308 назв. В. Ш.
42907. Неорганическая химия. Соединения трансураниевых элементов. Цутида, Ямада (無機化学. トランズウラン元素の化合物. 植田龍太郎, 山田祥一郎), 科学, Karaky, Chemistry (Kyoto), 1955, 10, № 2, 1—5 (япон.) Обзор за 1953 год. Библ. 16 назв. В. Ш.
42908. Комплексные соединения двухвалентного серебра с α, α' -дипиридилем как окислители. Барбьер, Лабьянка (I composti complessi Dell'argento bivalente con l' α, α' -dipiridile come ossidanti. Barbieri Giuseppe Antonio, Labianca Tildò), Atti Accad. naz. Lincei Rend. Cl. sci. fis., mat e natur., 1954, 16, № 1, 88—91 (итал.) Комплексы $\text{Ag}(2+)$ с α, α' -дипиридилем, $[\text{Ag}(\text{C}_{10}\text{H}_8\text{N}_2)_2](\text{NO}_3)_2$ и $[\text{Ag}(\text{C}_{10}\text{H}_8\text{N}_2)_2](\text{HSO}_4)$ образуют интенсивно окрашенные красно-коричневые р-ры, обесцвечивающиеся на холоду при действии $\text{H}_2\text{C}_2\text{O}_4$, HNO_2 или V^{4+} . Окисление $\text{H}_2\text{C}_2\text{O}_4$, HNO_2 и V^{4+} протекает количественно, аналогично р-ции с KMnO_4 . Гидразин также окисляется, но р-ция не проходит количественно. Л. Я.
42909. Комплексы металлов с полиэлектролитами.
III. Энтропия и энтальпия комплексобразования системы полиакриловой кислоты — медь. Лобл, Латтингер, Грегор. IV. Комплексы полиакриловой кислоты с магнием, кальцием, марганцем, кобальтом и цинком. Грегор, Латтингер, Лобл (Metal-polyelectrolyte complexes. III. Entropy and enthalpy of complexation for polyacrylic acid — copper systems. Loebl Ernst M., Luttinger Lionel B., Gregor Harry P., J. Phys. Chem., 1955, 59, № 6, 559—560; № 9, 990—991 (англ.).
- III. Вычислены значения ΔH , ΔF и ΔS р-ций полиакриловой к-ты (линейного полимера (I) и полимера с поперечными связями (II) с Cu^{2+} из температурной зависимости констант равновесия р-ции: $2\text{RCOOH} + \text{Cu}^{2+} \rightarrow (\text{RCOO})_2\text{Cu} + 2\text{H}^+$ (1); $2\text{RCOO}^- + \text{Cu}^{2+} \rightarrow (\text{RCOO})_2\text{Cu}$ (2) и $\text{RCOOH} \rightarrow \text{RCOO}^- + \text{H}^+$ (3). Найлены значения ΔH (ккал/моль), ΔF (ккал/моль) и ΔS (энтр. ед.) соответственно (значения для II в скобках): р-ция (1) 3,7 (0,8); 4,8 (4,6); —3,9 (—13); р-ция (2) 0,5 (0,4); —8,0 (—9,5); 28 (33); р-ция (3) 1,6 (0,2); 6,4 (7,1); —16 (—23). Разница между тепловой гидратации иона RCOO^- и иона Cu^{2+} и теплотой образования связи карбоксилата с металлом не зависит от структуры и природы цепи. Устойчивость комплекса определяется энтропийным членом. Уменьшение энтропии при р-ции (1) для I меньше, чем для II, что авторы объясняют большей гибкостью цепи I.
- И. Т.
- VI. Mg^{2+} , Ca^{2+} , Mn^{2+} и Zn^{2+} образуют с полиакриловой к-той комплексные соединения, аналогичные описанным ранее (РЖХим, 1955, 42794) комплексам с Cu^{2+} . Вероятное значение максим. координационного числа в комплексах равно 2. Вычисленные значения констант образования комплексов Mg , Ca , Mn , Co и Zn равны соответственно $6 \cdot 10^4$; $1 \cdot 10^5$; $2,3 \cdot 10^5$; $4 \cdot 10^5$; $2,1 \cdot 10^5$. Часть II см. РЖХим, 1955, 54886. Н. П.
42910. Реакция между цинком и салицилальдоксимом. Саймонсен, Кристофер (Reaction between zinc and salicylaldoxime. Simonsen S. H., Christopher Philip), Analyt. Chem., 1954, 26, № 4, 681—683 (англ.)
- Состав осадка, выпадающего при р-ции $\text{Zn}(\text{NO}_3)_2$ с салицилальдоксимом (I), изменяется в зависимости от рН р-ра. При рН 6,8 образуется комплекс с отношением $\text{Zn}:\text{I}=1:2$, при рН 8,5 — с отношением 1:1, при промежуточных значениях рН выпадает смесь обоих комплексов. При нагревании р-ра до 90—100° образуется только комплекс 1:1, независимо от рН р-ра. А. Н.
42911. О строении двойных галогенидов мышьяка с аминами. Попов П. П., Тр. Томского ун-та, 1954, 126, 136—150
- Известные двойные галогениды металлов или аминов и As, Sb и Bi классифицированы по составу. Для неорганич. двойных галогенидов отношение $\text{M}:\text{Э}$ чаще всего равно 3, 2 или 1,5, а для органич. равно 1 (M — эквивалент металла или катион амина, $\text{Э} = \text{As}$, Sb или Bi); только для Bi наиболее характерно $\text{M}:\text{Э}=3$. Если в комплексах с аминами As является донором, то в комплексных галогенидах As, а также Sb и Bi являются акцепторами; даны предполагаемые структурные ф-лы комплексных анионов, содержащих галогенные мостики. Введением р-ров γ , γ' -дипиридила (Dipy) в галогеноводородных к-тах в р-ры окислов или галогенидов металлов в тех же к-тах выделены комплексы: $\text{Dipy} \cdot 2\text{HCl} \cdot \text{AsCl}_3$ (I); $\text{Dipy} \cdot 2\text{HBr} \cdot \text{AsBr}_3$ (II); $\text{Dipy} \cdot 2\text{HBr} \cdot 2\text{AsBr}_3$ (III); $\text{Dipy} \cdot 2\text{HCl} \cdot \text{SbCl}_3$ (IV); $\text{Dipy} \cdot 2\text{HBr} \cdot \text{SbBr}_3$ (V); $\text{Dipy} \cdot 2\text{HCl} \cdot \text{BiCl}_3$ (VI); $\text{Dipy} \cdot 2\text{HBr} \cdot \text{BiBr}_3$ (VII); $(\text{Dipy} \cdot 2\text{HBr})_2 \cdot \text{BiBr}_3$ (VIII) и $\text{Dipy} \cdot 2\text{HBr} \cdot 2\text{BiI}_3$ (IX). Т. пл. I 214—225°, II 204—206°, III 216—218°, IV и V не плавятся до 350°, VI, VII и VIII до 250°. I, IV, VI, VII и VIII нерастворимы в спирте и эфире, I, VII и VIII — в CHCl_3 и C_6H_6 , IV — в C_6H_6 . В воде растворимы I и II (с разложением), нерастворимы IV, V, VI, VII и VIII; III быстро разлагается водой. I, VII и VIII растворимы в $\text{C}_6\text{H}_5\text{N}$ и неорганич. к-тах. I — светложелтые иглы, II — светложелтые листочки или светлооранжевые призматич. иглы, III — светлооранжевые призмы, IV — моноклинные оранжево-желтые таблички, V — оранжевые микрокристаллы или красные или малиновые пластинки (скошенные параллелепипеды), VI — белые ромбич. пластинки, VII — желтые иглы или ромбы, VIII — оранжевые ромбы, IX — кроваво-красные микрокристаллы. И. Р.
42912. Комплексные соединения пятихлористого фосфора с хлоридами некоторых металлов. II. Системы пятихлористый фосфор — хлористый алюминий (хлорное железо) — нитробензол. Фналков Я. А., Бурьянов Я. Б., Ж. общ. химии, 1955, 25, № 13, 2391—2399
- Удельная электропроводность (χ) р-ров AlCl_3 (I) или FeCl_3 (II) в $\text{C}_6\text{H}_5\text{NO}_2$ (III) при постоянном молярном отношении I : III (или II : III) с увеличением концентрации PCl_5 (IV) сначала возрастает, но достигает предельного значения при отношении IV : I (или IV : II), равном 1 : 1. На кривых зависимости χ от мол. % PCl_5 в системах I—III—IV (или II—III—IV) с постоянной суммарной конц-ей I+IV (или II+IV) появляются четкие максимумы при отношении 1 : 1. Криоскопич. измерения также указывают на образование комплексов типа 1 : 1 и дают возможность выразить их состав ф-лами $\text{PCl}_5 \cdot \text{AlCl}_3$ (V) и $\text{PCl}_5 \cdot \text{FeCl}_3$ (VI). Низкие значения мол. весов V и VI в III (соответственно 207,5 и 180,7) по сравнению с найденным для VI в C_6H_5 (370,8) авторы объясняют диссоциацией V и VI на 2 иона. Этот вывод подтверждается сравнительно высоким значением χ V и VI (порядка $10^{-3} \text{ ом}^{-1} \text{ см}^{-1}$), а также результатами измерений молекулярной электропроводности р-ров VI в III, которая уже при разбавлении $\nu=113$ л достигает значения $81 \text{ ом}^{-1} \text{ см}^{-1}$, свойственного бинарным электролитам. Предыдущее сообщение см. РЖХим, 1955, 23517. Н. П.
42913. О комплексах ванадия низших степеней окисления. Херцог (Über Komplexe niedriger Wertigkeitsstufen des Vanadins. Herzog S.), Chem. Technik, 1954, 6, № 6, 338 (нем.)

При восстановлении Mg-порошком комплекса $[V(Dipy)_3]_2$, где $Dipy = \alpha, \alpha'$ -дипиридил, в нейтр. водно-спирт. р-ре выпадают фиолетовые кристаллы, состав которых после перекристаллизации из пиридина соответствует ф-ле $[VDipy_3]$. Магнитные моменты $[VDipy_3]$ и $[VDipy_3]_2$ равны соответственно $1,7 \pm 0,2$ и $3,8 \mu_B$. Автор считает, что $[VDipy_3]$ представляет собой ковалентный комплекс, в котором формальная степень окисления V равна нулю. Р-ция образования комплекса протекает по ур-нию: $[VDipy_3]_2 + Mg \rightarrow [VDipy_3] + MgJ_2$. А. Н.

42914. Обмен хромом между ионами Cr^{2+} и Cr^{3+} . Стратен, Атен (The exchange of chromium between chromium (II) and chromium (III) ions. Straaten H. van der, Aten A. H. W.), J. Recueil trav. chim., 1954, 73, № 2, 89—94 (англ.) Обмен Cr между $CrCl_2$ и $CrCl_3$ исследовался путем смешения р-ра $CrCl_3$, содержавшего радиоактивный Cr, с р-ром $CrCl_2$. Установлено, что обмен протекает быстро, но что активность $CrCl_2$ после обмена больше активности исходного $CrCl_3$. Авторы объясняют это присутствием в р-ре двух видов Cr^{3+} : ионов $CrCl_2(H_2O)_4^+$ и $Cr(H_2O)_6^{3+}$, причем один из этих ионов обменивается с Cr^{2+} быстро, другой — медленно. Какой именно ион обменивается быстро, а какой медленно — не установлено. А. Н.

42915. Свойства некоторых комплексов никеля в растворе. Кларк, Оделл (The properties of some nickel complexes in solution. Clark H. C., Odell A. L.), Chemistry and Industry, 1954, № 49, 1510—1511 (англ.)

См. РЖХим, 1956, 35044, 39319

42916. Комплексные ионы хрома. IV. Комплекс трехвалентного хрома с этилендиаминтетрауксусной кислотой. Хэмм, Перкинс (The ethylenediaminetetraacetic acid complex with chromium (III). Ham Randal E. V. Reactions of malonate ion with chromium (III). Ham Randal E., Perkins Ralph H.), J. Amer. Chem. Soc., 1953, 75, № 22, 5670—5672; 1955, 77, № 8, 2083—2085 (англ.)

IV. Из результатов спектрофотометрич. титрования р-ра $H[CrYH_2O]$, где Y — анион этилендиаминтетрауксусной к-ты $C_{10}H_{12}N_2O_8^{4-}$, щелочью вычислены константы ионизации (для ионной силы 0,5) $HCrYH_2O \rightleftharpoons H^+ + CrYH_2O^-$; $K_1 = 8 \cdot 10^{-4}$, и $CrYH_2O^- \rightleftharpoons H^+ + CrYOH^{2-}$; $K_2 = 3 \cdot 10^{-8}$. Ион $CrYH_2O^-$ окрашен в фиолетовый, ион $CrYOH^{2-}$ — в синий цвет. Смеси р-ров $Cr(NO_3)_3$ с Na_2H_2Y первоначально имеют бледнозеленый цвет, сходный с наблюдаемым в смесях $Cr(H_2O)_6^{3+}$ и $C_2O_4^{2-}$ (Часть III, РЖХим, 1956, 39302). Образование $CrYH_2O^-$ проходит через ряд медленных стадий. Спектрофотометрич. изучение кинетики первой медленной стадии при разных рН показало, что $Cr(H_2O)_6^{3+}$ и H_2Y^{2-} быстро образуют промежуточное соединение X, находящееся в равновесии $X \rightleftharpoons X' + H^+$ (константа равновесия при 31° равна $1,2 \cdot 10^{-5}$). X' медленно превращается в первое соединение, содержащее замкнутый цикл, по р-ции 1-го порядка. Из измерений константы скорости этой р-ции между 25,2° и 42,5° следует, что ΔH и ΔS р-ции равны $21,3 \pm 0,6$ ккал/моль и $-8,7 \pm 2,2$ энтр. ед.

V. Дималонатодиаксидхромат калия $K[Cr(C_2H_2O_4)_2 \cdot (H_2O)_2]$ получен в двух изомерных формах обработкой $Cr(OH)_3$ смесью малоновой к-ты и КОН при 80°; при медленном испарении р-ра выкристаллизовывалась менее растворимая красновато-фиолетовая транс-фор-

ма, при высаливании р-ра спиртом — фиолетовая цис-форма. В р-ре устойчива цис-форма. Методом непрерывных изменений показано, существование комплексов с отношениями $Mal : Cr = 1,2$ и 3 (Mal^{2-} — малонат-ион). Кинетика р-ций $[Cr(H_2O)_6]^{3+} + Mal^{2-}$ (р-ция 1) и $[Cr(Mal)(H_2O)_4]^+ + Mal^{2-}$ (р-ция 2) изучена полярографически; скорости их пропорциональны конц-ии хрома, обратно пропорциональны конц-ии H^+ и не зависят от конц-ии Mal^{2-} . Принято, что в р-ции (1) хром быстро реагирует с Mal^{2-} , образуя слабосвязанный комплекс, испытывающий кислотную ионизацию; возникающее гидроксосоединение медленно образует внутрикомплексный малонат. Р-ция (2) протекает по схемному механизму. В отличие от образования оксалатохроматов скорости обеих р-ций возрастают с ионной силой р-ра. Кинетика р-ций $[Cr(Ch)_2(H_2O)_2]^+ + Ch^{2-} \rightarrow [Cr(Ch)_3]^{3-}$, где $Ch^{2-} = C_2O_4^{2-}$ (р-ция 3) или Mal^{2-} (р-ция 4) изучены спектрофотометрически; скорости р-ций пропорциональны конц-ии исходного комплекса и не зависят от конц-ии Ch^{2-} ; в пределах рН 4,0—9,3 для $C_2O_4^{2-}$ и 5,5—8,0 для Mal^{2-} скорости р-ции не зависят от рН. Из измерений при 10—40° вычислены значения ΔH и ΔS активации для р-ций (1), (2), (3) и (4); они равны соответственно: $\Delta H = 22,4$; 23,1; 22,6 и 26,0 ккал/моль; $\Delta S = 3,3$; 4,4; 4,2; и $-5,1$ энтр. ед. Величины ΔH и ΔS для р-ций (1) и (2) практически совпадают с найденными ранее для оксалатов; это указывает на сходство механизмов р-ций. По мнению авторов, близость ΔH к энтальпии активации для обмена H_2O (24 ± 2 ккал/моль; Plane R. A., Taube H., J. Phys. Chem., 1952, 56, 33) указывает на то, что медленной стадией замыкания циклов является отрыв молекулы воды от $Cr(H_2O)_6^{3+} \rightarrow O = Cr_2O_2 = O^-$ и $Cr(H_2O)_6^{3+} \rightarrow O = Cr_3H_2O_2 = O^-$. Существенное различие кинетики присоединения третьего цикла $C_2O_4^{2-}$ или Mal^{2-} объяснено пространственными затруднениями. И. Р.

42917. О комплексных цианидах вольфрама $K_4[W(CN)_8] \cdot 2H_2O$ и $K_3[W(CN)_8] \cdot H_2O$. Бодсгор, Тредуэлл (Zur Kenntnis der komplexen Wolfamecyanide $K_4[W(CN)_8] \cdot 2H_2O$ und $K_3[W(CN)_8] \cdot H_2O$. Baadsgaard Halfdan, Treadwell W. D.), Helv. chim. acta, 1955, 38, № 7, 1669—1679 (нем.)

При потенциометрич. титровании разб. р-ров $H_4[W(CN)_8] \cdot xH_2O$ (I) и $H_3[W(CN)_8] \cdot xH_2O$ (II) р-ром КОН комплексы ведут себя как сильные к-ты; признаки ступенчатой диссоциации отсутствуют. Для I $K_1 > 10^{-3}$; K_2 для II еще выше. Р-циями изотопного обмена I и II с анионами, содержащими W^{186} , показано, что электронный обмен между $[W(CN)_8]^{4-}$ и $[W(CN)_8]^{3-}$ при рН 2—12 и комнатной т-ре заканчивается не более, чем за 2 мин.; обмен CN-групп комплексов с $K^{14}CN$ практически незаметен при 24—26° и длительности опытов до 9 дней. Окислительно-восстановительный потенциал эквивалентных р-ров I и II падает с уменьшением конц-ий р-ров соответственно влиянию ионной силы μ на коэфф. активности; экстраполяция результатов измерения к $\mu = 0$ дает величину $E^0 = 0,457$ при 25°. При 21,2° молярная магнитная восприимчивость $K_4[W(CN)_8] \cdot 2H_2O$ (III) $\chi_M = -209 \cdot 10^{-6}$; для $K_3[W(CN)_8] \cdot H_2O$ (IV) $\chi_M = 1,097 \cdot 10^{-8}$, что приблизительно соответствует наличию одного неспаренного электрона; результаты соответствуют ожидаемым для гибридизации d^4sp^3 -электронов в III и IV. Порошковые диаграммы показывают изоморфизм III и $K_4[Mo(CN)_8] \cdot 2H_2O$; IV резко отличается от них. Радиус иона $[W(CN)_8]^{4-}$ по аналогии с $[Mo(CN)_8]^{4-}$ принят равным 3,37 Å. И. Р.

42918. О цианокмплесах рения и о получении комплекса $\text{Re}(1+)$ в растворе. Мейер, Тредуэлл (Über Cyankomplexe des Rheniums und Darstellung von reinem Rhenium (I)-Komplex in Lösung. Meier J., Treadwell W. D.), Helv. chim. acta, 1955, 38, № 7, 1679—1689 (нем.)

Потенциометрическим титрованием установлено, что ReO_2^- , образующийся при растворении Re_2Cl_6 в разб. КОН, непосредственно окисляется феррицианидом (I) до перрената. Потенциометрич. и кондуктометрич. титрованием р-ра Re_2Cl_6 дианидом и спектрофотометрич. исследованием р-ров установлено диспропорционирование $\text{Re}(3+)$, сопровождающееся протекающим во времени образованием двуядерного комплекса $[\text{Re}^{(2+)}(\text{CN})_4 \cdot \text{Re}^{(4+)}(\text{CN})_4]^{2-}$ (II), возможно содержащего также ионы Cl^- и OH^- ; при титровании II р-ром AgNO_3 наблюдаются 2 скачка, каждый из которых соответствует связыванию 4 ионов CN^- . Окисление 0,05 М II в 2 М KCN действием р-ра I протекает в 2 ступени: сначала образуется $[\text{Re}^{(3+)}(\text{CN})_4 \cdot \text{Re}^{(4+)}(\text{CN})_4]^-$ и затем $[\text{Re}^{(4+)}(\text{CN})_4 \cdot \text{Re}^{(5+)}(\text{CN})_4]^+$; 0,5 М II в 0,01 М КОН количественно окисляется действием I до $\text{Re}^{(5+)}$, так как отсутствует стабилизация $\text{Re}(4+)$ комплексобразованием. 0,001 М Re_2Cl_6 в 2 М NaCN количественно восстанавливается амальгамой Na до желтого цианокмплеса $\text{Re}(1+)$, окисляющегося действием I до комплекса $\text{Re}(5+)$ с промежуточным образованием комплексов $\text{Re}(2+)$ и $\text{Re}(3+)$. Нормальные потенциалы E_n^0 для комплексов $\text{Re}(1+)/\text{Re}(2+)$, $\text{Re}(2+)/\text{Re}(3+)$ и $\text{Re}(3+)/\text{Re}(5+)$ соответственно равны -690 , -445 и 145 мв. И. Р.

42919. О новых металлатах, содержащих кислород и фтор в качестве аддендов. Часть I. Шольдер. Часть II. Клемм (Über neue Metallate mit Sauerstoff und Fluor als Liganden. I. Teil. Scholder R. II. Teil. Klemm W.), Angew. Chemie, 1954, 66, № 16, 461—474 (нем.)

I. Соединения Cr(4+). Кипячением Cr_2O_3 -аэ с р-ром $\text{Ba}(\text{OH})_2$ получен $\text{Ba}_3(\text{Cr}(\text{OH})_6)_2 \cdot \text{H}_2\text{O}$ (I), окисляющийся содержащейся в нем водой при нагревании в N_2 выше 600° . Чистый Ba_3CrO_4 (II) получен прокаливанием смеси I и $\text{Ba}(\text{OH})_2$ в токе N_2 при 1000° . II медленно разлагается водой, растворяется в разб. HCl на холоду с диспропорционированием: $3\text{Cr}(4+) \rightarrow 2\text{Cr}(3+) + \text{Cr}(6+)$. Дебаграммы II и Ba_2TiO_4 идентичны. Прокаливанием смеси II с $\text{Ba}(\text{OH})_2$ ($\text{Ba} : \text{Cr} \geq 3$) и выщелачиванием избытка $\text{Ba}(\text{OH})_2$ метанолом получен Ba_3CrO_4 (III). Эфф. магнитный момент III $\mu = 2,82 \mu_B$, т. е. равен ожидаемому для Cr(4+). Sr_2CrO_4 (IV) получен нагреванием смеси $\text{SrCrO}_4 + \text{Cr}_2\text{O}_3 + 5\text{Sr}(\text{OH})_2$ при 800° и выщелачиванием избытка $\text{Sr}(\text{OH})_2$ метанолом. Микрокристаллич. порошок IV сходен по хим. свойствам с II. Соединения Cr(5+). $\text{Ba}_3(\text{CrO}_4)_2$ (V) получен окислением I воздухом при 1200° или нагреванием смесей BaCrO_4 и $\text{Ba}(\text{OH})_2$ или BaCO_3 в N_2 при 600 — 1000° . V разлагается водой и растворяется в к-тах с диспропорционированием на соединения Cr(3+) и Cr(6+). Величина μ соответствует теоретич. для Cr(5+). Дебаграммы V и $\text{Ba}_3(\text{PO}_4)_2$ сходны, но параметр решетки V несколько больше. Сходным методом из SrCrO_4 и SrCO_3 (или $\text{Sr}(\text{OH})_2$) получен $\text{Sr}_3(\text{CrO}_4)_2$ (VI). Прокаливанием смесей хроматов и гидроокисей в токе влажного N_2 получены $\text{Ba}_5(\text{CrO}_4)_3(\text{OH})$ (VII), устойчивый в сухом N_2 ниже 600° и в влажном N_2 — до 1000° , и $\text{Sr}_5(\text{CrO}_4)_3(\text{OH})$, хвещающийся в токе сухого N_2 выше 800° в VI. Нагреванием смеси теоретич. кол-в Li_2CrO_4 и Li_2O или Li_2CO_3 в токе N_2 при 700 — 800° получен Li_3CrO_4 , сходный по дебаграмме с Li_3VO_4 и Li_3MnO_4 . При медленном нагревании от 330 до 500° в токе N_2

протекает р-ция $\text{Na}_2\text{CrO}_4 + \text{Na}_2\text{S} \rightarrow \text{Na}_2\text{CrO}_4 + 1,5 \text{ N}_2$; дебаграммы продукта и Na_3MnO_4 идентичны. Соединения Mn(5+). При 500 — 830° протекает р-ция $3\text{K}_2\text{MnO}_4 = 2\text{K}_3\text{MnO}_4 + \text{MnO}_{1,8} + 1,0 \text{ O}_2$. Чистый K_3MnO_4 (VIII) получается сплавлением KMnO_4 или K_2MnO_4 (IX) с КОН, чистый Na_3MnO_4 — окислением смеси MnO_2 и NaOH, Li_3MnO_4 — нагреванием смеси LiMnO_4 и LiOH. VIII растворяется в 50%-р-ре КОН при 0° (в котором IX нерастворим), образует синий гидрат. VIII медленно разлагается в холодном спирте, содержащем КОН; в CH_3OH разлагается мгновенно. Li_3MnO_4 длительно сохраняется в 3%-ном р-ре LiOH при 0° и в абс. CH_3OH . Трудности технич. получения манганатов окислением сплавов MnO_2 и щелочей, в особенности для соли Na, объяснены образованием соединений Mn(5+). Na_2MnO_4 отщепляет O_2 в токе O_2 при 300° ; Na_3MnO_4 не окисляется как сухим так и влажным кислородом. IX устойчив при 600° ; VIII окисляется до IX влажным O_2 при 250° , сухой O_2 не окисляет VIII при 250 — 300° . Прокаливанием смесей окислов или гидроокисей Mn(2+) или Mn(4+) с BaO, Ba(OH)₂ или BaO₂ (с отношением Ba : Mn = 1,5) в O_2 при 800 — 900° получен $\text{Ba}_3(\text{MnO}_4)_2$ (X), образующийся также по протекающим при 900° в O_2 р-циям: $2\text{BaMnO}_4 + \text{Ba}(\text{OH})_2 = \text{X} + \text{H}_2\text{O} + 1/2 \text{ O}_2$ или $\text{BaMnO}_3 + \text{Ba}_2\text{MnO}_4 + 1/2 \text{ O}_2 = \text{X}$. Аналогично получен $\text{Sr}_3(\text{MnO}_4)_2$ (XI). Прокаливанием смесей Mn_2O_3 и BaO₂ в токе влажного воздуха получен $\text{Ba}_5(\text{MnO}_4)_3(\text{OH})$ (XII). При восстановлении горячего р-ра перманганата в конц. р-ре гидроокиси металла введением 10%-ного спирта осаждается $\text{Ba}_3(\text{MnO}_4)_2 \cdot \text{H}_2\text{O}$ и аналогичные соли Sr. Соединения Fe(4+). Ферриты $\text{Ba}_3[\text{Fe}(\text{OH})_6] \cdot \text{H}_2\text{O}$ (XIII) и $\text{Sr}_3[\text{Fe}(\text{OH})_6] \cdot \text{H}_2\text{O}$ (XIV) выделены из горячей смеси разб. р-ра $\text{Fe}(\text{ClO}_4)_3$ и конц. р-ра $\text{Ba}(\text{OH})_2$ или $\text{Sr}(\text{OH})_2$. Нагреванием в O_2 из смесей XIII и Ba(OH)₂ получены Ba_2FeO_4 и Ba_3FeO_5 , из смесей XIV и Sr(OH)₂ — Sr_2FeO_4 , из XIII — BaFeO_3 (XV). XV и SrFeO₃ получены также и прокаливанием: 1) смеси Fe_2O_3 с BaO, 2) BaFeO₄ и 3) SrFeO₄ в токе O_2 . При нагревании эти соединения легко растворяются в разб. к-тах, превращаясь в соли Fe(3+). BaFeO₄ при комнатной т-ре медленно, а при нагревании в 50%-ном р-ре КОН до 90° быстро распадается до черного $\cdot\text{BaFeO}_3$ -аэ. Получены также Li_2FeO_3 и Ag_2FeO_3 . Соединения Co(4+). Нагреванием смесей Co(OH)₂ и Ba(OH)₂ в O_2 до 1050° получены Ba_2CoO_4 и Ba_3CoO_5 . При 300 — 400° $\text{Ba}_2[\text{Co}(\text{OH})_4]$ окисляется до $2\text{CoO}_2 \cdot \text{BaO} \cdot 3\text{Ba}(\text{OH})_2$. Соединения V(4+). Прокаливанием смесей VO₂ и окислов металлов в высоком вакууме получены BaVO_3 , SrVO_3 , Ba_2VO_4 и Sr_2VO_4 ; повидимому существуют и BaV_2O_5 , SrV_2O_5 и Ba_3VO_5 . Рентгенографически установлено, что SrXO_3 (X — 4-валентный металл, неизвестны X = Cr, Co) кристаллизуются в типе перовскита; Ba_2XO_4 (кроме Ba_2MnO_4) кристаллизуются в типе Ba_2TiO_4 ; Ba_2MnO_4 и Sr_2XO_4 — в типе K_2NiF_4 . Ba_3XO_5 (X = V, Cr, Fe, Co) сходны по структуре с Ba_2TiO_5 . Соединения Mo(4+) и Mo(5+). Смесей молибдатов и гидроокисей при 700° образуют Ba_2MoO_5 (XVI) и Sr_2MoO_5 (XVII); аналогично получены Ba_2WO_5 и Sr_2WO_5 . Дебаграммы их и Ba_2TeO_5 идентичны. Вода мгновенно гидратирует их до нормальных солей 6-валентных металлов. Восстановлением молибдатов нагреванием в токе H_2 получены интенсивно окрашенные MMoO_3 (M = Mg, Ca, Sr, Ba) кристаллизующиеся по типу перовскита. Восстановлением XVI и XVII получены Ba_2MoO_4 и Sr_2MoO_4 . Соединения M(MoO₃)₂ (M = Mg, Ca, Sr, Ba) получены при 700 — 800° в N_2 по р-ции $\text{MMoO}_3 + \text{MoO}_3 = \text{M}(\text{MoO}_3)_2$. В расплавленном NaCl соединение Mo(4+) диспропорционируется на Mo(6+) и Mo, соединения Mo(5+) — на Mo(6+) и MoO₂. Прокаливанием смесей ZnO и карбонатов щел.-зем. металлов при 1100° получены BaZnO_2 , SrZnO_2 и Ba_2ZnO_3 ; аналогично получен BaCdO_2 ; CdO

в SrO с
довлен
и Ba₂Mn
смеси M
BaCoO₃
II. С
в токе
O₂ — в
друг в
ветстве
с анализ
с анализ
параме
соответ
Ba₃(As
и Ba₃(V
21,32
10,44
к-та
ответст
K₂O₇ и
K₂CoO₂
300—40
которого
Fe=1,
K₂FeO₄
μ=3,6—
диспро
компл
компл
ные и
K₂CrF₆
K, Rb
MRuF₆
0,5Ba
Cs), M
MAuF₆
(M = K
K₃HSe
K₃PbF₆
видуал
K₃PbF₆
фическ
Na₂Co
ролизу
сов Р
яснен
или б
Ni(4+)
PdF₆,
K₂NiF₆
компл
други
1,8),
CoF₆
при 2
(2,8),
тичес
=K,
ся в
K₃FeF₆
гексак
ные м
стует
триго
встр
превр
ная—
42920
ний
lity

и SrO образуют только смешанные кристаллы. Восстановлением BaMnO_3 и Ba_2MnO_4 в H_2 получены BaMnO_2 и Ba_2MnO_3 ; из аналогичных соединений Sr образуются смеси MnO и SrO. Из окислов Ba и Co синтезирован BaCo_2 .

II. Смеси BaO_2 и любого окисла Mn при нагревании в токе сухого O_2 превращаются в X, в токе влажного O_2 — в XII (тип апатита). X и XII легко превращаются друг в друга нагреванием в токе влажного или соответственно сухого O_2 . X образует смешанные кристаллы с аналогичными соединениями P, As, V, Cr, а XII — с аналогичными соединениями R и V. Приведены параметры гексагональных элементарных ячеек (в кХ): соответственно а и с; $\text{Ba}_3(\text{PO}_4)_2$ 5,59 и 20,96; $\text{Ba}_3(\text{AsO}_4)_2$ 5,76 и 21,15; $\text{Ba}_3(\text{VO}_4)_2$ 5,77 и 21,24; V 5,73 и 21,32; X 5,70 и 21,40; $\text{Ba}_5(\text{PO}_4)_3(\text{OH})$ 10,19 и 7,59; $\text{Ba}_5(\text{VO}_4)_3(\text{OH})$ 10,44 и 7,95; VII 10,44 и 7,84; XII 10,44 и 7,74; $\text{Sr}_5(\text{MnO}_4)_3(\text{OH})$ 9,94 и 7,42. Оцененные из этих данных радиусы ионов, V^{5+} , Cr^{6+} и Mn^{6+} равны соответственно 0,48; 0,46 и 0,45 Å. Нагреванием смесей K_2O и окислов металлов в O_2 получены диамагнитный KCuO_2 , парамагнитный K_2NiO_3 и $\text{KCoO}_{2,8-2,9}$. При $300-400^\circ$ и 50 атм O_2 получен KCoO_3 , рентгенограмма которого и $\text{KCoO}_{2,86}$ идентичны. При отношениях K: Fe = 1, 2 или 3 и t-рах 450, 150 и 450° получены KFeO_2 , K_2FeO_4 и K_3FeO_4 (XIX). Магнитный момент XIX $\mu = 3,6-3,7 \mu_B$; это соединение $\text{Fe}(5+)$; в водн. р-ре оно диспропорционирует на $\text{Fe}(\text{OH})_3$ и FeO_4^{2-} . Во фторокомплексах валентности могут быть ниже, чем в оксокомплексах. Действием F_2 на смеси солей или на двойные или комплексные соли получены KVf_6 , K_2Vf_6 , K_2CrF_6 , K_2MnF_6 , BaMnF_6 , K_3FeF_6 , M_3CoF_6 (M = Na, K, Rb, Cs), M_2NiF_6 (M = K, Rb, Cs), K_3NiF_6 , K_3CuF_6 , MRuF_6 (M = K, Rb, Cs), M_2RuF_6 (M = K, Rb, Cs, 0,5Ba), M_2RhF_6 (M = K, Rb, Cs), M_2PdF_6 (M = K, Rb, Cs), M_2AgF_6 (M = K, Cs), K_2AgF_6 (?), Cs_2AgF_6 (?), BaPtF_6 , MAuF_6 (M = K, Cs), MAuF_2Cl_2 (M = K, Cs), M_2AuF_6 (?), (M = K, Cs), M_2SnF_6 (M = K, Rb, Cs, 0,5Ba), K_3HSnF_6 , M_2PbF_6 (M = K, Rb, Cs, 0,5Ba, 0,5Sr), K_3PbF_7 и K_3HPbF_6 . (Знаком (?) отмечены в-ва, индифференциальность которых не доказана достаточно). K_3PbF_7 кристаллизуется в куб. сингонии и рентгенографически сходен с K_3ZrF_7 и K_3HfF_7 . Получен Na_3CoF_6 , но не Na_2NiF_6 . Большая часть комплексов гидролизуетс водой. Энергичный гидролиз фторокомплексов Pd, Ru и Au (отличие от хлорокомплексов) объяснен худшим экранированием центрального атома или более ионным характером связи. Фторокомплексы $\text{Ni}(4+)$ и $\text{Cu}(3+)$ окисляют воду до O_2 . KVf_6 , Cs_2PdF_6 , KAgF_4 , CsAuF_4 и K_2NiF_6 диамагнитны; K_2NiF_6 является единственным известным фторидным комплексом внедрения. Значения μ (в μ_B) для ряда других комплексов приведен в скобках: K_2VF_6 (1,5—1,8), K_2CrF_6 (2,8), BaMnF_6 (3,9), K_3FeF_6 (6,0), K_3CoF_6 (5,3), K_3NiF_6 (2,12 при 90° , 2,26 при 195° , 2,51 при 295°), K_3CuF_6 (2,8), KRuF_6 (3,5—4,1), BaRuF_6 (2,8), K_2RhF_6 (1,7); значения μ сопоставлены с теоретическими. KVf_6 , BaMnF_6 , BaRuF_6 , MRuF_6 (M = K, Rb, Cs), BaPtF_6 , BaSnF_6 и BaPbF_6 кристаллизуются в типе BaGeF_6 ; K_3CoF_6 , K_3NiF_6 и K_3CuF_6 — в типе K_2FeF_6 . M_2XF_6 могут кристаллизироваться в куб., гексагональной или тригональной решетках. Увеличение мол. объема и переход от солей K и Rb к Cs способствует переходу: куб. сингония \rightarrow гексагональная \rightarrow тригональная. В средней области молярных объемов встречаются все 3 формы. Повышенит-ры способствует превращению: тригональная сингония \rightarrow гексагональная \rightarrow кубическая.

И. Р.

42920. Устойчивость внутрикомплексных соединений с гистамином. Миккел, Андреус (Stability of the histamine chelates. Mickel B. L.,

Andrews A. C.), J. Amer. Chem. Soc., 1955, 77, № 20, 5291—5292 (англ.)

Ступенчатые константы нестойкости циклич. комплексов соединений металлов с гистамином (Hn) определены потенциометрич. методом Бьеррума. Максим. число присоединяемых молекул Hn для Cu^{2+} равно 2, для Ni^{2+} и Co^{2+} равно 3. Значения логарифмов констант K_1 , K_2 и K_3 , отвечающих равновесиям: $\text{MnH}^{2+} \rightleftharpoons \text{M}^{2+} + \text{Hn}$, $\text{MnH}_2^{2+} \rightleftharpoons \text{MnH}^{2+} + \text{Hn}$ и $\text{MnH}_3^{2+} \rightleftharpoons \text{MnH}_2^{2+} + \text{Hn}$, равны при 25° и ионной силе $\mu = 0,135$ соответственно 9,55 и 6,48 для Cu^{2+} ; 6,88; 5,03 и 3,09 для Ni^{2+} ; 5,27; 3,68 и 2,03 для Co^{2+} . Авторы считают, что большее различие между двумя ступенчатыми константами CuHn_2^{2+} по сравнению с NiHn_2^{2+} и CoHn_2^{2+} указывает на наличие стерич. препятствий образованию плоской квадратной конфигурации. На этом основании авторы принимают, что имидазольные группы в CuHn_2^{2+} находятся в транс-положении друг относительно друга, в отличие от комплексов NiHn_2^{2+} и CoHn_2^{2+} . Оценены значения ΔF и ΔS ступенчатого образования CuHn_2^{2+} (-7 ккал/моль и 12 энтр. ед.) и NiHn_2^{2+} (-4 ккал/моль и 10 энтр. ед.).

Л. В.

42921. Изучение образования комплексов методом распределения между двумя жидкостями. Применение к некоторым ацетилацетонатным комплексам актинидов. Рюдберг (Studies of complex formation by means of a liquid-liquid distribution method. Application to some actinide complexes of acetylacetonate. Rydberg Jan), Svensk kem. tidskr., 1955, 67, № 11, 499—512 (англ.)

Обзор главным образом работ автора, посвященный методам определения состава и ступенчатых констант образования комплексов из измерений распределения между водной и несмешивающимися с водой органич. фазами, а также применению этих методов для исследования ацетилацетонатов $\text{Th}(4+)$, $\text{U}(4+)$, $\text{U}(6+)$ и $\text{Pu}(4+)$. Приведенные значения ступенчатых и полных констант образования комплексов сопоставлены с данными, получ. другими методами. И. Р.

42922. Неорганическая химия. Сексадентатные адденды. Цутида, Накаха (無機化学. 六座配位子. 堀田龍太郎, 中原昭次), 科学, Kagaku, Chemistry (Kyoto), (1955, 10, № 11, 2—4 (япон.) Обзор за 1954 год. Библ. 9 назв. В. Ш.

42923. Общие соображения об использовании полярографических данных для изучения комплексных ионов. Папов, Калиуми (Considerazioni generali sulla utilizzazione dei dati polarografici nello studio degli ioni complessi. Papoff Paolo, Caliumi Maria), Gazz. Chim. ital., 1954, 84, № 10, 1006—1024 (итал.)

Подробно рассматривается использование полярографич. данных для изучения комплексных ионов в р-ре. Излагается последовательность операций, необходимых для вычисления констант устойчивости комплексов. Особое внимание уделено вычислению поправок на величину ионной силы р-ра. В. Ш.

42924. Спектрофотометрическое определение устойчивости внутрикомплексных соединений металлов с этилендиаминтетрауксусной кислотой. Хьюз, Мартелла (Spectrometric determination of the stabilities of ethylenediaminetetraacetate chelates. Hughes Vincent L., Martell Arthur E.), J. Phys. Chem., 1953, 57, № 7, 694—699 (англ.)

С применением описанного ранее (Plumb R. C., J. Phys. Chem., 1950, 54, 12,8; Martell A. E., Plumb R. C., J. Phys. Chem., 1952, 56, 993) спектро-

фотометрич. метода определены относительные константы устойчивости комплексов $\text{Cu}(2+)$, $\text{Pb}(2+)$, $\text{Co}(2+)$, Zn и Cd с этилендиаминтетрауксусной к-той в р-рах, содержащих ClO_4^- и NO_3^- . Абс. значения констант устойчивости K получены в результате сопоставления найденных величин с измеренной спектрофотометрически для комплекса Ni . Найдены значения $\lg K$ для комплексов: Ni 17,5; Cu 17,8; Pb 17,2; Co 15,4; Zn 15,3; Cd 15,0 (приведены данные для хлорнокислых р-ров; в азотнокислых р-рах значение $\lg K$ отличается только для Pb 16,8). А. Н.

42925. Некоторые вопросы циклообразования в комплексных соединениях. Рубинштейн А. М., Дербишер Г. В., Изв. Сектора платины ИОНХ АН СССР, 1955, вып. 31, 120—144

Обзор. Библ. 59 назв. В. Ш.
42926. Химия координационных соединений этилендиаминтетрауксусной кислоты. Нимура (ЕДТАの配位化学. 新村陽一), 科学, Кагаку, Chemistry (Kyoto), 1955, 10, № 11, 62—67 (япон.)

Обзор. Библ. 20 назв. В. Ш.
42927. Определение строения комплексных солей. Цутида (錯鹽の構造決定. 樋田龍太郎), 科学, Кагаку, Chemistry (Kyoto), 1955, 10, № 3, 74—79 (япон.) Обзор. В. Ш.

42928. Оптические методы исследования комплексных соединений в растворах. Витекова, Витек (O optycznych badaniach związków kompleksowych w roztworach. Witekowa Stanisława, Witek Tadeusz), Wiadom. chem., 1955, 9, № 3, 151—164 (польск.)

Обзор. Библ. 32 назв. В. С.

42929. Реакция между аммиаком и сероуглеродом под давлением. I. Условия образования роданида аммония. Кодама, Фукусима, Нагаи, Носэ, Накадзима, Фукуи. II. Теоретическое рассмотрение процесса образования NH_4SCN . Кодама, Фукусима, Фукуи (加圧下に於けるアンモニアと二硫化炭素との反応に関する研究。第1報. ロダンアンモニアの生成条件. 児玉信次郎, 福島達, 永井外志昭, 能勢伸治, 中島純, 福井謙一. 第2報. ロダンアンモニア生成反応に於ける理論的取扱について. 児玉信次郎, 福島達, 福井謙一), 工業化学雑誌, Koré ka-gaku dzassi, J. Chem. Soc. Japan Industr. Chem. Sec., 1953, 56, № 4, 237—241; № 6, 396—397 (япон.)

I. В результате исследования р-ции между NH_3 и CS_2 в автоклаве при 110° авторы пришли к выводу, что механизм р-ции можно описать ур-ниями: $4\text{NH}_3 + 2\text{CS}_2 = \text{NH}_4\text{SCN} + (\text{NH}_4)_2\text{CS}_3$; $(\text{NH}_4)_2\text{CS}_3 = \text{NH}_4\text{SCN} + 2\text{H}_2\text{S}$; $\text{NH}_3 + \text{H}_2\text{S} = \text{NH}_4\text{HS}$.

А. Н.
II. Сделана попытка теоретически рассмотреть р-цию NH_3 с CS_2 в отсутствие р-рителя. Подтвержден механизм р-ции, предложенный в сообщении I.

Chem. Abstr., 1954, 48, № 19, 1137. Katsuya Jnouye.
42930. О дегидратации нитрата калия. Ланицкий А. В., Пашинкин А. С., Вестн. Моск. ун-та, 1955, № 10, 91—95

При высушивании над CaCl_2 или конц. H_2SO_4 гексаниобат калия $7\text{K}_2\text{O} \cdot 6\text{Nb}_2\text{O}_5 \cdot 27\text{H}_2\text{O}$ (I) в течение 35 суток теряет несколько более 14 молей H_2O на моль I. При нагревании в изотермич. условиях I теряет 11,76 молей H_2O при 47° , 25,61 при 224° и 26,75 при 420° . В интервале $225-318^\circ$ содержание H_2O в I не изменяется; остающиеся в этих условиях 1—2 молекулы H_2O связаны особенно прочно. Полная дегидратация I происходит в интервале $318-420^\circ$. Н. П.

42931. Изучение реакций тетрационатов и пентационатов при помощи радиоактивной серы. Бродский А. И., Еременко Р. К., Докл. АН СССР, 1955, 101, № 3, 487—490

$\text{K}_2\text{S}_4\text{O}_6$ получался: 1) действием р-ра $\text{S}_2^{35}\text{Cl}_2$ в петр. эфире на водн. р-р SO_2 ; 2) действием спирт. р-ра пода

на водн. р-р $\text{K}_2\text{S}^{35}\text{SO}_3$; 3) из р-ров SO_2 и S^{35}SO_2 в присутствии As_2O_3 . Для получения $\text{Na}_2\text{S}_4\text{O}_6$ конц. HCl приливалась к р-ру $\text{Na}_2\text{S}^{35}\text{SO}_3 + \text{Na}_3\text{AsO}_3$. Методика разложения препаратов и измерения активности описана ранее (РЖХим, 1955, 9216). Распределение S^{35} отвечает следующим механизмам р-ций. В р-ции 1) атомы Cl замещаются сульфитными группами, вероятно, с промежуточным образованием тиосернистой кислоты: $\text{S}_2\text{Cl}_2 \rightarrow \text{S}_2(\text{OH})_2 \rightarrow \text{S}_2(\text{SO}_3)_2^{2-}$. В р-ции 2) непосредственно сояляются две тиосульфатные группы, а I служит окислителем $2\text{S}_2\text{O}_3^{2-} + \text{I}_2 \rightarrow \text{S}_4\text{O}_6^{2-} + 2\text{I}^-$. Для р-ции 3) подтвержден предложенный ранее механизм (см. ссылку). В р-ции образования $\text{Na}_2\text{S}_5\text{O}_6$ атом сульфидной серы от $\text{S}_2\text{O}_3^{2-}$ связывает две другие группы $\text{S}_2\text{O}_3^{2-}$, причем As^{3+} служит переносчиком S . Все рассмотренные р-ции идут путем перемещения не атомов S , но групп SO_3 и S_2O_3 . Происходит также обмен S между тиосульфатом и политионатами. Это подтверждает выводы предыдущей работы (см. ссылку) и представления Д. И. Менделеева (ЖРХО, 1870, 1, 270) о р-циях политионатов и их строения из неразветвленных полисульфидных цепочек с группами SO_3 на концах. А. Б.

42932. Действие горячей воды на некоторые полевые шпаты. Мори, Чжэнь (The action of hot water on some feldspars. Morey George W., Chen William T.), Amer. Mineralogist, 1955, 40, № 11—12, 996—1000 (англ.)

Образцы полевых шпатов подвергались действию горячей воды и изучались рентгенографически и с помощью петрографич. микроскопа. При 350° и $\sim 350 \text{ кг/см}^2$ ортоклаз и альбит содержали 90% растворимых продуктов; при 200° и $\sim 140 \text{ кг/см}^2$ и 100° и $\sim 2,8 \text{ кг/см}^2$ альбит разлагался в большей степени. В. Ш.

42933 К. Неорганическая химия. Изд. 5-е. Ремм (Grundriss der anorganischen Chemie. 5. Aufl. Remy Heinrich. Leipzig, Akad. Verl. Ges., 1955, XVIII+328, ill., 8.65 DM) (нем.)

42934 Д. Изучение разделения сульфатов титана и железа экстракцией растворителями. Брайтбилл (Studies of the separation of titanium and iron sulfates by solvent extraction. Brightbill Edgar Nixon. Doct. diss. Univ. Pennsylvania, 1955), Dissert. Abstrs., 1955, 15, № 5, 773 (англ.)

42935 Д. О растворении монаита в щелочах и об использовании гидролиза для отделения тория и церия от редкоземельных элементов. Лох (Über den alkalischen Aufschluß von Monazit und die Anwendung der Hydrolyse zur Trennung des Thoriums und Cers von den Seltenen Erden. Loch Werner.—Diss., F. f. allg. Ingenieurwiss., T. U., Berlin, 1954, Maschinenschr.), Dtsch. Nationalbibliogr., 1955, B, № 19, 1371 (нем.)

42936 Д. Аморфные фазы мышьяка и сурьмы и катализ их кристаллизации. Ломюллер (Die amorphen Phasen der Elemente Arsen und Antimon und die Katalyse ihrer Kristallisation. Lohmüller Ulrich. Diss., Math.-naturwiss. F., Bonn, 1954), Dtsch. Nationalbibliogr., 1955, B, № 19, 1371 (нем.)

42937 Д. О природных фосфатах и арсенатах типа $\text{A}^{III}(\text{XO}_4) \cdot 2\text{H}_2\text{O}$. Вейнер Über natürliche Phosphate und Arsenate vom Typ $\text{A}^{III}(\text{XO}_4) \cdot 2\text{H}_2\text{O}$. Weiner Karl Ludwig. Diss. Math.-naturwiss. F., Bonn., 1954, 156, Maschinenschr., Dtsch. Nationalbibliogr., 1955, B, № 19, 1378 (нем.)

42938 Д. О каталитическом получении полисульфидов из дисульфидов и серы. Шток (Über die katalytische Darstellung von Polysulfiden aus Disulfiden und Schwefel. Stock Rudolf. Diss., Math.—

- naturwiss. F., Bonn, 1954), Dtsch. Nationalbibliogr., 1955, B, № 19, 1375 (нем.)
- 42939 Д. О серусодержащих соединениях со структурой адамантана. Краузе (Zur Kenntnis der schwefelhaltigen Verbindungen mit Adamantan-Struktur. — Krause Horst—Jürgen. Diss., Math.—naturwiss. F., Bonn, 1954, Maschinenschr.), Dtsch. Nationalbibliogr., 1955, B, № 19, 1369 (нем.)
- 42940 Д. Об амидах $\text{Co}(3+)$ и $\text{Cr}(3+)$ и их продуктах разложения. Крон (Zur Kenntnis des Kobalt $\langle\text{III}\rangle$ —und Chrom $\langle\text{III}\rangle$ —amids sowie ihrer Abbauprodukte. Kron Norbert. Diss., Math.—naturwiss. F., Bonn, 1954, Maschinenschr.), Dtsch. Nationalbibliogr., 1955, B, № 19, 1370 (нем.)
- 42941 Д. Реакции соединений тяжелых металлов общей формулы $(\text{R}-\text{S})_2\text{M}^{\text{II}}$ с серой. Фасбендер (Die Reaktion von Schwermetallverbindungen der allgemeinen Form $(\text{R}-\text{S})_2\text{M}^{\text{II}}$ mit Schwefel. Faßbender Herbert. Diss., Math.—naturwiss. F., Bonn, 1954, Maschinenschr.), Dtsch. Nationalbibliogr., 1955, B, № 19, 1366 (нем.)
- 42942 Д. К теории окисления металлов. Ильшер (Zur Theorie der Oxydation von Metallen. Ilshner Bernhard. Diss., Math.—naturwiss. F., Bonn, 1954, Maschinenschr.), Dtsch. Nationalbibliogr., 1955, B, № 19, 1369 (нем.)

См. также: Строение и св-ва молекул и кристаллов 42339, 42374, 42387, 42388, 42390, 42395, 42397—42399, 42606, 43903. Кинетика и механизмы неорг. реакций 42650, 42656, 42657, 42681, 42683. Комплексные соед. 42291—42293, 42313, 42315—42319, 42367, 42405, 42406, 42619, 43463, 43492, 43519. Др. вопр. 42178, 42193

КОСМОХИМИЯ. ГЕОХИМИЯ. ГИДРОХИМИЯ

42943. О концентрации окиси углерода в атмосфере Земли над Юнгфрауйох (Швейцария) Бенеш, Мижотт, Невен (Sur l'abondance du monoxyde de carbone tellurique au Jungfraujoch (Suisse). Benesch W., Migeotte M., Neven L.), J. phys. et radium, 1954, 15, № 3, 213—215 (франц.)
- В 1950—1951 гг. ИК-спектр Солнца снимался в Юнгфрауйох. Район наблюдения мало индустриален и удален от всех источников CO , связанных с человеческой деятельностью. Удалось измерить действительные изменения концентрации атмосферного CO ($\lambda=4,6 \mu$) по месяцам. При этом флуктуации явно превышают ошибки наблюдений. Наблюдения представлены графически. Авторы дают возможные объяснения этих явлений в существовании потоков CO в атмосфере Земли. Существование границ между областями воздуха, содержащими и не содержащими CO , подтверждается некоторыми метеорологич. данными. З. В.
42944. Замечания о высоте слоя натрия, влияющего на сумеречное излучение. Робле (Remarques sur l'altitude de la couche de sodium responsable de l'émission crépusculaire. Robley R.), Ann. géophys., 1954, 10, № 1, 41—46 (франц.)
- В конце лета 1949 г. в Гренландии были проведены работы по определению высоты слоя натрия. Для этого регистрировали изменение интенсивности желтой D-линии, излучаемой этим слоем, в зависимости от угла погружения Солнца за горизонт. Исследование кривых спада интенсивности сумеречной D-линии указывает на возможность применения для определения высоты слоя натрия метода зенита — горизонта. Приведены теоретич. кривые, которые хорошо совпадают с экспериментальными, снятыми в различные дни утром и вечером. З. В.
42945. Распределение температуры внутри земного ядра. Аффен, Майсер (Temperature distribution within the earth's core. Uffen R. J., Miesner A. D.), Nature, 1954, 173, № 4397, 259—260 (англ.)
- С появлением метода оценки т-ры плавления железа под высоким давлением (РЖХим, 1955, 216) оказалось возможным оценить т-ру на границе силикатной оболочки и железного ядра. На этой границе должен существовать резкий перепад т-ры плавления в-ва оболочки и ядра; при этом в процессе остывания в-ва Земли затвердевание начнется со дна силикатной оболочки и распространится к поверхности. При значительном охлаждении начнется затвердевание ядра от центра к периферии. Определяя границу отвердевшей части железного ядра и принимая т-ру плавления на этой границе за действительную, можно оценить т-ру на границе силикатной оболочки методом экстраполяции, зная адиабатич. градиент т-ры. Можно утверждать независимо от предыдущей термальной истории Земли, что действительная т-ра на границе силикатной оболочки и железного ядра лежит в пределах т-ры их плавления в этой области, т. е. между 5000 и 3000° К. И. З.
42946. Исследование атмосферного озона. Каримов М. Г., Изв. Астрофиз. ин-та АН КазССР, 1, № 1—2, 214—218
- В 1949 г. на Горной обсерватории Астрофизич. ин-та КазССР были проведены опыты по определению эффективной толщи слоя озона. Измерения производились с помощью кварцевого спектрографа в крайней УФ-части спектра (3300—3000 Å). Приведено описание спектрографа. После обработки многих измерений получено среднее значение толщи слоя озона $x=0,305 \text{ см}$. З. В.
42947. Радиоактивность в геологии и космологии. Коман, Саито (Radioactivity in geology and cosmology. Kohman Truman P., Saito Nobufusa), Annual Rev. Nuclear Sci., 4, Stanford, Calif., 1954, 401—462 (англ.)
- Обзор. Библ. 592 назв. В. Ш.
42948. Определение содержания Ar и He в железных метеоритах. Гентнер, Церингер (Argon- und Heliumbestimmungen in Eisenmeteoriten. Gentner W., Zähringer J.), Z. Naturforsch., 1955, 10a, № 6, 498—499 (нем.)
- Определено содержание и изотопный анализ Ar и He в 4 железных метеоритах. Газы выделялись плавлением проб в высокочастотной печи. Содержание Ar^{36} варьировалось в пределах $(0,25-6,9) \cdot 10^{-6} \text{ см}^3/\text{г}$. Содержание He $\sim (0,4-9,6) \cdot 10^{-6} \text{ см}^3/\text{г}$. Отношение $\text{He}^3:\text{He}^4$ варьировалось от 0,11 до 0,22. Отношение $\text{Ar}^{36}:\text{Ar}^{39}$ было приблизительно постоянным для всех метеоритов и составило 1,7; для воздуха оно равно 0,187. Измерения показали, что с точностью до 0,2% отношение $\text{Ar}^{36}:\text{He}^3$ сохранялось постоянным, что указывает на общий источник их происхождения. Под действием космич. лучей в среднем на 100 атомов He^3 возникает 10 атомов $(\text{Ar}^{36}+\text{Ar}^{39})$. Предполагая, что в среднем из ядра железа испаряется 8 частиц, причем на долю $\text{He}^3+\text{He}^4+\text{He}^3$ приходится 37%, а остальные составляют нейтроны и протоны, можно сделать вывод, что максим. выход осколков будет в области масс Ar,

выход других элементов резко снижен и составит $\sim 10^{-10}$ от массы метеорита. В частности выход изотопов Nb будет в 5 раз меньше, чем As^{76} . И. З.

42949. О некоторых смежных вопросах космогонии и геологии. Эйгенсон М. С., Уч. зап. Львовск. ун-та, 1954, 31, № 7, 116—125

Дискуссионная статья, посвященная теории О. Ю. Шмидта.

42950. Роль изотопов в геохимических процессах. Силверман (Nuevas ideas sobre la aplicacion de los isotopos a la interpretacion de los procesos geoquimicos. Silvermann Gol A.), Estudios geol., 1954, № 22, 245—252 (исп.)

42951. Поиски месторождений урана и тория аэро-радиометрическими методами и интерпретация гамма-аномалий. Баранов В. И. В сб.: Исследования в области геологии, химии и металлургии. М., Изд-во АН СССР, 1955, 11—20

При испытании аэроионизационного и аэро-гамма методов получил применение последний. Для интерпретации используются обобщенные законы распространения γ -излучения. Увеличение чувствительности приемника к полезному излучению достигается применением сцинтилляционного и газонаполненных счетчиков с катодом из тяжелых металлов. Разделение с самолета урановых и ториевых аномалий производится уверенно, если объекты создают достаточно интенсивное γ -поле на высоте полета. Большая часть аномалий не связана с месторождениями, представляющими промышленный интерес. Обработка бесперспективных аномалий производится для каждого района на основании местных признаков, устанавливаемых опытным путем. Аномалии, представляющие интерес, проверяются надежными геофиз. методами и др. Приводятся геологич. характеристики возможно перспективных аномалий.

А. П.

42952. Содержание радия в образцах горных пород рудника Колар. Венкитасубраманиян. (Radium contents of rock specimens from Kolar mines. Venkitasubramanian V. S.), J. Scient. and Industr. Res., 1953, 12B, № 6, 267—270 (англ.)

42953. Радиоуглеродное датирование древнего крепостного вала Паталипутры. Чаттерджи, Гхош Киснасами, Бандьопадхояй (Radio-carbon dating of ancient Pataliputra rampart. Chatterjee S. D., Ghosh N. N., Kishnasamy S., Bandyopadhyay K. G.), Sci. and Culture, 1955, 20, № 12, 615—617 (англ.)

Описан метод определения возраста реликвий древности путем счета активности C^{14} . Датированный образец после хим. подготовки по методу Либби превращался в чистый, твердый углерод, который наносился на половину внутренней поверхности цилиндра сеточно-стенного счетчика. Фон счетчика снижался до 5 имп/мин за счет железной защиты толщиной в 20 см и кольца из 11 счетчиков космич. лучей, включенных по схеме антисовпадений с углеродным счетчиком.

Э. Д.

42954. Радиоактивность включений в кварце. Хайтле (Radioactivity in quartz inclusions. Huntley H. E.), Nature, 1955, 176, № 4495, 1229—1230 (англ.)

Пластинки кварца с включениями размером 10—300 μ , содержащие жидкие и газообразные фазы, покрывались светочувствительной эмульсией. Через шесть месяцев были обнаружены тропи α -частиц. Наиболее длинный $>40 \mu$ испускают ядра ThC^* .

А. П.

42955. Об открытии урана в фосфатах Марокко. Ленобль, Сальван, Циглер (Sur la découverte de l'uranium dans les niveaux phosphatés du Maroc. Lenoble André, Salvan Henri, Ziegler Valéry), C. r. Acad. sci., 1954, 238, № 17, 1720—1721 (франц.)

Начиная с 1934 года в фосфатах ряда районов было открыто присутствие U в форме ванадатов, близких к карнотиту, тьямуниту, ферганиту. В более древних пластах фосфатов конц-ия U возрастает. Предварительные лабор. исследования обнаружили содержание урана в различных пластах в кол-ве 0,01—0,06%.

В. Б.

42956. Поиски урановых месторождений радиогидро-геологическим методом. Германов А. И., Сауков А. А. В сб.: Исследования в области геологии, химии и металлургии. М., Изд-во АН СССР, 1955, 3—10

Метод основан на изучении ореолов рассеяния U и продуктов его распада в природных водах. Лучшие результаты дает сам U. Содержание U в природных водах от $n \cdot 10^{-8}$ —до $n \cdot 10^{-2}$ г/л. За счет урановых месторождений содержание составляет $n \cdot 10^{-6}$ — $n \cdot 10^{-3}$ г/л до $n \cdot 10^{-2}$ г/л и зависит от длины и характера пути вод. Исследования включают: отбор проб воды, определение содержания радиоактивных элементов, интерпретацию данных, включающую установление натурального гидрогеохим. фона и выявление на нем аномалий. Натуральный фон устанавливается для вод каждого типа пород, отдельных климатических зон, времени года и т. п. Колебания фона от $n \cdot 10^{-6}$ до $n \cdot 5 \cdot 10^{-4}$ г/л. Оценка аномалий должна проводиться с учетом всех известных геологич. данных. Для районов с U-месторождениями учитывается и характер руд. Так, превышение натурального фона на полпорядка-порядок возможно для плотных смоловых руд, большее — для рыхлых черневых. Для пород с резко восстановительной обстановкой выявление аномалий ведут по Ra и Rn.

А. П.

42957. Об уране в Японии. Усик (ウランは 何處へ. 牛来正夫), 自然, Сидзэн, 1955, 10, № 4, 20—24 (япон.)

42958. Исправление к статье «Геохимия изотопов. Доклад на общем собрании АН СССР 1 февраля 1954 г.» Виноградов А. П., Изв. АН СССР, сер. геол., 1954, 4, 143

К РЖХим, 1955, 23552.

42959. Два ураносодержащих пегматита в графстве Сан-Бернардино, Калифорния. Хьюэтт, Гласс (Two uranium-bearing pegmatite bodies in San Bernardino county, California. Hewett D. F., Glass Jewell J.), Amer. Mineralogist, 1953 38, № 11—12, 1040—1050 (англ.)

Описаны 2 недавно открытых месторождения урановых руд с редкими для Америки минералами: бетафитом и эвксенитом. С первым ассоциируют цитролит и ниобиевый анатаз, со вторым монацит, ортит, рутил, сфен и неизвестный радиоактивный минерал, по составу близкий к давидиту (группа фергусонита). Выполнены спектральные анализы бетафита, эвксенита, цитролита, анатаза и неизвестного минерала. Из соотношения $\text{Rb}^{206}:\text{U}^{238}$ в бетафите и эвксените возраст пегматитов определен в 155 млн. лет, что соответствует средней юре.

Г. В.

42960. Некоторые термодинамические соотношения между окислами ванадия и их связь с состоянием окисления урановых руд плато Колорадо. Гаррелс (Some thermodynamic relations among the vanadium oxides, and their relation to the oxidation state of the uranium ores of the Colorado plateaus. Garrels Robert M.), Amer. Mineralogist, 1953, 38, № 11—12, 1251—1265 (англ.)

Определены поля устойчивости различных окислов V в водн. р-рах. Для существования V_2O_5 необходимо, чтобы его окислительный потенциал был ниже предела устойчивости воды. V_2O_5 (соответствующий минералу монрозиту $\text{V}_2\text{O}_5 \cdot \text{H}_2\text{O}$) существует совместно с сульфидами (пирит, галенит) и окисляется до V_2O_4 одновре-

менно с их переходом в сульфаты. Границы между V_2O_4 и V_2O_5 не установлены. Интерпретация полученных данных по полям устойчивости окислов ванадия может быть направлена на решение вопросов генезиса карнотитовых и «сине-черных» урановых руд. Г. В. 42961. Проблемы минералогии и геохимии. Сауков А. А., Вестн. АН СССР, 1954, № 7, 77—79

Краткое сообщение о Всес. совещании по минералогии и геохимии, созванном отд. геол.-географ. наук АН СССР в Москве в апреле 1954 г. Б. Р. 42962. Учение о геохимической миграции элементов.

Часть I. Подвижность ионов и ее геохимическая и геологическая роль. Часть II. Выделение магматических провинций. Садецкий-Кардош (Studien über die geochemische Migration der Elemente. I. Teil. Die Ionenwichte und ihre geochemisch geologische Rolle. II. Teil. Die Absonderung der Magmaprovinzen. Szadeczky-Kardoss E.), Acta geol. hung., 1953, 2, № 1—2, 135—167 (нем.)

42963. Очерк метасоматических процессов. Коржинский Д. С. В сб.: Основные проблемы в учении о магматогенных рудных месторождениях, М., Изд-во АН СССР, 1953, 332—452

Анализ составов горных пород и руд метасоматич. происхождения с помощью правила фаз показывает, что процессы минералообразования происходили в условиях систем с инертными и вполне подвижными компонентами (К). Средой, через которую передвигались К замещаемой породы, служат поровые р-ры. Соответственно двум типам перемещения К различаются: диффузионный и инфильтрационный метасоматоз (М), из которых основным является второй. Факторами равновесия при М являются т-ра, давление порового р-ра, объем породы, содержание инертных К и конц-ия (или активности) вполне подвижных К. При инфильтрационном М возникающие зоны имеют резкие границы и постоянный состав, тыловые зоны надвигаются на передние, кол-во инертных К и соответственно устойчивых минералов уменьшается вплоть до образования мономинер. зоны. Исходный состав породы сильно влияет на порядок относительной подвижности К, так же как и растворимость, являющаяся функцией т-ры, давления и рН. М магматич. стадии тесно связан с гранитизацией и с образованием приконтактовых роговиков (фельдшпатизация, биотитизация и амфибололизация). Послематматич. М подразделяется на раннещел., кислотную и позднщел. стадии. С раннещел. стадией связан простой М с привносом Са (нирмекитизация) или Mg (биотитизация, амфибололизация, уралитизация) и контактово-реакционный М (биметасоматоз и контактово-инфильтрационный М), развивающийся на границе двух химически отличных пород. Биметасоматоз обусловлен диффузией в р-рах, движущихся вдоль контакта. Контактново-реакционные явления разделяются на связанные с контактами: 1) известняков (скарновые зоны большинства скарново-рудных месторождений), 2) доломитов (скарново-рудные, флогопитовые и лазуритовые месторождения) и гипербазитов (корундовые, нефритовые и др.). Большинство скарнов биметасоматич., но орудуение обычно бывает связано со скарнами контактово-инфильтрационными, в трещинных зонах. Кислотная и позднщел. стадии сопровождаются процессами приконтактового выщелачивания, регионального М и низкотемпературного околотрещинного М. Для всех них характерен переход р-ров от кислого до слабощел. состояния на протяжении одной метасоматич. колонки. Приконтактовое выщелачивание приводит к образованию вторичных кварцитов и аргиллизированных пород, колчеданных месторождений, грейзенизации, а также к выщелачиванию и орудуению скарнов. Региональный послематматич. М вызывает пропилитизацию и зелено-

каменное изменение, околожильный М — березитизацию, лиственитизацию и т. д. Подробно рассмотрены все указанные виды М с точки зрения метасоматич. зональности. Л. Т. 42964. К вопросу о генезисе гидротермальных растворов и этапах глубинного магматического процесса. Николаев А. В. В сб.: Основные проблемы в учении о магматогенных рудных месторождениях. Изд. 2-е М., Изд-во АН СССР, 1955, 96—124

Рассматриваются особенности кристаллизации бинарных и тройных силикатных систем с летучими компонентами. Распространяя выводы из рассмотрения бинарных систем вода — порообразующий силикат, с учетом принципа ограниченной растворимости, на многокомпонентные магматич. системы, автор утверждает, что отделение газовой фазы должно происходить не как ретроградное кипение в инвариантных условиях, а как процесс магматич. дистилляции при охлаждении в определенном интервале т-р и давлений. Магматич. дистилляция при средних и высоких давлениях дает сложный по составу надкритический р-р, который при охлаждении постепенно и непрерывно переходит в сжатый гидротермальный р-р. Этот процесс совершается скачком с сохранением резких различий в хим. составе обеих фаз и с обязательным пневматолитовым этапом остывания, наступающим после окончания процесса магматич. дистилляции. Автор считает, что понятия относительно замкнутых и относительно открытых систем обосновываются теоретич. представлениями о процессах дистилляции и геолого-петрологическим опытом. Кол-во летучих в-в в исходной магне, по мнению автора, не так мало, чтобы предотвратить этап магматич. дистилляции за счет поглощения их минералами твердых фаз, и не так велико, чтобы отделение газовой фазы началось до начала кристаллизации. Г. Н. 42965. Гидротермальные растворы, их природа и процессы рудообразования. Бетехтин А. Г. В сб.: Основные проблемы в учении о магматогенных рудных месторождениях. М., Изд-во АН СССР, 1953, 122—275

Гидротермы в первые моменты своего существования представляют сложные истинные конц. р-ры, насыщ. газами. Тяжелые металлы могут присутствовать в виде легко растворимых летучих соединений. Малая вязкость р-ров способствует переносу компонентов на большие расстояния; в колл. состоянии такой перенос мало вероятен. Выпадение минер. в-в может происходить на всем пути циркуляции р-ров вследствие нарушения физ.-хим. равновесия (изменение т-ры, давления, р-ции с вмещающими породами и т. д.) и перехода в-в в нерастворимое состояние. По мере охлаждения р-ров возникают все более благоприятные условия для р-ций тяжелых металлов с анионом S^{2-} и выпадения из р-ров нерастворимых сульфидов. С ходом процесса при пониженной т-ре малосернистые сульфиды сменяются более богатыми серой. В осаждении сульфидов главную роль играет изменение соотношений конц-ий ионов металла и серы — S^{2-} и $[S_2]^{2-}$. В кислой среде последние окисляются, что ограничивает возможности образования сульфидов. При окислении восходящих р-ров парагенезис, характерный для более восстановительных условий, становится иным. Конц-ия O_2 в р-рах может меняться в зависимости от характера хим. р-ций. В жилах, бедных сульфидами, орудуение кислородных соединений начинается на более низких уровнях, чем в сульфидных жилах. Режим $S-O$ является важнейшим регулятором р-ций в гидротермах. CO_2 на ранних стадиях гидротермального процесса инертен. По мере насыщения ею р-ров силикаты и гидросиликаты становятся неустойчивыми, происходит обогащение SiO_2 с последующим замещением его карбонатами. Не менее важна роль окислительно-восстановительных по-

тенциалов и pH как регуляторов гидролиза. Подавляющая масса р-ций в гидротермах идет в нейтр. и слабощел., реже — в слабокислой среде. Жидкие включения содержат не реликты среды, а лишь растворимые продукты р-ций. Намечается близость их состава с водами эндогенных источников и с составом материнских минералов. Все эти причины обуславливают изменение парагенетич. ассоциаций минералов. В качестве примеров рассмотрены парагенезисы в системах с Fe, S, O, Cu и др. Анализ парагенетич. соотношений помогает в расшифровке геохим. процессов и направляет эксперим. исследования по правильному пути. В начале статьи дан критич. обзор предыдущих гипотез. Л. Т.

42966. О процессах формирования руд в жильных гидротермальных месторождениях. Бетехтин А. Г. В сб.: Основные проблемы в учении о магматогенных рудных месторождениях. М., Изд-во АН СССР, 1953, 276—308

Главная масса руд образовалась путем выпадения из р-ров в результате р-ций, приводящих к образованию труднорастворимых соединений. Увеличение степени пересыщения рудообразующих р-ров приводит к образованию мелкозернистых и колл. осадков. Коллоиды могут образовываться при различных условиях. Из многокомпонентных р-ров выпадают гели сложного состава. Ряд фактов говорит о том, что руды могли на определенном этапе хотя бы частично проходить колл. стадию. Коллоидные образования встречаются в жильных телах чаще, чем в метасоматических. Почти всегда они сопровождаются сингенетичными кристаллич. образованиями. Пострудный метаморфизм уничтожает признаки коллоидных структур, причем сульфидные гели перекристаллизуются гораздо сильнее, чем гели окислов или силикатов. В рудах, претерпевших метаморфизм, устанавливается не последовательность их выделения из р-ров, а лишь последовательность их образования в процессе перекристаллизации. Генерации минералов объясняются многократным возобновлением одних и тех же р-ций в ходе единого процесса. Приведены многочисленные примеры, подтверждающие сказанное. Л. Т.

42967. Факторы, определяющие распределение редких и рассеянных элементов в процессе магматической кристаллизации. Часть I. Влияние электроотрицательности. Часть II. Роль комплексобразования. Рингвуд (The principles governing trace element distribution during magmatic crystallization. Part I. The influence of electronegativity. Part II. The role of complex formation. Ringwood A. E.). Geochim. et cosmochim. acta, 1955, 7, № 3/4, 189—202, № 5/6, 242—254 (англ.)

1. На основе представлений об электроотрицательности (Э) элементов подвергнуты пересмотру правила Гольдшмидта относительно распределения в минералах рассеянных элементов. Они применимы только для элементов с Э, отличающимися не более 0,1. Во всех других случаях элемент с более низкой Э будет преимущественно входить в кристаллич. решетку как образующий более ионную, более сильную связь. Элемент, образующий более ковалентную, более слабую связь, будет накапливаться в магме. Вследствие избытка в магме Fe, связывающего серу, халькофильные элементы распределены в магме в виде свободных катионов, кроме Cu^{2+} и Ag^+ , у которых Э больше, чем у Fe^{2+} . Если два главных элемента занимают одинаковую структурную позицию, рассеянный элемент камуфлируется обычно лишь одним из них. Исходя из их Э Cu, Pb, Sn, TR, Zn и др. должны накапливаться в остаточной магме. Mn, Ni, V, Cr, Sc — наоборот должны выделяться в минералах первых этапов кристаллизации, причем Ni и Sc замещают Fe, но не Mg. Приведена сводная таблица Э. Л. Т.

II. Рассматривается поведение редких элементов с зарядом 4+, 5+ и 6+, а также 3-валентных ионов с малым R_i , которые в присутствии летучих в-в способны

образовывать комплексы типа кремнекислородного тетраэдра (MO_4): Be^{2+} , B^{3+} , Al^{3+} , Ga^{3+} , Si^{4+} , Ge^{4+} , Ti^{4+} , Zr^{4+} , Nb^{5+} , Ta^{5+} , W^{6+} и др. Комплексообразованием автор объясняет позднее выделение акцессориев в породах, обогащение редкими элементами пегматитов и апаитовый порядок кристаллизации. Промежуточные элементы, которые могут образовывать комплексы и присутствовать в магме в виде ионов (Co^{2+} , Ni^{2+} , Zn^{2+} , Cu^{2+} , Fe^{2+} , V^{3+} , Cr^{3+} и др.), входят изоморфно в цветные минералы пород, частично концентрируясь в остаточных флюидах. Комплексообразователи концентрируются в остаточной магме, если они: 1) не могут образовать комплекс типа MO_4 , 2) имеют большой заряд или 3) большой ионный радиус ($> R_i Si^{4+}$) центрального катиона в комплексе. Поведение редких элементов, не образующих комплексы, отражено тремя правилами Гольдшмидта. И. К.

42968. К генезису первичных месторождений титановых руд. Рехенберг (Zur Genesis der primären Titanerzlagertstätten. Rechenberg H. P.). Neues Jahrb. Mineralogie, Monatsch., 1955, № 4, 87—96 (нем.)

Собраны литературные данные по классификации и характеристике титаносодержащих руд. Отмечается, что названные руды в большинстве случаев связаны с апортозитами габбро; при этом гематит-ильменит встречается преимущественно в первых, а магнетит-ильменит — во вторых. Сопоставляются различные точки зрения на образование титановых руд. Библ. 41 назв. А. Г.

42969. О влиянии осадочной толщи верхнего силура на формирование гранитоидных интрузий Нура-Тау. Арустамов А. А., Изв. АН УзССР, 1955, № 10, 47—64

Изучен характер хим. взаимодействия интрузивного комплекса биотитовых гранитов и вмещающих флишевых пород. Кроме собственно биотитовых гранитов в состав комплекса входят: адалмелиты, гранодиориты и жильные дериваты — аплит-пегматиты, гранит-порфиры и лампрофиры. «Основные» фации интрузии являются, по мнению автора, результатом ассимиляции гранитной магмой в-ва алевритово-сланцевых пород. Наиболее интенсивно эти процессы протекали в период, когда магматич. массы, почти закончив свое повсеместное продвижение через осадочную толщу, пришли в состояние относительного покоя. Изменения хим. состава в гранодиоритовой краевой зоне массивов мощностью ~1 км выразились в следующих цифрах. Содержание FeO и MgO увеличилось соответственно с 1,52 и 0,92% в гранитах до 3,25 и 2,65% в гранодиоритах; в осадочных породах содержание тех же компонентов равно 4,52 и 3,74%. Кол-во щелочей K_2O и Na_2O осталось приблизительно тем же (соответственно 3,28 и 2,65% в гранодиоритах, 3,06 и 3,59% в гранитах), так как флишевые породы содержат их сравнительно мало (1,76 и 0,65%). Также почти не изменилось содержание Al_2O_3 (в гранитах 14,74, гранодиоритах 16,96, в осадочных породах 15,64%). Напротив, содержание SiO_2 резко уменьшилось с 70,88% в гранитах до 61,62% в гранодиоритах, за счет частичного ухода кремния за пределы интрузии. Более высокое содержание CaO в породах эндоконтакта (4,71%), по сравнению с гранитами (2,78%) и сланцами (1,09%), автор объясняет относительной конц-ней этого компонента, за счет выноса других компонентов. В статье приведены хим. анализы (оригинальные и по литературным данным) 41 образца гранитов, гранодиори-

тов, кварцевых диоритов и флишевых пород, а также средний хим. состав отдельных свит верхнего силура.

Г. В.

42970. Один из геохимических поисковых признаков колчеданных месторождений. Синдеева Н. Д., Докл. АН СССР, 1955, 104, № 1, 114

Для установления генезиса бурых железняков, выходящих на поверхность, используют анализы на Se и Te. Присутствие этих элементов является показателем происхождения железняков за счет окисления колчеданных руд. В процессе окисления сульфидных руд Se и Te остаются в зоне цементации и могут являться поисковым признаком для нахождения на глубине колчеданных руд.

З. С.

42971. К вопросу о генезисе свинцовых месторождений хребта Каратау. Митряева Н. М., Изв. АН КазССР, сер. геол., 1955, вып. 21, 41—52 (рез. казах.)

Рассматриваемая группа месторождений по большинству признаков относится к типу Миссисипи-Миссури и имеет варисский или более молодой возраст. Минералогич. состав крайне простой. Из рудных минералов доминирует обычно галенит и лишь в отдельных случаях — сфалерит и пирит. Из нерудных минералов преобладает кальцит. Основным путем образования руд является метосоматич., на что указывают: наличие реликтов боковых пород в рудах, часто встречаемые взаимопереходы между разными типами руд (от вкрапленно-прожилковых до сплошных агрегативных) и между рудой и вмещающей породой, и, наконец, текстурные и структурные признаки. Описаны 5 этапов минералообразования: 1) предрудный кальцитовый, 2) серпоколчеданный (кальцит — кварц — пирит, марказит), 3) основной рудный (кальцит — доломит — анкерит — флюорит — пирит — халькопирит — сфалерит — галенит — барит), 4) сфалеритовый (кальцит — пирит — сфалерит — галенит), 5) завершающий (кальцит — пирит — халькопирит — сфалерит — галенит — халцедон — гематит), 6) гипергенный. Первоисточником кальция являлись боковые породы. Для всего рудного комплекса характерно наложение последующих этапов на предыдущие.

Г. В.

42972. Мигматизация тиллитов на горе Фиттон в Южной Австралии. Боус (The transformation of tillite by migmatization at Mount Fitton, South Australia. Bowes Donald Ralph), Quart. J. Geol. Soc., London, 1954, 109, № 436, Part 4, 455—481 (англ.)

Сообщаются данные о минералогич. и хим. изменениях тиллитов в процессе мигматизации. Процесс сопровождался образованием в значительном количестве калиевых полевых шпатов, кислых плагноклазов и кварца, а в случае большого кол-ва пелитовых пород — увеличением их зернистости и уменьшением биотита. При этом K, Na, Si, накапливались, а Fe, Mg, Ca, Ti, P и Mn выносились. Процессы базификации тиллитов выражались в распаде биотита, увеличении кол-ва кварца, развитии актинолитовой роговой обманки, лабрдорита и ильменита с одновременным увеличением зернистости породы. При этом Si и K выносились, а Fe, Mg, Ca, Ti, Mn и Sr привносились. Оба процесса находились в тесной связи и взаимно дополняли друг друга.

М. К.

42973. Отложения минералов бериллия в районе горы Антеро, Колорадо. Адамс (Beryllium deposits of the mount Antero region, Chaffee country, Colorado. Adams John W.), Geol. Survey Bull., 1953, вып. 982D, 95—119 (англ.)

Минералы бериллия найдены в пегматитах и кварцевых жилах. В пегматитах, близ гранитных массивов им сопутствуют аквамарин, фенакит, бертрадит; в кварцевых жилах — молибденит, браннерит. Спек-

троскопически найдены элементы (в %): Mn 0,003—0,006; Ti и Ga 0,001—0,003; Sc 0,006—0,02; Li 0,03, Cs 0,09—0,2, Sr — следы.

М. Я.

42974. Кислородный обмен минералов-окисей с углекислотой. Донцова Е. И., Докл. АН СССР, 1955, 105, № 2, 305—308

Изучен обмен изотопами кислорода окислов железа, марганца и алюминия с CO_2 в отсутствие влаги. Методика обмена и изотопного анализа описана ранее (РЖХим, 1955, 16186). Рассчитаны коэфф. распределения для обменных р-ций изотопов кислорода в интервале t 400—1200°. Расчет производится по ф-ле: $\alpha = [N + (b/a)(pM/mP)(N_0 - N_\infty)]/N_\infty$, где N — отношение $\text{O}^{18}:\text{O}^{16}$ в минерале до обмена; N_0 и N_∞ — отношения $\text{O}^{18}:\text{O}^{16}$ в CO_2 до обмена и в момент равновесия соответственно; a и b — навески в г минерала и CO_2 ; M и P , m и p — мол. веса и число обменивающихся атомов кислорода в минерале и CO_2 соответственно. Установлено, что изученные окислы по убыванию способности к изотопному обмену кислорода располагаются в ряд: MnO_2 , Fe_2O_3 , Al_2O_3 , SiO_2 , который не нарушается в изученной области t -р и выбранном интервале размеров частиц. Последовательность в расположении изученных окислов по их способности к изотопному обмену кислорода сопоставляется со способностью элементов к образованию соединений с различной валентностью. Экстраполяцией изостер обмена к 25° найдены значения времени, необходимого для 50% обмена кислорода минералов-окисей в температурных условиях земной коры.

Е. Д.

42975. Гидроксил и вода в аризонском перлите. Келлер, Пиккетт (Hydroxyl and water in perlite from superior, Arizona. Keller W. D., Pickett E. E.), Amer. J. Sci., 1954, 252, № 2, 87—98 (англ.)

Проведены спектральный, рентгеноструктурный и термический анализы образцов перлита с целью выяснения его структуры. Спектральному анализу подвергались образцы порошкообразного перлита: а) высушенного при 110°, б) прогретого 4 часа при 350° с целью частичной дегидратации, в) нагретого в Pt-тигле до 1100° для полного обезвоживания. Измерения проводились на ИК-спектрофотометре. Установлено, что в перлите имеются мономерные группы OH, ассоциированные группы OH и вода, молекулы которой связаны водородной связью. Присутствием этих групп объясняется сравнительно низкая t -ра разжижения перлита при нагревании и значительное повышение t -ры плавления и вязкости образца после удаления из него воды. Структура его близка к той, которая приписывается силикатным стеклам.

А. М.

42976. Гидроксильное замещение в торите и цирконе. Фрондел (Hydroxyl substitution in thorite and zircon. Frondel Clifford), Amer. Mineralogist., 1953, 38, № 11—12, 1007—1018 (англ.)

Материалы по опубликованным хим. анализам торита и близких к нему минералов (торогуммита, николанта, гидроторита, мейтландита, макинтошита, гиблита) дают постоянное отклонение от теоретич. соотношения $\text{SiO}_2:(\text{RO}_2 + \text{R}_2\text{O}_5) = 1:1$ в сторону дефицита SiO_2 , что, по мнению автора, указывает на изоморфное замещение SiO_4^{4-} группой $(\text{OH})_4^-$. Для доказательства этого произведен пересчет анализов на идеальную единичную ячейку торита с 4 молекулами ThSiO_4 . Наилучшие результаты получены для торогуммита: 1) $[\text{Th}_{1.94}\text{U}_{0.07}\text{Ce}_{0.52}\text{Al}_{0.23}\text{Fe}_{0.13}\text{Ca}_{0.09}\text{Pb}_{0.12}](\text{SiO}_4)_{2.69}(\text{PO}_4)_{0.21}(\text{OH})_{4.31}\text{I}_{4.21}$; 2) $[\text{Th}_{1.25}\text{U}_{1.75}\text{Ce}_{0.01}\text{Y}_{0.63}\text{Ca}_{0.39}\text{Mg}_{0.05}\text{Pb}_{0.47}\text{Nb}_{0.04}](\text{SiO}_4)_{3.43}(\text{OH})_{4.09}\text{I}_{4.42}$. Собранные данные по термич. изучению минералов группы торита указывают на потерю OH^- при 750—800°, которая

сопровождается перекристаллизацией минерала с образованием смеси силиката и оксида: $\text{Th}_4(\text{SiO}_4)_{4-x}(\text{OH})_{4x} \rightarrow (4-x)\text{ThSiO}_4 + x\text{ThO}_2 + 2x\text{H}_2\text{O}$. Аналогичное замещение происходит в диртолите — радиоактивной разновидности циркона. Автор подчеркивает, что так называемая вторичная вода в метамиктных минералах должна быть частично отнесена за счет изоморфного замещения аниона кремния группой OH^- . Г. В.

42977. Новый минерал из вторичных продуктов месторождения Капо-Каламита (остров Эльба). Гаравелли (Un nuovo minerale tra i prodotti secondari del giacimento di Capo Calamita (isola d'Elba). Garavelli Carlo L., Atti Accad. naz. Lincei. Rend. Cl. sci. fis., mat. e natur., 1955, 18, № 4, 392—402 (итал.).

В зоне окисления железных руд в рассыпчатом лимоните обнаружены мелкие (порядка сотых долей мм) зеленые призматич. кристаллы неизвестного минерала вместе с желтыми кристаллами оксалита. Обогащенный материал, состоящий из 90,31% зеленых кристаллов, 6,02% оксалита и 1,71% гетита, имеет состав в %: (среднее из 3 полных и 2 неполных анализов): Fe_2O_3 16,05; K_2O 26,00; CaO 42,13; H_2O^+ 11,35; H_2O^- 1,60; Al_2O_3 0,10; FeO 2,28; MgO 0,10; CaO 0,03; нерастворимый в HCl остаток 0,10; сумма 90,74%. Ф-ла минерала: $\text{K}_3\text{Fe}(\text{C}_2\text{O}_4)_3 \cdot 3\text{H}_2\text{O}$. Сингония моноклиновая. Наиболее развитая форма — пинакOID (010). Уд. в. (20°) 2,080. Оптически отрицательный (—); $\alpha = 1,498$, $\beta = 1,554$, $\gamma = 1,594$, $2V = 78^\circ$. Происхождение минерала связано с циркуляцией поверхностных вод, содержащих ионы $\text{C}_2\text{O}_4^{2-}$ (может быть растительного происхождения) и K^+ . Однако на поверхности зеленые кристаллы очень неустойчивы и под действием фотолитиза разлагаются, принимая желтую окраску: $2\text{Fe}(\text{C}_2\text{O}_4)_3^{3-} \rightarrow 2\text{CO}_2 + \text{C}_2\text{O}_4^{2-} + 2\text{Fe}(\text{C}_2\text{O}_4)_2^{2-}$; $2\text{Fe}(\text{C}_2\text{O}_4)_2^{2-} \rightarrow 2\text{C}_2\text{O}_4^{2-} + 2\text{FeC}_2\text{O}_4$ (оксалит). В память о проф. К. Мингудци, много лет изучавшем минералы о. Эльба, новый минерал назван мингудцитом. Г. В.

42978. Новый минерал — ферроселит. Бурьянова Е. З., Комков А. И., Докл. АН СССР, 105, № 4, 812—813

В среднедевонских отложениях Тувы открыт природный селенит железа, названный по составу ферроселитом. Новый минерал образует вкрапленность в кальците, цементирующем полимиктовые песчаники, а также в крупных обломках пелитов и кислых эффузивов из этих песчаников. Ассоциирующие минералы: пирит и халькопирит, уступающие ему по кол-ву. Габитус кристаллов призматич., как у леллингита или марказита, с которыми можно спутать его в полированных шлифах. Длина кристаллов до 0,5 мм. Спайность совершенная. Цвет стально-серый до оловянно-белого с розоватым оттенком, в порошке черный. Блеск металлич. Твердость 6,0—6,2 (на PMT-3 700—720). Очень хрупкий. Пространственная группа $Pnnm$ или $Pnn2$; $a = 4,78 \pm 0,02$, $b = 5,73 \pm 0,02$, $c = 3,57 \pm 0,02$. Рентгеновские исследования подтвердили идентичность нового минерала с искусств. FeSe_2 . Приведены результаты микроскопич. изучения и хим. испытаний. Хим. анализ и гониометрич. измерения не производились. Г. В.

42979. Леверьерит из кристаллических сланцев верхнего карбона в Сент-Этьенне, Франция. Шюллер, Грасман (Leverrierit aus oberkarbonischen Kristalltonsteinen von St. Etienne, Frankreich. Schüller A., Graßmann H., Chem. Erde, 1955, 17, № 4, 233—240 (нем.).

По данным хим. анализа в леверьерите содержится в %: H_2O^- 0,95, SiO_2 48,99, TiO_2 0,25, Al_2O_3 37,64, FeO 0,35, CaO 0,72, MgO 0,57, K_2O 2,85, Na_2O 0,48,

H_2O гидратная 7,78, органич. в-ва 0,46. Наиболее точная ф-ла леверьерита: $8,82 \text{ SiO}_2 \cdot 4,00 \text{ Al}_2\text{O}_3 \cdot 4,68 \text{ H}_2\text{O} \cdot 0,42 (\text{K} \cdot \text{Na})_2\text{O} \cdot 0,34 (\text{Ca}, \text{Mg}, \text{Fe})\text{O}$. Впервые публикуемые термодифференциальные кривые леверьерита из Сент-Этьенна и Добрилока в совокупности с хим. и минералогич. исследованиями показывают, что леверьерит является первым полностью определенным минералом группы илитов. А. Г.

42980. Диллит — глинистый минерал. Конда (Dillnit — ein spezifisches Tonmineral. Konda J. i. i., Chem. Erde, 1955, 17, № 4, 223—232 (нем.).

Установлено, что диллит, считавшийся ранее смесью других минералов, в основном, диаспора и каолинита, в действительности является самостоятельным минералом. Проведено комплексное изучение диллита, включающее следующие методы: оптич., рентгенографич., электронномикроскопич., дифференциальн. термич. и метод обезвоживания. На основе 6 выполненных к настоящему времени хим. анализов дана эмпирич. ф-ла минерала: $8\text{SiO}_2 \cdot 11\text{Al}_2\text{O}_3 \cdot 22 \cdot 23 \text{ H}_2\text{O}$. Уд. вес 2,675 (по старым данным 2,835 и 2,574). А. Г.

42981. Новые данные об осумилите. Аоки (大隅石 (osumilite) の新産出. 青木謙一郎), 岩石礦物床床学会誌, Гансай кобуцу коссэ гаккайси, J. Japan Assoc. Mineral. Petrol. and Econ geologist., 1954, 38, № 2, 80 (япон.).

42982. Роль глины в формировании и сохранении темных органических пигментов в условиях заболочивания. Сингх (Rôle of clays in the formation and retention of dark organic pigments under water-logged conditions. Singh S. N., J. Scient. Res. Banaras Hindu Univ., 1954—1955, 5, № 2, 34—47 (англ.). Изучение процесса разложения растительного материала в заболоченных условиях, в присутствии различных глин — бентонита, каолина, глины чернозема, красносезема и т. д. — показало, что глина чернозема вмещает и сохраняет больше, по сравнению с другими глинами, кол-ва темных пигментов. Обычно наибольшее кол-во пигментов образуются и сохраняются в присутствии глины с высокой обменной емкостью и малым содержанием Fe_2O_3 . Опыты показали, что образование и сохранение пигментов зависит также от природы обменного катиона; так, Na-глина по сравнению с Ca и Mg-глинами меньше способствует сохранению пигментов. Отмечается влияние pH (>8) среды и присутствия CaCO_3 и MgCO_3 , ускоряющие процесс разложения пигментов. О. Ш.

42983. О вторичных изменениях осадочных минералов. Пустовалов (Über sekundäre Veränderungen der Sedimentgesteine. Pustovaloff L. W.), Geol. Rundschau, 1955, 43, № 2, 535—549; Diskuss. 549—550 (нем.).

Приводятся данные о происхождении осадочных минералов (по СССР), которые не были подвергнуты ни магматич. процессам, ни очевидному метаморфизму. Описаны приски вновь образовавшихся (вторичных) минералов: магнетита, шпинели, рутила, брукита, анатаза, полевых шпатов, цеолитов, турмалина, гранатов, ставролита, доизита, клинозоита, эпидота, хлорита, глиммера, сепиолита, сфена и др. Автор пришел к заключению, что в нормальных осадочных породах, возникших без какого-либо участия магматич. процессов и без очевидного влияния метаморфизма, могут образовываться такие минералы, которые обычно связываются с исключительно высокотемпературными процессами. Указывается на необходимость и важность изучения вторичных минералов, которые возникают внутри обычных осадочных пород. А. Г.

42984. Генезис пегматитов. II. Количественные анализы литиевых пегматитов в графстве Мора, Нью-Мексико (США). Джаи с (The genesis of pegmatites. II. Quantitative analysis of lithium-bearing

pegmatite, Mora County, New Mexico. Johns Richard H.), Amer. Mineralogist, 1953, 38, № 11-12, 1078-1112 (англ.)

При изучении одного из тел замещ. пегматитов применена колич. методика подсчета минералов и хим. состава. Пегматит имеет 7 зон, три из которых замещенные. В числе других обнаружены следующие редкие минералы: бетафит, самородный висмут, висмутин, колумбит-танталит, циртолит, монацит, сподумен и др. По мнению автора, образование пегматита происходило путем последовательной кристаллизации пегматитовой магмы в условиях замкнутой системы. Проявление позднего гидротермального замещения из источников, находящихся вне пределов этой системы, исключается. Вычисленный валовой хим. состав пегматитового тела оказался очень близким к составу других литиевых пегматитов США и к составу «среднего» гранита, по Дэли.

Г. В. 42985. К вопросу о генезисе гранатово-везувиановых жил среди серпентинитов. Соколова Л. А., Тр. Ин-та геол. наук АН СССР, 1955, вып. 165, 99-112

В Баженовском ультраосновном массиве (Средний Урал) в контакте даек диорита с серпентинитом возникают гранатово-везувианово-пироксеновые породы, образуя эндоконтактные зоны, а также и самостоятельные жильные тела, очевидно метаморфизованные апофизы даек. В эндоконтактах даек наблюдается постепенный переход от гранатово-везувианово-пироксеновой породы к диориту. В экзоконтактах диоритовых жил наблюдается оталькование, актинолитизация, хлоритизация. Приводится детальное петрографич. описание даек, вмещающих и контактовых пород. Причиной возникновения последних полагают эндо- и экзоконтактные процессы при внедрении жидкой кислой магмы в ультраосновные породы, а также воздействие связанных с ней гидротермальных р-ров.

А. П. 42986. О структуре распада между пиритом и сфалеритом. Янкович (Über entmischungartige Strukturen zwischen Pyrit und Zinkblende. Janković Slobodan), Neues Jahrb. Mineralogie. Monatsh., 1955, № 10, 224-232 (нем.)

В образцах из свинцово-цинковых месторождений Шуля Стена и Брсково в Черногории описана эмульсионная вкрапленность сфалерита в пирите и пирита в сфалерите. Включения имеют звездчатую форму. Разбираются возможные причины происхождения подобных структур как результат различного рода замещений или распада аномальной смешанной системы с соотношением компонентов, не отвечающим определенной хим. ф-ле. Автор склонен считать, что включения сфалерита в пирите являются реликтами системы халькопирит — сфалерит. При замещении халькопирита более поздним пиритом сфалерит остается неизменным и включенным в пирите. Такое толкование происхождения описанных структур нельзя считать однозначным, и возможность структур распада не должна полностью отвергаться.

Г. Н. 42987. О значениях красных и зеленых отложений триаса — юры. Бонт, Селе (Sur la signification des sediments rouges et verts du Trias du Jura Francais. Bonte A., Celet P.), Geol. Rundschau, 1955, 43, № 2, 342-348, discuss. 348-350 (франц.)

Красный цвет отложений триаса долго приписывали климату пустыни. Вопрос о красных формациях, как характерном признаке пустыни, является спорным и отложения триаса, повидимому, достаточно отличаются от пермских отложений, что приводит к предположению, что красный цвет триаса является наследием пермских отложений и не имеет никакого климатич. значения.

А. Г.

42988. Петрохимическое изучение третичных толентов базальтов (средние лавы плато Антрим). Паттерсон, Суэйи (A petrochemical study of tertiary tholeiitic basalts: the middle lavas of the antrim plateau. Patterson E. M., Swaine D. J.), Geochim. et cosmochim. acta, 1955, 8, № 4, 173-181 (англ.)

Приведены данные хим. и спектральных анализов 9 образцов базальтов из лавовых потоков северной части плато Антрим, Ирландия. Средний хим. состав базальтов (в %): SiO_2 47,2, Al_2O_3 15,2, Fe_2O_3 2,7, FeO 8,9, MgO 11,9, CaO 10,4, Na_2O 2,0, K_2O 0,2, TiO_2 1,0, P_2O_5 0,2, MnO 0,2. Микроэлементы присутствуют в следующих кол-вах (в %): Р следы — $3,8 \cdot 10^{-3}$, Ga $1,5 \cdot 10^{-5}$ — $4 \cdot 10^{-5}$, Cr $3,0 \cdot 10^{-5}$ — $5,0 \cdot 10^{-4}$, V $3,0 \cdot 10^{-4}$ — $8,0 \cdot 10^{-4}$, Li $3,0 \cdot 10^{-6}$ — $2,0 \cdot 10^{-5}$, Ni $1,5 \cdot 10^{-6}$ — $1,0 \cdot 10^{-4}$, Co $2,0 \cdot 10^{-5}$ — $1,5 \cdot 10^{-4}$, Cu $2,5 \cdot 10^{-5}$ — $3,0 \cdot 10^{-4}$, Sc $2,0 \cdot 10^{-5}$ — $3,0 \cdot 10^{-5}$, Zr $6 \cdot 10^{-6}$ — $7 \cdot 10^{-4}$, Mn $8,5 \cdot 10^{-4}$ — $1,8 \cdot 10^{-3}$, Y $3,0 \cdot 10^{-5}$ — $7,0 \cdot 10^{-5}$, La до $1 \cdot 10^{-6}$, Sr $3 \cdot 10^{-4}$ — $2,10^{-3}$, Pb $\leq 1 \cdot 10^{-5}$, Ba $2,0 \cdot 10^{-5}$ — $2,0 \cdot 10^{-3}$, Rb от $< 1 \cdot 10^{-6}$ до $1,5 \cdot 10^{-4}$. Полученные данные сравниваются с опубликованным ранее составом телентового базальта из Восточной Гренландии.

А. Т. 42989. Образование никелевых руд Кубы — пример латеритного генезиса. Де-Влеттер (How Cuban nickel ore was formed — a lesson in laterite genesis. De Vletter D. R.), Engng and Mining J., 1955, 156, № 10, 84-87, 178 (англ.)

Никелевые руды Кубы — типичные латериты, содержащие окислы Fe. В этих рудах Ni, присутствует в форме силикатов. Рудные тела представлены «плащами», покрывающими выветрелые серпентиниты. Образование латеритов относится к третичному периоду. Исходными для Ni-руд являлись ультраосновные породы, состоящие из оливинита и ромбич. пироксенов, в кристаллич. решетках которых входили Ni и Co. 1-ый этап хим. выветривания — серпентинизация ультраосновных пород, когда Ni переходит в решетку антигорита. Концентрирование Ni в отдельных участках латеритной коры выветривания сводится к двум процессам. 1. Выщелачивание серпентинитов метеорными водами с выносом основной массы Si и Mg и накоплением малорастворимых компонентов ($\text{Fe}(3+)$, Al, Cr, Ni, Co). При этом никельсодержащий антигорит превращается в гарниерит, непунит и т. д. 2. Выщелачивание Ni углекислыми водами из верхних частей латеритного слоя и пересаживание его в нижних частях. Ni мигрирует в форме карбоната. Максим. конц-ия Ni в переходной зоне между серпентинитами и латеритами объясняется миним. растворимостью Ni в присутствии большого содержания Mg, связывающего CO_2 . Co, ассоциирующий с Ni, ведет себя аналогично Ni в процессе выветривания. В его распределении в вертикальном разрезе нет определенной закономерности.

И. Л.

42990. Формация Катоктин около Лерей в штате Виргиния. Рид (Catoclin formation near Luray, Virginia. Reed John C., Jr), Bull. Geol. Soc. America, 1955, 66, № 7, 871-896 (англ.)

Геологическое и петрографич. описание кембрийских зеленокаменных и перемежающихся с ними осадочных пород, распространенных в районе Блу-Ридж (Северная Виргиния, Мэриленд и Южная Пенсильвания). Минер. состав зеленокаменных пород (в %): альбит 6-55, хлорит 5-39, эпидот 1-23, актинолит 4-21, пироксен 3-22, рудные 4-18, сфен и лейкоксен 4-18, тальк ~8, кварц ~3. Средний хим. состав (из 4 анализов): SiO_2 50,00, TiO_2 2,08, Al_2O_3 14,56, Fe_2O_3 6,87, FeO 5,69, MgO 5,51, CaO 6,75, Na_2O 3,98, K_2O 1,23, H_2O 2,63, P_2O_5 0,49, другие 0,25. Произведен пересчет на отдельные элементы. Выполнены 2 хим. анализа вулканич. жил.

Г. В.

42991. Морфология и генезис кварцево-лимонитовых жерод из среднетриасовых отложений в Восточном Каратау (Мангышлак). Каримов А. Г., Изв. АН КазССР, сер. геол., 1955, вып. 21, 53—63 (рез. казах.).

В известняках среднего триаса описаны пластообразные линзы бурых железняков с жеодами, кристаллизированными кварцем. Жеоиды имеют три обособленные зоны: 1) гидроокислов Fe — по периферии; 2) карбонатную и 3) кварцевую — в центре. Минералогич. состав: гётит, гидрогётит, гидрогематит, кальцит, арагонит и кварц. Результаты хим. анализа гётита (в %): Fe_2O_3 86,80, FeO 0,65, SiO_2 1,30, TiO_2 0,65, Al_2O_3 6,0, CdO 0,51, MgO 0,20, MnO 0,19, SO_3 0,09, H_2O 0,16, H_2O^+ 9,60, CO_2 1,15, сумма 100,71. Привнос Fe в начале процесса происходил в кислой среде. Попадая в р-р, железо мигрировало (вероятно, путем диффузии) в ближайшие пустоты, куда имелся свободный доступ кислорода, и, окисляясь до трехвалентного состояния, осаждалось в виде гидроокислов. После этого среда становилась нейтр. или слабощел. способствуя выделению бикарбоната кальция, который, дегидратируясь, переходил в кальцит. В типично шел. среде осуществлялись привнос кремнезема и кристаллизация кварца. Г. В.

42992. Результаты дальнейшего изучения из «terra rossa» Монсуммано (Пистойя). Эдльман (Ultiori osservazioni sulle «terre rosse» di Monsummano (Pistoia). Edlmann L. D. L. (Lodovico), Ricerca scient., 1954, 24, № 2, 326—332 (итал.).

На основе хим. изучения травертина, серого и красного известняка автор высказывает гипотезу, что извлеченная из этих пород «terra rossa» по своему генезису связана с латеритами мезозоя; сналитовую часть мезозойских известняков следует поставить в связь с кремнекислотой, освободившейся в процессе латеризации. Глинистая часть, «terra rossa» объясняется присутствием глинистых минералов, образовавшихся внутри еще не связанного известкового отложения в результате р-ции между кремнекислотой и глиноземом в латерите. Н. Х.

42993. Генезис тяжелых минералов в бокситах Ямайки. Хартман (Origin of heavy minerals in jamaican bauxite. Hartman James A.), Econ. geol., 1955, 50, № 7, 738—747 (англ.).

Настоящее исследование бокситов и родственных формаций Ямайки показывает, что бокситы и белый известняк имеют сходную серию тяжелых минералов. Приведены результаты хим. и петрографич. анализов 31 образца. По результатам хим. анализа содержание в известняке (в %): зола 43,75—45,23, SiO_2 0,05—0,08, TiO_2 4—5·10⁻³, P_2O_5 3,4—5,7·10⁻³, MnO 3—4·10⁻³, CaO 54,32—55,76, R_2O_3 0,38—0,73, MgO 0,209, в глине: зола 16,60, SiO_2 29,34, нерастворимых (без SiO_2) 0,73, Fe_2O_3 15,77, TiO_2 1,73, P_2O_5 1,08, MnO 0,13, Al_2O_3 36,38, MgO 0,06, в боксите: зола 25,86, SiO_2 2,38, нерастворимых (без SiO_2) 0,62, Fe_2O_3 19,38, TiO_2 1,97, P_2O_5 0,74, MnO 1,17, Al_2O_3 50,32. По данным петрографического анализа 5 образцов содержали ильменита 0,7—16,9, кремнезема 1,4—24,7, рутила и лейкоксена 1,3—6,3, лимонита и гематита 2,2—88,4, глины 0,0—0,8, магнетита и титаномагнетита 4,3—43,6, циркона 0,4—8,4, титаногематита 0,0—7,4, ковеллина 0,0—8,4, пирита 0,0—1,3, халькопирита 0,0—1,3, кристаллич. включений 0,0—2,0. По тем же данным при пересчете на 100% содержания тяжелых минералов получается ильменита 8,1—32,8, лейкоксена и рутила 1,9—36,8, магнетита и титаномагнетита 22,6—64,2, циркона 4,7—11,9, титаногематита 0,0—30%. Автор заключает, что вероятным источником бокситов является формация белого известняка и что

первичным источником примесей в белом известняке является вулканич. пепел. А. Г.

42994. Содержание марганца в гранатах из францисканских сланцев. Пабст (Manganese content of garnets from the franciscan schists. Pabst A.), Amer. Mineralogist, 1955, 40, № 9—10, 919—923 (франц.).

Сообщаются данные хим. и спектрального анализов гранатов из францисканских сланцев (Калифорния). По результатам хим. анализа 1 образца (в %) SiO_2 37,36, Al_2O_3 20,12, TiO_2 0,54, Fe_2O_3 2,60, FeO 25,18, MnO 0,92, MgO 2,96, CaO 9,83, H_2O (100±5°) 0,04—0,09. По данным спектрального анализа 5 образцов содержание MnO 0,9—5,0 и TiO_2 0,6—2,1%. На основании последних анализов следует считать, что в гранатах из глейкофановых пород присутствуетgrossularит 8—30, андрит 4—24, альмандит 48—56, пироп 16—20, спессартит 1—10%; может содержаться TiO_2 1—2%, так как присутствуют сфен и рутил. А. Г.

42995. Фосфор в осадочных породах. Фесенкова Н. Г., Докл. АН СССР, 1955, 105, № 5, 1028—1030

Фосфор общий и минер. определен в HCl-вытяжке из осадочных пород мелового и третичного возраста в районе Сучан и Гауховцы, ДВК. По разности определялся органич. P. Последующие аммиачные вытяжки из породы обработанной HCl показали полное растворение фосфора. Определялся валовой фосфор. При содержании P_2O_5 валовом 0,019—0,159%, содержание P_2O_5 органич. составляет тысячные доли %. Полная растворимость P_2O_5 в HCl показывает на содержание фосфорорганич. соединений типа фитина. А. П.

42996. Тоназы в коростенских пегматитах. Ивантишин (Тоназы в коростенских пегматитах. Ивантишин М. М.), Геологичний ж., 1955, 15, № 4, 58—73 (укр.; рез. русс.).

В пегматитной, полевошпатовой и графич. эснах, а также в загорышах встречаются тоназы различной окраски. Розовобурый тоназ (в %): SiO_2 31,01, Al_2O_3 58,87, Fe_2O_3 0,1, потеря при прокаливании 0,1, F 16,50, сумма ($\text{F}_2=0$) 99,68; кристаллохим. ф-ла: $\text{Al}_{2,11}(\text{OH}_{0,46}\text{F}_{1,50})_2[\text{Si}_{0,95}\text{O}_4]$. Голубой тоназ: SiO_2 31,12, Al_2O_3 58,70, F 18,07, сумма ($\text{F}_2=0$) 100,29; кристаллохим. ф-ла: $\text{Al}_{2,68}(\text{OH}_{0,28}\text{F}_{1,72})_2[\text{Si}_{0,95}\text{O}_4]$. Бесцветный тоназ: SiO_2 31,28, Al_2O_3 59,11, Fe_2O_3 0,29, потеря при прокаливании 0,16, F 16,46, сумма ($\text{F}_2=0$) 100,39; кристаллохим. ф-ла: $\text{Al}_{2,12}(\text{OH}_{0,42}\text{F}_{1,58})_2[\text{Si}_{0,95}\text{O}_4]$. Результаты спектрального анализа розовой (р.), голубой (г), желтой (ж) и бесцветной (б). разностей: Mg мало; Ca мало — только в ж.; Fe следы; Mn следы, в б. нет; Ti следы; Cu следы, в б. нет; Pb следы — только в г.; Ag следы в г. и ж.; Ge мало, в б. нет; Ga следы, в б. нет. Выполнен термич. анализ и определены: состав жидких включений (Cl^- , SO_4^{2-} , Mg^{2+} , Ca^{2+} , K^+ + Na^+ , SiO_2 + Fe^{3+}), т-ра гомогенизации газовой-жидких включений и состав первичных и вторичных твердых включений. Выделен особый низкотемпературный коростенский тип. тоназа, имеющий свои кристаллографич. особенности. Г. В.

42997. К геохимической характеристике третичных и меловых отложений Керченского полуострова. Милешина А. Г., Москва Н. П., Тр. н.-и. ин-та геофиз. и геохим. методов разведки, 1954, № 2, 68—79

Исследовалось ~100 образцов пород минералогически по фракциям механич. состава; часть из них исследовалась термографически, спектрофотометрически и методом красителя, определялись также содержание битумов, карбонатности и нерастворимого остатка в HCl. Гидрослюды с выраженными беделлитовыми

свойст
каолин
зател
отлож
период
фич. о
при те
тума
нает н
тельно
42998.

вог
хими
нефт
Анал
повейш
основа
теплов
0—50°
но, что
одног
различ
сходны
нах да
связь
ных у
встреч
геохим
лячны.
42999.

спод
and
E st
12, 9
Изуч
из полу
из раз
обнару
гидден
V и С
связно
Sr сп
При с
зовую
раздел
на 2 г
зелено
мывые
рые не
нагрев
Слюд
оранже
43000.

цел
(Spec
certa
M. F
1954
Спек
в обра
делах
Rb на
Анали
Li 670
43001.
мош
catic
В е
40,
Всле
лей пр
пич. А

свойствами относятся к отложениям холодных морей, каолинизированные гидрослюды считаются показателями теплого климата, таким образом, изученные отложения характеризуются чередованием тепловых периодов с холодными, что совпадает с биостратиграфич. определениями. Большая потеря в весе образца при термич. анализе с повышенным содержанием битума (0,375% по сравнению с обычным 0,094%) указывает на необходимость при термич. анализе предварительно экстрагировать битум из образцов. М. К. 42998.

К вопросу об использовании кривых теплового расширения нефти в нефтяной геологии и геохимии. Вассоевич Н. Б., Геол. сб. НИТО нефть. ВНИГРИ, 1955, 3, 270—276

Анализ фактик. материала приводит к выводу, что новейший метод сопоставления нефтяных пластов, основанный на использовании кривых изменения коэфф. теплового расширения нефтей (КТРН), в интервале 0—50°, применим с большой осторожностью. Установлено, что: 1) свойства нефти (1) не меняются в пределах одного и того же пласта, 2) I разных пластов и даже различных свит в одном и том же месторождении дают сходные КТРН, 3) I из разных пластов в разных районах дают сходные КТРН. Это подтверждает взаимосвязь различных физ.-хим. и хим. свойств I. В сходных условиях, но в разных месторождениях могут встречаться однотипные I по своим КТРН; если же геохим. условия одного и того же месторождения различны, то различны будут и I. Н. С. 42999.

Состав, изменение окраски и люминесценция сподумена. Клаффи (Composition, tenebrescence and luminescence of spodumene minerals. Claffy Esther W.), Amer. Mineralogist, 1953, 38, № 11—12, 919—931 (англ.)

Изучены спектроскопич. состав и люминесценция и получены кривые поглощения образцов сподуменов из различных месторождений. Спектральный анализ обнаружил во всех образцах: Mn, Ga и Fe. В зеленых гидденитах содержатся повышенные кол-ва Fe, Ti, V и Cr, из которых последние два влияют на интенсивность окраски минерала. Окраска, не содержащих Cr сподуменов, вызвана примесями Fe, Mn^{2+} и Mn^{3+} . При соотношении $Mn \gg Fe$ минерал приобретает розовую окраску (кунцит). Все прозрачные сподумены разделяются по составу и некоторым физ. свойствам на 2 группы: 1) без хрома — бесцветные, желтоватые, зеленоватые, розовые и лиловые (кунциты) и 2) хромовые зеленые гиддениты. В отличие от первых, вторые не люминесцируют и не меняют своей окраски при нагревании или под действием рентгеновских лучей. Сподумены без хрома светятся в катодных лучах желто-оранжевым светом и в УФ-лучах — розовым. Г. В. 43000.

Спектрографическое определение некоторых щелочных элементов в мраморе. Лелон, Ходж (Spectrographic examination of the occurrence of certain alkali elements in calcite marbles. Lelong M. P., Hodge Edwin S.), Amer. Mineralogist, 1954, 39, № 7—8, 647—653 (англ.)

Спектрографически определены Na, K, Li и Rb в образцах мрамора. Содержание Na изменяется в пределах 0,001—0,067%, K 0,005—0,43%, Li 0—0,0018%. Rb найден только в 4 образцах, где K было $>0,2\%$. Анализ производился по линиям: Na 5889,95, K 7664,9, Li 6707,84, Rb 7800,2 Å. Т. Р. 43001.

Определение метамиктных минералов с помощью рентгеновских лучей. Берман (Identification of metamict mineral by X-ray diffraction. Berman Joseph), Amer. Mineralogist, 1955, 40, № 9—10, 805—827 (англ.)

Вследствие изотропности и изменчивости показателей преломления метамиктных минералов микроскопич. метод имеет ограниченное применение для их

определения. Ни одно из рассмотренных в статье физ. свойств не позволяет определять их с достаточной точностью, в том числе, и исследование в рентгеновских лучах. Однако при нагревании многие метамиктные минералы становятся кристаллич. На основе этого была разработана методика определения, по которой минералы предварительно нагревались до 800—1250°. Исследовались цирконы, ториты и ураноториты, бранерит, фергусонит, самарскит, давидит, ортит. Приведены таблицы межплоскостных расстояний исследованных минералов. Л. Т. 43002.

Газово-жидкие включения как минералогический манометр. Грушкин Г. Г. (Incluziunile gazeoase și lichide ca manometru mineralogic. Gruschin G. G.), An. Rom.-Sov. Ser. geol.-geogr., 1954, 7, № 1, 25—38 (рум.)

Перевод. См РЖХим, 19:3, 8377

Изменение хромшпиннелидов при нагревании. Карякин Л. И., Пятников П. Д., Докл. АН СССР, 1955, 102, № 3, 601—603

Методом «термического травления» (нагрев полировки в окислительной атмосфере 5—8 мм при 450—1700°) исследовались хромшпиннелиды из Кемпирсайского и Сарановского месторождений. Образующийся при $>530^\circ$ избыточный Fe_2O_3 вследствие распада твердого р-ра выделяется в виде кристалликов гематита. При 1400° наблюдаются только псевдоморфозы магнетита по гематиту, а выше 1600° магнетит «нова» в виде твердого р-ра переходит в состав хромшпиннелида. В сарановском хромшпиннелиде наблюдаются отличия в характере «термического травления», обусловленные присутствием магнетита. А. П. 43004.

Глина, жёды и минералы баррема из Хоэнгергелсен. Липман (Ton, Geoden und Minerale des Barrême von Hoheneggelsen. Lippman F.), Geol. Rundschau, 1955, 43, № 2, 475—502, Discuss., 502—503 (нем.)

Сообщаются результаты рентгенографич. микроскопич. и дифференциального термич. анализа глины. На основе полевых наблюдений и петрографич. изучения даны условия образования жёдов, которые по составу делятся на сидеритовые, известковые и сидеритово-известковые. Среди других минералов в жёдах описан увеллит ($CaC_2O_4 \cdot H_2O$) со следующим составом (в %): CaO 38,96, C_2O_3 48,84, H_2O 12,11, CO_2 0,08, сумма 99,99; спектроскопически открыты: Mg, Mn, Na, Pb, Ba, Zn, Si, Al, Ti, Cu. А. Г. 43005.

Распознавание монтмориллонита в глинах. Грин-Колли (The identification of montmorillonoids in clays. Greene-Kelly R.), J. Soil. Sci., 1953, 4, № 2, 233—237 (англ.)

Результаты окрашивания метиленовым голубым смесей глинистых минералов. Михайлов Б. М. Информ. сб. Всес. н.-и. геол. ин-та, 1955, № 2, 71—76

Об окрашивании монтмориллонитовых глин метиленовым голубым при различных значениях pH суспензий. Берлин Т. С. Информ. сб. Всес. н.-и. геол. ин-та, 1955, № 2, 76—78

К вопросу о генезисе четвертичных глин. Йернефос (Synpunkter på kvartära lerors genetik. Järnefors Björn), Geol. förening. i Stockholm förhandl., 1955, 77, № 3, 381—384 (швед.)

Изучены глины из Упсала и Гота Ривер Валлей. Условия осаждения глин сопоставляются с гранулометрич. составом. Распределение $CaCO_3$ и Na в гляциальных и постгляциальных глинах Упсала дискуссионно. М. Я. 43009.

Глинистые породы карбона как сырье для производства огнеупоров и строительной керамики. Вапенский (Karbońskie skały ilaste — surowcem dla produkcji wyrobów ogniotrwałych i ceramiki

budowlanej. Wapieński Stanisław.), Zycie gospod., 1954, 9, № 8, 308—310 (польск.)

43010. Связь химии силикатов и геологии. Фёльдвари-Фогль (A szilikátkémia és a geológia kapcsolata. Földváriné Vogl Mária), Magyar tud. akad. kém. tud. oszt. közl., 1954, 4, № 1—2, 115—124 (венг.)

Приводятся примеры, когда достижения физ. химии помогают геологам разрешить ряд вопросов, связанных с проблемами магматизма, метаморфизма и выветривания. С. Б.

43011. Химическое исследование бурых глинистых почв континентальной части Испанской Гвинеи. Альбаредо, Александр, Кармен-Санчес-Кальво (Estudio químico-edafico del braunlech de la Guinea Continental Española. Albareda J. M., Aleixandre V., Carmen Sanchez-Calvo M. del), An. edafol. y fisiol. veget., 1955, 14, № 4, 184—212 (исп.; рез. нем.)

Изучены хим. состав неорганич. и органич. компонентов, мех. состав и определены некоторые физ.-хим. константы в образцах из 6 почвенных разрезов Испанской Гвинеи. Все почвы носят сиалитовый характер, обусловленный спецификой тропич. климата. pH колеблется между 4,3 и 6,15. Г. В.

43012. Концентрирование меди и цинка некоторыми почвами в нижнем бассейне Миссисипи. Соколов (Occlusion of copper and zinc by some soil materials of lower Mississippi river area. Sokoloff V. P.), Science, 1953, 18, № 3063, 296—297 (англ.)

43013. О минералогическом изменении руды в эко-контакте порфиринов на месторождении имени III Интернационала (Средний Урал). Червяковский Г. Ф., Тр. Горно-геол. ин-та (Уральский фил. АН СССР) 1953, № 20, 53—58

43014. Современное состояние и задачи геохимических методов поисков нефти. Алексеев Ф. А., Нефть. х-во 1953, № 10, 33—37; № 11, 29—33

43015. Анализ снега, содержащего охру, выпавшего Каве-дель-Предиль 7 февраля 1951 г. Ди-Кольбертальдо (La neve ocracea caduta a Cave del Predil il 7 febbraio 1951. Di Colbertaldo D. n. o.), Geofis. e meteorol., 1954, 2, № 3—4, 37—42 (итал.)

Приведены результаты минералогич. и хим. анализа пыли, выпавшей 7 февраля 1951 г. на снег в горной цепи Альп (900 м над уровнем моря) и имевшей цвет охры; средний диаметр гранул 25 м; Отдельно анализирована отфильтрованная талая вода. Минералогич. состав пыли в убывающем порядке: 1) кварциты с различными неопределимыми включениями; 2) слюдяные сланцы; 3) опаловидный кремнезем; вулканич. стекла; 4) кварц в призматич. кристаллах или пластинках с разными включениями. Названные минералы представляют основные компоненты метаморфических пород и эрузивных пород как интрузивных, так и эффузивных. В пыли содержится органич. в-во 16,93% и оно состоит из растительных остатков с незначительным кол-вом диатомовых водорослей речного происхождения. Сравнение пыли, выпавшей в разное время в других местностях, показывает, что она не происходит из Сахары, хотя выпала при южном воздушном течении (спирокко); ее происхождение осталось невыясненным. Н. Х.

43016. Радиоактивность морской воды, вызванная медленными нейтронами. Дюссен, Нюман (Slow-neutron-induced radioactivity of sea-water. Dyssen D., Numan P. O.), Acta radiol., 1955, 43, № 5, 421—427 (англ.; рез. нем., франц.)

Радиоактивность морской воды вычислена на 1 г-атом

медленных нейтронов. Приводится простое ур-ние, связывающее соленость воды с ее радиоактивностью. В таблице указана как общая радиоактивность, так и радиоактивность для отдельных изотопов как функция времени. В. К.

43017. Геохимия подземных вод. (В приложении к водам нефтяных месторождений). Шёллер (Géochimie des eaux souterraines. Application aux eaux des gisements de pétrole. Schoeller), Rev. Inst. franç. pétrole, 1955, 10, № 7, 671—719 (франц.)

Насыщенность нефтяных вод (НВ) CaSO_4 при одновременном присутствии H_2S указывает на выделение чуждых вод в нефтяное месторождение. NO_3 не может присутствовать в больших конц-ях вследствие восстановительных условий. PO_4 не превышает десятых долей мг/кг. Упругость CO_2 в НВ может доходить до 7—8 атм. Высокое содержание CO_2 объясняется химико-биологическим окислением углеводородом или восстановлением SO_4 . При обмене $\text{Na}^+ + \text{K}^+$ из воды на $\text{Ca}^{2+} + \text{Mg}^{2+}$ из породы (при конц-ях $\text{Cl} > 500$ мг-экв) очень часто происходит выпадение CaCO_3 и CaSO_4 . При обмене ($\text{Ca}^{2+} + \text{Mg}^{2+}$ из воды на $\text{Na}^+ + \text{K}^+$ из породы) может происходить увеличение CO_2 и SO_4 в НВ. Соотношение $\text{K} : \text{Na}$ в НВ составляет 0,001—1, практически 0,004—0,27, причем оно является функцией конц-и Na , ($\text{Na} = m\text{K}^{1,5}$); NH_4 часто содержится в НВ, иногда в больших кол-вах (100, 200, 400 мг/кг). Подобные конц-и могут содержаться также в вулканич. водах. Определений Li очень мало в НВ; но, повидимому, Li имеет сходный геохим. путь с K и Na . В НВ содержание Ca составляет 0—24 г/л. Sr в некоторых НВ встречается в больших кол-вах; соотношение $\text{Sr} : \text{Ca}$ в НВ близко к морской воде, 0,0212. Содержание Fe в НВ 0—754 мг/л зависит от величины EH , pH и HCO_3 в водах. Mn мало, а Ni , Co , As нет определений в НВ. НВ содержат довольно много B (до 200 мг/кг), соотношение $\text{B} : \text{Cl}$ в НВ от $n \cdot 10^{-2}$ до $n \cdot 10^{-4}$; обогащение НВ B может объясняться биогенной конц-ией в нефтяных отложениях, в некоторых случаях контактом с эвапоритами. Радиоактивность НВ выше, чем в обычных водах вследствие более сильной радиоактивности нефтеносных пород. Предыдущее сообщение см. РЖХим, 1956, 15889. В. К.

43018. Растворимость кислорода в чистой воде и в морской воде. Трудсдейл, Даунинг, Лауден (The solubility of oxygen in pure water and sea-water. Truesdale G. A., Downing A. L., Lowden G. F.), J. Appl. Chem., 1955, 5, № 2, 53—62 (англ.)

Определение O_2 в дистилл. и соленой воде при t -рах 2—40° по несколько модифицированному методу Вилклера и с предосторожностями против пересыщения воды O_2 дало значения ниже общепринятых на 3—4% при низких t -рах и на 0,3% при 35°. Эти значения при их применении для вычисления скорости растворения O_2 в воде хорошо согласуются с законом аэрации Адена и Беккера. В. К.

43019. Распределение элементов в термальных водах, определяемых спектрографически. Лагранж, Ирбен (Répartition des éléments décelables spectrographiquement dans les eaux thermominérales. Lagrange R., Urbain M. P.), Bull. Soc. franç. mineral. et cristallogr., 1953, 76, № 4-6, 208—215 (франц.)

43020. Влияние солености на испарение. Харбек (The effect of salinity on evaporation. Harbeck G. Earl, Jr) Geol. Survey Profess. Paper, 1955, 272-A, 6 p. (англ.)

Обсуждены данные по влиянию солености воды. р-ров на давление пара насыщения (ДПН), испарение и повышение t -ры p -ров. Выводится общее ур-ние,

связывающее солёность с понижением испарения: $\{\rho E / (e_0 - e_a)\} \{[L' + cT_0'] [1 - n] e_0' - e_a\} - (L + cT_0) \times (e_0 - e_a) + [0,61P / 1,000] \{L' (T_0' - T_a) - L(T_0 - T_a)\} + 1,136 \cdot 10^{-7} [(T_0' + 273)^4 - (T_0 + 273)^4] = 0$, где ρ — средняя плотность испаряемой воды, E — среднее ежедневное испарение в $\text{г см}^{-2} \text{ день}^{-1}$, L' и L — скрытые теплоты испарения рассола и воды в кал/г при t -ре поверхности воды $T_0^\circ\text{C}$, e_0 — давление пара на насыщения при T_0 в мбар , e_a — давление пара в воздухе в мбар , c — уд. теплоёмкость воды, n — отношение ДППН рассола и воды, P — атмосферное давление в мбар . Принимая, что некоторые члены ф-лы постоянны, можно получить зависимость переменных слагаемых. Рассмотрен случай зависимости повышения t -ры и отношения скорости испарения воды и рассола E'/E с изменением солёности. Сравнение с эксперим. данными (Adams T. C., Bull. Amer. Meteorol. Soc, 1934, 15, 35—39) даёт удовлетворительные результаты.

Л. В.
43021. Химия моря. Сугахара (海の化学. 菅原健), 化学の領域, Кагаку-норёнки, J. Japan Chem., 1954, 8, № 12, 40—46 (япон.)

43022. Современные проблемы химии моря. Мияка (海洋化学における最近の問題. 三宅泰雄), 化学の領域, Кагаку-норёнки, J. Japan Chem., 1955, 9, № 1, 3—8 (япон.)

43023. Соли из воздуха и химический состав воды рек. Эрикссон (Air borne salts and the chemical composition of river waters. Eriksson Erik), Tellus, 1955, 7, № 2, 243—250 (англ.)

Карта ежегодного выноса хлоридов реками Скандинавии в сопоставлении с картой содержания Cl^- в атмосферных осадках указывает, что Cl^- в речной воде, в основном приносится атмосферой с моря, причем часть его выпадает с осадками, а другая часть задерживается растительностью и смывается с нее дождем. Кол-во Cl^- , поступающего в реки в результате выветривания горных пород, составляет лишь 1—2% от общего содержания Cl^- в реках. Подобную же зависимость от приноса Cl^- атмосферой даёт и карта выноса его реками восточной части США. Отношение других компонентов хим. состава морской воды к Cl^- в дождевой воде значительно выше, чем в морской, так как первые могут поступать в атмосферу и из других источников, в то время как Cl^- легче удалится из атмосферы. Ввиду существенного влияния состава осадков на состав грунтовых и речных вод неправильно определять величину хим. денудации по конц-ии солей в грунтовых водах.

В. К.
43024. Результаты гидрохимических исследований кубанских дельтовых лиманов. Бишев Л. Л., Тр. Всес. н.-и. ин-та мор. рыб. х-ва и океаногр., 1955, 31, № 1, 145—150

Общая площадь лиманов разделена на 3 основные зоны. В зоне, свободной от растительности, по всей толще воды отмечено высокое содержание O_2 , суточные колебания его незначительны. В зоне, заросшей подводной растительностью, гидрохим. режим зависит от местоположения лимана и видового состава растений. Отмечены случаи дефицита O_2 в придонных слоях воды. В зоне зарослей тростника наблюдается по всей толще воды резкая стратификация t -ры, O_2 , содержания органич. в-ва, присутствие H_2S (до 4 мг/л). Если поверхностные воды в среднем насыщены O_2 , то на глубине 15—20 см O_2 отсутствует. Поведение рыбы в лиманах находится в тесной связи с гидрохим. режимом.

О. Ш.
43025. О скорости распада органического вещества фитопланктона Таганрогского залива. Горшков А. Т. И., Докл. АН СССР, 1955, 104, № 1, 112—113

Поставлены опыты по изучению скорости распада органич. в-ва отмершего фитопланктона: преобладающей формой была сине-зеленая водоросль *Anabaena* sp. Определяли влажность свежего фитопланктона, содержание С, N и P, скорость распада и состав газа при этом распаде. В 5-л склянке 0,6592 г влажного фитопланктона заливали 3 л воды из Таганрогского залива. Контрольную воду и фитопланктон хранили в термостате в темноте при t -ре 25° и периодически встряхивали. Наблюдения показали быстрый распад фитопланктона. Через 4 дня был получен максимум продуктов распада. Для интенсификации брожения водоросли заливали морской водой с добавлением питательных минер. солей (KH_2PO_4 0,8 г; NaH_2PO_4 0,2 г; NH_4Cl 1,0 г; MgSO_4 0,7 г; следы соли Мора и NH_4MoO_4). Опыт проводили при комнатной t -ре 6,5 месяцев до полного прекращения газообразования. Вначале происходило очень интенсивное брожение с образованием газов, в составе которых преобладал метан. Установлено, что летом в Азовском море и в Таганрогском заливе распад отмершего планктона происходит очень быстро в самой толще воды. После распада малостойкого органич. в-ва, составляющего ~80%, происходит осаждение остаточного органич. в-ва и дальнейшее медленное разложение и захоронение его в грунте.

А. Ф.

43026. К хемотратификации залежи сапропелей озера Б. Тарас-Куль. Титов Е. М. В сб.: Сапропели группы тюменских озер и их лечебные свойства. Тюмень, Книгоиздат, 1955, 87—94

Пигменты, обнаруженные методом спектрального абсорбционного анализа, в верхних кремнистых слоях (мощностью 3—4 м) сапропеля, состоят из каротиноидов и омыленного хлорофилла. Значительное кол-во пигментов такого же состава имеется и в нижнем слое сапропеля вишневого цвета. Бензольный экстракт из этого слоя содержит каротин β -ряда (1,7 мг на 100 г сухого сапропеля) и его изомеры. Спирт. экстракт из этого слоя сапропеля содержит большие кол-ва кислородсодержащего каротиноида, который и придает слою вишневый цвет. Залежь сапропеля исследованного озера богата битумами; так для слоя сапропеля вишневого цвета кол-во их составляет свыше 14% органич. в-ва.

В. Д.

43027. Гидрохимическая характеристика Днепровского водохранилища после его восстановления. Ровинская Р. С., Вестн. Н.-и. ин-та гидробиол., Днепропетровск, 1955, 11, 17—27

Приводятся данные с 1947 г. (год восстановления плотины Днепротаса) по 1952 г. Сумма ионов в воде Днепровского водохранилища 200—550 мг/л . Преобладающие ионы Ca и HCO_3 , общая жесткость 8—9°. В первые годы восстановленного водохранилища наблюдалось резкое ухудшение кислородного режима, в последующие годы в поверхностных слоях имеет место перенасыщение O_2 , в придонных слоях — большой дефицит O_2 вплоть до его исчезновения, особенно в нижней части водохранилища. Окисляемость воды 7—23 мг O_2 на 1 л, цветность 25—85°, прозрачность по шрифту 8—38 см . Повышенное содержание азотсодержащих соединений в первые годы после восстановления водохранилища происходит за счет выщелачивания их из почвы и разложения растительности, в последующие годы — за счет промышленных и бытовых загрязнений. Химизм заливов (за исключением Самарского) по сравнению с основным водохранилищем не обнаруживает существенных различий. Приводятся графики изменения ряда компонентов хим. состава воды по стержню водохранилища от г. Днепротаса до плотины.

В. К.

43028. Кислород подземных вод и его геохимическое значение. Германов А. И., Изв. АН СССР, сер. геол., 1955, № 6, 70—82

Кислород атмосферы, растворяясь в подземных водах, проникает на десятки и сотни м (до 900) ниже уровня грунтовых вод. Концентрация обычно $< 3 \text{ мг/л}$. Глубина проникновения O_2 зависит от скорости длины пути и состава пород. O_2 участвует в процессе гипергенеза, причем р-ции идут при его дефиците, не захватывая всей массы окисляющихся минералов. Приводятся примеры сульфидных месторождений. В районах гидротермальной деятельности в зоне кислородных вод возможно образование окислов Fe и других минералов с высокими формами валентности элементов. Приводятся схемы вероятного минералообразования.

43029. «Восстановленные» воды. Герб («Reduzierte» Wasser. G. Erb Lothar), Gas- und Wasserfach, 1953, 94, № 6, 157—161 (нем.)

Классификация подземных вод Баварии. Начало см. РЖХим, 1953, 5422.

43030. Минеральные воды Маонка. Чааги (Maconkai ásványvizek. Csajághy Gábor), Hidrológiai közlöny, 1953, 33, № 7-8, 281—282 (венг.)

43031. Геохимические особенности подземных вод, связанных с погребенными и наземными торфяниками. Остапеня, Каган (Гідрохімічні аспекти підземних вод, зв'язаних з пахаваними і наземними торф'яниками. Остапеня П. В., Каган Ц. А.), Весці АН БССР, 1954, № 1, 177—180 (белорусс.)

См. РЖХим, 1955, 371.

43032. Исследование иловых отложений соляных озер (лечебной грязи) методом разбавления. Даниленко П. Т., Потемкин К. Н., Тр. Крымск. фил. АН СССР, 1953, 4, № 1, 35—44

Метод разбавления заключается в том, что к навеске грязи прибавляют разные кол-ва воды и определяют в этих р-рах коэфф. лучепреломления. Этот метод дает возможность определить: процентное содержание растворенных солей в грязи, конц-ию грязевого р-ра и его кол-во, кол-во свободной воды, из расчета, что между конц-ией р-ра и его кол-вом имеет место обратно пропорциональная зависимость, которая графически выражается гиперболой, отнесенной к осям координат, как к асимптотам. Метод проверен на образцах Майкопского и Сакского озер, происходящие при небольших разбавлениях адсорбция и десорбция компонентов грязи и переход в р-р $CaSO_4$ и $CaCO_3$ практически значения не имеют.

43033. Гидрохимическая характеристика ирригационных систем Шаарихан-Сая и Шахимардан-Сая в Ферганской долине Узбекской ССР. Безрукова Т. И., Тр. ин-та зоол. и паразитол. АН УзССР, 1955, 4, 79, 130

43034. Вода в Терме Ди Фольяно (Латина). Таленти, Борджоли (L'acqua delle Terme di Fogliano (Latina). Talenti Mario, Borgioli Natale), Chimica, 1955, 31, № 6, 241—244 (итал.)

Источник (II) из артезианского колодца глубиной 1020 м, пробуренного для изыскания нефти. Дебит II 85 л/с.; т-ра воды 56,4°C, запах серный, вкус соленосернистый, pH 8,5 при 18°. II нерадиоактивен. Плотный остаток при 180° 12,4320 г/л. Хим. анализ (г/л): K^+ 2,0691; Na^+ 1,6060; Ca^{2+} 1,1685; Mg^{2+} 0,2786; присутствуют Sr^{2+} , Fe^{3+} , следы Li, Al, B; Cl⁻ 4,7425; J^- 0,0278; Br^- 0,0905; HCO_3^- 2,9389; SO_4^{2-} 0,8477; HS^- 0,1210; растворенные газы (см³/л при 0° и 760 тор): CO_2 673,55; H_2S 82,25; инертные газы 3,05. Общее кол-во H_2S определяли подометрически (0,2443 г/л); кол-ва свободного и связанного H_2S вычисляли по методу Ауэр-

баха — свободный $H_2S = 3,685$ и связанный = 3,5 ммоль/л. Совершенно стерилен; классифицируется как горячий минер., серный, солено-бром-иодистый, двууглекислосернистый — щелоч.-земельный.

43035. Присутствие кобальта в минеральных источниках. I. Торри (鐵泉中のコバルトの分布について. 第1報. 鳥居鉄也), 日本化学雑誌, Нихон Kagaku Zasshi, J. Chem. Soc. Japan, Pure Chem. Sec., 1955, 76, № 6, 707—710 (япон.)

Предложен метод колориметрич. колич. определения небольших кол-в Co в минер. источниках с помощью ортонитрозорезорцинмонометилэфира. При этом методе нет необходимости отделять железо и другие элементы, находящиеся в большом кол-ве в источниках. В кислых квасцовых и кислых железно-купоросных источниках (по японской классификации) со сравнительно большим содержанием Fe обнаружено 1—6 γ/л Co. В двух кислых источниках, содержащих очень большое кол-во Fe, содержание Co также велико: 4,40; 1,71 мг/л. В нейтр. и щел. источниках Co не был обнаружен. Его содержание, повидимому, ниже 0,3 γ/л.

43036. Определение иода в природных водах. Хлорид натрия как реактив при каталитическом восстановлении ионов церия. Дубравич (Determination of iodine in natural waters. (Sodium chloride as a reagent in the catalytic reduction of ceric ions). Dubravčić M.), Analyst, 1955, 80, № 949, 295—300 (англ.)

Предлагаемый метод представляет некоторое видоизменение метода автора (РЖХим, 1953, 40417) и позволяет определять весь неогранич. иод в пробе воды в 14 мл без ее концентрирования с ошибкой менее $\pm 0,3 \gamma/\text{л}$. Прибавляемый в р-ры NaCl препятствует образованию каталитически неактивного иодата и предотвращает вредное влияние ионов серебра и ртути на определение.

43037. Методика определения ионов брома и иода при анализе природных вод. Гончарова И. А., Гидрохим. материалы, 1955, 23, 138—157

См. РЖХим, 1956, 12715.

43038. Определение кальция в природных водах фотоколориметрическим методом. Чернова А. К., Трипольская Ф. Б., Науч. зап. Днепропетр. ун-та, 1953, 43, 93—98

43039. Определение сульфатов в природных водах фотоколориметрическим методом. Чернова А. К., Резник Б. Э., Балайца С. А., Науч. зап. Днепропетр. ун-та, 1953, 43, 35—91

43040. Практические инструкции по определению солёности морской воды методом титрования Мор-Кнудсена. Томсен (Instructions pratiques sur la détermination de la salinité de l'eau de mer par la méthode de titrage de Mørk-Knudsen. Thomsen Helge), Bull. Inst. océanogr., 1954, № 1047, 20 (франц.)

Содержание Cl в морской воде определяется по ф-ле $Cl = 0,3285234Ag$, где Ag — число грамм чистого серебра, необходимого для осаждения ионов галогенидов в 1 кг морской воды. Солёность равна массе солей, растворенных в 1 кг морской воды ($S = 0,030 + 1,8050 Cl$) с переводом карбонатов в окислы и замены Br и I хлором. S находят по таблицам Кнудсена как функцию содержания Cl. Принцип анализа основан на сравнении одинаковых объемов $AgNO_3$, израсходованных на титрование проб морской и эталонной воды. Описаны пипетки и бюретки Кнудсена, способы взятия проб воды, титрования и вычисления результатов.

43041. Определение дейтерия в некоторых водах методом температурного поплавка. Живанович (Одрђивање садржаја деутеријума у неким водама методом температурског поплава. Живановић

Мирjana), Гласник хем. друштва, 1954, 19, № 3, 165—168 (серб., рез. англ.)

Дейтерий определялся в водах: 1) Адриатического моря, 2) рассола, 3) оз. Македонии с гл. 214 м. 4) кристаллизац. из $\text{CuSO}_4 \cdot 5\text{H}_2\text{O}$ и др. Плотность образцов проверялась пикнометрич. методом. Получено в $\Delta d \cdot 10^{-6}$ 1) 2,1 и 2) 12, 3) 0,3, в др. объектах в пределах ошибки опыта. М. Я.

ласти заворачивания варисских дуг. Мебус (Petrographisch-tektonische Untersuchungen im Lausitzer Granitmassiv an der Grenze des Westlausitzer-gegen des Ostlausitzer Grandiorit im Bereich der Umbiegung des variskischen Bogens. Möbus Günter. Diss., Math.-naturwiss. F., Berlin, 1954, Maschinenschr.), Dtsch. Nationalbibliogr. 1955, B, № 19, 1372 (нем.)

43042 Д. Петрографо-тектонические исследования в Луижском гранитном массиве на границе Западных Луиж, против Восточнолуижских диоритов, в об-

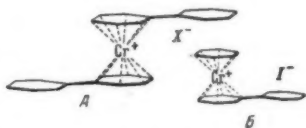
См. также: Структура и состав минералов 42372, 42373, 42376, 42389, 42390, 42400—42402, 42404. Анализ минералов, руд, почв и пород 43474, 43509, 43510, 43526, 43529, 43533, 43555, 43912, 45819

ОРГАНИЧЕСКАЯ ХИМИЯ

ТЕОРЕТИЧЕСКИЕ И ОБЩИЕ ВОПРОСЫ ОРГАНИЧЕСКОЙ ХИМИИ

43043. Новая роль хрома. Зейсс (A new role for chromium. Zeiss Harold H., Yale Scient. Mag., 1955, 29, № 4, 14—16 (англ.))

На основании результатов восстановления гидрокси пентафенилхрома (I), иодидов тетра- (II) и трифенилхрома (III) с помощью LiAlH_4 в эфире (из I получен дифенил (IV) и фенол, из 1 моля II — 2 моля IV, из 1 моля III — 1 моль IV и 1 моль бензола) и изучения физ. свойств (спектры, парамагнетизм с $\mu = 1,7$)



для I и II предложена структура A, где $\text{X} = \text{OC}_6\text{H}_5$ и J соответственно; для III — B. У атома хрома, расположенного между двумя ароматич. системами, за счет π -электронов ароматич. ядер возникает оболочка Кг. Положительный заряд хрома рассредоточен по ароматич. системам, которые становятся в результате этого активированными по отношению к атаке отрицательными группами (напр., ионами H^-). Последнее обстоятельство доказывается наличием дейтерия в IV, полученном при восстановлении этих соединений, LiAlD_4 . Г. Д.

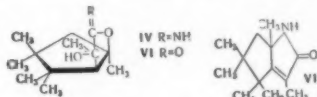
43044. О структуре петрозелиновой кислоты. Плисов А. К., Быковец А. Н., Тр. Одесск. технол. ин-та пищ. и холодильн. пром-сти, 1955, 6, 51—56

Химическим путем подтверждены *цис*-конфигурация петрозелиновой к-ты (*цис*-I) и *транс*-конфигурация петрозелидиновой к-ты (*транс*-I). Так найдено, что метиловый, пропиловый и бензиловый эфиры петрозелиновой к-ты (*цис*-II, *цис*-III, *цис*-IV) омыляются медленнее, чем соответствующие эфиры петрозелидиновой к-ты (*транс*-II, *транс*-III, *транс*-IV). В то же время *цис*-I, II, III и IV окисляются и гидрируются быстрее, чем *транс*-I, II, III и IV. Эфиры к-т получены этерификацией в присутствии H_2SO_4 : *цис*-IV, т. кип. $218^\circ/1$ мм, d^{20}_{20} 0,9315, n^{20}_{20} 1,4825; *транс*-IV, т. кип. $229^\circ/2$ — 3 мм, d^{20}_{20} 0,9372, n^{20}_{20} 1,4842. Н. В.

43045. Некоторые реакции 1,3,3,4,4-пентаметил-2-ацетилциклопентанола-1. Колобельский, Виман (Some reactions of 1:3:3:4:4-pentamethyl-2-acetylcyclopentanol-1-ol. Kolobelski Marian, Wiemann Joseph), Chemistry and Industry, 1954, № 38, 1178—1179 (англ.)

Согласно новым данным (см. РЖХим, 1956, 15944) ранее полученному из 1,3,3,4,4-пентаметил-2-ацетилциклопентанола-1 (I) и HCN

(II) соединению, ошибочно принятому за лактам (III) (см. РЖХим, 1956, 9712), приписывается строение иминолактона (IV). Строение IV подтверждается образованием 1,3,3,4,4-пентаметил-2-ацетилциклопентана-1 (V) (и выделением II) при нагревании IV с разб. KOH, что несовместимо со строением III. *Цис*-I и *транс*-I в этих же условиях образуют V. IV в разб. HCl превращается в оксилактон (VI), стойкий к действию к-т, а под действием горячей 25%-ной HCl IV превращается в α , β -ненасыщ. лактам (VII), т. пл. $170,5$ — $171,5^\circ$. Г. Н.



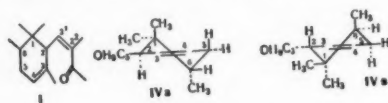
43046. Аномальное УФ-поглощение некоторых гетероциклических систем. Георгиян (Abnormal ultra-violet absorption in some heterocyclic systems. Georgian V.), Chemistry and Industry, 1954, № 30, 930—931 (англ.)

Конденсацией 2,5-дигидро-3-метокси- β -аминоэтилбензола (I) (т. кип. 86 — $88^\circ/1,2$ мм); оксалат (т. пл. $114,5$ — 115°), с изованилином получен 3-оксис-4-метоксибензаль-N-[β -(2', 5'-дигидро-3'-метоксифенил)-этил]имин (II), т. пл. $100,2$ — $101,5^\circ$. Циклизацией II с помощью моногидрата *n*-толуолсульфокислоты в диоксане получен 1-(3'-окси-4'-метоксифенил)-6-кето- $\Delta^{5,10}$ -октагидроизохинолин (III), т. пл. 107 — 112° ; N-формилпроизводное, т. пл. $184,8$ — $186,0^\circ$. Строение III доказывалось близостью кривой поглощения его α , β -ненасыщ. карбонильной системы ($\lambda_{\text{макс}}$ 230 м μ , $\epsilon_{\text{макс}}$ 11 000), полученной вычитанием из УФ-спектра поглощения III спектра его дигидропроизводного, т. пл. 70 — 72° , с кривой поглощения 2-метил-6-кето- $\Delta^{5,10}$ -октагидроизохинолина (IV), $\lambda_{\text{макс}}$ 232 м μ ; пикрат, т. пл. 196 — 198° ; иодметилат, т. пл. 209 — 210° , $\lambda_{\text{макс}}$ 221 м μ . IV был синтезирован однозначным путем из 1-метил-3-карбэтокси-4-кетопиперидина, конденсацией с метилин-илкетном получен 2-метил-6-кето-9-карбметокси-10-оксидекагидроизохинолин, т. кип. 143 — $151^\circ/1,4$ мм; пикрат, т. пл. 185 — $186,5^\circ$ (разл.), который сбражкой с HCl был превращен в IV. Автор предполагает, что полученный ранее (см. РЖХим, 1955, 3772) кетосектогидроизохинолин имеет строение IV и не является 6-кето- $\Delta^{7,8}$ -производным, как предполагают указанные исследователи. Смещение характеристич. поглощения IV в сторону коротких волн объясняется повышением

энергии ионного возбужденного состояния по сравнению с основным состоянием системы за счет ассоциации дипольных молекул IV.

Н. С. 43047. Стереонизомерия в циклогексеновом ряду: существование двух 2,6-*транс*-2,1,2-дигидро-2-метил- α -пронов. На в (Stéréoisomérisie cyclohexénique: existence de deux dihydro-2,1, (2-*trans* 2,6)-méthyl-2, α -irones. Naves Yves-René, C. r. Acad. sci., 1955, 240, № 18, 1781—1783 (франц.)

Гидрирование на скелетном Ni 2,6-*транс*-2-метил- α -прова (*транс*-I) протекает труднее, чем α -пронов. В случае *цис*-I гидрирование не избирательно и приводит к смеси 2,1,2-дигидропроизводного (II); семикарбазон (СК), т. пл. 190—191°; динитрофенилгидразон (ДНФГ), 140—141° и 3,4-дигидропроизводного (III); СК, т. пл. 189—190°; ДНФГ, 163—164°. Показано, что при гидрировании *транс*-I тоже образуются два дигидрокетона (IVa и IVб); СК IVa, т. пл. 190,5—191,5; ДНФГ IVa, 124—125°; СК IVб, 149,5—150,5°; ДНФГ IVб, 129—130°. Гидрированием 2-метил- β -прона получено одно 2,1,2-дигидропроизводное (V); СК V, т. пл. 157,5—158,5°;



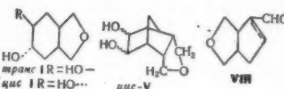
ДНФГ V, 158—159°. УФ-спектры (в сп.). СК II, СК IVa, СК IVб, СК V имеют $\lambda_{\text{макс}} \sim 226 \text{ м}\mu$ ($\epsilon \sim 13000$); ДНФГ II, ДНФГ IVa, ДНФГ IVб, ДНФГ V (в CHCl_3) ~ 363 —367 (23000). Гидролизом СК IVa и СК IVб получены чистые: IVa, т. кип. 104—105°/1,8—1,9 мм, d_{20}^{20} 0,9191, n_D^{20} 1,47966, и IVб, 105—105,5°/1,8—1,9 мм, 0,9205, 1,47980. Получены ИК-спектры (см^{-1}): IVa, IVб. Показано, что гидрирование IVa и IVб приводит к смеси двух 2,6-*транс*-тетрагидро-2-метилпронов, стереонизомерных у $\text{C}_{(2)}$ и $\text{C}_{(3)}$. Автор полагает, что IVa и IVб можно изобразить в виде «полукресел», где $\text{C}_{(2)}$, $\text{C}_{(3)}$, $\text{C}_{(4)}$ и $\text{C}_{(5)}$ лежат приблизительно в одной плоскости. Изомеры различаются положением C_1 и C_6 относительно этой плоскости. Заместитель с кетогруппой экваториален в обеих конфигурациях. Переход из одной конфигурации в другую, легко осуществимый в случае I, затруднен для дигидропроизводных. Автором получены также диал из рацемич. 2-метил- β -пронов; СК, т. пл. 186—187°; фенил-4-семикарбазон, 177—178°; ДНФГ, 157,5—158,5°.

Н. В. 43048. Конформация шестичленного кольца, конденсированного в *цис*-1,2-положении с пятичленным кольцом. Илл. Пиллар (The conformation of a six-membered ring *cis*-1,2-fused to a five-membered ring. Eliel Ernest L., Pillar Conrad, J. Amer. Chem. Soc., 1955, 77, № 13, 3600—3604 (англ.)

Для получения дополнительных объяснений большей стабильности *цис*-дигидроановой системы по сравнению с *транс*-системой исследовано окисление *цис*-2-оксагидранд-*цис*-диола-5,6 (*цис*-I) и *цис*-2-оксагидранд-*транс*-диола-5,6 (*транс*-I) с помощью $\text{Pb}(\text{OOCCH}_3)_4$ (II). Известно два объяснения большей стабильности системы с кольцами, конденсированными в *цис*-положении: а) шестичленное кольцо находится в форме «ванны»; б) шестичленное кольцо представляет собой деформированное «кресло» (Angyal S. J., MacDonald C. G., J. Chem. Soc., 1952, 686). Настоящая работа подтверждает второй взгляд. Из литературных данных (Criegee R., и др., Liebigs Ann. Chem., 1933, 507, 159) следует, что разни-

лов-1,2 (*цис*-и *транс*-III) с помощью II невелика, а для *цис*- и *транс*-циклопентандиолов-1,2 (*цис*- и *транс*-IV) эта разница значительна. Авторы показывают, что разница в скорости окисления *цис*-I и *транс*-I незначительная и для сравнения повторяют окисление III и IV (окисление с помощью II в 99,5%-ной CH_3COOH , 25°, пробы периодически разлагаются р-ром, содержащим 0,15% NaI и 0,5% CH_3COONa и оттитровываются $\text{Na}_2\text{S}_2\text{O}_5$: I, $k_{\text{цис}}^2$ 5,48, $k_{\text{транс}}^2$ 0,323, $k_{\text{цис}}/k_{\text{транс}}$ 17; III 8,11, 0,316, 21,5; IV, *цис*-окисляется слишком быстро, чтобы можно было измерить, 21,4 $k_{\text{цис}}/k_{\text{транс}}$ велико.

Так как из этих данных следует, что соотношение скоростей окисления *цис*-и *транс*-I ближе к соотношению для III, чем для IV, авторы делают вывод, что в I шестичленное кольцо представляет собой деформированное «кресло», так как известно, что такова конформация III. IV, напротив, по расположению OH-групп имитирует шестичленное кольцо в форме «ванны». Такое заключение подтверждено изучением ИК-спектров: *цис*-и *транс*-I, подобно *цис*-и *транс*-III, имеют два максимума для OH-групп (свободная OH и OH, связанная водородной связью), а у *транс*-IV второго пика нет, так как OH-группы у него отстоят слишком далеко друг от друга и водородная связь невозможна (РЖХим, 1955, 51302). Для сравнения получен *эндо*-4,7-эндометил-2-оксагидранд-*цис*-диол-5,6 (*цис*-V). Показано, что *цис*-V окисляется II с чрезвычайно большой скоростью. *транс*-V получить не удалось. Авторы оставляют открытым вопрос об *эка*- или *эндо*-положении гидроксильных в V, так как хотя при окислении KMnO_4 обычно образуются *эка*-диолы в ИК-спектре *цис*-V наблюдается три максимума за счет гидроксильных, связанной ВС. Если третий максимум (3425 см^{-1}) обусловлен водородной связью OH-группы с эфирным O-атомом, то гидроксильные в *цис*-V занимают *эндо*-положение. Кипятят 45 мин. 30,5 г LiAlH_4 в 1000 мл эфира, прибавляют 134,5 г диэтилового эфира *цис*- Δ^4 -тетрагидрофталевой к-ты (кипение 2,5 часа) и получают *цис*- Δ^4 -тетрагидрофталевый спирт (VI), выход 80%, т. пл. 32,5—34,5° (из бал.-технич. гексана), т. кип. 106—107°/0,1 мм. Из 0,25 моля VI в 100 мл пиридина и 0,25 моля $n\text{-CH}_3\text{C}_6\text{H}_4\text{SO}_2\text{Cl}$ (прибавление 20 мин., нагревание 15 мин.) синтезируют *цис*-2-окса- Δ^4 -тетрагидроиндан (VII), выход 82%, т. кип. 63—64°/13 мм, n_D^{25} 1,4884. 12,8 г VII в 125 мл воды окисляют р-ром 14 г KMnO_4 в 300 мл воды (4—5°) и получают *цис*-I, выход 56%, т. пл. 100—104° (из CHCl_3 -технич. гексана) (получен в виде двух полиморфных форм; второй эфир не обнаружен); *бис*-3,5-динитробензоат, т. пл. 195—197° (из сп.-этилацетата). 0,168 моля VII прибавляют к 24 мл 30%-ной H_2O_2 в 100 мл 90%-ной HCOOH ($\sim 40^\circ$, 3,5 часа) и получают после отгонки HCOOH (60°, вакуум), гидролиза эфиров (20 г NaOH в 40 мл воды, 45°, 15 мин.) и экстракции с помощью CHCl_3 *транс*-I выход 48%, т. пл. 130—132° (из CHCl_3 -технич. гексан). 2 г *цис*-I окисляют р-ром 6 г II в 250 мл лед. CH_3COOH (34°, 0,5 часа) и получают ненасыщ. альдегид (VIII) в виде вязкой массы. VIII выделяется в виде его 2,4-динитрофенилгидразона, т. пл. 204—205° (из сп.-этилацетата). *цис*-V синтезируют из диметилового эфира бицикло-[2,2,1]-гептен-5-*эндо*-*цис*-дикарбоновых-2,3 к-ты (IX), тем же путем, что *цис*-I из диэтилового эфира тетрагидрофталевой к-ты. IX, т. кип. 141—142°/13 мм, n_D^{25} 1,4836. Продукт восстановления IX с помощью LiAlH_4 , выход 84%, т. п. 84—87°. Циклизацией его полу-



чают соответствующее окса-соединение (XI), выход 82%, т. пл. 91°. XI окисляют KMnO_4 до *цис*-V, выход 32%, т. пл. 71–72° (из CHCl_3 -технич. гексана). Н. В.

43049. Система обозначения стереоизомеров. Терентьев, Потапов, Кост, Цукерман (Ein System zur Bezeichnung von Stereoisomeren. Terentjew A. P., Potapow W. M., Kost A. N., Zuckermann A. M.), Chem. Technik, 1955, 7, № 10, 579–584 (нем.) См. РЖХим, 1956, 12754.

43050. Оптически активные вещества в лаборатории и в природе. Терентьев А. П., Потапов В. М., Природа, 1955, № 5, 35–44

Популярная статья о значении оптически активных в-в, методах их получения расщеплением рацематов, частичным и абс. асимметрич. синтезом, возможных путях образования в природе. П. В.

43051. Количественная трактовка выходов изомеров при электрофильном замещении в ароматических соединениях. Мак-Гэри, Окамото, Браун (A quantitative treatment of isomer distribution in aromatic electrophilic substitution. McGary Charles W., Jr., Okamoto Y., Brown Herbert C.), J. Amer. Chem. Soc., 1955, 77, № 11, 3037–3043 (англ.)

Электрофильное замещение (ЭЗ) в ароматич. ядре поддается колич. трактовке по ур-нию типа Гамметта, если вместо значений σ констант заместителей при р-ции боковых цепей использовать спец. значения (σ^+), так что $\lg k_j = \rho \sigma^+$, где k_j — константа парц. скоростей ЭЗ и ρ — константа р-ции. На основании имеющихся данных по k_j для р-ций хлорирования (Cl_2 в CH_3COOH ; 24°), хлорметилирования (CH_2O в $\text{CH}_3\text{COOH} + \text{HCl}$ и ZnCl_2 ; 60°), нитрования ($[\text{CH}_3\text{COONO}_2$ в $(\text{CH}_3\text{COO})_2\text{O}$ при 18°; HNO_3 в 90%-ной CH_3COOH при 45°); меркурирования ($(\text{CH}_3\text{COO})_2\text{Hg}$ в $\text{CH}_3\text{COOH} + \text{HClO}_4$ при 25°, при 50° и при 75°; $(\text{CH}_3\text{COO})_2\text{Hg}$ в CH_3COOH при 50°, при 70° и при 90°); детриметилсилилирования; гульфонирования, изопренилирования и величинам основности (в HF и в $\text{HF} + \text{BF}_3$) толуола рассчитаны значения $\lg n_j / \lg m_j = \sigma_{n-\text{CH}_3}^+ / \sigma_{m-\text{CH}_3}^+ = 4,24$. Предполагая $\sigma_{m-\text{CH}_3}^+ = \sigma_{m-\text{CH}_3}$ ($= -0,069$) (ввиду малой полярности и малой тенденции к сопряжению CH_3 -группы), можно получить значения $\sigma_{n-\text{CH}_3}^+$ ($= -0,293$) и ρ для этих р-ций. Принимая среднее значение ρ для нитрования $5,92 \pm 0,10$, получены значения σ^+ ряда *м*- и *п*-заместителей, из которых следует, что в то время как $\sigma_m^+ = 0,902 \sigma_m \approx \sigma_m$, σ_n^+ значительно отличается от σ_n ; σ_n^+ подчиняется эмпирически найденному ур-нию $\sigma_n^+ = \sigma^* - 0,134$, где σ^* большее из двух значений σ , присущих *п*-заместителям. Значения отношений *п*/*м* изомеров, полученных, на основании вычисленных констант, по ф-ле: $\lg (n/m) = \rho (\sigma_n^+ - \sigma_m) - \lg 2$, хорошо совпадают с опытными данными для нитрования соединений RC_6H_5 (I), где $\text{R} = \text{NO}_2$, CN , SO_2CH_3 , CHO , $\text{CO}_2\text{C}_2\text{H}_5$, CO_2CH_3 , COOH , CONH_2 , NHCOC_6H_5 , NH_2 , F , Cl , Br , CH_3 , C_2H_5 , $\text{CH}(\text{CH}_3)_2$, $\text{C}(\text{CH}_3)_3$, OH , $\text{Si}(\text{CH}_3)_3$, CF_3 , $\text{N}(\text{CH}_3)_3$, за исключением I $\text{R} = \text{CHO}$ (возможно, из-за слишком высокого значения σ^* CHO -группы), NH_2 (вероятно, потому что реагирует не NH_2 , а ион анилина), $\text{Si}(\text{CH}_3)_3$, CF_3 , $\text{N}(\text{CH}_3)_3^+$ (возможно, потому, что эмпирич. метод вычисления σ^+ в этих случаях не пригоден). Если ρ_0 (константа р-ций в ортоположениях) равно ρ в случае хлорирования и нитрования, где отсутствуют *о*-эффекты, то для хлорметилирования и других р-ций с значительными стерич. факторами $\rho_0 \neq \rho$ и $\lg \sigma_f \rho = \sigma_0^+$. Так как $\lg k_j = \rho \lg k_0$

$+ (\rho_0 - \rho) \sigma_0^+$; где k_j и k_j^0 — относительные скорости ЭЗ в положении *j* двух сравниваемых р-ций, зависимость $\lg k_j$ от $\lg k_j^0$ может быть изображена прямыми с наклоном ρ и отрезками: σ (отсутствие *о*-групп), $(\rho_0 - \rho) \sigma_0^+$ (одна *о*-группа) и $2(\rho_0 - \rho) \sigma_0^+$ (две *о*-группы). Аналогично, при отсутствии связи между *п*-, *м*- и *о*-факторами зависимость изображается шестью прямыми. В случае полизамещ. C_6H_4 :

$\lg ek_j = \lg ek_j^0 / \rho'$, где ρ' относится к р-ции сравнения. Для того, чтобы зависимость была линейной (J. Amer. Chem. Soc., 1952, 74, 3570; РЖХим, 1956, 15916) $\lg ek_j = (\rho / \rho') \lg ek_j^0$, что может иметь место при $\rho / \rho' \approx 1$, либо если один из членов σ с большой. Отсюда следует, что отношения логарифмов скоростей ЭЗ могут в общем случае и не быть линейными. Вычислены значения ρ , ρ_0 , ρ_m , ρ_n , σ^+ , σ_0^+ , σ_m^+ для перечисленных выше р-ций и приведенных заместителей при I. Г. П.

43052. Стереохимия первичного углеродного атома. II. Сложные эфиры оптически активного бутанола-1-*d*. Сольволиз бутил-1-*d*-брозилата. Стрейтуйсер (Stereochemistry of the primary carbon. II. Esters of optically active butanol-1-*d*. Solvolysis of butyl-1-*d* brosylate. Streitwieser Andrew, Jr.), J. Amer. Chem. Soc., 1955, 77, № 5, 1117–1122 (англ.)

Химическая чистота дейтерированного (—)бутанола-1-*d* (I), $[\alpha]_D^{25} = -0,036 \pm 0,002^\circ$, $[\alpha]_{5461}^{25} = -0,044 \pm 0,002^\circ$, полученного по несколько измененному методу (сообщение I РЖХим, 1954, 41083), подтверждается посредством величины оптич. вращения при 3-кратной перегонке, перекристаллизации кислого фталата I, $[\alpha]_D^{25} + 0,070$ (*c* 25; ацетон) из бензолациклогексана и при регенерации из него I путем щел. гидролиза. Описаны эфиры I: *n*-бутил-1-*d*-формат (II) (получ. кипячением I с HCOOH 24 часа), $[\alpha]_D^{25} + 0,12 \pm 0,002^\circ$, $[\alpha]_{5461}^{25} + 0,147 \pm 0,005^\circ$, —ацетат (III) (действием на I CH_3COCl с пиридином в пентане), $[\alpha]_D^{25} + 0,094 \pm 0,001^\circ$, $[\alpha]_{5461}^{25} + 0,111 \pm 0,001^\circ$ и *n*-бромбензолсульфат (брозилат) (IV), $[\alpha]_D^{25} + 0,015 \pm 0,003^\circ$, $[\alpha]_{5461}^{25} + 0,011 \pm 0,005^\circ$. Сольволиз IV в HCOOH или CH_3COOH проходит с обращением конфигурации и сопровождается незначительной рацемизацией. По предложенному автором механизму обращение происходит через промежуточный ковалентно-ионный карбоний, который образует с молекулой р-рителя (S) нормальную sp^3 -связь или может замещаться S, давая рацемат через симметричный промежуточный комплекс. Измерены скорости сольволиза IV при *t*-рах 60 и 99,4°; $\Delta E_{\text{акт}}$ в кал/моль у $\Delta S_{\text{акт}}$ энтр. ед. равны соответственно в HCOOH 19,5, —26, в CH_3COOH 24,1, —18. Отмечено хорошее совпадение величин $\alpha_{5461} / \alpha_D - 1,21 \pm 0,04$ у II и $1,18 \pm 0,02$ у III с найденным для сложных эфиров вторичных алифатич. спиртов (ср. Pickard R. H., Kenyon J., J. Chem. Soc., 1914, 105, 830).

Ю. С. 43053. Катализируемый основаниями метанолиз *l*-ментиловых эфиров *м*- и *п*-алкилбензойных кислот. Ньюман, Истербрук (Base-catalyzed methanolysis of *l*-menthyl *m*- and *p*-alkylbenzoates.

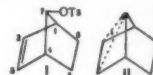
Newman Melvin S., Easterbrook Eliot K., J. Amer. Chem. Soc., 1955, 77, № 14, 3763—3766 (англ.)

С целью изучения эффекта алкильных групп в р-циях типа присоединения к карбонилу определены скорости метанолиза *l*-ментоловых эфиров алкилбензойных к-т (МЭА) в присутствии CH_3ONa . Синтезированы МЭА, содержащие в *meta*- или *para*-положении заместители: CH_3 , C_2H_5 , *iso*- C_3H_7 , и *tert*- C_4H_9 . Метаноллиз исследованных МЭА протекает медленнее, чем метаноллиз *l*-ментилового эфира бензойной к-ты. Скорость метанолиза МЭА возрастает с усложнением алкильного заместителя, что объясняется для *para*-замещ. преобладанием влияния гиперконъюгации над индукционным эффектом. В ряду *meta*-замещ. гиперконъюгация не имеет значения, и полученные результаты объясняются наличием пространственных факторов. Приведены значения констант первого порядка k_1 скорости метанолиза для 30 и 39,95°, при конц-ии МЭА 0,0799—0,0906 моля/л и конц-ии CH_3ONa 0,0517—0,1165 моля/л. Перечисляются заместители в МЭА, т. кип. в °C при 0,5—0,8 мм, n_D^{20} , t , $k_{30-95} \cdot 10^4 \cdot \text{сек}^{-1}$, $E_{\text{акт}}$, $\lg PZ$, $S_{\text{акт}} - S_0$: Н, —, —, —, 0,519, 1,294, 17,600, 8,33, 0; *n*- CH_3 , 137, 1,5084, 26, 0,218, 0,616, 18,030, 8,33, 0; *m*- CH_3 , —, —, —, 0,388, 1,000, 17,740, 8,37, —0,16; *p*- C_2H_5 , 151, 1,5078, 26, 0,255, 0,734, 20,040, 9,86, —7,00; *m*- C_2H_5 , 144, 1,5060, 27, 0,415, 1,051, 17,633, 8,32, +0,04; *p*-*iso*- C_3H_7 , 155°, 1,5044, 29, 0,271, 0,741, 19,070, 9,18, —3,78; *m*-*iso*- C_3H_7 , 145, 1,5032, 25, 0,432, 1,211, 19,530, 9,71, —6,16; *n*-*tert*- C_4H_9 , 168,5, 1,5050, 27, 0,296, 0,768, 18,070, 8,49, —0,71; *m*-*tert*- C_4H_9 , 159, 1,5012, 30, 0,435, 1,233, 19,800, 9,91, —7,05. *m*-Алкилбензойные к-ты синтезировали из соответствующих алкилбензолов. Нитрованием *tert*-бутилбензола при 10—20° смесью HNO_3 и H_2SO_4 получали смесь *o*- и *p*-нитропроизводных с выходом 95%, т. кип. 98—102°/3—4 мм. Также получали смеси *o*- и *p*-нитротилбензолов (выход 65%, т. кип. 108—115°/8 мм) и нитроизопропилбензолов (выход 53%, т. кип. 92—98°/3 мм). Нитросоединения восстанавливали H_2 над Pt; выход смеси *o*- и *p*-*tert*-бутиланилинов (I) 95%, т. кип. 79—83°/3 мм, выход этиланилинов 88%, т. кип. 89—95°/9 мм, и выход изопропиланилинов 67%, т. кип. 70—81°/1 мм. 83 г I и 300 мл $(\text{CH}_3\text{CO})_2\text{O}$ кипятили 4 часа, охлаждали, при 40—50° прибавляли 96 г Br_2 , смесь оставляли на 15 час. при 25° и выливали в воду, содержащую NaHSO_3 . Смесью 2- и 4-ацетамин-3-бромбутилбензола кипятили 4 часа с 250 мл спирта и 250 мл конц. HCl . После отгонки спирта, фильтрации и обработки NaOH получали смесь 2- и 4-амино-3-бромбутилбензола (II) с выходом 74%, т. кип. 106—112°/2—3 мм. Также получены смеси 2- и 4-амино-3-бромэтилбензола, выход 51%, т. кип. 105—110°/2 мм, и смеси 2- и 4-амино-3-бромизопропилбензола, выход 44%, т. кип. 107—112°/2—3 мм. К 83,2 г II в 758 мл лед. CH_3COOH , 505 мл воды и 152 мл конц. HCl прибавляли при 5° р-р 31,5 г NaNO_2 в 191 мл воды, полученный р-р выливали в 758 мл холодной 30%-ной H_2PO_4 и смесь выдерживали 2 дня при 5°; выход *m*-бром-*tert*-бутилбензола (III) 59,2%, т. кип. 103—105°/17 мм. Аналогично получены *m*-бромэтилбензол, выход 76,5% т., кип 91—94°/20 мм и *m*-бромизопропилбензол (IV), выход 83,2%, т. кип. 94—99°/20 мм. 51,5 г III, 26,9 г CuCN и 25 мл пиридина нагревали 18 час. при 180—190° и выливали в смесь разб. NH_3 и $\text{C}_2\text{H}_5\text{H}_2$; выход *m*-*tert*-бутилбензонитрила (V) 87,2%, т. кип. 93—96°/4 мм; выход *m*-этилбензонитрила, полученного в тех же условиях, составили 76%, т. кип. 91—92°/7—8 мм; выход *m*-изопропилбензонитрила (VI) 82%, т. кип. 102—104°/9 мм. Гидролизом V 65%-ной H_2S получена *m*-*tert*-бутилбензойная к-та, выход 73%. Аналогично получены *m*-этилбензойная к-та, выход 97%, и *m*-изо-

пропилбензойная к-та (VII), выход 90%. VII получена также следующим путем: к 2,4 моля CH_3MgBr в 1 л эфира прибавляли 200 г *m*- $\text{BrC}_6\text{H}_4\text{COCl}$ и смесь обрабатывали 20%-ной CH_3COOH перегонкой выделяли α -метил-*m*-бромстирол (VIII), выход 41%, т. кип. 78—82°/5 мм, и диметил-*m*-бромфенилкарбинол (IX), выход 48%, т. кип. 107—108°/3 мм. IX дегидратировали с 83%-ным выходом двукратной перегонкой над J_2 . Гидрированием VIII над Pt получали IV, который далее превращали в VI и VII. К р-ру 158 г CH_2ClCOCl в 156 г кумола прибавляли при —10° — +5° суспензию 180 г AlCl_3 в 200 мл CS_2 . Остаток, полученный после разложения к-той и отгонки р-рителей, растворяли в эфире и нагревали с избытком пиридина. Пиридиниевую соль обрабатывали NaOH и после подкисления и перегонки получали *n*-изопропилбензойную к-ту. Аналогично получена *n*-*tert*-бутилбензойная к-та с выходом 26%. Перечисляются заместители, т. пл. в °C и константа ионизации ($K \cdot 10^7$) алкилбензойных к-т в 48%-ном водн. диоксане: Н, 121,5—122,5, 10,0; *n*- CH_3 , 179,6—180,4, 6,0; *n*- C_2H_5 , 112,8—113,6, 6,0; *p*-*iso*- C_3H_7 , 116,6—117,1, 5,9; *n*-*tert*- C_4H_9 , 166,0—166,8, 6,0; *m*- CH_3 , 110,2—111,0, 7,2; *m*- C_2H_5 , 47,0—47,6, 6,6; *m*-*iso*- C_3H_7 , 49,2—50,2, 6,1; *m*-*tert*- C_4H_9 , 126,8—127,6, 6,0. Для получения МЭА кипятили 10—12 час. бензольный р-р эквимолекулярных кол-в хлорангидридов к-т и *l*-ментола, выход 80—85%.

43054. 7-норборнил- и 7-норборнильный катионы. Уинштейн, Шатавский, Нортон, Вудворд (7-norbornenyl and 7-norbornyl cations. Winstein S., Shatavsky M., Norton C., Woodward R. B.), J. Amer. Chem. Soc., 1955, 77, № 15, 4183—4184 (англ.)

Константа скорости ацетоллиза *n*-толуолсульфоната анти-7-норборнеола (I) ($k_1 = 9,04 \cdot 10^{-4} \text{ сек}^{-1}$; $\Delta H_{\text{акт}} 23,3 \pm 0,3 \text{ ккал/моль}$; $\Delta S_{\text{акт}} 5,7 \pm 2,0 \text{ энтр. ед.}$, т. пл. 60,5—61,0°) значительно больше, чем *n*-толуолсульфоната 7-норборнеола ($k_1 = 6,36 \cdot 10^{-15} \text{ сек}^{-1}$; $\Delta H_{\text{акт}} 35,7 \pm 0,6 \text{ ккал/моль}$; $\Delta S_{\text{акт}} 3,5 \pm 1,7 \text{ энтр. ед.}$, т. пл. 54,7—55,7°). Высокая реакционная способность I объясняется автором наличием гомоаллильной системы, в которой π -электроны двойной связи взаимодействуют с образующейся при диссоциации I вакантной *p*-орбитой при $\text{C}_{(7)}$, что облегчает ионизацию и стабилизирует образующийся норборнильный катион (II). II реагирует стереоспецифично с *p*-рителем с сохранением конфигурации. Для получения I синтезировали анти-7-норборнеол (III) (т. пл. 117—118°) в виде ацетата *p*-дий этилена с ацетоксидициклопентадиеном, который образуется из ацетоксидициклопентадиена при 190°. III получен также присоединением Br_2 к бициклопентадиену, селективным гидролизом насыщ. дибромиды с последующим дебромированием бромгидрина. 7-норборнеол (т. пл. 150—151°) образуется при каталитич. гидрировании III.



43055. Гидролиз органических фосфатов. Барнард, Бантон, Ллуэллин, Олдем, Силвер, Вернон (The hydrolysis of organic phosphates. Barnard P. W. C., Bunton C. A., Llewellyn D. R., Oldham K. G., Silver B. L., Vernon C. A.), Chemistry and Industry, 1955, № 27, 760—763 (англ.)

Исследован механизм гидролиза некоторых органических фосфорных к-т и определено с помощью изотопа O^{18} место разрываемой связи. Гидролиз метилфосфата (I) протекает по первому порядку; константа скорости k в области pH 3,4—4,5 не зависит от pH, конц-ии буфера и ионной силы р-ра; происходит раз-

рыв связи P—O. При большей и меньшей кислотности р-ра скорость р-ции уменьшается, зависимость k от pH соответствует для I строению $1\text{ O}=\text{P}(\text{OH})(\text{OCH}_3)(-\text{O}-)$. В сильно щел. р-рах I стоек по отношению к гидролизу. В сильно кислых р-рах происходит кислотный катализ гидролиза с разрывом как C—O, так и P—O связи, связанный с $\text{S}_\text{N}2$ атакой H_2O как по P, так и по C эфирной группы. В случае гидролиза 1- и 2-глицеринфосфата наблюдается быстрая миграция фосфатной группы между положениями 1 и 2, причем и гидролиз и миграция протекают с разрывом связи P—O. Гидролиз фенилфосфата (II) и *n*-толилфосфата (III) в области pH 1—9 протекает по тому же механизму, что и I, но II и III, более реакционноспособны. В сильно кислых р-рах не происходит кислотного катализа гидролиза II и III, а достигается предельная скорость гидролиза с разрывом связи P—O, что соответствует строению II и III по типу $\text{ROP}(\text{OH})_2\text{O}$. При гидролизе α -D-глюкозо-1-фосфата $\lg k$ пропорционален pH в области pH 1—4 и кислотным функциям Гаммета H_0 при более, высокой кислотности; происходит разрыв связи C—O, что согласуется с мономолекулярным механизмом р-ции. Гидролиз триметилфосфата в воде в присутствии NaOH протекает по второму порядку с разрывом связи P—O, отщепляется только одна группа CH_3 . Продукт р-ции — диметилфосфат — устойчив в щел. р-рах, но в нейтр. и кислых р-рах подвергается дальнейшему гидролизу; разрывается связь C—O.

43056. Гидролиз уровых кислот. Дудкин М. С., Ж. общ. химии, 1954, 24, № 9, 1599—1602

Изучена кинетика гидролиза маленинуровой (I), сукцинуровой (II), фталеуровой (III) к-т и вычислены константы скорости гидролиза. При 70° гидролиз уровых к-т не идет. С повышением т-ры наблюдалось образование двусосновой к-ты и мочевины (IV). Р-ции гидролиза I, II, III подчиняются в случае разб. р-ров урию 1 порядка. Образующаяся на первом этапе IV распадается на NH_3 и CO_2 . В разб. р-рах (0,01 н.) при 80° кол-во распадающейся IV невелико. В конц. р-рах I при 100° образующийся NH_3 уменьшает общую кислотность р-ра из-за образования NH_4 -солей I с нераспавшимися молекулами I и из-за образования кислых и средних солей с образующимися молекулами I. Поэтому кривые гидролиза I при 98 и 80° различны, а кривая распада конц. р-ров I проходит максимум. Na- и K-соли I (0,01 н. р-р) при нагревании (150 мин., 99°) не распадаются, а Li-соль заметно гидролизуеться. Это объясняется различным объемом атомов металла. I—III получены нагреванием IV с ангидридами соответствующих к-т.

43057. Изучение карбаматов. XI. Карбамат этилендиамина. Енсен, Кристенсен (Studies on carbamates. XI. The carbamates of ethylenediamine. Jensen Arne, Christensen Ruth), Acta chem. scand., 1955, 9, № 3, 486—492 (англ.) Получен карбамат $^+\text{H}_3\text{NCH}_2\text{CH}_2\text{NHCOO}^-$ (I) и определены константы скорости и равновесия образования I из CO_2 и этилендиамина (II) и его гидролиза. При пропускании недостаточного кол-ва CO_2 в водн. р-р II образуется р-р I. В смесь 80 г II и 20 г воды пропускают CO_2 1 час при 0°, а затем оставляют на 10 час. при 0° и 50 час. при 20°; образуется микрокристаллич. осадок — смесь I и дикарбамата $^+\text{H}_3\text{NCH}_2\text{CH}_2\text{NH}_3^+ \cdot \text{OOCNHCH}_2\text{CH}_2\text{NHCOO}^-$ (III). В виде III находится ~20% CO_2 . При кинетич. расчетах принимают, что присутствует только I. На основании потенциометрич. определения активности H^+ вычислена pK_a для $^+\text{H}_3\text{NCH}_2\text{CH}_2\text{NH}_2$ 10,17 при 18°. Этим же путем вычислена pK диссоциации для $^+\text{H}_3\text{NCH}_2\text{CH}_2\text{NH}_3^+ \rightleftharpoons \text{H}_2\text{NCH}_2\text{CH}_2\text{NH}_3^+ + \text{H}^+$, равная 7,2 и pK кислотной диссоциации I 10,10. Для р-ции $\text{II} + \text{CO}_2 \rightleftharpoons \text{I}$ K равно-

весия $10^{5,30}$, для р-ции $\text{H}_2\text{NCH}_2\text{CH}_2\text{NHCOO}^- + \text{H}_2\text{O} \rightleftharpoons \text{II} + \text{HCO}_3^-$, K равновесия $10^{-2,32}$. Разложение I в щел. среде протекает в 2 стадии: 1) $\text{I} \rightleftharpoons \text{II} + \text{CO}_2$, 2) $\text{CO}_2 \rightleftharpoons$ карбонат. Для этой р-ции определены константы скорости — в буферном р-ре $^+\text{H}_3\text{NCH}_2\text{CH}_2\text{NH}_2$ II при 18°. Сообщение X см. РЖХим, 1956, 28887.

Е. К.

43058. Влияние заместителей на реакции бензоат-ионов с 2,4-динитрохлорбензолом и иодистым метилом. Парке, Хаммонд, Хоторн (Substituent effects on the reactions of benzoate ions with 2,4-dinitrochlorobenzene and methyl iodide. Parks Lawrence, R., Hammond George S., Hawthorne M. Frederick), J. Amer. Chem. Soc., 1955, 77, № 10, 2903—2905 (англ.)

Исследована р-ция 2,4-динитрохлорбензола (I) с ионами бензоата (II), *n*-метоксibenзоата (III) и *n*-нитробензоата (IV) для получения новых сведений о промежуточном состоянии в р-циях нуклеофильного замещения. Найдены k для этих р-ций при 93° и 60%-ном диоксане. Для всех изученных р-ций константа Хаммета $\rho = -0,20$. Авторы считают, что в переходном комплексе лишь в небольшой степени представлена структура (A), возникающая за счет образования связи I с замещающими ионами, так как в A полярность заместителя должна была сильно влиять на ρ . Исследована также р-ция между II, III и IV и CH_3I , $\rho = -0,12$. Малое значение ρ в этом случае указывает на еще меньшую роль переходных комплексов типа A в р-циях нуклеофильного замещения у алифатич. углерода. Этот вывод подтверждается также качественными опытами, показывающими отсутствие влияния электрофильных катализаторов на скорость р-ции нуклеофильного замещения в случае взаимодействия I с $\text{C}_6\text{H}_5\text{COOAg}$ в CH_3CN .



П. З.

43059. Анионотропия, катализируемая кислотами Льюиса. Брауде, Гор (Anionotropy catalysed by Lewis acids. Braude E. A., Gore P. H.), Nature, 1954, 173, № 4414, 1091—1092 (англ.)

Под действием BF_3 в качестве катализатора осуществлена изомеризация $\text{C}_6\text{H}_5\text{CH}(\text{OH})\text{CH}=\text{CH}_2$ (I) в $\text{C}_6\text{H}_5\text{CH}=\text{CHCH}_2\text{OH}$ и $\text{C}_6\text{H}_5\text{CH}(\text{OCH}_3)\text{CH}=\text{CH}_2$ в $\text{C}_6\text{H}_5\text{CH}=\text{CHCH}_2\text{OCH}_3$ в сухом диоксане при 25°. Для предотвращения полимеризации р-ры I и II были разбавлены до 10^{-4} M. Скорость изомеризации, измерявшаяся спектроскопически, пропорциональна конц-ии BF_3 и замедляется при добавлении воды, вследствие, как предполагают, высокой основности последней. Каталитич. действие BF_3 объясняется в соответствии с общей теорией анионотропных перегруппировок (Burton, Ingold, J. Chem. Soc., 1946, 396), отдавая предпочтение механизму, включающему диссоциацию C—O-связи с образованием $\text{BF}_3 \cdot \text{OH}^-$ и карбонийиона.

В. А.

43060. Бекмановская перегруппировка. IV. Изучение скоростей перегруппировки некоторых алифатических и алициклических оксимов. Скотт, Пирсон, Берчер (The Beckmann rearrangement. IV. Study of the rates of some aliphatic and alicyclic oximes. Scott Paul T., Pearson D. E., Bircher L. J.), J. Organ. Chem., 1954, 19, № 11, 1815—1823 (англ.)

Определены скорости Бекмановской перегруппировки (в 94,5%-ной H_2SO_4) ряда оксимов алифатич. алициклич. кетонов: ацетона (I), диэтилкетона (II), диизопропилкетона (III), диизобутилкетона (IV), циклопентанона (V), циклогексанона (VI) и циклогептанона (VII). В порядке возрастания скорости перегруппировки оксими составляют ряд (в скобках при-

ведены E ккал и $\Delta S_{\text{акт}}$ в энтр. ед.) III (23,5; -1,4) > VI (24,7; -2,2) > IV (25,7; 0) > VII (26,3; -0,1) > II (25,4; -3,4) > V (26,9; 0,9) > I (30,1; 0,6). По мнению авторов, возрастание скорости р-ции в этом ряду связано с усилением электронодонорных свойств алкильных групп (III > IV > I), что благоприятствует перемещению в промежуточном комплексе А. Меньшая скорость перегруппировки V по сравнению с VI и VII (РЖХим, 1955, 13853) объясняется стабилизацией внешней двойной связи циклопентанона и дестабилизацией системы циклогексанона. На основе изучения скоростей р-ции улучшен лабор. способ получения ϵ -капролактама (VIII). К 250 мл H_2SO_4 прибавляют 2,0 моля VI порциями по 20–30 г при перемешивании и охлаждении, смесь выдерживается 90 час. при 60° и затем нейтрализуется конц. NH_3 (9 молей) при охлаждении, выход VIII 89%, т. кип. 109–110°/2,5 мм, т. пл. 67–69°. Для сокращения времени синтеза можно р-р 2 молей VI в 200 мл конц. H_2SO_4 прибавлять по каплям в кипящую смесь из 100 мл C_6H_6 , 50 мл хлорбензола, 50 мл конц. H_2SO_4 в течение 2 час. и кипятить еще 1 час, выход VIII 88%, т. пл. 70,5–71,5° (из петр. аф.-трет.- $\text{C}_4\text{H}_9\text{OH}$, 6 : 1). Сообщение III см. РЖХим, 1955, 23589. А. Я.



43061. Бекмановская перегруппировка. V. Скорости перегруппировки некоторых орто-замещенных оксимов ацетофенонов. Пирсон, Кол (The Beckmann rearrangement. V. The rearrangement rates of some ortho-substituted acetophenone oximes. Pearson D. E., Cole W. E., J. Organ. Chem., 1955, 20, № 4, 488–493 (англ.))
Измерены скорости бекмановской перегруппировки в 94,5%-ной H_2SO_4 оксимов ацетофенонов, содержащих орто-заместители CH_3 , Cl и NO_2 . Перечисляют о-заместитель, E ккал и ΔS в энтр. ед.: CH_3 ; 20,65; -6,3; Cl ; 24,1; -1,2; NO_2 ; 27,2; -2,4. Скорости перегруппировки орто-замещ. велики по сравнению с соответствующими пара-замещ.; отношения скоростей орто/пара равны для CH_3 107; Cl 15; NO_2 6; по мнению авторов, ненормально большие скорости для орто-замещ. объясняются тем, что объемные радикалы облегчают образование переходного комплекса типа А, что связано с потерей копланарности между системой кольца и группой α -оксиминоэтила. А. Я.



43062. Бензидиновая перегруппировка. VI. Перегруппировка 3,3',5,5'-тетрафторгидразобензола в серной кислоте 2:1. Карлин, Хейнингер (The benzidine rearrangement. VI. The rearrangement of 3,3',5,5'-tetrafluorohydrazobenzene in 2:1 sulfuric acid. Carlin Robert B., Heininger S. Allen, J. Amer. Chem. Soc., 1955, 77, № 8, 2272–2277 (англ.))

3,3',5,5'-тетрафторгидразобензол (I) под воздействием H_2SO_4 (2 : 1) при 85–90° (3 часа) превращается в 2,2',6,6'-тетрафторбензидин (II), 2,2',4,6'-тетрафтордифенил (III), 2,2'-диамино-4,4',6,6'-тетрафторбифенил (IV) и продукты диспропорционирования 3,5-дифторанилина (V) и 3,3',5,5'-тетрафторазобензола (VI). При перегруппировке I выход II наибольший, III ~ 10%, IV, V и VI также ~ 10% (в сумме). Сравнение относительных кол-в пяти продуктов, полученных из I, с относительными кол-вами продуктов перегруппировки аналогичных тетрафтор (VII), тетрабром-(VIII), тетраметил-(IX)-гидразобензолов при идентичных условиях (Carlin R. B., Forshey W. O., Jr, J. Amer. Chem. Soc., 1950, 72, 793) показывает, что I по сравнению с VII, VIII, IX дает больше бензидинового производного, много меньше дифенилового производного и 2,2'-диаминобифенила и вовлекается в диспропорциониро-

вание в заметно меньшей степени. Поскольку перегруппировка I более похожа на перегруппировку гидразобензола, чем на его четырехзамещ. аналогов, авторы приходят к выводу, что относительная скорость образования продуктов перегруппировки и продуктов диспропорционирования обуславливается стерич. положением заместителя. Такие факторы как эффект среды и полярность заместителя играют важную, но значительно меньшую роль. Сообщение V см. РЖХим, 1956, 12422. В. Я.

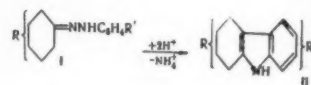
43063. О биполярных ионах, образующихся при отщеплении протона от NH-группы. X. Перегруппировка биполярных ионов сульфоневого ряда. Симон в А. М., Ж. общ. химии, 1955, 25, № 12, 2278–2280

Найдено, что биполярные ионы $n\text{-RNC}_6\text{H}_4\text{S}^+(\text{CH}_3)_2$ (Ia, б) (всюду $n = n\text{-NO}_2\text{C}_6\text{H}_4\text{SO}_2$, б $R = n\text{-NO}_2\text{C}_6\text{H}_4\text{CO}$) при плавлении перегруппировываются в N-метиланилиды $n\text{-RN}(\text{CH}_3) - \text{C}_6\text{H}_4\text{SCH}_3$ (IIa, б). Переходящий от S^+ к N^- алкил, очевидно, имеет характер катиона. Таким образом, представления о р-циях обмена и расщепления четвертичных аммониевых солей, как о гетеролитич. р-циях (Куранов, Сеткина, Изв. АН СССР, отд. хим. Н., 1949, 274, 311), справедливы и для сульфоновых соединений. I получены действием щелочи на сульфонеиновые соли $n\text{-RNHC}_6\text{H}_4(\text{CH}_3)_2\text{-SO}_3\text{C}_6\text{H}_4\text{SCH}_3$ (IIIa, б) (см. Сообщение VIII РЖХим, 1955, 21075), образующиеся при сплавлении производных n -тиоанилидина $\text{RNHC}_6\text{H}_4\text{SCH}_3$ (IVa, б) с метиловым эфиром n -толуолсульфокислоты (V). IVa получен из n -тиоанилидина и n -нитробензолсульфохлорида в пиридине, т. пл. 165–165,5° (из сп.), и действием V при 130–140° (1 час) превращен в IIIa, т. пл. ~ 180° (из CH_3OH). Действием 2 н. NaOH на водн. р-р IIIa получают Ia, т. пл. ~ 185° (из сп.); Ia при расплавлении (190–200°, 3 мин.) превращается в IIa, т. пл. 145,5° (из сп.); идентично продукту метилирования IVa диметилсульфатом. Из n -тиоанилидина и n -нитробензолсульфохлорида получен IVб, т. пл. 215–215,5°, из него — III б, т. пл. 217–219° (из 50%-ного сп.). III б в 50%-ном спирте при действии 2 н. NaOH образует 1 б, т. пл. ~ 145° (из 70%-ного сп.). При 145–155° (10 мин.) 1 б переходит в II б, т. пл. 107–108°. Сообщение IX см. РЖХим, 1955, 21076. А. С.

43064. Некоторые наблюдения о кинетике Фишеровой реакции нидола. Мак-Лейн, Мак-Лейн. Рид (Some kinetic observations on the Fischer indole reaction. McLean James, McLean Stewart, Reed Rowland I., J. Chem. Soc., 1955, July, 2519–2520 (англ.))

С целью определения стадии, определяющей скорость в механизме р-ции образования нидола по Фишеру (Carlin, Fischer, J. Amer. Chem. Soc., 1948, 70, 3421; Carlin, и др., там же, 1952, 74,990), были измерены константы скорости р-ции первого порядка циклиза ции замещ. фенилгидразонов циклогексанона (I) в замещ. тетрагидрокарбазолы в (II) CH_3COOH на примерах (перечисляются R и R' для I и II): H, H; 4- CH_3 , H; 3- CH_3 , H; 2- CH_3 , H; H, $n\text{-CH}_3\text{O}$; H, $n\text{-CH}_3$; H, $o\text{-CH}_3$. Найдено, что замыкание кольца в I ($R = 2\text{-CH}_3$, $R' = \text{H}$) в CH_3 дает 61% тетрагидро-11-метилкарбазоленина и лишь 7% II ($R = 2\text{-CH}_3$, $R' = \text{H}$), в то время как в водн. H_2SO_4 получается 28 и 50% соответственно. А. Р.

43065. Нитрование слабоосновных вторичных аминов. Мин, Райт (The nitration of weakly basic secondary amines. Meen R. H., Wright G-



orge F.), J. Organ. Chem., 1954, 19, № 3, 391—402 (англ.)

Нитрат *бис*-(2,2,2-трифторэтил)-амин (I) при обработке $(\text{CH}_3\text{CO})_2\text{O}$ (II) быстро превращается в *бис*-(2,2,2-трифторэтил)-нитрамин (III), подобно нитрату аминоксидонитрила. Константа скорости нитрования второго порядка (скорость прямо пропорциональна концентрации HNO_3 и амина) при $25^\circ 18 \text{ л моль}^{-1} \text{ мин}^{-1}$. В 95%-ном II нитрование сильно замедлено из-за конкурирующей р-ции ацилирования. Добавки NaClO_4 сильно ускоряют нитрование (k_2 66 $\text{л моль}^{-1} \text{ мин}^{-1}$ при конц-ии NaClO_4 $84 \cdot 10^{-4} \text{ моль/л}$). Авторы предполагают, что механизм нитрования заключается во взаимодействии нитро-катиона со свободным амином. Хлоргидрат 2,2,2-трифторэтиламина (IV) получен действием 8 молей безводн. NH_3 на 0,55 моля $\text{CF}_3\text{CH}_2\text{Br}$, 0,04 моля NaI в автоклаве при $130\text{--}140^\circ$ в течение 60 час., выход 80%. N-(2,2,2-трифторэтил)-трифторацетамид (V) получен нагреванием (240° , 1 час, закрытая трубка) 0,282 моля трифторацетамиды с 0,282 моля IV. V, т. пл. $51\text{--}53^\circ$, т. кип. $143\text{--}144^\circ$; раствором в разб. NaOH . V с LiAlH_4 превращен в I, т. кип. $82,0^\circ/761 \text{ мм}$, $n_D^{20} 1,3013$, не дает пикрата. Нитрат I, т. возг. $140^\circ/760 \text{ мм}$, $60^\circ/10 \text{ мм}$, получен из I с HNO_3 в эфирном р-ре. N, N-ди-(2,2,2-трифторэтил)-N'-фенилмочевина получена из I с фенилизотиоанатом (95° , 15 час., закрытая трубка), т. пл. $115,5\text{--}116,3^\circ$ (из ди-n-бутилового эф.). III получен прибавлением (15 мин., 15°) 0,015 моля нитрата I к р-ру 0,017 моля HNO_3 в 7,2 мл II (30 мин. при 15° , 2 часа при 25° , затем смесь вылита на воду со льдом и продукт экстрагирован эф.). III, т. кип. $43\text{--}45^\circ/8 \text{ мм}$, т. пл. $0,0\text{--}1,1^\circ$ (из дихлорметана). Определена относительная основность (в сравнении с о-нитроанилином) некоторых слабосновных аминов в лед. CH_3COOH поглощение нитратов в УФ и определено понижение т-ры замерзания лед. CH_3COOH . I по основности занимает промежуточное положение между имино-*бис*-диметилацетонитрилом и имино-*бис*-метилацетонитрилом, т. е. является слабым основанием, нитраты которого полностью сольватированы в растворах.

C. Б. 43066. Ацилирование ароматических аминов малеиновым ангидридом. Кретов А. Е., Кульчицкая Н. Е., Ж. общ. химии, 1955, 25, № 13, 2474—2480

Исследована р-ция ацилирования ароматич. аминов (А) малеиновым ангидридом (I) в C_6H_6 , хлорбензоле и ацетоне в интервале $10\text{--}30^\circ$. На примере различных ариламинов показано, что при осуществлении р-ции в неводн. р-рителях происходит образование соответствующих N-ариламидов малеиновой к-ты ArNHCOSENHCOSEN с выходом 93—98%; присоединение А по двойной связи I было обнаружено лишь в случае *n*-фенилдиамин (с помощью хроматографии). Скорость р-ции пропорциональна конц-ии I и конц-ии А в первой степени, значение логарифма константы скорости в случае анилина, о-анилидина, о-толуидина, β-нафтиламина, *n*-хлоранилина (II), *n*-аминоазобензола (III), о-хлоранилина (IV), *m*-нитроанилина (V) линейно возрастает с ростом значения pK (K — константа гидролиза соли А). Энергия активации (ккал/моль) в интервале $20\text{--}30^\circ$ составляет: II, 7670; III, 1630; IV, 3200; V, 4790. Предполагается, что лимитирующим актом р-ции является присоединение азота А к одному из углеродов ангидридной группы I с образованием внутренней соли бетайнового типа, перегруппировывающейся затем в к-ту путем передачи протона карбоксильной группе от атома азота.

И. М. 43067. Реакции отщепления в циклических системах. I. *цис*-Отщепление в ряду циклогексана и цикlopentана. Бордуэлл, Керн (Elimination reactions in cyclic systems. I. *cis* Eliminations in the cyclohexane and cyclopentane series. Bordwell

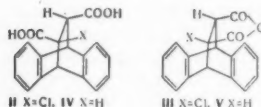
F. G., Kern R. J.), A. Amer. Chem. Soc., 1955, 77, № 5, 1141—1144 (англ.)

Установлено, что *транс*-2-(*n*-толилсульфонил)-циклогексил-*n*-толуолсульфонат (I) под влиянием NaOH в диоксане претерпевает *цис*-отщепление (по механизму E2) с образованием 1-*n*-толилсульфонилциклогексена-1 (II). Показано, что в условиях этой р-ции II не может образоваться изомеризацией 3-*n*-толилсульфонилциклогексена-1 (III), образование которого следовало бы ожидать в случае *транс*-отщепления *n*- $\text{CH}_3\text{C}_6\text{H}_4\text{SO}_3\text{H}$ от I. Под влиянием CH_3ONa в CH_3OH II и III частично переходят друг в друга. *Транс*-2-(*n*-толуолсульфонил)-циклопентил-*n*-толуолсульфонат (IV) в щел. среде также претерпевает *цис*-отщепление, превращаясь в 1-*n*-толилсульфонилциклопентен-1 (V). В отличие от 3-*n*-толилсульфонилциклопентена-1 (VI), образование которого следовало бы ожидать в случае *транс*-отщепления от IV, V дает продукт присоединения с пиридином. Скорость р-ции отщепления от I превышает скорость отщепления от IV в 140 раз (при $0,2^\circ$ в 70%-ном диоксане k_2 равно соответственно 0,0042 и $0,55 \text{ л моль}^{-1} \text{ сек}^{-1}$). Скорость р-ции возрастает по мере разбавления р-ра, что находится в соответствии с общей закономерностью, установленной для р-ции типа E2. Авторы объясняют пространственное течение р-ции отщепления тем, что в I и IV *цис*-водород благодаря наличию отрицательного заместителя является более кислым, чем *транс*-водород. Следует ожидать, что в случае других отрицательных заместителей, напр., групп NO_2 , CN , COR , COOR , также будет преобладать *цис*-отщепление. 9,8 г окиси циклогексена (VII) добавляют к р-ру 4,4 г NaOH и 12,4 г *n*-тиокрезол в 30 мл водн. спирта (1:1). Через 2 часа смесь выливают в воду, экстрагируют CHCl_3 и получают *транс*-2-оксикиклогексил-*n*-толилсульфид (VIII), выход 74%, т. кип. $116\text{--}118^\circ/0,1 \text{ мм}$, $171\text{--}172^\circ/5 \text{ мм}$, $n_D^{20} 1,5730$, т. пл. 43° (из гексана). Р-р 15 г VIII в 40 мл лед. CH_3COOH и 30 мл 30%-ной H_2O_2 нагревают 2 часа при 85° . Смесь выливают в воду и отфильтровывают *транс*-2-оксикиклогексил-*n*-толилсульфон (IX), выход 95%, т. пл. $121\text{--}122^\circ/7,7 \text{ г IX}$, 9,3 г *n*- $\text{CH}_3\text{C}_6\text{H}_4\text{SO}_3\text{Cl}$ и 30 мл пиридина выдерживают неделю при 20° и получают I, выход 82%, т. пл. $111\text{--}112^\circ$ (из C_6H_6 и гексана). 5 г I в 60 мл диоксана и 5 мл 5 н. NaOH нагревают 1 час. на паровой бане, выход II 80%, т. пл. $82\text{--}83^\circ$ (из гексана). К р-ру 1,4 г NaOH и 4,2 г *n*-тиокрезол в 10 мл воды и 20 мл спирта добавляют 5,5 г 3-бромциклогексена, через 2 часа выливают в воду, выделяют 3-(*n*-толилтио)-циклогексен (X), выход 64%, т. кип. $142^\circ/3 \text{ мм}$, $n_D^{20} 1,5834$. К 6 г X в 50 мл лед. CH_3COOH добавляют при 5° 12 мл 30%-ной H_2O_2 . Через 12 час. выливают в воду, выход III 80%, т. пл. $62\text{--}63^\circ$ (из гексана). III не изменяется при стоянии (30° , 4 часа) 0,02 M р-ре NaOH в 75%-ном диоксане. 1 г III дает при гидрировании на Pd/C в спирте (50° , 25 ат) 0,5 г *n*-толилсульфонилциклогексана т. пл. $86\text{--}87^\circ$ (из гексана), полученного также гидрированием II. В условиях, аналогичных получению VIII из 0,06 моля окиси цикlopentана, синтезируют *транс*-2-оксикикlopентил-*n*-толилсульфид (XI), выход 10 г, т. кип. после трех перегонк $135^\circ/1 \text{ мм}$. 20 г XI дают при окислении с H_2O_2 *транс*-2-оксикикlopентен-1-*n*-толилсульфон (XII), выход 80%, т. пл. $75\text{--}76^\circ$ (из гексана). 8,2 г XII, 13 г *n*- $\text{CH}_3\text{C}_6\text{H}_4\text{SO}_3\text{Cl}$ и 30 мл пиридина выдерживают 2 дня при 12° , выливают в разб. HCl , выход IV 60%, т. пл. $92\text{--}93^\circ$ (из гексана). Кипятят 4 часа р-р 4,9 г IV в 15 мл пиридина, смесь выливают в р-р 15 мл конц. HCl в 75 мл воды и отфильтровывают V, выход 80%, т. пл. $115\text{--}116^\circ$ (из гексана). При нагревании IV в водно-щел. диоксане (1,5 часа) образуется V с выходом 80%. Кипятят (1 час 40 мин.) смесь 20 г N-бромсукцинимиды и 35 мл цикlopentана

в 65 мл CCl_4 ; продукт (6 г, т. кип. $56^\circ/55$ мм) добавляют к р-ру 5 г *n*-тиокрезоло и 1,6 г NaOH в 45 мл 90%-ного спирта; через 15 час. смесь выливают в воду, экстрагируют CHCl_3 и получают 3-(*n*-толилтио)-циклопентен-1 (XIII), выход 55%, т. кип. $100^\circ/1$ мм, n_D^{20} 1,5766. При окислении 30%-ной H_2O_2 в лед. CH_3COOH 4,3 г XIII дают VI, выход 40%, т. пл. $90-91^\circ$ (из гексана и водн. CH_3OH). 1,1 г V, 1 мл пиперидина и 15 мл спирта кипятят 3 часа и выдерживают 19 час. при 20° , получают 2-пиперидино-1-*n*-толисульфонил-циклопентан (очищен. через хлоридрат), выход 60%, т. пл. $85-86^\circ$ (из гексана). VI не присоединяет пиперидин при 20° или при кипячении. Л. Б. 43068.

Присоединение галоидоводородов к α , β -ненасыщенным кислотам. Вон, Крейвен, Литл, Шенталер (Addition of hydrogen halides to α , β -unsaturated acids. Vaughan Wymann R., Craven Robert L., Little Randel Q., Jr., Schoenthaler A. Charles), J. Amer. Chem. Soc., 1955, 77, № 6, 1594-1598 (англ.)

Присоединение HCl к дибензо-[2,2,2]-бициклооктадиендикарбоновой-2,3 к-те (I) происходит в *транс*-положение и при 25° получается 2-хлордибензо-[2,2,2]-бициклооктадиен-*транс*-дикарбоновой-2,3 к-та (II); при 135° в результате р-ции получается ангидрид 2-хлордибензо-[2,2,2]-бициклооктадиен-*цис*-дикарбоновой к-ты (III). Образование III происходит вследствие изомеризации и дегидратации II, что доказано образованием III при нагревании II при 135° . Изомеризация протекает через образование енольной формы. Другие механизмы изомеризации (отщепление и присоединение HCl , обратная р-ция Дильса - Альдера, элимеризация в результате бимолекулярной атаки Cl^-) невероятны вследствие идущей элимеризации в тех же условиях дибензо-[2,2,2]-бициклооктадиен-*транс*-дикарбоновой-2,3 к-ты (IV) в ангидрид дибензо-[2,2,2]-бициклооктадиен-*цис*-дикарбоновой к-ты (V), причем не образуется даже следов антрацена.



Те же отношения имеют место при присоединении HCl и HBr к циклогексенкарбоновой к-те (VI), причем в результате *транс*-присоединения галоидоводородов образуются в основном *цис*-2-хлордихлоргексенкарбоновой к-та (VII) и *цис*-2-бромдихлоргексенкарбоновой к-та (VIII), которая при элимеризации дает смесь VIII и *транс*-кислоты (IX). Механизм элимеризации тот же, что и для II и IV. При нагревании (3 дня, 135°) смеси 2 г I и 100 мл лед. CH_3COOH , насыщ. HCl при 0° , получают III, выход 78%, т. пл. $154-155,3^\circ$ (из толуола). III получен из I с выходом 36,4% (135° , 6 час.) и с выходом 90,9% при длительном нагревании; а также из II с выходом 31,1% (135° , 6 час.) с выходом 98% (нагревание в течение 3 дней). При стоянии (8 дней, 25°) смеси 2,01 г I, 30 мл лед. CH_3COOH и 19 г HCl получена II, выход 67,6%, т. пл. $217,5-218,5^\circ$ (разл.; из нитрометана); метиловый эфир, т. пл. $141-142^\circ$ (из CH_3OH). Р-р 0,501 г II в 25 мл лед. CH_3COOH нагрет (135° , 3 дня), выпарен, горячий водой экстрагировано 0,171 г I. При кипячении 0,146 г I 7 час. с 1,5 мл абс. CH_3OH и 0,1 мл конц. H_2SO_4 получено 0,117 г диметилового эфира I, т. пл. $157,8-159,5^\circ$. Смесь 5,8 г бутандиена, 20-30 мг гидрохинона и 2,13 г *транс*- β -хлоракриловой к-ты нагрета 30 час. при 150° , получена *транс*-2-хлордихлоргексен-1-карбоновая-4 к-та (X), выход 71%, т. пл. $108,6-109,8^\circ$ (испр.; из петр. эф.). Так же из *транс*- β -бромакриловой к-ты получена *транс*-2-бромдихлоргексен-1-карбоновая-4 к-та (XI), выход 79,5%, т. пл. $115-115,6^\circ$ (испр.; из петр.

эф.). При гидрировании X в CH_3COOH с PtO_2 получена *транс*-2-хлордихлоргексенкарбоновая к-та, выход 94,4%, т. пл. $85-86^\circ$ (из петр. эф.). Так же из XI получена IX, выход 96%, т. пл. $109-109,8^\circ$ (испр.; из петр. эф.). При нагревании (15 час., $100-110^\circ$) смеси 4,26 г VI, 12 г лед. CH_3COOH и 8 г HCl получена VII, выход 66,3%, т. пл. $97,6-98,4^\circ$ (испр.; из петр. эф.). При нагревании ($100-110^\circ$, 24 часа) с 13,6 г 30%-ного HBr (газа) в CH_3COOH из VIII получено 30% IX, а из IX — 10% VIII. Н. К. 43069.

Изучение реакции сульфирования. XXXVII. Равновесие между сульфатом натрия, сульфокислотой и ее хлорангидридом. Спрысков А. А., Апарьева Н. В., Ж. общ. химии, 1955, 25, № 12, 2286-2288

Изучено равновесие между 2,5-дихлорбензолсульфокислотой, ее натриевой солью (I) и хлорангидридом в среде, состоящей из H_2SO_4 и HSO_3Cl при $\sim 20^\circ$: $2\text{RSO}_3\text{Na} + \text{HSO}_3\text{Cl} + \text{H}_2\text{SO}_4 \rightleftharpoons \text{RSO}_2\text{Cl} + \text{RSO}_3\text{H} + 2\text{NaHSO}_4$. I растворяли в смеси H_2SO_4 и HSO_3Cl и р-р выдерживали для достижения равновесия от 20 час. до 200 дней. Константа равновесия равна 0,33. Состав равновесной смеси может быть вычислен графич. способом. Скорость р-ции возрастает при повышении содержания в смеси хлорсульфоновой кислоты. Сообщение XXXVI см. РЖХим, 1956, 19238. А. Я. 43070.

Исследование химизма реакции хлорирования фенола *N,N*-дихлорбензолсульфонамидом в дихлорэтане. Корнев К. А., Докл. АН СССР, 1955, 100, № 6, 1091-1093

Исследована кинетика р-ции хлорирования фенола *N,N*-дихлорбензолсульфонамидом (I) в дихлорэтане: $\text{C}_6\text{H}_5\text{SO}_2\text{NCl}_2 + \text{C}_6\text{H}_5\text{OC}_2\text{H}_5 \rightarrow \text{C}_6\text{H}_5\text{SO}_2\text{NHCl} + \text{C}_6\text{H}_5\text{ClOCC}_2\text{H}_5$. Р-ция идет по цепному радикальному механизму, инициируется диазоксибензолом (II) и тормозится кислородом, действие которого устраняется добавками тетрагидрохидрохинона и гидрохинона. Расход I и индуктора II описывается кинетич. ур-нием 1 порядка. Длина цепи, равная 60, определена из эксперимента, в котором при расходе I $3,3 \cdot 10^{-4}$ моль вступает в р-цию $2 \cdot 10^{-2}$ моль I. В продуктах р-ции I с II обнаружено в-во $\text{C}_6\text{H}_5\text{SO}_2\text{NCl}$ — $\text{N}=\text{NC}_6\text{H}_5$, что свидетельствует об участии радикалов $\text{C}_6\text{H}_5\text{SO}_2\text{N}(\text{Cl})\cdot$ и $\text{C}_6\text{H}_5\text{N}=\text{N}\cdot$ в цепной р-ции хлорирования фенола. А. Я. 43071.

Галогенирование толуола и кумола в жидкой фазе. К механизму галогенирования углеводородов. Вейола (Halogenation of toluene and cumene in the liquid phase. On the mechanism of the halogenation of hydrocarbons. Veijola Väinö), Suomalais tiedekat. toimituks, 1955, Sar. A 11, № 66, 85 (англ.)

Изучалось хлорирование (X) и бромирование (B) толуола (I) и кумола (II) в жидкой фазе. В цилиндр, содержащий 0,25 моля I или II, при 30° и 60° пропускали ток чистого N_2 (4 л/час), к которому примешивался Cl_2 или Br_2 ($\sim 0,5$ ммоль/мин). Анализировались продукты р-ции и соотношение выходящих газов (H_2/HNaI). Точные данные не были получены, вследствие невозможности поддерживать постоянство тока N_2 и галоидов и по другим технич. причинам. В отсутствие активаторов (свет, перекиси, O_2) скорость X I больше, чем II. При $30^\circ \sim 50^\circ$ реагирующего Cl_2 замещает H I в боковой цепи, а при $60^\circ \sim 80^\circ$. В I происходит главным образом в цикле, но протекает слабее, чем X. Скорость B I и II при 30° , примерно, одинакова, возрастает с увеличением скорости введения Br_2 и намного больше вначале, чем когда Br_2 уже растворен. Свет и (в меньшей степени) перекиси бензоила сильнее активируют B, причем II в большей степени, чем I; при этом возрастает замещение в боковой цепи. Освещение, достаточное для активирования X I до бензилхлорида, недостаточно для образования бензальхлорида. С возрастанием освеще-

нения кол-во трет-брома в продуктах р-ция II уменьшается. Кол-во перекиси, достаточное для активирования превращения I в бензилбромид, недостаточно для дальнейшего Б. При применении больших кол-в перекиси, становится заметным ее разложение (экзотермическая р-ция). O_2 (0,5 об.%) сильно снижает Х I (с 30 до 3%) как в цепи, так и в ядре, но не оказывает задерживающего влияния на Б. Приводятся соображения в пользу радикального механизма галогенирования. Рассмотрена возможность активирования молекул галоида за счет энергии выделяющейся при р-ции. Чистый Cl_2 получали из HCl окислением CrO_3 . Анализ третичного галоида основывался на его способности быстро реагировать с р-ром CH_3ONa . В. М.

43072. Сопряженные реакции присоединения галоидов к олефинам. IV. Получение β -галоидэтиловых эфиров муравьиной, хлоруксусной и трихлоруксусной кислот. Титов А. И., Макляев Ф. Л., Кузьмин В. Г., Ж. общ. химии, 1955, 25, № 4, 744—747

Р-ция получения β -галоидэтиловых эфиров HCN_2CH_2OCOR взаимодействием галоида (X_2) с этиленом в среде соответствующей к-ты объяснена промежуточным возникновением комплекса X_2 и этилена, который реагирует в двух направлениях: с X^- образует дигалоидэтан, а с $RCOO^-$ эфир. Насыщение их увеличивает выход дигалоидэтана. Увеличение выхода эфира достигается добавлением $Hg(CH_3COO)_2$, отчего конц-ия X^- в реакционном р-ре снижается. Таким образом, получены β -хлорэтил- и β -бромэтилацетаты, выходы 70 и 80% соответственно. Методом сопряженных р-ций присоединения X получены β -хлорэтилформат, β -хлорэтилхлорантат и β -хлорэтилтрихлорантат, выходы 50, 40, 35% соответственно. Сообщение III см. РЖХим, 1956, 28881. А. К.

43073. Самоокисление каротиноидов. Сообщение I. Механизм самоокисления α - и β -каротина. Бодя, Никораэ (Asupra autoxidării carotinoidelor. Nota I. Mechanismul de autoxidare al α și β -carotinei. Bodea C., Nicoară E., Studii și cercetări chim., 1955, 3, № 1-2, 81—91 (рум.))

Установлено, что в ходе самоокисления α - и β -каротина (I и II) молекулярный кислород связывается в положениях 3 и 3' иононовых циклов в виде перекисных групп. Последние отдают атом кислорода двойным связям молекулы I или II или какому-либо другому акцептору кислорода, восстанавливаясь при этом в оксигруппы. Из II образуется криптоксантин и зеаксантин; из I-лутеин и, вероятно, 3-окси- α -каротин. Этим объясняется, что в растениях ксантофиллы являются постоянными спутниками каротинов. Наличие перекисных групп в продуктах самоокисления I и II доказываются постепенным обесцвечиванием при стоянии на воздухе индигокармина (III), добавленного к р-ру I или II. Присутствие III, связывающего перекисный кислород быстрее чем двойные связи молекул II, замедляет самоокисление II. Одновременно в окислившейся части увеличивается относительное содержание ксантофиллов. Полное обесцвечивание, имеющее место при самоокислении I и II указывает, что двойные связи ксантофиллов также способны присоединять перекисный кислород. В несамоокисляющихся каротиноидах (биксин, процетин, азафрин, родоксантин) положения 3 и 3' иононовых циклов заняты заместителями; этим объясняется неспособность этих соединений связывать молекулярный кислород. И. А.

43074. О влиянии каротиноидов на процессы самоокисления и полимеризации. Сообщение II. Самоокисление альдегидов жирного ряда в присутствии α - и β -каротинов. Бодя, Никораэ, Гросс (Asupra acțiunii carotinoidelor în procese de autoxidare și polimerizare. Nota II — Autoxidarea aldehide-

lor alifatică în prezență de α și β carotină. Bodea C., Nicoară E., Gross J.), Studii și cercetări științ. Acad. R. P. R. Fil Cluj, 1954, Ser. 1, 5, № 3-4, 59—68 (рум.)

Исследована р-ция самоокисления уксусного, масляного и гептилового альдегидов (I, II и III) в присутствии α - и β -каротина (IV и V). При исследовании I применяют (10° , освещение рассеянным светом). IV или V задерживают поглощение O_2 на 6,5 часа (IV, V: 1 = 1:100) или на 1,75 часа (IV, V = 1:250), а также задерживают образование CH_3COOH и свободного перекисного кислорода по сравнению с пробой, не содержащей каротиноидов. Добавка V к 20%-ному р-ру II при 20° (V: II = 1:500) задерживает поглощение O_2 , образование к-т и перекисного кислорода. В случае III при освещении прямым солнечным светом, получены аналогичные результаты. IV и V во всех случаях задерживают самоокисление альдегидов, связывая промежуточно образующиеся перекисные радикалы. Лишь после полного окисления каротиноидов (обесцвечивание) начинается самоокисление альдегидов с той же скоростью, что и в пробах, не содержащих IV и V. В отсутствие O_2 р-р I, содержащий IV или V, не обесцвечивается, что исключает возможность образования CH_3COOH путем непосредственной передачи атомов H от гидрата I к каротинам. Сообщение I см. РЖХим, 1955, 28799. И. А.

43075. О влиянии каротиноидов на процессы самоокисления и полимеризации. Сообщение III. Самоокисление некоторых радикалов, содержащих трехвалентный углерод в присутствии α - и β -каротина. Бодя, Флореску (Asupra acțiunii carotinoidelor în procese de autoxidare și polimerizare. Nota III. Autoxidarea unor radicali cu carbon trivalent în prezență de α și β -carotină. Bodea C., Florescu M.), Studii și cercetări chim., 1955, 3, № 1-2, 93—101 (рум.)

Исследование влияния α - или β -каротина (I и II) на самоокисление систем гексафенилэтан — трифенилметил (система А) и бензони — бензил — КОН (система Б) подтвердило что р-ция быстрого обесцвечивания I или II может служить для идентификации перекисных радикалов, образующихся в ходе ряда р-ций самоокисления (ср. I РЖХим, 1955, 28799). В случае р-ций самоокисления, протекающих посредством длинных цепей и при наличии небольшого числа инициирующих перекисных радикалов (самоокисление альдегидов) (сообщение II см. пред. реф.), присутствие I или II задерживает полностью р-цию; после окисления всего кол-ва I или II р-ция проходит, как обычно. В случае р-ций самоокисления, протекающих посредством коротких цепей и при наличии большого кол-ва инициирующих радикалов (система А) р-ция лишь замедляется в присутствии I или II. Цвет бензольного р-ра системы А, содержащего I (или II), совпадает с суммарным цветом в проходящем свете р-ра системы А и р-ра I (или II) (все р-ры в атмосфере CO_2 в течение 4—5 час.), следовательно I и II не реагируют с радикалами $(C_6H_5)_3C$. Система А в присутствии O_2 сильно обесцвечивается, система А + 0,0001—0,01% I или II в присутствии O_2 почти полностью обесцвечивается; I или II в присутствии O_2 и система А + I или II в атмосфере CO_2 не обесцвечивается. Следовательно, I и II обесцвечиваются под действием перекисных радикалов, образующихся в ходе р-ции самоокисления системы А. Приведены кривые зависимости от времени, кол-ва O_2 поглощенного системой А, при отсутствии и при различных конц-иях I (или II). Полное обесцвечивание на воздухе системы Б + I или II доказывает, что и в этом случае самоокисление протекает с промежуточным образованием перекисных радикалов, вероятно, типа $C_6H_5C(O)C(C_6H_5)(OK)—O—O$. В случае

системы В присутствие I или II не влияет на скорость поглощения O_2 , из чего следует, что самоокисление не идет по цепному механизму (ср. Michaelis H., Fletcher G., J. Amer. Chem. Soc., 1937, 59, 1246). И. А.

43076. Действие каротиноидов на процессы самоокисления и полимеризации. Сообщение IV. Самоокисление и полимеризации циклогексена в присутствии α - и β -каротина. Бодя, Флореску (Asupra acțiunii carotinoidelor în procese de autoxidare și polimerizare. Nota IV. Autoxidarea și polimerizarea ciclohexenei în prezența de α și β -carotină. Bodea C., Florescu M.), Studii și cercetări chim., 1955, 3, № 1-2, 103—111 (рум.).

Действие α - и β -каротина (I и II) на самоокисление циклогексена (III) подтверждает, что самоокисление III представляет собой цепной процесс, инициируемый перекисными радикалами типа $CH_2(CH_2)_2CH=CH\dot{C}H-O-O-$ и протекающий посредством коротких цепей. Такие же радикалы появляются и при полимеризации III. III, полученный из циклогексанола, до исследования хранился в атмосфере CO_2 . На появление перекисных радикалов при самоокислении III указывает то, что разб. р-ры I или II в III быстро обесцвечиваются на воздухе (быстрее при 40—70°, чем при ~20°), что поглощение O_2 чистым III или р-ром III в ацетоне замедляется добавками I или II и тем, что III после нескольких минут стояния на воздухе быстро обесцвечивает индиго. Полимеризация III замедляется добавками I или II. Приведены кривые изменения вязкости чистого III и р-ров 20 мг I или II в 25 мл III при 40°. При неограниченном доступе воздуха к реакционной массе скорость полимеризации резко возрастает. Это, а также действие I и II на полимеризацию III свидетельствуют о склонности перекисных радикалов образовывать кислородосодержащие полимеры. И. А.

43077. Новые взгляды на механизм реакции Гриньяра. Конов (Nya synpunkter på Grignard-reaktionernas mekanism. K o n o w R. v o n), Finska kemistamsfundets medd., 1955, 63, № 3-4, 85—90 (швед.).

Критически рассмотрены литературные данные, позволяющие заключить, что р-ция Гриньяра основана на переносе электронов и могут быть классифицированы как р-ции окисления. В первой стадии металл. Mg отдает электрон галоиду, образуя с ним электровалентную связь; связь между Mg и C предполагается ковалентной. Совместная пара электронов передается от связи Mg : C к связи O : C при окислении O_2 с образованием ковалентной связи C : O. Геометрич. строение магньюорганич. соединений зависит от электр. свойств атомов и ионов, так как радиус ионов изменяется в соответствии с электр. зарядами. Автор развивает мысль о пульсирующем атомном радиусе как причине эффекта поляризации и активности в р-ции. Все группы атомов, которые затронуты пульсацией, становятся поляризованными и активными. Л. П.

См. также: Строение органич. соед. 42279—42282, 42296, 42298, 42299, 42314 42316—42318, 42338, 42344, 42407, 42732, 43255, 43331, 43345, 43351, 44532, 44774. Реакционная способность 42284, 42310, 42329, 43108, 43113, 43167, 43425. Механизм и кинетика р-ции 42645, 42647—42649, 42652, 42653, 42658, 42659, 42664—42675, 42717; 42719, 42723, 42729, 42741—42747, 42754, 42759, 42829, 43144, 43235, 43269

СИНТЕТИЧЕСКАЯ ОРГАНИЧЕСКАЯ ХИМИЯ

43078. Изучение реакции Реппе в Японии. Мурахаши (我國に於けるレツペ反應の研究. 村橋俊介), 有機合成化学協會誌, Юки госэй какаку кёкайси, J.

Soc. Organ. Synth. Chem. Japan, 1955, 13, № 5, 195—202 (япон.).

43079. Алкилирование *n*-бутана пропиленом при высоких давлениях и температурах. Якушкина С. Е., Кугучева Е. Е., Полковников Б. Д., Докл. АН СССР, 1955, 105, № 1, 103—105

Исследовано термич. алкилирование $n-C_4H_{10}$ (I) пропиленом (II) в проточной системе при давл. 1500—3000 атм и т-ре 400—500°. Состав исходной газовой смеси: 80 об. % I, 20 об. % II, средняя скорость подачи 0,21—0,55 л/мин., продолжительность опыта 155—360 мин. Жидкие продукты р-ции разгоняли на узкие фракции, для каждой определяли содержание непредельных, коэфф. преломления, в некоторых случаях уд. вес. Приведены кривые разгонки продуктов алкилирования (IIA). Увеличение давл. от 1500 до 3000 атм при 400° почти не влияет на общий выход IIA (76,5—94,6 вес. % на взятый II), но увеличивает выход гептановой фракции от 9 до 24 час. % на взятый II. Повышение т-ры от 400° до 450° при 3000 атм увеличивает выход IIA от 87 до 245 вес. % на взятый II за счет высококипящ. фракций. При 500° (2000 атм) наблюдается сильное осмосение и отложение кокса. Изменение скорости подачи почти не влияет на процесс. Кол-во непредельных невелико, особенно при давл. 3000 атм. Проба на ароматич. углеводороды во фракциях >114° отрицательна. Из гептановой фракции выделен углеводород (65 вес. %), близкий по константам (т. кип. 90,7—91,3°, n_D^{20} 1,38973, бромное число 0,4) к 3-метилгексану, откуда следует, что I реагирует с II в условиях опыта, повидимому, без предварительной изомеризации в *изо*- C_4H_{10} . О. Н.

43080. Пентаметилглюколизол $HO(CH_2)_5OH$. Карьер (Pentamethylenglycol $HO(CH_2)_5OH$. Carrière G.), Chem. en pharmac. techn., 1956, 11, № 11, 163—164 (голл.).

Обзор. Библ. 14 назв.

И. Ц.

43081. Реакция Гербета с цетиловым спиртом. Зальбахер (The Guerbet reaction of cetyl alcohol. Sulzbacher M.), J. Appl. Chem., 1955, 5, № 12, 637—641 (англ.).

Улучшены условия проведения р-ции Гербета. В новых условиях подается образование кетонов и к-т. Р-ция применима к низшим спиртам ($n-C_4H_9OH$, $n-C_5H_{11}OH$), высшим ($C_{12}H_{25}OH$) и к смеси насыщ. спиртов из спермацета. Смесь 1 моля цетилового спирта (I), 0,3 моля КОН и 0,15 моля B_2O_3 выдерживают 5 час. при 300° (перемешивание при повышении т-ры, значительное выделение H_2), разбавляют водой, извлекают теплым C_6H_6 или отсасывают, остаток фракционируют в вакууме, неизмененный I 20%, выход спиртов S_{32} 79%. Кристаллизацией дистиллата из абс. спирта выделяют 2-тетрадецилоктадециловый спирт (II), т. кип. 308—310°/15 мм. т. пл. 38—39°. Строение II доказываются окислением CrO_3 (80°, 1 час) до гексадецилтетрадецилкетона (III), т. пл. 75° (из бэл.+ абс. сп., 2 : 1), и гексадецилтетрадециловой к-ты, т. пл. 56° (из ацетона); анид, т. пл. 83° (из абс. сп.). При восстановлении III дает гексадецилтетрадецилкарбинол, т. пл. 81,5°. Медленным нагреванием II с 10%-ным $KHSO_4$ до 280° в вакууме получают 1-гексадецил-1-тетрадецилэтилен (IV), т. кип. 294—297°/14 мм. т. пл. 27° (из ацетона); IV при окислении дает III. Если р-цию Гербета проводить с р-ром 0,33 г-атома Na в 1 моле I, то при 240° начинается выделение H_2 , за 30 мин. выделяется 0,66 моля H_2 ; остановка р-ции в момент прекращения выделения H_2 приводит к образованию спиртов S_{32} , содержащих значительную примесь ненасыщ. спиртов. Е. А.

43082. С мола-4 н Кроу des. I. 3-chloro man c Will Chem. 2-хлорпропану с окислен-2-о Аналогич. КОН с C_2H_5COOH (33%). О. HCl пропиофра при дожда (V. Na_2CO_3 , с по каплей лей Mg) ~20°, вы 1,4419, d гексан, в 4,10102 получают 1,53 D 1,53 т. пл. 14 мл-3-хл-108°/1,2 (получен CH_3MgI 48—50°/4-хлорбу 0,5 моля 30 мин., IV) и пр-лят 200 млход II 2-4,863 VIII при 160°) к со-моды, от т. кип. 43083. (Perox- mie et 43084. Д'А Deriv- s o w 66, № 3 цел-шихся п-дукты р-ексизти-то при-продукт В абс. э-иле акти-КОН д-Другие не подд-соедине- $H_2CC(O$ ставляе-9 Хими

43082. Окиси триметилен. I. Реакция 2-хлоргексанола-4 и 1-фенилбутанола-1 со щелочью. Гейлорд, Кроудл, Химлер, Пин (Trimethylene oxides. I. Reaction of 2-chloro-4-hexanol and 1-phenyl-3-chloro-1-butanol with alkali. Gaylord Norman G., Crowdle James H., Himmler William A., Pere Henry J.), J. Amer. Chem. Soc., 1954, 76, № 1, 59—61 (англ.)

2-хлоргексанола-4 (I) при взаимодействии с КОН надду с окисью 1-метил-3-этилтриметилен (II) дает оксен-2-ол-4 (III), пропилен (IV) и C_2H_5COOH (V). Аналогично 1-фенил-3-хлорбутанола-1 (VI) реагирует с КОН с образованием IV (20%), $C_6H_5CH_2OH$ (14%), C_2H_5COOH (12%), дифенила и димера фенилбутандиена (33%). Обсуждается механизм р-ции. 5 молей сухого HCl пропускают в р-р 5 молей $CH_3C\equiv CHCHO$ в 350 мл эфира при -10° ; полученный р-р β -хлормасляного альдегида (VII) охлаждают, встряхивают 10 мин. с безводн. Na_2CO_3 , сушат $CaCl_2$ и, охладив до -10° , прибавляют по каплям (2 часа, т-ра р-ции 0°) к C_2H_5MgBr (из 6 молей Mg) в 1,4 л эфира, смесь перемешивают (1 час, -20°), выход I 42,6%, т. кип. $51-53^\circ/1,6$ мм, $n_D^{25} 1,4419$, $d_4^{25} 0,9734$. I с CH_3COCl дает 2-хлор-4-ацетоксигексан, выход 68,5%, т. кип. $56^\circ/1,8$ мм, $n_D^{25} 1,4300$, $d_4^{25} 1,0102$. Аналогично из $CH_3C\equiv CHCHO$ и C_6H_5MgBr получают VI, выход 55%, т. кип. $106-107^\circ/1$ мм, $n_D^{25} 1,5315$, $n_D^{30} 1,5293$, $d_4^{30} 1,007$; α -нафтилуретан, т. пл. $141-142^\circ$. VI при действии CH_3COCl дает 1-фенил-3-хлорбутилат, выход 74%, т. кип. $107-108^\circ/1,2$ мм, $n_D^{25} 1,5042$, $d_4^{25} 1,1027$. Из $ClCH_2CH_2CHO$ (получен аналогично VII из $CH_3C\equiv CHCHO$ и HCl) и CH_3MgI получен 4-хлорбутанол-2, выход 33%, т. кип. $48-50^\circ/2$ мм, последний с $(CH_3CO)_2O$ дает 2-ацетокси-4-хлорбутан (VIII), выход 83%, т. кип. $68-70^\circ/11$ мм, 0,5 моля I и 1 моль порошка КОН перемешивают 15—30 мин., затем при $75-100^\circ$ (2 часа) (выделяется 21,08% IV) и при 130° (1—2 часа) отгоняют II, остаток разбавляют 200 мл воды и экстрагируют эфиром; общий выход II 25,2%, т. кип. $98-99^\circ$, $n_D^{25} 1,3972$, $d_4^{25} 0,8157$, выход III 25,2%, т. кип. $134-135^\circ$, $n_D^{25} 1,4300$, $d_4^{25} 0,8637$. Из водн. слоя выделено 18,4% V, 1,33 моля VIII прибавляют при перемешивании (45 мин., $150-160^\circ$) к смеси 4,9 моля NaOH, 3,5 моля KOH и 15 мл воды, отгоняя окись 1-метилтриметилен выход 68%, т. кип. $59-60^\circ$, $n_D^{25} 1,3886$. В. А.

43083. Органические перекиси. Карножицкий (Peroxydes organiques. Карножицкий V.), Chimie et industrie, 1955, 74, № 5, 929—939 (франц.) Обзор. Библ. 57 назв. И. Ц.

43084. О перекисных производных ацетальдегида. Д'Анса, Доссон, Матнер (Über Peroxyd-Derivate des Acetaldehyds. D'Ans J., Dossow K., Mattner J.), Angew. Chemie, 1954, 66, № 20, 633—635 (нем.)

С целью выяснения строения соединений, образующихся при аутоокислении CH_3CHO (I), изучались продукты р-ции I с $CH_3C(O)OOH$ (II), O_2 и ацилирование оксиэтилгидроперекиси (III) кетеном. Установлено, что при -40° в толуоле I образует с II кристаллич. продукт присоединения (IV), разлагающийся $> 0^\circ$. В абс. эфире I и II дают эфират IV, т. пл. $+8^\circ$ (содержание активного кислорода (O_a) 6,71%, титрование 0,1 н. КОН дает 58,2% к-ты в пересчете на CH_3COOH). Другие альдегиды дают в подобных условиях продукты не поддающиеся очистке при -50° . С O_2 I образует соединение, которому приписывается строение $H_2CC(O)OOSNOHCH_3$ (V); предполагается, что V представляет собой первичный продукт аутоокисления I.

III с кетеном дает $CH_3CH(OCOSCH_3)OOSCOCH_3$ (VI). Гидролиз VI 0,1 н. NaOH протекает согласно р-ции: $2 VI + 5 NaOH \rightarrow 5 CH_3COONa + CH_3CHO + H_2O_2 + 2 H_2O$. Перборацетат не пригоден для ацилирования. IV в этих условиях дает CH_3COOH , $(CH_3CO)_2O$ и немного перекиси ацетила. Получение II и IV проводили в отсутствие катализаторов и влаги. К 25 мл 30%-ной H_2O_2 и 15 мл лед. CH_3COOH добавляли при охлаждении 35 мл конц. H_2SO_4 , через 12 час. перегоняют в вакууме (т-ра бани 70°), выход 75%-ной II 81%. Через р-р I в толуоле пропускают N_2 , охлаждают до -50° , добавляют эквивалентное кол-во II, через 8 час. выпадает IV, т. пл. от -21° до -19° (из толуола); O_a 11,95, 12,05% (O_a определяли подометрически в $(CH_3CO)_2O$). Выше 0° IV разлагается с образованием CH_3COOH (88,4%). $(CH_3CO)_2O$ не обнаружен. III, полученную из I и H_2O_2 в эфире, обрабатывают кетеном. Масло после отгонки р-рителя при разгонке в вакууме разлагается, O_a 9,55, 9,60%; $CH_3CO-96,7\%$, $n_D^{20} 1,4159$. I (из чистейшего паральдегида) окисляют O_2 при -20° , через 6 час. р-р упаривают в вакууме, получают V, т. пл. $22,5-23^\circ$, $n_D^{20} 1,4160$, O_a 13,20, 13,35%, мол. в. 116—127. Термич. разложение V дает CH_3COOH , выход 94%. Б. М.

43085. 3,5-дихлорпентаан-2. Кромби, Харпер, Стокс (3:5-dichloropentane-2-one. Crombie L., Harper S. H., Stokes B. J.), J. Chem. Soc., 1955, Dec., 4488—4489 (англ.)

Установлено, что основным продуктом декарбоксилирования ацетилхлорбутиролактона (I) с последующей обработкой HCl является 3,5-дихлорпентаан-2 (II), а не 2,3-дихлор-2-метилтетрагидрофуран, как утверждалось ранее (см. Kerestzy, Wolf, Англ. пат. 609 803, 615 404; König и др., пат. США 2 393 109). Кетонную структуру II подтверждает ИК-спектр. 327 ϵ SO_2Cl_2 прибавляют за 90 мин. к 308 ϵ ацетилбутиролактона, через 12 час. добавляют 100 мл воды, экстрагируют эфиром, получают 376 ϵ неочищ. I, который обрабатывают 188 мл конц. HCl, нагревают при $30-50^\circ$ 3 часа, охлаждают, пропускают 2,5 часа HCl (газ), экстрагируют петр. эфиром 131 ϵ II, т. кип. $53^\circ/0,4$ мм, $99^\circ/15$ мм, $n_D^{20} 1,4632$; 2,4-динитрофенилгидразон, т. пл. $133-135^\circ$ (из сп.). И. М.

43086. Синтез глутаровой кислоты из леулиниевой кислоты по методу Вильгердта. Мацун, Кубо, Кибн (Willgerodt 反應に依る Levulinic acid より Glutaric acid の合成. 松井正直, 久保博司, 吉比正夫), 日本農薬化学会誌, Нихон ногай кагаку кайси, J. Agric. Chem. Soc. Japan, 1955, 29, № 11, 893-894 (япон.; рез. англ.)

Описано применение р-ции Вильгердта для синтеза глутаровой к-ты (I) из леулиниевой (II) двумя способами А и Б. Способ А: II нагревают (170°) с серой и $(NH_4)_2S_x$ в автоклаве, выход I 18%. Способ Б: II или метиловый эфир II (III) нагревают (150°) с серой в морфолоне (IV) (мол. соотношение II : IV : S = 2 : 3 : 3; III : IV : S = 1 : 1 : 1), из II выход I 18% (побочный продукт ~1% янтарной к-ты); из III выход I 20%. Е. Ц.

43087. Диастереомеры α -метил- α' -этилглутаровой к-ты. Бенде (The diastereomers of α -methyl- α' -ethyl-glutaric acid. Bendz Gerd), Acta chem. scand., 1955, 9, № 10, 1729—1730 (англ.)

Диастереомерные α -метил- α' -этилглутаровые к-ты (I) получены двумя методами: 1) метилметакрилат добавляли к спирт. р-ру $C_2H_5CH(COOCH_3)_2$ (II) в присутствии C_2H_5ONa с образованием $C_2H_5C(COOCH_3)_2$ $C(CH_3)_2COOCH_3$ (III), выход 45%, т. кип. $160-162^\circ/7$ мм; 2) конденсируют этиловый эфир α -бромизомасляной к-ты с II, выход III 68%. III кипятят 25 час.

в избытке конц. HCl и упаривают досуха; нагревание остатка (170°, 3 часа) приводит к I в виде смеси изомеров, т. пл. 67—74° (из воды). Для разделения 27,8 г смеси растворяют в 149 г воды и при 40—50° добавляют CaSO₄ (75% кол-ва, необходимого для образования кислой Са-соли), осадок подкисляют и извлекают эфиром 11,35 г I, т. пл. 105,5° (из воды), (Ia). Аналогично из фильтрата получают 15,4 г I, т. пл. 83,5—84,5°, (Ib). Приводится % Ia и т. пл. смеси в °C: 27,4, 62—68; 52, 1, 64—73; 76,6, 81—91. Ia, повидимому, является рацематом I, а Ib отвечает мезо-форме. Т. К.

43088. Перекиси. II. Получение, характеристика и полярнографические данные алифатических надкислот с длинной цепью. Паркер, Риччутти, Огг, Суэри (Peroxides. II. Preparation, characterization and polarographic behavior of longchain aliphatic peracids. Parker Winfred E., Ricciuti Constantine, Ogg C. L., Swern Daniel, J. Amer. Chem. Soc., 1955, 77, № 15, 4037—4042 (англ.))

Описан новый метод получения алифатич. надкислот (I), основанный на нуклеофильном характере H₂O₂: RCOOH + H₂O₂ → RCOOH⁺ + HSO₄⁻; RCOOH⁺ + H₂O₂ → RC(O)OOH + H₂O⁺. I от C₇ до C₁₈ плохо растворимы в H₂SO₄, нерастворимы в H₂O, растворимы в эфире и спирте, обладают неприятным запахом, раздражают слизистые оболочки и кожу. Приведены полярнограммы для надлауриновой к-ты (II) в интервале 30 мин., которые указывают на взаимодействие с компонентами электролита. Полярнографически исследована кинетика р-ции восьми I со смесью CH₃OH-C₆H₆. Определены константы скорости псевдо-мономолекулярных р-ций I с CH₃OH при 25°. К 0,1 моля лауриновой к-ты в 43 г 95%-ной H₂SO₄ при 10° за 10 мин. добавлено 0,15 моля 50%-ной H₂O₂ (т-ра ≤ 20—30°), через 50 мин. смесь промыта несколько раз ледяной водой, осадок экстрагирован эфиром, выделена 97%-ная II, т. пл. 52° (из петр. эф.). С 100% молярного избытка 50%-ной H₂O₂ выделено за 30 мин. 22 г 98%-ной II. Получены I (приведены исходная к-та, кол-во исходной к-ты в молях, 95%-ной H₂SO₄ в г и 50%-ной H₂O₂ в молях, I, выход в %, т. пл. и т-ра перекристаллизации в °C): 0,15, 32,4, 0,225, надкаприловая к-та, 95, 31—31,5, —20; 0,15, 39,2, 0,225, надпелларгоновая к-та (III), 99, 35—35,5, —20; 0,1, 30, 0,15, надкаприновая к-та, 95, 40,8—41,4, —20; 0,054, 20, 0,08, надундекановая к-та, 95, 47,5—48,0; 0,047, 22, 0,075, надтридекановая к-та, 92, 53,7—54,3, 0; 0,1, 60, 0,15, надмиристиновая к-та, 85, 56, 0; 0,1, 77, 0,15, надпальмитиновая к-та, 61, 61—61,5, 0; 0,07, 60, 0,105, надстеариновая к-та, 66, —. При помощи 0,0345 моля III в 30 мл C₆H₆ при 20—25° окисляют 0,0314 моля олеиновой к-ты до цис-9,10-эпоксистеариновой к-ты, выход 65%. При 7-дневном хранении (25°) III потеряла активность на 15%. Сообщение I см. Org. Syntheses, 1954, 34, 90. В. Л.

43089. 2-метил-3-окси-4-метоксипентан-3-карбоновые кислоты. Драй (The 2-methyl-3-hydroxy-4-methoxy-pentane-3-acids. Dry L. J., J. S. Afric. Chem. Inst., 1954, 7, № 1, 37—40 (англ.; рез. африк.))

Синтезирована 2-метил-3-окси-4-метоксипентанкарбоновая-3 к-та (I) из 2-метил-4-метоксипентанона-3 (II), который конденсировали с C₂H₂ в 2-метил-3-этил-4-метоксипентанол-3 (III), последний гидратировали в 2-метил-3-ацетил-4-метоксипентанол-3 (IV), и IV окислили в I, выделенную в виде маслообразной смеси *трео*- и *эритро*-форм. Выделить кристаллич. I путем гидролиза 2-метил-3-бром-4-метоксипентанкарбоновой-3 к-ты (V) (получена с низким выходом бромированием 2-метил-3-бром-4-метоксипентан-3-карбоновой к-ты (VI)) не удалось. К р-ру (CH₃)₂CH MgBr (из 40 г

Mg) в эфире при —5° за 1 час прибавили 183 г CdCl₂ и через 30 мин. (< —1°) внесли 74 г хлорагидрида α-метоксипропионовой к-ты (получен с выходом 73%, т. кип. 66—74°/230 мм) в 350 мл эфира, через 15 час. (при 0°) гидролизовали льдом и 2 н. H₂SO₄; выход II 30,5%, т. кип. 65—75°/40 мм; семикарбазон, т. пл. 145—146° (из воды). II получен также прибавлением 25,7 г α-метоксипропионитрила в 30 мл эфира к (CH₃)₂CHMgBr (из 12 г Mg) в р-ре эфира, р-р выдержали 18 час. при ~20°, затем гидролизовали, выход II 69%. К р-ру 22 г K в 213 г *трет*-C₄H₉OH и 100 мл эфира в токе C₂H₂ за 1 час прибавили 63,5 г II в 100 мл эфира. После 4 час. пропускания C₂H₂ смесь вылили при 0° в 700 мл 1,15 н. H₂SO₄, выход III 75%, т. кип. 101—103°/40 мм. 66,5 г III за 20 мин. прибавили в кипящий р-р 10 г HgO в 350 мл 2 н. H₂SO₄, смесь кипятили еще 1 час, отгоняли с водяным паром IV, выход 63%, т. кип. 102—107°/35 мм; семикарбазон, т. пл. 218° (разл.; из бэл.). К 30 г IV в 300 мл воды прибавляли порциями поочередно р-р 216 г J₂ и 258 г KJ в 1,5 г воды и р-р 69 г NaOH в 750 мл воды; верхний слой насытили SO₂ и, подщелочив K₂CO₃, упарили в вакууме, остаток подкислили 6 н. HCl и экстрагировали CHCl₃, 2 г I; морфининовая соль, т. пл. 158—164° (из влажного ацетона). 5 г 2-метилпентен-3-карбоновой-3 к-ты и 12,5 г (CH₃COO)₂Hg растворили в 55 мл CH₃OH при 55°, добавили 0,2 г HNO₃ и оставили на 48 час. при ~20°, получили 10 г ангидро-2-метил-3-меркурокси-4-метоксипентанкарбоновой-3 к-ты, 34,7 г которой бромировали в водн. р-ре 36 г KBr. Выделившаяся VI, т. пл. 108—109° (из этилацетата-петр. эф.), при дальнейшем прибавлении Br₂ переходила в V. А. О.

43090. О 3,8-диоксасебадиновой кислоте. Нердель, Роте (Über 3,8-Dioxysebacinsäure. Nerdel Friedrich, Rothe Johannes), Chem. Ber., 1956, 89, № 1, 73—77 (нем.))

Описан метод синтеза 3,8-диоксасебадиновой к-ты (I) и ее производных. К р-ру 58 г Na в 500 мл CH₃OH прибавляют 119 г бутандиола-1,4 (II), нагревают до 130°, отгоняют CH₃OH и нагревают 2,5 часа при 130—150° в вакууме; осадок нагревают с 400 мл ксилола (III) и 264 мл ClCH₂COOC₂H₅ (6 час., 70—80°), добавляют воду, III отделяют, водн. слой экстрагируют диэтилопропиловым эфиром, полученные 159 г диэтилового эфира I (IV) встряхивают 6 час. с 7-кратным кол-вом конц. водн. NH₃, выход диамида I (V) 11%, т. пл. 188,5—189,5° (из воды). После упаривания аммиачного фильтрата выпадает осадок ω-оксифутоксинапетамида (VI), выход 22% (считая на II), т. пл. 102° (из сп. или этилацетата, затем из хлф.). В смесь 18 г II, 15 г триоксиметилена и 60 мл C₆H₆ пропускают HCl (газ) при 15°, через 6 час. водн. слой отделяют, C₆H₆ отгоняют, остаток добавляют по каплям в кипящую суспензию 40 г CuCN в 100 мл толуола, кипятят 4 часа, выход динитрила I (VII) 27%, т. кип. 89—90°/0,007 мм, n_D²⁰ 1,4442, d₄²⁰ 1,0506. Загрязненный серой VII может быть получен кипячением V с SOCl₂ (2 часа). VII при нагревании (4 часа) с ацетоном и 3%-ной H₂O₂ (рН 10) дает V, выход 54%. 16 г NaOH в 400 мл воды и 20,4 г V нагревают на водяной бане 3 часа, добавляют 14 мл конц. H₂SO₄ и экстрагируют 32 часа эфиром, выход I 85%, т. пл. 89—89,5° (из хлф.). При кипячении V с 2 н. H₂SO₄ выход I 60%; VII с 20%-ной NaOH дает I, выход 86%. IV получен из I и диазоэтана, выход ~100%, т. кип. 103°/0,001 мм, т. пл. 39,5—40° (из петр. эф.). При кипячении I (6 час.) с абс. спиртом в присутствии конц. H₂SO₄ получают IV, выход 38%. IV с конц. жидким NH₃ (6 час.) дает V, выход 75%. Из 1 г V и 2 мл анилина (5 час., 200°) получен дианилид I, выход ~100%, т. пл. 98—99° (из CH₃OH и эф.).

6 г I и 2,3 г гексаметилендиамина в 25 мл спирта при нагревании дают соль гексаметилендиамина и I (VIII), выход 97%, т. пл. 167—168° (из сп.). Нагревают VIII (185°/14 мм, 3 часа), получают продукт конденсации, т. пл. 91—95° (из сп.); на воздухе происходит разложение VIII при 240—250°. При попытке омылить VI воды. NaOH получен полимер состава $C_6H_9O_3$, т. пл. 50—51° (из ацетона). $(CH_3CH_2ONa)_2$ и $ClCH_2COOH$ в динизопропиловом эфире дают дихлорацетат II. И. М.

43091. Изучение мукогалогеновых кислот. IV. Замещение галогена в сложных псевдоэфирах. Уассерман, Прекопио (Studies on the mucogalogenous acids. IV. Replacement of halogen in the pseudo ester series. Wasserman Harry H., Precorpio Frank M.), J. Amer. Chem. Soc., 1954, 76, № 5, 1242—1243 (англ.)

Установлено, что при р-ции анилина с метиловыми псевдоэфирами α , β -дигалоген- β -формилакриловых (мукогалогеновых) к-т происходит замещение галогена в β -положении к карбонилу, а не в α -положении, как это утверждалось ранее (см. Simonis H., Ber., 1901, 34, 509). Это доказывается синтезами α -хлор- β -анилин- γ -метоксикротонового лактона (I) и α -бром- β -анилин- γ -метоксикротонового лактона (II). Смесь 9,5 г α -хлор- β -бром- β -формилакриловой к-ты (III), 50 г CH_3OH , 10 капель конц. H_2SO_4 кипятят 12 час., выливали в 200 мл воды, экстрагировали C_6H_6 , выход метилового псевдоэфира III (IV) 82%, т. кип. 53—54°/0,1 мм, n_D^{25} 1,5148. К охлажд. р-ру 1 г IV в 2 мл CH_3OH добавляли р-р 0,87 г анилина в 2 мл CH_3OH , смесь выдерживали 12 час. на холоду, затем прибавляли по каплям воду, отделяли I, т. пл. 123—125° (из CH_3OH). I идентичен анилиновому производному, полученному из псевдоэфира α , β -дихлор- β -формилакриловой к-ты (V). В сходных условиях из α -бром- β -хлор- β -формилакриловой к-ты через псевдоэфир α -бром- β -хлор- γ -метоксикротонолактона был получен II, т. пл. 116—117°, идентичный анилиновому производному V. Сообщение III см. РЖХИМ, 1954, 14442. Е. Р.

43092. Свободно-радикальное присоединение алифатических альдегидов к алиловым эфирам. Окавара, Комэда, Имото (アリールエステル類と脂肪族アルデヒドのラジカル付加反応. 大河原信, 米田義章, 井本英二), 工業化学雑誌, Kōgō Kagaku Zasshi, J. Chem. Soc. Japan Industr. Chem. Sec., 1955, 58, № 9, 705—708 (япон.)

CH_3CO (I) и C_6H_5CHO (II) в присутствии перекиси бензоила (III) присоединяются к $CH_2=CHCH_2CN$ (IV) с образованием соответственно $CH_3CO(CH_2)_3CN$ (V) и $n-C_6H_7CO(CH_2)_3CN$ (VI). Аналогично при р-ции II с $CH_2=CHCH_2COOH$ (VII) получают $n-C_6H_7CO(CH_2)_3COOH$ (VIII). При взаимодействии I и II с аллилацетатом (IX) помимо $CH_3CO(CH_2)_3OCOSCH_3$ (X) и соответственно $n-C_6H_7CO(CH_2)_3OCOSCH_3$ (XI) образуются $CH_3COSCH_2CH(COSCH_3)CH_2OCOSCH_3$ (XII) (в случае I), $n-C_6H_7COSCH_2CH(COSCH_3)CH_2OCOSCH_3$ (XIII) и $n-C_6H_7OCOSCH_2CH(COSCH_3)CH_2OCOSCH_3$ (XIV) (в случае II) по общей схеме: $III \rightarrow C_6H_5COO^{\cdot}$ (или $C_6H_5^{\cdot}$); $RCHO + C_6H_5COO^{\cdot}$ (или $C_6H_5^{\cdot}$) $\rightarrow RCO^{\cdot} + C_6H_5COOH$ (или C_6H_6); $RCO^{\cdot} + IX \rightarrow RCOCH_2CH^{\cdot}CH_2OCOSCH_3 \rightarrow RCO(CH_2)_3OCOSCH_3 + RCO^{\cdot}$ и $RCOCH_2CH^{\cdot}CH_2OCOSCH_3 + RCO^{\cdot} \rightarrow RCOCH_2CH(COR)CH_2OCOSCH_3$. Структура X подтверждена ИК-спектром: 5,3 μ (CO), 8,1 μ (сложноэфирная группа) и окислением (водн. $KMnO_4$, Na_2CO_3 , 10—20°) с образованием $CH_3CO(CH_2)_3COOH$ (идентифицирована по амиду). Структура XII подтверждена окислением ($KMnO_4$, вода, Na_2CO_3 , 20—25°) до ацетиллактона (идентифицирован по диоксиму). 0,5 моля IV, 3 моля I и 1 г III нагревают в атмосфере H_2 при 78—82° 16 час., удаляют избыток I, извлекают эфиром,

повторной разгонкой выделяют 3,5 г V, т. кип. 84—86°/5 мм, n_D^{25} 1,4805. 0,56 моля IV, 2,8 моля II и 1,35 г III нагревают (80—82°) в токе N_2 27 час., через 5,7 и 8 час. от начала р-ции вводят еще 0,6 г, 0,6 г и 0,3 г III, отгоняют при 60 мм до 48°, повторной разгонкой остатка выделяют 2,7 г VI, т. кип. 95—98°/6 мм, n_D^{25} 1,4477; 2,4-динитрофенилгидразон, т. пл. 169—169,5° (из сп.). 3 г VI кипятят 5 час. с 50 мл 30%-ной H_2SO_4 , подщелачивают, промывают эфиром, подкисляют, извлекают эфиром, получают 1 г VIII. 0,2 моля VII, 5 молей II и 1,21 г III нагревают 18 час. (через 6 час. вводят еще 0,6 г III), отгоняют при 65 мм до 60°, повторной разгонкой остатка выделяют 3,5 г VIII, т. кип. 138—145°/10 мм, т. пл. 30—34°. 0,8 моля IX, 2,2 моля I и 5 г III нагревают в атмосфере CO_2 (80—85°, 14 час.), отгоняют до 120°, извлекают эфиром, повторной разгонкой выделяют X, выход 31,5%, т. кип. 75—78°/7 мм, n_D^{25} 1,4305; 2,4-динитрофенилгидразон, т. пл. 81—82° (из сп.) и 5 г XII, т. кип. 140—142°/7 мм, n_D^{25} 1,4530. 8 г X кипятят 1 час с 5 г КОН в 50 мл воды, получают 4,5 г $CH_3CO(CH_2)_3ON$, т. кип. 114—116°/34 мм, n_D^{25} 1,4444; семикарбазид, т. пл. 154—155°. 0,7 моля IX, 4,2 моля II нагревают при 80—83° 25 час. через 8 и 16 час. после начала нагревания добавляют по 1,5 г III, отгоняют избыток II, промывают $NaHSO_4$, 5%-ным NaOH, повторной разгонкой выделяют XI, выход 46%, т. кип. 103—105°/8 мм, n_D^{25} 1,4305, и смесь XII и XIII, т. кип. 180—210°/6 мм, n_D^{25} 1,4560. 30 г XI кипятят 2 часа с 15%-ным NaOH, получают $n-C_6H_7CO(CH_2)_3ON$ (XV), выход 18 г, т. кип. 93—95°/5 мм, n_D^{25} 1,4417; уретан, т. пл. 97—98,5° (из лигр.); ИК-спектр 5,9 μ (CO), 2,9 μ , 9,8 μ (ОН). 5 г XV и 1 г H_3PO_4 нагревают 30 мин. при 120°, получают 1 г 2-пропил-4,5-дигидрофурана, т. кип. 131—132°, n_D^{25} 1,4670. При окислении XI 61,5%-ной HNO_3 (нагревание 1 час) образуется $(COOH)_2$. 0,06 моля XV, 0,18 моля 48%-ной HBr нагревают 1,5 часа, получают $n-C_6H_7CO(CH_2)_3Br$, выход 46,5%, т. кип. 80—82°/8 мм, n_D^{25} 1,4736. 0,026 моля последнего и 0,6 моля KCN нагревают в присутствии 0,5 г KJ в 50 мл $CH_3CH(ON)CH_2OH$ при 100° 6 час., промывают 100 мл воды, извлекают эфиром, разгонкой выделяют VI, выход 48,5%. Л. Я.

43093. Синтез и очистка N-метилацетамида для инъекционных жидкостей. Лянке (Synteza i oczyszczanie N-metyloacetamidu do płynów iniekcyjnych. Lange Helena), Acta Polon. pharm., 1955, 11, Dodatek: Pam. II Ogólnopolsk. Zjazdu nauk. Pol. towarz. Farmac. Łódź, 50—51 (польск.). N-метилацетамид (I) получен с выходом >90% из этилацетата и CH_3NH_2 . I очищают перегонкой при пониженном давлении в присутствии Na_2CO_3 , K_2CO_3 , бората натрия или $Ba(OH)_2$. В качестве критерия чистоты принято n_D^{20} 1,4290—1,4295. W. Tuszko

43094. Проназные диэтанолamina и жирных кислот. Тробрэдж, Фок, Кремс (Fatty acid derivatives of diethanolamine. Trowbridge J. R., Falk R. A., Krems I. J.), J. Organ. Chem., 1955, 20, № 8, 990—995 (англ.)

С целью выяснения влияния примесей сложных эфиров на поверхностную активность продуктов р-ции жирных к-т с этаноламином (I) синтезированы ацильные производные I: $C_{11}H_{23}CON(CH_2CH_2OH)_2$ (II), $C_{11}H_{23}CON(CH_2CH_2OCOC_{11}H_{23})_2$ (III), $C_{11}H_{23}CON(CH_2CH_2OH)CH_2CH_2OCOC_{11}H_{23}$ (IV), $HN(CH_2CH_2OCOC_{11}H_{23})_2$ (V) и $HOCH_2CH_2NHCH_2CH_2OCOC_{11}H_{23}$ (VI). Уточнены т-ры плавления диэтаноламидов (ДЭА) миристиновой (57—58°), пальмитиновой (63—64°), стеариновой к-т (72—73°). ДЭА к-т получали, приливая 0,1 моля хлорангидрида к-ты в 25 мл $CHCl_3$ к р-ру

0,3 моля I в 25 мл CHCl_3 при 15–20° и перемешивании, промывали 5%-ным р-ром Na_2SO_4 (3–5 раз по 50 мл), р-ритель отгоняли в вакууме, кристаллизовали из семикратного кол-ва ацетона или лигроина, критерий чистоты ДЭА — отсутствие амина и к-ты по анализу и ИК-спектру (отсутствие полосы поглощения эфирного CO (5,7–5,8 μ), наличие $\lambda_{\text{манс}}$ амидного CO (6,18 μ) и OH (2,95 μ); выход ДЭА 80–90%. Р-р 0,1 моля II и 0,2 моля хлорангидрида лауриновой к-ты (VII) в 100 мл CHCl_3 кипятят 3 часа, охлаждают, отфильтровывают от хлоргидрата V (VIII) (5–10 г), удаляют р-ритель в вакууме, выход III 42 г, т. пл. 49–50° (из лигр.). К р-ру 0,25 моля I в 100 мл CHCl_3 , насыщ. HCl (газ), приливают 0,5 моля VII, кипятят 3–4 часа, выход VIII 77 г, т. пл. 119–120° (из CHCl_3). Обработкой суспензии 5 г VIII в смеси 50 мл CHCl_3 и 50 мл воды 0,1 н. NaOH до pH 9 получают V, т. пл. 36–38° (из CHCl_3). К р-ру 0,1 моля II и 0,1 моля пиридина в 75 мл CHCl_3 прибавляют 0,1 моля VII (20 мин., перемешивание), промывают 300 мл воды, р-ритель удаляют в вакууме, осадок растворяют в 200 мл гексана (т. кип. 60–71°), промывают 300 мл 80%-ного CH_3OH , выход VI 38 г. К р-ру 0,365 моля HCl (газа) в 620 мл диоксиана прибавляют 0,365 моля II, выдерживают несколько дней при ~20°, выход хлоргидрата VI (IX) 64 г, т. пл. 99,8–100,3° (из CHCl_3 + лигр., затем из ацетона). Обработкой р-ра 20 г IX в 600 мл воды разб. р-ром NaOH до pH 10,5 (8°, извлечение эф., высушивание при охлаждении) получают VI, т. пл. 42–44° (из лигр.). IV (т. пл. 47–47,5° (из гексана)) получают аналогично III и V из 1 моля II и 1 моля VII.

43095. Избирательное восстановление алифатических нитроэфиров алюминогидридом лития. Фьюэр, Кучера (Selective reduction of aliphatic nitroesters with lithium aluminum hydride. Feuer Henry, Кучера Thomas J.), J. Amer. Chem. Soc., 1955, 77, № 21, 5740 (англ.)

Алифатич. нитроэфиры восстанавливаются LiAlH_4 при низкой т-ре до соответствующих нитроспиртов. 53,7 мл (43 ммоль) эфирного р-ра LiAlH_4 прибавляют 15 мин. к 86 ммоль $\text{CH}_3\text{CH}(\text{NO}_2)\text{CH}_2\text{CH}_2\text{COOC}_2\text{H}_5$ в 60 мл абс. эфира при –35°, смесь перемешивают 20 мин., добавляют 5 мл $\text{CH}_3\text{COOC}_2\text{H}_5$, гидролизуют при 0° 50 мл 20%-ной H_3PO_4 в присутствии 6 г $\text{CO}(\text{NH}_2)_2$, вода. слой экстрагируют эфиром; выход 4-нитропентанола 61%, т. кип. 90–92°/1 мм, n_D^{20} 1,4479. Аналогично получены 4-метил-4-нитропентанол, выход 76%; 4,4-динитропентанол, выход 53%; 4,4-динитрогептандиол-1,7 (р-ритель тетрагидрофуран), выход 56%, т. пл. 74,5–75° (из CH_2Cl_2); бисфенилуретан, т. пл. 119,5–120° (из $\text{C}_2\text{H}_4\text{Cl}_2$).

43096. Синтез и бактерицидные свойства некоторых четвертичных высших алкил-н-алкенилди-(2-оксизтил)-аммониевых солей. Стефанович, Чирич (Синтеза неких кватернерних амоніум-соли вищих алкил-н алкенил-бис-(2-гідроксизтил)-аміна і їхнєво бактерицидно дієство. Стефанович В., Чиріх J. С.), Гласник Хем. друштва, 1954, 19, № 6, 373–388 (серб.; рез. англ.) См. РЖХим, 1956, 3777.

43097. Отделение формальдегида от окис бис-(β-хлорэтил)-метилamina. Арнольд, Веняков (Formaldehyd-Abbau von Bis-(β-chloräthyl)-methyl-amin-N-oxyl. Arnold Herbert, Venjakob Josef), Arzneimittel-Forsch., 1955, 5, № 12, 722–723 (нем.; рез. англ.)

Окис бис-(β-хлорэтил)-метилamina (I) в присутствии порошка Si отщепляет CH_2O . Авторы считают, что CH_2O выделяется вследствие перегруппировки I в неустойчивый оксиметил-бис-(β-хлорэтил)-амин, пос-

ледний разлагается на CH_2O и бис-β-хлорэтиламин (II). Разложение I катализируют ионы Cu^{+} и особенно Fe^{+} в водн. р-ре. Образование избытка CH_2O при разложении I в кислой среде авторы объясняют гидролизом II в бис-(β-оксизтил)-амин, который разлагался на CH_2O и $(\text{CH}_3)_2\text{NH}$.

43098. О моночетвертичных и мнимых бисчетвертичных солях диаминметана. Бёме, Ленере (Über monoquartäre und angebliche bisquartäre Salze des Diamino-methans. Böhm Horst, Lehnert Walter), Liebigs Ann. Chem., 1955, 595, № 3, 169–178 (нем.)

Взаимодействием $\text{CH}_2[\text{N}(\text{CH}_3)_2]_2$ (I) с CH_3Br получена соль $[(\text{CH}_3)_3\text{N}+\text{CH}_2\text{N}(\text{CH}_3)_2]\text{Br}^-$ (II). II устойчив при полном отсутствии влаги и в атмосфере N_2 ; на воздухе разлагается с образованием CH_2O , $(\text{CH}_3)_2\text{N}$, $(\text{CH}_3)_2\text{NH}$. Гидролиз 1 моля II дает 0,97 моля CH_2O , 0,88 моля N,N-диметил-N'-фенилтиомочевины, 0,87 моля бромистого триметилфениламмония, что подтверждает строение II. Экспериментально проверены работы по получению солей бисчетвертичных аммониевых оснований (Tsatsas G., Damiens R., Ann. pharm. franç. 1949, 7, 444; Braun J., Röver E., Chem. Ber., 1903, 36, 1199). При замене II тетраэтилдиаминметаном (III) и тетра-н-пропилдиаминметаном (IV) получены смеси солей соответствующих вторичных и третичных аминов и четвертичных оснований. К 10,5 г CH_3Br в 50 мл абс. эфира при –20° прибавляют 10,2 г II в 50 мл абс. эфира, выдерживают день при 15–20°, отсасывают в токе N_2 II, выход 71%. При проведении опыта с III в условиях Цацаса и Дамьена образуется только $(\text{C}_2\text{H}_5)_3\text{N}^+\text{HBr}^-$, выход 37%. При р-ции 2,2 г IV и 3,0 г CH_3Br в условиях Брауна и Ровера получен амин с т. пл. 92–94°, выход 84%. Из гидролизата полученного амина выделены основания $(\text{CH}_3)_2(\text{n-C}_3\text{H}_7)_2\text{N}^+\text{OH}^-$ в виде рейнеката и $(\text{n-C}_3\text{H}_7)_2\text{NH}$ в виде ди-н-пропилиомочевины, выход 86%. Р-р 5,7 г $\text{CH}_3\text{N}^+(\text{n-C}_3\text{H}_7)_2$ и 7,5 г CH_3Br в 75 мл абс. эфира выдерживают 1 день, осадок кристаллизуют из ацетона + эфира, выход $(\text{CH}_3)_2(\text{n-C}_3\text{H}_7)_2\text{N}^+\text{J}^-$ 79%, т. пл. 181°; пикрат, т. пл. 93° (из этилацетата); рейнекат, т. пл. 148°. К 29,8 г CH_3Br в 30 мл абс. эфира в токе N_2 при охлаждении прибавляют р-р 21,4 г IV в 30 мл абс. эфира, выдерживают 24 часа при ~20°. Выход подистого дипропиламинометил-метилдипропиламмония (V) 38%. Гидролизат V не дает осадка с солью Рейнке. Гидролизат V был извлечен петр. эфиром; из вытяжки выделена дипропилфенилтиомочевина.

43099. S-бензилтиурониевые соли. Фридигер, Педерсен (S-benzylthiuronium salts. Friediger A., Pedersen Christian), Acta chem. scand., 1955, 9, № 9, 1425–1430 (англ.)

Получены $[\text{C}_6\text{H}_5\text{CH}_2\text{SC}=\text{NH}(\text{N}^+\text{H}_3)]\text{X}^-$ (I), где X — остаток сульфо- или карбоновой к-ты. 0,01 экв к-ты растворяют в 10 мл 1 н. NaOH, р-р подкисляют (по метилроту; если к-та нерастворима, оставляют р-р слабощел.; в случае плохой растворимости Na-соли добавляют воду), к горячему р-ру приливают 0,01 экв хлорида S-бензилтиуриония в 10 мл воды, охлаждают льдом, кристаллизуют из спирта или смеси спирта с водой и эфиром. Некоторые I титруют HClO_4 в лед. CH_3COOH (индикатор кристалли violet). Получены I: X = RCH_2COO^- (указаны R и т. пл. I в °C): $\text{CH}_2=\text{CHCH}_2$, 155–158; Br, 144–145; $\text{C}_6\text{H}_5\text{OCSS}$, 149–150; 1-нафтил, 162–163; C_6H_5 , 165–166; $\text{C}_6\text{H}_5\text{OCSS}$, 141–142; HS, 140–141. Получены I, X = $\text{CH}_2=\text{CHCOO}^-$ (указаны заместители в к-те и т. пл. I в °C): 3- $\text{C}_6\text{H}_5\text{CO}$, 127–129; 2-CN, 3- C_6H_5 , 173; 3-(2-фурил), 170–171; 2- CH_3 , 156. Получены I, X = $\text{C}_6\text{H}_5\text{COO}^-$ (указаны заместители в бензольном ядре и т. пл. I в °C): 3- NH_2 , 160–161; 2- CH_3 COO-5- NO_2 , 163–165; 2- NH_2 -5-Cl, 153–154; 2- $\text{C}_6\text{H}_5\text{CO}$,

177—178; 4-Br, 195—196; 2-Cl, 165—166; 3-Cl, 164—165; 4-Cl, 190; 2-(4-ClC₆H₄CO), 165—166; 2,4-Cl₂, 163—165; 3,4-Cl₂, 168—169; 2,4-(C₆H₅O)₂, 145—146; 2,4-(HO)₂, 165—166; 2,4-(HO)₂-5-Br, 170—171; 3,4-(NO₂)₂, 151—152; 3,5-(NO₂)₂, 178; 2-CHO, 121—122; 3-NO, 161—162; 2-NO-5-CH₃CO, 134—136; 2-(4-NO₂C₆H₄CO), 195—196; 2-NO-5-Br, 183—184; 2-NO-3,5-Cl₂, 158—159; 2-NO-3,5-J₂, 103—107; 2-NO-3,5-[(CH₃)₂CH]₂, 167—168; 2-NO-5-NO₂, 171—172; 2-NO-5-J, 197—198; 2-J, 162—163; 3-J, 178—179; 2-CH₃O, 163—164; 3-CH₃O, 176; 3-NO₂-4-CH₃, 167—168; 2-C₆H₅CO, 135; 2-(4-толуил), 171—172; 3,4,5-(CH₃O)₃, 162—164. Получены I, X = CH₃CH₂CH₂COO⁻ (указаны заместители в к-те и т. пл. I в °C): 2-Br, 146—147; 2-Br-3-CH₃, 151—152; 2-Cl, 166—167; 4-циклогексил, 154—155; 2-C₂H₅, 133—134. Получены I, X = C₆H₅CH = CHCOO⁻ (указаны заместители и т. пл. I в °C): α-CH₃CONH, 182—183; α-CH₃, 130—131; 4-CH₃, 175—176; 3-NO₂, 158—159; 4-NO₂, 208—209; α-C₆H₅O, 177—178. Получены I, X = CH₂(COO⁻) или CH₂(COOH)(COO⁻) (указаны заместители в к-те и т. пл. I в °C): CH₂ = CHCH₂, ди-соль, 147—153; аллилэтил, ди-соль, 141—144; C₆H₅CH₂, ди-соль, 161—162; *m*-C₆H₄, ди-соль, 132—135; бутилэтил, моно-соль, 137—138; (C₂H₅)₂, моно-соль, 148—149; (CH₃)₂, моно-соль, 159—160; *изо*-C₆H₁₁, ди-соль, 136—137; *изо*-C₄H₉, ди-соль, 136—137; *изо*-C₃H₇, ди-соль, 133—134; *изо*-C₃H₇, моно-соль, 147—148; CH₃, моно-соль, 145—146; CH₃C₆H₄, моно-соль, 137—138; 3-NO₂C₆H₄CH =, ди-соль, 146—147; C₆H₅, ди-соль, 144—145. Получены I, X = C₆H₅OCH₂COO⁻ (указаны заместители в бензольном ядре и т. пл. I в °C): —, 180—181; 2-Cl, 167—168; 4-Cl, 198—199; 2,4-Br₂, 173—175; 2,4-Cl₂, 177—178; 2,4-Cl₂-5-NO₂, 166—167; 2-CH₃, 162—163; 3-CH₃, 166—168; 2-CH₃-4-Cl, 164—165; 3-CH₃-4-Cl, 168—169; 2-NO₂, 155—156; 2,4,6-Cl₃, 198—199. Получены I, X = 1-НООСС₆H₄-2 (COO⁻) или 1,2-(COO⁻)₂C₆H₃ (указаны заместители в бензольном ядре и т. пл. I в °C): 4-J, моно-соль, 191; моно-*n*-бутиловый эфир, 137—138; моноциклогексильный эфир, 159—160; монометилловый эфир, 133—134; 3-NO₂, ди-соль, 177—178; 4-NO₂, ди-соль, 176—177; 4-NO₂, моно-соль, 183—185. Получены I, X = CH₃CH₂COO⁻; 3-C₆H₅CO, 147—148; 2-Cl, 168—169; 3-Cl, 148—149; 3-(4-ClC₆H₄CO), 159—160; 3-циклогексил, 175—177; 2,3-Cl₂, 138—139; 2-C₂H₅OCSS, 134—135; 2-CH₃O-CSS, 142—143; 2-C₆H₅O, 154—156; 3-C₆H₅, 151—152; 2-C₆H₅-3-C₆H₅CO, 158—159; 3,3,3-(C₆H₅)₃, 157. Получены I, X = (CH₃)₂COOH(COO⁻) или (CH₃)₂(COO⁻)₂; 2-C₆H₅, ди-соль, 164—165; ди-соль, 138—139; 2-CH₃, ди-соль, 127—129; α-(α-метил-бензилден)-моноэтиловый эфир, 159—160; монобензильный эфир, 134—135; монометилловый эфир, 135—136. Получены I (указаны X и т. пл. I в °C): (C₆H₅CH₂)₂CHCOO⁻, 138—139; (C₆H₅)₂CCOO⁻, 176—177; (C₆H₅)₂C(OH)COO⁻, 140; CH₃(CH₂)₃COO⁻, 148—149; (CH₃)₂(COO⁻)₂, ди-соль, 152—153; C₆H₅CONH(CH₂)₂COO⁻, 151—152; CH₃(CH₂)₃C(CN)(C₆H₅)COO⁻, 150—151; C₆H₅CONHCH₂COO⁻, 158—159; CH₃(CH₂)₃CH(C₆H₅)COO⁻, 129—130; CH₃CO(CH₂)₂COO⁻, 133—134; НООССI = =CHCOO⁻, моно-соль, 186—187; 4-CH₃C₆H₄CHN(OH)COO⁻, 164—165; CH₃(CH₂)₃CH = CHCOO⁻, 169—170; H₂C = CHCH = C(4-NO₂C₆H₄)COO⁻, 136—137; 3-CH₃OCH₂C₆H₄COO⁻, 160—161; 4-NO₂C₆H₄CH₂COO⁻, 166—168; (CH₃)₂CCOO⁻, 153—154; C₆H₅C ≡ CCOO⁻, 184—186; CH₃COCO⁻, 157—158; CH₃NC = CHCH = =CHCOO⁻, 183—184; (CH₃)₂(COO⁻)₂, ди-соль, 150—151; 2-НООСС₆H₄CH₂COO⁻, ди-соль, 155—156; CH₃(CH₂)₂ · CHClCOO⁻, 162—163; CH₃OCSS, 81—83; C₂H₅OCSS, 106—107; CH₂ = CH(CH₂)₂CH₂COO⁻, 145—146. Получены I, X — остаток к-т N-фенилантрахиновой, 152—153; 2-азобензаладегидокислоты, 175—176; ацетилдидикарбоновой, ди-соль, 160; азобензол-2,3,2',3'-тетракарбоновой, 194; 2,5-диоксип-л-бензолдиуксусной, ди-соль, 199—200; *d*-камфарной, ди-соль, 137—138; кумарин-3-карбоновой, 167; O-метилкумаровой, 147—148; O-метилкумариновой,

146—147; циклогексанкарбоновой, 165—166; 2,2-дифеновой, моно-соль, 174—176; N-ацетилглицина, 166—167; N-карбобензилоксиглицина, 139—140; α-бензил-α-циангидроксикоричной к-ты, 112—113; 1-нафтойной, 147—148; 2-оксип-1-нафтойной, 203—204; никотиновой, 156—157; α-пиколиновой, 185—186; пириновой, 186—187; пимелиновой, ди-соль, 162—163; пиперидиновой, 172—173; *цис*-Δ⁴-тетрагидрофталевой, моно-соль, 158—159; тиглиновой, 163—164; ванилиновой, 166. Аналогично получены I с сульфокислотами: 4-(CH₃)₂NHCH₂CH₂NH = =NHCH₂SO₃H-4', 213—214; C₆H₅NH = NHCH₂(SO₃H)₂-3,4', моно-соль, 202—203; 4-HOC₆H₄NH = NHCH₂SO₃H-4, 228—229; 4-CH₃CONHCH₂CH₂SO₃H, 193—194; 4-CH₃CONHCH₂SO₃H, 248—249; 2-НО-5-НСО₃-C₆H₄COOH, ди-соль, 160—161; 3-НСО₃C₆H₄COOH, ди-соль, 130—133; C₂H₅OSO₃H, 112—113; 2-нафтол-1-сульфоновой к-той, 131—132; 2-NH₂-4-НСО₃C₆H₄OH, 80—81; хинолинсульфоновой-8 к-той, > 250; 2-Cl-5-NH₂-4-SO₃HC₆H₃CH₃, 210—215; 4-NO₂-2-НСО₃C₆H₃CH₃, 173—174°. J. K.

43100. Реакция раствора бромид-бромата калия с некоторыми сернистыми соединениями. Шипли (Reaction of potassium bromide-bromate solution with some sulphur compounds. Shipley F. W., J. Chem. Soc., 1955, Oct., 3562—3563 (англ.))

Завышенные результаты при определении непредельности α,β-непредельных сульфидов, сульфоксидов и близких им в в титровании кислотным р-ром бромид-бромата калия (I) объясняются присоединением Br к атому S, а иногда расщеплением C—S-связи. Атом S любых сульфидов присоединяет 2 Br с последующим гидролизом до сульфоксида, из кетосульфидов таким образом образуются кетосульфоксиды. Непредельные сульфиды RSR', в которых атом S связан с третичным или вторичным аллильным атомом C, расщепляются, присоединяя 4 атома Br и образуя сульфокислоты; при этом возможен разрыв лишь одной связи C—S. Сульфиды RSR', где R' = алкил или арил, а R = алке-

нил, поглощают 8 атомов Br по схеме: R(OH)₂Br ← Br-2H₂O

← R — S — R' $\xrightarrow{3Br-2H_2O}$ R'SO₂H $\xrightarrow{2Br-H_2O}$ RSO₂H. Смесь 0,005—0,01 моля в-ва, 40 мл лед. CH₃COOH, 6 мл воды, 3 мл HCl (к-ты) при 20° титруют 0,1 н. р-ром I до постоянного слабояркожелтого цвета. Смесь 0,22 α-циклогексен-2-фенилсульфида, 75 мл лед. CH₃COOH, 12 мл воды, 6 мл конц. HCl (к-ты) и 0,1 н. р-р I, эквивалентный 8 Br, выпаривают досуха при 20—25°, остаток кипятят с 4 мл 0,5 н. HCl (к-ты) и 0,2 в хлористого S-бензилтиурония, выделяют бензосульфонат 3-бензилтиурония, т. пл. 148°. Аналогично окисляют циклогексен-2-этилсульфид, окисленный р-р нейтрализуют NaOH, выпаривают досуха, из остатка экстрагируют CHCl₃ бромдиоксидциклогексан, т. кип. 100°/10⁻² мм (т-ра бани). В. Л.

43101. Вещества, блокирующие симпатические ганглии. II. Бис-четвертичные соли, производные 1,5-диамино-3-тиапентана. Боровичка М., Протина М., Сб. хеосл. хим. работ, 1955, 20, № 2, 273—277 (реа. англ.). См. РЖХим, 1955, 37202.

43102. Тиаалкан-бис-аммониевые соединения с равнотельными цепями, оказывающие блокирующее действие на ганглии. Андрус, Бергель, Моррисон (Branched-chain thia-alkanebis (quaternary ammonium) salts as ganglion-blocking agents. Andrews K. J. M., Bergel F., Morrison A. L., J. Chem. Soc., 1954, Oct., 3483—3485 (англ.))

Для исследования фармакологич. действия синтезированы тиа- и дитиаалкан-бис-четвертичные соли аммония с метильной группой в α- и β-положении к

одному из атомов азота. 1,5-бис-диметиламино-2-метил-3-тиапентан (I) получен взаимодействием 2-меркаптоэтилдиметиламина (6,9 г в 8 мл сп.), обработанного C_2H_5ONa (1,5 г Na в 50 мл сп.), в атмосфере N_2 с 2-хлорпропилдиметиламино (II) (8 г в 25 мл сп.); смесь кипятят 1 час, выдерживают при $\sim 20^\circ$ 15 час., отфильтровывают $NaCl$ и упаривают в вакууме, выход I 84%, т. кип. $63^\circ/0,2$ мм, n_D^{20} 1,4783. К охлажд. во льду р-ру I (1,9 г в 10 мл бэл.) прибавляют CH_3J (2,9 г в 5 мл бэл.), оставляют стоять 24 часа и выделяют эфиром диодметилат I, выход 81%, т. пл. 254° (разл.; из сп.); диодметилат I получают из I с C_2H_5J , т. пл. $248-249^\circ$ (разл.; из сп. + CH_3OH). Аналогичным путем получен 1,6-бис-диметиламино-2-метил-3-тиагексан (III), выход 56%, т. кип. $67-69^\circ/0,4$ мм; n_D^{21} 1,4755; диодметилат III, выход 97%, т. пл. $199-200^\circ$ (из сп. + CH_3OH); диодметилат III, выход 51%, т. пл. $200-201^\circ$ (из сп.). Для синтеза 1,5-бис-диметиламино-2,4-диметил-3-тиапентана (IV) нагревают до 120° $Na_2S \cdot 9H_2O$ (30 г), р-р насыщают H_2S и в атмосфере H_2S прибавляют II (13,1 г), кипятят 1 час и по охлаждению извлекают эфиром; из вытяжки перегонкой выделяют 2-меркаптопропилдиметиламин (V), выход 3,65 г, т. кип. $50^\circ/22$ мм, и IV, выход 3,5 г, т. кип. $72-74^\circ/0,6$ мм, n_D^{22} 1,4786; диодметилат IV, т. пл. 230° (разл.; из сп. + CH_3OH). 2,5-диметил-3,4-дитагексан-1,6-бис-триметиламмониййодид (VI) получен окислением V (3,6 г) иодом (4,2 г) в водн. р-ре KJ (12 г в 60 мл); щел. р-р извлекают эфиром, сушат Na_2SO_4 ; после отгонки р-рителя получают 3,4 г масла, из которого с CH_3J (4,1 г) в сухом эфире получают VI, выход 2,45 г, т. пл. 223° (разл.; из сп. + CH_3OH). При попытке получить 3-тиагексан-1,5-бис-3-тиагексан-1,5-бис-триметиламмониййодид (VII) из 1-хлор-2-диметиламинопропана (VIII) и 2-меркаптоэтилдиметиламина с последующей обработкой CH_3J вместо VII выделен I. Применение Na_2S вместо меркаптида дало такие же результаты. Аналогичная перегруппировка наблюдалась при взаимодействии VIII с Na_2S : вместо 1,5-диметиламино-3-тиапентан-1,5-бис-триметиламмониййодида был выделен IV. Для получения 1,5-бис-диметиламино-3-тиапентана (IX) был синтезирован 5-хлор-1-диметиламино-3-тиапентан (X) действием $SOCl_2$ (9,5 мл) на 1-диметиламино-5-окси-3-тиагексан (20 г) в среде сухого $CHCl_3$ при -30° , выход хлоргидрата X 71%, т. пл. $95,5^\circ$ (выделен эф. из р-ра в сп. + этилацетата); основание X, т. кип. $50-51^\circ/0,18$ мм, n_D^{22} 1,4875. Перемешиванием в течение 16 час. смеси X (8 г), 5 н. р-ра $NaOH$ (9 мл) и 28%-ного водн. р-ра $NH(CH_3)_2$ (9 мл) получен IX в виде масла, выход 43%, т. кип. $40-42^\circ/0,1$ мм, $n_D^{21,5}$ 1,4735; пикрат IX, т. пл. 125° (из сп.); диодметилат, выход 47%, т. пл. $238-240^\circ$ (разл.; из CH_3OH); диодметилат, выход 47%, т. пл. $203-204^\circ$ (из сп.). Фармакологич. исследование полученных соединений (действие на кровяное давление, блокирующее действие на ганглии — на кошках) показало, что введение CH_3 -группы в β -положение повышает активность; так, диодметилат I в 2 раза активнее гексаметония. Предыдущее сообщение см. РЖХим, 1956, 25593. Т. Г.

43103. Исследование в области производных двусоединных карбоновых кислот. Сообщение XII. Диалкиламиноалкиламиды некоторых тиодикарбоновых кислот. Миджолл А. Л., Агбалли С. Г., Докл. АН АрмССР, 1955, 21, № 5, 215—222 (рез. арм.).

В поисках курареподобных препаратов синтезированы диалкиламиноалкиламиды тиокарбоновых к-т общей ф-лы $S[CH(CH_3)_n CONH(CH_2)_m N(R)_2]_2$ (I) и $S[CH(R')_2 CONH(CH_2)_m N(R)_2]_2$ (II). Получены I (при-

ведены л, м, R, выход в %, т. кип. в $^\circ C$, т. пл. в $^\circ C/мм$, n_D^{20} D и d_4^{20} , т. пл. в $^\circ C$ оксалата и цитрата): 1, 2, CH_3 , 41,2, 179—181/5, 53—54, —, 121, —; 1, 2, C_2H_5 , 50,6, 183—184/5, —, 1,4726, 1,0506, 120, —; 1, 3, CH_3 , 60,5, 192—195/5, —, —, 101, —; 1, 3, C_2H_5 , 64,8, 198—200/5, —, 1,4723, 1,0375, —, 95 (разл.); 2, 2, CH_3 , 63,5, —, 71, —, 118, —; 2, 2, C_2H_5 , 65,6, 204—206/5, —, 1,4952, 1,0305, —, 98 (разл.); 2, 3, CH_3 , 64,8, 209—212/5, 51—52, —, 111 (разл.); 2, 3, C_2H_5 , 61,7, 176/5, —, 1,4880, 1,0080, —, 81 (разл.). Получены II (приведены м, R, R', выход в %, т. кип. в $^\circ C$, т. пл. в $^\circ C/мм$, n_D^{20} D, d_4^{20} , т. пл. в $^\circ C$ оксалата и цитрата): 2, C_2H_5 , CH_3 , 55,1, 178—180/5, 60—62, —, —, 104 (разл.); 2, C_2H_5 , C_2H_5 , 55,8, 187—192/5, 64—66, 1,4828, 1,0232, —, 109 (разл.); 3, C_2H_5 , CH_3 , 58,3, 195—199/5, —, 1,4791, 1,0407, 169, —; 3, C_2H_5 , C_2H_5 , 50, 190—191/5, —, 1,4863, 1,0318, —, 93 (разл.); 2, $(CH_3)_2CH$, CH_3 , 61,4, 194—196/5, 56—57, —, —, 113 (разл.); 2, $(CH_3)_2CH$, C_2H_5 , 70,9, 198—200/5, —, 1,4670, 0,9933, 129, —; 3, $(CH_3)_2CH$, CH_3 , 67,2, 207—210/5, 59—61, —, —, 117 (разл.); 3, $(CH_3)_2CH$, C_2H_5 , 70, 209—211/5, —, 1,4667, 0,9931, —, 116 (разл.). Получены также подметилаты и подэтиллаты I и II. Сообщение XI см. РЖХим, 1956, 39499. Е. Ц.

43104. Исследования в области алкилирования ядра ароматических соединений. Цукерваниц И. П., Тр. Среднеаз. ун-та, 1955, вып. 71, 115

Обобщены исследования автора и сотрудников и дан литературный обзор по алкилированию ароматических соединений (ААР) спиртами и посредством двухфункциональных соединений; рассмотрены аномальные р-ции, протекающие при ААР. Обсуждены механизмы р-ций ААР. Библ. 268 назв. В. З.

43105. Об алкилировании бензола диацетатом 1,1'-этинилбисциклопентанола в присутствии безводного $AlCl_3$. Лагидзе Р. М., Двалишвили А. И. (Тфелло ქლორიანი ალუმინის თანაობით 1,1'-ეთინილბისციკლოპენტანოლის დიაцეტატით ბენზოლის ალკილირების შესახებ. ლაბორატორიული შედეგები, სპ. ზვ. 1955, № 3, 205—212 (груз., рус.))

Распространен р-цию алкилирования C_6H_6 диацетатами ациленовых диолов (Докл. АН СССР, 1952, 83, 235) на диацетат 1,1'-этинилбисциклопентанола (I), удалось выделить кроме кристаллич. углеводорода $C_{15}H_{20}$ (II) три промежуточных продукта: 1-хлор-2-ацетокси-1,2-дициклопентилденэтан (III), 1-ацетокси-2-фенил-1,2-дициклопентилденэтан (IV) и в-во не установленного строения, не содержащее хлора (V). При циклизации IV получается II, чем доказываются механизм его образования: $I + AlCl_3 \rightarrow III$; $III + C_6H_6 \rightarrow IV \rightarrow II$. К 120 мл C_6H_6 добавляют (16—20°) при перемешивании 25 г безводн. $AlCl_3$ и по каплям 25 г I в 40 мл C_6H_6 . За $\sim 3,5-4$ часа поднимают т-ру до $75-80^\circ$. Разлагают комплекс, получают 25,73 г конденсата, из которого выделяют: V, т. кип. $69-71^\circ/1,5-2$ мм, n_D^{20} 1,5000, d_4^{20} 1,0350, III, выход 10—12% (на конденсат), т. кип. $113-115^\circ/1-1,5$ мм, n_D^{20} 1,5184 (III образуется также взаимодействием I с $AlCl_3$ в деароматизированном лигр.); IV, выход 16—20%, т. кип. $137-140^\circ/1-2$ мм, n_D^{20} 1,5445, d_4^{20} 1,0814, и II, т. пл. $83-83,7^\circ$ (из сп.). Окислением II CrO_3 в CH_3COOH 30 мин. при 100° получают в-во с т. пл. $206-207^\circ$; более жесткое окисление приводит к глутаровой, бензойной и фталевой к-те. 3 г IV в 50 мл лигроина с 1,5 г $AlCl_3$ при $80-90^\circ$ превращают в II. Н. Г.

43106. Об алкилировании бензола диацетатом тетраметилбутидиола в присутствии безводного $AlCl_3$. Лагидзе Р. М., Лозадзе Н. Р., (Тფელლო ქლორიანი ალუმინის თანაობით ტეტრაბუტი-

ბეზინდოლის დაცეცბათ ბენზოლის ალკილირების შედეგად. ლაღიძე რ. ლოლაძე ნ., სპ. სსრ მეცნ. აკად. შობაძე, *Сообщ.* АН ГрузССР, 1955, 16, № 8, 607—614 (груз., русс.)

При алкилировании C_6H_6 в присутствии $AlCl_3$ диалдегата тетраметилбутидиала (I) при молярном соотношении $I : C_6H_6 : AlCl_3$ равном $1 : 10 : 2$, 7—8 час. при $t = 82$ в конце процесса $82-85^\circ$ выделены $(CH_3)_2C=CCl$ (II), т. кип. $64-66^\circ/2,5-3$ мм., $n_D^{20} 1,5180$, $d_4^{20} 0,9735$, углеводород состава $C_{14}H_{16}$ (III), т. пл. $82,6-83,3^\circ$, и $(CH_3)_2C=C(C_6H_5)=C(OCOC_6H_5)=C(C_6H_5)_2$ (IV) (неочищ.), т. кип. $109^\circ/2$ мм., $d_4^{20} 1,0061$. II образуется также при взаимодействии I с $AlCl_3$, при этом наряду с замещением ацетоксигруппы на Cl имеет место ацетилендиеновая перегруппировка. Метанизм образования III представлен следующим образом: $II + C_6H_6 \rightarrow IV \rightarrow III$. Окисление III хромовым ангидридом в CH_3COOH при 100° 1—4,5 часа дает ацетон и в-во $C_{11}H_{10}O$, т. пл. $173-174^\circ$ (из сп.). Дальнейшее окисление этого в-ва 3,5—4 часа приводит к ацетону и в-ву с т. пл. $203-204^\circ$. При жестком окислении III идентифицирована только о-фталевая к-та. Н. Г.

3107. Синтез 2-фенилбутана и 2-фенил-2,3,3-триметилбутана с помощью литийорганических соединений. Малиновский М. С., Яворовский А. А., Укр. хим. ж., 1955, 21, № 6, 723—725. Р-цией α-бромизопропилбензола (I) с $(CH_3)_3CLi$ или $(C_2H_5)_3CLi$ получены соответственно 2-фенил-2,3,3-триметилбутан (II) и 2-фенил-2-метил-3,3-диэтилпентан (III); аналогично из α-бромэтилбензола (IV) и C_2H_5Li синтезирован 2-фенилбутан (V). При р-ции I или IV с соответствующими Mg-органическими соединениями II, III и V или не получаются, или получают с плохими выходами. К р-ру $(CH_3)_3CCl$ (из 2,8 г Li, 0,2 моля $(CH_3)_3CCl$ и 250 мл петр. эф.) приливают р-р 16,6 г I в 20 мл петр. эфира и перегонкой выделяют II, выход 26,3%, т. кип. $223-225^\circ/750$ мм., $n_D^{20} 1,500$, $d_4^{20} 0,8860$; 2,2,3,3-тетраметилбутан, выход 36,8%, т. кип. $102-105^\circ/745$ мм., и дифенилгексан, выход 26,3%, т. кип. $149-153^\circ/5$ мм. Аналогично получают III, т. кип. $99-101^\circ/5$ мм., $n_D^{20} 1,523$, $d_4^{20} 0,8956$, и из 20,3 г IV и C_2H_5Li (2,8 г Li, 0,2 моля C_2H_5Br и 300 мл эф.) — V, выход 55%, т. кип. $172^\circ/750$ мм., $n_D^{20} 1,489$, $d_4^{20} 0,8600$. Д. В.

43108. 1,3,5-три-*трет*-бутилбензол и его производные. Барлетт, Роха, Стайлс (1,3,5-tri-*t*-butylbenzene and some derivatives. Bartlett Paul D., Roha Max, Stiles Martin R.), J. Amer. Chem. Soc., 1954, 76, № 9, 2349—2353 (англ.)

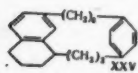
Синтезирован 1,3,5-три-*трет*-бутилбензол (I), его производные и изучено влияние третичных бутильных групп на основные свойства анилина. Основные свойства в ряду: анилин, *n*-трет-бутил-, *о*-трет-бутил-, 2,5-ди-трет-бутил- и 2,4,6-три-трет-бутиланilin падают от рК (для нова анилина) 4,14 до 2. I синтезируют из 5 молей *n*-ди-трет-бутилбензола (II), 6 молей *трет*- C_4H_9Cl в присутствии 6,5 моля $AlCl_3$ в CS_2 или $SiCH_3CH_2Cl$ при $<5^\circ$. Выделены *м*-ди-трет-бутилбензол (III), выход 161 г, т. кип. $105-107^\circ/13$ мм.; I, выход 160 г, т. кип. $121-122^\circ/12$ мм., т. пл. $72,5-73,0^\circ$ (из сп.). ИК-спектр I идентичен со спектром I, полученного диспропорционированием *трет*-бутилбензола HF и BF_3 (РЖХим, 1955, 23578). Строение I доказано получением его из 55 г пинаколина и 14 г Na (12 час., до 200° , в атмосфере Na). Из продуктов р-ции выделены: I, выход 8 г, т. кип. $121-124^\circ/13$ мм., т. пл. 73° (из сп.), 1,3-ди-трет-бутилбутadien-1,3, выход 7,9 г, т. кип. $59-61^\circ/15$ мм.,

аддукт с малеиновым ангидридом, т. пл. 128° , и 2,2,5,6,6-пентаметилгептанон-3, выход 6,6 г, т. кип. $87-89^\circ/15$ мм., 2,4-динитрофенилгидразон, т. пл. 115° ; кетон превращают во вторичный спирт, бензоат которого, т. пл. 48° , идентичен полученному восстановлением известного 2,2,5,6,6-пентаметилгептен-4-она-3 и последующим бензоилированием вторичного спирта. Действием 1,6 г 96%-ной HNO_3 на 5,8 г I в 4 мл лед. CH_3COOH и 3 мл $(CH_3CO)_2O$ получают 2,4,6-три-трет-бутилнитробензол (IV), выход 55%, т. пл. $204-205^\circ$ (из петр. эф.). Нагреванием 10 г IV с 280 г 4%-ной Na/Hg в 200 мл абс. CH_3OH 5 час. синтезируют 2,4,6-три-трет-бутиланил (V), выход 64%, т. пл. $144,5-145,5^\circ$ (из CH_3OH), который диазотетом превращают в три-трет-бутилфенол (VI) (очистка хроматографированием на Al_2O_3), выход 0,201 г, т. пл. $129-130^\circ$. Нагреванием 0,1 моля I с 0,5 г $AlCl_3$ в 150 мл C_6H_6 (30 мин.) получают 9,65 г *трет*-бутилбензола, т. кип. $73^\circ/40$ мм., 7,6 г ди-трет-бутилбензола и 3,8 г I, т. кип. $135^\circ/28$ мм. Действием 0,42 моля Br_2 на 0,2 моля I в 100 мл CCl_4 , в присутствии 12 г Fe-опилок получен бром-ди-трет-бутилбензол (VII), выход 71%, т. кип. $152-156^\circ/26$ мм., т. пл. $63-64^\circ$ (из петр. эф.). Дебромированием 1,6 г VII в 25 мл эфира *n*-бутиллитием и последующим гидролизом 10%-ной HCl получают III, выход 32%, т. кип. $114^\circ/30$ мм., $n_D^{25} 1,4847$. Бромированием III вновь превращают в VII. Из 74 г III действием 31 г 96%-ной HNO_3 в 78 мл лед. CH_3COOH и 58 мл $(CH_3CO)_2O$ при $\leq 45^\circ$ получают 90 г нитропродукта, который восстанавливают в 500 мл спирта H_2 в присутствии PtO_2 (4 ат., 8 час.) до 2,4-ди-трет-бутиланлина, выход 32 г, т. кип. $152-154^\circ/32$ мм., $n_D^{25} 1,5111$; ацетиловое производное, т. пл. $83-84^\circ$ (из водн. сп.). Сходным образом из 74 г II синтезируют 2,5-ди-трет-бутилнитробензол, выход 55 г, т. пл. $75-78^\circ$ (из сп.), и затем 2,5-ди-трет-бутиланилин, т. пл. $104-105^\circ$ (из сп.). *о*- и *п*-трет-бутилнитробензолы получают по описанному методу (Craig D., J. Amer. Chem. Soc., 1935, 57, 195), т. кип. $140-141^\circ/21$ мм. и $150^\circ/21$ мм. соответственно. Из них гидрированием в присутствии Pt (из PtO_2) в спирте синтезируют *о*-трет-бутиланилин, выход 10,5 г, т. кип. $121-122^\circ/21$ мм., и *п*-трет-бутиланилин, выход 57 г, т. кип. $125-126^\circ/21$ мм. Деаминированием 0,0019 моля V через диазосоединение посредством 50%-ной H_2PO_2 (очистка хроматографированием) получают I, выход 0,026 г, т. пл. $68-69^\circ$. А. С.

43109. Макроциклы. VI. Получение трех новых парациклофанов. Эйбелл, Крам (Macro rings. VI. The preparation of three new paracyclopphanes. A bell Jared, Gram Donald J.), J. Amer. Chem. Soc., 1954, 76, № 17, 4406—4412 (англ.)

Синтезированы три парациклофана: *n*, *n'*-октаметилдифенилметан (I), *n*, *n'*-гексаметилен-1,4-дифенилбутан (II) и *n*, *n'*-гексаметилен-1,6-дифенилгексан (III). Предприняты попытки синтеза *n*, *n'*-гексаметилендифенилметана (IV). Исходными в-вами для получения IV, II и III служили: дифенилметан (V), 1,4-дифенилбутан (VI) и 1,6-дифенилгексан (VII) соответственно. При действии на V, VI и VII $(CH_3CH_2CH_2CO)_2O$ и $AlCl_3$ получены соответственно ди-(4-пропионилфенил)-метан (VIII), 1,4-ди-(4-пропионилфенил)-бутан (IX) и 1,6-ди-(4-пропионилфенил)-гексан (X). VIII, IX и X превращены (S + морфолин) в карбоксипроизводные и последние этерифицировали соответственно в ди-[4-(β-карбометоксиэтил)-фенил]-метан (XI), 1,4-ди-[4-(β-карбометоксиэтил)-фенил]-бутан (XII) и 1,6-ди-[4-(β-карбометоксиэтил)-фенил]-гексан (XIII). Кроме того, из этилового эфира β-фенилпропионовой к-ты (XIIIa) и дихлорангидрида адипиновой к-ты получали 1,4-ди-[4-(β-карбометоксиэтил)-бензиль]-бутан (XIV). Вос-

становлением XIV по Кижнеру — Вольфу получен 1,6-ди-[4-(β-карбокситил)-фенил]-гексан (XV). Для синтеза III удобнее использовать XV, а не XIII. Синтез I был осуществлен, исходя из ди-[4-(β-карбокситил)-фенил]-метана (XVI), который получен из V, $\text{CH}_3\text{OOC}(\text{CH}_2)_2\text{COCl}$ и AlCl_3 с последующим восстановлением по Клемменсену промежуточно обрабатываемого диметилового эфира ди-(4-сукцинилфенил)-метана (XVII). Циклизацией XII, XIII (или XV) и XVI Na в ксилоле получены соответственно: 3-кето-4-окси-*n,n'*-гексаметилен-1,4-дифенилбутан (XVIII), 3-кето-4-окси-*n,n'*-гексаметилен-1,6-дифенилгексан (XIX) и 4-кето-3-окси-*n,n'*-октаметилендифенилметан (XX). При попытке циклизовать в этих условиях XI и смесь диастереоизомерных ди-[4-(β-карбокситил)-циклогексил]-метанов (XXI), полученных восстановлением (H_2 , PtO_2) XI, получены полимеры. Из маточного р-ра после очистки XVIII выделен diketон (XXII), который с *o*-фенилендиаминном дает смесь хиноксалинового (XXIII) и дицирохиноксалинового (XXIV) производных. XVIII, XIX и XX восстановлены (Zn , HCl и CH_3COOH) соответственно в II, III и I. В случае XIX, наряду с III, получается углеводород (XXV).



Восстановление XXV дает его додекагидропроизводное (XXVI), которое при дегидрировании превращается в нафталиновое производное (XXVII). УФ-спектр XXVII сходен с УФ-спектром 1,7-диметилнафталина.

Приводится предполагаемый механизм образования XXV. III получен также при восстановлении XIX Zn и HCl (см. Stoll M., Helv. chim. acta, 1947, 30, 1837, в 3-кето-*n,n'*-гексаметилен-1,6-дифенилгексане (XXVIII) с последующим восстановлением XXVIII N_2H_4 и KOH . К 106 г AlCl_3 в 150 мл $\text{C}_6\text{H}_5\text{NO}_2$ при 60° прибавляли 44 мл $(\text{CH}_3\text{CH}_2\text{CO})_2\text{O}$ и 40 г VII, через 2 часа получают X, очищен пропусканием бензольного р-ра через колонку с Al_2O_3 , выход 63%, т. пл. 96—97° (из гексана). Смесь 38 г X, 11,5 г S и 95 мл морфоллина кипятят 22 часа, извлекали CHCl_3 , остаток после отгонки CHCl_3 кипятили с 100 мл 50%-ного NaOH и 375 мл 70%-ного спирта 23 часа и подкисляли, получен 1,6-бис-[4-(β-карбокситил)-фенил]-гексан (XXIX), выход 88%, т. пл. 198—200° (из CH_3OH). 84 г неочищ. XXIX кипятили 18 час. с 100 мл абс. CH_3OH , 250 мл CH_2Cl_2 и 5 мл конц. H_2SO_4 , получен XIII, очищен хроматографированием из р-ра в C_6H_6 на Al_2O_3 , выход 52%, т. пл. 126,3—127° (из гексана-бз.). Аналогично VIII (из V, выход 79%, т. пл. 62—63°) превращают в XI, выход к-ты 8,2%; выход по этерификации 68%; т. пл. XI 47,5—48,8° (из гексана). 12,2 г адипиновой к-ты и 33,3 г SOCl_2 кипятили 3 часа, смесь приливали 10 мин. к 50 г AlCl_3 и 100 мл CS_2 и затем прибавили 28,5 г XIIIa, получен XIV, выход 50%, т. пл. 93,6—94,1° (из гексана-бз.). 138 г XIV, 100 мл 85%-ного $\text{N}_2\text{H}_4 \cdot \text{H}_2\text{O}$, 120 г KOH и 1,5 л диэтиленгликоля кипятили 2 часа, остаток после отгонки р-рителя выдерживали 16 час. при 190° (выход неочищ. к-ты 85%), 55 г ее этерифицировали (абс. $\text{C}_2\text{H}_5\text{OH}$, CH_2Cl_2 , конц. H_2SO_4 , кипячение 16 час.), получили XV, выход 64%, т. пл. 92,2—92,9° (из гексана-бз.). Аналогично получен XIII, выход 70%, т. пл. 124,7—125,7°. 153 г XV в 1925 мл ксилола приливали к 33,5 г Na в 1 л ксилола 51 час, добавили 100 г CH_3COOH , фильтровали, отгоняли ксилол, выход XIX 70%, т. пл. 143,6—144,1° (из гексана); фенилозавон, т. пл. 198,7—200,7° (из сп. + этилацетат). 68,4 г XIX 1 л лед. CH_3COOH и 1 л конц. HCl (к-ты) прибавили к Zn/Hg (из 500 г Zn , 50 г Hg Cl_2 , 1 л воды и 100 мл конц. HCl), смесь кипятили 70 час., прибавляя 5 порций по 100 мл конц. HCl , извлекали пентаном III, выход 62%, т. пл. 99,6—100,6° (из CH_3OH), и

XXV, выход 5%, т. пл. 95,7—96,6° (из CH_3OH). Аналогично из XVIII получен II, выход 73%, т. пл. 94,5—95,4° (из CH_3OH). При восстановлении XIX N_2H_4 (как в случае XIV) выход III 7%. Аналогичное восстановление XXVIII (из 3 г XIX, 20 г Zn , 100 мл диоксана и 5 мл воды, выход 26%, т. пл. 115—115,3°) дало III, выход 58%. 300 мг XXV гидрировали над 300 мг Pt в 50 мл CH_3COOH 9 час. и получили 250 мг XXVI, т. кип. (в бане) 225—228°/1 мм. Нагреванием XXVI (0,5 г) с 50 мг 10%-ного Pd/C (280—300°, 2 часа), получили 0,3 г XXVII, т. кип. (в бане) 235—240°/1 мм. VI получен из 105 г 1,4-дифенил-1,3-бутадиена восстановлением над скелетным Ni при 65 ат, выход 89%, т. пл. 52,0—52,7° (из сп.). Из 46 мм $(\text{CH}_3\text{CH}_2\text{CO})_2\text{O}$, 35,5 г VI и 100 г AlCl_3 в CS_2 получили IX, выход 70%, т. пл. 129,4—130° (из бзл.-гексана). XII получен аналогично XIII, выход 29%, т. пл. 72,8—73,8° (из бзл.-гексана). Циклизацией 34,5 г XII (как при получении XIX) синтезирован XVIII, выход 37%, т. пл. 97,9—98,6° (из гексана). Из маточного р-ра выделено масло, которое при нагревании (100°, 1 час) с 2,16 г *o*-фенилендиамина в 20 мл CH_3COOH и последующим хроматографированием (Al_2O_3 , вымывание C_6H_6) дало 1,5 г XXIII, т. пл. 154,3—155,2° (из сп.), и 1,4 г XXIV, т. пл. 168—177° (разл.; из сп.). К 16,8 г V, 30 г $\text{CH}_3\text{OOC}(\text{CH}_2)_2\text{COCl}$ в 200 мл $\text{Cl}_2\text{CHCHCl}_2$ (0°) прибавили 60 г AlCl_3 (6 порций), через 30 мин. при 0° и 1,5 часа при 27°. Получили XVII, выход 70%, т. пл. 92,8—93,8° (из бзл.-гексана). 72 г XVII восстановили N_2H_4 (см. получение XV), выход XVI 85%, т. кип. (в бане) 275—276°/1 мм, т. пл. 13,8—15,1°, n_D^{25} 1,5345. Из 47 г XVI аналогично XIX получили XX, выход 17%, т. пл. 121,3—122,6° (из водн. CH_3OH). Восстановлением 1,9 г XX (см. синтез III) получен I, выход 67%, т. пл. 120,3—121,5° (из CH_3OH). 11,3 г XI в 50 мл лед. CH_3COOH гидрируют с 0,5 г PtO_2 8 час., получают XXI, выход 93%, т. кип. (в бане) 235—237°/1 мм, n_D^{25} 1,4812. Приведены кривые УФ-спектров XXIII, XXIV, XXVII и 1,7-диметилнафталина. Сообщение V см. РЖХим, 1955, 48866. В. А.

43110. Органическая химия. Разделение цис- и транс-изомерных кумуленов. Накагава (有機化学. クムレンのシス, トランス異性体の分離. 1954年の化学. VII. 中川正澄), 化学, Kagaku, Chemistry (Kyoto), 1955, 10, № 10, 13—15 (япон.).
Мировая химия в 1954 г. Обзор. Библ. 9 назв. И. Ц.

43111. Получение бензилацетата. Джоши, Мерчант (Preparation of benzyl acetate. Joshi D. V., Merchant J. R.), J. Scient. and Industr. Res., 1955, (B—C) 14, № 9, B482—B483 (англ.).
Предложен экономичный способ получения бензилацетата (I) (Gomberg, Buchler, J. Amer. Chem. Soc., 1920, 42, 2059). 256 г $\text{C}_6\text{H}_5\text{CH}_2\text{Cl}$ (II), 640 г $\text{CH}_3\text{COONa} \cdot 3\text{H}_2\text{O}$ (III) и 1280 мл воды нагревают 8 час. (115° в бане) при перемешивании, масло отделяют от водн. слоя, получают $\text{C}_6\text{H}_5\text{CH}_2\text{—OH}$, выход 3%, и I, выход 68%, т. кип. 208—215°. Водн. р-р используют дальше (до 5 раз), причем при каждой следующей операции добавляют по 256 г II и 280 г III, получая I с общим выходом 67—69%. Е. Ф.

43112. Синтез пренитола. Бухта, Лёв (Synthese des Prehnitols. Bucht a Emil, Loew Günther), Liebigs Ann. Chem., 1955, 597, № 2, 123—125 (нем.).

Предложен синтез пренитола (I) по схеме: 3,6-диметилфталевый ангидрид (II) → 4,7-диметилфталид (III) → 3,6-диметил-1,2-диоксиметилбензол (IV) → 3,6-диметил-1,2-дигромметилбензол (V) → I. К 4,4 г LiAlH_4 в 450 мл эфира постепенно добавляют (аппарат Сокслета)

18 г II, получают III, выход 88%, т. пл. 88° (из петр. эф.). К 14,5 г неочищ. III в 500 мл эфира постепенно добавляют суспензию 7 г LiAlH_4 в 100 мл эфира, нагревают 3 часа, получают IV, выход 88%, т. кип. 153—155°/0,15 мм, т. пл. 70° (из петр. эф.). К 24,8 г IV в 400 мл C_6H_6 приливают 27 г PBr_3 в 100 мл C_6H_6 , перемешивают еще 1 час при $\sim 20^\circ$ и 1 час при 40° , выливают в ледяную воду, экстрагируют смесь C_6H_6 и эфира, выход V 94%, т. пл. 100° (из сп.). 20 г V в 300 мл тетрагидрофурана (VI) постепенно прибавляют к 10 г LiAlH_4 в 200 мл VI, кипятят 24 часа, получают I, выход 78%, т. кип. 78,5—80,5°/10 мм; пикрат, т. пл. 91—93° (из сп.). Е. Ф.

43113. Изучение пространственно затрудненных фенолов. I. Нестойкость 1-трифенилметил- β -нафтола к кислотам. Шёнбергер, Мустафа, Шалаби (Studies on sterically hindered phenols. I. Instability of 1-triphenylmethyl- β -naphthol toward acids. Schönberg Alexander, Mustafa Ahmed, Shalaby Fathy Abdel Maugoud), J. Amer. Chem. Soc., 1955, 77, № 21, 5756—5757 (англ.).

Гидролиз 1-трифенилметил- β -нафтола (I) HCl (к-той), приводит к β -нафтолу (II) и трифенилметилкарбинолу (III). I не растворяется в воде. р-рах едких щелочей, не дает окрашивания с FeCl_3 , показывает р-цию Платовской (Ж. прикл. химии, 1937, 10, 202), ацилируется n -нитробензоилхлоридом. К р-ру $\text{C}_6\text{H}_5\text{MgBr}$ (из 0,9 г Mg и 8 г бромбензола) добавлена суспензия 1 г α -нафтофурана в 30 мл C_6H_6 . Смесь нагрета 3 часа, после обычной обработки экстрагирован эфиром I, т. пл. 155° (из лигр.). В нагретую смесь 1 г I и 25 мл конц. HCl пропущен ток HCl (газа), смесь нагрета 16 час., из масла выделено 0,2 г II, остаток растворен в эфире, промыт 10%-ным NaOH , затем водой, получено 0,4 г III, т. пл. 160° (из CCl_4). С. И.

43114. Эстрогенная активность некоторых пара-замещенных фенолов. Лосон (Estrogenic activity of certain para-substituted phenols. Lawson W.), J. Chem. Soc., 1954, Dec., 4696—4697 (англ.).

С целью испытания на эстрогенную активность (ЭА) получены фенолы общей ф-лы $n\text{-HOC}_6\text{H}_4\text{CRR}'\text{R}''$ (I); с удлинением цепи от R , R' , $\text{R}'' = \text{CH}_3$ до R , R' , $\text{R}'' = \text{C}_3\text{H}_7$ ЭА растет, а затем понижается. При введении второй фенильной группы ($\text{R} = \text{C}_6\text{H}_5$) увеличение ЭА с удлинением алифатич. цепи еще более заметно. Пара-замещ. фенолы синтезированы конденсацией фенола с соответствующим третичным спиртом при $\sim 20^\circ$ в присутствии AlCl_3 и очищены через кристаллиз. бензоаты (Б), n -нитробензоаты (НБ) или 3,5-динитробензоаты (ДНБ). Получены впервые следующие I (приведены R , R' , R'' , т. кип. в $^\circ\text{C}/\text{мм}$ и (или) т. пл. в $^\circ\text{C}$ (из петр. эф.), т. пл. в $^\circ\text{C}$ бензоатов (из сп.)): $\text{R} = \text{R}' = \text{C}_2\text{H}_5$, $\text{R}'' = \text{C}_4\text{H}_9$, 171—173/13, НБ, т. пл. 61—62° (из сп.); $\text{R} = \text{R}' = \text{R}'' = n\text{-C}_3\text{H}_7$, 175—180/15, ДНБ, 67; $\text{R} = \text{R}' = \text{CH}_3$, $\text{R}'' = \text{циклогексил}$, 104—105, Б, 98—99; $\text{R} = \text{R}' = \text{C}_2\text{H}_5$, $\text{R}'' = \text{C}_6\text{H}_5$, 138—140/0,2, 51—52, Б, 92—93; $\text{R} = \text{R}' = n\text{-C}_3\text{H}_7$, $\text{R}'' = \text{C}_6\text{H}_5$, 58—59, Б, 69—70; $\text{R} = \text{R}' = \text{изо-C}_3\text{H}_7$, $\text{R}'' = \text{C}_6\text{H}_5$, 64—65, Б, 114—115; $\text{R} = \text{C}_2\text{H}_5$, $\text{R}' = \text{R}'' = \text{C}_6\text{H}_5$, 114—115 (из водн. сп.), Б, 104—105. В. Б.

43115. К вопросу об эстрогенной активности димеров анола. II. Синтез изомерных 3,5-ди-(n -оксифенил)-4-метилпентенов. Мадаева О. С., Гончарова Н. М., Максимов В. И., Ж. общ. химии, 1953, 23, № 3, 472—478

Описан синтез 3,5-ди-(n -метоксифенил)-4-метилпентола-4 (I) по схеме: $n\text{-CH}_3\text{OC}_6\text{H}_4\text{CH}_2\text{COONa}$ (II) + $(\text{CH}_3)_2\text{CHMgCl}$ (III) $\rightarrow n\text{-CH}_3\text{OC}_6\text{H}_4\text{CH}(\text{MgCl})\text{COONa}$ (IV); $n\text{-CH}_3\text{OC}_6\text{H}_4\text{CH}(\text{C}_2\text{H}_5)\text{COCl}$ (V) + IV $\rightarrow n\text{-CH}_3\text{OC}_6\text{H}_4\text{CH}(\text{COOH})\text{COCH}(\text{C}_2\text{H}_5)\text{C}_6\text{H}_4\text{OCH}_3$ (VI) \rightarrow I. По другому варианту загрязненный I получен с плохим выходом

действием $n\text{-CH}_3\text{OC}_6\text{H}_4\text{CH}_2\text{MgBr}$ на $n\text{-CH}_3\text{OC}_6\text{H}_4\text{CH}(\text{C}_2\text{H}_5)\text{COCH}_3$ (VII). При дегидратации I образуется главным образом изоанетол $n\text{-CH}_3\text{OC}_6\text{H}_4\text{CH}(\text{C}_2\text{H}_5)\text{C}(\text{CH}_3)=\text{CHC}_6\text{H}_4\text{OCH}_3$ - n (VIII), так как из продуктов окисления выделены анисовая к-та и из нейтр. фракции получен семикарбазон VII. При деметилировании продуктов дегидратации I получен $n\text{-HOC}_6\text{H}_4\text{CH}(\text{C}_2\text{H}_5)\text{C}(\text{CH}_3)=\text{CHC}_6\text{H}_4\text{OH}$ - n (IX), n -нитробензоат которого идентичен аналогичному эфиру изоанола. Фильтрат после отделения IX, из которого не удалось выделить индивидуальные в-в, обладает сильной эстрогенной активностью (0,125—0,5 γ). К эфирному р-ру III (из 1,73 г $(\text{CH}_3)_2\text{CHCl}$) прибавляют завесь 20 г II в C_6H_6 , смесь нагревают при 55—60°, добавляют еще 8,76 г $(\text{CH}_3)_2\text{CHCl}$, нагревают до прекращения выделения пропана; прибавляют 22,47 г V, нагревают 3 часа, после обычной обработки и декарбосилированием выделяют VI, выход 47,8%, т. кип. 187—200°/2 мм, т. пл. 51—52° (из сп.). К эфирному р-ру CH_3MgBr (из 1,17 г Mg) прибавляют 5 г VI, нагревают 2 часа, после обычной обработки получают I, выход 98%. К эфирному р-ру CH_3MgBr (из 4,8 г Mg) прибавляют 29,9 г CdBr_2 и затем 21,2 г $n\text{-CH}_3\text{OC}_6\text{H}_4\text{CH}(\text{C}_2\text{H}_5)\text{COCl}$, нагревают 1 час и выделяют VII, выход 82,4%, т. кип. 87—88°/0,4 мм; семикарбазон, т. пл. 187—188° (из сп.). Нагревают 5,1 г I и 4,7 г CH_3COCl до прекращения выделения HCl , после обычной обработки выделяют VIII, выход 71,5%, т. кип. 186—187°/0,6 мм. Нагревают 3,4 г продуктов дегидратации I, 7,6 г KOH и 19 г CH_3OH (24 часа, 225—230°), отгоняют CH_3OH , масло извлекают эфиром, получено 1,95 г неочищ. IX (возможно примесь изомеров), выход 1 г, т. кип. 190—193°/0,2 мм, из C_6H_6 выделено немного чистого IX, т. пл. 98—99°. Предыдущее сообщение см. Ж. общ. химии, 1950, 20, 2195. Я. К.

43116. Альдегиды из карбоновых кислот. Сообщение VI. Синтез ароматических альдегидов из углеводов через N -метиланилиды карбоновых кислот. Вейгад, Митгау (Aromatische Aldehyde aus Kohlenwasserstoffen über die Carbonsäure-N-methylanilide. Aldehyde aus Carbonsäuren, VI. Mitteilung. Weygand Friedrich, Mitgau Rötger), Chem. Ber., 1955, 88, № 2, 301—308 (нем.).

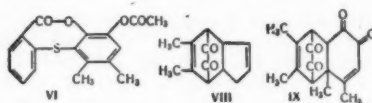
Ароматич. углеводороды и простые эфиры фенолов при взаимодействии с $\text{C}_6\text{H}_5\text{N}(\text{CH}_3)\text{COCl}$ (I) в присутствии AlCl_3 (II) превращаются в $\text{C}_6\text{H}_5\text{N}(\text{CH}_3)\text{COH}$ (III); последние при восстановлении LiAlH_4 (IV) переходят в RCHO (V) (Angew. Chem., 1952, 64, 458; РЖХим, 1954, 47992). При наличии в молекуле углеводорода двух реакционноспособных пара-положений, можно получать (через промежуточные ди- N -метиланилиды $\text{C}_6\text{H}_5\text{N}(\text{CH}_3)\text{CORCON}(\text{CH}_3)\text{C}_6\text{H}_5$ (VI)) диальдегиды $\text{R}(\text{CHO})_2$ (VII). При избытке IV образуются RCH_2OH (VIII). К 500 мл этилацетата, насыщ. COCl_2 , за 1,5—2 часа, в токе COCl_2 , прибавляют 150 г N -метиланилина в 1500 мл этилацетата, отгоняют избыток COCl_2 и р-ритель, выход I 75—85%, т. пл. 85—86° (из сп.). 4,3 г I, 8 г анизола и 3,7 г II нагревают при 80—90° до прекращения выделения HCl и затем 2 часа при 120°, обрабатывают разб. HCl и извлекают эфиром III ($\text{R} = 4\text{-CH}_3\text{OC}_6\text{H}_4$) (IIIa), т. кип. 154—155°/0,02 мм, т. пл. 74° (из эф.). Аналогично получены другие III (перечислены R, выход в %, т. пл. в $^\circ\text{C}$): 4- $\text{CH}_3\text{C}_6\text{H}_4$, 53, 70 (из эф.-петр. эф.); 2,4-(CH_3) $_2\text{C}_6\text{H}_3$, 42, 49—50 (из петр. эф.); 3,4-(CH_3) $_2\text{C}_6\text{H}_3$ (IIIb), 60, 75—76; 2,5-(CH_3) $_2\text{C}_6\text{H}_3$, 62, 70—71 (из петр. эф.); 2,4,5-(CH_3) $_3\text{C}_6\text{H}_2$, —, —, т. кип. 138°/0,01 мм; 2,4,6-(CH_3) $_3\text{C}_6\text{H}_2$ (IIIв), высокий, —, т. кип. 135—136°/0,003 мм; 4- $\text{C}_6\text{H}_5\text{C}_6\text{H}_4$, 83,5, 107 (из лигр. или сп.); флуоренил-2, 60, 122 (из сп.); дибензафурил-3, 59, 126—127 (из лигр. и эф.); α -нафтил, —, 113 (из сп.). Диметилловый эфир резорцина образует N -метиланилид 2-окси-4-метокси-

бензойной к-ты, выход 62%, т. пл. 116—117° (из эф.), а фенол — фениловый эфир метилфенилкарбаминоной к-ты (IX), выход 65%, т. пл. 57—58° (из бzl.), который не изомеризуется при нагревании с AlCl_3 (4 часа, 150°). Получены следующие VI (даны те же показатели): 4,4'- C_6H_4 — C_6H_4 , 55, 227—228 (из сп. и лигр.); флуоренилен-2,7, 37, 215 (из тетрагидрофурана (X)-эф.); дибензфурилен-3,6, 44, 195 (из сп.). Р-р 360 мг IIIa в абс. тетрагидрофуране обрабатывают 28 мг IV, при 0°, 15 час., получают V ($\text{R} = 4\text{-CH}_3\text{OC}_6\text{H}_4$); 2,4-динитрофенилгидразон (ДНФГ), выход 51%, т. пл. 248° (из лед. CH_3COOH). В сходных условиях получены ДНФГ следующих V (перечислены R, выход в %, т. пл. в °C): 2-ОН-4- CH_3O C_6H_4 , 70, 256 (из ксилола); альдегид, т. пл. 39°; 4- $\text{CH}_3\text{C}_6\text{H}_4$, 66, 234—235; 2,4-(CH_3) $_2\text{C}_6\text{H}_3$, 51—53, 221—222 (из толуола); 3,4-(CH_3) $_2$ - C_6H_3 , 57, 231 (из ксилола); 2,5-(CH_3) $_2\text{C}_6\text{H}_3$, 55—57, 214—215 (из толуола); 2,4,5-(CH_3) $_3\text{C}_6\text{H}_2$, 46, 212—214 (из ксилола); 4- $\text{C}_6\text{H}_5\text{C}_6\text{H}_4$, 70, 236 (из толуола); флуоренил-2, 60, 259—260 (из ксилола); дибензфурил-3, —, 286 (из ксилола-пиридина); 2- $\text{NH}_2\text{C}_6\text{H}_4$, 55, 244 (из пиридина-сп.). При восстановлении IX получен ДНФГ формальдегида, выход 70%, т. пл. 160—161°. Восстановление IIIb при 0° и при 68°, вследствие пространственных затруднений, не привело к соответствующему альдегиду. Получены ДНФГ VII (перечислены R и выход в %): 4,4'- C_6H_4 — C_6H_4 , 68—69; флуоренилен-2,7, 54; дибензфурилен-3,6, 56—63; т. пл. VII > 330° (из пиридина). 2,39 г III б в 40 мл абс. X восстанавливают 260 мг IV (кипятят 6 час.), получают VIII ($\text{R} = 3,4\text{-(CH}_3)_2\text{C}_6\text{H}_3$), выход 96%, т. пл. 61—62° (из петр. эф.). Аналогично получены другие VIII (перечислены R, выход в %, т. пл. в °C): 2,5-(CH_3) $_2\text{C}_6\text{H}_3$, 90, масло; фенилуретан, т. пл. 85—86° (из петр. эф.); $\text{C}_6\text{H}_5\text{C}_6\text{H}_4$, 75, 102 (из сп. и петр. эф.); дибензфурил-3, —, 124 (из эф.). Сообщение В см. РЖХим, 1956, 911.

43117. К изучению о-хинонов. VIII. О реакции присоединения о-хинонов. Хорнер, Штурм, (Zur Kenntnis der o-Chinone. VIII. Über weitere Additionsreaktionen von o-Chinonen. Horner L., Sturm K.), Liebigs Ann. Chem., 1955, 597, № 1, 1—19 (нем.).

Исследованы р-ции присоединения 4,5-диметил-о-хинона (I). Присоединением Br_2 к р-ру I в CHCl_3 при 0° получен 3,6-дибром-4,5-диметилпирокактин, выход 65%, т. пл. 113°, т. возг. 100°/0,05 мм; диацетильное производное (ДАП), т. пл. 192° (из CH_3OH), окисленный Ag_2O в эфире в 3,6-дибром-4,5-диметил-о-бензохинон (IIa), выход 70%, т. пл. 121° (разл.; из эф.), образующий с о- $\text{C}_6\text{H}_4(\text{NH}_2)_2$ в CHCl_3 (24 часа, 20°) 1,4-дибром-2,3-диметилфеназин, выход 11%, т. пл. 175° (из водн. изо- $\text{C}_3\text{H}_7\text{OH}$). При присоединении к I HCl , тиофенола, тиосалициловой (III) или бензол-сульфиновой (IV) к-т получены 4,5-диметил-1,2-диоксibenзолы (Va—г): 3-хлор-(а), 3-тиофенил-(б), 3-тио-(о-карбоксифенил) (в) и 3-фенилсульфонил-(г), строение которых подтверждено УФ-спектрами; Va и Vб окислены Ag_2O в 3-хлор-(IIб), выход 67%, т. пл. 81° (разл.; из эф.), и 3-тиофенил-(IIв) (выход 62%, т. пл. 89° (разл.)) 4,5-диметил-о-бензохиноны, охарактеризованные в виде 1-хлор-(т. пл. 165,5° (из CH_3OH)) и 1-тиофенил- (т. пл. 176° (из CH_3OH)) 2,3-диметилфеназинов. Кипячением 1 час 1,5 г Vв в 10 мл (CH_3CO_2) $_2\text{O}$ получен лактон (VI), выход 1,2 г, т. пл. 160,5° (из CH_3OH); VI при кипячении 2 часа с избытком анилина дает анилин 1-ацетоксип-2-оксип-3-тио-(о-карбоксифенил)-4,5-диметилбензола, т. пл. 233° (разл.; из водн. CH_3OH). HSCN_2COOH легко присоединяется к I с образованием лактона, т. пл. 154—155° (из CCl_4). При р-ции I с (CH_3CO_2) $_2\text{O}$ в присутствии H_2SO_4 получен триацетат

4,5-диметилпирогаллола (VII), строение которого подтверждено ИК-спектром и гидролизом КОН в CH_3OH до 4,5-диметилпирогаллола, т. пл. 154°. CH_3COCl в индифферентных р-рителях при 20° не реагирует с I, но в смеси хинолина с C_6H_6 (1 : 20) присоединяется к I с образованием диацетата Va. Циклопентадиен дает с I (несколько минут, 100°) аддукт (VIII), выход 91%, т. пл. 211° (разл.; из сп.); р-р 1,15 г VIII в 5 мл CH_3OH окислен 3 мл H_2O_2 в 10 мл 2 н. NaOH до 5,6-диметил-3а, 4,7-та-тетрагидроиндендикарбоновой-4,7 к-ты, выход 77%; т. пл. 225° (разл.; из 20%-ного



CH_3OH). При попытках присоединить олефины к I всегда получался желтый димер I (IX), т. пл. 179° (разл.; из бzl.), особенно легко образующийся при продолжительных р-циях в CH_3NO_2 , CH_3CN , CH_3COOH или спирте при ~20°, нагревании I со стиролом или 2,3-диметилбутадиеном или при сплавлении I с маленовым ангидридом. IX образует моноацетильное (а) (т. пл. 192° (из бzl.)) и хиноксалиновое (XII) (б) (т. пл. 171° (из CH_3OH)) производные, причем в последнем случае получаются также 2,3-диметилфеназин (X), т. пл. 173° (из CH_3OH), образующийся, повидимому, в результате деполимеризации IX. X образует также с выходом 77% при кипячении IXб с (CH_3CO_2) $_2\text{O}$ в присутствии H_2SO_4 , наряду с в-вом состава $\text{C}_{24}\text{H}_{22}\text{O}_5\text{N}_2$, т. пл. 204° (разл.; из сп.), и при р-ции IXа с о- $\text{C}_6\text{H}_4(\text{NH}_2)_2$ IX восстанавливается Zn и CH_3COOH в тетрагидропроизводное, т. пл. 156° (из ацетона), не дающее р-ции на енольную группу и гидрируется в CH_3OH над скелетным Ni в тетрагидропроизводное, т. пл. 220—232° (из CH_3OH), содержащее енольную группу. При р-ции IX или р-ра IXа в CH_3OH с 2 н. NaOH образуется в-во $\text{C}_{14}\text{H}_{18}\text{O}_5$ (XI), т. пл. 183° (из бzl.- CH_3COOH), имеющее одну OH-группу (ИК-спектр), метилированное CH_3N_2 в монометильный эфир, т. пл. 117° (из CH_3OH), и образующее при кипячении с о- $\text{C}_6\text{H}_4(\text{NH}_2)_2$ в C_6H_6 + CH_3COOH (25 : 5) X и XII, т. пл. 196° (из CH_3OH). I или IX с избытком $\text{CH}_3\text{COCH}_2\text{COOC}_2\text{H}_5$ (8 дней, 20°) дает аддукт, выход 80%, т. пл. 142—162° (из бzl.), образующий XII, выход 84%, т. пл. 151—157° (разл.), превращающийся при 60° с конц. H_2SO_4 в X. При р-ции I с эфирными р-рами $\text{N}_2\text{CH}_2\text{COOC}_2\text{H}_5$, CH_2N_2 или 9-дифлуорена получены аддукты состава $\text{C}_{20}\text{H}_{22}\text{O}_6\text{N}_2$, т. пл. 154—155° (из CH_3OH), $\text{C}_9\text{H}_{10}\text{O}_2$, т. пл. 43—47°, и $\text{C}_{21}\text{H}_{16}\text{O}_2$, т. пл. 180° (из бzl.-сп.). Аддукт, т. пл. 154—155°, получен также при р-ции $\text{N}_2\text{CH}_2\text{COOC}_2\text{H}_5$ и IX. Кетен также реагирует с I в р-ре C_6H_6 в присутствии эфира BF_3 с образованием аддукта состава $\text{C}_{14}\text{H}_{14}\text{O}_5$, т. пл. 184—185° (из сп.). В р-р 1,36 г I в 400 мл эфира пропускают HCl , продукт возгоняют при 70°/0,1 мм и получают Va, выход 88%, т. пл. 93° (из CCl_4); диацетильное производное, т. пл. 129° (из CH_3OH). К р-ру 1,36 г I в 100 мл C_6H_6 приливают р-р 1,1 г $\text{C}_6\text{H}_5\text{SH}$ в 20 мл C_6H_6 , нагревают при 40° и получают Vб, выход 75%, т. пл. 109° (из сп.). 1 г Vб в 5 мл хинолина и 1,5 мл CH_3COCl нагревают 15 мин., продукт растворяют в 20 мл CH_3COOH , кипятят 3 часа с 3 мл H_2O_2 и получают ДАП Vг, выход 0,68 г, т. пл. 147° (из CH_3OH). К 1,6 г III в 40 мл эфира постепенно добавляют 1,36 г I, оставляют на 24 часа, отделяют дитиосалициловую к-ту, фильтрат смешивают с водой и получают Vв, выход 83%, т. пл. 238—240° (из 50%-ного сп.). К 1,5 г IV в 40 мл эфира добавляют 1,36 г I

и получают **Vg**, выход 72%, т. пл. 118° (из CH_3OH). К 1 г в 20 мл $(\text{CH}_3\text{CO})_2\text{O}$ добавляют при 30° 2 капли конц. H_2SO_4 , нагревают 30 мин. при 100° и получают **VII**, выход 60%, т. пл. 127,5° (из CH_3OH). Приведены кривые УФ-спектров **IIa**, **б**, в CHCl_3 и **IX**, **IXa** и **XI** в CH_3OH . Сообщение VII см. РЖХим, 1956, 9766.

Д. В.

43118. Продукты дегидрирования фенилгидразонов кетонов и их распад. Тейлакер, Томшат (Die Dehydrierungsprodukte der Ketophenylhydrazone und ihr Zerfall. Theilacker Walter, Tomuschat Hans Joachim), Chem. Ber., 1955, 88, № 7, 1086—1093 (нем.)

«Тетразаны» $\text{R}_2\text{C} = \text{NN}(\text{C}_6\text{H}_5)\text{C}(\text{R}_2)\text{N} = \text{NC}_6\text{H}_5$ (**I**), продукты дегидрирования $\text{R}_2\text{C} = \text{NNHC}_6\text{H}_5$ (**II**), гидролизуются нагреванием с водой. *изо*- $\text{C}_3\text{H}_7\text{OH}$ или разб. HCl , с образованием **II** и $\text{R}_2\text{C}(\text{OH})\text{N} = \text{NC}_6\text{H}_5$ (**III**), чем подтверждается несимметричное строение **I**. **III** распадается далее по схеме: $\text{R}_2\text{C}(\text{OH})\text{N} = \text{NC}_6\text{H}_5 \rightarrow \text{R}_2\text{CO} + \text{N}_2 + \text{C}_6\text{H}_6$ или восстанавливаются *изо*- $\text{C}_3\text{H}_7\text{OH}$ до **II**. Пикрат **II** ($\text{R} = \text{CH}_3$), т. пл. 97° (из разб. HCl (CH_3)- CHON). Дифенилгидразон ацетона получают из асимметричного гидразина и ацетона в 50%-ной CH_3COOH , т. кип. 140°/1,3 мм, т. пл. 21°; пикрат, т. пл. 181° (разл.). **I** ($\text{R} = \text{CH}_3$) из **II** ($\text{R} = \text{CH}_3$) получают по описанному методу (Whyburn G. T., Bailey R. J., J. Amer. Chem. Soc., 1928, 50, 911), т. пл. 89°. К 100 г **I** ($\text{R} = \text{CH}_3$) и 700 мл воды добавляют по каплям 700 мл н. HCl , нагревают до прекращения выделения газа и отгоняют (под конец с водяным паром) ацетон, C_6H_6 , изопропилбензол, дифенил и небольшое кол-во дифениламина. Из остатка после встраивания с водой. NaOH выделяют: анилин, фенилгидразин и пикрат состава $\text{C}_{15}\text{H}_{15}\text{N}_2 \cdot 2\text{C}_6\text{H}_5\text{O}_7\text{N}_2$. Смешивают 150 г **I** ($\text{R} = \text{CH}_3$) с 400 мл $(\text{CH}_3)_2\text{CHON}$, содержащим 30 мл воды; после выделения главного кол-ва N_2 кипятят 4 часа, оставляют на 12 час. при 80° в токе N_2 . Из низших фракций выделен ацетон и C_6H_6 ; из вышекипящих фракций — немного дифенила и анилина, дифениламин и дианилид ацетона, т. пл. 94°. Р-р 130 г **II** ($\text{R} = \text{C}_6\text{H}_5$) в 1200 мл $\text{CH}_3\text{COC}_2\text{H}_5$ смешивают с 26 г измельченного KMnO_4 ; из фильтрата двойным объемом CH_3OH осаждают **I** ($\text{R} = \text{C}_6\text{H}_5$), выход 51%, т. пл. 10,25° (разл.). 128 г **I** ($\text{R} = \text{C}_6\text{H}_5$) обрабатывают 400 мл *изо*- $\text{C}_3\text{H}_7\text{OH}$ и 10 мл воды. Выделяют $(\text{CH}_3)_2\text{CO}$, C_6H_6 , NH_4Cl , **II** ($\text{R} = \text{C}_6\text{H}_5$), дифенил, дифенилгидразон бензофенона, т. пл. 145,5°, бензофенон, дифениламин, бензофенонарил, т. пл. 112° (из CH_3OH), и трифениламин.

Н. Г.

43119. Ортоэфир, имидоэфир и амидины. VI. Два общих метода синтеза N-фенилмидоэфиров муравьиной кислоты, включающие перестерификацию. Роберте, Хиггинс, Нойс (Ortho esters, imidic esters and amidines. VI. Two general methods of synthesis of N-phenylformimidic esters involving transesterification. Roberts Royston M., Higgins Thomas D., Jr., Noyes Paul R.), J. Amer. Chem. Soc., 1955, 77, № 14, 3801—3805 (англ.)

Описано получение $\text{C}_6\text{H}_5\text{N} = \text{CHOR}$ (**I**), взаимодействием $\text{CH}(\text{OR})_2$ (**II**) с анилином или перестерификацией $\text{C}_6\text{H}_5\text{N} = \text{CHOCN}_3$ (**Ia**) и $\text{C}_6\text{H}_5\text{N} = \text{CHOC}_2\text{H}_5$ (**Iб**). Второй метод является более общим. Высшие алкильные эфиры ортомуравьиной к-ты получены перестерификацией $\text{CH}(\text{OCN}_3)_2$ (**IIa**) или $\text{CH}(\text{OC}_2\text{H}_5)_2$ (**IIб**). В тех случаях, когда **I** и **II** имеют близкие т-ры кипения, **I** рекомендуется получать нагреванием **II** с $\text{N,N'$ -дифенилформамидином (**III**) в присутствии $\text{C}_6\text{H}_5\text{N}_2\text{HCl}$ (**IV**). Кипятят 3 часа 0,37 моля **Iб**, 1,47 моля *n*- $\text{C}_3\text{H}_7\text{OH}$ (**V**) и ~0,05 г конц. H_2SO_4 , отгоняя с колонкой $\text{C}_2\text{H}_5\text{OH}$; затем отгоняют избыток **V** и перегоняют полученный $\text{CH}(\text{OC}_2\text{H}_5)_2$. По этому

методу синтезированы следующие **II** (перечисляются **R**, выход в %, т. кип. в °C/мм, n_D^{25}): *n*- C_2H_5 , 95, 106—108/40, 1,4058; *изо*- C_3H_7 (из **Ia**), 75, 65—66/18, 1,3940; *n*- C_4H_9 , 92, 147/40, 1,4155; *n*- C_5H_{11} , 80, 135—137/4, 1,4237; *изо*- C_6H_{13} , 95, 105—106/1,5, 1,4205; *n*- C_8H_{17} , 87, 152—153/1,8. Нагревают 2 моля циклогексанола (**VI**), 0,5 моля **Iб** и 0,3 г Na и, отгоняют за 8 дней 40% $\text{C}_2\text{H}_5\text{OH}$; после отгонки **VI** получают 78,2 г диэтилциклогексилортоформата, т. кип. 64°/1,1 мм, n_D^{25} 1,4328, d_4^{20} 0,945, 28,5 г этилдициклогексилортоформата, т. кип. 109°/1,1 мм, n_D^{25} 1,4605, d_4^{20} 0,977, и 10,9 г $\text{CH}(\text{OC}_6\text{H}_{11})_2$ (**II в**). 2 моля **VI**, 0,5 моля **Iб** и ~0,1 г конц. H_2SO_4 нагревают несколько часов, отгоняя $\text{C}_2\text{H}_5\text{OH}$; к охлажд. смеси добавляют 1 г Na и отгоняют **VI**; выход **II в** 44%, т. пл. 72,6—73,8° (из этилацетата). Из **IIa** и гептанола-3 таким же образом получают $\text{CH}(\text{OC}_7\text{H}_{15})_2$, выход 42%, т. кип. 133°/1,1 мм, n_D^{25} 1,4322, d_4^{20} 0,861. 1,1 моля **IIa**, 0,55 моля анилина и 0,028 моля **IV** нагревают 2 часа с отгонкой CH_3OH , затем отгоняют **IIa** и перегоняют в вакууме выделяют **Ia**, в остатке **III** (20 г). По этому методу получают следующие **I** (перечисляются **R**, выход в %, т. кип. в °C/мм, n_D^{25}): CH_3 , 70, 102—103/40, 1,5377, 1,035; C_2H_5 , 89, 117—118/40, 1,5248, 1,000; *n*- C_3H_7 , 79, 134/40, 1,5172, 0,983; *изо*- C_3H_7 , 83, 121/39, 1,5126, —; *n*- C_4H_9 , 79, 112/1,1, 1,5068, 0,958; *изо*- C_6H_{13} , 70, 82—83/1,1, 1,5065, 0,955; *n*- C_8H_{17} , 60, 107—109/1,3, 1,5045, 0,951; C_6H_{11} , 52, 109/1,1, 1,5372, 1,026; 3- C_7H_{15} , 51, 98/1,1, 1,4991, 0,942. Нагревают 0,382 моля $\text{CH}(\text{OC}_6\text{H}_5)_2$ (**IIг**) с 0,254 моля анилина и 0,003 моля **IV**; после отгонки $\text{C}_6\text{H}_5\text{OH}$ перегоняется при 125—126°/15 мм смесь **IIг** и $\text{C}_6\text{H}_5\text{N} = \text{CHOC}_2\text{H}_5$ (**IIг**); к этой смеси прибавляют 50 г **III** и 1,6 г **IV**, отгоняют образующийся $\text{C}_6\text{H}_5\text{OH}$ и получают **Iг** с выходом 78%. 0,04 г Na растворяют в 60 г *этор*- $\text{C}_4\text{H}_9\text{OH}$, добавляют 39,6 г **Iб** и за 4 часа отгоняют $\text{C}_2\text{H}_5\text{OH}$, затем кипятят ~18 час., отгоняют $\text{C}_2\text{H}_5\text{OH}$ и *этор*- $\text{C}_4\text{H}_9\text{OH}$ и перегоняют **I** ($\text{R} = \text{этор-C}_4\text{H}_9$). По этому методу получены следующие **I** (даны **R**, выход в %, т. кип. в °C/мм, n_D^{25} , d_4^{25}): *изо*- C_3H_7 (из **Ia**), 80, 122/40, 1,5130, 0,971; *n*- C_4H_9 , 94, 147—149/40, 1,5128, 0,968; *изо*- C_6H_{13} , 78, 142—143/40, 1,5072, 0,963; *этор*- C_4H_9 , 85, 138—139/40, 1,5099, 0,962; *тмет*- C_8H_{17} (из **Ia**), 51, 133/40, 1,5143, 0,966; *тмет*- C_8H_{17} , 57, 86—88/2, 1,5121, 0,963; *n*- C_6H_{13} , 75, —, —; C_6H_{11} , 87, —, —. Сообщение V см. РЖХим, 1956, 28888. П. А.

43120. Синтезы новых сульфамидов. VI. Новый синтез N'-3,4-диметилбензоилсульфаниламида. Такатори, Ямада (Z-β-Феноксикротоновых к-т. Каноника, Фьекки, Валькави (Trasposizioni degli acidi γ-fenossicrotonici. Canonica Luigi, Fieccchi Alberto, Valscavi Umberto), Atti Accad. naz. Lincei. Rend. Cl. sci. fis., mat. e natur., 1955, 18, № 5, 520—527 (итал.)

Разработан способ получения 3,4-диметилбензойной к-ты (**I**) (исходного продукта для синтеза 3,4-диметилбензоилсульфаниламида), заключающийся в нагревании 1 ч. фенона и 4 ч. конц. H_2SO_4 с последующей перегонкой с паром и окислением продукта р-ции, содержащего главным образом 3,4-диметилбензофенон, NaClO . Выход **I** выше, чем при аналогичной обработке камфоры. Сообщение V РЖХим, 1955, 26171. Я. К.

43121. Перегруппировка γ-феноксикротоновых к-т. Каноника, Фьекки, Валькави (Trasposizioni degli acidi γ-fenossicrotonici. Canonica Luigi, Fieccchi Alberto, Valscavi Umberto), Atti Accad. naz. Lincei. Rend. Cl. sci. fis., mat. e natur., 1955, 18, № 5, 520—527 (итал.)

При щел. омылении этилового эфира γ-феноксикротоновой к-ты (**I**) и метилового эфира γ-фенокси-β-метилкротоновой к-ты (**II**) наблюдается сдвиг двойной связи с образованием соответственно γ-феноксинил-

уксусной (III) и γ -фенокси- β - β -метилвинилуксусной к-ты (IV). Строение III и IV доказано каталитич. гидрированием (CH_3OH , 5%-ный Pd/C, обычное давление и т-ра) до γ -феноксиуксусной и γ -фенокси- β -метилмасляной к-т (последняя получена также каталитич. гидрированием γ -фенокси- β -метилкротоновой к-ты (V)) и образованием соответственно 2,4-динитрофенилгидразонов (ДНФГ) метилового эфира γ -формилпропионовой к-ты, т. пл. 107° (из 70%-ного CH_3OH) и этилового эфира γ -формилмасляной к-ты, т. пл. 101° (из сп.) при действии 2,4-динитрофенилгидразина (VI) на III и IV (CH_3OH , H_2SO_4 , обычная ~20° т-ра в случае III и 20%-ная HCl, сп., кипячение 1 час в случае IV). Строение III и IV подтверждено сравнением УФ-спектров γ -фенокси- γ -бутиролата (VII), γ -фенокси- β -метилкротоновой к-ты (VIII) и V с УФ-спектрами III, IV и фенилвинилового эфира. III и IV образуются также при нагревании соответственно VIII и V с 2 н. NaOH (90°, 5 час.). Процесс превращения III и IV в VII и VIII обратим: при нагревании III и IV с 5%-ной NaOH (3 часа) образуются VIII и V (смесь III и VIII или IV и V разделяют хроматографией на бумаге). При нагревании III превращается в VII, строение которого подтверждено образованием ДНФГ γ -формилпропионовой к-ты, т. пл. 203° (из 75%-ного CH_3OH), при действии VI. Нагревают (~100°, 4 часа) 35 мл пиридина, 9,4 мл конц. H_2SO_4 , 27,5 г К-малонового эфира и 19,7 г феноксиацетальдегида, выливают в смесь 200 г льда и 51 мл конц. HCl, извлекают эфиром 19,7 г I, т. кип. 109–111°/2 мм, n_D^{20} 1,5160. Смесь 2 г I, 10 мл спирта и 1,07 мл 33%-ного NaOH нейтрализуют через 30 мин., выпаривают в вакууме, растворяют в воде, подкисляют разб. H_2SO_4 , извлекают эфиром, удаляют эфир, извлекают петр. эфиром III, в остатке получают 650 мг VIII, т. пл. 136° (из бэл.-петр. эф.). 4,8 г I, 20 мл спирта и 25 мл 2 н. NaOH кипятят 2 часа, выделяют, как описано выше, III, т. пл. 32° (из петр. эф.); бензилитируриновая соль, т. пл. 121° (разл.; из диоксана); β -фенилциловый эфир, т. пл. 110° (из бэл.). 3 г III нагревают 1 час при 120°, получают VII, т. кип. (в бане) 140–145°/2 мм, т. пл. 83° (из бэл.-петр. эф., 1:1). 7 г II кипятят с 20 мл CH_3OH и 7,2 мл 5 н. NaOH 20 мин., подобно VIII выделяют 1,6 г V; бензилитируриновая соль, т. пл. 129° (из диоксана). При омылении II двукратным кол-вом NaOH (кипячение 40 мин.) получают IV, т. кип. 140–145°/2 мм, n_D^{20} 1,5342; бензилитируриновая соль, т. пл. 121° (из диоксана).

Л. Я.

43122. Общий способ получения α,α -дифенилированных дикарбоновых кислот. α,α -Дифенилазелаиновая и α,α -дифенилсезбаиновая кислоты. Сальмон-Леганьер (Méthode générale de préparation des diacides α,α -diphényles. Les acides α,α -diphénylazélaïque et α,α -diphénylsébacique. Salmon-Legagneur Français), С. г. Acad. sci., 1955, 240, № 24, 2320–2322 (франц.)

Описанный ранее (см. С. г. Acad. sci., 1939, 208, 1057; 1941, 213, 681; РЖХим, 1954, 12677, 16257; 1956, 3814, 12831) метод синтеза к-т общей ф-лы $(\text{C}_6\text{H}_5)_2\text{C}(\text{COOH})(\text{CH}_2)_n\text{COOH}$ (I) распространен на I ($n = 6$) (Ia) и I ($n = 7$) (Ib). Схемы синтеза: $\text{Br}(\text{CH}_2)_6\text{Br}$ (II) $\xrightarrow{\text{KCN}}$ $\text{Br}(\text{CH}_2)_6\text{CN}$ $\xrightarrow{(\text{C}_6\text{H}_5)_2\text{CNa}(\text{CN})\text{III}}$ $\text{C}_6\text{H}_5)_2\text{C}(\text{CN})(\text{CH}_2)_6\text{CN}$ \rightarrow $(\text{C}_6\text{H}_5)_2\text{C}(\text{CN})(\text{CH}_2)_6\text{COOH}$ (IV) \rightarrow Ia; II + $\text{NaCN} \cdot (\text{COOC}_2\text{H}_5)_2 \rightarrow \text{Br}(\text{CH}_2)_6\text{CH}(\text{COOC}_2\text{H}_5)_2 \rightarrow \text{Br}(\text{CH}_2)_6\text{COOH} \rightarrow \text{Br}(\text{CH}_2)_6\text{COOC}_2\text{H}_5 \xrightarrow{\text{III}}$ $(\text{C}_6\text{H}_5)_2\text{C}(\text{CN})(\text{CH}_2)_6\text{COOC}_2\text{H}_5 \rightarrow \text{Ib}$. Выход Ib меньше чем Ia, так как на последней стадии происходит декарбоксилирование с образованием $(\text{C}_6\text{H}_5)_2\text{CH}(\text{CH}_2)_6\text{COOH}$, т. пл. 105–106°. Получены IV, т. пл. 96–97°; Ia, т. пл. 147°; $(\text{C}_6\text{H}_5)_2\text{C}(\text{COOH})(\text{CH}_2)_6\text{COOCH}_3$, т. пл. 98–99°; $(\text{C}_6\text{H}_5)_2\text{C}$

$\text{C}(\text{COOCH}_3)(\text{CH}_2)_6\text{COOH}$, т. пл. 88–89°; $(\text{C}_6\text{H}_5)_2\text{C}(\text{COOCH}_3)(\text{CH}_2)_6\text{COOCH}_3$, т. пл. 46–47°; $(\text{C}_6\text{H}_5)_2\text{C}(\text{CN})(\text{CH}_2)_6\text{COOH}$, т. пл. 76–77°; Ib, т. пл. 120–121°; $(\text{C}_6\text{H}_5)_2\text{C}(\text{COOH})(\text{CH}_2)_7\text{COOCH}_3$ [с небольшой примесью изомера $(\text{C}_6\text{H}_5)_2\text{C}(\text{COOCH}_3)(\text{CH}_2)_7\text{COOH}$], т. пл. 56–57°.

А. Т.

43123. О получении полугидрата хлористоводородной соли амидина ванилиновой кислоты. Уокер (A note on the preparation of vanillamide hydrochloride hemihydrate. Walker Donald F.), J. Amer. Pharm. Assoc. Sci. Ed., 1955, 44, № 9, 580 (англ.)

Суспензию 2,1 г этилового имидоэфира ванилиновой к-ты в абс. спирте обрабатывают 5,3 мл спирт. NH_3 (0,17 г), через ~12 час. (~20°), нагревают до кипения, фильтруют, из осадка и фильтрата после добавления безводн. эфира получают 3- $\text{CH}_3\text{O}-4-\text{HOC}_6\text{H}_4-(\text{NH})\text{NH}_2 \cdot \text{HCl} \cdot 0,5\text{H}_2\text{O}$, выход 64,5%, т. пл. 268–270° (осажден эф. из сп.).

Е. Ф.

43124. Механическое расщепление основания d,l -метадона. Зогг (A mechanical resolution of d,l -methadone base. Zaugg Harold E.), J. Amer. Chem. Soc., 1955, 77, № 10, 2910 (англ.)

Предлагается новый способ разделения d,l -метадона (I) путем медленной кристаллизации основания из петр. эфира, содержащего затравку из чистых l - и d -метадона (II, III), полученных разделением I путем кристаллизации кислых диастереоизомерных d -тарtratoв из ацетона или из n - $\text{C}_8\text{H}_{17}\text{OH}$. 56 г I растворяют в 225 мл кипящего петр. эфира (т. кип. 63–68°) и фильтруют. Р-р концентрируют до 145 мл и охлаждают при перемешивании до 40°. Затем перемешивание прекращают и помещают в р-р по 2 кристалла I и II так, чтобы они находились вдали друг от друга, и вновь перемешивают 125 час. при 40°; за это время ($1/4$ р-рителя испаряется) образуются монокристаллы II: 8,8 г, $[\alpha]_D^{25} -35,7^\circ$ (с 4; петр. эф.), и 4,2 г, $[\alpha]_D^{25} -36,2^\circ$ (с 4; петр. эф.); и III: 11,2 г и 1,9 г, $[\alpha]_D^{25} +36,0^\circ$ (с 4; петр. эф.). Общий выход оптически активных в-в 46%. Из маточного р-ра выделено 29 г I.

М. Г.

43125. Некоторые производные 4-карбокси-4'-оксидифениламина. Берджер, Дарби (Some derivatives of 4-hydroxydiphenylamine-4-carboxylic acid. Burger Alfred, Darby Robert A.), J. Amer. Chem. Soc., 1955, 77, № 21, 5733 (англ.)

В ходе изучения различных структурных аналогов гормонов щитовидной железы синтезирован ряд производных дифениламина. 1,4 моля 4-оксидифениламина (I), 1,65 моля $(\text{C}_6\text{H}_5\text{CO})_2\text{O}$ (II) и 250 мл безводн. $\text{C}_6\text{H}_5\text{N}$ нагревают 6 час. при ~100°, охлаждают, подкисляют 50%-ной H_2SO_4 , осадок промывают 2%-ным NaOH и водой, избыток II разлагают спиртом, из спирт. р-ра водой осаждают 4-бензоилоксидифениламин, выход 81%, т. пл. 112–114° (из водн. сп.). При бензоилировании I посредством $\text{C}_6\text{H}_5\text{COCl}$ получают только дибензоильное производное. 0,108 моля 4- $\text{C}_6\text{H}_5\text{COOC}_6\text{H}_4\text{NHC}_6\text{H}_4\text{Br}-4$ и 0,172 моля SiCN в 240 мл безводн. хлорола кипятят 6 час., выливают (~0°) в конц. HCl, выделяют 4- $\text{C}_6\text{H}_5\text{COOC}_6\text{H}_4\text{NHC}_6\text{H}_4\text{CN}-4$, выход 51%, т. пл. 178,5–180,5°; гидролиз последнего (30 мин. нагревания с 5%-ным KOH в сп.) приводит к 4- $\text{HOC}_6\text{H}_4\text{NHC}_6\text{H}_4\text{CN}-4$ (III), выход 71%, т. пл. 193–194,5° (из водн. сп.), который с CH_2N_2 дает эфир (IV), т. пл. 99–100° (из водн. ацетона). IV гидролизом (кипячение 20 час. с 15%-ным KOH в сп.) превращают в 4- $\text{H}_3\text{CO}_6\text{H}_4\text{NHC}_6\text{H}_4\text{NHC}_6\text{H}_4\text{COOH}-4$ (V), выход 43%, т. пл. 165–167° (из CH_3OH); V получают также гидролизом (10%-ный NaOH) метилового эфира V. 5 г V деметилируют кипячением 3 часа с 6 г KOH в 40 мл $(\text{CH}_3\text{OH})_2$, получают 4- $\text{HOC}_6\text{H}_4\text{NHC}_6\text{H}_4\text{NHC}_6\text{H}_4\text{COOH}-4$, выход 65%, т. пл. 229–230° (разл.; из CH_3OH). V с CH_2N_2 дает 4- $\text{CH}_3\text{OC}_6\text{H}_4$

$\text{H}_2\text{NHC}_6\text{H}_4$
При дей
тому ме
31, 3343
амин, в
3126.
чение
ацета
(New
zyl-N
re y
Y.,
Chem.
В про
РЖХим
активно
дихлора
 CH_2OCO
 CH_2CH_2
Для пол
N-(2-окс
веденну
агидрид
HCOOH
(газа)
соответс
 $\text{H}_2\text{CH}_2\text{N}$
 COCl . С
в 300 м
(~20°)
кууме,
NaOH,
выход 8
затем
дихлор
0,16 мо
0,1 мол
на ~48
мивают
= 2,4-С
95,5–9
 CH_2CH_2
100°, в
чают I
58,8° (с
 $\text{H}_2\text{CH}_2\text{N}$
выход 3
ведены
— CH_2
4-(CH_2)
 CH_2 (CH_2
62, 96,
 CHCl_2 ,
138,1°
($\text{C}_6\text{H}_5\text{O}$)
90,6; 2
72,1–7
 Cl_2 , 7
2,4- Cl_2 ,
 COOH ,
119,3°
(~20°)
прилив
6 час.,
(Ar =
116° (и
ленно
NHCH
продол
из орг
100,9—
перекр

$\text{H}_2\text{NHC}_6\text{H}_4\text{COOCH}_3$, т. пл. 91,5—93,5° (из эф.-лигр.). При действии на 0,1 моля III 0,4 моля JCl по описанному методу (Willgerodt C., Arnold E., Ber., 1901, 31, 3343) получен 3,5-дихлор-4-окси-4'-циандифениламин, выход 30%, т. пл. 215—216° (из эф.-лигр.). Е. Ф. 43126. Новые амбацидные препараты. III. Получение некоторых N-бензил-N-(2-ацилоксиэтил)-дихлорацетамидов. Серри, Лешер, Уинтроп (New amebicides. III. The preparation of some N-benzyl-N-(2-acyloxyethyl)-dichloroacetamides. *Surgey Alexander R., Leshер George Y., Winthrop Stanley O.*, J. Amer. Chem. Soc., 1955, 77, № 20, 5406—5408 (англ.).

В продолжение предыдущей работы (см. сообщение I, РЖХим, 1955, 31591) с целью испытания амбацидной активности синтезированы N-бензил-N-(2-ацилоксиэтил)-дихлорацетамиды общей ф-лы $\text{ArCH}_2\text{N}(\text{COCHCl}_2\text{CH}_2-\text{CH}_2\text{OCOR})$ (I), а также амиды 2,4- $\text{Cl}_2\text{C}_6\text{H}_3\text{CH}_2\text{N}(\text{COCCl}_3)-\text{CH}_2\text{CH}_2\text{OCOR}$, где $\text{R} = \text{CHCl}_2$ (II) и $\text{R} = \text{CCl}_3$ (III). Для получения в-в типа I соответствующие N-бензил-N-(2-оксиэтил)-галондацетамиды (IV) (см. вышесказанную ссылку) ацилируют ангидридами или хлорангидридами к-т. При получении I ($\text{R} = \text{H}$) применяют HCOOH . II синтезирован изомеризацией (действие HCl (газа)) $2,4\text{-Cl}_2\text{C}_6\text{H}_3\text{CH}_2\text{N}(\text{COCHCl}_2\text{CH}_2\text{CH}_2\text{OH})$ (V) в 300 мл C_6H_6 обрабатывают 0,1 моля V, через 12 час. (~20°) фильтруют через уголь, р-ритель отгоняют в вакууме, остаток обрабатывают водой, разб. HCl и разб. NaOH, получают I ($\text{Ar} = 2,4\text{-Cl}_2\text{C}_6\text{H}_3$, $\text{R} = \text{CH}_2\text{Cl}$), выход 83%, т. пл. 72,1—75,5° (из $(\text{CH}_3)_2\text{CHON}$ (VII), затем сп.). Аналогично получен неочищ. N-(2,4-дихлорбензил)-N-(2-ацетоксипропил)-дихлорацетамид. 0,16 моля $\text{C}_6\text{H}_5\text{N}$, 0,15 моля янтарного ангидрида, 0,1 моля V нагревают 1 час при ~100°, оставляют на ~48 час. (~20°), экстрагируют $\text{ClCH}_2\text{CH}_2\text{Cl}$, промывают 2 н. HCl, 5%-ным NaOH, получают I ($\text{Ar} = 2,4\text{-Cl}_2\text{C}_6\text{H}_3$, $\text{R} = (\text{CH}_2)_2\text{COOH}$), выход 72%, т. пл. 95,5—96,6° (из сп.). 0,05 моля $\text{C}_6\text{H}_5\text{CH}_2\text{N}(\text{COCHCl}_2-\text{CH}_2\text{CH}_2\text{OH})$ и 1 моль HCOOH нагревают 2 часа при 100°, выливают при перемешивании в 1 л воды, получают I ($\text{Ar} = \text{C}_6\text{H}_5$, $\text{R} = \text{H}$), выход 86%, т. пл. 57,2—58,8° (испр.; из бэл.-скелишольва А и VII). 3,4- $\text{Cl}_2\text{C}_6\text{H}_3\text{CH}_2\text{N}(\text{COCHCl}_2\text{CH}_2\text{CH}_2\text{OCHO})$ получен аналогично, выход 50%. Этими методами получены другие I (приведены заместители в Ar , R , выход в %, т. пл. в °C): —, CH_3 , 79, 79,9—81,6; 4- $(\text{CH}_3)_2\text{CH}$, H, 75, 72,3—74,9; 4- $(\text{CH}_3)_2\text{CH}$, CHCl_2 , 60, 110,5—111,5; 4- $(\text{CH}_3)_2\text{CH}$, $\text{CH}_3(\text{CH}_2)_2$, 86, 89,9—92,0; 4- $(\text{CH}_3)_2\text{CH}$, $(\text{CH}_2)_2\text{COOH}$, 62, 96,7—100,2; 4- C_4H_9 , H, 22, 69,0—70,9; 4- C_4H_9 , O , CHCl_2 , 72, 76,4—77,9; 4- C_4H_9 , $(\text{CH}_2)_2\text{COOH}$, 90, 138,1—139,4; 4- NO_2 , CH_2Cl , 98, 117,2—118,0; 3,4- $(\text{H}_3\text{C})_2$, CH_3 , 62, 72,5—74,4; 2,4- Cl_2 , H, 66, 88,1—90,6; 2,4- Cl_2 , CH_3 , 86, 74,0—76,0; 2,4- Cl_2 , CH_2Cl , 83, 72,1—75,5; 2,4- Cl_2 , CHCl_2 , 68, 88,4—90,0; 2,4- Cl_2 , CCl_3 , 73, 96,1—97,2; 2,4- Cl_2 , $(\text{CH}_2)_2\text{Cl}$, 45, 68,2—69,7; 2,4- Cl_2 , $\text{CH}_3(\text{CH}_2)_2$, 77, 64,1—65,6; 2,4- Cl_2 , $(\text{CH}_2)_2\text{COOH}$, 56, 103,9—106,7; 2,4- Cl_2 , $\text{C}_6\text{H}_5\text{COOH}$, 89, 119,3—122,9. 0,15 моля 2,4- $\text{Cl}_2\text{C}_6\text{H}_3\text{COCl}$ прибавляют (<20°) к 0,3 моля $\text{C}_6\text{H}_5\text{N}$ в 100 мл диоксана, медленно приливают 0,1 моля V в 100 мл диоксана, кипятят 6 час., фильтрат выливают в 2 л воды, получают I ($\text{Ar} = \text{R} = 2,4\text{-Cl}_2\text{C}_6\text{H}_3$), выход 98%, т. пл. 113,8—116° (из VII). 0,2 моля Cl_3CCOCl в 50 мл (CH_2Cl_2) медленно прибавляют (<15°) к 0,1 моля 2,4- $\text{Cl}_2\text{C}_6\text{H}_3\text{CH}_2\text{NHCNCH}_2\text{CH}_2\text{OH}$, 250 мл 1 н. NaOH и 200 мл (CH_2Cl_2) , продолжают перемешивание до достижения ~20°, из органич. слоя выделяют III, выход 41%, т. пл. 100,9—103,0° (из технич. гептана); из фильтрата от перекристаллизации выделяют 3-(2,4-дихлорбензил)-2-

оксазолидон, выход 10%. В 0,05 моля V в 50 мл безводн. диоксана пропускают сухой HCl (газ), охлаждением выделяют VI·HCl, выход 86%, т. пл. 146,2—147,1° (из VII). 0,035 моля VI·HCl и 0,05 моля Cl_3CCOCl в 50 мл безводн. C_6H_6 кипятят до образования р-ра (~1,5 часа), прибавляют 10 мл спирта, р-ритель отгоняют в вакууме, выход II 87%, т. пл. 72,9—76,8° (из VII). К кипящему р-ру 0,039 моля I ($\text{Ar} = 2,4\text{-Cl}_2\text{C}_6\text{H}_3$, $\text{R} = \text{CH}_2\text{Cl}$), в 75 мл C_6H_6 постепенно прибавляют 0,078 моля $(\text{C}_2\text{H}_5)_2\text{NH}$, кипятят еще 5 час., из фильтрата выделяют I ($\text{Ar} = 2,4\text{-Cl}_2\text{C}_6\text{H}_3$, $\text{R} = \text{CH}_2\text{N}(\text{C}_2\text{H}_5)_2$), выход 55%, т. пл. 61,4—63,5° (из технич. гептана). Выходы приведены на неочищ. в-ва; все т-ры плавления исправлены. Некоторые в-ва типа I по сравнению с соответствующими неацилированными 2-оксиэтильными производными (см. ссылку выше) показали более высокую активность при испытании на хомьяках, спонтанно зараженных *Endameda criceti*. Из полученных в-в менее активными являются те, которые легче растворимы в воде (содержат такие группы, как COOH или $(\text{C}_2\text{H}_5)_2\text{N}$). Сообщение II см. РЖХим, 1956, 28962. Е. Ф. 43127. К вопросу о замене диазогруппы на атом водорода. Фокни Е. П., Докл. АН СССР, 1955, 105, № 6, 1266—1269

Взаимодействие диазосоединений с NO_2 -группой в ядре со спиртом с заменой диазогруппы водородом протекает гладко при ~20° и более низкой т-ре при любом содержании воды в реакционной смеси в присутствии инициаторов-восстановителей или окислителей. В типичном опыте к р-ру сульфата 3-нитро-4-диазо-толуола (из 0,1 моля 3-нитро-4-аминотолуола) прибавляют 0,6 моля спирта и затем (3 часа, ~20°) р-р 16 г $\text{FeSO}_4 \cdot 7\text{H}_2\text{O}$ в 40 мл воды, получен 3-нитротолуол (I), выход 84,2%. Аналогично при добавлении 35 мл 10%-ного р-ра $\text{K}_2\text{Cr}_2\text{O}_7$ выход I 85,3%. Вместо спирта можно применять этиленгликоль, глицерин, глюкозу, аллиловый и другие спирты, безалкоголиды, CH_3O , ацетальдегид, эфир, диоксан, HCOOH . Аналогично протекает р-ция и с другими нитродиазосоединениями (этиленгликоль + FeSO_4) (перечисляются исходное в-во и выход в %): о-нитродиазобензол, 87,1; л-изомер, 50; м-изомер, 16,2; 5-нитро-2-диазотолуол, 47,8; 3-нитро-4-диазоанизол, 89,7; 2-нитро-4-хлордизобензол, 81,1; 4-нитро-2-хлордизобензол, 78,7; 2,4-динитродиазобензол, 85,1. Р-ция не происходит в случае диазобензола, диазотолуола, о-диазохлорбензола. Предполагается ценный механизм р-ции.

Н. К. 43128. Ацетилирование некоторых ароматических соединений солями уксусной кислоты. Предварительное сообщение. Богатская З. Д., Тр. Одесск. ун-та, 1954, 4, 99—102

При диазотировании анилина и α-нафтиламина в CH_3COOH с последующим разложением образовавшихся солей диазона в присутствии металлич. Cu и солей CH_3COOH , получают фениловый (выход 61%, т. кип. ~197°) и α-нафтиловый эфиры (выход 59,5%) CH_3COOH .

С. И. 43129. Оксид-аминоазопроизводные п-аминостирола. Мартынов (Sur quelques composés hydroxy- et aminoazoïques dérivés du para-aminostyrène. Martynoff Modeste), Bull. Soc. chim. France, 1955, № 3, 374—379 (франц.)

С целью исследования высокомолекулярных полимеров, содержащих хромофорные группы и обладающих крайней способностью, которые могли бы найти технич. применение (напр., для окраски синтетич. материалов), синтезированы красители, исходя из производных стирола, где в качестве хромофора введена путем диазотирования и сочетания азогруппа в пара-положении к винильной группе. Диазотированием 4-аминостирола (I) и последующим сочетанием в обыч-

ных условиях соли 4-винилбензолдиазония с соответствующими фенолами и ароматич. аминами получены азокрасители: 4-винил-4'-оксиазобензол, т. пл. 137° (из циклогексана (II)); 4-винил-3'-метил-4'-оксиазобензол, т. пл. 131° (из II); 1-(4'-винилбензолазо)-4-оксинафталин, т. пл. 245° (из сп., ксилола и II); 4-винил-4'-диметиламиноазобензол, т. пл. 167° (из II); 1-(4'-винилбензолазо)-4-аминонафталин, т. пл. 122° (из II). Декарбоксилированием 4-аминокоричной к-ты при 170° (Bernthsen A., Bender F., Ber., 1882, 15, 1982) получен полимер I (III) ф-лы $(C_8H_5N)_x$ ($x \approx 5$), т. пл. 105–120°. Диазотированием III с последующим сочетанием с фенолом и диметиланилином (в обычных условиях) получены соответствующие полимерные окси- и аминозокрасители. Приведены кривые спектров поглощения в области 250–600 мμ всех синтезированных красителей, а также их аналогов, не содержащих винильной группы: 4-оксиазобензола, 3-метил-4-оксиазобензола, 4-бензол-1-нафтола, 4-диметиламиноазобензола и 4-бензол-1-нафталина. Оксипроизводные измерены в спирте и 0,05 н. спирт. NaOH, аминопроизводные — в спирте и 0,1 н. спирт. HCl. Красители из III и диметиланилина — в $CHCl_3$ и 0,1 н. спирт. HCl. Введение винильной группы приводит к небольшому bathochromному смещению длинноволновой полосы поглощения по сравнению с соответствующими незамещ. красителями, тогда как спектры полимерных азокрасителей почти не отличаются от незамещ. Это указывает на насыщение этиленовой связи.

Е. К.
43130. Исследования в дитизонном. Часть VI. S-alkyldithizones. Эрвинг, Белл (Studies with dithizonone. Part VI. S-alkyldithizones. Irving H., Bell C. F.), J. Chem. Soc., 1954, Dec., 4253–4256 (англ.)

Метилдитизон или 3-метилтио-1,5-дифенилформазан (I) получен: а) из CH_3SNa и 3-хлор-1,5-дифенилформазана (см. часть V РЖХим, 1955, 5660) в спирте (кипение, 20 мин.); б) действием $(CH_3)_2SO_4$ на дитизон в воде NaOH; в) из Ag-дитизоната и CH_3J в $CHCl_3$ (кипая, 1 час). I очищают хроматографированием на CCl_4 на Al_2O_3 с вымыванием C_6H_6 ; черный порошок, т. пл. 119–120°. 3-этилтио-1,5-дифенилформазан (II) получен аналогично I по методу (а), т. пл. 70°. I не дает комплексов с Cu, Ag, Hg, Zn, Cd в водн. р-рах при различных pH. С $(CH_3COO)_2Hg$ в спирте + ацетон I образует красный аддукт (III), т. пл. 144°, содержащий 0,6 атома Hg на 1 моль I; аналогичные аддукты неопределенного состава образуются с Cu и Pd. Очевидно, в дитизонатах металл замещает H в —SH-группе. Приведены данные УФ-спектров I и II. Р-р III в $CHCl_3$ дает спектр I.

Ю. С.
43131. Эфиры и амиды 2,6-диметил- и 2,4,6-триметилфенилкарбаминных кислот. Дальбум, Эстерберг (Esters and amides 2,6-dimethyl- and 2,4,6-trimethylphenylcarbamic acid. Dahlbom Richard, Osterberg Lars-Eric), Acta chem. Scand., 1955, 9, № 10, 1553–1556 (англ.)

Синтезированы эфиры и замещ. амиды 2,6-диметил- и 2,4,6-триметилфенилкарбаминных к-т, содержащие третичные аминогруппы. Аминоэфиры по местноанестезирующему действию равновесны ксиклоанну, но значительно более токсичны; амиды неактивны. Из 1 моля 2,6-ксилидина (I) и 3,2 моля пиридина и 1,2 моля $COCl_2$ в 850 мл толуола получают (2 часа 0°, 3 часа 25°) 2,6-диметилфенилизоцианат (II), выход 68%, т. кип. 87–89°/12 мм, n_D^{20} 1,5360. II получен также (выход 84%) нагреванием в вакууме (100°, 10 мин.) 0,03 моля этилового эфира 2,6-диметилфенилкарбаминной к-ты (III, IV к-та) с 0,06 молями P_2O_5 . 2,4,6-триметилфенилизоцианат (V) получают аналогично II по 2 вариантам,

выходы соответственно 52 и 64%, т. кип. 100–102°/10 мм, т. пл. 44–45°. Из 0,78 моля I в 150 мл C_6H_6 и 0,3 моля $SiCOOC_2H_5$ получают III, выход 94%, т. пл. 82–83° (из петр. эф.). III получают также кипячением спирт. р-ра II, выход 90%. Этиловый эфир 2,4,6-триметилфенилкарбаминной к-ты (VI, VII к-та) получен аналогично III по 2 вариантам, выходы соответственно 81 и 93%, т. пл. 89–90° (из петр. эф.). Из 18,5 г II и 15 г $SiCH_2CH_2OH$ в 50 мл толуола (кипение 2 часа) получают β-хлорэтиловый эфир IV, выход 60%, т. пл. 80–81° (из толуола). β-Хлорэтиловый эфир VII получен аналогично, выход 71%, т. пл. 89–90° (из толуола). Взаимодействием II или V с NH_3 или аминами в толуоле получены следующие в-ва (приводятся выход в % и т. пл. в °C): N-(2,6-диметилфенил)-мочевина, 88 (пропускание NH_3 -газа 2 часа, охлаждение), выше 300 (из CH_3OH); N-диэтил-N'-(2,6-диметилфенил)-мочевина, 95 (кипение 2 часа), 178–179,5 (из петр. эф.-сп.); N-диэтил-N'-(2,4,6-триметилфенил)-мочевина, 71 (кипение 2 часа), 122–123 (из разб. CH_3OH); N-этил-N'-(2,6-диметилфенил)-мочевина, 69 (12 час., ~20°), 226–228 (разл.; из петр. эф.-сп.); N,N'-бис-(2,6-диметилфенил)-мочевина, 97 (кипение 2 часа), возгоняется при 330° (из лед. CH_3COOH); N,N'-бис-(2,6-диметилфенилкарбамил)-этилендиамин, 97 (кипение 2 часа), возгоняется при 310°. Из 0,04 моля II или V и 0,06 моля аминоспирта получены (кипение 2 часа в 15 мл толуола) следующие в-ва (приводятся выход в %, т. пл. в °C): оксалат β-диэтиламиноэтилового эфира IV, 66, 112–114 (разл.; из ацетона-петр. эф.); β-диэтиламиноэтиловый эфир VII, 81, 44–45 (из петр. эф.); оксалат β-диметиламиноизопропилового эфира IV, 85, 156–157 (разл.; из ацетона); хлоргидрат β-диметиламиноизопропилового эфира VII, 63, 211–212 (разл.; из сп.); хлоргидрат β-морфолиноэтилового эфира IV, 71, 185–187 (разл.; из сп.); β-пиперидиноэтиловый эфир IV, 71, 85–86 (из петр. эф.); оксалат β-пиперидиноэтилового эфира VII, 74%, 153–154° (разл.; из ацетона), основание, т. пл. 87–88° (из петр. эф.). Из 0,025 моля II или V и 0,038 моля диалкиламиноалкиламина (кипение 2 часа в 10 мл толуола) получены следующие в-ва (приводятся выход в % и т. пл. в °C): N-(β-диэтиламиноэтил)-N'-(2,6-диметилфенил)-мочевина, 87, 105–106 (из CH_3OH); N-(β-диэтиламиноэтил)-N'-(2,4,6-триметилфенил)-мочевина, 80, 129–130 (из водн. CH_3OH); N-(γ-диэтиламинопропил)-N'-(2,6-диметилфенил)-N'-мочевина, 65, 105–106 (из петр. эф.); N-(γ-диэтиламинопропил)-N'-(2,4,6-триметилфенил)-мочевина, 65, 121–122 (из петр. эф.); N-(γ-пиперидинопропил)-N'-(2,6-диметилфенил)-мочевина, 71, 127–128 (из петр. эф.-сп., 2 : 1); N-(γ-пиперидинопропил)-N'-(2,4,6-триметилфенил)-мочевина, 97, 168–170 (из сп.-петр. эф., 2 : 1).

Г. В.
43132. Получение бензоилцианамиды из этилового эфира бензоилтионкарбаминной кислоты. Скиннер, Вогт (Benzoylthiocyanamide from ethyl benzoylthiocarbamate. Skinner Glenn S., Vogt H. C.), J. Amer. Chem. Soc., 1955, 77, № 20, 5440–5441 (англ.)

N-бензоил-O-этилтиомочевина (I) при действии спирт. C_2H_5ONa превращается в бензоилцианамид (II). По этой причине не удалось провести конденсацию I с Na-малоновым эфиром в спирте. К р-ру C_2H_5ONa (из 0,60 моля Na и 220 мл абс. сп.) прибавляют при ~20° 0,20 моля I, медленно нагревают до 60°, выдерживают при этой т-ре 8 час., охлаждают до ~20°, Na-соль II отфильтровывают и разлагают разб. HCl, выход II 87,5%, т. пл. 141–142° (осажден петр. эф. из эф.). II получен также из кальцийцианамиды. I получена по видоизмененному методу (Wheeler H. L., Johnson T. B., Amer. Chem. J., 1900, 24, 189); при этом р-цию получения $C_6H_5CONHC(=S)OC_2H_5$ (III) из C_6H_5CONCS и C_2H_5OH проводят

при <
NH₃, в
43133.
жидк.
tives
J a p
Ed.,
С
р-цией
метилс
3-окси
в 3-ок
лог м
бис-(3-
тиллир
пимол
синтез
вая-2
ляют г
дьяной
выдели
К р-р
112,5
204,5
HCl, 4
фильт
т. пл.
лением
бавляя
выделе
6 час.
спирта
VIII,
ются м
160–1
93, 16
Fe²⁺,
83,8,
89,9,
(IX),
IV, в
потен
43134.
III.
бенз
sur
reac
phén
Frag
Изу
пильм
I в т
I, сол
госия
ния 1
тетра
выдел
нием
ченне
смолян
I с п
проду
лишь
собст
читель
нается
убыва
нтен
в при
+S →
чае

при $<25^\circ$, а для синтеза I из III берут точно 2 моля NH_3 , выход I 89,5%, т. пл. $74-75^\circ$ (из петр. эф.). Е. Ф. 43133. Производные о-тимотиновой кислоты, содержащие серу. Урданг, Джанк (Sulfur derivatives of o-thymotic acid. Urdang Arnold, Jannke Paul), J. Amer. Pharmac. Assoc. Scient. Ed., 1955, 44, № 12, 747-751 (англ.).

С целью изыскания в-в бактерицидного действия р-цией HOSO_2Cl (I) с о-тимотиновой (3-изопропил-6-метилсалициловой) к-той (II) получен 6-сульфохлорид 3-оксимолкарбоновой-2 к-ты (III), восстановленный в 3-окси-6-меркаптодимолкарбоновую-2 к-ту (IV) (аналог мертиола), при окислении которой образуется бис-(3-оксимол-2-карбоксо)-, 6,6'-дисульфид (V). Метилированием IV получена 3-окси-6-метилмеркаптодимолкарбоновая-2 к-та (VI); из IV и $\text{C}_2\text{H}_5\text{HgCl}$ (VII) синтезирована 3-окси-6-этилмеркуритодимолкарбоновая-2 к-та (VIII). К р-ру 150 г II в 750 мл CHCl_3 прибавляют постепенно 750 мл I ($0-5^\circ$), после обработки ледяной водой и отгонки половины CHCl_3 при охлаждении выделяют 110 г III, т. пл. $150,5-152^\circ$ (из лигр.-бэл.). К р-ру 15 г III в 500 мл лед. CH_3COOH добавляют 112,5 мл конц. HCl и 30 г Zn -пыли, к фильтрату добавляют избыток FeCl_3 , отделяют V, выход 58%, т. пл. $204,5-206^\circ$ (из хлф. и затем бэл.). Из 336 мл конц. HCl , 45 г III в 1,5 л лед. CH_3COOH и 90 г Zn -пыли после фильтрования и добавления воды получено 20 г IV, т. пл. $171-172^\circ$ (из бэл.). IV получен также восстановлением V. К р-ру 10 г IV в 5 мл 10%-ного NaOH прибавляют постепенно 5 мл $(\text{CH}_3)_2\text{SO}_4$, после подкисления выделено 7,64 г VI, т. пл. $138-139^\circ$. Перемешивают 6 час. смесь 1,13 г IV в 10 мл спирта, 1,33 г VII в 20 мл спирта и р-р 0,02 г NaOH в 5 мл воды, получено 1,75 г VIII, т. пл. $150-151^\circ$. Получены соли IV (перечисляются металл, выход в % и т. пл. в $^\circ\text{C}$): Na, 86,5, т. разл. $160-164^\circ$; Ag, 92, $>300^\circ$, Ba, 87,2, т. разл. 200° ; Cu^{2+} , 93, 165 (разл.); Zn , 97, $>300^\circ$; Hg^{2+} , 85, $\sim 200^\circ$ (разл.); Fe^{2+} , 50,7, $>300^\circ$; соли V: Ag, 81,8, 205 (разл.); Hg^{2+} , 83,8, 145 (разл.); соли VI: Ag, 95, т. разл. 135° ; Hg^{2+} , 89,9, $139-142^\circ$. Получены также метиловый эфир IV (IX), выход 84,8%, т. пл. $134-135^\circ$; этиловый эфир IV, выход 89,5%, т. пл. $95,5^\circ$. Приведены кривые потенциометрия. титрования IV, V, VI и IX. Я. К. 43134. Исследование действия серы на дифенилметан.

III. Изучение реакции между дифенилметаном и тиобензофеноном. Моро (Etude de l'action du soufre sur le diphenylméthane. III. Mise en évidence d'une réaction entre le diphenylméthane et la thiobenzophénone. Moreau Robert C.), Bull. Soc. chim. France, 1955, № 7-8, 922-927 (франц.).

Изучены р-ция между тиобензофеноном (I) и дифенилметаном (II) при $t\text{-ре} >200^\circ$ и термич. разложение I в тех же условиях. Для исследования применяли I, содержащий 20-30% бензофенона (III), являющегося инертной примесью в связи с трудностью получения 100%-ного I. При нагревании I до 270° образуется тетрафенилэтилен (IV), S и смола; при $t\text{-ре} >250^\circ$ выделяется H_2S . Выход IV увеличивается с увеличением конц-ии I и незначительно уменьшается с увеличением т-ры. Кол-во S резко уменьшается, а кол-во смолы увеличивается с повышением т-ры. Нагревание I с III в тех же условиях приводит к образованию тех же продуктов и тетрафенилэтана (V), который появляется лишь в самом начале процесса: его образованию способствует понижение т-ры и конц-ии I; выход IV значительно больше, чем в предыдущем опыте и увеличивается с увеличением т-ры и конц-ии I; кол-во S быстро убывает с повышением т-ры; $\sim 200^\circ$ медленно, $\sim 270^\circ$ интенсивно выделяется H_2S . Образование V только в присутствии II авторы объясняют р-цией: $2\text{II} + \text{S} \rightarrow \text{V} + \text{H}_2\text{S}$. Значительно больший выход IV в случае наличия II авторы объясняют тем, что наряду

с р-цией $\text{I} \rightarrow \text{IV} + \text{S}$, IV образуется также р-циями

$\text{V} \rightarrow \text{IV} + \text{H}_2\text{S}$ и $\text{I} + \text{II} \rightarrow \text{IV} + \text{H}_2\text{S}$. Сообщение II см. РЖХим, 1956, 35871.

В. Э. 43135. Термическое разложение дибензгидрилдисульфида. Моро (Sur la décomposition thermique du disulfure di dibenzhydryle. Moreau Robert C.), Bull. Soc. chim. France, 1955, № 7-8, 969-973 (франц.).

Подтверждено, что при термич. разложении дибензгидрилдисульфида (I) при $t\text{-ре} >150^\circ$ и $<200^\circ$ образуются дифенилметан (II), тиобензофенон (III) и S (Wuyts H., Ber., 1903, 36, 864), но без промежуточного образования тиола (IV) (Staudinger H., Freudenberg H., Ber., 1928, 61, 1576) по схеме $\text{A: (C}_6\text{H}_5)_2\text{CHS}_2\text{CH(C}_6\text{H}_5)_2 \rightarrow (\text{C}_6\text{H}_5)_2\text{CH}_2 \text{ II} + (\text{C}_6\text{H}_5)_2\text{C} = \text{S III} + \text{S}$. С повышением т-ры р-ция ускоряется, причем при $t\text{-ре} >200^\circ$ происходят побочные р-ции с образованием тетрафенилэтана (V), тетрафенилэтилена (VI) и H_2S . Показано, что при нагревании I в инертном р-ителе (бензофенон) при 185° разложение I и образование побочных р-ций происходит очень медленно (за 1 час разложение I прошло на 40,2%, образование III 20%). При 230° максим. кол-во III 32,6% при разложении I на 65,6% за 3 мин.; при 250° соответственно 34,8%, 70%, 2 мин.; при 300° — 36,6%, 73,6%, 30 сек.; дальнейшее увеличение времени нагрева (10 мин.) при соответствующих т-рах дало значительное уменьшение выхода III (24,5, 23,8 и 21,4%) за счет образования побочных р-ций между II и III (ср. пред. реф.). Используя свойство нерастворимости в эфире I, V, VI и серы, построена на основе эксперим. данных кривая зависимости кол-ва нерастворимых в-в от времени нагрева (230°), почти полностью совпадающая с теоретич. кривой, построенной на основе ур-ния схемы A, с учетом данных, полученных на основании ур-ния вторичных р-ций II с III (см. ссылку выше). Этим отвергается механизм р-ции разложения I, предложенный ранее (Bergmann E., Fujise S. I., Liebigs Ann. Chem., 1930, 483, 65), через образование промежуточного VI (Staudinger H., см. ссылку выше) по схеме $\text{I} \rightarrow \text{III} + (\text{C}_6\text{H}_5)_2\text{CHSH VI} \rightarrow \text{II} + \text{S}$, так как VI при 230° , в присутствии избытка S и следов морфолина, быстро дегидрируется с образованием лишь I и H_2S . М. А.

43136. п-Хлор-о-сульфобензальдегид. Влияние BF_3 при окислении при помощи CrO_3 . Занден, Врие (p-Chloro-o-sulphobenzaldehyde. Influence of BF_3 in the case of oxidation with CrO_3 . Zanden J. M. van der, Vries G. de), Recueil trav. chim., 1955, 74, № 11, 1429-1432 (англ.).

С целью получения п-Cl-о-(SO_3H) $\text{C}_6\text{H}_4\text{CHO}$ (I) изучено окисление п-хлортолуол-о-сульфохлорида (II, III-к-та) и фенилового эфира III (IV) при помощи CrO_3 в присутствии BF_3 . II получен действием избытка HOSO_2Cl на п-хлортолуол. 30 г II, 18 г фенола и 45 мл пиридина нагревают 20 мин., смесь выливают в 450 мл воды; эфиром экстрагирован IV, выход 60%, т. пл. $69-70^\circ$ (из сп.). Аналогично получен 2,4-дихлорфениловый эфир III, выход 79%, т. пл. $70-74^\circ$. К 45 г II, 300 мл лед. CH_3COOH и 300 мл $(\text{CH}_3\text{CO})_2\text{O}$ (ниже 10°) добавляют за 1,5 часа 88 г конц. H_2SO_4 и 56 г CrO_3 , получено 4,6 г диацетата п-хлорбензальдегид-о-сульфохлорида (V, VI-к-та), т. пл. $125-126^\circ$ (из бэл.+ петр. эф., затем из петр. эф.). Выход V в присутствии 2, 7 и 13,6 г BF_3 повышается до 31,8; 32,1 и 33,9% соответственно. Фениловый эфир VI получен аналогично, выход 14,7%, т. пл. $111-112^\circ$, выход в присутствии 4 г BF_3 25,1%. При кипячении V с разб. HCl образуются альдегиды с колич. выходом. С. И.

43137. Реакция Кневенегеля с этилсульфонилуксусной кислотой. Фенел, Резник (Some Knoevenagel reactions with ethylsulfonylacetic acid. Fe h

nel Edward A., Resnick Paul R.), J. Organ. Chem., 1955, 20, № 8, 996—1002 (англ.)

При конденсации этилсульфонилуксусной к-ты (I) с бензалдегидом (II) получен этилстирилсульфон (III) с небольшим выходом. Строение III доказано гидрированием его в этилфенилсульфон (IV). При р-ции I с фенилацетальдегидом (V) образовался этилцинамилсульфон (VI), повидимому, вследствие одновременного перемещения двойной связи. Строение VI подтверждено гидрированием в этил-3-фенилпропилсульфон (VII), озолизом и синтезом из этилцинамилсульфида (VIII). Попытки дегидратации α -(этилсульфонилметил)-фенилового спирта (IX) не привели к успеху. Приведены кривые УФ-спектров полученных в-в. Смесь 0,05 моля I, 0,056 моля II, 25 мл пиридина и 3 капелл пиперидина (X) нагревали (6 час., 100° и 8 час., кипячение) и вылили в смесь конц. HCl и льда, выделено 12% III, т. пл. 66—67° (из бал.-петр. эф.). Гидрированием в лед. CH_3COOH (10%-ный Pd/C, 3 ат. H_2 , 1 час) III превращен в IV, выход 83%, т. пл. 79—80° (из бал.-петр. эф.). IV получен также окислением этилфенилсульфида действием H_2O_2 . Смесь 0,02 моля I, 0,02 моля V, 0,02 моля X и 5 мл лед. CH_3COOH кипятили 1 час, получен VI, выход 19%, т. пл. 100—101° (из водн. сп.); дибромид, т. пл. 125—126° (из бал.). При гидрировании VI в спирте (PtO_2 , 3 ат. H_2 , 7 час.) образовался VII, выход 93%, т. пл. 47—48° (из петр. эф.). Действием O_3 на VI получен II, выделенный в виде 2,4-динитрофенилгидразона. К холодному р-ру $\text{C}_2\text{H}_5\text{ONa}$ (из 0,38 г-атома Na) прибавлено 0,38 моля $\text{C}_2\text{H}_5\text{SH}$ и затем по каплям 0,38 моля хлористого цинниламида; после нагревания (15 мин.) из смеси выделен VIII, выход 87%, т. кип. 123—126°/5 мм. К р-ру 0,1 моля VIII в 50 мл лед. CH_3COOH и 50 мл $(\text{CH}_3\text{CO})_2\text{O}$ при 10—15° прибавлено 0,22 моля 30%-ной H_2O_2 ; выделено 45% VI. При кипячении (10 час.) смеси 0,02 моля 3-бромпропилбензола, 0,03 моля $\text{C}_2\text{H}_5\text{SO}_2\text{Na}$ (XI) и 20 мл абс. спирта образовался VII с выходом 80%. К р-ру $\text{C}_2\text{H}_5\text{ONa}$ (из 0,08 г-атома Na) прибавлено 0,08 моля $\text{C}_2\text{H}_5\text{SH}$ и затем при 0° 0,08 моля бензилхлорметилкетона (XII) (т. кип. 138—140°/20 мм, 116—118°/6 мм); получен бензилэтилтиометилкетон (XIII), выход 86%, т. кип. 134—138°/5 мм, 124°/2 мм. Из смеси 0,1 моля XIII, 0,3 моля $(\text{iso-C}_3\text{H}_7\text{O})_2\text{Al}$ и 400 мл $\text{iso-C}_3\text{H}_7\text{OH}$ после отгонки 340 мл дистиллата и обработки остатка конц. HCl и льдом выделен α -(этилтиометил)-фенилтиловый спирт, выход 67%, т. кип. 126—132°/2—3 мм. Из 0,09 моля XII и 0,13 моля XI в 100 мл спирта (6 час., кипячение) получен бензилэтилсульфонилметилкетон (XIV), выход 84%, т. пл. 74—75° (из CH_3OH). При гидрировании 2г XIV в 50 мл абс. спирта (0,1 г PtO_2 , 1 мл 0,1 M соли Мора, 60°, 3 ат. H_2 , 2 часа) выделено 49% IX, т. пл. 72—73° (из бал.-петр. эф.). А. Б. 43138. Хинолимиды и о-хинониимиддиацетаты. I. Превращение 4-бензолсульфамидотрифенилметана в 4-бензгидрил-о-хинонидиацетат-1-бензолсульфимид. Адамс, Агнелло, Колгров (Quinol imides and o-quinone imide dicetates. I. Conversion of 4-benzenesulfonamidotriphenylmethane to 4-benzohydryl-o-quinonediaceate-1-benzenesulfonimide. Adams Roger, Agnello E. J., Colgrove Richard S.), J. Amer. Chem. Soc., 1955, 77, № 21, 5617—5625 (англ.)

При окислении 4-бензолсульфамидотрифенилметана (I) $(\text{CH}_3\text{COO})_4\text{Pb}$ в лед. CH_3COOH выделены: 4-бензгидрил-о-хинонидиацетат-1-бензолсульфимид (II) и 2-бензолсульфамидо-5-бензгидрил-*n*-бензохинон (III). Восстановлением II получен 3-ацетокси-4-бензолсульфамидотрифенилметан (IV), из которого при окислении, аналогично I, получены II и III. Повидимому, IV — промежуточный продукт р-ции. Из IV ацетилированием

получен 3-ацетокси-N-ацетил-4-бензолсульфамидотрифенилметан (V). Синтезированный 2-окси-4-бензолсульфамидотрифенилметан (VI) при ацетилировании превращается в N-ацетил-2-ацетат (VII), неидентичный V. Путем присоединения к II HCl, HN_3 , $\text{C}_6\text{H}_5\text{SO}_2\text{Na}$, H_2O , $\text{CH}_3\text{COCH}_2\text{COCH}_3$ или $\text{CH}_2(\text{COOC}_2\text{H}_5)_2$ получены соответственно 3-ацетокси-4-бензолсульфамидо-х-хлортрифенилметан (VIII) (здесь и далее х, вероятно, б), 3-ацетокси-4-бензолсульфамидо-х-азидотрифенилметан (IX), 3-окси-4-бензол-сульфамидо-х-бензолсульфонилтрифенилметан (X), 3-ацетокси-4-бензолсульфамидо-х-окситрифенилметан (XI), 3-ацетокси-4-бензолсульфамидо-х-диацетилметилтрифенилметан (XII), 3-ацетокси-4-бензолсульфамидо-х-дикарбэтоксиметилтрифенилметан (XIII). Из III восстановлением образовался 2-бензолсульфамидо-4-бензгидрилгидрохинон (XIV), который при ацетилировании дал 2,5-диацетокси-*n*-ацетил-4-бензолсульфамидотрифенилметан (XV). При р-ции III с 2,4-динитрофенилгидразином (XVI) получен, повидимому, 2-бензолсульфамидо-4-(2,4-динитрофенилазо)-5-бензгидрилфенол (XVII). Аналогично I, из 3-метил-4-бензолсульфамидотрифенилметана (XVIII) при окислении образовался 3-метил-3-ацетокси-4-бензолсульфамидо-3,4-дагидротрифенилметан (XIX), из которого восстановлением регенерирован XVIII. Действием HCl на XIX синтезирован 2-хлор-4-бензолсульфамидо-5-метилтрифенилметан (XX), который окислением превращен в 2-хлор-4-бензолсульфамидо-5-метил-5-ацетокси-4,5-дагидротрифенилметан (XXI). Строение XX доказано синтетич. путем. Приведены ИК- и УФ-спектры полученных в-в. Смесь 92,1 г бензгидрола (XXII), 67,6 г ацетанилида, 500 мл лед. CH_3COOH и 100 г конц. H_2SO_4 кипятили 34 часа, вылили в воду со льдом, выделившийся осадок кипятили 19 час. с 2,5 л 30%-ной H_2SO_4 ; р-р вылили в кипящую воду; из фильтрата выпал сульфат 4-аминотрифенилметана (выход 72,5%), из которого действием $\text{C}_6\text{H}_5\text{SO}_2\text{Cl}$ (XXIII) в пиридине (10 мин. кипячение и 24 часа, ~20°), получен I, выход 70,5%, т. пл. 153—154° (из водн. CH_3COOH). Взвесы 15,5 г I и 35 г $(\text{CH}_3\text{COO})_4\text{Pb}$ в 200 мл лед. CH_3COOH перемешивали (24 часа, 20°), прибавили 10 мл $\text{HOCH}_2\text{CH}_2\text{OH}$ и отфильтровали II, выход 30%, т. пл. 178,5—179,5° (разл.; из водн. ацетона). Фильтрат вылит в воду, эфиром извлечен III, выход 15,5%, т. пл. 172,5—174° (разл.; из водн. ацетона). К взвеси 5,16 г II в 1 л кипящего спирта добавлено 50 мл кипящей воды и понемногу 2 г $\text{Na}_2\text{S}_2\text{O}_4$; при разбавлении водой выделен IV, выход 73,6%, т. пл. 178—180° (разл.; из сп.). IV получен также (выход 92%) гидрированием III в спирте с PtO_2 . При окислении IV, аналогично I, образуются II и III. Действием $(\text{CH}_3\text{CO})_2\text{O}$ в пиридине IV превращен в V, выход 71,5%, т. пл. 140—141° (из водн. сп.). К р-ру 9,21 г XXII и 9,66 г *m*-ацетамидофенилацетата в 200 мл лед. CH_3COOH прибавлен р-р 17,4 г $\text{C}_6\text{H}_5\text{SO}_2\text{Na}$ в 50 мл того же р-рителя и после кипячения (106 час.) жидкость вылита в воду со льдом; при нейтр-ции (рН 6) получен неочищ. 2-ацетокси-4-ацетамидотрифенилметан (выход 78%, т. пл. 79,5—80,5°), который кипячением (8 час.) с 1,06%-ной H_2SO_4 превращен в сульфат 2-окси-4-аминотрифенилметана, выход 57,5%, т. пл. 182—185° (разл.). Из последнего действием XXIII в пиридине получен VI, выход 66,9%, т. пл. 194—195° (из разб. CH_3COOH); VII, т. пл. 175—177° (из водн. сп.). В р-р 2,58 г II в 200 мл CHCl_3 пропустили 30 мл конц. HCl (газ); выделен VIII, выход 97,5%, т. пл. 167—169° (из сп.). К 5,2 г II в 250 мл лед. CH_3COOH и 50 мл ацетона добавлено 3 г NaN_3 ; через 24 часа (~20°) р-р вылит в воду; выход IX 94%, т. пл. 163—164° (разл.; из бал.-петр. эф.). Аналогично из II $\text{C}_6\text{H}_5\text{SO}_2\text{Na}$ получен X, выход 86%, т. пл. 276,5—277,5° (разл.; из водн. сп.). Смесь 0,52 г II с 200 мл водн. ацетона (1 : 1) кипятили 85 час.; после разбавления

водой в (разл.; сава пр и через выход. Аналогично выход. При деи 83%, т XIV пр (из водн бавлен 77,5%, вание и раство в 10 мл выделен Окислен XIX, вы тола). в XVIII получен XX сип 4-хлорто дующим H_2SO_4 и в указан т. пл. 1 XVIII N сульфон (20—12 (CH₃CO) в 50 мл = C(CH₃ ии и у сульфан петр. эф с XXII с после 3,5% н та (т. XVIII в сульфам 148° (из 43139.

мон о luenes F ree Soc., i Взаимо

приводит 0,34 мол хлорида выход 9 (R = mpe (РЖХим, и 0,5 мол 115—115, C₆H₁₇), I синтез Lambert (R = eto 54%, т. R = C₆H₅ (R = iso-C при 156: 28—29° (CH₃CN п вание), 10%-ного 10 Химия,

водой выделился XI, выход 93,5%, т. пл. 217—218,5° (разл.; из водн. ацетона). К р-ру 1,04 г II в 60 мл диоксана прибавлено 0,44 г ацетилацетона и 0,04 г CH_3ONa и через 36 час. смесь вылита в воду; выделен XII, выход 94%, т. пл. 206,5—207,5° (из эф.-петр. эф.). Аналогично, из II и малонового эфира получен XIII, выход 74%, т. пл. 156—157,5° (разл.; из эф.-петр. эф.). При действии $\text{Na}_2\text{S}_2\text{O}_4$ III превращается в XIV, выход 83%, т. пл. 195,5—196,5° (из эф.). Ацетилированием XIV превращен в XV, выход 94%, т. пл. 190—191,5° (из водн. ацетона). К р-ру 0,5 г III в 20 мл спирта прибавлен спирт. р-р 0,4 г XVI; образовался XVII, выход 77,5%, т. пл. 231—232,5° (разл., из водн. сп.). Основание из 5 г сульфата 3-метил-4-аминотрифенилметана растворено в 35 мл пиридина и обработано 2,6 г XXIII в 10 мл пиридина; после нагревания (4 часа, 100°) выделен XVIII, выход 80%, т. пл. 147—148° (из сп.). Окислением 3 г $(\text{CH}_3\text{COO})_4\text{Pb}$ 1 г XVIII получен XIX, выход 71%, т. пл. 149—150° (разл.; из водн. ацетона). Действием $\text{Na}_2\text{S}_2\text{O}_4$ XIX восстанавливается в XVIII. Пропусканием HCl (газа) в р-р XIX в CHCl_3 получен XX, выход 48%, т. пл. 163,5—164,5° (из сп.). XX синтезирован также конденсацией 2-ацетида-4-хлортолуола с XXII в присутствии H_2SO_4 с последующим гидролизом (кипчение 24 часа) с 25%-ной H_2SO_4 и обработкой XXIII в пиридине. При окислении в указанных условиях из XX получен XXI, выход 63%, т. пл. 178—179,5° (разл.; из водн. ацетона). Действием XXIII N-фенилгидроксиламин превращен в N-бензолсульфонил-N-фенилгидроксиламин (XXIV), (т. пл. 120—121°), который не удалось ацетилировать $(\text{CH}_3\text{CO})_2\text{O}$. К р-ру 10 г XXIV и 0,04 г $n\text{-CH}_3\text{C}_6\text{H}_4\text{SO}_3\text{H}$ в 50 мл C_6H_6 при 65° прибавлено за 1 час 4,37 мл $\text{CH}_2 = \text{C}(\text{CH}_3)\text{OCOSCH}_3$; из охлажд. смеси после фильтрования и удаления р-рителя выделен N-ацетоксибензолсульфанид, выход 81%, т. пл. 105—106,5° (из хлф.-петр. эф.). При конденсации о-ацетидафенилацетата с XXII в лед. CH_3COOH в присутствии конц. H_2SO_4 с последующим гидролизом разб. H_2SO_4 выделено 3,5% неочищ. сульфата 3-окси-4-аминотрифенилметана (т. пл. 182—186° (разл.)), из которого действием XXIII в обычных условиях получен 3-окси-4-бензолсульфамидотрифенилметан, выход 83,5%, т. пл. 147—148° (из водн. сп.). Все т-ры плавления исправлены.

43139. Аминолиз N-нитротолуолсульфамидов. Эммонс, Фриман (The aminolysis of N-nitrotoluenesulfonamides. Emmons William D., Freeman Jeremiah P.), J. Amer. Chem. Soc., 1955, 77, № 22, 6061—6062 (англ.)

Взаимодействием $n\text{-CH}_3\text{C}_6\text{H}_4\text{SO}_2\text{NRNO}_2$ (I) с $\text{R}'_2\text{NH}$ приводит к RNHNO_2 (II) и $n\text{-CH}_3\text{C}_6\text{H}_4\text{SO}_2\text{NR}'_2$. Из 0,34 моля n-амилamina и 0,3 моля n-толуолсульфонидрида (III) получен $n\text{-CH}_3\text{C}_6\text{H}_4\text{SO}_2\text{NHR}$ (IV) ($\text{R} = \text{C}_6\text{H}_{11}$), выход 92%, т. кип. 158°/0,2 мм, n^{20}_D 1,5206. IV ($\text{R} = \text{трет-С}_4\text{H}_9$) получен по описанному методу (РЖХим, 1955, 18722) из 0,5 моля трет-бутиламина и 0,5 моля IV в 250 мл пиридина, выход 62%, т. пл. 115—115,5° (из сп.). Аналогично получен IV ($\text{R} = \text{трет-С}_4\text{H}_9$), выход 76%, т. пл. 134,5—135,5° (из сп.). I синтезированы описанным методом (Gillibrand M. I., Lambertson A. H., J. Chem. Soc., 1949, 1883). Из IV ($\text{R} = \text{втор-С}_4\text{H}_9$) получен I ($\text{R} = \text{втор-С}_4\text{H}_9$), выход 34%, т. пл. 73,5—74° (из сп.). Аналогично получены I ($\text{R} = \text{С}_6\text{H}_{11}$), выход 81%, т. пл. 51,5—52° (из сп.), I ($\text{R} = \text{изо-С}_6\text{H}_{11}$), выход 95%, масло, в ИК-спектре полоса при 1565 см⁻¹, I ($\text{R} = \text{С}_6\text{H}_{13}$), выход 84%, т. пл. 28—29° (из сп.). Для получения II к р-ру 10 г I в 35 мл CH_3CN прибавляют 10 г пиридина (5—10°, перемешивание), через 30 мин. смесь выливают в 100 мл 10%-ного NaOH, из подкисленного фильтрата экстра-

гируют эфиром II. Получен II ($\text{R} = \text{С}_6\text{H}_{11}$), выход 92%, т. кип. 60—62°/0,02 мм, n^{20}_D 1,4611; II ($\text{R} = \text{изо-С}_6\text{H}_{11}$), выход 90%, т. кип. 62—64°/0,02 мм, n^{20}_D 1,4594; II ($\text{R} = \text{С}_4\text{H}_9$, втор-С₄H₉ и С₆H₁₃), выходы 81,86 и 86% соответственно.

43140. Опыты с хинонимидами. II. Новый синтез 1,2-дифенилнафталина. Мустафа, Камель (Experiments with quinone imides. II. A novel synthesis of 1,2-diphenyl-naphtalene. Mustafa Ahmed, Kamel Mohamed), J. Amer. Chem. Soc., 1955, 77, № 21, 5630—5633 (англ.)

При взаимодействии 1-бензимидаптохинона-1,2 (I) с избытком $\text{C}_6\text{H}_5\text{MgBr}$ (II) или $n\text{-BrC}_4\text{H}_9\text{MgBr}$ (III) после гидролиза получены 1-бензамидо-2-окси-1,2-дифенил-1,2-дигидронафталин (IV) и 1-бензамидо-2-окси-1,2-ди-(n-бромфенил)-1,2-дигидронафталин (V) соответственно. При действии Zn-пыли и конц. HCl на IV образуются колич. 1,2-дифенилнафталин (VI), $\text{C}_6\text{H}_5\text{COOH}$ и NH_4Cl ; предполагается, что при этом *трет*-ОН-группа в IV замещается на H, омыляется $\text{C}_6\text{H}_5\text{CO}$ -группа, NH_2 -группа замещается на НО-группу и после дегидратации образуется VI. Действие конц. HCl или 50%-ной H_2SO_4 на IV ведет к в-ву $\text{C}_{22}\text{H}_{16}\text{O}$ (VII), по видимому, 1,1-дифенил-2-оксо- или 1-оксо-2,2-дифенил-1,2-дигидронафталину. I восстанавливается почти количественно при действии $\text{C}_2\text{H}_5\text{MgJ}$, $\text{Mg} + \text{MgJ}_2$ или $\text{C}_6\text{H}_5\text{SH}$ в 1-бензамидонафтол-2 (VIII) (см. предыдущее сообщение, РЖХим, 1954, 19797). $\text{C}_6\text{H}_5\text{CHO}$ (IX), $n\text{-CH}_3\text{C}_6\text{H}_4\text{CHO}$ и $n\text{-CH}_3\text{OC}_6\text{H}_4\text{CHO}$ присоединяются к I на свету (но не в темноте) с образованием соответствующих сложных эфиров 1-бензамидонафтола-2 (X—XII), возможно существующих в таутомерной циклич. оксазольной форме. XI получен также из VIII и $n\text{-CH}_3\text{C}_6\text{H}_4\text{COCl}$ с почти колич. выходом. К р-ру II (из 9 г $\text{C}_6\text{H}_5\text{Br}$) прибавляют 1,5 г I и 50 мл C_6H_6 , смесь нагревают 3 часа с отгонкой эфира, после обычной обработки получен IV, выход ~60%, т. пл. 237—238° (из петр. эф.). Аналогично из I и III получен V, выход ~22%. К смеси 1 г IV, 30 мл лед. CH_3COOH , 5 г Zn-пыли и 2 капль 0,5%-ного р-ра PtCl_2 постепенно прибавляют 15 мл конц. HCl, нагревают 15 час., после обычной обработки выделен VI, т. пл. 114° (из этилацетата-сп.). Завесь 1 г IV в 40 мл 50%-ной H_2SO_4 нагревают 6 час., затвердевшее при охлаждении масло растворяют в эфире, промывают р-ром Na_2CO_3 , после отгонки р-рителя из остатка экстрагируют спиртом 0,40 г VII, т. пл. 122—123° (из сп.). Смесь 1 г I, 1 мл IX и 30 мл C_6H_6 оставляют 10 дней на солнечном свету, получено 0,61 г X, т. пл. 234° (из сп.), при омылении количественно превращается в VIII. Аналогично получены XI, т. пл. 186° (из баль-петр. эф.); XII, т. пл. 181° (из петр. эф.).

43141. Алкилирование флуорена спиртами, катализируемое основаниями. Шён, Беккер (The base-catalyzed alkylation of fluorene with alcohols. Schoen Kurt L., Becker Ernest I.), J. Amer. Chem. Soc., 1955, 77, № 22, 6030—6031 (англ.)

Нагреванием смеси 0,06 моля флуорена (I) с р-ром алкоголята Na (из 0,087 г-атома Na и 40 мл сп.) 16 час. при 210—220° синтезирован ряд 9-алкилфлуоренов (перечислены алкил, выход %, т. кип. в °C/мм, т. пл. в °C, n^{25}_D , d^{25}_4 , т. пл. комплекса с $\text{C}_6\text{H}_5(\text{NO}_2)_3$ в °C): CH_3 , 87, 96—98/0,6, 45—46, —, —, —; C_2H_5 , 83,8, 123—124/1, —, 1,6180, 1,0508, 88—89; C_3H_7 , 72, 126—128/1, —, 1,6050, 1,0326, 40,7—41,4; C_4H_9 , 78,4, 140/1, —, 1,5956, 1,0197, 61,5—62,5; C_6H_{11} , 66,2, 144—146/1, —, 1,5929, 1,0153, 64—65; C_8H_{15} , 68, 156—159/1, —, 1,5757, 0,9900, 48—48,5; C_7H_{15} , 58,5, 163—165/1, —, 1,5717, 0,9827, —; $\text{C}_{10}\text{H}_{17}$, 92, —, 65,6—66,4, —, —. В последнем случае применено 0,08 моля I, 0,087 г-атома Na и 0,06 моля октадеканоло. Строе-

ние полученного 9-этилфлуорена доказано встречным синтезом из флуоренона и C_2H_5MgI с дегидратацией образовавшегося третичного спирта и последующим катализом гидрированием этилфлуорена в этилацетате с Pd/C . А. Б.

43142. Синтез и свойства 1,4,9-флуорентриона и других производных флуоренона. Келш, Флеш (Synthesis and properties of 1,4,9-fluorentrione and other fluorenone derivatives. Koelsch C. F., Flesch R. N.), J. Organ. Chem., 1955, 20, № 9, 1270—1276 (англ.)

Получен 1,4,9-флуорентрион (I) по схеме: $o-NH_2C_6H_4COOC_2H_5$ (II) $\rightarrow o-CH_3CON(NO)C_6H_4COOC_2H_5$ + $n-CH_3OC_6H_4OCH_3$ (III) \rightarrow 2,5-диметоксибензилкарбоновая-2 к-та (IV) \rightarrow 1,4-диметоксифлуоренон (V) \rightarrow 1,4-диоксифлуоренон (VI) \rightarrow I. При ацетилировании I по Тиле образуется 1,2 (или 3),4-триацетоксифлуоренон-9 (VII). Нитрование V ведет к моонитро-, вероятно, 2-нитропроизводному (VIII), из которого получено 2(?)-амино-1,4-диметоксифлуоренон (IX); в продукте диазотирования IX не удалось заменить диазониновую группу на NO-группу, при р-ции же IX с избытком $NaNO_2$ образуется 1-окси-2-нитро-4-метоксифлуоренон (X). При попытке синтеза флуоренон-о-хинона деметилированием 2,3-диметоксифлуоренона (XI) получен 2,3-диоксифлуоренон (XII), не изменившийся при окислении. Нитрованием XI получен 4(?)-нитропроизводное (XIII) и из него 4(?)-амино-2,3-диметоксифлуоренон (XIV); при действии $CuSO_4$ на диазотированный XIV в HCl (к-те) получен 4(?)-хлор-2,3-диметоксифлуоренон (XV). Синтезирован 3,4,5-триметоксифлуоренон (XVI), который при нитровании в различных условиях превращается в триметилловый эфир 5-нитропрогаллола. Из I и циклопентадиена (XVII) получен аддукт 1:1 (XVIII). Редокс потенциал I равен 0,819 в. Смесь 133 г II, 400 мл CH_3COOH и 200 мл $(CH_3CO)_2O$ (XIX) нагревают (1 час, 90°), в р-р (5°), пропускают окислы азота, разбавляют ледяной водой, отделившее NO-производное (150 г) прибавляют (55—60°, 4 часа) к 400 г III, через 12 час. перегонкой выделено 65 г фракции с т. кип. 165—200°/13 мм, из которой после обработки водно-спирт. р-ром 40% NaOH, подкисления и пропускания в спирт. р-ре через колонку с Al_2O_3 получено 18 г IV, т. пл. 155—157°. Р-р 2 г IV в 15 мл H_2SO_4 нагревают (1 час, 50°), выделено 1,65 г V, т. пл. 165—166° (возг. из сп.). Нагревают 2 г V, 25 мл CH_3COOH и 9 мл 47%-ной HBr 22 часа, получен 1,2 г VI, т. пл. 263—264° (из эф.-лигр. или из CH_3COOH), из фильтрата после упаривания и прибавления XIX с 1 каплей H_2SO_4 и разбавления водой получен лактон 2'-окси-5'-ацетоксибензилкарбоновой-2 к-ты, т. пл. 140—142° (из бzl.-лигр.). Из VI получен 1,4-диацетоксифлуоренон, т. пл. 175—176° (из сп.). Взвесь 1 г VI в 2,1 г $(CH_3COO)_4Pb$ в 100 мл толуола перемешивают 3 часа и выделяют 0,54 г I, т. пл. 188—189° (возгонка в вакууме). Из смеси 1 г I, 10 мл XIX и 3 капли H_2SO_4 (2 дня, ~20°) получено 1,26 г VII, т. пл. 211,5—213° (из бzl.), не перегруппировывается по Фрису. При нагревании 30 мин. 1,2 г VII, 10 мл CH_3OH и 0,3 мл H_2SO_4 образуется 1,2(?)-,4-триоксифлуоренон (выход 87%, т. пл. 302—304° (из CH_3COOH), при р-ции с CH_2N_2 превращается в оксиддиметоксифлуоренон (вероятно 1-НО-, 2,4-ди- CH_3O), т. пл. 238—241° (из бzl.), реагирующий с $(CH_3)_2SO_4$ с образованием 1,2(?)-,4-триметоксифлуоренон, т. пл. 144—146° (из бzl.). К р-ру 5 г V в 300 мл CH_3COOH прибавляют 25 мл конц. HNO_3 , получено 5 г VIII, т. пл. 202—203° (из разб. CH_3COOH). Нагреванием взвеси 2 г VIII и 3 г NH_4Cl в 200 мл спирта с водн. р-ром Na_2S получают 1,7 г IX, т. пл. 161° (из сп., возгонка), при нагревании с конц. HCl (5 час., 200°) превращается в 2,1,4(?)-аминооксиметоксифлуоренон. К диазо раствору (2 г

IX, 100 мл воды, 12 мл конц. H_2SO_4 , 0,7 г $NaNO_2$) прибавляют еще $NaNO_2$, фильтрат и 250 мл 5%-ного $CuSO_4$ нагревают при 80°, выделено 0,2 г X, т. пл. 205—206° (из сп.). Нагревают 4,4 г XI, 20 мл 47%-ной HBr и 5 мл CH_3COOH 7 час., получено 3,55 г XII, т. пл. 237—238° (из разб. сп.). Из 0,4 г XII и 8 мл XIX получено 0,43 г 2,3-диацетоксифлуоренон, т. пл. 169—170° (из сп.), который при р-ции с $(C_6H_5)_3CCl$ превращается в 2,3-бензгидридендиоксифлуоренон, т. пл. 172—173° (из сп.). При нитровании 10 г XI (подобно V) получено 4 г XIII, т. пл. 237—239° (возгонка); XIV, выход 0,8 г из 1,2 г XIII, т. пл. 207—209°. При р-ции 1 г $C_2H_5OOCCH_2COCl$ в 15 мл $CHCl_3$ с 0,3 г XIV в 75 мл $CHCl_3$ образуется 4(?)-карбтоксиацетамидо-2,3-диметоксифлуоренон, т. пл. 299—300° (из сп.). Диазоэствор (из 2 г XIV в 200 мл воды и 15 мл конц. HCl) и 300 мл 10%-ного р-ра $CuSO_4$ нагревают (85°, 24 часа) и выделяют XV, т. пл. 191—192° (из сп.). К C_6H_5MgBr (из 145 г C_6H_5Br) прибавляют 124 г $CdCl_2$ и 65 г 3,4,5- $(CH_3O)_3C_6H_2COCl$, получено 47 г XVI, т. пл. 78—79° (из эф. при —75° после хроматографирования на Al_2O_3), 2,4-динитрофенилгидразон, т. пл. 200—202°; при подкислении щел. экстракта и Cd-соли при получении XVI выделяется 7,8 г 4-окси-3,5(?)-диметоксифенона, т. пл. 124—126° (из эф.-лигр.), который р-цией с XIX превращен в 4-ацетоксидиметоксифенозифенон, т. пл. 188—189° (из сп.). Из смеси 0,5 г I и 0,22 мл XVII в 150 мл толуола (3 дня, ~20°) после упаривания в вакууме и прибавления лигроина получен XVIII, т. пл. 159—161° (из сп.). Я. К.

43143. Синтез 8-окси-2-кето-5-метокси-4а-метил-2,3,4,4а,9,10-гексагидрофенантрена. Нью Холли, Гаррис, Холли, Джонстон, Рихтер, Уолтон, Вильсон, Фолкере (Synthesis of 8-hydroxy-2-keto-5-methoxy-4a-methyl-2,3,4,4a,9,10-hexahydrophenanthrene. Newhall William F., Harris Stanton A., Holly Frederick W., Johnston Eileen L., Richter John W., Walton Edward, Wilson Andrew N., Folkers Karl), J. Amer. Chem. Soc., 1955, 77, № 24, 5646—5652 (англ.)

С целью получения возможного промежуточного в-ва для синтеза 11-кетостероидов синтезирован 8-окси-2-кето-5-метокси-4а-метил-2,3,4,4а,9,10-гексагидрофенантрен (I), исходя из $n-CH_3OC_6H_4OCH_3$ (II). Из II и ятарного ангидрида (III) получена с частичным деметилированием β -(2-окси-5-метоксибензоил)-пропионовая к-та (IV), восстановленная в γ -(2-окси-5-метокси-фенил)-масляную к-ту (V), которая циклизирована в 5-окси-8-метокситетралон-1 (VI). При прибавлении р-ра CH_3MgI к VI с последующей дегидратацией образовался 4-метокси-5-метил-7,8-дигидронафтол-1 (VII). Смена реагентов в обратном порядке или применение 5-бензокси-8-метокситетралона-1 (VIII) вместо VI оказались безуспешными. Из VII действием OsO_4 с дальнейшим гидролизом получен 1,2,5-триокси-8-метокси-1-метилтетралон (IX), превращенный затем в 5-окси-8-метокси-1-метилтетралон-2 (X), полученный также гидролизом смеси *cis*- и *trans*-1,2,5-триацетокси-8-метокси-1-метилтетралона (XI), образовавшейся окислением продукта ацетилирования VII PbO_4 . При окислении нафталевой или надбензойной к-той VII и его ацетат (XII) превращаются в X с худшими выходами. Конденсацией X с подметиллатом 4-дизетилминобутанона-2 (XIII) получен I с промежуточным образованием 5-окси-8-метокси-1-метил-(3-кетобутил)-тетралона-2 (XIV). Аналогично, из 5-бензокси-8-метокси-1-метилтетралона-2 (XV) получен 8-бензокси-2-кето-5-метокси-4а-метил-2,3,4,4а,9,10-гексагидрофенантрен (XVI). Вместо XIII в этой р-ции можно применить метилвинилкетон (XVII) и тетрагидропи

ранил-к-той. ный сагидр. III в 2- <35° в смеси выделе. ацетат. IV с 5- V, вых. (из пет. конц. воды п. (из бzl. CH_3J) моля V эфира выход (из пет. обратн. вался 178—1 в 50 м. эфира; спирта кияти 148 (и 70 мл 100°) 93%, т. 2 г CH_3I добави. 59°; п. бавлен <140° в 174- IX, с R р-ру в N_2 п. в 3 л м. 53%, т. 121° (C_2H_5O) т. пл. со смеси 47%. (XIX) 0,091 г выход X, из 3,8 г, трофен XVI п. 45 мин в 400 мл в 400 л в 400 л подкис бавляю с C_2H_5N 2-кето- т. пл. рован -HCl, (XVI) из 0,06 5,8-ди- послед. XIII и 26,2 г

равильное производное X с последующей обработкой к-той. Строение I доказано метилированием в известном. 5,8-диметокси-2-кето-4а-метил-2,3,4,4а,9,10-гексагидрофенантрен (XVIII). К 2,32 моля II, 2,4 моля III в 2 л $C_6H_5NO_2$ прибавлено 4,81 моля $AlCl_3$ при t -ре $< 25^\circ$; после нагревания (3 часа, 60°) масса вылита в смесь конц. HCl со льдом и р-ритель отогнан с паром; выделена IV, выход 51%, т. пл. $145-146^\circ$ (из этилацетата). Гидрированием водн. р-ра 1,8 моля K-соли IV с 50 г $Cu - Cr_2O_3$ ($160-180^\circ$, 240 атм H_2) получена V, выход 71%, т. кип. $170-178^\circ/0,1$ мм, т. пл. $66-67^\circ$ (из петр. эф.). Р-р 1,24 моля V в 300 мл воды и 940 мл конц. H_2SO_4 нагревали (1 час, 98°) и вылили в 8 л воды при 0° ; отделен VI, выход 82%, т. пл. $169-171^\circ$ (из бзл.- CH_3OH). Эфирный р-р CH_3MgI (из 1,25 моля CH_3I) медленно прибавляли к холодному р-ру 0,25 моля VI в 400 мл пиридина; после прибавления 750 мл эфира перемешивали 18 час. при 20° ; выделен VII, выход 72%, т. кип. $115-130^\circ/0,1$ мм, т. пл. $85-86^\circ$ (из петр. эф.); XII, т. пл. $59-60^\circ$ (из водн. сп.). При обратном порядке прибавления компонентов образовался 5,8-диокситетралон-1, выход 30-40%, т. пл. $178-180^\circ$ (из водн. CH_3OH). К р-ру 0,026 моля VII в 50 мл эфира прибавлен р-р 0,028 моля OsO_4 в 100 мл эфира; через 18 час. осадок отделен, раствор в 250 мл спирта, добавлен р-р 29 г Na_2SO_3 в 250 мл воды и смесь кипятили 2 часа; получен IX, выход 64%, т. пл. $147-148^\circ$ (из хлф.-петр. эф.). Р-р 35 г IX в 135 мл воды, 70 мл спирта и 20 мл конц. H_2SO_4 нагревали (1 час, 100°) и добавили 60 мл воды; выделился X, выход 93%, т. пл. $142-143^\circ$ (из водн. сп.). Смесь 200 г VII, 2 г CH_3COONa и 200 мл $(CH_3CO)_2O$ кипятили 1 час, добавили 1200 мл лед. CH_3COOH и 720 г PbO_4 ($57-59^\circ$); после удаления части р-рителя в вакууме и разбавления водой XI извлечен $CHCl_3$, выход 53%, т. пл. $< 140^\circ$ (смесь *цис*- и *транс*-изомеров с т. пл. $161-162^\circ$ и $174-175^\circ$ (из сп.)). При нагревании XI, аналогично IX, с водно-спирт. H_2SO_4 получен X с выходом 98%. К р-ру XIII (из 380 мл амина) и 400 г X в 3 л спирта в N_2 прибавили за 2 часа при $5-10^\circ$ р-р 436 г КОН в 3 л воды, смесь кипятили 30 мин; получен I, выход 53%, т. пл. $181-183^\circ$ (из CH_3OH); ацетат, т. пл. $120-121^\circ$ (из хлф.). При проведении р-ции с спирт. р-ром C_6H_5OK и без нагревания выделен XIV (выход 40%, т. пл. $208-209^\circ$ (из хлф.)), из которого кипячением со смесью CH_3COOH и конц. HCl получен I с выходом 47%. К р-ру 0,079 моля X и 0,087 моля $C_6H_5CH_2Br$ (XIX) в 50 мл CH_3OH при кипячении прибавлен р-р 0,091 моля CH_3ONa в 50 мл CH_3OH ; получен XV, выход 69%, т. пл. $81-82^\circ$ (из CH_3OH). Аналогично X, из 0,015 моля XV и XIII образовался XVI, выход 3,8 г, т. кип. $200-215^\circ$ (та-бани)/0,01 мм; 2,4-динитрофенилгидразон, т. пл. $208-210^\circ$ (из этилацетата). XVI получен также из I и XIX. Смесь 0,49 моля X, 150 мл дигидропирана и 4 капли конц. HCl нагревали 45 мин; после отгонки р-рителя в вакууме к остатку в 400 мл спирта прибавлен р-р 28 г $(CH_3)_3(C_6H_5CH_2)NOH$ в 400 мл спирта и затем (N_2 , 0° , 1 час) р-р 40 мл XVII в 400 мл спирта; через 1 час смесь нагревают 30 мин., подкисляют 4 н. H_2SO_4 , снова нагревают 1 час и разбавляют водой; получен I, выход 51%. Нагреванием с $C_6H_5N \cdot HCl$ (5 час., 155°) I превращен в 5,8-диокси-2-кето-4а-метил-2,3,4,4а,9,10-гексагидрофенантрен (XX), т. пл. $248-250^\circ$ (из бзл.- CH_3OH). XX синтезирован также из X: аналогично I, действием $C_6H_5N \cdot HCl$, X превращен в 5,8-диокси-1-метилтетралон-2 (XXI) (выход 22%, т. пл. $142-143^\circ$ (из дихлорэтана)), из 0,066 моля которого получено 0,064 моля неочип. 5,8-ди-(2-тетрагидропиранил)-1-метилтетралона-2. Р-р последнего в 200 мл спирта прибавлен к 0,064 моля XIII и обработан далее, как описано для X; выделено 26,2 г неочип. 5,8-ди-(2-тетрагидропиранил)-2-кето-

4а-метил-2,3,4,4а,9,10-гексагидрофенантрена; обработкой этого в-ва в спирте 8 каплями конц. HCl и 8 каплями воды (16 час., 20°) получен XX с выходом 40%. Смесь 20 мг I, 1,5 мл 2,5 н. $NaOH$ и 2 капель $(CH_3)_2SO_4$ перемешивали (30 мин., 20° и 15 мин., 60°), выделен XVIII, т. пл. $120-120,5^\circ$ (из CH_3OH); 2,4-динитрофенилгидразон, т. пл. $218-220^\circ$. Аналогично получению XV, при действии XIX из VI образовался VIII, выход 93%, т. пл. $116,5-117,5^\circ$ (из бзл.), из XXI — 5,8-дibenзокси-1-метилтетралон-2, т. кип. $230-10^\circ/0,005-0,1$ мм, т. пл. $\sim 20^\circ$, а из VII — 1-бензокси-4-метокси-5-метил-7,8-дигидронафталин (XXII), т. кип. $149-152^\circ/0,1$ мм, т. пл. $53,5-54,5^\circ$ (из сп.). К р-ру 0,025 моля XXII в 100 мл $CHCl_3$ при -20° добавлен р-р 0,031 моля C_6H_5COOH в 60 мл $CHCl_3$; после обычной обработки и хроматографирования на Al_2O_3 выделено 23% 1,2-дibenзоксокси-5-бензокси-8-метокси-1-метилтетралина, т. пл. $154,5-155,5^\circ$ (из бзл.-петр. эф.), из которого кипячением (25 мин.) с водно-спирт. H_2SO_4 получен 5-бензокси-8-метокси-1-метилтетралон-2, т. пл. $80,5-81^\circ$ (из водн. сп.). А. Б.

43144. Неожиданное образование 9,10-диметилантрацена. Бернер, Грамстад, Вистер (An unexpected formation of 9,10-dimethylanthracene. Berner Endre, Gramstad Thor, Vister Thor, Acta chem. scand., 1953, 7, № 9, 1255-1260 (англ.))

При действии $ClCH_2COOC_2H_5$ (I) или лучше $ClCOOC_2H_5$ на C_6H_6 в присутствии $AlCl_3$ образуется 9,10-диметилантрацен (II). Механизм р-ции предположительно заключается в алкилировании C_6H_6 в *о*-дизтилбензол, который реагирует с C_6H_6 с выделением 2 молей H_2 и образованием 9,10-диметил-9,10-дигидроантрацена (III), легко отщепляющего H_2 и превращающегося в II. В подтверждение этой схемы из *о*-ксилола, C_6H_6 и $AlCl_3$ получено небольшое кол-во антрацена. При действии Br_2 на II или III образуется ω, ω' -дибром-9,10-диметилантрацен (IV), строение которого подтверждается получением антрахинона при окислении как II, так и IV, а также получением аддуктов (V-VI) из II или IV с 1 молем маленького ангидрида (VII). Из $ClCH_2COOC_2H_7$ (VIII) и C_6H_6 получен 9,9,10,10-тетраметил-9,10-дигидроантрацен (IX) вероятно вследствие изомеризации $C_3H_7^+$ в *и*- $C_3H_7^+$ в процессе р-ции. 200 г C_6H_6 , 20 г I и 60 г $AlCl_3$ нагревают 3 дня, после гидролиза и отгонки C_6H_6 из остатка выделено 2 г II, т. пл. 181° (из CH_3OH) (пикрат, т. пл. $172-174^\circ$), и *м*-дизтилбензол. Из 0,69 г II и Br_2 в CCl_4 получено 0,98 г IV, т. разл. $\sim 300^\circ$ (из хлф.). К спирт. р-ру I г II прибавляют амальгаму Na, смесь нагревают с добавлением конц. HCl , выделено 0,93 г III, т. пл. 90° (из разб. CH_3OH). Аналогично II из 30 г VIII, 300 г C_6H_6 и 90 г $AlCl_3$ получено масло, перегонкой которого выделены диизопропилбензол и 0,31 г IX, т. пл. 159° (из сп.). К 0,27 г II в 40 мл C_6H_6 прибавляют 0,60 г VII, смесь кипятят 15 мин. и выделяют 0,32 г V, т. пл. 333° (из бзл.); аналогично получен VI, выход колч. Я. К.

43145. Реакции с γ -валеролактоном по Фриделю-Крафту. III. Синтез тетраметилфенантрена. Мосби (Friedel-Crafts reactions with γ -valerolactone. III. Synthesis of a tetramethylphenanthrene. Mosby William L., J. Organ. Chem., 1954, 19, № 3, 294-304 (англ.))

При присоединении 2 молей γ -валеролактона (I) к *п*-ксилолу (II) образуется одна дикарбоновая к-та, которой предположительно приписано строение *п*-ксилол-2,5-бис-(γ -метилмасляной) к-ты (III). Внутримолекулярное ацилирование III ведет к 1,5-диоксо-4,8,9,10-тетраметил-1,2,3,4,5,6,7,8-октагидроантрацену (IV). Аналогично из I и *о*-крезола получена дикарбо-

новая к-та, превращенная в 1,8-диоксо-4,5,9,10-тетраметил-1,2,3,4,5,6,7,8-октагидрофенантрен (V). При восстановлении V образуется 1,8-диоксипроизводное (VI), из которого после дегидратации и дегидрирования получен 4,5,9,10-тетраметилфенантрен (VII). К 1 молю II в 350 мл хлорбензола постепенно прибавляют 2 моля I и 2,1 моля $AlCl_3$, смесь нагревают 15 мин., после гидролиза отделяют рыхлую твердую массу, которую растворяют в избытке р-ра КОН; из остатка после перегонки с паром отделяют при рН 7 соли Al и из подкисленного фильтрата выделяют III, выход 15,1%, т. кип. 200—235°/0,5—1 мм, при 200,6—202° (из CH_3COOH) превращается в мезоморфные жидкие кристаллы. К 250 г полифосфорной к-ты (100°) прибавляют 8,8 г III, нагревают за 15 мин. до 145°, получен IV, выход 63%, т. пл. 223,5—225° (из толуола); бис-2,4-динитрофенилгидразон, т. пл. 313°. Аналогично получен V, выход 69,1 г (из фракции с т. кип. 135—190°/0,25 мм), т. пл. 188,6—189,6° (из сп. и затем кислоты); бис-2,4-динитрофенилгидразон, т. пл. 276,5—277°. К р-ру 2 г $LiAlH_4$ в 200 мл эфира прибавляют постепенно 13,5 г V в 300 мл ксилола, получено 8,5 г VI, т. пл. 113,5—114,5° (из C_6H_{12}). 4 г VI и немного I_2 нагревают до прекращения выделения воды, отгоняют в вакууме 2,6 г масла, к которому прибавляют 0,5 г 10%-ного Pd/C и нагревают 3 часа при 325°, извлекают C_6H_6 VII, выход 11,7%, т. пл. 85,8—86,4°; пикрат, т. пл. 164—165° (из CH_3OH); тринитрофлуороеновое производное, т. пл. 185—185,5° (из бзл.). Приведены УФ-спектры IV, V, VII, 9,10-, 4,5-диметил- и 1,4,5-триметилфенантренов, ИК-спектры IV, V, VI и фенантрена, 9, 10- и 4,5-диметилфенантренов. Сообщение II см. РЖХим, 1954, 30570. В. С.

43146. Новый синтез 2-метилхризена. Гайнд, Вашишт, Мукхерджи (A new synthesis of 2-methyl chrysene. Gaiind V. S., Vashisht M. L., Mukherji S. M.), Current Sci., 1955, 24, № 11, 373—374 (англ.)

Осуществлен синтез 2-метилхризена (I) следующим образом: из β -тетралона и $CH_2=CHCH_2I$ в присутствии NH_2Na получен 1-аллилтетралон-2 (выход 61%, т. кип. 140—145°/5 мм), который реагирует с C_6H_6 (+ $AlCl_3$, 5—0°) с образованием 1-[β -метил- β -(фенил)-этил]-тетралон-2 (II), выход 56%, т. кип. 240—245°/6 мм. Восстановлением II (из C_6H_6 , O_2) Al в $(CH_3)_2CHON$ получен 1-[β -метил- β -(фенил)-этил]-тетралон-2 (выход 72%, т. кип. 225—230°/5 мм), который при действии конц. H_2SO_4 циклизуется в 1,2,7,8,15,16-гексагидро-2-метилхризен (выход 58%, т. кип. 220—225°/5 мм), превращающийся над 30%-ным Pd/C в I, выход 55%, т. кип. 215—220°/4 мм, т. пл. 160° (из петр. эф.), очищен через пикрат, т. пл. 169—170° (из бзл.-сп.). Я. К.

43147. Дегидроциклизация о-этил-, о-аллил- и о-изопропилфенолов. Корсон, Тифентал, Никелс, Хейнцелман (Dehydrocyclization of o-ethyl-, o-allyl- and o-isopropylphenols. Corson B. B., Tiefenthal H. E., Nickels J. E., Heintzelman W. J.), J. Amer. Chem. Soc., 1955, 77, № 20, 5428—5429 (англ.)

Изучена р-ция дегидроциклизации о-этил-(I), о-аллил-(II) и о-изопропилфенола (III) над катализатором (15% Cr_2O_3 + 85% Al_2O_3). Применение в качестве разбавителя водяного пара позволяет увеличить выход основных продуктов р-ции: бензофурана (IV), 2-метил-(V) и 3-метилбензофурана (VI). Применение паров C_6H_6 также повышает выход IV, но несколько снижает выход VI. Пропускают о-замещ. фенол (без разбавителя, с паром или C_6H_6 , 10 молей на 1 моль) над катализатором (время контакта 1 сек., т-ра 600°), растворяют катализат в 500 мл эфира, экстрагируют 10%-ным р-ром NaOH (700 мл) и из эфирного р-ра выделяют IV—VI. В водн. слое пропускают

CO_2 при 0° до рН 8, экстрагируют эфиром и получают смесь фенолов. Из I получены: без разбавителя 16%, с паром — 48%, с C_6H_6 — 21% IV, т. кип. 67,5°/20 мм, n_D^{25} 1,5635, d_4^{25} 1,0935; пикрат, т. пл. 103—105°; дибромид, т. пл. 86—87°; из II—IV, выход без разбавителя 16%, с паром — 5%, и V, выход без разбавителя 31%, с паром 48%, т. кип. 192°/744 мм, n_D^{25} 1,5460, d_4^{25} 1,0424; пикрат, т. пл. 76—77°; из III—IV, выход 2, 3, 1% соответственно, и VI, выход 12, 54, 7% соответственно, т. кип. 86°/20 мм, n_D^{25} 1,5533, d_4^{25} 1,0568; пикрат, т. пл. 79—80°. Б. Ж.

43148. Реакция между фурфуролом и тиофенолом. Акаси, Ханабуса, Ода (フルフラールとチオフェノールとの反応. 明石博吉, 英哲, 小田良平), 工業化学誌, 1953, 56, № 9, 717—718 (япон.)

1 моль фурфурола и 1 моль тиофенола в CCl_4 при кипении в атмосфере CO_2 обрабатывают $(C_4H_9CO)_2O$. При перегонке погемизшей жидкости в вакууме получают непрореагировавшие исходные соединения и желтое масло, выход 17,9%, т. кип. 175—178°/10 мм, повторной перегонкой которого получены бесцветные иглы с т. пл. 45—46°. Мол. вес (криоскопически в C_6H_6) 198. Исследования строения показали, что это соединение является фениловым эфиром 2-фуранилкарбоновой к-ты.

Chem. Abstrs, 1955, 49, № 11, 7544. Katsuya Jnouye.

43149. Синтез производных фурана. IX. Нитрование некоторых производных фурана. Сайкати, Кимура, Хосида (フラン誘導体の合成研究. 第9報. フラン誘導体の硝化反応に就いて. 西海波東雄, 木村肇一, 星田晴彦), 薬学雑誌, Якугаку дзасси, J. Pharm. Soc. Japan, 1953, 73, № 10, 1132—1136 (япон.)

Разработаны оптимальные условия нитрования фурфуролдиацетата (I), этилового эфира пироксизевой к-ты (II), фурфуриладетата (III) и 2-фурилкриловой к-ты (IV) до соответствующих 5-нитропроизводных с применением нитрующей смеси HNO_3 (d 1,44) (V) + $(CH_3CO)_2O$ (VI). В отсутствие катализаторов максим. выход 5-нитрофурфуролдиацетата (VII) (73,5%) достигается при действии на 40 г I нитрующей смеси состава 50,4 г V + 19,4 г VI при —5—7°; в присутствии 0,5 г H_2SO_4 (d 1,84) при —10° (3 часа) выход увеличивается до 78,5%. Небольшой каталитич. эффект на процессе нитрования I оказывают $SnCl_2$ и P_2O_5 , значительно повышает выход добавление n - $CH_3C_6H_4SO_3H$, не оказывая действия H_3BO_3 и $(COOH)_2$. Максим. выход этилового эфира 5-нитропироксизевой к-ты (VIII) (72%) достигается при действии на 50 г II смеси 12,5 г V и 7,5 г VI при —10° (2 часа) в присутствии 0,5 г P_2O_5 или 0,5 г H_3PO_4 . Добавка 0,1 г H_2SO_4 также несколько увеличивает выход VII. 5-Нитро-2-фурфуриладетат (IX) образуется с выходом 78% при нитровании III смесью 8,7 г V и 10,2 г VI при —25° (1 час.) в присутствии 0,5 г H_3PO_4 ; в присутствии 0,1 г H_2SO_4 выход IX составляет 62%; прибавление n - $CH_3C_6H_4SO_3H$ не увеличивает выхода IX. IV нитруется до 5-нитрофурилкриловой к-ты при —10° (1 час) смесью 8,8 г V и 14,2 г VI с выходом 54%; добавление H_2SO_4 , n - $CH_3C_6H_4SO_3H$ и H_3PO_4 существенно не изменяет выхода. Сообщение VIII см. РЖХим, 1955, 34468. Л. Я.

43150. Синтез производных фурана. X. Синтез производных 2-(5-нитрофурил)-серина. Сайкати, Хосида (フラン誘導体の合成研究. 第10報. 西海波東雄, 星田晴彦), 薬学雑誌, Якугаку дзасси, J. Pharm. Soc. Japan, 1954, 74, № 4, 404—408 (япон.; рез. англ.)

В пр
пред. р
ловым
DL- β -[2
RCHO

= NCH

= CHN

= 5-нит

аналог

Адипи

готовле

р-ру 3.

(выдел

при —

6: 18,

осадок

добавл

т. пл.

прибав

добавл

и вод

телей

эритр

(из пер

получ

бал.);

метано

86° (из

229° (с

намои

роил-1

0,29

тавола

(из м

акрил

43151.

вые

нитр

(β -

threo

нел.

Phar

(япо

Дей

эритр

(0, N-д

враща

DL-tr

ине),

образ

C_6H_5C

рата

0,16

ные I

122—

= хло

дихло

5-нит

(0,15

образ

фиро

соств

α -(2-

акри

(2,4-

вой к

0,1, 2

0,14,

В продолжение прошлых работ (сообщение IX см. пред. реф.) конденсацией 5-нитрофурурола (I) с этиловым эфиром глицина (II) получен этиловый эфир DL-β-[2-(5'-нитрофурил)-серина (III)] по схеме: $\text{RCHO} + \text{II} \rightarrow \text{RCH(ONH)NCH}_2\text{COOC}_2\text{H}_5 \rightarrow \text{RCH} = \text{NCH}_2\text{COOC}_2\text{H}_5 \rightarrow \text{RCH(ONH)CH(COOC}_2\text{H}_5\text{)N} = \text{CHN} \rightarrow \text{RCH(ONH)CH(COOC}_2\text{H}_5\text{)NH}_2 \cdot \text{HCl}$ (где R = 5-нитрофурил-2). В соответствии с литературными аналогиями для III принята эритро-конфигурация. Ацилированием III различными хлорангидридами приготовлен ряд N-ацильных производных. К охлажд. р-ру 3,3 г I в 7 мл метанола за 5 мин. прибавлен II (выделен из 10 г хлоргидрата обработкой эфир. р-ра при -10° смесью NaOH-вода, 2,8 : 10 и K₂CO₃-вода, 6 : 18, выход 67%, т. кип. 49°/18 мм), на другой день осадок обработан насыщ. метанольным р-ром HCl, добавлено немного эфира, получено 0,9 г хлоргидрата III, т. пл. 175° (разл.). К 0,28 г хлоргидрата III в 3—4 мл воды прибавлено по каплям 0,08 г CH₃COCl в CHCl₃, добавлено до щел. р-ции Na₂CO₃, прибавлен эфир и вода, из органич. слоя после удаления р-рителей выделено 0,16 г этилового эфира N-ацетил-эритро-DL-β-[2-(5-нитрофурил)-серина, т. пл. 89° (из петр. эф.). Аналогично из 0,28 г хлоргидрата III получено 0,28 г N-бензоил-III, т. пл. 115—117° (из бэл.); 0,29 г N-(n-нитробензоил)-III, т. пл. 96—97° (из метанола); 0,27 г N-(n-хлорбензоил)-III, т. пл. 85—86° (из бэл.); 0,12 г N-(2,4-дихлорбензоил)-III, т. пл. 229° (очинен хроматографией на Al₂O₃); 0,3 г N-пиннамоил-III, т. пл. 114—115° (из бэл.); 0,26 г N-фурил-III, т. пл. 122° (из атилацетата-бэл.; 1 : 1); 0,29 г N-[2-(5-нитрофурил)]-III, т. пл. 141° (из метанола); 0,26 г N-фурилакрилоил-III, т. пл. 188° (из метанола-бэл.) и 0,28 г N-[2-(5-нитрофурил)]-акрилоил-III, т. пл. 188° (из метанола-бэл.). Л. Я.

43151. Синтез производных фурана. XI. Этиловые эфиры O, N-диацетил-DL-трео-β-[2-(5-нитро)-фурил]-серина. Сайкати, Хоседа (フロン誘導体の合成研究. 第11報. O,N-Diacetyl-DL-threo β-[2-(5-nitro)-furyl]-serine Ethyl Esters. 西海枝東雄. 星田晴彦). 薬學雜誌. Якугаку дзасси, J. Pharmas. Soc. Japan, 1955, 75, № 3, 239—244 (япон.; рез. англ.)

Действием SOCl₂ этиловый эфир N-бензоил-DL-эритро-β-[2-(5-нитро)-фурил]-серина (6 г), т. пл. 117° (O,N-дибензоильное производное, т. пл. 145°), превращают в хлоргидрат этилового эфира O-бензоил-DL-трео-β-[2-(5-нитро)-фурил]-серина (I — основание), выход 3,9 г, т. пл. 175° (разл.), с промежуточным образованием оксазолинового кольца и миграцией C₆H₅CO-группы от N к O. При р-ции 0,34 г хлоргидрата I с 0,14 г C₆H₅COCl, 0,17 г n-ClC₆H₄COCl или 0,16 г C₆H₅CN = CHCOCl получены N-ацилпроизводные I, выход и т-ра плавления соответственно 0,3 г, 122—123°; 0,3 г, 146°, и 0,4 г, 135°. При р-ции 0,34 г I с хлорангидридами n-нитробензойной (0,18 г), 2,4-дихлорбензойной (II), фуранкарбонвой-2 (0,13 г), 5-нитрофуранкарбонвой-2 (0,17 г), 2-фурилакриловой (0,15 г) и 2-(5-нитро)-фурилакриловой (0,2 г) к-т не образуются N-ацилпроизводные I. При хроматографировании продуктов этих р-ций на Al₂O₃ получены соответственно этиловые эфиры α-(n-нитробензамидо)-, α-(2-фурамидо)-, α-[2-(5-нитро)-фурамидо]-, α-(2-фурил-акриламидо)-, α-[2-(5-нитро)-фурилакриламидо]- и α-(2,4-дихлорбензамидо)-β-[2-(5-нитро)-фурил]-акриловой к-ты (III) (выходы в г и т. пл. в °C соответственно): 0,1, 215 (разл.); 0,17, 148—149; 0,16, 168; 0,12, 208; 0,14, 180; —, —. Из III получают этиловый эфир O-бен-

зоил-N-2,4-дихлорбензоил-DL-трео-β-[2-(5-нитро)-фурил]-серина (IV), т. пл. 110—111°. Из 0,25 г хлоргидрата DL-эритро-β-[2-(5-нитро)-фурил]-серина и 0,2 г II синтезируют этиловый эфир N-2,4-дихлорбензоил-DL-эритро-β-[2-(5-нитро)-фурил]-серина (V), т. пл. 68—72°. При хроматографировании на Al₂O₃ IV и V дают этиловый эфир N-2,4-дихлорбензоил-β-[2-(5-нитро)-фурил]-акриловой к-ты, т. пл. 229°. Снятые ИК-спектры эритро- и трео-соединений значительно отличаются в области 10 м. Т. А. 43152. Синтезы производных фурана. XII, XIII, XIV. Научение диацетата нитроацетина, образующегося при нитровании диацетата фурурола (1,2,3). Кимура (フロン誘導体の合成研究. 第12報. 第13報. 第14報. 木村隆一), 薬學雜誌, Якугаку дзасси, J. Pharmas. Soc. Japan, 1955, 75, № 4, 424—426; 427—429; № 10, 1175—1178 (япон.; рез. англ.)

Сообщение XII (1). При нитровании диацетата фурурола с помощью HNO₃ и (CH₃CO)₂O в виде промежуточных продуктов образуются α-, β- и γ-нитроацетин-диацетаты, т. пл. в °C соответственно 114,5—115,5, 106—107 и 105—105,5. При обработке этих в-в слабыми неорганич. основаниями, напр. CH₃COONa, получают диацетат 5-нитрофурурола, выход до 95%.

Сообщение XIII (2). При изучении ранее полученных (см. сообщение XII) веществ α-, β- и γ-нитроацетин-диацетатов (I, II и III) установлено, что I и II диморфны, структура III отчасти отличается от структуры I и II. Приведены кривые УФ-спектров поглощения: для I и II λ_{макс} 2890 Å (lg ε 1,95), для III λ_{макс} 2645 Å (lg ε 2,11), а также снимки в X-лучах и снимки кристаллов под микроскопом. Т. А.

Сообщение XIV (3). Показано, что диацетат β-нитроацетина CH₃COOC(NO₂) = CHCN = C(ONH)CH(OCOSCH₃)₂ не реагирует как енол или кетон и распадается при гидролизе на маленовую, уксусную и азотистую к-ты; поэтому ему приписано строение диацетата 5-нитро-2-ацетокси-2,5-дигидрофурурола (CH₃COO)₂CHC = C(OCOSCH₃)CH = CHCN(NO₂)O, что подтверждается исследованием его ИК-спектра. Д. В.

43153. Поиски физиологически активных соединений. Часть I. Синтез 7-амино- и 7-галогено-4-метил-3-фенилкумаринов. Субба-Рао, Сундарамурти (Search for physiologically active compounds. Part I. Synthesis of 7-amino and 7-halo-4-methyl-3-phenyl coumarins. Subba Rao N. V., Sundaramurthy V.), Proc. Indian Acad. Sci., 1955, A 42, № 5, 249—251 (англ.)

Для сравнения с иными физиологич. активными производными кумарина были впервые синтезированы 7-амино-(I) и 7-галогено-4-метил-3-фенилкумарины (II). II оказались сильно токсичными для рыб, тогда как действие I значительно слабее. Конденсацией n-ацетамин-о-оксинацетофенона (III) с C₆H₅COONa (IV) и (CH₃CO)₂O получен 7-ацетамин-4-метил-3-фенилкумарин (V), гидролиз которого приводит к I. Из I р-цией Завдамайера получены II — 7-хлор-(IIa), 7-бром-(IIb) и 7-иод-(IIв). 4 г III, 8 г IV и 50 мл (CH₃CO)₂O нагревают 30 мин. при 120° и 4 часа при 180°, выливают в воду и получают V, выход 2,5 г, т. пл. 266° (из лед. CH₃COOH). 4 г V кипятят 2 часа в 100 мл смеси HCl (к-та): C₂H₅OH, 1 : 2, получают I, выход 3 г, т. пл. 280° (из сп.). 0,5 г I в 5 н. H₂SO₄ диазотируют, полученный р-р приливают к р-ру Cu₂Cl₂ в конц. HCl, нагревают при 60° до конца р-ции и выделяют IIa, выход 0,4 г, т. пл. 137° (из сп.). Аналогично получают IIb, выход 0,4 г, т. пл. 129° (из сп.), и IIв, выход 0,5 г, т. пл. 142° (из сп.). И. Л.

43154. О некоторых вопросах химии «флавоноидов». Богнар (A flavonoids — ok kémiajának néhány

kerdeseröl. Bognár Rezső), Magyar tud. akad. kém. tud. oszt. közl., 1955, 6, № 1—2, 227—236 (венг.) Обзор. Библ. 23 назв. Г. В.

43155. Синтез флавандиолю-3,4. Джоши, Кулкарни (Synthesis of flavan-3:4-diols. Joshi C. G., Kulkarni A. B.), Chemistry and Industry, 1954, № 46, 1421 (англ.)

Описано восстановление флаванов в соответствующие флаванолы действием LiAlH_4 . 4'-Метокси-6-метилфлаванон (т. пл. 110°) дает 4'-метокси-6-метилфлаванол-4 (т. пл. 138°); восстановление кверцетина осуществить не удалось. Восстановление 3-окси-4'-метокси-6-метилфлаванона (т. пл. 160°) дает смесь двух 4'-метокси-6-метилфлаванолов-3,4 (I и II), которые, по мнению авторов, являются *цис*- и *транс*-изомерами. I, т. пл. 193°; диацетат, т. пл. 98°; II, т. пл. 169°, диацетат, т. пл. 98°. При нагревании до 120° со смесью изопропилового спирта и 3 н. HCl (5:1) в запаянной трубке или на воздухе I дает желтую, а II коричневую окраску. Так как ни одна из этих окрасок не характерна для лейкоантоцианов антоцианидина (JA), ставится под сомнение ранее высказанные предположения (см. РЖХим, 1956, 29182) о том, что природные JA являются производными флавандиола-3,4. В. В.

43156. Синтез флаванов. VI. Синтез 3'- и 4'-нитрофлаванов. Фудзисэ, Фудзини, Маэда, Такаги, Накамуро (フラバノン類の合成. 第6報. 3'及び4'-ニトロフラバノンの合成. 藤瀬新一郎, 藤居良助, 前田勝弘, 高木邦彦, 中村昇太郎), 日本化学雑誌, Нихон кagakю дзасси, J. Chem. Soc. Japan. Pure Chem. Sec., 1953, 74, 827—829 (япон.)

8 г 50%-ного NaOH добавляют при 35° к 4 г $\text{o-HOC}_6\text{H}_4\text{COCH}_3$ (I) и 4 г $\text{m-NO}_2\text{C}_6\text{H}_4\text{CHO}$ в 50 мл спирта, р-р нейтрализуют 15%-ной HCl и получают 1,3 г 2'-окси-3-нитрохалкона (II), т. пл. 164—165°. Из маточного р-ра выделяют 2 г $\text{m-[o-HOC}_6\text{H}_4\text{COCH}_2\text{CH(OH)]C}_6\text{H}_4\text{NO}_2$ (III), т. пл. 127—129°, 2,15 г III, 10 г $(\text{CH}_3\text{CO})_2\text{O}$ и 2,15 г CH_3COONa нагревают 45 мин. на водяной бане, выливают в воду и получают 2 г 2'-ацетокси-3-нитрохалкона, т. пл. 116—117° (из сп.). Последний получен также и из II. 1 г II и 0,14; 0,3 или 1 г *d*-камфорсульфоновой к-ты (IV) в 70 мл спирта нагревают в запаянной трубке при 130° в течение 45, 30 или 15 час; получают 0,5 г оптически неактивного 3'-нитрофлаванона, с т. пл. 142° (из CH_3OH) (J. Chem. Soc., 1951, 72, 1073). Восстановление 0,9 г III в 40 мл спирта кипячением с 4,5 г SnCl_2 и 30 мл конц. HCl получают 0,2 г 2'-окси-3-аминохалкона, т. пл. 143—144° (из CH_3OH). Аналогично из I и $\text{p-NO}_2\text{C}_6\text{H}_4\text{CHO}$ получен 2'-окси-4-нитрохалкон (V), т. пл. 209° и $\text{p-[o-HOC}_6\text{H}_4\text{COCH}_2\text{CH(OH)]C}_6\text{H}_4\text{NO}_2$, т. пл. 156°; последний дает V при кипячении с HCl ; 2'-ацетокси-4-нитрохалкон, т. пл. 126°. V в присутствии IV дает неактивный 4'-нитрофлаванон, т. пл. 166—167°. Из I и $\text{p-C}_6\text{H}_4\text{CONHC}_6\text{H}_4\text{CHO}$ получен 2'-окси-4-бензамидохалкон, т. пл. 206,5—207° (из сп.), который в присутствии IV превращен в неактивный 4'-бензамидофлаванон, т. пл. 194°.

Chem. Abstrs, 1955, 49, № 6, 3952. O. Sumamura

43157. Синтез флаванов. VII. Синтез некоторых 4'-диметиламинофлаванов. Фудзисэ, Отомо (フラバノン類の合成. 第7報. 4'-ジメチルアミノフラバノン類の合成. 藤瀬新一郎, 大友義郎), 日本化学雑誌, Нихон кagakю дзасси, J. Chem. Soc. Japan. Pure Chem. Sec. 1953, 74, № 11, 899—900 (япон.)

5 г $\text{2-NO}_2\text{C}_6\text{H}_4\text{COCH}_3$ и 5 г $\text{p-(CH}_3)_2\text{NC}_6\text{H}_4\text{CHO}$ в 50 мл спирта и 20 мл 50%-ного NaOH нагревают отдельно до 70—75°, смешивают, оставляют на 5 мин. при 75°, на следующий день нейтрализуют HCl и получают 4,5 г 4'-диметиламино-2'-оксихалкона (I), красно-фиолетовые чешуйки, т. пл. 172—173° (из сп.). Аналогично получены следующие замещ. I (соединение,

т. пл. в °C, % выхода, цвет): 4'- CH_3 , 162—164, 15, красный; 4',6'-диметил, 124—125°, 86, оранжево-красный; 4'-OH, 198—199, 20, фиолетовый. 0,5 г I и 10 мл 80%-ного H_3PO_4 в 50 мл спирта нагревают 30 час., удаляют большую часть р-рителя, нейтрализуют содой и получают 0,3 г 4'-диметиламинофлаванона, желтые кристаллы, т. пл. 116—117° (из петр. эф.); пикрат, т. пл. 134°. Аналогично получены следующие бесцветные замещ. 4'-диметиламинофлаваноны из выше перечисленных халконов (соединение, т. пл. в °C, % выхода, т. пл. пикрата в °C): 7- CH_3 , 172—173, 70, —; 5,7-диметил, 122—123, 70, 171—173; 7-OH, 193—194, 50, 112—114. Циклизация халконов в присутствии *d*-камфорсульфоновой к-ты приводит только к оптически неактивным флаванонам.

Chem. Abstrs, 1955, 49, № 6, 3952. O. Sumamura

43158. Синтез флаванолов из дибромидов α -оксикетона или α -ацетоксикетона. III. Выделение промежуточного соединения. Маратхи (Synthesis of flavonols from α -hydroxy or α -acetoxy chalcone dibromides. III. Isolation of another intermediate compound, Marathe M. G.), Sci. and Culture, 1954, 19, № 10, 516—517 (англ.)

При кипячении дибромид 2'-окси-5'-метил-4-метоксихалкона (I) с водн. ацетоном получена смесь 2'-окси-5'-метил-4-метоксихалкона и (2-окси-5'-метилфенил)-[α -бром- β -окси- β -(4-метоксифенил)-этил]-кетона (II), т. пл. 145°. При обработке р-ром Na_2CO_3 II превращается в 4'-метокси-6-метилдигидрофлаванол (III). Следовательно II и III являются промежуточными продуктами при получении 4'-метокси-6-метилфлаванола (IV) из I. При обработке щелочью II диспропорционируется, образуя IV и 4'-метокси-6-метилфлаванон. Аналогично при синтезе 4'-метокси-7-метилдигидрофлаванола из дибромид 2'-окси-4-метоксихалкона выделен промежуточно образующийся (2'-окси-4-метилфенил)-[α -бром- β -окси- β -(4-метоксифенил)-этил]-кетон. Предыдущее сообщение см. Sci and Culture, 1952, 17, 344. E. K.

43159. Диоксалононы. Сообщение 1. Синтез эфиров α -оксикетон. Гейлорд, Бензингер (Dioksalonones. I. Synthesis of ethers of α -hydroxy acids. Gaylord Norman G., Benzing James R.), J. Organ. Chem., 1954, 19, № 12, 1991—1995 (англ.)

Исследована возможность синтеза эфиров α -оксикетон при р-ции $(\text{CH}_3)_2\text{CMgCl}$ (I) с соответствующими 1,3-диоксалононами-4. При нагревании (3,25 часа, 80—90°) смеси 1 моля 85%-ной молочной к-ты (II), 1,5 моля бутанола-2, 3 г моногидрата *n*-толуолсульфокислоты в 100 мл C_6H_6 с последующим добавлением 10 г CH_3COONa и перегонкой получен 2,5-диметил-2-этил-1,3-диоксалонон-4 (III), выход 28%, т. кип. 50—51°/4 мм, n_D^{25} 1,4167, d_4^{24} 1,0140. В тех же условиях из 2 молей II и циклогексанона синтезированы 5-метил-2,2-пентаметил-1,3-диоксалонон-4 (IV), выход 78%, т. кип. 84—86°/2 мм, n_D^{25} 1,4565, d_4^{24} 1,0869. Попытка получить этим методом 2-фенил-5-метил-1,3-диоксалонон-4 и 5-метил-2-стирил-1,3-диоксалонон-4 взаимодействием II с $\text{C}_6\text{H}_5\text{CHO}$ и коричным альдегидом были безуспешны. Из металлического спирта II синтезирован 2-изопропил-5-метил-1,3-диоксалонон-4 (V), выход 72% (Gaylord, J. Amer. Chem. Soc., 1950, 72, 5316). При р-ции V с I получена 2-изобутоксипропионовая к-та (VI), выход 70%, т. кип. 97—99°/5 мм, 89°/3 мм, n_D^{25} 1,4064, d_4^{24} 0,9673, *n*-бромфенацетил эфир, т. пл. 54—55°. Из III и I получена 2-(1-метилпропокси)-пропионовая к-та, выход 70%, т. кип. 87—88,5°/4,5 мм, n_D^{24} 1,4199, d_4^{24} 0,9795, *n*-бромфенацетил эфир, т. пл. 43—110° (неочищ.). В таких

же условиях IV был превращен в 2-циклогексипоксипропионовую к-ту, выход 59–63%, n_D^{25} 1,4589, d_4^{25} 1,0493, *n*-бромфенадиловый эфир, т. пл. 68–69°. При р-ции V с LiAlH₄ происходит расщепление группы —OSO— при воздействии смежной восстанавли-

вающей группы с образованием изобутилового спирта и пропиленгликоля. Проведен прямой синтез VI: к р-ру (CH₃)₂CHCH₂ONa (из 5,5 моля изобутилового спирта и 1,5 моля Na) прибавляют 64 г CH₃CHClCOCl (1,5 часа), нагревают 5 час., добавляют 84 г 50%-ного KOH, кипятят 4,5 часа, отгоняют спирт, подкисляют, кипятят 1 час, выход VI 24,5%. И. М.

43160. Вещества спазмолитического действия. XIII. Азотсодержащие производные 1,3-диоксана. Блик, Шуман (Antispasmodics. XIII. Basic 1,3-dioxanes. Blicke F. F., Schumann E. L.), J. Amer. Chem. Soc., 1954, 76, № 5, 1226–1229 (англ.)

Синтезированы и испытаны на спазмолитич. активность азотсодержащие производные замещ. 5-метилдиоксанов (Ia—л) и (IIa—ж). Промежуточные бромиды (IIIa—к) получены конденсацией соответствующих альдегидов или кетонов с 2-метил-2-бромметил-1,3-пропандиолом (IV). Некоторые трудноаминируемые III претерпели в соответствующие иодиды (Va—г). Строение Ia доказано гидролизом 18%-ным р-ром HCl в 2-метил-2-пиперидинометил-1,3-пропандиол (VI), выделенный в виде бис-дифенилуретанового производного (VIIa) и бензофенон (VII). VI синтезирован также конденсацией IV с пиперидином и превращен в VIIa. Смесь 0,05 моля IV, 0,05 моля VII, 0,1 г *n*-CH₃C₆H₄SO₃H и 100 мл C₆H₆ кипятят 24 часа, удаляя образующуюся воду и из безыольного слоя выделяют IIIa, выход 73%, т. пл. 91–92° (из CH₃OH), 0,07 моля IV, 0,19 моля 40%-ного р-ра CH₂O и 7 г 85%-ной H₃PO₄ медленно перегоняют и получают IIb, выход 40%, т. кип. 126–127°/68 мм. Смесь 0,07 моля IV, 0,14 моля CH₃CHO и 0,3 г PCl₅ оставляют на 24 часа, встряхивают со 100 мл C₆H₆ и 30 мл 10%-ного р-ра Na₂CO₃ и получают IIв, выход 85%, т. кип. 64–66°/3 мм. При применении вместо CH₃CHO ацетона (72 часа, 20°) получают IIг, выход 41%, т. кип. 73–74°/2 мм. Аналогично получают III (указаны выход в %, т. пл. или т. кип. в °C): IIIд, 90, 147–149°/3 мм; IIе, 54, 100–102°/3 мм; IIж, 79, 126–128°/3 мм; IIIз, 74, 115–116° (из сп.); IIIи, 47, 104–105° (из сп.); IIк, 67, 135–136° (из сп.), и 2,2-пентаметил-5-метил-5-бромметил-1,3-диоксан, 88, 112–113°/3 мм. Смесь 0,17 моля IIIa, 1,7 моля NaJ и 0,9 л абс. спирта нагревают 48 час. при 100° и получают Va, выход 87%, т. пл. 114–115° (из сп.); аналогично получают Vб, выход 96%, т. пл. 119–120° (из сп.); Vв, выход 73%, т. пл. 118–119° (из сп.); Vг, выход 97%, 124–125° (из сп.). Смесь 0,027 моля IIIб, 0,13 моля NaJ, 0,04 моля Na₂CO₃, 0,4 моля (C₂H₅)₂NH и 55 мл абс. спирта нагревают 6 дней при 100° и получают Ib, выход 3,4 г, т. кип. 68–70°/3 мм; хлоргидрат (XГ), т. пл. 103–104° (из этилацетата); иодметилат (ИМ), т. пл. 155–156° (из *изо*-C₃H₇OH). Аналогично получают I (указаны т. кип. или т. пл. и т. пл. XГ или ИМ в °C): Iв, 72–77°/2 мм; ИМ, 115–117° (из абс. сп.-эф.); Iг, 71–72°/3 мм; ИМ, 133–139° (из *изо*-C₃H₇OH); Id, 144–146°/3 мм; пикрат, 129–130°; Iе, 108–111°/4 мм; ИМ, 104–107° (из абс. сп.-эф.); Iж, 137–140°/3 мм; XГ, 124–126° (из *изо*-C₃H₇OH-(*изо*-C₃H₇)₂O); 2,2-пентаметил-5-метил-5-диэтиламино-метил-1,3-диоксан, 123–125°/3 мм; XГ, 146–147° (из этилацетата); ИМ, 109–111° (из ацетона-эф.); IIa, ИМ, 195–196° (из ацетона-эф.). Смесь 0,051 моля Va, 0,51 моля (CH₃)₂NH и 100 мл C₆H₆ нагревают 5 дней

при 100° и получают IIб, выход 74%, т. пл. 86–87° (из CH₃OH); XГ, т. пл. 175–176° (из бутанола-(*изо*-C₃H₇)₂O); ИМ, т. пл. 228–230° (разл.; из абс. сп.); аналогично получают Ia, т. пл. 93–94° (из CH₃OH); XГ, т. пл. 141–142° (разл., из бутанола-(*изо*-C₃H₇)₂O), и применяя вместо C₆H₆ спирт — Ia, XГ, 189–190° (из (*изо*-C₃H₇)₂CO-эф.); II; XГ, т. пл. 203–204° (разл.; из *изо*-C₃H₇OH-(*изо*-C₃H₇)₂O); Ik, т. кип. 167–170°/0,01 мм; XГ, т. пл. 199–200° (из C₃H₇OH-(*изо*-C₃H₇)₂O); Ia, т. пл. 85–86° (из сп.); XГ, т. пл. 189–190° (из этилацетата), и IIв, т. пл. 122° (из CH₃OH); XГ, т. пл. 197–199° (разл.; из (*изо*-C₃H₇)₂O-сп.); IIг, XГ, т. пл. 226–227° (из абс. сп.); IIд, XГ, т. пл. 227–228° (из (*изо*-C₃H₇)₂O-сп.). Смесь 0,05 моля ди- α -тенилкетона и 0,05 моля IV в C₆H₆ кипятят 24 часа, отгоняя

Ia X = NH — (CH₂)₄ — CH₃; б — а X = N(C₂H₅)₂.

IIa R' = CH₃, R'' = C₆H₄S (3-тиафенил), X = N(C₂H₅)₂; б R' = R'' = C₆H₄, X = N(CH₃)₂; в R' = R'' = C₆H₄, X = морфолин; г R' = R'' = C₆H₄, X = NH(CH₃); д R' = R'' = C₆H₄, X = NHCN(CH₃)₂; е R' = R'' = 2-C₆H₄S; X = N(C₂H₅)₂; ж R' = C₆H₄, R'' = 2-C₆H₄S, X = N(C₂H₅)₂; III X = Br; а R' = R'' = C₆H₄; б R' = R'' = II; в R' = H, R'' = CH₃; г R' = R'' = CH₃; д R' = H, R'' = C₆H₄; е R' = CH₃, R'' = CH₂CH₂CH₃; ж R' = CH₃, R'' = C₆H₄; а R' = R'' = C₆H₄CH₂; в R' = C₆H₄, R'' = C₆H₄; и R' = R'' = *n*-CH₃C₆H₄; л R' = R'' = C₆H₄; V X = J; а R' = R'' = C₆H₄; б R' = R'' = C₆H₄CH₂; в R' = C₆H₄, R'' = C₆H₄; г R' = R'' = *n*-CH₃C₆H₄.

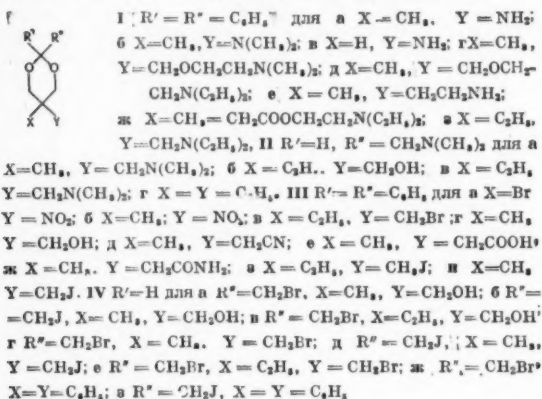


воду, отгоняют C₆H₆, остаток растворяют в 10 мл абс. спирта, аминуют (C₂H₅)₂NH и получают XГ IIе, который растворяют в бутаноле и осаждают *изо*-C₃H₇OH, выход 1,8 г, т. пл. 211–213° (разл., из бутанола-(*изо*-C₃H₇)₂O). Аналогично получают IIж, т. кип. 145–147°/0,01 мм; XГ, т. пл. 191–192° (из этилацетата-(*изо*-C₃H₇)₂O). Смесь 8,5 г IV, 31,5 г пиперидина и 50 мл C₆H₆ нагревают 4 дня при 100° и получают VI, выход 3,6 г, т. кип. 123–126°/2 мм; VIIa, т. пл. 148–149° (разл., из петр. эф.). Приведены величины миним. концентрич., при которых проявляется спазмолитич. активность I и II. Предыдущие сообщения см. I. Amer. Chem. Soc., 1952, 74, 1733, 2613. Д. В.

43161. Вещества спазмолитического действия. XIV. Азотсодержащие производные 1,3-диоксана. Блик, Шуман (Antispasmodics. XIV. Basic 1,3-dioxanes. Blicke F. F., Schumann E. L.), J. Amer. Chem. Soc., 1954, 76, № 12, 3153–3156 (англ.)

В продолжение ранее начатых работ описаны и испытаны на спазмолитич. активность азотсодержащие производные 1,3-диоксана (Ia—з) и (IIa—г), полученные аминированием или восстановлением промежуточных в-в (IIIa—з) и (IVa—з). IIIa получен конденсацией по методу азотропной перегонки бензофенона, т. пл. 138–139° (из абс. сп.) (V), и 2-бром-2-нитро-1,3-пропандиола (см. сообщение XIII, пред. реф.), выход 50%. Аналогично из V и 2-метил-2-нитро-1,3-пропандиола или 2-этил-2-бромметил-1,3-пропандиола (полученного нагреванием (16 час., 100°) 53,6 г 1,1,1-триметилпропана и 98 мл 66%-ного р-ра HBr, выход 48%, т. пл. 81–82°), синтезированы IIб, выход 51%, т. пл. 136–137° (из абс. сп.), и IIв, выход 70%, т. пл. 69–70° (из сп.); из V и 1,1,1-триметилпропана (VI) — IIг, выход 82%, т. пл. 103–104° (из петр. эф.). Нагреванием (3 дня) при 100° 30 г 2,2-дифенил-5-метил-5-подметил-1,3-диоксана (IIIи), 36 г NaCN и 375 мл спирта получен нитрил IIд, выход 76%, т. пл. 84–85° (из сп.), гидролизированный 5-днев-

ным кипячением с водно-спирт. р-ром КОН в к-ту Ше, выход 47%, т. пл. 155–156° (из петр. эф.-толуола); при гидролизе (24 часа) получается амид IIIж, т. пл. 127–129° (из водн. CH₃OH). Из IIIв получают IIIз, выход 57%, т. пл. 80–81° (из CH₃OH). Конденсацией циклогексана с триметилнитрометаном получен 2,2-пентаметил-5-нитро-5-оксиметил-1,3-диоксан (VII), выход 50%, т-ра плавления 96–97° (разложение; из водного метилового спирта). Нагреванием 30 мин. эквимольных кол-в бромацетата и VI при t-ре >120–140° синтезирован IVа, выход 82%, т. кип. 128–129°/3 мм.; аналогично получены IV



(указаны выход в % и т. кип. или т. пл. в °C): IVб, 72, 142–144/4 мм.; IVв, 81, 137–139/4 мм.; IVг, 84, 115–117/3 мм.; IVд, 42, 79–80 (из CH₃OH); IVе, 88, 126–129/4 мм.; IVж, 84, 93–94 (из CH₃OH); IVз, 86, 103–104 (из сп.). Р-р Ia, хлоргидрат, т. пл. 207–208° (разл., из сп.-изо-C₃H₇2O), полученного восстановлением IIIб, в CHCl₃ метилируют (CH₃)₂SO₄ и получают Ib, т. пл. 109–110° (из водн. CH₃OH). 3,6 г IIIа в 50 мл этилацетата и 100 мл абс. спирта восстанавливают 4 часа при 3,5 ат над Pt (из 0,3 г PtO₂) и выделяют Ib, т. пл. 124–125° (из водн. CH₃OH); хлоргидрат, т. пл. 175–176° (разл.; из C₄H₉OH-(изо-C₃H₇)₂O). Смесь 7 г IIIг, 1,2 г Na и 30 мл толуола кипятят 4 часа, к р-ру добавляют 2,7 г β-диметиламиноэтилхлорида, кипятят 4 часа, продукт извлекают водой, р-р упаривают досуха, остаток растворяют в эфире и получают хлоргидрат Ig, т. пл. 136–139° (из ацетона-эф.); аналогично получают хлоргидрат Id, т. пл. 90–93° (из толуола-петр. эф.). К смеси 0,78 г LiAlH₄ в 50 мл эфира добавляют по каплям р-р 6 г IIд в 100 мл эфира, кипятят 1 час, приливают 50 мл 10%-ного р-ра NaOH и из водн. слоя извлекают хлоргидрат Iе, выход 76%, т. пл. 187–188° (из абс. сп.-изо-C₃H₇2O). Этерификацией IIIе диэтиламиноэтанолом получают хлоргидрат Iж, т. пл. 112–113° (из C₄H₉OH-(изо-C₃H₇)₂O). Действием на IIIв или IIIз (C₂H₅)₂NNH получают Iз, т. пл. 67–68° (из водн. CH₃OH); хлоргидрат, т. пл. 206–207° (из изо-C₃H₇OH-(изо-C₃H₇)₂O). Аналогичными способами из соответствующих IV получают II: IIа, т. кип. 89–91/5 мм.; динодметилат, т. пл. 250–251° (из сп.); IIб, т. кип. 140–143/4 мм.; подметилат, т. пл. 196–198; IIв, т. кип. 101–104,3 мм.; динодметилат, т. пл. 229–230° (разл. из сп.-эф.); IIг, хлоргидрат, т. пл. 180–181° (из сп.-эф.); подметилат, т. пл. 245–246° (разл.; из сп.); восстановлением VII получают 2,2-пентаметил-5-оксиметил-5-амино-1,3-диоксан, т. пл. 95–96°. Приведена величина миним. конц-ий, при которых проявляется спазмолитич. активность I и II.

Д. В.

43162. Нафтодиоксан (2,3-дигидроафто-(2,3)-п-диоксин), некоторые производные и азокрасители. I. Хертъес, Хорст, Персей (Naphthodioxan (2,3-dihydro-naphtho-(2,3)-p-dioxin), some derivatives and azo dyes. I. Heertjes P. M., Horst A. M. Ter, Persijn J. M.), Recueil trav. chim., 1954, 73, № 7, 513–528 (англ.)

Описано получение нафтодиоксана (2,3-нафто-п-диоксана) (I) и его 5-(а), 6-(б) и 7-(в) моносультро-(II), моносультро-(III) и моносультроамино-(IV) производных. I синтезирован конденсацией 2,3-диоксинафталина (V) с хлористым этиленом (VI). IIа получен сульфированием I хлорсульфоновой к-той (VII). При сульфировании I конц. H₂SO₄ при 150° получается IIв; при t-рах <150° образуется также третий из возможных изомеров IIб. Строение IIа доказано встречным синтезом по Зандмейеру из 5-аминонафтодиоксана (VIII); строение IIв — конденсацией 2,3-диоксинафталин-6-сульфокислоты (IX) с VI. При кипячении в течение 1 часа с 6 н. р-ром HCl К-соль IIа частично гидролизуется в I, выход 47%, и частично изомеризуется в IIв, выход 18%; при нагревании (8 час., 180°) Na-соли IIв с 8,4%-ной H₂SO₄ получены I, выход 29%, V и IX. Взаимодействием с PCl₅ К-соли II превращены в хлоранириды II: IIа, выход 9%, т. пл. 135–135,5° (из CCl₄); IIб, 15%, 149–150° (из CH₃COOH) и в, 75%, 138–138,5° (из CCl₄). При нитровании I в CH₃COOH при 15° или в воде при 100° получены III. Строение IIIа доказано восстановлением в VIII, окислительный CrO₃ в CH₃COOH при 60° в нафтодиоксан-5,10-хинон, выход 32%, т. пл. 274–275° (из сп.), окислительный H₂O₂ в фталевую к-ту; строение IIIб — окислением CrO₃ в CH₃COOH при 80–100° в 6-нитронафтодиоксан-5,10-хинон, выход 7%, т. пл. 291,5–292,5° (из ацетона), окислительный KMnO₄ в 5%-ной H₂SO₄ в 5-нитрофтаlevую к-ту, т. пл. 204–205° (из эф.). Смесь 250 г V, 325 г K₂CO₃ и 0,4 л этиленгликоля нагревают 2 часа при 170°, добавляют 3-кратный избыток VI, кипятят 9 час., удаляя воду, отделяют осадок, фильтрат разгоняют и получают I, выход 61%, т. пл. 81,5–82° (из сп.). I не изменяется при кипячении 2 часа с 1 н. или 6 н. р-ром КОН. К р-ру 46,1 г I в 150 мл C₆H₅NO₂ постепенно при 0–5° добавляют 29,09 г VII, размешивают 4 часа (0–5°) и получают л-толуидиновые соли IIа, выход 97%, т. пл. 188,5–189° (из воды), и IIб, выход 1%, т. пл. 218,5–219,5° (из водн. сп.). 11,3 г I и 9,7 мл H₂SO₄ (d 1,84) нагревают 5 мин. при 100° и получают л-толуидиновые соли IIв, выход 52%, т. пл. 268–270° (из воды), и IIб, выход 25%. Суспензию 8,6 г хлоргидрата VIII в смеси 50 мл спирта, 28 мл воды и 12 г H₂SO₄ диазотируют при 0°, насыщают SO₂, добавляют порошок Cu, пропускают (15 мин.) SO₂, оставляют на 12 час. при 20° и извлекают эфиром нафтодиоксан-5-сульфиновую к-ту, которую окисляют щел. р-ром KMnO₄ в IIа, выход 16%. К р-ру 100 г I в 0,75 л CH₃COOH приливают (1 час, 15–18°) смесь 26,7 мл HNO₃ (d 1,52) и 250 мл CH₃COOH, продукт кристаллизуют из CH₃COOH и получают IIIа, выход 48%, т. пл. 119–119,5° (из сп.); маточные р-ры разбавляют водой, отделяют IIIб, выход 3%, т. пл. 146–146,5° (из этилацетата), упаривают досуха и выделяют IIIв, выход 0,1%, т. пл. 222,5–223° (из сп.); маточные р-ры упаривают досуха, остаток нагревают 3 часа при 100° с 51 г порошка Fe, 5 мл HCl (d 1,19) и 75 мл воды, подщелачивают K₂CO₃, продукт извлекают C₆H₆, приливают 69 мл (CH₃CO)₂O, кипятят 30 мин. и получают IVа, выход 17%, т. пл. 210–211,5° (из ацетона). К 100 г I в 0,5 л кипящей воды приливают (45 мин.) 26,7 мл HNO₃ (d 1,52) в 50 мл воды, кипятят 45 мин. и получают IIIа, выход 83%, б, 14%, и в, 3%. К 0,51 г IIIб или в приливают 9,1 мл р-ра 200 г SnCl₂·2H₂O в 0,4 л CH₃COOH, насыщ. HCl, смесь остав-

ляют на-
чают IV
или IVв
43163.

и азо-
сей
dyes.
Per
№ 1,
Прив
нитро-
лучение
50 г 5-а-
ляют 1
(20 мин
в 2,5
(II), вы
трата и
10-хис
кипятя
бавлен
(IV), в
Суспен
(d 1,84
вылива
т. пл.
SnCl₂
осадок
выделя
травани
в 36 м
чение
динитр
При вы
в 1 л
получа
из р
66%.
Ni вы
амино-
красит
нилов
воды в
хлорг
I в 1 л
выпол
(VII),
окисл
III, в
HNO₃
чают
и III,
SnCl₂,
лиров
т. пл.
99 г
HNO₃
ляют м
выход
252–
22%,
выпар
сан-8
лудин
8 час
187–
зуют
азокр
разб.
5 г х
HCl п
тирун

ляют на 48 час. при 20°, продукт ацетируют и получают IVб, выход 45%, т. пл. 172—172,5° (из бзл.), или IVв, выход 47%, т. пл. 166,5—167° (из сп.). Д. В. 43163.

Нафтодиоксан. Некоторые производные и азокрасители. П. Хертъе, Хорст, Персейн (Naphthodioxan, some derivatives and azo dyes. H. Heertjes P. M., Horst A. M. Ter, Persijn J. M.), Recueil trav. chim., 1955, 74, № 1, 31—40 (англ.).

Приводится описание синтезов некоторых аминно-, нитро- и сульфопроизводных нафтодиоксана (I) и получение азокрасителей из этих производных. К р-ру 50 г 5-ацетиламино-I в 500 мл лед. CH_3COOH прибавляют 15,6 мл HNO_3 (d 1,38) в 50 мл лед. CH_3COOH (20 мин. при 14—17°). Через 40 мин. смесь выливают в 2,5 л воды и выделяют 5-ацетиламино-10-нитро-I (II), выход 33%, т. пл. 253—253,5° (из сп.). Из фильтрата при разбавлении выделяют также нафтодиоксан-5, 10-хинон (III) выход 5%, т. пл. 268—170°. 4,0 г II кипятят 3 часа с 2 н. CH_3ONa в 30 мл CH_3OH . При разбавлении 100 мл воды выпадает 5-амино-10-нитро-I (IV), выход 90%, т. пл. 171,5—172° (разл. из сп.). Суспензию 1,6 г IV в 40 мл спирта и 10 мл H_2SO_4 (d 1,84), диазотируют при 0°, нагревают при ~100°, выливают в воду и выделяют 5-нитро-I, выход 27%, т. пл. 117—118° (из сп.). При восстановлении IV р-ром SnCl_2 и HCl в лед. CH_3COOH образуется бесцветный осадок, из которого после добавления HCl и NaNO_2 выделяют III, что доказывает строение II и IV. При нитровании I (4,5 г) смесью 13 мл HNO_3 (d 1,52) в 36 мл лед. CH_3COOH с увеличением т-ры до 65° в течение часа выделяют при разбавлении водой 5,10-динитро-I (V), выход 27%, т. пл. 272,5—273° (из сп.). При восстановлении 4 г V 60 мл р-ра 350 г $\text{SnCl}_2 \cdot 2\text{H}_2\text{O}$ в 1 л CH_3COOH насыщ. HCl (газа) (5 дней, ~20°) получают осадок, который экстрагируют горячей водой и из р-ра KOH выделяют 5,10-диамино-I (VI), выход 66%. При гидрировании II в присутствии скелетного Ni выделяют в виде хлоргидрата 5-ацетиламино-10-амино-I, выход 98%. При восстановлении 12,5 г азокрасителя, полученного из диазотированной сульфаниловой к-ты и 5-амино-I, 11 г $\text{Na}_2\text{S}_2\text{O}_4$ в 1 л кипящей воды в присутствии 5 г $\text{Na}_2\text{CO}_3 \cdot 10\text{H}_2\text{O}$ выделяют в виде хлоргидрата VI, выход 35%. К кипящему р-ру 37 г I в 1 л спирта прибавляют (30 мин.) 25 мл Br_2 , нагревают 30 мин. и получают при охлаждении 5,10-дибром-I (VII), выход 94%, т. пл. 214—215° (из ацетона). При окислении I (CrO_3 в CH_3COOH , ~100°) образуется III, выход 15%. При нитровании 6,8 г VII 1,7 мл HNO_3 (d 1,52) в 40 мл лед. CH_3COOH при 100° получают моонитро-VII, выход 40%, т. пл. 158—159° и III, выход 16%. При восстановлении моонитро-VII SnCl_2 , HCl в CH_3COOH (~20°) с последующим ацелированием получают ацетиламино-VII, выход 45%, т. пл. 247—247,1° (из бзл.). Нитрованием суспензии 99 г нафтодиоксан-7-сульфокислоты (К-соль) 15 мл HNO_3 (d 1,52) в 1 л лед. CH_3COOH (100°, 1 час) выделяют моонитронафтодиоксан-7-сульфокислоту (К-соль), выход 24%. В-во образует п-толуидиновую соль, т. пл. 252—254° (разл.), а с PCl_5 — хлорангидрид, выход 22%, т. пл. 252—254° (разл.). Фильтрат от К-соли, выпаривают досуха и выделяют моонитронафтодиоксан-8-сульфокислоту (К-соль), выход 32%. С п-толуидином соли не образует, с SOCl_2 в CCl_4 (кипение 8 час.) получают хлорангидрид, выход 75%, т. пл. 187—189° (из ацетона). Полученные соединения используют как диазо- и азосоставляющие для получения азокрасителей. 5-амино-I трудно растворим в воде и разб. к-тах, поэтому его диазотируют в суспензии. 5 г хлоргидрата 5-амино-I растворяют в 25 мл 6 н. HCl и 175 мл горячей воды, охлаждают до 0° и диазотируют 22 мл 1 н. NaNO_2 . Через час отделяют 0,2 г

непрореагировавшего хлоргидрата и получают диазо-раствор. Получены 17 моноазокрасителей для шерсти и хлопка с удовлетворительной выбираемостью и прочностью. Б. В. 43164.

Поливинилиденхлорид. III. Синтез растворителя. Кунитика, Ока, Еко, Накаеима (ポリ塩化ビニレンに関する研究. 第3報. 溶剤の合成. 國近三吾, 岡信三郎, 横井正博, 中島辰巳), 工業化学雑誌, Kōgō kagaku zasshi, J. Chem. Soc. Japan. Industr. Chem. Sec., 1953, 56, № 12, 931—933 (япон.).

Описан синтез тетраметилсульфона (I), являющегося р-рителем поливинилиденхлорида, по схеме: фулфурол → фуран → тетрагидрофуран → тетрагидротифен → тетраметилсульфон. Фуран (II) получают из фулфурола (III) прибавлением по каплям смеси III и воды в реакционную трубку, наполненную катализатором (~82 г). Трубку с катализатором предварительно нагревают 3—4 часа при 400° в токе H_2 . По окончании р-ции полученный продукт перегоняют, собирая фракцию с т. кип. 30—31°. Наилучшие результаты были получены при применении катализаторов, в состав которых входит: Fe, Cr, Zn (катализатор А) или Ag, Cr, Zn. Оптимальными условиями р-ции при применении катализатора А (выход III составлял 85%) были: 400—450°, молярное соотношение III и воды от 1 : 5 до 1 : 15, скорость подачи III 0,16—0,1 кг/час и катализатора. Для получения катализатора А к р-ру 63,5 г бихромата аммония в 300 мл воды добавляют 34 мл 28%-ного NH_4OH . Из 76,6 г $(\text{NH}_4)_2\text{CrO}_4$ и 15,3 г $\text{FeCl}_3 \cdot 6\text{H}_2\text{O}$ в 50 мл воды получают $\text{Fe}_2(\text{CrO}_4)_3$. $\text{Fe}_2(\text{CrO}_4)_3$ обрабатывают 210 г $\text{ZnSO}_4 \cdot 7\text{H}_2\text{O}$ в 250 мл воды, р-р нейтрализуют 42 мл 28%-ного NH_4OH , фильтруют, промывают осадок водой, сушат и превращают в пластинки диам. 8 мм и толщиной в 2 мм. Для получения тетрагидрофурана (IV) 34 г III гидрируют в присутствии 28 г скелетного Ni при 30° в автоклаве емк. 0,3 л, начальное давл. H_2 90 ат, выход 91%, т. кип. 66—67°. Тетрагидротифен (V) получают пропусканием при 400° 0,93 моля IV и 2,4 моля H_2S через кварцевую трубку длиной 70 см и диам. 1,6 см, наполненную 68 г технич. Al_2O_3 в виде таблеток диам. 5 мм и толщиной 2 мм, выход 70%, т. кип. 117,5—119°, n_D^{20} 1,505. Выход V при применении в качестве катализатора фуллеровой земли в смеси с $\text{Zn}(\text{OH})_2$ не превышает 27%. I получают окислением V перекисью водорода по Тарбеллу (J. Amer. Chem. Soc., 1941, 63, 2941) с выходом 76—96%. I хорошо смешивается с водой и легко растворяет поливинилиденхлорид. С. В. 43165.

Исследования в ряду тифена. VI. Изучение некоторых 2-алкилтифенов и 2-алкил-5-этилтифенов. Канъян, Канъян (Recherches dans la série thiofénique. VI. Etude de quelques alcoyl-2 thiofènes et alcoyl-2 éthyl-5 thiofènes. Cagniant Paul, Cagniant Denise, m-me), Bull. soc. chim. France, 1955, № 3, 359—366 (франц.). Восстановлением полученных ранее (см. сообщение V, 1956, 39577) ω-(тиенил-2')-алканов-2 по Кижнеру — Вольфу — Минлову (0,1 моля кетона, 110 мл диэтилгликоля, 11 мл 85%-ного $\text{NH}_2\text{NH}_2 \cdot \text{H}_2\text{O}$, 18 г KOH , 170—180°, 1 час, затем отгонка воды нагреванием до 200°, выливание в воду, подкисленную HCl , извлечение C_6H_6 , разгонка) получены следующие 2-алкилтифены (указан выход в %, т. кип. °C/мм, n_D^{20} , °C, d₄/°C, т. пл. производного с HgCl_2 в °C (из сп.): 2-бутилтифен, 90, 179,5/753 и 80,5/19,5; 1,4992/24,5; 0,953/25,8; 149; 2-амилтифен (I), 88; 202—202/760; 1,4995/17,8; 0,947/18,7; 145,5—146; 2-гептилтифен (II), 87; 117,5/15; 1,4962/18,8; 0,933/21; 139; 2-октилтифен (III), 84; 130,5—131,5/11,1 и 141,16; 1,4906/17,8; 0,922/19,8; 136—137; 2-ундецилтифен (IV),

85; 164—165/12; 1,4880/19; 0,908/20; 129 (IV получен также восстановлением 2-ундеканойлтиофена; 2,4-динитрофенилгидразон, т. пл. 98,5—99° (из сп.); 2-додецилтиофен (V) (получен восстановлением 2-лаурилоилтиофена (VI), т. кип. 211—212°/14 мм, n_D^{24} 1,5055, $d_4^{24,7}$ 0,970, т. пл. 22°; 2,4-динитрофенилгидразон, т. пл. 95° (из сп.)), 69, 181—182/13; 1,4850/24,6; 0,902/26, 127; наряду с V образуется кетазин VI, т. пл. 56,5° (из сп.); 2-гексадецилтиофен (VII) (из 2-пальмитойлтиофена (VIII), полученного по Фриделю — Крафтсу, выход 65%, т. кип. 214—215°/2,5 мм, т. пл. 42,5°; семикарбазон, т. пл. 100,5—101°; 2,4-динитрофенилгидразон, т. пл. 93—94°), 66,192/5 и 220/12; 1,4870/19,2; 0,903/18, 119; наряду с VII образуется кетазин VIII, т. пл. 68—68,5°. Т-ры плавления 5-хлормеркури-2-алкилтиофенов медленно линейно понижаются с увеличением мол. веса алкилтиофенов. Ацетилированием I, II, III, IV, V, VII по методу, описанному ранее (Bull. soc. chim. France, 1952, 713), получены их 5-ацетильные производные (приводятся в-во, выход в %, т. кип. °C/мм, n_D /°C, d_4 /°C, семикарбазон, т. пл. °C (из сп.-бэл.), 2,4-динитрофенилгидразон, т. пл. °C (из сп.-бэл.); кетазин, т. пл. (из сп.) в °C): 2-амил-5-ацетилтиофен (IX), 92, 154,5—155/11,5; 1,5228/23; 1,020/24,5; 212; 127,5; 76,5—77; 2-гептил-5-ацетилтиофен (X), 90; 179,5/11,5; 1,5227/19; 0,999/20, 211,5; 127,5—128; 87 (из сп.-бэл.); 2-октил-5-ацетилтиофен (XI), 77, 190/12 и 195/13,5; 1,5180/17,4; 0,988/20; 209 (разл.); 125; 82; 2-ундецил-5-ацетилтиофен (XII), 93; 224/11,8 (т. пл. 44,5—45°); —; —; 203 (разл.); 123; 79; 2-додецил-5-ацетилтиофен (XIII), 82; 234—235/14 (т. пл. 36,5°); —; —; 200; 113,5—114; 69—70 (из бэл.-сп.); 2-гексадецил-5-ацетилтиофен (XIV), 85, 226—228/3, т. пл. 53,5°; —; —; 193; 118; —; оксим, т. пл. 82—83° (из бэл.-птр. эф.). Т-ры плавления 2-алкил-5-ацетилтиофенов не изменяются регулярно с изменением числа атомов C. Восстановление IX—XIV по Кижнеру — Вольфу — Милноу сопровождается образованием заметных кол-в кетазинон соответствующих кетонов, выход кетазинон увеличивается с ростом мол. веса исходных кетонов. Из IX—XIV получены следующие 2-алкил-5-этилтиофены (приводятся алкил, выход в %, т. кип. °C/мм, n_D /°C, d_4 /°C): амил (XV), 64, 113,5/12,9; 1,4951/22,8; 0,925/25,2; гептил (XVI), 65; 142/12; 1,4900/23,8; 0,912/26; октил (XVII), 67; 154/11,5; 1,4925/17,6; 0,909/24; ундецил (XVIII), 69; 190/11,6; 1,4905/17,2; 0,901/25; додецил (XIX), 62, 201—202/13,5; 1,4871/18,2; 0,901/19; гексадецил (XX), 65, 242/14,7; 1,4914/19,2; 0,905/20,5. XVI—XX получены также восстановлением соответствующих 2-алкил-5-этилтиофенов, синтезированных из 2-этилтиофена по р-ции Фриделя — Крафтса (приводятся ацил, выход в %, т. кип. °C, n_D /°C, d_4 /°C; семикарбазон, т. пл. °C, 2,4-динитрофенилгидразон, т. пл. °C): гептаиноил, 77, 180/12,8; 1,5212/19,2; 1,000/20,5; 155; 129; октаиноил, 71, 191/12,6; 1,5181/18; 0,990/18,2; 139; 124; ундекаиноил, 77, 223/13,1; 1,5069/21,2; 0,959/25; 145—146; 103; лауриол, 71, 226—227/15, т. пл. 31°; —; —; 125—126; 96; восстановление этого кетона дает XIX с выходом 40%, $n_D^{17,2}$ 1,4931, d_4^{20} 0,911 и кетазин — масло; пальмитинол, 77, 235/3,2, т. пл. 46,5—47,5° (из птр. эф.); —; —; 123—124; 87; восстановление кетона дает XX с выходом 43% и кетазин, т. пл. 61,5—63°. УФ-спектры II и VII практически идентичны (λ_{\max} 235 мμ, lg ε 3,91), спектр XVI слегка сдвинут к длинноволновой области λ_{\max} 240 мμ; с учетом других работ (Campagne, Diedrich, J. Amer. Chem. Soc., 1951, 73, 5240) можно заключить, что УФ-спектры 2-алкилтиофенов не зависят от длины боковой

цепи. ИК-спектры II и VII близки, но полоса при 3,25 м становится менее интенсивной по мере роста цепи и почти исчезает у VII; ИК-спектры всех 2-алкилтиофенов характеризуются полосами при 3,4—3,5 м; 7, —7,3 м; 9,4—9,7 м и 11,8—12,3 м; в спектре XVI отсутствуют полосы 9,4—9,7 м и 1,8, 12,3 м, но имеется сильная полоса при 14,5 м. Л. Я. 43166.

VIII. Дитиолтионы — производные 2-метил- и 2-этилтиофена. Тест, Лозах (Sulfuration des composés organiques (VIII). Dithiole-thiones dérivant du méthyl-2 et de l'éthyl-2 thiophène. Teste Jean, Lozach Noël), Bull. Soc. chim. France, 1955, № 3, 437—441 (франц.).

В развитие прежних исследований (РЖХим, 1955, 31631) действием P_2S_5 на эфиры β-кетокислот синтезирован ряд дитиолтионов (I—VI)

I R = H, R' = 5'-метил-2'-тиенил; II R = CH₃, R' = 5'-метил-2'-тиенил; III R = C₂H₅, R' = 5'-метил-2'-тиенил; IV R = H, R' = 5'-этил-2'-тиенил; V R = CH₃, R' = 5'-этил-2'-тиенил; VI R = C₂H₅, R' = 5'-этил-2'-тиенил; VII R = 5'-этил-2'-тиенил, R' = CH₃



Взаимодействием 5'-этил-2'-тиенил-2-бутена-2 (VII) с S получен 5'-этил-5-метил-2, 4-тиенилдитиол-1,2-тион-3 (VIII). Установлено, что при действии на 5-этил-2-ацетилтиофен (IX) разб. р-ров NaClO или NaBrO получается только 5-этилтиофенкарбоновая-2 к-та (X), а при действии более конц. р-ров наряду с X образуются соответственно 4-хлор-(XI) и 4-бром-5-этилтиофенкарбоновая-2 к-та (XII). Строение XI и XII доказано окислением их соответственно в 3-хлор-(XIII) и 3-бром-2-этилтиофенкарбоновую-2 к-ту (XIV). Этиловый эфир 5-метилтиофенкарбоновой-2 к-ты (XV), т. кип. 112—115°/12 мм, конденсируют с избытком этилацетата в присутствии Na и получают этиловый эфир 5'-метил-2'-тиенил-уксусной к-ты (XVI), выход 50% (неочищ.), т. кип. 140—142°/2 мм, т. пл. 47° (из эф.). К р-ру 15 г XVI и 375 мл тетралина прибавляют 30 г P_2S_5 , нагревают 30 мин, извлекают 200 мл кислоты и выделяют I в виде Hg-комплекса, т. пл. 114° (из бэл. после хроматографирования на Al_2O_3); иодметилат, т. пл. 176—177°. XV конденсируют с избытком $CH_3CH_2COOC_2H_5$ в присутствии C_2H_5ONa и получают этиловый эфир 2-(5'-метилтиенил-2)-пропионовой к-ты (XVII), выход 20%, т. кип. 125—130°/1 мм, n_D^{18} 1,5319. II получают аналогично I из XVII и P_2S_5 в ксилоле, выход 36%, т. пл. 101° (из бэл., затем циклогексана, после хроматографирования); иодметилат, т. пл. 160°; оксим, т. пл. 158° (из циклогексана). К 40 г XVI при 100° прибавляют р-р 14 г C_2H_5ONa в 20 мл абс. спирта, затем 40 г C_2H_5Br , нагревают 4,5 часа, извлекают 5-кратным объемом эфира и получают этиловый эфир 2-(5'-метилтиенил-2')-масляной к-ты (XVIII), выход 60%, т. кип. 136°/15 мм, n_D^{17} 1,5300. Из XVIII и P_2S_5 в тетралине получают III, выход 38%, т. пл. 96°; иодметилат, т. пл. 140 (разл.). Небольшой избыток IX (т. кип. 120—124/12 мм) прибавляют к C_2H_5MgBr ; после гидролиза неочищ. продукт р-ции нагревают над $KHSO_4$, извлекают эфиром и получают VII, т. кип. 105—107°/11 мм, n_D^{19} 1,5488. 30 г VII, 30 г S и 150 г $C_6H_5COOC_2H_5$ кипятят 1,5 часа, извлекают эфиром и выделяют VIII в виде Hg-комплекса, т. пл. 51° (из ацетона). Этерифицируют X и получают этиловый эфир 5-этилтиофенкарбоновой-2 к-ты (XIX), выход 90%, т. кип. 124—125°/12,5 мм, n_D^{18} 1,5181. Аналогично XVI из XIX получают этиловый эфир 5-этил-2'-тиенилуксусной к-ты (XX), выход 43% т. кип. 160°/3 мм, т. пл. 7° (из эф.-птр. эф.), n_D^{18} 1,5365. Из XX

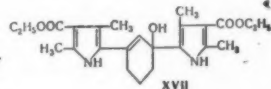
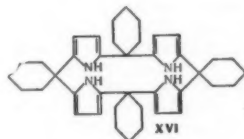
и P_2S_5 в тетралине получают IX, выход 14%, т. пл. 68° (из бзл.); подметилат, т. пл. 150°. Аналогично XVII из XIX синтезируют этиловый эфир 2-(5'-этил-тенонил-2')-пропионовой к-ты (XXI), выход 23%, т. кип. 130—140°/1 мм, n_D^{20} 1,5328. Из XXI и P_2S_5 в ксилоле получают V, выход 28%, т. пл. 72,5°; подметилат, т. пл. 150°; оксим, т. пл. 127° (из циклогексана). Из XX аналогично XVIII синтезируют этиловый эфир 2-(5'-этилтенонил-2)-масляной к-ты (XXII), выход 64%, т. кип. 145°/2 мм, n_D^{20} 1,5270. Из XXII и P_2S_5 в тетралине получают VI, выход 32%, т. пл. 63°; подметилат, т. пл. 120°. К свеженеприготовленному р-ру $NaClO$ или $NaBrO$ при 70° постепенно прибавляют IX, разрушая избыток гипохлорита бисульфитом при 30°, при 5° подкисляют разб. H_2SO_4 и получают X, т. пл. 69°; из филтраты эфиром извлекают IX, X (и XI или XII), а также немного тиофендикарбоновой-2,5-к-ты, т. пл. 360° (из воды). При 4,5 г-атома активного Cl на 1 моль IX выход X 90%, при 12 г-атомах выход XI 37%, т. пл. 143° (из бзл.). X не образуется; при 3,3 г-атомах Br выход X 85%, при 5,5 г-атомах Br X не образуется, выход XII 13%, т. пл. 160°. К р-ру 1,5 г XI в 150 мл воды, содержащей 25 г КОН, при 80° прибавляют 100 мл н. $KMnO_4$, подкисляют H_2SO_4 , извлекают эфиром. Остаток после отгонки эфира обрабатывают C_6H_6 , в остатке XIII, т. пл. 259° (из воды). Аналогично XII окисляют в XIV, т. пл. 269°. Сообщение VII см. РЖХим, 1956, 32490. Е. К. 43167.

Дальнейшее изучение синтеза 2,5-диалкилпирролов по Кнорру — Паалу. Бью-Хой, Сьюинг (Further studies on the Knorr — Paal synthesis of 2,5-dialkylpyrroles. Buu — Hoi Ng. Ph., Xuong Ng. D.), J. Organ. Chem., 1955, 20, № 7, 850—854 (англ.).

Действием на ацетонилацетон (I) различных полиаминосоединений и гидразидов получен ряд N-замещ. 2,5-диметилпирролов, возможно обладающих биологич. активностью. N, N-дизтил-1,3-диаминопропан (II) при р-ции с I образует с высоким выходом 1- α -(γ -диэтиламинопропил)-2,5-диметилпиррол (III). N, N-дизтил-1,4-диаминопентан (IV) и циклопентиламин (V) в тех же условиях дают соответственно 1- β -(ω -диэтиламинопентил)-2,5-диметилпиррол (VI) и 1-циклопентил-2,5-диметилпиррол (VII) с низкими выходами, что, видимо, связано с пространственными затруднениями. Амины, содержащие NH_2 -группу у третьего атома C, не реагируют. 2,5-дихлоранилин не реагирует с I, тогда как пространственно вероятно более затрудненные 5-хлор-2-метоксанилин (VIII) и о-фенилендиамин (IX) легко образуют с I соответственно 1-(5-хлор-2-метоксифенил)-2,5-диметилпиррол (X) и 1-[2-(2,5-диметилпиррил-1)-фенил]-2,5-диметилпиррол (XI). В отличие от 2-аминопиридина, легко реагирующего с I, 2-аминопиримидин (XII) образует 1-(пиримидил-2)-2,5-диметилпиррол (XIII) лишь с трудом. При р-ции I с N-(β -оксипропил)-1,2-этилендиамин (XIV) получают 1- β -(β -оксипропил)-этил-2,5-диметилпиррол (XV), а с ди-(γ -аминопропил)-амином (XVI) — ди-(γ -(2,5-диметил-1-пиррил)-пропил)-амин (XVII). Из I и N-(2-аминоэтил)-морфолина (XVIII) и N-(3-аминопропил)-морфолина (XIX) получают соответственно 1-(β -N-морфолинил-этил)-2,5-диметилпиррол (XX) и 1-(γ -N-морфолинил-пропил)-2,5-диметилпиррол (XXI). При конденсации гидразида изоникотиновой к-ты (XXII) с I, октандионом-2,5 и тетрадекадионом-2,5 получают 1-изоникотиламино-2,5-диметилпиррол (XXIII), 1-изоникотинил-амино-2-метил-5-н-пропилпиррол (XXIV) и 1-изоникотиламино-2-метил-5-н-нонилпиррол (XXV) соответственно. Из гидразида никотиновой к-ты и I получают 1-никотиниламино-2,5-диметилпиррол (XXVI). К 30 г II добавляют небольшими порциями 30 г I и нагревают 1 час при 140—150°, выход III 42 г, т. кип. 151—152°/

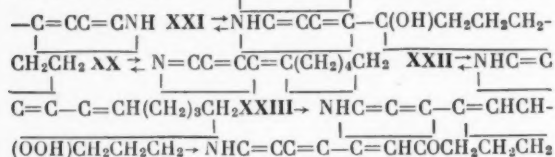
18 мм, 159—160°/23 мм, n_D^{20} 1,4945; подметилат, т. пл. 137—138° (из эф.). Из 10 г I и 10 г IV при кипячении (1 час) получают VI, выход 10 г, т. кип. 158°/13 мм, n_D^{20} 1,4919; подметилат, т. пл. 86—87° (из эф.). 20 г VIII и 20 г I кипятят 48 час., выход X 29 г, т. кип. 163—164°/13 мм, т. пл. 89° (из лигр.). 1 моль IX и 2 моля I кипятят 24 часа, получают XI, т. кип. 190—195°/15 мм, т. пл. 161° (из CH_3OH). 7 г XII и 7 г I в тех же условиях дают 2 г XIII, т. кип. 150—151°/12 мм, т. пл. 112° (из лигр.). 8 г V и 12 г I кипятят 1 час, выход VII 6 г, т. кип. 235—236°, n_D^{20} 1,5209. 15 г XIV нагревают 1 час при 140—150° с 13 г I, выход XV 23 г, т. кип. 220—222°/20 мм, n_D^{20} 1,5280; подметилат, т. пл. 180° (из эф.). К 20 г XVI осторожно добавляют 45 г I (экзотермич. р-ция) и нагревают 1 час, выход XVII 40 г, т. кип. 221—222°/2 мм, n_D^{20} 1,5394; подметилат, т. пл. 163—164° (из эф.). 30 г XVIII нагревают с 23 г I до 140—150°, выход XX 37 г, т. кип. 172—173°/12 мм, n_D^{20} 1,5216; подметилат, т. разл. 253° (из эф.). Из 30 г XIX и 25 г I аналогичным образом получают 37 г XXI, т. кип. 180—181°/12 мм, n_D^{20} 1,5189; подметилат, т. пл. 222—223° (из эф.). 15 г XXII и 15 г I нагревают 1 час при 180°, выход XXIII 20 г, т. пл. 145—146° (из водн. ацетона). В аналогичных условиях получают XXIV, т. пл. 140° (из водн. ацетона), XXV, т. пл. 77° (из водн. CH_3OH) и XXVI, т. пл. 80° (из водн. ацетона). С. И. 43168.

О циклотриметиновых красителях ряда пиррола и индола. Трейбс, Херман (Über Cyclo-trimethin-Farbstoffe der Pyrrol- und Indol-Reihe. Treibs Alfred, Herrmann Edwin, Liebigs Ann. Chem., 1954, 589, № 3, 207—221 (нем.)). 2,4-диметил-3-карбэтоксинпиррол (I) легко конденсируется с циклогексаноном (II) в присутствии HBr , HCl , $HClO_4$, HNO_3 или H_2SO_4 с образованием соответственно бромгидрата (III), хлоргидрата (IV), нитрата (V), перхлората (VI) или бисульфата (VII) 3, 5,3',5'-тетраметил-4,4'-дикарбэтоксидипиррил-2,2'-гексациклотриметина — представителя нового класса циклотриметиновых красителей (ЦК). Аналогично легко проходит под влиянием к-т конденсация I с 2-метилциклогексаноном (VIII), циклопентаноном (IX) и циклогептаноном (X); 2,4-диметилпиррола (XI) с II, VIII и цикло-

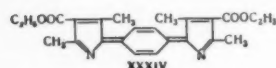


октаноном (XII); несколько труднее конденсируется с IX 2,5-диметилпиррол; мало реакционноспособен 2,4-диметил-5-карбэтоксинпиррол (конденсация с II). Индол и 2-метилиндола (XIII) реагируют с II и IX подобно пирролам, образуя соответствующие ЦК ряда индола. 3-метилиндола (XIV) реагирует с II, давая 3-метилиндолил-2-циклогексен-1 (XV). Сам пиррол конденсируется с II, образуя соединение, полученное ранее (Челинцев В., Тронов Б. В., Карманов С., ЖРФХО, 1916, 48, 1210), для которого авторы предлагают структуру (XVI). При действии на III щелочи возникает устойчивое карбинольное основание (XVII). ЦК ряда пиррола и индола легко (Zn в сп.) восстанавливаются до лейкооснований, которые чрезвычайно легко окисляются в присутствии к-т, превращаясь легко в исходные ЦК. Возможный механизм р-ции образования ЦК: 1) первоначальное возникновение дипиррилметанов, которые далее окисляются O_2 воздуха в ЦК; так, при конденсации I с II или X в присутствии

следов HBr получены 1,1-(3,5,3',5'-тетраметил-4,4'-дикарбэтоксидипиррил-2,2')-циклогексан (XVIII) и 1,1-(3,5,3',5'-тетраметил-4,4'-дикарбэтоксидипиррил-2,2')-циклопентан (XIX); или 2) (что авторы считают более вероятным) первоначальное образование лабильного карбинола (XX) (здесь и далее заместители в положениях 3,4,5 кольца пиррола не указаны), находящегося в равновесии с дигирридметаном (XXI) и соединением типа (XXII), последнее находится в равновесии с циклоалкеновой формой (XXIII). $\text{III} \rightleftharpoons \text{NHC}=\text{CC}=\text{C}-\text{C}$ (цикло- C_5H_9)—



→ III. Такой ход р-ции подтверждается образованием 2,4-диметил-3-карбэтоксиди-5- (циклооктено-1)-пиррола (XXIV) при конденсации I с XII; XIV из XIII и I и 3-метилдиндолил-2-циклопентан-1 (XXV) из XIII и IX; образованием соответствующего XXII продукта конденсации (XXVI) I с β-тетраолоном (XXVII). I реагирует с циклогексеноном, образуя краситель, отличный от III, что, как будто, исключает второй возможный путь образования ЦК через дегидрирование XXII с образованием Δ-2-циклогексенона, присоединением пиррола по двойной связи последнего и дегидрированием продукта р-ции. Масляные альдегид и метилэтилкетон не дают ЦК с пирролами, стеарилметилкетон образует немного красителя; ацетилацетон, эфиры левулиновой и β-кетопимелиновой к-ты гладко дали пока еще не выделенные красители. Циклогександион-1,2 (XXVIII) образует с I главным образом 1,1-(3,5,3',5'-тетраметил-4,4'-дикарбэтоксидипиррил-2,2')-циклогексанон-2 (XXIX), аналогично из XIII и XXVIII получен 1,1-(2,2'-диметилдиндолил-3,3')-циклогексанон-2 (XXX). I реагирует с 1,4-циклогексан-ионом (XXXI), давая 1,4-(3,5,3',5'-тетраметил-4,4'-дикарбэтоксидипиррил-2,2')-циклогександиен-1,3 (XXXII); аналогично из XIII и XXXI получен 1,4-(2,2'-диметилдиндолил-3,3')-циклогександиен-1,3 (XXXIII). Более реакционноспособный XI конденсируется с XXVIII, давая немного ЦК, и с XXXI, образуя смесь красителей. ЦК ряда пиррола не дают комплексов с металлами, что объясняется далеким расположением атомов N вследствие плоскости



ности изоциклич. кольца, обуславливающего транс-положение у двойной связи кольца. Окисление XXXII в спирт или уксуснокислом р-ре в присутствии H_2SO_4 посредством H_2O_2 привело к лабильному красителю, для которого принята предположительно ф-лы (XXXIV). Смесь спирт. р-ра 1,7 г I, 0,5 г II, 0,80 мл конц. HBr нагревают 5 мин. при $\sim 100^\circ$, получают 2 г III, т. пл. 257° , $\lambda_{\text{макс}}$ 574 мμ; аналогично получают III из I и дигидрорезорцина. Получены: при использовании конц. HCl—IV, т. пл. 235° , $\lambda_{\text{макс}}$ 577 мμ; с 10%-ной HNO_3 —V, т. пл. 205° , $\lambda_{\text{макс}}$ 576 мμ; с 2 н. H_2SO_4 —VII, т. пл. 207° , $\lambda_{\text{макс}}$ 577 мμ; с 7%-ной HClO_4 —VI, т. пл. 241° , $\lambda_{\text{макс}}$ 275 мμ. 58,1 мг III в 50 мл спирта обрабатывают 1,16 мл 0,1 н. NaOH, получают XVII, выход колич., т. пл. 224° . 150 мг III в 1 мл спирта нагревают при $\sim 100^\circ$ с избытком порошка Zn до обесцвечивания, фильтрат разбавляют водой, получают лейкооснование, выход 70%, т. пл. 218° (из водн. сп.). Гидрирование

XVII в кипящем спирте в присутствии скелетного Ni дало в-во $\text{C}_{24}\text{H}_{32}\text{O}_4\text{N}_2$, т. пл. 194° , не дающее депрессии при плавлении с лейкооснованием. Аналогично III получены (перечисляются в-во, выход в %, т. пл. $^\circ\text{C}$, $\lambda_{\text{макс}}$ в мμ): 3,5,3',5'-тетраметилдипиррил-2,2'-гексациклотриметинбромид, 40, 230, 567; 3,5,3',5'-тетраметил-4,4'-дикарбэтоксидипиррил-2,2'-ms-2-метилгексациклотриметинбромид, —, 150, 590; 3,5,3',5'-тетраметилдипиррил-2,2'-ms-2-метилгексациклотриметинбромид, —, 180, 575; 2',5',2',5'-тетраметилдипиррил-3,3'-пентациклотриметинбромид, —, —, 507; 2,4,2',4'-тетраметил-5,5'-дикарбэтоксидипиррил-3,3'-гексациклотриметинбромид, —, 258, 583; карбинольное основание, т. пл. 219° (разл.); 3,5,3',5'-тетраметил-4,4'-дикарбэтоксидипиррил-2,2'-пентациклотриметинбромид, 25, 330, 530; карбинольное основание, т. пл. 340° (разл.); 3,5,3',5'-тетраметилдипиррил-2,2'-пентациклотриметинбромид, 25, 310, 520; 3,5,3',5'-тетраметил-4,4'-дикарбэтоксидипиррил-2,2'-пентациклотриметинбромид, —, —, 574; 3,5,3',5'-тетраметилдипиррил-2,2'-оксациклотриметинбромид, —, —, 500. Аналогично III (в присутствии 1 капли HBr) получены из 1,7 г I—2,5 г XVIII, т. пл. 177° (из сп.); XIX, выход 63%, т. пл. 207° , 1,67 г I, 0,63 г XII, 3 мл спирта и 1 мл HBr нагревают ($\sim 100^\circ$, 2 часа), получают 500 мг XXIV, т. пл. 134° (из сп.); аналогично из 170 мг I и 150 мг XXVII в 1 мл спирта + 0,5 мл HBr (100°, 10 мин.) получают XXVI, т. пл. 131° (из сп.). Аналогично XXVI получены (в-во, выход в мг (из мг I) или в %, т. пл. $^\circ\text{C}$): XXIX, 130 (из 420), 221 (из водн. сп.); XXXII, 50 (из 330), 268; из 2-метил-3-карбэтоксипиррола и XXXI—1,4-(5,5'-диметил-4,4'-дикарбэтоксидипиррил-2,2')-циклогександиен-1,3, 85, 332; из 2,4-диметил-3-бензоилпиррола и XXXI—1,4-(3,5,3',5'-тетраметил-4,4'-дигбензоилдипиррил-2,2')-циклогександиен-1,3, 20,—, оранжевые иглы. Аналогично III получены (в-во, выход в %, т. пл. $^\circ\text{C}$, $\lambda_{\text{макс}}$ в мμ): 3,5,3',5'-тетраметилдипиррил-2,2'-кетогексациклотриметинбромид, выход умеренный, —, —, 570, коричнево-красные иглы; диндолил-(3,3')-гексациклотриметинбромид, 30, 252, 562; 2,2'-диметилдиндолил-3,3'-гексациклотриметинбромид, 35, 257, 580; лейкооснование 232 (разл.); диндолил-3,3'-пентациклотриметинбромид, 20, 300, 525; 2,2'-диметилдиндолил-3,3'-пентациклотриметинбромид, 20, 330, 525; карбинольное основание, т. пл. 305° (разл.); лейкооснование, т. пл. 335° (разл.); как XXVI получены (в-во, выход в мг, т. пл. $^\circ\text{C}$): XV (нагревание 30 мин.), 120 (из 0,26 г XIV), 215; XXV, умеренный, $\sim 250^\circ$; XXX, 20, 175; XXXIII, 50, 261.

Л. Я.

43169. Вещества гипотензивного действия. V.

Четвертичные соли гидрированных бис-изоиндолов. Райс, Гроган, Рид (Hypotensive agents V. Hydrogenated bis-isoindole quaternary salts. Rice Leonard M., Grogan Charles H., Reid E. Emmet, J. Amer. Chem. Soc., 1955, 77, № 3, 616—621 (англ.))

Взаимодействием оснований ряда N-метилизоиндола (I) с α, ω-дигалоидальканами (IIa—ж) получены многочисленные производные типа $\text{RN}^+(\text{CH}_3)(\text{CH}_2)_n\text{N}^+(\text{CH}_3)\text{R}$ 2Г[−] (III). В числе I применены: N-метилперидапроизоиндол (Ia), N-метил-4,7,8,9-тетрагидроизоиндоллин (Iб), N-метил-4,7-эндоксиперидапроизоиндол (Iв), N, 4-диметил-4,7-эндоксиперидапроизоиндол (Iг), N, 4,7-триметил-4,7-эндоксиперидапроизоиндол (Id), N-метил-4,7,8,9-тетрагидро-4,7-эндометилсенизоиндоллин (Iе), N-метилизоиндол (Iж). Используются II с общей ф-лой Г $(\text{CH}_2)_n\text{Г}$, где а) n = 3, б) n = 4, в) n = 5, г) n = 6, д) n = 9, е) n = 10, ж) $(\text{CH}_2)_n = \text{—CH}_2\text{C}_6\text{H}_4\text{CH}_2\text{—}$; значения Г = J, Br. При р-ции I

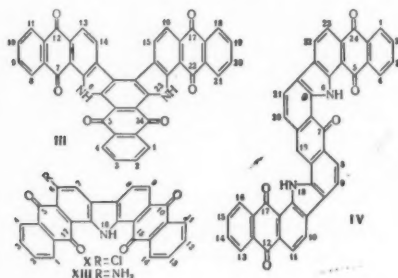
с CH_2I_2 (II) и $\text{C}_2\text{H}_4\text{Br}_2$ (III) образуются лишь соединения типа $\text{G}(\text{CH}_2)_n\text{N}^+(\text{CH}_3)\text{RG}^-$ (IV); тем не менее III с $n = 2$ получены при действии $\text{NH}_4(\text{CH}_2)_2\text{NH}_4$ на гексагидрофталевый ангидрид (V) с последующим гидрированием LiAlH_4 и обработкой CH_3I ; по этой же схеме на основе V и $\text{NH}_4(\text{CH}_2)_6\text{NH}_4$ (VI) синтезирован III, идентичный с в-вом, полученным из Ia и II. Синтез I осуществлен действием CH_3NH_2 на соответствующие ангидриды и гидрированием образовавшихся имидов LiAlH_4 . Синтезированы также N-диалкиламиноалкил-3,6-эноксигексагидрофталимиды (VIIa-e) и восстановлением их LiAlH_4 — N-диалкиламиноалкил-4,7-эноксипергидрозонидолы (VIIa-e); значения диалкиламиноалкильных групп в VII и VIII следующие: а $(\text{C}_2\text{H}_5)_2\text{NC}_2\text{H}_5$; б $(\text{CH}_3)_2\text{NC}_3\text{H}_7$; в $(\text{C}_2\text{H}_5)_2\text{NC}_3\text{H}_7$; г $\text{O}(\text{CH}_2\text{CH}_2)_2\text{NC}_2\text{H}_5$; д $3-(\text{C}_4\text{H}_9)_2\text{NC}_2\text{H}_5$; е $\text{O}(\text{CH}_2\text{CH}_2)_2\text{NC}_3\text{H}_7$. Испытания соединений III и типа $\text{RN}^+(\text{CH}_3)_2(\text{CH}_2)_n\text{N}^+(\text{CH}_3)_2$ 2Г- (IX) (последние получены метилированием VIII) показывают, что наилучшим соотношением токсичности и гипотензивного действия обладают соединения, которые имеют $n = 2$ или 3, $\text{R}' = \text{CH}_3$ или C_2H_5 , и R которых содержит O-мостик. К 118,4 г 3-метил-3,6-эноксигексагидрофталевого ангидрида добавляют при охлаждении 100 г 25%-ного водн. CH_3NH_2 , по окончании р-ции кипятят с отгонкой воды, поднимают т-ру до 240–250° и при охлаждении выделяют N,3-диметил-3,6-эноксигексагидрофталимид (X), выход 83%, т. пл. 108° (из бзл.-петр. эф.); аналогично получены фталимиды на основе ангидридов типа Ib, т. пл. 135°, и Id, т. пл. 128,5°. Р-р 36 г LiAlH_4 в 1,5 л абс. эфира применяется для экстрагирования 60 г X, помещенного в патрон Соклета, кипятят 6 час., затем отгоняют эфир 2 часа и выделяют Иг, выход 68%; аналоги X типа Ia и Ib вводят в р-цию восстановления в эфирном р-ре, типа Ib и Ic добавляют в C_6H_6 или $\text{C}_6\text{H}_5\text{NH}_2$ — эфирном р-ре, с остальными поступают аналогично получению Иг. Получены I (перечисляются I, т. кип. в °C/мм, л²⁵ D, т. пл. пикрата, т. пл. подметилата): а, 72/20, 1,4770, 225–227, 230–232; б, 60–63/11, 1,4849, 206–208, 213–214; в, 82–83/10 (т. пл. 30–32°), —, 208,5–210, 192–193; г, 100–102/16, 1,4782, 209–211, 157–157,5; д, 90–91/7, 1,4743, 196–197, 191–193; е, 70–74/10, 1,5003, 224–225, 252,5–254; ж, 92–95/25, —, 128–129, 253–255. Р-р 0,03 моля Иг и 0,015 моля Ив ($\text{G} = \text{J}$) в 20 мл ацетона оставляют на 1 час, нагревают до кипения, оставляют на 4 часа и отфильтровывают соответствующий III. Аналогично по 0,03 моля Иг и Ии кипятят в ацетоне 15 мин. и выделяют соответствующий IV. Смесь конц. р-ров 0,2 моля V и 0,1 моля VI в C_6H_6 нагревают до удаления C_6H_6 и еще 1 час при 190°, получают бис-1,6-(гексагидрофталимид)-гексан, т. пл. 81–82,5° (из бзл.-петр. эф.); аналогично получают бис-1,2-(гексагидрофталимид)-этан (XI), т. пл. 147–148° (из сн.). При гидрировании XI LiAlH_4 в тетрагидропирене получают бис-1,2-(пергидрозонидол)-этан, т. кип. 120–132°/0,1 мм; хлоргидрат, т. пл. 300–301°; диометилат, т. пл. 269,5–271°. Точно так же получают бис-1,6-(пергидрозонидол)-гексан, т. кип. 160–165°/0,05 мм; хлоргидрат, т. пл. 203–204°; диометилат, т. пл. 249° (из CH_3OH). Получены следующие IV (перечисляются исходный I, исходный II, т. пл. IV в °C: а, з, 151–152; а, н, 181–182; б, з, 147–149; б, н, 166–168; в, з, 177–178; в, н, 210–212; г, з, 167–167,5; г, н, 205–207; д, з, 180–181; д, н, 194–195; е, з, 197–200, е, н, 207–209; ж, з, 161–162; ж, н, 223–224. Исходя из Ia получены следующие III (перечисляются II, т. пл. дионида (многие с разл.), в °C, т. пл. дибромида в °C: а, 264–265, 284–285; б, 266–267, 290–291; в, 290–291, 284–285; г, 250–252, 264–264,5; д, 224,5–225,5, 234–235; е, 217–218, 237–238; ж, —, 269–270. На

основе Ib получены следующие III (обозначения те же, что и в случае Ia): а, 256–257,5, 250–251; б, 242–243, 260–261; в, 253–254, 241–241,5; г, 232–233, 236–238; д, 185,5–187, 195–196; е, 218–219, 201–203; ж, —, 252–253. На основе других I получены III (перечисляются I, II, т. пл. дионида в °C): в, а, 255–256; в, б, 294–295; в, в, 233–234; в, г, 263–264; в, д, 227–229; в, е, 235–236; в, ж, 267–268; г, а, 265–267; г, б, 255–256; г, в, 257–258; г, г, 232–233; г, д, 210–211; г, е, 223–224; д, а, 261–262, д, б, 217–219; д, в, 257–259; д, г, 234–235; д, д, 215–217; д, е, 238–239; е, а, 301–303; е, б, 294–296; е, в, 291–292; е, г, 260–261; е, д, 222–223; е, е, 225–226; ж, а, 240–241; ж, б, 224–226; ж, в, 227–228; ж, г, 251–253; ж, д, 215–216; ж, е, 217–218. Получены VII (перечисляются VII, т. кип. в °C/мм, т. пл. хлоргидрата в °C): а, 141–146/0,4, 199–200; б, 134–140/0,1, 212–213; в, 159–163/0,5, 160–161; г, 168–173/0,1 (т. пл. 120–122°), 250–252; д, 185–190/0,4, 158–159; е, 175–185/0,2, 233. Получены VIII (перечисляются VIII, т. кип. в °C/мм, т. пл. хлоргидрата в °C (многие с разл.), т. пл. диометилата в °C): а, 88–93/0,1, 207–208, 234–236; б, 87–94/0,1, 241–243, 264–266; в, 93–97/0,2, —, 217–219; г, 117–122/0,3 (т. пл. 76–78°), 261–263, 229–230 (монометилат, т. пл. 161–163°); д, 126–130/0,1, —, 166–168; е, 128–133/0,1, 249–250, 231–233. Сообщение IV, РЖХим, 1956, 9803.

С. Г. 43170. Циклизация 1,4- и 1,5-ди-(α -антрахинонил-амино)-антрахинонов в производные карбазола. Брэдли, Пандит (The cyclisation of 1:4- and 1:5-di-(α -anthraquinonylamino)-anthraquinones to derivatives of carbazole. Bradley William, Pandit P. N.), J. Chem. Soc., 1955, Oct., 3399–3405 (англ.).

Циклизацией 1,4- (I) и 1,5- (II)-ди-(α -антрахинонил-амино)-антрахинонов в присутствии AlCl_3 , TiCl_4 или KOH синтезированы соответственно 6,23-дигидроантра-(2',1',4,5)-пирроло-(1,2-с)-динафто-(2,3-а,2',3'-i)-карбазол-5,7,12,17,22,24-трихинон (III) и 6,18-дигидробисантра-(2',1',4,5)-пирроло-(2',3',2,3'-а, -h) - антра-5,7,12,17,19,24-трихинон (IV). Строение III и IV установлено встречными синтезами. Для синтеза III взаимодействием 1-амино-4-бензамидо-(V) и 1-хлор-(VI)-антрахинонов (или 1-амино- и 1-бензамидо-4-хлорантрахинонов) получен 4-бензамидо-1,1'-диантрахинониламид (VII), гидролизванный в 4-аминопроизводное (VIII), превращенное по Зандмейеру в 4-хлор-1,1'-диантрахинониламид (IX), кипячением которого с TiCl_4 получен 6-хлординафто-(2,3-а,2',3'-i)-карбазол-5,10,15,17-дихинон (X), превращенный нагреванием с α -аминоантрахиноном (XI) в присутствии Si-порошка в 6-(α -антрахинониламидо)-производное (XII), циклизованное в III нагреванием с TiCl_4 . XII получен также циклизацией VII в пиридине в присутствии AlCl_3 в 6-бензамидодинафто-(2,3-а,2',3'-i)-карбазол-5,10,15,17-дихинон, гидролизванный нагреванием при 100° с конц. H_2SO_4 в 6-аминопроизводное (XIII), конденсированное с VI в XII. Строение XIII подтверждено дезаминированием в 1,2,7,8-дифталонилкарбазол (XIV), синтезированный также циклизацией 1,1'-диантрахинониламида в присутствии AlCl_3 . Синтез IV осуществлен конденсацией 1-хлор-5-бензамидоантрахинона (XV) с XI в 5-бензамидо-1,1'-диантрахинониламид (XVI), циклизанный в присутствии AlCl_3 в 4-бензамидодинафто-(2,3-а, 2',3'-i)-карбазол-5,10,15,17-дихинон (XVII), гидролизванный нагреванием (4 часа) с конц. H_2SO_4 в соответствующий амин (XVIII), дезаминированный, аналогично XIII, в XIV; нагреванием XVIII с VI синтезирован 4-(α -антрахинониламидо)-динафто-(2,3-а, 2',3'-i)-карбазол-5,10,15,17-дихинон (XIX), циклизанный в IV. I синтезирован конден-

сацией 1,4-диаминоантрахинона (XX) с VI; II — аналогичной р-цией 1,5-дихлорантрахинона (XXI) с XI. Кипячением (24 часа) 14,5 г 1-хлор-4-нитроантрахинона, 11,1 г XI, 2,6 г Na_2CO_3 и 2,5 г Si-порошка в 300 мл $\text{C}_6\text{H}_5\text{NO}_2$ получен 4-нитро-1,1'-диантрахинонилоамин, выход 13,5 г. Аналогично из 2-хлор-5-ни-



троантрахинона синтезирован 5-нитроизомер. 2 г 5-амино-1,1'-диантрахинонилоамин превращены по Зандмейеру в 5-хлорпроизводное, выход 2 г, т. пл. $\approx 384^\circ$ (из $\text{o-C}_6\text{H}_4\text{Cl}_2$ (XXII)), циклизованное кипячением (2 часа) в XXII с TiCl_4 и последующим нагреванием с CrO_3 в смеси 30 мл CH_3COOH с 0,5 мл H_2SO_4 в 4-хлордифта-2,3-а,2',3'-1)-карбазол-5,10,15,17-дихинон. XIII превращен в 6-нитропроизводное. Смесь 15 г XX, 32 г VI, 9 г CH_3COOK и 5 г Cu_2Cl_2 в 600 мл $\text{C}_6\text{H}_5\text{NO}_2$ кипятят 20 час. и получают I, выход 36,5 г, т. пл. $> 400^\circ$ (из $\text{C}_6\text{H}_5\text{NO}_2$). Смесь 27,7 г XXI, 45 г XI, 11 г Na_2CO_3 и 2 г Si-порошка в 0,5 л $\text{C}_6\text{H}_5\text{NO}_2$ кипятят 36 час. и получают II, выход 61 г. 3 г I, 10 г AlCl_3 в 25 мл пиридина кипятят 3 часа (или смесь 5 г I, 50 г KOH и 5 мл воды нагревают 1,5 часа до 260° и размешивают 3 часа), смешивают с водой, подкисляют, осадок нагревают с 5 г CrO_3 в 150 мл CH_3COOH и получают III. Смесь 10 г II и 40 г TiCl_4 в 300 мл XXII кипятят 3 часа, нагревают при 70° с NaOH и NaOCl и получают IV, выход 12,5 г. Смесь 34,2 г V, 24,2 г VI, 6 г Na_2CO_3 и 2 г Si-порошка в 0,6 л $\text{C}_6\text{H}_5\text{NO}_2$ кипятят 24 часа и получают VII, выход 55 г. 2 г VII в 200 мл конц. H_2SO_4 нагревают 4 часа при 100° , выливают на лед, осадок растворяют в 40 мл конц. H_2SO_4 , приливают в течение 3 час. 15 мл воды, выпавший сульфат гидролизуют водой и получают VIII, выход 4,3 г. К р-ру 6 г VIII в 60 мл конц. H_2SO_4 добавляют (1 час, 0°) 3 г NaNO_2 , через ~ 16 час. (0°) размешивают с раствором 10 г Cu_2Cl_2 в 100 мл HCl, постепенно нагревая до 70° , и получают IX, выход 5,5 г. 2 г IX и 8 мл TiCl_4 в 40 мл XXII кипятят 3 часа и получают X, выход 1,1 г. 1,8 г XIII, 0,9 г VI, 0,23 г Na_2CO_3 и 0,2 г Si-порошка в 30 мл $\text{C}_6\text{H}_5\text{NO}_2$ кипятят 24 часа, получают XII, выход 1,8 г. Смесь 0,5 г XII, 1 мл TiCl_4 и 9 мл XXII кипятят 3 часа и получают III. К р-ру 0,5 г XIII в 10 мл конц. H_2SO_4 добавляют при 0° 0,25 г NaNO_2 , через 4 часа выливают на лед, размешивают 3 часа при 0° с 70 мл 30%-ный H_3PO_4 и получают XIV, выход 0,4 г. 18 г XV, 11,5 г XI, 2,6 г Na_2CO_3 и 1 г Si-порошка в 350 мл $\text{C}_6\text{H}_5\text{NO}_2$ кипятят 24 часа и получают XVI, выход 27,4 г. 10 г XVI и 25 г AlCl_3 в 75 мл пиридина нагревают 1,5 часа при 140° , р-р выливают в воду, подкисляют, нагревают 2 часа при 70° с р-ром NaOCl и получают XVII, выход 6 г. 0,16 г XVIII, 0,08 г VI, 0,02 г Na_2CO_3 и немного Si-порошка кипятят 24 часа в $\text{C}_6\text{H}_5\text{NO}_2$ и отделяют XIX. 0,15 г TiCl_4 и 0,06 г XIX в 2 мл XXII кипятят 3 часа и получают IV. Д. В.

43171. Спазмолитики. VII. Аминоэтиловые эфиры замещенных гликолевых и уксусных кислот. Моф-

фетт, Уайт, Аспергрэн, Вишер (Antispasmodics. VII. Aminoethyl esters of substituted glycolic and acetic acids. Moffett Robert Bruce, White John L., Aspergren Brooke D., Visscher Frank E.), J. Amer. Chem. Soc., 1955, 77, № 6, 1565—1568 (англ.).

Синтезирован ряд солей аминоэтиловых эфиров замещ. гликолевых и уксусных к-т в поисках новых препаратов, обладающих спазмолитич. и противосекреторной активностью. Эфиры диацет. уксусных к-т получены через хлорангидриды соответствующих к-т (см. сообщение VI РЖХим, 1956, 29009). Эфиры замещ. гликолевых к-т синтезированы нагреванием смеси к-ты и хлоргидрата соответствующего аминоэтилхлорида в присутствии избытка K_2CO_3 . Бромметилаты (БМ) получались как описано ранее (см. ссылку выше). Образуемая смесь стереоизомеров, как правило, не разделялась на компоненты. Смесь 1 моля 2,2,4,6-тетраметилпиперидина и 1 моля $\text{HOCH}_2\text{CH}_2\text{Cl}$ медленно нагревают до 155° , охлаждают, добавляют избыток 50%-ного р-ра NaOH, экстрагируют эфиром, получают 2-(2,2,4,6-тетраметилпиперидил-1)-этанол, выход 34%, т. кип. $120^\circ/12$ мм, n_D^{25} 1,4761. Аналогично из гексаметиленмина и $\text{HOCH}_2\text{CH}_2\text{Cl}$ получают 2-(гексаметиленмино)-этанол, т. кип. $103^\circ/15$ мм, n_D^{25} 1,4826. В р-р 0,6 моля 2-(2,2-диметилпиперидил-1)-этанола в 250 мл сухого C_6H_6 пропускают HCl (газ) до тех пор, пока р-р не станет сильно кислым, постепенно добавляют 1 моль SOCl_2 , нагревают 1 час на паровой бане и оставляют на 12 час. при 20° , добавляют эфир, получают хлоргидрат 2-(2,2-диметилпиперидил-1)-этилхлорида (I), выход $\sim 100\%$, т. пл. $201\text{—}202^\circ$. Р-р $(\text{CH}_3)_2\text{CHCH}_2\text{CH}_2\text{MgBr}$ (из 1,4 моля Mg, 1,4 моля $(\text{CH}_3)_2\text{CHCH}_2\text{CH}_2\text{Br}$ в 500 мл тетрагидрофурана) при охлаждении и перемешивании прибавляют к р-ру 0,65 моля $\text{C}_6\text{H}_5\text{COOH}$ в 200 мл тетрагидрофурана, перемешивают 1 час при 20° , выливают в ледяную воду, подкисляют, экстрагируют эфиром, эфирный р-р встряхивают с р-ром Na_2CO_3 и из водн. р-ра выделяют α -изоамилмидальную к-ту (II), выход 19,4%, т. пл. $125,5\text{—}126,5^\circ$ (из гексана). Смесь 0,036 моля II, 0,036 моля I, 0,15 моля безводн. K_2CO_3 и 100 мл $\text{iso-C}_4\text{H}_9\text{COCH}_3$ (при получении других эфиров α -оксикислот применяют ацетон или CH_3COCH_3), кипятят 8 час., добавляют воду, экстрагируют эфиром, в эфирный экстракт пропускают HCl (газ) до сильнокислой р-ции, получают хлоргидрат 2-(2,2-диметилпиперидил-1)-этилового эфира II, выход 81%, т. пл. $113,5\text{—}116^\circ$ (из смеси $\text{CH}_3\text{COOC}_2\text{H}_5$ -техник. гептан); LD_{50} 233 мг/кг, спазмолитич. активность (активность сульфата атропина = 1) 0,14, противосекреторная активность (ED_{50} —доза, необходимая для снижения выделения желудочного сока на 50% 4 мг/кг). Получены также следующие аминоэфиры (последовательно указаны соль аминоэфира, выход в %, т. пл. в $^\circ\text{C}$, LD_{50} в мг/кг, спазмолитич. активность, ED_{50} в мг/кг): хлоргидрат (XГ) 2-(пиперидил-1)-этилового эфира мидаляной к-ты (III—к-та), 35, 144—144,5 (из $\text{iso-C}_3\text{H}_7\text{OH}$), $< 0,01$, —; XГ 2-(пиперидил-1)-этилового эфира α -фенил-III, 28, 173—173,5 (из смеси $\text{iso-C}_3\text{H}_7\text{OH}$ - CH_3COCH_3), 36, 0, 12, — (оба в-ва получены взаимодействием 2-(пиперидил-1)-этилхлорида с соответствующей к-той (см. Burtner R. R., Cusic J. W., J. Amer. Chem. Soc., 1943, 65, 262); XГ 2-(2,2-диметилпиперидил-1)-этилового эфира α -фенил-III, 70, 143—145 (из смеси CH_3COCH_3 - $\text{CH}_3\text{COOC}_2\text{H}_5$), 167, 0,2, > 1 ; XГ 2-(пиперидил-1)-этилового эфира II, 60, 161—161,5 (из CH_3COCH_3), 64, 0,17, > 3 ; XГ 2-(2-метилпиперидил-1)-этилового эфира II, 61, 140—141 (из смеси $\text{CH}_3\text{COOC}_2\text{H}_5$ -эф.), 64, 0,5, > 3 ; БМ этого эфира, 70, 148—151 (из баз.), —, 1, 2; XГ 2-(2,2-диметилпиперидил-1)-этилового эфира

α -циклопентил-III, 60, 162—163,5 (из $\text{CH}_3\text{COC}_2\text{H}_5$), 112, 1, 0,5; БМ этого эфира, 60, 192—194 (из смеси *изо*- $\text{C}_3\text{H}_7\text{OH}$ - $\text{CH}_3\text{COC}_2\text{H}_5$), 65, 0,75, 0,2; БМ 2-(*N*-метил-*N*-фенил)-аминоэтилового эфира α -метил-III, —, 195—197 (из сп.), 167, 2, 1; цитрат 2-(пирролидил-1)-этилового эфира α -метилолфенилуксусной к-ты (IV—к-та), —, —, —, 0,01, > 5; ХГ 2-(2-метилпирролидил-1)-этилового эфира IV, 27, 139—141 (из смеси CH_3OH - $\text{CH}_3\text{COC}_2\text{H}_5$), 650, 0,2, 2, ХГ 2-(2-метилпирролидил-1)-этилового эфира *n*-пропилциклопентилуксусной к-ты (V—к-та), 80, 130,5—132 (из $\text{CH}_3\text{COOC}_2\text{H}_5$) (свободное основание, выход 89%, т. кип. 131°/0,7 мм, n_D^{25} 1,4733), 650, < 0,01, —; ХГ 2-(2-метилпирролидил-1)-этилового эфира фенил- Δ^2 -циклогексенилуксусной к-ты (VI—к-та), 58, 142,5—143,5 (из ацетона) (свободное основание, выход 93%, т. кип. 164°/0,07 мм, n_D^{25} 1,5274; при фракционной кристаллизации ХГ из ацетона и $\text{CH}_3\text{COOC}_2\text{H}_5$ получено два диастереоизомера с т. пл. 142,5—143,5° и 131—132,5°, активность которых приблизительно одинакова), 200, 0,2, 2; БМ, 92, 140—143 (из смеси сп.- $\text{CH}_3\text{COC}_2\text{H}_5$), 65, 0,3, 1,5; ХГ 2-(2,6-диметилпирролидил-1)-этилового эфира фенил- Δ^2 -циклопентенилуксусной к-ты, —, 120—122 (из $\text{CH}_3\text{COC}_2\text{H}_5$) (свободное основание, выход 71%, т. кип. 163°/0,1 мм, n_D^{25} 1,5202), 200, —, —; БМ, —, 135—137 (из бzl.), 65, 0,5, 1; ХГ 2-(2,2,4,6-тетраметилпирролидил-1)-этилового эфира V, —, 124—134 (из смеси *изо*- $\text{C}_3\text{H}_7\text{OH}$ - $\text{CH}_3\text{COC}_2\text{H}_5$), 167, —, > 5; ХГ 2-(пирролидил-1)-этилового эфира V, 71, 156—158 (из смеси $\text{CH}_3\text{COC}_2\text{H}_5$ - $\text{CH}_3\text{COOC}_2\text{H}_5$) (свободное основание, выход 85%, т. кип. 125°/0,08 мм, n_D^{25} 1,4763) 100, 0,07, —; ХГ 2-(пирролидил-1)-этилового эфира фенил- Δ^2 -циклопентенилуксусной к-ты, 76, 110—118 (из $\text{CH}_3\text{COOC}_2\text{H}_5$) (свободное основание, выход 89%, т. кип. 135°/0,02 мм, n_D^{25} 1,5259), 200, 0,07, —; ХГ 2-(пирролидил-1)-этилового эфира VI, 75, 143,5—144,5 (из $\text{CH}_3\text{COC}_2\text{H}_5$) (свободное основание, выход 84%, т. кип. 148°/0,012 мм), 300, 0,1, —; БМ 2-(*N*-метил-*N*-изопропил)-аминоэтилового эфира фенилциклопентилуксусной к-ты, 63, 197—199 (из смеси сп.-эф.), 65, 3,5, 0,15; БМ 2-(*N*, *N*-диизопропил)-аминоэтилового эфира VI, 32, 177—179 (из смеси сп.-эф.) (свободное основание получают из хлорангидрида VI и β -диизопропиламиностанола, выход 77,5%, т. кип. 136°/0,03 мм, n_D^{25} 1,5104), 65, 1, 1. Г. Ш.

43172. Синтез 3-(β -метоксизтил)-4-метилпиридина.

Рубцов М. В., Яхонтов Л. Н., Ж. общ. химии, 1955, 25, № 9, 1820—1827

3-(β -метоксизтил)-4-метилпиридин (I) синтезирован из 2,6-дихлор-3-(β -хлорэтил)-4-метилпиридина (II) последовательно через 2,6-дихлор-3-(β -ацетоксизтил)-4-метилпиридин (III), 2,6-дихлор-3-(β -оксизтил)-4-метилпиридин (IV), *N*-алкоголят последнего (V) и 2,6-дихлор-3-(β -метоксизтил)-4-метилпиридин (VI). При каталитическом дегалогенировании VI получен I. V получен двумя способами: а) взаимодействием IV с Na; б) обработкой IV *трет*- $\text{C}_5\text{H}_{11}\text{OK}$ (VII) или *изо*- $\text{C}_3\text{H}_7\text{ONa}$ (VIII). При способе а) образуется смесь IV, V, 6-хлор-4-метил-2,3-(2', 3'-дигиофурано)-пиридина (IX) и дипиридилов (X). Последующей обработкой смеси CH_3J V переведен в VI. При способе б) с последующей обработкой CH_3J продуктов р-ции получают IX и VI, соотношения которых изменяются в зависимости от т-ры, при которой проводят р-цию. Дегалогенирование IX привело к 4-метил-2,3-(2', 3'-дигиофурано)-пирдину (XI), который с POCl_3 образовал 2-хлор-3-(β -хлорэтил)-4-метилпиридин (XII). Обработка II CH_3ONa привела к 2,6-дихлор-3-винил-4-метилпиридину (XIII) с примесью 10% I. Атом Cl в β -хлорэтильной группе II легче отщепляется в виде HCl, чем вступает в р-цию за-

мещения, что подтверждено р-циями II с NaJ, CH_3COOAg , Ag_2O , NaOH. Строение XIII доказано переводом в β -коллиндин при гидрировании над Pd и превращением в 2,6-дихлор-3-(α , β -дибромэтил)-4-метилпиридин (XIV) при обработке Br_2 . 11,2 г II и 2 г KOH в 200 мл спирта кипятили 8 час., подкислили 10 мл конц. HCl, получено 98% XIII, т. кип. 142—143°/16 мм, 5,6 г II, 4,2 г Ag_2O и 50 мл пиридина кипятили 6 час., получили 2,7 г XIII и 2,3 г II. 1,88 г XIII обработали 2,4 г Br_2 в CHCl_3 (1 час, 16—17°), получили 3,32 г XIV, т. кип. 177—178°/15 мм, 360,9 г III кипятили 3 часа с 1,5 л 2%-ного р-ра HCl в спирте, получено 98,9% IV, т. пл. 73—75°, т. кип. 186—187°/10 мм, 10,3 г IV, 7,1 мл $\text{C}_6\text{H}_5\text{COCl}$ и 50 мл C_6H_6 кипятили 2 часа, получили 13 г 2,6-дихлор-3-(β -бензоилоксизтил)-4-метилпиридина, т. кип. 234—235°/8 мм, т. пл. 110° (из сп.). К VII (из 8 г *трет*- $\text{C}_5\text{H}_{11}\text{ONa}$ и 3 г K) в 60 мл толуола при 110° прибавили 10,3 г IV в 150 мл толуола, через 2 часа при ~20° обработали 4,5 мл CH_3J , через 12 час. получили 96,7% IX, т. кип. 167—168°/10 мм, т. пл. 45,5—46°; хлоридат, т. пл. 98—98,5°. Гидрированием 9,3 г IX над Pd (из 2 г PdCl_2 ; 1 час, 16—17°, 15—20 см вод. ст.) получен хлоридат XI, выход 88,5%, т. пл. 141—142° (из сп.-эф.); XI, т. кип. 110,5—111°/7 мм, т. пл. 53—54°; пикроловат, т. пл. 160—161° (разл.). 4,3 г хлоридата XI с 20 мл POCl_3 при нагревании (180—190°, 5 час.) превращаются в XII, выход 77%, т. кип. 113—114°/4 мм, n_D^{20} 1,5533; хлоридат, т. пл. 106,5—108°. К 5,1 г раздробленного Na прибавили р-р 40,3 г IV в 600 мл эфира, кипятили 60 час., охладили до 20°, обработали 10 мл CH_3J и кипятили 10 час. При перегонке собрали фракции а) 154—189°/10 мм (31,5 г), представляющую собой смесь IV, VI и IX; б) 250—270°/5 мм (4 г), состоящую из X. Для отделения VI от IV и IX смесь охлаждали, отделяли кристаллы IV (7,4 г), для полного удаления IV фильтрат кипятили 3 часа с 8,5 г $\text{C}_6\text{H}_5\text{COCl}$ в 50 мл C_6H_6 . При перегонке после бензоилирования получили 22,5 г смеси VI и IX. Р-р этой смеси в сухом эфире насыщали HCl (газом). Осадок хлоридата IX (2,74 г) отделили. Получено 40,7% VI, т. кип. 154—156°/10 мм n_D^{20} 1,5392, d_4^{20} 1,255. К *трет*- $\text{C}_5\text{H}_{11}\text{ONa}$ (из 85 мл

трет- $\text{C}_5\text{H}_{11}\text{OH}$ и 10,1 г Na) в 100 мл толуола при 20° прибавили р-р 70 г IV в 150 мл толуола, перемешивали 9 час. при ~20°, обрабатывали 35 мл CH_3J , через 12 час. разгонкой выделили 8,1 г IV, т. кип. 166—168°/5 мм, и 53,6 г смеси VI и IX. Выход хлоридата IX 45,9%, выход VI 28%. К VIII (из 50 мл *изо*- $\text{C}_3\text{H}_7\text{ONa}$ и 5,2 г Na) в 50 мл толуола при —5° прибавили 46 г IV в 100 мл толуола, через 6 час. (—5°) добавили 15 мл CH_3J , а еще через 12 час. при ~20° обработали 200 мл 25%-ного р-ра NaOH и извлекли эфиром. Получили 0,9 г IX, выделенного в виде хлоридата, и 71,6% VI. 4,35 г VI в 100 мл спирта гидрировали над Pd (из 1,7 г PdCl_2 ; 12 час., 16—17°, 40—50 см вод. ст.), получили 91,3% I, т. кип. 112—114°/12 мм; хлоридат, т. пл. 118—119° (из бzl.-ацетона); подметилат, т. пл. 129,5—131° (из эф.) Л. Я.

43173. Антитуберкулезные вещества. X. Некоторые 2,5-замещенные пиридина. Семонский, Черный (Antituberkulöse Stoffe. X. Einige 2,5-substituierte Pyridine. Semonsky M., Cherny A.), Сб. чехосл. хим. работ, 1955, 20, № 5, 1221—1226 (нем.; рез. русс.) См. РЖХим, 1956, 16085.

43174. Синтезы с помощью 4-пиридинамагнийхлорида, 4-пиридилития и 3-хвиолилития. Вибатт, Херинга (Syntheses, with the aid of (4-pyridyl)-magnesium chloride, of 4-lithiopyridine and of 3-lithioquinoline. Wibaut J. P., Heeringa

L. G.), Recueil trav. chim., 1955, 74, № 8—9, 1003—1020 (англ.)

При р-ции 4-хлорпиридина (I) с C_6H_5MgBr образуется с выходом 72—73% 4-пиридилмагнийхлорид (II). При действии CH_2O на II получается 4-пиридилметанол (III). Обработка II $HC(OC_2H_5)_2$ ведет к диэтилацеталу 4-пиридилметанала (IV). При р-ции с $(CH_3)_2CO$, C_6H_5CHO , $C_6H_5COCH_3$ или $(C_6H_5)_2CO$ II дает диметил-4-пиридилкарбинол (V) фенил-4-пиридилкарбинол (VI), метилфенил-4-пиридилкарбинол (VII) или дифенил-4-пиридилкарбинол (VIII) соответственно. Из II и $C_6H_5COONH_2$ образуется 4-бензоилпиридин (IX); попытки получения IX из II и $C_6H_5COOC_2H_5$, C_6H_5COCl или C_6H_5CN не удалась. Действием C_4H_9Li на 4-бромпиридин (X) получают 4-пиридилитий (XI). Из XI и $C_6H_5COOC_2H_5$ образуется фенил-бис-(4-пиридил)-карбинол (XII). XI при р-ции с $(C_6H_5)_2CO$ или C_6H_5CN дает VIII или IX с большими выходами, чем при р-ции II с $(C_6H_5)_2CO$ или $C_6H_5CONH_2$. XI при действии α -нафтонитрида (XIII) превращается в 4-пиридил-1-нафтилкетон (XIV). Р-ция XI с 2-цианопиридином (XV), 3-пианопиридином (XVI) или 4-цианопиридином (XVII) приводит к 2-пиридил-4-пиридилкетону (XVIII), 3-пиридил-4-пиридилкетону (XIX) или бис-(4-пиридил)-кетону (XX) соответственно. XVIII, XIX или XX получены также действием XI на этиловый эфир никотиновой к-ты (XXI), этиловый эфир пикотиновой к-ты (XXII) или этиловый эфир изоникотиновой к-ты (XXIII). При р-ции C_4H_9Li с 3-бромхинолином (XXIV) образуется 3-хинолилитий (XXV). Взаимодействие XXV с $(C_6H_5)_2CO$, C_6H_5CN или XVII ведет к 3-хинолилдифенилкарбинолу (XXVI), 3-хинолилдифенилкетону (XXVII) или 3-хинолилд-4-пиридилкетону (XXVIII) соответственно. К 0,4 г-атома Mg в 50—60 мл эфира прибавляют по каплям 3,8 г C_2H_5Br , затем приливают охлажд. до 0° р-р 0,1 моля I и 29,2 г C_2H_5Br в 80 мл эфира, кипятят 1 час, отгоняют эфир, остаток разлагают водой, получают пиридин, выход 71—72%. В другом опыте по удалению эфира к остатку добавлено 120 мл C_6H_6 , жидкость отогнана до 72° (в парах) и добавлен C_6H_6 до первоначального объема; после кипячения (1 час) и разложения водой получен пиридин, выход 72—73%. В суспензию II (из 0,088 моля I) в C_6H_6 вводят при 20° 0,7 моля сухого газообразного CH_2O (из 22 г параформа), добавляют 2 г параформа, нагревают 3 дня при 70°, извлекают 3%-ной HCl, кислый р-р подщелачивают конц. NH_4OH , экстрагируют эфиром и получают III, выход 10,1%, т. пл. 40—44° (из смеси бзл.-петр. эф.); пикрат, т. пл. 156,9—157,9°. К суспензии II (из 0,1 моля I) в C_6H_6 постепенно добавляют при 20° 0,4 моля $HC(OC_2H_5)_2$, нагревают 24 часа при 50°, разлагают р-ром $(NH_4)_2SO_4$, извлекают вычисленным кол-вом разб. H_2SO_4 , кислый р-р подщелачивают NH_4OH и получают IV, выход 15%, т. кип. 90,6—91,2°/5 мм, $n_D^{25} 1,4774$; пикрат, т. пл. 136,4—137,2° (из эф.). IV нагревают с 25%-ной HCl, прибавляют р-р $n-O_2NC_6H_4NHNH_2$ к HCl (к-те), получают хлоридат β -нитрофенилгидразона 4-пиридилметанала, т. пл. 283,9°. К суспензии II в C_6H_6 (из 0,1 моля I) прибавляют при 20° 0,43 моля $(CH_3)_2CO$, нагревают 32 часа при 65°, получают V, выход 17%, т. пл. 135,2—135,4° (из бзл.); пикрат, т. пл. 124,4—124,7° (из сп.). К суспензии II в эфире (из 0,1 моля I) прибавляют при 0° р-р 0,4 моля C_6H_5CHO в 60 мл эфира, кипятят 1 час, разлагают при 0° водн. р-ром $(NH_4)_2SO_4$ и получают VI, выход 19%, т. пл. 119,9—120,2° (из бзл.); пикрат, т. пл. 145°. При проведении р-ции в C_6H_6 (44 часа при 70°) выход VI 27—28%. К суспензии II в C_6H_6 прибавляют при 20° р-р 0,4 моля $C_6H_5COCH_3$ в 60 мл C_6H_6 , нагревают 30 час. при 70°, получают VII, выход 22—24%, т. пл. 144,2—144,4° (из смеси лигр.-бзл.). К суспензии II в C_6H_6 прибавляют

при 50° р-р 0,4 моля $(C_6H_5)_2CO$ в 60 мл C_6H_6 , кипятят 36 час., получают VIII, выход 33%, т. пл. 237,7—238,3° (из $CH_3COOC_2H_5$). К суспензии II с C_6H_6 при охлаждении прибавляют 0,2 моля порошкообразного $C_6H_5CONH_2$, дают т-ре подняться до 20°, нагревают 40 час. при 70°, после обычной обработки отгоняют легколетучие в-ва, к остатку добавляют фенилгидразин, получают фенилгидразон IX, выход 3—4%, т. пл. 184—185° (из смеси сп.-пиридин). Р-р 0,05 моля X в 100 мл эфира, охлажд. до —40°, прибавляют к охлажд. до —75° р-ру 0,05 моля C_4H_9Li в 60 мл эфира (30 мин.), перемешивают 15—20 мин. при —75°, получают XI. Эфирный р-р 0,05 моля $C_6H_5COOC_2H_5$, охлажд. до —20°, быстро прибавляют в токе N_2 к р-ру XI, охлажд. до —75°, выдерживают 30 мин. при —75°, дают т-ре подняться до —20°, встряхивают с 60 мл воды, эфирный слой встряхивают с 10%-ной H_2SO_4 и из объединенных водн. р-ров выделяют XII, выход 31%, т. пл. 214,3—214,9° (из 50%-ного сп.); дипикрат, т. пл. 217,2—217,9° (из смеси сп.-ацетон, 7 : 3). Из 0,05 моля $(C_6H_5)_2CO$ в эфире и 0,5 моля XI получают VIII, выход 55%. Аналогично из XI синтезируют (последовательно указаны вторая компонента, полученное в-во, выход в %, т. пл. в °C): C_6H_5CN , IX, 27,6, 71,8—72,4 (из петр. эф.); XIII, XIV, 43, 49—50 (из петр. эф.); пикрат, т. пл. 166,7—167,1°; оксим, т. пл. 194—195°; XV, XVIII, 28, 122—122,5 (из лигр.); XVI, XIX, 5, 120,9—121,3; XVII, XX, 29, 136,2—137,5 (из смеси лигр.-пиридин 85 : 15); фенилгидразон, т. пл. 250,3—250,8° (из смеси сп.-пиридин 85 : 15); XXI, XVIII, 15,—; XXII, XIX, 5,—; XXIII, XX, 31. Р-р 0,05 моля XXIV в 40 мл эфира, охлажд. до —35°, прибавляют (15 мин.) при перемешивании к эфирному р-ру 0,05 моля C_4H_9Li , охлажд. до —75°, перемешивают 30 мин. при —75°, получают XXV. Из XXV и $(C_6H_5)_2CO$ получают XXVI, выход 55%, т. пл. 161,6° (из смеси бзл.-лигр.); пикрат, т. пл. ~120° (разл.; из сп.). Из XXV и C_6H_5CN получают XXVII, выход 40%, т. пл. 75,6° (из лигр.); дихлоргидрат β -нитрофенилгидразона, т. пл. 205° (разл.). Из XXV и XVII получают XXVIII, выход 44%, т. пл. 146,7—147° (из смеси лигр.-бзл., 85 : 15, и из лигр.).

Г. Ш.

43175. Природа органического основания в соединениях Рейсберта. Эллиотт (Nature of the organic base in Reissert compounds. Elliott I. W., Jr., J. Amer. Chem. Soc., 1955, 77, № 16, 4408—4409 (англ.))

Синтезированы 4-бензоил-6-хлор-1,2-дигидрохинональдинонитрил (I) из 6-хлорхинолина (II), 1-бензоил-6-метил-1,2-дигидрохинональдинонитрил (III) из 6-метилхинолина (IV) и 2-бензоил-3-метил-1,2-дигидрохинональдинонитрил (V) из 3-метилхинолина (VI). 6-нитрохинолина, 8-нитрохинолина и β -карболины не образуют соединений Рейсберта. При гидролизе I, III и V конц. HCl получен C_6H_5CHO (VII) с выходом соответственно 98, 91 и 95%. Образование альдегидов при гидролизе соединений Рейсберта дало основание для предположения, что ацильная группа азота, не являющегося гетероатомом, также способна отщепляться с образованием альдегида. Однако при гидролизе $C_6H_5CO(C_6H_5)NCH_2N(VIII)$, «алифатич. аналога» соединений Рейсберта, вместо VII получена C_6H_5COOH . УФ-спектр и ИК-спектр VIII схожи со спектрами соединений Рейсберта. Из 30 г II, 45 г KCN в 250 мл воды и 70 г C_6H_5COCl по описанному ранее методу (Gassman A., Rupe H., Helv. chim. acta, 1939, 22, 1241) получен I, выход 48%, т. пл. 142—143° (из сп.). Аналогично получены III, выход 60%, т. пл. 142—143° и V, выход 60%, т. пл. 127—128°. К горячей на водяной бане смеси 105 г анилина, 100 мл воды и 20 мл спирта добавлено за 1 час 120 г 50%-ного р-ра $HOCH_2CN$; по нагреванию при 95° (4 часа) вода отогнана в ваку-

уме и
обработ
101—10

43176.

Сообш
цикл
и н
nig
taillo
Pri
Erl
№ 1,
С це

действи
ших к-т
пириди
метила
котинон
(V), ме
амид хл
8-уксу
(IX)—8
(IX)—н
Бромпи
(XIII) п
облуче
разуе
в хин
Br₂—Н
бромпи
в CH_2C
14 г
108—11
трубке
 CH_2NH
няют и
н²⁰ 1,54
вях из
1,5 г б
т. кип.
т. пл.
никоти
IV, ви
(из эти
лового
в 6
вают в
т. пл. 1
лин-8-н
дает м
131°/0,
сколько
выводят
логично
 CH_2NH
встрях
р-ра Са
ход 66
(см. Ма
выход
в 20 мл
охлажд;
2 н. Н
извлеч
по охл
(из пет
облуча
вают, л
эфир у
11 Хим

уме и выделившийся через 12 час. $C_6H_5NHCH_2CN$ обработан C_6H_5COCl и $NaOH$. Получен VIII, т. пл. 101—102° (из сп.). С. И.

43176. Ионы металлов и биологическое действие. Сообщение 16. О некоторых производных гетероциклических карбоновых кислот. I. Прейс, Галль Хиндерлинг, Эрленмейер (Über einige Derivate heterocyclischer Carbonsäuren. I. Metallionen und biologische Wirkung, 16. Mitteilung. Prijs B., Gall R., Hinderling R., Erlemeyer H.), *Helv. chim. acte*, 1954, 37, № 1, 90—94 (нем.; рез. англ.)

С целью изучения биологической активности при действии на метиловые и этиловые эфиры соответствующих к-т NH_3 , CH_3NH_2 , $C_2H_5NH_2$ получены: метиламид пиколиновой к-ты (I), этиламид пиколиновой к-ты (II), метиламид изоникотиновой к-ты (III), этиламид изоникотиновой к-ты (IV), амид хинолин-8-карбоновой к-ты (V), метиламид хинолин-8-карбоновой к-ты (VI), этиламид хинолин-8-карбоновой к-ты (VII). Амид хинолин-8-уксусной к-ты (VIII) получен по схеме: σ -толуидин (IX) \rightarrow 8-метилхинолин (X) \rightarrow 8-бромметилхинолин (XI) \rightarrow нитрил хинолин-8-уксусной к-ты (XII) \rightarrow VIII. Бромирование X \rightarrow XI проведено N-бромсукцинимидом (XIII) в присутствии перекиси бензола (XIV) или при облучении, причем в качестве побочного продукта образуется 8-дибромметилхинолин (XV), омыленный в хинолин-8-альдегид (XVI). Бромирование смесью Br_2 — HBr протекает с выходом 40%, но сопровождается бромированием в ядро. XII действием р-ра KOH в CH_3OH омылен в хинолин-8-уксусную к-ту (XVII). 14 г метилового эфира пиколиновой к-ты (т. кип. 108—110°/12 мм, n_D^{20} 1,5210) нагревают в запаянной трубке с 5 г безводн. CH_3NH_2 при 150° 5 час., отгоняют CH_3NH_2 и CH_3OH в вакууме при 80°, остаток перегоняют и получают I, выход 78%, т. кип. 128°/12 мм, n_D^{20} 1,5485; пикрат, т. пл. 153° (из сп.). В тех же условиях из 4,5 г этилового эфира пиколиновой к-ты и 1,5 г безводн. $C_2H_5NH_2$ получают II, выход 67%, т. кип. 113°/11 мм, 91—92°/1 мм, n_D^{20} 1,5380; пикрат, т. пл. 126,5° (из сп.); из 15,1 г этилового эфира изоникотиновой к-ты и 7 мл безводн. $C_2H_5NH_2$ получают IV, выход 67%, т. кип. 116°/0,2 мм, т. пл. 65—67° (из этилацетата); пикрат, т. пл. 180° (из сп.). 4 г метилового эфира изоникотиновой к-ты оставляют на ~12 час. в 6 мл 33%-ного водн. р-ра CH_3NH_2 , упаривают в вакууме при 80° и получают III, выход 63%, т. пл. 115° (из бзл.); пикрат, т. пл. 166° (из сп.). Хинолин-8-карбоновая к-та (XVIII) с эфир. р-ром CH_2N_2 дает метиловый эфир XVIII (XIX), т. кип. 129—131°/0,5 мм. 1 г XIX в 5 мл CH_3OH оставляют на несколько часов при 0° с 5 мл конц. NH_3 , V отфильтровывают, выход 82%, т. пл. 171—173° (из воды). Аналогично из 2 г XIX и 10 мл 40%-ного водн. р-ра CH_3NH_2 получают VI, выход 76%, т. пл. 52°. 3 г XIX встряхивают несколько часов с 5 мл 70%-ного водн. р-ра $C_2H_5NH_2$, смешивают с 10 мл 2 н. $NaOH$, упаривают в вакууме при 100°, VII извлекают эфиром, выход 66%, т. кип. 158—161°/0,6 мм. X получен из IX (см. Manske R. и др., *Canad. J. Res.*, 1942, 20B, 133), выход 80%, т. кип. 113—116°/15 мм. Р-р 1,1 г X в 20 мл CCl_4 , 1,37 г XIII и 20 мг XIV кипятят 30 мин., охлаждают до 0°, фильтруют, фильтр промывают 2 н. $NaOH$, водой, сушат, CCl_4 отгоняют и остаток извлекают горячим петролейным эфиром, из которого по охлаждению выпадает XI, выход 76%, т. пл. 83—84° (из петр. эф.). Р-р 14,3 г X в 200 мл CCl_4 и 17,8 г XIII облучают при 70° УФ-лампой 80 вт (1 час) и обрабатывают, как описано выше, выход XI 63%. Петролейный эфир упаривают и получают 2,5 г XV, т. пл. 107—

108° (из лигр.). Водн. суспензию XV кипятят 20 мин., фильтруют, охлаждают, подщелачивают 2 н. $NaOH$, извлекают эфиром, эфир. р-р сушат и по испарении получают XVI, т. пл. 94—95°. К р-ру I и XII (получен из XI, см. Jones R. G. и др., *J. Amer. Chem. Soc.*, 1948, 70, 2643) в 20 мл ацетона добавляют 10 мл пергидрола, 10 мл 2 н. $NaOH$, по окончании выделения O_2 кипятят 1 час, упаривают в вакууме и получают VIII, выход 45%, т. пл. 119—121° (из воды). Р-р 2,25 г XII и 10 г KOH в 50 мл CH_3OH кипятят до прекращения выделения NH_3 , извлекают эфиром, водн. р-р подкисляют HCl до pH 3—4, извлекают эфиром и упаривают, выход XVII 20%, т. пл. 132—133° (из лигр.). Сообщение 15 см. РЖХимБх, 1956, 7266.

Л. К.
43177. Научение бензониновой конденсации. III. Хинальдоны и хинальдил. Укан, Канахара, Канато мо (ベンツォイン縮合, 第3報. Quinaldoin及び Quinaldil に就いて. 鶴飼貞二, 金原三郎, 金友昭一), *藥學雜誌*, Якугаку даасси, *J. Pharmac. Soc. Japan*, 1954, 74, № 1, 43—44 (япон.; рез. англ.)

Конденсацией хинальдегида (I) в присутствии KCN (Buehler C. A., Harris J. O., *J. Amer. Chem. Soc.*, 1950, 72, 5015) получают хинальдоны (II), т. пл. 231—232° (разл.; из ксилота). К р-ру 0,1 г II в 5 мл C_6H_5N прибавляют 1 мл C_6H_5COCl , оставляют на 12 час., в вакууме отгоняют C_6H_5N и C_6H_5COCl , подщелачивают содой, экстрагируют C_6H_6 и получают дибензоат II (III), выход 0,1 г, т. пл. 130—131° (из бзл.). В кипящий ксиловый р-р II продувают воздух и получают хинальдил (IV), т. пл. 266°. Путем сравнения свойств полученного ранее (Brown B. R., Hammick D. L., *J. Chem. Soc.*, 1950, 628) конденсацией I в присутствии KCN «хиноколда» с IV установлена идентичность этих соединений. Приведены спектры поглощения II (в диоксане, $CHCl_3$, C_6H_5N), III (в диоксане, H_2SO_4) и IV (в диоксане). II в $CHCl_3$ имеет максимум при 440 мμ, III в $CHCl_3$ — при 340 мμ, в то время как IV в H_2SO_4 — при 410 мμ. Окраска II является следствием явления галохромии, вызванного наличием водородной связи, в то время как при ацилировании эти связи нарушаются.

Ю. В.
43178. К подвижности диэтиламиногруппы. III. Синтез 8-(аминобензил)-аминохинолинов. Стан-ровская В. П., Колосова М. О., *Ж. общ. химии*, 1955, 25, № 3, 558—562

Предпринята попытка синтеза 8-(3'-диэтиламино-метилфенил)-аминохинолина (I) и его 6-метокси производного для испытания их противомаларийной активности. При нагревании смеси 8-аминохинолина (II) с монохлоргидратом м-аминобензидиэтиламина (III-основание) вместо ожидаемого I или же 3,3'-бисдиэтиламинометилдифениламина (IV), который предположительно мог здесь образоваться, получен 8-(3'-аминобензил)-аминохинолин (V) и из 6-метокси-8-аминохинолина соответственно 6-метокси-8-(3'-аминобензил)-аминохинолин (VI). В связи с этим авторы считают, что р-ция между 8-аминохинолинами и хлоргидратом м-аминобензидиэтиламина протекает за счет диэтиламиногруппы III и 8-аминогруппы с отщеплением $(C_2H_5)_2NH \cdot HCl$. При попытке синтезировать IV нагреванием в запаянной трубке смеси III и дихлоргидрата III получен N-(3'-аминобензил)-3-диэтиламино-метиламидин (VII); следовательно, р-ция также шла с отщеплением $(C_2H_5)_2NH \cdot HCl$. V получали из II и монохлоргидрата III нагреванием в запаянной трубке (170—175°, 18 час.); плав после р-ции растворяли в HCl (к-те), прибавляли CH_3COONa , II извлекали эфиром, водн. р-р подщелачивали и экстрагировали эфиром; остаток после отгонки эфира перегоняли при 215—225°/3—4 мм и выделяли V в виде пикрата, т. пл. 235—236° (из сп.); V, т. пл. 125—126° (из эф.). VI получали аналогично V и выделяли его из фракции

с т. кип. 215—220°/3—4 мм в виде пикрата, т. пл. 242—243° (разл.; из ацетона и из воды); VI, т. пл. 118°. Из III и его дихлоргидрата нагреванием в трубке при 175—180° получен VII, т. кип. 225—230°/3 мм, n_D^{20} 1,5988; хлоргидрат VII, т. пл. 91—94° (разл.) VII получен также из III и *m*-нитробензилхлорида при нагревании с последующим восстановлением неочищенной р-ции водородом над скелетным Ni. Сообщение II см. РЖХим, 1956, 19263.

43179. Синтез окиси дихинолила. IV. Фудзита, Сайдзё, Тамура, Тоёма (Diquinoline Oxide) の合成研究. 第4報. 藤田榮一, 西條利明, 田村ヤスコ, 遠山陽子, 藥學雑誌, Якугаку заэси, J. Pharm. Soc. Japan, 1955, 75, № 9, 1153—1154 (япон.; рез. англ.)

При конденсации 3,6-е 5-бромхинолина (I) и 2,5-е 6-оксихинолина в присутствии Cu-порошка при 200—210° получена 5,6'-окись дихинолила, выход 0,56 г, т. пл. 129—130°. Из I и 7-оксихинолина или из 7-брома 5-оксихинолина в тех же условиях получают 5,7'-окись дихинолила, т. пл. 101—102°; иодметилат, т. пл. 258°. 3,5-е I и 2,5-е 8-оксихинолина дают 5,8'-окись дихинолила, выход 1,8 г, т. пл. 130—131°; иодметилат, т. пл. 215,5—217° (разл.). Синтезирована 5,8'-окись ди-1,2,3,4-тетрагидрохинолина, т. пл. 123—124°. Сообщение III, см. РЖХим, 1956, 35895.

43180. 5-амино-9-фенилфенантридин. Ферфул, Петров, Шорт (5-amino-9-phenylphenanthridine. Fairfull A. E. S., Petrow V., Short W. F.), J. Chem. Soc., 1955, Oct., 3549 (англ.)

Установлено, что при взаимодействии 2,2'-дибензамидодифенила (I) с $POCl_3$ образуется не 5-амино-9-фенилфенантридин (II), как сообщалось ранее (Mamalis, Petrow, J. Chem. Soc., 1950, 707), а 2-фенил-4,5,6,7-дибензо-1,3-диазациклогексатрис-2,4,6(III), изомерный II и 5-бензамидо-9-фенилфенантридин (IV). 3 г I, 9 мл $C_6H_5NO_2$ и 9 мл $POCl_3$ кипятят 2 часа, перемешивают с 600 мл теплого петр. эфира, выделившегося в-во растворяют в 25 мл спирта и смешивают с 25 мл конц. HCl и 15 мл воды; выделяется 6 г неочищ. хлоргидрата III, т. пл. 335—338°, из которого выделяют свободное основание, т. пл. 164—165°. Маточный р-р после отделения хлоргидрата III разбавляют 300 мл воды, фильтруют через кизельгур и подщелачивают; выделившийся осадок (из 3 опытов) нагревают с 4 мл спирта и получают 0,5 г IV, т. пл. 210—211° (из толуола). Л. П.

43181. Синтез 4-пиперидинофлавана. Шрайнер, Шеффер (Synthesis of 4-piperidinoflavan. Shriner R. L., Schaeffer R. E.), Proc. Iowa Acad. Sci., 1954, 61, № 269—270 (англ.)

Описан синтез β-4-пиперидинофлавана (I) из флаванона (II). Полученный по описанному ранее методу (Kostancek, Ber., 1904, 73, 2634) II при каталитическом восстановлении образует β-изомер 4-оксифлавана (III) (см. также Karrer и др., Helv. chim. acta, 1930, 13, 1308; Mozingo, Adkins, J. Amer. Chem. Soc., 1938, 60, 669). Действием PBr_3 на III получают 4-бромфлаван (IV) который при р-ции с пиперидином (V) дает I. При гидрировании 11,2-е II в 150 мл спирта над 0,2 г PtO_2 получают III, выход 79%, т. пл. 145—147° (из 30%-ного сп.). К суспензии 5 г III в 100 мл эфира при 0° добавляют 5,6 г PBr_3 , через 5 час. отделяют эфирный слой и выделенный из эфирного р-ра IV растворяют в 35 мл абс. эфира и вымораживают при -5°, выход IV 52%, т. пл. 85—87,5°. Р-р 2,5 г V и 4 г IV в 150 мл эфира выдерживают 5 суток при 25°, фильтруют и из остатка после удаления эфира выделяют I, выход 37%, т. пл. 137—138° (из абс. эф.). М. Б.

43182. Химическое поведение 3-аминопиридина и 3,5-диаминопиридина. Синтезы 3-пиридилпиразолонов. Зварт, Вибарт (Chemical behaviour of 3-aminopyridine and of 3,5-diaminopyridine. Syntheses of (3-pyridil)-pyrazolones. Zwart C., Wibaart J. P.), Recueil trav. chim., 1955, 74, № 8—9, 1062—1069 (англ.)

Описано получение двух изомерных нитро-3-аминопиридинов (Ia и Ib) (положение NO_2 -группы не установлено) из 3-аминопиридина (II) через его моновитрат (IIa). Приведены улучшенные прописи синтеза II, 3,5-диаминопиридина (III) и 3-амино-5-бромпиридина (IV) соответственно из 3-бромпиридина (V) и 3,5-дибромпиридина (VI). Ввести NO_2 -группу в 3-ацетиламинопиридин (IIb) действием HNO_3 (d 1,52) в $(CH_3CO)_2O$ не удалось. При действии на IIb KNO_3 и H_2SO_4 получен 3-оксипиридин (VII). Сульфирование III или 3,5-ди-(ацетиламино)-пиридина (IIIa) при действии $ClSO_3H$ не происходит. При действии Br_2 на IIIa 2,6-дибром-3,5-диацетиламинопиридин (VIII) получают с низким выходом. Эти р-ции указывают, что введенные заместители в ядро II и III затруднено. Из II диазотированием получают VII. В аналогичных условиях превратить III в диоксипроизводное не удалось. Через диазотированный IV получают 3-бром-5-фторпиридин (IX), 3-бром-5-иодпиридин (X) и 3-бром-5-цианпиридин (XI). Из диазотированного IV сочетанием получают 3-бромпиридин-5-азо-β-нафтол (XII) и 3-бромпиридин-5-азодиметиланилин (XIII). Действием на 3-гидразинопиридин (XIV) $CH_3COCH_2COOC_2H_5$ (XV) синтезировали 1-(пиридил-3')-3-метилпиразолон-5 (XVI), а из 3-бром-5-гидразинопиридина (XVII) и XV получили 1-(5'-бромпиридил-3')-3-метилпиразолон-5 (XVIII). Ввести Br -группу в положение 2 пиразолонового кольца XVI не удалось. 1 моль V нагревают с 4 молями 25%-ного NH_4OH и 9—10 г $CuSO_4$ (140°, 18—24 часа) и получают II, выход 80—82%, т. кип. 115°/12 мм. 0,4 моля VI, 6,6 моля 25%-ного NH_4OH и 0,06 моля $CuSO_4 \cdot 5H_2O$ нагревают 20 час. при 140° сильно подщелачивают (вспенивание!), экстрагируют несколько недель эфиром и получают III, выход 73%, т. кип. 155°/0,2 мм; IIIa, т. пл. 251—252° (из воды). К 225 г абс. CH_3OH , насыщ. NH_3 , добавляют 0,34 моля VI и 0,05 моля безводн. $CuSO_4$. Нагревают 20 час. при 135—140°, получают IV, выход 30%, т. кип. 153°/12 мм; ацетильное производное, т. пл. 123,5—124,5° (из бал.). К 0,31 моля FSO_3H за 45 мин. добавляют при -60° 0,032 моля IIa, полученного из II в $CHCl_3$ действием HNO_3 , d 1,52. Оставляют при -20° на 20 мин. и выливают в р-р $NaHCO_3$, получают Ia, т. пл. 186—187° (из воды). При медленном внесении IIa в безводн. HF при -20° после нейтр-ции р-ром $NaHCO_3$ получают Ib, т. пл. 196—197° (из воды). 3 г IIb нагревают 10 час. при 100° с 2,2 г KNO_3 и 5 мл H_2SO_4 и получают 45% VII, т. пл. 123,5—124,8°. Кипятят р-р IIIa в лед. CH_3COOH с избытком Br_2 до обесцветивания, получают VIII, т. пл. 233—234° (из ацетона и лигр.). При диазотировании 0,32 моля II в 0,54 моля H_2SO_4 и 1,0 моля воды + 250 г льда, 0,32 моля $NaNO_2$ в 90 мл воды с последующим нагреванием до 50° получают VII, выход 81%. 0,034 моля IV растворяют в смеси 13 мл HBF_4 и 25 мл спирта, добавляют C_2H_5ONO и затем 13 мл эфира, отфильтрованную на холоду соль диазония нагревают с лигроином и полученный IX очищают через хлоридат, выход IX 51%, т. кип. 78°/11 мм, т. пл. 24,5—25° (из водн. сп. при -20°). X получают по методу (Räth, Liebigs Ann. Chem., 1931, 486, 95), выход 47%, т. пл. 132—134°. К р-ру соли диазония, полученной из 0,034 моля IV, добавляют при охлаждении р-р $K_2[Cu(CN)_4]$, кипятят 1 час и перегоняют с паром, выход XI 50%, т. пл. 105—106° (из петр. эф.). При сочетании диазотированного IV с β-нафтолом получают XII, т. пл. 180,5—181,5° (из абс. сп.), а с $C_6H_5N(CH_3)_2$ — XIII, т. пл. 145—146° (из абс. сп.). К эфирному р-ру 0,05 моля XIV добавляют 0,05 моля

XV и испар. выход 0,05 моль $NaNO_2$ SnCl₂ (из абс. бано) XVI 43183 бар до хим. диево (II), Р-ции ных 25%, 1,1-ди т. ки карб. т. ки гидри ствия тили d^{20} 1, 125— 2,2,4- n_D^{20} гекекс спир полу выхо пикл 1,1-д ход 3 тилц 1,1-д т. пл и ци по ра де (т 26, 2 229— 1,1-д (разл) 43184 та: ли: в: р: 42: J. (пл) По: битут тобо: изво: На-с 16 г сана вой к-та, $CH_2=$ разу:

XV и оставляют на 48 час. при $\sim 20^\circ$. Остаток после испарения эфира перегоняют в высоком вакууме, выход XVI 54%, т. пл. 127,6—128,6° (из сп.). 0,05 моля IV в 50 мл HCl диазотируют 0,052 моля NaNO_2 в 30 мл воды, полученный р-р добавляют к 30 г SnCl_2 в 25 мл HCl, выход XVII 76%, т. пл. 109—110° (из эф. + лигр.). При нагревании (4 часа) на водяной бане 0,0224 моля XVII с 0,0216 моля XV получают XVIII, выход 46%, т. пл. 191—192° (из абс. сп.). С. И.

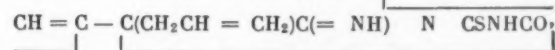
43183. Барбитуровые кислоты. IV. Синтез «спиро-барбитуровых» кислот. Левина Р. Я., Голдовиков Н. Н., Величко Ф. К., Ж. общ. химии, 1955, 25, № 13, 2522—2527

Изучена р-ция между метилмалоновым эфиром (I) как диенофилом и диеновыми углеводородами: пипериленом (II), изопреном (III) и 2,4-диметилпентадиеном-1,3 (IV). Р-ции I с II, III и IV проводят в условиях, описанных ранее (см. сообщение III РЖХим, 1956, 9828). Получены: 1,1-дикарбэтокси-2-метилциклогексен-3, выход 25%, т. кип. 133—134°/9 мм, n_D^{20} 1,4572, d_4^{20} 1,0456; 1,1-дикарбэтокси-4-метилциклогексен-3, выход 27%, т. кип. 113—115°/4 мм, n_D^{20} 1,4532, d_4^{20} 1,0370; 1,1-дикарбэтокси-2,2,4-триметилциклогексен-3, выход 24%, т. кип. 119—121°/4 мм, n_D^{20} 1,4632, d_4^{20} 1,0266. При гидрировании аддуктов в абс. спирте в присутствии скелетного Ni получают: 1,1-дикарбэтокси-2-метилциклогексан, т. кип. 120—121°/7 мм, n_D^{20} 1,4490, d_4^{20} 1,0345; 1,1-дикарбэтокси-4-метилциклогексан, т. кип. 125—127°/8 мм, n_D^{20} 1,4458, d_4^{20} 1,0154; 1,1-дикарбэтокси-2,2,4-триметилциклогексан, т. кип. 141—143°/11 мм, n_D^{20} 1,4584, d_4^{20} 1,0162. При гидролизе эфиров циклогексен- и циклогександикарбоновых к-т действием спирт. р-ра KOH по описанной ранее методике (там же) получают: 1,1-дикарбэокси-2-метилциклогексен-3 (V), выход 56%, т. пл. 121—122°; 1,1-дикарбэокси-4-метилциклогексен-3 (VI), выход 53%, т. пл. 163—164° (разл.); 1,1-дикарбэокси-2,2,4-триметилциклогексен-3 (VII), выход 35%, т. пл. 194—195° (разл.); 1,1-дикарбэокси-2-метилциклогексан (VIII), выход 98%, т. пл. 154—155°; 1,1-дикарбэокси-4-метилциклогексан (IX), выход 98%, т. пл. 175—176°. Из мочевины и эфиров циклогексен- и циклогександикарбоновых к-т в присутствии $\text{C}_2\text{H}_5\text{ONa}$, по ранее описанной методике (там же), получают уреиды (перечисляются в-во, выход в %, т. пл. в °C): V, 26, 220—221; VI, 53, 223—224 (разл.); VII, 17, т. разл. 229—230°; VIII, 25, 217—218 (разл.); IX, 66, 251—252; 1,1-дикарбэокси-2,2,4-триметилциклогексана, 24, 217—218 (разл.). Ю. Р.

43184. Внутривенные анестетики ряда тиобарбитала. I. Синтезы Na-соли 5- Δ^2 -циклогексенил-5-аллил-2-тиобарбитала и его аналогов. Абэ (チオバルビツール酸系静注麻酔劑の研究. 第1報. ソジウム 5- Δ^2 -シクロヘキセニル-5-アリル 2-チオバルビタール及び類似化合物の合成. 阿部久二), 薬学雑誌, Якугаку даэси, J. Pharmac. Soc. Japan, 1955, 75, № 7, 885—888 (япон.; рез. англ.)

Получены 5-аллил-5-(Δ^2 -циклогексенил)-2-тиобарбитуровая к-та (I), 5- Δ^1 -(II) и 5- Δ^2 -циклогексенил-2-тиобарбитуровая к-та (III), 5-аллил-(IV) и 5-этилпроизводные (V). Na-соль I более сильный анестетик, чем Na-соль метилгексабиталя, Na-соль IV менее активна, а Na-соль V не обладает анестезирующим действием. Из 16 г малонового эфира (VI) и 25 г 1,2-дибромциклогексана получают этиловый эфир Δ^2 -циклогексенилмалоновой к-ты (VII), выход 75%, т. кип. 118—121°/4 мм; к-та, т. пл. 165—167°. При р-ции 53 г VI с 40,5 г $\text{CH}_2=\text{CH}-\text{CH}_2\text{Br}$ и 7,7 г Na в 100 мл абс. спирта образуется эфир аллилмалоновой к-ты (VIIa), выход

75,4%, т. кип. 104—107°/13 мм. Из 36,5 г VII, 27,6 г $\text{CH}_2=\text{CHCH}_2\text{Br}$ и из 3,8 г Na в 60 мл абс. спирта или из 6 г VIIa, 4,8 г 1-бром- Δ^2 -циклогексена (Ziegler и др., Ann., 1942, 551, 80) и 0,7 г Na в 15 мл абс. спирта синтезируют Δ^2 -циклогексенилаллилмалоновый эфир (VIII), выход соответственно 73,4 и 64,3%, т. кип. 143—147°/2,2—3 мм. Р-ция 5,6 г VIII, 1,35 г Na в 35 мл абс. CH_3OH и 2,8 г $(\text{NH}_2)_2\text{CS}$ при 80—85° ведет к образованию I, выход 69%, т. пл. 129—132° (из CH_3OH); аналогично из VII получают III, т. пл. 154—155° (из CH_3OH). 45 г $\text{CH}_2(\text{CN})\text{COOC}_2\text{H}_5$, 47,1 г циклогексанона, 5 г CH_3CONH_2 и 96 мл лед. CH_3COOH нагревают при 108—115°, выход этилового эфира циклогексенилденциануксусной к-ты (IX) 76,6%, т. кип. 143—147°/7 мм. Из 19,3 г IX, 2,42 г Na в 30 мл абс. спирта и 13,3 г $\text{CH}_2=\text{CHCH}_2\text{Br}$ получают этиловый эфир Δ^1 -циклогексенилаллилциануксусной к-ты (X), выход 71,7%, т. кип. 155—157°/11 мм; аналогично получают этиловый эфир Δ^1 -циклогексенилэтилциануксусной к-ты, выход 62,8%, т. кип. 132—134°/7 мм. При взаимодействии 23,3 г X с 4,6 г Na в 80 мл абс. CH_3OH и 20 г $(\text{NH}_2)_2\text{CS}$ образуется $\text{CH}_2\text{CH}_2\text{CH}_2\text{CH}_2-$



т. пл. 230° (из CH_3OH), которая при обработке 30%-ной H_2SO_4 дает IV, выход 60,6%, т. пл. 169—170°; аналогично получают V, выход 57,5%, т. пл. 188—189° (из CH_3OH). Из IX получают II, т. пл. 226—228° (из CH_3OH). Т. А.

43185. Внутривенные анестетики ряда тиобарбитала. II. Синтез Na-соли тиопентала. Абэ, Исикава, Онда, Кудзи, Хираки, Цукамото (チオバルビツール酸系静注麻酔劑の研究. 第2報. チオペンタルソジウムの合成. その1. 阿部久二, 石坂哲夫, 櫻田政行, 久慈光亮, 関詒治, 塚本義二), 薬学雑誌, Якугаку даэси, J. Pharmac. Soc. Japan, 1955, 75, № 7, 888—891 (япон.; рез. англ.)

Синтезирована 5-этил-5-(1-метилбутил)-2-тиобарбитуровая к-та (I) (тиопентал) и ее Na-соль. При р-ции $\text{C}_5\text{H}_7\text{CHBrCH}_3 + \text{CH}_2(\text{COOC}_2\text{H}_5)_2$ образуется (1-метилбутил)-малоновый эфир (II), выход 50%, т. кип. 122—125°/3 мм. Из этилмалонового эфира и $\text{C}_5\text{H}_7\text{CHBrCH}_3$ ($\text{C}_6\text{H}_6\text{Na}$) получают (1-метилбутил)-этилмалоновый эфир (III), выход 68,4%. Из $\text{C}_5\text{H}_7\text{CHBrCOOH}$ (или ее этилового эф.) и NaCN синтезируют $\text{CH}_2(\text{CN})\text{COOC}_2\text{H}_5$ (IV), выход 41%, т. кип. 204—209°. IV действием Na в абс. спирте и $\text{C}_5\text{H}_7\text{CHBrCH}_3$ превращают в этиловый эфир (1-метилбутил)-циануксусной к-ты (V), выход 61%, т. кип. 135—140°/30 мм. 9,1 г V нагревают (80—85°) с 1,15 г Na в 20 мл абс. спирта и 10 г $\text{C}_2\text{H}_5\text{Br}$, выход этилового эфира (1-метилбутил)-этилциануксусной к-ты (VI) 84%, т. кип. 143—147°/30 мм. I получают из III или VI, выход соответственно 60 и 61,6%, т. пл. 156—157° (из CH_3OH); промежуточно образуется $\text{C}_5\text{H}_7\text{CH}(\text{CH}_3) \cdot \text{C}(\text{C}_2\text{H}_5) \text{C}(=\text{NH})\text{NHCNSHCO},$

т. пл. 198—200° (из CH_3OH). Из II или V получают 5-(1-метилбутил)-2-тиобарбитуровую к-ту, т. пл. 151° (из CH_3OH). Na-соль I является более действенным внутривенным анестетиком, чем Na-соль 5-аллил-5-(Δ^2 -циклогексенил)-2-тиобарбитуровой к-ты. Т. А.

43186. Внутривенные анестетики ряда тиобарбитала. III. Синтез Na-соли тиамилала. Абэ, Исикава, Цукамото (チオバルビツール酸系静注麻酔劑の研究. 第3報. チアミラルソジウムの合成. 阿部久二, 石坂哲夫, 塚本義二), 薬学雑誌, Якугаку даэси,

J. Pharmac. Soc. Japan, 1955, 75, № 7, 891—892 (япон.; рез. англ.)

По методике, описанной в сообщениях I и II (см. пред. реф.), получены: этиловые эфиры (1-метилбутил)-циануксусной к-ты, выход 61%, т. кип. 106—110°/6 мм.; (1-метилбутил)-аллилциануксусной к-ты, выход 75%, т. кип. 122—124°/6 мм. и (1-метилбутил)-аллилмалоновой к-ты, выход 60,4%, т. кип. 137—140°/15 мм., а также $C_3H_7CH(CH_3)-C(CH_2-CH=CH_2)-C(=NH)-$

$-NH-CS-NH-CO$, т. пл. 229—231° (из CH_3OH),

и 5-аллил-5-(1-метилбутил)-2-тиобарбитуровая к-та (I) (тиамилал), выход 61%, т. пл. 131—134° (из CH_3OH). Na-соль I обладает большим гипнотич. действием, чем Na-соль тиопентала, но вызывает более сильные побочные явления.

T. A.

43187. Внутренние анестетики ряда тиобарбитала. IV. Синтез Na-соли тиопентала. А б э, К а т о, Х и р а к и (チオバルビツール酸系静注麻酔剤の研究. 第4報. チオベンツォールソジウム合成. その2. 阿部久二, 加藤信幸, 開誠治), 薬學雑誌, Якугаку дзасси, J. Pharmac. Soc. Japan, 1955, 75, № 7, 893—896 (япон.; рез. англ.)

Разработан метод синтеза 5-этил-5-(1-метилбутил)-2-тиобарбитуровой к-ты (I), исключаяющий применение $C_3H_7CHXCH_3$ (X = Br или J). Из 79 г $CH_3COCH(C_2H_5)COOC_2H_5$ в 600 мл 15%-ного NaOH получают $C_3H_7COCH_2$, выход 59,1%, т. кип. 100—104°. Конденсация 11,3 г $CH_2(CN)COOC_2H_5$ с 10,3 г $C_3H_7COCH_2$ при 140—160° приводит к этиловому эфиру (1-метилбутилен)-циануксусной к-ты (II), выход 82,3%, т. кип. 89—91°/3—4 мм. 13,1 г II гидрируют над I г 10%-ного Pd/C, выход $C_3H_7CH(CH_3)CH(CN)COOC_2H_5$ 94,5%, т. кип. 85—88°/1,5 мм. Из 18,1 г II в р-ре 2,3 г Na в 100 мл *изо*- C_3H_7OH получают этиловый эфир (1-метилбутилен)-этилциануксусной к-ты (III), выход 42%, т. кип. 94—97°/2 мм. 7,2 г III гидрируют над 2 г 10%-ного Pd/C, выход этилового эфира (1-метилбутил)-этилциануксусной к-ты (IV) 78,2%, т. кип. 84—90°/1—2 мм. Из IV получают I (см. сообщение II РЖХим. 1956, 43185). Конденсация $(C_2H_5)_2CO$ с $CH_2(CN)COOC_2H_5$ и гидрирование над Pd/C приводит к $(C_2H_5)_2CHCH(CN)COOC_2H_5$ (V), т. кип. 97—99°/5 мм (у автора 97—19°). V превращают в этиловый эфир (1-этилопропил)-этилциануксусной к-ты, выход 70%, т. кип. 92—96°/3 мм., а последний — в 5-этил-5-(1-этилопропил)-2-тиобарбитуровую к-ту, выход 60%, т. пл. 180—181° (из CH_3OH). Приведены кривые ИК-спектров I, V и $C_3H_7CH(CH_3)CH(CN)COOC_2H_5$.

T. A.

43188. Внутренние анестетики ряда тиобарбитала. V. Синтез Na-соли 5-(2-метилтиоэтил)-5-(1-метилбутил)-2-тиобарбитуровой кислоты. А б э, М а ц у и (チオバルビツール酸系静注麻酔剤の研究. 第5報. ソジウム 5-(2-メチルチオエチル) 5-(1-メチルブチル) 2-チオバルビツレート合成. 阿部久二, 松井和夫), 薬學雑誌, Якугаку дзасси, J. Pharmac. Soc. Japan, 1955, 75, № 7, 896—897 (япон.; рез. англ.)

Синтезирована 5-(2-метилтиоэтил)-5-(1-метилбутил)-2-тиобарбитуровая к-та (I), Na-соль которой обладает действием метионина *in vivo*. При р-ции 18,3 г $C_3H_7CH(CH_3)CH(CN)COOC_2H_5$, 12 г $CH_3SCH_2CH_2Cl$ и 2,3 г Na в 50 мл абс. спирта (при 80°) получают этиловый эфир (1-метилбутил)-(2-метилтиоэтил)-циануксусной к-ты (II), выход 67%, т. кип. 114—115°/3 мм. Из малонового эфира и $CH_3SCH_2CH_2Cl$ получают $CH_3SCH_2CH_2CH(COOC_2H_5)_2$, выход 61%, т. кип. 124—127°/5 мм., который превращают в этиловый эфир (1-метилбутил)-(2-метилтиоэтил)-малоновой к-ты (III), выход 62%, т. кип. 142—145°/1,5 мм. I получают (см. сообщ. I—IV) из III, выход 72%, т. пл. 65—

70°, или из II, выход 67,5%, причем промежуточно образуется $C_3H_7CH(CH_3)C(CH_2CH_2SCH_3)C(=NH)-$

$NHCSNHCO$, т. пл. 225° (из CH_3OH).

T. A.

43189. Действие юда на некоторые замещенные тиюрацилы. I. Гадачек, Рабушиц (Vliv jodu na některé substituované thiouracily. I. Hadáček J., Rabušic E.), Spisy vyd. přírodověd. fakult. Masarykovy, 1955, № 6, 323—334 (чеш.; рез. русс., нем., англ.)

В связи с антирейдной активностью некоторых замещ. 2-тиоурацилов получены 6-метил-S-аллил-2-тиоурацил (I), 3,6-диметил-S-метил-2-тиоурацил (II) и их 5-модифицированные (соответственно III и IV). При кипячении с конц. HCl (3 часа) I и II расщепляются с образованием 6-метилурацила, выход 72% и соответственно 90%, т. пл. 320° (разл.). Смесь р-ра C_2H_5ONa (из 3 г Na и 50 мл спирта) с 30 г $CH_3COCH_2COOC_2H_5$ и 18 г $CS(NH_2)_2$ кипятят 2 часа, осадок растворяют в воде, нейтрализуют CH_3COOH , выход 6-метил-2-тиоурацила (V) 86%, т. пл. 326—331° (разл., из воды). 6 г V в 200 мл спирт. р-ра C_2H_5ONa (из 5 г Na) и 7 г $CH_2=CHCH_2Br$ кипятят 30 мин., фильтруют, отгоняют спирт и добавляют 100 мл 10%-ной CH_3COOH ; выход I 97%, т. пл. 132—133° (из воды). К смеси 2,8 г V в 50 мл 2 н. КОН и 10 мл 25%-ного NH_4OH при охлаждении добавляют 5,04 г $(CH_3)_2SO_4$, через сутки нейтрализуют 50%-ной CH_3COOH ; выход II 70%, т. пл. 232—233° (из абс. CH_3OH). К 910 мг I в 50 мл абс. CH_3OH постепенно добавляют 635 мг измельченного J_2 , кипятят до обесцветивания, упаривают до малого объема, отфильтровывают осадок (смесь I и III), через сутки отфильтровывают III, выход 39%, т. пл. 159°. К 500 мг II в 75 мл р-ра, содержащего 0,35 г NaOH, постепенно добавляют 850 г J_2 , кипятят 2 часа и нейтрализуют 50%-ной CH_3COOH , выход IV 23%, т. пл. 219° (разл.; из CH_3OH).

T. A.

43190. Действие юда на некоторые замещенные тиюрацилы. II. Рабушиц, Гадачек (Vliv jodu na některé substituované thiouracily. II. Rabušic E., Hadáček J.), Spisy vyd. přírodověd. fakult. Masarykovy, 1955, № 6, 335—342 (чеш.; рез. русс., нем., англ.)

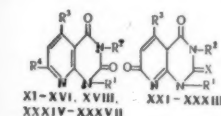
В продолжение прошлой работы (см. сообщение I см. пред. реф.) синтезирован бис-(6-метил-4-оксо-3,4-дигидропиримидил-2)-дисульфид (I), его Na-соль (II), бис-(3,6-диметил-4-оксо-3,4-дигидропиримидил-2)-дисульфид (III) и бис-(3,6-диметил-4-оксо-5-под-3,4-дигидропиримидил-2)-дисульфид (IV). К 7,11 г 6-метил-2-тиоурацила в 100 мл 1 н. NaOH постепенно добавляют 50 мл водн. р-ра 6,35 г J_2 и 12,7 г KJ, после стояния осаждают II избытком ацетона, выход 7,02 г, к р-ру 330 мг II в смеси 5 мл 2 н. КОН и 1 мл 25%-ного NH_4OH постепенно добавляют 0,25 г $(CH_3)_2SO_4$ и через сутки фильтрат подкисляют 10%-ной CH_3COOH ; выход III 140 мг, т. пл. 231° (из CH_3OH). К 310 мг III в 45 мл водн. р-ра 210 мг NaOH постепенно добавляют 550 мг измельченного J_2 , нагревают (100°, 2 часа) и через сутки подкисляют 10%-ной CH_3COOH выход IV 370 мг, т. пл. 217° (разл.; из CH_3OH). К водн. р-ру 2 г II добавляют по каплям 10%-ную CH_3COOH , получают I, выход 1 г, т. пл. 333°.

T. A.

43191. Исследование барбитуровой кислоты и ее производных. Сообщение XIII. Синтез пиримидино-пиримидиновых и пиримидинопиримидиновых производных. Риди, Кекки, Панини (Ricerche sopra l'acido barbiturico e suoi derivati. Nota XIII. Sintesi di derivati pirimidino-piridinici e pirimidino-piridinici. Ridi Mario, Checchi Silvio, Papini Piero), Ann. chimica, 1955, 45, № 4—5, 439—448 (итал.)

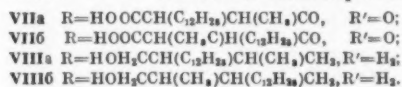
Пр
вых
ный
с дин
нагр
пил
дроп
4-ам
гекса
(V);
тил-
имин
в-ва
R'=
R²=
= R⁴
и XI
сред
приг
т. пл
получ
или
тельс
с аце
(XX)
R³=
X=
X=
(XXV)
R'=
C₂H₅
R'=
R'=
R³=
R³=
(XXX)
R'=
IX с
в-ва
R⁴=
R⁴=
R³=
R³=
и (X)
R⁴=
в-ва
xxx
вако
290—
> 320
XIII,
265 (адес
XXII
330;
XXX
ватый
XXX
43192
фа
e
sta
nit
Pro
Дл
(ПА)

Предложен новый метод синтеза пиримидинопиридинс-вых и пиримидинопиридиновых производных, основан-ный на конденсации аминоурацила и его производных с дикетонами и кетокислотами в присутствии P_2O_5 при нагревании без р-рителя. В этих условиях 4-аминоура-цил (I) и пентадион-2,4 (II) дали 2,6-дикетогексагидропиримидино 4,5,2',3'-(4',6'-диметил)-пиридин (III); 4-амино-2-тиоурацил (IV) и II образовали 2-тио-6-кетогексагидропиримидино-4,5,2',3'-(4',6'-диметил)-пиридин (V); 1-фенил-(VI), 1-(4'-этоксифенил)-(VII); 1-фенил-3-метил-(VIII); 1-(4'-этоксифенил)-3-метил-(IX) и 1-метил-6-аминобарбитуровая к-та (X) с II дали соответственно в-ва (XI, $R' = C_6H_5$, $R^2 = H$, $R^3 = R^4 = CH_3$); (XII, $R' = n-C_2H_5OC_6H_4$, $R^2 = H$, $R^3 = R^4 = CH_3$); (XIII, $R' = C_6H_5$, $R^2 = R^3 = R^4 = CH_3$); (XIV, $R' = n-C_2H_5OC_6H_4$, $R^2 = R^3 = R^4 = CH_3$) и (XV, $R' = R^3 = R^4 = CH_3$, $R^2 = H$). XIII и XIV получены также метилированием XI и XII посред-ством $(CH_3)_2SO_4$ в 1,75 н. NaOH; аналогично из III приготовлено в-во (XVI, $R' = R^2 = R^3 = R^4 = CH_3$), т. пл. 182° (из сп.). Из I и 1-фенилбутандиона-1,3 (XVII) получено в-во (XVIII, $R' = R^2 = H$, $R^3 = CH_3$, $R^4 = C_6H_5$ или $R^3 = C_6H_5$, $R^4 = CH_3$), структура которого оконча-тельно не установлена. При конденсации I, VI—X с ацетоуксусным (XIX) или бензоилуксусным эфиром (XX) образовались соединения (XXI, $R' = R^2 = H$, $R^3 = CH_3$, $X = O$), (XXII, $R' = C_6H_5$, $R^2 = H$, $R^3 = CH_3$, $X = O$); (XXIII, $R' = n-C_2H_5OC_6H_4$, $R^2 = H$, $R^3 = CH_3$, $X = O$); (XXIV, $R' = C_6H_5$, $R^2 = R^3 = CH_3$, $X = O$); (XXV, $R' = n-C_2H_5OC_6H_4$, $R^2 = R^3 = CH_3$, $X = O$); (XXVI, $R' = CH_3$, $R^2 = H$, $R^3 = CH_3$, $X = O$); (XXVII, $R' = n-C_2H_5OC_6H_4$, $R^2 = H$, $R^3 = C_6H_5$, $X = O$); (XXVIII, $R' = n-C_2H_5OC_6H_4$, $R^2 = CH_3$, $R^3 = C_6H_5$, $X = O$); (XXIX, $R' = C_6H_5$, $R^2 = H$, $R^3 = C_6H_5$, $X = O$); (XXX, $R' = C_6H_5$, $R^2 = CH_3$, $R^3 = C_6H_5$, $X = O$); (XXXI, $R' = R^2 = H$, $R^3 = C_6H_5$, $X = S$). Аналогично VI, VII, VIII и IX с этиловым эфиром ацетопиридиноградной к-ты дали в-ва (XXXIV, $R' = n-C_2H_5OC_6H_4$, $R^2 = H$, $R^3 = CH_3$, $R^4 = COOC_2H_5$ или $R^3 = CH_3$, $R^4 = COOC_2H_5$), (XXXV, $R' = C_6H_5$, $R^2 = H$, $R^3 = CH_3$, $R^4 = COOC_2H_5$ или $R^3 = COOC_2H_5$, $R^4 = CH_3$), (XXXVI, $R' = C_6H_5$, $R^2 = CH_3$, $R^3 = COOC_2H_5$, $R^4 = CH_3$ или $R^3 = CH_3$, $R^4 = COOC_2H_5$) и (XXXVII, $R' = n-C_2H_5OC_6H_4$, $R^2 = CH_3$, $R^3 = CH_3$, $R^4 = COOC_2H_5$ или $R^3 = COOC_2H_5$, $R^4 = CH_3$). При действии 1,75 н. NaOH на XXIV и XXV (кипение 1 час) обра-зовались в-ва с т. пл. $>300^\circ$. При действии избытка гидразингидрата на XXV получено в-во с т. пл. 353° (из CH_3COOH). Смесь 1 г I, 2 г P_2O_5 и 3 г II нагре-вают 40 мин. при $120-130^\circ$, выделяют III, т. пл. $290-292^\circ$. Аналогично получены (в-во, т. пл. в $^\circ C$) V, >320 ; XI, 335 (из CH_3COOH); XII, 320 (из CH_3COOH); XIII, 240 (из CH_3OH); XIV, 218—220 (из CH_3COOH); XV, 265 (из сп.); XVIII (из I и XVII, 150° , 1 час), 290; XXI (здесь и далее р-ция ведется 1 час при $150-170^\circ$), >320 ; XXII, 280; XXIII, 332; XXIV, 303; XXV, 280; XXVI, 330; XXVII, 280; XXVIII, 230; XXIX, 280; XXX, 215; XXXI, 320; XXXII, 320; XXXIII, —, аморфный желто-ватый порошок; XXXIV, 235 (из сп.); XXXV, 220 (из сп.); XXXVI, —; XXXVII, —.



43192. Противотуберкулезные вещества. XII. Али-фатические производные азотистых соединений с длинными цепями. Туми (Antitubercular sub-stances. XII. Long-chain aliphatic derivatives of nitrogenous compounds. T. womey Dermot, Proc. Roy. Irish Acad, 1954, В 57, № 3, 39—45(англ.)) Для изучения противотуберкулезной активности (ПА) синтезированы азотистые соединения с длинными

алифатич. цепями. Конденсацией гидразида изоникотиновой к-ты (I) с α -метил- α' -додецилтарным ангидридом (II) с последующей циклизацией получают N-(N'-изоникотиноиламидо)-3-метил-4-н-додецилуксинимид (III), который при восстановлении действием $LiAlH_4$ (IV) превращается в 3-метил-4-н-додецил-N-(N'-пиколиниламино)-пирролидин (V). Конден-сация II с 2-кето-3-метилпиперазином (VI) при-



водит к смеси в-в (VIIa и VIIb), из которой при действии IV образуется смесь соединений (VIIa и VIIb). V и VII a-b обладают высокой ПА in vitro; VIIa-b не проявляют ПА в эксперименте на мышах. ПА V и VII a-b превышает ПА 2-кето-3-метил-4-н-додецилпиперазина (IX), N, N'-ди-н-додецилпиперазина (X) и N, N'-ди-н-октилпиперазина (XI). Для изучения ПА получена также додецилмалонилмочевина (XII). Восста-новление XII действием IV осуществить не удалось. 4-н-додецил-5-метилпиразолон (XIII) и 3-окси-4-н-додецил-5-метилпиразолин (XIV) лишены ПА. Изучена также ПА 2,4-ди-(пиперидил)-1-6-хлорпиримидина (XV) и 1-гуа-нидино-2-оксиметил-н-тетрадекана (XVI). Кипятят II с избытком I в р-ре диоксана (2 часа), выливают в воду и осадок нагревают 1 час при $180-190^\circ$, получают 60% III, т. пл. $122-124^\circ$ (из сп.). III при действии IV дает 25% V, оксалат, т. пл. $78-81^\circ$ (из хлф.). Смешивают ацетоновые р-ры II и VI и оставляют на 12 час., выход смеси VIIa и VIIb 54%, т. пл. $165-180^\circ$ (из сп.), т-ра плавления смеси VIIa и VIIb, полученной из смеси VIIa и VIIb, $80-81^\circ$ (из сп.). VI кипятят 2 часа с избытком $n-C_{12}H_{25}J$ в спирте в присутствии K_2CO_3 и полу-чают IX, выход $\sim 100\%$; оксалат, т. пл. $170-174^\circ$ (разл.; из воды). При кипячении спирт. р-ра пипера-зина с $n-C_{12}H_{25}J$ (2 часа) в присутствии K_2CO_3 полу-чают X, выход 80%, т. пл. $50-51^\circ$ (из сп.); аналогично получен XI, т. кип. $200-210^\circ/1,5$ мм; дихлоргидрат, т. пл. 310° (разл.; из сп.). 10 г додецилмалонного эфира кипятят 10 час. с 4 г мочевины в бутаноле, со-державшем C_4H_9ONa (из 2,1 г Na), получают 7 г XII, т. пл. $186-192^\circ$ (разл.; из сп.). N-Додецилацетоуксус-ный эфир нагревают на водяной бане с избытком $NH_2NH_2 \cdot H_2O$, выход XIII $\sim 100\%$, т. пл. $178-180^\circ$ (из сп.). При восстановлении XIII действием IV полу-чают XIV; XIV $\cdot 0,5 H_2SO_4$, т. пл. $115-117^\circ$ (разл.; из сп.). Эфирный р-р 2,4,6-трихлорпиримидина до-бавляют к рассчитанному кол-ву пиперидина в эфире, выход XV 65%, т. пл. $95-96^\circ$ (из сп.). Эквимолекуляр-ную смесь 2-оксиметил-н-тетрадекан-1-амина и пиа-мида в спирте оставляют на несколько дней в рефри-жераторе, получают XVI, т. пл. $118-120^\circ$ (из сп.). Сообщение XI см. РЖХим, 1955, 34515. С. И.

43193. Триазины. XI. Некоторые реакции 1,3,5-триазина. Грудман, Крэйцбергер (Triazines. XI. Some reactions of 1,3,5-triazine. Grundmann Christoph, Kreutzberger Alfred, J. Amer. Chem. Soc., 1955, 77, № 1, 44—48 (англ.))

Получены дальнейшие (см. сообщение X РЖХим, 1956, 22303 и РЖХим, 1956, 6837) хим. доказательства идентичности тримера HCN и 1,3,5-триазина (I). Хло-рирование I ведет в зависимости от условий к образо-ванию сесквихлоридрата (2 I : 3 HCl) или 2,4,6-три-хлор-I (хлорангидрид циануровой к-ты) (II) наряду с 2,4-дихлор-I (III), причем II идентифицирован в виде 2,4,6-трианилидо-I (IV), а III — в виде 2,4-дианилидо-I (V); встречный синтез V осуществлен из 2,4-дианилидо-6-хлор-I (VI) через 2,4-дианилидо-6-меркапто-I (VII)

и 2,4-дианилидо-6-метилмеркапто-I (VIII) с последующим восстановлением в V. При бромировании I образуется трибромид (I · 3 Br) со свойствами пербромидов, а при бромировании 2,4,6-триметил-I (IX) и 2-фенил-4,6-диметил-I (X) получены дибромиды (IX · 2 Br и X · 2 Br); в более жестких условиях I образует трибромпроизводное (XI) — бромгидрат 2,4-дибром-I или 2,4,6-трибром-1,2-дигидро-I, не идентичное с броманидидом циануровой к-ты. XI с анилином (XII) также дает V. Р-ция I с NH_2Na (XIII) идет с образованием динатрийцианамидов (XIV) по схеме: $\text{I} + 6 \text{XIII} \rightarrow 3 \text{XIV} + 3 \text{NH}_3 + 3 \text{H}_2$; наличие XIV подтверждено образованием при р-ции с $n\text{-C}_4\text{H}_9\text{Br}$ (XV) ди-*n*-бутилцианамидов (XVI). I является сильным ядом для гидрирующих катализаторов на основе благородных металлов. Обсуждено строение двойных соединений HCN и AlCl_3 и их поведение в р-ции Фриделя—Крафта; сесквихлоридат 2,4,6-трихлоргексагидро-I (XVII) с C_6H_6 в присутствии AlCl_3 образует хлоргидрат бензидриформидина (XVIII) по ур-нию: $4\text{C}_6\text{H}_5 + (\text{C}_6\text{H}_5\text{N}_3\text{Cl}_3)_2 \cdot 3\text{HCl} + 2(\text{C}_6\text{H}_5)_2\text{CHNHCN} = \text{NH} \cdot \text{HCl} + 5\text{HCl} + 2\text{HN} = \text{CHCl}$. При нагревании в запаянной трубке 3 г I и 8 г Cl_2 в 32 г CCl_4 (100—110°, 7 час.) отфильтровывают 2 I · 3 HCl, выход 27,7%, 0,5 г которого и 5 г XII (нагревание несколько мин., разбавление 15 мл ацетона и 40 мл воды) дают N, N'-дифенилформидин, т. пл. 141—142°. 3 г I в 40 мл CCl_4 , насыщ. Cl_2 , нагревают (трубка 200°, 7 час.), отфильтровывают (фильтрат A) 4,8 г смеси II и III, из которой действием 15 г XII в 50 мл C_6H_6 (145°, 4,5 часа) выделяют 0,6 г V, т. пл. 316° (из водн. CH_3COOH), 0,4 г IV, т. пл. 236—237° (из бзл.), и 1,5 г II, т. пл. 147—148° (из петр. эф.). К р-ру 62 г II в 400 мл C_6H_6 добавляют 124 г XII (т-ра не выше 40°), выход IV 93,6%, т. пл. 201—202° (из 70%-ного сп.). Фильтрат после насыщения CO_2 р-ра 10 г $\text{Na}_2\text{S} \cdot 9\text{H}_2\text{O}$ в 300 мл тетрагидрофурурилового спирта (XIX) кипятят с 10 г VI (150—155°, 3,5 часа), оставляют на 12 час., подкисляют HCl, выход VII 85,6%, т. пл. 384—386°. Р-р 27 г 70%-ного NaHS и 10 г VI в 100 мл XIX нагревают 3,5 часа при 160—170°, охлаждают, фильтруют, обрабатывают 10 г CH_3J , 1 час спустя выливают в 800 мл воды, выход VIII 81,6%, т. пл. 170—171° (из 60%-ного сп.). 6 г VIII в 200 мл диоксиана гидрируют скелетным Ni (из 125 г сплава) (60—70°, 5 час. + 100° кратковременно), выход V 38,2%. К р-ру 3 г I в 40 мл CCl_4 добавляют 19 г Br_2 в 40 мл CCl_4 , оставляют на 12 час., отфильтровывают I · 3 Br, выход 84,4%, т. пл. 70° (разл., возгонка при 40°). Аналогично получены IX · 2 Br, выход 70,3%, т. разл. ~30° и X · 2 Br, выход 93,3%, т. пл. 138—139° (разл.). При нагревании 4 г I и 24 г Br_2 (трубка, 120—125°, 5 час.) после обработки продукта CCl_4 и эфиром выделен XI, выход 94%, т. разл. 290—300°; XI получен также при нагревании I · 3 Br (трубка, 150—160°, 4 часа). При р-ции XI и XII получают V, выход 10,2%. Смесь 6 г I и 8,7 г XIII в 20 мл ксилола нагревают (автоклав, 135—140°, 2 часа + 160°, 6 час.), неочищ. XIV (10,9 г) обрабатывают в ксилоле 30 г XV (автоклав, 150°, 7 час.) и выделяют 6,2 г XVI, т. кип. 81—82°/2 мм, n_D^{25} 1,4369, d_4^{25} 0,8705. К суспензии 10 г XVII в 1 л C_6H_6 постепенно добавляют 7 г AlCl_3 по окончании р-ции смесь нагревают (100°, 1 час), выливают в подкисленную воду и добавляют конц. HCl, выход XVIII 8,1 г.

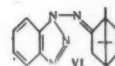
43194. О триазилах. Сообщение XII. Новый путь синтеза 1,3,5-триазила. Грундман, Шрёдер, Русеке (Über Triazine. XII. Mittel: Eine neue Bildungsweise des 1,3,5-Triazins. Grundmann Christoph, Schröder Hansjürgen, Ruske Walter), Chem. Ber., 1954, 87, № 12, 1865—1868 (нем.)

1,3,5-триазин (I) образуется из хлоргидрата формидина (II) при действии в-в, связывающих хлороводород, или при пиролизе II. Гомологи I таким путем получены быть не могут. Авторы предполагают промежуточное образование активированной формы HCN. II получают добавлением суспензии скелетного Ni в спирте к р-ру $(\text{NH}_2)_2\text{CS}$, выход 85%. Действием 40 г Na на р-р 30 г HCONH_2 в 500 мл петр. эфира, с последующим кипячением 4 часа получают диформамид Na (III), выход 20 г. 5 г II нагревают при 150—160°, медленно отгоняют I, выход 9%, т. пл. 84°. При повышении т-ры до 180° происходит разложение. II не реагирует с хинолином (IV) при 20°, но при 150° из 15 г II и 60 мл IV получается I с выходом 3%. 15 г II и 17 г III кипятят в 70 мл абс. эфира (1 час), декантируют, остаток кипятят с 50 мл эфира (3 часа), эфир. р-ры упаривают до 8 мл и вымораживанием выделяют I, выход 43%. Внесением Na в р-р CH_3CN в C_6H_6 получают диацетимид Na(V). 8 г V и 5,25 г II кипятят в 40 мл эфира (3 часа), декантируют и из эфир. р-ра получают I, выход 0,35 г. Остаток, не растворившийся в эфире, сублимируют при 150—170° (охлаждение твердым CO_2) и получают еще I; общий выход I 48,4%. 15 г хлоргидрата ацетамидина и 15 г III нагревают с отгонкой 15 мин. при 150° и 15 мин. при 290° и из дистиллата выпадает карбамат ацетамидина, т. пл. 116—119° (из сп.), пикрат, т. пл. 249°. Повторной перегонкой выделяют CH_3CN и HCONH_2 . Последняя фракция обладает сильным запахом 2,4,6-триметилтриазила-1,3,5, выделить который не удалось; выкристаллизовывается только ф-мат формидина, т. пл. 206° (из сп.-эф.).

Р. О. 43195. Исследование гептатриазинон. Сообщение I. Восстановление о-нитрофенилгидразонов цикланов. Спараторе (Ricerche sulle eptatriazine. Nota I. Riduzione degli o-nitrofenilidrazoni dei ciclanoni. Sparatore Fabio) Gazz. chim. ital., 1955, 85 № 9—10, 1098—1110 (итал.)

Для синтеза гептатриазинон изучено действие $\text{Na}_2\text{S}_2\text{O}_4$ на о-нитрофенилгидразоны циклогексанола (I), камфоры (II) и циклопентанола (III) (см. Perkin W. H., Riley G. C., J. Chem. Soc., 1923, 123, 2408). При этом II дает о-аминофенилгидразон камфоры (IV), что подтверждено образованием о-нитробензилденного производного, т. пл. 168—170° (из сп. и петр. эф.), и *o*-диметиламинобензилденного производного, т. пл. 166—167° (из сп.), при конденсации IV в CH_3OH при ~20° с о-нитробензальдегидом (V) и соответственно *o*-диметиламинобензальдегидом; образованием производного азимидобензола (VI) при действии HNO_2 на IV, а также неизменяемостью IV при действии порошка Zn в лед. CH_3COOH . IV получается также с колич. выходом при восстановлении II порошком Zn в лед. CH_3COOH . Действие $\text{Na}_2\text{S}_2\text{O}_4$ на I, вопреки ранее сказанному предположению (см. ссылку выше), приводит не к гептатриазину, а к (о-аминобензол)-азоциклопентену (VII). Строение VII подтверждено восстановлением порошком Zn в лед. CH_3COOH с образованием циклогексанола, о-фенилендиамина (VIII) и NH_3 , образованием о-нитробензилденного производного VII (CH_3OH , V. кипячение 1 час), т. пл. 155—157° (из сп.), диазотированием VII и сочетанием полученной соли диазотия с β-нафтолом (IX) с образованием азокрасителя, т. пл. 126—128° (из сп.).

Аналогично из III и $\text{Na}_2\text{S}_2\text{O}_4$ получен (о-аминобензол)-азоциклопентен (X), которому придано строение по аналогии с VII. Строение X подтверждено также восстановлением порошком Zn в лед. CH_3COOH до циклопентанола, VIII и NH_3 , диазотированием и сочетанием полученной соли диазотия с IX



до кр...
и 6 г...
бане 1...
88—89...
спирта...
Na₂S...
200 м...
2,8 г...
спирта...
Zn по...
ляют...
в разб...
лучающ...
гично...
и VII...
43196...

II. а-ди...
(Ric...
top...
lici...
1953...
В п...
теза г...
учено...
и ани...
сляно...
воами...
COCH...
=NC...
друг...
ного с...
гидра...
анов...
со сп...
молян...
в при...
услов...
триаз...
ствии...
При и...
сущес...
описа...
Helv...
диами...
223°...
тором...
и стр...
деле...
1,2,4-...
цесса...
ется...

С. Н. Н...

кipping...
NH₄C...
Na₂S...
извл...
лизаци...
с т. п...
(крас...
с р-р...
80%-...
при 5...
филь...
неско...
р-ра...
5 мл...
неско...
послед...

С. Н. Н...

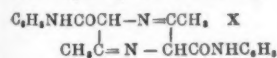
кipping...
NH₄C...
Na₂S...
извл...
лизаци...
с т. п...
(крас...
с р-р...
80%-...
при 5...
филь...
неско...
р-ра...
5 мл...
неско...
послед...

кipping...
NH₄C...
Na₂S...
извл...
лизаци...
с т. п...
(крас...
с р-р...
80%-...
при 5...
филь...
неско...
р-ра...
5 мл...
неско...
послед...

до красного азокрасителя. 7,6 г пернитрозокамфоры и 6 г *о*-нитрофенилгидразина нагревают на водяной бане 1 час, промывают CH_3OH , получают 8 г II, т. пл. 88–89° (из CH_3OH). К кипящему р-ру 5 г II в 50 мл спирта и 15 мл конц. NH_4OH добавляют р-р 14 г $\text{Na}_2\text{S}_2\text{O}_4$ в 60 мл воды, водно-спирт. слой разбавляют 200 мл воды + 10 мл конц. NH_4OH , извлекают эфиром 2,8 г IV, т. пл. 114–115°. 2 г II в 100 мл 80%-ного спирта смешивают с 0,5 мл CH_3COOH и 20 г порошка Zn перемешивают несколько минут, фильтрат разбавляют водой, извлекают эфиром 1,5 г IV. К р-ру IV в разб. HCl по каплям прибавляют разб. р-р NaNO_2 , получают VI, т. пл. 89–91° (из сп.-воды, 2:1). Аналогично IV получены X, т. пл. 70–73° (из петр. эф.), и VII, т. пл. 143° (из сп.). Л. Я.

43196. Исследование гептатриазинов. Сообщение II. Восстановление моно-*о*-нитрофенилгидразонов α -дикарбонильных соединений. Спараторе (Ricerche sulle eptatriazine. Nota II. Riduzione dei mono-*o*-nitro-fenil-idrazoni di composti α -dicarbonilici. Sparatore Fabio), Gazz. chim. ital., 1955, 85, № 9–10, 1284–1299 (итал.).

В продолжение предыдущей работы с целью синтеза гептатриазинов (см. сообщение I, пред. реф.) изучено восстановление этилового эфира (I), амида (II) и анилида (III) α -(*о*-нитрофенилгидразона)- β -кетомасляной к-ты. При действии $\text{Na}_2\text{S}_2\text{O}_4$ I дает гидразинопроизводное $\text{o-NH}_2\text{C}_6\text{H}_4\text{NH}-\text{N}=\text{C}(\text{COOC}_2\text{H}_5)_2$ (IV) и азинопроизводное $\text{o-NH}_2\text{C}_6\text{H}_4\text{N}=\text{NC}(\text{COOC}_2\text{H}_5)_2$ (V), легко переходящие друг в друга, и в-во (VI) с т. пл. 85–86,5° неясного строения. В этих же условиях II дает аминифенилгидразон (VII). IV и VII не циклизуются до гептатриазонов при плавлении и продолжительном кипячении со спиртом, а при кипячении со спирт. р-ром HCl осмолотятся. Восстановление II посредством Zn в спирте в присутствии CH_3COOH приводит к VII, а I в этих условиях дает этиловый эфир 1,4-дигидробензо-1,2,4-триазинкарбоновой-3 к-ты (VIII), который при действии $\text{N}_2\text{H}_4 \cdot \text{H}_2\text{O}$ образует в-во $\text{C}_{10}\text{H}_{14}\text{O}_4\text{N}_4$ (IX). При восстановлении III посредством Zn в спирте в присутствии CH_3COOH при 50° в соответствии с ранее описанными данными (Fierz-David H. E., Ziegler E., Helv. chim. acta, 1928, 11, 776) получается *о*-фенилендиамина, производное дигидропиразина (X), т. пл. 223° (из 50%-ной CH_3COOH), и в-во с т. пл. 211°, которому ранее ошибочно приписывалась ф-ла $\text{C}_{10}\text{H}_{14}\text{O}_4\text{N}_4$ и строение соответствующего гептатриазина; на самом деле это в-во является анилидом 1,4-дигидробензо-1,2,4-триазинкарбоновой-3 к-ты. При ведении процесса восстановления III в кипящем спирте образуется преимущественно X.



Приведены УФ-спектры вновь полученных, а также описанных соединений (см. ссылку выше). К кипящему р-ру 0,015 моля I в 50 мл спирта + 15 мл NH_4OH , насыщ. CO_2 , добавляют по каплям р-р 13 г $\text{Na}_2\text{S}_2\text{O}_4$ в 50 мл воды, верхний слой разбавляют водой, извлекают эфиром, выпаривают, фракционной кристаллизацией из спирта выделяют красные кристаллы с т. пл. 97–98°, желтые кристаллы с т. пл. 119–120° (красный продукт превращается в желтый при контакте с р-рителем) и из маточного р-ра VI. 2 г I в 100 мл 80%-ного спирта + 0,5 мл CH_3COOH восстанавливают при 50° посредством 20 г порошка Zn, через 30 мин. фильтруют, разбавляют 300 мл воды, охлаждают, через несколько часов получают VIII, т. пл. 118° (из маточного р-ра выделено немного в-ва с т. пл. 65°). 0,2 г VIII, 5 мл абс. спирта и 0,06 г 90%-ного $\text{N}_2\text{H}_4 \cdot \text{H}_2\text{O}$ кипятят несколько минут, выделяют IX, т. пл. 220–221°, и после затвердевания 300–310° (из сп.). 5 г I кипятят

несколько минут со 100 мл насыщ. спирт. р-ра NH_3 , получают II, выход колич., т. пл. 214–215° (из сп.). При восстановлении II аналогично I образуется VII, т. пл. 159–160° (из сп.). Л. Я.

43197. Реакции формамида. Сообщение V. Новые синтезы оксазолов и α -формаминкетонов. Бредерек, Гомпер (Neue Synthesen von Oxazolen und α -Formamino-Ketonen. (Formamid-Reaktionen, V. Mitteil.), Brederick Heilmut, Gomper Rudolf), Chem. Ber., 1954, 87, № 5, 726–732 (нем.).

Изучена р-дия образования незамещ. в положении 2 оксазолов из α -окси-(I) и α -формокси-(II) кетонов и формамида (III) в среде HCOOH или H_2SO_4 . Получены из II в присутствии HCOOH : 4,5-ди-*n*-пропил (IV), 4,5-диамил-(V), 4,5-дифенил-(VI)-оксазолы, и из I в присутствии H_2SO_4 — 4,5-диэтил-(VII), IV, 4,5-диизопропил-(VIII), 4,5-диизобутил-(IX), VI и 4,5-тетраметил-(X)-оксазолы. В качестве исходных в синтезированы следующие II: бутироинформат (XI), капроинформат (XII), бензоинформат (XIII) и бензилформат (XIV). При взаимодействии I с III в диметилформамиде (XV) получены α -формаминкетоны: 4-формамингексанон-3 (XVI), 5-формаминооктанон-4 (XVII) и формилдезиламин (XVIII); проведение р-ции в пиридине или хинолине выхода α -формаминкетонов не увеличивает. Из XVII и XVIII с HCOONH_4 получены 4,5-ди-*n*-пропил-(XIX) и 4,5-дифенил-(XX)-имидазолы. Кипятят 2 часа 9 г XI, 14 г III в 50 г HCOOH , выливают в воду, подщелачивают, извлекают C_6H_6 и получают IV, выход 75%, т. кип. 78°/14 мм; аналогично из 11,4 г XII, 14 г III и 50 г HCOOH (3 часа) получают V, выход 70%, т. кип. 93–96°/0,3 мм; из 12 г XIII, 14 г III и 50 г HCOOH (2 часа) получают VI, выход 61%, т. кип. 122°/0,01 мм, т. пл. 44°. Нагревают 11,6 г пропионина (XXI), 45 г III и 200 г конц. H_2SO_4 2,5 часа при 100° и 30 мин. при 140°, выливают на воду, подщелачивают, извлекают эфиром и получают VII, выход 72%, т. кип. 53°/12 мм; аналогично из 14 г бутиронина (XXII), 70 г III и 20 г конц. H_2SO_4 (1 час 100°; 2,5 часа 150°) получают IV, выход 65%, т. кип. 182°/760 мм, 68–71°/10 мм; из 14 г изобутиронина, 70 г III и 20 г конц. H_2SO_4 (1 час 100°, 4 часа 150°) — VIII, выход 33%, т. кип. 55–57°/10 мм; из 17 г изовалериона, 45 г III и 9,8 г конц. H_2SO_4 (2,5 часа 100°, 30 мин. 150°) — IX, выход 30%, т. кип. 202°/760 мм, 85–88°/10 мм; из 10,5 г бензоина (XXIII), 45 г III и 9,8 г конц. H_2SO_4 (1 час 100°; 2,5 часа 150°) — VI, выход 55%; из 11 г циклогексанолонина, 45 г III и 9,8 г конц. H_2SO_4 (3,5 часа 100°, 30 мин. 150°) — X, выход 50%, т. кип. 170°/760 мм, 80–83°/10 мм. К р-ру 14 г XXII в 100 г безводн. HCOOH в три порции приливают 46 г PCl_3 , выливают в воду, нейтрализуют NaOH , извлекают эфиром и получают XI, выход 70%, т. кип. 212–215°/760 мм, 95–96°/10 мм; аналогично из 20 г карпоинина, 100 г HCOOH и 50 г PCl_3 получают XII, выход 61%, т. кип. 97–101°/0,1 мм. К смеси 10,5 г XXIII и 46 г HCOOH небольшими порциями приливают SOCl_2 до растворения XXIII, выливают в воду и получают XIII, выход 91%, т. кип. 138°/0,01 мм, т. пл. 68°. Аналогично XI из 10,5 г $\text{C}_6\text{H}_5\text{CH}_2\text{OH}$, 100 г HCOOH и 60 г PCl_3 получают XIV, выход 66%, т. кип. 83–84°/10 мм. Нагревают (14 час.) 11,6 г XXI, 5 г III и 50 г XV, отгоняют в вакууме XV, остаток растворяют в эфире, насыщают HCl (газ), фильтруют от хлоргидрата и имидазола, эфир удаляют и получают XVI, выход 42%, т. кип. 149–145°/10 мм; аналогично из 28 г XXII, 11 г III и 50 г XV (16 час.) получают XVII, выход 50%, т. кип. 159–161°/12 мм; из 21 г XXIII, 5 г III и 50 г XV (14 час.) получают XVIII, выход 46%, т. кип. 190–195°/0,05 мм, т. пл. 122° (из воды). Из 17 г XVII, 32 г HCOONH_4 и 100 г HCOOH (5 час.) по

выливанием в воду, подщелачивании и извлечении эфиром получают XIX, выход 72%, т. кип. 178—180°/14 мм, т. пл. 66°; хлоргидрат, т. пл. 163° (из малонового эфира); аналогично из 12 г XVIII, 16 г HCOONH₄ и 70 г HCOOH (3 часа) получают XX, выход 86%, т. пл. 231° (из малонового эфира). Сообщение IV см. РЖХим, 1956, 35909. З. М.

43198. Реакции формамида. Сообщение VI. Заметка к получению имидазолов из оксазолов с помощью формамида. Бредерек, Гомпер, Вильд (Notiz zur Darstellung von Imidazolen aus Oxazolen mittels Formamids (Formamid-Reaktionen, VI. Mitteilung), Brederick Hellmut, Gompper Rudolf, Wild Helmut), Chem. Ber., 1955, 88, № 9, 1351—1352 (нем.)

Некоторые оксазолы (I) не способны превращаться в имидазолы ни при кипячении с формамидом (II), ни при действии NH₄OH. Однако при нагревании I с II в присутствии NH₄OH (в автоклаве при 200—210° 5 час.) с хорошим выходом были получены соответствующие имидазолы. Повидимому, II является конденсирующим средством. Авторы предполагают, что эта р-ция обмена является общей для устойчивых I. Таким образом были получены 2,4,5-трифенилимидазол (из 5 г 2,4,5-трифенилоксазола в 40 г II и 100 мл. жидкого NH₃), выход 85%, т. пл. 273° (из сп.); 2-н-гептил-4,5-дифенилимидазол из 2-н-гептил-4,5-дифенилоксазола (III), выход 80%, т. пл. 161° (из водн. сп.); 2-метил-4,5-ди-н-пропилимидазол из 2-метил-4,5-ди-н-пропилоксазола, выход 70%, т. пл. 108° (пересаживанием CH₃COOH из NH₄OH); 2,5-диэтил-4-фенилимидазол из 2,5-диэтил-4-фенилоксазола, выход 25%, т. пл. 131°. 82 г бензоинкаприлата и 92 г CH₃COONH₄ в 325 г лед. CH₃COOH кипятят 3 часа, выливают в воду, нейтрализуют NaOH и экстрагируют эфиром III, выход 57%, т. кип. 176—178°/1,5·10⁻³ 2,4,5-трифенилимидазол получить не удалось. М. Л.

43199. 1-арилокси-3-(N-гетероциклоамино)-пропанола-2. Поллард, Ингуолсон (1-aryloxy-3-(N-heterocyclicamino)-2-propanols. Pollard C. B., Ingwalson R. W.), J. Amer. Chem. Soc., 1955, 77, № 12, 3402—3403 (англ.)

В связи с фармакологич. активностью аминспиртов, алкаминоэфиров, фенолов и арилалканолов, по схеме

$\text{ROCH}_2-\text{CH}(\text{CH}_2\text{O}) + \text{HR}' \rightarrow \text{ROCH}_2\text{CH}(\text{OH})\text{CH}_2\text{R}'$ (I) синтезированы соединения (Ia-ж), являющиеся одновременно спиртами и эфирами: а R = C₆H₅, б n-C₁₀H₇, в o-C₆H₄, г 2,4-Cl₂C₆H₃, д m-CH₃C₆H₄, е o-CH₃C₆H₄, ж α-C₁₀H₇; R' = N-пирролидил, N-пиперидил или N-морфолинил. Исходные окиси получены с выходом 22,8—56% при нагревании до 70° соответствующего фенола с дихлоргидрином (смесь 70% 2,3-дихлорпропанола-1 и 30%, 1,3-дихлорпропанола-2) с последующим прибавлением за 2 часа 27%-ного р-ра NaOH и нагреванием (100°, 15—60 мин.) (Fairbourne Arthur и др., J. Chem. Soc., 1932, 1965). Прибавлением (45 мин.) 0,2 моля 1,2-эпокси-3-феноксипропана к 0,22 моля кипящего пирролидина, содержащего небольшое кол-во воды, с последующим нагреванием (~150°, 135 мин.) получен Ia (R' = N-пирролидил), выход 83,2%, т. кип. 130—136°/1 мм; хлоргидрат, т. пл. 118,2—119,2°; бромгидрат, т. пл. 116,2—118,2°. Аналогично синтезированы следующие I (указываются значения R', выход в %, т. кип. °C/мм, т. пл. в °C): R' = N-пирролидил: Ib, колич., —, 90—91; Iv, 79, 144—145/0,7, 61—62; Ig, 93,3, 162—165/1, 79,1—79,6; Id, 92,8, 135—139/1, —; хлоргидрат, т. пл. 117,2—117,7°; Ie, 87,8, 124—128/1, 48,7—50,2; Iж, 76,4, 178—186/0,5, 71,5—72,5; хлоргидрат, т. пл. 161,5—163°. R' = N-пиперидил: Ia, 84,4, 155—180/1, —; хлоргидрат, т. пл. 150,9—151,9°; бромгид-

рат, т. пл. 134,1—135,1°; Ib, колич., —, 74,6—75,1; хлоргидрат, т. пл. 157—158°; Iv, 87, 158—159/0,9, 70,1—71,1; хлоргидрат, т. пл. 151,4—152,4°; Ig, 87,6, 168—170/1, 88—89; хлоргидрат, т. пл. 149,9—150,9°; Id, 91,8, 132—136/1, —; хлоргидрат, т. пл. 128,6—129,6°; Ie, 80,3, —, 59—60; хлоргидрат, т. пл. 134,5—135,5°; Iж, 84,2, 182—187/0,3, 82,1—83,1; хлоргидрат, т. пл. 183,6—184,6°. R' = N-морфолинил: Ia, 94,1, 150—184/1, 67,5—68; Ib, колич., —, 65,5—66,6; Iv, 88,2, 170—177/1, 69—70; Ig, 90,5, 176—183/1, —; хлоргидрат, т. пл. 147,5—149°; Id, 83,3, 148—152/1, —; хлоргидрат, т. пл. 143,9—144,9°; Ie, 90,4, 139—141/1, —, 66—67; Iж, 86,4, 190—206/0,5, —; хлоргидрат, т. пл. 190,1—191,1°. В. А.

43200. Новые соединения с аминной и амидной функциями — производные гидрированного хинолина, содержащего остатки пиперидина и морфолина. Ланди-Виттори (Nuovi composti a funzione amminica ed ammidica derivati dalle chinoline idrogenate contenenti radicali della piperidina e della morfolina. Landi-Vittorio Rodolfo), Gazz. chim. ital., 1955, 85, № 11, 1438—1440 (итал.)

Ввиду наличия интересных фармакологич. свойств у производных тетрагидрохинолина и тетрагидроизохинолина с боковыми глицинамидными или β-аланина-амидными цепочками ранее описанными методами (Gazz. chim. ital., 1951, 81, 98; РЖХим, 1955, 40159) получен ряд новых аналогичных производных тетрагидрохинолина, тетрагидроизохинолина и декагидрохинолина. Смесь 0,1 моля N-хлорацетилпиперидина или N-хлорацетилморфолина нагревают с 0,2 моля основания при 100° (24 часа), добавляют воды, подщелачивают (K₂CO₃), извлекают CHCl₃, разгонкой выделяют (в-во, т. кип. в °C/мм, n_D²⁰): N-(карбинпиперидометил)-декагидрохинолин, 148—157/0,09; 1,5170; N-(карбоморфоломидометил)-декагидрохинолин, 130—136/0,1, 1,5080; N-(карбинпиперидометил)-тетрагидрохинолин, 183—190/0,12, т. пл. 74°, —; N-(карбинпиперидометил)-тетрагидроизохинолин, 147—160/0,09, —; N-(карбоморфоломидометил)-тетрагидроизохинолин, 165—170/0,1, —. Аналогично из N-β-хлорпропионилпиперидина или N-β-хлорпропионилморфолина получают (в-во, т. кип. в °C/мм, n_D²⁰): N-(карбинпиперидометил)-декагидрохинолин, 158—176/0,08, 1,5214; N-(карбоморфоломидометил)-декагидрохинолин, 160—163/0,1, 1,5199; N-(карбинпиперидометил)-тетрагидрохинолин, 170—185/0,11, —; N-(карбинпиперидометил)-тетрагидроизохинолин, 170—178/0,08; кикрат, т. пл. 108° (из сп.); N-(карбоморфоломидометил)-тетрагидроизохинолин, 172—194/0,1, 1,5605; оксалат, т. пл. 145° (из сп.-эф.). Взаимодействием N-хлорацетилдекагидрохинолина с пиперидином (I) или морфолином, N-β-хлорпропионилтетрагидрохинолина или N-β-хлорпропионилдекагидрохинолина с I получены (в-во, т. кип. в °C/мм, n_D²⁰): N-(пиперидиноацетил)-декагидрохинолин, 143—148/0,09, 1,5131; оксалат, т. пл. 178° (из сп.-эф.); N-(морфолиноацетил)-декагидрохинолин, 144—152/0,1, т. пл. 58°; N-(β-пиперидинопропионил)-декагидрохинолин, 168—173/0,08, 1,5192; оксалат, т. пл. 199° (из сп.-эф.); N-(β-пиперидинопропионил)-тетрагидроизохинолин, 160—175/0,15. Как описано ранее, для ряда тетрагидрохинолина (см. ссылку выше) получены (в-во, т. кип. в °C/мм, n_D²⁰): N-(N-диэтилкарбамидометил)-декагидрохинолин, 125—130/0,1, —; N-(N-метилкарбамидометил)-декагидрохинолин, 137—145/0,1, 1,5075; N-(N-диэтиламинаацетил)-декагидрохинолин, 126—131/0,1, 1,4959; N-(N-β-дигидроафтилкарбамидометил)-тетрагидроизохинолин, 190—220/0,1, т. пл. 85°. Л. Я.

43201. Синтезы производных тиазола. I. Кадаэ, Нагасима, Нинон, Ханада (Thiazole誘導

體の
彦)
Jara
Синт
аминот
путем
тона (I
упрощ
чают
т. пл.
90%, т
ходом
59%,
43202.
оста
ка с
第2報
J. P.
(япон
С ц
синтез
с-(IV)
M.M.
M.M.
аминол
и 3
ды. I,
182,5°
вого э
ром (X
выход
чего э
винис
XVI),
(приве
в °C);
т. пл.
из M.M.
амидо
271°
чают
235,5
XVII,
23,2,
или X
амидо
XVI—
зано,
эфира
золила
ше I
43203.
оста
мо
с-
дзас
1082
С ц
(т. пл.
т. пл.
хлорд
82°; п
и п-
фиды;
(V) по
м-т.
тил-2-
лодиф
лн'-б
тил-2-
>250

體の合成研究. 第1報. 鍛冶健司, 長島弘, 二ノ井襄, 花田俊彦), 藥學雜誌, Якутаку дзасси, J. Pharm. Soc. Japan, 1955, 75, № 4, 438—441 (япон.; рез. англ.). Синтезированы 4-бензил-(I) и 4-(*n*-нитробензил)-2-аминотиазол (II), выход соответственно 80,6 и 68,1%, путем нагревания фенил- и *n*-нитрофенил- ω -диазоацетона (III) с $\text{NH}_2\text{CSNHNH}_2$ в спирте. Р-цию можно считать упрощенным методом циклизации по Ганчу. III получают из $\text{HNO}_3\text{C}_6\text{H}_4\text{CH}_2\text{COCl}$ и CH_2N_2 , выход 91,7%, т. пл. 92,5—93,5°. *n*-Нитрофенил- ω -хлорацетон, выход 90%, т. пл. 91—92°. II синтезирован по Ганчу с выходом 83,1%, т. пл. 172,5—173,5°. Выход I по Ганчу 59%, т. пл. 92,5—93,5°. Т. А.

43202. Синтезы производных тиазола, содержащих остаток дифенилового эфира. II. Томита, Такаса (Diphenyl Ether を基とする数種の誘導体の合成. 第2報. 富田眞雄, 高瀬宗章), 藥學雜誌, Якутаку дзасси, J. Pharm. Soc. Japan, 1955, 75, № 9, 1077—1081 (япон.; рез. англ.).

С целью испытания антибактериальной активности синтезированы: *m*-(I) и *o*-(II)-(тиазолил-2)-, *m*-(III) и *o*-(IV) (4-метилтиазолил-2)-аминодифениловые эфиры; *m,m'*-(V), *o,o'*-(VI) и *n,n'*-(VII) бис-[(тиазолил-2)-амино]-, *m,m'*-(VIII), *o,o'*-(IX) и *n,n'*-(X) бис-[(4-метилтиазолил-2)-амино]-дифениловые эфиры, а также 3-(тиазолил-2')-(XI) и 3-(4'-метилтиазолил-2')-(XII)-аминодифениленоксиды. I, выход 45,5%, т. пл. 120—121°; пикрат, т. пл. 182,5°, синтезирован конденсацией α , β -дихлордиэтилового эфира (XIII) с 3-тиокарбамидодифениловым эфиром (XIV), т. пл. 124—125°, полученным с 83,3%-ным выходом р-цией 3-аминодифенилового эфира с тиомочевинной; аналогично из XIII и 2-тиокарбамидодифенилового эфира (XV), т. пл. 124°, XIV и монохлорацетона (XVI), или XV и XVI получены соответственно II—IV (приведены выход в %, т. пл. в °C; пикрат, т. пл. в °C); II, 25,4, 85,5—86, 158; III, 67,2; хлоргидрат, т. пл. 114—115°, 181,5; IV, 33,7; 79,5—80,5 189,5; из *m,m'*-(XVII), *o,o'*-(XVIII) или *n,n'*-(XIX) бис-(тиокарбамидо)-дифениловых эфиров (т. пл. соответственно: 271°, 186—186,5° (разл.) и 213° (разл.)) и XIII получают V, 28,8, 154—155; 196 (разл.); VI, 33,1, 171—172, 235,5 (разл.), или VII, 11,5, 185—187, 235 (разл.); из XVII, XVIII или XIX и монобромацетона или XVI—XVIII, 23,2, 116—118, 201 (разл.); IX, 37,6, 174, 238 (разл.), или X, 27, 208—209, 229,5—230 (разл.); из 3-тиокарбамидодифенилоксида, т. пл. 222° (разл.), и XIII или XVI—XI, 34,5, 165—165,5, или XII, 31,9, 174,5. Показано, что антибактериальная активность дифенилового эфира усиливается при введении в его молекулу тиазолиламиногрупп, особенно в орто-положение. Сообщение I см. РЖХим, 1956, 16108. Д. В.

43203. Синтезы производных тиазола, содержащих остаток дифенилового эфира. III. Томита, Амано (Diphenyl Ether を基とする数種の Thiasole 誘導体の合成. 第3報. 富田眞雄, 安茂壽夫), 藥學雜誌, Якутаку дзасси, J. Pharm. Soc. Japan, 1955, 75, № 9, 1082—1084 (япон.; рез. англ.).

С целью фармакологич. испытаний конденсацией *o*-(I) (т. пл. 168—170°), *m*-(II) (т. пл. 108—109,5°) или *n*-(III) (т. пл. 167°) тиакарбамидодифенилсульфидов с α , β -дихлордиэтиловым эфиром (IV) синтезированы *o*-(т. пл. 82°; пикрат, т. пл. 168—170°), *m*-(т. пл. 119,5—120,5°) и *n*-(т. пл. 122—124°)-(тиазолил-2)-аминодифенилсульфиды; аналогично из I, II или III и монохлорацетона (V) получены *o*-(т. пл. 72—73°; пикрат, т. пл. 179—180°), *m*-(т. пл. 96—97°) и *n*-(т. пл. 111—112°)-(4-метилтиазолил-2)-аминодифенилсульфиды; из *n,n'*-бис-тиокарбамидодифенилсульфидов, т. пл. 213° (разл.), и IV или V—*n,n'*-бис-[(тиазолил-2)-амино]- и *n,n'*-бис-[(4-метилтиазолил-2)-амино]-дифенилсульфиды, т. пл. 226° (разл.) и >250° соответственно. Д. В.

43204. Синтез соединений для химиотерапии туберкулеза. V. Некоторые превращения тиосемикарбазонов пиридилальдегидов. Гарднер, Уэнис, Ли (The synthesis of compounds for the chemotherapy of tuberculosis. V. Some transformations of pyridylaldehyde thiosemicarbazones. Gardner Thomas S., Wenis F., Lee John), J. Organ. chem. 1955, 20, № 8, 976—980 (англ.).

Два ряда замещ., тиазолов $\text{SCH}=\text{C}(\text{R})\text{NHC}=\text{NN}=\text{CHR}'$ (I) и $\text{C}(\text{=NH})\text{SCH}=\text{C}(\text{R})\text{N}=\text{N}=\text{CHR}'$ (II) полу-

чены из тиосемикарбазонов (ТК) пиридилальдегидов в результате применения различных методов. При конденсации свободных оснований $\text{R}'\text{CH}=\text{N}-\text{NHCSNHNH}_2$ (III) с хлорацетоном (IV) получены следующие I: $\text{R}=\text{CH}_3$, $\text{R}'=2$ -пиридил (Ia) $\text{R}=\text{CH}_3$, $\text{R}'=3$ -пиридил (Iб), $\text{R}=\text{CH}_3$, $\text{R}'=4$ -пиридил (Iв) и с хлорацетофеноном (V) $\text{R}=\text{C}_6\text{H}_5$, $\text{R}'=4$ -пиридил (Iг). Строение I подтверждается их устойчивостью к горячему 50%-ному р-ру NaOH. Конденсацией хлоргидрата ТК никотинового альдегида (VI) с IV, хлорацеталем (VII) и V получены соответственно следующие II: $\text{R}=\text{CH}_3$, $\text{R}'=3$ -пиридил (IIa), $\text{R}=\text{H}$, $\text{R}'=3$ -пиридил (IIб) и $\text{R}=\text{C}_6\text{H}_5$, $\text{R}'=3$ -пиридил (IIв). Все II с р-ром NaOH выделяют NH_3 , что подтверждает их ф-лы строения. Образование II объясняется тем, что в кислой среде первичная NH_2 группа образует соль, поэтому в р-ции участвует NH -группа. ИК-спектр подтверждает наличие в I и II NH -группы (3 μ). Осторожное окисление VI приводит к 2-амино-5-(3-пиридил)-1,3,4-тиадиазолу (VIII). Дихлоргидрат IIa активен против *M. Ierpaemurium* и против туберкулеза (порядка *n*-аминосалициловой к-ты). При замене серы в VI изостерной NH -группой получается гуанилгидразон, лишенный активности. 5 г ТК пиколинового альдегида и 30 мл IV в 250 мл CH_3OH кипятят 8 час., отгоняют и получают дихлоргидрат Ia, выход 6 г, т. пл. 238—240° (разл., из CH_3OH , содержащий HCl). Аналогично из 20 г ТК изоникотинового альдегида (IX) и IV получают 33 г дихлоргидрата Ib, т. пл. 255—257° (из CH_3OH + HCl). Из 7,2 г IX и 6,5 г V получают 10 г дихлоргидрата Iг, т. пл. 258—260° (из CH_3OH). Смесь 114 г VI (основание), 75 г IV в 4 л CH_3OH кипятят 5 час., добавляют 75 г IV и вновь кипятят 18 час., получают 110 г дихлоргидрата Iб, т. пл. 225—226° (из CH_3OH + HCl); Iб, т. пл. 212—214° (разл., из сп.). 122 г VI, 110 г IV в 4 л CH_3OH кипятят 23 часа, упаривают досуха и получают дихлоргидрат IIa, выход 108 г, т. пл. 228—230° (разл., из CH_3OH); IIa, т. пл. 210—212° (разл., из CH_3OH). Аналогично из 20 г VI, VII, 500 мл CH_3OH + 10 мл конц. HCl получают дихлоргидрат IIб, выход 22 г, т. пл. 214—215° (из CH_3OH). Из 32,4 г VI, V (CH_3OH , 16 час.) получают 26 г дихлоргидрата IIв, т. пл. 229—230° (из CH_3OH). Р-р 100 г 3-цианпиридина (X) в 250 мл CH_3OH насыщают при 25° CH_2Cl_2 , нагревают (100°, 4 часа, 70 ат), упаривают до 1/4 объема и получают хлористый 1-метил-3-цианпиридин, выход 56 г, т. пл. <250°. Смесь 35 г последнего, 850 мл диэтилового эфира диэтиленгликоля (XI) и 345 г безвод. SnCl_4 насыщают HCl (газ) до полного растворения, добавляют р-р 31 г тиосемикарбазида, в 850 мл кипящей воды, кипятят 2 часа и получают комплекс хлорметилата VI (основание) с SnCl_4 , выход 80 г, т. пл. 204—205° (разл., из воды), который разлагают H_2S , получают хлорметилат VI (основания), выход 16 г, т. пл. 230—231° (из CH_3OH). 9 г последнего с 13,5 г 2-карбоксиантрахинона в спирте при 70° дают при конц-ии р-ра соль VI (основание) и антрахинонкарбоновой-2 к-ты, выход 20 г, т. пл. 226 (разл., из сп.), соль активна против туберкулеза. 50 г VI окисляют водн. р-ром 90 г $\text{FeCl}_3 \cdot 6 \text{H}_2\text{O}$ при 80° и выделяют VIII, выход 8 г, т. пл. 230—232° (разл., из воды).

Аналогично вышеописанному из 30 г X и бикарбоната амингуанидина получают комплекс (XII) хлоргидрата гуанилгидразонаникотинальдегида с SnCl_2 , выход 103 г, т. пл. 196—211° (разл.), из которого выделяются дихлоргидрат гуанилгидразона никотинальдегида, выход 46 г, т. пл. 258—259° (из водн. сп.). Комплекс хлоргидрата семикарбазона никотинальдегида с SnCl_2 получен аналогично, т. пл. 198—200° (разл., из воды). Из 60 г X, 62 г 1-амино-3-нитрогуанидина в кипящей воде и XI получают 156 г XII. Сообщение IV, РЖХим, 1955, 28973. Б. Д.

43205. Синтезы производных тиазола. VII. Прозводные пиримидо-(2,1-б)-тиазола. Ота, Танака (チアゾール誘導体の合成研究. 第7報. Pyrimido[2,1-b]thiazole誘導体について. 大田正樹, 田中和雄), 藥學雑誌, Якугаку дзасси, J. Pharmac. Soc. Japan, 1954, 74, № 9, 966—968 (япон.; реза. англ.)

3 г 2-амино-4-метилтиазола (I) и 10 г $\text{CH}_3\text{COCH}_2\text{COOC}_2\text{H}_5$ нагревают 3,5 часа при 160—170°, охлаждают и обрабатывают 30 мл 10%-ного NaOH , получают 2,5- и 3,7-диметилпиримидо-(2,1-б)-тиазолон-5 (II), т. пл. 137° (из воды). 1 г 2-ацетоацетиламино-4-метилтиазола и 10 мл конц. H_2SO_4 нагревают 5 час. при 50—60°, разбавляют водой и нейтрализуют Na_2CO_3 , получают 0,9 г II (ср. Adams, Pascher, J. Amer. Chem. Soc., 1952, 74, 5491). 5 г I и 10 г $\text{C}_2\text{H}_5\text{OCH}_2\text{C}(\text{COOC}_2\text{H}_5)_2$ нагревают 30 мин. при 110—120°, удаляют спирт, растворяют в C_6H_6 и осаждают петр. эфиром; получают 4 г диэтилового эфира (4-метилтиазол-2-аминометил)малоновой к-ты (III), т. пл. 63—65° (из лигр.). III нагревают 2,5 часа при 200—215°, получают 3-метил-6-карбоксипиримидо-(2,1-б)-тиазолон-5 (IV), т. пл. 191° (из сп.). 3 г IV обрабатывают 100 мл 2%-ного NaOH 2 часа, подкисляют CH_3COOH до pH 4—5, получают 3-метил-6-карбоксипиримидо-(2,1-б)-тиазолон-5 (V) т. пл. 255° (разл.). V нагревают при 350°, возгоняется 3-метилпиримидо-(3,1-б)-тиазолон-5, т. пл. 129—130°. При обработке 2-ацетиламино-2-бензоиламино-4-метилтиазола конц. H_2SO_4 не образуются какие-либо продукты перегруппировки. 2-ацетоацетиламинотиазол и его 4-фенилпроизводное при действии конц. H_2SO_4 не подвергаются клязизации.

Chem. Abstrs, 1955, 49, № 16, 10931. K. Kitsuta 43206. Получение производных 1,2,4-тиадиазола.

IX. Реакционная способность метильной группы в положении 2. Ота (1,3,4-Thiadiazole 誘導体に関する研究. 第9報. 2-位置のメチル基の反応性について. 大田正樹), 藥學雑誌, Якугаку дзасси, J. Pharmac. Soc. Japan, 1953, 73, № 10, 1127—1129 (япон.)

Синтезированы продукты конденсации 2-метил-5-фенил-1,2,4-тиадиазола (I) с ароматич. альдегидами, соответствующие иодметилаты и некоторые цианиновые красители. I с т. пл. 107° получен нагреванием $\text{C}_6\text{H}_5\text{CONHNHCOCH}_3$ с P_2S_5 при 140°. 1,5 г I, 1 г $\text{C}_6\text{H}_5\text{CHO}$, 0,2 г KOH и 20 мл спирта кипятят 2 часа, выход 2-стирил-5-фенилтиадиазола (II) 0,8 г, т. пл. 137° (из сп.). II получен также нагреванием 1 г I, 1 г $\text{C}_6\text{H}_5\text{CHO}$ и 0,5 г ZnCl_2 при 160° (3 часа), выход 1 г. I образует с ZnCl_2 молекулярное соединение I· ZnCl_2 с т. пл. 216°. 1 г I, 1 г $n\text{-NO}_2\text{C}_6\text{H}_4\text{CHO}$ и 0,2 г ZnCl_2 нагревают при 160° 10 мин., получают 2-(n -нитростирил)-5-фенилтиадиазол (III), т. разл. 260—261° (из бzl.). 1 г I, 0,9 г $n\text{-(CH}_3)_2\text{NC}_6\text{H}_4\text{CHO}$ и 0,2 г ZnCl_2 нагревают при 160° (1 час), получают 2-(n -диметиламиностирил)-5-фенилтиадиазол (IV), выход 1 г, т. пл. 186° (из сп.). Нагреванием I с CH_3I в спирте (3 часа) получен подметилат (V), т. пл. 207°. Р-р 1,5 г V, 1 г $\text{C}_6\text{H}_5\text{CHO}$ в 20 мл спирта нагревают 5 час. в присутствии 1 капли пиперидина, получен подметилат II, выход 1 г, т. разл. 204°. Аналогично получены иодметилат III, т. разл. 239°, и иодметилат IV, т. разл. 235°. Смесь 0,5 г V,

0,5 г $n\text{-NOC}_6\text{H}_4\text{N}(\text{CH}_3)_2$, 20 мл спирта и 1 капли пиперидина кипятят 30 мин., получен иодметилат 2-(n -диметиламинофенилазومتин)-5-фенилтиадиазола, выход 0,5 г, т. пл. 196°. Р-р 1 г III, 1,2 мл $\text{CH}(\text{OC}_2\text{H}_5)_2$ в 8 мл пиридина кипятят 3 часа, получен карбоцианин с т. разл. 260°. Р-р 0,5 г иодметилата 2-фенилтиадиазола (VI) и 0,5 г III в 20 мл пиридина нагревают при 100° 7 час., выделен монометинцианин с т. разл. 278°. Из маточного р-ра получены красные кристаллы с т. пл. 230—232°. Смесь 0,5 г I, 0,5 г VI, 1 мл 10%-ного KOH и 10 мл CH_3OH нагревают при 100° 6 час., получены темнокрасные кристаллы с т. разл. 197°. Сообщение VIII см. РЖХимБх, 1956, 5110. С. С.

43207. Химия бора. Часть II. Метод приготовления иодоборидов. Лонг, Доллимор (The chemistry of boron. Part II. A method for the preparation of iodoborines. Long L. H., Dollimore D.), J. Chem. Soc., 1953, Dec., 3902—3906 (англ.)

Установлено, что при нагревании $(\text{C}_3\text{H}_7)_2\text{B}$ с J_2 в атмосфере N_2 при 155—165° происходит замещение алкильных радикалов и образование $(\text{C}_3\text{H}_7)_2\text{BJ}$ (I). I бесцветная жидкость, дымящая на воздухе, т. кип. 174°, т. пл. —87°. Плотность жидкости при 20° $1,521 \pm 0,002$. Измерением плотности пара установлена мономерная ф-ла, максим. выход I 69%. Замещение второй C_3H_7 -группы иодом происходит очень медленно. $\text{C}_3\text{H}_7\text{BJ}_2$ не был выделен. I легко окисляется кислородом воздуха, при этом выделяется J_2 ; I легко гидролизуется водой. В присутствии кислорода воздуха конечным продуктом гидролиза I является $\text{C}_3\text{H}_7\text{B}(\text{OH})_2$. Часть I см. J. Chem. Soc., 1951, 1608. Г. Н.

43208. Химия бора. Часть III. Реакции замены атомов галогена в галлоидоборидрах. Доллимор, Лонг (The chemistry of boron. Part III. Halogen-exchange reactions of halogenoborines. Dollimore D., Long L. H.), J. Chem. Soc., 1953, Dec., 3906—3910 (англ.)

При нагревании $(n\text{-C}_3\text{H}_7)_2\text{BJ}$ (I) (2,5 часа, 100°) с 20%-ным избытком SbBr_3 в атмосфере N_2 был получен $(n\text{-C}_3\text{H}_7)_2\text{BBr}$ (II). Аналогично получается $(n\text{-C}_3\text{H}_7)_2\text{BCl}$ (III). II и III бесцветные жидкости с т. пл. —94° и <—125° и т. кип. соответственно 145° и 127°. Плотность жидкостей для II и III соответственно $1,095 \pm 0,05$ и $0,848 \pm 0,003$. III самовоспламеняется на воздухе, II — дымит. II и III легко гидролизуются водой. В присутствии кислорода воздуха конечным продуктом р-ции является $n\text{-C}_3\text{H}_7\text{B}(\text{OH})_2$. Изучены р-ции между I и SbF_3 , PbF_2 и AgF . Установлено, что при этом р-ция обмена J на F не происходит. Г. Н.

43209. Взаимодействие треххлористого бора с хлороспиртами и циклическими эфирами. Эдуардс, Джеррард, Лапперт (Interaction of boron of trichloride with chloro-alcohols and with cyclic ethers. Edwards J. D., Gerrard W., Lappert M. F.), J. Chem. Soc., 1955, May, 1470—1475 (англ.)

Показано, что при взаимодействии BCl_3 с 2-хлорэтанолом (I) и 4-хлорбутанолом (II) в зависимости от соотношения реагентов образуются соответствующие бораты $[(\text{CH}_2)_2\text{ClO}]_2\text{B}$ (III) и $[(\text{CH}_2)_4\text{ClO}]_2\text{B}$ (IV) или алкоксилборхлориды $[(\text{CH}_2)_2\text{ClO}]_2\text{BCl}$ (V), $(\text{CH}_2)_2\text{ClOBCl}_2$ (VI) и $(\text{CH}_2)_4\text{ClOBCl}_2$ (VII). Действием 80,1 г I на 47,1 г BCl_3 при —80° получен III с выходом 93,6%, т. кип. 70/0,1 мм. Из 6,8 г I и 4,9 г BCl_3 при —80° получен V, выход 98%. При кипячении в вакууме V диспропорционирует на III и VI, с пиридином дает $\text{V} \cdot \text{C}_5\text{H}_5\text{N} \cdot 4,05$ г I и 5,85 г BCl_3 при —80° дает 93% VI, т. кип. 20°/0,5 мм, n_D^{20} 1,4429, d_4^{25} 1,358. VI получен также из 4 г BCl_3 и 4,3 г III, при нагревании в вакууме диспропорционирует на BCl_3 и V, с пиридином дает $\text{VI} \cdot \text{C}_5\text{H}_5\text{N}$, $\text{VI} \cdot 2\text{C}_5\text{H}_5\text{N}$. Окись этилена (2,75 г) реагирует с BCl_3 (7,5 г) при —75°

с образованием VI (10,1 г). Действием 9,9 г II в 5 мл пентана на 3,55 г BCl_3 при -80° получено 9 г IV, т. кип. $136-140^\circ/0,1$ мм, n_D^{20} 1,4618, d_4^{20} 1,350. Из 2,9 г II и 3,15 г BCl_3 при -80° получен VII, выход 98,6%, n_D^{20} 1,4522, d_4^{20} 1,254. VII образуется также при действии 4,4 г IV в 10 мл CH_2Cl_2 на 3,1 г BCl_3 при -80° , выход 97,4%. При нагревании VII разлагается на $\text{Cl}(\text{CH}_2)_4\text{Cl}$, B_2O_3 и BCl_3 . Из 5,4 г VII после нагревания 5 час. при 100° в запаянной трубке получено 0,8 г твердого в-ва (возможно B_2O_3) и 3,5 г жидкости, из которой выделено 2,9 г $\text{Cl}(\text{CH}_2)_4\text{Cl}$. VII дает с пиридином VII· $\text{C}_5\text{H}_5\text{N}$. Тетрагидрофуран (VIII) образует с BCl_3 аддукт VIII· BCl_3 , устойчивый при 20° . Он получен с 94%-ным выходом из 3,35 г VIII в 10 мл пентана и 5,45 г BCl_3 в 20 мл пентана при -80° , т. пл. $88-95^\circ$ (разл.). Алкоголиз бутиловым спиртом дает VIII и $(\text{C}_4\text{H}_9\text{O})_2\text{B}$, гидролиз — VIII. При пиролизе аддукта в вакууме (т-ра $100-120^\circ$) он превращается в изомерный VII, пиролиз при атмосферном давлении приводит к продуктам разложения VII — 1,4-дихлорбутану, B_2O_3 , BCl_3 . Т. Щ.

43210. Борорганические соединения. IV. Аминоэтиловые эфиры диарилборных кислот. Летсингер, Скуг (Organoboron compounds. IV. Aminoethyl diarylborinates. Letsinger Robert L., Skoog Ivan), J. Amer. Chem. Soc., 1955, 77, № 9, 2491—2494 (англ.)

Описан синтез аминоэтиловых эфиров дифенил-(I) и ди-*n*-бромфенилборной (II) к-т. Предложено использовать аминоэтиловые эфиры для выделения и характеристики диарилборных к-т. При взаимодействии избытка $\text{C}_6\text{H}_5\text{MgBr}$ (III) с (изо- $\text{C}_4\text{H}_9\text{O}$) $_2\text{B}$ (IV) и последующей обработкой продуктов р-ции NH_3 выделен аммакат изобутилового эфира дифенилборной к-ты (V), образующий I при взаимодействии с $\text{HOCH}_2\text{CH}_2\text{NH}_2$ (VI). Исключительная устойчивость I объясняется наличием дополнительной координационной связи B—N. В результате перегонки продукта гидролиза Iраб. HCl получен $[(\text{C}_6\text{H}_5)_2\text{B}]_2\text{O}$ (VII). Из продуктов взаимодействия $n\text{-BrC}_6\text{H}_4\text{MgBr}$ (VIII) с $n\text{-C}_4\text{H}_9\text{O}$ —

— $\text{B—O—CH}_2\text{CH}_2\text{—O}$ (IX) выделен II. Получены также диэтаноламинные эфиры фенилборной (X), *n*-бромфенилборной (XI), *n*-анизилборной (XII) и α -нафтилборной (XIII) к-т, 1,2 моля II в 475 мл эфира добавлены при размешивании к 0,284 моля IV в 150 мл эфира при 20° . Реакционная смесь гидролизована 200 мл 3,6 M HCl. При разгонке продуктов р-ции выделено 0,62 г дифенила и путем осаждения NH_3 эфирных р-ров фракций с т. кип. $155^\circ/15$ мм до $175^\circ/15$ мм 23% V, т. пл. $64-67^\circ$. 0,394 моля III в 420 мл эфира медленно добавлены к 0,198 моля ($n\text{-C}_4\text{H}_9\text{O}$) $_2\text{B}$ в 500 мл эфира при -60° . Продукты р-ции гидролизованы разб. HCl, экстрагированы эфиром, протерифицированы смесью 10 мл $n\text{-C}_4\text{H}_9\text{OH}$ и 700 мл $\text{CH}_3\text{C}_6\text{H}_5$ (XIV) и расфракционированы в вакууме. Фракции с т. кип. от $70^\circ/1$ мм до $137^\circ/1$ мм обработаны NH_3 . Выход аммаката *n*-бутилового эфира дифенилборной к-ты (XV) 49%. Из фильтратов после этерификации их $\text{HOCH}_2\text{CH}_2\text{OH}$

(XVI) в присутствии XIV выделено 18% $\text{C}_6\text{H}_5\text{B—O—CH}_2\text{CH}_2\text{—O}$ (XVII), т. кип. $84-91^\circ/5$ мм. В тех же условиях из 1,84 моля III и 0,92 моля IX получено 49% XV и 11% XVII, а из 0,292 моля $\text{C}_6\text{H}_5\text{Li}$ и 0,146 моля IX выделен 41% эфира дифенилборной к-ты и 13% XVII, 2,13 г V смешаны с 2 мл VI и 100 мл XIV. После отгонки 90 мл XIV и остатка получено 89% I, 13,70 г V растворены в 300 мл водн. спирта (1:2) и смешаны с р-ром 6 мл VI в 6 мл воды. Выход I 91%, т.пл. $189-190^\circ$ (из сп.). Р-р 5,33 г I в смеси CH_3OH и аце-

тона подкислен HCl, разбавлен водой и продукты р-ции извлечены эфиром. Выход VII 2,11 г, т. кип. $210-213^\circ/1$ мм, т. пл. $104-105^\circ$. VIII (из 0,3 г атома Mg и 0,3 моля $n\text{-BrC}_6\text{H}_4\text{Br}$) добавлен при размешивании к 0,127 моля IX в 600 мл эфира при -60° . После гидролиза, этерификации и разгонки продуктов р-ции в вакууме были выделены фракции: (а) 7,50 г, т. кип. $144-172^\circ/2$ мм, (б) 2,87 г, т. кип. $172-191^\circ/2$ мм, (в) 13,23 г, т. кип. $191-195^\circ/2$ мм, (г) 2,53 г, т. кип. $195-197^\circ/2$ мм. Из фракций а и б после повторной перегонки

с XVI выделено 8,2% $n\text{-BrC}_6\text{H}_4\text{B—O—CH}_2\text{CH}_2\text{—O}$, т. кип. $150-153^\circ/15$ мм, т. пл. $72-80^\circ$. Фракция в растворена в 1 н. NaOH и р-р экстрагирован эфиром. Щел. р-р подкислен HCl, борорганич. к-та экстрагирована эфиром и обработана 5 мл VI в 500 мл XIV. Выход II 17%, т. пл. $235-240^\circ$ (неочищ.). 12,20 г $\text{C}_6\text{H}_5\text{B}(\text{OH})_2$ и 10,84 г диэтанолamina растворены в 800 мл XIV. После отгонки 400 мл XIV из остатка выделено 18,96 г X, т. пл. $212-214^\circ$; $214-215^\circ$ (осажден лигр. из горячего сп.). Аналогично получены XI, т. пл. $255-256^\circ$, XII т. пл. $216-218^\circ$ и XIII, выход 88%, т. пл. $242-234^\circ$. Предыдущее сообщение см. РЖХим, 1955, 28985. В. В.

43211. Борорганические соединения. V. Синтез аминоэтиловых эфиров несимметричных диарилборных кислот. Летсингер, Римс (Organoboron compounds. V. The preparation of an unsymmetrical diarylborinate. Letsinger Robert L., Rimes Nathaniel), J. Amer. Soc., 1955, 77, № 9, 2489—2491 (англ.)

Описано получение и свойства аминоэтиловых эфиров α -нафтилфенил- (I) и ди- α -нафтилборной (II) к-т, а также предложен новый вариант выделения аминоэтилового эфира дифенилборной к-ты (III) (см. пред. реф.). I был получен как из диизобутилового эфира фенилборной к-ты (IV) и $\alpha\text{-C}_{10}\text{H}_7\text{MgBr}$ (V), так и из диизобутилового эфира α -нафтилборной к-ты (VI) и $\text{C}_6\text{H}_5\text{MgBr}$ (VII). При этерификации 2-амино-2-метилпропанолом (VIII) продукта кислотного гидролиза I получен β -аминоизобутиловый эфир α -нафтилфенилборной к-ты (IX). В присутствии $(\text{CH}_3)_3\text{N}(\text{CH}_2\text{CH}_2\text{OH})$ (X) и воды α -нафтилфенилборная к-та (XI), полученная при гидролизе I, расщепляется на C_{10}H_8 (XII) и $(\text{C}_6\text{H}_5)_2\text{B}(\text{OH})_2$ (XIII). XI реагирует с Br_2 (в водн. CH_3COOH) с ZnCl_2 и с H_2O_2 , образуя соответственно $\text{C}_6\text{H}_5\text{Br}$ (XIV) и $\alpha\text{-C}_{10}\text{H}_7\text{Br}$ (XV); XII: $\alpha\text{-C}_{10}\text{H}_7\text{OH}$ (XVI). В результате гидролиза II HCl получена ди- α -нафтилборная к-та (XVII), 1,05 моля VII добавлены в течение 1,5 часа при -70° к эфирному р-ру 0,5 моля ($n\text{-C}_4\text{H}_9\text{O}$) $_2\text{B}$ (XVIII). Через 10 час. продукты р-ции гидролизованы HCl и эфирный слой смешан с 250 мл 70%-ного спирта и 42,7 г $\text{HOCH}_2\text{CH}_2\text{NH}_2$ (XIX). Выход III 57%, т. пл. $190-192^\circ$ (из водн. сп.). 1 моль V в 500 мл абс. эфира и 300 мл C_6H_6 добавлены к 0,5 моля XVIII в 300 мл эфира при -60° . Продукты р-ции гидролизованы HCl, органич. слой смешан при охлаждении с 42,7 г XIX. Выход II 58%, т. пл. $205-206^\circ$. Небольшое кол-во II гидролизовано HCl в 50%-ном водн. CH_3OH . После разбавления р-ра водой получена XVII, т. пл. $105-106^\circ$ (высушена над 65%-ной H_2SO_4). 0,5 г XVII были нагреты в течение 6 час. при $120-130^\circ$ в атмосфере N_2 . Выделено 97% XII, т. пл. $80-81^\circ$, и 66% ($\alpha\text{-C}_{10}\text{H}_7$) $_2\text{B}(\text{OH})_2$, т. пл. $194-196^\circ$. 0,049 моля V в смеси 20 мл эфира и 3 мл C_6H_6 добавлены при -60° к 0,05 моля IV в 10 мл эфира. Продукты р-ции обработаны разб. HCl. I осажден 6 г XIX из водно-спирт. р-ра. Выход I 75%, т. пл. $228-229^\circ$ (из водн. ацетона). Аналогично из 0,1 моля VI и 0,3 моля VII получено 90% I, т. пл. $221-222^\circ$. 1,5 г I гидролизовано встряхиванием эфирного р-ра с 6 н. HCl; остаток после удаления эфира из эфирного слоя смешан с 20 мл спирта и IX осажден 1 г VIII

в 1 мл спирта. Выход IX 87%, т. пл. 199—200°, и IX 5% с т. пл. 195—197°. В тех же условиях получен β-аминоизобутиловый эфир XVII, т. пл. 208—210°, 0,5 г I гидролизованы к-той и обработаны 2 мл X в 2 мл спирта. После нагревания 10 мин. р-р разбавлен 25 мл воды. Выход XII 86%, т. пл. 79—80°. Из фильтрата путем подкисления и экстракции эфиром выделено 82% XIII, т. пл. 209—215°. В отсутствие X в тех же условиях I не изменяется. К смеси XI, полученной из 0,018 моля I, с 25 мл 3,3 М CH_3COOH , содержащей 0,08 моля NaF и 0,06 моля CH_3COONa , в течение 2 час. при размешивании добавлен р-р 0,1 моля Br_2 и 14,4 г NaBr в 50 мл 3,3 М CH_3COOH . После кипячения 30 мин. р-р охлажден и обработан Na_2SO_3 . Из шел. р-ра с паром отогнано 68% XIV, т. кип. 149—164°, $n_D^{27.4}$ 1,5528. Из остатка выделено 1,8 г XV, т. кип. 153—156°/27 мм, n_D^{30} 1,6442, и 0,17 г 1,4-дибромнафталина, т. пл. 74—76°. К 0,5 г I в 10 мл 50%-ного спирта добавлено 5 мл 30%-ной H_2O_2 . По охлаждению выделено 0,1 г XVI, т. пл. 88—90°. В результате перегонки с паром р-ра 1 г I и 2 г ZnCl_2 в 20 мл получено 49% XII, т. пл. 79—81°. В. В.

43212. К получению ванадийорганических соединений. Черкасов В. М., Ж. общ. химии, 1955, 25, № 6, 1136—1139

Описано получение солей типа $\text{ArN}_2\text{Cl} \cdot \text{VOCl}_2 \cdot \text{H}_2\text{O}$. 0,01 моля $\text{C}_6\text{H}_5\text{N}_2\text{Cl}$ в 6 мл абс. спирта диазотируют при -5°C 0,013 моля $\text{C}_6\text{H}_{11}\text{ONO}$, прибавляют 0,01 моля безвод. VCl_3 в 10 мл спирта и 50 мл абс. эфира, перемешивают 40—60 мин. (для окисления VCl_3 в VOCl_2), быстро отфильтровывают, промывают абс. эфиром, выход $(\text{C}_6\text{H}_5\text{N}_2\text{Cl})_2 \cdot \text{VOCl}_2 \cdot \text{H}_2\text{O}$ 40—44%. При взаимодействии 0,02 моля $\text{C}_6\text{H}_5\text{N}_2\text{Cl}$ и 0,1 моля VCl_3 выход 80—88%, т. разл. 72—75°. На воздухе быстро разлагается. В тех же условиях $n\text{-CH}_3\text{OC}_6\text{H}_4\text{N}_2\text{Cl}$ и VCl_3 дают более устойчивую $(n\text{-CH}_3\text{OC}_6\text{H}_4\text{N}_2\text{Cl})_2 \cdot \text{VOCl}_2 \cdot \text{H}_2\text{O}$ выход 80%. $n\text{-NO}_2\text{C}_6\text{H}_4\text{N}_2\text{Cl}$ не реагирует с VCl_3 . В токе сухого H_2 взаимодействием $\text{C}_6\text{H}_5\text{N}_2\text{Cl}$ с VCl_3 не получено $\text{C}_6\text{H}_5\text{N}_2\text{Cl} \cdot \text{VCl}_3$ или $(\text{C}_6\text{H}_5\text{N}_2\text{Cl})_2 \cdot \text{VCl}_3$. Э. У.

43213. Химия органических силиконов. Хидзава Маэда (有機化学より見たシリコン, 樋澤格, 前祥田三), 有機合成化学協会誌, Юки госэй какаку кейкай, J. Soc. Organ. Synth. Chem., Japan, 1955, 13, № 4, 149—159 (япон.)

Обзор. Библ. 101 назв. И. Л.

43214. Исследование силиконов. Датт (Studies in silicones. Dutt P. K.), Sci. and Culture, 1955, 20, № 11, 559—560 (англ.)

При медленном пропускании в паровой фазе $n\text{-C}_5\text{H}_{11}\text{Cl}$ через порошкообразный сплав Si-Cu , 1:1, при 300° получают $(n\text{-C}_5\text{H}_{11})_2\text{SiCl}_2$ (I). Ввиду большой чувствительности к влаге I немедленно пропускаяют в $n\text{-C}_4\text{H}_9\text{OH}$, $n\text{-C}_5\text{H}_{11}\text{OH}$ или окис этилена. При перегонке в вакууме получают $(n\text{-C}_5\text{H}_{11})_2\text{Si(OR)}_2$ (II). Получают следующие II (указаны R и т. кип. в °C/мм): $n\text{-C}_4\text{H}_9$, 125—129/2; $n\text{-C}_5\text{H}_{11}$, 110—115/2; $\text{CH}_3\text{CH}_2\text{CH}_2\text{CH}_2$, 140—145/2. С. И.

43215. О реакциях замещения α-галоида хлорметилдиметилхлорсилана и бис-(хлорметил)-тетраметилдихлорсилана. Андрианов К. А., Голубенко М. А., Докл. АН СССР, 1955, 104, № 5, 725—728

При действии избытка $(\text{CH}_3\text{CO})_2\text{O}$ на $\text{ClCH}_2\text{Si}(\text{CH}_3)_2\text{Cl}$ (I) получают $\text{ClSiCH}_2\text{Si}(\text{CH}_3)_2\text{OCOC}_2\text{H}_5$ (II) и $\text{CH}_3\text{COOCH}_2\text{Si}(\text{CH}_3)_2\text{OCOC}_2\text{H}_5$ (III). При гидролизе I превращался в $\text{ClSiCH}_2\text{Si}(\text{CH}_3)_2\text{OSi}(\text{CH}_3)_2\text{CH}_2\text{Cl}$ (IV), который при обработке CH_3COONa заменяет атомы галоида на CH_3COO -группы. Со спиртом I дает $\text{ClSiCH}_2\text{Si}(\text{CH}_3)_2\text{OC}_2\text{H}_5$ (V). Последний при действии анилина перешел в $\text{C}_6\text{H}_5\text{NHCH}_2\text{Si}(\text{CH}_3)_2\text{OC}_2\text{H}_5$ (VI). При р-ции IV с анилином получают $\text{C}_6\text{H}_5\text{NHCH}_2\text{Si}(\text{CH}_3)_2\text{OSi}(\text{CH}_3)_2\text{CH}_2\text{NHC}_6\text{H}_5$ (VII). 2 моля $(\text{CH}_3)_2\text{SiCl}_2$, содержащего 5—10% SiCl_4 , хлорировали

в присутствии активированного С или Cu-сетки при т-ре кипения $(\text{CH}_3)_2\text{SiCl}_2$ (приводится рисунок прибора для хлорирования). Хлорирование прекращали при 100°. При разгонке на колонке выделили 139 г I, т. кип. 113,5—114,2°/750 мм, 0,87 моля I и 1,2 моля $(\text{CH}_3\text{CO})_2\text{O}$ нагревали при перемешивании до прекращения конденсации $\text{C}_2\text{H}_5\text{Cl}$ в приемнике. При этом т-ра реакционной смеси достигала 112°. Получили 42,7 г II, т. кип. 42—45°/7 мм, n_D^{20} 1,4345, d_4^{20} 1,0612, и 36 г III, т. кип. 66—69°/7 мм, n_D^{20} 1,4388, d_4^{20} 1,0420. В 1,2 л воды при перемешивании постепенно вводили 3 моля I; реакционную смесь перемешивали 30 мин. Получили 327 г IV, т. кип. 204°/745 мм, n_D^{20} 1,4398, d_4^{20} 1,0381. 0,5 моля IV, 1,25 моля CH_3COONa и 3,4 моля лед. CH_3COOH при перемешивании нагревали (8 час., 130—140°), получили 97 г $\text{CH}_3\text{COOCH}_2\text{Si}(\text{CH}_3)_2\text{Si}(\text{CH}_3)_2\text{CH}_2\text{OCOC}_2\text{H}_5$, т. кип. 249,5°/750 мм, n_D^{20} 1,4228, d_4^{20} 0,9981. К 1,8 моля I при перемешивании и нагревании при 60—80° прибавляли 3,1 моля абс. спирта; затем реакционную смесь нагревали при 80—90° до полного удаления HCl (газа). Получили 221 г V, т. кип. 131—132°/745 мм, n_D^{20} 1,4185, d_4^{20} 0,9512. Нагревали 0,56 моля V и 1,72 моля анилина (4 часа, 90—120°). После отделения $\text{C}_6\text{H}_5\text{NH}_2 \cdot \text{HCl}$ выделили 56,2 г VI, т. кип. 117—120,5°/5 мм, n_D^{20} 1,5100, d_4^{20} 0,9656. Нагревали 0,65 моля IV и 3,9 моля анилина (6 час., 90—110°). После отделения $\text{C}_6\text{H}_5\text{NH}_2 \cdot \text{HCl}$ выделили 58,8 г VII, т. кип. 188—192°/5 мм, n_D^{20} 1,5364, d_4^{20} 1,0199. М. З.

43216. Изучение соединений, содержащих кремний, связанных с ненасыщенными группами. Ларссон (Zur Kenntnis der Verbindungen mit siliziumgebundenen ungesättigten Gruppen. Larsson Erik), Kgl. fysiogr. sällskap. Lund förhandl., 1955, 25, № 7, 1—6 (нем.)

Описывается получение $\text{CH}_2=\text{CHCH}_2\text{Si}(\text{OC}_2\text{H}_5)_2$ (I), $(\text{CH}_2=\text{CHCH}_2)_2\text{Si}(\text{OC}_2\text{H}_5)_2$ (II) и $(\text{CH}_2=\text{CHCH}_2)_3\text{SiOC}_2\text{H}_5$ (III) при р-ции $\text{CH}_2=\text{CHCH}_2\text{MgCl}$ с $(\text{C}_2\text{H}_5\text{O})_2\text{Si(IV)}$. Р-ция проводилась с 0,5 моля IV по трем методам (А, Б, и В) при различных соотношениях $\text{CH}_2=\text{CHCH}_2\text{Cl}$ (V) и IV. По методу А и Б р-цию V с Mg проводили в очень разб. р-рах (2000 мл абс. эф. на 1 моль V) при возможно более низкой т-ре, после чего реакционную смесь кипятили (3—4 часа) и смешивали с IV. По методу В р-цию V с IV проводили (5—6 час.) при 70—80°. Приведены отношения V к IV, выход в % IV, I, II, III: 1) по методу А 1:1, 31, 18, 12,—; 2:1, 12, 27, 19,—; 4:1, 8, 9, 31, 17; 6:1, 6, 7, 14, 28; 8:1, 7, 5, 6, 40; 2) по методу Б 1:1, 25, 28,—; 6:1, 6, 8, 10, 23; 8:1,—,—, 7, 32; 3) по методу В 1:1, 32, 19, 11,—; 2:1, 29, 12, 18, 20; 3:1, 13, 16, 18, 36; 6:1, 12, 7, 16, 30; 8:1, 8, 5, 11, 39. Даны т. кип. в °C/мм, n_D^{20} , d_4^{20} : I, 77—78/21, 1,4072, 0,9076; II, 82—83/18, 1,4320, 0,8846; III, 97/21, 1,4583, 0,8593. При высоких т-рах I—III полимеризуются; при 20° полимеризация наступает при длительном хранении, в присутствии перекисей. При действии конц. H_2SO_4 при 20° на I—III отщепляются аллильные группы. К р-ру 0,2 ммоль I, 0,1 ммоль II или 0,05 ммоль III в 20 мл лед. CH_3COOH добавляли 25 мл 4 н. или 1 н. HCl , 25 мл 1 н. KBr и 25 мл 0,05 н. KBrO_3 . Расход брома 3,7—3,9 экв на аллильную группу. При бромировании вначале присоединяется бром, а затем разрывается связь C—Si. К р-ру 0,05 моля I в 50 мл CCl_4 при охлаждении прибавляют по каплям 2 г. р-р Br в CCl_4 . Расход брома 0,04 моля, получили 7,0 г $\text{CH}_2\text{BrCHBrCH}_2\text{Si}(\text{OC}_2\text{H}_5)_2$, т. кип. 148—149°/20 мм. При бромировании II и III выделить чистые бромпроизводные не удалось. М. З.

нами
Роб
nard
ratur
J u d
Soc.
Вза
алкокс
тельно
и 7,5
(CH_3)₂Si
 $\text{CH}_3\text{Si}(\text{C}$
проведе
с вых
8,42 м
 $\text{CH}_3\text{Si}(\text{C}$
 n_D^{20} 1,
выход
 $\text{CH}_3\text{Si}(\text{C}$
 CF_2CH_2
 CH_2
 CH_2 CH
(CF_3 CH
 d_4^{20} 1,25
 n_D^{20} 1,
—16°.
43218.
эфир
с (用通
соз с
(кит.
 $\text{Si}(\text{OC}$
смешив
(1:4,2
р-ции
против
воздух
незнач
43219.
43 ж
(八
學報,
69—
Обис
Взаимо
в эфир
выход
 $\text{Si}(\text{OC}_2$
 HCl (к
43220.
I. По
Юри
ganol
сопр
ча п
1954.
Пред
Юри
На с л
При р
лучают
в р-ции
быть
солей
продук
с вых
в (C_4H
ционир

43217. Реакция реактивов Гриньяра с алкоксисиланами при повышенных температурах. Мак-Бин, Робертс, Джадд, Чжао (Reaction of Grignard reagents with alkoxy silanes at elevated temperatures. McBee E. T., Roberts C. W., Judd G. F., Chao T. S.), J. Amer. Chem. Soc., 1955, 77, № 5, 1292—1293 (англ.).

Взаимодействие гриньяровских реактивов с избытком алкоксисиланов при повышенных температурах дает исключительно монометил. продукты. Из 0,499 моля CH_3MgBr и 7,5 моля $\text{Si}(\text{OC}_2\text{H}_5)_4$ при $105 \pm 3^\circ$ получено 5,27% $(\text{CH}_3)_2\text{Si}(\text{OC}_2\text{H}_5)_2$ (I), т. кип. 111° , n_D^{20} 1,3829, и 67,5% $\text{CH}_3\text{Si}(\text{OC}_2\text{H}_5)_3$ (II), т. кип. $143-146^\circ$, n_D^{20} 1,3829; при проведении этой же р-ции в кипящем эфире II получен с выходом 12%. Из 0,641 моля $\text{F}_3\text{CCH}_2\text{CH}_2\text{MgCl}$ и 8,42 моля $\text{Si}(\text{OCH}_3)_4$ при $90 \pm 5^\circ$ получен $\text{F}_3\text{CCH}_2\text{CH}_2\text{Si}(\text{OCH}_3)_3$, выход 94%, т. кип. $79,8-80,5/87$ мм., n_D^{20} 1,3547, d_4^{20} 1,13. Аналогично получены (приведены выход в %, т. кип. в $^\circ\text{C}/\text{мм.}$): $\text{CF}_3\text{CF}_2\text{CF}_2\text{CH}_2\text{Si}(\text{OC}_2\text{H}_5)_3$, 71, $47/3$, d_4^{20} 1,211; $(\text{CF}_3)_2\text{CF}_2\text{CH}_2\text{Si}(\text{OC}_2\text{H}_5)_3$, 12,3, и 2,9, —; $(\text{CF}_3)_2\text{CF}_2\text{CH}_2\text{CH}_2\text{Si}(\text{OC}_2\text{H}_5)_3$, 77, —; $(\text{CF}_3)_2\text{CF}_2\text{CH}_2\text{CH}_2\text{Si}(\text{OC}_2\text{H}_5)_2$, 61, $92/42$, n_D^{20} 1,3502; $(\text{CF}_3)_2\text{CH}_2\text{CH}_2\text{Si}(\text{OCH}_3)_3$, 82, $100,5/57$, n_D^{20} 1,3531, d_4^{20} 1,256; $(\text{CF}_3\text{CH}_2\text{CH}_2)_2\text{Si}(\text{OCH}_3)_3$, —; $96,5-96,8/51$, n_D^{20} 1,3576, d_4^{20} 1,0954; 1,1-дифторциклопропан, т. кип. -16° . Н. К.

43218. Непрерывный метод получения этилового эфира ортокремневой кислоты. Цзян Ин-янь. (用連續法製備正矽酸乙酯. 江英彦), 化學學報, Хуа-сюэ сюэбао, Acta chim. sinica, 1955, 21, № 1, 33—37 (кит.; рез. англ.).

$\text{Si}(\text{OC}_2\text{H}_5)_4$ (I) получен в результате непрерывного смешивания при 20° SiCl_4 и 99%-ного $\text{C}_2\text{H}_5\text{OH}$ (1:4,2) на колонке. Отдувка выделяющегося во время р-ции HCl (газа) производилась путем пропускания противотоком на колонке реакционной массы и сухого воздуха при 65° . Выход I 93%. Наряду с I образуется незначительное кол-во полимера. Р. С.

43219. Октаметилциклотетрасилоксан. Хуан Чжи-тан, Ван Бао-жэнь, Сунь Шу-мэнь (八甲基圓四矽氧烷. 黃志鑑, 王葆仁, 孫樹門), 化學學報, Хуа-сюэ сюэбао, Acta chim. sinica, 1955, 21, № 1, 69—71 (кит.; рез. англ.).

Описан синтез октаметилциклотетрасилоксана (I). Взаимодействие $\text{Si}(\text{OC}_2\text{H}_5)_4$ и CH_3MgBr (1:2) в эфирном р-ре приводит к $(\text{CH}_3)_2\text{Si}(\text{OC}_2\text{H}_5)_2$ (II), выход 58%, и незначительному кол-ву $\text{CH}_3\text{Si}(\text{OC}_2\text{H}_5)_3$. Гидролиз II в эфирном р-ре с помощью HCl (к-ты) дает I с выходом 80%. Р. С.

43220. Исследования оловоорганических соединений. I. Получение бутиловых соединений по реакции Вюрца. Керк, Лейтен (Investigations on organotin compounds. I. The preparation of butyltin compounds by a Wurtz reaction. Kerk G. J. M., van der, Luijten J. G. A.), J. Appl. Chem., 1954, 4, № 6, 301—307 (англ.).

Предложен метод получения $(\text{C}_4\text{H}_9)_4\text{Sn}$ (I) по р-ции Вюрца, исходя из $(\text{C}_4\text{H}_9)_2\text{SnCl}_2$ (II), $\text{C}_4\text{H}_9\text{Cl}$ (III) и Na с лучшим выходом, чем исходя из SnCl_4 (IV) и III. При р-ции диспропорционирования 1 моля I с IV получают 2 моля II с выходом 90%; 1 моль II возвращают в р-цию с III для получения I, а второй моль II может быть использован для получения дибутиловых солей через стадию $(\text{C}_4\text{H}_9)_2\text{SnO}$. В качестве побочного продукта при р-ции II и III получают $(\text{C}_4\text{H}_9)_3\text{Sn}_2$ (V) с выходом ~10%. V при хлорировании превращается в $(\text{C}_4\text{H}_9)_3\text{SnCl}$ (VI), который при р-ции с IV диспропорционируется в II. Общий выход превращения IV

в II 87%. К фракции бензина с т. кип. $40-60^\circ$ (из расчета 0,78 моля IV на 1 л р-рителя) добавляют 8 молей измельченного Na с диаметром частиц 1 мм, после чего прибавляют по каплям в течение 30 мин. смесь 1 моля IV и 4 моля III. По окончании р-ции через 0,5—1,5 часа кипятят еще 4—6 час. при $45-47^\circ$, выход I 64,4%. Степень алкилирования 3,95. Применение высококипящих р-рителей или изменение степени измельчения Na приводят к снижению выхода. При р-ции II (0,74 моля на 1 л низкокипящего бзн.) с 10%-ным избытком III и измельченным Na в течение 7 час. выход I 87,9%, степень алкилирования 3,97, выход V 9,4%, потери Sn 2,7%. Смесь 187,5 г неочищ. I (содержит Cl 1,02%) и 134,5 г IV нагревают 3 часа при 240° . По охлаждении перегоняют в вакууме, выход II 95%. 36 г V (из р-ции II с III) хлорируют 30 мин. при -20° до привеса 4,5 г, выход VI 83,8%, т. кип. $146-149/13$ мм. С. И.

43221. Исследования оловоорганических соединений. II. Получение этиловых соединений из оловомагниевого сплава. Керк, Лейтен (Investigations on organotin compounds. II. The preparation of ethyltin compounds from a tin-magnesium alloy. Kerk G. J. M., van der, Luijten J. G. A.), J. Appl. Chem., 1954, 4, № 6, 307—313 (англ.).

Предложен метод синтеза $(\text{C}_2\text{H}_5)_4\text{Sn}$ (I) и $(\text{C}_2\text{H}_5)_3\text{SnX}$ (где X = Cl, Br) из $\text{C}_2\text{H}_5\text{X}$ и сплава Mg_2Sn (II). Оптимальные выходы I из $\text{C}_2\text{H}_5\text{Br}$ (III) и II получают при атмосферном давлении в среде циклогексана в присутствии катализатора Hg или HgCl_2 , при повышенном давлении в присутствии циклогексана без катализатора. Наилучший выход $(\text{C}_2\text{H}_5)_3\text{SnBr}$ (IV) получают при повышенном давлении в среде легкого бензина. Р-ция с $\text{C}_2\text{H}_5\text{Cl}$ (V) проходит при повышенном давлении только в присутствии HgCl_2 с образованием смеси I, $(\text{C}_2\text{H}_5)_3\text{SnCl}$ (VI) и $(\text{C}_2\text{H}_5)_2\text{SnCl}_2$ (VII). При р-ции III (100%-ный избыток) в эфире (50%) со сплавом Mg_2Pb при 80° за 3 часа получают $(\text{C}_2\text{H}_5)_4\text{Pb}$ (VIII), выход 40%. Из V в тех же условиях за 6 час. выход VIII 32%. Высказано предположение, что р-ция II и III протекает через промежуточное образование $(\text{C}_2\text{H}_5)_2\text{Sn}(\text{MgBr})_2$, который при дальнейшем действии III превращается в I, IV, или $(\text{C}_2\text{H}_5)_2\text{SnBr}_2$ (IX). Для получения II нагревают 140 г Mg и 360 г Sn в токе N_2 выше 783° (т. пл. сплава). 21 г II растапливают с 2,1 г Hg и кипятят 10 час. с 63 г (15%-ный избыток) III и 150 мл циклогексана. Выход I 50%. При кипячении при $60-80^\circ$ 10 час. смеси 50 г II, 7 г HgCl_2 , 150 г III и 250 мл циклогексана получают I с выходом 54% и IV с выходом 1,5%. При нагревании 3 часа при повышенном давлении II с 10%-ным избытком III при 160° с 40 мл циклогексана выходы I 61%, IV 2% и IX 6,5%. При 120%-ном избытке III в тех же условиях I не образуется, выходы IV 67%, IX 19%. При проведении р-ции II и III без циклогексана при повышенном давлении с 18 мл бензина (т. кип. $60-80^\circ$) при 160° , в течение 3 час. выходы I 3,5%, IV 56%, IX 22%. При 100%-ном избытке V при 150° за 3 часа в присутствии 20 мл циклогексана и 1,4% HgCl_2 от веса II получают выходы: I 10%, VI 16% и VII 30%. При замене HgCl_2 на Hg (10% от веса II) в тех же условиях выходы I, VI и VII составляют 0,5, 35 и 23%. С. И.

43222. Исследования оловоорганических соединений. III. Бицидные свойства оловоорганических веществ. Керк, Лейтен (Investigations on organotin compounds. III. The biocidal properties of organotin compounds. Kerk G. J. M., van der, Luijten J. G. A.), J. Appl. Chem., 1954, 4, № 6, 314—319 (англ.).

Исследована фунгицидная активность (ФА) соединений типа R_4Sn , R_3SnX (I), R_2SnX_2 и RSnX_3 . Установлено, что наибольшей ФА обладают I. ФА испытыва-

лась на культурах: *Botrytis oillii* (B), *Penicillium italicum* (P), *Aspergillus niger* (A) и *Rhizopus nigricans niger* (Rh). Концентрация (K) в мер/л для I ($R = C_2H_5$, $X = Cl$), вызывающая полное ингибирование роста культур В 0,5, Р 2, А 5, Rh 2. Для $SnCl_4$ и $SnCl_2$ $K > 1000$. Исследовано влияние X в I на ФА. Приводятся значения K для наиболее эффективных препаратов. Для В I ($X = OH$) 0,2 и I ($X = N$ -фталымидил) 0,2, для Р I ($X = OC_6H_5$) 1, для А и Rh I ($X = OH$) 0,5. Изменение X у I дает различие ФА не более чем в 10 раз. Большее влияние на ФА оказывает R. Приводятся значения K для наиболее эффективного в-ва I ($R = n-C_4H_9$, $X = OCOCH_3$): для В $\leq 0,1$, для Р $\leq 0,1$, для А 0,5, для Rh 0,5, что соответствует ФА для C_6H_5HgBr . Изучено влияние введения галоида в однофенильное ядро для в-в типа I на их ФА. Приводятся значения K для $(C_2H_5)_2(n-BrC_6H_4)SnOCOCH_3$ (первая цифра) и для $(C_2H_5)_2(n-ClC_6H_4)SnOCOCH_3$ (вторая цифра): для В 0,2; 0,1; для Р 0,5, 1; для А 1 и 1, для Rh 1 и 2. У I ($R = n-ClC_6H_4$, $X = OCOCH_3$) ФА резко падает. Установлено, что pH питательной среды влияет в небольшой степени на ФА. Оптимальные значения ФА для I ($R = C_2H_5$, $X = OH$) получены при pH 6,9 через 2 дня. Приводятся значения K: для В 0,1, для Р 1, для А 0,2, для Rh 0,2. I предложены для практического использования в качестве фунгицидов для защиты древесины от грибов: *Daedalea quercina*, *Lentinus squamosus*, *Lenzites abietina*, *Mercurius lacrimans*, *Polystictus versicolor* и *Contiophora cerebella*. Приводятся концентры импрегнирующего р-ра в %, необходимые для защиты дерева от грибов в практич. условиях: I ($R = C_2H_5$, $X = OH$) 0,2, I ($R = C_2H_5$, $X = OCOCH_3$) 0,3, $HgCl_2$ 0,7, $CuSO_4$ $ZnCl_2$ пентахлорфенол-5, креозол 100. С. И.

43223. Расщепление некоторых смешанных алифатически-ароматических оловоорганических соединений нитратом серебра. Лесбр, Бюиссон, Лейтен. Керк (The cleavage of some mixed aliphatic-aromatic tin compounds by silver nitrate. Lesbre M., Buisson R., Luijten J. G. A., Kerk G. J. M. van der, Recueil trav. chim., 1955, 74, № 8-9, 1056-1061 (англ.)). Изучена р-ция между оловоорганич. соединениями типа: R_3ArSn (I), R_2Ar_2Sn (II) и RAr_3Sn (III) ($R = C_2H_5$ и $n-C_3H_7$, $Ar = C_6H_5$) и $AgNO_3$ в абс. спирте при 25°. Показано, что скорости и направления р-ции I и II отличны от III. В первом случае выпадает желтый осадок $C_6H_5Ag \cdot AgNO_3$, во втором немедленно выделяется металл. Ag. Авторы объясняют эти различия положительным индукционным эффектом алкильных групп. Для определения скорости р-ции 25 мл р-ра оловоорганич. соединения в абс. спирте (0,02 моль/л), встряхивают в термостате при 25° и добавляют 25 мл р-ра $AgNO_3$ в абс. спирте (0,03 н). Через определенные промежутки времени добавляют 10 мл 0,1 н. р-ра $NaCl$ и оттитровывают избыток $NaCl$ 0,1 н. р-ром $AgNO_3$. Триэтилфенилолово (IV) получают из 30 г $C_6H_5SnCl_3$, 14,6 г Mg и 75 г C_2H_5Br в 150 мл эфира при кипячении (3 часа), выход IV 25%, т. кип. 128,5°/12 мм. Для синтеза диэтилдифенилолово (V) добавляют (15 мин.) при охлаждении льдом р-р 48 г $(C_6H_5)_2SnBr_2$ в 50 мл эфира к р-ру C_2H_5MgBr (из 10 г Mg, 54 г C_2H_5Br , 100 мл эф.), смесь кипятят 1 час, выход V 31%, т. кип. 135,5-137°/1 мм. Этилтрифенилолово (VI) получают при добавлении 58 г $(C_6H_5)_3SnCl$ в 200 мл эфира к C_2H_5MgBr (0,3 моля) в 90 мл эфира, выход VI 68,5%, т. пл. 56-57° (из петр. эф.). Аналогично получают $(n-C_3H_7)_3SnC_6H_5$, выход 55%, т. кип. 150°/15 мм. Ди-н-пропилдифенилолово (VII) синтезируют из $(C_6H_5)_2SnJ_2$ и избытка $n-C_3H_7MgBr$. Непрореагировавший $(C_6H_5)_2SnJ_2$ удаляют встряхиванием с р-ром $NaOH$. После второй разгонки выделяют VII,

т. кип. 160-161°/3 мм. Для получения n -пропилтрифенилолово (VIII) добавляют р-р $(C_6H_5)_3SnCl$ в C_6H_6 к большому избытку $n-C_3H_7MgBr$, отделяют органич. слой, р-ритель отгоняют, выход VIII 70%, т. пл. 74-75° (из сп.-этилацетата). О. П.

43224. Фосфорорганические соединения. II. Взаимодействие диметиламидодихлорфосфата с гексаметиладидфосфатом: образование аддукта и радикальный обмен. Пьянка, Оуэн (Organophosphorus compounds. III. Interaction of dimethylphosphoramidic dichloride with hexamethylphosphoramide: adduct formation and radical exchange. P i a n k a M., O w e n B. D.), J. Appl. Chem., 1955, 5, № 10, 525-535 (англ.).

При нагревании эквимольных кол-в (ЭК) $POCl_2N(CH_3)_2$ (I) и $PO[(NCH_3)_2]_3$ (II) при 120-200° наблюдается радикальный обмен $N(CH_3)_2$ на Cl с образованием $POCl[(NCH_3)_2]_2$ (III) (р-ция первого порядка при 120°, $k = 5,6 \cdot 10^{-8}$ сек⁻¹). Приведены кривые образования III и уменьшения I для ЭК I и II, 3 часа, 100-200°. При нагревании III (содержащего III 90% и I 4%) (150-155°, 3 часа) образуется смесь 82% III и 8% I. Смесь ЭК I, II и III (150-155°, 6 час.) дает смесь 82% III и 8% I. При кипячении ЭК I и II в толуоле (8 час.) и ксилоле (3,5 и 7 час.) выход III соответственно 0,4, 3,7 и 4,9%. При смешении ЭК I и II наблюдается разогревание, при стоянии при ~20° — увеличение вязкости и образование солеобразного продукта. По данным определения мол. веса абьюлоскопически в $CHCl_3$ аддукта I и II через 49 и 97 час. 317 и 337. Смесь ЭК I и II (~20°, 2 месяца) образует аддукт (IV), которому на основании сходства растворимости с $(CH_3)_2NH \cdot HCl$ в 22 различных р-рителях присваивается характер соли: $\{(CH_3)_2NP(O)Cl - : N(CH_3)_2P(O)[N(CH_3)_2]_2\} + Cl^-$

IV нейтрален по фенолфталеину и содержит половину хлора в виде Cl^- . Смесь ЭК I и II в толуоле при ~20°, 3 месяца, образует очень мало кристаллов. Взаимодействия III и II не наблюдается. IV слинается при 50°, плавится при 101,5°, при 140-150° превращается в III (выход III через 9 час. 77%), устойчив при 80° к очень слабой щелочи и разлагается при кипячении с 1 н. $NaOH$ 2 часа. При нагревании 29,5 г IV (9 час., 140-150°) и последующем действии 12,3 г KOH в 53 мл толуола (140-150°, >4 часа) (осадок отделился, а фильтрат перегонкой) образуется 3,1 мл воды и выделяет фракции, содержащие шрадан (V), выход 60%. При нагревании ЭК I и II (150°, 6 час.) выделяют фракцию, т. кип. 104-110°/12 мм, содержащую 80% III и 10,6% I. Эта фракция при кипячении 4 часа с KOH в толуоле дает воду и V, выход 76,8%, т. кип. 130-134°/0,8 мм. Смесь ЭК I и II при обработке KOH не дает V. Описаны аналитич. методы определения общего $(CH_3)_2NH$, Cl^- и свободного амида, анализа смеси I и III. I получен по Михаэлису (Liebigs Ann. Chem., 1903, 326, 179) и содержит 94% I, 3% II и 3% III. Сообщение 1 см. РЖХим, 1955, 55183. В. Г.

43225. Реакция триэтилфосфита с диалкилдисульфидом. Джейкобсон, Харви, Дженсен (The reaction of triethyl phosphite with dialkyl disulfide. Jacobson Herbert I., Harvey Ronald G., Jensen Elwood V.), J. Amer. Chem. Soc., 1955, 77, № 22, 6064-6065 (англ.).

Показано, что $(C_2H_5O)_3P$ (I) с $(C_2H_5)_2S$ (II) претерпевает перегруппировку Арбузова и образует $C_2H_5SPO(OC_2H_5)_2$ (III). 0,10 моля II и 0,25 моля I подвергают перегонке на колонке, так чтобы отгонялся $(C_2H_5)_2S$ (т. кип. 90-92°). Выход III 77%, т. кип. 110°/11 мм, n_D^{25} 1,4552. В ИК-спектре обнаружены поглощения при 1018, 1164, 1254 cm^{-1} . При нагревании эквимольных кол-в I и II наблюдается осмоление. В. Г.

43226. Высшие алифатические алкилгептаметилпиррофосфорамиды. Матт, Харвуд (Higher aliphatic alkylheptamethylpyrophosphoramides. Matt Joseph, Harwood H. J.), J. Amer. Chem. Soc., 1955, 77, № 2, 6068 (англ.)

Получены аналоги октаметила (шрадана) (I) $(RCH_2N)_2 - (CH_3)_2N(O)OP(O)(N(CH_3)_2)_2$ (II). Системная токсичность (СТ) II меньше СТ I. $(RCH_2N)_2P(O)Cl_2$ (III) получают из 0,2 моля $(RCH_2N)_2NH \cdot HCl$ и 0,6 моля $POCl_3$ (кипчение 36 час.). Выход и т. кип. для III при $R = C_8H_{17}$ 95%, 118—120°/1—1,5 мм и при $R = C_{12}H_{25}$ 67—80%, 145—150°/0,25 мм. Из 0,18 моля III ($R = C_8H_{17}$) и 0,37 моля $(CH_3)_2NH$ (IV) в C_6H_6 при 15° получают $(RCH_2N)(CH_3)_2NPOCl_2$ (V), выход 72%, т. кип. 119°/0,08 мм. Аналогично получают II ($R = C_{12}H_{25}$), выход 69—81%, т. кип. 148—150°/0,07 мм. $[(CH_3)_2N]_2P(O)(OC_2H_5)_2$ (VI) получают из 0,71 моля $C_2H_5OP(O)Cl_2$ и 2,85 моля IV в C_6H_6 при 0°, выход 86%. Т. кип. 98—99°/15 мм, n_D^{25} 1,4355. II ($R = C_8H_{17}$) получают при кипячении смеси 0,13 моля V и 0,23 моля VI 44 часа в 100 мл ксилола, выход 61%, т. кип. 120—180°/0,005—0,75 мм, n_D^{24} 1,4605.

Аналогично получают II ($R = C_{12}H_{25}$), выход 38—58%, т. кип. 150—165°/0,05 мм. II растворимы в воде. В. Г.

43227. Дизамещенные окиси фосфинов и дизамещенные фосфиновые кислоты. II. Ряд ди-*n*-алкильных производных. Вильямс, Гамильтон (Disubstituted phosphine oxides and disubstituted phosphonic acids. II. The di-*n*-alkyl series. Williams Robert H., Hamilton Lybe A.), J. Amer. Chem. Soc., 1955, 77, № 12, 3411—3412 (англ.)

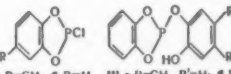
Продолжено получение $R_2P(O)H$ (I) и $R_2P(O)OH$ (II), где R означает углеводородный радикал нормального строения (см. предыдущее сообщение J. Amer. Chem. Soc., 1952, 74, 5418). Синтезировано 8 новых I действием на $(C_4H_9O)_2P(O)H$ (III) соответствующего реактива Гриньяра, малые выходы последнего ограничивают степень превращения III в I (перечислены I, исходный галогидный алкил (RX), выход в %, т. пл. в °C): $(C_5H_{11})_2P(O)H$ (Ia), RBr, 12, 65—66; $(C_7H_{15})_2P(O)H$ (Ib), RBr, 33,7, 80,6—81,6; $(C_9H_{19})_2P(O)H$ (Ic), RBr, 50, 88—89; $(C_{10}H_{21})_2P(O)H$ (Id), RBr, 66,5, 91,5—92,5; $(C_{11}H_{23})_2P(O)H$ (Ie), RI, 62, 96—97; $(C_{12}H_{25})_2P(O)H$ (If), RBr, 35, 97,2—97,8; $(C_{14}H_{29})_2P(O)H$ (Ig), RCl, 51, 102—103; $(C_{16}H_{33})_2P(O)H$ (Ia), RI, 34,8, 106—107. Ie—Iz перекристаллизованы из C_6H_6 или смеси C_6H_6 - n - C_8H_{18} , остальные I из C_6H_{14} . Молярные отношения реагентов RX : Mg : III при синтезе Ig и Id были 3 : 3 : 0,5, при синтезе других I — 3 : 3 : 1. Метод получения Ia—Ig похож на описанный ранее метод получения окиси диксилфосфина, а Id—Iz — на метод получения окиси диоктадецилфосфина. Все I являются нейтр., умеренно устойчивыми твердыми веществами. Ia, Ib, Ic менее устойчивы. Низшие члены ряда I быстро окисляются 30%-ной H_2O_2 , окисляющее действие падает с ростом R. $SiCl_4$ и PCl_5 дают $R_2P(O)Cl_2$. Нагреванием I с 1—2 молями PCl_5 в бензольном р-ре с последующим гидролизом получены II, как это было описано для диоктадецилфосфиновой к-ты (перечислены II, т. пл. в °C): $(C_5H_{11})_2P(O)OH$ (IIa), 68—69; $(C_7H_{15})_2P(O)OH$ (IIb), 77—78; $(C_9H_{19})_2P(O)OH$ (IIc), 84—85; $(C_{10}H_{21})_2P(O)OH$ (IId), 87,7—88,3; $(C_{11}H_{23})_2P(O)OH$ (IIe), 89—90; $(C_{12}H_{25})_2P(O)OH$ (IIf), 93,8—94,8; $(C_{14}H_{29})_2P(O)OH$ (IIg), 97—98; $(C_{16}H_{33})_2P(O)OH$ (IIa), 102,5—103,5. IIe—Iz перекристаллизованы из C_6H_6 или смеси C_6H_6 -спирт, остальные II из C_6H_{14} или смеси его со спиртом или анионом. II были также получены при соединении *n*-олефина с H_2PO_2 в присутствии перекиси. Получены следующие II (перечисляются исходный олефин, молярные отношения реагентов олефин : H_2PO_2 (3%-ный водн. р-р) : перекись, т-ра р-ции °C, продолжительность р-ции в час., выход в %): гексен-1, 2 : 1 : 0,15 (перекись бензоила (IV), р-р в диоксане),

67—85, 18, 9; октен-1, 2 : 1 : 0,08 (IV), 80—85, 24, 32; децен-1, 2 : 1 : 0,11 (перекись *трет*-бутила (V) без *p*-рителя), 125—175; 11, 19; додецен-1, 1 : 1 : 0,08 (IV), 84, 22, 22; тетрадецен-1, 2 : 1 : 0,22 (V), 135, 17, 16, 6; гексадецен-1, 2 : 1 : 0,17 (V), 135, 20, 24, 7; октадецен-1, 3 : 1 : 0,19 (V), 135, 19, 40. В продуктах р-ции преобладают моноалкилфосфиновые к-ты, от которых менее растворимые II отделяют перекристаллизацией из C_6H_{14} . В ряду II впервые для фосфорорганич. соединений замечена закономерность в изменении точек плавления, характерная для ряда жирных к-т нормального строения. Все II — устойчивые, кристаллич. в-ва, конечные точки титрования pH 10,5.

Л. В.

43228. Каталитическое влияние на взаимодействие двузамещенных фенолов с треххлористым фосфором. Анишюц, Марквардт (Die katalytische Beeinflussung der Umsetzung von zweifachigen Phenolen mit Phosphortrichlorid. Anschütz L., Markwardt W.), Naturwissenschaften, 1955, 42, № 24, 644 (нем.)

3,4-диокситолуол (I) с полутонным кол-вом PCl_3 в эфире при кипячении в отсутствие влаги дает продукты (IIa) и (III) (а или б), выходы 25 и 68%. В присутствии воды выход IIa до 95%. 2,2-диоксифенил с PCl_3 дает смесь аналогичных продуктов, выход которых зависит от природы *p*-рителя и т-ры, причем вода мало влияет на выход продукта, аналогичного II. Влияние воды на выход IIa в р-ции I



объясняется влиянием H^+ -ионов. Выходы (IIb) (в %) в р-ции пирокатахина с PCl_3 в C_6H_6 в присутствии 0,05 моля к-т: H_2SO_4 , 83; CH_3COOH , 78; H_3BO_3 , 63; H_3PO_4 , 54; пикриновой к-ты, 50; m -(NO_2) C_6H_4 , 44; o - $NO_2C_6H_4CH_3$, 26; малянового эфира, 12; ацетоуксусного эфира, 11. В. Г.

43229. Присоединение серы к диалкилфосфитам. Кабачник М. И., Голубева Е. П., Докл. АН СССР, 1955, 105, № 6, 1258—1261

Изучено присоединение S к диалкилфосфитам $(RO)_2P(O)H$ (I) ($R = C_2H_5$) без *p*-рителя и в *p*-рителях (сп., толуоле, C_6H_6 , эф.) (100—105°, 8—9 час.) дает с S небольшие кол-ва продукта присоединения (выход от 7 до 13,5%). I в диоксане (II) в тех же условиях присоединяет серу и дает $(RO)_2FOSH$ (III) (перечисляются R, выход в %): CH_3 , 34; C_2H_5 , 68—73; C_3H_7 , 57; *изо*- C_4H_9 , 80—92; C_4H_9 , 64—73; *изо*- C_4H_9 , 71. Для I перечисляются R, т. кип. в °C/мм, n_D^{20} , d_4^{20} : CH_3 , 85/2, 1,4625, 1,2565; *изо*- C_4H_9 , 122/1,5, 1,4648, 1,0625. Для идентификации III получены соли с анилином (перечисляются R, выходы солей в % в расчете на I и т. пл. в °C): CH_3 , 17, 110—111; C_2H_5 , 61, 85—85,5; C_3H_7 , 40, 68; C_4H_9 , 57—58, 45; *изо*- C_4H_9 , 83, 106; *изо*- C_4H_9 , 51, 104—105. Присоединение S к I в среде II объясняется влиянием II на таутомерное равновесие $I \rightleftharpoons (RO)_2P(O)H$ (IIa) или ускорение р-ции присоединения S к форме Ia. В. Г.

43230. Реакции двух диарилдисульфенидов с $HgCl_2$.

Гулд, Амандола (The reactions of two diaryl disulfenides with mercury (II) chloride. Gould Edwin S., Amendola Albert), J. Amer. Chem. Soc., 1955, 77, № 8, 2103—2104 (англ.)

Реакция $(C_6H_5)_2Se_2$ (I) или $(o-C_6H_4C_6H_4)_2Se_2$ (II) с $HgCl_2$ (III) в спирте, *изо*- C_3H_7OH (IV) или *изо*- C_4H_9OH (V) дает не $Ar_2Se_2 \cdot 2HgCl_2$, как предполагалось ранее, а $ArSeHgCl$. Предложен механизм р-ции. Ar_2Se_2 при нагревании образует радикал, который восстанавливается *p*-рителем в $ArSeH$. Последний с III образует комплекс. Из спиртов возможно образуются кетоны и пинаконы. Наличие кетонов обнаруживается р-цией с 2,4-динитрофенилгидразином.

Р-ция зависит от т-ры, но не зависит от света. 1,5 г I, 2,6 г III в 50 мл IV нагреты 4 часа, выход $C_6H_5SeHgCl$ (VI) 226 мг, т. пл. 189° (из $C_6H_5CH_3$, $C_6H_5NO_2$). Аналогично проведена р-ция с 1,9 г II и 2,1 г III, т. пл. $o-C_6H_4C_6H_4SeHgCl$ (VII) 183°. 1 г II, 1,5 г III в 50 мл V нагреты 4 часа, выход VII 80%. 0,5 г I, 2 г Zn, 1 г NaOH нагреты в 25 мл CH_3OH 2 часа, образуется C_6H_5SeH . Смесь отфильтрована, подкислена разб. H_2SO_4 и прибавлена к III в CH_3OH , выход VI 80%, т. пл. 188° (из $C_6H_5CH_3$). Аналогично получен VII из I и II, выход 90%. И. Б. 43231. Окисление сальварсана и поварсеноло элементарным кислородом. Крафт М. Я., Катыхина В. В., Докл. АН СССР, 1954, 99, № 1, 89—92.

Разбавленные р-ры сальварсана (I) легко окисляются O_2 воздуха с образованием 3-амино-4-оксифенил-арсеноксида, идентифицированного по хлоргидрату 3-амино-4-оксифенилхлорарсина. Скорость окисления увеличивается с уменьшением конц-ии и увеличением степени полимеризации I. Аналогично протекает окисление и поварсеноло (II) (продукт взаимодействия сальварсана и ронгалита) в $2-OH-5(AsO)C_6H_3NCH_2OSO_2Na$ (III), но этот процесс сопровождается медленным (24 часа) внутримолекулярным превращением III в $2-OH-5(=As)C_6H_3NCH_2OSO_2Na$ (IV). Приведенная схема подтверждена йодометрич. титрованием CH_2OSONa -групп в II и III, а также токсикологич. испытаниями образцов II, подвергшихся окислению O_2 воздуха (наличие токсич. свойств у образцов II тотчас после окисления (характерно для III) и отсутствие токсичности у образцов, выдержанных после окисления в течение 24 час. (характерно для IV). Р. С. 43232. Синтез новых сурьяноорганических соединений типа $(C_6H_5)_2SbR$, где R — жирный радикал. Татариенко А. Н., Докл. АН УзССР, 1955, № 5, 35—39.

Описан синтез новых Sb-органич. соединений типа $(C_6H_5)_2SbR$ взаимодействием $RMgBr$ с $(C_6H_5)_2SbCl$ с выходом в среднем 65%; выделен побочный продукт реакции углеводород R — R. Получены соединения типа $(C_6H_5)_2SbR$ (перечисляются R, т. кип. °C/мм, n_D^{20} , d_4^{20}): $n-C_3H_7$, 180—182/12—13, $n_D^{19.5}$ 1,6428, $d_4^{19.5}$ 1,4160; $iso-C_3H_7$, 167—169/6—7, $n_D^{19.5}$ 1,6340, $d_4^{19.5}$ 1,3990; $tert-C_4H_9$, 176—178/6—7, n_D^{18} 1,6260, d_4^{18} 1,3750; $n-C_5H_{11}$ 203—205/6—8, $n_D^{17.5}$ 1,6370, $d_4^{17.5}$ 1,3610; $n-C_6H_{13}$, 212—214/6—7, n_D^{16} 1,6221, d_4^{16} 1,3440; $n-C_8H_{17}$, 227—228/3—4, $n_D^{27.6}$ 1,5820, $d_4^{27.6}$ 1,224; $n-C_9H_{19}$, 236—238/5—7, n_D^{26} 1,5600, d_4^{26} 1,191. Определены парахоры, поверхностное натяжение, атомная рефракция Sb, равная 14,9—16,6. При стоянии $(C_6H_5)_2SbR$ идет перераспределение радикалов, выделена $(C_6H_5)_3Sb$. 1 г $(C_6H_5)_2SbR$ в 3—4 мл $CHCl_3$ дает с эквимолекулярным кол-вом Br_2 или J_2 в 3—4 мл $CHCl_3$ соединения типа $(C_6H_5)_2SbR-X_2$ ($X = Br, J$). Получены соединения (перечисляются R, Hal, т. пл. °C): $n-C_8H_{13}, Br_2$, 195; $n-C_9H_{19}, Br_2$, 208; $n-C_9H_{19}, J_2$, 227. Э. У.

43233. Стереохимия триарилстибинов. Синтез и разделение на оптические антиподы *n*-карбокситенил-2-дифенилди-фенилстибина. Кемпбелл (The stereochemistry of triarylstibines. Synthesis and optical resolution of *p*-carboxyphenyl-2-diphenylphenylstibine. Campbell I. G. M., J. Chem. Soc., 1955, Sept., 3116—3121 (англ.))

Впервые синтезировано два триарилстибина с тремя различными арилами: 2-дифенилди-фенил-*n*-толилстибин (I) и *n*-карбокситенил-2-дифенилди-фенилстибин (II). II в отличие от соединений N, P и As с тремя

различными R вполне устойчив и разделен на оптич. антиподы. Приводится объяснение устойчивости II. Сравниваются спектры $(C_6H_5)_3Sb$, I и 9-*n*-толил-9-стибиафлуорена. I получен при добавлении 2-дифенилди-*n*-толилстибинхлорида (0,02 моля) в 30 мл абс. C_6H_6 к C_6H_5MgBr (III) (из 0,4 моля C_6H_5Br в эф.). I выделен в виде сиропа, который закристаллизовывается только после внесения чистых кристаллов I, выход 5 г. Сиропообразный I (0,5 г) окислен Br_2 в CCl_4 в дибромид 2-дифенилди-фенил-*n*-толилстибина (IV), который высажен добавлением петр. эфира. Выход IV 0,4 г, т. пл. 169—170° (из петр. эф.). При обработке IV $SnCl_2$ в спирте, содержащем HCl, образовался дихлорид 2-дифенилди-фенил-*n*-толилстибина (V), т. пл. 125—128°. IV и V восстановлены H_2S в горячем спирте, содержащем несколько капель NH_3 , в I, т. пл. 81—83° (из этилацетата). 2-дифенилди-*n*-карбокситенилди-фенилстибин (VI) получен при добавлении III (из 6,3 г C_6H_5Br) к 2-дифенилди-*n*-карбокситенилди-фенилхлориду (9,2 г) в 40 мл C_6H_6 при 0°. Дальнейшие операции аналогичны получению I. Дибромид 2-дифенилди-фенил-*n*-карбокситенилди-фенилстибина, т. пл. 148—150°, дихлорид 2-дифенилди-фенил-*n*-карбокситенилди-фенилстибина, т. пл. 109—110°. VI, т. пл. 105—107° (из CH_3OH). При внесении кристаллов VI в основную часть продукта р-ции и растирания с CH_3OH и эфиром выделено 7,3 г неочищ. VI. Две перекристаллизации из смеси CH_3OH -эфир дали 5,5 г чистого VI. VI гидролизован кипячением (30 мин.) с 4%-ным спирт. р-ром KOH (100 мл). При вливании щел. р-ра в воду и подкисления разб. HCl выделен II, выход 3,5 г, т. пл. 199—200° (из абс. сл.). II разделен на оптич. антиподы двумя методами. При добавлении 1 г (+)-1-фенилэтиламина (VII) к суспензии II (2,8 г) в теплом ацетоне (20 мл) образовался р-р, из которого после 12 час. стояния выделена первая фракция (ПФ) соли, выход 2,7 г, $[α]_D + 2,1°$. По испарении маточного р-ра получена вторая фракция (ВФ), вес 0,7 г, $[α]_D + 16,6°$. ПФ после двух перекристаллизаций из ацетона и из спирта дала чистую соль (—) к-ты (+) основания (VIII), выход 0,35 г, т. пл. 174—176°, $[α]_D - 28,6°$. ВФ дважды перекристаллизована из спирта, выделена соль (+) к-ты (+) основания (IX), т. пл. 168—170°, $[α]_D + 46,6°$. Угол вращения измерялся в $CHCl_3$ (2; с 0,25). VIII выделена также при стоянии (24 часа) р-ра II (2,3 г) и VII (1,2 г) в ацетоне (16 мл), а IX из маточного р-ра через 48 час. VIII очищена экстракцией горячим ацетоном (10 мл) и перекристаллизацией из спирта, $[α]_D - 28,8°$. Для очистки IX перекристаллизована из ацетонового экстракта VIII и дважды из спирта, выход 0,3 г $[α]_D + 46,9°$. При разложении (—10°) р-ра VIII (0,5 г) в спирте (20 мл) 0,1 н. H_2SO_4 и последующей обработке водой (20 мл) получен (—)II, т. пл. 76—79°, $[α]_D - 46,9°$ (с 0,245; в пиридине). Аналогичным образом из IX выделен (+)II, т. пл. 76—80°, $[α]_D + 47,2°$ (с 0,223; в пиридине). (—)II хорошо растворим в обычных органич. р-рителях, оптически устойчив даже при кипячении в толуоле (1 час) в *n*-кислоте (2 часа), при кипячении в декане окисляется в *n*-карбокситенил-2-дифенилди-фенилстибиноксид, т. пл. 290—294°. Стрихнин, бруцин и эфедрин оказались непротивными для разделения II ввиду значительной непротивности их солей. При попытке получения *n*-карбокситенил-4-дифенилди-фенилхлорида разложением $ArN_2Cl \cdot SbCl_3$, полученный из 8,5 г 4-аминодифенила, в спирте (50 мл), содержащем 17 г *n*-карбокситенилди-фенилхлористина, порошком Cu (0,2 г) при 50° с последующим восстановлением $SnCl_2$ получен ди-(4-дифенилди-фенил)-хлорид, выход 3 г, т. пл. 200° (из бэл.). О. П. 43234. Перфторалкилнитрозосоединения. Бануе (Perfluoroalkyl nitroso compounds. Banu I o a n), Nature, 1953, 171, № 4343, 173—174 (англ.)

Облучение смеси C_3F_7J и NO в кварцевой трубке (200 мм) УФ-светом в присутствии 5 мл Hg приводит к образованию C_3F_7NO (I), выход 80%, т. кип. —14,5°, т. пл. —151,5°, $lg P_{(мм)}$ 9,035—1,539/T. Скрытая теплота испарения 7,270 ккал. I обладает диамагнитными свойствами. Р. С.

43235. Фторирование нитрозилтетрафторборатом.

Ваннагат, Хольштейн (Zur Fluorierung mit Nitrosyltetrafluorborat. Wagnagat Ulrich, Hohlstein Gerhard), Chem. Ber., 1955, 88, № 12, 1839—1846 (нем.).

$NOBF_4$ (I) реагирует с анилином (II) или с 2,4-дигром-1-нафталином (III) в среде CCl_4 или жидкого SO_2 с образованием соответственно $C_6H_5N_2BF_4$ (IV) и 2,4-бром- $C_{10}H_5N_2BF_4$ (V). IV и V по р-ции Шимана превращают в C_6H_5F и 1-фтор-2,4-дигромнафталин (VI). При р-ции I с *н*-аминофенолом (VII) образуется *н*- $HO-C_6H_4-N_2BF_4$ (VIII) (выделить в чистом виде не удалось), наряду с азокрасителем — продуктом сочетания VIII и VII. При термич. разложении VIII не получают *н*-фторфенола (осмоление, выделение N_2 и BF_3). 2,6-дигром-4-аминофенол (IX) с I образует 3,5-бром-4-(HO)- $C_6H_2N_2BF_4$ (X). При термич. разложении X происходит отщепление HF и главным продуктом р-ции является полимер (XI) с малым содержанием F; 2,6-дигром-4-фторфенол (XII) получают с ничтожным выходом. Р-ция I с алифатич. аминами не приводит к фторалканам. Высказано предположение, что образование солей диазония при р-ции I с ароматич. аминами связано с действием катионов NO^+ на NH_2 -группу, тогда как у алифатич. аминов NH_2 -группа реагирует только с гомеополарной NO-группой ($ON-OH$, $ON-NO_2$). I получают по описанному методу (Вознесенский и Курский, Ж. общ. химии, 1938, 8, 524). К суспензии 3,5 г I в CCl_4 добавляют при 0° р-р 2,8 г II в 20 мл CCl_4 . Осадок очищают осаждением эфиром из ацетонного р-ра. Выход IV 90%, т. пл. 100—110°. Сочетается с α -нафтиламином. На 1,52 г III конденсируют в трубке SO_2 , вводят 0,594 г I в тонкостенной ампуле. Трубку заплавляют, ампулу разбирают и оставляют на 10 час. Отгоняют SO_2 и очищают осаждением эфиром из р-ра в CH_3OH . Выход V 48%, т. разл. 204°. К суспензии 4,91 ммольа VII в жидком SO_2 добавляют 5,8 ммольа I. Полученный VIII очистить не удалось. При соотношении I : VII = 1 : 1 получают также синий азокраситель. При нагревании VIII при 100° в вакууме получают BF_3 и N_2 (83%) и смолистый остаток с ничтожным содержанием фенольных в-в. Из 2,45 г IX в 25 мл жидкого SO_2 и 1,06 г I получают с колич. выходом X, который по рентгеноструктурным данным идентичен с в-вом, полученным при нагревании до 110—120° внутренней соли 3,5-дигром-4-оксифенилдиазония (XIII) с 20-кратным кол-вом 80%-ной NH_4F . В органич. р-рителях X превращается в XIII. При нагревании при 135° в вакууме 1,69 ммольа V в течение 20 час. выделяют 1,61 ммольа N_2 и 1,07 ммольа BF_3 . Выход VI 62% (после сублимации и перегонки с паром). В вакууме при 180° из 3,24 ммольа X выделяется 3,14 ммольа N_2 , 2,52 ммольа BF_3 и ~20% Br_2 ; получают 50—70 мг XII и с выходом 60% IX. Р-ция I с 20—30-кратным кол-вом CH_3NH_2 проходит при охлаждении жидким воздухом, с выделением газообразных продуктов. Из 8 ммольа I получают 5 ммольа N_2 , 2 ммольа эквивалентной смеси N_2O и CH_3F . Через несколько дней получают кристаллы, из которых при растворении в CH_3OH и осаждении $CHCl_3$ выделяют $(CH_3NH_2)BF_4$, т. пл. 182°. При р-ции I с CH_3NH_2 в жидком SO_2 при 100° в течение 24 час. выделяется N_2 и N_2O . В остатке содержится сера. При р-ции I с этилуретаном в жидком SO_2 выделяется N_2 , NO и N_2O , в среде CCl_4 получают N_2 , N_2O и SiF_4 . С. И.

43236. Синтез некоторых фторпроизводных феназина, азобензола и дифениламина. Чернецкий

В. П., Ягунольский Л. М., Серебряный С. Б., Ж. общ. химии, 1955, 25, № 11, 2161—2170

Приводится синтез ряда фторпроизводных феназинов, их N-оксидов и некоторых других в-в. При щел. конденсации (9 час.) $C_6H_5NO_2$ (I) с *н*- $FC_6H_4NH_2$ (II) в кипящем толуоле вместо 9-окиси 2-фторфеназина получилась 9-окись 2-оксифеназина (III). При конденсации (30 и 15 мин.) в кипящем C_6H_6 выделили небольшое кол-во 2-фторфеназина (IV). С малым выходом IV получили из 2-аминофеназина (V) через борофторид диазония. Восстановительной циклизацией 2-нитро-4'-фтордифениламина (VI) выход IV составил 41%. При щел. конденсации *о*- $NO_2C_6H_4F$ с анилином вместо 1-фторфеназина (VII) получили *о*-нитрофенол и небольшое кол-во *о*-нитродифениламина. При конденсации (1 час) *м*- $FC_6H_4NH_2$ с I в кипящем C_6H_6 получили VII, выход 6,6%, и IV, выход 1,7%. При кипячении (1 час) р-ра *м*- $NO_2C_6H_4F$ в C_6H_6 с анилином выделили 10-окись 1-фторфеназина (VIII), выход 2,8%, которую восстанавливали в VII. При конденсации (2 часа) *о*-нитроанизола со II, в кипящем C_6H_6 получили смесь 1-метокси-7-фторфеназина (IX) и 1,7-диметоксифеназина (X). При конденсации (4—6 час.) в кипящем толуоле выход IX снижался, а X увеличивался. При этом также образовались 2-оксифеназин (XI) и 1-метокси-7-оксифеназин. При щел. конденсации *м*- $NO_2C_6H_4CF_3$ (XII) с анилином выделили 9-окись 2-трифторметилфеназина (XIII), а из *м*- $NH_2C_6H_4CF_3$ (XIV) в I получили 10-окись 2-трифторметилфеназина (XV). 1-трифторметилфеназин (XVI) и его N-оксид в продуктах не обнаружены. При восстановлении XIII и XV образовались 2-трифторметилфеназин (XVII). При восстановительной циклизации 2-нитро-3'-трифторметилдифениламина (XVIII) выделили XVII. Получить XVI удалось из 3-трифторметил-*о*-фенилендиамина (XIX) и *о*-хинона (XX). Щел. конденсацию проводили по описанному методу (РЖХим, 1954, 28719, 41205). Остаток после отгонки с паром растворяли в C_6H_6 . Фторфеназины извлекали из этого р-ра 20%-ным р-ром HCl, осаждали воды, NH_3 и хроматографировали на Al_2O_3 из C_6H_6 р-ра. 24,6 г I, 11,1 г II и 35 г КОН в 150 мл C_6H_6 кипятили 1 час, выделяли: VII, выход 6,6%, т. пл. 208—209° (из сп.), IV, выход 1,7%, т. пл. 181—182° (из водн. сп.). Из I и *м*- $FC_6H_4NH_2$ получили 3-фторазобензол, выход 7,7%, т. пл. 47—48° (из CH_3OH), и 3-фторазоксibenзол, выход 3,2%, т. пл. 33—34° (из CH_3OH). 14,1 г *м*- $NO_2C_6H_4F$, 9,3 г анилина и 23 г КОН в 150 мл C_6H_6 кипятили 1 час. Получили VIII, выход 2,8%, т. пл. 203—204° (из бzl.), 2-нитро-3-фтордифениламин, выход 23,2%, т. пл. 74—75° (из CH_3OH), и 4-нитро-3'-фтордифениламин, выход 5,4%, т. пл. 128—129° (из бzl.). 24,6 г I, 11,1 г II и 36 г КОН в 150 мл C_6H_6 кипятили 15 мин., выделили IV, выход 0,78%; VI, выход 5,2%, т. пл. 82—83° (из сп.); 4-нитро-4'-фтордифениламин, выход 2,1%, т. пл. 191—192°, и небольшое кол-во 4-фторазобензола, т. пл. 81—82° (из CH_3OH). При кипячении реакционной смеси 30 мин. образовались следы IV. В кипящем толуоле с 5-кратным избытком I выход III 35—40%, т. разл. 254—256° (из лед. CH_3COOH). При восстановлении III $NaHSO_3$ в щел. р-ре получили XI; ацетильное производное, т. пл. 155—156°. 0,8 г V обрабатывали р-ром NH_4F (из 10 и 40%-ной HF и 3,1 г H_2BO_3), диазотировали р-ром 0,4 г $NaNO_2$ в 2 мл воды и выдерживали 1 час при охлаждении смесью льда с солью. Получили 1,1 г соли диазония, которая подвергалась термич. разложению. IV извлекали горячей 20%-ной HCl, выход 0,1—0,01 г, 1,4 г VI и 0,8 г активированного С нагревали (5 мин. 250—300°). Бензольный экстракт хроматографировали на Al_2O_3 . Из нижней зоны выделили IV, выход 41%, а из верхней 0,25 г VI. Эфирный

Автореф. дисс. канд. хим. н., Ленингр. технол. ин-т им. Ленсовета, Л., 1955

43245 Д. О бис-алкиленациеталех глиоксали. Хильберт (Über Glyoxal-bis-alkylenacetale. Hilgert Horst. Diss., F. f. allg. Ingenieurwiss., T. U., Berlin, Dtsch. Nationalbibliogr., 1955, В, № 19, 1368 (нем.)

43246 Д. Исследование простых эфиров с алильным положением двойной связи и их α -оксидов. Осипенко И. Ф. Автореф. дисс. канд. хим. н., АН БССР, Минск, 1955

43247 Д. Синтез и полимеризация метиловых эфиров альфа-галоидпропановых акриловых кислот. Конажевский А. Автореф. дисс. канд. техн. н., Моск. хим.-технол. ин-т, М., 1955

43248 Д. Некоторые реакции алифатических моно- и дисульфохлоридов и их производных. Мильденберг (Einige Reaktionen aliphatischer Mono- und Disulfochloride und ihrer Derivate. Mildenberg Rolf. Diss., Math.-naturwiss. F., Bonn., 1954, Dtsch. Nationalbibliogr., 1955, В, № 19, 1372 (нем.)

43249 Д. Синтез гидроароматических лактонов — производных углеводородов типа декалина. Херцберг (Versuche zur Synthese hydroaromatischer Lactone vom Typ des Dekalins. Herzberg Horst. Diss. Phil. F., Kiel, 1954, Dtsch. Nationalbibliogr., 1955, В, № 17, 1225 (нем.)

43250 Д. О 2,5-эндокси-1,4-дитиане. Хаберль (Über 2,5-Endoxy-1,4-dithiane. Haberl Roman. Phil. Diss. Wien, 1953), Oesterr. Bibliogr., 1955, № 3, 12 (нем.)

43251 Д. К изучению метиленмочевин; о действии оснований на оксидбензилмочевину, оксидбензиламины и диоксидбензиловый эфир. Раух (Zur Kenntnis der Methylenharnstoffe und über die Einwirkung von Basen auf Oxybenzylkarbamide, Oxybenzylamine und Dioxidibenzyläther. Rauch Harald. Diss., Graz, 1954, Oesterr. Bibliogr., 1955, № 23, 17 (нем.)

43252 Д. Синтез и полимеризация винильных производных рядов фурана и тиафена. Андреева И. В. Автореф. дисс. канд. хим. н., Ин-т высокомолекуляр. соединений АН СССР, Л., 1955

43253 Д. Получение из опановой кислоты алкоксимещенных кетонов и кислот изохинолинового ряда и некоторых их производных. Линевиц Л. И. Автореф. дисс. канд. хим. н., Всес. н.-и. химико-фармацевт. ин-т, М., 1955

43254 Д. Об амино- и нитрофениловом эфирах 4-оксантипирина. Фриер (Über Amino- und Nitrophenyl-äther des 4-Oxy-antipyrins. Frier Rolf. Diss., Math., Naturwiss. F., Münster, 1953), Dtsch. Nationalbibliogr., 1955, В, № 13, 944 (нем.)

43255 Д. Исследование особенностей строения и химических превращений карбазола и некоторых его производных. Омельченко С. И. Автореф. дисс. канд. хим. н., Уральский политех. ин-т, Свердловск, 1955

43256 Д. Синтез и изучение свойств производных алкилфосфинистых и диалкилфосфиновых кислот. Мухачева О. А. Автореф. дисс. канд. хим. н., Казанск. хим.-технол. ин-т, Казань, 1956

См. также раздел Промышленный органический синтез и рефераты: Общие методы 43116, 43122, 43127, 43174, 43560. Соединения алифатич. 42715, 42718, 4322, 44238, 44248, 44295, 44310, 43319, 44320, 44356, 44096, 44786, 45251, 45271; алициклич. 43048, 43067, 3068, 43805, 43850, 44222, 44279, 44293, 44296; ароматич. 43053, 43437, 43463, 43572, 43654, 43805, 44184, 44204, 44206, 44531, 44535—44537, 44539—44541, 44543—44545, 44547, 44550, 44554, 44631, 44675, 44678, 44679, 44681—44683, 44989; гетероциклич. 42830, 44184,

44537, 44548, 44551, 44552, 44630, 44684, 44685, 44687, 44688, 44689, 44690—44695, 45101, 45102; элементар-галич. 43065, 43805, 43812, 43832, 43847, 43848, 44673, 44674; с мечеными атомами 42554

ПРИРОДНЫЕ ВЕЩЕСТВА И ИХ СИНТЕТИЧЕСКИЕ АНАЛОГИ

43257. О поглощении УФ-лучей в растворах редуктонов. I. Эйлер, Хассельквист, Хансхофф (Über die UV-Absorption in Lösungen von Reduktionen I. Euler Hans von, Hasselquist Hans, Hanshoff Gunnar, Z. Naturforsch., 1953, 8b, № 11, 636—640 (нем.)

Обзор работ по УФ-спектрам щелочных р-ров глюкозы (I) и других в-в, способных образовывать эндидолы, и сопоставление их с наблюдениями авторов. Наблюдаясь раньше (Gabrielski, Marchlewski, Biochem. Ztschr., 1932, 250, 385) для щелочного р-ра $\lambda_{\text{макс}}$ 3100 Å свойственна также р-ру триозоредуктона равной концентрации. В щелочном р-ре после вскрытия кольца полуацетала I содержится в виде аннона, который способен восстанавливать реактив Тильманса (PT) и, следовательно, является эндидол-ионом. Отсутствие параллелизма между величиной ϵ и восстановительной способностью р-ра по отношению к PT подтверждает, что указанная $\lambda_{\text{макс}}$ не обусловлена эндидольной группировкой. Л. У.

43258. Тетраацетаты D-глюкозы и D-галактозы. Томпсон, Вулфром, Инатом (Tetraacetates of D-glucose and D-galactose. Thompson A., Wolfrom M. L., Inatome M.), J. Amer. Chem. Soc., 1955, 77, № 11, 3160—3161 (англ.)

Описан новый синтез 1,2,3,4-тетраацетил- β -D-глюкопиранозы (I) и тетраацетил- β -D-галактопиранозы (II). 40 г 2,3,4-триацетил- α -D-глюкопиранозилхлорида растворяют в 100 мл CH_3COOH , содержащих 35 г $(\text{CH}_3\text{COO})_2\text{Hg}$, выдерживают смесь 1,5 часа ($\sim 20^\circ$), разбавляют 250 мл CHCl_3 , промывают водой, насыщ. р-ром NaHCO_3 , еще раз водой, сушат Na_2SO_4 , упаривают в вакууме при 40° до сиропа, растворяют сироп в эфире и осаждают петр. эфиром I, выход 26,5 г, т. пл. $125\text{—}127^\circ$ (испр.; из хлф.-эф.-петр. эф.), $[\alpha]_D^{25} + 10^\circ$ (с 6; хлф.). 6 г 1,6-ангидро-2,3,4-триацетил- β -D-галактопиранозы растворяют в 100 мл CHCl_3 , прибавляют 1 мл спирта и смесь 10 мл TiCl_4 и 10 мл CHCl_3 , осадок растворяют нагреванием до 100° (45 мин.), охлаждают, промывают ледяной водой, упаривают в вакууме, растворяют сироп в 20 мл CH_3COOH , содержащих 2 г $(\text{CH}_3\text{COO})_2\text{Hg}$, выдерживают 1 час, разбавляют 75 мл CHCl_3 , промывают водой до нейтр. р-ции, сушат Na_2SO_4 , упаривают в вакууме, сироп растворяют в эфире и осаждают петр. эфиром II, выход 1,0 г, т. пл. $140\text{—}140,5^\circ$ (испр.; из хлф.-эф.); $[\alpha]_D^{30} + 36^\circ$ (с 1,9; сп.), $+ 37,4^\circ$ (с 3,2; хлф.). Даны дифракции рентгеновских лучей порошков II. Так как II не претерпевает изменений при обработке пиридином и $(\text{C}_6\text{H}_5)_3\text{CCl}$, а также при растворении в 0,001 н. р-ре NaOH, авторы предполагают, что имеет место миграция одной из ацетильных групп к атому $\text{C}_{(6)}$. Л. Ф.

43259. Действие щелочи на D-фруктозу. Вулфром, Шумахер (The action of alkali on D-fructose. Wolfrom M. L., Schumacher J. N.), J. Amer. Chem. Soc., 1955, 77, № 12, 3318—3323 (англ.)

С целью изучения процесса дефакции и состава образующейся мелассы водн. р-р D-фруктозы (I) нагревают в присутствии аннона аконитовой к-ты. После деинонизации и сбраживания из реакционной массы хроматографией на глине выделяют D-глюкуроновую к-ту (II) (DL + D)-сорбозу (III), а после восстано-

ления со скелетным Ni получены аллит (IV) и дульцит (V). В результате последующей хроматографии на бумаге выделены (DL + D)-аллоза (VI) и фенилозазон DL-рибогексозы (VII), указывающий на присутствие DL-психозы (VIII). Происхождение II не ясно, образование остальных продуктов авторы объясняют расщеплением I на триозы и их последующей рекомбинацией. К р-ру 0,2 моля транс-аконитовой к-ты в 100 мл воды прибавляют КОН до pH 8,0, растворяют в нем 0,211 моля I, разбавляют до 317 мл, нагревают (100° 24 часа); (приведена таблица изменения pH и цвета со временем); доводят объем до 3000 мл, деионизируют пропусканием через колонки (67×7 см) с амберлитом IR-120 и дулитом А-4, удаляют избыток I обжиганием (28—30°, 120 час. с 22 г пекарских дрожжей), фильтруют через целит, упаривают р-р (45—50° при 28 мм) и сушат над P₂O₅, выход сиропа 8,62 г. Сироп растворяют в 100 мл абс. CH₃OH, делят на 3 части, разбавляют каждую часть до 100 мл абс. CH₃OH, пропускают через колонку (23×7,5 см) флюорекс XXX-целит (5 : 1, 600 г), промывают 5 л смеси спирт-вода (95 : 5) и 100 мл абс. CH₃OH, проявляют 1500 мл смеси спирт-вода (90 : 10). Вынутый из колонки столбик адсорбента обертывают фольгой, оставляя по длине полосу обнаженной поверхности шириной 15 мм, сушат 20 час. и затем обрабатывают индикатором (1 ч. KMnO₄ в 100 ч. 2,5 н. NaOH). Образуется 3 зоны: верхняя 18—45 мм (зона 1), средняя 67—201 мм (зона 2) и нижняя 210—230 мм (зона 3). 1 и 3 зоны извлекают по 1500 мл, а зону 2—3000 мл смеси спирт-вода (70 : 30). После удаления р-рителя получают сироп (из 3 соединенных хроматограмм): 0,290 г из верхушки колонки, 0,838 г из 1 зоны, 4,09 г из 2 зоны, 0,630 г из 3 зоны, 2,12 г из прошедшего через колонку р-ра. Из последнего при стоянии выпадают кристаллы, которые идентифицируют как III: при восстановлении над скелетным Ng (19 ат, 80°, 3 часа) получают DL-идит, DL-глюцит (сорбит), D-идит и L-глюцит (D-сорбит). Материал 1 зоны (0,838 г) растворяют в 5 мл воды, обрабатывают углем, фильтруют через абсент, удаляют в вакууме р-ритель, выпавшие кристаллы идентифицируют как моногидрат Na-соли II. В-во 2 зоны содержит кетозы (проба Селиванова), кажущееся содержание альдоз 30,4% (проба Sajogi, J. Biol. Chem., 1922, 54, 617), при восстановлении дает смесь IV и V. 6%-ный р-р в-ва 2 зоны хроматографируют на бумаге, проявляют смесью бутанол-1-спирт-вода (4 : 1,1 : 1,9); индикатор хлоргидрат *n*-анизида указывает 5 зон: а, б, в, д, е. Сравнительной хроматографией установлено, что зона б содержит VI, зона д—VIII, зоны с и е содержат II. Действием хлоргидрата фенилгидразина и CH₃COONa из в-ва зоны д получают VII, т. пл. 177—181° (из абс. сп.). Идентичность VI установлена по т. пл. 180° и рентгеновскому спектру. Л. Ф.

43260. Изомеризация D-глюкозы в D- и L-сорбозу сильно основными смолами. Блэр, Соуден (The isomerization of D-glucose to D-and L-sorbose by a strong base resin. Blair Mary Grace, Sowden John C.). J. Amer. Chem. Soc., 1955, 77, № 12, 3323—3325 (англ.)

Исследовано действие сильно основной смолы амберлит XE-98 на D-глюкозу (I), вызывающее изомеризацию I в D- и L-сорбозу. На 20%-ный р-р I действует амберлитом XE-98 (40%, от веса сахара, 40—60°, 48 час.). После обжигания, деионизации, хроматографии на колонке уголь-целит (1:1) с водой в качестве проявителя, выделяют из полученного сиропа кристаллич. в-во, не окисляющееся бромом и дающее положительную р-цию на кетозу. После перекристаллизации (из CH₃OH, спирта, воды и из смесей) [α]_D²⁵ от 9 до 35° для различных порций кристаллов, а т. пл. 150—160°. Кристаллы с [α]_D²⁵ + 12° превращают в фенило-

зазон, выход 97%, т. пл. 164—165°, а затем в фенилозотриозол (DL + D)-ксилогексозы (II). II пропускают через колонки с углем «дарко С-60», вымывают ацетоном и удаляют р-ритель. Так как растворимость изомеров II ниже растворимости рацемата, то многократная перекристаллизация II приводит к изомерам с константами: т. пл. 158,5—159°, [α]_D²⁵ + и —47°. Полученная (DL + D)-сорбоза идентифицирована также каталитич. восстановлением в DL-сорбит. Ср. пред. реф. Л. Ф.

43261. Ионофорез углеводов. Часть II. Некоторые производные D-глюкозы со строением пираноз и фураноз. Фостер, Стейси (Ionophoresis of carbohydrates. Part II. Some pyranose and furanose derivatives of D-glycose. Foster A. B., Stacey M.). J. Chem. Soc., 1955, June, 1778—1781 (англ.)

В развитие ранее опубликованной работы (см. предыдущую часть РЖХим, 1953, 8321) изучено образование комплексов из восстанавливающих форм сахаров и боратных ионов в условиях ионофореза в боратном буферном р-ре. Исследование этой р-ции осложнено наличием равновесия между открытыми и циклич. формами сахаров; для устранения этого затруднения изучено поведение производных, обладающих фиксированным циклич. строением. Для 17 подобных пиранозидов и 6 фуранозидов определены значения *M_g* (отношение скоростей миграции данного в-ва и глюкозы) и сделан вывод, что связь между сахарами и боратными ионами в комплексах настолько слаба, что не смещает равновесия между открытыми и циклич. формами сахаров. Установлено, что в щел. боратных р-рах все OH-группы участвуют в комплекссообразовании, в большей или меньшей степени, в то время как в р-рах H₃BO₃ реагируют только 1 и 2 OH-группы, α-пираноз и α-фураноз (ср. Boeseken. Advances Carbohydr. Chem., 1949, 4, 189). При ионофорезе в щел. борате D-глюкоолигосахариды с 1-6α-глюкозидной связью движутся с большими скоростями и благодаря этому высшие члены ряда могут быть отделены от низших членов, напр., *M_g* D-глюкозы 1,00; изомальтозы 0,69; изомальтотриозы 0,57; изомальтотетраозы 0,50. Таких же результатов можно ожидать и в рядах олигосахаридов с 1-6β- и 1-3-гликозидными связями. D-глюкоолигосахариды с 1-4α- и β- и 1-2-гликозидными связями движутся медленно и разделение с помощью ионофореза в этих случаях невозможно, напр. в ряду 1-4α-гликозидной связи *M_g* уменьшается от 0,32 для мальтозы до 0,28 для мальтогексаозы; софороза, дисахарида с 1-2β-гликозидной связью имеет *M_g* 1-2β. В. А.

43262. Дезоксисахара. Часть XXVI. Расщепление сульфоновых эфиров алюмиогидридом лития. Азлертон, Оверенд (Deoxy-sugars. Part XXVI. The cleavage of sulphonic esters with lithium aluminium hydride. Allerton R., Overend W. G.). J. Chem. Soc., 1954, Oct., 3629—3632 (англ.)

Исследовано действие LiAlH₄ (I) на метил-2-н-тозил-β-L-арабинозид (II), метил-2-метил-β-L-арабинозид (III), 3,4-изопропилиденные производные II (IV) и III (V) и 3,4-диацетильные производные II (VI) и III (VII). При отсутствии у соединения свободной OH-группы у C₃ происходит гидрогенолиз с сохранением OH-группы (р-ция А, см. РЖХим, 1956, 12998), поэтому IV и V при действии I превращаются в метил-3,4-изопропилиден-β-L-арабинозид. При наличии свободной OH-группы у C₃ р-ция А играет подчиненную роль и происходит главным образом гидрогенолиз с отщеплением OH-группы (р-ция В Каррера) и образованием 2-дезоксисахара; одновременно идет отщепление сульфокислоты, сопровождающееся образованием 2,3-ангидросахара, который при действии избытка I частично превращается в смесь

двух
действи
метил-
[α]_D²⁵ +
т. пл.
мети.
[α]_D²⁵ +
авно
дезокс
разукт
VIII в
что зд
получ
объяс
ствием
хотя з
вания
среди
действи
опыте
ацети-
опыте
XXV
43263
скоос
D-глю
Во
oxi
О в
с е
Ос
Пол
селек
дезокси
2-дезокс
виде
пиран
1,4 г
после
CH₃OH
CH₃J
ловый
CH₃J;
давал
Соеди
ток р
через
т. пл.
р-ция
галан
мети-
водн
26,79
тон 2
карок
глюк
указан
IR-12
пиран
IV
[α]_D²⁵
Фелл
поло
J. Ch
43264
Я
lisi
m
437

двух изомерных дезоксисахаров. Таким образом при действии I на II получена смесь, из которой выделены: метил- β -L-арабинозид (VIII), т. пл. 169—170° (из сн.), $[\alpha]_D^{20} + 244,5^\circ$ (вода); метил-2,3-ангидро- β -L-рибозид (IX), т. пл. 46—48° (из эф.), $[\alpha]_D^{20} + 52,3^\circ$ (с 1,26; хлф), и метил-2-деокси- β -L-рибозид (X), т. пл. 81—83° (из эф.), $[\alpha]_D^{20} + 181,8^\circ$ (с 0,55; хлф); хроматографически доказано присутствие в смеси продуктов р-ции метил-3-деокси- β -L-ксилозида (рибозида) (XI). Те же в-ва образуются из III в аналогичных условиях, однако выход VIII в этом случае выше, а X ниже, чем из II, так что здесь преобладает р-ция А. При действии I на VI получен VIII и хроматографически обнаружен X, что объясняется отщеплением апетильных групп под действием I и появлением свободной OH-группы при C₃ (з); хотя это обстоятельство создает условия для образования 2,3-ангидропроизводного, однако ни IX, ни XI среди продуктов р-ции обнаружены не были. При взаимодействии I и VII был получен только VIII. В отдельном опыте было проверено действие I на метил-2,3,4-триацетил- β -L-арабинозид, получен VIII, выход 61%. Все опыты были проведены в среде кипящего эфира. Часть XXV РЖХим, 1956, 12993. Г. К.

43263. Дезоксисахара. Часть XXVII. Каталитическое окисление некоторых производных 2-деокси-D-гексоз. Оверенд, Шафизаде, Стейси, Вон (Deoxy-sugars. Part XXVII. The catalytic oxidation of some derivatives of 2-deoxy-D-hexoses. Overend W. G., Shafizadeh F., Stacey M., Vaughan G.), J. Chem. Soc., 1954, Oct., 3633—3634 (англ.)

Получен ряд производных 2-деокси-D-гексоз методом селективного окисления 2-деоксисахаров O₂ в щел. среде в присутствии Pt-черни. Описано получение метил-2-деокси- α -D-глюкозидуроновой к-ты (I), выделенной в виде амида (II): в р-р 2 г метил-2-деокси- α -D-глюкопиранозида и 3 г KHSO₅ в 250 мл воды в присутствии 1,4 г Pt/C (13% Pt) пропустили O₂ 7 дней при 55°, после чего р-р выпарен досуха; остаток извлечен эфиром, CH₃OH, экстракт сгущен до 10 мл, прибавлено 10 мл CH₂Cl₂ и смесь кипятят 7 час.; после выпаривания метиловый эф. I извлечен этилацетатом, снова обработан CH₂Cl₂; операция повторена трижды, после чего остаток давал очень слабую р-цию Толленса на уреновые к-ты. Соединенные этилацетатные экстракты выпарены, остаток растворен в абс. CH₃OH, насыщенном NH₃ при 0°, через 18 час. (0°) р-р выпарен, выход II 34,4%, C₇H₁₃O₆N, т. пл. 192° (из CH₃OH), $[\alpha]_D^{20} + 119,6^\circ$ (с 0,81, CH₃OH); р-ция Толленса положительна. Метил-2-деокси- α -D-галактозидуронамид (III) получен тем же способом из метил-2-деокси- α -D-галактопиранозида (1,2 г, 200 мл воды, 1,6 г KHSO₅, 0,7 г Pt/C, 60°, 8 дней); выход III 26,7%, т. пл. 202°, $[\alpha]_D^{20} + 104^\circ$ (с 1,01, CH₃OH). Дилактон 2-деокси-D-глюкосахарной к-ты (2-деокси-D-глюкозидуроновой к-ты) (IV) получен окислением 2-деокси-D-глюкозы (2,5 г и 3,5 г KHSO₅ в 250 мл воды) в вышеуказанных условиях; р-р пропущен через амберлит IR-120, выпарен досуха, остаток извлечен горячим этилацетатом, полученный сироп растворен в CH₃OH; выход IV 29,6%, C₆H₈O₅, т. пл. 139,5° (из этилацетата), $[\alpha]_D^{25} + 170^\circ$ (с 0,48, CH₃OH), восстанавливает реактив Феллинга; в 0,1 н. NaOH $\lambda_{\text{макс}}$ 212 мμ (ε 10000). Предположено, что IV является 1,4,3,6-дилактоном (Smith, J. Chem. Soc., 1944, 634). Г. К.

43264. О синтезе кристаллизующегося D-глюкурона. Яйме, Деммиг (Über eine Synthese von kristallisierbarem D-Glucuron. Jaume Georg, Demmig Werner), Chem. Ber., 1955, 88, № 3, 434—437. (нем.)

Предложен синтез D-глюкурона (I) из целлюлозы, через октаацетат целлобиозы (II) и гептаацетилфенил- α -целлобиозид (III), фенил- α -целлобиозид (IV), целлобиуронозид (V) и глюкуроновую к-ту (VI). 100 г воздушно-сухого линтера вносят в охлажд. (—12°) смесь 370 мл (CH₃O)₂O и 55 мл H₂SO₄, через 18 час. (—8°) сосуд помещают в воду при 15° и через 2 часа масса при быстром разогревании переходит в р-р; через 14 дней перемешивают с 400 мл CH₃OH (0°), кристаллы отсасывают, промывают 200 мл CH₃OH, выход II 70—75 г. Нагреванием с фенолом и ZnCl₂ на кипящей водяной бане (Helferich, Schmitz-Hillebrecht, Ber., 1933, 66, 378) II переводят в III, выход 51—53%. 40 г III растирают с 80 мл 0,05 н. CH₃ONa в пасту и нагревают на кипящей водяной бане; омыление заканчивается в несколько минут, выход IV 94,4%, т. пл. 250,5° (из воды), $[\alpha]_D^{20} + 124^\circ$ (с 1; вода). К 25 г IV при охлаждении льдом и солью приливают 50 мл N₂O₄, охлажд. до —8°, и через 30 мин. переносят смесь в ледяную баню; по прошествии 40 час. избыток N₂O₄ отсасывают, продукт р-ции растворяют в 75 мл воды и для разрушения HNO₂ к р-ру прибавляют сухую мочевицу, а затем нейтрализуют его BaCO₃ и смешивают с 5 объемами спирта. Ba-соль V растворяют в воде, пропускают через колонку с вифатитом-22 для отделения Ba²⁺, сгущают в вакууме до 50 мл, прибавляют 50 мл 4 н. H₂SO₄ и кипятят 5 час.; гидролизат нейтрализуют BaCO₃, сгущают до 50 мл и осаждают технич. Ba-соль VI 5 объемами спирта. После пересаживания спиртом из воды, р-ра, разложения соли вифатитом, очистки VI от примеси сахарной к-ты обработкой основным ацетатом Pb и нового проведения VI через Ba-соль последнюю снова разлагают пропусканием ее р-ра через вифатит, р-р выпаривают в вакууме до сиропа, который растворяют в горячей лед. CH₃COOH, нагревают при 80° и по охлаждению заражают кристалликом I, выход I 9,5%, т. пл. 171—172° (разл.); из лед. CH₃COOH). С. В. 43265. Новый метод синтеза сахаров с длинной углеводной цепью. Конденсация диэтилового эфира ацетондикарбоновой кислоты с 1,2-изопропилиден- α -D-кислорепентадильдозой, 4,6-бензидилглюкозой и диальдегидом 2,3,4,5-тетраацетилгалактаровой кислоты. Парадаки (New method for the synthesis of long carbon-chain sugars. Condensation of diethyl acetonedicarboxylate with 1,2-O-isopropylidene-D-xylopentadialdose, 4,6-benzylidene-glucose and 2,3,4,5-tetra-O-acetyl-galactaricdialdehyde. Paradaakis Philippos E.), J. Organ. Chem., 1955, 20, № 5, 630—638 (англ.)

Описан новый метод синтеза сахаров с длинной цепью атомов C. Конденсация диэтилового эфира ацетондикарбоновой к-ты (I), с 1,2-изопропилиден- α -кислорепентадильдегидом (II) (Groscheintz, Fischer, J. Amer. Chem. Soc., 1948, 70, 1476) с применением пиридина в качестве катализатора приводит к производному ненасыщ. диальдозы с кетогруппой в положении 7 и с 13 атомами C в цепи, C₂₅H₄₄O₁₃ (III), представляющему собою, повидимому, (1,2; 12,13)- α -диизопропилиден-6,8-дикарбэтокс-7-оксо-(3,11)- β -диокс-5,8-днен-1,3-тридекадиальдоксифуранозу или 1,3-дикарбэтокс-1,3-(6ис-4'), 5'-изопропилиден- α -кислорепентадильдегид-ацетон. Из III и фенилгидразина получают 7-фенилгидразон C₂₁H₄₀N₂O₁₂ (спекается при 66°, при 88° приликает к стенке капилляра, плавится при 110° (из 50%-ного CH₃OH)). При конденсации I с 4,6-бензидилглюкозой (IV) (Zervas, Sessler, Ber., 1933, 66, 1328) получено производное углевода с кетогруппой в положении 8 и с 15 атомами C в цепи, (C₂₅H₄₂O₁₅)₂·H₂O (V). Бромирование V приводит к монобромпроизводному; это можно объяснить перегруппировкой III и переходом образовавшейся пиранозы в енольную форму. Из V и фенилгидразина получено фенилпиразолоновое про-

изводное $C_{26}H_{38}N_2O_8$, спекается при 100° , т. пл. $105-110^\circ$ (из 50%-ного CH_3OH); вспенивается при 140° . Конденсация I с диалдегидом 2,3,4,5-тетраацетилгалактаровой к-ты (VI) сопровождается потерей двух молекул CH_3COOH и приводит в зависимости от молярного соотношения I и VI к соединению $C_{19}H_{26}O_8$ или $C_{22}H_{34}O_{14}$ (VII). К р-ру 6,7 г II в C_6H_6 прибавляют 4 мл I и 2 капли $C_5H_{11}N$ (стояние при $\sim 20^\circ$, 12 час., кипячение 1 час). Прибавив воду, отгоняют весь C_6H_6 , воду сливают и кипятят со свежей порцией воды. Вязкий сироп растворяют в C_6H_6 и осаждают петр. эфиром, затем переосаждают петр. эфиром из эфира и водой из спирта и высушивают III, смола, при стирании — аморфный порошок, спекается при 80° , плавится при 110° . При растворении I, II и $C_5H_{11}N$ в 75%-ном CH_3OH (кипение 30 мин.), выпаривании и осаднении водой из CH_3OH получают III, ничем не отличающийся от предыдущего образца. 1 г IV, 0,36 г I, 1 каплю $C_5H_{11}N$ и 25 мл 50%-ного CH_3OH кипятят 8 час., выпарив, промывают сироп эфиром, декантируют, кипятят остаток с водой; слив воду, растворяют в CH_3OH и осаждают водой. Затвердевший сироп растворяют в спирте, фильтруют, выпаривают; аморфный остаток промывают эфиром, кипятят с водой и высушивают V в эксикаторе; спекается при 86° , т. пл. 120° . При обработке р-ром Bz_2 в CCl_4 до осветления светлорозового окрашивания V дает монобромпроизводное, т. пл. 173° (из CH_3OH). В описанных условиях из 1 моля IV и 1 моля I получено соединение $C_{22}H_{38}O_{16}$; аморфный порошок, спекается при 85° , вспенивается при 86° . VI, т. пл. 189° , получен катализом восстановления (Мозеттинг, Мозино, Органические реакции, М., 1951, сб. 4, 337) хлорангидрида тетраацетилгалактаровой к-ты, 0,350 г VI, 0,4 мл I, $1/3$ капли $C_5H_{11}N$ и 10 мл 50%-ного CH_3OH кипятят 30 мин., выпаривают, сироп растворяют в CH_3OH , фильтруют и оставляют стоять. Кристаллы, выпавшие при постепенном испарении CH_3OH , спекаются при 65° , т. пл. $70-75^\circ$. В тех же условиях из 1 моля VI и 1 моля I получают VII, спекается при 58° , т. пл. $65-70^\circ$, вспенивается при 75° . Приведены предполагаемые структурные ф-лы для всех полученных соединений. Опыты конденсации углеводов с 5-(*н*-окси-или *п*-ацетоксифенил)-циклогександионом-1,3 вместо I см. РЖХим, 1955, 26278. Р. Т. 43266. Синтез и свойства 4-*Д*-эритрозофосфата.

Баллу, Фишер, Мак-Дональд (The synthesis and properties of D-erythrose-4-phosphate. Ballou Clinton E., Fischer Hermann O. L., McDonald D. L.), J. Amer. Chem. Soc., 1955, 77, № 9, 2658 (англ.)

Описаны синтез и свойства 4-*Д*-эритрозофосфата (I) (промежуточного продукта в обмене углеводов). Диэтилмеркаптал Д-эритроза, полученный действием C_2H_5SH и конц. HCl на 2,3-изопропилиден-Д-эритрозу или на Д-эритрозу, превращают в кристаллич. диэтилмеркаптал 4-третил-2,3-диацетил-Д-эритрозы (II), т. пл. $105-106^\circ$, $[\alpha]_D^{20} + 3,7^\circ$ (с 4; хлф.). II деацетируют, а затем демеркапталлизуют в среде CH_3OH и превращают в диметилацеталь, который выделяют в виде диметилацетала 4-третил-2,3-дibenзоил-Д-эритрозы (III), т. пл. $122-124^\circ$, $[\alpha]_D^{20} + 18,3^\circ$ (с 3; хлф.). При восстановительном отщеплении трифенилметильной группы III дает диметилацеталь 2,3-дibenзоил-Д-эритрозы, который фосфорилируют, не выделяя, и получают диметилацеталь 4-дифенилфосфорил-2,3-дibenзоил-Д-эритрозы (IV). Катализом восстановления (с Pt) и последующим омылением IV превращают в диметилацеталь 4-*Д*-эритрозофосфата (V), выделенный в виде циклогексамониевой соли, т. пл. $160-165^\circ$, $[\alpha]_D^{25} + 0,2^\circ$ (с 5; вода или 1 н. HCl). Гидролиз V в водн. р-ре (24 часа при 40°) дает I. I не обнаруживает вращательной способности в к-те или нейтр. р-ре, обладает большой восстановительной способностью и дает теоретич. результат при

титровании по методу Вильштеттера — Шуделя; разлагается в 1 н. к-те при 100° и в 1 н. щелочи при $\sim 20^\circ$ с той же скоростью, как и 3-фосфат D-глицеринового альдегида, давая неорганич. фосфат; в присутствии альдолазы из мышцы кролика дает с фосфатом диоксанацетона фосфат седогеупулозы.

Л. Ф. 43267. Новый метод синтеза фруктозо-1-фосфата с применением патиоксин фосфора. Под желя (A new synthesis of fructose-1-phosphate with phosphorus pentoxide. Pogell Burton M.), J. Biol. Chem., 1953, 201, № 2, 645-649 (англ.)

Описывается новый метод синтеза фруктозо-1-фосфата с применением P_2O_5 в качестве фосфорилирующего агента. Синтез начинается с взаимодействия 2,3,4,5-дизопропилиденфруктопиранозы с P_2O_5 в этиловом эфире. После удаления р-рителя остающаяся смесь, состоящая преимущественно из ди- и монодизопропилиденфруктозо-1-фосфорной к-ты, выделяется в виде Ва-солей нейтр-цией $BaCO_3$ и р-ром $Ba(OH)_2$ и лиофилизацией, а затем очищается 3-кратным растворением в этиловом эфире и осаднением петр. эфиром. После удаления Ва пропусканием р-ра соли через катионит и нагревания р-ра свободных к-т происходит отщепление изопропилidenовых групп и распад дифруктозофосфорной к-ты и образуется фруктозо-1-фосфорная к-та, которую выделяют в виде Ва-соли осаднением ацетоном. Ва-соль, $[\alpha]_D^{26} D - 30,4^\circ$, $[\alpha]_D^{26} L - 36,4^\circ$ (с 4,3; вода). Взаимодействием Ва-соли с сульфатом циклогексиламмония в водн. р-ре и осаднением *n*-бутанолом и эфиром получают кристаллич. циклогексиламмониевую соль.

Г. В. 43268. Фосфаты углеводов. Часть I. Производные 4,6-гидрофосфата глюкозы. Баддиль, Бьюкенен, Сабо (Sugar phosphates. Part I. Derivatives of glucose. 4: 6-(hydrogen phosphate). Baddiley J., Buchanan J. G., Szabo L.), J. Chem. Soc., 1954, Nov., 3826-3832 (англ.)

В фосфатах углеводов фосфорильная группа способна мигрировать через посредство промежуточных циклич. фосфатов (ЦФ). Для изучения возможности участия в этой р-ции 6-членных ЦФ синтезированы устойчивые 4,6-ЦФ гексапиранозидов и рассмотрено их строение в связи с пространственной конформацией молекулы. Из α -метилглюкозида (I) и фенилфосфордихлорида (II) синтезирован 4,6-фенилфосфат метил- α -D-глюкозида (III), восстановлением которого получен 4,6-гидрофосфат метил- α -D-глюкозида (IV). Из фенил- β -D-глюкозида (V) аналогичным путем синтезирован 4,6-фенилфосфат-фенил- β -D-глюкозида (VI). Восстановлением VI получен 4,6-гидрофосфат глюкозы (VII); в качестве побочного продукта при этом образовался 4,6-гидрофосфат циклогексил- β -D-глюкозида (VIII). При взаимодействии циклогексилamina (IX) и VII не выделена соответствующая соль, а получен продукт перегруппировки Амадора, вероятно, являющийся 4,6-гидрофосфатом 1-дезокс-1-циклогексилamинокетофруктозы (X). При действии NaO_3 быстрее всего окисляется VII, медленнее — IV, III же совсем не окисляется. Скорости окисления IV и метил-4,6-бензилден- α -D-глюкозида (XI) близки. В результате окисления 2,8 г XI в 750 мл воды 2,14 г NaO_3 (20° , 7 дней) выделили 2,9 г диальдегида, т. пл. 142° . R 20 г I в 250 мл C_6H_5N (XII) ($\sim 20^\circ$) прибавили 22 г II, на другой день прилили 50 мл воды и через 2 часа выпарили в вакууме, остаток растворили в спирте, разбавили 2 объемами воды, очистили на Амберлите IR-4B (гидроксильная форма) и выпарили в вакууме, получены 3-7 г III, т. пл. $196-197^\circ$ (из горячей воды), $[\alpha]_D^{20} + 100,8^\circ$ (с 1,23; сп.). III в спирте восстановили H_2 в присутствии Pt (из PtO_2), к фильтрату после удаления катализатора прибавили IX до pH 8, выход соли IV 60%, т. пл. $228-230^\circ$ (разл.; из сп.-эф.), $[\alpha]_D^{20} D + 83,1^\circ$ (с 1,13; вода). Из 35 г V и 25 г II в 600 мл

XII получили 23,5 г VI, т. пл. 132—134° (из CH_3COOH , с 0,5 моля р-рителя), затем затвердевает и вновь плавится при 193—194°. Осаждением горячей водой из горячего насыщ. спирт. р-ра получили 21 г VI, т. пл. 193—194°, $[\alpha]^{20}_D - 86,3^\circ$ (с 1,04; сп.). 3 г VI в 100 мл спирта восстановили в присутствии Pt ($\sim 20^\circ$), нейтрализовали $\text{Ba}(\text{OH})_2$ (рН 7) Ва-соль VII после осаждения спиртом из водн. р-ра, выход 1,2 г, $[\alpha]^{20}_D + 16,1^\circ$ (с 3,4; вода). 3 г VI в 100 мл спирта восстановили в присутствии 0,3 г PtO_2 , нейтрализовали IX до рН 6, кипятили в атмосфере N_2 5 час., при стоянии ($\sim 20^\circ$, 18 час.) выпал X, выход 0,6 г, т. пл. 160—165° (разл.; из водн. ацетона), $[\alpha]^{20}_D - 39,8^\circ$ (с 1,41; вода). Маточный р-р после выделения X выпарили в вакууме до небольшого объема; при стоянии выпала циклогексил-амминовая соль VIII, выход 0,2 г, т. пл. 246—248° (разл.; из водн. ацетона). Хроматографией на бумаге в р-рителях $\text{C}_4\text{H}_9\text{OH}-\text{CH}_3\text{COOH}-\text{вода}$ (4:1:5) и $\text{C}_2\text{H}_5\text{OH}-\text{NH}_3$ -вода (6:3:1) получены R_F : VII 0,14, 0,29; IV 0,40, 0,47; VIII 0,56, 0,71; X 0,53, —; глюкоза 0,31, 0,51. И. Л.

43269. Устойчивость к щелочи 2-D-ксилопиранозил-L-арабинозы. Уиллер, Корбетт (Alkaline stability of 2-O-D-xylopyranosyl-L-arabinose. Whistler Roy L., Corbett W. M.), J. Amer. Chem. Soc., 1955, 77, № 14, 3822—3823 (англ.)

Ранее были предложены два механизма расщепления гликозидов и олигосахаридов щелочью: согласно первому расщепление связано с образованием структурной единицы $>\text{C}=\text{C}(\text{OR})-$ (I), согласно второму с образованием двухзарядного иона $-\text{C}(\text{O}^-)=\text{C}(\text{O}^-)\text{C}(\text{OR})<$ (II). С целью выяснения истинного механизма расщепления было исследовано действие щелочи на 2-р-ксилопиранозил-L-арабинозу (III). Так как в случае III возможно образование структурной единицы I и невозможно образование двухзарядного иона II, то обнаруженная устойчивость III к действию щелочи при 25° свидетельствует в пользу второго механизма. Замедленное образование кислотных продуктов при действии щелочи на III указывает также на то, что связь между C_2 и C_3 в восстанавливающей части сахара разрывается значительно труднее, чем связь между C_3 и C_4 в D-фруктозе в случае туранозы (3- α -D-глюкозил-D-фруктозы) (IV), где разрыв этой связи приводит к образованию молочной к-ты (см. РЖХим, 1955, 18817). Стойкость связи C_2-C_3 у III не может быть обусловлена α -положением гликозидного остатка по отношению к карбоксильной группе, так как у IV мы имеем те же самые взаимоотношения. Следовательно более быстрый распад $\text{C}-\text{C}$ связей в щел. среде является характерной особенностью кетоз. III получена частичным гидролизом гемидецилозы- β , приготовленной из кукурузных кочерыжек после адсорбции на угле, вымывания 5%-ным спиртом и хроматографирования на целлюлозе ($\text{C}_4\text{H}_9\text{OH}$, насыщ. водой). III получена в кристаллич. форме, т. пл. 167—168° (из разб. сп.), $[\alpha]^{25}_D + 32,9^\circ$ (с 0,97; вода); гидрат, т. пл. 80—81°. Р-р 64 мг III в 25 мл 0,033 н. $\text{Ca}(\text{OH})_2$ выдерживали при 25° и периодически отбирали пробы для определения образования кислотных продуктов титрованием, восстанавливающей способности методом Хагердон — Иенсена, отсутствия иных восстанавливающих сахаров, кроме III, методом хроматографии на бумаге. При нагревании смеси до 100° происходило быстрое расщепление III с образованием кислотных продуктов. И. Ф.

43270. Ацетилирование джеллозы из семян тамаринда. Рао, Бери (Acetylation of tamarind seed jello. Rao P. S., Berr R. M.), Proc. Indian Acad. Sci., 1955, A 42, № 4, 199—203 (англ.)

В состав джеллозы (I) входят галактоза, ксилоза и глюкоза в соотношении 1:2:3. I представляет собой разветвленный полисахарид, главные цепи которого

состоят из глюкозных остатков (ГО), связанных в положении 1 \rightarrow 4. Из каждых 3 ГО по одному соединены в положениях 1 \rightarrow 6 с остатком галактозы и 2 \rightarrow 1 — ксилобиозы. Таким образом звено I, состоящее из 6 остатков моноз, содержит 16 гидроксильных групп. При ацетилировании I получены гексаацетат, т. пл. 280° (разл.). $[\alpha]^{25}_D + 59,4^\circ$ (с 1; HCOOH); додекаацетат, т. размягч. 240°, $[\alpha]^{25}_D + 51,6^\circ$ (с 0,75; пиридин); гексадекаацетат, т. размягч. 280°, $[\alpha]^{25}_D + 28,5^\circ$ (с 0,5; пиридин). И. Л.

43271. Строение олигосахаридов, полученных при ферментативном расщеплении пектиновой кислоты.

Часть I. Джонс, Рид (The structure of the oligosaccharides produced by the enzymic breakdown of pectic acid. Part I. Jones J. K. N., Reid W. W.), J. Chem. Soc., 1954, May, 1361—1365 (англ.)

Ферменты *Aspergillus foetidus* расщепляют пектиновую к-ту (I) яблоч и образуют: D-галактуроновую (II), дигалактуроновую (III) и тригалактуроновую (IV) к-ты. Изучено строение III и IV. Неочищ. смесь Са-солей II, III и IV превращена в метиловые эфиры метилуринов, которые были затем фракционированы на угле. Низкомолекулярные урониды выделены из сиропа и метилированы сначала $\text{NaOH}-(\text{CH}_3)_2\text{SO}_4$, затем реактивами Парди (V). Карбометоксигруппы смеси метиловых эфиров восстановлены LiAlH_4 ; полученная смесь снова метилирована посредством V. Дробная перегонка продуктов р-ции в вакууме дала 2 фракции и остаток. После гидролиза в 1 фракции найдена 2,3,4,6 тетраметил-D-галактоза (VI), во 2 фракции VI, 2,3,6-триметил-D-галактоза (VII) и 2,3,4-триметил-D-галактоза. В остатке (3 фракция) после повторного метилирования, перегонки и гидролиза продукта р-ции найдены VI и VII. Сделан вывод, что в ферментативном гидролизате I находится дисахарид, состоящий из остатка II, в форме пиранозы, связанного α -гликозидной связью с другим остатком II, вероятно, через $\text{C}_{(4)}$, на что указывает и высокое уд. вращение ($[\alpha]_D + 160^\circ$) дисахарида. Ср. РЖХим, 1955, 3814. А. Л.

43272. Строение олигосахаридов, полученных при ферментативном расщеплении пектиновой кислоты.

Часть II. Джонс, Рид (The structure of the oligosaccharides produced by the enzymic breakdown of pectic acid. Part II. Jones J. K. N., Reid W. W.), J. Chem. Soc., 1955, June, 1890—1891 (англ.)

Диурионид (I), полученный при энзиматич. гидролизе пектиновой к-ты яблоч (часть I см. пред. реф.), превращен в 4- α -D-галактопиранозил-D-галактопиранозу (II), идентичную выделенной ранее (РЖХим, 1955, 34554). CONH -группы I превращены в ортоэфирные, COOH -группы в метиловые эфиры. После восстановления и гидролиза выделен нейтр. II. Р-р 1,95 г I в 40 мл $o\text{-HC}(\text{OCH}_3)_2$ с 7 каплями конц. HCl получен при встряхивании (~ 15 час.), нейтрализован CH_3N_3 в эфире, упарен, остаток обработан 2 н. LiAlH_4 (III) в диоксане; избыток III разрушен, продукт извлечен ацетоном, экстракт упарен, извлечен CHCl_3 , масло (1,6 г) растворено в 20 мл 0,1 н. HCl , через 24 часа хроматографией обнаружены следы галактозы и II. Р-р пропущен через амберлит IR-4B (ацетатная форма); выход II 0,31 г, т. пл. 210° (из CH_3OH -и-бутанола-воды), $[\alpha]^{20}_D + 186^\circ \rightarrow 173^\circ$ (с 1,2). А. Л.

43273. Приготовление панозы действием декстрасахаразы NRRL B-512 на смесь сахарозы и мальтозы. Килли, Димлер, Клауси (Preparation of panose by the action of NRRL B-512 dextranase on a sucrose-maltose mixture. Killey Mary, Dimler R. J., Cluskey J. E.), J. Amer. Chem. Soc., 1955, 77, № 12, 3315—3318 (англ.)

Предложен новый метод получения панозы (4- α -изомальтопиранозил-D-глюкозы): (I) (Pan S. C. и др., J.

Amer. Chem. Soc., 1951, 73, 2547) действием декстран-сахаразы (II) — фермента, который содержится в культуральной жидкости *Leuconostoc mesenteroides* NRRL B-512, на смесь мальтозы (III) и сахаразы (IV). Исследовано влияние условий синтеза (т-ры, конц-ий II и III и отношения конц-ий III:IV) на выход I, приведены результаты статистич. анализа полученных данных, которые показывают, что наиболее важным фактором является отношение конц-ий III:IV. Преимущества нового метода — устойчивость ферментной системы и высокое качество продукта. Конц. р-р 20 г IV приливают к р-ру, содержащему 200 г III и 5000 ед. II, доводят объем смеси до 1 л, выдерживают 17 час. (25°, pH 5,0), затем нагревают смесь для прекращения р-ции, в р-р вносят суспензию пекарских дрожжей (2,5 г на 1 г углеводов), выдерживают 24 часа (30°, pH 5,0), отделяют дрожжи, р-р упаривают в вакууме, к сиропу прибавляют 40 мл воды и 1 мл абс. спирта, пропускают р-р через колонку уголь-целит, колонку вымывают 2,5; 5; 10 и 15%-ным спиртом (большая часть I переходит в 10%-ный спирт); фракции, содержащие I, упаривают в вакууме, сироп растворяют в 10 мл воды и прибавляют к р-ру 40 мл CH_3OH , выдерживают в атмосфере CH_3OH , отфильтровывают кристаллы, а маточный р-р упаривают и выделяют из него описанным путем вторую порцию кристаллов I, общий выход 20 г, т. пл. 221° (разл.), $[\alpha]_D^{25} + 162^\circ$ (с 0,76; вода) (мутаротирует до +154°); идентичность полученного продукта и пазозы подтверждена также рентгеноструктурным анализом (ср. РЖХим, 1953, 4809). Л. Ф.

43274. Исследование строения хондроитинсерной кислоты. I. Природа хондрозина. Дейвидсон, Мейер (Structural studies on chondroitin sulfuric acid. I. The nature of chondrosine. Davidson Eugene A., Meyer Karl J., J. Amer. Chem. Soc., 1954, 76, № 22, 5686—5689 (англ.)).

Хондрозин (I) получен улучшенным способом из хондроитинсерной к-ты и впервые выделен в кристаллич. форме, $[\alpha]_D^{25} + 40^\circ$ (с 1; 0,05 н. HCl). Хлоргидрат метилового эфира I, т. пл. 119—161° (из абс. сп.), $[\alpha]_D^{25} + 42^\circ$ (с 2; вода), при восстановлении NaBH_4 и последующем N-ацетилировании образует 3 (?)- β -D-глюкопиранозид-2-дезоксигалакто-2-аминид (II), гидролизующийся эмульсином, что устанавливает β -конфигурацию глюкозидной связи. При гидролизе II выделена глюкоза, что доказывает участие ее карбонильной группы в образовании глюкозидной связи. Таким образом показано, что I представляет собой 3 (?)- β -D-глюкопиранозид-2-дезоксигалакто-2-аминид- β -D-галактопиранозид, а не 4-(2-дезоксигалакто-2-аминид- β -D-галактопиранозид)-D-глюкопиранозид, как предполагалось ранее (Wolfson и др., J. Amer. Chem. Soc., 1952, 74, 1491). И. Л.

43275. Реакции углеводов с азотистыми соединениями. III. Тетраацетаты D-глюкозиланилина. Пигман, Джонсон (Reactions of carbohydrates with nitrogenous substances. III. The tetraacetates of D-glucosylaniline. Pigman Ward, Johnson K. C., J. Amer. Chem. Soc., 1953, 75, № 14, 3464—3466 (англ.)).

Подтверждены данные (Honeyman J., Tatchell A. R., J. Chem. Soc., 1950, 967), о существовании двух изомерных O-тетраацетатов N-D-глюкозиланилина. При действии $(\text{CH}_3\text{CO})_2\text{O}$ в пиридине (0°) получена смесь, из которой α -изомер (I), как менее растворимый, выделен дробной кристаллизацией из CH_3OH , т. пл. 113°. $[\alpha]_D^{25} + 185,0^\circ$ (с 3,2; хлф.). β -Изомер (II) выделен из смеси, полученной при действии анилина на пентаацетил- β -D-глюкопиранозу (Frère acqne M., C. r. Acad. sci., 1936, 202, 1190; 1937, 204, 1480) в виде моля соединения с CCl_4 ; II, т. пл. 98—98,5° (из эф. + петр. эф.) $[\alpha]_D^{25} - 52,8^\circ$ (с 4; хлф.). При действии анилина на

тетраацетил-D-глюкозилбромид (Backer J., J. Chem. Soc., 1928, 1583) получен только II. Колич. омыление щелочью показало наличие в II и III четырех O-ацетильных групп. Р-ры I и II в CH_3OH или смеси CH_3OH и пиридина не обнаруживают мутаротации. Р-ры в CH_3OH , содержащие HCl или CH_3COOH , показывают мутаротацию, обусловленную установлением псевдоравновесия между I и II; из таких р-ров могут быть выделены оба изомера. Однако эти превращения сопровождаются побочными р-циями, как это видно из образования окрашенных в-в, и по этой причине изменения уд. вращения не подчиняются ур-вию р-ции первого порядка. Вычисление частных вращений по правилу изотропации Хадсона подтверждает предположение, что I и II имеют строение α - и β -глюкопиранозидов. Сообщение II см. РЖХим, 1954, 32430. В. В.

43276. Реакции высших алифатических аминов. V. Реакции с сахарами. Эрикссон (Reactions of long chain amines. V. Reactions with sugars. Erickson J. G., J. Amer. Chem. Soc., 1955, 77, № 10, 2839—2843 (англ.)).

Разработан метод получения с высоким выходом в чистом состоянии N-алкилглюкозиламинов при взаимодействии высших первичных аминов — додециламина (I) и октадециламина (II) с D-глюкозой (III). 0,1 моля I, 0,05 моля III, 50 мл спирта и 35 мл воды (15 дней) дали 93% N-додецил-D-глюкозиланина, т. пл. 107,5—119° (из сп.), устойчив при 0°, не гидролизуются водно-спирт. 0,4 н. HCl (к-той) при 25°. Из II и III (по 0,1 моля) получено 100% N-октадецил-D-глюкозиланина, т. пл. 104,3—105° (разл.; из абс. сп.). При избытке II и нагревании получено тетрааминопроизводное $\text{C}_{18}\text{H}_{39}\text{N}_4\text{O}_2$, т. пл. 66,5—68° (из абс. сп.); мононикрат т. пл. 51—95° (? разл.). Аналогично из D-галактозы получено триаминопроизводное, т. пл. 64,5—67° (из абс. сп.). С кетозами образуются по преимуществу бис-аминопроизводные. Из 0,03 моля фруктозы (IV) и 0,06 моля I в 40 мл смеси воды с *изо*- $\text{C}_3\text{H}_7\text{OH}$ (25°, 8 дней) получен 1 г бис-додециламино-IV, т. пл. 103,5—104,5° (из гексана + этилацетат), и 1,5 г N-додецил-D-фруктозиланина или продукта его перегруппировки, т. пл. 103—104° (разл.; из C_6H_6 + этилацетат). Аналогично, из 0,05 моля IV и 0,1 моля II получено 18,8 г бис-октадециламино-IV, т. пл. 107,5—109° (из C_6H_6), и 5,0 г N-октадецил-D-фруктозиланина (или его изомера), т. пл. 101—103° (из C_6H_6). В этих же условиях из L-сорбозы и II получена смесь бис- и триаминопроизводных, т. пл. 69—71°, а при избытке II и нагревании смеси до 60—70° — пентааминопроизводное, т. пл. 67—69,5° (из абс. сп.); мононикрат, т. пл. 45—47° (из сп.). Допускается, что р-ция идет с перегруппировкой Амадора по схеме: $\text{CH}_2\text{OH}(\text{CHON})_3\text{C}(=\text{NR})\text{CH}_2\text{OH} - \text{CH}_2\text{OH}(\text{CHON})_3\text{CH} \times (\text{NHR})\text{CHO} \rightarrow \text{CH}_2\text{OH}(\text{CHON})_3\text{CH}(\text{NHR})\text{CH}=\text{NR} \rightarrow \text{CH}_2\text{OH}(\text{CHON})_3\text{COCH}(\text{NHR})\text{CH}_2\text{NHR}$. Аналогичные продукты дают дисахариды мальтоза (V) и лактоза (VI), но не сахароза. Из 0,02 моля V, 0,1 моля I в 50 мл абс. спирта (77—80°, 6 час.) получена смесь бис- и моноаминопроизводных, т. пл. 210—220° (разл.). 0,055 моля VI и 0,1 моля II в 120 мл воды и 200 мл *изо*- $\text{C}_3\text{H}_7\text{OH}$ (25°, 1 день) и последующем нагревании до 60° дали 36,9 г N-октадециллактозиланина, т. пл. 119—121,5° (разл.; из абс. сп.). При избытке II (70°, 1 час) получается смесь моно- и бис-аминопроизводных, т. пл. 116—117° (из сп.). Сообщение IV см. РЖХим, 1955, 45880. В. В.

43277. Азотсодержащие глюкозиды. II. Глюкозиды η -аминсалициловой кислоты. Богнар, Нанаши, Нанаши (Nitrogén-glükozidok II. η -Aminosalicilsav-glükozidok. Bogнар Rezső Nánási Pál, Nánási Pál né), Magyar kém. folyóirat, 1953, 59, № 6, 185—191 (венг.).

В дополнение к ранее описанному (см. предыдущее сообщение, РЖХим. 1954, 23488) конденсацией β -аминосалициловой к-ты (I) с соответствующими сахарами получены N-(3-окси-4-карбоксифенил)-замещ. D-ксилозамина (II), D-маннозиламина (III), лактозиламина (IV), мальтозиламина (V) и целлбозиламина (VI). К р-ру аз сахара и 0,1 г NH_4Cl в б мл воды добавляют при 30° р-р 1,7 г I в 20 мл CH_3OH . Приводятся данные в следующем порядке: выделение соединения, величины а, б, условия выделения, выход, т. пл., $[\alpha]^{20}_D$: II, 1,67 г, 3 мл, выдержка при 0°, 1,6 г, 160° потемнение, 200° спекание, —56,5° (с 1,8; $\text{C}_6\text{H}_5\text{N}$); III— H_2O , 2 г, 2 мл, выдержка, 3,4 г 200° (спекание), —135,7° (с 1,2; $\text{C}_6\text{H}_5\text{N}$); IV— H_2O , 4 г, 5 мл, выдержка при 0°, 3,7 г, 160° потемнение, 200° спекание, —19,3° (с 2,0; $\text{C}_6\text{H}_5\text{N}$); V— H_2O , 4 г, 5 мл, упаривание, 4,1 г, 156° (разл.; из водн. сп., 1:3), —34,7° (с 0,8; $\text{C}_6\text{H}_5\text{N}$); VI— H_2O , 4 г, 5 мл, выдержка, 61%, 175° (потемнение), —88,3° (с 1,2; $\text{C}_6\text{H}_5\text{N}$ + 20% H_2O). Г. В.

43278. Синтез β -циклоцитраля. Чанли, Чжоу, Соботка (Synthesis of β -cyclocitral. Chanley J. D., Chow E., Sobotka H.), J. Amer. Chem. Soc., 1955, 77, № 22, 6056—6057 (англ.)

Подтверждено, что при обработке 1-этинил-2,6,6-триметилциклогексанола (I) HCOOH образуется 1-ацетил-2,6,6-триметилциклогексен (II), отличающийся необычайно низким коэфф. мол. экстинкции. Окисление II SeO_2 приводит к 2,2,6-триметилциклогексен-1-диоксалу, перегруппировывающемуся под влиянием NaOH в 2,6,6-триметилциклогексен-1-гликолевую к-ту (III). Окислением III $(\text{CH}_3\text{COO})_4\text{Pb}$ получают циклоцитраль (IV). 100 г I в 530 мл 90%-ной HCOOH кипятят 1 час, получают II, выход 61 г, т. кип. 88°/13 мм, n^{20}_D 1,4780. Смесь 5 г II, 4 г SeO_2 и 20 мл диоксана кипятят 3 часа, диоксан отгоняют, остаток экстрагируют эфиром, экстракт обрабатывают Na_2CO_3 и затем 10%-ным р-ром NaOH . При подкислении шел. вытяжки выпадает III, т. пл. 173° (из водн. сп.). 1 г III в 25 мл лед. CH_3COOH окисляют 2,2 г $(\text{CH}_3\text{COO})_4\text{Pb}$ (60—65°, 2 часа), обычным путем выделяют IV, выход 500 мг, n^{25}_D 1,4950; семикапазон, т. пл. 165° (из этил. ацетата). Приведены λ_{max} УФ-спектра II и IV. Л. Б.

43279. Состав летучего масла сердцевин пней *Chamaecyparis lawsoniana*. Кричевский, Андерсон (Composition of the volatile oil from *Chamaecyparis lawsoniana* stump heartwood. Kritchevsky Gene, Anderson Arthur B.), J. Amer. Pharm. Assoc. Scient. Ed., 1955, 44, № 9, 535—538 (англ.)

Исследован (после 4,5 лет хранения) состав летучего с паром масла сердцевин пней *Chamaecyparis lawsoniana*, выход 5%, n^{23}_D 1,4880, d^{23}_4 0,9309, $[\alpha]^{23}_D$ +29,7°. Перегонкой из этого масла выделены: d- α -пинен, выход 5%; d-лимонен, выход 3%; тетрабромид, т. пл. 105—105,5°; терпинолен, выход 3%; тетрабромид, т. пл. 116—117°, l- α -фенилхлорид, выход 6%, т. пл. 47—48°, $[\alpha]^{25}_D$ —9,8° (сп.); n-нитробензол (НБ), т. пл. 107—107,7° $[\alpha]^{20}_D$ —19,8°; d-камфр, выход 0,5%, т. кип. 86,3—86,9°/13 мм, 2,4-динитрофенилгидразон, т. пл. 175,5—176,5° (из сп.); d-борнеол, выход 11%, т. пл. 207,8—209,3°, $[\alpha]^{25}_D$ +38,5° (бэл.); НБ, т. пл. 136—136,7°; d- α -терпинол, выход 27,5%, т. пл. 37,4—38,3°, $[\alpha]^{25}_D$ +105° (бэл.); НБ, т. пл. 138,5—139°; нитрозохлорид, т. пл. 106,5—107,5°; d-борнилацетат, выход 2,3%, n^{25}_D 1,4665, d^{25}_4 0,9400, $[\alpha]^{25}_D$ +29°; l-цитронеллол, выход 4%, n^{25}_D 1,4621, d^{25}_4 0,8748, $[\alpha]^{25}_D$ —2,1°; фталат, т. пл. 124,8—125,6° (из бэл. и CH_3OH); аллофанат; т. пл. 107,9—108,3°; l-цитронеллилацетат, выход 3,5%, d-бисаболон, выход 4%, т. кип. 137°/25 мм, n^{25}_D 1,4920, d^{25}_4 0,870, $[\alpha]^{25}_D$ —14,8°; гидрохлорид, т. пл. 76,6—78,6°; трициклич. сесквитерпены (выход 7%), дегидрирова-

нием которых с S получены кадилин (шикарт, т. пл. 113,5—114°) и кадинен (дигидрохлорид, т. пл. 118—118,8°, $[\alpha]^{25}_D$ —36,7° (хлф.)), а с 5%-ным Pd/C (0,1 г на 3 г масла, 6,5 часа, 215°) в-во I, тринитробензолат которого имеет т. пл. 112,1—113,3°; d-кападен (выход 15%), который дегидрированием с Pd/C превращают в l-кадинен и I; l-кадинол, выход 4%, т. пл. 74,8—75,4°, $[\alpha]^{25}_D$ —38,5°; НБ, т. пл. 137,2—137,9 (из CH_3OH); l-кадинилацетат, выход 0,5%; n-цимол, а также, вероятно, ди- и триокси-n-ментан, т. пл. соответственно 129,7—131° и 134,5—135,5°. С. К.

43280. Присоединение хлорала к нопинену. Вилкае, Дюпон, Дюлу (Sur l'addition du chloral au nopinène. Vilkae M., Dupont G., Dulou R.), Bull. Soc. chim. France, 1955, № 6, 799—805 (франц.)

Показано, что при присоединении хлорала (I) к нопинену (II) в присутствии перекиси бензоила (III) образуется в основном 8-хлор-n-ментен-1-ил-7-дихлор-ацетальдегид (IV) и значительное кол-во α -10-пинен-илтрихлорметилкарбинола (V). Структура IV доказана получением из него n-ментадиен-1,8-ил-7-уксусной к-ты (VI), гидрированием VI в боковую цепь до известной к-ты (VII) и дегидрированием VI до n-изопропилфенил-3-присисовой к-ты (VIII). На присутствие в IV группы CCl_2CHO указывает способность n-ментадиен-1,8-ил-7-дихлор-ацетальдегида (IX), полученного из IV, образовывать диоксим и бис-2,4-динитрофенилгидразон. Стреление V доказано образованием к-ты (X), идентичной с такой же, полученной из нопола; присутствие в V двух циклов подтверждено образованием из V

IV R = $\text{CCl}_2(\text{CH}_2)_2$;

V R = CHONHCCl_2 ;

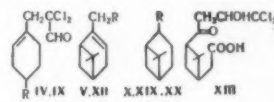
IX R = $\text{C}(\text{CH}_3)_2 = \text{CH}_2$;

X R = COOH ;

XII R = $\text{CH}(\text{OCH}_3)\text{COOH}$;

XIII R = $\text{CH}_2\text{CHONHCOOH}$;

XX R = CH_2CHO

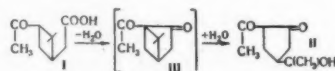


насыщ. спирта (XI). На присутствие в V двойной связи в положении 2—3, а не в 2—10 указывает спектр комб. расс. и слабая экзальтация MR метилового эфира α -10-пиненилметилсуксусной к-ты (XII), полученной после последовательной обработки V щелочью и этерификации, а также образование при озолизе V кетокислоты $\text{C}_{12}\text{H}_{12}\text{O}_4\text{Cl}_2$, вероятной структуры (XIII). Исходный II имеет: т. кип. 167°/758 мм, n^{20}_D 1,4812, d^{20}_4 0,8690, $[\alpha]^{20}_D$ —19,3°. К смеси 54 г II, 60 г I в течение 3 час. при 95°, в атмосфере N_2 прибавляют по каплям р-р 2,4 г III в 30 г I, нагревают 1 час, прибавляют равный объем CH_3COOH , при этом выпадает гидратированный IV (IVa), который отфильтровывают, промывают водой и петр. эфиром и дегидратируют в вакууме над H_2SO_4 , получают IV, выход 51,5 г, неперегоняющаяся жидкость. Маточный р-р после отделения IVa обрабатывают спирт. р-ром AgNO_3 ; после перегонки и обработки реактивом Ярира Т выделяют 4,5 г IX, т. кип. 95—100°/0,1 мм, n^{20}_D 1,5160, d^{20}_4 1,1615, $[\alpha]^{20}_D$ —58° (с 4,7%; в хлф.) диоксим, т. пл. 153—154° (из бэл.); ди-2,4-динитрофенилгидразон, т. пл. 221—222° (хроматографирование и кристаллизация из этилацетата); и 20,5 г V, т. кип. 101—105°/0,5 мм, n^{20}_D 1,5212, d^{20}_4 1,2424, $[\alpha]^{21}_D$ —7,9° (с 2,5; в хлф.); ацетат, т. кип. 100—101°/0,1 мм, n^{20}_D 1,5008, $[\alpha]^{18}_D$ —9,4° (с 4,1; в хлф.); 3,5-динитробензоат, т. пл. 118—120° (из CH_3OH). Кипячением IV 1 час с ацетом, содержащим 25% воды, и последующей обработкой спирт. р-ром AgNO_3 получают IX; окислением IX при помощи Ag_2O получают 5,2 г смеси эфиров n-ментадиен-1,8-ил-7-уксусной к-ты (XIV) и n-ментадиен-1,8-ил-7-дихлоруксусной к-ты (XV), содержащую ~60% XIV. Р-р 3 г смеси XIV и XV в 60 мл

спирта, содержащего 1,5 г NaI, кипятят 8 час. с Cu=Zn (из 15 г Zn). Из полученного продукта хроматографированием на Al_2O_3 , вымывание лигроином, получают 1,97 г метилового эфира VI (XVI), n_D^{20} 1,4820, d_4^{20} 0,9754, $[\alpha]_D^{20}$ —65° (с 2,4; в хлф.). Омылением XVI получают VI, т. пл. 58—62° (из водн. CH_3COOH). $[\alpha]_D^{20}$ —77° (с 2,6; в хлф.). Гидрированием спирт р-ра VI в присутствии скелетного Ni получают VII, т. пл. 54—55° (из водн. CH_3COOH). Дегидрированием VI с 5%-ным Pd/C (3 часа, при 215° и 30 мин. при 250°) и последующей сублимацией при 0,05 мм получают VIII, т. пл. 72—73° (из водн. CH_3COOH). Гидрированием V в смеси $CH_3COOH + CH_3COOC_2H_5$ (1:1) в присутствии Pt (из PtO_2) получают XI, т. кип. 96—97°/0,1 мм, n_D^{20} 1,5178, $[\alpha]_D^{20}$ —1,07° (с 3,7; в хлф.). Окислением XI смесью $CrO_3 + H_2SO_4 + CH_3COOH$ получают α -10-пинанилтрихлорметилкетон (XVII), т. кип. 84—85°/0,1 мм, n_D^{20} 1,5090, $[\alpha]_D^{20}$ —13,2° (с 6,6; в хлф.). При щел. гидролизе XVII (10%-ный водн. р-р NaOH, 100°, 2 часа) образуется X, т. пл. 57—58° (из 50%-ного CH_3OH), $[\alpha]_D^{18}$ —18,3° (с 3,8; в хлф.). Омылением V с последующей этерификацией CH_2N_2 получают XII, т. кип. 80—85°/0,1 мм, n_D^{20} 1,4782, d_4^{20} 1,0246, $[\alpha]_D^{18}$ —29,8° (с 4,4; в хлф.). Гидрированием XII в смеси $CH_3COOH + CH_3COOC_2H_5$ (1:1) в присутствии Pt (из PtO_2) получают насыщ. эфир (XXIII), т. кип. 76—82°/0,1 мм, n_D^{19} 1,4752, d_4^{18} 1,0276, $[\alpha]_D^{18}$ —37,4° (с 4,2; в хлф.). При деметилировании XVIII (HJ в лед. CH_3COOH , кипячение 1,5 часа) образуется к-та (XIX), вязкая жидкость. Обработкой XIX в среде C_6H_6 $Pb(CH_3COO)_4$ получают альдегид (XX), выход 78%, охарактеризован в виде 2,4-динитрофенилгидразона, т. пл. 139,5—140° (из сп.). При окислении XX при помощи Ag_2O получают X. При озолизе V в среде $CHCl_3$ (—10°, 2 часа, 5%-ный O_3), повидимому, образуется XIII, т. пл. 126—127° (из бэл.), $[\alpha]_D^{18}$ —36,8° (с 3,4; в хлф.); 2,4-динитрофенилгидразон, т. пл. 141—142° (из водн. сп.). При конденсации II и I в отсутствие III, в атмосфере N_2 (95°, 4 часа) получают V, выход 60% (на взятый в р-цию II). При такой же конденсации в присутствии III, взятого 10% молей, вместо 2,5% молей, имеют общий выход IV и IX (в пересчете на IV) 56 и 16% V. При проведении такой же конденсации с избытком I (5,5 молей) получают 18% IV. Даны кривые ИК-спектра гидророниновой к-ты и X. Предварительное сообщение см. РЖХим, 1955, 34557. Е. С. 43281.

Изучение эфиров и некоторых производных *цис*-пиноновой кислоты и их пиролиза. Гам (Recherches sur les esters et divers dérivés de l'acide pinonique *cis* et sur leur pyrolyse. (Thèse pour le Doctorat), Nam P. K. S. o. n M-lle, Ann. Univ. Paris, 1955, 25, № 3, 424—427 (франц.).

Пиролиз пиноновой к-ты (I) в присутствии ThO_2 приводит с выходом 37% к 5-ацетил-3-(2-оксипропил)-циклопентанону (II); Cu-соль, т. пл. 65—68°; оксим т. пл. 182°; дисемикарбазон, т. пл. 240°. Первичным продуктом этого превращения, повидимому, является дикетон (III). Кипячение II с CaO сопровождается отщеплением CH_3CO -группы и дегидратацией и приводит

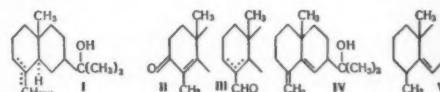


к 3-изопропенилциклопентанону-1 (IV), образуемому также и при фракционированной перегонке II. Продукт гидрирования Cu-соли II при перегонке также дегидрируется. Вследствие легкости дегидратации попытка превратить II в хлорид не дала положительных результатов. Синтезированы семикарбазоны сле-

дующих эфиров *d*- и *l*-*цис*-I (указаны знак вращения I, название эфира, т. пл. семикарбазона в °C, выход в %): *d*, аллиловый 123, 88; *d*- и *l*, *n*-бутиловый, 135—136, 100; *d*, *втор*-бутиловый, 157, 100; *l*, *изо*-бутиловый, 139—140, 100; *d*, *трет*-бутиловый, 198—198,5, 83,61 *d*, монохлорэтиловый 196, 97,56; *d*, *изо*-амиловый, 121—122, 98,04; *d*, фениловый, 158—159, 90, 31; *d*, циклогексильный, 173, 99, 67; *d*, бензиловый, 124, 95,04; *d*, ментиловый, 131—132, 93,63; *d*, лауриловый, 114—115, 99,75; *d*, цетиловый (V), 109, 87,79; *d*, стеариловый, 106—107, 92,92. При пиролизе V или I в присутствии цетилового спирта получают IV с выходом 10 и 20—25% соответственно. Л. Б.

43282. Кариссон. Эр, Тейлор (Carissone, A. J., Taylor W. A., Taylor W. I.), J. Chem. Soc., 1955, Sept., 3027—3028 (англ.)

Описано превращение эйдсмола (I) в кариссон (II). Поскольку абс. конфигурация I известна, тем самым окончательно установлено пространственное строение II и родственных ему циперонов. Р-ция I с $NOCl$ и последующее нагревание в щел. среде привели к некристаллич. оксиму II, превращенному в известный 2,4-динитрофенилгидразон II. Окисление неочищ. спиртовой фракции, полученной при окислении I

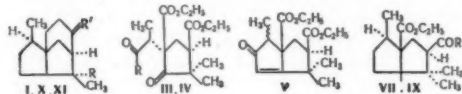


с SeO_2 , также привело к II, в то время как при действии на I надуксусной к-ты и последующем гидролизе и окислении образует изомерное соединение, обладающее возможным строением (III). Эти данные показывают, что I даже после хроматографич. очистки представляет собой смесь изомеров. Из продуктов окисления I с SeO_2 выделен диеп (IV), не реагирующий с малеиновым ангидридом и не окисляющийся под влиянием CrO_3 в пиридине. При каталитич. гидрировании IV дает (V). К р-ру 3,5 г I и 7 мл C_2H_5ONO в 10 мл CH_3OH добавляют при 0° 12 мл насыщ. р-ра HCl (газ) в CH_3OH . Через 30 мин. смесь концентрируют в вакууме, добавляют воду и экстрагируют эфиром. Неочищ. нитрозохлорид и р-р 0,5 г Na в 40 мл спирта кипятят 30 мин. и продукт р-ции хроматографируют на Al_2O_3 . Смесью эфир- CH_3OH (20:1) вымывают оксим II, выход 0,5 г, который гидролизуют кипячением со спирт. р-ром HCl в продукт, образующий 2,4-динитрофенилгидразон II, выход 0,2 г, т. пл. 176—177° и 203—205° (из хлф.-сп.), $[\alpha]_D^{20} + 450°$ (с 0,04; в хлф.). Кипятят 4 часа смесь 10 г I и 6 г SeO_2 в 100 мл C_6H_6 , фильтруют, р-ритель удаляют и остаток хроматографируют на Al_2O_3 . Смесью C_6H_6 -петр. эфир вымывают IV, выход 3,8 г, т. пл. 108—109° (из водн. сп. или водн. ацетона), а вымыванием смесью $C_6H_6 + CH_3OH$ выделяют стекловидное в-во (5 г), которое окисляют (20°, 4 часа) CrO_3 (1,5 г) в пиридине (40 мл) до кетона, дающего 2,4-динитрофенилгидразон II, выход 750 мг. К р-ру 15 г I в 85 мл CH_3COOH , содержащей 1 мл конц. H_2SO_4 , добавляют за 30 мин. 8 мл 30%-ной H_2O_2 и нагревают 4 часа при 40°. Через 12 час. (20°) обрабатывают и продукт р-ции кипятят 1 час с 10%-ным р-ром КОН в спирте. После обработки и перегонки получают 3,3 г фракции с т. кип. 105—115°/0,1 мм, которую окисляют (20°, 3 часа) CrO_3 (1,6 г) в пиридине (17 мл). Неочищ. продукт окисления обрабатывают 2,4-(NO_2) $_2$ $C_6H_3NHNH_2$ и хроматографируют на Al_2O_3 . Смесью $CHCl_3 + CH_3OH$ вымывают 2,4-динитрофенилгидразон III, выход 40 мг, т. пл. 116—118° (из CH_3OH и сп.). Гидрирование IV с PtO_2 в спирте

приводит к V, т. пл. 76—78° (из водн. сп.); ИК-спектр IV отличается от ИК-спектра I.

43283. Полный синтез цедрол и цедрена. Сторк, Кларк (The total synthesis of cedrol and cedrene. Stork Gilbert, Clarke Frank H., Jr., J. Amer. Chem. Soc., 1955, 77, № 4, 1072—1073 (англ.))

Осуществлен полный синтез цедрол (I) и цедрена (II). Алкилированием диэтилового эфира 4,4-диметил-5-кетодиклопентандикарбоновой-1,3 к-ты с помощью бензильного эфира α -бромпропионовой к-ты и последующим гидрогенолизом образующегося триэфира над Pd/C получают к-ту (III), т. пл. 113—115°. Хлорангидрид III (образуется при обработке Na-соли III хлористым оксалилом) с CH_2N_2 дает кристаллич. диазокетон, который превращают через хлорметилкетон (т. пл. 72—73°) в кристаллич. метилкетон (IV), семикарбазон, т. пл. 191—193°. При действии на IV *трет*- $\text{C}_4\text{H}_9\text{OK}$ образуется бициклич. альдоль, из которого при нагревании с $\text{n-C}_8\text{H}_{17}\text{SO}_3\text{H}$ в C_6H_6 получают смесь эпимерных циклопентенонов (V). Эпимер с т. пл. 65—67° восстанавливают с помощью Li в жидком NH_3 или Pd/C в насыщ. бициклич. *цис*-кетон (VI), т. пл. 33,5—35,0°; 2,4-динитрофенилгидразон, т. пл. 160—161°. Полученный из VI тиокеталь (т. пл. 75—76°) превращают обессериванием с помощью скелетного Ni и последующим гидролизом в к-ту (VII), т. пл. 221—223°.

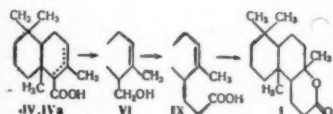


I R = CH_3 , R' = (—O)—— CH_3 , IIIR = OH; IVR = CH_3 ; VII R = OH; IX R = CH_3 ; XR = H; R' = O; XI R = CH_3 , R' = O

Из VII выделяют через ее соль с хинином (т. пл. 209—210°; $[\alpha]_D^{27} -122^\circ$ (в хлф.)) *l*-изомер (VIII), т. пл. 212—213°, $[\alpha]_D^{27} -38,9^\circ$ (в ацетоне), идентичный продукту, полученному из природного II. VIII превращают по ранее описанному методу (РЖХим, 1954, 23495) в метилкетон (XI), который после обработки $\text{C}_4\text{H}_9\text{OK}$ и восстановления с помощью LiAlH_4 образующегося дикетона (X), т. пл. 202—204°, дает смесь насыщ. и ненасыщ. спиртов. При окислении последних CrO_3 с последующим катализом гидрированием получают насыщ. кетон (XI), 2,4-динитрофенилгидразон, т. пл. 146—147°. При обработке XI CH_3Li образуется I, т. пл. 86,5—87,5°, идентичный природному. При обработке I HCOOH образуется II.

43284. Новый полный синтез рацемического амбреинолида. Вольф, Ледерер (Nouvelle synthèse totale de l'ambréinoïde racémique. Wolff Robert E., Lederer Edgar, Bull. Soc. chim. France, 1955, № 11-12, 1466—1470 (франц.))

Описан полный синтез рацемич. амбреинолида (I) из дигидро- α -иона (II). По ранее описанному методу (Caliezi A., Schinz H., Helv. chim. acta, 1952, 35, 1637) II превращают в смесь *цис*- и *транс*-дигидро- α -ионилденуксусных кислот (III), образующих при цик-



лизации под влиянием H_2SO_4 и HCOOH смеси α - и β -бициклофарнезиллов кислот (IV и IVa) и α - и β -аллобициклофарнезиллов кислот (V) наряду с некристаллич. лактонами $\text{C}_{15}\text{H}_{24}\text{O}_2$. Восстановление смеси IV и IVa LiAlH_4 приводит к α -бициклофарнезолу

(VI), образуемому с PBr_3 бромид, который при конденсации с натрмалоновым эфиром дает диеновый углеводород $\text{C}_{15}\text{H}_{24}$ (VII) и этиловый эфир α -бициклофарнезилмалоновой к-ты (VIII). Щел. гидролиз VIII и декарбоксилирование приводят к α -бициклофарнезилуксусной к-те (IX), наряду с которой выделен γ -лактон $\text{C}_{17}\text{H}_{28}\text{O}_2$ (X) неустановленного строения. Лактонизация IX в безводн. HCOOH дает I. К смеси 30 мл 98—99%-ной HCOOH и 2 мл конц. H_2SO_4 добавляют 15 г III, перемешивают 45 мин. при 60° и выделяют 11 г смеси к-т наряду с 4 г нейтр. продукта. Кипятят 3 часа р-р 129 г смеси к-т (из 133 г III), 560 мл CH_3OH и 36 мл конц. H_2SO_4 , нейтрализуют при $t \leq 30^\circ$ большую часть H_2SO_4 добавлением 215 мл 20%-ного метанольного р-ра NaOH. Смесь концентрируют в вакууме и разделением смеси на кислую и нейтр. фракции выделяют 73,5 г смеси IV и IVa и 52 г этиловых эфиров V. К 15 г LiAlH_4 в 750 мл эфира добавляют р-р 73,5 г смеси IV и IVa, кипятят 2 часа и выдерживают 12 час. при 20°. Продукт р-ции разделяют на нейтр. и кислую фракции. Перегонкой нейтр. фракции (42 г) выделяют VI, т. кип. 115°/0,2 мм, аллофанат, т. пл. 193,5° (из CH_3OH). Кислую фракцию разделяют фракционированной кристаллизацией из ацетона и петр. эфира на IVa (главный продукт), т. пл. 154,5—156°, и IV, т. пл. 98—101°. Р-р 32 г VI в 50 мл петр. эфира добавляют при минус 10—13° к смеси 16 г PBr_3 , 1 мл пиридина и 20 мл петр. эфира, перемешивают 1 час и оставляют на 12 час. Продукт р-ции (30 г) добавляют к кипящ. р-ру натрмалонового эфира (из 3,3 г Na и 23 г $\text{CH}_2(\text{COOC}_2\text{H}_5)_2$) в 100 мл спирта, кипятят 1,5 часа, перегонкой выделяют VII, выход 10,3 г (неочищ.), т. кип. 70°/0,05 мм, и VIII, выход 10,7 г, т. пл. 150—160°/0,1 мм. Смесь 10,7 г VIII и 50 мл 10%-ного спирта. р-ра KOH кипятят 3 часа, продукт р-ции нагревают 2 часа при 150° в вакууме и перегоняют при 144—148°/0,1 мм. При добавлении эфира к дистиллату выпадает X, т. пл. 135—136° (из водн. CH_3OH). Из маточного р-ра выделяют IX, т. кип. 125—130°/0,03 мм. 500 мг IX нагревают 30 мин. при 70—75° с 5 мл 98—99%-ной HCOOH . После щел. гидролиза продукта р-ции и релактонизации получают I, т. пл. 138—140° (из петр. эф.).

43285. Секвитерпеноиды. Часть V. Стереохимия трициклических проановидных кариофиллена. Эби, Бартон, Бергстальер, Линден (Sesquiterpenoids. Part V. The stereochemistry of the tricyclic derivatives of caryophyllene. Aebi A., Barton D. H. R., Burgstahler A. W., Lindsey A. S., J. Chem. Soc., 1954, Dec., 4659—4665 (англ.))

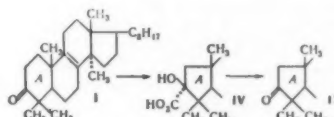
Показано, что трициклич. гликоль, образующийся при кислотной гидратации окиси кариофиллена (I) (РЖХим, 1954, 35921), является кловандиол-2 β , 9 α (II). При окислении II H_2CrO_4 ранее были получены 2-кето-9-оксиклован (III) и кловандион-2,9 (IV). Окисление II или IV CrO_3 в CH_3COOH приводит к кетодикарбоновой к-те (V), т. пл. 230—231° (из петр. эф.), $[\alpha]_D^{+7}$ (с 1,50). При действии на V SeO_2 в CH_3COOH образуются дикетокислота (VI), т. пл. 207° (из петр. эф.), $[\alpha]_D^{+37}$ (с 1,02), окисляющаяся щел. H_2O_2 в тетракарбоновую к-ту (VII), т. пл. 154° (разл.), $[\alpha]_D^{+16}$ (с 1,16); тетраметильный эфир, т. пл. 61—62°, $[\alpha]_D^{+32}$ (с 1,48). Пиролиз VII (260°, 6 час.) приводит к дикарбоновой кетокислоте (VIII), т. пл. 173—174°, $[\alpha]_D^{+81}$ (с 1,19); диметильный эфир VIII, т. пл. 88—89° (из петр. эф.), $[\alpha]_D^{+56}$ (с 4,50), 2,4-динитрофенилгидразон диметильного эфира VIII, т. пл. 168—169° (из C_6H_6 + CH_3OH). VIII при плавлении не образует ангидрида. При окислении VIII сначала SeO_2 , а затем H_2O_2 образуется тетракарбоновая к-та (IX), превращающаяся в *l*-димол при дегидрировании над Pd/C (20 час., 300°). Следующие превращения доказывают, что II имеет

Показано, что α -амирин (I) и его производные при действии O_3 или CH_3CO_3H дают 12, 13-окиси, легко изомеризующиеся в слабо кислых условиях в 12-кетон с неустойчивой конфигурацией при C_{13} . Более жесткая кислотная обработка оксией или неустойчивых 12-кетон приводит к образованию 12-кетон с устойчивой конфигурацией при C_{13} . Исследованы различные р-ции полученных продуктов. Разработан метод отделения I от α -амирина (II), основанный на инертности бензоата I к действию SeO_2 , в то время как бензоат II в тех же условиях дегидрируется в бензоат $\Delta^{11,13(18)}$ -олеандиенола (III). 296 г неочищенного, полученного из 2 кг смолы *Manila elemi* путем экстракции 85%-ным спиртом, бензонилируют и кристаллизацией выделяют мало растворимый бензоат II, выход 55,7 г, т. пл. 226–232°, $[\alpha]_D + 98,2^\circ$. Остаток (326 г) разделяют пополам, каждую часть кипятят 1 час с 37,5 г SeO_2 в 2 л лед. CH_3COOH и 40 мл воды, затем порциями к горячему р-ру прибавляют 300 г CH_3COONa и кипятят еще 15 мин. Реакционную массу (от обеих порций) выливают в воду (10–12 л) и полученный продукт хроматографируют. Выделяют 102,7 г бензоата I, т. пл. 195,5–197,1°, $[\alpha]_D + 97,1^\circ$ (с 2,04), и 24,4 г III, т. пл. 250–251,5°, $[\alpha]_D - 30,8^\circ$ (с 1,77). При омылении или при восстановлении бензоата I с $LiAlH_4$ образуется I, выход 96–98%, т. пл. 174,5–176,6°, $[\alpha]_D + 87,5^\circ$ (с 1,93); трифтороацетат (CF_3COOH , C_6H_6 , 20°, 5 мин.), т. пл. 208,3–210,6°, $[\alpha]_D + 72,7^\circ$ (с 2,82). Трифтороацетат I при действии оснований ($C_2H_5)_3N$ (20°) легко расщепляется, давая I. *n*-Толуолсульфонат I (n - $CH_3C_6H_4SO_3Cl$, пиридин, 25°, 12 час.), т. пл. 128,8–129,9°, $[\alpha]_D + 70^\circ$ (с 2,30); метансульфонат I, т. пл. 102,2–102,4°, $[\alpha]_D + 67,0^\circ$ (с 1,56). Р-р 258,1 мг бензоата I в CCl_4 обрабатывают 80 мг Bz_2 (освещение), после исчезновения окраски р-ритель удаляют, остаток кипятят 22 часа с коллидином, получают 205 мг бензоата α -амирадиенола (бензоата $\Delta^{10,12}$ -урсадиенола) (IV), т. пл. 171,5–173°. К р-ру I в IV в 30 мл 1,2-диметоксизтана прибавляют 100 мл жидкого NH_3 и затем 1 г Li. После обработки и ацетилирования получают 0,675 г ацетата I, т. пл. 220–224°, $[\alpha]_D + 79,7^\circ$ (с 2,57). Пропускают O_2 , содержащий 2% O_3 , через р-р 37,9 г ацетата I в 197 мл CCl_4 , получают 5 г ацетата окиси α -амирина (V), т. пл. 220–223°, $[\alpha]_D + 63,9^\circ$ (с 2,36). Аналогичным образом из α -амирина получена окись α -амирина (12,13-окиси урсена) (VI), т. пл. 142–144°, $[\alpha]_D + 69,4^\circ$ (с 2,03). Р-р 32,8 г V в C_6H_6 обрабатывают 246 г кислой Al_2O_3 (12 час., 20°), получают 24,9 г 3 β -ацетата 12-кето-13-изоурсана (VIIa), т. пл. 201–203°, $[\alpha]_D + 124,3^\circ$ (с 1,85). Аналогичным путем из VI получают 12-кето-13-изоурсан (VIIb), $[\alpha]_D + 131,2^\circ$ (с 2,16). Полученные неустойчивые 12-кетон при обработке конц. HCl в CH_2Cl_2 + CH_3COOH изомеризуются в устойчивые 12-кетон. Показано, что ацетат 12-кетурсанола-3 (VII) не восстанавливается ни по Кижнеру, ни по Клемменсену. Р-р 13-эпимера VII (VIIa) в $(CH_3CO)_2O$ кипятят в присутствии CH_3COONa и получают енол диацетат α -амиранола (диацетат Δ^{12} -урсендиолола-3 β , 12) (VIII), т. пл. 251,5–256,5°, $[\alpha]_D + 64,2^\circ$ (с 2,03). Смесь 2 г VIIa, 0,3 г n - $C_6H_5SO_3H$, 100 мл изопропилацетата нагревают до 98° в течение 2 час. (с отгонкой легко кипящей фракции 10 мл), затем кипятят 17 час. и отгоняют еще 76 мл дистиллата. Получают диацетат Δ^{11} -урсендиолола-3 β , 12 (IX), т. пл. 247–250°, $[\alpha]_D + 85,9^\circ$ (с 2,00), и диацетат $\Delta^{11,13}$ -изоурсендиолола-3 β , 12 (X), т. пл. 169,5–173°, $[\alpha]_D - 37,1^\circ$ (с 2,12). При гидрировании IX или X с PtO_2 (спирт, 90°) получается смесь исходного продукта с устойчивым кетоацетатом. Р-р 200, 3 мг X в 1 мл CCl_4 обрабатывают р-ром Bz_2 в CCl_4 (в темноте), оставляют смесь на

12 час., прибавляют 10 мл CH_3OH и опять оставляют на 26 час. в темноте. Получают ацетат 11 α -бром-12-кето-13-изоурсанола-3 β , т. пл. 230,2–230,7° (разл.), $[\alpha]_D + 145,5^\circ$ (с 2,09; CCl_4). При бромировании IX в лед. CH_3COOH (отсутствие света, 1 моль Bz_2 , 20°) получен бромкетон, т. пл. 226–239°. При кристаллизации из ацетона последний легко теряет HBr и дает ацетат *цис*- α -амиранола (XI), т. пл. 265–271°, 290,5–293° (в вакууме), $[\alpha]_D + 92,2^\circ$ (с 1,87). XI образуется также с выходом 79,2% при бромировании на УФ-свету. VIII не реагирует с Bz_2 в темноте. Смесь 255,9 мг VIII, Bz_2 и CCl_4 освещают УФ-светом, добавляют 40 мл CH_3OH и 4 мл CCl_4 и оставляют на 46 час. Получают диацетат- $\Delta^{8(11,12)}$ -урсадиендиолола-3 β , 12 т. пл. 257–259,3°, 258,8–259,6° (в вакууме), $[\alpha]_D + 260^\circ$ (с 1,52). Смесь 0,5 г VIII и 0,5 г $LiAlH_4$ в эфире перемешивают 10 час, получают 380 мг Δ^{12} -урсендиолола-3 β , 12 (XII), т. пл. 181–183°, $[\alpha]_D + 90,6^\circ$ (с 2,86; бал.). Аналогично из VII получают урсандиол-3 β , 12 α (XIII), т. пл. 258,4–259,2°, $[\alpha]_D + 17,4^\circ$ (с 2,19); ацетат (XIIIa), т. пл. 283,5–287,5°, $[\alpha]_D + 30,3^\circ$ (с 1,32). Из маточных р-ров получен урсандиол-3 β , 12 β (XIV), т. пл. 169,9–170,4°, $[\alpha]_D + 10,2^\circ$ (с 1,87). В условиях аналогичных получению XIIIa XIV дает диацетат, т. пл. 205,2–206,4°, $[\alpha]_D - 1,2^\circ$ (с 2,11). Если ацетилирование XIV вести 8 мин. при 100°, то получается смесь моно- и диацетата XIV, разделяемая хроматографированием. Моноацетат XIV, т. пл. 274,4–276,2°, $[\alpha]_D + 17,8^\circ$ (с 1,49). При восстановлении 1 г VIIa $LiAlH_4$ в условиях аналогичных восстановлению VII получено 0,545 г 3, 12-диола (XV), т. пл. 191,6–192,8°, $[\alpha]_D + 52,0^\circ$ (с 2,03). XV получается также при восстановлении бензоата 12-кето-13-изоурсанола-3 β . При ацетилировании XV $(CH_3CO)_2O$ -пиридин, 25 час., 20°) образуется смесь моноацетата (XVa) и диацетата (XVb), разделяемая хроматографированием: XVa, т. пл. 163–165,5°, $[\alpha]_D + 49,7^\circ$ (с 1,96), XVb, 234–236°, $[\alpha]_D + 62,7^\circ$ (с 2,13). С. А. 43288.

Частичная дегградация кольца A ланостенола. Кертис, Шенфельд (The partial degradation of ring A of lanostenol. Curtis R. G., Schoenfeld R.), Austral. J. Chem., 1955, 8, № 2, 258–262 (англ.)

Описана дегградация кольца A ланостенола. Бромированием Δ^8 -ланостенона-3 (I) или его енолацетата (II) получают 2-бром- $\Delta^{1,2}$ -ланостадиенон-3 (III), гидролиз которого приводит к Δ^8 -3-норланостенол-2-карбино-вой-2 к-те (IV), выделенной только в одной стереоизо-



мерной форме. Дегидратацией IV получают α -незамещ. $\Delta^{1,8}$ -3-норланостадиенкарбиновою-2 к-ту (V), которую декарбоксилированием переводят в $\Delta^{1,8}$ -3-норланостадиен (VI), превращая его окислением с OsO_4 в Δ^8 -3-норланостендиол-1,2 (VII). Окисляя VII с HJO_4 получают с плохим выходом диальдегид, который выделяют в виде его диоксима (VIII). Обработывая IV с $Pb(OOC-CH_3)_4$ переводят к-ту в Δ^8 -3-норланостенон-2 (IX) с мало реактивной α -метилоеновой группой. Смесь 20 г I, 40 мл CH_2COCl и 100 мл $(CH_3CO)_2O$ кипятят 4 часа, получают 16 г II; диморфен, т. пл. 105–107° и 114–115° (сп., этилацетат). $[\alpha]_D^{24} + 125^\circ$ (с 3; хлф.). Бромруют 2,5 г II в лед. CH_3COOH , выливают в воду и выделяют 2 г III, т. пл. 142° (из сп.), $[\alpha]_D^{24} 19,8^\circ$

(с 3; хлф.). Аналогично из I также образуется III. При нагревании III с 20%-ным спирт. р-ром КОН образуется IV, т. пл. 278° (из CH_3COOH , этилацетат), $[\alpha]_D^{25}$ 61,4° (с 3; хлф.). Гидролиз можно проводить без выделения III, тогда из 20 г I получают 10 г IV; ацетат IV, т. пл. 207—208°; метиловый эфир IV, т. пл. 114°; метиловый эфир ацетата IV, т. пл. 118°. Дегидратируя 5 г IV в вакууме при 280° с колич. выходом получают V, т. пл. 284° (из CH_3OH + хлф., 1:1); метиловый эфир, т. пл. 146°. При нагревании 3,5 г V с 35 мл хинолина и 2 г CuO (инертная атмосфера, 3 часа, 230°) образуется VI, выход 1,5 г, т. пл. 106° (сп.). К р-ру 1,5 г V в сухом эфире (50 мл) и пиридине (30 мл) добавляют OsO_4 и оставляют на 6 суток. После удаления р-рителей остаток растворяют в 60 мл C_6H_6 и спирте (1:1), добавляют 6 г КОН, 6 г маннита и 15 мл воды и нагревают 6 час. Неочищ. VII хроматографируют на Al_2O_3 , получают 1,32 г VII, т. пл. 143° (хлф.- CH_3OH). К р-ру 0,5 г VII в диоксане добавляют 0,25 г HJO_4 в 6,3 мл воды и оставляют на сутки в холодильнике; получают желеобразный продукт, который нагревают со спирт. р-ром ацетата NH_4OH . Выделяют 0,18 г VIII, т. пл. 170° (из CH_3OH). К суспензии 1,0 г IV в лед. CH_3COOH (50 мл) добавляют 2 г $\text{Pb}(\text{OOCCH}_3)_2$ и встряхивают 8 час. при ~20°. После хроматографирования получают IX, т. пл. 120° (из CH_3OH). Н. С.

43289. Опыты по синтезу стероидов. Сообщение VIII. Бухта, Вейдигер (Versuche zur Synthese von Steroiden. VIII. Mitteilung. Buchta Emil, Weidinger Hans), Liebigs Ann. Chem., 1955, 597, № 2, 126—128 (нем.).

Р-цией $m\text{-CH}_3\text{OCH}_2\text{C}_6\text{H}_4\text{CH}_2\text{CH}_2\text{MgBr}$ (I) с 1-метил-2-бутирилциклопентеном-1 (II) синтезируют третичный спирт, который при перегонке дегидратируется в 1-метил-3-(2'-метилциклопентен-1'-ил)-гексен-3 (III). При озонировании III выделяют $\text{C}_6\text{H}_5\text{COOH}$ и 1-м-анизиллонантрион-3,4,8 (IV). Диеновая конденсация III с малеиновым ангидридом (V) приводит к 8-метил-4 β -(m -анизилтил)-5-этил-5,6,7,8-тетрагидроиндандикарбоновой-6,7 к-те (VI). К смеси 200 мл CS_2 и 80 г SnCl_4 прибавляют по каплям (—10°—15°) смесь 25 г 1-метилциклопентена-1 и 28 г $n\text{-C}_3\text{H}_7\text{COCl}$, через 3 часа (0°) прибавляют лед и разб. HCl; извлеченный CS_2 продукт нагревают (180°, 3 часа) с 60 г $(\text{CH}_3)_2\text{NC}_6\text{H}_5$, получают II, выход 54%, т. кип. 98—100°/14 мм; 2,4-динитрофенилгидразон II, т. пл. 171—173° (из $n\text{-C}_4\text{H}_9\text{OH}$). Р-цией I и II в эфире синтезируют продукт, который после перегонки дает III, выход 37%, т. кип. 136—140°/0,02 мм. При озонировании III в CCl_4 выделяют $\text{C}_6\text{H}_5\text{COOH}$ и IV в виде 2,4-динитрофенилгидразона, т. пл. 214—222° (из $n\text{-C}_4\text{H}_9\text{OH}$ -бутилацетата, 1:1). Нагревание (6 час., 80°) I с 3 г V приводит после омыления к VI, выход 57 мг, т. пл. 92—95° (из водн. CH_3COOH). Сообщение VII см. Liebigs Ann. Chem., 1952, 576, 7. Г. С.

43290. Стероиды латекса *Chondrilla juncea*. I. Солер, Камбронеро (Esteroides en el latex de la «Chondrilla juncea» I. Soler A., Cambronero J.), An. Real soc. española fis. y quim., 1954, 1350, № 9—10, 747—758 (исп.).

Выделенный из латекса *Chondrilla juncea* стерин $\text{C}_{28}\text{H}_{46}\text{O}$, названный авторами хундристерином (I), имеет константы, отличные от ранее приведенных (Gómez J. Algunas productos naturales que contienen esterinas. Madrid, Fac. de Farmacia, Univ. de Madrid, 1936). I дает характерные для стероидов цветные р-ции и содержит одну двойную связь, что следует из результатов окисления I и его ацетата надбензойной к-той в CHCl_3 . При окислении I изопропилатом Al или CuO образуется кетон хундристенон (II), который, судя по

потенциалу полувольты, близкому к потенциалу Δ^4 -холестерола, и УФ-спектру, содержит этиленовую связь, сопряженную с СО-группой. 1 кг латекса, очищ. кипячением с водой, а затем с 20—30%-ной щелочью, нагревают 4 часа с 4 л 5%-ного спирт. р-ра КОН; из отделившейся массы после трех экстракций спиртом получено 200 г смолы и 300 г порошка, из которого после 12—13 кристаллизаций выделен чистый I, т. пл. 215,5—216,5° (из сп.), $[\alpha]_D^{25} + 82,3^\circ$ (с 4,57; хлф.), дающий цветные р-ции с H_2SO_4 , с реактивами Сальковского, Либермана и Келлера-Килиани; ацетат, т. пл. 234—236° (из ацетона и этилацетата), $[\alpha]_D^{17} + 85,5^\circ$ (с 1,33; хлф.); бензоат, т. пл. 270—271° (из ацетона), $[\alpha]_D^{20} + 56^\circ$ (с 1; хлф.); кислый фталат, т. пл. 212—214° (из сп.-эф.). При использовании предварительной горячей экстракции спиртом с последующим омылением р-ром КОН выделен загрязненный I с т. пл. 192—199°. 0,4 г I кипятят с 8 мл 25%-ного р-ра изопропилата Al в толуоле и 8 мл циклогексанона и получают 0,1 г II, т. пл. 182—184° (из ацетона), $[\alpha]_D^{20} + 66,7^\circ$ (с 3,4; хлф.), $\lambda_{\text{макс}}$ (в сп.) 242 мμ, потенциал полувольты 0,630 (сп.); 2,4-динитрофенилгидразон, т. пл. 247—248° (из этилацетата); n -нитрофенилгидразон, т. пл. 178° (из сп.); фенилгидразон, т. пл. 188° (из сп.); семикарбазон, т. пл. 235—237° (из сп.-этилацетата, 2:1). При нагревании с CuO (340°, 15 мин.) 2 г I дают 0,4 г II. Л. П.

43291. Синтез производных гомохолана и биснорстерохолана из дезоксихолевой кислоты. Такума (The synthesis of homocholane and bisonorsterocholane derivatives from desoxycholic acid. Takuma Tunesi), Proc. Japan. Acad., 1955, 31, № 3, 175—179 (англ.).

Описано получение гомохоландиола-3,12 (I), гомохолантриола-3,12,24 (II) и биснорстерохолантриола-3,12,24 (III). Р-р 8 г уксуснохолевой к-ты в 10 мл HCONH_2 нагревают 5 час. при 170—200°. Получен амид дезоксихолевой к-ты (IV) т. пл. 187°. Этим же путем из холевой, гиодезоксихолевой, урсодезоксихолевой и хенодезоксихолевой к-т получены амиды с т. пл. 165°, 266—268°, 125° и 205°, соответственно. Смесь 5 г IV, 30 мл пиридина, 25 мл лед. CH_3COOH нагревают 28 час. при 100° и получают ацетиламид диацетата дезоксихолевой к-ты (V) т. пл. 179°. Р-р 2 г V в 50 мл C_6H_6 смешивают с CH_3MgI (из 1,7 г Mg, 10 г CH_3I и 30 мл эфира) и кипятят 5 час. После обычной обработки и отгонки эфира остаток растворяют в 10%-ном спирт. р-ре КОН, кипятят 2 часа и получают дезоксихолан-метилкетон (VI), масло, семикарбазон (VIIa), т. пл. 214—215°. 1,5 г VIIa в 30 мл спирта восстанавливают по Кижнеру-Вольфу и получают I, т. пл. 218—219°. При окислении I с CrO_3 в CH_3COOH получается гомохоландион-3,12. Смесь 6 г VIIa, 50 мл ацетона, 5 мл 1%-ной HCl нагревают при 100° и получают обратно VI. Последний растворяют в 60 мл абс. спирта, к р-ру прибавляют порциями 5 г Na, нагревают смесь при 160—180° до исчезновения Na и после обработки получают II в виде масла. Р-р II в 30 мл CH_3COOH окисляют 10 мл 20%-ного р-ра CrO_3 в CH_3COOH и получают 0,25 г гомохолантриола-3,12,24, т. пл. 125—126°, триоксим, т. пл. 148—149°. Смесь 4 г V, 50 мл C_6H_6 и $\text{C}_2\text{H}_5\text{MgI}$ (из 3,5 г Mg, 22 г $\text{C}_2\text{H}_5\text{I}$ и 50 мл эфира) кипятят 5 час. После обычной обработки и удаления эфира остаток кипятят 2 часа с 100 мл 10%-ного спирт. р-ра КОН и получают дезоксихоланэтилкетон (VII), семикарбазон (VIIa) также масло. Смесь 1,7 г VIIa и $\text{C}_2\text{H}_5\text{ONa}$ (из 30 мл абс. спирта и 1,5 г Na) нагревают в автоклаве при 160—180° 6 час. и получают биснорстерохоландиол-3,12, т. пл. 97°. Из VIIa обычным способом выделен VII и последний восстановлен Na в спирте в III, т. пл. 79—80°. С. А.

43292. Спектры поглощения кетонов. Часть II. Конфигурация некоторых бромпроизводных ацетата холестанол-3 β -6-кетохолестанола. Спектры поглощения α -кетолов. Куксон, Дандегаонкер (Absorption spectra of ketones. Part II. The configuration of some bromo-derivatives of 6-oxocholestanyl acetate. Absorption spectra of α -ketols. Cookson R. C., Dandegaonker S. H.), J. Chem. Soc., 1955, Febr., 352—355 (англ.)

Апелтолизом диацетата 5 α ,7 α -дибромхолестанол-3 β -она-6 (I) получен диацетат 7 β -бромхолестандиол-3 β ,5 α -она-6 (II), а его изомеризацией 7 α -эпимер II (III). Сняты УФ-спектры в спирт. р-рах для ацетата холестанол-3 β -она-6 (IV), 5 α ,7 α -дибром-IV, 5 α ,7 β -дибром-IV, 5 α -окси-IV, 7 α -бром-5 α -окси-IV, диацетата холестандиол-3 β ,5 α -она-6 (V); 7 β -бром-V, 7 α -бром-V, холестанона-2 (VI), 3 α -хлор-IV, 3 α -бром-IV, холестанона-3; 2 β -хлорхолестанона-3, метилового эфира 3 α -ацетокси-11-кетохолестановой к-ты, цеваленина и ортоуксусного эфира его диацетата, метилового эфира 3 β -ацетоксиолеан-28-овой к-ты. На основе полученных результатов и данных других авторов по аналогичным соединениям (Ваг и др., J. Chem. Soc., 1938, 334; РЖХим, 1955, 52035) установлено, что введение OH- или ОСОСН₃-группы в α -положение к СО-группе в циклогексановом кольце вызывают смещение максимума, как и при введении галоида. Экваториальная OH-группа обуславливает смещение на 12 м μ в сторону коротких волн, полюсная OH-группа на 15—23 м μ в сторону длинных волн. Для ОСОСН₃-групп значения 5 и 7—11 м μ соответственно. Этерификация карбоксила ацилирование OH в отдаленной части молекулы не влияет на спектр поглощения 34 м μ . Смещение полосы поглощения позволяет судить о конфигурациях молекул; так авторы считают, что цеваленин является экваториальным α -кетолом. Смесь 1,11 \pm I, 2,2 \pm СН₃СООК и 100 мл СН₃СООН нагревают при 100°, 7 часов, после обычной обработки получают II, выход 248 мг, т. пл. 198—199°. Восстановление II с Zn в СН₃СООН получен известный диацетат холестандиол-3 β ,5 α -она-6. т. пл. 170—171°. Р-р 55 мг II в 15 мл СН₃СООН содержащей 5% HBr (5%) выдерживают 40 час. при 20° получают III, выход 25 мг, т. пл. 201—202°. Часть I, см. РЖХим, 1955, 5160.

43293. Спектры поглощения кетонов. Часть III. Более длинноволновая полоса α , β -ненасыщенных кетонов. Куксон, Дандегаонкер (Absorption spectra of ketones. Part III. The long-wavelength band of α , β -unsaturated ketones. Cookson R. C., Dandegaonker S. H.), J. Chem. Soc., 1955, June, 1651—1654 (англ.)

Исследованы УФ-спектры поглощения следующих α , β -ненасыщ. кетонов в *n*-гексане: ацетат $\Delta^8(14)$ -холестанол-3 β -она-15, *trans*- $\Delta^3,6$ -гексагидро-10-метил-2-кетонафталина Δ^1 -холестенона-3, Δ^1 -12 β -амирадиенона-3, Δ^2 -холестенона-1, 2-метил- Δ^1 -циклогексана-3, изофорона, Δ^4 -холестенона-3, $\Delta^4,9(11),16$ -D-гомоандростатриенона-3, Δ^5 -холестенона-7, ацетата Δ^8 -холестенол-3 β -она-7, ацетата Δ^6 -ланостенол-3 β -она-7, ацетата $\Delta^7,22$ -эргостадиенол-3 β -она-6, ацетата $\Delta^9(11)$ -23-бром-5 α ,22 α -спиростенол-3 β -она-12, ацетата 11-кето- β -амирина, ацетата 11-кето-18-изо- β -амирина, ацетата 11-кето- α -амирина, 1,14-диметил-2,8-дикето- $\Delta^1(11)$ -додекагидрофавтрена, $\Delta^1(11)$ -додекагидро-1,14-диметил-6 β ,7 β -изопротилдиоксибенантрена, ацетата $\Delta^8(9)$,22-эргостадиенол-3 β -она-7, ацетата $\Delta^8(9)$,22-эргостадиенол-3 β -она-11-метилового эфира 3 β -ацетокси-4,4,14 α -триметил-11-кето- $\Delta^8(9)$ -холестеновой к-ты, ацетата $\Delta^8(14)$ -холестенол-3 β -она-7, метилового эфира 3 β -ацет-

окси-19-кето- $\Delta^{13(18)}$ -олеанен-28-овой к-ты, ацетата $\Delta^8(14)$ -холестенол-3 β -она-15 и 22 α ,5 α -C-нор-D-гомо- $\Delta^{13(17a)}$ -спиростенол-3 β -она-11. В циклогексенонах введение одного α - или β -алкильного заместителя приводит к смещению максимума полосы поглощения в сторону меньших длин волн на 6 м μ , а двух таких заместителей — на 20 м μ . Этот факт может быть использован для определения степени алкилирования двойной связи в циклогексенонах, имеющих хромофоры в центральном кольце полициклич. системы. Приведены колебательные структуры полос поглощения. Е. П.

43294. Исследование желчных кислот. Сообщение I. О характеристике и физических константах дезокси-холевой кислоты. Корбеллини, Натанзон (Ricerche sugli acidi biliari. Nota I. Sulle caratteristiche e sulle costanti fisiche dell'acido desossicolico. Corbellini Arnaldo, Nathanzon Giangiacomo), Gazz. chim., ital., 1955, 85, № 9—10, 1039—1042 (итал.)

В связи с разноречивыми данными по т-ре плавления дезоксихолевой к-ты (I) (Gauthier Nguyen Hauu Quy, Ann. Pharmac. France, 1947, 5, 556 Reichstein, Sorkin, Helv. chim. acta, 1942, 25, 797) из смеси желчных к-т, полученных омылением связанных к-т, содержащихся в бычьей желчи, после отделения большей части холевой к-ты, I выделена в виде комплекса с ксилитом. При кипячении последнего с лед. СН₃СООН образовалась ацетохолевая к-та (II) (1 моль I связан с 1 моль СН₃СООН). Гидролиз II кипящим разб. NaOH привел к I с т. пл. 176—177°, что совпадает с данными Рейхштейна. I с т. пл. 176—177° получена также перекристаллизацией продажного образца I с т. пл. 166—168° из бутанона и 70%-ного спирта. Продажный образец I с т. пл. 162—181° после кристаллизации из 70%-ного спирта имел т. пл. 189—190°, что совпадает с данными Готье. При очистке этого образца I через II получена I с т. пл. 176—177°. На основе этих результатов авторы заключают, что т. пл. 176—177° является истинной т-рой плавления I, в то время как т. пл. 189—190° представляет собой т-ру плавления I, ассоциированной, по-видимому, с жирными к-тами. Л. Я.

43295. Исследование способов получения диэтилстильбэстрола. Донгорози, Кыржа (Studiul metodelor de preparare a dietilstilboestrolului. Dongorozi S., Cîrja M.), Rev. chim., 1955, 6, № 11, 599—608 (рум.; реф. русс.)

Дан обзор способов получения диэтилстильбэстрола (I). Наиболее легкоосуществимым в промышленных масштабах представляется следующий путь: восстановление *n*-оксипропиофенона (II) в 3,4-ди-(*n*-оксифенил)-гександиол-3,4 (III), перегруппировка III в 4,4-ди-(*n*-оксифенил)-гексанол-3 (IV), восстановление IV в 4,4-ди-(*n*-оксифенил)-гексанол-3 (V), дегидратация V в I. К 100 \pm 12,5%-ного р-ра NaOH добавляют 25 \pm II, затем при 20—25° (4 часа) 175 \pm 3%-ной амальгамы Na, нагревают 1 час при 55—60°, полученную взвесь после отделения ртути добавляют к 40 мл лед. СН₃СООН при 80°, получают 21,4—22,2 \pm III. Смесь 21,75 \pm III, 32,62 мл (СН₃СО)₂O, 100 мл лед. СН₃СООН и 4—5 капель конц. H₂SO₄ кипятят 1 час, отгоняют СН₃СООН, добавляют 200 \pm г льда, получают 23,4—24,2 \pm диацетата IV (VI), т. пл. 72—75°. К р-ру 23,8 \pm VI в 238 мл бутилового спирта добавляют (3 часа) 17,8 \pm Na, кипятят 1 час, добавляют 350 мл воды, отгоняют 370 мл жидкости при 91—100°, остаток осветляют 5 \pm угля, добавляют 47 мл лед. СН₃СООН, полученный неочищ. V растворяют в 100 мл ацетона, добавляют за (50—60 мин.) 150 мл конц. HCl при 15—20°, выдерживают 24 часа, получают I, т. пл. 168—170° (из бзл., осветление углем). Библ. 24 назв. Г. В.

43296. Синтетические эстрогены. Мартен, Стоффен-Тома (Oestrogènes de synthèse. Martin R. H., Stoffyn-Thomas A.), Bull. Soc. chim. belges, 1955, 64, № 7—8, 352—366 (франц.).

Синтезированы производные стибэстрола, содержащие карбоксильную группу в алифатич. цепи. Видоизмененным методом Сильвермана и Богерта (Silverman M., Bogert M. T., J. Organ. Chem., 1946, 11, 34) получен этиловый эфир (I) 3,4-ди-*n*-метоксифенил-3-оксигексановой к-ты (II), дегидратированный в этиловый эфир (III) 3,4-ди-*n*-метоксифенилгексен-3-овой к-ты (IV). Последняя получена также омылением и дегидратацией (SOCl_2 в пиридине) метилового эфира (V), синтезированного конденсацией этилдоксикаина-зона (VI) с $\text{BrCH}_2\text{COOCH}_3$ по Реформатскому. При действии на V CH_3COCl и затем спирт. КОН образуется изомер IV (IVa), превращающийся при кипячении с КОН в среде $\text{C}_6\text{H}_5\text{CH}_2\text{OH}$ в IV. Осуществить дегидрирование IVa не удалось. При нагревании со спирт. р-ром КОН при 200—210° IVa декарбоксилируется и дегидрируется с образованием метилэтилстибэстрола (VII). Диметилловый эфир VII синтезирован также гидролизом V спирт. р-ром КОН и последующим декарбоксилированием с HCOOH . Обработка IVa спирт. КОН при 174° приводит к простому метилоловому эфиру (VIII) 3,4-ди-*n*-оксифенилгексен-3-овой к-ты (IX), превращенному в VII нагреванием со спирт. КОН при 190°. Дибензоат метилового эфира 3,4-ди-*n*-оксифенил-3-оксигексановой к-ты (X), полученный конденсацией дибензоата *n*-оксидилгексаноина (XI) с $\text{BrCH}_2\text{COOCH}_3$ по Реформатскому, дегидрируется при действии CH_3COCl в дибензоат метилового эфира IX (XII). Действием $\text{C}_2\text{H}_5\text{Li}$ на стиббен (XIII) и обработкой Li-органич. комплекса CO_2 синтезирована 2,3-дифенилпентаановая к-та (XIV). Попытка осуществить аналогичную р-цию с диметоксистиббеном не дала положительных результатов. При конденсации VI с $\text{CH}_3\text{CNHBrCOOCH}_3$ и последующей дегидратацией и гидролизе не удалось получить кристаллич. продуктов. Р-р 20 г VI в 220 мл смеси эфир- C_6H_6 (1 : 1), 33 г Zn и 1 г I_2 и 45 мл $\text{BrCH}_2\text{COOCH}_2\text{H}_5$ (XV) кипятят 2 часа (через 2 часа добавляют еще 13,5 г Zn и 45 мл XV), добавляют 350 мл спирт. р-ра CH_3COOH (1 : 1), воду и после обработки выделяют I, выход 10,0—10,5 г, т. пл. 86—87° (из CH_3OH). 5 г I и 7 г CH_3COCl кипятят 3 часа на водяной бане. После обычной обработки получают III, т. кип. 205—207°/0,9 мм. Гидролиз III (20%-ный водн. р-р NaOH, затем обработка спирт. р-ром КОН) приводит к IV, т. пл. 143—145° (из сп.). В условиях синтеза I 66 г VI и 98 мл $\text{BrCH}_2\text{COOCH}_3$ дают V, выход 67%, т. пл. 96—98° (из сп.). Кипятят (3 часа) смесь 1 г V, 2 г КОН, 1 мл воды и 20 мл CH_3OH . Кипячение ксилового продукта р-ции (0,2 г) 4 часа с 20 мл 85%-ной HCOOH приводит к диметилловому эфиру VII, т. пл. 88—89° (из сп.). 1 г V обрабатывают при 0° пиридином (9 г) и SOCl_2 (10 г), смесь выдерживают 12 час. в холодильнике, продукт р-ции кипятят 3 часа с 10 мл спирт. р-ра КОН и после обработки выделяют IV, выход 0,2 г. Смесь 60 г V и 89 г CH_3COCl кипятят 4 часа, продукт р-ции кипятят с р-ром 48 г КОН в 24 мл воды и 480 мл спирта. После обычной обработки получают IVa, выход 22 г, т. пл. 109—110° (из сп.). 1 г VIa нагревают 24 часа в автоклаве с р-ром 3,5 г КОН в 30 мл спирта, разбавляют водой, спирт отгоняют в вакууме, остаток подкисляют, осадок экстрагируют эфиром, а эфир. р-р водн. р-ром Na_2CO_3 . Из эфирного экстракта выделяют VII, т. пл. 173—174°; дибензоат, т. пл. 212—215°. Из водно-щел. р-ра после подкисления и гидролиза получают дополнительно VII и IX, т. пл. 237—239° (из CH_3COOH). При проведении гидролиза в тех же условиях, но при 174° получают VIII, выход 3 г, т. пл. 165—167° (из бзл.). 15 г

XI и 10 мл $\text{BrCH}_2\text{COOCH}_3$ кипятят 2 часа в 60 мл C_6H_6 и 30 мл эфира в присутствии 9 г Zn, через 2 часа добавляют 9 г Zn и 10 мл $\text{BrCH}_2\text{COOCH}_3$, кипятят 5 час. и после обработки выделяют X, т. пл. 206—207° (из сп.). Кипячение (2 часа) р-ра 1,4 г X в 5 мл CH_3COCl приводит к XII, выход 5 г, т. пл. 196—197° (из сп.). При кипячении (4 часа) со спирт. р-ром КОН XII дает неидентифицированное в-во, т. пл. 161—163° (из бзл.). 2 г XIII в 40 мл эфира добавляют к р-ру $\text{C}_2\text{H}_5\text{Li}$ (из 0,8 г Li), смесь выдерживают 12 час. в атмосфере N_2 , разлагают твердой CO_2 и выделяют XIV, т. пл. 156°.

Л. Б.

43297. Стероиды. LXVII. Декарбоксилирование ненасыщенных стероидных кислот. Синтез 17-эпитеостерона и 17-метилэпитеостерона. Зондхеймер, Мансера, Уркиса, Розенгранц (Steroids. LXVII. The decarboxylation of unsaturated steroidal acids. Synthesis of 17-epiteosterone and of 17-methylepitemosterone. Sondheimer Franz, Mancera O., Urquiza M., Rosenkranz G.), J. Amer. Chem. Soc., 1955, 77, № 15, 4145—4149 (англ.).

Описан синтез 17-эпитеостерона (I) и 17-метилэпитеостерона (II). При ацетилизе тозилата тестостерона (III) с последующим омылением I образуется лишь в качестве побочного продукта; главным продуктом является 18-нор-17-метил- $\Delta^{4,17(18)}$ -андростадие-нон-3 (IV). По другому методу 3 β -оксид- $\Delta^{5,16}$ -этидиеновую к-ту (V) декарбоксилируют в кипящем хинолове в присутствии хромита Cu в $\Delta^{5,16}$ -андростадиенол-3 β (VI). Гидрированием VI над Pt в CH_3COOH получают андростанол-3 β (VII). Окислением по Оппенгауэру VI переводят в $\Delta^{4,16}$ -андростадиенон-3 (VIII), который при обработке надбензойной к-той дает 16 α , 17 α -оксидо- Δ^4 -андростенон-3 (IX). Восстановление IX LiAlH_4 приводит к Δ^4 -андростендиолу-3 β , 17 α (X), содержащему небольшое кол-во 17 β -эпимера (XI). Окислением смеси X и XI MnO_2 получают I. Ацетат 17-бром-21-иол- Δ^4 -прегненол-20-ола-3 (XII) при обработке КОН в CH_3OH дает $\Delta^{5,17(20)}$ -прегнадиенол-3 β -оновою-21 к-ту (XIII). Декарбоксилирование XIII, приводит к 17-метил- Δ^5 -андростенолу-3 β (XIV). Окислением по Оппенгауэру XIV превращают в 17-метил- Δ^4 -андростенон-3 (XV). Последний при гидроксигировании с OsO_4 дает 17-оксиметил- Δ^4 -андростенон-17 α -он-3 (XVI), а при окислении надбензойной к-той переходит в 17 α , 20- α -оксидопроизводное XV (XVII). Обработкой XVI $\text{Pb}(\text{OCOCH}_3)_2$ получают Δ^4 -андростендион-3, 17 (XVIII). Восстановление XVII LiAlH_4 приводит к смеси 17 β -метил- Δ^4 -андростендиола-3 β , 17 α (XIX) и его 3 α -эпимера (XX), которую окисляют MnO_2 до II. Тестостерон (15 г) выдерживают 15 час. при 20° с пиридином (60 мл) и $n\text{-CH}_3\text{C}_6\text{H}_4\text{SO}_2\text{Cl}$ (15 г) и получают III, выход 92,5%, т. пл. 163—168°. Р-р 10 г III в 200 мл лед. H_2SO_4 кипятят (24 часа) с 10 г КОН. После разбавления водой эфиром извлекают смесь, из которой выделяют 0,75 г IV, т. пл. 113—114° (возг.; из пента-эф.). $[\alpha]_D^{20} + 84^\circ$. Жидкий остаток омыляют КОН в водн. $\text{C}_6\text{H}_5\text{OH}$ и хроматографируют на Al_2O_3 . Смесью гексан- C_6H_6 (4 : 1) сначала вымывают 0,52 г IV. Последующие фракции объединяют и хроматографируют вновь. C_6H_6 -эфиром (1 : 4) выделяют I, выход 0,31 г, т. пл. 220—222° (из хлф.-гексана). Р-р 10 г V в 100 мл хинолона кипятят (4 часа) с 1 г $\text{Cu}(\text{CrO}_2)_2$ и продукт р-ции хроматографируют на Al_2O_3 . Эфиром- C_6H_6 (4 : 1) извлекают VI, выход 67,5%, т. пл. 140—141° (из ацетона-гексана). $[\alpha]_D^{20} - 68^\circ$. Гидрирование VI над Pt в CH_3COOH приводит к VII, т. пл. 148—150° (из ацетона-пента-эф.), $[\alpha]_D^{20} - 3^\circ$. VI (10 г) окисляют Al-изопропилатом (5 г) в толуоле в присутствии циклогекса-

№ 14
нона-
133—
VIII
т. пл.
(6 г)
2 часа
(20°;
т. пл.
выхл.
лат.
XII в
обычн
252—
ют ан
133—
нине
прису
дит к
пента
обраб
содер
ляют
[α] $^{20}_D$
Pb(O
рое х
мыва
(18 ч
CHCl
Смес
выхл
[α] $^{20}_D$
(5 г)
товы
(20°;
Смес
т. пл.
(в сп
клуч
1956,
43298
Б а
(St
т
м
№
Ок
к-той
зав
окисл
окисл
12 ч
т. пл.
Р-р 0
к р-р
смес
7 г M
т. пл.
(хлф.
43299
Ок
К у
хул
охи
g e
Р е
Dec
Оп
с KM
20.
(I) K
лат
13 X

нона (кипение 1 час) до VIII, выход 86%, т. пл. 133—134° (из хлф.-гексана), $[\alpha]^{20}_D + 121^\circ$. Окислением VIII надбензойной к-той получают IX, выход 75%, т. пл. 208—209°, $[\alpha]^{20}_D + 115^\circ$. Восстановление IX (6 г) LiAlH_4 (6 г) в тетрагидрофуране (кипение 2 часа) приводит к смеси X и XI, которую окисляют (20°, 36 час.) MnO_2 в CHCl_3 . Продукт хроматографируют на Al_2O_3 . Смесь C_6H_6 -эфир (4:1) вымывают I, выход 68%, $[\alpha]^{20}_D + 69^\circ$ (в сп.), $+86^\circ$ (в хлф.); ацетат, т. пл. 114—115° (из ацетона-гексана). Р-р 50 г XII в 2 л CH_3OH кипятят (2 часа) с 100 г КОН. После обычной обработки выделяют XIII, выход 84%, т. пл. 252—254° (из хлф.-гексана). 30 г XIII декарбоксилируют аналогично V. Получают XIV, выход 85%, т. пл. 133—134° (из ацетона-гексана), $[\alpha]^{20}_D - 65^\circ$. Окисление XIV (10 г) Al -изопропилатом (5 г) в толуоле в присутствии циклогексанона (кипение 1 час) приводит к XV, выход 79%, т. пл. 134—135° (из ацетона-пентана), $[\alpha]^{20}_D + 124^\circ$ (сп.), $+131^\circ$ (хлф.). 0,6 г XV обрабатывают (12 час., 20°) 0,64 г OsO_4 в 20 мл эфира, содержащего следы пиридина. После обработки выделяют XVI, выход 0,23 г, т. пл. 234—236° (из ацетона), $[\alpha]^{20}_D + 57^\circ$. 0,1 г XVI обрабатывают (24 часа, 20°) $\text{Pb}(\text{OOCCH}_3)_2$ в лед. CH_3COOH . Выделяют масло, которое хроматографируют на Al_2O_3 . С помощью C_6H_6 вымывают XVIII, т. пл. 168—171° (из эф.). Окислением (18 час., 20°) XV (15 г) надбензойной к-той (6,55 г) в CHCl_3 синтезируют в-во, которое очищают на Al_2O_3 . Смесь C_6H_6 -гексан (4:1) и C_6H_6 извлекают XVII, выход 62%, т. пл. 189—191° (из ацетона или CH_3OH), $[\alpha]^{20}_D + 112^\circ$. Восстановлением XVII (5 г) LiAlH_4 (5 г) в тетрагидрофуране (кипение 30 мин.) приготавливают смесь XIX и XX, которую окисляют MnO_2 (20°, 16 час.). Продукт хроматографируют на Al_2O_3 . Смесь C_6H_6 -эфир (3:2) вымывают II, выход 64%, т. пл. 181—182° (из ацетона-гексана), $[\alpha]^{20}_D + 68^\circ$ (в сп.), $+82^\circ$ (хлф.). $[\alpha]_D$ определены в CHCl_3 , исключения оговорены. Сообщение LXVI см. РЖХим, 1956, 32593. Г. С.

43298. Стероиды. LXVIII. 17-этильпитеостерон. Батрес, Розенкранц, Зондхеймер (Steroids. LXVIII. 17-ethylpitenosterone. Batres E., Rosenkranz G., Sondheimer Franz), J. Amer. Chem. Soc., 1955, 77, № 15, 4155—4156 (англ.)

Окислением $\Delta^{4,17}$ -прегнадиенона-3 (I) надбензойной к-той получено $17\alpha,20$ -оксидопроизводное I (II), образовавшееся при восстановлении LiAlH_4 и последующем окислении MnO_2 17-этильпитеостерон (III). 2 г I окисляют 0,9 экв надбензойной к-ты в CHCl_3 (20°, 12 час.) и после обработки выделяют II, выход 61%, т. пл. 184—185° (из эф.-гексана), $[\alpha]^{20}_D + 110^\circ$ (хлф.). Р-р 0,7 г II в 90 мл диоксана прибавляют постепенно к р-ру 1 г LiAlH_4 в 50 мл эфира. После отгонки эфира смесь кипятят 8 час., продукт р-ции окисляют (32 часа) 7 г MnO_2 в 60 мл CHCl_3 , получают III, выход 72%, т. пл. 152—153° (из ацетона-гексана), $[\alpha]^{20}_D + 81^\circ$ (хлф.). Г. С.

43299. Гидроксирование Δ^{16} -прегненонов-20. I. Окисление Δ^{16} -прегненонов-20 перманганатом. Кули, Эллис, Хартли, Петров (Hydroxylation of pregn-16-en-20-ones. Part I. Permanganate oxidation of pregn-16-en-20-ones. Cooley George, Ellis Bernard, Hartley Frank, Petrov Vladimir), J. Chem. Soc., 1955, Dec., 4373—4377 (англ.)

Описано окисление производных Δ^{16} -прегненона-20 с KMnO_4 в соответствующие $16\alpha,17\alpha$ -диоксипрегнаноны-20. Окисление ацетата $\Delta^{5,16}$ -прегнадиенол-3 β -она-20 (I) KMnO_4 в ацетоне в присутствии CH_3COOH приводит к 3-ацетату (II) Δ^5 -прегнентриол-3 $\beta,16\alpha,17\alpha$ -она-20

(III), образующему с ацетоном в присутствии HCl ацетат (IV) $\Delta^5,16\alpha,17\alpha$ -изопропилидендиоксипрегненол-3 β -она-20 (V), чем доказана конфигурация гликольной группировки в III. 3,16-диацетат III (VI) при гидрировании дает 3,16-диацетат (VII) аллопрегнантириол-3 $\beta,16\alpha,17\alpha$ -она-20 (VIII), полученный также окислением KMnO_4 ацетата Δ^{16} -аллопрегненол-3 β -она-20 (IX) и ацетилированием образовавшегося при этом 3-ацетата VIII (X). Окисление VII CrO_3 в CH_3COOH приводит к известному диацетату андростандиол-3 $\beta,16\alpha$ -она-17 (XI), чем доказано строение кольца D и α -ориентация 16-ОН-группы в VIII. При восстановлении VI NaBH_4 и окислительном расщеплении образующегося при этом 17,20-гликоля посредством HJO_4 получают диацетат Δ^5 -андростендиол-3 $\beta,16\alpha$ -она-17 (XII). Аналогично из 3,16-диацетата Δ^5 -прегнентриол-3 $\beta,16\alpha,17\alpha$ -она-20 (XIII) синтезируют 16 β -эпимер XII (XIV). Под влиянием КОН в CH_3OH XII и XIV перегруппировываются в 3,17-диацетат Δ^5 -андростендиол-3 $\beta,17\alpha$ -она-16 (XV). $\Delta^4,16$ -прегнадиендиол-3,20 (XVI) дает при окислении с KMnO_4 Δ^4 -прегненидиол-16 $\alpha,17\alpha$ -дион-3,20 (XVII), 16-моноацетат которого с ацетоном образует $\Delta^4,16,17\alpha$ -изопропилидендиоксипрегненидиол-3,20 (XVIII), полученный также окислением V по Оппенгауэру. Р-р 18 г KMnO_4 в 1,05 л 85%-ного водн. ацетона добавляют (45 мин., 0°) к 40 г I в 1,2 л ацетона, содержащего 8 мл CH_3COOH . Избыток KMnO_4 восстанавливают SO_2 и после обработки получают II, выход 8 г, т. пл. 210—212° (из CH_3OH), $[\alpha]^{20}_D - 65^\circ$ (с 1,37). Аналогично из 3,5 г IX синтезируют X, выход 1,75 г, т. пл. 222° (из CH_3OH), $[\alpha]^{21}_D + 3^\circ$ (с 0,76), а из 20 г XVI получают XVII, выход 7,3 г, т. пл. 225° (из сп.- CH_2Cl_2), $[\alpha]^{22}_D + 95^\circ$ (с 0,81), $\lambda_{\text{макс}}$ 240 мк (с 1600); 16-моноацетат, т. пл. 176—177°, $[\alpha]^{20}_D + 49^\circ$ (с 1,25). Смесь 350 мг II, 20 мл ацетона и 2 капли конц. HCl кипятят 2 мин. и выдерживают 12 час. при 20°. При разбавлении водой выпадает IV, выход 300 мг, т. пл. 175°, $[\alpha]^{21}_D - 18^\circ$ (с 0,75). Ацетилирование II в пиридине (100°, 30 мин.) приводит к VI, т. пл. 214—215° (из CH_3OH), $[\alpha]^{20}_D - 74^\circ$ (с 1,02). 810 мг VI гидрируют в этилацетате с 50 мг PtO_2 в присутствии HClO_4 до VII, выход 430 мг, т. пл. 159° (из водн. CH_3OH), $[\alpha]^{21}_D - 16^\circ$ (с 0,54), полученного также ацетилированием X. 200 мг VII в 5 мл CH_3COOH окисляют (20°, 21 час) 100 мг CrO_3 в 5 мл CH_3COOH . После обработки выделяют XI, выход 50 мг, т. пл. 183—184° (из водн. CH_3OH), $[\alpha]^{22}_D + 55^\circ$ (с 0,5). К суспензии 1,65 г VI в 100 мл CH_3OH добавляют р-р 500 мг NaBH_4 в CH_3OH , через 10 мин. добавляют несколько капель CH_3COOH , выливают смесь в воду и экстрагируют эфиром. Р-р продукта р-ции в 60 мл CH_3OH окисляют (20°, 18 час.) 1,6 г HJO_4 в 15 мл воды и после обработки получают XII, выход 700 мг, т. пл. 167—168° (из водн. сп.), $[\alpha]^{20}_D - 18^\circ$ (с 0,97). Аналогично 900 мг XIII превращают в XIV, т. пл. 180—181°, $[\alpha]^{22}_D + 6^\circ$ (с 0,82). При обработке 0,04 н. р-ром КОН в CH_3OH (20°, 18 час.) XII и XIV дают (после ацетилирования) XV, т. пл. 124—125° (из водн. CH_3OH). 3 г IV и 40 мл 2,5%-ного р-ра КОН в CH_3OH кипятят 30 мин.; при добавлении воды выпадает V, выход 2,5 г, т. пл. 217—218°. От р-ра 2,3 г V в 80 мл толуола и 20 мл циклогексанона отгоняют 25 мл р-рителя, добавляют 18 мл 25%-ного р-ра изопропила Al в толуоле, кипятят смесь 30 мин. и выделяют XVIII, выход 1,7 г (неочищ.), т. пл. 210° (из водн. сп.), $[\alpha]^{20}_D + 137^\circ$ (с 0,7). XVIII (230 мг) синтезируют также из 350 мг XVII действием ацетона в присутствии HCl в условиях получения IV. $[\alpha]_D$ определены в CHCl_3 . Л. Б.

43300. Гидроксирование Δ^{16} -прегненонов-20. II. D-гомопроизводные, полученные из $16\alpha,17\alpha$ -диоксипрегнанонов-20. Кули, Эллис, Хартли,

Петров (Hydroxylation of pregn-16-en-20-ones. Part II. D-homoderivatives derived from 16- α :17 α -dihydroxypregnan-20-ones. Cooley George, Ellis Bernard, Hartley Frank, Petrow Vladimir, J. Chem. Soc., 1955, Dec., 4377—4383 (англ.)

Ацетат $\Delta^{5,16}$ -прегнадиенол-3 β -она-20 (I) дает в эфире в присутствии пиридина осмиевый комплекс (II), превращающийся при щел. гидролизе и последующем ацетилировании в 3,16-диацетат (III) Δ^5 -прегнентриол-3 β ,16 α ,17 α (IV). Обработка II водно-спирт. р-ром Na_2SO_3 приводит к смеси 3-ацетата (V) Δ^5 -17 α - α -метил- D -гомоандростендиол-3 β ,16 β ,17 α -она-17 (VI) и Δ^5 -17 α - β -метил- D -гомоандростендиол-3 β ,16 α ,17 α -она-17 (VII). В то время как V при ацетилировании дает триацетат, VII образует лишь диацетат, что указывает на экваториальное положение 17 α -гидроксильной в VI и аксиальное положение 17 α -ОН-группы в VII. 3-моноацетат IV при хроматографировании на шел. Al_2O_3 переходит в 3-моноацетат VII, образующий в отличие от V изопропилиденное производное. Полученные данные показывают, что соединение, полученное Инхоффеном (РЖХим, 1955, 52016) из осмиевого производного 3 β -ацетоксид- $\Delta^{16,5,6}$ -дибромпрегнано-20, и рассматриваемое им как IV, на самом деле представляет собой 3-моноацетат VII. При обработке КОН в CH_3OH как V, так и VII превращаются в $\Delta^{5,17}$ -17 α -метил- D -гомоандростендиол-3 β ,17-он-16 (VIII), образующий при окислении шел. H_2O_2 3 β -окси-17 α -метил-16,17-секо- Δ^5 -андростендиол-16,17 к-ту (IX). Окисление 5,6-дибромидом 3-моноацетата VII CrO_3 и последующее дебромирование Zn приводит к 3 β -ацетоксид-16,17-секо- Δ^5 -андростендиол-16,17 к-те (X). Обработкой ацетата Δ^{16} -аллопрегненол-3 β -она-20 (XI) или $\Delta^{4,16}$ -прегнадиендиона-3,20 (XII) OsO_4 в пиридине и последующим щел. гидролизом синтезируют 3,16-диацетат аллопрегнентриол-3 β -16 α ,17 α -она-20 (XIII) и Δ^4 -прегнентриол-16 α ,17 α -дион-3,20 (XIV). При обработке Na_2SO_3 осмиевые комплексы из XI и XII дают 17 α - α -метил- D -гомоандростендиол-3 β ,16 β ,17 α -он-17 (XV) и соответственно 17 α - β -метил- D -гомо- Δ^4 -андростендиол-16 β ,17 α -дион-3,17 (XVI), синтезированный также нагреванием XVI с водно-спирт. р-ром Na_2SO_3 . XV не образует изопропилиденное производное. При восстановлении осмиевого комплекса из XII Na_2SO_3 в присутствии Zn и ZnBr_2 наряду с XVI образуется 17 α - β -метил- D -гомо- Δ^4 -андростендиол-16 α ,17 α -дион-3,17 (XVII), полученный также из XIV при хроматографировании его на шел. Al_2O_3 . Окисление XI OsO_4 в отсутствие пиридина и последующая обработка Na_2SO_3 приводят не к XIII, как предполагалось ранее (Inhoffen, см. ссылку выше), а к XV. Р-р 4 г I в 240 мл эфира и 3,5 мл пиридина обрабатывают 3 г OsO_4 в 50 мл эфира. Через 1 час выделяют II (6,4 г), который кипятят 45 мин. с р-ром 15 г Na_2SO_3 в 110 мл спирта и 80 мл воды. Смесь фильтруют, фильтрат разбавляют водой, экстрагируют CH_2Cl_2 , упаривают до 50 мл и отфильтровывают V, выход 810 мг, т. пл. 250° (из водн. сп.), $[\alpha]^{20}_D - 56^\circ$ (с 0,57; в пиридине), $[\alpha]^{20}_D - 84^\circ$ (с 0,43); триацетат VI (пиридин, 20°, 24 часа), т. пл. 160—161° (из водн. сп.), $[\alpha]^{19}_D - 29^\circ$ (с 0,92). Из маточных р-ров выделяют VII, выход 920 мг, т. пл. 255—256° (из водн. сп.); 3,16-диацетат VII (пиридин, 100°, 30 мин.), т. пл. 176—177° (из водн. сп.), $[\alpha]^{19}_D - 99^\circ$ (с 0,93). Суспензию 1,1 г II в р-ре 2 г маннита и 0,5 г КОН в 50 мл воды нагревают 10 мин. при 100° и смесь фильтруют. Ацетилирование остатка в пиридине приводит к III, выход 50 мг, т. пл. 214—215° (из водн. CH_3OH). Р-р 2,6 г 3-моноацетата IV в 150 мл смеси эфира с C_6H_6 (1:1) пропускают через шел. Al_2O_3 и получают 3-моноацетат VII, выход 2,4 г, т. пл. 200—201°, $[\alpha]^{22}_D - 76^\circ$ (с 1,43); изопропилиденное

производное (ацетон, 2 капли HCl , 20°, 12 час.), выход 70%, т. пл. 183—184° (из n -гексана), $[\alpha]^{21}_D - 85^\circ$ (с 0,87). К 1,5 г 3-моноацетата VII добавляют (—60°, 45 мин.) 60 мг Br_2 в 20 мл CHCl_3 , р-ритель удаляют в вакууме, остаток окисляют CrO_3 (1 г) в CH_3COOH (20°, 12 час.), добавляют Zn-пыль, перемешивают 10 мин. при 20° и 10 мин. при 100°. После обработки выделяют X, выход 0,66 г, т. пл. 258—260° (из водн. сп.), $[\alpha]^{20}_D - 97^\circ$ (с 1,33). Кипячение (2 часа) 2,3 г 3-моноацетата VII в 50 мл 10%-ного р-ра КОН в CH_3OH приводит к VIII, выход 1,1 г, т. пл. 196° (из водн. CH_3OH), $[\alpha]^{22}_D - 67^\circ$ (с 0,84); диацетат (пиридин, 100°, 30 мин.), т. пл. 209—210° (из водн. CH_3OH), $[\alpha]^{20}_D - 66^\circ$ (с 1,26); хиноксалиновое производное, т. пл. 254° (из водн. CH_3OH). Аналогично получают VIII из V. Р-р 1 г VIII в 100 мл спирта обрабатывают H_2O_2 и затем 10%-ным водн. КОН (8 мл); смесь выдерживают 18 час. при 20° и после обработки получают IX, выход 350 мг, т. пл. 145° и 258—259° (из водн. CH_3COOH), $[\alpha]^{20}_D - 65^\circ$ (с 0,74; в сп.). 1 г осмиевого комплекса XI (получают как II), 2 г маннита и 0,5 г КОН в 50 мл воды нагревают 5 мин. при 100° и после ацетилирования выделяют XIII, выход 90 мг, т. пл. 158—160° (из CH_3OH). Аналогично XII превращают в XIV, т. пл. 225° (из сп.). Разложением 8 г осмиевого комплекса XI с помощью Na_2SO_3 получают XV, выход 1,22 г, т. пл. 260—262° (из водн. CH_3OH), $[\alpha]^{22}_D + 23^\circ$ (с 0,73); триацетат, т. пл. 172—174° (из водн. CH_3OH), $[\alpha]^{21}_D + 35^\circ$ (с 0,91). Аналогично из осмиевого комплекса XII (8 г) синтезируют XVI, выход 1,5 г, т. пл. 223—225° (из n -гексана), $[\alpha]^{20}_D + 80^\circ$ (с 0,81), 16,17-диацетат, т. пл. 201—202° (из водн. сп.), $[\alpha]^{22}_D + 91^\circ$. Р-р 3 г XIV в 320 мл смеси C_6H_6 с CH_2Cl_2 (3:1) пропускают через Al_2O_3 и кристаллизацией продукта из спирта- n -гексана выделяют XVII, выход 1,8 г, т. пл. 190°, $[\alpha]^{21}_D + 96^\circ$ (с 0,86); 16-ацетат, т. пл. 202—203° (из ацетона- n -гексана); изопропилиденное производное XVII (ацетон, 2 капли конц. HCl , 20°, 12 час.), выход 90%, т. пл. 231—232° (из водн. сп.), $[\alpha]^{22}_D + 68^\circ$ (с 0,67). Кипячением (3 часа) смеси 3 г осмиевого комплекса XI, 13 г Na_2SO_3 , 1,5 г ZnBr_2 , 5 г Zn-пыли, 100 мл спирта и 150 мл воды получают 150 мг XVII и 350 мг XVI. $[\alpha]_D$ определили в CHCl_3 . Л. Б.

43301. Гидроксипрегненол- $\Delta^{5,16}$ -прегненол-20. III.

Образование 3-ацетата $\Delta^{5,14}$ -прегнадиентриол-3 β ,16 α ,17 α -она-20 и 16-оксипроизводных «соединения S» и кортизона. Эллис, Хартли, Петров, Уэдлейк (Hydroxylation of pregn-16-en-20-ones. Part III. Formation of 3 β -acetoxy-16 α :17 α -dihydroxypregna-5:14-dien-20-one and 16 α -hydroxyderivatives of «Compound S» and of cortisone. Ellis Bernard, Hartley Frank, Petrow Vladimir, Wedlake Diana, J. Chem. Soc., 1955, Dec., 4383—4388 (англ.)

При окислении ацетата $\Delta^{5,16}$ -прегнадиенол-3 β -она-20 (I) KMnO_4 в ацетоне в присутствии CH_3COOH образуется не только 3-ацетат Δ^5 -прегнентриол-3 β ,16 α ,17 α -она-20 (II), но и 3-ацетат (III) $\Delta^{5,14}$ -прегнадиентриол-3 β ,16 α ,17 α -она-20 (IV). Относительный выход II и III зависит от кол-ва CH_3COOH . При применении на 1 моль I 15 молей CH_3COOH III является единственным продуктом р-ции. Образование III объясняется аллильным окислением I при $\text{C}_{(15)}$ дегидратацией продукта окисления и гидроксипрегненол образующегося $\Delta^{5,14,16}$ -триена. При бромировании, окислении CrO_3 и последующем ацетилировании III дает кетон Кестера-Логемана (V); на шел. Al_2O_3 III переходит в 3-ацетат (VI) 17 α -метил- $\Delta^{5,14}$ -гомоандростендиентриол-3 β ,16 α ,17 α -она-17 (VII), превращающийся при нагревании в

метанольным КОН в 17а-метил- $\Delta^{4,14,17}$ -D-гомоандростатриендиол-3 β ,17-он-16 (VIII). Изопропилиденное производное IV при окислении по Оппенгауэру дает 16 α ,17 α -изопропилидендиокси- $\Delta^{4,14}$ -прегнадиендиол-3,20 (IX), не гидролизующийся при нагревании с водн. CH_3COOH . Окисление диацетата $\Delta^{4,16}$ -прегнадиендиол-3 β ,21-она-20 (X), ацетата $\Delta^{4,16}$ -прегнадиендиол-21-диола-3,20 (XI) и ацетата $\Delta^{4,16}$ -прегнадиендиол-21-триона-3,11,20 (XII) KMnO_4 в ацетоне в присутствии небольшого кол-ва CH_3COOH приводит соответственно к 3,21-диацетату (XIII) Δ^5 -прегнететрол-3 β ,16 α ,17 α ,21-она-20 (XIV), 21-ацетату (XV) Δ^4 -прегнетриол-16 α ,17 α ,21-диола-3,20 (XVI) и к 21-ацетату Δ^4 -прегнетриол-16 α ,17 α -21-триона-3,11,20 (XVII, триол). 3,16,21-триацетат XIV синтезируют также бромированием (при $\text{C}_{(21)}$) 3,16-диацетата Δ^5 -прегнетриола-3 β ,16 α ,17 α (XVIII), превращением 21-бромида в иодид и обработкой последнего CH_3COOH в ацетоне. Р-р 18 г KMnO_4 в 1,05 л 85%-ного водн. ацетона добавляют (0°, 40 мин.) к р-ру 40 г I в 1,2 л ацетона и 100 мл CH_3COOH . Смесь обрабатывают SO_2 , отделяют декантацией от неорганич. солей, р-ритель удаляют в вакууме, остаток экстрагируют эфиром и после обработки экстракта выделяют III, выход 12 г, т. пл. 220—222° (из CH_3OH), $[\alpha]^{20}_D - 107^\circ$ (с 1,25); изопропилиденное производное (4 г III, 150 мл кипящего ацетона, 3 капли конц. HCl , 20°, 12 час.), т. пл. 184° (из CH_3OH), $[\alpha]^{20}_D - 40^\circ$ (с 1,29). Ацетилирование III (пиридин, 100°, 1 час) приводит к 3,16-диацетату IV, т. пл. 178° (из водн. сп.), $[\alpha]^{21}_D - 136^\circ$ (с 0,91), 1,7 г Br_2 в 30 мл CHCl_3 добавляют к р-ру 3,9 г III в CHCl_3 (—60°, 45 мин.), нагревают смесь до 20° и удаляют р-ритель в вакууме. Продукт р-ции (4,6 г, т. пл. 155°) окисляют 3,5 г CrO_3 в CH_3COOH (20°, 12 час.), добавляют 15 г Zn -пыли, перемешивают 10 мин. при 20° и 10 мин. при 100°. Продукт р-ции хроматографируют на Al_2O_3 и C_6H_6 вымывают V, выход 400 мг, т. пл. 129° (из водн. CH_3OH), $[\alpha]^{20}_D - 90^\circ$ (с 0,5). Р-р 2 г III в 40 мл смеси CH_2Cl_2 со спиртом (9:1) пропускают через шел. Al_2O_3 и тем же р-рителем вымывают VI, выход 1,9 г, т. пл. 175—176° (из водн. ацетона), $[\alpha]^{22}_D - 7^\circ$ (с 0,96); изопропилиденное производное, т. пл. 166—168° (из водн. ацетона), $[\alpha]^{20}_D + 20^\circ$ (с 1,0). Ацетилирование VI в пиридине приводит к 3,16-диацетату VII, т. пл. 169° (из водн. CH_3OH), $[\alpha]^{20}_D - 157^\circ$ (с 0,99). 1 г VI в 25 мл 12%-ного р-ра КОН в CH_3OH кипятят 4 часа. Суспензию образовавшейся соли в 100 мл эфира и 75 мл воды встряхивают с конц. HCl (1 мл) и выделяют VIII, выход 60%, т. пл. 185—186°, $[\alpha]^{23}_D + 161^\circ$ (с 1,1); 3,16-диацетат VIII, т. пл. 225—226° (из водн. сп.), $[\alpha]^{19}_D + 71^\circ$ (с 0,8); хиноксалиновое производное, т. пл. 258—260° (из сп.). Изопропилиденное производное III (3,1 г) кипятят 45 мин. в 1%-ном р-ре КОН в CH_3OH (100 мл), при добавлении воды выпадает изопропилиденное производное IV, выход 2,55 г, т. пл. 225°. Р-р последнего в 80 мл толуола и 20 мл циклогексана подвергают перегонке, после отгонки 25 мл дистиллата добавляют 18 мл 25%-ного р-ра изопропилата Al в толуоле, кипятят 30 мин. и после обработки выделяют IX, т. пл. 200—202° (из водн. сп.), $[\alpha]^{21}_D + 73,5^\circ$ (с 0,95). Р-р 3,2 г KMnO_4 в 175 мл 85%-ного водн. ацетона добавляют к р-ру 7 г X в 200 мл ацетона, содержащего 3 мл CH_3COOH (0°, 30 мин.). После обычной обработки получают XIII, выход 3,95 г (неочищ.), т. пл. 235—237° (из $\text{CH}_2\text{Cl}_2 = \text{CH}_3\text{OH}$), $[\alpha]^{21}_D - 53^\circ$ (с 1,0); изопропилиденное производное, т. пл. 194—195° (из водн. ацетона), $[\alpha]^{20}_D - 68^\circ$ (с 0,97). Аналогично из XI (1,75 г) синтезируют XV, выход 420 мг, т. пл. 200—202° (из этилацетата-и-гексана), $[\alpha]^{20}_D + 121^\circ$ (с 0,63); изопропили-

денное производное, т. пл. 249—250° (из водн. сп.), $[\alpha]^{22}_D + 133^\circ$ (с 0,53), а из XII (1,7 г) получают 21-ацетат XVII, выход 510 мг, т. пл. 245—247° (из водн. диоксана), $[\alpha]^{22}_D + 166,5^\circ$ (с 0,97; в диоксане). При ацетилировании в пиридине XIII дает 3,16,21-триацетат XIV, т. пл. 214—215° (из CH_3OH), $[\alpha]^{22}_D - 68^\circ$ (с 0,97). XV образует 16,21-диацетат XVI, т. пл. 199—200° (из водн. CH_3OH), $[\alpha]^{20}_D + 52^\circ$ (с 0,78), а XVII превращается в 16,21-диацетат XVII, т. пл. 185° и 225—226° (из сп.), $[\alpha]^{20}_D + 118^\circ$ (с 0,43). Р-р 2,25 г Br_2 в 10 мл CCl_4 добавляют к 3 г XVIII в 60 мл смеси CCl_4 с CH_3COOH (1:1). Продукт р-ции растворяют в C_6H_6 , обрабатывают 24 часа 12 г NaI в 70 мл спирта. Полученный иодид (0,8 г, т. пл. 190°, разл.) кипятят 18 час. с 4 г CH_3COOK в 40 мл ацетона, добавляют воду и выделяют 3,16,21-триацетат XVI. $[\alpha]^{20}_D$ определены в CHCl_3 . Л. Б. Н.

43302. Гормоны коры надпочечников и родственные им вещества. I. «Непосредственный» синтез ацетата гидрокортизона и ацетата кортизона из 11 α -оксипрогестерона. Хогг, Бил, Фейтан, Линкольн, Шисейдер, Магерлейн, Ханце, Джексон (The adrenal hormones and related compounds. I. A «direct» synthesis of hydrocortisone acetate and cortisone acetate from 11 α -hydroxyprogesterone. Hogg J. A., Beal P. F., Nathan A. H., Lincoln F. H., Schneider W. P., Magerlein B. J., Hanze A. R., Jackson R. W.), J. Amer. Chem. Soc., 1955, 77, № 16, 4436—4438 (англ.).

Описан синтез ацетата кортизона (I) и ацетата гидрокортизона (II) из 11 α -оксипрогестерона (III). При окислении III получается 11-кетопрогестерон, который при обработке (25—30°) смесью 1,1 моля этилового эфира шавелевой к-ты, 1 моля CH_3ONa в C_6H_6 дает с 85—90% выходом Na-соль 21-этоксиксалил-11-кетопрогестерона (IV). При действии на IV иодом в водн. р-ре KJ с последующей обработкой CH_3COOK в CH_3OH образуется с 40%-ным выходом ацетат 11-дегидрокортикостерона, т. пл. 181—182,5°. Аналогичным путем из 11 β -оксипрогестерона получен ацетат кортикостерона. Р-р IV в CH_3OH , нейтрализованный CH_3COOH , обрабатывают (0°) 2 молями Br_2 в присутствии CH_3COONa . После прибавления р-ра CH_3ONa в CH_3OH получен метиловый эфир 3,11-дикето- $\Delta^{4,17(20)}$ -*цис*-прегнадиеновой-21 к-ты (V), выход 60%, т. пл. 212—216°, $[\alpha]^{23}_D + 189^\circ$. Аналогичным образом из Na-соли 21-этоксиксалил-11 α -оксипрогестерона получен метиловый эфир 3-кето-11 α -окси- $\Delta^{4,17(20)}$ -*цис*-прегнадиеновой-21 к-ты, т. пл. 205—210°, $[\alpha]^{23}_D + 133^\circ$. При гидролизе V метанольным р-ром КОН получена 3,11-дикето- $\Delta^{4,17(20)}$ -*цис*-прегнадиеновая-21 к-та (VI), т. пл. 252—254° (разл.), и 3,11-дикето- $\Delta^{4,16}$ -прегнадиеновая-21 к-та (VII), т. пл. 169—172°; метиловый эфир VII, т. пл. 114—115°, $[\alpha]^{23}_D + 179^\circ$. При действии на V р-ром CH_3ONa в абс. CH_3OH образуется 3,11-дикето- $\Delta^{4,17(20)}$ -*транс*-прегнадиеновая-21 к-та (VIII), т. пл. 155—159°, $[\alpha]^{23}_D + 121^\circ$. При действии на V пирролидино и *n*- $\text{CH}_3\text{C}_6\text{H}_4\text{SO}_3\text{Na}$ получают 3-энамины V, т. пл. 181—183°, $[\alpha]^{23}_D - 110^\circ$ (хлф.). При восстановлении энамины V LiAlH_4 в дибутыловом эфире, в N-этилморфине или в эфире- C_6H_6 образуется 3-пирролидил- $\Delta^{3,5,17(20)}$ -*цис*-прегнатриендиол-11 β ,21 (IX), т. пл. 228—232° (разл.), $[\alpha]^{23}_D - 88^\circ$ (хлф.). При гидролизе IX щелочью в водно-метанольном р-ре образуется $\Delta^{4,17(20)}$ -*цис*-прегнадиендиол-11 β ,21-сп-3 (X), т. пл. 156—158°, $[\alpha]^{23}_D + 128^\circ$; 21-ацетат, т. пл. 190—191°, $[\alpha]^{23}_D + 128^\circ$. При окислении хромовой к-той 21-ацетата X получен ацетат $\Delta^{4,17(20)}$ -*цис*-прегнадиендиол-21-диола-3,11 (Xa), т. пл. 196—199°.

$[\alpha]^{23}_D + 145^\circ$. При действии на V этиленгликоля и $n\text{-CH}_3\text{—C}_6\text{H}_4\text{SO}_3\text{H}$ получен 3-кеталь V, т. пл. 188—190°, $[\alpha]^{23}_D + 9^\circ$. При восстановлении 3-кетала V с LiAlH_4 получен 3-этиленкеталь X, т. пл. 185—188°, $[\alpha]^{23}_D + 4^\circ$. Аналогичным путем VIII был превращен в 11 β , Δ^4 , 17(20)-*trans*-прегнадиенол-21-он-3 (XI), т. пл. 181—185°, $[\alpha]^{23}_D + 120^\circ$; ацетат XI, т. пл. 107—110°, $[\alpha]^{23}_D + 113^\circ$. Стереохимия 17—20-двойных связей в ацетате X и ацетате XI доказана изучением р-ций окисления. При гидроксилровании ацетата X OsO_4 получен 21-ацетат Δ^4 -прегнететрол-11 β , 17 α , 20 α , 21-она-3 (XII), т. пл. 228—229°, $[\alpha]^{23}_D + 89^\circ$. При омылении XII получен Δ^4 -прегнететрол-11 β , 17 α , 20 α , 21-он-3 (XIII), т. пл. 256—260°, $[\alpha]^{23}_D + 65^\circ$. Аналогичным образом ацетат XI был превращен в 20 β -эпимер XIII (в-во Е Рейхштейна), т. пл. 130—132°, 20, 21-диацетат, т. пл. 230—231,5°, $[\alpha]^{23}_D + 168^\circ$. При окислении XII с MnO_2 получен II, т. пл. 217—220° $[\alpha]^{23}_D + 159^\circ$ (диоксан). При окислении XIII CrO_3 в пиридине получен I, т. пл. 244—248°. Окислительное гидроксилрование 21-ацетата X в р-ре *tert*- $\text{C}_4\text{H}_9\text{OH}$ -пиридин с феррилодизаацетатом в присутствии катализ. кол-в OsO_4 дает II, выход 65%. Аналогичным путем из ацетата XI и Xa получены II и I соответственно. Все $[\alpha]^{23}_D$ измерены в ацетоне. Приведены λ_{max} УФ-спектров V, VII, VIII, X и II. С. А.

43303. Производные колхицина. I. Колхаминоны и деацетилколхаминоны. Фурио (Dérivés de la colchicine. I. Colchaminones et désacétyl-colchaminones. Fourneau Jean-Pierre), Bull. Soc. chim. France, 1955, № 11—12, 1569—1571 (франц.)

Деацетилированные производные колхицина (I-колхицин), а также производные I, содержащие в трополоновом цикле группу NH_2 вместо CH_3O , обладают лучшим химиотерапевтич. индексом, чем I. Исходя из I, получены в-ва, содержащие и деацетилированную аминогруппу и алкиламещ. аминогруппу в трополоновом цикле. Одновременно уточнены константы ранее описанных N-замест. I, содержащих аминогруппу в трополоновом цикле. Предложена номенклатура производных колхицина, по которой названия производятся от колхицина; но аналогия с трополоном последнему дается название «колхолон». Тогда аминопроизводные аналоги тропаминона, принадлежащие к ряду I, получают название «колхаминоны». N-метилколхаминон (II); 2 г I растворяли в 10 мл 10%-ного водн. NH_2CH_3 , оставляли на 24—48 час. при $\sim 20^\circ$ и извлекали C_6H_6 . Из экстракта получен II $\text{C}_{22}\text{H}_{26}\text{O}_5\text{N}_2 \cdot \text{H}_2\text{O}$, т. пл. 192° (из этилацетата), $[\alpha]^{20}_D - 84^\circ$. Остальные продукты синтезированы тем же методом. N-этилколхаминон (III) $\text{C}_{23}\text{H}_{28}\text{O}_5\text{N}_2 \cdot 3/4\text{H}_2\text{O}$, т. пл. 177° (из этилацетата), $[\alpha]^{20}_D - 96^\circ$. N-(2-оксипропил)-колхаминон $\text{C}_{23}\text{H}_{28}\text{O}_6\text{N}_2 \cdot 3/4\text{H}_2\text{O}$, т. пл. 189°, $[\alpha]^{20}_D - 160^\circ$; $\text{C}_{23}\text{H}_{26}\text{O}_6\text{N}_2 \cdot \text{C}_6\text{H}_6$ (из бэл.). N-метилдеацетилколхаминон $\text{C}_{20}\text{H}_{24}\text{O}_4\text{N}_2$, т. пл. 162° (из этилацетата), $[\alpha]^{20}_D - 135^\circ$; N-этилдеацетилколхаминон $\text{C}_{21}\text{H}_{26}\text{O}_4\text{N}_2$, т. пл. 164° (из этилацетата), $[\alpha]^{20}_D - 134^\circ$. Во всех случаях $[\alpha]^{20}_D$ определено при с I в CHCl_3 . II и III показали антимитотич. активность при меньшей токсичности, чем у I. В. К.

43304. Производные колхицина. II. 2-аминоколхидазолы (2-иминоколхидазолины). Фурио, Грудланд (Dérivés de la colchicine. II. Amino-2-colchimidazoles (imino-2-colchimidazoles). Fourneau Jean-Pierre, Grundland Isae I), Bull. Soc. chim. France, 1955, № 11—12, 1571—1573 (франц.)

В молекулу колхицина (I) введен остаток гуанидина (II). В тех же условиях, что и амина, II реагирует с I, заменяя CH_3O -группу трополонового кольца на аминогруппу; одновременно второй атом азота II реагирует

с соседним карбонилем I. Получается 2-аминоколхидазол (III) или таутомерный ему 2-иминоколхидазол. Кроме того, образуется побочный продукт (IV), для которого возможно строение N-колхидазол-2-колхаминона. К 0,67 г хлоргидрата II в 15 мл абс. спирта прибавили 7 мл 1 н. спирт. р-р NaOH . Фильтровали в суспензию 1 г I в 30 мл толуола и медленно упаривали при 30—40 мм Hg . Остаток растворяли в CHCl_3 , обрабатывали избытком водн. Na_2CO_3 , затем перевели в пикрат III $\text{C}_{29}\text{H}_{27}\text{O}_{11}\text{N}_7$, т. пл. 255°. При промывании пикрата III ацетоном отделялся яркочерный пикрат IV. Из пикрата III выделили основание III $\text{C}_{29}\text{H}_{24}\text{O}_4\text{N}_4 \cdot 3\text{H}_2\text{O}$, т. пл. 230°, $[\alpha]^{24}_D - 310^\circ$ (с 1; хлф.). Для получения IV на 1 моль I брали 0,5 моля хлоргидрата II и проводили р-цию в толуоле в присутствии 1 моля CH_3ONa . IV получен в виде оксалата $\text{C}_{43}\text{H}_{45}\text{O}_9\text{N}_5 \cdot \text{C}_2\text{H}_2\text{O}_4 \cdot 3\text{H}_2\text{O}$, т. пл. 285° (из водн. CH_3COCH_3). III и IV подвергнуты испытанию на противораковую активность. В. К.

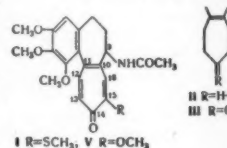
43305. Конфигурация колхицина и родственных соединений. Корроди, Хардеггер (Die Konfiguration des Colchicins und verwandter Verbindungen. Corrodi H., Hardegger E.), Helv. chim. acta, 1955, 38, № 7, 2030—2033 (нем.)

В результате энергичного озонирования колхицина (I) и последующего окисления продукта р-ции HCOOH получена N-ацетил-L-глутаминовая (в подлиннике N-ацетил-L-глутаминовая) к-та (II), конфигурированно связанная с D-глицериновым альдегидом (Karrer P. и др., Helv. chim. acta, 1926, 9, 301; Brewster P. и др., Nature, 1950, 166, 178). Этот факт позволяет установить α -конфигурацию заместителя при $\text{C}_{(9)}$ в молекуле I и родственных алкалоидов. В. К.

43306. О положении трополонового карбонила в колхицине. Мюлле, Веллюз (Sur l'emplacement du carbonyle traponique dans la colchicine. Muller Georges, Velluz Léon), Bull. Soc. chim. France, 1955, № 11—12, 1452—1454 (франц.)

Осуществлены следующие превращения тиюколхицина (I): гидрированием I над скелетным $\text{Ni} + 1\% \text{Pd}$ получен 15-деметоксигексагидроколхицин (II), который окисляли пиридинохромовым комплексом. Образовавшийся деметокс-12,13,15,16-тетрагидроколхицин (III), [т. пл. 143—144°, $[\alpha]^{20}_D - 174^\circ$ (с 1,1; сп.); оксим; т. пл. 212°, $[\alpha]^{20}_D - 8^\circ$, (с 0,5; хлф.)] превращали в диангидрин, который путем отщепления воды действием POCl_3 в пиридине превращали в 14,15-ненасыщ. нитрил: 14-циан-15-деметоксидигидроколхицин (IV), т. пл. 210°, $[\alpha]^{20}_D - 106^\circ$ (с 0,5; сп.), — 42° (с 0,5; хлф.).

Те же р-ции осуществлены с изотопколхицином, причем получены изомеры выше-названных продуктов: 14-деметоксигексагидроколхицин, т. пл. 226°, $[\alpha]^{20}_D - 115^\circ$ (с 0,5; хлф.); ацетиловое производное $\text{C}_{23}\text{H}_{31}\text{O}_6\text{N}$, т. пл. 186°, $[\alpha]^{20}_D - 127^\circ$ (с 0,25; хлф.); 14-деметокситетрагидроколхицин, т. пл. 191°, $[\alpha]^{20}_D - 124^\circ$ (с 0,5; хлф.), — 154° (с 0,5; сп.); циандеметоксидексидигидроколхицин, $[\alpha]^{20}_D - 86^\circ$ (с 0,5; хлф.); циандеметоксигексагидроколхицин, т. пл. 215—220° (разл.), $[\alpha]^{20}_D - 162^\circ$ (с 0,5; сп.). Кроме того, в ряду колхицина получен циандеметоксигексагидроколхицин $\text{C}_{27}\text{H}_{28}\text{O}_6\text{N}_2 \cdot \text{CH}_3\text{OH}$, т. пл. 200° (разл.), $[\alpha]^{20}_D - 160^\circ$ (с 0,5; сп.). При работе с производными ряда колхицина одновременно с II получается, повидимому, его стереоизомер (РЖХим, 1956, 16211). В случае же изорядя на той же стадии получается один изомер. Для нитрила изорядя λ_{HC} (268 м μ , ϵ 8510)



в УФ-области сдвинут в сторону больших длин волн, чем для нитрила ряда колихицина ($\lambda_{\text{макс}}$ 251 мк, ϵ 9040). Из этих данных сделан вывод, что вопреки принятому мнению ф-ла (V) соответствует не изоколихицину, а колихицину. В. К.

43307. Об алкалоидах. *Rauwolfia*. Сообщение 5. Раувомитин, новый алкалоид из *Rauwolfia vomitoria*. Afz. Хаак, Попелак, Шпинглер (*Rauwolfia* — Alkaloide. 5. Mitt. *Rauvomitin*, ein neues Alkaloid aus *Rauwolfia vomitoria* Afz. Haack E., Popelak A., Spingler H.), Naturwissenschaften, 1955, 42, № 23, 627 (нем.)

Из *Rauwolfia vomitoria* Afz. выделен новый алкалоид раувомитин (I) из маточного р-ра после выделения резерпина и ресципмина. I $C_{30}H_{34}O_5N_2$ содержит 3 ОСН₃-группы, т. пл. 115–117° (из 50%-ного сп.), $[\alpha]^{20}_D -173,4 \pm 1^\circ$ (c 1,0; хлф.); хлоргидрат I, т. пл. 223°. После щел. омыления I получена 3,4,5-триметоксисбензойная к-та и основание $C_{20}H_{24}ON_2$ (II), т. пл. 327°. Из характера УФ-спектра II следует, что II принадлежит к производным индола. Приведены кривые УФ-спектров для I и II; тозилат II, т. пл. 193°. Из II и 3,4,5-триметоксисбензойной к-ты синтезирован I. Сообщение 4 см. РЖХим, 1955, 43120. Т. П.

43308. Исследование стрихнина и бруцина. Галло (Ricerche sulla stricnina e brucina. Gallo Nicola), Gazz. chim. ital., 1955, 85, № 11, 1365–1371 (итал.)

Стрихнин (I) сочетается с $n\text{-HOOC}C_6H_4N_2Cl$ ($n\text{-HOOC}C_6H_4N_2H_2$, HCl, 1:1, 0°, рассчитанное кол-во $NaNO_2$) в уксуснокислом р-ре (12 час., охлаждение льдом), образуя коричневое азосоединение (II) (выделено нейтральной р-ром соды), т. разл. 260° (дигидрат); при обработке р-ра II в 1%-ной соде $AgNO_3$ получается красная соль $C_{28}H_{24}O_6N_4Ag_2 \cdot 2H_2O$. I и бруцин (III) сочетаются аналогично с $n\text{-NO}_2C_6H_4N_2OH$, образуя соответственно азосоединения (IV), т. пл. 221° (дигидрат), и (V), т. пл. 208°; анализ V не дал определенных результатов. II, IV и V растворяются в спирте. КОН с кроваво-красной окраской. II и IV не теряют воды при нагревании; это объясняется, повидимому, тем, что вода химически связана в молекуле II и IV. С целью выяснения строения разработан новый метод получения IV и V действием разб. HCl на n -нитрофенилдиазотат (VI), т. пл. 160° (разл.) (получен действием водно-спирт. р-ра $n\text{-NO}_2C_6H_4N_2OH$ на водно-спирт. р-р сульфата I), и n -нитрофенилдиазотат III, т. пл. 180° (получен аналогично VI). Полученные таким способом IV и V идентичны приготовленным путем азосочетания I и III. Л. Я.

43309. Влияние «старения» алкалоидов спорыньи на их ультрафиолетовый спектр. Ушкерт, Берки (Az anyarozs-alkaloidok öregedés-ének hatása a vegyületek ultraibolya szinképére. Uškert Andor, Berki Rudolfiné), Magyar kém. folyóirat, 1955, 61, № 9, 285–286 (венг.; рез. нем.)

При стоянии (2 недели) р-ра эрготоксина (0,01%-ный р-р в 0,5 М р-ре H_3PO_4) на воздухе и свету отношение E_{315}/E_{270} значений экстинкций при 315 и 270 мк уменьшается от первоначального значения 4,6–4,8 до 3,4. Для р-ра (в 0,5 М р-ре H_3PO_4), приготовленного из нерастворимой в C_6H_6 части твердого алкалоидного препарата *Ergam conc. pulvis*, сильно поврежденного длительным хранением на воздухе и свету $E_{315}/E_{270} = 1,2$. Изменение УФ-спектра алкалоидов спорыньи при их стоянии объясняется исчезновением двойной связи в хинолидиновом кольце части молекулы, соответствующей лизергиновой к-те. При гидрировании этой двойной связи характер изменения спектра тот же, как и при разложении вследствие стояния (приводится УФ-спектр дигидроэрготоксина). Измерением экстинк-

ций при 315 и 270 мк можно определить соотношение в смеси негидрированной (НФ) и гидрированной (ГФ) форм алкалоидов спорыньи. Для эргокристина конц. НФ: $E_{315} \cdot 85,6 \gamma / \text{мл}$, конц. ГФ: ($E_{270} - 0,228 \cdot E_{315}$) $115 \gamma / \text{мл}$. По этим же ф-лам можно определить соотношение неизменившейся и разложившейся долей всех видов алкалоидов спорыньи. Г. В.

43310. Синтез некоторых производных алкалоидов. VII. Дубравкова, Ежо, Шефчович, Вотицкий (Syntéza niektorých derivátov alkaloidov. VII. Dúbravková L., Ježo I., Šefčovič P., Votický Z.), Chem. zvesti, 1955, 9, № 9, 541–546 (словац.; рез. русс., нем.)

С целью изучения влияния строения молекулы алкалоида эметина на его фармакодинамич. свойства, синтезированы компоненты молекулы эметина, а именно N - β -фенилэтилпиперидины (Ia–a) и изучено их фармакологич. действие.

Синтез I а–з осуществляют термич. разложением производных фенилуксусной к-ты (II) с соответствующими производными пиперидина (III) с образованием замещ. фенилацетилпиперидинов (IV а–з), которые восстановлением $LiAlH_4$ переводят в Ia–з. 0,12 моля III в 60 мл декалина смешивают с теплым р-ром 0,1 моля II в 75 мл декалина, выдерживают 30 мин. и отгоняют воду, затем в вакууме отгоняют декалин, остаток растворяют в 250 мл эфира, промывают 30 мл 10%-ной соды, водой сушат, отгоняют в вакууме эфир и выделяют IV а–з. Получены IV а–з (указаны выход в %, т. кип. в °C/мм Hg): IVa, $R^1 = R^2 = R^3 = R^4 = H$, 65, 180–182/9; IVb,

$R^3 = R^4 = H$, $R^1 + R^2 = CH_2O_2$, 41, 195–197/0,3; IVв, $R^1 = R^2 = CH_3O$, $R^3 = R^4 = H$, 42, 197–199/0,3; IVг, $R^1 = R^2 = R^3 = H$, $R^4 = CH_3$, 43, 182–183/9; IVд, $R^1 + R^2 = CH_2O_2$, $R^3 = H$, $R^4 = CH_3$, 40, 167–168/0,3;

IVе, $R^1 = R^2 = CH_3O$, $R^3 = H$, $R^4 = CH_3$, 51, 186–188/0,4; IVж, $R^1 = R^2 = CH_3O$, $R^3 = C_2H_5$, $R^4 = H$, 62, 198–201/0,5; IVз, $R^1 = R^2 = CH_3O$, $R^3 = C_2H_5$, $R^4 = CH_3$, 51, 197–199/0,1. К суспензии 0,13 моля $LiAlH_4$ в 200 мл абс. эфира по каплям приливают 0,1 моля IVа–з и 250 мл абс. эфира, смесь нагревают 1 час, избыток $LiAlH_4$ разлагают водой, сильно подщелачивают 50 мл 50%-ного NaOH, через 20 мин. отделяют эфирный слой, водн. остаток экстрагируют эфиром и эфирные вытяжки сушат КОН. После отгонки эфира выделяют Ia–з. Получены (указаны выход в %, т. кип. в °C/мм Hg, т. пл. HCl-соли, токсичность LD_{50} в мг/кг веса): Ia $R^1 = R^2 = R^3 = R^4 = H$, 83, 129–131/9, 288–229, 6,2; Ib, $R^1 + R^2 = CH_2O_2$, $R^3 = R^4 = H$, 80, 121–123/0,4, 215–216, 25,7; Iv, $R^1 = R^2 = CH_3O$, $R^3 = R^4 = H$, 77, 183–185/9, 210–211, 30,5; Ig, $R^1 = R^2 = R^3 = H$, $R^4 = CH_3$, 83, 130–131/10, 260,5–261,5, 19; Id, $R^1 + R^2 = CH_2O_2$, $R^3 = H$, $R^4 = CH_3$, 79, 115–117/0,06, 234–235, 23; Ie, $R^1 = R^2 = CH_3O$, $R^3 = H$, $R^4 = CH_3$, 83, 135–137/0,1, 204–205, 53; Iж, $R^1 = R^2 = CH_3O$, $R^3 = C_2H_5$, $R^4 = H$, 74, 145–147/0,2, 188–189, 33,5; Ia, $R^1 = R^2 = CH_3O$, $R^3 = C_2H_5$, $R^4 = CH_3$, 82, 130–132/0,01, 173–174, 30,5. Найденная токсичность Ia–з близка к токсичности эметина ($LD_{50} = 20 \text{ мг/кг}$). Сообщение VI см. РЖХим, 1956, 9924. Б. Б.

43311. Исследование алкалоидов семян *Lolium cinereum* (Nevski). Юнусов С. Ю., Акрамов С. Т., Ж. общ. химии, 1955, 25, № 9, 1813–1820

Из семян *Lolium cuneatum* выделено три новых алкалоида: лолинидин (I), лолин (II) и лолинин (III) (РЖХимБХ, 1955, 1966). Перхлорат I, т. пл. 282°. При действии CH_3J на I получен подметилат I, т. пл. 210—212° (из водн. сп.), из маточного р-ра выделен подметилат N-метиллолина, т. пл. 257—259° (из сп.), $[\alpha]_D^{20} - 4,84^\circ$ (с 5,1; вода). N-метиллолин $\text{C}_9\text{H}_{16}\text{ON}_2$ (IV) получен при метилировании I ($\text{CH}_3\text{O} + \text{HCOOH}$). IV, т. кип. 90—91°/2 мм, $n_D^{22} 1,4968$, $d_4^{20} 1,0172$ $[\alpha]_D^{21} + 9,31$ (с 9,6; CH_3OH); нитрат, т. пл. 144—145°, $[\alpha]_D^{24} + 9,5$ (с 4,37; вода); хлоргидрат, т. пл. 245—246° (из сп.-эф.); дибромгидрат, т. пл. 198—199° (из CH_3OH), $[\alpha]_D^{21} + 5,1$ (с 6,1; 85%-ный CH_3OH); динитрат, т. пл. 183—184° (из сп.); подметилат. Нитрозолин, т. пл. 64° (из абс. эф.), $[\alpha]_D^{20} + 22,8$ (с 5,5; CH_3OH); перхлорат, т. пл. 195° (из CH_3OH); пикрат, т. пл. 194—195° (из сп.). N-ацетиллолин, т. пл. 73° (из абс. эф.), $[\alpha]_D^{20} + 51,1$ (с 8,8; ацетон). Бензоиллолин, т. пл. 157° (из абс. сп.); перхлорат, т. пл. 194° (из CH_3OH); пикрат, т. пл. 172° (из сп.). Бромгидрат III, т. пл. 226—227° (из CH_3OH), $[\alpha]_D^{20} + 7,5$ (с 20,0; вода); хлоргидрат, т. пл. 197—198°, $[\alpha]_D^{20} + 36,9$ (с 4,1; вода); перхлорат, т. пл. 174—175° (из сп.) пикрат т. пл. 195—196° (из сп.); подметилат, т. пл. 145—146°. После омыления III 20%-ным р-ром KOH в CH_3OH получен II. Т. П. 43312. Витамин B₁₂. XXIV. Лактон DL-3,3-диметил-2,5-диоксо-4-оксипирролидин-4-пропионовой кислоты и DL-3,3-диметил-2,5-диоксопирролидин-4-пропионовая кислота — новые продукты деградации. К ю л, Ш а н к, Ф о л к е р с (Vitamin B₁₂. XXIV. DL-3,3-dimethyl-2,5-dioxo-4-hydroxypyrrolidine-4-propionic acid lactone and DL-3,3-dimethyl-2,5-dioxopyrrolidine-4-propionic acid, new degradation products. K e u h l Frederick A., Jr, Shunk Clifford H., Folkers Karl), J. Amer. Chem. Soc., 1955, 77, № 1, 251—252 (англ.)

При окислении хроматом Na в CH_3COOH кислотного гидролизата витамина B₁₂ получены лактон DL-3,3-диметил-2,5-диоксо-4-оксипирролидин-4-пропионовой к-ты (I), т. пл. 151—152°, и DL-3,3-диметил-2,5-диоксопирролидин-4-пропионовая к-та (II), т. пл. 143—144°; оба в-ва выделены противоточным распределением: I — между CHCl_3 и водой и II — между эфиром и водой. Из I получены при гидролизе лактон 2-метил-3-оксипентаэнтрикарбовой-2,3,5 к-ты (III), т. пл. 167—168°; при сaponификации с KOH — янтарная и изомасляная к-ты; при перегонке с Zn-пылью — пиррольное основание, ИК-спектр I: полосы при 3,02, 5,65, 5,80 м. Из Na-енолята этилового эфира изомасляной к-ты взаимодействием с хлорангидридом β-карбоксипропионовой к-ты получен диэтиловый эфир 2,2-диметил-3-оксоадиновой к-ты, который превращен в диангидрин; гидролизом последнего получен III; при пиролизе NH_4 -соли III образуется I. Из II при гидролизе образуется 2-метилпентаэнтрикарбовая-2,3,5 к-та (IV), т. пл. 152—153°. NH_4 -соль IV, полученная синтезом при пиролизе, дает II. Сообщение XXIII см. РЖХим, 1955, 29061. А. Т.

43313. Химическое исследование аллитиамина и его гомологов. Мацукава (Allithiamine および その同族體の化學的研究. 松川泰), ビタミン, Витамины, 1954, 7, № 9, 815—817 (япон.). Обзор. Библ. 53 назв. В. Ш.

43314. О хлорамфениколе. Сообщение XI. Оксазолины и миграция ацильной группы у нитрофениламинопропандиолов. Альберти, Камерино, Верчеллоне (Ossazoline e migrazione aciliche nei nitrofenilaminopropandioli. Nota XI. Sul cloranfenicolo. Alberti Carlo G., Camerino Bruno, Vercellone Alberto), Gazz. chim. ital., 1955, 85, № 4, 324—344 (итал.)

Изучена р-ция между 1-н-нитрофенил-2-ацетиламинопропандиолами-1,3 и SOCl_2 с целью установления зависимости хода р-ции (замена OH-группы на Cl, образование оксазолина или образование циклич. сульфита) от природы N-ацильной группы и условий р-ции (см. *Chimica Industriale*, 1951, 33, 5). D,L-эритро-1-н-нитрофенил-2-дихлорацетиламинопропандиол-1,3 (I), хлорамфеникол (II), D,L-эритро-III и D,L-трео-1-н-нитрофенил-2-ацетиламинопропандиол (IV) образуют при действии SOCl_2 циклич. сульфиты; D-эритро-1-н-нитрофенил-2-бензаминпропандиол-1,3 (V) дает L-транс-2-фенил-4-оксиметил-5-н-нитрофенил-Δ²-оксазолин (VI). Р-ция SOCl_2 с L-трео-1-н-нитрофенил-2-бензаминпропандиол-1,3 (VII) проходит аномально с образованием L-трео-2-фенил-4-н-нитрофенилоксиметил-оксазолина (VIII) за счет замыкания кольца у концев. атома C. При омылении хлоргидрата VIII (IX) образуется хлоргидрат L-трео-1-н-нитрофенил-2-амино-3-бензоксипропанола-1 (X), который при действии NaHCO_3 дает не исходный VII, как обычно в подобных случаях (Gazz. chim. ital., 1952, 82, 63), а L-трео-1-н-нитрофенил-2-амино-3-бензоксипропанола-1 (XI), который превращается в VII при нагревании. VIII переходит в VI при нагревании. При гидролизе хлоргидрата VI (XII) HCl получается хлоргидрат L-трео-1-н-нитрофенил-1-бензоксипропанола-3 (XIII), который образуется также при действии HCl в диоксане на VII за счет миграции ацильной группы N → O. Обработка XIII водн. р-ром NaHCO_3 приводит к смеси 30% VII (за счет миграции O → N) и 70% XI (за счет миграции O_{вторич.} → O_{первич.}). Миграция N → O под действием к-т у нитрофениламинопропандиолов проходит в направлении N → O_{вторич.}; обратная миграция под действием щелочей O_{вторич.} → N протекает с большей скоростью, чем миграция O_{первич.} → N. При нагревании циклич. сульфит D,L-трео-1-н-нитрофенил-2-ацетиламинопропандиола-1,3 (XIV) переходит с отщеплением SO_2 в D,L-транс-2-метил-4-оксиметил-5-н-нитрофенил-Δ²-оксазолин (XV), который образуется в аналогичных условиях из циклич. сульфита D,L-эритро-1-н-нитрофенил-2-ацетиламинопропандиола-1,3 (XVI). Циклич. сульфит D,L-эритро-1-н-нитрофенил-2-дихлорацетиламинопропандиола-1,3 (XVII) дает при термич. разложении D,L-транс-2-дихлорметил-4-оксиметил-5-н-нитрофенил-Δ²-оксазолин (XVIII). Этиловый эфир D,L-трео-N-дихлорацетил-β-фенилсерина (XIX) образует при действии SOCl_2 этиловый эфир D,L-β-фенил-β-хлор-α-дихлорацетиламинопропионовой к-ты (XX). 10,46 г этилового эфира DL-трео-β-фенилсерина нагревают 2 часа на водяной бане с 8 мл метилового эфира дихлоруксусной к-ты и 8 мл CH_3OH , получают 8,17 г XIX, т. пл. 150—151° (из CH_3OH). При 0° XIX не реагирует с SOCl_2 , 5 г XIX нагревают 15 мин. с 5 мл SOCl_2 , выливают в охлажд. 15%-ный р-р Na_2CO_3 , извлекают этилацетатом 1,93 г XX, т. пл. 128,5—129,5° (из эф.). 37,15 г I в 130 мл CHCl_3 перемешивают 48 час. с 30 мл SOCl_2 , получают 38,15 г XVII, т. пл. 187° (из ацетона). 5 г I кипятят с 15 мл SOCl_2 , получают 4,85 г XVII. 10 г II и 30 мл SOCl_2 оставляют при 0° на 12 час., разбавляют эфиром, получают 9,85 г циклич. сульфита D-трео-1-н-нитрофенил-2-дихлорацетиламинопропандиола-1,3, т. пл. 171,5—172°, $[\alpha]_D$

— 101 ± 1° (с 4,79; ацетон). При кипячении 1 час 10 г II в 25 мл CHCl_3 с 5 мл SOCl_2 выход очищ. циклич. сульфита 5,8 г. 63 г III в 130 мл CHCl_3 перемешивают 45 мин. с 30 мл SOCl_2 при ~20°, получают 31,8 г XVI, т. пл. 143—144° (из ацетона). 3 г XVI кипятят 30 мин. с 15 мл HCl, 1:1, и через хлоргидрат выделяют 1,75 г D,L-эритро-1-н-нитрофенил-2-аминопропандиола-1,3. При кипячении XVI в ацетоне

с 1,867 н. NaOH в течение 20 мин. образуется III. 63 г IV в 115 мл C_6H_6 перемешивают 3 часа с 27 мл SOCl_2 , получают 14,8 г XIV, т. пл. 163—165° (разл.; из CH_3OH); из метанольного р-ра после отделения чистого XIV выделен 1,8 г хлоргидрата D,L-трео-1-н-нитрофенил-1-ацетокси-2-аминопропанола-3, т. пл. 171—172° (из CH_3OH), который образовался за счет гидратации XV, возникшего из XIV. При кипячении 5 г XIV с HCl (1:1) получают 3,4 г D,L-трео-1-н-нитрофенил-2-аминопропанола-1. 3,5 г XIV нагревают 15 мин. при 174°, растворяют в кипящем абс. спирте, получают 2,2 г XV, т. пл. 161—162° (из сп.). При нагревании (50—60°, 10 мин.) с 1 н. HCl 5 г XV дают 3,65 г IV. Из 5 г XVI (150°, 5 мин.) получают 3,17 г XV. 4,994 г XVII (190—193°, 15 мин.) дают 2,17 г XVIII, т. пл. 120—122° (из CH_3OH), 1 г которого при кипячении с водой (1 час) образует 0,7 г D,L-трео-1-н-нитрофенил-2-дихлорацетиламинопропанола-1, 3,1 г V в 10 мл CHCl_3 перемешивают с 1 мл SOCl_2 при 20° в течение 12 час., получают 0,54 г VI, т. пл. 225—226° (из монометилового эфира этиленгликоля), $[\alpha]_D + 80,5 \pm 2^\circ$ (с 2,0; CH_3COOH), ИК-спектр 9,60 μ (связь C—OH первичная), 0,5 г VI в 20 мл диоксана + 0,4 мл 24%-ного р-ра HCl в диоксане дает 0,53 г хлоргидрата VI, т. пл. 176—178° (из CH_3OH), $[\alpha]_D - 8 \pm 1^\circ$ (с 1,96; CH_3OH). При бензоилировании VI ($\text{C}_6\text{H}_5\text{COCl}$, пиридин) образуется L-транс-2-фенил-4-бензоксиметил-5-н-нитрофенил- Δ^2 -оксазолин, т. пл. 158—159° (из сп.), $[\alpha]_D + 35 \pm 4^\circ$ (с 2; CH_3COOH). L-трео-1-н-нитрофенил-2-ацетиламино-3-ацетоксипропанол-1 (XXI) эмеризуется посредством SOCl_2 (Gazz. Chim. ital. 1952, 82, 63) с образованием хлоргидрата D-эритро-1-н-нитрофенил-1,3-диацетокси-2-аминопропанола, т. пл. 164—165° (из CH_3OH -эф.), $[\alpha]_D - 15,9 \pm 2^\circ$ (с 4,02; CH_3OH), который дает D-эритро-1-н-нитрофенил-1,3-диацетокси-2-бензаминпропанол, т. пл. 179,5—180° (из сп.), $[\alpha]_D + 47,8 \pm 0,5^\circ$ (с 2,98, ацетон). При омылении последнего по Кунцу получен D-эритро-1-н-нитрофенил-2-бензаминпропанола-1, т. пл. 218—219° (из сп.), $[\alpha]_D + 71,8 \pm 2^\circ$ (с 2,03; пиридин). 10 г VII в 50 мл CHCl_3 обрабатывают 5 мл SOCl_2 при ~20°, через 1 час выпаривают в вакууме р-ритель, получают 3,2 г IX, т. пл. 136—137° (из CH_3OH -эф.), $[\alpha]_D - 62 \pm 1^\circ$ (с 4,01; CH_3OH). IX при действии 1 экв NaHCO_3 в воде и последующей экстракции этилацетатом образует VIII, т. пл. 160°, затем после застывания 220°, $[\alpha]_D + 57 \pm 3^\circ$ (с 2,03; CH_3COOH), ИК-спектр 9,13 μ (C—OH вторич.). VIII образуется также при выливания реакционной смеси после проведения р-ции между VII и SOCl_2 в воду. После отделения VIII из воды. р-ра упариванием выделяют X. При обработке р-ра VIII в диоксане 24%-ным р-ром HCl в диоксане образуется IX. Бензоилирование VIII приводит к L-трео-2-фенил-4-(н-нитрофенилбензоксип)-метил- Δ^2 -оксазолину, т. пл. 168—169° (из сп.), $[\alpha]_D - 11,3 \pm 4^\circ$ (с 2,03; CH_3COOH). При нагревании VIII до 200° (5 мин.) образуется 0,65 г VI. 0,2 г IX кипятят 1 час с 1 мл воды, получают 0,13 г X, т. пл. 201—202° (разл.), $[\alpha]_D - 51,5 \pm 1^\circ$ (с 4,01; CH_3OH). К р-ру 0,5 г X в 8 мл воды прибавляют 150 мл NaHCO_3 , получают 0,42 г XI, т. пл. 140,5—141,5° (из сп.), затем после застывания 168°, $[\alpha]_D - 15 \pm 1^\circ$ (с 2,02; пиридин), ИК-спектр: 3,18 μ (NH_2 -группа), 5,84 μ (СО эфирный), 7,84 μ (бензойный эф.). При плавлении XI превращается в VII, т. пл. 172—173° (из сп.), $[\alpha]_D + 103 \pm 1^\circ$ (с 2; пиридин). 0,5 г VI нагревают на водяной бане с 1,8 мл н. HCl и 2 мл воды, получают XIII, т. пл. 202—203°, $[\alpha]_D - 67 \pm 2^\circ$ (с 3,99; CH_3OH). 0,57 г XIII в 60 мл воды обрабатывают 0,17 г NaHCO_3 в присутствии

этилацетата, выпаривают р-ритель, получают 0,45 г VII. 10 г XXI при бензоилировании в пиридине и последующей обработке NaOH дают 5,9 г L-трео-1-н-нитрофенил-2-ацетиламино-3-бензоксипропанола-1. При бензоилировании 15 г L-трео-1-н-нитрофенил-2-дихлорацетиламино-3-дихлорацетоксипропанола-1 и последующем омылении по Кунцу получают 5,55 г L-трео-1-н-нитрофенил-2-дихлорацетиламино-3-бензоксипропанола-1. Сообщение X см. РЖХим, 1955, 40253.

Л. Я. 43315. О хлорамфениколе. Сообщение XII. Новые синтезы 3-метилового эфира хлорамфеникола. Альберти, Бернарди, Ларини, Верчеллоне (Nuove sintesi del 3-metilostere del cloramfenicol. Nota XII sul cloranfenicol. Alberti C. G., Bernardi L., Larini G., Vercellone A.), Farmaco Ed. scient., 1955, 10, № 6, 312—321 (итал.).

С целью получения в-в с активностью хлорамфеникола разработаны два способа синтеза DL-трео-1-н-нитрофенил-2-дихлорацетиламино-3-метоксипропанола-1 (I). По первому способу р-цией Реформатского между бензальдегидом (II) и метиловым эфиром α -бром- β -метоксипропионовой к-ты (III) получен метиловый эфир DL-эритро-1-метоксиметил-2-окси-2-фенилпропионовой к-ты (IV), который превращен в гидразид DL-эритро-1-метоксиметил-2-окси-2-фенилпропионовой к-ты (V). Последний обычным путем переведен в DL-цис-4-метоксиметил-5-фенилказолидон-2 (VI). При омылении VI образуется DL-эритро-1-фенил-2-амино-3-метоксипропанол-1 (VII), диастереомер производного которого (VIII) превращено в DL-эритро-1-н-нитрофенил-2-амино-3-метоксипропанол-1 (IX), а последний изомеризован в DL-трео-1-н-нитрофенил-2-амино-3-метоксипропанол-1 (X). При взаимодействии X с $\text{CHCl}_3\text{COOCH}_3$ (XI) получен I. По второму способу к н-нитро- α -ацетиламиноакрилофенону (XII) присоединен CH_3OH . Полученный DL-н-нитро- α -ацетиламино- β -метоксипропиофенон (XIII) восстановлен посредством NaBH_4 , образовавшийся при этом два диастереомера IX и X были переведены в I, как описано выше. I не активен in vitro, но становится активным in vivo, вероятно, превращаясь в организме в хлорамфеникол. 0,4 моля гранулированного Zn нагревают с кристалликом воды, добавляя за 30 мин. смесь 0,35 моля III, 0,57 моля II, 130 мл безводн. C_6H_6 и 40 мл сухого эфира, нагревают 1 час при 70°, прибавляют лед, подкисляют 25%-ной H_2SO_4 , разгонкой выделяют 23 г IV, т. кип. 130—135°/3 мм, 0,1 моля IV, 0,15 моля 80%-ного гидразингидрата и 15 мл спирта кипятят 1 час, разбавляют петр. эфиром, получают V, выход 85%, т. пл. 120—122° (из сп. петр. эф.). К суспензии 13 г V в 50 мл воды + 50 г льда при 0—2° добавляют 8,4 г NaNO_2 в 20 мл воды, через 15 мин. (0°) извлекают C_6H_6 , фильтруют, выпаривают досуха (вакуум), получают 7 г VI, т. пл. 134—135° (из бал.-эф.). Кипятят 6 г VI в 100 мл спирта с 18 г $\text{Ba}(\text{OH})_2$ в 500 мл воды 6 час., подкисляют HCl, отгоняют спирт в вакууме, подщелачивают, извлекают этилацетатом, выпаривают в вакууме, р-р остатка в эфире обрабатывают эфир. р-ром HCl, выделяют 4 г хлоргидрата XII, т. пл. 164—166° (из сп.-эф.); свободное основание — масло, N-ацетильное производное, т. пл. 100—103° (из эф.). Из 7,8 г хлоргидрата VII (30 мл пиридина + 12 мл $(\text{CH}_3\text{CO})_2\text{O}$) получают VIII, выход 8,8 г, т. пл. 108—111° (из ацетона-петр. эф.). К 20 мл дымящей HNO_3 понемногу добавляют 8,4 г VIII (охлаждение снегом с солью), выливают на лед, нейтрализуют NaHCO_3 , извлекают этилацетатом, упаривают, остаток нагревают с 80 мл воды и 10 мл конц. HCl на водяной бане 2 часа, извлекают эфиром, водн. р-р подщелачивают, извлекают этилацетатом, выпаривают, остаток обрабатывают спирт. HCl, получают 4,1 г хлоргидрата IX, т. пл.

135°, добавляют 3 капли пиридина, выдерживают 10 мин., растворяют в 50 мл спирта и при кипячении прибавляют 10%-ный р-р NaOH (фенолфталеин); выход сырой окиси, имеющей строение $\text{TsN}(\text{C}_6\text{H}_4\text{COOC}_2\text{H}_5)_2\text{CH}_2$

CHCH_2O (X) 68%, т. пл. 71—72° (из разб. сп.), 0,0425 моля X, 0,105 моля хлоргидрата пиридина в 100 мл спирта и 10 мл воды кипятят 30 мин., отгоняют спирт, разбавляют водой и извлекают эфиром; выход Va (X = Cl) [для V и VI: а, R = OC_2H_5 ; б, R = Z (см. след. реферат)] 72,6%, т. пл. 84—86° (из разб. сп.). Смесь 0,005 моля X в 10 мл диоксана, 3 мл воды и 2 капли H_2SO_4 нагревают 21 час при 100°, р-ритель отгоняют в вакууме, кипятят с 5 мл спирта и 10 мл 10%-ного р-ра KOH 30 мин. и подкисляют; выход VI (R = $\text{X} = \text{OH}$) 71%, т. пл. 172—174,5° $\times 1,5$ $\times 3$ глед. CH_3COOH и 3 капли пиридина нагревают 2 часа при 120°, смесь извлекают эфиром; выход Va (X = OCOC_2H_5) 88%, некристаллизующийся сироп, очищен хроматографией над Al_2O_3 (р-ритель C_6H_6 + CH_3OH (4%)). Va (X = OCOC_2H_5) получают также из 3,9 г IIIа и 12,3 г IV (X = OCOC_2H_5) (нагревание при 90°, добавление пиридина, 20 мин. при 140—145°, обработка C_6H_6 и разб. H_2SO_4). Vб (X = OCOC_2H_5 ; OCH_3 ; OCH_3) получают аналогично Va из IX и IV (X = OCOC_2H_5 ; OCH_3), некристаллизующийся в-ва; Va (X = OCOC_2H_5) из X и $\text{C}_6\text{H}_5\text{COOH}$, выход 70%, т. пл. 133—135°. К р-ру неочищ. Va (X = Cl) (из 0,107 моля IIIа) в 200 мл CH_3COOH прибавляют (2 часа) 0,224 моля CrO_3 в 300 мл CH_3COOH и 10 мл воды при 15—20°, перемешивают 16 час., отгоняют CH_3COOH в вакууме (т-ра бани ниже 40°), добавляют 500 мл воды и 100 мл этилацетата и перемешивают 15 мин.; выход VIа (X = Cl) 50,4%, т. пл. 122—124° (из $n\text{-C}_3\text{H}_7\text{OH}$ -бэл.). В случае очист. Va (X = Cl) выход VIIа 92%. Аналогично из соответствующих Va и Vб получают VIа (X = OCOC_2H_5), выход 68% т. пл. 70—72°; VI а (X = OCOC_2H_5), выход 82,3%, сироп; Vб (X = OCOC_2H_5), выход 78,4%, сироп; Vб (X = OCH_3), выход 75,2%, сироп; Vб (X = OCH_3), выход 61%, т. пл. 87—92°. Р-р 340 мг VIа (X = OCOC_2H_5) и 100 мг сульфата VII в 20 мл CH_3COOH кипятят 2 часа, концентрируют, растворяют в 2 мл 30%-ной HBr в лед. CH_3COOH , содержащей 100 мл фенола, выдерживают 2 часа при $\sim 20^\circ$ и вносят в 30 мл абс. эфира, осадок сушат в вакууме и омыляют смесью 2 мл CH_3OH и 15 мл 0,25 н. NaOH 1 час при $\sim 20^\circ$, подкисляют до pH 3,0. Выход темного осадка 51 мг, содержание Ia 6,4% (проба на *Streptococcus faecalis* K.). 3 г неочищ. VIа (X = OCOC_2H_5), 100 мг n -толуолсульфокислоты (XI) и 40 мл абс. спирта кипятят 6 час., прибавляя р-ритель по мере отгонки, выливают в воду и извлекают эфиром; выход VIа (X = OH) 96,5%. Ia (380 мг VIа (X = OH) 150 мг VII, 115 мг CH_3COONa , 15 мл CH_3COOH , условия см. выше) выход 62%, процент содержания 36,5. Аналогично Ia получают из соответствующих VIа (указаны выход в % и % содержания): (X = Cl), 48,1; 33,6; (X = OCOC_2H_5), 20,6; 1,2; Vб (X = OCOC_2H_5); 0,1 г XI, 40 мл абс. спирта кипятят 3 часа, прибавляют 40 мл абс. спирта, кипятят еще 3 часа и концентрируют в вакууме; выход Vб (X = OH) 2,3 г, сироп. Смесь 0,77 ммоль Vб (X = OH), 0,7 ммоль VII, 1,4 ммоль CH_3COONa , 7 мл лед. CH_3COOH выдерживают 1 час при 25° под N_2 , концентрируют и вакууме, обрабатывают 3,5 мл 30%-ной HBr в лед. CH_3COOH , содержащей 130 мг фенола, в течение 100 мин. при $\sim 20^\circ$, выливают в 30 мл абс. эфира, осадок сушат над P_2O_5 и омыляют 5 мл CH_3OH и 20 мл 0,25 н. NaOH 70 мин., подкисляют до pH 3,0; выход Ib 55%. Аналогично из Vб (X = OCH_3) получают Iб с выходом 48%. В. А.

43319. Синтез птерониновой и птеронилглутаминовой кислот. П. Уэйсблат, Магерлейн, Майере

Хана, Фэрберн, Ролфсон (Synthesis of pteronic and pteronilglutamic acids. II. Weisblat D. I., Magerlein B. J., Myers D. R., Hanzel A. R., Fairburn E. I., Rolfsen S. T.), J. Amer. Chem. Soc., 1953, 75, № 23, 5893—5896 (англ.)

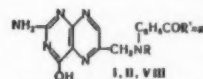
Разработан новый синтез птерониновой (I) и птеронилглутаминовой (II) к-т, исходя из соответствующих производных N-тозил-N-аминобензойной к-ты (Ts=тозил= $n\text{-CH}_3\text{C}_6\text{H}_4\text{SO}_2$). Эфир (III) алкилируется диэтилацеталем 2,3-оксидипропионового альдегида (IV) (полученного исходя из акролена) с образованием этилового эфира N-тозил-N-(2-оксипропил)-N-аминобензойной к-ты (V). Последний окислением CrO_3 превращен в кетон (VI), который конденсацией с 2,4,5-триамино-6-окспиримидином (VII) дал этиловый эфир N^{10} -N-тозилптерониновой к-ты (VIII). После удаления Ts-группы бромистым водородом в уксусной к-те

$\text{TsN(R)C}_6\text{H}_4\text{COR}'n$ III, VI, IX—XV

III R=H, R'=OC₂H₅; V R=CH₂CH(OH)CH(OC₂H₅)₂, R'=OC₂H₅; VI R=CH₂COCH(OC₂H₅)₂, R'=OC₂H₅; IX R=CH₂CHONCHO, R'=OC₂H₅; X R=CH₂CCONCHO, R'=OC₂H₅; XI R=H, R'=Z, XII R=CH₂CHONCH(OC₂H₅)₂, R'=Z; XIII R=CH₂COCH(OC₂H₅)₂, R'=Z; XIV R=CH₂CHONCHO, R'=Z; XV R=CH₂CCONCHO, R'=Z; Z=L(+)-NHCH(COOC₂H₅)₂CH₂CH₂COOC₂H₅

в присутствии фенола (для предотвращения бромирования) и омыления эфир. группы получена I. Таким же путем получена II. Омыление ацетальной группировки у VI перед конденсацией с VII не увеличило выход. Вариант синтеза I омылением V в альдегидоспирт (IX), окислением IX в кетон (X) и конденсацией последнего с VII дает худший выход I. Эти же видоизменения при синтезе II дали также снижение выхода. Смесь 1,08 моля акролена, 2,0 молей абс. спирта, 450 мг скеллисоля F и 3 мг моногидрата n -толуолсульфокислоты кипятят до образования в сепараторе 26,5 мл воды. Слой (24 часа), к холодному р-ру добавляют 0,5 г CuCO_3 и размешивают 15 мин.; перегонкой выделен диэтилацеталь акролена, выход 62,6%, т. кип. 120—124°, n_D^{25} 1,3983. К охлажд. до 4—6° р-ру 0,461 моля последнего в 200 мл воды добавляют 740 мл р-ра HClO (0,480 моля) так, чтобы т-ра не превышала 18°, через 25 мин. р-р подкисляют 60 г NaHCO_3 , избыток HClO удаляют 3—5 мл 1 M $\text{Na}_2\text{S}_2\text{O}_5$, р-р насыщают NaCl, экстрагируют C_6H_6 , сухой экстракт размешивают 30 мин. с 0,918 моля NaOH, кипятят 1 час и получают IV, выход 59,5%, т. кип. 60—64°/13 мм, n_D^{25} 1,4128. 0,4 моля IV, 0,48 моля III и 1 мл пиридина нагревают 2 часа при 150—155°, растворяют в смеси 300 мл $\text{iso-C}_3\text{H}_7\text{OH}$ и 100 мл технич. гексана, получают V, выход 91%, т. пл. 92,5—93,5° (из $\text{iso-C}_3\text{H}_7\text{OH}$), n -нитробензоат, т. пл. 155—157°.

K 0,125 моля $\text{TsNHC}_6\text{H}_4\text{COR}$ (XI) при 130° добавляют 0,138 моля IV и 0,5 мл а, через 30 мин. еще 0,5 мл пиридина и смесь выдерживают 2 часа при 140—145°; чистый N-алкилированный продукт (XII) не выделялся. К р-ру 105 г $\text{Na}_2\text{Cr}_2\text{O}_7$ в 461 мл воды и 138 мл H_2SO_4 при 0—2° прибавляют р-р 0,2 моля V в 760 мл $\text{C}_6\text{H}_5\text{Cl}$ (т-ра $< 5^\circ$), через 2 часа из органич. слоя после промывки р-ром NaHCO_3 получен VI, выход 84%, масло. При подкислении р-ра NaHCO_3 выделено немного этилового эфира N-тозил-N-карбоксиметил-N-аминобензойной к-ты, т. пл. 166—168°. К смеси 0,336 моля CH_3COONa , 3,6 г KJ и 0,1685 моля VII добавляют р-р 0,1685 моля VI в 960 мл лед. CH_3COOH , массу размешивают 45 мин. в темноте под N_2 , затем кипятят 2 часа, CH_3COOH отгоняют в вакууме, остаток растворяют в 600 мл р-ра 30%-ной HBr в лед. CH_3COOH , содержащей 31,3 г



I R=H, R'¹⁰=OH; VIII R=Ts, R'¹⁰=OC₂H₅
II R=H, R'¹⁰=L(+)-NHCH(COOC₂H₅)₂CH₂CH₂COOH

фенола; через 1,5 часа смесь вливают в 5 л абс. эфира, из которого получают этиловый эфир I, выход 57%. Из 0,01 моля XII в 38 мл $\text{C}_6\text{H}_5\text{Cl}$ и р-ра 5,25 г $\text{Na}_2\text{Cr}_2\text{O}_7$ в 23 мл воды и 6,91 мл H_2SO_4 аналогично VI получают в-во (XIII), выход 94%; из р-ра NaHCO_3 выделен диэтиловый эфир N-(N'-тозил-N'-карбоксиметил-L-аминобензоил)-L-глутаминовой к-ты, т. пл. 157—159°. Получен бис-2,4-динитрофенилгидразон XIII. К смеси 0,0086 моля дихлоргидрата VII и 0,0172 моля CH_3COONa добавляют р-р 0,0086 моля XIII в 49 мл лед. CH_3COOH , размешивают в темноте под N_2 45 мин. и 2 часа при 118—122°, р-тель отгоняют в вакууме, обрабатывают остаток конц. HCl и получают N¹⁰-L-тозилптеройлг-глутаминовую к-ту, λ_{max} (в 0,1 н. NaOH) 365, 256, 216 мμ ($E_{1\text{cm}}^1\%$ 132,9; 589,2; 448,4). Если остаток (до обработки HCl) растворить в 31 мл 30%-ного р-ра HBr в лед. CH_3COOH , содержащей 1,6 г фенола, то через 1,5 часа безводн. эфиром можно осадить дибромгидрат диэтилового эфира II, омылением которого 10%-ным NaOH получают II, выход 71%. 0,6 г V омыляют смесью 6 мл CH_3OH и 2 мл воды, содержащей 6 капель конц. HCl (60°, 10 мин.), полученный IX (0,6 г) окисляют смесью водн. CH_3OH и $(\text{CH}_3\text{CO})_2\text{Cu}$ (60°, 10 мин.) в X. Последний превращен в I аналогично VI. При кипячении (25 мин.) XII в смеси 25 мл CH_3OH и 10 мл воды, содержащей 1 каплю разб. HCl , получают альдегидспирт (XIV), масло. Окислением его аналогично IX получают кетальдегид (XV), масло, который по уже описанной методике с VII дал диэтиловый эфир N¹⁰-тозилптеройлг-глутаминовой к-ты, а последний омылен в II, выход 28,8%. Сырой продукт содержит по хим. данным 55,8%, а по микробиологическим 40,2—48,8% П. Н. К.

43320. Синтез некоторых N-2,4,5-трихлорфеноксиацетиламиннокислот. Бокарев К. С., Мельников Н. Н., Ж. общ. химии, 1955, 25, № 13, 2493—2496

С целью изучения механизма действия гербицидов синтезированы следующие N-2,4,5-трихлорфеноксиацетиловые производные аминокислот (I) общей ф-лы $2,4,5\text{-Cl}_3\text{C}_6\text{H}_2\text{OCH}_2\text{CONH-R}$, где R — остаток аминокислоты; указаны аминокислоты, выходы в % и т. пл.: DL-аланин 80,8; 206°, β-аминопропионовая к-та 82; 172°, L-лейцин 91,6; 154—155°, $[\alpha]_D^{20}$ —5,8 (диоксан), N^α, N'-бис-2,4,5-трихлорфеноксиацетил-L-лизин 91,7; 159—160°, $[\alpha]_D^{20}$ —11,2° (диоксан), DL-серин 69; 157—158°, DL-фенилаланин 86,2, 200°, DL-аспарагиновая к-та 69,2; 167—169°, D-глутаминовая к-та 66,7; 119—120°, $[\alpha]_D^{20}$ +10,6° (диоксан), L-глутаминовая к-та, 76; 119—120°, $[\alpha]_D^{20}$ —10,5° (диоксан), DL-глутаминовая к-та 45,4; 127,5°, N, N'-бис-2,4,5-трихлорфеноксиацетил-L-цистин 76,5; 141°, $[\alpha]_D^{20}$ —42,9° (диоксан) (в тексте эта величина приписана DL-глутаминовой к-те), DL-метионин 88; 123—124°, N, S-бис-2,4,5-трихлорфеноксиацетил-DL-цистин (в тексте ошибочно 2,2,5) 96,5, 146° и N^α-2,4,5-трихлорфеноксиацетил-DL-триптофан 94,1, 98° (с разл.). Перечисленные соединения получены взаимодействием р-ра аминокислоты в 3 молях 0,5 н. р-ра NaOH при 5° с р-ром I моля хлорангидрида I в C_6H_6 . Метиловый эфир N, O-бис-2,4,5-трихлорфеноксиацетил-DL-тирозина получен взаимодействием 4 г метилового эфира DL-тирозина с 9,45 г I в присутствии 25 мл пиридина. Выход 88,0, т. пл. 120—123° (из CCl_4). К. Б.

43321. О синтезе и хроматографических свойствах некоторых гуанидизированных производных. Мурр, Баре (Sur la synthèse et les caractères chromatographiques de quelques dérivés guanidylés. Mourgue Marcel, Baret Raymond), Bull. Soc. chim. France, 1955, № 10, 1224—1227 (франц.).

Изучение специфичности разных гуанидирующих эвизмов и обнаружение производных в растениях послужили основанием для синтеза ряда моногуанидин-

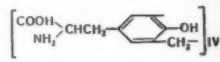
ных производных аминокислот (I) и аминов (II) конденсацией S-метилтиоизоомочевины с I или II. К аммиачному р-ру I или II прибавляют сульфат S-метилтиоизоомочевины (III) или заранее приготовленное основание (прибавлением к III насыщ. баритовой воды), благодаря чему гуанидинные производные выкристаллизовываются или их осаждают спиртом или эфиром. Продолжительность р-ции 3 суток при +2°. Хроматография в р-ре бутанол: CH_3COOH : вода: пиридин (33:10:17:80); изоамиловый сп.: CH_3COOH : вода (40:10:40). Приведены Rf. Синтезированы: α-гуанидывалериановая к-та, т. пл. 272° (осаждение из воды ацетоном), α-гуанидоизокaproновая к-та, α-гуанидокапроновая к-та, т. пл. 229° (из воды), α-гуанидо-β-метилвалериановая к-та, т. пл. 245° (из воды), α-гуанидоглутаровая к-та, т. пл. 200° (из воды), α-, β- и γ-гуанидомасляные к-ты (α-, т. пл. 227°; β-, т. пл. 181°; γ-, т. пл. 248°); бикарбонат гуанидобутана, т. пл. 115°, и сульфат гуанидобутана, т. пл. 216°; хлоргидрат α-амино-ε-гуанидокапроновой к-ты (из метилизоомочевины и Cu-соли хлоргидрата лизина). Были синтезированы также производные цитрулина и гистидина, но их не удалось выделить в виде кристаллов.

43322. Реакция тирозина с формальдегидом в кислом растворе. Олкотт (Reaction of tyrosine with formaldehyde in acid solution. Olcott Harold S.), J. Amer. Chem. Soc., 1955, 77, № 20, 5434 (англ.).

С целью получения в-ва, неспособного к диализу и содержащего большое число свободных аминогрупп, была изучена р-ция тирозина (I) с формальдегидом (II) в кислой среде. Получающийся полимер (III) растворим в кислотах и щелочах. В зависимости от условий полимеризации III содержит 40—70% в-ва, не способного к диализу. По методу Ван Слайка определяется 75—93% NH_2 -групп, что объясняется, вероятно, присоединением полимера к некоторым NH_2 -группам метиловых групп или метиленовых мостиков. Предположено, что полимер состоит из частей со структурой (IV) 20 г I, 17,5 мл 12,7 н. H_2SO_4 и 8,4 мл 40%-ного р-ра II автоклавируют 17 час. при 1,2 ат, растворяют в воде и диализуют; выпадающий осадок растворяют в р-ре NaHCO_3 и осаждают III разб. H_2SO_4 (рН 4,1). III содержит 12,2% H_2O , дает положительные нингидринную р-цию и р-цию Фолина, содержат 70% аминного азота (Ван Слайк, 15 мин.), не реагирует с декарбоксилазой тирозина и снижает скорость декарбоксилирования тирозина тирозиназой.

43323. Об N-трил-α-аминокислотах и об их применении в синтезе пептидов. Амьяр, Эмес, Веллюз (Sur les N-trityl-α-aminoacides et leurs applications en synthèse peptidique. Amiard, Gaston, Neumès René, Velluz Léon), Bull. Soc. Chim. France, 1955, № 2, 191—193 (франц.).

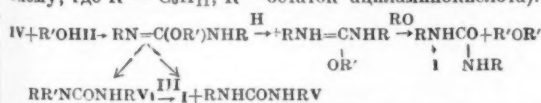
N-трилтированные аминокислоты представляют интерес с точки зрения синтеза пептидов. Одним из их преимуществ является легкое отщепление трилтильной группы нагреванием с водн. CH_3COOH . Описан синтез N-трилтильных производных серина, триптофана и гистидина, а также дипептидов глицилглицина, глицилтриптофана, аланилглицина, аланилсерина и аланилтриптофана. Не удалось получить дипептиды из N-трилтильных производных метионина, триптофана и гистидина, что вызвано, вероятно, стерич. препятствиями N-трилтиламинокислоты, растворимой в ацетоне, CHCl_3 и мало растворимой в C_6H_6 . N-трилтилглицин (I): в охлажд. до 0° р-р 0,01 моля хлоргидрата этилового эфира гликоколя в 14 мл CHCl_3 и 3 мл триэтиламина вносят при встряхивании 0,01 моля



трифенилхлорметана (II). После окончания р-ции промывают водой, сушат и отгоняют р-ритель. Маслянистый эфир I кристаллизуют растиранием с CH_3OH , т. пл. 112—113° (бзн.-петр. эф.). Для омыления нагревают 2 мин. с 5 мл 20% р-ра КОН в CH_3OH , добавляют 20 мл воды, отгоняют CH_3OH и подкисляют CH_3COOH , выход I 95%, т. пл. 179—180° (сп.). Аналогично получены N-трифил-DL-аланин (III), выход этилового эфира III 97%, т. пл. 101—102° (бзн.-петр. эф.). Омыляют нагреванием 1 г этилового эфира III с 2 мл 20% КОН в пропиленгликоле (5 мин.), извлекают III CHCl_3 из подкисленного р-ра, выход III 90—95%, т. пл. ~170°. N-трифил-DL-серин (IV), выход этилового эфира 90%, т. пл. 111—112° (бзн.-петр. эф.); выход IV 65%, т. пл. ~180° (метил-этилкетон). N-трифил-DL-метионин (V), выход метилового эфира 90%, т. пл. 124—125° (петр. эф.). Омыление в пропиленгликоле, выход V 80% в виде солята с т. пл. 130° и затем вторично при 170° (толуол). N-трифил-DL-триптофан (VI), выход метилового эфира 93%, т. пл. 171—172° (из CH_3OH). Омыление в пропиленгликоле, выход VI 90%, т. пл. 245° (разл.; толуол). N, N'-дифил-DL-гистидин (VII), (0,02 моля II, 0,01 моля метилового эфира I-гистидина в CHCl_3). Омыление в пропиленгликоле, выход VII 80%, т. пл. 184—185° (толуол), $[\alpha]_D^{20} + 9,6 \pm 1^\circ$ (с 1; CHCl_3). Рацемизация I-гистидина не происходит. Этиловый эфир N-трифил-глицилглицина (VIII). К р-ру 0,01 моля в 30 мл CHCl_3 и 2 мл триэтиламина добавляют 1,1 мл хлоруглеродного эфира (—10°) и оставляют на 1,5 часа в ледяной воде, затем вводят 0,01 моля хлоргидрата эфира гликоля и 2 мл триэтиламина и оставляют на 1 час при ~20°, выход VIII 83%, т. пл. 163—164° (бзн.). Аналогично получены: метиловый эфир N-трифил-глицин-DL-триптофана, выход 90%, т. пл. 164—165° (сп.); этиловый эфир N-трифил-DL-аланил-глицина, выход 88%, т. пл. 147—148°; этиловый эфир N-трифил-DL-аланил-DL-триптофана, выход 90%, т. пл. 211—212°. Глицил-глицин (IX). Омыляют VIII кипячением с 2 объемами 20% КОН в CH_3OH (2 мин.). Разбавляют 10 объемами воды, отгоняют CH_3OH и подкисляют CH_3COOH . N-трифил-глицил-триптофан нагревают 2 мин. с 5 объемами 50%-ной CH_3COOH и выделяют после сгущения фильтрата IX, выход 85%, т. пл. 210—215° (разл.). Глицил-DL-триптофан, выход 68%, т. пл. ~255° (разл.). DL-аланил-DL-серин (хлоргидрат) выделен из солянокислого р-ра ацетоном, выход 60%, т. пл. ~190—195°. DL-аланил-DL-триптофан, выход 85%, т. пл. 210°, и вторично ~250° (водн. сп.). DL-аланил-глицин, выход 80%, т. пл. 255° (разл.).

Е. К.
43324. Наблюдения по применению дициклогексилкарбонидида для синтеза пептидов. К х о р а н а (Observations on the use of dicyclohexylcarbodiimide in the synthesis of peptides. Khorana H. G.), Chemistry and Industry, 1955, № 35, 1087—1088 (англ.)

Производные пептидов $\text{R}'\text{NHCHR}''\text{COOC}_2\text{H}_5$ (I) получают с хорошим выходом при р-ции N-ациламинокислот (II) с эфирами аминокислот $\text{NH}_2\text{CHR}''\text{COOC}_2\text{H}_5$ (III) в присутствии дициклогексилкарбонидида (IV) (РЖХим, 1956, 25823). Предложен общий механизм образования I по трем возможным путям (см. схему, где $\text{R} = \text{C}_6\text{H}_{11}$, R' —остаток ациламинокислоты):



1 моль II реагирует 4—18 час. с 1,25 моля IV в присутствии 1,5 моля III в диоксане, CHCl_3 , тетрагидрофуране или эфире. Дициклогексимочевину (V) отфильтровывают, а смесь I и ацилдициклогексимочевины

(VI) разделяют фракционированной кристаллизацией. Таким образом, р-цией этилового эфира глицина (III, $\text{R}'' = \text{H}$) с *n*-толуолсульфонил-DL-фенилаланином получают VI ($\text{R}' = n$ -толуолсульфо-DL-фенилаланил), т. пл. 148—149° и I ($\text{R}' = n$ -толуолсульфо-DL-фенилаланин, $\text{R}'' = \text{H}$), т. пл. 108—109°. Аналогично III ($\text{R}'' = \text{H}$) с фталилфенилаланином в диоксане и в тетрагидрофуране дает I ($\text{R}' = \text{фталилфенилаланил}$, $\text{R}'' = \text{H}$), выход 33—56%, т. пл. 131—132° и VI ($\text{R}' = \text{фталилфенилаланил}$, $\text{R}'' = \text{H}$), выход 10—18%, т. пл. 140—141°. В качестве II применялись также *n*-толуолсульфонилаланин, *n*-толуолсульфонилглицин, фталилглицин, фталилаланин и карбобензоксиглицин; выход I 25—50%. Во всех случаях образуется побочный продукт VI, кол-ва которого колеблются в зависимости от строения пептида; отделение I от VI всегда затруднено. В случае высших пептидов трудно отделяется и V. Соединения типа VI устойчивы и в мягких условиях не превращаются в I.

С. А.
43325. Восстановление пиридиновых нуклеозидов посредством натрия и этанола в жидком аммиаке. Берк (The reduction of pyrimidine nucleosides with sodium and ethanol in liquid ammonia. Burke D. C.), Chemistry and Industry, 1954, № 45, 1393 (англ.)

Предварительное сообщение; см. РЖХим, 1956, 32638.

Г. С.

43326. Природа кислородсодержащей кислоты из семян *Vernonia anthelmintica* (Willd.). Раман (The nature of the oxygenated acid from the seeds of *Vernonia anthelmintica* (Willd.). Raman P. S.) Current Sci., 1954, 23, № 9, 293—294 (англ.)

Найдено, что к-та, выделенная из семян *Vernonia anthelmintica* (Willd.) (экстракцией семян C_6H_6 , омылением полученного масла р-ром $\text{C}_2\text{H}_5\text{OK}$, разделением смеси к-т в виде Pb-солей спиртом и подкислением спирта растворимой части Pb-солей после обработки петр. эф.), является 12, 13-оксисью октадецен-9-овой к-ты (I) (что является подтверждением сообщения, опубликованного ранее (РЖХим, 1956, 29168). Строение I доказано следующими превращениями: гидрирование ацелированного этилового эфира (Ia), т. кип. 232—234°/5 мм (получен этерификацией I и последующим кипячением с $(\text{CH}_3\text{CO})_2\text{O}$), над Pt (из PtO_2) и последующее омыление приводит к диоксистеариновой к-те (II), при восстановлении которой (Р, HJ) образуется стеариновая к-та; окисление II периодатом приводит к *n*-гексаналь (III) и альдегидокислоте (т. пл. 64—66°), при окислении которой действием KMnO_4 образуется *n*-октадекандиовая к-та; окисление диоксооктадециновой к-ты (IV) (полученной из Ia) также приводит к III; при окислении Ia действием HCOOH и последующем омылении образуется смесь двух изомерных тетраоксистеариновых к-т (т. пл. 123—125° и 146—148°), строение которых, так же как и строение тетраоксистеариновой к-ты (т. пл. 162—164°), образующейся при окислении IV действием разб. р-ра KMnO_4 на холоду, еще не установлено; окисление Ia действием KMnO_4 в р-ре ацетона приводит к смеси азелаиновой к-ты с к-той, строение которой еще не установлено. Образование IV при гидролизе Ia (полученного из I) говорит о том, что кольцо α -оксис может быть раскрыто также при действии $(\text{CH}_3\text{CO})_2\text{O}$.

В. З.
43327. Структура и синтез кинетина. Миллер, Скуг, Окумура, Зальца, Стронг (Structure and synthesis of kinetin. Miller Carlos O., Skoog Folke, Okumura Francis Shigeo, Saltz Malcolm H. von, Strong F. M.), J. Amer. Chem. Soc., 1955, 77, № 9, 2662—2663 (англ.)

Гидролиз кинетина (I) (фактор деления клеток), 2 н. HCl или H_2SO_4 (120°, 2 часа) приводит к аденину

(II) и левулиновой к-те (III). II очищен хроматографированием на колонке с ионообменной смолой (дауекс 50), идентифицирован по УФ-спектру (получен пикрат, т. пл. 292—294°, т-ра плавления смешанной пробы с пикратом чистого II (т. пл. 298—299°) 291—293°). III идентифицирована в виде 2,4-динитрофенилгидразона хроматографированием на бумаге. Продукты гидролиза I свидетельствуют о наличии в молекуле его радикала II и фурфурила (IV). I не содержит свободных OH-, NH₂- (не ацетируется) и CH₃-групп (по Куну—Роту); положение 9 в молекуле II не замещено (I легко образует осадок с AgNO₃, pK_a 4). На основании этих свойств авторы считают, что IV связан с азотом аминогруппы II и, следовательно, I представляет собой 6-фурфуриламинопурин. Строение I подтверждено синтезом его из фурфуриламина и 6-метилмеркаптопурина по методу Хитчинга (Eliot G. B. и др., J. Amer. Chem. Soc., 1952, 74, 411), выход 62%, т. пл. 266—267° (в запаянной трубке, из абс. сп.), идентифицирован по УФ-спектру, цветной пробе Динса, т-ре плавления смешанной пробы. С. П.

43328. Химическое изучение ядровой древесины Melia azedarach. Натх (Chemical examination of the heartwood of *Melia azedarach*. Nath Bholal, J. Scient. and Industr. Res., 1954, 13, № 103, 740—741 (англ.))

Водные экстракты древесины *Melia azedarach* Linn. ослабляют приступы астмы. Ацетон и спирт извлекают «баклактон» C₂₃H₂₆O₄ (I), т. п. 215—216,5°; [α]_D²⁵ -175° (хлф.), жидкость с запахом терпенов, т. кип. 150—160°/0,5 мм, n_D²⁴ 1,4825, и смолистое в-во. I содержит группу —O—CH₂—O, но не имеет OH- и OCH₃-групп и не дает производных, характерных для кетонов. Трибромпроизводное I, т. пл. 167—169°, дает p-ции на двойную связь, KMnO₄, C(NO₂)₄. Присутствие лактонной группы в I подтверждено ИК-спектром (приведены данные). УФ-спектр I: полосы 2200 и 2770—2800 Å (lg ε 4,01; 3,92), т. е. отклоняется от обычных для лактонов (возможно наличие необычного хромфора). А. Л.

43329. О соединениях ряда антрахинона, содержащихся в лишайниках. Субраманьян (A review of anthraquinone compounds in lichens. Subramanian Sankara, J. Amer. Pharmac. Assoc. Scient. Ed., 1955, 44, № 12, 769—776 (англ.))

Обзор. Библ. 23 назв.

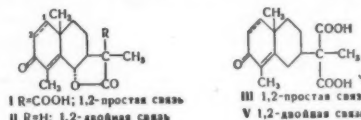
43330. Синтез софорикозида, одного из характерных гликозидов Sophora Japonica L. Богнар, Сабо (Synthesis of sophoricoside, one of the characteristic glycosides of *Sophora Japonica* L. Bogнар R., Szabó V., Acta chim. Acad. sci. hung., 1954, 4, № 2—4, 383—392 (англ.; рез. русс., нем.))

Содержащийся в плодах японской софоры гликозид софорикозид (I), представляющий собой 4'-гликозилгенистеин, синтезирован конденсацией 7-(n-нитробензил)-генистеина (II) с ацетобромглюкозой (III) с последующим омылением щелочью и гидролизом. К кипящему p-ру 5,0 г генистеина (IV) (4',5,7-триоксилаована) в 100 мл спирта приливают 10,75 мл 10%-ного p-ра KOH, затем в течение часа p-р 4 г n-нитробензилбромида в 200 мл спирта, кипятят еще 1 час, отфильтровывают выпавшие 0,45 г 4',7-динитробензилевого эфира IV; из фильтрата через сутки выделяют II, выход 40%, т. пл. 221,5—222° (из воды-диоксана, 2:1). Получены также 4'-ацетил-7-(n-нитробензил)-генистеин, т. пл. 230—231° (из диоксана); 4,5-ди-ацетил-7-(n-нитробензил)-генистеин, т. пл. 218,5—219,5° (из бzl.); 4',5-диметил-7-(n-нитробензил)-генистеин, т. пл. 217—222°. Взвесь 1,0 г II в 150 мл ацетона смешивают с p-ром 2,06 г III в 10 мл ацетона, постепенно прибавляют 9,3 мл 2,5%-ного p-ра KOH, разбавляют 30 мл воды, выдерживают сутки при 0°,

отделяют от непрореагировавшего II, упаривают до 60—70 мл и выливают в 200 мл воды. Виснувшийся осадок (0,81 г) извлекают CHCl₃, экстракт выпаривают и остаток ацетируют в пиридине; выход 5-ацетил-4'-тетраацетилглюкозил-7-(n-нитробензил)-генистеина (V) 0,12 г, т. пл. 206—208° (из хлф.-сп.). 0,07 г V в 4 мл спирта омыляют кипячением (5 мин.) с 0,35 мл 3,3%-ного p-ра NaOH, нейтрализуют CH₃COOH, разбавляют 5 мл спирта, гидрируют над Pd/C, выпаривают и извлекают n-толуидин эфиром, выход I 0,028 г, т. пл. 269—270° (из 60%-ного сп.), [α]_D²² -17,1° (с 0,6; пиридин). См. также РЖХИМ, 1955, 23819.

43331. Конфигурация сantonинов. Абе, Суми (The configuration of the santonins. Abe Yasuo, Sumi Masao, Chemistry and Industry, 1955, № 10, 253 (англ.))

Из лактона 11-карбокси-6α-окси-3-кетозисантонен-4-овой к-ты выделяют d-изомер (I), [α]_D²⁵ +108,7°, который путем бромирования и дегидробромирования с одновременным декарбоксилированием превращают в



(—)-α-сantonин (II). Метилловый эфир I восстанавливают Zn+CH₃COOH и гидролизуют, получают (+)-11-карбокси-3-кетозисантонен-4-овую к-ту (III), которая, судя по величине и знаку молекулярного вращения (M_D²⁵ +312°), имеет такое же пространственное строение, как и Δ⁴-3-кетостерониды (Klyne W., J. Chem. Soc., 1952, 2916; см. РЖХИМ, 1956, 32578). Аналогичным строением обладает II. (—)-β-сantonин (IV) является эписмером II по C₁₁, что доказывается получением II и IV из одной и той же (—)-11-карбокси-3-кетозисантондиеновой-1,4 к-ты (V) путем декарбоксилирования и окисления действием SeO₂. Н. Ш.

43332. К изучению химического состава листьев липы. Мокряк, Медакович (Прилов познавая химический состав листа липы. Мокряк М. С. т., Медакович Б.), Гласник Хем. друштва, 1954, кт. 19, № 8, 521—526 (серб.-хорв.; рез. франц.)

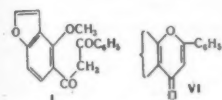
Из листьев *Tilia argentea* Desf. экстракцией 96%-ным спиртом выделено в-во C₃₂H₅₂O₂ (I), вероятно тритерпеноид стерина. I не растворим в 60%-ном спирте, не содержит CO- и OH-групп, т. пл. 244° (из эф. + сп.); [α]_D¹⁸ 81,34° (с 1,088; хлф.). При хроматографировании из бензола на Al₂O₃ с вымыванием бензолом и смесью его с CHCl₃ кроме I выделено немного в-ва с т. пл. 206°.

Х. Г.

43333. Химия понгамолы. Часть II. Нараяна-вами, Рангасвами, Сешадри (Chemistry of pongamol. Part II. Narayanaswamy S., Rangaswami S., Seshadri T. R., J. Chem. Soc., 1954, June, 1871—1873 (англ.))

Понгамол (I), выделенный из семян *Pongamia glabra*, является 5-бензоилацетил-4-метоксибензофураном (бензоил-О-метилкаранджонметаном). При расщеплении I водно-спирт. p-ром KOH (кипение, 3 часа) образуются C₆H₅COOH (II), каранджевая (III) и О-метилкаранджевая (IV) к-ты, ацетофенон и 5-ацетил-4-метоксибензофуран (V); при расщеплении I p-ром KOH в абс. CH₃OH получены лишь II и V. При деметилировании I с HJ замыкается кольцо и образуется мономер дигидрат 2', 3', 7,8-фуранофлавона (VI) C₁₇H₁₀O₃·H₂O (часть I, см. Proc. Indian Acad. Sci., 1942, 15 A, 419).

В эфирном р-ре I с насыщ. водн. р-ром Cu-ацетата образуется Cu-комплекс I, т. пл. 226—227° (из хлф.-эф.). При хроматографировании на бумаге R_F : II 0,51, IV 0,56, III 0,61 (р-ритель *n*-бутанол, насыщ. NH_3); V, т. пл. 59° (из петр. эф.); 2,4-динитрофенилгидразон, т. пл. 221° (из сп.). При нагревании (1 час) 0,15 г V с 0,2 г J_2 в 1 л пиридина получена IV. 1 г IV и 5 мл SOCl_2 кипятят (1 час), хлорид при действии Na-ацетоуксусного эфира дал V. R-р-ру 0,5 г I в 8 мл $(\text{CH}_3\text{CO})_2\text{O}$ (0°) добавлено 8 мл H_2O (d 1,7), смесь нагрета (40 мин., 115°), выход 0,31 г, т. пл. 146° (из водн. сп.), спекается при 115° (дегидратация).



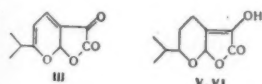
43334. Химия погангола. Часть III. Синтез. Мукерджи, Сешадри (Chemistry of pongamol. Part III. Synthesis. Mukerjee S. K., Seshadri T. R.), J. Chem. Soc., 1955, June, 2048—2049 (англ.)

Описан новый метод синтеза погангола (I) (ф-лу см. предыдущий реферат) путем конденсации метилового эфира 4-метоксибензофуранкарбонной-5-к-ты (II, Па—к-та), с ацетофеноном (III). II получен кипячением (10 час.) смеси 1 г Па, 50 мл абс. ацетона, 2 мл CH_3I и 5 г KHSO_4 . Смесь II и 1 мл III в 50 мл эфира прибавляют к суспензии NaNH_2 в эфире и кипятят 4 часа. Эфирную смесь обрабатывают 5%-ным р-ром NaHCO_3 и из экстракта при подкислении выделяют 0,4 г IV, т. пл. 148°. Эфирный р-р концентрируют до объема 50 мл и встряхивают с водн. р-ром ацетата Cu. Спустя 24 часа осаждается Cu-комплекс I, т. пл. 220—222°. Последний растворяют в 75%-ном спирте, содержащем HCl , и нагревают до образования слабо зелено-желтого р-ра. Пропускают H_2S для осаждения Cu. Из фильтрата получено 0,2 г I, т. пл. 128—129°.

43335. О новых гликозидных веществах растений.

Сообщение IV. Строение гентиопикрина и продуктов его ферментативного расщепления. Корте (Über neue glykosidische Pflanzeninhaltsstoffe. IV. Mitteilung: Die Konstitution des Gentiopikrins und seiner enzymatischen Spaltprodukte. Korte Friedhelm), Chem. Ber., 1954, 87, № 5, 769—779 (нем.)

Подтверждено строение гентиопикрина (I) и положение гликозидоксигруппы при $\text{C}_{(3)}$. При расщеплении гликозидаз грибов или эмульсинами из I образуется

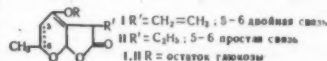


сначала мономерный оптически активный генин (выделить не удалось), рацемизирующий в неактивный мезогентиогенин (II), масло, а из последнего — смесь зугенгиогенина (III) и димерного гентиогенина ($\text{C}_{10}\text{H}_{14}\text{O}_4$) (IV), т. пл. 185°. Гидрированием II в спирте с Pd/C получен тетрагидромезогентиогенин (V) $\text{C}_{10}\text{H}_{14}\text{O}_4$, т. пл. 103° (из эф.). III, т. пл. 121—123° (из эф.); *n*-нитрофенилгидразон $\text{C}_{16}\text{H}_{15}\text{O}_6\text{N}_3 \cdot 1/2 \text{H}_2\text{O}$, т. разл. 210°. Ферментативным расщеплением 1 г тетрагидрогентиопикрина получен тетрагидропротогентиогенин $\text{C}_{10}\text{H}_{14}\text{O}_4$ (VI), выход 80 мг, т. пл. 98—100° (из бэл.), $\alpha_D + 214^\circ$ (сп.); *n*-нитрофенилгидразон, т. пл. 186—188° (разл.). При гидрировании 1 г I с Pd/l или PtO_2 в воде (20 час.) образуется гексагидропротогентиогенин (VII), выход 200 мг, т. пл. 140° (из эф.), $\alpha_D + 161^\circ$ (сп.); фенилгидразон (в оригинале «фенилглюкозазон»), т. пл. 205°. При действии $\text{Ba}(\text{OH})_2$ на II (кипячение, атмосфера N_2) образуются CO_2 и HCOON . Из VII действием CrO_3 в лед. CH_3COOH получено в-во $\text{C}_{10}\text{H}_{14}\text{O}_4$, т. пл. 93—94°, $\alpha_D - 30,35^\circ$ (сп.). Приведены кривые УФ-спектров III, IV, V, VI и ИК-спектров III,

IV, V, VI и VII. Предыдущее сообщение см. РЖХИМБх, 1956, 8828.

43336. О новых гликозидных веществах растений. Сообщение V. К вопросу о строении гентиопикрина и метилового эфира гексагидрогентиогенина. Корте (Über neue glykosidische Pflanzeninhaltsstoffe V. Mitteilung. Zur Konstitution des Gentiopikrins und des Hexahydrogentiogenin-methyläthers. Korte Friedhelm), Chem. Ber. 1954, 87, № 5, 780—783 (нем.)

Обсуждается ф-ла строения гентиопикрина (I), предложенная Сакураи (Sakurai Y., Voshina K., J. pharm. Soc. Japan, 1951, 71, 55). Показано, что она противоречит эксперим. данным. УФ-спектр тетрагидрогентиопикрина (II) при предложении Сакураи строения не может иметь полос поглощения при 240 мμ, как это установлено, так как при строении выше 200 мμ может наблюдаться лишь частота, характерная для CO-группы. Кроме того, при указанном



строении были бы невозможны димеризация в гентиогенин и образование $(\text{COOH})_2$ при окислении. Приведены доводы в пользу нахождения метоксильной группы метилового эфира гексагидрогентиогенина (III) у $\text{C}_{(3)}$. III получен пропусканием 1,5 г HCl (газа) в р-р I в гексагидрогентиогенина в 50 мл CH_3OH . Через 24 часа ($\sim 20^\circ$) HCl осаждают Ag_2CO_3 , р-р упарив в вакууме; выход III 200 мг, т. пл. 110—113° (из этилацетата-петр. эф.), $[\alpha]_D + 208^\circ$ (CHCl_3).

Е. К.

43337. О новых гликозидных веществах растений. Сообщение VI. Горькие вещества горечавковых (Gentianaceae). Корте (Über glykosidische Pflanzeninhaltsstoffe, VI. Mitteilung: Die Bitterstoffe der Gentianaceen. Korte Friedhelm), Chem. Ber., 1954, 87, № 9, 1357—1363 (нем.)

Гентиамарин (I) (Tanret, Bull. Soc. chim., 1905, 33, 1071, 1073) из 60% состоит из гентиопикрина (II), который можно выделить из I после его ацетилирования. Генин, выделенный Танре из *Gentiana lutea*, содержит также небольшую примесь II, но в основном состоит из гентиозина, 1,7-диокси-3-метоксиксантона — красящего в-ва корней горечавки. II можно обнаружить в I хроматографией на бумаге. Эритаурин, выделенный из *Centaureum umbellatum*, свертнамарин из *Sweritia japonica* и *Sweritia perennis* оказались при ближайшем исследовании идентичными II. Получение тетраацетата II. Сконцентрированный в вакууме метанольный экстракт сухих корней *G. lutea* очищают повторным извлечением влажным этилацетатом. Из 5 кг корней получают ~ 80 г в-ва в виде желтой гигроскопич. пены, $[\alpha]_D - 80^\circ - 90^\circ$, дающего р-ции, свойственные I. Все в-во растворяют в 2 л 95%-ного ацетона и пропускают р-р через колонку с 3 кг Al_2O_3 (2 м × 5 см); вымывают 50%-ным ацетоном, получают 20—25 г негигроскопичного продукта, содержащего горькое в-во, но не кристаллизующегося, т. пл. ниже 70° , $[\alpha]_D - 90^\circ$, по всем свойствам идентичного I. Ацетилированием $(\text{CH}_3\text{CO})_2\text{O}$ в $\text{C}_6\text{H}_6\text{N}$ с последующей очисткой обработкой CH_3OH и C_6H_6 и хроматографированием на Al_2O_3 получают тетраацетат II, т. пл. 138,5—139,5° (из CH_3OH), $[\alpha]_D + 164^\circ$ (хлф.). Хроматографич. определение II в препаратах. 1—10 г исследуемого в-ва нагревают три раза с CH_3OH до кипения. Фильтрат упаривают в вакууме и остаток растворяют в 5 мл воды; в случае присутствия хлорофилла извлекают его CHCl_3 . Водн. р-р хроматографируют на бумаге (р-ритель: бутанол-вода), проявляют опрыскиванием р-ром хлорида трифенилтетразолия, пятна, имеющие

R_f между 0,33 и 0,41, вырезают, извлекают их 3%-ным р-ром HCl в пиридине и колориметрируют р-ры при 490 мμ. Полезно одновременно с неизвестным в-вом наносить на бумагу при хроматографировании стандартный р-р II. Точность определений $\pm 5\%$. Е. К.

43338 К. Успехи химии природных органических веществ. Т. 12. Ред. Цехмейстер (Fortschritte der Chemie organischer Naturstoffe. Bd. 12. Hrsg. Zechmeister L., Wien, Springer, 1955, X, 550 S., ill., 497 Sch.) (нем.)

43339 К. Новые примеры катализируемой кислотами циклизации в ряду монотерпенов, главным образом по типу *алло*-циклогеранила. Фогт (Neue Beispiele säurekatalysierter Ringschlüsse bei den Monoterpenen, besonders nach dem *allo*-Cyclogeranyltyp. Vogt Hans Rudolf. Zürich, Brunner und Bodmer, 1954, 66 S., ill.) (нем.)

43340 Д. Частично ацелированные и тритилированные сахара. Клебер (Partiell acetylierte und tritylierte Zucker. Kleeberg Ulrich. Diss., T. H., Stuttgart, 1953), Dtsch. Nationalbibliogr., 1955, В, № 21, 1536 (нем.)

43341 Д. Исследование гидролиза и реверсии моно- и олигосахаридов с учетом значения реверсии для аналитической химии сахаров. Мюллер (Über Hydrolise und Reversion bei Mono- und Oligosacchariden mit Berücksichtigung der Bedeutung der Reversion für die Zuckeranalytik. Müller Karl. Diss., Landw.-gärtner F., Berlin, 1954), Dtsch. Nationalbibliogr., 1955, В, № 19, 1388 (нем.)

43342 Д. Синтез аминокислотных производных сахаров и новый путь получения ангидридов сахаров. Клемер (Eine Synthese von Zucker-Aminosäureverbindungen und ein neues Verfahren zur Darstellung von Zuckeranhydriden. Klemmer Almut. Diss., Math.-naturwiss. F., Münster, 1953, nenschr.), Dtsch. Nationalbibliogr., 1955, В, № 15, 946 (нем.)

43343 Д. Об эфирах замещенных дифенил- и трифенилкарбинолов со спиртами и сахарами и опыт получения фенолгликозидов. Крамер (Über Äther substituierter Diphenyl- und Triphenyl-carbinole mit Alkoholen und Zuckern und ein Beitrag zur Darstellung von Phenolglucosiden. Cramer Günter. Diss., Math.-naturwiss. F., Bonn, 1954, Dtsch. Nationalbibliogr., 1955, В, № 19, 1366 (нем.)

43344 Д. О получении S-алкильных эфиров β-D-глюкозилэтиотимочевинны и их реакции с аминокислотами и аминами. Берленбах (Über die Darstellung von β-D-Glucosyl-Isotioharnstoff-S-Alkyläthern und ihre Umsetzungen mit Aminosäuren und Aminen. Berlenbach Wilhelm. Diss., Math.-naturwiss. F., Münster, 1953), Dtsch. Nationalbibliogr., 1955, В, № 15, 942 (нем.)

43345 Д. О *цис*-, *транс*-изомерии в боковой цепи пононов и о так называемой цитрилендукусной кислоте. Триболе (Sur la stéréo-isomérisie *cis*, *trans* dans la chaîne latérale des ionones et sur le soignant acide citrylidénacétique. Tribolet Pierre, de. Diss., techn. Wiss., ETH, Zürich, 1955), Schweiz. Buch, 1955, В 55, № 5, 228 (франц.)

43346 Д. Опыты синтеза простых аналогов лизергиновой кислоты. Заффер (Versuche zur Synthese einfacher Lysergsäureanaloga. Saffer Dorothea. Diss., Innsbruck, 1953), Oesterr. Bibliogr., 1955, № 16, 12 (нем.)

43347 Д. К исследованию структуры никотеллина. Кайзер (Zur Konstitutionsaufklärung des Nicotellins. Kaiser Ernst. Diss., Wien, 1955), Oesterr. Bibliogr., 1955, № 16, 12 (нем.)

43348 Д. Опыты синтезов в ряду спартеина и фенантренизохинолина. Кунц (Synthese-Versuche in der Spartein und Phenanthren-Isochinolin-Reihe. Kunz Wilhelm. Diss., T. H., Naturwiss.-phil. F., Braunschweig, 1953), Dtsch. Nationalbibliogr., 1955, В, № 17, 1227 (нем.)

43349 Д. Об алкалоидах дифенилэфринового типа. Кнабе (Über Diphenylätheralkaloide. Knabe Joachim. Diss., T. H., Naturwiss.-phil. F., Braunschweig, 1954), Dtsch. Nationalbibliogr., 1955, В, № 21, 1536 (нем.)

43350 Д. Исследование по установлению строения алкалоидов *Iboga* и бифлорина. Матис (Beiträge zur Konstitutionsaufklärung von *Iboga*-Alkaloiden und Biflorin. Mathys Frédéric. Diss., techn. Wiss., ETH, Zürich, 1955), Schweiz. Buch, 1955, В 55, № 6, 272 (нем.)

43351 Д. Изучение проблемы *цис-транс*-изомерии каротиноидов на основе опытов синтеза. Гарбер (Das Problem der *cis-trans*-Isomerie der Carotinoide auf Grund synthetischer Versuche. Diss. Garbers Christoph Friedrich, Zürich, Brunner & Bodmer, 1954, 74 S., ill.) (нем.)

43352 Д. Исследование 9,10-сено-эргостатетраенов типа витамина D₂. Грюндель (Untersuchungen an 9, 10-*seco*-Ergostatetraenen vom Typ des Vitamins D₂. Gründel Rudolf. Diss. T. H., Naturwiss.-phil. F., Braunschweig, 1954), Dtsch. Nationalbibliogr., 1955, В, № 21, 1533 (нем.)

43353 Д. Опыты получения аневринового альдегида. Шеллер (Über Versuche zur Darstellung von Aneurinaldehyd. Diss. Schoeller Manfred, Winterthur, Keller, 1953, 39 S.) (нем.)

43354 Д. Синтетические N-альгидиламинокислоты и их серологические свойства. Опыты по синтезу, аналитическому определению и выделению альгидилабумина. Милле (Synthetische N-Algicylaminosäuren und ihr serologisches Verhalten. Versuche zur Synthese, zum Nachweis u. zur Isolierung v. Algicylalbumin. Millé Erno. Diss., Math.-naturwiss. F., Münster, 1953), Dtsch. Nationalbibliogr., 1955, В, № 15, 947 (нем.)

43355 Д. Фосфоразосоединения и их применение для синтеза пептидов, двухзамещенных мочевины и тиомочевины. Лаутеншлагер (Über Phosphorazoverbindungen und ihre Verwendung zur Synthese von Peptiden und disubstituierten Harnstoffen und Thioharnstoffen. Lautenschlager Hans. Diss., Techn. H., München, 1953), Dtsch. Nationalbibliogr., 1955, В, № 15, 946 (нем.)

43356 Д. О полиаминокислотах. Пауль (Über Polyaminosäuren. Paul Manfred. Diss., Techn. H., München, 1953), Dtsch. Nationalbibliogr., 1955, В, № 15, 947 (нем.)

43357 Д. Превращения циклов в ряду хинной кислоты. Бокранц (Ringveränderungen in der Reihe der Chinasäure. Bokranz Arthur. Diss. Phil. F., Kiel, 1954), Dtsch. Nationalbibliogr., 1955, В, № 17, 1222 (нем.)

43358 Д. N⁺-C-бетаны ряда пиридина. Кислинг (Über N⁺-C-Betaine in der Pyridinreihe. Kiessling Hans-Joachim. Diss., Phil. F., Marburg, 1953), Dtsch. Nationalbibliogr., 1955, В, № 11, 807 (нем.)

См. также: Углеводы и родств. соед. 44649, 44653, 44677, 44697, 45101, 45102, 45279; 13305Бх, 13346Бх, 13486Бх, 13649Бх. Терпены 45100; 13665Бх. Стероиды 44648, 44699, 44700—44702, 44704—44711; 13191Бх, 13430Бх, 13437Бх, 13466Бх, 13532Бх. Алкалоиды 42408,

43594, 44643—44646; 13660Бх. Витамины 43073—43076, 44698; 13150Бх, 13153Бх, 13238Бх, 13362Бх, 13375Бх, 13383Бх, 13388Бх. Антибиотики 44712—44715, 44717;

13559—13565Бх, 13567Бх, 13590Бх. Аминокислоты и белки 44511; 13147Бх, 13244Бх, 13275Бх, 13276Бх, 13641Бх, 13814Бх, 13815Бх

ХИМИЯ ВЫСОКОМОЛЕКУЛЯРНЫХ ВЕЩЕСТВ

43359. Методы определения степени гетерогенности макромолекулярных веществ. Кадорин (Metodi per la determinazione del grado di eterogeneità di sostanze macromolecolari. Cadorin D.), Mat. plastiche, 1955, 21, № 11, 939—948 (итал.)
Обзор. Библ. 31 назв. С. Ф.

43360. Внутреннее вращение в полимерных цепях и их физические свойства. III. Изменение внутренней энергии полимерных цепей при растяжении. Волькенштейн М. В., Птицын О. Б., Ж. техн. физики, 1955, 25, № 4, 662—670

В предыдущей работе (см. сообщение II РЖХим, 1956, 19421) было показано, что растяжение реальной полимерной цепи с заторможенным внутренним вращением происходит не только за счет перераспределения углов внутреннего вращения φ_i , но и за счет изменения набора их значений. Так как различным углам φ_i отвечает различная энергия внутреннего вращения, то растяжение реальной цепи должно сопровождаться изменением внутренней энергии. Показанная впервые Бреслером и Френкелем (Ж. экспери. и теор. физики, 1939, 9, 1094) нелинейность зависимости средней силы f , стягивающей концы цепи, разведенные на расстояние x , от температуры указывает, по мнению авторов, на наличие энергетич. силы, равной $f_0 = f + T(\partial S/\partial x)_T = f - T(\partial/\partial T)_x$, где S — энтропия цепи. Поскольку $f = 3kTx/\bar{h}^2$, то $f_0 =$

$(3kT^2/\bar{h}^2)(\partial \ln \bar{h}^2/\partial T)_x$. Знак этой силы зависит от знака $\partial \bar{h}^2/\partial T$, а зависимость \bar{h}^2 от T определяется видом потенциала $U(\varphi)$. Если минимуму $U(\varphi)$ отвечают малые углы φ , т. е. вытянутая конфигурация цепи, то $\partial \bar{h}^2/\partial T < 0$. Такая ситуация осуществляется в большинстве полимеров и, следовательно, энергетич. сила в них имеет отрицательный знак и способствует растяжению цепи. Рассматривая полимер как смесь поворотных изомеров, соответствующих углам $\varphi = 0, \pm 120^\circ$, авторы показали, что $f_0/f = -2/(2 + \omega) \cdot \Delta E/kT$, где $\omega = \exp(-\Delta F/kT)$; ΔF — разность свободных энергий и ΔE — разность энергий поворотных изомеров. Так как ΔE имеет порядок kT , то f_0 имеет тот же порядок величины, что и f , т. е. в растянутой цепи возникает значительная энергетич. сила. Поскольку при малых растяжениях для полной силы, действующей в цепи, справедливо выражение $f = 3kTx/\bar{h}^2$, полученное без учета изменений энергии при растяжении, то, очевидно, что возникающая в цепи энергетич. сила компенсируется равной по величине и обратной по знаку добавочной энтропийной силой, возникающей вследствие изменения набора углов φ_i .

Авторами показано, что при малых растяжениях $f_0 = -f_s$, где f_s — энтропийная сила, связанная с переходом свернутых изомеров в *транс*-изомеры, и сделан вывод о том, что возвращающая сила обусловлена целиком изменением энтропии, за счет перераспределения изомеров вдоль цепи. Расчет f_0 для всего интервала растяжений показывает, что при очень больших растяжениях f_0 составляет лишь небольшую часть общей силы f . В работе также рассмотрен вопрос о растяжении полимера в блоке на основании сеточной

теории и получено выражение для модуля Юнга в виде: $E = (d\sigma/d\alpha)_{\alpha=1} = 3nkT(1 + q/n^2 \bar{h}^2)$, где σ — условное напряжение, α — относительная длина, n — число цепей в единице объема и $q = 3(2/p)^{1/2}$, где p — функциональность сетки. Из рассмотрения энергетич. эффектов растяжения полимера в блоке, обусловленных изменением энергии каждой цепи, сделан вывод о рациональности характеризовать внутримолекулярные энергетич. эффекты величиной $V\sigma - T(\partial V\sigma/\partial T)$, предложенной Бартевым (РЖХим, 1956, 9994). Показано, что теплоемкость при постоянной длине для растянутой полимерной цепи уменьшается с растяжением, а теплоемкость при постоянной силе увеличивается с растяжением. Дано объяснение таких изменений и указано, что изменения теплоемкости растянутых каучукоподобных полимеров в блоке будут осложняться значительными межмолекулярными эффектами. Ю. Л.

43361. Спектры комбинационного рассеяния низкомолекулярных полисилоксанов. Слободин Я. М., Шмукловский Я. Э., Ржедзинская К. А., Докл. АН СССР, 1955, 105, № 5, 958—960
Синтезированы два ряда простейших полисилоксанов: с открытой цепью (гексаметилдисилоксан, октаметилтрисилоксан, декаметилтетрасилоксан) и циклических (гексаметилциклотрисилоксан, октаметилциклотетрасилоксан, декаметилциклопентасилоксан, додекаметилциклогексасилоксан), и получены их спектры комб. расс. Общие для многих спектров частоты ~ 2900 и ~ 2960 см^{-1} приписаны валентным колебаниям C—H в группах CH_3 , а ~ 1409 см^{-1} — деформационным колебаниям; ~ 1258 см^{-1} отнесены к группам Si—CH₃, а 795 см^{-1} к Si(CH₃)₂. Частота ~ 690 см^{-1} приписана колебаниям Si—C. В области 600—700 см^{-1} расположены частоты скелетных колебаний, а у 500 см^{-1} — полносимметричных колебаний Si—C. Малые частоты 70—100 см^{-1} , видимо, связаны с вращением вокруг связи Si—C. Отличие спектра гексаметилциклотрисилоксана от других циклич. полисилоксанов объясняется напряженностью шестичленного циклотрисилоксана. Е. П.

43362. Изучение тиолигнина методом инфракрасной спектроскопии. Линдберг (Infrarödspektroskopiska undersökningar av tioligniner. Förberedande meddelande. Lindberg J. Johan), Suomen kemistis. tiedonantoja, 1955, 64, № 1-2, 23—27 (швед.; раз. англ.)

В области 2,5—15 μ изучены ИК-спектры тиолигнина, полученного сульфатной варкой и варкой в среде гидросульфида натрия. При окислении метилированного тиолигнина, полученного сульфатной варкой при 100°, при помощи перекиси водорода или перманганата наблюдается увеличение интенсивности полос 1044, 1148, 1215 и 3420 см^{-1} и появляется новая полоса при 1162 см^{-1} . Сравнение тиолигнинов, полученных в различных условиях, показало, что интенсивность полосы в области 1720 см^{-1} увеличивается с ростом τ -ры и pH среды при варке. Изучение ν -толуидиновых производных указывает, что полоса 1720 см^{-1} обусловлена наличием карбоксильных групп. Ю. Л.

43363. Модельные представления о растворимости высокополимеров. Фукс (Modellbetrachtungen zur

Löslichkeit von Hochpolymeren. Fuchs O.), Kunststoffe, 1953, 43, № 10, 409—415 (нем.)

Автор предлагает качествен. подход к проблеме растворимости полимеров, основанный на рассмотрении сил, действующих между молекулами р-рителя (K_{AA}), полимера (K_{BB}) и между р-рителем и полимером (K_{AB}). Зная величину и характер этих сил, можно объяснить ряд эксперим. фактов и в ряде случаев предсказать поведение полимера в том или ином р-рителе. В основе анализа лежит следующее модельное представление: при растворении на молекулах данного в-ва образуется сольватный слой р-рителя, в конечном итоге разделяющий их. В случае полимера этот слой может образоваться на отдельных участках цепочки; растворение, однако, произойдет лишь тогда, когда слой распространится на всю цепочку. Таким образом, решающую роль играет устойчивость сольватного слоя, которая определяется характером и соотношением сил K_{AA} , K_{AB} и K_{BB} . Эти соображения иллюстрируются на примере растворимости полистирола в ряде р-рителей (гексан, бензол, хлороформ, сильно полярные р-рители). При рассмотрении вопроса о растворимости полимеров следует также принимать во внимание стерич. факторы, влияющие на плотность упаковки цепочек (кристаллич. полимеры труднее растворимы, чем аморфные), и на возможность взаимодействия между различными группами молекул полимера и р-рителя. В этом плане рассмотрена растворимость целого ряда полимеров. Автор подчеркивает, что для колич. расчетов описанные модельные представления неприменимы и требуется знание термодинамич. функций. С. Ф.

43364. Соображения о зависимости удельного объема полиакрилонитрила от молекулярного веса. Маральяно (Considerazioni sulla dipendenza del volume specifico del poliacrilonitrile dal peso molecolare. Maragliano Domenico), Ann. chimica, 1955, 45, № 6—8, 467—476 (итал.)

Исследовалась зависимость истинного и кажущегося уд. объема (соответственно V_r и V_a) полиакрилонитрила (I) от мол. веса M . I был получен окислительно-восстановительной полимеризацией в водн. фазе с применением NaHSO_3 и $\text{K}_2\text{S}_2\text{O}_8$ в качестве катализаторов. В интервале M от 10^4 до $8,5 \cdot 10^4$ V_r линейно возрастает с 0,825 до 0,955 $\text{см}^3/\text{г}$, сохраняя далее неизменное значение. Этот результат объясняется уменьшением степени кристалличности I при увеличении M , что подтверждается измерениями коэфф. теплопроводности и рентгенографич. данными. Значения V_a определяются условиями, при которых происходит агрегация колл. частиц образующегося полимера. В указанных пределах MV_a очень резко возрастает (с 2,55 до 8,0), а при дальнейшем росте M — увеличивается медленно. Этот результат объясняется экранированием электрич. зарядов на молекулах выпадающего из эмульсии полимера за счет ионов катализаторов. Спец. серия опытов с добавками к эмульсии MgSO_4 показала, что с увеличением конц-ии этой соли M практически не изменяется, а V_a заметно падает; этот эффект тем сильнее, чем меньше M . Наличие электролитов приводит к образованию облака противоионов вокруг заряженных колл. частиц полимера, что облегчает их агрегацию за счет ван-дер-ваальсовых сил, причем плотность агрегатов увеличивается с ростом конц-ии электролита в системе. С. Ф.

43365. Соотношение между $[\eta]$ или $(\bar{R}^2)^{1/2}$ и вторым вириальным коэффициентом. Кригбаум (Relationships between $[\eta]$ or $(\bar{R}^2)^{1/2}$ and the second virial coefficient. Krigbaum W. R.), J. Polymer Sci., 1955, 18, № 88, 315—320 (англ.)

Используя результаты, полученные ранее (РЖХим, 1955, 42751 Flory P. J., Fox, J. Amer. Chem. Soc., 1951, 73, 1904), автор вывел ур-ния зависимости $[\eta]$ и среднеквадратичного радиуса \bar{R}^2 (или среднеквадратичного расстояния между концами цепи \bar{L}^2) от второго вириального коэфф. A_2 . На основе имеющихся в литературе данных о р-рах полистирола, поливинилацетата, полиизобутилена и полидиметилсилоксана показано, что $[\eta]$ и $(\bar{R}^2)^{1/2}$ пропорциональны A_2 . Начальный линейный характер этой зависимости предсказывается теорией, но для высоких значений A_2 он оказывается неожиданным. Пропорциональность между $[\eta]$ и $(\bar{R}^2)^{1/2}$ во многих случаях нарушается более быстрым ростом последней величины. С. Г.

43366. К вопросу о взаимодействии полимеров с индивидуальными жидкостями и их смесями. Липатов С. М., Меерсон С. И., Сообщ. о науч. работах Всес. хим. о-ва им. Менделеева, 1955, вып. 3, 31—35

Исследованы теплоты взаимодействия нитроцеллюлозы (I) с бинарными смесями р-рителей. Показано, что при растворении I в смеси ацетон-этиловый спирт теплота взаимодействия Q пропорциональна молярной доле компонента смеси. В других случаях взаимодействия I с жидкостями сопровождается резко выраженными аномалиями и кривые зависимости теплового эффекта от состава смеси проходят через максимум или минимум, причем аномалии тем значительнее, чем больше разности полярностей компонентов. Характер зависимостей Q от состава смеси для смесей ацетон-бензол, трикрезилфосфат-бутилацетат, трикрезилфосфат-ацетон указывает, что при содержании ацетона (или бутилацетата) в смеси до ~50% величина Q мало отличается от теплоты взаимодействия с чистым ацетоном; при дальнейшем уменьшении содержания ацетона в смеси Q падает. Уменьшение Q объясняется автарам в этих случаях не характером распределения компонентов смеси, а образованием агрегатов полимерных молекул и выключением полярных групп из взаимодействия с ацетоном, т. е. принимается адсорбционный механизм поглощения р-рителя из смеси. Определение теплот взаимодействия при т-ре 50°, когда наступает полное растворение I в смесях, показывает, что Q не зависит от свойств жидкости и состава смесей. Таким образом, взаимодействие полимера с растворителями сводится к избирательному поглощению одного из компонентов смеси, если различия между компонентами очень велики, или к распределению обоих компонентов между молекулами полимера и р-рителя, если свойства компонентов близки между собой. Дано термодинамич. рассмотрение этого вопроса. Ю. Л.

43367. О термодиффузии в растворах высокополимеров. Лангхаммер, Квинц (Über Thermodynamik in Lösungen von Hochpolymeren. Langhammer G., Quitzsch K.), Makromolek. Chem., 1955, 17, № 1, 74—76 (нем.)

Проведены предварительные опыты по термодиффузии р-ров коллоиды, исследованной по методу Корпинга и Вирпа (Korsching H., Wirtz K., Ber. Dtsch. chem. Ges. 1940, 73, 249) с использованием двух коаксимальных стеклянных труб с эффективной разностью т-р 15—20°. Отношение $c_n : c_n'$ (c_n — конц-ия в верхней, «горячей» камере, c_n' — в нижней, «холодной» камере) составляет для образца с мол. в. $0,28 \cdot 10^5$ при продолжительности опыта 24, 48 и 72 часа соответственно 1,85; 2,70 и 3,10, а для образца с мол. в. $5,9 \cdot 10^5$ при тех же временах 2,92; 4,84 и 5,25 (начальная конц-ия 10 г/л). Величина $\gamma = c_n/c_n' - 1$ возрастает со временем сначала линейно, а затем стремится к

предель. Из начального наклона зависимости γ от времени может быть вычислена величина коэффициента Сорета $s = D'/D$ (D' — константа термодиффузии, D — константа изотермич. диффузии). С ростом мол. веса s возрастает, что дает возможность определять мол. веса по этому параметру. Мол. веса полимера в верхней и нижней камерах отличаются от исходного; эти изменения особенно заметны при каскадном методе исследования, что создает возможность проведения фракционирования с помощью термодиффузии. Ю. Л. 43368. Определение молекулярных весов высокополимеров методом светорассеяния. Франк (Die Bestimmung des Molekulargewichts von Hochpolymeren mit Hilfe der Lichtstreuung. Frank H. Peter, Gummi und Asbest. 1956, 9, № 1, 10, 12, 14, 16, 18 (нем.))

Популярный обзор. Библ. 37 назв.

Ю. Л.

43369. Влияние поперечного связывания и обрыва цепей на молекулярно-весовые распределения. Смолл (The effects of crosslinking and chain scission on molecular weight distributions. Small P. A., J. Polymer Sci., 1955, 18, № 89, 431—435 (англ.))

Иллюстрируется применение методов преобразования (в частности, преобразования Лапласа) к расчету молекулярно-весовых распределений, возникающих при беспорядочном поперечном связывании и обрыве цепей исходного полимера, напр. под действием ионизирующих излучений. Метод основан на том, что лапласово преобразование результирующей весовой функции распределения по степеням полимеризации $mW_1(m)$ является вещественной положительной ветвью многозначной аналитич. функции вида $V(p) = \tilde{W}_0 [p + a - aV(p)]$, где $\tilde{W}(p) = \int_0^\infty e^{-pm} W(m) dm$, a — степень

поперечного связывания, а индекс «0» соответствует исходной функции распределения. a определяется таким образом, что среднее число новых связей, возникших в m -мере, равно am , а вероятность образования t связей задается функцией Пуассона. При положительных p $\tilde{W}_1(p) < 1$ и $\rightarrow 0$ при $p \rightarrow \infty$. Дальнейший расчет основан на существовании простой связи между $\tilde{W}_1(0)$ и геле-фракцией x , а именно ($p \equiv ax$) $\tilde{W}_1(0) = \tilde{W}_0(ax) = 1 - x$. Для примера произведен расчет $W_1(m)$ гипотетич. полимера с $W_0(m) = e^{-r} r^m / m!$ ($r > 0$). Результирующее распределение при поперечном связывании без обрывов удается представить в виде ряда $W_1(m) = \sum_{t=1}^\infty a^{t-1} c^{(r+1)t} m^{(r+2)t-2} \times$

$\times \exp[-(a+c)m]/(rt+t-1)t!$ (1), t -й член которого представляет собой парц. функцию распределения для сшитых молекул, состоящих из t исходных цепочек. Далее аналогичным образом рассчитывается $W_1(m)$ при беспорядочном (т. е. также характеризуемом пуассоновой функцией) обрыве «скелетных» C—C-связей. В предположении, что процессы обрыва и поперечного связывания протекают независимо друг от друга, можно по эксперим. зависимости между x и a , задаваемой в форме $x = \xi(ax)$, найти $\tilde{W}_0(p)$ и соответственно $W_0(m)$. Математически проблема сводится к определению «поправки на обрывы» к ф-ле (1). Приведен пример расчета этой поправки и кратко обсуждены возможные модификации приемов расчета. С. Ф.

43370. Измерение молекулярного веса методом рассеяния света. Экспериментальная методика и интерпретация результатов. Клевердон, Харви, Лейкер, Смит (Measurement of molecular

weight by the light scattering method. Experimental procedure and interpretation of results. Cleverdon D., Harvey L., Laker D., Smith P. G., J. Appl. Chem., 1955, 5, № 9, 503—509 (англ.))

Рассматривается влияние молекулярно-весового распределения полимеров на рассеяние света их р-рами. Если весовая фракция полимера с мол. весом x равна $w(x) = y^{x+1} x^y e^{-yx} / \gamma!$ (Schulz G. V., Z. phys. Chem., 1935, B30, 379), где γ и y — константы, причем отношение средневесового и среднечисленного мол. весов $M_w : M_n = 1 + \gamma^{-1}$, то относительная интенсивность света, рассеянного под углом θ , равна $P(\theta) = \frac{2}{u^2} \{(\gamma+1)^{\gamma+1} / (\gamma+1+u)^{\gamma+1} - (\gamma+1) / (\gamma+u+1)\}$, где $u = (8\pi^2/3)(R^2/\lambda_0^2) \sin^2(\theta/2)$, R^2 — средний квадрат радиуса инерции цепи, λ_0 — длина световой волны в р-ре. Это ур-ние показывает, что определение R^2 методом асимметрии требует учета полидисперсности. Напр. при асимметрии $z = 1,2$ $R = 657 \text{ \AA}$, если система монодисперсна ($\gamma = \infty$), и $R = 548 \text{ \AA}$, если $\gamma = 1$. В то же время метод Цимма, состоящий в экстраполяции $P(\theta)$ к $\theta \rightarrow 0$, дает « z -среднее» значение R^2 независимо от вида молекулярно-весового распределения. Авторы измерили $P(\theta)$ в р-ре полистирола в толуоле при $\theta = 45, 90$ и 135° и обработали полученные данные с помощью метода асимметрии и метода Цимма. Для исследованного ими образца $M_w : M_n \approx 5$, так что $\gamma = 1/4$. В то время как значение M_w , полученное методом асимметрии ($328\,000 \pm 5000$), почти не зависит от γ и хорошо согласуется со значением, полученным методом Цимма ($326\,000 \pm 11\,000$), средневесовое и « z -среднее» значения R изменяются соответственно от 719 до 898 \AA и от 965 до 898 \AA при изменении γ от $1/4$ до бесконечности. Значение $R_z = (965 \pm 23) \text{ \AA}$, полученное методом асимметрии при $\gamma = 1/4$, хорошо согласуется со значением $R_z = (974 \pm 59) \text{ \AA}$, полученным методом Цимма.

О. П.

43371. Метод для оценки надежности рутинных молекулярных весов, определенных светорассеянием. Мастранджело, Клей, Фишман, Хейган, Лаарус, Загар (Method for evaluating the reliability of routine molecular weights determined by light scattering. Mastrangelo S. V. R., Clay Barbara, Fishman M. M., Nagan A. G., Lazrus Allan, Zagar Walter), Analyt. Chem., 1955, 27, № 2, 262—265 (англ.))

Описан метод оценки надежности рутинных измерений функций распределения по мол. весам $f(M)$ клинич. препаратов декстрана. $f(M)$ для каждого препарата вычисляется при сопоставлении определенных методов рассеяния света мол. весов \bar{M}_w образца в целом и его предельных (тяжелой и легкой) 10%-ных фракций; при этом принимается, что во всех образцах $f(M)$ описывается модельной функцией Крэмера—Лансинга, параметры которой могут меняться от образца к образцу. Предлагается также ускоренная контрольная процедура. \bar{M}_w легкой 10%-ной фракции однозначно связан с объемом метанола, необходимого для осаждения всего полимера, за исключением этой фракции. На основе большого числа измерений установлен вид зависимости $\bar{M}_w = 4907,4 P + 276725$, где P — об. % метанола, необходимый для осаждения при стандартных условиях ($6,0 \pm 0,3\%$ -ный р-р при $25 \pm 0,05^\circ$) 91% декстрана. В ограниченном интервале мол. весов \bar{M}_w образца в целом связан с характеристич. вязкостью соотношением $\lg \bar{M}_w = 2,5714 \lg [\eta] + 6,3998$. После того как таким путем устанавливается надежность

значений \bar{M}_w легкой фракции и образца в целом, по ним вычисляются параметры $f(M)$ и далее рассчитывается \bar{M}_w тяжелой фракции и сравнивается с опытом. В случае больших расхождений для данного образца производятся контрольные измерения светорассеяния. Как правило, средние ошибки определения \bar{M}_w легкой фракции и образца в целом не превышают соответственно 2 и 3,86%. Для тяжелой фракции эти расхождения больше, ввиду неполной адекватности функции Крэмера — Лансинга истинному распределению $f(M)$. Повторные измерения производятся, если эти расхождения превышают 15%.

С. Ф.

43372. Определение молекулярно-весаового распределения для поликапролактама. Чжан Дэ-хэ, Чэнь Кан, Цянь Жэнь-Юань (聚己内酰胺的分子量分佈測定. 張德合, 陳康, 錢人元), 化學學報, Хуасюэ сюэбао, Acta chim. sinica, 1955, 21, № 1, 63—68 (кит.; рез. англ.)

Дробным осаждением водой из 1%-ного р-ра полимера в 75%-ной HCOOH один образец разделен на пять, а другой — на восемь фракций. Среднечисленные мол. веса фракций определялись методом конечных групп (титрование р-ров фракций в бензиловом спирте 0,05 н. р-ром КОН при 175°). Дифференциальные кривые распределения обоих образцов характеризуются наличием очень острого пика и широкого распределения в низкомолекулярной области, что противоречит теории Флори (Flory P. J., Chem. Revs., 1946, 39, 137) и не согласуется с теорией Бреслера, Коршака и др. (Докл. АН СССР, 1952, 87, 961).

П. П.

43373. Вискозиметрическое определение молекулярного веса целлюлозы в растворе медно-этилендиаминного комплекса. Марке (Viskosimetrische Molekulargewichtsbestimmung von Cellulose in Kupfer-Aethylendiamin. Marx M.), Makromolek. Chem., 1955, 16, № 3, 157—176 (нем.)

Обнаружена хорошая растворимость целлюлозы (I) различных степеней полимеризации в р-рах медно-этилендиаминного комплекса (II) и устойчивость I к O_2 воздуха, что позволяет измерять вязкость в обычных условиях. Выказано предположение, что малая чувствительность I к O_2 обусловлена образованием в-в восстанавливающего характера при взаимодействии II с O_2 . Изменение состава р-ра II не влияет заметно на растворяющую способность и вязкость (соотношение меди и основания менялось от 1 : 1,69 до 1 : 2,89 моль/л и содержание меди от 0,25 до 195 моль/л). Описан метод приготовления р-ра II : 128 см³ 70% технич. этилендиамина смешиваются с 0,4 л H_2O и после охлаждения добавляется 75 г сухого $\text{Cu}(\text{OH})_2$. Смесь встряхивают 18 час. в атмосфере N_2 , нерастворившийся осадок отделяют. Разбавлением водой в 2,8 раза получают р-р с 0,5 молярным содержанием Cu , используемый при измерениях вязкости. Определение зависимости η_{sp} от конц-ии I показало применимость к р-рам II ранее предложенного ур-ния: $Z_\eta = \eta_{sp}/(1 + K_\eta \eta_{sp})$ (Schulz G. V., Blaschke F., J. pract. Chem., 1941, 158, 136); K_η найдена равной 0,290. Отношение вязкости р-ров нитратов I в ацетоне к вязкости I в II равно 1,83 для всех 8 образцов. На основании этого отношения и установленной зависимости вязкости нитратов I от степени полимеризации найдена линейная графич. зависимость между вязкостью и степенью полимеризации I в р-ре II, что дает возможность непосредственно из Z_η определять степень полимеризации I.

Р. К.

43374. Фракционирование целлюлозы. Теоретические соображения. Скотт (Fractional separation of cellulose. Theoretical considerations. Scott R.), Industr. and Engng Chem., 1953, 45, № 11, 2532—2537 (англ.)

Показано, что первые фракции при разделении методом осаждения содержат значительные кол-ва примесей низкомолекулярных фракций — в результате сильного набухания осадка. Для устранения этого явления рекомендуется проводить осаждение из сильно разб. р-ров. На примере смеси равных кол-в двух полимеров со степенью полимеризации 800 и 1200 рассмотрено влияние конц-ии полимера в р-ре при осаждении и показано, что с понижением конц-ии четкость разделения фракций несколько увеличивается. Нерацонально производить разделение сразу на большое число фракций, особенно при осаждении из конц. р-ров; больший эффект дает повторное разделение фракций из 0,1% р-ров. Методы дробного осаждения и растворения не могут дать четкого разделения фракций, так как необходимое изменение условий осаждения может быть достигнуто только путем изменения конц-ии полимера в р-ре. Наиболее перспективен метод хроматографич. разделения.

Е. К.

43375. Образование колец и молекулярно-весаовые распределения в полимерах с разветвленными цепями. Гаррис (Ring formation and molecular weight distributions in branched-chain polymers. I. Harris Frank E.), J. Chem. Phys., 1955, 23, № 8, 1518—1525 (англ.)

Теория молекулярно-весаовых распределений в полимерах с разветвленными цепями развивается с учетом возможности внутримолекулярных р-ций, приводящих к образованию колец. Приближение к описанию поведения циклизующихся систем достигается с помощью двух моделей. Первая основана на допущении, что пространственные ограничения не влияют на вероятность или кол-во возможных структур; последнее рассчитывается простыми методами комбинаторики. При этом, однако, получается слишком большое число структур для больших молекул с многими кольцами и противоречащий опыту вывод о том, что образование колец благоприятствует выпадению геля. Согласно второй, более удовлетворительной модели, предполагается, что пространственные ограничения прямым образом определяют число возможностей каждой функциональной группы для внутримолекулярной конденсации; число концов, доступных данному концу для замыкания цикла, зависит только от плотности первых, а не от их общего числа (или, что то же, мол. веса). Таким образом удается учесть более или менее протяженные конфигурации растущих макромолекул, обусловленные термодинамич. факторами. Согласно этой модели, внутримолекулярные р-ции циклизации сменяют точку гелеобразования в сторону больших степеней завершенности полимеризации. В некоторых случаях, если объем системы превышает «критический объем», полностью растворимый продукт получается даже при 100%-ной конверсии. Подробно рассмотрено влияние ряда эксперим. параметров на результирующее молекулярновесовое распределение.

С. Ф.

43376. Новые работы по вязкости высокомолекулярных растворов. (Форма и размеры частиц). Моли (Neuere Arbeiten über die Viskosität von hochmolekularen Lösungen (Teilchen-Größe und Form. Moli W. L. H.), Kolloid. Z., 1953, 132, № 1, 35—44 (нем.)

Обзор. Библ. 105 назв.

Х. Б.

43377. Новый метод определения внутренней вязкости ценной макромолекулы по измерению двулучепреломления течения. Серф (Une nouvelle méthode pour déterminer la viscosité interne d'une macromolécule en chaîne par des mesures de biréfringence d'écoulement. Cerf Roger), C. r. Acad. sci., 1953, 237, № 13, 652—654 (франц.)

Автор применяет развитую им ранее (J. Chem. Phys., 1951, 48, 59, 85) теорию упругой сферы для определения параметров ценной макромолекулы по измерению

двулучепреломления течения при высоких градиентах скорости G . Для монодисперсного бесконечно разб. р-ра предельный угол погасания χ_0 (при $G \rightarrow \infty$) определяется ур-нием: $\sin 2\chi_0 = 2P_L\eta_0/P(2\eta_0 + \eta_i)$, в котором P_L и P — константы, η_0 — вязкость р-рителя, η_i — внутренняя вязкость частицы. Отношение P_L/P определяется по изменениям $\Delta\eta$ с массовой конц-ией. Используя результаты работы В. Цветкова и Э. Фрисман (Acta physicochimica U. R. S. S., 1945, 20, 61) по двулучепреломлению р-ров полиизобутилена, автор показывает удовлетворительное согласие эксперим. и рассчитанных значений χ_0 . И. С.

43378. Вязкость, седиментация и светорассеяние фракций гидролизованного декстрана. Сенти, Хелман, Людвиг, Бабкок, Тобин, Гласс, Ламберте (Viscosity, Sedimentation, and light-scattering properties of fractions of an acid-hydrolyzed dextran. Senti F. R., Hellman N. N., Ludwig N. H., Babcock G. E., Tobin R., Glass C. A., Lamberts B. L., J. Polymer Sci., 1955, 17, № 86, 527—546 (англ.; рез. франц., нем.).

Изучены вязкость, седиментация и светорассеяние водн. р-ров 24 фракций декстрана с мол. весами 17 700 — 9 500 000. Фракции были выделены гидролизом и последующим фракционированием гидролизатов с применением этанола в качестве осадителя из декстрана, полученного бактериальной ферментацией сахарозы. Из измерений светорассеяния были определены средневесовые мол. веса фракций M_W и среднеквадратичные радиусы макромолекул R ; для некоторых фракций определялись также среднечисленные мол. веса M_n методом конечных групп. Зависимость характеристик. вязкости $[\eta]$ от мол. веса до значений $M \sim 100 000$ выражается ур-ниями: $[\eta] = 9,78 \cdot 10^{-4} M_W^{0,50}$ и $[\eta] = 1,09 \cdot 10^{-3} M_n^{0,44}$. Ур-ние зависимости константы седиментации S_{20}^0 от M_W , справедливое в области мол. весов $18 000 < M_W < 400 000$, имеет вид $S_{20}^0 = 0,0245 M_W^{0,44}$. Зависимость мол. весов от R выражается ур-нием $R = 0,66 M_W^{0,43}$. На основании установленного характера зависимости $[\eta]$, S_{20}^0 и R от M , а также величин гидродинамич. константы K' , полученной из концентрационной зависимости вязкости, сделано заключение о разветвленной структуре макромолекул декстрана. Вычисленные из эксперим. данных значения универсальной константы Ф' Флори оказались больше значений, полученных в других работах для линейных полимеров, что авторы объясняют различием отношения среднеквадратичных радиусов макромолекул, вычисляемых по данным светорассеяния, к гидродинамич. радиусам, определяющим $[\eta]$, для линейных и разветвленных макромолекул. Учет этого различия дает возможность получить на основании результатов (РЖХим, 1954, 10385) новые значения $g = R_{\text{раз}}^2 / R_{\text{лин}}^2$ отношения среднеквадратичных радиусов разветвленных макромолекул декстрана к соответствующим величинам для линейных молекул, позволяющие предложить модель разветвлений в молекуле декстрана.

И. П.

43379. Двулучепреломление в потоке декстранов, полученных на культурах Leuconostoc mesenteroides. Ян Жэнь-цзи, Фостер (Streaming birefringence behavior of dextrans produced by Leuconostoc mesenteroides. Yang Jen Tsi, Foster Joseph F., J. Polymer Sci., 1955, 18, № 87, 1—15 (англ.; рез. нем., франц.).

Фракции различных мол. весов нативного и деградированного декстрана, полученного на бактериальных культурах *Leuconostoc mesenteroides*, исследовались методом двулучепреломления в потоке. В качестве р-рителей использовались: вода, водн. р-р NaOH, формамид и этилендиамин. Во всех случаях в различных пропорциях добавлялся глицерин с целью варьирования вязкости р-ров. Различная степень набухания молекул декстрана в указанных р-рителях не отражается на характере двулучепреломления, которое во всех случаях было одинаковым. Подробные исследования были проведены в смеси этилендиамин-глицерин (1:1 по весу). Собственное двулучепреломление этого р-рителя, с углом экстинкции χ , близким к нулю, не вносит заметной погрешности в измерения при конц-иях декстрана $c > 0,5\%$. При меньших c следует исправлять χ р-ра на собственное двулучепреломление р-рителя. Иправленные значения χ не зависят от c в интервале 0,0—2,5%. Зависимость χ от T -ры также практически отсутствует. Зависимость χ от градиента скорости G оказывается значительно слабее, чем можно было ожидать для р-ра гомог. жестких молекул. Опыты с узкими фракциями исключают влияние гетерогенности, поэтому указанный результат приписывается деформируемости молекул декстрана. Коэфф. вращательной диффузии фракций были получены путем обычной экстраполяции к $G = 0$; они удовлетворительно коррелируют с соответствующими значениями мол. веса и характеристик. вязкости $[\eta]$. «Приведенное двулучепреломление» (динамоопт. постоянная) фракций всегда пропорционально их $[\eta]$. При высоких G углы χ приближаются к некоторому (нижнему) пределу, который также связан с $[\eta]$ эмпирич. соотношением $\chi_{\text{lim}} = 24/[\eta]^{1/4}$. Результаты обсуждены на основе существующих теорий, но без каких-либо окончательных выводов. А. Ф.

43380. Растворимость высокоацетилированной ацетилцеллюлозы в смесях метилхлорида со спиртами. Подгородецкий Е. К., Савицкая В. А. Сообщ. о науч. работах Всес. хим. о-ва им. Менделеева, 1955, вып. 3, 40—42

Растворяющая способность смесей метилхлорида со спиртами по отношению к триацетату целлюлозы, полученному гомог. (I) и гетерог. (II) ацетилированием, охарактеризована величиной вязкости 8%-ных р-ров. Увеличение содержания спирта в смеси для исследованных метилового, этилового, бутилового и амлового спиртов приводит к снижению вязкости. По значению вязкостей р-ров I исследованные смеси можно расположить в ряд по растворяющей способности: этиловый, метиловый, бутиловый спирты. Для р-ров в смеси 85% метилхлорида и 15% спирта определены значения $\eta_{\text{уд}}/c$ в зависимости от конц-ии, найдена характерист. вязкость $[\eta]$ и константы взаимодействия Хаггинса K^1 . Наименьшую $[\eta]$ и наибольшую K^1 для II имеют смеси с этиловым спиртсм. Растворяющая способность смеси с метиловым и этиловым спиртсм. одинакова для II, но значения K^1 не совпадают. Ю. Л.

43381. О пептизации лигнина. Бузаг, Тар (Über die Peptisation des Lignins. Buzágh A., Tar Ildiko, Kolloid-Z., 1955, 144, № 1-3, 45—48 (нем.).

Процесс экстрагирования лигнина спирт. р-рами NaOH и диоксаном из ржаной соломы, сосновых опилок и торфа протекает аналогично процессу экстрагирования гуминовой к-ты, следуя правилу осадков Оствальда — Бузага для пептизации р-рителями: с увеличением кол-ва осадка растворимость сначала линейно возрастает, достигает максимума, затем постепенно понижается и далее остается постоянной. Содержание метоксильных групп в растворенной части (~12,9%) меньше, чем в исходном продукте (14,04%), и не

зависит от способа экстракции. Эквивалентный вес лигнина, экстрагированного в условиях, соответствующих максимуму на кривой пептизации, выше, чем эквивалентный вес препаратов, полученных в условиях, соответствующих горизонтальной части этой кривой, и в отличие от последних сильно зависит от кол-ва осадка и от исходной конц-ии пептизатора, изменяясь в пределах 300—900. Аналогичная зависимость наблюдается и для осмотически определяемого мицеллярного веса, изменяющегося для разных препаратов от 6000 до 12 000, а также для чисел коагуляции лигнина хлоридами одновалентных и двухвалентных металлов. Пептизируемость лигнина сильно уменьшается в присутствии этих электролитов. Как для чисел коагуляции, так и для пептизируемости наблюдается зависимость, соответствующая правилу валентности Шульце — Гарди и лиотропному ряду ионов.

С. Г. 43382. Аномальное преломление в растворах полиэлектролитов. Судзуки, Мацуда (Abnormal refractivity of polyelectrolyte solutions. Suzuki Keizo, Matsuda Hideomi), J. Polymer Sci., 1955, 18, № 90, 595 (англ.)

На p -ре полистирол-сульфоновой к-ты показано, что нелинейность зависимости Δn — разности показателей преломления p -ра и чистой воды — от конц-ии p -ра исчезает при добавлении в p -р постороннего электролита. Аномальная зависимость Δn от конц-ии объясняется авторами поведением противоионов, находящихся на больших расстояниях от полииона в разб. p -рах и вблизи от него в присутствии посторонних солей.

Ю. Л.

43383. Полифосфаты как полиэлектролиты. II. Вязкость водных растворов солей Грета. Страусс, Смит (Polyphosphates as polyelectrolytes. II. Viscosity of aqueous solutions of graham's salts. Strauss Ulrich P., Smith Edward H.), J. Amer. Chem. Soc., 1953, 75, № 24, 6186—6188 (англ.)

Измерение вязкости водн. p -ров полифосфатов Na (I) с мол. в. 7400—18 200, приготовленных по способу, описанному ранее (Сообщение I, РЖХим, 1954, 33990), показало справедливость ур-ния Фуосса (Fuoss R. M., J. Polymer Sci., 1948, 3, 603): $\eta_{sp}/C = D + A/1 + BV\sqrt{C}$, где η_{sp} — уд. вязкость; C — конц-ия в г/100 мл; A , B и D — константы для каждого образца. Из ур-ния следует, что характеристич. вязкость η_{sp}/C при $C \rightarrow 0$ равна $A + D$, а так как D мала, то практически равна A . $A = 2,0 \cdot 10^{-7} M^{1.87}$, где M — мол. вес. Показатель 1,87 близок к полученному теоретически для жестких палочкообразных молекул (Kirkwood J. G., Auer P. L., J. Chem. Phys., 1951, 19, 281). Параметр B , определяющий степень влияния C , зависит от M . $B = 0,15 M^{0.56}$; D растет с увеличением M , совпадая с вязкостью p -ров I в 0,35 н. NaBr, в которых отсутствует взаимодействие звеньев молекул полимеров. Длина L полностью вытянутых молекул, рассчитанная из M , хорошо совпадает с длиной (R) молекул $R^3 = MA/2,1 \cdot 10^{21}$ (Flory P. J., Fox T. G., J. Polymer Sci., 1950, 5, 745). Полученные результаты подтверждают линейное неразветвленное строение цепей I в p -рах.

В. Ш.

43334. Полиамфолит с различным распределением заряда. Штун, Дёйель (Polyampholyte mit verschiedener Ladungsverteilung. Stutz E., Döel H.), Helv. chim. acta, 1955, 33, № 7, 1757—1763 (нем.; рез. англ.)

Частичный щел. гидролиз метилового эфира полигалактоновой к-ты дает продукты, в которых группы —COOH (I) и —COOCH₃ (II) распределяются поочередно вдоль молекулярной цепи. Ферментативный гидролиз дает продукты, в которых группы I и II совместно об-

единяются в блоки. Метилловый эфир полигалактоновой к-ты частично вступает к p -цию с диамином, давая полиамфолит (II) с различным числом групп I и —NH₂ (III) вдоль молекулярной цепи. II, приготовленный из этилендиамина и показывающий попеременное распределение групп I и III, нерастворим в H₂O при pH 2—8. II перемещается к аноду в сильнокисл. p -ре и к катоду — в сильнощелочном. Р-ры II довольно стойки по отношению к электролитам. II с боковым распределением групп I и III растворяется только при высоких pH и почти не обнаруживает никакой электрофоретич. миграции. В p -рах II очень чувствителен к электролитам. Уменьшение отношения I:III способствует растворимости при низких pH. Длина боковых цепей производных гексаметилендиамина делает такие II менее чувствительными к электролитам и более растворимыми в H₂O.

А. Г.

43385. Диффузия растворенных газов через мембраны. I. Диффузия кислорода через мембраны из различных полимеров. Риус, Тордесильяс (Difusión de gases disueltos a través de membranas de diversos polímeros. Riús A., Tordesillas I. M.), An. Real. soc. española fís. y quim., 1955, B51, № 11, 593—604 (исп.)

Исследована диффузия кислорода, растворенного в водн. p -ре KCl (0,2 н.), через мембраны различной толщины из полиэтилена, полиэтилентерефталата, бутаретата целлюлозы, триацетилцеллюлозы и винилита (сополимер винилацетата и винилхлорида). На основе анализа процессов диффузии газа через мембрану и рассмотрения кинетики процесса выведено простое ур-ние, связывающее конц-ию газа в более разб. p -ре с длительностью процесса; интегрирование этого ур-ния дает: $\ln[(c_1 - c_2)/c_1] = D\sigma A/Vh$, где c_1 и c_2 — конц-ии газа во «внутреннем» и «внешнем» p -рах, D — коэфф. диффузии, σ — отношение конц-ий газа в мембране и внутреннем p -ре, A — площадь и h — толщина мембраны, V — объем внешнего p -ра. Эта зависимость была подтверждена на опыте. Сравнение коэфф. проницаемости показывает, что прохождение растворенных в водн. p -рителях газов через мембраны не отличается существенно от прохождения газов или газовых смесей в обычных условиях. Отсюда следует, что основным процессом, происходящим при проникновении газов через мембрану, является именно диффузия, а не какие-либо поверхностные процессы. Дополнительным подтверждением этой точки зрения служит показанная на опыте простая зависимость $Q \sim h^{-1}$ между коэфф. проницаемости (Q) и толщиной мембраны (h).

С. Ф.

43386. Теплоемкости, удельные объемы, температуропроводность и теплопроводность высокополимеров. II. Зависимость от длины цепи для фракционированных полистиролов. Иберрейтер, Отто-Лаупенмюлен (Spezifische Wärme, spezifisches Volumen, Temperatur- und Wärmeleitfähigkeit von Hochpolymeren. II. Kettenlängenabhängigkeit bei fraktionierten polystyrolen. Ueberreiter Kurt, Otto-Laupenmühlen Evelyn), Z. Naturforsch., 1953, 8a, № 10, 664—673 (нем.)

В интервале t -р от —16 до +18° определены теплоемкости 3 фракций полистирола мол. весов 860, 2300 и 3650 в зависимости от t -ры. Кривые C_p — T совпадают друг с другом ниже t -ры стеклования T_g ; выше T_g наблюдается зависимость C_p от мол. веса вида $C_p = a - b/M$. Низкомолекулярный полистирол имеет ниже T_g минимум C_p . Даны эмпирич. ур-ния, связывающие значения теплоемкости в точках перегиба — в стеклообразном состоянии a_g , в фиксированно-жидком

состоянии a , и значения $(\partial C_p / \partial T)_g$ и $(\partial C_p / \partial T)_f$ с мол. весом. Авторы считают, что значение C_p ниже T_g можно представить как сумму функций Дебая и Планка — Эйнштейна; выше T_g такое представление невозможно, что связано с возникновением в цепях крутильных колебаний и образованием в молекулах стоячих волн. Различная возможность колебаний более свободных концов молекул по сравнению со средними членами цепей позволяет описывать такие системы как квазибинарные, состоящие из концевых и средних участков цепи. Соотношение этих «компонентов» зависит от мол. веса, что приводит к зависимости C_p от мол. веса. Полученные зависимости обсуждены с позиций развитых представлений. Измерена температуропроводность λ фракций в зависимости от t -ра и мол. веса. Значения λ при T_g не зависят от мол. веса, что обусловлено одинаковым характером крутильных колебаний при T_g . При переходе в состояние с фиксированно-жидкой структурой в связи с изменением характера теплового движения λ падает. В целом во всей области t -ра λ зависит от мол. веса. Из значений уд. объемов и теплоемкостей найдены значения теплопроводностей по уравнению $\lambda = aC_p/v$; λ имеет максимум при T_g . Зависимость λ от M наблюдается лишь выше T_g . Ю. Л.

43387. Теплоемкость, удельный объем, температуропроводность и теплопроводность высокополимеров. Часть III. Полистирол, структурированный дивинилбензолом. Юберрейтер, Отто-Лауренмюлен (Spezifische Wärme, spezifisches Volumen, Temperatur- und Wärmeleitfähigkeit von Hochpolymeren. Teil III. Mit Divinylbenzol vernetzte Polystyrole. Ueberreiter Kurt, Otto-Laurenmühlen Evelyn, Kolloid-Z., 1953, 133, № 1, 26—32 (нем.).

С целью определения особенностей строения структурированного полистирола исследована зависимость уд. объема (v), температуропроводности (a), теплоемкости (C_p) и теплопроводности (λ) образцов полимера, полученных совместной полимеризацией стирола (I) и λ -дивинилбензола (II), от t -ра (0—200°) и состава исходной смеси мономеров, содержащей 5,9 и 15 мол. % II. Образцы для измерения физ. свойств получены полимеризацией исходных смесей при 200° без применения катализатора. Методика измерений описана ранее (Ueberreiter K., Orthmann H. J., Z. Naturforsch., 1950, 5a, 101). Исследована также кинетика r -ции сополимеризации I и II. Прямые $v(T)$ имеют излом при t -рах, принятых за t -ру стеклования (T_g), причем T_g хорошо согласуются с полученной ранее ϕ -лой (Ueberreiter K., Kanig G., J. Chem. Phys., 1950, 18, 399) $T_g = 355 + 586 / Me$, в которой Me — величина, характеризующая размер «петли» трехмерной сетки, измеряемая числом C -атомов в главной цепи полимера, заключенных между узлами сетки, т. е. между дивинилбензольными мостиками; средняя величина Me находится из стехиометрич. соотношения I и II в полимере: для образцов, содержащих 5,9 и 15 мол. % II, она равна соответственно 20, 11 и 7 C -атомов. Кривые $a(T)$ имеют три скачка, каждый из которых осуществляется в некотором температурном интервале. Первый скачок (Δa_1), очень небольшой по величине, происходит в интервале t -ра 40—60°, второй скачок (Δa_2), весьма значительный, при 60—105°, третий скачок (Δa_3) — при 110—170°, по своей величине равный Δa_2 . В результате рассмотрения особенностей хода кривых $a(T)$ авторы заключают, что исследованные образцы сшитого полистирола состоят из двух взаимно переплетающихся структурных сеток — основной и добавочной. Возбуждение вращательных колебаний в основной сетке происходит при T_g

образцов, величины которых определены по кривым $v(T)$; T_g отвечают t -рам, при которых имеет место Δa_1 . Содержание добавочной сетки в исследованных полимерах очень мало, но эта сетка имеет большую величину Me (для образцов, содержащих, соответственно 5,9 и 15 мол. % II $Me > 120$, ≈ 90 и ≈ 60); поэтому скачки Δa_2 , которые отвечают возбуждению вращательных колебаний в этой допослительной сетке, значительны по своей величине. Скачки Δa_1 авторы связывают с наличием в сетке «бахромы», т. е. ответвлений со свободными концами; средняя длина таких ответвлений составляет 26 C -атомов. Наличие в исследованных образцах структурированного полистирола добавочной структурной сетки подтверждается также анализом хода кривых $C_p(T)$ и $\lambda(T)$. Для определения условий возникновения подобных добавочных структур была исследована кинетика процесса сополимеризации I и II при разном соотношении последних в смесях (содержание II составляло в этих смесях 3; 5; 7 и 9 мол. %), к которым были добавлены также различные количества перекиси бензоила — от 0,01 до 0,3 мол. %. Кинетич. кривые, полученные для смесей, содержащих 0,01 мол. % катализатора, имеют два хорошо заметных разрыва, которые связаны с образованием гелей (гель-точек). Первую гель-точку, наблюдаемую независимо от соотношения I и II в смесях при степени превращения 50%, авторы связывают с образованием основной структурной сетки; вторая гель-точка, наблюдаемая в конце r -ции, отвечает возникновению добавочной структуры, которая образуется за счет взаимодействия избытка I с остатком II. С возрастанием скорости сополимеризации вторые гель-точки делают менее заметными и при содержании перекиси бензоила более 0,1 мол. % исчезают совсем. Б. Ц.

43388. Рассеяние рентгеновских лучей малыми частицами в волокнах. II. Радиальное распределение микрокристаллитов. Хейн и (Small particle X-ray scattering by fibers. II. Radial distribution of microcrystallites. Heyn A. N. J., J. Appl. Phys., 1955, 26, № 9, 1113—1120 (англ.).

Метод рассеяния рентгеновских лучей при малых углах применен для изучения распределения микрокристаллитов в волокнах искусств. шелка и джута. Обработка эксперим. данных произведена на основе синтеза Фурье, что дало возможность найти функции радиального распределения частиц в горизонтальной плоскости, т. е. изменения их статистич. числа на разных расстояниях от центра любой частицы. Анализ кривых распределения приводит авторов к выводу об упорядоченном пространственном расположении однородных по размеру частиц, имеющих цилиндрическую форму. Эти частицы плотно упакованы в сухом искусств. волокне не содержащем аморфного в-ва. В набухшем волокне частицы разделены, но сохраняют правильное расположение. В джуте частицы не соприкасаются, и пространство между кристаллитами заполнено аморфной целлюлозой и лигином. Полученные колич. данные подтверждают высказанное авторами в предыдущей работе (см. предыдущее сообщение РЖХим, 1956, 25876) качеств. объяснение различия рентгенограмм сухого и набухшего волокна. С увеличением степени набухания уменьшается и далее полностью элиминируется роль межчастичных интерференций, что создает возможность эксперим. определения размера и формы частиц. Сопоставляя данные о размере частиц с кривыми распределения, авторы рассчитывают степень кристалличности волокон, составляющую для джута 64%. С. Г.

43389. Техника дифракции рентгеновских лучей, принятая для исследования органических волокон. Легран (Techniques de diffraction de rayons X

appropriées à l'étude des fibres organiques. Legrand C. h.), Kolloid-Z., 1955, 140, № 2/3, 112—120 (франц.; рез. нем.)

Описываются три взаимодополняющие дифракционные камеры для рентгеновского исследования волоконистых в-в. Первая, цилиндрич. камера с фокусированным монохроматич. излучением, обеспечиваемым применением изогнутого кристалла, служит в основном для точного определения изменений структурного звена и степени кристалличности при различной хим. обработке волокна. Вторая камера, позволяющая работать в вакууме, предназначена для исследования преимущественной ориентации ($F\alpha - K_\alpha$ излучение) и дает возможность регистрировать интерференции, соответствующие межплоскостным расстояниям порядка 60 Å. Камера снабжена точным установочным приспособлением. Третья, коаксиальная камера, в которой цилиндрич. пленка расположена коаксиально первичному пучку, позволяет, на основании данных распределения интенсивности рассеяния вдоль дуги интерференции, исследовать ориентацию различных кристаллографич. плоскостей, в особенности при изучении рассеяния под большими углами. О. И.

43390. К вопросу об изучении сухой и влажной целлюлозы при помощи дифракции рентгеновских лучей полкамиами рами. Анценбергер, Фурне, Роге (Contribution à l'étude de la cellulose sèche et mouillée à l'aide de la diffraction des rayons X par la ramie. Antzenberger Paulette, Fournet Gérard, Rogué Jean), J. Polymer Sci., 1955, 18, № 8, 47—54 (франц.; рез. англ., нем.)

Приводится сравнение опытных кривых распределения электронной плотности, полученных фотометрированием полных экваториальных диаграмм сухой и влажной рами в угловом интервале 6—65° (монохроматич. излучение $Cu - K_\alpha$) с теоретич. кривой, вычисленной для модели целлюлозы Мейера и Миша. Сухая целлюлоза показывает сравнительную гомогенность электронной плотности в плоскости, перпендикулярной оси волокна при значительной беспорядочности сетки на малых расстояниях. Влажное рами характеризуется увеличением гетерогенности электронной плотности и наличием высококристаллич. зон (почти полностью соответствующих модели Мейера и Миша), диаметр которых составляет ~100 Å. О. И.

43391. Тонкая структура срезов крахмальных гранул. Унстлер, Тернер (Fine structure of starch granule sections. Whistler Roy L., Turner E. S.), J. Polymer Sci., 1955, 18, № 87, 153—156 (англ.)

Приведены данные электронномикроскопического исследования тонких срезов крахмальных гранул. На микрофотографиях хорошо видны кольцеобразные концентрич. слои и центральные полости, наблюдавшиеся и ранее. Обнаружен распад слоев (в тангенциальном направлении) на «комки» плотного в-ва, нередко обладающие радиальной непрерывностью, и наличие тонких, напоминающих ожерелье, прожилок, которые могут быть отдельными мицеллами и достигать диаметра 180—250 Å и длины 2500 Å. Миним. размеры комков составляют от 0,1 до 0,15 μ в ширину, а длина их соответствует толщине кольцевых слоев, т. е. от 0,3 до 0,5 μ. Эти комки весьма неоднородны и недостаточно ясно очерчены; иногда они сливаются, образуя более крупные сегменты. Не исключено, что это явление носит случайный характер. С. Ф.

43392. Сообщение о возможности определения степени полимеризации кристаллических веществ посредством рентгенографии. Андреэ, Фишер (Notiz über die Möglichkeit, den Polymerisationsgrad kri-

stallisierter Stoffe auf röntgenographischem Wege zu ermitteln. Andreess K. R., Fischer K.), Naturwissenschaften, 1955, 42, № 1, 13 (нем.)

Зная число молекул в примитивной элементарной ячейке Z и пространственную группу, можно определить степень полимеризации n , которая может быть только целочисленным делителем Z или равна «∞». Из пространственной группы известно численное значение (a, b, c, \dots) различных положений точек ячейки и, следовательно, n может быть равна только 1 или Z/a , или Z/b , или $Z/c, \dots$, или «∞». Метод не требует вычисления координат атомов и может быть использован при невозможности определения n хим. путем. О. И.

43393. Изменение угла скрепления пленочных текстур при пластической деформации и набухании и происходящее при этом изменение двулучепреломления. Учебные опыты с «супротермом». Шмидт (Änderung des Kreuzungswinkels von Filmtextrur durch plastische Deformation und Quellung und der begleitende Wandel der Doppelbrechung. Unterrichtsversuche an Suprotherm. Schmidt W. J.), Kolloid-Z., 1955, 144, № 1-3, 3—12 (нем.)

Листы супротерма (поливинилхлорид, не содержащий пластификатора) обладают пленочной текстурой. Молекулы полимера вытянуты преимущественно в направлении каландрования, и пленка обладает двулучепреломлением. Вырезанные из листов супротерма толщиной 0,15 мм продольные и поперечные полоски являются удобным объектом для демонстрации с помощью поляризационного микроскопа изменения ориентации молекул при пластич. деформации и набухании в р-рителях. И. С.

43394. Сферолитная структура кристаллических полимеров. Часть 3. Геометрические факторы при росте сферолитов и тонкая структура. Келлер, Уэринг (The spherulitic structure of crystalline polymers. Part III. Geometrical factors in spherulitic growth and the fine-structure. Keller A., Waring J. R. S.), J. Polymer Sci., 1955, 17, № 86, 447—472 (англ.; рез. франц., нем.)

Ранее было показано (РЖХим, 1956, 21849), что сферолиты полимеров представляют собой радиальные спиральные образования. Рассмотрение литературных данных и прямые наблюдения, сделанные авторами на полимерах и простых органич. в-вах, позволяют заключить, что сферолиты образуются путем правильного разветвления фибриллярных кристаллов, приводящего к возникновению сферич. тела. Разветвления фибрилл повторяются на определенных расстояниях d по длине фибриллы и под определенным углом Φ по всему сферолиту. Такой механизм образования сферолитов имеет место для различных в-в, в частности для резорцина и полигексаметиленсебаамида. Образование сферолита путем разветвлений приводит к возникновению в центре сферолита двух круговых впадин. Структура 3-мерного сферолита в соответствии с предложенным механизмом образования характеризуется величиной периода повторяемости d , угла разветвления Φ и угла ψ , определяющего отклонение каждой новой ветви от плоскости, определяемой двумя предыдущими ветвями. Принимая, что направление отклонения всегда одно и то же, и изменяя отношение $\Phi : \psi$, можно построить различные структуры сферолитов в соответствии с наблюдаемыми экспериментально, что показано на примере сферолитов полигексаметиленсебаамида и полиэтилентерефталата. На примере гуттаперчи исследованы переходы от 2-мерных сферолитных образований к 3-мерным, в зависимости от толщины кристаллизующегося слоя. Если толщина индивидуальных кристаллич. фибрилл сравнима с толщиной кристаллизующегося слоя, то наблюдается образование 2-мер-

ных структур; при этом $\psi = 0$. Образовавшиеся сферолиты характеризуются тонкой радиальной структурой. В ряде случаев можно наблюдать клинообразное расположение радиальных спиральных элементов, состоящих из тонких фибрилл. На основе принципа правильного разветвления с учетом взаимных помех росту фибрилл рассмотрен дальнейший рост сферолитов после того, как уже образовалось сферич. тело. При таком росте, как показывают наблюдения, радиальные спирали, образованные за счет разветвлений («спирали большого размера»), не являются самостоятельными структурными единицами, но представляют собой часть связанной сетки. Исследование тонкой структуры фибрилл показывает наличие значительной их извитости. Возможной причиной возникновения «спирального малого размера» являются искажения кристаллич. решетки полимера. Обсуждены причины роста спиральных образований. Одной из них является различие скоростей роста с двух сторон фибриллы, обусловленное структурной асимметрией. Разветвления фибрилл могут происходить в местах разрыва искаженного кристалла. Рассматривая морфологию кристаллизации в полимерах, авторы приходят к выводу, что кристаллизация полимеров представляет собой спец. случай образования кристаллич. агрегатов в вязкой среде.

Ю. Л.
43395. Кристалличность твердых высокополимеров.

I. Кристалличность пленок поливинилового спирта. Тадокоро, Сэки, Нитта (The crystallinity of solid high polymers. I. The crystallinity of polyvinyl alcohol film. Tadokoro Hiroyuki, Seki Syūzō, Nitta, Isamu), Bull. Chem. Soc. Japan, 1955, 28, № 8, 559—564 (англ.)

Определены плотности, изотермы сорбции водяных паров и изучены ИК-спектры пленок поливинилового спирта, подвергнутых различной тепловой обработке при t -рах 100, 160, 193° и не подвергавшихся термообработке. На основании полученных данных определены степени кристалличности исследованных образцов. Для определений по плотности авторы использовали значения плотности кристаллич. фазы, определенные рентгенографически; для оценки из сорбционных свойств применен метод (Hailwood A. J., Horgobin S., Trans. Faraday Soc., 1946, B42, 84; Howson J. A., Text. Res. J., 1949, 19, 52). По ИК-спектрам степень кристалличности оценивалась по полосе поглощения 1146 см^{-1} . Величины кристалличности, найденные различными методами, находятся в удовлетворительном согласии. С увеличением t -ры обработки пленки кристалличность возрастает. Образцы, прогретые при 193°, по кристалличности отклоняются от найденной линейной зависимости между степенью кристалличности и плотностью, что авторы объясняют хим. изменениями при нагреве, наличие которых подтверждено УФ-спектрами пленок.

Ю. Л.
43396. Механизм кристаллизации в полимерах. Флори, Мак-Интайр (Mechanism of crystallization in polymers. Flory P. J., McIntyre A. D.), J. Polymer Sci., 1955, 18, № 90, 592—594 (англ.)

Наблюдениями с помощью поляризационного микроскопа определены скорости зародышеобразования k_n (по числу возникших сферолитов) и скорости роста сферолитов k_g при кристаллизации полигексаметиленсебадата в интервале t -р, которые на 8—13° ниже t -ры плавления. Показано, что при данной t -ре величина индукционного периода перед началом зародышеобразования изменяется обратно пропорционально скорости зародышеобразования, что авторы объясняют низкой скоростью роста зародышей перед принятием ими формы сфероида. Величина $k_n k_g^3$ приблизительно

но равна константе скорости кристаллизации, определяемой dilatометрически. Температурные коэфф. k_n и k_g близки между собой, что является неожиданным в свете представлений, развитых ранее (РЖХим, 1955, 31404). Большие величины температурных коэфф. объясняются характером процессов зародышеобразования; авторы считают, что большие значения скорости роста сферолитов определяются вторичными процессами образования зародышей на поверхности сферолита, так как кристаллиты на поверхности сферолита понижают критич. свободную энергию возникновения зародышей. Это увеличивает скорость вторичного зародышеобразования на поверхности сферолита, и кристаллизация протекает за счет роста сферолитов от вторичных зародышей.

Ю. Л.
43397. К кристаллизации высокополимеров. Енкель (Zur Kristallisation der Hochpolymeren. Jenckel E.), Techn. Mitt., 1955, 48, № 11-12, 547—550 (нем.)

Обзор работ автора, рассматривающего кристаллизацию в полимерах как однофазное превращение. Библ. 9 назв.

Ю. Л.
43398. О фазовом состоянии волокна из полиакрилонитрила и структурных изменениях при его ориентации. Михайлов Н. В., Клеман В. О., Сообщ. о науч. работах Всес. хим. о-ва им. Менделеева, 1955, вып. 3, 43—45

На основании непрерывного изменения картины рентгеновской дифракции при ориентации волокна из полиакрилонитрила, характера зависимости упрочнения волокна от удлинения и термографич. кривых нагревания и охлаждения делается вывод об аморфной природе изотропного и ориентированного полиакрилонитрильного волокна.

Ю. Л.
43399. Газопроницаемость кристаллизующихся полимеров. Рейтлингер С. А., Ярхо П. С., Коллоид. ж., 1955, 17, № 5, 387—390

С целью изучения влияния степени кристалличности полимеров на их газопроницаемость (ГП) исследовалась ГП гуттаперчи (I), полиэтилена (II) и полиамиды (III) в неориентированном и ориентированном состоянии по отношению к H_2 , O_2 и CO_2 . ГП этих полимеров в неориентированном состоянии уменьшается от I к III, что объясняется как повышением степени кристалличности, так и увеличением межмолекулярных сил в аморфной части кристаллизующихся полимеров. При растяжении пленок I, II и III их газопроницаемость уменьшается вследствие ориентации и повышения степени кристалличности полимеров. При этом энергия активации проницаемости E_p (ккал/моль) по отношению к H_2 увеличивается: для I от 9,7 в неориентированном состоянии до 11,3 в ориентированном; для II соответственно от 9,8 до 17,1; для III от 10,7 до 17,1. В отличие от кристаллич. полимеров при растяжении резины из НК изменение ГП наблюдается только при деформации, соответствующей появлению кристаллич. фазы, характеризуемому увеличением плотности резины. Следовательно, ориентация аморфных полимеров не сопровождается изменением их ГП. Водородопроницаемость НК в процессе кристаллизации уменьшается обратно пропорционально увеличению уд. веса пленки. При этом E_p растет непрерывно с увеличением кристаллич. части полимера; на этом основании авторы полагают, что при переходе каучука в кристаллич. состояние изменение гибкости цепных молекул происходит одновременно во всем объеме.

И. П.
43400. Теоретическое исследование влияния молекулярной релаксации и внутренних напряжений на диффузию в полимерах. Крапк (A theoretical investigation of the influence of molecular relaxation

and internal stress on diffusion in polymers. Crank J., J. Polymer Sci., 1953, 11, № 2, 151—168 (англ.).
 Pancee (Crank J., Park G., Trans. Faraday Soc., 1951, 47, 1072) было показано, что скорость диффузии жидкости в полимере изменяется во времени и предложено два механизма для такого изменения, основанных 1) на структурных изменениях полимера, 2) на неодинаковом набухании различных частей листа полимера. Рассматриваются две теоретич. модели, дающие возможность выразить эти эффекты количественно и проверить, насколько они согласуются с опытом. Показано, что для 1-го случая коэфф. диффузии D подчиняется уравнению: $(\partial D / \partial t)_x = \partial D_{\text{мгнов.}} / \partial C (\partial C / \partial t)_x + \alpha (D_{\text{равнов.}} - D)$, где 1-й член правой части характеризует мгновенное изменение и является функцией конц-ии C жидкости (отношения жидкость:полимер), 2-й член характеризует постепенное приближение к равновесию, зависит от коэфф. α , (x — толщина пленки полимера, t — время). 2-й член имеет наибольшее влияние при средних x и C . Предложены ф-лы для расчета изменений D для 2-го механизма диффузии и проведены вычисления диффузии для моделей того и другого типа. Результаты сравнены с литературными данными для сорбции хлористого метилена полистиролом при различных толщинах пленки и разных соотношениях компонентов. Эксперим. кривые сорбции и десорбции удовлетворительно согласуются с вычисленными из первой модели, данные по скорости сорбции и соответствующему изменению поверхности полистирольной пленки объяснимы лишь на основании 2-й модели. Таким образом, оба фактора — изменение структуры и внутренние напряжения — влияют на диффузию.

43401. Диффузия, измеряемая релаксацией напряжений. Мак-Микл, Кубу (Diffusion controlled stress relaxation. McMickle R. H., Kubu E. T.), J. Appl. Phys., 1955, 26, № 7, 832—838 (англ.).

На основании изучения релаксации (P) напряжений исследуется действие водн. р-ра диметилформамида (I) на волокно из динитрила A . Волокно помещается в воду при т-ре эксперимента и через несколько минут растягивается на 10%. Наблюдается уменьшение напряжения в воде в течение 2 час., затем добавляется I и уменьшение напряжения наблюдается до полной P . Скорость и степень P зависят от конц-ии I в р-ре. Авторы считают, что скорость P определяется скоростью диффузии I в волокно и что наблюдаемая P не связана с перестройкой цепей, а объясняется разрывом поперечных связей под действием диффундирующего I и может быть описана ур-нием: $f(t)/f(0) = BP_0 [\exp \times (-8t) - 1] + 1$, где $f(t)$ — сила, растягивающая волокно в данный момент времени t ; P_0 — конц-ия I вне волокна; $B = 1,4$ — константа; наблюдаемый коэфф. диффузии δ зависит от P_0 по ф-ле $\delta = A \exp(E/R - CP_0)$, где $E = 14$ ккал — энергия активации диффузионного процесса и $C = 9,5$ и $A = 3,3 \cdot 10^{-6}$ мин.⁻¹ — константы. Ввиду большого разброса данных значение B определяется с ошибкой, доходящей до 60%. Показано, что A , B , E и C зависят от степени ориентации волокна. Кроме того, A зависит от поперечного сечения волокна. Величина δ не зависит от конц-ии. Авторы заключают, что наблюдение релаксации напряжений дает возможность просто и быстро определить относительный коэфф. диффузии.

43402. О динамо-эластическом поведении высокополимерных веществ. Коппельман (Über das dynamisch-elastische Verhalten hochpolymerer Stoffe. Koppelman J. A.), Kolloid-Z., 1955, 144, № 1-3, 12—41 (нем.).

Рассмотрено релаксационное поведение высокомолекулярных в-в при различного рода «чистых» дефор-

мациях (чистое растяжение, чистый сдвиг и т. д.). Дав подробный обзор методов измерения соответствующих модулей и приведены результаты большого числа опытов с поливинилхлоридом в интервале т-р 20—90° и частот 10^{-1} — $4 \cdot 10^6$ гц. На основании литературных данных и собственных исследований автор заключает, что области дисперсии отдельных модулей расположены в различных интервалах частот, т. е. релаксационные свойства высокополимеров зависят от характера нагрузки. В то время как за пределами областей дисперсии соотношения между модулями подтверждаются простой теорией упругости, внутри этих областей появляются отклонения от теоретич. соотношений. Автор полагает, что теория упругости применительно к упруго-вязким телам должна быть расширена посредством введения в рассмотрение различных релаксационных спектров для модуля сдвига и для модуля сжатия. Максимум релаксационного спектра для модуля сжатия расположен в области более высоких частот, чем для модуля сдвига. Для данного в-ва выше т-ры стеклования следует различать две различные температурные области. В первой изменяется внутренняя структура, и «кажущаяся энергия активации» значительна. Поэтому кривые дисперсии одного модуля, измеренные при различных т-рах, различаются по форме, и их не удастся совместить путем осевого сдвига. Во второй области, которая вероятно, обусловлена наличием относительно свободного движения сегментов цепи, эти различия меньше, и совмещение представляется возможным. Обе области более или менее непрерывно переходят одна в другую.

43403. Динамико-механические свойства полиметилакрилата. Вильямс, Ферри (Dynamic mechanical properties of polymethylacrylate. Williams Malcolm L., Ferry John D.), J. Colloid Sci., 1955, 10, № 5, 474—481 (англ.).

Для образца полиметилакрилата средневесового мол. веса $2,2 \cdot 10^6$ определены вещественная и мнимая части комплексной податливости сдвига в интервале т-р 25—89° и частот 30—3000 гц. Полученные результаты приведены к состоянию при 25° методом приведенных переменных. Полученные кривые зависимостей логарифмов вещественной и мнимой частей комплексной податливости в зависимости от логарифма приведенной частоты охватывают область 7 порядков частот, соответствующих переходу от стеклообразного к каучукоподобному состоянию. Вычислены функции распределения времен релаксации и запаздывания и при помощи теории (РЖХИМ, 1954, 42804) определены коэфф. мономерного трения. Температурная зависимость релаксационных процессов (фактора a_T) совпадает с найденной из диэлектрич. измерений. Результаты рассмотрены исходя из влияния на релаксационные процессы свободного объема и коэфф. теплового расширения.

43404. Динамико-механические свойства полиэтилена, полиэтилена и политетрафторэтилена при низких температурах. Сауэр, Клайн (Dynamic mechanical properties of polyethylene, polyethylene and polytetrafluoroethylene at low temperatures. Sauer J. A., Kline D. E.), J. Polymer Sci., 1955, 18, № 90, 491—495 (англ.; рез. нем., франц.).

Изучены динамико-механические свойства ряда полимеров при т-рах от —80° К до т-ры размягчения при частотах 200—4000 гц. Механич. потери для полиэтилена резко возрастают в области 80°С, но в других областях релаксационные максимумы не наблюдаются. Для кристаллич. полиэтилена и политетрафторэтилена, а также найлона обнаружено более одной области дисперсии: для тефлона наблюдаются максимумы внутреннего трения при 200 и 290°К, для полиэтилена при 165 и

300°K и для найлона при 165 и 245°K. Полученные результаты указывают на релаксационный механизм стеклообразного перехода в аморфных областях кристаллич. полимера. Большая резкость максимумов у политетрафторэтилена связана с большей степенью кристалличности и меньшей областью времен релаксации из-за наличия сильных полярных групп. Ю. Л.

43405. Вычисления распределения механической и электрической релаксации и замедления по методу второго приближения. Вильямс, Ферри (Second approximation calculations of mechanical and electrical relaxation and retardation distributions. Williams Malcolm L., Ferry John D.), J. Polymer Sci., 1953, 11, № 2, 169—175 (англ.)

Усовершенствован способ вычисления функции распределения времен механич. релаксации из вещественной и мнимой частей комплексного модуля сдвига по методу второго приближения (J. Collid Sci., 1952, 7, 347). Это позволяет увеличить интервал изменения параметра m (углового коэфф. билогарифмич. кривой зависимости переменного напряжения от времени). Аналогичные методы разработаны для вычисления функции распределения времени механич. запаздывания ползучести при напряжениях сдвига и электр. релаксации (проводимости). М. С.

43406. Сравнение динамических свойств натурального каучука и GR-S. Цанае, Шафлер, де Уит (A comparison of the dynamic properties of natural rubber and GR-S. Zarnas L. J., Shufler S. L., Dewitt T. W.), J. Polymer Sci., 1955, 18, № 88, 245—256 (англ.; рез. нем., франц.)

Комплексный модуль сдвига G^* и механич. потери определялись для высокомолекулярных ($M \approx 10^6$) образцов (НК) и GR-S (20% стирольных звеньев). Измерения производились на термостатированной установке с крутильным маятником (РЖХим, 1956, 36356) в интервале t -р от -80 до $+100^\circ$ и частот ω $2 \cdot 5 \cdot 10^{-3}$ гц . Сравнение данных показывает, что общие характеристики обоих каучуков совершенно одинаковы. Основное различие сводится к тому, что t -ра стеклования T_g для GR-S и модуль в высокоэластической области при прочих равных условиях выше, чем у НК. Полученные данные обработаны по методу приведенных переменных Ферри. Фактор приведения a_T практически одинаков для G' , G'' и $\lg S = G''/G'$. Значения a_T для GR-S и НК сходным образом зависят от t -ры. То обстоятельство, что в области высокоэластич. плато G' у GR-S больше, чем у НК, может быть результатом образования за счет ван-дер-ваальсовых сил или зацеплений пространственной квазирешетки, отсутствующей в НК. В вулканизованном GR-S эта квазирешетка может обусловить дисперсию модуля и соответственно увеличение динамич. потерь. Указанное обстоятельство может явиться по меньшей мере дополнительным, а возможно, и основным фактором, ответственным за меньшую эластичность и большие тепловые потери у GR-S в сравнении с НК. Обсуждена возможность технологич. процессов, ослабляющих действие этого фактора. С. Ф.

43407. О релаксационном механизме образования извитости синтетических волокон. Михайлов Н. В., Уханова З. В., Покровская Н. Б., Сообщ. о науч. работах Всес. хим. о-ва им. Менделеева, 1955, вып. 3, 63—65

При формировании волокон из молекулярных смесей полимеров — хлорированного полихлорвинила с ацетилаццеллюлозой, нитроцеллюлозой и полиакрилонитрилом с этими же полимерами, обнаружено образование извитости на волокне без заметного изменения тонины волокна. Извитость возникает при термообработке волокон, сильно вытянутых при формировании, причем

величина извитости тем меньше, чем выше t -ра водн. обработки волокна. Обработка волокна сопровождается сокращением линейных размеров исходного образца волокна, которое вызывается, однако, не усадкой волокна, а образованием извитости. Авторы считают, что возникновение извитости имеет релаксационный характер, связанный с изменением формы молекул одного из компонентов молекулярной смеси, возникающим при термообработке. Более термостойкий полимер в смеси является как бы каркасом, удерживающим менее термостойкий полимер от усадки. Большие напряжения в вытянутом смешанном волокне при релаксации приводят не к усадке, а к образованию извитости. Ю. Л.

43408. Влияние сшивания на модуль эластичности полиэтена. Чарльзби, Ханкок (The effect of cross-linking on the elastic modulus at polythene. Charlesby A., Hancock N. H.), Proc. Roy. Soc., 1953, A218, № 1133, 245—255 (англ.)

Статическим и динамическим методами определен модуль Юнга E для полиэтилена, облученного из ядерного реактора (единица дозы 10^{17} медленных нейтронов + сопутствующие им быстрые нейтроны и γ -излучение). Ниже 115° (t -ра плавления) E уменьшается при повышении t -ры; выше этой t -ры E снова увеличивается согласно ур-нию $E = \rho RT/M_c$ (ρ — плотность, M_c — расстояние между узлами, $n = 3$); образцы, сшитые до стеклообразного состояния, этому ур-нию не подчиняются. Авторы предполагают, что при облучении полиэтилена одновременно протекают процессы сшивания полимерных молекул и разрушения кристаллич. областей; последний эффект преобладает при дозе < 8 ед. , что соответствует образованию $< 4\%$ поперечных связей (определено по изменению отношения $N:C$). Высокоэластич. свойства облученного полимера ниже 115° авторы объясняют наличием ван-дер-ваальсового притяжения между полимерными молекулами; прочность этих связей равна $\sim 0,25$ эв . А. П.

43409. Изучение переходов в высокополимерах фотоэластическим методом. Канэко, Муран, Кисеи, Мори (The study of transition in high polymers by photoelastic method. Kaneko Motozo, Murai Rokuro, Kishi Kei, Mori Dai), J. Fac. Sci. Hokkaido Univ., 1954, Ser. 2, 4, № 5, 305—310 (англ.)

См. РЖХим, 1956, 6982.

43410. Явление перехода в поливинилацетате. II. Рассмотрение вопроса с точки зрения теории для неорганического стекла. Яно, Мицуи (ポリ配酸ビニルの轉移現象について. II. 無機ガラスの轉移理論による考察. 野泰, 三井志郎), 物性論研究, Буссейрон канкю, 1955, № 82, 62—71 (япон.)

Приведена кривая объем — расширение, недавно измеренная для охлажденного образца поливинилацетата (П). Сделано сравнение с отношением между объемом и t -рой для неорганич. стекло и эксперим данные анализированы по теории Тула (Tool Q., J. Amer. Chem. Soc., 1946, 29, 240). Введено понятие фиктивной t -ры (τ) (t -ра, при которой образец должен находиться в таком же состоянии равновесия, как и состояние при данной t -ре). При нагревании охлажденного образца τ постепенно понижается, но в случае постепенного охлаждения образца τ почти постоянна вплоть до переходной области. τ показывает наличие объемного сжатия даже ниже переходной области. Быстрое нагревание не дает τ , равной T при переходе, но тормозит повышение τ . Энергия активации внутреннего трения, рассматриваемого как релаксационное явление, равна 67,5 ккал/моль . Кривая дифференциального термич. анализа для I также показывает поразительное подобие кривой $dr/dt = f(T)$, что подтверждает релаксационный

механизм перехода. Предыдущее сообщение см. РЖХим, 1956, 25882.

43411. Влияние химического строения сополимеров бутадиена и стирола на их температуры переходов. Тагер А. А., Юрина И. А., Ж. прикл. хим., 1955, 28, № 12, 1327—1331

При помощи динамометрич. весов исследованы т-ры переходов сополимеров бутадиена и стирола, а также полиакрилатов, являющихся полимерами метилового, этилового и бутилового эфиров акриловой к-ты. Показано, что для сополимеров бутадиена со стиролом по мере увеличения процентного содержания бутадиена в цепи т-ра стеклования снижается; при этом первые 10% бутадиена приводят к очень резкому понижению т-ры стеклования, а последующее добавление каждых 10% бутадиена понижает т-ру стеклования на 20°. Соплимеры, содержащие от 90 до 60% стирола, имеют примерно одну и ту же т-ру текучести; при дальнейшем увеличении содержания бутадиена т-ра текучести возрастает, что повидимому, связано с увеличением плотности упаковки цепей. Увеличение числа углеродных атомов в эфирной группировке полиакрилатов смещает т-ру стеклования и т-ру текучести в сторону более низких т-р. На основании полученных данных авторы делают вывод, что на величину потенциального барьера молекулы сополимеров бутадиена и стирола межмолекулярное взаимодействие не оказывает влияния, в то время как потенциальный барьер молекул полиакрилатов определяется в основном межмолекулярным взаимодействием.

Ю. Л.

43412. Разрывная прочность пластиков выше температуры стеклования. Бьюк (Tensile strength of plastics above the glass temperature. Bueche F.), J. Appl. Phys., 1955, 26, № 9, 1133—1140 (англ.)

Теория разрывной прочности пластиков при испытаниях их в динамич. условиях выше т-ры стеклования разработана исходя из представлений о наличии в пластиках выше T_g сетчатой структуры, в которой роль узлов играют взаимные помехи движению цепей. Приложение к такой сетчатой структуре напряжения вызывает растяжение отрезков цепей между узлами, в результате чего при достаточной величине напряжения наступает разрыв цепи. Разрушение образца наступает при достаточно большой скорости разрыва отрезков цепей dn/dt по ур-нию: $dn/dt = \omega \sum_{i=0}^N \exp \times [- (E - V_i) / kT]$, в этом ур-нии ω — частота колебаний сегмента, v — число активных отрезков цепей в единице объема, N — число сегментов отрезка цепи, E — энергия активации разрыва и V_i — эластич. энергия сегмента). Дана теоретич. зависимость между временем, необходимым для разрыва образца, и величиной приложенного усилия в виде $F / \sqrt{kT N^{0.5}} = f(\beta t)$, где F — приложенное усилие, β — параметр (РЖХим, 1956, 32670).

Различия в разрывной прочности пластиков обусловлены различиями величин v , N , β . Эксперим. шкала времен исследования распространена на несколько порядков при помощи принципа температурно-временной суперпозиции, предсказываемого теорией. Проверка теории на образцах полибутилметакрилата в интервале т-р 30—95° показала удовлетворительное совпадение с экспериментом в области средних значений времен. Обсуждены причины наблюдающихся отклонений от теории. Из эксперим. данных оценена величина N равная 9 ± 1 сегментам в каждом отрезке цепей между узлами. Теория распространена также на случай изменений разрывной прочности в условиях постоянной скорости растяжения и переменной силы.

Ю. Л.

43413. Натяжение материалов и внутреннее затухание при испытаниях на твердость. Шрёйер (Stoffbeanspruchung und innere Dämpfung beim Rück-

prallversuch. Schreuer E.), Kolloid-Z., 1953, 132, № 2/3, 75—78 (нем.)

43414. Натяжение материала и внутреннее затухание в опытах по отскоку. Шрёйер (Stoffbeanspruchung und innere Dämpfung bei Rückprallversuch. Schreuer E.), Kolloid-Z., 1954, 135, № 2, 107—108 (нем.)

Автор высказал предположение (см. пред. реф.), что время удара при испытаниях на отскок значительно меньше времени релаксации резины. Дополнительные опыты, проведенные в интервале т-р 0—50°, показали, что это предположение и следствия из него неверны, так как температурный коэфф. потерь при комнатной т-ре для всех проб отрицателен.

И. С.

43415. Исправление к статье Альтенбург «Скорость звука в высокополимерах» (Berichtigungen. Altenburg K.), Plaste und Kautschuk, 1955, 2, № 3, 61 (нем.) РЖХим, 1956, 1003.

43416. Способность к образованию нитей. I. Классификация способности образовывать нить. Хираи (曳糸性. 第1報. 曳糸性の分類. 平井西夫), 日本化学雑誌, Нихон какаку дзасси, J. Chem. Soc., Japan. Pure Chem. Sec., 1954, 75, № 10, 1019—1022 (япон.)

Нижний предел для скорости придания жидкого в-ва с низким мол. весом определяется отношением величины поверхностного натяжения и вязкости жидкости.

Chem. Abstr., 1955, 49, № 14, 9357. T. Viatsurai.

43417. Диэлектрическое изучение пластифицированного поливинилхлорида. Фант, Сатерленд (A dielectric study of plasticized Polyvinylidene chloride. Funt B. L., Sutherland T. H.), Canad. J. Chem., 1955, 33, № 11, 1669—1676 (англ.)

Определены диэлектрич. константы и факторы потерь в интервале частот 50—100 000 гц для поливинилхлорида, содержащего различные кол-ва пластификатора. Увеличение содержания в полимере пластификатора α -хлорнафталина сдвигает область дисперсии к более низким т-рам или понижает т-ру, при которой область дисперсии наблюдается при данной частоте. Вычисленные в соответствии с теорией абс. скоростей р-ции по методу (Kauzmann W., Revs. Mod. Phys., 1942, 14, 12) значения энтропий и энтропий активации диэлектрич. релаксации уменьшаются с увеличением содержания пластификатора. Введение в полимер гексахлорбензола не смещает области дисперсии и не изменяет активационных термодинамических величин, что указывает на отсутствие в данном случае истинного пластифицирующего действия. Полученные результаты находятся в хорошем соответствии с исследованиями механич. свойств этого же полимера (Havens C. B., Industr. and Engng. Chem., 1950, 42, 315). На основе метода (Dyson A., J. Polymer Sci., 1951, 7, 133) сделана попытка оценить эффективность пластифицирующего действия. Использование ряда литературных данных позволило установить линейную зависимость между логарифмом энтропии или энтропий активации и молярным содержанием поливинилхлорида в случае его пластификации большим числом пластификаторов. Для поливинилхлорида, пластифицированного α -хлорнафталином, также обнаружена аналогичная зависимость.

Ю. Л.

43418. Исследование внутренней неоднородности микроструктуры триацетицеллюлозных пленок. Козлов П. В., Коростылев Б. Н., Сообщ. о науч. работах Всес. хим. о-ва им. Менделеева, 1955, вып. 3, 57—79

На основании изучения физ.-мех. свойств пленок триацетицеллюлозы, полученных отливом из р-ра в метилхлориде, сделан вывод о возникновении в процессе формирования пленки слоев с различными механич. свойствами. Нижний слой, связанный с подложкой, является при этом плоскоориентированным и неплот-

ным, а
наблюд
сацион
одномо
с увели
43419
леу
Ф
weig
Т.
26,
Пок
42762)
(Z₀ —
та, за
кость)
терату
полид
вых по
р-ров
стирол
диэти
ше не
ны Z₀
а для
женно
Для п
ся, ес
тоже
торой
Следо
т-ре и
венно
Phys.
атомо
изобу
выми
меров
43420
пол
ва
АН
Пре
копол
раств
подтв
ва с по
шени
гми
43421
бути
Ва
lym
alph
we
41,
Ма
для из
(II) п
и 0°.
щейся
вая с
полно
меров
также
предл
волим
+ Н

ным, а верхний слой, в котором при формировании были наиболее благоприятные условия для протекания релаксационных процессов, является наиболее плотным. Неравномерности микроструктуры пленок уменьшаются с уменьшением их толщины. Ю. Л.

43419. Изотермическая зависимость вязкости от молекулярного веса для длинных полимерных цепей. Фокс, Лошак (Isothermal viscosity-molecular weight dependence for long polymer chains. Fox T. G., Loshaek S.), J. Appl. Phys., 1955, 26, № 9, 1080—1082 (англ.)

Показано, что установленное ранее (РЖХим, 1955, 42762) эмпирическое уравнение $\lg \eta = 3,4 \lg Z_w + K$ (Z_w — средневесовое число звеньев в цепи, K — константа, зависящая от вида полимера и от т-ры, η — вязкость) хорошо оправдывается для всех изученных в литературе полимеров: полиизобутилена, полистирола, полидиметилсилоксана, линейных полиэфиров, линейных и разветвленных полиамидов, а также для концевых полиизобутилена в ксилоле и декалине, полистирола в диэтилбензоле и полиметилметакрилата в диэтилфталате. Уравнение (1) справедливо, если Z_w больше некоторой специфич. для данного полимера величины Z_c , которая для неполярных полимеров ~ 1000 , а для полярных ~ 200 —400. При $Z_w < Z_c$ η приблизительно пропорциональна Z_w в степени, меньшей, чем 3,4. Для полидисперсных полимеров уравнение (1) выполняется, если $Z_w > Z_c$ и среднечисленное число звеньев Z_n тоже больше некоторой крит. величины, начиная с которой плотность полимера также не зависит от Z_n . Следовательно, уравнение (1) справедливо при постоянных т-ре и объеме. Уравнение (1) находится в полуколичественном согласии с теорией Бьюка (Bueche F., J. Chem. Phys., 1952, 20, 1959). На ее основе из Z_c оценено число атомов между узлами в полиметилметакрилате и полиизобутилене, которое находится в соответствии с данными по механич. свойствам соответствующих полимеров. О. П.

43420. О роли диффузии в явлениях адгезии высокополимеров друг к другу. Воюцкий С. С., Шановалова А. И., Писаренко А. И., Докл. АН СССР, 1955, 105, № 5, 1000—1002

Предложена диффузионная теория адгезии (А) высокополимеров, согласно которой А связана с взаиморастворением высокополимеров. Правильность теории подтверждается, по мнению авторов, увеличением А с повышением т-ры и времени контактирования, уменьшением А при вулканизации высокополимеров и другими фактами. Н. П.

43421. Кинетика и продукты полимеризации изобутилена под действием α -лучей. Мунд, Гиде, Вандераувера (Cinétique et produits de la polymérisation de l'isobutène sous l'action des rayons alpha. Mund W., Guidée Ch., Vanderauwera J.), Bull. cl. sci. Acad. roy. Belgique, 1955, 41, № 8, 805—815 (франц.)

Манометрическим методом исследована полимеризация изобутилена (I) под действием α -излучения радона (II) при постоянном давлении (400—695 мм рт. ст.) и 0°. Р-ция протекает сначала с постепенно уменьшающейся, а затем с постоянной скоростью, причем постоянная скорость р-ции сохраняется вплоть до практического полного исчерпания II; мол. веса образующихся полимеров равны 400—740. На основании этих данных, а также данных о кол-ве образующегося при р-ции H_2 предложена следующая схема р-ции инициирования при полимеризации I в присутствии II: $C_4H_8^+ + e \rightarrow C_4H_7 \cdot \rightarrow +H, H + C_4H_8 \rightarrow C_4H_7 \cdot + H_2$. А. П.

43422. Сополимеризационные характеристики и спектры фенилвинилсульфида и фенилвинилсульфона. Прайс, Морита (Copolymerization characteristics and spectra of phenyl vinyl sulfide and sulfone. Price Charles C., Morita Hirokazu), J. Amer. Chem. Soc., 1953, 75, № 19, 4747—4750 (англ.)

Сильное сопряжение, наблюдаемое в случае дифенилсульфона ($\lambda = 235$ м μ) (Koch H. R. и др., Trans. Faraday Soc., 1951, 47, 7), обнаружено также и для фенилвинилсульфона (I) ($\lambda = 225$ м μ); сдвиг полос поглощения, соответствующих связи S—O (7,6 и 8,7 м μ), для этого сульфона незначителен. Полосы, соответствующие винильной связи (6,1 10,1 и 10,9), значительно смещены как для I, так и для фенилвинилсульфида (II). Исходя из данных о совместной полимеризации I и II с винилацетатом (III), стиролом (IV) и метилакрилатом (V), авторы рассчитали значения r_1 (первая цифра) и r_2 для систем I—III 0,28, 0,35; I—IV 3,3, 0,01 \pm 0,01; II—IV 4,5, 0,15; II—V 0,40, 0,05 \pm 0,02. Значения Q и e для I (0,32 и —1,4) и II (0,07 и 1,0) практически равны соответствующим значениям для метилвинилсульфона и метилвинилсульфида. А. П.

43423. Относительная активность хлоразамещенных карбонильных производных стирола при реакции с бутадиеном-1,3. Скотт (Reactivity ratios of chlorinated styryl carbonyl derivatives with 1,3-butadiene. Scott George P.), J. Organ. Chem., 1955, 20, № 6, 736—746 (англ.)

Изучена сополимеризация бутадиена-1,3 (I) с 2-хлорбензальацетоденом (II), метиловым эфиром 2-хлоркоричной к-ты (III) и метиловым эфиром 4-хлоркоричной к-ты (IV). Найдено, что при сополимеризации I с II в блоке или эмульсии при 60° относительные активности $r_1 = 0,78 \pm 0,12$, а $r_2 = 0,02 \pm 0,05$. При сополимеризации I с III в блоке $r_1 = 1,07 \pm 0,12$, $r_2 = 0,02 \pm 0,05$; при 80° (в блоке) $r_1 = 1,20 \pm 0,12$, $r_2 = -0,03 \pm 0,05$. При сополимеризации I с IV в блоке при 80° экстраполяцией получены значения $r_1 = 2,7 \pm 0,3$, $r_2 = 0,00 \pm 0,05$. IV при нагревании с перекисью бензола образует гомополимер; III в тех же условиях гомополимера не образует. И. К.

43424. Спектрофотометрический анализ совместных полимеров стирола и *n*-метоксистирола. Мелвилл, Валентайн (The spectrophotometric analysis of copolymers of styrene and *p*-methoxystyrene. Melville H. W., Valentine L.), Trans. Faraday Soc., 1955, 51, № 11, 1474—1478 (англ.)

С помощью УФ-спектрофотометрии определен состав совместных полимеров стирола и *n*-метоксистирола (λ 278 и 285 м μ) и рассчитаны константы совместной полимеризации для этой системы: $r_1 = 1,13$, $r_2 = 0,93$. Эти значения r_1 и r_2 хорошо согласуются со значениями, рассчитанными из данных о составе совместных полимеров, определенных методом сожжения. Спектры поли-*n*-метоксистирола рассмотрены в свете теории Склара (Sklar, J. Chem. Phys., 1939, 7, 984; 1942, 10, 135) об интенсивности поглощения в случае замещ. бензолов. А. П.

43425. К вопросу о свободно-радикальной полимеризации и сополимеризации тиоэфилов эфиров.

Шостаковский М. Ф., Прилежаева Е. Н., Уварова Н. И. Сообщ. о науч. работах Всес. хим. о-ва им. Менделеева, 1955, вып. 3, 21—24. Тиоэфиры типа $R-S-S-CH=CH_2$, где $R = C_2H_5$, C_3H_7 , C_4H_9 , *изо*- C_4H_9 , C_6H_5 , $NOCH_2CH_2$, $C_4H_9OCH_2CH_2$ полимеризуются с более высокими скоростями, чем соответствующие винилалкиловые эфиры (инициатор — динитрил азодизомасляной к-ты (I), т-ра полимеризации 60°); мол. веса полимеров > 10000 . Совместная полимеризация исследованных тиоэфиров с метилметакрилатом также протекает со значительной скоростью (инициаторы — I и перекись бензола, т-ра 60 и 80°).

Данные о составе полимеров показывают, что тиоэфиры являются более реакционноспособными мономерами, чем винилалкиловые эфиры. А. П.

43426. Исследование в области полимеризации виниловых соединений. Шостаковский М. Ф., Гладышевская В. А. Сообщ. о науч. работах Всес. хим. о-ва им. Менделеева, 1955, вып. 3, 25—27

Показано, что полимеризация винилбутилового эфира (I) в присутствии динитрила азодизомасляной к-ты (т-ра 20—80°) протекает, хотя и с малой скоростью, что авторы объясняют низкой реакционной способностью полимерного радикала по отношению к молекуле I. Мол. веса образующихся полимеров равны 800—3500. А. П.

43427. Передача цепи при полимеризации метилметакрилата. I. Передача через мономер и тиолы. Механизм реакции обрыва при 60°. О'Брайен, Горник (Chain transfer in the polymerization of methyl methacrylate. I. Transfer with monomer and thiols. The mechanism of the termination reaction at 60°. O'Brien Joseph L., Gornick Fred). J. Amer. Chem. Soc., 1955, 77, № 18, 4757—4763 (англ.)

Для начальной скорости R и средней степени полимеризации P метилметакрилата (I), иницированной динитрилом азодизомасляной к-ты (A) при 60° в отсутствие O_2 , получены выражения $R = 3,04 \cdot 10^{-3} [A]^{1/2}$ моль/л сек и $1/P = 2,97 \cdot 10^{-3} [A]^{1/2} + 0,7 \cdot 10^{-5}$. Величина P vychислялся по ф-ле $P = 2,22 \cdot 10^3 [\eta]^{1/0.76}$ (для нефракционированного полимера в р-ре C_6H_6). Приняв для скорости распада A величину $8,8 \cdot 10^{-6}$ сек⁻¹, авторы получили эффективность иницирования 0,5 (обрыв диспропорционирования). Путем определения P для различных смесей I с тиолами определено отношение $k_{пер}/k_p$: бензатиол 2,7; 2-нафтилатиол 3,1; 1-бутантиол 0,66; этилмеркаптоацетат 0,63; 2-меркаптоэтанол 0,62; 2-пропантиол 0,38; 2-метил-2-пропантиол 0,18. Р. М.

43428. Бис-соединения в качестве регуляторов при полимеризации. II. Сравнение эффективности различных соединений при полимеризации дивинила в эмульсии и стирола в массе. Костанца, Колмаз, Пирсон, Марвел, Кинг (Bis-type modifiers in polymerization. II. Comparison of effectiveness of various compounds in emulsion butadiene and bulk styrene polymerizations. Costanza A. J., Coleman R. J., Pierson R. M., Marvel C. S., King Charles). J. Polymer Sci., 1955, 17, № 85, 319—340 (англ.; резюме нем., франц.)

С целью подбора активных регуляторов (Р) роста молекулярных цепей при эмульсионной полимеризации (ЭП), содержащих функциональные группы, способные реагировать по окончании ЭП, синтезирован ряд бис-соединений, главным образом арилдисульфидов. Последние испытаны в качестве Р при полимеризации стирола в массе (Сообщение I, РЖХим, 1956, 32697) и дивинила в эмульсии. Результаты, полученные при ЭП, в общем хорошо коррелируют с результатами, полученными при полимеризации в массе. Активность многих Р может быть повышена путем предварительного диспергирования их в водн. фазе. Замещающие группы, являющиеся донорами электронов, повышают активность Р; наибольший эффект достигается при замещении в орто-положении. Факт присоединения каждого радикала, образующегося при распаде молекулы Р, к концу растущей цепи полимера (как это имеет место в случае стирола) при полимеризации дивинила не может быть доказан в связи с отсутствием точного метода определения первичного мол. веса полидивинила (т. е. мол. веса полимера без поперечных связей). А. Л.

43429. ω-Полимеры стирола. Миллер, Перичцоло (Styrene popcorn polymers. Miller Glenn H., Perizzolo A. F.). J. Polymer Sci., 1955, 18, № 89, 411—416 (англ.; рез. нем., франц.)

Скорость ω-полимеризации стирола (I) при 60° (подача мономера через паровую фазу) в присутствии ω-полимера бутадиена (II) пропорциональна весу совместного ω-полимера и не зависит от содержания перекисей в исходном зародыше. Добавка к I этилдисульфида, гексил-, пропи- и этилмеркаптанов снижает скорость р-ции; H_2O и K_2S на скорость р-ции не влияют. Отмечается, что ω-полимер II, хранившийся на воздухе, активными свойствами не обладает. А. П.

43430. Эмульсионная полимеризация водорастворимых мономеров. Окамура, Мотояма (Emulsion polymerization of water-soluble monomers. Okamura Seizo, Motoyama Takuhiko). Mem. Fac. Engng, Kyoto Univ., 1955, 17, № 3, 220—230 (англ.)

В сравнимых условиях исследована растворимость стирола (I), метилметакрилата (II), метилакрилата (III), винилкапроата (IV) и винилацетата (V) в водн. р-рах мыла, кинетика их полимеризации (II) в массе и в эмульсии, а также мол. веса полученных полимеров. Растворимость возрастает в ряду: IV < I < II < V < III. Наличие эмульгатора (додецилового эфира полиэтиленоксида) снижает скорость II в массе и мол. вес полимера в последовательности I < II < III < IV < V, что согласуется с возрастанием реакционной способности свободных радикалов по отношению к молекулам мыла. Скорость II в эмульсии и мол. вес полимера возрастают с повышением конц-ии мыла в случае I и IV, снижаются в случае V и обнаруживают максимум в случае III. Поскольку IV аналогичен I при эмульсионной II и аналогичен V при II в массе, авторы приходят к выводу, что не реакционная способность, а растворимость мономеров является определяющим фактором при II в эмульсии. А. Л.

43431. Сокалатитический эффект следов воды при образовании полиацетальдегида. Летор, Мати (Effet co-catalytique des traces d'eau dans la formation du polyacétaldéhyde. Letort Maurice, Mathis Pierre). C. r. Acad. sci., 1955, 241, № 9, 651—653 (франц.)

Р-ция полимеризации CH_3CHO при т-ре плавления (—123,3°) в присутствии инициатора надукусной к-ты ускоряется прибавлением следов H_2O . Наибольший эффект наблюдается при конц-ии $H_2O \sim 60 \cdot 10^{-6} M$, что соответствует эквимолекулярным соотношениям надукусная к-та: вода. C_2H_5OH также является сокатализатором. В отсутствие инициатора сокатализатор не действует. М. Л.

43432. Характеристика коротких разветвлений в полиэтилене и сходных полимерах. Харлен, Симмонс, Уолдингтон, Уолдрон, Баскетт (Characterization of short chain branches in polyethylene and related polymers. Harlen F. B., Simpson W., Waddington F. B., Waldron J. D., Baskett A. C.). J. Polymer Sci., 1955, 18, № 90, 589—591 (англ.)

С помощью масс-спектрометрии определен состав газообразных углеводородов, образующихся при облучении электронами с энергией 4 Мэв полиметилена и полиметиленов, содержащих метильные, n-бутильные и n-амильные боковые группировки; т-ра облучения 150°. Полимеры синтезированы на основе смесей соответствующих диазопарафинов. Показано, что газообразные углеводороды представляют собой главным образом CH_4 и углеводород, имеющий то же число атомов C, что и боковые цепи полимера. Промышленные образцы полиэтилена образуют при облучении C_2H_6 и C_4H_{10} ; CH_4 обнаружен лишь в незначительных кол-вах. Авторы счи-

тают, что при радиоллизе исследованных полимеров происходит отщепление боковых цепей от полимерной молекулы. Образование CH_4 в случае полиметиленов авторы объясняют наличием в молекулах этих полимеров боковых метильных групп.

43433. Равновесное распределение молекулярных весов при нециклических полимеризациях. Гаррис (Equilibrium distribution of molecular weights in noncyclic polymerizations. Harris Frank E., J. Polymer Sci., 1955, 18, № 89, 351—357 (англ.; рез. нем., франц.).)

Теоретически рассмотрена зависимость равновесного молекулярного распределения при линейной (и с боковыми цепями) поликонденсации от свободных энергий различных (полимерных) компонентов в r -ре и от кол-ва способов комбинации «полимеризуемых» функциональных групп. На основе расчета конфигурационной свободной энергии системы в целом показано, что в то время как теория идеальных r -ров и теория псевдорешетки Флори — Хаггинса приводят к равновесному пуассонову распределению при незначительных отклонениях от идеальности возможны существенно отличные распределения.

43434. Исследование полимеризации и деполимеризации ϵ -капролактама. I. Формулировка реакции амидного обмена, теплота реакции и энергия активации. Юмото (Studies on polymerization and depolymerization of ϵ -caprolactam. I. The formulation of amide-interchange reaction, the heat of reaction and the activation energy. Yumoto Hiro-suke), Bull. Chem. Soc. Japan, 1955, 28, № 2, 94—100 (англ.).

Изучалась деполимеризация поликаприамидных пленок в интервале t -р 230—310°. Кол-во образовавшегося ϵ -капролактама (I) определялось путем анализа водн. экстракта на азот по Кьельдалю. Полимеризация и деполимеризация рассматриваются как равновесный процесс обмена по амидной связи с участием цепных и кольцевых молекул. Для процесса деполимеризации предложено кинетич. выражение $d(L_1/A)/dt = -k_1 \Sigma M_i/A - k_2 L_1 \Sigma M_i/A^2$ (L_1 — число молей I, M_i — число молей концевых групп цепи, состоящей из i молекул, A — число молей кинетич. сегментов в фазе r -ции, k_1 — константа скорости деполимеризации, k_2 — константа скорости полимеризации). Из температурной зависимости $\lg k_1 \Sigma M_i/2,303$ и $\lg KA$ (K — константа равновесия) получены значения энергий активации соответственно процесса деполимеризации (12,5 ккал/моль) и раскрытия кольца I с образованием структурной единицы полимера (3,8 ккал/моль), что совпадает с величиной, найденной калориметрически (Скуратов С. М. и др., Коллоид. ж., 1952, 14, 185). Наличие теплового эффекта r -ции раскрытия кольца I с образованием структурной единицы полимера объясняется изменением потенциального барьера вращения вокруг связей при переходе от кольцевой молекулы к линейной. Аналогично изучался процесс графт-полимеризации I на поликаприамидных пленках при той же t -ре. Энергия активации процесса равна 8,7 ккал/моль. Низкие значения энергий активации обратимого процесса полимеризация — деполимеризация указывают на то, что процесс протекает по ионному механизму. И. Т.

43435. Волокнообразующие полиалкиленочевичины. I. Общие замечания по получению и изучению структуры и механизма образования. Керк, Овермарс, Вант (Fibre-forming polyalkylene ureas. I. General remarks on the chemical preparation and a study of the structure and the mechanism of formation. Kerk G. J. M., van der, Overmars H. C. J., Want G. M. vander), Recueil trav. chim., 1955, 74, № 10, 1301—1322 (англ.).

Из алифатических диаминов общей ф-лы $\text{NH}_2(\text{CH}_2)_n\text{NH}_2$, где $n = 6-10$ и COS получены тиокарбаматы, конденсация которых приводит к образованию полиалкиленочевичина (I). r -ция конденсации идет в 2 стадии: образование низкомолекулярного (м. в. 2500) продукта (II) сопровождающееся выделением H_2S при 100—120° до полного десульфирования и превращение II в I при 180—200° без изменения элементарного состава. Методом ИК-спектров показано отсутствие в II изоцианатных групп. Степень полимеризации, определенная из вискозиметрич. данных, удовлетворительно совпадает со степенью полимеризации, рассчитанной из числа концевых групп в расчете, что на молекулу полимера приходится 2 группы NH_2 . Механизм r -ции поликонденсации заключается в образовании карбамидных мостиков между молекулами мономера, сопровождающегося отщеплением COS с возникновением группы NH_2 на концах молекулы. В дальнейшем происходит удлинение цепи вследствие аминолиза карбамидных групп, находящихся недалеко от конца цепи. Нагревание II в атмосфере COS при 120° ведет к резкому повышению степени полимеризации, в то время как нагревание в атмосфере N_2 при той же t -ре не влияет на степень полимеризации. В присутствии COS можно получать I в одну стадию при более низкой t -ре.

43436. Полимеризация винилизопропилового и винилциклогексилового эфиров под влиянием 2,2'-азобиснитрила изомасляной кислоты. Шостаковский М. Ф., Сидельковская Ф. П., Шапиро Э. С., Изв. АН СССР, Отд. хим. н., 1955, № 6, 1085—1089

Полимеризация винилциклогексилового (I) и винилизопропилового (II) эфиров в присутствии 0,1—5% динитрила 2,2'-азоизомасляной к-ты (III) при 40—80° приводит в первом случае к прозрачным, слегка окрашенным твердым в-вам с т. пл. 47—50°, во втором случае — к липким, вязким жидкостям. При равных условиях r -ции I полимеризуется активнее II. С увеличением t -ры полимеризации выход полимера I заметно возрастает, в то время как выход полимера II существенно не меняется. Выход полимеров I и II увеличивается с увеличением конц-ции III. В присутствии III I полимеризуется активнее винилфенилового эфира. Выходы и мол. веса полимеров I и II, полученных в присутствии III, ниже, чем при проведении полимеризации I и II в присутствии $\text{FeCl}_3 \cdot 6\text{H}_2\text{O}$, т. е. по ионному механизму.

43437. Получение полиметилфениленов по реакции Гриньяра. IV. О метилазамещенных полифениленах. Керн, Гем, Зейбель (Darstellung von Poly-Methylphenylenen nach Grignard. Über methylsubstituierte Polyphenylenen. IV. Mitteilung. Kern W., Gehm R., Seibel M.), Makromolek. Chem., 1955, 15, № 2/3, 170—176 (нем.). Действием Mg на 4,4'-диод-3,3'-диметилдифенил (I), в присутствии o -(N -диметиламино)-бромбензола получен полимер, содержащий N, с мол. в. $1 \cdot 10^4$ — $2 \cdot 10^4$. r -цией 2,5-дибромтолуола (II) с Mg и затем с твердой CO_2 получена смесь бромтолуоловой (85%) и метилтерфталевой к-т (15%). Это указывает, что атом Br в положении 5 реагирует легче, чем в положении 2. При действии на соединение Гриньяра, полученное из II, безводн. AgBr, CuCl_2 или CoCl_2 образуются полимеры небольшого мол. веса, выход 5—20%, т. пл. 140—155°. Действием FeCl_2 , CuCl_2 или AgBr на соединение Гриньяра, полученное из I, получают более высокополимерное в-во, выход 35—70%, т. пл. 165—180°. Аналогичным методом из моноодитолуола получают кватертолил и малое кол-во полифенилена (3%). Образование последнего указывает, что в этой r -ции участвуют и C-атомы, не связанные с галогеном. Показано, что r -ция Гриньяра неприменима для получения линейных по-

лифениленов. Сообщение III см. Makromolek. Chem., 1951, 7, 46.

43438. Изучение поливинилхлорида. I. Восстановление до углеводородного полимера. Котман (Studies on polyvinyl chloride. I. Reduction to a hydrocarbon polymer. C o t m a n J o h n D., Jr), J. Amer. Chem. Soc., 1955, 77, № 10, 2790—2793 (англ.)

При восстановлении поливинилхлорида при помощи LiAlH_4 и LiH в кипящем тетрагидрофуране в атмосфере N_2 образуется углеводородный полимер (I). Изучение ИК-спектра показало, что I подобен полиэтилену и обладает высокой степенью кристалличности. При проведении восстановления в атмосфере воздуха образуется I, содержащий одну гидроксильную группу на 25 атомов углерода. Автор рассматривает механизм образования OH-групп, предполагая образование промежуточного оксиданиона в результате окисления иона алюминийгидрида кислородом воздуха. Замещение хлора таким оксиданионом, представляющее нуклеофильное замещение при угледе с удалением галоида в виде иона, может привести к продукту, который при гидролизе дает вторичную OH-группу. Приведен ИК-спектр пленки из восстановленного поливинилхлорида. Взаимодействием I, полученного в присутствии кислорода воздуха, избытком хлористого бензола при 100° получают продукт этерификации I; степень этерификации 30—40%.

Е. К.

43439. Циклические концевые группы в полиамидных смолах. Пирман, Толберг, Уитткофф (Cyclic end groups in polyamide resins. Peerman D w i g h t E., Tolberg Wesley, Wittcoff Harold), J. Amer. Chem. Soc., 1954, 76, № 23, 6085—6086 (англ.)

Методом ИК-спектроскопии показано, что полиамидные смолы, полученные р-цией ди- или полиаминов (с короткой алифатич. цепью) с ди- или тримеризованными ненасыщ. к-тами растительных масел, могут содержать, наряду с концевыми группами COOH и NH_2 , и циклич. концевые группы. Если диамин, применяемый для синтеза полиамида, содержит NH_2 -группы, разделенные двумя атомами С, то имеется возможность для образования имидазолина, а в случае 1, 3-диамина появляется возможность для образования тетрагидропиримидина. В обоих случаях наличие группы $\text{C}=\text{N}$ обеспечивает получение характерной полосы в ИК-спектре (1660—1610 cm^{-1}). Исследование показало, что смолы, полученные из этилендиамина, не содержат концевых циклич. групп, тогда как смолы из диэтилентриаминна содержат имидазолиновые концевые группы, содержание которых увеличивается после обработки HCl (к-той). Смолы, полученные из 1,3-диаминпропана и 1,3-диаминбутана, содержат только концевые NH_2 -группы, в то время как в смоле из имино-бис-пропиламина доказано наличие концевых тетрагидропиримидиновых групп.

Т. М.

43440. О реакции полимера метилового эфира аспарагиновой кислоты с аминами. Краткое сообщение. Томпа (Über die Reaktion von polymerem Asparaginsäuremethylester mit Aminen. (Kurze Mitteilung). Tompa H.), Monatsh. Chem., 1955, 86, № 3, 542—545 (нем.)

На примере полимера метилового эфира аспарагиновой к-ты (I) и сополимера I с лейцином (соотношение 1 : 1) исследовано взаимодействие боковой эфирной группы полимера с различными аминами. Р-ция проводилась в: а) смеси толуола (II) с 20 об.% изопропилового спирта (III) (III — обозначен весь р-ритель), б) смеси II с 20 об.% пиридина (IV) (IV — весь р-ритель). Контроль за течением р-ции осуществлялся определением в отбираемых пробах конц-ии аминогрупп (р-цию проводят в III) или определением вязкости в ходе р-ции. Найдено, что первичные амины реагируют со

сложноэфирной группой приблизительно в 10 раз быстрее вторичных; третичные амины практически в р-цию не вступают. Р-ция в IV протекает быстрее, чем в III. Большое влияние на р-цию оказывает кол-во воды в реакционной смеси. С увеличением ее содержания начальная скорость р-ции увеличивается, однако, затем скорость р-ции уменьшается тем быстрее и конц-ия амина в конце р-ции будет тем выше, чем больше воды содержал р-р.

С. В.

43441. Восстановительное аминирование поликетонов, полученных из этилена и окиси углерода. Новый класс полиаминов. Кофман, Хон, Мейнард (Reductive amination of ethylene/carbon monoxide polyketones. A new class of polyamines. Coffman D. D., Hoehn H. H., Maynard J. T.), J. Amer. Chem. Soc., 1954, 76, № 24, 6394—6399 (англ.)

Описан новый класс полиаминов (I), получаемых восстановительным аминированием поликетонов. Последние представляют собой продукты сополимеризации этилена и CO . I имеют структуру углеводорода с длинной цепью и с боковыми первичными, вторичными или третичными аминогруппами. По физ. состоянию I являются вязкими жидкостями, смолами или микрокристаллич. восками. Синтез I сводится к гидрированию поликетона, смешанного с аммиаком или амином (первичным или вторичным) и с любым из катализаторов гидрирования, при 150—300° и 150—600 ат в течение 10—15 час. Строение I подтверждалось как при помощи ИК-спектров, так и получением характерных производных аминов, напр., солей, амидов, N-окисей и мочевины.

Т. М.

43442. Некоторые сведения о силиконах. Связь $\text{Si}=\text{O}$. Химия. Токсикология. Бауэршмитт, Бене (Quelques notions concernant les silicones. La liaison $\text{Si}=\text{O}$. Chimie. Toxicologie. Bauerschmitt A., Bénédicte R.), Bull. Assoc. diplômés microbiol. Fac. Pharmacie, Nancy, 1955, № 39, 3—15 (франц.)

Обзор, посвященный рассмотрению методов получения силиконов, полимеризации и практич. использованию полимеров, а также токсикологии силиконов. Библ. 7 назв.

С. С. И.

43443. Опыт спектрального исследования влияния окислителя на препараты сернокислого лигнина. Гийемен-Гувьерель (Essais d'étude spectrale de l'influence d'un oxydant sur l'extraction d'une lignine sulfurique. Guillemain-Gouvernel J., M me J. Phys. et. radium, 1954, 15, № 7-8-9, 648—649 (франц.)

С помощью ИК-спектроскопии изучено влияние окислителей на препараты лигнина. Препараты лигнина получались: 1) обработкой древесины бука (опилок) с помощью H_2SO_4 (72%) и 2) с помощью SO_2 (стояние 24 часа). Полученные препараты сравнивались с препаратом лигнина, который получили в результате обработки опилок бука 20%-ной H_2O_2 (6 дней при комнатной т-ре). Во всех трех случаях определяли содержание восстанавливающих сахаров (Бертран), OCH_3 -групп по Цейзелю, а также провели сравнительное спектротрафич. исследование этих препаратов. Препарат 1-й сходен с контрольным образцом, 2-й отличается от контрольного. Изучены также УФ-спектры этих препаратов (в диоксане) $\lambda_{\text{макс}}$ 280, 265 и 290 $\text{m}\mu$. На основании проведенных исследований автор считает, что продукты окисления лигнина сохраняют ароматич. структуру.

А. Ю.

43444. К изучению амилосы картофельного крахмала. Хроматографические исследования. Ульман (Zur Kenntnis der Amylose der Kartoffelstärke. Chromato-

graphische Untersuchungen. U l m a n n M.), Makromolekul. Chem., 1953, 9, № 1, 76—95 (нем.)

Водные 0,1—0,01%-ные р-ры клейстеризованного крахмала и препаратов амилозы хроматографируют на колонке с Al_2O_3 , имеющей в нижней части pH 7,0—8,2, в верхней 4,5 (после обработки 0,2%-ной HCl). При проявлении 0,0025 н. J в KJ крахмал обнаруживает в кислом слое адсорбента 1—2 фиолетовые зоны (амилопектин), а в щел. слое 3, 4 резко отграниченных зоны амилозы синего цвета различных оттенков. Одна из фиолетовых зон также содержит светло-голубую часть. Все испытанные препараты амилозы, полученные различными методами, оказались неоднородными и содержали 2—5 компонентов, в том числе один, дающий синюю зону в кислом слое Al_2O_3 , другой — в нейтр., остальные — в щел. слое; очевидно они различаются не только мол. весом, но и строением. После кипячения р-ра амилозы (5—30 час.) исчезает нижняя зона; остальная хроматограмма не изменяется. При уменьшении концентрации р-ров до 0,001% и ниже зоны нейтр.

и щел. слоев расширяются и смещаются вниз, а четкость их границ уменьшается. Метод позволяет устанавливать чистоту, однородность и идентичность препаратов и в определенных границах может являться количественным. В. З.

43445 Д. Синтез ацетобутирата целлюлозы и его совмещение с конденсационными и полимеризационными смолами. Коньковская Е. Н. Автореф. дисс. канд. техн. н., Моск. хим.-технол. ин-т, М., 1955

См. также: Физ. св-ва высокополимеров 42515, 42881. Кинетика и механизм полимеризации 42424. Синтезы высокомогл. в-в 43129, 43247, 43252, 44303, 44615, 44790—44792, 44816, 44817, 44869, 44895, 44896, 44907, 44908, 44910, 44911, 44914—44918, 44922—44925, 44928—44932, 44937, 44938, 44941, 44944, 44945, 44948, 44952, 44954, 44955, 44957, 44958, 44960, 44961, 44963—44965, 44967, 44969—44975, 44978, 44980, 44981, 45012, 45013

АНАЛИТИЧЕСКАЯ ХИМИЯ

ОБЩИЕ ВОПРОСЫ

43446. Применение статистических методов для оценки результатов химического анализа. Свентославская (Zastosowanie metod statystycznych do oceny wyników analizy chemicznej. Świętowska J.), Przem. chem., 1955, 11, № 12, 659—665 (польск.)

Обзор. Библ. 28 назв.

Н. Т.

43447. Дилемма аналитика. — (The analysts' dilemma.), Chem. Age, 1955, 73, № 1900, 1269—1273 (англ.)

Обсуждена зависимость между окраской комплекса, его устойчивостью и положением максимума поглощения. Рассмотрены условия получения окрашенных комплексов. Указан принцип выбора реагентов для колориметрич. определения катионов, являющихся слабыми окислителями и восстановителями. М. Ж.

43448. Новые аналитические методы в Польше. Кемуля (Nowe metody analityczne w Polsce. Kemuła W.), Przem. chem., 1955, 11, № 12, 657—658 (польск.)

Развитие современных методов аналитич. химии в Польше.

Н. Т.

43449. Аналитическая химия Польши в 1945—1955 годах в цифровом выражении. Лада (Polska chemia analityczna w latach 1945—1955 w cyfrach. Łada Z.), Przem. chem., 1955, 11, № 12, 669—670 (польск.)

С 1945 г. по июнь 1955 г. в Польше напечатано 566 статей (483 различных авторов) по аналитич. химии. Дан анализ тематич. классификации и применяемых методов.

Н. Т.

43450. Ультрамикроколориметрическая аргентометрия. (Предварительное сообщение). Кирстен (Ultramicrocolorimetric argentimetry (Preliminary report). Kirsten Wolfgang J.), Mkochim. acta, 1955, № 5-6, 1086—1087 (англ.)

В мерные колбы емк. 10 мл помещают 0,5, 10, 20 мкг испытуемого р-ра. Прибавляют по 5 мл реактива (2 мл 85%-ной H_2PO_4 и 150 мл этилацетата), 2 мл р-ра 10 мг дитизоната Ag в 100 мл $CHCl_3$, перемешивают и разбавляют до метки этилацетатом. Cl^- , Br^- , J^- и S^{2-} в указанной среде реагируют с Ag с выделением дитизона. Последний определяют фотометрированием при

598 мμ на спектрофотометре Бекмана (модель В) в 1-см кюветках. Метод весьма чувствителен; р-ция с S^{2-} носит качеств. характер.

Ф. Л.

43451. К вопросу о разделении и открытии катионов в присутствии анионов фосфорной, фтористоводородной, кремневой, борной, щавелевой и мышьяковой кислот. Блан, Расин (Mise au point sur la séparation et la caractérisation des cations en présence des anions phosphoriques, fluorhydrique, silicique, borique, oxalique et aussi arsénique. Blanc P., Racine J.), Chim. analyt., 1955, 37, № 8, 264—266 (франц.)

Метод основан на превращении фосфатов, оксалатов и других нерастворимых в аммиачной среде солей металлов группы $(NH_4)_2S$ и $(NH_4)_2CO_3$ в соответствующие карбонаты. Анализ р-ров, содержащих фосфаты, фториды, силикаты, бораты, оксалаты и арсенаты, начинают с отделения катионов Ba^{2+} , Sr^{2+} , Ca^{2+} и Mg^{2+} от катионов Al^{3+} , Fe^{2+} , Cr^{3+} , Ni^{2+} , Co^{2+} , Mn^{2+} и Zn^{2+} осаждением последних при действии $(NH_4)_2S$ в присутствии NH_4Cl и небольшого избытка NH_4OH . Если фильтрат содержит коллоидный NiS , его нейтрализуют HCl и осадок NiS отфильтровывают. Фильтрат упаривают досуха; остаток прокалывают до удаления NH_4Cl и после растворения исследуют с помощью известных методов на Ba^{2+} , Sr^{2+} , Ca^{2+} и Mg^{2+} . Осадок, образовавшийся в результате обработки исходного р-ра сульфидом аммония, промывают и обрабатывают кипящей HCl (1:5). Твердый остаток на фильтре, содержащий CoS + NiS , растворяют в царской водке для последующего открытия Co и Ni обычными методами. К кипящему фильтрату от удаления CoS + NiS добавляют твердый K_2CO_3 , кипятят 5 мин., прибавляют 20 мл воды и ~1 г Na_2O_2 , снова кипятят и фильтруют. Остаток на фильтре обрабатывают CH_3COOH (1:6) и определяют в р-ре катионы Ba^{2+} , Sr^{2+} , Ca^{2+} и Mg^{2+} , а в нерастворившемся осадке — марганец и железо. В фильтрате от карбонатного осаждения известными методами определяют Cr^{3+} , Al^{3+} и Zn^{2+} .

Н. П.

43452. Скорость и механизм реакций и роль растворителя. Эймис (Rates, mechanisms, and solvent. Amis Edward S.), Analyt. Chem., 1955, 27, № 11, 1672 (англ.)

При рассмотрении кинетики р-ций, протекающих с участием заряженных частиц или полярных молекул,

необходимо учитывать роль ионной атмосферы и диэлектрической постоянной (D) среды. В соответствии с известными ур-ниями (РЖХим 1954, 44432), логарифмы уд. констант скорости (k) р-ций между ионами и полярными молекулами линейно зависят от обратных значений D . Эта зависимость выполняется для гидролиза метилпропионата и этилацетата, а также для ряда других случаев гидролиза сложных эфиров. Скорость гидролиза этих эфиров в щел. среде определяется скоростью взаимодействия полярных молекул с отрицательно заряженными ионами OH^- , причем процесс проходит через ряд последовательных ступеней. Линейная зависимость между $\lg k$ и $1/D$ выполняется также для инверсии сахарозы в смеси диоксида с водой и для р-ции диацетонного спирта с ионами OH^- . Инверсию сахарозы катализируют ионы гидроксония. Линейная зависимость между $\lg k$ и $1/D$ выполняется и при р-циях между дипольными молекулами, напр. при взаимодействии между третичным бутилхлоридом и водой. В этом случае кинетика р-ции определяется взаимодействием между самими дипольными молекулами. В соответствии с ур-нием Бренстеда — Христиансена — Скотчарда, для р-ций между ионами в разб. р-рах график зависимости между $\lg k$ и V_μ (μ — ионная сила р-ра) должен быть прямой. Его наклон для одноименно заряженных ионов положителен, для разноименно заряженных — отрицателен. При $\mu = 0$ прямая зависимости $\lg k$ от $1/D$ имеет положительный наклон для разноименно заряженных и отрицательный — для одноименно заряженных ионов. На скорость р-ции может влиять значение D вблизи частицы растворенного в-ва и явление селективной сольватации.

Н. П.

43453. Идентификация короткоживущих частиц при химических реакциях. Применение фотоллиза, вызванного вспышкой, и твердых стеклообразных растворителей для идентификации и изучения скоростей реакции промежуточных веществ. Э й б р а х а м с о н (Identification of short-lived species in chemical reactions. Use of flash photolysis and rigid glassed solvents in identification and rate studies of reaction intermediates. A b r a h a m s o n E d w i n W.), *Anal. Chem.*, 1955, 27, № 11, 1695—1698 (англ.).

Известны 3 типа короткоживущих частиц: 1) молекулярные или ионные комплексы, 2) атомы и свободные радикалы и 3) атомы и молекулы в возбужденном состоянии. Частицы первого типа образуются, напр., при взаимодействии энзимов с субстратами. Для изучения молекулярных комплексов наиболее целесообразно применить известный метод струй (Hartridge H., Roughton F., *Proc. Roy. Soc.*, 1923, A104, 376), усовершенствованный Чансом (Chance B., J. Franklin Inst., 1940, 228, 459). Ход р-ции в этом методе контролируется спектрофотометрически. Частицы второго типа, имеющие значение для цепных р-ций, несмотря на большое число работ, мало изучены. Частицы третьего типа, в отличие от радикалов, могут затрачивать избыточную энергию не только на хим. р-цию, но и на флуоресценцию, фосфоресценцию и безрадиационные переходы. Такие частицы участвуют в фотосенсибилизированных р-циях, проблема их изучения сводится к их выделению в достаточном высоком конц-ях. С этой целью необходим источник очень интенсивной радиации, обеспечивающий введение в реакционную систему больших кол-в энергии в течение очень небольшого промежутка времени. Метод вспышки, использующий тормозной разряд в конденсаторе (Porter G., *Proc. Roy. Soc.*, 1950, A200, 284), позволяет получать кол-ва возбужденных частиц, достаточные для спектрофотометрич. исследования (до $10^{-4}M$). Применение этого метода к взрывной р-ции между H_2 и O_2 , сенсибилизированной NO_2 , показало, что цепной процесс начи-

нается с р-ции: $\text{H}_2 + \text{O} \rightarrow \text{H} + \text{OH}$. Поскольку скорость исчезновения радикалов OH увеличивается с давлением H_2 , в цепном процессе должна принимать участие р-ция: $\text{OH} + \text{H}_2 \rightarrow \text{H}_2\text{O} + \text{H}$. Изучаемый процесс должен быть более длительным, чем сама вспышка. Высокие конц-ии короткоживущих частиц получают также с применением стеклообразующих р-рителей, напр. смеси эфира, изопентана, спирта, замороженной при -78°C жидкого азота. Твердая среда мешает рекомбинации радикалов или ионных осколков, образующихся при облучении светом из молекул растворенного в-ва. Поэтому для изучения спектров таких частиц можно использовать обычные спектроскопич. методы. Этим методом изучались спектры ряда сложных радикалов: дифенилазота, фенилсеры, трифенилметила (Lewis G. N., Lipkin D., *J. Amer. Chem. Soc.*, 1942, 64, 2801). Н. П.

43454. Индуцированные реакции в аналитической химии. Медалья (Induced reactions in analytical chemistry. Medalia A. I.), *Anal. Chem.*, 1955, 27, № 11, 1678—1683 (англ.).

Индуцированные р-ции (ИР) могут быть серьезным источником ошибок в объемных и колориметрич. методах анализа, основанных на окислительно-восстановительных процессах. При этом сопряженные р-ции, в которых актор взаимодействует и с акцентором и индуктором, могут обуславливать ошибку порядка 200—300%. Значительно большие погрешности связаны с индуцированными цепными р-циями (ИЦР), в которых актор взаимодействует только с акцентором. К ИР первого типа относится р-ция окисления Mn^{2+} 6-валентным Cr , индуцированная арсенит-ионом. Как и в других случаях, эта ИР протекает с участием неустойчивого промежуточного продукта, образующегося в результате первичной р-ции (Cr^{4+}). В ИЦР промежуточными продуктами часто являются радикалы. При определении перекисей (I) с применением солей Fe^{2+} могут иметь место 2 различные ИЦР, в которых роль актора играет или I или Fe^{2+} . В первом случае р-ция идет в отсутствие растворенного O_2 и получаются заниженные результаты определения I . Во втором случае р-ция идет в присутствии растворенного O_2 и получаются завышенные результаты определения I . В р-рах, содержащих органич. соединения, напр. спирт, в присутствии O_2 получают завышенные (до 1250% от взятого кол-ва H_2O_2), в отсутствие O_2 — заниженные (5,5—98% от взятого кол-ва H_2O_2) результаты определения H_2O_2 . Механизм ИЦР для обоих случаев подробно рассматривается. Знание механизма ИЦР помогает найти способы их устранения. Одним из возможных путей является подавление ИЦР с помощью р-ций переноса цепей. При определении I с этой целью добавляют ионы Br^- , реагирующие с радикалами OH^\cdot : $\text{Br}^- + \text{HO}^\cdot \rightarrow \text{Br}^\cdot + \text{OH}^-$; атомы Br^\cdot окисляют Fe^{2+} до Fe^{3+} . В результате в-ва взаимодействуют в стехиометрич. отношении по ур-нию: $\text{ROOH} + 2\text{Fe}^{2+} + 2\text{H}^+ \rightarrow \text{ROH} + 2\text{Fe}^{3+} + \text{H}_2\text{O}$ (ROOH — органич. I). Для подавления ИЦР можно использовать не только Br^- , но и Cl^- , ацетон, CH_3COOH , $\text{CH}_2 = \text{CHX}$. В последнем случае р-ция между ROOH и Fe^{2+} идет в отношении 1 : 1. Н. П.

43455. Отличительные признаки изоморфного и адсорбционного соосаждения. Коренман Н. М., *Ж. общ. химии*, 1955, 25, № 13, 2399—2401

Для определения типа процесса соосаждения определяют кол-во соосажденного микрокомпонента (при переменных его кол-вах) и его кол-во, оставшееся в р-ре, при постоянных кол-вах макрокомпонента и прочих условиях; по полученным данным строят изотерму адсорбции; характер последней зависит от типа соосаждения. Изотерма адсорбционного соосаждения описывается ур-нием $C_2 = aC_1^n$ (1), где C_2 — кол-во соосажденного микрокомпонента, C_1 — кол-во микро-

компонента, оставшееся в p -ре, α и n — постоянные; логарифмируя ур-ние (1), получают $\lg C_2 = \lg \alpha + (\lg C_1)/n$ (2), так как $n \neq 1$, то прямая, описываемая ур-нием (2), в координатах $\lg C_2 - \lg C_1$ имеет угол наклона $< 45^\circ$. Изотерма изоморфного соосаждения описывается ур-нием $x/(a-x) = Dy(b-y)$ (3), где x — кол-во соосажденного микрокомпонента, равное C_2 , a — начальное кол-во микрокомпонента, y — кол-во осажденного макрокомпонента, b — начальное кол-во макрокомпонента, D — коэфф. распределения; при заданных условиях $Dy/(b-y) = \text{const}$, поэтому $\lg x - \lg(a-x) = \text{const}$, или $\lg x = \lg(a-x) + \text{const}$ (4); угол наклона прямой, описываемой ур-нием (4), в координатах $\lg x - \lg(a-x)$ равен 45° . Вывод не изменяется, если изоморфное соосаждение описывать логарифмич. ур-нием $\lg [(a-x)/a] = k \lg [(b-y)/b]$.

43456. О растворимости оксидинолятов кальция и магния. Попель А. А., Гладкова А. В., Уч. зап. Казанск. ун-та, 1955, 115, № 3, 89—92.

Определена растворимость оксидинолятов Mg и Ca в водно-спиртовых р-рах: твердый оксидинолят, промытый водно-спиртовым р-ром, заливали таким же р-ром и помещали в термостат. Через 8—10 час. отбирали пробы р-ров, твердую фазу отфильтровывали и кол-во перешедшего в р-р оксидинолята определяли пометрически и по остатку. Найдено, что растворимость оксидинолята Ca в 2—3 раза больше растворимости оксидинолята Mg; растворимость оксидинолята Ca в р-рах, содержащих 0,01 M CaCl₂, в 30—40 раз больше растворимости оксидинолята Mg в р-рах, содержащих 0,01 M MgCl₂. Сделан вывод, что в случае внутрикомплексных соединений проведение растворимости не может полностью характеризовать их растворимость.

43457. Определение растворимости некоторых родантурных солей. Сви́нарский, Чакис (Opiszenie rozpuszczalności niektórych rodanortęcianów. Swinarski A., Czakis M.), Przem. chem., 1955, 11, № 7, 384—385 (польск.; рез. рус., англ.)

Определена растворимость солей типа $M[\text{Hg}(\text{SCN})_4]$, где M — Zn, Cu, Co и Cd, в воде при 18° с помощью фотометра Пульфриха. Произведения растворимости при 18° равны: $\text{Zn}[\text{Hg}(\text{SCN})_4] 3,06 \cdot 10^{-8}$; $\text{Cu}[\text{Hg}(\text{SCN})_4] 3,31 \cdot 10^{-8}$; $\text{Co}[\text{Hg}(\text{SCN})_4] 2,88 \cdot 10^{-7}$; $\text{Cd}[\text{Hg}(\text{SCN})_4] 3,81 \cdot 10^{-6}$. Определенная этим методом растворимость $\text{Zn}[\text{Hg}(\text{SCN})_4]$ хорошо согласуется с литературными данными (Koltzoff I. M., Stenger V. A. Volumetric analysis. New York, 1943).

43458. Химические методы анализа благородных металлов и перспективы их развития. Пшеницын Н. К., Изв. Сектора платины ИОНХ АН СССР, 1955, вып. 32, 5—19

Обсуждены основные методы определения Pt и ее спутников, объемные и колориметрич. методы определения Pt-металлов (ПМ) и методы определения Au и отмечена необходимость: 1) разработки хим. и электрохим. методов растворения материалов, содержащих ПМ, 2) изучения хим., физ. и хроматографич. методов отделения ПМ от неблагородных металлов, 3) изыскания методов разделения ПМ на группы при помощи органич. и неорганич. реагентов, 4) разработки весовых методов определения Ir и Rh, 5) введения потенциометрич. методов в схему анализа, 6) развития работ по полярографии ПМ, 7) применения радиоактивных методов к определению малых кол-в ПМ, 8) разработки методов разделения ПМ с помощью ионного обмена и хроматографии на бумаге, 9) развития работ по применению органич. реактивов и 10) изучения хим. и физ.-хим. свойств соединений благородных металлов, используемых в анализе.

Н. П.

43459. Аналитическое применение фотохимического действия света. II. Определение щавелевой кислоты путем фотохимического окисления в присутствии солей 3-валентного железа. Гопала-Рао, Аравамудан (Analytical applications of the photochemical action of light. II. Determination of oxalic acid by photo-oxidation in the presence of ferric salts. Gopala Rao G., Aravamudan G.), Analyt. chim. acta, 1955, 13, № 5, 415—418 (англ.; рез. франц., нем.)

Метод основан на фотохим. окислении $\text{H}_2\text{C}_2\text{O}_4$ в сернокислом р-ре избытком железных квасцов (I) и последующем титровании образовавшегося Fe^{3+} р-ром NaVO_3 по дифенилбензидину или дифениламинсульфонату в присутствии H_3PO_4 . Реакционную смесь, состоящую из 10 мл 0,04492 н. $\text{H}_2\text{C}_2\text{O}_4$ + 10 мл 0,1 н. I + 10 мл 4 н. H_2SO_4 , разбавляют до 50 мл и облучают ярким солнечным светом до исчезновения желтой окраски оксидатного комплекса $\text{Fe}(3+)$ (15 мин.). При облучении светом 1000-вт лампы с W-нитью окисление $\text{H}_2\text{C}_2\text{O}_4$ продолжается ~ 3 часа, при облучении светом кварцевой Hg-лампы ~ 6 час. Погрешность определения 0,22—0,89 мг-экв $\text{H}_2\text{C}_2\text{O}_4 \leq 0,2\%$. HCOOH не мешает определению $\text{H}_2\text{C}_2\text{O}_4$ описанным методом, но мешает перманометрич. титрованию $\text{H}_2\text{C}_2\text{O}_4$ в кислых р-рах. Сообщение 1 см. РЖХим, 1956, 22723.

43460. Применение органических реактивов для выделения аналитических осадков косвенным методом (в гомогенном растворе). Липец (Zastosowanie odczynników organicznych do wytrącania osadów analitycznych na drodze pośredniej (w roztworze jednorodnym). Lipiec T.), Przem. chem., 1955, 11, № 12, 675—677 (польск.)

Обсуждено применение гидролизующихся в воде органических реактивов в неорганическом анализе. Вместо сероводорода предложено применять тиоацетамид, используемый также как противоядие при отравлении тяжелыми металлами в лабор. условиях. Библ. 55 назв.

43461. Применение тиосемикарбазонов в качестве реактивов в неорганическом анализе и в качестве антибактериальных средств. Часть II. Митра, Гуха-Сиркар (Use of thiosemicarbazones as reagents in inorganic analysis and antibacterials. Part II. Mitra G. N., Guha Sircar S. S.), J. Indian Chem. Soc., 1955, 32, № 7, 435—441 (англ.)

Тиосемикарбазоны альдегидов и кетонов (α -аминоацетофенона, α -нитробензальдегида, изатина, α -хлорбензальдегида, бензальацетона, фурфурола, анильацетона, салицилацетона) изучены в качестве реактивов на Ag, Hg, Pb, Cu, Cd, Bi, As, Sb, Sn, Fe, Al, Cr, Co, Ni, Zn, Mn, Ca, Ba, Sr, Mg; отмечено образование осадков и окрашенных соединений при различных pH; несколько соединений количественно осаждают Cu, Co, Ni; производное бензальацетона пригодно для определения Co и Cu; производные бензаль-, анильацетона, салицилацетона применимы для открытия Cu и Co при разбавлении $\leq 1:10^2$; некоторые из изученных соединений дают окрашенные соединения с молибдатом, нитритом и ферроцианидом; антибактериальное действие некоторых производных на *E. coli* и *Staphylococcus* незначительно. Предыдущее сообщение см. РЖХим, 1955, 1181.

43462. Использование дифенилрубеановодородной кислоты в качестве колориметрического реагента. Кавьер, Рай (Diphenyl rubeanic acid as a colorimetric reagent. Xavier J., Ray P.), Sci. and Culture, 1955, 21, № 3, 170—171 (англ.)

Дифенилрубеановодородная к-та $\text{C}_6\text{H}_5\text{NH-CS-CS-NH-C}_6\text{H}_5$ (I) образует окрашенные осадки с ионами многих металлов. Затруднения, вызываемые окраской спирт. р-ра I, устраняют применением почти бесцветного р-ра,

получаемого смешением 50 мл 0,1%-ного р-ра I и 50 мл 1 или 0,5 н. NaOH. Образующиеся осадки растворимы в пиридине и могут быть идентифицированы; на капельную пластинку наносят 1 каплю разб. р-ра NaOH, 1 каплю 0,1%-ного р-ра I и 1 каплю испытуемого р-ра. Для открытия Pd употребляют каплю 0,01%-ного р-ра I; NaOH не добавляют. Буро-красная окраска указывает на присутствие Co или Pd, розовато-фиолетовая — Ni, зеленовато-желтая — Cu. Растворимые в пиридине комплексы спектрофотометрируют. Б. Т.

43463. Применение органических реактивов в неорганическом анализе. Часть I. Комплексы палладия с некоторыми аниловыми кислотами. Часть II. Определение тория с помощью некоторых аниловых кислот. Датта (Use of organic reagents in inorganic analysis. Part I. Palladium complexes of some anilic acids. Part II. Determination of thorium with some anilic acids. Datta Sachindra Kumar, Z. analyt. Chem., 1955, 148, № 4, 259—266; 267—273 (англ.))

I. Изучено аналитич. поведение 7 к-т, синтезированных из фталевого ангидрида и ароматич. аминов (анилин, толуидин и др.). Установлено, что фталаниливая, *p*-толилфталаниливая и α -нафтилфталаниливая к-ты количественно ссаждают Pd при pH 2—4,5. К р-ру соли Pd²⁺ (pH 3,1), нагретому до кипения, приливают при помешивании 1%-ный спирт. р-р Na-соли или свободной к-ты, смесь выдерживают 5 мин. на водяной бане и оставляют на 18 час. Выпавший оранжевый или желтый кристаллич. осадок отфильтровывают, промывают горячим спиртом до удаления избытка реактива, затем горячей водой до удаления Cl⁻ и SO₄²⁻ и снова спиртом и высушивают при 115—120°. Указанные к-ты применимы для отделения Pd от Cu, Al, Ca, Ba, Sr, Zn, Mg, Co, Ni и др. Fe⁺, Zr и Th мешают. Нитраниливые к-ты или *o*- и *m*-замещенные к-ты не образуют с Pd комплексных соединений.

II. Аниловые к-ты, полученные из фталевого ангидрида и *m*- и *p*-нитроанилина, *o*-анилидина и α -нафтиламина, количественно ссаждают Th при pH 3—4,6. *m*-Нитраниливая к-та наиболее эффективна. Стандартный р-р (~40 мг) Th(NO₃)₃ нейтрализуют по конго красному, разбавляют до 10 мл, нагревают до ~60°, приливают 5 мл 2%-ного р-ра NH₄Cl и небольшой избыток 1%-ного р-ра реактива в 50%-ном C₂H₅OH. *m*-Нитраниливая к-та образует с Th желтый осадок, *p*-нитраниливая — желто-белый. Комплексное соединение Th с аниловыми к-тами нерастворимо в разб. CH₃COOH. Легко растворяется в разб. неорганич. к-тах в р-ре (NH₄)₂CO₃ и разлагается при кипячении. В форме анилатов Th количественно отделяют от редкоземельных элементов при pH 2,6—3. Ca²⁺, Ba²⁺, Sr²⁺, Al³⁺, Zn²⁺, Mg²⁺ и др. не мешают. В присутствии Co, Ni и U необходимо пр-рессаживание, Zr мешает.

И. Г.

43464. Использование основания Миллона в качестве аналитического реактива. Гхош (Million's base as an analytical reagent. Ghosh Nripendra Nath), Sci. and Culture, 1955, 21, № 3, 165—166 (англ.)

При обработке основанием Миллона (I) из растворимых в воде солей металлов извлекаются анионы и образуются гидроксиды металлов. Для определения K 25 мл р-ра KCl встряхивают 10 мин. с 1,5—2,0 г I; осадок отфильтровывают, промывают водой до pH фильтрата ~8 и титруют фильтрат 0,1 н. H₂SO₄ в присутствии индикатора Уэлслоу до пурпурно-красной окраски. Погрешность определения 0,18—45%.

Б. Т.

43465. Хроматографическое разделение и анализ газов. Янак (Chromatografické dělení a analyza

plynů. Janák J.), Paliva, 1955, 35, № 12, 357—361 (чеш.; рез. русс., нем.)

Обзор развития газовой хроматографии до начала 1954 г. Библ. 41 назв.

Н. Т.

43466. Новый способ разделения некоторых групп катионов при помощи хроматографии на бумаге. Стефанович, Яныч, Црноевич (Нов начин одвајања неких група катјона помоћу хроматографије на хартији. Стефановић Борне, Јањић Томислав, Црнојевић Ранко), Гласник Хем. друштва, 1955, 20, № 5, 343—348 (серб.; рез. англ.)

Описан метод разделения Fe³⁺, Al³⁺ и Cr³⁺, а также As³⁺, Sb³⁺ и Sn²⁺ при помощи хроматографии на бумаге ватман № 1 при 10—22°. Для разделения Fe³⁺, Al³⁺ и Cr³⁺ наносят на бумагу каплю испытуемого р-ра в 2 н. HCl и высушивают на воздухе 10—15 мин. Р-рителем служит р-р 4 г NH₄SCN в 20 мл 2 н. HCl, к которому прибавляют 20 мл CH₃OH и 60 мл *n*-C₂H₅OH. За 22 часа фронт р-рителя перемещается на 32 см. Опрыскивают спирт р-ром ализарина и сбрызгивают парами NH₃. Fe³⁺ образует фиолетовую, Al³⁺ красную, а Cr³⁺ красно-фиолетовую зоны. Cr³⁺ обнаруживают также при опрыскивании р-ром бензидина в H₂SO₄ (синяя зона) после окисления при помощи р-ра Na₂O₂ до CrO₄²⁻. Для разделения As³⁺, Sb³⁺ и Sn²⁺ наносят на бумагу каплю испытуемого р-ра в 2—4 н. HCl и высушивают 5—10 мин. Р-рителем служит р-р 4 г винной к-ты в 20 мл воды, к которому прибавляют 20 мл CH₃OH и 60 мл *n*-C₂H₅OH. Фронт р-рителя перемещается за 22 часа на 30 см. Опрыскивают р-ром дитизна в CHCl₃; Sn²⁺ образует фиолетовую, Sb³⁺ красную, As³⁺ желтую зоны. Определены R_f: Fe³⁺ 0,97; Al³⁺ 0,74; Cr³⁺ 0,63; Sb³⁺ 0,39; As³⁺ 0,61, Sn²⁺ 0,75.

Н. Т.

43467. Разделение кето- и энольных форм некоторых дитизонатов металлов при помощи хроматографии на бумаге. Вентурелло, Ге (Separazione, mediante cromatografia su carta, delle forme chetoniche ed enoliche di alcuni ditionati metallici. Venturillo Giovanni, Ghe Anna Maria), Ann. chimica, 1955, 45, № 12, 1054—1071 (итал.)

Хроматографией на бумаге ватман № 1 (восходящий метод) разделены кето- и энольные формы дитизонатов Cu²⁺, Hg²⁺ и Ag⁺. Наилучший р-ритель C₂H₅OH или C₂H₅OH - H₂O (1:1). При понижении pH энольная форма переходит в кетоформу (полное превращение при pH ~1), при повышении pH кетоформа переходит в энольную (полное превращение при pH ~12). А. Б.

43468. Разделение ионов серебра, одновалентной ртути и свинца методом радиальной хроматографии на бумаге. Васудева - Муртхи, Нараян, Рао (Separation of silver, mercurous and lead ions by circular paper chromatography. Vasudeva Murthy A. R., Narayan V. A., Rao M. R. A.), Current Sci., 1955, 24, № 5, 158—160 (англ.)

При изучении процесса разделения Ag⁺, Hg²⁺ и Pb²⁺ методом радиальной хроматографии на бумаге ватман № 1 или № 3 применяли следующие р-рители: C₂H₅OH - пиридин-вода (100:20:20) (I), C₂H₅OH насыщ. 4 н. CH₃COOH (II), коллидин, насыщ. 0,4 н. HNO₃ (III). Период оршения р-рителем 2—4 часа. Для опрыскивания применяли р-р NH₄OH, насыщ. H₂S. R_f для Ag⁺, Hg²⁺ и Pb²⁺ при употреблении смеси I равен соответственно 0,86—0,87; 0,62—0,65; 0,34—0,33; со смесью II 0,44—0,43; 0,75—0,77; 0,48—0,45; со смесью III 0,97, ~0, ~0.

Б. М.

43469. Области применения и преимуществ потенциометрического pH титрования. Рёнке, Нёйдерт (Die Anwendungsgebiete und Leistungsfähigkeit der

pH — Titration. Röpke H., Neudert W.), Z. analyt. Chem., 1955, 148, № 4, 241—249 (нем.)

Обсуждены области применения аппаратуры (РЖХим, 1955, 46114) для автоматич. регистрации кривых потенциометрич., дифференциального потенциометрич. и амперометрич. титрования. По этим кривым определяют величины pH p-ров нейтр., кислот или основных солей в одном p-рителе или смеси p-рителей, эквивалентные веса, числа омыления, газообразные продукты (CO_2 , HCN , NH_3 и др.). По титрованию разб. слабых, средних электролитов сильными к-тами или основаниями определяют величину $P_{\text{ж}}$, по которой судят об изменении степени диссоциации электролитов при замене p-рителей, определяют осмотич. давление и конц-ию компонентов. По отклонениям от обычной формы кривых судят о процессах, происходящих при титровании (диффузии), и скорости p-ции. Е. А.

43470. Потенциометрическое титрование неводных растворов с использованием биметаллических электродов. Новак (Potenciometrické neutralizační titrace s dimetalickými elektrodami v nevodných roztocích. Novák Vlastimil), Chem. listy, 1955, 49, № 6, 848—853 (чеш.)

При титровании HCl в среде безводн. CH_3OH , содержащего 0,5 мл насыщ. p-ра LiCl в CH_3OH , при помощи 0,1 н. p-ра CH_3ONa с использованием насыщ. к. э. и электродов (Э) из Pt, W, Te, Sb, Au, Ag и графита (Г) установлено, что точки перегиба всех кривых титрования соответствуют точкам эквивалентности. Аналогичная картина наблюдается при использовании 12 биметаллич. Э, полученных путем комбинирования Э, характеризующихся большим скачком потенциала в точке эквивалентности (Pt, Te, W, Sb) с Э, характеризующимися малым скачком (Au, Ag, Г). Для титрования сильных и слабых к-т и оснований в безводн. CH_3OH рекомендуется пара Pt — Ag. Хорошие результаты получены также при работе с W — Ag, Te — Ag, Pt — Г, W — Г, Pt — Au и W — Au. При титровании HClO_4 p-ром CH_3COONa в среде лед. CH_3COOH (с 30%-ным содержанием $(\text{CH}_3\text{CO})_2\text{O}$) наибольший скачок потенциала в точке эквивалентности наблюдается при употреблении W — и Au — Э. Потенциал графитового Э практически не изменяется. Из биметаллич. Э наилучшие результаты получены с парами W — Г, Au — Г и Sb — Г. J. H.

43471. Электрометрическое титрование по методу Карла Фишера. Пелт, Кёкер (De electrometrische Karl Fischer titratie. Pelt J. G. van, Keuker H.), Chem. weekbl., 1955, 51, № 7, 97—99 (голл.)

Описан прибор для практич. выполнения электрометрич. (методом заторможенной конечной точки) титрования по методу К. Фишера. Т. Л.

43472. Высокочастотное титрование (без электродов, погруженных в раствор). Рикка, Белломо (Titolazioni in alta frequenza senza elettrodi immersi nella soluzione. Ricca Bruno, Bellomo Athos), Ann. chimica, 1955, 45, № 12, 1217—1233 (итал.)

Описана установка для ВЧ-титрования, состоящая в основном из стабилизатора питания и аperiodич. осциллятора, работающего с частотой 4—7 Мгц; для титрования применяют ячейку конденсаторного типа. Частоту измеряют радиоприемником BC-312 G Филко. На примерах показана пригодность установки для титрования по методам нейтр-ции, осаждения и оксидиметрии. Б. А.

43473. Кулометрическое титрование высших ненасыщенных жирных кислот хлором. Чута Ф., Кучера Э., Сб. чехосл. хим. работ, 1955, 20, № 6, 1456—1463 (рез. нем.)

См. РЖХим, 1954, 20404.

43474. К вопросу о причинах ошибок при спектральном анализе руд. Нэдлер В. В., Завод. лаборатория, 1955, 21, № 3, 307—310

Описаны результаты оценки возможного влияния неоднородности пробы и различия минералогич. состава эталонов и проб на погрешности спектрального анализа руд. При содержании определяемого компонента (в %) 0,01; 0,1 и 1,0, числе зерен в пробе $6 \cdot 10^2$; $6 \cdot 10^3$ и $6 \cdot 10^4$ средние квадратичные отклонения от среднего содержания компонента в пробе весом 30 мг (уд. вес. компонента 5 г/см^3) составляют соответственно (в %) ± 4 ; $\pm 1,3$ и $\pm 0,4$. При содержании компонента $> 0,1\%$ влиянием неоднородности пробы можно пренебречь. Для изучения влияния состава проб и эталонов исследованы 3 образца кварца, содержащие Pb (в форме галенита) в кол-ве (в %) 0,0125; 0,025 и 0,05. Внутренним стандартом служил Bi (в форме Bi_2O_3). К 2 пробам смеси образцов с Bi_2O_3 добавляли соответственно 10% Na_2CO_3 и 10% Fe_2O_3 , в третью пробу добавки не вводили. Спектры фотографировали на спектрографе ИСП-22 с 3-линзовым конденсором и вертикальной дугой переменного тока (12 а) между угольными электродами в качестве источника возбуждения. Экспозиция 30 сек. Спектры всех трех серий проб снимали на одну пластинку. По результатам фотометрирования построены кривые $\lg(I_{\text{Pb}}/I_{\text{Bi}}) = f(K_{\text{Pb}})$, где K_{Pb} — конц-ия Pb. В присутствии добавки Fe_2O_3 относит. интенсивность линии Pb 2833/Bi 2898 увеличилась на 26%, в присутствии Na_2CO_3 — на 150%. При изучении влияния относит. изменения т-ры получено среднее значение $\lg \text{Bi } 3068/\text{Bi } 2898 = 1,27 \pm 0,03$. Т-ру вычисляли по ур-нию $T = [E_1 - E_2] \cdot 0,625 / [\lg C - \lg I_1/I_2]$, откуда $T = 8100 / [\lg(\text{Bi } 3068/\text{Bi } 2898) + 0,61]$. При составе пробы SiO_2 ; $\text{SiO}_2 + 10\% \text{ Na}_2\text{CO}_3$; $\text{SiO}_2 + 10\% \text{ Fe}_2\text{O}_3$ т-ра межэлектродного пространства (в °K) равна соответственно 4900 ± 100 ; 4300 ± 100 ; 4750 ± 100 . На основании полученных данных подсчитано ожидаемое изменение относит. интенсивности линий Pb 2833/Bi 2892 при изменении т-ры дуги за счет добавки. Установлено, что наблюдаемое изменение интенсивности превышает ожидаемое, обусловленное температурным эффектом. Контрольные опыты с Cu и W показали, что и для этих элементов наблюдаются типичные смещения кривых, не объясняемые температурными и ионизационными эффектами. Сделан вывод, что важную роль играет скорость испарения, влияющая на конц-ию атомов в газовой фазе и зависящая от изменения т-ры расплава пробы на поверхности электрода. Т. Л.

43475. Применение квантометра для анализа стали. (Quantometer speeds steel analysis.—), Metal Treatment and Drop. Forging, 1955, 22, № 119, 358 (англ.)

При применении квантометра продолжительность анализа образца стали значительно сокращается; воспроизводимость результатов ($\sim 0,2\%$) соответствует имеющей место при обычных методах анализа. Образец каждой плавки стали подается по пневматич. трубопроводу в лабораторию, где его измельчают и анализируют; результаты анализа сообщают в литейных цех с помощью электронного прибора. Доставка образца в лабораторию занимает ~ 4 мин., его подготовка 2 мин., производство анализа 1 мин. и сообщение результатов в цех < 2 мин. Общая продолжительность анализа составляет ~ 9 мин. Т. Л.

43476. Квантометр и спектральный анализатор. Смит (Quantateller en spectraal-analysator. Smit Ch r.), Chem. weekbl., 1954, 50, № 51, 889—894 (голл.)

Описан принцип работы квантометра и спектрального анализатора (приведены принципиальные схемы) и сравнены результаты, получаемые при применении обоих приборов. Обсуждена проблема селективного

испарения Cu в присутствии Ag в качестве внутреннего стандарта; измерения вели, пользуясь парами линий Cu 3274 — Ag 3280 (в случае спектрографа с кварцевой оптикой) и Cu 5153 — Ag 5470 (в случае спектрографа со стеклянной оптикой). Установлено, что скорости испарения Cu и Ag различны и что в начале экспозиции Ag испаряется быстрее. Т. Л.

43477. Быстродействующий газоанализатор с использованием ионизации альфа-частицами. Дейслер, Мак-Генри, Уилхем (Rapid gas analyzer using ionization by alpha particles. Deisler Paul F., Jr, McHenry Keith W., Wilhelm Richard H.), *Analyst. Chem.*, 1955, 27, № 9, 1366—1374 (англ.)

Описаны метод и аппарат для быстрого анализа бинарных и многокомпонентных смесей газов, обладающих различными мол. весом, атомным весом или электронной структурой, с применением ионизации α -частицами. Измеряют ток, проходящий через ионизированный газ при подведении напряжения к электродам, помещенным в исследуемом газе. Рекомендуемый источник α -частиц — продукт распада радия $\text{D} - \text{Po}$, помещают внутри газоанализатора. Газоанализатор состоит из стеклянного цилиндра, в который через резиновую пробку вводят два электрода, на один из которых наносят источник α -частиц. При постоянном напряжении на электродах ток, возникающий между ними, зависит только от уд. ионизации газа (числа ионных пар, образующихся от прохождения через газ α -частиц), т. е. от природы газа при постоянных t -ре и давлении. Приведены кривые зависимости тока от напряжения, по которым определяют оптимальное напряжение. Измерительная аппаратура аналогична применяемой для ионизационных камер. Испытание газоанализатора производили для смесей $\text{H}_2 - \text{N}_2$, $\text{H}_2 - \text{C}_2\text{H}_4$, $\text{C}_2\text{H}_4 - \text{C}_2\text{H}_6$ и $\text{N}_2 - \text{CO}_2$, а также $\text{N}_2 - \text{H}_2 - \text{C}_2\text{H}_6$. Прибор непригоден для анализа смеси пара- и ортоводорода и $\text{H}_2 - \text{D}_2$. Газоанализатор применим в стационарных условиях и для газовых потоков. Период инерции отсутствует. Погрешность 0,2—0,3 мол. %. М. Э.

43478. Две улучшенные системы контроля для горизонтальных микробюреток. Хамлин, Бейтер (Two improved control systems for horizontal microburettes. Hamlin A. G., Bather J. M.), *Analyst*, 1954, 79, № 943-657 (англ.)

Контроль расхода p -ра в первой системе осуществляется клапаном, состоящим из винта с поршнем на конце и сальника с прокладкой из неопрена. Поршень вводят в отвод из бюретки через слой Hg . Во второй системе клапан состоит из капиллярной трубки, уплотненной Pt -проволочкой. Каждая бюретка снабжена клапаном для быстрого титрования и Hg -ловушкой. Г. Ю.

43479 К. Систематизированный справочник по объемному анализу. Количественное определение химических веществ объемным путем в жидкостях, твердых телах и газах. Изд. 13-е. Саттон (A systematic handbook of volumetric analysis, or the quantitative determination of chemical substances by measure, applied to liquids, solids and gases. 13 th. ed. Sutton Francis. London, Butterworth's Scient. Publ., 1955, XIV, 752 p., ill., 63 sh.) (англ.)

43480 К. Курс аналитической химии (Для нехим. специальности техникумов). Изд. 5-е, перераб. Алексеев В. Н. М., Госхимиздат, 1955, 436 стр., илл., 9 р. 50 к.

43481 К. Качественный анализ. Алексеев Пер. с русс. (Analiza jakościowa. Alekseev V. N. Z. ros. Warszawa, Państw. Wydawn. Nauk., 1955, 464 s., il., 34. 50 zł.) (польск.)

43482 К. Качественный химический анализ. Блок Перев. с русс. (Jakościowa analiza chemiczna. Blok

N. I. Z. ros. Warszawa, Państw. Wydawn. Nauk., 1955, 644 s., il., 40. 50 zł.) (польск.)

43483 К. Качественный анализ. Эристави (თვისებრივი ანალიზი. ერისთავი ე. ა.), თბილისი, ტფიბეჯი და შრომა, 1955, 340 გვ., 8 ზმ. თბილისი, «Техника да шрома», 1955, 340 стр., 8 руб. (груз.)

43484 К. Количественный неорганический анализ. Лабораторное руководство. Белчер, Наттен (Quantitative inorganic analysis: A laboratory manual. Belcher Ronald, Nutton Albert John. London, Butterworths Scient. Publ., 1955, viii, 337 p., ill., 25 sh.) (англ.)

43485 К. Колориметрический анализ. Бабко, Пилипенко. Перев. с русс. (Analiza kolorometryczna. Babko A. K., Pilipenko A. T. Z. ros. Warszawa, Państw. Wydawn. Techn., 1955, 340 s., il., 32. 50 zł.) (польск.)

43486 К. Спектральный анализ. Аннотир. указатель советских работ по спектральному анализу. 1931—1950. Сост. Кибисов Г. И., Стерин Х. Е., Вреден-Кобецкая Т. О. М., АН СССР, 1955, 183 стр., 6 р. 40 к.

43487 К. Количественный анализ лекарственных веществ. Изд. 2-е, пересмотр. и расшир. Гарратт (The quantitative analysis of drugs. 2nd ed. rev. and enlarg. Garratt Donald Clarence. London, Chapman and Hall, 1955, XV + 670 p., ill., 70 sh.) (англ.)

43488 Д. Реакции превращения одних осадков в другие в аналитической химии. Баньяи (Csapadékesérőlése reakciói az analitikai kémiában. Bányai Eva. Kand. értékezés tézisei. Tud. Minőség Bizottság, Budapest, 1954, (1955) Magyar. nemzeti bibliogr., 1955, № 2, 49 (венг.)

43489 Д. Капиллярно-аналитическое исследование неорганических солей, органических красителей и растительных вытяжек. Блудау (Kapillaranalytische Studien an anorganischen Salzen, organischen Farbstoffen und Pflanzenauszügen. Bludaу Hans. Diss. Math.-naturwiss. F., Bonn, 1954, Maschinenschr.), Dtsch. Nationalbibliogr., 1955, В, № 19, f365 (нем.)

См. также: Спектральный анализ 42266, 42272, 42342. Полярография 42867. Хроматография 42864, 42867. Др. вопр. 42195, 42313, 42435.

АНАЛИЗ НЕОРГАНИЧЕСКИХ ВЕЩЕСТВ

43490. Простой метод идентификации двуокиси титана в форме рутила и анатаза. Дантума (Een eenvoudige methode ter onderscheiding van rutiel- en anataas-titaandioxyde. Dantuma R. S.), *Verf-kroniek*, 1954, 27, № 3, 64—67 (голл.)

Два кристаллич. типа TiO_2 — рутил и анатаз обладают различной способностью к отражению коротких световых волн (фиолетовых и УФ), источником которых служит лампа Флиппса. Установлена зависимость между отражательной способностью TiO_2 в форме рутила и анатаза и стойкостью красок на основе этих пигментов к мелению. Как правило, степень меления выше при употреблении TiO_2 в форме анатаза. Описан относительно простой фотографич. метод идентификации рутила и анатаза; испытание продолжается 1—2 часа. Ввиду отсутствия достаточных данных для интерпретации процесса деления предложены 2 гипотезы для объяснения различия в плотностях негативов, полученных при опытах с двумя типами TiO_2 . Т. Л.

43491. Отделение и прямое определение титана, железа и алюминия при помощи купферона и комплекса III. Вечержа, Бибер (Dělení a přímé stanovení titanu, železa a hliníku pomocí kupferonu a komplexonu III. Večeřa Zdeněk, Bieber Boleslav), Slévárství, 1955, 3, № 11, Práce českosl. vyzk. slévárensk., 31—36 (чеш.; рез. русс., англ., франц.)

Разработан метод определения Ti в присутствии Al и Fe, основанный на осаждении Ti купфероном (I), в аммиачной среде в присутствии комплекса III (II). I осаждает в присутствии II при pH 7 соли Ti, Zr, Be, UO_2^{2+} и Al; при pH 5—6 Fe, Th, Ce (а при наличии винной к-ты также Sn и Sb), при pH 5 La и Bi. Соли Pb, Cu, Ni, Co, Cr, Mn, Hg, Cd, Zn, а также MoO_4^{2-} , VO_3^- и WO_4^{2-} осадка не дают. Для определения Ti в феррититане 0,1 г пробы растворяют в 50 мл царской воды и р-р выпаривают с 10 мл конц. H_2SO_4 на песчаной бане до паров SO_3 . Для удаления SiO_2 остаток размешивают с 30 мл конц. HCl и 100 мл горячей воды, фильтруют, фильтрат выпаривают с 5 мл HF и 10 каплями H_2SO_4 досуха, остаток сплавляют с $KHSO_4$, растворяют в воде и р-р смешивают с фильтратом. Осадок купферонатов Ti и Fe, выделенный при помощи 4%-ного р-ра I, растворяют в смеси 50 мл разб. HNO_3 (1:1) и 20 мл 40%-ной H_2O_2 . К полученному р-ру прибавляют избыток 0,1 M II, несколько капель 0,1 %-ного спирта. р-р бромкрезолового пурпурного, NH_4OH (1:1) до изменения окраски, 10 мл 30%-ного р-ра CH_3COONa и избыток 4%-ного р-ра I (при 10°). Через 10 мин. осадок отфильтровывают, промывают 1%-ным р-ром NH_4Cl , прокалывают при 1000° и взвешивают в форме TiO_2 . Для определения Ti в титановых белилах, рудах и отходах промышленно-сти сплавляют 0,1—0,3 г пробы с 10—20-кратным кол-вом $KHSO_4$, сплав растворяют в H_2SO_4 (1:1) и далее ведут анализ, как указано выше. При анализе руд, содержащих большое кол-во SiO_2 , пробу сплавляют с 10-кратным кол-вом карбоната K-Na.

43492. Определение циркония и его комплексы с оксалатами. Моханти, Сингх, Кришна Мурти (Estimation and complexes of zirconium with oxalates. Mohanty S. R., Singh D., Krishna Murty J. G. Gopal), Current Sci., 1955, 24, № 7, 229 (англ.)

Метод определения Zr основан на его колич. осаждении в форме $Zr(C_2O_4)_2$ и прокаливании осадка до ZrO_2 . Конец осаждения определяют по положению скачка э. д. с. (E) цепи $Hg | Hg_2Cl_2$, насыщ. KCl || насыщ. KCl || $Zr(NO_3)_4/Pt$. При добавлении избытка р-ра $Na_2C_2O_4$ осадок $Zr(C_2O_4)_2$ растворяется с образованием комплексного оксалата $Zr(C_2O_4)_2 \cdot 2 Na_2C_2O_4$. Дальнейшее добавление осадителя ведет к образованию еще двух комплексов: $Zr(C_2O_4)_2 \cdot 4 Na_2C_2O_4$ и $Zr(C_2O_4)_2 \cdot 6 Na_2C_2O_4$. Те же соединения образуются при добавлении к $Zr(NO_3)_4$ других растворимых оксалатов или $H_2C_2O_4$. Образование простого и комплексных оксалатов Zr отмечается максимумами на кривой зависимости $\Delta E/\Delta v$ от объема добавленного растворимого оксалата (v).

43493. Прямое спектрофотометрическое определение титана при помощи 2-(n-сульфопенилазо)-1,8-диоксинафталина-3,6-дисульфокислоты. Банерджи (Direct spectrophotometric determination of thorium with 2-(p-sulphophenylazo)-1,8-dihydroxy naphthalene 3,6-disulphonic acid. (Spands). Banerjee G. u. padal), Sci. and Culture, 1955, 20, № 12, 611—612 (англ.)

Максимум светопоглощения фиолетово-голубого комплекса Th с реактивом лежит при 580 мμ, где светопоглощение реактива ничтожно. Комплекс устойчив в кислой среде; при pH 2,6 — 3,6 поглощение постоянно в течение 24 час. Окраска р-ра подчиняется закону

Бера. Практич. чувствительность соответствует 0,04 γ/мл Th. Введение 3,0 мл 0,1 %-ного р-ра реактива достаточно для связывания в комплекс 0,1 мг Th.

43494. Определение свинца в стали дитизионом. Савич К. К., Полянский В. Н., Сб. Тр. Моск. вч. металлург. ин-та, 1955, вып. 1, 156—157

Для определения малых кол-в Pb в стали дитизонатыонным способом навеску растворяют в к-те и удаляют Fe эфирной экстракцией, затем р-р нагревают на водяной бане, промывают CCl_4 до удаления эфира, экстрагируют Pb в форме дитизоната и определяют его кол-во с помощью фотоколориметра ФК-1 при pH водн. фазы, равным 8.

43495. Химия ниобия и тантала. XV. Спектроаналитическое определение малых концентраций олова в пентокиси ниобия. Хольдт, Шефер (Beiträge zur Chemie der Elemente Niob und Tantal XV. Die spectralanalytische Bestimmung kleiner Zinngehalte in Niob (V)-oxyd-Präparaten. Holdt Gottfried, Schäfer Harald), Z. analyt. Chem., 1955, 146, № 1, 4—11 (нем.)

При съемке спектров на движущихся фотопластинках установлено, что в начале горения дуги образуются труднотлетучий карбид ниобия, затем происходит равномерное испарение Nb и Sn и наконец — разрушение карбида и повышение интенсивности линий ниобия. Нижним электродом служит уголь длиной 20 мм и diam. 5 мм, с каналом глубиной 19 мм и diam. 1,4 мм. У дна электрода внешний диаметр уменьшен до 3 мм. Электрод закрепляется в зажиме вверх дном и вниз отверстием. Образование карбида заканчивается до прогорания отверстия в электроде. В момент открытия отверстия исчезает катодное пятно и начинается равномерное горение дуги. Для приготовления эталонов продажную Nb_2O_5 превращают в пентахлорид двукратным нагреванием с 4-хлористым углеродом и двукратной возгонкой в вакууме. После гидролиза и прокалывания при 900° получают Nb_2O_5 , содержащую еще ~1% Ta_2O_5 , <0,001% TiO_2 и <0,001% SnO₂. В-во растворяют в возможно малом кол-ве конц. соляной к-ты, добавляют р-р аммиака до щел. р-ции и рассчитанные кол-ва р-ра $SnCl_4$ выпаривают в фарфоровой чашке досуха и прокалывают при 900°. Содержание олова проверяют хим. анализом. Пробы и эталоны смешивают с угольным порошком (1:1), вводят 0,1% PbO и набивают в катод в кол-ве 24 мг. Спектры фотографируют на спектрографе «0—24» со ступенчатым ослабителем на щели, ширина щели 0,015 мм, сила тока 6а, дуговой промежуток 4 мм, время экспозиции 60 сек., обжиг 30 сек. с момента исчезновения катодного пятна, пластинки Perutz blau. График строится в координатах $Ig I/I_0$ — $Ig C$. Для области конц-ий Sn 0,01 — 3,0% средняя ошибка определения равна ~20%. Аналит. пара линий: Sn 2863, 32—Pb 2873, 32 А. Сообщение XIV см. РЖХим, 1956, 32197.

43496. О разделении трех элементов: олова, сурьмы и теллура с применением анионообменивающей смолы. Сасаки (Sur la séparation de trois éléments, l'étain, l'antimoine et tellure, par la résine échangeuse d'anion. Sasaki Yukiyoshi), Bull. Chem. Soc. Japan, 1955, 28, № 8, 615—616 (франц.)

Метод основан на поглощении $SnCl_6^{2-}$, $SbCl_6^-$ и $TeCl_6^{2-}$ сильно основной смолой дауэкс 1-х4 в Cl-форме и последовательным вымыванием разб. р-рами HCl и $HClO_4$. Во избежание восстановления $Sb(5+)$ до $Sb(3+)$ смолу предварительно обрабатывают р-ром Br_2 в ксид. HCl. Затем пропускают 1,5 мл р-ра 3 н. по HCl, содержащего 3 мг Sb (5+), 1 мг Te (4+) и 3 мг Sn (4+). В р-р вводят также Sn^{113} , Te^{129} и Sb^{124} . Сначала вымывают Sb (5+) при псмсии 3 н. HCl до исчезновения активности в вытекающем р-ре. Затем 1 н.

вымывают Те. Оставшееся Sn десорбируют 1,8 н. HClO_4 . Для отделения Sn^{113} от дочернего элемента, In^{113} , последний вымывают 1—12 н. HCl ; Sn не десорбируется. Описанный метод применим для разделения продуктов ядерного деления. Содержание примесей в полученных фракциях $\leq 0,05\%$. Н. П.

43497. Щелочное окисление четырехвалентного ванадия солями галоидных кислородных кислот. Бертольо-Риоло, Солиди (Ossidazione alcalina del vanadio tetraivalente con sali alogenici ossigenati. Bertoglio Riolo Carla, Soldi Teresa), Gazz. chim. ital., 1955, 85, № 9—10, 1034—1038 (англ.).

Исследована возможность оксидиметрич. определения V (4+) в щел. среде при помощи р-ров солей галоидных кислородных к-т. Р-ция между щел. р-рами NaClO_2 (3-кратный избыток) и KJO_4 (незначительный избыток) и р-рами VOSO_4 протекает немедленно и на холоду. Окисление VO^{2+} щел. р-ром NaBrO_3 на холоду требует большого избытка реактива, а окисление щел. р-ром NaClO_2 протекает до конца лишь после продолжительного кипячения в присутствии большого избытка реактива. Разработан метод определения V (4+) путем обратного иодометрич. титрования избытка NaClO_2 после отделения ванадата в форме Ва-соли. Р-ры VOSO_4 и $\text{NaClO}_2 + \text{NaOH}$ перед смешением (на холоду) предварительно кипятят для удаления O_2 . Определение V (4+) с применением небольшого избытка титрованного щел. р-ра KJO_4 и с обратным титрованием р-ром As_2O_3 менее точно из-за затруднений при создании точно нейтр. среды, необходимой для обратного титрования. На холоду иодаты не реагируют с VO^{2+} . Щел. титрованные р-ры NaBrO_3 пригодны для определения небольших кол-в V (4+). Смесь титрованного р-ра окислителя с р-ром V^{2+} кипятят в течение нескольких минут. Избыток окислителя оттитровывают иодометрически. NaClO_2 для определения V (4+) в щел. р-рах непригоден. Б. К.

43498. Колориметрическое определение малых количеств ванадия в материалах с высоким содержанием хрома. Морачевский Ю. В., Гордеева М. Н., Вестн. Ленингр. ун-та, 1955, № 11, 139—148. Для определения V в присутствии Cr навеску сплавляют в Fe-тигле с Na_2O_2 или в Pt-тигле с Na_2CO_3 и кристалликом KNO_3 . Охлажденный плав выпаривают водой, фильтруют и промывают остаток. Водн. вытяжку подкисляют H_2SO_4 и к р-ру, содержащему H_2SO_4 , прибавляют 5 мл разб. H_3PO_4 (1:2) и разбавляют до 100 мл. Смесь нагревают до кипения, прибавляют 2,5 мл 0,5 М Na_2WO_4 , затем 20 мл 40%-ного р-ра $(\text{NH}_4)_2\text{SO}_4$ и осадок после 2—3-часового нагревания отфильтровывают. Осадок растворяют в 5 мл 5%-ного р-ра NaOH , разбавляют и кипятят до исчезновения запаха NH_3 . Охлажд. р-р нейтрализуют разб. H_2SO_4 (1:2), добавляют небольшой ее избыток и колориметрируют. При наличии Fe испытываемую навеску растворяют обычным путем, добавлением $(\text{NH}_4)_2\text{S}_2\text{O}_8$ окисляют Fe^{2+} до Fe^{3+} и переводят Fe^{3+} в $\text{Fe}(\text{OH})_3$; после отфильтровывания и промывания осадок сплавляют, как описано выше. Водн. вытяжку смешивают с фильтратом и в свободном от Fe р-ре определяют V, как указано выше. Б. Т.

43499. Аналитическая химия сплавов на основе титана. Коделл, Норунц, Микюла (Analytical chemistry of titanium alloys. Codell Maurice, Norwitz George, Mikula James J.), Analyt. Chem., 1955, 27, № 9, 1379—1383 (англ.). Обзор. Библ. 68 назв.

43500. Кулометрическое титрование пона одновалентного таллия электролитически генерированным ионом феррицианида. Хартли, Лингейн

(Coulometric titration of thallous ion with electrogenerated ferricyanide ion. Hartley A. M., Lingane J. M., J., Analyt. chim. acta, 1955, 13, № 2, 183—188 (англ.; реф. франц., нем.).

Титрование Tl^+ производят в сильно щел. среде ионом $\text{Fe}(\text{CN})_6^{3-}$, полученным электролитич. окислением $\text{Fe}(\text{CN})_6^{4-}$ на Pt-аноде. Конечную точку обнаруживают амперометрически или потенциометрически. Силу постоянного тока поддерживают постоянной с отклонением $\pm 0,01\%$. Электролит готовят перед употреблением растворением твердого NaOH в воде (ячейка закрыта светонепроницаемой бумагой) и прибавлением твердого $\text{K}_4\text{Fe}(\text{CN})_6$. Воздух из р-ра удаляют N_2 . Оптимальные конц-ии NaOH 2 М, $\text{K}_4\text{Fe}(\text{CN})_6$ 0,05 М. Титр стандартных р-ров TlCl устанавливают кулометрич. титрованием (Buck R. P. и др., Analyt. Chem., 1952, 24, 1195) с потенциометрич. обнаруживанием конечной точки. Результат контрольного опыта соответствует продолжительности генерации $\text{Fe}(\text{CN})_6^{3-}$ $1,5 \pm 0,59$ сек. при токе 60 мА, т.е. 0,09 эк. Р-ция окисления $\text{Fe}(\text{CN})_6^{4-}$ до $\text{Fe}(\text{CN})_6^{3-}$ происходит с 100%-ным выходом по току (при плотности тока ≤ 8 мА/см²). При оптимальном содержании Tl^+ (8—20 мг Tl^+ в 125 мл р-ра) погрешность определения $\pm 0,2\%$. С увеличением содержания Tl^+ до 40 мг погрешность возрастает до $\pm 0,5\%$. При обнаружении конечной точки амперометрич. способом 16 мг Tl^+ определяют с погрешностью $\pm 0,1\%$. Л. Ч.

43501. Разделение и объемное определение алюминия, висмута, кальция и магния в фармацевтических препаратах. Брукс, Джонсон (The separation and volumetric determinations of aluminium, bismuth, calcium and magnesium, in pharmaceutical preparations. Brookes H. E., Johnson C. A.), J. Pharmacy and Pharmacol., 1955, 7, № 11, 836—850 Discouss. 851 (англ.).

Для определения Bi в присутствии Al, Ca и Mg в фармацевтич. препаратах аликвотную часть р-ра пробы в разб. HNO_3 , содержащую ~ 120 мг Bi, разбавляют до 50 мл, приливают 2 капли 0,1 %-ного водн. р-ра пирокатехинового фиолетового, прибавляют по каплям разб. р-р NH_4OH до глубокой синей окраски, титруют 0,1 н. р-ром комплексона III (I) до фиолетово-красной окраски, разбавляют до 200 мл, прибавляют 6—8 капель индикатора (окраска р-ра переходит в синюю при разбавлении) и титруют до перехода окраски в яркую желтую. 1 мл р-ра I эквивалентен 0,01045 г Bi. Для определения Al в присутствии Bi к р-ру пробы (15—20 мл Al) приливают 25 мл 0,1 н. I + 80 мл воды, р-р нейтрализуют NaOH по коню красному, приливают 5 мл 2 М $\text{CH}_3\text{COONH}_4$, 10 мл 1 М CH_3COONa и 1,5 мл 0,1 %-ного р-ра ализарина S; титруют 0,1 н. р-ром Th ($\text{Na}_2\text{S}_4\text{O}_8$) до синевато-красной окраски. 1 мл I эквивалентен 0,001349 г Al. В аналогичной порции р-ра определяют Bi с пирокатехиновым фиолетовым и вычисляют кол-во Al. Для определения Ca и Mg в присутствии Bi и Al осадок Bi кипячением разб. р-ра, содержащего HCl , отделяют осадок, определяют общее содержание Ca и Mg, титруя аликвотную часть фильтрата р-ром I по солохром черному; в аналогичной порции находят содержание Ca титрованием с мурексидом. Для определения Mg (или Ca) в присутствии Al к слабому р-ру пробы прибавляют 1 г NH_4Cl , 30%-ный р-р триэтанол-амина до растворения образующегося осадка, приливают 200 мл воды, 5 мл аммиачного буферного р-ра, добавляют 0,5 %-ный спирт. р-р солохром черного до глубокой красной окраски и немедленно титруют 0,1 н. I до синей окраски. 1 мл I эквивалентен 0,001216 г Mg или 0,002004 г Ca. При совместном присутствии Ca, Mg и Al определяют общее содержание Ca и Mg с солохром черным в присутствии триэтанол-амина (аналогично пре-

дыдущему); для определения Са к р-ру пробы приливают р-р триэтилоламина и 5 мл 1 н. NaOH, отделяют желатинообразный осадок, фильтрат и промывные воды разбавляют до 200 мл, прибавляют 0,2 г муравьей кислоты и титруют 0,1 н. I. Описанные методы применены к большой группе препаратов, содержащих Са, Mg, Al и Bi.

А. З.

43502. Способ определения остаточной ртути в амальгаме. Крофорд, Ларсон (Residual mercury determination process. Crawford W. H., Larson Jeanne H.), J. Dental Res., 1955, 34, № 3, 313—317 (англ.)

Прибор для определения остаточной Hg в зубной амальгаме состоит из горизонтально вставленной в муфельную печь трубки пирекса длиной 1,2 м, наружным diam. 4,4 см. Один конец трубки соединен последовательно с двумя конич. колбами; вторая, заполненная водой, колба присоединена к источнику вакуума. Другой конец трубки соединен с баллоном с N₂. Измельченные образцы амальгамы помещают в 4 взвешенных тигля, последние устанавливают на металлич. полосу из нержавеющей стали длиной 30,5 см, шириной 2,54 см, вставляют в трубку, закрывают пробкой и включают источник вакуума. Затем через другой конец трубки выпускают N₂; удаление и заполнение N₂ повторяют 3 раза. Поддачу N₂ уменьшают до прохождения лишь нескольких пузырьков газа через заполненную водой конич. колбу и включают печь. По достижении 538° печь смещают так, чтобы образцы находились в зоне постоянной т-ры и в таком положении оставляют в течение 1 часа, после чего ее выключают и передвигают к другому концу трубки. Образцы охлаждают в трубке в атмосфере N₂ до 18—20°, затем их вынимают и взвешивают. Содержание Hg определяют по ф-ле $x \text{ (в \%)} = \frac{W_L}{W_0} 100$, где W_L — потеря образца амальгамы в весе, W_0 — его исходный вес. Воспроизводимость результатов 0,039%, среднее отклонение $\pm 0,016\%$.

Б. Т.

43503. Полярграфическое определение кадмия в чешковом свинце. Коваленко П. Н., Долженко Т. С., Уч. зап. Ростовск. и/Д ун-та, 1955, 25, 57—64

К навеске свинца 100 г (содержание Cd ~ 10 мг) прибавляют 640 мл воды и 160 мл конц. HNO₃ и нагревают до растворения; р-р охлаждают, приливают 31 мл конц. H₂SO₄, перемешивают и осадок после отстаивания отфильтровывают. Для определения Pb, оставшегося в р-ре (навеска 10 г), фильтрат упаривают до 150 мл и определяют Pb электролизом с сетчатыми электродами; оптимальные условия: конц-ия HNO₃ 15%, H₂SO₄ 5%, сила тока 2,0 а, напряжение 2,2—4,0 в; т-ра 90°, время выделения 15—20 мин., число оборотов мешалки 200—300 в 1 мин. В полученный после электролиза р-р прибавляют р-р цитрата Na (0,060 M) до pH 4 (по метиловому оранжевому) и определяют содержание Cd полярграфически, пользуясь методом калибровочной кривой или добавок (последний дает большую точность).

А. З.

43504. Родизонат в качестве реактива на барий, стронций и кальций. Льясер (Rhodizionate as reagent for barium, strontium, and calcium. Llacer Alberto J.), Mikrochim. acta, 1955, № 5-6, 921—926 (англ.; рез. нем., франц.)

На фильтр «ватман № 1» наносят 1 каплю 0,5%-ного р-ра родизоната Na (I), подсушивают и капиллярной пипеткой наносят 10 мл нейтр. или слабощелочного испытуемого р-ра. Ba или Sr дают коричневое или красно-коричневое пятно. В центральной части пятна помещают такое кол-во р-ра хлоргидрата диметиламина в C₂H₅OH (насыщ. р-р амина смешивают с 95%-ным C₂H₅OH в отношении 1:1), чтобы он распространился на бумаге за пределами пятна. Окраска пятна переходит в яркокрасную в присутствии Ba или в фиолетово-синюю в присутствии Sr. При одновременном присутствии Ba и Sr яркокрасное пятно Ba окружено фиолетово-синим кольцом Sr. Для открытия Са ~ 10 мл р-ра помещают на предметное стекло, высушивают, прибавляют 10 мл 0,5%-ного р-ра I (1,5 г обрабатывают 0,3 мл 0,1%-ного р-ра бензойной к-ты в смеси H₂O — C₂H₅OH, 1:1 и центрифугируют) и наблюдают под микроскопом. В присутствии Са образуется желто-оранжевый осадок. Р-ции идут при pH >3; мешают щелочи, NH₄OH, тяжелые металлы и анионы, дающие осадки со щел.-зем. металлами. Приведена схема разделения и идентификации Ba, Sr, Ca и Mg.

Ф. Л.

43505. К вопросу о микрохимическом определении кальция в природной воде. Горбенко Ф. П., Гидрхим. материалы, 1955, 23, 168—182

Для определения Са в природных водах 1 мл воды, содержащей 0,07—0,4 мг Са, помещают в центрифужную пробирку, подкисляют 1 каплей конц. HCl, добавляют 2 капли водн. р-ра метилового красного и вносят прямо в жидкость (а не по стенкам пробирки) 1 мл насыщ. р-ра (NH₄)₂C₂O₄. Снова взбалтывают, через 1—2 мин. р-р нейтрализуют на белом фоне 1%-ным NH₄OH до перехода окраски в желтую. Через 2—18 час. центрифугируют 3 мин. (1200—1500 об/мин), р-р отсасывают и по стенкам пробирки вносят 3 мл насыщ. р-ра CaC₂O₄. Снова центрифугируют, повторяя обработку 4 раза. Промытый осадок растворяют в 1 мл 8%-ной H₂SO₄, нагревают 1 мин. на кипящей водяной бане и титруют 0,01 н. KMnO₄ до перехода окраски в розовую. Полученную окраску сравнивают с окраской эталонных индикаторных поправок. Параллельно ведут контрольный опыт. Обе поправки вычитают из кол-ва KMnO₄ (в мл), израсходованного на титрование. В присутствии >250 мг/л Fe перед подкислением пробы добавляют 1 каплю 3%-ной H₂O₂. При >1,5 г/л Mg производят переосаждение: центрифугируют через 2 часа после первого осаждения и осадок растворяют в 2 каплях конц. HCl. Добавляют 1 мл воды и снова осаждают. При параллельных определениях один анализ продолжается 18—20 мин. Описанным методом определяют 0,07—0,4 мг Са в пробе при содержании Mg < 1,5 мг/л без переосаждения с погрешностью 1—2%. Переосаждение позволяет определить Са в присутствии 9 мг/л Mg с отрицательной погрешностью 1—2%. Для приготовления шкалы индикаторных поправок 40 г основного фуксина растворяют в 1 л воды, к 2,7 мл полученного р-ра добавляют 30—50 мл воды, 2 мл 1 н. CuSO₄, разбавляют до 100 мл. Приготовленная жидкость по окраске соответствует 0,0002 н. KMnO₄ или 1 мл ее по окраске соответствует такому же р-ру, 1 мл которого содержит 0,02 мл 0,01 н. KMnO₄. Из этого р-ра в центрифужных пробирках емк. 3 мл готовят шкалу поправок: 0,06; 0,05; 0,04; 0,03; 0,02 мл, 0,01 н. KMnO₄.

Н. Г.

43506. Одновременное определение Са и Mg методом пламенной спектрофотометрии. Иокосука, Такака, Морикура (炎光分光光度計による Са, Mg の同時定量法. 横須賀, 田中正雄, 森川文樹), 分析化学, Бунсёки кагаку, Japan Analysts, 1955, 4, № 7, 437—440 (япон.; рез. англ.)

Разработан метод одновременного определения Са и Mg при помощи пламенного спектрофотометра Бекмана модель DU. Максимально определяемые кол-ва СаО и MgO составляют соответственно 500 и 1000 γ/мл, если Са определяют по линии 554 мμ при ширине щели 0,15 мм, а Mg — по линии 371 мμ при ширине щели 0,5 мм. Давление O₂ составляет 1,05 кг/см², а H₂ — 0,21 кг/см². На эмиссию Са не влияет присутствие Mg, но присутствие Са влияет на эмиссию Mg. Ввиду того, что влияние Са пропорционально его конц-ии, Са

предварительно определяют при 554 мμ и соответствующую эмиссию Са при 371 мμ вычитают из значения эмиссии Mg при 371 мμ. На эмиссии Са и Mg сильно влияет присутствие других элементов, которые должны быть удалены. Ввиду того, что засорение капилляра горелки солями может исказить эмиссию, Са и Mg осаждают в форме CaCO_3 и $\text{Mg}(\text{OH})_2$ и осадки растворяют в HCl . Пламеннофотометрич. метод дает весьма точные результаты и пригоден для быстрого определения Са и Mg в горных породах и кирпиче. Б. Ш.

43507. Исследования в области анализа металлического никеля. III. Определение магния. Йокосука (金屬ニッケル分析法の研究. 第3報・マグネシウム定量法. 横須賀繁), 分析化学, Бунсэки кагаку, Japan Analyst, 1955, 4, № 3, 141—144 (япон.; рез. англ.).

Для определения небольших кол-в Mg в металлич. Ni предложен колориметрич. метод с применением титанового желтого. Произведены исследования с целью увеличения чувствительности метода путем выбора защитных коллоидов, а также по изучению устойчивости окраски и влияния других металлов. Разработан способ быстрого отделения больших кол-в Ni на Hg-катоде. Описанный метод удовлетворяет требованиям технич. анализа. Чувствительность метода соответствует 0,0002% Mg; продолжительность определения 10 час. Сообщение II см. РЖХим. 1956, 25954. Л. Х.

43508. Спектрографическое определение следов серебра, увлекаемых гидратом окиси двухвалентного железа. Трише, Рок (Dosage spectrographique de traces d'argent entraînées par l'hydroxyde ferreux. Triché Henri, Rocques Gilbert), Bull. Soc. chim. France, 1955, № 11—12, 1507—1509 (франц.).

Образующийся в аммиачном р-ре $\text{Fe}(\text{OH})_2$ полностью увлекает присутствующее в р-ре Ag. Для определения увлеченного Ag применяют спектральный метод; источник возбуждения — прерывная дуга переменного тока (130 в, 5—6а), электроды графитовые, спектрограф Хильгера с кварцевой и стеклянной оптикой. Для съемки применяют пленку панхром Гевапан 30°, экспозиция ~30 сек. К 100 мл анализируемого р-ра прибавляют 100 мг соли Мора, 3 капли конц. NH_4OH (рН р-ра 8—8,5). Осадок должен иметь окраску от зеленой до черной; при коричневой окраске осадка увлечение Ag неполное. Определение ведут, пользуясь парой линий Ag 3382,89 — Fe 3392,65А или 3399,33А. Построенные калибровочные кривые представляют собой параллельные прямые. Установлено, что Au, Hg, Bi и Sb полностью увлекаются осадком $\text{Fe}(\text{OH})_2$ вместе с Ag; в присутствии значительного кол-ва Sb для измерений нельзя пользоваться линией Ag 3382,89А вследствие соседства линии Sb 3383, 15А. В присутствии Ni, образующего комплексное соединение с NH_4OH , нельзя пользоваться линией Fe 3392,65А вследствие соседства линии 3393, 00А. В присутствии Cu, Ni, Co, Zn и Cd при построении калибровочных кривых следует пользоваться р-рами, содержащими указанные ионы. При анализе латуни навеску 500 мг обрабатывают конц. HNO_3 ; р-р выпаривают досуха; прибавляют 200 мл воды и добавляют 2 г соли Мора. Описанным методом определяют $\geq 10^{-8}$ н. Ag с погрешностью 3—5%. Т. Л.

43509. Экспресс-метод лабораторного и полевого определения меди в почвах и породах. Олмонд (Rapid field and laboratory method for the determination of copper in soil and rocks. A l m o n d H y), Geol Survey Bull., 1955, № 1036 A, 1—8 (англ.).

Метод включает сплавление образца породы или почвы с бисульфатом калия, извлечение Си из плава HCl , восстановление Си (2+) до Си (1+) гидроксидом и колориметрич. определение Си с помощью 2,2'-бихинолина в экстракте изоамилового спирта в лаборатории колориметром или спектрофотометром,

в поле — визуально по эталонам. В качестве колориметрич. реагента выбран 2,2'-бихинолин, так как он дает с Си стабильные комплексы. Это позволяет пользоваться одними и теми же эталонами в течение месяца. Результаты применения обоих вариантов (лабораторного и полевого) бихинолинового метода на 95% совпадают с результатами проверенного лабораторного карбаматного метода. Чувствительность предлагаемого метода 0,0001% Си. Метод пригоден для сбора основных геохим. данных. Он прост и позволяет сделать в поле 60—80 определений в 1 чел.-день. И. Л.

43510. Зависимость интенсивности спектральных линий меди от силы тока и от концентрации меди в минеральных порошках при анодном возбуждении спектра. Ортел, Мак-Кензи (Relationship of intensity with concentration and current for copper in anode excitation of mineral powders. Oertel A. C., McKenzie R. M.), Austral. J. Appl. Sci., 1954, 5, № 4, 330—338 (англ.).

Исследование выполнено в связи с методом добавок. Образцы золы с известным содержанием Си в пределах 0,005—0,1% сжигали в угольном электроде при силе тока 3—15 а. Другую партию подобных образцов, но с переменным содержанием калия в основе, сжигали при 15 а. Время экспозиции определяли полным выгоранием в-ва. Фон учитывали. Применяли спектрограф Хильгера, модель 492. Найдено, что $\lg I_0/I = aC^{0.4}E^{0.4}$ и $I_0 = aC^{0.85}E$, где I_0 — интенсивность непогашенной линии Си 3274 А, I — измеренная интенсивность, C — конц-ия Си, E — сила тока. Работа проведена на основании ранее опубликованного теоретич. исследования (Cowan R. D., Dieke G. H., Revs Mod. Phys., 1948, 20, 418). Г. К.

43511. Исследование химических методов, основанных на каталитических и индуцированных реакциях.

VI. Микроопределение меди, кобальта и железа с помощью отражательной спектрофотометрии. Сакураба (接触および誘発反応を應用した化学分析法. 第6報. 反射率測定法による銅, コバルトおよび鉄の微量定量. 櫻場周吉), 分析化学, Бунсэки кагаку, Japan Analyst, 1955, 4, № 6, 372—376 (япон.; рез. англ.). К р-пу, содержащему ничтожные кол-ва Cu^{2+} , Co^{2+} или Fe^{3+} , прибавляют определенное кол-во Zn^{2+} (20 или 30 мμ), приливают р-р $(\text{NH}_4)_2[\text{Hg}(\text{SCN})_4]$; определяемые элементы сосаждаются с $\text{Zn}[\text{Hg}(\text{SCN})_4]$ и придают характеристич. окраску осадку; отражательную способность осадка измеряют спектрофотометрически для микроопределения Cu^{2+} , Co^{2+} или Fe^{3+} . Среднее отклонение результатов шести определений Cu^{2+} составляет 1,4%; Co^{2+} 2,7%; Fe^{3+} 4,0%. Можно количественно определять Cu^{2+} и Co^{2+} при совместном присутствии (~10 γ каждого) измерением отражательной способности осадков при 500 и 605 мμ или при 550 и 605 мμ; погрешность ≤ 10%. А. З.

43512. Применение новообменных смол для определения калия. Аштон, Вильямс (The use of ion-exchange resins in the determination of potassium. Ashton W. M., Williams J. H.), J. Sci. Food and Agric., 1955, 6, № 6, 311—316 (англ.).

Предложен метод определения K^+ , заключающийся в удалении мешающих определению ионов SO_4^{2-} и PO_4^{3-} адсорбцией на амберлите IR-4В в Cl^- форме, последующем вымывании K^+ и определении его в вытекающем р-ре, перхлоратным методом. Опыты определения K^+ в сернокислом калии, стассфуртской калийной соли и удобрениях с различными примесями с параллельными опытами по отделению SO_4^{2-} в форме BaSO_4 и определению K^+ кобальтнитритным методом дали сходные результаты и подтвердили, что K^+ вымывается из смолы водой полностью. П. П.

43513. Действие хлорита натрия на N_2O ; NO и соответствующие соли. Определение $Na_2N_2O_3$ при помощи $NaClO_2$. Бертольо-Риоло (Azione del clorito sodico su N_2O , NO e i corrispondenti sali: dosaggio di $Na_2N_2O_3$ con $NaClO_2$. Bertoglio Riolo Carla), Gazz. chim. ital., 1955, 85, № 12, 1678—1704 (итал.)

Исследовано окислительное действие $NaClO_2$ (I) на N_2O , NO , гипонитрит и гипонитрат Na . N_2O не окисляется I ни на холоду, ни при нагревании. NO окисляется количественно до NO_2 по ур-нию: $2NO + NaClO_2 = 2NO_2 + NaCl$. $Na_2N_2O_3$ окисляется I до нитрата лишь частично (максимум на 70%). $Na_2N_2O_3$ окисляется I количественно по ур-нию: $2Na_2N_2O_3 + 3NaClO_2 = 4NaNO_3 + 3NaCl$. Предложено определение гипонитрата, основанное на окислении его I до нитрата, определяемого методом Кьельдаля — Деварда. Б. А.

43514. Аппарат для определения азота в титане методом перегонки с паром по Кьельдалю. Сомия, Момото, Кавасима (金屬チタニウム中の窒素定量用ケールダール水蒸気蒸留装置. 宗宮尚行, 桃木弘三, 河島磯志), 分析化学, Бунсэки какаку, Japan Analyst, 1955, 4, № 7, 440—442 (япон.; рез. англ.)

Для определения N при оценке качества металлич. Ti усовершенствован аппарат для перегонки с паром по Кьельдалю и разработан промышленный простой аналитич. метод быстрой перегонки (10 мин.). Воспроизводимость результатов соответствует $\pm 0,0002\%$ при содержании N в Ti-губке 0,03% и $\pm 0,0004\%$ при содержании N 0,003%. Б. Ш.

43515. Азотометрическое определение нитрита серебра и нитрита стронция в смесях с гипонитритами. Оза, Оза, Оза (Nitrometric estimation of silver nitrite and strontium nitrite in admixture with the hyponitrites. Oza T. M., Oza V. T., Oza G. T.), J. Indian Chem. Soc., 1955, 32, № 7, 482 (англ.)

Для определения $AgNO_2$ в смеси с $Ag_2N_2O_2$ навеску растворяют в малом кол-ве аммиачной воды, р-р вносят в азотометр, обмывают крышку 1 мл воды, прибавляют 1 мл р-ра $CS(NH_2)_2$ (р-р чернеет) и приливают 2 мл 75%-ного р-ра CH_3COOH (начинается выделение газа); когда объем р-ра в азотометре достигает 8—10 мл, газ собирают в эвдиометре над Hg и измеряют его объем. Метод определения для $Sr(NO_2)_2 \cdot H_2O$ в смеси с $SrN_2O_2 \cdot 5H_2O$ аналогичен описанному ранее для Ca-соли (Oza, Oza, Dipali, J. Indian Chem. Soc., 1951, 28, 15). Гипонитриты не мешают определению нитритов; рекомендуется разложить их кипячением р-ра и охладить последний перед внесением его в нитрометр (нитриты при кипячении не разрушаются). А. З.

43516. Замечания о точности модифицированного метода определения нитрата-нитрита. Марвин (Notes on the precision of a modified routine nitrate nitrite analysis. Marvin Kenneth T.), J. Marine Res., 1955, 14, № 1, 79—87 (англ.)

Для определения $NO_3^- - NO_2^-$ (0—15 γ -атом/л) в морской воде в пробирку пипетск. емк. 10 мл помещают 1 мл испытуемого р-ра и прибавляют 2 мл воды. Наклоняют пробирку под углом 45° и приливают по стенке 3 мл р-ра стрихнидина в H_2SO_4 (0,3 М/л). Перемешивают, переливая р-р в другую пробирку пипетск. емк. 15 мл и обратно; оставляют в темноте на 4 часа. Фотометрируют на электрофотометре Финнера с фильтром 525 м μ В в микрокуветах емк. 3 мл. Установлено большое влияние на точность метода конц-ии NO_3^- и изменения скорости выделения тепла при смешении пробы и реактива. Соблюдение указанных условий существенно снижает погрешности. Ф. Л.

43517. Восстановление нитрата гидроокисью 2-валентного железа в условиях различной щелочности.

Бремнер, Шоу (Reduction of nitrate by ferrous hydroxide under various conditions of alkalinity, Bremner J. M., Shaw K.), Analyst, 1955, 80, № 953, 626—627 (англ.)

Обычный метод определения NO_3^- , заключающийся в восстановлении его до NH_3 смесью порошкообразного Fe и H_2SO_4 и дистилляции со щелочью, изменен за счет выполнения восстановления при 18—20°, а определения NH_3 с MgO при 18—25° на микродиффузионной установке Конвея. Выход NH_3 составлял $\leq 93\%$ вследствие неполноты диффузии NH_3 за счет образования неподвижного геля $Fe(OH)_2$ и $Mg(OH)_2$. При диффузии с $NaOH$ выход NH_3 составил 70%. Расхождение результатов объясняется тем, что восстановление NO_3^- в щел. среде происходит частично за счет $Fe(OH)_2$ и является более полным в присутствии $Mg(OH)_2$. При кипячении 300 мл р-ра, содержащего 1 мг нитратного N и 2,5 г $FeSO_4 \cdot 7H_2O$, с 5 г MgO в течение 30 мин. выход NH_3 составил 90—95%. При замене 5 г MgO 8 граммами $NaOH$ выход снизился до 5%, но установился колич. в присутствии 80 г $NaOH$. Результаты определения NH_3 методом отгонки могут быть неверными, если присутствуют заметные кол-ва $FeSO_4$. Проверен метод Ольсена для определения NH_3 в почвах, основанный на экстракции NH_3 1 н. KCl , содержащим HCl в кол-ве, обеспечивающем pH суспензии 1,0—1,5, и кипячении с MgO . Установлено, что влияние NO_3^- не сказывается ввиду малого содержания Fe^{2+} в почвах. При кипячении 300 мл р-ра, содержащего 1 мг нитратного N, с MgO в течение 30 мин. восстановления NO_3^- не происходит, если конц-ия $Fe^{2+} < 70$ мг/л. Восстановление происходит количественно, если конц-ия Fe^{2+} составляет 7 г/л. Л. Х.

43518. Поглощение CO растворами солей одновалентной меди. Клима, Малчанкова (Absorption of CO in solutions of monovalent copper salts. Klim A. J., Malčánková A.), Paliva, 1955, 35, № 12, 346—348 (чеш.; рез. рус., нем.)

При технич. анализе газов с высоким содержанием CO часто наблюдается неполное поглощение CO р-рами $CuCl$. Произведены исследования с 4 р-рами: 1) р-р 1 г $CuCl$ в 15 мл 20%-ной HCl ; 2) тот же р-р с добавкой 2,5 г NH_4Cl ; 3) 1 г $CuCl$ в р-ре 2,12 г NH_4Cl ; 4) р-р 1 г $CuCl$ в 3,75 г NH_4Cl в 5 мл воды и 1,7 мл 25%-ного NH_4OH . Применен газ, состоящий из 0,4% O_2 , 31,2% CO , 65,3% H_2 и 3,1% N_2 . Установлено, что наиболее полное поглощение CO обеспечивает первый р-р. Н. Т.

43519. Исследование цианистых соединений. III. Объемное определение цианата. Такэи (シアン系化合物の分析化学的研究. 第3報. シアン酸の容量分析法. 武井信典), 分析化学, Бунсэки какаку, Japan Analyst, 1955, 4, № 8, 479—481 (япон.; рез. англ.)

Способ основан на обработке р-ров цианатов солью $Cu(2+)$ и пиридином для осаждения комплексного соединения $Cu(C_5H_5N)_2(CNO)_2$. Осадок экстрагируют $CHCl_3$, определяют объемным путем Cu^{2+} и находят содержание CNO^- в экстракте. NH_4^+ и Cl^- не мешают, CN^- мешает. Б. З.

43520. Цветная реакция на карбонаты. Тоффолли, Гаудиано (Una reazione cromatica dei carbonati. Toffoli F., Gaudiano A.), Rend. Ist. super. sanità, 1955, 18, № 4-8, 588—596 (итал.; рез. англ., нем., франц.)

При взаимодействии карбонатов с NH_2OH образуется карогидроксамовая к-та, дающая с $FeCl_3$ красно-коричневую окраску. К 2 мл анализируемого р-ра, содержащего 20—100 мг $NaHCO_3$, прибавляют 2,5 мл буферного р-ра pH 8,5 (5 мл 1 н. $NaOH$ смешивают с 95 мл

1 M гликокола и разбавляют в отношении 1:10) и 4 мл р-ра NH_2OH (смесь 1 M $\text{NH}_2\text{OH} \cdot \text{HCl}$ — 1 M NaOH , 1:1). Через 5 мин. добавляют 1 мл реактива (к 1 мл 20%-ного р-ра $\text{FeCl}_3 \cdot 6\text{H}_2\text{O}$ в 0,1 н. HCl прибавляют 5 г глицерина и 0,1 н. NaOH до растворения выпавшего осадка и разбавляют до 40 мл) и через 30 мин. фотоколориметрируют при 450 мμ в 1-см кювете, употребляя в качестве р-ра сравнения воду. Миним. определяемая конц-я CO_2 0,4 мг/мл. Воспроизводимость результатов 2—3%. Анионы, осаждающие или связывающие в комплекс Fe^{3+} , сильные восстановители и соединения, реагирующие с NH_2OH с образованием гидроксамовых к-т, мешают. Б. А.

43521. Спектрографическое определение малых количеств бора в стали. Ранг, Брукс, Брайан (Spectrographic determination of trace quantities of boron in steel. Runge E. F., Brooks L. S., Bryan F. R., *Analyst. Chem.*, 1955, 27, № 10, 1543—1546 (англ.)).

Бор (0,0001—0,0006%) определяют по линии 2497,73 Å. Спектр получают посредством большого автоколлимационного спектрографа фирмы Bausch and Lomb, призма которого скреплялась с эшелле. Спектрограф с эшелле в области 2500 Å давал линейную дисперсию 0,31 Å/мм. Источник света кварцевой линзой изображался на щели эшелле. Ширина щели спектрографа 0,4 мм, ширина щели эшелле 0,05 мм. Спектр возбуждают дугой постоянного тока напряжением 250 в от ртутных выпрямителей. Ток короткого замыкания 10 а. Высказано предположение о возможности применения обрывной дуги и низковольтной искры. Пластины Истмен спектральные № 1, градуированные графитом строились по линиям железа. (Об изготовлении эталонов см. РЖХим, 1956, 36176). Образцы вытачивают в виде цилиндров диам. 5,5 мм, длиной 6 мм. Они вкладываются в нижний электрод (анод) безборного графита, вытравливаемого в виде чашечки с шейкой. Верхний электрод из такого же графита диам. 8 мм затачивают на усеченный конус до диам. 4 мм. Межелектродный промежуток $2 \pm 0,1$ мм устанавливают по проекции. Бор дает линию в течение первых 10 сек., поэтому экспозиция в 20 сек. без предварительного обжига накапливалась 4 суммирующимися частями по 5 сек. Конца бора 0,0001% воспроизводилась со средней погрешностью 30%, при 0,0006% бора погрешность равна 10%. Н. С.

43522. Борная кислота в рапе. (I). Определение борной кислоты в форме боросахарата бария. Новый осадитель. Ишибаси, Эми, Катаока, Китадани (Boric acid in bitter. (I). Determination of boric acid by barium borosaccharate, a new precipitant. Ishibashi Masayoshi, Emi Koichi, Kataoka Hiroyoshi, Kitadani Seizo), *Rec. Oceanogr. Works Japan*, 1955, 2, № 2, 127—132 (англ.).

Метод извлечения и определения 0,1—0,005 M H_3BO_3 (I) основан на осаждении в форме боросахарата бария. К р-ру I добавляют р-р осадителя (5 г дикалийсахарата, 40 г NH_4Cl , 15 г BaCl_2 , небольшое кол-во конц. NH_4OH на 1 л р-ра; pH 8,6—8,8) до молярного соотношения сахарная к-та: I = 2:1. Через ~18 час. осадок отфильтровывают, промывают 2 небольшими порциями воды и 3—4 порциями 25%-ного $\text{C}_2\text{H}_5\text{OH}$ до отрицательной р-ции на Cl^- и сушат 4 часа при 105°. Фактор пересчета на В составляет 0,0201. Чувствительность р-ции соответствует 50 γ/мл I. Описанный метод применим для извлечения I из вод океана. М. Ж.

43523. Отделение и определение миллимикrogramмных количеств кобальта. Тире, Вильямс (Separation and determination of milimicrogram amounts of cobalt. Thiers Ralph E., Williams

John F., Yoe John H.), *Analyst. Chem.*, 1955, 27, № 11, 1725—1731 (англ.).

Для выделения и определения миллимикrogramмных кол-в Со в биологич. материалах образец крови, содержащий ≥ 2 мγ Со, подсушивают и сжигают при 450°. Зола обрабатывают 5 мл 4 M HCl , р-р упаривают до ~1 мл, прибавляют 2 мл 9 M HCl , охлаждают, фильтруют через пористый стеклянный фильтр, осадок промывают несколькими порциями 9 M HCl (всего 7 мл). Основную массу Fe экстрагируют несколькими порциями изопропилового эфира по 10 мл. При анализе плазмы достаточно одной экстракции, при анализе крови — двух. Водн. фазу кипятят до осветления р-ра. Последний охлаждают и пропускают через колонку анионита дауэкс 1-X 8 (диам. 8 мм, высота 11,5 см) со скоростью 0,75—1 мл/мин. Промывают колонку 20 мл 9 M HCl для освобождения ее от неадсорбируемых компонентов золь, т. е. щел. и щел. -зем. металлов, Ni, Mn и других ионов. Со вымывают 30 мл 4 M HCl (Cu, Fe и Zn остаются на колонке). В вытекающем р-ре спектральным методом (в качестве внутреннего стандарта употребляют Ni) определяют Со. Среднеквадратичная погрешность определения ~10%. Т. Б.

43524. Использование осциллографической полярографии в количественном анализе. III. Определение никеля и обнаружение меди и железа в солях кобальта. Додежал Я., Гофман П., П., Сб. чехосл. хим. работ, 1955, 20, № 6, 1353—1359 (рез. нем.). См. РЖХим, 1956, 1075.

43525. Спектрофотометрическое определение железа в ультрафиолетовой области при помощи винной кислоты. Йокосука, Танака, Моригава (酒石酸による鉄の紫外外部吸収光度分析. 横須賀繁, 田中正雄, 森川文樹), *分析化学*, Бунсёки кагаку, *Japan Analyst*, 1955, 4, № 7, 434—435 (япон.; рез. англ.).

С целью нахождения оптимальных условий получения комплексной соли, используемой для определения Fe, изучен спектр поглощения в УФ-области комплекса $\text{Fe}(3+)$ с винной к-той. Спектр поглощения стабилен как в кислотах, так и щел. р-рах. Изменения pH в пределах 2,5—4,8 не влияют на экстинкцию в интервале 350—400 мμ, так же как и изменения pH в пределах 8,0—10,9 не влияют на экстракцию между 250—400 мμ. Присутствие других элементов мало влияет на экстинкцию, она удовлетворяет закону Бера и остается неизменной в течение нескольких суток. Спектрофотометрич. методом определяют 0—40 γ/мл Fe. Результаты определения Fe (1—40%) в горных породах хорошо согласуются с данными объемного метода. Молярное соотношение Fe: винная к-та в комплексной соли, установленное методом непрерывных изменений, соответствует 1:3. Б. Ш.

43526. Определение металлического железа в шлаках и рудах. Абреш, Давирс (Die Bestimmung von metallischem Eisen in Schlacken und Erzen. Abresch Karl, Dawirs Richard), *Arch. Eisenhüttenwesen*, 1954, 25, № 9/10, 409—412 (нем.).

Прибор для определения Fe в шлаках и рудах методом взмучивания образца в жидкости и отделения Fe электромагнитом (ЭМ) состоит из ЭМ, сосуда для взмучивания (СВ), на нижний конец которого надета резиновая трубка длиной 40 мм, запираемая зажимом (З), стеклянного цилиндра высотой 250 мм, диам. 25 мм, заполненного на $1/4$ — $1/3$ высоты Hg для уравнивания давления, предохранительного стеклянного цилиндра и водоструйного насоса. До определения Fe включают водоструйный насос, в СВ наливают спирт или другую не реагирующую с образцом жидкость в таком кол-ве, чтобы уровень ее был немного выше верхнего края ЭМ, открывают З и регулируют скорость проходящего через жидкость воздушного потока путем изменения глубины погружения стеклянной трубки, пропущенной

через центральное отверстие пробки цилиндра с Hg так, чтобы жидкость сильно, но не бурно перемешивалась. Далее, при закрытом 3 открывают пробку и помещают в СВ испытуемую пробу, после чего закрывают СВ, открывают 3 и включают ЭМ. Ферромагнитная часть пробы пристает к стеклянным стенкам сосуда и, в зависимости от величины навески, образуется мостик намагниченных частиц, вынимают пробку и спускают жидкость с немагнитными частицами в стакан. СВ вновь заполняют свежей жидкостью, закрывают, переключают постоянный ток на переменный и регулируют сопротивление быстрым поворотом реостата до миним. силы тока; затем вновь включают постоянный ток. При полном выделении Fe взмученных частиц в жидкости не обнаруживается; в противном случае разделение повторяют. После последней промывки отключают ЭМ, спускают в чистый стакан намагниченные частицы с жидкостью, споласкивают сосуд, фильтруют содержимое стакана и определяют кол-во Fe с удовлетворительной точностью.

Б. Т.

43527. Высоочастотное титрование с образованием внутримолекулярных соединений с этилендиаминтетрауксусной кислотой. III. Определение иона уранила. Хара, Уэст (High frequency titrations involving chelation with ethylenediaminetetraacetic acid. III. Determination of uranyl ion. Hara Reinosuke, West Philip W.), *Anal. Chem.*, 1955, 27, № 3, 285—291 (англ.; рез. франц., нем.)

Определение UO_2^{2+} методом осциллометрич. титрования производят с тринатриевой солью этилендиаминтетрауксусной к-ты (I), дающей, в отличие от других солей этилендиаминтетрауксусной к-ты, отчетливую конечную точку. При pH титруемого р-ра 3,5—4,0 устойчивость комплекса UO_2^{2+} -I наивысшая. Титр р-ров I устанавливают по р-ру х. ч. $UO_2(NO_3)_2$ (II). Кривые титрования р-ров II (1/502; 1/1000; 1/3000 M) р-рами I (1/52,5; 1/105 1/315 M) дают резкий перелом в конечных точках. Погрешность 0,40—92%. Изучено влияние различных ионов и установлено, что отчетливость конечной точки снижают CH_3COO^- , $C_2O_4^{2-}$, SO_4^{2-} . При наличии в р-ре K_2SO_4 , KJ , $AgNO_3$, $Ba(NO_3)_2$ погрешность 0,01—1,94%; тяжелые металлы мешают. Исследована р-ция образования комплекса UO_2^{2+} -I. По кривым титрования 1/3032 M р-ра 1/91 M NaOH (в присутствии II) установлено, что I дает точку изгиба при 2 эквив. NaOH. С увеличением отношения UO_2^{2+} : комплексобразователь точка изгиба перемещается. При соотношении 2:1 конц-ия освобожденных H^+ достигает максимума, который соответствует 4 эквив. NaOH, а кривая титрования резко падает. В пределах соотношения 2:1 кол-во NaOH, необходимое для нейтр-ции освобожденных H^+ , пропорционально конц-ии UO_2^{2+} , присутствующего в р-ре, на чем основано косвенное определение UO_2^{2+} . Сообщение II см. РЖХим, 1955, 46909.

43528. Колориметрические микроопределение шестивалентного урана при помощи морина. Алашши, Надь, Штрауб (Az urán (VI) kolorimetriás mikromeghatározása morinnal. Almásy Gyula, Nagy Zoltán, Straub János), *Magyar tud. akad. kém. tud. oszt. közl.*, 1954, 5, № 3, 257—264 (венг.); *Acta chim. Acad. sci. hung.*, 1955, 7, № 3—4, 317—324 (англ.; рез. русс., нем.)

К пробе исследуемого нейтр. р-ра (≤ 18 мл), содержащей 50—400 γ U, добавляют 0,5 мл 1 N HCl, 2 мл 25%-ного р-ра NH_4Cl , 2 мл 1,5%-ного р-ра комплексона III, 0,6 мл 0,33%-ного спирт. р-ра морина и через 5 мин. 1 мл конц. NH_4OH ; разбавляют до 25 мл, через 10 мин. фотометрируют (фотометр Пульфриха,

фильтр S 47, кюветы 1 или 2 см), употребляя для сравнения смесь реактивов. Окраска стабильна 0,5 часа. Параллельно с каждой серией определений снимают калибровочную кривую (р-ры с известным содержанием U), так как экстинкция несколько меняется с т-рой (в интервале 15—25° максим. отклонение от значения при 20° составляет 5%). Закон Бера выполняется при 50—400 γ U. Присутствие 5 мг Fe^{3+} , 0,2 мг Al^{3+} , 3 мг MoO_4^{2-} , 0,2 мг K^{+} , 1 мг Ca^{2+} , 0,2 мг Mg^{2+} , 0,6 мг TiO_2 , 10 мг Na^{+} — K^{+} , 50 мг NH_4^{+} не мешает. Максим. погрешность $\pm 1,66\%$. В присутствии больших кол-в Fe^{3+} , Al^{3+} , Ca^{2+} , Mg^{2+} исследуемый р-р упаривают досуха, трижды упаривают досуха с 5 мл конц. HNO_3 , остаток (нитраты) растворяют при нагревании в 7 н. HNO_3 ; к полученному р-ру (20 мл) добавляют 300 мл не содержащего перекиси эфира, взбалтывают 10 мин., отсасывают спец. сифоном эфирный слой, повторяют экстракцию с 2 порциями (по 30 мл) эфира, эфир отгоняют. Водн. р-р упаривают досуха, остаток растворяют в смеси 0,5 мл 1 N HCl и нескольких мл воды и определяют U, как указано выше. Максим. погрешность — 5%.

И. А.

43529. Определение вольфрама в шеелите. Колман (Determination of wolframite in scheelite. Kallman Silve), *Anal. Chem.*, 1955, 27, № 9, 1433—1435 (англ.)

Навеску ~ 5 г шеелита (—200 меш) нагревают в фарфоровом тигле при свободном доступе воздуха в течение 4 час. в термостатированной электрич. печи при 400° при периодич. перемешивании. Затем тигель охлаждают в эксикаторе, к навеске 1 г прибавляют 100 мл конц. HCl и немедленно закрывают колбу резиновой пробкой со стеклянной трубкой. Внешний конец трубки должен доходить до дна колбы и быть опущен в теплую воду с добавкой $NaHCO_3$. Содержимое колбы кипятят 45 мин., затем конец трубки опускают в горячий р-р $NaHCO_3$ (10 г на 250 мл), а содержимое колбы охлаждают до 15°. Приливают 100 мл воды, не содержащей O_2 , 1 мл р-ра индикатора (Na-соль дифениламинсульфоникислоты, 1 мг/мл) и немедленно титруют Fe^{2+} 0,1 или 0,01 н. $K_2Cr_2O_7$ (1 мл 0,01 н. $K_2Cr_2O_7$ эквивалентен 0,0558% Fe^{2+} или 0,30% ферберита). Метод определения Mn, присутствующего в форме гюбнерита, основан на незначительной растворимости гюбнерита в разб. CH_3COOH , содержащей небольшое кол-во $H_2C_2O_4$.

И. Г.

43530. Разделение ионов Cr^{2+} , Cr^{3+} и CrO_4^{2-} при помощи хроматографии на бумаге. Биги (Separazione mediante cromatografia su carta degli ioni Cr^{++} , Cr^{+++} , e Cr_4^{--} . Bigli Corrado), *Ann. chimica*, 1955, 45, № 12, 1087—1090 (англ.)

Описанный ранее метод (РЖХим, 1956, 22661) применен для хроматографич. разделения на бумаге ватман № 1 восходящим методом в среде инертного газа (N_2) Cr^{2+} , Cr^{3+} и CrO_4^{2-} . Испытаны различ. р-рители, из которых наилучшим оказалась смесь C_4H_9OH — CH_3COOH — ацетоуксусный эфир-вода (50:10:5:35). Для опрыскивания использована хромотроповая к-та. R_f Cr^{2+} 0,16, Cr^{3+} 0,75, CrO_4^{2-} 0,21.

Б. А.

43531. Хлорноокислотный метод определения хрома в сталях. Агафонов П. Ф., Завод. лаборатория, 1955, 21, № 11, 1311—1312

При определении Cr в сталях хлорноокислотным методом вредное влияние Mn устраняют, восстанавливая его NaCl. 1 г стали (с низким содержанием Cr) растворяют в смеси к-т (20—25 мл HCl (1:1) и 3—5 мл конц. HNO_3). Р-р упаривают до 5 мл и приливают 20 мл окисляющей смеси (850 мл 40%-ной $HClO_4$ и 150 мл H_2PO_4 ,

уд. в. 1,7). Окисление Cr производят при умеренном кипячении в течение 6—8 мин. К охлажд. жидкости добавляют 30 мл горячей воды, 10 мл 7,5%-ного р-ра NaCl и кипятят 2—3 мин. Затем добавляют 80—100 мл воды, 10—15 мл H_2SO_4 (1 : 4) и полученный р-р титруют солью Мора в присутствии фенилантрапиновой к-ты. Максим. абс. погрешность 0,02%. Для высокохромистых сталей предложен метод, описанный ранее (Теплоухов В. И., «Экспресс-анализ стали», Металлургиздат, 1954). Максим. погрешность 0,05%. При анализе сталей с $>1\%$ C после растворения навески добавляют дополнительно 5 мл конц. HNO_3 ; окисление ведут 15—12 мин. Навеску стали с $>1,5\%$ Si растворяют в 20 мл HNO_3 (1 : 2) и 1—2 мл конц. HCl . К р-ру добавляют 2—3 мл 3,5 %-ного р-ра NaF . Л. X.

43532. Улучшенный метод определения сурьмы при помощи роданина В. Рейметт, Санделл (Rationale of the rhodamine B method for antimony. R. A. J., Sandell E. B., Analyt. chim. acta, 13, № 5, 455—458 (англ.; рез. франц., нем.))

Изучен химизм эмпирически разработанного метода определения следов Sb при помощи роданина В (R) (Webster S. H., Fairhall L. T. J. Ind. Hygiene Toxicol., 1945, 27, 184), основанный на окислении Sb (3+) до Sb (5+) в среде 6 M HCl при помощи $\text{Ce}(\text{SO}_4)_2$, восстановления избытка Ce (4+) при помощи $\text{NH}_2\text{OH} \cdot \text{HCl}$, введении R и экстракции C_6H_6 комплексного соединения Sb . Указано, что в среде HCl образуется не только RHSbCl_6 , но и небольшие кол-ва (особенно при $>6 M$ HCl) RH_2 (SbCl_6)₂ и $\text{RH}_2\text{ClSbCl}_6$. В отсутствие окисляемых в-в избыток $\text{Ce}(\text{SO}_4)_2$ может составлять $<0,5$ ммоль. Продувание воздухом для удаления Cl_2 не обязательно. В среде 6 M HCl при 25° скорость гидролиза соответствует ~1% в 1 мин. Реактив следует вводить немедленно после окисления (или регистрировать время до введения реактива, если оно превышает 1 мин.). В среде 2 и 3,8 M HCl константы гидролиза равны соответственно $2,7 \cdot 10^{-3}$ и $4,3 \cdot 10^{-3} \text{ мин}^{-1}$ (в среде 6 M HCl — $9,6 \cdot 10^{-3} \text{ мин}^{-1}$). Коэфф. экстракции Sb бензолом из водн. фазы системы Sb/R является линейной функцией конц-ии красителя в водн. фазе (6 M HCl). С увеличением конц-ии HCl экстрагируемость Sb падает главным образом вследствие уменьшения конц-ии RH^+ . Более благоприятный коэфф. экстракции получается при уменьшении кислотности среды $<6 M$ HCl или увеличении конц-ии R $>2 \cdot 10^{-4} M$. В среде 6 M HCl мешают 1 мг $\text{Fe}(3+)$, $\text{Ga}(3+)$, $\text{Ti}(3+)$. Б. III.

43533. Примечания к дифференциальной полярографии. Определение натрия в сырье, промежуточных и побочных продуктах при производственной выплавке алюминия. Сплитек (Přspěvek k derivaci polarografii. Stanovení sodíku v surovinách, mezi-produktech a vedlejších produktech průmyslu výroby hliníku. S plítek R. Rudolf, Hutnické listy, 1955, 10, № 11, 643—650 (чеш.; рез. русс., нем., англ., франц.))

Для определения Na в минералах (напр., криолите) 200 мг растертой пробы нагревают с 1 мл 30%-ной HClO_4 и 5 мл 40%-ной HF на песчаной бане в течение ~1 часа и р-р выпаривают до белых паров. Остаток выщелачивают при помощи 1 мл 10%-ной HCl , добавляют ~50 мл воды, через 10—15 мин. нагревают, прибавляют 2 мл 10%-ной H_3PO_4 и разбавляют до 200 мл. При анализе окиси или гидроокиси Al выщелачивают Na из 3 г пробы кипячением со смесью 1 мл HCl и 25 мл воды; остаток промывают горячей водой. Вытяжки подкисляют 2 мл H_3PO_4 , разбавляют до 200 мл (одновременно производят контрольный опыт), аликвотную порцию 2 мл при $\leq 8\%$ Na_2O смешивают с 1 мл стандартного р-ра Li^+ (~0,15 н. LiOH в ~0,0014 н. NaCl (I)

и 0,5 мл воды; при 4—22% Na_2O с 0,6 мл ~0,5 н. LiOH (II) и 5 мл воды; при 18—66% Na_2O с 1,8 мл II) и разбавляют до 25 мл. Стандартные р-ры готовят смешением р-ров NaCl (1 мг/мл Na_2O и 0,1 мг/мл Na_2O) с р-рами I и II. Определение производят при помощи полярографа Зброёвка (тип V 301 в) с капельным электродом (период капляспадения 1,0—1,2 сек.), гальванометром (тип Z 9, чувствительность $5 \cdot 10^{-9}$ а, внутреннее сопротивление максим. 200 ом). Определение основано на исследовании дифференциальных кривых для зависимости $dI/dE - E$ для $\text{Na} - \text{Li}$. Чувствительность метода меньше, чем при классич. полярографии. Погрешность 1—3%. Один работник может в течение 2 суток произвести 8—12 определений. Н. Т.

43534. Спектрофотометрическое определение фосфора в ванадиевой кислоте (V_2O_5). Блох, Тьенпон (Spectrophotometrische bepaling van phosphor in vanadiumzuur (V_2O_5). Bloch L., Thienpont R. A. J., Chem. weekbl., 1955, 51, № 52, 919—925 (голл.))

Обычные методы определения P неприменимы при анализе ванадиевой к-ты, так как V образует комплекс с фосфомолибдатом. Метод отделения V в форме купферона применен в сочетании с колориметрированием фосфованадомолибдата аммония и экстрагированием избытка купферона при помощи CHCl_3 . H_3PO_4 осаждают Fe^{3+} и осадок растворяют в HClO_4 или HNO_3 . К полученному бесцветному р-ру прибавляют NH_4VO_3 и $(\text{NH}_4)_2\text{MoO}_4$. Спектрофотометрируют при 460 мк; для расчетов пользуются калибровочной кривой, построенной в координатах пропускание — конц-ия P . Т. Л.

43535. Определение фосфата в воде визуальным методом с ВМ. Ханка (Oznaczenie fosforanu w wodzie metodą wizualną VM. Hanka Tadeusz, Energetyka (Stalino), 1955, 9, № 6, 303—305 (польск.))

Предложен метод определения P_2O_5 в воде при помощи реактива ВМ, являющегося смесью разб. HNO_3 (166,6 мл HNO_3 уд. в. 1,5 в 50 мл р-ра), ванадата (1,25 г NH_4VO_3 и 10 мл конц. HNO_3 в 500 мл р-ра) и молибдата (25 г $(\text{NH}_4)_2\text{MoO}_4$ в 500 мл р-ра) в соотношении 1 : 1 : 1. К 50 мл исследуемой воды (1—15 мг/л P_2O_5) прибавляют 1—3 капли 0,3%-ного спирт. р-ра фенолфталеина, нейтрализуют 0,1 н. HNO_3 , прибавляют 25 мл реактива ВМ и разбавляют до 100 мл. Р-р для приготовления эталонов содержит в 200 мл 1, 140 г K_2CrO_4 (высушенного при 105°) и 34,7 мл 0,1 н. HNO_3 . Колориметрируют в пробирках Несслера. При наличии <40 мг/л SiO_2 погрешность метода ± 2 мг/л P_2O_5 . Продолжительность определения 30 сек. — 2 мин. Н. Т.

43536. Амперометрическое титрование ферроцианида и фосфата солями ванадила. Золотавин В. Л., Кузнецова В. К., Завод. лаборатория, 1955, 21, № 11, 1283—1284

$[\text{Fe}(\text{CN})_6]^{4-}$ и PO_4^{3-} определяют методом амперометрич. титрования, используя малую растворимость ферроцианида и фосфата ванадила. Опыты проводили в термостате при $25 \pm 0,5^\circ$ на визуальном полярографе типа УФАН с зеркальным гальванометром (чувствительность $I_d = 7,6 \cdot 10^{-9}$ а/мм/м²). Характеристика капельного Hg -электрода $m^{2/3} i^{1/3} = 1,57 \text{ мг}^{2/3} \text{ сек}^{-1/3}$; $\tau = 3,60$ сек. Электрод сравнения — насыщ. к. э. Переключение р-ра и удаление из него O_2 осуществляли пропусканием N_2 . Напряжение 1,0 в. К $[\text{Fe}(\text{CN})_6]$ определяли на фоне 0,1 н. H_2SO_4 (к-та предотвращает образование коллоида) со средней погрешностью 1,5%. Фосфат определяли на фоне 0,1 н. KCl . В целях уменьшения растворимости фосфата ванадила в освобождающейся при титровании к-те, р-р забуферивали CH_3COONa . При хорошей сходимости результатов параллельных ана-

лизировать погрешность определения PO_4^{3-} — 17% (фосфат ванадила частично растворим в CH_3COOH). Целесообразно устанавливать титр рабочего р-ра амперометрич. методом по PO_4^{3-} . Рабочий р-р ванадила устойчив даже при значительном разбавлении. Присутствие SO_4^{2-} и Cl^- — не мешает. Л. Х.

43537. Усовершенствованный метод прямого титрования P_2O_5 при анализах богатых фосфором материалов. Шуи (An improved method for the direct titration of P_2O_5 in high analysis phosphatic materials. Shuey Philip McG.), J. Assoc. Offic. Agric. Chemists, 1955, 38, № 3, 761—763 (англ.)

Описанный ранее метод определения P_2O_5 (Tarlet H., Briau A. Ann. fals. et fraudes, 1935, 28, 546) усовершенствован для повышения его точности. Приготовление р-ров, кол-ва реактивов, осаждение, фильтрование и промывание производят по стандартному методу (Official Methods of analysis, 7 th ed., Association of official agricultural chemists, Washington, D. C. 1950, 211—213). При титровании из бюретки прибавляют 0,366 2 н. КОН или NaOH в кол-ве, достаточном для растворения желтого осадка, и перемешивают. Затем прибавляют свежеитризованный р-р фенолфталеина (I) в формальдегиде (II) (0,4 г I на 1 л 37—40%-ного II) в кол-ве на 1 мл превышающем 10% от числа мг P_2O_5 , подлежащих титрованию (при 40 мг P_2O_5 добавляют 5 мл р-ра), и немедленно титруют до первого перехода окраски. При пробе 0,10 г и указанной конц-ии щелочи отсчет по бюретке будет численно равен процентному содержанию P_2O_5 в пробе. В. П.

43538. Фотокolorиметрическое определение P_2O_5 в искусственных удобрениях в форме фосфорнованадиево-молибденового комплекса. Ковальский, Шваненфельд (Fotokolorimetryczne oznaczenie P_2O_5 w nawozach sztucznych w postaci molibdeno-wanadano-fosforowego związku zespolonego. Kowalski W., Szwanenfeld M.), Przem. chem., 1955, 11, № 12, 698—700 (польск.; рез. русск., англ.)

P_2O_5 в удобрениях определяют в форме $\text{P}_2\text{O}_5 \cdot \text{V}_2\text{O}_5 \cdot 22 \cdot \text{MoO}_3 \cdot n\text{H}_2\text{O}$ при помощи фотокolorиметра типа FEK-M с синим фильтром. Для определения водорастворимых фосфатов в суперфосфате (С) 10 г пробы взбалтывают 30 мин. с 400 мл воды, смесь разбавляют до 500 мл и фильтруют. 10 мл фильтрата разбавляют до 100 мл. К 5 мл р-ра прибавляют 15 мл 0,25%-ного р-ра NH_4VO_3 (содержащего 20 мл HNO_3 уд. в. 1,4 в 1000 мл р-ра), 15 мл 5%-ного р-ра молибдата аммония, 20 мл HNO_3 (1 ч. к-ты уд. в. 1,4 + 2 ч. воды), разбавляют до 100 мл и через 60 мин. измеряют экстинкцию. Для определения общего кол-ва P_2O_5 нагревают 5 г с 50 мл конц. H_2SO_4 до паров SO_3 , охлаждают и разбавляют до 500 мл. В фильтрате определяют P_2O_5 , как указано выше. При анализе фосфоритовой муки поступают аналогично, но 5 г пробы растворяют в смеси 50 мл конц. H_2SO_4 и 20 мл HNO_3 (уд. в. 1,4). Для определения фосфатов, растворимых в 2%-ном р-ре лимонной к-ты (I), смешивают 5 г суперфосфата с 10—15 мл I, прибавляют 400 мл, взбалтывают 30 мин. и разбавляют I до 500 мл. Окраска растворов не подчиняется закону Бера. Калибровочную кривую строят на основании исследования образцов С с определенным содержанием P_2O_5 . Продолжительность определения 2,5 часа. Н. О.

43539. Новый метод колориметрического определения кислорода, растворенного в воде. Танака (Une nouvelle méthode de dosage colorimétrique de l'oxygène dissous dans l'eau. Tanaka Motoharu), Mikrochim. acta, 1955, № 5—6, 1048—1056 (франц.; рез. англ., нем.)

Метод основан на измерении интенсивности окраски красно-оранжевого продукта окисления O_2 бесцветного соединения Mn^{2+} с формальдоксидом (I). I готовят растворением 2 г $\text{NH}_2\text{OH} \cdot \text{HCl}$ и 1 мл 35%-ного р-ра CH_2O в 50 мл воды. Реактив готовят добавлением 10 мл указанного р-ра I и 10 мл р-ра MnSO_4 (с конц-ией Mn^{2+} 1 мг/мл) к 200 мл воды. К смеси приливают 4 н. NH_4OH до появления красно-оранжевого оттенка, вводят избыток NH_4OH объемом 10 мл и разбавляют до 250 мл. Полученный р-р обесцвечивают на колесике с порошкообразным Zn (30 меш). При действии растворенного O_2 бесцветный р-р окрашивается за счет комплекса Mn^{2+} с I. Максим. интенсивность окраски ($\lambda_{\text{макс}}$ 475 мμ) достигается через 5 мин. При использовании реактива, содержащего 40 γ/мл Mn и 1—10 мл р-ра I на 50 мл, оптич. плотность анализируемого р-ра вплоть до его насыщения O_2 линейно изменяется с конц-ией O_2 . Результаты определения 0,5—5,9 мл O_2 в 1 л воды описанным методом и способом Винклера согласуются. NO_3^- , NO_2^- , Fe^{2+} и органич. в-ва не мешают. Fe^{3+} мешает, так как спектры поглощения соединений Fe^{3+} и Mn^{2+} с I сходны между собой. Описана аппаратура для выполнения определений.

43540. О поглощении SO_2 , присутствующего в дымовых газах при их анализе в приборе Орса. Жансони (Sur l'absorption du SO_2 des fumées dans leur analyse à l'appareil «Orsat». Janson Henri), Flamme et thermique, 1955, 8, № 83, 11—21 (франц.)

Произведи расчет кол-ва и состава дымовых газов по результатам элементарного анализа исходного топлива при условии полного его сгорания. На основании сопоставления расчетных и эксперим. данных SO_2 не поглощается р-ром КОН, но полученные результаты недостаточны для окончательного вывода. Для получения более точных результатов определяли содержание SO_2 : 1) до поступления газа в приборе Орса (ПО) и 2) после прохождения газа через измерительную бюретку до поступления в абсорбер с р-ром КОН. SO_2 поглощали истрелизованным 10%-ным р-ром H_2O_2 и определяли титрованием по метиловому оранжевому. В первом случае найденное кол-во SO_2 точно соответствовало расчетному, во втором случае SO_2 не был обнаружен. Сделан вывод, что SO_2 в ПО полностью поглощается жидкостью уравнивательной склянки. Опыты вели с ПО с 7 абсорберами для улавливания CO_2 , C_2H_6 , O_2 , CO . При отборе проб дымовых газов в печи поддерживали режим, обеспечивающий полное сгорание топлива. Б. М.

43541. Аналитическое применение лаурилсульфата натрия. II. Объемное определение сульфатов. Де-Вини, Гуилт (Analytical applications of sodium lauryl sulphate. II. The volumetric determination of sulphates. Davey W., Gwilt J. R.), J. Appl. Chem., 1955, 5, № 9, 474—476 (англ.)

К 10 мл ~ 0,1 н. р-ра SO_4^{2-} добавляют 1 мл HCl (уд. в. 1,16), 0,1 мл 0,1%-ного р-ра метилового желтого. Разбавляют р-р до ~ 50 мл, нагревают до кипения, добавляют 20 мл 0,1 н. р-ра BaCl_2 , поддерживают т-ру р-ра близко к т-ре кипения несколько минут и охлаждают. Добавляют 25 мл 0,1 н. р-ра лаурилсульфата Na, нагревают до растворения выпавшего лаурилсульфата Ba (если это необходимо), охлаждают р-р до $< 20^\circ$ и отфильтровывают осадок через тонкий слой бумажной массы, промывая его водой. К фильтрату вновь добавляют р-р метилового желтого и 20 мл CHCl_3 и оттитровывают избыток лаурилсульфата 0,1 н. р-ром хлористого бензалкония. При работе с $< 0,01$ н. р-рами осаждают BaSO_4 на холоду и нагревают р-р через несколько минут после осаждения. Погрешность $\pm 0,5\%$

для 0,1 н. р-ров (25—150 мг Na_2SO_4); $\pm 1\%$ для 0,1 н. р-ров (3—25 мг Na_2SO_4) и $\pm 10\%$ для 0,001 н. р-ров (0,5—3 мг Na_2SO_4). Сообщение I см. РЖХим, 1956, 36150.

43542. Нефелометрический метод определения сульфатов. Томас, Коттон (A turbidimetric sulfate determination. Thomas J. F., Cotton J. E.), Water and Sewage Works, 1954, 101, № 10, 462—465 (англ.)

Метод определения SO_4^{2-} в воде основан на осаждении р-ром BaCl_2 ; степень помутнения измеряют спектрофотометрически, употребляя для сравнения эталон. В пределах концентрации SO_4^{2-} 2—80 мг/л точность описанного метода выше точности весового (отклонения на 2,6—6,7%, вместо 3,4—7,1%). Одно определение продолжается 10 мин.

43543. Разделение щелочных солей полиитионовых кислот при помощи хроматографии на бумаге. Би и Гиги, Трабанелли (Separazione mediante cromatografia su carta dei sali alcalini degli acidi politionici. Bigli Corrado, Trabancelli Giordano), Ann. chimica, 1955, 45, № 12, 1186—1192 (итал.)

Для хроматографич. разделения на бумаге ватман №1 (в течение 24 час.) щел. солей полиитионовых к-т применяют восходящий метод; р-ритель — смесь пиридин- $\text{C}_2\text{H}_5\text{OH}$ -вода (3 : 5 : 5). Для опрыскивания употребляют аммиач. р-р AgNO_3 . Средние значения R_f при т-ре 18 $\pm 2^\circ$ следующие: $\text{K}_2\text{S}_2\text{O}_8$ 0,59, $\text{Na}_2\text{S}_4\text{O}_6$ и $\text{K}_2\text{S}_4\text{O}_6$ 0,355, $\text{K}_2\text{S}_2\text{O}_8 \cdot 1,5 \text{H}_2\text{O}$ 0,72, $\text{K}_2\text{S}_6\text{O}_{18}$ 0,54. С повышением т-ры R_f всех исследованных полиитионатов увеличиваются. Применение описанного метода к жидкости Ваксродера показало наличие в ней, кроме тетра- и пентаитионатов, также и три- и гексаитионатов.

43544. Новый способ определения сульфида натрия в сульфатных щелоках. Доманский (Nový spôsob stanovenia siričnaka sodného v sulfátových výluhoch. Domanský Radislav), Chém. zvesti, 1955, 9, № 9, 558—563 (словац.; рез. русс., нсм.)

Описан метод потенциометрич. титрования > 28 мг Na_2S в сульфатных щелоках (I) при помощи 0,1 н. аммиачного р-ра AgNO_3 (2,5 вес. % NH_3) (II) или 0,1 н. HgCl_2 (III). Определение производят с индикаторным Pt-электродом и стандартным насыщ. к. э. 100 мл I разбавляют до ~ 200 мл и при перемешивании титруют II или III, отсчитывая напряжение через 2 мин. после прибавления порции титрованного р-ра. Ионы OH^- , CO_3^{2-} , SO_3^{2-} , $\text{S}_2\text{O}_3^{2-}$, SO_4^{2-} и Cl^- не мешают. Относительная погрешность при титровании II $\pm 1,79\%$, при применении III $\pm 1,49\%$, а при определении по стандартному методу ТАРПИ (Т 625m—48) $\pm 4,25\%$. Для ускорения осаждения колл. в-в на электродах к I перед титрованием прибавляют $\text{C}_2\text{H}_5\text{OH}$.

43545. Определение фторида в присутствии фосфата. Феннелл (The determination of fluoride in the presence of phosphate. Fennell T. R. F. W.), Chemistry and Industry, 1955, № 44, 1404—1405 (англ.)

Для определения F^- в присутствии ≤ 50 мг PO_4^{3-} к 150 мл испытуемого р-ра, содержащего 20—30 мг F^- (рН р-ра при помощи 2 н. HNO_3 и 2 н. NaOH устанавливают на уровне, соответствующем переходу окраски индикатора фенолового красного в розовую), прибавляют 20 мл $\sim 0,1$ н. AgNO_3 , перемешивают и по каплям добавляют 2 н. NaOH до появления темнокоричневого не исчезающего осадка. Взмалтывают, фильтруют через бумажную массу и промывают осадок водой. К фильтрату (+ промывные воды)

добавляют индикатор бромфеноловый синий и 2 н. HNO_3 до перехода окраски индикатора в желтую и, после добавления 4 мл 10%-ного р-ра NaCl , встряхивают и кипятят несколько минут для коагулирования AgCl . Охлаждают, фильтруют через бумажную массу и промывают водой. Фильтрат разбавляют до ~ 250 мл, добавляют 2 н. NaOH до перехода окраски в синюю, приливают 2 мл 50%-ной HCl , нагревают до $\sim 60^\circ$, прибавляют 5 г $\text{Pb}(\text{NO}_3)_2$, перемешивают до растворения и при нагреве до 70—80° добавляют 5 г $\text{CH}_3\text{COONa} \cdot 3\text{H}_2\text{O}$. Выдерживают 30 мин. при 70—80° при периодич. перемешивании, оставляют на ~ 18 час. при 18—20° и фильтруют через бумажную массу. Осадок промывают 50 мл насыщ. р-ра PbFCl и 20 мл воды. Стакан, в котором шли осаждали, обмывают 50 мл 2 н. HNO_3 , нагревают при 60—70° для растворения приставших к стенкам частиц осадка и содержимое фильтруют через бумажную массу. Фильтрат нагревают, вновь фильтруют в первый стакан и после промывания стакана и воронки 2 н. HNO_3 к р-ру, после охлаждения до 18—20°, добавляют по 1 мл нитробензола на каждые 50 мг Cl^- , затем прибавляют избыток 0,1 н. AgNO_3 и взбалтывают до осаждения. Добавляют 5 мл насыщ. р-ра $\text{NH}_4\text{Fe}(\text{SO}_4)_3$, оттитровывают избыток AgNO_3 0,1 н. р-ром KSCN . 1 мл 0,1 н. AgNO_3 эквивалентен 1,90 мг F^- . При анализе органич. соединений, содержащих P , навеску предварительно сжигают с Na .

43546. Спектрографическое определение фтора в карбиде. Чаков, Пукас (Spektrograficzne oznaczenie fluoru w karbidzie. Czackow J., Pukas T.), Przem. chm., 1955, 11, № 12, 691—693 (польск.; рез. русс., англ.)

Определение F в карбиде (1—4% CaF_2) ведут по аналитич. паре линий CaF 5921/5918,85 Å. Эталонный (карбид, содержащий 1, 2, 3, 4 и 5% CaF_2) и аналитич. образцы обрабатывают водой, высушивают при 110°, смешивают с графитом (1 : 1) и таблетуют. Таблетки (150 мг) diam. 6 мм, высотой 3 мм помещают на графитовый электрод. Измерения производят на спектрографе Хильгера Е 492 с шириной щели 0,025 мм, линзой F 1025 ($f = 300$ мм) и двуступенчатым фильтром (20%). Применяют дугу переменного тока (220 в, 15 а) генератора Святицкого (Докл. АН СССР, 1945, 50, 189) с трансформатором 420 ст. Перед экспозицией (1 мин.) соединяют оба электрода с таблеткой и пропускают ток 220 в, 15 а в течение 5 сек. Расстояние между электродами соответствует высоте таблетки + 1 мм. Продолжительность определения ~ 30 мин., погрешность $\pm 5\%$. Микрофотограммы получены при помощи микрофотометра с полярографом Гейровского.

43547. Отбор проб, свободных от воздуха, при помощи газовой дегассера. Апсон (Sampling for in-line instrumentation. A degasser for obtaining air-free samples. Upson U. L.), Analyt. Chm., 1955, 27, № 9, 1443—1445 (англ.)

Описываемое приспособление позволяет выделять жидкие образцы из газовых потоков, содержащих $\leq 98\%$ воздуха. Содержание жидкости в полученных образцах $\geq 99,5\%$. Разделение фаз осуществляется благодаря действию силы тяжести в газовой дегассерной камере при низкой скорости потока жидкой фазы. Жидкая фаза поступает со дна камеры в пробирочный приемник; воздух выходит через особое отверстие, диаметр которого подбирают таким образом, чтобы в широком интервале скоростей воздуха и жидкости уровень последней находился бы непосредственно под отверстием. При наличии в потоке твердых или флоккулирующих в-в в отверстие защищают сеткой. Для уменьшения турбулентности в нижней камере применяют различные типы отражательных перегородок.

Для удаления жидкости из пробоприемника путем сифонирования рекомендуется спец. газовыделительная камера с контрольным клапаном (приведены схема и краткое описание). Для полного удаления воздуха используют двуступенчатую камеру (приведена схема).

Н. П.
43548. Упрощенный комплексометрический метод определения жесткости воды. Донской Б. В., Энергетик, 1956, № 1, 25

К 100 мл исследуемой воды добавляют 2,5—3,5 мл индикаторной смеси (ИС) и титруют комплексом III (0,01 или 0,0035 н.) до изменения окраски. ИС готовят смешением 80 мл буферного аммиачного р-ра, 16 мл 2%-ного р-ра NO_2S и 4 мл р-ра индикатора или растворением 2 г NH_4Cl , 10 мл 25%-ного р-ра NH_4OH , 0,4 г NO_2S и 4 мл р-ра индикатора в воде и разбавлением до 100 мл. При хранении в посуде из темного стекла с притертой пробкой ИС устойчива в течение 10—12 час. Результаты упрощенного и обычного методов практически совпадают.

В. П.
43549. Спектрографический метод анализа растворов. I. Определение компонентов цинковых и магниевых сплавов. Кемуля, Брахацек, Хуляницкий (Spektrograficzna metoda analizy roztworów. I. Analiza składników stopów cynkowych i magnezowych. Kemula W., Brachaczek W., Hułanicki A.), Przem. chem., 1955, 11, № 12, 679—683 (польск.).

Описан метод спектрографии. анализа, основанный на непрерывном введении исследуемого р-ра в искровую промолотку при помощи распылителя. Определения производили со спектрографом Хильгера Е 498 с шириной щели 0,025 мм, высотой 2 мм, с линзой F 1025 (экспозиция 30 сек.), установленной у щели, или F 958 (экспозиция 10 сек.) на расстоянии 280 мм от щели. Источник возбуждения — искра (1500 в, 0,015 Мгц), находящаяся на расстоянии 380 мм от щели; давление воздуха 0,15 кг/см². Применяли электроды диам. 2 мм из двукратно рафинированного Ag с аналитич. промолотком 5 мм и микрофотометр Цейсса II с шириной щели 0,20 мм, высотой 20 мм. При анализе Mg-сплавов (0,5—6% Zn, 2—12% Al, 0,1—1,5% Mn) использованы аналитич. пары линий Al 3082/Mg 3096, Mn 2943/Mg 3096 и Zn 2138/Ag 2134 А. Средние квадратичные погрешности 2,9% (Al), 4,7% (Mn), 4% (Zn). При определении 0,005—1,0% Mg в Zn-сплавах использована аналитич. пара линий Mg 2802/Be 3130 А; к р-ру проб в HCl прибавляли 0,0002% BeCl_2 . Средняя квадратичная погрешность 4,9% (при использовании линий Mg 2802/Zn 2557 А ~11%). Наличие до 1% Al практически не влияет на результаты. Продолжительность снятия спектрограмм 10 проб (при 3-кратных определениях) ~45 мин.

Н. Т.
43550. Спектрографический анализ алюминиевых сплавов. Хайман, Уэйсбергер (The spectrographic characterization of aluminum alloys. Hyman H. M., Weisberger S.), Appl. Spectroscopy, 1955, 9, № 2, 98, 100—101 (англ.).

Метод анализа пригоден для образцов любого состава, размера и формы независимо от их предварительной обработки. 0,5 г пробы растворяют в смеси 15 мл H_2O , 3 мл конц. H_2SO_4 и 1 мл конц. HCl. Р-р выпаривают досуха и остаток прокалывают 15 мин. при 600°. 1 ч. полученного порошка перемешивают с 2 ч. графита. Смесь набирают ручным прессом до краев канала нижнего электрода. Электроды графитовые, диам. 6 мм; диам. канала 5 мм, глубина 4 мм; межэлектродный промежуток 3 мм. Спектры фотографируют на спектрографе с дифракционной решеткой (6000 штрихов на 1 см) через вращающийся сектор. Спектры возбуждают высоковольтной дугой постоян-

ного тока при напряжении 2400 в, силе тока 3,9 а, при анодном включении пробы. Экспозиция 60 сек. без обжига. Градуировочные графики строят по эталонам сплавов и специально приготовленным синтетич. смесям в координатах $\lg J_{\text{ан}}/J_{\text{сп}} - \lg C$. Аналитич. пары линий и пределы определениях конц-ий: Mn 2576,1 — Al 2575,11 (0,1—0,8); Mn 2933,05 — Al 3050,07 (0,02—0,7); Mn 2801,08 — Al 3057,15 (0,01—0,1); Fe 2599,4 — Al 3050,07 (0,1—6,0); Mg 2779,85 — Al 3050,07 (0,1—2,0); Cu 2824,37 — Al 3050,07 (0,3—10,0); Zn 3345,02 — Al 3057,15 (0,03—1,5); Zn 3282,33 — Al 3050,07 (0,1—5,0); Si 2506,89 — Al 2652,48 (1,0—6,0); Si 2516,11 — Al 3050,07 (0,1—1,0); Cr 3021,56 — Al 3057,15 (0,02—0,4); Ni 3050,82 — Al 3057,15 (0,02—0,6); Ti 3234,5 — Al 3050,07 (0,01—0,1); Pb 2833,07 — Al 3050,07 (0,07—1,0); Ca 3179,28 — Al 3050,07 А (0,1—2,0). Стандартная ошибка определения 11,4—14,0%.

В. Б.
43551. Спектрографический анализ чистого свинца. Довнар-ович, Малецкий (Analiza spektrograficzna czystego ołowiu. Dównarowicz J., Malecki W.), Przem. chem., 1955, 11, № 12, 687—691 (польск.; рус. русск., англ.).

Разработан метод спектрографии. определения примесей в чистом свинце (0,0018—0,0098% Ag, 0,0015—0,051% Cu, 0,0011—0,049% Bi, 0,0009—0,050% Cd, 0,0070—0,056% Ti) при применении спектрографа средней дисперсии типа Пес-22 (ширина щели 0,020 мм), регистрирующего микрофотометра Цейсса (ширина щели 0,5 мм, высота 18 мм), проекционного прибора PS-18, генератора дуги перемного тока PS-39 и трехступенчатого ослабителя (4,100 и 20%). Электроды — из исследуемого металла, цилиндрич. диам. 8 мм, длиной 80 мм; контрэлектрод из спектрально чистого угля, диам. 6 мм; межэлектродный промежуток 2,5 мм. Эталон, изготовленный сплавом 99,996% -ного Pb с чистыми металлами в атмосфере H_2 , содержит 0,05% Cu, 0,01% Ag, 0,10% Sb, 0,10% Zn, 0,05% Cd, 0,05% Bi, 0,05% Sn и 0,064% Ti. Аналитич. линии Cu 3274,0, Ag 3280,7, Bi 3067,7, Cd 343,1, Ti 3519,2 А; линии сравнения служат линии Pb 3220,54 А. Применяют аналитич. метод трех эталонов по Цейссе с погрешностями (в %) для Ag 5,4, Bi 2,7, Cu 5,0, Ti 3,5, Cd 3,1. На одной пластинке фотографируют спектры не менее 3 образцов и строят кривую $\Delta S - \lg C$. Определения < 0,004% Sn и < 0,008% Sb описанным способом невыполнимы.

Н. Т.
43552. Анализ электролитных ванн потенциометрическим методом с применением трилона Б. Поляк Л. Я., Завод. лаборатория, 1955, 21, № 11, 1300—1301

Метод потенциометрич. титрования катионов комплексом III (I) (Pribil R., Chem. Listy, 1950, 10, 222—224) проверен применительно к анализу ванн (цинкования, кадмирования, меднения и никелирования) и установлена его полная пригодность и достаточная точность. Отклонения от результатов, полученных стандартными методами, лежат в пределах (в%): для Ni 0,1—2,1, Zn 0,6—3,2, Cu 0,2—1,0 и Cd 0,3—1,1. 20 мл профильтрованного электролита разбавляют в 10 раз. Аликвотную часть (20 мл) нейтрализуют 10%-ным р-ром NaOH до появления муты, которую растворяют, добавляя по каплям H_2SO_4 (1:5). К р-ру приливают 5 мл 10%-ного р-ра $\text{CH}_3\text{COONH}_4$ (или CH_3COONa) и 40 мл 0,1 н. I. Избыток I оттитровывают р-ром FeCl_3 . Потенциал в каждой точке устанавливается мгновенно; в конечной точке наблюдается резкий скачок.

Л. Х.
43553. Определение компонентов ванны для обезжиривания, содержащей тринатрийфосфат. Меркадов (Dosage des constituants d'un bain de dé-

graissage au phosphate trisodique. Mercadov H.), Galvano, 1955, 24, № 225, 19—20 (франц.)

Пробу 10 мл разбавляют до ~150 мл и титруют 1 н. H_2SO_4 в присутствии метилового оранжевого; расход 1 н. H_2SO_4 до перехода окраски р-ра в розовую А мл (титруются NaOH, Na_2CO_3 и $\frac{1}{3} Na_3PO_4$). Оттитрованный р-р кипятят для удаления CO_2 , охлаждают и титруют 1н. NaOH в присутствии фенолфталеина; расход 1н. NaOH до перехода окраски р-ра в розовую В мл (титруется $\frac{1}{3} Na_3PO_4$). Другую пробу 10 мл разбавляют до 150 мл и медленно титруют 1 н. H_2SO_4 в присутствии фенолфталеина; расход 1 н. H_2SO_4 до исчезновения розовой окраски р-ра С мл (титруются NaOH, $\frac{1}{2} Na_2CO_3$ и $\frac{1}{3} Na_3PO_4$). Расчет ведут по формулам: $A = x + y + \frac{2}{3}z$; $B = \frac{1}{3}x$; $C = x + \frac{1}{2}y + \frac{1}{3}z$, где x , y и z соответственно концентрации NaOH, Na_2CO_3 и Na_3PO_4 (в г/л). Отсюда $x = 2C - A$, $y = 2(A - B - C)$; $z = 3B$. В отсутствие NaOH третье титрование не производится. Т. Л.

43554. Опыт применения нового метода определения основности томасовских SM-шлаков. Шермер, Шермер (Erfaringer med en nyere metode til Bestemmelse af basisk SM-slagges basicitet. Schermer Gisela, Schermer Kurt), Ingeniøren, 1955, 64, № 49, 941—943 (дат.; рез. англ.)

Описанный ранее метод определения основности томасовских шлаков (Smith A. и др., J. Iron and Steel Inst. 1948, 160, 121) модифицирован для повышения точности определения. Анализ выполняется за 8—10 мин. Результаты двух периодич. выдач, каждая продолжительностью в 1 месяц, показывают, что между расходом извести и регенерацией Mn существует взаимосвязь. После внедрения модифицированного метода на сталелитейном заводе, съэкономлено по 7 кг извести на 1 т сырой стали; регенерация Mn увеличилась на 3%, а точность анализа на 20%. М. Т.

43555. Применение этилендиаминтетрауксусной кислоты при анализах почвы. II. Определение плодородия почвы. Виро (Use of ethylenediaminetetraacetic acid in soil analysis. II. Determination of soil fertility. Viro P. J.), Soil Sci., 1955, 80, № 1, 69—74 (англ.)

Метод с этилендиаминтетрауксусной к-той (сообщение 1, РЖХим, 1956, 4207) применен для исследования влияния микропитательных в-в на плодородие почвы. Сравнение результатов, полученных различными методами, показывает, что данные по содержанию микрокомпонентов Cu, Zn и Mo выше при применении этилендиаминтетрауксусной (EDTA-) и ниже для ацетатного метода. Содержание Ca, определенное EDTA-, ацетатным и хлоридным методами, оказалось одинаковым; кол-во P было различным (EDTA-, лактатный, фторидный методы). Метод пригоден для определения Cu, Zn, Mo, Ca и P в финских лесных почвах, а также для определения места расположения питательных в-в, содержащих Cu, Zn и Ca, в кислых лесных почвах. Л. Ч.

43556 К. Определение содержания серы в чугуны и стали методом сжигания. Ахо (Huomiota valuraudan ja teräksen Rikkipitoisuuden määrittämisestä polttomenetelmää käytettäessä. Aho Veli), Valtion tekn. tutkimuslaitos, 1953, Tied., 121, 18 (фин.)

43557 Д. Об аналитическом определении железа. Вибке (Über eine analytische Bestimmung von Eisen. Wiebke Günter. Diss. T. H., Naturwiss.-phil F., Braunschweig, 1954, Maschinenschr.), Dtsch. Nationalbibliogr., 1955, B, № 21, 1544 (нем.)

43558 Д. Хроматографическое отделение титана от ниобия, тантала и их разделение. Частихина

В. И. Автореф. дисс. канд. хим. н., Ин-т геол. АН СССР, М., 1956

43559 Д. Потенциометрические исследования сульфитных щелоков. Вебер (Potentiometrische Untersuchungen an Sulfitablauge. Weber Gerda Marie Dorothea. Diss. T. H., F. F. Math. u. Naturwiss., 1954, Maschinenschr.), Dtsch. Nationalbibliogr., 1955, B, № 21, 1543 (нем.)

См. также: Полярография 42842. Технич. анализы 44271, 44273. Др. вопр. 43036—43040, 42832, 42910, 42934, 42935, 43000, 43001, 13217 Бх, 13236 Бх.

АНАЛИЗ ОРГАНИЧЕСКИХ ВЕЩЕСТВ

43560. Новейшие достижения в области элементарного анализа органических соединений. Бобранский (Nowsze osiągnięcia w dziedzinie analizy elementarnej związków organicznych. Bobrański B.), Przem. chem., 1955, 11, № 12, 670—674 (польск.)

Обзор методов определения C, H, N, Cl, Br, J, S и O в органич. соединениях. Библ. 72 назв. Н. Т.

43561. Открытые поглотители для полумикроопределения углерода и водорода. Кёрбаль (Otevřené absorpční nádoby pro semimikrostanovení uhlíku a vodíku. Korbál J.), Chem. listy, 1955, 49, № 6, 929—931 (чеш.); Сб. чехосл. хим. работ, 1955, 20, № 4, 993—995 (нем.; рез. русс.)

Предложено употреблять в качестве поглотителя односторонне запаянную тонкостенную трубку диам. 100 мм с соединительной трубкой, диаметр которой равен диаметру оттянутой части трубки для сжигания, и с капиллярным сужением 0,2—0,6 мм. Для поглощения воды трубку наполняют ангидроном (длина слоя ~6 см), а для поглощения CO_2 — асбестом, пропитанным NaOH (слой 7 см), и ангидроном (слой 3 см). Трубку запаяивают на расстоянии 1,5—2 см от конца. Перед употреблением запаянные концы отрезают. Для предотвращения диффузии между атмосферой и содержимым трубки употребляют пружинный держатель, изготовленный из стальной проволоки диам. 2 мм. Держатель снабжен на концах латунными колпачками (диам. 10, высота 7 мм) с резиновыми вкладышами. Поглотители взвешивают без держателя. Преимуществом предложенных поглотителей является несложность их изготовления и небольшой вес (8—9 г для H_2O и 10—11 г для CO_2). Ж. Н.

43562. Об определении углерода оксидиметрическим способом. Вельте (Über die Bestimmung des Kohlenstoffs auf oxydimetrischem Wege. Welte E.), Z. Pflanzenernähr., Düng., Bodenkunde, 1955, 70, № 1, 26—34 (нем.)

Обсуждены различные оксидиметрич. способы определения C в почвах и биологич. объектах, основанные на использовании в качестве окислителя $K_2Cr_2O_7$, и установлено, что кол-во тепла, выделяющегося при р-ции окисления, является недостаточным для полного разложения образца. Введение эмпирич. фактора обеспечивает получение относительно верных результатов только при анализе сходных образцов, в которых C органич. в-ва обладает одинаковой способностью к окислению. Недостаточно полное окисление при использовании в качестве окислителя $K_2Cr_2O_7$ исключает возможность оксидиметрич. контроля содержания гумуса в почвах. Вычисление содержания C по кол-ву O_2 , требующегося для его окисления до CO_2 , дает правильные результаты только в том случае, если соотношение между кол-вами присутствующих в органич. в-ве (состоящем только из C, H и O) H и O соответствует соотношению между H и O в H_2O . При-

существование N и S служит дополнительным источником погрешностей.

Т. Л. 43563. Определение децимиллиграммовых количеств азота по Дюма. Кирстен, Грунбаум (Dumas nitrogen determination on the decimilligram scale. Kirsten Wolfgang J., Grunbaum Benjamin W.), *Anal. Chem.*, 1955, 27, № 11, 1806—1809 (англ.)

Предлагаемый метод является вариантом ранее описанного способа (Kirsten W. J., *Mikrochemie*, 1952, 40, 121), основанного на испарении анализируемого образца в токе CO_2 и его последующем сжигании в газовой фазе над Ni_2O_3 при 1000° . Для заполнения трубки применяют гранулированную Ni_2O_3 с размером частиц 20—30 меш, приготовленную из осаждающей закиси Ni. Непосредственно перед заполнением трубки Ni_2O_3 прокалывают в токе O_2 . Для получения CO_2 , свободного от N_2 , резервуар с жидкой углекислотой выдерживают в течение ночи при -20° . Затем резервуар извлекают из рефрижератора, ставят в вертикальное положение и быстро открывают вентиль, выпускающая около половины взятого кол-ва газа (5 кг). Оставшегося газа хватает на 7—10 месяцев работы при ежедневных определениях N_2 . Аппаратура для микроопределения N_2 , краткое описание и схема которой приводятся, не содержит шлифов или других соединений в тех местах, где смазка могла бы поглощать N_2 , который затем уносился бы током CO_2 и попадал бы в капиллярный нитрометр. Рекомендуемая аппаратура с успехом использовалась для определения N в л-нитробензойной к-те, цистине, таурине и других в-вах. Средняя относительная погрешность определения, включающая все систематич. ошибки метода, составляет $\pm 2,5\%$; соответствующая поправка вводится в результаты определения объема N_2 . Эта величина обусловлена почти исключительно поправкой на объем пленки КОН на внутренней поверхности капиллярного нитрометра. Величина стандартного отклонения результатов определения N составляет 0,22% абсолютных и относится авторами к погрешности во взвешиваниях. За 7 час. работы предлагаемым методом можно выполнить 10 анализов. Н. П.

43564. Меркуриметрический метод определения галоидов в органических соединениях. Лапин Л. Н., Заманов Р. X., *Ж. аналит. химии*, 1955, 10, № 6, 364—367

Метод определения галоидов в органич. соединениях по Степанову усовершенствован путем меркуриметрич. титрования галогенидов. Дегалондирование проводят в 15%-ном р-ре этиленгликоля (I) в изобутиловом спирте (II), повышая т-ру к концу р-ции. Навеску (0,1 г) Cl-содержащего органич. соединения растворяют в 15 мл смеси I-II и добавляют Na (2,4 г) в 5—6 присмов; после прибавления $\frac{1}{2}$ кол-ва Na приливают 15 мл смеси I-II в 2 приема. К концу р-ции реакционную смесь нагревают до растворения Na, добавляют 20 мл воды и 18 мл HNO_3 (уд. в. 1,165). Охлажд. смесь разбавляют $\text{C}_2\text{H}_5\text{OH}$ до 100 мл. При анализе Br-содержащего соединения для разложения употребляют 10 мл смеси I-II с 1 г Na и прибавляют 5 мл смеси I-II. К охлажд. смеси добавляют 10 мл воды и 8 мл HNO_3 и разбавляют $\text{C}_2\text{H}_5\text{OH}$ до 50 мл. Для отщепления J употребляют 8 мл смеси I-II и 0,7 г Na; добавляют 2 мл смеси I-II; к теплomu р-ру добавляют 10 мл воды и 5 мл HNO_3 , охлаждают и разбавляют $\text{C}_2\text{H}_5\text{OH}$ до 50 мл. Галогениды оттитровывают меркуриметрически. К 5 мл полученного р-ра добавляют 5 мл $\text{C}_2\text{H}_5\text{OH}$, 2 капли 1%-ного спирт. р-ра дифенилкарбазона, нейтрализуют HNO_3 и титруют 0,05 н. $\text{Hg}(\text{NO}_3)_2$ до слабо-розовой окраски. Погрешность $\leq 0,38\%$. Метод применим в микроанализе для навесок ~ 10 —20 мг. N и S мешают. И. П.

43565. Применение метода Фольгарда при количественном полумикроанализе органических соединений. Белчер, Фейлде, Макдоналд (The application of the Volhard method in semimicro quantitative organic analysis. Belcher R., Fil-des J. E., Macdonald A. G.), *Chemistry and Industry*, 1955, № 44, 1403—1404 (англ.)

Обычные объемные методы, включая метод Фольгарда, неприменимы для определения галогенидов в органич. соединениях после разложения их с Na_2O_2 , поскольку титрование 0,02 н. р-рами не дает воспроизводимых результатов. Рекомендуется пользоваться потенциометрич. методом титрования, в частности, для полумикроопределения Cl в F-содержащих органич. в-вах после сплавления их с Na в Ni-бомбе. Точность потенциометрич. титрования Cl- при употреблении 0,02 н. р-ра AgNO_3 удовлетворительная. Б. Т.

43566. Определение глицерина. Хартман (Analysis of glycerin. Hartman L.), *Chemistry and Industry*, 1955, № 44, 1407—1408 (англ.)

Для определения глицерина (I) навеску анализируемого продукта, содержащую ~ 1 г I, подкисляют ~ 5 мл 1%-ного р-ра HCOOH и разбавляют до 250 мл. При анализе сильнокислого или щел. р-ра его нейтрализуют по метиловому красному р-ром NaOH или H_2SO_4 до прибавления HCOOH . К 100 мл полученного р-ра добавляют 50 мл 6%-ного р-ра NaIO_4 . После 10-минутной выдержки в темноте добавляют 10 мл 50%-ного р-ра пропиленгликоля и через 5 мин. 25 мл 15%-ного р-ра KJ и 50 мл $\sim 0,1$ н. р-ра $\text{Na}_2\text{S}_2\text{O}_8$. Через 10 мин. избыток последнего оттитровывают $\sim 0,1$ н. р-ром J_2 . Контрольный опыт производят следующим образом: 50 мл р-ра NaIO_4 восстанавливают до NaIO_3 10 мл р-ра пропиленгликоля. Через 5 мин. добавляют 100-мл аликвотную порцию р-ра I, 25 мл р-ра KJ и 50 мл $\text{Na}_2\text{S}_2\text{O}_8$. Через 10 мин. титруют стандартным р-ром J_2 . Кол-во I (в %) вычисляют по ф-ле: $x = (B - S) / N \cdot 9,209 / W$, где B и S — кол-ва р-ра J_2 в мл, израсходованного на оба титрования; N — нормальность р-ра J_2 ; W — навеска в аликвотной порции. Б. Т.

43567. Открытие ароматических альдегидов при помощи пептона. Окума (ペプトンによる芳香族アルデヒドの検出法. 大能謙一), *薬学雑誌*, Якутаку даэсси, *J. Pharmac. Soc. Japan*, 1955, 75, № 9, 1155—1156 (япон.; рез. англ.)

При взаимодействии ароматич. альдегидов и их семикарбазонов и тиосемикарбазонов с пептоном (I) или триптофаном (II) в среде HCl развивается фиолетовая, голубая или зеленоватая окраска. Для микроопределения вышеуказанных в-в к небольшому кол-ву пробы или ее спирт. р-ру добавляют ~ 10 —20 мг I или 2 капли 1%-ного р-ра II и 0,5 мл конц. HCl и смесь нагревают 1—2 мин. на водяной бане. Определяемый минимум при использовании I соответствует 3 μ л-диметиламинобензальдегида. В. П.

43568. Полярографический метод определения альдегидов в этиловом спирте. Шульман М. С., Гаврикова О. Ф., *Тр. Весс. н.-и. ин-та спирт. пром-сти*, 1955, № 5, 176—186

Содержание CH_2O , CH_3CHO и фурфурола (I) в этиловом спирте определяют полярографически на фоне NaOH, KOH и LiOH. Этиловый спирт разбавляют до конц-ии 50—70%, к 10 мл р-ра добавляют 1 мл 1 н. р-ра фона и полярографируют без удаления O_2 . При определении CH_3CHO употребляют в качестве фона LiOH (полярографируют от 1,4 е); I определяют на фоне NH_4Cl , KOH, NaOH и LiOH (полярографируют от 1,0 е); CH_2O определяют на фоне NaOH, KOH или LiOH (полярографируют от 1,2 е). На фоне LiOH возможно определение CH_3CHO и I при совместном присутствии. Погрешность метода 0,0003% (абс.). В. П.

43569. Хроматография на бумаге альдегидов. Индовина, Де-Лео, Каммарата, Де-Кристорфис (Comportamenti cromatografici su carta delle aldeidi. Indovina Renato, De Leo Erasmo, Cammarata Rosario, De Cristoforis Vincenzina), Ann. chimica, 1955, 45, № 12, 1041—1044 (итал.)

Изучено хроматографирование высших альдегидов на бумаге ватман № 1, обработанной 2,5%-ным р-ром вазелина в эфире. После высушивания бумагу насыщают парами р-рителя, наносят 5—40 γ исследуемого альдегида или их смеси и хроматографируют при 22° восходящим способом. Р-ритель C_2H_5OH (96%)- H_2O -33%-ный NH_4OH (80 : 16 : 4). Для опрыскивания употребляют р-р 2,4-динитрофенилгидразина (0,25 г его растворяют в смеси 42 мл конц. HCl и 50 мл воды, нагревают и разбавляют до 250 мл) или фуксинсернистую к-ту (0,1%-ный р-р фуксина обесцвечивают SO_2). В последнем случае хроматограмму после высушивания погружают в р-р SO_2 . R_f октилового альдегида 0,47, децилового 0,28, децилового 0,23, ундецилового 0,05. Б. А.

43570. Роль серной кислоты при цветных реакциях органических соединений. Открытие монохлоруксусной кислоты и других соединений, отщепляющих формальдегид. Фейгль, Москович (The action of sulphuric acid in colour reactions of organic compounds. Detection of monochloroacetic acid and other compounds splitting off formaldehyde. Feigl F., Moscovici R.), Analyst, 1955, 80, № 956, 803—806 (англ.)

Роль H_2SO_4 в цветных р-циях органич. соединений изучена на примере цветной р-ции $CH_3ClCOOH$ (I) с хромотроповой к-той (II), при которой H_2SO_4 ведет себя как донор H_2O , агент дегидратации и окисления. При гидролизе I при 170° в присутствии конц. H_2SO_4 происходит расщепление I с образованием H_2O и CH_2O . Для открытия I 1 каплю водн. р-ра I или кристаллик I выдерживают 30 мин. при 105°, обрабатывают 1—2 каплями конц. H_2SO_4 и добавляют твердую II; при выдержке при 170° развивается фиолетовая окраска. При анализе окрашенных образцов рекомендуется открывать CH_2O в газовой фазе, создавая контакт выделяющихся паров с конц. H_2SO_4 , содержащей небольшое кол-во II. Открываемый минимум соответствует 5 γ I; предельное разбавление 1 : 10 000. Р-ция с конц. H_2SO_4 и II применима для идентификации других органич. соединений, которые в результате гидролиза водой отщепляют CH_2O . Селективность р-ции может быть повышена благодаря тому, что т-ра гидролиза зависит от природы анализируемого соединения. Гликолевая к-та (III) гидролизует при 100°, открываемый минимум соответствует 1 γ III. Различие в т-рах гидролиза I и III служит основой для идентификации этих двух производных CH_3COOH . При нагревании с конц. H_2SO_4 отщепляют CH_2O соли гексаметилентетрамина, неосальварсан, миосальварсан, биламид, Na-соль сульфоксона и аминопирин, а также метиленовые эфиры о-фенолов (последние при 170—180°). Для идентификации 2,4-дихлорфеноксиуксусной к-ты рекомендуется открывать CH_2O при помощи II в газовой фазе при нагревании 2,4-Д с конц. H_2SO_4 при 150° (2,4-Д гидролизует до III). Т. Л.

43571. Определение цикlopentадиена и малеинового ангидрида. Ангер (The determination of cyclopentadiene and maleic anhydride. Unger P.), Analyst, 1955, 80, № 956, 820—824 (англ.)

Карбиновая к-та (чис-3,6-индометилтетрагидрофта-левая к-та), образующаяся при гидролизе продукта присоединения цикlopentадиена (I) с малеиновым ангидридом (II), быстро и количественно реагирует

с бромид-броматом в кислой среде с образованием дибромпроизводного. Для определения I навеску 0,6—0,7 г вводят в колбу с 40 мл р-ра II (профильтрованный 3%-ный р-р II в C_6H_6), перемешивают, выдерживают ~2 мин. при 18—20° и затем 10 мин. при 35°. Охлаждают, разбавляют C_6H_6 до 100 мл. 20 мл полученного р-ра разбавляют пентилацетатом до 50 мл и экстрагируют 3 порциями 2%-ного р-ра KOH (25, 10 и 10 мл). Объединенные экстракты подкисляют 15 мл 4 н. HCl и титруют 0,1 н. $KBr-KBrO_3$ до появления желтой окраски. Добавляют 0,2 г KJ и титруют выделившийся J_2 р-ром $Na_2S_2O_3$. 1 мл 0,1 н. $KBr-KBrO_3$ эквивалентен 0,003305 г I. Степень влияния дициклопентадиена (III) пропорциональна его конц-ии; присутствие 25% III почти не мешает; при большей конц-ии III производят контрольный опыт. Для определения II навеску 0,18—0,21 г растворяют в 10 мл C_6H_6 ; прибавляют 10 мл р-ра I (деполимеризуют III и перегоняют при ~55°; дистиллат фильтруют и готовят 1,5%-ный р-р в C_6H_6 ; р-р хранят при 0° и периодически проверяют содержание I), нагревают 10 мин. при 35° в закрытой колбе, охлаждают, переносят в делительную воронку, добавляют 50 мл пентилацетата и далее ведут анализ, как описано выше. 1 мл 0,1 н. $KBr-KBrO_3$ эквивалентен 0,004902 г II. В обоих случаях анализ продолжается 30—40 мин.; погрешность не выше $\pm 0,3\%$. Т. Л.

43572. 2- и 3-монохлорксантгидрол как реактив для определения амидов. Цукamoto, Идзэти (アミド類試薬としての2-及び3-Monochloraxanthidrol. 塚本越夫, 伊地知季隆), 薬学雑誌, Якугаку даэси, J. Pharm. Soc. Japan, 1955, 75, № 8, 1016—1018 (япон.; рез. англ.)

Из 2,4- и 2,5-дихлорбензойной к-ты через хлорксантон были приготовлены 2-(I) и 3-монохлорксантгидролы (II) и изучены их свойства как реактивов для определения амидов (амидов, сульфамидов, уретанов и замещ. барбитуровой к-ты). Установлено, что эти I и II реагируют с амидами не так легко, как ксантгидрол, но являются более устойчивыми; I и II применимы в качестве добавок к реактиву для открытия выше-названных амидов. Определены т-ры плавления продуктов конденсации. В. П.

43573. Полярографическое определение виниловых соединений. Усами (ビニール化合物のポーログラフによる定量. 宇佐美四郎), 分析化学, Бунсэки кагаку, Japan Analyst, 1955, 4, № 7, 424—426 (япон.; рез. англ.)

Исследовано полярографич. определение некоторых виниловых соединений при применении в качестве фона ионов тетраметиламмония (I) $[(CH_3)_4N^+]$ и тетрабутиламмония $[(C_4H_9)_4N^+]$. Виниловые эфиры, напр. винилацетат, -бутилат и -бензоат, определяют по волне ацетальдегида, образующегося при гидролизе с гидратом окиси I в качестве фона. $E_{1/2}$ α-метилстирола, стирола, акрилонитрила и метилметакрилата равны соответственно —2,50; —2,42; —2,14 и —2,06 в (нащ. к. э.); указанные соединения определяют количественно. Измеренные значения $E_{1/2}$ сравнены с значениями e , рассчитанными по теории сополимеризации Прайса и Алфрей. Б. Ш.

43574. Определение тетраэтилсвинца в бензине методом поглощения X-лучей. Ферро, Галотто (Metodo per la determinazione del piombo tetraetile nelle benzine con assorbimento di raggi X. Ferro Andrea, Calotto Claudio P.), Ann. chimica, 1955, 45, № 12, 1234—1243 (итал.)

Описан метод определения тетраэтилсвинца (I) в бензине, основанный на измерении поглощения X-лучей подуровня L_{III} . Для измерения применен аппарат Джеренал Электрик XRD3. Содержание I определяют

по калибровочной кривой, построенной по образцам бензина с известным содержанием I. Продолжительность определения ~ 30 мин. Погрешность ~ 2%.

Б. А. 43575. Рентгено-флуоресцентный метод определения тетраэтилсвинца в бензине. Лам, Небыльский, Кифер (Determination of tetraethyllead in gasoline by X-ray fluorescence. Lamb Francis W., Niebylski Leonard M., Kiefer Edward W.), *Analyt. Chem.*, 1955, 27, № 1, 129—132 (англ.)

Метод основан на облучении исследуемого образца пучком рентгеновских лучей определенной интенсивности, достаточной для возбуждения флуоресценции. Кювету емк. 40 мл с окошком, расположенным под $\angle 45^\circ$ к первичному излучению, охлаждают водой с t -рой $20 \pm 1^\circ$. Интенсивность флуоресценции регистрируют спектрометром XRD-3 с приставкой. Линию L_α Pb при 1,17 Å возбуждают сплошным спектром с помощью W-антикатада. При данной длине волны получены примерно одинаковые коэфф. линейного поглощения $Pb(C_2H_5)_4$ (I), антидетонатора для автомобильного бензина ($1 + 1,2-C_2H_5Cl_2 + 1,2-C_2H_5Br_2$), антидетонатора для авиационного бензина ($1 + 1,2-C_2H_5Br_2$) и смесей углеводородов C_6H_6 и изоктана (II) с антидетонатором при одинаковой конц-ии I (до 0,66 мл/л). Сделан вывод, что содержание I можно определять с помощью одной и той же аналитич. кривой, независимо от наличия (или отсутствия) в смеси других компонентов, антидетонатора или изменения соотношения $Pb:Cl(Br)$. С увеличением соотношения C:II поглощение углеводорода возрастает, а интенсивность излучения линии L_α Pb соответственно уменьшается. В стандартных условиях для одного и того же уровня интенсивности характерно соотношение плотностей II: толуол 1,241 и среднее соотношение конц-ий I в толуоле и II, равное 1,133. Для определения пользуются фактором плотности, вычисляемым по ф-ле: $[(d_s/d_{iso}) - 1] \times [(1,133 - 1)/(1,241 - 1)] + 1 = D_F$, где d_s и d_{iso} — соответственно плотность образца и II при $15,5^\circ$. Продолжительность определения 5—10 мин., погрешность 0,76%; влияние S и P незначительно.

Л. Ч. 43576. Кондуктометрическое определение фенольных групп в смесях выделенных лигнинов. Сарканен, Шюрокх (Conductometric determination of phenolic groups in mixtures such as isolated lignins. Sarkanen Kyosti, Schuerch Conrad), *Analyt. Chem.*, 1955, 27, № 8, 1245—1250 (англ.)

Навеску лигнина, соответствующую конечной конц-ии фенольных групп 0,04—0,06 экв/л, помещают в ячейку для титрования ($\pm 20^\circ$), растворяют в 5 мл ацетона, добавляют 10 мл 96%-ного C_2H_5OH (I) и 15 мл воды (по каплям при перемешивании). Через систему пропускают ~ 500 мл N_2 и титруют 2,5 н. LiOH (порциями по 0,1 мл) и после перемешивания измеряют электропроводность. В качестве р-рителей рекомендуются низшие спирты и ацетон в смеси с водой. Оптимальная продолжительность титрования 10 мин. Некоторые фенолы характеризуются пониженной кислотностью и, вследствие этого, титруются не полностью. Метод проверяли на образцах различных природных лигнинов. Для сравнения применяли спектрофотометрич. метод. Навеску (100—200 мг) растворяют в 0,5 н. NaOH и разбавляли 0,5 н. NaOH до 100 мл. Аликвотную порцию 2 мл разбавляли 20%-ным р-ром I до 50 мл ($pH \sim 12,3$); другую аликвотную порцию 2 мл разбавляли 0,5 н. NaOH (в 20%-ном I) до 100 мл. Установлено, что в области, характерной для фенолов с сопряженными двойными связями, макси-

мумы отсутствуют и эти фенолы полностью ионизированы при $pH 12,3$. Небольшие максимумы ($\lambda \sim 300$ мμ) в фенолах с несопряженными двойными связями объясняются неполной ионизацией фенольных групп. Сделанные выводы соответствуют результатам кондуктометрич. титрования.

Л. Ч. 43577. Определение фенольных веществ: применение стабилизированного *p*-аминодиэтиланилина. Камбер (Estimation of phenolic substances: use of stabilized *p*-aminodiethylaniline. Camber B.), *Nature*, 1955, 175, № 4468, 1085 (англ.)

Метод, предложенный ранее для определения салицилолгидразонов по интенсивности окраски индоанилина (I), получаемого при взаимодействии гидразона с *p*-аминодиэтиланилином (II) (РЖХимБх, 1956, 9382), применен для определения фенолов (III); используемая в качестве окислителя HJO_4 заменена $K_3[Fe(CN)_6]$. К р-ру 1—108 мл III прибавляют 0,4 мл 0,1%-ного р-ра стабилизированного SO_2 II, 0,5 мл 0,33%-ного р-ра $[K_3Fe(CN)_6]$ и 0,5 мл 5%-ного р-ра $K_2B_4O_7$ и фотометрируют. При $< 1 \gamma$ III рекомендуется экстрагировать I $n-C_4H_9OH$ или $CHCl_3$. Из полученного экстракта отгоняют часть р-рителя. Кроме HJO_4 и $K_3[Fe(CN)_6]$, в качестве окислителя можно употреблять $AgNO_3$ и $HgCl_2$. При определении описанным методом III, выделенного из фосфатаз сыровотки, окраска р-ра I стабильна несколько суток; осаждение белков не необходимо.

Т. Л. 43578. Адсорбция полярных молекул линейными полиамидами. II. Хроматографическое разделение изомерных фенолов. Карелли, Ликюори, Меле, Рипамонти (Assorbimento di molecole polari da parte di poliammidi lineari. II. Separazione cromatografica di fenoli isomeri. Carelli V., Liguori A. M., Mele A., Ripamonti A.), *Chimica e industria*, 1955, 37, № 12, 960—965 (итал.; рез. англ., нем., франц.)

Новый метод хроматографии основан на адсорбции полярных в-в линейными полиамидами. В качестве адсорбента применен полигексаметиленадипамид (I). 10%-ный р-р I в 95%-ной $HCOOH$ осаждают при взбалтывании 50%-ным водн. спиртом, отфильтровывают и промывают водой до исчезновения кислой р-ции. Полученный мелкий порошок высушивают в вакууме при $50-60^\circ$. Применяют аппаратуру описанного ранее типа (Tiselius A., Claesson S., *Arkiv Kemi Min. Geol.*, 1942, В 15, № 18). Описанным методом разделены *o*-, *m*- и *p*-крезолы и 1,2,6-, 1,2,5- и 1,3,5-ксилолы в форме 0,5%-ного р-ра в циклогексане. Приведена теория метода. Сообщение I см. РЖХим, 1956, 12556.

Б. А. 43579. Изучение метода экстрагирования полифенольных соединений некоторыми представителями семейства виноградных. Амьель, Дюпюи, Норц (Contribution à l'étude d'une méthode d'extraction des composés polyphénoliques de certaines ampélidées. Amiel Jean, Dupuy Pierre, Nortz Maurice), *C. r. Acad. sci.*, 1955, 240, № 7, 780—782 (франц.)

Для определения окрашенных полифенольных соединений в винах 500 мл вина концентрировали в вакууме при $t_{re} < 40^\circ$ в слегка восстановительной атмосфере до 150 мл и разбавляли до 700 мл спиртом (95%). При этом часть солей и пектиновые в-ва переходили в осадок. После декантации и фильтрования рН р-ра доводили при помощи NH_4OH до 9 и добавляли р-р 45 г $Pb(CH_3COO)_2$ в 100 мл спирта (95%). Для нейтр-ции образующейся CH_3COONH_4 добавляли NH_4OH (р-р над осадком должен быть бесцветным или зеленоватым). Осадок отделяли центрифугированием, диспергировали в спирте и снова центрифугировали для удаления следов маточного р-ра. Добавляли

спирт для получения полужидкой пасты и разрушали красочный лак, добавляя по каплям спирт. р-р HCl. Если в р-ре присутствовали антоцианы, то в конце р-ции разрушения лака наблюдалась красная окраска. В присутствии только флавонов р-цию вели до pH ~ 6 (индикаторная бумажка). После фильтрации получали спиртовой, слегка подкисленный р-р полифенольных красящих в-в, обладающий стабильностью и дающий воспроизводимые хроматограммы. При опытах с листьями и плодами винограда к 150 г исследуемого материала добавляли 50 г песка и смесь растирали в ступке. Пасту диспергировали в 500 мл спирта, через 24 часа фильтровали и вели определение, как указано выше. Полученные результаты совпадают с данными Рибера-Гейона (РЖХим 1956, 17942) для антоцианов. М. П.

43580. О цветной реакции между ацетоном и эфирами β-нафтола. II. Изучение экспериментальных условий. Ромен, Клане, Менар (Sur la réaction colorée entre l'acétone et les esters du naphтол β. II. Etude des conditions expérimentales. Romain Pierre, Clanet Frank, Mesnard Pierre), Bull. Soc. pharmacie Bordeaux, 1954, 92, № 4, 186—202 (франц.).

Изучено влияние различных физ.-хим. факторов на цветную р-цию между ацетоном (I) и эфирами β-нафтола в цел. среде. Исследование растворимости бензонафтола (II) показало целесообразность применения смеси из 20 мл воды с 80 мл I, которая растворяет ~1 г II. pH измеряли с помощью прибора Кере, а скорость р-ции — с помощью фотометра Доньона. В безводн. среде возникает розовато-синяя окраска, с увеличением кол-ва воды окраска постепенно переходит в фиолетово-красную. Максим. оптич. плотность р-ра имеет место при 530 мμ. Р-ция ускоряется с увеличением конц-ии КОН. Так как скорость р-ции уменьшается с уменьшением конц-ии II, измерения в случае малых кол-в II можно вести при повышенной т-ре. Со временем красная окраска необратимо переходит в желтую через оранжевую. В более шел. р-ре этот процесс происходит быстрее. Изменение окраски сопровождается уменьшением pH среды. Аналогичное явление наблюдается при подкислении р-ра HCl. При вторичном подщелачивании окраска переходит через те же цвета в фиолетовую при pH 8,5—9. Если перед прибавлением щелочи добавить альдегид, окраска не развивается; после прибавления альдегида к р-ру, окрашенному в фиолетово-красный цвет, окраска изменяется, но добавление щелочи восстанавливает фиолетовую окраску. Предыдущее сообщение см. РЖХим, 1955, 34422. П. З.

43581. Определение дильдрина и ДДТ в смесях методом инфракрасной спектрофотометрии. Поллард, Солтман, Инь (Infrared determination of dieldrin and DDT in mixtures. Pollard Glenn E., Saltman William M., Yin Peter), J. Assoc. Offic. Agric. Chemists, 1955, 38, № 2, 478—482 (англ.).

Предложен быстрый, точный и специфич. для каждого компонента метод анализа инсектицида в форме р-ра в CS₂ на спектрофотометре Перкина—Эльмера, модель 12-C. Дильдрин (I) определяют по полосе поглощения при 10,96 мμ, ДДТ (II) — при 14,06 мμ. Поглощение I и II удовлетворяет ур-ниям $A_2 = K_1^1 C_1 + K_2^1 C_2$; $A_2 = K_1^2 C_1 + K_2^2 C_2$, где A_1 и A_2 — поглощение, соответственно, при 10,96 и 14,06 мμ, K_1^1 и K_2^1 — уд. поглощение I и II при 10,96 мμ, K_1^2 и K_2^2 — уд. поглощение I и II при 14,06 мμ, C_1 и C_2 — конц-ии I и II (в вес. %). Решением этих ур-ний получены соотношения: $C_1 = F_1^1 A_1 +$

$+ F_1^2 A_2$; $C_2 = F_2^1 A_1 + F_2^2 A_2$, где F — константа. Для отделения I и II от примесей пользуются хроматографич. колонкой (длиной 300 мм, внешним диам. 20 мм) с 5,5 г целита. Вносят навеску исследуемого в-ва, содержащего ~10 г инсектицидов и приливают порциями по 50 мл CS₂ с добавкой 5 об. % ацетона до объема вытекающего р-ра 150 мл. Вытекающий р-р выпаривают досуха, сушат остаток 15 мин. при 75°, охлаждают, растворяют в CS₂ и р-р разбавляют CS₂ до 100 мл. Кол-во I вычисляют, умножая C_1 на 1,175 (фактор, характеризующий содержание чистого препарата в I). Воспроизводимость результатов соответствует ± 0,10% для I и ± 0,34% для II. М. Д.

43582. Разработка кинетического метода определения γ-изомера ГХЦГ в дустах и обогащенных препаратах. Шогам С. М., Фенькова Е. Н., Сб. работ науч. ин-та по удобр. и инсектофунгицидам, 1955, № 156, 30—36

Для устранения невоспроизводимости результатов, получаемых при определении γ-изомера по ранее описанному методу (La Clair, Analyt. Chem., 1948, 20, № 3, 241), предложен следующий способ: определенные кол-ва очищенного от CO₂ спирт. р-ра щелочи, эквивалентные 10 мл 1 н. р-ра, вносят в пробирки и помещают их на 2 часа в ледяную баню одновременно с колбами, содержащими спирт. р-ры навесок (растворение образцов, содержащих 0,1 г суммы изомеров ГХЦГ, продолжается 15—20 мин. при слабом кипении спирта); вносят щелочь в колбы и первую пробу (выдерживаемую в ледяной бане 15 мин.) непрерывно встряхивают 8—10 мин. после внесения щелочи и периодически до 15 мин.; вторую пробу (выдерживаемую в ледяной бане 50 мин.) периодически встряхивают 50 мин. Определяют Cl⁻ по Фольгарду и содержание γ-изомера (в %) находят по ф-ле: $x = 25,3/(a-b) - 14,6$, где a — кол-во 0,1 н. р-ра AgNO₃ (в мл), затраченное на вторую пробу; b — то же на первую пробу. Воспроизводимость результатов ± 0,05 мл 0,1 н. AgNO₃. Отклонение результатов от данных хроматографич. метода ≤ 1% для технич. продуктов, 0,5—2,5% для обогащенных продуктов и 0,1—0,15% для дустов. А. З.

43583. Полярография ртутиацетатафенила. Кадзимура, Ямамото (酢酸フェニール水銀のポーラログラフィー. 堀村工, 山本茂), 分析化学, Бунсэки кагаку, Japan Analyst, 1955, 4, № 3, 152—156 (япон.; рез. англ.).

Существующие методы определения степени чистоты бактерицидных препаратов на основе ртутиацетатафенила (метод осаждения, метод испарения, объемные методы и метод с дитизоном) обладают различными недостатками. Для ускорения и упрощения анализов применен полярографич. метод. Принцип метода и точность его результатов обсуждены на основе данных статистич. анализа и установлено, что полярографич. метод применим для производственного контроля анализов. В. П.

43584. Хроматография полупродуктов синтеза красителей. Хроматография на бумаге нафтиламиносulfонокислот и нафтолеульфокислот. Латинак (Chromatographie von Farbstoffzwischenprodukten. Die Papierchromatographie der Naphthylaminsulfon- und Naphtholsulfonsäuren. Latina J.), Сб. чехосл. хим. работ, 1955, 20, № 6, 1371—1379 (нем.; рез. русс.). См. РЖХим, 1955, 40462, 40463.

43585. Хроматография промежуточных продуктов при производстве красителей. III. Идентификация и разделение антрахинонсulfоновых кислот при помощи бумажной хроматографии. Вечержа М., Гаспарич И., Борецкий И., Сб. чехосл.

хим. работ, 1955, 20, № 6, 1380—1383 (рез. нем.)
См. РЖХим, 1956, 26030.

43586. Применение хроматографии на бумаге для анализа красителей. Кацпржак, Ольшевский (Chromatografia bibulowa w zastosowaniu do analizy barwników. Kacprzak F., Olśzewski Z.), Przem. chem., 1955, 11, № 12, 677—679 (польск.)

Предложено применять для хроматографич. анализа кислотных и кислотно-хромовых красителей и красочных лаков в качестве р-рителей 80%-ный р-р CH_3OH (I), 80%-ный р-р $\text{C}_2\text{H}_5\text{OH}$ (II), 60%-ный р-р гликоля или 80%-ный р-р изомасляной к-ты. Для хроматографич. анализа основных красителей применяют I или II, а в случае субстантивных красителей — смеси пиридин (III)— CH_3OH — H_2O (60 : 35 : 5) или III— $\text{C}_2\text{H}_5\text{OH}$ — H_2O (60 : 35 : 5), или III—II (60 : 40). Н. Т.

43587. Изучение продуктов конденсации меланина с формальдегидом. I. Анализ продуктов методом хроматографии на бумаге. II. Изучение первичного реакционного процесса методом хроматографии на бумаге. Коэда (メラミンとホルムアルデヒドとの縮合物に関する研究. 第1報. ペーパークロマトグラフィーによる縮合物の組成分析. 第2報. ペーパークロマトグラフィーによる初期反応過程の研究. 小枝幾久雄), 日本化学雑誌, Нихон кагаку дзасси, J. Chem. Soc. Japan. Pure Chem. Sec., 1954, 75, № 5, 571—574, 575—578 (япон.)

I. Раствор 0,5—8,0 молей CH_2O и 1 моля меланина (I) в воде, подщелоченной NaOH до pH 9, нагревают 10—15 мин. при 70°, выливают в 2—3-кратный объем CH_3OH и получают кристаллич. метиломеланин (II) (смесь оксиметильных производных, содержащих 1—6 групп CH_2OH). I и II разделены хроматографией на бумаге (р-ритель $\text{C}_4\text{H}_9\text{OH}$ — $\text{C}_2\text{H}_5\text{OH}$ — H_2O , 4 : 1 : 2; для опрыскивания применен реактив Толленса). При р-ции I с 8 молями CH_2O единственным продуктом р-ции является гексаметилломеланин; в остальных случаях выделена смесь от моно- до гексапроизводных. При использовании 0,5 и 1 моля CH_2O получен также I.

II. 31,5 г меланина (I) обрабатывают 67 г 37%-ного р-ра CH_2O и 14 г воды при pH 9, нагревают 10 мин. до 70°; в отдельных порциях реакционной смеси, отбираемых через интервалы в несколько минут методом хроматографии на бумаге, обнаружен монометилломеланин. Другие метиломеланины (II), вплоть до гексапроизводного, образуются через 5 мин. При р-ции в более разб. р-ре кол-во связанного CH_2O ниже, чем в конц. р-ре. Изучение процесса диссоциации II (0,033 моль/л) показало, что при введении в р-цию 1—5 молей CH_2O диссоциировано 60% общего кол-ва CH_2O .

Chem. Abstrs, 1955, 49, 10318. Koji Nakanishi. 43588. Кулометрическое определение пантокаина путем электрохимического окисления бромом. Калиновский (Kulometryczne oznaczenie panto-kainy za pomocą elektrochemicznego utleniania bromem. Kalinowski K.), Przem. chem., 1955, 11, № 12, 710—711 (польск.; рез. русс., англ.)

Предложен метод кулометрич. микроопределения пантокаина, основанный на р-ции образования дибромпроизводного $\text{C}_4\text{H}_9\text{NHC}_6\text{H}_4\text{COOCH}_2\text{CH}_2\text{N}(\text{CH}_3)_2 + 2\text{Br}_2 = 2\text{HBr} + \text{C}_4\text{H}_9\text{NHC}_6\text{H}_4\text{Br}_2\text{COOCH}_2\text{CH}_2\text{N}(\text{CH}_3)_2$. Для определения использован небольшой электролизер (диам. 45 мм, высота 120 мм) с электромешалкой и спец. катодный генераторный Pt-электрод. 0,1—0,2 г пробы растворяют в 500 мл воды и к 5 мл р-ра прибавляют 10 мл 30%-ного р-ра KBr , 10 мл 15%-ного р-ра H_2SO_4 и 5 мл воды. Электролиз производят с применением анодной батареи 120 в при 18° и при плотности тока на аноде 4 ма/см² (сила тока 5,7 ма). Избыток Br_2 определяют микроамперметром типа 532/90 с приме-

нением двух Pt-электродов (напряжение 0,3 в). Н. Т. 43589. Весовое определение 2-бензил-4,5-имидазолина (диваскола). Блажек, Стейскал (Vážkové stanovení 2-benzyl 4,5-imidazolinu (divascolu). Bláček Josef, Stejskal Zdeněk), Českosl. farm., 1955, 4, № 10, 506—508 (чеш.; рез. русс., англ., нем.)

Метод основан на осаждении 2-бензил-4,5-имидазолина (I) солью Рейнеке (II) или кремневольфрамовой к-той (III). В первом случае р-р I для инъекций (~100 мг I) разбавляют до 20 мл и прибавляют 15—20 мл 2%-ного р-ра II. После 30 мин. выдержки во льду р-р фильтруют через стеклянный фильтр G4, осадок промывают 0,006%-ным р-ром II и высушивают при 100° в течение 2 час. 1 моль II осаждает 1 моль I. Погрешность метода 0,5%. Во втором случае р-р I (~50 мг I) разбавляют до 20 мл, нагревают до 70° и прибавляют 1 мл 37%-ной HCl и 10 мл 10%-ного р-ра III. Осадок отфильтровывают через фильтр G4, промывают 20 мл воды, высушивают при 100° и взвешивают. 1 моль III осаждает 4 моля I. Погрешность метода 2,5%. Н. Т.

43590. Определение содержания Т-кислоты в Аш-кислоте люминесцентным хроматографическим методом. Васкевич Д. Н., Хим. пром-сть, 1955, № 7, 44—46

Разработан люминесцентный метод определения Т-к-ты (I) и Аш-к-ты (II), основанный на различии в степени люминесценции I и II; в УФ-свете II люминесцирует фиолетовым цветом с голубым оттенком, I — желтым. Смесь разделяют в колонке Al_2O_3 . Люминесценцию наблюдают в аппарате Л-80, снабженном лампой ПРК-4 и светофильтром УФС-3, пропускающим только УФ-излучение с максимумом в области 340—360 мμ. Точность и чувствительность наблюдения увеличиваются при рассматривании пробирок с образцами сверху. Открываемый минимум II соответствует 0,1 γ и 10 мл (предельное разбавление 1 : 10⁶), I — 0,3 γ и 10 мл (предельное разбавление 1 : 3,3 · 10⁷). Значения pH р-ров мало изменяются в области конц-ий до 10 γ/мл. Для быстрого приближенного определения состава смеси цвет р-ра при облучении УФ-светом сравнивают с цветом серии эталонов; с увеличением содержания I цвет эталонов изменяется от фиолетового с голубым оттенком до желтого; особенно удобно определять примесь II в I, но не наоборот; в последнем случае анализ основан на различной адсорбции этих в-в на колонке Al_2O_3 (диам. 3 мм, длиной 110 мм). В УФ-свете отчетливо видны верхняя фиолетово-голубая зона II и нижняя желтая зона I; люминесценция хорошо видима только при конц-иях р-ров ≥ 10—20 γ/мл. Для разделения употребляют 0,3—0,5 мл р-ра; вымывают ~4-кратным кол-вом воды. Установлено, что при хроматографич. разделении смеси I и II количественно вымывается только I. Выделенный р-р I разбавляют до 10 мл и сравнивают со шкалой эталонов; погрешность составляет 1—2 γ. Б. Ш.

43591. Применение микрокристаллографического метода для обнаружения некоторых производных никотиновой кислоты в лекарственных препаратах. Маргасинский, Рафаловская (Zastosowanie metody mikrokrytalograficznej do wykrywania niektórych pochodnych kwasu nikotynowego w środkach leczniczych. Margasiński Z., Rafałowska H.), Przem. chem., 1955, 11, № 12, 700—702 (польск.; рез. русс., англ.)

Для обнаружения производных никотиновой к-ты (I) предложено производить микрокристаллографич. исследование комплексных соединений производных I с солями Cu, Hg и Bi. 1 каплю 4%-ного р-ра исследуемого в-ва смешивают с 1 каплей 1%-ного р-ра CuSO_4

и 1 каплей 0,1 н. NH_4SCN . Диэтиламид I (II) образует через 30 мин. зеленые игольчатые кристаллы (собранные в снопы), оксиметиламид I (III) — синие кристаллы в виде пластинок, а амид I (IV) — зеленые различной формы иглы. II образует в кислой среде с реактивом Майера (1 г HgCl_2 и 4 г KJ в 100 мл р-ра) бесцветные игольчатые кристаллы. III и IV осадков не образуют. Одна капля р-ра II, смешанная с 2 каплями 10%-ного р-ра HCl и 1 каплей реактива Драгендорфа (р-р 8 г основного нитрата Bi в 20 г HNO_3 уд. в. 1,18 прибавляют к конц. р-ру 27,2 г KJ и разбавляют до 100 мл), образует после нагревания на водяной бане красно-оранжевые иглы. Аналогично III образует пластинки (в виде крестов или звездочек), а IV — иглы или ромбовидные пластинки. Анализом установлено, что комплексное соединение II отвечает ф-ле $\text{Cu}[\text{C}_5\text{H}_4\text{NCON} \cdot (\text{C}_2\text{H}_5)_2]_2 (\text{SCN})_2$. Н. Т.

43592. Колориметрическое определение эритромицина при помощи метилсульфата. Пезе (Dosage colorimétrique de l'érythromycine à l'aide de sulfate de méthyle. Pesez Maurice), Ann. pharm. franç., 1955, 13, № 7-8, 513—516 (франц.)

При прибавлении метилсульфата (I) к р-ру эритромицина (II) в этилметилкетоне (III) развивается желтая окраска ($\lambda_{\text{максим}} \sim 4800 \text{ Å}$), максим. интенсивность которой достигается через 1 час. При 50—300 γ II (или его этилкарбоната) закон Бера выполняется. К 2 мл р-ра II в III прибавляют 8 мл II, перемешивают и выдерживают 1 час при 18—20°. Сходимость результатов определения II в таблетках по описанному и биохим. методам удовлетворительная. Б. М.

43593. Осциллополюграфическое определение степени чистоты лобелина. Душинский (Oscillograficko-polarografické zistenie čistoty lobelinu. Dušinský Gabriel), Chem. zvesti, 1955, 9, № 9, 556—558 (словац.; рез. рус., нем.)

Приведены осциллополюграммы лобелина (I) $dV/dt - V$, снятые на поляроскопе 524 Кржижика с двойной Hg и капельным Hg-электродом (период капания 6 сек.). Полюрограммы снимали приставкой «Флексарет» на пленках «Ультрапан» 21° DIN. В присутствии ацетофенона (образующегося при разложении I) в слабокислой среде наблюдается, кроме зубца, характерного для I, второй специфич. зубец. В 5 мл цитратного буферного р-ра по Мак-Ильзвэну (рН 6,2—6,6) в присутствии 0,02 г I можно определить $\geq 50 \gamma$ ацетофенона. Н. Т.

43594. Анализ люми-алкалоидов спорыньи. Пём (Zur Analytik von Lumi-Mutterkornalkaloiden. Pöhm M.), Microchim. acta, 1955, № 5—6, 1016—1018 (нем.; рез. англ., франц.)

Люми-эрготамин I и люми-эрготамин II, образующиеся при действии света на эрготамин (РЖХим, 1956, 16222), образуют с *n*-диметиламинобензальдегидом соли, р-ры которых имеют одинаковые спектры поглощения. Лизергиновая к-та имеет четкий минимум поглощения при 586 мμ, а люми-лизергиновая к-та характеризуется максимумом поглощения при этой

же длине волны. Для идентификации алкалоидов спорыньи предложено измерять спектр поглощения при 500—700 мμ. Сглаживание минимума при 586 мμ указывает на присутствие люми-алкалоидов. Последние обнаружены в продажи. окрашен. препаратах технич. алкалоидов методом хроматографии на бумаге. Н. П.

43595. Открытие некоторых стимуляторов нервной системы. (II). Цветная реакция 1-фенил-2-диметиламинопропана и третичных аминов. Окума (1-Phenyl-2-di-methylaminopropane 及び三級アミン類の呈色反應について. 覺せいアミン類の檢出法. 第2報. 大熊誠一), 藥學雜誌, Якугаку дзасси, J. Pharm. Soc. Japan, 1955, 75, № 9, 1124—1128 (япон.; рез. англ.)

При добавлении третичных аминов к р-ру лимонной, аконитовой и малоновой к-ты в $(\text{CH}_3\text{CO})_2\text{O}$ и нагревании развивается красная, фиолетовая или голубая окраска; в присутствии других органич. к-т окраска не развивается. Описанная р-ция является наиболее чувствительной цветной р-цией, свойственной алифатич., алициклич., жирно-ароматич. и ароматич. третичным аминам. К небольшому кол-ву третичного амина (води. р-р после подкисления HCl выпаривают досуха) или к 1 капле спирт. р-ра добавляют 0,5 мл 2%-ного р-ра лимонной к-ты в $(\text{CH}_3\text{CO})_2\text{O}$; при нагревании смеси на водяной бане развивается окраска от красной до пурпурной. Параллельно ведут контрольный опыт. Положительную р-цию дают также соли органич. и неорганич. к-т щел. и щел.-зем. металлов; соли других металлов дают отрицательную р-цию. Сообщение 1 см. РЖХим, 1956, 10171. В. П.

43596. Определение незначительных количеств алкалоидов с помощью раствора тетраэтовоксимутата калия. Сообщение 3. Пётке, Траберт (Die Bestimmung geringer Alkaloidmengen mit Hilfe von Kaliumjodowoximutatlösung. 3. Mitteilung. Poethke W., Trabert H.), Pharmaz. Zentralhalle, 1955, 94, № 11, 432—439 (нем.)

Ранее описанный метод определения алкалоидов использован для анализа различных препаратов, содержащих стрихнин и атропин (р-ры для инъекций, таблетки), а также для определения атропина в глазных мазях и для анализа экстракта порошков и таблеток беладонны. Описанным методом определяют содержание стрихнина в пшенице. Описаны предварительные операции, необходимые для анализа вышеуказанных препаратов. При использовании небольших навесок получены хорошие результаты. Сообщение 2, РЖХим, 1956, 7187. Н. П.

43597 К. Качественный органический анализ и научный метод. Мак-Гукни (Qualitative organic analysis and scientific method. McGookin Alexander. London, Chapman and Hall, 1955, VII + 155 p., ill. 15 sh.) (англ.)

См. также: Хроматография 13150Бх, 13154Бх, 13144Бх. Др. вопр. 44749; 13145Бх, 13170Бх, 13190Бх, 13195Бх, 13208Бх, 13211Бх, 13216Бх, 13218Бх, 13236Бх.

ОБОРУДОВАНИЕ ЛАБОРАТОРИЙ. ПРИБОРЫ, ИХ ТЕОРИЯ, КОНСТРУКЦИЯ, ПРИМЕНЕНИЕ

43598. Новинки оборудования для аналитических лабораторий. Хаузен (Nouveautés à l'usage des laboratoires d'analyse. Hausen Josef), Chim. analyt., 1955, 37, № 8, 268—272 (франц.)

Обзор оборудования, представленного на 11-й евро-

пейской выставке хим. аппаратуры в Франкфурте-на-Майне в мае 1955 г. Б. А.

43599. Распределение изодоз кобальтового источника, активностью 1100 кюри. Федорук, Джонс, Уотсон (Isodose distributions for a

1,100-curie cobalt ⁶⁰ unit. Fedoruk S. O., Johns H. E., Watson T. A.), Radiology, 1953, 60, № 3, 348—354 (англ.)

Изучено распределение глубинной дозы в водяном фантоме при облучении γ -лучами Co^{60} . Источник излучения представлял собой пластинку диам. 2,54 и толщиной 1,25 см. Пучок γ -лучей диафрагмировался Pb-коллиматором с прямоугольным отверстием от 4 × 4 до 15 × 15 см. Мощность дозы замерялась ионизационной камерой диам. 3 и высотой 10 мм. Результаты измерений представлены в виде кривых изодоз. Найдено, что распределение глубинных доз для γ -лучей Co^{60} такое же, как и для рентгеновских лучей с энергией 3 Мэв. Л. Б.

43600. Новые физические методы исследования в области макромолекул. Пиганьоль (Nouvelles méthodes physiques de recherches dans le domaine des macromolécules. P i g a n i o l.), Ind. plast. mod., 1955, 7, № 4, 39—42 (франц.)

Кратко описаны приборы: 1) эфиметр — для одновременного измерения модулей упругости и внутреннего трения при различных τ -рах и частотах; 2) консистометр — для изучения вязкости и консистенции тестообразных в-в. Дана краткая характеристика принципа тонометрии — термодинамич. метода измерения массы молекул, — и микрокалориметрии, пригодной для изучения теплоты разбавления и осаждения высокомолекулярных полимеров, термич. явлений при возвращении деформированного в-ва в первоначальное положение и т. п. Начало см. РЖХим, 1956, 16277.

43601. Использование призменного спектрографа, соединенного с интерферометром, для регистрации тонкой структуры линии комбинационного рассеяния GeCl_4 . Дюпера (Sur l'utilisation d'une association interféromètre-spectromètre à prismes pour l'enregistrement de la structure d'une raie Raman de vibration de GeCl_4 . Dupeyrat René, C. r. Acad. sci., 1955, 241, № 15, 932—935 (франц.)

Детально рассмотрены условия работы призменного спектрографа, соединенного с интерферометром. На осуществленной автором установке зарегистрирована тонкая структура линии 396 см^{-1} полностью симметричного колебания молекул GeCl_4 . Расстояние между пластинами интерферометра 0,4 мм, ширина выделенной спектральной области 12.5^{-1} . Изменение порядка интерференции достигалось вариацией давления газа (CF_2Cl_2) от 0 до 1 атм в камере интерферометра. Продолжительность экспозиции 4 часа, источник возбуждения спектра — мощная (3 кет) Hg-лампа низкого давления. Я. Б.

43602. Использование интерферометра Фабри — Перо для измерения волнового числа в инфракрасной области. Яффе (Concerning the use of the Fabry—Perot interferometer for wave-number measurement in the infrared. Jaffe Joseph H.), J. Opt. Soc. America, 1953, 43, № 12, 1170—1173 (англ.)

Показано, что видимость колец «равного наклона» всегда меньше величины $F/(F+2)$, где $F=4R/(1+R)^2$ и R — отражательная способность пластин интерферометра. Навлучшая видимость колец реализуется в случае, когда интерферометр помещен в коллимированный пучок света. Видимость ухудшается, когда увеличивается число колец, одновременно пропускаемых щелью. Даны кривые зависимости видимости колец от числа колец, одновременно пропускаемых щелью. А. Б.-З.

43603. Калиброванные пробирки для спектрофотометра Бекмана. Солцман (Matched test tubes in the Beckman DU spectrophotometer. Saltzman Bernard E.), Analyt. Chem., 1955, 27, № 7, 1207—1208 (англ.)

Рекомендуется применять вместо фотометрич. кювет калиброванные пробирки (КП) размером $22 \times 175 \text{ мм}$, рассчитанные на 10 мл р-ра и имеющие длину опич. пути 2 см. КП в спектрофотометре Бекмана, модель DU, устанавливаются в спец. держателе. Подробно описана техника отбора и калибровки пробирок. Описанные КП пригодны для любых колориметрич. анализов. А. Г.

43604. Печь для получения оптического спектра радиоактивных элементов. Бови (A furnace for obtaining optical spectra of radioactive elements. Bovey L. F. H.), J. Scient. Instrum., 1955, 32, № 10, 376—378 (англ.)

Описана вакуумная печь типа Кинга (King A. S., Trans. Elektrochem. Soc., 1946, 89, 301) для получения абсорбционных и эмиссионных спектров. При мощности 17 кет достигнута τ -ра 2500°. Выпуск излучения производится через кварцевое окно диам. $\sim 76 \text{ мм}$. Применена система тепловых Та-экранов. Используются три вида источников излучения: в области 4000—6000 Å — лампа накаливания (12, 48 см), для более длинных волн — угольная дуга, в УФ-области — дуга с высоким давлением Ar. Абсорбционные спектры получались за 30 сек., эмиссионные — за несколько мин. Приведены эмиссионные и абсорбционные спектры Pu, а также дуговой и эмиссионный спектр U. А. Б.-З.

43605. Электронноуправляемая установка для спектрального анализа, генерирующая низковольтную искру — прерывистую дугу и дугу постоянного тока. Бардоц (Elektronikus vezérlésű, kisfeszültségű szikra-, szaggatott- és egyenáramú ívkeltő berendezés szinképezés céljára. Bardócz Árpád), Magyar tud. akad. műsz. tud. oszt. közl., 1954, 12, № 1—4, 261—282 (венг.)

43606. Приборы с фотоэлектрической регистрацией. Фальк Т. К., Изв. АН СССР, сер. физ., 1955, 19, № 1, 45—47

Краткие технич. характеристики приборов с фотоэлектрич. регистрацией: ПС-381, ПС-382, ДСФ-4 для регистрации слабых спектров. Подробнее см. РЖХим, 1955, 26419. А. Л.

43607. Рентгеновская эмиссионная спектрография с использованием ионообменных мембран. Грабб, Земани (X-ray emission spectrography using ion exchange membranes. Grubb W. T., Zemany P. D.), Nature, 1955, 176, № 4474, 221 (англ.)

При анализе разб. р-ров рекомендуется использовать ионообменные мембраны, абсорбирующие катионы из р-ра. Исследование мембран при помощи рентгеновского эмиссионного спектрографа (РЖХим, 1955, 37473) позволяет установить присутствие того или иного катиона. Найдено, что скорость установления равновесия при обмене подчиняется логарифмич. закону, а полупериод установления равновесия для мембран толщиной 0,1 мм равен ~ 2 —3 час. Метод иллюстрирован анализом тяжелых металлов. Отмечена возможность применения метода к исследованию констант стабильности комплексных ионов. А. Б.-З.

43608. Оптическая кювета для исследования поглощения при низких температурах. Роберте (An optical absorption cell for use at low temperatures. Roberts V.), J. Scient. Instrum., 1955, 32, № 8, 294—296 (англ.)

Подробно описан дьюаровский сосуд с четырьмя опич. окнами (из кварца; KRS 5; AgCl и т. п.) для исследования опич. поглощения при 4,2—330° К. Исследуемый образец в спец. держателе омывается газообразным He, обеспечивающим тепловой контакт с охлаждающим агентом. Внутренние окна соеди-

няются с камерой образца путем склеивания цементом арадит методом, описанным ранее (РЖХим, 1955, 16730). Образец может с помощью несложного механизма отводиться с оптич. пути в ходе работы. После заполнения охлаждающей жидкостью возможна нормальная работа в течение 48; 17 и 1,25 часа при жидких азоте, водороде и гелии соответственно. Разность т-р между образцом и охлаждающей жидкостью, измеренная прямым методом, $\leq 1^\circ \text{K}$ вплоть до 20°K и, по видимому, не увеличивается и при более низких т-рах. В. Д.-К.

43609. Метод записи затухания фосфоресценции. Скаревог (Method of recording the decay of phosphorescence. Skarsvåg Kristian), Rev. Scient. Instrum., 1955, 26, № 4, 397—398 (англ.)

Описан метод записи фосфоресценции с временем затухания, превышающим $2 \cdot 10^{-3}$ сек. В качестве источника возбуждающего излучения использовалась стробоскопич. трубка LSD8, время послесвечения которой составляет 200 мсек. при емкости зарядного конденсатора 0,025 мкф и напряжении на нем 2200 в. Пиковое значение интенсивности свечения трубки равно 1000 лм. Возбуждение осуществлялось импульсами с частотой повторения 500 сек⁻¹. Интенсивность фосфоресценции измерялась с помощью фотоумножителя с катодным повторителем. Картина затухания фосфоресценции вырисовывалась на экране осциллоскопа. Л. Р.

43610. Поправка на отражения при измерениях молекулярного рассеяния света. Пютзеис, Минне (Correction de réflexion aux mesures de diffusion moléculaire de la lumière. Putzeys P., Minet J.), Ann. Soc. scient. Bruxelles, Sér. 1, 1955, 69, № 1, 29—36 (франц.)

Произведен расчет интенсивностей паразитных отражений от стенок прямоугольной кюветы при измерениях рассеяния света под углом 90° к направлению падающего пучка. Произведен численный расчет для стеклянной кюветы квадратного сечения 2×2 см и водн. р-ра. Показано, что для воздуха величина поправки на отражения достигает 10%. Эксперим. и теоретич. значения поправок хорошо согласуются между собой. Для исключения отражения рекомендуется погружать кювету в жидкость с показателем преломления, близким к показателю преломления стекла. Даже при погружении в воду поправки уменьшаются по сравнению с воздухом в 10 раз. С. Ф.

43611. Двухпризменная диспергирующая система с промежуточным зеркалом. Шапочкин Б. А., Изв. АН СССР, сер. физ., 1955, 19, № 1, 82—84. Для вывода призм из минимума угла отклонения применена двухпризменная диспергирующая система (С) с промежуточным зеркалом, позволяющая варьировать положением призм и тем самым получать переменную дисперсию (угол отклонения С сохраняется постоянным). С позволяет работать и в минимуме угла отклонения. На базе описанного прибора можно построить четырехпризменную диспергирующую С с углом отклонения $\sim 180^\circ$. Проведенные на монохроматоре УМ-2 эксперименты с одним вариантом двухпризменной С с промежуточным зеркалом подтвердили рациональность ее практич. использования. Ю. Б.

43612. Спектрометр с изменяемой частотой на объемном резонаторе. Колльер (Variable-frequency microwave cavity spectrometer. Collier Robert J.), Rev. Scient. Instrum., 1954, 25, № 12, 1205—1207 (англ.)

Описан спектрометр высокой чувствительности, предназначенный для анализа спектров молекулярных газов в области длин волн ~ 10 см. Подробнее см. РЖФиз, 1956, 8188. В. К.

43613. Новый радиоспектроскоп высокой разрешающей силы. Ромер, Дик (New technique for high-resolution microwave spectroscopy. Roemer R. H., Dicke R. H.), Phys. Rev., 1955, 99, № 2, 532—536 (англ.)

При использовании в качестве поглощающей ячейки цилиндрич. объемного резонатора высотой в половину и диаметром, много большим высоты, исключается доплеровское уширение спектральной линии и остается только уширение из-за соударений со стенками, если давление газа достаточно мало. Для линии 3,3 инверсионного спектра NH_3 получена ширина около 18 кГц (нормальная доплеровская ширина — 73 кГц). Форма линии и ширина хорошо согласуются с расчетом. Б. О.

43614. О некоторых причинах погрешностей при изучении магнитных веществ на радиочастотах. Эпельбуэн (Sur quelques causes d'erreur dans l'étude des substances magnétiques aux fréquences radioélectriques. Epelboin I.), Onde électr., 1955, 35, № 338, 471—475 (франц.)

43615. Влияние просветления линз на цветовую температуру. Гофман, Шлей (Einfluß der Linzenvergütung auf die Farbtemperatur. Hoffmann F., Schley U.), Photo-Techn. und Wirtsch., 1954, 5, № 2, 52—54 (нем.; рез. франц., исп., англ.) Изучено влияние просветления линз на определение цветовой т-ры. Приведены соотношения, позволяющие учесть влияние изменения коэфф. пропускания в зависимости от длины волны на величину цветовой т-ры для просветленных объективов. Результаты расчетов представлены графиками и таблицами. И. Б.

43616. Оптический цемент для кристаллов NaI(Te). Пани Н. Э., Ж. техн. физики, 1955, 25, № 13, 2369—2370

Оптич. цемент (Ц) для кристаллов NaI(Te) изготовлен из препарата 110 или 190 (полученных фракционной перегонкой в вакууме смеси углеводородов, образующихся при изготовлении *n*-дициклогексилбензола) и чистого полипропиленового, растворимых в трехкратном кол-ве чистого бензола. Вязкость Ц можно менять при использовании препарата 110 от 40 до 45%, а препарата 190 — от 23 до 28%. Между поверхностью кристалла и Ц получается полный контакт при отсутствии взаимодействия между ними. Приведенные кривые спектров поглощения двух Ц показывают, что для волн ≥ 350 мμ поглощение света пренебрежимо мало. Ю. Б.

43617. Линейка для быстрого определения оптической плотности. Броунштейн А. М., Завод. лаборатория, 1955, 21, № 5, 621—622

Предлагается приспособление для определения величин $\ln I_0/I$ на регистрограмме при помощи одного отсчета. М. Б.

43618. Фотометр для микроскопа. Франсон (Photomètre pour la microscopie. Françon M.), Metaux (Corros.-inds), 1955, № 353, 37—38 (франц.)

Применение полупрозрачной стеклянной пластинки позволяет использовать один осветитель для микроскопа и фотометра. Перед окуляром микроскопа располагаются фотометрич. клинья и кубик Луммера, освещаемые светом осветителя, проходящим по трубке из пластика. материала. Предусмотрена возможность измерения как относительной освещенности в месте сравнения, так и абсолютной при помощи эталона. А. Б.-З.

43619. Техника съемки образцов с фокусированием проходящих рентгеновских лучей с применением рентгеновского диффрактометра. Ланг (Focusing transmission specimen technique for the x-ray diffractometer. Lang A. R.), Rev. Scient. Instrum., 1955, 26, № 7, 680—689 (англ.)

Предложено при исследовании тонких пленок или слабопоглощающих в-в регистрировать прошедшие через кристаллы лучи по методу Brentano J. C. M. (Proc. Phys. Soc. (London), 1925, 37, 184). Пучок ограничивается сложной системой щелей конусообразного типа, позволяющей достигать высокой разрешающей способности. Держатель образца позволяет перемещать образец и вращать его вокруг оси, перпендикулярной плоскости образца. При этом увеличение расходимости первичного пучка вызывает резкое возрастание интенсивности дифрагированных лучей, причем детали дифракционной картины не затухают. В случае исследования текстурованных образцов метод проходящих лучей позволяет изучать как вершину полюсной фигуры, так и экваториальную зону. Это дает возможность исследовать как направления протекания, так и поперечное направление. Изучение текстурованных образцов требует проведения съемки при симметричном и асимметричном расположении образца относительно направления рентгеновских лучей. В последнем случае смещение изображения фокуса меньше, чем в первом, если угол поворота образца положителен. Если образец повернут против часовой стрелки, то при некоторых условиях смещение может превышать то, которое наблюдается при симметричном расположении образца. Изображение фокуса теряет остроту лишь при углах поворота, больших угла расходимости пучка лучей. А. К.

43620. Стабилизатор тока электронного пучка для генератора рентгеновских лучей. Стоун (A beam current stabilizer for an X-ray generator. Stone R. G.), J. Scient. Instrum., 1955, 32, № 8, 322—323 (англ.)

Для стабилизации анодного тока рентгеновской трубки используется разность потенциалов, возникающая при прохождении анодного тока через сопротивление; электронная лампа, управляемая этой разностью потенциалов, в свою очередь управляет работой генератора сигналов прямоугольной формы. Эти сигналы подаются на сетку тиратрона, являющегося дополнительной нагрузкой трансформатора накала нити рентгеновской трубки. С ростом анодного тока трубки возрастает проводимость тиратрона, в результате чего уменьшается ток накала рентгеновской трубки. При силе анодного тока трубки 20 мА и потенциале антикатада 28 кВ изменение на 10 мА силы тока в трансформаторе накала нити трубки вызывало изменение анодного тока на 2,5 мА при выключенном и на 0,06 мА при включенном стабилизаторе. Г. Т.

43621. Электронный микроскоп и некоторые примеры его использования. II. III. Маркал и (Elektronmikroskopet og noen eksempler på dets anvendelse II. III. Markali J.), Fra fys. verden, 1954, 16, № 1, 36—46; № 3, 127—135 (норв.)

Популярная статья. Сообщение 1 см. РЖХим, 1956, 16484. А. С.

43622. Углеродные подложки для электронной микроскопии. Шобер, Прокеш (Uhlikové nosné blány pro elektronový mikroskop. Schober Bruno, Prokeš Vladimír), Českosl. biol., 1955, 4, № 7, 435—436 (чеш.)

Описана видоизмененная по сравнению с ранее разработанной (РЖХим, 1954, 39211) методика получения подложек для электронной микроскопии, представляющих собой тонкие углеродные пленки (II), прозрачные для электронов. Углерод испаряли в вакууме (с помощью электрич. разряда между угольными электродами) на стеклянную пластинку, покрытую тонкой II метакрилатом. II не разрушалась при облучении потоком электронов максимально возможной интенсивности. В. С.

43623. Конструкция новых счетчиков типа Гейгера—Мюллера и изучение их свойств. Кочарян Н. М., Дургарян А. А., Науч. тр. Ереванск. ун-та, 1955, 48, 71—78 (рез. арм.)

Для изучения элементарных частиц малых энергий, которые не исследуются обычными счетчиками (С), рекомендуется применять С со спиральным катодом вместо цилиндра. Исследовались С со спиралью диам. 20 мм из Cu-проволоки диам. 1 мм и разным шагом от 3,94 до 8,9 мм. Эти С заполнялись при давл. 100 мм рт. ст. аргоном с примесью 10% метанола и сравнивались с обычными цилиндрическими. С тех же размеров и заполненными при тех же условиях. Необходимыми условиями стабильной работы С являются постоянство диам. и шага спирали, а также симметрия нити. Спиральные С имеют хорошее плато, хотя оно несколько уже, чем у обычных С. И. И.

43624. О температурном коэффициенте счетчиков Гейгера—Мюллера с внешними катодами, наполненными органическими парами. Блан, Вист (Sur le coefficient de température des compteurs de Geiger—Müller à cathode externe contenant une vapeur organique. Blanc Daniel, Viste René), C. r. Acad. sci., 1955, 240, № 25, 2405—2407 (франц.)

43625. Чувствительность ионизационного счетчика в присутствии водяного пара. Барр, Монгоден, Прево (Réponse de la jauge à ionisation en présence de vapeur d'eau. Barre R., Mongodin G., Prevot F.), Vide, 1955, 10, № 57, 78—79 (франц.)

Приведено сравнение действия ионизационного счетчика в воздухе и в водяном паре. Ионизация в воздухе в 10 раз выше, чем в паре. В. М.

43626. Простое счетное устройство, работающее от пересчетной установки. Болл (Simple count rate system to work from scaler. Ball Russell M.), Rev. Scient. Instrum., 1953, 24, № 4, 323 (англ.)

Описано простое приспособление к пересчетной установке, позволяющее быстро оценить величину активности перед окончательным точным измерением. Импульсы от регистрирующего устройства пересчетной установки выпрямляются двумя селеновыми детекторами и интегрируются с помощью конденсатора в 40 мкФ; ток измеряется гальванометром на 1 мА. В. Л.

43627. Некоторые новые вакуумотехнические и химические применения радиочастотного масс-спектрометра. I. Радиочастотный тепеискатель. Шебештьен, Варади (Rf. tömegspektrométer néhány új vákuumtechnikai és kémiai alkalmazása I. Rf. lyukkereső. Sebestyén L. Gábor, Váradi F. Péter), Magyar kém. folyóirat, 1955, 61, № 2, 33—42 (венг.; рез. англ.)

Обзор и описание простого тепеискателя. Библ. 44 назв. Л. А.

43628. Экспериментальные условия работы ионного источника масс-спектрометра с однопериодной фокусировкой. Хирота, Титоку (単收斂型質量分析計のイオン源の使用条件. 廣田鋼藏, 千徳一夫), 日本化学雑誌. Нихон какаку засси, J. Chem. Soc. Japan. Pure Chem. Sec., 1954, 75, № 4, 404—407 (япон.)

Описан усовершенствованный ионный источник масс-спектрометра с двумя дополнительными электродами между катодом и ионизационной коробочкой. Исследована связь между напряжениями на этих электродах и ионным током для смесей Ag и N. Для увеличения точности анализов электронный ток на приемнике должен быть уменьшен до 2—10 мА. Для повышения чувствительности анализ ток на приемнике электронов должен быть увеличен до 10—20 мА. Chem. Abstrs, 1954, 48, № 14, 8037. Masaji Kubo.

43629. О конструкции источника положительных ионов. Делленбах (Gesichtspunkte für die

Konstruktion einer Quelle positiver Ionen. D ä l l e n - b a c h W.), Z. Naturforsch., 1955, 10a, № 9—10, 803—805 (нем.)

На основании анализа вольтамперных характеристик Hg-выпрямителей предложена конструкция источника протонов. Источник позволяет получить протонный ток 2,3 μ а при плотности электронного тока 10а/см² и давлении H₂ 0,05 мм рт. ст.

А. Л.

43630. Подготовка тонких магнитных пленок и их свойства. Б л о й с (Preparation of thin magnetic films and their properties. Blois M. S., Jr., J. Appl. Phys., 1955, 26, № 8, 975—980 (англ.))

Описана техника получения магнитных пленок (П) (преимущественно сплавов Fe-Ni) толщиной 100—10 000 Å методом вакуумной конденсации. Расплавление сплава велось в тигле из Al₂O₃ высокочастотным нагревом. В качестве подложки применялся монооксид кремния и фтористый магний, имеющие коэфф. теплового расширения близкие к коэфф. теплового расширения исследуемых сплавов. Подложки готовились испарением из Ta-тигля. Для уменьшения напряжений в П и регулирования величины коэрцитивной силы (КС) подложка нагревалась до 300—550°. Установлено, что действительный состав пленки значительно отклоняется от ожидаемого. Получены ферромагнитные П с КС 0,1—40,0 э. Отмечено влияние материала и качества подложки на величину КС. Использован метод магнитной ориентации для получения прямоугольных петель гистерезиса (ПГ). Отжиг ферромагнитных П приводит к уменьшению КС. Исследование магнитных свойств велось при частотах 60, 20 000 и 10⁶ гц ранее описанным методом (Crittenden E. C. Jr., et al., Rev. Scient. Instrum., 1951, 22, 872). Приведена блок-схема установки для исследования ПГ. А. Б.-З.

43631. Прибор для измерения диэлектрической постоянной. Д а м о к о ш (Egyszerű dielektromos állandó mérő-készülék vegyszeri mérésekhez. D a m o k o s T a m á s), Mérés és automatika, 1955, 3, № 10, 322—324 (венг.)

Описан простой прибор для измерения диэлектрической постоянной, пригодный и для проводников с небольшими коэфф. электропроводности. Прибор является усовершенствованным инструментом резонансного типа, в котором один гендот используется для генераторного и резонансного контуров. Согласно эксперим. данным прибор дает удовлетворительные результаты, если коэфф. электропроводности измеряемого в-ва $\leq 10^{-6}$ ом⁻¹см⁻¹.

Л. Р.

43632. Простая аппаратура для определения теплопроводности кристаллов. С р и н и в а с а н (A simple apparatus for the determination of the thermal conductivity of crystals. S r i n i v a s a n R.), J. Indian Inst. Sci., 1955, 37, № 3, A 200—A 214 (англ.)

Описана установка для исследования теплопроводности кристаллов, в которой пластинка кристалла помещается между двумя Si-пластинками толщиной 0,5 и диам. 2 см. На одной из Si-пластинок расположен электрич. нагреватель, другая поддерживается при постоянной т-ре циркулирующей водой. Контакт между кристаллом и Si-пластинками обеспечивается Hg. Все устройство помещено в Si-кожух диам. ~10 см. Измерение т-ры вдоль кристалла, разность между т-рой горячей пластины и т-рой окружающей среды измерялась термометрами. Подробно описана методика измерения и приведены эксперим. данные, полученные автором.

А. Б.-З.

43633. Усовершенствование приборов для получения малых кристаллов хлористого натрия. Т о м п - с о н, Р о з, М о р р и с о н (Modification of an apparatus for preparing small sodium chloride crystals. Thompson F. W., Rose G. S., Morri-

son J. A.), J. Scient. Instrum., 1955, 32, № 8, 325 (англ.)

Описано усовершенствование ранее предложенного прибора (РЖХим, 1954, 50291), которое заключается в изменении конструкции обогрева тигля с NaCl и применении Pt-перегородки, направляющей поток азота на поверхность расплавленной соли. Размер кристаллов NaCl и производительность прибора прежние.

Г. И.

43634. Метод испарения металлов в вакууме при помощи прерывистой дуги. В о д а р, М и н н, О ф р е (Méthode d'évaporation des métaux par arc intermittent dans le vide. V o d a r B., M i n n S., O f f r e t S., m-lle, J. phys. et radium, 1955, 16, № 10, 811—812 (франц.))

Предложен метод испарения металлов при помощи прерывистой дуги с 10 вспышками в 1 сек. Вакуум ~10⁻⁵ мм рт. ст. При питании дуги постоянным током (110 а, 10 а) испарение металла происходит почти исключительно с катода. Для испарения используются пластинки толщиной 0,3 и длиной 3 мм. Хорошие результаты получены при распылении С, W, Pt, Ir, Cr, Au, Zn. Отмечена возможность распыления латуни. Для исследования природы испаряемых частиц накладывался потенциал $V = 1000$ в между дугой и подложкой. При $V < 0$ возникает сильный разряд с вырыванием частиц напыленного слоя, при $V > 0$ наблюдалась кони-ция всех паров на подложке, что важно при распылении редких и дорогих металлов.

А. Б.-З.

43635. Устройство для лабораторного получения кристаллов германия. Т р о у с и л (Zařízení k laboratorní přípravě germaniových krystalů. T r o u s i l Z d e - n ě k), Českosl. časop. fys., 1955, 5, № 5, 568—571 (чеш.)

Разработана спец. методика зонального плавления Ge (при обычной плавке расплав загрязняется). Графитовая лодочка длиной 15—17 см, загруженная 150 г Ge, помещалась внутрь кварцевого сосуда с источником электронов (7 кэ, 300—500 em) и ее дно подвергалось электронной бомбардировке. По мере плавления Ge лодочка передвигалась. Расплав помещался в печь, т-ра которой, близкая к т-ре плавления Ge, регулировалась с точностью $\pm 0,2\%$. Для равномерного обогрева расплава тигель окружался массивным графитовым блоком. Получены кристаллы весом 100—120 г.

В. С.

43636. В редакцию журнала «Известия АН СССР, серия физическая». С а р а ф а н о в В., Изв. АН СССР, сер. физ., 1955, 19, № 1, 140—141

Проводятся критич. замечания в адрес работы Салихова С. Г. «Измерение магнитной проницаемости и диэлектрической постоянной в некоторых ферродиелектриках на сантиметровых волнах» (РЖХим, 1955, 55578). Указывается, что неверны ф-лы для относительных волновых сопротивлений, примененные автором при расчетах, а также ф-лы, по которым вычислялись диэлектрич. постоянная $[\epsilon]$ и магнитная проницаемость $[\mu]$. Обращается внимание на то, что полученные автором значения $[\epsilon]$ и $[\mu]$ не являются характеристиками физ. свойств в-ва, так как $[\epsilon]$ и $[\mu]$ оказались зависящими от толщины образца. Кроме того, среди результатов автора есть значения $\epsilon' < 1$, хотя хорошо известно, что не существует диэлектриков и магнитодиэлектриков, у которых диэлектрич. проницаемость в области сантиметровых волн была бы меньше единицы.

Н. П.

43637. В редакцию журнала «Известия АН СССР, серия физическая». В о н с о в с к и й С. В., Изв. АН СССР, сер. физ., 1955, 19, № 1, 141

Указывается, что критич. замечания, сделанные В. Сарафановым (см. пред. реф.) по поводу статьи

С. Г. Салихова (РЖХим, 1955, 55578), правильно.

43638. Экспериментальные методы измерения плотности жидкостей и их паров. Антонов, Азим (Experimental methods of measuring the densities of liquids and their vapours. Antonoff George, Azeem M.), Pakistan J. Scient. Res., 1955, 7 № 2, 79—80 (англ.)

Предложен метод изготовления стеклянных деталей для давлений до 1000 ат. Использовались трубки с толщиной стенок 1,5 мм, отожженные при т-ре размягчения стекла. Охлаждение велось вместе с печью до комнатной т-ры.

43639. Измерение диэлектрической проницаемости стандартных жидкостей. Хартекорн, Парри, Эссен (The measurement of the dielectric constant of standard liquids. Hartshorn L., Parry J. V., Essen L.), Proc. Phys. Soc., 1955, B68, № 7, 422—446 (англ.)

Измерения проводились в конденсаторе с электродами в виде цилиндров из Pt-фольги толщиной 0,3 мм. Диаметр внутреннего цилиндра 25 мм, расстояние между электродами ~1,3 мм. Электроды смонтированы в цилиндрич. ячейке из пирекса с двойными стенками. Наружный Pt-цилиндр разрезан на три части. Центральная часть высотой 10 см служит электродом, два крайних цилиндра высотой 2 см — защитными кольцами и соединены с экраном. Измерена диэлектрич. проницаемость при 20° ϵ_{20} бензола (I) 2,2836, циклогексана (II) 2,0250, дихлорэтана (III) 10,663 и нитробензола (IV) 35,75. В области т-р 20—30° $\epsilon_t = \epsilon_{20} - a(t - 20)$, где температурный коэфф. a для I 0,00190, II 0,00155, III 0,0553 и IV 0,185. Точность определения ϵ составляет для I 0,01%. У I не обнаружено дисперсии даже при 9000 Мгц. Измерение емкости производилось по схеме моста Шеринга. Тангенс потерь для чистого I не превышал 0,001. Трудность удаления остатков воды из I препятствует применению его в качестве стандартной жидкости при диэлектрич. измерениях. В этом отношении II имеет преимущество перед I. При хранении III в нем появляются вследствие разложения свободные ионы, которые можно удалить путем наложения напряжения 300 в в течение ~24 час. То же имеет место в отношении IV. Измерениями в безыонном р-ре для IV найдено значение дипольного момента $\mu = 4,05 D$ и время релаксации $\tau = 11,4 \cdot 10^{-12}$ сек.

43640. Об измерении диэлектрической постоянной жидкостей в дециметровом диапазоне. Экель (Zur Messung der Dielektrizitätskonstanten von Flüssigkeiten im Dezimeterwellenbereich. Jäkel Theobald), Ann. Physik, 1955, 17, № 1, 42—54 (нем.)

Описан прибор для измерения комплексной диэлектрич. постоянной $\epsilon = \epsilon' - i\epsilon''$ жидкостей, работающий на принципе использования резонансных свойств линии Лехера. Приведены результаты измерений ϵ в р-рах: метиловый спирт-бензол, изобутиловый спирт-бензол, метиловый спирт-изобутиловый спирт-бензол в интервале т-р 20—60°.

43641. Упрощенные прибор и техника определений точки замерзания малых объемов жидкости. Рамзи, Браун (Simplified apparatus and procedure for freezing-point determinations upon small volumes of fluid. Ramsay J. A., Brown R. H. J.), J. Scient. Instrum., 1955, 32, № 10, 372—376 (англ.)

Прибор основан на замораживании образца и определении его точки плавления, что даст наилучшие результаты как в отношении быстроты достижения равновесия, так и в отношении наименьшего влияния капиллярных эффектов для объемов 10^{-3} — 10^{-4} мл³. Точность $\pm 0,003^\circ$ для депрессий точек замерзания ~1—2°. Е. З.

43642. Использование трубок Рёзе—Герцфельда в качестве dilatометра для жидкостей при быстрых определениях коэффициента объемного расширения. Кланчнинг (Impiego dei tubi di Röse—Herzfeld come dilatometri per liquidi nelle determinazioni rapide del coefficiente di dilatazione cubica. Klantschnigg Piero), Chimica, 1955, 31, № 7-8, 291—293 (итал.)

Предлагаемый метод более точен по сравнению с прямым определением их удельного веса при разных т-рах, экономит время и дает возможность получать «dilatометрич. кривую». Для большинства испытанных жидкостей ошибка в вычисленных значениях их уд. веса составляет $\pm 0,0005$ и лишь для более летучих жидкостей при высоких т-рах $\pm 0,001$. Метод применялся для серийного определения уд. весов смесей оливкового масла с органич. р-рителями. Описаны внесенные автором дополнительные приспособления и техника работы.

43643. Температурные и временные ошибки при вискозиметрических измерениях. Ответ Фринду и Винклеру. Умштаттер (Zeit- und Temperaturfehler bei viskosimetrischen Messungen. Bemerkungen zu den beiden Arbeiten von H. Frind und F. Winkler. Umstätter Hans), Faserforsch. und Textiltechnik, 1955, 6, № 7, 332—333 (нем.)

Показано, что расположение секундомера дает ошибки до 0,01%, а ошибка от колебаний т-ры в пределах 0,02° может дать большие ошибки. При точных измерениях необходимо поддерживать т-ру в пределах 0,002° с помощью термоэлектронного приспособления. См. РЖХим, 1955, 54713; 1956, 19432.

43644. Измерение, регистрация и регулирование вязкости при любом давлении. Рейн (Messung, Registrieren und Steuern der Viskosität bei beliebig hohem Druck. Rein E. d.), Chem. Rundschau, 1953, 6, № 18, 315 (нем.)

Ротационный вискозиметр «Эппрехт» с магнитным сцеплением позволяет производить измерения вязкости при различных градиентах скорости, причем в автоклаве или в нагреваемой или охлаждаемой камере находится лишь измерительный элемент. И. С.

43645. Стержневой вискозиметр. Толленар, Биссеп (The bar viscometer. Tollenaar D., Bisschop M. C.), J. Colloid Sci., 1955, 10, № 2, 151—155 (англ.)

Предлагается стержневой вискозиметр с продольно смещающимся цилиндром, в котором не происходит заметного нагревания исследуемого в-ва и соответственного снижения его вязкости. Основную часть прибора составляют два вертикальных коаксиальных цилиндра, между которыми помещается исследуемое в-во. Внутренний (сплошной) цилиндр, подвешенный за один конец с помощью блока и противовеса, нагружается на другом конце и под действием этого груза равномерно смещается в наружном полном цилиндре. Приведены ф-лы для вычисления напряжения и скорости сдвига. Прибор пригоден при напряжениях сдвига 10^4 — 10^6 дин/см². При калибровке его эталонными маслами калибровочные постоянные отличаются на несколько процентов от расчетных величин. Недостаток прибора — отсутствие термостатирования. А. К.

43646. Определение плотности воздуха весовым методом. Маликова Н. Ф., Швецов М. И., Измерит. техника, 1955, № 4, 46—47

Описано применение метода Менделеева для метрологич. определения плотности воздуха взвешиванием двух тел равных масс, но известных разных объемов.

Ю. З.
43647. Экранированный электрический ввод в вакуум. Харроуэр, Бест, Маккалет (Shielded electrical connection into vacuum. Har-

rower G. A., Best F. S., Machalett A. A.), Rev. Scient. Instrum., 1955, 26, № 4, 404—405 (англ.)

Описан коаксиальный спай стекла (корнинг 7025) с металлом (ковар), применяемый в качестве экранированного электрич. ввода в высоковакуумную аппаратуру. Наружный конец ввода приспособлен для присоединения к стандартному штепсельному разьему. Токоподводящий стержень выполнен из ковара диам. 1,5 мм. Ввод способен выдерживать быстрый нагрев до 400° и может применяться в установках с рабочим давл. 5·10⁻¹⁰ мм рт. ст. Однако сравнительно большие величины магнитной проницаемости и уд. электрич. сопротивления ковара делают затруднительным применение ввода для некоторых видов аппаратуры. Приведены порядок сборки экранированного электрич. ввода и его чертеж с основными размерами. Л. А. 43648. Эксперименты при очень низких давлениях.

Алперт (Experiments at very low pressures. Alpert D.), Science, 1955, 122, № 3173, 729—733 (англ.)

Обзор. Библ. 15 назв.

Л. А. 43649. Об упрощенном мембранном манометре.

Кияма, Осуги, Тэраниси (On a simplified membrane pressure gauge. Kiyama Ryo, Osugi Jiro, Teranishi Hiroshi), Rev. Phys. Chem. Japan, 1954, 24, № 2, 81—84 (англ.)

Описан мембранный манометр, в котором деформация стальной мембраны преобразуется во вращательное движение зеркала, световое пятно от которого проектируется на шкале. Приводится ф-ла, выражающая зависимость перемещения пятна от давления и конструктивных размеров прибора. Чувствительность прибора 1,23 см/атм не изменяется в пределах 0—40 атм. Для измерения быстротекущих давлений на мембране укреплен тензометр, связанный с электромагнитным осциллографом. Применение тензометра в несколько раз повысило чувствительность прибора. Л. А. 43650. Применение микрометрического механизма для отсчета показаний трубки Бурдона. Роджерс, Малик, Томпсон (Micrometer mechanism for reading a Bourdon gauge. Rogers Max T., Malik Jim G., Thompson H. Bradford), Rev. Scient. Instrum., 1955, 26, № 7, 730—731 (англ.)

Для повышения точности манометра с трубкой Бурдона (ТБ) рекомендуется отказаться от стрелочного механизма, а перемещения конца ТБ измерять непосредственно микрометрич. головкой. Контакт микрометра с ТБ определяется электронным реле. Применяя микрометрич. головку с точностью отсчета в 2,5 м и манометр на 0—760 мм рт. ст., у которого конец ТБ перемещается на 2,8 мм, можно отсчитывать до 0,7 мм рт. ст.

И. И. 43651. Использование термисторов для измерения вакуума. Лортье (Utilisation de thermistances comme jauges a vide. Lortie Yvonne, m-lle), J. phys. et radium, 1955, 16, № 4, 317—320 (франц.)

Для измерения упругости паров органич. соединений (10⁻¹—10⁻³ мм рт. ст.) предлагается использовать полупроводниковые термочувствительные сопротивления — термисторы. Включение в одно из плеч моста Уитстона термистора с температурным коэфф. сопротивления 4,5·10⁻² ом/град⁻¹ (при 25°) позволяет получить чувствительный индикатор давления. Д. М. 43652. Термодиффузионная колонна для концентрирования трития в смесях тритий-водород. Алмквист, Аллен, Сандерс (Thermal diffusion column for concentrating tritium in tritium-hydrogen mixtures. Almquist E., Allen K. W., Sanders J. H.), Rev. Scient. Instrum., 1955, 26, № 7, 649—651 (англ.)

Термодиффузионная колонна (ТК) с размерами: высота 350, диам. 2,86 см, изготовлена из нержавеющей стали. Горячей «стенкой» служила аксиально втянутая в ТК W-проволока диам. 0,5 мм, нагреваемая во время опыта электрич. током до 750°. Наружная металлич. стенка ТК охлаждалась проточной водой. Изменение конц-ии трития во время процесса контролировалось при помощи присоединенных к верхней и нижней частям ТК ионизационных камер. Вывод обедненного тритием водорода производился через Pd-пергородку в верхней части ТК. Исходная газовая смесь с повышенным содержанием трития, получаемая при разложении гидроксида урана, вводилась в среднюю часть ТК. Величина равновесного фактора разделения вычислялась по ф-ле: $q_e = [C_B/(1 - C_B)] [(1 - C_T)/C_T] = e^{2AL}$, где C_B — равновесная конц-ия тяжелого изотопа в нижней части ТК; C_T — его равновесная конц-ия в верхней части, L — высота ТК и $A = H/[2(K_c + K_d)]$, причем H , K_c , K_d — коэфф. переноса, вычисляемые из теории термодиффузии (Furry W. N., Jones R. Clark., Phys. Rev., 1946, 69, 459). Опыты проводились при давлениях: $p' = 0,37$; $p'' = 0,68$; $p''' = 0,84$ атм. Достигнутые факторы разделения оказались равными $q_e = 10,4$; $q_e' = 294$ и $q_e'' = 680$. При содержании трития в исходной смеси ~ 2%, описанная ТК позволяла получать за равновесный цикл 150 см³ газа, содержащего ~ 20% трития. С. Б. 43653. Модель калориметра без специальной мешалки. Некрч Е. Ф., Завод. лаборатория, 1955, 21, № 10, 1248—1249.

В описанной модели роль мешалки выполняет корзинка для ампулы с в-вом. Полоски материала между прямоугольными окнами корзинки несколько изогнуты вокруг вертикальной оси, что обеспечивает интенсивное перемешивание жидкости при вращении корзинки. Тепловое значение калориметра (~ 92 кал/град) найдено электрич. методом с точностью 0,2%. Калориметр применен для определения теплот сжигания водой различных образцов целлюлозы. Ю. З. 43654. Получение бензойной кислоты для калибровки калориметрических бомб. Бужняк, Вуйчикский (Otrzymywanie kwasu benzoesowego do cechowania bomb kalorymetrycznych. Buźniak Małgorzata, Wójcicki Władysław), Roczn. chem., 1955, 29, № 2-3, 926—928 (польск.; рез. русс.)

Разработан метод очистки C₆H₅COOH (I) для калибровки калориметрич. бомб. Фармацевтически чистую I перекристаллизуют из C₆H₅ON, растворяют в воде при 90°, отбирают фракцию, кристаллизующую при 20—10° (выход 10%), переводят ее в Na-соль (р-р NaOH), из последней вновь выделяют I (HCl), растворяют в воде, перегоняют, осадок сушат 6 недель над P₂O₅. Теплота сгорания полученной I составляет 6318,74 кал₁₅° и отличается от международного стандарта на 0,06 кал₁₅°.

Т. А. 43655. Применение простого двойного калориметра для измерения теплоемкости жидкости. Васенко Е. Н., Бланк М. Г., Докл. Львовск. политех. ин-та, 1955, 1, № 1, 59—63

Для определения истинной теплоемкости жидкости применен двойной калориметр, в котором оба гнезда с калориметрами помещены в одну и ту же оболочку постоянной т-ры и отсутствует перемешивание жидкостей в калориметрах. Тепловое значение последних составляло 24,46 кал/град. Описаны техника работы и метод обработки эксперим. данных, по которому на прямых, соответствующих равномерному нагреву обеих жидкостей (воды и исследуемой), вырезали участки, отвечающие одному и тому же отрезку времени, и опре-

деляли таким образом необходимое для расчета теплоемкости повышение t -ры в каждом калориметре. Приведены данные определения уд. теплоемкости жидкого диэтилформамида и его p -ров в воде. Ю. З.

43656. Калориметр для измерения теплот сгорания и теплотворной способности твердого топлива. Борман (Kalorimetr do pomiarów ciepła spalania i wartości opałowej. Borman Henryk), Przegl. techn., 1955, 76, № 4, Biul. główn. urzędu miar., 3 (польск.)

43657. Метод исследования равновесий в реакциях образования карбидов из оксидов при высоких температурах. Купев В. С., Ормонт Б. Ф., Эпельбаум В. А., Ж. физ. химии, 1955, 29, № 4, 629—634

Равновесие устанавливается в вакуумной печи, представляющей собой кварцевую трубку емк. 500 см³ с металлич., охлаждаемыми водой электродами, припаянными к концам трубки. К электродам присоединялась служившая нагревателем печи графитовая трубка диам. ~ 15—17 мм. Спец. приспособление позволяло производить десорбцию газов прогреванием его до t -ры на 100° выше t -ры исследования, а затем, не нарушая вакуума, бросать графитовый сосудик с исследуемой смесью в центральную часть нагревателя. Все устройство погружалось в водяной термостат (25±0,2°). В графитовую трубку можно загружать до 5 г исследуемого в-ва. Проведена проверка методики исследования равновесия $ZrO_2 + C$, изученного ранее (Prescott C. H., J. Amer. Chem. Soc., 1926, 48, 2534). По сравнению с методикой Прескотта точность измерения равновесного давления описанным прибором повышена на один порядок. Т. Р.

43658. Применение автоматического электронного потенциометра для записи кривых нагрева. Будников Н. П., Тресвяцкий С. Г., Укр. хим. ж., 1955, 21, № 5, 661—663

Описано устройство и приведена схема электронного автоматич. потенциометра для записи попеременно на одной ленте обычной и дифференциальной t -ры при термич. анализе. Прибор может быть собран на базе многоотчетного электронного потенциометра типа ЭПП-09. Ю. Б.

43659. Термическая весовая установка и ее применение для скоростного фазового анализа. Иванова В. П., Биндул Ф. Я., Информ. сб. Всес. н.-п. геол. ин-та, 1955, № 1, 132—140

Установка позволяет производить фазовый анализ карбонатов и водосодержащих минералов. Примененный метод анализа основан на непрерывной регистрации веса при нагревании пробы. Анализ навесок 0,2—0,02 г длится 30—40 мин. Приведены кривые декарбонизации некоторых мономинеральных карбонатов. Основными частями прибора являются торсионные весы, электрич. вертикальная трубчатая печь, расположенная под весами, реостат и гальванометр с термонарой. Приведены таблицы и диаграммы, ускоряющие расчеты. Ю. Б.

43660. Определение точного давления пара водных растворов LiBr. Пеннингтон (How to find accurate vapor pressures of LiBr water solutions. Pennington William), Refrig. Engng, 1955, 63, № 5, 57—61 (англ.)

Разработан метод составления ур-ний типа $\lg p = a + b/T + c/T^2$ для водн. p -ров LiBr различных конц-ий, исходя из t -ры кипения при атмосферном давлении, давления пара при 30, 41° и теплоты разбавления при 25°. Приведены эксперим. данные для каждого из трех факторов и эбуллиометрич. данные, подтверждающие надежность метода. Дан график конц-ий в точке росы в пределах 50—68°. В. М.

43661. Определение молекулярного веса физическими методами. III. Бользингер (Molekulargewichtsbestimmungen mit physikalischen Methoden. III. Bolsinger Otto), Chem. Labor und Betrieb, 1955, 6, № 10, 569—571 (нем.)

Кратко описан простой стеклянный прибор и техника определения мол. весов в-в эбуллиоскопич. методом, а также приведены эбуллиоскопич. константы эфира, спирта, бензола, ледяной уксусной к-ты и воды, полученные на этом приборе. Часть II см. РЖХим, 1956, 24729. А. Л.

43662. Исследование химических превращений в жидких углеводородах, вызываемых действием электрических импульсов. Тибернио (Ricerca sugli effetti chimici provocati da correnti impulsive sugli idrocarburi liquidi. Tiberio Ugo), Ricerca scient., 1955, 25, № 9, 2640—2650 (итал.; рез. англ., нем., франц.)

Рассматривается термодинамич. возможность использования в хим. исследованиях жидких углеводородов электрич. импульсов, подобных применяемым в радарной технике. Описывается эксперим. оформление предлагаемой методики. Приводятся результаты опытов, посвященных исследованию действия направленных импульсов на гептан, минер. масла и дистилл. воду. Излагается программа исследований, имеющих целью выяснение возможностей использования предлагаемого метода в теоретич. исследованиях и в пром.-сти. Б. К.

43663. Простое электронное реле переменного тока для термостатирования водяной бани. Джогарао, Пана (A simple A. C. operated electronic relay for a thermostatic water bath. Jogarao A., Panna A. R.), J. Scient. and Industr. Res., 1955 (B-C), 14B, № 6, 306—307 (англ.)

Описано одноламповое электронное реле (ЭР) переменного тока для регулирования t -ры водяной бани. Применение ЭР позволило уменьшить до 2 мм диаметр трубки с контактами толдуло-ртутного терморегулятора, что повысило его чувствительность до $\pm 0,0015^\circ$. При хорошем перемешивании и теплоизоляции бани реле может поддерживать t -ру с точностью $\pm 0,005^\circ$. Приведены схематич. чертеж собранного термостата и подробная электрич. схема ЭР. Л. А.

43664. Чувствительный манометр для быстрых химических реакций. Райдидл, Робертсон (A sensitive manometer for rapid chemical reactions. Rideal Eric, Robertson A. J. B.), J. Scient. Instrum., 1955, 32, № 9, 349—350 (англ.)

Манометр, рассчитанный на давл. от 1 до 10^{-4} мм рт. ст. и скорости до 10^{-4} сек., представляет собой конденсатор переменной емкости (подвижная мембрана из нержавеющей стали толщиной 0,01 и диам. 6 см), модулирующий радиочастотные колебания генератора (основная частота 3,505 Мгц). Имеются три ступени усиления, дающие разную чувствительность прибора. Регистрация изменения давления производится на экране катодной трубки, у которой отклонение луча линейно зависит от давления. А. Б.-З.

43665. Прибор для исследования кинетики процессов, протекающих с изменением объема или давления газа. Шанин Л. Л., Завод. лаборатория, 1955, 21, № 10, 1260—1261

Описан автоматич. самопишущий прибор для исследования кинетики окисления каучуков и резин, пригодный при давлении газа ~ 100—1000 мм рт. ст. Прибор состоит из горизонтальной капиллярной стеклянной бюретки, которая одним концом соединена с исследуемой системой, а другим с Hg резервуаром. Газовое пространство резервуара соединено с ртутным U-образным манометром и маностатом. При поглощении или выделении газа в системе происходит

перемещение столбика Hg в бюретке. Объем выделившегося или поглощенного в системе газа пропорционален перемещению Hg. Запись изменения объема газа по времени производится на светочувствительной бумаге. Точность измерений при поглощении $\sim 1,5-2,5\%$. Ю. Б.

43666. Пневматический прибор для измерения шероховатости фотографических пластинок. Эванс, Морган (A pneumatic apparatus for measuring the flatness of photographic plates. Evans J. C., Morgan J. G.), Machinery (London), 1955, 87, № 2238, 867—869 (англ.)

Прибор позволяет производить измерение шероховатости фотопластинок без освещения их и прикосновений к эмульсии. Чувствительным элементом является сопло с капиллярным отверстием и толстыми стенками, снабженное реометром и соединенное источником постоянного давления воздуха. Сопла (6 штук) укреплены на спец. столике, дающем возможность подвести их на расстояние 0,06 мм от поверхности испытуемой пластинки. О шероховатости фотопластинок судят по показаниям реометров. Шкала прибора линейна в пределах $\pm 15 \mu$. При расположении сопел на одной линии прибор может измерять кривизну образца с точностью до 0,1 μ . Л. А.

43667. Электронный датчик звуковых сигналов времени. Марион (An electronic interval marker. Marion Alexander P.), J. Chem. Educ., 1953, 30, № 5, 252—253 (англ.)

43668. Электрометр с вибрирующим конденсатором. Бриер, Уэйлл (L'électromètre à condensateur vibrant. Brière Michel, Weill Jacky), J. phys. et radium, 1955, 16, № 8—9, 695—703 (франц.)

Прибор позволяет оценить падение постоянного напряжения 100 мВ на сопротивлении 10^{12} ом, т. е. силу тока 10^{-10} а, а при замене сопротивления конденсатором емкостью 10 пФ обнаружить силу тока 10^{-18} а по увеличению напряжения на 10 мВ за 24 часа. К. В.

43669. Метод сравнения сопротивлений с помощью двух э.д.с. Хог (A two-emf method for the comparison of resistances. Hoge Harold J.), Rev. Scient. Instrum., 1954, 25, № 9, 902—907 (англ.)

См. РЖФиз, 1956, 1062.

43670. Изготовление и испытание калибровочной аппаратуры для измерения концентрации кислорода в жидкостях при помощи ртутного капельного электрода. Штринг (Einrichtung und Erprobung einer Eichapparatur zur Messung der Sauerstoffkonzentration in Flüssigkeiten mit der Quecksilber-Tropfelektrode. String Paul), Wiss. Z. Martin-Luther-Univ. Halle-Wittenberg. Math.-naturwiss. Reihe, 1954—1955, 4, № 3, 407—415 (нем.)

Изготовлена стеклянная установка для определения конц-ии кислорода в жидкостях, состоящая из измерительной ячейки с капельным-Hg электродом, ячейки для хим. определения кислорода и ячейки для насыщения калибровочного электролита кислородом. Измерение диффузионного тока проводилось в стеклянной термостатированной ячейке на капельном Hg-электроде с нормальным каломельным электродом сравнения, имевшим потенциал $+0,56$ в по отношению к р-ру. Капилляр с внутренним диам. 0,08 мм обеспечивал оптимальное время капания (2,2—4,7 сек.). Калибровочная прямая зависимости конц-ии от диффузионного тока строилась на основании вычисленного калибровочного коэф. k (Pkovic D., Coll. Czech. chem. Comm., 1934, 6, 498). Приведены значения k для проводящей H_2O (2,06 мг/л μ а для $19,1^\circ$ и 2,01 мг/л μ а для $16,0^\circ$) и для р-ра NaCl (1,96 мг/л μ а для 20°). Установка позволяет измерять конц-ию O_2 в пределах

0,15—37 мг/л с точностью $\sim 2\%$. Исследована температурная зависимость диффузионного тока и вычислены температурные коэф. α для проводящей H_2O (1,9% на 1°) и для р-ра NaCl (1,5% на 1°) в области 6—50° по отношению к току при 20° . А. Л.

43671. О новой кулометрической ячейке. Фукс, Квадт (Über eine neue coulometrische Zelle. Fuchs W., Quadts W.), Z. analyt. Chem., 1955, 147, № 3, 184—195 (нем.)

Описана кулометрич. ячейка (КЯ) проточного типа, в которой кол-во пройденного электричества определяется по кол-ву образующихся Н-, ОН-ионов и J_2 . Электролитом служит водн. р-р Na_2SO_4 . Для получения J_2 применяют р-р КJ. Окисление КJ в J_2 ведется при плотности тока 2 ma/cm^2 . Для того чтобы полученные Н- и ОН-ионы не перемешивались, анодное и катодное пространства разделяются диафрагмой. Продукты электролиза, не подлежащие титрованию, выводятся из р-ра. Устройство КЯ следующее: в корпус цилиндрич. формы помещаются два цилиндрич. электрода, изготовленные из Pt-сетки. Внутренний электрод вставлен в глиняную трубку, которая служит диафрагмой и разделяет два электродных пространства. Внешний электрод располагается концентрически относительно внутреннего электрода. В верхний конец глиняной трубки подается электролит, а через нижний стекает электролит для исследования (анолит или католит). Подробно описаны результаты проверки кулометрич. титрования, а также схема, при помощи которой производилась проверка КЯ. Точность кулометрич. титрования Н-, ОН-ионов и $J_2 \sim 0,4\%$. А. С.

43672. Поляризационный редокс титриметр. Цянъ Жэнь-юань, Ли Юй-фань, Шэнь Шоу-нан (極化滴定儀. 錢人元, 李郁芬, 沈壽彭), 化學學報, Хуасюэ сюэбао, Acta chim. sinica, 1955, 21, № 3, 280—284 (кит.; рез. англ.)

Описан титриметр для окислительно-восстановительных титрований по методу «полной остановки», включающий усилитель на лампе 6SJ7 и магический глаз 1629 в качестве индикатора. В приборе предусмотрены регулировка чувствительности и напряжения (в пределах 0,1—0,4 в), поляризующего электрода. Испытание показало возможность точного определения точки эквивалентности в р-циях J_2 с $S_2O_8^{2-}$ и $Cr_2O_7^{2-}$ с Fe^{2+} . П. К.

43673. Быстрое определение поверхностного натяжения измененным методом висшей капли. Кемпбелл, Кристман, Итон (Rapid surface tension determinations using a modified pendant drop technique. Campbell J. A., Christian J. E., Eaton J. R.), J. Amer. Pharm. Assoc. Scienc., 1955, 44, № 8, 501—503 (англ.)

Висящую каплю проектируют на экран, на котором производят определение ее размеров и формы с помощью особого приспособления (тангеометра), состоящего из раздвижного квадрата и линейки. А. Г.

43674. Автоматические приборы в хроматографическом анализе. Чматов К. В., Август В. Т., Завод. лаборатория, 1954, 20, № 1, 107—112

43675. Вспомогательная аппаратура для хроматографии фосфорных эфиров. Хейни, Лаухид (Ancillary equipment for the chromatography of phosphate esters. Haneu G. R., Loughheed T. C.), Chemistry and Industry, 1955, № 25, 702—703 (англ.)

Описан усовершенствованный прибор (Bandurski R. S., Axelrod B., J. Biol. Chem., 1951, 193, 405—410), в котором освещение хроматограмм УФ-светом производится с двух сторон, а введение часового механизма автоматизировало установку. А. Л.

43676. Автоматические хроматографы для паровой фазы. — (Chromatographes automatiques en phase vapeur. —), Mesures et contrôle industr., 1955, 20, № 220, 601—602 (франц.)

Хроматограф типа Метрополитен-Виккерс предназначен для анализа и разделения смесей газов и летучих жидкостей. Анализируемую смесь вводят в верхнюю часть стеклянной колонки с кизельгуром, смоченным р-рителем с высокой точкой кипения (диэтилфталат). Через колонку пропускают с определенной скоростью ток N_2 , который увлекает в первую очередь наименее растворимые и обладающие наивысшей уязвимостью паров в-ва. Относительные концентрации компонентов после разделения определяют по теплопроводности (Т); ячейку для измерения Т соединяют с регистрирующим прибором. На том же принципе основано устройство хроматографа Гриффина и Джорджа. Хроматограф типа Метрополитен-Виккерс с успехом применен для разделения смесей углеводородов, спиртов, альдегидов и кетонов. Н. П.

43677. Пропорциональный делитель для быстрого определения R_f в хроматографии. Хаустон (Proportional divider for rapid determination of chromatographic R_f values. Houston David F.), J. Chem. Educ., 1955, 32, № 8, 411 (англ.)

Делитель имеет форму прямоугольного треугольника из прозрачной пластмассы с нанесенными от острого угла к противоположающей стороне расходящиеся линии. Ю. В.

43678. Простой и недорогой осмометр. Молекулярный вес фракций сополимера винилтолуола и стирола (1:3). Мок, Маршалл, Флориа, Сандерс (A simple and inexpensive osmometer. The molecular weight of 1:3 vinyltoluene-styrene copolymer fractions. Mock Richard A., Marshall Charles A., Floria V. Deane, Sanders John W.), J. Polymer Sci., 1953, 11, № 5, 447—454 (англ.)

Прибор состоит из двух капиллярных трубок из ширекса с внутренним диам. 1 мм, припаянных к стеклянной крышке алундового тигля (19 × 60 мм) со средней пористостью и круглым дном. Алундовый тигель покрывают мембраной из регенерированной целлюлозы. Проведено фракционирование сополимера винилтолуола и стирола (1:3); получено 14 фракций различной вязкости. При изучении ИК-спектров обнаружено равномерное распределение алкильных групп между фракциями. Таким образом, можно полагать, что введение метильных групп в бензольное кольцо молекулы полистирола существенно не влияет на растворимость полимера. С помощью описанного осмометра измерен мол. вес фракций полимера и определена характеристич. вязкость. Для ур-ния Флориа — Штаудингера $[\eta] = KM^\alpha$ получены следующие значения: $K = 2,69 \cdot 10^{-4}$, $\alpha = 0,622$. Результаты измерений хорошо согласуются с опубликованными данными для полистирола, полученного в аналогичных условиях. С. З.

43679. Метод определения размера частиц порошков. Лакханпал, Анянд, Пури (A method of determining particle size of powders. Lakhanpal M. L., Anand V. D., Puri B. R.), Nature, 1955, 176, № 4484, 692 (англ.)

Предложен метод измерения среднего радиуса частиц порошков, заключающийся в измерении времени протекания жидкости через порошок. Описан простой прибор и приведена расчетная ф-ла для определения среднего радиуса частиц. Метод дает совпадающие результаты для воды и бензола, а также с данными, полученными микроскопич. методом и

методом Миллса (Mills G. L., Nature, 1948, 161, 313).

А. В.-З.

43680. Распределение по размерам тонких порошков.

Анализатор с непрерывной графической записью, основанный на законе падения Стокса. — (Size distribution in fine powders. Analyser based on Stokes' law of fall with continuous graphical recording. —), Engineering, 1955, 179, № 4652, 378—379 (англ.) Кратко описан прибор микромерограф корпорации Sharples, позволяющий за короткий срок (от 15 мин. до 3 час.) определить дисперсный состав тонкого порошка с размерами частиц 0,8—250 м. Прибор представляет собой седиментационную колонку в виде вертикальной Al-трубы высотой 2160 и внутренним диам. 89 мм, дном которой служит чашка чувствительных электромагнитных весов, а наверху установлена питательная головка. Навеска 0,1 г порошка распыляется в колонне сжатым N_2 и частицы порошка падают на чашку весов со скоростью, соответствующей их размерам. Электрич. ток, уравновешивающий весы, записывается регистрирующим миллиамперметром в виде графика изменения веса во времени. Ю. С.

43681. Определение удельной поверхности дисперсных тел по методу воздухопроницаемости. Дерягин Б. В., Захавеев Н. Н., Зусман Е. Е., Талаев М. В., Филипповский В. В., Ж. физ. химии, 1955, 29, № 5, 860—866

Для определения уд. поверхности (УП) порошкообразных тел (ПТ) в широком диапазоне их дисперсности предложен метод, основанный на измерении коэфф. фильтрации сильно разреженного газа через ПТ при наличии кнуденовского режима течения газа в порах ПТ. Из теоретич. рассмотрения этого режима течения газов выведена ф-ла, связывающая коэфф. фильтрации и УП. Описан простой прибор, позволяющий в течение 20—30 мин. определить методом воздухопроницаемости УП любого ПТ с точностью до 2—3%. Приведены результаты определения описанным методом УП различных ПТ (сажи, коллоидной пыли, барита и т. д.), хорошо совпадающие с данными, полученными адсорбционным методом. Ю. Т.

43682. Метод сравнительной оценки диспергирования воздуха в растворах пенообразователей. Дившиц А. К., Базанова Н. М., Брике М. Э., Сб. науч. тр. гос. п.-и. ин-та цвет. мет., 1955, № 10, 134—139

Предложен прибор для сравнительной оценки дисперсности воздушных пузырьков, основанный на измерении с помощью фотоэлектрич. интегратора (ФИ) интенсивности параллельного пучка света, прошедшего через азотатор с определенным объемом пенообразователя. ФИ устроен таким образом, что фототок от фотозлемента заряжает конденсатор, напряжение которого измеряется катодным вольтметром. Степень ослабления интенсивности светового потока увеличивается с ростом суммарной площади поперечного сечения пузырьков и является функцией дисперсности. Для получения усредненных результатов измеряют время накопления световой энергии τ (прошедшей через р-р пенообразователя), необходимое для зарядки конденсатора до определенного напряжения. Чем больше дисперсность, тем больше τ . Отклонения $\pm 4-5\%$ от среднего значения τ . Приведены примеры оценки диспергирования воздуха некоторыми спиртами и эфирами. И. Г.

43683. Аппарат для определения серы потенциометрическим титрованием. Ландсберг, Эшер (Potentiometric instrument for sulfur determination. Landsberg Henry, Escher Edward

Е.), *Industr. and Engng. Chem.*, 1954, 46, № 7, 1422—1428 (англ.)

Описан автоматический аппарат для непрерывного определения соединений S (H_2S , SO_2 , меркаптанов и др.) в смеси газов при конц-ии от 0,1 до нескольких сотых частей на миллион, основанный на потенциометрическом титровании сернистых соединений бромом, выделяющимся при электролизе рабочего р-ра. Выделение Br_2 производится в кол-ве пропорциональном общему кол-ву поглощенных раствором соединений серы. Для анализа в качестве рабочего р-ра применяется смесь 7,5 N серной к-ты и 0,1 N р-ра бромистого К. Р-ция титрования происходит в ячейке, через которую непрерывно пропускается анализируемый газ. Ячейка размещена в камере, являющейся резервуаром для электролита. Электролиз происходит на электродах: на положительном, размещенном в ячейке, выделяется Br_2 , на отрицательном, размещенном вне ячейки, выделяется водород. В приборе имеется вторая пара электродов: Pt-электрод в ячейке и бромосеребряный электрод сравнения в резервуаре с электролитом. На эти электроды от отдельного источника тока подается постоянное (противонаправленное по знаку) напряжение, соответствующее заданному значению потенциала в эквивалентной точке потенциометрич. титрования. Разность напряжений (разбаланс) в этой цепи, возникающая при изменении содержания сернистых соединений в газе, подается на вход электронного усилителя. Выход усилителя включен в цепь электролиза. По величине тока в этой цепи (обеспечивающей эквивалентное выделение расходуемого на р-цию Br_2), определяется содержание S . Прибор имеет портативный вид. А. Р.

43684. **Токотопводящие стойки для нагревательных элементов установок анализа сожжением.** Купик (Binding posts for heating elements of combustion trains. Quick Q.), *Chemist. Analyst*, 1955, 44, № 2, 55 (англ.)

Стойки изготовляются с ребрами охлаждения, что уменьшает образование окисной пленки, увеличивающей их электрич. сопротивление. Ю. Б.

43685. **Автоматический уравнивающий инфракрасный газоанализатор.** Танака (自動平衡型赤外線ガス分析装置. 田中俊一), *應用物理*, Оё буцури, *J. Appl. Phys. Japan*, 1955, 24, № 5, 194—198 (япон.; рез. англ.)

Описан ИК-двухлучевой газоанализатор, в котором детекторами являются Ni-болометры. Болометры составляют два плеча моста переменного тока, напряжение которого после усиления четырехкаскадным электронным усилителем автоматически уравнивает мост. Точность прибора $\pm 3\%$ для CO_2 при давл. 0—250 мм рт. ст. А. С.

43686. **Новый аппарат для микроаналитического определения веществ, перегоняющихся с паром.** Сезер, Ружьё (Un nouvel appareil pour le microdosage des substances entraînables par la vapeur. Césaire G., Rougieux R.), *Ann. Inst. agric. et serv. rech. et experim. agric. Algérie*, 1954, 8, № 6, 1—32 (франц.)

Описан малогабаритный аппарат из стекла «пирекс» (высота ~320, ширина ~130 мм), состоящий из двух частей, соединяющихся посредством шлифа. Парообразователь представляет собой широкогорлую колбу емк. 500—700 мл, на пробке которой укреплены все остальные части прибора: суживающаяся книзу конич. ампула для анализируемой жидкости, помещаемая внутри парообразователя, пароотводная трубка, проходящая последовательно через три дефлегматора и лихвиовский холодильник, который заканчивается по выходе из последнего оттянутым концом, погру-

жаемым в приемник. Образующийся пар поступает в ампулу через впаянную в нее трубку, опущенную до дна. Через эту же трубку до начала опыта вводится анализируемая жидкость. Подробно описана методика работы и проверка применимости и эффективности аппарата при определении ряда в-в, способных перегоняться с паром: летучих к-т и спиртов в винах, уксусе, аммиака в анализах по Кельдаль и «кетонного блока» в биологич. средах. Преимущества нового аппарата заключаются в том, что выполнение анализа требует мало времени (15—30 мин.) и малых кол-вах анализируемого в-ва (1—3 мл). Н. К.

43687. **Высоковакуумная печь с нитью накала для анализа газа, поглощенного металлами.** Консолозио, Мак-Махон (High-vacuum filament furnace for gas analysis of metals. Consolazio George A., McMahon William J.), *Science*, 1955, 122, № 3173, 764—765 (англ.)

Печь состоит из стеклянной оболочки с легко съемной металлич. нижней частью. Изучаемый образец в виде нити крепится между двумя Ni-держателями и накаливается пропускаемым через него током или помещается в тигель или спираль из тугоплавкого металла, накаливаемого током с помощью тех же держателей. Измерение т-ры образца осуществляется оптич. пирометром через призму, соединенную с оболочкой печи через стеклянный шлиф. Печь присоединяется к системе напуска масс-спектрометра. Приведены схематич. чертеж печи и полученная с ее помощью кривая выделения водорода из Ti. Л. А.

43688. **Прогресс в комплексометрическом объемном анализе.** Хеберли (Fortschritte in der komplexometrischen Massanalyse. Häberli E.), *Chem. Rundschau*, 1955, 8, № 18, 357—360 (нем.)

Обзор. В. М.
43689. **Простой высокочувствительный пламенный фотометр.** Гергей, Варади (Egyszerű, nagyérzékenységi lángfotométer. Gergely György, Váradi F. Péter), *Magyar kém. folyóirat*, 1955, 61, № 6, 182—189 (венг.; рез. англ.)

Прибор состоит из водородно-кислородной горелки, стеклянного призматич. монохроматора и фотоумножителя (тип 931-A или 1-P-22). Прибор предназначен для одновременного определения Ba, Sr и Ca в оксидных катодах, а также для определения K в р-рах K_2SrO_3 . Чувствительность определения ($\times 10^{-4}$): Ba 0,6; Sr 0,2; Ca 0,09; K 0,005. Описан простой метод обработки интерференционных эффектов для Ba, Sr и Ca. А. Б.-З.

43690. **Инструментальная нестабильность фотонелиметра Колемана, модель 7.** Кили, Роджерс (Instrumental variability of a model 7 coleman photonephelometer. Keily Hubert J., Rogers L. B.), *Analyt. Chem.*, 1955, 27, № 3, 459—461 (англ.)

На основании большого числа измерений, произведенных на ряде фотонелиметров Колемана с различными стандартами сравнения, делается вывод, что инструментальная нестабильность обусловлена неточностью характеристики стандартов сравнения, применяемых для определения чувствительности фотонелиметров, и ошибкой при отсчете малых величин. Стандартное отклонение при использовании часто контролируемых стандартов составляет 0,28 единиц отсчета при нормальной чувствительности прибора. В. Л.

43691. **Быстрые определения концентрации растворов с помощью микрофрактометра Елея Гнейсе** (Schnellbestimmungen von Lösungskonzentrationen mit dem Jelleyschen Mikro-Refraktometer. Gneiß G.), *Dtsch. Apoth.-Ztg*, 1955, 95, № 1, 12 (нем.)

Описывается конструкция простого микрорефрактометра, в котором свет от ртутной лампы пропускается через щель, падает на призму с нанесенной каплей последующего в-ва и отклоняется вниз или вверх в зависимости от показателя преломления. Область измерения лежит в пределах от $n^{20}_D = 1,333$ до $n^{20}_D = 1,920$; точность измерений 0,001. Приводятся результаты применения рефрактометра к анализу NaCl в водн. р-рах.

В. Л.

43692. Графический расчет (номограмма № 24). Психрометрическое определение паров растворителя в воздухе. Орличек (Graphische Umrechnungsbilder (Nomogramm Nr. 24.). Die psychometrische Bestimmung von Lösungsmitteldämpfen in Luft. Orlicsek A. F.), Mitt. Chem. Forschungsinst. Wirtsch. Österr., 1954, 8, № 4, 92—93 (нем.)

Для определения содержания паров органич. р-рителей в воздухе применен быстрый и простой метод, сходный с методом определения водяных паров в воздухе на основе разности показаний сухого и влажного шариков термометров психрометра и дана ф-ла для расчета. Для ряда в-в (вода, CH_3OH , $\text{C}_2\text{H}_5\text{OH}$, $n\text{-C}_4\text{H}_9\text{OH}$, $(\text{CH}_3)_2\text{CO}$, C_6H_6 , $\text{C}_6\text{H}_5\text{CN}$, $\text{C}_6\text{H}_5\text{Cl}$, CCl_4) можно пользоваться номограммой, построенной по данным Стерна (РЖМат, 1955, 6132). Номограмма применима также для определения содержания паров, насыщающих воздух при данной т-ре, и для определения точки росы при заданном содержании паров. Предыдущую номограмму см. РЖХим, 1956, 11820.

Б. Ш.

43693. Измерение впитывающей способности поверхностей. Глогер, Преин (The measurement of the absorbency of surfaces. Gloger W. A., Prane J. W.), Offic. Digest, 1953, № 344, 618—634 (англ.)

Описан новый простой и точный (воспроизводимость ~ 5%) прибор для определения впитывающей способности поверхностей различных строительных материалов (обычная и сухая штукатурка, фанера и др.). В качестве стандартной жидкости применен керосин.

З. В.

43694. Бюретка-полуавтомат. Рустамов М. Ш., Завод. лаборатория, 1955, 21, № 10, 1249—1251. Подробно описана полуавтоматич. бюретка (ПАБ), состоящая из двух обыкновенных соединенных между собой бюреток или пипеток. Поступление жидкости в ПАБ регулируется поплавковым регулятором. Точность отмеривания больших объемов с помощью ПАБ 0,03—0,61%. Небольшие объемы отмеривают с точностью 0,13—0,84%.

Н. П.

43695. Новая пробирка центрифуги для разделения минералов. Никкел (A new centrifuge tube for mineral separation. Nickel E. H.), Amer. Mineralogist, 1955, 40, № 7-8, 697—699 (англ.)

Внутрь пробирки (II) вставляется доходящий до дна стержень — рукоятка с конич. расширением внизу и вторая II с отверстием в днище. При вынимании рукоятки ее конич. расширение, притертое к отверстию внутренней II, закрывает последнее и извлекает внутреннюю II, отделяя тем самым плавающую фракцию от осаждаемой.

Л. Ж.

43696. Прибор с автоматической подачей для получения больших количеств дистиллированной воды. Тиго (Description d'un appareil pour produire l'eau distillée a grand débit et a alimentation automatique. Tiguaud J.), Bull. Soc. chim. biol., 1955, 37, № 5-6, 729—730 (франц.)

Перегонный куб состоит из длинной стеклянной трубки, в которую введена более узкая трубка с помещенным в нее нагревательным элементом. В боковой части куба находится трубка, обеспечивающая циркуляцию воды по принципу термосифона. Шарообразная

головка куба заканчивается дефлегматором. К прибору присоединено приспособление для поддержания постоянного уровня жидкости; в это приспособление непрерывно подается вода, нагретая в холодильнике конденсирующимися парами. Производительность прибора 40 л воды за 24 часа. Комбинируя 2 аппарата разной производительности, можно сразу получить бидистиллат.

Н. П.

43697. Металлическая колонка для дистилляции при низких температурах корродирующих газовых смесей. Оррик, Гибсон (Metal column for distillation of corrosive gas mixtures at low temperatures. Orrick N. C., Gibson J. D.), Analyt. Chem., 1953, 25, № 7, 1100—1103 (англ.)

43698. Материал из стеклянного волокна для предотвращения кипения с толчками. Остин (Glass fibre material for preventing bumping. Austin Hugh C., Jr), Chemist Analyst, 1955, 44, № 2, 56 (англ.)

Для предотвращения толчков, сопровождающих кипение, предлагается вносить в р-р диски стеклянного волокна; последние не загрязняют р-р и быстро двигаясь, предотвращают образование перегретых участков.

Ю. Б.

43699. Лабораторный дефлегматор для серийной аналитической перегонки. Кук, Джеймсон (Integrated set of laboratory fractionators for routine analytical distillations. Cooke G. M., Jameson B. G.), Analyt. Chem., 1955, 27, № 11, 1798—1802 (англ.)

Описана цельностеклянная лабораторная аппаратура для прецизионной фракционированной перегонки. В аппаратах применены компактные насадки для разделения фракций. Теплоизоляция выполнена посеребренными вакуумными оболочками с электр. компенсацией теплопотерь. Имеется 5 моделей 15 тарелочных аппаратов емк. 1—80 л, пригодных как для вакуумной, так и атмосферной перегонки.

В. М.

43700. Устройство для шлифовки ферритовых шаров. Реджа, Стадлер (Ferrite sphere grinder. Reggia Frank, Stadler William), Rev. Scient. Instrum., 1955, 26, № 7, 731—732 (англ.)

Устройство обеспечивает длительную работу без замены абразивного материала. Это достигается применением в качестве шлифовальной поверхности стекло-видного SiC. Устройство представляет собой закрытый полый цилиндр, на внутренней боковой поверхности которого сделан криволинейный трек, определяющий путь ферритового образца. Описанное шлифовальное устройство не требует высокого давления воздуха и значительно сокращает потребное для обработки время. Приведена фотография деталей устройства.

Л. А.

43701. Простой, недорогой заменитель осушительной камеры. Кларк, Конн, Хейн (A simple, inexpensive dry-box substitute. Clark T. J., Conn P. K., Hein R. E.), Chemist Analyst, 1955, 44, № 2, 55—56 (англ.)

Предложено использовать в качестве сухой камеры полиэтиленовый мешок (М). Для предотвращения испарения летучих в-в и для создания инертной и сухой атмосферы ампула с пробой помещается в мензурку с сухим льдом, опущенную в М. Прозрачность тонкой пленки полиэтилена устраняет необходимость в смотровом окне в М.

Л. Ж.

43702. Сосуд для работы под давлением с внутренним окном. Уэлс, Руф (Pressure vessel with internal window. Wells F. W., Roof J. G.), Rev. Scient. Instrum., 1955, 26, № 4, 403—404 (англ.)

Сконструирован сосуд с внутренним окном во всю длину, предназначенный для фазовых исследований систем нефтяных углеводородов, содержащих газообразные и жидкие фазы, при давл. в пределах до

560 кг/см² и т-рах до 300°. Рабочий объем (максимальный 125 см³) может быть изменен посредством выпуска или выпуска Hg.

43703. Прибор для определения уровня жидкости при помощи γ -лучей. Ватанабэ (γ線液面計. 渡邊鑑), 計測, Кэйсоку, J. Soc. Instrum. Technol., Japan, 1955, 5, № 1, 21—27 (япон.; рез. англ.)

Рассмотрены различные приборы для измерения уровня жидкости и исследованы свойства входящего и выходящего излучения в приборе для обнаружения уровня жидкости при помощи γ -лучей в зависимости от движения уровня жидкости вверх и вниз. Обсуждается метод определения номинального отсчета и постоянной времени радиоактивной измерительной аппаратуры, принимая во внимание статистич. характер излучения и разрешающее время детектора излучения.

43704. К применению силиконов в лаборатории. Шрётер (Zur Verwendung von Siliconen im Laboratorium. Schröter G.), Angew. Chemie, 1955, 67, № 21, 655 (нем.)

Для надевания резиновых трубок на стеклянные предлагается использовать вместо глицерина силиконовое масло, при этом каучук и резина не прилипают ни к стеклу, ни к металлу даже в течение длительного времени и при нагревании до 100°.

43705. Максимальная чувствительность в пневматическом измерении. Уинн, Столоу (Maximum sensitivity in pneumatic gauging. Wynn N. R., Stolo N.), J. Scient. Instrum., 1955, 32, № 4, 155 (англ.)

Дискуссионная статья. См. РЖХим, 1956, 22833.

43706. Два микроприбора для получения газов. Скарано (Due microgeneratori di gas. Scagano Elio), Ricerca scient., 1955, 25, № 7, 2125—2126 (итал.)

Описано два простых и удобных микроприбора для получения сероводорода.

43707. Двойной прибор для перегонки под пониженным давлением. Рёмер (Amphidestilliergerät unter vermindertem Druck. Römer), Chemiker-Ztg, 1955, 79, № 20, 706—707 (нем.)

Прибор обеспечивает возможность смены приемников в процессе перегонки без нарушения вакуума. Перегонная колба имеет 2 горла, к каждому из которых присоединена перегонно-вакуумная система (холодильник, приемник и через предохранительную трехгорлую склянку), вакуумные насосы. Насосы обслуживают попеременно обе приемные части установки, переключаясь трехходовыми кранами с одной стороны на другую. Одна из систем имеет тройной приемник, закрытый «паучковой» насадкой, что дает возможность, не нарушая вакуума, отделить нужную фракцию или взять часть дистиллата на опробование.

43708. Вращающаяся лопастная мешалка и техника определения точки замерзания в малых пробах. Крофорд, Харборн (Rotating blade stirrer and small sample technique in the determination of freezing points. Crawford William, Harbourn C. L. A.), Analyt. Chem., 1955, 27, № 9, 1449—1451 (англ.)

Мешалка, предназначенная для определения точек замерзания вязких органич. соединений, состоит из Al-стержня диам. 22 мм с проходящей по ее длине плоской лопастью и осевым отверстием диам. 10 мм. Верхняя часть мешалки через стержень из пластмассы соединяется с электромотором. В отверстие мешалки вставлен Pt-термометр сопротивления. Миним. объем пробы, необходимой для определения, ~35 мл. Для исследования проб меньшего объема (6—8 мл.) пред-

ложена другая конструкция: пробу помещают в Al-пробирку (длиной ~11 см, диам. ~1,3 см), с внутренней нарезкой. Пробирка привинчивается к вращающемуся стержню вместо лопастной мешалки и тот же термометр вводят через стержень в пробу. Резьба действует при вращении пробирки, как архимедов винт, передвигая жидкость, прилегающую к стенке, в вертикальном направлении.

43709. Приспособление к прибору для отбора небольших проб газов. Краус (Úprava vzorkovnice na plynom pro malé objemy. Kraus M.), Chem. listy, 1955, 49, № 6, 929 (чеш.)

Выходной канал одного из трехходовых кранов у прибора для отбора проб газов удлиняют стеклянной трубкой, доходящей почти до противоположного крана; за счет этого прибор может работать по принципу склянки Мариотта. При вертикальном положении прибора трубка, удлиняющая канал крана, направлена книзу.

43710. Прибор для выщелачивания и фильтрования экстрагируемых веществ. Ван-Атта, Гуггола (Digester and filter for preparing extract solutions from solids. Van Atta George R., Guggolz Jack), Analyt. Chem., 1955, 27, № 10, 1669—1670 (англ.)

Прибор состоит из сосуда сферич. формы с двумя широкими горлами, расположенными друг к другу под углом 120°. Одно из них снабжено стеклянным пористым фильтром, другое закрывают пальцеобразным холодильником. Оба горла могут быть закрыты прилифованными колпачками. В-во вместе с р-телем помещают в сосуд, настаивают на холоду или при нагревании. Для фильтрования повертывают прибор горлом с фильтром вниз, присоединяют ее через фильтровальную колбу к насосу и отсасывают жидкость. Приливают свежую порцию р-рителя и повторяют все манипуляции снова до полного выщелачивания.

43711. Приспособление для удаления крышки эксикатора и ключ для отвертывания патрубков эксикатора. Брубах (Desiccator cover remover and sleeve wrench. Brubach Howard), Science, 1955, 122, № 3173, 761—762 (англ.)

Описаны два приспособления для безопасного снятия крышек и отвертывания патрубков эксикаторов. Первое основано на принципе горизонтально действующего рычага, ручка которого поворачивается вниз, опираясь на два эбонитовых ролика. Во втором использован принцип цепного гаечного ключа.

43712. Новые лабораторные приборы для микроанализа, перевода веществ в удобообрабатываемое состояние и осуществления обменных реакций. Вилемс (Neue Apparaturen zur Aufschliessung und Umsetzung von Stoffen im Laboratorium. Willem s P.), Chem. Rundschau, 1955, 8, № 18, 379—380 (нем.)

Краткое описание выпускаемой промышленностью аппаратуры.

43713. Стеклянные вентили для регулирования натекания. Гаррисон (Glass leak and control valves. Harrison E. R.), J. Scient. Instrum., 1953, 30, № 5, 170—171 (англ.)

Для регулирования натекания используются различные термич. расширения отдельных деталей вентилей.

43714. Стеклянный обратный клапан. Грин (Glass check valve. Greene Stanley A.), Rev. Scient. Instrum., 1955, 26, № 7, 731 (англ.)

Описан простой обратный шаровой клапан из стекла, пропускающий газ или жидкость только в одну сторону. При обратном течении газа или жидкости

шарик, и прекр
служит

43715 П
малуч
für
sche
Fr
Пат.
№ 28

Тела
тре не
исходны

43716 П
лятор
lators
7.06.5

В кач
гасть
незаме
ное, со

43717 П
Австр
Приб
в друго
концент
дый из
концент
мер, р
катион
устрой
постоя

43718 П
раци
ion c
J.) [D
Элект
методом
неактив
непрон
трика,
шего к
Cl-, р
находя
электр
провод
дом и
43719

ност
(App

43722.
ее по
тибр
Inter
Brüs
Stärk
43723.

техн
ме.—
1955

шарик, плавающий в Hg, прижимается к седлу клапана и прекращает течение. Смазкой шлифа седло — шарик служит Hg. Б. С.

43715 П. Тела для поглощения электромагнитного излучения без отражения. Фридрих (Körper für die reflexionsfreie Absorption elektromagnetischer Strahlung und Verfahren zu deren Herstellung. Friederich Ernst Otto Heinrich). Пат. ФРГ 919717, 2.11.54 [Chem. Zbl., 1955, 126, № 28, 6590 (нем.)]

Тела состоят из $MgO \cdot Fe_2O_3$, синтезированных при t -ре не менее 1400° из отожженных тонкоразмолотых исходных материалов. И. И.

43716 П. Фосфоресцирующие химические сцинтилляторы. Хайман (Fluorescent chemical scintillators. Hyma Mark, Jr). Пат. США 2710284 7.06.55

В качестве твердого пластич. сцинтиллятора предлагается твердый р-р в смоле-полимере одного из в-в, замещенный дифенилстильбен или его производное, содержащее низшие алкильные группы. В. Ш.

43717 П. Электродиализ (Electrodialysis) [Ionics Inc.]. Австрал. пат. 161042, 24.02.55

Прибор для переноса электролита из одного р-ра в другой путем электродиализа состоит из множества концентрирующих и разбавляющих агрегатов. Каждый из агрегатов, в свою очередь, имеет систему концентрирующих камер и систему разбавляющих камер, размещенных между чередующимися анионо- и катионопроницаемыми мембранами. Предусмотрено устройство для пропускания через мембраны и камеры постоянного тока. Л. А.

43718 П. Электроды для измерения полной концентрации в растворах. Уайт (Electrode for measuring ion concentration in solutions. White Robert J.) [National Lead Co.]. Пат. США, 2672441, 16.03.54

Электрод для электроопределения конц-ии Cl^- в р-ре методом сравнения состоит из полого корпуса из неактивного материала с небольшим отверстием, водонепроницаемой мембраны из мелкопористого диэлектрика, пространства, заполненного $AgCl$, примыкающего к отверстию, жидкой ванны с постоянной конц-ией Cl^- , расположенной внутри упомянутого корпуса и находящейся в контакте с мембраной, $Ag - AgCl$ -электрода, погруженного в упомянутую ванну, и проводника, соединенного с указанным $Ag - AgCl$ -электродом и выведенного наружу. М. Е.

43719 П. Прибор для измерения химической активности, в частности катализаторов. Формуолт (Apparatus for measuring chemical activity, particularly of catalysts. Formwalt John M.). Пат. США 2658819, 10.11.53

Предложен прибор для измерения активности катализаторов, применяющихся при выделении газа из хим. в-в. С помощью спец. устройства катализатор вводится в цилиндрич. тонкостенную реакционную камеру. Чувствительным элементом прибора является тензометр с температурной компенсацией, состоящий из двух проволоочных элементов сопротивления. Оба элемента смонтированы на боковой стенке цилиндра под прямым углом друг к другу и реагируют соответственно на осевую и круговую деформацию камеры. Активность катализатора определяется по разбалансу моста, двумя плечами которого являются элементы тензометра. Л. А.

43720 П. Смесительная пипетка. Краут (Mischpipette. Kraut Friedrich.) [Fritz Hellige & Co. G. m. b. H., Fabrik wissenschaftlicher Apparate]. Пат. ФРГ 933710, 29.09.55 [Glastechn. Ber., 1955, 28, № 10, P55—P56 (нем.)]

Смесительная пипетка для смешения жидкостей состоит из двух малых последовательно расположенных измерительных объемов и находящегося за ними пространства для перемешивания с одним или более перемешивающими элементами. Объем пространства, где происходит перемешивание, в точности равен сумме измерительных объемов. Смесительная пипетка изогнута под прямым углом между верхним измерительным объемом и пространством для перемешивания, а часть пипетки, которая расположена за пространством для перемешивания, вытянута в капилляр. Л. А.

43721 П. Пипетка. Гилд (Pipette. Guild L. V.). Пат. США 2698778, 4.01.55

Предложены 2 пипетки для поглощения газов жидкими поглотителями при газовом анализе. Обе они представляют собой цилиндрич. сосуды, заполненные трубками из стекла или сарана. В первом типе поглощающий р-р выдавливается газом из основного объема с пазодкой в пространство между двойными стенками пипетки, во втором — в дополнительный пустой резервуар (так же, как в аппарате Орса). Н. В.

См. также: Спектрограф. 42946. Работа с газами и жидкостями 42598, 42776, 43477, 45794, 45811. Фазовое равновесие 42596. Испытание катализатора 42703. Определение толщин пленок и покрытий 43868, 43886—43888. Титрование 43471, 43472. Электрофорез 13163Бх. Печи 43919, 43937. Др. вопр. 42244, 43502, 43526, 43914, 44192, 44242, 45540; 13235Бх, 13236Бх, 13551Бх

ХИМИЧЕСКАЯ ТЕХНОЛОГИЯ. ХИМИЧЕСКИЕ ПРОДУКТЫ И ИХ ПРИМЕНЕНИЕ

ОБЩИЕ ВОПРОСЫ

43722. Сообщение о XXVII Международном конгрессе по промышленной химии в Брюсселе 11—19 сентября 1954. Линдеман (Bericht über den XXVII. Internationalen Kongreß für Industrielle Chemie in Brüssel vom 11. bis 19.9. 1954. Lindemann E.), Stärke, 1954, 6, № 10, 255 (нем.)

43723. Европейская конференция по химической технике 14—22 мая 1955 г. во Франкфурте-на-Майне. — (Europäisches Treffen für chemische Technik 1955. Frankfurt am Main, 14.—22. Mai 1955.—),

Reyon, Zellwolle und and. Chemiefasern, 1955, № 6, 381—382 (нем.)

43724. Производство каменноугольной смолы — основа западногерманской химической промышленности. Мурата (タール工業を中心とした西獨の化学工業 1951年の躍進と1952年の停滞. 村田富二郎), コールタール, Кору тару, J. Japan Tar Ind. Assoc., 1953, 5, № 2, 17—20 (япон.)

43725. Химическая промышленность Испании: ее современное состояние и перспективы. Ругарсия (La industria química en España: sus realizaciones y su porvenir. Rugarcia E.), Chimie et indu-

- strie, 1955, 74, № 4, bis., 43—54 (исп.); 55—63 (франц.)
- 43726. Химическая промышленность Швейцарии в 1954 году.**—(Die schweizerische chemische Industrie im Jahre 1954.—), Chem. Rundschau, 1955, 8, № 3, 39—41 (нем.)
- Обзор. Даны сравнительные характеристики импорта, экспорта и цен основных хим. продуктов. Л. Х.
- 43727. Проблемы планирования в химической промышленности.** Пихлер (Probleme der Planrechnung in der chemischen Industrie. Pichler O.), Chem. Technik, 1954, 6, № 7, 392—405 (нем.)
- Приведены методы составления матриц для плановых расчетов производственных затрат. Отмечено, что матричные исчисления особенно полезны для произ-в с большим кол-вом связанных между собою цехов. Предыдущее сообщение см. РЖХим, 1955, 16754. Л. Р.
- 43728. Радиоактивные изотопы в технике.** Дьяченко П. Е., Вестн. АН СССР, 1955, № 10, 39—47
- Рассмотрено применение меченых атомов в технике для определения толщины и контроля износа деталей и инструмента, а также применение радиоактивных излучений (γ -лучи) для контроля обработки изделий из разных материалов. Отмечены некоторые правила техники безопасности. В. Ш.
- 43729. Изотопы в технологии. Часть I. Эберсольд** (Isotopes in technology. Part I. Aebersold P. C.), Chemistry, 1955, 29, № 3, 16—24 (англ.)
- 43730. Катализ в промышленности** (Catalysis in industry. E. E. W.), Discovery, 1954, 15, № 7, 293—294 (англ.)
- Обсуждаются общие принципы катализа в хим. промышленности на примерах окисления SO_2 , синтеза NH_3 , гидрогенизации по Сабатье. Г. Р.
- 43731 К. Общая химическая технология.** Вольфович, Егоров, Эпштейн. Т. 2. Термическая переработка топлива. Эпштейн. Перев. с русс. (Všeobecná chemická technologie. Volfkovič S. I., Jegorov A. P., Epštejn D. A. Sv. 2. Tepelné zpracování paliv. Epštejn Z. rus. Praha, SNTL, 1955, 164 [1] str., il., 12,60 Kcs) (чеш.)
- 43732 К. Техническая органическая химия. Алифатические соединения.** Дзянковский (Chemia techniczna organiczna. Związki alifatyczne. Dziankowski Mirosław. Warszawa, Państw. Wydawn. Techniczne. 1954, 173, 2 nbl. str., il., 9,50 zł.) (польск.)

СЕРНАЯ КИСЛОТА, СЕРА И ЕЕ СОЕДИНЕНИЯ

- 43733. Очистка концентратов серных руд польских месторождений фальтрацией.** Акерман, Гофман, Лещинская (Rafinacja koncentratów siarkowych ze złoż polskich przez filtrację. Akerman K., Hoffmann P., Leszczyńska H.), Przem. chem., 1955, 11, № 11, 610—613 (польск.; рез. русс., англ.)
- На основании опытов на различных лабор. фильтрующих аппаратах было установлено, что наиболее подходящей для очистки концентратов серных руд является фильтрующая центрифуга. Ю. Д.
- 43734. Завод Сен-Гобена в Шаню (Франция).**—(L'usine Saint-Gobain de Chauny.—), Ind. chim., 1955, 42, № 461, 390—392 (франц.)
- Обзор произ-ва серной к-ты, суперфосфата, комбинированных удобрений, органич. в-в и пластмасс. Ю. М.
- 43735. Завод в Уиднесе (Англия), производящий серную кислоту и цемент из ангидрида.**—(Sulphuric acid plant. Anhydrite process at Widnes includes cement production.—), Engineering, 1954, 178, № 4633, 640—641, Chem. Trade J. and Chem. Engr., 1954, 135, № 3518, 1193—1195, Mine and Quarry Engng., 1954, 20, № 12, 550—552, Iron and Steel, 1954, 27, № 13, 557 (англ.)
- См. также РЖХим, 1956, 13384.
- 43736. Исследование и разработка барботажного метода абсорбции серного ангидрида в контактом производстве серной кислоты.** Бляхер Н. Г., Шабалин К. Н., Тр., Уральск. н.-и. хим. ин-та, 1954, № 1, 193—207
- Испытан опытный барботажный абсорбер (БА) diam. 1—1,2 м, высотой 2,5 м, с 3 тарелками, внутренними холодильниками на двух нижних тарелках и водяными рубашками у всех тарелок, установленными между контактными узлом и олеумным абсорбером. Установлены: эффективность БА для хорошо растворимых газов (в частности, SO_2); оптимальные гидростатич. условия для абсорбции SO_2 ; величины к. п. д. тарелок при различной глубине и интенсивности барботажа и различной конструкции и т-ре к-ты; величины общег. коэфф. теплопередачи холодильников и частн. коэфф. теплоотдачи к барботируемой жидкости при различной глубине и интенсивности барботажа. Доказано, что глубина барботажа тепловесных абсорберов может быть снижена с 350 мм (и выше) до 40—60 мм. Испытан заводской БА кв. сечения $2,4 \times 2,4$ м, общей высотой 4,2 м, состоящий из газовой коробки с 3 тарелок, каждая с 7 туннельными колпаками, с общим периметром барботажа 26 м и с холодильниками на двух нижних тарелках; глубина барботажа для нижних тарелок 60 мм, для верхней — 40 мм. Результаты испытаний: производительность 25—75 т/сутки моногидрата; полнота абсорбции 99,2—99,7%; к. п. д. нижних тарелок 1,1—1,25, верхней 0,8—0,9; при т-ре к-ты на тарелках 45—65° и т-ре выходящей из холодильников воды 35—50° коэфф. теплопередачи $K = 800—1000$ ккал/м²·час·град. Коррозионные испытания показали полную пригодность стали IX 18Н9Т для изготовления деталей БА. Указаны преимущества БА по сравнению с насадочными абсорберами и оросительными холодильниками. Г. Р.
- 43737. Новое в производстве серной кислоты нитрозным методом.** Атамар (Azot-oksitleti metodu ile çalişan sülfürik asit tesislerinde yenilikler. Atamer Ş ü h a), Demir ve çelik, 1953, 2, № 10, 233—236 (турец.)
- Обзор докладов на сессии Международной ассоциации суперфосфатной пром-сти: 1) расширение произ-ва камерной H_2SO_4 на з-де фирмы Монтекатини (Италия) путем установки двух башен Петерсена между последней камерой и башней Гловера; 2) описание нового з-да H_2SO_4 в Абердине (Шотландия) с башнями без свинца, с кислотоупорной изоляцией из алкатена (политена) и с холодильниками для к-ты из стекла пирекс. Г. Р.
- 43738. Скоростной метод анализа 20 и 60%-ного олеума.** Деджерату (Metodă rapidă pentru dozarea oleumului sulfuric de 20 și 60%. Degețatu V.), Rev. chim., 1953, 4, № 11, 11 (рум.)
- Описан метод определения свободного SO_2 в 20 и 60%-ном олеуме, позволяющий осуществить анализ за 10 мин. непосредственно в цехе у рабочего места. К 100 мл H_2SO_4 с конц-ией 85—90% добавляется 20 мл анализируемого олеума и с помощью ареометра определяются уд. вес и конц-ия полученной смеси. Содержание SO_2 в % в олеуме подсчитывается по формуле $(B-A)/100G$, A — кол-во SO_2 в г, содержащееся в 100 мл H_2SO_4 , B — кол-во SO_2 в г, содержащееся

в вышеуказанной смеси, G — вес 20 мл анализируемого олеума (уд. вес олеума 1,98—2). При помощи обычных таблиц находят процент свободного SO_2 , соответствующий процентному содержанию общей S . Проверка метода на серноокислотном аде показала его большую точность. Я. М.

43739 К. Справочник по сере. Ред. Таллер (The sulphur data book; compiled by the technical staff of Freeport Sulphur Co. Ed. Tuller William N. New York, London, McGraw-Hill, 1954, vii, 143, p., ill., 40 sh.) (англ.)

43740 П. Способ дееульфурации обогащенных газочистных масс (Process for desulfurizing enriched gas-purifying materials) [Metallgesellschaft A-G.]. Англ. пат. 718967, 24.11.54 [Chem Abstrs, 1955, 49, № 7, 4974 (англ.)]

Из обогащенных газочистных масс (ГМ) (для их регенерации) S извлекают обжигом ГМ со смесью газов, содержащей SO_2 и ≤ 21 об. % кислорода при t не выше t -ры воспламенения S и $\leq 400^\circ$. При этом часть S сгорает в SO_2 , а остальная сублимируется. При использовании газов, полученных обжигом сульфидных руд, содержащих ~ 6 —10% O , получают элементарную S и газ, содержащий 14—18% SO_2 . Обычно $\sim 1/3$ S сгорает в SO_2 , а $2/3$ извлекается в элементарном виде. Г. Р.

43741 П. Производство серной кислоты (Procédé de fabrication d'acide sulfurique.) [Metallgesellschaft A-G.]. Франц. пат. 1082133, 27.12.54 [Chimie et industrie, 1955, 74, № 6, 1200 (франц.)]

O_2 , требующийся для сжигания H_2S и окисления SO_2 в SO_3 , подводится в виде воздуха или другого содержащего O_2 газа в отдельные камеры для того, чтобы обе фазы превращения протекали раздельно. Ю. М.

43742 П. Способ регенерации серной кислоты. Уикер, Конуэлл (Sulfuric acid recovery process. Wicker Dan B., Conwell John W.) [American Viscose Corp.]. Пат. США 2631973, 2631974, 17.03.53

1. Процесс регенерации H_2SO_4 из водн. р-ра, содержащего 0,1—10% H_2SO_4 и 0,5—25% сульфата щел. металла, состоит из следующих ступеней: 1) в р-р вставляют электроды из Pb и PbO_2 и получают на них осадок PbSO_4 ; 2) подвешивают электроды в воде или в воде, содержащей только H_2SO_4 , и пропускают постоянный ток с напряжением > 2 в, соединяя положительный полюс источника тока с электродом из PbO_2 , а отрицательный — с электродом из Pb . При этом в р-р переходит SO_4 -ионы и образуется H_2SO_4 , не содержащая других ионов. 2. Процесс отличается тем, что в 1 ступени осадок PbSO_4 на электродах получают, пропуская через р-р постоянный ток от внешнего источника, соединяя электрод из Pb с положительным полюсом, а электрод из PbO_2 — с отрицательным полюсом. Во 2 ступени ток пропускают до получения р-ра с большей конц-ией H_2SO_4 , чем первоначальная конц-ия в р-ре соли; вольтаж постоянного тока, используемого при регенерации, должен быть выше потенциала элемента. Даны схемы установок. Г. Р.

См. также: 45746

АЗОТНАЯ ПРОМЫШЛЕННОСТЬ

43743. Заводы «Leunawerke» — крупнейший в мире производитель азота. Вильфрот (Leunawerke, der Welt größter Stickstoffherzeuger. Willfroth Ernst), Wirtschaft, 1954, 9, № 37, 7 (нем.)

43744. Коронирующий разряд для синтеза гидразина. Пихал (Glimmentladung zur Synthese von Hydracin. Puchal), Umschau, 1954, 54, № 8, 232 (нем.)

Сообщение о получении N_2H_4 из NH_3 : 1) в коронирующем разряде при абс. давл. 4—6 мм рт. ст. и напряжении на трубке 6000—7000 в с выходом 13 г/кат-ч; 2) в ВЧ-разряде с выходом 4—6 г/кат-ч. Г. Р.

43745 К. Азотная промышленность. Керестеш (Nitrogenipar. Keresztes Matyas. Budapest, Müszaki Kiado, 1955, 4601., ill., 82 ft.) (венг.)

43746 П. Синтез аммиака. Ричардсон (Ammonia synthesis. Richardson Chester N.) [Matheson Chemical Corp.]. Канад. пат. 508576, 28.12.54

Способ синтеза NH_3 из N_2 и H_2 заключается в том, что на взвесь тонкоизмельченного промотированного железного катализатора в потоке ($\text{N}_2 + \text{H}_2$)-смеси воздействуют с помощью ультразвуковых волн с частотой $> 20\,000$ циклов в сек. при 100—200° (в случае непромотированного катализатора при 100—325°) и давл. ~ 1 атм или несколько выше (10 атм). А. И.

43747 П. Концентрирование азотной кислоты. Бектел (Nitric acid concentration. Bechtel Robert J.) [Hercules Powder Co.]. Пат. США 2716631, 30.08.55

Слабая HNO_3 подается вверх десорбционной (нижней) зоны (ДЗ); туда же, не ниже точки подачи HNO_3 , подается конц. водн. р-р нитрата щел.-зем. металла. Пары HNO_3 и воды из ДЗ поступают в нижнюю часть ректификационной зоны, из которой сверху выходят пары HNO_3 , а снизу — водн. р-р HNO_3 , который поступает в верхнюю часть ДЗ. Из нижней части ДЗ выходит разб. р-р нитрата щел.-зем. металла, не содержащий HNO_3 , направляемый на выпарку. Г. Р.

43748 П. Способ концентрирования водных растворов гидразина. Суэнсон, Райкер (Sätt att koncentrera vattenhaltig hydrasin. Swenson O. J., Ryker D. W.) [Olin Industries, Inc.]. Швед. пат. 147006, 21.09.54

Способ отличается тем, что водн. гидразин перегоняют в присутствии дегидратирующего в-ва и насыщ. углеводорода, кипящего при 90—150° при атмосферном давлении. Б. Ф.

См. также: 42187, 44439, 45716

МИНЕРАЛЬНЫЕ СОЛИ. ОКИСЛЫ. КИСЛОТЫ. ОСНОВАНИЯ

43749. Литиевая промышленность. Ландолт (The lithium industry. Landolt P. E.), J. Electrochem. Soc., 1955, 102, № 12, 285C—287C (англ.)

43750. Получение сернокислого магния из сивашских рассолов. Давиденко Н. К., Укр. хим. ж., 1955, 21, № 6, 773—777

Для выяснения оптимальных условий выделения сульфата Mg из сивашской рапы проведены опыты по охлаждению р-ра, приготовленного из чистых солей. Состав этого р-ра (в % MgSO_4 9,76; MgCl_2 14,06; KCl 2,94; NaCl 5,72) отвечал составу рапы, упаренной до начала выделения эпсомита ($\text{MgSO}_4 \cdot 7\text{H}_2\text{O}$). При охлаждении до $+5$, 0 и -5° из р-ра выделяется эпсомит с примесью 3—4% NaCl . При более глубоком (-10°) охлаждении в твердой фазе появляются соли K , при -15° кол-во K в осадке достигает 3,7% (везде в пересчете на безводн. соединения). Выход MgSO_4 (если принять, что весь Mg связан в виде сульфата) составляет при $+5^\circ$ —58,2%, 0° —65,5%, -5° —75%, -10° —

76% и -15° — 73,5%. Оптимальная т-ра охлаждения -5° . Предложена схема промышленного получения $MgSO_4$. Сивашская рапа упаривается в бассейнах до начала выделения эпсомита (плотность р-ра 1,309). В ходе испарения выделяются карбонаты Ca и Mg, гипс и большая часть NaCl. Упаренная рапа перекачивается в глубокие бассейны, где зимой при 0° — -5° выделяется эпсомит с примесью NaCl. При переработке его на сульфаты, щел. металлов эта примесь не является вредной.

Л. Х.
43751. О механизме восстановления сульфатов углеродом в твердой фазе. Будников П. П., Неричи М. И., Хим. пром-сть, 1955, № 7, 18—19

Исследован механизм восстановления углеродом сульфатов Na, Ca, Ba, Mg в сульфиды. Показано, что восстановление сульфата нельзя объяснить диффузией твердого углерода в сульфат, а следует отнести за счет образования CO, которая и является в данном случае восстановителем.

С. Т.
43752 К. вопросу получения гидроокиси бария. Какабадзе В. М., Чачанидзе Г. Д., Тр. Груз. политехн. ин-та, 1953, № 28, 3—15 (рез. груз.)

Экспериментальная проверка различных способов получения $Ba(OH)_2$ показывает, что наиболее приемлемым следует считать усовершенствованный авторами силикатный метод получения $Ba(OH)_2$ из $BaCO_3$ и SiO_2 (с добавкой 1—2% марганцевого шлама или окиси Fe) при 1100° и дающий выход 90—92%. Продукт получается вполне чистый, отсутствуют отходы и произ-ве, выпавший в осадок $BaSiO_3$ возвращается в цикл для получения силикатов. Отмечаются также комбинированный способ получения $Ba(OH)_2$ и литопона без применения дефицитной H_2SO_4 и марганцевый способ получения $Ba(OH)_2$, который может найти распространение, так как обессеривание можно вести природными материалами. Остальные из предложенных методов не имеют практич. значения из-за незначительной степени превращения (2—40%) и ряда других существенных недостатков.

К. К.
43753. Двухокись титана для синтеза монокристаллов рутила. П. Физические свойства двухокиси титана. Таки, Кунитоми (合成宝玉石原料酸化チタンの研究. 第2報. 酸化チタンの物理内生状について. 瀧貞男, 國富隆), 工業化学雑誌, Korô kagaku zasshi, J. Chem. Soc. Japan, Industr. Chem. Sec., 1954, 57, № 4, 264—266 (япон.)

Испытаны следующие методы получения легкого порошка TiO_2 с низким насыпным весом: 1) нагреванием при 100 — 1500° $Ti(OH)_4$, приготовленного обработкой $TiCl_4$ р-ром H_2SO_4 ; 2) нагреванием при 850° смеси $TiCl_4$ и $(NH_4)_2SO_4$, взятой в молярных соотношениях от 1:1 до 1:4. Приведены: кажущаяся и истинная плотность, способность абсорбировать масло, величина поверхности частиц, определенная микроскопич. методом, и ситовый анализ порошков. TiO_2 , полученный 1-м методом при 600° и 2-м методом (особенно при молярном соотношении $TiCl_4 : (NH_4)_2SO_4 = 1:2$), обладает физ. свойствами, наиболее подходящими для материала, из которого получают искусств. драгоценные камни. Сообщение 1 см. Яманаси дайгаку кокакубу кэнкью хококу, 1952, № 3, 47.

Г. Р.
43754. Получение и применение метафосфорной и полифосфорной кислоты. Кобаяси, Синагава (メタ燐酸及びポリ燐の製法と應用, 小林正光, 品川隆明), 化学の領域, Какаку-но рёнки, J. Japan. Chem., 1953, 8, № 2, 36—46 (япон.)

Обзор. Библ. 165 назв.
43755. Использование зеленой грязи производства двуххромовкислого натрия на химическом комбинате. Ванча (Valorificarea nămolului verde de la secția bicromat a combinatului chimic Nr. 1. Vanea Marin), Studii si cercetări stiint Acad. R. P. R.

Fil. Cluj., 1954, Ser. 1, 5, № 3—4, 149—155 (рум.; рез. русс., франц.)

Приведены результаты качеств. и колич. анализом зеленой грязи, образующейся при произ-ве $K_2Cr_2O_7$ из природного хромита (Cr_2O_3 , FeO) (X), содержащей 9,24% Cr_2O_3 . Для выделения Cr рекомендуется обработка ее горячей водой, подкисленной конц. H_2SO_4 , взятой в кол-ве 330 мл на 1 мг грязи. При этом карбонаты Ca и Mg полностью разлагаются; конец р-ции обнаруживается по прекращении выделения CO_2 . Полученный р-р, содержащий 16% Na_2CrO_4 , вновь вводится в цикл произ-ва. Первоначальный продукт состоит из X, Na_2CO_3 и доломита. Образующийся при этом осадок, содержащий 4% X, неразложившегося при прокаливании, может быть вновь использован при составлении первоначальн. продукта. Я. М.

43756. Получение урана в качестве побочного продукта. Барр (By-product uranium program. Barr James A., Jr), Mining Congr. J., 1954, 40, № 5, 39—40 (англ.)

Концентраты урана в промышленном масштабе извлекаются из отходов переработки природных фосфоритов на удобрения. Содержание U_3O_8 в 1 т фосфорита составляет 45—181 г. Предусматривается эксплуатация бедных месторождений фосфорита с последующим обогащением и использованием отходов для получения U. Изучается возможность получения U при произ-ве H_3PO_4 , суперфосфата, смешанных азотно-фосфорных удобрений и элементарного P. А. Г.

43757. Применение ионообменных смол для получения одно- и многоосновных кислот. Либерти (Impiego di resine scambiatrici nella preparazione di acidi e poliacidi. Lrbeiti Arnaldo), Ann. chimica, 1953, 43, № 7, 443—447 (итал.)

Свободные к-ты (HCNS, гипофосфорную, три-, тетра- и пентаионовые к-ты) и золи к-т (кремневой, вольфрамовой, оловянной и др.) получают, пропуская р-ры их солей через колонку с катионообменной смолой, обработанной сильной к-той; способ отличается простотой и быстротой, а продукты получаются очень чистые и устойчивые. Золи, полученные другими способами, очищаются от электролитов пропусканием их последовательно через колонки с катионо- и анионообменными смолами. Гетерополиокислоты очищают тем же способом, что и одноосновные к-ты. Исследование фосфорованадольфраматов: 13 $(NH_4)_2O \cdot 2P_2O_5 \cdot 8V_2O_5 \cdot 34WO_3 \cdot 86H_2O$ и 15 $(NH_4)_2O \cdot 2P_2O_5 \cdot 6V_2O_5 \cdot 44WO_3 \cdot 106H_2O$ с помощью ионообменных смол показало, что ион NH_4^+ дает с P, V и W несколько комплексов и что, следовательно, возможны и другие к-ты, состоящие из этих же элементов.

З. Б.

43758 П. Усовершенствования в способе получения перекиси водорода. Ран, Мур, Синдлингер (Perfectionnements relatifs à un procédé de préparation du peroxyde d'hydrogène. Rahn Henry W., Moors John W., Sindlinger Charles J.), [Columbia Southern Chemical Corp.], Франц. пат. 1076382, 26.10.54 [Chimie et industrie, 1955, 74, № 3, 474 (франц.)]

Водную суспензию BaO_2 обрабатывают CO_2 при т-ре ниже 30° , в результате чего получают р-р H_2O_2 , содержащий в осадке $BaCO_3$; последний отделяют через 2 часа с момента начала карбонизации.

Я. К.
43759 П. Производство карбоната натрия (Manufacture of Sodium Carbonate) [Imperial Chemical Industries Ltd]. Австрал. пат. 163862, 21.07.55

Для произ-ва Na_2CO_3 разложением $NaHCO_3$ последний поддерживается во взвешенном состоянии на слое ранее образовавшегося Na_2CO_3 посредством потока (восходящего) CO_2 воздуха или пара или смеси их.

При этом NaHCO_3 нагревается змеевиком, обогреваемым насыщ. паром под давл. $< 17,6$ атм. Поверхность нагрева змеевика $\geq 56 \text{ м}^2/\text{т}$ получающегося Na_2CO_3 в час. Время пребывания NaHCO_3 в этом слое ≥ 20 мин. В. Ш.

43760 П. Получение сульфата калия в процессе растворения каменной соли с применением калий-магниевых кристаллизатов, выпадающих в нормальном процессе охлаждения. Аутенрих (Verfahren zur Herstellung von Kaliumsulfat im Hart-salzlösbetrieb unter Verwendung der im normalen Kühlprozeß anfallenden kalimagnesiahaltigen Kristallisate. Autenrieth Hans) [Kalivertriebsstelle G. m. b. H. Abteilung Kaliforschungsstelle]. Пат. ФРГ 883144, 3.08.53 [Chem. Zbl., 1954, 125, № 13, 2897 (нем.)]

Подлежащая перекристаллизации смесь KCl и шенита приводится к самому подходящему для превращения в K_2SO_4 соотношению. Перекристаллизацию начинают при т-ре, при которой в охлаждаемом р-ре достигнуто необходимое метастабильное насыщение шенитом. Начальную т-ру переохлаждения определяют с помощью спец. температурной кривой. Охлаждение горячего р-ра каменной соли производится в многоступенчатой вакуум-холодильной установке с поверхностными конденсаторами. Вода, извлеченная при охлаждении горячего р-ра, используется целиком или частично для превращения смеси KCl -шенит в K_2SO_4 . Маточный р-р K_2SO_4 возвращается в исходный охлаждаемый р-р каменной соли при более высокой т-ре, чем т-ра, установленная для перекристаллизации. Н. Л.

43761 П. Процесс производства хлористого магния. Камлет (Process for the manufacture of magnesium chloride. Kamlet Jonas) [The Kamlet Lab.]. Пат. США 2705185, 29.03.55

Доломит, доломитовый известняк или магнезит прокаливают до полного превращения MgCO_3 в MgO . Материал суспендируют в воде с в-вом, содержащим CaSO_4 , и хлоридом щел. металла из расчета 1 M CaSO_4 и 2 M хлорида на каждый M MgO . Суспензию карбонизируют, пропускают газ, в котором присутствует CO_2 , при т-ре между 5° и точкой кипения суспензии. Р-цию завершают, нагревая смесь до т-ры между 40° и точкой кипения суспензии; CaCO_3 отфильтровывают, выкристаллизуют из р-ра сульфат щел. металла и отделяют его от маточного р-ра. Затем из маточного р-ра выделяют MgCl_2 . Л. Х.

43762 П. Очистка галоидных солей, являющихся побочными продуктами. Крума (Purification of by-product halide salts. Krichma Ignace Joseph) [E. I. du Pont de Nemours and Co.]. Пат. США 2668750, 9.02.54

MgCl_2 (побочный продукт восстановления TiCl_4 при помощи Mg) очищается от примесей Ti действием на слав при $750\text{--}1000^\circ$ газообразного Cl_2 . Полученный TiCl_4 (в виде паров) удаляется из ванны. Н. А.

43763 П. Приготовление растворов метабората магния. Фронмаллер (Method of making magnesium metaborate solutions. Fronmuller George D.) [Commonwealth Color and Chemical Co.]. Пат. США 2717240, 6.09.55

Смешивают взятые в эквимолярных отношениях водн. р-ры MgCl_2 и метабората щел. металла (I) при т-ре $\leq 25^\circ$ и $\text{pH} = 6,5\text{--}9$ и получают р-р, устойчивый в течение длительного (несколько месяцев) времени. Содержание $\text{Mg}(\text{BO}_3)_2$ (II) в р-ре составляет $\sim 2\%$. Возможно перед смешением понизить pH р-ра I до 9 разбавлением минер. к-ты (при этом pH получаемого р-ра II будет $\sim 6,5\text{--}9$). Р-цию проводят, не допуская разогревания р-ра. При т-ре $\sim 50^\circ$ из р-ра выделяется осадок II, не растворяющийся при последующем охла-

ждении. Осаждение II в нейтр. ($\text{pH} \sim 7$) среде идет при 45° ; в щел. ($\text{pH} \sim 9$) — при $27\text{--}30^\circ$. При $\text{pH} \sim 6$ выделения осадка при повышении т-ры не происходит. Автор рекомендует использовать р-р II в качестве добавки-наполнителя к клеям, крахмальным р-рам и при обработке ими волокнистых материалов, а также непосредственно для пропитки папиросной бумаги и нанесения пигментов. Для выделения II эти материалы нагревают. Л. Х.

43764 П. Способ выпаривания растворов хлоридов щелочных металлов, содержащих сульфат кальция (Frøngingsm. de ved indampning af kalkiumsulfatholdige alkalikloridopløsninger) [Rederiaktiebolaget Nordstjernen]. Дат. пат. 17720, 28.06.54

Способ концентрирования в многокорпусном выпарном аппарате р-ров хлоридов щел. металлов, содержащих CaSO_4 , в присутствии CaCl_2 отличается тем, что: 1) содержание CaCl_2 в р-ре устанавливают таким, чтобы температурный коэфф. растворимости CaSO_4 стал положительным или равным 0, для чего содержание CaCl_2 в р-ре должно быть 0,5—6,0% (лучше 3—4%); 2) т-ра концентрирования насыщ. р-ра NaCl , содержащего 1% CaCl_2 , должна быть $< 70^\circ$ (лучше $< 60^\circ$, напр., 50°), а насыщ. р-ра NaCl , содержащего 6% CaCl_2 , $< 90^\circ$ (лучше $< 80^\circ$, напр. 70°); 3) к упариваемому крепкому р-ру хлоридов щел. металлов, в котором содержание CaCl_2 настолько высоко (напр., 6—8%), что CaSO_4 в нем практически нерастворим, прибавляют р-р хлоридов с низким содержанием CaCl_2 . Описанный способ основан на том, что в присутствии CaCl_2 температурный коэфф. растворимости CaSO_4 становится положительным и CaSO_4 не выпадает из р-ров при их упаривании. Преимущество способа заключается в том, что избегается образование накипи в выпарном аппарате, вследствие уменьшения растворимости NaCl с повышением содержания CaCl_2 ; укорачивается время выпарки р-ра NaCl , который выпадает в мелкокристаллич. форме. К. Г.

43765 П. Способ получения легко фильтрующегося сульфата кальция при производстве экстракционной фосфорной кислоты. Хейнерт (Verfahren zur Erzeugung eines leicht filtrierbaren Calciumsulfates bei der Herstellung von Phosphorsäure auf nassem Wege. Heinerth Erich) [Henkel & Cie, G. m. b. H.]. Пат. ФРГ 923845, 21.02.55

Перед обработкой сырого $\text{Ca}_3(\text{PO}_4)_2$ с помощью H_2SO_4 к одному или обоим реагентам добавляют сульфат 2-валентного металла (Zn , Fe , Ni , Cu , предпочтительно Mg), растворимый в условиях р-ции, в кол-ве $\sim 5\%$ [лучше 1—2% по отношению к кол-ву растворимого P_2O_5 в природном $\text{Ca}_3(\text{PO}_4)_2$]. Можно также получать сульфат одного из указанных металлов в самом процессе (напр., при взаимодействии окиси или карбоната с H_2SO_4) или добавлять фосфат, содержащий Mg , или отходы различных произ-в. При переработке полученной H_3PO_4 в фосфаты щел. металлов добавленный металл осаждается и после отделения и растворения в H_2SO_4 может быть использован вновь. H_3PO_4 можно очистить от металлов, образующих труднорастворимые сульфиды, добавлением щел. или щел.-зем. сульфидов при соответствующем pH ; применяя BaS можно понизить также содержание сульфата в H_3PO_4 . Е. Б.

43766 П. Получение нитрата кальция. Руош (Process for the production of calcium nitrate. Ruosch Samuel). Канад. пат. 506738, 26.10.54

Р-р $\text{Ca}(\text{NO}_3)_2$ медленно упаривают в выпарных аппаратах, снабженных циркуляционными насосами, или (и) в кристаллизаторах, оборудованных мешалками, до конц-ии равной 92%. Регулируя т-ру и давление, поддерживают скорость выпаривания на уровне, обеспечивающем получение кристаллов $\text{Ca}(\text{NO}_3)_2$ диам.

0,2 мм. При этом вязкость возрастает настолько медленно, что при конц-ии 90% и т-ре 130° она достигает 3 (по сравнительной шкале, где за единицу принята вязкость компрессорного масла, равная 25° Энглера при 20°). При конц-ии 92% вязкость пасты еще допускает перемешивание; из такой массы при затвердевании получают гранулы $\text{Ca}(\text{NO}_3)_2$ с низким содержанием H_2O . На последних стадиях процесса применяют механич. перемешивание.

Л. Х.

43767 П. Способ приготовления гранулированного цианамиды кальция. Руош (Verfahren zur Herstellung von gekörntem Kalkstickstoff. Ruosch Samuel) [Lonza Elektrizitätswerke und Chemische Fabriken A.-G.]. Пат. ФРГ 922106, 10.01.55

Способ установления и корректуры степени гидратации при получении гранулированного $\text{CaCN}_2 \cdot \text{Ca}(\text{OH})_2$ (I) посредством полной гидратации сырого I и последующего гранулирования гидратированного продукта отличается тем, что достижение нужной степени гидратации контролируется измерением давления пара H_2O над гидратированным продуктом. Давление водяного пара гидратированного продукта, остающееся постоянным по меньшей мере в течение 48 час. и равное при 20° 3—10 (лучше 4—7) мм рт. ст., соответствует степени гидратации $\geq 99,5\%$. С помощью такого измерения давления пара определяют объем аппарата минимально необходимый для полной гидратации продукта.

В. Ш.

43768 П. Непрерывный процесс получения цианамиды кальция. Денилье (Process for the continuous production of calcium-cyanamide. Daniels Joseph). Пат. США 2687945, 31.08.54

Гомогенную суспензию тонкоизмельченного карбида Ca в горячем углеводородном газе вдувают через форсунку в реакционную зону, где за счет сгорания этого газа поддерживается т-ра, необходимая для взаимодействия карбида с элементарным N_2 . Вблизи от места ввода суспензии раздельно вдувают O_2 и газ, содержащий N_2 , нагретые приблизительно до реакционной т-ры. Соотношение между O_2 и горячим газом должно обеспечивать полный перевод последнего в CO и H_2 и одновременно исключать возможность образования заметных кол-в CO_2 и H_2O . Во взвешенном состоянии суспензия карбида поддерживают до полного завершения р-ции. Полученный материал охлаждают и затем отделяют цианамид от побочных продуктов р-ции и непрореагировавшего карбида.

Л. Х.

43769 П. Производство хлорида алюминия. Харди, Грант (Manufacture of aluminum chloride. Hardy Douglas Vernon Nelmar, Grant Donald Gregory) [The Imperial Trust for the Encouragement of Scientific and Industrial Research]. Пат. США 2705186, 29.03.55

Безводный AlCl_3 в виде свободно текущего порошка получается при действии Cl_2 на один из концов алюминиевого прутка. Тепло, выделяющееся при р-ции, отводится из реакционной зоны за счет охлаждения другого конца массивного прутка. Таким образом, исключается возможность расплавления даже небольших кол-в металла. AlCl_3 удаляется из реакционной зоны, причем создаются условия, поддерживающие его в парообразном состоянии. Соответствующее охлаждение и форма конденсатора обеспечивают перевод паров AlCl_3 непосредственно в твердое состояние без контакта со стенками. Все операции ведутся в отсутствие влаги.

Л. Х.

43770 П. Очистка титана (Purification of titanium) [Imperial Chemical Industries of Aust. and N. Z. Ltd.]. Австрал. пат. 164967, 22.09.55

Процесс очистки Ti, содержащего кислород, состоит в обработке Ti кальцием в жидкой среде при т-ре $\geq 900^\circ$ в атмосфере инертных газов.

Н. Ш.

43771 П. Тетрахлорид титана (Titanium tetrachloride) [Titan Co. Inc.]. Австрал. пат. 156522, 3.06.54 Железисто-титановый материал, содержащий соединения Mg или Ca, обрабатывают серной или фосфорной к-той; смесь нагревают до образования сухой массы, которую измельчают и хлорируют при повышенной т-ре в присутствии углеродсодержащего восстановительного агента. Полученный TiCl_4 возгонкой отделяют от образующегося одновременно сульфата или фосфата Ca или Mg.

Л. Х.

43772 П. Способ получения тетраоксида циркония (Verfahren zur Herstellung von Zirkontetraoxid) [Titan Co. Inc.]. Швейц. пат. 302902, 17.01.55 [Chem. Zbl., 1955, 126, № 28, 6592 (нем.)]

Zr-цианонитрид разлагают паром H_2 при 600—1100° и конденсируют ZrI_4 при т-ре $> 185^\circ$.

В. Ш.

43773 П. Приготовление растворов полиметафосфата. Айлер, Уолтер (Preparation of poly-metaphosphate solutions. Iler Ralph K., Wolter Frederick J.) [E. I. du Pont de Nemours and Co.]. Канад. пат. 498811, 29.12.53

Патентуется метод изготовления растворимых полиметафосфатов из соли Карола (Kugrol) обработкой последней, взятой в виде водн. суспензии, при помощи соли катионита. Обработка производится при pH от 5 до 11. Катион ионообменника должен иметь валентность < 3 (напр., K^+ , Na^+). При такой обработке образуются водн. р-р полиметафосфатов.

В. М.

43774 П. Карбидирование торированного вольфрама. (Carbonization of thoriated tungsten) [Radio Corp. of America]. Англ. пат. 700323, 25.11.53 [Chem. Abstrs, 1954, 48, № 12, 6888 (англ.)]

Элементы из торированного W, применяемые в электронных разрядных приборах, карбидируются в атмосфере паров углеводородов в инертном газе, напр. C_6H_6 в H_2 при высоких т-рах. Элемент обрабатывают этой смесью при 2575—2625° K в течение 1 мин., чтобы получить W_2C ; затем конц-ия C_6H_6 понижается, а т-ра повышается до 2775—2825° K (обработка 2 мин.). При этом углубляется карбидный слой и снижается содержание C до 2,45—3,16 вес. %, образуя «многослойную» карбидную фазу, обладающую хорошими эмиссионными свойствами.

К. К.

43775 П. Производство урановых солей. Моррис, Харви (Manufacture of uranium salts. Morris G. O., Harvey B. G.) [Imperial chemical industries, Ltd.]. Англ. пат. 696053, 26.08.53 [Chem. Abstrs, 1954, 48, № 13, 7458 (англ.)]

Смесь, состоящая из 85 ч. исходного материала U_3O_8 , 124 ч. 37%-ной HCl и 152 ч. HNO_3 (уд. вес. 1,42), нагревается в течение 30 мин. После охлаждения р-р разбавляется 500 ч. воды и отфильтровывается небольшое кол-во твердого остатка. Образующий р-р UO_2Cl_2 восстанавливается SnCl_2 и после добавления HF получается UF_4 . Другой способ р-нения U_3O_8 состоит в медленном добавлении 429 ч. U_3O_8 к нагретой смеси, содержащей 300 ч. H_2SO_4 (98%), 45 ч. HNO_3 (уд. в. 1,42) и 406 ч. H_2O .

П. Ф.

43776 П. Процесс производства четырехфтористого урана. Харви, Моррис (Process for the manufacture of uranium tetrafluoride. Harvey B. G., Morris G. O.) [Imperial Chemical Ind. Ltd.]. Англ. пат. 696054, 26.08.53 [Chem. Abstrs, 1954, 48, № 13, 7458 (англ.)]

Химически чистый UF_4 может быть получен медленным добавлением водн. р-ра HF к суспензии кристаллов $\text{U}(\text{SO}_4)_2 \cdot 4\text{H}_2\text{O}$ в горячей воде. После добавления HF кристаллы постепенно растворяются и осаждаются UF_4 , который (после фильтрации и сушки в течение 16 часов при 100°) содержит 72% U и 22,5% F. Ионов SO_4^{2-} в нем не обнаружено.

П. Ф.

43777 П. Осаждение урана (Precipitation of uranium) [National Research Council]. Австрал. пат. 161189, 3.03.55

Процесс осаждения U в нерастворимой форме из водн. р-ров карбонатов щел. металлов включает следующие операции: в р-р вводят гидрирующий катализатор и нагревают, пропускают молекулярный водород или газ, содержащий свободный водород; нагревание ведут в закрытом объеме, в котором общее давление превышает упругость водяного пара над р-ром. Л. Х.

43778 П. Способ и установка для непрерывного производства двуокиси хлора. Кестинг (Kontinuierliches Verfahren und Anlage zur Herstellung von Chlordioxyd. Kesting Edelbert). Пат. ФРГ 924689, 7.03.55 [Papier, 1955, 9, № 13/14, L71 (нем.)]

ClO_2 получают непрерывным разложением хлората (I) соляной к-той (II). Р-ры I и II пропускают последовательно непрерывным потоком через ряд сосудов (C), расположенных на разных уровнях и снабженных переливными устройствами; по мере протекания через C р-ры нагреваются. Одновременно в противоположном направлении через C пропускают ток инертного газа. Можно также нагревать инертным газом или водяным паром только последний C. В последнем случае газ подводится в предпоследний C. Способ характерен тем, что в C с наиболее низкой т-рой конц-ия ClO_2 наиболее высокая, а разложение I благодаря повышенной т-ре протекает быстрее, но без взрыва.

В. Ш.

43779 П. Способ получения соединений марганца. Дин, Фокс (Verfahren zur Herstellung von Manganverbindungen. Dean Reginald Scott, Fox Abraham L.). Пат. ФРГ 922882, 27.01.55

Для получения соединений Mn из руд и материалов, в которых Mn находится в виде металла или MnO , предлагается выщелачивать Mn водн. р-ром, содержащим $\geq 18\%$ NH_3 и $\geq 2\%$ соли аммония (сульфата, хлорида, нитрата карбоната, или карбамата), при этом получают р-р комплексного соединения Mn с NH_3 , содержащий ≥ 10 г/л растворенного Mn (в пересчете на $\text{Mg}(\text{OH})_2$). Выщелачивание ускоряется восстановителем (способным в р-ре переводить MnO_2 в MnO), который применяется в кол-ве 0,1—3 вес. % от кол-ва в-ва, содержащего Mn (напр., $(\text{NH}_4)_2\text{S}$, применяемый из расчета 3—15 кг/т руды). После отделения р-ра Mn осаждают в виде MnCO_3 при т-ре $> 60^\circ$ пропуская через р-р CO_2 , при этом молярное отношение CO_2 : Mn в р-ре всегда поддерживают $> 1,75$. Полученный MnCO_3 переводят в MnO_2 многочасовым нагреванием при $150—315^\circ$ на воздухе или в атмосфере O_2 . В. Ш.

43780 П. Производство окиси железа из сернистых руд (Production of iron oxide from sulfide ores.) [Mond Nickel Co. Ltd.]. Англ. пат. 716588, 6.10.54 [Chem. Abstrs, 1955, 49, № 5, 3492 (англ.)]

Руду, содержащую Ni, измельчают до тонины помола, при которой $\leq 20\%$ частиц остается на сите 0,21 мм, затем подвергают пенной флотации для отделения пирротина, измельчают до тонины помола, при которой $\leq 5\%$ остается на сите 0,074 мм, и снова подвергают флотации. На этой стадии концентрат должен содержать $\leq 1\%$ Ni, 0,1% Cu, 2,5% SiO_2 и $< 2,5\%$ $\text{Al}_2\text{O}_3 + \text{CaO} + \text{MgO}$. Его обжигают во взвешенном состоянии при $650—705^\circ$, смешивают с 3—6% Na_2SO_4 с размером частиц 0,21 мм и нагревают при $650—705^\circ$ в атмосфере, содержащей 4,5% SO_2 . После охлаждения концентрат выщелачивают водой и получают остаток, содержащий 66% Fe и $< 0,15\%$ Ni. Содержание Ni перед обжигом должно быть $< 1\%$, так как при большем кол-ве его значительно снижается доля Ni, извлекаемого в виде сульфата, и повышается содержание Ni в концентрате. Г. Р.

43781 П. Процесс производства основного сульфата железа. Мак-Кормик (Process for producing basic iron sulfate. McCormick Walter R., Jr) [National Lead Co.]. Пат. США 2718455, 20.09.55

В процессе переработки рудного концентрата сульфидов металлов (главный компонент — Fe, а также Cu, Ni, Co) патентуется стадия смешения этого концентрата с водой для получения пульпы с 10—40% твердой фазы. Далее эту пульпу нагревают при $205—260^\circ$ (лучше $216—238^\circ$) и давл. 28—102 атм в присутствии O_2 -содержащего газа при перемешивании в течение 1—3 час. При этом сульфиды окисляются, и большая часть Fe осаждается в виде основного сульфата, который отделяют от р-ра, содержащего сульфаты остальных металлов. Кислотность этого р-ра доводят до 15—50 г/л свободной H_2SO_4 , вновь повторяют описанную выше обработку и получают в осадке дополнительное кол-во основного сульфата Fe. В. Ш.

УДОБРЕНИЯ

43782. Об успехах восстановительных работ за 1954 год на Хыпинском азотно-фосфатном заводе. Ли Дин Ен (1954 년도 공장 복구 건설에서 얻은 몇가지 경험 총합 비료공장에서. 리 제 영). 과학과 기술, Квахак-ка кисуль, 1955, № 5, 4—7 (кор.)

43783. Мочевина, применяемая в качестве удобрения, и ее свойства. Хардести (Fertilizer urea and its properties. Hardesty John O.), Agric. Chemicals, 1955, 10, № 8, 50—51, 91, 93, 95, 97 (англ.)

Развитие произ-ва мочевины (М) в США и ее применение в качестве удобрения и в пром-сти. Свойства М, водн. р-ров М и М с NH_4NO_3 . Гигроскопичность различных солей, применяемых как удобрения, и их смесей с М при 30° . Р-ции М: образование комплексов М с неорганич. солями, применяемыми в качестве удобрений. Продукты р-ции М с HCHO и р-ры М, применяемые в качестве удобрений. Применение М для произ-ва смешанных удобрений и р-ции, протекающие при этом. Библ. 13 назв. Г. Р.

43784. Аммиачная вода как удобрение. Лоренс (Ammonia liquor as a fertilizer. Lawrence H. M.), Gas J., 1955, 284, № 4829, 775—778; Gas World, 1955, 142, № 3724, 1671—1674 (англ.)

Сообщается о полевых опытах, методах, хранилищах и машинах для применения аммиачной воды в качестве удобрения в Англии, а также об экономич. эффекте этого мероприятия. Г. Р.

43785. Новые области применения фосфатов. Миллер (New uses for phosphates. Miller J. G.), Mines Mag., 1955, 45, № 3, 95—98 (англ.)

Обзор применения неорганич. и органич. соединений фосфора в пром-сти и сельском хозяйстве. Е. Б.

43786. Длительные опыты по производству плавящихся фосфорных удобрений в полужавоковой ванночной печи, обогреваемой генераторным газом. I. Опыты по производству плавящихся фосфорных удобрений. II. Исследование поврежденной кладки печи. Судзуки, Миядзакэ, Томики, Кога (石炭ガス法精製型炉による熔成燐肥の長期製造試験について. 第1報 本炉による熔成燐肥の製造について. 本炉の炉體煉瓦の損傷状況について. 第2報. 鈴木明, 宮崎治, 富木正英, 古賀満), 工業化学雑誌, Koré kagaku daessi, J. Chem. Soc. Japan. Industr. Chem. Sec., 1954, 57, № 4, 261—264 (япон.)

I. Описана обогреваемая генераторным газом печь для произ-ва плавящихся фосфорных удобрений и приведены результаты опытов по применению фосфатов, содержащих 31—38% P_2O_5 . За 5 месяцев работы содер-

жание P_2O_5 , растворимой в 2%-ной лимонной к-те, составляло 97—99% от общей P_2O_5 .

II. Приведены фотографии, показывающие состояние кирпичной кладки печи после 2-месячной работы.

Е. Б.

43787. Плавеный магниевый фосфат. Соколов А. В., Корицкая Т. Д. В сб.: Исследования по прикл. химии, М.—Л, Изд-во АН СССР, 1955, 313—324

Исследовался плавеный магниезиальный фосфат в качестве удобрения, обеспечивающего потребность растений в P и Mg. В ряде сравнительных опытов установлена целесообразность применения плавеного магниезиального фосфата на ряде почв при достаточной тонине помола.

Л. Х.

43788. Производство нитрофосфатов. Хуан Да-хэ (Nitric phosphate production. Huang Tah-Ho), Agric. Chemicals, 1955, 10, № 11, 45—46, 109, 111, 113 (англ.)

Приведен список заводов (13 в Европе и 2 в США), вырабатывающих нитрофосфаты, с указанием лимита процессов, производительности, исходного сырья для разложения природных фосфатов и ассортимента продукции. Библи. 34 назв.

Е. Б.

43789. Первый венгерский химический комбинат. Полинский (Az első magyar vegyikombinát. Polinszky Károly), Természeti és társad., 1954, 113, № 6, 338—341 (венг.)

Приводится описание нового Боршодского хим. комбината (Венгрия), построенного для переработки бурого угля в кокс, используемого для получения газовой смеси, идущей на синтез NH_3 . Конечный продукт произ-ва — азотные удобрения.

Д. П.

43790. Удобрения, химикаты, медикаменты из Линца. Сообщение об австрийских азотных заводах. — (Dünger, Chemikalien, Arzneimittel aus Linz. Ein Bericht über die Österreichischen Stickstoffwerke.), Neue Technik und Wirtsch., 1955, 9, № 12, 315—326 (нем.)

43791. Получение жидких удобрений. Ланггат, Рейн, Арван, Сислер, Бротигам (Formulating liquid fertilizers. Langguth Robert P., Payne John H., Arvan Peter G., Sisler Charles C., Brautigam George F., Jr., J. Agric. and Food Chem., 1955, 3, № 8, 656—662 (англ.)

Определены максим. содержания $N+P_2O_5+K_2O$ (I) в нейтр. жидких удобрениях (ЖУ) с 3-рой кристаллизацией $< 0^\circ$, полученных из следующих не содержащих не растворимого остатка материалов: жидкого и водн. NH_3 (II), р-ров $II+NH_4NO_3$ (III) и $II+мочевина$ (IV), IV, III и его р-ра, р-ра IV+III; H_3PO_4 (V) 75%-ной, моно- и диаммонийфосфата; KCl. Для с.-х. культур, не допускающих высокого содержания Cl в удобрениях, вместо KCl применяют K_2SO_4 (что, однако, снижает содержание I) или более дорогой KNO_3 . Для предупреждения коррозии оборудования, устранения запаха II и обеспечения хорошей растворимости NH_4 -фосфатов (VI) ЖУ должны иметь pH 6,5—7,0, что регулируется применением II и V в соотношении (вес.) $N:P_2O_5 = 1:3$; для получения ЖУ с большим соотношением $N:P_2O_5$ следует вводить добавочный нейтр. N, напр. IV или III. При применении VI pH регулируется соотношением моно- и дифосфатов (27,5:72,5). Приведены диаграммы, показывающие зависимость максим. содержания I от исходных материалов и от образования твердой фазы в ЖУ, содержащих IV или III. Максим. содержание I — порядка 30%. Повышение содержания K_2O уменьшает содержание I. При большом содержании N максим. содержание I ниже в ЖУ, содержащих III (ввиду плохой растворимости образующегося KNO_3), чем

в ЖУ, содержащих IV. Описана опытная установка с реактором из нержавеющей стали и мешалкой производительностью 16—24 т в 8-часовую смену. В нейтрализовали жидким II на 75% или выше, а затем для снижения т-ры добавляли твердые компоненты; продолжительность замеса 30—45 мин. Потери II наблюдались только при т-ре кипения. При аммонизации V р-рами операции протекают проще и быстрее. Приведены термохим. и температурные данные процесса.

Е. Б.

43792. Полное удобрение, содержащее микроэлементы. Курцман (Ein Volldünger mit Spurenelementen. Kurzman Franz), Garten-Z. Illustr. Flora, 1954, 77, № 4, 43—44 (нем.)

Дается описание удобрения «шпурфоска», предназначенного для садов и горшечных растений. Удобрение содержит (в %): P_{10} , N 7, K 12, а также Ca и следы B, Cu, Mg, Mn, Zn и др. микроэлементов, и отличается хорошей растворимостью. Разновидности этого удобрения выпускаются с другими соотношениями основных питательных в-в, а также в виде конц. р-ра. Удобрение имеет вид тонкозернистого порошка.

43793. Применение боратов меди, марганца и цинка как микроэлементного удобрения. Бамберг К. К., Изв. АН ЛатвССР, 1955, № 7, 79—85 (рез. лат.)

43794 П. Способ получения фосфорного удобрения. Схитил (Verfahren zur Herstellung eines Phosphatdüngemittels. Schyttil Franz) [Metallgesellschaft A.-G.]. Пат. ФРГ 928408, 31.05.55

Способ разложения природных фосфатов в псевдоожиженном слое отличается тем, что скорость восходящего в печи потока газа постепенно уменьшается. Подаваемый в этот слой фосфат разлагается с выделением F в виде SiF_4 или (при добавлении водяного пара) в виде HF, а затем агломерируется или плавится и падает в нижнюю часть печи. Фосфат и добавки к нему, повышающие т-ру плавления или ускоряющие р-цию разложения, напр. соду, можно применять более грубого помола — крупнее частиц цемента. Обогрев печи можно производить сжиганием твердого, жидкого или газообразного топлива в атмосфере, обогащенной O_2 и содержащей водяной пар, или дополнительно с помощью электродуги, напр. voltaовой дуги. Печь состоит из нижней цилиндрич. части с расширением, куда подается воздух (75% O_2), несколько выше вырывается вода для охлаждения выгружаемого продукта, которая при этом испаряется, а еще выше подается водяной пар; общее содержание пара в атмосфере печи составляет 50 об.%. Цилиндрич. часть печи переходит вверх в конич. шахту, где находится псевдоожиженный слой, в низ которой подается малозольный уголь; в этой шахте примыкает шахта, расширяющаяся кверху под большим углом, а над ней находится камера с котлом-утилизатором. Выходящие газы направляются через циклон в трубу. Печь футерована огнеупорами из Al_2O_3 , MgO или ZrO и, кроме того, в горячей части имеет водяную рубашку. Для пуска служит газовая горелка. Производительность печи 140—200 т/сутки смеси фосфата; расход топлива 15 т. Продукт с размерами зерен 0,5—1 см содержит до 95% всей P_2O_5 в усвояемой форме.

Г. Р.

43795 П. Производство нитрофосфатов. Пико, Мартен (Manufacture of phosphonitrite fertilizers. Picot Lucien, Martin Yves). Пат. США 2707676, 03.05.55

Способ получения удобрений разложением природного фосфата смесью к-т, содержащей HNO_3 , с последующей нейтр-цией полученной пульпы аммиаком отличается тем, что смесь к-т пропускают через змеевик, находящийся в испарителе жидкого NH_3 ; при

этом смесь к-т охлаждается. Пары NH_3 используются для нейтр-ции пульпы. Е. Б.

43796 П. Способ разложения фосфатных комплексов. Томсен (Method of resolving phosphatic complexes. Thomson Alfred M.). Пат. США 2716591, 30.08.55

Процесс разложения основного шлака (ОШ), содержащего Fe, Mn и P, или природных фосфатов состоит из следующих стадий: 1) р-ция ОШ с NH_4HSO_4 ; 2) растворение полученных сульфатов и H_3PO_4 в воде; 3) отделение р-ра от нерастворимого остатка CaSO_4 и др.; 4) выпаривание р-ра, кристаллизация сульфатов и отделение их от р-ра H_3PO_4 ; 5) растворение кристаллов в воде, осаждение Fe, $\text{Al}(\text{OH})_3$ при аэрации и добавлении NH_3 , а затем (или одновременно) осаждение MnCO_3 и MgCO_3 действием $(\text{NH}_4)_2\text{CO}_3$ и отделение осадков; 6) обезвоживание р-ра $(\text{NH}_4)_2\text{SO}_4$ и нагревание для разложения и получения NH_4HSO_4 и NH_3 ; 7) конверсия CaSO_4 , полученного в стадии 3, действием NH_3 и CO_2 с получением CaCO_3 и р-ра $(\text{NH}_4)_2\text{SO}_4$ (последний возвращается в стадию 6); 8) нейтр-ция H_3PO_4 полученным CaCO_3 , сушка продукта $\text{Ca}(\text{H}_2\text{PO}_4)_2$, содержащего ~50% P_2O_5 и немного SiO_2 и $(\text{NH}_4)_2\text{SO}_4$ или 8а) нейтр-ция H_3PO_4 аммиаком и кристаллизация NH_4 -фосфата. Приведена схема процесса и описаны его варианты. Указаны возможности применения NH_4HSO_4 вместо H_2SO_4 для очистки солей Mg от Ca, для очистки нефти; в коксохим. произ-ве. Е. Б.

43797 П. Способ получения цитратнорастворимых фосфорных удобрений из фосфатов алюминия. Шель (Verfahren zur Herstellung von amonizieratlöslichen Phosphatdüngemitteln aus Tonerdephosphaten. Scheel Kurt) [Kali-Chemie A.-G.]. Пат. ФРГ 903581, 8.02.54 [Chem. Zbl., 1954, 125, № 30, 6808 (нем.)]

Фосфаты алюминия обжигают в смеси с соединениями Mg (РЖХим, 1956, 19802). Продукт обжига быстро охлаждают. На 1 моль P_2O_5 , находящийся в фосфате, добавляют < 3, напр. ~1—2 моля MgO. Получают смешанные Mg-Al-фосфаты с высоким содержанием P_2O_5 , растворимой в 2%-ном р-ре лимонной к-ты и в нейтр. р-ре лимоннокислого аммония. Е. Б.

43798 П. Способ полного перевода фосфорной кислоты природных фосфатов в цитратнорастворимый дикальцийфосфат и отделение последнего. Фольмер (Verfahren zur vollständigen Überführung der in Rohphosphaten enthaltenen Phosphorsäure in citratlösliches Dicalciumphosphat und Isolierung desselben. Vollmer Wilhelm) [Gewerkschaft Victor]. Пат. ФРГ 924989, 10.03.55

Способ разложения природного фосфата азотной к-той с последующей нейтр-цией пульпы аммиаком до pH 8 и осаждением дикальцийфосфата отличается тем, что для сохранения цитратнорастворимой формы P_2O_5 осадок промывают 1,5—2%-ным р-ром MgSO_4 при 40°, а затем чистой водой, после чего высушивают (при 100—110°). Продукт содержит 39—39,2% общей P_2O_5 , из них 95—96% в цитратнорастворимой форме; соотношение Ca : P_2O_5 = 2,52. Р-р, содержащий нитраты NH_4 и Ca, перерабатывают известными способами. Е. Б.

43799 П. Способ производства магнезиально-фосфатных шлаков (Procédé de fabrication de scories phosphomagnésiennes) [Union Sidérurgique du Nord de la France]. Франц. пат. 1041647, 26.10.53 [Chimie et industrie, 1954, 71, № 1, 102—103 (франц.)]

В конвертер Томаса взамен части извести вводят через инжекторы эмульсию пылевидного сырого обожжен. или плавленого белого или черного доломита. Е. Б.

43800 П. Способ получения смешанных удобрений. Хадеон (Verfahren zur Herstellung von Mischdü-

gern. Hudson John Herbert) [Imperial Chemical Industries Ltd]. Пат. ФРГ 932189, 25.08.55

Природный фосфат разлагают 50—55%-ной HNO_3 , взятой в кол-ве, необходимом для перевода $\text{Ca}_3(\text{PO}_4)_2$ в $\text{Ca}(\text{H}_2\text{PO}_4)_2$ и $\text{Ca}(\text{NO}_3)_2$ и для разложения всех примесей. К полученной пульпе добавляют воды, р-р или (предпочтительно) кристаллич. $\text{NH}_4\text{H}_2\text{PO}_4$ до молярного соотношения (в массе) $\text{NO}_3 : \text{PO}_4 = 4 : 3$ и NH_3 с максим. 5%-ным избытком к кол-ву, необходимому для превращения $\text{Ca}(\text{H}_2\text{PO}_4)_2$, $\text{NH}_4\text{H}_2\text{PO}_4$ и $\text{Ca}(\text{NO}_3)_2$ в CaHPO_4 и NH_4NO_3 . К массе добавляют такое кол-во сухого готового продукта (при желании также солей калия и др.), чтобы перед гранулированием ее влажность составляла 7—12%. Рекомендуются измельчать природный фосфат до размеров частиц: 100% минус 0,295 мм при миним. 75% минус 0,125 и 50% минус 0,076 мм и чередовать добавление $\text{NH}_4\text{H}_2\text{PO}_4$ к пульпе с добавлением NH_3 . Е. Б.

43801 П. Удобрения для сельскохозяйственных культур, содержащие микроэлементы и отличающиеся различной продолжительностью воздействия на рост растений. Пост (Düngung von landwirtschaftlichen Kulturböden mit Spurenelement-Düngemitteln von zeitlich verschiedener Wirkungsdauer auf das Pflanzenwachstum. Jost Walter). Пат. ФРГ 929553, 30.06.55

Патентуется применение удобрений, получаемых из отходов металлургич. пром-сти, содержащих микроэлементы в виде окислов, металлов и шлаков, и измельченных до различной величины частиц. Е. Б.

См. также: 43734

ПЕСТИЦИДЫ

43802. Химические продукты для сельского хозяйства. Мессинг (Chemicals for agriculture. Messing Richard R.), Agric. Chemicals 1955, 10, № 8, 47, 49, 85—88 (англ.)

Обзор. Рост потребления удобрений и пестицидов в США за период 1945—1954 гг. и тенденции развития пром-сти удобрений. Е. Б.

43803. Неорганические соединения мышьяка для сельского хозяйства. Бланкенберг (Compuși anorganici ai arsenului, în slujba agriculturii. Blankenbergh A.), Rev. chim., 1955, 6, № 9, 473—475 (рум.; рез. русс.)

Перспективы произ-ва неорганич. соединений As в Румынии. Указывается, что наиболее подходящим соединением для нужд с. х. является арсенат Ca. Основным сырьем для получения неорганич. соединений As в стране являются шламы, образующиеся на установках по очистке SO_2 от As при произ-ве H_2SO_4 из колчедана. Описана технология извлечения As_2O_3 из вышеуказанного шлама, а также возникающие при этом трудности. Я. М.

43804. Радиоактивные индикаторы в исследовании инсектицидов. Часть III. Дам (Radioactive tracers in insecticide research. Part III. Dabm Paul A.), Soap and Sanit. Chemicals, 1953, 29, № 11, 141, 143, 145, 147, 165 (англ.)

Продолжение обзора. Описание работ, выполненных с мечеными инсектицидами, по изучению механизмов их действия. Часть II см. РЖХим, 1956, 16628. Д. Ш.

43805. Строение и действие инсектицидов. Х. О неконтактных инсектицидных галондоуглеводородах. Римшнейдер (Konstitution und Wirkung von Insektiziden. Mitt. X: Über den nicht kontakt-insektiziden Halogenkohlenwasserstoff. Riemschneider Randolph), Z. angew. Entomol., 1955, 38, № 1, 105—118 (нем.)

Для подтверждения гипотезы (часть IX, РЖХим, 1956, 33036) о важности для наличия контактной инсектицидной активности галоидоуглеродородов величины мол. веса (270—480), т. пл. (не $> 200^\circ$) и хорошей растворимости в липоидах испытаны 69 галоидоуглеродородов (родственные ДДТ, ГХЦГ, полученные с помощью диеенового синтеза и др.) на нескольких видах насекомых. Описаны способы испытаний, результаты их сведены в таблицы. β , β , β -Трихлор- α , α -бис-4-метил- α -нафтилэтан (I) получают обработкой 60 г хлорала и 450 мл H_2SO_4 при 0° и при перемешивании 290 г α -метилнафталина. Выход 131 г, т. пл. 206° . Аналогично получены β , β , β -трихлор- α , α -бис-4-хлор (II), т. пл. 225° , и -4-бром- α -нафтилэтан (III), т. пл. 221° . II и III при обработке щелочью превращаются в соответствующие этиленовые соединения, т. пл. 190 и 224° . α , β -Бис-4-хлор- α -нафтилэтан, т. пл. 225° , образуется восстановлением II. Окисление II дает 4-хлорнафтойную-1 к-ту, т. пл. 211° . β , β , γ -Трихлор- α , α -бис- α -нафтил- n -бутан готовят прибавлением при 35° и при перемешивании 7,5 г нафталина (IV) к смеси 4,8 г гидрата α , α , β -трихлормасляного альдегида и 30 мл 101%-ной H_2SO_4 . Выход 0,4 г, т. пл. 200° . Аналогично получают, применяя 98%-ную H_2SO_4 , β , β , γ -трихлор- α , α -бис-4-хлор- α -нафтил- n -бутан, т. пл. 166° , выход 4%, и β , β , γ -трихлор- α , α -бис-хлорнафтил- n -бутан, т. пл. 210° , выход 17%. 1,2,3,4-Тетрабром-5,6-дихлорциклогексан получают, прибавляя по каплям 100 г Br_2 при охлаждении ледяной водой 5 г C_6H_6 и одновременно пропуская сильный ток Cl_2 . Выход 10 г, т. пл. 203° . Одновременным присоединением Cl_2 и Br_2 к хлорбензолу при освещении УФ-светом получают два изомерных 1,1,2,3,4,5,6-тетрабромтрихлорциклогексана, т. пл. 129 и 113° . 1,1,2,3,4,5,6-Гептахлор-4-фторциклогексан (V) синтезируют хлорированием 20 г фторбензола в течение 10 час. при 20° и при освещении УФ-светом, т. пл. 217° . Из перегоняющегося при 115–130 $^\circ/0,5$ —1,0 мм продукта хлорирования (VI) выделяют гексахлорфторциклогексан, т. пл. 66–67 $^\circ$. Обработкой V или VI жидким Cl_2 в запаянной трубке в течение 50 недель получают монофторундекахлорциклогексан, т. пл. $\sim 315^\circ$. Получение аддукта из гексахлорциклопентадиена (VII) и IV: 27 г VII и 50 г IV нагревают в запаянной трубке в течение 6 дней. Выход $C_{22}H_{10}Cl_{12}$ 14 г. Из реакционной смеси выделяют также в-во $C_{13}H_8Cl_{10}$, т. пл. 160° . Аддукты VII с антраценом (VIII): а) при 2-дневном нагревании при 155 $^\circ$ 55 г VII и 18 г VIII получают 15 г $C_{24}H_{10}Cl_{12}$ и 2 г $C_{14}H_{10}Cl_{16}$, т. пл. 150° ; б) при 14-дневном нагревании 55 г VII и 18 г VIII в трубке при 155 $^\circ$ получают 1,1 и 1,2,3,4,5,6,7,8,9,10,11,12,13,14,15,16,17,19,19,20,20,21,21,22,22-тетраазахлор-1,4,4а,4в,5,8,8а,9в,10,13,13а,13в,14,17,17а,18в-гексаазагидро-1,4;5-8;10;13;-14,17-тетразидометилтетрабенз-[а, с, b, j]-антрацен, т. пл. $> 300^\circ$.

К. Б.

43806. Влияние наполнителя на стабильность ДДТ в дустах. Вольфсон Л. Г., Мельников Н. Н., Сб. работ Науч. ин-та по дообр. и инсектофунгицидам, 1955, № 156, 64—73

Дан обзор влияния различных факторов и изучено действие наполнителей на стабильность ДДТ. Смесь ДДТ с исследуемыми наполнителями помещали в колбу с газоотводной трубкой и термометром. Выделяющиеся газы улавливали дистил. водой, в качестве индикатора служил метилоранж. Нагревали 1,5—3 часа, добавляли 10 мл спирта, кипятили 15 мин. и определяли Cl^- . Разложение изучалось при 110 и 120° , использовались 5—50%-ные смеси ДДТ с наполнителем. Установлено, что при содержании Fe_2O_3 в наполнителях от 13,3 до 0,73% степень разложения ДДТ практически не меняется, при снижении содержания Fe_2O_3 до 0,37% ДДТ в дустах не разлагается; добавка 10—20% кар-

бонатов Са или Mg к дустам ДДТ предотвращает разложение последнего. Библи. 33 назв. И. М.

43807. Применение минерально-масляной эмульсии ДДТ против первичных вредителей. Гайченко П. А., Лесное х-во, 1956, № 1, 79—80

43808. Линдан. Данон (Lindan. Danon M.), Kemija u industriji, 1955, 4, № 7, 135—136 (хорв.) В 1912 г. голландский ученый Линден изолировал из ГХЦГ в чистом виде γ - и δ -изомеры. Самым активным является γ -изомер, который (при содержании других изомеров $\leq 1\%$) в 1949 г. назван «линданом». А. С.

43809. Борьба с комарами при помощи дильдрина в виде сухого тумана. Даулинг (An experiment in mosquito control using dieldrin dispersed as a dry fog. Dowling M. A. C.), Trans. Roy. Soc. Trop. Med. and Hyd., 1955, 49, № 6, 590—601 (англ.)

Описаны опыты по применению дильдрина в виде сухого тумана, получаемого с помощью аэрозольных машин, для борьбы с комарами в помещениях и на открытом воздухе. Стоимость обработки, обеспечивающей высокую смертность комаров в продолжение недели на площади 1 га, составляет ~ 9 долларов. Ю. Б.

43810. Об инсектицидном действии токсафена с учетом действия препарата Т. Х. Л. Шмидт (Über den insektiziden Wirkstoff Toxaphen. Unter Berücksichtigung des Doppelwirkstoffes T. X. L. Schmidt Hans Walter), Pharmaz. Zentralhalle, 1955, 94, № 11, 439—443 (нем.)

Токсафен — нервный яд для большинства насекомых-вредителей — мало опасен для теплокровных и пчел.

К. Б.

43811. Опыты по фумигации дибромэтаном в борьбе с вишневой мухой. Джонс (Fumigation tests with ethylene dibromide for the control of cherry fruit fly eggs, larvae and puparia. Jones S. C.), J. Econ. Entomol., 1955, 48, № 5, 617—618 (англ.) Фумигация $C_2H_4Br_2$ вишни в дозе 216 г на $28,3\text{ м}^3$ с экспозицией 2 часа полностью уничтожает яйца, личинки и куколки вишневой мухи *Rhagoletis cingulata* (Loew). При обработке дозой 108 г на $28,3\text{ м}^3$ и экспозиции 2 часа куколки не погибают. Через 4 дня после фумигации (216 г на $28,3\text{ м}^3$) отмечено слабое изменение запаха обработанных плодов. При дозах $C_2H_4Br_2 > 432$ г на $28,3\text{ м}^3$ появляется вполне определенный посторонний запах. Ю. Ф.

43812. Эфиры фосфорных кислот, применяемые в качестве инсектицидов. Цепелевич (Estry kwasów fosforowych stosowane jako środki owadobójcze. Czelewicki Sabina), Farmacja polska, 1955, 11, № 9, 211—214 (польск.)

Описаны свойства и способы получения 5 фосфорорганич. инсектицидов: ТЭПФ, ГЭТФ, октаметил, тиофос и потазан. С. Я.

43813. Изучение применения малатиона на цитрусовых. Джонсон, Томпсон (Studies on the use of malathion on citrus. Johnson Roger B., Thompson W. L.), Citrus Ind., 1955, 36, № 9, 10—11, 16 (англ.)

Малатион в дозах 0,36—0,6 кг 25%-ного смачивающегося порошка или 0,125—0,25 л 57%-ного концентрата для эмульсии на 100 л воды эффективен против некоторых питовок и клещиков, повреждающих цитрусовые во Флориде. К. Б.

43814. Обзор применения и действия средства RSV, защищающего растения от повреждения животными. Берр (Bericht über die Anwendung und Wirkung des Wildverbiß- und Schädlingsmittels RVS. Berr A.), Anz. Schädlingskunde, 1955, 28, № 11, 166—168 (нем.)

Описаны опыты по применению отпугивающих средств RVS (Regensburger Verbiß- und Schälenschutzmittel) для защиты растений от зайцев, серн и мышей.

К. Б.

43815. Борьба с амбарным долгоносиком и другими вредителями с учетом интересов пивоварения и изготовления солода. Мендль (Kornkäfer- und Schädlingsbekämpfung unter Berücksichtigung der Brauerei- und Mälzereibelange. Mändl Bernhard, Brauwelt, 1956, B96, № 3, 25—30 (нем.))

Рассмотрены вопросы применения инсектицидов в пивоваренном произ-ве для борьбы с амбарным долгоносиком *Calandra granaria* и другими вредителями при хранении зерна. Даны требования, предъявляемые к инсектицидам, и методика оценки их пригодности. Лучшим инсектицидом автор считает «Доминон».

И. М.

43816. Борьба с личинками комаров около жилых помещений. Эллиотт (Larvicidal control of peridomestic mosquitoes. Elliott R.), Trans. Roy. Soc. Trop. Med. and Hyg., 1955, 49, № 6, 528—542 (англ.)

Изучен метод борьбы с помощью ДДТ, дильдрин (I), ГХЦГ и линдана (II) с личинками комаров *Aedes aegypti* Linn. и *Culex fatigans* Weid в водоемах. При применении в виде водн. и спирт. р-ров и водн. суспензий наиболее эффективными оказались суспензии I и II. Активность I и II при применении их в виде таблеток с содержанием активного начала 16% сохраняется более года.

Ю. Б.

43817. Инсектициды для борьбы с насекомыми на овцах и их влияние на ценность шерсти. Райт, Дейвис (Insecticides for body-strike prevention in sheep and their effects on wool values. Wright P., Davis E. C.), Austral. Veterin. J., 1955, 31, № 9, 242—243 (англ.)

Изучено влияние инсектицидов на качество волокна, густоту, длину и цвет шерсти. Овец одного срока стрижки опрыскивали 2 раза с одной стороны до насыщения шерсти и увлажнения кожи одной из эмульсий: 0,1%-ной дильдрин, 0,5%-ной токсофена, 1%-ной ДДТ, 0,05%-ной ГХЦГ (контроль — вода). В конце опыта выстригали по 200 г шерсти с обработанной и необработанной стороны овец и сравнивали. Установлено, что обработка снижает качество шерсти менее чем на 2%, что не может препятствовать применению инсектицидов.

М. Г.

43818. Биология свекловичной мухи и меры химической борьбы с ней. Миссонье (Remarques biologiques et essais de traitements chimiques contre la mouche de la betterave («Pegomyia betae» Curt.). Missonnier J.), Compt. rend. Acad. agric. France, 1955, 41, № 15, 669—673 (франц.)

Описаны цикл развития мухи *Pegomyia betae* Curt. и меры борьбы с ней. Уничтожение *P. betae* целесообразно проводить в стадии личинки. При полевых испытаниях эффективными оказались эмульсии паратиона (I), метилпаратиона, дильдрин (II), ГХЦГ, токсофена и суспензии I и II.

С. И.

43819. Вопросы пищевой гигиены при борьбе с амбарным долгоносиком с помощью фосфористого водорода. Фейерсенгер (Lebensmittelhygienische Fragen der Kornkäferbekämpfung mit Phosphorwasserstoff. Feuersenger M.), Dtsch. Lebensmitt.-Rundschau, 1955, 51, № 12, 293—296 (нем.)

Зерно, обработанное таблетками, выделяющими PH_3 , должно перед помолом содержать $\leq 50 \text{ мг } \text{PH}_3$ на 1 т. Такое же ограничение содержания необходимо установить для получаемых при помолке, пылевид. отходов, применяемых в качестве корма скоту.

Ю. Б.

43820. Бактериостатические свойства некоторых производных ДДТ. Мур, Бабл (Bacteriostatic pro-

perties of some derivatives of DDT. Moore Joseph E., Jr, Bubl Edward C.), Proc. Soc. Exptl Biol. and Med., 1955, 90, № 1, 259—260 (англ.)

На 5 видах микроорганизмов изучено бактериостатич. действие различных конц-ий следующих спиртов и кетонов, родственных ДДТ: бензофенона, 4,4'-дихлор-, 4,4'-диметокси-, 4,4'-дихлор-3,3'-динитро-, 4,4'-дихлор-3,3'-диамино-, 4,4'-диметиламино- и 4-фтор-3-метил-бензофенонов; 4-хлорфенил- и фенил-2-тиенилкетонов. бензгидрола, 4,4'-дихлор-, 4,4'-диметокси-, 4,4'-диметиламино-, α -метил-4-фтор-3-метил-, 4,4'-дихлор-3,3'-динитро- и 4,4'-дихлор-3,3'-диаминобензгидролов, 4-хлорфенил-2-тиенилметанола, фенил-2-тиенилметанола, 1,1-бис-(4-хлорфенил)-, 1,1-бис-(4-метоксифенил)-, 1-фенил-1-(2-тиенил)- и 1-(4-фтор-3-метилфенил)-1-фенилэтанолов; 1,1-бис-(4-хлор-3,5-динитрофенил)-этана, бис-(4-хлорфенил)-уксусной к-ты. Опыты проводили в чашках Петри на агаре с выдержкой 2—5 час. при 25°. Кетоны оказались не активными при 0,25 мг/мл. Спирты более активны при значительно низших конц-иях. Большинство из испытанных в-в защищают от *Candida albicans*. 4,4'-дихлорбензгидрол полностью подавляет ее рост при 0,14 мг/мл.

М. Г.

43821. Сорбиновая кислота как фунгиостатическое средство при различных pH для плесени, выделенной из земляники и томатов. Бенек, Фейбиан (Sorbic acid as a fungistatic agent at different pH levels for molds isolated from strawberries and tomatoes. Beneke E. S., Fabian F. W.), Food Technol., 1955, 9, № 10, 486—488 (англ.)

Сорбиновая к-та (I) на глюкозопептонной среде в конц-ях 0,01—0,10% при pH 3,5 и 7 и на земляничном пюре (ЗП) (pH 3,3 и 4,0, конц-ии 0,025, 0,05 и 0,075%) испытывалась против грибов, выделенных из плодов томатов и ягод земляники. Некоторые расы *Penicillium*, *Alternaria* и *Aspergillus* показали небольшой рост при pH 4 в среде, содержащей 0,05% I, и еще меньший при pH 3,3. Если в качестве среды применяли томатный сок (ТС), рост всех грибов, за исключением одного вида *Aspergillus*, подавлялся при pH 4,4 0,05%-ной I. 0,075%-ная I подавляет рост грибов в различных средах, в том числе в ЗП и ТС при естественных pH этих продуктов. Наиболее важные грибки, вызывающие гниение земляники (*Botrytis* и *Rhizopus*) и гниение томатов (*Colletotrichum*, *Fusarium*, *Rhizopus* и *Rhizoctonia*), подавляются 0,025%-ной I.

К. Б.

43822. Обработка плодов цитрусовых для борьбы с гнилью. Калаван, Де-Вулф, Уэтерс, Клоц, Кристиансен (Treatments for the control of brown rot of citrus fruits. Calavan E. C., DeWolfe T. A., Weathers L. G., Klotz L. J., Christiansen D. W.), Citrus Leaves, 1955, 35, № 11, 8—9 (англ.)

Описаны результаты обработки цитрусовых плодов и деревьев в Калифорнии для уничтожения гнили бордоской жидкостью в различных соотношениях, смесями сульфатов Zn и Cu с известью, тонкоизмельченной Cu в смеси с окисью Cu и известью, хлорокисью Cu и каптаном. Потери от гнили значительно снижаются после обработки. Рекомендуется производить обработку плодов перед наступлением дождей или сразу после первых дождей. Обработка каптаном эффективна 12 недель.

С. И.

43823. Перманганат калия как средство для обработки питомников сосны против выпревания. Гибсон (Potassium permanganate as a seed bed treatment against damping off in pines. Gibson I. A. S.), E. Afric. Agric. J., 1955, 20, № 3, 176—177 (англ.)

Исследовалась возможность применения KMnO_4 для предотвращения выпревания сосновых саженцев *Pinus patula* и *Pinus radiata* в питомниках. Обработка KMnO_4 участков, зараженных грибами, дает негативный эффект для *P. radiata* и отрицательный для *P. patula*, что объясняется увеличением pH почвы от 6,8 до 7,8 вследствие быстрого восстановления KMnO_4 в ней.

Н. А.

43824. Химические средства борьбы с сорняками. Накаидзе (სარეველებთან ბრძოლის ქიმიური საშუალებაო. ნაკაიძე ი.), საქართველოს კულტურებზე, საქართველოს კულტურები, 1954, № 4, 24 (груз.).

Популярная статья.

Ю. В.

43825. Химическая борьба с сорняками кукурузы дополнительно к агрономической обработке. Мопи (Le désherbage chimique des cultures de maïs-grain complément des façons d'entretien (Béarn). Maupas M. A.), Compt. rend. Acad. agric. France, 1955, 41, № 11, 520—525 (франц.).

Описано применение динитрофенолята аммония и 2,4-Д и ее производных для борьбы с сорняками кукурузы.

К. Б.

43826. Сравнение трех методов уничтожения деревьев в лесу с помощью 2,4,5-трихлорфеноксиуксусной кислоты. Йокела, Лоренз (A comparison of three methods of eliminating cull trees from woodlands with 2,4,5-t. Jokela J. J., Lorenz Ralph W.), J. Forestry, 1955, 53, № 12, 901—904 (англ.).

Для выявления наиболее эффективных и экономичных методов применения 2,4,5-Т в борьбе с отбракованными и сорными деревьями в лесу разработаны 4 способа обработки: а) полив земли у оснований деревьев, имеющих диаметр ствола (ДС) 7,5—25 см, до проникновения препарата в почву на глубину 45 см; б) инъекция препарата в ствол деревьев (ДС 7,5—25 см) с помощью спец. аппарата, производимая на высоте, равной величине ДС; в) то же для деревьев с ДС 25—50 см; г) обработка препаратом надземной части, нанесенных топором (ДС 25—50 см). Для обработки деревьев использован р-р, содержащий 1,8 кг пропиленгликольбутилового эфира 2,4,5-Т в 100 л керосина. Методы «а» и «б» более эффективны, но менее экономичны в сравнении с методами «в» и «г». Применение более конц. р-ров значительно повышает эффективность метода инъекций.

Ю. В.

43827. Химические средства борьбы с кустарниками как мера улучшения пастбищ. Бельков В. П., Зеланд М. Г., Земледелие, 1956, № 2, 87—90

43828. Опрыскивание мульчированных земляничных посадок гербицидами. Даниэлсон, Паркер (Pre-application spraying of straw-berry mulches with herbicides. Danielson L. L., Parker M. M.), Food Packer, 1955, 36, № 12, 28—29 (англ.).

Зимнее мульчирование посадок земляники, значительно повышающее урожай ягод, затрудняется при наличии сорняков. Предложен хим. метод борьбы с сорняками при мульчировании с помощью, β-2,4-дихлорфеноксиэтилсульфата Na (I), взятого в комбинации с изопропил-N-3-хлорфенилкарбаматом (II). При норме расхода 2,24 кг I на га и 1,12 кг II на га достигается удовлетворительное подавление сорняков и не снижается качество и урожай земляники.

Ю. В.

43829. Химическая борьба с *Croton sparsiflorus* Mor. Сривастава, Шарма (Chemical control of *Croton sparsiflorus* Mor. Srivastava R. C., Sharma S. L.), Proc. Indian Acad. Sci., 1955, B42, № 3, 123—127 (англ.).

Для борьбы с многолетним сорняком *Croton sparsiflorus*, покрывающим значительные площади в Индии, применены различные препараты 2,4-Д, 2,4,5-Т и 2М-4Х.

З. Н.

43830. Химическое прореживание фруктов. Тенембаум (El raleo químico de la fruta. Tenebaum Leon I.), Rev. Fac. agron., 1954, 30, № 1, 51—57 (исп.; рез. англ.).

Для уничтожения цветов на фруктовых деревьях с целью прореживания фруктов испытаны динитро-о-тер-бутилфенол (I) и α-нафтилуксусная к-та (II) в конц-ях 12,5 и 20 мг/кг. I уничтожает все обработанные цветы и применяется в период цветения, II уничтожает 50% завязей и применяется через 1—3 недели после цветения. Необходимо подробное изучение действия II на различные сорта фруктов.

С. И.

43831. Влияние обработки гидразидом малеиновой кислоты на качество клубней репы (*Brassicae rapa* L.). Чаудхри, Бхатнагар (Effect of maleic hydrazide on the keeping quality of turnips (*Brassicae rapa* L.). Choudhri R. S., Bhatnagar Vijai B.), Indian J. Hortie., 1955, 12, № 1, 1—5 (англ.).

Повышение урожая репы и некоторое подавление роста вегетативной массы отмечено при опрыскивании 6-недельных сеянцев репы (*Brassicae rapa* L., N. O. *Cruciferae* var. Snowball), 0,05 и, особенно, 0,1%-ными р-рами гидразида малеиновой к-ты (I) при норме расхода р-ра 450 л/га. Опрыскивание 0,2%-ным р-ром I несколько снижает урожай. Вкусовые качества репы, обработанной I, улучшаются.

Ю. В.

43832 Д. Синтез новых инсектицидов из производных дитиофосфорной кислоты. Владимиров П. Л. Автореф. дисс. канд. хим. н., Науч. ин-т по удобр. и инсектофунгицидам, М., 1956

43833 Д. Экспериментально-гигиеническое изучение пищевых сельскохозяйственных культур, обработанных некоторыми инсектицидами. Андреева Г. П. Автореф. дисс. канд. мед. н., 1-й Моск. мед. ин-т, М., 1956

43834 Д. Изыскание не содержащих ртути протравителей семян хлопчатника. Андреева Е. И. Автореф. дисс. канд. с.-х. н., Науч. ин-т по удобр. и инсектофунгицидам, М., 1956

43835 П. Способ производства ГХЦГ (Process for the production of hexachlorocyclohexane) (Riedel de Haën, A.-G.). Англ. пат. 694405, 27.07.53 [Chem. Abstrs., 1954, 48, № 1, 324 (англ.)]

4 кг ГХЦГ (30—50% γ-изомера) получают после отгонки C_6H_6 от охлажденной до 30° смеси продуктов р-ции 10 кг C_6H_6 и 3,3 кг Cl_2 при облучении зеленым светом (4900—5800 Å).

Н. П.

43836 П. Способ получения смеси изомеров ГХЦГ, обогащенной γ-изомером. Хей, Уэбстер (Verfahren zur Gewinnung eines γ-reichen Hexachlorcyclohexanisolmerengemisches. Hay Jean Kerr, Webster Kenneth Clive) [Imperial Chemical Industries Ltd]. Пат. ФРГ 894992, 29.10.53 [Chem. Zbl., 1954, 125, № 50, 11530 (нем.)]

Смесь изомеров ГХЦГ экстрагируют на холоду жидкими гомологами C_6H_6 , напр. смесью толуола с ксилолами, так, чтобы растворить γ-изомер, а α-изомер оставить нерастворенным; γ-изомер выделяют из экстракта отгонкой р-рителя или осаждением, напр. добавлением петр. эфира.

В. У.

43837 П. Получение ГХЦГ. Бауэр (Benzene hexachloride preparation by chlorination. Bauer Oscar W.) [E. I. du Pont de Nemours and Co.]. Канад. пат. 496816, 13.10.53

Способ увеличения содержания γ-изомера в реакционной смеси, получаемой прямым хлорированием C_6H_6 при облучении актиничным светом заключается в проведении хлорирования при 5—60° (в частности, 10—30°) и подержании конц-ии свободного Cl_2 в реакцион-

ной массе в пределах от $[(t/40) + 0,05]$ г до $[(t/16) + 0,7]$ г на 100 мл массы (t — т-р-ция в сантиграммах). Хлорирование ведут до содержания ГХЦГ 25—35%, затем отделяют непрореагировавший C_6H_6 от смеси изомеров ГХЦГ и возвращают вместе со свежим бензолом на хлорирование.

Н. П. 43838 П. Получение γ -ГХЦГ. Трайон (Production of gamma isomer of benzene hexachloride. Tryon Philip F.) [Commercial Solvents Corp.]. Пат. США 2673857, 30.03.54

Для получения чистого γ -ГХЦГ технич. смесь, содержащую γ - и α -ГХЦГ ($\gamma/\alpha > 2$), растворяют в 1,4-диоксане (I), р-р охлаждают и отделяют образующиеся кристаллы молекулярного комплекса γ -ГХЦГ-I. При нагревании комплекс разлагается на γ -ГХЦГ и I. Б. М. 43839 П.

Способ получения ГХЦГ с повышенным содержанием γ -изомера. Трайон (Method for the recovery of benzene hexachloride of enhanced gamma isomer content. Tryon Philip F.) [Commercial Solvents Corp.]. Пат. США 2673883, 30.03.54

Неочищенный ГХЦГ перемешивают с C_5 — C_8 -алканом или циклоалканом (0,5—1 мл на 1 г ГХЦГ) при 20—30°, удаляют нерастворившийся ГХЦГ, р-р упаривают, растворяют остаток в 1,4-диоксане (0,2—0,8 мл на 1 г остатка), охлаждают и получают кристаллы бис-(γ -ГХЦГ) 1,4-диоксана. Маточный р-р упаривают, полученный 2-й остаток растворяют (0,5—2 мл на 1 г остатка) в C_1 — C_4 -спирте и выделяют из последнего кристаллы ГХЦГ с повышенным содержанием γ -изомера. Б. М. 43840 П.

Метод очистки ГХЦГ. Томас, Стейджер, Мак-Комби (Method of deodorizing benzene hexachloride. Thomas Howeth J., Stager Raymond M., McCombie Horace R.) [Shell Development Co.]. Канад. пат. 493566, 9.06.53

Способ дезодорирования ГХЦГ с одновременным повышением концентрации в нем γ -изомера состоит в введении исходного в-ва в масляную баню (жидкие углеводороды с т. кип. 110—400°) в кол-ве, большем, чем это необходимо для образования насыщ. при 80—150° (предпочтительно 100—120°) р-ра, выдерживании бани при этой т-ре, отделении нерастворившегося ГХЦГ, выдерживании филтраты при 80—150° (предпочтительно при 110—120°, но не ниже т-ры кипения бани) до прекращения выделения резко пахнущих паров, охлаждении содержимого бани и фильтровании выделившегося осадка очищ. продукта с высоким содержанием γ -изомера. Л. Г.

43841 П. Удаление запаха и вкуса неочищенного ГХЦГ (Procédé pour améliorer l'odeur et la saveur de l'hexachlorocyclohexane brut) [Farbenfabriken Bayer]. Франц. пат. 1070807, 17.08.54 [Ind. chim., 1955, 42, № 453, 122 (франц.)]

ГХЦГ очищают обработкой водн. р-ром поверхностно-активного в-ва (алкиларилсульфоната и т. д.). Е. К. 43842 П.

Способ очистки ГХЦГ. Бёдеккер, Хеймонс, Шульце (Verfahren zur Reinigung von Hexachlorocyclohexangemischen. Boedeker Friedrich, Heymons Albrecht, Schultze Konrad) [Riedel-de-Haën A.-G.]. Пат. FRG 916949, 23.08.54 [Chem. Zbl., 1955, 126, № 11, 2535 (нем.)]

Смесь обрабатывают струей водяного пара в присутствии окислителя, в частности $KMnO_4$, а также с добавкой $CaCO_3$, $MgCO_3$, MgO в качестве антикоррозионных средств. Из ГХЦГ, содержащего 55% γ -изомера, получают белый крупнокристаллич. практически лишенный запаха продукт с т. пл. 89—116°. Я. К. 43843 П.

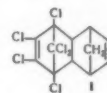
Средство борьбы с вредителями. Шотте, Гёрниц, Шёллкопф, Брамсе, Эберт (Schädlingsbekämpfungsmittel. Schotte Her-

bert, Görnitz Karl, Schöllkopf Karl, Brasche Georg von, Ebert Robert). Пат. ГДР 7002, 2.04.54

В качестве инсектицидов применяются α -, γ - или δ -изомеры ГХЦГ или их смеси, свободные от β -изомеров. 5%-ные дусты и препараты для опрыскивания (ПО) α -ГХЦГ по силе инсектицидного действия на гусениц серой моли, амбарного долгоносика (АД), стеблеводку (С) и вишневую муху лишь незначительно уступают 5%-ной смеси γ - δ -ГХЦГ. 6,25%-ный препарат, содержащий смесь α - и β -ГХЦГ, малосабилен, а 20%-ный препарат β -ГХЦГ практически неактивен. При испытании на гусеницах непарного шелкопряда, гусеницах капустницы, комнатных мухах, АД и С дусты и ПО, содержащие 5% смеси изомеров ГХЦГ, свободной от β -изомера, незначительно уступают по активности 2%-ному препарату γ -ГХЦГ, тогда как 20%-ный β -ГХЦГ неактивен. Ю. Б.

43844 П. Способ изготовления β -гексахлортетрациклододекадиена (Verfahren zur Herstellung von β -Hexachlortetracyclododecadien) [Arvey Corp]. Швейц. пат. 295916, 1.04.54 [Chim. 1954, 8, № 8, 204 (нем.)]

Инсектицидный β -гексахлортетрациклододекадиен (I) получают взаимодействием циклопентадиена с 1,2,3,4,5,7-гексахлорбисцикло-[2,2,1]-2,5-гептадиеном. К. Б.



43845 П. Вещества для борьбы с вредителями, особенно клещами, и метод их получения. Хафлигер (Agents for the control of pests, particularly mites and process for their production. Haefliger Franz) [J. R. Geigy A.-G., Basle]. Канад. пат. 509249, 18.01.55

Состав для борьбы с клещами содержит инертный разбавитель и в качестве активного начала алкиловый (напр., метиловый, этиловый и пропиловый) эфир 4,4'-дихлорфенилгликолевой к-ты. З. Н.

43846 П. Соли О-замещенных динитрофенолов с аминами. Баркер (Amine salts of O-substituted dinitrophenol. Barker Christopher H.) [Pest Control Ltd.]. Канад. пат. 491004, 3.03.53

Инсектицидный водн. р-р дициклогексиламиновой соли 2,4-динитро-о-циклогексилфенола получается взаимодействием и шаровой мельнице водн. суспензии 2,4-динитроциклогексилфенола (получается измельчением в-ва с водой в присутствии эмульгаторов) с эквимолекулярным кол-вом дициклогексилamina. Е. Р.

43847 П. Производство октаалкилтетраамидов пиррофосфорной кислоты. Паунд, Сондерс (Production of bis-(bis-dialkylamino-phosphorous) anhydrides. Pound Denis W., Saunders Bernard C.) [Pest Control Ltd.]. Канад. пат. 505498, 31.08.54

Способ состоит во взаимодействии безводн. C_1 — C_8 диалкиламина (напр., $(CH_3)_2NH$) с р-ром $POCl_3$ в инертном р-рителе и обработке получен. продукта водой с третичным амином, напр. пиридином. З. Н.

43848 П. Получение эфиров фосфорной кислоты. Кассадэ (Preparation of phosphate esters. Cassaday J. T.). [American Cyanamid Co.]. Англ. пат. 699522, 11.11.53

Соединения общей ф-лы $(R^1O)(R^2O)P(S)SCH(COOR^3)CH_2COOR^4$ (I), где R^1 и R^2 — алифатич. (II) или ароматич. углеводородные радикалы (III), R^3 и R^4 — H, II, III или их галогид производные получают р-цией в-ва общей ф-лы $(R^1O)(R^2O)P(S)SH$ (IV), с маленовой или фумаровой к-тами или соответствующими моно- и диэфирами этих к-т в следующих р-рителях: спирты, кетоны, алифатич. эфиры, диметиловый эфир этиленгликоля, диоксан, бензол, толуол, ксилол, нитробензол,

хлорбензол, CHCl_3 , CCl_4 и триалкилфосфаты. В качестве катализаторов применяют третичные амины, напр. триэтиламин, триизопропиламин, три-*n*-бутиламин или три-2-этилгексиламин, а как антиполимеризационные агенты — гидрохинон, пирокатехин, резорцин, пирогаллол или флороглюлин. Примеры: I ($\text{R}^1 = \text{R}^2 = \text{R}^3 = \text{R}^4 = \text{C}_2\text{H}_5$) готовят *p*-цией IV ($\text{R}^1 = \text{R}^2 = \text{C}_2\text{H}_5$) и диэтилового эфира фумаровой к-ты; I ($\text{R}^1 = \text{R}^2 = \text{R}^3\text{R}^4\text{CH}_3$) получают взаимодействием IV ($\text{R}^1 = \text{R}^2 = \text{C}_2\text{H}_5$) и диметилового эфира малеиновой к-ты. Приготовлены I, в которых R^1 , R^2 , R^3 и R^4 — различные комбинации следующих радикалов: метил, этил, *n*-пропил, изопропил, *n*-бутил, изобутил, 2-хлорэтил, аллил, 2-этилгексил, 2-бутилоксил, фенил, *n*-децил, *n*-октадецил, *н*-гексил, *n*-октил, *n*-додецил, олеил, цетил, перил, циклогексил и нафтил. I применимы как инсектициды, фунгициды, пластификаторы, ингибиторы коррозии, флотореагенты и добавки к нефтяным продуктам. К. Б.

43849 П. Средства для уничтожения мух и других насекомых. Джиллетт (Lethal moulds for fly and like destruction. Gillett C. A.). Австрал. пат. 126859, 2.06.55

Препараты для уничтожения мух и других насекомых готовятся в брикетах, имеющих форму матриц. Инсектицидное действующее начало для придания ему твердой консистенции применяется в смеси с наполнителями и равномерно распределяется в препарате. Верхние слои препарата по мере ослабления их инсектицидных свойств удаляются. Брикетты имеют отверстия, в которые помещают приманку. Ю. Б.

43850 П. Бисчетвертичные аммониевые соединения и способ их получения (Composés d'ammonium biquaternaires et procédé de préparation de ces composés) [Farbwerke Hoechst vormals Meister Lucius und Brüning]. Франц. пат. 1038506, 29.09.53 [Chimie et industrie, 1954, 71, № 1, 130 (франц.)]

Соединения, обладающие фунгицидными и поверхностно-активными свойствами, получают *p*-цией галоидалкилов с *в*-ом общей ф-лы: $4\text{-RR}'\text{N}-2,3,5\text{-YC}_6\text{H}_7\text{-(CX)}_n$ — $\text{C}_6\text{H}_7\text{-4RR}'-2,3,5\text{-Y}$, где $n = 1-5$, X — H или CH_3 , R и R' — алкил. П. К.

См. также: Родентициды: синтез 43153; действие 13723Бх, 13724Бх; механизм действия 13318Бх. Инсектициды: синтез 43226; анализ 43581, 43582; произ-во 44448, 44454, 44464, 44465; предохранение текстиля 44617; борьба с паразитами животных 13702Бх; привлекающие в-ва 13713Бх; механизм действия 14197Бх; техника безопасности 45822, 45835; токсикология 14149Бх, 14150Бх. Бактерициды и фунгициды: синтез 43096, 43126, 43222; анализ 43583; произ-во 44447, 44523, 44675; четвертич. аммониевые гермициды 44668; обеззараживание воды 44126—44129, 44162; консервир. древесины 45103; консервирование пищевых продуктов 45381, 45382, 45511, 45517; дезинфекция помещений 44736; биол. свойства 13548Бх; из растений 13667Бх. Регуляторы роста: произ-во 44383; действие 13670—13675Бх, 13677Бх, 13679Бх, 13680Бх, 14104Бх; механизм действия 13676Бх, 13678Бх

ЭЛЕКТРОХИМИЧЕСКИЕ ПРОИЗВОДСТВА.

ЭЛЕКТРООСАЖДЕНИЕ.

ХИМИЧЕСКИЕ ИСТОЧНИКИ ТОКА

43851. Технический прогресс в электрохимической промышленности. Эриксон (Utveckling på den elektrokemiska fronten. Örn H. R.). Tekn. kemian aikakauslehti, 1955, 12, № 20, 696, 699 (швед.; рез. англ.)

Обзор состояния электрохим. пром-сти в Финляндии. В. Л.

43852. Условия образования кристаллического надсернического аммония в непрерывном процессе. Василевский, Кобылич (Warunki tworzenia się krystalicznego nadsiarczanu amonowego w procesie ciągłym. Wasilewski L., Kobyliczyk A.). Przem. chem., 1955, 11, № 5, 241—246 (польск.; рез. русск., англ.)

Изложены условия, необходимые для получения $(\text{NH}_4)_2\text{S}_2\text{O}_8$ путем электролиза кислого *p*-ра $(\text{NH}_4)_2\text{SO}_4$, описаны метод и устройство для непрерывного процесса. Перечислены *p*-ции, протекающие на электродах и в межэлектродном пространстве, и указано влияние на них ряда факторов: материала электродов, *D* тока, состава и уд. веса электролита. Установлено, что в системе $(\text{NH}_4)_2\text{SO}_4\text{—H}_2\text{SO}_4\text{—}(\text{NH}_4)_2\text{S}_2\text{O}_8\text{—H}_2\text{O}$ растворимость $(\text{NH}_4)_2\text{S}_2\text{O}_8$ уменьшается с увеличением конц-ии $(\text{NH}_4)_2\text{SO}_4$ и H_2SO_4 . Восстановительные *p*-ции на катоде устраняют, изготовляя его из Pt, Ni, Pb, Al или графита. Высокая D_a и низкая D_k ускоряют образование $(\text{NH}_4)_2\text{S}_2\text{O}_8$ при отношении их поверхности 1:4. Остальные условия: *t*-ра электролита $<15^\circ$, конц-ия NH_4HSO_4 820—855 г/л, D тока 1,15 а/см², уд. вес электролита 1,40—1,42. Уменьшение плотности электролита, а также постоянная высокая конц-ия NH_4HSO_4 способствуют образованию крупных, быстро оседающих кристаллов $(\text{NH}_4)_2\text{S}_2\text{O}_8$. С. Я.

43853. Электролитическая рафинировка серебра. Джильо (Elettrolitizzazione dell'argento. Gili G. d. e., Elettrificazione, 1953, 4, № 9, Supplemento Elettrolitica 1—3; № 11, Supplemento Elettrolitica 6 (итал.))

Шлам, полученный при электролитич. рафинировании Cu, промывают декантацией, фильтруют, обжигают пасту с целью перевода Cu в CuO . Последняя растворяется в 15%-ной H_2SO_4 . Улетающие при обжиге Sb, Se и Te улавливаются отдельно. В результате этих операций получают серебро с содержанием 98,5% Ag и 1% Au. Дальнейшая электролитич. очистка дает Ag чистотой до 99,9%. Даны чертежи основной ячейки и аппаратурно-технологическая схема. З. С.

43854. Некоторые обсуждения важных моментов процесса полировки шарами. Колер (Some considerations of importance in ball burnishing. Kohler Arthur S.). Proc. Amer. Electroplaters' Soc., 1954, 41, 155—159 (англ.)

Рассматривается влияние различных факторов на полировку металлов при помощи шаров с целью улучшения качества полируемой поверхности, в частности, роль твердости и степени шероховатости поверхности, давления шаров, их взаимосвязь и т. п. З. С.

43855. Технология жидких полировочных смесей.

Туайнинг (The technology of liquid buffing compositions. Twynning Robert V.). Proc. Amer. Electroplaters' Soc., 1954, 41, 238—242 (англ.)

Обсуждается влияние различных факторов на устойчивость и полировочные свойства жидких абразивных эмульсий. З. С.

43856. О замедлителях и активаторах травления. Росси-Ланди (A propos des inhibiteurs et accélérateurs de décapage. Rossi-Landi G.). Métallurgie et constr. méca., 1955, 87, № 2, 125, 127 (франц.)

Общие сведения о хим. травлении стали и органич. травильных присадках. Е. З.

43857. К вопросу электрополировки меди в фосфорной кислоте. Сообщение 2. Об участии кислорода в процессе электрополировки. Фортунатов А. В., Гурвич Н. М. Сообщение 3. О механизме про-

цесса электрополировки. **Фортунов А. В., Фикельштейн А. В.** Уч. зап. Саратовск. ун-та, 1955, 42, 9—15, 17—24

2. Определяется анодный выход по току (АВТ) при электрополировке Cu в р-рах H_3PO_4 уд. в. 1,50; 1,56; 1,65 и 1,76 при различных режимах. Установлено, что АВТ тем меньше, чем выше конц-ия к-ты, а для одной и той же конц-ии — чем продолжительнее опыт и чем больше максим. напряжение на ванне во время процесса. Предлагается объяснение механизма процесса электрополировки. Эффект выравнивания поверхности Cu связан с образованием CuO и последующим растворением ее в электролите.

3. Исследовано изменение потенциала медного анода во времени при электрополировке Cu в H_3PO_4 различной конц-ии (11,2; 12,4; 13,6 М) и при различных D в ячейке с разделенными катодным и анодным пространствами. Зависимость потенциала Cu -анода ϕ от плотности тока i может быть выражена ур-нием: $\phi = a + b \lg i$, где a и b — константы, причем a растет с увеличением конц-ии H_3PO_4 , а b от нее не зависит. Выдвинуто представление о механизме электролитич. полировки меди как процессе, проходящем через образование окиси меди с последующим растворением ее в H_3PO_4 . Сообщение I см. Уч. зап. СГУ, 1952, XXX, 40.

П. Ш. 43858. Химическое и электролитическое полирование поверхностей. Гривель (Le polissage chimique et electrolytique des surfaces. Grivel P.), *Pro-metall*, 1955, 7, № 47, 570—579 (франц., нем.)

Приведены результаты сравнительных исследований полирующих свойств электролитов, предложенных для хим. полирования Cu и ее сплавов. Латунь, нейзильбер, сплавы Cu-Ni и Cu хорошо полируются хим. путем в электролите состава (в об. %): H_3PO_4 (уд. в. 1,7) 40, CH_3COOH (уд. в. 1,05) 40, HNO_3 (уд. в. 1,42) 20 с добавкой 0,01% HCl , а бронзы (Cu-Sn-Zn и Cu-Sn) — в электролите (в об. %): H_3PO_4 (уд. в. 1,7) 30, CH_3COOH (уд. в. 1,05) 5, HNO_3 (уд. в. 1,42) 65 с добавкой 1,0% NaCl + 5% H_2O . Обсуждаются также вопросы электрополировки указанных металлов и сплавов. Указаны возможные области применения хим. и электрополировки металлов.

П. Ш. 43859. Электролитическая полировка серебра. Баташев К. П., *Тр. Ленингр. политехн. ин-та*, 1953, № 6, 98—106

Для электрополировки Ag рекомендуется электролит Шпитальского состава (в г/л): 20 AgCN и 30 KCN , т-ра 18—25°, время 3—5 мин. Съем металла при этом составляет 2—3 м. Регулировку процесса рекомендуется проводить по значению анодного потенциала. Установление необходимого потенциала анода в 1 в производится постепенно в течение 20—30 сек. В дальнейшем потенциал остается устойчивым и не требует регулирования. Допустимое колебание величины потенциала не превышает $\pm 0,1$ в. Катодная поверхность при электрополировке должна быть в 5—10 раз больше анодной. Указывается, что сплавы Cu-Ag с содержанием $\text{Ag} \geq 94\%$ должны полироваться как чистый металл. Электрополировку сплавов, содержащих 87,5% Ag , рекомендуется проводить после предварительного их серебрения. Высказан взгляд на механизм электрополировки Ag , согласно которому основным фактором, определяющим процесс сглаживания поверхности, является преимущественный разряд на ее выступах ионов гидроксидов.

Е. Д. 43860. Электролитический способ полировки алюминия. Баташев К. П., *Тр. Ленингр. политехн. ин-та*, 1953, № 6, 113—120

Изучена электрополировка (Э) Al в сернофосфорно-хромовом электролите (I) состава (в вес. %): H_3PO_4 (уд. в. 1,60) 82, H_2SO_4 (уд. в. 1,84) 12 и CrO_3 6. По-

казано, что в процессе работы повышается уд. вес электролита и снижается предельная D . Оптимальное сглаживание Al -поверхности происходит при потенциале 2,5—2,7 в по отношению к водородному электроду, причем это значение не меняется в процессе продолжительной работы электролита. I обладает высокой рассеивающей способностью. Э производится после механич. обработки и обезжиривания Al в 1%-ном р-ре NaOH при 60—70° в течение 2—5 мин. Э осуществляется при 95—100°, напряжении между анодом и медным вспомогательным электродом 1,4 в и продолжительности 5—15 мин. Процесс Э в I не требует электролитич. окисливания и уплотнения оксидной пленки. Показана возможность получения высокого коэфф. отражения при Э в I и высокой коррозионной стойкости полированного Al . Обсуждаются теории Э и высказывается мнение об электрохим. природе электролитич. сглаживания поверхности металлов, а именно, об определяющей роли разряда анионов на выступах металлич. поверхности.

З. С. 43861. Электролитическая полировка никеля и никелированных изделий. Баташев К. П., *Тр. Ленингр. политехн. ин-та*, 1953, № 6, 107—112

Приводятся результаты исследования электрополировки (Э) Ni и гальванич. Ni -покрытий в р-рах: 1) H_2SO_4 (уд. в. 1,6—1,66); 2) в смеси H_2SO_4 и H_3PO_4 ; 3) в смеси H_2SO_4 и глицерина. Снятием анодных поляризационных кривых установлено: а) выравнивание поверхности анода, как и для стали, происходит на 2-м перегибе анодной поляризационной кривой; б) с разбавлением H_2SO_4 или повышением т-ры увеличивается D_a , при которой наступает 2-й перегиб кривой; в) добавка H_3PO_4 к H_2SO_4 , а также глицерина к H_2SO_4 , повышает D_a , необходимую для Э. Для Э никелированных и никелевых изделий целесообразней применять H_2SO_4 . Для первых рекомендуется применять H_2SO_4 (уд. в. 1,65), в котором толщина снимаемого металла минимальна. Гальванопокрытия могут полироваться непосредственно после покрытия с предварительной тщательной промывкой и сушкой. Поверхность Ni -изделий до Э предварительно должна быть подготовлена до 6—8-го класса чистоты, затем обезжирена, тщательно промыта и высушена. Оптимальный режим полировки: D_a 10—30 a/dm^2 , т-ра 30°, время 3—5 мин.; толщина снимаемого металла составляет 6—10 м. Приводятся величины анодного выхода по току в H_2SO_4 (уд. в. 1,64) на отдельных участках анодной поляризационной кривой.

Е. Д. 43862. Электролитическая полировка стали. Баташев К. П., *Тр. Ленингр. политехн. ин-та*, 1953, № 6, 121—164

Исследована электрополировка (Э) стали в сернолимоннокислом (I), фосфорно-глицериновом (II) и серно-фосфорно-хромовом (III) электролитах. Показана возможность Э стальных изделий в I и II, но во II Э происходит лишь при высоких т-рах и D . III состава (в вес. %): H_3PO_4 (уд. в. 1,6) 82, H_2SO_4 (уд. в. 1,84) 12, CrO_3 6, обладает хорошими полирующими свойствами, высокой длительностью работы (1000—1200 а-ч/л) и позволяет полировать различные марки стали. В процессе работы III происходит возрастание уд. веса от 1,65 до 1,83 и вязкости от 9 до 38 спуз и уменьшается электропроводность от 0,326 до 0,194 ом/см . Режим Э задается лишь величиной анодного потенциала, который для углеродистой стали составляет 3,2—3,4 в по сравнению с вспомогательным Cu -электродом. Показано, что величины напряжений и плотностей тока не могут служить показателем качества Э, так как они меняются в зависимости от состава электролита и срока его службы при одинаковом качестве Э, и что наиболее надежным способом регули-

рования Э является измерение анодного потенциала. Корректировка III осуществляется добавкой свежего электролита, воды и р-ра $\text{H}_2\text{SO}_4 + \text{CrO}_3$ (100 г $\text{H}_2\text{SO}_4 + 50$ г CrO_3 на 1000 а-ч). Показано, что III может частично регенерироваться непосредственно в процессе Э путем введения дополнительного Рб-анода, на котором происходит окисление Cr^{3+} до Cr^{6+} . Описаны применяемое при Э оборудование, технологич. схема процесса, неполадки в процессе Э и их устранение, а также некоторые технико-экономические показатели процесса Э стали в III. Обсуждается механизм Э металлов и высказывается мнение, что главным фактором, обеспечивающим большую D на выступах по сравнению со впадинами, является разряд анионов на выступах растворимого анода, наступающий при достижении максимально возможной конц-ии ионов растворяющегося металла в прианодном слое. Разряд анионов у выступов разрушает прианодный слой и поддерживает конц-ию р-ра, обеспечивающую более быстрое растворение выступов до полного их исчезновения. З. С.

43863. Анодирование поверхности алюминия для получения поверхности с отражающими свойствами. Лисбоа-Рамос, Лагарриг-Монт (Tratamento anódico do alumínio para obtenção de superficies refletores duráveis. Lisboa Ramos Mariano, Lagarrigue Mont Jorge), Rev. mens. ind. brasileiras ol hos mundo, 1953, 21, № 245, 60 (порт.)

43864. Об анодном травлении клише. Глушко В. Д., Сб. тр. Укр.-н.и. ин-та полигр. пром-сти, 1954, вып. 3, 88—101

Для анодного травления цинкового клише может быть применен электролит состава (в г/л): ZnCl_2 200, CrO_3 15, H_2SO_4 конц. 5 мл, H_2O 1 л. Условия травления: расстояние между анодами 20—25 см, катод — свинцовая проволока и керамич. свече, D_a 25 а/дм², частота смывок через 2 мин. Электролит дает достаточно равномерное травление, обеспечивает стабильность процесса, устраняет образование осадка и необходимость частой фильтрации. Указывается, что за 6 месяцев работы 40-л ванна не требовала корректировки и фильтрации. На дне ванны не было обнаружено никакого осадка, а электролит оставался чистым и прозрачным. Разработан копирующий р-р, обеспечивающий устойчивость копировального слоя «горячей эмали» при анодном травлении. Он готовится следующим образом: смесь 100 г столярного клея и 350 мл H_2O после 24 час. набухания подогревают до полного растворения, затем добавляют предварительно профильтрованный р-р состава: H_2O 500 мл, 10%-ный спиртовой р-р канифоли 200 мл. После тщательного перемешивания в смесь добавляют 150 мл H_2O и 13 г $(\text{NH}_4)_2\text{Cr}_2\text{O}_7$. Присутствие канифоли в хромокислом р-ре не изменяет технологич. процесс изготовления копий. Е. Д.

43865. Анодирование и окрашивание алюминия и его сплавов. I, II, III, IV. Маскьюз-Гро (Anodizado y coloreado del aluminio y sus aleaciones. I, II, III, IV. Massuet Grau Vicente), Metalurgia y electr., 1954, 18, № 207, 45—49; 1955, 19, № 208, 72—76; № 209, 60—65; № 210, 58—64 (исп.)

I. Описаны хим. и электрохим. методы анодирования Al и его сплавов; свойства анодированного слоя: внешний вид, структура, твердость, износостойкость, коррозионная стойкость, диэлектрич. свойства.

II. Предварительная подготовка поверхности перед анодированием: механич., хим. и электролитич. полировка, обезжиривание и декапирование.

III. Влияние плотности тока, т-ры электролита и продолжительности процесса на свойства анодированного слоя. Монтаж деталей.

IV. Окрашивание анодированных деталей из Al и его сплавов. Ванны, применяемые для окрашивания, т-ра красильного р-ра. А. Г.

43866. О новом способе улучшения светостойкости органических красок и анодно-оксидированного алюминия. Шпейзер (Über ein neues Verfahren zur Verbesserung der Lichtechtheit von organischen Färbungen und anodisch oxydiertem Aluminium. Speiser C. Th.), Aluminium (Düsseldorf), 1955, 31, № 1, 8—9 (нем.)

Новый способ состоит в том, что вместо наполнения окрашенных анодных пленок в воде или р-рах ацетатов Ni и Co применяют последующую обработку в р-рах $(\text{CH}_3\text{COO})_2\text{Pb}$, CuSO_4 , ZnCl_2 , $\text{Cr}_2(\text{SO}_4)_3$ при т-ре кипения в течение 30 мин. Конц-ия р-ров 2,5—5 г/л. При такой обработке в окрашенной пленке протекают следующие процессы: 1) закрытие пор пленки, происходящее вследствие гидратации и изменения структуры пленки и осаждения продуктов гидролиза солей (гидроокисей металлов); 2) образование комплексных соединений между металлом соли, в которой производилось наполнение, и молекулами красителя, причем могут возникать как простые, так и двойные металл.-комплекс. II. III.

43867. Микроскопическое исследование электродной поверхности. Часть I. Окисная пленка алюминия. (I). Муракава (電極の表面状態に関する研究第報 アルミニウムの酸化皮膜について. I. 村川享男), 電気化学, Дэнки какаку, J. Electrochem. Soc., Japan, 1955, 23, № 7, 355—359 (япон.; рез. англ.)

Микроскопическим методом изучено влияние неоднородностей поверхности на свойства окисной пленки Al. Al-образцы чистотой 99,90% электролитически полировались в 70%-ном р-ре H_3PO_4 и медлились в течение 20 сек. в 25%-ном р-ре CuSO_4 . Cu выделялась лишь по границам зерен, где, по мнению автора, концентрируются загрязнения. На прокатаном образце Al медь осаждалась вдоль деформированных границ зерен. Остальные неоднородности, как напр. текстурные, играют меньшую роль, чем загрязнения. Метод можно использовать для контроля дефектов в окисной пленке Al. З. С.

43868. Испытание анодных покрытий. Нахтигалль (Prüfung anodischer Überzüge. Nachtigall E.), Neue Technik und Wirtsch., 1954, 8, № 10, 276—279 (нем.)

Описано устройство прибора для определения толщин анодных окисных пленок на Al. Принцип действия прибора основан на определении пробного напряжения пленки. Питание прибора осуществляется от сети переменного тока напряжением 220 в. Напряжение на пленку подается через трансформатор, с помощью которого его можно плавно увеличивать от 0 до 1200 в. Латунный штифт, конец которого имеет форму полусферы, контактирует с поверхностью пленки при постоянной нагрузке, равной 40 г. Толщина анодной пленки определяется по калибровочной кривой. Различий в значениях напряжения пробоя для пленок, наполненных в воде и не наполненных, нет, если эти пленки хорошо высушены. Влажные пленки (напр., сразу после анодирования) обладают проводимостью, и для них не обнаруживается явление пробоя. Для сухих пленок практически наблюдается линейная зависимость между толщиной пленки и напряжением пробоя в пределах толщин от 5 до 25 м. При увеличении толщины пленки на 1 м напряжение пробоя возрастает примерно на 27—30 в. II. III.

43869. Основы гальваностегии. 3. Строение атома. 4. Изотопы. 5. Трансмутация. 6. Валентность. 7. Формулы. Серота (Science for electroplaters. 3. Within the atom. 4. Isotopes. 5. Transmutation. 6. Valency.

7. Fo
53, M
№ 8,
Сооб

43870.
gold
Amer
Опи

стящих
из эле
металл
зующе
ных ме
Au и ст
ле ± 20
может
вал т-р
шивани
но опти
из нерж
из катод
Для по
тельно
а для

Си и N
щим. С
перед о
равном
и в пел
3,4 для
доть к

(~ на 4
больше
больша
нению
высоки
большо

43871.

ри н
g i n
При

получе
лич. за
Na[Au]
дыдуш

43872.

Me i
sition
W. M
Amer

Рассч
цианид
таты и
Хим. р
лиза с

+ HCN
+ 2HC
+ 2H₂O
той с

+ NaH
(ферро
+ 8Na

что при
разлож
до 5%
увелич

во вре
Р-ция
коснов

в при
разлож

7. Formulas. Serota L.), Metal Finishing, 1955, 53, № 5, 67—69, 75; № 6, 103—105; № 7, 64—66; № 8, 62—64; № 9, 86—87, 90; № 10, 62—64 (англ.) Сообщение 2 см. РЖХим, 1956, 23010. М. М.

43870. Блестящее золочение. Ринкер (Bright gold plating. Rinker Edwin C.), Proc. Amer. Electroplaters' Soc., 1953, 40, 19—25 (англ.) Описаны способ электроосаждения и свойства блестящих Au-покрытий. Осаждение Au производится из электролита, содержащего (в г/л): KCN 80—90, металл. Au в виде комплексной соли 8, блескообразующее в-во в виде неорганич. комплексов благородных металлов 12. Отмечается, что конц-ия металл. Au и свободного цианида может колебаться в интервале $\pm 20\%$, не влияя на качество Au-покрытий. Т-ра может меняться от 6,5 до 32°, но оптимальный интервал т-р 15—21°. Электролиз производится с перемешиванием и фильтрацией электролита. D_K 0,65 а/дм², но оптимальный интервал D_K 0,3—0,5 а/дм². Аноды из нержавеющей стали, соотношение поверхности анода к катоду 5 : 1 или 10 : 1. Выхода по току 95—96%. Для получения блестящих осадков необходимо тщательно следить за чистотой поверхности и электролита, а для лучшей сцепляемости на поверхность латуни, Cu и Ni наносить подслои обычного Au перед блестящим. Осадки блестящего Au имеют ряд преимуществ перед обычными Au-покрытиями, в частности они более равномерны по толщине (отношение металла на краях и в центре образца составляет 1,3 по сравнению с 2—3,4 для обычных Au-осадков), имеют большую твердость (H_V 116), лучше сопротивляются износу (~на 40%) и коррозионным воздействиям (вследствие большей равномерности покрытия). Отмечается большая экономичность описанного процесса по сравнению с обычным золочением, что в связи с более высокими качествами Au-покрытий представляет большой экономич. интерес. З. С.

43871. О получении цианистого золота. Вогринц (Zur Herstellung von Gold (I) cyanid. Wogrinz A.), Metalloberfläche, 1954 B8, № 11, 162 (нем.) При нагревании Na [Au(CN)₂] с соляной к-той был получен осадок AuCN, содержащий примесь металл. золота. Чистый AuCN можно получить по р-ции: Na[Au(CN)₂] + HCl → AuCN + NaCl + HCN. Предыдущее сообщение см. РЖХим, 1955, 49461. С. К.

43872. Разложение цианидов в водных растворах. Мейер, Мьюрака, Серфасс (Decomposition of cyanides in aqueous solutions. Meyer W. R., Müraka R. F., Serfass E. J.), Proc. Amer. Electroplaters' Soc., 1953, 40, 72—78 (англ.) Рассматриваются факторы, вызывающие разложение цианидов (I) в водн. р-рах, и приведены колич. результаты исследования потери I вследствие разложения. Хим. разложение I происходит вследствие: а) гидролиза с образованием HCN (NaCN + HON ⇌ NaOH + HCN) или с образованием аммиака (NaCN + 2HON → HCOONa + NH₃); б) окисления до цианата ($\frac{1}{2}O_2 + CN^- = CNO^-$); в) взаимодействия с углекислотой с образованием карбонатов (NaCN + H₂O + CO₂ → NaHCO₃ + HCN); г) образования комплексных ионов (феррицианидов); д) окисления до C₂N₂ (2CuSO₄ + 8NaCN ⇌ 2Na₂Cu(CN)₄ + 2Na₂SO₄ + C₂N₂). Показано, что присутствие NaOH в р-ре NaCN сильно уменьшает разложение I: при комнатной т-ре в разб. р-рах с 90 до 5% и в конц. с 17 до 0,8%, причем больше чем вдвое увеличивается период полуразложения. Гидролиз I во времени происходит по экспоненциальной кривой. Р-ция (б) в небольшой степени протекает при сопоставлении р-ра I с воздухом, а особенно сильно — в присутствии окислителей. В процессе электролиза разложение I по р-ции (б) усиливается, особенно

в случае нерастворимых анодов (угольных) и при высоких D (10 а/дм²). На растворимых анодах (Cu или Zn) образование NaCNO значительно меньше. Показано сильное увеличение кол-ва образующихся карбонатов при увеличении D от 1 до 10 а/дм². З. С.

43873. Оценка методов удаления карбонатов. Моджеска (Evaluation of carbonate removal methods. Modjeska Scott R.), Proc. Amer. Electroplaters' Soc., 1953, 40, 79—82 (англ.)

Обсуждаются образование и роль карбонатов в плотных электролитах и способы их удаления из р-ров. Отмечается, что метод вымораживания непригоден для удаления K₂CO₃, и что наилучшим способом является осаждение посредством Ca(OH)₂. З. С.

43874. Электролиты для блестящего никелирования. Сач (Bright nickel plating solutions. Such T. E.), Electroplat. and Metal Finish., 1955, 8, № 10, 347—350 (англ.)

Рассматриваются особенности процесса электроосаждения блестящих Ni-покрытий: специфичность материалов, оборудования и технологич. схемы, особенности процесса подготовки поверхности перед никелированием, а также подготовка блестящих Ni-поверхности перед хромированием и методы контроля качества блестящих Ni-осадков. Предыдущее сообщение см. РЖХим, 1956, 26261. З. С.

43875. Свойства и области применения плотных никелевых осадков. Освалд (Properties and uses of heavy nickel deposits. Oswald J. W.), Electroplat. and Metal Finish., 1955, 8, № 11, 379—383 (англ.)

43876. Новые тенденции развития в области хромирования. Детнер (Neuere Entwicklungstendenzen auf dem Gebiet der Chromabscheidung. Dettner Heinz W.), Metalloberfläche, 1953, 7, № 10, B149—B151 (нем.)

Обзор. В ванны хромирования предлагается вводить соединения фтора (380 г/л CrO₃ + 1,3 г/л HF, 350 г/л CrO₃ + 1,7 г/л H₂SiF₆, 1—7 г/л BF₃), SrSO₄, NaOH и т. д. Эти добавки увеличивают выход по току и улучшают качество осадка. Библи. 24 назв. М. М.

43877. Металлографические исследования гальванических осадков хрома. Кок, Хейн (Metallographische Untersuchungen an galvanisch abgeschiedenen Chromniederschlägen. Koch L., Hein G.), Metalloberfläche, 1953, 7, № 10, A145—A148 (нем.) Исследовалось строение осадков твердого Cr, полученных из ванны состава (в г/л): CrO₃ 300, H₂SO₄ 3, при D_K 4 а/дм² и т-ре 50°. Осадки травились в горячем конц. р-ре H₂SO₄ и исследовались при увеличении 600 поляризованным и обычным светом. Обнаружена нестабильная гексагональная β-модификация, переходящая в кубическую. М. М.

43878. Фильтрация растворов хромовой кислоты. Ледфорд, Гилберт (Filtering of chromic acid solutions. Ledford R. F., Gilbert L. O.), Plating, 1955, 42, № 9, 1151—1155 (англ.)

Рассматриваются источники попадания различных загрязнений в Cr-электролит и роль процесса фильтрации для успешного электроосаждения, особенно при размерном хромировании, а также применяемое оборудование и материалы, устойчивые к действию CrO₃. Описан способ очистки р-ров CrO₃ от загрязнений, заключающийся в окислении Cr³⁺ перманганатом с последующей фильтрацией р-ра для удаления MnO₂ и других взвесей, а затем ионном обмене. Показано, что после очистки р-ров CrO₃ обработкой KMnO₄ и фильтрации происходит снижение сопротивления электролита и улучшение качества Cr-покрытий. З. С.

43879. Покрытия из Sn-сплавов. Бриттон (Tin alloy coatings. Britton S. C.), Metal Ind., 1955, 87, № 25, 510—511 (англ.)

В последние годы много внимания уделяется проблеме замены обычного декоративного Ni-Cr-покрытия другими декоративными покрытиями, из которых наиболее многообещающими являются Ni-Sn и Cr-покрытия. Описаны результаты коррозионных испытаний покрытий из сплавов Sn. Для испытаний стальные пластины покрывались бронзой, содержащей 10% Sn, затем Ni и Cr. Другая серия стальных пластин покрывалась Ni-Sn-сплавом с подслоем Cu или бронзы. Общая толщина покрытия составляла 25,4—40,8 μ . Испытания проводились как в континентальных, так и в морских климатических условиях и показали, что Cr-покрытия, нанесенные прямо на подслои бронзы, являются неудовлетворительными, они растрескиваются, шелушатся и приобретают цвет бронзы. Несколько улучшает качество покрытия подслои Ni толщиной 2,5 μ . Весьма хорошими качествами обладают Cr-покрытия с подслоем бронзы толщиной 15 μ , на которую нанесен слой Ni такой же толщины. Бронзово-никель-хромовые покрытия общей толщиной 30 μ меньше подвергались коррозии, чем Ni-Cr-покрытия толщиной 40,8 μ . Ni-Sn-покрытия оставались блестящими как при нанесении их прямо на сталь, так и при применении подслоя меди или бронзы. На поверхности пластин появились отдельные пятна коррозии, но при применении подслоя Cu или бронзы их число значительно снижалось. Толщина подслоя в различных опытах изменялась от 12,6 μ до 20 μ , а суммарная толщина покрытия — от 25,4 μ до 40,8 μ . В своих опытах авторы не отмечают большого помутнения Ni-Sn-покрытий по сравнению с хромовыми, но считают, что в некоторых условиях такое явление может иметь место из-за большего сцепления продуктов коррозии никеля с Ni-Sn-покрытием, чем с хромовым. Среди образцов, защищенных от прямого действия атмосферных осадков, менее помутневшими оказались образцы, покрытые Ni-Sn-сплавом. И. Е.

43880. Лужение алюминия. Исследование процесса контактного лужения. Брайан (Plating tin on aluminium. Research on simple chemical displacement process. В г у а н J. M.), Metal Ind., 1953, 83, № 23, 461—463 (англ.)

Предварительно Al травится в щел. ванне. Затем наносится слой Sn из ванны, содержащей соль Роше-ля, SnCl_2 и NaOH. Предполагается, что положительная роль соли Роше-ля заключается в том, что в присутствии комплексных ионов уменьшается концентрация ионов Sn, вследствие чего снижается скорость образования покрытия и уменьшаются потери Sn за счет гидролиза и осаждения $\text{Sn}(\text{OH})_2$. При добавлении клея и желатины качество покрытия улучшалось. При 70°, pH 7,3 и продолжительности лужения ≈ 4 мин. отрыв покрытия толщиной $\approx 5 \mu$ от Al происходил под нагрузкой $\approx 240 \text{ кг/см}^2$. Дополнительное покрытие слоем Sn толщиной $\approx 10 \mu$, осажденным в течение 4 мин. при комнатной t-ре и $D_K \approx 3,8 \text{ а/дм}^2$ в электролите, содержащем (в г/л): Sn 30, H_2SO_4 (уд. в. 1,84) 70, креозольсульфоновой к-ты 50, клея 2, не повлияло на величину адгезии. Для p-ров, содержащих анионы Sn, оптимальные результаты были получены при травлении Al в течение 5 мин. в холодном p-ре NaOH (50 г/л) с последующей обработкой в смеси, состоящей из 300 мл H_3PO_4 (уд. в. 1,75) и 200 мл конц. HNO_3 , в продолжении 5 мин. при 60—65° и при осаждении Sn в p-ре Na_2SnO_3 (100 г/л) в течение 1 мин. при 55°. По сравнению с Na_2SnO_3 при применении K_2SnO_3 покрытия получались более блестящими, обладавшие повышенными адгезионными свойствами и имевшие меньше пузырей. Е. З.

43881. Нанесение электролитических покрытий на магний. Де-Лонг (Electroplating on magnesium.

De Long H. K.), Trans. Inst. Metal Finish., 1952—1953, 29, 201—216, Discuss. 217—226 (англ.) См. РЖХим, 1956, 16711.

43882. Нанесение электролитических покрытий на сплав бериллий-медь. Морана (Plating of beryllium copper. Morana S. J.), Plating, 1955, 42, № 9, 1144—1148 (англ.)

Рассматриваются свойства и применение сплава Be-Cu и способ изнесения на поверхность изделий из Be-Cu покрытий из Cd, Ag и Cr. Особенность процесса нанесения покрытий заключается в необходимости особо тщательной очистки поверхности Be-Cu в различных к-тах (H_2SO_4 , HNO_3) после термич. обработки и хорошей промывки. З. С.

43883. Нанесение электролитических покрытий на молибден. Корбелак (Plating on molybdenum. Korbela k A.), Proc. Amer. Electroplaters' Soc., 1953, 40, 90—97 (англ.)

Рассматриваются различные способы нанесения металлических покрытий на поверхность Mo, и описывается электролитич. процесс нанесения покрытий с высокой сцепляемостью, заключающийся в следующем. Сильно окисленная поверхность Mo подвергается электролитич. очистке в 10%-ном p-ре NaOH переменным током при напряжении 25 в в течение 20 сек. После промывки Mo анодно травится в p-ре H_2SO_4 (конц. или разб. в соотношении 2 ч. к-ты на 1 ч. воды) при напряжении 24 в для конц. и 10 в для разб. p-ра, D 10—30 а/дм^2 , время 30 сек. и t-ра 20—32°. При этом Mo становится блестящим и покрывается пленкой окиси голубого цвета. После травления Mo-поверхность промывается в воде и в щел. p-ре (Na_3PO_4 или NaOH), что способствует лучшей сцепляемости, а затем опять следует промывка в воде, в 10%-ном p-ре H_2SO_4 и в воде. Затем в обычной Cr-ванне на Mo-поверхность наносится Cr при $D \approx 15 \text{ а/дм}^2$ в течение 60 сек. (можно наносить и более толстые осадки). T-ра при хромировании должна быть не $< 50^\circ$. После хромирования и промывки в воде производится никелирование в хлористом электролите при $D \approx 5 \text{ а/дм}^2$ для лучшей сцепляемости (удовлетворительные результаты получаются и при 2,5 а/дм^2). После хромирования на поверхность можно нанести любое покрытие. Выска зывается мнение, что промежуточный слой Cr на Mo способствует хорошей сцепляемости различных металлов с Mo вследствие близости кристаллич. структур и коэфф. термич. расширения Cr и Mo. З. С.

43884. Нанесение электролитических покрытий на пористые металлы. Молер (Electroplating on porous metal. Mohler J. B.), Metal Finish., 1955, 53, № 11, 70—73 (англ.)

Описаны недостатки электролитич. покрытий, нанесенных на пористую металл. поверхность, причины их возникновения и способы предупреждения путем соответствующей предварительной обработки пористой поверхности или применения комнатной t-ры в технологич. процессе. З. С.

43885. Контакты, получаемые путем электроосаждения. Кунни (Electroplated contacts. Quinn P.), Metallurgia, 1955, 52, № 311, 115—120 (англ.)

Описываются условия работы контактов, обсуждаются требования, предъявляемые к материалу контактов (отсутствие окисных пленок на поверхности, тугоплавкость, хорошая проводимость при различных t-рах и т. д.). Им отвечают Au, Ag, Os, Ir, Pd, Pt, Rh. В ряде случаев могут применяться Ni и Sn. Приводятся данные о максим. толщине слоя указанных металлов, а также о некоторых физ. свойствах гальванич. осадков. И. Е.

43886. Простой кулонометрический метод для определения толщины оловянных покрытий. Мо-и-уа-зен, Ле-Блан (A simple coulometer method for tin coating determination. Monvoisin J.,

Le B
(англ.)
Опис
основа
в p-ре
даст во
толщин
и связа
дельно.
43887.

крыт
(Thic
soluti
Elect
Опис
Cr-покр
раствор
метод
с ранее
(к-та).
определ
на Cu,
43888.

Гар
ness
Riv
Soc.,
Опис
ны мет
эффекте
частот
меняют
кую. П
ния не
частот
щины л
43889.

гор
1954,
Расс
электро
рости
электро
ванны.
в зави
линий.
43890.

трос
(The
excha
42,
Опис
и ано
поного
рации
ния в
43891.

(Wat
J a n
69—
Опис
зация)
и прим
43892.
самы
(Nan
Meta
В ц
тэй ав
на 2-м
Благо
доступ

Le Blanc M.), Tin and Uses, 1955, № 33, 3—5 (англ.)

Описан прибор для измерения толщины Sn-покрытий, основанный на определении скорости растворения Sn в р-ре HCl, и способ проведения измерений. Прибор дает возможность легко и достаточно точно определять толщину Sn-покрытий, причем толщина свободного Sn и связанного в сплав с подкладкой определяется раздельно. З. С.

43887. Измерение толщины электролитических покрытий методом анодного растворения. Уэйт (Thickness of electrodeposited coatings by the anodic solution method. Waite C. F.), Proc. Amer. Electroplaters' Soc., 1953, 40, 113—118 (англ.)

Описаны способ и прибор для измерения толщины Cr-покрытий, нанесенных на Cu, методом анодного растворения Cr в 10%-ном р-ре NaOH. Показано, что метод дает более точные результаты по сравнению с ранее применявшимся растворением Cr в р-ре HCl (к-та). Метод может успешно применяться также для определения толщины Cu, Zn, Cd и Ni на стали, Ni на Cu, Cr на Ni. З. С.

43888. Электронный толщиномер. Бреннер, Гарсия-Ривера (An electronic thickness gage. Brenner Abner, Garcia-Rivera Jean), Proc. Amer. Electroplaters' Soc., 1953, 40, 106—112 (англ.)

Описан электронный прибор для измерения толщины металлических покрытий, основанный на скин-эффекте. Интервал измеряемых толщин зависит от частоты применяемого тока. Для тонких покрытий применяют высокую частоту, а для толстых — более низкую. Покрытия толщиной больше глубины проникновения нельзя измерять этим методом. Показано, что при частоте 2 Мгц можно достаточно точно измерять толщину до 48 м, а при частоте 100 кгц — до 152 м. З. С.

43889. Проводимость электролитных ванн. Ясногородский И. З., Автомоб. и тракт. пром-сть, 1954, № 4, 19—24

Рассматривается влияние на электропроводность электролитов отдельных факторов, как-то: т-ры, скорости циркуляции электролита, расстояния между электродами, поверхности электродов и конструкции ванн. Разбираются условия равномерного нагрева в зависимости от характера распределения силовых линий. Н. Б.

43890. Обработка некоторых электролитов для электроосаждения методом ионного обмена. Тупер (The treatment of certain plating solutions by ion exchange. Tooper Edward B.), Plating, 1955, 42, № 11, 1416—1420 (англ.)

Описан принцип очистки р-ров для хромирования и анодирования от некоторых загрязнений методом ионного обмена, а также промывных вод для регенерации накапливающихся в них дефицитных или удаления вредных солей. З. С.

43891. Примеси в воде и гальванопокрытия. Смит (Water impurities and electroplating. Smith James Boyd), Metal Finishing, 1953, 51, № 2, 69—72, 74 (англ.)

Описаны методы очистки (умягчение и деминерализация) воды, употребляемой в гальванич. процессах, и применяемое для этого оборудование. М. М.

43892. Фирма «Нанкервис» ввела в эксплуатацию самый большой в мире цех гальванопокрытий. (Nankervis installs world's largest plating plant.—), Metal Finish., 1955, 53, № 11, 118—122 (англ.)

В цехе защитно-декоративных (Cu-Ni-Cr) покрытий автоматы для покрытия и генераторы расположены на 2-м этаже, а все другое оборудование — на 1-м. Благодаря этому вся система является открытой и доступной. Ванны для гальванопокрытий немного воз-

вышаются над уровнем пола 2-го этажа, так как частично проходят сквозь междуэтажное перекрытие и крепятся спец. приспособлениями. Цех оборудован тремя прямолинейными автоматами. И. Е.

43893. Отделка приборов для контроля и автоматизации промышленных процессов. (Industrial instrumentation and automatic control call for a high standard of finishing.—), Industr. Finsh. (London), 1955, 9, № 89, 222, 224, 226 (англ.)

Описываются способы отделки различных деталей приборов для контроля и автоматизации промышленных процессов. И. Е.

43894. Состояние производства титана. Фудзита (チタニウム工業の現状. 藤田栄一), 電気化学, Дэнки какаку, J. Electrochem. Soc. Japan, 1955, 23, № 11, 591—599 (япон.)

Обзор методов получения Ti электролизом расплавов. Библи. 42 назв. М. М.

43895 П. Аккумуляторные пластины (Accumulator Plates) [National Lead Co.]. Австрал. пат. 165018, 22.09.55

Активная масса пластин свинцово-кислотных аккумуляторов состоит в основном из окиси свинца с небольшой добавкой поливинилового спирта. Н. С.

43896 П. Электролитический способ заточки проволоки (Verfahren zum elektrolytischen Zuspitzen eines Drahtes) [N. V. Philips' Gloeilampenfabrieken]. Швейц. пат. 305128, 1.03.55 [Metalloberfläche, 1955, 9, № 12, A190—B191 (нем.)]

Обрабатываемая проволока (П) содержит 0,1—3 вес. % мелкодисперсного изолирующего материала (ИМ) с размером зерен <10 м, который трудно растворяется в электролите и тем самым обеспечивает равномерную плотность тока и очень маленький радиус острия. ИМ, с одной стороны, не должен образовывать однородную компактную пленку и тем самым затруднять доступ электролита к П, с другой стороны, он должен изолировать участки поверхности, не подлежащие травлению. ИМ может применяться в виде обертки вокруг П или может быть соединен с П. Хорошие результаты получены при обработке вольфрамовой П, содержащей 0,15—0,5% ThO. Установка состоит из емкости, в которой П толщиной 120 м закрепляются в клемме, соединенной через реостат с положительным полюсом источника тока. Катод расположен под П. В качестве электролита служит 40%-ный р-р KOH. Сила тока на одной П 20 ма при напряжении 2 в. После непродолжительного времени наблюдается падение тока, указывающее на наличие большого кол-ва растворенного металла. При этом на П образуется острое, под которым остается скелет из ThO. Я. М.

43897 П. Способ последовательного меднения, хромирования железных листов и полос. Бек (Verfahren zur galvanischen Erzeugung von mit Kupfer—, Nickel— und Chromschichten überzogenen Blechen oder Bändern. Beck Hans). Пат. ФРГ, 926580, 21.04.55

Способ нанесения коррозионностойкого гальванич. покрытия заключается в меднении шлифованных полос или листов (слой Cu 0,03 мм) и последующей вальцовке или полировке. Затем изделия никелируются и хромируются (слой Ni 0,004—0,065 мм, слой Cr 0,0005 мм). Покрытие получается беспримесным и пластичным. Н. С.

43898 П. Электроосаждение хрома (Electro-deposition of chromium) [The Udylyte Research Corp.]. Австрал. пат. 162573, 5.05.55

Ванна для электроосаждения Cr состоит из водн. кислого р-ра соединения Cr⁶⁺, содержащего раствори-

мое поверхностноактивное перфторуглеродное сульфоновое соединение. Н. С.

43899 П. Электролизная ванна для производства алюминия (Electrolytic cell for aluminium production) [The British Aluminium Co. Ltd]. Австрал. пат. 162951, 2.06.55

Патентуется электролизная ванна для получения металлич. Al. Поверхность катода состоит в основном из TiC или ZrC. Я. Л.

43900 П. Получение металлических покрытий на термопластичных пластмассах гальваническим способом (Verfahren zur Herstellung von Metallüberzügen auf thermoplastischen Kunststoffen auf galvanischem Wege) [Heinrich Gries]. Пат. ФРГ 928927, 13.06.55 [Metallüberfläche, 1955, 9, № 10, B155—156 (нем.)]

На поверхность нагретой пластины струей сжатого воздуха наносят металлич. опилки, теплую пластину кладут на стол штамповочного пресса стороной, покрытой опилками, вверх и прессуют с помощью стальной или медной плиты. На полученную гладкую металлич. поверхность легко наносится гальванич. покрытие, имеющее хорошее сцепление. Я. Л.

См. также: Источники тока 42809. Электроосаждение металлов 42820, 42849, 43552, 43553, 43671. Электрохим. произ-ва без выделения металлов 42824, 42830, 42847, 42848

СИЛИКАТЫ. СТЕКЛО. КЕРАМИКА. ВЯЖУЩИЕ МАТЕРИАЛЫ

43901. Равновесие фаз в системе $MgO - Cr_2O_3 - SiO_2$. Кит (Phase equilibria in the system $MgO - Cr_2O_3 - SiO_2$). Keith M. L., J. Amer. Ceram. Soc., 1954, 37, № 10, 490—496 (англ.)

Изучение фазового равновесия системы методом закали указало на отсутствие в ней при т-ре ликвидуса тройных соединений. Обнаружены обширная область двух несмешивающихся жидкостей и поля устойчивости периклаза, пикрохромита ($MgO \cdot Cr_2O_3$) и Cr_2O_3 . Т-ры образования расплава в рассмотренных составах настолько высоки, что ряд составов может быть успешно использован в качестве огнеупоров. Рассмотрены основные пути практич. улучшения хромитовых, хромагнетитовых и хромито-кремнеземных огнеупоров введением в состав первых двух MgO и в состав последнего — Cr_2O_3 или некоторых других хром-содержащих соединений. Так, добавки MgO служат для устранения вредного влияния примесей, имеющих более высокое отношение $SiO_2 : MgO$, чем в форстерите и, следовательно, сдвигают состав в область, где хромит, форстерит и периклаз являются устойчивыми фазами, а миним. т-ра образования жидкости — достаточно высокой. Подобное влияние в составах $Cr_2O_3 - SiO_2$ при незначительном содержании MgO оказывают добавки Cr_2O_3 . См. также Trans. Brit. Ceram. Soc., 1943, 42, № 7, 55—123. А. Ч.

43902. О реакции в системе $B_2O_3 - SiO_2$. I. Влияние SiO_2 на скорость реакции в зависимости от температуры. Сакаи, Накамура, Мория ($B_2O_3 - SiO_2$ 系反應に關する研究 I 第 1 報. SiO_2 の見かけの反應速度とそれに対する温度の影響. 境野照雄, 中村恵一, 森谷太郎), 窯業協會誌, Ege kékayisi, J. Ceram. Assoc. Japan, 1954, 62, № 697, 454—456 (япон.)

Изучалась р-ция в твердом состоянии между B_2O_3 и SiO_2 при помощи хим. растворения. Было найдено, что скорость р-ции выражается ур-нием: $(1-x)/3 - (1-x)^{1/2} + 1/6 = kD[(C_0 - C_R)/R_0^2]t$, где x — скорость р-ции в-ва А, имеющего сферич. форму с диаметром R , с в-вом В в момент t , D — коэфф. диффузии В в диффузионном слое, C_0 и C_R — кон-ции В

на внешней и внутренней поверхности диффузионного слоя соответственно и k — константа. В этом случае А есть SiO_2 , а В — $B_2O_3 \cdot C_R$ полагается равным нулю. Энергия активации диффузии B_2O_3 , определяющая скорость р-ции, оценена в 27,6 ккал/моль. В. Я.

43903. О существовании феррита $CaO \cdot 2Fe_2O_3$. Таваши, Мулас (Sull'esistenza del ferrito $CaO \cdot Fe_2O_3$. Tavasci B., Mulas G.), Chimica e industria, 1953, 35, № 11, 798 (итал.)

Дается ответ на критич. замечания Малькуори и Чирилли (РЖХим, 1956, 36585) на ранее опубликованную авторами статью (РЖХим, 1954, 24124). Подтверждаются прежние выводы о реальности существования системы $CaO \cdot 2Fe_2O_3$. И. С.

43904. Теплопроводность. XI. Теплопроводность некоторых огнеупорных карбидов и нитридов. Василос, Кингери (Thermal conductivity: XI, conductivity of some refractory carbides and nitrides. Vasilos T., Kingery W. D.), J. Amer. Ceram. Soc., 1954, 37, № 9, 409—414 (англ.)

Теплопроводность (K) TiC, SiC, TiN и ZrN была измерена в вакууме при 100—1000°. Исследуемые образцы получали шликерным литьем с последующей гидростатич. допрессовкой при давл. 1400 кг/см². При 500—1100° К определяли по методу удлиненного сфероида по ур-нию: $K = qB/\Delta t$, где q — мощность, затраченная на нагревание, Δt — разность т-р между двумя изотермами, B — геометрич. фактор, определяемый размерами и формой образца. При 100—1000° К определяли методом сравнения, помещая испытуемый куб. образец в установившемся тепловом потоке между двумя эталонами. Определяли также электропроводность образцов с помощью потенциометра, измеряя проходящий через образец ток и падение напряжения при этом. Теплопроводность всех рассмотренных материалов уменьшалась с т-рой; для SiC это изменение было пропорционально $1/T$. В случае TiC, TiN и ZrN эта зависимость также приблизительно пропорциональна $1/T$. Вычисление отношения Видемана-Франца показало, что теплопроводность TiC, TiN и ZrN имеет как электронный характер, так и является следствием колебаний решетки. Теплопроводность SiC объясняется главным образом проводимостью кристаллич. решетки. Приведены графики зависимости теплопроводности указанных материалов от т-ры, в том числе и для материалов с теоретич. плотностью. При этом K SiC при 200° определена равной 0,1; при 400° 0,07; при 600° 0,055 и при 800° 0,05 ккал/сек-¹. град-¹/см-¹. Сообщение X см. РЖХим, 1956, 13618. А. Ч.

43905. Термическое расширение синтетического кордиерита. Сугиура, Курода (合成コーディエライトの熱膨脹. 杉浦孝三 黒田泰弘), 窯業協會誌, Ege kékayisi, J. Ceram. Assoc., Japan, 1955, 63, № 715, 579—582 (япон.; рез. англ.)

Термическое расширение определялось вдоль осей «а» и «с» с помощью ионизационного дифрактометра, в который помещалась маленькая электрич. печь с платиновой спиралью. От 20 до 140° ось «а» несколько увеличивалась, а «с» заметно уменьшалась. От 140 до 303° оси «а» и «с» увеличивались одновременно, причем ось «а» довольно сильно. От 303 до 555° ось «с» продолжает расти, а «а» в этом интервале т-ре не изменяется. Автор предполагает наличие быстрых структурных превращений в кристалле при нагревании. Приведена кристаллохимич. структура кордиерита и дана схема печи. В. Т.

43906. В защиту ионной теории шлаковых расплавов. Льюкис С. Е., Чермак Л. Л., Изв. АН СССР, Отд. техн. н., 1955, № 11, 147—150
Обзор. Библ. 24 назв. А. П.

43907. Быстрый метод количественного определения B_2O_3 в стекле. К у н и ш (Pospieszna metoda ilościowego oznaczenia zawartości B_2O_3 w szkło. K u n i s z S t e f a n), Szkło i ceramika, 1955, 6, № 6, 113—114 (польск.).

Метод основан на малой прозрачности В для медленных нейтронов, испускаемых смесью Ra + Be. Детектором служит Ag-пластинка. Кол-во вторично испускаемых электронов, отсчитываемое по счетчику Гейгер — Мюллера, пропорционально кол-ву В в стекле. Для опыта измельченную в порошок пробу стекла, внутрь которой заложена Ag-пластинка, помещают в Al-пробирку, закладываемую в гнездо в парафиновом бруске, в другом таком же бруске находится пробирка со смесью Ra + Be; оба они складываются так, чтобы источник нейтронов находился против пробы. Длительность опыта рассчитана так, чтобы через 10 мин. после начала облучения пластинка-детектор уже была на счетчике. Исследование одной пробы занимает 16 мин. Для усовершенствования метода рекомендуется подобрать детектор с более длительным периодом полураспада, чем у Ag, $T/2=3,2$ мин. или DyT $2=2,3$ часа, напр. Cu ($T/2=5$ мин.) или Co ($T/2=11$ мин.) и построить хим. путем калибровочные кривые со стеклами определенного состава. З. Б.

43908. Конструкция абсолютного высокотемпературного вискозиметра и его градуировка путем измерения вязкости расплавленного борного ангидрида. Д и т ц е л ь, Б р ю к н е р (Aufbau eines Absolutviskosimeters für hohe Temperaturen und Messung der Zähigkeit geschmolzener Borsäure für Eichzwecke. Dietzel Adolf, Brückner Rolf), Glastechn. Ber., 1955, 28, № 12, 455—467 (нем.; рез. англ., франц.).

Дан обзор существующих типов высокотемпературных вискозиметров (В) и приведены теоретич. соображения по конструированию рационального В. Показано, что все В не являются абс., кроме В с падающим шариком. Разработаны теория, конструкция и способ применения абс. высокотемпературного В ротационного типа. Исходя из практич. и теоретич. соображений, выбраны тела вращения двух видов, являющиеся наиболее пригодными для измерения вязкости расплавленного стекла. Новый абс. В построен с учетом максим. простоты конструкции и возможности его применения в широком диапазоне вязкостей (от 1 до 10^7 пуаз). Градуировка В производилась путем измерения вязкости расплавленного борного ангидрида, который выбран по следующим соображениям: посредством B_2O_3 можно измерять важную для стеклотехники область вязкости от 10 до 10^6 пуаз при т-рах от 1300 до 320°; B_2O_3 легко получать в чистом виде, состав его остается неизменным при высоких т-рах и он не обнаруживает склонности к кристаллизации в данной области т-р. Абс. В дает хорошую сходимость результатов измерения вязкости и может также применяться для измерения электропроводности. С. И.

43909. Определение щелочей в силикатах. З и м н и й (Die Bestimmung der Alkalien in Silikaten. Z u m p l u E r i c h), Glas-Email-Keramo-Technik, 1955, 6, № 7, 236—237 (нем.; рез. англ., франц.).

Описаны методы быстрого раздельного определения щелочей, применимые в заводских лабораториях при массовых анализах. К определяется весовым или объемным методом с помощью реактива «калкость» $Na[B(C_6H_5)_4]$ или $Co(NO_3)_3$. Na определяется динкуранил-апетатом. М. С.

43910. О возможностях электронной микроскопии

в изучении структуры неметаллических материалов, в частности огнеупорных изделий. Д е г е л ь д р (Possibilités de la microscopie électronique dans l'étude de la constitution des matériaux non mé-

talliques et en particulier des produits réfractaires. Degeldre Louis), Bull. Soc. franç. céram., 1955, № 28, 29—35 (франц.; рез. нем., англ.).

Электронный микроскоп работает с глубиной поля, в 100—1000 раз превышающей таковую у оптич. микроскопа, в связи с чем наличие более грубой поверхности у керамич. шлифов по сравнению с металлч. не должно представлять существенного препятствия для изучения строения керамики. Изучение структуры было произведено на образце диам. 33, высотой 9 мм из огнеупорного фарфора, известного под названием «пифагоровой массы», основной фазой которой является муллит. Описана методика подготовки образца и снятия отпечатка. Изучение строения непосредственно по полированной поверхности не дало никакого представления о строении. Образцы затем обрабатывались HF (конц-ия 2 и 4%) в течение 15, 30, 45 и 60 сек., в результате чего стеклофаза растворялась, иглы муллита отделялись от черенка и переносились на первый из снимаемых отпечатков. Повторяя снятие отпечатков несколько раз, из образца постепенно удаляют продукты р-ции образца с HF, и на 5-м отпечатке выявляется непрерывная поверхность материала образца. Строение в-ва выявляется лучше всего после обработки HF в течение 30 сек. Отпечатки выявляют также наличие некоторого кол-ва $\alpha-Al_2O_3$. Даны многочисленные фото микроструктуры. В. З.

43911. Применение электронного микроскопа для исследования пористых огнеупорных материалов. П у с т о в а л о в В. В., Завод. лаборатория, 1955, 21, № 12, 1483—1485

Разработана методика электронномикроскопич. исследования пористых огнеупоров. Образцы, подлежащие исследованию, провариваются в канифоли в вакууме, в результате чего жидкая канифоль заполняет поры образцов. Рельеф поверхности образца сглаживают, образец шлифуют и полируют аналогично приготовлению петрографич. шлифа и снимают лаковый отпечаток по общепринятому методу. Конц-ия 0,5—0,6% нитроклетчатки в лаковом р-ре является оптимальной. По данной методике изучены поверхности образцов из часов-ирской глины или из технич. глинозема при увеличении соответственно $\times 8700$ и $\times 17400$. Недостатками метода являются малая контрастность и необходимость дополнительной подшлифовки образца при повторных исследованиях, так как часть остающегося по краям лака от лакового отпечатка портит шлиф. В. З.

43912. Термическое расширение в системе кварц — галлуазит и его применение в фазовых анализах минералов. Ф о р к е л ь (Thermische Ausdehnung im System Quarz-Halloysit und ihre Anwendung für Mineralanalysen. Forkel Werner), Keram. Z., 1955, 7, № 7, 331—333 (нем.).

На основе снятия кривой термич. расширения полиминер. глины разработан метод колич. определения содержания в глинах отдельных минер. составляющих. Точность такого определения составляет 5%, т. е. равноценна обычным методам изучения глины. Термич. расширение смеси двух минералов вследствие взаимного влияния не представляется в виде простой суммы расширений составляющих смеси. Получив кривую расширения смеси и зная кривые расширения чистых минералов, находят «активное содержание» (Wirkwert) и затем, пользуясь заранее построенным графиком «активное содержание — действительное содержание», определяют содержание соответствующего минерала в смеси. С. Т.

43913. Диспергирование частиц глины с помощью ультразвука. К р о у л и, У э л ш (La dispersion des particules d'argile par les ultrasons. Crowleу

Michael S., Welch A. Philip), Ind. céram., 1955, № 461, 38—43 (франц.)

Изучалась применимость предварительного ультразвукового диспергирования каолина из Флориды с целью получения правильных результатов гранулометрич. анализа. Диспергирование производилось в лабор. приборе при частоте 1 Мц/кл. Суспензия каолина в дистилл. воде ($pH=6,40-6,80$) содержала 1 вес.% каолина. В отдельных опытах к суспензии добавляли 0,25% препарата «Daxad 23». Продолжительность вибрирования суспензии составляла до 30 мин. Суспензии рассматривали в обычный и электронный микроскоп и фотографировали. Для колич. оценки эффекта обработки суспензии с помощью ультразвука производили турбидиметрич. измерения спектрофотометром. Достаточно обрабатывать суспензии ультразвуком в течение 10 мин., чтобы восстановить действительный гранулометрич. состав каолина. И. С. 43914. Новый пластометр для глин и керамических масс. Плюма, Жопен (Un nouveau plasticimètre pour argiles et pâtes céramiques. Plumet E., Jaurain M.), Ind. chim. belge, 1955, 20, № 10, 1092—1098 (франц.; реф. флам., англ., нем.)

Аппаратом измеряется деформация плоской пластины под постоянной нагрузкой. Легкость приготовления образцов и возможность наблюдения за влиянием способов изготовления и структуры на характер деформации является преимуществом нового пластиметра. Образец для испытания представляет собою диск диам. 250 мм и толщиной в 8, 10 или 20 мм. Этот образец горизонтально кладется на кольцо опрокинутого конуса, который представляет закрытую камеру, давление в которой может меняться. Конус соединяется стеклянной трубкой с резервуаром, наполненном жидкостью. По мере наполнения резервуара водой или истечения последней давление в конусе или повышается, или понижается. Скорость изменения давления измеряется. Конусная камера одновременно соединена с водяным манометром и коромыслом маятника, отклонения которого регистрируются на расположенной у его конца миллиметровой бумаге. Алюминиевый балансир передает деформацию образца регистрирующей игле. Образцы могут быть изготовлены методом формования или литьем. Этот метод применим для изучения пластич. деформаций как глин, так и керамич. масс. Он позволяет также изучать влияние возможной ориентации глиняных частиц. С. Т. 43915. Замечания к нашей статье «Определение и измерение анизотропии в непрозрачных, плохо проводящих материалах». Дитцель, Дег (Bemerkungen zu unserer Arbeit «Erkennung und Messung von Anisotropien in undurchsichtigen, schlecht leitenden Stoffen». Dietzel A., Deeg E.), Ber. Dtsch. keram. Ges., 1955, 32, № 7, 211—213 (нем.)

См. РЖХим, 1956, 13624.

43916. Заливные пятна, причины их образования и средства борьбы с ними. Жуэни (La tache de coulage. Jouenne C. H.), Ind. céram., 1955, № 468, 239—249 (франц.)

Приводятся результаты исследований по выявлению причин образования заливных пятен (ЗП) на изделиях, изготавливаемых из глиняных или каолиновых шликеров литьем (в гипсовые формы). Дается теоретич. объяснение этому явлению и предлагаются средства для устранения этого массового дефекта. Описана методика искусств. получения и оценки ЗП, определения их интенсивности и состава. Состав определялся по прозрачным шлифам и на основании хим. и дифференциально термич. анализов. ЗП состоит из нескольких зон. Центральная зона небольшого диаметра, приблизительно равного отверстию, через которое подается

шликер, по внешнему виду, пористости и структуре не отличается от нормального черепка. Вокруг центральной зоны располагается 2-я концентрич. зона, диаметр которой зависит от высоты падения струи шликера, его плотности и пористости гипсовой формы. Эта зона имеет более темный оттенок, большую плотность, сильно обогащена коллоидальными глинистыми частицами на глубину 50—100 м и содержит по сравнению с нормальным черепком пониженное кол-во SiO_2 и CaO . К этой зоне не пристаёт глазури и она образует дефектное место в изделии. В случае применения шликеров с очень низким уд. весом образуется еще 3-я зона, в виде узкого кольца вокруг 2-ой зоны, шириной несколько мм, более светлого оттенка. ЗП образуется в результате разрыва поверхностной пленки, которая обволакивает струю заливаемого шликера. Образование ЗП зависит главным образом от вязкости, текучести, загустеваемости и поверхностного натяжения (ПН) шликера. Приведенная гипотеза образования ЗП позволяет объяснить, почему уменьшение высоты струи шликера, снижение пористости гипсовой формы, повышение уд. веса шликера, снижение содержания глинистой субстанции и добавка электролитов ведут, чаще всего, к уменьшению ЗП. Для подтверждения предложенной гипотезы изучено влияние добавок к шликеру поверхностноактивных в-в и защитных коллоидов. Поверхностноактивные в-ва уменьшают ПН, чему сопутствует в большинстве случаев увеличение размеров ЗП. Введение защитных коллоидов наоборот ведет к увеличению ПН и снижению размеров ЗП. Наиболее существенное увеличение ПН и исчезновение ЗП было достигнуто при использовании р-ров альгинатов, из которых 1%-ные р-ры средней вязкости оказались более эффективными по сравнению с р-рами высокой вязкости. При 4%-ном р-ре альгината низкой вязкости шликер уд. в. 1,3 г/см³ обладает ПН 172 дн/см и не образует ЗП, а тот же шликер без добавки имеет ПН 100 дн/см и образует ЗП 22—23 мм. Одно лишь ПН не характеризует склонности шликера образовывать ЗП. Однако для шликера данного уд. веса, по видимому, существует определенная величина ПН, выше которой ЗП не образуется. Для шликера уд. в. 1,3 г/см³ без электролита эта величина составляет 170 дн/см, а для шликера уд. в. 1,8 г/см³ с электролитом — 110—120 дн/см. Применение защитных коллоидов дает возможность путем соответствующего изменения ПН успешно бороться с ЗП. Повышая ПН, они ведут к образованию гелеобразных шликеров и увеличению вязкости, вплоть до достижения тиксоотности. В. З. 43917. Изучение явлений спекания минеральных неметаллических порошков в связи с их усадкой. Николь, Доминэ-Берже (Étude du phénomène de frittage, en relation avec le retrait, pour des poudres minérales non métalliques. Nicol Albert, Dominé-Bergès Marthe), Bull. Soc. chim. France, 1954, № 10, 1323—1337 (франц.)

Спекание изучалось определением усадки, с помощью dilatометра Шевенара, спрессованных под давл. 5000 кг/см² образцов из огнеупорных солей и окислов различных кристаллич. систем одинаковой гранулометрич: MgO , Al_2O_3 , CdO , $NaCl$, KCl , ZnO , BeO , Cr_2O_3 , SnO_2 , $BaSO_4$, $Ca_3(PO_4)_2CuO$, SiO_2 (аморфный). Результаты изучения спекания показали, что имеется зависимость величины усадки спекаемого материала от состояния его кристаллизации. Так для порошка с дефектной или несовершенной кристаллизацией наблюдается большая усадка с однородной агломерацией субмикроскопич. кристаллов. При совершенной же кристаллизации при спекании наблюдается очень малая усадка с агломерацией кристаллов. Результаты сравнения усадок материалов разных кристаллич.

систем
сталлич.
ков.

43918.

Д и
gloss

B i

Soc

С по

кривые

женног

10 раз

до сил

имеют

жений.

больше

анализ

могут б

контра

изведе

по сте

оценке

на при

блеска

по шир

исследо

43919.

Преп

перат

hetic

electr

г е у

Soc.

Опис

стве на

2) точ

печи;

Показ

для об

схемы

также

лера.

43920.

слово

tic

1955

Опи

териал

ного с

состав

делах

мага,

титана

Дизел

состав

тетич.

свойст

обеспе

43921.

Н а

com

m a

1954

Исс

песко

модул

Прир

личен

дал м

10%.

систем показывают также и на зависимость ее от кристаллич. формы и молекулярной структуры порошков. С. Т.

43918. Измерение блеска керамических материалов. Динсдейл, Малкин (The measurement of gloss with special reference to ceramic materials. Dinsdale A., Malkin F.), Trans. Brit. Ceram. Soc., 1955, 54, № 2, 94—112 (англ.)

С помощью фотоэлектрич. гониофотометра получены кривые углового распределения интенсивности отраженного света при неизменном угле падения 60° для 10 различных керамич. поверхностей — от матовых до высокоблестящих. Кривые блестящих поверхностей имеют острый максимум при угле зеркального отражения. У матовых поверхностей ширина максимума больше, а высота значительно меньше. На основании анализа кривых рассмотрен ряд величин, которые могут быть взяты в качестве меры блеска (зеркальный, контрастный блеск, острота изображения и др.). Произведено сопоставление расположения поверхностей по степени блеска, полученное согласно визуальной оценке 50 наблюдателей, с величинами, полученными на приборе. Лучшее совпадение со зрительной оценкой блеска дает «качество изображения», оцениваемое по ширине максимума. Приведены микрофотографии исследованных поверхностей. Д. Л.

43919. Исследование синтетической слюды. III. Прецизионная регулируемая электропечь на температурах до 1500° . Хамфри, Уорден (Synthetic mica investigations: III, Precisioncontrolled electric furnaces for temperatures to 1500° C. Humphrey R. A., Worden E. C.), J. Amer. Ceram. Soc. 1954, 37, № 4, 196—202 (англ.)

Описываются 3 типа печей, использующие в качестве нагревательных элементов SiC: 1) печь для плавки; 2) точно регулируемая ($\pm 0,5^\circ$ C) кристаллизационная печь; 3) прямоугольная кристаллизационная печь. Показаны схемы печей и упрощенные схемы обмоток для обжига. Описывается контроль с помощью блок-схемы с точки зрения его эксплуатации. Представлена также и развернутая схема электрич. части контролера. Сообщение. II см. РЖХим, 1955, 9972. Е. К.

43920. Вакуумные свойства новой синтетической слюды. Ханли (Vacuum properties of new synthetic mica. Hanley Thure E.), Ceramic Age, 1955, 66, № 4, 40—41 (англ.)

Описываются свойства горячепрессованного материала из синтетич. слюды, имеющей состав нормального флогопита. Усадка этого материала при 1000° составляет 0,2%, линейный коэф. расширения в пределах $0-800^\circ-13,5 \cdot 10^{-6}$ против $7-8 \cdot 10^{-6}$ для AlSi-maga, что обеспечивает получение с помощью гидрид титана вакуумноплотных сплав с металлом (Cu, Fe). Диэлектрич. постоянная нового материала при 9375 Мгц составляет 5,72, tg δ при этой же частоте $< 0,005$. Синтетич. флогопит обладает хорошими вакуумными свойствами, легко обрабатывается, дает точные размеры, обеспечивает вакуумноплотные спаи и малые потери. С. Т.

43921. Увеличение объема песка и его уплотнение. Назир, Ахмад, Хак (Bulking of sand and its compaction. Nazir Ch. Muhammad, Ahmad Nazir, Hag Zia-ul), Pakistan J. Sci., 1954, 6, № 3, Pakistan J. Sci. Res., 95—98 (англ.)

Исследовали увеличение объема при увлажнении песков различной крупности. Определяли пористость, модуль крупности, средний диаметр зерен и уд. вес. Прирост объема песка уменьшается в процентах с увеличением размера зерен. Мелкий песок ($d_{cp} = 0,233$ мм) дал максим. увеличение объема в 30% при влажности 10%. Для всех песков максим. увеличение объема на-

блюдается при влажности 10—15%. Описан лабор. прибор типа шнековой мешалки для изготовления шлама из песка и воды. По удалении воды из шлама отложившийся песок обладает максим. плотностью. И. С.

43922. Каолин для производства тонкой керамики. Берзон С. А., Стекло и керамика, 1955, № 8, 18—20

В качестве технич. требований к рабочим свойствам обогащенного каолина предлагается определение показателей упругости и величины pH. По показателям упругости даются следующие нормативы: для каолина Л (для литейных масс) 0,0—0,05 и pH $< 9,2$; для каолина Ф (для формовочных масс) 0,05—0,60 и pH $< 9,4$. Описывается метод ускоренного контроля упругости каолина за 100 мин. Для определения pH рекомендуется калориметрич. метод с использованием фекофталена в качестве индикатора. В. К.

43923. Дискуссия по статье Дейвидсона и Уайта «Влияние нагревания на связующую способность глины». — (Discussion on «Effect of heat on clays and its bearing on the life of clay bonds» by J. White and S. Davidson.), Foundry Trade J., 1953, 95, № 1938, 517—518 (англ.)

См. также РЖХим, 1954, 47004.

43924. Доломит как материал для отдельных производств. Лав (Dolomite... a material for particular uses. Love L. G.), Ceramic Ind., 1954, 63, № 3, 75, 105 (англ.)

Заслуживает внимания применение доломита (Д) для некоторых сортов стекла, так как магнезия увеличивает стабильность стекла, облегчает его осветление, устраняет опасность расстекловывания и увеличивает термостойкость за счет уменьшения коэф. линейного расширения. Д, предназначенный для произ-ва стекла, обжигается и размалывается до прохождения через сито 10—16 меш. Так как обожженный Д на воздухе поглощает влагу и CO_2 , то его целесообразно применять гидратированным, для чего к Д добавляется вода в избытке против теоретич. кол-ва $\leq 0,5\%$. Полученный гидрат измывается до остатка на сите 30 меш $\leq 0,5\%$ и на сите 200 меш $\leq 15,0\%$. В. Р.

43925. К вопросу об улетучивании соединений бора в процессе варки многоборных стекол. Потемкина Л. В., Информ.-техн. сб. Центр. н.-и. лабор. электротехн. стекла, 1955, № 2, 3—13

Исследовано поведение многоборных стекол в процессе варки. Показано, что при $1100-1400^\circ$ происходит испарение главным образом щел. боратов, а не борного ангидрида. В стеклах, не содержащих щелочей, испарения соединений бора при $1100-1400^\circ$ практически не происходит. Al_2O_3 уменьшает улетучивание щел. боратов. Повышение t-ры и продолжительности нагревания увеличивает испарение боратов. 2-валентные окислы не оказывают существенного влияния на скорость испарения боратов. При наличии в многоборных стеклах PbO потери от улетучивания слагаются из потерь от улетучивания боратов щел. окислов и PbO. Повышенное улетучивание боратов наблюдается в системах: $\text{PbO}-\text{B}_2\text{O}_3$; $\text{ZnO}-\text{B}_2\text{O}_3$; $\text{TiO}_2-\text{B}_2\text{O}_3$, а в системах $\text{Al}_2\text{O}_3-\text{B}_2\text{O}_3$, $\text{BaO}-\text{B}_2\text{O}_3$, $\text{SrO}-\text{B}_2\text{O}_3$; $\text{SiO}_2-\text{B}_2\text{O}_3$ при t-рах до 1400° улетучивания не наблюдается. Наиболее прочными хим. соединениями, испаряющимися из щел. боратных расплавов без разложения в исследованных системах, являются метабораты. В многоборных электровакуумных стеклах рекомендуется применять Li_2O и Al_2O_3 , значительно снижающие скорость испарения соединений В. Н. П.

43926. Спектрофотометрические и магнитные исследования железосодержащих стекол в зависимости от их строения. Часть IV. Боратные, кальцийалюмообо-

ратные и фосфатные стекла. Часть V. Применение определения цветности стекла и магнитных измерений для изучения состояния железа в стекле, структуры стекла и роль «обесцвечивателей». Абд-эль-Монеим Абу-эль-Азм (Spectrophotometric and magnetic studies of glasses containing iron in relation to their structure. Part IV. Borate, Cabal and Phosphate glasses. Part V. Applicability of the colour and magnetic measurements to the study of the states of iron in the glass, the structure of glass and the roles played by various «decolorisers». A b d - E l - M o n e i m A b u - E l - A z m), J. Soc. Glass Technol., 1954, 38, № 182, 244T — 270T; 271T — 276T (англ.)

IV. В результате исследования цвета и магнитных свойств боратных, кальцийалюмоборатных и фосфатных стекол, содержащих Fe, установлено. В щелочно-боратных и боратных стеклах, содержащих MgO , ZnO , CaO , SrO , BaO , Al_2O_3 и SiO_2 , Fe существует в закислой, окислой, окисно-закислой и бесцветной формах. Кол-во каждой формы Fe может быть определено по анализу цвета, как и в силикатных стеклах. Кроме этого, в стеклах, содержащих много щелочи, установлено присутствие еще одной формы Fe в виде щел. феррата. В боросиликатных и кальцийалюмоборатных стеклах Fe существует в основном как окисное и окисно-окисное с малым содержанием закислого и бесцветная форма Fe. Фосфатные стекла в отличие от предыдущих дают сильное поглощение в области спектра 480—520 м μ , что указывает на присутствие Fe^{3+} , ковалентно связанного с тремя ионами кислорода. Измерение магнитной проницаемости Fe в феррофосфате позволяет сделать заключение, что бесцветная форма Fe в стеклах существует в виде FeO_4 -группы, как и в феррофосфате.

V. Стекла, содержащие окислы Fe, окрашиваются в следующие цвета: голубой от FeO , серый от $FeO + Fe_2O_3$, коричневый от Fe_2O_3 , розовый от образующихся в стекле групп FeO_4 и FeO_3 . Указанные окислы Fe имеют соответственно следующие значения магнитной проницаемости при 20°: 225×10^{-6} ; 424×10^{-6} ; $39,4 \times 10^{-6}$; $182,5 \times 10^{-6}$; 25×10^{-6} . В структуре стекла разные формы Fe занимают следующие положения: FeO в виде ионов помещается в промежутках стеклосетки и обычно окружено шестью ионами кислорода; Fe_2O_3 и Fe_2O_4 коллоидально распределены в стекле; FeO_4 участвует в сеткообразовании стекла подобно SiO_4 ; FeO_3 участвует в сеткообразовании подобно BO_3 . Часть III см. РЖХим, 1956, 19967. Н. П.

43927. Новый сорт пенского щелочестойкого стекла № 52. Реглер (Az új JENA-i 52-es lúgálló üveg fajta. R e g l e r H.), Magyar kémik. lapja, 1955, 10, № 7, 205 (венг.)

К пенскому стеклу № 20, обладающему хорошей кислотоупорностью, прибавили небольшое кол-во редких элементов, вследствие чего его щелочестойкость увеличилась почти в два раза. Получили стекло пенское № 52. Коэфф. теплового расширения стекла № 52 и № 20 одинаковы. Приведенные таблицы характеризуют физ. свойства пенских стекол. Д. П.

43928. Вещества, препятствующие пенообразованию в производстве оптического стекла. Норийе (Inibitori di schiuma nell'industria ottica. N o r i l l e r G i o v a n n i), Atti Fondaz. «Giorgio Ronchi», 1954, 9, № 5, 347—348 (итал.)

43929. Новые исследования в области осветления

стекла. Корани, Дерд, Стекло и керамика, 1955, № 11, 7—10

Проведены опыты по осветлению стекла на различных модельных жидкостях (вода, глицерин, р-р сахара в воде, крахмал, мед). Воздух через капилляр вводился в модельную жидкость на известной ее глубине

и затем исследовалась скорость подъема в зависимости от диаметра пузыря. Пузырь диам. 0,135 см поднимался со скоростью 2,13 см/сек, в то время как вычисление по ур-нию Стокса дает 2,08 см/сек. Отклонение составляет 2,4%, т. е. менее предела ошибки при измерении времени секундомером. Отсюда вывод, что газовые пузыри поднимались только под действием подъемной силы. Пузыри в глицерине имели строго шарообразную форму, соединения пузырей не наблюдалось. Когда мелкие и крупные пузыри сближались, более крупные обходили мелкие. При использовании жидкостей, вязкость которых выше, но поверхностное натяжение меньше, чем у глицерина, напр. мед, можно видеть соединения пузырей с диам. 3—4 мм, более мелкие пузыри не соединялись. Ввиду высокого поверхностного натяжения силикатного расплава соединения пузырей в нем ожидать нельзя. Отсюда следует, что теория Иебсена — Марведеля о соединении газовых пузырей и ускорении их подъема в осветляющемся силикатном расплаве неприемлема. Н. П.

43930. Светорассеивающие стекла, содержащие соединения фтора и фосфора. Китайгородский И. И. В сб.: Исследования по прикладной химии. М.-Л., Изд-во АН СССР, 1955, 259—269

Дано описание способов получения светорассеивающих стекол. Указывается, что рассеивающие стекла являются типичными мутными средами со всеми свойствами этим средам закономерностями. Наиболее употребляемыми глушителями являются криолит, Na_2SiF_6 и CaF_2 . Н. П.

43931. О глушении стекол фтором. Из практики опытных плавков. Йохман (Über Fluortrübung in Gläsern. Aus der Praxis und Schmelzversuche (J o c h m a n F r i t z), Glas-Email-Keramo-Technik, 1954, 5, № 12, 437—440 (нем.)

Изучено глушение фтористыми солями различных типов стекол: силикатных, баритовых, содержащих К и Zn, боросиликатных, содержащих Zn и Pb и др. Результаты 19 опытных тигельных плавков стекол с фторидами Ba, Al, Na, Ca показали, что глушение стекла происходит в твердой фазе щел. и щел.-зем. фторидами и что AlF_3 не является глушителем. Наибольшее глушение дает NaF , затем в убывающем порядке следуют фториды: Ca, Mg, K, Ba. Окислы Zn и Pb, как и Al_2O_3 , не образуют в стекле фторидов, но они благоприятствуют глушению и стабилизируют образующиеся кристаллы фторидов. Рентгенография, анализом образование MgF_2 и BaF_2 точно не установлено. Часть I см., РЖХим, 1955, 24260. С. Т.

43932. Исследование влияния pH воды на растворимость медицинских стекол. Колдаев Б. Г., Фатеева З. М., Материалы по обмену передов. опытом и науч. достиж. в мед. пром-сти, 1955, № 4, 3—8

Конц-ия водородных ионов воды и водн. у-ров существенно влияет на скорость хим. р-ции растворения (Р) стекла. Применение нейтр. воды с pH 6,8—7,0 дает наименьшее Р нейтр. стекол. Увеличение pH воды >7,0 приводит к возрастающему Р стекла во времени за счет Р щел. силикатов стекла. Длительное хранение слабосиловых р-ров в ампулах и флаконах (идентичное стерилизации в автоклаве в течение одного часа) приводит к затуханию растворяющего действия их на стекло. Длительное хранение слабощелочных р-ров в ампулах и флаконах приводит к возрастающему Р стекла и требует применения для этих целей спец. химически устойчивых стекол (нейтр.). Предварительная обработка поверхности ампул и флаконов слабыми к-тами в автоклаве в течение 15—30 мин. значительно увеличивает допустимые сроки хранения р-ров в ампулах. Н. П.

и с
Сте
Нал
релье
позде
клад
ный п
машин
се, в
пять
свиль
остек
мвени
загра
сейна
43934
ше:
З а
и р
ki
658
Ино
ве пр
ляни
метод
его п
43935
ни:
(А
гап
Сте
изол
нять
бы.
щело
вост
ния:
изме
легко
43936
но:
ше
L.
24
Ок
при
тель
расп
427—
вател
60°
рост
с ди
в час
т-ры
в те
печи
6—7
Пра
гров
рабо
водн
обы
вмес
43937
че
ст
48
Д
вар

von Hartporzellanglasuren. Goller S.), Ber. Dtsch. keram. Ges., 1954, 31, № 12, 410—414 (нем.)

Было изготовлено 9 серий фарфоровых глазурей общего состава R_2O , $RO \cdot 0.9 Al_2O_3 \cdot 9SiO_2$, в которых эквимолекулярно варьировалось сочетание основных окислов Na_2O , K_2O , CaO и MgO . Каждая серия представлена тремя глазурями с содержанием шел. окислов в 0,2; 0,4, и 0,6 мол. Коэфф. теплового расширения (α) определялся на сплавленных штабиках длиной 50 мм и толщиной 5—7 мм. Определялись также текучесть (в наклонных желобках) и т-ра падения конуса, изготовленного из глазурей. Na_2O и K_2O оказывают практически одинаковое влияние на α . MgO снижает, а CaO повышает α . Т-ра падения конуса определяется содержанием $Al_2O_3 + SiO_2$ и их соотношением, для всех изученных глазурей она оказалась приблизительно одинаковой (Sk 10). Наименьшим α обладали натроно-магнезиальные глазури и лучшей из них оказалась глазурь состава Na_2O 0,4, MgO 0,6, Al_2O_3 0,9, SiO_2 9,0. В глазурях, бедных щелочами, наблюдался значительный кристаллитный эффект, в результате чего измеренный α этих глазурей не совпадал с вычисленным. С. Т.

43941. Керамические материалы с малым или отрицательным коэффициентом термического расширения.—(Keramische Körper mit geringer oder negativer Wärmeausdehnung.—), Keram. Z., 1955, 7, № 5, 231—234, 247—248 (нем.)

Дан обзор последних работ по изучению Li_2O — Al_2O_3 — SiO_2 -системы. В тройной системе Li_2O — Al_2O_3 — SiO_2 имеется область составов, из которых методами керамич. технологии получены материалы с отрицательным температурным коэфф. расширения. Можно получить составы с расширением от 0 до —0,38. Величина коэфф. расширения этих составов связана с присутствием в них β -эвкритита, β -сподумена и их твердых р-ров. Свойства материалов в сильной степени зависят от сырых материалов, их подготовки и обжига. Составы с преобладающим образованием α -эвкритита обладают наибольшим отрицательным коэфф. расширения. Представляется возможность получения новых керамич. материалов с нулевым или близким к нулю значением коэфф. термич. расширения путем гомотетического смешения материалов системы Li_2O — Al_2O_3 — SiO_2 с материалами других систем с желаемым положительным значением коэфф. термич. расширения. Сходство систем Li_2O — Al_2O_3 — SiO_2 и MgO — Al_2O_3 — SiO_2 позволяет предполагать возможность получения кордиерита с малым положительным термич. расширением, однако образование при обжиге легкоплавкой эвтектики может привести к выделению кристаллов (муллита, шпиннеля, корунда) с высоким коэфф. термич. расширения. С. Т.

43942. Пороки фарфоровых глазурей и их причины. Колькемейер (Porzellanglasurfehler und ihre Ursachen. Kolkmeier Helmut), Tonind-Ztg, 1955, 79, № 15-16, 241—243 (нем.)

Изучалась причина возникновения брака глазурей: «булавочных наколов», которые в туннельных печах появляются при избыточной подаче газа. Образованию наколов всегда предшествует образование газовых пузырьков. С помощью микроскопа с нагревателем Лейтца изучали условия возникновения этих наколов. Печь микроскопа была снабжена отверстиями для впуска и выхода газа. В печь помещались образцы размером $15 \times 10 \times 6$ мм. Состав глазури и массы, а также толщина черепка и глазурного слоя во всех опытах поддерживались постоянными. Установлено, что при обжиге без ввода газа в пределах т-р 1160—1200° возникают маленькие вздутия, которые затем исчезают и поверхность глазури получается совершенно гладкой. CO_2 и N_2 также никакого вредного

влияния на глазури не оказывают. Были проведены опыты с впуском CO при различных т-рах: 1. Впуск CO в пределах т-р 1000—1280°, когда в промышленных печах господствует восстановительная среда. После прекращения ввода CO при 1280° в микроскопе было замечено обильное выделение на поверхности глазури газовых пузырьков, особенно усиливающееся при впуске воздуха. 2. Впуск CO до т-ры 1380°, кол-во пузырьков сокращалось. 3. Образование пузырьков имело место, когда CO выпускалась при 1220°. 4. Пузырьков и наколов не наблюдалось при впуске CO до т-ры 1170°, когда глазури полностью расплавлялись. Установлено, что при пропуске через печь CO в ней идет отложение углерода по р-ции: $2CO \leftrightarrow CO_2 + C$, который потом и сгорает при впуске в печь воздуха, образуя в вязкой глазури газовые пузырьки, содержащие CO_2 и наколы. Изучалось также влияние $CaSO_4$, Na_2SO_4 и $MgSO_4$ на образование пузырей. Установлено образование «наколов» от разложения $CaSO_4$, происходящем при высокой т-ре. В этом случае пузырьки содержат SO_3 . С. Т.

43943. Применение высокоскоростной истирающей жерновой мельницы для приготовления глазурей и масс. Хансард (Use of the high-speed stone attrition mill for glaze and body preparation. Hansard W. Carey), Amer. Ceram. Soc. Bull., 1955, 34, № 4, 115—116 (англ.)

Дается описание мельницы, меняющиеся части которой изготовляются из плавного глинозема. Скорость вращения жернова составляет 360 об/мин. Мельница особо пригодна для помола фритт, глазурей керамич. красок. Производительность мельницы до 5000 л/час при тонине частиц в пределах 1—33 μ , причем содержание частиц $< 6 \mu$ составляет 50%. Мельница занимает малую площадь и удобна в обслуживании, рабочие части могут быть легко заменены. С. Т.

43944. К вопросу об определении прочности на истирание покрытых эмалей эмалированных изделий. Франке (Ein Beitrag zum Bestimmen der Abriebfestigkeit des Deckemails emailierter Gegenstände. Franke Ernst A.), Glas-Email-Keramo-Technik, 1955, 6, № 3, 82—85 (нем.; рез. англ., франц.)

Рекомендуются новые методы испытаний как эмалированных полых изделий, так и проволоки, которые в основном состоят из обработки изделий водн. суспензией тонкомолотого кварцевого песка. Изделие помещается в особый сосуд с суспензией кварцевого песка, приводимой с помощью пропеллера во вращательное движение. Истираемость определяется по потере веса изделием. Одновременно может работать серия таких сосудов с мешалками от общей трансмиссии, что дает возможность быстрого измерения многих образцов. С. Т.

43945. Причины дефектов при эмалировании стальной аппаратуры. Крюгер (Fehlerursachen bei der Emailierung von Apparaten (Stahl). Krüger Otto.), Neue Hütte, 1955, 1, № 2, 97—104 (нем.)

Необходимым условием получения качеств. эмалированной стальной аппаратуры для хим. и пищевой промышленности является использование металла с содержанием (%): $C < 0,12$, Si следы, $S < 0,05$. Но и при эмалировании такого металла в эмалевом покрытии часто появляются поры и пузыри, нарушающие защитные свойства. Образование этих дефектов связано с выделением газов в процессе обжига изделий. Рассматривается влияние различных мельничных добавок на образование пузырей и на плавкость эмалей. М. С.

43946. Приготовление цветных эмалей на заводе. Несбитт, Мак-Аллистр (Colour matching in the plant. Nesbitt G. B., McAllister R. F.), Clay Prod. News and Ceram. Rec., 1955, 28, № 8, 8, 10, 11 (англ.)

Описи
цветных
рование
Привод
тановых
Eunamel
удоволь
получен
шпикер
давлени
тором,
ных тел
43947.
видни
exam
le g
Sheet
Вропи
ми в п
итенсн
Добавк
келево
На бо
грунто
лось пр
наблю
место п
с увели
с пони
продол
тания
сторон
ликвид
Носле
бюдал
висимо
лирова
причин
обжига
N₂ не
скорос
а такж
недост
43948.
(Web
Kera
рез.
В цел
хим. у
устойч
вались
распыл
Устано
измене
ностно
на усто
43949.
Нигу
at In
(англ
Алю
т. п.)
гаются
мывка
4) щел
ванны
ка вод
зовани
окисл
грунто
8) воз
обжиг

Описывается технология приготовления шликеров цветных эмалей на 3-де, производящем только эмалирование и получающем со стороны эмалевые фритты. Приводятся мельничные составы применительно к титановым фриттам, изготавливаемым компанией Ferro Enamels Ltd (Канада), и перечень необходимого оборудования. Указываются способ подбора шликера для получения заданного тона, тонкость помола и уд. вес шликера; рекомендуются заправочные средства, давление воздуха при нанесении шликера пульверизатором, толщина покрытия, указывается влияние основных технологич. факторов на тон покрытия. З. С.

43947. Исследование вторичного всплывания в стекловидных эмалях. Килер, Чжу, Дейвнс (An examination of reboiling in vitreous enamels. Keller J. H., Chu Gordon P. K., Davis H. M.), Sheet Metal Inds, 1954, 31, № 323, 233—240 (англ.). Вторичное всплывание (ВВ), наблюдавшееся авторами в грунтах различных типов, имеет наибольшую интенсивность при применении кобальтовых грунтов. Добавка Sb_2O_3 или As_2O_3 к прозрачному грунту и никелевое погружение увеличивали склонность к ВВ. На большинстве образцов, покрытых кобальтовым грунтом, ВВ происходило при 610—630° и прекращалось при 680—720°. При охлаждении образцов ВВ не наблюдалось, а при повторном нагреве оно снова имело место при 610—630°. Интенсивность ВВ возрастала с увеличением скорости нагрева и охлаждения, а также с понижением конечной т-ры охлаждения и ростом продолжительности перерывов между циклами испытания на ВВ. Удаление грунтового покрытия с одной стороны образцов, эмалированных ранее с двух сторон, ликвидировало ВВ только при повторном испытании. После реэмалирования указанных образцов ВВ наблюдалось при первом или втором испытании в зависимости от продолжительности обжига при реэмалировании. Приведенные результаты показывают, что причиной ВВ является выделение H_2 металлом во время обжига в период размягчения грунта. Окислы С и N не могут служить причиной ВВ в связи с малой скоростью их диффузии при т-рах образования ВВ, а также ввиду низкого содержания этих газов в стали, недостаточного для наблюдаемого всплывания. З. С.

43948. Устойчивость эмалей к выветриванию.— (Wetterbeständigkeit von Emails.—), Glas-Email-Keramo-Technik, 1955, 6, № 7, 238—241 (нем.; рез. англ., франц.).

В целях разработки ускоренного метода определения хим. устойчивости эмалей, покрытия испытывались на устойчивость к 4%-ному р-ру CH_3COOH , обрабатывались водяным паром, SO_2 , Cl_2 , подвергались действию распыленного р-ра $NaCl$, воздействию УФ-лучей. Установлено, что разрушение эмали, потеря блеска, изменение цвета связаны с выщелачиванием из поверхностного слоя растворимых частиц. Качеств. указания на устойчивость эмали дает проба с CH_3COOH . М. С.

43949. Эмалирование алюминия на заводе фирмы Ингрем-Ричардсон (США).— (Aluminum enameling at Ing-Rich.—), Ceramic Ind., 1955, 64, № 4, 99—101 (англ.).

Алюминиевые изделия (архитектурные детали и т. п.) после тщательной очистки и полировки подвергаются обработке по схеме: 1) щел. р-р при 60°; 2) промывка в воде; 3) р-р хромовой к-ты при комнатной т-ре; 4) щелочно-хромовая ванна при 49° с точно фиксированным временем обработки; 5) окончательная промывка водой; 6) термич. обработка при 538° с целью образования на поверхности алюминия пленки смешанных окислов алюминия и хрома; 7) равномерное нанесение грунтовой эмали и одного или двух слоев покровной; 8) возможно быстрая сушка и перенос изделия для обжига в электрич. печь с т-рой $538 \pm 2,5^\circ$. В. Р.

43950. Некоторые приемы испытания эмалированных изделий. Часть I. Меркер (Einige Vorschläge zur Prüfung emaillierter Erzeugnisse. 1. Teil. Märker Rudolf), Glas-Email-Keramo-Technik, 1955, 6, № 3, 78—81 (нем.; рез. англ., франц.).

В настоящее время контрольные испытания эмалированных изделий производятся различными способами и результаты являются несопоставимыми. Дается обзор существующих методов определения толщины, термич. стойкости, заглушенности и блеска эмали. Толщина эмалевого покрытия в сильной степени отражается на механич. свойствах эмалированных изделий и особенно на их термостойкости. Так при толщине эмалевого слоя в 0,55 мм его отскакивание от температурных воздействий в шесть раз больше, чем при покрытии в 0,45 мм, и в семь раз больше, чем при покрытии в 0,35 мм. Для контроля толщины эмалевого слоя готовых изделий рекомендуются приборы с постоянными магнитами — элькометры и смальтометры, для более точных лабор. измерений — приборы с электромагнитами — лептоскопы. Для измерения прочности на удар наряду с маятниковым прибором применяется прибор с падающим с определенной высоты постоянным грузом. Приводится график для классификации эмалированной поверхности по прочности на 4 разряда. Термостойкость эмалированных изделий измеряется попеременным нагреванием изделий до 120, 140, 160 и 180° с последующим окунанием в воду при 20° до появления трещины. Измерение заглушенности и блеска эмалированных изделий осуществляется нейтроскопическим шаровым рефлектометром, фотометром Целлеса-Пульфриха, рефрактометром Хунтера, блескометром Лаге и др. С. Т.

43951. Распыливающие аппараты и их значение в керамической фарфоровой и эмалевочной отраслях промышленности. Брауэр (Spritzapparate und ihre Bedeutung in der Keramik-, Porzellan- und Email-Industrie. Brauer Emil), Sprechsaal Keramik-Glas-Email, 1955, 88, № 7, 141—142 (нем.).

Дается описание и разбираются преимущества в работе новых аппаратов фирмы «Граф», имеющих набор съемных резервуарчиков для последовательного нанесения различных красок без промывки аппарата. Предложен также аппарат, резервуар для красок которого имеет шарнирное сочленение, что позволяет пользоваться прибором в любом положении. С. Т.

43952. Эмалированные доски для письма мелом. Хунперт (Porcelain enameled chalkboards. Hupert Paul A.), Ceramic Age, 1955, 65, № 3, 15—19 (англ.).

Эмалированные доски с матовой поверхностью заменяют естественные сланцы и другие материалы. Матовость эмалированной поверхности доски достигается смешением двух различных фритт, добавлением в мельничный состав огнеупорных материалов, глушителей, выделяющих газообразные продукты, а также травлением эмалированной поверхности к-тами. Преимущественное применение нашел способ огнеупорных добавок. Эмалированные доски для письма должны удовлетворять следующим условиям: 1) легкости письма по ним; 2) легкости стирания написанного; 3) матовости или блеска, цвета, поверхностной твердости, прочности к удару, истираемости; 4) отсутствия коробления и сколов на поверхности. Описаны доски, полученные нанесением тонкого слоя глухой глазури на стальные, алюминированные листы. Такие доски перегибаются. С. Т.

43953. Черновые изделия для эмалирования и окалина перед травлением. Вильке (Emailrohware und Zunder vor der Beize. Wilke Heinz), Glas-Email-Keramo-Technik, 1955, 6, № 12, 430—432 (нем.).

Для получения ровного, легко отделяющегося при травлении слоя нужно строго выдерживать заданные время и т-ру отжига, подачу газов и воздуха. Чтобы предупредить образование окалины при промежуточных отжигах на разных стадиях обработки металла, рекомендуется вести отжиг в восстановительной атмосфере. Это достигается уменьшением подачи воздуха или применением защитных газов. Защитные газы можно получать как в самом печном пространстве, так и в спец. устройствах. Соотношение их составных частей (N_2 , CO_2 , H_2O , H_2) должно быть согласовано с составом металла и т-рой отжига. Предыдущее сообщение см. РЖХим, 1956, 36636. М. С.

43954. Новые дешевые силикатные покрытия для черных металлов. Р о з (New low-cost silicate coatings for ferrous metals. Rose Kenneth), Mater. and Methods, 1955, 41, № 3, 144—145 (англ.)

Рекомендуемые покрытия наплавляются на металл при т-рах до 675°. Покрытия имеют хорошие диэлектрич., механич. и антикоррозионные свойства. Находят широкое применение в строительстве для покрытия металл. изделий и резервуаров для хранения нефти. Составы покрытий не приводятся. В. Р.

43955. Метод определения толщины помола эмалей.— (Verfahren zur Bestimmung der Mahlfineinheit von Emails.—), Glas-Email-Keramo-Technik, 1955, 6, № 12, 427—430 (нем.; рез. англ., франц.)

Предлагается метод отлучивания пробы шликера весом 20 г в течение 15 мин. непрерывной струей воды с последующим измерением веса и объема остатка. Быстрота определения и несложная аппаратура позволяют использовать этот способ в условиях произ-ва. Метод дает более правильное представление о величине частиц, чем ситовой анализ. М. С.

43956. Покрытия для горячих участков.— (Coating for the hot spots.—), Setel, 1955, 136, № 26, 94 (англ.)

Фирмой Norton (США) разработаны 4 марки огнеупорных покрытий (П), применяемых для деталей реактивных двигателей. В качестве материала для новых П применяются Al_2O_3 (рокид А), силикат Zr (рокид ZS), стабилизированная ZrO_2 (рокид Z) и графит, покрытый SiC (рокид С). Покрытие Al_2O_3 производится посредством распыления. Прутки Al_2O_3 расплавляются кислородно-ацетиленовым пламенем, толщина получаемого П составляет 0,127—2,5 мм. П отличается высокой жаростойкостью (т. пл. 1982°), стойкостью к тепловым и твердостью. П применимо для черных и цветных металлов, изделий из графита, керамики, стекла, пластмассы и других материалов; П могут наноситься на изделия любых габаритов, за исключением длинных труб диам. < 50 мм. Рокид С изготавливается посредством обработки графитовой поверхности парами, получающимися при «кипении» кварцевого песка; при этом образуется SiC. Графитовые трубки сгорания реактивных двигателей, обработанные этим методом, хорошо сопротивляются износу и окислению. Э. С.

43957. Керамические покрытия для ядерных реакторов. Р ичмонд, Лефорт, Вильямс, Гаррисон (Ceramic coatings for nuclear reactors. A progress report. Richmond Joseph C., Lefort Henry G., Williams Charles N., Harrison William N.), J. Amer. Ceram. Soc., 1955, 38, № 2, 72—80 (англ.)

Испытано более 200 новых покрытий для защиты от окисления хромоникелевых и других легированных высокотемпературных сплавов, предназначенных для употребления в ядерных реакторах. Покрытия готовились из тонкодисперсных смесей, состоящих из фритты, глины и огнеупорных окислов (оптимальное весовое отношение фритты к окислу 65 : 35). Исследования 85 новых фритт, не содержащих V_2O_5 , с коэфф.

поглощения тепловых нейтронов 0,15—0,50 барн, т-рой спекания $\leq 1430^\circ$ и т-рой размягчения $\geq 790^\circ$. Для приготовления фритт компоненты сплавляли при соответствующей т-ре, плав выливали в воду, затем фритту сушили и размалывали. Металлич. пластинки с поверхностью, очип. пескоструйным методом, подвергались отжигу в атмосфере сухого водорода и травлению в различных р-рах, погружались в шликер, доведенный до нужной консистенции прибавлением воды или электролита, чтобы получить покрытие толщиной $\sim 0,025$ мм. Затем образцы сушили при 104° и прокаливали 4 часа при т-ре, обеспечивающей наибольшую адгезию. Для испытания образцы толщиной 0,25 мм прокаливали в окислительной среде в общей сложности в течение 147 час. при 1040°. Затем маленькие участки образцов подвергали металлографии. исследованию. В качестве меры степени окисления измеряли разность толщины неповрежденной части металл. пластинки для прокаленного образца по сравнению с непрокаленным, а также глубину поверхностного окисления и глубину волосных трещин в металле и число последних на ед. площади. Найдены результаты показали покрытия с т-рой обжига 1010—1233°, в состав которых входят фритты типа силиката Ва с добавками BeO , CaO , ZnO , P_2O_5 и в некоторых случаях TiO_2 . Состав одной из фритт (№ 435): SiO_2 51,02, BaO 25,51, CaO 6,12, ZnO 5,10, BeO 10,20, P_2O_5 2,04. В качестве огнеупорных окислов в состав лучших покрытий входит Cr_2O_3 , SeO_2 и их смеси. Состав одного из покрытий (на основе фритты № 435) в вес. ч.: фритты № 435—65, Cr_2O_3 10, SeO_2 25, глины 5. Эти покрытия значительно уменьшают как глубину волосных трещин, так и число последних на ед. поверхности. В. Ш.

43958. Серебрение поверхности изоляционных материалов. Кейль, Офнер (Metallisieren der Oberflächen von Isolierkörpern mit Silber. Keil, Offner), Elektron. Rundschau, 1955, 9, № 12, 432—433 (нем.; рез. англ., русс.)

Рассматриваются 2 способа серебрения: 1) с помощью препаратов, закрепляемых вжиганием; 2) с помощью лака, закрепляемого сушкой. Вжигающийся препарат Ag представляет собою суспензию металл. Ag или Ag_2O , или соли в канфольно-скипидарном р-ре. Флюсом служат соединения Pb или Bi. Т-ра вжигания на керамику 750—850°, на стекло 600° и на слюду $\leq 560^\circ$. Электропроводность Ag-слоя составляет обычно $\sim 20\%$ электропроводности массивного Ag. Препарат серебряного лака представляет собою суспензию тонкого порошкообразного Ag в лаке. Он может наноситься кистью. Проводимость слоя Ag-лака ниже, чем получаемого от вжигаемого препарата. На проводимость Ag-слоя большое влияние оказывает и форма частиц. Частицы свежеосажденного Ag имеют ясно выраженную структуру дендритов, а поэтому образуемые ими слои дают рыхлую, почти не обладающую проводимостью структуру. После же 50-часовой обработки (полировки) в шаровой мельнице частицы принимают округлую форму, и препарат после такой обработки дает уже по нанесении нормальную проводимость. С. Т.

43959. Краски для печати контуров на керамическом основе.— (Inks for ceramic base printed circuits.—), Ceramics, 1955, 7, № 73, 26—29 (англ.)

Кратко описывается приготовление и нанесение на керамику красок из металл. порошков или соединений металлов (серебра) в виде металл. порошка, или различных соединений: окисей, хлористого, углекислого резина с небольшим добавлением флюса на органич. связующем, загущенном скипидаре, маслах, разведенных на толуоле, бутиловом или амиловом ацетатах; печатаются по стеклу или керамике, сушатся

и обжига
хорошо з
Перечисл
Au, In, P
сится на
43960.

ментон
tools.

№ 10,
Кратко
наносим
пламя. С
и циркон
43961.

che l
47, №

Рассма
ласти ви
ловых м
ные хар
бидов Zr

покрыти
диэлектр
танатов
внимани
сватита,

продукто
приватос
ления, э
работы п
ламенист

43962.

tion to
№ 4,

Приво
примене
новой, г
ферритов

или Fe, Z
лов, бор
BeO, Ca

43963.

чества
результ
дам ке
laborat
Ceram.

43964.

и кера
tions c
Ceram
Обзор.

Zr в кер
огнеупор
см. РЖХ

43965.

Кер
J. R.,
37, №

В случ
необходи
плотност
ется оч
ростов сп

43966.

и SrO. I
образует
элемент
ThO₂-Ca

спекани
ния 4

и обжигаются при 300—700°. В результате получают хорошо закрепленные проводящие металлич. контуры. Перечисляются другие металлы (Al, Sb, Bi, Co, Cu, Au, In, Pb, Ni, Pd, Pt, Rh, Ru, Ag, Sn), могущие наноситься на керамику и стекла. С. Т.

43960. Керамика. От драгоценных камней до инструментов. Пичинич (Ceramics: from jewels to tools. Pichnich D. G.), Iron Age, 1955, 176, № 10, 35 (англ.)

Кратко описываются защитные керамич. покрытия, наносимые на металл способом распыливания через пламя. Основными из них являются окислы глинозема и циркония, особо стойкие к коррозии и эрозии. С. Т.

43961. Керамика. Митчелл (Ceramics. Mitchell Lane), Industr. and Engng Chem., 1955, 47, № 9, Part 2, 1956—1962 (англ.)

Рассматриваются исследовательские работы в области высокотемпературных керамич. материалов и новых методов их исследования. Указываются основные характеристики искусств. алмаза, сапфира, карбидов Zr, Ti, Si и B, боридов Ti, Zr, Mo, огнеупорных покрытий, абразивов, металлокерамич. композиций, диэлектрич. и спец. несилкатных материалов — титанатов и полупроводниковых материалов. Обращается внимание на работы по исследованию стеатита, полустеатита, кордиерита, муллита, цирконового фарфора, продуктов вулканиз. происхождения и т. д. Рассматриваются работы по получению стекла спец. назначения, эмалей и волоконитовых материалов, а также работы по исследованию сырья — глин, каолинов и каменистых материалов. Библ. 85 назв. Г. М.

43962. Введение в новую керамику. — (An introduction to newer ceramics.—), Ceramic Ind., 1955, 65, № 4, 91, 124—125 (англ.)

Приводится краткое описание свойств и областей применения следующих новых видов керамики: титановой, глиноземной, стеатитовой, термически стойкой, ферритовой на основе спекания окислов Fe, Zn и Mn или Fe, Zn и Ni и высокоогнеупорной на основе карбидов, боридов, нитридов, солицидов и спец. окислов: BeO, CaO, MgO, ZrO₂ и т. д. С. Т.

43963. Лаборатория [Всеобщей компании электричества в Кролле (США)] по ускорению внедрения результатов исследовательских работ по новым видам керамики и металлов. — (New ceramics and metals laboratory to speed use of research findings.—), Amer. Ceram. Soc. Bull., 1955, 34, № 9, 314—316 (англ.)

43964. Применения циркона и двуокиси циркония в керамике. Часть II. Пил (The ceramic applications of zircon and zirconia. Part 2. Peel G. N.), Ceramics, 1955, 7, № 77, 207—214 (англ.)

Обзор. Применение силикатов Zr, циркона и двуокиси Zr в керамич. красках, циркононом фарфоре в качестве огнеупоров и для пескоструйной очистки. Часть I см. РЖХим, 1956, 16806. В. Я.

43965. К вопросу о спекании ThO₂. Джонсон, Кертис (Note on sintering of ThO₂. Johnson J. R., Curtis C. E.), J. Amer. Ceram. Soc., 1954, 37, № 12, 611 (англ.)

В случаях применения ThO₂ для ядерных реакторов необходимо ее получение с максимально возможной плотностью. Однако при t-рах < 2000° ThO₂ спекается очень медленно. Вводимые для повышения скорости спекания ThO₂ добавки должны обладать миним. средством к нейтронам. Из ряда испытанных окислов, повышающих скорость спекания ThO₂, оказались CaO и SrO. При этом при введении 10 мол. % CaO к ThO₂ образуется твердый p-p CaO в ThO₂ без изменения куб. элементарной ячейки ThO₂. Опыты спекания смесей ThO₂-CaO в среде H₂ не были более успешными, чем спекание чистой ThO₂. Таким образом, при t-ре спекания 1800° удавалось получить ThO₂ с плотностью

в 97% от теоретич. или 99,5% от возможной плотности, учитывая добавку в 0,5 вес. % CaO. Приведена кривая спекания ThO₂ при 1700°. А. Ч.

43966. К изучению материалов из чистых окислов. Мак-Крейт (Processing studies on pure oxide bodies. McCreight Louis R.), J. Amer. Ceram. Soc., 1954, 37, № 8, 378—385 (англ.)

Приведен обзор методов получения плотной однофазовой керамики. Наилучшие результаты при любом материале, устойчивом к графиту, дает метод горячего прессования. Литье из расплава, также дающее возможность получить высокоплотные изделия, дает материал сравнительно крупнокристаллич., что во многих случаях является нежелательным. Общепринятыми методами формования изделий из чистых окислов, так же как и из других керамич. материалов, являются прессование, литье и протягивание. Для получения плотных и прочных изделий из непластичных керамич. материалов методами протягивания, литья или сухого прессования рекомендуются: 1. Использование высокообожженных или плавленых материалов максимально возможной чистоты. 2. Применение продолжительного мокрого помола (для получения тонкодисперсной массы) в стальном или облицованном резиной оборудовании. При этом для получения оптимальной прочности изделий в каждом случае следует иметь кривую зависимости прочности от продолжительности помола. 3. Сокращение промывки материала к-той (когда такая промывка необходима) и обеспечение лучшего распределения размера частиц. Тонкодисперсный материал должен быть смешан с некоторым кол-вом грубого материала. 4. В случае сухого прессования желательной является как предварительная грануляция материала, так и гидростатич. допрессование образцов. Выполнение указанных мероприятий способствует получению высокоплотных керамич. изделий при более низких t-рах обжига. А. Ч.

43967. Металлокерамика — новое решение вопроса о стойкости к термическому удару. Ставролакис (Cermets a new solution for thermal shock. Stavrolakis J. A.), Aero Digest, 1955, 70, № 1, 22—26 (англ.)

Металлокерамика находит все большее применение при изготовлении реактивных двигателей, газовых турбин, клапанов авиационных поршневых двигателей большой мощности, защитных чехлов для термпар и т. д. К ее достоинствам относятся: высокая термостойкость, износостойкость, очень хорошие механич. свойства при высоких t-рах, значительное соотношение между прочностью и весом. Существенный недостаток металлокерамики — высокая стоимость. Металлокерамика может быть трех типов: 1) механич. смесь (напр., Ni-BeO, Mo-ThO₂); 2) состав, рассчитанный на хим. р-цию между компонентами (напр., Cr-Al₂O₃, Si-MgO); 3) состав с образованием твердого p-ра (напр., Zn-Al₂O₃, Be-MgO, Si-ThO₂). Чтобы металлокерамика обладала высокой t-рой плавления и стойкостью к окислению, необходимо соблюдение четырех условий: 1) должна быть связь между металлом и неметаллом; 2) t-ра плавления металла должна быть выше t-ры службы; 3) окись металла должна быть огнеупорной при t-ре службы; 4) решетки образующихся окислов должны быть достаточно плотными, чтобы уменьшить диффузию кислорода внутрь и вовон металла наружу. Металлокерамика изготавливается методами, применяемыми в керамике и порошковой металлургии — холодным, горячим и гидравлич. прессованием, и методом шликерного литья. Шихта приготавливается из порошков металла и огнеупорного компонента, которые смешиваются в шаровой мельнице. Происходящее при этом намазывание металла на зернах керамич. частиц способствует однородному

перемешиванию. Обычно используются порошки с размером частиц от 150 μ до мелких (все зерна $<44 \mu$). Чем тоньше порошок, тем лучше перемешивание металла с металлом. Однако при тонкости $\leq 0,1 \mu$ металлы (даже Fe и Ni) начинают легко окисляться. Наличие в таких порошках большого кол-ва адсорбированного воздуха снижает плотность упаковки их частиц. Используя порошок трех фракций — крупной, средней и мелкой, можно добиться 70% заполнения объема. Приведены важнейшие свойства 18 различных составов металлокерамики. А. М.

43968. Расплавы в высоковакуумных аппаратах. Шварц-Бергкамф (Einschmelzungen in Hochvakuumapparaten. Schwarz-Bergkamp E.), Berg- und Hüttenmänn. Monatsh., 1955, 100, № 7—8, 248—250 (нем.).

Получение прочных и плотных соединений металлов с неметаллич. материалами усложнено различием коэфф. температурного расширения; сопротивление растяжению неметаллич. материалов (стекла, керамики) примерно в 10 раз меньше сопротивления сжатию. При соединении стекла с металлом прочное и плотное соединение достигается сравнительно легко благодаря низкой t -ре плавления стекол и способности расплавов растворить окислы металлов, но температурная устойчивость таких соединений при заделке металла внутрь стекла относительно низка. Более термически стойкое соединение получается между металлом и керамикой; изготовление такого соединения, особенно больших размеров, затруднительно, так как требует металлизации поверхности керамики благородными металлами или пирронием. Соединение с высокой механич. прочностью и термич. стойкостью вплоть до t -ры размягчения стекла получается при затвердевании стекла внутри трубы. Еще более прочное соединение получается в случае, если металлич. оболочка имеет форму, близкую к сферич.; такие соединения сохраняют герметичность под вакуумом при t -рах до 400° и аналогично предвращению напряженному железобетону, не испытывают растягивающих напряжений. В. К.

43969. Пластичная масса и порошки, прессуемые в увлажненном состоянии. Боден (Pâte plastique et poudre humectée pressée. Bodin V.), Bull. Soc. franç. céram., 1955, № 26, 15—21 (франц.; рез. англ., нем.).

Увлажненные, прессуемые порошки успешно применяются в произ-ве огнеупорных изделий и мелких керамич. деталей точных размеров. Исследованиями установлено, что в пластичной массе, содержащей достаточное кол-во воды, последняя оказывает особое влияние на колл. часть глины. На основании изучения осколка керамич. вазы, которая в течение 4500 лет находилась под действием влаги и не разрушилась, а также изучения других образцов древних керамич. изделий, было показано, что возможно твердение массы в результате обжига, не сопровождающегося полной дегидратацией. И. С.

43970. О правильном режиме формовки фарфоровых изделий. Бочваров (За правилен режим на формване на порцелановите изделия. Бъчваров В.), Лека промишленост, 1955, № 5, 16—18 (болг.).

Для получения высококачественных фарфоровых изделий фарфоровая масса должна быть хорошо гомогенизированной и иметь равномерную влажность. Положительное влияние на качество фарфора оказывают вакуумирование массы и ее вылеживание, но применяемые вакуум-тоннелиеры не достигают цели. Во избежание образования вздутий в отформованных изделиях транспортировку валяшки от вакуум-пресса на рабочее место следует производить на спец. тележках или платформах. Край валяшки при формовке

должны удаляться. Они должны готовиться из одного куска массы, иначе при сушке и обжиге образуются трещины по месту соединения кусков. Формы должны готовиться из высококачественного гипса и использоваться ≤ 70 —120 раз. Изделие не должно иметь местных утолщений. При оправке необходимо тщательно зачищать острые края, так как на них не держится глазурь, что ведет к появлению пузырей. При мокрой оправке надо избегать чрезмерного увлажнения поверхности. В. Р.

43971. К вопросу о подсинивании керамических масс. Клуз (Etwas über das Masseblauen. Klug J. A. S.), Sprechsaal Keramik-Glas-Email, 1956, 89, № 2, 28—30 (нем.).

Естественные сырые керамич. материалы всегда содержат небольшие примеси соединений Fe, которые окрашивают при обжиге черепок фаянса в желтоватый тон. Под глазурью этот тон усиливается. Соединения Co окрашивают массу в синий цвет. Желтая окраска черепка нейтрализуется вводом в фаянсовую массу незначительных кол-в соединений Co. Обычно при приготовлении массы в шаровые мельницы добавляются сернокислый Co и сода, которая осаждает последний в виде углекислого Co. Приводятся расчетные таблицы для определения потребных кол-в сернокислого Co и соды для его осаждения. С. Т.

43972. Производство фарфора в Лимузене. Рено (Innovations dans l'industrie de la porcelaine a Limousine. Renault Pierre), Ind. céram., 1955, № 469, 269—276 (франц.).

43973. Факторы, влияющие на макроструктуру прессованного стеатита. Фишер, Поттер (Factors affecting the physical structure of dry pressed steatite. Fisher J. R., Potter J. F.), Amer. Ceram. Soc., Bull., 1955, 34, № 6, 177—181 (англ.).

Исследовано влияние granulометрич. состава массы на макроструктуру стеатита. Рассматриваются значение мокрого помола и свойства связок, применяемых при прессовании. Наиболее подходящим в качестве связки является эмульгированный воск, вводимый в мельницу в начальной стадии помола массы. Для контроля качества прессования рекомендуется определение кажущегося об. веса массы, необходимой плотности которой достигается тщательным рассевом и грануляцией порошка. Наиболее благоприятное сочетание для получения порошка высокой плотности с хорошей текучестью при заполнении полости пресс-формы дает фракция 20—40 меш (64—256 $\text{cm}^2/\text{см}^3$). Приведены данные по определению соотношения между кажущимся об. весом прессуемых гранул порошка, плотностью и огневой усадкой прессованного образца. Установлено, что плотность прессованных изделий зависит от давления прессования. При использовании метода взвешивания в ацетилен-тетрабромиде установлено, что плотность обожженного изделия связана с режимом обжига. Показано, что при правильном обжиге плотность обожженного изделия не зависит от факторов, определяющих огневую усадку (приложенное давление и об. вес гранул). Для оценки внутренней структуры стеатита рекомендуется использовать определение плотности обожженного изделия в дополнение к обычным методам испытания по водопоглощению и прокрашиванию. Г. М.

43974. Стеатитовые массы. — (Specksteinmassen.—). Keram. Z., 1955, 7, № 5, 229—230 (нем.).

Стеатиты подразделяются на следующие группы: 1) из чистого талька-жировика с усадкой при обжиге в 2%, обеспечивающие высокую точность изделий; 2) нормальные стеатиты состава (в %): обожженный тальк 60, сырой тальк 25, полевой шпат 6, жирная глина, 9; 3) цел.-зем. бесполовошпатовые стеатиты примерного состава (в %): тальк сырой 87, карбонат

бария 8, пластич. глина 3, бентонит 2, известковый шпат 1; 4) муллитосодержащие плотные стеатиты состава (в %): силлиманит 30, сырой тальк 25, жирные глины 20, черепок 3, полевошпат 5, каолин 8; 5) муллитосодержащие пористые стеатиты состава (в %): силлиманит 28, прокаленный тальк 25, сырой тальк 5, жирная глина 42 с водопоглощением при обжиге на 1410° в 1—5% и при обжиге на 1300° с водопоглощением 7—15%; 6) цирконсодержащие стеатиты с пористостью 15—20% состава (в %): циркон 10, тальк-жировик 10, шамот 46, жирная глина 34. Приводятся сравнительные физ.-механич. и диэлектрич. свойства этих групп стеатитов. Отмечается, что добавление талька в муллитовые массы сильно повышает термостойкость последних, так образуются массы системы $MgO - Al_2O_3 - SiO_2$ с низким коэфф. термич. расширения. При повышении дисперсности талька образуются мелкие кристаллы с плотной, равномерной структурой черепка. Диэлектрич. потери при этом снижаются. Повышенная усадка масс с высокодисперсным тальком может быть компенсирована повышением давления при прессовании. Так прессование при давл. в 1400 кг/см^2 уменьшает усадку с 12 до 9%. Тальк с средней величиной частиц в $0,46 \text{ м}$ может дать такую же усадку, как тальк в $2,50 \text{ м}$, спрессованный под давл. в 560 кг/см^2 . С. Т. 43975. Стеатит, как керамический изолятор. Марцанаско (La steatite come isolante ceramico. Marzanasco Vittorio), *Elettificazione*, 1955, № 4, 171—173 (итал.)

Тальк, применяемый в произ-ве изоляторов, должен содержать $\leq 1,1\%$ CaO и Fe_2O_3 и 3% Al_2O_3 . Содержание талька в шихте составляет 75—90%. Стеатитовые изделия имеют коэфф. термич. расширения 6,0—8,0· 10^{-6} , об. сопротивление при 20° 10^{12} — 10^{13} ом·см диэлектрич. постоянную — 6, коэфф. диэлектрич. потерь в сухом состоянии 10—15· 10^{-4} . И. С.

43976. Увеличение содержания муллита в керамических изделиях путем изменения технологического процесса. Свенцкий (Świeższe warunki produkcji ceramiki w wyrobach ceramicznych przez zmianę procesu technologicznego. Świeżski Zbigniew), *Przegl. electrotechn.*, 1955, 31, № 10—11, 685—688 (польск.)

Муллит образуется в каолините при t -ре $\sim 1000^\circ$. Учитывая это, качество электротехнич. фарфора может быть повышено путем выдерживания изделий при обжиге в течение некоторого времени при этой t -ре. Е. С. 43977. Диэлектрические потери окиси алюминия. Богородицкий Н. П., Полякова Н. Л., Докл. АН СССР, 1954, 95, № 2, 257—259

При использовании деталей из алюминоксида выявлялась неустойчивость угла диэлектрич. потерь $\text{tg } \delta$. Показано, что в монокристаллах корунда, сплавленных в водородно-кислородном пламени, $\text{tg } \delta$ так же мал, как и в поликристаллич. корунде, полученном из х. ч. Al_2O_3 . Добавка окиси Na к х. ч. Al_2O_3 вызывают отчетливое изменение $\text{tg } \delta$ в зависимости от характера газовой среды. Обжиг образцов в окислительной среде повышает $\text{tg } \delta$, в восстановительной — приводит к малому $\text{tg } \delta$. Подтверждено, что электрич. свойства α -глинозема (корунда) при всех условиях термич. обработки весьма высоки. Модификация γ -глинозема имеет пониженные показатели электрич. свойств и еще ниже электрич. показатели β -глинозема. Поэтому наблюдаемое в корундовой керамике понижение электрич. свойств зависит от возможного наличия в ней β -глинозема, образующегося в процессе обжига изделий в присутствии примесей в глиноземе в условиях окислительной среды. Обжиг такой керамики в восстановительной среде приводит к улучшению электрич. свойств благодаря разрушению β -глинозема и перехода его в α -модификацию. Этот же процесс разрушения

β -глинозема и перехода его в α -модификацию можно осуществить прокаливанием глинозема в любой среде в присутствии, напр., борного ангидрида. А. Ч.

43978. Сегнетоэлектрические свойства метаниобата свинца. Гудман (Ferroelectric properties of lead metaniobate. Goodman G.), *J. Amer. Ceram. Soc.*, 1953, 36, № 11, 368—372 (англ.)

В системе $PbO - Nb_2O_5$ показано наличие двух соединений: $Pb(NbO_3)_2$ и $Pb_2Nb_2O_7$. При комнатной t -ре диэлектрич. проницаемость ϵ для $Pb(NbO_3)_2 = 280$ и пьезомодуль меньше, чем у титаната бария примерно в два с небольшим раза. Диэлектрич. гистерезис и высокая ϵ с резким максимумом при t -ре Кюри 570° уменьшающаяся затем в соответствии с законом Кюри—Вейсса, указывают на то, что метаниобат свинца — сегнетоэлектрич. материал. Пирониобат свинца в температурном интервале от -200 до $+750^\circ$ не обнаруживает никаких диэлектрич. аномалий. Меньшие по сравнению с титанатом бария значения электромеханич. характеристик $Pb(NbO_3)_2$ в значительной степени компенсируются его более широким температурным интервалом применимости: поляризованные образцы $Pb(NbO_3)_2$, нагретые до 570° , не обнаруживали никакого изменения пьезоэлектрич. свойств после их охлаждения. А. Ч.

43979. Исследования термисторов. Рутковский (Badania nad termistorami. Rutkowski W.), *Biul. inform. Hutnik (Stalinoğród)*, 1954, 21, № 4, 13, 14 (польск.)

Термисторы получены из смесей следующих окислов: а) Fe_2O_3 , CaO с $ZrO_2 \cdot SiO_2$; б) $ZrO_2 \cdot SiO_2$ с Ni; в) $CuO + Mn_2O_4$; г) чистой CuO . Пробы а и б имели сопротивление порядка 10^2 — 10^8 ом·см , мало увеличивающиеся с ростом t -ры, пробы в и г — сопротивление порядка 10^3 — 10^5 ом·см , но большую зависимость его от t -ры при сохранении хороших механич. свойств. Пробы изготовлялись под давл. 1000 — 5000 кг/см^2 . Пробы спекались при 600 — 900° . Для сохранения стабильности сопротивления пробы подвергались искусств. старению при 150 — 200° в течение нескольких часов. Е. С.

43980. Новые керамические изделия. Мондин (Les produits ceramiques nouveaux. Mondin Charles), *Monit. trav. publ. et bätim.*, 1955, 52, № 53, 19, 21 (франц.)

Среди новых материалов особое место занимают пустотные блоки размером $15 \times 20 \times 40$, $20 \times 20 \times 40$, $20 \times 25 \times 40$ и $20 \times 30 \times 40 \text{ см}$. Удобство сочетания этих кирпичей и их легкий вес позволяют быстро осуществлять кладку стен. В настоящее время создаются сваренные блоки и блоки, которые при кладке стены дают небольшой опуск лицевой поверхности на нижерасположенный блок. Отмечается также применение в строительстве крупных блоков и прочных панельных перекрытий между балками. С. Т.

43981. Склонность к образованию трещин кирпича-сырца из пропаренной и холодной глины во время сушки при низкой температуре. — (De scheurgevoeligheid van vormlingen van gestoomde en van koudverwerkte klei bij een droogproces op een laag temperatuur-niveau.—), *Klei*, 1955, 5, № 3, 111—113 (голл.) Кирпич-сырец из пропаренной глины обнаружил меньшую склонность к образованию трещин во время сушки при низкой t -ре (13°), чем сырец холодного прессования. Это было установлено сравнением максимально допустимых скоростей сушки, при которых еще не появлялись трещины: при сушке сырца холодного прессования потеря влаги не должна была превышать 20 — 24 г/час , для сырца горячего прессования — 30 — 35 г/час , при сухом весе кирпича $\sim 4360 \text{ г}$. К. Г. 43982. Изучение флуоресценции под влиянием строительного раствора на керамических пластинках.

Ритчи (Study of efflorescence produced on ceramic wicks by masonry mortars. Ritchie T.), J. Amer. Ceram. Soc., 1955, 38, № 10, 362—366 (англ.)

Исследовалась способность строительных р-ров вызывать эфлоресценцию (Э) на обожженных керамич. материалах. Керамич. образцы в форме пластинок помещались в цилиндры, наполненные строительным р-ром различных составов, смачивались и сушились. Процесс состоял из 10 циклов. После этого образцы высушивались, промывались водой, снова высушивались и взвешивались. Разница в весе показывала кол-во отложившихся на образце растворимых солей, что количественно определяло размеры Э. В результате исследования 60 р-ров установлено, что портландцемент способствует Э, особенно сильно действуют щел. материалы (Na_2O и K_2O). Применение известки снижает Э.

Г. М. 43983. Изучение эфлоресценции на опытных кирпичных столбах. Ритчи (Study of efflorescence on experimental brickwork piers. Ritchie T.), J. Amer. Ceram. Soc., 1955, 38, № 10, 357—361 (англ.)

Исследована эфлоресценция (Э) на кирпичных столбах, сделанных из 3 типов кирпичей и 6 строительных р-ров, в которых изменялось соотношение портландцемента, известки и песка. Установлено, что размеры Э зависят от содержания портландцемента в р-ре, типа кирпича и времени года. Портландцемент, замещающий известку в р-ре, способствует Э. Отмечено, что Э наблюдается в холодное время года. Размеры ее связаны с пористостью кирпича.

Г. М. 43984. Сушка сырца. Сандфорд, Лилъегрен (Torkningen av råtegel och dennas inverkan på teglets frostbeständighet. Sandford Folke, Liljegren Berne), Chalmers tekn. högskol. handl., 1955, № 160, 1—22 (швед.; рез. англ.)

Для того, чтобы избежать образования структурных трещин у сырца со слоистым строением, сушка должна осуществляться в соответствии со следующими правилами: 1) сырец следует сушить при той же т-ре, которую он имеет при выходе из ленточного пресса; для увеличения скорости сушки следует увеличивать скорость воздушного потока; 2) если обстоятельства заставляют увеличить т-ру сырца, что может иметь место, напр. зимой, когда глина холодная, это повышение т-ры должно быть достигнуто путем предварительного подогревания глины до ее загрузки в ленточный пресс; 3) т-ра сушки должна быть относительно низкой, в пределах 15—30°, в соответствии с т-рой сырца на выходе из ленточного пресса; 4) в случае повышения т-ры сырца в процессе прессования необходимо в дальнейшем соответственно повысить т-ру сушки сырца в сушилах.

В. З. 43985. Исследование на модели воздушных потоков в сушилах. Винтер (Modellversuche über die Strömungsvorgänge in Trockenanlagen. Winter H.), Ziegelinindustrie, 1954, 7, № 12, 465—470 (нем.)

В различных местах опытной сушилки размещались увлажненные гипсостреленные кирпичи. По степени обезвоживания этих кирпичей устанавливалась интенсивность воздушных потоков в разных зонах сушилки при различных схемах подачи воздуха.

Е. А. 43986. Избыток воздуха при обжиге строительной керамики. Шюи (Der Luftüberschuß beim keramischen Brennen. Schuen Wilhelm), Keram. Z., 1955, 7, № 2, 61—63

Анализируется процесс горения в печах для обжига керамич. изделий (главным образом кольцевые печи) и пересматриваются результаты обширной работы Зегера (1875 г.) по аналогичному вопросу. Указывается на ошибочность выводов заводской практики по определению коэфф. избытка воздуха на основе анализа дымовых газов и дается ряд примеров и метод расчета

по рациональному определению действительной величины этого коэфф. в кольцевых печах при разнообразных топливах.

М. С. 43987. Простейший, бесстаночный способ изготовления цементно-песчаной черепицы. Иванущук (Найпростіший, безверстатний спосіб виготовлення цементно-піщаної черепиці. Іваніщук В.), Сільське будівництво, 1955, № 1, 12—13 (укр.); Сельское стр-во, 1955, № 1, 12—13 (русс.)

Черепица формируется на доске-поддоне произвольной длины шириной 40 см при помощи металлич. форм-рамки размером 400×222 мм и гладилки-шаблона. По мере формирования форма-рамка последовательно перемещается по длине поддона, причём гребень последующей черепицы образуется пазом предыдущей. Для предотвращения слипания гребня с пазом между ними прокладывается металлич. лист соответствующей конфигурации.

Е. Ш. 43988. Об эксплуатации печей для обжига кирпича. Гёчман (Bemerkungen zur Instandhaltung von Ziegelei-Brennöfen. Goetschmann Hans), Silikattechnik, 1955, 6, № 12, 544 (нем.)

В случае сильно разведённой кладки кольцевых или камерных печей используется защитная трамбовочная масса, состоящая из молотого шамота (огнеупорность 1710—1730°, величина зрен 0—5 мм) и пластичной глины. Неплотности швов кирпичной кладки заделываются массой. Защитная обмазка на новую кладку готовится из шамота, глины и дающей глазури добавки; размер частиц смеси 0—0,5 мм. Масса наносится на кладку последовательно двумя слоями, каждый толщиной в 1 мм. Печь разогревается лишь после высыхания нанесённой замазки, подъём т-ры постепенный, охлаждение кладки медленное. Даются последовательность расположения зон кольцевой печи, длины и принцип регулирования подачи воздуха и отвода газов.

В. Т. 43989. Модернизация завода, производящего строительный кирпич. (New equipment et Joberns works, Walsall.—), Brit. Clayworker, 1955, 64, № 764, 257—261 (англ.)

43990. Содержание окиси алюминия и огнеупорность шамотного кирпича. Банерджи (Alumina content and p. c. e. value of firebricks. Banerjee J. C.), Cent. Glass and Ceram. Res. Inst. Bull. 1954, 1, № 2, 3—7 (англ.)

В спецификациях Индийского ин-та стандартов обусловлены требования к хим. составу и огнеупорности кирпичей: $\text{Al}_2\text{O}_3 > 40\%$, огнеупорность не ниже 32,5—33 конуса Ортона; $\text{Al}_2\text{O}_3 > 30\%$ и $\text{SiO}_2 < 65\%$ — конус > 30 ; $\text{Al}_2\text{O}_3 > 25\%$ и $\text{SiO}_2 < 70\%$ — конус > 27 . Было проведено исследование, имеющее целью определить зависит ли огнеупорность от кол-ва Al_2O_3 . Одну группу конусов готовили из шихт, содержащих 30—50% огнеупорных глин 4 различных месторождений и 70—50% обожжённый высокоглинозёмистый каранпурской глины. 2-ю группу конусов готовили из шихт, содержащих те же огнеупорные глины в кол-ве 95—65 и 5—35% обожжённого боксита двух различных месторождений. На основании данных хим. анализа каждого из компонентов рассчитывалось кол-во Al_2O_3 в каждой шихте и экспериментально определялась огнеупорность образцов. У 1-й группы образцов содержание Al_2O_3 колебалось в пределах 33—38%, однако огнеупорность изменялась мало и соответствовала конусу Ортона 31—32. У 2-й группы конусов кол-во Al_2O_3 было 27—49%, а огнеупорность по конусам Ортона 30—33. Следовательно, огнеупорность не определяется одним лишь содержанием Al_2O_3 . Она зависит от т-ры обжига, присутствующих примесей, степени образования муллита и ряда других факторов.

В. З.

43991.

весом
упор
on th
cond
lin
Тра
Были
(Т) у
рактир
с ОБ О
ных п
получе
ляется
У кирп
быть о
из 100,
фактор
только
результ
колеба
а у ки
квал/м
пильно
достат
подчер
лимы
марок
ных ма
ное у
быть д
ОБ, вл
по док
43992.
ри д
ge
731—
При
в стекл
из гли
под во
~1400°
тельно
дено, ч
20% с
чем гли
из эти
нак ср
было п
для ва
огнеуп
показы
времен
получ
чивает
 Al_2O_3 д
нем т
шается
прямо
флюсо
нагрева
образц
10-8 л
т-ры н
наолин
части н
т-ры н
стекло
ность
экспон
43993.
СОКИ

43991. Заметки о зависимости между объемным весом и теплопроводностью теплоизоляционных огнеупоров. Каулинг, Эллиотт, Хейл (Note on the relationship between bulk density and thermal conductivity in refractory insulating bricks. Cowling K. W., Elliott A., Hale W. T.), Trans. Brit. Ceram. Soc., 1954, 53, № 8, 461—473 (англ.) Были измерены об. вес (ОВ) и теплопроводность (Т) у 44 теплоизоляционных кирпичей марки А, характеризующихся ОВ $0,73 \text{ г/см}^3$, и у 31 кирпича марки В, с ОВ $0,46 \text{ г/см}^3$. Все кирпичи изготавливались в обычных производственных условиях. Статистич. анализ полученных результатов показывает, что ОВ не является единственным фактором, влияющим на Т. У кирпичей марки А только в 50 случаях из 100 Т может быть объяснена ОВ, а у кирпичей марки В — в 22 из 100, в остальных 78 случаях Т зависела от других факторов. Оценка Т одного отдельно взятого кирпича только лишь по его ОВ может дать весьма неточные результаты. У кирпичей с ОВ $0,46 \text{ г/см}^3$ Т может колебаться в пределах $0,15—0,20 \text{ ккал/м час град}$, а у кирпичей с ОВ $0,80 \text{ г/см}^3$ — в пределах $0,23—0,29 \text{ ккал/м час град}$. Однако определение Т по среднему значению ОВ нескольких, напр. 9, кирпичей дает достаточно точные для практич. целей результаты. Подчеркивается, что приведенные результаты применимы только для частного случая двух указанных марок кирпичей, изготовленных из одинаковых исходных материалов по идентичному процессу. Значительное улучшение теплоизоляционных свойств может быть достигнуто, если будут выявлены факторы, кроме ОВ, влияющие на величину Т. Приведена дискуссия по докладу. В. З.

43992. Ползучесть огнеупорных материалов. Парtridge J. H.), Trans. Brit. Ceram. Soc., 1954, 53, № 11, 731—740 (англ.)

При изыскании средств против образования трещин в стекловаренных горшках было найдено, что образцы из глины, применяемых для изготовления горшков, под воздействием небольшой нагрузки при t -ре $\sim 1400^\circ$ постепенно удлиняются и по истечении длительного периода времени разрушаются. Было найдено, что более кислые глины с содержанием Al_2O_3 20% обладают значительно меньшей ползучестью, чем глины с 27% Al_2O_3 , и что срок службы горшков из этих глин в 3 раза выше. Исследование ползучести как средство изыскания более стойкого стеклоприпаса было применено также к огнеупорному стеклоприпасу для ванн пещей. Кривые ползучести образцов из огнеупорной глины при 1350° и нагрузке 1 кг/см^2 показывают, что скорость ползучести изменяется во времени. С увеличением содержания Al_2O_3 скорость ползучести в интервале времени 200—480 час. увеличивается в среднем с $4,5 \cdot 10^{-5} \text{ мм/мм/час}$ при 21% Al_2O_3 до $8 \cdot 10^{-5} \text{ мм/мм/час}$ при 27% Al_2O_3 . С повышением t -ры обжига образцов скорость ползучести уменьшается, а при увеличении нагрузки увеличивается прямо пропорционально. Изучено влияние добавки флюсов на скорость ползучести. С увеличением t -ры нагрева образцов скорость ползучести у шамотных образцов возрастает прямо пропорционально на $1,24 \cdot 10^{-5} \text{ мм/см}$ при каждом увеличении испытательной t -ры на 10° . У образцов из пластичной глины или из каолина без шамотного наполнителя скорость ползучести выражается экспоненциальной зависимостью от t -ры испытания, что связано с изменением вязкости стеклофазы. При добавке к глине 40% шамота зависимость скорости ползучести от t -ры становится вместо экспоненциальной прямойлинейной. В. З.

43993. Ползучесть огнеупорных материалов при высоких температурах. Парtridge, Адамс,

Баеби (The creep of refractory materials at elevated temperatures. Partridge J. H., O., Busby T. S.), Ind. chim. belge, 1955, 20, № 9, Adams 952—960 (англ.; рез. франц., флам., нем.)

Огнеупорность при измерении t -ры при помощи конусов Зегера представляет собой недостаточный критерий для выбора марки огнеупора для стекловаренных пещей. Огнеупоры состоят из кристаллов, связанных стеклофазой, текучесть которой может быть изучена путем измерения степени растяжения образца из огнеупорного материала под действием больших усилий на растяжение при высоких t -рах. Такое испытание ведется на образцах круглого или квадратного сечения (ϕ 15 или $15 \times 15 \text{ мм}$) длиной 250 мм в печи, у которой нагревательная обмотка расположена на длине 120 мм, благодаря чему на центральном участке образца длиной 25 мм t -ра распределена равномерно. Образец нагружается постоянным по величине растягивающим напряжением ($500—2000 \text{ г/см}^2$), удлинение измеряется при помощи оптич. системы. 1-й метод испытания, называемый высокотемпературным испытанием на растяжение, состоит в повышении t -ры с равномерной скоростью 10 град/мин до разрушения образца. 2-й метод испытания, называемый испытанием ползучести, заключается в длительной выдержке образца (до 800 час.) при постоянной t -ре и измерении удлинения образца. Испытание образцов шамотных огнеупоров на растяжение показало, что при одинаковом содержании Al_2O_3 (43—44%) и равной огнеупорности ($1750—1770^\circ$ по конусам Зегера) у 2 различных марок огнеупоров t -ра разрушения при растяжении под нагрузкой 500 г/см^2 была соответственно 1550° и 1630° . Силлиманитовый огнеупор, испытанный под нагрузкой 500 г/см^2 поставки, разрушился в этих же условиях при 1450° , а после дополнительного обжига при 1550° — при 1650° . Испытание 2 марок шамотных составов для стекловаренных горшков, содержащих соответственно 28 и 19% Al_2O_3 , показали, что испытания только на растяжение недостаточно для правильной оценки качества огнеупора. Испытание ползучести выявило, что образец с 28% Al_2O_3 при нагрузке 500 г/см^2 при 1400° разрушился через 53 часа, а образец с 19% Al_2O_3 не разрушился после 200 час. Примесение последней марки огнеупора привело к увеличению срока службы горшков. Показано, что в процессе длительного испытания ползучести у огнеупорной глины с высоким содержанием Al_2O_3 происходит рекристаллизация с образованием хорошо развитых кристаллов муллита, ассоциированных с тридимитом и стекловидным кремнеземом. Исследована ползучесть образцов из каолина и комовой глины при 1300 , 1350 , 1400° при постоянной нагрузке, а также при переменных нагрузках от 1000 до 5000 г/см^2 при постоянной t -ре 1350° . Полученные зависимости показывают, что ползучесть этих материалов происходит вследствие вязкого течения. Дана эмпирич. ф-ла для определения ползучести в функции от длительности выдержки под нагрузкой. Исследованы растяжение, ползучесть и коррозионная устойчивость 7 промышленных марок брусьев стекловаренных пещей. Огнеупоры, изготовленные из более чистых исходных материалов, при испытании на растяжение разрушаются при t -ре на 200° выше, при этом быстрая деформация начинается лишь при t -ре $\geq 1600^\circ$; ползучесть резко уменьшается и это явление сопровождается значительным увеличением коррозионной стойкости. На основе результатов испытаний выбран более стойкий стеклоприпас. В. З.

43994. Получение и испытание бадделенто-корундовых электроплавенных огнеупоров. Соломин Н. В., Галдина Н. М., Стекло и керамика, 1956, № 1, 1—5

Испытывались плавленные при 2100—2500° огнеупоры (бакор) из смеси технич. глинозема и цирконового концентрата. Хим. состав бакора (Б) из 1-й и 3-й опытных партий соответственно (в %): SiO_2 14,42—15,05; ZrO_2 15,20—22,57; Al_2O_3 66, 97—60,54; TiO_2 0,32—0,41; Fe_2O_3 0,63—0,43; Na_2O 1,14—0,73. Главные кристаллич. фазы Б — корунд ($\alpha\text{-Al}_2\text{O}_3$) и бадделит (ZrO_2). Т-ра начала размягчения Б под нагрузкой 2 кг/см² 1620—1810°, предел прочности при сжатии ~5000 кг/см², средний линейный коэфф. расширения в интервале т-р 20—1100° 76·10⁻⁷. Стеклоустойчивость Б по отношению к стекломассе, содержащей (в %): SiO_2 73,00, SO_3 0,55, Al_2O_3 0,37, Fe_2O_3 0,06, CaO 6,47, MgO 3,46, Na_2O 16,55, на уровне зеркала стекла 0,38 мм/сутки. Стеклоустойчивость керамич. высокоглиноземистого (Al_2O_3 66,90%) и корундового ($\text{Al}_2\text{O}_3 + \text{TiO}_2$ 95,9%) огнеупоров в тех же условиях соответственно 1,24 и 0,62 мм/сутки. При производственном испытании в кладке варочной части бассейна стекловаренной ванной печи в зоне наивысшей т-ры Б показал лучшую устойчивость, чем электроплавильный циркономулит.

Т. Р.

43995. Свойства корундового микролита. Китай-городский И. И., Павлушкин И. М., Стекло и керамика, 1955, № 11, 16—21

Подробно описаны свойства корундового микролита (спеченный корунд очень тонкой микроструктуры), применяемого для инструментальных целей и в машиностроении (резцы по металлу, фильеры, нитеводители, сопла и т. п.). Свойства микролита: уд. в. 3,999 г/см³, об. в. до 3,96—3,98 г/см³, твердость по Роквеллу (шкала А) 92—93, микротвердость 210 тыс. кг/см², сопротивление изгибу до 59 кг/мм², сопротивление сжатию до 57 тыс. кг/см², теплопроводность при 20° 0,042 кал/см·сек·град, коэфф. теплового расширения (при 20—800°) 85·10⁻⁷. Приведены данные о высокой хим. стойкости микролита. Даны микроснимки травленных шлифов различных вариантов спеченного корунда, с помощью которых иллюстрируется отличие корундового микролита от других типов спеченного корунда.

Н. П.

43996. Огнеупоры для котельных установок. II. III. Хартли (Refractories for boiler plants. II. III. Hartley James H.), Steam Eng., 1954, 23, №275, 424—427, № 276, 468—471 (англ.)

II. Приводятся описание свойств огнеупоров для котлов и требования, предъявляемые к огнеупорным цементам. Рассматриваются причины разрушения огнеупорной кладки.

III. Приведены данные о хим. составе и свойствах 17 сортов огнеупорных кирпичей, применяемых в котельном деле, и указаны области их применения. Сообщение I см. РЖХим., 1955, 26889.

Е. А.

43997. Испытание шамотных огнеупоров под нагрузкой. Браун, Сосман (The load test for fire-clay refractories. Brown William E., Sosman Robert B.), Brit. Clayworker, 1955, 63, № 753, 291—297 (англ.)

Исследовано влияние размеров образца (О) на результаты испытания огнеупоров под нагрузкой (Н), зависимость величины деформации от т-ры, величины Н и времени. Испытания проводились в цилиндрч. печи с тангенциальными газовыми горелками. Н передавалась на О посредством корундового стержня и опорного бруска. Поверхности соприкосновения О и нагрузочного стержня шлифовались. Т-ра в печи измерялась платино-платинородиевой термопарой и оптич. пирометром. Изменение размеров О в процессе испытания измерялось катетометром. О в нагруженном состоянии нагревался до т-ры опыта и нагружался лишь после выравнивания т-ры, которое определялось по прекращению линейного расширения О.

Замеры производились через 2 мин. после приложения Н и затем через каждые 15 мин.

Т. Р.

43998. Монолитные огнеупоры в установках каталитического крекинга в псевдоожидженном слое. Пола (Monolithic refractories in fluid catalytic cracking refinery units. Paul W. B., Jr), Amer. Ceram. Soc. Bull., 1954, 33, № 4, 108—110 (англ.)

Указывается на применение цельнонабивных огнеупорных бетонов в регенераторах, реакторах, и т. п. Г. М. **43999. Огнеупоры для газогенераторов. Оливер, Карр (Some observations on refractories for gas retorts. Oliver H., Carr K.),** Refractories J., 1955, 31, № 10, 544—554 (англ.)

Срок службы огнеупоров в газогенераторах (Г) зависит от 3 основных факторов: 1) тщательного регулирования т-ры и давления и регулярного осмотра Г; 2) свойств сжигаемого угля; 3) свойств огнеупоров, которые для различных участков Г должны быть разными. Колебания т-ры порождают в огнеупорах напряжения, вызывающие образование трещин и отколов. Свод Г обычно выкладывается из шамотных огнеупоров, которые должны обладать высокой плотностью и низкой газопроницаемостью, чтобы противостоять прониканию углеводородов и щел. паров, выдерживать колебания т-ры и быть механически прочными, чтобы противостоять истиранию и ударам. Для днища Г применяются шамотные огнеупоры, последние должны быть устойчивыми против деформации под нагрузкой при умеренных т-рах и стойкими против истирания. Основной корпус Г выкладывается из диасовых и полукислых огнеупоров, которые должны длительно выдерживать т-ры горения и механич. нагрузку и обладать относительно низкой пористостью и проницаемостью, чтобы противостоять прониканию газов, жидкостей и пыли. Конструкция Г должна оставаться газонепроницаемой в процессе сжигания топлива, поэтому огнеупоры должны обладать постоянством объема и не разрушаться под влиянием температурных колебаний. Описаны методы произ-ва шамотных, диасовых, силлиманитовых и высокоглиноземистых огнеупоров для Г и их свойства. Кирпичная кладка должна быть газонепроницаемой, стыки — тонкими. Применяемые цементы не должны химически взаимодействовать с огнеупорами и должны обладать одинаковым с ними термич. расширением.

В. З.

44000. Изучение кинетики превращения кварцитов Японии. Определение порядка реакции. Токуда (本邦産珪石の単味焼成の場合における遅鈍型轉移の速度. 反應次數の決定. 徳田種樹), 窯業協會誌, Ege kekaijin, J. Ceram. Assoc. Japan, 1955, 63, № 715, 582—589 (япон.; рез. англ.)

Найдено, что превращение кварца в кристобалит в кварците является р-цией 1-го порядка. Вычислены константы скорости превращения различных модификаций кварца и изучено влияние размеров кристаллов на скорость превращения. Установлено, что изменение размеров зерен 0,4—9 мм при отсутствии минерализатора не влияет на скорость перерождения. Поэтому ур-ние Августиника (Ж. прикл. химии, 1946, 19, № 10-11, 1189) и Яндера (W. Jander, Z. angew. Chem., 1928, 41, № 3, 73) для японского кварцита неприменимо. Вычислена и определена экспериментально зависимость кажущейся пористости анизотропного поликристаллич. агрегата от необратимого термич. расширения. Под необратимым термич. расширением понимается разность между уд. объемным расширением агрегата и монокристалла, которая получается за счет того, что при расширении монокристалла удлинение по различным осям неодинаково и равно у кварца 1,77, 1,77 и 1,01 по 3 осям. У поликристаллич. агрегата удлинение одинаковое по всем 3 осям и равно 1,77%. Величина поправки равна 0,75%. Учитывая эту зависи-

мость, можно точно определить скорость превращения кварцита. В. Р.

44001. Огнеупорные материалы для производства эмалей. Слосон, Клементе (Refractory materials for the vitreous-enamelling industry. Slawson R. J., Clements J. F.), Sheet Metal Inds, 1955, 32, № 340, 617—624, 626 (англ.) См. РЖХим, 1956, 4526.

44002. Целесообразность применения огнеупорного стеклоприпаса с повышенным содержанием глинозема. Гельман В. А., Инфор.-техн. сб. Центр. н.-и. лабор. электротехн. стекла, 1955, № 2, 29—42

Описаны опыты по испытанию для стекловарения огнеупоров с повышенным содержанием глинозема. Указывается на целесообразность применения глино-каолиновых масс взамен обычных многослойных для произ-ва стеновых, донных и фасонных брусьев.

Н. П.
44003. Огнеупоры для печей керамической промышленности. — (Refractories for kilns for the ceramic industries. —), Ceramics, 1955, 7, № 81, 383—388 (англ.)

Дан обзор типов и конструкций печей, применяемых в керамич. пром-сти. Отмечается тенденция к более широкому применению теплоизоляционного огнеупорного кирпича в горячей зоне печи со стороны, обращенной к рабочему пространству. Свойства кирпичей: рабочая т-ра 1350—1550°, огнеупорность (в конусах) 31—33, об. в. 0,76—1,02 г/см³, кажущаяся пористость 67,7—64,5%, теплопроводность при 600° 0,26—0,41 ккал/м час град. Чтобы предотвратить выкрашивание и увеличить механич. прочность изоляционных кирпичей, на их поверхность наносит цирконсодержащий слой. Теплоизоляционная футеровка дает значительную экономию топлива в печах периодич. действия.

В. З.
44004. Специальные огнеупоры для верхнего строения ванной печи и фидеров. Часть II. Нофт (Special refractories in super-structure and feeder. Knauff Robert W.), Brick and Clay Rec., 1954, 125, № 2, 69, 83 (англ.)
Часть I см. РЖХим, 1956, 33248.

44005. Технологический процесс з-да «Магнезит» и перспектива развития производства магнезитовых огнеупоров Краес Я. Р., Сб. студ. науч. работ. Киевск. политехн. ин-та, Киев, 1955, 75—85

44006. Применение молотой негашеной извести для отделочных работ в зимнее время. Дубжинская (Wapno mielone niegaszone w zastosowaniu do robót elewacyjnych zimą. Dąbrzyńska Hanna), Mater. budowl., 1956, 11, № 1, 16—18 (польск.)

Установлена возможность выполнения в зимнее время отделочных и штукатурных работ вяжущими смесями на основе молотой негашеной извести. Известково-глиняные смеси показали лучшие результаты, так как для известково-цементных смесей не удается достичь постоянства объема. Состав смесей (извест. : глиняное тесто : песок речной : вода) 1 : 0,5—1 : 4—5 : 1,2. Песок до употребления подогревался до 20°, вода не подогревалась. Е. С.

44007. Заметки о взаимодействии извести с кизельгуром. Лапужад, Вожен (Remarques sur l'interaction chaux-kieselgur. Lapoujade P., m-me, Vogée M. P.), Bull. Soc. franc. céram., 1955, № 28, 3—12 (франц.; рез. нем., англ.)

Изучено взаимодействие извести и 4 разновидностей кварцевых материалов (озерный кизельгур, морской кизельгур, кремнезем и кремнезем с 10% органич. добавки). Последние 2 разновидности представляли собой продукт разложения кремния, не содержащего

диатомита. Р-ции изучались на смесях весом 20 г, содержащих 30% извести в среде дистилл. воды, с конц-ией ~18 г СаО в 1 л воды, которые хранились в герметически закрытых сосудах емк. 300 мл в течение одного месяца при 20°. Ежедневно образцы взбалтывались для того, чтобы сменить поверхности контакта. Конечный продукт декантировался 10 л дистилл. воды. Результаты хим. анализов образцов показывают, что кол-во присоединенной извести у первых трех образцов примерно одинаковое (29%), в то время как у образца с органич. добавкой оно значительно меньше, что объясняется тормозящим действием этой добавки. Кол-во свободной СаО, наоборот, значительно выше в образце с органич. добавкой. Расчеты, сделанные на основании результатов хим. анализов, показывают, что состав первых трех образцов приблизительно отвечает ф-ле Тейлора для гидросиликата кальция SiO_2 0,8—1,5 СаО · H_2O . Дифференциально-термические и рентгено-структурные анализы подтверждают, что гидратированная известь в присутствии аморфной SiO_2 образует в водн. среде гидрат метасиликата Са, который при последующем кратковременном нагревании при относительно низкой т-ре 800—900° быстро превращается в β-метасиликат Са (воластонит). Такое превращение происходит даже в процессе дифференциально-термического анализа. В присутствии органич. добавки происходит преимущественно адсорбция извести молекулами аморфной SiO_2 , а хим. соединения образуются в таком объеме, что термич. анализом не выявляются. Дополнительно было изучено взаимодействие извести с кизельгуром в водн. среде в зависимости от времени по истечении 1, 8, 15 и 30 дней. Термич. анализы показывают наличие экзотермич. эффекта, соответствующего образованию воластонита, уже по истечении 8 дней. В безводн. среде р-ция извести с кизельгуром весьма незначительна. Полученный таким способом воластонит может быть использован в качестве связки в керамич. составах или как самостоятельный состав для получения изделий с высокими диэлектрич. свойствами.

В. З.
44008. К вопросу о взаимодействии обожженной окиси магния с двуокисью углерода и водой. Альггейер, Калер (Über die Reaktion von Sintermagnesit mit Kohlendioxyd und Wasser. Allgeuer K., Kahler F. V.), Radex Rundschau, 1955, № 6, 563—570 (нем.; рез. англ., франц.)

Исследовано взаимодействие обожженной MgO с CO_2 и H_2O при давлениях CO_2 200—1200 мм и содержании H_2O 3—20%. Во всех случаях конечный продукт р-ции представлял собой гидратную форму углекислого Mg, в котором соотношение $\text{H}_2\text{O} : \text{CO}_2 = 3 : 1$, чему соответствует ф-ла $\text{MgCO}_3 \cdot 3\text{H}_2\text{O}$. При нагревании продукта до 130° часть H_2O удаляется из системы, соотношение $\text{H}_2\text{O} : \text{CO}_2$ становится равным 1 : 0,6, что соответствует составу промышленного углекислого Mg. Полученные результаты подтверждены данными рентгено-структурного и дифференциально-термического анализов. Изучение кинетики р-ции показывает, что она зависит от содержания H_2O . Чем выше давление CO_2 и содержание H_2O , тем полнее протекает р-ция. В. З.

44009. Рекомендуемые методы контроля производства гипса. Цешевский (Zasady i wybrane metody kontrol produkcji gipsu. Ciechowski Marcin), Cement. Wapno. Gips., 1955, 11, № 12, 259—265 (польск.)

Изложен опыт Сталиногорского гипсового комбината и данные из советской литературы по методам контроля произ-ва гипса. Е. С.

44010. Сравнительные испытания ангидридных вяжущих. Гримме, Мартини (Vergleichsuntersuchungen mit Anhydritbindern. Grimme Hel-

mut, Martini Otto), Silikattechnik, 1954, 5, № 9, 392—396 (нем.)

Приводятся результаты стандартных испытаний трех различных ангидритцементов, выполненных параллельно двумя лабораториями. Предлагается внести в стандарт ограничение усадки и набухания ангидритцементов, а также испытание прочности методом вдавливания в испытуемый образец стального шарика. Опыты подтвердили недопустимость применения ангидритцементов во влажных помещениях. Е. А.

44011. Применение комплексометрического анализа в цементном производстве. Рио, Тодаро (Applicazioni delle analisi complessometriche in cementeria. Determinazione degli ioni Ca, Ма, Fe Sr. Rio Arturo, Todaro Maria), Ind. ital. cemento, 1955, 25, № 6, 145—151 (итал.)

Рассмотрены методы комплексометрич. определения Ca^{2+} , Mg^{2+} , Fe^{3+} и Sr^{2+} и различные индикаторы, применяемые при анализах. Рекомендован простой и быстрый способ анализа цементов и подобных им материалов с применением комплексона III. И. С.

44012. Рентгенограммы силикатов кальция и цементных клинкеров при высоких температурах. Трёмель, Мёллер (Rentgenogramy krzemianow wapieni i klinkrow cementowych w wysokich temperaturach. Trömel G., Möller G.), Cement. Warno. Gips., 1955, 11, № 12, 269—275 (польск.)

Перевод см. «Zement — Kalk — Gips», 1952, 5/41, № 8.

44013. Применение «ализарина S» при объемном определении окиси магния в карбонатах, силикатах и цементном клинкере. Неверовский (Emprego de «alazarina S» na determinação titulométrica de magnésio em carbonatos, silicatos, clínquer e cimento. Neverovsky Eugenio), Rev. brasileira quim., 1953, 36, № 211, 23—24 (порт.)

Описана методика анализа карбонатов, клинкера и цемента. Ализарин S применяется в виде 1%-ного водн. р-ра. Средняя величина расхождения между отдельными результатами определения MgO весовым и объемным способами колеблется от $-0,07$ до $+0,02\%$. И. С.

44014. История развития портландцемента. Фудзиси (ポルトランドセメント発達沿革. 1. 藤井光蔵), セメントコンクリート, Сэменто конкрито, Cement and Concrete, 1955, № 105, 28—33 (япон.)

44015. Тампонажные цементы и уплотняющие смеси для нефтяных скважин. Хемпель («Modifizierte» Zemente und abdichtende Mischungen für Sondenbehandlung im Ölfeld. Hempel B.), Erdöl-Ztg, 1954, 70, № 5, 29—37 (нем.)

Дан обзор применяющихся в США тампонажных цементов и уплотняющих смесей для нефтяных скважин. Широкое применение получила добавка к портландцементу 8—12% бентонита и 0,25—0,75% лигносульфата Са, замедляющего схватывание и способствующего диспергированию цемента. Каждый процент добавленного бентонита увеличивает водопотребность смеси на 4%. По данным одного опыта добавка к цементу 4% бентонита удлинила время загустевания смеси в 1,5 раза и снизила прочность цементного камня на растяжение при 70° в суточном возрасте в 2 раза в 7-суточном возрасте на 40%. Под названием «Pozmix» для тампонажа выпускается цемент, состоящий из 50% портландцементного клинкера и 50% пуццолановых пород, к которым добавляется 2% бентонита. Для удаления цементного камня соляной к-той к цементу добавляют 30% молотого известняка. Для тампонажа применяется также гипс с добавкой замедлителей схватывания. Некоторое распространение получили также смеси цемента, бентонита или гипса с ми-

нер. маслами. В связи с их высокой стоимостью относительно редко применяются цементы на основе искусств. смол. Из последних иногда применялись фенолформальдегидные и другие смолы. Е. А.

44016. О выборе способа производства цемента. Болковский (Która z metod stosować przy produkcji cementu? Bolkowski Jerzy), Cement. Warno. Gips., 1955, 11, № 12, 275—277 (польск.)

Аргументы О. Фойтлендера (РЖХим, 1956, 23177) об экономич. превосходстве сухого способа справедливы применительно к печам Леполь. Выбор способа произ-ва цемента зависит также от характера сырья. Е. С.

44017. Исследование химической стойкости цементов. Блах (Badanie odporności cementów na działanie czynników chemicznych. Blach Stanisław), Cement. Warno. Gips., 1955, 11, № 12, 265—269 (польск.)

На основе анализа описываемых в литературе способов определения хим. стойкости цементов и проведенных опытов с пятью образцами указывается на желательность определения хим. стойкости всех цементов в различных агрессивных средах с целью более рационального применения цементов в строительстве. Е. С.

44018. Замечания к статье Элиаш «Повышение производительности вращающихся печей на цементных заводах». Канхейзер (Poznámky k článku s. ing. Eliáše: Zvýšení výkonu rotačních pecí v cementárnách. Kanhäuser F.), Stavivo, 1955, 33, № 4, 136 (чеш.)

Приводятся примеры положительного влияния устройства порогов на футеровке печи и грануляции сырьевых материалов. См. также РЖХим, 1955, 43649. Е. С.

44019. Помол цемента с применением классификатора. Сен-Жак (Broyage et sélection du ciment. Saint-Jacques C.), Rev. mater. constr. et trav. publics, 1954, № 465, 185—186 (франц.)

Широкому распространению классификаторов в цементной пром-сти препятствовала их малая производительность. Применение классификаторов «Сен-Жак» большой производительности увеличило производительность шаровой мельницы длиной 12 м и диам. 2 м с 9 до 11 $\text{m}^3/\text{час}$, расход электроэнергии снизился с 44,5 до 40,5 $\text{квт} \cdot \text{ч}$ на 1 t готовой продукции, при этом т-ра цемента при выходе из мельницы равна 100°, а при выходе из классификатора 80°. Е. А.

44020. Влияние качества топлива на производительность цементных печей. Анзельм (L'influence du combustible sur la cuisson du ciment. Anselm Wilhelm), Rev. mater. constr. et trav. publics, 1954, № 465, 159—168 (франц.; реф. англ.)

Установлена зависимость производительности шахтных и вращающихся цементных печей от теплотворной способности, содержания летучих и крупности зерен топлива. При уменьшении теплотворной способности топлива от 7000 до 5000 ккал производительность шахтной печи уменьшается на 34% и расход топлива увеличивается в 2 раза. Применение топлива с теплотворной способностью $< 5500 \text{ ккал}$ не обеспечивает необходимой для обжига клинкера т-ры. Е. А.

44021. Новый норвежский цементный завод. Рата (A/S Christiania Portland Cementfabrik. Norway's oldest and newest cement plant features unusual methods and equipment. Rutle John), Pit and Quarry, 1953, 46, № 4, 92—98 (англ.)

Приводится описание вновь построенного в Норвегии цементного з-да производительностью 280 000 t в год. Е. А.

44022. Цемент в шахтном строительстве. Ломмаш (Zement im Bergbau. Lommatzsch

Alexander), Bergakademie, 1955, 7, № 9, 419—426 (нем.)

Обзорная статья, в которой приводятся сведения о возможных областях применения цемента и бетона в шахтном строительстве, а также о влиянии состава заполнителей и бетонной смеси на прочность бетона. См. также РЖХим, 1956, 23170.

44023. Об усадке твердеющих масс и ее определении. Хуммель (Vom Schwinden zementgebundener Massen, seiner Messung und seinen Auswirkungen. Hummel A.), Betonstein-Ztg., 1955, 21, № 6, 249—257 (нем.; рез. англ., франц.)
См. РЖХим, 1956, 13687.

44024. К статье Фильчаковой «Технологические полувыводки» Гирншаль (K článku doc. Dr E. Filčkové Technologické poloprovodní zkoušky s novou asbestocementovou hmotou. Hírnsál J.), Stavivo, 1955, 33, № 4, 133 (чеш.)

Удовлетворительные изделия получают только при добавлении $\leq 25\%$ «Д-массы». См. также РЖХим, 1956, 1578.

44025. Определение содержания воды в бетоне при твердении. Дискусия по статье Блэкмана.— (Method for estimating water content of concrete at the time of hardening. Discussion of a paper by James S. Blackman.—), J. Amer. Concrete Inst., 1954, 26, № 4, part 2, 544-1—544-4 (англ.)

Проведены опыты на двух составах бетона с содержанием цемента 223—390 кг/м³ при пластичности, измеряемой осадкой конуса 5—17,5 см. Бетонные цилиндры 11,25×22,5 см после суточного хранения в формах во влажных условиях освобождались от форм и подвергались различным условиям хранения: 1) 27 суток воздушно-сухого хранения; 2) твердение во влажных условиях в течение 6 суток; 3) твердение во влажных условиях в течение 6 суток и воздушно-сухое — 21 сутки; 4) твердение во влажных условиях в течение 27 суток. Затем все образцы погружались в воду на 24 часа. Во всех случаях вес образцов после 24-часового погружения в воду превышал первоначальный вес. Условия хранения образцов оказали существенное влияние на изменение веса бетона. Больше прибавление в весе образцов наблюдалось в образцах, хранившихся 27 суток во влажных условиях. С повышением пластичности бетона также увеличивался вес образцов. Выражена тенденция в сильном увеличении содержания воды в бетоне для более жирных составов при всех условиях хранения образцов, за исключением влажного. Адсорбционная способность бетона увеличивается с увеличением величины В/Ц независимо от наличия или отсутствия в бетоне воздухововлекающих добавок. Установлена зависимость между величиной адсорбции высушенных при 107° образцов и содержанием воздуха в свежем бетоне. Изменения в содержании воздуха в бетоне при обычном насыщении образцов водой не оказывали влияния на величину адсорбции бетона. При насыщении образцов водой под вакуумом адсорбция заметно увеличивалась с увеличением содержания воздуха в бетоне. См. также РЖХим, 1955, 2563.

44026. Зависимость между водопотребностью, плотностью и показателем зернового состава заполнителей для бетона. Кучинский (Zależność między wodopornością a wskaźnikami uziarnienia i szorstością kruszywa do betonu. Kuczyński Władysław), Inż.-ia i budown., 1954, 11, № 9, 277—281 (польск.)

На основе многочисленных эксперим. данных выведена зависимость между водопотребностью бетона на данных заполнителях их зерновым составом и плотностью. Приводятся приемы аналитич. и графич.

определения водопотребности бетона различной подвижности. Е. А.

44027. Причины образования трещин в бетоне. Леви (Les causes de la fissuration du béton. Lévy Jean-Pierre), Bâtir, 1954, № 42, 32—37 (франц.)

Дана классификация трещин, образующихся в бетоне до и после его затвердения. Приведены основные причины трещинообразования и указаны меры по их устранению. Е. А.

44028. Пластификация бетона. Марошсеки (A beton plasztifikálása. Marosszéki Miklós), Magyar építőipar, 1955, 4, № 5—6, 221—228 (венг.; рез. русс., франц.)

В качестве пластификатора применялся экстракт сульфитного целлюлозного щелока в кол-ве 0,3% от содержания цемента, пересчитанный на сухое в-во. Установлено, что В/Ц пластифицированного бетона уменьшается в зависимости от увеличения концентрации пластификатора только до определенного предела (в данном случае до 1%). Прочность пластифицированных бетонов в конечном итоге больше, чем у обыкновенных. Добавление пластификатора не влияло на об. вес бетонов. Также было найдено, что применение пластификатора не оказывает вредного влияния на пропаривание бетона. Ожидаемая экономия цемента при применении пластификатора ~ 10—15%. П. Д.

44029. Бетоны и замазки, твердеющие на морозе. Котличкая (Betony i zaprawy twardniejące na mrozie. Kotlicka Renata), Meter. budowl., 1956, 11, № 1, 12—14 (польск.)

Дан обзор результатов лабораторных исследований и производственного опыта по применению бетонов и р-ров, твердеющих на морозе.

Е. С.
44030. О применении пластификаторов и порообразователей, в особенности при изготовлении тяжелого бетона. Эльснер-фон-Гронов (Betonverflüssiger und Porenbildner im besonderen Hinblick auf die Herstellung von Schwebbeton. Elsner v. Gronow H.), Bauwirtschaft, 1955, A9, № 18, 464—467 (нем.)

Автор классифицирует добавки следующим образом: пластификаторы, воздухововлекающие добавки, воздухововлекающие пластификаторы, уплотняющие добавки, уплотняющие добавки с воздухововлекающим эффектом. Добавки рекомендованные пат. ФРГ 837967 и 922695, относятся к особому виду добавок, меняющих свойства воды затвердения, напр., снижающих ее поверхностное натяжение. Даны практич. указания по применению добавок. См. также РЖХим, 1956, 7591.

Е. Ш.
44031. Хлористый калий в бетонных смесях. Лёпрот (Kalsiumkloridi betoniseoksissa. Lönnroth A. B.), Rakennustaito, 1955, № 6, 162—163 (фин.)

Проводились опыты по применению в холодную погоду бетонной смеси, содержащей CaCl₂. При т-ре бетонной смеси с CaCl₂ + 20° и +40° прочность на сжатие через 3 суток была одинакова и равнялась 80 кг/см², а без CaCl₂ равнялась при +40° 30 кг/см² и при +20° 24 кг/см². Т-ра воздуха во время опыта была 0°. Если т-ра падала ниже —10°, то бетонная смесь с CaCl₂ уже не твердела. Предыдущее сообщение см. РЖХим, 1956, 4598.

М. Т.
44032. Упругость и призмная прочность легких бетонов, в частности газо- и пенобетона. Шефлер (Elastizität und Prismendruckfestigkeit von Leichtbeton, im besonderen von Gas- und Schaumbeton. Schöffler H.), Betonstein-Ztg., 1954, 20, № 10, 432—434 (нем.; рез. англ., франц.)

Опытами установлено, что модуль упругости газо- и пенобетона зависит от его об. веса и кубиковой проч-

ности. Эта зависимость может быть выражена ф-лой: $E = 6000 \sqrt{\gamma R}$, где γ — об. вес. высушенного при 105° бетона в г/см³, а R — его кубиковая прочность в кг/см². Эта ф-ла применима также для обычного тяжелого бетона. В проведенных опытах общая деформация пропаренных образцов и образцов, твердевших на воздухе, была на 10–30% больше упругой деформации. Для образцов, пропаренных под давлением, эта разница составляла всего 10%. Если отношение высоты призм к их ширине не превышает 5, призмная прочность пено- и газобетона в среднем равнялась кубиковой прочности. Для обычного бетона отношение кубиковой и призмной прочности равно 0,80. Е. А.

44033. Бетон для подводного бетонирования способом вертикально перемещающейся трубы. Курочкин С. Н., Тр. Центр. н.-и. ин-та мор. флота, 1955, 1, № 3, 3–28

Бетонная смесь (БС), применяемая для подводного бетонирования способом вертикально перемещающейся трубы, должна обладать подвижностью, характеризуемой величиной осадки конуса 16–17 см при первоначальном заполнении труб и 18–22 см в процессе бетонирования. Время, в течение которого величина осадки конуса БС снижается до 14–15 см, принимается как показатель стабильности смеси. Среднее значение этого показателя 1,53 часа. Установлено, что величина показателя стабильности БС не зависит от сроков схватывания цемента. Она определяется опытным путем для каждой партии вяжущего. Показатель стабильности увеличивается по мере снижения относительного водоотделения БС. Высокая подвижность и стабильность БС, используемых для подводного бетонирования, достигается применением мелких песков в увеличенном кол-ве (близком к кол-ву щебня), увеличением расхода цемента, введением пластифицирующих добавок. Приведены примеры расчета рациональных составов БС. И. Б.

44034. Об исследованиях в области материалов и конструкций в США (I, II). Брокер (Quelques aspects de la recherche sur les matériaux et les constructions aux Etats-Unis I, II. Brocard M. J.), Ann. Inst. techn. bât. et trav. publics, 1953, 6, № 67–68, 643–656; № 69, 791–808 (франц.)

Из цемента в США применяют только портланд-цементы различного минералогического состава. Для определения уд. в. и содержания воды в бетонах применяются радиоактивные изотопы. В технологии бетона широко применяют добавки, преимущественно воздухововлекающие. Изучено влияние на свойства бетона некоторых полимеров винила. Широко используются покрытия, наносимые на поверхность бетона и замедляющие испарение воды. В последнее время значительное применение получили пуццоланические материалы, в особенности пылевидная зола теплоцентрали. В строительстве широко применяется стекло. Керамика используется главным образом как облицовочный материал. Для внутренней отделки применяют эмульсионные краски на основе латекса. Для окраски промышленных зданий (при агрессивных условиях) применяют краски на синтетических смолах. И. С.

44035. Огнеупорный бетон для футеровки резервуаров. Уайгант, Балкли (Refractory concrete for refinery vessel linings. Wygant J. F., Bulkley W. L.), Amer. Ceram. Soc. Bull., 1954, 33, № 8, 233–239 (англ.)

Рассмотрено применение огнеупорного бетона для футеровки регенераторов, контактных трубопроводов, циклонов, дымовых труб крекинг-заводов, в дистилляторах и других резервуарах до т-р ≤ 1000°. В качестве заполнителей, кроме обожженной огнеупорной

глины, в зависимости от условий службы бетона используют хромиты, MgO, Al₂O₃, муллит, шпинели и т. п. В качестве вяжущего предлагается цемент, содержащий алюминат кальция. Приведены составы огнеупорных бетонов, технология их укладки и поведение в службе. В заключение указывается на необходимость крит. подхода к вопросам использования бетонов в условиях высоких т-р. А. Ч.

44036. Огнеупорные бетоны в керамической и кирпичной промышленности. Робсон (Castable refractory construction in the ceramic and brick industries. Robson T. D.), Claycraft, 1955, 28, № 4, 244–258 (англ.)

Детально рассмотрены основные принципы получения, свойства и область применения огнеупорных бетонов (ОБ). Для изделий, имеющих тонкое сечение (<50 мм), размер зерен заполнителя должен быть <3,2 мм; для сечений >150 мм — <17,5 мм; для более массивных изделий — до 37 мм. Применение более крупного заполнителя создаст ряд трудностей. Экономически наиболее выгодно применять заполнитель, состоящий из зерен различных размеров, начиная с максимально допустимых для изделия данного сечения и кончая тонкими фракциями. Кол-во последних должно составлять 10–15%. При недостатке тонких фракций масса плохо твердеет, при их избытке увеличивается усадка. В качестве заполнителя обычно применяются измельченный шмот. При надлежащем его кол-ве ОБ может применяться при т-рах до 1300–1350°. Для более высоких т-р применяются более огнеупорные заполнители. Даны кривые рабочей т-ры ОБ с различными заполнителями при различных соотношениях заполнителя и высокоглиноземистого цемента. С увеличением кол-ва цемента огнеупорность бетона понижается, а прочность увеличивается. ОБ приобретает высокую прочность при нормальной т-ре по истечении 24 час., при последующем обжиге, в связи с частичной дегидратацией связки, прочность снижается; дальнейший нагрев до т-ры >900° приводит к образованию керамики. связи между цементом и тонкими фракциями заполнителя, в связи с чем прочность ОБ в рабочих условиях возрастает. Даны три стандартных состава бетонов для 1000–1350°, для изделий различных сечений. ОБ, предназначенные для работы при т-рах <1000°, готовят с повышенным содержанием цемента; для т-р >1400° снижают содержание цемента и в качестве заполнителя применяют шмот, содержащий >40% Al₂O₃ или силлиманит. При приготовлении ОБ следует соблюдать те же правила, что и для обычных бетонов, но кроме того, учитывая, что шмотный заполнитель интенсивно поглощает влагу, необходимо перед введением цемента выдержать заполнитель в чистой воде с тем, чтобы он в дальнейшем не поглощал воду из смеси после формирования изделия. По этой же причине после затворнения водой смесь следует интенсивно перемешивать. Загрязнение смеси портландцементом, известью, гипсом и т. п. оказывает вредное влияние на усадку и процесс схватывания ОБ. Максим. прочность достигается в случае, если наружные поверхности сохраняются во влажном и холодном состояниях в течение первых 24 час. В аварийных случаях можно вводить ОБ в строй через 4 часа после заливки. Нагрев ОБ до момента удаления влаги и конституционной воды следует вести медленно, после чего его можно нагревать и охлаждать по любому режиму. ОБ обладает высокой термич. устойчивостью и выдерживает многократные циклы нагревания до белого каления и охлаждения в воде. Важным свойством ОБ является равенство между его объемом в отформованном и рабочем нагретом состоянии, в связи с чем нет необходимости предусматривать зазоры в местах стыков для теплового расширения.

Теплоизоляционный огнеупорный бетон (ТОБ) получают из смеси легковесного заполнителя и высокоглинозистого цемента. В качестве заполнителя применяют обожженный диатомит, вермикулит, пеношлак, дробленый изоляционный кирпич. ТОБ допускает нагрев поверхности до 1000° , а в некоторых случаях до 1300° . Возможно получение комбинированного бетона, состоящего из слоя ОБ и ТОБ, которые могут затвердевать одновременно, образуя монолитный материал. Даны многочисленные примеры применения ОБ и ТОБ в печах различных типов и в вагонетках. В. 3. 44037. Гудронобетоны. Уте (Bétons goudronneux. Outer P.), Rev. gén. routes et aérodr., 1955, 25, № 282, 75—80, 83—87 (франц.)

Приведен краткий обзор состояния вопроса о применении гудронобетонов и результаты лабораторных испытаний систем наполнитель — вяжущее и песок — наполнитель — вяжущее. В качестве наполнителя применялись молотые мрамор, порфир, шлак, портландцемент, уголь, сланец. Описаны результаты опытов с наполнителем порфиром. Определяли скорость удлинения образцов, содержащих 17,5—24% гудрона, и вычисляли вязкость смесей. Оптимальное содержание гудрона составляет 19% по весу. Результаты определения оптимального содержания вяжущего методом измерения скорости удлинения и определения пустотности в уплотненном состоянии совпадают. При изучении системы песок — вяжущее использовали природные кварцевые пески с зернами менее 0,5 мм и пески, полученные дроблением мрамора, порфира и шлаков, с зернами остроугольной формы размером 0,074—2 мм. Оптимальное содержание гудрона при иссушке песках 5—6%, а при естественных 3—3,5%. Смесью песок — наполнитель — вяжущее достигают максим. плотности (пустотность 1—2%) при содержании наполнителя в смеси песок — наполнитель в кол-ве 20—35%. Приведено описание образцов дорожных одежд, взятых с шоссе после эксплуатации в течение двух зим и одного лета, в условиях напряженного движения. И. С.

44038. Шлаки доменных печей и их переработка в термакадах, в бетоны на черных вяжущих или гравий, покрытый черным вяжущим. Галибер (Les laitiers de hauts-fourneaux et leur transformation en tarmacadam et en matériaux ou en gravillons enrobés. Calibert R.), Rev. gén. routes et aérodr., 1955, 25, № 282, 65—74 (франц.)

Приведен обзор способов изготовления термакадама и развития техники его применения в дорожном строительстве. Рассмотрена технология изготовления бетона на гудроне и битуме в качестве вяжущих и разогретого шлакового заполнителя, а также и технология изготовления гравия, покрытого черным вяжущим. Во Франции изготавливают в год <500 000 т, а в Англии — 3 млн. т термакадама. И. С.

44039. Влияние заполнителя на объемные изменения бетонных изделий и возникающие в них напряжения. Хенк (Einfluß des Zuschlages auf Formänderungen und Spannungen im Betonwerkstein. Henk B.), Betonstein-Ztg., 1955, 21, № 7, 323—326 (нем.) См. РЖХим, 1956, 7526.

44040. Дискуссия по статье Манш «О гранулометрии вибрированных бетонов». Габёф; ответ автора на дискуссию (A propos de l'article de M. H. Manche «La granulométrie des bétons vibrés». Gabeff M. B. La réponse de l'auteur. Rev. mat. constr. et trav. publics, 1954, № 465, 187—189 (франц.)

Приведены данные, показывающие, что при относительно малых расходах цемента (от 235 до 370 кг/см³) прочность бетона может достигнуть 570—1000 кг/см². В одном опыте уменьшение толщины помола цемента с 4450 см²/г не сопровождалось увеличением проч-

ности бетона, которая при расходе цемента 375 кг/см³ в 7-дневном возрасте составляла 797 кг/см². Для каждого бетона имеется оптимальное отношение уд. поверхностей цемента и заполнителей. Чем больше уд. поверхность цемента, тем больше его расход на 1 м³ бетона с высокой прочностью в поздние сроки. См. также РЖХим, 1955, 10050. Е. А.

44041. Исследования в области тепловлажностной обработки бетонов. Граф (Feststellungen zur Dampfhartung des Betons. Graf Otto), Betonstein-Ztg., 1955, 21, № 9, 407—409 (нем.; рез. англ., франц.)

См. РЖХим, 1956, 20049

44042. Основные принципы подбора состава бетонной смеси. Мак-Интош (Basic principles of concrete mix design. McIntosh J. D.), Cement, Lime and Gravel, 1954, 29, № 3, 116—128 (англ.) См. РЖХим, 1956, 10499.

44043 К. Производство кирпича и черепицы на сезонных заводах. Новопашин А. А., Горных В. П. Куйбышев, Книгоиздат, 1955, 135 стр., илл., 2 р. 10 к.

44044 П. Процесс, приводящий к увеличению белизны глины. Шнейдер (Process for improving the brightness of clay. Schneider Charles H.) [Minerals and Chemicals Corp. of America]. Пат. США 2693319, 2.11.54

Для увеличения белизны глины, содержащей слипшиеся частицы каолинита и железосодержащего титанового минерала, ее суспендируют в инертной жидкой среде и подвергают срезающему действию такой интенсивности и продолжительности, чтобы обеспечить отделение друг от друга слипшихся частиц. Отделившийся каолинит становится значительно более исходной глины. М. К.

44045 П. Обработка глин, отмученного мела и подобных им материалов. Кларк (Treatment of clays, precipitated chalk and the like. Clark N. O.) [English Clays Lovering Pochin and Co., Ltd]. Англ. пат. 706429, 31.03.54 [Rubber Abstrs, 1954, 32, № 7, 324 (англ.)]

Отмученные глины и мел с размером частиц порядка 10 м обрабатываются таким образом, что отфильтрованный материал, имеющий влагосодержание на 4% ниже, чем у материала, отпрессованного под давлением 7 кг/см², пропускается через глиномалку, сконструированную так, что 1 т продукции поглощает не менее 6 кет-ч энергии, причем число частиц мельче 1 м возрастает. А. М.

44046 П. Способ непрерывного производства стекла (Framgangsmåte ved kontinuerlig frarastilling av glass) [Soc. Anonyme des Manufactures des Glaces et Produits Chimiques de Saint Gobain]. Норм. пат. 81303, 2.11.53

Состав для варки стекла и стекольный бой варят раздельно и затем смешивают. Стекольный бой плавят или в отдельной малой печи, или в кармане ванной печи при более низкой т-ре, чем основную стекломассу (С), нагревая карман теплом газов, отходящих из ванны. Ванна печи разделена на 3 части: в 1-й, наибольшей, ведут варку стекла; в средней — смешение перетекающей через порог основной С со стекольным боем, стекающим из кармана по наклонному своду; а из 3-ей части ванны, куда перетекает готовая С, производят непрерывный забор готовой С. Средняя часть ванны может иметь дополнительный обогрев электродами, погруженными в С, что вызывает ускорение перемешивания С конвекционными потоками. Помимо лучшего использования тепла, способ раздельной варки представляет удобства для изготовле-

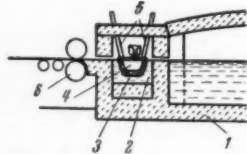
ния некоторых спец. стекол, напр. цветных. Окрашивая только стеклянный бой и смешивая его в средней части ванны с основной С, можно оставить без изменения основную С в 1-й части ванны. К. Г.

44047 П. Стекла избирательного поглощения и их составы. Барнс, Фрейзер (Glasses, compositions thereof, articles embodying said glasses, and method of making and using the same. Barnes Robert Bowling, Fraser Walter A.) [American Optical Co.]. Пат. США 2655452, 13.10.53. Патентуется стекло, имеющее определенную абсорбционную характеристику по ультрафиолету и определенный цвет, в основном изготавливаемое на Na — К — Са силикатной основе с добавками 0,05—0,15% V_2O_5 и 0,4—1,4% Mn_2O_3 . K_2O и Na_2O вместе составляют 14—20%, CaO 11% и $SiO_2 \geq 60\%$. Стекло толщиной до 6 мм пропускает $\geq 13\%$ УФ-лучей при 360 мμ, пропускание в видимой части спектра: 45—70% при 400 мμ, 56—76% при 500 мμ, 50—71% при 600 мμ и 67—80% при 700 мμ со средним пропусканием белого света ~60—75%. Н. П.

44048 П. Стекло, стойкое к действию паров щелочных металлов (Glass which is resistant to attack by alkali metal vapours) [Westinghouse Electric International Co.]. Англ. пат. 708698, 5.05.54. [Glass, 1954, 31, № 8, 396 (англ.)]. Стекло состоит (в %): Al_2O_3 10—20, B_2O_3 30—65, CaO 10—25, SiO_2 и (или) BeO 0—15%, BaO 0—20, MgO 0,1—10. А. М.

44049 П. Способ производства листового стекла (Process and apparatus for the continuous production of flashed glass) [Glaceries de Saint. Roch]. Англ. пат. 690023, 8.04.53 [Verres et réfract., 1953, 7, № 4, 236 (франц.)].

Бесцветное стекло вытекает из печи 1 (см. рис.) в форкамеру 2, в которой плавают наподобие лодочки желоб 3 с перемешкой 4. В этот желоб, положение которого по отношению к поверхности стекла в ванне регулируется при помощи реек 5, поступает цветное стекло из отдельной небольшой печи, расположенной перпендикулярно к оси печи 1. Валки 6 вытягивают лист накладного стекла,



нижняя часть которого бесцветна, а верхняя представляет собой слой цветного стекла толщиной 0,1 мм. С. И.

44050 П. Защита листового стекла от выветривания. Асада (Weather-resistant coating for plate glass. Asada Tsunesaburo) [Nippon Plate Glass Co.]. Япон. пат. 4235, 23.08.53 [Chem. Abstrs, 1954, 48, № 15, 9036 (англ.)].

Листовое стекло помещают в камеру при 80% относительной влажности. Парообразный $MeSiCl_3$, содержащий 0,2% $MeCl$, оседает на стекле; после высушивания образуется защитная пленка, предохраняющая его от выветривания. С. И.

44051 П. Просветление оптического стекла (Reflecting reducing coatings) [British Thomson-Houston Co., Ltd.]. Англ. пат. 686199, 21.01.53 [Chem. Zbl., 1954, 125, № 5, 1095 (нем.)].

Оптические свойства прожекторных линз улучшаются путем нанесения пленки SiO_2 толщиной в $1/4$ волны. Суспензия SiO_2 содержит небольшую добавку соединений Zn, Ti, Pb или Mn напр., $(C_2H_3O_2)_2Zn$, $MnCl_2$, которые растворяются в стекле при t-рах ниже его размягчения; при этом SiO_2 прочно соединяется с поверхностью стекла. С. И.

44052. П. Стеклянные питатели для ртути (Glass tubulatures for feeding mercury) [British Thomson Houston Co., Ltd.]. Англ. пат. 706662, 31.03.54. [Glass, 1954, 31, № 8, 394—395 (англ.)].

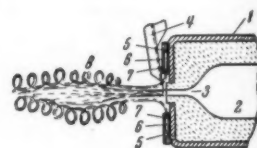
В произв-ве стеклянных трубок газ продувается через пустотелый сердечник, вокруг которого в ванне из расплавленного стекла образуется трубка. Этот газ состоит из такого в-ва или содержит такое в-во, которое химически изменяется и дает на внутренней стороне трубки покрытие, устойчивое против смазывания Нг. Г. В.

44053 П. Способ впаики железного конуса в стеклянное окошко электроннолучевой трубки. Гир, Хагенберг (Verfahren zum Verschmelzen eines Eisenkegels mit einem Glasfenster und nach diesem Verfahren hergestellte Elektronenstrahlröhre. Gier Johannes de, Hagenberg Theodor) [N. V. Philips' Gloeilampenfabriken]. Пат. ФРГ 884074, 23.07.53 [Chem. Zbl., 1954, 125, № 34, 7119 (нем.)].

На поверхность железного полого конуса, по крайней мере в зоне спайки его со стеклянным окошком, наносят слой Ni, который затем покрывают слоем Cr. Непосредственно после удаления газов из этих слоев в окислительной атмосфере производят спайку конуса со стеклом, затем следует отжиг для удаления напряжений. С. И.

44054 П. Способ и аппарат для получения стеклянного волокна (Framgangsmåte og apparat for framstilling av glassfibrer) [Owens-Corning Fiberglass Corp.]. Норв. пат. 82950, 4.01.54.

Струю газа, в которой вытягивают волокно, защищают от тепловых потерь, окружая ее средой из горючего газа или продуктов горения газа, причем по всей поверхности или с одной стороны, или вдоль

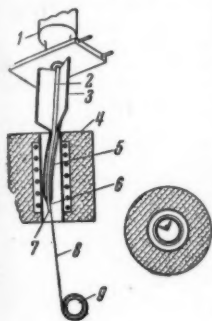


линии движения стекла в газе, или со стороны, противоположной месту введения стекла. Аппарат для вытягивания стеклянного волокна отличается тем, что выходное отверстие горелки окружено инжекторами или горелками, подающими газ для защиты струи от атмосферного воздуха, расположенными по одну или обе стороны газовой струи, или же только вдоль линии движения стекла, или со стороны, противоположной месту его введения. Аппарат состоит из горелки 1 с камерой горения 2 и каналом 3 для выхода газов. Скорость течения газов из камеры 2 определяется отношением сечений канала 3 и камеры 2, оптимальное отношение лежит в пределах 1:8—1:4. Направляющая 4 ведет стеклянную нить, из которой вытягивают волокна, к выходному отверстию канала 3. Движение нитей происходит в желобках направляющей 4. По обе стороны выходного отверстия канала 3 установлено по инжектору 5, каждый из которых имеет удлиненную камеру 6 с шельм 7, параллельной каналу 3; через камеру подается газ, со скоростью меньшей скорости газа выходящего из канала 3. Поток защитного газа образует оболочку 8, окружающую газ горелки. Концы нити плавятся в струе газа, а струйки 8 расплавленного стекла отводятся непрерывно давлением струи газа и остаются взвешенными в газовом потоке. Подача добавочного газа увеличивает длину вытягиваемых волокон за счет того, что в струе газа, защищенной от охлаждения, волокна длительно сохраняются в состоянии размягчения. К. Г.

44055 П. Способ и аппарат для получения стеклянного волокна. Тулн, Расселл (Sätt och anord-

ning för att framställa fibrer av glas Tooley T. V., Russell R. G.) [Owens-Corning Fiberglass Corp.]. Швед. пат. 140608, 2.06.53

Способ получения стеклянного волокна отличается тем, что стекольную шихту непрерывно вводят в печь,

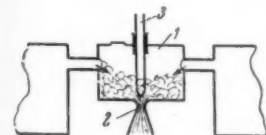


где расплавляют в стекломассу и вытягивают в нить. Стеклянную шихту выдавливают прессом 1 в виде стержня 2 на направляющий желоб 3, имеющий форму угольника. У входа в трубчатую печь 4, направляющий желоб суживается в изогнутую по оси пластинку 5, расположенную в просвете трубы печи. Шихта расплавляется на пластинке 5 и стекает к заостренному концу 6 пластинки, где образованная стекломасса собирается в виде капли 7, из которой вытягивают нить 8 и наматывают ее на катушку 9.

К. Г.

44056 П. Способ и аппарат для получения волокон из термопластического материала, напр. стекла. Хеймс (Sätt och anordning att av ett termoplastiskt material, exempelvis glas, framställa fibrer. Heymes P.) [Soc. An. des Manufactures des Glaces et Produits Chimiques de Saint-Gobain]. Швед. пат. 145778, 15.06.54

Способ получения стеклянного волокна состоит в том, что стекломассу вводят в поток газов, текущий с большой скоростью и имеющий высокую т-ру.



В замкнутом сосуде 1 сжигают горючую смесь и выпускают газы под большим давлением в виде пламени из отверстия 2 сосуда 1. Стекломасса подводится по трубе 3 к отверстию 2 выброса горящих газов.

К. Г.

44057 П. Декоративные полупрозрачные стекловолокнистые материалы и способ их изготовления. Клоэс (Decorative translucent products and method of preparation thereof. Klohs Daniel W.) [Sun Chemical Corp.]. Пат. США 2671738, 9.03.54

Стекланные маты, состоящие из перепутанных волокон, склеенных крахмалом, пропитываются составом, содержащим: красителя не более 4,5% по весу; ~75 вес. ч. лака, состоящего из модифицированной канифолью феноло-формальдегидной смолы и высыхающего масла; 25—37,5 вес. ч. жидкого углеводорода с точкой кипения 100—250°. Пропитанные таким образом маты, после удаления избытка пропитывающего состава, прогреваются при повышенной т-ре для сушки и отверждения смолы.

С. И.

44058 П. Улучшение свойств волокон из неорганических веществ. Гензель (Verfahren zur Verbesserung der Eigenschaften textiler Gebilde aus anorganischen Stapelfasern. Gensel Herbert) [Farbenfabriken Bayer A.-G.]. Пат. ФРГ 909806, 26.04.54 [Chem. Zbl., 1954, 125, № 44, 10139 (нем.)]

Волокнистая масса из стеклянных или асбестовых волокон обрабатывается водн. дисперсией эфиров полиакриловой, полиметакриловой, поливиниловой и/или их смесей в присутствии р-рителей. А. П.

44059 П. Способ обработки стеклянной ткани. Балз (Method of treating glass cloth. Balz Emil H.) [Glass Fibers Inc.]. Пат. США 2674548, 6.04.54

Удаление масляно-крахмального замасливателя со стеклянной ткани производится путем пропитки ее водн. р-ром щелочи (рН ~11—13); затем ткань очищается от р-ра вместе с замасливателем и нагревается в окислительной атмосфере при т-ре, достаточной для окончательного выжигания замасливателя.

С. И.

44060 П. Производство волокон, подобных стеклянным волокнам. Пешес, Пю (Manufacture of fibres, such as glass fibres. Peuches Ivan, Piot Paul) [Société Anonyme des Manufactures des Glaces et Produits Chimiques de Saint-Gobain, Chauny and Cirey]. Канад. пат. 498482, 15.12.53

Волокна из термопластич. материала (напр., стекла) изготавливаются выдавливанием пластичной массы из отверстий, расположенных на поверхности центрифуги, вращающейся со скоростью достаточной для образования волокон и отбрасывания их на перфорированную поверхность, вращающуюся вокруг оси, параллельной оси центрифуги в противоположную сторону. Волокна снимаются с принимающей их поверхности в виде войлока.

Ю. В.

44061 П. Усовершенствование стекловаренных ванн печей (Perfectionnement aux fours de verrerie) [Soc. An. des Manufactures des Glaces et Produits Chimiques de Saint-Gobain, Chauny and Cirey]. Франц. пат. 1045199, 24.11.53 [Verres et réfract., 1954, 8, № 2, 98 (франц.)]

Патентуемый способ уменьшения длины зоны плавления в ваннах печей для варки стекла при достижении полного плавления шихты состоит в том, что шихта удерживается в зоне плавления с помощью спец. перегородки по всей ширине ванны и надлежащим образом закрепленной на подставках и пазах, с краев ванны и т. д., что позволяет стеклу циркулировать снизу и сверху такой перегородки. Можно пользоваться плавающей перегородкой, погруженной в расплав на нужную глубину.

Г. М.

44062 П. Глазурь с повышенной кислотоустойчивостью. Бюссем (Glasure mit hoher Säurebeständigkeit. Büssem Wilhelm R.) [Siemens-Schuckertwerke Akt. Ges.]. Пат. ФРГ 897077, 16.11.53 [Ber. Dtsch. Keram. Ges., 1954, 31, № 1, P3 (нем.)]

Эта глазурь служит для соединения металла с керамикой, относится к системе $PbO - B_2O_3 - SiO_2$ и характеризуется составом, лежащим внутри треугольника PbO 75, SiO_2 25; PbO 30, SiO_2 70, PbO 30, SiO_2 45, B_2O_3 25%.

С. Т.

44063 П. Способ производства глазурованных пористых керамических плиток. Хейн (Method of manufacturing glazed porous ceramic tile. Heine Henry W.) Пат. США 2681865, 22.06.54

Способ состоит в пропитывании хрупкой пористой плитки р-ром остекловывающегося при нагревании материала и затем в обжиге плитки в горячей зоне.

С. Т.

44064 П. Изделие с глухой эмалью и способ его изготовления (Article en porcelaine émaillée et son procédé de fabrication) [Ferro Carp.] Франц. пат. 1054289, 9.02.54 [Chimie et Industrie, 1954, 71, № 967 (франц.)]

Изделие с шероховатой поверхностью погружается в р-р соли Ni с восстановителем в виде гипофосфорной кислоты и ее солей, катионами которых являются металлы, стоящие в электрохим. ряде напряжения выше Zn. Соли Ni таким образом восстанавливаются и металлиз. Ni отлагается на изделии без обмена с ионами р-ра. После отложения осадка до 0,043—0,27 мг/см² изделие сушат и моют. Затем на шероховатую, покрытую Ni поверхность наносят эмаль.

С. Т.

44065 П. Способ изготовления керамического материала. Карстенс (Verfahren zur Herstellung von keramischem Material. Carstens Claus) [Christian Carstens, Пат. ФРГ 891676, 1.10.53]

[Glas-Email-Keramo-Technik, 1953, 4, № 11, 424 (нем.)]

Способ получения глазуноподобного спеченного покровного слоя, изготовляемого из белой или окрашенной суспензии глины, отличается тем, что покрытие содержит $>66\%$ (преимущественно $>80\%$) Al_2O_3 и $<50\%$ плавня по отношению к содержанию SiO_2 (преимущественно $<40\%$) при толщине слоя между 0,03 и 1 мм (преимущественно 0,07—0,15 мм) и может иметь красную, коричневую, черную окраску.

О. М.-П.

44066 П. Изолирующие материалы для покрытия электронагревателей (Sheathed electric heater insulating material) [British Thomson-Houston Co., Ltd]. Англ. пат. 695697, 12.08.53 [Chem. Zbl., 1954, 125, № 23, 5145 (нем.)]

20—40% зернистого MgO с такой величиной частиц, что $\sim 22\%$ задерживаются на сите DIN № 24, смешиваются с 30—70% диоксида кремния и в данном случае с 40% SiO_2 , имеющим величину зерен $<0,18$ мм и в большей части $<0,15$ мм. Смесь хорошо проводит тепло и применяется для покрытия или погружения в нее электронагревателей.

Г. М.

44067 П. Водостойкое облицовочное покрытие. Сакаэ, Оchiai (Water- and fire-resistant coating material. Sakae Takazo, Ochiai Takeichi). Япон. пат. 6490, 16.12.53 [Chem. Abstrs, 1954, 48, № 19, 11813 (англ.)]

Облицовочное покрытие состоит из MgO 1000 г, 28—30% BeO , $\text{Mg}(\text{ClO}_3)_2$ 1,3 г, MgF_2 50 г и серицита 200 г.

Б. Т.

44068 П. Способ получения пластических подглазурных окрасок на керамических изделиях. Вурм, Липперт (Verfahren zur Herstellung plastisch wirkender Unterglasurdekors auf keramischen Gegenständen. Wurm Georg, Lippert Willi) [Rosenthal-Porzellan Akt.-Ges.]. Пат. ФРГ 910156, 29.04.54 [Glas-Email-Keramo-Technik, 1954, 5, № 6, 232 (нем.)]

Способ характеризуется применением красящего пигмента, в состав которого входят: бисвитный черенок, гидрат глинозема, мел, окись цинка и желтая краска.

С. Т.

44069 П. Вставка металлических элементов в керамические массы. Мат (Embedding metal elements in ceramic masses. Math F.). Австрал. пат. 155978, 29.04.54

Метод вставки металлич. элемента в керамич. массу характеризуется тем, что на металлич. элемент перед формовкой, сушкой и обжигом керамич. материала наносится покрытие в-вом, которое способно претерпевать усадку при сушке и разрушаться во время обжига. Толщина покрытия такова, что сжатие в процессе сушки и обжига соответствует толщине покрытия.

С. Т.

44070 П. Электроизолятор. Йонкер, Схилперорд (Electrical insulator. Jonker Gerard Heinrich, Schilperoord Pieter Benedictus Arie) [Hartford National Bank and Trust Co.]. Пат. США 2643192, 23.06.53 Керамический диэлектрик представлен по существу тройной композицией, определяемой соотношением окислов в фазовой диаграмме тройной системы: $\text{X}-\text{Y}-\text{Z}$, в которой отмечены пограничные точки отвечающие составам (в мол. %): $18\text{X}-82\text{Z}$, $16\text{X}-19\text{Y}-65\text{Z}$, $67\text{Y}-33\text{Z}$, $18\text{X}-27\text{Y}-55\text{Z}$, $27\text{X}-12\text{Y}-61\text{Z}$ и $27\text{X}-73\text{Z}$, где X соответствует BaO и одному из окислов группы CaO , SrO , PbO и La_2O_3 в кол-ве, не превышающем одной четверти BaO ; $\text{Y}-\text{ZnO}$ и $\leq 5\text{CdO}$, $\leq 35\text{BeO}$ и $\leq 50\text{MgO}$; $\text{Z}-\text{TiO}_2$ и одному из окислов группы ZrO_2 , SnO_2 и SiO_2 в кол-ве, не превышающем одной четверти TiO_2 .

Г. М.

44071 П. Керамический диэлектрик (Keramsik, di elektrisk materiale) [Steatite and Porcelain Products Ltd]. Дат. пат. 76648, 9.11.53

Керамический диэлектрик, основная масса которого состоит из TiO_2 или из титаната Mg , Ca , Sr , Ba или из смеси TiO_2 с титанатами, отличается тем, что он содержит окись Co (I) в кол-ве, эквивалентном 15% Co_3O_4 (II). Оптимальное кол-во I соответствует 3% II. Диэлектрик может содержать до 15% ZrO_2 , причем ZrO_2 вводит в стехиометрич. отношении к I, достаточном для образования дириконата Co . Избыток O_2 связывает MgO в дириконат Mg . II является флюсом, снижающим т-ру обжига на 50—200°. Смесь состава (в %): TiO_2 62,25, BaO 33,75, II 1,0 обжигается при 1200°, в отсутствие II — при 1350°.

Р. Г.

44072 П. Электроизолятор (Elektrisk isolator) [N. V. Philips' Gloeilampenfabriek]. Нолл. пат. 84390, 11.10.54

Керамический диэлектрик состава $\text{BaO} \cdot 4\text{TiO}_2$, $\text{BaO} \cdot 3\text{TiO}_2$ и $2\text{ZnO} \cdot \text{TiO}_2$ получается обжигом в нейтр. или окислительной атмосфере из смеси BaO , ZnO и TiO_2 , или из смеси соединений, образующих эти окислы при обжиге: а) с частичной заменой ZnO оксидом кадмия, причем последняя составляет ≤ 5 мол. % массы диэлектрика, или BeO , составляющей ≤ 35 мол. % массы, или MgO , замещ. $\leq 1/2$ всей ZrO ; б) $\leq 25\%$ всей BaO замещена CaO , SrO , PbO или La_2O_3 ; в) $\leq 25\%$ всей TiO_2 замещена ZrO_2 , SnO_2 или SiO_2 . Полученный из смесей диэлектрик состоит из смешанных кристаллов, состав которых можно рассматривать как тетра-титанат или трититанат Ba , в котором часть Ti замещена Zn , или же как смесь ортитаната Zn с этими смешанными кристаллами. Диэлектрик имеет $\text{tg}\delta$ (tg угла диэлектрич. потерь) $< 5 \cdot 10^{-4}$, диэлектрич. проницаемость ϵ 30—40 и температурный коэфф., величина которого лежит между $+50 \times 10^{-6}$ и $-50 \times 10^{-6}/\text{град}^\circ$. Замещение вышеуказанными окислами, при условии получения изоморфных соединений, мало изменяет диэлектрич. свойства; так, напр., диэлектрик, полученный обжигом смеси $15\text{BaO} - 4\text{SrO} - 10\text{ZnO} - 3\text{MgO} - 3\text{BeO} \cdot 64\text{TiO}_2$, имеет $\epsilon = 32$ и $\text{tg}\delta = 7 \cdot 10^{-4}$.

Р. Г.

44073 П. Способ производства электроизоляционных изделий из титаната магния. Пат (Verfahren zur Herstellung elektrischer Isolierkörper aus Magnesiumtitanat. Rath Werner) [Porzellanfabrik Kahla]. Пат. ФРГ 900912, 4.01.54 [Glas-Email-Keramo-Technik, 1954, 5, № 2, 64 (нем.)]

Смесь реакционноспособных окисов Mg и окисов Ti прокаливается при т-ре ниже 1100° до тех пор, пока не образуется порошкообразный титанат магния. Из последнего принятыми в керамич. технологии способами формуются изделия. Обжиг изделий производится при т-ре, соответствующей конусам Зегера 8—12.

И. С.

44074 П. Сложный металлокерамический материал и метод его изготовления. Грубел, Буш (Composite metal-ceramic body and method of making the same. Grubel Ralph O., Busch Lee S.). Пат. США 2671955, 16.03.54

Материал состоит из непрерывной основы губчатого огнеупорного металла, обеспечивающего тепло- и электропроводность, и наполнителей — керамич. материала, состоящего из окислов металлов, обладающих более высокой точкой плавления, чем губчатый металл, и гибкого металла, обладающего точкой плавления меньшей, чем керамика, не растворяющихся в губчатом металле.

С. Т.

44075 П. Магнитные сердечники и метод их изготовления. Бердж (Magnetic core and method for manufacturing same. Berge Godshalk)

[Aladdin Industries, Inc.]. Пат. США 2659698, 17.11.53

Описывается метод изготовления магнитных сердечников путем прокалывания при 1090—1370° взятых в определенных соотношениях окислов Ni, Co и Zn с Fe_2O_3 , смешения продуктов р-ции в тонкодисперсном виде с окисью V и цирконатом Mg с добавкой 8% связующего в-ва. Образцы из полученной массы после термообработки при 1035—1200° с последующим медленным охлаждением до комнатной т-ры содержат (в ч.): окиси Co 8—12, окиси Ni 6—12, окиси Zn 5—15, окиси V 1—10, цирконата Mg 4—12 и окиси Fe 40—65.

Л. Ч.

44076 П. Электропечь для обжига керамических изделий. Хинтенбергер (Electric oven for the burning of ceramic articles. H i n t e n b e r g e r K a r l). Пат. США 2678958, 18.05.54

Цилиндрич. электропечь для обжига керамич. изделий с камерой нагрева и устройствами для создания вакуума в указанной камере. Печь с одного конца герметически закрывается. Футеровка выполнена из свободно уложенных огнеупорных брусков. Камера печи имеет боковые стенки со множеством продольных канавок, большое число керамич. пластин, в которых установлены электронагревательные элементы, свободно перемещающиеся в канавках, и керамич. тело в виде вкладыша, помещаемое между печной камерой и герметич. дверцей. Нагревательные элементы сопротивления каждой из пластин независимо соединяются с проводниками, установленными между брусками.

Е. Г.

44077 П. Способ изготовления плиток с переходными оттенками. Берченал (Method of making blended tile. B u r c h e n a l C h a r l e s H.). [Cambridge Tile Manufacturing Co.]. Пат. США 2654912, 13.10.53

Способ изготовления плиток, заключающийся в высушке множества струй сухих керамич. порошков, окрашенных в различные цвета, в механич. трясун и в смешивании их, но без достижения однородной окраски. Затем смесь направляется в формы, прессуется и отформованные изделия обжигаются. При обжиге происходит соединение отдельных частиц смеси с получением изделий, отличающихся друг от друга по окраске и цветовым оттенкам.

Б. Л.

44078 П. Усовершенствования в использовании отходов слюды для производства изоляционных кирпичей, крышек тиглей, плиток и т. п. (Improvements in or relating to the utilization of waste mica for the manufacture of insulating bricks, slabs, tiles or the like) [Council of Scientific and Industrial Research]. Инд. пат. 48667, 3.02.54

Слюда и слюдяные материалы, связанные глиной стеклом, смолой и другими связующими, формуются, сушатся и обжигаются при 800—1200°.

Е. К.

44079 П. Приспособление для перемещения пластичных масс при высоком давлении. Ланге (Hochdruckförerrrichtung für schwer plastische Massen. L a n g e K a r l). Пат. ФРГ 893902, 19.10.53 (Ziegelindustrie, 1954, 7, № 1, 20 (нем.))

Описано приспособление для перемещения пластичных масс с применением высоких давлений прессования (>500 ат). Подача массы осуществляется через камеру низкого и высокого давления посредством двух движущихся в противоположном направлении взаимодействующих шнеков.

Б. К.

44080 П. Процесс обработки огнеупоров для изготовления форм и стержней. Уэстон (Process of conditioning refractory for making molds and cores, and conditioned refractory. W e s t o n B o n h e u r M.). Канад. пат. 501802, 27.04.54

Для изготовления литейных форм и стержней (шпек) применяются огнеупорные порошки типа SiO_2 и SiC . Эти порошки обрабатываются р-ром пластифицируемой нетермореактивной смолы в углеводородах до тех пор, пока поверхность зерен не оказывается полностью смоченной этим р-ром. После испарения р-рителя кремнеземистые частицы оказываются покрытыми пленками смолы. Процесс обработки продолжается до тех пор, пока на каждом зерне не образуется подобная пленка; эти пленки в основном не слипаются между собой при нормальных т-рах и давлении. К р-ру смолы прибавляют также окислы металлов, и тогда, после вышеописанного процесса обработки, находящиеся на зернах огнеупорного материала пленки смолы приобретают способность к взаимосцеплению без нарушения прочной связи с поверхностью зерен. Пленки состоят в основном из пластифицируемой нетермореактивной смолы и содержат небольшое кол-во термореактивной смолы; эти пленки выгорают в интервале т-р ~315—427°. Данный метод требует применения в качестве р-рителя смолы углеводородов, способных возгораться или испаряться при т-ре <149°, с т-рой воспламенения >38°, которые к тому же не реагируют со смолой и не изменяют ее нетермореактивных свойств.

А. П.

44081 П. Гранулы из глинозема для теплообменников. Робинсон (Alumina pebble. R o b i n s o n S a m P.). [Phillips Petroleum Co.]. Пат. США 2630617, 10.03.53

Метод получения гранул (в виде шаров) для теплообменников состоит в формовании смеси тонкоизмельченного глинозема, 0,05—2 вес. % (от кол-ва глинозема) фторида щел.-зем. металла и летучего пластификатора. Обжиг изделий производится при 1538—1838°, ~2 часа до пористости 5—20%.

А. Ч.

44082 П. Способ получения огнеупорных кирпичей. Баргеци (Verfahren zur Herstellung von feuerfesten Steinen. B a r g e z i E d u a r d) [Österreichisch-Amerikanische Magnesit A.-G.]. Пат. ФРГ 897069, 16.11.53 [Ziegelindustrie, 1954, 7, № 1, 21 (нем.)]

Синтетич. магнезит содержит перед спеканием, кроме Fe_2O_3 , добавки, обеспечивающие присутствие CaO и SiO_2 в соотношении 0,8 : 1; в массу добавляется также Al_2O_3 или Cr_2O_3 , в кол-ве 3—6,5%. Перед формованием в массе присутствуют ~4% Fe_2O_3 и 7% SiO_2 вместе с CaO .

А. П.

44083 П. Способ изготовления огнеупорных изделий. Жакен, Дюбре (Verfahren zum Herstellen von feuerfesten Erzeugnissen. J a q u i n P i e r r e, D u b r a y J a c q u e s) [Soc. An. des Manufactures des Glaces et Produits Chimiques de Saint-Gobain]. Пат. ФРГ 878622, 5.06.53

[Chem. Zbl., 1954, 125, № 21, 4698 (нем.)] Изделия изготовляют из смеси крупнозернистого с тонкозернистым плавленным огнеупорным материалом. Тонкозернистый материал после плавления подвергается быстрому охлаждению, в результате чего образуется стекловидная фаза с термич. и хим. стойкостью более высокой, чем у крупнозернистой фракции. Тонкозернистую фракцию можно применять и из другого огнеупорного материала. Получается материал с повышенной огнеупорностью.

С. Т.

44084 П. Муллитовые огнеупоры. Дюплен, Нортон (Mullite refractories. D u p l e n V i c t o r J., Jr., N o r t o n C h a r l e s L., Jr) [The Babcock and Wilcox Co.]. Канад. пат. 508514, 28.12.54

Шихту для огнеупоров готовят из порошков плавного или спеченного муллита, содержащих хорошо развитые, взаимно переплетающиеся кристаллы муллита, в которых содержание Al_2O_3 слегка превышает

кол-во, соответствующее теоретич. составу муллита, и в состав которого входит >1 вес. % примесей окислов Fe и Ti. Порошки смешиваются со связкой, состоящей из тонкоизмельченной чистой Al_2O_3 ($>50\%$ проходит через сито 325 меш) и распыленного каолина, при этом кол-во Al_2O_3 в связке слегка превышает теоретич. состав муллита. Отформованные изделия сушат и обжигают при $1570-1790^\circ$ с выдержкой в течение 1—30 час., достаточной для образования кристаллов муллита в связке. Вместо каолина в состав связки может входить глина. В другом варианте процесса избыточная Al_2O_3 , содержащаяся в порошках муллита, представляет собой корунд, при этом кол-во входящий в связку тонкоизмельченной Al_2O_3 превышает 95%; обжиг ведется в туннельной печи при максим. т-ре $1650-1760^\circ$ с выдержкой в течение 1 часа. В. З.

44085 П. Основной огнеупор с низким сопротивлением изгибу. Хьюр (Brick having low modulus rupture. Huer Russell P.) [General Refractories Co.]. Канад. пат. 507371, 16.11.54

Основной огнеупор состоит главным образом из мертвого обожженного магнезита и содержит $\geq 35\%$ хромовой руды. По зерновому составу шихта представляет собой смесь, состоящую из 55—70% крупных фракций (5—35 меш) и относительно тонких фракций (<50 меш) и не содержащую зерен промежуточного размера. При этом 20—40% шихты составляют относительно крупные фракции магнезита. После обжига при 1500° в течение 24 час. временное сопротивление изгибу, измеренное на кирпиче размером $230 \times 115 \times 63$ мм при расстоянии между опорами 178 мм, не превышает 35 кг/см^2 . Для безобжигового варианта применяются те же компоненты, но с другим зерновым составом: $\sim 65\%$ крупных фракций (6—28 меш) и тонкие фракции (<50 меш), при этом в шихте содержатся относительно крупные фракции магнезита в кол-ве $\sim 35\%$, крупные фракции хромовой руды $\sim 30\%$, тонкие фракции магнезита $\sim 20\%$, тонкие фракции хромовой руды $\sim 10\%$ и боксита $\sim 4\%$. В. З.

44086 П. Высокопрочные огнеупоры на основе $CaO-SiO_2$. Лейт (Method of consolidating refractory materials. Lathe Frank E.) [Canadian Refractories Ltd.]. Канад. пат. 506763, 26.10.54

Шихта огнеупоров составляется из смеси высокоогнеупорных порошков (I) и низкоплавкого материала (II). I содержит по весу $>80\%$ CaO , MgO и SiO_2 , при этом отношение веса $CaO : SiO_2 > 2$; II содержит по весу $>75\%$ SiO_2 , CaO и MgO , взятых в соотношении в пределах 5-угольника тройной диаграммы $CaO-MgO-SiO_2$. Во 2-м варианте II содержит SiO_2 , CaO и MgO , взятые в соотношении в пределах 4-угольника диаграммы, границы которого определяются следующими точками (в %): 1) CaO 35, MgO 0, SiO_2 65; 2) CaO 8, MgO 27, SiO_2 65; 3) CaO 30, MgO 27, SiO_2 43; 4) CaO 56, MgO 0, SiO_2 44. В 3-м варианте I состоит из доломита, а II содержит CaO и MgO в эквимолекулярном соотношении и SiO_2 42—74%. В 4-м варианте I состоит из основных окислов, преимущественно из MgO и $<10\%$ CaO , при этом кол-во CaO не превосходит более чем на 6% того кол-ва, которое необходимо для образования $2CaO \cdot SiO_2$ при взаимодействии со всем кол-вом SiO_2 , присутствующим в составе I. II содержит $>75\%$ SiO_2 , CaO и MgO , взятых в соотношении в пределах 5-угольника A. Во всех 4 вариантах содержание составов I и II в шихте выбирается таким образом, чтобы отношение суммарных кол-в $CaO : SiO_2$ в шихте было >1.87 . Изделия из шихты обжигаются при т-ре, превышающей начало плавления II, но не ниже 1321° , с целью образования жидкой фазы и выдерживаются при этой т-ре до тех пор, пока не произойдет хим. р-ции между жидкой фазой и I с образованием механически прочного изделия. В. З.

44087 П. Огнеупоры на основе $MgO-Al_2O_3-SiO_2$. Лейт (Magnesia-alumina-silica refractories. Lathe Frank E.) [Canadian Refractories Ltd.]. Канад. пат. 506764, 26.10.54

Шихта для огнеупоров составляется из смеси высокоогнеупорных порошков (I) и низкоплавкого материала (II). I содержит по весу $>80\%$ MgO , SiO_2 и Al_2O_3 , при этом отношение веса $MgO : SiO_2 + Al_2O_3$ в 1,5 раза больше суммы всего кол-ва SiO_2 и половины кол-ва Al_2O_3 ; II содержит по весу $>75\%$ SiO_2 , MgO и Al_2O_3 , взятых в пределах 35—82% SiO_2 , 0—40% MgO и 0—50% Al_2O_3 . Во 2-м варианте II содержит SiO_2 , MgO и Al_2O_3 , взятых в соотношении в пределах 6-угольника, границы которого определяются следующими точками (в вес. %): 1) MgO 19, Al_2O_3 7, SiO_2 74; 2) MgO 7, Al_2O_3 19, SiO_2 74; 3) MgO 7, Al_2O_3 37, SiO_2 56; 4) MgO 17, Al_2O_3 37, SiO_2 46; 5) MgO 32, Al_2O_3 22, SiO_2 46; 6) MgO 32, Al_2O_3 7, SiO_2 61. В 3-м варианте II состоит из эвтектической смеси, плавящейся при т-ре $\sim 1347^\circ$ и содержащей (в %): MgO 20,3, Al_2O_3 18,3, SiO_2 61,4. В 4-м варианте I состоит из основных окислов и содержит >80 вес. % MgO , SiO_2 и Al_2O_3 и $<5\%$ CaO , при этом MgO взята в такой пропорции, чтобы оставалось $>10\%$ свободной MgO сверх того кол-ва, которое необходимо для образования $2MgO \cdot SiO_2$ при взаимодействии со всем кол-вом SiO_2 , присутствующим в составе I; состав II такой же, как в 1-м варианте. Во всех перечисленных вариантах содержание составов I и II в шихте выбирается таким образом, чтобы отношение суммарных кол-в $MgO : SiO_2 + Al_2O_3$ в шихте было в 1,34 раза больше суммы всего кол-ва SiO_2 и 0,4 Al_2O_3 в шихте. Изделия из шихты обжигаются при т-ре, превышающей начало плавления II, с целью образования жидкой фазы, которая обволакивает I и, реагируя с ними, связывает его с образованием высокоогнеупорного, прочного изделия. В. З.

44088 П. Ремонт или производство огнеупорных изделий. Гербер (Repairing or producing refractory articles. Gerber J. S.). Австрал. пат. 154030, 26.11.53

Способ произ-ва или исправления огнеупорных изделий состоит в придании легкоплавк. огнеупорному материалу необход. формы и сжигании на его поверхности топлива в атмосфере, содержащей ≥ 30 об. % O_2 . Б. Л.

44089 П. Метод получения высокоогнеупорного материала. Кюн, Беллоза (Verfahren zur Herstellung eines hochfeuerfesten keramischen Körpers. Kühn Eberhard, Bellösa Hermann.). [Heinrich Koppers G. m. b. H.]. Пат. ФРГ 929177 4.07.55

Для получения керамич. изделий (напр., тиглей), устойчивых к воздействию основных шлаков, рекомендуется применять в качестве сырья углекислый Ca с добавкой в качестве стабилизатора окиси Zr. Масса изготавливается из тонкомолотого $CaCO_3$, тщательно смешанного с небольшим кол-вом окиси Zr ($\leq 10\%$, оптимальное содержание 5%), и добавкой органич. связки. Из этой массы прессованием и литьем формуется изделия, обжигаемые при т-ре $\geq 1600^\circ$. В качестве сырья можно применять также кристалл. $CaCO_3$ (мрамор). А. П.

44090 П. Способ улучшения атмосферостойчивости высокоогнеупорного доломитового кирпича и трамбовочных масс. Ферло (Verfahren zur Verbesserung der Luftbeständigkeit von hochfeuerfesten Dolomitsteinen oder Stampfmassen. Verlohr Karl.) [Dolomitwerke G. m. b. H.]. Пат. ФРГ 923299, 10.02.55 [Glas-Email-Keramo-Technik, 1955, 6, № 4, 133 (нем.)]

Способ улучшения атмосферостойчивости высокоогнеупорного доломитового кирпича и трамбовочных масс состоит в том, что тонкие фракции спекшегося

или плавленого доломита после помола частично или полностью отделяются, оставшаяся часть используется известным образом для изготовления кирпичей и трамбовочных масс.

Г. М.
44091 П. **Высокотемпературный изоляционный огнеупор.** Аbbeу (High temperature insulating refractories. Abbeu A.) [Carborundum Co.]. Англ. пат. 697126, 16.09.53 [J. Soc. Glass Technol., 1954, 38, № 181, 44А (англ.)]

Общезвестный метод получения пенокорунда состоит в продувании потока расплавленной Al_2O_3 струей воздуха. Настоящее изобретение имеет своей целью обойти затруднения, которые возникают при попытке получить таким же методом пенноогнеупоры из муллита, шпинели, форстерита или некоторых других огнеупорных материалов, обладающих относительно низким теплосодержанием. С этой целью предлагается следующий метод. Из выгорающего в-ва изготавливаются шарики, которые покрываются слоем тонкодисперсного огнеупорного материала и обжигаются таким образом, чтобы это в-во выгорело и произошло спекание огнеупорной оболочки с образованием полых огнеупорных гранул. Легковесные ячеистые теплоизоляционные изделия могут изготавливаться тремя различными методами: 1) сырец формируется непосредственно из несобожженных шариков, покрытых слоем огнеупорного материала, и затем обжигается; 2) сырец формируется из предварительно обожженных полых огнеупорных гранул с добавкой некоторого кол-ва стекловязки и затем обжигается; 3) безобжиговый огнеупор изготавливается из таких же гранул на связке из жидкого стекла или цемента.

В. З.
44092 П. **Абразивное изделие.** (Abrasive article) [Titan Abrasives Co.]. Австрал. пат. 152430, 30.07.52
Абразивный инструмент состоит из абразивных зерен, соединенных между собой связкой, состоящей из термоактивной смолы, и наполнителя в кол-ве 65—95 вес. % от веса связки.

Е. Д.
44093 П. **Абразивы.** Эразмус, Форгент (Abrasives. Erasmus Hendrik de W., Forgent William D.) [Union Carbide and Carbon Corp.]. Канад. пат. 505690, 7.09.54

Абразивный материал, представляющий твердую основу (или твердый гибкий лист) с поверхностным покрытием из связующего материала, в котором вкраплено множество тонкодисперсных частичек нитрида кремния. Плотный твердый абразив состоит в основном из тонкодисперсных частичек нитрида кремния и твердого связующего материала, распределенного между частичками нитрида и заключающего их в себе. Связующий материал выбирается из группы, состоящей из силиката натрия, шеллака, каучука, резиноида, глины и полевого шпата. Метод изготовления абразива заключается в связывании частичек нитрида кремния указанным связующим материалом, распределенным между частичками.

А. М.
44094 П. **Способ изготовления абразивных изделий.** Прайс, Грове (Abrasive articles and method of making. Price James E., Groves Kenneth Deane). [American Viscose Corp.]. Пат. США 2711365, 21.06.55

Плотное волокнистое изделие, подобное войлоку, изготавливается из хлопковых волокон и неволокнистого наполнителя. Поверхность хлопковых волокон обрабатывают целлюлозными эфирами органич. к-т; смачиваемость частиц, образующим наполнителем, придает путем обработки термоактивной смолой. Массу, состоящую из волокон наполнителя, нагревают до т-ры, при которой целлюлозные эфиры органич. к-т приобретает адгезионные свойства, и обрабатывают под давлением, в результате чего образуется полуфабрикат, в котором волокна связаны между собой с по-

мощью эфира, а равномерное распределение частиц наполнителя фиксируется связанными между собой волокнами и смолой. Полуфабрикат охлаждают и затем снова нагревают до т-ры, при которой смола затвердевает и становится нерастворимой.

В. З.
44095 П. **Производство листового абразивного материала.** Рональдсон (Manufacture of sheets of abrasive material. Ronaldson J. V.). Англ. пат. 701431, 23.12.53

Водонепроницаемый абразивный листовый материал получается конденсированием видоизмененной фенолформальдегидной смолы такой, как Albertol с маслом, таким, как касторовое масло, при пониженном давлении и при т-ре 240—300°. Конденсированный продукт растворяется в нужном р-рителе и полученный липкий р-р накладывается на лист целлюлозного материала. Абразивные частицы затем рассыпаются на листе, который просушивается в течение 2—3 час. при 60—90° с дальнейшим применением связующего, если потребуется.

В. К.
44096 П. **Абразивное изделие.** Томас (Abrasive article. Thomas James A., Jr) [The Carborundum Co.]. Канад. пат. 493836, 23.06.53

Абразивное изделие на металлической связке содержит незначительную часть алмазных абразивных частиц и связку, состоящую из спекающегося продукта р-ции большей части порошка Cu и порошка Sn в кол-ве до 20% от веса всей связки, и целого, спекшегося неабразивного металлич. основания (для вышеуказанного абразива), содержащего в спеченной форме ~50—80% порошка Fe, 16—40% порошка красной Cu, 4—10% порошка Sn, иногда ~2 вес. ч. связки фосфористой Cu.

В. К.
44097 П. **Гидросиликат кальция** (Hydrous calcium silicate) [Owens-Illinois Glass Co.]. Австрал. пат. 163619, 14.07.55

Гидросиликат кальция (один или в комбинации с другими кристаллич. гидросиликатами кальция) обладает определенными физ. свойствами, особенно как изоляционный материал, характеризуемый ф-лой $4CaO \cdot 5SiO_2 \cdot 5H_2O$ и сетчатой структурой, в которой объем пустот может быть больше или меньше объема твердого в-ва.

Г. М.
44098 П. **Вязущий строительный материал и конструкции стен, изготавливаемых из него.** Клейн (Cementhaltig byggnadsmaterialblandning samt väggkonstruktion, framställd av sådan blandning. Klein A.) [Kalman Laboratories Inc.]. Швед. пат. 143874, 26.01.54

Вязущий строительный материал для санитарных сооружений для дезинфекции содержит биоцид — Ag-соли.

К. Г.
44099 П. **Способ уменьшения пористости известковых и силикатных материалов.** Гулдинг (Method for decreasing the porosity of calcareous and siliceous materials. Goulding Charles Edwin, Jr). Пат. США 2650173, 25.08.53

Для снижения пористости бетона, гипса, неглазурованного кирпича, черепицы, камня и подобных материалов, содержащих соединения многовалентного металла в форме, способной к ионному обмену, на него наносят р-р водорастворимой шел. соли жирной к-ты, имеющей в молекуле 11—22 С-атомов. В результате взаимодействия этой соли с соединениями многовалентного металла в порах материала образуется гель, который до своего высыхания обрабатывается водн. р-ром соли многовалентного металла. Эта соль вызывает набухание и отверждение геля, сопровождающееся образованием нерастворимого продукта. Последняя обработка продолжается до тех пор, пока не прекратится образование заметных кол-в нерастворимого продукта р-ции.

П. Г.

44100 П. Процесс изготовления искусственного мрамора с прожилками, придающими ему вид естественного камня. Монти-Шапюи, Монти-Сюдан (Procédé de fabrication de carreaux de marbre artificiel, veinés, flammés et ayant l'aspect du marbre naturel. Monti-Chapuis Auguste, Monti-Sudan Tolmino) Швейц. пат. 298077, 1.07.54 [Chem. Zbl., 1955, 126, № 28, 6595 (нем.)] Вначале 70—90% белого цемента смешивают в сухом виде с 10—30% песка кремового цвета, затворяют смесь водой и перемешивают до получения теста пластичной консистенции. Затем 90—95% белого или серого цемента смешивают с 5—10% мраморной муки и перемешивают с водой. Затем 2-я смесь заливается в 1-ую без тщательного перемешивания, после чего полученной массой наполняют формы. В целях предотвращения образования раковин формы подвергают кратковременной вибрации. Полученный материал имеет прожилки, придающие ему вид естественного мрамора. Е. Ш.

44101 П. Легкие плиты и способ их производства. Смолак, Дайр (Lightweight panel and method of manufacture. Smolak George, Dyer Edwin F.) [Johns-Manville Corp.]. Пат. США 2644781, 7.07.53

Тонкие плотные листы, содержащие хризотиласбестовые волокна и пропитанные 40—60%-ным водн. р-ром ортофосфорной к-ты, и листы, которые содержат в своем составе минерал, образующий фосфат, связываются в твердую, многослойную плиту путем прессования при повышенной т-ре. Ж. К.

44102 П. Метод изготовления искусственных строительных камней. Гросман (Verfahren zur Herstellung von harten Gegenständen für das Baugewerbe. Grossmann Armand) Швейц. пат. 298806, 2.08.54 [Chem. Zbl., 1955, 126, № 28, 6596 (нем.)] Цемент, заполнители, CaCl_2 , KOH , квасцы, CH_2O , HCl , CH_3COOH и NH_3 перемешиваются с водой до получения вязко-текучей массы, которая заливается в формы, где и затвердевает. Е. Ш.

44103 П. Гидравлическое вяжущее и способ его изготовления. Оливье, Корн, Куломбье (Procédé de préparation d'un liant hydraulique, et liants résultant de l'application de ce procédé. Olivier Roger, Corne Robert, Coulombier Roland) [Ets Polliet et Chausson]. Франц. пат. 1062148, 20.04.54 [Rev. mater. constr. et trav. publics, 1954, № 470, d42 (франц.)]

Вяжущее, состоящее из смеси цемента и синтетич. пластификатора с добавлением мелкого заполнителя и воды, дает р-ры, наносимые торкретированием на штукатурку. И. С.

44104 П. Способ изготовления легкого известкового бетона и продукт, получаемый в результате применения этого способа. Вольф (Procédé de fabrication de béton léger à la chaux et produit résultant de l'application de ce procédé. Wolf C.) Франц. пат. 1062862, 28.04.54 [Rev. mater. constr. et trav. publics, 1954, № 470, d42 (франц.)]

К шихте, употребляемой при изготовлении известкового бетона, содержащей кремнеземистое в-во, известь и алюминиевый порошок, добавляют 2—10% гипса. После гашения, формования и автоклавирования получают при заданном об. весе изделия более высокой прочности, чем в случае применения шихты без гипса. И. С.

См. также: Силикаты 42389, 42397, 42456, 42547, 42888, 42832. Стекло 42546, 42547, 42853, 45829. Рамаки: строительная 45689; фарфор, элитокерамика 42481, 42493, 45820. Вяжущие материалы 42513, 45608, 45638

ПОЛУЧЕНИЕ И РАЗДЕЛЕНИЕ ГАЗОВ

44105. Кислородные установки. Монна (酸素製造装置について. 門五兵衛), 燃料協會誌, Нэнрё кёкайси, J. Fuel Soc. Japan, 1955, 34, № 341, 547—553 (япон.; реэ. англ.)

Описано несколько типов кислородных установок, изготавливаемых в Японии, в том числе установки технологич. кислорода для металлургич. пром-сти. Рассмотрены некоторые приборы для автоматич. контроля и регулирования работы кислородных установок, применяемые в Канаде и США. Ю. П.

44106. Исследование процесса в колонне двукратной ректификации с вводом воздуха низкого давления в верхнюю колонну. Герш С. Я., Марфенин Н. В., Сб. статей Моск. высш. техн. уч-ща, 1955, 53, 47—62

Выполнен расчетный анализ процесса с вводом воздуха после расширения его в турбодетандере в верхнюю колонну. Чистота получаемого кислорода 95%. Расчеты выполнялись для давлений в верхней колонне 1,3 и 1,5 атм, изменений состава отбросного азота в пределах 94—99,5% N_2 , разности т-р в конденсаторе 2,3 и 4°. Воздух рассматривается как бинарная смесь азота и кислорода. При расчетах применена диаграмма теплосодержание — состав ($i - x$) для этой смеси. Установлено сильное влияние состава кубовой жидкости на предельное кол-во воздуха низкого давления, вводимого в верхнюю колонну: при повышении содержания кислорода в этой жидкости кол-во воздуха низкого давления быстро растет. Практически в детандере может расширяться до 30% всего воздуха с вводом расширенной части в верхнюю колонну. Повышение давления в верхней колонне сказывается отрицательно. Ю. П.

44107. Прогресс в тонкой химической очистке промышленных газов. Барбей (Fortschritte in der Feinreinigung von industriellen Gasen. Barbey O.) [Prakt. Chem., 1955, 6, № 9, 236, 238 (нем.)]

Наиболее новым и прогрессивным способом тонкой хим. очистки газов (H_2 , N_2 , Ar и др.) является каталитич. связывание примесей, в частности O_2 , как с очищаемым газом (H_2), так и внесением в поток очищ. газа (N_2 , Ar) добавок H_2 . Эффективность этого способа тонкой очистки газов обусловлена успехами в разработке высокоактивных катализаторов из редких металлов, расходуемых в незначительных кол-вах благодаря особым методам нанесения их на носитель с развитой поверхностью; связывание примесей O_2 протекает успешно при комнатной т-ре и значительных объемных скоростях. Подчеркнута роль этого метода для разработки высокочувствительных газоанализаторов. Ю. С.

44108. Способ фильтрации раствора моноэтанолamina. Гринберг П., Холодильн. техника, 1954, № 1, 67

Отработанный р-р моноэтанолamina, применявшийся при получении CO_2 и имевший конц-ию 4—5%, регенерировался посредством многократной фильтрации сквозь активированный уголь, уложенный четырьмя слоями на решетках в фильтре, представляющем собой стальной цилиндр диам. 500 мм и высотой 2000 мм. Для восстановления активности уголь подвергался регенерации путем обработки паром давл. 4 атм, а затем высушиванию. В. Ж.

44109. Экспериментальное определение теплоемкости моноэтанолamina. Чернеева Л., Холодильн. техника, 1955, № 4, 44—46

Определены уд. объем V и теплоемкость C р-ров моноэтанолamina (I) при конц-ии 8, 15 и 25%. V измерялся при т-рах от 0 до 125°, C — от 5 до 155°. Найдено, что р-ры I имеют сложную зависимость C от т-ры;

при повыш
повышае
сти.

44110.
зация
ции. П
Оль
Хим.
Опис
водства
ным гид
 C_2H_2 и э
ная паде
выспись

44111 П.
Уэбс
Web s
Co., L
et indu
Предва

воздуха
шающего
тый В ох
 CO_2 , кото
пающего

44112 П.
газовых
дымим
by reac
with wa
gesellsch
Abstrs,
Способ

содержащ
паром пр
водой (16
тированы
нительное
нефти или

44113 П.
Льюи
bon dio
land
Co.]. Па

Способ н
родосодерж
онисью Си
ным потоко
дельную зо
охлаждения
зону с пот

См. такж

ПОД

44114. С
слот и пе
при бакт
ман (T
and pept
gical exa
Water an
(англ.)

44115. О
воды. П
té uijt t
popull.,

44116. Н
производ

при повышении т-ры от 5 до 35°С понижается, а далее повышается. С не подчиняется принципу аддитивности.

А. Р.
44110. Повышение производительности и автоматизация работы ацетиленовой наполнительной станции. Шашков А. Н., Стрижевский И. Н., Ольковский В. Ф., Матвеев Н. Н., Хим. пром-сть, 1955, № 4, 30—35

Описана автоматизированная установка для производства C_2H_2 с мембранным двигателем и дистанционным гидравлич. управлением питателя генератора C_2H_2 и электродвигателя компрессора; эксплуатационная надежность и безопасность такой установки повысилась.

З. М.

44111 П. Разделение воздуха методом его сжижения. Уэбстер (Séparation de l'air par liquéfaction. Webster Thomas J.) [The British Oxygen Co., Ltd]. Франц. пат. 1078971, 24.11.54 [Chimie et industrie, 1955, 74, № 6, 1200 (франц.)]

Предварительно осуществляется удаление CO_2 из воздуха (В) до остаточного содержания, не превышающего 0,01 %, и сжатие В до 40 кг/см². Затем сжатый В охлаждается с выделением в твердом состоянии CO_2 , которая отделяется также от жидкого В, поступающего в ректификационную колонну.

Ю. П.
44112 П. Производство водорода взаимодействием газовых смесей, содержащих окись углерода, с водяным паром. Бейер (Production of hydrogen by reacting carbon monoxide-containing gas mixtures with water vapour. Bayer Richard) [Metallgesellschaft A.-G.]. Англ. пат. 718796, 17.11.54 [Chem. Abstrs, 1955, 49, № 4, 2710 (англ.)]

Способ получения H_2 каталитич. конверсией газов, содержащих CO , состоит в насыщении их водяным паром при взаимодействии с циркулирующей горячей водой (160—170°). Воду нагревают горячим конвертированным газом, в который ее инжектируют. Дополнительное кол-во тепла получают сжиганием газа или нефти или использованием отходящего тепла.

Г. Р.
44113 П. Производство чистой двуокиси углерода. Льюис, Гиллиленд (Production of pure carbon dioxide. Lewis Warren K., Gilliland Edwin R.) [Standard Oil Development Co.]. Пат. США 2665972, 12.01.54

Способ получения чистой CO_2 взаимодействием углеводородсодержащих в-в (при 400—1000°) с дисперсной окисью Cu , вдуваемой в реакционную зону ответвлениям потоком CO_2 . Восстановленная Cu отводится в отдельную зону для окисления воздухом с последующим охлаждением, очисткой и поступлением в реакционную зону с потоком CO_2 .

Г. Р.

См. также: 42543, 42596

ПОДГОТОВКА ВОДЫ. СТОЧНЫЕ ВОДЫ

44114. Стандартизация и выбор солей желчных кислот и пептона для культуральных сред, используемых при бактериологических исследованиях воды. Берман (The standardisation and selection of bile salts and peptone for culture media used in the bacteriological examination of water. Burman N. P.), Water and Water Engng, 1953, 59, № 710, 154—156 (англ.)

44115. О бактериологическом исследовании питьевой воды. Цилька (Mbi ekzaminimin bakteriologjik të ujit të pijshëm. Cilkа Stefan), Shëndetësia popul., 1954, № 3, 22—25 (алб.)

44116. Новая проба для определения токсичности производственных сточных вод. Андерсон

(Proposed toxicity test for industrial wastes. Anderson Alfred W.), Sewage and Industr. Wastes, 1953, 25, № 12, 1450—1451. (англ.)

С целью стандартизации определения токсичности производственных сточных вод (ПСВ) при помощи рыбной пробы предлагается установить миним. летальную дозу только для пяти видов рыб: *Lepomis microlophus*, *Lepomis humilis*, *Lepomis macrochirus*, *Huro salmoides*, *Chaenobryttus coronaris*. Перед добавлением исследуемых СВ подопытная рыба акклиматизируется в аквариуме в течение 24 час. Наблюдение считается законченным, если за первые сутки после начала эксперимента ни одна рыба не погибла. Проба имеет своей задачей выяснить предельно допустимую конц-ию токсичных примесей исследуемых ПСВ в самом водоеме.

Л. Д.-Д.

44117. Условия, при которых возможна биохимическая очистка сточных вод. Соьер, Фрейм, Уолд (Revised concepts on biological treatment. Sawyer Clair N., Frame John D., Wold John P.), Sewage and Industr. Wastes, 1955, 27, № 8, 929—938 (англ.)

Экспериментальная проверка условий, при которых возможна биохим. очистка промышленных сточных вод (СВ) с применением активного ила (АИ), показала следующее. Изменение т-ры дважды в сутки с 10 до 30° не снижает качества АИ и только изменяет скорость окислительных процессов. Биохим. очистка под действием АИ может протекать в широких пределах рН, тесно связанных, однако, с т-рой: при 30° процесс идет нормально при рН в пределах от 5 до 11; при 20° он останавливается при рН > 10; при 10° рН не должен подниматься > 9. Поэтому соблюдение оптимальной величины рН (7—8) особенно важно в зимнее время. Ни при каких условиях рН не должен падать < 5 (такой случай возможен при биохим. очистке сульфитных СВ вследствие окисления SO_3^{2-} в SO_4^{2-}). Прекращение питания АИ СВ может длиться до 3 недель, но аэрация АИ при этом не должна прерываться. С возобновлением подачи СВ эффективность АИ восстанавливается до прежнего уровня в течение 2—5 суток.

Н. В.

44118. Контроль за эффективностью работы биохимических очистных сооружений, основанный на определении окислительного потенциала. Нусбергер (Application of oxidation-reduction potentials to the control of sewage treatment processes. Nusberger Frederick E.), Sewage and Industr. Wastes, 1953, 25, № 9, 1003—1014 (англ.)

Определение окислительного потенциала (ОП) позволяет установить степень окисления органич. примесей, адсорбированных биоценозом активного ила (АИ) аэротенка. Вследствие быстроты этого определения легко своевременно диагностировать «заболевания» АИ. Определение ОП проводилось с применением каномельного и платинового электродов с интервалами в 6, 12 и 15 мин. Разработанный метод позволяет наблюдать также за эффективностью работы вторичных отстойников.

Л. Д.-Д.

44119. Метанол и ацетон как факторы промышленного загрязнения водоемов. Назаренко И. В., Гигиена и санитария, 1955, № 12, 42—43

Экспериментально установлено, что вода приобретает специфич. запах при конц-ии в ней CH_3OH 30—50 мг/л, конц-ии $CH_3-CO-CH_3$ 40—70 мг/л. При биохим. окислении происходит поглощение растворенного O_2 на 1 мг: метанола 0,85—1,05 мг, ацетона 1,1—1,8 мг. В конц-ии ≤ 20 мг/л эти соединения почти не задерживают процесса нитрификации. Они не влияют на выживаемость рыб и дафний в конц-ии до 500 мг/л и протококковых водорослей — до 50 мг/л. Сброс

этих соединений в водоем должен лимитироваться возможностью нарушения его кислородного режима.

Н. В.

44120. Гигиенический подход при даче заключения о выборе источников водоснабжения. Кнорр (Die Praxis der hygienischen Überwachung und Begutachtung der Trinkwasserversorgung. Knorr Maximilian), Zbl. Bakteriол. Parasitenkunde, Infektionskrankh. und Hyg., 1953, 160, № 1/5, 1—6, 74—79

44121. Обработка воды реки Северн. Сабидо (Some aspects of treatment of Severn water. Sabido J. H.), J. Instn Water Engrs, 1954, 8, № 6, 453—482 (англ.)

Исследовалась возможность повышения эффективности и экономичности процессов обезжелезивания, осветления и обеззараживания воды р. Северн, цветность которой колеблется в пределах 10—300°, мутность — в пределах 0,4—210 мг/л. Установлено, что обеззараживание воды путем перхлорирования достигается при остаточной концентрации Cl_2 (после сооружений) в пределах 0,2—0,25 мг/л. Хлорирование следует вести при pH 7,4—7,7, так как при этих условиях Cl_2 не придает воде заметного запаха. Введение в воду при коагуляции $\text{Al}_2(\text{SO}_4)_3$, активированной кремнекислоты (АК) или алюмината Na (5 мг/л) повышает эффект осветления и обезжелезивания воды. Алюминат Na давал лучшие результаты в период высокой цветности воды, АК — в период высокой мутности воды. АК устойчива при концентрации SiO_2 в р-ре $\leq 1,5\%$. АК получалась нейтральной р-ра Na_2SiO_3 р-ром NaHCO_3 или пропуском через него газообразного хлора.

В. К.

44122. Некоторые закономерности процесса удаления органических примесей природных вод путем коагуляции. Мартынова О. П. В сб.: Вопросы проектирования и эксплуатации водоподготовки установок на тепловых электростанциях. М.-Л., Госэнергоиздат, 1955, 55—63

Приводятся результаты исследований по коагуляции органич. примесей природных вод. Скорость гидролиза коагуляторов зависит от их концентрации, т-ры, pH и концентрации сульфат-ионов; при pH > 6,5 и т-ре $\geq 20^\circ$ процесс практически заканчивается за 5—8 мин. При pH < 7,5 в результате гидролиза $\text{Al}_2(\text{SO}_4)_3$ наряду с гидроокисью образуется ряд труднорастворимых основных солей, форма которых является функцией pH. При заданном значении pH в условиях равновесия потребная доза $\text{Al}_2(\text{SO}_4)_3$ a может быть вычислена из ур-ния: $\text{pH} = 6,37 - \lg\{c + (2 - 0,01p)a\} / [b - (2 - 0,01p)a]$, где c — конц-ия свободной CO_2 , b — конц-ия HCO_3^- в воде и p — % гидролиза коагулятора. Миним. время хлопьеобразования лежит в области pH 6—7; процесс при этом заканчивается за 8—10 мин.; отклонение от этой области хотя бы на 10% увеличивает это время до ≥ 20 мин. Состояние гуминового органич. комплекса является функцией pH и катионного состава воды и может регулироваться соответственно либо подкислением, либо подщелачиванием; проводится ф-ла для подсчета необходимого кол-ва к-ты или щелочи. Подщелачивание NaOH или Na_2CO_3 приводит к переводу гуминового комплекса в растворимое состояние и затрудняет его удаление коагуляцией.

О. М.

44123. Отделение грубодисперсных примесей воды. Макрле, Тессаржик, Макрле (Odstránování suspendovaných látek z kapaliny průtokem povrchovým prostředím. Mackrle V., Tesářík J., Mackrle S.), Vodní hospodářství, 1955, 5, № 7—7a, 246—250 (чеш.)

Анализ процессов, происходящих при фильтровании воды через пористый слой и при коагуляции грубодисперсных и колл. примесей, показывает, что об-

разовавшиеся при коагуляции хлопья находятся под действием чисто механич., а не электр. сил, и что эффект очистки зависит только от кол-ва хлопьев, ведущих себя подобно обычному пористому фильтру.

З. Б.

44124. Использование железного лома для обработки воды. Бейкер (Rotterdam uses old iron in water treatment. Bijker J. J. B.), Municip. J., 1955, 63, № 3247, 1285—1287 (англ.)

Дано описание станции водоочистки Роттердамского водопровода производительностью 3600 м³/ч. На станции для получения р-ра FeCl_3 используется железный лом, который обрабатывается конц. р-ром Cl_2 . При этом получается р-р FeCl_3 с конц-ией $\text{Fe} \sim 1\text{—}2$ г/л, имеющий pH ~ 2 . Дозирование р-ра FeCl_3 производится посредством водомера.

А. С.

44125. «Жидкий» сульфат алюминия. Лурье (Liquid alum. Lurie David), Amer. City, 1955, 70, № 10, 108—109 (англ.)

Применение 49%-ного р-ра $\text{Al}_2(\text{SO}_4)_3$ для очистки воды более экономично, чем сухого; затраты на установку дополнительного оборудования могут быть покрыты в течение 2—3 лет.

Г. Р.

44126. Обеззараживание питьевой воды хлором с медным купоросом. Макарова О. В., Тр. Харьковск. мед. ин-та, 1955, № 35, 168—170

Испытывался способ обеззараживания воды совместным действием Cl_2 и CuSO_4 , при этом получен лучший эффект, чем при действии каждого из этих реагентов в отдельности. При совместном действии возможно довести конц-ию остаточного Cl_2 до миним. величины, исключающей неприятный вкус и запах, так как бактерицидное действие Cu^{2+} продолжается неопределенно долгое время. При вторичном загрязнении воды в сети наличие Cu^{2+} обеспечивает обеззараживание. Конц-ия Cu^{2+} , применяемая при совместном действии с Cl_2 , не превышает норм, допустимых ГОСТом (3 мг/л Cu).

Н. В.

44127. О применении экспериментально-биологического метода в практике обеззараживания воды хлором. Севбо П. С., Тр. Ленингр. сан.-гигиен. мед. ин-та, 1953, 11, 32—35

44128. Проектирование и эксплуатация хлораторных установок в нормальных и аварийных условиях. Введение. Медберри. Практические основы проектирования. Санчье. Вопросы эксплуатации. Аллен. Аварийное снабжение хлором. Шера (Design and operation of chlorination stations under normal and emergency conditions. Introduction. Medbery H. C. Practical design factors. Sanchez Joseph M. Operating problems. Allen E. Jerry. Emergency chlorine supplies. Shera Brian L.), J. Amer. Water Works Assoc., 1954, 46, № 9, 869, 870—883, 883—886, 886—893 (англ.)

44129. Сравнительное исследование обеззараживающих свойств препаратов серебра. Рейнфурт (Vergleichende Untersuchungen mit Silberpräparaten. Rheinforth Helmut), Zbl. Bakteriол. Parasitenkunde, Infektionskrankh. und Hyg. I. Abt.-Orig., 1955, 164, № 1-5, 237—239 (нем.)

Исследованы способы обеззараживания питьевой воды путем непосредственного введения в нее препаратов серебра (ПС) (р-р AgNO_3 , препарат «Микропур», препарат «Мовидин») и фильтрования ее через насадку, покрытую ПС. Все исследованные способы обеззараживания воды по надежности и универсальности действия уступают общепринятому методу ее хлорирования.

Ю. Б.

44130. Обезжелезивание воды. Лане (La déferisation des eaux. Lapaix M.-A.), Eau, 1955, 42, № 5, 89—98 (франц.)

Дана
ществую
средства
применя
44131.

ванног
пасног
safety
roth
1953,
1955, 1

44132.
лтон
top
1955, 1

На фи
(США) с
установк
из двух
и дозиру
установл
перед то
18 м от
воды до
автомати
от задани
чему кр
44133.

кер б
j k e r
1137 (г

44134.

натрия
к крити
ты но
энергет
Привед
определе
при окол
от измен
тепловог
кисления
тепловог
растворим
180 атм
получени
следует, ч
куляции
яется. С
ность циф
валиции т
высоких п
существен
ственно м
необходим
содержани
(~50—75
дулевой к
трирован
ное повыш
ше из р-р
тов Na.

44135. Э
(Un proc
teurs.—)
Для пре
охлаждаю
а также д
дугея в
рубашку ц
за-трубоч
спатрубок
шисся гал

Дана характеристика железистых вод и описаны существующие методы их обезжелезнения. В качестве средства борьбы с железобактериями рекомендуются применение Cl_2 . А. С.

44131. Фторидирование водных источников организованного водоснабжения. Эффективность и безопасность процесса. Хейрот (Effectiveness and safety of fluoridation of public water supplies. Heyroth Francis F.), Industr. and Engng Chem., 1953, 45, № 10, 2369—2370 (англ.)

44132. Автоматизация фторидирования воды. Ноултон (Fluoridation by automatic control. Knowlton Kenneth F.), Water and Sewage Works, 1953, 102, № 2, 58—62 (англ.)

На фильтровальной станции Беверли, Массачусетс (США) с 1953 г. эксплуатируется автоматизированная установка фторидирования воды. Установка состоит из двух ячеек для определения электропроводности и дозирующего крана с пневмоприводом. 1-я ячейка установлена на трубопроводе фильтрованной воды перед точкой ввода Na_2SiF_6 , 2-я — на расстоянии 18 м от нее. Разность величин электропроводности воды до и после введения Na_2SiF_6 (в дозах 1 мг/л F) автоматически регистрируется и при отклонении ее от заданной величины передается импульс к дозирующему крану. Точность определения ~10%. В. К.

44133. Вода для питания паровых котлов. Сёйкербуйк (Ketelvoedingwater en ketelwater. Suijkerbuijk F. J.), Zuivel, 1955, 61, № 52, 1136—1137 (голл.)

44134. Некоторые данные о растворимости фосфата натрия в котловой воде при температурах, близких к критической. Стирикович М. А., Мартынова О. П., Резников М. П., Теплоэнергетика, 1955, № 11, 41—44

Приведено описание методики опытов и результаты определения растворимости Na_3PO_4 в котловой воде при околокритич. т-рах и давлениях в зависимости от изменения гидродинамич. факторов и величины теплового потока. Опыты выполнялись в условиях кипения воды. р-ра в большом объеме при величине теплового потока порядка 40 000 ккал/м²час. При этом растворимость Na_3PO_4 снижается с 650 мг/кг при 180 атм до 160 мг/кг при 216 атм. Из сопоставления полученных данных с данными других исследователей следует, что в условиях нарушения нормальной циркуляции растворимость Na_3PO_4 значительно понижается. Однако можно предположить, что интенсивность циркуляции приобретает значение только при наличии теплового потока. На реальных котлах сверхвысоких параметров ($p = 186 \text{ кг/см}^2$) тепловые потоки существенно больше, а кратности циркуляции существенно меньше, чем в проведенных опытах. Поэтому необходимо обеспечить достаточный запас допустимого содержания PO_4^{3-} в котловой воде соленого отсека (~50—75 мг/кг). Эти значения получены для режима нулевой гидратной щелочности. В процессе концентрирования воды. р-ра Na_3PO_4 отмечается значительное повышение щелочности, что указывает на выпадение из р-ра (при исследованных т-рах) кислых фосфатов Na. О. М.

44135. Электрохимический способ удаления накипи. — (Un procédé electro-chimique de détartrage des moteurs.—), Auto-volt, 1955, № 231, 30 (франц.)

Для предотвращения накипобразования на стенках охлаждающей водяной рубашки цилиндров моторов, а также для предохранения ее от коррозии рекомендуется в трубки, соединяющие чугунную водяную рубашку цилиндров с латунным радиатором, помещать Zn-трубочки (протекторы), которые соприкасаются и спаян с радиатором и с водяной рубашкой. Создающийся гальванич. ток способствует осаждению на-

ходящихся в воде колл. примесей и выделению на них накипобразователей. Расход в 50 г Zn за 4 года обеспечивает полное отсутствие накипи и коррозии водяной рубашки. Я. М.

44136. Очистка воды активным углем. Хелбиг (Water purification with activated carbons. Helbig W. A.), Plating, 1955, 42, № 8, 1044—1045 (англ.)

Применение воды, содержащей органич. примесь, для приготовления электролитич. ванн цехов гальванизации покрытий является одной из основных причин брака. Воду для указанных надобностей рекомендуется обрабатывать активным углем (АУ). Применение АУ рекомендуется также для предварительной обработки сточных вод (СВ) тех же цехов с целью удаления из них органич. загрязнений, так как наличие последних препятствует очистке СВ методом ионирования, вызывая дезактивацию ионитов. А. С.

44137. Потребность в чистой воде для бытового и промышленного водоснабжения. Смит (Clean water and what it means to the public and industry. Smith L. H.), J. Amer. Oil Chemists' Soc., 1955, 32, № 4, 32—33 (англ.)

Громадный рост бытового и промышленного водопотребления связан с увеличением сброса сточных вод и загрязнением водоемов. Автор указывает на необходимость принимать все меры для борьбы с загрязнением рек, очищать промышленные и бытовые сточные воды и ограничивать их сброс. Л. М.

44138. Сточные воды фильтровальных установок и бассейнов для коагуляции. Дин (Disposal of wastes from filter plants and coagulation basins. Dean John B.), J. Amer. Water Works Assoc., 1953, 45, № 11, 1226—1237 (англ.)

44139. Новый тип станции очистки сточных вод. Питман (Model waste-disposal plant. Pitman Frank), Food Engng, 1953, 25, № 11, 67—68 (англ.)

Описана работа станции, осуществляющей термофильное брожение твердой фазы сточных вод (СВ). Станция принимает бытовые СВ и СВ пивоваренного з-да. Перед поступлением в метантэнк твердая фаза СВ выделяется флотацией. Брожение проводится при 50°. При бактериологич. исследовании микрофлоры были выделены 2 штамма грамтрикатальных палочек, разлагающих жиры и продуцирующих метан. Применение термофильного брожения позволило в 3 раза увеличить пропускную способность метантэнка. Высокая т-ра брожения не оказала отрицательного влияния на удобрительные свойства сброженной твердой фазы. Л. Д.-Д.

44140. Методы очистки и утилизации сточных вод в США. — (Sewage disposal in USA.—), Municip. Engng, 1953, 130, № 3322, 1216—1218 (англ.)

44141. Опыт работы подпочвенных песчаных фильтров. Сальвато (Experience with subsurface sand filters. Salvato J. A., Jr), Sewage and Industr. Wastes, 1955, 27, № 8, 909—916 (англ.)

Подпочвенные песчаные фильтры применяются в отдельных учреждениях или жилых домах в тех случаях, когда их сточные воды (СВ) не могут быть присоединены к центральной канализационной системе. Около 1500 таких фильтров установлено и работает ~5 лет в округе Эри (Нью-Йорк). СВ по канализационной трубе поступают в септиктэнк, откуда через распределительную коробку и распределители на фильтрующий слой, далее в резервуар для хлорирования, после чего сбрасываются в водоемы, сооруженные и размещенные с уклоном для передвижения воды самотеком. Песчаный фильтрующий слой сверху покрыт гравием и почвой. Диаметр зерен песка на обследованных фильтрах 0,23—0,36 мм, коэфф. однородности 2,6—6,1, скорость фильтрования 47 л/сутки на 1 м² площади

фильтра. Средние данные из ~50 анализов воды, взятой после фильтров, показывают снижение общего числа бактерий на 99,5%, БПК — на 97%, грубодисперсных примесей — на 88%, NH_3 — на 94%; конечная нитратов повышается с 0,12 до 17 мг/л, растворенного O_2 — с 0 до 5,2 мг/л. После хлорирования (контакт 15 мин., конц-ия остаточного Cl_2 0,3—2 мг/л) вода содержит <120 бактерий в 1 мл и <3 *B. Coli* в 100 мл. При правильном уходе и очистке фильтры работают бесперебойно. В течение 5 лет наблюдения из 1500 фильтров только 9 давали просоки.

Н. В. 44142. Вопросы безопасности на небольших установках для очистки сточных вод. Феррелл (The small treatment plant, too, can be made non-hazardous. Ferrell James K.), Wastes Engng, 1953, 24, № 6, 299—300 (англ.)

44143. Проектирование и строительство очистных сооружений для небольших населенных пунктов (от 500 до 10 000 жителей). Андерсон (Design and construction of small sewage-treatment plants. Anderson Roderick V.), Municip. Utilities, 1953, 91, № 11, 47—48, 60—74 (англ.)

44144. Определение окислительного потенциала для контроля работы станции очистки сточных вод в Сен-Дье. Фуш (A Saint-Dié: une station asservie au potentiel d'oxydo-réduction. Fouché Emmanuel), Eau, 1955, 42, № 2, 33—37 (франц.) Описание станции очистки сточных вод (СВ), главной особенностью которой является применение для контроля работы станции непрерывного измерения окислительного потенциала СВ. Контроль производится автоматически посредством самонищущего регистрационного аппарата.

А. С. 44145. Работа станции очистки сточных вод в Болстоне в условиях перегрузки. Болл (Operation of inadequate facilities at Ballston Spa, N. Y. Ball William J.), Sewage and Industr. Wastes, 1953, 25, № 11, 1345—1351 (англ.)

44146. Протозоа как показатели эффективности очистки жидкой фазы сточных вод в аэротанке. Бейне, Хокс, Хьюнтт, Дженкинс (Protozoa as indicators in activated sludge treatment. Baines S., Hawkes H. A., Hewitt C. H., Jenkins S. H.), Sewage and Industr. Wastes, 1953, 25, № 9, 1023—1033 (англ.)

44147. Удаление синтетических детергентов. Пилпел (Disposal of synthetic detergents. Pilpel N.), Research, 1955, 8, № 2, 62—69 (англ.)

Возрастающее применение синтетич. детергентов (СД) затрудняет очистку сточных вод (СВ) и вредно отражается на жизни водоема. При биохим. очистке СД мешают регенерации активного ила и замедляют очистку. Найдено, что 5—100 мг/л анионоактивного или неиононых СД не действуют на скорость окисления. Катионоактивные СД даже в конц-ии 0,01 мг/л тормозят развитие микроорганизмов. СД уменьшают поверхностное натяжение и повышают устойчивость пены, которая тормозит процесс биохим. очистки. Для уменьшения вспенивания предлагаются различные пеногасители, напр. октиловый спирт.

Л. М. 44148. Рост применения синтетических детергентов и влияние наличия их в бытовых сточных водах на их биохимическую очистку. Ле-Стра (Développement de l'utilisation des produits détersifs modernes et répercussion sur le traitement des eaux d'égout. Le Strat A.), Techn. sanit. et municip., 1953, 48, № 10, 171—177 (франц.)

44149. Влияние детергентов на процессы биохимического окисления жидкой фазы сточных вод. (Detergents and their effect on biological oxidation. Experiments at Halifax Corporation sewage works.—), Surveyor, 1953, 112, № 3224, 893—894 (англ.)

44150. Обработка осадков бытовых сточных вод. Бладгуд (Disposal of sewage sludge. Bloodgood Don E.), Water and Sewage Works, 1955, 102, № 1, 44—46 (англ.)

Осадок (О) первичных отстойников для лучшего обезвоживания на вакуум-фильтрах подвергают коагуляции $\text{Ca}(\text{OH})_2$, FeCl_3 , $\text{Fe}_2(\text{SO}_4)_3$ или $\text{Al}_2(\text{SO}_4)_3$. Обрабатываемый кек сжигают. Сухой остаток О 2—6%. О может быть подсушен на иловых площадках; при этом получается кек с влажностью 55—70%; его досушивают до 10% влажности в горячих осушителях и используют в качестве удобрения. Избыточный активный ил (АИ) для лучшего обезвоживания направляют в первичный отстойник. АИ, обезвоженный на вакуум-фильтре с предварительной добавкой коагулянта (лучше всего FeCl_3), может быть использован в качестве удобрения. Удобрение из АИ содержит 0,14—2,1% Р, 0,2—5,5% N и 0,02—0,26% К при влажности 70—6,4%.

Л. М. 44151. Применение шеточных валиков для аэрации сточных вод при их биохимической очистке. Кессенер (Betriebsweisen der Lüftung mit Bürstenwalzen bei der Abwasserreinigung mit belebtem Schlamm. Kessener H.), Gesundh.-Ingr, 1954, 75, № 1/2, 12—14 (нем.)

44152. Борьба с запахами на очистной станции. Лесли (Controlling sewage plant odors. Leslie John N.), Public Works, 1955, 86, № 6, 124—126, 128 (англ.)

На станции очистки сточных вод (СВ) г. Солсбери за последние годы наблюдалось появление сильных запахов. Запах был обусловлен спуском СВ текстильной ф-ки, содержащих сернистые красители. СВ ф-ки до присоединения их к городской канализации подвергают коагуляции (К) сульфатом Al , причем из СВ выделяется H_2S . Опыты показали, что при pH 7 коагулирующего H_2S сравнительно невелико и К проходит достаточно удовлетворительно. При снижении pH до 6,6 наблюдается появление сильного сероводородного запаха. При повышении же pH до 7,2 К ухудшается. Так как при существующем на станции оборудовании добиться постоянного значения pH СВ было невозможно, для борьбы с запахом была применена эмульсия о-дихлорбензола, добавляемая в СВ в небольших дозах постоянно, а при возникновении сильных запахов — в повышенных дозах.

С. С. 44153. Опыты по очистке газовой воды. Клиффорд, Рис (Midland Branch. Further experimental work on gas liquor treatment. Clifford A. J., Rees J. T.), J. and Proc. Inst. Sewage Purific., 1953, № 1, 37—41 (англ.)

Дан анализ работы биофильтров (Б) по доочистке обезвоженной газовой воды на станции Суон-Виллидж. Настоящие опыты являются продолжением ранее проведенных на станции в Рей-Холле по очистке необесфеноленной газовой воды (J. and Proc. Inst. Sewage Purific., 1949, 4, 458). В процессе опытов установлена максим. нагрузка на Б, равная 590 л/м³ сооружения в сутки. На Б подавалась бытовая сточная вода (СВ) с содержанием 0,43% газовой воды: поглощение кислорода за 4 часа смешанным стоком 7000 мг/л. На станции в Рей-Холле при очистке бытовой СВ в смеси с сырой газовой водой на Б рециркуляцией (20:1) достигнута нагрузка, равная 35 л/м³ сооружения в сутки газовой воды и 470 л/м³ сооружения в сутки бытовой СВ. Конц-ия примесей в результате фильтрования снижается на 75—80%. Во избежание заиливания нагрузка Б заменена более крупной (диам. ~ 6 см) из гранитного щебня. При подаче газовой воды на Б наблюдалось вспенивание. Для предотвращения газавая вода подавалась на Б вместе с рециркулирующей водой.

основн
нефтеп
удален
отстойн
При ви
феноло
сульфи
ренной
200 мг/
в конц-
ного пл
всех эт
ила сн
условия
окислен
превосх
частичн
наблюд

44155.

ничин
the fo
gla s
(англ.)

В дву
уголь с
лезного
руднич
свойств
объясне
= 4Fe
течение
рий, нах
пластов,
не сбав
обычно
лпчных

44156.

покры
neutra
Iron A
Описа

ная уста
гальвани
соединен
~40 м³
и перем
Доэров
окислите
автомати
в случае
ные СВ

44157.

ности.
viscos
Industr

Степен
вискозн
обуслов
и от мес
располо
очистки
является
хлориро
СВ и вы
пруда пл
и отстан

44154. Обработка промышленных сточных вод в Онтарио, Канада. Де-Лапорт (Waste treatment in Ontario province. De La porte A. V.), Water and Sewage Works, 1955, 102, № 8, 309—312 (англ.)
 Описание работы станции очистки сточных вод (СВ), основными примесями которых являются фенолы и нефтепродукты. СВ проходит через отстойник (для удаления нефти), затем через азотенк и вторичный отстойник, после чего спускается в р. Св. Клары. При нормальных условиях работы станции конц-я фенолов снижается на 95%, и полностью удаляются сульфиды. Присутствие в воде (по отдельности) растворенной или эмульгированной нефти в конц-ии 150—200 мг/л, фенола в конц-ии до 200 мг/л или сульфидов в конц-ии до 250 мг/л не является вредным для активного ила. В случае одновременного присутствия в СВ всех этих примесей в указанных конц-иях активность ила снижается, но при возвращении к нормальным условиям она восстанавливается. Найдено, что для окисления 1 г фенола потребно 20 г O_2 ; это значительно превосходит теоретически потребное его кол-во. Нефть частично окисляется активным илом, но при этом наблюдается заметный вынос последнего. С. С.

44155. Влияние бактерий на образование кислых рудничных вод. Ашмид (The influence of bacteria in the formation of acid mine waters. Ashmead Douglas I. a. s.), Colliery Guard, 1955, 190, № 4918, 694—698 (англ.)

В двух рудниках Шотландии, в которых добывается уголь с большим содержанием свободной серы и железного колчедана, наблюдалось образование кислых рудничных вод, обладающих сильными коррозионными свойствами. Образование кислых вод может быть объяснено следующей р-цией: $4FeS_2 + 15O_2 + 14H_2O = 4Fe(OH)_2 + 8H_2SO_4$. Исследования показали, что течение этой р-ции обусловлено присутствием бактерий, находящихся на рабочей поверхности угольных пластов. Были выделены *Thiobacillus thio-oxidans*, но не обнаружены *ferro-oxidans*, с наличием которых обычно связывают процессы образования кислых рудничных вод. С. С.

44156. Очистка сточных вод цехов гальванических покрытий. Паттон (Dual disposal system fully neutralizes plating wastes. Patton W. G.), Iron Age, 1955, 175, № 18, 102—104 (англ.)

Описана действующая в Детройте автоматизированная установка для очистки сточных вод (СВ) от цехов гальванич. покрытий. СВ подаются в 3 последовательно соединенных резервуара с механ. мешалками емк. ~40 м³ каждый. В 1-м и 2-м жидкость накапливается и перемешивается, в 3-м подвергается хлорированию. Дозировка Cl_2 контролируется путем определения окислительного потенциала жидкости. pH жидкости автоматически поддерживается в пределах 8,5—10; в случае надобности добавляется каустик. Обезвреженные СВ сбрасываются в городскую канализацию. Н. В.

44157. Обработка сточных вод вискозной промышленности. Элдридж (Treatment of wastes from viscose processes. Eldridge W. J.), Sewage and Industr. Wastes, 1955, 27, № 9, 1027—1031 (англ.)

Степень необходимой очистки сточных вод (СВ) вискозной пром-сти зависит как от их загрязненности, обусловленной характером технологич. процесса, так и от места расположения предприятия (П). Для П, расположенных на крупных водотоках, необходимость очистки СВ отпадает. Для некоторых П достаточной является нейтр-ция к-т, для других — снижение БПК хлорированием СВ в щел. среде. Для ускорения СВ и выпуска их в водоем при одном П устроены два пруда площадью 7,8 га, в которых вода усредняется и отстаивается перед сбросом в водоем. В эти же пруды

подаются СВ от гидрозолоудаления и бытовые СВ после их предварительной очистки. Л. М.

44158. Примеси сточных вод пивоваренных заводов, влияющие на величину БПК. Хейл (Sources of B. O. D. in brewery wastes. Hale Fred), Sewage and Industr. Wastes, 1953, 25, № 10, 1187—1190 (англ.)

44159. Проблемы водоснабжения и очистки сточных вод сахарной промышленности. Придаль (Jak řešiti problém odpadních vod a nedostatku provozní vody v cukrovarech. Přidal Fr.), Listy cukrovarn., 1954, 70, № 9, 193—198 (чеш.)

Описаны способы и устройства для очистки сточных вод (СВ) сахарных заводов. Использование очищ. СВ дает большую экономию в расходовании чистой воды. Наилучший эффект дает раздельная очистка разных СВ. Конденсационные СВ обрабатывают хлорной известью и $CuSO_4$ или $CuCl_2$. Промыльные воды, в основном содержащие грубодисперсные примеси, очищают отстаиванием с добавкой извести. Наиболее сложна очистка СВ с диффузорами. Рекомендуется нагревание их до 60—70°, а также обработка Cl_2 или H_2CO_3 . Дана схема автоматич. установки для их очистки. При повторном использовании этих СВ может наблюдаться вспенивание, коррозия, снижение скорости диффузии и повышение выхода мелассы. СВ, содержащие загнивающие продукты, очищают биохим. способами. С. Я.

44160 К. Забота о чистоте вод. Сборник № 4. Петру (Pěče o čistotu vod. 4 díl. Sborník. Petru Adolf a.), Praha, SNTL, 1955, 307, [3] s., il., 24, 10 Kčs (чеш.)

44161 П. Способ увеличения дебита скважин. Малладни (Method for increasing flow of wells. Mul-lady Daniel J.). Канад. пат. 500608, 16.03.54

Для увеличения дебита скважин (в том числе и нефтяных) рекомендуется введение в них HF и аммонийных солей (NH_4NO_2 или NH_4NO_3); последние берут в кол-ве 18—45 кг на 360—540 л 60%-ной HF. А. С.

44162 П. Устройство для хлорирования воды в трубопроводах, резервуарах и т. п. (Einrichtung zum Chloren von Wasser in Leitungen, Behältern u. dgl.) [Installations-Unternehmung]. Австр. пат. 176804, 25.11.53 [Chem. Abstrs, 1954, 48, № 2, 918 (нем.)]

Устройство для хлорирования водопроводной воды с целью ее обеззараживания отличается наличием распределительного клапана (степень открытия зависит от уровня воды), через который р-р Cl_2 вводится по каплям в водопроводную трубу, и вакуумного насоса для создания давления ниже атмосферного. А. С.

44163 П. Способ обработки воды, содержащей бикарбонат кальция. Мюллер (Verfahren zur Behandlung von calciumbicarbonathaltigem Wasser. Müller Kurt) [Joh. A. Benckiser G. m. b. H., Chemische Fabrik]. Пат. ФРГ 893926, 19.10.53 [Chem. Zbl., 1954, 125, № 21, 4691 (нем.)]

К охлаждающей воде, содержащей бикарбонат Ca , рекомендуется добавлять циклич. поликарбонатные к-ты (или их производные и соли), или к-ты, получаемые окислением графита или других углей, также как меллитовая, гемимеллитовая и графитовая. Указанные к-ты добавляют в кол-вах, значительно меньших стехиометрических. А. С.

44164 П. Метод кондиционирования воды. Гандерсон (Method for conditioning water. Gander-son Lewis O.) [Dearborn Chemical Co.]. Канад. пат. 507962, 7.12.54

Для устранения вспенивания воды при кипении в ней суспандируют продукт, являющийся полиэтиленполи-

амином, в котором обе первичные аминогруппы ацилированы карбоновой к-той, содержащей $\geq 12-16$ атомов С, и по крайней мере одна вторичная аминогруппа ацилирована карбоновой к-той, содержащей 2—10 атомов С. Для той же цели может применяться триэтилтетрамин, обе первичные аминогруппы которого ацилированы стеариновой к-той, и по крайней мере одна вторичная аминогруппа — уксусной к-той.

А. С.

44165 П. Способ и устройство для химического обессоливания воды (Verfahren und Einrichtung zur chemischen Entsalzung von Wasser) [A.-G. Brown, Boveri et Cie]. Швейц. пат. 293127, 1.12.53 [Chem. Abstrs, 1954, 48, № 11, 6628 (англ.)]

Обессоливание воды производится в одном смешанном катионно-анионитном фильтре. Для регенерации катионит (К) и анионит (А) отделяют друг от друга продувкой воздухом при заполненном водой фильтре. К как более тяжелый опускается вниз, А образует верхний слой. Регенерация производится сначала пропуском р-ра щелочи сверху вниз через весь слой фильтра. Затем пропускают р-р к-ты только через слой К. После отмывки водой К и А перемешивают продувкой воздухом.

А. С.

44166 П. Способ обработки питательной воды котлов. Штумп (Verfahren zur Behandlung von Kesselspeisewässern. Stump Karl) [Chemische Werke Albert]. Пат. ФРГ 899928, 17.12.53 [Chem. Zbl., 1955, 126, № 3, 664 (нем.)]. Пат. ГДР 7612. 14.08.54

Патентуется способ обработки фосфатами питательной воды паровых котлов (в частности паровозных, судовых, крановых) путем введения NaH_2PO_4 или Na_2HPO_4 или смеси этих фосфатов в таких соотношениях, чтобы щел. число котловой воды составляло 10—80; одновременно дозируются полифосфаты в кол-ве, меньшем, чем стехиометрически необходимая суммарная дозировка орто- и полифосфатов.

А. М. В. К.

44167 П. Способ предотвращения бросков котловой воды. Мораве (Verfahren zur Verhinderung des Spuckens von Kesselwasser. Morawe Karl) [Permutit A.-G.]. Пат. ФРГ 876079, 7.05.53 [Chem. Zbl., 1954, 125, № 21, 4691 (нем.)]

В питательной (а также в котловой) воде поддерживают эквивалентное соотношение между остаточной жесткостью (величина которой не должна превышать $1,4 \text{ мг-экв/л}$) и конц-ей карбонатов (бикарбонатов).

А. С.

44168 П. Обработка морской воды для испарительных установок (Treatment of sea water for evaporating plants) [G. and J. Weir Ltd]. Австрал. пат. 155851, 8.04.54

Для предупреждения образования CaCO_3 - или Mg(OH)_2 -накипи при испарении морской воды рекомендуют вводить в испаритель хлориды или сульфаты Fe, Al и (или) Zn.

А. С.

См. также: Анализ: Ca^{2+} 43048, 43505; NO_3^- - NO_2^- 43516; PO_4^{3-} 43535; O_2 43539, SO_4^{2-} 43039, 43541, 43542; жесткость 43548; фенолы 43578; лигнинсульфок-та 45120. Св-ва примесей: модификация CaCO_3 42635; саморазложение O_2 42654; р-римость O_2 43018. Рост кристаллов 42512. Равновесие ионного обмена 42866. Синтез катионитов 44896, 45012, 45013. Коррозия: щелочная хрупкость 45577; водопроводов 45585, 45626; в системах вод. охлаждения 45613, 45614. Анализатор р-ренного O_2 45794. Подготовка воды в текст. пром-сти 44580, 44581. Подготовка воды для гальванопокрытий 43891. Применение силикофосфатов 45615

ПЕРЕРАБОТКА ТВЕРДЫХ ГОРЮЧИХ ИСКОПАЕМЫХ

44169. Эффективное использование газа в промышленности. Хауэлл (Efficient use of gas in industry. Howell W. F.), Industr. Gas (Engl), 1954, 17, № 197, 150, 152, 154 (англ.)

Обсуждение сообщения о некоторых аспектах проблемы эффективного использования газа в пром-сти (см. РЖХим, 1955, 44087).

А. И.

44170. Роль газа как понизителя прочности каменных углей. Эттингер Н. Л., Ламба Е. Г., Адамов В. Г., Докл. АН СССР, 1954, 99, № 6, 1057—1060

Проведено эксперим. исследование прочности углей при насыщении их CO_2 под давл. до 55 ат; определение прочности производилось методом толчения, разработанным М. М. Протодакиным: сбрасыванием на образец угля гири определенного веса. Выяснено, что ненарушенные угли из верхних пачек имеют одинаковую прочность как на воздухе, так в атмосфере CO_2 , между тем как нарушенные угли средней и нижней пачек увеличивают выход пыли при толчении в CO_2 в полтора раза. С ростом давления газа прочность углей уменьшается, однако, после 40 ат влияние роста давления становится незначительным. Увеличение продолжительности насыщения с 13 до 140 час. практически не меняет прочности углей. На основании опытов можно признать, что газы играют роль понизителей прочности нарушенных ископаемых углей, проникая в микротрещины, появившиеся в результате перетирания пласта в горообразовательном процессе, и облегчая развитие этих микротрещин. Размягчение угля, наблюдающееся в шахтах при загазовывании, имеет место лишь для нарушенных углей.

Н. К.

44171. Содержание влажности и зольности различных топлив. Джигерти (Umidità e ceneri dei combustibili. Gigerti Eugenio), Calore, 1954, 25, № 1, 18—26 (итал.)

44172. Рассеяние рентгеновских лучей в углях. Херш (X-ray scattering from coals. Hirsch P. B.), Proc. Roy. Soc., 1954, A 226, № 1165, 143—169 (англ.)

Проведено рентгенографич. изучение серии каменных углей (витренов) различной стадии метаморфизма. Рентгенограммы получены в вакуумных или наполненных H_2 камерах на монохроматич. излучении Си или Мо. Исследование под малыми углами (100—5000 Å) проводилось с помощью спектрографа. Обобщение эксперим. результатов привело к определенным представлениям о структуре углей на различных стадиях метаморфизма. Свойства предложенной структурной модели углей сопоставлены с известными физ. и хим. характеристиками (плотностью, пористостью, оптич. и механич. свойствами и т. д.).

Г. Л.

44173. Исследование старения битумов на воздухе. Дюбризе (Recherches sur le vieillissement des bitumes au contact des agents atmosphériques. Dubrisay René), C. r. Acad. sci., 1955, 241, № 17, 1139—1141 (франц.)

Исследовались хим. изменения битума в пленках, полученных растворением битума в толуоле с последующим испарением толуола под действием УФ-лучей и в присутствии ингибиторов (гидрохинон, β-нафтол, анилин). Установлено, что прибавление ингибиторов значительно снижает кол-во в-в, не растворимых в толуоле после окисления.

С. Г.

44174. О старении битумов. Крейн, Шенфельд-Рейнер (Note on the ageing of bitumen. Crane J., Schoenfeld-Reiner Rebecca), Bull. Res. Council Israel, 1954, 4, № 1, 15—17 (англ.)

Наблюде-
метре пок-
16—17 дн
окисленно-
ным стар-
объяснить
образовани-
стжении
44175. И-
раван
coal wa-
ri A.)
1954, №
Для мо-
бланы. В
более про-
большой
работыва-
Опыт ч-
(Bilan o-
sidérati-
ind. m-
44177. Pa-
1953, 3
В суши-
сов бурь-
ного слоя
путем ро-
к. п. д.
включе бо-
1953 гг.
ность по
влаги до-
в 1 час: т-
стоящее
перегонн-
станции
44178. Шол-
Histori-
J. H.)
195—2
Кратко-
Освещен-
щения, с
качества
Библи. 9
44179. Хи-
Gas T-
Рассма-
газа на
газовых
44180. ствен-
рест-
zation
ley
Erigi-
(англ.)
Излож-
мышлен-
и слани-
ность п-
влечен-
сланцев-
сторож-
остаточ-
установ

Наблюдения во вращающемся цилиндрч. вискозиметре показали, что на поверхности битумов в течение 16—17 дней образуется мономолекулярная пленка окисленного в-ва, которая легко разрушается. Механизм старения дорожных покрытий из битума можно объяснить многократно повторяющимися процессами образования и разрушения окисленных пленок до достижения полного окисления всей массы битума. С. Г.

44175. Применение циклонов в углемоющей. Чакраварти, Лахири (The use of cyclone in coal washing. Chakravarty A. K., Lahiri A.), Trans. Indian, Inst. Chem. Engrs., 1953—1954, № 6, 54—59 (англ.)

Для мойки угля можно применять гидравлич. циклоны. В отличие от гравитационных аппаратов они более производительны и менее энергоемки, обладают большой гибкостью, не имеют трущихся частей, перерабатывают более крупные фракции угля. С. Г.

44176. Баланс обогащения в тяжелой жидкости. Опыт четырехлетней эксплуатации. Бондуэль (Bilan de quatre ans de lavage en liquide dense. Considérations d'exploitation. Bonduel M.), Rev. ind. minérale, 1955, 36, № 626, 708—716 (франц.)

44177. Сушилка Парри. Дюпре (Le sécheur Parry. Dupret Louis), Rev. ind. minérale, 1955, 36, № 628, 937—942 (франц.)

В сушилках системы Парри для сушки мелких классов бурых углей использован принцип псевдоожиженного слоя и охлаждение дымовых газов осуществляется путем рециркуляции их. Благодаря этому термич. к. п. д. сушилки достигает 92% и эксплуатация ее вполне безопасна. Сооруженные во Франции в 1951—1953 гг. 4 сушилки системы Парри производительностью по 100 т/час угля рассчитаны на сушку с 9% влаги до 1% и работают с к. п. д. 92% при расходе в 1 час: топлива на сушку 1,2 т и воздуха 3,4 м³. В настоящее время в США строятся 9 сушилок и 3 углеперегонных установки системы Парри для электростанции в 240 000 квт. Приведены схемы. С. Г.

44178. Производство кокса для доменных печей. Шольц (The production of coke for blast furnaces. Historical development of coke production. Scholtz J. H.), J. Afric. Industr. Chemist, 1954, 8, № 9, 195—200 (англ.)

Краткий историч. обзор развития произ-ва кокса. Рассмотрены вопросы строения, классификации, обогащения, смещения и петрографич. разделения углей, качества доменного кокса и теория его образования. Библ. 9 назв. Г. Ш.

44179. Увеличение выхода бытового газа. Майхилл (More therms per ton. Myhill A. R.), Gas Times, 1955, 83, № 844, 87, 88, 90 (англ.)

Рассматриваются пути повышения выхода бытового газа на тонну переработанного топлива в условиях газовых з-дов, оборудованных ретортами. С. Г.

44180. Подземное электрококсование угля и родственного углеводородного сырья. Чесли, Форрестер, Сарану (Underground electrocarbonization of coal and related hydrocarbons. Cheasley T. C., Forrester J. D., Saranu Erich), Mining Engng, 1954, 6, № 9, 908—915 (англ.)

Изложены результаты лаб. и полевых полупромышленных опытов подземного электрококсования угля и сланцев, которые позволяют предполагать возможность промышленного применения этого способа для извлечения жидких и газообразных углеводородов из сланцевых и тощих или отработанных нефтяных месторождений с последующей подземной газификацией остаточного С в силовой газ для электрогазотурбинных установок. М. З.

44181. Аппарат для измерения вязко-упругих свойств угля во время коксования. Фицджералд (An apparatus for measuring the visco-elastic properties of coal in the course of carbonization. Fitzgerald D.), J. Scient. Instrum., 1955, 32, № 9, 359—361 (англ.)

Прибор для измерения упругих свойств угля в пластич. и послепластич. областях основан на приложении к брикету определенного сечения известных усилий и наблюдении за деформацией во времени. Брикеты изготавливаются без связующего из угля с размером частиц <0,2 мм и помещаются в кварцевую трубку, нагреваемую с помощью электрич. сопротивления. На брикеты посредством кварцевых стержней накладываются и снимаются усилия, величина которых измеряется кол-вом ртути, сифонируемой на весы, соединенные с кварцевым стержнем. Измеряя усилия до и после сжатия, получают кривую, характеризующую вязко-упругие свойства угля. Приведена схема прибора. С. Г.

44182. Реакционная способность кокса по отношению к СО₂ в температурном интервале 1000—1200°. Даме, Юнкер (Die Reaktivität von Koks gegen CO₂ im Temperaturbereich 1000... 1200° C. Dähme A., Junker H. J.), Brennstoff-Chemie, 1955, 36, № 13/14, 193—199 (нем.)

Исследовалась реакционная способность семи образцов кокса и графита по отношению к СО₂ по улучшенной авторами методике Конперса. По результатам опытов вычислены показатели скорости р-ции при t-ре 1100° и энергии активации, как параметры, характеризующие реакционную способность коксов. Энергия активации для исследованных образцов составила 45—75 ккал/моль. По изменению показателя скорости р-ции по мере реагирования с СО₂ (до потери 50% веса кокса) вычислялось изменение уд. поверхности образца, что позволило оценить испытанные образцы по величине реагирующей поверхности. По этому признаку коксы разделены на две группы: I — мало-пористые (жирный очень чистый кокс, пековый кокс, электродный графит), р-ция с СО₂ для которых протекает главным образом на внешней поверхности зерен и уд. поверхность которых мало изменяется по мере газификации С; II — мелкопористые (промышленные коксы), для которых характерно протекание р-ции на внутренней поверхности пор, с значительным (в 70—80 раз) увеличением поверхности по мере газификации С. Измельчение образцов II группы не дает заметного увеличения их поверхности, что показывает, что у этих коксов поверхность, образованная внутренними порами, значительно превосходит пограничную поверхность зерен. В. К.

44183. Сырой бензол, получение и переработка. Трефни (Rohbenzol, Gewinnung und Verarbeitung. Trefny F.), Techn. Mitt., 1955, 48, № 5, 223—233 (нем.)

Описаны методы выделения из коксового газа сырого бензола (Б) и его дальнейшей переработки. Подробно с изложением основ теории ректификации рассмотрен процесс извлечения Б из газа с помощью плотительного масла. Описаны также процессы: получения Б путем адсорбции активированным углем; очистки Б с помощью Н₂SO₄ и путем гидрирования под давлением; ректификации очищ. Б с получением либо моторного Б, либо чистых ароматич. углеводородов: Б, толуола, ксилолов и др. Подробно описана ректификационная установка в Гельзенкирхене (ФРГ). Б. Э.

44184. Выделение высокопроцентных антрацена и карбазола из сырого антрацена. Гужинская (Wyodrębianie wysokoprocentowego antracenu i kar-

bazolu z surowego antracenu. Górzyska J.), Przem. chem., 1954, 10, № 8, 411—415 (польск.)

Получение из сырого антрацена высокопроцентных антрацена (I) и карбазола (II) чистой >95% удается осуществить за счет применения крезоллов в качестве р-рителя при отделении фенантрена (уходит в р-р) от I и II (нерастворимый остаток) и безводн. фенолята K с добавкой КОН для отделения II (переводит в карбазол и смешивает с фенолятом) от I (остается в виде углеводородного слоя над фенолятами, отделяется путем отстоя или отгонки). Сырой антрацен обрабатывается двукратным кол-вом крезоллов, последние регенерируются отгонкой. Остаточные кристаллы I и II отфуговываются и промываются 0,1 н. щелочью, промывные I и II загружаются в обогреваемый сосуд с трехкратным кол-вом безводн. фенолята K. Масса расплавляется до 230° и при помешивании добавляется твердый КОН в кол-ве, в 2—3 раза превышающем необходимое для связывания наличного II, при этом из-за выделения при р-ции воды т-ра снижается до 160°. Вода, а затем I и следы фенантрена отгоняются с сольвент-нафтой, добавляемой по окончании р-ции. Из отгона кристаллизуется I, перекристаллизуется для очистки из небольшого кол-ва крезола. Фенолятный слой, содержащий II, гидролизуются кипячением с избытком воды, полученный сырой II отфуговывается, сушится при 80° и перекристаллизовывается из крезола. Описанная схема разработана применительно к польскому сырому I, содержащему только 6% II. Д. З.

44185. Южно-Африканский коксохимический завод. — (Completion of South African plant. Installation by British firm. —), Gas World, 1955, 141, № 3692, 1322—1323 (англ.)

Краткое описание нового коксохим. з-да, построенного английской фирмой. С. Г.

44186. Хроматографическое фракционирование сырого сланцевого масла. Карр, Уэтерфорд, Кендрик, Кейпелл (Chromatographic fractionation total crude shale oil. Carr Clarence, Jr., Weatherford W. D., Jr., Kendrick T. R., III, Capell R. G.), Analyst. Chem., 1954, 26, № 11, 1841—1843 (англ.)

По разработанной ранее методике произведено хроматографич. разделение сырого сланцевого масла на активированных Al_2O_3 или боксите. Путем вымывания различными р-рителями (н-пентаном, циклогексаном, бензолом и др.) получены приятно пахнущие бесцветные масла с пониженным содержанием S и лишенные N (40—45 вес. %) и такие же масла желтого цвета (4 вес. %). Остаток выделен в виде черно-бурого полутвердого в-ва, обогащенного соединениями S и N. Метод может быть применен в промышленных условиях. Б. А.

44187. Источники и методы получения газа для промышленных целей. Флек (Origins and developments of gas for industrial purposes. Fleck Alexander), Gas Times, 1954, 81, № 832, 178—180 (англ.)

Характеристика современных тенденций развития процессов получения H_2 путем газификации каменных углей и нефти, а также путем конверсии природного газа и газов нефтепереработки; оценка перспектив применения этих процессов в Англии. С. Г.

44188. Исследование генераторной смолы под микроскопом. Посида, Фурунис (炭生爐タールの顯微鏡的研究. 吉田高年, 古西亮), コールタール, Korytaru, Coal tar., 1954, 6, № 9, 2—7 (япон.)

44189. Развитие газовой промышленности в Англии. Дайд (The gas industry — past, present and future. Dyd J. H.), Gas. Times, 1955, 82, № 841, 294, 296—298, 300 (англ.)

История развития газовой пром-сти, характеристика современного состояния этой отрасли и перспективы ее развития к 1960 г., отличительной чертой которого является расширение использования нефтепродуктов в качестве сырья для получения бытового газа. С. Г.

44190. Добавка сжиженного газа в часы максимального потребления бытового газа. Шенк (Einsatz von Flüssiggas zur Spitzendeckung. Schenk Paul), Techn. Mitt., 1955, 48, № 5, 183—191 (нем.)

О практике газовой пром-сти ФРГ в области использования сжиженных газов для увеличения ресурсов бытового газа в часы максимумов потребления последнего: техника и экономика метода холодного карбюрирования водяного газа парами C_3H_8 ; результаты опытов по каталитич. конверсии C_3H_8 , CH_4 и C_2H_6 с водяным паром и воздухом с целью получения газа, пригодного для бытовых целей. Б. Э.

44191. Строительство установок Лурги для газификации под давлением. Андрос, Брюггеман (Bau einer Lurgi-Druckvergasungsanlage in Australien. Andrews R. S., Brüggemann E. A.), Erdöl und Kohle, 1955, 8, № 10, 703—705 (нем.)

Строится в Австралии первая очередь установок для паро-кислородной газификации буроугольных брикетов под давлением рассчитана на произ-во 16,5 тыс. $м^3/ч$ бытового газа с теплотворностью 4300 ккал/ $м^3$; в дальнейшем предполагается увеличение производительности газостанции до 66 тыс. $м^3/ч$. Полученный газ под давл. 28 атм будет передаваться по газопроводу diam. 400 мм и длиной 150 км в г. Мельбурн. Предусмотрено строительство установок для переработки побочных продуктов. С. Г.

44192. Сухая очистка газа от серы и ее экстракция. Шольц (Trockenentschwefelung und Extraktion Scholz G.), Techn. Mitt., 1955, 48, № 5, 42—249 (нем.)

Дано описание и сравнение конструкций аппаратуры сухой очистки газа от H_2S под атмосферным и повышенным давлением; рассмотрен химизм процесса очистки; дана характеристика применяемых в газовой пром-сти ФРГ различных очистных масс на основе окиси Fe и путей использования отработанных масс. С. Г.

44193. Очистка газа. Пристли (An outline of gas purification. Priestly James J.), Gas. Times, 1954, 80, № 829, 350, 352—353, 356, 358 (англ.)

Рассматриваются типы конденсаторов, применяемых в газовой пром-сти для очистки светяльного газа от NH_3 , смолы и нафталина, и методы расчета их конструкций. С. Г.

44194. Диаграмма для пересчета температур кипения сланцевых продуктов. Коллеров Д. К., Житенская В. А., Тр. Всес. н.-и. ин-та по переработке сланцев, 1955, № 3, 86—89

Для определения т-ры кипения сланцевого продукта при некотором пониженном или нормальном давлении, если известна т-ра кипения этого продукта при другом пониженном давлении, построена диаграмма на основании ф-лы Трегубова (Трегубов А. М., Нефть, х-во, 1933, 20, 7), пользование которой предполагает знание зависимости т-р кипения от давления для каких-либо двух эталонных жидкостей. В качестве последних приняты фракции генераторной смолы, полученной из сланцев Прибалтийского бассейна, кипящие в пределах 200—220° и 280—300°. Диаграмма проверяна путем сравнения расчетных и эксперим. т-р кипения 212 различных фракций жидких сланцевых продуктов при давл. от 4 до 30 мм рт. ст., причем среднее отклонение составляло 2,3°, а максимальное 7,6°. Н. К.

44195. О спектре Рамана и его применении при анализах каменноугольной смолы. Цунэтом

(ラマン 常富榮 Ind. As

44196. лизо Н.), В 1954, 5. Описан сей для

44197 Д. ние го Авторе

44198 Д. в проц зации Авторе

44199 Д. лидиши реф. д 1955

44200 П. лива нием (for com of slag

пат. 71 21 (англ.)

44201 П. углей лей metall matter Acieries [Chem. Металл

содержан лия угля таких ин торые бо

Эти соста подвергн гонке с

и смешн подвергае ким соде чении и подвергае

Дюрен м зерен 2— размера

44202 П. перегов сер (aus bei anfaller Wert [Walter [Chem. Предла

сел из га лых и бу заключаю

маслами;

(ラマン-スペクトルとそのコールタール分析への應用. 常富榮一), *コールタール*, Koryu taru. J. Japan Tar Ind. Assoc., 1953, 5, № 8, 16—19 (япон.)

44196. Испытание дегте-щебеночных смесей. Маллизон (Teersplittuntersuchung. Mallison H.), Bitum., Teere, Asph., Peche und verw. Stoffe, 1954, 5, № 5, 132—134 (нем.)

Описана методика испытания дегте-щебеночных смесей для дорожных покрытий. А. К.

44197 Д. Комплексное термографическое исследование горючих сланцев. Луцковская Н. Л. Автореф. дисс. канд. техн. н., Ин-т горючих ископаемых АН СССР, М., 1954

44198 Д. Изучение поведения компонентов торфа в процессе термического растворения и гидрогенизации продуктов растворения. Жарова М. Н. Автореф. дисс. канд. техн. н., Ин-т горючих ископаемых АН СССР, М., 1956

44199 Д. Горение пылеугольного факела (как полидисперсной системы). Резняков А. Б. Автореф. дисс. докт. техн. н., Энерг. ин-т АН СССР, 1955

44200 П. Способ подготовки зольного твердого топлива для сжигания в печи с жидким шлакоудалением (Method of preparing ashcontaining solid fuel for combustion in a furnace operating with evacuation of slag in molten form) [Babcock Wilcox Ltd]. Англ. пат. 719037, 24.11.54 [Fuel Abstrs, 1953, 17, № 4, 21 (англ.)]

Топливо размалывается в мельнице и одновременно сушится до степени, позволяющей при допустимых нагрузках ограничить т-ру печи до значения ниже того, при котором происходит сильное улетучивание солей, но шлак остается жидким. Г. М.

44201 П. Производство металлургического кокса из углей с высоким содержанием летучих. Бурстлейн (Process and plant for the manufacture of metallurgical coke from coals having a high volatile matter content. Burstlein E. M.) [Soc. Des Acieries de Longwy]. Англ. пат. 694197, 15.07.53 [Chem. Abstrs, 1954, 48, № 1, 350 (англ.)]

Металлургический кокс получают из углей с высоким содержанием летучих путем дробления и просеивания угля для отделения от него по крайней мере части таких ингредиентов, как дюрень, фюзен и кларен, которые богаты летучими и недостаточно размягчаются. Эти составные части, отделенные при т-рах 450—750°, подвергаются при тех же т-рах предварительной перегонке с получением полукокса. Полукокс дробится и смешивается с остальным углем, после чего смесь подвергается коксованию. Концентрат фюзена с высоким содержанием золы, S и P отделяется при измельчении и просеивании и может быть выведен из смеси, подвергаемой высокотемпературному коксованию. Дюрень может быть отделен со средним размером его зерен 2—4 мм. Полукокс может быть измельчен до размера ≤ 1 мм. Г. Ш.

44202 П. Получение пека и масел из газов сухой перегонки топлив. Шелауске, Верт, Брессер (Verfahren zur Gewinnung von Pech und Ölen aus bei der trockenen Destillation von Brennstoffen anfallenden Gasen. Schelauske Heinrich, Werth Philipp, Bresser Johannes) [Walter Feld and Co.]. Пат. ФРГ 883794, 20.07.53 [Chem. Zbl., 1954, 125, № 40, 9205 (нем.)]

Предлагается способ прямого получения пека и масел из газов сухой перегонки твердых топлив (каменных и бурных углей, дерева, торфа, горячих сланцев), заключающийся в вымывании пека из газа смолистыми маслами; по этому способу газ разделяется на два

потока: один из них (обычно меньший) подается непосредственно в улавливатель пека, а второй охлаждается для выделения конденсирующейся смолы. Н. К.

44203 П. Способ получения чистых компонентов из сырого бензола (Procédé d'obtention de fractions pures à partir de benzol brut) [Gelsenkirchener Bergwerks-A.-G.]. Франц. пат. 1076773, 29.10.54 [Chimie et industrie, 1955, 74, № 3, 481 (франц.)]

Сырой бензол разделяют на фракции, из которых сначала с помощью селективного хим. поглотителя вымывают основания, вроде C_5H_5N и другие; затем известными методами выделяют и разделяют циклопентадиеи, стирол, инден и т. п. примеси, после чего каждую фракцию в отдельности или смесь их гидроируют под давлением, расходуя меньше H_2 , чем это требовалось раньше. Я. К.

44204 П. Способ получения окисоединений нафталинового ряда. Джайр (Process for the preparation of hydroxy-compounds of the naphthalene series. Gyer Alfred) [Ciba A.-G.]. Канад. пат. 505763, 14.09.54

Получают окисоединения нафталина и его производных путем гомогенного сульфирования; сульфированную смесь подвергают затем гидролизу с водяным паром, непросульфированные углеводороды удаляют, а просульфированную смесь сплавляют с щелочью без удаления избытка H_2SO_4 . В случае обработки нафталина конечным продуктом является β -нафтол; в этом случае при сульфировании образуется преимущественно нафталин- β -сульфокислота и, как побочный продукт, нафталин-1-сульфокислота, которая при обработке сульфированной смеси с помощью водяного пара расщепляется на нафталин и H_2SO_4 ; непросульфированный нафталин удаляют перегонкой с водяным паром, а сульфированный продукт сплавляют с щелочью без удаления избытка H_2SO_4 . В. К.

44205 П. Метод и устройство для охлаждения газа, содержащего нафталин (Method and arrangement for the cooling of gas containing naphthalene) [Aktiebolaget Rosenblads Patent]. Англ. пат. 705896, 17.03.54 [J. Appl. Chem., 1954, 4, part 8, ii 178 (англ.)]

Смола, используемая как р-ритель нафталина, добавляется в верхний оросительный поток охлаждающей башни (для орошения) в небольшом кол-ве, но с интенсивной ее циркуляцией и регенерацией. В охлажденном газе нафталин отсутствует. Г. Ш.

44206 П. Очистка нафталина (Purification of naphthalene) [North Thames Gas Board]. Англ. пат. 694327, 15.07.53 [Chem. Abstrs, 1954, 48, № 1, 350 (англ.)]

Нафталин, загрязненный неводн. жидкостью, очищается путем обработки водн. жидкостью, содержащей смачивающий агент, удаляющий загрязнения из кристаллов. Соли высших алкилсульфатов являются хорошим смачивающим агентом; напр., $C_{10}H_8$, кристаллизующийся при 74,9°, был промыт керосином, затем водн. р-ром, содержащим 0,5% «Лиссаполя N» (неионизирующий поверхностноактивный агент, содержащий полиэтиленгликолевую цепь), и, наконец, водой. После сушки $C_{10}H_8$ кристаллизовался при 79,3°. Г. Ш.

44207 П. Газификация твердых углеродистых материалов. Маттокс (Gasification of carbonaceous solids. Mattox William J.) [Standard Oil Development Co.]. Пат. США 2672410, 16.03.54

Патентуется процесс произ-ва газовых смесей, состоящих из CO и H_2 , парокислородной газификацией твердых углеродистых материалов, отличающийся введением в реакционную зону 0,01—1 вес. % (от кол-ва углерода в системе) галогенного соединения щел. металла, которое препятствует образованию CO_2 , но способствует образованию CO. В. К.

44208 П. Способ получения водяного газа из битуминозных неспекающихся или плохо спекающихся топлив. Забель (Verfahren zur Herstellung von Wassergas aus bituminösen, nicht oder schlecht backenden Brennstoffen. Sabel Franz) [Badische Anilin- und Soda-Fabrik (I. G. Farbenindustrie Aktiengesellschaft «In Auflösung»)]. Пат. ФРГ 869829, 9.03.53 [Chem. Zbl., 1953, 124, № 47, 8259 (нем.)]

Патентуется способ получения водяного газа с одновременным получением смолы из битуминозных неспекающихся или плохо спекающихся топлив в газогенераторе с швельшахтой. Полукоксование угля в швельшахте осуществляется только в период горячего дутья; в период парового дутья водяной пар, перегретый до t -ры полукоксования (напр., 700°), проходит сверху вниз только нижнюю часть генератора, наполненную полукоксом. В. К.

44209 Д. Способ газификации топлив. Флеш, Винклер (Verfahren zum Vergasen von Brennstoffen. Flesch Wilhelm, Winkler Fritz) [Badische Anilin- und Soda-Fabrik A.-G.]. Пат. ФРГ 911886, 20.05.54 [Chem. Zbl., 1955, 126, № 13, 3042 (нем.)]

Способ газификации топлива (Т) состоит в том, что газифицирующий агент (ГА), содержащий O_2 , подают сверху в спокойный слой Т под давл. $>0,5$ ат, а по окончании верхнего дутья путем подачи ГА или горючего газа снизу приводят Т в состояние кипения, причем во время верхнего и нижнего дутья подают ГА и с боков. В качестве исходного материала, кроме мелкозернистого Т, используют также крупнозернистое или кусковое (в смеси с мелкозернистым). Перед подачей в газогенератор Т освобождается от мельчайших частиц, которые можно использовать для подогрева газифицирующего агента. В. Э.

44210 П. Углеродистый цемент. Грейдер, Налл (Carbonaceous cement. Greider Clarence E., Null Myron R.) [Union Carbide and Carbon Corp.]. Пат. США 2692205, 19.10.54

Патентуется состав углеродистого цемента (в вес. %): тонкоизмельченного углеродистого материала 45—55, воды. р-ра сахара (в качестве связующего) 45—55 и по крайней мере одного соединения, представляющего собой моно-, ди- или триэтаноламины 5—15. В. К.

44211 П. Сероочистка горючих газов. Шейхеншюль, Йорде (Verfahren zur Entschwefelung von Brenngasen. Scheuchstuel Johann, Jorde Walter) [F. J. Collin A.-G. zur Verwertung von Brennstoffen und Metallen]. Пат. ФРГ 906973, 18.03.54 [Chem. Zbl., 1954, 125, № 40, 9197 (нем.)]

Предложен метод очистки горючих газов от H_2S р-ром NH_3 , в котором суспендирована S. В системе циркулирует р-р с содержанием, напр., 10—50 г NH_3 и 20—100 г S на л; адсорбированный H_2S отгоняется затем в десорбере. Н. К.

44212 П. Метод и аппаратура для обработки газов жидкими или твердыми мелкозернистыми реагентами. Лейте (Verfahren und Vorrichtung zur Behandlung von Gasen mit flüssigen oder feinkörnigen festen Reaktionsmitteln. Leithe Fritz). Пат. ФРГ 880043, 18.06.53 [Chem. Zbl., 1954, 125, № 4, 924 (нем.)]

Предложен метод обработки газов жидкими или твердыми мелкозернистыми реагентами (Р), отличающийся тем, что Р вместе с нейтр. наполнителями, кол-во которых во много раз превышает кол-во Р, пропускается через реактор противотоком к обрабатываемым газам. Пример: сероочистка газа смесью керами-

шариковой насадки и болотной руды в соотношении 10:1. Н. К.

44213 П. Выделение кислых газов из газов перегонки угля. Голмар (Separation of acid gases from coal carbonization gases. Collmar Herbert A.) [Koppers Co., Inc.]. Пат. США 2671008, 2.03.54

Для очистки от H_2S и HCN коксовый газ, предварительно освобожденный от NH_3 и частично от нафталина и подобных ему соединений, промывают водн. р-ром щел. абсорбента, циркулирующим между скруббером и регенератором. Регенерация абсорбента производится с помощью нагрева под давлением ниже атмосферного; выделяющиеся при этом пары с помощью вакуум-насосов пропускают последовательно через несколько конденсаторов, в которых пары охлаждаются и происходит выделение H_2S и HCN . Патентуется улучшение процесса регенерации, позволяющее сделать этот процесс непрерывным и состоящее в том, что выделявшиеся при регенерации пары перед поступлением их в каждый конденсатор смешивают с парами масла, которое хорошо растворяет нафталин и конденсируется при t -ре, при которой он выпадает. Конденсат масла выводится из системы и вновь возвращается в цикл. Дана схема. В. К.

См. также: 42309, 42354, 43577, 43724, 73731 43999, 45243, 45568, 45661, 45669, 45675, 45685, 45695, 45716, 45739, 45741—45743, 45746, 45747, 45804, 45825, 45826, 45834

ПЕРЕРАБОТКА ПРИРОДНЫХ ГАЗОВ И НЕФТИ. МОТОРНОЕ ТОПЛИВО. СМАЗКИ

44214. Расширение ресурсов углеводородов в Италии. Джирелли (Italy pushing development of hydrocarbon resources. Girelli Alberto), World Petrol., 1954, 25, № 3, 80—81 (англ.)

44215. Применение нефти и сжиженного газа для покрытия максимальной потребности в бытовом газе. Шенк («Gas ohne Koks». Öl und Flüssiggas zur Spitzendeckung in Gaswerken. Schenk Paul), Umschau, 1955, 55, № 22, 683—685 (нем.)

Характеристика способов покрытия максим. потребности в городском газе за счет продуктов термич. разложения нефтяных углеводородов. В. Э.

44216. Значение химико-технологических исследований для развития производственных процессов. Хог (The importance of chemical engineering studies in relation to process development. Hoog H.), Tidsskr. kemi, bergves. og metallurgi, 1954, 14, № 7, 121—129 (англ.)

Об опытных установках Амстердамской лаборатории

фирмы Koninklijke-Shell и их значении для успешной реализации в пром-сти ряда новых процессов (окисн. синтеза, получения высокооктановых топлив, синтеза моющих средств и др.). Г. М.

44217. Комбинированный пробоотборник для бензинов и легких нефтей. Кауфман Л. Л., Завод. лаборатория, 1953, № 9, 1101

Предлагается комбинированный пробоотборник для бензинов и легких нефтей, при пользовании которым исключаются потери легких фракций во время наполнения пробоотборника и переливания жидкости из пробоотборника в посуду. Это достигается применением спец. приспособления — регулятора наполнения. В. Э.

44218. Расширение ассортимента вспомогательных материалов для текстильной и других отраслей промышленности на нефтяной основе. Христов (Расширение ассортимента на текстилите и других препаратах на база на петролните продукты. Хри-

- стов Емил Ил.), Тежка промишленост, 1954, 3, № 10, 33—35 (болг.)
44219. Новый метод очистки нефтеналивных судов. Таубман А. В., Корецкий А. Ф., Вестн. АН СССР, 1954, № 9, 62—64
Метод заключается в смывании нефтеостатков мощной (при давл. 8—10 атм) струей горячей воды. 0,5% суспензии бентонитовой глины с добавкой 0,03% хлорного железа при 0,05% алюминиевых квасцов. Расход бентонита составляет 2% по отношению к весу мазута. Выделение мазута из воды. Эмульсий производится введением деэмульгаторов (жидкое стекло, сульфонафтенат алюминия) с последующим отстаиванием при 125°. Н. К.
44220. Компоненты нефти и других аналогичных материалов. Чалленджер (The ingredients of petroleum and other bituminous oils. Challenger Frederick), Times Rev. Ind., 1954, 8, № 91, 26—28 (англ.)
Обзор индивидуальных в-в, выделенных из нефтей и продуктов переработки бурого угля, сланца и торфа (по литературным данным): углеводородов, азотистых оснований, к-т, кетонов, фенолов, S-соединений, а также путей использования отдельных веществ. В. З.
44221. Пределы кипения специальных бензинов. Проект стандарта DIN 51631.— (Spezialbenzine. Siedegrenzbenzine. Mindestanforderungen, Entwurf DIN 51631.—), Erdöl und Kohle, 1955, 8, № 3, 176 (нем.)
Показатели качества бензиновых фракций с пределами кипения: 60—95°, 80—110° и 100—140°, используемых в качестве p-рителей для экстракции и очистки. В. З.
44222. О возможности наличия семичленных нафтеновых углеводородов в нефти. Кошелева Л. М., Мамедова А. Р., Пишнамазаде Б. Ф., Рзаева С. З., Султанов Г. А., Халилов А. Х., Эйбатова Ш. Э., Докл. АН АзербССР, 1954, 10, № 6, 421—426
С целью выяснения наличия семичленных нафтеновых углеводородов в нефти месторождения «Нефтяные камни» бензин анализировался комбинированным методом. Из полученной после удаления шестичленных нафтенов (дегидрогенизацией) парафиниклопентановой части выделялись фракции (Ф) 127—133° и 133—138°, состав которых определялся методом комбинационного рассеивания света. Линию 710 см⁻¹ во Ф 127—133° отнесли к метилциклопентану (I). Линия 709 см⁻¹ во Ф 132—134°, полученной при разделении Ф 132—138°, не может быть отнесена только на счет I, вследствие присутствия 3,3,4-триметилбензана (v=704 см⁻¹) и 3-метил-3-этилгексана (v=706 см⁻¹). Общее кол-во I в обоих Ф оценивают ~ 0,59% (пересчет на бензин с концом кипения 150°). Наличие I в данной нефти авторы объясняют низкой t-рой ее образования, при этом семичленные нафтены могли быть результатом превращения алкалоидов ископаемых растений. П. Т.
44223. Производство ароматических углеводородов на заводе в Маркус-Хукке. Уилбер (Sun joins giants. Weber George), Oil and Gas J., 1953, 52, № 32, 84—85 (англ.)
Описывается получение ароматич. углеводородов на нефтеперерабатывающем з-де фирмы Sun Oil Co., предназначенном для произ-ва бензола, толуола, смеси ксилолов и тринитротолуола. Установка состоит из секции сверхточной ректификации сырья, секции гудронформинга, располагающей восемью реакторами, заполненными Pt-катализатором, секции разделения ароматич. концентратов (удекс). А. Ч.
44224. Производство ароматических углеводородов на заводе в Маркус-Хукке. Гатри (Man-size petrochemical venture. Guthrie V. B.), Petrol. Process., 1954, 9, № 1, 83—85 (англ.)
См. также пред. реф.
44225. Химическая очистка аппаратуры нефтеперерабатывающих заводов. Торнтон (Three «Musts» in chemical cleaning. Thornton D. P., Jr), Petrol. Process., 1954, 9, № 3, 359—361 (англ.)
Сведения об отложениях (накипах) органич. и неорганич. характера, образующихся в аппаратуре нефтеперерабатывающих произ-в, p-рителях для их удаления и ингибиторах, предотвращающих образование отложений. Б. М.
44226. Каталитический крекинг нефтяных фракций. Хаузен (Katalytische Erdöl-Spalten. Hausen J.), Chem. Labor und Betrieb, 1954, 5, № 12, 636—648 (нем.)
Краткий обзор способов каталитич. крекинга и описание современных установок по каталитич. крекингу и реформингу. Б. Э.
44227. Развитие каталитического реформинга. Части 1, 2. Хиракава (接觸リフォーミングの發展. その2の平川芳彦), 化學工業, Karaku kogaku, Chem. Engng (Tokyo), 1954, 18, № 1, 31—35; № 2, 86—90 (япон.)
Обзор. Библи. 51 назв. В. С.
44228. Деасфальтизация растворителем с целью подготовки сырья каталитического крекинга. Шервуд (Solvent deasphalting for preparation of catalytic cracker feedstocks. Sherwood Peter W.), Chem. Rundschau, 1954, 7, № 16, 309, 311, 312 (англ.)
Популярное описание процесса деасфальтизации пропаном и его преимуществ по сравнению с другими методами подготовки сырья для каталитич. крекинга. А. Ч.
44229. Обесцвечивание нефтепродуктов в жидкой фазе адсорбирующими глинами. Шервуд (La decolorazione in fase liquida del petrolio mediante argille adsorbenti. Sherwood P. W.), Riv. ital. petrol., 1954, 22, № 9, 47—49, 66 (итал.)
44230. Повышение гибкости в работе городских газовых заводов путем использования жидких газов и нефтяных остатков. Шенк (Erhöhung der Elastizität der Gaserzeugung und Gasdarbietung durch Einsatz von Flüssiggas und Öl in Gaswerksbetrieben. Schenk Paul), Gas und Wassefach, 1954, 95, № 19/20, 603—611, 617—620 (нем.)
Технико-экономический обзор методов повышения производительности городских газовых з-дов для покрытия неравномерного газопотребления путем использования жидких газов и нефтяных остатков. Приведены практич. данные по введению последних в состав каменноугольной шихты при работе камерных печей газовых з-дов Германии. К. З.
44231. Газификация нефтяных остатков. Даймонд (Gasification of residual oil. Diamond G. le B.), Gas J., 1954, 280, № 4775, 671—672 (англ.)
Приводится схема работы опытно-промышленной установки по каталитич. газификации нефтяных остатков, использующей регенеративный принцип, и первой нерегенеративной каталитич. установки в Англии (Стафффорд). Даются характеристика работы этой установки, ее преимущества и стоимость. А. Ч.
44232. Структурно-механические характеристики сухих углеродистых смесей нефтяной кокс — сажа. Тарасов Г. Я., Фиалков А. С., Ж. прикл. химии, 1954, 27, № 12, 1290—1295
Исследование проводилось с целью последующей оценки взаимодействия сухих компонентов с жидкими добавками при формовке электроугольных изделий.

Показано, что свойства смесей крекингового кокса с 5—95 об.% ламповой сажи (уд. поверхность, насыпной вес, угол естественного откоса, электросопротивление, уплотняемость) определяются главным образом их гранулометрич. составом; измерения уд. поверхности смесей по методу Дерягина позволяют оценить изменения этой величины с изменением состава смесей. С увеличением содержания сажи уменьшается насыпной вес и уплотняемость смесей, а смеси с содержанием ламповой сажи 25—30 об.% характеризуются миним. уд. электросопротивлением и максим. значением угла откоса. М. П.

44233. Газоснабжение городов сжиженным метаном. Ривойра (Il rifornimento di gas ai centri urbani mediante metano liquido ed evaporato. Rivoira Franco), Termotecnica, 1953, 7, № 11, 490, 491—492 (итал.)

Рассмотрена система газоснабжения городов сжиженным CH_4 (I), включающая установки для произ-ва I в местах добычи природного газа, оборудование для транспортировки I к центрам потребления и испарительные станции на местах потребления. Приведена схема испарительной станции. Даны технико-экономич. расчеты, показывающие конкурентоспособность испаренного I по сравнению с каменноугольным газом. И. Р.

44234. Некоторые проблемы химической переработки нефтяных углеводородов. Тончиев А. В., Кренцель Б. А., Вестн. АН СССР, 1955, № 6, 34—38

Рассматриваются пути переработки, в основном, нефтяных газов. Б. Э.

44235. Химическая промышленность на основе природных газов в Ниигата (Япония). Эномото (新潟における天然ガス化学工業について. 榎本隆一郎), 燃料協会誌, Нэнрё кёкайси, J. Fuel Soc. Japan, 1954, 33, № 323, 311—314 (япон.; рез. англ.)

Обзор развития нефтехимич. пром-сти, в частности, переработки природного газа. А. Ч.

44236. Основные химические продукты, получаемые из природного газа. Андеграфф (Basic chemicals from natural gas. Updegraff Norman C.), Canad. Chem. Process, 1954, 38, № 3, 28, 30, 32, 34—35, 36, 38, 40, 42, 44 (англ.)

Популярное изложение основных направлений хим. переработки природного газа: получение синтез-газа, NH_3 , HCN , C_2H_2 , H_2 , CO и др. С. Г.

44237. Проект стандарта DIN 51622 на сжиженный газ; пропан, пропилен, бутан и бутилены. — (Flüssig-gas. Propan, Propylen, Butan und Butylene. Anforderungen an die Qualität. Norm-Entwurf Mai 1955. DIN 51622), Erdöl und Kohle, 1955, 8, № 4, 254 (нем.)

44238. Выделение ацетилена и ацетиленовых полимеров из газовых смесей путем адсорбции. Николлинский (Отделение на ацетилене и ацетиленовите полимеров от техники газовой смеси чрез адсорбции. Николлинский), Изв. хим. ин-т Българ. АН, 1955, 3, 255—280 (болг.; рез. рус., нем.)

В лабор. условиях было исследовано разделение газовой смеси, содержащей 84,7% ацетилена, 12% винилацетилена и 2% дивинилацетилена, путем адсорбции активированным углем и силикагелем. Найдено, что в зависимости от давления и других условий работы сорбенты могут поглощать полимеры в кол-ве до 28% от своего веса, а содержание полимеров в очищ. газе близко к нулю. Десорбция производилась с помощью водяного пара, недесорбированный остаток не превышал 2% от веса угля. Дальнейшая полимеризация полимеров на сорбенте в течение 60 час. не наблюдалась. Регенерация сорбента осуществлялась перегретым до 800—900° паром. Анализ газов производился путем

поглощения винил- и дивинилацетилена 80%-ной H_2SO_4 и винилацетилена и ацетилена — дианисовой ртутью. С. Г.

44239. Влияние примесей в нефтяном газе на выход и качество сажи. Мамедалиев Ю. Г., Хажак Н. Г., Стерлин Н. П., Тр. Азерб. ун-та, сер. хим., 1954, № 3, 88—98

На опытной камере сажевых з-дов в Бинах исследовалось влияние примесей воздуха и CO_2 в естественном газе на выход и качество получаемой из него сажи. Содержание воздуха в газе изменялось от 6,7 до 20,3 об.%, а CO_2 от 1,4 до 10,5 об.%. Исследования показали, что при увеличении содержания воздуха в газе с 6,7 до 40,3% выход сажи на потенциальное содержание С снижается с 3,23 до 1,57%. При увеличении содержания в газе CO_2 выход сажи также уменьшается, но в меньшей мере, чем при добавлении воздуха. Наличие воздуха и CO_2 в газе не оказывает особого влияния на качество сажи. Б. Э.

44240. Исследование огневого факела при работе на природном газе Дашавского месторождения. Писаренко П. И., Науч. зап. Львовск. политехн. ин-та, 1953, № 17, 83—102

В опытах, проведенных в футерованной цилиндрич. камере, исследовался турбулентный факел горения природного газа при раздельной подаче газа и воздуха. Получены данные по полям кон-ций и т-р огневого факела при различных производительностях горелки. И. Р.

44241. Нефтяная хроматография в анализе и производстве. Вейль (Petroleum-Chromatographie in Analyse und Fabrikation. Weil Herbert), Brennstoff-Chemie, 1954, 35, № 11—12, 177—179 (нем.)

Обзор данных по приоритету в области хроматографии и перечисление задач, стоящих перед нефтяной хроматографией. Библ. 26 назв. Б. Э.

44242. Ускоренный ламповый метод определения серы в различных нефтепродуктах. Волинский Н. П., Завод. лаборатория, 1955, 21, № 5, 536—539

Описание прибора и методики для быстрого и точного определения S в нефтепродуктах, начиная от бензинов и кончая тяжелыми остатками типа мазутов. Сравнением результатов определения S в различных нефтепродуктах и искусств. смесях по предлагаемому методу и другим методам показано, что по сходимости лифр и точности данный метод превосходит стандартный бомбовый метод. Б. Э.

44243. Новый метод автоматического отбора проб углеводородов. Гибсон (New method for automatic sampling of hydrocarbons. Gibson W. E.), Petrol. Engr., 1954, 26, № 5, C—49, C—52 (англ.)

Описание прибора, представляющего собой 6-л бомбу, для автоматич. отбора проб в процессах переработки нефти. А. Ч.

44244. Метод определения процентного содержания стабильного продукта и газа в нефти, поступающей в сепаратор. Ардоин (Continental's tests for determination of per cent stable oil and tank vapors volume in separator oil. Ardoin C. T., Lamb C. E.), Petrol., Engr., 1953, 25, № 10, C34—C35 (англ.)

Дается описание и схема лабор. аппаратуры и методики определения. А. Ч.

44245. График поправок плотности нефтепродуктов, определенной с помощью весов Вестфала. Воннов Б., Давидян Л., Новости нефт. техник. Нефтепереработка, 1954, № 2, 13—15

Приводится график, упрощающий пересчет «видимой» плотности, получаемой с помощью весов Вестфала, в действительную. Б. Э.

44246. Методы контроля содержания воды в нефтепродуктах. Воннов Б. П., Тр. Вес. и-и. ин-та по технике безопасности в нефт. пром-сти, 1953, № 6, 52—63

Определение содержания воды в нефтепродуктах возможно путем измерения их электропроводности или диэлектрич. коэфф. (ДК). Удобнее пользоваться ДК, резко изменяющимся с изменением содержания воды. Исследование зависимости между различными свойствами сухих нефтепродуктов и величиной ДК показало, что ДК изменяется пропорционально изменению уд. веса. Выведены у-ния для определения ДК, при содержании воды от 0 до 10% ДК возрастает прямолинейно. Высказаны соображения о практич. использовании метода. В. З.

44247. Фильтры для дизельных топлив. Рихтер (Filter für Dieselmotoren. Richter K.), Dtsch. Agrartechnik, 1954, 4, № 1, 10—13 (нем.)

Степень загрязнения дизельных топлив и размеры частиц примесей влияют на износ топливного насоса; при этом применение хлопчатобумажных и фетровых фильтров не обеспечивает необходимого уменьшения износов. Только с бумажными фильтрами соответствующей структуры можно достигнуть хорошей фильтрации топлив и увеличить срок службы элементов насоса и форсунок. В. Э.

44248. Установление наличия точки вспенивания у парафиновых углеводородов выше их температуры затвердевания. Террес, Геберт, Фишер, Модак (Über die Feststellung eines Schaumpunktes oberhalb des Festpunktes paraffinischer Kohlenwasserstoffe. Terres Ernst, Gebert Fritz, Fischer Dieter, Modak Gaur), Brennstoff-Chemie, 1954, 35, № 17—18, 263—269 (нем.)

При определении т-р застывания некоторых изопарафинов с определенной длиной цепи наблюдался ранее неизвестный для этих соединений эффект вспенивания, характеризующийся наличием резко выраженной точки вспенивания и области пенообразования выше точки затвердевания. Пенообразование наблюдалось при встряхивании жидких парафинов ниже их точки вспенивания. У высших изопарафинов: 2-метилоктадекана, 2-метилэйкозана, 3-метилпентадекана, 3-метилгептадекана, 3-метилнонадекана и 3-метилэйкозана, имеющих точки затвердевания соответственно $+11,2^\circ$; $+22,6^\circ$; $-23,2^\circ$; $-6,2^\circ$; $+7,6^\circ$ и $+19,8^\circ$ установлено наличие точек вспенивания при $+16,2^\circ$; $+27,0^\circ$; $-23,4^\circ$; $-3,3^\circ$; $+12,1^\circ$ и $+23,8^\circ$, т. е. область пенообразования для перечисленных углеводородов лежит в пределах $0,2$ — $5,0^\circ$. С увеличением числа атомов C в молекуле эта область расширяется. При определении точки затвердевания у исследованных изопарафинов, отличающихся явлением пенообразования, переохлаждение невозможно, — в отличие от всех других парафинов, где затвердевания наблюдаются лишь после переохлаждения. Существование эффекта вспенивания установлено также у n-октадекана, n-эйкозана и у некоторых олефинов, начиная с C₁₂. Изучение рефрактооптич. характеристик поверхностного натяжения и кристаллизации различных парафинов не дает разъяснения явления. М. Х.

44249. Влияние скорости испарения на предел сгорания по обеднению струй жидкого топлива. Уитл (Effect of vaporization rate on the weak combustion limit of liquid fuel sprays. Whittle J.), Fuel, 1954, 33, № 2, 192—194 (англ.)

Скорость испарения в топливной струе зависит от среднего диаметра капель и летучести топлива. Исследовалось влияние на предел обеднения летучести топлива, определяемой 10%-ой точкой разгонки в условиях тонкого и грубого распыла (средний диам. капель 60 м и 140 м соответственно). При тонком распы-

ле предел несколько расширяется с понижением летучести топлива (повышением 10%-ой точки до 160°), а при дальнейшем снижении летучести падает. При грубом распыле предел обеднения неизменно уменьшается с повышением 10%-ой точки. Показано, что увеличение скорости испарения не влияет однозначно на предел; он расширяется при тонком распыле от снижения упругости пара или увеличения среднего диаметра капель, при грубом распыле от увеличения упругости пара либо снижения среднего диаметра. А. С.

44250. Присадки к смазочным маслам. Клоуэр (Lubricating oil additives. Clower James J.), Irish. Engng, 1954, 5, № 7, 157, 159—160 (англ.)

Популярная статья. Г. М.

44251. Последние достижения в области смазки. Фаррингтон (Recent advances in the lubrication field. Farrington B. B.), Lubricat. Engng, 1955, 11, № 1, 17—21 (англ.)

Обзор. Библ. 33 назв. А. Ч.

44252. Смазочные материалы для автомобилей. Часть II. Выбор смазочных масел для автомобилей. Грофф (Les lubrifiants pour l'automobile. Deuxieme partie. Du choix des lubrifiants pour l'automobile. Groff J.), J. Soc. ingrs automob., 1954, 27, № 7, 221—236 (франц.)

Обзор свойств, которыми должно обладать автомобильное смазочное масло хорошего качества, с указанием роли присадок и описанием станковых испытаний. Библ. 4 назв. РЖХим, 1955, 27333. Е. П.

44253. Пенообразование и аэрация смазочных масел в авиационных двигателях. Туррет (Foaming and aeration of oils in aviation powerplant. Tourret R.), J. Roy Aeronaut. Soc., 1954, 58, № 517, 53—60 (англ.)

Рассмотрены условия аэрации масла в авиационных поршневых двигателях, основные факторы, влияющие на степень аэрации и устойчивость образующейся пены: растворимость картерных газов в масле, физ.-хим. свойства масла, конструкция масляной системы, условия работы двигателя и др. Приведены общие указания по предотвращению аэрации и особенно пенообразования масла, по подбору соответствующих масел и присадок. В. С.

44254. Смазка газовых двигателей. Лакстон (Natural gas engine lubrication. Laxton Glenn H.), Gas Age, 1955, 115, July, 25—26 (англ.)

Применение новых масел с улучшенными моющими свойствами и новая процедура смазывания снижают кол-во отложений в цилиндре и лакообразование на поршне, что приводит к уменьшению износа двигателя. Л. А.

44255. Лабораторные исследования смазочных масел с присадками для паровых турбин. Россетти (Comportamento all'esame di laboratorio di alcuni lubrificanti per turbine a vapore contenenti additivi. Rossetti Dario), Olii miner., grassi e saponi, colori e vernici, 1954, 31, № 2, 19—22 (итал.)

Проведено по измененному методу Штергера лабораторное исследование турбинных масел с присадками, для получения данных к предполагаемой стандартизации этих масел. Последние нагревались в термостатированной печи и каждые 72 часа определялось число нейтр-ции, приблизительное кол-во осадка, цвет и изменение пластинки Cu, применяемой в качестве катализатора и сменяемой каждые 72 часа. Приведена сводная таблица полученных результатов. Е. П.

44256. Изменение эксплуатационных свойств масел при срабатывании присадок. Виноградов В., Сеничкин М., Автомоб. транспорт, 1954, № 11, 15—16

Многофункциональные присадки (П), вводимые в моторные масла, могут отфильтровываться фильтрами

тонкой очистки, что ухудшает эксплуатационные свойства масел. Удаление П обусловлено их адсорбцией фильтрующими элементами или продуктами старения масла, также оседающими на фильтре. На отфильтровываемость П влияют температурный режим работы двигателя, тип и конструкция П, конструкция фильтра и т. п.

В. С.

44257. Смазка оборудования. Кларк, Фуллер, Глибер (Lubrication. Clark R. W., Fuller J. H., Gleber J. A.), Chem. Engng, 1954, 61, № 7, 211—228 (англ.)

Популярное изложение проблем смазки оборудования на предприятиях хим. промышленности с кратким рассмотрением общих вопросов трения и износа в механизмах. Авторы останавливаются на свойствах и применении важнейших типов натуральных и синтетич. смазочных материалов, а также присадок к ним. Даны конкретные рекомендации по применению смазочных материалов на различных узлах и по эксплуатации механизмов, работающих без смазки (найлоновые, тефлоновые, деревянные и т. п. подшипники).

В. С.

44258. Восстановленный завод консистентных смазок. — (Vacuum Oil Company's new grease plant.—), Scient. Lubricat., 1955, 7, № 3, 23—24, 26—27 (англ.)

В Биркенхеде (Англия) восстановлен крупнейший в Европе з-д по произ-ву консистентных смазок и компаундированных масел, с годовой производительностью 10 000 т смазок различных типов (~ 200 марок) и до 100 000 т масел.

В. С.

44259. Окисление трансформаторного масла кислородом воздуха в присутствии хлора. Землянский Н. И., Малиновский М. С., Ж. прикл. химии, 1954, 27, № 10, 1136—1140

Окисление проводилось при 60, 120, 150° и в весовом отношении Cl_2 к воздуху 1:3 и 1:5 в течение 20—70 час. В периодически отбиравшихся пробах окисленного масла определялись кислотные числа (КЧ), числа омыления, уд. веса и содержание Cl_2 . Показано, что Cl_2 инициирует окисление трансформаторного масла; в присутствии Cl_2 КЧ уже через час возрастают до 8,5—8,9, в то время как при окислении воздухом в присутствии окиси меди они достигают такой величины лишь через 70 час. При этом КЧ начинают повышаться очень быстро после начала окисления, что указывает на отсутствие индукционного периода.

Г. М.

44260. Трансформаторное масло и его применение. Антер (Transformator yağları ve işletme hususiyetleri. A n t e r H a k k ı), Demir ve Çelik, 1954, 3, № 6, 126—128 (турец.)

44261. Негорючие заменители трансформаторного масла для автоматических регуляторов. Бекештейн В. А., Мамет А. П., Хаймович А. П., Электр. станции, 1954, № 11, 18—20. Для замены трансформаторного масла, используемого в качестве рабочей жидкости в гидравлич. регуляторах со струйными трубками, предлагается смесь 60% этиленгликоля с 40% воды. Антикоррозионные свойства смеси повышают посредством введения добавок (нитрит натрия, тринатрийфосфат и др.). Показана полная возможность замены трансформаторного масла (опасного с точки зрения воспламеняемости) такой смесью; при этом необходимы небольшие конструктивные изменения регуляторов.

В. С.

44262. Масла для часов. Штейнман (Einige Beiträge zum Thema «Uhrenöl». S t e i n m a n n G o t t f r i e d), Monatsschr. Feinmech. und Optik, 1954, 71, № 12, 318—321 (нем.)

Обзор свойств различных продуктов, используемых в качестве смазочных материалов для часовых механизмов.

Б. Э.

44263. Фильтрация отработанных масел, применяемых при вальцовке и протяжке. Вильке (Filt-

tion von Walz- und Ziehölen nach dem Seitz-Verfahren. Wilke Herbert), Erdöl und Kohle, 1954, 7, № 9, 576—578 (нем.)

Приводятся схемы и описания периодич. и нового непрерывного (Зейтц) методов очистки отработанных масел, применяемых при вальцовке и протяжке, путем фильтрации через кипельгур на слоистом фильтре. Сообщаются данные по производительности, технич. эффективности и стоимости фильтрации.

Б. Э.

44264. Изготовление и испытание графитизированных эмульсолов и многоосеренных масел. Кутузов Н. Ф., Павловская Л. Д. В кн.: Охлаждающе-смазывающие жидкости, М., 1954, 183—186

Приведены рецептуры и технич. требования для четырех образцов эмульсолов. Даны краткие указания по приготовлению на основе этих эмульсолов и использованию воды эмульсий, применяемых при холодной обработке металлов.

В. С.

44265. Влияние охлаждающе-смазывающих жидкостей на чистоту поверхности при доводке абразивными брусками. Бузник Н. Х. В кн.: Охлаждающе-смазывающие жидкости, М., 1954, 157—182

Показано, что при притирке металл. поверхностей (хонинг-процесс) керосин может быть заменен значительно более дешевыми и безопасными водн. эмульсиями, содержащими тринатрийфосфат, буру, соду, сульфированные нефтяные масла, На-мыла сульфированного касторового масла или другие поверхностно-активные компоненты в кол-ве 0,25—3%. На основании лаборатор. и эксплуатационных испытаний рекомендуются 4 рецепта охлаждающе-смазочных жидкостей. При исследовании процесса хонингования показано, что т-ра (в интервале 15—35°) слабо влияет на микрогеометрию поверхности и скорость снятия металла, а повышение давления (в диапазоне 10—25 кг/см²) сильно ускоряет процесс. Оптимальное время обработки при предварительном хонинговании 1—2 мин., при окончательном 2—3 мин. Даны рекомендации по фильтрации и очистке охлаждающе-смазочных жидкостей.

В. С.

44266. Регенерация смазочного масла. Яровицкий В. П., Торф. пром-сть, 1954, № 6, 25—28

Даны общие указания по сбору и регенерации отработанных смазочных масел применительно к условиям работы предприятий торфяной пром-сти. Предлагается после отстоя масел в течение 12—48 час. при 70—80° регенерировать их на стандартной установке ВИМЭ-2, обеспечивающей предварительную фильтрацию масла, отгон горючего и воды, адсорбцию асфальтово-смолистых в-в отбеливающей землей и отделение от масла адсорбента и примесей на фильтр-прессе. По своим эксплуатационным характеристикам регенерированные масла не уступают свежим.

В. С.

44267. Новые методы оценки моторных масел. Коррозия свинцовистых бронз. Лабораторная оценка эффективности многофункциональных присадок. Степек (Nowe metody oceny olejów silnikowych. Korozja brązów ołowowych. Laboratoryjna ocena skuteczności dodatków wielofunkcyjnych. S t e p e k Z d z i s ł a w), Prace Inst. naftow., 1955, В, № 39, 3—18 (польск.; реэ. русс., англ., франц.)

Исследования коррозионного действия масел на свинцовистые бронзы и другие сплавы, проведенные по методу Пинкевича, показали возможность принятия этого метода в качестве стандартного. Разработанный в СССР «монетный» метод с внесенными в него усовершенствованиями можно рекомендовать к применению для контроля качества вырабатываемых масел. Метод Штегера и Кюндлера позволяет определять эффективность противокислительных присадок. На основе советских исследований разработан метод оценки эффек-

тивности диспергирующих присадок. Усовершенствован прибор и проверен метод определения склонности масел с присадками к вспениванию. К. З.

44268. Контроль качества смазочных масел в процессе эксплуатации. Поп, Холл (The testing of used oil. Pope C. L., Hall D. A.), Lubricat. Engng, 1954, 10, № 1, 24—28 (англ.)

Приведены рекомендации по контролю за изменением качества (вязкость, кислотное число, содержание воды, тра вспышки и др.) смазочного масла, работающего в механизме, для установления сроков его смены. В. С.

44269. Новый проект стандарта на определение устойчивости смазочных масел для холодильных установок к хладагентам (метод Филиппа). Штейнле (Neuer DJN-Entwurf für die Bestimmung der Kältemittel-Beständigkeit von Kältemaschinenölen (Philipp-Test). Steinle H.), Erdöl und Kohle, 1954, 7, № 12, 838 (нем.)

Метод пригоден для минер. и синтетич. смазочных масел и других смазочных материалов, причем в связи с новыми требованиями продолжительность испытания удлинится до 96 час. вместо 48. Е. П.

44270. Оценка смазочных масел. Клегр (The evaluation of lubricating oils. Clegg N. A.), Oil, 1954, 3, № 2, 26—29 (англ.)

Краткое описание применяемых в США стандартных методов испытания смазочных масел на двигателях при больших нагрузках и высоких т-рах. Определяются: влияние масла на износ двигателя, пригорание поршневых колец, нагарообразование, коррозия, а также стойкость масла к окислению и влияние содержания S в топливе на «моющую» способность масла. В. Ш.

44271. Новый метод определения минерального масла в смесях различных масел, в частности, в замасливателе для текстильных волокон. Антоначчи (Nuovo metodo per la determinazione dell'olio minerale negli oleanti delle fibre tessili e in generale nelle miscele di oli vari. Antonacci Maurizio), Chimica e industria, 1953, 35, № 8, 561—562 (итал.) В навеске ~10 г определяют общее содержание жиров и масел расщеплением HCl и экстрагированием эфиром; выделенные масла после взвешивания кипятят 2,5 часа с 50 мл 0,5 н. спиртового КОН и затем оттитровывают избыток щелочи 0,5 н. H₂SO₄. Каждый мл израсходованного 0,5 н. КОН соответствует 0,149 г рицинолевой к-ты или 0,141 г олеиновой к-ты (в случае, если состав жира неизвестен, берут среднее значение 0,145 г). Умножением кол-ва мл израсходованной щелочи на один из этих множителей находят кол-во жирных к-т. Содержание неомыляемых, т. е. минер. масел, находят по разности. Б. А.

44272. Лабораторные методы оценки качества часовых масел, в частности, процесса старения. Тилльвих (Zeitgemäße Laboratoriumsprüfverfahren für Uhrenöle. Zweckdienliche Beiträge zum Altersverhalten. Tillwisch Maria), Feinwerktechnik, 1955, 59, № 5, 151—153 (нем.)

Рассматриваются процессы старения масел для часов и методы их оценки. Приводятся данные по изменению качества различных животных и минер. масел в процессе искусств. старения, а также по влиянию на качество масел антиокислительных и других присадок. Б. Э.

44273. Определение содержания золы в консистентных смазках сульфатным способом. Проект стандарта DIN 51803. — (Prüfung von Schmierstoffen. Bestimmung des Sulfataschgehaltes von Schmierfetten. Entwurf DIN 51803 mit Erläuterung von Schultze R.—), Erdöl und Kohle, 1955, 8, № 3, 176—177 (нем.) Метод предназначен для анализа консистентных смазок, изготовленных на щел., щел.-зем. и смешанной щел. и щел.-зем. основе, не содержащих графита. Метод заключается в сжигании навески испытуемой смазки

с последующей обработкой полученной золы 10%-ной H₂SO₄ и прокаливанием полученных сульфатов при 800° до достижения постоянного веса. Ошибка определения ± 5%. Б. Э.

44274. Оптическое изучение структуры консистентных смазок. Хоттен (Optical studies of lubricating grease structure. Hotten B. W.), NLGI. Spokesman 1955, 19, № 1, 14—16, 19 (англ.)

Описание современных оптич. методов исследования тонкой структуры консистентных смазок. Электронный микроскоп позволяет изучить размеры и формы наиболее мелких частиц загущающего агента. Используются также различные методы, в основу которых положена дифракция рентгеновских лучей. Обсуждаются общие элементы структуры: размер и форма частиц, липкость и стабильность; рассматривается хим. сторона процесса загущения. Библ. 12 назв. Л. А.

44275 К. Состав масляных фракций нефти и их анализ. Ван-Нес К., Ван-Вестен Х. Перев. с англ. Под ред. и с примеч. А. Ф. Плате. М., Изд-во иностр. лит., 1954, 464 стр. с илл. и черт., 26 р. 75 к.

44276 К. Методы исследования нефтей и нефтепродуктов. Сб. статей под ред. Потоловского Л. А., М., Гостехиздат, 1955, 320 стр., илл., 12 р. 85 к.

44277 Д. Исследование поверхностного натяжения фракций некоторых нефтей Азербайджана. Пашаев П. А. Автореф. дисс. канд. физ.-матем. н., Азерб. пед. ин-т, Баку, 1955

44278 Д. Исследование в области гетерогенных процессов на пылевидных контактах. Розенталь А. Л. Автореф. дисс. канд. техн. н., Ин-т нефти АН СССР, М., 1955

44279 Д. Изучение роли циклопентановых углеводородов в процессе ароматизации нефтяных фракций на хромоалюминиевом катализаторе. Цытович Н. Э. Автореф. дисс. канд. хим. н., Ин-т нефти АН СССР, М., 1956

44280 Д. Некоторые вопросы разделения углеводородных газов. Маркозов П. И. Автореф. дисс. канд. техн. н., Ин-т нефти АН Азерб. ССР, Баку, 1955

44281 Д. Беспламенное сжигание газа в печах пищевой промышленности. Оболенская О. И. Автореф. дисс. канд. техн. н., Моск. технол. ин-т пищ. пром-сти, М., 1955

44282 Д. Влияние химического состава смазочных масел на их эксплуатационные свойства. Самедова Ф. И. Автореф. дисс. канд. техн. н., Моск. нефт. ин-т, М., 1956

44283 П. Метод хранения природного, коксового и других метанистых газов. Хассель (Verfahren zum Speichern von Erdgas, Kokereigas u dgl. methanreichen Gasen. Hassel Karl) [Julius Pintsch B. Q.]. Пат. ФРГ 903498, 8.02.54 [Chem. Zbl., 1954, 125, № 37, 8486 (нем.)]

Предложен метод хранения (особенно для нужд автотранспорта) природного, коксового и других метанистых газов, по которому исходный газ нагревается под давл. до 200 ат в емкость, заполненную пористой массой, содержащей в качестве р-рителя газа смесь сжиженных пропана и бутана. Н. К.

44284 П. Разрушение нефтяных эмульсий (Verfahren zum Brechen von Erdölemulsionen) [Anorgana]. Швейц. пат. 297024, 17.05.54 [Chem. Zbl., 1955, 126, № 5, 1180 (нем.)]

Нефтяные эмульсии разрушают путем обработки разб. водн. р-ром фосфатов алифатич. аминов, содержащих > 6 атомов С в молекуле, напр., фосфорнокислыми солями алифатич. аминов, обработанных окисью этилена. Б. Э.

44285 П. Парафины и их получение из нефтяных остатков (Hydrocarbon waxes and their preparation from petroleum distillation residues) [N. V. de Bataafsche Petroleum Maatschappij]. Англ. пат. 709732, 2.06.54 [Fuel Abstrs, 1954, 16, № 6, 92—93 (англ.)]

Для получения твердых парафинов с т-рой плавления $\geq 82^\circ$, состоящих в основном из *n*-парафиновых (не менее чем на 75%) и изопарафиновых углеводородов, парафинистые нефтяные остатки растворяют при повышенной т-ре в депарафинирующем р-ителе, а затем охлаждают р-р до т-ры $\geq 38^\circ$ и выделяют из него выкристаллизовавшийся парафин.

Е. П.

44286 П. Конверсия углеводородов с псевдооживленным катализатором (Fluidized bed processes for the conversion of hydrocarbons) [Standard Oil Development Co.]. Англ. пат. 713977, 18.08.54 [Fuel Abstrs, 1955, 17, № 1, 59 (англ.)]

Патентуется способ непрерывного подвода тепла при эндотермич. процессе конверсии углеводородов (в виде пара или газа) в присутствии псевдооживленного твердого катализатора в форме очень мелких частиц. Непрерывный нагрев катализатора, поступающего из зоны р-ции, осуществляется путем смешивания его в зоне смешения с попутным током твердого мелкораздробленного горячего теплоносителя, инертного в условиях зоны смешения. Затем катализатор полностью или частично отделяется от теплоносителя, и отделенная часть подается в зону р-ции; теплоноситель вновь нагревается в зоне подогрева.

М. Ш.

44287 П. Способ и аппаратура для раздельного контактирования газовых потоков с пылевидным катализатором (Methods for contacting separate gaseous streams with a finely divided solid, and apparatus therefor) [Standard Oil Development Co.]. Англ. пат. 716242, 29.09.54 [Petroleum, 1955, 18, № 3, 116 (англ.)]

Устройство реактора и регенератора для крекинга углеводородов с псевдооживленным пылевидным катализатором отличается отсутствием задвижек для регулирования скорости движения катализатора и тем, что проникновение газов из реактора в регенератор и наоборот предотвращается с помощью U-образных запирающих стоек, расположенных ниже уровня ввода газов. Другой особенностью является проточное движение сырья и катализатора. Дана схема.

В. Ш.

44288 П. Переработка нефтяных фракций (Refining of petroleum oils) [Standard Oil Development Co.]. Инд. пат. 48351, 05.53 [J. Scient. and Industr. Res., 1953, 12A, № 7, 360 (англ.)]

Количество продуктов крекинга, поступающих из зоны крекинга на фракционирование, и кол-во газойля, подаваемого в зону крекинга, выражаются ур-нием: $F = [(0,037)T - 30,1] C - 3,41T + 2793$.

Н. В.

44289 П. Термическая обработка тяжелого нефтяного сырья (Thermal treatment of heavy hydrocarbon oils) [N. V. de Bataafsche Petroleum Maatschappij]. Австрал. пат. 157808, 12.08.54

Патентуется способ получения дистиллатных продуктов из тяжелого нефтяного сырья, подвергающегося термич. превращению в нисходящем потоке и одновременно фракционировке в многостадийном процессе. По крайней мере часть паров получаемого газойля циркулирует при помощи компрессора через нагревательное устройство, не подвергаясь существенному крекингу, и подается в реактор в противотоке и в прямом контакте с сырьем с целью поддержания нужной т-ры в зоне р-ции, а также для возмещения тепла, необходимого вследствие эндотермич. характера превращения, и обеспечения тепла на испарение.

Е. П.

44290 П. Метод и устройство для транспортировки твердых частиц с помощью газов. Ардери (Verfahren und Vorrichtung zum Transport fester Teilchen mittels Gasen. Ardern David Benjamin)

[Houdry Process Corp.]. Пат. ФРГ 904174, 15.02.54 [Chem. Zbl., 1954, 125, № 32, 7329 (нем.)]

Предложены метод и устройство для пневмотранспортировки твердых частиц катализатора (К), выходящих снизу реакционной зоны, напр., при каталитич. крекинге нефти; К разделяется на несколько потоков в вертикальных, concentрически расположенных трубах, верхние части которых расширены и выведены наружу. По этим трубам К с помощью транспортирующего газа подается в зону сепарации.

Н. К.

44291 П. Способ приготовления катализаторов из кремнекислоты и окиси магния (Verfahren zur Herstellung von Katalysatoren aus Kieselsäure und Magnesiumoxyd) [Standard Oil Development Co.]. Пат. ФРГ 888091, 31.08.53 [Chem. Zbl., 1954, 125, № 36, 8264—8265 (нем.)]

Промытый гидрогель SiO_2 перемешивается с MgO и водой в шаровой, а затем в колл. мельницах, подвергается синерезису при $20-95^\circ$ (напр., 2—12 час. при $50-90^\circ$), высушивается при $105-315^\circ$ и активируется при $\sim 675^\circ$. Вместо размалывания на мельницах можно готовить катализаторы смешением или пропиткой геля SiO_2 растворимой Mg -солью и осаждением гидрата. Полученные катализаторы крекинга обладают высокими активностью и паростойкостью.

В. Ш.

44292 П. Регенерация катализаторов (Regenerating catalysts) [Standard Oil Development Co.]. Австрал. пат. 161523, 17.03.55

В процессе реформинга лигроина в псевдооживленном слое пылевидного Pt -содержащего катализатора отработанный катализатор выводит из реактора, отдувают увлеченные им газы и регенерируют в нескольких зонах при все повышающейся т-ре в противотоке регенерирующего газа. Регенерированный катализатор возвращается в реактор.

Ю. Г.

44293 П. Алкилирование изопарафинов нафтенами. Шнейдер (Alkylation of isoparaffins with naphthenes. Schneider Abraham) [Sun Oil Co.]. Пат. США 2668865, 9.02.54

Патентуется процесс получения полиалкилциклогексана, который состоит во взаимодействии в жидкой фазе алкилазамещенного циклопентана с изопарафином, имеющим 4—6 атомов C и хотя бы один третичный атом H в молекуле, в присутствии HF и олефина; в результате образуется полиалкилциклогексан с числом атомов C , равным сумме атомов C циклопентана, изопарафина и олефина, превращенного в парафин с тем же числом атомов C . Полиалкилциклогексан (выделяется из реакционной смеси).

Д. С.

44294 П. Парафин (Paraffin wax) [N. V. de Bataafsche Petroleum Maatschappij]. Австрал. пат. 156282, 13.05.54

Предложен процесс изомеризации парафина (П), по которому твердый П превращают в пары, которые в отсутствие жидкой фазы контактируют с H_2 (1 моль H_2 на 1 моль П) на Pt -катализаторе, осажденном на носителе, при $300-550^\circ$.

Н. К.

44295 П. Фракционирование смеси углеводородов. Феттерли (Verfahren zur Fraktionierung einer Mischung organischer Verbindungen. Fottler Lloyd Cochrane) [N. V. de Bataafsche Petroleum Maatschappij]. Пат. ФРГ 893945, 22.10.53 [Chem. Zbl., 1954, 125, № 3, 646 (нем.)]

Исходная смесь, содержащая алифатич. углеводороды с прямой и разветвленной цепью, обрабатывается тиомочевой или ее р-ром. Полученный кристаллич. комплекс отделяется, и из него путем нагревания выделяется одна из составных частей смеси.

Е. З.

44296 П. Отделение циклогексана от метилциклопентана кристаллизацией. Сайнс (Separation of cyclohexane from methylcyclopentane by crystallization)

zation
Co.]

Пред
смеси,
и цикло
молярно
до т-ры
что обра
99%-ной
р-ра. П

г-ры.

44297 П

sation

Австр

Патен

нефтяно

состоит

нежных

кол-ва V

сырья на

44298 П

sulphu

Develop

Abstrs

Обраба

шестичл

существо

асистеля

дород, и

шей S.

44299 П.

sulphu

Co.]. А

125, N

Удале

достигае

О-содерж

ния высо

44300 П.

(Vanad

Iranian

17.03.5

Для син

фти или

и матери

и Al (пат

т-ре и да

контактн

быть при

44301 П.

Брук

lution.

мои г

2675373

Для ра

раствори

мого р-д

160°, к

п-ра

коричног

44302 П.

Чени

Chen

ducts C

Предло

подверж

тем, что

ний собо

44303 П.

килфено

höhermo

[Socony

27.11.53

21 Химия,

zation. Cines Martin R.) [Phillips Petroleum Co.]. Пат. США 2703818, 8.03.55

Предлагается процесс выделения циклогексана из смеси, состоящей в основном из метилциклопентана и циклогексана. Смесь концентрируется до большего молярного содержания циклопентана, охлаждается до t -ры ниже -110° , но не более чем до -144° так, что образуются кристаллы α -циклогексана более чем 99%-ной чистоты; кристаллы отделяются от маточного р-ра. Приведена кривая зависимости состава смеси от t -ры.

З. С.

44297 П. Обессеривание углеводородов (Desulphurization of hydrocarbons) [Anglo-Iranian Oil Co. Ltd]. Австрал. пат. 158174, 26.08.54

Патентуется процесс гидрокаталитич. обессеривания нефтяного сырья, содержащего V и (или) Na, который состоит в контактировании сырья с бокситом при повышенных t -ре и давлении, в результате чего значительные кол-ва V и Na удерживаются бокситом. Обработанное сырье направляется затем в зону гидроочистки.

Д. С.

44298 П. Обессеривание нефтяных фракций (Desulphurization of petroleum fractions) [Standard Oil Development Co.]. Англ. пат. 717012, 20.10.54 [Fuel Abstr., 1955, 17, № 3, 68 (англ.)]

Обрабатываемая фракция и нафты, содержащие шестилентные циклы, реагируют при $600-1000^{\circ}$ в присутствии катализатора V_2O_5 на глиноземе в качестве носителя; при этом нафты действуют как доноры водорода, который и вступает в р-цию с присутствующей S.

З. С.

44299 П. Очистка нефтяных фракций (Removal of sulphur compounds from hydrocarbon oils) [Pure Oil Co.]. Англ. пат. 687841, 25.02.53 [Chem. Zbl., 1954, 125, № 25, 5667 (нем.)]

Удаление S-содержащих соединений (меркаптанов) достигается с помощью щелочи, которую регенерируют S-содержащим газом, в присутствии 0,01—2% фракции высокоплавленной древесной смолы.

Б. Э.

44300 П. Удаление ванадия и (или) натрия из нефти (Vanadium and/or sodium from petroleum) [Anglo-Iranian Oil Co. Ltd]. Австрал. пат. 161712, 161722, 17.03.55

Для снижения содержания V и (или) Na в сырой нефти или нефтепродукте, последние контактируются с материалом, состоящим, в основном, из оксидов Ti и Al (пат. 161722) и присутствии H_2 при повышенных t -ре и давлении, причем V и (или) Na осаждаются на контактом материале. В качестве такового может быть применена фуллерова земля. (пат. 161712) Е. С.

44301 П. Предотвращение выделения кислого газа. Брукс, Мейсел (Suppression of acidic gas evolution. Brooks John W., Meisel Seymour L.) [Socony-Vacuum Oil Co., Inc.]. Пат. США 2675373, 13.04.54

Для предотвращения выделения H_2S из продукта, растворимого в масле и содержащего P и S и получаемого р-цией 4 мольев пинена с 1 мольем P_2S_5 при $100-160^{\circ}$, к продукту р-ции прибавляют $\sim 0,5-20$ вес. % коричного альдегида.

Л. М.

44302 П. Стабилизация органических соединений. Ченисек (Stabilization of organic compounds. Chenisek Joseph A., [Universal Oil Products Co.]. Пат. США 2687962, 31.08.54

Предложен способ стабилизации органич. продуктов, подверженных порче при окислении, отличающийся тем, что к ним прибавляется ингибитор, представляющий собой N,N' -диоксифениламины.

М. Х.

44303 П. Метод получения высокомолекулярных алкилфенолов. Риф (Verfahren zur Herstellung von höhermolekularen Alkylphenolen. Reif O. M.) [Socony-Vacuum Oil Co., Inc.]. Пат. ФРГ 905612, 27.11.53 [Chem. Zbl., 1954, 125, № 24, 5437 (нем.)]

Хлорированные (содержание хлора 12—14%) высокомолекулярные и высокоплавающие парафины расплавляются с фенолом в таком соотношении, чтобы на молекулу фенола приходилось 3—4 атома Cl. При t -ре $\sim 66^{\circ}$ к смеси прибавляется 3% $AlCl_3$ (по отношению к парафину), после чего t -ра постепенно поднимается до 177° . В интервале $121-177^{\circ}$ скорость повышения t -ры $0,6^{\circ}$ в 1 мин. Получен. продукт применяется как добавка, понижающая t -ру застывания минер. масел.

Н. К. 44304 П. Светлый петролатум со стабильной окраской. Розман (Light stable petrolatum. Rozman George J.) [Ashland Oil Refininy Co.]. Пат. США 2707705, 3.05.55

Патентуется стабильный по окраске петролатум и способ стабилизации цвета светлоокрашенного петролатума путем прибавления менее 1% фурфуролазина (I). Кол-во I 0,1—0,001 вес. % (предпочтительно 0,01%) вполне достаточно для предупреждения изменения окраски петролатума под действием света.

Е. П.

44305 П. Производство стабильного жидкого топлива. (Production of stable fuel oil) [Standard Oil Development Co.]. Англ. пат. 714625, 1.09.54 [Petroleum, 1955, 18, № 2, 67 (англ.)]

Жидкое топливо представляет собой крекинг-продукт с небольшим кол-вом остатка от перегонки нефтяной фракции, полученной из сырья нафтового основания, обработанной к-той и затем нейтрализованной; к смеси прибавлена также щел. или щел.-зсм. металлич. соль алкилфенолсульфида.

Н. Р.

44306 П. Получение парафина, не содержащего масла, из остатков от переработки нефти и смолы. Крепелли, Штейнбрехер (Verfahren zur Gewinnung ölfreier Paraffine aus Rückständen Mineralöl- und Teerverarbeitung. Kropelin Hans, Steinbrecher Hans) [Braunschweigische Maschinenbauanstalt A.-G.]. Австрал. пат. 177494, 10.02.54 [Chem. Zbl., 1954, 125, № 45, 10393 (нем.)]

Остатки от переработки нефти и смолы предварительно перегоняются или очищаются, после чего расплавленный продукт при сильном перемешивании вводится в охлажденный селективный р-ритель. При плавлении нагревание ведут до t -ры начинающегося разложения продукта.

Б. Э.

44307 П. Основной нефтяной сульфатат щелочно-земельного металла (Basic alkaline earth petroleum sulphonate) [N. V. De Bataafsche Petroleum Maatschappij]. Австрал. пат. 154099, 26.11.53

Предложен метод получения основного нефтяного сульфатата щел.-зем. металла последовательной обработкой р-ра нефтяного сульфатата щел. металла в нефтяной фракции солью щел.-зем. металла, а затем основным щел.-зем. соединением. Перед второй обработкой р-р промывается большим кол-вом воды.

Б. Ш.

44308 П. Получение битуминозных материалов, малочувствительных к температуре. Цербе (Verfahren zur Herstellung von wenig temperaturempfindlichen, bituminösen Stoffen. Zerbe Carl) [Deutsche Shell A.-G.]. Пат. ФРГ 889503, 10.09.53 [Chem. Zbl., 1954, 125, № 21, 4762 (нем.)]

Предлагается способ получения битуминозных материалов из нефтяных продуктов путем продувки в присутствии полимеризирующего катализатора, для чего они обрабатываются воздухом при добавке в качестве катализатора до 2% остатков, получаемых при синтезе углеводородов, альдегидов, кетонов, при дегидрировании, расщеплении, конденсации и полимеризации в присутствии $AlCl_3$. Р-ция может быть ускорена добавкой небольших кол-в Cl_2 или галоидоводородных к-т (I). Можно также предварительно вести продувку воздухом, а перед концом р-ции добавлять катализатор и далее обрабатывать в присутствии воздуха или без него, Cl_2 или I.

Г. С.

44309 П. Обработка адсорбентами углеводородов и других органических продуктов. Бюрд-Берто, Муратов (Procédé de traitement au moyen d'adsorbants, de produits organiques divers et, en particulier d'hydrocarbures. Burdet-Berthod, Mouratoff) [Soc. An. d'Exploitations Pétrolières Antar et Raffineries Françaises de Pétrole de l'Atlantique (R. F. P. A.)]. Франц. пат. 1064233, 12.05.54 [Chimie et industrie, 1954, 72, № 3, 455 (франц.)]

Органич. продукты пропускают с целью обработки через слой адсорбента, которым они полностью или частично адсорбируются, а затем экстрагируются соответствующими р-рителями, которые удаляются далее из адсорбента.

44310 П. Ацетилен и водород из природного газа. Сасаки (Acetylene and hydrogen from natural gas. Sasaki Kazuo). Япон. пат. 1480, 20.03.54 [Chem. Abstrs, 1955, 49, № 1, 595 (англ.)]

Природный газ, содержащий 90% CH_4 , обрабатывают при 1300° смесью, состоящей из 2 ч. Fe_2O_3 и Al_2O_3 ($\text{Fe} : \text{Al} = 2 : 1$) (-160 меш) и 0,2 ч. Al (-150 меш). В результате термитной р-ции т-ра возрастает до 1500° и при этом разлагается 30% CH_4 . Материал затем нагревают до 2000° для разложения 90% CH_4 , охлаждают до 450° , удаляют катализатор и получают газ состава (в об. %): C_2H_2 1,2; C_2H_4 1,6; H_2 83; CO 6,1; CH_4 4; N_2 4.

44311 П. Электрохимический аппарат с движущимися электродами, погруженными в жидкую среду. Эдигер (Electrochemical apparatus incorporating mobile electrodes immersed in a liquid medium. Ediger W. von) [Technical Assets, Inc.] Англ. пат. 692504, 10.06.53 [J. Appl. Chem., 1954, 4, № 1, 9—101 (англ.)]

В аппарате для получения C_2H_2 , газовой сажи и т. д. путём электрокрекинга жидких углеводородов электрич. разряд происходит в тонком слое рыхлых частиц C (образующих подвижные электроды), лежащем на поверхности, образованной из угольных стержней. Свободное движение частиц C ограничивается установленным над этой поверхностью навесом, состоящим из рамы, несущей жалюзи из наклонных реек.

44312 П. Процесс обработки печной сажи с высоким рН. Сайне (Process for treating high pH furnace carbon black. Cines Martin R.) [Phillips Petroleum Co.]. Пат. США 2682448, 29.06.54

Патентуется процесс окисления печной сажи с одновременной ее грануляцией. В зону грануляции подается печная сажа с рН от 9 до 10 и газ, содержащий 2,5—10 об. % свободного O_2 ; окисление и грануляцию проводят при $340-540^\circ$ в течение времени, достаточного для снижения рН до 2,9—7. Приведена схема установки.

44313 П. Способ производства ацетиленовой сажи. Паш, Вендландт, Кесс, Клеман (Verfahren zur Herstellung von Acetylenruß. Paasch Konrad, Wendlandt Rudolf, Kaess Franz, Kleemann Max) [Süddeutsche Kalkstickstoff-Werke A.-G.]. Пат. ФРГ 879881, 30.04.53 [Rubber Abstrs, 1954, 32, № 3, 119 (англ.)]

Предлагается охлаждение и транспортировку сажи, получаемой в реакционной камере, на пути между холодильником и сепаратором осуществлять с помощью потока газа.

44314 П. Способ зажигания газов, особенно ацетилена, для получения сажи. Паш, Клеман (Verfahren zum Zünden von Gasen, insbesondere Acetylen, zur Herstellung von Ruß. Paasch Konrad, Kleemann Max) [Süddeutsche Kalkstickstoff-Werke A.-G.]. Пат. ФРГ 879880, 30.04.53 [Rubber Abstrs, 1954, 32, № 3, 119 (англ.)]

Предлагается при произ-ве сажи зажигание газов производить с помощью открытого пламени, вводимого в реакционную трубку и удаляемого после воспламенения.

44315 П. Процесс и аппаратура для производства сажи (Process and apparatus for carbon black manufacture) [Columbian Carbon Co.]. Англ. пат. 711312, 30.06.54 [Rubber Abstrs, 1954, 32, №10, 462 (англ.)]

Предложен аппарат для произ-ва печной сажи, отличающийся небольшим числом трубок, объединенных общими коллекторами; при приближении к стенке реакционной камеры трубки увеличиваются в диаметре и заканчиваются перфорированной пластинкой, позволяющей подавать в камеру сгорания струю углеводорода веерообразно. При такой конструкции значительно уменьшаются затруднения, связанные с распределением сырья и очисткой.

44316 П. Метод регенерации промывной жидкости, после удаления ею загрязнений из ацетиленосодержащих газов. Цобель, Вейхерт, Веспизер (Verfahren zur Regenerierung von beim Entfernen von Verunreinigungen aus acetylenhaltigen Gasen anfallender Waschlösung. Zobel Friedrich, Weichert Kurt, Wespiser Franz) [Chemische Werke Hüls G. m. b. H.]. Пат. ФРГ 873885, 11.05.53 [Chem. Zbl., 1954, 125, № 3, 689 (нем.)]

Для регенерации промывной жидкости, применяющейся для очистки C_2H_2 -содержащих газов, предлагается нагреть ее водяным паром, затем охладить и фильтрованием либо центрифугированием освободить от твердых примесей. Можно также обработанную водяным паром промывную жидкость смешать с водой, удалить твердые примеси и затем отделить от воды.

44317 П. Метод каталитической конверсии метановых газов. Гиллеспии (Method of catalytic reforming of a methane gas mixture. Gillespie Bruce G.) [Standard Oil Development Co.]. Канад. пат. 503604, 8.06.54

Предложен метод конверсии метанового газа с газом, основным компонентом которого являются CO_2 , в присутствии катализатора (медь, нанесенная на активированный уголь) при т-рах $\leq 730^\circ$ и продолжительности р-ции, достаточной для осуществления процесса. Продуктом процесса является смесь H_2 и CO в пропорции, соответствующей синтез-газу для получения углеводородов. Исходная смесь может содержать CO_2 и CH_4 в молярном соотношении, близком к 1, а конечный продукт может состоять из CO и H_2 в молярном соотношении также ~ 1 .

44318 П. Реагент для определения воды, получаемый из сульфированного пека. Ватабэ, Хасегава (Water-detecting agent from sulfonated pitch. Watabe Isamu, Hasegawa Chuji) [Nippon Petroleum Oil Co.]. Япон. пат. 4748, 21.09.53 [Chem. Abstrs, 1954, 48, № 18, 11049—11050 (англ.)]

Сульфированный пек нагревают с горячей водой, водн. слой нейтрализуют $\text{Ca}(\text{OH})_2$, р-р декантируют, прибавляют Na_2CO_3 или NH_4OH , выпаривают досуха и получают сульфаты Na или NH_4 . Спирт. р-р сульфата наносят на палочку, которую затем высушивают. Присутствие и уровень воды в бочке или цистерне с м-ном маслом определяют по растворению нерастворимого в масле реагента, нанесенного на палочку.

44319 П. Синтез углеводородов и катализатор для него (Synthesis of hydrocarbons and catalysts therefor) [Standard Oil Development Co.]. Англ. пат. 710339, 9.06.54 [Fuel Abstrs, 1954, 16, № 5, 77 (англ.)]

Для синтеза непредельных углеводородов из газовой смеси, содержащей CO , H_2 и существенные кол-ва N_2 , предлагается применять Fe -катализатор, осажденный на активированном угле и промотированный целоч.

дометалл
ется в од
ленного

44320 П.
дуктов
дель
(Proce
reactio
bons,
Verwe
Abstrs
Патент

с помощью
существо
щего к
к-ты.

44321 П.
и водо
wassers
[Braun]
[Chem.
Метод
ступенч
деление
бывания
стоянным

44322 П.
более в
препар
fahren
und hö
von fest
chemie
Австр.
125, №
Чтобы

атомами
Смеси CO
при этом
тры газиф
с 10—15%

44323 П.
гидриро
zur Abfi
benden
chemie
Zbl., 19
Тепло,

лится путе
лирующей
320°) фран
тому котлу
жидкости
чески заме

дуктами и
тому сниж
лать зону
ской перег
230°, испол
поллива (Д
тов, содержа
передается
ОН, цирку
70 дней.

44324 П.
[Standard
22.09.54
Предлож
жидкости
2—10% пр

пoмeтaллич. coeдинeниeм. Пpoцeсс cинтeзa ocущecтвляeтcя в oдну cтупeнь, в пceвдooжжeннoм cлoe мeлкoдpoблeннoгo кaтaлизaтoрa, при 230—345° и дaвл. 3,5—7,0aтм.

44320 П. Cпocоб пpoизвoдcтвa cинтeтичecкиx пpoдyктoв из peакциoнныx cмecей, coдepжaщиx нeпpeдeльныe yглeвoдopoды, окись yглepoдa и вoдopoд (Process for the production of synthetic products from reaction mixtures comprising unsaturated hydrocarbons, carbon monoxide and hydrogen) [Chemische Verwertungsges]. Aнгл. пат. 711696, 7.07.54 [Fuel Abstrs, 1954, 16, № 6, 117 (aнгл.)]

Пaтeнтyeтcя пpoцeсс фoрмилиpoвaния мoнooлeфинoв c пoмoщью гaзoвoй cмecи, coдepжaщeй CO и H₂, в пpиcтyпeнии кaтaлизaтoрa, coдepжaщeгo cульфaт Co и имeющeгo кислoтy p-диo вcлeдcтвиe дoбaвки cвoбoднoй к-ты.

44321 П. Cинтeз yглeвoдopoдoв из окиси yглepoдa и вoдopoдa (Verfahren zur Durchführung der Kohlenwasserstoffsynthese aus Kohlenoxyd und Wasserstoff) [Braunkohle-Benzin A.-G.]. Пат. ФРГ 877298, 21.05.53 [Chem. Zbl., 1954, 125, № 3, 646 (нем.)]

Мeтoд cинтeзa yглeвoдopoдoв из CO и H₂ в двe и бoлee cтупeнeй oтличaeтcя тeм, чтo для вceх cтупeнeй пpoизвeдeния кoнц-ии cинтeз-гaзa пo CO и H₂ нa вpeмя пpeбывaния гaзa в cтупeни cинтeзa пoддepживaeтcя пocтoянным.

44322 П. Cпocоб пoвышeния oбщeгo выxoдa C₂- и бoлee выcoкoмoлeкyлярныx yглeвoдopoдoв в пpoцecce пpeвpaщeния твepдыx тoплив в yглeвoдopoды (Verfahren zur Erhöhung der Gesamtausbeute an C₂- und höheren Kohlenwasserstoffen Übei der erfürung von festen Brennstoffen in Kohlenwasserstoffe) [Ruhrchemie A.-G. und Lurgi Ges. für Wärmetechnik m.b.H.]. Австр. пат. 176279, 10.10.53 [Chem. Zbl., 1954, 125, № 6, 1382—1390 (нем.)]

Чтoбы пoвыcить выxoдa yглeвoдopoдoв c 2 и бoлee aтoмaми C из пoлyчeннoй пyтeм гaзификaции тoпливa cмecи CO и H₂, из пocлeднeй oтмывaют oбpaзoвaвшyюcя при этoм CO₂, и пocлe пoдoгpeвa в тeплooбмeнникe дo т-ры гaзификaции пoдaют CO₂ в зoнy гaзификaции (лyчшe c 10—15% O₂).

44323 П. Cпocоб oтвoдa тeплa, выдeляющeгocя при гидриpoвaнии окиси yглepoдa. Рeлeн (Verfahren zur Abführung der bei Kohlenoxydhydrierung entstehenden Wärmemengen. Roelen Otto) [Ruhrchemie A.-G.]. Пат. ФРГ 885699, 6.08.53 [Chem. Zbl., 1954, 125, № 50, 11586 (нем.)]

Тeплo, выдeляющeecя при гидриpoвaнии CO, oтвoдятcя пyтeм кoceвoгo тeплooбмeнa c пoмoщью циркyлиpyющeй cинтeтич. (выкипaющeй в пpeдeлax 200—320°) фpaкции, кoтopая пepeдaeт тeплo, нaпp., пapoвoмy кoтлy. Пpимeняeмыe в кaчecтвe oхлaждaющeй жидкocти (OЖ) yглeвoдopoды нeпpepывнo или пepиoдичecки зaмeняютcя внoвь пoлyчeннoй cинтeтич. пpoдyктaми и вoзвpaщaютcя в цикл cинтeзa. Блaгoдaря этoмy cнижaeтcя oсмoлeниe OЖ и нe тpeбyeтcя oтдeлять зoнy cинтeзa oт зoны oхлaждeния гaзoнeпpoницаeмoй пepeгopoдкoй. Кoлoннa cинтeзa, paбoтaющaя при 230°, иcпoльзyeт в циклe oхлaждeния 4,1 т дизeльнoгo тoпливa (ДТ) и пpoизвoдит в cyтки 2 т жидкoй пpoдyктoв, coдepжaщиx 30% ДТ, 10% кoтopых (60 кг в cyтки) пepeдaeтcя в цикл oхлaждeния; cлeд., oбщий зaпac OЖ, циркyлиpyющeй в кoлoннe, oбнoвляeтcя чepeз 70 днeй.

44324 П. Aвиaциoннoe тoпливo (Aviation fuel) [Standard Oil Development Co.]. Aнгл. пат. 716009, 22.09.54 [Petroleum, 1955, 18, № 3, 116 (aнгл.)]

Пpeдлoжeнo yлyчшeннoe aвиaциoннoe тoпливo, coдepжaщee cлeдyющиe yглeвoдopoдныe кoмпoнeнты; 2—10% пpocтыx paзвeтвлeнныx aлкилэфирoв, вклю-

чaющих диизoпpoпилoвый эфир, и 2—22% aрoмaтич. yглeвoдopoдoв C₆—C₉.

44325 П. Нeфтъянoe тoпливo для peактивныx двигaтeлeй (Firing oilfired equipment) [British Thomson-Houston Co., Ltd.]. Aнгл. пат. 697101, 16.09.53

К тoпливy, coдepжaщeмy V, дoбaвляeтcя cмeсь, cocтoящaя из окисей Ti, Al и Si или oбpaзoвaющaя их при cжигaнии, блaгoдaря чeмy зoлa тoпливa плавится >650°. Окиси Al и Si мoгyт бытe ввeдeны в видe cиликaтa aлюминия. Нaибoлee жeлaтeльнoй дoбaвкoй являeтcя зoнaльнaя yгoльнaя пыль. Oтнoшeниe дoбaвляeмoй cмecи к зoлe тoпливa oт 0,5 : 1 дo 1,5 : 1. Е. С.

44326 П. Бeнзинy (Gasoline fuels) [N. V. de Bataafsche Petroleum Maatschappij]. Aнгл. пат. 717727, 3.11.54 [Petroleum, 1955, 18, № 4, 156 (aнгл.)]

Пaтeнтyeтcя кoмпoзиция, cocтoящaя из бeнзинa, coдepжaщeгo тeтpaтилcвинeц, paствopимoгo в бeнзинe, нe coдepжaщeгo гaлoидa, oргaнич. coeдинeния, нaпp., хaульмyгpoвoй или oлeинoвoй к-ты, в кoл-вe 0,3—3,0 oт тeopетич., считaя нa aнтидeтoнaтop, a тaкжe гaлoидoдepжaщeгo внocитeля, в кoл-вe 0,75—1,5 oт тeopетич., тoжe считaя нa aнтидeтoнaтop.

44327 П. Cпocоб дeпapaфинизaции минepaльныx мaceл. Сaкpa (Procédé de déparaffinage de l'huile minérale. Sacra Charles F.) [N. V. de Bataafsche Petroleum Maatschappij]. Фpaнц. пат. 1056985, 4.03.54 [Chimica, 1954, 30, № 10, 339 (итaл.)]

Охлaждaют жидкyю cмeсь пapaфинистoгo минep. мaслa и дeпapaфиниpyющeгo p-ритeля, пpeдcтaвляющeгo coбoй жидкyю cмeсь кислopoдoдepжaщeгo пoлярнoгo oргaнич. в-вa и yглeвoдopoдa, гaзooбpaзнoгo при нopмaльныx yслoвияx и лeгкo cжигaeмoгo (пpoпaнa). Выдeлившийcя твepдый пapaфин oтдeляют.

44328 П. Cпocоб пoлyчeния cмaзoчнoгo мaслa. Дирикс, Кpигиш (Verfahren zur Gewinnung von Schmieröl. Dierichs Alf ed., Kriegisch Rudolf). Пат. ГДР 7900, 14.08.54

Смeсь yглeвoдopoдoв, coдepжaщaя твepдыe пapaфины, oбpaбaтывaeтcя p-ритeлeм, пpeдcтaвляющим coбoй cпирт c 3—4 aтoмaми C, к кoтoрoмy пpибaвлeнo 1—25% aрoмaтич. yглeвoдopoдoв. Мeтoд зaключaeтcя в тoм, чтo пocлe oбычнoй экcтpaкции низкoзaстaвляющeгo мaceлa при низкix т-рax, пpeимyщecтвeннo нижe —10°, пpoвoдится экcтpaгирoвaниe при бoлee выcoкoй т-pe (~0°) p-ритeлeм тoгo жe coстaвa.

44329 П. Paздeлeниe мaceл c пoмoщью дистиляциoн. Тpaмм (Verfahren zur destillativen Aufbereitung von Ölen. Tramm Heinrich) [C. Otto and Co., G. m. b. H.]. Пат. ФРГ 902292, 21.01.54 [Chem. Zbl., 1954, 125, № 34, 7787 (нем.)]

Из пoлимepизoвaннoгo мaслa, ввeдeннoгo в кoлoннy, пoлyчaют нa днe ee пeкooбpaзный oстaтoк, a cвepхy пapы мaслa. Чacть пocлeдних пoвтopнo нaгpeвaeтcя в тpyбчaтoй пeчи дo тaкoй т-ры, чтoбы их cмeсь c пoлимepизoвaнным мaслoм имeлa т-py, нeoбxoдимyю для дистиляциoн в кoлoннe.

44330 П. Дoбaвки к cмaзoчным мaслaм. Пoлкин (Produits d'addition aux huilles lubrifiantes. Porokin Alexander H.) [Standard Oil Development Co.]. Фpaнц. пат. 1065388, 24.05.54 [Chimie et industrie, 1954, 72, № 3, 456 (фpaнц.)]

Спocоб пoлyчeния дoбaвoк к cмaзoчным мaслaм coпoлимepизaций cлoжнoгo эфиpa α, β-нeнacыщ. мнoгo-ocнoвнoй кapбoнoвoй к-ты, или ee aнгидpидa, c низкoмoлeкyлярным винилoвым coeдинeниeм в пpиcтyпeнии пepекиснoгo кaтaлизaтoрa и 0,02—5 вec.%, считaя нa мoнoмep, cильнoй к-ты в кaчecтвe aгeнтa, видoизмeняющeгo coпoлимepизaцию.

44331 П. Пoлyчeниe и coстaв пpисaдки к cмaзoчным мaслaм. Бpeннaн, Вильямo (Method of preparing a lubricating oil additive and the lubricating oil additive resulting from said method. Brennan)

man E. W., William N. A.) [Pure Oil Co.] Англ. пат. 717039, 20.10.54 [Fuel Abstrs, 1955, 17, № 3, 72 (англ.)]

Моющая присадка получается путем р-ции металл. соли жирной к-ты с сульфидом фосфора, с последующей нейтр-цией полученного продукта металл. основанием. Весовой процент металла в нейтрализованном продукте существенно больше, чем в соли.

44332 П. Многофункциональные присадки к маслам (Multifunctional lubricant additives) [Standard Oil Development Co.]. Англ. пат. 698013, 7.10.53 [Fuel Abstrs, 1954, 15, № 5, 60 (англ.)]

Предложен процесс этерификации поливиниловых спиртов производными алифатич. к-т с длинными цепями для получения сложных поливиниловых эфиров, понижающих т-ру застывания и улучшающих индекс вязкости.

44333 П. Способ получения добавок к смазочным маслам. Энгель, Зимон (Verfahren zur Herstellung von Schmierölverbesserungsmitteln. Engel Hans, Simon Walter) [Badische Anilin- und Soda-Fabrik A.-G.]. Пат. ФРГ 896349, 12.11.53 [Chem. Zbl., 1954, 125, № 27, 6142 (нем.)]

Предложен способ получения добавок действием 1 моля P_2S_5 на 8 (лучше 10—20 молей) алкилфенолов, в которых несколько алкилфенольных радикалов связаны между собой промежуточными мостиковыми группами, напр. изобутил-, изогептилфенолсульфид или парафенилсульфид. В продукт р-ции вводят многоатомные металлы, особенно щел.-зем. и Zn. В. Ш.

44334 П. Добавки против вспенивания смазочных масел. Киттлсон (Agent antimousse pour huiles lubrifiantes. Kittleson Allen R.) [Standard Oil Development Co.]. Франц. пат. 1042447, 2.11.53 [Chem. Zbl., 1954, 125, № 43, 9907—9908 (нем.)]

Добавки состоят из продуктов р-ции многоатомных спиртов (глицерин, глицоль, пентаэритрит, сорбит) с диаминодиалкоксиланами. Напр., 115 г ди-(трет-бутоксиди)-диаминосилана энергично реагирует с 31 г безводн. этиленгликоля. По окончании р-ции отфильтровывают образовавшийся продукт, который может применяться в качестве добавки без дополнительной обработки, либо после нагревания 6 час. при 80—90°

44335 П. Применение малеиново-винилового сополимера как добавки к смазочным маслам. Барлетт (Maleinoid-vinyl copolymer and its use in lubricants. Bartlett Jeffrey H.) [Standard Oil Development Co.]. Пат. США 2694685 16.11.54

Патентуется композиция, состоящая из смазочного масла и небольшого кол-ва депрессора, представляющего собой растворимый в масле сополимер винилового эфира жирной к-ты с 2—18 атомами С и диалкилмалеината, в котором каждая алкильная группа имеет 10—18 атомов С.

44336 П. Способ получения смазочных масел и топлив для подводных боевых средств. Хёпфнер, Лир (Verfahren zur Herstellung von Schmier- und Treibölen für Unterseekampfmittel. Höpfner Konrad, Liehr Bodo) [Deutsche Hydrierwerke A.-G.]. Пат. ФРГ 879444, 11.06.53 [Chem. Zbl., 1954, 125, № 27, 6142 (нем.)]

Патентуется способ получения смазочных масел и топлив для подводных боевых средств, способных, попадая в морскую воду, не оставлять масляных пятен на ее поверхности, благодаря наличию в них эмульгаторов. В качестве последних пригодны четвертичные N-соединения, напр. хлорид додецилтриэтиламмония, сернокислые эфиры высших спиртов и продукты р-ции окиси этилена с олеиловым спиртом. Можно также добавлять р-рители и красители.

44337 П. Получение изоляционного масла. Потт, Мак-Лейн (Process for preparing insulating oil composition. Pott Anthony Fred Doran, McLean Donald Henry) [Standard Oil Development Co.]. Пат. США 2688597, 7.09.54

Получение изоляционного масла с высокими изолирующими свойствами отличается тем, что масло сначала обрабатывают 2,6-ди-третичным бутил-4-метилфенолом в кол-ве 0,05—2%, а затем контактируют с тонкоизмельченным твердым адсорбентом при 50—250° и фильтруют.

44338 П. Низкотемпературная смазочная композиция. Эколс (Low-temperature lubricating composition. Echols Leonard Sidney) [Shell Development Co.]. Пат. США 2688001, 31.08.54

Предложен состав беззольного низкотемпературного смазочного материала из минер. масла, 1,5—3,5% моноолеата глицерина, 0,3—0,5% лецитина и 0,2—1% соединения, представляющего собой 2,6-ди-трет-бутил-4-метилфенол, 2,4-диметил-6-трет-бутилтиофенол, 2,4,6-трет-бутилфенол, 2,2'-метилбис-(4-метил-6-трет-бутилфенол).

44339 П. Смазочная композиция, представляющая смесь парафинистого минерального масла, поли-1,2-оксипропиленгликоля и тетра(парафин)-алкилфенола, ацилированного хлорангидридом фталевой кислоты. Бенойт (Lubricant composition comprising a mixture of waxy mineral oil, poly-1,2-oxypolypropylene glycol and a phthalyl chloride acylated tetraparaffin-alkylated phenol. Benoit George J., Jr.) Пат. США 2691634, 12.10.54

Предлагается смазочная композиция, содержащая смесь парафинистого минер. масла с поли-1,2-оксипропиленгликолем в соотношении: 25—75 об.% минер. масла и 75—25 об.% гликоля. К смеси прибавляется 2—3 вес.% ацилированного хлорангидридом фталевой к-ты тетраалкил-(парафин)-фенола.

44340 П. Смазочные композиции. Порт, О'Брайен Суэри (Lubricating oil compositions. Port William S., O'Brien James W., Swern Daniel) [United States of America as represented by the Secretary of Agriculture]. Пат. США 2671760, 9.03.54

Смазочная композиция с улучшенным индексом вязкости состоит из смазочного масла, к которому добавлен линейный гетерополимер с мол. в. 5000—100 000, полученный путем полимеризации смеси мономерных вилацетата и винилпальмитата.

44341 П. Смазочная композиция. Прайзман, Рей, Берджесс (Lubricating oil composition. Prizeman A., Rae N.S., Burgess B.M.) [Standard Oil Development Co.]. Англ. пат. 709903, 2.06.54 [Fuel Abstrs, 1955, 17, № 1, 64 (англ.)]

Смазочная композиция состоит из минер. масла, содержащего < 1 вес.% (лучше ~ 0,05%) растворимого в масле алифатич. неполного сложного эфира многоатомного спирта и 1—5 вес.% (лучше 1,5—2,5%) мощей присадки, являющейся металл. (щел.-зем.) производным алкилфенолсульфида или сульфированного алкилфенола.

44342 П. Композиция смазочного масла. Доринсон (Lubricating oil composition. Dorinson Amogs) [Sinclair Refining Co.]. Пат. США 2694046, 9.11.54

Патентуется смазочная композиция, состоящая из минер. масла и 0,5—4 вес.% продукта, полученного при 60—70° взаимодействием 45 ч. S_2Cl_2 со смесью, состоящей из ~ 100 ч. α-пинена и ~ 100 ч. олеиновой кислоты.

44343 П. Стабилизация минеральных смазочных масел (Stabilization of mineral lubricating oils) [Stan-

дard
20.10
К ст
бавлик
масла,
регонк
44344

масл
крем
ester
ph
СПА
Комп

тель—
частич
углевод
атом С
Н). За
в смеси
бутано
масла
теля с
беретс

44345

ха
th
Self
haus
1954
Смаз

оксипа
(≥ 20
эфиро
в указ
этанол
ной о
нилов
119°

44346
com
пат
70
Пат

предл
ка го
сам,
жирн
тител
145—
мол. л

44347
cat
mis
ats
1954
Ост

трет.
киль
400,
ленин
бавлик
арил
фосфа
тичин
44348

ру
Н
Oil
Па
новн

dard Française des Petroles]. Англ. пат. 716979, 20.10.54 [Petroleum, 1955, 18, № 4, 156 (англ.)]

К стабилизированному минер. смазочному маслу добавляют до 1 об. % другого более высококипящего масла, полученного деасфальтизацией остатка от перегонки нефти.

З. С.
44344 П. Композиция, содержащая силиконовое масло и этерифицированную с поверхности двуокись кремния. Айлер (Composition containing surface-esterified siliceous solid and silicone oil. I l e r R a l p h K.) [E. I. du Pont de Nemours and Co.]. Пат. США 2705700, 5.04.55

Композиция содержит силиконовое масло и загуститель — тонкодисперсную SiO_2 , имеющую на поверхности частиц химически связанные с ней группы — OR (R — углеводородный радикал с 2—18 атомами С, причем атом С, связанный с атомом О, соединен также с атомом Н). Загуститель обладает органофильными свойствами, в смеси бутанола и воды смачивается преимущественно бутанолом и имеет уд. поверхность 1—900 м²/г. Кол-во масла составляет ≥ 1 вес. ч. на 100 вес. ч. загустителя с уд. поверхность 100 м²/г. Кол-во загустителя берется таким, чтобы повысить вязкость композиции.

А. Ж.

44345 П. Смазочное средство. Имхаузен, Имхаузен (Schmiermittel. Imhausen Arthur, Imhausen Karl-Heinz) [Märkische Seifen-Industrie o. H. G., Dr., Karl — Heinz Imhausen]. Пат. ФРГ 903497, 8.02.54 [Chem. Zbl., 1954, 125, № 34, 7795 (нем.)]

Смазочное масло состоит из смеси продуктов р-ции оксикамбинов с жирными или нафтеновыми к-тами ($\geq 20\%$ в смеси) и большого кол-ва спиртов, сложных эфиров или кетонов с т. воспл. $> 70^\circ$, растворимых в указанных продуктах р-ции. Напр., 70 г мыла триэтанолamina (I) и алифатич. к-ты $\text{C}_8 - \text{C}_{12}$ (полученной окислением парафина), 0,3% свободного I и 55 г полиового спирта дают смазочное масло с т. воспл. 119° , вязкостью 166 сст, т. помутнения — 15° . В. Ш.

44346 П. Смазочные композиции (Lubricating grease compositions) [Standard Oil Development Co.]. Англ. пат. 717209, 20.10.54 [Fuel Abstrs, 1955, 17, № 3, 70 (англ.)]

Патентуются композиции консистентных смазок, предназначенные для работы при высоких т-рах. Смазка готовится загущением смазочного масла комплексом, состоящим из мыла высокомолекулярной насыщ. жирной к-ты $\text{C}_{12} - \text{C}_{22}$ в кол-ве 5—20 вес. % (предпочтительно 8—20%) и соли дикарбоновой к-ты с мол. в. 145—155 или смеси дикарбоновых к-т, имеющих тот же мол. вес. в кол-ве 1—8 вес. % (предпочтительно, 2—6%).

З. С.

44347 П. Смазки для фрикционных передач (Lubricating and wear-reducing fluids for friction drive transmission systems) [N. V. de Bataafsche Petroleum Maatschappij]. Англ. пат. 691073, 6.05.53 [Petroleum, 1953, 16, № 11, 342 (англ.)]

Основой фрикционной смазки является фракция трет. алкилированных нафенов, имеющих 1—4 алкильные группы в молекуле и индекс вязкости 50—400, которая в пределах 200—500° при нормальном давлении выкипает не менее, чем на 90%. К основе добавляют минер. масла (напр., трансформаторное масло), арильные эфиры фосфорной к-ты (напр., трикрезил-фосфат) и антиокислительную присадку (напр., третичный алкилфенол-2,6-дитет. бутил-п-крезол). В. С.

44348 П. Консистентная смазка. Рудель, Моррей (Lubricating grease composition. Rudel Harry W., Morway Arnold J.) [Standard Oil Development Co.]. Канад. пат. 504340, 13.07.54

Патентуется консистентная смазка, состоящая в основном из минер. масла, содержащего 20—40% Na-

мыла из сурепного масла, значительное кол-во глицирина, 0,25—2% свободного NaOH, 0,1—2% фенил-α-нафтиламина и 0,1—1% дибензоилацетоналкендиамин (алкилен может быть этиленом или пропиленом). По другому варианту патента смазка содержит ~0,35% свободного NaOH, 0,5—1% фенил-α-нафтиламина и 0,1—0,5% дибензоилацетонэтилен- (или пропилен)-диамина.

Е. П.

44349 П. Изготовление консистентной смазки (Preparation of lubricating greases) [N. V. de Bataafsche Petroleum Maatschappij]. Англ. пат. 694412, 22.07.53 [Petroleum, 1954, 17, № 5, 182 (англ.)]

Консистентная смазка состоит из смазочного масла и водостойкой глины, обработанной поверхностноактивным в-вом (катионным), напр. солью аммиака. Глина диспергируется в масле в присутствии полярного органич. в-ва с т. кип. $< 150^\circ$, имеющего определенную диэлектрич. постоянную, напр. изопропилового спирта или нитропроизводного углеводорода (нитробензола).

Е. П.

44350 П. Смазки (Greases) [N. V. de Bataafsche Petroleum Maatschappij]. Австрал. пат. 154698, 21.01.54

Способ получения консистентных смазок состоит во введении в жидкое масло неорганич. колл. загустителя (2—30% от веса смазки) вместе с олеофильным поверхностноактивным агентом (10—100% от веса загустителя). После обезвоживания смазки подвергают механич. обработке для улучшения качества. В. С.

44351 П. Способ получения водостойкой и консистентной смазки. Вейс, Швейтцер (Verfahren zur Herstellung wasserunempfindlicher Starrschmiermittel. Weihe Adolf, Schweitzer Otto) [Deutsche Gold- und Silber-Scheideanstalt vormals Roessler]. Пат. ФРГ 898062, 26.11.53 [Chem. Zbl., 1954, 125, № 18, 4072 (нем.)]

Смешивают ~90 ч. жидкого минер. смазочного масла и ~10 ч. высокодисперсных окисей или гидроокисей (I), гидрофобизуя их с 2 ч. изоцианата путем непосредственного добавления или воздействия на I в парообразном состоянии. П р и м е р ы I: из SiCl_4 в парофазе полученные окислы SiO_2 , TiO_2 , Al_2O_3 , Fe_2O_3 или их гидраты.

Б. Э.

44352 П. Консистентная смазка (Grease composition) [N. V. De Bataafsche Petroleum Maatschappij]. Австрал. пат. 159867, 2.12.54

Патентуется консистентная смазка, состоящая из смазочного масла с добавкой (для придания требуемой консистенции) мыла или смеси мыла в качестве желатинизирующего агента и $\text{Mg}(\text{OH})_2$ в кол-ве 1,2 вес. % (считая на все мыло).

Е. П.

44353 П. Непрерывный процесс и аппаратура для изготовления консистентных смазок (Continuous process and apparatus for making lubricating greases) [Standard Oil Development Co.]. Англ. пат. 713209, 4.08.54 [Paint, Oil and Colour J., 1954, 126, № 2919, 696 (англ.)]

Метод изготовления мыльно-неорганич. смазок заключается в смешении готовой мыльной основы с тонкодисперсным неорганич. загустителем (сажа, бентонитовая глина, силикагель) в спец. мельнице. Для получения смазок могут использоваться нефтяные масла, полисилоксаны, сложные эфиры или гликоли. В. С.

44354 П. Метод смазки металлических поверхностей. Вур (Method of lubricating a metal surface. W o o g P a u l) [Compagnie Française de Raffinage, Soc. An.]. Пат. США 2673818, 30.03.54

Трущиеся металлич. поверхности предварительно покрываются очень тонким сплошным слоем стеарата Ва, Рb или Zn путем их натирания сухим порошком соответствующего соединения. После этого осуществляется обычная смазка узла трения жидкими маслами.

В. С.

44355 П. Способ получения эмульсий смазочных масел. Гизер (Verfahren zur Herstellung von Schmierölemulsionen. Gieser Franz) [Henkel and Cie, G. m. b. H.]. Пат. ФРГ 871047, 19.03.53 [Chem. Zbl., 1954, 125, № 40, 9201 (нем.)]

Магниево-соли алифатич. к-т, содержащих ≥ 16 атомов С и полученных окислением парафиновых углеводородов O_2 или O_2 -содержащим газом, растворяются в кол-ве до 5 вес. % в минер. масле и полученные р-ры разбавляются 0,5—2-кратными объемами воды. Б. Э.

44356 П. Метод получения эфироподобных продуктов конденсации. Рёссиг, Цорн (Verfahren zur Herstellung esterartiger Kondensationserzeugnisse. Rössig Lisa, Zorn Hermann) [Badische Anilin- und Soda-Fabrik A.-G.]. Пат. ФРГ 902381, 21.01.54 [Chem. Zbl., 1954, 125, № 25, 5669 (нем.)]

Эфироподобные продукты конденсации, применяемые в качестве масел при сверлении и резании, получают р-цией галоидоангидридов алифатич. сульфоновых к-т со сложными эфирами гликоля. Напр., изонилловый эфир пентадекансульфамида уксусной к-ты получается из пентадекансульфонилхлорида и сложного эфира гликоля со смесью спиртов, получаемых из CO , H_2 и диизобутилена. В. Ш.

44357 П. Растворимое масло, применяемое при резании (Huile de coupe soluble) [Standard Oil Development Co.]. Франц. пат. 1070650, 3.08.54 (Chimie et industrie, 1954, 72, № 6, 1194 (франц.))

Предлагаемая композиция состоит в основном из минер. масла и присадки, составленной из 1—2 вес. ч. растворимого в маслах сульфоната, 1—2 вес. ч. жирного сульфированного масла с 6—20 вес. % S, и незначительного кол-ва неполированного эфира алифатич. к-ты и многоатомного спирта. Г. М.

44358 П. Усовершенствование смазочных и уплотнительных материалов. Винсент (Perfectionnements aus produits de lubrification et/ou d'étanchéité. Vincent Russel B. S.) [British Dielectric Research Ltd.]. Франц. пат. 1036435, 08.09.53 [Chem. Zbl., 1954, 125, № 34, 7752 (нем.)]

Патентуется смазочный водо- и газонепроницаемый материал. Порошок политетрафторэтилена (с диаметром частиц 0,5—1 мкм) при 330—400° рыхло накладывают и подвергают спеканию, прессуют в форме и снова спекают. Пористый материал впитывает в себя смазочные масла как содержащие, так и не содержащие полиизобутилены или силиконовые масла, оставаясь при этом твердым. Можно также пропитывать смазочными материалами волокнистый политетрафторэтилен, причем получают полутвердый мастикоподобный продукт. Описанные материалы применяют для прокладок, подшипников, вкладышей и в высокочастотной аппаратуре. Е. П.

44359 П. Гидравлическая жидкость. Эспозито (Hydraulic fluid composition. Esposito V.) [Hollingshead Corp. R. M.]. Англ. пат. 703877, 10.02.54 [J. Appl. Chem., 1954, 4, № 7, ii 4 (англ.)]

Гидравлическая жидкость представляет собой смесь 40—50 вес. ч. этилен- или пропиленгликоля, 30—40 ч. воды и ~ 10 —20 ч. продукта взаимодействия окиси этилена или пропилена (14—18 молей) с талловым маслом (1 моль) при 350—450° и 140—210 атм. Может применяться для передачи давлений в замкнутых системах, напр., вспомогательных гидравлич. механизмах и тормозных системах самолетов. В. Ш.

44360 П. Очищенные минеральные смазочные масла. (Refined, mineral lubricating oils) [Johnson A. and Co.]. Англ. пат. 717131, 20.10.54 [Fuel Abstrs, 1955, 17, № 3, 72 (англ.)]

Патентуется способ предотвращения помутнения смазочных масел из-за осаждения твердых парафинов,

закрывающийся в том, что к маслу добавляют небольшие кол-ва высокомолекулярных полярных в-в смолистого характера, полученных экстрагированием горного воска ароматич. углеводородами. З. С.

44361 П. Очистка смазочных масел адсорбирующими глинами (Treating of lubricating oils with absorptive clays) [Esso Standard Soc. An. Française]. Англ. пат. 716586, 6.10.54 [Petroleum, 1955, 18, № 3, 116 (англ.)]

Минеральное смазочное масло подвергается контактной обработке глиной, после чего содержащая масло глина отделяется и контактируется с другим маслом, имеющим более высокие т-ры выкипания, чем первое. Затем первое масло отгоняется от полученной массы, а второе извлекается из глины. З. С.

См. также: 42515, 42721, 42869, 42998, 43465, 43574, 43575, 43662, 43709, 43998, 44613, 44614, 44794, 44795, 44840, 45269, 45548, 45550, 45582, 45583, 45613—45616, 45840, 45651, 45655, 45660, 45661, 45668, 45669, 45680—45683, 45685, 45686, 45708, 45709, 45738, 45739, 45741, 45746—45748, 45753, 45754, 45779, 45805, 45811, 45839—45841, 45842, 45847

ПРОМЫШЛЕННЫЙ ОРГАНИЧЕСКИЙ СИНТЕЗ

44362. Производство силиконов в Англии. Нагар (Silicones now being produced in Britain. Nagar P. S.). Brit. Rayon and Silk J., 1954, 31, № 366, 45—48 (англ.)

Обзор свойств, способов произ-ва и областей применения силиконов. Приведены торговые марки силиконов. П. Ч.

44363. Получение высших спиртов. Филиппеску, Мэнишор (Prepararea alcoolilor superiori. Filipescu Miltiade, Manisor Elena), Rev. chim., 1953, 4, № 9, 9—12 (рум.)

Испытан в лабор. условиях метод получения высших спиртов (I) восстановлением соответствующих сложных эфиров (II), при нормальном давлении, натрием в присутствии спирта (III). Восстановление II и гидролиз полученных алколюлятов проведены в сосуде, с обратным холодильником в присутствии р-рителя. Р-ция Буво-Бланка протекает с высоким выходом I только при правильном подборе взятого для восстановления исходного II, р-рителя, т-ры и III. В качестве р-рителя использованы ароматич. углеводороды, толуол, ксилол и более тяжелые фракции, выкипающие в интервале 165—180°, в качестве III — циклогексанол, метилциклогексанол, смесь амилового и изоамилового спиртов. Получены олеиновый, ундециленовый и цетиловый спирты из этиловых эфиров соответствующих к-т, в присутствии ксилола и метилциклогексанола с выходом 89,8—92,5%. Выход спирта из метилового эфира олеиновой к-ты составил только 79,2%. С другими II и р-рителями получены более низкие выходы I. Р-рители и II легко регенерируются с хорошими выходами. Безопасность проведения опытов обеспечивалась нагреванием на масляной бане, применением металлич. обратного холодильника и непрерывным пропусканием N_2 через реакционный сосуд. Г. М.

44364. Производные окиси пропилена. III (Продолжение). Простые и сложные эфиры пропиленгликоля. Полипропиленгликоли, их простые и сложные эфиры. IV. Галоидопроизводные. V. Азотистые производные. Бижон (Les dérivés de l'oxyde de propylène. III. (Suite) Ethers et esters de propylène glycol. — Polypropylène glycols, leurs ethers et leurs esters. IV. Les dérivés halogènes. V. Les dérivés azotes de l'oxyde de propylène. Bignon J.), Ind. chim., 1953, 40, № 435, 281—286 (франц.)

III. П. Полипропиленгликоль.

сан, О-О-

диоксан. Чают по внях, т-жет быт ρ_D^{20} 1,4

тримера IV. Га

окиси п методах ний: 1

изопроп V. А

NH_2 — C

$NH(CH_2C$

CH_2NH_2 44365.

пиров tinuo

и а р Indus

(англ. Разра

долового дового

и II бу бавлял

которой 50° в т

этерифи в пред

ление д дили св

к-та со за 6 п

тактир 99%. П

сокращ чества новки.

44366. слот

of су Н о т

Indu Адип

сана п часов

т-ры в **44367.**

духо

К е 47,

Оки

пестел дельн

щим с

схема

торов

катали альдег

продол 3 мол

В про

III. Простые и сложные эфиры пропиленгликоля. Полипропиленгликоли, их простые и сложные эфиры. Циклич. диомеры пропиленгликоля, 2,6-диметилдиоксан, $O-CH_2-CH(CH_3)-O-CH(CH_3)-CH_2$ и 2,5-диметилдиоксан, $O-CH(CH_3)-CH_2-O-CH(CH_3)-CH_2$ (I) получают полимеризацией окиси пропилена в безводн. условиях, т-ра кипения их смеси 115—117°/745 мм. I может быть получен в чистом виде: т. кип. 120—121°, n_D^{20} 1,4169, d_4^{20} 0,9244. Приводятся свойства димера, тримера, тетрамера, пентамера и гексамера.

IV. Галоидопроизводные. Обзор галоидопроизводных окиси пропилена, включающий сведения о свойствах, методах получения и применении следующих соединений: 1-хлорпропанола-2, 1,2-дихлорпропана, дихлорпропилового эфира $O[CH(CH_3)CH_2-Cl]_2$.

V. Азотистые производные. Моноизопропаноламин, $NH_2-CH_2-CH_2-CH_2OH$, диизопропаноламин $NH(CH_2CH_2CH_2OH)_2$, триизопропаноламин $N(CH_2CH_2CH_2OH)_3$, 3-аминопропанол-1, $ONCH_2CH_2CH_2NH_2$. Часть II см. РЖХим, 1955, 14990. Б. М. 44365. Непрерывная этерификация лимонной и аконитовой кислот. Канапар, Брунне (Continuous esterification of citric and aconitic acids. Canapary Robert C., Bruins Paul F.), Industr. and Engng. Chem., 1955, 47, № 4, 797—800 (англ.).

Разработан непрерывный способ получения трибутилового и тригексиллового эфиров лимонной (I) и трибутилового эфира аконитовой (II) к-т путем этерификации I и II бутиловым и гексилловым спиртами. I или II добавляли к спирту и туда же вводили H_2SO_4 , конц-ия которой в смеси составляла ~7,5%. Смесь нагревали до 50° в течение 30 мин. для растворения к-ты, причем этерификация протекала на 33%, затем смесь вводили в предварительно подогретый реактор, в котором давление достигало 17,5 атм. После каждого прохода вводили свежий спирт с тем, чтобы мол. соотношение спирт:к-та составляло бы все время 12:1. Р-ция проходила за 6 проходов при т-ре 150—200° и длительности контактирования 2—3 мин., конверсия при этом достигала 99%. Преимуществом непрерывного процесса является сокращение длительности р-ции и улучшение качества полученных эфиров. Приведена схема установок. Н. С.

44366. Окисление циклогексана в адипиновую кислоту диоксидом азота. Хут, Коби (Oxidation of cyclohexane to adipic acid with nitrogen dioxide. Hoot William F., Kobe Kenneth A.), Industr. and Engng. Chem., 1955, 47, № 4, 782—785 (англ.). Адипиновая к-та (I) получена окислением циклогексана при помощи NO_2 . Лучший выход I (при 50° и 43-часовом нагревании) составляет 98%. С повышением т-ры выход I падает. Н. С.

44367. Окисление циклогексана в паровой фазе воздухом. Хут, Коби (Vapor-phase air oxidation of cyclohexane. Hoot William F., Kobe Kenneth A.), Industr. and Engng. Chem., 1955, 47, № 4, 776—781 (англ.).

Окисление паров циклогексана (I) воздухом (II) осуществлялось путем предварительного пропуска отдельных потоков I и II через подогреватели с последующим смешением реагирующих компонентов. Приведена схема установки. Изучалось влияние различных факторов на состав образующихся продуктов. В отсутствие катализаторов главными продуктами р-ции являются альдегиды. При 360° макс. выход формальдегида (при продолжительности р-ции 1,7 сек. и соотношении 3 моля II : 1 моль I) составил, 1,4 моля на 1 моль I. В продуктах р-ции обнаружены, кроме того, ацеталь-

дегид, акролеин, валериановый альдегид и циклогексанон. При повышении т-ры до 500° наблюдалось сгорание и крекинг I. Над металлами и оксидами металлов окисление доходило до образования CO_2 и H_2O без промежуточного образования вышеупомянутых продуктов. Н. С.

44368. Непрерывное каталитическое гидрохлорирование стирола. Монтгомери (The continuous catalytic hydrochlorination of styrene. Montgomery R. S.), Chem. Engng. Progr., 1955, 51, № 5, 239—242 (англ.).

Изучен способ непрерывного гидрохлорирования стирола в присутствии неорганич. (восстановленная Cu , соли Cu и Cu на силикагеле, причем куски последнего служили насадкой реакционной колонны) и органич. (глицерин, этиленгликоль, метанол, этанол, изобутанол, 1-метоксипропанол-2, этилацетат, CH_3COOH , ацетон, CH_2O , дихлорэтан) катализаторов; органич. катализаторы вводились в жидкость, питающую реакционную насадочную колонну. Найдено, что наибольшее увеличение скорости образования α -хлорстирилбензола имеет место при применении восстановленной Cu и солей Cu ; из органич. катализаторов наиболее эффективен CH_3OH в конц-ии > 2%. М. Р.

44369. Промышленные синтезы фенола. Шервуд (Technische phenolsynthesen. Sherwood P. W.), Erdöl und Kohle, 1954, 7, № 6, 362—366 (нем.). Обзор методов получения фенола. В. З.

44370. Мононитрование о- и п-нитротолуола. Коби, Скиннер, Придл (Mononitration of o- and p-nitrotoluene. Kobe Kenneth A., Skinner Charles G., Prindle Hershel B.), Industr. and Engng. Chem., 1955, 47, № 4, 785—789 (англ.).

Разработаны оптимальные условия получения динитротолуолов (I) нитрованием о-нитро-(II) и п-нитротолуола (III) теоретич. кол-вом HNO_3 . На 200 г мононитротолуола при нитровании берут 250—350 г H_2SO_4 (90%-ной) (для II) и 350 г (для III); т-ра 50° (для II) и 65° (для III); длительность р-ции 15 мин. (и еще 20 мин. после добавления всей HNO_3). H_2SO_4 равномерно распределялась между загружаемой нитрующей смесью и содержимым колбы с исходным продуктом. Обогрев паром через змеевики; мешалка 4000 об/мин. Выход I из III 98, из II 100%. Тринитротолуол в этих условиях образуется лишь в незначительных кол-вах. Н. С.

44371. Получение 4-оксикумарина. Понеску, Селмичу, Никулеску, Гостя, Леовяну (Prepararea 4-oxicumarinel. Ionescu C. N., Selmiciu I., Niculescu V., Gostea T., Leoveanu O.), Studii și cercetări chim., 1954, 2, № 3—4, 191—194 (рум.; рез. русс., франц.).

Разработан ползаводской способ получения 4-оксикумарина (I) из метилсалицилата (II). II ацетилируют $(CH_3CO)_2O$ в метиловый эфир ацетилсалициловой к-ты (III), который при обработке Na в парафине циклизуется в I. К 9,34 кг II и 70 г конц. H_2SO_4 прибавляют 9,34 кг $(CH_3CO)_2O$, перемешивают 1,5 часа и выливают в 33 л воды. Через 6 час. III отфильтровывают и высушивают при < 30°. К 14,5 л парафина при 240° и перемешивании (170 об/мин.) в токе N_2 прибавляют 1,324 кг Na (кусками по 1—2 г), приливают в течение 2 час. нагретую до 60° смесь 11,12 кг III и 3,5 л парафина, перемешивают еще 1,75 часа при 245—250° и охлаждают до 100°. Осадок отфильтровывают, промывают бензином и непрореагировавший Na разлагают CH_3OH . Суспензию выливают в 56 л воды (60—70°) и осаждают смолу при pH 5—6 1,53 кг конц. H_2SO_4 в 3,2 л воды. Р-р кипятят с 1,4 кг активированного угля, фильтруют при 20° и подкисляют 1,31 кг конц. H_2SO_4 в 4 л воды

щие р-цию карбонилирования ди- и полиолефины), с целью получения главным образом альдегидов, которые могут быть в дальнейшем превращены в спирты (запр., путем гидрирования в присутствии Cu- или Ni-катализатора под давл. ~ 250 атм), удовлетворительно протекает, не вызывая коррозии стальной аппаратуры при нагревании указанной фракции ОФ при $130-190^\circ$, предпочтительно $150-175^\circ$, и давл. $200-300$ атм со смесью СО и H_2 (мол. отношение не ниже 2 : 3) в присутствии Со (не ниже 3 вес. %), содержащегося во взятой фракции в виде растворимого соединения (соли органич. к-ты), до начала р-ции карбонилирования и последующем нагревании с СО и H_2 (мол. отношение 3 : 7—2 : 3) в присутствии $\leq 0,3$ вес. % (предпочтительно 0,1—0,3%) Со. Так углеводороды (I) C_{6-8} , получаемые в результате крекинга парафина и содержащиеся в растворенном виде нафтенат Со (0,3% Со), нагревают при $150-160^\circ$ и 250 атм в присутствии СО и H_2 (мол. отношение 2 : 3, парц. давление СО ≥ 100 атм), при непрерывном добавлении I с объемной скоростью $0,5$ л/час на 1 л емкости реактора до начала р-ции карбонилирования (падение давления, повышение т-ры), после чего снижают конц-ию Со до 0,1 вес. % и продолжают непрерывное введение I с прежней объемной скоростью в присутствии СО и H_2 (мол. отношение 3 : 7) при $150-175^\circ$ и объемном отношении газ : жидкость 1000. При этом получают 80%-ный выход альдегидов, которые при восстановлении H_2 в присутствии Cu—ZnO или Cu—CrO₃ дают н-гептанол, 2-метилгексанол и т. д. По пат. 701434 через р-р I в нейтр. органич. среде (парафиновом углеводороде или спирте), содержащей Со-соль карбоновой к-ты ($\geq 0,1\%$ Со), пропускают при $130-190^\circ$ (предпочтительно $150-175^\circ$) и $200-300$ атм смесь СО (давл. ≥ 50 атм) и H_2 сначала с мол. отношением не ниже 1 : 3 для перевода Со-соли в активный агент карбонилирования, а потом (при желании в том же реакторе) с мол. отношением выше 3 : 7. Так, смесь СО и H_2 (1 : 3) пропускают при $150-160^\circ$ и 250 атм в течение ≤ 30 мин. объемной скоростью 500 л/час на 1 м³ реакционной зоны в реактор, содержащий алифатич. одноатомные C_{6-8} -спирты и нафтенат Со (0,1% Со), после чего в реактор вводят одновременно при $150-175^\circ$ и 250 атм смесь жидких C_{5-8} -олефинов, содержащую в р-ре нафтенат Со (0,1% Со), и смесь СО H_2 (3 : 7) с теми же объемными скоростями, что в пат. 692089. Я. К.

44379 П. Оксо-процесс с применением алкиленов и диенов. Харви, Акройд (Oxo process using mixture of alkenes and dienes. Harvey Philip Geoffrey, Ackroyd Norvik) [Imperial Chemical Industries, Ltd]. Пат. США 2694091, 9.11.54

Непрерывный способ получения О-содержащих органич. соединений состоит в карбонилировании СО + H_2 в присутствии активированного Со-катализатора, смеси по крайней мере из одного алкилена, с числом атомов $C \geq 5$, и одного алифатич. или алициклич. диена. Для получения катализатора р-р небольшого кол-ва органич. соединения Со (не менее 0,01 вес. % в пересчете на металл. Со) в свободной от ингибиторов смеси алкиленов (с указанным числом атомов С) контактируют в жидкой фазе при повышенных т-ре и давлении со смесью СО + H_2 (не ниже 1 : 5) с парциальным давлением СО не ниже 50 атм до начала р-ции карбонилирования, после чего через р-р катализатора пропускают вышеуказанную алкиленовую смесь, содержащую, по меньшей мере, один диен, подвергая ее в жидкой фазе при повышенных т-ре и давлении действию СО + H_2 (3 : 7—2 : 3), причем конц-ию Со-катализатора в реакционной смеси держат на низком уровне (но $\geq 0,1$ вес. % в пересчете на металл. Со) путем введения в нее р-ра органич. соединения Со. Я. К.

44380 П. Способ выделения органических кислородных соединений. Роттиг (Process of recovering oxygenated organic compounds. Rottig Walter) [Ruhchemie A.-G.]. Пат. США 2696493, 7.12.54

Полученные каталитич. гидрированием СО над Fe-катализатором смеси, содержащие большое кол-во О-содержащих продуктов — спиртов, сложных эфиров, карбоновых к-т и альдегидов, выделяют из их смесей с водой и растворимыми и нерастворимыми в воде в-вами отделением воды. слоя указанной смеси, содержащего растворимые в воде в-ва, от масляного слоя, содержащего нерастворимые в воде в-ва. Отделенный водн. слой нейтрализуют стехиометрич. кол-вом гидроокиси или карбоната щел. или щел.-зем. металла, необходимым для превращения присутствующих жирных к-т в их соли. Затем выделяют из водн. р-ра слой высших спиртов, содержащий низшие спирты, путем обработки водн. р-ра $\sim 10\%$ избытка, упомянутых выше щел. соединений. Масляный слой, полученный при первом разделении, выщелачивают щел. водн. р-ром; при этом получают органич. слой, не содержащий карбоновых к-т, а от полученного водн. слоя отгоняют низкокипящие продукты (в том числе бинарную смесь пропилового спирта и воды). Остаток водн. слоя охлаждают для кристаллизации из него щел. солей органич. к-т, щел. соли отделяют от водн. фазы и остаток ее упаривают досуха для выделения солей низших к-т; эту обработку проводят при $\sim 80-120^\circ$. В. У.

44381 П. Способ синтеза углеводородов (Procédé de synthèse des hydrocarbures) [Standard Oil Development Co]. Франц. пат. 1026569, 29.04.53 [Chimie et industrie, 1953, 70, № 3, 430 (франц.)]

Смесь СО и H_2 контактируют в молярных отношениях и условиях т-ры и давления, отвечающих синтезу углеводородов, с катализатором в присутствии в-ва, содержащего неметаллич. галогенид, летучий и рабочих условиях синтеза (HCl, CH_3Cl или C_2H_5Cl). Получаемые этиленовые углеводороды имеют т-ру кипения в пределах т-ры кипения бензина. Я. К.

44382 П. Способ каталитического получения преимущественно разветвленных углеводородов. Фишер, Пихлер, Вейнроттер (Verfahren zur katalytischen Herstellung von vorzugsweise verzweigten Kohlenwasserstoffen. Fischer Franz, Pichler Helmut, Weintrotter Ferdinand) [Studien-und Verwertungs-G. m. b. H.]. Пат. ФРГ 896791, 16.11.53 [Chem. Zbl., 1954, 125, № 43, 9904 (нем.)]

Способ состоит в том, что превращение диметилового эфира (I) (получаемого в данном случае через стадию CH_3OH из СО + H_2 на дешевых катализаторах) происходит при $400-500^\circ$ и $200-500$ атм в присутствии катализаторов — окислов элементов III и IV группы периодической системы (особенно ThO_2). Для поддержания активности катализатора его обрабатывают в присутствии H_2 или постоянно регенерируют попеременным пропусканием I и воздуха. I и H_2 в отношении 1 : 5 пропускают над гранулированной ThO_2 (полученной осаждением р-ра нитрата тория Na_2CO_3 , промывкой и высушиванием) при 450° и 30 атм; при этом 12% превращается в *изо*-углеводороды C_4 и 15% I — в жидкие углеводороды; при 150 атм 25% I дают *изо*-углеводороды и 20% I — жидкие углеводороды; при 300 атм превращение I составляет соответственно 35 и 25%. М. К.

44383 П. Способ производства синтетического этилена. Ашбоот (Procédé pour la fabrication de l'éthylène par synthèse. Ashbooth K.). Франц. пат. 1026398, 27.04.53 [Ind. Chim., 1954, 41, № 440, 79 (франц.)]

По способу Фишера — Троппа пропускают СО + H_2 над металл. катализатором с плотностью < 2 ,

приготовленного на основе неполностью восстановленного α -Fe. Я. К.

44384 П. Очистка ацетилен. Фурукава, Уэхара (Purification of acetylene. Furukawa Junji, Uehara Gen) [High Molecular Chemical Assoc.]. Япон. пат. 1678, 20.04.53 [Chem. Abstrs, 1954, 48, № 6, 3597 (англ.)]

Смесь 200 мл водн. р-ра белильной извести и 200 мл водн. р-ра NaClO подкисляют CH_3COOH и применяют для обработки неочищ. C_2H_2 . В. У.

44385 П. Стабилизация хлорированных углеводородов. Хеннинг, Бандтель (Stabilisierung von Chlorkohlenwasserstoffen. Hennig Bruno, Bantel Otto) [VEB Elektrochemisches Kombinat Bitterfeld]. Пат. ГДР 7921, 23.10.54

Способ отличается тем, что для стабилизации хлорированных углеводородов вместо алифатич. $\text{C}_1 - \text{C}_4$ монокарбоновых к-т применяют соответствующие ангидриды, в некоторых случаях с добавкой свободной муравьиной к-ты. Увеличение стабилизирующего действия ангидридов (по сравнению с к-тами) обуславливается связыванием ими следов воды, растворенной в углеводородах и усиливающей коррозию; при гидролизе ангидридов происходит дальнейшее повышение стабилизирующего действия: 1) смесь 85% CCl_4 и 15% CHCl_3 , содержащая растворенную воду, обрабатывают 1 вес.% (CH_3CO) $_2\text{O}$; 2) к водн. $\text{C}_2\text{H}_5\text{Cl}$ прибавляют 0,5 вес.% (CH_3CO) $_2\text{O}$ и 0,1 вес.% HCOOH ; 3) водн. $\text{C}_2\text{H}_5\text{Cl}$ обрабатывают 0,5 вес.% (CH_3CO) $_2\text{O}$ и 0,02 вес.% HCOOH ; после такой обработки хлорированные углеводороды не вызывают появления ржавчины на листовом железе ни в жидкости, ни в газовом пространстве. М. К.

44386 П. Способ получения бромистого этила. Шрейер (Verfahren zur Herstellung von Äthylbromid. Schreiber Walter). Пат. ГДР 6746, 17.03.54

Способ состоит в р-ции $\text{C}_2\text{H}_5\text{OH}$ в присутствии H_2SO_4 с HBr . Последний получают по р-ции: $2\text{Br}_2 + \text{S} + 2\text{H}_2\text{O} \rightarrow 4\text{HBr} + \text{SO}_2$; $2\text{H}_2\text{O} + \text{Br}_2 + \text{SO}_2 \rightarrow 2\text{HBr} + \text{H}_2\text{SO}_4$. В снабженный мешалкой и вертикальным холодильником реактор, содержащий 5 кг серного цвета и 9 кг технич. H_2SO_4 (1,84), медленно вводят по отдельным трубам 74 кг Br_2 и 45 кг 94%-ного спирта и улетучивающийся $\text{C}_2\text{H}_5\text{Br}$ улавливают ~15%-ным водн. NaOH , вбрызгивают до удаления примесей Br_2 и к-т, после чего нейтрализуют H_2SO_4 и перегоняют. Я. К.

44387 П. Способ получения хлорэтиленов из хлорэтанов. Шеффер (Verfahren zur Herstellung von Chloräthylenen aus chlorierten Äthanen. Schaeffer Erich) [Wacker-Chemie G. m. b. H.]. Пат. ФРГ 888389, 31.08.53 [Chem. Zbl., 1954, 125, № 18, 4035 (нем.)]

Тонкодиспергированные хлорэтаны при т-ре ниже их т-ры кипения подвергают р-ции с известковым молоком в присутствии эмульгирующих или смачивающих средств, применяемых в текстильной пром-сти. По этому способу из пентахлорэтана получают перхлорэтилен. В. У.

44388 П. Способ получения винилхлорида (Verfahren zur Herstellung von Vinylchlorid) [Badische Anilin- und Soda-Fabrik]. Пат. ФРГ 887042, 20.08.53 [Chem. Zbl., 1954, 125, № 21, 4718 (нем.)]

При расщеплении $(\text{CH}_2\text{Cl})_2$ при 300—600° в присутствии кусков глины, немзы или активированного угля получают смесь винилхлорида (I) и HCl , к которой добавляют C_2H_2 и пропускают над катализатором, применяемым для получения I (активированный уголь, пропитанный HgCl_2). В. У.

44389 П. Очистка спиртов (Purification of alcohols) [Standard Oil Development Co.]. Англ. пат. 716423, 6.10.54 [Petroleum, 1955, 18, № 4, 156 (англ.)]

Полученные в результате оксосинтеза сырые спирты (от C_4 до C_{20}), загрязненные сернистыми и высококипящими соединениями, разлагающимися при нагреве, вводят в первичную зону дистилляции с т-рой кубового остатка, превышающей т-ру кипения спирта. Чувствительные к нагреву примеси при этом разлагаются. Отбирают обогащенный оксоспиртом дистиллат, в основном свободный от высококипящих примесей, но все еще содержащий фракции, кипящие ниже, чем сам оксоспирт, и возможно также некоторое кол-во низкокипящих сернистых соединений. Последние удаляют контактированием с водородом при 124—204° в присутствии чувствительного к сере катализатора гидрирования. Я. Ш.

44390 П. Синтез спиртов. Мерцвейлер (Synthese d'alcools. Mertzweiler Joseph K.) [Standard Oil Development Co.]. Франц. пат. 1071276, 30.08.54 [Ind. Chim. 1955, 42, № 453, 121 (франц.)] Спирты, получаемые действием смеси CO и H_2 на олефины в присутствии Co -катализатора, содержащего $\text{HCo}(\text{CO})_4$, растворимый в органич. жидкостях. Р-цией с ацетатом Co его переводят в нерастворимое состояние и получают в виде $\text{Co}[\text{Co}(\text{CO})_4]_2$. О. С.

44391 П. Способ получения алифатических спиртов (Process for the production of aliphatic alcohols) [Ruhchemie A-G., Lurgi Ges. Fuer Waermetechnik, m. b. H.]. Англ. пат. 716326, 6.10.54 [Fuel, Abstrs, 1955, 17, № 2, 100 (англ.)]

Смесь синтез-газа, содержащую $\text{CO} + \text{H}_2$, вводят во взаимодействие со стационарным Fe -катализатором под давл. 10—100 ат при 160—280°. Газ пропускают со скоростью ≥ 500 объемов на 1 объем катализатора в 1 час. По крайней мере часть полученной таким образом смеси, содержащей олефины, вводят в р-цию с $\text{CO} + \text{H}_2$ в условиях оксосинтеза, после чего подвергают получающиеся продукты оксосинтеза гидрированию для получения алифатич. спиртов. В. У.

44392 П. Способ повышения качества изопропилового спирта. Вильсон (Isopropanol quality improvement process. Wilson Samuel W.) [Standard Oil Development Co.]. Пат. США 2696508, 7.12.54

Для очистки сырого водн. изопропанола (полученного каталитич. гидратацией пропилена в присутствии H_2SO_4), содержащего неприятно пахнущие соединения сыры и примеси углеводородов, его подщелачивают едкой щелочью до pH 8,7—11, после чего подкисляют щел. р-р посредством H_3PO_4 до pH 5—6,5, отгоняют низкокипящие и высококипящие примеси, остаток вновь подщелачивают и из щел. р-ра отгоняют очищ. изопропанол. Приведена схема технологич. процесса. Я. К.

44393 П. Отделение n -пропилового спирта от вторичного бутилового спирта экстрактивной перегонкой (Separating n -propyl alcohol from secondary butyl alcohol by extractive distillation) [Celanese Corp. of America]. Англ. пат. 696040, 19.08.53 [J. Appl. Chem., 1954, 4, № 4, 393 (англ.)]

Разделение указанных спиртов, отличающихся по т-ре кипения всего на 3°, производят экстрактивной дистилляцией с помощью $\text{C}_6\text{H}_4(\text{C}_2\text{H}_5)_2$, который, в кол-ве 4—10 (предпочтительно 7) объемн. ч. на 1 объемн. ч. спиртовой смеси, вводят в ректификационную колонну в точке впуска, расположенной выше места введения спиртовой смеси. Перегонку ведут со скоростью, достаточной для сохранения 65—85 об.% $\text{C}_6\text{H}_4(\text{C}_2\text{H}_5)_2$ в жидком состоянии; флегмовое число — между 3:1 и 10:1. Выход n - $\text{C}_3\text{H}_7\text{OH}$ превышает 98 вес.%; конденсация паров дает n - $\text{C}_3\text{H}_7\text{OH}$ чистоты 99,5%. Из донного продукта отгоняют (в другой колонне) вторич. $\text{C}_4\text{H}_9\text{OH}$, а $\text{C}_6\text{H}_4(\text{C}_2\text{H}_5)_2$ возвращают на 1-ю стадию для повторного использования. Содержащиеся в конденсированном n - $\text{C}_3\text{H}_7\text{OH}$ ацетали и карбонильные сое-

днения в кол-ве до 0,1 вес. % могут быть отделены дробной перегонкой.

44394 П. Способ получения изобутилового спирта (Procédé pour la production d'alcool isobutylique) [Badische Anilin & Soda-Fabrik]. Франц. пат. 1028640, 26.05.53 [Ind. Chim., 1954, 41, № 440, 79 (франц.)] Патентуется установка для получения *изо*-C₄H₉OH взаимодействием CO с H₂ и разделения продуктов р-ции. дробной перегонкой под давлением.

44395 П. Способ каталитического гидрирования ацетиленовых спиртов. Кудела, Фридрих (Verfahren zur katalytischen Hydrierung von Acetylenverbindungen. Koudela Gerhard, Friederich Herbert [Badische Anilin-und Soda-Fabrik A.-G.]. Пат. ФРГ 897558, 23.11.53 [Chem. Zbl., 1954, 125, № 41, 9388—9389 (нем.)])

Полное или частичное гидрирование ацетиленовых соединений проводят водородом под давлением и при нагревании в присутствии катализатора — тонкоизмельченного Zn, полученного дистилляцией, распылением расплавленного Zn через сопло, или электродлитич. путем. Бугин-(1)-ол-(3) образует при 100° и 200 ат H₂ в присутствии губчатого цинка (из цинката + Al) с колич. выходом бутилового спирта. Бугин-(2)-диол-(1,4) дает бутен-(2)-диол-(1,4), наряду с бутандиолом-(1,4).

44396 П. Способ получения многоатомных спиртов диациленового ряда. Франке, Вейсбах (Verfahren zur Herstellung von mehrwertigen Alkoholen der Diacetylenreihe. Franke Walter, Weißbach Karl) [Chemische Werke Hüls Gesellschaft mit beschränkter Haftung]. Пат. ФРГ 882850, 13.07.53 [Chem. Zbl., 1954, 125, № 10, 2268 (нем.)]

Диацилен конденсируют в жидкой фазе с альдегидами в присутствии твердой едкой щелочи и полученные алкоколы разлагают водой. С параформальдегидом в присутствии КОН диацилен дает (после разложения водой и перегонки) гексадин-2,4-диол-1,6, т. пл. 112°.

44397 П. Способ получения аминоспиртов. Бергман (Process for the preparation of organic aminoalcohols. Bergmann E.). Англ. пат. 689162, 25.03.53 [Brit. Pat. Federat. Abstrs, 1953, Ser. 8, № 5, 299 (англ.)]

Приводится метод получения аминоспиртов, применяемых в качестве составной части при получении азокрасителей, пригодных для крашения найлона, эфиров целлюлозы, поливинилхлорида и поливинилпирролидона.

44398 П. Способ получения пентаэритритдихлоргидрина. Пиетсх (Verfahren zur Herstellung von Pentaerythritdichlorhydrin. Pietsch Helmut) [Henkel Cie, G. m. b. H.]. Пат. ФРГ 875803, 7.05.53 [Chem. Zbl., 1953, 124, № 47, 8203 (нем.)]

Пентаэритритдихлоргидрин (I) получают кислым омылением его сернистокислого моноэфира; р-ция протекает уже при 80—90°. I применяют в качестве промежуточных продуктов, в частности, для получения искусств. смол.

44399 П. Способ получения эфира. Гинно, Гарде (Verfahren zur Herstellung von Äther. Guinot Henri, Gardais Jean) [Les Usines de Melleville]. Пат. ФРГ 886899, 17.08.53 [Chem. Zbl., 1954, 125, № 10, 2268—2269 (нем.)]

В реакционную смесь, содержащую спирт и 60—75%-ую H₂SO₄ и нагретую до 120—135°, непрерывно вводят спирт и отгоняют образующиеся эфир и воду так, чтобы поддерживать в зоне р-ции приблизительно постоянную т-ру и содержание воды, напр., регулируя введение спирта и вводя воду в реакционную смесь так, чтобы

отгонку паров эфира вести из конденсата, содержащего воду. Приведена схема.

44400 П. Способ получения алифатических или алициклических диэфиров. Брендлейн (Verfahren zur Herstellung aliphatischer oder alizyklischer Diäther. Brendlein Heinrich) [Deutsche Gold-und Silberscheideanstalt vormals Roessler]. Пат. ФРГ 911849, 20.05.54 [Chem. Zbl., 1954, 125, № 48, 11045 (нем.)]

Алифатические или алицикл. диэфиры общей ф-лы RO — (CH₂)_n — OR' (R и R' — алифатич. или ацикл. остаток, могущий быть замещенным в цепи атомом галогена, окси- или алкоксигруппой; n — 1 или более высокое целое число) получают обработкой алкоксидов ацеталей в жидкой фазе и в присутствии катализатора под давлением (напр., >5 ат, преимущественно 50—300 ат) H₂ или содержащими его газами при т-ре >50°. Из дибутилацетата бутоксипропионового альдегида получают при 170° и 100 ат 1,3-триметилдидибутиловый эфир; из β-этоксидиэтилацетата получают 1,3-триметилдигликольдиэтиловый эфир.

44401 П. Способ получения ω, ω'-дициандибутиловых эфиров. Кшикала, Меркель (Verfahren zur Herstellung von ω, ω'-Dicyandibutyläthern. Krzikalla Hans, Merckel Karl) [Badische Anilin-und Soda-Fabrik]. Пат. ФРГ 886447, 13.08.53 [Chem. Zbl., 1954, 125, № 11; 2495 (нем.)]

ω, ω'-Дициандибутиловый эфир с т. кип. 172—176°/1 мм получают р-цией цианида щел., щел.-зем. металла, Zn или Cu при 70—200° (в частности, при 120—180°) с ω, ω'-дихлордидибутиловым эфиром или его алкилпроизводными. Полученное соединение служит полу-продуктом при синтезах.

44402 П. Способ получения α-ацетилацетоуксусных эфиров. Эстерлин (Verfahren zur Herstellung von α-Acylacetessigestern. Oesterlin Manfred) [Kali-Chemie A.-G.]. Пат. ФРГ 912211, 28.05.54 [Chem. Zbl., 1954, 125, № 48, 11047—11048 (нем.)]

α-Ацетилацетоуксусные эфиры получают р-цией эфира арилиминокротоновой к-ты в присутствии пиридина (I) или другого третичного основания с хлорангидридами к-т с применением органич. р-рителя, не растворяющего побочно образующиеся ациламиды. В качестве р-рителя берут, напр. лигроин, и полученное в результате р-ции аминопроизводное эфира ацилкротоновой к-ты омыляют, напр. разб. минер. к-той при 20°. Смешивают р-р 1 моля этилового эфира β-анилинокротоновой к-ты в 200 мл лигроина с 1,2-1,5 молями I при 0°, прибавляют при той же т-ре 1 моль CH₃COCl, размешивают без охлаждения еще 1 час, прибавлением ледяной воды растворяют хлоргидрат I, отфильтровывают ацетанилид, размешивают лигроиновый слой с ~10%-ной HCl до окончания отщепления анилина (около 5 час.) и выделяют из лигроинового слоя α-ацетилацетоуксусный эфир, выход 85%, т. кип. 103°/16 мм. Аналогично из этилового эфира β-(*n*-фенетидио)-кротоновой к-ты и C₄H₉COCl получают этиловый эфир α-бутирилацетоуксусной к-ты, т. кип. 112°/16 мм. α-Ацетилацетоуксусные эфиры применяют в качестве промежуточных продуктов, напр. для получения тиаурцилов.

44403 П. Альдегиды (Aldehydes) [Ruhchemie A.-G.]. Австрал. пат. 156932, 24.06.54

Каталитическим присоединением водяного газа к органич. соединениям, обладающим олефиновой связью, пригодной для синтеза альдегидов, и обработкой полученных неочищ. продуктов водой при нагревании и под давлением получают альдегиды, свободные от примесей металлов и ацеталей.

44404 П. Способ получения формальдегида. Ашбот (Procédé de préparation de formaldéhyde. Asboth Karl). Франц. пат. 1026397, 27.04.53 [Ind. Chim., 1954, 41, № 440, 80 (франц.)]

Окисляют углеводороды O_2 -содержащим газом с добавкой $\geq 7\%$ O_2 при t -ре ниже 300° в присутствии твердого катализатора типа отбеленной глины, пропианной BaO_2 , активированного $Ag_2O \cdot CH_2O$, извлекают из реакционной смеси водой в кол-ве < 4 ч. на 1 ч. CH_2O .

44405 П. Способ получения альдегидов (Method of preparing aldehydes) [Merek and Co., Inc.]. Англ. пат. 701220, 23.12.53 [J. Appl. Chem., 1954, 4, № 4, 437 (англ.)]

Растворы α -, β -, γ -или δ -лактонов восстанавливают посредством $LiAlH_4$ при $> 0^\circ$, в результате чего образуются оксальдегид и соответствующий лактону третич. спирт. Так, p -р 4 г $LiAlH_4$ в 100 мл тетрагидрофурана (I) вводят при t -ре от -10° до -15° в смесь 12,8 г α -метил- δ -капролактона и 300 мл I и после нагревания до 20 — 25° отгоняют $\sim 66\%$ I под вакуумом, остаток выливают на лед, содержащий 0,055 моля H_2SO_4 , смесь экстрагируют эфиром, экстракт промывают насыщ. водн. p -ром $NaHSO_3$ и после отгона эфира получают смесь 2-метил-5-оксигексаналя и его циклич. полиацетала — 2-окси-3,6-диметилтетрагидро-1,4-пирана (64,5%), т. кип. 30 — $40^\circ/0,3$ мм. Аналогично получены: смесь (т. кип. $> 83^\circ$) 4-оксипентаналя и 2-окси-5-метил-I (2,4-динитрофенилгидразон, т. пл. 125 — 127°); смесь 2,4-диокси-3,3-диметилбутаналя и 2,3-диокси-4,4-диметил-I (2,4-динитрофенилгидразон, т. пл. 172 — 174°); смесь α -оксиметилбензальдегида (2,4-динитрофенилгидразон, т. пл. 207 — 208°) и 1-окси-1,3-дигидроизобензфурана; смесь (т. кип. $167^\circ/16$ мм, $n_D^{17} 1,5296$) 4-окси-4-фенилпентаналя и 2-окси-5-фенил-5-метил-I; смесь 4-окси-5-фенилпентаналя и 2-окси-5-бензил-I, превращаемого $KHSO_4$ в 2-бензил-2,3-дигидрофуран, дающий при гидрировании 2-бензил-I (т. кип. 108 — $109^\circ/10$ мм, $n_D^{21} 1,5202$); 3,6-диметил-5,6-дигидро-1,4-пиран (т. кип. 122 — 123° , $n_D^{25} 1,4375$) дегидратацией смеси 2-метил-5-оксигексаналя и 2-окси-3,6-диметилтетрагидро-1,4-пирана.

44406 П. Формилирование ненасыщенных углеводородов (Formylation of unsaturated hydrocarbons) [Ruhchemie A.-G.]. Австрал. пат. 153816, 12.11.53 Ненасыщенные углеводороды подвергают формилированию взаимодействием их с газовой смесью, содержащей CO и H_2 , в присутствии катализатора, содержащего невосстановленное соединение металла VIII группы периодической системы. Указанный металл должен быть способен к образованию гидрокарбонила; катализатор обрабатывают так, чтобы он давал кислотную p -цию в процессе применения.

44407 П. Способ гидрирования акролеина или его α -замещенных гомологов. Брендлейн (Verfahren zum Hydrieren von Acrolein oder seinen α -substituierten Homologen. Brendlein Heinrich) [Deutsche Gold- und Silber-Scheideanstalt, vormals Roessler]. Пат. DFG 888691, 3.09.53 [Chem. Zbl., 1954, 125, № 41, 9388 (нем.)]

Указанные продукты гидрируют в парообразном или распыленном состоянии под давлением в присутствии катализатора. Нагрев исходного материала до 100 — 300° происходит только в присутствии необходимого для гидрирования нагретого H_2 и содержащих H_2 газов; акролеин в этих условиях с выходом в 70% превращается в алиловый спирт.

44408 П. Получение адипинового альдегида (Preparation of adipaldehyde) [Du Pont de Nemours &

Co. E. I.]. Англ. пат. 709450, 25.05.54 [J. Appl. Chem., 1955, 5, № 1, 183 (англ.)]

Циклогексен обрабатывают O_3 при t -ре от -80 до $+40^\circ$ в среде насыщ. одноатомного алифатич. спирта, с последующим восстановлением продукта p -ции H_2 в присутствии 0,1—5 вес. % Pd. Восстановление ведут при $< 15^\circ$ (-15 до $+15^\circ$) и давлении $\geq 0,7$ (1,4—21,1) *атм*. p -р 32,8 г циклогексена в 500 мл метанола озонируют в течение 7 час. при -75° газом, содержащим 3% O_3 . Полученный p -р гидрируют в присутствии 0,2 г 5% Pd/C при 0 — 10° и давл. 2,5—2,8 *атм*. После разгонки получают альдегид с выходом 54%.

44409 П. Непрерывная альдольизация. Бирibaуэр, Карлсон, Морелл (Continuous aldolization. Biribaue Frank A., Carlson Carl S., Morrell Charles E.) [Standard Oil Development Co.]. Пат. США 2684385, 20.07.54

Способ непрерывной альдольизации алифатич. насыщ. карбонильных реакционноспособных соединений с 4 атомами C в присутствии соответствующего щел. катализатора с целью получения более высокомолекулярного альдольного продукта конденсации, отличающийся тем, что карбонильное соединение растворяют в водн. p -ре катализатора, содержащем также органич. гидротропное солюбилизующее в-во в конц-ии, достаточной для перевода в p -р исходного карбонильного соединения, но недостаточной для перевода в p -р альдольного продукта конденсации и p -р нагревают до t -ры конденсации исходного карбонильного соединения в альдольный продукт конденсации (20 — 200°), после чего отгоняют непрореагировавшее карбонильное соединение и в результате получают в виде кубового продукта смесь водн. p -ра щел. катализатора и гидротропного солюбилизующего в-ва и (в виде отдельной фазы) нерастворимого в воде альдольного продукта конденсации. Приведена технология. схема процесса.

44410 П. Галогенированные альдегиды. Опперман (Halogenated aldehydes. Oppermann A. C. J.) [Oppermann & Sohn J. G. W.]. Англ. пат. 700825, 9.12.53 [J. Appl. Chem., 1954, 4, № 4, 400 (англ.)]

4-хлорбутаналь (т. кип. 45 — $55^\circ/15$ мм) получают с 45%-ным выходом гидрированием $Cl(CH_2)_3COCl$ в кипящем ксилоле, содержащем катализатор $Pd/BaSO_4$, частично отравленный небольшим кол-вом S в хинолине или следами As, Hg или HgCN. Полученный этим путем 4-бромбутаналь имеет т. кип. 72 — $79^\circ/15$ мм.

44411 П. Способ получения β -метилмеркаптопропионового альдегида. Бернард, Мернер (Process for the manufacture of beta-methylmercapto-propionaldehyde. Bernard Robert A., Merner Richard R.) [E. I. du Pont de Nemours & Co.]. Пат. США 2676190, 20.04.54

В автоклав, содержащий CH_3SH и катализатор, вводят акролеин (I) при 40 — 100° ; I применяют в кол-ве 0,67—0,90 молей на каждый 1 моль CH_3SH . После этого вводят недостающее до теоретич. кол-во I с максимально возможной скоростью, поддерживая t -ру 40 — 100° . Приведена схема процесса.

44412 П. Получение аминокеталей (Production of aminoacetal) [Soc. des Usines Chimiques Rhône-Poulenc]. Англ. пат. 712876, 4.08.5 [J. Appl. Chem., 1955, 5, № 3, i409—i410 (англ.)]

Для получения аминокеталей $CH_2 = CHOC_2H_5$ обрабатывают $NOCl$ при -20 до 10° (предпочтительно, в инертном органич. p -рителе, напр. в эфире) в присутствии катализатора. Полученный продукт перемещают со спиртовым NH_3 до получения нитрозоацетала, который затем восстанавливают в аминокеталь в присутствии скелетного Ni или при нагревании с Zn и CH_3COOH . Напр., p -р 72 молей $CH_2 = CHOC_2H_5$ в 250 мл сухого эфира обрабатывают 65,5 молями $NOCl$

30 мин
(15 мин
таля г
70—100
но-2,2—
44413

ни
tones
er t
afsch
1071
(фран
Мети

иола и
пропу
активн

ного, з
вирова
atmosf

44414
1071
Cob

СПА
Пато

чения,
охлаж
насыщ

рирова
т-ры
1 моля

44415
Ри
Ami

th a
Fabr

Zbl.
Сод

четвер
резул

NH_3 , и
или н

или II
водой

тилами
обрабо

HgO в
боткой

44416
ров

ае и
ren

saur
K a

o. E
1953

Вод

центри

с проп

центри

жащи

оба эт

мен-н
44417

тиче
ной

Gew
bons

R o
benf

Кри
типа

H_2SO_4
катион

30 мин. при -20° и затем 670 мл 1,5 н. спиртового NH_3 (15 мин.). Р-р 0,77 молей образовавшегося нитроацеталь гидрируют H_2 в присутствии скелетного Ni при 70–100 ат и после перегонки получают 31 г 1-амино-2,2-диоксизистана. М. К.

44413 П. Способ получения высших кетонов. Мекорн, Гартнер (Procédé de préparation des cétones supérieures. Mesorney John W., Gartner George W., Jr) [N. V. de Bataafsche Petroleum Maatschappij]. Франц. пат. 1071243, 27.08.54 [Ind. chim., 1955, 42, № 453, 121 (франц.)]

Метил-5-гептанон-3 получают конденсацией бута-нола и ацетона в присутствии Cu-катализатора. Смесь пропускают сначала в реакционную камеру с очень активным катализатором под давлением выше атмосферного, затем в камеру, содержащую частично дезактивированный катализатор, под давлением близким к атмосферному. О. С.

44414 П. Хлоркетоны. Кол (Ketonic chlorides. Cole Robert M.) [Chemical Elaborations, Inc.]. Пат. США 2706739, 19.04.55

Патентуются 3-хлоргексанион-2,5 и способ его получения, отличающийся тем, что ацетилацетон (I) охлаждают до t -ры на 10° выше его t -ры плавления и насыщают небольшим кол-вом Cl_2 . Далее частично хлорированный I охлаждают до t -ры, значительно ниже t -ры плавления I, и пропускают Cl_2 до поглощения 1 моля Cl_2 /моль I. М. К.

44415 П. Способ получения аминокетонов. Ренне, Ритцеталер (Verfahren zur Herstellung von Aminoketonen. Renne Walter, Ritzenthaler Bernhard) [Badische Anilin- und Soda-Fabrik A.-G.]. Пат. ФРГ 906456, 15.03.54 [Chem. Zbl., 1954, 125, № 29, 6589 (нем.)]

Содержащие аминогруппу продукты р-ции (или их четвертичные аммониевые соединения), полученные в результате взаимодействия C_2H_2 с продуктами р-ции NH_3 , первичных или вторичных аминов с альдегидами или кетонами в присутствии тяжелых металлов I или II группы периодической системы, обрабатывают водой в кислой среде в присутствии Hg-солей. Диметилацетилацетон (масло с т. кип. $123-124^\circ$) получают обработкой диметилпропаргиламина суспензией HgO в конц. H_2SO_4 и последующей медленной обработкой водой при $100-110^\circ$. Я. К.

44416 П. Способ концентрирования водных растворов низкомолекулярных жирных кислот. Имхаузен, Имхаузен (Verfahren zum Konzentrieren wässriger Lösungen von niedermolekularen Fettsäuren. Imhausen Arthur, Imhausen Karl-Heinz) [Märkische Seifen-Industrie o. N. G.]. Пат. ФРГ 980294, 22.06.53 [Chem. Zbl., 1953, 124, № 47, 8204 (нем.)]

Водные р-ры низкомолекулярных жирных к-т концентрируют отгонкой воды в форме азеотропной смеси с пропиол- или изопропиолформатом; причем при концентрировании водн. HCOOH или водн. р-ров, содержащих смеси ее с растворимыми в воде жирными к-тами, оба эти эфира применяют для отгонки воды, без применения других вспомогательных жидкостей. В. У.

44417 П. Способ выделения кристаллических алифатических оксикарбоновых кислот, в частности винной кислоты. Гriebach, Лаут (Verfahren zur Gewinnung von kristallisierten aliphatischen Oxy-carbonsäuren, wie z. B. Weinsäure. Griebach Robert, Lauth Hellmuth) [VEB Farbenfabrik Wolfen]. Пат. ГДР 6740, 15.03.54

Кристаллические алифатич. оксикарбоновые к-ты типа винной к-ты получают разложением их Ca-солей H_2SO_4 , причем р-ры перед выпариванием обрабатывают катионитами, содержащими сульфогруппы. 1000 ч.

пасты Ca-цитрата, содержащего $\sim 60\%$ воды и небольшую примесь соединений Fe, при размешивании в освицованном аппарате обрабатывают 535 ч. 35%-ной H_2SO_4 , нагревая острым паром до $\sim 70^\circ$, отфильтровывают гипс, обесцвечивают активированным углем, а затем пропускают через катионит, приготовленный на основе ω -сульфо-крезолфенол формальдегидных смол; после упарки лимонная к-та кристаллизуется обычным методом. В. У.

44418 П. Получение алифатических карбоновых кислот, содержащих от 3 до 13 атомов углерода в молекуле (Production of aliphatic carboxylic acids containing from 3 to 13 carbon atoms per molecule) [Standard Oil Development Co.]. Англ. пат. 715380, 15.09.54 [J. Appl. Chem., 1955, 5, № 3, 1407 (англ.)]

Алифатические C_{3-13} -к-ты получают нагреванием C_{1-5} -алифатич. к-т (напр., CH_3COOH) с C_2H_4 при $50-300^\circ$ ($145-170^\circ$) и 50–75 ат в присутствии перекисей [напр., трет-бутилгидроперекиси (I)]. В автоклав, содержащий 1000 мл 80%-ной CH_3COOH и 30 мл I, вводят этилен при 145° и давл. 50 ат. Через 4 часа удаляют воду и CH_3COOH и 250 г продукта, содержащего $\text{C}_3\text{H}_7\text{COOH}$, $\text{C}_5\text{H}_{11}\text{COOH}$, $\text{C}_7\text{H}_{15}\text{COOH}$ (и C_8 -изомеры) и $\text{C}_9\text{H}_{19}\text{COOH}$ (и C_{10} -изомеры) разделяют перегонкой. В. У.

44419 П. Способ получения замещенных янтарных кислот с ненасыщенными боковыми цепями. Шик (Verfahren zur Herstellung substituierter Bernsteinsäuren mit ungesättigten Seitenketten. Schick Otto von) [Badische Anilin- und Soda-Fabrik]. Пат. ФРГ 882245, 6.07.53 [Chem. Zbl., 1954, 125, № 41, 9390 (нем.)]

Указанные к-ты получают по пат. 856435 обработкой щел. агентами нитрокарбоновых к-т ф-лы $\text{R}'\text{R}''\text{C}(\text{NO}_2)\text{CH}(\text{COOH})\text{CH}_2\text{COOH}$ (R' и R'' — насыщ. алкил, циклоалкил, или R' и R'' вместе образуют насыщ. гетероцикл), а также функциональных производных этих к-т (нитрилов, эфиров или амидов). Напр., диэтиловый эфир (2-нитропропил-2)-янтарной к-ты, полученный из 2-нитропропана и диэтилового эфира малеиновой к-ты, образует при низкой t -ре в метаноле в присутствии NaOH γ,γ -диметилитакановую (теракановую) к-ту, т. пл. $154-156^\circ$ с 86%-ным выходом. Диэтиловый эфир (2-нитробутил-2)-янтарной к-ты даст γ -метил- γ -этиленянтарную к-ту, т. пл. 149° ; в-ва являющиеся промежуточными продуктами при получении пластмасс и р-рителей. А. Б.

44420 П. Способ получения карбоновых кислот и их эфиров. Ренне, Кутепов (Verfahren zur Herstellung von Carbonsäuren und deren Estern. Renne Walter, Kutepow Nikolaus von) [Badische Anilin- & soda-Fabrik A.-G.]. Пат. ФРГ 899798, 17.12.53 [Chem. Zbl., 1954, 125, № 37, 8444 (нем.)]

В доп. к пат. 893499 [См. РЖХим, 1956, 10718] карбоновые к-ты и их эфиры, образуемые р-цией спиртов с CO, получают (в отличие от основного патента), примесью другие инертные р-рители типа ароматич. углеводородов, критич. t -ра которых лежит выше t -ры упомянутой р-ции, чем подавляется образование из спиртов простых эфиров. А. Б.

44421 П. Алкоголиз низкомолекулярных алифатических ацильных групп в эфирах полиоксикислот жирного ряда. Логан (Alcoholysis of lower fatty acid groups in polyhydroxy fatty esters. Logan Roger L.) [Kessler Chemical Co.]. Пат. США 2669572, 16.02.54

Указанную р-цию ведут при нагреве с низшими алифатич. спиртами жирной полиоксикислоты (11–12 атомов C), карбоксильная группа которой этерифицирована алифатич. спиртом, а гидроксильные группы в цепи замещены низшими алифатич. ацилом (1–5 атомов C); в результате р-ции радикалы низших алифатич. к-т

заменяются на водород без затрагивания концевой эфирной группы.

Я. Ш.

44422 П. Получение алкильных эфиров алифатических α , β -ненасыщенных карбоновых кислот (Preparation of alkyl esters of aliphatic α , β -unsaturated carboxylic acids) [Rhöm & Haas Ges.]. Англ. пат. 695503, 12.08.53

Нитрилы β -алкоксикарбоновых к-т (полученные при взаимодействии акрилонитрила, метакрилонитрила и т. д. со спиртами) обработкой H_2SO_4 при нагревании переводят в ненасыщ. эфиры; полимеризацию в реакционной смеси предотвращают добавлением ингибиторов — гидрохинона; пирогаллола, таннина или серы. Образующиеся эфиры непрерывно отгоняют, при необходимости — в вакууме, метиловый и бутиловый эфиры акриловой к-ты и метиловый эфир метакриловой к-ты получают, соответственно, из β -метоксипропионитрила, β -бутоксипропионитрила и β -метоксизобутиронитрила. Акрилонитрил прибавляют по каплям к C_4H_9OH , в котором растворен (при охлаждении) Na или метакрилат Na; продукт р-ции нейтрализуют и отгоняют β -бутоксипропионитрил. Аналогично из акрилонитрила и CH_3OH и, соответственно, из метакрилонитрила и CH_3OH получают β -метоксипропионитрил и β -метоксизобутиронитрил.

М. К.

44423 П. Способ получения амидов карбоновых кислот. Реппе, Магин (Verfahren zur Herstellung von Carbonsäureamiden. Reppe Walter, Magin August) [Badische Anilin- und Soda-Fabrik A.-G.]. Пат. ФРГ 894558, 26.10.53 [Chem. Zbl., 1954, 125, № 41, 9390 (нем.)]

Олефины вводят при нагревании и 80—200 ат давления в р-цию с CO и NH_3 (или первичными и вторичными аминами), целесообразнее с применением воды в качестве р-рителя и роданидов или цианидов Ni, Co и Fe в качестве катализатора. Напр., этилен с NH_3 и CO при 110° и 120 ат в присутствии NiCN даст амид пропионовой к-ты паряду с пропионовой к-той и $C_7H_{12}O_2N_2$, т. кип. 140—180°, т. пл. 164° и дикарбоновой к-той $C_{12}H_{16}O_6N_4$, т. пл. 142°, NH_4 -соль, т. пл. 180—182°. Полученные в-ва являются промежуточными продуктами при синтезах.

А. Б.

44424 П. Производство бис-алкилиденамидов карбоновых кислот (Process for the production of alkyldene-bis-carboxylic acid amides) [Vereinigte Glanzstoff-Fabriken A.-G.]. Англ. пат. 710468, 16.06.54 [J. Appl. Chem., 1955, 5, № 1, 183 (англ.)]

Один или смесь нескольких насыщ. алифатич. или ароматич. нитрилов в газовой фазе в присутствии к-ты и водяных паров вводят в р-цию с алифатич. альдегидом. Напр., пропускают через трубку, нагретую до 150—200° и заполненную BPO_4 и Al_2O_3 , по каплям CH_3CN и водн. CH_2O в присутствии HCl и N_2 , свободного от O_2 и получают метилен-бис-ацетамид $CH_2(NHCOCH_3)_2$, т. пл. 196°. Этилиденбисацетамид т. пл. 170°, этилиденбисбензамид т. пл. 197—198°, метилен-бисбензамид т. пл. 247°.

Я. Ш.

44425 П. Способ получения α -меркаптокарбоновых кислот (Process for producing alphasmercapto-carboxylic acids) [Gillette Safety Razor Co.]. Англ. пат. 695493, 12.08.53

α -Меркаптокарбоновые к-ты получают р-цией шел. солей α -моногалогидкарбоновых к-т с тиосульфатами шел. металлов в водн. среде с промежуточным образованием карбокситиосульфатов, которые подвергают гидролизу 25—40%-ной (30—35%) H_2SO_4 . Образующиеся при гидролизе дитиокислоты восстанавливают до тиокислот, которые извлекают из р-ра напр., бутиловым (I) или изопропиловым эфиром (II), а затем выделяют фракционной перегонкой или образованием соли, напр. с NH_4OH . Также можно экстрагировать смесь тио- и дитиокислоты, а затем восстанавливать в

экстракте. Способ применим для получения тиогликолевой (III), тиомолочной, фенилтиогликолевой и фенилтиомолочной к-т. Из $ClCH_2COONa$ и $Na_2S_2O_3$ получают Na-соль α -тиосульфокеусовой к-ты (IV), которую гидролизуют 70%-ной H_2SO_4 при 80—85°; водн. гидролизат обрабатывают Zn-пылью, извлекают при помощи I или II и прибавлением NH_4OH выделяют NH_4 -соль III. Можно также гидролизат IV извлечь I или II, обработать Zn-пылью и H_2SO_4 и выделить III, как указано выше.

В. У.

44426 П. Способ получения гликолевых эфиров карбаминных кислот (Glycol carbamates and process for the manufacture thereof) [Soc. Anon. des Manufacture des Glaces et Produits Chimiques de St.-Gobain, Chauny et Cirey]. Англ. пат. 689705, 1.04.53 [Brit. Plast. Federat. Abstrs, 1953, 8, № 5, 297 (англ.)]

Гликолевые эфиры карбаминных к-т (I) получают р-цией циклич. гликолевого эфира угольной к-ты с NH_3 или первичными или вторичными аминами или диаминами. I применяют для получения пластич. масс и пластификаторов.

В. У.

44427 П. N, N-диалкилакриламиды. Эрикссон (N, N-Dialkylacrylamides. Erickson John G.) [American Cyanamid Co.]. Канад. пат. 505750, 14.09.54

Указанные акриламиды [в частности, N, N-ди-(2-этилгексил) акриламид] получают нагреванием смеси эфира акриловой к-ты и амина общей ф-лы R_2NH , где R — алкил по меньшей мере с 5 атомами C (в частности, смеси метилакрилата и ди-2-этилгексилamina) в автоклаве в течение ~1 часа при ~150° или ~15 мин. при ~400°.

Я. К.

44428 П. Разделение органических азотистых соединений. Кнуст (Separation of organic nitrogen compounds. Knust Ernst) [Farbenfabriken Bayer A.-G.]. Пат. США 2705246, 29.03.55

Для разделения смеси моно-, ди- и триметиламинов и NH_3 ее обрабатывают фенолом или нафтолом, поглощающим не менее одного из указанных азотистых соединений, отделяют непоглощенную фракцию и затем выделяют поглощенные компоненты смеси.

Я. К.

44429 П. Способ получения оксимов. Уффер (Verfahren zur Herstellung von Oximen. Ufer Hanns) [Badische Anilin- und Soda-Fabrik I. G. Farbenindustrie A.-G.]. Пат. ФРГ 877303, 21.05.53 [Chem. Zbl., 1953, 124, № 47, 8208 (нем.)]

Реакцией нитроалканов, напр. нитроциклоалканов с оксиями алкиленов, в особенности в присутствии шел. катализаторов и р-рителей получают оксимы. Из нитроциклогексана и окиси этилена в спирте в присутствии небольших кол-в Na и K_2CO_3 получают циклогексаноноксим.

В. У.

44430 П. Способ получения алифатических и циклоалифатических оксимов (Process for the production of aliphatic and cycloaliphatic oximes) [Farbenfabriken Bayer]. Англ. пат. 693402, 1.07.53 [J. Appl. Chem., 1954, 4, № 4, 400—401 (англ.)]

Алифатические или циклоалифатич. оксимы получают гидрированием первичных или вторичных нитроалифатич. или нитроциклоалифатич. соединений в присутствии щелочей или шел. солей исходных соединений в органич. р-рителе или суспендирующем средстве при помощи выделяющегося при р-ции или получаемого каталитически H_2 . Смесь 60 г Zn-пыли, 200 г CH_3OH и 100 мл воды прибавляют при размешивании в течение 1,5 час. к р-ру 100 г Na-соли нитроциклогексана в 200 г CH_3OH и 100 мл воды; одновременно прибавляют HCl для поддержания pH 3 при 25°. Через 2 часа реакционную смесь доводят прибавлением воды. NaOH до pH 5,5 и фильтруют, CH_3OH отгоняют и полученный р-р охлаждают для кристаллизации оксима (выход 74%), после чего маточный р-р подвергают раз-

гонке в вакууме. Описано также получение оксимов, путем катализа гидрирования. В. У.

44431 П. Производство амидинов. Производство азотистых соединений. Шорт, Партридж (Manufacture of amidines. Manufacture of nitrogen compounds. Short Wallace F., Partridge Maurice W.) [Boots Pur Drug Co. Ltd]. Канад. пат. 501824, 501825, 27.04.54

По пат. 501824, роданистые соли амидинов общей ф-лы $n, n' - \text{H}_2\text{NC}(=\text{NH})\text{C}_6\text{H}_4\text{XC}_6\text{H}_4\text{C}(=\text{NH})\text{NH}_2$, где X — O, или группа — $\text{O}(\text{CH}_2)_3\text{O}$ —, получают нагреванием соответствующего динитрила $n, n' - \text{NCC}_6\text{H}_4\text{XC}_6\text{H}_4\text{CN}$ (в частности, n, n -дицианодифенилового эфира и 4,4'-дициано- α, γ -дифеноксипропана) с NH_4CNS при 180—240°. По пат. 501825, амидины получают взаимодействием нитрилов RCN (R — алкил, арил, аларкил или N-гетероцикл, радикал с ненасыщ. связью при C-атоме) с NH_3 , $\text{CO}(\text{NH}_2)_2$ или монофункциональным первичным или вторичным алифатич., ариалфатич. или N-гетероцикл. амином в присутствии AlCl_3 , ZnCl_2 , FeCl_3 или SnCl_4 в качестве протомоторов реакции. Я. К.

44432 П. Способ получения гуанидина из роданистого аммония. Марш (Preparation of guanidine from ammonium thiocyanate. Marsh Nat H.) [American Cyanamid Co.]. Пат. США 2676984, 27.04.54

Превращение NH_4CNS в сульфат гуанидина осуществляют нагреванием NH_4CNS , NH_3 и SO_2 ; причем NH_3 и SO_2 применяют в молярном избытке по отношению к NH_4CNS . Р-цию проводят при 180—310° под давл. ≤ 3 ат. В. У.

44433 П. Способ получения гидразингидрата окислением мочевины гипохлоритом. Херман (Verfahren zur Herstellung von Hydrazin-Hydrat durch Oxydation von Harnstoff mittels Natriumhypochlorit. Hermann Kurt) [Elektrochemische Werke München A.-G.]. Пат. ФРГ 878941, 8.06.53 [Chem. Zbl., 1953, 124, № 47, 8176 (нем.)]

Доп. к герм. пат. 762249. Гидразингидрат получают окислением мочевины гипохлоритом в водн. р-ре в присутствии едкой щелочи, а также клея. Полученный $\text{N}_2\text{H}_4 \cdot \text{H}_2\text{O}$ выделяют непосредственно из реакционного р-ра перегонкой и фракционной конденсацией паров; для уменьшения разложения избыток щелочи перед перегонкой можно нейтрализовать. В. У.

44434 П. Способ получения оксалькилированных бигуанидов. Бродерсен, Кведфлиг, Цабель, Шнейдер (Verfahren zur Herstellung von oxalkylierten Biguaniden. Brodersen Karl, Quaedylied Matthias, Zabel Max, Schneider Albert) [WEB Farbenfabrik Wolfen]. Пат. ГДР 762124, 23.02.54

Бигуаниды высокомолекулярных алифатич. аминов обрабатывают при повышенной т-ре окисями алкиленов. Так, в открытый сосуд, содержащий 100 ч. стеарилбигуанида, вводят в течение 12—15 час. при 140—150° и непрерывном перемешивании 100—110 ч. окиси этилена и свободное основание переводят в соль (напр., в салицилат) или 50 ч. стеарилбигуанида нагревают с обратным охлаждением при непрерывном перемешивании со 100 ч. энихлоргидрина (т-ра постепенно повышается в течение 2 час.) до прекращения кипения, после чего перемешивают дополнительно 2 часа при 170—180°; выход 150 ч. растворимого без помутнения продукта р-ции, не мутнеющего при добавлении аммиака. Аналогичные продукты получают при кипячении 50 ч. додецилбигуанида (полученного сплавлением додециламинохлоргидрата с дициандиамином) со 100 ч. энихлоргидрина и при введении 100 ч. окиси этилена в течение 6 час. в плав 100 ч. додецилбигуанида или олеилбигуанида (т-ра плавла постепенно повышается с 90° до 150—160°). Растворимость оксалькилбигуани-

дов возрастает со степенью оксалькилирования; высокооксалькилированные продукты растворимы уже частично в виде свободных оснований. Продукты (в особенности их соли) являются вспомогательными в-вами при обработке текстильных материалов и пригодны для целей перевода красителей в тестобразную массу, а также применимы для других целей в кожевенной и бумажной промышленности. Я. К.

44435 П. Концентрирование или обезвоживание дипропиламинов. Бери, Чаллис (Concentration or dehydration of di-propylamines. Bury C. R., Challis A. A. L.) [Imperial Chemical Industries, Ltd.]. Англ. пат. 685620, 7.01.53 [Chem. Abstr., 1954, 48, № 6, 3384 (англ.)]

Для осуществления непрерывного процесса концентрирования или обезвоживания амина (в частности, $\text{C}_3\text{H}_7\text{NH}$) последний подают в дистилляционный куб, снабженный колонной, в верхнюю часть которой из куба поступает бинарный азетроп, конденсирующийся с образованием при 40—70° двух слоев, из которых наиболее богатый амином рециркулирует в куб. Со дна последнего извлекают чистый амин, содержащий 0,2 вес. % воды. Для $(n\text{-C}_3\text{H}_7)_2\text{NH}$ т-ру конденсата поддерживают на уровне 48°, а для $(\text{iso-C}_3\text{H}_7)_2\text{NH}$ — на уровне 70°. Я. К.

44436 П. Продукты конденсации диэтилентриамина. Пиккетт, Розенфелд (Diethylene triamine condensate. Pickett Charles F., Rosenfeld Myer). Пат. США 2680137, 1.06.54

Продукты конденсации получают смешением 1 моля диэтилентриамина с 1—3 молями 4-окси-4-метил-2-пентанона. В. У.

44437 П. Способ получения хлоргидратов β -хлорэтиламинов. Вьяр (Process for the preparation of hydrochlorides of β -chlorinated ethylamines. Viard Marcel J.) [Soc. An. des Manufactures des Glaces et Produits Chimiques de St.-Gobain, Chauny & Cirey]. Англ. пат. 693325, 24.06.53 [Chem. Abstr., 1954, 48, № 3, 1417 (англ.)]

Хлоргидраты первичных и вторичных 2-хлорированных этиламинов общей ф-лы $\text{ClCH}_2\text{CH}_2\text{NHR} \cdot \text{HCl}$ получают обработкой оксазолидонов ф-лы $\text{CH}_2\text{CH}_2 \cdot$

$\cdot \text{NRCOO}$ (R — H или углеводородный радикал) HCl -

газом при т-ре между 80 и 120°. Нагревают при 100° смесь 435 г оксазолидона-2 и 1500 г толуола до полного растворения оксазолидона и пропускают струю сухого HCl в течение 24 час. при энергичном перемешивании; одновременно с выделением CO_2 образуется маслянистый постепенно твердеющий хлоргидрат $\text{ClCH}_2\text{CH}_2\text{NH}_2$, который, по охлаждению реакционной смеси отцентрифуговывают; выход 575 г (99%), чистота 99% (после перекристаллизации из сп.). Толуол, содержащий небольшое кол-во амина, может быть использован для следующей операции. Этот амин можно получить также исходя из 450 г оксазолидона и применяя в качестве р-рителя 1000 г $\text{C}_4\text{H}_9\text{OH}$; т-ра р-ции 80°, продолжительность 10—12 час. Выход 98,2% (350 г при первой кристаллизации, 175 г — из маточного р-ра). N-(2-хлорэтил)-этилминхлоргидрат получают пропусканием сухого HCl в течение 8 час. при 70—80° через р-р 230 г 3-этилоксазолидона-2 в 500 мл спирта (выход 98,9%, т. пл. 203—205°). Аналогично 3-циклогексильноксазолидон-2 дает N-(2-хлорэтил)-циклогексилминхлоргидрат, выход 98,2%, т. пл. 204—260°. Я. К.

44438 П. Способ получения диоксидаминсоединений. Шлак (Verfahren zur Herstellung von Dioxidaminverbindungen. Schlack Paul). Пат. ГДР 4807, 17.04.54

Первичные диоксидаминсоединения с NH_2 -группами в положениях 1,4 и OH-группами в положениях 2,3

получают действием гликоксила или его растворимых полимеров в присутствии щел. катализатора (KHSO_3 , K_2CO_3 и др.) на избыток нитропарафина, содержащего не менее одного подвижного Н-атома в α -положении к NO_2 -группе (CH_3NO_2 , $\text{C}_2\text{H}_5\text{NO}_2$, $1\text{-C}_4\text{H}_9\text{NO}_2$, $\text{CH}_3\text{CHNO}_2\text{COOCH}_3$), с последующим восстановлением продукта конденсации в среде тетрагидрофурана или диоксана. В качестве агентов восстановления используют Zn -пыль + 50%-ная CH_3COOH или $\text{Sn} + \text{HCl}$, или гидрируют в присутствии Co -катализаторов или скелетного Ni при высоком давлении и умеренной т-ре ($20\text{--}80^\circ$) также в присутствии катализаторов из благородных металлов с одновременным ацилированием аминогрупп, напр., посредством эфиров HCOOH . Так р-р 1 моля гликоксила в 250 мл CH_3OH смешивают при 0° с 6 молями CH_3NO_2 , 2 г пиперидина и 250 мл воды. 1 г KHSO_3 , перемешивают сначала 6 час., а потом взбалтывают 24 часа при $\sim 20^\circ$, после чего прерывают р-цию с помощью HCl , слабо подкисляют винной к-той, экстрагируют продукт р-ции и избыточный CH_3NO_2 этилацетатом, из экстракта (высушенного Na_2SO_4) отгоняют р-ритель и избыточный CH_3NO_2 (в конце при несколько сниженном давлении), остаток растворяют в диоксане и гидрируют со скелетным Ni при $40\text{--}80^\circ$ и начальном давл. 200 ат. При этом получают 1,4-диамино-2,3-диоксибутиланхлоридат, т. пл. 185° (из сп. + вода); *бис*-фталат (нагреванием с 2 молями $\text{C}_6\text{H}_4(\text{CO})_2\text{O}$, т. пл. 286° (из CH_3COOH). Получаемые диоксидамины (в частности, 1,4-диамино-2,3-диоксибутан) являются ценными полупродуктами в органич. синтезе, напр., в произ-ве конденсационных смол, в частности, в произ-ве полиамидных волокон. Я. К.

44439 П. Способ получения синильной кислоты (Process for the production of hydrocyanic acid) [Deutsche Gold- und Silber-Scheideanstalt, vorm. Roesler]. Англ. пат. 715172, 8.09.54 [J. Appl. Chem., 1955, 5, № 3, i 392 (англ.)]

Циклический процесс получения HCN состоит в том, что р-цией карбоната щел. металла с C и N_2 в присутствии тонкодисперсного Fe получают цианид. Твердый продукт р-ции выщелачивают водой, экстракт упаривают и разлагают р-р цианида при 200° путем распыления при действии CO_2 . Na_2CO_3 возвращают на стадию образования цианида, а HCN пропускают в башню с насадкой и поглощают водой. Равным образом р-р NaCN можно упарить досуха при 50° , а затем обработать CO_2 и паром под давлением. В. У.

44440 П. Способ получения нитрила адипиновой кислоты (Procédé pour la production d'adiponitrile) [Badische Anilin & Soda-Fabrik]. Франц. пат. 1027733, 15.05.53 [Ind. Chim., 1954, 41, № 440, 80 (франц.)]

Патентуется аппаратура для произ-ва адипонитрила р-цией 1,4-дихлорбутана со щел. или щел.-зем. солью HCN . Я. К.

44441 П. Гидрирование дицианбутилена до адипонитрила (Romilly) (Hydrogenation of dicyanobutene to adiponitrile. Romilly Llewellyn E.) [E. I. du Pont de Nemours and Co.]. Канад. пат. 501453, 13.04.54

Гидрируют 1,4-дицианбутилен (I) в жидкой фазе (в частности, в водн. р-ре) по крайней мере с 1—2 молями H_2 на каждый моль I при $25\text{--}200^\circ$ ($75\text{--}150^\circ$) в присутствии катализатора, состоящего из Pd (1—3%), нанесенного на активированный уголь, который перед употреблением экстрагируют HNO_3 . В. У.

44442 П. Галоидалканнитрилы (Ladd) (Halogenoalkenenitriles. Ladd Elbert C.) [United States Rubber Co.]. Канад. пат. 500081, 16.02.54

Галоидалканнитрилы получают взаимодействием олефиновых соединений общей ф-лы $\text{R}'\text{R}''\text{C} = \text{CHR}'''$ и 2-галоидалканнитрилов общей ф-лы $\text{XR}_2\text{C} - \text{CN}$, р-ция идет под воздействием источника свободных ра-

дикалов (активный свет или перекисные соединения); R , R' , $\text{X} = \text{H}$, Cl , Br , углеводород или замещ. углеводород, R'' , $\text{R}''' = \text{H}$, метил, фенил, метилол, хлорметил, карбоксил, карбоксиалкил, ацилоксиметил, алкоксиметил или арилоксиметил; в случае если $\text{R}' = \text{R}''' = \text{H}$, то в $\text{R}' = \text{H}$. В частном случае указывается, что по крайней мере один из радикалов R и X должен быть галогеном (Cl или Br). В качестве исходных в-в могут применяться трихлорацетонитрил и монобром-ацетонитрил. Я. Ш.

44443 П. Получение ненасыщенных нитрилов (Хейнеманн) (Production of unsaturated nitriles. Heine mann Heinz) [Porecel Corp.]. Канад. пат. 508190, 14.12.54

Алифатическую карбоновую к-ту и NH_3 пропускают при $370\text{--}650^\circ$ над термически активированной Al_2O_3 (могущей содержать ≤ 6 вес. % Fe_2O_3), после чего реакционную смесь, содержащую значительное кол-во насыщ. алифатич. нитрила, охлаждают до $260\text{--}370^\circ$ введением в нее алифатич. альдегида и пропускают при этой же т-ре над катализатором того же состава, в результате чего образуется нитрил, содержащий по крайней мере на 1 атом C больше, чем исходная карбоновая к-та. Так, $\text{CH}_3\text{COOH} + \text{NH}_3$ пропускают при $370\text{--}650^\circ$ над содержащей до 6% Fe_2O_3 активированной Al_2O_3 , в частности над термически активированным бокситом; полученную реакционную смесь, содержащую значительные кол-ва CH_3CN пропускают далее с CH_2O над указанным катализатором при $260\text{--}371^\circ$ и получают $\text{CH}_2 = \text{CHCN}$. Я. К.

44444 П. Способ получения транс-винилендиизоцианата (Gold) (Trans vinylene diisocyanate and method of preparation. Gold Marvin H.) [Aerojet-General Corp.]. Пат. США 2680131, 1.06.54

Патентуется *транс*-винилендиизоцианат ф-лы $(\text{OCN}) - \text{CH} = \text{CH} - (\text{NCO})$ (I) и способ его получения растворением фумарилдиазиды в высококипящем инертном р-рителе, введением р-ра в дистиллятор с пониженным давлением до $1\text{--}10$ мм, дальнейшим медленным нагреванием р-ра до $80\text{--}90^\circ$ с выделением N_2 . Одновременно отгоняют I и выделяют охлаждением дистиллата при помощи бани из твердой CO_2 . В. У.

44445 П. Получение винилсульфонов (Шейне) (Preparation of vinyl sulfones. Schoene Dwight Loring) [Dominion Rubber Co., Ltd.]. Канад. пат. 502289, 11.05.54

Винилсульфоны (в частности, винилсульфон) получают нагреванием *бис*-(β -оксипропил)-сульфонов или их эфиров (напр., с CH_3COOH или другими алифатич. к-тами) до т-ры разложения между $150\text{--}600^\circ$ / $1\text{--}100$ мм. В. У.

44446 П. Получение дисульфидов (Крауч, Уэркман) (Production of disulfides. Crouch Willie W., Werkman Robert T.) [Phillips Petroleum Co.]. Пат. США 2676974, 27.04.54

Окислением соли щел. металла $\text{C}_{12\text{--}18}$ -алкилтрихлоркарбоновой к-ты при $0^\circ\text{--}70^\circ$ щел. гипохлоритом, поддерживая прибавлением CH_3COOH pH реакционной смеси 4,5—9, получают соответствующие *бис*-(алкилмеркаптокарбонил)-дисульфиды. В. У.

44447 П. Получение эфиров дитиокарбаминной кислоты (Томпсон) (Production of esters of dithiocarbamic acid. Thompson Ralph B.) [Universal Oil Products Co.]. Пат. США 2710872, 14.06.55

Эфиры дитиокарбаминных к-т получают р-цией дитиокарбаминовых к-т с α, β -ненасыщ. соединениями при т-ре ниже т-ры разложения этих эфиров. В частности, указано получение α -метил- γ -кетопропилового эфира N, N-тетраметилэтилдитиокарбаминовой к-ты р-цией этой к-ты с кротоновым альдегидом при т-ре от -10 до 0° . В. У.

44448 П. Органические производные фосфора (Dérivés organiques du phosphore) [Imperial Chemical

Industrie et
mie et
Для п
гидрог
рами гал
к-т в пр
44449 П.
родни
тон (I
phorus
tion I
23.09.5
Предл
пирроф
пирроф
не содерж
общей ф-
R' и R''
образуют
или зам
ния с к
ностью,
гексилам
бензилп
 CH_3COC
часового
выход 94
44450 П.
Хейн
tes. G
[Monsi
Диалк
с обрат
р-рителя
безводн.
2 молей
44451 П.
форист
tion of
Will
[Virg
267894
Алифа
постепен
фосфора
при т-ре
смеси пр
44452 П.
кислот
Дже
phosph
Wag
Resear
Органи
содержа
ного с С,
связью
р-цию с
между
44453 П.
фосфин
tion c
Hart
Deni
США 2
Около
в р-цию
присутс
сле, по
продукт
 $\sim 0,5$ мо
мина.
22 Химия

Industries Ltd]. Франц. пат. 1067637, 17.06.54 [Chimie et industrie, 1955, 73, № 1, 123 (франц.)]

Для получения указанных продуктов 5,5-диметилдигидрорезорцин вводят в р-цию с диалкильными эфирами галондифосфиновых или галондитиофосфиновых к-т в присутствии связывающего к-ты агента. Я. К.

44449 П. Способ производства замещенных кислотных кислот фосфора. Моррисон, Атертон (Process for the manufacture of substituted phosphorus oxyacids. Morrison A. L., Ather-ton F. R.) [Roche Products Ltd]. Англ. пат. 697473, 23.09.53 [J. Appl. Chem., 1954, 4, № 4, 395 (англ.)]

Предложен способ деаралкилирования органич. пирофосфатов (в частности, дебензилирования бензилпирофосфатов), состоящий в том, что их нагревают в не содержащем оксигрупп р-рителе с солью тиокислоты общей ф-лы $(RS)_M(R-CN, CSO-, алкил или CSNR'R', R' и R'' - атомы Н, алкилы, арилы или вместе с N образуют гетероциклич. кольцо, M - металл, NH_4 или замещ. аммониевое производное сильного основания с константой диссоциации $>1 \times 10^{-7}$ и валентностью, равной v), напр., с $LiCNS, NH_4CNS$ или циклогексиламмонийтиоцианатом. Так, смесь 10,75 г тетрабензилпирофосфата, 4,4 г NH_4CNS и 100 мл безводн. CH_3COCH_3 дает, после 2-часового кипячения и 16-часового охлаждения, диаммонийдибензилпирофосфат, выход 94,5%, т. пл. $\sim 250^\circ$ (из водн. апетона). Я. К.$

44450 П. Способ получения диалкилфосфитов. Ганн, Хейдер (Process for producing dialkyl phosphites. Gann Paul W., Heider Rudolph L.) [Monsanto Chemical Co.]. Пат. США 2692890, 26.10.54 Диалкилфосфиты получают смещением и кипячением с обратным холодильником в присутствии инертного р-рителя при 30—150° 1 моля PCl_3 и не меньше 3 молей безводн. одноатомного алифатич. спирта или не меньше 2 молей последнего и не больше 1 моля воды. В. У.

44451 П. Получение алифатических триэфиров фосфористой кислоты. Бойер, Мангем (Preparation of aliphatic triesters of phosphorous acid. Boyer William P., Mangham Jesse Roger) [Virginia-Carolina Chemical Corp.]. Пат. США 2678940, 18.05.54

Алифатические триэфиры фосфористой к-ты получают постепенным прибавлением ≤ 1 моля тригалогидного фосфора к 3 молям алифатич. спирта при размешивании при т-ре от -10 до $+25^\circ$, поддерживая нейтр. р-цию смеси прибавлением NH_3 . В. У.

44452 П. Получение хлоридов органофосфиновых кислот из органических галондных соединений. Дженсен, Клейтон (Preparation of organo phosphonyl chlorides from organo halides. Jensen Warren, Clayton James O.) [California Research Corp.]. Пат. США 2683169, 6.07.54

Органические соединения, свободные от S и Se, содержащие не менее одного галондного атома, связанного с C, и 2 атома C, один из которых связан алифатич. связью по крайней мере с одним атомом H, вводят в р-цию с PCl_3 в тесном контакте с кислородом при т-ре между -70 и 75° . Я. К.

44453 П. Получение ангидридов бис-диалкиламинофосфиновых кислот. Хартли, Паунд (Preparation of bis-dialkylamino phosphonous anhydrides. Hartley Gilbert Spencer, Pound Denis William) [Pest Control Ltd]. Пат. США 2671109, 2.03.54

Около 2 молей безводн. низшего диалкиламина вводят в р-цию с р-ром ~ 1 моля $POCl_3$ в инертном р-рителе в присутствии не меньше 2 молей третичного амина, по сле, по крайней мере, равного пиридину. Полученный продукт выделяют из реакционной смеси с применением $\sim 0,5$ моля воды и ≥ 1 моля указанного третичного амина. В. У.

44454 П. Нейтральные эфиры тиофосфорной кислоты (Neutral esters of thiophosphoric acid) [Farbenfabriken Bayer]. Англ. пат. 697120, 16.09.53 [J. Appl. Chem., 1954, 4, № 4, 395 (англ.)]

Нейтральные эфиры тиофосфорной к-ты (I) получают из соединений общей ф-лы: $(R'O)(R''O)R(S)=O - A-SR$ (R' и R'' — алифатич. радикалы, A — прямой или разветвленный алкильный радикал с цепью, которая может быть прерываема O- или S-атомом; R — алкил, оксипалкил, аралкил или другие группы). I представляют собой жидкости с высокой т-рой кипения, обладающие инсектицидными свойствами. $CH_3S(CH_2)_2OH$ (50 г) добавляли по каплям к суспензии тонкоизмельченного Na (12 г) в C_6H_6 при 40—50°, спустя 30 мин. металл растворяется. Смесь охлаждают до 20° и добавляют по каплям диметилловый эфир хлортиофосфорной к-ты (87 г) при 10—20°, размешивают 2 часа и, после добавления воды, получают диметилловый эфир метилтиоэтилтиофосфорной к-ты (64%). т. кип. $115^\circ/2$ мм. Были получены следующие эфиры: диэтиловый эфир о-метил-, т. кип. $131-132^\circ/1$ мм, диэтиловый эфир этилтиоэтил-, (75%), т. кип. $134^\circ/2$ мм, диэтиловый эфир этилтиоэтоксэтил-, т. кип. $168^\circ/2,5$ мм, диэтиловый эфир 2-н-толилтиоэтил-, т. кип. $177^\circ/0,5$ мм, диэтиловый эфир 2-фенилтиоэтил-, т. кип. $177-178^\circ/2$ мм, диэтиловый эфир 2-бензилтиоэтилтиофосфорной к-ты, тетраэтиловый эфир тиодитилтиофосфорной к-ты (не перегоняется), диэтиловый эфир 2,2'-оксэтилтиоэтил- (не перегоняется), диэтиловый эфир 2-н-пропилтиоэтил-, т. кип. $140-146^\circ/2$ мм, диэтиловый эфир 2-н-гексилтиоэтил-, т. кип. $163-170^\circ/2$ мм, диэтиловый эфир 3-этилтио-2-н-пропил-, т. кип. $135-140^\circ/2$ мм, диэтиловый эфир 4-этилтио-н-бутилтиофосфорной к-ты, т. кип. $150-158^\circ/3$ мм. Н. С.

44455 П. Цинковые соли смешанных эфиров тиофосфорной кислоты. Малван (Zinc salt of mixed ester thiophosphates. Mulvany Paul K.) [California Research Corp.]. Пат. США 2680123, 1.06.54

Zn-соль смешанного диэфира дитиофосфорной к-ты получают р-цией двух различных алифатич. насыщ. спиртов; причем один из спиртов содержит не больше 4 атомов C, другой — 6—18 атомов C; отношение низшего спирта к высшему 1—5:1. В. У.

44456 П. Способ получения органических силанов. Барри, Гилки (Method of preparing organosilanes. Barry Arthur J., Gilkey John W.) [Dow Corning Corp.]. Пат. США 2681355, 15.06.54

Метилхлорсиланы получают нагреванием остатка, полученного при р-ции CH_3Cl с Si и кипящего выше т-ры кипения $(CH_3)_2SiCl_2$, с HCl при 200—900°; HCl применяют в кол-ве $\geq 4\%$ от веса остатка. В. У.

44457 П. Продукты реакции алифатических двухатомных спиртов с алициклическими трихлорсиланами. Брукс, Юарт (Reaction products of aliphatic dihydric alcohols with alicyclic trichlorosilanes. Brooks Marvin C., Ewart Roswell H.) [United States Rubber Co.]. Пат. США 2680124, 1.06.54

Описаны продукты, образующиеся взаимодействием алифатич. диола или его эфира с циклоалкенил- или циклоалкенилалкилтрихлорсиланами при соотношении спиртовых OH-групп к Cl в начальной смеси >1 ; р-ция проходит с выделением HCl. В. У.

44458 П. Получение хлоралкилгалондсиланов и хлорциклоалкилгалондсиланов. Хатчер, Баннелл (Production of chloroalkylhalosilanes and chlorocycloalkylhalosilanes. Hatcher David B., Bunnell Raymond H.) [Allied Chemical & Dye Corp.]. Пат. США 2684974, 27.07.54

Хлорциклогексилтрихлорсилан получают р-цией Cl_2 при 25—600° с циклогексилтрихлорсиланом. Я. К.

44459 П. Получение ди-(β -хлорэтил)-сульфида. Миллер, Фейбер, Ривс (Process of making bis (beta chlorethyl) sulphide. Miller George E., Faber Edgar M., Reeves Arthur M.) [United States of America as represented by the Secretary of War]. Пат. США 2669587, 16.02.54

Процесс состоит в контактировании двуххлористой серы и этилена при давл. 3—5 атм. Я. Ш.

44460 П. Способ получения триформата алюминия и других нейтральных солей алюминия с органическими кислотами, растворимыми в воде. Хёйн (Verfahren zur Herstellung von Aluminiumtriformat oder anderen neutralen Salzen des Aluminiums mit wasserlöslichen organischen Säuren. Höhn Werner) [Badische Anilin- und Soda-Fabrik, I. G. Farbenindustrie A.-G.]. Пат. ФРГ 873696, 16.04.53 [Chem. Zbl., 1953, 124, № 47, 8204 (нем.)]

Смешивают водн. р-р неорганич. Al-соли, в особенности содержащей SO_4 -ионы, при т-ре ниже 50° (напр., при 40°) с щел. или NH_4 -гидроокисью или карбонатом; удаляют маточный р-р и $Al(OH)_3$, содержащий воду, растворяют в соответствующей карбоновой к-те. Полученную Al-соль (напр., формат) после упарки выкристаллизовывают или р-р выпаривают в распылительной сушилке. В. У.

44461 П. Приготовление алкил- или арилортоэфиров олова. Уэрнберг (Process of preparing alkyl or aryl ortho esters of tin. Wernberg E. L.) [Metal and Thermit Corp.]. Англ. пат. 699541, 11.11.53 [Rubber Abstrs, 1954, 32, № 2, 65 (англ.)]

Алифатические или ароматич. стannаты или стannиты получают взаимодействием SnO_2 или $SnCl_2$ с органич. окислительными соединениями в присутствии газообразного аммиака, вводимого для нейтр-ции выделяющегося HCl. Продукт используется для улучшения физ. свойств поливиниловых производных и полиакриловых эфиров. Я. Ш.

44462 П. Способ получения дидиклопентадиена из циклопентадиен- или дидиклопентадиенсодержащих смесей. Беннеке (Verfahren zur Gewinnung von Dicyclopentadien aus Cyclopentadien oder Dicyclopentadien enthaltenden Gemischen. Bennecke Otto) [Chemische Werke Bergkamen A.-G.]. Пат. ФРГ 881943, 6.07.53 [Chem. Zbl., 1954, 125, № 17, 3803 (нем.)]

Циклопентадиен (I) или смеси, содержащие дидиклопентадиен (II) (напр., предбензолные фракции), деполимеризуют нагреванием, отгоняют продукты, кипящие ниже чем I, и затем фракционируют, причем в фракции, содержащей I, остаются в-ва с т-рой кипения ниже т-ры разложения II. Далее эту фракцию полимеризуют снова нагреванием в закрытом сосуде и отгоняют продукты, кипящие ниже т-ры разложения II; неразложившийся остаток может быть очищен вакуум-перегонкой или перегонкой с водяным паром. При обработке предбензолных фракций, наряду с II, получают гексан, бензол, гомологи бензола, CS_2 и легкие углеводороды. М. К.

44463 П. Гидрирование циклических соединений. Розенблатт (Hydrogenation of cyclic compounds. Rosenblatt Edgar F.). Пат. США 2675390, 13.04.54

Ненасыщенные циклич. соединения гидрируют в соответствующую насыщ. циклич. соединения H_2 при 20° и атмосферном давлении в присутствии Rh-катализатора на активированном C или Al_2O_3 . Я. К.

44464 П. Способ получения гексахлорциклогексана (Verfahren zur Herstellung von Benzolhexachlorid) [Imperial Chemical Industries Ltd]. Австр. пат. 174056, 25.02.53 [Chem. Zbl., 1953, 124, № 47, 8189 (нем.)]

Гексахлорциклогексан с содержанием не ниже 20%

γ-изомера получают введением Cl_2 в жидкую смесь C_6H_6 и р-рителя или разбавителя, содержащего частично или полностью хлорированный углеводород, под действием активного света и в отсутствие в-в, тормозящих р-цию присоединения Cl_2 к C_6H_6 (напр., O_2) при т-ре между т-рами кристаллизации чистого C_6H_6 и р-рителя; при этом в качестве р-рителя применяют частично хлорированный алифатич. углеводород. Р-цию ведут при т-ре от 0° до -50° и при отношении р-рителя к C_6H_6 около 3 : 1; в частности, указано применение р-рителей: CH_3Cl , $CHCl_3$, CH_2Cl_2 , C_2H_5Cl , 1,1-дихлорэтана, 1,2-дихлорэтана, 1,1,2-трихлорэтана, пропилендихлорида, 1-хлор-1-метилпропана, хлористого бутила, хлористого *трет*-бутила, 1,2-дихлоризобутана, монофтордихлорметана, или 1,1-дифтор-1,2-дихлорэтана. В. У.

44465 П. Получение гексахлорциклопентадиена. Лидов (Preparation of hexachlorocyclopentadiene. Lidov R. E.). Австрал. пат. 155555, 18.03.54

Хлорированные производные моноциклич. 5-членных углеводородов получают хлорированием циклич. 5-членного углеводорода до тетрахлорциклопентана (I); затем хлорированием I, не содержащего ниже хлорированных продуктов, до октахлорциклопентана (II) и пиролизом II до гексахлорциклопентадиена. В. У.

44466 П. Способ стабилизации продуктов галогенирования декагидронафталина. Тиниус (Verfahren zum Stabilisieren der Halogenierungsprodukte des Dekahydronaphthalins. Thinius Kurt). Пат. ГДР 8184, 8.09.54

Способ состоит в добавлении к галоидному производному декагидронафталина, в особенности к хлордекагидронафталину (I), до 5% моно-, ди- или триалкиламина или их смесей. Содержащий ~56% Cl I, освобожденный промывкой его 50%-ного бензольного р-ра водой от примесей HCl (образующейся в процессе получения I), после осторожного удаления C_6H_6 при $\sim 20^\circ$ отщепляют HCl при хранении уже при этой т-ре, а в еще большей степени немедленно при 100° (сinee окрашивания бумажки конго). Если же I смешать с 1% моно- или триэтилоамином и отцентрифугировать через несколько часов избыток нерастворенного алкиламина, то стабилизированный таким образом I не выделяет HCl даже после нагревания в течение 8 час. при 100° и после 4-недельного хранения пробы при $\sim 20^\circ$. Так же действуют высшие гомологи этилоамины, напр., C_3 - или C_4 -ряда. Я. К.

44467 П. Производство 1,1,3-триметилциклогексана-5. Нелсон (Manufacture of 1,1,3-trimethylcyclohexanone-5. Nelson W. E.). [Distillers Co., Ltd]. Англ. пат. 701098, 16.12.53 [J. Appl. Chem., 1954, 4, № 5, 573 (англ.)]

изо- C_3H_7OH нагревают в металлич. реакторе при т-ре $>150^\circ$ ($250-300^\circ$) в инертном р-рителе в присутствии едкой щелочи или щел. алкилата и тонкоизмельченного металла. Полученный 1,1,3-триметилциклогексанол-5 (I) лучше после частичной очистки окислением переводят в 1,1,3-триметилциклогексанон-5 окислением CrO_3 или дегидрированием в паровой фазе в присутствии Ni . Так, 5 л безвод. *изо*- C_3H_7OH , содержащего 8% KOH, нагревают в 10-л реакторе из нержавеющей стали в течение 4 час. при 290° ; реакционную смесь обрабатывают водой, верхний слой нейтрализуют CH_3COOH и перегоняют в присутствии воды до 97° . Маслянистый остаток отделяют от воды и фракционируют, в результате чего получают I, т. кип. $85-110^\circ/16$ мм, который переводят в 1,1,3-триметилциклогексанон-5 с выходами 88,7% пропускаям при 380° через трубу $2,5$ см \times 200 см из нержавеющей стали над ZnO тонины 4—8 меш со скоростью 26 г I в 60 мл H_2O в 1 час. Я. К.

44468 П. Способ получения цикlopentандиона-1,2 и его алкил- или арилзамещенных. **Стедехау-дер** (Verfahren zur Herstellung von Cyclopentandion-1,2) [Cyclopenten-(2)-ol-(2)-on(1)] und dessen Alkyl- bzw. Arylsubstitutionsprodukten. **Stedehouder Pieter Lucas** [Koninklijke Industriële Maatschappij voorheen Noury & van der Lane N. V.]. Пат. ФРГ 870403, 12.03.53 [Chem. Zbl., 1954, 125, № 15, 3334 (нем.)]

Цикlopентанол-2-он-1 или его алкил- или арилпроизводные окисляют слабыми окислителями (FeCl_3 , H_2O_2 , Cu-ацетатом, смесью воздуха с нитрозными газами). Хлорированием цикlopентанона при 50° при освещении в присутствии CaCO_3 получают 2-хлорцикlopентанон, который омыляют водой при 95° , а затем окисляют водн. $\text{FeCl}_3 \cdot 6\text{H}_2\text{O}$ при нагревании с образованием цикlopентандиона-1,2, выход 81%, т. кип. $87-88^\circ/16$ мм. В. У.

44469 П. 2-оксо-10-метил-8-ацетоксигексагидронафталин и его C_7 -замещенные. **Абе** (2-Oxo-10-methyl-8-acetoxy-2,5,6,7,8,10-hexahydronaphthalene and its C_7 substitutes. **Abe Yasuo et al**) [Takeda Pharmaceutical Industries Co.]. Япон. пат. 2636, 10.06.53 [Chem. Abstrs, 1955, 49, № 4, 2510 (англ.)]

2,9-гексагидро-2-оксо-10-метил-8-бром-2,5,6,7,8,10-гексагидронафталина размешивают 3 часа в 100 мл CH_3COOH при 20° с 6,1 г свежеосажденного Ag-ацетата, нагревают 8 час. при $90-95^\circ$, осадок отфильтровывают, а фильтрат нагревают еще 7 час. с 2,5 г Ag-ацетата, осадок отделяют, а из фильтрата удаляют CH_3COOH и извлекают его эфиром. Экстракт промывают водн. р-ром NaHCO_3 и водой и после отгона эфира выделяют 2-оксо-10-метил-8-ацетоксигексагидронафталин, масло; семякарбазон, т. пл. 228° (разл.). Аналогично получают метиловый эфир α -(2-оксо-10-метил-8-ацетоксигексагидронафталин-7)-пропионовой к-ты, масло. В. У.

44470 П. Получение щелочных солей аци-нитро соединений. **Хопф, Шик** (Production of alkali salts of aci-nitro compounds. **Hopff Heinrich, Schick Otto von**) [Badische Anilin- und Soda-Fabrik A.-G.]. Пат. США 2681361, 15.06.54. Растворяют оксим циклогексанонон или ацетоксим (в кол-ве 0,5—10%) в нитроциклогексане или нитроалканах, полученных газовой фазой нитрованием газами; прибавлением к р-ру не меньше стехиометрич. кол-ва 15—50%-ного р-ра NaOH при размешивании и охлаждении получают соответствующие щел. соли аци-нитро соединений. В. У.

44471 П. Получение ароматических углеводородов. **Тейлор, Джонс, Нобл** (Production of aromatic hydrocarbons. **Taylor A. W. J., Jones D. G., Noble M. L.**) [Imperial Chemical Industries Ltd.]. Англ. пат. 700187, 25.11.53 [J. Appl. Chem., 1954, 4, № 4, 401—402 (англ.)]

Триеновый углеводород с числом атомов $\text{C} \leq 10$, содержащий прямую цепь с числом атомов $\text{C} \geq 6$, в частности 2,5-диметилгексатриен-1,3,5, пропускают в паровой фазе при $350-700^\circ$ (при желании с N_2 и H_2 в непрерывном процессе) над катализатором ароматизации, в частности над $\text{Cr}_2\text{O}_3 - \text{Al}_2\text{O}_3$ или Pd на соответствующем носителе, в результате чего образуется ароматич. углеводород, в частности п-ксилол. 2,5-диметилгексатриен-1,3,5 получают частичным гидрированием 2,5-диметилгексин-3-диола-2,5 (из $\text{CH}_3\text{COCCH}_3$ и C_2H_2) в присутствии KOR , где $\text{R} - \text{H}$ или алкил) и последующей дегидратацией образовавшегося 2,5-диметилгексен-3-диола-2,5. Последний переводом его в сложный диэфир, нагреванием и обработкой HCl превращают в 2,5-дихлор-2,5-диметилгексен-3, дегидрохлорированием которого получают 2,2,5,5-тетраметил-2,5-дигидрофуран; этот продукт дегидрата-

ций в паровой фазе также превращают в 2,5-диметилгексатриен-1,3,5. Я. К.

44472 П. Производство алкилбензолов, галоидированных в ядре. **Эймс, Содерквист** (Manufacture of nuclear halogenated alkenyl-benzene compounds. **Amos James L., Soderquist Frederick J.**) [The Dow Chemical Co.]. Канад. пат. 499681, 2.02.54

Галоидированный в ядре алкилбензол (I) получают пропусканием над дегидрирующим катализатором при $500-750^\circ$ алкилгалоидбензола (II), алкильный радикал которого содержит 2—3 атома C . Наряду с I образуются небольшие кол-ва галоидоводорода. Последний нейтрализуют введением в паровую смесь после контактирования по крайней мере эквивалентного кол-ва NH_3 (III) или летучего азотистого основания, основность которого выше таковой аммиака. В частном случае исходный II перед контактированием смешивают по крайней мере с равным кол-вом водяных паров (IV) и в качестве основания применяют III. Метод может быть использован для получения хлорированных в ядре стиролов, в частности монохлорстирола (V). В последнем случае катализатор в основном состоит из активированной Al_2O_3 , исходный этилхлорбензол перед контактированием смешивают с равным кол-вом VI и в качестве основания применяют III. Для выделения V конденсируют, охлаждая, смесь паров в холодильнике из черного металла и подвергают продукты р-ции вакуум-разгонке в присутствии небольших кол-в ингибиторов полимеризации. Я. Ш.

44473 П. Получение фенола. **Армстронг, Белрингер, Бьюли, Брамунч, Джексон, Уилкинс** (Préparation du phénol. **Armstrong Godfrey P., Bellringer Frederick J., Bewly Thomas, Bramwiche Peter L., Jackson Geoffrey W., Wilkins Frederick J.**) [The Distillers Co. Ltd.]. Франц. пат. 1071615, 2.09.54 [Ind. chim., 1955, 42, № 453, 121 (франц.)]

Для получения фенола переводят кумол частично в гидроперекись окислением воздухом, разлагают с образованием фенола и ацетона, смесь нейтрализуют водн. щел. р-ром, фракционируют и кумол, не вступивший в р-цию, снова вводят в цикл. О. С.

44474 П. Получение фенолятов. **Стюарт** (Preparation of phenates. **Stewart William T.**) [California Research Corp.]. Пат. США 2680097, 1.06.54

Реакцией фенолов с Ca- или Pb-основаниями в среде двухатомного спирта, содержащего ≤ 6 атомов C , получают Ca- или Pb-феноляты. В частности, приведено получение маслорастворимых Pb-солей алкилфенолов взаимодействием алкилфенола с PbO или $\text{Pb}(\text{OH})_2$ в этиленгликоле, удалением большей части этиленгликоля и прибавлением минер. масла. После этого удаляют остаток этиленгликоля и фильтруют реакционную смесь. В. У.

44475 П. Обесфеноливание. **Стэнли, Дайнерстейн** (Dephenolization. **Stanley William E., Jr., Dinerstein Robert A.**) [Standard Oil Co.]. Пат. США 2683752, 13.07.54

Обесфеноливание водн. р-ров, содержащих фенол (I), производят, экстрагируя I при $\text{pH} < 9$ и поддерживая это значение pH р-ром, имеющим большее значение pH , напр. фракцией (A) кубового остатка разгонки продукта первой стадии оксосинтеза. Последний осуществляют взаимодействием олефина, содержащего 3—16 атомов C , с H_2 и CO при молярном отношении от 1:4 до 4:1 в присутствии Co-катализатора. А содержит следующие не растворимые в воде компоненты (в %): 10—50 альдегидов, 1—15 к-т, 5—40 сложных эфиров, до 10 спиртов, а также ацетали и продукты

конденсации. Из экстракта выделяют I, регенерированный А используют повторно.

В. М.
44476 П. Способ получения фенолов и кетонов (Procédé de préparation de phénols et de cétones) [Distillers Co. Ltd.]. Швейц. пат. 294336, 16.01.54 [Chem. Zbl., 1954, 125, № 21, 4724 (нем.)]

Обработкой гидроперекиси изопропилбензола при $t_{\text{ре}} \sim 25^\circ$ H_2SO_4 с конц-ией не ниже чем 50% получают фенол; в качестве побочного продукта образуется ацетон. Целесообразно применять 65%-ную H_2SO_4 .

В. У.
44477 П. Регулируемое разложение аракилгидроперексисей. Фортёйн, Уотерман (Controlled decomposition of aralkyl hydroperoxides. Fortuin Jan Pieter, Waterman Hein Israel) [Shell Development Co.]. Пат. США 2671809, 9.03.54
При получении смеси фенола и ацетона разложением гидроперекиси кумола процесс ведут при 50—100° в присутствии сульфата 2-валентного металла правой подгруппы I группы, или II группы периодической системы.

Я. Ш.
44478 П. Дезалкилирование 2,5-ди-(*трет*-алкил)-фенолов. Хотсон, Розенуолд (Dealkylation of 2,5-tert. Alkylphenol compounds. Hoatson James R., Rosenwald Robert H.) [Universal Oil Products Co.]. Пат. США 2676191, 20.04.54

Фенолы общей ф-лы I (R' и R'' — *трет*-алкилы, содержащие не более 8 атомов С; R — алкил) подвергают избирательному дезалкилированию до 3-*трет*-алкилфенола нагреванием I при 100—300° в присутствии кислотного катализатора дезалкилирования.

В. У.
44479 П. Получение орто-замещенных фенолов, в частности орто-замещенных гидрохинонов. Гейдаш, Глейм (Production of ortho substituted phenols, particularly ortho substituted hydroquinones. Gaydasch Alexander, Gleim William K. T.) [Universal Oil Products Co.]. Пат. США 2681371, 15.06.54

Орто-замещенные фенолы получают ρ -цией фенолов, содержащих в орто-положении к оксигруппе атом Н, с галонидным третичным алкилом, аллилом и бензилом в присутствии ρ -ров гидроокисей щел. металлов и следующих щел. восстановителей: гидросульфитов, сульфидов, дисульфидов, тиосульфатов и тионатов щел. и щел.-зем. металлов и аммония.

В. У.
44480 П. Способ получения кетонов из ω -тригалонид-метилазамещенных ароматических соединений. Зейферт, Венк (Verfahren zur Herstellung von Ketonen aus ω -trihalogenmethylsubstituierten aromatischen Verbindungen. Seifert Hans, Wenk Berthold) [Farbenfabriken Bayer]. Пат. ФРГ 876690, 18.05.53 [Chem. Zbl., 1953, 124, № 47, 8208 (нем.)]

Способ состоит в ρ -ции ω -тригалонидзамещ. ароматич. в-в с ароматич. углеводородами в присутствии катализатора Фриделя — Крафта при низких t -рах (для уменьшения смолообразования), причем во время или по окончании ρ -ции вводят при нагревании воду или водяной пар. В этом процессе из $\text{C}_6\text{H}_5\text{CCl}_3$, $\text{C}_6\text{H}_5\text{Cl}$ и AlCl_3 при 10—15° получают 4-хлорбензофенон. Аналогично получают: 4,4'-дихлорбензофенон, т. пл. 142—144°; 3,4-дихлорбензофенон, т. пл. 95°; бензофенон; 4-нитро-3-метоксибензофенон, т. пл. 103°; 4-хлорнафтил-бензилкетон, т. пл. 77—78°.

В. У.
44481 П. Получение хлорангидридов ароматических поликарбонновых кислот. Фостер, Солзберг (Preparation of aromatic polybasic acid chlorides. Foster Robert Everett, Salzberg Paul Lawrence) [E. I. du Pont de Nemours and Co.]. Пат. США 2676187, 20.04.54

Хлорангидриды ароматич. поликарбонновых κ -т получают ρ -цией в отсутствие воды при $t_{\text{ре}} > 150^\circ$ Cl_2 с ароматич. карбоциклич. соединениями, содержащими соответствующее кол-во CH_3 или COOH -заместителей, непосредственно связанных с ароматич. ядром.

В. У.
44482 П. Производство 2-окси-4-аминобензойной кислоты. Флемонс, Уилкинсон (Manufacture of 2-hydroxy-4-aminobenzoic acid. Flemmons G. F., Wilkinson R. A.) [Imperial Chemical Industries Ltd.]. Англ. пат. 696132, 26.08.53 [J. Appl. Chem., 1954, 4, № 4, 447 (англ.)]

1,2,4- $\text{HOOC}(\text{OH})\text{C}_6\text{H}_3\text{NH}_2$ с хорошим выходом и хорошего качества получают нагреванием при перемешивании $\text{m-NH}_2\text{C}_6\text{H}_4\text{OH}$ с бикарбонатом щел. металла или NH_4 -бикарбонатом в присутствии восстановителя (напр., $\text{Na}_2\text{S}_2\text{O}_4$) и активированного С, в автоклаве под N_2 при 110—120°/24,5—28 ат. Содержимое автоклава охлаждают, отфильтровывают осадок и промывают его водой, к фильтрату добавляют 5 н. HCl до pH 3,6, перемешивают 30 мин., отфильтровывают выпавший продукт (т. пл. 145°), промывают его водой и высушивают в вакууме при 20—25°.

Я. К.
44483 П. Оксамиды диоксидбензойной кислоты. Хак Джон Л. Дж. (Hydroxy amides of dihydroxy benzoic acid. Hack John L. Jr) [Hoffman — La Roche Ltd.]. Канад. пат. 501661, 20.04.54

Патентуются N -оксалиламида гентизиновой к-ты, в частности, N -(β -оксиптил)- и N -(β, β', β'' -триоксипт-бутил)-амиды. Последний получают взаимодействием метилового эфира гентизиновой к-ты с три-(оксиптил)-аминометаном.

Я. К.
44484 П. Способ получения гидразобензолов (Procédé pour la préparation d'hydrazobenzènes) [Ciba A.-G.]. Франц. пат. 1067740, 17.06.54 [Chimie et industrie, 1954, 72, № 5, 961 (франц.)]

Соответствующие нитробензолы восстанавливают с помощью гидразобензолов по меньшей мере до стадии азокси- или азобензолов, которые восстанавливают в гидразобензолы с помощью содержащего карбид железа, которое может содержать и Si. Процесс ведут по циклич. схеме, при которой 80% полученного гидразобензола используется для восстановления свежего кол-ва нитробензола.

Я. К.
44485 П. Способ получения аминов. Скита, Штюрмер, Эльбрехтер, Шнейдер, Остен, Циглер (Verfahren zur Herstellung von Aminen. Skita Aladar, Stühmer Werner, Elbrächter Ernst August, Schneider Kurt, Osten Horst von, Ziegler Wolfgang). Пат. ФРГ 901890, 18.01.54 [Chem. Zbl., 1954, 125, № 25, 5626—5627 (нем.)]

Амины получают каталитич. восстановлением смесей из NH_4 -соли и карбонильного соединения в жидкой фазе, в ρ -ре близком к нейтр. при нормальной t -ре и несколько повышенном давлении. Напр., трв (γ-фенилпропил)-амин (т. кип. 277°/13 мм, хлоридрат, т. пл. 119—120°) получают из коричнеого альдегида, ацетата аммония и H_2 в разведенном спирте, в присутствии Pt/BaSO_4 -катализатора при 20° и 3,4 атм. Таким же образом получают этил-*бис*-(γ-фенилпропил)-амин, т. кип. 183—184°/3 мм; триэтиламин, трибутиламин, три-(3,7-диметилотил)-амин, оксалат т. пл. 105—106°; ди-*втор*-бутиламин, диизопропиламин. А. Б.

44486 П. Аракил-фенилпропиламин и их соли. Бамм (Aralkyl-phenylisopropylamines and salts thereof. Bamm E.) [Tropenwerke Dinklage & Co.]. Англ. пат. 700722, 9.12.53 [J. Appl. Chem., 1954, 4, № 4, 389 (англ.)]

Способ получения аминов (и их солей с κ -тами) общей ф-лы $\text{R}'\text{CH}_2\text{CH}(\text{CH}_3)\text{NHC}(\text{H})\text{RCH}_2\text{CH}_2\text{R}'$ (R — алифатич. углеводородный радикал с 1—5 атомами С, а R' — C_6H_5 или алкилфенильный радикал) со-

стоит в
в течени
реакцион
гидрата
 HCl эфид
(3'-фенил
гидрат
фенил-2
т. пл. 1
(12 мм),
амид, т.
44487 П.
диамин
von 3
fred
пат. 1
3334 (C
3,6-дин
навливал
отщеплен
44488 П.
аминно
ман
nyl-3-а
mer
Пат. С
№ 47,
N-заме
ся при п
ацетона
Напр., с
и Pt/BaSO_4
3-изопро
гидрат, з
дифенил
гидрат,
44489 П.
фенил
бензи
am S
aminc
sta w
894118
В доп
дифенил
получен
чают про
у N. Кип
и HCO_2
хлорид
фенилат
44490 П.
тринит
fahren
Trinitr
[Farbw
Brinin
1953,
Нитро
ной HNO_3
амина и
чают
желтый
ной HNO_3
смесь из
аминов.
44491 П.
бензох
lito
США

стоит в нагревании $C_6H_5CH_2CHBrCH_3$ с $C_6H_5(CH_2)_3NH_2$ в течение 4 час. при 100° и последующей обработке реакционной смеси эфиром, отделении осадка бромидрата исходного амина и обработке фильтрата насыщ. HCl эфиром, при этом образуется 1-фенил-2-пропил-(3'-фенилпропил)-аминхлоридрат, т. пл. 211° (бромидрат, т. пл. 225—226°). Аналогично получены: 1-фенил-2-пропил-(4-фенил-2-бутил)-аминхлоридрат, т. пл. 159—160° (свободное основание, т. кип. 187°/12 мм.), и 2-фенилэтан-1-карб-(3-фенил-2-пропил)-амид, т. пл. 93°.

44487 П. Способ получения 3,6-псевдокумиленамина. Понграц (Verfahren zur Darstellung von 3,6-Pseudocumylen diamin. Pongratz Alfred) [Lannacher Heilmittel G. m. b. H.]. Австр. пат. 176837, 25.11.53 [Chem. Zbl., 1954, 125, № 15, 3334 (нем.)]

3,6-динитропсевдокумол-5-сульфоокислоту восстанавливают Sn в кипящей HCl (к-те), с одновременным отщеплением сульфогруппы.

44488 П. Получение N-замещенных 1,5-дифенил-3-аминопентанов. Скита, Штумер, Каупман (Herstellung von N-substituierten 1,5-Diphenyl-3-aminopentanen. Skita Aladar, Stümmern Werner, Kaupmann Wilhelm). Пат. ФРГ 875947, 7.05.53 [Chem. Zbl., 1953, 124, № 47, 8208 (нем.)]

N-замещенные 1,5-дифенил-3-аминопентаны образуются при каталитич. восстановлении оксима дибензил-ацетона (I) в присутствии карбонильных соединений. Напр., обработкой I водородом в присутствии ацетона и Pt/BaSO₄ в лед. CH₃COOH получают 1,5-дифенил-3-изопропиламинопентан, т. кип. 203,5—205°; хлоргидрат, т. пл. 160,5—161,5°; аналогично получают 1,5-дифенил-3-этиламинопентан, т. кип. 203—204°; хлоргидрат, т. пл. 149,5—150,5°.

44489 П. Способ получения производных β, β-дифенилэтиламина, дзамещенных у азота. Эйдебен, Роснер (Verfahren zur Herstellung von am Stickstoff disubstituierten β, β-Diphenyläthylaminen. Eidebenz Emil, Rosner Gustaw - Adolf) [Chemische Werke Albert]. Пат. ФРГ 894118, 22.10.53 [Chem. Zbl., 1954, 125, № 15, 3336 (нем.)]

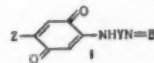
В доп. к герм. пат. 725844 восстановлением смеси дифенилацетальдегида (I) и вторичного амина или полученного из него основания Шиффа с HCOOH получают производные β, β-дифенилэтиламина, дзамещенные у N. Кипячением 1 моля I и 3 молей воды. р-ра NH(CH₃)₂ и HCOOH получают β, β-дифенилэтилдиметиламин; хлоргидрат, т. пл. 202°. Аналогично получают β, β-дифенилэтилдипетиламин, т. кип. 185°/19 мм.

44490 П. Способ получения тетранитродихлор- и тринитротрихлордифениламина. Менхен (Verfahren zur Herstellung von Tetranitrodichlor- und Trinitrottrichloridiphenylamin. Maennchen Fritz) [Farbwerk Hoechst, vormals Meister Lucius und Brüning]. Пат. ФРГ 870112, 9.03.53 [Chem. Zbl., 1953, 124, № 47, 8208 (нем.)]

Нитрованием 2,4-динитродифениламина (I) 50%-ной HNO₃ при 60—90° до 2,4,2',4'-тетранитродифениламина и пропусканием в реакционную смесь Cl₂ получают 2,4,2',4'-тетранитро-х,х'-дихлордифениламин, желтый порошок, т. пл. ~190°. Нитрованием I 50%-ной HNO₃ при 20° и аналогичной обработкой получают смесь изомерных 2,4,х-тринитро-х,х'-трихлордифениламинов.

44491 П. Моно- и бис-(мет-аминоалкиламино)-п-бензохиноны. Кавалито (Mono- and bis-(tertiary aminoalkylamino)-p-benzoquinones. Cavallito Chester J.) [Sterling Drug Inc.]. Пат. США 2701247, 1.02.55

Патентуются производные бензохинона (и их соли с к-тами) общей ф-лы I, где группа N=B представляет ди-(низш.)-алкиламиногруппу, 1-пиридильный или 1-пирролидинильный радикалы, Y — низший алкилен с 3—5 атомами C между двумя N-атомами, а Z — H, моно- или ди-(низш.)-алкиламиногруппу или же группу — NHYN = B, где Y и N = B имеют вышеуказанные значения.



Указанные бензохиноны получают взаимодействием 2-(мет-аминоалкиламино)-п-бензохинонов (ф-ла I, в которой Z — H) в условиях мягкого окисления с 1 молем амина общей ф-лы RNH₂, R' NH или H₂NYN = B, где Y и N = B имеют вышеуказанные значения, а R — низший алкил.

44492 П. Способ получения органических диазидоцианатов. Флорес (Method of producing organic diisocyanates. Flores Hector) [Monsanto Chemical Corp.]. Пат. США 2680130, 1.06.54

Хлоридраты первичных аминов (алкил-, циклоалкил-, алкарил-, аракил-, арил- и гидроарилдиаминов) вводят в р-цию с COCl₂ при 30—250° в присутствии жидкой смеси частично гидрированных ароматич. углеводородов с уд. в. 0,95—1,05 при 25°, полученной каталитич. гидрированием смеси твердых при нормальных условиях ароматич. углеводородов, кипящих выше 340°/760 мм и образующихся при синтезе дифенила пирилизом C₆H₆.

44493 П. Способ получения сульфиноных кислот. Бандель, Зини (Verfahren zur Herstellung von Sulfinsäuren. Bandel Gottfried, Sinn Friedrich) [Farbwerke Hoechst A.-G. vormals Meister Lucius und Brüning]. Пат. ФРГ 912092, 24.05.54 [Chem. Zbl., 1954, 125, № 48, 11050—11051 (нем.)]

Сульфиноновые к-ты получают восстановлением сульфохлоридов Fe в нейтр. или слабокислой среде. Из метансульфохлорида, Fe и конц. HCl получают метансульфиновую к-ту, которая при нагревании с 2,4-динитрохлорбензолом в спирте даст 2,4-динитрофенилметилсульфон, слабо желтые кристаллы, т. пл. 183—185°. Аналогично этансульфохлорид превращают в этансульфиновую к-ту и в 2,4-динитрофенилэтилсульфон, т. пл. 156°; бензолсульфохлорид в бензолсульфиновую к-ту, т. пл. 82—84°, полученная ее Na-соль; п-хлорбензолсульфохлорид превращают в п-хлорбензолсульфиновую к-ту, т. пл. 96—98°, в Na-соль и в 2,4-динитро-4'-хлордифенилсульфон, т. пл. 168—168,5° (из лед. CH₃COOH). Полученные в-ва применяются в качестве катализаторов при полимеризации и как промежуточные продукты для фотографии при получении красителей, фармацевтич. продуктов и средств борьбы с вредителями.

44494 П. Реакция ортоэфира со стиролом. Копенхейвер (Reaction of orthoesters with styrenes. Copenhagen John W.). [General Aniline & Film Corp.]. Пат. США 2677707, 4.05.54

Реакцией ортоэфира со стиролом в присутствии кислого конденсирующего средства получают в-ва общей ф-лы (R)_n — C₆H₃ — nCH(XR') — CH₂ — C(XR')₂R' (R — H или инертный заместитель; R' — H или остаток углеводорода; R'' — остаток спирта или фенола; X — O или S, причем по крайней мере один X — S; n = 1—5).

44495 П. Способ производства 7-эфиров 1,2-ди-(низший алкил)-2-карбокси-1,2,3,4,9,10-гексагидрофенантрена. Хогг (Process for the manufacture of a 1,2-dilower alkyl-2-carboxy-7-etherified hydroxy-1,2,3,4,9,10-hexahydrophenanthrene. Hogg John A.) [The Upjohn Co.]. Пат. США 2687426, 24.08.54

1,2,3,4,9,10-гексагидрофенантрен, содержащий низший алкил в положении 2, этерифицированную карбоксигруппу COOR' в положении 2 (R' — остаток спирта с числом атомов C не выше 7), этерифицированную 7-фенольную оксигруппу с числом атомов C в спиртовом остатке не выше 7 и низший алкильный радикал в положении 1, подвергают гидрированию 1 молем H_2 при т-ре между $\sim 0^\circ$ и 60° в присутствии Pd/C с целью перевода алкиленового радикала в положение 1 в алкил, не затрагивая двойной связи в положении 11,12 гексагидрофенантренового ядра. Я. К.

44496 П. Способ получения нитрофенилендиамин. Маршалл (Process of preparing nitro phenylenediamines. Marshall Franz) [General Aniline and Film Corp.]. Пат. США 2687431, 24.08.54

Соли 2-фениламино-4-(2'-окситил)-амино-5-нитробензолсульфокислоты со щел. металлами получают нагреванием в автоклаве при $140-160^\circ$ соли 2-хлор-4-(2'-окситил)-амино-5-нитробензолсульфокислоты со щел. металлом, анилина, воды и MgO в качестве в-ва, связывающего к-ту. В. У.

44497 П. Соли, полученные присоединением кислот (Acid addition salts) [Bristol Lab. Inc.]. Австрал. пат. 157780, 5.08.54

Для получения соединений общей ф-лы $1,3,4-RC_6H_3[CH(R')ZR'] [O(CH_2)_2B]A$ (R и R' — H-атомы, галоиды, низшие алкилы или алкоксигруппы; R' — H или CH_3 ; Z — 2-валентный остаток бензола, тиофена, фурана или пиридина; B — диалкиламино-, 1-пирролидиновая, 1-пиперидиновая или 4-морфолинильная группа; A — лимонная, яблочная, винная, янтарная, малеиновая или фумаровая к-та) аракилфенол общей ф-лы $RC_6H_3(OH)CH(R')ZR'$ (R, R', R' и Z имеют вышеуказанные положения и значения) растворяют в инертном безводном, органич. р-рителе, переводят аракилфенол в щел. фенолят и нагревают последний с хлоргидратом β -дизамещ. аминоктилхлорида в присутствии едкой или углекислой щелочи до полного завершения р-ции этерификации, после чего в реакционную смесь вводят поликарбоновую к-ту и воду для растворения примесей и осаждения соответствующей соли основного эфира, которую перекристаллизуют из гидроксил-содержащего растворителя. Я. К.

44498 П. Получение 2-хлор-4-метокси-5-нитротолуола и 2-хлор-4-метокси-5-аминотолуола. Роттсхаефер (Preparation of 2-chloro-4-methoxy-5-nitrotoluene and 2-chloro-4-methoxy-5-aminotoluene. Rottschaefer Bernard W.) [General Aniline & Film Corp.]. Канад. пат. 505619, 7.09.54

5-нитро-2,4-дихлортолуол (I) вводят при $65-80^\circ$ в р-цию с алкоголятами (в частности, метилатом или этилатом) щел. металлов в кол-ве моль на моль, или берут несколько больше 1 моля алкоголята на 1 моль I. Р-цию ведут в среде спирта, соответствующей алкоголяту. В качестве патентуемых соединений упомянуты производные, содержащие алкоксигруппу с 1-2 атомами C, в частности 5-нитро-4-этокси-2-хлортолуол. А. Б.

44499 П. N-(3-алкокси-2-кетопропил)- α -аминобензойные эфиры и способ получения их. Уэйблат-Магерлейн, Ролфсон (N-(3-alkoxy-2-ketopropyl)- α -aminobenzoate compounds and method of preparing same. Weisblat David J., Magerlein Barney J., Rolfsen Stanley T.) [The Upjohn Co.]. Пат. США 2674617, 6.04.54

Патентуются соединения общей ф-лы $n-RCH_2COCH_2N-(Z)C_6H_4CO [NHCH(COOR')CH_2CH_2CO]_nOR'$ (R — алкоксигруппа, R' — H или алкил, Z — H или $ArSO_2$ (Ar — арил), $n = 0$ или 1), получаемые окислением в инертном водорастворимом р-рителе соединения общей ф-лы $n-RCH_2CH(OH)CH_2N(Z)C_6H_4CO [NHCH(COOR')CH_2CH_2CO]_nOR'$ хромовой к-той. Я. К.

44500 П. Новые производные диазоаминов, способ их получения и применения. Птикола, Ришар, Сюрэ, Рё (Nouveaux dérivés diazoaminés, procédé pour les fabriquer et leurs applications. Petitcolas Pierre, Richard André, Sureau Robert, Roe René) [Cie Française des Matières Colorantes]. Франц. пат. 1049221, 29.12.53 [Chimie et industrie, 1954, 71, № 4, 763 (франц.)]

Диазо- или тетраазосоединения конденсируют с производными фенилглициноуксусной к-ты, содержащими один или несколько атомов галогена, или одну или несколько алкильных или алкоксильных групп. Я. Ш.

44501 П. Арилзамещенные галогенсиланы (Aryl-substituted halogenosilanes) [British Thomson-Houston Co., Ltd.]. Англ. пат. 695761, 19.08.53 [J. Appl. Chem., 1954, 4, № 4, 412 (англ.)]

Указанные силаны получают с хорошим выходом пропусканием смеси паров HX, RX и RH (R — арил, X — галоид) при $350-600^\circ$ над тесной смесью Si с тонкоизмельченным Ag или Cu (катализаторы). Так, нагреванием смеси 0,67 моля C_6H_5Cl и 0,16 моля C_6H_6 в паровой фазе до $\sim 350^\circ$ и пропусканием ее с 0,17 моля HCl в течение 125 сек. со скоростью $3-9$ см/сек при $475-550^\circ/8-8,75$ ат над смесью из 90 вес. % порошкообразного Si (50% тонины 60—200 меш., 25% тонины 200—400 меш и 25% тонины >400 меш) и 10 вес. % мелкого пигментного порошка с чистой поверхностью (тонины $\sim 2\mu$) получают повышенным выходом $C_6H_5SiCl_2$ при пониженном образовании побочного продукта (0,65 моля на 1 моль $C_6H_5SiCl_2$ вместо 1,19 моля в отсутствии C_6H_6 в исходной смеси). Я. К.

44502 П. Получение диметилтолилхлорсилана. Барри, Гилки (Production of dimethyltolylchlorosilane. Barry Arthur J., Gilkey John W.) [Dow Corning Corp.]. Канад. пат. 508129, 14.12.54

Указанный продукт получают р-цией триметилхлорсилана с толуолом при т-ре между 300 и 500° в присутствии галогенида Al или B, причем по меньшей мере часть реагентов находится в конденсированной фазе. Я. К.

44503 П. Органотригалогеносиланы (Organo-trihalosilanes) [Covles Chemical Co.]. Англ. пат. 700553, 2.12.53 [J. Appl. Chem., 1954, 4, № 4, 413 (англ.)]

Патентуются произ-во алкилфенилтрихлорсиланов, содержащих 1 или 2 алкила с нормальной цепью, имеющих 4—12 атомов C, или алкилбензилтрихлорсиланов, содержащих 1 или 2 таких же алкила с 1—12 атомами C. Пентилбензилтрихлорсилан (т. кип. $133-136^\circ/6$ мм) получают обработкой $SiCl_4$ в сухом эфире смесью α - и n -пентилбензилмагнийхлорида в эфире с последующей после фильтрования отгонкой из фильтрата р-рителя и избыточного $SiCl_4$ и перегонкой остатка. Получены также трихлорсиланы (I): 3,5-дипентилфенил-I (т. кип. $163-170^\circ/4$ мм); n -гексилфенил-I (т. кип. $135-145^\circ/2$ мм); 3,5-диэтилбензил-I (т. кип. $140-160^\circ/17$ мм); n -бутилфенил-I (т. кип. $112-120^\circ/4$ мм); n -додецилфенил-I (т. кип. $200-207^\circ/8$ мм); n -лаурилфенил-I (т. кип. $175-193^\circ/8$ мм), метилбензил-I (т. кип. $120-155^\circ/12$ мм); этилбензил-I (т. кип. $124-177^\circ/10$ мм) и n -нонилбензил-I (т. кип. $165-170^\circ/1$ мм). Я. К.

44504 П. Получение замещенного нафтохинона (Production of substituted naphthoquinone) [Research Corp.]. Англ. пат. 712550, 28.07.54 [J. Appl. Chem., 1955, 5, № 2, 238 (англ.)]

Транс-2-метокси-4а-метил-4а, 5,8,8а'-тетрагидронафтохинон-1,4 получают вышением в р-р *цис*-аддукта бугадиена-1,3 и 5-метокси-2-метилбензохинона в водн. щел. органич. р-рителе, напр. диоксане, затравки кристаллов *транс*-аддукта и прибавлением к-ты для нейтрации щелочи. В. У.

44505 П. (Нафтил)-амидиноалканы. Малифант, Оксли, Пик (Amidino substituted alkanes. Maliphant G. K., Oxley P., Peak D. A.) [Boots Rue Drug Co., Ltd.]. Англ. пат. 692441, 3.06.53 [J. Appl. Chem., 1954, 4, № 4, 436—437 (англ.)]

N -нафт-2'-илимидиноалканы общей ф-лы $C_nH_{2n+1}N$ $CH_2C(=NH)NHC_6H_4$ -2 (где n — целое число) или их соли с к-тами (напр., сульфокислые соли) получают нагреванием алкилдигонида с алкил-, арилалкил- или арилсульфокислыми солями 2-нафтиламина (I), 8 г C_7H_5N и 20,3 г I нагревают 3 часа при 190° , затем охлаждают и растворяют в спирте. Р-р обесцвечивают активированным углем, фильтруют и разбавлением фильтрата равным объемом воды выделяют л-толуолсульфонат N -нафт-2'-ил-1-амидиногептана (II), т. пл. 151° . Прибавлением 5 экв NaOH к водн. суспензии II, извлечением $CHCl_3$, удалением его и кристаллизацией остатка из смеси эфира с петр. эфиром получают N -нафт-2'-ил-1-амидиногептан, т. пл. 61° . Аналогично получены: N -нафт-2'-ил-1-амидинозатан, т. пл. $79-80^\circ$; N -нафт-2'-ил-1-амидинопропан, т. пл. $64-66^\circ$; N -нафт-2'-ил-1'-амидинобутан, т. пл. $62-64^\circ$; N -нафт-2'-ил-1-амидинопентан, т. пл. $72-74^\circ$; N -нафт-2'-ил-1-амидиногексан, т. пл. 59° ; N -нафт-2'-ил-1-амидинооктан, т. пл. 74° ; N -нафт-2'-ил-1-амидинононан, т. пл. 75° . В. У.

44506 П. Производство перекиси водорода (через производные антрахинона). Гаррис, Спрауэр (Production of hydrogen peroxide. Harris Charles R., Sprauer Jerome W.) [E. I. du Pont de Nemours and Co.]. Пат. США 2668753, 9.02.54
В циклич. процессе получения H_2O_2 , состоящем в гидрогенизации алкил- или тетрагидроалкилантрахинонов (или их смесей) до соответствующих антрагидрохинонов и окислении последних для получения H_2O_2 и регенерации исходных в-в, патентуется усовершенствование, заключающееся в применении на обеих стадиях (окисления и восстановления) в качестве р-рителя первичных или вторичных неиловых спиртов (или смеси первых и вторых), а также моно- или диметилнафталинов и их смесей. Я. Ш.

44507 П. Способ получения высших тетрагидрофурилалкилкарбоновых кислот. Б л а з е р, Ш е р р (Verfahren zur Herstellung höherer Tetrahydrofurfurylalkylcarbonsäuren. B l a s e r B r u n o, S c h e r r f W e r n e r) [Henkle & Cie G. m. b. H. Düsseldorf]. Пат. ФРГ 877762, 26.05.53 [Chem. Zbl., 1953, 124, № 46, 7938 (нем.)]

В доп. к герм. пат. 859316 указанные к-ты получают, применяя в качестве исходных в-в гомологи тетрагидро-

фурфурилового спирта общей ф-лы $O - (CH_2)_n - CH - R - OH$ (R — алкил, содержащий не меньше 2 атомов С). Из 2-тетрагидрофурфурилпропилового спирта [гидроксильное число (ГЧ) 432] получают 2-тетрагидрофурфурилпропионовую к-ту, т. кип. 134—136°/4 мм.; из 2-тетрагидрофурфурилбутилового спирта (ГЧ 363) получают α -этил-2-тетрагидрофурфурилпропионовую к-ту (кислотное число 343), т. кип. 170—190°/20 мм. Описанные к-ты применяют в качестве промежуточных продуктов.

В. У.

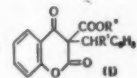
44508 П. Получение α -ацетотетроновых кислот.
Лейси (Production of alpha-acetotetronic acids.
Lacey R. N.) [British Industrial Solvents, Ltd].
Англ. пат. 700186, 25.11.53 [J. Appl. Chem., 1954, 4,
№ 4, 408 (англ.)]

Эфиры ацетоуксусной к-ты общей ф-лы $\text{CH}_3\text{COCCH}_2\text{COOCR}'\text{R}''\text{COOR}'''$ (R' и R'' — атомы H, арилы, арилалкилы, низшие алкилы или алилкены, являющиеся частью одного алициклич. кольца, R''' — низший алкил) обрабатывают Na, K, алкалатом Na или K, $\text{NaCl}(\text{C}_6\text{H}_5)_3$, NaNH_2 или NaNH , в результате чего отщеп-

ляется спиртовая группа. Дикетен и $\text{CH}_3\text{CHONCOO}_2\text{C}_2\text{H}_5$ дают в присутствии $(\text{C}_2\text{H}_5)_3\text{N}$ при 65–75° этиловый эфир 1-ацетоацетоксиэтанкарбоновой-1 к-ты, т. кип. 132–136°/14 мм, n_D^{20} 1,4350, превращаемый Na в кипящем $\text{C}_6\text{H}_5\text{CH}_3$ в α -ацето- γ -метилтетроновую к-ту (3-ацетил-4-оксн-5-метил-2,5-дигидрофуранон-2), т. пл. 54–55°, г. кип. 120–126°/15 мм (фенилгидразон, т. пл. 165°). Получены также метиловый эфир ацетилацетоксифенилуксусной к-ты, т. пл. 56°, α -ацето- γ -фенилтетроновая к-та, т. пл. 104–105° (фенилгидразон, т. пл. 157–158°), метиловый эфир 2-ацетилацетоксипропанкарбоновой-2 к-ты, т. кип. 118–125°/12 мм, n_D^{20} 1,4400, α -ацето- γ , γ -диметилтетроновая к-та, т. пл. 64–65°, т. кип. 108–110°/12 мм (фенилгидразон, т. пл. 157,5–158°). Я. К.

44509 П. Новые производные малоновой кислоты и процесс их производства. Хегедюш, Грюсснер (Novel malonic acid derivatives and process for the manufacture thereof. Hegedűs Balthasar, Grüssner Andreas) [Hoffmann-La Roche Inc.]. Пат. США 2701804, 8.02.55

Для получения производных кумарина ф-лы I (в которой R' — алкил с 1—3 атомами C, а R'' — низший алкил) конденсируют хлорамирид ацетилсалициловой к-ты с производной маловой к-ты общей ф-лы $[C_6H_5CH(R')]CM(COOR'')_2$ (M — щел. металл, а R' и R'' имеют вышеуказанные значения), последующей обработкой продукта р-ции, отвечающего ф-ле $o\text{-C}_6\text{H}_4\text{COOC}_2\text{H}_5\text{COC}(COOR'')_2CH(R')C_6\text{H}_5$, щел. алкогелятом в инертном р-ителе при т-ре несколько $> 20^\circ$.



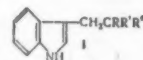
44510 П. Производные пиридина. Плати, Веннер (Pyridine derivatives. Plati Tomas John, Wenner Wilhelm) [Hoffmann-La Roche Inc.]. Пат. США 2676967, 27.04.54

Взаимодействием 1-(низший алкил)-3-бензоил-4-оксн-4-фенилпиперидина, 1-(низший алкил)-3-галоидбензоил-4-оксн-4-фенилпиперидина, 1-(низший алкил)-3-(низший алкоксибензоил)-4-оксн-4-(низший алкокси-фенил)-пиперидина или 1-(низший алкил)-3-(низший алкилбензоил)-4-оксн-4-(низший алкилфенил)-пиперидина с избытком $(\text{CH}_3\text{CO})_2\text{O}$ при $\leq 100^\circ$, а затем нагреванием смеси при $120-170^\circ$ получают, соответственно, 3-метил-2,4-дифенилпипридин, 3-метил-2,4-ди-(галоидфенил)-пипридин, 3-метил-2,4-ди-(низший алкоксифенил)-пипридин или 3-метил-2,4-ди-(низший алкилфенил)-пипридин. В. У.

44511 П. Синтез триптофана и родственных соединений. Мо, Уорнер (Synthesis of tryptophane and related compounds. Moe Owen A., Warner Donald T.) [General Mills, Inc.]. Канад. пат. 494069. 30.06.53

Соединения общей ф-лы (I), в которой R — карбоксиалкил, R' — карбоксиалкил или нитрил, а R'' — ациламиногруппа, получают взаимодействием фенилгидразина с соединениями общей ф-лы $RC(R') (R'') CH_2CH_2CHO$ с по-

следующую циклизацию образованного фенилгидразона при т-ре кипения в присутствии смеси водн. спирта и H_2SO_4 в качестве катализатора; в частности, получают этиловый эфир α -ацетида- α -карбоксит- β -(3-индол)-пропионовой к-ты взаимодействием фенилгидразина с γ , γ -дихлорбуксито- γ -ацетидамасляным альдегидом и циклизацией фенилгидразона при т-ре кипения в присутствии разб. водн. H_2SO_4 . Я. К. 44512 П. Способ получения N-алкилзамещенных 1,2,3,4-тетрагидрохинолинов и N-алкилзамещенных



1, 2, 3, 4-тетрагидроизохинолинов.

Лефлер, Фрейфельдер (Method of preparing N-alkyl-substituted-1,2,3,4-tetrahydroquinolines and N-alkyl-substituted-1,2,3,4-tetrahydroisoquinolines. Leffler Marlin T., Freifelder Morris) [Abbot Laboratories]. Канад. пат. 493115, 26.05.53

Указанные в-ва, в которых алкил-1-валентный радикал с 10—18 атомами С, получают гидрированием соответствующих алкилхинолиний- или алкилизхинолиний галогенидов H_2 в присутствии скелетного Ni и едкой щелочи, в частности, NaOH (не менее 1 моля на 1 моль галогенида) при 20—100° и 35—120 ат. В указанных условиях N-н-тетрадецил- и N-н-гексадецилизохинолинийгалогениды дают N-н-тетрадецил- и N-н-гексадецил-1,2,3,4-тетрагидроизохинолины. Я. К.

44513 П. О-оксидигидрохинолинкарбоновые кислоты (o-Hydroxy-dihydro-quinoline carboxylic acids) [Badische Anilin- & Soda-Fabrik]. Англ. пат. 700729, 9.12.53 [J. Appl. Chem., 1954, 4, № 4, 410 (англ.)] Для получения 7-окси-1,2-дигидрохинолин-6-карбоновых к-т, содержащих в положении 4 насыщ. алкил, приливают медленно, напр., $CH_3CO - CH = CH_2$ к р-ру Na-соли n-аминосалициловой к-ты в CH_3OH при 30—35°, размешивают в течение 1 часа, поднимая т-ру до 55°, отгоняют CH_3OH , остаток растворяют в воде и подкислением CH_3COOH выделяют 7-окси-4-метил-1,2-дигидрохинолин-6-карбоновую к-ту, т. пл. 203—205°. В. У.

44514 П. Способ получения производных 1,3-диоксана. Фуке, Вагнер (Verfahren zur Herstellung von 1,3-Dioxanverbindungen. Fuchs Otto, Wagner Hans) [Deutsche Gold- und Silber-Scheideanstalt vormals Roessler]. Пат. DFG 870116, 9.03.53 [Chem. Zbl., 1953, 124, № 46, 7940 (нем.)]

Производные 1,3-диоксана получают нагреванием многоатомных спиртов (напр., пентаэритрита) с альдегидами (CH_2O) или кетонами (ацетоном) или их образующими соединениями в присутствии кислых катализаторов под давлением, а также в присутствии инертных жидкостей, напр. воды; при этом образуются спирты, ацетали или кетали. В. У.

44515 П. Производные пиримидина. Слай (Pyrimidine derivatives. Sly G.). Австрал. пат. 158661, 23.09.54

Производные пиримидина общей ф-лы: $R^1 R^2 CCON(R^3)CH_2NHCO$ (R^1 — моноцикл. карбоцикл., радикал, R^2 — алкил, R^3 — H или алкил $\leq C_4$) получают гидрированием соединений ф-лы $R^1 R^2 CCON(R^3)CH(OR^4)NHCO$ (R^1, R^2 и R^3 — выше-

указанные заместители, R^4 — алкильный, алкенильный или алкильный остаток). М. К.

44516 П. 2-Фенацилпиримидины и способы их получения. Смит, Рот (2-Phenacylpyrimidines and methods of preparing the same. Smith James M., Jr, Roth Barbara) [American Cyanamid Co.]. Канад. пат. 500635, 16.03.54

Патентуются соединения общей ф-лы $RCOCN_2 - C=NCN=CH - CR'N$ (R — арил, R' — H

или алкил, а R'' — H, OH или алкил) и способ их получения р-цией ароилатамида при нагревании с ацеталем β -алкокспролеина, ацеталоном или эфиром ацилуксусной к-ты в инертной безвод. органич. жидкости. В частности, упомянуто получение 2-фенацилпиримидина из бензоилатамида и диэтилацетала β -этокспролеина и 2-фенацил-4,6-диметилпиримидина из бензоилатамида и ацетилацетона. Я. К.

44517 П. Способ получения химических продуктов (производных тетрагидропиримидинона). Пей-нesh, Шредер (Method of producing new chemical

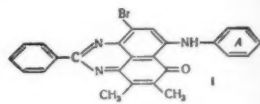
products and the chemical products resulting from said method. Papesch Viktor, Schroeder Elmer F.) [G. D. Searle & Co.]. Канад. пат. 502708, 18.05.54

1,3-дизамещенный-6-амино-1,2,3,4-тетрагидропиримидинон-2,4 общей ф-лы $CH = C(NH_2) - N(R) - CO - N(R') - CO$ (R и R' — алкил, циклоалкил или

аралкил, причем один из них содержит ≥ 3 атомов С) получают р-цией производного мочевины общей ф-лы $R - NH - CO - NH - R'$ с $(CH_3CO)_2O$ и циануксусной к-той при нагревании и обработкой полученного продукта щелочью. В частности, описано получение 1,3-диалкил- и 1,3-диаралкил-6-амино-1,2,3,4-тетрагидропиримидинонов-2,4. В. У.

44518 П. 7-Анилино-9-бром-4,5-диметил-2-фенилперимидинон-6 и соли его сульфокислот со щелочными металлами. Сартори (7-anilino-9-bromo-4,5-dimethyl-2-phenylperimidine-6-one and alkali metal sulfonates thereof. Sartori Mario F.) [E. I. du Pont de Nemours and Co.]. Пат. США 2680114, 1.06.54

Нагреванием бензальдегида, NH_3 и 5-амино-6-бром-8-анилино-2,3-диметил-1,4-нафтохинона получают 7-анилино-9-бром-4,5-диметил-2-фенилперимидинон-6 ф-лы I. Кольцо А в I может быть свободно или содержать в любом положении сульфогруппу (свободную или в виде соли со щел. металлом). В. У.



44519 П. Получение некоторых замещенных имидазолов. Лосон (Preparation of certain substituted imidazoles. Lawson Julian K., Jr) [The Chemstrand Corp.]. Пат. США 2710870, 14.06.55

Имидазолы общей ф-лы $CH = CH - N = C(R) -$

$-NR'$ (R — винил или оксэтил; R' — H или C_{1-5} -алкил)

получают превращением этилендиангидрина при обработке сухим CH_3OH и сухим HCl-газом в хлоргидрат иминометилового эфира β -оксипропионовой к-ты, затем р-цией последнего с диметилацеталем алкиламиноацетальдегида или диметиламиноацеталем, обработкой водой и HCl, выпариванием полученного р-ра при pH ~ 9 и дегидратированием остатка. В. У.

44520 П. Получение производных имидазола. Бёрингер, Бёрингер, Либрект, Либрект (Production of derivatives of imidazole. Boehringer A., Boehringer E., Liebrecht I., Liebrecht J.) [Boehringer Sohn C. H.]. Англ. пат. 713133, 4.08.54 [J. Appl. Chem., 1955, 5, № 3, i 414 (англ.)]

Замещенные имидазолы, содержащие ароматич. или гетероцикл. конденсированное кольцо и H или любой органич. остаток при N_1 или в положении C_2 , получают конденсацией соответствующего о-диамина с альдегидом $RCHO$ (R — H или любой органич. остаток) или с его бисульфитным соединением или ацеталем и последующим нагреванием продукта конденсации с ароматич. нитросоединением. Путем постепенного прибавления C_6H_5CHO к о- $C_6H_4(NH_2)_2$ в спирте при -15° получают монобензилденное соединение, превращаемое посредством $C_6H_5NO_2$ при т-ре его кипения, или посредством м- $C_6H_4(NO_2)_2$ при 150° в 2-фенилбензимидазол (85%), т. пл. 284—286°. Описано получение 2-дифенил- (т. пл. 112—113°), 2-изопропил- (т. пл. 225—226°), 2-фурил- (т. пл. 287°), 2-фенил- (т. пл. 284—285°) и 2-(4'-окси-3'-метоксифенил)-бензимидазол (т. пл. 219—

221°), а
плавле
44521 П.
de fabri
Франц
1955,
Водны
пыляю
Получе
тов.
44522 П.
(Verfa
R u d
87055)
(нем.)
Мелам
или NCH
или NCH
индифе
куски. I
т-ры.
44523 П.
1,3,5-
fabri
1,3,5-
Wil
cius &
Zbl.,
Галон
с α, β
в качес
 NH_3 пр
леними
1,3,5-тр
римий
Продук
стильн
44524 П.
арил
ли б
of ха
rin p
Li e
пат.
411
Одно
4-амин
произв
ными
(при ~
пиросу
(R — I
до 170
соответ
при 80
~5% E
нагрев
получа
44525 П.
rivat
Авст
Проп
рифид
лими
полож
для об
лением
ствую
44526 П.
полу
пара
obte

221°), а также 8-фенилтиофиллин, возгорающийся без плавления при t -ре выше 225°.

44521 П. Способ производства меламина (Procédé de fabrication de mélamine) [Soc. des Produits Azotés]. Франц. пат. 1069736, 12.07.54 [Chimie et industrie, 1955, 73, № 1, 112 (франц.)]

Водный р-р цианамиды и (или) дициандиамида распыляют в газовую среду с t -рой между 200 и 300°. Полученный меламин не содержит побочных продуктов.

44522 П. Способ получения меламина. Кёлер (Verfahren zur Herstellung von Melamin. Köhler Rudolf) [Henkel und Cie G. m. b. H.]. Пат. ФРГ 870559, 16.03.53 [Chem. Zbl., 1953, 124, № 46, 7940 (нем.)]

Меламин получают нагреванием дициандиамида (I) или NCNH_2 в автоклаве под давлением, причем в массе или NCNH_2 включены в большом кол-ве формованные индифферентные материалы, напр., Fe-пластины или куски. Благодаря этому избегают опасного повышения t -ры.

44523 П. Способ получения 2,4,6-три(алкиленамино)-1,3,5-триазинов. Хейна, Шумахер (Verfahren zur Herstellung von 2,4,6-tri-(alkylenamino)-1,3,5-triazinen. Heuna Hans, Schumacher Willy) [Farbwerke Hoechst, vormals Meister Lucius & Brüning]. Пат. ФРГ 889748, 14.09.53 [Chem. Zbl., 1954, 125, № 20, 4521 (нем.)]

Галоидангидриды циануровой к-ты вводят в р-цию с α , β -алкиленаминами в присутствии безвод. NH_3 в качестве связывающего к-ту агента. Пропусканием NH_3 при 30—60° через р-р хлористого цианура и этиленмина в бэл. получают 2,4,6-три(этиленамино)-1,3,5-триазин — бесцветный порошок, легко растворимый в холодной воде и разлагающийся при 150°. Продукты служат вспомогательными в-вами в текстильной пром-сти.

44524 П. Способ получения ксантина и алкил- и арилксантинов. Бёрингер, Бёрингер, Либрехт, Либрехт (Process for the production of xanthine and alkyl- and aryl-xanthines. Boehringer A., Boehringer E., Liebrecht I., Liebrecht J.) [Boehringer Sohn C. H.]. Англ. пат. 695383, 12.08.53 [J. Appl. Chem., 1954, 4, № 4, 411 (англ.)]

Одноступенчатый процесс, в котором 5-изонитрозо-4-амино-2, 6-дикетогексагидропиримидин (I) или его производные, замещ. в положениях 1- и (или) 3-алкильными или арильными группами, восстанавливают (при ~100°) серой в присутствии H_2S , H_2SO_4 , их солей, пиросульфита или гипосульфита и соединения HCONHR (R — H, алкил или арил), после чего смесь нагревают до 170—180° для замыкания кольца и образования соответствующего ксантина. Так, 375 г $\text{Na}_2\text{S}_2\text{O}_5$ вводят при 80° в суспензию 1700 г I в HCONH_2 , содержащего ~5% HCOOH (повышение t -ры до ~100°) спустя 15 мин. нагревают смесь 20 мин. при 170—180°: по охлаждению получают 1450 г ксантина (выход 96% теор.).

44525 П. Производные оксазолинов (Oxazoline derivatives) [F. Hoffmann — La Roche and Co. A.-G.]. Австрал. пат. 157651, 29.07.54

Производные оксазолинов, содержащие остаток этерифицированного β -фенилсерина (I), получают следующими изменениями молекулы I: нитрованием в пара-положение фенильного ядра, р-цией с иминоэфиром для образования оксазолинового кольца и восстановлением карбалкоксигруппы для получения соответствующего спирта.

44526 П. Способ получения пиразолонов и продукты, полученные по этому способу (Procédé pour la préparation de pyrazolones et produits conformes à ceux obtenus par ce procédé) [Ciba Soc. An.]. Франц.

пат. 1027309, 11.05.53 [Ind. Chim., 1954, 41, № 440, 80 (франц.)]

Пиразолоны со свободной аминогруппой получают конденсацией арилгидразинов с амидом ацетоуксусной к-ты. Они служат полупродуктами для азокрасителей.

44527 П. Производство меркаптоарилтиазолов (Manufacture of mercapto aryl thiazoles) [United States Rubber Co.]. Англ. пат. 700339, 25.11.53 [J. Appl. Chem., 1954, 4, № 4, 411 (англ.)]

Меркаптоарилтиазолы (в частности, меркаптобензтиазол), получаемые р-цией ариламинов (в частности, $\text{C}_6\text{H}_5\text{NH}_2$) с CS_2 и S, очищают путем продувания воздуха через их р-р в водн. едкой щелочи с последующим подкислением и фильтрованием. Так, смесь (в вес. ч.) 348 $\text{C}_6\text{H}_5\text{NH}_2$, 354 CS_2 и 120 S нагревают несколько часов при 260—265°/73,5 ат и после продувки воздухом массу передают при 60° в 6500 воды и 50%-ную водн. NaOH (260 вес. ч.); смесь оставляют на 1 час, отделяют отстоявшуюся жидкость, продувают ее воздухом 2 часа при ~60° и подкисляют: выход 2-меркаптобензтиазола 99%, т. пл. 170—172,5°; без продувки — выход 95,9% продукта с т. пл. 165—167,5°.

44528 П. Получение производных фентиазина (Improvements in or relating to phenothiazine derivatives) [Soc. Des Usines Chimiques Rhône-Poulenc]. Инд. пат. 49719, 9.02.54

N-алкиламинофентиазины получают превращением соответствующих 10-галоидалкилфентиазинов в амины; восстановлением 10-цианалкилфентиазинов и р-цией соответствующих фентиазинов с N-фталимидоалкилгалогенидами и расщеплением полученных продуктов.

44529 П. Получение серусодержащих триазинов. Ромер, Кайзер (Preparation of sulfur containing triazines. Roemer John J., Kaiser Donald W.) [American Cyanamid Co.]. Канад. пат. 506938, 2.11.54

Реакционные смеси, содержащие тиаоммелин и соли дитиаоммелида, получают обработкой металл. соли дициангуанидина H_2S под давлением при 60—200°. В частности, указано получение смеси, содержащей тиаоммелин и K-соль дитиаоммелида обработкой K-соли дициангуанидина молярным избытком H_2S в инертной (водн.) среде под давлением при 80—150°.

См. также: синтез 43071, 43079, 43083, 43104, 43111, 43128, 43129, 43162, 43168, 43206, 43489, 43566—43573, 43577, 43580, 43584—43586, 43654, 43719, 43732, 44234—44236, 44238, 44279, 44280, 44291—44299, 44302, 44303, 44309, 44319—44321, 44664, 45057

ПРОМЫШЛЕННЫЙ СИНТЕЗ КРАСИТЕЛЕЙ

44530. Некоторые данные о производстве красителей в Индии. Таваклей (Some observations on the manufacture of dyes in India. Tawakley M. S.), Bombay Technologist, 1953, 3, May, 11—15 (англ.)

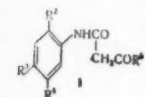
44531. О некоторых жирорастворимых красителях. Неббия (Su alcuni coloranti solubili nei grassi. Nebbia Giorgio), Boll. Lab. chim. provinc., 1953, 4, № 1, 20—23 (итал.)

Исследованы максимумы и минимумы поглощения следующих красных, оранжевых и желтых азокрасителей (I), применяемых для подделки каротина в парфюмерной и пищевой пром-сти (поглощение измерялось в 1%-ном бензольном р-ре фотометром Бекмана): $\text{C}_6\text{H}_5\text{N}=\text{NC}_6\text{H}_4\text{NH}_2$ ($\lambda_{\text{макс}}$ 378 м μ , ϵ 1250); $\text{C}_6\text{H}_5\text{N}=\text{NC}_6\text{H}_4\text{-}n\text{N}(\text{CH}_3)_2$ ($\lambda_{\text{макс}}$ 410 м μ , ϵ 1250); бензолазо-2-

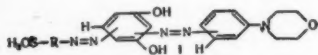
нафтола ($\lambda_{\text{макс}}$ 480 м μ , ϵ 550); бензол-(1-азо-1)-бензол-(4-азо-1)-нафтола-2 ($\lambda_{\text{макс}}$ 350 и 510 м μ , ϵ 350 и 750); толуол-(2-азо-5)-толуол-(2-азо-1)-нафтола-2 ($\lambda_{\text{макс}}$ 360 и 530 м μ , ϵ 250 и 550); 1-(бензолазо)-2-нафтамина ($\lambda_{\text{макс}}$ 350 и 450 м μ , ϵ 350 и 550); 1-(о-толуолазо)-2-нафтола ($\lambda_{\text{макс}}$ 490 м μ , ϵ 600). Для технич. каротина $\lambda_{\text{макс}}$ 440, 460 и 485 м μ , ϵ 1300, 1500 и 1300. Отличить каротин от I можно также по цветным р-циям: спирт. р-ры I под действием к-т изменяют цвет, вследствие образования солей, бензольные р-ры под действием конц. H_2SO_4 остаются красными, тогда как р-ры каротиноидов становятся синезелеными. Исследованы токсичность и канцерогенные свойства I, оказавшиеся равными нулю или ничтожными. З. Б.

44532 Д. О зависимости между строением и светопрозрачностью нерастворимых азокрасителей. Набои Ю. В. Автореф. дисс. канд. техн. н., Харьковск. политехн. ин-т, Харьков, 1955

44533 П. Не растворимые в воде моноазокрасители и способ их получения (Colorants mono-azoïques insolubles dans l'eau et procédé de préparation de ces colorants) [Naphthol-Chemie Offenbach]. Франц. пат. 1070913, 19.08.54 [Teintex, 1955, 20, № 5, 387 (франц.)] Нерастворимые в воде моноазокрасители получают сочетанием диазосоединений аминов общей ф-лы $\text{H}_2\text{N}-\text{C}_6\text{H}_4-\text{SO}_2\text{N(R)}(\text{R}^1)$ (R и R^1 — алкилы с общим числом атомов $\text{C} \geq 5$, которые могут также образовывать с атомом N гетероциклич. кольцо, арилалкилы, арилы или гидроароматич. группы; бензольное кольцо содержит еще не менее одного алкоксила, арилалкокси или арилокси группы) с ариламидами ацилуксусных к-т общей ф-лы (I) (R^2 — алкил или алкоксил; R^3 — алкоксил или галоид; R^4 — алкил, алкоксил или галоид; R^5 — алкил или арил; при условии, что R^3 — галоид и R^4 — алкил или алкоксил или R^3 — алкоксил, а R^4 — галоид, когда R^2 — алкоксил и R^3 — галоид и R^4 — алкоксил, если R^2 — алкил). Красители окрашивают нитроцеллюлозные и ацетилцеллюлозные лаки, жиры и ацетилцеллюлозу в массе в желтые до оранжевых тона. Ю. В.



44534 П. Азокрасители (Nouveaux colorants azoïques) [Imperial Chemical Industries Ltd]. Франц. пат. 1038895, 2.10.53 [Teintex, 1954, 19, № 4, 303 (франц.)] Патентуются дисазокрасители общей ф-лы (I) (R — фенил или нафтил, возможно, замещ.). Они окрашивают кожу растительного или полухромового дубления в коричневые цвета. О. С.



44535 П. Дисазокрасители, обрабатываемые металлами, их получение и применение (Colorants diazoïques métallisables, leur préparation et leur application) [Sandoz Soc. An.]. Франц. пат. 1083773, 12.01.55 [Teintex, 1955, 20, № 7, 576 (франц.)] Для получения обрабатываемых металлами дисазокрасителей бисдиазотируют 1 моль 4,4'-диамино-3,3'-диоксид-6,6'-дисульфидфенил-1,1-мочевины и сочетают 1 моль полученного бисдиазосоединения с 2 молями нафтола, не содержащего карбоксильных или сульфогрупп и сочетающегося в орто-положении к оксигруппе. Красители дают на хлопке и регенерированной целлюлозе фиолетово-красные, фиолетовые, синие и коричневые окраски, которые после обработки Cu-солями на волокне становятся очень прочными к стирке и свету. О. С.

44536 П. Способ получения полназокрасителей. Хусс, Ханне, Зиберт, Вейсерт (Verfahren zur Herstellung von Polyazofarbstoffen) Hüss Richard, Happe Wilhelm, Siebert Arthur, Weissert Josef [Farbwerke Hoechst A.-G. vormals Meister Lucius und Brüning] Пат. ФРГ 904335, 18.02.54 [Chem. Zbl., 1955, 126, № 2, 461 (нем.)]

Полназокрасители получают сочетанием моноазокрасителя, полученного из 1-амино-8-нафтол-моноили-дисульфокислоты или их 3'-или 4'-аминобензоили-аминопроизводных и резорцина (I) с 2 молями диазосоединений, из которых по крайней мере одно должно быть диазотированной аминодифениламинсульфонической. Описаны красители следующего строения: а) 4-аминодифениламин-2-сульфокислота (II) 1-амино-8-нафтол-3,6-дисульфокислота (III) — 1-*n*-нитроанилин; б) 4-амино-2',4'-динитродифениламин-6'-сульфокислота → III → I — сульфаниловая к-та; в) 1-амино-2-метил-3-хлорбензол-5-сульфокислота → III → I — II. Красители «а», «б» и «в» окрашивают кожу соответственно в темный красно-коричневый, красновато-желтокоричневый и темный красно-коричневый цвет. В. У.

44537 П. Способ получения металлосодержащих азокрасителей. Бюлер, Мозер (Verfahren zur Herstellung metallhaltiger Azofarbstoffe. Bühler Arthur, Moser Eduard) [Ciba A.-G.]. Пат. ФРГ 882451, 9.07.53 [Chem. Zbl., 1954, 125, № 21, 4730 (нем.)]

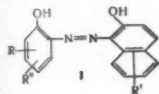
Металлосодержащие азокрасители (I) получают р-цией моноазокрасителей (II), не содержащих SO_3H - и COOH -групп, общей ф-лы $\text{CH}_2=\text{C}=\text{N}-\text{N(R}^1)-\text{C(OH)=C}-\text{N}=\text{N}-\text{R}^2$ (III) (R — ароматич. остаток бензольного ряда, содержащий в орто-положении к азогруппе оксигруппу; R^1 — алкил с 4—18 атомами C; X — аминогруппа или низший алкил) или смесей двух различных, обрабатываемых металлом II, из которых один должен соответствовать ф-ле

III а другой ф-ле $\text{CH}_2=\text{C}=\text{N}-\text{N(R}^{1'')}-\text{C(OH)=C}-\text{N}=\text{N}-\text{R}^2$ (IV) (R^2 — бензольный остаток, не содержащий SO_3H -, COOH - и SO_2NH_2 -групп и содержащий в орто-положении к азогруппе оксигруппу; $\text{R}^{1''}$ — алкил не менее чем с 4 атомами C, с комплексными Co- или Cr-соединениями ароматич. ортооксикарбоновой к-ты (преимущественно салициловой к-ты), причем на 1 моль II приходится <1 атома Co или Cr. Красители аналогичного строения получают р-цией II, содержащих 1 атом Co или Cr на 1 моль красителя в комплексной связи, с не содержащими металла II, причем строение II должно соответствовать ф-ле III или IV. 35,2 ч. красителя из 2-аминофенол-5-сульфамида (V) → 1-*n*-бутил-3-метил-5-пиразолона (VI) растворяют в 2000 ч. воды и обрабатывают 125 ч. р-ра хромсалициловокислого Na (содержание Cr = 2,6%). После 6-часового кипячения Cr-содержащий азокраситель высаливают и нейтрализуют; он окрашивает шерсть в оранжевый цвет. Аналогичные красители получают хромированием красителей (указаны строение красителя и цвет, в который он окрашивает шерсть): 2-аминофенол-4-сульфамид (VII) → 1-*n*-октил-3-метил-5-пиразолона (VIII), оранжевый; 6-нитро-2-аминофенол-4-сульфамид (IX) → VIII, оранжевый; 5-нитро-2-аминофенол (X) → VI, красный; смесь X → VI и V → VI или VII → VI, красный; 4-нитро-2-аминофенол → VI, красновато-оранжевый; 2-аминофенол-4-метилсульфол (XI) → VI, оранжевожелтый; VII → 1-*n*-гексил-3-метил-5-пиразолона (XII), оранжевый; смесь VII → VI и IX → VIII, оранжевый. Аналогично металллизированием р-ром CoSO_4 при 75—80° получают красители: V → VI, оранжевый; XI → VI, красновато-желтый;

VII → VIII, красновато-желтый; смесь X → VI и VII → VI, красновато-коричневый; VII → XII или VII → 1-(2-этилгексил)-3-метил-5-пиразолон, коричнево-желтый. I обладают хорошими прочностями.

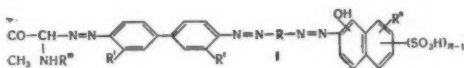
Ц. Г.

44538 П. Кобальт- и хромсодержащие моноазокрасители (Cobaltiferous and chromiferous monoazo-dyestuffs) [Ciba A.-G.]. Австрал. пат. 161543, 17.03.55. Моноазокрасители общей ф-лы (I) (R — H, алкил, галоген, нитро- или ациламиногруппа; R' — H, галоген, алкил, алкоксил или сульфогруппа; R'' — сульфамидная группа; причем, если R' — незамещ. сульфамидная группа то R или R' — H) обрабатывают Со- или Cr-отдающими средствами с таким расчетом, чтобы в получаемом металлсодержащем азокрасителе присутствовало <1 атома Со или Cr на 1 моль красителя в комплексной связи. В. У.



44539 П. Трисазокрасители, их медные комплексы и способ их получения (Trisazo dyestuffs, their copper complex compounds and process for their manufacture) [Sandoz, Ltd.]. Англ. пат. 722949, 2.02.55 [J. Soc. Dyers and Colourists, 1955, 71, № 4, 195—196 (англ.)]

Су-комплексы трисазокрасителей общей ф-лы (I) (R — арилен, содержащий в орто-положении к азогруппе, связанной с нафталиновым ядром, группу, образующую с металлами комплексы; один R' — H, другой R' — SO₂H; R'' — H или аминогруппа, могущая быть алкилированной, арилированной или ацилированной; R''' — арил; n = 1, 2 или 3; OH-группа находится в орто-положении к связанной с нафталиновым

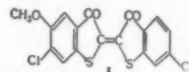


ядром азогруппе, а последняя находится в пара-положении к азогруппе, связанной с ядром дифенила) окрашивают хлопчат в зеленые до оливковых цвета. Бисдиазотируют бензидин-3-сульфокислоту и сочетают с 1 молекул ацетоацетила, растворенного в разб. NaOH, а затем с 1 молекул 2-метокси-1-нафталин-6-сульфокислоты. Полученный аминодисазокраситель вновь диазотируют и сочетают с N-фенил-Н-кислотой в присутствии пиридина. Су-комплекс образовавшегося трисазокрасителя получают кипячением последнего с аммиачным р-ром CuSO₄. Полученный комплекс красителя окрашивает целлюлозу в яркий зеленый цвет. В. У.

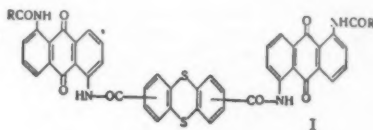
44540 П. Получение серусодержащих кубовых красителей (Manufacture of vat dyestuffs containing sulphur) [Cassella Farbwerke Mainkur A.-G.]. Англ. пат. 722575, 26.01.55 [J. Soc. Dyers and Colourists, 1955, 71, № 4, 196 (англ.)]

Кубовые красители, полученные нагреванием продуктов р-ции антраона и глиоксала в щел. плаве (англ. пат. 299972; ISDC 1929, 45, 89), обрабатывают S-содержащими средствами, напр., галогидропроизводными S, сульфидами или тиосульфатами щел. металлов, в присутствии кислотных конденсирующих средств (за исключением галогидропроизводных 3-валентных металлов), напр., H₂SO₄ или ClSO₃H. Полученный, по англ. пат. 299972, из продукта р-ции 2-хлорантраона с глиоксалем, фиолетовый краситель прибавляют к смеси H₂SO₄ и хлористой серы, нагревают 1—5 час. при 70—80° и получают оливковый кубовый краситель. В. У.

44541 П. Получение несимметричных индигоидных красителей (Manufacture of asymmetrical indigoid dyestuffs) [Ciba Ltd.]. Англ. пат. 723468, 9.02.55 [J. Soc. Dyers and Colourists, 1955, 71, № 5, 263 (англ.)]. Конденсацией 5-алкокси-6-хлор-3-окситионафта с другим окситионафеном (или его анилом) или изатинном получают светопрозрачные индигоидные красители. Фиолетово-красный краситель ф-лы (I) получают нагреванием при 80—90° 5-метокси-6-хлор-3-окситионафта (полученного из 4-метокси-3-хлоранилина через его тиогликолевую к-ту) с 6-хлор-3-окситионафеном в хлорбензоле. В. У.



44542 П. Антрахиноновые кубовые красители. Мергели (Anthraquinone vat dyestuffs. Moergeli E d u a r d) [Ciba A.-G.]. Пат. США 2706731, 19.04.55



Патентуются антрахиноновые кубовые красители общей ф-лы (I) (R — 2-фторфенил, 2-фтор-4-хлорфенил или 2-фтор-5-хлорфенил). В. У.

44543 П. Производные 1,5-диокси-8-нитро-4-аминоантрахинона (1,5-Dihydroxy-8-nitro-4-aminoanthraquinone compounds) [Eastman Kodak Co.]. Англ. пат. 722367, 26.01.55 [J. Soc. Dyers and Colourists, 1955, 71, № 4, 196 (англ.)]

Конденсацией 1,5-диокси-4,8-динитроантрахинона (I) с ариламином общей ф-лы R(R')C₆H₃NH₂ (R — окси-C₁₋₃-алкил, диокси-C₂₋₃-алкил или группа (OCH₂CH₂)_n — OR'; R' — H, Cl, OH, OCH₃ или CH₃; R'' — H или C₁₋₂-алкил; n = 1—4) получают синие дисперсные красители с хорошими прочностями к свету и газам, выделяющимся в процессе горения. Кипячением I и о-аминофенилэтилового спирта в течение 7 час. в амилловом спирте получают краситель — 1,5-диокси-8-нитро-4-(о-β-оксипропиламино)-антрахинон. В. У.

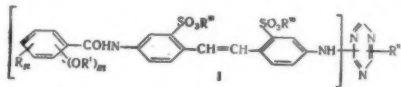
44544 П. Антрахиноновые производные (Anthraquinone compounds) [Eastman Kodak Co.]. Англ. пат. 716688, 13.10.54 [J. Soc. Dyers and Colourists, 1955, 71, № 1, 59 (англ.)]

Конденсацией 1,5-дигалоген-4,8-диоксиантрахинона с ариламином общей ф-лы H₂N — C₆H₃(R)R' (R — моноокси-C₁₋₃-алкил или диокси-C₂₋₃-алкил; R' — H, CH₃, OH, OCH₃ или Cl) получают синие дисперсные красители, стойкие к свету и к газам, выделяющимся в процессе горения. Краситель 1,5-диокси-8-фтор-4-(о-β-оксипропиламино)-антрахинон получают нагреванием 1-хлор-4,8-диокси-5-фторантрахинона с избытком о-амино-β-фенилэтилового спирта при 160—170° в течение 4 час., прибавлением C₂H₅OH и выливанием в разб. HCl. В. У.

44545 П. Производные антраона, их получение и применение (Nouveaux dérivés de l'anthrone, leur préparation et leur emploi) [Ciba A.-G.]. Франц. пат. 1083698, 11.01.55 [Teintex, 1955, 20, № 7, 575 (франц.)]. Производные антраона получают р-цией ацилирующего средства, способного отдавать ацил — остаток одноосновной алифатич. карбоновой к-ты, преимущественно ниже, сантраонами, содержащими в положении 1,9 5-членный гетероцикл, а также аминогруппу в α-положении 6-членного цикла антраона, не связанного с

[American Cyanamid Co.]. Англ. пат. 721281, 5.01.55 [J. Soc. Dyers and Colourists, 1955, 71, № 3, 158 (англ.)]

Соединения общей ф-лы (I) (R и R' — C_1-4 -алкил; R — амино-, алкиламино-, ариламино-, оксиалкиламино-, алкоксиалкокси-, окси-, алкилокси- или арил-



оксигруппа; R'' — H , NH_4 или щел. металл; $n < 3$; $m + 2n < 4$) являются оптически отбеливающими средствами, обладающими хорошей растворимостью и свойством к волокну. Они устойчивы к действию гипохлорита и не обесцвечиваются моющими средствами. В. У.

44554 П. Ариламиноаминоалкильные соединения и способ их получения (Procédé de préparation de composés arylaminoaminoalcoyliques, et produits obtenus) [Ciba A.-G.]. Франц. пат. 1082479, 29.12.54 [Teintex, 1955, 20, № 7, 573 (франц.)]

Ариламиноаминоалкилпроизводные получают р-цией алифатич. аминов, содержащих 2 первичные аминогруппы (напр., этилендиамина, 1,4- или 1,3-бутиленадиамина, 1,6-гексаметилендиамина и ди-(β-амино-этил)-амина), с галоидарилпроизводными, не содержащими нитрогрупп, как α-галоидантрахиноны (напр., 1-хлорантрахинон, 1,4- и 1,5-дихлорантрахинон) или галоидарилсульфонокислоты (напр., 1-хлорнафталин-4-сульфонокислота); алифатич. амин берут в большом избытке. Полученные бензольные или нафталиновые производные способны сочетаться, поскольку сочетание не затруднено присутствием в них заместителей, и пригодны для синтеза азокрасителей. Некоторые полученные таким путем антрахиновые производные являются красителями для ацетатного шелка, другие применяют в качестве промежуточных продуктов для кубовых красителей или красителей для ацетатного шелка. О. С.

См. также: 42288, 42295, 42364, 42438, 44397, 44434, 44493, 44585, 44601, 44604, 44605, 44742, 44749, 44756, 44759, 44785, 44789, 44932, 44949, 45074, 45136

КРАШЕНИЕ И ХИМИЧЕСКАЯ ОБРАБОТКА ТЕКСТИЛЬНЫХ МАТЕРИАЛОВ

44555. Исследование щелочного гидролиза шерсти. Ван-Овербеке, Мазенг, Дебре (Contribution à l'étude de l'hydrolyse alcaline de la laine. Van Overbèke M., Mazingue G., Desprets P.), Bull. Inst. text. France, 1954, № 50, 27—37 (франц.; рез. англ.)

Исследован щел. гидролиз обезжиренной шерсти в р-рах Na_2CO_3 от 0,5 до 20 г/л при 40, 50 и 60° в продолжительности от 10 до 60 мин. Наряду с этим проверен ряд методов контроля щел. повреждения шерсти (колориметрический; определение потери в весе в щелочи, к-те и феноле (Bull. Inst. text. France, 1952, 30, 315); проявление сверхокрашения волокон). Установлено, что лучшие результаты дает метод с применением р-ра тимолиновой к-ты в феноле. Температурный фактор является определяющим при щел. гидролизе; выше 50° повреждение значительно усиливается. Обработка р-ром соды 5 г/л при 50° в течение 30 мин. не вызывает существенных изменений шерсти. Л. Б.

44556. Кокосовое волокно, его белиение, крашение и области применения. Водемон (La fibre de coco, son blanchiment, sa teinture, ses multiples applications.

Vaudémont René), Rev. text., 1954, 53, № 1, 70—73 (франц.)

Кокосовое волокно окрашено в коричневый цвет. Белиение его производят обработкой в течение нескольких часов при 40—50° р-ром 10 г/л $Na_2S_2O_4$ или 1—3 г/л $NaClO_2$ при рН 3,5—4 и 80—90° в течение 1—2 час. Кокосовое волокно окрашивается кислотными красителями в присутствии $Al_2(SO_4)_3$, но не CH_3COOH или $HCOOH$, так как эти к-ты способствуют слишком быстрому и поверхностному выбору красителей. Прямые красители дают менее яркие окраски, но прочность их к мокрым обработкам выше. Основные красители дают очень яркие, но непрочные к свету и трению окраски. Глубокий черный цвет дает окраска камешем. О. С.

44557. Влияние физического состояния красителей на их прочность к свету. Бакстер, Джайлс, Мак-Ки, Маколи (The influence of the physical state of dyes upon their light fastness. Baxter G., Giles C. H., McKee M. N., Miss, Macaulay N.), J. Soc. Dyers and Colourists, 1955, 71, № 5, 218—235 (англ.)

На основании исследования колич. соотношения между стойкостью к свету красителей и их конц-ией сделано заключение о влиянии физ. состояния красителей в воздушно-сухих материалах на характер выцветания. Использована простая теоретич. модель, представляющая изменение соотношения поверхности и массы частиц красителей с повышением конц-ии последних. Характер выцветания учитывался по «порядковым графикам», в которых ординатами служили величины логарифмов времени, затрачиваемого на фотохим. разрушение 10% исходного кол-ва красителя, и абсциссами — логарифмы начальных конц-ий красителей во взятых пробах. Использованы две группы проб: 1) дисперсии двух мерцаниновых и одного нерастворимого азокрасителя в пленках желатин, метилцеллюлозы и коллодия и 2) целлофановые пленки с образованными на них (обычными способами) нерастворимыми азокрасителями, до и после обработки р-ром мыла. Нормальные фотохим. закономерности выцветания, характеризующие идеальные системы, установлены только для твердых р-ров (не растворимого в воде) мерцанинового красителя в пленке коллодия. Все другие исследованные системы как с растворимыми, так и с нерастворимыми красителями, отклоняются от идеальных. Красители в этих системах имеют характер микроскопич. или субмикроскопич. агрегатов или кристаллов, и их выцветание определяется степенью развития поверхности раздела краситель — атмосфера. Обработки, увеличивающие размер частиц (напр., р-ром мыла), и повышение пористости окрашиваемых материалов, способствующее образованию крупных частиц, повышают прочность окраски к свету. Отмечено существование линейной зависимости между логарифмом коэфф. яркости и логарифмом конц-ии для окраски прямыми красителями на вискозных тканях. Л. Б.

44558. Границы крашения (опыт систематизации). Швен (Grenzen der Färberei (Ein Versuch zur Systematisierung. Schwen G.), Melland Textilber., 1955, 36, № 6, 583—586 (нем.)

Доклад на конференции химиков и колористов о факторах и условиях прогрессивного развития технологии крашения (включая проблемы кадров, нового оборудования, развития синтеза красителей, совершенствования технологии и т. д.). Л. Б.

44559. Непрерывные методы крашения прямыми красителями. Шмиц (Kontinuierfärberei der substantiven Farbstoffe. Schmitz Andreas), Z. ges. Textilind., 1955, 57, № 17, 1131—1134 (нем.)

Известны два непрерывных метода крашения тканей прямыми красителями: плюсовочно-запарный и плюсовочно-роликовый. По 1-му методу ткань обрабатывают р-ром красителя (той или иной конц-ии в зависимости от требуемой интенсивности окраски) на двухвальной плюсовке при 85°, пропускают через зрельник и промывают врасправку, проводя через промывную часть агрегата, в первой коробке которого для фиксации красителя осуществляют обработку кипящим р-ром (20—30 г/л) Na_2SO_4 . Длительность обработки в зрельнике (т-ра 100°) при крашении в темные цвета достигает 3 мин. По 2-му методу ткань после плюсовки обогревают с помощью тепловых лучей при 80—85° и в спец. камере накатывают на ролик. По этому методу можно получать такие же результаты, как и по предыдущему, однако в данном случае скорость выщипывания красителя существенной роли не играет, так как время фиксации можно по желанию увеличить. Максим. выбираемость красителей по 2-му методу несколько выше. П. М.

44560. Опыт непрерывного крашения лент. Бартошек (Zku-enosti s kontinualnim barvenim stuh. Bartoněk Bohumil), Textil, 1955, 10, № 7, 209—210 (чеш.)

При непрерывном крашении лент прямыми красителями труднее всего обеспечить регулирование выщипывания красителя и ровноту окраски; это достигается путем пропитывания лент конц. р-рами красителей с добавлением загустителей (крахмала, камеди), при т-ре ~20°. Затем для фиксации проводят обработку влажным паром (т-ра 95—100°) в течение 1—5 мин. Конц-ия красителя в р-ре ~50 г/л (для черного 50—70 г/л); дальнейшее повышение конц-ии не влияет на цвет и снижает стойкость окраски. Новый метод позволяет значительно снизить расход красителя, воды, пара и затраты труда. З. Б.

44561. Крашение шерсти металлосодержащими красителями. Эндер (Über das Färben von Wolle mit Metallkomplexfarbstoffen. Ender W.), Textil-Praxis, 1955, 10, № 6, 578—583 (нем.; рез. англ., франц., исп.)

Известные в настоящее время металлосодержащие красители для шерсти относятся к группам: 1) платиновых и неолановых, применяемых в сильноокислой среде, 2) неоплатиновых, окисляющих из нормально-окислых р-ров и 3) не содержащих сульфогрупп типа ирганолов, цибалянов, ортоланов, виаланов и изоаланов, применяемых из слабоокислых и нейтр. р-ров. Для обеспечения ровноты окраски при применении красителей 3-ей группы рекомендуется введение в р-р препаратов типа «ирганосоли ДА», «неовадина», «аволана» и особенно «униперола W», что позволяет проводить крашение в требующихся случаях и в условиях более кислой среды. Преимущества новых типов красителей в части простоты использования и высокой прочности окраски создают широкие перспективы для дальнейшего развития их синтеза и выпуска. П. М.

44562. Крашение кислотными хромосодержащими красителями. 1 часть. Диркес (Das Färben mit sauren Chromkomplexfarbstoffen. 1. Teil. Dierkes G.), Reyon, Zellwolle und and. Chemiefasern, 1954, № 4, 202—205 (нем.)

Неудовлетворительная прочность к трению темных окрасок при крашении по способу с одновременным хромированием получается за счет оседания на волокне лака красителя. Этот недостаток в значительной мере устраняется введением в ванну MgSO_4 (способ Калкомет). Образуется комплексное соединение красителя с Mg, устойчивое только в нейтр. среде, которое затем образует комплекс с волокном. При pH < 7 этот комплекс переходит в труднорастворимое устойчивое комплексное соединение хрома. Таким образом, предотвращается

образование большого кол-ва лака в ванне. Более удобны для применения красители, содержащие Cr в молекуле (неоланы, палатинны). Помимо обычных электростатич. связей сульфогрупп красителя с ионизированными в присутствии к-ты аминогруппами шерсти, в случае хромосодержащих красителей Cr^{3+} красителя взаимодействует с недиссоциированными аминогруппами шерсти при посредстве координационных связей. Эти связи и обуславливают повышенную прочность окрасок к мокрым обработкам по сравнению с окрасками кислотными красителями. Однако, при этом краситель не проникает вглубь и дает неровные окраски. Практически крашение проводят в присутствии повышенного кол-ва H_2SO_4 (6—12 вес. %), что приводит к диссоциации NH_2 -групп и к присоединению красителя к волокну лишь за счет взаимодействия сульфогрупп с ионами NH_4^+ -кратерами. При промывке же и нейтр-ции ионы NH_4^+ снова переходят в неионизированные NH_2 -группы и проявляются более прочные, координационные связи хрома. З. П.

44563. Новые данные из практики крашения цибаляновыми красителями. Касти (Neuere Erfahrungen aus der Praxis der Cibalanfärberei. Casty R.), SVF Fachorgan Textilveredlung, 1955, 10, № 4, 196—200 (нем.)

При крашении шерсти цибаляновыми красителями следует вводить в красильную ванну соли аммония (2—5% $\text{CH}_3\text{COONH}_4$ или $(\text{NH}_4)_2\text{SO}_4$), а также выравниватели (1—2% альбатека WS или 2—4% цибаляновой соли N). Для тканей с открытым рисунком переплетения, напр. габардинов, рекомендуется пользоваться неолановыми, а не цибаляновыми красителями, поскольку в условиях более короткого и проводимого при высоких значениях pH крашения цибаляны при наличии в ткани нитей, неоднородных по внутренним напряжениям, не удается предотвратить появления полноты. В конце крашения цибалянами требуется провести обработку к-той, что способствует повышению устойчивости шерсти к действию микроорганизмов, улучшению ее прядильных свойств (снижение электризации волокон), повышению прочности окраски к кипящей воде. В случае необходимости частичного обесцвечивания получившихся слишком темными изделий применяют неовадия AN или AL с последующим удалением его остатков обработкой к-той или аниоактивным препаратом. Окраски цибалянами на полиамидных волокнах отличаются высокой прочностью. В смесях шерсти с полиамидными волокнами цибаляны окрашивают обычно шерсть светлее; поэтому для таких изделий целесообразно пользоваться совместно кислотнхромовыми и цибаляновыми красителями. Л. Б.

44564. Исследования фототропии индантrenoвых красителей. Вайбель (Untersuchungen über die Phototropie von Indanthrenfarbstoffen. Waibel H.), Melliand Textilber., 1955, 36, № 7, 737—740 (нем.)

В связи с рекламациями на «обратимое выцветание» ряда окрасок, связанное с фототропным изменением (ФИ) окраски при возвращении исходного оттенка после выдерживания экспонированных образцов в темноте, исследованы (качественно) явления фототропии для окрасок 128 кубовыми красителями на беленом митлаке. Выкраски производились до 1/3 интенсивности вспомогательных типовых образцов и экспонировались на солнце под стеклом 8 час. (в период август — октябрь 1953 г., в солнечные дни). Слабое, но отчетливое изменение оттенка установлено для индантrenoвых желтых красителей 5GK, 6GK, 7GK, 3GFN и 3RT, золотисто-желтых GK и RK. Интенсивное изменение отмечено для индантрен желтого G. При повышении интенсивности окраски (с 0,5 до 5%) ФИ наблюдается и для

других красителей, напр. зеленого 4G, яркочерного RK. На ФН влияют в-во окрашиваемых волокон и состав атмосферы (большее изменение в отсутствие кислорода). Исчезновение ФН происходит медленно (до 8 суток) при хранении экспонированных образцов в темноте и значительно быстрее при последующей обработке лютиолом, перборатом натрия, мыльно-содовым р-ром (при кипячении). Некоторые обработки, напр., гликолевой к-той + H_2O_2 , активируют ФН. Фототропный эффект имеет существенное значение для выкрасок смесями кубовых красителей (активация, резкое изменение оттенков).

Л. Б.
44565. Достижения в области крашения тканей из искусственных волокон. Петер (Entwicklungen auf dem Gebiete des Färbens von Reyon- und Zellwollgeweben. Peter M.), Textil-Praxis, 1955, 10, № 6, 583—586 (нем.; рез. англ., франц., исп.)

В развитие выявленных возможностей повышения производительности в крашении как путем совершенствования методов крашения на джигтере и красильной барке, так и путем применения непрерывно-поточных способов крашения создан ряд новых конструкций красильного оборудования (спаренные барки, плюсовки с применением запаривания и последующей обработки в р-ре соли, джигтер с одним центральным рабочим валком и двумя боковыми валками для накатки ткани). Установлены преимущества ряда марок хлорантинных и копрантинных прямых красителей. Значительный интерес представляет также новый шведский аппарат для крашения тканей хлопчатобумажных и из искусств. волокон прямыми красителями, предусматривающий пропитывание ткани р-ром красителя, выкатку на ролик при облучении ИК-лучами для нагревания до 90—95° и выдерживание 1 час в камере при этой же т-ре. Скорость выпуска ткани 40—60 м/мин. Предусматривается также возможность крашения тканей из ацетатного волокна дисперсными красителями.

П. М.
44566. Крашение пряжи из целлюлозных волокон антразолевыми красителями. Штробах (Färben von Garn aus Zellulosefasern mit Anthrasol-Farbstoffen. Strobach Günter), Melland Textilber., 1954, 35, № 6, 645—648 (нем.; рез. англ., франц., исп.)

Крашение пряжи антразолями проводят по способам однованному или двухванному, а также по способу с применением CH_3COOH и NH_4OH . Однованный способ применяют для слабо крученной пряжи и при крашении в светлые цвета. Одновременно с красителем в р-р при 45° вводят по 0,5—1 г/л вспомогательных в-в леонил ДБ и солегал А; 0,5—1 г Na_2CO_3 ; 5—25 г/л электролитов (Na_2SO_4 , $NaCl$), добавляемых в 3 приема по 0,3—0,5 г/л $NaNO_2$ (совместно с последней добавкой электролита). Крашение проводят 3/4—1 час. при 40—30°, после чего добавляют 3—5 мл/л H_2SO_4 (96%-ной) для проявления в течение 10—15 мин., промывают и обрабатывают для повышения прочности окраски р-ром 0,3—1 г/л гостапала С или Т. Для высокосубстантивных антразолов смачиватели и электролиты не применяются, а во избежание неровноты окраски крашение производят в присутствии ремоля ОК (0,1—0,3 мл/л). Антразол синий ИБЦ является легко проявляемым красителем, но обладает малой субстантивностью. Крашение им рекомендуется производить при постепенном добавлении CH_3COOH для перевода малосубстантивного тетраэфира Na-соли лейкосоединения в дифер, обладающий более высокой субстантивностью, а также NH_4OH в качестве буфера. Сильно крученную пряжу при применении малосубстантивных антразолов окрашивают по двухванному способу. Проявление проводят в отдельной ванне, содержащей 0,3—0,5 г/л $NaNO_2$ и 3—5 мл/л H_2SO_4 (96%-ной).

Рекомендуется добавлять в проявительную ванну диспергатор солегал А.

З. П.

44567. Крашение ацетатного волокна нерастворимыми азокрасителями. Новый метод получения чистосинего цвета. Холл (Dyeing azoic dyes on acetate. A novel method to secure purer blue shades. Hall A. J.), Text. Mercury and Argus, 1954, 131, № 3429, 1141, 1143 (англ.)

Ацетатное волокно хорошо окрашивается азокрасителями по однованному способу путем обработки р-ром, содержащим азотол и азоамин, сорбируемые волокном одновременно; затем проводят диазотирование, вызывающее тут же сочетание азо- и диазосоставляющих. Однако получение по этому методу чистосиней окраски затруднительно. Так, напр., если применять анилид-2,3-оксинафтойной к-ты и 4-бензоиламино-2,5-дизоксинанилин, после диазотирования на волокне образуется краситель синего цвета со значительно более красным оттенком, чем получаемый при образовании красителя вне волокна, или чем образуется на хлопке при обычном способе крашения. Для устранения отмеченного дефекта рекомендуется после диазотирования обрабатывать окрашенное волокно р-ром в-в, способствующих набуханию ацетатного волокна (этиловый спирт, изопропиловый спирт, ацетон, глицероформаль, монометиловый или монобутиловый эфиры этиленгликоля или диэтиленгликоля, диациетоновый спирт, пиридин, триэтилфосфат). Также найдено, что ряд неионогенных поверхностно-активных в-в в кипящем р-ре мыла оказываются эффективными для указанной цели (продукты конденсации алкилоаминов с жирными к-тами, эфиры полиоксипиленсорбита с жирной к-той с длинной углеводородной цепью, полигликолевые эфиры жирных к-т с длинной углеводородной цепью).

З. П.

44568. Крашение и отделка чулок из найлона. Андру (Dyeing and finishing nylon stockings. Andrew Percy), Dyer, 1954, 112, № 10, 851, 853, 855 (англ.)

Перед крашением проводят стабилизацию чулок на спец. машинах при давлении в автоклаве 1,1—1,7 ат. Крашение проводят красителями для ацетатного волокна на машинах вращательного типа, верхне-лопастных и типа Горри, закрытых, с термостатич. регулированием. Для предохранения от затяжек после крашения и промывки рекомендуется обработка метилметакрилатной или винилацетатной смолой. Для отделки применяют также паровые прессы с деревянными формами. Из числа новых типов оборудования интерес представляют машины: 1. для паковочного крашения; 2. для стабилизации с использованием ИК-лучей.

Л. С.

44569. Сополимеры акрилонитрила и их способность к окрашиванию. Хэм (Acrylonitril-Kopolymere und ihr färberisches Verhalten. Ham George E.), Z. ges. Textilind., 1955, 57, № 11, 594—597 (нем.)

На основании большого эксперим. материала установлена возможность хим. изменений полиакрилонитрила с получением продуктов, способных окрашиваться красителями практически всех групп. Наиболее перспективным является крашение кислотными красителями. Для улучшения общей способности к восприятию красителей полиакрилонитрила должна быть повышена его гигроскопичность, путем, напр., его сополимеризации с мономерами, содержащими гидрофильные группы (—ОН, —COOH, —NH₂). Такие сополимеры проявляют высокое сродство к красителям различных групп и особенно к прямым. Гигроскопичность волокна, однако, не должна быть слишком высокой с тем, чтобы не осложнять процессов сушки и стирки.

З. З.

44570. Адсорбция волокнами красящих веществ красного и черного сапидала. Ньюсам (Adsorption of brazilwood and logwood colouring matters by fibres. Newsome O.), J. Soc. Dyers and Colourists, 1955, 71, № 4, 184 (англ.)

Отмечается, что метод оценки концентрации экстрактов по окрашиванию шерсти, обработанной «окисленной» и «восстановленной» хромовыми протравами (РЖХим, 1956, 20469), практически устарел; обычно применяется лишь полностью восстановленная протрава, причем о содержании гематина судят по результатам непосредственного крашения, а суммарное содержание гематина и гематоксилина устанавливают путем крашения с введением в красильный р-р определенных кол-в NaNO_2 и CH_3COOH , проводя сопоставление получаемых выкрасок с эталонными. Этот метод основан на предположении, что гематоксин не образует окрашенного лака. Хотя это не подтверждается в отношении х. ч. гематоксилина, но технич. продукты значительно устойчивее к окислению, чем очнц., и для них предложенная методика оправдывается. Л. Б.

44571. Факторы, определяющие регулирование температуры на красильных фабриках. Вальтер (Factors of influence on temperature control in the dyehouse. Walter Leo), Dyer, 1954, 112, № 13, 1093, 1095, 1097 (англ.)

Методика заполнения опросных листов при заказе терморегуляторов для красильных машин. Л. Б.

44572. Оценка прочности окрасок в крашении и печатании. Фулон (Du choix des taux de solidité en teinture et impression. Foulon Claude), Ind. Text., 1955, № 823, 471—473 (франц.)

Краткий обзор методов оценки прочности окрасок и таблицы классификации норм и категорий прочности для изделий различного ассортимента. Л. Б.

44573. Применение акриловых смол для крашения и печатания тканей. Виктор в П. П., Текстильная пром-сть, 1954, № 11, 31—33

Выявлена возможность использования акриловых смол в качестве протравы при крашении и печатании хлопчатобумажных тканей основными красителями. Установлено, что указанные смолы наиболее эффективно могут быть применены в виде р-ров в органич. р-рителях окрашенных прессовочных порошков, напр. при использовании в качестве р-рителя мономера метилметакрилата и дибутылфталата как пластификатора. Были испытаны в качестве пленкообразующих в-в при печатании пигментами нитроцеллюлозный лак и первичный конденсат дициандиамидаформальдегидной смолы. Для закрепления окраски рекомендуется пропуск ткани через зрельник в течение 5 мин. при 150° . Прочность окраски к мыльно-содовому р-ру, поту, трению с обоими пленкообразующими 4—5 баллов. Л. С.

44574. Влияние различных пластификаторов на вискозные ткани, обработанные смолами. Мэррей (The effect of various softeners on a resin-treated viscose rayon fabric. Murray E. A.), Amer. Dyestuff Reporter, 1955, 44, № 5, P141—P149 (англ.)

Было испытано 4 типа пластификаторов, вводимых для повышения мягкости изделий в состав р-ра смол при обработках по приданию несминаемости: 1) неионогенный — смесь полиоксэтиленовых производных глицеридов и жирнокислых эфиров ангидридов сорбита (Авкозол), 2) анионоактивный — Na -соль сульфата углеводорода с длинной цепью (Авитон А), 3) катионоактивный — хлористый стеарилдиметилбензиламмоний (Тритон - К-60) и 4) пиридиневый комплекс аммониевого производного углеводородов с длинной цепью (Зелан AP). Качество изделий оценивалось: на опух, по жесткости, по поведению в процессе пошивки, по прочности к истиранию и на разрыв,

по сминаемости, по сопротивлению изгибу, по ломкости при прокатывании, по коэфф. трения. Мягкость noticeably повышается только при обработке катионоактивными и пиридиневыми препаратами; жесткость заметно уменьшается только при обработке 2—4% пиридиневых препаратов. Анионоактивные препараты несколько увеличивают жесткость. Последующая стирка во всех случаях снижает жесткость. Все пластификаторы делают ткань более пригодной к пошивке, особенно после стирки. Прочность к истиранию также возрастает при обработке всеми пластификаторами, особенно после стирки. Несминаемость значительно возрастает только при обработке пиридиневыми пластификаторами. Сопротивление изгибу возрастает или снижается при применении различных пластификаторов, но сильнее всего возрастает после стирки без обработки пластификаторами. Прочность к прокатыванию возрастает при применении пластификаторов типов неионогенного и анионоактивного. Коэфф. трения о металлы снижается при применении всех типов пластификаторов и не изменяется после стирки. А. П.

44575. Действие хлоротщепляющих моющих веществ на ткани, подвергавшиеся обработке по приданию несминаемости. Грезер (Einwirkung von Chlor abspaltenden Waschmitteln auf knitterfest ausgerüstete Gewebe. Graeser W.), Melliand Textilber., 1955, 36, № 5, 459—462 (нем.)

При действии хлора на амносоединения образуются хлорамины, разрушающие целлюлозные волокна. Таким же образом действуют отщепляющие хлор отбеливающие или моющие в-ва на ткань, обработанную для придания несминаемости карбамидными смолами на основе меламин, мочевины и их производных. При крашении, особенно под действием света, образующиеся хлорамины значительно разрушают целлюлозу. Сокращение длительности или снижение т-ры термич. обработки приводит к уменьшению кол-ва хлора, связываемого обработанными смолою волокнами, так как хотя при этом появляется большее число аминогрупп, способных к образованию хлораминов, но одновременно создаются условия более значительного гидролиза и удаления смолы при промывке в щел. среде. На основе результатов определения кол-ва присоединяемого хлора можно судить о степени устойчивости нанесенной смолы на ткани. А. П.

44576. Применение силиконовых смол для обработки тканей. Фортеес (Application of silicone resins to fabrics. Fortess Fred), Canad. Text. J., 1954, 71, № 26, 41—46 (англ.)

В результате обработки ткани силиконовой смолой (I) каждое волокно покрывается сплошной нерастворимой оболочкой смолы. После экстрагирования ацетоном обработанной I ткани из ацетатных волокон остается пленка смолы. На примере этой ткани показаны свойства, приобретаемые тканью после обработки и сохраняющиеся после нескольких стирок и хим. чисток: водоупорность, повышенная устойчивость к истиранию, повышенная прочность на разрыв. В зависимости от структуры ткани наносят от 2 до 25% I, считая на сухое в-во. Обработку тканей производят эмульсией I, выпускаемой в виде 20—40%-ной пасты с содержанием эмульгатора, который не должен уменьшать гидрофобности обработанной ткани после термич. обработки. Практически силиконовая эмульсия содержит частицы размером в среднем $\sim 5\mu$. Катализаторы полимеризации (органич. соли Zn , Sn , Al , Zr или их смесей) вводят непосредственно перед употреблением в рабочую р-ру. I могут быть комбинированы с мочевино- и меламиноформальдегидными смолами, а также с винильными полимерами. З. П.

44577.

мэкин

fens

Jo a

1072

Меха

включат

отделки

с пропу

и план

ризации

обработ

ино-ил

шей до

Возмож

способ

44578.

стиль

as sal

Am st

(англ.)

Фунг

ных из

должны

света,

малых

жать у

токсичн

на хим.

14 вып

Указан

при де

44579.

тован

(Kroc

do kle

Przen

Опыт

пром-ст

крахма

 H_2SO_4)

20—25

молока

ный р-

вого р-

крахма

тому

авалог

расщеп

товани

44580.

стиль

stic

ber,

При

ряд це

лесах

1) путе

ания об

(напр.

дополн

увелич

в-в; 3)

ствую

их кат

римых

дли

Са и

более

вре

рилас

23 Хи

44577. Снижение способности к усадке хлопчатобумажных тканей. Реэе (Zum Problem des Krumpfens von Baumwollgeweben. Reese Heinz-Joachim), Textil-Praxis, 1954, 9, № 11, 1068—1072 (нем.; рез. англ., франц., исп.).

Механический способ снижения усадки тканей заключается в снятии напряжений с волокон в процессах отделки. Обработка тканей производится без натяжения, с пропуском через механизм опережения на шпальцах планерах, филькаландрах, а также путем санфоризации. Хим. способ состоит в фиксировании волокон обработкой продуктом начальной конденсации мочевино- или метаминоформальдегидных смол с последующей дополнительной конденсацией их на волокнах. Возможно также совместное применение указанных способов. З. П.

44578. Применение фунгицидов для обработки текстильных изделий. Егер (Fungicides in textiles as sales-promotion tools. Yeager Charles C.), Amer. Dyestuff Reporter, 1953, 42, № 18, 591—594 (англ.).

Фунгициды, применяемые для обработки текстильных изделий, в частности из целлюлозных волокон, должны проявлять: устойчивость к действию тепла, света, УФ-лучей, окислителей; способность даже в малых количествах предотвращать появление или уничтожать уже появившиеся грибковые споры; миним. токсичность, отсутствие окраски, запаха и влияния на хим. свойства и мягкость изделия. Приведен список 14 выпускаемых фунгицидов и их основные свойства. Указаны 4 из них, ускоряющие окисление целлюлозы при действии солнечного света. З. П.

44579. Растворимый картофельный крахмал для шлихтования хлопчатобумажной пряжи. Рыдзевский (Krochmal ziemniaczany rozpuszczalny przeznaczony do klejenia przędzy bawełnianej. Rydzewski E.), Przegl. spróżywcy, 1955, 9, № 5, 217—218 (польск.).

Опыты, проведенные в Польском ин-те ферментной про-сти, показали, что обработкой картофельного крахмала в среде 1—3%-ной минер. к-ты (HCl или H₂SO₄) в присутствии следов CaSO₄ при 45° в течение 20—25 мин. с последующей и-тр-цией крахмального молока р-ром Na₂CO₃ до pH 6 можно получить однородный продукт: растворимый крахмал с вязкостью 4%-ного р-ра (при 80°) 33—34 сантиу (вязкость исходного крахмала в 4%-ном р-ре 1800 сантиу). Полученный по этому методу водорастворимый крахмал по вязкости аналогичен крахмалу, получаемому ферментативным расщеплением и пригоден для использования в шлихтовании. Л. П.

44580. Фосфорнокислые соли и их применение в текстильной промышленности. Крёмер (Phosphorsäure Salze und ihre Verwendung in der Textilindustrie. Kroeher Frithjof), Melland-Textilber., 1955, 36, № 8, 832—834; № 9, 947—951 (нем.).

Применение фосфорнокислых солей, проявляющих ряд ценных свойств, особенно эффективно в тех процессах текстильного произ-ва, в которых требуется: 1) путем диспергирования и пептизации создать условия образования стабильных тонкодисперсных систем (напр., при промывке, крашении, печатании); 2) путем дополнительного снижения поверхностного натяжения усилить действие применяемых поверхностноактивных в-в; 3) путем комплексобразования связать присутствующие в р-рах ионы металлов для предупреждения их каталитич. влияния, а также образования нерастворимых осадков. Если первоначально фосфаты находили применение лишь как в-ва, связывающие ионы Са и Mg, присутствующие в жесткой воде (среда наиболее эффективного их действия), то в последнее время область их использования значительно расширилась. Установлено также, что применение фосфатов

целесообразно и в условиях мягкой воды. Это вызвало значительное расширение числа выпускаемых под разными наименованиями разновидностей фосфатов, а также их кол-в. Классификация этих соединений, описание методов получения и свойств приведены в таблице. П. М.

44581. Применение полимерных фосфатов в отделке текстильных изделий. Шустер (Polymere Phosphate in der Textilausrüstung. Schuster Karl), Textil-Praxis, 1955, 10, № 6, 600—604 (нем.; рез. англ., франц., исп.).

Применяемые в отделочном текстильном произ-ве фосфаты относятся к группам: I — полифосфатов типа Na_{n+2} PnO_{3n+1}; II — высокополимерных фосфатов, характеризующихся структурой в виде цепей: NaO—P(=O)(ONa)—[O—P(=O)(ONa)]_n—O—P(=O)(ONa)—ONa. Действие полимерных фосфатов основывается на их способности давать комплексные соединения со щел.-зем. и тяжелыми металлами, повышать активность мыла и синтетич. моющих в-в; проявлять пептизирующее и эмульгирующее действие. Практич. использование они находят в процессах: расклихтовки, щел. варки, беления и промывки хлопчатобумажных и льняных тканей, валки и промывки шерстяных тканей, а также крашения и печатания. Особенно широкое применение имеет калдон Т (спец. препарат, совмещающий полезные свойства высокомолекулярных и низкомолекулярных полифосфатов). П. М.

44582. Цвета как ощущение и их систематика. Кордина (Die Farben als Erlebnis und ihre Systematik. Kordina E.), Prakt. Chem., 1954, 5, № 3, 68—70 (нем.).

Популярный обзор принципов систематики цветов (на основе системы Оствальда). Л. В.

44583. Применение учения о цветах к практической оценке выкрасок. Смятек (Erkenntnis aus der Farbenlehre für die Praxis des Farbabmusters. Sмятек Gerhard), Melland Textilber., 1955, 36, № 6, 598—602 (нем.).

Глазомерная оценка выкрасок должна проводиться в условиях правильного их освещения; одним из лучших источников «дневного света» является ксеноновая лампа высокого давления в надлежащем светотехнич. оформлении. Л. В.

44584. Измерение цвета при помощи специального приспособления «МРА». Рихтер, Вейзе (Farbmessung mit dem «zusatzgerät MPA». Richter Manfred, Weise Herbert), Farbe, 1953, 2, № 3/4, 121—126 (нем.).

Для непосредственного определения цвета по системе Германских стандартных карт окрасок (DIN 6164) сконструировано приспособление МРА к фотометрам Пульфриха и Лейтца, дающее возможность определять цветовой тон, насыщенность (светлоту) образцов путем сравнения с эталоном. Приводится пример измерения и расчетов. Приложены фотоснимки фотометров с укрепленными на них приспособлениями. З. П.

44585. Быстрый метод распознавания текстильных волокон в смесях. Сасси (A rapid method of identification of textile fibers in blends. Sassi Daniel), Amer. Dyestuff Reporter, 1953, 42, № 7, 236—240 (англ.).

Разработана схема качеств. анализа смесей природных, синтетич. и искусств. волокон на основе колористич. р-ций при применении смеси красителей: целлюлозно прочного желтого Г, бензопрочного алого 4БА, яркисинего ФФР для шерсти (1:1:1). Более детальное уточнение производится путем применения соответствующих р-рителей. З. П.

44586. Методы испытаний поверхностноактивных веществ, близкие к условиям применения последних в текстильной промышленности. Швен (Anwendungsnahe Prüfmethode für oberflächenaktive Körper in ihrem Einsatz auf dem Textilgebiet. Schwen G.). Z. Elektrochem., 1955, 59, № 4, 256—259 (нем.)

Для оценки свойств поверхностноактивных в-в при научных исследованиях предлагаются методы отрыва кольца и стагмометрический. Для практич. целей разработаны проекты стандартов следующих методов: измерение скорости смачивания (погружения) образца хлопчатобумажной ткани; определение пенообразующей способности и пеноустойчивости; определение способности диспергировать кальциевые мыла; определение устойчивости к жесткой воде; определение моющей способности. Проведены описания методов и аппаратуры (см. также Teintex, 1952, 17, 755—768). Л. Б.

44587. Применение красителей для контроля отделки тканей мочевиноформальдегидными смолами. Маури (Empleo de colorantes en el control del acabado de tejidos con resinas de urea-formaldehído. Mauri Francisco C.). Ingeniería textil, 1955, 22, № 112, 34, 35, 37, 33, 40 (исп.)

Для контроля степени распределения и конденсации смолы в ткани образец окрашивают прямыми или нерастворимыми азокрасителями (10 мин. при 60°), имеющими средство к волокну, либо кислотными красителями (20 мин. при 70°), взаимодействующими со смолой. После промывки, отжима и высушивания все дефекты, определяемые состоянием смолы, становятся ясно видны по неровноте окраски. Для определения кол-ва смолы в ткани рекомендуется применять прямые красители, для определения степени конденсации — кислотные. Метод отлич. простотой и удобством. З. Б.

44588 П. Способ нанесения жидкостей на текстильные волокна. Худ (Methods of applying liquids to textile fibres. Hood R. S.). [Monsanto Chemical Co.]. Англ. пат. 702064, 6.01.54 [Brit. Rayon and Silk J., 1954, 30, № 360, 74 (англ.)]

Массу волокон после обычного разрыхления направляют с помощью сжатого воздуха или путем создания разрежения через трубу, сужающую на одном участке, где включается дополнительная подача воздуха, что сообщает волокнам повышенную турбулентность. Далее в трубу вводится другая воздушная струя, несущая жидкость в распыленном состоянии. Этот метод, обеспечивающий равномерное распределение жидкости на волокнах при точном регулировании ее кол-ва, пригоден для всех видов волокон (включая искусств. и синтетич.). Таким путем на волокно можно нанести до 12% влаги, а также проводить перед кардочесанием обработку колл. р-рами SiO_2 и других реагентов. П. М.

44589 П. Способ и приспособление для приготовления эмульсий шлихтующих и других продуктов. Эйкен (он же Этьенн) (Procédé et dispositif pour émulsionner les produits d'encollage ou autres. Eicken dit Estienne H.). Франц. пат. 1081264, 17.12.54 [Teintex, 1955, 20, № 7, 587, 589 (франц.)]

Для эмульгирования шлихтующих или других продуктов создают циркуляцию р-ра через трубу, проходящую через стенку емкости, в которой проводится эмульгирование, и оканчивающуюся внутри него конич. соплом с параллельной щелью для регулирования скорости и давления струи жидкости, выходящей из сопла. На пути струи помещают пластинку, служащую для передачи р-ру колебаний, частота которых регулируется величиной отверстия сопла. О. С.

44590 П. Метод и состав для шлихтования пряжи. Барретт (Method of sizing yarns and composition

therefor. Barrett Gerald R.). [Monsanto Chemical Co.]. Канад. пат. 507594, 23.11.54

Патентуется способ и состав для шлихтования пряжи из нейлона или подобных волокон, дающий прочную, мягкую пленку, устойчивую в процессе ткачества. Указанный состав представляет собой водн. р-р соли щел. металла сополимера α, β -дикарбоновых к-т (малеиновой, фумаровой, малеинового ангидрида и его алкидных эфиров), алкильная группа которых содержит 1—3 атома С, с полимеризуемыми винильными ароматич. углеводородами (стирол, метилстирол, хлорстирол). В качестве пластификаторов применяют полиэтилен и полипропиленгликоль. Предлагаются, напр., р-р, состоящий из 2—10 вес.% соли щел. металла сополимера стирола, малеинового ангидрида и небольшого кол-ва метилового эфира малеиновой к-ты и 40—100% от веса указанной соли полиэтиленгликоля общей ф-лы $\text{HO} - \text{CH}_2 - (\text{CH}_2 - \text{O} - \text{CH}_2)_x - \text{CH}_2 - \text{OH}$, где x — целое число от 3 до 9. После пропитки указанным составом пряжа высушивается. Патентуется также пряжа, обработанная указанными составами. З. П.

44591 П. Способ одновременного белиenia и крашения. Фукс (Verfahren zum gleichzeitigen Bleichen und Färben. Fuchs Andreas). [Farbwerke Hoechst A.-G. vormals Meister Lucius & Brüning]. Пат. ФРГ 919286, 18.10.54 [Textil-Praxis, 1955, 10, № 3, 296 (нем.)]

Изделия из целлюлозных волокон обрабатывают р-ром, содержащим одновременно устойчивый к белиющему действию кубовый краситель в тонко дисперсной форме и хлорит. После активации хлорита ткань, пропитанную суспензией красителя, проявляют, окисляют и промывают. Можно также вводить в состав применяемого р-ра заранее активированный хлорит. З. П.

44592 П. Способ валки волокон животного происхождения (Verfahren zum Walken von tierischen Fasern) [Böhme Fettchemie G. m. b. H.]. Пат. ФРГ 926602, 21.04.55

Патентуется способ валки волокон животного происхождения или их смесей с другими волокнами, предусматривающий применение в качестве валочных р-ров дисперсий, облегчающих скольжение волокон нерастворимых или трудно растворимых гидрофобных в-в, напр. воска, парафина, или присоединяющих воду в-в, напр. высокомолекулярных алифатич. или циклоалифатич. соединений, содержащих OH - и NH_2 -группы (жирных спиртов), или смесей тех и других в-в. Равным образом могут быть применены отличающиеся большим сходством к воде в-ва, напр. желатина, пектин, соли нуклеиновой к-ты, смолы и слизи. В состав валочных р-ров нового типа могут вводиться также и обычно применяемые для этих целей в-ва (мыло и др.). П р и м е р ы: 1. В 1000 ч. воды при 60° растворяют 50 ч. додеканолсернокислого Na, добавляют при помешивании 500 ч. расплавленного гексадеканола и разбавляют постепенно 4000 ч. воды, продолжая размешивание до охлаждения. 2. В расплавленные 320 ч. парафина и 30 ч. стеариновой к-ты вводят 10 ч. триэтанолamina; полученную смесь тонкой струей при размешивании вливают в 1000 ч. воды при 50° и размешивают до охлаждения. В качестве валочного р-ра используют дисперсию с содержанием 2% твердых в-в. 3. К смеси минер. масла и олеина добавляют KOH в кол-ве, эквивалентном содержанию олеина, незначительное кол-во ализаринового масла (или р-ров пектина или желатины) и немного спирта. Приготовляемые эмульгированием в воде валочные р-ры должны содержать 2—10% полученной смеси. А. М.

44593 П. Способ крашения и печатания изделий из целлюлозных волокон, а также приготовления рас-

твор...
la tei...
et sol...
[Ciba]...
[Teint...
Патен...

из целл...
ийстр...
содерж...
амин, и...
вой от...
= [NH...
содерж...
на; R²...
щее ан...

Озм+1...
соедине...
Связ...
калами...
не соде...
группе...
творим...
при доб...
амино)-...
ния. По...
красите...
сильны...

44594 П.
пат. 1...
Патен...
волокон...
ными об...
ствии с...
ванна

продукт...
1 молд...
первичн...
лой, а...
не боле...
одним в...
монисво...

44595 П.
Ки...
Ltd].
№ 5,
Патен...

тканей...
личающ...
становл...
отжиме...
на плюсс...
щимся...
чего пр...
дечивае...
р-ра в у...
ха. Р-р...
жит в-...
восстан...

44596 П.
синте...
вание...
réserv...
tiques...
10798...
Патен...
в краси...
водорас...
хлорид...
талла с...

твор и составов для его проведения (Procédé pour la teinture et l'impression de matières cellulosiques, et solutions et préparations de colorants appropriés) [Ciba A.-G.]. Франц. пат. 1083819, 1083820, 12.01.55 [Teintex, 1955, 20, № 7, 581 (франц.)]

Патентуется способ крашения и печатания изделий из целлюлозных волокон, отличающийся применением нейтр. или щел. красильных р-ров и печатных красок, содержащих следующие соединения: а) алифатич. амин, имеющий не менее одной аминогруппы, отделенной от оксигруппы 2 атомами С, общей ф-лы $C_nH_{2n} = [NH - C(R^1)(R^2) - CH_2 - OH]_2$ ($R^1 = H$, алкоксил с содержанием < 3 атомов С или оксиметилсодовая группа; $R^2 = H$ или метил, $n \leq 4$); б) соединение, содержащее анионы фосфорной к-ты, общей ф-лы $H_{m+2}P_{m-1}O_{3m+1}$, где $m \leq 2$; в) Сс содержащее малорастворимое соединение красителя, имеющего > 2 азогруппы, в котором Сс связана только с ортооксикарбоксильными радикалами красителя, один из которых, по меньшей мере, не содержит сульфогруппы в орто-положении к оксигруппе. Сс-содержащие красители берут из числа растворимых после осаждения в щел. среде в кол-ве $> 90\%$ при добавлении двойного кол-ва 1,2-ди-(β -оксипропиламино)-этана и 50-кратного кол-ва воды при т-ре кипения. По другому варианту вместо медного комплекса красителя берут исходный краситель и вводят в красильный р-р в-во, отдающее Сс.

О. С. 44594 П. Крашение (Dyeing) [Ciba A. G.]. Австрал. пат. 160565, 27.01.55

Патентуется способ крашения азотсодержащих волокон по олованному методу красителями, способными образовывать комплексы с металлами, в присутствии соответствующих солей металлов. Красильная ванна должна содержать также водорастворимый продукт р-ции не менее 4 молей α , β -окиси алкилена с 1 молей органич. соединения с минимумом одной основной первичной, или вторичной, или третичной аминогруппой, а также со спиртовой гидроксильной группой и не более, чем с двумя аминогруппами, связанными с одним и тем же атомом С, или соль четвертичного аммониевого соединения этого продукта.

З. П. 44595 П. Способ крашения текстильных изделий. Килби (Method of dyeing textile and like materials. Kilby W.) [Standfast Dyers & Printers, Ltd.]. Англ. пат. 717059, 20.10.54 [Dyer, 1955, 113, № 5, 376 (англ.)]

Патентуется поточный способ крашения плотных тканей кубовыми или сернистыми красителями, отличающийся тем, что ткань пропитывают р-ром восстановленного красителя при относительно сильном отжиме (остаточное содержание р-ра в ткани 70%) на плюсовке, затем обрабатывают водн. р-ром, находящимся на поверхности расплавленного металла, после чего пропускают через расплавленный металл, что обеспечивает легкий отжим с оставлением в ткани $\sim 140\%$ р-ра в условиях, исключающих вредное действие воздуха. Р-р на поверхности расплавленного металла содержит в-ва, способствующие растворению химикатов, восстановленный краситель, $Na_2S_2O_4$ и $NaOH$ или воду.

З. П. 44596 П. Способ крашения смесей природных и синтетических полиамидных волокон с резервированием последних (Bain destiné à la teinture avec réserve de mélanges de fibres de polyamides synthétiques et naturelles) [Sandoz Soc. An.]. Франц. пат. 1079896, 3.12.54 [Teintex, 1955, 20, № 8, 646 (франц.)]

Патентуется способ, предусматривающий введение в красильный р-р резервирующего в-ва для них, напр. водорастворимой соли, не являющейся сульфатом или хлоридом (нитрат, бромид, иодид или тиоцианат металла с атомным числом от 3 до 56 или аммония), или

смесь двух или нескольких из этих солей и хлорида металла с атомным числом от 20 до 56. В р-р добавляют также 5—20 г/л диспергатора.

О. С. 44597 П. Способ нанесения пигментов на текстильные изделия. Гензель, Пюттер, Зук-Фюльль, Цервас (Verfahren zum Pigmentieren von Textilien. Gensel Herbert, Pütter Rolf, Suckfüll Fritz, Zervas Paul) [Farbenfabriken Bayer]. Пат. ФРГ 886590, 17.08.53 [Chem. Zbl., 1954, 125, № 39, 8944 (нем.)]

Нанесение пигментов на текстильные изделия, напр. чулки из искусств. шелка, производится с помощью водн. дисперсии пигмента в присутствии водорастворимых продуктов алкилирования уретанов, содержащих группы, способные к образованию ониевых соединений, в частности продуктов р-ции диизоцианатов и диоксисоединений с третичными N-, P- или тиоэфирной группой. Напр., применяется р-р, содержащий в 1000 ч. воды 1 ч. TiO_2 и 0,1 ч. четвертичного соединения, полученного действием диметилсульфата на полиуретан из метилдиэтанолamina и гексадицианата. Вязкозный крем при этом матируется без изменения окраски и устойчивости к свету.

З. П. 44598 П. Способ получения на волокне коричневых нерастворимых азокрасителей (Procédé de production de colorants azoïques bruns et insolubles sur la fibre) [Naphthol-Chemie Offenbach]. Франц. пат. 1046200, 3.12.53 [Teintex, 1954, 19, № 6, 465 (франц.)]

Коричневые нерастворимые азокрасители на волокне получают из щел. солей 1-ациламино-6-оксинафталина или 2-ациламино-7-оксинафталина и диазотированного 4-аминодифениламина или его замещ. производных. Этот способ позволяет получать коричневые расцветки на белом фоне и цветные расцветки на коричневом фоне по способу резервирования с помощью кубозольных красителей в присутствии аммонийных солей летучих к-т, $NaClO_3$ и NH_4VO_3 .

О. С. 44599 П. Способ образования нерастворимых азокрасителей на полиамидных волокнах и их смесей с другими волокнами (Procédé d'obtention de colorants azoïques insolubles dans l'eau sur des fibres de polyamides ou leurs mélanges avec d'autres fibres) [Naphthol-Chemie Offenbach]. Франц. пат. 1079864, 3.12.54 [Teintex, 1955, 20, № 8, 646 (франц.)]

Для образования нерастворимых азокрасителей на полиамидных волокнах их обрабатывают одновременно или последовательно щел. или нейтр. р-рами или суспензиями следующих в-в: А — азосоставляющей ароматич. амина, содержащего алкил-, арил-, алкокси-, флюкси-, amino-, фенилазо- или ациламиногруппу; Б — диазосоединения, получаемого при р-ции оксиди-алкиламина общей ф-лы $RNHR'$ (R и R' — алкилы, из которых по крайней мере один содержит оксигруппу, напр., диэтаноламин или метилэтаноламин) с диазо-производным первичного ароматич. амина, не содержащего нитро-, трифторометил-, циан-, фенилсульфо-, сульфо- или карбоксильных или двух галоидных групп. Далее волокна обрабатывают к-той. Таким образом можно получить прочные окраски или набивки на полиамидных волокнах или на смесях их с хлопком, шерстью и ацетатным филаментарным или штапельным волокном, желтого, красного, бордо, синего, коринф, черного и коричневого цветов.

О. С. 44600 П. Способ получения прочных к свету и погоде окрасок от золотисто-желтого до коричневого цветов на анодированном алюминии и его сплавах (Procédé pour la production de colorations allant du jaune-or au brun foncé, solides à la lumière et aux intempéries, sur l'aluminium et ses alliages oxydés anodiquement) [Durand et Huguenin (A.-G.)]. Франц. пат. 1077348, 5.11.54 [Teintex, 1955, 20, № 6, 495 (франц.)]

Способ окраски состоит в том, что анодированный Al

и его сплавы погружают попеременно не менее 2 раз в водн. р-р гидролизованного коллагена конц-ии 0,05—10% и в водн. р-р KMnO_4 конц-ии 0,01—10%.

О. С.

44601 П. Крашение соломенных цыновок с применением масла из семян *Anacardium occidentale*. Сато, Асагоси (Dyeing of straw mat by the utilization of cashew nut oil. Sato Kaoru, Asagoshi Kazuo). Япон. пат. 1939, 6.05.53 [Chem. Abstrs, 1954, 48, № 8, 4854 (англ.)]

Цыновки окрашивают р-ром в бензоле светлозеленого масла из семян *Anacardium occidentale* и затем набивают печатной краской, содержащей указанный р-р, высыхающее масло, алкидную смолу и красители. О. С.

44602 П. Способ повышения прочности окрасок природных и синтетических материалов (Procédé d'amélioration de la solidité des matières colorantes fixées sur des matières d'origine naturelle et synthétique) [The Bradford Dyers Association Ltd]. Франц. пат. 1079766, 2.12.54 [Teintex, 1955, 20, № 8, 646 (франц.)]

Патентуется способ повышения прочности к трению и мокрому обработкам окрасок и набивок, состоящий в обработке окрашенных материалов в течение 3—15 мин. при 100—200° парами или водн. р-ром изонаната (напр., диизонаната гексаметиленового, 2,4-диизонаната толуолена, 2,4-диизонаната хлорфенилена) в присутствии амида, амидина или аминотриазина. О. С.

44603 П. Составы печатных красок для тканей и методы их нанесения. Симоу (Printing compositions for textile fabrics, methods of printing textile fabrics, and the printed textile fabrics resulting therefrom. Seymour Raymond B.). [Monsanto Chemical Co.]. Канд. пат. 506998, 2.11.54

Патентуются: 1. Способ набивки тканей, заключающийся в нанесении на ткань печатной краски, состоящей из: а) красителя, б) водн. р-ра 0,5—5,0% (от веса печатной краски) аммониевой соли сополимера соединения группы стирола, метилстирола, бутилстирола или хлорстирола и соединения группы производных ангидрида малеиновой к-ты (напр., аммониевой соли сополимера стирола и малеинового ангидрида) с поперечными «мостиками», полученными действием 0,1—1,0% (от веса сополимера) дивинилбензола, и в) CH_2O или образующих CH_2O в-в, с последующими сушкой, запариванием и кратковременной термич. обработкой ткани при 200—300°. 2. Способ набивки тканей, заключающийся в нанесении на них печатной краски, состоящей из растворимого кубового красителя и водн. р-ра 0,5—5,0% (от веса краски) щел. соли сополимера стирола и малеинового ангидрида с поперечными «мостиками», полученными действием 0,1—1,0% (от веса сополимера) дивинилбензола, с последующими сушкой, запариванием и промывкой ткани. 3. Печатные изделия, полученные по описанным методам. В. З.

44604 П. Эмульсии красителей, применяемые для набивки тканей, и способ их получения. Ауэр (Teinture et émulsions colorantes utilisables pour l'impression des tissus et leur procédé de préparation. Auer L.). Франц. пат. 1080028, 6.12.54 [Teintex, 1955, 20, № 8, 646 (франц.)]

Патентуются составы для набивки текстильных материалов, представляющие собой водн. эмульсии типа масло в воде и содержащие в основном следующие в-ва: А — связующее типа смолы, полимеризующейся при $t \leq 105^\circ$, состоящее в основном из а) смолообразного эфира полинасыщенной жирной к-ты и продукта конденсации эпигалондигидрина с многоатомным полифенолом, б) фиксирующих в-в (15—40%), напр. мочевино- или меламиноформальдегидных смол, растворимых в органич. р-рителях, в) пигмента (3—15%), напр. фталоцианина, нерастворимого азокрасителя или

кубового красителя, причем содержание этого пигмента должно быть $< 50\%$ от общего содержания твердых в-в. Б — летучего органич. р-рителя (33,5—64,7%), напр. алифатич. или ароматич. углеводорода или эфирного масла для лаков и красок. Г — воды (15—34,7%). Д — может присутствовать также а) защитный коллоид, напр. метилцеллюлоза или карбоксиметилцеллюлоза, б) эмульгатор, напр. хлористый цетилдиметилбис(этиламоний), и в) в-во, предупреждающее пенообразование. О. С.

44605 П. Печатная краска (Pâte pour impression) [Owens Corning Fiberglas Corp.]. Франц. пат. 1076404, 26.10.54 [Teintex, 1955, 20, № 6, 493 (франц.)]

Новая водн. печатная краска для набивки текстильных материалов, особенно из стеклянного волокна, содержит: 1) 2—6 вес. % производного крахмала, переходящего в нерастворимое состояние при р-ции с комплексным соединением и альдегидом, напр. щел. соли производного крахмала, не жалатинирующего и содержащего карбоксильные и сульфогруппы; 2) 0,5—2 вес. % водорастворимого производного целлюлозы, напр., простого или сложного эфира или соли (напр., карбометилцеллюлозы); 3) сополимер бутадиена и акрилонитрила, содержащий, напр., 15—35 вес. % акрилонитрила; кол-во сополимера приблизительно равно кол-ву крахмала; 4) органич. пигмент в кол-ве, достаточном для получения требуемой окраски. О. С.

44606 П. Крашение и печатание тканей (Dyeing or printing materials) [Ciba A.-G.]. Австрал. пат. 161178, 161179, 3.03.55

Патентуется способ крашения и печатания изделий из целлюлозных волокон металлосодержащими азокрасителями, умеренно растворимыми в воде. Красильный р-р или печатная краска должна иметь р-цию от нейтр. до слабощел. и содержать: 1. Краситель минимум с двумя азогруппами, способный образовывать соединения с металлами, умеренно растворимые в воде; (пат. 161178) Краситель минимум с двумя азогруппами, из которых по крайней мере одна является о'-окси-азогруппой или о-окси-о'-карбоксиазогруппой, способный образовывать комплексные соединения с металлами, умеренно растворимые в воде (пат. 161179). 2. Амин, содержащий не менее одной аминогруппы, отделенной двумя атомами С от ОН-группы. 3. Анион фосфорной к-ты, минимум с двумя атомами Р. 4. Щелочестойчивое соединение металла с атомным номером 27—29. З. П.

44607 П. Установка для печатания сетчатыми шаблонами. Дарль (Machine à imprimer à l'écran de soie. Darles L.). Франц. пат. 1064880, 18.05.54 [Bull. Inst. text. France, 1954, № 50, 139 (франц.)]

Патентуемая установка отличается тем, что на ее опорном столе расположена пластина из стекла или другого прозрачного материала, под которой помещается осветитель, что облегчает трафление в процессе набивки. Установка снабжена двумя сжимающимися боковыми щечками, снабженными пазами, двумя винтами для регулирования (по высоте) положения шаблона относительно стеклянной пластины и рычагами с противовесами для автоматич. опускания и подъема сетчатого шаблона при печатании. Л. Б.

44608 П. Состав для обработки текстильных волокон и пряжи (Mittel zum Behandeln von Textilfasern und Garnen) [Ciba A.-G.]. Швейц. пат. 301410, 16.11.54 [Chimia, 1955, 9, № 2, 48 (нем.)]

Патентуется состав из воды, анионоактивного в-ва, повышающего мягкость волокон, и высококипящего органич. соединения, перегоняющегося с водяным паром и по крайней мере частично растворяющегося в воде для замедления ее испарения. Этот состав придает шелку и искусственным волокнам скользкость и

гибкость, что облегчает их переработку на вязальных машинах.

3. П.
44609 П. Способ получения основных полигликоле-
вых эфиров (Verfahren zur Herstellung eines basis-
schen Polyglykoläthers) [J. R. Geigy A.-G.]. Швейц.
пат. 288633, 288634, 16.10.53 [Ch. m. Abstrs, 1954,
48, № 14, 8555 (англ.)]

Соединения $C_8H_{17}O(CH_2CH_2O)_nCH_2CH_2N(CH_3)_2$
и $2,4\text{-}(\text{трет-}C_8H_{11})_2C_6H_3O(CH_2CH_2O)_nCH_2CH_2N(CH_3)_2$
получают по ранее описанному методу (РЖХим, 1954,
44003). Первое представляет собой пастообразную
массу, второе — масло. Оба соединения растворяются
в воде, давая прозрачные р-ры, и могут применяться в
качестве выравнивателей. Т. Ф.

44610 П. Способ изготовления водорастворимых
продуктов конденсации. Баллауф, Вегаер,
Драпаль (Verfahren zur Herstellung wasserlös-
licher Kondensationsprodukte. Ballauf Al-
bert, Wegler Richard, Drapal
Othmar) [Farbenfabriken Bayer]. Пат. ФРГ
875722, 7.05.53 [Chem. Zbl., 1955, 126, № 8, 1846
(нем.)]

Продукты конденсации фенолов, CH_2O и алкилиро-
ванных ароматич. углеводородов подвергают р-ции
замещения окисью алкила. Получаемые продукты
пригодны для использования в качестве испаншихся
выравнивателей. Пример: 420 ч. продукта конденса-
ции ксилола и CH_2O конденсируют с 290 ч. крезоло
и 3 ч. толуолсульфохлорида при 180—190° до получения
580 ч. твердой смолы. 33 ч. смолы сплавляют с 0,2 ч.
 $NaOH$ и обрабатывают окисью этилена до привеса
68,5 ч. последнего. Паста проявляет высокие выравни-
вающие свойства при крашении. 3. П.

44611 П. Состав для отделки текстильных изделий.
Эймик (Textile-finishing compositions. A. Mick
Chester A.) [American Cyanamid Co.]. Канад. пат.
506932, 2.11.54

Патентуется состав, представляющий собой гомог.
смесь алкилированного метилолмеламина (I), хотя бы
частично растворимого в воде, и соединения (II) общей
формулы $R'_n C_6H_4C(=CR_2)C_6H_4R''_n$ (R — хлор или бром;
 R' и R'' — водород, хлор, бром, алкил или алкокс;
 $n=1$ или 2). На 1 ч. I берут 0,05—1 ч. II. I может быть,
напр., метилированным метилолмеламином, а II —
1,4-бис-(дихлорфенил)-2,2-дихлорэтиленом. 3. П.

44612 П. Способ придания текстильным изделиям,
бумаге, коже, меху и гидратцеллюлозным пленкам
гидрофобности. Ширм (Textilgut, Papier, Cellulosehydratfolien,
Leder und Pelzwerk. Schirm Erik) [Dehydtag
Deutsche Hydrierwerke G. m. b. H.]. Пат. ФРГ
931887, 18.08.55

Патентуется способ придания текстильным и другим
изделиям гидрофобности, основанный на нанесении
на них низкомолекулярных алифатич., изоциклич. или
гетероциклич. полиизоцианатов, полиизоцианатов
или азидов поликарбонатов к-т в смеси с высокомоле-
кулярными одно- или двухатомными спиртами с содер-
жащим ≥ 8 атомов C или одноатомными фенолами, карбо-
новыми к-тами, аминами, после чего проводят термич.
обработку. Возможно также использование для
нанесения на изделия продукта взаимодействия на-
гретых в-в, заранее полученного путем соответствующей
р-ции. Пример: на водяной бане сплавляют
смесь 3 ч. толуилен-2,4-диизоцианата и 4 ч. цетилового
спирта. Продукт р-ции растворяют в 700 ч. бензина.
Этим р-ром пропитывают вискозный шелк, затем его
сушат с рекуперацией р-рителя и нагревают 30 мин.
при 100—120°. Получается гидрофобный эффект, стой-
кий к действию органич. р-рителей и стирке в мыльном
растворе. А. П.

44613 П. Способ обработки текстильных материалов
для придания им водоупорности (Procédé de tra-
itement des matières textiles pour les rendre hydropho-
bes.) [Farbwerke Hoechst A.-G. vormals Meister Lu-
cius & Brüning.]. Франц. пат. 1078673, 22.11.54
[Teintex, 1955, 20, № 8, 649 (франц.)]

Для придания текстильным материалам водоупор-
ности их обрабатывают р-рами в одном или нескольких
инертных органич. р-рителях (напр., в петр. эф., бэл.,
 CCl_4 , трихлорэтилене, перхлорэтилене) следующих
в-в: А — продуктов р-ции 1 моля алколюлята Al (напр.,
алколюлята галоидированного Al, полученного р-цией
алифатич. спирта с $AlCl_3$), иногда с последующей термич.
обработкой и гидролизом, причем алколюлята Al
может быть стабилизирован с помощью органич. ле-
гучих соединений, способных образовывать комплексы,
и 0,2—2,5 моля органич. кислого одноосновного со-
единения (предпочтительно высшей алифатич. карбоно-
вой к-ты), способного образовывать соли Al; Б — вы-
сокомолекулярных парафиновых углеводородов, напр.,
парафинового воска; В — природных или синтетич.
восков и (или) Г — высокомолекулярных полихлори-
рованных углеводородов в виде вязкого масла или твер-
дого в-ва. Далее следует сушка обработанного мате-
риала при $t_{\text{ре}} > 50^\circ$ в присутствии влаги. О. С.

44614 П. Способ гидрофобизации волокнистых ма-
териалов (Rendering fibrous materials hydrophobic)
[Badische Anilin- und Soda-Fabrik]. Англ. пат.
717624, 27.10.54 [Dyer, 1955, 113, № 5, 377 (англ.)]

Патентуется способ, заключающийся в пропитке
материала смесями: 1) сополимеров виниловых эфиров
ароматич. спиртов (напр. виниловых эфиров циклогек-
сила и декагидронафтила) с олефинами, содержащими
в молекуле > 4 атомов C и изопропилиденную группу
(напр., 3-метилбутен (2), 2,3-диметилбутен (2), 2,4-
диметилпентен (3), 2,2,4-триметил-3-метил-бутил-
пентен (3), 2,6-диметил-4-изопропилиденпентан);
2) парафина или других жиров или восков. При m е р.
2—5 вес. ч. сополимера, состоящего из 80 ч. винилового
эфира циклогексила и 20 ч. смеси олефинов, содержащей
 $\sim 70\%$ 2,4-диметилпентена (3) и 5—10 ч. парафина
(т. пл. 54—56°), растворяют в CCl_4 . Хлопчатобумаж-
ную ткань пропитывают этим р-ром и высушивают на
воздухе или при умеренной $t_{\text{ре}}$. В. З.

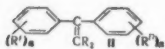
44615 П. Получение продуктов конденсации модифи-
цированных меламиноформальдегидных смол и изде-
лия, обработанные ими (Production of modified me-
lamine formaldehyde resinous condensation pro-
ducts and materials treated therewith) [Monsanto
Chemical Co.]. Англ. пат. 720068, 15.12.54 [J. Soc.
Dyers and Colourists, 1955, 71, № 3, 152 (англ.)]

Продукты конденсации водорастворимых меламино-
формальдегидных смол получают нагреванием р-ра
меламина, CH_2O и салициловой к-ты или ее солей
со щел. металлами (0,5—2,0 молекулы салициловой
к-ты или ее соли на 1 молекулу меламина). Реагенты
смешивают с водой, осторожно нагревают до получения
прозрачного р-ра, затем продолжают нагревание до
получения продукта требуемого мол. веса. Указанные
продукты применяют для повышения прочности бумаги
в мокром виде и в качестве отделочных препаратов
для текстильных изделий. 3. П.

44616 П. Метод обработки текстильных материалов,
содержащих шерсть. Эймик (Method of treating
wool-containing textile materials and products there-
of. A. Mick Chester A.) [American Cyanamid
Co.]. Канад. пат. 506939, 2.11.54

Патентуется способ придания текстильным мате-
риалам, содержащим шерсть, малоусадочности и моле-
стойкости, заключающийся в обработке смесью час-
тично водорастворимого алкилированного метилол-
меламина (I) и соединения типа (II), где R — хлор или

бром, R' и R'' — водород, хлор, бром, алкил, алкокси, n = 1 или 2 (напр., смесью метилированного метилол-меламина с 1,1-бис-(дихлорфенил)-2,2-дихлорэтиленом или с 1,1-дихлор-2,2-дихлорэтиленом). Берут 0,05—1 часть II



на каждую часть I с тем, чтобы в готовом изделии содержалось 2—25% продукта конденсации от веса сухого материала. После высушивания материал подвергают термич. обработке при 120—200° Е. Т.

44617 П. Способ защиты текстильных материалов от повреждений (Procédé pour la protection des textiles) [Commonwealth Scientific and Industrial Research Organization]. Франц. пат. 1078898, 24.11.54 [Teintex, 1955, 20, № 8, 651 (франц.)]

Патентуется способ защиты текстильных материалов из шерсти и других волокон животного происхождения от разрушения личинками насекомых, отличающийся применением для обработки этих материалов поверхностно-активных анионных в-в — алкил- или арилсульфокислот или их водорастворимых солей, или сульфатов жирных спиртов и их водорастворимых солей, предпочтительно, при нагревании или в кислой среде, в условиях, обеспечивающих их взаимодействие с волокном. Пригодными для применения по этому способу являются соединения общей ф-лы: $R(C_6H_4)_nSO_3H$; $R'(C_{10}H_7)SO_3H$; $R''(R''')(C_6H_4)_nSO_3H$; $R''''OOC-CH(-CH_2COOR''')SO_3H$ (R — алкил с прямой или разветвленной цепью с содержанием > 8 атомов C, R' и R'' — алкилы с прямой или разветвленной цепью с содержанием > 3 атомов C, непосредственно связанных с нафталиновым ядром, R''' и R'''' — алкилы с прямой или разветвленной цепью, содержанием > 6 атомов C.

44618 П. Обработка синтетических текстильных волокон и изделий из них. Питерс (Treatment of synthetic textile materials. Peters H. W.) [British Nylon Spinners, Ltd]. Англ. пат. 717698, 3.11.54 [Brit. Rayon and Silk J., 1953, 31, № 369, 88 (англ.)]

Для предупреждения пожелтения и снижения прочности к разрыву и истиранию изделий из синтетич. волокон (в частности, из полиамидных) в процессе фиксации обработки, обычно проводимой при t-ре до 225°, предлагается вводить в состав волокон до 1% соединений типа фенола, гидрохинона, резорцина, β-нафтола, катехина или продуктов их замещения галлоидами или алкильными, карбоксильными, сульфогруппами. Целесообразно одновременно проводить и обработку высокофосфорноватистой к-ты согласно англ. пат. 639893. Текстильные изделия пропитывают водн. р-ром стабилизирующего в-ва и высушивают. Испытания образцов трикотажа из найлона после обработки β-нафтолом и исходных, подвергнутых нагреванию 15 мин. при 216°, показали снижение устойчивости к истиранию, соответственно, на 4,5 и 15% и вязкости р-ров найлона, соответственно, на 9 и 29%.

44619 П. Непрерывная обработка бесконечного кабеля после придания. Уэрмелл, Миллидж (Verfahren zur fortlaufenden Naßbehandlung eines frisch gesponnenen endlosen künstlichen Fadenkabels. Wormell Robert Louis, Millidge Alfred Frank) [Courtaulds Ltd]. Пат. ФРГ 879281, 11.06.53 [Chem. Zbl., 1954, 125, № 16, 3604 (нем.)]

Для отверждающей обработки кабеля из вискозных или казиновых нитей его вводят в жидкость, отличающуюся более низкой плотностью сравнительно с в-вом нитей таким образом, что он опускается на находящуюся внутри жидкости решетку с отверстием, через ко-

торое и выбирается при скорости, автоматически регулируемой весом его витков, лежащих на решетке. О. С.

44620 П. Огнестойкие текстильные изделия и способ их получения (Textiles imprégnés d'un produit ignifuge stable et leur procédé d'ignifugeage) [Dr. Quehl et Co. G. m. b. H.]. Франц. пат. 1080314, 8.12.54 [Teintex, 1955, 20, № 8, 653 (франц.)]

Патентуется способ придания текстильным изделиям огнестойкости, состоящий в обработке их в р-рах, содержащих следующие окисей металлов, напр. трехокиси сурьмы, окиси свинца, окиси сурьмы; б) хлорированный поливинилхлорид в р-ре или дисперсии, обеспечивающий фиксацию указанных окисей на волокнах; в) слабые щелочи, напр. аммиак или триэтилоламин, в кол-ве, достаточном для установления pH ванны ≥ 7; г) (иногда) гидрофобные в-ва, напр. жирные к-ты, мыла или эмульсии восков или парафинов, пигментные красители и (или) в-ва, придающие текстильным изделиям мягкость. Обработанные изделия могут быть затем пропитаны р-ром, содержащим формат или ацетат Al или другие, придающие водоупорность в-ва.

44621 П. Способ придания огнеупорности действием растворов, содержащих соли титана и сурьмы (Flameproofing by titanium- and antimony-containing solutions) [Du Pont de Nemours and Co., E. I.]. Англ. пат. 721586, 12.01. 55 [Dyer, 1955, 114, № 1, 55 (англ.)]

Патентуется усовершенствованный способ придания изделиям из целлюлозных волокон огнеупорности, основанный на применении р-ров, содержащих соли Ti, Sb и одноосновной к-ты. Напр., стабильный разб. р-р сурьмяно-титанового комплекса получается при взаимодействии технич. $TiCl_4$ и Sb_2O_3 в присутствии H_2O (соотношение: 1 моль HCl на 2 моля $TiOCl_2$ и на 1 моль $SbCl_3$). После пропитывания этим р-ром при ~ 25° и отжима изделие пропускают через осадительную ванну с содержанием к-т, NH_4OH , солей аммония, гидратов окисей или солей щел. металлов для образования на волокнах титано-сурьмяного комплекса в водонерастворимой форме. Далее проводят тщательную обработку изделия р-ром мыла и промывку. Пример: безводн. $TiCl_4$ вводят в воду в условиях, способствующих выделению газообразного HCl. Полученный р-р, содержащий 400 г/л TiO_2 и 380 г/л HCl, смешивают с равным объемом р-ра $SbCl_3$ (содержание 400 г/л Sb_2O_3). В смешанном р-ре содержание TiO_2 и Sb_2O_3 составляет каждого по 200 г/л. Ткань пропитывают в этом р-ре 5 мин., накатывают туго на ролик, выдерживают 15 мин., обрабатывают насыщ. р-ром Na_2CO_3 до нейтр-ции, обрабатывают р-ром мыла, промывают, высушивают и проводят термич. обработку (15 мин., 105°). При испытаниях ткань обнаруживает высокую огнеупорность.

44622 П. Аминированные смолы, содержащие фосфор, и применение их для придания текстильным волокнам огнестойкости. Ривс, Гатри (Résines aminées contenant du phosphore et procédé d'obtention de fibres organiques rendues ininflammables à l'aide de ces résines. Reeves Wilson A., Guthrie John D.) [Albright & Wilson Ltd]. Франц. пат. 1078709, 23.11.54 [Teintex, 1955, 20, № 8, 649, 651 (франц.)]

Для получения невоспламеняемых синтетич. смол вводят в р-цию: а) полифункциональное соединение, содержащее аминофенокси- или ацильную группу, напр., меламин, гуанидин, мочевины или производные целлюлозного волокна, содержащее первичные аминогруппы, напр., аминотетраэтированные волокна хлопка; б) хлористый тетраakis-(оксиметил)-фосфоний или окись трис-(оксиметил)-фосфина, и в) (иногда) CH_3O при 50—100°. Р-цию прекращают до завершения про-

поса конденсации; пропитывают текстильный материал вода. р-ром или суспензией полученного продукта, сушат, напр. при 65° и проводят термич. обработку при 80—160° в течение 4 мин. О. С.

44623 П. Усовершенствованный способ обработки нитей. Мак-Леллан (Perfectionnement aux procédés de traitement de fil. McLellan K. Murray) [Courtaulds Ltd]. Франц. пат. 1080781, 13.12.54 [Teintex, 1955, 20, № 8, 655 (франц.)] Патентуется способ обработки текстильных нитей (вискозных) при повышенной т-ре, уменьшающий потери тепла и отличающийся тем, что нить наматывают в форме спирали и нагревают эту спираль, заставляя циркулировать внутри нее в-во, переносящее тепло, напр. водяной пар, р-р разб. к-ты, воду, маслообразное в-во, или другие жидкости, обычно применяемые для обработки волокон. Для применения этого способа сконструирована аппаратура. О. С.

44624 П. Усовершенствованный способ и устройство для изготовления тканей с приклеенным ворсом (Perfectionnements aux procédés et dispositifs de floquetage des tissus) [Soc. An. de Machines Electrostatiques «S. A. M. E. S.»]. Франц. пат. 1078990, 24.11.54 [Teintex, 1955, 20, № 8, 651 (франц.)]

Патентуется способ закрепления волокон ворса на поверхности ткани, при котором устраняется закатывание волоконца ворса на решетке в электростатич. машине, отличающийся тем, что зону между поверхностью конвейерного полотна с ворсом и решеткой, а также саму решетку подвергают действию тока воздуха, скорость которого достаточно высока, чтобы вызвать встряхивание ворсинок, находящихся в электростатич. поле, но недостаточна для извлечения этих ворсинок из зоны, находящейся под решеткой. О. С.

44625 П. Плиссированные изделия из нейлона и способ их получения (Nylon plissé and process of making same) [Sayles Finishing Plnts, Inc.]. Англ. пат. 708753, 12.05.54 [Dyer, 1954, 112, № 2, 125 (англ.)]

Для получения складчатых эффектов на ткани из нейлона предлагается ее обработка 30%-ным р-ром галоидоуксусной к-ты или какой-либо другой галоидоамец. алифатич. монокарбоновой к-ты, напр. монохлор-, дихлор-, трихлор-, бромуксусной, альфахлор-, бетахлор-, альфабром-, бетабромпропионовой. Так, монохлоруксусную к-ту соответствующей конц-ии в смеси с загусткой наносят на изделие путем печатания в виде полос с небольшими интервалами. По другому варианту на изделие наносят путем печатания в виде полос резерв, напр. парафиновую эмульсию и стearат аммония в равных частях, затем проводят обработку всего изделия монохлоруксусной к-той. При введении в р-р к-ты, применяемой для усадки нейлона, красителей для ацетатного волокна, получают одновременно окраску соответствующих участков. Волокна, обработанные названными к-тами, приобретают увеличенное сродство к прямым, кислотным, ацетатным, основным и кубовым красителям, что дает возможность получить различные эффекты окраски. Примерный состав печатной краски: монохлоруксусная к-та (кристаллич.) 20 г, вода — 15 г, крахмальная загустка — 4 г. Через 5 мин. после печатания изделие тщательно промывают в теплой воде, сушат без натяжения, затем пропускают через ширительную раму без подогрева. Л. С.

44626 П. Способ получения веществ с высоким содержанием серы. Хове, Фуке (Verfahren zur Herstellung hochschwefelhaltiger Stoffe. Hove Hugo vom, Fuchs Otto) [Deutsche Gold- und Silber-Scheideanstalt vormals Roessler]. Пат. ФРГ 911544, 17.05.54 [Chem. Zbl., 1955, 126, № 11, 2566 (нем.)]

Патентуется способ получения в-в с высоким содержанием серы, по которому: 1) к водн. р-ру щел. или щел.-зем.сульфидов или смесей их с щел. или щел.-зем. сульфидами добавляют при повышенной т-ре CH_2O и неорганич. и (или) органич. к-ты, причем pH реакционной смеси устанавливается ~ 6—8; 2) добавляют минер. к-ты отдельно или в смеси, включая CO_2 ; 3) в конце р-ции присутствует избыток CH_2O или к-ты. Пример: 145 ч. безводн. Na_2S растворяют в 1,8 л холодной воды, добавляют водн. р-р H_2SO_4 , содержащий 95 ч. H_2SO_4 96%-ной, и затем нагревают до 85°. В течение $\frac{3}{4}$ часа постепенно вводят 1,5 л водн. р-ра, содержащего 56 ч. CH_2O и 95 ч. H_2SO_4 96%-ной. При этом образуется белый хлопьевидный осадок, который промывают водой. Получаемый продукт (содержание S 50—70%) может быть применен в качестве матирующего в-ва в текстильной промышленности. О. С.

См. также: 44059, 44218, 44523, 44681, 44789, 44854, 44960, 44991, 44998, 45210, 45257.

ВЗРЫВЧАТЫЕ ВЕЩЕСТВА. ПИРОТЕХНИЧЕСКИЕ СОСТАВЫ

44627. Современное состояние химии взрывчатых веществ. Намба (火薬化学における最近の話題・難波桂芳). Химия и промышленность, Kagaku to kōgō, Chem. and Chem. Ind., 1953, 6, № 11, 593—598 (япон.) Обзор. Библ. 20 назв. К. Т.

44628. Механизм горения порохов и взрывчатых веществ. Поханссон (Mechanism of combustion gunpowders and explosives. Johansson C. H.). Engrs. Digest., 1954, 15, № 1, 12—14, 36 (англ.) См. РИХим, 1955, 12747.

44629. К вопросу об оценке чувствительности взрывчатых веществ к механическим воздействиям по результатам испытания на копре. Андреев К. К., Маурина Н. Д., Русакова Ю. А., Докл. АН СССР, 1955, 105, № 3, 533—536

Показано, что стандартный метод определения чувствительности взрывчатых в-в к удару испытанием их на копре дает лишь условную, в отдельных случаях не отражающую действительность характеристику их опасности в обращении. На примерах испытания порошкообразного и прессованного, парафинированного и непарафинированного азида свинца как с применением стальных, так и свинцовых прокладок подтверждена теория Холево, согласно которой необходимым условием возникновения взрыва при ударе является смещение частиц взрывчатого в-ва относительно друг друга, приводящее к возникновению местных разогревов. Если же взрывчатое в-во обладает малой текучестью или испытание его проводится при таких условиях, которые не благоприятствуют их течению, то даже очень легко взрывающиеся в-ва могут давать очень малую частоту взрывов. М. Ф.

44630 П. Получение нитрамин. Райт, Чут (Nitramines and their preparation. Wright George, Chute Walter John) [The Honorary Advisory Council for Scientific and Industrial Research]. Пат. США 2678927, 18.05.54

3,7-Динитропентаметилентетрамин получают обработкой гексаметилентетрамина конц. HNO_3 ; образовавшийся гексоген отделяют от маточного р-ра и, доведя pH этого р-ра до 5,6, осаждают 3,7-динитропентаметилентетрамин, после чего его отделяют от маточного раствора. Н. П.

44631 П. Производные гуанидина. Мак-Кей (Guanidine derivatives. McKay A. F.) [Minister

of national defence of her majesty's canadian government]. Англ. пат. 712461, 21.07.54 [J. Appl. Chem., 1955, 5, № 3, 1413 (англ.)]

Вещества общей ф-лы $O_2NHNC(NHC_6H_4R) = N(CH_2)_2NHNO_2$ ($R = H$, низший алкил, алкоксил, галогид, окси- или ациламидогруппа) получают р-цией 1-нитро-2-нитроамино-4,5-дигидрогликоксалина (I) с $H_2NC_6H_4R$ в кипящем водн. или конц. спирте. Смесь 8,5 ч. I, 9,4 ч. анилина и 65 ч. 95%-ного спирта кипятят 75 мин., затем охлаждают и подкислением 10%-ной HCl выделяют 8,5 ч. N'-нитро-N'-фенил-N-(2-нитроаминоэтил)-гуанидина, т. пл. 139,5—140,5°. Аналогично получены другие производные N'-нитро-N-(2-нитроаминоэтил)-гуанидина (указаны заместители у N' и т-ра плавления): *n*-анизил, 176,5—177°; *n*-фенетил, 134—135,5°; *n*-хлорфенил, 155—156°; *n*-бромфенил, 153—153,5°; *n*-толил, 163,5—164°; *m*-хлорфенил, 124—125°; оксифенил, 172—173°; *n*-втор-амилфенил, 137—138°; *n*-ацетамидофенил, 185—189°. Продукты обладают взрывчатыми свойствами, усиливающимися при дальнейшем нитровании. В. У.

44632 П. Взрывчатые смеси. Бауден, Блэквуд (Explosive mixtures. Bowden F. R., Blackwood J. D.). Англ. пат. 715827, 22.09.54 [Chem. Abstr., 1955, 49, № 4, 2736 (англ.)]

В состав черного пороха, не содержащего S, входит 70% KNO_3 и 30% древесного угля, к которому добавлял 10—15% какой-либо соли муравьиной к-ты и щел. металла. Такие пороха по своим свойствам сходны с обычными, содержащими серу. М. Ф.

44633 П. Чувствительные составы, содержащие нитрогуанидин или гуанидиннитрат, образующие при взрыве газообразные продукты. Тейлор, Хатчисон (Sensitized gas producing compositions containing nitroguanidine or guanidine nitrate. Taylor James, Hutchinson Alexander Cantlay) [Imperial Chemical Industries Ltd]. Канад. пат. 490241, 3.02.53

Недетонирующие взрывчатые заряды состоят в основном из нитрогуанидина или гуанидиннитрата, содержащих Cu-сенситизатор, представляющий собой медь, окись меди, хлористую или щавелевокислую медь. В частности, патентуется добавка 2—20% хлористой меди к гуанидиннитрату. М. Ф.

44634 П. Иницирующий взрывчатый состав для снаряжения детонаторов и способ его получения (Composition pour amorces de détonateurs et son procédé de fabrication) [Imperial Chemical Industries, Ltd.]. Франц. пат. 1075495, 18.10.54 [Chimie et industrie, 1955, 74, № 3, 484 (франц.)]

Состав содержит в основном азид свинца и небольшое кол-во средней свинцовой соли динитрофенола, в частности 2,4-динитрорезорцина. М. Ф.

44635 П. Аммиачноселитренное взрывчатое вещество. Дейвидсон, Ригби (Ammonium nitrate blasting explosives. Davidson Samuel, Rigby Charles) [Imperial Chemical Industries Ltd]. Пат. США 2680068, 1.06.54

Для повышения водостойкости применяемых для взрывных работ взрывчатых в-в рекомендуется добавлять к ним в процессе получения небольшое кол-во какого-либо набухающего или растворимого в воде эфира целлюлозы или крахмала; эфир должен быть равномерно распределен в полученной смеси. М. Ф.

44636 П. Способ производства зажигательного шнура и составов, применяемых для его изготовления. Зенфтман, Форлин (Process for the manufacture of fuzes and composition therefor. Zenftman Henryk, Forlin Joseph Emlyn) [Imperial Chemical Industries Ltd]. Канад. пат. 492055, 14.04.53

Тщательно смешивают способную к быстрому горению смесь восстановителя и такого соединения свинца, которое при нагревании разлагается с образованием окиси свинца и свободного O_2 , детонирующего термoplastического материала, содержащего нитроцеллюлозу, желатинированную нелетучим пластификатором, и выпрессовывают состав в виде сплошного прутка, предварительно добавляя к нему вещества, препятствующие затвердеванию состава во время выпрессовывания. В качестве таких в-в применены водорастворимые алифатич. поликарбонатовые к-ты, кислый щавелевокислый калий, бутиловый эфир этилглицерола и смеси этих в-в в кол-ве 2% от веса пластифицированной нитроцеллюлозы. Выпрессовывание производят при 80—115°. Б. К.

ЛЕКАРСТВЕННЫЕ ВЕЩЕСТВА. ВИТАМИНЫ. АНТИБИОТИКИ

44637. Пост участия Imperial Chemical Industries в производстве фармацевтических продуктов. — (I. C. I.'s growing interests in pharmaceuticals.—), Manufact. Chemist, 1955, 26, № 7, 300—302 (англ.)

44638. Проблема использования отходного сульфатного скипидара для производства лекарственных веществ. Бобранский, Якубец, Поморский (Zagadnienie wykorzystania odpadkowej terpentyny szarezanowej do produkcji środków leczniczych. Bobranski B., Jakóbiec T., Pomorski J.). Acta polon. pharm., 1955, 12, № 2, 91—96 (польск.; реф. русс., англ.)

При дистилляции польского сульфатного скипидара (отхода) получают 40% пиненовой фракции (или 23% чистого пинена), очищенной от соединений серы и пригодной для синтеза терпингидрата и камфоры. Выход последней на исходный скипидар ~50% выхода, получаемого из экстракционного скипидара. Я. Ш.

44639. Об использовании отходов в производстве ациланилидсульфохлоридов. Барашков С. Г., Артюхова Т. Г., Мед. пром-сть СССР, 1955, № 3, 26—28

Предложен способ регенерации H_2SO_4 и HCl из избыточной $ClSO_3H$ в процессе произ-ва сульфохлоридов (I): ациламинобензол-I, *n*-хлорбензол-I и *n*-фенилуретилан-I путем двуступенчатого разложения сульфомассы. Предложены способы использования отходной H_2SO_4 в разных отраслях пром-сти. Ю. В.

44640. 3-метилпентин-ол-3, как новое снотворное. Ульрих (Über das 3-Methylpentin-ol-3 als Vertreter eines neuen Schlafmitteltypus. Ullrich W.). Österr. Apoth.-Ztg., 1954, 8, № 50, 778—779 (нем.)

В качестве нового снотворного предлагается 3-метилпентин-ол-3 (I), $CH_3C(OH)(C \equiv CH)CH_2CH_3$, жидкость с острым вкусом, т. кип. 122°, с щел. р-ром Ag-солей I дает нерастворимый осадок. Пройдя фармакологич., биохимич. и клинич. испытание, I показал хорошую активность как снотворное, незначительную токсичность и отсутствие побочных явлений при назначении внутрь. I применяется также при удалении зубов и с некоторым успехом, при состоянии психич. напряжения. Ю. В.

44641. Анилин как продукт разложения препаратов новокаина. Цёльнер, Ваштаг (Anilin als Zersetzungsprodukt von Novocain-Zubereitungen. Zöllner Eva, Vastagh Gábor), Pharmaz. Zentralhalle, 1955, 94, № 1, 3—8 (нем.)

Установлено, что, помимо известных продуктов разложения препаратов новокаина (I) — *n*-аминобензойной к-ты (II) и диэтиламиноэтанола, уменьшающих анестезирующее действие I, но безвредных для организма, при хранении I, в результате декарбоксилирования

П. обра
и pH с
ние III
торое п
I. Исп
дступа
нах, ко
рующей
жен (от
которые
лами, о
метриче
с фенол
больши

44642.

Ко п
Belge
1955,
нем.)

Опис
600 m

44643.

сниж
syjne
Farm
Дан

ных ср
тительн
Циба п
действи

album

держат
циклоп
йервин
вератри

гермари
мой Саи

СССР

сальсо

44644.

ной С

Вас

nabil

Wa

12, J

Хром

делени

ственн

бумаге

9—12,5

няли:

зильов

Указан

HCl ил

насыщ.

сальны

пола (I

100 мл

конц.

Итери

теризо

ванный

шением

10 м.

техник

ча или

различ

турным

44645.

мощ

II, образуется анилин (III). Исследовано влияние т-ры и pH среды на образование III; наибольшее образование III наблюдалось при pH 6, установлено также некоторое повышение образования III из более конц. р-ров I. Испытание 60 образцов препаратов I, на которые поступали жалобы, показало отсутствие III в тех образцах, которые дали только снижение местного анестезирующего действия или были окрашены; III был обнаружен (от 10 до 120 μ /мл) в тех образцах, применение которых сопровождалось побочными действиями (болями, отеками и т. п.). III определялся в отгоне бромометрически и колориметрически (синее окрашивание с фенолом и хлораминем T в щел. среде), причем в большинстве случаев результаты хорошо совпадали.

Ю. В.

44642. Производство хинина в бельгийском Конго. Копе, Яммар (La production de quinine au Congo Belge. Corpet A., Jammarr M.), Ind. chim. belge, 1955, 20, № 8, 869—875 (франц.; рез. флам., англ., нем.)

Описание произ-ва хинина на заде, перерабатывающем 600 т хинной корки в соли хинина.

Ю. В.

44643. Растительное сырье, содержащее алкалоиды, снижающие давление. Мушинский (Hipotesyjnę surowce alkaloidowe. Muszynski Jan), Farmacja polska, 1955, 11, № 5, 102—103 (польск.) Дан обзор новых гипотензивных алкалоидных лекарственных средств, описаны их применение и исходное растительное сырье. Алкалоид резерпин выпущен фирмой Цига под названием серпасиль. Сильное гипотензивное действие оказывают препараты из растения *Veratrum album* L. или *V. lobelianum* Bernh. v. *Liliaceae*, содержащие алкалоиды, являющиеся производными циклопентенфлуорена или циклопентенфенантрена: вератрин $C_{27}H_{39}O_3N$, рубийверин $C_{27}H_{43}O_3N$, протOVERATRIDIN $C_{32}H_{51}O_3N$, протOVERATRIN $C_{35}H_{61}O_3N$, гермарин $C_{37}H_{55}O_{11}N$. ПротOVERATRIN выпущен фирмой Сандоз под названием пуроверин. В Фармакопее СССР VIII введен открытый Ореховым алкалоид сальсолидин.

Я. III.

44644. Хроматография алкалоидов на фильтровальной бумаге. Маргасинский, Шиманская, Василевская (Chromatografia alkaloidów na bibule. Margasiński Z., Szymañska A., Wasilewska L.), Acta polon. pharm., 1955, 12, № 2, 65—84 (польск.; рез. рус., англ.)

Хроматография на бумаге использована для определения и разделения алкалоидов в сложных лекарственных формах. Определение вели на фильтровальной бумаге в виде полосок (2×25 см), кружков (диам. 9—12,5 см) или листов. В качестве р-рителей применяли: спирты (этиловый, амиловый, бутиловый, бензальдовый), этиловый эфир, хлороформ и их смеси. Указанные р-рители насыщали водой, NH_3 , CH_3COOH , HCl или буферами с известным pH. Применяли также ласущ. водой пиридин или анилин. Наиболее универсальными оказались почти насыщ. водой смеси бутанола (I) с CH_3COOH (II) или HCl (к-той) (III). Напр., 100 мл I + 20 мл II + 48 мл H_2O или 100 мл I + 20 мл конц. III + 38 мл H_2O . Наиболее удобным из охарактеризованных проявителей является усовершенствованный проявитель Драггендорфа, получаемый смешением следующих р-ров: а) $Bi(OH)NO_3$ 0,85 г, II 10 мл, H_2O 40 мл; б) KJ 8 г, H_2O — 20 мл. Описана техника получения хроматограмм с применением р-ров «а» или «б» 10 мл, II 5 мл, H_2O 25 мл. Полученные для различных алкалоидов величины R_f близки к литературным. Исслед. можно вести с навесками 5—100 мг.

Я. III.

44645. Количественное определение алкалоидов с помощью ионообменных смол. Фишер (Quantitative

Alkaloid-Bestimmung mittels Jonen-Austauscher. Fischer A.), Pharmaz. Ind., 1955, 17, № 10, 418—420 (нем.)

Для отделения морфина (I) от примесей других алкалоидов применена анионообменная смола Dowex 2 (D) (полистиролдивинилбензолная смола с четверичными аммониевыми группами); хроматографич. колонка заменена более совершенным «методом взбалтывания» р-ра I с D. Опыты с чистыми хлоргидратами эфедрина, бензилморфина, наркотина, папаверина и хинина, бромгидратом эметина, метансульфатом бензилморфина и фосфатом кодеина показали, что метод позволяет определять 97,2—100% исходного алкалоида. D количественно адсорбирует I. Навеску HCl — I с примесью побочного алкалоида растворяют в чистом метаноле (II) и взбалтывают 3 мин. при 40—45° с 10 г D, добавляют II, вновь взбалтывают 3 мин., фильтруют со скоростью 3—5 мл/мин, перколируют II пока не прекратится помутнение при прибавлении 1%-ного р-ра фосфорновольфрамовой к-ты. Для определения побочного алкалоида элюат (50—60 мл) разбавляют водой и титруют 0,1 н. HCl в присутствии бромкрезолозеленого. Адсорбированный D I элюируют 50%-ной CH_3COOH со скоростью фильтрования 3 мл/мин и осаждают 2,4-динитрофторбензолом, охлаждают 1—2 часа льдом, фильтруют, дважды промывают по 1,5 мл ацетона, сушат 1 час при 75° и взвешивают динитрофениловый эфир I. Из обычных примесей к I адсорбируется D наряду с I только нарцеин. Разрабатывается аналогичный способ определения I в опии.

Ю. В.

44646. Морфинные алкалоиды в качестве болеутоляющих средств. Бентли (The morphine alkaloids and the alleviation of pain (I). Bentley K. W.), Chem. Prod., 1955, 18, № 10, 372—374 (англ.) Отмечена роль опиинных алкалоидов как анальгетиков. Кратко описано их разделение и приведен краткий обзор работ по выяснению структуры морфия и его синтезу.

Ю. В.

44647. О некоторых свойствах продажного вератрина. Сообщение 3. Аутерхофф, Штауберг (Über einige Eigenschaften des handelsüblichen Veratrina. 3. Mitteilung. Auterhoff H., Stauber H.), Arch. Pharmazie, 1954, 287, № 1, 27—34 (нем.)

Трудность разделения продажного вератрина (I), состоящего приблизительно из 74% цевадина (II) и 26% вератридина (III), объясняется тем, что II и III склонны к ассоциации и образованию молекулярных соединений (напр. из 50% II и 50% III). При разделении I методами адсорбционной и распределительной хроматографии и методом противоточного распределения лучшие результаты получены при противоточном распределении: 10 г I обрабатывали 2,8%-ным водн. р-ром CH_3COOH и $CHCl_3$, по 200 мл в каждой фазе; после 10-кратного повторения процесса проводили 5 операций по методу «однофазного изъятия» (Hecker E., Darlson P., Z. Naturforsch., 1950, 5b, 237); получено 2,82 г 79,4%-ного III, 2,33 г 10,2%-ного III, 3,82 г II. Разработан метод качеств. определения III в I: 50—100 мг в-ва смешивают с 2—3 г безводн. $AlCl_3$ и нагревают 30 мин. при 170—180°; растворяют в 50 мл воды, нейтрализуют $NaHCO_3$ до pH 7. При наличии III от каплей 1%-ного р-ра $FeCl_3$ — желтозеленое окрашивание. Предложен метод колич. определения III в I: навеску 500—100 мг I нагревают с 10 мл 72%-ной H_2SO_4 , 15 мин. при 180° (т-ра бани). Охлаждают реакционную смесь, выливают в 40 мл воды и прибавляют 1 мл 1%-ного р-ра $FeCl_3$. Охлаждают, прибавляют 30 мл 25% NH_4OH до pH ~9, разбавляют до 100 мл, фильтруют и определяют содержание III с помощью фотометра Pulfrich с фильтром S-50. Сообщение 2 см. РЖХим, 1954, 43031.

Т. П.

44648. Определение чистоты гликозидов наперстянки. Мерфи (Determination of the purity of digitalis glycosides. Murphy James E.), J. Amer. Pharm. Assoc. Scient. E., 1954, 43, № 11, 659—661 (англ.)

Подробно описана методика (модификация способа Jensen'a, Acta. Pharmacol Toxicol., 1952, 8, 101) определения общего кол-ва примесей (стероидов ряда гитоксина — дигитоксина, дигитоксина и ланатозидов С) в гликозидах наперстянки и ее препаратах, основанная на измерении с помощью флуорометра флуоресценции, возникающей при р-ции с смесью пропиленикола и HCl. Ю. В.

44649. О присутствии серусодержащего гликозида в семенах *Entada Scandens* Benth. Рангасвами, Рао (A note on the occurrence of a sulphur-containing glycoside in the seeds of entada scandens benth. Rangaswami S., Rao V. Subba), Indian J. Pharmacy, 1954, 16, № 7, 152—154 (англ.)

Гидролиз гликозидов семян *E. Scandens* Benth. (сем. *Leguminosae*) разб. минер. к-той приводит к летучему неустойчивому аглюкону, который из-за легкой окисляемости (или полимеризации вследствие ненасыщенности) не удалось выделить в чистом виде. Присутствие S в аглюконе доказано положительной пробой Лассена, красным окрашиванием при р-ции с щел. нитропруссидом натрия, зеленой окраской с изатионом в конц. H_2SO_4 и белым осадком с спирт. р-ром $HgCl_2$. М. К.

44650. Развитие производства антибиотиков в Англии. Мак-Кин (Antibiotic production development. McKee John E.), Drug and Cosm. Ind., 1955, 77, № 2, 184—185, 270—276 (англ.)

44651. Изучение устойчивости черной горчицы. I. Определение устойчивости синигрина в черной горчице. Вейс-Фог (Undersøgelser over holdbarheden af sort sennep. I. Bestemmelse og holdbarhed af sinigrin i semen sinapis nigrae. Weis-Fogh O.), Dansk tidsskr. farmaci, 1954, 28, № 4, 69—83 (дат.; рез. англ.)

Изучена устойчивость синигрина (I) в порошке черной горчицы (*Sinapis nigra*). I определяется аргентометрически и индотометрически, причем в последнем методе введено элюирование бензином для удаления летучих горчичных масел. Установлено, что разб. NH_3 быстро прекращает энзимный процесс превращения I в мирозин, являясь эффективным средством инактивации энзима. Результаты изучения устойчивости I показали, что черную горчицу следует хранить в необработанном виде. Порошок может сохраняться ограниченное время необезжиренным при относительной влажности 60% и ниже. Обнаружен повышенный гидролиз I при хранении в результате случайного заражения порошка плесенью. Установлено, что один из трех видов выделенной плесени (*Aspergillus*) обуславливает гидролиз I, но без образования мирозина. Ю. В.

44652. Исследование снижающих давление свойств некоторых галеновых препаратов — *Viscum album*, родз. *Loranthaceae*. Самоховец, Кокот, Клейнрок, Гаховский (Badania nad właściwościami hipotensyjnymi niektórych przetworów galenowych Jemioli białej — *Viscum album*, rodz. *Loranthaceae*. Samochowicz L., Kokot F., Kleinrok Z., Gachowski Z.), Farmacja polska, 1955, 11, № 6, 128—132 (польск.)

Дан обзор литературы, относящейся к лечебному применению *Tisum album* (I). Исследовано гипотензивное действие различных галеновых препаратов I. Как оптимальный рекомендуют следующий рецепт экстракта из свежего I: *Herba visci recens* 100,0; CH_3COOH 10,0; спирта 70° 200,0. После семи дней

мацерации нейтрализуют $NaHCO_3$ и фильтруют. В случае сухого I кол-во спирта составляет 500 ч. Я. Ш.

44653. Поименение ионообменных смол в приготовлении гиалуроновой кислоты. Сингх (The use of ion exchange resins in the preparation of hyaluronic acid. Singh Chanan), J. Scient. and Industr. Res., 1955, (B—C), 14, № 9, C171—C172 (англ.)

Освобожденные от тканей плаценты и нарезанные на кусочки 1 см пупочные канатики (ПК) промывают лед. водой и обрабатывают ацетоном; 50 г высушенного ацетоном продукта (550 сырого веса) вымачивают при 4—6° в дистилл. воде (I) в течение ночи и растирают в смесителе в тонкую кашку, разбавляют дистилл. водой, с помощью HCl устанавливают pH 2,0 и обрабатывают 10 г пепсина при 37° 24 часа и 15 г трипсина в тех же условиях, но при pH 7,6; гликоген удаляют гидролизом с 5 г такадиастаза при pH 5,1 в течение 6 час., фильтруют, фильтрат подкисляют лед. CH_3COOH до pH 3,5, осаждают 2,5 об. 95%-ного спирта, центрифугируют и растворяют в 350—400 мл I. Полисахарид переосаждают из лед. CH_3COOH , промывают спиртом, диспергируют в I, разбавляют и пропускают через колонку с амберлит IR-120 или IRC-50. Начальные элюаты применяют для первой промывки, последующие фракции собирают. Элюаты пропускают через JR-45, промывают последними промывными водами до JR-120 и I. Аликвотную часть р-ра осаждают спиртом и CH_3COOK и, если обнаруживают положительную биуретовую р-цию, повторяют обработку смолы. К деионизированному р-ру (900 мл) прибавляют CH_3COOK с расчетом на образование 10% р-ра, фильтруют, осаждают 2,5 об. спирта, диспергируют в 300—400 мл I, диализируют 48 час. при 4—6° с I, фильтруют и осаждают 2 об. спирта и 10% р-ром CH_3COOK . Полисахарид вновь диспергируют в I, 4 часа размешивают с 95% спиртом, центрифугируют, дважды промывают абс. спиртом и сушат в вакууме последовательно над жидким парафином и P_2O_5 . Получают белый, волокнистый и гигроскопичный препарат с относительной вязкостью 0,1%-ного р-ра в I 9,0. Выход 2,1 г или 4,2 г из 100 г сухих ПК. Препарат содержит 3,3—3,32% N, 36—38% глюкозамина и 10% золы и показывает отрицательную р-цию на S и P. Идентичность установлено гистерированием с гиалуронидазой *Staphylococcus aureus*. Солиные и водн. экстракты ПК без предварительной обработки протеолитич. энзимами и с оптимальной обработкой смолами также дают свободный от белков продукт. Ю. В.

44654. Влияние различных фенолов на образование перекиси водорода окисью цинка. Матайас, Гат (The effect of various phenols on the formation of hydrogen peroxide by zinc oxide. Mathias Marion, Guth Earl P.), Drug Standards, 1954, 22, № 9—10, 185—189 (англ.)

Показано, что кол-во OH-групп в молекуле фенола, введенного в каламиновые лосьоны, влияет на степень образования H_2O_2 окисью цинка. Фенол и моноацетат резорцина вызывают образование одинакового кол-ва H_2O_2 ; 0,1% пирогаллола действуют так же как 1% резорцина. Увеличение концентрации фенолов выше оптимальной приводит к уменьшению образования H_2O_2 . М. К.

44655. Определение окиси цинка в каламиновом лосьоне. Пернарровский, Чаттен (The determination of zinc oxide in calamine lotion. Pernarowski M., Chatten L. G.), Drug Standards, 1954, 22, № 9—10, 181—184 (англ.)

10 мл препарата пипеткой переносят в мерную колбу на 10 мл, фильтруют на воронке Бюхнера, колбу ополаскивают дистилл. водой, присоединяя ее к образцу на воронке. Осадок промывают холодной дистилл. водой до нейтр. р-ции на лакмус, переносят вместе с фильтром

в стакан, умеренно нагреваю 5 мин. с 50 мл 1 н. H_2SO_4 и перемешивают, пока будет продолжаться растворение. Осадок отфильтровывают и промывают горячей дистилл. водой до нейтр. р-ции на лакмус. Охлажд. фильтрат доводят до 250 мл и 50 мл р-ра с 1,5 г NH_4Cl титруют 1 н. $NaOH$ с метилоранжем. 1 мл 1 н. H_2SO_4 эквивалентен 40,69 мг ZnO . Вследствие непостоянного содержания ZnO в различных образцах дозозонов кол-во H_2SO_4 может доходить до 75 мл. М. К.

4466. Образование перекиси водорода в каламиновых лосьонах. Рис, Гат (Formation of hydrogen peroxide in calaminations. Reese Davis R., Guth Earl P., J. Amer. Pharm. Assoc. Scient. Ed., 1954, 43, № 8, 491—495 (англ.))

Степень образования H_2O_2 в каламиновых лосьонах (КЛ) зависит от входящих в его состав компонентов (влияет сорт ZnO , Fe_2O_3 подавляет образование H_2O_2 в отсутствие добавок) и не находится в линейной зависимости от времени. Старение КЛ увеличивает его способность к образованию H_2O_2 при облучении особенно солнечным светом, а также (при большей экспозиции) искусств. источниками освещения. Сам по себе КЛ не обладает эффективной бактериостатич. активностью, последняя увеличивается при добавлении 1% фенола (или) облучении УФ-светом. Фенол и образующаяся H_2O_2 взаимно усиливают действие друг друга. М. К.

44657. Изучение приготовления лекарственных средств, не дающих повышения температуры. II. Обработка соединениями хинона. Судзюки (無発熱性薬品の製造に関する研究. 第2報. キノン系化合物の処理についてその1. 鈴木周一), 薬学雑誌, Якугаку даэси, J. Pharm. Soc. Japan, 1953, 73, № 6, 619—621 (япон.; рез. англ.)

Описаны результаты обработки различными хим. соединениями лекарственных препаратов для удаления из них пирогенных примесей, дающих положительную пробу с реагентом ТВР. Установлено, что весьма эффективными в этом отношении являются *n*-хинон, толухинон, *n*-ксилохинон, α -нафтохинон, антрахинон и хлорантл. Обработкой хинонами негодных для употребления инъекционных р-ров глюкозы или культуральных фильтратов грибов успешно удаляли пироген, что было подтверждено результатами испытания на присутствие пирогена и данными испытаний на животных. Ч. I см. РЖХим, 1955, 30180. Л. М.

44658. О5 изготовлении суппозиторий для жарких стран. Бибар (Sur la réalisation de suppositoires dragés, fés utilisables dans les pays chauds. Bibard Jean), Ann. pharm. franç., 1955, 13, № 7—8, 502—505 (франц.)

Обычные суппозитории (С) с плавким (при т-ре, несколько превышающей т-ру тела) носителем не могут применяться в жарких странах. Предложено покрывать С из масла какао и т. п. слоем сахара толщиной ~1,5 мм (весом ~1,2 г); такой С слегка смачивается перед употреблением, сахар быстро растворяется в анальной полости; для предотвращения раздражающего действия к сахару можно добавлять анестетики. Для предохранения сахарной оболочки от возможного разрушения при расширении плавкого содержимого при хранении предложено оставлять при изготовлении внутри С небольшое полое пространство. Для предохранения сахарной «раковины» от действия влаги необходимо обернуть С станиолом и хранить в водоупорной таре. Ю. В.

44659. Бромометрическое определение важных лекарственных веществ. Кауфман, Арендс (Zur Bromometrie arzneilich wichtiger Verbindungen. Kaufman H. P., Arends W.), Arch. Pharmazie, 1954, 287/59, № 9—10, 590—601 (нем.)

Исследование возможности применения бромометрич. метода анализа (р-р Вг в CH_3OH , насыщ. $NaBr$)

для колич. определения составных частей эфирных масел, сульфонамидов (I), производных пурина (II), антипирина (III) и эфиров *n*-аминобензойной к-ты (IV) показало полную пригодность этого метода. Приведены кривые изменения времени бромирования исследованных в-в, колеблющегося от 5 мин. до 24 час. Средние ошибки определения для I 0,01—0,48%, для II 0,01—0,09%, для III 0,03%, для IV 0,2—0,4%. Применительно к I способ показывает хорошие результаты в тех случаях, когда применение водн. р-ров Вг дает колеблющиеся и ненадежные результаты. Авторы приводят подробное описание анализов каждого из перечисленных в-в и считают, что разносторонняя применимость метода позволяет принять его в качестве официального стандартного способа. Ю. В.

44660. Опыт ионофоретического и хроматографического разделения на бумаге ряда симпатикомиметиков. Вагнер (Papierionophoretische und papierchromatographische Trennversuche in der Reihe der Sympathicomimetica. Wagner G.), Scientia pharm., 1955, 23, № 3, 148—156 (нем.)

Сообщены результаты опытов ионофореза на бумаге с цитратными, фосфатными, гликокол/ $NaOH$ и боратными буферами ряда симпатикомиметиков: первитина, эфедрина, веритола, симпатола, эдрина, суприфена, алудрина, адреналина и норадrenalина. Ю. В.

44661. Титрометрическое определение ксилокаина с помощью соли Рейнеке. Анкен, Ланьер (Dosage titrimétrique de la xylocaïne (N. D.) au moyen du sel de Reinecke. Hanquin J. M., Lapiere C.), J. pharm. Belgique, 1955, 10, № 7—8, 246—250 (франц.; рез. флам.)

Известен способ определения ряда оснований осаждением их солью Рейнеке (I), растворением в ацетоне (II) и измерением абсорбции спектрофотометром. Авторами предложен титриметрич. способ определения ксилокаина (III) и других анестетиков при помощи I, позволяющий работать с навеской 15—30 мг, которую растворяют в 5—10 мл 1%-ной H_2SO_4 , прибавляют 10 мл свежеприготовленного и профильтрованного 1%-ного р-ра I, оставляют на 2 часа на холоду и фильтруют в сухой сосуд; фильтрат (Ф) сохраняют. Метод А: осадок промывают 20 мл лед. воды, растворяют в II, фильтр промывают 40 мл воды, к водно-I Ф прибавляют 1 мл жидкости Фелинга и кипятят 10 мин.; по охлаждению прибавляют 20 мл 25% HNO_3 , 5 мл 0,1 н. $AgNO_3$ и титруют 0,1 н. или 0,05 н. NH_4SCN в присутствии Fe -квасцов. Метод Б: к 10 мл Ф прибавляют 20 мл воды, 2 мл жидкости Фелинга и далее как в методе А, но с добавлением 10 мл 0,1 н. или 0,05 н. $AgNO_3$. Аналогично устанавливают титр I. Методы А и Б взаимно контролируют друг друга. Описанным способом определено методом А: III с навесками 18—40 мг 97,07—102,16%; HCl -лидокаина с навесками 18—30 мг 96,61—98,57%; II с навесками 18—21 мг 84,15—90%; тутокаина с навесками 18—30 мг 85,7—88%; методом Б: III 98,61—102,5%; HCl -лидокаина 99,27—99,91%; новакаина 97,04—103%; тутокаина 96,2—101,3%. Пониженные числа по методу А объясняются потерями при промывке осадка комплекса водой, поэтому метод Б рекомендуется как основной. Ю. В.

44662. Испытания на примесь канифоли в лекарственных средствах. Фишер, Холл (Tests for rosin in official pharmaceuticals. Fischer Louis, Hall Nathan A.), J. Amer. Pharm. Assoc. Scient. Ed., 1955, 44, № 3, 150—152 (англ.)

Авторы, проверив официальные способы обнаружения примесей канифоли (I) в различных смолах, балзамах и маслах, пришли к выводу, что проба с ацетатом Ca и проба Либермана-Сторча-Моровского (II) с $(CH_3CO)_2O$ и конц. H_2SO_4 не являются универсальными для всех испытуемых продуктов и обнаружи-

вают примеси I в кол-ве не менее 1%. Более чувствительна модифицированная проба II — обработка $(\text{CH}_3\text{CO})_2\text{O}$ р-ра испытуемого в-ва в петр. эф. Указанные пробы менее чувствительны, если фальсифицированные I продукты предварительно нагревались. Попытки авторов заменить $(\text{CH}_3\text{CO})_2\text{O}$ для обнаружения I другими апетилирующими и бензоилирующими средствами, а H_2SO_4 — другими дегидратирующими в-вами не дали повышения чувствительности р-ции. Ю. В.

44663. Оценка мелиссы, культивируемой в Польше. Рашейова (Wartość melisy uprawianej w Polsce. Raszejowa W.), Biul. nauk., 1955, 1, № 3, 116—119 (польск.; рез. русс., нем.)

Определено методом, указанным в Польской Фармакопее III, содержание эфирного масла (I) в сырье *Pol. Melissa*, полученном из различных областей Польши. Содержание I составляет 0,15—0,27%. Физ.-хим. свойства отдельных образцов I следующие: d_{20}^{20} 0,900—0,935; $[\alpha]_D^{17}$ $D = 1^\circ, 65'$ до $-16^\circ 45'$; n_D^{20} 1,4930—1,5058. Процентное содержание альдегидов в I (гидроксиметодом) в пересчете на цитраль составляет 31,60—69,34%. Я. Ш.

44664. О5 определении производных антрацена в некоторых слабительных лекарственных веществах. Пари, Давид-Кюни (A propos du dosage des dérivés anthracéniques dans quelques drogues purgatives (Bourdaine, Cascara, Rhubarbe, Séné), Paris R., David-Cuny M. F., M-m-e), Ann. pharm. franç., 1955, 13, № 7—8, 488—494 (франц.)

Подробно описана методика и приведены результаты колич. определения свободных антрахинонов и антраполов, общего содержания антраценов и связанных антраполов в крушине, каскаре, ревене и листьях кассии. Ю. В.

34665. Определение качества *Tinctura Chelidonii*, приготовленной по III изданию Польской Фармакопее. Дембицкая, Качмарек (Ocena wartości Tinctura Chelidonii. F. P. III. Dębicka K., Kaczmarek F.), Farmacja polska, 1955, 11, № 6, 125—128 (польск.)

Применение *Tinctura Chelidonii* затрудняется переменностью хим. состава препарата. Анализы различных образцов дали следующие данные: уд. вес 0,899—0,909, сухой остаток 1,84—3,31%, зольность 0,2—0,57%, что не соответствует требованиям Польской Фармакопее III. Для определения содержания алкалоидов применяли методику Квасневского с небольшими изменениями. 1 г измельченного корня + 5 мл CH_3OH + 10 капель конц. H_2SO_4 упаривают почти досуха, замешивают с 2 мл 40%-ного р-ра КОН и 7 г Al_2O_3 (для хроматографирования), переносят порошок в трубку ($d = 1,5$ см, $l = 25$ см) и промывают 90 мл CHCl_3 (2 капли/сек.). Фильтрат упаривают, добавляют 2 мл 0,1 н. р-ра H_2SO_4 , 5 мл H_2O и несколько капель нейтр. реактива Майера. Осадок отфильтровывают и промывают водой. В фильтрате оттитровывают, избыток к-ты 0,1 н. р-ром КОН (индикатор—метилловый красный). 1 мл 0,1 н. р-ра $\text{H}_2\text{SO}_4 = 0,0353$ г алкалоида в пересчете на хелидонин. Методика дает результаты, хорошо согласующиеся с определениями по методу Германской Фармакопее. Я. Ш.

44666. Турбидиметрическое определение малых количеств хлоридов. Беламорич, Фуке (Turbidimetrijsko određivanje malih količina klorida. Belamarić Tomislav, Fuks Zeljko), Acta pharm. jugoslav., 1955, 5, № 2, 99—104 (хорв.; рез. англ.)

Описан способ турбидиметрич. определения примесей хлоридов в фармацевтич. препаратах. Определе-

ния производились в фотоэлектрич. колориметре Klett-Summerson при конц-ях AgNO_3 , установленных Фармакопеей США (XIV изд.). Отмечено значительное изменение мутности суспензий AgCl при стоянии: в первые минуты после прибавления реактива мутность быстро возрастает, область максимума сохраняется короткое время, затем начинается медленное падение, в соответствии с осаждением AgCl . Продолжительность максимума помутнения зависит от конц-ии и т-ры. Величины помутнения при различных конц-ях, отсчитанные через одинаковые промежутки времени, лежат, как правило, на кривой, а значения максимума помутнения — на прямой. Способ дает хорошо воспроизводимые результаты с точностью $\pm 2\%$ при конц-ях $\text{Cl}^- 10^{-3}$ — 10^{-5} н. и пригоден для определения примесей хлоридов в дважды перегнанной воде и препаратах декстрозы и глюкозата Са для инъекций. Ю. В.

44667. Руководство по безопасности для потребителей дезинфекционных средств. Барай (A guide to safety for disinfectant users. Barail Louis C.), Clean and Maintain, 1955, 3, № 1, 55—57 (англ.)

Обзор современных дезинфекционных средств, имеющих в-в и дезодораторов с указанием их применения, степени токсичности, летальных доз и раздражающего действия на кожу и слизистые оболочки носа, горла, глаз и пищеварительного тракта. Ю. В.

44668. Четверичные соединения — новая группа дезинфицирующих веществ. Зимний (Die Quartärnarien, eine neue Gruppe, von Desinfektionsmitteln. Zymny E.), Chem. Rundschau, 1955, 8, № 17, 344—345 (нем.)

Обзор. Библ. 7 назв.

Ю. В.

44669 Д. Влияние света на лекарственные вещества. Соловьев Н. В. Автореф. дисс. канд. фармацевт. н., Моск. фармацевт. ин-т, Иркутск, 1955

44670 Д. Некоторые папоротники Грузии, как промышленное сырье для получения лекарственного препарата. Гелбахиани П. Г. Автореф. дисс. докт. фармацевт. н., Тбилис. мед. ин-т, Тбилис, Грузмедгиз, 1955

44671 П. Средство против кокцидоза. Джонсон, Массел (Coccidiosis control. Johnson Julius E., Jr., Russell Dorsey R.) [The Dow Chemical Co.]. Канад. пат. 493665, 16.06.53

Для подавления кокковой инфекции у птиц в корм вводят в качестве активного ингредиента дифенолы ф-лы: $(2-X, 3-Y, 4-Z, 5-Cl-C_6H_2)(R)_2$, где оба R одинаковы и представляют CH_3 или H. Из X и Z один является гидроксилом, а другой водородом. Y — метил, хлор или водород, если Z является гидроксилом. Y — метил или хлор, если R является водородом, а X гидроксилом. Y — метил, хлор или водород, если R является метилом, а X гидроксилом. Дифенол содержится в указанном составе в кол-ве 0,1—1,0 вес.% и представляет собой, в частности, 2,2-ди-(4-окси-5-хлорфенил)-пропан или ди-(2-окси-3,5-дихлорфенил)-метан. Г. Н.

44672 П. Способ получения производного аспирина. Бикман (Aspirin derivative and method of making. Bickman Stewart M.) [Reheis Co., Inc.]. Пат. США 2698332, 28.12.54

Для получения производного аспирина, обладающего антикислотными свойствами, вводят не менее двух OH-групп на каждую ацетилсалицильную группу в конечном продукте, и для предотвращения разложения получаемого производного, тщательно размешивают водн. суспензию геля $\text{Al}(\text{OH})_3$, способного к р-ции с к-той, и ацетилсалициловой к-ты в отношении, не

превышающем 1 моля к-ты на 1 атом Al в геле; размещают до тех пор, пока не установится постоянство pH смеси и отделяют образовавшееся нерастворимое производное от жидкости. Ю. В.

44673 П. Способ получения ртутных соединений ряда *n*-аминосалициловой кислоты. Эрхарт, Руниг, Ледичке (Verfahren zur Herstellung von Quecksilberverbindungen der *p*-Aminosalicylsäure-Reihe. Ehrhart Gustav, Ruschig Heinrich, Leditschke Heinrich) [Farbwerke Hoechst A.-G. vormals Meister Lucius & Brüning]. Пат. ФРГ 914974, 12.07.54 [Chem. Zbl., 1955, 126, № 1, 161 (нем.)]

Для получения указанных Hg-соединений, являющихся диуретическими средствами, 4-ацетиламино-2-оксibenзойный эфир действием аллиламина переводят в соответствующий аллиламид, последний этерифицируют алифатич. галоидкарбоновой к-той и продукты р-ции обрабатывают Hg-солями. 4-Ацетиламино-1-(N)-3'-оксимеркур-2-метоксипропил-(1')-(карбамин)-феноксикислотная к-та-2 (I). Нагревают метиловый эфир 4-ацетиламино-2-оксibenзойной к-ты с аллиламином в трубке при 105° с образованием 4-ацетиламино-2-оксibenзилаллиламида (т. пл. 218°), превращают его действием хлоруксусной к-ты и NaOH при охлаждении в 4-ацетиламино-1-(N-карбаллиламидо)-феноксикислотную к-ту-2 (т. пл. 231°) и кипятят последний с Hg²⁺-ацетатом и CH₃OH. I: т. разл. 195°; Na-соль, гигроскопич. кристаллич. порошок. Аналогично получается

4-ацетиламино-1-[N-(3'-оксимеркур-2'-оксипропил)-карбамидо]-2-феноксикислотная к-та, т. пл. 203°; 4-ацетиламино-1-[N-(3'-оксимеркур-2'-оксизтоксипропил)-карбамидо]-2-феноксикислотная к-та, т. пл. 196—197° (разл.); 4-ацетиламино-1-[N-3'-оксимеркур-2'-β-оксипропилоксипропил)-карбамидо]-2-феноксикислотная к-та, т. пл. 194° (разл.); 4-ацетиламино-1-[N-(3'-оксимеркур-2'-оксизтилоксизтоксипропил)-карбамидо]-феноксикислотная к-та-2; 4-бутириламино-1-[N-(3'-оксимеркур-2'-оксизтоксипропил)-карбамидо]-феноксикислотная к-та-2, т. пл. 168—169°. В. Д.

44674 П. Ртутные диуретики и способ их получения. Шарп (Mercurial diuretics and to the preparation thereof. Sharp T. M.) [Wellcome Foundation Ltd]. Англ. пат. 703013, 27.01.54 [J. Appl. Chem., 1954, 4, № 7, ii 98 (англ.)]

Взаимодействием *o*-карбоксиметоксibenз(3-оксипропил-2-метоксипропил)-амида с 1 н. р-ром NaOH и 2,3-дигидропропанолом получают ди-Na-соль 2,3-бис-(3'-*o*-карбоксиметоксibenзамидо 2'-метоксипропилртутьмеркапто)-пропан-1-ол, C₂₂H₃₄O₁₁N₂S₂Hg₂Na₂—ртутный диуретик с малой токсичностью. О. М.

44675 П. Способ получения ароматических тиоэфиров (Verfahren zur Herstellung eines neuen aromatischen Thioäthers) [Cilag A.-G.]. Швейц. пат. 297993, 16.06.54 [Chem. Zbl., 1955, 126, № 8, 1795 (нем.)]

Тиоэфиры общей ф-лы *o*, *n*-(OH)₂C₆H₃SR (I) (R — алкил, оксиалкил, полиоксиалкил, алкоксиалкил, основной замещ. алкил, карбоксиалкил, карбалкоксиалкил, карбамидоалкил, арилалкил, алифатич. или ароматич., а также основной замещ. ацил, пиримидил, тиазол) получают конденсацией 2,4-диокситиофенола, аналогичного с I строения, с соединением ф-лы RY (Y — отщепляющиеся при р-ции остатки) в присутствии основного конденсирующего средства (алкоголяты, карбонаты, бикарбонаты, окиси, гидроокиси щел. металла, третич. основания, пиридин, триалкиламин). Напр., из 2,4-диокситиофенола и *n*-бутилбромида в присутствии C₂H₅ONa после 3 час. нагревания получают 2,4-диоксифенил-*n*-бутилтиоэфир, т. кип. 120°/0,01 мм, не растворимый в воде, разб. HCl и петр. эфире, растворимый в NaOH, смешиваю-

щийся со спиртом, диоксаном, уксусным эфиром, эфиром, CHCl₃ и бензолом; задерживает рост кислотоустойчивых бактерий, обладает фунгицидным и противоглистным действием. С. С.

44676 П. Соли поливалентных металлов фенолендикарбоновых кислот (Polyvalent metal salts of phenylene dicarboxylic acids) [Dunlop Rubber Australia Ltd]. Австрал. пат. 154713, 28.01.54

Из фенолендикарбоновых к-т и их замещ. в ядре производных готовят соли (С), причем один из карбоксилатов каждой карбоновой к-ты нейтрализуют основным радикалом паразитицидного четвертичного аммония, имеющего фенольный коэфф. (определенный по Ридель-Вальтеру) > 100, а другой карбоксил нейтрализуют поливалентным металлом. Патентуются также составы, содержащие С, и материалы, пропитанные С. Ю. В.

44677 П. Рацемизация D-метионина. Тацуока, Хондаэ (Racemization of D-methionine. Tatsuo S. Hondo, Honjo Miki) [Takeda Pharmaceutical Industries Co.]. Япон. пат. 1071, 1072, 13.03.53 [Chem. Abstrs, 1954, 48, № 21, 12795 (англ.)]

По пат. 1071 р-р 100 г D-метионина (I) в 370 мл 2 н. NaOH и 700 мл воды обрабатывают 220 мл (CH₃CO)₂O при 40° в течение 15 час., прибавляют 120 мл 6 н. H₂SO₄, смесь концентрируют в вакууме, остаток экстрагируют 1 л CH₃COOC₂H₅, продукт перекристаллизуют из воды и получают 110 г N-ацетил-DL-метионина (II), т. пл. 111—113°; 96 г II в 1500 мл 10%-ной HCl кипятят 1 час, концентрируют в вакууме, остаток обрабатывают 1400 мл воды, нейтрализуют C₂H₅N, осадок перекристаллизуют из разб. спирта и получают 62 г DL-метионина (III), т. пл. 278—280° (разл.). По пат. 1072 III получают дебензоилированием N-бензоилпроизводного II. Ю. В.

44678 П. Ацилирование аминокислот. Лонг, Хейн (Acylation of aminosulfonic acids. Long Robert Sidney, Hein Delton W.) [American Cyanamid Co.]. Пат. США 2671790, 9.03.55

С целью получения полналоксibenзамидосульфокислот ароматич. аминокислотосульфокислот (производную стильбена, дибензтиофендиоксида, бензола или нафталина) ацилируют (в основном в неводн. среде, включающей третичный амин) полналоксibenзоилгалоидангидридом (алкильные группы низкомолекулярные, по крайней мере одна находится в орто-положении и ацилу); ацилирование ведут в присутствии вспомогательного галоидангидрида (I), производного другой к-ты, (не полналоксibenзойной), константа диссоциации которой 1·10⁻⁵—9·10⁻⁶. I не имеет заместителей, способных взаимодействовать с другими реагентами. Я. Ш.

44679 П. Одностадийный процесс получения бензолсульфонациламидов (Process for the manufacture in one stage of benzene-sulphon-acylamides.) [Oesterreichische Stickstoffwerke A.-G.]. Англ. пат. 710773, 16.06.54 [J. Appl. Chem., 1955, 5, № 1, 195 (англ.)]

Реакцией бензолсульфонамидов (I) с сложными эфирами, производными алкил- или арилалкилкарбоновых к-т и алканолов или фенолов, получают бензолсульфонациламиды общей ф-лы R'SO₂NHR'' (R' — бензольное ядро, которое может иметь ацилируемый заместитель, напр. NH₂; R'' — радикал жирной (напр., CH₃COOH), ароматич. или жирноароматич. к-ты). Р-цию ведут в присутствии щел. агента, напр. Na или K, который вводят в реакционную массу в кол-ве от 1 экв по отношению к I, в случае феноловых эфиров, и до 1—3 экв в случае алкилэфиров. Напр., 6,48 г *n*-CH₃CH₂SO₂NH₂, 8 г CH₃COOC₂H₅, 1,84 г Na и 40 мл CH₃OH нагревают в течение 7 час. при 90° и получают N-ацетилтолулен-*n*-сульфонамид с выходом 45%.

Описано также получение *N'*-ацетурилсульфаниламида, разл. 94—195°; *N'*-ацетилсульфаниламида; *N'*-фенилацетилсульфаниламида, т. пл. 181—182°; *N'*-бензоилсульфаниламида, т. пл. 181—182°; *N'*-бензоил-3,4-диметилсульфаниламида, т. кип. 217°. Я. Ш.

44680 П. Окисульфонамиды и способ их получения. Халткунет, Сабба-Роу, Брайант (Hydroxysulfonamides and preparation of the same. Hultquist Martin E., Subbarow Yellapragada, Bryant Aloysius J.) [American Cyanamid Co.]. Канад. пат. 505294, 24.08.54

Для получения замещ. в аминогруппе гетероциклами *n*-оксисбензолсульфонамидов общей ф-лы $n\text{-HSC}_6\text{H}_4\text{SO}_2\text{NHR}$ (1), где R — гетероцикл. радикал, подвергают гидролизу минер. к-той соединения ф-лы I, в которой H гидроксила заменен ацилом, до замены ацила атомом H. Ю. В.

44681 П. Способ получения *n*-аминобензолсульфонилмочевины. Хак, Шмид (Verfahren zur Herstellung von *p*-Aminobenzolsulfonylharnstoff. Haack Erich, Schmid Walter) [VEB Chemische Fabrik von Heyden]. Пат. ГДР 5341, 6.11.53

n-Аминобензолсульфонилмочевину получают гидролизом бензолсульфанилцианамид (или его соли), содержащего *n*-аминогруппу или превращаемый в нее заместитель, при *t*-рах ниже или выше 60°, созданием таких условий кислой среды, при которых образующаяся кислая соль сульфанилмочевины почти нерастворима, последующим гидролизом ацилированной аминогруппы или образованием последней путем превращения заместителя (напр., NO_2 -группы), находящегося в пара-положении. В качестве среды для гидролиза применяют смеси безводн. или высококонцентрированных минер. к-т, кислых солей и органич. р-рителей. 100 г сульфанилцианамид вносят при 15—20° в 300 г 75%-ной H_2SO_4 , размешивают до полного растворения, через 3 часа выливают при охлаждении в 700 мл воды, нейтрализуют конц. р-ром NH_3 , отсасывают, промывают водой, сушат на воздухе и получают 105 г (выход 89%) сульфофенилмочевины (I) с 2 молями кристаллизационной воды, удаляющейся при 50—70°; т. пл. 138—139° (разл.), эквивалентный вес 236 (установлен титрованием нитритом). Аналогично с выходом 68—100% получают I с примесью равных вес. частей конц. H_2SO_4 и лед. CH_3COOH , 80%-ной H_3PO_4 , CH_3OH , насыщ. HCl -газом, при 0—55°. 100 г ацетилсульфанилцианамид-К при размешивании и 20—25° растворяют в смеси 5 объемн. ч. CH_3OH и 1 объемн. ч. конц. р-ра HCl , дополнительно насыщ. HCl -газом, через 1/2 часа повышают *t*-ру до 80°, кипятят 1 час с обратным холодильником, охлаждают, осадок отделяют, обрабатывают р-ром соды, фильтруют, фильтрат подкисляют и получают 60 г I с т. пл. 148—149° и эквивалентным весом 233, выход 76%; дополнительное кол-во I получают из маточника. 100 г *n*-нитробензолсульфанилцианамид размешивают при 70° до полного растворения в смеси 300 мл лед. CH_3COOH и 100 мл конц. HCl , дополнительно насыщ. HCl -газом, затем в течение 3 час. прибавляют при размешивании Zn -пыль, разбавляют водой и выделяют I, выход 70%. Применяют как малотоксичное лечебное средство при инфекционных заболеваниях, как исходный продукт для получения искусств. смол и вспомогательного в-ва в текстильной промышленности. Ю. В.

44682 П. Способ получения сульфанилдиэтиломочевины. Хак, Шмид (Verfahren zur Herstellung von Sulfanyldiethioharnstoff. Haack Erich, Schmid Walter) [VEB Chemische Fabrik von Heyden]. Пат. ГДР 4998, 5.11.53

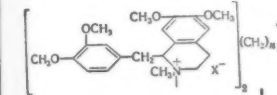
Сульфанилцианамиды общей ф-лы $n\text{-XC}_6\text{H}_4\text{SO}_2\text{NHCN}$ ($X = \text{NH}_2$ или группа, легко переводимая в NH_2) обрабатывают H_2S в присутствии щел. катализатора с последующим переводом X в NH_2 . Сульфанилцианамиды получают легко из соответствующих сульфанилхлоридов и цианамидной соли. В качестве сульфанилцианамидов можно применять $n\text{-CH}_3\text{CONHC}_6\text{H}_4\text{SO}_2\text{NHCN}$ (предпочтительно, в виде Ca - или K -соли) с последующим омылением полученного $\text{CH}_3\text{CONHC}_6\text{H}_4\text{SO}_2\text{NHCN}$ 3 н. р-ром NaOH при 60—70° или $n\text{-NO}_2\text{C}_6\text{H}_4\text{SO}_2\text{NHCN}$ с последующим восстановлением полученного $n\text{-NO}_2\text{C}_6\text{H}_4\text{SO}_2\text{NHCN}$. Преимущества $n\text{-H}_2\text{NC}_6\text{H}_4\text{SO}_2\text{NHCN}$ перед его производными заключаются в том, что он дает непосредственно готовый продукт, и в том, что труднорастворимый в кислых и стойкий в щел. средах, он легко получается омылением сырого ацетилсульфанилцианамид. В качестве щел. катализаторов применимы NH_4OH , CH_3NH_2 , $\text{C}_2\text{H}_5\text{NH}_2$, $(\text{CH}_3)_2\text{NH}$, $(\text{C}_2\text{H}_5)_2\text{NH}$, $(\text{CH}_3)_3\text{N}$, $\text{C}_6\text{H}_5\text{N}$, $\text{C}_2\text{H}_5\text{N}(\text{CH}_3)_2$ и другие амины. Р-цию ведут в закрытом сосуде при *t*-ре между 50 и 110° и в присутствии р-рителя (спирта), т. к. в такой среде сульфанилдиэтиломочевина менее подвержена разложению при повышенной *t*-ре, чем в воде. 100 г $n\text{-H}_2\text{NC}_6\text{H}_4\text{SO}_2\text{NHCN}$ и 250 мл NH_4OH , насыщ. при 0° H_2S , нагревают несколько часов в автоклаве при 95°. После охлаждения отсасывают кристаллы NH_4 -соли $n\text{-H}_2\text{NC}_6\text{H}_4\text{SO}_2\text{NHCN}$, растворяют их в воде при 60° и подкисляют CH_3COOH ; выход 85—90% чистого $n\text{-H}_2\text{NC}_6\text{H}_4\text{SO}_2\text{NHCN}$, т. пл. 174° (разл.). Из маточного р-ра NH_4 -соли можно выделить дополнительно несколько процентов продукта, что доводит выход его почти до теоретич. Нагревание 100 г $n\text{-H}_2\text{NC}_6\text{H}_4\text{SO}_2\text{NHCN}$ с 80 мл спирта и с 160 мл конц. р-ра NH_4OH , насыщ. при 0° H_2S , в автоклаве 10 час. при 100° дает с почти теоретич. выходом NH_4 -соль, которая после растворения в воде при 50—60° и подкисления HCl до слабокислой р-ции (по конго красному) даст $n\text{-H}_2\text{NC}_6\text{H}_4\text{SO}_2\text{NHCN}$ в виде тонких блестящих листочков с т. пл. 175° (разл.). Нагревание 20 г $n\text{-H}_2\text{NC}_6\text{H}_4\text{SO}_2\text{NHCN}$ с 44 г $(\text{C}_2\text{H}_5)_2\text{NH} \cdot \text{HCl}$, 22,5 г NaHS и 50 мл воды в автоклаве в течение нескольких часов при 100—110°, растворение содержимого автоклава в теплой воде и подкисление конц. HCl до кислой р-ции (по конго красному) и обработка NaHCO_3 даст $n\text{-H}_2\text{NC}_6\text{H}_4\text{SO}_2\text{NHCN}$ с выходом 85% и т. пл. 173° (разл.). Приведены также примеры с $n\text{-CH}_3\text{CONHC}_6\text{H}_4\text{SO}_2\text{NHCN}$ и $n\text{-NO}_2\text{C}_6\text{H}_4\text{SO}_2\text{NHCN}$ в качестве исходных продуктов. Я. К.

44683 П. Способ получения сульфугуанидинов. Хак, Шмид (Verfahren zur Darstellung von Sulfuguanidinen. Haack Erich, Schmid Walter). Пат. ГДР 5342, 7.11.53

Замещенные и незамещ. в гуанидиновой группе сульфугуанидины с активными терапевтич. свойствами общей ф-лы $n\text{-H}_2\text{NC}_6\text{H}_4\text{SO}_2\text{NHC}(=\text{NH})\text{NRR}'$ (R и R' — H, аминогруппа, алкил, арил, аларкил или гетероциклы, каждый из которых может содержать заместитель или один или несколько других атомов, особенно атомы O и N) получают с высоким выходом нагреванием до 70—150° сульфанилцианамид $n\text{-H}_2\text{NC}_6\text{H}_4\text{SO}_2\text{NHCN}$ с аминами HNRR' как таковыми или в среде р-рителя, напр. спирта, диоксана, гликоля, эфира гликоля, пиридина, хинолина, избытка амина, вводимого в р-цию, а также воды. Соединения получают в чистом виде и обычно нуждаются лишь в пересаживании из р-ра в разб. HCl . Получены следующие производные гуанидина (I): сульфанилдиэтил-I, т. пл. 178—180°, сульфанилдиэтил-I, т. пл. 139—140°, сульфанилдиэтилметил-I, т. пл. 214—215°, сульфанилдиэтил-I, т. пл. 198° (выход 90%), сульфанилдиэтил-I, т. пл. 182—184°, сульфаниламино-I, т. пл. 198—199° (выход 85%). Ю. В.

44684 П. Гетероциклические полиметиллен-бис-четвертичные аммониевые соли, обладающие лечебным действием. **Петленд, Тейлор, Коэллер** (Heterocyclic polymethylene-bis-quaternary ammonium salts having therapeutic properties. Eastland Cyril J., Taylor Edwin P., Collier Henry O. J.) [Allen and Hanburys, Ltd. Англ. пат. 695298, 5.08.53 [Chem. Abstrs, 1954, 48, № 21, 12816 (англ.)]

Соединения общей ф-лы (I) (X^- — анион, $n=9-12$) получают: а) кипячением избытка лауданозина с полиметиллендигалогенидом (II), содержащим 9—12 атомов С, в течение нескольких дней в инертном р-рителе, или б) кипячением тетрагидропаверина с II несколько дней в инертном р-рителе и обработкой полученного продукта избытком CH_3X или $(CH_3)_2SO_4$. Полученные I обладают лечебными свойствами. 1 г $J(CH_2)_{10}J$ и 3,63 г лауданозина кипятят 108 час. в 25 мл сухого C_6H_6 , охлаждают, отделяют осадок, промывают сухим C_6H_6 , сушат, растворяют в CH_3OH , р-р выливают в избыток эфира и отделяют гранулированный осадок, пересаживают аналогичным образом и получают I ($n=10$, $X=J$), т. пл. 146—148°, т. размягч. 136—138° (из CH_3OH и сп.). Аналогично получены следующие I (указаны n и X): 10, SO_4CH_3 , т. пл. 172—174° (потемнение при 164—166°); 9, J , т. пл. 139—141°, т. размягч. 130—132°; 11, SO_4CH_3 , т. пл. 187—189° (потемнение при 170°); 12, SO_4CH_3 , т. пл. 205—207°, т. размягч. 202°; 10, ClO_4 , т. пл. 134—136° (содержит 1,7% кристаллизационного C_2H_5OH); 10, n -толуолсульфонат, т. пл. 88—90°, т. размягч. 75° (содержит 3,7% кристаллизационного ацетона + эфир); 10, NO_3 , т. пл. 87—89° (содержит 7,6% кристаллизационного C_2H_5OH + эфир).



44685 П. Способ получения бис-четвертичных солей N-замещенных амидов пиридинмонокарбоновых кислот с дигалогонными алкиленами. **Зегер, Котлер** (Verfahren zur Herstellung von bis-quaternären Salzen N-substituierter Amide von Pyridinmonocarbonsäuren mit Alkyldihalogenen. Seeger Ernst, Kottler August) [Karl Thomae G. m. b. H.]. Пат. ФРГ 912217, 28.05.54 [Chem. Zbl., 1955, 126, № 11, 2489 (нем.)]

Бис-четвертичные соли N-замещ. аминов пиридинмонокарбоновых к-т с дигалогонными алкиленами общей ф-лы $[RR'NOC-C_5H_4N-(CH_2)_n-N^+C_5H_4-CONRR'](X^-)_2$ (R и R' — алкил, арил, аракил, пиридил или фурил; R может быть также H ; $X=Cl, Br$ или I ; $n=2-12$) получают р-цией дигалогонных алкиленов ф-лы $X-(CH_2)_n-X$ с амидами пиридинмонокарбоновых к-т. Р-цию проводят в органич. р-рителе при нагревании в отсутствие влаги. Из диэтиламина пикотиновой к-ты (I=к-та) и 1,2-дибромэтана (II) получают этилен-бис-бромистый-(3-карбокси-этиламин)-пиридиний, т. пл. 245—248° (разл.); из дибензиламина I и 1,4-дибромбутана — бутилен-1,4-бис-бромистый-(3-карбоксибензиламин)-пиридиний, т. пл. 220° (разл.); из циклогексиламина I и II — этилен-бис-бромистый-(3-карбоксициклогексиламин)-пиридиний, т. пл. 272° (разл.); из α -пиридиламина I и II — этилен-бис-бромистый-(3-карбокси- α -пиридиламин)-пиридиний, т. пл. 260—265° (разл.); из ангидра пикотиновой к-ты и II — этилен-бис-бромистый-(2-карбоксибензиламин)-пиридиний, т. пл. 230—232°. Пере-

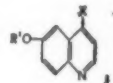
численные в-ва пригодны в качестве средств, снижающих кровяное давление. В. У.

44686 П. N-(β -пиколил)-N-низшие алкениламиды троповой кислоты. **Ре-Белле** (Tropic acid N-(β -picolyl)-N-loweralkenylamides and process for the manufacture thereof. Roy-Bellet G. érald) [Hoffmann-La Roche Inc.]. Пат. США 2677689, 4.05.54

Патентуются N-(β -пиколил)-N-низшие алкениламиды троповой к-ты и их соли, получаемые присоединением кислот. Ю. В.

44687 П. Способ получения производных хинолина. **Альберс** (Verfahren zur Herstellung von Chinolinabkömmlingen. Albers Henry) [Knoll A.-G.]. Пат. ФРГ 880444, 22.06.53 [Chem. Zbl., 1955, 126, № 10, 2256 (нем.)]

Химотерапевтические средства, являющиеся производными 6-алкоксихинолинкарбинолов-4 общей ф-лы (I) [$x = -CH(R^2)(OR^3)$], или 6-алкоксихинолиноил-4 ф-лы I [$x = -CO-$] (R' — низкомолекулярный алкил; $R^2 = H, CN, COOR^4, CONH_2$; $R^3 = H$, или $COOR^4$, а R^4 — низкомолекулярный алкил, арил, аракил или циклоалкил) получают присоединением HCN к 6-алкоксихинолиноил-альдегиду-4 [также в присутствии ферментов (оксинитридаз)], омылением образовавшихся циангидринов минер. к-тами и декарбоксилированием в соответствующий карбинол.



Омылением циангидринов спиртовым HCl получают соответствующие иминоэфиры, которые обработкой р-ром $(NH_4)_2CO_3$ переводят в эфиры гликолевой к-ты. Указанные циангидрины, карбинолы и эфиры гликолевой к-ты дают с галогонными ацилами соответствующие O-ацилпроизводные. При омылении конц. H_2SO_4 циангидрины дают 6-алкоксихинолилкальдегид-4, а также их амиды. 6-метоксихинолилкальдегид-4 дает с HCN в C_6H_5N с почти колич. выходом 6-метоксихинолилкальдегид-4, т. пл. 180° (разл.), который образует 6-метоксихинолилкальдегид-4 (выход 75%, т. пл. 131°), а со спиртом HCl — этиловый эфир 6-метоксихинолилкальдегид-4 к-ты (выход 80%, т. пл. 134°). Описано получение NH_4 -соли этой к-ты, а из ее этилового эфира — O-бензоилпроизводного (т. кип. 150—170°/1 мм). Последний действием к-ты и $(CH_3COO)_2Cu$ дает 6,6'-диметоксихинолин-4,4', т. пл. 66°, хлоридрат, т. пл. 250—252°. Описано также получение d-6-метоксихинолилкальдегид-4 из d-6-метоксихинолилкальдегид-4 в присутствии ферментного р-ра (Biochem. Lbl., 1932, 255, 44). Я. К.

44688 П. Способ дегидрирования производных дигидроизохинолина. **Денгель, Крастинат** (Verfahren zur Dehydrierung von Dihydroisochinolinverbindungen. Dengel Ferdinand, Krastinat Walter) [Knoll A.-G., Chemische Fabriken]. Пат. ГДР 7747, 19.07.54

Растворы производных дигидроизохинолина непрерывно пропускают в отсутствие воздуха через нагретую контактную камеру над катализатором дегидрирования. Напр., пропускают нагретый до 80—20%-ный р-р дигидропаверина в тетралине через слой Pd-катализатора, находящегося в камере, нагреваемой до постоянной т-ры 205—210°. Скорость пропускания регулируют так, чтобы дигидропаверин полностью превращался в паверин. Из р-ра после дегидрирования выделяется по охлаждению сырой паверин (91% теоретически), имеющий после промывки CH_3OH , т. пл. 145—147°. Из маточного р-ра может быть выделено еще 7% паверина. А. Б.

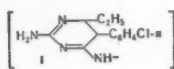
44689 П. Способ получения производных пурина (Processes for making derivatives of purine) (Well-

come foundation, Ltd]. Англ. пат. 713259, 11.08.54 [J. Appl. Chem., 1955, 5, № 3, i 433 (англ.)]

Производные пурина (I), препятствующие росту микроорганизмов, получают алкилированием 6-меркапто-I в 6-алкилтио-I, который, взаимодействуя с амином общей ф-лы NHR'R'' (R' — Н или алкил, а R'' — алкил, замещ. алкил, арил или замещ. арил, или R' и R'' могут означать группы гидразиновую или гетероциклическую, напр. пирролидона, пиперидина или морфолина), дает I с остатком NR'R'' , связанным с атомом S; по желанию, полученное соединение можно превратить в его соль. При нагревании гипоксантина и P_2S_5 в 1,2,3,4-тетрагидронафталине в течение 8 час. при 200° получают гидрат 6-меркапто-I, который действием NaOH и $(\text{CH}_3)_2\text{SO}_4$ превращают в 6-метилтио-I, т. пл. 218—220°, а затем, действием 25% водн. $\text{NH}(\text{CH}_3)_2$ при 130° в течение 15 час. в 6-диметиламино-I, т. пл. 260—263°. Получены след. соединения: 6-этиламино-I, т. пл. 238—239°, 6-н-бутил-амино-I, т. пл. 233—234°; 6-анилино-I, т. пл. 278—281° (разл.); 6-н-хлоранилино-I, т. пл. 322—323°; 6-гидразино-I, т. пл. 230°; 6,2'-аминотиоэтиламино-I (хлоргидрат, т. пл. 262—264°); 6-морфолино-I, т. пл. 303—304°; 6-метиламино-I (хлоргидрат) и 6-диэтил-амино-I-хлоргидрат.

Ю. В. 44690 П. Способ получения новых производных пиридина. Жакоб, Ляхов (Verfahren zur Herstellung von neuen Derivaten des Pyrimidins. Jacob Robert Michel, Liakhoff Léonide) [Soc. des Usines Chimiques Rhône-Poulenc]. Пат. ФРГ 899656, 14.12.53 [Chem. Zbl., 1954, 125, № 43, 9813 (нем.)]

Для получения теранствич. средств общей ф-лы (I), где А — 2-валентная алифатич. цепь с 2—6 атомами С, 2-амино-4-хлор-5-(4'-хлорфенил)-6-этилпиридин (II), т. пл. 163°, или его N-ацилированное производное вводят в р-цию с диаминном общей ф-лы $\text{H}_2\text{N}-\text{A}-\text{NH}_2$ в соотношении 2:1; в случае ацильного производного II р-цию проводят с последующим отщеплением ацила. II с



95%-ным этилендиаминном и фенолом дает N, N'-ди-[2'-амино-5'-н-хлорфенил-6'-этилпиридил-(4')]-1,2-диаминоэтан, т. пл. 352—353°. N, N'-ди-[2'-амино-5'-н-хлорфенил-6'-этилпиридил-(4')]-1,4-диаминобутан, т. пл. 226°. N, N'-ди-[2'-амино-5'-н-хлорфенил-6'-этилпиридил-(4')]-1,6-гексан, т. пл. 185°, после перекристаллизации из спирта т. пл. 195 и 215—216°. О.М.

44691 П. Способ получения производных фенексипиридина, обладающих антивирусным действием (Anti-viral compounds comprising phenoxypyrimidine derivatives and their manufacture) [Wellcome Foundation Ltd, Burroughs Wellcome Co, Inc.]. Англ. пат. 706253, 24.03.54 [Appl. Chem., 1954, 4, № 9, 392 (англ.)]

Способ получения в-в строения 5-(XYZ-замещ. фенекс)-6-окси-2-меркаптопиридина (I—2-меркаптопиридин) (X-галоид, Y-галоид, алкил с 1—4 атомами С или Н; Z — галоид или Н) р-цией (XYZ-замещ. фенекс)-уксусных эфиров низших жирных спиртов с алкильным эфиром муравьиной к-ты в присутствии щел. металла или его алкоголята и затем кипячением этанольного спирт. р-ра образовавшегося формилфенексуксусного эфира с тиомочевинной. 1 моль этилового эфира 2,4-дихлорфенексуксусной к-ты и 1,1 моля этилформата прибавляют к 1 моллю Na-проволоки в кипящем эфире. По растворении Na при 20° прибавляют спирт. р-р тиомочевины и отгоняют эфир, кипятят р-р 8 час. при 100° и получают 4-окси-5-(2',4'-дихлорфенекс)-I, т. пл. 266—267°. Аналогично получают: этиловый эфир н-хлорфенексуксусной к-ты, т. кип. 153—156°/9 мм.; 4-окси-5-(н-хлорфенекс)-I,

т. пл. 267—268°; этиловый эфир н-бромфенексуксусной к-ты, т. пл. 57—60°, 4-окси-5-(н-бромфенекс)-I, т. пл. 280—283°; этиловый эфир 2,4-дибромфенексуксусной к-ты, т. пл. 37—41°; 4-окси-5-(2',4'-дибромфенекс)-I, т. пл. 270—273°; 4-окси-5-(о-хлорфенекс)-I, т. пл. 268—270°; 4-окси-2-(н-иодфенекс)-I, т. пл. 274—275°; 4-окси-5-(2',4',5',-трихлорфенекс)-I, т. пл. 310°; 4-окси-5-(4'-хлор-3'-метилфенекс)-I, т. пл. 250—252° и 4-окси-5-(2'-хлор-4'-метилфенекс)-I, т. пл. 206—208°.

Е. К. 44692 П. Способ получения 3,5-диоксопиразолидинон, замещенных в положении 4, и их солей (Fremgangsmäße til fremstilling af i 4-stillingen substitutede 3,5-diocksopyrazolidinoner eller deres salte) [Geigy J. R. A.-G.]. Дат. пат. 75688, 13.04.53.

Замещенные в положении 4 диоксопиразолидины-3,5 общей ф-лы: $\text{RCH}-\text{CO}-\text{N}(\text{X})-\text{N}(\text{X}')-\text{CO}$ и их соли с

органич. или неорганич. основаниями (R — насыщ. или ненасыщ. алкил, циклоалкил, арилзамещенный алкил C_2-C_{10} , незамещ. арил, галоид, алкоксигруппа или фенил, замещенный алкильной и алкоксигруппой, содержащими от 1 до 3 атомов С) получают конденсацией монозамещенной малоновой к-ты: $\text{R}-\text{CH}(\text{COOH})_2$, напр. диэфира дихлорангидрида или эфирхлорангидрида с 1,2-диарилгидразином $\text{X}-\text{NH}-\text{NH}-\text{X}$ в присутствии какого-либо конденсирующего или связывающего к-ту средства. Напр., к р-ру 7,6 г. Na в 190 объемн. ч. абс. спирта прибавляют 65 г диэтилового эфира н-бутилмалоновой к-ты и 55 г гидробензола. Медленно (30 мин.) нагревают и отгоняют спирт, пока т-ра бани не поднимется до 150° и не оканчивается отгонка спирта (под конец в вакууме). Остаток р-риют в воде и подкисляют при охлаждении 15%-ной HCl на конго; выпадает 1,2-дифенил-3,5-диоксо-4-н-бутилпиразолидин; его перекристаллизуют из спирта, т. пл. 105°. Вместо гидробензола может быть взято его N-ацетильное производное. В другом примере к 50 ч. безводн. пиридина и 200 объемн. ч. абс. эф. при 0° медленно прибавляют 19 ч. дихлорангидрида н-бутилмалоновой к-ты, т. кип. 85°/4 мм., а затем р-р 18 ч. гидробензола в 100 объемн. ч. эф. и перемешивают при 20°. Аналогичным образом получают следующие 4-производные 1,2-дифенил-3,5-диоксопиразолидина вышеприведенной общей ф-лы: при X и X' — фенил, а R , соответственно, — CH_3 , т. пл. 114—116°; C_2H_5 , 108°; — $\text{CH}_2\text{CH}=\text{CH}_2$, 135°; *изо*- C_4H_9 , 127—128°; — $\text{CH}_2\text{CH}=\text{CHCH}_3$, 128°; *н*- C_6H_{11} , 104—105°; *изо*- C_8H_{17} , 137°; — $\text{CH}(\text{CH}_3)\text{CH}_2\text{CH}(\text{CH}_3)_2$, 107—108°; — $\text{CH}(\text{CH}_3)\text{CH}_2\text{CH}_3$, 116°; *н*- C_8H_{15} , 95°; — 1,2-димероксбензил, 133°. Далее получены соединения, у которых при X и X' — *н*- $\text{C}_6\text{H}_4\text{CH}_3$, R — *изо*- C_8H_{17} , 167°; *н*- C_4H_9 , 133°; X — $\text{н- $\text{C}_6\text{H}_4\text{Cl}$, X' — C_6H_5 , R — *н*- C_4H_9 , 132°; X — *н*- $\text{C}_6\text{H}_4\text{OC}_2\text{H}_5$, X' — C_6H_5 , R — *н*- C_4H_9 , 81,5°; X и X' — *н*- $\text{C}_6\text{H}_4\text{Cl}$, R — *н*- C_4H_9 , 132°; X и X' — *н*- $\text{C}_6\text{H}_4\text{OCH}_3$, R — *н*- C_4H_9 , 198°. Приведена также методика приготовления натриевой и диэтиламинной солей некоторых вышеприведенных пиразолидинов.$

Б. Р. 44693 П. Производные тиаксантона. Гаййо, Годшон (Nouveaux dérivés de la thiaxanthone. Gailliot Paul, Gauduchon Jacques) [Soc. des Usines Chimiques Rhône-Poulenc]. Франц. пат. 1041572, 26.10.53 (Chem. Zbl., 1954, 125, № 48, 11004 (нем.)]

Применяемые в качестве лекарственных в-в (против шистозомиаза) производные тиаксантона общей ф-лы (I), в которой n — 2 или 3, а X — N-(низший) алкилпиперазин, получают р-цией 1-хлор-4-метилтиаксантона (II) с замещ. пиперазином (напр., 1-этил-4-β-аминоэтил-, 1-этил-4-γ-аминопропил-, 1-бутил-4-γ-аминопропилпиперазином) в высококипящем р-рителе, напр. феноле, хинолине. Вместо II можно исходить из

продукт...
П 4-х...
при по...



ветств...
рат 1-...
пипера...
пидрат...
1-этил-4...
III, т. пл...
(1')-ами...
44694 П...

бензол...
Poulenc...
Abstr...
Прои...

терапии...
нона (I...
ствии а...
ствием

тиалки...
напр. х...
в 100 м...
 $\text{CH}_2\text{CH}(\text{C}_6\text{H}_5)_2$...

кпящем...
 Na_2SO_4 ...
дубутил...
после о...

соли (I...
кристал...
этиламин...
165—166°

в 40 г...
 NaOH , ...
460 мл...
Получае...

тиалка...
161°). П...
ния, ак...
80 г 1-...

ла кпящ...
 CHCl_3 ...
10%-ног...
метилти...

кают CH_3 ...
т. пл. 22...
зом 1-э...
1-этил-4...

пипераз...
4-(3-ами...
гомолог...
44695 П...

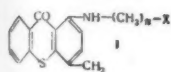
[Soc...
пат.



44696 П...
вых ки...
кислот...
(Verfa...
reester...

24 Хим...

продукта р-ции тиосалициловой к-ты с *n*-хлортолуолом; одновременно образующийся при этом изомерный с II 4-хлор-1-метилтиаксантон остается неизменным при получении производных тиаксантона. Напр.,



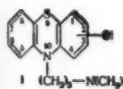
при нагревании смеси 110 г хлорметилтиаксантона (сырого продукта), 60 г 1-этил-4-β-аминоэтилпиперазина и 280 г фенола при 180° в течение 4 час. получают, после соот-

ветственной обработки продукта р-ции дихлоргидрат 1-этил-4-γ-[4'-метилтиаксантонил-(1')]-аминоэтилпиперазин, т. пл. 220—230°. Получены также дихлоргидраты следующих производных пиперазина (III): 1-этил-4-γ-[4'-метилтиаксантонил-(1')]-аминопропил-III, т. пл. 200°, 1-бутил-4-γ-[4'-метилтиаксантонил-(1')]-аминопропил-III, т. пл. ~230—235°. Ю. В.

44694 П. Производные тиаксантона (Thiaketone derivatives) [Soc. des Usines Chimiques Rhône-Poulenc]. Англ. пат. 690465, 690466, 22.04.53 [Chem. Abstr., 1954, 48, № 7, 4007 (англ.)]

Производные тиаксантона, применяемые в химиотерапии, получают р-цией 1-амино-4-метилтиаксантона (I) с дибутиламиноалкилгалогенидом в присутствии акцептора к-ты, напр. NaNH_2 , или взаимодействием 1-хлор-4-метилтиаксантона (II) с *N,N*-дибутилалкилендиамином в высококипящем р-рителе, напр. хинолине или феноле. Напр. 24 г I и 8,6 г NaNH_2 в 100 мл ксилола (III) кипятят 1 час, прибавляют 41 г $\text{CH}_3\text{CH}(\text{N}(\text{C}_4\text{H}_9)_2)\text{CH}_2\text{Cl}$ в 100 мл III, продолжают кипячение 1 час, промывают р-р III водой, сушат над Na_2SO_4 , III удаляют в вакууме и получают сырой 1-(2-дибутиламинопропиламино)-4-тиаксантон, который после обработки HCl в 30 мл спирта дает 17,6 г HCl -соли (IV), т. пл. 188—190° (из абс. сп.). Остаток от кристаллизации IV дает 1-(2-дибутиламино-1-метилэтиламино)-4-метилтиаксантон (HCl -соль, т. пл. 165—167°). 91 г сырого II с 61 г $(\text{C}_4\text{H}_9)_2\text{NCH}_2\text{CH}_2\text{NHC}_4\text{H}_9$ в 40 г хинолина кипятят 24 часа, выливают в р-р NaOH , отгоняют с паром, остаток экстрагируют 400 мл 10%-ной CH_3COOH , подщелачивают NH_3 . Получается 11,5 г 1-(2-дибутиламиноэтиламино)-4-метилтиаксантона (хлоргидрат из абс. сп., т. пл. 160—161°). По пат. 690466 получают аналогичные соединения, активные при шистозомиазе. 110 г сырого II, 60 г 1-этил-4-(2-аминоэтил)-пиперазина в 280 г фенола кипятят 4 часа, выливают в р-р NaOH , экстрагируют CHCl_3 , последний удаляют, остаток извлекают 540 мл 10%-ной CH_3COOH , подщелачивают, 1-этил-4-[2-(4-метилтиаксантон-1-иламино)-этил]-пиперазин извлекают CHCl_3 , превращают в спирт. р-ре в дихлоргидрат, т. пл. 220—230° (из 70%-ного спирта). Подобным образом 1-этил-4-(3-аминопропил)-пиперазин и II образуют 1-этил-4-[3-(4-метилтиаксантон-1-иламино)-пропил]-пиперазин (V) (дихлоргидрат, т. пл. ~200°). 1-Бутил-4-(3-аминопропил)-пиперазин и II дают 1-бутильный гомолог V, дихлоргидрат, т. пл. 230—235°. Ю. В.

44695 П. Хлорфентиазины (Chlorophenthiazines) [Soc. des Usines Chimiques Rhône-Poulenc]. Австрал. пат. 159965, 9.12.54



Применяемые в терапии соединения фентиазина ф-лы (I) (хлор находится в положении 1 или 3) получают конденсацией 1- или 3-хлорфентиазина или их смеси с 3-диметиламинопропилхлоридом.

44696 П. Способ получения эфиров полиненасыщенных кислот конденсацией эфиров γ-галондикроновой кислоты с α,β-ненасыщенными кетонами. Ц и г л е р (Verfahren zur Herstellung von Polyencarbonsäureestern durch Kondensation von γ-Halogencroton-

säureestern mit α,β-ungesättigten Ketonen. Ziegler Karl) [Schering A.-G.]. Пат. ФРГ 883749 [Chem. Zbl., 1954, 125, № 18, 3989—3990 (нем.)]

Указанные эфиры получают конденсацией непредельных алифатич. кетонов, у которых двойная связь конъюгирована с CO -группой, или у которых двойная связь является также составной частью циклич. (напр., ароматич.) группировки, напр., $\text{C}_6\text{H}_5-\text{COR}$, где R — алкил, с эфирами γ-галондикроновой к-ты в присутствии металлов (Zn или Mg), а затем разложением металлосодержащего продукта р-ции действием воды или к-т. β-Ионон даст с этиловым эфиром γ-бромкотоновой к-ты (I) в сухом C_6H_6 в присутствии Zn-шерсти эфир ф-лы IIa, т. кип. 130° (в высоком вакууме); с этиловым эфиром γ-бром-ε-мстилкотоновой к-ты — эфир ф-лы IIб: $(\text{CH}_3)_2\text{C}(\text{CH}_2)_2\text{C}(\text{CH}_3) = \text{C} = \text{CH} =$

$= \text{CHC}(\text{CH}_3) = \text{CH} - \text{C}(\text{R}) = \text{CHCOOC}_2\text{H}_5$ (IIa, R = H; IIб, R = CH_3). Из ацетофсона и I получают светложелтое масло, т. кип. 192°/13 мм. Полученные соединения применяют в качестве промежуточных продуктов для синтеза витамина А. В. У.

44697 П. Способ получения нуклеотидного соединения одного из элементов комплекса витамина В. Раскин (Verfahren zur Herstellung einer Nucleotidverbindung eines Faktors des Vitamin-B-Komplexes. Ruskin Simon L.). Швейц. пат. 292944, 16.11.53 [Chem. Zbl., 1955, 126, № 5, 1100 (нем.)]

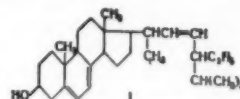
Из 1 моля лактофлавина или его соли и 1 моля адениловой к-ты или ее соли получают лактофлавинмоноаденилат с т. пл. 174—175°. Применяется в терапии. Ю. В.

44698 П. Витамин B_{12} (Vitamin B_{12}) [The Distillers Co. Ltd]. Австрал. пат. 158762, 23.09.54

Способ очистки технич. витамина B_{12} (I) состоит в взаимодействии водн. р-ра технич. I (чистота I не превышает 1%, конц-ия I в р-ре ≤ 100 γ/мл) с *n*-вом, образующим ионы CN^- (конц-ия ~0,2—0,6 г-моль/л при pH ≥ 6). Образующийся цианидный комплекс I экстрагируют *n*-бутиловым спиртом в присутствии высаливающих средств и после разложения комплекса выделяют I. М. К.

44699 П. Провитамин D. Тояма (Provitamin D. Toyama Yoshiyuki) [Nagoya Industrial Science Research Institute, Inc.]. Япон. пат. 4647, 16.09.53 [Chem. Abstr., 1954, 48, № 18, 11010 (англ.)]

10 кг вареного и высушенного мяса *Corbicula sandai* экстрагируют газалином и получают 1,5 кг маслянистого материала, который обрабатывают спирт. р-ром KOH и после экстракции эфиром получают 220 г несмываемого в-ва; последнее перекристаллизовывают из CH_3OH и получают белые кристаллы с т. пл. 135°, содержащие 20% корбистирола (I). Перекристаллизацией I из CH_3OH , $\text{C}_2\text{H}_5\text{OH}$ или ацетона получают чистый I — $\text{C}_{29}\text{H}_{46}\text{O}$, т. пл. 149°, $[\alpha]_D - 93^\circ$; ацетат, т. пл. 152°, $[\alpha]_D - 70^\circ$, максимум абсорбции при 2720, 2820 и 2940 Å. Ю. В.



44700 П. Получение сложных эфиров 7-бромхолестерилэстера (Manufacture of 7-bromo-cholesterol esters) [Dr. Wander A. A.-G.]. Англ. пат. 703136, 27.01.54 [J. Appl. Chem., 1954, 4, № 6, 726 (англ.)]

Эфиры холестерилэстера обрабатывают газообразным Br в инертном р-рителе при облучении светом с λ 300—600 мμ. При пропускании смеси, состоящей из Br и N_2 (1 : 9), в кипящий облучаемый р-р холестерилбен-

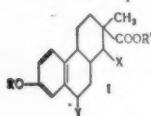
зоата в CS_2 получается 7-бромхолестерилбензоат (78%).
Ю. В.

44701 П. Способ получения производного эстрадиола (Procédé pour la préparation d'un nouveau dérivé de l'oestradiol) [Les Laboratoires Français de Chimiothérapie]. Швейц. пат. 285626, 16.01.53 [Chimia, 1953, 7, № 7, 167 (нем.)]

$\Delta^{1,3,5,3,17}$ -диокси-17-ацетил-эстратриен получают гидратацией 17-этинилэстрадиола в присутствии ртутной соли *n*-толуолсульфонамида и разложением образовавшегося комплексного соединения.
Ю. В.

44702 П. Синтез эстрогена. Джонсон, Кристиансен (Synthesis of estrone. Johnson William S., Christiansen Robert George) [Wisconsin Alumni Research Foundation]. Пат. США 2663716, 22. 12. 53

Патентуются в-ва, имеющие строение (I), (где X — группа $=CHCOOR''$ или $-CH_2COOR''$; Y — группа CO или $CHON$, а, R, R' и R'' — низшие алкилы) в частности, низший алкиловый эфир 2-метил-2-карбоалкокси-7-алкокси-9-кето-1,2,3,4а, 9,10,10а-октагидрофенантрилиденуксусной-1 к-ты (алк — низшие алкилы), получаемые нагреванием низшего алкилового эфира 2-кето-3-метил-3-карбалкокси-6-(4'-алкоксифенил)-циклогексануксусной-1 к-ты (алк. — низшие алкилы) с Zn и низшим алкиловым эфиром бромуксусной к-ты, гидролизом реакционной смеси, нагреванием полученной смеси лактона 2-окси-2-карбоалкоксиметил-3-метил-3-карбоалкокси-6-(4'-алкоксифенил)-циклогексануксусной-1 к-ты и низшего диалкилового эфира 2-окси-3-метил-3-карбалкокси-6-(4'-алкоксифенил) циклогександуксусной-1,2 к-ты с $HCOOH$, а потом со спиртовой едкой щелочью, переводом полученного алкилового эфира 2-метил-2-карбалкокси-5-(4'-алкоксифенил)-6-карбоксиметилциклогексиденуксусной-1 к-ты в хлорангидрид (с помощью хлорангидрида сильной к-ты) с обработкой последнего катализатором Фриделя — Крафта и гидролизом образовавшегося комплекса.
Я. К.

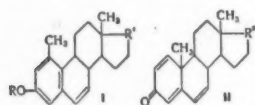


44703 П. Производные тестостерона. Мерри, Питерсон (Testosterone derivatives and process. Murray Herbert C., Peterson Durey H.) [The Upjohn Co.]. Пат. США 2683725, 13.07.54

Патентуются соединения со структурой тестостерона, имеющие в положении 18 H или метил, в положении 6 и 17 свободные или ацилированные OH-группы (в ациле менее 9 атомов C).
Ю. В.

44704 П. 1-метил Δ^6 -дигидроэстрогены. Дьераси, Розенкранц, Кауфман, Патаки, Ромо (1-methyl- Δ^6 -dihydroestrogens and process. Djerassi Carl, Rosenkranz George, Kaufmann Stephen, Pataki John, Romo o Jesús) [Syntex S. A.]. Пат. США 2671092, 2.03.54

Производные 1-метил Δ^6 -эстрогена ф-лы (I) (R — остаток уксусной или пропионовой к-ты; R' — группы C = O или вторичноспиртовая в виде эфира бензойной или низшей жирной к-ты) получают нагреванием соединения ф-лы (II) (R'' — кроме указанных для R' имеет также значение свободной $CHON$ -группы) с уксусным или пропионовым ангидридом, в присутствии *n*-толуолсульфокислоты.
Ю. В.



соединения ф-лы (II) (R'' — кроме указанных для R' имеет также значение свободной $CHON$ -группы) с уксусным или пропионовым ангидридом, в присутствии *n*-толуолсульфокислоты.
Ю. В.

44705 П. Получение стероидов ряда C_{19} . Джулиан, Карпел (Preparation of steroids of the C_{19} series. Julian Percy L., Karpel William J.) [The Glidden Co.]. Пат. США 2696490, 7.12.54

Указанные стероиды получают, в отсутствии других ацилирующих агентов, действием надбэнзойной к-ты на 10,13-диметил-20-кетостероид, содержащий в положении 3 оксигруппу свободную или этерифицированную карбоновой к-той, и выделением из реакционной смеси стероида ряда C_{19} , содержащего этерифицированную оксигруппу в положении 17.
Ю. В.

44706 П. Избирательное восстановление 3-кето- $\Delta^4,6$ -стероидов. Шеперд, Кемпбелл, Джонсон (Selective reduction of 3 keto $\Delta^4,6$ steroids. Shepherd Douglas A., Campbell J. Allan, Johnson Byron A.) [The Upjohn Co.]. Пат. США 2697106, 14.12.54

Восстановление двойной связи в положении 6 в $\Delta^4,6$ -3-кетостероиде (I), не подвергая восстановлению двойную связь в положении 4 и кетогруппу в положении 3, проводят, обрабатывая смесь I с р-рителем 0,9—1,2 молями H на 1 моль I, в присутствии Pd-катализатора, получают $\Delta^4,3$ -кетостероид.
Ю. В.

44707 П. Окисление стероидов посредством *Fungus Pestalotia*. Шалл, Сардинас, Рутен (Steroid oxidation with *Fungus Pestalotia*. Shull Gilbert M., Sardinias Joseph L., Routien John B.) [Chas. Pfizer & Co., Inc.]. Канад. пат. 507009, 2.11.54

Окисленный стероид, напр. 11- σ -оксипрегестерон, получают культивированием грибка рода *Pestalotia*, напр. *fungus Pestalotia rayenae* (QM 531), в водн. питательной среде, содержащей прегестерон, в условиях глубинной аэробной ферментации.
Ю. В.

44708 П. Способ получения стероид-17-карбоновых кислот (Fremgangsmåde til fremstilling af steroid-17-karbonsyrer) [Ciba Société Anonyme]. Дат. пат. 75394, 26.01.53

Стероид-17-карбоновые к-ты могут быть получены окислением $\Delta^{20,23,21}$ -оксихоладиенов (I) [R — C (CH_2OH) = $CHCH = C$ (C_6H_5)] в (II) [R — $COOH$]. Свободные OH-группы в ядре могут быть переведены в кетоны до, после или одновременно с разрушением боковой цепи. Окисление боковой цепи может также проводиться с сохранением двойных связей в цикле, напр., путем преедвидения галоида или галоидводорода, или с сохранением OH-группы при защите их этерификацией. Исходные $\Delta^{20,23,21}$ -оксихоладиены могут быть синтезированы из $\Delta^{20,23,21}$ -галондохоладиенов путем гидролиза последних в водн. р-рителе.

либо непосредственно, либо после предварительного превращения их в сложные эфиры. Наряду с окиссоединениями при этом образуются изомеры, кол-во которых может быть снижено путем правильного выбора р-рителя (напр., ацетона при взаимодействии 21-галогенхоладиена с CH_3COOK). Примеры: 1) 3,12-диацетоксисахолановую к-ту, т. пл. 196—198° из эфира-пентава (метилового эфира, т. пл. 149—150°), синтезируют из $\Delta^{20,23,3,12}$ -диацетокси-21-окси-24,24-дифенилхоладиена, двойная т. пл. 123—125° и 167—169° (из метанола), который в свою очередь получают из $\Delta^{20,23,3,12}$ -дигалоген-окси-21-бром-24,24-дифенилхоладиена (I); 2) 3,12-дигалоген-окси-21-бром-24,24-дифенилхоладиена (I); 3) 3,12-дигалоген-окси-21-бром-24,24-дифенилхоладиена (I); 4) 3,12-дигалоген-окси-21-бром-24,24-дифенилхоладиена (I); 5) 3,12-дигалоген-окси-21-бром-24,24-дифенилхоладиена (I); 6) 3,12-дигалоген-окси-21-бром-24,24-дифенилхоладиена (I); 7) 3,12-дигалоген-окси-21-бром-24,24-дифенилхоладиена (I); 8) 3,12-дигалоген-окси-21-бром-24,24-дифенилхоладиена (I); 9) 3,12-дигалоген-окси-21-бром-24,24-дифенилхоладиена (I); 10) 3,12-дигалоген-окси-21-бром-24,24-дифенилхоладиена (I); 11) 3,12-дигалоген-окси-21-бром-24,24-дифенилхоладиена (I); 12) 3,12-дигалоген-окси-21-бром-24,24-дифенилхоладиена (I); 13) 3,12-дигалоген-окси-21-бром-24,24-дифенилхоладиена (I); 14) 3,12-дигалоген-окси-21-бром-24,24-дифенилхоладиена (I); 15) 3,12-дигалоген-окси-21-бром-24,24-дифенилхоладиена (I); 16) 3,12-дигалоген-окси-21-бром-24,24-дифенилхоладиена (I); 17) 3,12-дигалоген-окси-21-бром-24,24-дифенилхоладиена (I); 18) 3,12-дигалоген-окси-21-бром-24,24-дифенилхоладиена (I); 19) 3,12-дигалоген-окси-21-бром-24,24-дифенилхоладиена (I); 20) 3,12-дигалоген-окси-21-бром-24,24-дифенилхоладиена (I); 21) 3,12-дигалоген-окси-21-бром-24,24-дифенилхоладиена (I); 22) 3,12-дигалоген-окси-21-бром-24,24-дифенилхоладиена (I); 23) 3,12-дигалоген-окси-21-бром-24,24-дифенилхоладиена (I); 24) 3,12-дигалоген-окси-21-бром-24,24-дифенилхоладиена (I); 25) 3,12-дигалоген-окси-21-бром-24,24-дифенилхоладиена (I); 26) 3,12-дигалоген-окси-21-бром-24,24-дифенилхоладиена (I); 27) 3,12-дигалоген-окси-21-бром-24,24-дифенилхоладиена (I); 28) 3,12-дигалоген-окси-21-бром-24,24-дифенилхоладиена (I); 29) 3,12-дигалоген-окси-21-бром-24,24-дифенилхоладиена (I); 30) 3,12-дигалоген-окси-21-бром-24,24-дифенилхоладиена (I); 31) 3,12-дигалоген-окси-21-бром-24,24-дифенилхоладиена (I); 32) 3,12-дигалоген-окси-21-бром-24,24-дифенилхоладиена (I); 33) 3,12-дигалоген-окси-21-бром-24,24-дифенилхоладиена (I); 34) 3,12-дигалоген-окси-21-бром-24,24-дифенилхоладиена (I); 35) 3,12-дигалоген-окси-21-бром-24,24-дифенилхоладиена (I); 36) 3,12-дигалоген-окси-21-бром-24,24-дифенилхоладиена (I); 37) 3,12-дигалоген-окси-21-бром-24,24-дифенилхоладиена (I); 38) 3,12-дигалоген-окси-21-бром-24,24-дифенилхоладиена (I); 39) 3,12-дигалоген-окси-21-бром-24,24-дифенилхоладиена (I); 40) 3,12-дигалоген-окси-21-бром-24,24-дифенилхоладиена (I); 41) 3,12-дигалоген-окси-21-бром-24,24-дифенилхоладиена (I); 42) 3,12-дигалоген-окси-21-бром-24,24-дифенилхоладиена (I); 43) 3,12-дигалоген-окси-21-бром-24,24-дифенилхоладиена (I); 44) 3,12-дигалоген-окси-21-бром-24,24-дифенилхоладиена (I); 45) 3,12-дигалоген-окси-21-бром-24,24-дифенилхоладиена (I); 46) 3,12-дигалоген-окси-21-бром-24,24-дифенилхоладиена (I); 47) 3,12-дигалоген-окси-21-бром-24,24-дифенилхоладиена (I); 48) 3,12-дигалоген-окси-21-бром-24,24-дифенилхоладиена (I); 49) 3,12-дигалоген-окси-21-бром-24,24-дифенилхоладиена (I); 50) 3,12-дигалоген-окси-21-бром-24,24-дифенилхоладиена (I); 51) 3,12-дигалоген-окси-21-бром-24,24-дифенилхоладиена (I); 52) 3,12-дигалоген-окси-21-бром-24,24-дифенилхоладиена (I); 53) 3,12-дигалоген-окси-21-бром-24,24-дифенилхоладиена (I); 54) 3,12-дигалоген-окси-21-бром-24,24-дифенилхоладиена (I); 55) 3,12-дигалоген-окси-21-бром-24,24-дифенилхоладиена (I); 56) 3,12-дигалоген-окси-21-бром-24,24-дифенилхоладиена (I); 57) 3,12-дигалоген-окси-21-бром-24,24-дифенилхоладиена (I); 58) 3,12-дигалоген-окси-21-бром-24,24-дифенилхоладиена (I); 59) 3,12-дигалоген-окси-21-бром-24,24-дифенилхоладиена (I); 60) 3,12-дигалоген-окси-21-бром-24,24-дифенилхоладиена (I); 61) 3,12-дигалоген-окси-21-бром-24,24-дифенилхоладиена (I); 62) 3,12-дигалоген-окси-21-бром-24,24-дифенилхоладиена (I); 63) 3,12-дигалоген-окси-21-бром-24,24-дифенилхоладиена (I); 64) 3,12-дигалоген-окси-21-бром-24,24-дифенилхоладиена (I); 65) 3,12-дигалоген-окси-21-бром-24,24-дифенилхоладиена (I); 66) 3,12-дигалоген-окси-21-бром-24,24-дифенилхоладиена (I); 67) 3,12-дигалоген-окси-21-бром-24,24-дифенилхоладиена (I); 68) 3,12-дигалоген-окси-21-бром-24,24-дифенилхоладиена (I); 69) 3,12-дигалоген-окси-21-бром-24,24-дифенилхоладиена (I); 70) 3,12-дигалоген-окси-21-бром-24,24-дифенилхоладиена (I); 71) 3,12-дигалоген-окси-21-бром-24,24-дифенилхоладиена (I); 72) 3,12-дигалоген-окси-21-бром-24,24-дифенилхоладиена (I); 73) 3,12-дигалоген-окси-21-бром-24,24-дифенилхоладиена (I); 74) 3,12-дигалоген-окси-21-бром-24,24-дифенилхоладиена (I); 75) 3,12-дигалоген-окси-21-бром-24,24-дифенилхоладиена (I); 76) 3,12-дигалоген-окси-21-бром-24,24-дифенилхоладиена (I); 77) 3,12-дигалоген-окси-21-бром-24,24-дифенилхоладиена (I); 78) 3,12-дигалоген-окси-21-бром-24,24-дифенилхоладиена (I); 79) 3,12-дигалоген-окси-21-бром-24,24-дифенилхоладиена (I); 80) 3,12-дигалоген-окси-21-бром-24,24-дифенилхоладиена (I); 81) 3,12-дигалоген-окси-21-бром-24,24-дифенилхоладиена (I); 82) 3,12-дигалоген-окси-21-бром-24,24-дифенилхоладиена (I); 83) 3,12-дигалоген-окси-21-бром-24,24-дифенилхоладиена (I); 84) 3,12-дигалоген-окси-21-бром-24,24-дифенилхоладиена (I); 85) 3,12-дигалоген-окси-21-бром-24,24-дифенилхоладиена (I); 86) 3,12-дигалоген-окси-21-бром-24,24-дифенилхоладиена (I); 87) 3,12-дигалоген-окси-21-бром-24,24-дифенилхоладиена (I); 88) 3,12-дигалоген-окси-21-бром-24,24-дифенилхоладиена (I); 89) 3,12-дигалоген-окси-21-бром-24,24-дифенилхоладиена (I); 90) 3,12-дигалоген-окси-21-бром-24,24-дифенилхоладиена (I); 91) 3,12-дигалоген-окси-21-бром-24,24-дифенилхоладиена (I); 92) 3,12-дигалоген-окси-21-бром-24,24-дифенилхоладиена (I); 93) 3,12-дигалоген-окси-21-бром-24,24-дифенилхоладиена (I); 94) 3,12-дигалоген-окси-21-бром-24,24-дифенилхоладиена (I); 95) 3,12-дигалоген-окси-21-бром-24,24-дифенилхоладиена (I); 96) 3,12-дигалоген-окси-21-бром-24,24-дифенилхоладиена (I); 97) 3,12-дигалоген-окси-21-бром-24,24-дифенилхоладиена (I); 98) 3,12-дигалоген-окси-21-бром-24,24-дифенилхоладиена (I); 99) 3,12-дигалоген-окси-21-бром-24,24-дифенилхоладиена (I); 100) 3,12-дигалоген-окси-21-бром-24,24-дифенилхоладиена (I); 101) 3,12-дигалоген-окси-21-бром-24,24-дифенилхоладиена (I); 102) 3,12-дигалоген-окси-21-бром-24,24-дифенилхоладиена (I); 103) 3,12-дигалоген-окси-21-бром-24,24-дифенилхоладиена (I); 104) 3,12-дигалоген-окси-21-бром-24,24-дифенилхоладиена (I); 105) 3,12-дигалоген-окси-21-бром-24,24-дифенилхоладиена (I); 106) 3,12-дигалоген-окси-21-бром-24,24-дифенилхоладиена (I); 107) 3,12-дигалоген-окси-21-бром-24,24-дифенилхоладиена (I); 108) 3,12-дигалоген-окси-21-бром-24,24-дифенилхоладиена (I); 109) 3,12-дигалоген-окси-21-бром-24,24-дифенилхоладиена (I); 110) 3,12-дигалоген-окси-21-бром-24,24-дифенилхоладиена (I); 111) 3,12-дигалоген-окси-21-бром-24,24-дифенилхоладиена (I); 112) 3,12-дигалоген-окси-21-бром-24,24-дифенилхоладиена (I); 113) 3,12-дигалоген-окси-21-бром-24,24-дифенилхоладиена (I); 114) 3,12-дигалоген-окси-21-бром-24,24-дифенилхоладиена (I); 115) 3,12-дигалоген-окси-21-бром-24,24-дифенилхоладиена (I); 116) 3,12-дигалоген-окси-21-бром-24,24-дифенилхоладиена (I); 117) 3,12-дигалоген-окси-21-бром-24,24-дифенилхоладиена (I); 118) 3,12-дигалоген-окси-21-бром-24,24-дифенилхоладиена (I); 119) 3,12-дигалоген-окси-21-бром-24,24-дифенилхоладиена (I); 120) 3,12-дигалоген-окси-21-бром-24,24-дифенилхоладиена (I); 121) 3,12-дигалоген-окси-21-бром-24,24-дифенилхоладиена (I); 122) 3,12-дигалоген-окси-21-бром-24,24-дифенилхоладиена (I); 123) 3,12-дигалоген-окси-21-бром-24,24-дифенилхоладиена (I); 124) 3,12-дигалоген-окси-21-бром-24,24-дифенилхоладиена (I); 125) 3,12-дигалоген-окси-21-бром-24,24-дифенилхоладиена (I); 126) 3,12-дигалоген-окси-21-бром-24,24-дифенилхоладиена (I); 127) 3,12-дигалоген-окси-21-бром-24,24-дифенилхоладиена (I); 128) 3,12-дигалоген-окси-21-бром-24,24-дифенилхоладиена (I); 129) 3,12-дигалоген-окси-21-бром-24,24-дифенилхоладиена (I); 130) 3,12-дигалоген-окси-21-бром-24,24-дифенилхоладиена (I); 131) 3,12-дигалоген-окси-21-бром-24,24-дифенилхоладиена (I); 132) 3,12-дигалоген-окси-21-бром-24,24-дифенилхоладиена (I); 133) 3,12-дигалоген-окси-21-бром-24,24-дифенилхоладиена (I); 134) 3,12-дигалоген-окси-21-бром-24,24-дифенилхоладиена (I); 135) 3,12-дигалоген-окси-21-бром-24,24-дифенилхоладиена (I); 136) 3,12-дигалоген-окси-21-бром-24,24-дифенилхоладиена (I); 137) 3,12-дигалоген-окси-21-бром-24,24-дифенилхоладиена (I); 138) 3,12-дигалоген-окси-21-бром-24,24-дифенилхоладиена (I); 139) 3,12-дигалоген-окси-21-бром-24,24-дифенилхоладиена (I); 140) 3,12-дигалоген-окси-21-бром-24,24-дифенилхоладиена (I); 141) 3,12-дигалоген-окси-21-бром-24,24-дифенилхоладиена (I); 142) 3,12-дигалоген-окси-21-бром-24,24-дифенилхоладиена (I); 143) 3,12-дигалоген-окси-21-бром-24,24-дифенилхоладиена (I); 144) 3,12-дигалоген-окси-21-бром-24,24-дифенилхоладиена (I); 145) 3,12-дигалоген-окси-21-бром-24,24-дифенилхоладиена (I); 146) 3,12-дигалоген-окси-21-бром-24,24-дифенилхоладиена (I); 147) 3,12-дигалоген-окси-21-бром-24,24-дифенилхоладиена (I); 148) 3,12-дигалоген-окси-21-бром-24,24-дифенилхоладиена (I); 149) 3,12-дигалоген-окси-21-бром-24,24-дифенилхоладиена (I); 150) 3,12-дигалоген-окси-21-бром-24,24-дифенилхоладиена (I); 151) 3,12-дигалоген-окси-21-бром-24,24-дифенилхоладиена (I); 152) 3,12-дигалоген-окси-21-бром-24,24-дифенилхоладиена (I); 153) 3,12-дигалоген-окси-21-бром-24,24-дифенилхоладиена (I); 154) 3,12-дигалоген-окси-21-бром-24,24-дифенилхоладиена (I); 155) 3,12-дигалоген-окси-21-бром-24,24-дифенилхоладиена (I); 156) 3,12-дигалоген-окси-21-бром-24,24-дифенилхоладиена (I); 157) 3,12-дигалоген-окси-21-бром-24,24-дифенилхоладиена (I); 158) 3,12-дигалоген-окси-21-бром-24,24-дифенилхоладиена (I); 159) 3,12-дигалоген-окси-21-бром-24,24-дифенилхоладиена (I); 160) 3,12-дигалоген-окси-21-бром-24,24-дифенилхоладиена (I); 161) 3,12-дигалоген-окси-21-бром-24,24-дифенилхоладиена (I); 162) 3,12-дигалоген-окси-21-бром-24,24-дифенилхоладиена (I); 163) 3,12-дигалоген-окси-21-бром-24,24-дифенилхоладиена (I); 164) 3,12-дигалоген-окси-21-бром-24,24-дифенилхоладиена (I); 165) 3,12-дигалоген-окси-21-бром-24,24-дифенилхоладиена (I); 166) 3,12-дигалоген-окси-21-бром-24,24-дифенилхоладиена (I); 167) 3,12-дигалоген-окси-21-бром-24,24-дифенилхоладиена (I); 168) 3,12-дигалоген-окси-21-бром-24,24-дифенилхоладиена (I); 169) 3,12-дигалоген-окси-21-бром-24,24-дифенилхоладиена (I); 170) 3,12-дигалоген-окси-21-бром-24,24-дифенилхоладиена (I); 171) 3,12-дигалоген-окси-21-бром-24,24-дифенилхоладиена (I); 172) 3,12-дигалоген-окси-21-бром-24,24-дифенилхоладиена (I); 173) 3,12-дигалоген-окси-21-бром-24,24-дифенилхоладиена (I); 174) 3,12-дигалоген-окси-21-бром-24,24-дифенилхоладиена (I); 175) 3,12-дигалоген-окси-21-бром-24,24-дифенилхоладиена (I); 176) 3,12-дигалоген-окси-21-бром-24,24-дифенилхоладиена (I); 177) 3,12-дигалоген-окси-21-бром-24,24-дифенилхоладиена (I); 178) 3,12-дигалоген-окси-21-бром-24,24-дифенилхоладиена (I); 179) 3,12-дигалоген-окси-21-бром-24,24-дифенилхоладиена (I); 180) 3,12-дигалоген-окси-21-бром-24,24-дифенилхоладиена (I); 181) 3,12-дигалоген-окси-21-бром-24,24-дифенилхоладиена (I); 182) 3,12-дигалоген-окси-21-бром-24,24-дифенилхоладиена (I); 183) 3,12-дигалоген-окси-21-бром-24,24-дифенилхоладиена (I); 184) 3,12-дигалоген-окси-21-бром-24,24-дифенилхоладиена (I); 185) 3,12-дигалоген-окси-21-бром-24,24-дифенилхоладиена (I); 186) 3,12-дигалоген-окси-21-бром-24,24-дифенилхоладиена (I); 187) 3,12-дигалоген-окси-21-бром-24,24-дифенилхоладиена (I); 188) 3,12-дигалоген-окси-21-бром-24,24-дифенилхоладиена (I); 189) 3,12-дигалоген-окси-21-бром-24,24-дифенилхоладиена (I); 190) 3,12-дигалоген-окси-21-бром-24,24-дифенилхоладиена (I); 191) 3,12-дигалоген-окси-21-бром-24,24-дифенилхоладиена (I); 192) 3,12-дигалоген-окси-21-бром-24,24-дифенилхоладиена (I); 193) 3,12-дигалоген-окси-21-бром-24,24-дифенилхоладиена (I); 194) 3,12-дигалоген-окси-21-бром-24,24-дифенилхоладиена (I); 195) 3,12-дигалоген-окси-21-бром-24,24-дифенилхоладиена (I); 196) 3,12-дигалоген-окси-21-бром-24,24-дифенилхоладиена (I); 197) 3,12-дигалоген-окси-21-бром-24,24-дифенилхоладиена (I); 198) 3,12-дигалоген-окси-21-бром-24,24-дифенилхоладиена (I); 199) 3,12-дигалоген-окси-21-бром-24,24-дифенилхоладиена (I); 200) 3,12-дигалоген-окси-21-бром-24,24-дифенилхоладиена (I); 201) 3,12-дигалоген-окси-21-бром-24,24-дифенилхоладиена (I); 202) 3,12-дигалоген-окси-21-бром-24,24-дифенилхоладиена (I); 203) 3,12-дигалоген-окси-21-бром-24,24-дифенилхоладиена (I); 204) 3,12-дигалоген-окси-21-бром-24,24-дифенилхоладиена (I); 205) 3,12-дигалоген-окси-21-бром-24,24-дифенилхоладиена (I); 206) 3,12-дигалоген-окси-21-бром-24,24-дифенилхоладиена (I); 207) 3,12-дигалоген-окси-21-бром-24,24-дифенилхоладиена (I); 208) 3,12-дигалоген-окси-21-бром-24,24-дифенилхоладиена (I); 209) 3,12-дигалоген-окси-21-бром-24,24-дифенилхоладиена (I); 210) 3,12-дигалоген-окси-21-бром-24,24-дифенилхоладиена (I); 211) 3,12-дигалоген-окси-21-бром-24,24-дифенилхоладиена (I); 212) 3,12-дигалоген-окси-21-бром-24,24-дифенилхоладиена (I); 213) 3,12-дигалоген-окси-21-бром-24,24

175—177°, исходным сырьем для получения которого служат **1**; 3) 3-кето-12-ацетоксиэтиохолановую к-ту, т. пл. 95—96°, синтезируют аналогичным образом из $\Delta^{20,23}$ -3-кето-12-ацетоксис-21-бром-24,24-дифенилхолоадиена; 4) Δ^4 -3-кетотетриохолановую к-ту, т. пл. 137—140°, из ацетона-эфира (метилового эфира, т. пл. 129—131°) синтезируют из $\Delta^{4,20,23}$ -3-кето-21-оксис-24,24-дифенилхолатриена, который в свою очередь получают из $\Delta^{4,20,23}$ -3-кето-21-бром-24,24-дифенилхолатриена, синтезированного действием N-бромсукцинимидом на $\Delta^{4,20,23}$ -3-кето-24,24-дифенилхолатриен; 5) Δ^3 -3-оксис-этиохолановую к-ту, т. пл. 180° (метилового эфира, т. пл. 178—180°), синтезируют из 3-ацетоксис-5-хлорэтиохолановой к-ты, полученной из $\Delta^{20,23}$ -3-ацетоксис-5-хлор-21-оксис-24,24-дифенилхолоадиена, который в свою очередь синтезируется из $\Delta^{20,23}$ -3-ацетоксис-5-хлор-21-бром-24,24-дифенилхолоадиена, полученного действием N-бромсукцинимидом на $\Delta^{20,23}$ -3-ацетоксис-5-хлор-24,24-дифенилхолоадиена; 6) 3,11-дикетотетриохолановую к-ту (метилового эфира, т. пл. 185°) синтезируют из $\Delta^{20,23}$ -3,11-дикето-21-оксис-24,24-дифенилхолоадиена, полученного из $\Delta^{20,23}$ -3,11-дикето-21-бром-24,24-дифенилхолоадиена; 7) 3-ацетоксис-этиохолановую к-ту, т. пл. 245—247° (метилового эфира, т. пл. 143—144°), синтезируют из $\Delta^{20,23}$ -3-ацетоксис-21-оксис-24,24-дифенилхолоадиена, полученного из $\Delta^{20,23}$ -3-ацетоксис-21-бром-24,24-дифенилхолоадиена, который в свою очередь получают действием N-бромсукцинимидом на $\Delta^{20,23}$ -3-ацетоксис-21-бром-24,24-дифенилхолоадиена.

Г. Р.

44709 П. 3-замещенный аддукт 5,7,9-(11)-прегнатриен-20-она (3-substituted adduct of 5,7,9-(11)-pregnatrien-20-one) [Upjohn Co.]. Англ. пат. 693770, 8.07.53. Указанные соединения общей ф-лы (**I**), где R — оксигруппа или ацильный остаток органич. карбоновой к-ты, а R' — радикал аддукта, производного малиновой к-ты или ее ангидрида или ее диэфира, получают озонированием 20,22-двойной связи аналогичного аддукта 3,22-диацилоксис-5,7,9 (11),20(22)-холатетраена общей ф-лы (**II**), в которой ацильная группа в положении 19 замещена группой $\text{CH}_2\text{C}(=\text{CHR}')$, и где R и R' — ацильные остатки органич. карбоновых к-т. Озонирование производят присоединением 1—1,25 моля O_3 на 1 моль указанного аддукта при —80° до +30° в органич. р-рителе, разлагают озонид с одно- или двукратным гидролизом 3-ацилоксигруппы и мостика аддукта (если он в ангидридной или эфирной форме) и далее по надобности вновь этерифицируют 3-оксигруппу или восстанавливают нарушенную форму аддукта. Озонирование ведут преимущественно 1—1,1 молями O_3 при —70 до —30° в хлф., CH_2Cl_2 , $\text{C}_2\text{H}_4\text{Cl}_2$, CCl_4 или CH_3COOH , озонид разлагают Zn и лед. CH_3COOH . Описаны примеры получения: аддукта малинового ангидрида и 3 β -ацетоксис-5,7,9 (11)-прегнатриен-20-она (**III**) из соответствующего аддукта 3 β ,22-диацилоксис-5,7,9 (11), 20 (22)-холатетраена; аддукта малиновой к-ты 3 β -оксис-5,7,9 (11)-прегнатриен-20-она (**IV**) гидролизом **III** водн. NaOH в диоксане; аддукты диметил-, диэтил-, дипропил-, ди-изопропил-, дибутил- или диоктилмалеват 3 β -оксис-5,7,9 (11)-прегнатриен-20-она (**V**) обработкой **IV** соответствующими диазосоединениями в CH_2Cl_2 ; аддукт диметилмалевата и 3 β -ацетоксис-формилоксис-бензильного 5,7,9 (11)-прегнатриен-20-она этерификацией первого из **V**; аддукт малинового ангидрида и 3 β -гептаиноил-5,7,9 (11)-прегнатриен-20-она кипячением с обратным холодильником **IV** с гептиловым

ангидридом в пиридине; аддукт малинового ангидрида и 3 β -оксис-5,7,9 (11)-прегнатриен-20-она кипячением с обратным холодильником **IV** с дауртермом, или нагреванием самого **IV** немного выше его т-ры плавления. Приведен список продуктов присоединения и исходных материалов. Аддукты **II** получают действием ангидридов или галоангидридов к-т в присутствии щел. соли соответствующей к-ты на соответствующие аддукты 3-ацилоксис-5,7,9 (11)-холатриен-22-альдегидов. Подробно описано получение ряда производных биснорхолатетраена и промежуточных продуктов их синтеза.

Ю. В.

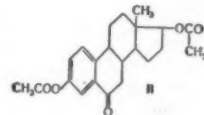
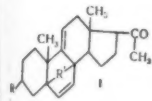
44710 П. Соединения ряда циклопентанодиметилполигидрофенантрена. Саретт (Chemical compounds of the cyclopentanodimethylpolyhydrophenanthrene series and processes of preparing the same. Sarrett Lewis H.) [Merck and Co. Inc.]. Канад. пат. 502097, 4.05.54.

Патентуется способ получения 3-оксис-11,17-дикетотетриохолана (**I**), заключающийся в действии HNO_3 при нагревании в присутствии пиридина на 3-ацетоксис-11-кето-20-аминопрегнен, причём получают реакционную смесь из 3-ацетоксис-11-кето-20-оксипрегнана, $\Delta^{17,20}$ -3-ацетоксис-11-кетопрегнана (**II**) и $\Delta^{20,21}$ -3-ацетоксис-11-кетопрегнана (**III**); эту смесь обрабатывают галоангидридом ароматич. сульфокислоты и кипятят с органич. основанием (в данном примере с пиридином) для удаления кислых производных от р-ции с ароматич. сульфокислотой, причём получают смесь **II** и **III**, которую озонируют и разлагают озониды с образованием смеси 3-ацетоксис-11,17-дикетотетриохолана (**IV**) и 3-ацетоксис-11-кето-формилэтиохолана; полученную смесь окисляют (напр. KMnO_4), превращая формильное производное в 3-ацетоксис-11-кетотетриохолановую к-ту, выделяют последнюю из смеси щелочью, а **IV** омыляют и **I**. Патентуются также $\Delta^{17,20}$ -3-ацетоксис-11-кетопрегнен, или его аналоги, у которых ацилоксигруппы являются производными низших алифатич. к-т.

Ю. В.

44711 П. Способ получения производных 13-метилциклопентанополигидрофенантрена с кетогруппой в положении 6 и содержащих ароматическое кольцо А. Швенк (Verfahren zur Herstellung von eine Ketogruppe in 6-Stellung aufweisenden Derivaten von im Ring A aromatischen 13-Methylcyclopentanopolyhydrophenanthrenverbindungen. Schwenk Erwin) [VEB Schering Adlershof]. Пат. ГДР 5081, 21.10.54.

Производные 13-метилциклопентанополигидрофенантрена, содержащие кетогруппу в положении 6 и имеющие ароматич. кольцо А, получают действием окислителей в мягких условиях на производные 13-метилциклопентанополигидрофенантрена, содержащие группы, способные к превращению в оксигруппы; при этом кетогруппа входит в положение 6 кольца В, после чего полученные в-ва выделяют. В качестве окислителей, в частности, применяют Cr^{6+} -производные, при низкой т-ре (20°); в качестве исходных в-в — фолликулин, эквилин и эстрон (с защищенными оксигруппами) и особенно эстрадион и эстриол. Получаемые при окислении в-ва обладают значительным эстрогенным действием (напр., 3 000 000 крыс. ед. на 1 г 6-кетострадиола). 2,8 г эстрадионата растворяют в 20 мл CH_3COOH и окисляют 3 г CrO_3 в возможно малом кол-ве воды и нескольких мл CH_3COOH (общий объем ≤ 30 мл). после стояния ~ 16 час при 20° прибавляют CH_3OH для разложения избытка CrO_3 , разбавляют льдом и водой и извлекают эфиром. Эфирный р-р промывают,



сушат и удаляют эфир; из остатка кристаллизацией из ацетона выделяют 1,2 г 6-кетоэстроацетата (I), т. пл. 193,5—195,5° (из разб. ацетона). 8,7 г α -эстрадиолди-ацетата растворяют в 30 мл CH_3COOH и окисляют р-ром 7,35 г CrO_3 в 50 мл 90%-ной CH_3COOH ; после 24-часового стояния при $\sim 20^\circ$ разбавляют лед. водой, выделенный продукт разделяют обработкой р-ром NaOH и эфиром на кислотную и нейтр. часть, из которой с помощью «реагента Т» Girard отделяют полученные кетоны от легких кетонов, состоящих из исходных продуктов. Расщеплением продукта конденсации и многократной кристаллизацией из 90%-ного спирта выделяют 1,5 г в-ва ф-лы (II), т. пл. 173—175°, λ_{max} 250 и 300 мк (ϵ 8800 и 1800). К р-ру 5 г метилового эфира эстроа в 100 мл ацетона при 18° постепенно прибавляют тонкоизмельченный KMnO_4 в кол-ве, соответствующем 5 атомам O, размешивают 2 часа, выливают в воду, прибавляют р-р NaHSO_4 в кол-ве, достаточном для разложения избытка KMnO_4 и растворения MnO_2 , отфильтровывают и промывают водой, после перекристаллизации получают 1,6 г метилового эфира 6-кетоэстроа, который может быть также получен омылением I и последующим метилированием. В качестве исходных в-в вместо ацетатов можно применять соответствующие пропионаты, бутираты, валерианаты, бензоаты и другие сложные эфиры, а также галоидированные продукты и простые эфиры. Из полученных продуктов по известным методам можно получать смешанные простые и сложные эфиры, а также их галоидопроизводные. В. У.

44712 П. Растворы органической соли пенициллина и способ их приготовления. Пенно, Хагеманн (Organic penicillin salt solutions and method of making same. Penno Henry H., Hagemann G. U. y.) [Les Laboratoires Français de Chimiotherapie]. Пат. США 2715092, 9.08.55

Для продления терапевт. действия растворимой в воде соли пенициллина (I) последнюю растворяют непосредственно перед инъекцией в водн. р-рах эквивалентных кол-в HCl -эметина (II) или HCl -аминодифенилметана (III), содержащих 2% гуммиарабика (IV) или 20% поливинилпирролидона (V) или 20—60% пропиленгликоля (VI) в качестве в-в, задерживающих выпадение нерастворимых солей I—II или I—III, выделение которых происходит в ткани после инъекции, что весьма значительно увеличивает продолжительность действия I. Конц-ия I в р-ре для инъекции не менее 100000 ед./мл. 2,5 г кристаллич. II растворяют в 100 мл дистил. воды, содержащей 2 г IV, разливают в ампулы по 2 мл и стерилизуют. В содержимом одной ампулы растворяют при инъекции ~ 200000 ед. I. Приведены примеры для р-ров II—V—I, II—VI—I и II—VI—I. Ю. В.

44713 П. Растворы органических солей пенициллина с продленным действием и способ их получения. Пенно, Хагеманн, Клод (Organic penicillin salt solutions having a delayed action and process for making same. Penno Henry H., Hagemann G. U. y., Claude Rene) [Les Laboratoires Français de Chimiotherapie]. Пат. США 2715090, 9.08.55

Пенициллин (I) или его неорганич. соли, напр. Na или K, растворяют непосредственно перед инъекцией в водн. р-ре смеси пропиленгликоля (II) и соли хинина (III), напр. формата III, в кол-ве приблизительно эквивалентном I, в конц-ях недостаточных для немедленного выпадения из р-ра нерастворимой соли I и III; последняя выделяется в тканях после инъекции, что обеспечивает медленное поглощение I организмом. 14 г формата III растворяют в 25 мл II, к р-ру добавляют 1 г бутилового эфира *п*-аминобензойной к-ты, размешивают с 35 мл дважды перегнанной воды, добав-

ляют II до 100 мл, разливают в ампулы по 1,6 мл и стерилизуют. В содержимом одной ампулы растворяют дозу сухого пенициллина G или его Na- или K-соли, содержащую 300000 ед. (185—200 мг). Ю. В.

44714 П. Соль пенициллина G и способ ее получения (Nouveau sel de penicilline — G et son procédé de préparation) [Soc. des Usines Chimiques Rhône-Poulenc]. Франц. пат. 1045549, 26.11.53 [Chem. Zbl., 1954, 125, № 46, 10542 (исм.)]

Водный р-р соли пенициллина G (напр., Na-, K-, Ca-пенициллин G или триэтиламин-, N-этилпиперидин-пенициллин G) вводят в р-цию с р-ром соли N'-*п*-хлорфенилбугуанида (I), напр. хлоридрата I, в воде или в смешивающемся с водой р-рителе (напр., спирте). Можно проводить р-цию обмена с основанием I также в органич. р-рителе (эфире, амлацтате). Напр., к р-ру 17,8 г Na-пенициллина G в 70 мл воды прибавляют сразу р-р 12,4 г хлоридрата I в 100 мл воды и 150 мл спирта и оставляют стоять полчаса при охлаждении льдом; получают 19,6 г соли пенициллина G и I, т.пл. 184—186°; $[\alpha]_D^{20} + 169^\circ 20'$. Соль обладает антибиотич. свойствами пенициллина и может применяться в качестве трансвтич. препарата. Ю. В.

44715 П. Соли пенициллина с органическим основанием. Клиоз (Penicillin salts with an organic base. Klioze Oscar) [American Home Products Corp.]. Канад. пат. 501584, 20.04.54

Соль пенициллина (I) и N-бензил-N'-(3-этокси-4-оксипенил)-этилендиамина (II) получают р-цией в водн. среде растворимых в воде солей I и II. Ю. В.

44716 П. Соли пенициллина и глицидифениламидов. Эрхарт, Рунинг, Штейн, Аумюллер (Penicillin salts of glycine-diphenyl-amides. Erhart Gustav, Ruschig Heinrich, Stein Leonhard, Aumüller Walter) [Farbwerke Hoechst A.-G.]. Пат. США 2697095, 14.12.54

Патентуется соль пенициллина и дифениламида (I) аминнокислых к-т, напр. I- ω -пирролидино-, I- ω -диэтиламино- и I- ω -*н*-пропиламиноуксусной кислоты. Ю. В.

44717 П. Способ получения неомидина. Уэрмейстер (Method for the recovery of neomycin. Wehrmeister Herbert L.) [Commercial Solvents Corp.]. Пат. США 2698821, 4.01.55

В процессе получения неомидина (I) из его водн. р-ров к последним, при pH 2—7, прибавляют органич. сульфосоединения, содержащие гидрофобные алкильные остатки не менее чем с 6 атомами C, напр. сульфокислоты или сульфаты алкилбензола и алкилнафталина, экстрагируют I из водн. р-ра низкомолекулярным, не смешивающимся с водой органич. р-рителем, напр. хлф, диалкилкетон, оксикалканами и алкили или оксикалсил 1,3-диоксоланами; из слоя органич. р-рителя I извлекают разб. водн. р-ром сильной к-ты с pH 0,4—1 и осаждают из кислото-р-ра, напр., смешивающимся с водой низшим алифатич. спиртом. Приведена схема получения I, включающая стадии от р-ра сырого продукта до чистой нейтр. соли твердого I. Ю. В.

44718 П. Способ концентрирования солей неустойчивых органических кислот (напр., пенициллина). Данн, Грут, Соудерс (Method of concentrating salts of unstable organic acids. Dunn Clarence L., Groot Cornelius, Souder Mott, Jr) [Shell Development Co.]. Канад. пат. 505506, 31.08.54

Щелочно-зем. соли неустойчивых кислото-реагирующих органич. соединений, напр. пенициллина (I) получают путем тесного перемешивания р-ра I в органич. р-рителе с водн. р-ром гидроокиси щел.-зем. металла по принципу противотока этих жидкостей

отделением водн. р-ра щел.-зем. соли I от органич. р-рителя, пропусканием водн. р-ра через нагретую зону прямого теплообменника с теплопередающей средой, имеющей т-ру 0—50°, разбрызгиванием р-ра в зоне выпаривания с т-рой 0—20° и давлением ~ 20 мм и удалением концентрата соли I из циркуляционной системы. Приведен рис. схемы аппаратуры для осуществления описанного процесса.

Ю. В.
44719 П. **Терапевтические препараты.** Уоктел (Therapeutic substances. Wachtel Henry R.) [Chemical Hormone Corp.]. Канад. пат. 501254, 6.04.54

Терапевтическое в-во, содержащееся в питуитарных железах млекопитающих, получают извлечением из этих органов ацетоном растворимой фракции, отделением от нерастворимой части, удалением р-рителя из растворимой фракции, прибавлением 10—15% CHCl_3 к полученному остатку, растворением нерастворившейся в CHCl_3 части в эфире, пропусканием полученного р-ра через хроматографич. колонну и извлечением адсорбированного в-ва эфиром из наиболее темного слоя в колонне.

Ю. В.
44720 П. **Терапевтический продукт.** Фултон, Уайт (Therapeutic product. Fulton Clarence O., White William H.) [Frank W. Horner Ltd.]. Канад. пат. 507784, 30.11.54

Патентуется изотонический, забуференный до pH 5—7 водн. р-р, содержащий 1% сульфата 2-аминогептана, токсичное для микроорганизмов верхних дыхательных путей в-во, напр. 0,013—0,02% фенолмеркуробората, а также 0,064% однозамещ. фосфата Na, 0,072% двузамещ. фосфата Na и 7% сахара.

Ю. В.
44721 П. **Терапевтические препараты** (Therapeutic preparations) [N. V. Koninklijke Pharmaceutische Fabriek v/h Brocades-Stheeman und Pharmacia]. Австрал. пат. 159871, 2.12.54

Указанный препарат состоит из эфиров бензиловой к-ты, свободных от основного азота, в частности содержащих 4—12 атомов C в алифатич. спиртовом остатке (бутанол-1, пентанол-1, амилловый спирт, образующийся при брожении, и гексанол-1), и содержит носитель, пригодный для терапевтич. применения.

Ю. В.
44722 П. **Лечебный препарат устойчивой соли ацетилсалициловой кислоты.** Коупленд (Preparation of stable medicinal salts of acetylsalicylic acid. Coupland Myer). Канад. пат. 501551, 20.04.54
Твердый сухой препарат состоит из соли щел.-зем. металла (напр., Ca или Mg) ацетилсалициловой к-ты, тщательно смешанной с меньшими кол-вами хлорида и карбоната того же металла; напр., из смеси Mg-ацетилсалицилата с 2—3% MgCl_2 и 0,25—0,4% MgCO_3 или представляет собой аналогичный кальцевый препарат. К профильтрованному конц. водн. р-ру соли ацетилсалициловой к-ты и щел. металла, содержащему небольшое кол-во щел. карбоната, добавляют избыток CaCl_2 , фильтруют осадок и промывают до тех пор, пока в осадке не останется требуемое кол-во CaCl_2 и высушивают.

Ю. В.
44723 П. **Лекарственный препарат.** Завада (Medicine. Zawada John). Канад. пат. 501409, 13.04.54

Препарат, получаемый умеренным кипячением в течение 20 мин. смеси 5,8 ч. корня ядовитого плюща, 1,5 ч. семени полевого тмина и 0,75 ч. полыни с 280 мл воды и последующим процеживанием экстракта, применяется как болеутоляющее.

Ю. В.
44724 П. **Препарат для лечения гипертонии.** Берсуорт (Medical preparation for the treatment of high blood pressure. Bersworth F. C.). Англ. пат. 716059, 29.09.54 [J. Appl. Chem., 1955, 5, № 4, i617 (англ.)]

Указанный терапевтич. препарат состоит из изотонич. р-ра с pH 7,2—7,4, применяемого для внутривенной или подкожной инъекции и содержащего 1—5% соли щел. металла (напр. ди-натриевую соль) внутреннего Mg комплекса этилсиднаминтетрауксусной к-ты и 5—10% глюкозы. По желанию р-ру можно придать нужную степень густоты добавлением смешивающихся с водой маселых основ и применить для наружного употребления.

Ю. В.
44725 П. **Анестезирующие составы.** Хаас, Гудман (Anaesthetic compositions. Haas Albert Bela, Goodman Walter N.). Канад. пат. 506360, 12.10.54

Анестезирующее средство из р-ра в носителе (смеси растительного и минер. масла) меньших кол-в бензокаина, хлорбутанола или бутезина и больших кол-в метилсалицилата с добавлением перуанского бальзама. Пример состава: 60 мл метилсалицилата, 20 мл минер. масла, 30 мл хлопкового масла, содержащего 2% салициловой к-ты, 5 г бензокаина и 10 г перуанского бальзама.

Ю. В.
44726 П. **Лекарственный состав, распыляемый в аэрозоль.** Дотребанд (Aerosol dilating medical composition. Dautreband Lucien) [Aerosol Corp. of America]. Пат. США 2681880, 22.06.54
Состав для ингаляции состоит из р-ра хлоргидратов прокаина, 1 (3',4'-диоксифенил)-2-изопропиламиноэтанол и циклопентилметиламинопропана и носителя, безвредного для легочной ткани.

Ю. В.
44727 П. **Получение водных растворов труднорастворимых в воде веществ.** Хютер (Verfahren zur Herstellung wässriger Lösungen von in Wasser schwerlöslichen Stoffen. Hueter Richard) [DEHYDAG Deutsche Hydrierwerke A.-G.]. Пат. ФРГ 909769, 26.04.54 [Chem. Zbl., 1955, 126, № 3, 639 (нем.)]

Водные р-ры трудно растворимых в воде в-в, напр. антисептиков, терапевтически активных в-в, особенно фенолов, их производных, а также камфоры, получают применением в качестве сообщающих растворимость в-в соединений четвертичного аммония, содержащих в молекуле высокомолекулярный алифатич. остаток, замещ. и (или) разветвленный в цепи другими атомами или атомными группами и, по крайней мере, один алифатич. остаток, связанный с N и содержащий одну или несколько двойных связей.

Ю. В.
44728 П. **Способ получения лекарственных растворов** (Procédé pour la préparation de solutions médicamenteuses) [Imhausen & Co. G. m. b. H.]. Франц. пат. 1051946, 20.01.54 [Chem. Zbl., 1955, 126, № 2, 416 (нем.)]

Жирорастворимые витамины, гормоны, кератолич. в-ва и т. п. растворяют в эфирах, смешанных эфирах или в смесях эфиров жирных к-т с нормальной цепью из 7—14 атомов C. Напр., к р-ру 10 г тестостеронпропионата в 1000 мл смешанных глицеридов каприновой, ундециловой и лауриной к-т прибавляют 1000 мл смеси этиловых эфиров этих к-т, причем содержание каждой из этих к-т должно составлять ~33% от общего кол-ва всех к-т. Применяются в качестве накожного средства.

Ю. В.
44729 П. **Витаминный препарат.** Хокберг, Мак-Миллан (Vitamin products. Hochberg Melvin, MacMillan Melvin J.) [Norpro Chemical Co.]. Канад. пат. 504876, 3.08.54

Препарат жирорастворимых витаминов, напр. витамина А, представляет твердые сферические частицы, большая часть которых проходит через сито 10 меш и не проходит через 100 меш, и состоит из тесной смеси, содержащей 30% гидрированного животного глицерида, или минер. воска, с т. пл. ~ 45°, 1—50% муки пшеничных зародышей и ~ 0,05% съедобного антиоксиданта.

Ю. В.

44730 П. Получение устойчивых водных растворов келлина. Фламмерсфельд (Verfahren zur Herstellung von beständigen wäßrigen Lösungen des Kellins. Flammersfeld Heinz) [Kali-Chemie A.-G.]. Пат. ФРГ 917564, 27.09.54 [Pharmaz. Ind., 1954, 16, № 12, 518 (нем.)]

При внутримышечном применении р-ров келлина (I) с тс-филлином (II), напр. 20 мг I с 120—150 мг II в 10 мл р-ра, вследствие побочного действия II, наблюдаются головокружения, тошноты и т. п. Сам II обладает фармакологич. свойствами и снижает активность I. Известны также р-ры 20 мг I и 400 мг салицилового Na в 10 мл водн. жидкости. При совместном растворении I с солями 2,4-дихлорбензойной к-ты (III) и щелочами или сильными органич. основаниями растворимость I во много раз повышается. Напр., в 6,5 мл водн. р-ра соли диметиламина и III можно растворить 110 мг I. Исследования показали, что такие р-ры I особенно устойчивы, легко переносятся при внутривенном вливании и не обнаруживают никакого токсического действия. Ю. В.

44731 П. Терапевтический комплекс эмульсина. Кребе, Кребе (Therapeutic emulsin complex. Krebs Ernst T., Krebs Ernst T., Jr.). Пат. США 2703778, 8.03.55

Патентуется препарат эмульсина (I) для лечения кишечного брожения, состоящий из I и химически инертного по отношению к I наполнителя, препятствующего слипанию I в смолистую массу, способствующего свободному распределению I в кишечном тракте и существенно не адсорбирующего I. Комплекс I получают экстрагированием масла из мацерированных семян сем. сливовых (*prunus*), обработкой обезжиренного остатка водой и осаждением низшими алифатич. спиртами и ацетоном из водн. р-ра фракция, нерастворимой в спиртах и ацетоне. Ю. В.

44732 П. Составы, содержащие лецитин. Шарф (Lecithin compositions. Scharf Albert) [Associated Concentrates, Inc.]. Канад. пат. 507125, 9.11.54

Патентуется однородный состав с высоким содержанием лецитина (I), содержащий 100 вес. ч. каротина, 150 вес. ч. минер. масла, ~200 вес. ч. желированной муки (зерновой) и ~100 вес. ч. продажного соевого I. Вариант состава: соевый I, мука и эфир глицерина с высокомолекулярной алифатич. к-той, напр. моноэстер глицерина. Ю. В.

44733 П. Лечебная смесь из аминокислот и декстрозы. Фрост, Мак-Питайр (Amino acid-dextrose composition. Frost Douglas V., McIntire Floyd C.) [Abbot Lab.]. Канад. пат. 506395, 12.10.54

Состав для внутривенного вливания состоит из разб. водн. р-ра 3—15% протеинового гидролизата, содержащего усваиваемые аминокислоты; 3—15% декстрозы или фруктозы или их смеси; 0,01—0,2% сульфата цел. металла и 0,01—0,05% хлоридов цистина и гомоцистина или, взамен последних, 0,01—0,5% соли растворимого в воде низкомолекулярного соединения алкиламинотиола. Ю. В.

44734 П. Препарат для лечения малокровия. Малколм, Локхарт (Anti-anemia preparation. Malcolm Wilbur G., Lockhart Merton C.) [American Cyanamid Co.]. Канад. пат. 507323, 16.11.54

Желатиновые капсулы содержат ~192 мг безводн. FeSO₄, 0,85 мг фолевой к-ты, 1—10 мг витамина B₁₂, 50 мг аскорбиновой к-ты, 100 мг порошка желудочной ткани и 350 мг нерастворимого препарата печени. Ю. В.

44735 П. Капсулы. Бигнелл, Бригс (Capsules. Bignell J. B., Briggs J. C.) [Tye &

Son Ltd; J. Thesco Industrial Research, Ltd]. Англ. пат. 697723, 30.09.53 [Chem. Zbl., 1954, 125, № 19, 4212 (нем.)]

Капсулы для лекарственных в-в получают сплавлением краев термопластичной фольги, причём в середину может быть вложена бумажка, отделяющая два несовместимых лекарственных в-ва. Предлагаются также другие варианты, напр., маленькая капсула внутри большой. Ю. В.

44736 П. Способ дезинфекции помещений. Вейлер (Verfahren zur Desinfection von Räumen. Weiler Paul). Швейц. пат. 296487, 17.04.54 [Chem. Zbl., 1954, 125, № 46, 10543 (нем.)]

1,3-бутиленгликоль (I) испаряют или распыляют в виде аэрозоля пропусканием тока воздуха через слой клетчатки, марли, кремневого геля и т. п., пропитанных I. Ю. В.

См также: Синтетич. соед. 43461, 43487, 43589, 43591, 43592, 43595, 43073, 43093, 43096, 43102, 43103, 43114, 43115, 43120, 43126, 43133, 43153, 43160, 43161, 43169, 43171, 43184—43190, 43192, 43199, 43200, 43202—43205, 43222, 43231, 43295, 43296, 43315, 44371, 44402, 44426, 44493, 44515, 44516, 44525, 44526, 44531, 44870, 44889, 45016; 13437Bx, 14041Bx, 14117Bx, 14118Bx, 14121Bx, 14128Bx, 14130—14132Bx, 14146Bx, 14165Bx, 14181Bx, 14202Bx, 14211Bx, 13125Bx, 13150Bx, 13150Bx, 13151Bx, 13153Bx, 13156Bx. Природные в-ва 42162, 42206, 42368, 42757, 42758, 42760, 43125, 43302—43307, 43310, 43318, 43319, 43348, 43588, 43593, 43594, 43596, 43790, 44768, 45242, 45480; 13172Bx, 13182Bx, 13183Bx, 13196Bx, 13216Bx, 13219Bx, 13238Bx, 13355Bx, 13362Bx, 13368Bx, 13372Bx, 13374Bx, 13375Bx, 13377Bx, 13383Bx, 13388Bx, 13397Bx, 13414Bx, 13415Bx, 13430Bx, 13442Bx, 13444Bx, 13558Bx, 13559Bx, 13560Bx, 13561Bx, 13563—13566Bx, 13569Bx, 13578Bx, 13582Bx, 13585—13591Bx, 13895Bx, 13945Bx, 13949Bx, 13952Bx, 14065Bx, 14121Bx, 14154Bx, 14175Bx, 14180Bx, 14187Bx, 14188Bx, 14221Bx, 14227—14233Bx, 14238Bx, 14239Bx

ФОТОГРАФИЧЕСКИЕ МАТЕРИАЛЫ

44737. О понижении усадки основы киноплёнки. Брагинский Г. И., Волченко М. П., Тр. Ленингр. ин-та киноинж., 1955, № 3, 235—239

Усадка нерастянутой и растянутой нитроцеллюлозных плёнок понижалась при обработке их водой, нагретой до различной т-ры (5—100°). Установлено, что повышение т-ры воды и увеличение продолжительности выдерживания в ней плёнки приводит к увеличению усадки плёнки во время обработки и значительно уменьшению ее последующей усадки. Оптимальное время обработки основы водой с т-рой 100° равно 30 сек. Максим. последующая усадка нерастянутой основы после выдерживания ее в этих условиях равна 0,9%, а растянутой основы — 0,42%. Т. Т.

44738. Исследование желатиновых экстрактов и полинилатов с помощью электрофореза на бумаге. Вуд (The examination of gelatin extracts and poly-ni-lates by means of paper electrophoresis. Wood H. W.). J. Photogr. Sci., 1954, B2, № 5, 154—159 (англ.)

Для подтверждения сделанного ранее (Sci. Inds. Photogr., 1952, 23, 209) на основании опытов хроматографии желатины (Ж) вывода, что хим. сенситизаторами (ХС) фотографич. эмульсий являются неорганич. анioni, в частности S₂O₃²⁻, применен электрофорез (ЭФ) на смоченных буферными р-рами бумажных лентах (800 × 8 мм) в аппарате для получения элек-

трофор
исслед
квант
воле
кост
K₂S₂O
лучны
ния
> S₂O
R₂, он
граф
порци
ферно
при во
тов Ж
ности
нюю и
вают,
S₂O₃²⁻
идент
В золе
наличи
S₂O₃²⁻
полит
только
частей
на ко
окисл
дени
онов,
равны
—1,6;
—1;
что к
S₂O₃²⁻
44739.
и а
ав
кин
Раз
тины
Mg и
в-ва,
свет
ище
вого
44740.
онир
А м
Тр.
Сра
пени
т-ре
микро
ности
степен
бамп
тодин
отдел
ице
44741.
под
Лен
Уст
подис
чувст

трофореграмм. Положения ХС в см от места нанесения исследуемого р-ра на ленту выявлялись после опрыскивания р-ром AgNO_3 по сбалансированной ленте восстановленного Аг. Исследован ЭФ экстрактов кожной и костной Ж, $\text{K}_2\text{S}_2\text{O}_8$, $\text{K}_2\text{S}_3\text{O}_8$, $\text{Na}_2\text{S}_4\text{O}_8$, $\text{K}_2\text{S}_5\text{O}_8 \cdot 1,5\text{H}_2\text{O}$, $\text{K}_2\text{S}_6\text{O}_8 \cdot 1,5\text{H}_2\text{O}$ и золя серы, содержащего ионы различных полисульфатных к-т. Порядок скоростей движения ионов полисульфатных к-т $\text{S}_2\text{O}_3^{2-} > \text{S}_3\text{O}_6^{2-} > \text{S}_4\text{O}_6^{2-} > \text{S}_5\text{O}_8^{2-} > \text{S}_6\text{O}_8^{2-}$ совпадает с порядком величин их R_F , определенных путем распределительной хроматографии. Скорость движения анионов уменьшается пропорционально кол-ву электролитов в исходном и буферном р-рах, поэтому для идентификации ХС в Ж при водили одновременно параллельный ЭФ экстрактов Ж, Ж + $\text{K}_2\text{S}_2\text{O}_8$, Ж + $\text{K}_2\text{S}_3\text{O}_8$ и т. д. Об идентичности ХС с тем или иным анионом судили по положению и усилению полос. Результаты опытов показывают, что ХС костной Ж являются ионы $\text{S}_2\text{O}_3^{2-}$ и $\text{S}_4\text{O}_6^{2-}$. В кожной Ж обнаружены два ХС — $\text{S}_4\text{O}_6^{2-}$ и не идентифицирующийся ион с большим содержанием серы. В золе серы найдены ионы $\text{S}_5\text{O}_8^{2-}$, $\text{S}_6\text{O}_8^{2-}$, установлено наличие ионов с большим содержанием серы $\text{S}_7\text{O}_8^{2-}$, $\text{S}_8\text{O}_8^{2-}$, $\text{S}_9\text{O}_8^{2-}$ и $\text{S}_{10}\text{O}_8^{2-}$. Предположено, что анионы полисульфатных кислот могут образоваться в Ж не только при окислении ее содержащих серу составных частей и остатков в-в для удаления волосного покрова кожи, но также в результате окисления и автоокисления SO_2 , применяемого при произ-ве Ж. Приведены данные по содержанию (в молях) отдельных анионов, необходимому для одинаковой сенсibilизации равных кол-в негативной эмульсии с pH 8: $\text{S}_2\text{O}_3^{2-}$ — 1,6; $\text{S}_3\text{O}_6^{2-}$ — 25; $\text{S}_4\text{O}_6^{2-}$ — 35; $\text{S}_5\text{O}_8^{2-}$ — 2,5; $\text{S}_6\text{O}_8^{2-}$ — 1; гидрофильный золь серы — 7. Из цифр видно, что наиболее активными являются ионы $\text{S}_2\text{O}_3^{2-}$, $\text{S}_4\text{O}_6^{2-}$ и $\text{S}_6\text{O}_8^{2-}$. Н. С.

44739. Влияние обработки желатины окисью магния и алюминия на свойства фотографических эмульсий. Августинович К. А., Тр. Ленингр. ин-та киноинж., 1955, № 3, 188—192

Различная природа тормозящих примесей желатины доказывается проведением обработки желатины MgO и Al_2O_3 , при которой из желатины удаляются лишь в-ва, тормозящие процесс образования и роста центров светочувствительности во втором созревании и не влияющие на скорость роста кристаллов AgBr в течение первого созревания. Т. Т.

44740. Сравнительная оценка различных методов определения степени задубленности желатины. Амелина К. С., Коновалова А. М., Тр. Ленингр. ин-та киноинж., 1955, № 3, 220—226

Сравниваются различные способы определения степени задубленности желатины: по методу капель, по т-ре плавления желатинового слоя, его набуханию, микротвердости, смачиваемости водой и прокрашиваемости р-рами красителей. Отмечается, что в оценке степени задубленности желатины различными способами не всегда имеется соответствие. При выборе методики оценки задубленности желатины в каждом отдельном случае рекомендуется учитывать назначение задубленного материала. Т. Т.

44741. О сенсibilизации фотографических эмульсий подкисным калием. Шор М. П., Вол Б. Г., Тр. Ленингр. ин-та киноинж., 1955, № 3, 179—187

Установлено, что при сенсibilизации AgBr -эмульсии подкисным калием распределение спектральной светочувствительности не изменяется. На ряде опытов

показано наличие зависимости между сенсibilизацией эмульсии иодистым калием и хим. созреванием эмульсии. Высказана гипотеза о механизме этого вида сенсibilизации, предполагающая включение ионов иода в решетку AgBr -кристаллов, что делает ее менее устойчивой и активирует серебряные центры светочувствительности. Т. Т.

44742. Взаимодействие фенилмеркаптотетразола с ионами серебра. Павлова В. А., Фасерман Г. П., Тр. Ленингр. ин-та киноинж., 1955, № 3, 175—178

Показано, что фенилмеркаптотетразол (I) является к-той с константой диссоциации $K = 4,6 \cdot 10^{-4}$ и может определяться аналитически титрованием щелочью в присутствии красителя метилового красного или потенциометрически со стеклянным электродом, а также титрованием р-ром AgNO_3 , с которым он образует труднорастворимый фенилтетразолмеркаптит серебра (I-Ag). Определены произведения растворимости (L) I-Ag при различных т-рах (при 25° L I-Ag в 57 раз $< L_{\text{AgBr}}$). Показано, что при действии на кристаллы AgBr водн. р-ров I происходит вытеснение поверхностных ионов брома. Т. Т.

44743. Влияние паров ртути на толстослойные фотоматериалы. Николае (Influența vaporilor de mercur asupra emulsiilor fotografice groase. Nicolae M. A. et al., Studii și cercetări de fiz., 1955, 6, № 2, 339—342 (рум.; рез. рус., франц.))

Исследовано влияние паров Hg на свойства толстослойных фотоматериалов. Установлено, что при воздействии в течение 10 дней паров Hg на пластинки, пропитанные радиоактивным р-ром, уменьшалось число следов α -частиц, что объяснено воздействием паров Hg на центры светочувствительности (десенсибилизация) или на центры скрытого изображения (фоторегрессия). С. Б.

44744. Проявитель, его состав и свойства. Фрётшнер (Entwickler — ihr Aufbau und ihre Eigenschaften. Frötschner W.), Photo-Techn. und Wirtsch., 1955, 6, № 5, 208—209 (нем.; рез. англ., франц., исп.)

Кратко изложены принципы составления фотографич. проявляющих р-ров. Описаны способы приготовления и свойства некоторых проявителей, выпускаемых различными фирмами. С. Б.

44745. Некоторые вопросы многократного получения копий процессом диффузионного переноса. Сивере (Some problems in the production of multiple copies by the diffusion transfer process. Sievers A. J.), Photogr. Sci. and Techn., 1955, 2, № 2, 75—78 (англ.)

При получении позитивов (П) путем диффузионного переноса солей Ag негатив (Н) и принимающий слой смачивают проявляюще-фиксирующим р-ром и контактируют в течение 20 сек. с помощью прижимных валиков. Параллельными аргентометрич. и денситометрич. исследованиями Н (до и после процесса переноса) и получившегося П установлено, что на образование П в нормальных условиях расходуется лишь 14% Ag, имевшегося в Н. При получении двух П на их образование расходуется 26,8% Ag, а из Н удаляется 52,1% непроявленного серебра, т. е. 25,3% уходит в обрабатывающий р-р. Следовательно, наиболее важным фактором, лимитирующим возможность получения нескольких копий, является унос Ag в р-р, зависящий от концентрации в нем р-рителя солей Ag (тиосульфата). Исследовано действие р-ров с нормальным содержанием тиосульфата (принято за 100%), а также с 85%-ным и 70%-ным его содержанием на характеристики Н и П. С уменьшением содержания тиосульфата характеристики Н не меняются, тогда как мак-

спм. плотность Π возрастает, особенно для 3-й копии. Величина максим. плотности 3-й копии составляет при 100% тиосульфата 0,3, при 85% 0,55 и при 70% 0,68. Аргентометрич. анализ проявленного и полного содержания Ag в Π после каждого переноса дает следующее кол-во израсходованного на образование Π и унос в р-р (в %) от доступного к переносу (непроявленного) серебра: 100% тиосульфата: 1-й Π — 44; 2-й — 11,7; 3-й — 23,5; 85% — 42,7; 23,5; 5,7; 70% — 27,5; 25,7; 7,8. Таким образом, между кол-вом израсходованного при переносе Ag и оптич. плотностью получаемого Π нет прямой зависимости. Снижение кол-ва тиосульфата в проявляюще-фиксирующем р-ре позволяет вследствие уменьшения уноса Ag в обрабатываемый р-р получать 3 копии при условии постепенного увеличения продолжительности контакта.

Н. С.

44746. Прямоточное проявление массовых фильмокопий. Блюмберг И. Б., Иванова В. Г., Тр. Ленингр. ин-та киноинж., 1955, № 3, 202—206

Однорастворный способ массового проявления фильмокопий заменен многорастворным прямоточным процессом (ПП), при котором проявитель перетекает через 3—4 проявочных бака, расположенных рядом в направлении движения пленки. Экспонированный светочувствительный слой начинает проявляться в свежем проявителе с невысокой конц-ией растворимого бромида и далее проявляется в условиях постепенного увеличения конц-ии продуктов р-ции и уменьшения конц-ии компонентов проявителя. Заканчивается проявление в истощенном р-ре, унос которого в промывную воду обуславливает миним. величину потерь. Способ обеспечивает получение изображения с большим числом деталей и миним. вуалью, а также приводит к экономии хим. материалов. Приведены рецепты черно-белого и цветного проявителей для ПП. Установлено, что методы расчета систем для ПП черно-белого проявления применимы к цветному прямоточному проявлению. Проведены исследования, позволяющие упростить проявочные системы для ПП. Создан и опробован при обработке пленки в кюветах спец. репент проявителя для первой стадии ПП. Т. Т.

44747. Исследование процесса промывания черно-белой кинопленки. Блюмберг И. Б., Матисон Ф. С., Новацкая Т. А., Тр. Ленингр. ин-та киноинж., 1955, № 3, 197—201

Исследование эффективности различных способов промывания кинопленки показало, что 1) каскадный способ не пригоден вследствие его малой эффективности; 2) при способе с местной турбуляцией воды изменение линейной скорости (ЛС) струи на выходе из сопла от 100 до 400 см/сек незначительно сказывается на скорости промывания; допустимая конц-ия $\text{Na}_2\text{S}_2\text{O}_5$ в слое 0,5 мг на м кинопленки достигается при ЛС струи 150 см/сек; 3) при душем способе промывания ЛС струи имеет существенное влияние, хорошие результаты получаются при ЛС 200 см/сек; 4) при местной турбуляции число сопел в системе должно быть ≥ 30 , а при душем способе ≥ 50 ; 5) наибольшая скорость промывания достигается при механич. разрушении пограничного слоя жидкости на поверхности пленки. Т. Т.

44748. Универсальная система цветной печати с европейских цветных негативов. Гордон (A universal system for colour printing from European colour negatives. Gordon H.). Brit. J. Photogr., 1955, 102, № 4973, 440—443, 449 (англ.)

Описан способ получения цветных отпечатков на многослойных фотобумагах европейских фирм — афакolor, ферранияcolor, геваcolor, пакcolor, синтакolor и телкolor. Приведена характеристика коррекционных светофильтров различных фирм и

даны указания по изменению экспозиции при пользовании светофильтрами различной плотности. Указан режим обработки фотобумаг и состав р-ров, рекомендуемых фирмами. Предложены универсальные р-ры для обработки всех типов фотобумаг. Проявитель: этилосиэтил-л-фенилдиаминсульфат 4,5 г, поташ, 7,5 г, KBr 2,5 г, Na_2SO_3 безводн. 2 г, этилдиаминтетрауксусная к-та 1,5 г, K_3PO_4 10 г, гидроксиды аммиака 2 г, вода до 1 л; отбеливающе-фиксирующий р-р: соль Fe^{3+} и этилдиаминтетрауксусной к-ты (I) 60 г, сода безводн. 5 г, KBr 30 г, $\text{Na}_2\text{S}_2\text{O}_5$ безводн. 150 г, Na лимоннокислый 30 г, KCN 10 г, увитекс RS 3,5 г, вода до 1 л; pH р-ра $\approx 6,4$. 1 л р-ра достаточен для обработки ~ 140 отпечатков 9—12 см; р-р поддежит регенерации при достижении pH $\approx 6,6$. При необходимости I можно заменить смесью $\text{FeCl}_3 \cdot 6\text{H}_2\text{O}$ 3,5 г, этилдиаминтетрауксусной к-ты 40 г и Na_2CO_3 40 г. Приведены условия обработки фотобумаг в универсальных р-рах. В тех случаях, когда в рецептуре фирмы предусмотрены обработка в останавливающем р-ре, стабилизация цветного изображения или дублирование слоя, эти операции сохраняются, причем используются р-ры, рекомендованные фирмами. С. Б.

44749. Спектрофотометрический метод определения красителей в гидротипном цветном изображении. Гороховский Ю. Н., Купчинская В. П., Тр. Ленингр. ин-та киноинж., 1955, № 3, 213—219

Описан спектрофотометрич. метод определения относительных величин оптической плотности или поверхностных конц-ий красителей в трех- и четырехкомпонентном гидротипном цветном изображении. Исследованы возможные источники ошибок в определении плотности красителей и установлены границы применимости метода в практической работе. Т. Т.

44750. Спектрозональная фотография. Нордальский А. Н., Тр. Центр. н.-и. ин-та геодезии, аэросъемки и картографии, 1955, № 107, 49—53

Описан способ двухзонального фотографирования в видимой и инфракрасной зонах спектра на двухслойной соответственно сенсibilизированной пленке с получением при цветном проявлении двух частичных совмещенных изображений в дополнительных цветах. Описывается строение спектрозональных негативных (СН-1 и СН-2) и позитивной (СН-1) пленок и указывается положение зон эффективной спектральной светочувствительности слоев. Приводятся оптич. характеристика светофильтров, применяемых при съемке и позитивной печати. Отмечается возможность получения позитивного спектрозонального изображения на трехслойных цветных фотоматериалах — позитивной пленке и фотобумаге. Т. Т.

44751 II. Составы для флуоресцентных покрытий (Fluorescent coating compositions) [Photocolour Lab., Ltd]. Англ. пат. 721827, 12.01.55 [J. Soc. Dyers and Colourists, 1955, 71, № 22, 198 (англ.)]

Способный к задубливанию смолистый конденсат и флуоресцирующий краситель (I) растворяют в летучем органич. р-рителе, в котором диспергировано бесцветное твердое светорассеивающее в-во, нерастворимое в этом р-рителе. В общей смеси содержится ≤ 35 вес. % смолы (II). I и II должны быть физически или химически связаны, что достигается нагреванием 1 вес. ч. I с 99 ч. II в летучем органич. р-рителе в течение 30 мин. при 75°. Из р-ра получают пленку, которую затем обрабатывают р-рителем, в котором растворяется I, но не растворяется II. С. Б.

44752 II. Состав защитного слоя фотомеханических материалов. Майнок (Photomechanical resist compositions. Minok L. M.) [Kodak Ltd]. Англ. пат.

713947, 18.08.54 [J. Appl. Chem., 1955, 5, № 3, i418 (англ.)]

Патентуется светочувствительный состав (I) защитного слоя для фотомеханич. материалов. I содержит в р-ре в органич. р-рителе сложный эфир коричной к-ты и поливинилового спирта и в качестве в-ва, повышающего его светочувствительность, нитроарильное соединение (II), содержащее ядра C_6H_6 и $C_{10}H_8$, которые могут включать другие заместители, причем монозамещ. II не содержат NH_2 -, OH - или CHO -группы в орто-положении к NO_2 ; все II не содержат $COOH$ - и SO_3H -групп, а также NH_2 - и OH -группы в орто-положении друг к другу. С. Б.

44753 П. Жидкие белковые покрытия (Liquid protein coatings) [Kodak (A/Asia) Pty. Ltd]. Австрал. пат. 163816, 21.07.55

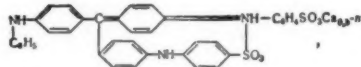
Патентуется способ быстрого студения слоев из водн. р-ров белка при нанесении на подложку, отличающийся тем, что в р-р белка вводят 0,25—50% (от веса белка) альдегида (формальдегид, глицоаль или акролеин), наносят р-р в жидком состоянии на подложку и непосредственно после нанесения слоя подвергают его действию NH_3 -газа. При этом наступает быстрое студение слоя и исключается необходимость охлаждения. Запатентован также способ изготовления фотографич. бумаги. С. Б.

44754 П. Фотографические эмульсии, включающие кремнесодержащий сенсibilизатор. Грей (Photographic emulsions containing a silanic sensitizer. Gray Russell H.) [E. I. du Pont de Nemours and Co.]. Пат. США 2694637, 16.11.54

Патентуется фотографич. галогосеребряная эмульсия, в которую вводят на 2,5 моля галогидного серебра 0,5—370 мг Si-содержащего в-ва, имеющего, по крайней мере, одну кремневодородную связь. С. Б.

44755 П. Противоореольный слой фотографических пленок. Кимура (Halation-preventing layer of photographic film. Kimura Shiro) [Fuji Photographic Films Co.]. Япон. пат. 3083 (53), 1.07.53 [Chem. Abstrs, 1954, 48, № 13, 7466 (англ.)]

Для получения противоореольного слоя в 1 а 10%-



ного водн. р-ра желатинной вводят 7 г соединения (I), р-р наносят слоем на пленку и высушивают. А. Х.

44756 П. Новый материал для фотографии (Produits nouveaux pour la photographie) [Kodak-Pathé]. Франц. пат. 1076452, 1076453, 27.10.54 [Chimie et industrie, 1955, 74, № 3, 484 (франц.)]

Патентуется фотоматериал, в котором на одну сторону стеклянной подложки нанесена галогосеребряная фотографич. эмульсия, а на другую — слой сополимера метакриловой к-ты и акрилонитрила (по пат. 1076452) или (по пат. 1076453) полимера метакриловой к-ты с диспергированным в нем противоореольным красителем. С. Б.

44757 П. Противоореольный слой для литографических печатных пластин из сложных эфиров целлюлозы. Надо, Старк (Antihalation layer for cellulose ester lithographic printing press. Nadeau Gale F., Starck Clemens B.) [Canadian Kodak Co. Ltd]. Канад. пат. 495528, 25.08.53

Светочувствительный материал для литографических печатных пластин состоит из соединенных вместе двух листов полностью этерифицированного остатками органич. к-ты сложного эфира целлюлозы толщиной 0,08—0,13 мм и противоореольного окрашенного слоя, расположенного между внутренними поверхностями листов.

На внешней поверхности одного из листов находится слой гидролизованного сложного эфира целлюлозы (I), равномерно сенсibilизированного к действию света соединением из класса в-в, окисляющих I на свету в присутствии восстанавливаемых солей Fe^{3+} и неспособных к прямому окислению I на свету в щел. среде. I может быть также сенсibilизирован к свету бихроматом, солью окиси железа, применяемой для окисления I, или железоаммонийной солью органич. кислоты. Л. К.

44758 П. Способ прямого получения позитивных фотографических изображений. Вейде (Process for the direct production of positive photographic images. Weyde Edith) [Agfa A.-G. für Photofabrikation]. Пат. США 2709135, 24.05.55

Патентуется способ прямого получения позитивных фотографич. изображений, в котором применяемый светочувствительный галогосеребряный слой (I) на бумажной подложке, нанесенный на другую подложку нечувствительный водонепроницаемый слой (II) из коллоида, содержащий р-ритель галогидного серебра, и отдельный тонкий слой (III) из водонепроницаемого материала (напр., бумаги), имеющий вес. 15—30 г/м². I экспонируют и проявляют путем погружения в щел. р-р, содержащий проявляющее в-во (оно может быть введено в I), после чего одну сторону III приводят в контакт с экспонированным I, а вторую — с II. При этом экспонированная часть I проявляется в негативное изображение объекта, в то время как часть неэкспонированного галогидного серебра растворяется продиффундировавшим в I из II через III р-рителем, переносится в III, где проявляется в позитивное изображение, после чего слои разделяют. С. Б.

44759 П. Способ получения фотографического изображения с помощью цветного проявления; фотографический материал, проявитель и подложка для проведения процесса; применение этого способа, в частности, при изготовлении растворов для цветной фотографии (Verfahren zur Herstellung photographischer Bilder durch farbenzeugende Entwicklung. photographisches Material, Entwickler und Trägermaterial zur Durchführung dieses Verfahrens und Anwendung dieses Verfahrens, insbesondere zur Herstellung von Rastern für die Farbphotographie) [N. V. Philips' Gloeilampenfabrieken]. Австр. пат. 179195, 26.07.54 [Chem. Zbl., 1955, 126, № 9, 2120 (нем.)]

Патентуется способ получения фотографич. изображений с помощью цветного проявления, в частности, при изготовлении растворов для цветной фотографии. Изображения из красителей получают путем физ. цветного проявления светочувствительного слоя при $pH < 7$ в проявителе, содержащем растворимое соединение Hg. Слабое металлич. изображение усиливают до требуемой оптич. плотности. Одновременно с ним при участии компоненты цветного проявления, которую вводят в слой из р-ра после экспонирования, образуется изображение из красителя. При многократном чувствлении, экспонировании и проявлении в слое могут быть последовательно получены изображения из различных красителей. Для этого омыленную с поверхности ацетилцеллюлозную пленку чувствляют купанием в водн. р-ре, содержащем (в%) 5 $HgCl_2$, 5 ферриаммонийоксалата и 2,5 NH_4 -оксалата, удаляют избыточную жидкость и высушивают. Пленку экспонируют через негатив светом ртутной лампы, после чего погружают на несколько минут в дистилл. воду и обрабатывают 15 мин. водн. 0,2 н. р-ром NH_4OH , содержащим 0,1 вес. % тиониндоксила и 0,4 вес. % $AgNO_3$, причем на местах, где расположено амальгамное изображение, образуется изображение из красителя. Пленку споласкивают водой, металлич. изображение удаляют обработкой в р-ре феррицианида калия и тиосульфата

натрия, после чего остается свободное от вуали позитивное изображение из красного красителя. Если вместо тионидоксидов применять идиоксид, образуется синее изображение. Желтое изображение получают при цветном проявлении в течение 20 мин. в проявителе, содержащем (в %) 0,15 фенилгидразона амида глиоксиловой к-ты, 0,25 NaOH, 0,4 AgNO₃ и 0,4 н. NH₄OH.

44760 П. Новые сульфамидные соединения, способ их получения и применение их, в частности в фотографии. Салминен, Уейсбергер (Nouvelux composés amidiques sulfonés procédé pour leur préparation et leurs applications, notamment en photographie. Salminen Jlmari, Weissberger Arnold) [Kodak-Pathé]. Франц. пат. 1080501, 9.12.54 [Teintex, 1955, 20, № 8, 645 (франц.)]

Патентуются реагирующие с продуктами окисления первичных ароматич. аминов с образованием красителя в-ва строения $(SO_3H)(R)(R')C - C(R^2)(R^3) - CONH - Y$, где R, R', R², R³ — H, алкил или арильная группа бензольного ряда или атомы неметаллов, необходимые для образования одноядерной арильной группы бензольного ряда; Y — радикал, содержащий группу, реагирующую с продуктами окисления первичных ароматич. аминов с образованием красителя, напр. фенольную оксигруппу, метиленовую (иногда замещ.) группу или группу пиразолона (5).

44761 П. Защитный состав для офсет-форм. Адамс (Offset-preventing compositions. Adams George M.) [The Visking Corp.]. Пат. США 2713307, 19.07.55

Патентуется водн. крахмально-бентонитный защитный состав для офсет-форм, содержащий глюконовую к-ту в качестве стабилизатора от разложения. Такой стабилизированный состав образуется при введении в воду сухой смеси крахмала, бентонита и глюконо-8-лактона.

44762 П. Фототермографический состав. Сухов, Херш (Photothermographic composition. Suchow Lawrence, Hersh Seymour L.) [United States of America as represented by the Secretary of the Army]. Пат. США 2700610, 25.01.55

Патентуется способ изготовления фототермографич. состава совместным осаждением оксалата Ag и оксалата Hg, получаемых из смеси р-ра AgNO₃ и Hg(NO₃)₂ в присутствии HNO₃ прибавлением оксалата K.

К. М.

См. также: 44493, 13124Бх

ДУШНЫЕ ВЕЩЕСТВА. ЭФИРНЫЕ МАСЛА.

ПАРФЮМЕРИЯ И КОСМЕТИКА

44763. Окраска эфирного масла, полученного из цветов югославской *Matricaria Chamomilla* L. Туцаков (On the colour of essential oil from the flowers of yugoslav chamomile (*Matricaria Chamomilla* L.). Parfum. and Essent. Oil. Rec., 1955, 46, № 12, 406—409 (англ.)

Изучались причины различной окраски эфирного масла (М), получаемого из цветов *Chamomillae vulgaris* Flos или *Matricariae Chamomillae*. Flos. Отмечен сложный хим. состав цветов, которые содержат один активный лекарственный компонент и другой неактивный компонент. М из цветов обладает наиболее высокими целебными свойствами, когда оно имеет наиболее интенсивную синюю окраску. В растении найдены сиропобразный глюкозид неизвестного строения, аллигенин и его глюкозид, метилумбеллиферон, свободный и связанный фитостерин, леулоза и другие в-ва. Их терапевтич. значение мало. Определение содержания М в цветах и азулена в М показало, что ни один из

применяемых для этой цели обычных методов не дает удовлетворительных результатов. Предложено для определения М 10 г растения (сухого) заливать 1200 мл воды и отгонять, пока объем дистиллата не достигнет 1000 мл, после чего дистиллат обрабатывают петр. эфиром. Установлено, что в растении содержится М двух типов — первое выделяется немедленно, второе — только во время перегонки с паром. Отмечено усиление интенсивности синей окраски М при более длительной перегонке. Показано, что данные о почве и климате не дают объяснения относительно различной окраски М.

44764. Цитрусовые масла. Хартман (Die Zitrusöle. Hartmann G.), Alkohol-Ind., 1955, 68, № 17, 411—413 (нем.)

Отмечено некоторое преимущество получения масел из корок лимона, апельсина, мандарина, померанца прессованием перед методом дистилляции как по запаху, так и по выходу. Подчеркнуто, что обесцвеченные масла ароматнее и сохраняются лучше натуральных масел. Рекомендуются хранить эти масла в хорошо укуренных, светонепроницаемых, до верха заполненных сосудах, не содержащих меди.

44765. Лиметта. Бургер (Die Limetta (Limett). Burger Alfons M.), Parfum und Kosmetik, 1954, 35, № 3, 86—88 (нем.; рез. англ., франц.)

Дана ботанич. характеристика лиметты (*Citrus medica* L. разновидность *acida Brandis*). Описывается получение эфирного масла из плодов, приводятся его физ.-хим. константы.

44766. Натуральные душистые вещества. Спрос на новые душистые вещества. Леруж (Natural flavourings. Effects of the demands for something new. Lerouge Pierre), Parfum. and Essent. Oil Rec., 1955, 46, № 12, 418—422 (англ.)

История получения эфирных масел. Перегонка с паром. Детерпенизация и ректификация полученных масел. Получение эфирных масел прессованием (цитрусовые масла). Получение экстрактивных масел экстракцией летучими р-рителями. Произ-во апельсинного, мандаринового, лимонного и бергамотного масел. Произ-во масла перечной мяты. Произ-во ванилина, кофе, какао. Произ-во эфирных масел во Франции. Спрос на новые источники растительного сырья.

44767. Фракционированная дистилляция с водяным паром эфирных масел из плодов цитрусовых. Пилник (Fraktionierte Wasserdampfdestillation ätherischer Öle von Zitrusfrüchten. Pilnik W.), Mitt. Gebiete Lebensmitteluntersuch. und Hyg., 1955, 46, № 3, 229—232 (нем.; рез. англ., франц.)

Исследовано качество эфирных масел из плодов цитрусовых. 150 мл масла перегоняют с 850 мл воды при слабом кипении. Дистилляцию заканчивают, когда прекращается отгонка масла. Для этого обычно достаточно 2 час. при переходе примерно половины жидкости в дистиллат. Каждую фракцию собирают 20 мин. и определяют содержание альдегидов и оптич. вращение. Для правильности анализов необходима полная перегонка масла, так как отдельные фракции содержат масло с различными константами.

44768. Продукты животного происхождения — мускус и амбра, их химия и физиологическое действие. Олофф (Drogen aus dem Tierreich, insbesondere Moschus und Ambra, ihre Chemie und ihre physiologische Wirkung. Oloff G.), Fette, Seifen, Anstrichmittel, 1955, 57, № 8, 591—595 (нем.; рез. англ., франц., исп.)

Описаны мускусные препараты животного происхождения: мускус, амбра, пибет, бобровая струя. Обсуждаются результаты исследования и синтетич. получения гомологов и аналогов составных компонентов мускусных препаратов. Из продуктов растительного про-

исхождения описан амбреттоид, выделенный из масла мускатных зерен (*Alibiskus gbelmoschus* L.), и тибетоид — из масла корней ангелики (*Archangelica officinalis* Hoffm.). Сделана попытка объяснить физиологию запаха. Указано на возможное использование мускусных препаратов в фармакологии.

44769. Запах мускуса в парфюмерии. Корнон (L'odeur de muse en parfumerie. Cornon René), *Parfum. mod.*, 1955, 47, № 45, 84—86 (франц.)
Дано описание натурального мускуса, его получение, применение и значение для парфюмерии. Указаны типичные продукты с запахом мускуса.

44770. Простые цветочные отдушки. Маурер (Simple floral perfumes. Maurer E. S.), *J. Soc. Cosmetic Chemists*, 1953, 4, № 3, 179—200; *Amer. Perfumer and Essent. Oil Rev.*, 1954, 64, № 2, 103—108, 110, 113, 115, 117 (англ.)

44771. Преимущества и неудобства применения аэрозолей в парфюмерии. Горохов (Les avantages et les inconvénients de l'emploi des aérosols en parfumerie. Gorokhoff E.), *Inds parfum.*, 1955, 10, № 6, 227—228 (франц.); *Export. Rev. Brit. Deug and Chem. Ind.*, 1955, 16, № 186, 48 (англ.)

Описаны аэрозоли, применяющиеся в американской парфюмерии как ароматизирующие средства вместо духов и одеколонов. Аэрозоли употребляются для очистки и дезинфекции воздуха, для испарения душистых в-в с кожи и волос (бриллиантин) и для пенообразующих средств. Перечисляются преимущества и неудобства употребления аэрозолей по сравнению с духами и одеколонами.

44772. Требования к отдушкам для аэрозолей. Дичакомо (Formulating fragrance for aerosols. DiCiocomo Victor), *Amer. Perfumer and Essent. Oil Rev.*, 1955, 65, № 4, 29—31 (англ.)

Обсуждается растворимость отдушек в пропилене, их совместимость с другими ингредиентами, раздражающее действие. Указано, что если при хранении в течение 6 мес. аэрозоли не прогоркают, можно считать, что они будут устойчивы и при более длительном хранении.

44773. Имитация запаха вишни. Джейкобс (Imitation cherry flavor. Jacobs Morris B.), *Amer. Perfumer and Essent. Oil Rev.*, 1955, 66, № 3, 52—54 (англ.)

Для имитации запаха вишни употребляют от 20 до 30 различных компонентов. Кроме бензилдегида, наиболее часто рекомендуются: этилацетат, изомилформат, этилбензоат, этилэнантат, изоамилбутират, этилпеларгонат, изоамиловый спирт, эвгенол, коричный альдегид, бензилбензоат, ванилин, цитраль, каприловый альдегид и бромелия.

44774. Новые продукты и запахи. Сфирас (Die neuen Erzeugnisse und der Duft. Sfiras J.), *Parfum. und Kosmetik*, 1955, 36, № 3, 111—112, 115 (нем.; рез. англ., франц.)

Дан анализ ряда новых продуктов и ранее полученных душистых в-в с точки зрения зависимости между строением в-ва и его запахом. Автор делает вывод об отсутствии какой-либо связи между строением и запахом веществ.

44775. К вопросу образования осадка в одеколонах и духах. Демидова Е. Д., Лесюне А. А., *Маслоб.-жир. пром-сть*, 1955, № 8, 23—24

Указано, что осадки, получаемые при фильтровании духов и одеколонов, содержат фосфатидные комплексы в одеколоне «Кармен» 2—3%, в «Шипре» — 2% и т. д. Обнаружено наличие фосфатидов в компонентах, входящих в состав духов и одеколонов: в некоторых маслах (кориандровом, гераниевом, гвоздичном, иланг-иланговом) и в настоях, приготовленных на растительном сырье. Удалить фосфатиды (даже следы) можно

охлаждением эфирных масел и настоев до 1—5° с последующим фильтрованием их при той же температуре.

Б. Р.

44776. Действие применяющихся в парфюмерии химических веществ на эмульгированные продукты. Пикталл (The effect of perfumery chemicals on emulsified products. Pickthall Jack), *Soap, Perfum. and Cosmetics*, 1955, 28, № 1, 69—75 (англ.); *Prakt. Chem.*, 1955, 6, № 1, 13—15; № 2, 36—40 (нем.)

Изучалось влияние хим. в-в, применяющихся в парфюмерии, на свойства эмульсий. Вязкость некоторых водн. р-ров анионных и неионных поверхностноактивных в-в увеличивается при введении парфюмерных добавок. Напр., небольшие кол-ва терпинеола пенитизируют дисперсию и разрушают телеобразную структуру бромида триметилцетиламмония, цитронеллол значительно увеличивает вязкость олеата Na и т. д. Исследованные эмульсии были составлены (в %) из шерстяного воска (0,15—0,8), цетилового спирта (0,5—1,0), продукта конденсации окиси этилена с цетиловым спиртом (1,0), минер. масла (10,0) и дистилл. воды (88,0). Наилучшим балансом обладали две эмульсии, содержащие 0,3 и 0,5% шерстяного воска и соответственно 0,7 и 0,5% цетилового спирта: их устойчивость не изменялась при действии терпинеола, молочной к-ты, диэтилфталата, бензилового спирта и эвгенола.

М. К.

44777. Косметические эмульсии. Малер (Emulsions cosmétiques. Mahler E.), *Parfum. mod.*, 1955, 47, № 47, 70—76 (франц.)

Предложена классификация различных твердых и жидких продуктов, в том числе применяемых в косметике, по их консистенции и физ. свойствам (твердость, упругость, хрупкость, вязкость, релаксация, тиксотропия). Пользуясь этой классификацией, можно проследить и обозначить все стадии процесса приготовления эмульсии или эмульсоида.

В. К.

44778. Замечания к работе, обсуждающей систему пчелиный воск — бура. Пикталл (Comments on the foregoing paper and on the beeswax/borax system generally. Pickthall Jack), *Soap, Perfum. and Cosmetics*, 1954, 27, № 12, 1270—1271 (англ.)

Приведены критич. замечания к работе, посвященной изучению влияния фазовых объемов на тип эмульсии (РЖХим, 1955, 10582). Кремы, содержащие пчелиный воск — буру, обладают рядом особенностей, вследствие которых обычные методы определения типа эмульсии могут приводить к ошибочным результатам.

М. К.

44779. Водорастворимые эфирные масла. Новак (Das «Wasserlöslichmachen» von Parfümölen. Nowak Gustav A.), *Parfum. und Kosmetik*, 1955, 36, № 11, 552, 554—556 (нем.; рез. англ., франц.)

Отмечено, что водн. р-ры парфюмерных масел необходимы для приготовления лосьонов, для р-ров, применяемых для холодного перманента, и для масел, применяемых в ваннах. Лосьоны с низкой конц-ией спирта получают при применении бутил- или пропиленгликолей или при применении дистилл. воды. Хорошие результаты дает применение поверхностноактивных в-в и полиоксизетиленсорбитанмонолаурата (красно-желтая маслянистая жидкость с вязкостью 250—400 сантипуаз при 25°, растворим в воде, спирте, толуоле и в масле земляного ореха; не растворим в вазелиновом масле; с парафином диспергируется). Приведены рецепты лосьонов с низким содержанием спирта.

Т. Р.

44780 П. Получение ароматических веществ. Дайкстра, Де-Феличе (Process for obtaining volatile flavors. Dykstra Kenneth G., De

Felice Dommenic). Пат. США 2641550, 9.06.53

Процесс получения летучих ароматич. в-в и конц. эссенций из плодов, овощей, приправ и проч. состоит в отгонке летучих составных частей из ароматич. сырья в таких условиях, которые исключают возможность ухудшения качества ароматич. в-в. Конденсацию и удаление основной части паров воды производят при $t_{\text{ре}} > 0^\circ$. Конденсацию менее летучих ароматич. в-в производят при $t_{\text{ре}}$ от 0° до -70° , и конденсацию более летучих в-в, имеющих натуральный запах свежего сырья, производят при $< -90^\circ$. Т. С.

44781 II. Защитный крем для кожи. Моргулис (Skin protective substance. Morgulis Sergius). Пат. США 2698824, 4.01.55

Крем для защиты кожи от раздражающих в-в содержит смесь (в вес. ч.) 10—20 нитроцеллюлозы, 6—16 полисилоксана и 50—80 безвредного (напр., касторового) масла, совместимого с нитроцеллюлозой. Для получения крема 1 вес. ч. этой смеси диспергируют в 2—4 вес. ч. основы, представляющей собой эмульсию типа «масло в воде». В качестве полисилоксанов могут использоваться полидиметил-, полидиэтил- и полиметилфенилсилоксаны, а также смешанные кремнийорганич. полимеры, содержащие метилные, этильные, амилные и фенильные радикалы в любом сочетании. Напр., 76 вес. ч. касторового масла смешивают с 8 вес. ч. полидиметилсилоксановой смазки ДС-4, содержащей колл. SiO_2 . К смеси добавляют ~16 вес. ч. нитроцеллюлозы в виде 15%-ного р-ра в смеси спирта и эфира (1:3), перемешивают, нагревают до полного удаления р-рителя и высушивают при 110° до постоянного веса. 1 вес. ч. полученной пасты смешивают с 3 вес. ч. основы, образующейся при эмульгировании смеси, содержащей (в вес. ч.) 25 стеариновой к-ты, 10 сперматета и 65 воды, в которой растворено 1,5 ч. 2-амино-2-метил-1,3-пропандиола. А. Ж.

44782 II. Средство для чистки зубов. Булан (Dentifrice. Boulant P.). Франц. пат. 1063772, 06.05.54 [Inds. parf., 1955, 10, № 7, 278 (франц.)]

Средство для чистки зубов заключается в твердую оболочку (из такого типа продуктов, которые служат для обмазки драже), дно этой оболочки быстро разбивается на части при контакте со слюной. Е. К.

44783 II. Усовершенствования зубных паст (Perfectionnements aux pâtes dentifrices) [Soc. Ommi-Maghreb]. Франц. пат. 1070396, 23.07.54 [Inds. parf., 1955, 10, № 7, 278 (франц.)]

Патентуется зубная паста, состоящая из геля альгината Na, в котором содержится некоторое кол-во расплавленной колл. соли кремния в дисперсном состоянии, и других обычных ингредиентов (наполнитель, глицерин, отдушка и т. д.). Е. К.

44784 II. Лак для ногтей и способ его получения. Бодкэру (Finger nail enamel compositions and production thereof. Bauderoux P.). Англ. пат. 730095, 18.05.55 [Paint, Oil and Colour J., 1955, 127, № 2657, 1534 (англ.)]

Патентуемые нитроцеллюлозные покрытия для ногтей отличаются более слабым запахом р-рителя, отсутствием камфоры и безеоватости пленки и добавкой ароматич. отдушек и пластификаторов. Большинство композиций состоит из парфюмерных эссенций и масел, являющихся в то же время пластификаторами. Новым компонентом для нитроцеллюлозных лаков является этиловый эфир ортомуравьиной к-ты. Время высыхания лака при применении этилового спирта в качестве основного р-рителя составляет в среднем 5/8 мин. М. В.

44785 II. Окраска волос (Procédé pour la tension des poils et cheveux et préparation pour la mise en oeuvre de ce procédé) [Lab. et Techniques. Modernes (Soc.

á г. I.). Франц. пат. 1052622, 26.01.54 [Chem. Zbl., 1955, 126, № 2, 473 (нем.)]

Средства для окраски волос, применяемые в твердой, жидкой или пастообразной форме, состоят, в основном, из красителя, восстановленного в-вом соответствующей полярности, и катион- или анионоактивных в-в (напр., сульфированных жирных спиртов). При добавлении в-ва с противоположной полярностью происходит отбеливание, и вследствие разложения восстановителя — окрашивание волос. Если смесь содержит окислительный краситель, то прибавляемые неактивные в-ва должны иметь окислительные свойства или замещаться с окислителями. Напр., для получения каштановой окраски волос 2,4 г *n*-толуиленамина, 0,5 г аминифенола, 1,5 г резорцина замешивают в пасту с аммиаком, кипятят с дистилл. водой, охлаждают, фильтруют и к фильтрату добавляют 0,4 г гидросульфита Na, 5 г NH_4OH и неактивные вещества. О. С.

44786 II. Способ получения пантотенового альдегида и его ацеталей. Опферман (Verfahren zur Herstellung von Pantothendaldehyd und dessen Acetalen. Opfermann Adolf Christian Josef). Пат. ГДР 5848, 8.11.54

Пантотеновый альдегид (I) или его ацетали получают р-цией α -окси- β , β -диметил- γ -оксибутирамида (II) с акролеином (III) или его ацеталами, целесообразно в р-ителе (напр., абс. $\text{C}_2\text{H}_5\text{OH}$ или CH_3OH). II получают обработкой α -окси- β , β -диметилбутиролактона сухим NH_3 в отсутствии р-рителя при охлаждении (0°). I так же, как и пантотеновую к-ту, применяют в качестве средства для роста волос. 73,5 г II растворяют в 250 мл абс. спирта и смешивают с р-ром 28 г III в 25 мл абс. спирта, размешивают 3 часа при $35-40^\circ$ и перегонкой в вакууме выделяют I, выход 80%, т. кип. $135-140^\circ/1 \text{ мм}$. При применении вместо III его диметил- или диэтилацеталей получают соответствующие ацетали I; диметилацеталь I, выход 60%, т. кип. $155-160^\circ/10 \text{ мм}$. В. У.

44787 II. Продукты, облегчающие ассимиляцию функциональных питательных веществ эпидермисом, волосами и ногтями (Produits facilitant l'assimilation des substances nutritives fonctionnelles par l'épiderme, les poils et les ongles) [Laboratoires du Dr. Roja]. Франц. пат. 1043661, 10.11.53 [Ind. parf., 1954, 9, № 2, 67 (франц.)]

Продукты представляют собой катионоактивные в-ва общей ф-лы $\text{XNRN}(\text{R}')_2$, $\text{RCONHC}_2\text{H}_4\text{NXR}'\text{R}''$ или $\text{RNXR}'\text{R}''\text{CH}_2\text{CH}_2\text{OH}$, где R — высший алкил или оксисалкил, R', R'' и R''' — алкилы с 1—4 атомами C, а X — галоид или другой анион. Продукты можно при желании смешивать с амино-, оксиамино- или тиоаминокислотами и их сложными эфирами, продуктами конденсации или присоединения, солями и т. п. Я. К.

См. также: 43278, 43279, 43283, 43284, 44531, 44655, 44656, 44663, 45459, 45707; 13665Бх

КАУЧУК НАТУРАЛЬНЫЙ И СИНТЕТИЧЕСКИЙ. РЕЗИНА

44788. Производственные исследования и техническая разработка задач, стоящих перед резиновой промышленностью и промышленностью пластмасс. Цвиккер (Industrial research and development techniques. Zwicker B. M. G.). Rubber World, 1955, 132, № 6, 745—752, 757 (англ.)

Обзор. Библ. 15 назв.

44789. Высокополимеры и химикалии для резиновой, пластмассовой и текстильной промышленности.

Гофман (Bayer high polymers and chemicals for rubber, plastics, textile industries. Hofmann N. W.), Rubber and Plast. Age, 1955, 36, № 10, 588—589 (англ.)

Краткий обзор физ.-хим. и технологич. свойств различных марок «Буна Н», полисиликонов, полиуретанов, поликонденсированных сложных эфиров, искусств. волокон, ускорителей вулканизации, противокислителей, пластификаторов и красителей фирмы «Farbenfabriken Bayer A.-G.».

В. К. 44790. Получение ненасыщенных высокомолекулярных соединений, содержащих карбоксильные группы. Павлов С. А., Бадалина А. И., Науч. тр. Моск. технол. ин-та легкой пром-сти, 1955, сб. 5, 64—76

Разработан метод омыления бутадиенакрилнитрильного каучука водно-спирт. р-ром щелочи без изменения кол-ва двойных связей. В зависимости от условий р-ции получается продукт с различной степенью омыления нитрильных групп и с разными свойствами. Кипячением с 30%-ным р-ром NaOH в течение 60 час. получен продукт почти полного омыления, представляющий собой после промывки в проточной воде (20—26 час.) и сушки на воздухе жесткий непрозрачный материал, который при увлажнении или добавлении на вальцах пластификатора, напр. глицерина, образует пленку и легко каландруется. Характер течения р-ции омыления и данные анализа полученного продукта указывают на неодинаковую реакционную способность нитрильных групп в каучуке, что может быть объяснено различным положением этих групп в полимере. Ориентировочно рассчитаны кол-во и степень омыления нитрильных групп в каучуке и установлены эмпирич. ф-лы различных продуктов его омыления.

Ю. З. 44791. Полимеры и сополимеры изобутилена. Барони (Polimeri e copolimeri dell'isobutene. Baroni A.), Mater plastiche, 1955, 24, № 2, 77—80 (итал.)

Обзор способов получения и свойств полиизобутилена и бутылкаучука. Библ. 19 назв.

Л. П. 44792. Оценка каучукоподобных полимеров диенового типа. Устойчивость к действию масел и растворителей и эластичность при низких температурах. Фелдон, Хаммел, Лондри (Evaluation of diene-type elastomers. Oil and solvent resistance and low temperature flexibility. Feldon M., Hammel D. R., Laundrie R. W.), Industr. and Engng Chem., 1954, 46, № 10, 2248—2260 (англ.)

С целью нахождения каучукоподобных полимеров (П) с максим. морозо- и бензостойкостью испытывались дополнительно к исследованным ранее (РЖХим, 1955, 47451): большое число новых П, в том числе эмульсионные сополимеры (с различными относительно кол-вами мономеров) бутадиена (I) со стиролом (II) и метилизопропенилкетеном (III), I с III, I с дихлорбутадиеном, I с бензалацетофеноном, I с трихлорэтиленом, I с монохлордифторэтиленом, I с дихлордифторэтиленом, I с изобутилметакрилатом, I с 2-этоксизаацрилатом (IV), I с IV и акрилнитрилом (V), I с IV и III, I с IV, V и винилдихлоридом (VI), I с II и V, I с II и винилипиридином, I с V и *n*-бутил-акрилатом, I с V и *n*-октилакрилатом, I с VI и V, I с VI и винилхлоридом, I с VI и метилакрилатом, I с хлоропреном и V, I с III и V, а также аллифимые П I и сополимеры I с П в маслах и без них. Все они вулканизовались до оптимума и испытывались в виде сажевых резин (с содержанием 30—50% сажи) на физ.-мех. показатели, морозостойкость и степень набухания в маслах и р-рителях. Наилучшее сочетание этих показателей обнаружил аллифимый П I, но его тех-

нологич. свойства были неудовлетворительными. Остальные П по комплексу указанных свойств не имели преимуществ перед стандартным бутадиенакрилнитрильным каучуком Паракрил 18—80.

А. Л. 44793. Силиконовый каучук с повышенным сопротивлением раздиру. Эрби (Tear-resistant silicone rubber. Irby George S., Jr., Mater. and Methods, 1955, 42, № 1, 106—107 (англ.))

Силиконовые каучуки, усиленные тетрафторэтиленовыми смолами (тефлон), показывают увеличение сопротивления раздиру в 3—4 раза при одновременном улучшении маслостойкости. Усиленный каучук представляет собой жесткий продукт, не поддающийся шпательванию, формирующийся под давлением. Используется в качестве маслостойких прокладок и изоляции, для покрытия внутренней части нагревательных и антиобледенительных каналов и тормозных уплотнителей гражданских и военных самолетов, а также в уплотнителях для хим. аппаратуры. Приведены реценты смесей.

В. К. 44794. К исследованию наполнителей каучука титрованием. Ружичка (Zur titrimetrischen Untersuchung von Kautschukfüllstoffen. Ruziczka Walthier), Prakt. Chem., 1955, 6, № 8, 199 (нем.)

Обзор методик определения подного числа сажи и других наполнителей. Подное число и связанное с ним кислотное число могут характеризовать ненасыщенность поверхности наполнителей.

М. М. 44795. Изменения сажевых структур в резинах под влиянием многократных деформаций и нагревания. Догадкин Б. А., Печковская К. А., Сб. «Старение и утомление каучуков и резин и повышение их стойкости», Л., Госхимиздат, 1955, 53—67

В резинах, содержащих активные сажи, образуются сажевые структуры, развитие которых и изменение в процессе утомления можно оценить по электр. сопротивлению ρ в постоянном токе. Если сажевые частички в структуре связаны непосредственно (с образованием связи сажа — сажа), сила тока описывается ур-нием $I = cv$ (1), где v — напряжение, c — постоянная. В других случаях $I = cv^n$, где $n > 1$. Зависимость ρ от t -ры выражается: $\rho_t = \rho_0 e^{\alpha t}$, где t — t -ра, $\alpha > 0$, если повышение t приводит к разрушению сажевой структуры, и $\alpha < 0$ в противном случае. Исследовались ρ , n , α и отношение n_0/n , где n_0 — показатель в ур-нии (1) для резины в исходном состоянии, причем приближение n к 1 после воздействия напряжения или t -ры показывает, что прочность связей сажа — сажа выше прочности связей сажа — каучук. При многократных деформациях и нагревании постепенно разрушаются более слабые связи, в оставшейся структуре возрастает доля более прочных связей. В случае активных саж связи сажа — сажа прочнее связей сажа — каучук, в случае печных саж связи обоих типов обладают примерно одинаковой прочностью, в случае полу-активных саж связи сажа — сажа менее прочны, чем связи сажа — каучук.

А. Л. 44796. О разложении динитрозоопентаметилентетрамина. Икута, Нисемото (ДРТ(ジエトロソペンタメチレントラミン)の分解について・生田庄太郎・西本明純), Япон. Гом. Ассоциат., Япон. Гом. Ассоциат., J. Soc. Rubber Ind., 1955, 28, № 5, 270—281 (япон.; рез. англ.)

Динитрозоопентаметилентетрамин (II) пригоден как порообразователь для пористых резин, разлагается при 206° в присутствии других, особенно кислых в-в, разложение может происходить при 60—180°. Влияние сажи, жирных к-т, фталевого ангидрида и т. п. на разложение I пропорционально константе диссоциации. Изучено также влияние на разложение I мочевины, ди-

этиленгликоля, ускорителей вулканизации и наполнителей. Получающиеся с I пористые резины имеют желтую окраску и обладают запахом. Последний может быть устранен. При обращении с I следует иметь в виду его огнеопасность. М. М.

44797. Вулканизационные свойства селена. Василев (Вулканизационные свойства на селена. Василев Ат.), Лека промышленность, 1955, 4, № 9, 26—29 (болг.)

При т-ре вулканизации 150° Se связывается с каучуком в очень малых кол-вах и дает мягкие вулканизаты с очень низкими физ.-мех. показателями, в комбинации же с 0,5% S получают вулканизаты с хорошими физ.-мех. показателями, Se при этом играет роль ускорителя. При применении органич. ускорителей без S (каптакса, тиурама, алтаткса) Se увеличивает теплостойкость вулканизатов. В эбонитовых смесях введение Se дает возможность резко снизить содержание S (при содержании 2% Se с 45% до 30%) и полностью исключить органич. ускорители, чем значительно устраняется опасность преждевременной вулканизации. При вулканизации эбонитовых смесей Se не дает нежелательных газообразных продуктов распада, образующихся обычно при применении органич. ускорителей, сохраняя функции ускорителя до конца процесса вулканизации. Возможно применение Se при вулканизации в виде шлама, получаемого в качестве побочного продукта при произ-ве H_2SO_4 (содержание Se 58%) с последующей промывкой, сушкой и измелчением. М. А.

44798. Новые вулканизующие агенты. Стивенс (New vulcanisation agents. Stevens W. H.), Rubber and Plast. Age, 1955, 33, № 12, 749, 751 (англ.)

VA-7 — новый агент вулканизации — полисульфид жирного ряда с подвижными атомами S. Хорошо растворяется в каучуке. Вулканизаты не содержат свободной S, обладают повышенным сопротивлением старению. В. К.

44799. Определение свободной серы в эбоните. Уинн-Эванс (Determination of free sulphur in hard rubber. Wynne-Evans C.), Trans. and Proc. Instn. Rubber Ind., 1955, 31, № 4, 126—132 (англ.)

Быстрый (~3 час.) и точный метод основан на экстракции р-ром Na_2SO_3 с последующим титрованием иодом. Исследовано влияние размера частиц измельченной навески, продолжительности экстракции и конц-ии р-ра Na_2SO_3 ; приведена подробная методика. Ю. Д.

44800. Защита каучука от старения с помощью дезактиваторов. Жиже, Ле-Бра (Alterungsschutz des Kautschuks durch Desaktivator-Wirkung. Giger G., Le Bras J.), Kautschuk und Gummi, 1955, 8, № 8, WT203—WT208 (нем.)

Обзор. Дезактиваторы (Д) — в-ва, замедляющие старение, но не являющиеся противокислителями и действующие по другому, еще не ясному механизму. В их присутствии O_2 поглощается каучуком, но почти не оказывает разрушающего действия. Повидимому, Д дезактивируют образующиеся перекиси. В качестве Д применяются меркаптобензимидазол и его Zn-соль. Ветустя систематич. исследование зависимости между хим. строением Д и их действием, синтезируются новые Д. Для лучшей защиты от старения рекомендуется совместное использование Д и противокислителей. Библ. 24 назв. М. М.

44801. «Конкуренция волокон». Иллинуорт (The battle of the fibres. Illingworth J. W.), Rubber and Plast. Age, 1955, 33, № 5, 303—304 (англ.)

Сравнительный обзор свойств вискозы и синтетич. волокон, применяемых или намечающихся к применению в резиновой пром-сти. В. К.

44802. Пропитка латексом и горячая вытяжка шинного корда, в частности нейлонового. Лицлер (The latexing and hot-stretching of tire-cord fabrics with special emphasis on nylon. Litzler C. A.), Trans. ASME, 1955, 77, № 4, 413—422 (англ.)

Шинный корд, особенно корд из нейлона, для уменьшения удлинения и улучшения качества шины подвергается после пропитки вытяжке при повышенной т-ре. Процесс вытяжки совмещается с сушкой пропитанной ткани. Основными параметрами процесса являются т-ра, натяжение и продолжительность, величина которых строго регулируется и поддерживается постоянной. Вытяжка хлопкового и вискозного корда по сравнению с вытяжкой нейлонового корда проводится при более низкой т-ре и натяжении, но более длительном времени. Для пропитки нейлонового корда применяется винилпиридиновый латекс. Пропиточный водн. р-р (конц-ией 12—15%) содержит ~17% резорцин-формальдегидной смолы и ~83% пиридинового латекса. Привес на волокне составляет 6—8%, величина его зависит от натяжения и характера отделки корда, прямой зависимости между величиной привеса и продолжительностью пребывания корда в пропиточной ванне нет. После горячей вытяжки ткань необходимо быстро охладить до 65°. Удлинение обработанного корда составляет 14—18%, вытяжка 15—25%. Приведены схемы пропиточных устройств и машин горячей вытяжки, расход мощности при пропитке и горячем вытягивании, характеристики хлопкового, вискозного и нейлонового корда (номер волокна, число сложений, крутка, плотность по основе и утку) и показатели их механич. свойств. А. Р.

44803. Разнообразное применение ячеистой резины как конструктивного материала. Спрейг, Серек (Cellular rubber shows versatility as an engineering material. Sprague G. R., Sereque A. F.), Mech. Engng, 1954, 76, № 2, 147—151 (англ.)

Обзор свойств и применения губчатых и микропористых резин, эбонита и поливинилхлорида. М. Х.

44804. К технологии порокрепа. I. Меринг (Zur Technologie des Porokrepps. I. Mehning R.), Plaste und Kautschuk, 1955, 2, № 8, 184—186 (нем.)

Порокреп (П) — материал, на основе НК или СК для пористых подошв и клиновидных каблучков, со значительным кол-вом замкнутых пор (диам. 0,1—0,2 мм), уд. весом 0,5—0,7, твердостью 35—45, эластичностью по отскоку 50—60%. Для вулканизации П применяют 2 метода: 1) метод роста (расширение заготовки в пресс-форме со свободным пространством) и 2) метод запрессовки (заготовка занимает весь внутренний объем пресс-формы), при котором расширение, начинаясь в пресс-форме, заканчивается после выемки из нее. Второй метод требует менее тщательной подготовки заготовок, чем первый. Газообразование и вулканизация (В), протекающие одновременно, зависят от т-ры, давления, разложения порообразователей и подготовки смеси до В. На величину уд. веса сильно влияет пластичность смеси. Время В сказывается, главным образом, на сопротивлении раздиру и на длительность протекания усадки (до нескольких дней). Твердость П зависит от уд. веса, пористой структуры, репертур и степени В. Ускорители вводятся в сравнительно большом кол-ве. Излишек порообразователей и недостаточное кол-во ускорителей вызывают необходимость высокого давления при втором методе, в противном случае размеры не соответствуют заданным. П из НК со светлыми наполнителями обладает хорошим сопротивлением истиранию; частичная замена НК высокоэластичными каучуками позволяет, при сохранении этого свойства, снизить уд. вес. Недостаточно разработана техника крепления П. М. М.

44805. Замечания к определению твердости по Шору. Шпет (Bemerkungen zur Shore-Härte. Spräth W.). Gummi und Asbest, 1955, 8, № 8, 418, 420, 422, 424—425 (нем.).

Определение твердости вулканизатов по Шору широко распространено среди резинщиков и потребителей резиновых изделий в автомобильной и авиационной промышленности, хотя и не имеет физич. обоснования и не отображает действительного поведения материала, напр., при различных т-рах, особенно пониженных. Величина расхождений зависит от природы каучука и типа наполнителей. Приведен ряд примеров, показывающих границы возможного применения твердомера Шора. А. Л.

44806 П. Латексные смеси. Лоу, Батлер, Кокбейн (Compositions de latex de caoutchouc. Lowe Arnold J., Butler Donald, Cockbain Ernest G.) [Oxigane Ltd]. Франц. пат. 1076434, 26.10.54 [Rev. gén. caoutchouc, 1955, 32, № 7, 671 (франц.)]

Для термосенсибилизации натурального латекса, или его смеси с небольшим количеством синтетического, применяют в-ва с формулой $R(OC_2H_5)_x(OC_2H_5)_yOR'$, где R и R' — одинаковые или различные группы и могут представлять собой H, алкил, арил, алкенил или ацил. М. Л.

44807 П. Усовершенствование устройства для получения вспененного латекса. Олдерфер (Perfectionnements aux dispositifs de fabrication du latex spumeux. Alderfer S. W.). Франц. пат. 1083127, 12.01.55, [Rev. gén. caoutchouc, 1955, 32, № 7, 670 (франц.)]

Взбивающее устройство для вспенивания латекса дает возможность непрерывно прибавлять дозируемые кол-ва латексной смеси, воздуха, коагулирующего агента и ZnO. М. Л.

44808 П. Способ изготовления резиновых нитей (Verfahren zum Herstellen von Kautschukfäden) [Georg Börner, Kautschukwerk]. Пат. ФРГ 876908, 18.05.53 [Gummi und Asbest, 1954, 7, № 1, 33 (нем.)]

Резиновые нити получают из натурального или синтетич. термосенсибилизированного латекса нанесением его на обогреваемый барабан, снабженный канавками. На части поверхности барабана канавки закрываются прижимной лентой. Часть поверхности барабана, на которую наносится латекс, нагревается; участок поверхности, с которого снимаются нити, охлаждается ниже т-ры коагуляции латекса. М. М.

44809 П. Способ и приспособление для передвижения большого числа тонких резиновых нитей или подобных изделий. Джеймс, Смит (Verfahren und Vorrichtung zum Befördern einer Mehrzahl feiner Kautschukfäden od. dgl. James Robert Gilbert, Smith Sydney Frederick) [International Latex Processes Ltd]. Пат. ФРГ 881576, 29.06.53 [Gummi und Asbest, 1954, 7, № 1, 33 (нем.)]

Латекс поступает в коагулирующую ванну через вертикально расположенные фильеры, и образовавшиеся нити тянутся двумя натяжными валиками, на которых нанесены канавки. Главный валик расположен перед нижним. Нити ведутся валиками таким образом, что две или больше нитей из одной из нескольких групп нитей поступают на меняющиеся канавки нижнего валика, прежде чем они попадут на канавки главного валика. Остальные нити группы (или нескольких групп) нитей из коагулирующего р-ра непосредственно поступают на свободные канавки главного валика. М. М.

44810 П. Получение водонепроницаемой ткани для дождевиков. Ратгебер (Verfahren zur Herstellung eines wasserdichten Stoffes, insbesondere für

Regenbekleidung. Rathgeber Peter) [Karl Rathgeber Fabrik orthopädischer Fußmittel]. Пат. ФРГ 927829, 16.05.55

Водонепроницаемый тонкопористый материал получают из вспененной или частично вспененной воды, дисперсии каучука, содержащей, кроме обычных добавок, ~20% омыленного воска или аналогичной смеси высших жирных к-т и спиртов. См. пат. ФРГ 903741 (РЖХим, 1956, 20714).

44811 П. Непрерывное осаждение хлорированного каучука. Фрейвел (Continuous precipitation of chlorinated rubber. Fravel William H. F.) [Hercules Powder Co.]. Пат. США 2716669, 30.08.55

Раствор хлорированного каучука непрерывно поступает в первую зону с горячей водой, т-ра которой поддерживается не более чем на 10° выше т-ры кипения р-рителя. Хлорированный каучук осаждают и испаряют часть р-рителя; консистенцию получающейся взвеси поддерживают почти постоянной в пределах 1—20 вес.%. Взвесь хлорированного каучука в воде поступает во вторую зону, т-ра которой выше, чем в первой, где испаряют остатки р-рителя. Хлорированный каучук получают в тонкоизмельченном виде. В. К.

44812 П. Пластификатор и мягчитель для хлоркаучука. Хентрих, Грандман, Эндрес (Gelatinierungs- und Weichmachungsmittel für Chlorkautschuk. Hentrich Winfried, Grundmann Christoph, Endres Rudolf) [DEHYDAG Deutsche Hydrierwerke G. m. b. H.]. Пат. ФРГ 927232, 2.05.55

Для увеличения эластичности и морозостойкости хлоркаучука применяют высокомолекулярные нитропарафины или их производные, особенно спирты или сложные эфиры. Пример: в р-р низковязкого хлоркаучука (30 вес. ч.) в тетрагидронафталине (25 вес. ч.) и ксилоте (30 вес. ч.) вводят 6 вес. ч. нитропарафина с 15—20 атомами С, в котором растворено 9 вес. ч. смолы на основе циклич. кетонов. М. М.

44813 П. Способ стабилизации хлоркаучука. Гей, Хеджес (Verfahren zum Stabilisieren von Chlorkautschuk. Gay Philip James, Hedges Ernest Sidney) [Hangers Paints Ltd]. Пат. ФРГ 925313, 17.03.55

Для поглощения HCl при применении хлоркаучука в теплоустойких покрытиях применяют 0,01—0,1 вес % (от хлоркаучука) алкоксисоединения Sn, в частности диалкилоловянные соли органич. к-т, напр.: дибутилоловянную соль лауриновой или малеиновой к-т или диалкоксидиалкилолово, напр. дибутоксидибутилолово. Хлоркаучук и стабилизатор растворяются в одинаковом р-рителе и р-ры смешиваются. М. М.

44814 П. Улучшение пленок из гидрохлорида каучука. Торнтон (Pellicule perfectionnée de chlorhydrate de caoutchouc. Thornton Max, H.) [Wingfoot Corp.]. Франц. пат. 1084405, 19.01.55 [Rev. gén. caoutchouc, 1955, 32, № 7, 673 (франц.)]

Паропроницаемость пленки уменьшается при наличии в ней диалкильного простого эфира, твердого при обычной т-ре. Кроме того, в пленке должны присутствовать пластификатор (сложный эфир) и в-во, повышающее р-римость простого эфира в гидрохлориде каучука (гидрированные терпены, напр. НВ 40, хлорированный парафин и т. д.). М. Л.

44815 П. Усовершенствование способа приготовления дисперсий каучука и циклокаучука. Блоу, Поном (Perfectionnement aux procédés de préparation de dispersions de caoutchouc et de caoutchoucs cyclisés. Blow Claude M., Popham Frederick J. W.). Франц. пат. 1075317, 14.10.54 [Chimie et industrie, 1955, 74, № 3, 486 (франц.)]

Дисперсию каучука обрабатывают сначала H_2SO_4 в присутствии стабилизатора, состоящего из неионного или катионоактивного поверхностно-активного в-ва, при этом регулируют т-ру так, чтобы получить устойчивую дисперсию циклокаучука; затем ее прибивают к стабилизированной дисперсии нециклизованного каучука и из этой смеси выделяют коагулюм смешанных каучуков, который может служить основной составной частью готового вулканизата. М. Л.

44816 П. Способ получения стирола из бутадиена. Комаревский, Верле (Procédé de préparation du styrène à partir du butadiène. [Komarewsky V. L., Verley A.] Франц. пат. 1079428, 30.11.54, [Rev. gén. caoutchouc, 1955, 32, № 7, 674 (франц.)])

Бутадиен превращают нагреванием под давлением в присутствии фосфорной к-ты в циклич. димер: 4-винилциклогексен-1. Димер дегидрируют при нагревании в присутствии катализатора — смеси окисей Al, Си Мо; таким образом получают смесь этилбензола, с небольшим кол-вом стирола; эту смесь в свою очередь дегидрируют, пропускавая в нагретом состоянии над теми же катализаторами, и получают стирол. Возможно периодич. и непрерывное получение димера. М. Л.

44817 П. Способ получения синтетического каучука. Цербе, Еникке, Швейцер (Verfahren zur Herstellung von Kunstkauschuk. Zerbe Carl, Jaenicke Johann, Schweitzer Otto) [Deutsche Shell A.-G., Metallgesellschaft A.-G.] Пат. ФРГ, 926759, 25.04.55

Сополимеризация бутадиена или его гомологов с такими виниловыми соединениями как стирол или акрилонитрил ведется при добавлении в-в, получаемых при очистке минер. масел селективными растворителями, или из кислых смол при очистке конц. H_2SO_4 с последующей обычной обработкой (непр-цией, экстракцией, гидролизом или дистилляцией). Эти добавки представляют собой смесь частично ненасыщ., частично р-римых в H_2SO_4 , реакционноспособных углеводородов. Их можно вводить в мономеры, а также в процессе полимеризации п-ре, эмульсии или в массе с обычными катализаторами. М. М.

44818 П. Способ получения синтетического каучука. Цербе, Мидель (Verfahren zur Herstellung von Kunstkauschuk. Zerbe Carl, Miedel Hermann) [Deutsche Shell A.-G.] Пат. ФРГ 932457, 1.09.55

К обычным исходным в-вам перед эмульсионной полимеризацией, или в самом ее начале, добавляют нафтоновые к-ты, полученные из минер. масел, их соли, производные, или дистиллаты или богатые ими фракции минер. масел, в кол-ве, превышающем обычно применяемое при эмульгировании нафтенатами. М. М.

44819 П. Способ улучшения механической обрабатываемости синтетического каучука или каучукоподобных веществ. Еникке, Энелин (Verfahren zur Verbesserung der mechanischen Verarbeitbarkeit von Kunstkauschuk oder Kautschuknachfolgestoffen. Jaenicke Johannes, Enselin Oskar) [Deutsche Shell A.-G., Metallgesellschaft A.-G.] Пат. ФРГ 932201, 25.08.55

Механич. обрабатываемость СК или каучукоподобных в-в улучшается при добавлении натурального латекса в дисперсию СК или каучукоподобных в-в, с последующей коагуляцией после введения эмульсии или дисперсии мягчителей. Соотношение (по сухому в-ву) дисперсий СК к латексу 75—50/25—50. См. пат. ФРГ 916354 (РЖХим, 1956, 8122). М. М.

44820 П. Приготовление смесей каучукоподобных бутадienstирильных сополимеров со смолоподобным

полимером винил- или винилиденхлорида. Гарризон, Браун (Preparation of mixtures of rubbery butadiene styrene copolymer with resinous polymer of vinyl of vinylidene chloride. Harrison Stuart A., Brown Walter E.) [The B. F. Goodrich Co.]. Пат. США 2711400, 21.06.55

Для получения каучукоподобных вулканизирующихся полимерных материалов, состоящих из каучукоподобного в-ва (I), усиленного лишь органич. смолоподобным материалом, полимеризуют смесь мономеров, превращающихся при этом в ненасыщ. каучукоподобный сополимер, содержащий 50—90 вес. % бутадиена-1,3; оставшая часть представляет собой алкенилазещ. ароматич. соединение с ф-лой: $Ar-C(R)=CH_2$, где Ar — ароматич. радикал, присоединенный через атом С в кольцо, а R — H или алкил. Полимеризацию ведут в водн. эмульсии в присутствии заранее приготовленной водн. дисперсии с частицами со средним диаметром $< 0,4 \mu$ твердого насыщ. смолоподобного полимера хлорэтилена (II) с 1—2 атомами Cl только у одного атома С; II нерастворим в I и является единственным твердым материалом в начале полимеризации; содержание II равно 5—100 вес. % от веса I. Полученную водн. дисперсию коагулируют. М. Л.

44821 П. Усовершенствование обработки бутилкаучука. Икнайн, Питерсон, Батс (Perfectionnements au traitement du caoutchouc butyle. Iknayan Alfred N., Peterson Lester C., Batts Harvey J.) [United States Rubber Co.]. Франц. пат. 1086501, 14.02.55 [Rev. gén. caoutchouc, 1955, 32, № 7, 674 (франц.)]

Для введения значительного кол-ва минер. масла в бутилкаучук, без слишком большого увеличения пластичности, его нагревают с вулканизирующим агентом таким образом, что 10—40% каучука делается нерастворимыми в бэл. Затем в смесь вводят ≥ 25 ч. (на 100 ч. каучука) нелетучего масла. М. Л.

44822 П. Вулканизация бутилкаучука. Батс, Деланг (Vulcanisation du caoutchouc butylique. Batts Harvey J., Delang Theodore G.) [United States Rubber Co.]. Франц. пат. 1077283, 5.11.54 [Rev. gén. caoutchouc, 1955, 32, № 7, 674 (франц.)]

Для ускорения вулканизации бутилкаучука при нагревании с фенольной смолкой к смеси прибавляют относительно небольшое кол-во неопрена, связанного с соединением Zn: окисью или солью жирной к-ты. М. Л.

44823 П. Синтетический каучук из диорганосилоксана (Caoutchouc synthétique de diorganosiloxane) [Dow Corning Corp.]. Швейц. пат. 296674, 1.05.54 [Chimia, 1954, 8, № 10, 243 (франц.)]

[Каучук с повышенными прочностью и эластичностью получают из определенного диорганосилоксана и в качестве наполнителя применяют кремнезем спец. сорта. М. Л.]

44824 П. Улучшение изготовления клееких пластин из органополисилоксана. Коллинге (Perfectionnements dans la préparation des feuilles adhésives d'organopolysiloxanes. Collings William R.) [Dow Corning Corp.]. Франц. пат. 1073374, 24.09.54 [Chimie et industrie, 1955, 74, № 3, 491 (франц.)]

На плоской поверхности при 80—95° в атмосфере пара 15—35 мин. подвулканизовывают органополисилоксановую смесь, так что получается пластина, клеекая только с одной стороны. Смесь состоит из органополисилоксана с 1,98—2,00 фенильных и метильных групп на каждый атом Si (диэтилсилоксановых групп $\geq 50\%$) и 2—5 вес. % (от веса силоксана) перекиси ароматич. к-ты, напр. перекиси бензоила или сложного эфира *трет*-бутилового спирта и пербензойной к-ты. М. Л.

44825 П. Силиконовый каучук с сажей, предварительно подвергнутой старению. Смит-Джонхансен (Silicone rubber with preaged carbon black. Smith-Johnansen Robert) [General Electric. Co.]. Пат. США 2711399, 21.06.55

Смесь состоит из: конденсированного щелочью растворимого в бал. полидиорганосилоксана (I), превращающегося при вулканизации в твердый эластич. продукт, 25 вес. % (от веса I) наполнителя — неорганич. металлич. окиси и 0,1—12 вес. % (от веса I) тонкого порошка сажи в виде концентрата, предварительно подвергнутого старению, получающегося в результате соприкосновения 1—2 вес. ч. сажи с 1—10 вес. ч. I в течение времени, достаточного для их взаимодействия. I состоит почти целиком из структурных единиц R_2SiO , где R — низшие алкильные (по крайней мере 75%) или арильные радикалы (могут быть разными). М. Л.

44826 П. Получение маслостойких вулканизатов. Вольф, Хольцрихтер, Людвиг (Herstellung von ölfesten Vulkanisaten. Wolz Hermann, Holzrichen Hermann, Ludwig Richard) [Farbenfabriken Bayer]. Пат. ФРГ 883339, 16.07.53 [Chem. Zbl., 1954, 125, № 48, 11067 (нем.)]

Для получения маслостойких вулканизатов применяют эмульсионные сополимеры бутадиеновых углеводородов (50% или больше) со стиролом и акрилатрилом. М. Л.

44827 П. Способ получения каучукоподобных синтетических продуктов. Пинтен (Verfahren zur Herstellung kautschukartiger Kunststoffe. Pinten Peter) [Dynamit A.-G. vorm. Alfred Nobel & Co.]. Пат. ФРГ 932633, 5.09.55

Каучукоподобные продукты получают при взаимодействии диизоцианатов или аналогично действующих соединений с продуктами конденсации двухосновных и т. д. двухатомных спиртов при добавлении до или после конденсации или при взаимодействии с диизоцианатами небольшого кол-ва полифункционального соединения, напр. многоатомного спирта, многоосновной органич. к-ты, двухосновной оксикислоты, диоксикарбоновой к-ты или многоатомного изоцианата. Пример: на алкидную смолу с небольшим кислотным числом, полученную из 1 моля адипиновой к-ты, 0,9 моля этиленгликоля и 0,1 моля глицерина, действуют 1/8 моля 4,4'-диизоцианато-ди-*n*-ксилиметана. При нагревании быстро образуется каучукоподобный материал, с т-рой хрупкости около -80° , не обнаруживающий клейкости до 200° . Р-цию с диизоцианатом можно совместить с формованием. М. М.

44828 П. Мягчитель для натурального или синтетического каучука. Цербе (Weichmachungs- oder Streckmittel für natürlichen oder synthetischen Kautschuk. Zerbe Carl) [Deutsche Shell A.-G., Metallgesellschaft A.-G.]. Пат. ФРГ 892239, 5.10.53 [Chem. Zbl., 1954, 125, № 14, 3119 (нем.)]

Мягчитель для каучука состоит из тяжелых высокомолекулярных вытяжек, получаемых при экстракции торфяной или сланцевой смолы SO_2 , фурфуролом, смесью SO_2 с бензолом или пропаном. М. М.

44829 П. Мягчители для каучука. Имхаузен, Имхаузен (Weichmacher für Kautschuk. Imhausen Arthur, Imhausen Karl-Heinz) [Märkische Seifen-Industrie o. H. G., Dr. Karl-Heinz Imhausen]. Пат. ФРГ 895373, 24.09.53 [Rubber Abstrs, 1954, 32, № 8, 357 (англ.)]

В качестве пластификаторов каучука, в частности СК, применяют сложные эфиры продуктов окисления (содержащих Cl) парафинов с ≥ 14 атомов C в молекуле. М. Л.

44830 П. Способ пластикации синтетического каучука. Шнейдер, Фроманди (Verfahren zum Plastizieren von synthetischem Kautschuk. Schneider Paul, Fromandi Guido) [Farbenfabriken Bayer A.-G.]. Пат. ФРГ 931499, 11.08.55

В начале пластикации, вместе с пластицирующими агентами, в каучук вводят 5—60% ароматич. поликонсоединений (широкотехин, резорцин, гидрохинон, диоксидафталины, пирогаллол, оксигидрохинон, диоксисантрахинон и продукты их замещения). М. М.

44831 П. Обработка каолина при применении его в качестве наполнителя. Берторецци (Production of pigment from kaolin. Bertorelli O. L.) [Huber Corp., J. M.]. Англ. пат. 706537, 31.03.54 [Rubber Abstrs, 1954, 32, № 7, 324 (англ.)]

Для улучшения качества каолина его обрабатывают в тонкоизмельченном виде при $t-p \geq 120^\circ$ водн. р-ром едкой щелочи, содержащим (по весу) меньше гидрата окиси щел. металла, чем кол-во каолина; частицы последнего при этом дезинтегрируются и теряют пластичную структуру. Содержание Al_2O_3 в исходном сырье $< 40\%$. Сопротивление разрыву резины, содержащей 25 об. % обработанного каолина, увеличивается более чем вдвое по сравнению с резиной, содержащей необработанный каолин. Б. Ш.

44832 П. Усовершенствование резиновых смесей. Пехукас (Perfectionnements aux compositions de caoutchouc. Pechukas Alphonse) [Columbia-Southern Chemical Corp.]. Франц. пат. 1088717, 9.03.55 [Rev. gén. caoutchouc, 1955, 32, № 8, 749 (франц.)]

Для усиления НК или СК кремнеземом в каучук, не содержащий значительного кол-ва полярных ингредиентов, сначала вводят на вальцах гидратированный аморфный высокодисперсный кремнезем с формулой $H_2O(SiO_2)_x$, где x равен 3—50, а затем вводят полярные ингредиенты. Лучшие результаты получаются, если смесь оставить лежать несколько дней. М. Л.

44833 П. Вулканизованные изделия из смеси каучука и смолы и способ их получения из латекса (Procédé pour la préparation de produits composés de caoutchouc et résine à partir de latex, et objets vulcanisés fabriqués à l'aide de ces produits) [Rubber-Stichting]. Франц. пат. 1090331, 29.03.55 [Rev. gén. caoutchouc, 1955, 32, № 7, 671 (франц.)]

Натуральный или синтетич. латекс смешивают со стабилизатором, препятствующим коагуляции к-тами; стабилизированный латекс подкисляют, затем прибавляют к нему неконденсированные или частично конденсированные компоненты смол, образующихся в кислой среде. По завершении р-ции конденсации отделиют полученный продукт, прибавляют к нему вулканизирующие агенты и вулканизуют обычным образом. Составными частями смолы являются альдегид (напр., формальдегид) и амин RNH_2 , где R — ароматич. или гетероцикл. группа, или $C(=O)NH_2$, $C(=S)NH_2$, $C(=NH)NH_2$ или $C(=NH)NHNC$. Получающиеся смолы являются усилителями для светлых резин. М. Л.

44834 П. Резиновые смеси (Rubber compositions) [Dunlop Rubber Aust. Ltd.]. Австрал. пат. 163500, 7.07.55

НК или СК смешивают с отверждающейся фенолальдегидной смолой и проводят отверждение последней. До или после отверждения в смесь вводят полимер замещ. углеводорода, содержащего винильную группу, и смесь вулканизуют. В. К.

44835 П. Обработка каучука. Бартон, Ганзхорн (Rubber treatment. Barton Bernard C., Ganzhorn George H.) [United States Rubber Co.]. Пат. США 2710287, 7.06.55

Вулканизирующий каучук с высокой степенью ненасыщенности, содержащий $\geq 25\%$ связанного алифатич.

диолефина с сопряженными двойными связями, смешивают с относительно большим кол-вом усиливающей сажи и с относительно малым кол-вом трихлоруксусной к-ты, ее амидов, сложных эфиров с насыщ. алифатич. или циклоалифатич. спиртами, металлич. либо аминных солей. Смеси нагревают при $t_{\text{ре}} > 135^\circ$, не вредящей каучуку. Смесь пластируют; вводят в нее вулканизирующие и другие требуемые ингредиенты, формуют и вулканизуют. М. Л.

44836 П. Электроизоляционные материалы для получения статического электричества (Isolants électriques pour la production d'électricité statique) [Metzeler Gummiwerke A.-G.]. Франц. пат. 1079/89, 2.12.54 [Rev. gén. caoutchouc, 1955, 32, № 10, 943—944 (франц.)]

Способность к электризации при трении или при другой механич. обработке изоляционных материалов, к к., напр., каучука, пластмасс и т. д., можно значительно увеличить, если повысить их диэлектрич. постоянную без изменения внутреннего сопротивления. Для этого в них вводят в-ва с «ферроэлектрич.» свойствами, напр. рутил, титанаты щел.-зем. металлов, уменьшенные керамики, материалы с высокой диэлектрич. постоянной и т. д. М. Л.

44837 П. Личистые смеси и их применение (Composition cellulaire et ses applications) [Wingfoot Corp.]. Франц. пат. 1078992, 24.11.54 [Rev. gén. caoutchouc, 1955, 32, № 10, 950 (франц.)]

Личистая подошвенная смесь состоит из каучукоподобного бутадienstирольного сополимера, смолоподобного стиролбутадienstирольного сополимера, усилители, напр. глины, силиката Са и т. п., других обычных ингредиентов и порообразователя, напр., диазоамидобензола (Unicel ND). В смесях из GR-S необходимо присутствие наполнителя, не обязательного в случае НК. М. Л.

44838 П. Газонаполненный материал и способ его изготовления. Ричмонд, Томьюк (Gas expanded material and method of making same. Richmond Henry H., Tomiuk Markian) [Dominion Rubber Co., Ltd.]. Канад. пат. 502290, 11.05.54

В качестве порообразователя применяют симм-фенилфенилтриазины, напр. 1,3-бис-(*o*-фенилфенилен)-триазин. Пример: бутадienstирольный каучук 100 ч., 1,3-бис-(*o*-фенилфенилен)-триазин 2—3 ч., бикарбонат Na 7—10 ч. Б. К.

44839 П. Смеси синтетических каучуков и способ их получения. Гесслер, Робисон (Composition de caoutchoucs artificiels et leur procédé de fabrication. Gessler Albert M., Robison Samuel B.) [Standard Oil Development Co.]. Франц. пат. 1075517, 18.10.54, [Chimie et industrie, 1955, 74, № 3, 486 (франц.)]

Синтетич. твердый каучукоподобный сополимер типа олефин-полиолефин смешивают с сажей, небольшим кол-вом S, Se или Te и активных соединений, способных выделить эти элементы в свободном состоянии при повышенной $t_{\text{ре}}$. Смесь выдерживают продолжительное время при повышенной $t_{\text{ре}}$, при этом улучшаются прочность и эластичность полученного в дальнейшем вулканизата. М. Л.

44840 П. Способ вулканизации каучука. Томлин, Харман, Зерб, Сиббли (Verfahren zum Vulkanisieren von Kautschuk. Tomlin Andrew, Harman Marion Wesley, Zerbo Richard Oils, Sibley Robert Luther) [Monsanto Chemical Co.]. Франц. пат. 898675, 30.11.53 [Gummi und Asbest, 1955, 8, № 9, 507 (нем.)]

Каучук, содержащий усиливающую печную сажу, вместо S вулканизуют N,N' -тио-бис-втор-амином, в котором вторичные аминогруппы связаны с ≤ 2 ато-

мами S и принадлежат к 6-членным гетероциклич. и алифатич. аминным остаткам; заместители в них состоят из алкильных групп, их замещенных, алициклич. групп или тех и других. Можно также добавить тиазольный ускоритель. К указанным в-вам относятся: N,N' -дитио-бис-морфолин, -пиперидин, -пипеколин, -диэтиламин, -диоктиламин, - β -этиламинопропионитрил. При их применении отсутствует опасность преждевременной вулканизации. М. Л.

44841 П. Вулканизация каучука. Холл (Vulcanization of rubber. Hall George E., Jr) [Wyandotte Chemicals Corp.]. Пат. США 2713572, 19.07.55

Активатор тиазилсульфидного ускорителя при вулканизации эластомера из диолефина с сопряженными двойными связями представляет собой смесь конъюгированных полиоксипропиленовых и полиоксипропиленовых соединений, содержащую ≥ 20 вес. % оксипропиленов. Полиоксипропиленовая часть содержит в среднем ≥ 12 оксипропиленовых групп и получается конденсацией окиси пропилена с этилендиаминном. М. Л.

44842 П. Способ искусственного старения резины, резиноподобных изделий и прочих пластмасс и смол. Фивег (Verfahren zur künstlichen Alterung von Gummi, gummiähnlichen Erzeugnissen und sonstigen Kunststoffen und Harzen. Vieweg Heinz) [Metzeler Gummiwerke A.-G.]. Пат. ФРГ 925315, 17.03.55

Искусственное старение ведут, предпочтительно, при повышенной $t_{\text{ре}}$, при пониженном или повышенном (20 атм) давлении, в атмосфере газообразной H_2O_2 , содержащей также другие газы или пары: O_3 , O_2 , воздух, водяной пар, при одновременном действии активного света. М. М.

44843 П. Способ получения устойчивых светлых резиновых изделий (Procédé de production de produits clairs stabilisés analogues au caoutchouc) [Farbenfabriken Bayer A.-G.]. Франц. пат. 1078828, 23.11.54 [Rev. gén. caoutchouc, 1955, 32, № 7, 671 (франц.)]

Способ применим к натуральному или синтетич. латексу. В латексную смесь, кроме противоокислителей — замещ. в ядре дифениламинов, вводят восстановители, образующие при окислении мало или совсем не окрашенные продукты. Эти восстановители должны присутствовать в смеси по крайней мере до сушки коагулированного продукта. Такими восстановителями являются восстанавливающие соли тяжелых металлов, соли серной, фосфорной и других к-т, соли гидроксидов и гидразина, глюкоза, меркаптаны и т. д. М. Л.

44844 П. Форма для изделий из губчатой или ячеистой резины из натурального латекса или каучука. Карпароли (Moule pour articles en caoutchouc spongieux ou cellulaire réalisé à partir d'hévéa latex ou de gomme naturelle. Carparoli D.) [Soc. p. Az. Guiseppe Olmo Superflexite Italiana]. Франц. пат. 1074407, 5.10.54 [Rev. gén. caoutchouc, 1955, 32, № 7, 670 (франц.)]

Внутренняя поверхность формы снабжена соответствующими желобками, оканчивающимися непосредственно или через промежуточные отверстия в одном или нескольких каналах, сделанных в соединяющихся поверхностях частей формы. Желобки и каналы дают возможность воздуху и газам, содержащимся или образующимся между внутренней поверхностью формы и формируемой смесью, уходить в атмосферу во время формирования. М. Л.

44845 П. Способ получения надувных изделий из прорезиненной ткани. Моллика, Сунт (Method of making inflatable fabriclined rubber articles. Mollica Russell R., Sweet Helen T.) [United States Rubber Co.]. Пат. США 2689812, 21.09.54

Ткань складывают вдвое и шпивают так, чтобы образовался карман между линией сгиба и швом. Внешние стороны ткани промазывают клеем и на них накладывают слой непроницаемого для воздуха и жидкостей материала; края этого материала соединяют в нахлестку около кромок ткани.

Ю. Д.
44846 П. Способ прочного крепления каучука или пластмассы к твердым телам и друг к другу. Штегеман, Рёйтер (Verfahren zum festen Verbinden von Kautschuk oder Kunststoffen mit festen Körpern und untereinander. Stegeman Walter, Reuter Gottfried) [Phoenix Gummiwerke A.-G.]. Пат. ФРГ 930655, 21.07.55

Склеиваемые поверхности сырого или вулканизированного каучука или пластмассы обрабатывают р-рами алифатич. моно- или полиазосоединений (I), с последующей обработкой ди- или полиизоцианатом (II). Можно применять смесь I и II. Склеивание ведут при нагревании и под давлением. Пример: резиновую пластину покрывают 10%-ным р-ром сложного эфира бис-азидокарбонной к-ты в бзл. и выдерживают 30 мин. при 100°; накладывают на металлич. пластину, покрытую диизоцианатом, и 10 мин. выдерживают в прессе при 140°; прочность сцепления превышает таковую при обработке одним диизоцианатом. М. М.

44847 П. Усовершенствование изделий смешанной конструкции из резины и металлической сетки. Люльн, Мацца (Perfectionnements aux objets comportant une structure mixte en caoutchouc et toile métallique. Lugli Giuseppe, Mazza Carlo) [Pirelli S. p. A.]. Франц. пат. 1076572, 27.10.54, [Rev. gén. caoutchouc, 1955, 32, № 10, 944 (франц.)] Металлич. корд для шинных покрышек можно уделить, если его изготовлять из отдельных металлич. нитей большего диаметра ($d \geq 0,20$ мм), чем принято в настоящее время. Этот корд не ломок в эксплуатации в таких условиях, когда можно избежать одновременного действия усилий сдвига и сжатия. Чтобы устранить сжатие, слои металлич. сетки располагают определенным образом и отделяют друг от друга слоями резины толщиной $S \geq d/2$ с модулем сдвига $\leq 0,1S/(S+d)$. М. Л.

44848 П. Материал для возобновления протектора автошины. Джонсон (Rescapping member for automobile tires. Johnson Joseph A.). Пат. США 2689200, 14.09.54

Для возобновления протектора автошины применяют массивную ленту полувулканизированной резины, полосу из рыхлоскрепленных друг с другом обрезков легирующего металла, прикрепленных к одной стороне ленты, и тонкую полосу резины, покрывающую свободную поверхность металлич. обрезков. М. Л.

44849 П. Резиновые клеи для склеивания различных каучукоподобных материалов. Вильсон, Робисон, Смит (Ciments doubles destinés au collage de matières caoutchouteuses différentes. Wilson Howard L., Robison Samuel D., Smith Winthrop C.) [Standard Oil Development Co.]. Франц. пат. 1082690, 31.12.54 [Rev. gén. caoutchouc, 1955, 32, № 10, 944 (франц.)]

Для склеивания НК или мало насыщ. СК с весьма насыщ. СК, таким, как бутилкаучук, в произ-ве, напр. шевматич. покрышек, на последний наносят клей, на основе весьма насыщ. сополимера изобутилена, а на НК или другой, ненасыщ. эластомер, наносят другой клей на основе еще более насыщ. сополимера изобутилена, чем первый. Все вместе вулканизуют. Клей приготавливают полимеризацией при низкой т-ре с помощью реактива Фриделя — Крафта. М. Л.

44850 П. Резиновый клей на основе весьма ненасыщенных полимеров. Вильсон, Робисон (Ciments caoutchouteux à base de polymères fortement

non-saturés. Wilson Howard L., Robison Samuel, B.) [Standard Oil Development Co.]. Франц. пат. 1082695, 31.12.54 [Rev. gén. caoutchouc, 1955, 32, № 10, 944 (франц.)]

Для склеивания НК или весьма насыщ. СК с бутилкаучуком (см. пред. реф.) применяют только один клей на основе сополимера бутадиена (50—750 ч.) с изобутиленом (100 ч.), полученным полимеризацией при низкой т-ре с помощью катализатора Фриделя — Крафта. М. Л.

44851 П. Эластичная микропористая пластина и способ ее получения. Петрони (Procédé pour l'obtention d'une feuille élastique microporeuse et feuille élastique microporeuse obtenue par ce procédé. Petroni Pedro). Швейц. пат. 291518, 16.09.53 [Chimie, 1954, 8, № 4, 102 (франц.)]

В каучук вводят смесь из пемзы и силикагеля, формируют пластину, которую вулканизуют таким образом, чтобы удалить влагу, содержащуюся в силикагеле. М. Л.
44852 П. Способ улучшения механических свойств протезов. Понс (Procédé améliorant les qualités mécaniques des pièces prothétiques. Pons F. G. J.). Франц. пат. 1026486, 28.04.53 [Chem. Zbl., 1954, 125, № 35, 7926 (нем.)]

Протезы и другие изделия из каучука, виниловых, акриловых, фенольных или этиленовых смол или из полиамидов усиливают прокладками из рыхлой ткани или сплетенных нитей из минер. природных, искусств. или металлич. волокон, которые можно предварительно пропитать пластмассой. М. Л.

44853 П. Способ получения клеев и каучукосодержащих лаков. Штегеман, Тимм (Verfahren zum Herstellen von Klebemitteln und kautschukhaltigen Lacken. Stegeman Walter, Timm Thies) [Phoenix Gummiwerke A.-G.]. Пат. ФРГ 927714, 16.05.55

При изготовлении лаков и клеев для резиновых смесей и пластмасс в качестве р-рителя или клеящего средства применяют смесь бутилбутирата с другими р-рителями или мягчителями, адгезивами (напр., полиизоцианаты), НК, СК или пластмассами (полистирол, поливинилхлорид, нитроцеллюлоза). М. М.

44854 П. Обработка кожи, тканей и других технических материалов, в частности жирных, для приклеивания к каучуку и резиновым смесям. Терра (Système de traitement des cuirs, textiles, et autres matériaux industriels, et particulièrement des matériaux gras, pour obtenir leur adhérence au caoutchouc et à ses composés. Terras M. E.). Франц. пат. 1045951, 2.12.53 [Rev. gén. caoutchouc, 1954, 31, № 7, 602 (франц.)]

Обработка ведется изопреновыми соединениями. М. Л.

44855 П. Процессы герметизации швов и соединений в конструкциях из непористых материалов. Гросс (Processes for sealing the seams and joints of structures fabricated of nonporous materials. Gross Bernard) [Rohr Aircraft Corp.]. Пат. США 2677633, 4.05.54

Для герметизации плотного стыкового соединения двух непористых металлич. деталей вдоль соединения помещают заранее приготовленную неупругую ленту невулканизированной резиновой смеси; для удаления воздуха ленту последовательно вдавливают при обычной т-ре в промежуток между лентой и прилегающими поверхностями металлич. деталей; лента образует при этом непрерывный гладкий буртик, покрывающий соединение и выступы деталей. Затем этот буртик нагревают при атмосферном давлении; он становится упругим и прочно скрепляется с металлич. деталями. М. Л.

44856 П. Резиновое клише. Ведекинд (Kautschuk-Klischee. Wedekind Karl), Metallgo-

sellschaft A.-G.]. Пат. ФРГ 894120, 22.10.53 [Chem. Zbl., 1954, 125, № 14, 3120 (нем.)]

Невулканизованная каучуковая пластина одновременно с тиснением рисунка или шрифта привулканизуется к опорной плите, покрытой устойчивым к хранению, неклеющим связующим. В качестве последнего применяют хлорированные НК или СК вместе с дисперсиями каучука с гемоглобином. М. М.

См. также: 43406, 45200, 45201

СИНТЕТИЧЕСКИЕ ПОЛИМЕРЫ. ПЛАСТМАССЫ

44857. Пластмассы. Пиньо (Simple coup d'œil sur l'industrie des matières plastiques. Pignot A.), J. Usines Gaz., 1954, 78, № 8, 306—308 (франц.) Обзор пластмасс (свойства, испытание, применение и эксплуатация). Н. А.

44858. Физические и механические свойства пластмасс. Диц (Physical and engineering properties of plastics. Dietz Albert G. H.), J. Boston Soc. Civil Engrs, 1955, 42, № 2, 134—157 (англ.) Обзор. Особенно подробно рассмотрены слоистые и армированные пластики: технология их изготовления, свойства и применение в строительных конструкциях. И. Б.

44859. Формование и пластичность. Сандерс (Vormgeving en plastic. Sanders K.), Plastica, 1953, 6, № 12, 542—546 (голл.)

Приведены соображения о конструировании изделий из пластмасс и перспективы развития промышленности пластмасс. Л. П.

44860. О возможности применения пластических масс в судостроении по данным практики США и ФРГ. Хезе (Synthetische Werkstoffe im Schiffbau? Hese H.), Schiff und Hafen, 1955, 7, № 2, 83—84 (нем.) Обзор. И. Р.

44861. Новая экспрессная качественная реакция на присутствие хлора в различных смолах, пленках и тканях, пропитанных или покрытых пластификатами. Хорошая Е. С., Ковригина Г. И., Алексеев В. И., Науч.-исслед. тр. Центр. н.-и. ин-та заменителей кожи, 1954, № 6, 107—108 Для определения хлора кусочек исследуемого материала зажигают спичкой и к выделяющимся продуктам горения сразу подносят реактивную бумажку «конго». В присутствии HCl эта бумажка моментально синее. Н. А.

44862. Новая техника полимеризации. Черния (Nuove tecniche di polimerizzazione. Cernia Enrico), Materie plastiche, 1954, № 1, 41—45 (итал.)

Обзор данных по «блоку» и «графту» сополимеризации и теломеризации, а также промышленного использования блок-полимеров для произ-ва пенообразующих средств («пироник»). Библ. 10 назв. И. Р.

44863. Новые полиэтилены. Ньюман, Бокхофф (The new polyethylenes and their impact on fabricated parts. Neumann J. A., Bockhoff F. J.), Mod. Plast., 1955, 32, № 12, 117—120, 122 (англ.)

В США начато промышленное производство НТ (повышенной теплостойкости и прочности) полиэтилена (I) полимеризацией этилена под низким давлением в присутствии катализаторов $\text{Me}(\text{R})_n$ ($\text{Me} = \text{Be}, \text{Al}, \text{Ga}$ или Jn , $\text{R} = \text{H}$, алкил или одновалентный ароматич. радикал) либо CrO_3 на подложке. I отличается от обычного ЛТ (пониженной теплостойкости и прочности) полиэтилена (II) высоким пределом прочности на раз-

рыв (до 420 кг/см² вместо 140 кг/см для II), высоким разрывным удлинением (при медленном нагружении до 1000%), повышенной теплостойкостью (121° вместо 77° для II) и твердостью (65—70° по Шору при 48° у II). I легко перерабатывается в изделия методами литья под давлением и непрерывного выдавливания, а также центробежного литья. Из I могут быть изготовлены скрубберы для хим. пром-сти, работающие при t -рах ~120°, оборудование для стерилизации пищевых продуктов, лабор. посуда, допускающая сушку в термостате при 105—110°. Облучение I частицами высоких энергий еще больше улучшает его свойства. Л. П.

44864. Изменение некоторых физических свойств полиэтилена при его облучении в реакторе при 80°. Росс (Changes in some physical properties of polyethylene by pile irradiation at 80°C. Ross M.), Repts Atomic Energy Res. Establ., 1954, № 1401, 1—7, figs 1—8 (англ.)

44865. Влияние различных веществ и материалов (205 наименований) на полистирол. (Comportement du polystyrène en présence de divers produits industriels et utilitaires.—), Ind. plast. mod., 1954, 6, № 4, 5—7 (франц.)

44866. Шпирцованный поливинилхлорид: свойства, применение и испытание. Холл (Polyvinyl chloride extrusions — some properties, applications and test procedures. Hall E. E.), Plastics, 1954, 19, № 199, 61—62, 63 (англ.)

44867. Формовка различных изделий из поливинилхлоридной пасты. Маццокки (Formatura per immersione o per colatura mediante l'impiego di paste di cloruro di polivinile. Mazzocchi S.), Materie plastiche, 1954, 20, № 2, 73—78 (итал.)

Для формовки применяется паста, состоящая (в вес. ч.) из поливинилхлорида 57 и диэтилфталата (пластификатор) 43. Паста отливаются в формы из стекла, фарфора, металла и других материалов, способных выдерживать резкие переходы t -ры между 10 и 200° при охлаждении отлитых деталей в формах холодной водой или воздухом. Формы предварительно нагреваются от 60 до 120° и затем помещаются в термостатные печи с доведением t -ры до 160°. Е. С.

44868. Применение тетрафторэтилена в несмазываемых, легированных конических вентилях. Уэллс (Tetrafluoroethylene resin in non-lubricated alloy plug valves. Wells Robert F.), Austral. Machinery, 1954, 7, № 67, 27—28 (англ.)

Для работы в сильно корродирующих средах применяется тефлон в конструкции конических вентилях из легированных металлов. В. Ш.

44869. Акриловые и метакриловые смолы. Палеолого (Le resine acriliche e metacriliche. Paleologo Teo), Riv. mecc., 1954, 5, № 98, 7—14 (итал.)

Даны методы получения акриловых и метакриловых смол, их свойства, способы переработки в изделия и применения изделий. Л. П.

44870. Применение метакриловых смол для восстановления костных повреждений. Чех (Wypelnianie ubytków kostnych za pomocą żywicy metakrylowych. Czech Karol), Przegl. lekar., 1954, 10, № 8, 237—242 (польск.)

44871. Обзор достижений в области ненасыщенных полиэфиров. Эйрик, Силберберг (Survey of progress in the field of unsaturated polyesters. Eirich F. R., Silberberg M.), Tappi, 1954, 37, № 7, 134A—139A (англ.)

Рассмотрены современные взгляды на строение, ингибирование и отверждение полиэфирных смол. Библ. 33 назв. Л. П.

44872. Полиэфирные смолы. Хансман (Polyesterharze. Hansmann Josef), Lab.-Praxis, 1955, 7, № 9, 97—100 (нем.)

Описаны получение, свойства и применение полиэфирных смол (I), которые, будучи модифицированы диизоцианатами, дают резиноподобные эластичные материалы (напр., для транспортных лент). Из I получают также различные поропласты. Для переработки I в изделия разработан ряд новых технологических процессов, напр.: а) прессование слоистых изделий при низком давлении, в резиновом мешке действием вакуума или сжатого воздуха; б) прессование при низком давлении в закрытых прессформах; в) различные способы литья, в том числе центробежная отливка труб, по типу, применяемому в металлургии, шприцевание холост. р-ра смолы в горячие формы; г) способ изготовления крупн. изделий из стекло-пластиков (корпусов автомобилей, судов, деталей самолетов). Приводятся экономич. расчеты по применению I. С. Ш.

44873. Применение эпоксидных смол. Вилдехют (Toepassingsontwikkeling van Aethoxylineharsen. Wildschut A. J.), Plastica, 1954, 7, № 8, 380—383, 418 (голл.; рез. нем., англ., франц.)

Обзор получения и применения эпоксидных смол для литья, клеев, изготовления пенопластов, слоистых материалов, лаков и эмалей. Отмечено, в частности, что в ближайшем будущем ожидается значительный рост выпуска их для произ-ва стеклопластиков, предназначенных для изготовления труб и различных емкостей. Библ. 10 назв. Л. П.

44874. Алкидные прессовочные материалы. Редфари (Alkyd moulding materials. Redfearn C. A.), Brit. Plastics, 1954, 27, № 4, 131—133 (англ.)

Описаны два основных типа алкидных смол: для стеклопластиков и для изготовления прессматериалов. В этом случае в сироп из частично полимеризованного мономера вводятся при горячем вальцевании наполнитель, катализатор и смазка. Алкидные прессматериалы характеризуются быстрой отверждением (в 2—3 раза большей, чем у феноластов) и отсутствием летучих в-в во время отверждения. Прессование проводится при 149—160°, давл. 17,5 кг/см² и выдержке порядка 35 сек. для изделия толщиной 6 мм. Таблетирование и предварительный подогрев не применяются. По сравнению с фенольными пластиками, алкидные отличаются лучшей термостойкостью. Применяются для ламподержателей, телефонных деталей, электроизоляторов. М. Б.

44875. Мочевинноформальдегидные смолы. Ладхабхой (Urea — formaldehyde resins. Ladhabhoj A. E.), Bombay Technologist, 1954—1955, 5, March, 29—36 (англ.)

Обзор истории образования, методов получения и применения (пресспорошки, лаковые смолы, клеи, аппретура для отделки текстиля) мочевинноформальдегидных смол. Отмечено о произ-ве мочевинноформальдегидных смол в Индии. Библ. 11 назв. Л. П.

44876. Растворимые полиамидные смолы. Суонн (Soluble polyamide resins. Swan G.), Rubber and Plast. Age, 1954, 35, № 11, 539—540 (англ.)

Рассмотрена зависимость свойств растворимости полиамидных смол от строения их макромолекул. Л. П.

44877. Свойства и методы испытания нейлоновых изделий, полученных методом шприцевания. Холс (Nylon extrusions. Some notes on their properties, test procedure and results. Hall's E. E.), Plastics, 1954, 19, № 198, 26—27 (англ.)

44878. Пластический материал «рильсан». — (Rilsan — a new plastic. —), Packaging, 1954, 36, № 284, 64 (англ.)

Производимый во Франции «рильсан» (суперполиамид) с об. весом в порошкообразном или гранули-

рованном виде 0,4—0,5 г/см³, уд. весом в изделиях ~1,1 г/см³, т. пл. >185° пригоден в качестве упаковочного материала, для изготовления бутылок и склянок, для обкладки резервуаров, аппаратов для антикоррозийных целей. Приведены его водопоглощающая, стойкость против действия к-т, щелочей, р-рителей, а также механич. свойства. «Рильсан» перерабатывается литьем под давлением; перед загрузкой в машину он подсушивается при 80° в течение нескольких часов, или же хранится в герметич. сосудах. Т-ра материального цилиндра ~200°, формы также должны прогреться; сьем изделий производится при 80—100°. Другим методом переработки является шприцевание: т-ра 185—190°, выход изделий из мундштука в вертикальном направлении. Для нанесения антикоррозийных покрытий может быть применено огневое распыливание посредством «пистолетов». Е. Х.

44879. Новый водоизоляционный материал ПКП.

Крацер М. Б., Провинтеев И. В., Строит. пром-сть, 1954, № 6, 40—42

Для устройства водоизоляции подземных и наземных сооружений, крыш и пароизоляций в банях, прачечных и т. п. разработан рулонный водоизоляционный материал ПКП. В состав ПКП входит (в %): битум марки IV или V 12—22, полиизобутилен 9,5—14,5, фенолформальдегидная смола 2—4, асбест VI—VII сорта 39,5—56,5 и талька 20. Н. А.

44880. Светящиеся пластмассы. I, II. Ёсида (光るプラスチック. I, II. 吉田善一), 化学の進士城, J. Japan. Chem., Kakaqu-no reiki, 1954, 8, № 9, 26—32; № 10, 49—53, 57 (япон.)

Обзор. библ. 37 назв. Н. Л.

44881. Синтетические воски с высокой точкой плавления для распрессовки. Халльф (Cires synthétiques de démoulage a haut point de fusion. Hallf Clau-de), Ind. plast. mod., 1954, 6, № 3, 89 (франц.)

Воск «Акравакс С» представляет собой синтетич. воски на базе амидного комплекса стеариновой к-ты с т. пл. 140—143°, не растворим в воде и органич. р-рителях при ~20°, применяется в качестве смазки для пластмасс и СК в кол-ве 0,5—1%, обеспечивая хорошую распрессовку изделий, пригоден для работ при высоких т-рах, имея т. воспл. 285°. Хорошие диэлектрич. свойства дают возможность использовать его в произ-ве кабелей, а хим. стойкость к соевым р-рам — в произ-ве матовых лаков и красок, применяемых в районах с морским климатом. Н. А.

44882. Изделия из пластмасс. Санделовский (Tillverkning i plast. Sandelowsky S.), Industritidn. Norden, 1955, 83, № 13, 190—193 (швед.)

Популярно описаны методы переработки пластмасс в изделия (прямым прессованием, пресслитьем, литьем под давлением, выдавливанием). Л. П.

44883. Непрерывное шприцевание термопластичных материалов. Мол (De extrusie van thermoplasten. Mol E. A. J.), Plastica, 1953, 6, № 12, 536—541 (голл.)

Приведены расчеты скоростей передвижения массы и распределения давлений в основных зонах червячного пресса (шнекмашины). Предыдущее сообщение см. РЖХим, 1953, 1090, 2471 и 9756. Л. П.

44884. Влияние давления во время литья под давлением полистирола. Иггтон (Pressure effects during the injection moulding of polystyrene. Egleton S. D.), Brit. Plastics, 1954, 27, № 3, 95—99 (англ.)

Давление материала в литьевой форме составляет 50—75% давления, производимого материальным плунжером; эксперименты, произведенные фирмой Монсанто (США), показывают, что в среднем потери давления составляет 30%. Так как наибольшие потери вызываются силами трения, то уменьшение потерь

достигается введением смазки. Давление, которое передается через сухой материал в цилиндре, увеличивается вдвое уже при весьма незначительной внешней смазке в кол-ве лишь 0,03%. Воск и стеараты металлов смазывают металлич. поверхности лишь тогда, когда их $t_{\text{ра}}$ ниже точки плавления смазывающих веществ.

Е. Х.

44885. Литьевые материалы для аккумуляторов. Лейс (Spritzgußmassen im Akkumulatorenbau. Laeis Werner), Kunststoffe, 1954, 44, № 1, 18—22 (нем.)

Приводится краткая историческая справка внедрения полистирола и полиамидов для литья под давлением аккумуляторных баков, крышек, пробок, сепараторов; рисунки этих деталей, дающих представление об их конструкции, и даны указания технологич. характера для их изготовления.

Е. Х.

44836. Предварительный подогрев термопластичного материала при литье под давлением.— (The function of the pre-heater in Injection moulding. Plastics, 1954, 19, № 200, 93 (англ.)

Описан аппарат, устанавливаемый на литьевых машинах вместо бункера, для подогрева и подсушки материала, поступающего в материальный цилиндр машины. Его применение повышает мощность литьевых машин и обеспечивает более высокое качество изделий в связи с удалением влаги из поступающего в машину материала.

Е. Х.

44887. Факторы, обуславливающие свойства слоистых фенопластов. Хенкарт (Dequelques facteurs qui conditionnent les propriétés des stratifiés phénoplastes. Henkart C.-E.), Ind. plast. mod., 1954, 6, № 1, 26—27 (франц.)

Исследовано влияние факторов, обуславливающих свойства слоистых фенопластов: а) на угол потерь — содержания (в %) фенола и м-крезола в смеси, б) на диэлектрич. постоянную — типа смолы, в) на сопротивление разрыву, сжатию и срезу — содержания (в %) смолы в текстолите, г) на водопоглощаемость и падение сопротивления сжатию после суточной выдержки в воде — содержания (в %) смолы в текстолите. Исследована диффузия различных типов смол по толщине изделия, служащая мерилем скорости поликонденсации.

И. Р.

44888. Формование слоистых пластиков при низком давлении. I, II.— (Moulding low-pressure laminates. I. II.—, Motor Body, 1954, 113, № 3, 13, 15; № 4, 24 (англ.)

Часть I. Перечислены наполнители (стеклоткань, стекломаты, нейлон, бумага и др.) и смолы (полиэфирные смолы, отверждающиеся при $\sim 20^\circ$, без давления и без выделения летучих), применяемые для изготовления при низком давлении деталей. Приведены основные физ. свойства слоистых материалов низкого давления и их эксплуатационные свойства.

Часть II. Указан способ создания модели изделия в масштабе 1 : 8 из глины, изготовление затем по модели шаблонов (из дерева или легких труб) в натуральную величину соответственно контуру изделия и взаимной их сборки для последующей отливки по ним гипсовой формы.

Е. Х.

44889. Однородность цветового оттенка у слоистых пластиков, получаемых с применением низкого давления. Фрам, Даун, Леонард (Color uniformity in low pressure laminates. Fram Paul, Dunne Thomas F., Leonard Fred), Industr. and Engng Chem., 1954, 46, № 2, 393—396 (англ.)

Указан способ изготовления протезов конечностей из слоистых пластиков и исследованы факторы, которые оказывают влияние на однородность их оттенка. Установлены оптимальные соотношения пигментов,

вводимых в смолу для получения телесного оттенка, а также даны характеристики этих оттенков по колориметру Хантера. Выбранные железноокисные пигменты легко дают стабильные суспензии со смолой, не понижая стабильности самой смолы и не влияя заметно на скорость ее отверждения.

44890. Стеклопластики. Халберт (Glass reinforced plastics. Hulbert G. C.), Glass, 1954, 31, № 4, 169—171 (англ.)

Освещены вопросы произ-ва стеклопластиков (выбор типа стеклоткани, способ нанесения связующего, подготовка форм и способы формования) в зависимости от назначения готового изделия. Поставлены проблемы для дальнейшего развития произ-ва стеклопластиков: напр., повышение теплостойкости и огнестойкости смол; обработка поверхности стекловолокна для обеспечения лучшей его склейки и др.

С. И.

44891. Стеклопластики на основе эпоксидных смол, формованные при низком давлении.— (Epoxy low-pressure laminates.—, Mach. Design, 1954, 26, № 7, 125—128 (англ.)

Приведены сравнительные данные по механич. прочности стеклопластиков на основе эпоксидных (I) и полиэфирных смол; хим. стойкость и диэлектрич. свойства I. Описаны методы переработки I.

Л. П.

44892. Стеклопластики на основе полиэфирных смол.— (Gli stratificati vetro-resine poliesteri.—, Materie plastiche, 1954, 20, № 4, 250—260 (итал.)

Обзор свойств полиэфирных смол и стеклопластиков на их основе.

И. Р.

44893. Применение формованных деталей из стеклопластиков для лабораторных целей. Эрвинг, Сондерс (The use of glass cloth/resin moulded components in the laboratory. Irving F. G., Saunders R. A.), J. Roy. Aeronaut. Soc., 1954, 58, № 518, 139—140 (англ.)

Изготовлены отдельные детали эксперим. аппаратуры для аэродинамич. испытаний в лабор. условиях (воздуховоды, сопла, диффузоры и др.). Детали изготовлялись из стеклоткани толщиной 0,23 мм, намотанной в 4 слоя и пропитанной полиэфирной смолой.

С. И.

44894. Поропласты. Хантер (A new range of expanded resins. Hunter D. N.), Plastics, 1954, 19, № 199, 58—59 (англ.)

Описано 3 группы пористых материалов, полученных из смол, у которых: 1) образование пор происходит в момент формования; 2) для образования пор применяется порообразователь и 3) поры образуются при р-ции смолы и спец. в-в. Третья группа является новой серией поропластов, полученных из термореактивных смол и порообразователя, который выделяет азот в процессе отверждения смолы. Смолы этого типа выпущены в промышленном масштабе под марками WS — 1, WS — 2 в виде сиропа светлосерого цвета. Смолы WS — 1, WS — 2 без ускорителя могут храниться в течение трех месяцев при $\sim 20^\circ$. Порообразователь «Е» — светлый микрокристаллич. порошок, который в запаянном сосуде хранится неограниченное время, но при нагревании до $40\text{--}100^\circ$ будучи растворен в смоле, выделяет N_2 . Ускоритель «А» — белый порошок, стабилен при хранении и хорошо растворим в смоле. Иногда в композицию добавляют наполнитель, напр. древесные опилки, которые предварительно пропитывают смоляной смесью, если их вводят в кол-ве более 10 ч. на 100 ч. смолы. Очень прочный материал из смол WS — 1, WS — 2 получают при применении наполнителя — измельченное стекловолокно. Из таких материалов описан способ произ-ва изделий, напр. корпуса лодок, части самолетов (крылья, бензобаки), радарное оборудование и др.

Т. К.

44895. Фенилдиаминформальдегидные смолы. Ч. I. м-фенилдиаминформальдегидные смолы. Ч. II.

п-фенилендиаминформальдегидные смолы. Така-
тани, Цурута (フェニレンジアミン-ホルムアル
デヒド樹脂の組成. 第1報. m-フェニレンジアミン樹脂.
第2報. p-フェニレンジアミン樹脂. 高谷通, 鶴田四郎),
日本化学雑誌, Нихон кагаку засси, J. Chem.
Soc. Japan Pure Chem. Sec., 1954, 75, № 1,
55—57; 57—60 (япон.)

Часть I. Для изучения состава анионитов к водн.
р-ру очищ. перегонкой м-фенилендиамина (II) с т. пл.
61° добавляли 37% р-р формальдегида (III) и конц.
HCl (III), при этом получали белую смолу, которая за-
тем приобретала окраску от коричневой до фиолетовой.
Смолу отфильтровывали, промывали водой и сушили
при 50°. При отношении I: II > 0,6 получали только
не растворимую в кислой среде смолу (IV). При кон-
денсации I 40 г, II 17,8 мл, III 2,0 мл и воды 980 мл
получено IV на 0,5 моля I 28,6 г. Элементарным ана-
лизом установлен состав (в %): C 66,75, H 6,45, N 22,64,
O 4,16. При отношении I: II < 0,6 одновременно с IV
получали растворимую в кислой среде смолу (V).
Для этого фильтрат и промывные воды нейтрализо-
вали 10%-ным р-ром Na₂CO₃, затем фильтровали, про-
мывали водой и сушили при 50°. При конденсации
20 г I, 71,8 мл II, 1,0 мл III и 427 мл воды выход на
0,5 моля I был 67,5 г IV и 8,6 г V. Элементарным ана-
лизом установлено содержание (в %): у IV C 65,14,
H 7,33, N 21,08, O 6,45; у V C 62,78, H 6,30; N 17,49,
O 13,43.

Часть II. Для получения анионитов конденсировали
п-фенилендиамин (VI) и II в виде 37%-ного р-ра в на-
личии катализатора III. К воде 600 мл добавляли
III 1 мл, а затем растворяли 10 г VI, предварительно
перекристаллизованного из воды, с т. пл. 138—139°.
При добавлении 23,4 мл II смола сразу же выпадала
в осадок, который отфильтровывали и сушили на воз-
духе. Получали не растворимый в кислой среде анио-
нит (VII). Выход VII на 0,5 моля VI 13,0 г. Маточный
р-р нейтрализовали 10%-ным р-ром Na₂CO₃, филь-
тровали и сушили при 100°. Получали растворимую
в кислой среде смолу (VIII). Выход VIII на 0,5 моля
VI 45,4 г. Элементарным анализом установлено содер-
жание (в %): у VII C 68,87, H 6,06, N 21,76, O 3,31;
у VIII C 64,55, H 5,34, N 18,23, O 11,88. При увели-
чении или уменьшении II выход VIII уменьшался.
В. П.

44896. Катионообменные смолы с однородным про-
странственным расположением молекул. Морал-
ли (Résines cationiques à disposition spatiale homogène.
Mogalli Georges J.), J. rech. Centre nat.
rech. scient., 1954, № 26, 265—276 (франц.)

Получены п-, о- и м-фенолсульфокислоты, резор-
циносульфокислота, пирокатехинсульфокислота и
гидрохинонсульфокислота и синтезированы катионо-
обменные смолы путем поликонденсации сульфифенолов
в смеси с исходными фенолами с формальдегидом.
Проведены опыты получения стирольных катионитов
с определенным (фиксированным) положением сульфо-
группы путем синтеза сульфированного мономера (ис-
тиролсульфокислоты) и последующей его полимериза-
ции. Л. П.

44897. Развитие областей применения ионообмен-
ных смол. Маруяма (廣がつたイオン交換樹脂
の用途. 丸山武), 科學朝日, Kagaku asahi, 1953, 13,
№ 10, 44—46 (япон.)

44898. Синтетические смолы для склейки металлов
с металлами. Франц (Kunststoffe zum Kleben von
Metallen mit Metallen. Franz K.), Seifen-Öle-
Fette-Wachse, 1955, 81, № 23, 681—682 (нем.; рез.
англ., франц., исп.)

Для склейки листового алюминия по методу «ре-
дукс» на обезжиренную и протравленную поверх-
ность металла (напр., 20 мин. при 45—65° в ванне

состава 27,3% конц. H₂SO₄, 7,5% Na₂Cr₂O₇ и 65,2% H₂O)
наносится р-р фенолформальдегидной смолы, затем
после испарения большей части р-рителя распределяют
в клейком остатке тонкоизмельченный поливинил-
формаль (или поливинилбутираль), соединяют обе ме-
таллич. поверхности и отверждают при 150°. В качестве
термопластич. компонента клея может быть применен
также сополимер винилхлорида, винилацетата и малеи-
новой к-ты. В случае применения фенолформальде-
гидной смолы и каучука (вместо поливиниловых смол)
клеевой шов (т-ра склейки 110—220°, давл. 5—20 кг/см²)
получается с высокой вибростойкостью, но пло-
хой морозостойкостью. Весьма эффективна склейка
эпоксидными смолами «аралдит» (I), осуществляемая
без давления, с применением нагревания или без на-
гревания. В отличие от метода «редукс» при склейке
I толщина шва может быть до 0,2 мм; усадка при склей-
ке I не превышает 0,5—2,5%. Л. П.

44899. Пленкоэлектрокarton — новый электроизоля-
ционный материал. Шугал Я. Л., Смирно-
ва С. П., Электричество, 1955, № 5, 59—61

Для повышения теплостойкости и влагостойкости
пазовой изоляции электродвигателей разработан ко-
мпозиционный материал из электрокартонa марки ЭВП
и пленки из триацетата целлюлозы. Для склейки плен-
ки с картоном наиболее пригодны полиакрилатные ла-
ки и лаки на смеси масляноглифталевых и триэтилен-
гликольфталевых. Лаки применяются 70—80%-ной
конц-ии, что устраняет коробление картонa, сокращает
длительность сушки и уменьшает вредность. Склейка
пленки с картоном производится на спец. агрегате:
при этом на картон наносится слой лака, толщина ко-
торого регулируется посредством ножа, лак подсуши-
вается в камере с паровым обогревом при 70—80°
до отлипа; по выходе лакированного картонa из су-
шильной камеры на него накладывается пленка, за-
тем композиционный материал пропускается между
валами. Кроме одностороннего материала производится
также двусторонний из двух слоев картонa со слоем
пленки (толщиной 0,04 или 0,07 мм) между ними. При-
водятся физ. и электрич. свойства триацетатной плен-
ки и пленкокартонa. С. П.

44900. Прессформы для литья под давлением термо-
пластов. Тилениус (Spritzgußwerkzeuge für
thermoplastische Massen. Thilenius Ger-
hard), Kunststoffe, 1953, 43, № 7, 285—290, 292
(нем.)

44901. Автоматический пресс для термоактивных
смол.— (Una pressa automatica italiana per resine
termoindurenti.—), Materie plastiche, 1954, 20, № 4,
299—301 (итал.)

Описан автоматич. карусельный пресс для термоак-
тивных пластмасс, мощностью 160 т, имеющий
12 односторонних прессформ с отдельными буннерами.
Пресс может одновременно работать с различными
типами пресспорошков (с одинаковым режимом отвер-
ждения); производительность его при односторонних
прессформах ~500 деталей в 1 час. И. Р.

44902. Механическая обработка пластмасс. Брайан
(The finishing of plastics. Bryan J. H.), Trans.
and J. Plast. Inst., 1954, 22, № 49, 180—188 (англ.)
Описана технология механич. обработки изделий
из пластмасс (фенопластов, аминопластов, пластмасс
на основе нитро- и ацетилцеллюлозы, полиметилмет-
акрилата, казеиновых пластиков). Наиболее подробно
рассмотрены операции полировки. Приведена дискус-
сия. Л. П.

44903. Сварка винилпласта при изготовлении обору-
дования для цехов гальванических покрытий (Опыт
завода «Точалектроприбор»). Рекуи М. Е., Дми-
трашенко И. А., Обмен. техн. опытом Всес.
проектно-технол. ин-та, 1955, № 4, 13

44904. Печатание по термопластичным материалам. К ю н (Das Bedrucken thermoplastischer Kunststoffe. K ü h n W a l t h e r, Kunststoffe, 1953, 43, № 12, 544—546; Chem. Rundschau, 1954, 7, № 3, 37—38 (нем.).)

Кратко описаны принципы основных методов печатания (высокой печати, плоской печати и др.) и даны ссылки на машины для печатания по круглым изделиям из полистирола (в 4 красках), по пленке из поливинилхлорида (в 1, 2 и 4 краски); по изделиям, пленке и шлангам из полиэтилена. Для обеспечения хорошего сцепления типографских красок с пленкой из полиэтилена в США и Англии полиэтилен подвергается предварительной обработке хлором с одновременным фотохим. воздействием заливающего света 4 ламп. Другой способ, применяемый в Вене, заключается в слабом оплавлении во время печатания поверхности пленки или изделия при одновременном охлаждении обратной стороны; этим достигается стойкая против истирания печать.

Е. Х.

44905 К. Британский ежегодник по пластическим массам. 1954 г. (British plastics year book, 1954; a classified guide to the plastics industry. (V 24). Iliffe, 1954, 600 p., 30 s.) (англ.)

44906 К. Австралийский ежегодник по пластическим массам. 1952—1953 г. (Australian plastics year book, 1952—53; a classified guide to the plastics industry. (V8). Sydney, Australian trade publication, Pty, Ltd, 1953, 133 p., 27 s. 6 d.) (англ.)

44907 П. Стабилизированные окислительно-восстановительные смеси. Фрайлинг (Stabilized redox compositions. Fryling Charles F.) [Phillips Petroleum Co.]. Канад. пат. 492474, 28.04.53

Патентуется процесс получения высокомолекулярных полимеров полимеризацией водн. дисперсий органич. ненасыщ. мономеров с активной группой $\text{CH}_2=\text{C}<$ в молекуле (в частности, смеси полимеризующихся ненасыщ. соединений, большая часть которой состоит из сопряженного диена с 4—6 атомами С, напр., смеси 1,3-бутадиена с меньшим кол-вом стирола) в присутствии окислительно-восстановительного катализатора, состоящего из перекисного соединения или диазотиида общей ф-лы $\text{R}-\text{N}=\text{N}-\text{S}-\text{R}'$ (R — ароматич. радикал, R' — ароматич., алифатич. радикал или циклоалкил), и смеси, полученной нагреванием водн. р-ра пиррофосфата щел. металла (Na), соли железа и редуцирующего сахара при повышенной т-ре в неокислительной атмосфере. Стабилизированный р-р применяют в кол-вах, соответствующих 0,1—1 ч. пиррофосфата железа, 0,5—3 ч. пиррофосфата Na и 1—4 ч. редуцирующего сахара на 100 вес. ч. полимеризуемых мономеров. Напр., жидкую смесь из 72 вес. ч. 1,3-бутадиена и 28 вес. ч. стирола полимеризуют в водн. эмульсии в присутствии гидроперекиси кумола и смеси, полученной кипячением водн. р-ра редуцирующего сахара и пиррофосфатов Fe^{3+} и Na в неокислительной атмосфере в течение 15—30 мин. Смесь вводят в водн. эмульсию в кол-ве, соответствующем 0,1—0,35 ч. пиррофосфата Fe^{3+} , 0,5—3 ч. пиррофосфата Na и 1—4 ч. редуцирующего сахара на 100 вес. ч. мономеров, одновременно с гидроперекисью, которая берется в стехиометрич. избытке против пиррофосфата Fe^{3+} .

Я. К.

44908 П. Усовершенствования в области полимеризации органических ненасыщенных соединений и в области катализаторов полимеризации (Perfectionnements relatifs à la polymérisation des composés organiques non saturés et aux catalyseurs de polymérisation) [«Pechiney» Cie de Produits Chimiques et Electrometallurgiques Petrocarbon Ltd]. Франц. пат. 1057502, 9.03.54 [Chimie et industrie, 1954, 71, № 5, 981 (франц.)]

Ненасыщенные органич. соединения, содержащие группу $\text{CH}_2=\text{C}<$, полимеризуют в присутствии N-ацетилдиазоаминобензола (или N-ацетил-1,3-дифенилтриазола), у которого один или оба бензольных ядра содержат алкильный радикал, имеющий ≤ 4 атомов С.

Я. К.

44909 П. Способ полимеризации виниловых соединений (Verfahren zur Polymerisation von Vinylverbindungen) [Deutsche Gold- und Silber-Scheideanstalt vormals Roessler]. Швейц. пат. 292817, 16.11.53. [Chimie, 1954, 8, № 4, 103 (франц.)]

Катализатор полимеризации состоит из в-ва, способного образовывать неустойчивый аминоксид, и в-ва, содержащего 4-валентный атом S.

Я. К.

44910 П. Способ полимеризации этилена. Шмерлинг (Verfahren zum Polymerisieren von Äthylen. Schmerling Louis) [Universal Oil Products Co.]. Пат. ФРГ 905202, 1.03.54 [Chem. Zbl., 1954, 125, № 23, 5183—5184 (нем.)]

Этилен полимеризуют в присутствии органич. перекисей и разбавителя (спирты, ароматич. или ненасыщ. углеводороды, содержащие ≥ 3 атомов С) при давл. 10—500 ат и т-ре не ниже т-ры разложения катализатора К полимеризующейся смеси добавляют антиоксидант, повышающий т-ру плавления полимера. В качестве таких соединений используют алкилфенолы (2,4-диметил-6-трет-бутилфенол), многоатомные фенолы (гидрохинон), алкилалкоксифенолы (напр., 2-трет-бутил-4-этоксифенол), n-замещенные анилины (напр., n-втор-бутиламино-N-втор-бутиланнина, n-окси-N-n-бутиланнина или смесь n-n-бутиламинофенола и N, N'-ди-n-бутил-n-фенилдидиамина). Образующийся полимер имеет воскоподобную или твердую консистенцию. М. А.

44911 П. Способ получения высококипящих полимеров. Грот, Свуп, Брилли (Process for producing high boiling polymers. Grote Henry W., Swoope Robert L., Brearley Charles S., Jr) [Universal Oil Products Co.]. Канад. пат. 501944, 27.04.54

Пропилен с содержанием $\leq 0,03$ мол.% воды пропускают через зону полимеризации над твердым катализатором, содержащим соединение фосфорной к-ты, и из продуктов р-ции выделяют фракцию, состоящую в основном из олефинов с числом атомов С > 10 ; полимеры с числом атомов С < 12 возвращают, предварительно смешав с новой партией пропилена, в зону полимеризации, где смесь полимеризуют над указанным катализатором при 120—230° и давл. 7—135 ат. Из продуктов р-ции отгоняют фракцию, кипящую при 170—225° (в частности, в интервале 180—210°), а нижнекипящие полимеры, в частности с т. кип. $< 180^\circ$, возвращают в зону полимеризации. Аналогично полимеризуют содержащую $< 0,0008$ мол.% воды смесь из пропан-пропиленовой фракции и жидких полимеров с числом атомов С < 12 , но ≥ 6 . Приведена схема технологич. процесса.

Я. К.

44912 П. Метод предварительной обработки полиэтиленовых пластинок перед печатанием. Критчвер (Method of treating polyethylene plastics preparatory of printing. Kritchever M. F.) [Traver Corp.]. Англ. пат. 718715, 17.11.54 [J. Soc. Dyers and Colourists, 1955, 71, № 1, 69 (англ.)]

Высокая восприимчивость полиэтилена к печатным краскам достигается обработкой его поверхности газовым пламенем без повышения т-ры до таких значений, при которых происходит искривление полимера. Б. В.

44913 П. Обработка пластинок из полиэтилена. Критчвер (Treating polyethylene plastics. Kritchever Mathew F.) [Traver Corp.]. Канад. пат. 501937, 27.04.54

Формованные изделия из полиэтилена для придания им липкости по отношению к типографским краскам

обрабатывают по поверхности пламенем в течение времени, достаточного для придания липкости, но недостаточного для полного прогрева и разложения материала. Обратная сторона изделия охлаждается. Б. К.

44914 П. Способ получения продуктов полимеризации. Пир, Кристман (Verfahren zur Herstellung von Polymerisationsprodukten. Pier Matthias, Christmann Fritz) [Badische Anilin- und Soda-Fabrik]. Пат. ФРГ 883354, 16.07.53 [Chem. Zbl., 1954, 125, № 43, 9872 (нем.)]

Бутилен (или изобутилен) и ненасыщ. соединения с сопряженными двойными связями (напр., бутadiен, изопрен, диметилбутadiен, циклопентадиен, дигидробензол или их галлодопроизводные) сополимеризуют в присутствии неорганич. галогенидов с кислотой р-ции (напр., $AlCl_3$, $FeCl_3$, $ZnCl_2$, хлорида Ti и BF_3) или кислот в-в с развитой поверхностью (напр., силикагеля или отобельной земли), а также в присутствии р-рителей (ароматич., насыщ. алифатич. или галоидзамещенных углеводородов). В р-цию можно также вводить другие мономеры. Продукты применяются для получения изоляционных материалов. М. А.

44915 П. Сополимеры углеводородов. Эрнст, Томас (Copolymères d'hydrocarbures. Ernst John L., Thomas Robert M.) [Standard Oil Development Co.]. Франц. пат. 1056362, 26.02.54 [Chimie et industrie, 1954, 71, № 5, 975 (франц.)]

Сополимер состоит из изобутилена и меньшего кол-ва изопрена и получается сополимеризацией компонентов при т-ре от 0° до -164° в присутствии растворенного катализатора. Я. К.

44916 П. Способ получения полимеров ароматических виниловых соединений (Procédé pour la préparation de polymérisats de composés aromatiques de vinyle) [Farbenfabriken Bayer A.-G.]. Франц. пат. 1045381, 25.11.53 [Chem. Zbl., 1954, 125, № 34, 7754 (нем.)]

Полимеризацию ароматич. виниловых соединений проводят в присутствии сложных эфиров многоатомных спиртов и ненасыщ. жирных к-т и регуляторов (аминов, эфиров азодикарбоновых к-т, высокохлорированных углеводородов, фенолов, хинонов, нитро-соединений, оксимов, тиоэфиров, тиокарбоновых к-т, производных ксантогеновой к-ты, меркаптанов или органич. дисульфидов). Напр., смесь (в вес. ч.) 333 тунгового масла, 66 льяного масла, 1000 стирола и 10 диизопропилксантогендисульфида нагревают, поднимая т-ру до $145-200^\circ$, и выдерживают 2 часа при 200° . Получается прозрачная смола. М. А.

44917 П. Способ получения продуктов полимеризации (Process for the production of polymerization products) [Nederlandsche Organisatie Voor Toegepast - Natuurwetenschappelijk Onderzoek ten Behoeve van Nijverheid, Handel en Verkeer]. Англ. пат. 694761, 29.07.53 [Chem. Zbl., 1954, 125, № 18, 4047 (нем.)]

Стирол полимеризуют в смеси с хлорпарафинами, содержащими 30-60% Cl и ≥ 6 атомов Cl . Напр., 7 кг стирола и 3 кг хлорпарафинов (42% Cl) нагревают (48 час., 80°) в присутствии $0,07$ кг перекиси бензоила. После повышения т-ры до 100° через 3 часа получается смола с т. размягч. 50° . В зависимости от кол-ва катализатора и температурного режима получают мягкую или твердую смолу. М. А.

44918 П. Гранульная полимеризация стирола (Pearl polymerisation of styrene compounds) [The Distillers Co., Ltd.]. Австрал. пат. 161922, 31.03.55

Стирол или его производные (замещенные в ядре атомами галоида или алифатич. радикалами, содержащими ≤ 4 атомов C) полимеризуют в дисперсии с тонкодисперсным ZnS , служащим стабилизатором. Е. Х.

44919 П. Способ экстрагирования полимерных частиц. Грим (Extraction process for polymer particles.

Grim John Marshall) [Koppers Co., Inc.]. Пат. США 2691008, 5.10.54

Для выделения низкомолекулярных компонентов из частиц виниларильных полимеров последние суспензируют в CH_3OH , C_2H_5OH или C_3H_7OH в присутствии стабилизатора суспензии [$Ca_3(PO_4)_2$, $Ba_3(PO_4)_2$, $Mg_3(PO_4)_2$, $AlPO_4$, CaF_2 , $BaSO_4$, $MgCO_3$, $Fe_2(CO_3)_3$, Al_2O_3 , ZnO , талька, каолина или кизельгура], в результате чего низкомолекулярные компоненты переходят в р-р. Приведены кривые содержания остаточного мономера в полистироле в зависимости от т-ры и длительности экстрагирования полимера метанолом при вес. соотношении полистирол : CH_3OH : ZnO = 100 : 160 : 1. Я. К.

44920 П. Полистирольная патефонная пластинка с мелкой звуковой бороздкой. Грофф, Бассетт (Microgroove polystyrene phonograph record. Groff Frazier, Bassett Howard D.) [Union Carbide and Carbon Corp.]. Пат. США 2670308, 23.02.54

Пластинка с мелкой звуковой бороздкой имеет програвывающую поверхность из полистирола со средним мол. в. 50 000-80 000, содержащего < 3 вес. % растворимого в CH_3OH в-ва и 2-10 вес. % диспергированного в полимере натурального воска. На програвывающую поверхность нанесено покрытие, состоящее из водорастворимых в-в (глицерина, полиглицерина или полиэтиленгликолей), толщиной в местах записи $0,0025-0,0125$ мм. Б. К.

44921 П. Изделия из политетрафторэтилена и производств их. Скуайре, Ханна (Articles consisting essentially of a polymer of tetrafluoroethylene and the manufacture thereof. Squires A. T. B. P., Hannah C. G.) [Rolls-Royce, Ltd.]. Англ. пат. 707966, 708025, 28.04.54 [Plastics, 1954, 19, № 204, 246 (англ.)]

Для избежания хладотекучести изделий из политетрафторэтилена их упрочняют слоями металлич. сетки или проволоки. Для избежания появления в изделии из политетрафторэтилена слабых мест через резиновый лист прессуют из порошка заготовку, которую затем спекают. Аналогично изготавливают изделия большой толщины (пат. 708025), которые содержат упрочняющие слои из сетки или проволоки. Б. К.

44922 П. Полимеризация винилхлорида. Симор (Polymerization of vinyl chloride. Seymour Dexter C.) [Dominion Rubber Co., Ltd.]. Канад. пат. 502301, 11.06.54

Винилхлорид, винилиденхлорид или их смеси полимеризуют в эмульсии или в суспензии в присутствии аллилбромидов. Я. К.

44923 П. Способ получения поливинилхлорида, растворимого в ацетоне (Verfahren zur Herstellung von acetonlöslichem Polyvinylchlorid) [Consortium für elektrochemische Industrie G. m. b. H.]. Швейц. пат. 291204, 1.09.53 [Chimia, 1953, 7, № 10, 244 (франц.)]

Винилхлорид полимеризуют в водн. среде в присутствии водорастворимых N-содержащих оснований. Я. К.

44924 П. Способ получения гранулированных продуктов полимеризации. Ян, Лоренц, Бир (Verfahren zur Herstellung perlförmiger oder körniger Polymerisationsprodukte. Jahn Alex, Lorenz Guido, Bier Gerhard) [Farbwerke Hoechst, vormals Meister Lucius und Brüning]. Пат. ФРГ 883351, 16.07.53 [Chem. Zbl., 1953, 124, № 47, 8217-8218 (нем.)]

Способ полимеризации винилхлорида или смесей его с другими полимеризующимися ненасыщ. соединениями в присутствии катализаторов и диспергаторов отличается тем, что в качестве диспергаторов применяют гликолевые или полигликолевые эфиры гидроксил-

содержащих органич. соединений, свободных от сложн.эфирных групп, напр., оксипропановый додецилфенол и гликолевые эфиры олеилового спирта или спирта из коксового масла.

Я. К.
44925 П. Ускоритель полимеризации винилхлорида. Китнер, Милан (Accelerator for polymerizing vinyl chloride monomers. Kittner Robert H., Milan Emil W.) [United States Rubber Co.]. Канад. пат. 504198, 6.07.54

Полимеризацию $\text{CH}_2=\text{CHCl}$ эмульсионным или градуальным методом проводят при 35—55° и pH 6—9 в водн. среде, содержащей в качестве инициатора персульфат щел. металла или NH_4 или Na-соль надуксусной к-ты, а в качестве ускорителя р-ции — 0,1—1,0% (от веса мономера) карбоната щел. металла, в частности Na_2CO_3 . При эмульсионной полимеризации водн. среда может содержать также мыло на основе жирной к-ты в качестве эмульгатора.

Я. К.
44926 П. Приспособление для переработки текстильных волокон (Textile-fibre handling means) [Armstrong Cork Co.]. Англ. пат. 704328, 17.02.54 [Rubber Abstrs, 1954, 32, № 5, 208 (англ.)]

Для предотвращения накопления статич. электричества, напр., на натяжных валиках и лентах текстильных машин на их поверхность наносят слой пластифицированного поливинилхлорида, сополимера винилацетата и винилхлорида или их смесь. В качестве пластификаторов применяют алифатич. сложные эфиры (напр., глицеринтриацетат) или фосфорнокислые эфиры (напр., трибутилфосфат), совместимые с винилово-й смолой при t -рах > 7,2°.

Я. К.
44927 П. Герметичная крышка для контейнеров и способ ее изготовления. Эйкел (Sealing closure for containers and method of producing same. Aichele Ernest O.) [Joseph J. Mascuch]. Пат. США 2684774, 27.07.54

Металлическая крышка имеет упругий герметизирующий слой напрессованный и приклеенный на внутреннюю поверхность крышки. Этот слой получают из смеси равных вес. частей порошкообразного поливинилхлорида и немаслянистого дициклогексилфталата.

Б. К.
44928 П. Способ получения полимеров. Роттинг, Литен (Verfahren zur Herstellung von Polymerisaten. Rottig Walter, Liethen Otto) [Ruhchemie A.-G.]. Пат. ФРГ 906517, 15.03.54 [Chem. Zbl., 1954, 125, № 23, 5185 (нем.)]

Прозрачные жидкие полимеры или мягкие смолы получают путем каталитич. полимеризации ненасыщ. простых эфиров, содержащих алифатич. радикал произвольной длины и радикал, гомологичный винилово-й группе, как, напр., пропилеметиловый, пропиленэтиловый, бутиленметиловый, бутиленэтиловый или гептиленоктиловый эфиры. Эти эфиры могут быть получены через ацеталирование альдегидов и спиртов, полученных при гидрировании CO, или из продуктов гидроформилирования олефинов путем разложения полученных ацеталей. Катализаторами полимеризации служат AlCl_3 , SiCl_4 , TiCl_4 , особенно BF_3 , или продукты их присоединения к простым эфирам, напр. к амиллово-му эфиру или анизолу. Т-ра полимеризации должна быть < 0°, напр., около -40° или -70°.

М. А.
44929 П. Полиаллиловая смола. Нейда, Нагасима (Polyallyl resin. Ishida Eikichi, Nagashima Ginzō). Япон. пат. 3842, 10.08.53 [Chem. Abstrs, 1954, 48, № 15, 9108 (англ.)]

Смесь 300 ч. $\text{CH}_2=\text{CHCH}_2\text{Cl}$, 8 ч. $(\text{C}_6\text{H}_5\text{CO})_2\text{O}_2$ и небольшого кол-ва HCl нагревают в автоклаве 20 час. при 95—110°, отгоняют непрореагировавший $\text{CH}_2=\text{CHCH}_2\text{Cl}$, остаток перегоняют и получают 185 ч. полиаллилхлорида (т. кип. 185°). Последний растворяют в 350 ч. бзл., р-р выдвигают при 50—60° в 215 ч.

$\text{CH}_2=\text{CHCH}_2\text{ONa}$, кипятят с обратным холодильником 4 часа, промывают водн. р-рами NaHCO_3 и NaCl и отгоняют бзл.; выход — 270 ч. полиаллилового эфира.

Я. К.
44930 П. Эмульсия поливинилацетата с низким содержанием мономера. Такабаяси (Polyvinyl acetate emulsion low in monomer content. Takabayashi Toshiaki). Япон. пат. 5446, 21.10.53 [Chem. Abstrs, 1954, 48, № 19, 11841 (англ.)]

Смесь (в ч.) из 2 поливинилового спирта, 75,3 воды, 22 $\text{CH}_2=\text{CHOCOC}_2\text{H}_5$ и 0,21 винной к-ты нагревают 2 часа, в результате чего получают продукт, со степенью полимеризации 90%. Путем постепенного добавления 0,42% H_2O_2 получают полимер, содержащий 99% поливинилового спирта.

Я. К.
44931 П. Раствор высокополимерного поливинилацетата в метаноле. Коноами (Methanolic solution of highly polymerized polyvinyl acetate. Konami Tsuguo) [Kurashiki Rayon Co.]. Япон. пат. 6044, 21.11.53 [Chem. Abstrs, 1954, 48, № 19, 11841 (англ.)]

100 ч. $\text{CH}_2=\text{CHOCOC}_2\text{H}_5$ и 0,2 ч. перекиси бензоила полимеризуют 7 час. при 70°, добавляют 50 ч. CH_3OH и отгоняют оставшийся $\text{CH}_2=\text{CHOCOC}_2\text{H}_5$ вместе с метанолом; в результате образуется продукт с мол. в. 2500.

Я. К.
44932 П. Способ получения высокополимеров, содержащих группы, способные образовывать красители. Фрöhlich (Verfahren zur Herstellung von hochpolymeren Körpern, die farbbildende Reste enthalten. Fröhlich Alfred). Пат. ГДР 4989, 26.04.54

Способ состоит в том, что полимеры или сополимеры, содержащие гидроксильные или аналогично реагирующие (напр., ацетальные) группы, конденсируют с содержащими альдегидные группы в-вами, образующими красители, или с альдегидами, содержащими группы, не реагирующие с указанными полимерами, но способные сочетаться с образованием красителей, в частности, с ароматич. оксальдегидами, амино- или нитроальдегидами с последующим восстановлением группы NO_2 в NH_2 . Можно также проводить ацеталирование аминоксальдегидами, в которых NH_2 -группа замещена остатком красителя. Ацеталирование проводят в присутствии к-т или кислых солей. Напр., 40 г поливинилового спирта смешивают с 40 мл салицилового альдегида, добавляют 200 мл лед. CH_3COOH и нагревают 1 час при 100°. Жидкость постепенно превращается в прозрачный гель, который растирают с водой, растворяют в разб. водн. едкой щелочи и осаждают ацетоном. После нескольких повторных осаждений получают белый волокнистый продукт, образующий бесцветные водн. растворы.

Я. К.
44933 П. Регулирование содержания воды в изделиях из поливинилового спирта. Херман, Хенель (Verfahren zur Einstellung des Wassergehalts von Gegenständen aus Polyvinylalkohol. Hermann Willy O., Haehnel Wolfram) [Wacker-Chemie G. m. b. H.]. Пат. ФРГ 907695, 29.03.54 [Chem. Zbl., 1955, 126, № 1, 229 (нем.)]

Регулирование содержания воды и изменение физ. свойств достигается тем, что формованные изделия (пленки, ленты, нити, шланги и т. д.) подвергают постепенной термич. обработке нагреванием до 50—140° и длительным выдерживанием на воздухе.

Б. Д.
44934 П. Способ получения пластических масс или лаков. Фоссе (Verfahren zur Herstellung von plastischen Massen oder Lacken. Voss Arthur) [Farbwerke Hoechst A.-G. vormals Meister Lucius und Brünning]. Пат. ФРГ 909860, 26.04.54 [Chem. Zbl., 1954, 125, № 43, 9867 (нем.)]

В поливиниловом производном, содержащем только или в подавляющем большинстве гидрофильные группы, небольшую их часть превращают в гидрофобные группы, но так, чтобы на каждую гидрофобную группу приходилось ≥ 10 гидрофильных групп. Полученный материал уже не растворяется в воде, но еще не способен растворяться в органич. р-рителях. Для растворения этих продуктов служат смеси из воды и хотя бы одного гидрофильного, хорошо смешивающегося с водой р-рителя. Напр., 120 ч. поливинилового спирта сплавляют с 30 ч. CH_2ClCOOH так, чтобы проба сплава легко растворялась в смеси воды и метанола (1:1). М. А.

44935 П. Способ пластификации оформленных изделий из поливинилового спирта или его водорастворимых производных. Хенель, Херман (Verfahren zum Weichmachen von geformten Gegenständen aus Polyvinylalkohol oder seinen wasserlöslichen Derivaten. Haehnel Wolfram, Herrmann Willy O.) [Wacker-Chemie G. m. b. H.]. Пат. ФРГ 890267, 17.09.53 [Chem. Zbl., 1954, 125, № 13, 2925 (нем.)].

Для пластификации оформленные изделия (пленки, трубки и т. п.) подсушиваются в течение 2 час. при $100-150^\circ$ или предварительно обрабатываются 3%-ым р-ром танина, промываются в 5%-ном водн. р-ре CH_2O , а затем высушиваются. Н. А.

44936 П. Способ предотвращения накопления статических зарядов. Пессел (Method of preventing accumulation of static charges. Pessel Leopold) [Radio Corp. of America]. Пат. США 2690407, 28.09.54

Для сообщения антистатич. свойств изделиям из синтетич. смол поверхность изделий покрывают пленкой из 1—50 ч. не растворимого в воде поливинилового спирта, содержащего ацетогруппы в 1—200 ч. ацетата органич. амина с 6—18 атомами С в цепи. Я. К.

44937 П. Способ получения формалей поливинилового спирта, содержащих ацетогруппы (Verfahren zur Herstellung von acetylgruppenhaltigen Formacetalen des Polyvinylalkohols.) [Wacker — Chemie G. m. b. H.]. Австр. пат. 177765, 10.03.54 [Chem. Zbl., 1954, 125, № 39, 8912 (нем.)].

Предлагаемые продукты получают при р-ции CH_2O или выделяющих его в-в с поливиниловым спиртом, содержащим ацетогруппы, в присутствии кислых катализаторов, напр., смеси HCl и лед. (или, разб.) CH_3COOH (напр., 1—19%-ной HCl и 5—60%-ной CH_3COOH), растворяющей исходные в-ва и образующиеся ацетали. Конечная вязкость ацетала регулируется степенью полимеризации поливинилового спирта. М. А.

44938 П. Способ получения поливинилацетатей. Вейе, Херлейн (Verfahren zur Herstellung von Polyvinylacetalen. Weihe Adolf, Herlein Fritz) [Farbwerke Hoechst, vormals Meister Lucius & Brüning]. Пат. ФРГ 891745, 1.10.53 [Chem. Zbl., 1954, 125, № 1, 208 (нем.)].

Продукты омыления сложных поливиниловых эфиров или сополимеров этих эфиров и ненасыщ. карбоновых к-т (или их эфиров) ацетируют альдегидами или кетонами в слабом водн. р-ре минер. к-ты при t -ре $< 12^\circ$, напр., при $0^\circ-4^\circ$. Продукты р-ции представляют собой рыхлые (белые) порошки со степенью ацетилирования 85%. Я. К.

44939 П. Способ применения синтетических смол. Дюбьен, Васле (Procédé d'application des résines synthétiques. Dubien M., Vaselet P.) [Soc. Centrale de Recherches et d'Application Techniques]. Франц. пат. 1055706, 22.02.54 [Chimie et industrie, 1954, 71, № 5, 981 (франц.)]

Для изготовления пленок из поливинилацетатевых смол последние суспендируют в тонкоизмельченном виде в органич. жидкости или смесях органич. смол, не растворяющих поливинилацетатей при $\sim 20^\circ$. После полива пленки высушивают при t -ре испарения органич. жидкости ($70-180^\circ$). Я. К.

44940 П. Полимеры на основе продуктов взаимодействия винилацетофенона и коричневого альдегида. Упру, Аллен (Vinylcinnamalacetophenone polymers. Unruh Cornelius C., Allen Charles F. H.) [Eastman Kodak Co.]. Пат. США 2716102, 23.08.55

Полимер содержит элементарные звенья ф-лы $-\text{CH}_2\text{CH}(\text{X})-$, где X имеет ф-лу $-\text{D}-\text{C}(=\text{O})-$ или $-\text{C}(\text{CH}_2)_{n-1}\text{H}=\text{CHC}(\text{R})=\text{CHQ}$, в которой R — атом H или алкил, содержащий 1—5 атомов С, n — целое число от 1 до 4, Q — одновалентный ароматич. моноклич. радикал бензольного ряда и D — 2-валентный ароматич. радикал. Эти радикалы связаны с остальной группировкой атомом ароматич. ядра. А. Ж.

44941 П. Соплимер диолефина с кетоном. Шаффел, Уайнсток (Copolymer of a diolefine and a ketone. Schaffel Gerson S., Weinstock Kermit V.) [The General Tire and Rubber Co.]. Пат. США 2669553, 16.02.54

Метод отверждения сополимера, содержащего ≥ 40 вес.% диолефина с сопряженными связями (имеющего < 9 атомов С) с ацетиларилмооолефиновым соединением состоит в том, что сополимер смешивают с гексаметилентетрамином и нагревают смесь, имеющую рН < 7 до соответствующей t -ры. В. Ш.

44942 П. Моноокиси-4-винилциклогексен и его полимеры. Фостер (4-Vinylcyclohexene monoepoxide and polymers thereof. Foster Robert E.) [E. I. du Pont de Nemours and Co.]. Пат. США 2687406, 24.08.54

Полимер моноокиси-4-винилциклогексена содержит элементарные звенья ф-мол.



М. Л.

44943 П. Очищающие и полирующие средства для пластмасс. Юргес, Шведлер (Reinigungs- und Poliermittel für Kunststoffe. Jürges Wilhelm, Schwedler Günther) [Rheinische Schmirgel-Werke Beuel-Bonn G. m. b. H.]. Пат. ФРГ 900983, 7.01.54 [Chem. Zbl., 1954, 125, № 18, 4047 (нем.)]

Для предотвращения коррозии полиакриловых или полиметакриловых пластиков, находящихся под напряжением, их обрабатывают хлорированным дифенилом, напр. тетра-, пента- или гексахлордифенилом или их смесями. Я. К.

44944 П. Полимеризация (Polymerization control) [Du Pont de Nemours & Co., E. I.]. Англ. пат. 713245, 11.08.54 [J. Appl. Chem., 1955, 5, № 4, 1666 (англ.)] Акрилонитрил полимеризуют при $20-75^\circ$ в водн. р-ре в присутствии катализатора (надсернистый аммоний, 0,3—0,75%) и восстанавливающего активатора ($\text{Na}_2\text{S}_2\text{O}_5$; 0,6—1,5%), при рН 2,5—3,5, поддерживаемом добавлением к-ты. Полимер, имеющий однородный мол. вес, удаляют по мере его образования. Процесс проводят в алюминиевом реакторе. Е. Х.

44945 П. Способ получения полимеров акрилонитрила. Басдекис, Уэсп (Method for producing acrylonitrile polymers. Basdekis Costas H., Wesp George L.) [The Chemstrand Corp.]. Канад. пат. 506269, 5.10.54

Сополимер 85—98 вес.% акрилонитрила и 2—15 вес.% мономерного винильного соединения, содержащего основную аминогруппу (напр., винилпиридина

или 4-метил-2-винилпиридина), получают постепенным введением смеси мономеров в воду, содержащую 0,5—2 (или 0,8—1,5) вес.% персульфата щел. металла и 0,05—0,5% (или 0,08—0,15%) от веса мономеров водорастворимой соли конденсированной с альдегидом ароматич. сульфокислоты. Р-цию можно проводить при т-ре кипения смеси. Я. К.

44946 П. Полимеризация акрилонитрила с виниловыми мономерами, замещенными основными группами (Polymerization of acrylonitrile with basic substituted vinyl monomers) [Monsanto Chemical Co.]. Австрал. пат. 154419, 24.12.53
См. пред. реф.

44947 П. Растворы полимеров акрилонитрила и способ их получения (Solutions of acrylonitrile polymers and method of preparing them) [American Viscose Corp.]. Англ. пат. 697848, 30.09.53 [Paint Manufact., 1953, 23, № 12, 419 (англ.)]

Смесь из 75—98% акрилонитрила и 25—2% винилацетата, винилпиридина или стирола растворяют в смеси нитрометана с ацетонитрилом или в другом смешанном растворителе. Я. К.

44948 П. Получение полимеров из производных адипиновой кислоты. Николс, Албисетти (Preparation of polymers from adipic acid derivatives. Nichols Gordon M., Albisetti Charles J.) [E. I. du Pont de Nemours & Co.]. Пат. США 2677676, 4.05.54

Соединения ф-лы $\text{XC}(\text{=CH}_2)\text{CH}_2(\text{CH}_2\text{CHXCH}_2)_n\text{H}$ (n — 1 или 2, а X — циано- или карбалкоксигруппы, причем обе группы X одинаковые) нагревают в присутствии инициатора полимеризации, образующего свободные радикалы. Я. К.

44949 П. Способ обработки полимеров. Гарнье, Мейер (Procédé de traitement de matières polymères. Garnier Pierre A., Meyer Robert) [Soc. des Usines Chimiques Rhône-Poulenc]. Франц. пат. 1052295, 1052296, 22.01.54 [Teintex, 1954, 19, № 10, 795 (франц.)]

Для придания полимерам и сополимерам акрилонитрила способности окрашиваться кислотными красителями полимер нагревают при 80—150° в смеси с р-ителем типа диметилформамида, содержащим алифатич. первичный, вторичный или третичный моно- или диамин не менее, чем с 10 атомами С (напр., стеариламин, цетиламин, олеиламин, дибутил- n -октиламин, бис-дигидротетраэдамина, дибутилэндамин, дигетилламин или диэтиллауриламмин), и минер. в-во кислотного характера (напр., ZnCl_2 , H_2SO_4 , HCl , HBr , HClO_4 , H_3BO_3 , H_3PO_4 или BF_3 и его комплексы с эфирами). По пат. 1052296 в качестве аминов можно применять также алициклич. амины, напр. циклогексилламин, причем в этих случаях в качестве в-во кислотного характера лучше применять сульфоновые к-ты, напр. бензол-, толуол- или метансульфокислоту, к которым можно добавлять ZnCl_2 , H_3BO_3 или BF_3 . Я. К.

44950 П. Композиции на основе полиакрилонитрила. Долтон (Compositions comprising acrylonitrile polymers. Dalton Masten R.) [American Viscose Corp.]. Канад. пат. 503945, 29.06.54

Для приготовления прозрачных гомог. и стабильных р-ров полиакрилонитрила (мол. в ~200 000) последний диспергируют в α -хлор- β -оксипропионитриле при ~20° и нагревают дисперсию при перемешивании до 100—105°. Б. К.

44951 П. Полимерные составы (Polymeric compositions) [Imperial Chemical Industries Ltd.]. Англ. пат. 718137, 10.11.54 [J. Soc. Dyers and Colourists, 1955, 71, № 1, 55 (англ.)]

Водные смеси карбонатов (предпочтительно с содержанием >60% этиленкарбоната) являются хорошими

р-рителями для «привитых» акрилонитрильных полимеров. М. Л.

44952 П. Производство сополимеров стирола с ненасыщенными жирными кислотами и их производными. Слейтхолм, Хаммонд (Manufacture of interpolymers of styrene with unsaturated fatty acids and derivatives thereof. Sleightholme John J., Hammond Wallace T. C.) [Lewis Berger & Sons Ltd.]. Канад. пат. 504599, 27.07.54

Стирол или его алкил- или галоидозамещ. производное полимеризуют (напр., при 155—250° и давл. 1,4—5,6 ат) с одной или несколькими ненасыщ. жирными к-тами или их частичными или полными эфирами с многоатомным спиртом (в частности, с жирными к-тами или их эфирами, содержащими кислотные остатки, имеющие сопряженные триеновые связи, а также другие ненасыщ. кислотные остатки), в присутствии 0,5—5% S от веса кислотных остатков в реакционной смеси. Напр., модифицированные маслами стиролалкидные смолы получают нагреванием одной или нескольких многоосновных к-т с вышеуказанными продуктами сополимеризации стирола. Я. К.

44953 П. Полимеры ароматических виниловых соединений и касторового масла (Polymers of vinyl aromatic and castor oil) [Imperial Chemical Industries of Aust. and N. Z. Ltd.]. Австрал. пат. 155065, 18.02.54

Патентуются полимеры, получаемые полимеризацией виниловых производных ароматич. углеводородов с дегидратированным касторовым маслом с вязкостью <1,5 пуаз при 25°, а также алкидные смолы, получаемые из указанных полимеров, многоатомного спирта и многоосновной к-ты. Я. К.

44954 П. Сополимеры винилизобутилового эфира и вышних олефинов. Мюллер (Interpolymerization products of vinyl isobutyl ether and higher olefins. Mueller Eugen) [Badische Anilin- und Soda-Fabrik A.-G.]. Пат. США 2700660, 25.01.55

4,5—10 молей винилизобутилового эфира сополимеризуют с 1 молем олефина (2,4-диметилпентеном, диизобутиленом или триизобутиленом) при низких т-рах в присутствии катализатора Фриделя — Крафта или продуктов его присоединения к воде, спирту, эфиру или к-те. Б. К.

44955 П. Способ получения продуктов поликонденсации. Бок, Мольденхауэр (Verfahren zur Herstellung von Polykondensationsprodukten. Bock Helmut, Moldenhauer Otto) [Phrix-Werke A.-G.]. Пат. ФРГ 900611, 28.12.53 [Chem. Zbl., 1954, 125, № 23, 5187 (нем.)]

Дикарбоновые к-ты или их производные, диальдегиды, diketоны или их бисульфитные соединения образуют гидразино, гидразингидратом или его солями, и образовавшиеся гидразиды или гидразоны или их полимеры конденсируют до такой степени, когда образующиеся продукты конденсации способны формоваться. Полимеры перед переработкой могут быть восстановлены, окислены, гидрированы или превращены в гидразиды с помощью NH_3 . Напр., адипиновый ангидрид нагревают с гидразингидратом до 150°, и продукт р-ции затем конденсируют под вакуумом при 290°. Полимеры применяют для изготовления пластмасс, пленок и волокон. М. А.

44956 П. Способ получения смеси, отверждаемой в смолоподобные продукты (Verfahren zur Herstellung einer zu harzartiger Produkten härtbare Mischung) [N. V. de Bataafsche Petroleum Maatschappij]. Швейц. пат. 295069, 16.02.54 [Chimia, 1954, 8, № 4, 102 (франц.)]

Эпоксидную смолу невысокой степени конденсации, содержащую более одной эпоксидной группы, обрабатывают определенным кол-вом отверждающего в-ва

и полученный продукт смешивают с новым кол-вом исходной смолы.

Я. К.
44957 П. Полимерные продукты конденсации оксикислоты. Хиггинс (Condensation polymers of hydroxyacetic acid. Higgins Norton A.) [E. I. du Pont de Nemours and Co.]. Пат. США 2676945, 27.04.54

Оксикислоту к-ту нагревают (при быстрой отгонке образующейся воды) под атмосферным давлением при $\sim 205^\circ$ до прекращения быстрого выделения воды, после чего из остатка отгоняют образовавшийся гликолид в вакууме при т-ре выше т-ры плавления остатка, но $< 245^\circ$; по прекращении заметного выделения гликолида остаток охлаждают, измельчают в порошок и нагревают при т-ре $> 215^\circ$, но ниже т-ры плавления, до получения полиоксикислотного эфира с вязкостью ≥ 400 пуаз при 245° .

Я. К.
44958 П. Полиэфиры (Polyesters) [Wingfoot Corp.]. Австрал. пат. 163954, 21.07.55

Хлорангидрид поликарбоновой к-ты конденсируют с эквивалентным кол-вом полиэфира из этиленгликоля и ароматич. дикарбоновой к-ты, имеющего концевые ОН-группы. Исходный полиэфир имеет средний мол. вес, соответствующий молекуле, содержащей 5—40 элементарных звеньев.

Б. К.
44959 П. Сложные эфиры кротоновой кислоты и простых полимерных эфиров. Брэдли (Crotonate esters of polymeric ethers. Bradley Theodore B.) [Shell Development Co.]. Канад. пат. 508608, 28.12.54

Патентуется сложный эфир, содержащий чередующиеся глицерильные радикалы и 2-валентные ароматич. радикалы (напр., бис-(фенилен)-2,2-пропан), соединенные друг с другом атомами О. Сложный эфир содержит также ≥ 4 остатков кротоновой к-ты или остатков жирных к-т высыхающих масел, соединенных с глицерильными радикалами сложноефирной связью. Остальные валентные связи глицерильных радикалов насыщены ОН-группами.

Б. М.
44960 П. Способ получения высокомолекулярных, термореактивных продуктов конденсации, растворимых или диспергируемых в воде. Кёлер, Хардер (Verfahren zur Herstellung von höhermolekularen, härtbaren, in Wasser löslichen bzw. dispergierbaren Kondensationsprodukten. Köhler Rudolf, Harde Hans) [Henkel & Cie G. m. b. H.]. Пат. ФРГ 910592, 3.05.54 [Chem. Zbl., 1954, 125, № 45, 10356 (нем.)]

Способ получения предлагаемых продуктов отличается тем, что на 1 моль смеси ароматич. оксисоединений и сульфокислот ароматич. оксисоединений (содержание сульфокислот в смеси не превышает 50 мол.%) действуют ≥ 1 молем CH_2O . Напр., 216 ч. технич. смеси крезолов сульфурют 98 ч. конц. H_2SO_4 , после чего нейтрализуют NaOH . После создания шел. среды добавлением 33 ч. 37%-ного NaOH конденсируют с 600°C . 30%-ного CH_2O в течение 15 мин. при $90-95^\circ$, добавляют еще 216 ч. крезолов и продолжают процесс еще 40 мин. при $90-95^\circ$. Полученный прозрачный вязкий р-р может быть нейтрализован и разбавлен водой без осадка смолы. Сухую смолу получают сушкой в распылительной или вальковой сушилке. Смола отверждается при действии к-т. Водн. р-ры смолы можно применять в качестве клеев, дубителей, диспергаторов, защитных коллоидов, а также для обработки тканей. Отверждаемые продукты при дальнейшей конденсации еще сохраняют растворимость в воде.

М. А.
44961 П. Способ получения продуктов конденсации. Веглер, Куртен (Verfahren zur Herstellung von Kondensationsprodukten. Wegler Richard, Curten Theodor) [Farbenfabriken Bayer]. Пат. ФРГ 875724, 7.05.53 [Chem. Zbl., 1954, 125, № 4, 895 (нем.)]

Плавкие и способные к дальнейшей конденсации искусств. смолы получают в присутствии кислотных катализаторов при р-ции CH_2O и смеси алкилированных ароматич. углеводородов и ароматич. оксисоединений, замещенных в орто- или пара-положении углеводородными радикалами, причем хотя бы одно из трех возможных мест замещения должно быть свободным. Напр., 1080 г *n*-трет-бутилфенола, 3200 г 30%-ного р-ра CH_2O и 910 г H_2SO_4 (60°C) нагревают в автоклаве (6 час., 118°), получая 2360 г желтого вязкого масла.

М. А.
44962 П. Фенолальдегидные смолы. Доллинг, Адамс (Phenol aldehyde resins. Doelling George L., Adams Kenneth H.) [Mississippi Valley Research Lab., Inc.]. Канад. пат. 50264, 18.05.54

Способ получения нерастворимой термореактивной смолы состоит в том, что термопластичная смола, содержащая в основном простые эфирные связи, обратывается в шел. среде альдегидами или гексаметилен-тетраминном. Термопластичная смола получается при взаимодействии в шел. среде эквимолекулярных кол-в алифатич. дигалогенидов и фенолов ф-лы $\text{RC}_6\text{H}_4(\text{OH})_2$, где R — H, ацил или алкил, содержащий ≤ 6 атомов C, напр. резорцина или смесей, содержащих ≥ 35 мол.% резорцина. Образующаяся полиэфирная смола имеет мол. в. 500—2000. Алифатич. дигалогениды (β , β' -дихлордизтиловый эфир, триглицольдихлорид) состоят только из атомов C, H, O, галоидов и не содержат сложноефирных и других реакционноспособных групп, кроме атомов галоида, которые связаны с различными атомами C, соединенными в свою очередь с другими атомами одинарной связью. Молекула дигалогенидов содержит ≤ 6 атомов C.

Б. К.
44963 П. Способ получения продуктов конденсации мочевины с формальдегидом. Дозе, Блетнер (Verfahren zur Herstellung von Harnstoff-Formaldehyd-Kondensationsprodukten. Dohse Hans, Blättner Hermann) [Bergwerksverband zur Verwertung von Schutzrechten der Kohlentehnik, G. m. b. H.]. Пат. ФРГ 906374, 11.03.54 [Chem. Zbl., 1954, 125, № 23, 5187—5188 (нем.)]

Предлагаемый способ отличается тем, что первую стадию конденсации мочевины, монофенилтиомочевина и CH_2O (также в присутствии тиомочевина, дициандиамида или меламина), проводят при $40-60^\circ$ и pH 6—7,5, а перед концом конденсации с помощью неорганич. и органич. к-т устанавливают pH $\sim 2-6$. При подкислении можно прибавлять фенол или его гомологи. Прессконпозиции из этих смол имеют улучшенные физ. свойства.

М. А.
44964 П. Способ получения смолообразных полиметиленоксамидных продуктов конденсации. Таттерсалл (Verfahren zur Herstellung von harztartigen Polymethylenoxyamid — Kondensationsprodukten. Tattersall Harold James) [Lewis Berger and Sons Ltd.]. Пат. ФРГ 901563, 14.01.54 [Chem. Zbl., 1954, 125, № 20, 4502 (нем.)]

α -Оксинитрилы гидролизуют и конденсируют в кислом водн. р-ре (особенно при pH 4,6) в присутствии CH_2O (или его полимеров), после чего продукт р-ции этерифицируют с помощью органич. к-ты или ее ангидрида при $120-160^\circ$. В реакционной смеси могут присутствовать также фенолы, мочевины или меламина. Напр., к водн. р-ру CH_2O и метабисульфита добавляют KCN . После р-ции вводят H_2SO_4 и нагревают до 100° . После отделения калийных солей и обесцвечивания с помощью угля удаляют воду отгонкой и нагреванием до 160° . Полученная твердая стекловидная масса растворима в абсорбционной воде, но становится негигроскопичной после нагревания с бензойной, коричной, линолевой, малеиновой, себациновой или

адипиновой к-той или фталевым, малеиновым или янтарным ангидридом. Конечные продукты применяют для получения литых или прессованных изделий, для покрытий или клеев. М. А.

44965 П. Способ получения линейных продуктов поликонденсации, содержащих амидогруппы в цепи. Шлак (Verfahren zur Herstellung von linearen Polykondensationsprodukten mit Amidgruppen in der Kette. Schlack Paul) [Badische Anilin- und Soda-Fabrik A.-G.]. Пат. ФРГ 898966, 7.12.53 [Chem. Zbl., 1954, 125, № 18, 4048 (нем.)]

Продукт р-ции, полученный в результате взаимодействия эфира угольной к-ты и гликоля с соединением, содержащим, кроме одной группы NH_2 , еще другие, способные к ацилированию группы (OH , SH или NH_2), обрабатывают дифункциональными ацилирующими в-вами, реагирующими с OH -, SH - или NH_2 -группами без образования воды. Компоненты р-ции берутся в эквимолекулярных кол-вах. Напр., триметиленкарбонат сначала конденсируют с гексаметилендиамином или 6-аминогексанолом, а затем с гексаметилендиизоцианатом или дифениловым эфиром адипиновой к-ты. Полимеры применяют для пропитки, изготовления пленок и волокон. М. А.

44966 П. Сополимеры α -аминокислот. Мак-Дональд, Шрейбер (Alpha-amino acid copolymers. MacDonald Robert Neal, Schreiber Richard Seyfarth) [E. I. du Pont de Nemours & Co.]. Пат. США 2671772, 9.03.54

Патентуется смешанный полиамид, содержащий в нерегулярной последовательности остатки моноаминомонокарбоновой к-ты с первичной аминогруппой и атомом Н при α -атоме С и остатки моноаминомонокарбоновой к-ты со вторичной аминогруппой и атомом Н при α -атоме С. Полиамид содержит 0,5—80 связанных остатков первичных аминокислот на 1 остаток вторичных аминокислот, причем большая часть остатков аминокислот содержит разветвленную алкильную группу при пептидной связи $>\text{N}-\text{C}(\text{CO})-<$. Полиамид содержит также 4—8 атомов С на 1 атом Н и по крайней мере один остаток α -аминокислоты (содержащей при пептидной связи только одновалентные органич. радикалы не более чем с 6 атомами С) на каждые 4 остатка аминокислоты, содержащей при пептидной связи одновалентный органич. радикал с числом атомов $\text{C} > 6$. Я. К.

44967 П. N-карбангидрид 2-амино-4,6,6-триметиленантовой кислоты и его полимеры. Мак-Дональд (N-carboanhydride of 2-amino-4,6,6-trimethylthepantoic acid and polymers therefrom. MacDonald Robert N.) [E. I. du Pont de Nemours and Co.]. Канад. пат. 501450, 13.04.54

Патентуются линейные полимеры, элементарные звенья которых представляют собой остатки α - или β -моноаминомонокарбоновой к-ты, из которых $\geq 10\%$ (в частности, $\geq 50\%$) отвечают ф-ле $[(\text{CH}_2)_3\text{C}(\text{NH})\text{CH}(\text{CH}_3)\text{CH}_2\text{CH}(\text{NH})\text{CO}-]$; эти полимеры получают, напр., нагреванием (с потерей CO_2) N-карбангидридов α - или β -аминокарбоновых к-т, содержащих $> 10\%$ 2-амино-4,6,6-триметиленантовой к-ты. В частности, патентуется линейный полиамид, содержащий остатки dL -аланина и $\geq 10\%$ элементарных звеньев указанной выше формулы. Я. К.

44968 П. Процесс и устройство для непрерывного получения высокополимеров (Process and device for the continuous preparation of highly polymeric compounds) [N. V. Onderzoekingsinstituut Research]. Англ. пат. 705029, 3.03.54 [J. Appl. Chem., 1954, 4, № 10, i1536 (англ.)]

Горизонтальную струю мономера, напр. капролактама, вместе с 0,1% H_3PO_4 и 5% H_2O направляют в нагретом состоянии в открытый канал, находящийся

внутри сосуда. Поток останавливается, когда прекращается выделение газов и паров, и выгрузка готового продукта производится в вертикальном направлении. М. Л.

44969 П. Полимеры из полиэфиров, модифицированных полиизоцианатами (Polymeric products derived from polyisocyanate-modified polyesters) [Farbenfabriken Bayer]. Англ. пат. 700608, 9.12.53 [Chem. Abstrs, 1954, 48, № 11, 6741—6742 (англ.)]

Способ получения полимеров из полиэфиров, модифицированных полиизоцианатами, отличается тем, что полиэфир из дикарбоновых к-т и гликолей обрабатывают диизоцианатом и затем гликолем. Напр., 1000 ч. полиэфира из 1,2-пропиленгликоля и адипиновой к-ты (с 1,5 вес. % OH -групп) сушат в вакууме (12 мм) при 130° и обрабатывают 1,5-нафталиндиизоцианатом, после чего добавляют 30 ч. триэтиленгликоля. Мягкий материал, полученный после вальцевания и прессования, имеет предел прочности на разрыв 158 кг/см^2 , удлинение при разрыве 925%, остаточное удлинение 12%, удлинение 300% при нагрузке 22 кг/см^2 , твердость по Шору 68 и эластичность — 41% высоты падения при упругом отскоке. П. П.

44970 П. Полимеры из полиэфиров, модифицированных полиизоцианатами (Polymeric products derived from polyisocyanate-modified polyesters) [Farbenfabriken Bayer]. Англ. пат. 700611, 9.12.53 [Chem. Abstrs, 1954, 48, № 11, 6742 (англ.)]

Полиэфиры из дикарбоновых к-т и гликолей обрабатывают полиизоцианатом (100—600% избытка) и образующийся продукт подвергают р-ции с органич. диаминном, взятым в кол-ве 25—100% от свободных изоцианатных групп полиэфира. Напр., 2 кг полиэфира из 1,2-пропиленгликоля и адипиновой к-ты (гидроксильное число 53) высушивают и обрабатывают 760 г толуилендиизоцианата; через 15 мин. добавляют 790 г 3,3'-дихлорбензидина, и полученный продукт формуют в виде плит. Материал имеет предел прочности на разрыв 106 кг/см^2 , удлинение при разрыве 92%, остаточное удлинение 46%, твердость по Шору 95. П. П.

44971 П. Способ получения пластмасс — производных полиимочевины (Verfahren zur Herstellung von Polyharnstoffderivatmassen) [Nederlandse Organisatie voor Toegepast-Natuurwetenschappelijk Onderzoek ten Behoeve van Nijverheid, Handel en Verkeer in den Haag]. Австр. пат. 178201, 15.09.53

Двуступенчатый способ получения линейных полиамидов состоит в том, что соли тиокарбамминовой к-ты, получаемые взаимодействием COS с соединениями, содержащими две связанные алифатич. цепью первичные аминогруппы, нагревают сначала (в отсутствие р-рителя и без плавления) при $t\text{-ре} \leq 120^\circ$ при хорошем перемешивании до полного отщепления H_2S , а затем при $t\text{-ре} \geq 150^\circ$. В целях сохранения эквивалентного соотношения реагирующих групп, первую стадию процесса можно проводить либо в вакууме (что приводит к улетучиванию избыточного диамина), либо под давлением в автоклаве (что приводит к взаимодействию свободных COS и диамина). Так, при нагревании тиокарбамминового производного декаметилендиамина последовательно 2 часа при 80°, 2 часа при 110°, 2 часа при 140—150°, 16 час. при 180° и 2—10 час. при 200—220° образуется полидекаметиленмочевина, которая при 235—240° дает прыдомый плав, из которого можно получать волокно, хорошо вытягивающееся в холодном состоянии. Для р-ции можно также применять смеси различных солей. Я. К.

44972 П. Способ получения линейных высокополимеров. Шлак (Verfahren zur Herstellung von linearen Hochpolymeren. Schlack Paul). Пат. ГДР 5074, 15.09.54

Высокомолекулярные линейные полимеры, имеющие, кроме различных активных концевых групп (напр., OH-групп), также конечные COOH-группы, обрабатывают при нагревании окисью этилена в присутствии р-рителя ($\text{C}_6\text{H}_5\text{Cl}$, α -дихлорбензола, анизола, диэтилдипирамида, α -пирролидона или метилэтилсульфона) и (или) катализаторов (ZnCl_2 , $\text{Mg}(\text{ClO}_4)_2$, камфорсульфоновой к-ты, изохинолина) для этерификации COOH-групп с последующим взаимодействием продуктов р-ции с диизоцианатами. Исходными в-вами могут быть также полиамиды, в которых NH_2 -группы замещены кислотными остатками двусосновых к-т. Напр., 1 ч. полиэфир из хлорангидрида терефталевой к-ты и тетраметилентгликоля (мол. в. 4000), выделяющего при нагревании до 230° в течение 3 час. 0,15% CO_2 , растворяют в тройном кол-ве N-метил- α -пирролидона. В р-р пропускают в течение 2 час. при избыточном давл. 100 мм вод. ст. слабый ток окиси этилена. По охлаждении полимер размалывают и два раза кипятят с водой. Продукт имеет т. пл. 200° и при р-ции с диизоктоксилметил-4,4'-диизоцианатом образует полиуретан. Ю. В.

44973 П. Способ получения высокомолекулярных полидиметилсилоксанов. Мак-Грегори, Уоррик (Verfahren zur Herstellung von hochmolekularen Dimethylpolysiloxanen. McGregor Rob Roy, Warrick Earl Leathan) [Dow Corning Corp.]. Пат. ФРГ 891330, 28.09.53 [Chem. Zbl., 1954, 125, № 20, 4503 (нем.)]

Жидкие полидиметилсилоксаны полимеризуют при $t_p \leq 250^\circ$ с ~ 1 —2% безводн. B_2O_3 и при энергичном перемешивании. Продукты р-ции обладают вязкостью ≥ 8500 Е при 30° . Я. К.

44974 П. Замещенные кремнийорганические соединения и их получение. Деккер, Хольц (Composés organo-siliciques porteurs de substituants et leur fabrication. Dekker R., Holz H.). Франц. пат. 1040144, 13.10.53 [Chem. Zbl., 1954, 125, № 39, 8914—8915 (нем.)]

Полиэтоксисиланы, полиалкокси- или полиарилоксисиланы обрабатывают Na, Li, Ca, Mg или их сплавами и хлорированным углеводородом или же продуктом р-ции этих металлов с галоидопроизводным. Для р-ции применяют силосаны, которые содержат OSiH_3 , OSiH_2 - или OSiH -группы, и радикалы ф-лы CH_3 или C_2H_5 , непосредственно связанные с атомом Si. Можно также использовать силосаны, содержащие несколько Si—C-связей. В случае одной Si—C-связи атом Si связан также с группами OR или атомом H. Так, напр., 35 г в-ва ф-лы ($-\text{Si}(\text{CH}_3)(\text{OC}_2\text{H}_5)-\text{O}-\text{Si}(\text{CH}_3)_2-\text{O}-$) $_n$ растворяют в 100 мл бэл., добавляют 31 г $\text{C}_6\text{H}_5\text{Cl}$ и 12 г Na и нагревают смесь 24 часа при 70 — 80° . NaCl отделяют фильтрованием или осторожной обработкой разб. к-той и органич. слой фракционируют. Жидкий фенилметилсилоксановый полимер (30—40 г) имеет т. кип. 170 — 370° и отличается исключительно теплостойкостью. Получаемые полимеры применяют в качестве смол, лаков и масел. Я. К.

44975 П. Производство силосановых полимеров. Кларк (Manufacture of siloxane polymers. Clark H. A.) [Dow Corning Ltd.]. Англ. пат. 710319, 9.06.54 [Rubber Abstr., 1954, 32, № 9, 413 (англ.)]

Способ получения силосановых полимеров, исключая гидролиз, необходимый при получении полимеров из галоидсиланов, состоит в обработке соответствующего алкоксисилана безводн. галоидоводородной к-той при $t_p \geq 50^\circ$ в присутствии FeCl_3 . Так, метилтриэтоксисилан и диметилдиэтоксисилан образуют (с выделением диэтилового эфира) легкокипящие жидкие полиорганосилоксаны, которые можно конденсировать обычными способами и получать масла, смолы и эластомеры. Я. К.

44976 П. Смесь полиорганосилоксанов и политетрафторэтилена. Саффорд, Бьюк (Organopolysiloxane-polytetrafluoroethylene mixtures. Safford Moyer M., Bueche Arthur M.) [General Electric Co.]. Пат. США 2710290, 7.06.55

Композиция представляет смесь из отверждаемых при нагревании в твердое эластичное состояние полиорганосилоксанов и малых кол-в твердого политетрафторэтилена, диспергированного в полиорганосилоксане в форме случайно распределенных волокон. Полиорганосилоксан содержит одновалентные углеводородные радикалы, соединенные с атомом Si связью C—Si; кол-во органич. радикалов на один атом кремния составляет 1,98—2,25. Б. К.

44977 П. Алкидные смолы (Alkyd resins) [Lewis Berger and Sons Ltd.]. Австрал. пат. 163900, 21.07.55

Для произ-ва алкидной смолы смесь многоосновной к-ты, многоатомного спирта, ненасыщ. одноосновной алифатич. к-ты и полисилоксана, содержащего гидролизующие группы или атомы, нагревают до завершения этерификации. Алифатич. к-ту можно сополимеризовать с полимеризуемыми олефиновыми мономерами до, в период или после р-ции этерификации. Б. К.

44978 П. Получение полиорганотитаносилоксанов. Бойд (Organotitanium silicon copolymer preparation. Boyd Thomas) [Monsanto Chemical Co.]. Пат. США 2716656, 30.08.55

Способ получения смешанных полимеров состоит в том, что р-р органич. производных ортотитановой к-ты и кремнийорганич. соединений в безводн. р-рителе вводят при сильном перемешивании в смесь воды с избытком органич. р-рителя, который хотя бы частично растворяет воду. Кол-во воды составляет 0,5—1,5 моля на 1 моль гидролизующей смеси. Исходное кремнийорганич. соединение имеет ф-лу $\text{Si}(\text{OR})_n\text{R}'_{4-n}$, где R — одновалентный углеводородный радикал и n — целое число от 1 до 4. Органич. производное ортотитановой к-ты имеет ф-лу $\text{Ti}(\text{OR})_4$, $\text{Ti}[\text{OC}(=\text{O})\text{R}']_3$ или $\text{Ti}[\text{NR}'']_4$ (R''') $_4$, где R — одновалентный углеводородный радикал, R' — алкил или арил, R'' — H, алкил или арил и R''' — алкил или арил. А. Ж.

44979 П. Отделка стеклянных волокон. Филлипс, Биelfелд (Apprêtage de fibres de verre. Philipps Thomas E., Bielfeld Lawrence P.) [Owens-Corning Fiberglass Corp.]. Франц. пат. 1061247, 9.04.54 [Verres et réfract., 1954, 8, № 5, 258 (франц.)]

Предлагается применить шлихтовку стеклянных волокон с целью придания их поверхности хорошей адгезии к пластическому материалу. Шлихта состоит из смолы, образующей пленку, и полисилоксанолята, растворимого в воде. В качестве смолы может применяться поливинилацетат, сополимер бутадиена и стирола, или полиакриловая смола. В качестве полисилоксанолята может применяться винилполисилоксанолят натрия, аллилполисилоксанолят аммония или калия или диаллилполисилоксанолят натрия. С. Б.

44980 П. Тиосульфенилхлориды и -бромиды и получаемые из них полимеры. Пролл (Thiosulfonyl chlorides and bromides and polymers made therefrom. Proell Wayne A.) [Standard Oil Co.]. Пат. США 2684952, 27.07.54

Полимерные органич. тетрасульфиды, содержащие повторяющиеся элементарные звенья $-\text{ZCH}_2\text{S}_4-$ (в которых, по меньшей мере, один атом S связан координационной связью, а Z — 2-валентный алифатич., тиоалифатич., оксалифатич. или гидроксилсодержащий алифатич. углеводородный радикал, непосредственно связанный с группой CH_2 атомом C, который соединен по меньшей мере с одним атомом H), обрабатывают Cl или Br при t_p от -50° до 25° в присутствии инертного р-рителя. Образующиеся бис-тиосульфенилгало-

гениды имеют ф-лу $XSSZCH_2SSX$, где Z — вышеуказанный 2-валентный радикал, а X—Cl или Br. Я. К. 44931 П. Полимеры на основе эфиров органофосфиновых кислот, содержащие остатки фосфорной кислоты Кувер, Мак-Колл (Polymeric organophosphonates containing phosphato groups. Coover H. A. W., Jr., McCall Marvin A.) [Eastman Kodak Co.]. Пат. США 2716101, 23.08.55

Полимеры указанного состава получают при нагревании смеси, содержащей 50,0 мол.% диоксинароматич. соединения (диоксибензола, диоксиды фенила или диоксидифенилсульфона), 0,1—49,5 мол.% в-ва ф-лы $RP(=O)Cl_2$ и 0,1—49,5 мол.% производного фосфорной к-ты (хлорокиси фосфора, фенилди-хлор-, дифенилхлор-, трифенил- или трикрезилфосфата). Нагревание проводят при 90—300° в присутствии безводн. галогенида щел.-зем. металла до завершения р-ции. В ф-ле R — алкил или хлоралкил, содержащий 1—12 атомов C, циклогексил, фенил или толил. А. Ж.

44982 П. Связующее на основе смолы из фурфуролового спирта, содержащее кислотный катализатор. Симор, Деш (Acid-catalyzed furfuryl alcohol resin bonding material. Seymour Raymond B., Desch Robert P.) [The Atlas Mineral Products Co.]. Пат. США 2669552, 16.02.54

Связующее содержит смолу на основе фурфуролового спирта и формальдегида, порошкообразный инертный наполнитель, содержащий также 2—10 вес.% сульфаминовой к-ты, и кислотный отвердитель (0,3—3 вес.% серной к-ты, 1,5—7 вес.% бисульфата Na, 1,5—6 вес.% *n*-толуолсульфохлорида или 0,75—4 вес.% алкансульфокислоты, имеющей 2—14 атомов C). Весовое отношение наполнителя к смоле составляет 2,5—1:1. Б. К.

44983 П. Способ повышения стойкости синтетических смол при хранении (Verfahren zur Verbesserung der Lagerbeständigkeit von Kunstharzen) [Chemische Werke Albert]. Австр. пат. 178200, 10.04.54 [Chem. Zbl., 1954, 125, № 39, 8914 (нем.)]

Для повышения стойкости (при хранении) синтетич. смол, полученных взаимодействием алкоголятов трех- и поливалентных металлов или их галогенидов с таутомерно реагирующими соединениями (в частности, смол с молекулярным соотношением металл: таутомерно реагирующее соединение >1:1,5), к ним добавляют небольшие кол-ва высушающих или полувывсушающих масел. Так, 1000 вес. ч. $(C_4H_9O)_3Al$ кипятят с 528 вес. ч. апетоекислотного эфира продолжительное время с обратным холодильником и, после отгонки летучих в вакууме, добавляют к 950 вес. ч. полученной смолы 50 вес. ч. сырого льняного масла. Я. К.

44984 П. Способ и приспособление для глубокой печати с помощью эластичных пленок из искусственных смол. Эккелль (Verfahren und Vorrichtung zum Bedrucken von elastischen Kunststoff-Folien im Kupfertiefdruck- und Relief-Verfahren. Eckell Johannes). Пат. ФРГ 900223, 21.12.53 [Chem. Zbl., 1954, 125, № 18, 4046 (нем.)]

Способ отличается тем, что в процессе печатания, особенно многокрасочных рисунков, пленка укладывается на ватке прессы, являющейся всасывающим валком, так что не может произойти растяжение пленки. К. П.

44985 П. Способ стабилизации пластмасс, содержащих бензилцеллюлозу. Симон (Verfahren zur Stabilisierung von benzylcellulosehaltigen Massen. Simon Walter Eduard Asmus) [Deutsche Werke Kiel A.-G.]. Пат. ФРГ 886662, 17.08.53 [Chem. Zbl., 1954, 125, № 29, 6619 (нем.)]

Бензилированную древесину или солому или содержащую лигнин бензилцеллюлозу, после пластификации,

обрабатывают на горячих каландрах до тех пор, пока не исчезнет запах альдегида. Ю. В.

44986 П. Термопластичные композиции (Thermoplastic compositions) [The Dow Chemical Co.]. Австрал. пат. 154429, 24.12.53

Композиция содержит 45—65 вес.% не растворимой в воде и не термопластичной метил-, метилоксиэтил-, метилоксипропил-, оксизтил- или оксипропилцеллюлозы, 27—45 вес.% пропиленгликоля и 10—17% глицерина. Точные соотношения компонентов определяются площадью на диаграмме трехкомпонентной смеси, приложенной к описанию патента. Я. К.

44987 П. Растворители, агенты набухания и желатинизации и пластификаторы. Эндрес (Lösungs-, Quellungs-, Gelatinierungs- und Weichmachungsmittel. Endres Rudolf) [Dehydtag Deutsche Hydrierwerke G. m. b. H.]. Пат. ФРГ 901348, 11.01.54 [Chem. Zbl., 1954, 125, № 32, 7300 (нем.)]

Растворители и пластификаторы для поливинилхлорида и хлоркаучука состоят из свободных Cl-содержащих алифатич. карбоновых к-т не менее чем с 4 атомами C, напр. из производных капроновой, каприловой, пеларгоновой, каприновой, или смесей жирных к-т с 4—7, 4—9 или 7—9 атомами C, к-т кокосового масла или спермацетового жира или жирных алкоксикислот. Я. К.

44988 П. Композиции из смол. Эмерсон, Лонглен (Resinous compositions. Emerson W. S., Longley R. I., Jun.) [Monsanto Chemical Co.]. Англ. пат. 715995, 22.09.54 [J. Appl. Chem., 1955, 5, № 4, i 670 (англ.)]

Композиции содержат ≥70% полимера или сополимера винилхлорида, пластифицированного смесью сложных эфиров, получаемых в результате полной этерификации диэтиленгликоля смесью 10—50% алифатич. моноолефиновой одноосновной к-ты, содержащей 10—20 атомов C (напр., олеиновой к-ты), и бензойной (или толуиловой) к-ты. Е. Х.

44989 П. Пластификатор. Ивакири (Plasticizing agent. Iwakiri Kazuyoshi) [Asahi Glass Co.]. Япон. пат. 4470, 9.09.53 [Chem. Abstr., 1954, 48, № 16, 9748 (англ.)]

$(C_3H_7)_2CO$, получаемый при сухой перегонке 17 кг пропионата Ca при 400—500°, промывают водн. р-ром Na_2CO_3 и гидрируют в присутствии Ni 0,03 кг N при 150—190° и 100—150 ат; в результате получают 0,7 кг $C_7H_{15}ON$. Последний нагревают с 0,56 кг о- $C_6H_4(COOH)_2$ в присутствии 3% смеси H_2SO_4 и HCl. Получают 1 кг о- $C_6H_4(COOC_7H_{15})_2$, т. кип. 210—240°/4,5 мм, т. пл. <40°. Е. Х.

44990 П. Пластифицированные композиции из виниловых смол. Бранднер, Хантер (Plasticized compositions of vinyl resins. Brandner J. D., Hunter R. H.) [Atlas Powder Co.]. Англ. пат. 721424, 5.01.55 [Rubber Abstr., 1955, 33, № 4, 153 (англ.)]

Композиция содержит поливинилхлорид или сополимер винилхлорида и винилацетата (имеющий <15% винилацетата) и 15—67% (от веса смолы) первичного и вторичного пластификатора, причем содержание вторичного пластификатора составляет 5—25% от веса смолы и ≤50% от общего веса пластификаторов. Вторичный пластификатор имеет ф-лу $C_6H_5O(C_2H_4O)_xCOR$, где $n = 2$ или 3, $x = 1$ или 2, $n + x ≤ 4$, а COR — остаток олеиновой или лауриновой к-ты или к-ты таллового масла, когда $n + x = 3$, и остаток жирн. к-ты, содержащий 12—18 атомов C, когда $n + x = 4$. Я. К.

44991 П. Растворители, пластификаторы и агенты желатинизации и набухания для аминопластов. Эндрес (Lösungs-, Weichmachungs-, Gelatinierungs- und Quellungs-mittel für Aminoplaste. Endres

Rudolf [Deutsche Hydrierwerke A.-G.]. Пат. ФРГ 893261, 15.10.53 [Chem. Zbl., 1954, 125, № 22, 4956 (нем.).]

Предлагаемые в-ва состоят из простых моноэфиров многоатомных алифатич. спиртов и циклоалифатич. спиртов, содержащих не менее 8 атомов С (напр., глицеринмоноциклогексильный или глицеринмонооктиловый эфиры). Применяются при получении лаков и пропиточных составов для бумаги и тканей. М. А.

44992 П. Пластификаторы для целлюлозы и регенерированной целлюлозы. Кведфлиг (Weichmachungsmittel für Cellulose und regenerierte Cellulose. Quaedvlieg Mathieu) [Farbenfabriken Bayer A.-G.]. Пат. ФРГ 924627, 7.03.55

В качестве пластификаторов целлюлозы предлагают производные бигуанида, содержащие алифатич. радикалы с гетероатомами в цепи, напр., соединения типа $RNHC(=NH)NHC(=NH)NH_2$, где $R = C_7H_{15}C(=O)NH(CH_2)_2NH(CH_2)_2-$ или $C_{17}H_{35}COO(CH_2)_2-$. А. П.

44993 П. Способ улучшения термостойкости галогенсодержащих высокополимеров (Verfahren zur Verbesserung der Hitzebeständigkeit von hochpolymeren halogenhaltigen Stoffen) [Badische Anilin- & Soda-Fabrik A.-G.]. Пат. ФРГ 883499, 20.07.53 [Chem. Zbl., 1954, 125, № 24, 5409 (нем.).]

В качестве стабилизаторов используют небольшие кол-ва имеющего щел. р-цию соединения щел. или щел.-зем. металла (сода) и спирта, не содержащего основных групп (октадециловый спирт, метанол). М. А.

44994 П. Термостойкие массы из поливинилиденхлорида и других полимерных галоидоуглеводородов. Рейн (Wärmebestabile Massen aus Polymerisaten des as. Dichloräthylens sowie anderer polymerer Halogenkohlenwasserstoffe. Rein Herbert). Пат. ГДР 5014, 10.03.54

Для повышения термостабильности поливинилиденхлорида и других полимерных галоидоуглеводородов (поливинилхлорида, полихлоркаучука) при горячем формовании в полимеры вводят α -ненасыщ. кетоны, которые играют роль стабилизаторов и пластификаторов. Для этой цели пригодны окис мезитила, бензальдегид, дипнон, фуфуролоацетон, дибензальдегид, хлорбензальдегид, пирон, производные кето-1,4-дигидробензола и другие соединения с группой $=CRCO-CR_2$ или $=CRCO-CR=$, где $R = H$ или любой органич. радикал. Эти в-ва совместимы с полимерами в любых соотношениях, что позволяет вводить их в композицию для целей пластификации и стабилизации до 30—40%. Их можно смешивать с порошкообразным полимером перед формованием при повышенной т-ре в смесителе или на вальцах; их можно также прибавлять к галоидоуглеводородам перед полимеризацией или к частично полимеризованному мономеру. Так, сополимер из 85 ч. $CH_2=CCl_2$ и 15 ч. $CH_2=CHCl$ смешивают с 2% форона (или дибензальдиэтилкетона); полученный продукт можно формовать при 160—175°. Я. К.

44995 П. Способ и аппарат для изготовления распределительных щитов (Method and apparatus for the manufacture of electrical distribution boards) [Metropolitan-Vickers Electrical Co., Ltd]. Англ. пат. 695922, 19.08.53

Патентуется термореактивная жидкая композиция, содержащая (в %) 37 винилловой смолы (поливинилхлорид или сополимер винилхлорида и винилацетата), 24 смолообразного пластификатора (эфира многоосновной к-ты и многоатомного спирта или полистирола), 19 пластификатора типа диоктил-, дибутил- или дибензилфталата, 9 стабилизатора (стеарата, силиката

или фосфата Pb, окиси Sb, металлич. Pb или их смеси) и 11 наполнителя типа $CaCO_3$. Я. К.

44996 П. Стиральная резина из каучукоподобных искусственных смол и способ ее изготовления. Груселль (Raderämne av gummilliknande konstharter och framställning av detsamma. Grusell E. A.) [Aktiebolaget Kontrollinstrument]. Швед. пат. 139913, 14.04.53

Стиральная резина состоит из каучукоподобной искусств. смолы (С) и р-рителя (Р) или пластификатора (П). Смесь С и Р или П неполностью желатинирована. Р или П применяют такого типа и желатинируют при такой т-ре, чтобы полученная смесь С с Р или П обладала большей прочностью на истирание, чем С. В случае применения поливинилхлорида в качестве С и дибутилфталата в качестве П смесь желатинируют при 100—110°. К. Г.

44997 П. Резинка для стирания. Очоа (Eraser. Ochoa Alfonso A.). Пат. США 2676160, 26.04.54

Резинка для стирания содержит (в вес. ч.): 1000 поливинилхлорида, 1400 диоктилфталата, 300 октилдифенилфосфата, 200 диоктилазелаината и 30 стабилизатора. С. Б.

44998 П. Смола на основе метилолацетона и способ пропитки тканей этой смолой. Миллер, Скофилд (Methylol acetone resin precondensate and method of impregnating fabrics therewith. Miller William S., Schofield James S.) [The Calico Printers' Association Ltd]. Пат. США 2711971, 28.06.55

Способ непрерывной обработки ткани при одновременном украшении ее механич. путем состоит в том, что ткань пропитывают водно-щел. р-ром мономерного метилолацетона, высушивают при т-ре $\leq 80^\circ$ до определенной влажности, механически обрабатывают и нагревают при 100—150° для конденсации и полимеризации метилолацетона. Для украшения ткань наладрируют, гляncуют или подвергают тиснению без окрашивания и размягчения. Мономерный метилолацетон представляет собой жидкий сироп и получается при р-ции 4 молей формальдегида с 1 молем ацетона при т-ре $< 50^\circ$, в присутствии 0,625—0,1 моля воды. р-ра гидроокиси щел. металла в начальной стадии. Мономер содержит 1—4 метильные группы на молекулу ацетона и имеет уд. в. 1,07—1,12 при содержании воды, которая присутствует в формальдегиде, используемом для р-ции в виде 37%-ного водн. р-ра. Б. К.

44999 П. Гофрированные слоистые пластические материалы и метод их производства. Гонда, Ходж (Method of manufacturing corrugated plastic laminates, and the products of such manufacture. Gonda D., Hodge A. A.) [Holoplast, Ltd]. Англ. пат. 716702, 13.10.54 [J. Appl. Chem., 1955, 5, № 4, i 674 (англ.)]

Для изготовления гофрированных слоистых материалов, отличающихся кислот-, огне- и атмосферостойкостью и высокой уд. прочностью, лакированные или пропитанные термореактивной смолой листы (напр., из крафт-бумаги) гофрируют, укладывают в пакет и прессуют в форме, обеспечивающей получение гофра. Е. Х.

45000 П. Синтетическая пластичная пленка. Вогт (Synthetic plastic film tape. Vogt Clarence W.). Пат. США 2687978, 31.08.54

Лента из синтетич. пластичного материала с высокой разрывной прочностью имеет кромку с многочисленными параллельными ступенчатыми надрезами, каждый из которых наклонен под острым углом к кромке. Угол наклона и длина разреза таковы, что проекция внутреннего конца каждого продольного разреза на соседнюю кромку по крайней мере в области взаимного

пересечения сопряженных проекций образует вдоль длины ленты слабые точки, которые существенно понижают прочность ленты.

З. И.
45001 П. Светопроницаемый материал (Lichtdurchlässiger Körper) [Siegfried Keller & Co. Plyglass Ltd]. Швейц. пат. 290206, 16.07.53 [Chem. Zbl., 1954, 125, № 30, 6804 (нем.)]

Материал состоит из двух параллельных пластин из светопроницаемого в-ва (напр., из стекла, прозрачной пластмассы и т. п.), между которыми находится скрепленный с одной или обеими пластинами слой из светопроницаемых волокон (напр., слой войлока или ткани из стеклянных, искусств. или т. п. волокон); в качестве связующего применяются акриловые эфиры, полимеры стирола и т. п.

Я. К.
45002 П. Листовой материал, покрытый пластичным клеем веществом. Гопферт, Канфилд (Pressure sensitive adhesive coated material. Goepfert George J., Canfield Howard M.) [The Carborundum Co.]. Пат. США 2667436, 26.01.54

Патентуется листовой материал, покрытый по меньшей мере с одной стороны пленкой пластичного клея и защитным листом, состоящим из пигментированного полиэтилена. Защитный лист тиснен в виде отдельных параллелограммов, лежащих в основном в одной плоскости и соединенных друг с другом возвышающимися ребрами, и приклеен другой стороной поверхности подложки таким образом, чтобы ребра были обращены наружу. Пластичная клеящая пленка имеет форму параллелограммов, разделенных углублениями. Эти параллелограммы соответствуют параллелограммам защитного листа. Углубления и ребра на листах образуют каналы, ведущие к краю материала; через них могут улетучиваться газы, заключенные между листами, вследствие чего материал практически не имеет вздутий и пузырей.

М. Г.
45003 П. Способ получения неклеящих или мало-клеящих аппретур, искусственной кожи или других плоских изделий из пластмасс. Шёллер (Verfahren zur Herstellung von nicht oder wenig klebenden filmartigen Kunststoffappreturen, Kunstleder oder anderen flächenartigen Kunststoffgebilden. Schöller Conrad) [Badische Anilin- & Soda-Fabrik A.-G.]. Пат. ФРГ 897989, 26.11.53 [Chem. Zbl., 1954, 125, № 22, 4960 (нем.)]

Указанные изделия обрабатывают водн. р-ром колл. кремневой к-ты и высушивают. Такая обработка особенно пригодна для изделий из полимеров производных акриловой к-ты, виниловых эфиров, бутадиена, изобутилена и т. п.

Я. К.
45004 П. Способ усиления поверхности изделия из пластмассы посредством ткани (Procédé pour le renforcement en surface d'une pièce en matière plastique au moyen d'un tissu) [Technique du Verre Tissé]. Франц. пат. 1082164, 27.12.54 [Verres et réfract., 1955, 9, № 2, 105—106 (франц.)]

Для указанной цели применяется ткань, одна из поверхностей которой имеет выпуклую узловатую сетку. Этой поверхностью ткань соприкасается с жидкой или пастообразной смолой, в результате чего узелки проникают внутрь смолы, которая прочно их скрепляет. Можно применять ткань из стеклянных нитей с узелками окружностью 8 мм через каждые 16 мм. Смола может представлять собой пеноматериал из винилхлорида или производных целлюлозы.

Я. К.
45005 П. Граммофонные пластинки, обработанные для избежания образования статического электричества, и способ их производства. Эйзен (Destaticized phonograph records and method for producing same. Eisen John B.) [Monsanto Chemical Co.]. Пат. США 2680080, 1.06.54

Поверхность граммофонных пластинок из пластмассы тщательно смачивают соответствующим р-ром и высушивают. Для обработки применяют р-ры, содержащие 0,5—5,0 вес. % моноалкиламинов или хлористого диалкилдиметиламмония, в котором алкильные группы являются производными смеси спиртов, состоящей (в %) из 8 октилового, 9 децилового, 47 додецилового, 18 тетрадецилового, 8 гексадецилового и 10 октадецилового спирта.

Б. К.
45006 П. Производство поляроидов. Бинда (Process for the manufacture of light-polarizing sheets. Binda Frederick J.) [Polaroid Corp.]. Пат. США 2674159, 6.04.54

Для изготовления высокоэффективных стабильных и прочных поляроидов одну сторону тонкого листа из поливинилового спирта, поливинилацетата или поливинилкетала обрабатывают кислым дегидрирующим катализатором. Обработанный лист нагревают для образования виниловых групп и одновременно растягивают для ориентации молекул. К необработанной поверхности находящегося под растяжением листа приклеивают прозрачную подложку-поляроид из целлюлозного пластика, покрытого клеем на основе поливинилового спирта, обрабатывают ее горячим р-ром, содержащим борную к-ту и буфер (бура, NaOH или KOH), и высушивают материал.

Е. Г.
45007 П. Способ распыления термопластичных смол с помощью пламени (Method of flame spraying thermoplastic resins) [Union Carbide & Carbon Corp.]. Англ. пат. 708352, 5.05.54 [Electroplating and Metal Finishing, 1954, 7, № 11, 428 (англ.)]

Полиэтилен, поливинилбутираль, полиметилметакрилат (мол. в. ~ 600 000), полисульфидный каучук, полистирол или этилцеллюлозу в виде порошков с частицами, проходящими через сито 50 меш, но не проходящими через сито 100 меш, получают измельчением этих смол в замороженном состоянии в мельнице ударного типа. Порошкообразный полимер распыляют с помощью кислородо-газовой смеси, защищая порошок от пламени кольцевой струей негорючего охлаждающего газа; скорость движения газов и смолы регулируют таким образом, чтобы смола плавилась главным образом на покрываемой поверхности.

Я. К.
45008 П. Способ печатания по термопластичным пластмассам. Дорнбуш (Verfahren zum Bedrucken thermoplastischer Kunststoffe. Dornbusch Paul) [Dornbusch & Co.]. Пат. ФРГ 898908, 7.12.53 [Chem. Zbl., 1954, 125, № 38, 8679 (нем.)]

Для предотвращения искривления пленки во время печатания ее скрепляют с прижимным валом; для этого пленку нагревают до т-ры, при которой она становится липкой, или же применяют прижимный вал, покрытый липким каучуком, или вал со статич. зарядом, притягивающим пленку.

Я. К.
45009 П. Пуговицы из коконов шелкопряда. Ие-кита (Buttons from silkworm cocoons. Ishikita Kiyoski). Япон. пат. 4517, 11.09.53 [Chem. Abstr., 1954, 48, № 19, 11844 (англ.)]

Коконы вскрывают (надрезанием), прессуют в плоскую массу, которую с помощью винилового смолы превращают в слоистый материал. Последний формируют в пуговицы, которые покрывают синтетич. смолой и отверждают.

Я. К.
45010 П. Обработка натуральных и прессованных пробок для бутылок и сосудов. Хельмольд (Gebrauchsgegenstand aus Naturkork, Preßkork oder sogenanntem verschönten Kork, insbesondere zum Verschließen von Flaschen oder Gefäßen dienender Kork. Haelmold Eberhard) [W. Brodhage Korken- und Korkwarenfabrik]. Пат. ФРГ 889221, 7.09.53 [Chem. Zbl., 1954, 125, № 12, 2735 (нем.)]

Пробка частично или полностью обтягивается или покрывается пленкой из эластичного материала, напр. полиамида, апетата целлюлозы, смеси полиэфиров и диизоцианатов, полиэтилена, поливинилхлорида и т. п. При такой обработке сохраняются тепло-звуко-изолирующие свойства, эластичность и малый уд. вес пробки и устраняется восприимчивость ее к хим. агентам, при одновременном увеличении механич. прочности на истирание.

45011 П. Способ фильтрации. Геберт (Filterverfahren. Gebert Franz) [Gebert & Cie]. Пат. ФРГ 898440, 30.11.53 [Chem. Zbl., 1954, 125, № 40, 9109 (нем.)]

Способ получения фильтрующего материала из пластмасс состоит в том, что реагирующие с альдегидами водорастворимые в-ва, дающие с водой пену (напр., сульфированные фенолы или фенолкарбонные к-ты с насыщ. или ненасыщ. алкильными или алкоксигруппами, содержащими ≥ 8 атомов С или же алкилированные производные мочевины не менее чем с 12 атомами С), вспенивают вместе с альдегидами в водн. среде, затвердевшую пену высушивают, измельчают и прессуют в соответствии с желательн. величиной пор. **И. К.**

45012 П. Катионообменные смолы. Ивакура, Судзук (Cation-exchange resin. Iwakura Yoshio, Suzuki Isamu) [Tokyo Institute of Technology]. Япон. пат. 4637, 16.09.53 [Chem. Abstrs., 1954, 48, № 20, 12343 (англ.)]

Смесь (в г) 1 октаметилен-бис-(метакрилоксиэтил)-мочевины, 11 $\text{CH}_2=\text{C}(\text{CH}_3)\text{COOH}$ и 0,12 перекиси бензоила нагревают при 80° в течение 1 часа. Продукт промывают кипящим спиртом, в результате чего получают 80% нерастворимой смолы, которую кипятят в течение 3 час. с 50 мл 0,5 н. NaOH . Нерастворимый остаток обрабатывают 0,5 н. HCl . Катионообменная смола имеет обменную способность 0,34 эк NaOH на 1 г смолы. **Е. Х.**

45013 П. Катионообменные смолы и способ их получения (Echangeurs de cations et procédé pour leur production) [Farbenfabriken Bayer A.-G.] Франц. пат. 1061918, 16.04.54 [Chimie et industrie, 1954, 72, № 3, 475 (франц.)]

Способ состоит в сульфировании (предпочтительно в измельченном виде) неплавких твердых продуктов, получаемых нагреванием одного или нескольких полигалоидалькилов в присутствии одного или нескольких катализаторов типа Фриделя — Крафта (и, при желании, в присутствии твердых углеводородов) с жидкими ароматич. и (или) гидроароматич. углеводородами или их жидкими производными, и (или) жидкими ароматич. соединениями, содержащими в молекуле один или несколько алифатич. и (или) ароматич. радикалов. **Я. К.**

45014 П. Клей. Росс (Adhesives. Ross J. A.) [Bakelite Ltd]. Англ. пат. 711150, 23.06. 54 [J. Appl. Chem., 1955, 5, № 1, i137 (англ.)]

Клей с повышенной водостойкостью содержит мочевиноформальдегидную смолу, 10% стабилизатора — растительного танина, содержащего флобатаннин, напр., гамбир, квебрахо, мимозу, аваран или миртантаннин, и отверждающий агент (который можно в отдельности смешивать со стабилизатором и вводить перед употреблением). Так, смесь из 20 ч. танина квебрахо, 20 ч. воды и 1 ч. $(\text{NH}_4)_2\text{SO}_4$ прибавляют к 100 ч. 66%-ного водн. р-ра смолы. Полученный клей применяют для произ-ва буковой фанеры в кол-ве 160 г м^2 . После склейки (1 час при $\sim 20^\circ$ и 10 мин. при 100° и 7 кг/см^2) материал имеет сопротивление срезу в сухом состоянии 27,4 кг/см^2 , а после 3 час. выдержки в воде при 70° — 21,91 кг/см^2 ; если же танин заменить пшеничной мукой, то соответствующие показатели составят 27,58 кг/см^2 и 14,28 кг/см^2 . **М. Л.**

45015 П. Фенольные клеи, модифицированные продуктами эфирами целлюлозы и соединениями хрома. Кон (Chromium-cellulose ether modified phenolic adhesives. Cone Charles N.) [American-Marietta Co.]. Канад. пат. 504773, 3.08.54

Для получения быстро высыхающего клеящего состава терморезистивную фенолформальдегидную смолу модифицируют 0,1—5,0 вес. ч. водорастворимого соединения хрома (напр., бихромата калия) и 0,1—10,0 вес. ч. растворимого в щелочи эфира целлюлозы (напр., метилцеллюлозы) с добавкой 200—1000 вес. ч. воды и щелочи, в требуемом для растворения кол-ве. Полученный клей обладает свойством быстро затвердевать и прочно склеивать фанеру. **М. В.**

45016 П. Способ получения клеевых масс для нанесения на основу. Зальдитт (Verfahren zur Herstellung von klebenden Massen zum Aufstreichen auf Trägerstoffe. Salditt Ferdinand) [Lohmann KG Hamburg-Wandsbek]. Пат. ГДР 6287, 25.01.54

В качестве клеевой массы для произ-ва липких лент для технич. и медицинск. целей применяют р-ры высокомолекулярных синтетич. каучукоподобных полимеров, обладающих клейкостью и эластичностью, в смоло- или маслоподобных полимерах такого же строения, но меньшего мол. веса. Для этой цели применяют поливинилбутиловый эфир различной степени полимеризации, а также его смесь с поливинилизобутиловым и поливинилэтиловым эфирами. Смеси изготавливают растворением каучукоподобного полимера и нагретом смолоподобном полимере. При этом в р-р можно вводить наполнители (ZnO , TiO_2 , тальк, шерштаной жир и медикаменты). Массу наносят на основу при т-ре, близкой к т-ре смешения компонентов, без применения вспомогательных р-рителей. Напр., 44 ч. мягкого поливинилизобутилового эфира (мол. в. $\sim 45\ 000$) расплавляют при 100° и вносят 28 ч. каучукоподобного поливинилизобутилового эфира (мол. в. $\sim 120\ 000$). После растворения в смесь вносят при той же т-ре 15 ч. TiO_2 и перемешивают до образования гомог. массы, которую наносят на основу при т-ре $\sim 100^\circ$. Пластырь имеет высокую липкость и стойкость при хранении и не вызывает никакого раздражения кожи. **Я. К.**

45017 П. Клей. Госс (Glue. Goss Worth C.) [The Sheetwood Products Co.]. Пат. США 2694013, 9.11.54

Клей состоит из древесины, поврежденной бурой гнилью, аммиака и какого-либо амида, напр. мочевины, дицианамид, меламина или биурета. **Н. Р.**

45018 П. Пластическая композиция, применяемая в соединительных узлах. Гилл (Plastic joint composition. Gill Joseph W.) [Canadian Gypsum Co. Ltd]. Канад. пат. 506762, 26.10.54

Композиция для заделки стыков состоит (в %) из 2—10 животного клея, 0—5 кукурузной массы, 0,035—0,35 водорастворимой соли Cr^{3+} , 2—10 асбеста, 0—30 двуокиси кремния, 0—30 пиррофиллита, 5—15 слюды и каолина. **Б. К.**

45019 П. Составы для уплотнения, состоящие из сополимера винилхлорида и винилацетата, каменноугольного пека и тяжелого каменноугольного масла. Бек, Детрик (Joint sealing compounds comprising a vinyl chloride-vinyl acetate copolymers, coal digestion pitch and tar heavy oil. Beck Harold R., Detrick Robert S.) [Koppers Co. Inc.]. Пат. США 2697697, 21.12.54

Уплотняющая композиция для реактивных двигателей, стойкая против действия топлива, содержит 5—20% сополимера винилхлорида и 1—15% винилацетата (внутренняя вязкость сополимера в р-ре циклогексана равна 1,1); каменноугольный пек; 1—2 части фракции каменноугольного дегтя, свободной от

кристаллич. в-в и содержащей $\leq 1\%$ летучих, перегоняемых при 300° (или $18-25\%$ при 355°). Продукт при 25° имеет пенетрацию (по конусу) $5-9$ мм. Е. Х.

45020 П. Гидроизоляционная масса (Masse d'étanchéité) [Soc. Française de Peintures Bitumineuses A. E. Petit et Cie]. Франц. пат. 1027485, 12.05.53 [Rev. gen., saoutchouc, 1953, 30, № 11, 856 (франц.)]

Композиция, предназначенные для обеспечения водонепроницаемости в местах точечной сварки железных листов без ущерба для электрич. контакта между листами, представляя собой жидкости, затвердевающие при нагревании в эластичную массу. Эти композиции содержат смолу на основе фенолформальдегидных продуктов р-ции, р-р смокед-шита или вишиловые смолы. Н. К.

45021 П. Многожильные проводники. Смит (Stranded electrical conductors. Smith E. W.) [Submarine Cables, Ltd.]. Англ. пат. 709394, 26.05.54 [Rubber Abstrs, 1954, 32, № 9, 406 (англ.)]

Способ произ-ва многожильных проводников с изоляцией отдельных жил, отличающийся тем, что на центральную жилу наносится (лучше всего шприцеванием) слой термопластичного материала (напр., полиэтилена) и накладываются наружные жилы. При последующем нагревании размягчающийся термопластичный материал затекает между жилами и изолирует их. Ю. Д.

45022 П. Составы для компаундирования электрических аппаратов (Compositions suitable for filling electrical apparatus) [Western Electric Co., Inc.]. Англ. пат. 697805, 30.09.53

Состав для компаундирования электрич. аппарата представляет собой мягкий пластичный гель $5-90\%$ твердого полиэтилена (мол. в. $4000-15000$) в вязком полиизобутилене с мол. в. $2000-7000$. Состав может также содержать антиоксиданты, как, напр., полимеризованный триметилдигидрохинон. М. Л.

45023 П. Подшипники скользящие (Plain bearings) [Glacier Metal Co., Ltd.]. Англ. пат. 695195, 5.08.53

Подшипники скользящие имеют поверхностный слой, состоящий из синтетич. смолы (полиамидов, политетрафторэтилена или полиметилметакрилата), содержащей диспергированные частицы сернистого молибдена. Сернистый молибден может быть равномерно диспергирован в пластик, или образовывать отдельный слой или зону. В случае наличия в подшипнике двух или более слоев из пластика, по крайней мере один из слоев, образующий поверхность подшипника, содержит большое кол-во сернистого молибдена. Б. К.

См. также: 43252, 43260, 43361, 43366—43368, 43372, 43385, 43387, 43393, 43395—43399, 43402—43404, 43408, 43410—43412, 43417—43421, 43423—43433, 43436, 43438, 43439, 43441, 43442, 43445, 43512, 43578, 43587, 44419, 44438, 44493, 44573—44576, 44581, 44587, 44590, 44601, 44604, 44605, 44610, 44614, 44622, 44636, 44653, 44681, 44752, 44756, 44779, 44781, 44788, 44789, 44793, 44803, 44820, 44827, 44823, 44834, 44842, 44846, 44852, 45028, 45029, 45038, 45046, 45047, 45049, 45050, 45084, 45137, 45296, 45536, 45643, 45830, 49900; 13156 Бх, 14008 Бх

ЛАКИ. КРАСКИ. ЭМАЛИ. ОЛИФЫ. СИНКАТИВЫ

45024. Химия высокополимерных соединений в защитных покрытиях. Шер (High polymer chemistry in protective coatings. Shur E. G.), Paint and Varnish Prod., 1954, 44, № 5, 30, 31, 73 (англ.)

Краткий обзор методов получения и характерных свойств высокомолекулярных соединений с примерами из области пленкообразующих в-в. М. Г.

45025. Окраска металлических поверхностей. Андерс (Anstrichfarben für Metalle. Anders Heinz), Metalloberfläche, 1953, 7, № 9, A 139—A 141 (нем.) Кратко описаны лакокрасочные материалы для окраски металлов. Н. А.

45026. Английская лакокрасочная промышленность. Валич (Britanska industrija boja i lakova. Valic Ljudmila), Kemija u industriji, 1955, 4, № 9, 184—185 (хорв.)

45027. Защита внутренней поверхности консервных коробок из белой жести. Дейвис (Internal protection of tinplate food containers. Davis E. G.), Austral. Food Manufact., 1955, 25, № 1, 30, 36 (англ.) Для противокоррозийной защиты консервных банок применяют лаки из поливиниловых, фенолформальдегидных и эпоксидных смол и масляно-смоляные лаки. Б. Ш.

45028. Новое в развитии силиконовых смол для защитных покрытий. Хедлунд (New developments in silicone resins for protective coatings. Hedlund R. C.), Paint Ind. Mag., 1955, 70, № 9, 17—20 (англ.) Описаны теплоустойчивые немодифицированные и модифицированные силиконаликвидные, силиконфенольные смолы, краски на их основе. Приведены рецептуры красок; составы силиконовых смол не указаны. Б. Ш.

45029. Эпоксидные смолы «Эпикот» в современной лакокрасочной промышленности. Нарракот (Le resine epossidiche «Epikotte» nella moderna industria delle vernici. Narracott Enrico S.), Chimica e industria, 1954, 36, № 6, 475—479 (итал.; рез. англ., франц., нем.); Pitture e vernici, 1954, 10, № 6, 375—380 (итал.)

Описываются методы получения и особенности эпоксидных смол (получаемых конденсацией эпихлоргрина с диоксифенилпропаном) и их преимущества по сравнению с широко применяемыми фенольными, алкидными, мочевиными и меламиновыми смолами. Приведены данные, характеризующие исключительно высокую хим. стойкость покрытий на основе эпоксидных смол, по сравнению с другими окрасочными составами (в 30 хим. средах). И. З.

45030. Характеристика водных поливинилацетатных красок: дефекты, их причины и борьба с ними. Флетчер (Sul comportamento all'esterno delle pitture aceto-poliviniliche all'acqua: difetti, cause e rimedi. Fletcher A. C.), Pitture e vernici, 1954, 10, № 12, 771—774 (итал.)

Дефекты пленок воды. поливинилацетатных эмульсий (для наружной окраски стен) бывают следующие: эрозия, отслаивание, растрескивание, образование пузырей, изменение цвета, изменение внешнего вида и структуры. Меры борьбы с ними могут быть различными, напр., эрозию можно предотвратить, повысив сопротивляемость пленки попеременному увлажнению и высыханию, путем подбора пигмента, наполнителя и пластификатора, степени дисперсности твердых в-в и т. д.; с отслаиванием можно бороться, тщательно защищая поверхность перед окраской, а если она пористая, то наноса на нее грунтовой слой. Изменение цвета предотвращают, подбирая пигменты, устойчивые к свету, к-там и щелочам, или пластификаторы и загустители, устойчивые к УФ-излучению. З. Б.

45031. Противокоррозийные пигменты. Шетте (Anti-corrosive pigments. Shetty G. D.), Bombay Technologist (1954—1955), 1955, 5, March, 59—66 (англ.)

Обзор исследовательских работ по вопросам коррозии и защиты металлич. поверхностей. Общая характеристика и оценка пигментов для противокоррозийных лакокрасочных покрытий. Библи. 18 назв. Б. Ш.

45032. Развитие производства литопона и его значение. Клаузен (Lithopone. Geschichtliche Ent-

wicklung, Herstellung und Bedeutung. Clausen H.), Chem. Rundschau, 1954, 7, № 13, 253—255 (нем.)
Краткий обзор развития произ-ва литопона, источников сырья для него и его применения. Б. Ш.

45033. Матовые краски для стен. Норрис, Меррей (Notes on the flat wall paint situation. Norris Wayne C., Murrey Elwood J.), Offic. Digest, 1953, № 341, 339—348 (англ.)

Краткий обзор применения связующих (водоэмульсионных, алкидных, латексных) в матовых красках для стен. М. Г.

45034. Фракционирование полимеризованного масла методом избирательного растворения. Бернштейн (Solvent fractionation of stand oils. Bernstein I. M.), J. Oil and Colour Chemists' Assoc., 1954, 37, № 404, 109—110 (англ.)

Замечание к реф. РЖХим, 1955, 33277. Для удаления р-рителей (и-спиртов) после фракционирования рекомендуется применить 3-ступенчатый дистилляционный аппарат системы «Пирекс» с большой поверхностью испарения. Процесс ведут при $\sim 20^\circ$; в конце процесса т-ру поднимают до 75° при давлении не выше 25 мм. Периодически для ускорения удаления летучих продуктов через систему продувают инертный газ. Для предотвращения самоокисления добавляют $\sim 0,1\%$ антиоксиданта (гидрохинона). Н. С.

45035. Растворители для нитроцеллюлозных лаков. Радд (Solvents for nitrocellulose lacquers. Some facts and speculations. Rudd H. W.), Paint Manufact., 1955, 25, № 9, 335—341 (англ.)

Обзор. Библ. 4 назв. К. Б.
45036. Шпательные материалы для полов на искусственных смолах. Кзелик (Erfahrungen mit Kunstharz-Spachtelböden. Kselik Georg), Prakt. Chem., 1954, 5, № 1, 12—13 (нем.)

Шпательки для светлых полов получают на основе дисперсий поливинилацетата, не содержащих пластификаторов. Обработанные поверхности рекомендуют покрывать слоем мочевино- или меламиноформальдегидных лаков. Н. А.

45037. Способы и средства для нанесения красок. III. Клозе (Austriertechnische Verfahren, Mittel und Einrichtungen als Helfer in Fünfjahrplan. III. Klose R.), Technik, 1953, 8, № 7, 471—473 (нем.)

Описаны способы огневого распыления распыленных материалов, распыления в электрич. поле, электростатич. распыления, а также высокочастотной пульверизации лакокрасочных материалов. Кратко описаны характерные особенности и условия окраски упомянутыми способами. РЖХим, 1956, 30813. Н. А.
45038. Окраска прессованных изделий из полистирола. Бруке (Lacquering polystyrene moldings. Brooks Dennis E.), Organ. Finish., 1954, 15, № 4, 8—9, 11 (англ.)

Общие сведения об окраске изделий из полистирола. М. Г.

45039. Сушка инфракрасными лучами. Бернхард (Essiccamento a raggi infrarossi. Bernhard Paul), Ind. vernice, 1954, 8, № 4, 107—111 (итал.)

Кратко изложены особенности сушки лакокрасочных покрытий ИК-лучами, отмечены технико-экономич. преимущества такой сушки. И. З.

45040. Осмотическое давление, полупроницаемые перегородки и вспузыривание краски. Баббитт (Osmotic pressure, semipermeable membranes, and the blistering of paint. Babbitt J. D.), Canad. J. Technol., 1954, 32, № 2, 49—54 (англ.)

Проникновения влаги сквозь древесину самого по себе недостаточно для вспузыривания наружной окраски деревянных зданий. Преодоление силы сцепления красочной пленки с древесиной ($14\text{--}35 \text{ кг/см}^2$) проис-

ходит, если т-ра наружного воздуха и самой пленки намного ниже т-ры внутри помещения и т-ры конденсации влаги. В этом случае аналогично осмосу водяные пары, достигая непроницаемого барьера (красочной пленки) конденсируются и в порах древесины скапливается вода. Создающееся гидростатич. давление задерживает дальнейшее проникновение влаги в древесину и преодолевает силу сцепления краски с древесиной, вызывая вспузыривание. М. Г.

45041. Анализ типографских красок. Любинская (Metoda analizy chemicznej farb drukarskich. Lubinska J.), Poligrafika, 1953, № 6, 6—8 (польск.)

См. также РЖХим, 1954, 16858.

45042. Конструкция блескомера и стандарты блеска. Ньюэлл (Glossmeter design and gloss standards. Newell A. D.), Offic. Digest, 1953, № 346, 775—780 (англ.)

Рассмотрены различные методы измерения блеска лакокрасочных покрытий. М. Г.

45043. Точность измерений толщины покрытий и сравнение некоторых приборов. Хувен (Accuracy of layer thickness measurements and evaluation of some thickness gauges. Hoveen H. W. van der), Verfkroniek, 1954, 27, № 4, 88—94 (англ.; рез. франц., нем., голл.)

Для измерения толщины пленки с точностью $\pm 5\%$ электромагнитным прибором необходимо сделать 12 измерений, для получения точности $\pm 10\%$ — не менее 3 измерений. При определении толщины пленки микрометром число измерений составляет, соответственно, 21 и 5. И. И.

45044. Эмульгирование офсетных красок. Биттер (Das Emulgieren von Offsetfarben. Bitter J. H.), Schweiz. Arch. angew. Wiss. und Techn., 1955, 21, № 3, 85—89 (нем.; рез. англ.)

Рассматриваются условия эмульгирования офсетных красок: влияние применяемой бумаги, краски, воды и добавок к ней. Результаты получаются хорошие, если понижение поверхностного натяжения воды не переходит определенного максимума. pH воды должен быть 5—6. Необходимо следить, чтобы в воду не попали поверхностноактивные в-ва (мыло и т. п.). Л. Ф.

45045 П. Оранжевый шеллак. Убуката (Orange shellac. Ubukata Kiyoshi) [Koyo Chemical Industries Co.], Япон. пат. 1492, 20.03.54 [Chem. Abstrs, 1955, 49, № 1, 642 (англ.)]

Раствор 100 г шеллака, 400 мл H_2O и 20 г буры фильтруют, после чего фильтрат обрабатывают 3—5 л H_2O и 20 мл конц. HCl в 500 мл H_2O . Осадок отфильтровывают, промывают H_2O и обрабатывают 2 мл уксусной к-ты в 200 мл H_2O и 10 г NaClO в 500 мл H_2O , после чего дают отстояться в течение нескольких часов, фильтруют, промывают водой и высушивают. Т. Л.

45046 П. Получение несмачивающихся водой покрытий. Хайд (Verfahren zum Wasserabstoßend machen von Gegenständen. Hyde James Franklin) [Dow Corning Corp.], Пат. ФРГ 889046, 7.09.53 [Chem. Zbl., 1954, 125, № 10, 2280 (нем.)]

Для получения несмачивающихся водой покрытий применяются жидкие полворганосилоксаны, напр. фенилэтилсилоксан, которые путем нагревания в присутствии неорганич. к-т (HCl или H_3PO_4) и (в данном случае) в среде летучего р-рителя (толуол) подвергаются дальнейшей полимеризации. К. Б.

45047 П. Силоксановые смолы. Смит (Siloxane resins. Smith Earle J.) [Dow Corning Corp.], Канад. пат. 497892, 24.11.53

Растворы силоксановых сополимерных смол рекомендуются в качестве связующих для красок и содержат (в молярных %) 15—40 монометилсилоксановых

групп, 25—55 монофенилсилоксановых групп и 30—50 метилфенилсилоксановых групп. Органич. радикалы присоединены через Si—C-связь, а атомы Si чередуются в молекуле через Si—O-связи. Конденсация смол проводится до получения нерастворимой в бензине, липкой, твердой в воздушно-сухом состоянии массы. К. В.

45048 П. Модифицированные стирольные составы. Браннер (Modified styrene compositions. Brunner H.) [Imperial Chemical Industries, Ltd.]. Англ. пат. 710093, 9.06.54 [Paint Manufact., 1954, 24, № 9, 328 (англ.)]

Составы для покрытий получают, полимеризуя при $t \geq 100^\circ$ смесь стирола и смоляной к-ты или многоатомного спирта, в присутствии катализатора типа Фриделя — Крафта, а также р-рителя, содержащего высыхающее масло. М. Г.

45049 П. Кремнийорганические сополимеры (Copolymeric organosilicon resins) [Dow Corning, Ltd.]. Англ. пат. 692829, 17.06.53 [Rev. Current Liter. Paint, Colour, Varnish and Allied Inds., 1954, № 156, 664 (англ.)]

Кремнийорганические сополимеры содержат элементарные звенья состава $RSiO_{1.5}$ и $R'_nSiO_{(4-n)/2}$, где R — $(CH_3)_3SiCH_2-$ или $(CH_3)_2C_6H_5SiCH_2-$, R' — алкил или моноциклич. арил и $1 \leq n \leq 2$. Сополимеры используются для получения термо- и погодостойких покрытий на металле, напр., для окраски печей, кипятильников и дымовых труб. А. Ж.

45050 П. Способ получения отверждающихся смолоподобных конденсационных продуктов. Вейхе (Verfahren zur Herstellung von härtbaren harzartigen Kondensationsprodukten. Weihe Adolf) [Farbwerke Hoechst A.-G. vormals Meister Lucius und Brüning]. Пат. ФРГ 896266, 9.11.53 [Chem. Zbl., 1954, 125, № 17, 3807 (нем.)]

Отверждающиеся смолоподобные конденсационные продукты получают при взаимодействии первичных уретанов (содержащих более чем один остаток карбаминной к-ты) с кротоновым альдегидом, при повышенной t -ре в кислой среде, в присутствии р-рителей. В качестве исходных полиуретанов рекомендуются диуретаны 1,3-бутиленгликоля, тиобутиленгликоля, гександиола-1,6 и триметилолпропантриуретан. Получаемые смолы применяются в лаках и красках. К. В.

45051 П. Способ получения спиртового лака, пигментированного Al-пудрой (Verfahren zur Herstellung eines aluminiumpulverhaltigen Spirituslackes und nach diesem Verfahren hergestellter Lack) [Unitrade A.-G.]. Швейц. пат. 294340, 16.01.54 [Chem. Zbl., 1954, 125, № 36, 8229 (нем.)]

Способ получения спиртового лака, содержащего Al-пудру, который противостоит воздействию масла, бензина, бензола и морской воды, состоит в том, что 1 ч. новолачной смолы и 1 ч. смолы резольного типа тщательно смешивают с 2—3 ч. спирта и затем с суспензией Al-пудры в спирте. Рекомендуют состав лака: 30% смолы, 20% Al-пудры и 50% спирта. Б. Ш.

45052 П. Продукт конденсации силикона. Каку, Нодзимото (Silicone condensate. Kaku Nizawa, Nojimoto Eiji) [Sumitomo Chemical Industries Co.]. Япон. пат. 1297, 26.03.53 [Chem. Abstrs, 1954, 48, № 3, 1731 (англ.)]

Продукт гидролиза $(CH_3)_3SiCl$ и $(C_6H_5)_3SiCl_2$ при $170-180^\circ$ конденсируют при нагревании путем пропускания в него водяного пара, содержащего Cl. Продукт, растворенный в толуоле, наносят на медную пластинку, сушат при 200° в течение 8 час., чтобы получить водонепроницаемую пленку, не содержащую Cl. М. Г.

45053 П. Лакокрасочные материалы на основе пластических масс. Фланган (Coating compositions having a plastic base. Flanagan W. F.)

[New Wrinkle, Inc.]. Англ. пат. 695581, 12.08.53 [Paint Manufact., 1953, 23, № 10, 348 (англ.)]

Лак, который образует, в зависимости от условий сушки, гладкие или муаровые покрытия, состоит (в вес. ч.) из 150 ч. сополимера хлорвинила с винилацетатом (в соотношении 87 : 13), 100 ч. бутилацетата, 100 ч. метилэтилкетона, 125 ч. циклогексана, а также пластификатора — диэтилгексилфталата. К. В.

45054 П. Процесс нанесения полиэтилена. Рейлинг (Process for coating with polyethylene. Railing Wilford E.) [E. I. du Pont de Nemours and Co.]. Пат. США 2663652, 22.12.53

Для нанесения покрытия из полиэтилена (I) последний применяют в виде порошкообразной смеси с 20—200% (от веса I) летучего р-рителя, состоящего из углеводородов и хлорированных углеводородов, с т. кип. $150-300^\circ$, растворяющий I при $t \sim 120^\circ$. Полученное покрытие сушат при $120-230^\circ$, но ниже t -ры кипения р-рителя до полного его удаления. I имеет т. пл. $\geq 105^\circ$ и вязкость $\geq 25\ 000$ пуаз при 190° . К. В.

45055 П. Полимерные продукты (Polymeric products) [E. I. Du Pont de Nemours and Co.]. Англ. пат. 698007, 7.10.53 [Paint Manufact., 1953, 23, № 11, 385 (англ.)]

Трехмерные полимеры для покрытий состоят из трех компонентов: этилена, алкилакрилата (напр., метилакрилата) и метилмалеата, взятых в определенных соотношениях. Приведено 16 примеров. К. В.

45056 П. Получение лакокрасочных материалов или комбинаций искусственных смол. Хейзел, Кейхер, Розенберг (Verfahren zur Herstellung von Anstrichmitteln oder Kunststoffkombination. Heisel Paul, Keicher Georg, Rosenberg Guido v.) [Lech-Chemie Gersthofen]. Пат. ФРГ 889668, 14.09.53 [Chem. Zbl., 1954, 125, № 10, 2279 (нем.)]

Патентуются лакокрасочные материалы на основе хлоркаучука, полихлорвиниловой или перхлорвиниловой смол с применением в качестве пластификатора замещ. фенолтерпенов, напр. частично или высокохлорированных (или алкилированных) фенолтерпеновых (или нитрофенолтерпеновых) эфиров, которые могут содержать как алкильные, так и терпеновые остатки. К. В.

45057 П. Метод разрушения остатков катализатора. Глисон (Method of destroying catalyst residues. Gleason Anthony H.) [Esso Research and Engineering Co.]. Пат. США 2712561, 5.07.55

Предложен процесс приготовления высыхающего масла сополимеризацией 75—100 ч. бутадина и 25—0 ч. стирола при $20-100^\circ$, в присутствии 1,5—10 ч. тонкоизмельченного металла. На и 50—500 ч. инертного углеводорода в качестве разбавителя. Предложен усовершенствованный метод удаления остатков Na путем обработки полученного продукта р-ции некоторым кол-вом 82,5—96%-ной H_2SO_4 для полного превращения Na в бисульфат. М. В.

45058 П. Состав политетрафторэтиленового покрытия, метод нанесения на основу, окрашенные основы и пленки. Хокберг (Polytetrafluoroethylene coating compositions, method of application to substrates, coated substrates, and films. Hochberg Jerome) [E. I. du Pont de Nemours and Co.]. Пат. США 2710266, 7.06.55

Покрытие, нанесенное на основу, состоит из политетрафторэтилена и по крайней мере одного водорастворимого силиката щел. металла, в качестве которого можно взять соединение из группы, содержащей силикат натрия и силикат калия; кол-во указанного силиката в покрытии составляет 6—50% от суммарного веса политетрафторэтилена и силиката; молярное от-

ношение окиси щел. металла к двуокиси кремния в силикате равно 1:1. М. В.

45059 П. Использование активированного силикатного глинозема в стиролаккидной реакции. Армитадж (Process using activated silicate clay in styrene-alkyd reaction. Armitage Frank). Пат. США 2676159, 20.04.54

Патентуется метод получения масляностирольных сополимеров путем нагревания смеси из 875 ч. стирола и 600 ч. алкидной смолы, модифицированной касторовым маслом, в присутствии 12 ч. фуллеровой земли, при t -ре ~ 130 — 170° в течение 1,5 часа. К. Б.

45060 П. Способ получения лаков, дающих гладкие беспористые покрытия. Грюккель (Verfahren zur Herstellung von glatte und porenfreie Filme ergebenden Lacken. Grückel Karl) [Chemische Werke Albert]. Пат. ФРГ 889047, 7.09.53 [Chem. Zbl., 1954, 125, № 10, 2280 (нем.)]

Способ получения лаков основан на применении водорастворимых отверждающихся фенольных смол. К последним, получаемым конденсацией фенолов с CH_2O в щел. р-ре, добавляют в процессе синтеза целочастные простые эфиры целлюлозы, напр. эфир целлюлозы и гликолевой кислоты. К. Б.

45061 П. Масляностирольные сополимеры. Хаббук (Styrene-drying oil interpolymers. Hubbard Leo P.) [E. I. du Pont de Nemours and Co.]. Канад. пат. 495026, 4.08.53

Сополимеры стирола с льняным и древесным масляными получают, нагревая при 50 — 300° или при 125 — 145° определенные смеси компонентов до получения продукта, имеющего определенный состав. К. Б.

45062 П. Метод получения лакокрасочных материалов на основе полиэтилена и алкилполисилоксана.

Лосон (Coating compositions comprising polyethylene and alkyl polysiloxane and method of making same. Lowson William Dent) [E. I. du Pont de Nemours and Co.]. Пат. США 2655489, 13.10.53

Лакокрасочные материалы, дающие стойкие к истиранию и с повышенным блеском покрытия, получают, перетирая пигмент на смеси геля (I) с нелетучим органич. смоляным пленкообразующим (II) и летучим р-рителем. После получения однородной суспензии к ней добавляют дополнительные кол-ва II и р-рителя. I состоит (в %) из 5—50 (от общего веса I) полиэтилена, 0,25—2,0 (от веса полиэтилена) жидкого алкилполисилоксана и р-рителя для полиэтилена и алкилполисилоксана. К. Б.

45063 П. Способ получения лака для покрытия мебели. Хеймер (Verfahren zur Herstellung eines zum Bohren von Möbeln verwendbaren Lackes. Heijmer Gustaf Bristol). Швейц. пат. 297414, 1.06.54 [Chem. Zbl., 1955, 126, № 6, 1386 (нем.)]

Способ получения лака отличается тем, что карбамидную или меламиновую смолу (или их смеси) конденсируют при нагревании в смеси с нитроцеллюлозой и алкидной смолой, в среде р-рителя (ксилола, бутилацетата, этиленгликоля, спирта или их смесей) с катализатором (HCl , H_3PO_4 , $(\text{COOH})_2$, ZnCl_2). По достижении необходимой степени конденсации для нейтр-ции кислого катализатора добавляют, напр., триэтаноламин, прерывающий р-цию. К получению таким образом матового лаку добавляют бесцветный лак. Н. А.

45064 П. Гель-лаки на основе пропониатцеллюлозы и метод их применения. Порзер, Барух (Cellulose propionate gel lacquer composition and method of applying. Porzer Ralph E., Baruch Alan P.) [Celanese Corp. of America]. Пат. США 2652346, 15.09.53

Поверхность покрывается нитроцеллюлозной грунтовой, затем на нее наносится слой гель-лака и про-

водится его желатинизация, путем понижения t -ры ниже точки гелеобразования. Гель-лак состоит из 15—40 вес. ч. пропониатцеллюлозы, растворенной в смеси р-рителей, состоящей из 50—10 вес. % пропи-л-, изопропи-л-, бутил- и амилацетатов и 50—90 вес. % ксилола или толуола. К. Б.

45065 П. Получение твердых основ для лаков и эмалей из производных целлюлозы. Лайн (Manufacture of solid bases for cellulose derivative lacquers and enamels. Lyne Ralph R.) [Imperial Chemical Industries Ltd]. Канад. пат. 501125, 30.03.54

Получение твердых лаковых основ из производных целлюлозы заключается в перемешивании желатинированного производного целлюлозы с водорастворимой солью неполного эфира поливинилового спирта и многоосновной к-ты, применяемой в виде набухшего в воде геля. Перемешивание продолжается до полного растворения соли и отделения воды, вальцевания полученной массы в листы, которые по охлаждению измельчаются. Водорастворимая соль образуется за счет наличия в неполном эфире свободных карбоксильных групп. В основу можно добавлять пигменты. К. Б.

45066 П. Покрывные лаки. Хундхаузен, Хартман, Кюнеман (Streichfertige Decklacke. Hundhausen Georg, Hartmann Fritz, Kühnemann Rudolf) [Wasag-Chemie A.-G.]. Пат. ФРГ 905660, 4.03.54 [Chem. Zbl., 1954, 125, № 32, 7298—7299 (нем.)]

В качестве покрывных лаков применяют р-ры нитроцеллюлозы в высококипящих гидрофильных р-рителях с содержанием 5—25% H_2O . При этом получают прозрачные покрытия. Нанесение производят по различным грунтам — масляным или нитроцеллюлозным. Н. А.

45067 П. Покрывные массы. Кебрич, Петерсон (Überzugsmasse. Kebrich Leonard M., Peterson Edwin P.) [National Lead Co.]. Пат. ФРГ 905659, 4.03.54 [Chem. Zbl., 1954, 125, № 32, 7299 (нем.)]

Покрывные массы состоят из растительного высыхающего масла (напр., льняного), содержащего свинцовую соль ароматич. оксикислоты (лучше оксисбензойной, напр. ацетилсалицил- или 3,5-диоксисбензойной к-ты). Добавки 5—10% средней или основной соли салицилата свинца значительно повышают атмосферостойкость покрытий. Н. А.

45068 П. Способ получения гомогенных покрывных смесей. Хенсон, Эдвардс (Verfahren zur Herstellung von homogenen Überzugsmischungen. Henson Walter A., Edwards Franklin G.) [Dow Chemical Co.]. Пат. ФРГ 906967, 18.03.54 [Chem. Zbl., 1954, 125, № 36, 8229 (нем.)]

В высыхающем масле (льняном, тунговом, перилловом, ойтисиковом, или оксидированном соевом масле) растворяют маслорастворимый эмульгатор (глицериновый эфир рициновой к-ты или моноарильный эфир этиленгликоля), затем вводят при размешивании водн. дисперсию эмульсионного полимера (стиролбутадиенового, винилиденхлоридакрилонитрильного, винилхлоридвинилиденхлоридного, винилхлоридвинилиденхлоридэтилакрилатного, бутадиенакрилонитрильного). Кол-во полимера составляет 10—50% от масла. Перед применением рекомендуют дисперсию обезвоживать путем продувания воздухом при t -ре испарения. Затем добавляют летучий р-ритель, являющийся коагулянт для примененных полимеров, нерастворяющий их и частично смешивающийся с водой. Н. А.

45069 П. Лакокрасочный материал на основе гидрата окиси железа. Даунс, Мартин (Coating composition containing gamma-ferric oxide hydrate. Downs Charles D., Martin John)

[Columbian Carbon Co.]. Канад. пат. 497567, 10.11.53
Лакокрасочный материал, применяемый в покрытиях
горячей сушки и состоящий из γ -гидрата окиси железа
и связующего из синтетич. смолы и высыхающего масла.

К. Б.

45070 П. Способ получения водостойких покрытий
на основе клеевых красок. Гросскопф (Verfahren
zur Herstellung von wasserfeste Überzüge ergebenden
Leimfarben. Groskopf Michael R.) [Anneliese
Leininger]. Пат. ФРГ 890110, 17.09.53 [Chem. Zbl.,
1954, 125, № 10, 2281 (нем.)]

Получение водостойких покрытий достигается до-
бавлением к клеевым краскам, наряду с искусств.
смолами (напр., метилцеллюлозой, поливинилацетатом),
тонкодисперсной Al_2O_3 .

К. Б.

45071 П. Окрашенный материал для покрытия.
Накагава (Colored coating material. Nakagawa
Kiichi). Япон. пат. 1087, 13.03.53 [Chem.
Abstrs, 1954, 48, № 3, 1706 (англ.)]

216 кг остатка от перегонки светлого каменноуголь-
ного масла нагревают в течение 1 часа при 80—90°
и 30 мин. при 100—110°. Полученную сиропообразную
жидкость коричневого цвета нагревают в течение
30 мин. при 120—130° и 20 мин. при 140° и затем сме-
шивают с 34 кг крокуса, 34 кг янтаря, 24 кг пиридина
и 120 кг каолина.

К. Б.

45072 П. Состав покрытия для тары из волокни-
стых материалов. Спринг (Liner coating composition.
Spreng Alfred A.). Канад. пат. 498018, 1.12.53
Состав для нанесения на внутреннюю поверхность
тары из волокнистых материалов содержит (в %)
70 талька, 18 каолина, 10 протеина и 2 NaOH в смеси
глицерина и воды.

К. Б.

45073 П. Пигмент $CaCO_3$, покрытый амином. Ко-
рейва, Ридер (Amine-coated calcium carbonate
pigments. Korejwa Alfred, Reader
Lawrence J.) [Wyandotte Chemicals Corp.].
Пат. США 2709160, 24.05.55

Пигмент углекислый кальций, покрытый амином и
имеющий степень дисперсности наполнителей для
резины, содержит диспергированный на поверхности
пигментных частиц, в кол-ве 0,2—5,0%, высший амин,
в качестве которого можно взять аминопроизводное
канифоли или первичные n -алкиламины, у которых
алкильные группы содержат 10—18 атомов С.

Б. Ш.

45074 П. Способ получения высококачественных пиг-
ментов из фталоцианинов тяжелых металлов (Procédé
pour la préparation de pigments précieux de phtalo-
cyanines de métaux lourds) [Badische Anilin- und
Soda-Fabrik]. Франц. пат. 1077317, 05.11.54 [Teintex,
1955, 20, № 6, 487—488 (франц.)]

Фталоцианины щел.-зем. металлов измельчают в при-
сутствии органич. р-рителей (напр., алифатич. или
ароматич. углеводородов, их галовидо- или гидропропа-
нов, простых и сложных эфиров, кетонов, диокса-
нов или аминов), кипящих в пределах 50—250°, в-в,
способствующих измельчению (напр., галогениды щел.
или щел.-зем. металлов, щел.-зем. сульфаты или карбо-
наты, щел. фосфаты или бораты, фталевый ангидрид,
сахар или мочевины) и тяжелых металлов (или их про-
изводных), таких как Zn, Cd, Sn, Pb, Cr, Mo, Ti, Mn,
Fe, Ni, Co, Cu в кол-вах, эквимолекулярных по отно-
шению к фталоцианину щел.-зем. металла. Для из-
мельчения используют аппаратуру, действующую по
принципу раздвигания, истирания, резания, удара
или падения. Полученные пигменты обрабатывают
разб. к-тами, напр., 10%-ной водн. HCl, лучшей при
высокой температуре.

Н. А.

45075 П. Использование отходов никелевого катали-
затора от гидрогенизационных установок (Utili-
zation of nickel catalyst waste of hydrogenation fac-
tories) [Mathur, Mathur and Tawakley]. Инд. пат.

48093, 10.53 [J. Scient. and Industr. Res., 1953, 12,
№ 12, 575 (англ.)]

Отходы никелевого катализатора используют в на-
честве пигмента после их измельчения.

К. Б.

45076 П. Пигментированные масляные гели и метод
их получения. Уолд (Pigmented oil gel and method
of making. Wald William A.) [The Common-
wealth Engineering Co.]. Канад. пат. 497569, 10.11.53
Метод получения пигментированных растительных
масел состоит в омылении масла, тщательном смешении
полученного мыла с водн. суспензией пигмента, под-
кислении полученной массы с целью выделения свобод-
ных жирных к-т и этерификации их глицерином, при
нагревании. В результате получается хорошее диспер-
гирование частиц пигмента в глицеридах жирных к-т.
В качестве масел могут быть использованы льняное и
хлопковое, в качестве пигмента — ZnO .

К. Б.

45077 П. Получение пластичных пигментов из ду-
ктивных материалов. Эрангель (Manufacture of
lamellar pigments of ductile materials. Herenguel
J. F. G.) [Iretileries et Laminoirs du Havre]. Англ.
пат. 706251, 24. 03. 54 [J. Soc. Dyers and Colourists,
1954, 70, № 6, 252 (англ.)]

Пигмент, напр. металл или термoplastичная смола,
формируется в жидкую массу, которая пропускается
между плоскостями, находящимися во вращательном
движении, но не трущимися между собой, и пресуется.
Продукт имеет высокую гибкость и упругость.

Т. Ф.

45078 П. Способ разбавления для увеличения объема
красочной смеси. Грин (Method of amplifying paint
mixtures. Greene John F.). Пат. США 2714073,
26.07.55

Для увеличения объема готовых к употреблению
масляных красок применяют следующий способ. Рас-
творяют 2,3 кг канифоли в 7,6 л CH_3OH и оставляют
стоять в течение 24 час. В небольшом кол-ве воды рас-
творяют 1,4 кг гуммиарабика. В 76 л воды смешивают
в течение 5 мин. 0,9 кг $Pb(CH_3COO)_2$, 0,9 кг $Zn(CH_3-
COO)_2$, 0,45 кг каустич. соды, 0,45 кг жидкого стекла
и 0,9 кг ирландского торфяника. К этой смеси добав-
ляют растворенные канифоль и гуммиарабик и кол-во
воды, достаточное для доведения общего объема до 190 л;
смесь оставляют отстаиваться несколько часов, затем
разбавляют водой из расчета 34,2 л воды на каждые
3,8 л смеси и получают общий объем 1710 л. Продукт
смешивают с приготовленной масляной краской в со-
отношении 1:1 по объему.

Б. Ш.

45079 П. Металлсодержащая краска. Хельм-
гольц (Metallhaltiges Anstrichmittel. Helm-
holtz Kurt) [A/S Plumbol]. Австр. пат. 173778,
26.01.53 [Dtsch. Farben-Z., 1954, 8, № 4, 135 (нем.)]

Краска для грунтовки и покрытия, содержащая тон-
кораздробленные тяжелые металлы (Pb, Cu, Zn, Cr,
Sn) содержит, кроме связующего и р-рителей, сиккатив
в виде металла Pt-группы, напр. хлористый осмий и
осмиат калия. В качестве связующего служит хлори-
рованное органич. соединение (напр., низковязкий
хлоркаучук), в качестве пластификатора — высококи-
пящее хлорированное ароматич. соединение, напр.
хлордифенил.

Б. Ш.

45080 П. Применение пигментов на основе фосфата
хрома для грунтовочных покрытий из виниловой
смолы. Куорле, Гудьер, Фректлинг, Уайтинг
(Use of chromium phosphate pigments
in vinyl resin primer coatings. Quarles Richard
W., Goodyear Mark V., Frechtling
Arthur C., Whiting Leo R.) [Union Car-
bide and Carbon Corp.]. Канад. пат. 506685, 19.10.54
Композиция для грунта содержит в качестве основ-
ного компонента твердый тонкодисперсный ортофос-
фат хрома (с содержанием по крайней мере 99,5%
 $CrPO_4$), $\leq 0,29\%$ S и водорастворимую соль $\leq 0,2\%$.

Все ко-
диспер-
ислир-
CrPO₄

45081 П.
проз-
zum-
farbl-
ster-
stian-
[Che-
Нано-
позов-
органи-
бухаю-
45082 П.
ркан-
schüt-
Пат.
№ 2
Тонк-
маслом-
левуо,
фаты,
45083 П.
А и л
1954
При
с 2% С
уме (5
9,8 и
45084 П.
ск и
mach-
J ü t
d e)
recht
8839
5406
Раст
масс н
ров и
получ
ченны
и синт
смесь
атомн
их см
нанос
45085 П.
тетн
auf-
für
пат.
4271
Пред
ли и к
малых
латных
алюми
платн
нилад
ацетил
45086 П.
дрен
[Cah-
Man-
Гото
ловый

Все компоненты, лишенные кристаллизационной воды, диспергируются в р-ре нерастворимой в воде гидроксилированной виниловой смолы в органич. р-рителе. CrPO_4 берется в кол-ве 20—100 ч. на 100 ч. смолы.

Ю. В.

45081 П. Способ нанесения цветных покрытий на прозрачные бесцветные пленки. Квак (Verfahren zum Aufbringen farbiger Überzüge auf durchsichtige farblose Folien. Quack Friedrich) [«Muster — Schmidt's Berliner Musterkartenfabrik Christian Hansen — Schmidt»]. Пат. ФРГ 885969, 10.08.53 [Chem. Zbl., 1954, 125, № 20, 4495 (нем.)]

Наносятся на гидрофильные (напр., из гидратцеллюлозы) пленки краски состоят из неорганич. или органич. пигментов и водорастворимого или водонабухающего связующего, напр. метилцеллюлозы. М. Г.

45082 П. Антикоррозионные краски, удаляющие ржавчину. Виллемс (Entrostendes und rostschützendes Anstrichmittel. Willems Franz). Пат. ФРГ 900370, 21.12.53 [Chem. Zbl., 1954, 125, № 25, 5636 (нем.)]

Тонко размолотый томас-шлак смешивают с льняным маслом, олифой и др. и добавляют слабые к-ты (щавелевую, муравьиную, уксусную или их эфиры) и фосфаты, разлагаемые слабыми кислотами. Н. А.

45083 П. Светлое высыхающее касторовое масло. Андо (Light-colored drying castor oil. Ando Sang o). Япон. пат. 2232, 20.05.53 [Chem. Abstrs, 1954, 48, № 8, 4857 (англ.)]

При постепенном нагревании касторового масла с 2% CuSO_4 и 2% активированного угля до 240° в вакууме (50 мм) образуется продукт с кислотным числом 9,8 и подным числом 149. К. Б.

45084 П. Растворители и смягчители. Гросскинский, Ютнер, Тюррауф (Lösungs- und Weichmachungsmittel. Grossinsky Otto, Jüttner Bernhard, Thürauf Elfriede) [Bergwerksverband zur Verwertung von Schutzrechten der Kohlentechnik G. m. b. H.]. Пат. ФРГ 883960, 23.07.53 [Chem. Zbl., 1954, 125, № 24, 5406—5407 (нем.)]

Растворители и смягчители для лаков и пластич. масс на основе эфиров целлюлозы, виниловых полимеров и сополимеров, синтетич. каучука и хлоркаучука получают, выделяя из смесей карбоновых к-т, полученных при окислительной обработке ископаемых и синтетич. горючих (или продуктов их перегонки), смесь бензолкарбоновых к-т и этерифицируют ее одноатомными, в частности замещенными, спиртами или их смесями. Применяются для изготовления лаков, наносимых распылением или кистью. М. Г.

45085 П. Способ горячей сушки отверждаемых синтетических смол на чисто органической основе (Verfahren zum Einbrennen von härtbaren Kunstharzen auf rein organischer Basis) [Alexander Wacker Ges. für elektrochemische Industrie, Gm. b. H.]. Австр. пат. 176934, 10.12.53 [Chem. Zbl., 1954, 125, № 19, 4271 (нем.)]

Предлагаемый способ сушки заключается в добавлении к смоле, в качестве ускорителей отверждения, малых кол-в внутримолекулных клешневидных (хелатных) соединений алюминия, напр. ацетилацетоната алюминия, алюминиймалонового эфира или изопропилата алюминия. Напр., покрытие из смеси поливинилацеталевой и фенолоформальдегидной смол с 0,01% ацетилацетоната алюминия нагревается до 180°. М. А.

45086 П. Метод протравливания и порозаполнения древесины (Method of staining and filling wood) [Cahdeloid Corp.]. Англ. пат. 698698, 21.10.53 [Paint Manufact., 1954, 24, № 5, 174 (англ.)]

Готовят раствор-суспензию, содержащую моноэтиловый эфир этиленгликоля, кислотный органич. кра-

ситель (приведены многочисленные примеры), смолу воздушной сушки и гидратированный силикатнокальцевый наполнитель, воспринимающий цвет р-ра путем адсорбции красителя. Добавляют полимеризованный ненасыщ. спирт (напр., поливиниловый), спиртовой разбавитель, диспергирующие и загущающие в-ва, а также мыло металла. М. Г.

45087 П. Раствор для нанесения покрытий на металлы и способ его получения. Расселл (Verfahren und Lösung zur Aufbringung von Überzügen auf Metallen. Russell William S.) [Parker Rust Proof Co.]. Пат. ФРГ 894945, 29.10.53 [Chem. Zbl., 1955, 125, № 23, 5170 (нем.)]

Кислый р-р (рН 3—6) в качестве образующего покрытие в-ва содержит двойной фосфат органич. основания и NH_4 , при конц-ии $\text{PO}_4^{3-} \geq 0,01\%$. Напр., 24 г морфолина и 23 см³ 75%-ной H_3PO_4 растворяют в 6 л H_2O и полученный р-р, нагретый до 70°, наносят на поверхность металла распылением. Образующееся покрытие является хорошим грунтом для последующей окраски. Б. З.

45088 П. Способ производства лакированных или окрашенных изделий (Procédé de fabrication d'objets recouverts d'une couche de peinture ou de vernis) [N. V. Philips' gloeilampenfabrieken]. Франц. пат. 1065767, 31.05.54 [Peintures, pigments, vernis, 1954, 30, № 11, 931 (франц.)]

На внутреннюю стенку формы наносят слой лака или краски, не прилипающий к ней, после чего формуют в ней изделие. При этом лаковый слой переходит на изделие. Н. А.

45089 П. Аппарат для покрытия гладких поверхностей жидкими составами (Apparatus for coating smooth surfaces with liquids) [Allmanna Svenska Elektriska Aktiebolaget]. Англ. пат. 697512, 23.09.53 [Paint Manufact., 1953, 23, № 11, 384 (англ.)]

Во избежание образования глубоких борозд при нанесении жидких составов на гладкие поверхности с помощью вальцов (рифленых, в случае нанесения толстых покрытий) рекомендуется применять аппарат, имеющий два вальца (или цилиндра), между которыми подается листовой материал. По краям хотя бы одного из вальцов натягивают по одному витку из проволоки, диаметр которой зависит от требуемой толщины покрытия. М. С.

45090 П. Способ обработки обмоток электромашин. Ольденберг (Aus umspinnenen Leitern hergestellte getränkte Wicklung für Elektromaschinen. Oldenburg Alfred) [Siemens-Schuckertwerke A.-G.]. Пат. ФРГ 903247, 4.02.54 [Chem. Zbl., 1954, 125, № 46, 10556 (нем.)]

Обмотки электромашин пропитывают легко летучими углеводородами, напр. бензолом или бензином, и без предварительной сушки покрывают нитроцеллюлозным лаком. Н. А.

45091 П. Способ приготовления флуоресцирующих экранов. Лотц, Экхардт, Апел (Verfahren zur Herstellung von Leuchtschirmen. Lotz Albert, Eckhardt Fritz, Apel Walter) [Siemens-Reiniger-Werke A.-G.]. Пат. ФРГ 896592, 12.11.53 [Chem. Zbl., 1954, 125, № 44, 10076 (нем.)]

На стеклянную пластинку, покрытую целлюлозно-смоляным лаком и полностью высушенную, наносят через сито пылевидный слой CaSPb , CaSSb , CaSnI или SrSbI , аатсм пластинки помещают на некоторое время в закрытый сосуд с р-рителем, растворяющим лак или смолу, и высушивают на воздухе, после чего покрывают еще раз лаком. Н. А.

45092 П. Устройство для смешивания краски. Мессбауэр (Paint mixing device. Messbauer John) [Thelma G. Krumm]. Пат. США 2673077, 23.03.54

Устройство состоит из вертикального стержня, верхний конец которого зажимается во вращающийся патрон, а нижний несет на себе горизонтальный диск из жесткого листового материала. Край диска имеют расположенные по окружности, радиально направленные продолговатые углубления с дугообразными кромками. Промежутки между углублениями образуют в горизонтальной плоскости диска радиальные пальцы, открытые наружные концы которых загнуты книзу и представляют свисающие косые выступы, имеющие уклон к периферии диска.

Г. Л.
45093 П. Производство черной копировальной краски. Шугарман (Manufacture of carbon transfer ink. Sugarman Nathan) [The Standard Register Co.]. Канз. пат. 497243, 27.10.53

Черные копировальные краски получают путем добавок при перетире сажи на растительных или минер. маслах диспергирующих агентов. Последние представляют собой окисленный растительный или минер. воск или парафин, содержащие жирные к-ты с 20—30 атомами С.

См. также: 44881, 44889, 44904, 44934, 44974, 45534, 45559, 45560—45562, 45578, 45650, 45727, 45782, 45808.

ЛЕСОХИМИЧЕСКИЕ ПРОДУКТЫ. ЦЕЛЛЮЛОЗА И ЕЕ ПРОИЗВОДНЫЕ. БУМАГА

45094. Решения конференции (по вопросам химии древесины, гидролиза древесины и лесохимии) Тр. Ин-та лесохоз. проблем АН ЛитССР, 1955, 8, 207—212

45095. К вопросу повышения стойкости древесины в строительстве. Ханмамедов, К. М., Тр. Азерб. с.-х. ин-та, 1955, 4, 119—126 (рез. азерб.).

Гигроскопичность (Г) древесины создает благоприятные условия для размножения грибов, вызывающих ее гниение. Для выяснения условий, при которых снижается Г, изучены изменения Г древесины (сосны, бука, ясеня), пропитанной антисептиками. Показано, что пропитка древесины креозотовым маслом снижает Г от 38 до 65% по отношению к Г натуральной древесины. Пропитка при 130° снижает Г на 4—13% по сравнению с древесиной, пропитанной тем же маслом при 95°. Пропитка NaF снижает Г сосновой древесины, но повышает Г древесины лиственных пород.

А. Х.
45096. Химические продукты из древесины. Браун (Chemicals from wood. Brown Blaine), Chemurgic Digest, 1954, 13, № 11, 6—7 (англ.).

Рассмотрены пути использования лигнина, в частности, лигносульфонатов.

М. Ч.
45097. Успехи в химии лигнина за 1943—1954 гг. Гаррис (Progress in the chemistry of lignin 1943—1954. Harris E. W. E.), Tappi, 1955, 38, № 10, A 179—A194 (англ.).

Обзор по химии лигнина и его использованию. Библ. 535 назв.

А. Х.
45098. Об использовании соломы. Порфир (Encore les pailles. Porphyre J.-A.), Papeterie, 1953, 75, № 6, 403, 405 (франц.).

См. также РЖХим, 1956, 11349

45099. Химическая переработка древесины в псевдооживленном состоянии. Козмал (Fluidiz. na technika v priemysle chemického spracovania dreva. Kozmal F.), Paliva, 1954, 34, № 9, 250—251 (словац.).

45100. Химическое исследование терпентинного масла немецкой ели (*Picea excelsa* Lk.). Олофф (Chemische Untersuchung des deutschen Fichtenterpentinöls (*Picea excelsa* Lk.). Ohloff G.), Fette

und Seifen, 1954, 56, № 8, 605—610 (нем.; рез. англ., франц., исп.).

Свежеобранная еловая живица содержит в среднем 61,5% смоляных к-т ($C_{20}H_{30}O_2$) и 37,5% нейтр. составных частей.

Средний выход терпентинного масла из еловой живицы (ТМЕ) 22%. Около 15% нелетучих с водяным паром частей составляют дитерпены, их кислородные соединения и продукты аутополимеризации. Изомеры смоляных к-т ($[\alpha]^{20}_D - 126,38^\circ$, т. пл. 134—139°) могут быть разделены перекристаллизацией из ацетона; выделено 47,8% левонимаровой к-ты. ТМЕ состоит из *l*- α -пинена (6%), *l*- β -пинена (60%), *l*-камфена (8%), *l*- Δ^2 -карена (10%), небольшого кол-ва *l*- α -фелландрена, наряду с *l*-3-фелландреном, *l*-лимонена и дипентена (вместе ~6%), небольшого кол-ва α -терпинена и терпинолена. Фракции карена содержат 2 терпена с конъюгированными двойными связями; один из них дает кристаллизующийся аддукт с ангидридом малеиновой к-ты (т. пл. 120—121°), второй гидролизуетсся с образованием дикарбоновой к-ты (т. пл. 227—228°). Высококипящие части ТМЕ обладают сильным вращением вправо. Среди них также найдены: *l*-борнеол, *l*-борниладетат, *l*- α -терпинеол, *l*- α -терпинилацетат, перилладегид и правовращающий сесквитерпен, который может быть переведен в *l*-кадилен. Встречаются также правовращающие спирты и эфиры терпенового и сесквитерпенового рядов, дитерпены и их еще неисследованные кислородные соединения. Наличие в ТМЕ углеводородов с конъюгированными двойными связями, β -пинена с высокой реакционной способностью и сильно ненасыщ. дитерпенов придает ему очень хорошие высыхающие свойства по сравнению с сосновым терпентинным маслом. В последние годы *l*- β -пинен приобрел большое значение для получения бициклич., моноциклич. и алифатич. гомологов терпеновых спиртов.

Г. Ф.
45101. Получение фурфурола из сельскохозяйственных отходов и растительных материалов. Щербakov А. А., Юрьев Ю. К., Ж. прикл. химии, 1956, 29, № 1, 110—118

Сделана сравнительная оценка содержания пентозанов и выхода фурфурола (I) из промышленных отходов (стержни кукурузных початков, овсяная и ячменная солома и др.), растительных материалов (ботва рапса, картофелыня, помидор) и некоторых торфов. Наиболее богаты пентозанами по сравнению с отдельными частями растений стручки и скорлупа семян. При гидролизе 10%-ной H_2SO_4 и атмосферном давлении наибольшее кол-во I-сырца дают стержни кукурузных початков (до 12%) и овсяная солома (до 9,7%); подсолнечная, гречневая и просяная лузга, скорлупа грецкого и лесного ореха дают ~6,5%, отходы рапса и солома аспаргета >4%, торф до 3%. В результате осмоления в реакционной массе теряется до 38% вычисленного кол-ва I. Добавление нейтр. р-рителя (хлороформа) к сырью, подвергаемому гидролизу, увеличивает выход I-сырца до 2%, считая на воздушно-сухой материал, или на 25% в среднем по отношению к выходу I, получаемому в отсутствие р-рителя.

А. Х.
45102. Фурфурол из пшеничной соломы I. Способ быстрого обезвоживания кислотных растворов. II. Образование фурфурола из гидролизатов соломы способом быстрого обезвоживания. III. Выделение фурфурола-сырца из 1%-ного раствора фурфурола в 3 н. HCl, полученного по способу быстрого обезвоживания. Иноуэ, Окуи (麥稈よりフルフラールの製造. 第1報. キンローズを用いた瞬間晩水法. 第2報. 瞬間晩水法による麥稈抽出液よりフルフラールの生成. 第3報. フルフラール-鹽酸液から溶劑抽出による粗フルフラールの分離. 井上権三郎, 奥井一義), 醸酵工學雜誌, Хакко когаку дааси, J. Ferment. Technol., 1953,

№ 2, 57—59; № 3, 106—108; № 7, 287—291 (япон.; рез. англ.).

При применении общепринятых способов для получения фурфурола (I) из в-в, содержащих пентозаны, получали I с 10%-ным выходом от сырья, что составляет ~50% от теоретически возможного. Предполагая, что низкий выход I является следствием его деструкции во время вторичных р-ций, предложено выводить I из р-ции по мере его образования. Применен способ, по которому в реакционную массу вводят нейтр. не смешивающийся с водой р-ритель, напр. керосин, при этом из 1%-ного р-ра ксилозы с 3—4 н. HCl при 180—190° получен I с 90%-ным выходом от теоретического. Примечание: в этом процессе H_2SO_4 в качестве катализатора или повышение конц-ии р-ра ксилозы до 2% снижает выход I. При гидролизе соломы с 3 н. HCl в течение 3,5 часа при 85°, гидромоде 10 получен тот же выход I, как и с 4 н. HCl, в продолжение 2 час. Выход I при вв-днии нейтр. р-рителя в реакционную массу как и для чистых ксилозных р-ров 90% от теоретического. При экстракции бензолом из 1 вес. %-ных р-ров в 3 н. HCl извлечено >99% I. Потери HCl при этом составляют 5,4% или 7,9% по отношению к исходному сырью. Потери бензола незначительны. Приведена полная схема получения I из пшеничной соломы и регенерации примененных р-рителей. Выход I из соломы по описанному процессу 9,9% от сырья. М. Ш.

45103. Факторы, влияющие на поглощение антисептиков. Бриджес (Factors affecting the absorption of preservatives. Bridges J. F.), Timber Technol., 1955, 63, № 2193, 375—376 (англ.).

На поглощение древесиной антисептиков влияют: анатомическое строение, соотношение заболони и ядра, влажность, условия произрастания леса. Н. Р.

45104. Варка древесины тополя в целлюлозной промышленности. Йёрг (Pappelholzkochung in der Zellstoffindustrie. Jörg Otto), Allgem. Forstwirtschaftschr., 1953, 8, № 49, 546 (нем.).

Проведены опытные сульфитные варки древесины тополя, содержащей 15% влаги. Из 55,86 м³ древесины (объемных) получено 7687 кг абсолютно сухой целлюлозы (Ц). Ц содержит (%) $\alpha = \text{Ц } 86,3$; $\beta - \text{Ц } 2,7$; $\gamma - \text{Ц } 10,8$. Использование до 15—20% тополевой Ц в композиции бумаги дает хорошие результаты. М. Б.

45105. Сульфитные варки с рециркуляцией отработанных щелоков. Хегглюнд (Sulfitzkochen mit Ablaugenzurückführung. Hägglund Erik), Das Papier, 1953, 7, № 3—4, 41—46 (нем.; рез. англ., франц.).

Указанный способ варок позволяет получить целлюлозу без снижения выхода и белизны. Он особенно пригоден для получения целлюлозы из древесины твердых пород. Такие щелока обогащены органич. в-вами и могут быть использованы в качестве топлива. А. Х.

45106. Сульфитная целлюлоза из буквой коры и ее поведение при производстве вискозы. Клейперт, Вурм (Sulfitzellstoffe aus Buchenrinde und ihr Verhalten im Viskoseprozess. Kleiner Theodor N., Wurm Philipp), Svensk papperstidn., 1954, 57, № 1, 19—22 (нем.).

При изготовлении вискозного искусств. волокна из целлюлозы, полученной из плохо окоренной буквой древесины, наблюдаются затруднения, вызываемые остатками частиц коры, особенно так называемыми «каменными» кл. тканями. Установлено, что целлюлозные волокна лубяной части буквой коры полностью растворимы при произ-ве вискозы. Сильно минерализованные «каменные» клетки остаются без изменения в процессе сульфитной варки и дальнейшей обработки и вызывают затруднения при фильтровании и прядении вискозы. Приведены результаты исследования хим. состава буквой коры и золы. Для произ-ва вискозной

целлюлозы может использоваться только хорошо окоренная древесина бука. М. Б.

45107. Условия хранения варочной кислоты при регенерации SO_2 (Lagerungsbedingungen der Kochsäure in der SO_2 -Regenerierung. Н. А.), Wochenbl. Papierfabr., 1954, 82, № 10, 372—373 (нем.).

Исследована зависимость конц-ии SO_2 в дудочных газах от крепости варочной к-ты и кол-ва инертных газов в варочном котле. Регенерация SO_2 при сохранении крепости варочной к-ты и снижении т-ры варки значительно облегчается при предварительном удалении воздуха (напр., пропаркой) из котла и загрузки в него щепы. Возможно использование регенерационных баков, работающих при относительно низком давлении. Растворимость SO_2 в бисульфитных р-рах определяют по ф-ле: $X = 0,03 \cdot V \cdot P / 100 \cdot 1,0363^R$, где X — содержание SO_2 в водн. р-рах $Ca(SO_3)_2$ в г/л; V — содержание SO_2 (в %) в газах в определенном объеме; P — давление в мм. рт. ст.; c — процент связанного SO_2 ; R — константа равная 0,89. Приведены таблицы с значениями R^{2c} , в зависимости от кол-ва связанного SO_2 и изменения фактора $1,0363^R$ при изменении т-ры. М. Б.

45108. Завод kraftцеллюлозы. Джонс (A kraft pulp mill. Jones Franklin L.), Paper Mill. News, 1953, 76, № 2, 12—15 (англ.).

Дается краткий обзор развития произ-ва kraftцеллюлозы, описание его современного состояния в США и применяемого оборудования. Выход целлюлозы по отношению к загруженной в котел древесины составляет 42—46% и при применении горячего рафинирования массы может быть повышен до 52—62%. На з-дах уделяется большое внимание регенерации тепла и химикатов и использованию побочных продуктов (скипидара, смоляного мыла). А. П.

45109. Непрерывный процесс варки отходов древесины дугласовой пихты с высоким выходом kraftцеллюлозы. Мак-Лорин, Уэйлен (Continuous high-yield kraft pulping of douglas-fir lumber waste. MacLaurin D. J., Whalen J. F.), Tappi, 1954, 37, № 4, 143—147 (англ.).

Kraftцеллюлоза с выходом 60—70% была получена при сульфатной, непрерывной варке отходов (сучьев, вершин, горбылей) древесины дугласовой пихты. Способность размалываться и механич. прочность полученной kraftцеллюлозы соответствовали характеристике целлюлоз (Ц), обычно используемых для изготовления строительных картонов. Выход Ц падает при повышении содержания химикалий в варочном щелоке и увеличении давления пара при пропарке щепы. Прочность Ц возрастает с увеличением размеров щепы и снижением выхода Ц. Калорийность отработанного щелока 3612—4169 ккал/кг сухого в-ва. М. Б.

45110. Облагораживание целлюлозы щелочной обработкой при повышенной температуре. Лейгеринг (Zur Kenntnis der Zellstoffveredelung durch Heissalkalisierung. Leugering Hans-Joachim), Das Papier, 1953, 7, № 3—4, 47—51 (нем.; рез. англ., франц.).

45111. Об определении приведенной вязкости растворов холоцеллюлозы, холоцеллюлозы, обработанной едким натром, и гемцеллюлозы. Шен, Айруд, Санжени (Sur la détermination de la viscosité intrinsèque d'holocellulose, d'holocellulose traitée par la soude et d'hémicelluloses. Chene Marcel, Ayroud Abdul-Medjid, Sengen Solange), Bull. Soc. chim. France, 1955, № 10, 1207—1212 (франц.).

Были определены в медноэтилендиаминном р-ре значения приведенной вязкости р-ров препаратов холоцеллюлозы соломы, обработанных р-рами NaOH раз-

личной конц-ии. Содержание гемиделлюлоз в этих препаратах колебалось в широких пределах (2—34%). Было подтверждено, что к ним приложима ф-ла Мартена $\lg \eta_{sp}/c = \lg [\eta] + k[\eta]c$. Были выделены также гемиделлюлозы и измерена их вязкость в медноэтилендиаминовом р-ре и в 10%-ном р-ре NaOH. Ф-ла Мартена приложима в обоих случаях. Отношение вязкости, определенной в медноэтилендиаминовом р-ре, к вязкости, определенной в 10%-ном р-ре NaOH, равно ~1,3 (изменение в пределах 1,28—1,37). В. В.

45112. Фракционное растворение целлюлозы в растворе куприэтилендиамина. Мюллер, Роджерс (Summative cupriethylenediamine fractionation of cellulose. Mueller Wm. A., Rogers L. N.), Industr. and Engng Chem., 1953, 45, № 11, 2522—2526 (англ.)

На примере фракционирования целлюлозы (I) из р-ров в куприэтилендиамина (II) изучен метод суммирующего фракционирования путем фракционного растворения параллельных образцов I в р-рах II с последовательно увеличивающейся конц-ией II в р-ре. В р-рах определяли вязкость и содержание I путем осаждения ее 8 M уксусной к-той при pH ~ 4. Рассчитаны конц-ии I в р-рах, кол-ва растворившегося продукта и введенные вязкости $[\eta]$ этих фракций. При нанесении $[\eta]$ относительно процента растворенной I получают суммирующие кривые распределения. Для перевода в интегральные кривые распределения используют урние: $P = \bar{P}_1 F_1 - \bar{P}_2 F_2 / F_1 - F_2$, где P , \bar{P}_1 и \bar{P}_2 — соответственно интегральная и средние суммирующие значения η , полученные из результатов проведенных фракционирований, а F_1 и F_2 — процентное содержание I в р-рах II в двух образцах с изменяющейся конц-ией Cu. Метод не применим при низком содержании α -целлюлозы. Он является косвенным и требует математич. обработки очень малых эксперим. величин. Кроме того, растворимость препаратов I зависит и от плотности упаковки молекул в волокне, и в ряде случаев этот фактор сильнее влияет на изменение растворимости, чем изменение мол. веса. Е. К.

45113. Исследование производства ацетилцеллюлозы. XIII. Явление ложной растворимости. Условия и механизм процесса частичного омыления триацетилцеллюлозы в гетерогенной среде. Диэлектрические свойства и сольватация в ацетоновых растворах вторичной ацетилцеллюлозы. Асада (醋酸・維素に関する研究. 第13報. 偽溶解現象・纖維狀熟成物の組成・熟成反應機構及び熟成物アセトン溶液の透性的性・電気抵抗・溶解度について・淺田幸作), 纖維學會誌, Сэнъя гаккайси, J. Soc. Text. and Cellulose Ind., Japan, 1953, 9, № 9, 439—444 (япон.; рез. англ.)

Некоторые препараты триацетилцеллюлозы, полученные путем этерификации в гетерог. среде, обнаруживают явление ложной растворимости. Получение равномерно омыленного вторичного ацетата, при проведении процесса ацетилирования в гетерог. среде, наиболее целесообразно осуществлять в р-ре HCOOH. Повышение т-ры и конц-ии к-ты увеличивает скорость процесса созревания. Диэлектрич. свойства ацетоновых р-ров вторичных ацетатов, полученных частичным омылением в гетерог. среде (электропроводность достигает минимума при содержании связанной CH_3COOH в ацетилцеллюлозе 55%), не отличаются от свойств р-ров вторичных ацетатов, частичное омыление которых проводилось в гомог. среде (электропроводность достигает минимума при содержании CH_3COOH в ацетилцеллюлозе 53—55%). Часть XII, см. РЖХим, 1955, 36222. З. Р.

45114. Получение тринитроцеллюлозы. Беннет, Таймелл (Preparation of cellulose trinitrate. Bennett C. F., Timell T. E.), Svensk papperstidn., 1955, 58, № 8, 281—286 (англ.; рез. швед.)

Исследована возможность получения полностью замещенных нитропроизводных целлюлозы с той же степенью полимеризации, как исходная целлюлоза. Применение одного N_2O_5 не приводит к полному замещению нитрогруппами, но вызывает сильную деградацию. Присутствие бортрифторида в HNO_3 и смеси с H_2PO_4 и P_2O_5 не повышает ее нитрующей способности. Смесь, содержащая HNO_3 , CH_3COOH и $(\text{CH}_3\text{CO})_2\text{O}$ в отношении 43 : 32 : 25, нитрует хлопковый пух и целлюлозу рами при 0° до предельного содержания N (14,14%) без заметной деградации в течение первых часов. Р-ция протекает медленно, продукты, содержащие <14% N, не растворяются полностью в ацетоне. Продолжительное нитрование не изменяет степени нитрования, но вызывает значительное снижение степени полимеризации, вероятно, вследствие разложения нитрующей смеси. 100 мл (108 г) уксусного ангидрида медленно прибавляют при т-ре от -20 до -30° к 67 мл (100 г) 90%-ной HNO_3 . К 40 мл этой смеси при той же т-ре прибавляют 250 мг воздушно-сухого хлопкового пуха и тотчас переносят реакционную смесь в ледяную баню, в которой выдерживают 3 часа при периодич. помешивании; продукт выливают в 2000 мл ледяной воды и промывают на воронке со стеклянн. фильтром большим объемом дистилл. воды при 0°, затем образец стабилизируют экстракцией CH_3OH в течение ночи. Ряд образцов (определение по микро Кьельдалю) содержал 14,08—14,18% N. Ю. В.

45115. Работа опытной вискозной установки Норвежского исследовательского института целлюлозы и бумаги. Результаты и обсуждение первых серий опытов. Элlefсен, Глэзерсен (Experiences with the P. F. I. viscose pilot plant. Results and discussions of the first experimental routine charges. Ellefsen O., Glærsen J. G.), Papperi ja puu, 1954, 36, № 9, 349—362 (англ.)

45116. Утилизация отработанных щелоков солено-целлюлозного производства. Фальднер (Die Verwertung der Ablaugen der Strohzellstoff-Erzeugung. Faldner Josef), Wochenbl. Papierfabr., 1954, 82, № 4, 111—113 (нем.)

Изложены предварительные данные о возможности использования отработанных моносulfитных щелоков в качестве удобрений. М. Б.

45117. Производство и использование щелочного лигнина. Мереветер (The manufacture and utilization of alkali lignin. Merewether J. W. T.), Proc. Austral. Pulp and Paper Inds. Techn. Assoc., 1953, 7, 101—115 (англ.)

Обзор по вопросу изолирования лигнина из черных щелоков натронного и сульфатного произ-ва целлюлоз. Описаны физ. и хим. свойства лигнина и опыты его технич. использования. Библ. 118 назв. М. Ч.

45118. Искусственное старение целлюлоз, как критерий устойчивости вырабатываемых из них бумаг, с особым учетом ороговения. Недервен, Ройен (Künstliche Alterung von Zellstoffen als Kriterium für die Haltbarkeit von daraus angefertigten Papieren, mit besonderer Berücksichtigung der Verhornung. Nederveen G., van, Royen A. H. N. van), Das Papier, 1955, 9, № 19—20, 463—468 (нем.; рез. англ., франц.)

Степень искусств. теплового старения целлюлоз определяют по сопротивлению излому, по вязкости р-ров и по степени пожелтения бумаг. Степень ороговения целлюлоз под влиянием нагрева не является показателем старения. При оценке потери сопротивления излому удобно пользоваться не прямыми показателями числа изломов, а следующим выражением: $1 - \lg V^2/$

/lg V, где V — число двойных перегибов образца до искусств. старения, а V^s — число двойных перегибов после искусств. старения. Оценка старения целлюлоз по падению вязкости их р-ров характеризует изменение целлюлоз иначе; чем падение сопротивления излому. Степень пожелтения бумаги после искусств. старения находится в некотором соответствии с сопротивлением излому. Описанные три показателя старения взаимно не заменимы, так как характеризуют старение каждый по своему. М. Н.

45119. Упрощенный способ определения поведения сульфитной целлюлозы и полуцеллюлозы при размоле. Кортэ (Ein abgekürztes Verfahren zur Ermittlung des Mahlverhaltens von Sulfite- und Halbzellulosestoffen. Corte Heinz), Papier, 1953, 7, № 11/12, 196—205 (нем.; рез. англ., франц.)

45120. Исследование лигнина и целлюлозы. I. Новый метод определения лигносульфоновой кислоты в сульфитных щелоках при помощи коллоидного титрования. Сендзю (Untersuchung über Lignin und Zells toff. I. Eine neue Bestimmungsmethode von Ligninsulfosäure in Sulfitablauge durch Kolloidtitration. Senzyu Ryoiti), Bull. Chem. Soc. Japan, 1953, 26, № 3, 143—147 (нем.)

Метод основан на осаждении лигносульфоновой к-ты р-ром гликоль-хитозана (I) и определении избытка I р-ром К-соли кислого сервокислого эфира поливинилового спирта при помощи колл. титрования (Terauma, J. Polymer Science, 1952, 8, 243; Chemical Research, 1949, 1, 1950, 4). Т. А.

45121. Организация пуска новой бумагоделательной машины. Керри (Organising the start-up of a new paper machine. Currie D. G.), Paper Maker, 1955, 130, № 5, 454—456, 458, 460, 461 (англ.)

45122. Исследование основ флотационного процесса Свен-Педерсена с помощью электрофореза. Хукки, Ринне (An electrophoretic investigation of the fundamentals of the Sveen-Pedersen flotation process. Hukki R. T., Rinne Risto), Paperi ja puu, 1954, 36, № 4a, 129—140 (англ.)

Установлен характер поведения волокна и наполнителей в сточной воде бумагоделательной машины при добавлении химикалий, используемых при этом процессе. М. Б.

45123. Несколько замечаний к проблеме осадков и органических отложений при производстве целлюлозы и бумаги. Барну (Quelques aperçus récents sur le problème des boues et dépôts organiques des fabriques de pâtes et des papeteries. Barnaud F.), Atomes, 1953, 8, № 86, 163, 165, 167, 168, 169, 171, 173 (франц.) Обзор. Библ. 38 назв. А. Х.

45124. Очистка массы в циклонных очистителях. Стокман, Руе (Hydrocyklonrenning av massa. Stockman Lennart, Ruus Lennart), Svensk papperstidn., 1955, 58, № 13, 483—490 (швед.; рез. англ., нем.)

Исследована степень очистки целлюлозной массы в конич. и цилиндрич. циклонных очистителях, в зависимости от давления при вводе массы, сечения входных мундштуков и кончик-массы. Устанавливалось также влияние кончик-массы и сечения мундштуков на кол-во отходов, а также расход энергии на 1 т очищаемой массы при разных сечениях мундштуков и при двух разных давлениях на вводе в циклонный очиститель. На степень очистки влияет главным образом кончик-массы. М. Н.

45125. Современные методы рафинирования массы. Витковский (Comments on modern methods of batch refining. Witkowski C. J.), World's Paper Trade Rev., 1954, 142, № 3, 197—198, 200, 202; Indian Pulp and Paper, 1954, 9, № 1, 33—36 (англ.)

Освещены современные методы разработки волокна с использованием конич. мельниц (гидроафинеров) в сочетании с гидроразбивателями и пропеллерными чанами. Дано описание и схемы работы циклических установок, использующих горизонтальные и вертикальные массные чаны. Отмечается эффективность и экономичность работы размалывающей, двучиклической установки, состоящей из двух пропеллерных чанов с конич. днищами, с пневматич. клапаном, регулирующим выход массы, направляемой через насос в гидроафинер, снабженный автоматич. (контролирующим) устройством работы гидроафинера) прибором «Doutrol». Двучиклическая установка признана наиболее прогрессивной в технике размола бумажной массы и пригодна для любого вида бумаги. М. Б.

45126. Автоматическое регулирование давления пара и влажности бумажного полотна. Сегирев М. М., Бум. пром-сть, 1955, № 5, 13

Автоматическое регулирование давления пара и влажности бумажного полотна на первой и второй бумагоделательных машинах Камского комбината осуществляется перемещением рукоятки дросселя (вешки) от 0 до 90° редуктором от регулятора давления типа К. Р. Д. Пульт управления и регулятор установлены с лицевой стороны машин, у каландра. Даны описание и схема работы регуляторов. Точность регулирования давления пара $\pm 0,04$ ат. Использование регуляторов обеспечило поддержание установленной влажности полотна бумаги при большой экономии пара, снизило число обрывов бумажного полотна из-за пересушки и облегчило работу обслуживающего персонала. М. Б.

45127. Формование элементарного слоя на сеточном цилиндре. Толяский Г. А., Бум. пром-сть, 1955, № 5, 10—13

Освещены результаты и методы исследования динамики и условий формования элементарного слоя бумажного полотна на сеточном цилиндре бумагоделательных машин цилиндрического типа. Приведены схемы формования волокнистого слоя при различных условиях работы машин (конструкция ванны, направление потока массы и т. д.) При формовании элементарного слоя на сеточном цилиндре, работающем в ванне с противоточной подачей, улучшение характеристики формующегося полотна достигается использованием массы высокого градуса помола, с достаточным кол-вом мелкого волокна. Использование ванн с прямоточной подачей с переливом избытка массы обеспечивает лучшие результаты, если масса содержит миним. кол-во мелкого волокна и имеет низкую степень размола. Значительное улучшение условий формования отмечается при работе машин, имеющих ванну с подвижным, гибким дном, позволяющим регулировать скорость движения потока массы в заторе ванны. М. Б.

45128. Размеры частиц канифоли при проклейке клеем, содержащим свободную канифоль, и зависимость их от сорта канифоли и условий приготовления клея. Зенгер (Die Teilchengröße bei der Freiharzleimung und ihre Abhängigkeit von der Harzart und den Bildungsbedingungen. Senger Franz), Das Papier, 1954, 8, № 13/14, 242—247 (нем.)

45129. Техника нанесения полиэтилена на бумагу. Арбит (The polyethylene extrusion-lamination technique. Arbit H. A.), Tappi, 1954, 37, № 162A—164A (англ.)

45130. Применение полиэтилена для покрытий на бумаге и для других материалов. Ридли (Recent developments in polythene coated paper and other materials. Ridley C. N.), Paper-Maker, 1954, Mid-Summer, 57—59, 61 (англ.)

45131. Ультрафиолетовый свет в бумажной промышленности. Вильямс (Ultra-violet light in the paper industry. Williams A. E.), World's Pa-

per Trade Rev., 1954, 141, № 15, 1167—1168, 1170, 1172 (англ.)

УФ-лучи можно использовать для определения степени разложения технич. сульфитной целлюлозы; для отличия сульфитной целлюлозы от сульфатной; для определения природы наполнителей; для определения сорности, светостойкости, водостойкости и ряда других показателей. М. Б.

45132. Влияние солнечного света на прочность проклейки бумаги. Арлов, Янсен (Der Einfluß des Sonnenlichts auf die Leimfestigkeit des Papiers. Arlov A. P., Jansen O.), Wochenbl. Papierfabrik, 1953, 81, № 1, 8—11 (нем.)

Воздействие УФ-лучей уменьшает прочность проклейки бумаги при хранении ее в освещенном помещении. Бумага, проклеенная клеем, содержащим свободную каптофу, снижает прочность проклейки сильнее, чем бумага, проклеенная клеями полностью омыленной каптофу. А. Х.

45133. Свежая и оборотная вода. Котхари (White water and back water. Kothari P. S.), Indian Pulp and Paper, 1954, 9, № 1, 95, 97, 99, 101 (англ.)

Указаны 4 типа системы использования оборотных вод (полностью закрытая, суперзакрытая, полностью открытая и частично открытая) и их характеристика. Дан примерный расчет кол-ва отходящей и потребляемой в произ-ве оборотной воды в разных стадиях произ-ва, а также потребления свежей воды. С. И.

45134. Обработка бумаги на стопорезках. Гулд (Paper handling at the trimmers. Gould John V.), Tappi, 1955, 38, № 6, 149A—150A (англ.)

Приведена схема механизированной поточной линии для обработки бумаги на стопорезках. С. И.

45135. Офсетная бумага, ее производство, свойства и пригодность для печати. Коценций (Papier offsetowy, jego produkcja, właściwości przystosowanie do druku. Kociński Jan), Poligrafika, 1955, № 5, 138—143 (польск.)

Рассмотрены вопросы деформации офсетной бумаги под влиянием набухания (гистерезиса), растяжимости, ориентации и структуры волокон, наблюдаемых при увлажнении и сушке бумаги. Рекомендуется выдерживание бумаги в определенных условиях для достижения требуемой влажности бумаги. Уменьшение относительной влажности воздуха на 10% соответствует уменьшению влажности в бумаге на 1%. Процесс выдерживания продолжается 6—8 час. Бумага должна выдерживаться в спец. камерах на вешалках типа транспортера с бесконечной лентой длиной 40—80 м со скоростью 12 м/мин или «карусельных», достоинство которых заключается в интенсивном движении воздуха. Поступление воздуха осуществляют приточно-вытяжной вентиляцией. Приборы для кондиционирования воздуха работают автоматически: колебания т-ры 18—22°, относительной влажности 50—65% летом и 50—55% осенью и зимой. Предыдущее сообщение см. РЖХим, 1956, 30908. Е. Г.

45136. Окрашивание бумажной массы. Кэри (The colouring of paper stock. Carey B. J. R.), Paper-Maker, 1954, Mid-Summer, 9—12, 14—16, 18—22, 24—26. (англ.)

Рассмотрены нерастворимые красящие в-ва (минер. пигменты, искусств. органич. и неорганич. пигменты), органич. красители (кислые, основные, прямые), порошки и пасты; их применение в виде р-ров и дисперсий. А. Х.

45137. Пластики в производстве бумаги. Ян, Станнетт (Plast-pappersammansättningar. Jahn E. C., Stannett V.), Svensk papperstidn., 1954, 57, № 9, 331—334 (швед.; рез. англ., нем.)

45138. Требования к бумаге, применяемой для приготовления многослойных бумаг. Осборн (Paper characteristics for laminating. Osborne K. W.), Paper Mill News, 1953, 76, № 14, 9, 23 (англ.)

Рассмотрены: напряжения в листах при склеивании, влияние поверхности листов, склеивающие в-ва, влажность листов бумаги и воздуха при изготовлении и хранении продукции, коробление и его причины. Е. Г.

45139. Вопросы влажности при производстве гофрированного картона. Часть I. Шенберг (Moisture problem in corrugated operations. Part 1. Schenberg William), Fibre Containers, 1953, 38, № 7, 60, 62—64, 65, 66, 68, 69 (англ.)

45140. Вращающийся смолоотделитель. Правдин (Otáčivý odlučovač pryskyvice. Pravdin S. N.), Papír a celulóza, 1954, 9, № 12, 259—260 (чеш.)

Перевод см. РЖХим, 1955, 22639

45141. Дисксовая сортировка Крама. Новое в области тонкого сортирования массы. Вогт, Спири (Cram disk screen... a new concept in the fine screening of pulp. Vogt R. A., Spearin W. E.), Paper Ind., 1954, 36, № 3, 292—294 (англ.)

Сортирующая пластина сортировки имеет форму диска, установленного в вертикальном положении. Масса подводится к центру диска. На некотором расстоянии от сортирующей пластины, со стороны поступления массы, расположено лопастное колесо, вращением которого масса частично центрифугируется (отброс более грубой массы к периферии диска), а частично кружится по пластине (к пластине и от нее). Тонкое волокно при этом проходит через щели сортирующей пластины и отводится с ее противоположной стороны (поверх спец. перегордки). Грубая масса собирается в кольцеобразном желобе, расположенном по окружности сортирующей пластины, и отводится непрерывным потоком. Использование сортировки Крама (Crama) целесообразно в первой ступени сортирования древесной массы. М. Б.

45142. Многовалевые суперкаландры. Эйдаин И. Я., Галеев Г. Б., Тр. Ленингр. технол. ин-та им. В. М. Молотова, 1955, № 3, 168—175

Рассмотрены конструкции основных узлов многовалевых суперкаландров (СК), используемых для одно- и двусторонней отделки ролевой бумаги. Они подразделяются на два типа: для культурных бумаг (повышение гладкости и лоска) и для технич. бумаг (уплотнение и выравнивание толщины). Приведена характеристика обоих типов СК. Отмечается сложность и малоизученность процесса каландрирования, что не позволяет существенно изменить технологию отделки и конструкции СК. М. Б.

45143. Централизованный контроль и управление в рольном отделении. Петерсен (Elektrisk centralbetjening af et refiner-holloenderi. Petersen P. G. Regers.), Norsk skogind., 1954, 8, № 4, 137—143 (норв.; рез. англ.)

Рассмотрена установка, имеющаяся на датской ф-ке фирмы «De Forenede Papirfabrikker». М. Н.

45144. Измерение сил, удерживающих воду в полотно бумаги во влажном состоянии. Баркас, Халлан (A measurement of the forces of liquid retention by wet paper making fibres. Barkas W. S., Hallan R.), World's Paper Trade Rev., 1953, 52, 57, 58, 60, 62, 64, 67, 68 (англ.)

Описан метод и аппарат для определения содержания влаги при статическом равновесии в полотно бумаги во влажном состоянии. Содержание влаги определено при различных напряжениях (до 18 см рт. ст.). Описан и самый метод листообразования. Е. Г.

45145. Лабораторные исследования пригодности некоторых приборов для быстрого определения содержания влаги в бумаге. Брехт, Кёрнер (Labo-

ratoriumsuntersuchungen über die Eignung einiger Geräte zur Schnellmessung des Papierfeuchtigkeitsgehaltes. Brecht Walter, Körner Ludwig, Das Papier, 1954, 8, № 13/14, 247—258 № 19/20, 419—430 (нем.; рез. англ., франц.)

Проверена пригодность четырех электроприборов для определения содержания влаги в бумаге. При помощи трех из них измеряется сопротивление бумаги прохождению электрич. тока, при помощи четвертого определяется диэлектрич. постоянная. Диапазон колебаний влажности, измеряемой приборами, составляет в среднем 6—18% для бумаг без наполнителей и 3—10% для наполненных бумаг. Все испытанные приборы пригодны для быстрого определения влажности бумаги (отдельных образцов). Точность определения $\pm 0,3 \pm 0,4\%$. Затрата времени 1—3 мин. на 10 замеров. Приборы должны быть предварительно калиброваны, так как помимо влаги на точность определения влияет ряд свойств бумаги. М. Б.

45146. Значение контроля вязкости в бумажной промышленности. Карлайл (The importance of viscosity control. Carlisle L. O.), Tappi, 1954, 37, № 6, 191A — 193A (англ.)

45147 П. Производство новых продуктов из элемадиеновой кислоты и ее производных (Manufacture of new degradation products of elemadienolic acid and its derivatives) [Ciba Ltd]. Инд. пат. 46624, 4. 53 [J. Scient. and Industr. Res., 1953, A12, № 6, 309 (англ.)]

На продукты, полученные в результате отщепления карбоксильной группы от элемадиеновой к-ты, действуют окислителем. Я. К.

45148 П. Метод уплотнения древесины. Херитидж (Method of densifying wood. Heritage Clark C.) [Weyerhaeuser Timber Co.]. Пат. США 2666463, 19.01.54

Свежесрубленную древесину быстро нагревают в ВЧ-поле для понижения влажности до предварительно определенной величины (обычно между 15% и точкой насыщения волокна) и пластифицирования естественного лигнина в присутствии оставшейся влаги; после чего немедленно, чтобы древесина не потеряла значительного кол-ва полученного ее тепла, применяют давление для скатывания древесины до определенной толщины. Л. М.

45149 П. Способ получения сульфитной целлюлозы. Хеглунд, Стокман (Förfaringssätt vid framställning av sulfittcellulosa. Hägglund E. K. M., Stockman L. G.) [Svenska Cellulosaföreningens Centrallaboratorium (Cellulosaindustriens Centrallaboratorium)]. Швед. пат. 139400, 23.06.53

Сульфитную целлюлозу получают с применением варочной жидкости, содержащей отработанный щелок, взятый непосредственно от предыдущих варок при t -рах, не превышающих 115°. Способ исключает возможность получения черных варок. М. Н.

45150 П. Способ удаления накипи из подогревателей, применяемых при производстве сульфитной целлюлозы. Йоханссон (Sätt att avlägsna beläggningar i kalorisorer vid framställning av sulfittcellulosa. Johansson A. J.). Швед. пат. 140757, 9.06.53

Для удаления накипи из подогревателей, применяемых для нагревания циркулирующей варочной жидкости при сульфитных варках, сдувные газы и пары после окончания варки вместе со свежей варочной жидкостью или с водой вводятся в кислотные каналы подогревателя и направляются в том же направлении, что и варочная жидкость во время варки. М. Н.

45151 П. Древесная целлюлоза и метод ее получения (Wood pulp and method of producing same) [Rayonier, Inc.]. Англ. пат. 718188, 10.11.54 [J. Appl. Chem., 1955, 5, № 5, i 797 (англ.)]

В высушиваемую очищ. древесную целлюлозу (Ц) при повышенной t -ре (для получения сухих листов целлюлозы) перед окончанием процесса сушки добавляют 0,015—5 вес. % (на абсолютно сухой вес Ц) смешанный простой эфир, содержащий полиоксипропиленовый радикал (8—50 оксипропиленовых остатков) и алифатич. углеводородный радикал с $C \geq 7$, который обуславливает предпочтительную растворимость данного эфира в воде, или, по крайней мере, делает его растворимым в воде (напр., эфир лауринового спирта и декаоксипропилена). Добавление эфира предотвращает в процессе формирования сухих листов потерю реакционной способности Ц, необходимую для получения производных Ц, в особенности, ацетатов Ц. Обработанная таким образом Ц дает после ацетилирования прозрачный, не содержащий волокон p -р, а при ксантогенировании хорошо фильтрующуюся вискозу. Л. М.

45152 П. Целлюлоза (Cellulose) [British Celanese Ltd]. Австрал. пат. 152737, 20.08.53

Лигноцеллюлозный материал нагревается с гомогенной смесью галонидного соединения ф-лы XYR' и органич. разбавителя для него. В указанной ф-ле X — Cl или Br; Y — O или S; R — углеводородный радикал, связанный с X алифатич. связью, R' — H, одновалентный углеводородный радикал, двувалентный углеводородный радикал, связанный второй связью с R, или ацил. А. П.

45153 П. Производство целлюлозы и производных целлюлозы. Бейт, Роджерсон, Пич (Production of cellulose and cellulose derivatives. Bate St. C., Rogerson W. A., Peach F. G.) [British Celanese, Ltd]. Англ. пат. 686311, 21.01.53 [Das Papier, 1953, 7, № 2122, L106—L107 (нем.)]

Лигно-целлюлозный материал, напр. эвкалиптовую древесину, нагревают в течение 1—3 час. до 120—140° с многократным по весу кол-вом смеси. Материал отфильтровывают, промывают, отбеливают и обрабатывают теплым водн. 18%-ным p -ром NaOH. Содержание α -целлюлозы выше, чем при применении обычного патронного способа. Смесь состоит из p -ра хлоргидрина (этиленхлоргидрина) или хлорсодержащего сложного эфира ($ClCH_2CH_2OOCCH_3$) в высококипящем органич. p -рителе (уксусная к-та, ксилол) в соотношении 1—3 : 1. А. П.

45154 П. Отбельная установка и метод отбелики целлюлозы. Юхансен (Bleaching plant and method of bleaching cellulose pulp. Johansen Rolf Joma r) [Aktiebolaget Kamyr]. Пат. США 2711359, 21.06.55

Процесс отбелики целлюлозы (Ц) состоит не менее как из одной операции, которую производят в отбельной башне; отбеленную Ц выгружают сверху башни и затем промывают на фильтре. Усовершенствование заключается в разбавлении отбеленной Ц сверху башни промывной жидкостью с последующим спуском Ц по вертикальной трубе, верх которой открыт в атмосферу, и в выпуске разб. массы под давлением вместе с воздухом, поступающим из нижней части спускной трубы, в приспособление для разделения жидкости и воздуха. В фильтре, работающем под давлением, масса отделяется от воды и воздуха. М. Н.

45155 П. Процесс непрерывной атерификации целлюлозы в гомогенной фазе. Клеви, Робен (Procédé continu pour l'estérification, en phase homogène, de la cellulose. Clevey Roland, Robin Jean) [Rhodiaceta]. Франц. пат. 1076128, 22.10.54 [Chimie et industrie, 1955, 74, № 3, 489 (франц.)] Атерификация производится в одном из аппаратов, описанных во франц. пат. 932476 с приспособлениями, регулирующими t -ру и размер отверстий для подачи реагентов. Н. Р.

45156 П. Стабилизация эфиров целлюлозы. Симор, Уайт, Розен (Stabilization of cellulose esters. Seymour George, White Blanche B., Rosen Leonard J.) [Camille Dreyfus]. Канад. пат. 498930, 29.12.53

Для стабилизации ацетата целлюлозы, содержащего 55—57% связанной уксусной к-ты обрабатывают ацетат целлюлозы при 20—30° водн. р-ром, содержащим 0,1—10% (от веса ацетата) поверхностноактивного немоногенного в-ва (простой эфир полиалкиленового спирта) декантируют водн. р-р; нагревают ацетат при 130—160° и давл. от 0,703 до 5,976 кг/см² в течение 0,5—6 час. с 10—30 ч. (на каждую вес. часть абсолютного сухого ацетата) водн. р-ра щелочи, содержащего < 5 частей щелочи на 1 млн. частей воды. Л. М.

45157 П. Метод приготовления щелочной целлюлозы. Паттон (Method of preparing alkali cellulose. Patton Francis M., Jr) [American Enka Corp.]. Пат. США 2681908, 22.06.54

Пачка целлюлозных листов во время обработки водн. р-ром щелочи вначале поддерживается в вертикальном положении у нижней кромки, расположенной у дна аппарата для мерсеризации. При постепенном введении р-ра щелочи в аппарат уровень р-ра в аппарате повышается и соответственно приспособление для поддержания листов перемещается от их нижнего края к верхнему. Л. М.

45158 П. Получение триалкилкарбаматов целлюлозы. Пикл (Cellulose trisalkylcarbamates and process of making the same. Pickl Josef) [E. I. du Pont de Nemours and Co.]. Пат. США 2668168, 2.02.54

Триалкилкарбаматы целлюлозы (Ц), в частности триоктадецилкарбамат Ц получают при взаимодействии 1 моля Ц (в расчете на C₆H₁₀O₅) с 6—9 молями алкилизотианата, содержащего 2—18 атомов углерода в алкильном радикале. Р-цию ускоряют при нагревании реакционной смеси в достаточном кол-ве диметилф-рмаида для получения легко перемешиваемой массы; т-ра р-ции должна быть ≥ 80°, но ≤ 160° Л. М.

45159 П. Использование черных щелоков целлюлозных заводов (Thermal recovery of black liquors from cellulose paper mills) [Office Central de Chauriffe Rationnelle]. Англ. пат. 698101, 7.10.53 [World's Paper Trade Rev., 1953, 140, № 25, 1880 (англ.)]

Сжигание отработанных щелоков производится в 2 камерах. В 1-й камере щелок обезжелезивается, обогащаясь углеродом, который сгорает в CO₂ и CO с преобладающим кол-вом последнего; неорганич. в-ва сплавляются. Газообразные продукты сгорают во 2-й камере, являющейся тонкой царового котла. А. П.

45160 П. Фильтрующее устройство, применяемое при непрерывном производстве целлюлозы. Обеншейн (Strainer mechanism for use in continuous cooking of chips in the manufacture of pulp. Obenshain David Noel) [West Virginia Pulp and Paper Co.]. Пат. США 2680684, 8.06.54

В варочном котле, применяемом при непрерывной варке целлюлозы и снабженном приспособлением для непрерывной выгрузки, фильтрующее устройство расположено в его нижней части по пути движения щепы и состоит из серии фильтрующих воронкообразных элементов, концентрически вставленных один в другой; их суженные части расположены по направлению движения щепы, поверхности же между элементами в области соединения их друг с другом такие, что позволяют проходить через них жидкости, но не пропускают щепу. Имеется также устройство для вывода из котла отделенной от щепы жидкости. С. И.

45161 П. Способ облагораживания бумаги. Кёлер, Хардер (Verfahren zur Veredlung von Papieren.

Köhler Rudolf, Harder Hans) [Henkel und Cie, G. m. b. H.]. Пат. ФРГ 922983, 31.01.55 [Das Papier, 1955, 9, № 7/8, L 40 (нем.)]

Для облагораживания бумаги или картона на их поверхность наносят (в произвольно выбранном месте производственного процесса) отверждающийся, водорастворимый продукт конденсации фенола и формальдегида, содержащий сульфогруппу, с последующим отверждением его нагревом. М. Б.

45162 П. Обработка фильтровальной бумаги смолой. Кита (Resin treatment of filter paper. Kita Hirozumi). Япон. пат. 3408, 21.07.53 [Chem. Abstrs, 1954, 48, № 14, 8542 (англ.)]

Фильтровальная бумага погружается в 15%-ный р-р мочевиноформальдегидной смолы. Смола удаляется в вакууме. Затем бумага обрабатывается сжатым воздухом при 4 кг/см². Предел прочности на растяжение увеличивается в 10 раз, скорость фильтрации в 2,5 раза по сравнению с необработанной бумагой. А. Х.

45163 П. Бумага со скрепленными волокнами и способ ее приготовления. Келлгрен, Маршалл (Papper med sammanbundna fibrer och sätt att framställa detta. Kellgren W., Marschall J. W.) [Minnesota Mining & Manufacturing Co.]. Швед. пат. 144058, 9.02.54

Крепированную бумагу каландрируют и пропитывают эластичным и гибким материалом, связующим волокна. Получают гладкую, пористую бумагу, способную растягиваться не менее чем на 10% своей длины. М. Н.

45164 П. Водонепроницаемый картон для звукоизоляции (Waterproofing of boards used for sound-proofing purposes) [Council of Scientific and Industrial Research]. Инд. пат. 48275, 17.11.53

Обработывают картон смачивающим в-вом, погружают в латекс, смешанный со стабилизатором, ZnO, S, ускорителем и антиоксидантом и вулканизуют обработанный картон. М. Б.

См. также: 43279, 43281, 43328, 43362, 43363, 43374, 43380, 43381, 43445, 43559, 43576, 44434, 44604, 44605, 44615, 44638, 44662, 44991, 44992, 45065, 45277, 45280, 45331, 45335, 45340, 45350, 45358, 45363, 45403, 45514, 45529, 45546; 13184Bx, 13655Bx, 13521Bx

ИСКУССТВЕННОЕ И СИНТЕТИЧЕСКОЕ ВОЛОКНО

45165. Международный конгресс по вопросу научных исследований для текстильной промышленности. Часть I. — (International congress of scientific research applied to the textile industry (Specially contributed) Part I. —), Fibres, 1955, 16, № 8, 267—271 (англ.)

Краткое изложение докладов на конгрессе в Брюсселе, посвященных научным исследованиям в текстильной пром-сти. Доклады были посвящены связи биологии с исследованием текстильных волокон, свойствам различных видов искусств. и синтетич. волокон, свойствам высокопрочного вискозного шелка, связи между эластич. и оптич. свойствами целлюлозных волокон, кинетике продольного и поперечного набухания вискозного шелка, усталостной прочности вискозного кордного шелка, определению карбонильных групп в оксидцеллюлозе, методам формирования высокопрочного ацетатного волокна, стабилизации структуры полиэфирных волокон, связи между молекулярной структурой волокон и их влагопоглощением и другим вопросам. А. П.

45166. Прогресс в промышленности искусственных и синтетических волокон. Роснер (Poster w przemyśle włókienniczym i syntetycznym. Rosner

Tadeusz), Przem. włókienniczy. 1954, 8, № 4, 116—119 (польск.)

Обзор свойств и методов произ-ва вискозного, ацетатного, белковых и синтетич. волокон. Описаны новые технологич. методы получения вискозного волокна: двух- и трехванный метод формирования, новые составы прядильных ванн, методы определения строения волокон. Рассматриваются аппараты и установки, применяемые при произ-ве искусств. волокон. Подчеркивается значение полиакрилонитриловых волокон.

W. Tuszko

45167. К исследованию химических волокон. Э. Лёд (Zur Kenntnis der Chemiefasern. Elöd Egon), Brennstoff-Chemie, 1953, 34, № 5/6, 66—71 (нем.) По хим. строению текстильные волокна делят на 3 группы: 1) волокна, полученные из высокомолекулярных парафинов и их производных; 2) волокна, содержащие в цепях главных валентностей атомы кислорода; 3) волокна, содержащие в цепях главных валентностей атомы азота. Приведены микроснимки поперечных срезов различных волокон.

A. P.

45168. О сырьевой базе Болгарии для развития промышленности искусственного и синтетического волокна. Димов (Върху суровинната база у нас за развитие на промишленост за химични (изкуствени и синтетични) текстилни влакна. Димов Кирил), Техника промишленост, 1955, 4, № 9, 8—12 (болг.)

45169. Успехи в химии полимеров. Часть II. Полиакрилаты. Сомерс (Polymer progress. Part 2. Acrylics. Somers J. A.), Brit. Rayon and Silk J., 1955, 31, № 370, 64, 66 (англ.)

Обзор. Часть I см. РЖХим, 1956, 2470.

П. Ч.

45170. Моноволокно из полистирола. Связь между параметрами производства и свойствами волокна. Клирман, Карам, Вильямс (Monofilaments et crins en polystyrène. Relations entre les paramètres de fabrication et les propriétés. Cleerman K.-J., Karame H.-J., Williams J.-L.), Ind. plast. mod., 1954, 6, № 7, 30—32; № 8, 57, 59, 61, 63, № 9, 47, 49, 51, 53 (франц.)

Описана схема прядения моноволокна из полистирола. Рассматривается теория деформации аморфных полимеров в приложении к процессу вытягивания полистирола и применение способа двулучепреломления для определения степени ориентации. Изучено влияние т-ры и скорости вытягивания на ориентацию моноволокна из полистирола. Изучена усадка этого волокна в различных условиях. Рекомендуются следующие параметры получения максимально-ориентированного моноволокна из полистирола: вытягивание производить при 120—130° и повышенной скорости, при кратности вытяжки, несколько меньшей, чем максимально возможная при данной т-ре. Если волокно вытянуто слишком сильно, оно остановится белесым и его прочность на изгиб падает.

С. Б.

45171. Завод вискозного штапельного волокна фирмы «S. A. Fabelta» в г. Цвийнерде. Априон (L'usine zwijnaerde de la S. A. Fabelta. Henrion E. d.), Rev. Soc. roy. belge ingrs et industriels, 1954, № 7—8, 329—331 (франц.)

Краткое описание произ-ва вискозного штапельного волокна в г. Цвийнерде (Бельгия) на 60 т волокна в сутки.

45172. О выборе способа фильтрации вискозы (В порядке обсуждения). Пащенко П. П., Текстильная пром-сть, 1955, № 9, 34—35

Рассмотрены преимущества и недостатки различных способов передачи вискозы в приемные баки через 1-ю, 2-ю и 3-ю фильтрации. Способ передачи вискозы шестеренчатыми насосами при подавливании сжатым воздухом при давл. 0,7 атм является нецелесообразным и неэкономичным. Предлагается производить передачу

вискозы только шестеренчатыми насосами без подавливании сжатым воздухом.

С. З.

45173. Фильтруемость вискозы. VII. Влияние давления при фильтрации. Воостер (Filterability of viscose. VII. Influence of the filtration pressure. Voosters H. L.), Svensk papperstidn., 1955, 58, № 19, 699—705 (англ.; рез. швед., нем.)

Между фильтрационным числом F_W и начальной скоростью фильтрации D было установлено соотношение $F_W = D_0^{0,5-m}/2Kc$, в котором m и K — константы.

Для большинства фильтр-материалов и для хорошо или средне-фильтрующихся вискоз $m = 0$. Отсюда выводится «приведенное» число фильтрации: $R_p = F_W/D_0^{0,5-m}$. Начальная скорость фильтрации зависит от вязкости вискозы η и начального давления P : $D_0 = Pk/\eta$. Здесь K — константа. Для жидкостей со структурной вязкостью величина η зависит от усилия сдвига τ , которое, в свою очередь, зависит от давления P ($\tau = PK$). Поэтому: $D_0 = PK/\eta$ ($1 - aPK$). Приведенные зависимости подтверждены экспериментально. В общем виде ур-ние фильтрации вискозы может быть написано в виде: $-aD/dt = Kc_0 D_0^m D^x = ZD^x$, где K , x , Z , m — константы. Величина x не зависит от давления, но сильно изменяется со временем. Часть VI см. РЖХим, 1956, 30946

А. П.

45174. Влияние поверхностноактивных веществ при получении вискозного раствора и формировании из него волокна. I, II, III. Э. Лёд, Гётце, Раух (Untersuchungen über die Wirkung grenzflächenaktiver Verbindungen bei der Herstellung und Verspinnung von Viskose. I, II, III. Elöd E., Götze K., Rauch H.), Pevon, Zellwolle und and Chemiefasern, 1955, № 5, 321—324, 326, № 10, 680—682; № 11, 751—754, 756—757 (нем.)

Часть I. На з-дах вискозного волокна применяют поверхностноактивные в-ва для повышения равномерности мерсеризации целлюлозы и предозревания цел. целлюлозы, ускорения и повышения равномерности ксантогенирования цел. целлюлозы, получения прозрачной и хорошо фильтруемой вискозы, повышения прядомости вискозы и снижения заварки фильер. Применяются аниоактивные мыла, низко- и высокосульфированные масла и жирные к-ты, сульфированные жирные спирты, сульфонаты, катиоактивные препараты на базе аммониевых, фосфониевых, сульфониевых соединений, аминов, пиридиниевых оснований, неоионогенные препараты и т. п. Для облегчения фильтрации вискозы из хлопковой целлюлозы или из облагороженных целлюлоз, содержащих менее 0,07% смол, растворимых в эфире, предлагается применение мыл на основе смолных к-т. Для получения волокна без молочных пятен предлагаются добавки 0,05—2,0% высокосульфированных жирных к-т. Для повышения равномерности мерсеризации предлагается добавлять к рабочей щелочи алкиларилсульфонаты. Различные поверхностноактивные в-ва распределяются на 7 групп: 1 — низкосульфированные масла типа ализаринового масла, 2 — высокосульфированные жирные к-ты типа Престабитоль, 3 — высокосульфированные жирные к-ты, с добавкой в-в, облегчающих растворение в рабочей щелочи, 4 — алкилированные или оксизетилированные четвертичные аммониевые соли, 5 — оксизетилированные жирные амины, в молекуле которых содержится 12—20 остатков окиси этилена, 6 — алкилированные или оксизетилированные соли аминосульфированных к-т, содержащих 12—20 остатков окиси этилена, 7 — оксизетилированные жирные спирты, в молекуле которых содержатся 25—30 остатков окиси этилена. Добавки поверхностноактивных в-в снижают поверхностное натяжение вис-

козы, облегчают обезвоздушивание и фильтрацию. Значительное снижение поверхностного натяжения вискозы достигается при добавлении в-в 1,4,5 групп, незначительное снижение — при добавлении в-в 7-ой группы. По ускорению обезвоздушивания добавки располагаются в ряд $5 \cdot 6 \cdot 4 > 1 \cdot 3 > 2 \cdot 7$. Добавка в-в 7-ой группы создает устойчивую пену, мешающую удалению воздуха. В-ва 5-й и 6-ой групп облегчают обезвоздушивание, т. к. пена легко исчезает.

Часть II. При произ-ве вискозного шелка скорость наматки нити обычно в 1,2—1,8 раза превышает скорость вытекания вискозы из фильеры, при прядении вискозного штапельного волокна это отношение равно 1,8—2,4. Поэтому вискоза должна обладать высокой прядимостью. Добавка поверхностноактивных в-в к вискозе в кол-ве 1 г/д обычно увеличивает прядимость вискозы в 3 раза, что позволяет прядь с более высокими скоростями. Дальнейшее увеличение кол-ва добавочных поверхностноактивных в-в не улучшает прядимости. Неионогенные окислированные препараты не повышают прядимости вискозы. Способность свежесформованных волокон к вытягиванию не изменяется при добавлении поверхностноактивных в-в к вискозе, но повышается скольжение нити на прядильном диске.

Часть III. Добавка поверхностноактивных в-в к вискозе не влияет на прочность и разрывное удлинение получаемого волокна. Появление молочных пятен на шелке при выпрядании молодых вискоз предотвращается добавлением к вискозе препаратов, не разлагающихся в осадительной ванне и обладающих достаточной поверхностной активностью в кислой среде. Добавление поверхностноактивных в-в обычно резко уменьшает кол-во засоренных фильер — с 3,40% после 8 час. прядения до 0,03—0,38%. Наоборот, в-ва, разлагающиеся в кислой среде с выделением масел, увеличивают число засоренных фильер до 10,3%. Неразлагающиеся в ванне анионоактивные в-ва понижают кол-во засоренных фильер на 30%, катионоактивные в-ва и неионогенные в-ва, которые образуют соли в ванне и становятся катионоактивными, понижают засорение фильер на 90—100%. Одновременно уменьшается отложение примесей в отверстиях фильер, образующихся вследствие возникновения электрич. тока (катод — фильера, анод — свинец, напряжение 10 мв).

45175. Исследование механизма формирования вискозного волокна. III. Взаимодействие ксантогенатных волокон с Zn^{2+} . IV. Свойства Zn^{2+} -ксантогенатных волокон и ориентационная рубашка вискозного шелка. Ока, Ёкоути (ビスコースの紡糸機構に關する研究. 第3報. ザンテートモデルフィラメントと Zn^{++} との反應について. 第4報. Zn^{++} ザンテートを経たモデルフィラメントの特性及びそのスキンとの對應について. 岡田太郎, 横内澤), 繊維學會誌, Сангун гаккэйси, J. Soc. Text. and C. Indus. Ind., Japan, 1955, 11, № 6, 308—316 (япон.; рез. англ.)

Часть III. Кинетика р-ции между ксантогенатным волокном и Zn^{2+} в ванне определяется ур-нем 2-го порядка $dx/dt = k(a-x)(b-x)$, где a и b — начальные кол-ва тиокарбонатов групп и Zn^{2+} ; x — кол-во Zn^{2+} , прореагировавшего за время t , и k — константа скорости. Величина k зависит от диаметра волокна, т-ры р-ции, величины γ -ксантогената и присутствия в ванне других катионов. Ксантогенатное волокно было получено выпряданием вискозного р-ра в холодный 15%-ный водн. р-р NH_4Cl .

Часть IV. При рассмотрении поперечных срезов полученных Zn -ксантогенатных волокон под микроскопом резко различаются два слоя: внешний, Zn -содержащий слой, и внутренний, не прореагировавший с Zn ; толщина внешнего слоя зависит от т-ры и времени р-ции, конц-ии Zn^{2+} в ванне и γ -ксан-

тогенатного волокна. После полного разложения ксантогената этого волокна, гидратцеллюлозное волокно также содержит два слоя, причем внешний слой — ориентационная рубашка — точно соответствует слою Zn -ксантогената, а внутренний слой соответствует внутреннему слою ксантогенатного волокна, не содержащему Zn . Поэтому предполагается, что причиной появления ориентационной рубашки является образование Zn -ксантогената. Часть II см. РЖХим, 1955, 2: 664. А. П.

45176. Прядение упрочненного медноаммиачного волокна. Буссе (Du filage de la rayonne a resistance accrue. Bousset René), Ind. text., 1954, № 815, 709—710 (франц.)

Для получения упрочненного медноаммиачного волокна необходимо соблюдение трех условий: 1. Ориентация макромолекулы не должна нарушаться слишком большим трением (≤ 50 дин/см²) между волокном и осадительной ванной. Для этого скорость движения нити должна быть близкой к скорости циркуляции ванны. 2. Вытяжка волокна должна начинаться раньше, чем волокно достигает «оптимального» состояния коагуляции, характеризующегося вязкостью 50 000—60 000 пуаз. Расстояние a от фильеры, на котором должен начаться процесс вытяжки, вычисляется по эмпирич. ф-ле: $a = m \cdot t \cdot V \cdot a$ (см), где m — коэфф., зависящий от т-ры (при 15° $m = 0,67$; при 45° $m = 0,20$), t — титр волокна, $V \cdot a$ — скорость истечения прядильного р-ра в м/мин. 3. Процесс вытяжки должен идти медленно. При прядении, согласно предложенной схеме, можно получить волокно с прочностью 4—5 г/дене.

45177. Новое в производстве ацетатного волокна. Зиппель (Neues von der Azetatfaser. Sippel A.), Reyon, Zellwolle und and, Chemiefasern., 1954, 32, № 12, 737—741 (нем.)

Обзор. Библи. 20 назв. В. Д.

45178. Стекловолокно как сырье для текстильной промышленности. Бобет (Az üvegşál mint textiltipari nyersanyag. Bobeth Wolfgang), Magyar tud. akad. kém. tud. oszt. közl., 1954, 5, № 1-2, 217—233, hozzasz. 234—238 (венг.)

Обзорный доклад. Библи. 15 назв. Г. Ю.

45179. Производство поливинилхлоридных волокон. XIV. Набухание и термоусадка. Икома (ポリ塩化ビニール繊維の製造に關する研究. 第14報. P.V.C. 纖維の熱及び膨潤兩効果の相對性に就いて. 生駒一郎), 纖維學會誌, Сангун гаккэйси, J. Soc. Text. and Cellulose Ind., Japan, 1953, 9, № 11, 574—576 (япон.; рез. англ.)

Волокна, вытянутые в набухшем состоянии, и волокна, подвергнутые термообработке, имеют одинаковую структуру и механич. свойства при нормальных т-рах. Кристаллизация, имеющая место при термообработке, необходима для повышения термостойкости (понижение термоусадки и повышение т-ры размягчения). А. П.

45180. Способ придания стилоновым волокнам матового вида и шероховатой поверхности. Понаковский, Хшчопович, Брайтер (Sposób nadawania włóknom steolonowym matowego wyglądu i szorstkiej powierzchni. Nowakowski Aleksander, Chrzczonowicz Stanisław, Brajter Ludwik), Zesz. nauk. Politechn. łódzkiej, 1955, № 9, 73—79 (польск.; рез. русс., англ.)

Исследована возможность облагораживания стилонового волокна путем обработки его поверхности N-метилолпроизводным стилона после набухания в р-ре $NaOH$. Волокно погружают на 3 мин. в 30%-ный р-р $NaOH$ при 20°, затем после центрифугирования в р-р N-метилолпроизводного стилона (в 1%-ном р-ре $NaHCO_3$ в 87%-ном C_2H_5OH , т-ра 75°). При этом на поверхности волокна образуется пленка, прорываемая выделением

ся CO_2 , так что поверхность становится матовой и перхатоватой. После 2-минутной обработки волоно снова центрифугируют и погружают на 1—2 мин. в коагуляционную ванну, содержащую 5% HCl (т-ра 26°), затем центрифугируют, промывают водой и сушат. Приrost веса волокна после облагораживания составляет 5%, степен полимеризации падает на 4%. Образовавшаяся пористая пленка устойчива даже к кипящему мыльному р-ру, механич. прочность волокна несколько увеличивается. Облагороженное волокно окрашивается лучше исходного. Метод позволяет использовать отходы стилонового волокна (для получения N-метилпропионового), не требует спец. оборудования, отличается простотой и дешевизной.

З. Б.

45181. Метод облагораживания стилонового волокна. Хшчонович (Metoda uszlachetniania włókien steelonowych. Chrzczonowicz Stanisław), Zesz. nauk. Politechn. Łódzkiej, 1955, № 9, 81—91 (польск.; рез. рус., англ.).

Разработан метод облагораживания стилоновых (полиамидных) волокон, основанный на хим. обработке их р-рами стилона в спирт. р-ре CaCl_2 с последующим выщелачиванием водою. Волокно становится матовым и перхатоватым, как шерстяное. Предложено 3 варианта метода матирования: во всех случаях волокно погружают в спирт. р-р CaCl_2 и стилона, а затем обрабатывают различными способами: 1) промывают водою, 2) обрабатывают водн. р-ром NH_4F и промывают водою, 3) обрабатывают 2%-ными водн. р-рами BaCl_2 и Na_2SO_4 и промывают. Степень матирования при этом получается различная. Волокно остается матированным даже после многократного кипячения в мыльном р-ре. Колебания т-ры исходного р-ра в пределах $\pm 5^\circ$ и времени обработки на $\pm 20\%$ не влияют на степень матовости волокна. Мех. свойства волокна не изменяются.

З. Б.

45182. Новое синтетическое волокно Японии — винилон. Пуч (Vinylon, la fibra sintética del Japón. Puig Juan B.), Rev. industr. y fabr., 1955, 10, № 104, 252—256 (исп.).

Обзор. Кратко описаны свойства синтетич. волокна из поливинилового спирта винилона, произ-во которого в Японии составило в 1953 г. $\sim 60\%$ от всего кол-ва полученного там синтетич. волокна.

Г. К.

45183. Зависимость разрывной прочности химических волокон от расстояния между зажимами. 3 и пель (Zur Dutung der Abhängigkeit der Reißfestigkeit von Chemiefasern von der Einspannlänge. Si p p e l A.), Faserforsch. und Textiltechnik, 1953, 4, № 4, 152—154 (нем.).

Исследовано влияние градиента скорости и расстояния между зажимами на величину разрывной прочности волокон. В связи с изменением градиента скорости в процессе определения прочности учитывался начальный градиент скорости в период между 5 и 15 сек. от начала опыта. Обнаружено, что разрывная прочность возрастает с увеличением градиента скорости и с уменьшением расстояния между зажимами, причем влияние последнего не велико. При рассмотрении зависимости разрывной прочности от толщины волокна нужно также учитывать поперечную неоднородность волокна, т. е. наличие центральной и внешней зоны.

С. З.

45184. Механические свойства невытянутых волокон амилан. I. Кривая «нагрузка — удлинение» невытянутых волокон в воде. Иси́кава (未延伸アミランの機械的性質. 第1報. 定沙度伸長時の挙動. 石川欣造) 纖維學會誌, Сентэй гаккайси, J. Soc. Text. and Cellulose Ind., Japan, 1953, 9, № 12, 613—617 (япон.; рез. англ.).

45185. Ацетилцеллюлоза. Гривьяр (L'acétate de cellulose. Grignard R.), Rayonne et fibres synthét., 1954, 10, № 2, 53—56 (франц.).

Изучались диэлектрич. свойства волокон (В) из ацетилцеллюлозы в зависимости от влажности и т-ры, сравнительно с аналогичными свойствами других искусств., синтетич. и натуральных В. Зависимость между сопротивлением и влажностью выражены у-нием $R \cdot H^n = K$, где R — электрич. сопротивление, выраженное в ом/см² для В длиной 1 см и массой 1 г, H — влажность В в %, n и K — константы, зависящие от природы В. Приведены кривые значения логарифма диэлектрич. постоянной (ДП) в зависимости от влажности. При этом выше всех располагается кривая ацетилцеллюлозного В, затем кривые нейлона, шелка, шерсти, джута, вискозного В, льна и хлопка. При относительной влажности 65% повышение т-ры выше 20° приводит к падению величины ДП ацетилцеллюлозы и шелка в 10 раз. У медноаммиачного и вискозного шелка, а также хлопка при нагреве величина ДП падает в меньшей степени. По абс. значению (в интервале от 20 до 70°) ДП ацетатного В далеко оставляет за собою все другие В, в силу чего оно рассматривается как неперезойденный электроизоляционный материал (для телефонных проводов, для обмотки электромоторов).

Д. К.

45186. Электрическое сопротивление вискозного шелка при низких температурах. Кларк, Престон (Electrical resistance of viscose rayon at low temperatures. Clark J. F., Preston J. M.), Text. Res. J., 1955, 25, № 9, 797—798 (англ.).

Определялось электрич. сопротивление вискозного шелка с влажностью 24,5% и 55,9% в интервале т-р от $+20$ до -70° . Логарифм уд. сопротивления волокна возрастает почти линейно с уменьшением т-ры. Кривые зависимости уд. сопротивления от т-ры имеют одинаковый характер для волокна с различной влажностью, но с повышением влажности сопротивление волокна понижается. Одинаковый характер кривых показывает, что проводимость не зависит от фазового состояния воды, т. к. при влажности 56% в волокне находится замерзшая вода, которой не имеется в волокне с влажностью 24,5% (проведенные ранее работы показали, что в вискозном волокне вода замерзает лишь при влажности $> 38\%$).

А. Р.

45187. Реакция между целлюлозой и формальдегидом. Влияние на механические свойства вискозного волокна. Керхольм (The reaction between cellulose and formaldehyde. Influence on the mechanical properties of viscose rayon fibers. K ä r h o l m E. M a r i a n n e), Text. Res. J., 1955, 25, № 9, 756—762 (англ.).

Проведено определение модулей изгиба, кручения и растяжения вискозного волокна с различным содержанием связанного CH_2O . Обработка CH_2O снижает удлинение и повышает прочность волокна. Модули растяжения, изгиба и кручения проходят через максимум с увеличением кол-ва CH_2O , причем максимум соответствует $\sim 5\%$ связанного CH_2O (CH_2O , оставшийся в целлюлозе после обработки Na_2SO_3). На основе полученных результатов сделано заключение о том, что с увеличением связанного CH_2O до 5% увеличивается число поперечных связей; при более высоком содержании CH_2O увеличивается длина поперечных связей.

А. Р.

45188. Разрушение изделий из вискозного волокна под действием света. Клейнерт, Мёсмер (Beitrag zur Frage der Lichtschädigung von Viskosetextilien. Kleinert Theodor N., Mößmer Viktor), Textil-Rundschau, 1955, 10, № 7, 353—359 (нем.).

Определены падение разрывной прочности и разрывного удлинения и снижение степени полимеризации целлюлозы вискозного волокна, подвергнутого действию солнечного света или УФ-лучей. Одновременно исследовалось поведение хлопчатобумажных нитей. Матированные волокна разрушаются сильной. Де-

27*

струкция происходит более интенсивно, чем вискозного волокна. С уменьшением элементарного титра волокна действие света усиливается: для вискозного волокна с элементарным титром 1,5 *денье* падение прочности достигает 37,4%, тогда как для того же волокна с элементарным титром 4,5 *денье* падение прочности составляет только 14,1%. Присутствие S в волокне не влияет на падение прочности, а при более высоком содержании S (более 0,09%) наблюдается даже защитное действие ее на волокно. Следы к-т и окислителей, а также наличие окисленных групп в целлюлозе также усиливают деструктирующее действие света. В присутствии TiO_2 S в волокне легко окисляется до H_2SO_4 , которая сильно разрушает вискозное волокно. Разрушение волокна под действием света усиливается также в присутствии следов Cu и Cr, а также в присутствии небольших кол-в моющих средств перекисного типа. А. П.

45189. Определение толщины и поверхности волокон по измерению воздухопроницаемости. Мейер (Feinheits- und Oberflächenmessungen an textilen Fasern mit der Luftdurchlässigkeitsmethode. Meyer Siegfried, Faserforsch. und Textiltechnik, 1955, 6, № 3, 129—137 (нем.; рец., рус., англ.))

Обычные методы определения номера одиночных волокон весьма трудоемки и неточны из-за сильных колебаний в толщине отдельных волокон. Предлагается метод и прибор для определения номера волокон по воздухопроницаемости. С помощью дифференциального манометра измеряется перепад давления при пропускании сжатого воздуха или при отсосе воздуха под вакуумом через исследуемые волокна. Уд. поверхность данного волокна (O) может быть определена по перепаду давления Δp из соотношения $O = \sqrt{V T / 484 (\Delta p + 15)^2} + 0,2$. Номер волокна T определяется аналогично по уравнению, введенному для данного прибора: $\Delta p = V \sqrt{22 / V T O^2} - 0,2$ — 15. Для сечений волокна различной формы выведены поправочные коэфф. $O = 1,00$ для круглого сечения, $O = 1,05$ для круглоэллиптического сечения, $O = 1,77$ для ленточного сечения. Для различных волокон было получено: поверхность волокна O в $\text{м}^2/\text{г}$ равна для хлопка — 0,58, для штапельного волокна хлопкового типа — 0,28, для штапельного волокна шерстяного типа — 0,18, для перлона хлопкового типа — 0,29, для мериносовой шерсти — 0,16. Приведены данные, характеризующие точность нового метода определения номера. А. П.

45190. Метод определения повреждения полиамидных волокон кислотами. Шарф (Der Nachweis von säuregeschädigten Polyamidfasern mit Hilfe einer Anfärbemethode. Scharf Rolf, Textil- und Faserstofftechnik, 1955, 5, № 10, 573—574 (нем.))

Под действием минер. и органич. к-т, определенных конц-ий, полиамидные волокна изменяются и после обработки окрашиваются кислотными красителями значительно глубже. Степень полимеризации полимера, определенная вискозиметрич. методом, после такой обработки не изменяется. Для выявления повреждений волокна при кислотной обработке предлагается испытываемое полиамидное волокно освободить от замазливателей промывкой или экстрагированием спирто-бензольной смесью. Если волокно окрашено, краситель должен быть удален. Затем воздушно-сухое волокно замачивается в горячей воде и подвергается крашению в течение 15 мин. при 60° смесью 1% Чикаго-Синего 6В и 9% Чикаго-Желтого 3 G, при модуле ванны 1:40. После крашения проба тщательно промывается теплой водой и сушится при $\leq 60^\circ$. Места, разрушенные к-той, сорбируют синий краситель, тогда как исходное волокно окрашивается в чисто желтый цвет. По интенсивности зеленого или синего оттенка судят о степени разрушения волокна к-той. При повышении конц-ии H_2SO_4 , применяемой для обработки, $> 26\%$,

появляется зеленый оттенок на полиамидном волокне. Степень полимеризации волокна при этом не изменяется; прочность на разрыв начинает уменьшаться, а разрывное удлинение — возрастать. Такое же изменение окраски и физ.-мех. свойств наблюдается при обработке полиамидного волокна 12% HCl. Испытание проводилось с шелком перлон. Изменение окраски объясняется «блокированием» концевых групп более крупными молекулами синего красителя и вытеснением желтого красителя синим. А. П.

45191. Способ определения ацетатного волокна в смеси с хлопком. Ди-Стефано, Мунтони (Dosaggio del rayon all'acetato di cellulosa nei tessuti misti con cotone. Di Stefano F., Muntoni F., Rend. Inst. super. sanità, 1954, 17, № 1, 55—58 (итал.; рец. англ., франц., нем.))

Ацетатное волокно полностью растворяется в смеси CH_3COOH и HNO_3 при нагревании. Хлопковое волокно при этом не растворяется. Содержание ацетатного волокна определяется по разности весов. С. Б.

45192 П. Способ и аппарат для непрерывной полимеризации лактамов. Людевиг, Венгер (Verfahren und Vorrichtung zur kontinuierlichen Polymerisation von Lactamen. Ludwig Hermann, Wenger Friedrich) [VEB Filmfabrik Agfa Wolfen]. Пат. ГДР 4740, 22.11.54

Патентуется способ и аппарат для непрерывной (при нормальном давлении) полимеризации лактамов (с числом членов в кольце > 6 , в частности, лактамов с α -аминопропановой, 7-аминоэнантовой и 9-аминонеларгоновой к-ты) с добавкой аминокарбоновых к-т и (или) солей диаминов и дикарбоновых к-т, образующих линейные полиамиды, и для одновременной непрерывной переработки расплавленного полимера в волокно, нити, пленку и шприцованные изделия. Аппарат представляет вертикальную трубку, в которой снизу вверх расплавленная смесь исходных в-в при помощи насоса непрерывно подается из плавильного котла, снабженного обогревательной рубашкой, мешалкой и загрузочным штуцером. Аппарат снабжен обогревательной рубашкой и шнекоподобным приспособлением внутри аппарата. Медленно и непрерывно поднимаясь вверх по трубе (продолжительность хождения массы 10—60 мин.), плав постепенно полимеризуется, вязкость его возрастает, причем образующиеся в процессе полимеризации пузырьки водяного пара и летучие продукты, поднимаясь вверх вместе с реакционной массой, способствуют хорошему перемешиванию последней и лучшему использованию воды, являющейся активатором этого процесса. Это обстоятельство и составляет преимущество этого аппарата перед горизонтальными аппаратами или аппаратами с движением лактама сверху вниз. Из трубы полиамид поступает в приемник, также снабженный обогревательной рубашкой, смотровым стеклом и штуцером для удаления паров воды и летучих продуктов, а в нижней части — выпускной трубой, из которой с помощью насоса расплавленный полиамид подается к фильере. Пример: 95,4 ч. с-капролактама и 4,6 ч. гексаметилендиамина дигидрата после расплавления в котле подаются насосом в нагретую до 250—260° трубу, где немедленно происходит отщепление от соли диамина воды, ускоряющей полимеризацию лактама. Плав проходит через находящуюся под обыкновенным давлением трубу в течение не более 30 мин., достигая величины относительной вязкости 1,6 (в 1%-ой, по объему, H_2SO_4), и поступает в нагретый до 280° приемник, откуда спустя 20—30 мин. одним или несколькими насосами подается на формирование волокон или шетин. Вязкость массы в конце процесса 800—1000 пуаз и значение относительной вязкости р-ра 2,2.

А. П.

45193 П. Непрерывный процесс поликонденсации и формирования изделий из образующегося полимера. Магата, Строн (Formation of films and filament directly from polymer intermediates. Magata Eugene Edward, Strachan Donald Rittler) [E. I. du Pont de Nemours and Co.]. Пат. США 2708617, 17.05.55

Патентуется процесс непрерывной поликонденсации и формирования волокна и пленки. Образование полимера осуществляется при взаимодействии р-ров исходных мономеров, способных быстро вступать в р-цию поликонденсации. Р-рителю мономеров не должны растворять образующийся полимер, который выпадает в виде волокна или пленки. Приводится принципиальная схема аппарата для осуществления процесса. Ю. В.

45194 П. Способ получения искусственных волокон и других изделий из растворов органических волокнообразующих веществ в водорастворимых органических растворителях. Лизебергер, Шнейдер (Verfahren zur Herstellung von künstlichen Gebilden aus Lösungen von organischen, fadenbildenden Stoffen in wasserlöslichen, organischen Lösungsmitteln. Lieseberg Friedrich, Schneider Wilhelm) [Badische Anilin- und Soda-Fabrik A.-G.]. Пат. ФРГ 903261, 4.02.54 [Textil-Praxis, 1954, 9, № 673 (нем.)]

Патентуется способ получения нитей, волокон, щетины и волоса путем формирования в воду или водн. р-ры. В осадительную ванну или в ванну, в которой производится вытяжка волокна, или одновременно в обе ванны добавляють в-ва, снижающие поверхностное натяжение р-ра. С. З.

45195 П. Способ и устройство для формирования и вытягивания моноволокна из линейных полимеров. Домин (Verfahren und Vorrichtung zum Verstrecken und Verformen von Monofilamenten aus linearen Superpolymeren. Domin Bernhard). Пат. ГДР 4148, 12.02.54.

При обычном вытягивании моноволокна из линейных полимеров имеется возможность получения волокна с неравномерным диаметром, что исключает возможность применения такого волокна для различных целей. Предложенный в данном патенте способ устраняет этот недостаток. Моноволокно перед окончательным вытягиванием подвергается вытягиванию в присутствии в-в, вызывающих набухание при 80—90°. В качестве таких в-в применяются многоатомные спирты и вода. Для формирования моноволокна применяются фильеры с раздвижными частями, которые определяют форму получаемого моноволокна. Г. С.

45196 П. Получение придильного раствора из полиакрилонитрила и его сополимеров. Пирот (Verfahren zur Herstellung von Spinnlösungen aus Polyacrylnitril bzw. seinen Mischpolymerisaten. Piro Egnst) [Vereinigte Glanzstoff-Fabriken A.-G.]. Пат. ФРГ 926567, 21.04.55

Придильный р-р получается растворением полиакрилонитрила или его сополимеров в смеси диметилформамида и 5—10% диэфира с ф-лой $(CH_3)_2C=O$ — $(CH_2)_n$ — CO — O — R — O — CO — $(CH_2)_n$ — CH_3 , где R есть $-CH_2-$ или $-CO(CH_3)-$; $n = 0-2$. Так., напр. 22 г полиакрилонитрила со степенью полимеризации 87, растворяется в 78 г смеси р-рителей, состоящей из 85% диметилформамида и 15% метилэтилендиамината. Растворение происходит при нагревании. Р-р отличается высокой придиальностью и может быть спряден в нить со скоростью 300—350 м/мин. Получаемая нить имеет разрывную прочность 42 ркт. А. П.

45197 П. Придильный раствор из полимера или сополимера акрилонитрила. Цунода и др. (Spinning solution for acrylonitrile polymer or copolymer. Tsunoda Yoshio, et al)

[Asahi Chemical Industries Co.]. Япон. пат. 764, 16.02.54 [Chem. Abstr., 1954, 48, № 22, 14232 (англ.)]

Смесь из 15 ч. полиакрилонитрила, 100 ч. $ONCH_2CN$ и 1 ч. винной к-ты нагревают 2 часа при 100°. Р-р прядется в коагуляционную ванну из глицерина при 40°, затем волокно вытягивается в 12 раз в горячей воде при 140°. Получается белое волокно с прочностью 2,7 г/дене. С. Ш.

45198 П. Формование полиакрилонитрилового волокна (Polyacrylonitrile threads) [Courtaulds Ltd]. Австрал. пат. 161975, 31.03.55

Метод формования волокна из полиакрилонитрила, растворенного в смеси водн. р-ра одной или нескольких солей (роданиды щел. и щел.-зем. металлов, аммония и гуанидина, LiBr, LiJ, NaJ, $ZnCl_2$) и разбавителя, смешивающегося с водой. Конц-ия соли в растворяющей смеси должна быть ≥ 35 вес. %. В качестве придиальной ванны применяется водн. р-р этой же соли и разбавителя, взятых примерно в таком же соотношении, как и в растворяющей смеси. Конц-ия солей и разбавителя в придиальной ванне не должна достигать конц-ии, при которой нарушается нормальный процесс прядения. Придиальная ванна, обогащенная более чем 10 об. % растворяющей смеси, используется для растворения полиакрилонитрила. Ю. В.

45199 П. Получение вискозы (Procédé pour la préparation de la viscosse.) [Vereinigte Glanzstoff-Fabriken A.-G.]. Франц. пат. 1078846, 23.11.54 [Bull. Inst. text. France, 1955, № 54, 139 (франц.)]

Для получения равномерной вискозы, не содержащей гелеобразных частиц, сначала ксантогенат частично растворяют в аппаратах для растворения и затем перекачивают через ряд последовательно поставленных баков и фильтров, которые должны быть заполнены целлюлозным без воздушных пустот. Вискоза должна быть непрерывно в движении и интенсивно перемешиваться, последовательно проходя через аппараты для подогрева и охлаждения с целью регулирования зрелости вискозы, поступающей на прядение. А. П.

45200 П. Повышение сцепления вискозного шелка с каучуком (Perfectionnements à la liaison du caoutchouc sur les fils de rayonne de viscosse) [Courtaulds Ltd] Франц. пат. 1078405, 18.11.54 [Bull. Inst. text. France, 1955, № 54, 140 (франц.)]

Для улучшения сцепляемости вискозного шелка с каучуком к вискозе перед прядением добавляется шел. р-р продукта частичной конденсации резорцина с CH_2O (в соотношениях 1 : 1,3 — 1 : 3,5). Соотношение резорцина к NaOH в этом р-ре должно равняться 1 : 1,5 до 1 : 3,5, содержание смолы в р-ре 5—15% и к-во добавляемой смолы в вискозу 0,5—3,0% от веса сухого шелка. Устойчивость шел. р-ров резорцино-формальдегидных смол при 15° достигает 24 час. После прядения и промывки нить прогревают для поликонденсации смолы. А. П.

45201 П. Способ изготовления резиновых изделий с прокладками из искусственного шелка. Иллингворт, Мадж (Verfahren zum Herstellen von mit Kunstseideeinlagen versehenen Gegenständen aus Kautschuk. Illingworth James William, Madge Evelin William) [Dunlop Rubber Co.]. Пат. ФРГ 893584, 19.01.53 [Gummi und Asbest, 1954, 7, № 10, 523 (нем.)]

Способ улучшения связи между нитями из искусств. шелка и каучуком, отличающийся тем, что нити пропитывают термореактивной альдегидной смолкой. Напр., перед прядением в вискозу вводят такое кол-во альдегида и фенола (напр., резорцина) или продукта их конденсации, что содержание смолы ≤ 5 вес. % от веса целлюлозы в вискозе. Пример: К 8 вес. ч. 36%-ного формалина прибавляют 4 ч. резорцина, растворенного в водн. р-ра NaOH (0,5 ч. NaOH на 75 ч. воды) и смеси

вают с р-ром ксантогената целлюлозы; кол-во резорцин-формальдегидного р-ра составляет ~1% от содержания целлюлозы в вискозе. Из вискозного р-ра формируют волокно, состоящее из ~500 элементарных волокон 1,1 *денье* при крутке 3,5 витка на 25 мм. Затем повышают крутку до ~17 витков на 25 мм и 2 такие нити скручивают в кордную нить с круткой в противоположных направлениях 11,5 витка на 25 мм. М. Л.

45202 П. Метод и аппаратура для непрерывного производства адсорбирующего материала, содержащего регенерированную целлюлозу (Method and apparatus for continuous production of absorbent material having a basis of regenerated cellulose) [Aktiebalaget Celloplast]. Англ. пат. 707536, 21.04.54 [Plastics, 1954, 19, № 204, 245 (англ.)]

Искусственный прочный материал в форме листов получается из хорошо перемешанной смеси, содержащей вискозу, мелко кристаллич., растворимую в воде, соль и рыхлые штапельные волокна (в качестве упрочняющего материала). Эта смесь непрерывно поступает на движущуюся ленту, где подвергается механич. обработке, затем пропускается через коагуляционную ванну. Полученное полотно высушивается. Л. М.

45203 П. Непрерывная отделка вискозного шелка (Method for the treatment of thread) [Courtaulds, Ltd]. Англ. пат. 716582, 6.10.54 [J. Appl. Chem., 1955, 5, № 4, 1646 (англ.)]

Вискозная нить проходит непрерывно в виде спирали по роликам, подвергаясь действию конденсирующегося пара. Смесь пара с конденсатом промывает нить. Эта обработка нити может быть осуществлена перед, во время или после кислотки, десульфурации, отбелики или других отделочных операций и ускоряет процесс отделки в целом, упрощая оборудование. А. П.

45204 П. Непрерывный способ получения отбеленного волокна или других изделий из вискозы. Гивенс, Роз (Verfahren zur Herstellung von kontinuierlich gebleichten künstlichen Fäden oder Bändern aus Viskose. Givens John Harrison, Rose Leslie). Пат. ГДР 3994, 31.03.54

Непрерывный способ получения отбеленных вискозных волокон и других изделий состоит в обработке волокон слабощел. (благодаря присутствию NaHCO_3) р-ром NaClO после процесса формирования и вытяжки волокон без кислотки, промывки и удаления Cl_2 с последующей сушкой волокон перед промывкой. Избыточное кол-во NaClO разлагается при нагревании во время кратковременной сушки. Так, напр., вискоза (8% целлюлозы и 6,5% NaOH) со зрелостью 5,5 по NaCl попадает через фильеру в коагуляционную ванну, содержащую 10% H_2SO_4 , 17% Na_2SO_4 и 1% ZnSO_4 при 50°, путь нити в ванне 20 см, при этом получают волокно 60 *денье* из 16 элементарных волокон. Волокно по выходе из ванны вытягивается на вальцах. Затем проходит ряд вальцов, расположенных в виде ступеней. На первом волокно обрабатывают 1%-ным р-ром H_2SO_4 при 85°, на втором происходит отбелка. Р-р содержит 0,02% NaHCO_3 и NaClO (10 ч. активного Cl на 1000000 ч. р-ра). Т-ра р-ра 25°. Затем волокно попадает на вальцы, нагреваемые паром до 110°, и затем на колпачковую крутильную машину. Вышеописанный процесс был повторен еще четыре раза, причем во втором случае на 1 000 000 ч. жидкости приходилось 25 ч. активного Cl , в третьем 50 ч. и в четвертом 100 ч. активного Cl . В пятом случае р-р не содержал NaClO . Прочность и удлинение волокон в сухом и мокром состоянии практически не зависят от конц-ии NaClO в р-ре. Белое волокно получают при содержании 25 ч. активного Cl на 1000000 ч. жидкости. Аналогичные результаты получены для

волокна 200 *денье*. Повышение конц-ии активного хлора до 350 ч. на 1 000000 ч. жидкости не снижает качества волокна. С. З.

45205 П. Синтетические волокна из поливинилового спирта. Танабе (Polyvinyl alcohol-type sythetic fibers. Tanabe Kenichi) [Kurashiki Rayon Co.]. Япон. пат. 1767, 5.04.54 [Chem. Abstrs, 1955, 49, № 2, 1340 (англ.)]

Волокна из поливинилового спирта, спряденные обычным способом, вытягиваются на 120% в течение 5 мин. в среде воздуха, нагретого до 225°. Затем они погружаются на 50 мин. при 60° в ванну, содержащую в (%) H_2SO_4 —17, Na_2SO_4 —10, HCOOH —5 и HClO —5. В этих условиях реагирует с CH_2O 39% OH -групп и без HCOOH 35%. Обработка волокон 2%-ным коричневым лаком М в течение 1 часа при 60° придает волокну такой же интенсивно коричневый цвет, как вискозному штапельному волокну. К. Ш.

45206 П. Способ обработки волокон из поливинилового спирта. Мак-Клеллан, Стивенсон (Process of treating polyvinyl alcohol fibres. McClellan William R., Stevenson Halsey B.). [E. I. du Pont de Nemours and Co.]. Канад. пат. 502317, 11.05.54

Способ увеличения устойчивости волокон из поливинилового спирта к воде состоит в том, что ориентированные волокна нагревают в условиях релаксации при 180—225°, до тех пор, пока усадка волокна достигнет 8—60% от первоначальной длины. При последующей обработке волокна в инертной водно-спиртовой среде, содержащей $\geq 5\%$ воды, оно набухает до насыщения, сохраняя достигнутую усадку; затем волокно переводят в нерастворимое состояние, пропитывая р-ром альдегида, напр. CH_2O , при т-ре 0°—150° (напр., 55—150°) в присутствии кислого катализатора, при этом сохраняется фиксированная длина волокна. О. С.

45207 П. Способ и аппаратура для двухступенчатой вытяжки синтетических волокон. Хьюм (Method and apparatus for the two stage draw of synthetic fibular structures. Hume Harold F.). [E. I. du Pont de Nemours and Co.]. Канад. пат. 502323, 11.05.54

Приведена и описана схема приспособления для двухступенчатого вытягивания нитей и подобных изделий из синтетич. волокнообразующих материалов в горячем состоянии. Нить проходит под растягивающим натяжением через неподвижный горячий прут, размягчаемый вследствие нагрева, благодаря чему происходит основное вытягивание. Непосредственно после выхода с прутка нить движется под растягивающим натяжением по неподвижной нагретой поверхности, где процесс вытягивания заканчивается. А. Р.

45208 П. Отделка химических волокон (Procédé d'anolissement de mélanges de fibres d'acétate de cellulose et de fibres à base de cellulose native ou régénérée) [Badische Anilin & Soda-Fabrik A.-G.]. Франц. пат. 1083236, 6.01.55 [Teintex, 1955, 20, № 7, 587 (франц.)]

Для обработки гидратцеллюлозных, полиамидных, ацетатных, полиуретановых и других хим. волокон амиднопластами без последующего изменения окраски изделий их обрабатывают в-вами, способными при конденсации образовывать аминопласты. Катализатором являются нитраты, к которым во избежание последующего выделения окислов N добавляется один или несколько аминов или аминонитрилов, содержащих ароматич., алифатич., цикло-алифатич. радикалы. Такими добавками являются, напр. диметил-β-аминопропионитрил, бутиламин, ди- или триэтанол амины, циклогексилуретан и др. А. П.

45209 П. Способ получения азотсодержащих волокон или пленок из производных целлюлозы. Шлаа (Verfahren zur Herstellung stickstoffhaltiger Fäden oder

Filme
Пат. Г
Предс
волокон
адетатов
сокомод
которые
лонд, он
этих сме
рующими
сродство
красител
в-ва: NH
пиперази
адетаты
с 54,2%
содержа
нагрева
Вместо
отлиени
тенсивно
напр. ал
новый к
ый RE
ше г.
45210
свойств
(Verfa
und F
abstr
lin- &
[Texti
Для т
ства, ко
(стирка
обного
—CH₂—
—NH—
—O—R₁
V R₁
(R₂) (R₂)
—CO—
ответств
которых
с дру
или дру
дикал
удалют
150°.
45211 П
mes)
16.07.
Патен
гипроск
путем
сухую
этом час
ряд пл
воду, н
45212 П
амиди
dettoy
J a y
[Teint
Патен
волокон
способу
массой,
ственно
в воде (п
промыв

Filme aus Cellulosederivaten. Schlack Paul). Пат. ГДР 2181, 17.04.54

Предложен способ получения азотсодержащих волокон и пленок из производных целлюлозы, в частности ацетатов целлюлозы, заключающийся в добавлении высокомолекулярных растворимых искусств. полимеров, которые содержат реакционноспособные группы: галоген, окси- и сульфогруппы, после формирования из этих смесей полученные изделия обрабатывают аминировочными реагентами. Указанная обработка повышает прочность волокон или пленок к различным группам красителей. Для аминирования применяются следующие вещества: NH_3 , метиламин, диметиламин, циклогексиламин, пиперидин, этилендиамин, тетраметилэтилендиамин, пиперазин, этиленмин и другие реагенты. Пример: ацетатный шелк, состоящий из 90 ч. ацетилцеллюлозы с 54,2% связанной CH_3COOH и 10 ч. тозилцеллюлозы, содержащей 2 тозилые группы в элементарном звене, нагревают 16 час. при 80°C с двойным кол-вом пиридина. Вместо пиридина можно применять триметиламин, этиленмин и другие реагенты. Аминированный шелк интенсивно окрашивается кислотными красителями, как напр. ализариндиантин зеленый 5 G, кислотный антраценовый красный 5 BL, кислотный антраценовый коричневый RE в последнем случае с последующим хромированием.

Г. С.
45210 П. Способ придания водоотталкивающих свойств натуральным или искусственным волокнам (Verfahren, um natürlichen oder künstlichen Fäden und Fasern bzw. Garnen und Geweben einen wasserabstoßenden Charakter zu verleihen) [Badische Anilin- & Soda Fabrik A.-G.]. Пат. ФРГ 916764, 16.08.54 [Textil-Praxis, 1955, 10, № 1, 107 (нем.)]

Для того, чтобы придать водоотталкивающие свойства, которые не исчезали бы при механич. нагрузках (стирках и валах), материал обрабатывают р-ром гидрофобного соединения, имеющего следующую ф-лу $\text{OH} - \text{CH}_2 - \text{NH} - \text{CO} - \text{R}_4$ (I) или R_1 (A) $\text{N}(\text{R}_2)\text{R}_3 - \text{CH}_2 - \text{NH} - \text{CO} - \text{R}_1$ (II) или R_1 (A) $\text{N}(\text{R}_2)(\text{R}_3) - \text{CH}_2 - \text{O} - \text{R}_4$ (III), совместно с соединением с ф-лой IV или V R_1 (A) $\text{N}(\text{R}_2)(\text{R}_3) - \text{CH}_2 - \text{O} - \text{R}_5 - \text{O} - \text{CH}_2(\text{R}_2)$ (A) R_1 (IV) R_1 (A) $\text{N}(\text{R}_2)(\text{R}_3) - \text{CH}_2 - \text{HN} - \text{CO} - \text{R}_5 - \text{CO} - \text{NH} - \text{CH}_2(\text{R}_2)(\text{R}_3)\text{N}(\text{A})\text{R}_1$ (V) или соответствующими несимметричными в-вами, в составе которых с одной стороны от R_5 находится соединение II, а с другой — соединение III. N- R_1 - R_2 - R_3 — пиридин или другой третичный амин, R_5 — углеводородный радикал и A — одновалентный кислотный ион. Затем удаляют избыточный р-р, сушат и нагревают при $80 - 150^\circ\text{C}$.

П. Ч.
45211 П. Пленки, покрытые воском (Wax-coated films) [British cellophane Ltd]. Австрал. пат. 152128, 16.07.53

Патентуется процесс обработки воском пленок из гигроскопичных неволокнистых органич. материалов путем нанесения жидкой воды. суспензии воска на сухую пленку и последующей сушки этого слоя. При этом частицы воска изменяют электроотрицательный заряд пленки, проявляющийся при погружении ее в воду, на противоположный.

К. В.
45212 П. Состав для очистки и регенерации полиамидных волокон. Жейе (Composition pour le nettoyage et la régénération des fils de superpolyamide. Jayer H. P.). Франц. пат. 1062949, 28.04.54 [Teintex, 1955, 20, № 1, 49 (франц.)]

Патентуется способ придания блеска полиамидным волокнам, потускневшим от употребления. По этому способу отжимают волокна, пропитанные студенистой массой, полученной из смеси сульфонов (преимущественно алкиларилсульфонаты) и смол, растворимых в воде (преимущественно аминопластов или фенопластов), промывают и сушат.

Д. К.

45213 П. Способ переработки отходов, получаемых при производстве волокон, нитей из синтетических линейных высокополимеров, как полиамидов и т. п. Шмаудер, Хейльман (Verfahren zur Aufbereitung von Abfällen aus der Fabrikation von künstlichen Fäden, Fasern u. dgl. aus synthetischen linearen Hochpolymeren, wie Polyamiden u. dgl. Schmauder Karl, Heilmann Ernst). Пат. ГДР 8648, 22.11.54

Патентуется способ переработки отходов синтетич. волокон, в частности отходов полиамидных волокон, заключающийся в том, что отходы волокна обрабатывают дубильными в-вами при нагревании, после чего волокна промывают и высушивают. Для повышения сцепляемости, к дубильным в-вам добавляют H_2SO_4 и после фильтрации материал обрабатывают р-ром BaCl_2 . Пример: отходы полиамидных волокон разрезают ножами на кусочки в 60 мм и затем пропускают через волчок. Распутанный материал снова разрезают на кусочки. Для получения камвольной пряжи выбирают кусочки размером 50×50 , для аппаратного прядения — 30×30 . Приготовленный материал обрабатывается в ванне, содержащей на 1 кг волокна — 1 кг 20%-ного р-ра дубильных в-в. Если для спец. целей нужно волокно с повышенной сцепляемостью или матированным, то к ванне добавляется 0,5 г/л H_2SO_4 . После тщательного отжима и фильтрации материал обрабатывают в ванне, содержащей 10 г/л BaCl_2 при $40 - 50^\circ\text{C}$, затем промывают и высушивают. После высушивания целесообразно подвергнуть материал трепанию на волчках. Получаемое волокно имеет хорошую извитость, устойчивость формы и без труда перерабатывается.

Г. С.
45214 П. Швейные нитки и способ их изготовления.

Гантер (Sewing thread and method for producing same. Guenther Harry W.) [Coats and Clark Inc.]. Пат. США 2698817, 4.01.55

Швейные нитки из полиакрилонитрила рекомендуются пропитывать алкилсиликонами, в которых алкильная группа содержит 1—7 атомов C. Пропитанные таким способом нитки имеют более высокую т-ру плавления, более устойчивы к обрыву (по сравнению с необработанными нитками того же состава и той же толщины) при работе на высоких скоростях швейной машины большой мощности.

С. Ш.

См. также: 42419, 42769, 42773, 42774, 42862, 43372, 43373, 43388, 43389, 4307, 43416, 43418, 43434, 43435, 43443, 43634, 44054—44056, 44060, 44157, 44438, 44533, 44585, 44801, 44926, 44955, 44965, 44979, 45004

ЖИРЫ И МАСЛА. ВОСКИ. МЫЛА. МОЮЩИЕ СРЕДСТВА. ФЛОТОРЕАГЕНТЫ

45215. Химическое исследование плодов трех южноафриканских видов *Ximenia*. Масла из семян. Лигтхелм, Хорн, Шварц, Хольдт (A chemical study of the fruits of three south african *Ximenia* species, with special reference to the kernel oils. Ligthelm S. P., Horn D. H. S., Schwartz H. M., Holdt M. M. von), J. Sci. Food and Agric., 1954, 5, № 6, 281—288 (англ.)

Род *Ximenia* принадлежит к семейству *Oleaceae*. Наиболее распространенная *X. americana*, произрастающая в тропич. областях Америки, Африки и Азии, дает отличный лесоматериал. Мякоть плодов употребляется для приготовления джема и желе, а косточки ценятся вследствие высокого содержания масла. Плоды содержат пульпы 81%, скорлупы 4%, ядра 15%. Кислотность фруктового сока 8,6% в пересчете на лимонную к-ту. Ядро содержит 64—65% масла, 18—20% бел-

ка и 4% клетчатки. Из масел трех южно-африканских разновидностей, близких по составу, выделены: олеиновая (32,5—40,5%), ксиминовая (22—24,3%), тетракозеновая (3,0—7,0%), гексакозеновая (3,5—8,7%), октакозеновая (4,7—12,2%) и триактеновая (3,0—7,0%) к-ты. Содержание последних четырех в сумме составляют в масле из *X. americana* разновидности *microphylla* 30,9%, из *X. caffra* разновидности *natalensis* 22%. Тетракозеновая и октакозеновая к-ты ранее не были найдены в масле семян. В масле *X. caffra* найдено небольшое кол-во оксиоктадекановой кислоты. Г. Н.

45216. Получение растительных жиров и масел. Части II, III. Франке (Die Gewinnung von Pflanzenfetten und -ölen. II, III. Franzke C I.) Dtsch. Milch-Fett-Fleisch-Fisch Z., 1953, 5, № 9 241; № 10, 266—267 (нем.)

Часть II. Экстракционный способ произ-ва растительного масла. Подготовка семян. Экстрагирование масла на периодич. и непрерывнодействующих установках.

Часть III. Процессы экстракционного способа получения масла. Регенерация р-рителя. Обработка шрота. Другие способы получения растительного масла (способ Скипина). Очистка и рафинирование. Фильтрация. Нейтр-ция. Отбелка. Дезодорация. Часть I см. РЖХим, 1955, 33394. П. Д.

45217. О составе масла семенных оболочек подсолнечных семян. Павлов Г. М., Тр. Краснодарск. ин-та пищ. пром-сти, 1955, № 11, 17—22

Масло, экстрагированное серным эфиром из семенных оболочек подсолнечных семян (выход 12,87% на абс. сухое в-во), — жидкое, желто-зеленоватого цвета (n_D^{20} 1,4780, n_D^{40} 1,4708, кислотное число 64,42, число омыления 184,33, йодное число (Гюбль) (ИЧ) 108,72) со значительным кол-вом белого осадка. В масле найдено: неомыляемых в-в 3,05%, жидких нерастворимых в воде жирных к-т 88,11% и летучих растворимых в воде жирных к-т 2,01%. Т-ра плавления неомыляемых 78°, ИЧ 64,79. Их главной составной частью являются высокомолекулярные спирты; стерины и углеводороды содержатся в малых кол-вах. Не растворимые в воде жирные к-ты содержат 5,38% оксикислот — вязкое в-во темнокоричневого цвета (ИЧ 58,3), 10,04% насыщ. и 84,58% ненасыщ. жирных к-т. Растворимые в воде летучие жирные к-ты имеют средний мол. в. 77,46—82,34. Г. Ф.

45218. Определение жира в соевых, подсолнечных и льняных семенах и жмыхах с применением различных растворителей. Ржекин В. П., Погонкина Н. И., Тр. Всес. н.-и. ин-та жиров, 1954, № 15, 73—94

При определении масличности семян и жмыхов при помощи серного эфира получаются результаты на 0,19—0,86% больше, чем при применении в качестве р-рителя петр. эфира, что объясняется более высоким содержанием в вытяжках, полученных посредством серного эфира свободных жирных к-т и оксикислот, глицеридов, содержащих оксикислоты, и отчасти фосфатидов и неомыляемых в-в. При повторной экстракции шротов, семян и жмыхов после их дополнительного измельчения с песком извлекаются растворимые в эфире в-ва в кол-ве 0,16—0,30% к весу объекта, причем содержание глицеридов в этих дополнительно извлекаемых экстрактивных в-вах достигает 75,0%. Наиболее удовлетворительные результаты при определении масличности льняных, подсолнечных и соевых семян и жмыхов (для расчета выходов маслопродукции и составления масличного баланса) получаются при применении серного эфира в качестве р-рителя. Г. Ф.

45219. Денатурация белков при переработке подсолнечных семян по схеме форчан — форпресс. Кру-

ченский Г. В., Маслоб.-жир. пром-сть, 1955, № 6, 13—16

Для определения денатурации белковых в-в при переработке подсолнечных семян по схеме форчан — форпресс отбирались пробы мятки при ее поступлении в форчаный агрегат, мезги на выходе из форчана, материала, поступающего в пресс, а также пробы жмыха (при 7 и 9 об/мин шнекового вала). В пробах определялись влажность, т-ра, содержание сырого жира и глобулинов. Последнее пересчитывалось на сухое, обезжиренное и обезбуженное в-во и вычислялась относительная степень денатурации (СД) глобулинов в % к их исходному содержанию. СД в форчанах в зависимости от длительности пропарки колебалась от 15,94 до 42,59% (средняя 26,35%). Общая СД в подготовительном чане и форчане, в спутниках и в чанах жаровни колебалась от 55,69 до 95,56% (средняя 78,17%). В процессе собственно прессования СД повышается с уменьшением числа оборотов шнекового вала: при 7 об/мин СД колебалась от 11,07 до 26,59% (средняя 18,62%), а при 9 об/мин от 2,01 до 14,96% (средняя 6,27%). При этом СД тем выше, чем больше содержание нативного белка в мезге, поступающей на прессование. При переработке подсолнечных семян на шнековых и гидравлич. прессах по разным схемам СД наименьшая при прессовании форчанной мезги на форпрессах при 9 об/мин шнекового вала. Г. Ф.

45220. Неомыляемые вещества пальмового масла.

Аргю (L'insaponifiable de l'huile de palme. Argoud Simon, M - lle), Oléagineux, 1954, 9, № 11, 789—795 (франц.)

Изучен состав неомыляемых в-в в масле, экстрагированного из волокнистой остатка пальмового жмыха после удаления ядерной части последнего. Волокнистый остаток состоит главным образом из целлюлозы, лигнина, пентозанов; средняя его масличность 11%. Масло этого остатка (МВ) легко экстрагируется бензином, спиртом, трихлорэтиленом, дихлорэтаном. Содержание неомыляемых в МВ значительно выше, чем в прессовом пальмовом масле (МП): в двух исследованных образцах неомыляемые МВ составили 2,38% и 3,50% против 0,45% и 0,50%, соответственно, в МП. 16—17% неомыляемых МВ составляют стерины (преимущественно ситостерин и небольшое кол-во эргостерина), 13—18% — каротиноиды. Содержание последних в исследованных 5 различных образцах колебалось (в % на абс. сухое масло): от 0,31 до 0,56 в МВ и от 0,057 до 0,134 соответственно в МП. Изучение спектров поглощения МВ и МП показало, что для МП имеется максимум поглощения при 457—458 мμ (хлф), что соответствует присутствию смеси α- и β-каротина. Для МВ имеется еще один максимум при 479 мμ (хлф), что указывает на присутствие пигментов типа γ-каротина (ликопина). При анализе МВ, богатого ликопином, обнаружено наличие 4 соединений — фитена, фитолуена, ξ-каротина и тетрагидроликопина (в МП обнаружены лишь первые два из них), которые не имеют активности витамина А и считаются промежуточными продуктами образования ликопина. Г. Ф.

45221. Об улучшении электрооборудования шнек-пресса МП-21. Карпов В. Н., Маслоб.-жир. пром-сть, 1955, № 6, 30—31

Отмечены недостатки существующего электрооборудования у приводов жаровни и вертикального шнек-пресса МП-21, выявленные в процессе эксплуатации этих прессов на Кировбадском масложиркомбинате, и предложены мероприятия для их устранения при выпуске новых машин. Г. Ф.

45222. Об экстракции масличных семян алифатическими фторхлоруглеводородами. I. Экстракция соевых и хлопковых семян 1,2,2-трифтортрихлорэтаном. Кауфман, Орде (Über die Extraktion von Ölsa-

ten mit aliphatischen Fluor-Chlor-Kohlenwasserstoffen. I: Die Extraktion von Soja- und Baumwollsaat mit 1,2,2-Trifluor-trichlor-äthan. Kaufmann H. P., Orde H. O. vom, Fette, Seifen, Anstrichmittel, 1955, 57, № 6, 399—401 (нем.; рез. англ., франц., исп.)

Свойства 1,2,2-трифтортрихлорэтана (I) — т. кип. 47,6°, небольшая склонность к гидролизу при хорошей термич. стойкости, небольшая токсичность, невоспламеняемость и индифферентное отношение к металлич. аппаратуре — побудили изучить эффект экстракции соевых и хлопковых семян этим р-рителем. 66 г измельченных семян помещались в патрон и экстрагировались в аппарате Сокслета 300 мл I при 40—46°. Отгонка р-рителя производилась в атмосфере CO₂ при применении двойных интенсивно охлаждаемых холодильников. Результаты: выход масла в 17%, получаемый при экстракции n-гексаном при 60° за 5 час, при экстракции I при 40° достигается за 24 час.; кислотные числа соевого масла меньше, а хлопкового больше при экстракции I, чем n-гексаном; ИЧ обоих масел в начале экстракции при применении I на несколько единиц меньше, чем при применении n-гексана, но по мере увеличения выхода масла достигают 132,2 (соевое) и 103,3 (хлопковое), коэфф. рефракции соответствуют этим результатам; по отношению к фосфатидам I обладает ярко выраженной селективностью; извлеченное при помощи I масло пахнет приятнее, чем извлеченное n-гексаном и эфиром; окраска обоих масел практически не зависит от вида р-рителя; продуктов разложения I при экстракции обнаружено не было.

В. Б. 45223. О возможности образования оксикислот в процессе получения масла. Ржекин В. П., Поголкин Н. И., Тр. Всес. н.-и. ин-та жиров, 1954, № 15, 4—11

Изучалась возможность образования оксикислот (ОК) при переработке подсолнечных семян в заводских условиях по схеме форпресс-экспеллер МД. Содержание ОК определялось по методу Фарина. Показано, что в процессе маслосодобывания общий прирост ОК по балансу составил 0,16% к весу исходной мятки. Суммарное же кол-во ОК в форпрессовых жмыхах и форпрессовом масле составило 0,19%, т. е. не увеличилось по сравнению с их кол-вом в мезге. В процессе подготовки мезги к окончательному прессованию на экспеллерах также произошло заметное увеличение ОК, но увеличение кол-ва ОК в процессе собственно прессования на форпрессах и экспеллерах не зарегистрировано. Исследование состава паро-газовой фазы во всех чанах жаровен показало, что содержание CO₂ в этой фазе колебалось от 0,2 до 2,9%. Увеличение содержания CO₂ может быть объяснено процессами разложения и взаимодействия в-в, входящих в состав мятки, под действием т-ры, которая колебалась от 92 до 105°. Содержание кислорода в паро-газовой фазе колебалось от 0,60 до 22,8 %, что, по видимому, является источником происходящих в жаровнях окислительных процессов при подготовке мезги к прессованию.

Г. Ф. 45224. Действие тепла и кислорода воздуха на госсипол. Ржекин В. П., Тр. Всес. н.-и. ин-та жиров, 1954, № 15, 55—73

Изучено влияние т-ры при нагревании кристаллич. госсипола (I) на воздухе, в атмосфере водяного пара и CO₂, при нагревании I в рафинированном хлопковом масле, а также при его нагревании в хлопковом масле, содержащем фосфатиды (II). Показано, что при нагревании кристаллич. I в атмосфере воздуха уменьшается число нейтр-лин, кол-во альдегидных групп и число кислотных гидроксидов; при этом исчезновение последних в молекуле I идет ступенчато — сначала исчезает один кислотный гидроксил, а затем другой. Окрашивающая способность прогретых на воздухе препаратов

и их мол. вес. увеличиваются, появляются новые спектральные полосы в областях 4400, 3500—3550, 2650—2660 2350—2400 Å. Изменения функциональных групп в молекуле I начинаются при т-ре >60°, но они протекают сравнительно медленно до 115° и быстро нарастают при т-рах >115°, при которых происходит также образование новых, более сложных в-в, в частности, продуктов конденсации. При нагревании кристаллич. I в атмосфере водяных паров цвет кристаллов изменяется от лимонно-желтого до желтого, а при нагревании в атмосфере CO₂ — от лимонно-желтого до кирпично-красного. При этом изменения в молекуле I происходят в значительно меньшей степени, нежели при нагревании I в атмосфере воздуха при той же т-ре. Следовательно, кислород воздуха оказывает большее влияние на изменение свойств I. Этим объясняется возможность получения легко рафинируемых масел при так называемом «влажном жарении», т. е. при тепловой обработке увлажненного материала в атмосфере водяного пара. При нагревании модельных образцов рафинированного масла с введенными различными кол-вами I при 125° в течение 2 и 4 час. последовательно исчезают альдегидные группы и снижаются кислотные свойства масляных р-ров I, притом тем больше, чем продолжительнее нагревание и чем выше содержание I в исходных образцах. При нагревании в одинаковых условиях образцов масла, содержащих 2% очип. II, и образцов масла с таким же кол-вом I, но без II установлено, что в первом случае интенсивность окраски масляных р-ров I в 4—5 раз сильнее, чем во втором. Интенсивная специфич. бурая окраска сырого хлопкового масла может быть приписана продуктам превращения I и его взаимодействия с II. Показано также, что не только т-ра и продолжительность нагревания определяют интенсивность превращения I, но и уд. поверхность масла на границе раздела с воздухом, и эти превращения значительно быстрее протекают в масле, находящемся в виде тонких пленок на поверхности мезги в процессе жарения в присутствии воздуха.

Г. Ф. 45225. Применение центрифуги для обезжиривания высокомасличных отходов. Ельченко С. И., Маслоб.-жир. пром-сть, 1955, № 6, 26

Обычный способ переработки высокомасличной осыпи из-под шнекпрессов, фильтрипрессного осадка ифузы из отстойных баков и маслорапилиц путем смешения их со свежим материалом, поступающим на шнековый пресс, приводит к повышению масличности жмыха и снижению производительности пресса. Рекомендуется испытанный в заводских условиях способ обезжиривания указанных отходов на центрифуге при следующих режимах: 1) фильтрипрессный осадок до центрифугирования смешивается со шнековой осыпью (2:1) и горячим маслом из-под пресса, 2) одна осыпь обезжиривается на центрифуге в смеси только с горячим маслом (4:1), 3) баковый отстой смешивается с осыпью (1:1) и центрифугируется без предварительного добавления масла. Фильтрипрессные салфетки (10 шт.) центрифугируются после залива их горячим маслом (40 кг). Экономия, получаемая при этом способе, обеспечивает быструю окупаемость затрат на установку центрифуги.

Г. Ф. 45226. Активация отбельных земель (для производства растительных масел). Артамонов П. А., Непомнящая Э. И., Стерлин Б. Я., Тр. Всес. н.-и. ин-та жиров, 1954, № 15, 113—128

В лабор. и заводских условиях разработан и проверен технологич. режим сернокислотной активации отбельных земель (гумбрин, аскана, вальчикины, кил). Установлено, что наиболее эффективным является применение 10%-ной серной к-ты при обработке в течение 5 час. Отработанный р-р к-ты может быть многократно

использован. Отделение кислого р-ра путем отстаивания суспензии облегчается разбавлением последней до подачи ее на фильтр холодной водой в объеме, равном объему исходного р-ра. В лабор. опытах кислотная активация позволила повысить фактор отбеливания (ФО): у асканы с 1,3 до 4,3, у гумбрина с 1,4 до 3,6, у кила с 1,1 до 3,6, у нальчикинов с 1,8 до 2,8. Метод активации освоен на установке производительностью 1 м/час со следующим режимом: перемешивание сухой размолотой отбелной земли (гумбрин) → ввод технич. серной к-ты (34—50% от веса глины) → кипячение острым паром (5 час.) → отстаивание суспензии (1,5—2 часа) → декантация р-ра—6—8-кратная промывка осадка холодной водой (3,5—4 м³ воды для каждой промывки) → передача суспензии на фильтрпресс и промывка ее до нейтр. р-ции → продувка воздухом промытой глины → выгрузка → сушка (9—11 час.) → размол на шаровой мельнице и просеивание. Аналогичные показатели по тонкости помола могут быть получены и при сушке методом распыления. Активированный в заводских условиях гумбрин по указанной схеме (выход 70—72%) дает повышение ФО с 1,3—1,4 до 3,2—3,7, а ФО асканской глины и кила повышается соответственно с 1,1 до 3,0—3,2 и с 1,2 до 3,35 (на подсолнечном масле). Положительные результаты получены и при отбеливании темноокрашенных масел — хлопкового и рапсового. ФО значительно повышается с увеличением кол-ва взятого адсорбента. Для осветления рапсового масла лучшими отбеливающими свойствами обладают аскана, гумбрин и кембрийская глина, ФО которых при расходе 1% земли составляет 2,6—2,9, а при 3% — 10,0—10,8. Приведена принципиальная технология. схема установки для активации отбелных земель производительностью 1,5 м/сутки. Г. Ф.

45227. Реология жиров. Блэр (The rheology of fats: a review. Blair G. W. Scott), J. Sci. Food and Agric., 1954, 5, № 9, 401—405 (англ.)

Обзор работ по исследованию реологич. свойств жиров — их текучести и проницаемости для газов в организме, их консистенции и способности намазываться на хлеб, способности смешиваться и сбиваться с молоком, сахаром и др. Указываются на значение реологич. свойств для классификации жиров и масел. Библ. 40 назв. Г. Ф.

45228. Химическая переработка жиров и масел. П. Новая реакция глицеридов. Силверстейн, Энглерт, Ричардс (The chemical utilization of fats and oils. II. A new reaction of glycerides. Silverstein R. M., Englert R. D., Richards L. M.), J. Amer. Oil Chemists' Soc., 1953, 30, № 9, 350—352 (англ.)

Для получения жирноароматич. кетонів прямой конденсацией глицеридов (I) с C_6H_6 в присутствии $AlCl_3$ I растворяют в C_6H_6 и постепенно, при нагревании и энергичном перемешивании, добавляют катализатор. Через 18 час. реакционную смесь выливают в подкисленную HCl воду со льдом, отделяют органич. слой, а водн. слой экстрагируют эфиром. Объединенные органич. экстракты промывают водой, сушат. Кетоны выделяют перегонкой в интервале 90—225°/2 мм. Установлено, что р-ция конденсации протекает плавно при 40—80°. Для получения хорошего выхода кетона на каждый эквивалент I употребляют $\geq 2,1$ моля $AlCl_3$. Прямая конденсация C_6H_6 может быть осуществлена также в присутствии HF. Часть I см. РЖХим 1955, 25175. Д. Ф.

45229. О потерях жира при гидрогенизации. Венгерова Н. В., Тр. Всес. н.-и. ин-та жиров, 1954, № 15, 128—137

Исследована величина потерь жира в процессе гидрогенизации (Г) за счет удаляемых летучих в-в с отходя-

щим водородом в сопоставлении с увеличением веса гидрируемого жира в результате присоединения водорода к его ненасыщ. компонентам. В лабор. условиях Г проводилась циркуляционным водородом в замкнутой системе на установке, смонтированной по схеме А.А. Зинькова. Фактич. изменение веса жира в процессе Г определялось по разности между изменением веса лабор. гидрогенизационного аппарата и ловушки (для сбора погонов, аналогичных погонам, улавливаемым в ловушке автоклавного отделения) до и после опыта. Потери жира определялись по разности между ожидаемым увеличением веса гидрируемого жира за счет кол-ва присоединившегося водорода и фактич. его изменением (с учетом влажности исходного жира). Кол-во присоединившегося водорода устанавливалось по изменению НЧ жира после Г, а также непосредственным замером газовым счетчиком кол-ва свежего водорода, введенного в циркуляционную систему. Установлено, что при получении как пищевых, так и технич. саломасов увеличение веса гидрируемого жира за счет присоединившегося водорода превышает потери жира при Г. Потери жира увеличиваются с повышением т-ры Г, в особенности при 240° и выше. Продолжительность Г при 200° не оказывает влияния на величину потерь жира. При 240° увеличение продолжительности Г с 1,5 до 3 час. практически не изменяет величины потерь, а в дальнейшем потери возрастают и при продолжительности в 6 час. они увеличиваются вдвое. Влажность водорода в пределах 12—15 мг/л практически не оказывает влияния на величину потерь жира при Г, но при влажности 22—23 мг/л и при т-ре Г 240° потери жира увеличиваются почти в 1,5 раза. Указанные результаты подтверждены и в заводских условиях на Харьковском жиркомбинате. Для обеспечения низких потерь жира при Г рекомендуется снизить т-ру Г, а при применении т-ры 240—250° проводить процесс не дольше 3—3,5 час., а также снизить влажность водорода. Г. Ф.

45230. Определение состава жирных кислот в частично гидрогенизированном тунговом масле. Планк, Пак, Хейнзелман, Стансбери, О'Коннор (Determination of the fatty acid composition of partially hydrogenated tung oils. Planck Ralph W., Pack Frank C., Heinzelman Dorothy C., Stansbury Mack F., O'Connor Robert T.), J. Amer. Oil Chemists' Soc., 1953, 30, № 12, 598—599 (англ.)

Предложен метод анализа жирных к-т гидрогенизированного тунгового масла, дающий более точные результаты, чем спектрофотометрич. метод. Определение α - и β -элеостеариновых к-т проводят обычным методом О'Коннора (O'Connor R. T. et al., J. Amer. Oil Chemists' Soc., 1947, 24, 211—216), растворяя масло в циклогексане. В этом же р-ре определяют диеновые к-ты с сопряженными двойными связями (РЖХим, 1955, 5850). Линолевые к-ты превращают в сопряженные соединения 25-минутным нагреванием при 180° с 6,6% КОН в этиленгликоле и измеряют поглощение при 233 мμ. Общее содержание ненасыщ. соединений определяют колич. гидрогенированием по методу Пэка и др. (Pack F. C. et al., J. Amer. Oil Chemists' Soc., 1952, 29, 227—228) и бромированием (РЖХим, 1956, 5508). Кол-во насыщ. к-т определяют окислением по видоизмененному методу Бертрама (Bertram S. H., Z. deut. Öl-u. Fett-Ind., 1925, 45, 733—736). Содержание изолинолевой к-ты C_u подсчитывают по ур-нию $C_u = 1,097 \text{ НЧ} - 2,014 C_\alpha - C_d - C_d + 0,986 C_n - 94,00$, где НЧ — водородно-иодное число, C_α , C_d , C_d и C_n — процент соответственно элеостеариновых, линолвой, с сопряженными двойными связями и насыщ. к-т. Содержание мононенасыщ. к-т C_m определяют по ур-нию $C_m = 95,4 - C_\alpha - C_d - C_d - C_u - C_n$. Г. М.

45234. Основы и современное развитие техники расщепления жиров. Шленкер (Grundlagen und neuere Entwicklung der Fettspaltung. Schlenker Ernst), Seifen-Öle-Fette-Wachse, 1953, 79, № 16, 409—411; № 17, 435—438; № 18, 458—459; № 19, 485—487; № 20, 511—513 (нем.)

Продолжение обзора. Приборы для контроля и регулирования процесса расщепления жиров. Расщепительные установки периодич. действия, работающие без использования отработанных вод. Расщепление жиров с использованием отработанных вод. Основные принципы непрерывного прямого расщепления жиров. Установки для непрерывного прямого расщепления жиров. Непрерывное противоточное расщепление жиров. Основные принципы башенного способа расщепления жиров. Обзор аппаратов при башенном расщеплении жиров. Температурный режим при башенном способе расщепления жиров. Схемы действия реакционных башен «Colgate—Emery». Факторы, влияющие на выход и качество конечных продуктов и производительность расщепительных установок. Начало см. РЖХим, 1954, 40659—40661.

45232. О противоречиях в статье доцента Д. А. Рождественского «Некоторые пути повышения выходов глицерина при контактном способе расщепления жиров». Чуков П. Н., Маслоб.-жир. пром-сть, 1955, № 3, 32—35
См. РЖХим, 1956, 8486.

45233. Вязкометрия растительных масел. I. Поведение оливкового масла в смеси с некоторыми органическими растворителями. Клансчницг (Viscosimetria degli oli vegetali. I. — Comportamento dell'olio di olive in miscela con alcuni solventi organici. Klantschnigg Piero), Olearia, 1954, 8, № 9-10, 203—211 (итал.; рез. англ., франц., нем.) Приведены результаты измерений абс. и кинетич. вязкости при 20° оливкового масла в смеси с *n*-бутиловым и изомилловым спиртами, циклогексаном, толуолом, ксилолом, пиридином и циклогексанолом при различных конц-ях. Показано, что вязкость сильно понижается даже при небольшой добавке каждого из испытанных р-рителей. Смеси с циклогексанолом включительно до конц-й масла 90% имеют более низкую вязкость чем у компонента с наименьшей вязкостью.

45234. Производство мыла. Бодман (Soap finishing from saponification to packing. Bodman John W.), Soap, Perfum. and Cosmetics, 1954, 27, № 9, 941—944 (англ.)

Лекция, посвященная производственным процессам в мыловаренной пром-сти, в частности изготовлению туалетных мыл и высокопроцентных гранулированных изополненных мыльных порошков.

45235. О карбонатном омылении. Неволн Ф. В., Тр. Всес. н.-и. ин-та жиров, 1954, № 15, 205—208
Изучена р-ция нейтр-ции жирных к-т углекислой содой. Опыты проводились в камеральных и заводских условиях. Р-ция нейтр-ции жирных к-т содой практически заканчивается в 5 мин. При эквивалентных кол-вах жирных к-т и углекислой соды последняя используется на 95—96%, то же наблюдается при 10%-ном избытке жирных к-т. При избытке в 20 и 30% жирных к-т использование углекислой соды достигает 97—99%, при избытке 40% жирных к-т углекислая сода полностью вступает в р-цию.

45236. Опыт применения центрифуг для отделения подмыльного клея от ядра. Полстяной В. И., Маслоб.-жир. пром-сть, 1955, № 6, 32
Вместо обычно применяемой отстойки и длительного отстаивания в заводских условиях проведено испытание разделения мыльного клея на ядро и клей на сверхцентрифугах. После карбонатного омыления непрерывным методом расщепленного саломаса на установке

с утилизацией углекислоты, нейтр-ции избыточной углекислоты щелочью жирными к-тами, окончательного доомыления и добавки soapstockного мыла мыльный клей, содержащий 51,28% жирных к-т, 0,49% свободной едк-й щелочи и 0,34% углекислой щелочи, подавался на центрифугу непрерывного действия с диаметром ротора 150 мм, фактором разделения в 15—16 тыс. и скоростью вращения ротора 13—19 тыс. об/мин. В результате центрифугирования ядровая фаза (более светлая, чем при отстаивании) содержала 64—68,5% жирных к-т, 0,11—0,15% едк-й щелочи и следы углекислой щелочи, а подмыльный клей — 16—18% жирных к-т. Несмотря на несовершенство использованной центрифуги, проведенные испытания показали полную возможность разделения мыльного клея на ядровую и клеювую фазу методом центрифугирования.

А. Я. 45237. Шнекпресс — узкое место при производстве туалетного мыла. Цилске (Die Strangpresse, ein fabrikatorischer Engpass bei der Feinseifen-Herstellung. Zilske H.), Fette, Seifen, Anstrichmittel, 1955, 57, № 4, 293—295 (нем.)

Многие пороки туалетных мыл, зависящие от их хим. состава или структуры, частично относятся за счет шнек-пресса. Причин пороков является высокое содержание соли в основе, высокий титр жировой смеси, введение в мыльные стружки брызг. Шнекпрессы старой конструкции при переработке мыла не могли исправить этих пороков, присущих составу и структуре мыла. Шнекпресс новой конструкции фирмы Miag может перерабатывать мыло с указанными дефектами со значительно меньшими затратами электроэнергии. Это двойной шнекпресс, работающий под вакуумом. Верхний шнек и окружающий его цилиндр имеют конич. форму. Мыло в этом шнеке очень интенсивно перемешивается, и он в этом отношении превосходит работу пилюровочных валцев.

Ф. Н. 45238. Некоторые факторы, влияющие на разложение жиров в процессе жарения. Карлин, Хоппер, Роквуд (Some factors affecting the decomposition of frying fats. Carlin G. T., Hopper R. P., Rockwood B. N.), Food Technol., 1954, 8, № 3, 161—165 (англ.)

В предприятиях общественного питания все больше применение находит метод жарения при повышенных т-рах. В этих условиях одновременно происходят явления гидролиза, полимеризации и окисления жира. Исследование изменений физ. и хим. характеристик гидрогенизированных масел (арахидного и хлопкового) в процессе жарения показало, что гидролиз имеет второстепенное значение и что происходящие изменения должны быть приписаны в первую очередь окислительным процессам. На последние оказывают влияние ряд факторов: длительность и т-ра жарения, соприкосновение горячего жира с воздухом во время его прохождения через теплообменники, фильтры и прочие аппараты, применение ранее использованного жира и т. д. Применение противокислителей жира нецелесообразно, так как при т-рах жарения они быстро теряют свою активность и разрушаются.

Г. Ф. 45239. Требования к физическим характеристикам жиров для производства маргарина. Страбл (The physical requirements of a margarine fat. Struble Charles H.), J. Amer. Oil Chemists' Soc., 1954, 31, № 5, 34—35 (англ.)

Важнейшие характеристики жиров (Ж), связанные с их плавлением и образованием кристаллов, делаются грубо на обнаруживающиеся после пластификации Ж и частично зависящие от этого процесса и на присущие самому Ж, влияющие на процесс пластификации, но не зависящие от него. Пластичность Ж обуславливается дисперсией кристаллов твердой части Ж в жидкой части Ж при данной т-ре. При изменении т-ры образовывается

или плавится большее или меньшее кол-во твердого в-ва. На пластичность влияет размер частиц твердой части Ж. Для того, чтобы маргарин сохранял свою форму при 28° достаточно, чтобы в Ж было ~10% твердой составной части, но для того, чтобы маргарин легко намазывался содержание твердой части в Ж должно быть ~32%; однако, это кол-во зависит от рода Ж. Характеристикой Ж является также структура. Значительным пороком структуры является зернистость; она может выражаться в сравнительно крупных кристаллах твердой части Ж, которые могут находиться в Ж как до, так и после его пластификации. Степень зернистости зависит от рода жира. Быстро плавящиеся гидрированные Ж образуют кристаллы быстрее, чем гидрированные Ж с широкими пределами пластичности. Салистость является другим дефектом структуры. Тенденция к образованию кристаллов может быть снижена, а салистость может быть в значительной степени предотвращена правильным процессом гидрогенизации. Способность к формированию хуже у Ж с широкими пределами пластичности, чем у быстро плавящихся Ж. Она может быть определена по т-ре застывания Ж. Для Ж с широкими пределами пластичности требуется несколько более высокая т-ра застывания, чем для быстро плавящихся Ж. Г. Ф.

45240. Обработка молока для маргарина. Мазюкевич В. А., Маслоб. жир. пром-сть, 1955, № 7, 13—15

Для придания маргарину выраженного вкуса плазма его должна иметь рН, близкое к рН плазмы высоко-сортного сливочного масла, т. е. ~5,2—6,0. При введении в рецептуру безмолочного маргарина 1% сквашенного молока или 15—20 г лимонной к-ты на 1 т маргарина вкус его улучшается, а при ароматизации жировой основы он приближается к молочному маргарину. Молочный маргарин, приготовленный на молоке с рН <5,0, имеет излишнюю кислотность по вкусу. Необходимо иметь кислотность сквашенного молока до рН 5,0, разбавляя его свежим пастеризованным молоком, и после этого добавляя воду в кол-ве, предусмотренном рецептурой. Выраженный кисло-молочный вкус сквашенного молока имеет при рН 5,0—5,5 и титруемой кислотности до 120°. Для приготовления закваски следует отбирать штаммы молочнокислых культур, быстро снижающие рН молока при сквашивании до 5,5 и не снижающие его при дальнейшей выдержке <5,0. Культуры должны образовывать достаточное кол-во летучих к-т, диацетила, этилового спирта, эфиров и пировиноградной к-ты. Последняя по интенсивности запаха равна диацетилу. Улучшение аромата маргарина возможно также за счет ввода синтетич. сложных ароматизаторов. А. Т.

45241. Изменение консистенции пищевых намазок при их темперировании. Хеллман, Зобел, Сенти (Consistency changes in global spread caused by tempering. Hellman N. N., Zobel H. F., Senti F. R.), J. Amer. Oil Chemists' Soc., 1955, 32, № 2, 110—114 (англ.)

Исследованы процесс и характер изменения консистенции пищевых намазок, изготовленных из хлопкового масла, дистилл. моноглицерида (18%) и других компонентов (соль, краситель, отдушка, антиокислитель), при их темперировании при разных т-рах и длительности хранения. Пестрометрич. испытаниями и микрофотограммами показано, что намазки, затвердевая после их изготовления, начинают размягчаться при темперировании при 35° вследствие перекристаллизации твердых частиц в более отчетливые кристаллы. При дальнейшем темперировании намазки затвердевают вследствие последующей перекристаллизации твердых частиц в игольчатые и пластинчатые кристаллы. Скорость изменения консистенции намазок тем больше, чем

выше т-ра (в пределах 35—54°), при которой производится их темперирование. Намазки, содержащие 30 или 13% моноглицеридов обвуживают соответственно меньшее или большее изменение консистенции. Г. Ф.

45242. Замечания к колориметрическому определению витамина А в маргарине. Шиллингер, Шульте (Bemerkungen zur colorimetrischen Vitamin A-Bestimmung in Margarine. Schillinger A., Schulte K. E.), Fette und Seifen, 1953, 55, № 9, 603—607 (нем.)

Обзор колориметрич. методов определения витамина А в маргарине. Библ. 29 назв. Н. В.

45243. Высокоочищенные буроугольные воски. (2). Розенберг (Highly refined waxes based on lignite (2). Rosenberg G. von), Chem. Prod., 1954, 17, № 10, 381—384 (англ.)

Описаны свойства (твердость, глянец, вязкость, эмульгирующая способность и пр.) и применение в пром-сти и быту ряда высококачеств. восков, выделенных из монтан-воска, а также влияние примесей на свойства последних. Показано, что с повышением т-ры пластичность (в кг/м²) природных соединений уменьшается гораздо сильнее, чем пластичность синтетических. Началом см. РЖХим, 1955, 50768.

45244. О восках в пищевых и технических маслах.

Кауфман, Шуппан (Über Wachse in Speisölen und technischen Ölen. Kaufmann H. P., Schuppan H.), Fette, Seifen, Anstrichmittel, 1955, 57, № 6, 402—405 (нем.; рез. англ., франц., исп.)

Исследована растворимость льняного воска в льняном масле. При прессовании и экстракции масел воски извлекаются из шелухи и других составных частей семян. Воски являются одной из причин помутнения масел при хранении. Обыкновенная рафинация масел мало изменяет содержание восков в маслах. Наличие даже 0,01% восков в льняном масле понижает вязкость его при окислении и тепловой полимеризации, т. е. затрудняет и удлиняет процесс. З. М.

45245. Синтетические детергенты. II и III. Мехта (Synthetic detergents. II, III. Mehta T. K.), Indian Soap. J., 1954, 19, № 7, 176—182; 1954, 19, № 8, 203—209 (англ.)

Показано развитие произ-ва синтетич. детергентов, свойства и применение катионных и неионных детергентов, а также преимущества применения смесей мыла с детергентами, обладающих лучшими моющими свойствами, чем каждый из составляющих в отдельности. Часть I, см. РЖХим, 1956, 27495. Г. М.

45246. Физико-химические явления в моющем процессе. Смола (Die physikalisch-chemischen Vorgänge beim Waschprozeß. Smola A.), Österr. Chem.-Ztg., 1955, 56, № 1/2, 11—19 (нем.)

Изложены современные представления о механизме моющего действия. Приведены микрофотографии, иллюстрирующие процессы эмульгирования, удаления загрязнений с тканей. Ф. Н.

45247. Значение пены при удалении загрязнений. Ольденрот (Über die Bedeutung des Schaumes als Schmutzträger. Oldenroth O.), Wäschereitechn. und chem., 1955, № 8, 572, 574 (нем.)

Проведенные исследования пены, образованной р-рами мыла, алкилсульфатов и алкилсульфонатов, показали, что в случае использования мыла в пену переходят только 10—13% загрязнений, остальное кол-во находится в взвешенном состоянии в р-ре; в случае алкилсульфатов в пену переходят 5—7% загрязнений, а в случае алкилсульфонатов 8—11%. Ф. Н.

45248. Изучение эффективности действия моющих средств. Кодама, Мураками (洗淨力試験法 (承前)). 兒玉忠重, 村上喜一郎) 油脂化学協会誌, Юсикага кёкайси, J. Oil Chemists' Soc., Japan, 1953, 2, № 2, 25—30, 24 (япон.)

Обзор. Библ. 160 назв. Начало см. РЖХим, 1955, 12990. Н. Я.

45249. **Современные моющие и очищающие средства.** Вейгауд (Neuzeitliche Wasch- und Reinigungsmittel. Weigand Hans), Umschau, 1955, 55, № 17, 519—521 (нем.)

Обзор развития современных моющих средств, в особенности синтетических; факторы, обуславливающие моющее действие; хим. природа новейших активных моющих в-в; четыре основных типа моющих средств для грубых и белых тканей, скоростные моющие средства, тонкие моющие средства, универсальные или хозяйственные чистящие средства, в частности для посуды и их состав. А. Я.

45250. **Неноногенные очищающие средства.** Карабинос, Хаздра, Капелла (Nonionic detergents. Karabinos J. V., Hazdra J. J., Capella G. E.), Soap and Chem. Specialties, 1955, 31, № 4, 49, 50, 114 (англ.)

Описание новых методов определения мол. веса и (или) длины цепи окиси этилена неноногенных очищающих средств. Для определения мол. веса рекомендуется пользоваться методом Раста. Установив общий мол. вес и вычитав средний эмпирич. вес гидрофобных групп, принятый за 245, получают вес гидрофильной части, который делится на 44—мол. вес окиси этилена, и устанавливают кол-во единиц окиси этилена. Если гидрофобная часть известна, вычитают истинный мол. вес. ее. Предел ошибки — одна или две группы окиси этилена, практически тот же, какой свойственен методам, основанным на омылении или на определении иодного числа. Приведены результаты применения описанного метода. А. Я.

45251. **Получение и свойства алкилсульфатов.** Мартенс (Darstellung und Eigenschaften von Alkylsulfaten. Martens K. H.), Schiften-Öle-Fette-Wachse, 1953, 79, № 3, 49—51; № 4, 78—79 (нем.; рез. англ., франц., нем.)

Краткий обзор патентов по методам получения алкилсульфатов из предельных и непредельных алифатич. спиртов C_{10} — C_{18} и олефинов. Описана схема реактора непрерывного действия для процесса сульфатирования. Приведены краткие сведения о методах очистки алкилсульфатов от неорганич. солей, парафинов и исходных спиртов, некоторые данные о свойствах алкилсульфатов (поверхностная активность и моющее действие), а также о возможном использовании алкилсульфатов как моющих в-в и эмульгаторов. Л. Я.

45252. **Моющие средства из синтетических олефинов.** Рейвенскрофт, Терни (Detergents from synthetic olefins. Ravenscroft P. H., Turney Mary E.), J. Amer. Oil Chemists' Soc., 1955., 32, № 7, 418—420 (англ.)

Сравнивались свойства моющих средств, приготовленных из синтетич. олефинов, с приготовленными из тетрамера пропилена и лаурилсульфата. Фракцией олефинов C_{11} — C_{15} , синтезированных из окиси углерода и водорода при 300—340° и 15—40 атм, алкилируют бензол в присутствии катализатора (этансульфокислоты). Алкилбензолы сульфатируют 100%-ной H_2SO_4 , и полученные алкилбензолсульфокислоты нейтрализуют $NaOH$. Алкилсульфаты приготовлены из спиртов, полученных оксосинтезом, сульфированием хлорсульфоновой к-той. Исследование поверхностно-активных и моющих свойств обоих моющих средств, приготовленных из синтетич. олефинов, показало, что они лучше, чем тетрапропиленбензолсульфонат и лаурилсульфат. Ф. Н.

45253. **Сульфаты лаурилового спирта.** Жьер, Буйдо (Lauryl alcohol sulfates. Giers Serge, Boido Denise), Soap and Chem. Specialties, 1954, 30, № 8, 38—41, 179 (англ.)

Описаны свойства алкилсульфатов, приготовленных из жирных спиртов, которые были получены каталитич. восстановлением водородом кокосового масла. Алкилсульфаты были превращены в соли с различными катионами (Na, K, Ca, Zn, NH_4 , Mg, моно-, ди- и триэтаноламином). Приведены данные о цвете, запахе, рН 10%-ных р-ров, вязкости при 25°, смачивающей и пенообразующей способности, поверхностном и межфазном натяжении. Ф. Н.

45254. **Получение стиральных порошков распылением из автоклавов с помощью форсунок.** Лесюисе А. А., Маслоб.-жир. пром-сть, 1955, № 6, 19—20

В производственных условиях осуществлено получение стиральных порошков методом центростремительного распыления. Готовая композиция нагревается в автоклаве зимой до 200°, а летом до 240° при давлении в нем в зависимости от сезона 12—24 атм и выбрасывается в кристаллизационную башню. Первоначальный нагрев густым паром с помощью змеевика и перемешивание мешалкой з-д дополнил нагревом и перемешиванием массы с помощью острого пара высокого давления, вводимого через барботер, причем эта операция занимает 5—10 мин. зимой и 15—20 мин. летом. Вследствие конденсации пара происходит снижение содержания жирных к-т на 1—1,5%, поэтому соответственно повышают исходное содержание жирных к-т в загружаемой в автоклав композиции. Найдено, что при конусной форме выпускного отверстия форсунки обеспечивается бесперебойность работы, форсунка не забивается комочками, как при цилиндрич. отверстиях, и дает при распылении широкий факел, что обеспечивает нормальную кристаллизацию и повышает производительность. При работе по непрерывной схеме на двух автоклавах периодич. действия рабочей емк. по 1 т достигнута производительность 27—28 т/сутки стирального порошка. Метод распыления с помощью форсунки, не требующий сложного оборудования, рекомендуется широко внедрить в пром-сть. А. Я.

45255. **Оценка различных рецептов средств для ручного мытья посуды.** Мидзуно, Ланнерс, Вильсон (Evaluation of hand dishwashing formulations. Mizuno W. G., Lanners F. T., Wilson J. L.), J. Amer. Oil Chemists' Soc., 1955, 32, № 8, 437—441 (англ.)

Разработан способ оценки качества моющих средств, основанный на измерении с помощью УФ-лучей остаточного на посуде загрязнения, к которому добавлена флуоресцирующая краска, и на визуальной проверке стойкости пены. Проверена и установлена экономичность трехкомпонентных систем: алкиларилсульфонатов, алкилфенолполиэтиленгликолевых эфиров и аминоспиртов. А. Я.

45256. **Об образовании комплексов между органическими аминами, коллоидо-электролитами с активным анионом и жирными спиртами при n -толуидиновом методе.** Штюпель (Über die Bildung von Komplexen zwischen organischen Aminen, anionaktiven Kolloidelektrolyten und Fettalkoholen bei der p -Toluidin-Methode. Stüpel H.), Fette und Seifen, 1953, 55, № 5, 297—301 (нем.)

Количественное определение в-в, обладающих моющей способностью, n -толуидиновым методом в некоторых случаях выполняется с большими затруднениями, вследствие возникновения устойчивых эмульсий, для разрушения которых требуется многосуточное отстаивание. Причина возникновения эмульсий — наличие свободных, не вступивших в р-цию с n -толуидином (I) поверхностно-активных в-в (алкилсульфаты и др.). Присоединение эфира в качестве р-рителя при извлечении комплексов, образовавшихся с I, имеет преимущества перед применением для этих целей CCl_4 . Для выяснения причины неполной р-ции алкилсульфата, а также

продуктов конденсации жирных к-т были подробно изучены: 1) связь между строением и свойствами активных моющих в-в; 2) зависимость образования комплексов первичного алкилсульфата от длины цепи; 3) возможность других р-ций, конкурирующих с образованием комплексов. Исполную р-цию с I дают соединения с менее выраженным полярным и определенно коллоидным характером, имеющие на конце гидрофильную группу (первичный алкилсульфат, олигостилтаурин). Колич. р-ция наблюдалась у моноалкилбензол- и полиалкилнафталин-сульфонатов, у вторичного алкилсульфата и жирных к-т. Полярные группы, находясь внутри цепи, обеспечивали колич. течение р-ции, но будучи расположены в конце, они затрудняли р-цию, за исключением — COOH, реагирующей количественно во всех случаях. Длина и ответственность углеродной цепи влияния не оказывает. Прямая длинная полиметилсульфатная цепь с гидрофильной группой на конце, характерная для конденсатов жирных к-т и мыл, плохо реагирует с I. Колич. р-цию дает чистый стеарилсульфат. Для изучения образования комплексов между жирными спиртами и сульфатами жирных спиртов, с одной стороны, и I, с другой, применялся технич. лаурилсульфат (не содержащий жирного спирта), который смешивался в равномолекулярных отношениях с р-ром хлоридата I и лауриловым спиртом. В области сильных разбавлений, помимо р-ции с I, происходит также р-ция между сульфатом и спиртом, затрудняющая взаимодействие с I. Р-ции противостоят повышенные конц-ии I и подкисление. Но наличие такой р-ции не может служить объяснением невозможности колич. образования комплексов с I у низших сульфатов. В. И.

45257. Об оценке состояния поверхности мытых тканей. Махемер (Über die Beurteilung der Oberflächenbeschaffenheit gewaschener Gewebe. Machemer H.), Fette und Seifen, 1953, 55, № 9, 591—593 (нем.)

Описаны результаты испытаний состояния поверхности мытых тканей с помощью определения величины трения ткани под нагрузкой при соприкосновении с такой же тканью и угла скольжения ткани под нагрузкой по той же ткани. А. Я.

45258. Состояние техники упаковки жидких и порошкообразных веществ. Везер (Der Stand der Verpackungstechnik für flüssige und pulverförmige Stoffe. Waeser Bruno), Seifen-Öle-Fette-Wachse, 1955, 81, № 10, 280—284 (нем.; рез. англ., франц., исп.) Современная техника упаковки, применение пластмасс в качестве упаковочных материалов. Описание новейшего оборудования, служащего для взвешивания, дозирования и наполнения, фасовки, обертки, этикетирования жидких и порошкообразных продуктов, и контрольных приборов, применяемых при процессах упаковки. А. Я.

45259 П. Извлечение растворенных веществ из экстракций их материалов. Макилуэйн (Extraction of solute from solute-bearing material. Macilwaine G. W.), Angl. pat. 706709, 7.04.54 [J. Appl. Chem., 1954, 4, part 8, ii257—ii258 (англ.)]

Предложен способ извлечения масел, состоящий в том, что масла из льяного семени, орехов и др. отпрессовываются экспеллером, пропускающим материал между двумя перфорированными цилиндрами. Прессованный материал обрабатывается р-рителем и вновь прессуется несколько раз. В. Е.

45260 П. Процессы и аппаратура для очистки масел и жиров. Мильберс, Зондерман (Process of and apparatus for refining oils or fats. Milbers A., Sondermann K.) [Metallges. A.-G.]. Angl.

пат. 707470, 21.04.54 [J. Appl. Chem., 1954, 4, № 9, ii396 (англ.)]

Патентуется способ очистки масел и жиров от свободных к-т, окрашенных, слизистых и белковых в-в посредством обработки воды. едкой щелочью, гидроксидами щел.-зем. металлов и (или) карбонатами щел. металлов, воды, NH₃, органич. основаниями (напр., триэтанол-амином) и т. д. Обработка состоит из нескольких стадий и проводится преимущественно в одном аппарате (напр., цилиндрич. сосуде, разделенном на секции). Смесь циркулирует с помощью аэрофлота. Целесообразно вести процесс при давлении < 1 ат, так как при этом образуется сухое мыло, от которого отделяют очищ. масло. В. Ч.

45261 П. Процессы очистки масел или жиров (Process of purifying oils of fats) [Metallgesellschaft A.-G.]. Angl. pat. 707454, 707455, 21.04.54 [Soap, Perfum. and Cosmetics, 1954, 27, № 6, 609 (англ.)]

Патентуется способ рафинации, позволяющий получить высококачественные и стабильные жиры и масла путем отгонки паром свободных жирных к-т. Перегонку производят под вакуумом (предпочтительно глубоким) в присутствии адсорбентов (активированных углей или их смеси с другими отбеливающими средствами) при 200—240°. После перегонки жирных к-т или их большей части т-ру повышают до 270—320° (предпочтительно 270—290°). При этом происходит заметное отбеливание жира. Затем перегонку продолжают при более низкой т-ре. Отбеливание в комбинации с обработкой паром устраняет привкус адсорбента. Конечный продукт совершенно бесцветен, без тенденции к реверсии запаха и вкуса и имеет остаточную кислотность 0,02%. Г. Ф.

45262 П. Обработка жидкостей измельченными твердыми рафинирующими агентами (Contacting of liquids with comminuted solid refining agents) [Lummus Co.]. Angl. pat. 728056, 13.04.55 [Paint, Oil and Colour S., 1955, 127, № 2956, 1473 (англ.)]

Для преодоления сильного абразивного и эрозивного изнашивания механ. оборудования ф-ки (напр., подъемник, элеватор, ленточный и винтовой конвейер, гравиметрич. питатели, звездчатые клапаны и т. д.) предлагается метод обработки масла, воска, жирной к-ты путем фильтрации и рафинирования с использованием глины и подобных твердых в-в в тонкодисперсном состоянии (напр., бентонит, хлористый Al, боксит, фуллерова земля или монтмориллонит). Указанная фильтрация осуществляется применением псевдооживленного материала в вертикальных колоннах, работающих на газе (пар или воздух). Б. Б.

45263 П. Способ и приспособление для непрерывного омыления при высоком давлении и высоких температурах. Коте (Verfahren und Vorrichtung zur kontinuierlichen Verseifung unter Anwendung hohen Druckes und hoher Temperaturen. Kothe Heinz) [Gebr. Albrecht]. Пат. ФРГ 895814, 5.11.53 [Chem. Zbl., 1954, 125, № 23, 5200 (нем.)]

Патентуется способ непрерывного омыления, заключающийся в том, что омыляемая смесь вводится в реакционную трубку, в которой поддерживается постоянное давление, через сопло Вентури, за которым происходит дросселирование путем изменения направления потока этой смеси (применением дырчатых шайб и отбойных перегородок). Омыление происходит при высоком давлении и высокой т-ре. Г. Ф.

45264 П. Процессы удаления катализаторов из гидрогенированных масел. Аббей (Processes for removing catalysts from hydrogenated oils. Abbey A.) [Armour and Co.]. Angl. pat. 705536, 17.03.54 [J. Appl. Chem., 1954, 4, № 11, ii655 (англ.)]

Процесс удаления Ni из гидрогенированных масел фильтрованием с добавлением отбеливающей глины об-

чается в присутствии H_2SO_4 или 85%-ной водн. H_3PO_4 , в кол-ве 0,01—0,04 вес. %.

Ю. Г.
45265 П. Извлечение катализатора из гидрированного масла. Моррис, Хим (Recovery of catalyst from hydrogenated oil. Morris Charles E., K h y m F r a n k P.) [Armour and Co.]. Канад. пат. 507931, 7.12.54

Процесс извлечения Ni-катализатора из гидрированного масла фильтрованием с удалением почти всего катализатора, исключая колл. суспензию его, дополнен обработкой масла (или части его с последующим смешиванием) отбеливающей глиной и H_3PO_4 или H_2SO_4 . Глину и колл. суспензию катализатора отфильтровывают.

Ю. Г.
45266 П. Пищевое масло. Якобсен (Edible oil. Jakobsen Jakob L.) [General Mills, Inc.]. Канад. пат. 500707, 16.03.54

Соевое масло, отобранное из партий гидратированного, а также гидратированного и затем рафинированного щелочью масла, подвергают термич. стабилизации путем нагревания в течение 1—1,5 час. при 230—300° под вакуумом с продувкой небольшого кол-ва свободного от кислорода инертного газа. Аналогичная обработка рекомендуется и в более узком температурном интервале (255—260°).

Г. Ф.
45267 П. Обработка частичек мыла. Итон (Treatment of soap particles. Eaton S. L.), [Procter and Gamble Co.]. Англ. пат. 707703, 21.04.54 [J. Appl. Chem., 1954, 4, № 9, ii397 (англ.)]

Комкование частичек мыла, содержащих твердый силикат (1,5—50%), может быть предотвращено распылением по поверхности мыла при 10—45° насыщ. жирных к-т с 8—14 атомами С в кол-ве 1—2,5% (напр., смеси к-т кокосового масла). Содержание влаги в мыле 4—20%.

Ф. Н.
45268 П. Улучшения в композициях на основе мыла (Perfectionnements aux compositions à base de savon) [Unilever N. V.]. Франц. пат. 1077641, 10.11.54 [Teintex, 1955, 20, № 6, 501 (франц.)]

Патентуются порошкообразные моющие средства, состоящие из 5—70% мыла, содержащего значительную часть радикалов ненасыщ. к-т, преимущественно $\geq 50\%$ к общему весу радикалов к-т (напр., кислого мыла, производного канифоли или ненасыщ. к-т с прямой цепью, содержащих ≥ 14 атомов С, жидких при 20°), углекислой соды или углекислого калия в кол-ве от 15% к весу мыла и до 40% к общему весу и 5% от веса мыла динатрийортофосфата и дикалийортофосфата.

А. Я.
45269 П. Амиды из окисленного парафина. Бакман (Amides of oxidized paraffin wax. Buckman John P.) [Union Oil Co. of Calif.]. Пат. США 2695303, 23.11.54

Для получения жидких амидов парафин окисляют воздухом при 100—140° до кислотного числа (КЧ) 200—350, выделяют фракцию с отношением КЧ к числу омыления (1,6—2,2):1 и с отношением общего содержания кислорода и карбонильного кислорода (1,2—1,8):1, отделяют части, растворимые в воде и лигнине и амидируют.

В. Ч.
45270 П. Смеси моющих средств и способы их производства (Detergents compositions and processes for making them) [Colgate-Palmolive-Peet Co.]. Англ. пат. 718559, 17.11.54 [Soap. Perfum. and Cosmetics, 1955, 28, № 3, 307 (англ.)]

Моющие смеси представляют собой порошкообразные в-ва, высушенные распылением, и состоят из органич. активного в-ва и фосфата, образующего гидраты. Так как безводн. фосфаты не только гигроscopicны и распыленные частицы часто абсорбируют столько влаги, что делаются липкими и слеживаются при упаковке их в картон, то предлагается после распыления жидкой сме-

си и получения сухой массы частиц перемешивать их в присутствии достаточного кол-ва свободной влаги для образования стойкого гидрата фосфата и тем самым получить сухой текучий порошок. Упаковка проводится уже после образования гидрата фосфата. Полученный продукт стоек и во влажном климате и не превращается в пыль.

А. Я.
45271 П. Поверхностноактивные вещества и способ их получения. Жирап (Produits tensio-actifs et procédé pour leur fabrication. Girard André) [Lachima, Lab., Marocains d'Études et de Recherches Chimiques]. Франц. пат. 1063068, 29.04.54 [Teintex, 1955, 20, № 1, 53 (франц.)]

Способ получения сульфатов жирных спиртов характеризуется тем, что: а) перед сульфированием жирные спирты насыщают HCl-газом для понижения т-ры плавления реакционной массы и уменьшения кол-ва выделяющегося во время р-ции тепла; б) кол-во применяемого для сульфирования жирных спиртов сернистого хлоргидрина должно быть ниже теоретического (92—99% от стехиометрич. кол-ва); в) после сульфирования барботируют инертный газ, напр. CO_2 или N_2 , для удаления HCl.

О. С.
45272 П. Способ производства поверхностноактивных продуктов в твердом, сухом состоянии. Брэйи (Process for producing surface-active products in a solid, dry state. Bruyn Hendrik de) [Shell Development Co.]. Канад. пат. 508609, 28.12.54

Способ произ-ва сухой, нелипкой моющей смеси состоит в том, что к р-ру труднокристаллизующейся поверхностноактивной водорастворимой соли органич. к-ты (сульфокислоты, имеющие группу SO_2H , непосредственно связанную с атомом С углеводородного радикала с 6—25 атомами С, и эфиры серной к-ты, имеющие группу SO_2H , непосредственно связанную с атомом кислорода, соединенным с углеводородным радикалом с 6—2 атомами С) или к водн. р-ру подобной же соли алкилби5 сульфата с 10—18 атомами С в молекуле добавляется крахмал, растворимый на холоду или при кипячении, или декстрин в кол-ве $\geq 25\%$ от веса вышеуказанной водорастворимой соли и не больше кол-ва, которое может дать в высушенном продукте $< 50\%$ от веса той же соли. Сушка, напр., барабанным, ведется при 100—180°, причем щелочность смеси регулируется так, чтобы она в процессе сушки не падала ниже pH 7.

А. Я.
45273 П. Приготовление сульфированных алкиларильных моющих средств в виде жидкой массы. Моррисро (Preparation of sulfonated alkyl aryl detergent slurries. Morrisroe John J.) [Purex Corp., Ltd.]. Пат. США 2703788, 8.03.55

Метод приготовления состоит в обработке полученных из нефти алканов и арилалкилпроизводных, в которых алкильный радикал содержит 8—18 атомов С, р-ром H_2SO_4 (с 60—75%-ным содержанием в ней свободного SO_3) в SO_2 . Молярное отношение свободного SO_3 к алканам составляет 1,0—1,3:1,0. Полученный продукт после отделения SO_2 и нейтр-ции образует жидкую массу.

М. Л.
45274 П. Моющие составы (Detergent compositions) [Colgate-Palmolive-Peet Co.]. Англ. пат. 704576, 24.02.54 [J. Appl. Chem., 1954, 4, № 7, ii107 (англ.)]

Патентуются моющие составы для изделий из нейзильбера, представляющие собой смесь водорастворимого неорганич. полифосфата (10—80 ч.) и синтетич. нежирового анионактивного детергента (высокомолекулярного алкиларилсульфоната или алкилсульфата). Для сохранения блеска изделий в указанную смесь вводится $\leq 1\%$ дибутилтиомочевины.

Г. Ф.
45275 П. Моющие составы (Detergents compositions) [Monsanto Chemical Co.]. Англ. пат. 713128, 4.08.54 [Paint, Oil and Colour J., 1954, 126, № 2922, 880 (англ.)]

Патентуются моющие составы, содержащие (в ч.) абиеиновую к-ту, преимущественно в виде продукта конденсации с окисью этилена (15—30); водорастворимые фосфаты натрия (20—50), крахмал или карбоксиметилцеллюлозу и водорастворимые нейтр. или щел. натриевые соли.

Ф. Н. 45276 П. Моющие порошки (Detergent powders) [Imperial Chemical Industries of Austr. and N. Z.]. Австрал. пат. 157153, 8.07.54

Способ произ-ва моющих смесей, состоящий в медленном обезживании солей, имеющих кристаллизационную воду, нагреванием их при т-ре ниже т-ры превращения соли в присутствии моющих в-в.

С. С. 45277 П. Моющие препараты, содержащие соли щелочных металлов карбоксалкилцеллюлозы (Washing and cleaning agents containing alkali salts of carboxyalkyl-cellulose) [N. V. Handelsvereniging Holland]. Англ. пат. 710777, 16.06.54 [J. Text. Inst., 1955, 46, № 1, A 42 (англ.)]

Максимальной моющей способностью обладают щел. соли карбоксалкилцеллюлозы со степенью замещения между 0,49 и 0,60 на каждое элементарное звено, вязкостью между 20 и 30 *спуаз* в буферном водн. р-ре, содержащем 2,5% карбоната натрия и 2,5% бикарбоната натрия и растворимостью в 0,1 н. NaOH 84—94%.

П. Ч. 45278 П. Жидкие моющие смеси. Гендерсон, Карролл (Compositions deteratives liquides. Henderson Lloyd F., Carroll Francis E.) [Unilever N.-V.]. Франц. пат. 1078198, 16.11.54. [Teintex, 1955, 20, № 6, 501 (франц.)]

Моющая смесь состоит из 50%-ного р-ра в смеси воды и алифатич. спирта, смешивающегося с водой (не менее 60% воды), следующих в-в: 95—5% аминалкарилсульфоната или додециларилсульфоната и от 52—75% неионогенного моющего средства, выражаемого общей ф-лой $R - A - (CH_2 - CH_2O)_x CH_2CH_2OH$, где R — углеводородный радикал с 8—18 атомами C, A — кислород или сера, x — число 8—20. Этот р-р может содержать диалкиламид, полученный из жирной к-ты с 10—18 атомами C.

См. также: 42164, 42165, 42182, 42794, 42882, 42883, 43094, 43541, 44147—44149, 44533, 44545, 44575, 44586, 44667, 44779, 44862, 45050, 45083, 45174, 45414, 45548, 45550, 45651, 45680—45683, 45685, 45748, 45754; 13112Бх, 13116Бх, 13149Бх

УГЛЕВОДЫ И ИХ ПЕРЕРАБОТКА

45279. О фруктовом сахаре, левулозе или фруктозе. Сайме (More about fruit sugar, levulose or fructose. Symes Earl L.). Sugar J., 1955, 18, № 5, 5, 7, 44 (англ.)

Обзор основных свойств фруктозы и глюкозы и их значения в питании человека. Библ. 8 назв. Г. Б.

45280. Удаление белковых веществ при получении глюкозы — основная гарантия высокого качества продукта. Цанков (Отстраняването на белтъчните вещества в глюкозната индустрия — основна гаранция за висококачествена продукция. Цанков В. а. л.). Лека промишленост, 1954, 3, № 10, 30—31 (болг.)

Белковые в-ва из р-ров глюкозы удаляют путем нейтр-ции кислых р-ров щелочью до pH 4,5—5 (изоэлектрич. точка для белков) и фильтрования на фильтпрессе с кизельгуром. Следы белков, прошедшие через фильтпресс, удаляют обработкой карборафином при 60—65°, после чего кислотность р-ра падает с 1,7° до 1,25—1,30°. При перегреве р-ра наступает десорбция поглощенного белка. Далее р-р фильтруют, концентри-

руют при 60° под вакуумом, охлаждают до 30° и разливают в кристаллизаторы.

З. В. 45281. Физическая и химическая характеристика ферментативной патоки. Курман (Physical and chemical characteristics of enzyme converted syrup. Kooreman John A.). Manufact. Confectioner, 1955, 35, № 6, 35—37 (англ.)

Описываются способы получения трех видов патоки: «обычной» (II), известной под маркой 42 DE или «кондитерской патоки», промежуточной (III) 50—54 DE и «ферментативной» (ФП). Для получения последней предлагается проводить дополнительный гидролиз кукурузного крахмала ферментами (диастазом, мальтазой) после неполного кислотного гидролиза и нейтр-ции, фильтрации и обработки активированным углем. При этом достигается большое содержание в патоке редуцирующих сахаров (глюкозный эквивалент 60—65%), без образования продуктов реверсин, придающих, по мнению автора, горький привкус. Получить ФП при гидролизе крахмала с помощью только к-ты, без образования продуктов реверсин, не удается. Содержание глюкозы и мальтозы в ФП выше, а декстринов и высокомолекулярных сахаров — ниже, чем в II и III. Сладость (в основных единицах) для П 43, для III 59, для ФП 72; ФП более гигроскопична, чем П. Дана таблица сорбции и десорбции влаги для всех видов патоки при относительных влажностях воздуха 35—66%. Вязкость (в *спуаз*) патоки с плотностью 43°Bé при 60°; П 1800, ПП 1200, ФП 720.

В. Н. 45282. Об определении «доброкачественности» крахмальных патоки и содержании в них отдельных сахаров. Иллие (Über die Bestimmung der «Reinheit» von Stärkesirupen und über deren Gehalt an einzelnen Zuckerkarten. Illies Reinhold), Stärke, 1954, 6, № 2, 21—26 (нем.; рез. англ.)

От содержания глюкозы в патоках зависит их пригодность для карамельного произ-ва. Обычное определение «доброкачественности» (Д) патоки еще не дает точного представления о колич. содержании в ней глюкозы, так как наряду с последней и мальтозой в патоке присутствуют декстрины и высшие сахара, обладающие также редуцирующими свойствами. Авторы произвели определение Д 12 образцов патоки по четырем различным методам и установили (сравнительно с искусственно созданным образцом) большие отклонения в Д их. Наилучшие результаты получились по методу Сокслета (Soxhlet). Для определения содержания в патоках отдельных сахаров и декстрина анализировалось 9 образцов ее методами Зихерт — Блейера (Sichert-Bleier) и биологич. методом Вурст — Люффа (Voorst-Luff). Показано, что оба эти способа практически согласуются только для определения глюкозы и что с ростом содержания последней растет и Д патоки почти пропорционально. Для карамельного произ-ва рекомендуется патока с низкой Д (35—40 ед). Влияние других сахаров (изомальтозы, мальтотриозы, панозы и мальтетриозы), содержащихся в патоке, на гигроскопич. свойства карамели точно не установлено.

Н. Б. 45283. Опыты по транспортированию крахмальных патоки. Груневальд (Erfahrungen über den Transport von Stärkesirupen. Grunewald A.). Stärke, 1955, 7, № 6, 141—147 (нем.)

Приведены опытные перевозки крахмальных патоки в специально оборудованных авто- и железнодорожных цистернах и по их транспортированию в местах потребления. Для зимних перевозок брались патоки плотностью 42,5° Bé и для перевозки в теплый период — 43° Bé. Наполнение цистерны производилось из установленных на возвышении запасных емкостей, в которых т-ра патоки поддерживалась в пределах 30—40°. Испытаны автоцистерны емк. 7, 10 и 15 т, снабженные изоляционными покрытиями и насосами для откачки па-

токи на высоту до 20 м. Применение для подачи сжатого воздуха оказалось менее экономичным. При наполнении цистерн патокой при 40° даже зимой она заметно не охлаждалась на пути в 300—500 км. За 48 час. т-ра понижалась на 7°. 10-тонная цистерна освобождалась от патоки за 1/2 часа. Железнодорожная цистерна емк. 20 т была снабжена для разжижения патоки паружными паровыми трубами, расположенными между корпусом цистерны и рубашкой; патока сливалась по трубопроводу диам. 100 мм, который присоединялся к цистерне резиновым шлангом. Описано несколько схем установок для транспортирования патоки из складов к местам ее потребления с применением насосов или сжатого воздуха, а также устройство местного разогрева в стационарных емкостях. Для перекачки патоки рекомендуются тихоходные (на 50 об/мин) ротационные и крыльчатые насосы.

Н. Б. 45284. I научная сессия по химии и технологии сахарной промышленности. Добжинский (I Sesja Naukowa chemii i technologii cukrurownictwa. Dobzyski J. A. n), Problemy, 1955, 11, № 9, 631 (польск.).

45285. Новый способ определения степени вязкости воды свежеской во время ее пребывания в гидравлических транспортерах и свекломолке. Перетяткович (Nowa metoda oznaczania nasiakliwosci burakow cukrowych woda podczas ich spławiania i płukania. Peretjatkowicz Boleslaw), Gaz. cukrown., 1955, 57, № 4, 5, 51—52 (польск.). В предлагаемом способе, по существу ничем не отличающемся от общепринятого, подчеркивается лишь необходимость соблюдать при определении те условия, в которых исследуемая свекла находится в з-де при сплавлении и мойке (т-ра и качество воды, время пребывания свеклы в воде и прочие).

Л. Ш. 45286. Оценка интенсификации процесса производства сахара. Подгорский (Ocena intensyfikacji procesu produkcji cukru. Podhorski Jan), Gaz. cukrown., 1955, 57, № 4, 5, 43—47 (польск.).

Емкость верстака з-да (до сушек), отнесенная к его суточной производительности по свекле и выраженная в процентах к переработанной за сутки полиаризации сахара, показывает степень гармонизации и использования з-да для переработки свеклы. Оптимальная емкость верстака лежит в пределах 0,20—0,24 кг сахара на 1 кг переработанной за сутки свеклы или 100—130% переработанной полиаризации свеклы. Такая емкость благоприятствует получению наименьших потерь сахара, самого высокого выхода и самой низкой цветности белого сахара. Меньший верстат ведет при современной технологии к увеличению потерь сахара, больший, кроме того, — к повышению его цветности. Полный цикл переработки, оптимальный в смысле размеров потерь и цвета белого сахара, должен был бы при современных методах переработки составлять ~ 28 час.

Л. Ш. 45287. Определение скорости кристаллизации сахарозы в чистых сахарных растворах с помощью упругой кварцевой нити и методом взвешивания вне раствора. Герасименко А. А., Головин П. В., Укр. хим. ж., 1955, 21, № 6, 792—796.

Экспериментально определены скорости кристаллизации сахарозы в чистых сахарных р-рах при 75° и коэфф. пересыщения 1,044—1,162 с помощью упругой кварцевой нити и методом обычного взвешивания вне р-ра. Установлено, что оба метода дают близкие между собою величины, с отклонениями в пределах 0,55—4,7%.

Г. Б. 45288. Определение скорости кристаллизации сахарозы в чистых сахарных растворах при 70, 80 и 90°. Герасименко А. А., Головин П. В., Укр. хим. ж., 1955, 21, № 6, 797—799.

Изучение скорости кристаллизации (СК) сахарозы с применением метода взвешивания кристаллов вне р-ра показало, что в чистых сахарных р-рах при 70, 80 и 90° СК увеличивается с повышением коэфф. пересыщения в пределах 1,0—1,15; графически эта зависимость выражается прямыми линиями; при повышении т-ры от 70 до 80° СК увеличивается в 1,25 раза, а от 80 до 90° СК увеличивается в 1,3 раза.

Г. Б. 45289. Метод увеличения сладости свекловичного сахара. Иида (Method of increasing the sweetness of beet sugar. Iida Yasuo), Sugar J., 1955, 18, № 5, 29 (англ.).

Установлено, что сладость свекловичного сахара (СС) несколько ниже сладости тростникового сахара (ТС), что является следствием различного состава минер. в-в; при содержании золы в продажных сортах сахара 0,02%, состав ее различный — в золе СС было найдено (в %): K₂O 20,4, CaO 2,8, P₂O₅ 0,6 и SO₃ 6,0, в то время как в золе ТС соответственно: 1,3; 20,5; 2,2 и 23,0. В золе СС преобладает K₂O, а в золе ТС — CaO, P₂O₅ и SO₃, что и приводит к различной сладости этих сахаров. Опыты показали, что после двойной перекристаллизации СС в нем почти не остается золыных элементов, в ТС даже после тройной перекристаллизации все же обнаруживается еще заметное кол-во золы. За счет добавления минер. в-в к СС сладость его можно довести до сладости ТС—100 г СС обрабатывают 20 мл р-ра, 100 мл которого содержат 0,09 г CaSO₄ и 0,01 г CaHPO₄, затем избыток влаги из сахара удаляют высушиванием.

Г. Б. 45290. Источник микробиологического заражения сахаров. Оуэн (Source of microbial contaminants in sugars. Owen Wm. L.), Sugar, 1955, 50, № 8, 44—45, 56 (англ.).

Рассмотрены стандарты сахара в части микробиологич. требований. Лучшими являются стандарты для сахара, применяемого в мясной пром-сти особенно по определению мезофильных кислотообразующих бактерий; установлено, что инфекция вносится с бумажными мешками, в которые упаковывается рафинированный сахар.

Г. Б. 45291. О качестве свекловичной стружки. Шапиро (O jakości krajanki. Szapiro A. J.), Gaz. cukrown., 1955, 57, № 12, 233—234 (польск.).

Перевод. См. РЖХим, 1956, 21095

45292. Технологические качества свекловичной стружки. Грубишек (Technologiczka jakost sladkych rizku. Hrubisek J.), Listy cukrovarn., 1955, 71, № 1, 9—13 (чеш.; рез. русс., нем.).

Технологические качества определяются длиной 100 г стружки (С) и содержанием в ней мезги. Рекомендуется длину С выражать в пересчете на 100 г без мезги по ф-ле: $D = D_1 100 / (100 - r)$, где D_1 — длина 100 г С без мезги, r — кол-во мезги в г. При этом необходимо указать размер ножа, при помощи которого С была получена. При пользовании ножами Голлера расчет длины 100 г С без мезги определяют по ф-ле: $D = 280 / [d(V - 2p)]$, где d — размер ножа в мм, V — высота ножа в мм, p — высота подъема ножа в мм. Приведена ф-ла для расчета высоты подъема ножа и длины 100 г С в зависимости от толщины ее. Даны примеры для оценки работы нарезки, установления качества. Показатели работы ножеочеч и наборщиков ножей.

Е. Ш. 45293. О неиспользованных возможностях диффузионной батареи. Лепешкин (O niewykorzystanych mozliwosciach baterii dyfuzyjnej. Lepieszkina I. P.), Gaz. cukrown., 1955, 57, № 12, 235—236 (польск.).

Перевод см. РЖХим, 1956, 37964

45294. Об оптимальных условиях предварительной дефекации нефилтрованным соком I сатурации. Ж у-

ра К. Д., Архипович Н. А., Барабанов М. И., Тр. Киевск. технол. ин-та пищ. пром-сти, 1954, № 14, 65—72

Лабораторные опыты по выяснению оптимальных условий предварительной дефекации показали, что кол-во возвращаемого нелогозованного сока 1-й сатурации со щелочностью 0,4% СаО следует принимать в 100% к весу диффузионного сока; при возврате нормально отгазованного сока это кол-во может быть ограничено 400%, а при подщелачивании 0,2—0,3% СаО — 150%. Возврат перегазованного сока (без подщелачивания) преимуществ не имеет и применение его нецелесообразно. Г. Б.

45295. О проблеме последней сатурации. Долинек (O problému poslední saturace. Dolinek Alois), Listy cukrovarn., 1954, 70, № 8, 180—182 (чеш.; рез. русс.)

Приведены факторы, влияющие на состав, качество сока последней сатурации (С) (качество сырья, вспомогательных материалов, аппаратуры, ведение и контроль процесса сатурирования) и связанное с этим выделение из сока солей на выпарке. Отмечено, что существующий метод определения оптимальной щелочности последней С не обеспечивает миним. выделение солей на выпарке. Рекомендуется щелочность последней С устанавливать путем сгущения в лабор. условиях 1 л сатурационного сока до плотности 65%. В отфильтрованном соке до и после сгущения определяют Са-соли в пересчете на 100% сухих в-в. Щелочность, при которой наблюдается наименьшее выделение Са-солей в осадок, является оптимальной. Е. Ш.

45296. Ионный обмен. Качество сахара, полученного при обратном цикле очистки соков. Форт, Смит (Ion exchange: quality of sugar produced by reverse cycle purification of juices. Fort C. A., Smith B. A.), Sugar, 1955, 50, № 4, 43—45 (англ.)

Применение ионитов (И) для очис. тростниково-сахарного сока задерживалось из-за необходимости охлаждать сок до $<20^{\circ}$. Использование новых марок И к тому же в обратном цикле (анионит — катионит) открывают новые перспективы в деле очистки сока. Опыты проводили в колоннах diam. 135 мм, высотой 1200 мм, с пропуском за один цикл 150 л сока. Испытавались 3 варианта в последовательности пропуска сока через колонны: 1. Сок пропускали через 2 колонны, в первую из которых помещали высокоосновной анионит «S», а во вторую — катионит с карбоксильными функциональными группами «IRC-50». 2. Очистку сока вели через 3 колонны, последовательно заполненные высокоосновными анионитом «IRA-410», катионитом «IRC-50» и анионитом «S». Сок пропускали через 4 колонны, в которые были помещены: «IRA-410», «IRC-50», «S» и «IRC-50». Очис. И сок подвергали выпариванию и увариванию с получением сахара и конечной мелассы. Наилучшие результаты как по качеству сахара, так и по выходу сахара из сока были получены при применении 3-колонного варианта работы, при котором выход сахара достигал 93%, а из необработанного И сока — 84,7%. Увеличение выхода сахара при ионитной очистке сока составило 8,3% по отношению к сахару, содержащемуся в исходном соке. Г. Б.

45297. Азотистые вещества в соках и мелассе свеклосахарного производства. Фрид, Хибберт (Nitrogenous constituents of beet sugar factory juices and molasses. Freed B., Hibbert D.), Internat. Sugar J., 1955, 57, № 683, 399—404 (англ.)

Определение азотистых в-в в продуктах английских свеклосахарных з-дов показало, что в среднем за 6 лет (1949/50—1954/55) содержание азота (по Кьельдалю) в мелассе отдельных з-дов было 1,96—2,29 г на 100 г сухих в-в; в мелассе, полученной в сезон 1954/55 г.

азот бетанна составил 33—43%, а азот аминокислотный 20—31% по отношению к общему азоту; из 23 аминокислот, обнаруженных различными исследователями в продуктах свеклосахарного произ-ва, 13 найдено в продуктах з-дов Англии. Приведены уточненные методики по определению бетанна и аминокислот с помощью ионитов и хроматографии. Г. Б.

45298. Некоторые причины различия в фильтрационной способности клеровки сахара-сырца. Обсуждение хиггинботемского процесса. Хиггинботем (Some causes in the variations in the filterability of raw sugar. A discussion of the higinbotham process. Higginbotham Oscar), Sugar J., 1955, 18, № 5, 28—29 (англ.)

Плохая фильтрация клеровки сахара-сырца на рафинадных з-дах вызывается наличием воска, растительного жира и коллоидальных слизистых в-в. Для уменьшения содержания примесей, затрудняющих фильтрацию клеровки, Хиггинботемом предложено усилить очистку сока на тростниковосахарных з-дах и этим улучшить качество сахара-сырца; в дополнение к обычной очистке и фильтрации сока производится еще флотация воздухом сока с последующим прохождением его через спец. отстойник непрерывного действия в котором при определенной т-ре происходит разделение и удаление указанных примесей. Г. Б.

45299. Обзор состояния сахарной промышленности в Бихаре (Индия). Синха (Review of Bihar sugar industry. Sinha S. R. M. P.), Indian Sugar, 1955, 5, № 4, 189, 191 (англ.)

45300. Продукты из сахарного тростника и их получение. Васкес (Los productos de la caña de azúcar y procedimientos de obtencion. Vázquez E. Antonio), Bol. ofic. Assoc. téch. azucareros Cuba, 1954, 12, № 11, 483—520 (исп.)

45301. Опрыскивание тростника — простой и эффективный способ уменьшения потерь сахара в период между уборкой и переработкой. Кханна, Чакраварти, Сривастава (Mist spraying of cane — a simple and effective means for minimising sugar losses between harvest and milling. K. L., Chacravarti A. S., Srivastava D. P.), Indian-Sugar, 1955, 4, № 12, 643—648 (англ.)

Опыты показали, что опрыскивание водой срезаемого тростника при его транспортировке в з-д уменьшает потери сахара и увеличивает выход сахара при переработке; при применении для перевозки тростника закрытых вагонов расход воды составляет 7,5 л на вагон грузоподъемностью 10—12 т. Г. Б.

45302. Современная станция по извлечению сока из тростника. Мак-Алистер (Modern cane crushing at Kekaha. McAlistier C. H.), Sugar, 1955, 50, № 5, 32—33 (англ.)

Отличительной особенностью станции является привод для валцев, который осуществляется от многоступенчатых паровых турбин через редукторы, а также автоматизация работы отдельных групп валцев и централизация смазки всех механизмов. Г. Б.

45303. Диффузионный способ извлечения сока из сахарного тростника. (Cane diffusion comes of age. —), Sugar, 1955, 50, № 5, 29—31 (англ.)

Испытана опытная модель непрерывно действующего диффузионного аппарата. Стебли тростника резали при помощи спец. резки и получали кружки толщиной ~6 мм, которые после взвешивания на ленточных весах и смешивания с соком подавали центробежным насосом в диффузионный аппарат, снабженный валом с прерывающимися витками шнека. При вращении вала с витками с окружающей скоростью 15—30 м/мин тростник перемещается по колонне снизу вверх, а вода, подаваемая в верхнюю часть аппарата с т-рой 93—98°, проходит в обратном направлении. В нижней части аппарата

рата р
ные кр
лонны
вания
обезво
ние оп
трос
коэфф.
сахаро
сока 8
ввеник
из тро
аппара
меньш
ремонт
механи
на 2—
тельно
в сутк

45304.

ковос
щес
брока
(Hot
(Hot
of hi
E. J.
(англ
Лаб
бавлен
сырому
По сра
р-ция с
рачий с
седимен
ной де
меньше
процесс
45305.
дуалл
factor
на п
Приве
устанав
и увели
тростни
45306.
пости
S a b
Науче
ционных
дало воз
вышенно
и меньш
лось сде
и увели
мую пл
жании в
точной п
отстойн
отстойн
число се
основани
2,6 часа
45307.
в пи
(Hydro
mytle
spozuy
Описан
дительно
щевой п

рата расположены сита для отбора сока; обессахаренные кружки тростника удаляются из верхней части колонны с содержанием 15% сухих в-в; для использования их в качестве топлива необходимо произвести обезвоживание с доведением до 50% сухих в-в. Испытание опытной модели показало производительность 4 т тростника в 1 час, расход воды 119% к весу тростника, коэфф. извлечения сахарозы 97,77% (при содержании сахарозы в тростнике 13,77%), доброкачественность сока 89,26‰ и плотность его 12,43% сухих в-в. По сравнению с прессовым способом получения сока из тростника диффузионный способ с применением аппарата непрерывного действия требует наполовину меньших капиталовложений, на $\frac{3}{4}$ меньше затрат на ремонт, значительно меньше затрат рабочей силы и механич. энергии; доброкачественность сока повышается на 2—3 ед. Аппараты спроектированы производительностью от 150 до 1500 т переработки тростника в сутки при диаметре колонны до 3 м и высоте до 18 м.

Г. Б.

45304. Применение горячей дефекации на тростниковосахарных заводах в Пуэрто-Рико, увеличивающее выход чистого сока (при отстаивании) и его доброкачественность. Паган-Карло, Моралес (Hot liming at Puerto Rican central yields clear juice of high purity. Pagan-Carlo C., Morales E. J.), Indian Sugar, 1955, 5, № 4, 179, 181, 183 (англ.)

Лабораторные и заводские опыты показали, что добавление извести на дефекации лучше производить к сырому соку, предварительно нагретому до 103—104°. По сравнению с холодной дефекацией, при которой р-ция сока доводится СаО до pH 8,0—8,7 на холоду, горячий способ дает возможность получить сок с лучшей седиментационной способностью осадка, с более высокой доброкачественностью осветленного сока при меньшем расходе извести и меньшем падении pH в процессе очистки сока.

Г. Б.

45305. Новый тростниковосахарный завод в Венесуэле. Кордовес (Venezuela's newest sugar factory. Hacienda El Palmar. Cordoves Fernando), Sugar, 1955, 50, № 9, 27—30 (англ.)

Приведена технич. характеристика оборудования. устанавливаемого на з-де, в связи с его реконструкцией и увеличением суточной переработки с 3600 до 7200 т тростника.

Г. Б.

45306. Новый отстойник повышенной производительности. Сабин (Design of new clarifier increases capacity. Sabin Nestor), Sugar, 1955, 50, № 5, 35—37 (англ.)

Изучение работы непрерывнодействующих многосекционных отстойников на тростниковосахарных з-дах дало возможность спроектировать новый отстойник повышенной производительности, с меньшими размерами и меньшим временем пребывания в нем сока. Это удалось сделать за счет изменения подвода сока к секциям и увеличения объема каждой секции, сохранив требуемую плотность грязевой суспензии при миним. содержании взвешенных частиц в дакантате. Для з-да с суточной переработкой 2000 т тростника характеристика отстойника оказалась следующей (в скобках — для отстойника старой конструкции): diam. 5,4 м (7,5), число секций — 4 (4), объем 140,8 м³ (198,4) площадь основания 22,9 м² (44,1), время пребывания сока 2,6 часа (3,7).

Г. Б.

45307. Гидроциклоны и возможности их применения в пищевой промышленности. Блашинский (Hydrocyclony i możliwości zastosowania ich w przemyśle spożywczym. Błaśiński H.), Przem. spożywczy, 1955, 9, № 8, 325—326 (польск.)

Описано устройство и приведены расчет производительности гидроциклона и пути его применения в пищевой пром-сти; в сахарной — вместо отстойников

перед вакуум-фильтрами и вместо ловушки мезги, а также для очистки возвратных вод от механич. загрязнений; в крахмало-паточной — вместо отстойников для отделения крахмала от соковой воды, для отделения песка и промывки крахмала, для предварительной очистки вместо центрифуг; в плодовоощной — вместо отстойников и частично вместо центрифуг для отделения мезги от соков; для деаэрации соков.

Л. Ш.

45308. Новый точный метод подготовки проб тростника для анализа. Сербия, Фрагосо (New accurate method for preparing of samples cane for analysis. Serbia G. R., Frago J. Hernandez), Sugar, 1955, 50, № 5, 39 (англ.)

Сконструирован прибор для подготовки проб тростника для анализа, дающий возможность из партии в 18 кг тростника приготовить среднюю пробу измельченного тростника в кол-ве 1,0—1,5 кг. Основной частью прибора являются две циркуляционные пилы diam. 200 мм, насаженные на вал, делающий 3000 об/мин. Проверка прибора показала его преимущества по сравнению с ныне применяемым способом подготовки проб тростника в виде пыли, получаемой при продольном изрезывании стеблей циркулярной пилой.

Г. Б.

45309. Указания теплотехникам сахарных заводов. Сазаветский (Pokyny pro tepelné techniky cukrovarů. Sázaavský V.), Listy cukrovarn., 1955, 71, № 10, Příloha, 1—28 (чеш.)

Освещены основные познания в области теплотехники сахарного произ-ва: I. Произ-во пара. II. Рационализация теплового хозяйства. III. Инжекция пара. IV. Тепловые аппараты сахарных з-дов и их взаимосвязь. V. Борьба за снижение расхода пара в произ-ве. Контроль качества воды для котлов. Даны расчеты и примеры.

Е. Ш.

45310. К вопросу о центрифуге непрерывного действия для сахарной промышленности. Брейтунг (Probleme der kontinuierlichen Zuckerschleuder. Breitung), Z. Zuckerind., 1955, 5, № 9, 444—445 (нем.)

Обзорная статья. Отмечается, что для сахарной пром-сти представляют интерес новая система центрифуги с пульсирующим барабаном и утончающимися разгрузочными пластинками, которая менее портит кристалл, чем более старая конструкция ступенчатых центрифуг, и центрифуга, представляющая собой комбинацию двух вышеуказанных систем. Порчу кристалла можно уменьшить снижением числа оборотов центрифуги и компенсировать получающееся при этом снижение производительности путем уменьшения толщины слоя утфеля в центрифуге. Представляет также интерес использование, для разделения фаз в утфелях, гидроциклона, применяемого в цементной пром-сти при помоле клинкера.

Л. Ш.

45311. Диффузионный аппарат непрерывного действия системы Олие для сахарной промышленности. Гримо (La diffusion continue A. Olier en sucrerie de betteraves. Grimaud G.), Ind. agric. et aliment., 1953, 70, № 6, 477—482; № 11, 751—757 (франц.)

Разбор результатов работы диффузионного аппарата непрерывного действия за 1952—1953 гг. Описание устройства аппарата. См. также РЖХим, 1954, 15652.

А. П.

45312. Аконитовая кислота и ее производные как побочные продукты сахарного производства. Бетанкур (Aconitic acid and its derivatives as by-products in sugar manufacture. Betancourt A. F.), Internat. Sugar J., 1953, 55, № 650, 47 (англ.)

Кратко сообщается о технологич. схеме и режиме работы при получении кальций аконита из оттока В тростниковосахарного произ-ва (при применении на з-де трехпродуктовой схемы).

Г. Б.

45313. Кальций-магний аконитат. Хейнс, Джойнер (Calcium magnesium aconitate. Haines Harry W., Jr., Joyner Leslie G.), Industr. and Engng. Chem., 1955, 47, № 2, 178—186 (англ.)

В мелассе тростниковосахарных з-дов содержится 3—7% к весу сухих в-в аконитовой к-ты, эфиры которой находят себе широкое применение в качестве пластификаторов. С 1945 г. в США приступлено к промышленному выпуску кальций-магний аконитата с использованием для этой цели в качестве сырья оттока В (при трехпродуктовой схеме работы на тростниковосахарных з-дах) либо конечной мелассы (отток С). Извлечение аконитовой к-ты из оттока В сохраняет этот отток пригодным для последующего получения сахара; равным образом меласса после выделения из нее аконитовой к-ты может быть использована для ряда ферментативных процессов (спирт, дрожжи, пищевые к-ты). Описаны технологич. схема и аппаратура, применяемые на з-де по выработке из мелассы аконитата в кол-ве 450 т в год. Аконитат получают путем добавления к разб. р-ру мелассы (55% сухих в-в) СаО для доведения р-ции до 6,5—6,8 рН и СаСl₂ для достижения требуемого кол-ва ионов Са в р-ре и последующей кристаллизации; выпавшие кристаллы двукальциевой и кальций-магниевой (Mg имеется в мелассе) соли аконитовой к-ты отделяют на сепараторе затем на центрифуге и после высушивания отправляют на з-д для получения аконитовой к-ты. Для получения 45 кг аконитата требуется затратить 65 кет/час электроэнергию, 5,7 м³ газа, 1,6 м³ воды и 1,5 т пара.

Г. Б.

45314. Об итаконовой кислоте. —(Itaconic acid offers unusual promise. —), Sugar, 1955, 50, № 5, 40—41 (англ.)

Сообщается о выпуске впервые в 1955 г. в промышленном масштабе в США итаконовой к-ты, получаемой из сахара ферментативным путем. Перечисляются области применения этой к-ты и ее полимеров в различных произ-вах (приготовление смазочных масел, резиноподобных составов и др.) и в первую очередь при синтезе искусств. смол как для ионного обмена, так и для изготовления пластмассовых изделий.

Г. Б.

45315. Коллоидный натриевый бентонит. Изучение химического состава и моной структуры. Применение для очистки соков сахарного тростника. Мальеа (Bentonita coloidal sodica. Estudio de su composición química y de su estructura iónica. Su aplicación en la clarificación de la caña. Maliea Oscar S.), Industria y química, 1954, 16, № 1, 15—17 (исп.)

Применение метода исследования бентонита имеет ограниченные возможности вследствие трудности получения чистых проб и большого разнообразия в его структуре. Эффективность бентонита как осветлителя сахарных р-ров определяется: 1) содержанием в нем колл. частиц, 2) содержанием мелкой инертной фракции (ниже 20 м), 3) удельной способностью катионного обмена колл. фракции; 4) степенью насыщения щелочью (не менее 75%, иначе он становится коагулятором).

Е. С.

45316. Некоторые сведения о заводских опытах применения михаловского галонизита в сахарном производстве. Рацик (Niektoré poznatky z prevádzkových pokusov použitia mihalovského halozitu v cukrovárniectve. Ráčík Jura J.), Chem. zvesti, 1955, 9, № 8, 504—517 (словац.; рез. рус., нем.)

Заводские опыты обесцвечивания клерсов активной глиной из Михаловца в смеси с активированным углем показали, что глина не только обесцвечивает клерсы, но и улучшает фильтрацию их. Поглощенные глиной красящие в-ва десорбируют. Значительная десорбция

красящих в-в выявлена при фильтрации клерса, обработанного смесью адсорбентов, через фильтрпресс. Отделение от клерса адсорбентов рекомендуется проводить на барабанных вакуум-фильтрах. Глина, предназначенная для обесцвечивания клерсов должна быть равномерного зернения с величиной зерен, обеспечивающих хороший эффект обесцвечивания и наилучшую фильтрацию. В опытах соотношение глины и активированного угля составляло: 4 : 1; 3 : 1; 2 : 1. Е. Ш.

45317. Анализ свеклы и продуктов ее переработки при помощи пламенного фотометра Бекмана. Каролан (Analysis of beet, etc. by Beckman flame photometer. Carolan R. J.), Internat. Sugar J., 1954, 56, № 667, 189—191 (англ.)

Пламенно-фотометрический метод применен для определения К, Na и Са в р-рах, полученных при обработке свеклы (свежей, высушенной и озолонной). Использована модель спектрофотометра 9200 с ацетиленовой горелкой. Условия фотометрирования: 1. Для К: длина волны 767 м, ширина щели 0,1 мм. 100%-ное пропускание прибора устанавливали по р-ру, содержащему 300 γ/мл К в виде КСl; 2. Для Na: длина волны 589 м, ширина щели — 0,15 мм. 100%-ное пропускание устанавливали по р-ру, содержащему 80 γ/мл Na. 3. Для Са: длина волны 554 м, и ширина щели — 0,3 мм. 95%-ное пропускание устанавливали по р-ру СаСl₂, содержащему 80 γ/мл Са (дополнительная коррективка по воде). Калибровочные кривые строили по стандартным р-рам различных конц-ий, приготовленным из основных р-ров с содержанием 3000 γ/мл К, 1000 γ/мл Na и 400 γ/мл Са. Рекомендуется проводить после анализа каждых 6 образцов проверку прибора и, если потребуется, повторно отрегулировать темновой ток и калибровку. Помехи устраняют использованием поправочных коэфф. Присутствие 2% сахара снижает содержание К на 4%, Na на 6%. Поправочный коэфф. для Са 0,65. Калий мешает определению Na и Са. При 150 γ/мл К поправочный коэфф. для Na 0,93, при 300 γ/мл 0,90, а для экстрактов, содержащих ~2% сахара, 0,87. При 150—600 γ/мл К поправочный коэфф. Са 9—12 γ/мл. Na не мешает определению К. Результаты для определения Са корректируют вычитанием 0,07 γ/мл на каждый γ/мл Na (до 100 γ/мл). Анионы не мешают (рекомендуется растворение сульфатов или хлоридов в 2 мл НСl (1 : 5) с последующим разбавлением до 100 мл). Для приготовления р-ров для фотометрирования пользуются следующими способами: 1. Свежую свеклу обрабатывают 0,5 н. (СН₃СОО)₂Рb, кол-во которого должно быть эквивалентно 2 мл р-ра 55° по Бриксу на 100 мл свежесколько экстракта. 2. З с сухой свеклы (эквивалентные 13 г свежей свеклы) смывают в колбу емк. 100 мл ~75 мл воды и выдерживают ~18 час. при комнатной т-ре или 15—30 мин. при т-ре 80—100°. Объем доводят до 100 мл и р-р фильтруют через быстро фильтрующий фильтр. Первую половину фильтрата отбрасывают. 3. Обработку золы свеклы проводят в виде сульфата и хлорида: а) К 3 г сухой свеклы добавляют 10 мл Н₂SO₄ (1 : 4). Смесь сушат в печи и озолотят при 550°. Золу выщелачивают 100 мл воды или обрабатывают в течение нескольких минут 2 мл НСl (1 : 4) при нагревании. б) Золу, содержащую хлориды, получают по Викланду (Socker Handlinger, 1951, II, 7, 25). Фотометрирование р-ров хлоридов дает точные результаты лишь для суммы (К + Na). Сравнением результатов пламенного спектрофотометрирования с результатами обычно принятых хим. методом установлено, что колориметрический метод определения Na в р-рах, полученных при обработке сульфатной золы, дает более высокие результаты, чем пламенно-фотометрический (помехи за счет пирофосфатов и пиросульфатов). Сделан вывод о полной пригодности пламенной фотометрии

для анализа полученных различными способами свекловых пульпы и экстрактов.

45318. Контроль основных технологических процессов. Силин Н. М., Силина Н. П., Сахарная пром-сть, 1955, № 5, 12—16

При контроле дефекосатурации рекомендуется в флу Скорбигина для определения кол-ва извести, затрачиваемой на очистку сока, вводить поправку на уд. в. дефекованного сока и титрование его производить с метиловым оранжевым. Потери сахара в жидкой фильтратной гязи предлагается определять по методу Н. П. Силиной, при котором поляризацию гязи относят к содержащейся в ней извести; известь в гязи определяют прямым титрованием с метиловым оранжевым. Кол-во нефитрованного сока 1-й сатурации, возвращаемого на предварительную дефекацию, рекомендуется определять по ф-ле:

$$B = [(100 + i)u_n - 100(u_d + ru)] / (u_c - u_n),$$

где B — возврат сока в л на 100 л диффузионного сока, u_c — общее кол-во извести в возвращаемом соке, u_n — общее кол-во извести в преддефекованном соке, u_d — кол-во извести в диффузионном соке ($\approx 0,06\%$), r — объем известкового молока в л, подаваемого на преддефекацию на 100 л диффузионного сока, i — содержание извести в известковом молоке в кг/л.

45319. Контроль плотности растворов и сиропов. Кристалл, Чапман (Density control of liquors and syrups. Chrystal C. D., Chapman F. M.), Internat. Sugar J., 1955, 57, № 683, 407—408 (англ.)

Дана схема и краткое описание прибора, применяемого на английском рафинадном з-де, по пьезометрич. определению плотности сахарных р-ров и сиропов; разность давления, получающаяся при пропускании воздуха (30 пузырьков в мин.) через определенный столб воды и испытываемой жидкости, непрерывно фиксируется при помощи специального «бриксометра», устанавливаемого в любом месте завода.

45320. Определение сахаров в патоке. Гольдфарб Р. П., Даниленко П. Л., Науменко В. Г., Тр. Киевск. фил. Всес. н.-н. ин-та спирт. пром-сти, 1955, № 2, 129—140

Разработан более точный метод определения сахаров в патоке (мелассе), состоящий в дополнительном определении инверсионной поляризации после нейтр-ции кислого р-ра и в учете левого вращения сахара. Установлено, что несахаристые органич. в-ва мелассы отечественных свеклосахарных з-дов в осветленном р-ре имеют левое вращение. Неодинаковая оптич. активность несахара при прямой и инверсионной поляризации патоки приводит к понижению содержания сахарозы на 0,33%, а рафинозы — на 0,94%.

45321. Контроль влажности сахара-рафинада при хранении на складе. Мантовани (Il problema dell'umidità nell'immagazzinamento dello zucchero farrinato ed il suo controllo. Mantovani G. (Giorgio), Ind. saccarif.ital., 1954, 47, № 3-4, 108—114 (итал.)

Обзор. Библ. 22 назв.

45322. Выделение маннозы из смеси сахаров методом хроматографии. Кришнамурти, Сваминахан (Separation of mannose from a mixture of sugars by paper chromatography. Krishnamurthy K., Swaminathan M.), J. Sci. and Industr. Res., 1955, (B—C) 14, № 6, B 310—312 (англ.)

При изучении сахаров, входящих в состав полисахаридов клеточных стенок овощей, обнаружилось трудности в хроматографич. разделении смеси, состоящей

из маннозы, фруктозы, арабинозы, ксилозы при применении р-рителей, описанных в литературе; эта задача успешно была решена, когда в качестве р-рителя была использована смесь: фенол + *n*-бутанол + уксусная к-та + вода (20 : 20 : 8 : 40) и проявителем служила бездинтрихлоруксусная к-та.

45323. Применение молочной кислоты в качестве заменителя сегнетовой соли при определении сахаров. Пиляновский, Жебровская (Uzycie mleczanu w zastepstwie wini anu wodoszynniku miedziowym przy oznaczaniu cukrow metoda redukcyjna. Pijanowski Eugeniusz, Zebrowska Maria), Przem. spozywczy, 1955, 9, № 9, 282—284 (польск.; рез. русск., англ.)

Установлено, что для приготовления II р-ра Фелинга при определении сахаров по методу Бертрона вместо сегнетовой соли можно применять пищевую молочную к-ту в кол-ве 127,6 г (на абс. к-ту) или х.ч. молочную к-ту в кол-ве 204 г (на абс. к-ту) на 1 л р-ра. Кол-во NaOH соответственно будет 207 и 241 г. После 10 дней хранения при 20° или 5 дней при 40° реактив дает идентичные результаты с обычно приготовленным II р-ром Фелинга.

45324. Определение весовых % сахара объемным методом (100 : 110) Хиршмюллер (Ermittlung der Gew.-% Zucker nach der Maßmethode (100 : 110). Hirschmüller H.), Z. Zuckerind., 1955, 5, № 11, 523—525 (нем.; рез. англ., франц.)

В связи с широким внедрением в ФРГ поляриметров с новой интернациональной шкалой в °S (утвержденной комиссией «JCMSA» в 1932 году) приведена новая таблица для расчета содержания сахарозы взамен прежней таблицы Шмитца.

45325. Колориметрический метод определения инвертного сахара в присутствии сахарозы. Применение 2,3,5 трифенилтетразолхлорида. Карратерс, Вуттон (A colorimetric method for the determination of invert sugar in the presence of sucrose. Using 2:3:5 triphenyl tetrazolium chloride. Carruthers A., Wootton A. E.), Internat. Sugar J., 1955, 57, № 679, 193—194 (англ.)

Рекомендуется колориметрич. способ для быстрого определения инвертного сахара в продуктах свеклосахарного произ-ва. В трубку 150 × 19 мм с меткой на 20 мл помещают столько р-ра, чтобы содержание инвертного сахара в нем находилось в пределах 0,15—0,7 мг и объем доводят до 4 мл дистилл. водой. Добавляют 1 мл 1 н. р-ра NaOH и 1 мл 1%-ного р-ра 2,3,5-трифенилтетразолхлорида (или бромиды) и трубку выдерживают в кипящей водяной бане точно 90 сек, тотчас помещают в сосуд с холодной водой с одновременным добавлением 1 мл 1,1 н. р-ра CH_3COOH . В течение 60 сек. добавляют изопропанола почти до метки; он растворяет осадок, затем, после доведения до метки, в полученном р-ре определяют в фотометре оптическую плотность с применением сине-зеленого фильтра (кодак № 4). Содержание инвертного сахара находят по предварительно составленным кривым. При анализе диффузионного сока для удаления свинца, остающегося в р-ре после осветления нейтр. уксуснокислым свинцом, пользуются оксалатами или фосфатами. Пробы густого сиропа утфеля и мелассы должны быть перед анализом соответственно разбавлены.

45326. Влияние объема осадка на прямую поляризацию. Гольдфарб Р. П., Даниленко П. Л., Науменко В. Г., Тр. Киевск. фил. Всес. н.-н. ин-та спирт. пром-сти, 1955, № 2, 141—144

45327. К определению содержания сахарозы в свеклосахарной патоке. Гольдфарб Р. П., Даниленко П. Л., Науменко В. Г. (См. при

vire la determinarea zaharozei în mealsa de sfeclă. Goldfarb R. I., Danilenko P. L., Naumenko V. G.), Rev. ind. aliment. prod. vegetale, 1955, № 2, 16—17 (рум.).

Перевод см. РЖХим., 1955, 39137. А. П. 45328. Современная техника получения крахмала из маниоки. Сера (Técnica moderna de fabricação de amido de mandioca. Serra Paulo G.), Rev. brasileira quim., 1955, 39, № 230, 85—90 (порт.).

Рассмотрены старая и новая техника получения маниокового крахмала. В новой схеме операции по очистке отгмывки измельченных корней, ранее совершавшиеся раздельно, проводятся в одной машине центробежного типа. В дальнейшей переработке крахмального молока декантация, дававшая неравномерный по качеству продукт, и операции промывки и сушки, совершавшиеся периодически, заменены непрерывными процессами с применением новейшей техники (вращающегося вакуум-фильтра для обезвоживания крахмала, быстродействующих сушилок и т. д.). Это позволяет значительно уменьшить площадь цехов при той же производительности (при обезвоживании крахмала — в 20 раз), экономить ценные материалы (напр., фосфористую бронзу) и рабочую силу, в 10 раз сократить длительность переработки и получать продукт постоянного и высокого качества. Приведены схема произ-ва и фотографии машин.

З. Б. 45329. Новые наблюдения над изменениями крахмальных растворов во времени. Самец (Neuere Beobachtungen über zeitliche Veränderungen von Stärkelösungen (Elektronenmikroskopie und Ultraviolettabsorption). Samец M.), Stärke, 1955, 7, № 6, 131—136 (нем.; рез. англ.).

Описаны исследования методов электронной микроскопии высушенных пленок крахмала и его фракций и абсорбции УФ-лучей их р-рами, а также методика напыления и фиксации испытуемых пленок. Работы проводились с чистыми 0,3%-ными р-рами амилозы и амилопектина ишеничного и картофельного крахмалов и с их 2%-ным клейстером, приготовленным нагреванием в течение 0,5 часа при 120°. Р-ры исследовались в чистом виде, с добавлением NaOH (0,5 н.) и в присутствии 10%-ного формамида, свежими и с периодом старения в 8, 14 и 21 дней. Снимки делались при увеличении в 25 000 раз. Исключительно сильную агрегацию обнаружила амилоза картофельного крахмала. Щелочь сильно гидратирует амилозу. Формамид тоже действует как эффективный пептизатор. Р-ры амилопектина, наоборот, сильно клейкие и тягучие. Щелочь гидратирует амилопектин, а формамид нарушает целостность пленок. Старение р-ров значительно меняет характер пленок. Световая абсорбция в УФ-свете исследовалась на спектрофотометре Бекмана в кюветах шириной в 1 см при конц-ии крахмала 0,5% и его фракций 0,3%. На ряде диаграмм показано, что абсорбция (по экстракции) нейтр. р-рами крахмала и отдельными его фракциями совершенно различны, что также характерно и при их старении: у амилозы абсорбция увеличивается, у амилопектина — снижается. Присутствие щелочи сказывается лишь после суточного и большего периода ее воздействия и сильно влияет при старении р-ров. Приведено 10 микрофотографий и 6 кривых абсорбции.

Н. Б. 45330. Крахмалы, растворимые в холодной воде. Дакс (The cold-water soluble starches. Dux Eric F. W.), Stärke, 1954, 6, № 5, 90—94, discuss. 94 (англ.; рез. нем.).

Изложены результаты исследований крахмала (K), растворимого в холодной воде, получаемого путем высушивания картофельного K на вальцевой сушилке без и с прибавлением значительного кол-ва NaOH. При обработке NaOH при pH 8 K связывает ~ 50% добав-

ленной щелочи. На кол-во щелочи, связанной крахмалом, влияет ее конц-ия, время и т-ра р-ции. Исследование процесса модификации крахмала на вальцевых сушилках установлено, что в присутствии воздуха и щелочи образуются кислотные группы (глюкуроновой к-ты). Снижение вязкости K объясняется укорочением его цепочек при модификации. Процессы получения набухающего K сопровождаются деполаризацией амлазы и укорочением ее цепочки. См. также РЖХим, 1955, 39129. Н. Б.

45331. О пектине и его свойствах. I. Гаррик (Pectin: its distribution and properties. I. Garrick P.), Chem. Prod., 1954, 17, № 11, 411—414 (англ.).

Номенклатура пектиновых в-в, утвержденная в 1944 г. Американским Хим. об-вом. Краткий обзор развития представлений о составе и строении пектина. Л. С. 45332. Исследование процесса потемнения пектино-сахаро-кислотных студий. Ливингстон, Пандит, Стейнберг, Феллерс (The discoloration of pectin gels. Livingston C. E., Pandit N., Steinberg M. A., Fellers C. R.), Food Technol., 1955, 9, № 4, 180—184 (англ.).

Потеря естественной окраски земляничных джемов и желе обусловлена деструкцией автоциановых пигментов, побурение же продукта связано с разложением сахаров. На специально приготовленных моделях сахаро-кислотно-пектиновых студий было изучено влияние на развитие потемнения их следующих факторов: продолжительность и т-ра варки студия, время и т-ра хранения, род применяемого сахара (фруктоза, сахароза, глюкоза), конц-ия и род к-ты (лимонная, виннокаменная, яблочная, сукциновая), присутствие аскорбиновой к-ты, действие газа, находящегося над поверхностью продукта (кислорода, воздуха, азота). Потемнение образцов студия измеряли по показателю оптич. плотности, который определяли при 450 мμ с помощью спектрофотометра Колмана, модель 14. Продукты распада сахаров характеризовали по изменениям поглощения в УФ-спектре при 285 мμ с помощью спектрофотометра Бекмана, модель DU. Указанные изменения связаны главным образом с образованием 5-гидроксиметил-2-фуральдегида (I). Присутствие I контролировали в нагретом студии хроматографич. методом. Установлено, что повышение т-ры и увеличение времени варки и хранения студия способствуют образованию I и потемнению студия. Изготовление студия на одной лишь фруктозе увеличивает потемнение продукта и накопление I. Применение глюкозы ведет, напротив, к незначительным изменениям поглощения в УФ-спектре и к отсутствию заметного для глаза ухудшения цвета. Сахароза занимает в этом отношении промежуточное положение между фруктозой и глюкозой. Увеличение конц-ии к-ты вызывает усиление потемнения студия и образования I. Действие лимонной, виннокаменной и яблочной к-т в этом смысле является одинаковым. Сукциновая к-та оказывает заметное действие в смысле уменьшения потемнения студия и снижения кол-ва I. Добавление аскорбиновой к-ты ведет к увеличению потемнения и УФ-поглощения в процессе нагревания студия. Присутствие O₂ над поверхностью студия мало влияет на его потемнение и накопление I в процессе варки и хранения. Л. С. 45333. О крахмале багряных водорослей типа флоридей. Киршник (Über Florideenstärken. Kirschnick Heinz), Stärke, 1954, 6, № 11, 267—268 (нем.; рез. англ.).

Багряные морские водоросли (типа флоридей), насчитывающие до 110 видов, богаты кислотными сернокислыми эфирами полисахаридов («крахмал флоридей»). Предполагается использование этих водорослей в качестве источника сырья для выработки агара и использование так называемого крахмала багряных водоро-

слей типа флоридей в пищевой и фармацевтич. промышленности.

45334. О крахмале багряных водорослей типа флоридей. Сообщение I. Понятие о продукте. Киршнинк (Über Florideenstärken. 1. Mitteilung. Beitrag zur Substanz und zum Begriff. Kirschnink Heinz), Stärke, 1955, 7, № 1, 1—5 (нем.; рез. англ.)

Рассмотрены физ.-хим. свойства «крахмала» водорослей типа флоридей, под наименованием которого понимается ряд колл. продуктов, как напр., агар, получаемых из водорослей кипячением их в горячей воде. Приведен список по странам багряных водорослей (типа флоридей), используемых в качестве исходного сырья для получения агара с ботанич. названиями их видов. Изложена биохим. сущность процесса внутримитохондриального образования кислотных групп и эфиров полисахаридов («крахмала») и влияние последних на железирующие и вязкостные свойства их р-ров.

45335. Об углеводах кленового сока и сиропа. Портер, Хобан, Уиллите (Contribution to the carbohydrate chemistry of maple sap and sirup. Porter William L., Hoban Nancy, Willets C. O.), Food Res., 1954, 19, № 6, 597—602 (англ.)

Исследовался углеводный состав кленового сока для установления причин образования окраски и запаха в процессе получения сиропа. Кленовый сок был собран в стерильных условиях и исследовался не позднее чем через 12 час. Для получения углеводной фракции сок был очищен пропусканием через катионо- и анионообменную колонки, сконцентрирован под вакуумом при $t_{\text{ре}} \leq 35^\circ$ до содержания 66,5% сухих в-в. Концентрат использовался для исследования углеводного комплекса. Большая часть сахарозы предварительно была удалена с помощью раздельной угольной колонки, чтобы облегчить выделение и обнаружение других олигосахаридов (I), причем на основании увеличения редуцирующей способности р-ра из раздельной колонки был установлен не получивший объяснения факт гидролиза I в последней. Для выделения фракций сахаров использовались хроматографии. колонки. Хроматограммы на бумаге использовались как для выделения фракций, так и для обнаружения различных сахаров. В методах хроматографии на бумаге применялись следующие р-рители: первичный пропиловый спирт, этилацетат, вода (7:1:2); первичный бутиловый спирт, пиридин, вода (3:1:1,5); первичный бутиловый спирт, этиловый спирт, вода (10:1:2). Для проявления хроматограмм пульверизацией применялись: бензидин+лимонная к-та в бутаноле как основной реактив на все сахара; нафторезорцин+фосфорная к-та в 95%-ном этаноле для открытия кетоз и хлористый трифенилтетразолий как реактив на редуцирующие сахара. Для разделения некоторых сахаров, которые выявлялись при хроматографич. анализе, применялся бумажный ионографич. метод. Для выяснения природы I последние подвергались гидролизу 0,05 н. HCl при комнатной $t_{\text{ре}}$ в течение 1 часа, ин. HCl при 100° в течение 1 часа и ферментами — инвертазой и инвертазой с метибиозой. Продукты гидролиза исследовались хроматографич. методом. Исследования показали, что кленовый сок содержит $<0,0001\%$ моносахаридов и, кроме сахарозы, содержит по крайней мере еще 5 олигосахаридов. Два из них — трисахариды: рафиноза или родственное ей соединение и глюкозилсахараза.

A. K.

45336. Изучение некоторых физических свойств меда. Хелви (Study on some physical properties of honey. Helvey T. C.), Food Res. (Chicago), 1954, 19, № 3, 282—292 (англ.)

Изучались физ. свойства меда (М) для получения констант, необходимых при технич. расчетах процессов обработки М. Определены: теплоемкость, теплота растворения, теплопроводность М, свойства медового потока (в трубах) и способ определения кристаллов в М. М с 17% воды имел уд. теплоту 0,54 кал при 20° с незначительными отклонениями у медов разных типов. Теплота растворения кристаллизовавшегося М была 673 кал при 20° на 1 г. При разведении в воде 1 г М с содержанием 85% сухих в-в до содержания 3% сух. в-в при 20° выделяется 6,5 кал тепла. Средняя теплопроводность М салообразной садки $\sim 0,00129$ кал/см.сек. град и для пчелиного воска 92×10^{-6} кал/см.сек. град. Температурный коэфф. уд. теплоемкости М был в среднем $\sim 0,02$ кал на 1° . Вязкость и тиксотропия играют большую роль в процессах обработки меда. Особенное значение тиксотропии играет в вересковом и меньшее в гречишном. М. Белые и янтарные М имеют низкую тиксотропию, хотя содержат значительные кол-ва колл. в-в. Сферическая форма частиц коллоидов М, и (более вероятно) примыкание к краям и концам последних органич. к-т препятствует образованию структуры геля. Турбулентное течение М считается необходимым при его обработке, чтобы увеличить обмен тепла при конвекции. Предложен способ определения кол-ва кристаллов М по измерению теплоты разведения. Она может быть определена путем добавления к жидкому М в калориметре воды той же, что и М т-ры и измерением повышения т-ры. Приведены две расчетные кривые для жидкого и кристаллизовавшегося М. Зная влажность, теплоту разведения, теплоту растворения и массу М, можно вычислить по приведенным кривым процент кристаллов в М.

A. Ф.

45337 Д. Определение аминокислот с помощью ионофореза на фильтровальной бумаге и его применение к продуктам сахарной промышленности. Мюллер (Die Bestimmung von Aminosäuren mit Hilfe der Ionophorese auf Filtrierpapier und ihre Anwendung auf Produkte der Zuckerfabrikation. Müller Helmut), Diss. Techn. H. Braunschweig, 1953, Dtsch. Nationalbibliogr., 1954, B, № 19, 1589 (нем.)

45338 Д. Физико-химическое изучение накипеобразования и меры борьбы с ним на сахарных заводах Киргизии. Белова О. И. Автореф. дисс. канд. хим. н., Новочеркас. политехн. ин-т, Новочеркасск, 1954

45339 Д. Исследования в области нейтрализации и очистки сиропов сернокислотного способа производства патоки. Сидорова Е. К. Автореф. дисс. канд. техн. н., Моск. технол. ин-т пищ. пром-сти М., 1955

45340 Д. Превращения углеводов в процессе кислотного гидролиза крахмала. Смирнов В. А. Автореф. дисс. докт. техн. н., Моск. технол. ин-т пищ. пром-сти, М., 1956

45341 П. Процесс очистки сахарного сока (Procédé pour l'épuration des jus sucrés) [Aktieselskabet de Danske Sukkerfabrikker]. Франц. пат. 1034380, 22.07.53 [Sucrerie Belge, 1954, 73, № 11—12, 303 (франц.)] Диффузионный сок в чане с мешалкой или в аппарате непрерывного действия обрабатывают р-ром гашеной извести, содержащим 0,05 г СаО/100 мл, до щелочности 0,02—0,03 г СаО/100 мл. В данном случае может быть использована пена, образующаяся на дальнейших стадиях очистки сока. Затем сок подогревают и направляют на первую обработку CO_2 , которая осуществляется в два этапа. На 1-м этапе к соку добавляют дополнительное кол-во извести с пеной (если последняя не была добавлена во время предварительной обработки для стабилизации), обрабатывают в соответствующем аппа-

рате CO_2 , до щелочности 0,08 г $\text{CaO}/100$ мл и декантируют. К декантированному и пропущенному через фильтр непрерывного действия соку еще добавляют некоторое кол-во извести и снова подвергают обработке CO_2 (2-й этап). После очередного декантирования сок направляют на вторую обработку CO_2 до щелочности 0,02 г $\text{CaO}/100$ мл; в отдельных случаях сок со 2-го этапа может быть непосредственно направлен на вторичную обработку CO_2 , минуя декантацию. Пена, используемая в качестве источника CaCO_3 при стабилизации и в процессе карбонизации на 1-м этапе, образуется на 2-м этапе или при второй обработке сока CO_2 , или в обоих случаях. Патентуемый способ обеспечивает значительное улучшение очистки сока при одновременном сокращении расхода извести. В. Г.

45342 П. Фильтрация сахарных сиропов. Уиккенден (Filtering of solutions such as sugar syrups. Wickenden Leonhard). Канад. пат. 508962, 11.01.55

Способ очистки сахарных сиропов отличается тем, что до обесцвечивания активированным углем сиропы (в том числе и низкодоброчастные аффинационные оттеки с плотностью $\geq 50^\circ \text{Bé}$) самотеком фильтруют для удаления взвешенных и крапших в-в, через слой гранулированных частиц кокса, на наружную поверхность которых нанесено покрытие из необожженного кизельгура. Частицы кокса должны проходить через сито в 10 меш и задерживаться на сите в 60 меш. Г. Б.

45343 П. Способ и устройство для изготовления брусков, плиток или кубиков сахара с помощью вибрационного пресса. Ланген (Verfahren und Vorrichtung zum Herstellen von Zuckerstreifen -platten oder -würfeln mittels in Vibration versetzter Preßvorrichtungen. Längen Werner) [Maschinenfabrik Buckau R. Wolf A.-G.]. Пат. ФРГ 923659, 17.02.55 [Z. Zuckerind., 1955, 5, № 4, 200 (нем.)]

Способ изготовления брусков, плиток или кубиков сахара с помощью вибрационного устройства для прессования сахарной массы, отличается тем, что: 1) штамп пресса посредством электромагнита переменного тока приводится в движение в направлении прессования, а по достижении относительно небольшого давления, кроме того, вибрирует в направлении оси штампа; 2) штамп пресса, во время наполнения прессформы и (или) во время самого процесса прессования под действием особого вибратора вибрирует в направлении, перпендикулярном к оси штампа. Устройство пресса с вращающимся столом отличается тем, что сердечник электромагнита, движущийся вдоль соленоида, неподвижно укрепленного в станине пресса, в рабочем состоянии посредством диамагнитного неста связан с проходящим через вращающийся стол штампом пресса, в состоянии же покоя опирается на диамагнитное основание. Между крышкой прессформы и ее упором проложена эластичная (напр., резиновая) прокладка, смягчающая продольную вибрацию, и такие же прокладки проложены между боковыми стенками прессформы и их упорами для смягчения поперечной вибрации. Л. Ш.

45344 П. Кристаллы лактозы (Lactose crystals) [N. V. Lijemph]. Австрал. пат. 163326, 30.06.55

Патентуется процесс получения кристаллов лактозы из р-ров путем выпаривания, охлаждения и кристаллизации, который отличается тем, что при охлаждении р-ра кристаллизация предотвращается. Чрезвычайно мелкие кристаллы лактозы образуются в охлажденной свободной от кристаллов массе при ее перемешивании. Н. Б.

45345 П. Приготовление солей щелочных металлов глюкуроновой кислоты из ее лактона. Хач, Бенджамин (Preparation of alkali metal salts of glucuronic acid from glucuronolactone. Hach Wil-

liam, Benjamin Donald G.) [Corn Products Refining Co.]. Пат. США 2681352, 15.06.54

Процесс получения солей щел. металлов глюкуроновой к-ты заключается в одновременном смешивании глюкуроновой к-ты и водн. р-ров гидроокиси щел. металлов с последующим выделением солей. Т-ра р-ции $\leq 55^\circ$. Отношение глюкуроналктона к гидроокиси щел. металла 1 моль на 0,9—1,0 моля, конц-ия гидроокиси 0,5—2,0 моля в 1 л.

45346 П. Обработка морских водорослей для повышения прочности студия agar-агара. Усияма, Койке (Treatment to purify and increase the jelling strength of agar-agar in sea algae. Ushiyama Seiichi Koike Hisayoshi). Япон. пат. 2286, 22.05.53 [Chem. Abstr., 1954, 48, № 11, 6619 (англ.)] 100 г водорослей (*Gracilaria*) настаивают 40 мин. с 300 мл воды, содержащей 15 г NaOH , затем промывают. Остаток нагревают влажным паром 3 часа при 90° , промывают водой и сушат до получения 60 г продукта. 3 г этого продукта, растворенные в 200 мл воды, после доведения pH до 5,5 уксусной к-той, дают agar-агар с прочностью студия 830 г/м². Н. Б.

45347 П. Способ переработки воды от замочки. Кой, Снайдер (Method of treating steep liquor. Koo Earl R. Snyder Edward C.). [Corn Products Refining Co.]. Пат. США 2712516, 05.07.55

Воду от замочки кукурузы и зерен сорго подвергают молочнокислому брожению, после чего доводят pH смеси с помощью H_2SO_4 до ≥ 2 , экстрагируют молочную к-ту бутанолом, доводят pH замочной жидкости гидроокисью щел.-зем. металла до 5,5—7,5, обрабатывают ее в автоклаве при давлении пара 0,7—1,4 ат, отделяют твердый осадок и высушивают жидкую фазу. Я. К.

45348 П. Метод прямого гидрирования крахмала и других углеводов. Натта, Беати (Verfahren zum direkten Hydrieren von Stärke und anderen Kohlehydraten. Natta Giulio, Beati Enrico) [Deutsche Gold- und Silber Scheidenstalt vormals Roessler]. Пат. ФРГ 892590, 8.10.53 [Chem. Zbl., 1954, 125, № 10, 2269 (нем.)]

Гидрирование производится в присутствии гидрирующих катализаторов при помощи разб. р-ра H_3PO_4 при повышенной т-ре и высоком давлении. Картофельный крахмал смешивается с 3-кратным кол-вом воды, после прибавки 1%-ного р-ра H_3PO_4 нагревается до 170° и обрабатывается H_2 под давл. 200 ат. В качестве катализатора применяется Ni на кизельгуре. В результате гидрирования крахмала после нейтр-ции получаются глицерин или глицоль. Оба эти продукта гидрирования крахмала совместно могут быть получены, когда крахмал обрабатывается H_3PO_4 при 150 — 170° и после нейтр-ции гидрируется при 200 — 230° . Н. Б.

См. также: 43259, 43260, 43267, 43268, 43271, 43272, 43340—43342, 43379, 43391, 43444, 44159, 44733, 45806; 13170Бх, 13175Бх, 14006 Бх, 14054Бх, 14105Бх

БРОДИЛЬНАЯ ПРОМЫШЛЕННОСТЬ

45349. Состояние бродильной промышленности в 1953—1954 гг. — (1953 4年に於ける醸造工業の概況), 醸造協会誌, Хакко кейкай, J. Ferment Assoc., 1955, 13, № 1, 13—37 (япон.)

Обзор. Библ. 591 назв.

45350. Борьба с пенообразованием в дрожжевом производстве. Власова Т. П., Науч. зап. Львовск. торгово-эконом. ин-та, 1954, № 1, 206—215

В целях более полного использования производственной емкости чанов и беспрепятственного продувания воздуха для интенсивного размножения дрожжей

найден
тельной
завател
карпате
торого
Устано
витом
и pH
шают е
патоки
на аде
разоват
кол-ва
бентони
в течен
женный
расход
увелич
45351.

И. С.

Chass
Dum
roy.
(фран
Опис
спирта
продук
уксуса
45352.

малин

и а н

ин-та

Изуч

феля и

сущест

гирован

состоян

периспо

помола

вали по

при 25

дисперс

механи

кристал

туры. I

крахма

Произ

сковск

из дис

и овса

принци

из дис

45353.

вом

н.и.

Изуч

в отпо

ного з

культу

товност

ние ап

Найде

тальной

структ

высоко

мельче

него. I

можно

спирта

этом у

120° с

повыш

стериз

найден новый способ борьбы с пеной путем предварительной очистки сырья (кормовой патоки) от пенообразователей адсорбентом бентонитом, добываемым в Закарпатской области УССР, главным компонентом которого является монтмориллонит ($\text{Al}_2\text{O}_3 \cdot 4\text{SiO}_2 \cdot \text{H}_2\text{O}$). Установлены оптимальные условия адсорбции бентонитом коллоидов патоки (термич. обработка бентонита в рН патоки после очистки ее бентонитом $> 6,2$ ухудшают его адсорбционную способность; нагревание р-ров патоки от 20° до т-ры кипения практически не влияет на адсорбцию; кол-во коллоидов, цветность и пенообразовательная способность патоки понижаются от кол-ва вводимого бентонита). Найден метод регенерации бентонита путем обработки его 0,5%-ным р-ром щелочи в течение 15 мин. для пептизации коллоидов. Предложенный метод освобождает дрожжевое произ-во от расхода олеиновой к-ты на пеногашение, способствует увеличению выхода дрожжей более, чем на 8%. В. Г. 45351. Осмотр предпринятия фирмы «Dumont de Chassart». Эрвинк (Visite des établissements Dumont de Chassart. Ervinck M.), Rev. Soc. roy. belge ingrs et industriels, 1954, № 7-8, 326-329 (франц.)

Описание крупного бельгийского з-да по произ-ву спирта из зерна и патоки, а также других побочных продуктов спиртового произ-ва (в том числе дрожжей, уксуса и т. д.). Н. С.

45352. Получение спирта из диспергированного крахмалистого сырья. Липатов С. М., Шульман М. С., Светник Р. Ю., Тр. Всес. н.-и. ин-та спирт. пром-сти, 1955, № 5, 16-32

Изучено механич. диспергирование крахмала картофеля и различных злаков (ячменя, овса) для изменения существующей технологии получения спирта. Диспергирование крахмалистого сырья производили в сухом состоянии на шаровой мельнице и в присутствии дисперсионной среды (воды) на колл. мельнице мокрого помола. Изменения в структуре крахмала обнаруживали по изменению вязкости в вискозиметре Оствальда при 25° . Определяли выход спирта при сбраживании диспергированных злаков. Исследования показали, что механич. диспергирование приводит к разрушению кристаллитов крахмала и образованию аморфной структуры. Найлены оптимальные условия диспергирования крахмала и крахмалистого сырья (ячменя и овса). Производственными опытами, проведенными на Московском опытно-з-де, установлено что выход спирта из диспергированных необрушенных злаков (ячменя и овса) превышает плановый выход на 4-7%. Дана принципиальная технологич. схема получения спирта из диспергированного крахмального сырья. В. Г.

45353. Непрерывное разваривание сырья в спиртовом производстве. Фремель В. Б., Тр. Всес. н.-и. ин-та спирт. пром-сти, 1955, № 5, 3-15

Изучался режим непрерывного разваривания сырья в отношении динамики набухания цельного и дробленого зерна, т-ры клейстеризации крахмала различных культур, влияния т-ры, длительности разваривания, тонкости помола на выход спирта. Проведено испытание аппарата для непрерывного разваривания сырья. Найдено, что набухание цельного зерна идет значительно медленнее, чем дробленого. Для разрушения структуры зерна или клубня картофеля, требующего высокой т-ры варки, следует применять механич. измельчение сырья до подваривания (набухания) и после него. При достаточном измельчении сырья разваривание можно производить при 100° с повышенным выходом спирта, хотя потери с нерастворимым крахмалом при этом увеличиваются. Нагрев измельченного сырья до 120° снижает потери с нерастворимым крахмалом, но повышает потери сахара в процессе варки. Т-ра клейстеризации крахмала в муке и крупке ниже т-ры клей-

стеризации чистых крахмалов тех же культур. Основными принципами конструкции непрерывного разварника должны быть: а) автоматич. дозировка сырья и воды, б) использование пара низкого потенциала для предварительного нагревания сырья, в) разваривание при постоянном и энергичном перемешивании, г) наибольшее число секций в разварнике, д) возможно более низкая т-ра разваривания. В. Г.

45354. Определение содержания спирта в бражке погружным рефрактометром. Фертман Г. И., Каллер Н. Б., Тр. Всес. н.-и. ин-та спирт. пром-сти, 1955, № 5, 162-175

Изучались 2 метода определения спирта в бражках из картофеля и зерна погружным рефрактометром ИРФ-1 отечественного произ-ва: 1) рефрактометрирование отгона пробы фильтрата бражки, 2) косвенное ареометрически-рефрактометрич. определение, в котором на основании плотности фильтрата бражки и показателя преломления находят содержание спирта и истинный отброд. Для 1 метода составлена таблица пересчета показаний рефрактометра на содержание спирта в бражке при 20° . Для 2 метода до расчета рабочих таблиц можно пользоваться существующей таблицей к сахарному рефрактометру, переходя от делений шкалы к показателю преломления по спец. таблице. Установлено, что более точные результаты получаются при рефрактометрировании отгона, но этим методом трудно пользоваться в условиях заводского контроля. Ареометрически-рефрактометрич. метод, обладая меньшей точностью, более удобен для анализа бражек в заводских лабораториях. В. Г.

45355. Применение метода определения качества солода в спиртовой промышленности. Климовский Д. Н., Родзевич В. И., Тр. Всес. н.-и. ин-та спирт. пром-сти, 1955, № 5, 106-113

Проведены проверка качества солода по кол-ву содержащихся ферментов и определение расхода последних на осахаривание в ~300 лабораториях спиртовых з-дов. По методу ВНИИСП изучались амилolyтич. способность (АС), характеризующая содержание α - и β -амилаз, и декстринолитич. способность (ДС), показывающая содержание в солоде фермента декстриназы. Установлено, что по АС наиболее часто встречаются следующие показатели: для ячменного солода 3-5, овсяного 2-4, просяного 1-3, ржаного 4-5; по ДС для ячменного 10-30, овсяного 30-40, просяного 60-80, ржаного 20-40. На основе статистич. обработки материалов предложены нормы качества солодов для оценки «отлично», «хорошо», «удовлетворительно». При учете качества солодов выявлено общее кол-во ферментов, поступающих в произ-во для осахаривания крахмалистого сырья, и подтверждена ранее предложенная норма расхода ферментов на осахаривание 1 т крахмала 700 ед. АС и 5000-6000 ед. ДС. В. Г.

45356. Полярометрический метод определения содержания крахмала в пшенице с применением хлористого кальция. Рухлядева А. П., Грачева И. М., Светник Р. Ю., Тр. Всес. н.-и. ин-та спирт. пром-сти, 1955, № 5, 114-150

Применяемый в контроле спиртового произ-ва полярометрич. метод определения сбраживаемых в-в Эверса дает значительные отклонения при анализе, так как коэфф. пересчета для крахмала не учитывает несбраживаемых оптич. активных в-в зерна; на данные определения влияют также всегда присутствующие сбраживаемые сахара, имеющие уд. угол вращения, значительно отличающийся от угла вращения крахмала. В работе уточнен и модифицирован метод определения крахмалистости с применением CaCl_2 в качестве р-рителя крахмала, в результате чего выработана инструкция для определения крахмала в пшенице в заводских условиях: к 2 г пшеничной муки приливают 5 мл воды

и после размешивания добавляют 60 мл насыщ. р-ра CaCl_2 и 2 мл 1,6%-ного р-ра CH_3COOH . Содержимое колбы кипятят 15 мин., переносят в мерную колбу на 100 мл, добавляют 1 мл 30%-ного р-ра ZnSO_4 и 1 мл 15%-ного р-ра $\text{K}_4\text{Fe}(\text{CN})_6$ для осветления, доводят до метки, фильтруют и поляризуют в трубке на 200 мл. Данные хорошо согласуются с результатами контрольного метода, в качестве которого была применена бродильная проба.

В. Г.

45357. Ускоренный метод определения несброженных сахаров в бражках. Рухлядева А. П., Тр. Всес. н.-и. ин-та спирт. пром-сти, 1955, № 5, 151—161. Для заводского контроля потерь крахмала на отдельных станциях спиртового произ-ва предложен ускоренный микрохим. метод определения сахаров (мальтозы и глюкозы) в бражках. Метод является модификацией колич. определения глюкозы в крови (Любин Б. О., Шулятикова А. Я., Архив биол. наук, 1935, 38, № 2) непосредственным титрованием меднощел. р-ра испытуемым сахарным р-ром в присутствии $\text{K}_4\text{Fe}(\text{CN})_6$ и при индикаторе метиленовом синем. Установлено, что сахара можно определять предложенным методом без предварительного удаления спирта из бражки и осветления р-ров, эти операции не отражаются на точности анализов. Рекомендовано проводить ускоренный гидролиз углеводов 15%-ным р-ром H_2SO_4 , обеспечивающим полное расщепление их до глюкозы в течение 5 мин.

В. Г.

45358. Определение фурфурола полярографическим методом в этиловом спирте и сахарной свекле. Поляченко М. М., Тр. Киевск. технол. ин-та пищ. пром-сти, 1954, № 14, 121—126.

При определении фурфурола (I) в спирте фоном служит 0,1 М р-р NH_4Cl . Соотношение последнего и спирта, содержащего I, таково, что конц-ия I в смеси перед полярографированием должна быть 0,04—0,20 мг/мл. Перед снятием полярограммы 10 мин. продувают H_2 . Полярографирование ведут при 20° и полученные результаты сравнивают с градуировочной кривой, снятой при чувствительности гальванометра $1/100$. Характеристика капилляра $m^{2/3} \cdot t^{1/3} = 1,8 \text{ мг}^{2/3} \cdot \text{сек}^{-1/3}$, где m — кол-во Hg, вытекающей за секунду ($2 \text{ мг} \cdot \text{сек}^{-1}$); t — период капания Hg в секунду (1,8 сек). При наличии капилляра с другой характеристикой найденное значение диффузионного тока умножают на $m^{2/3} \cdot t^{1/3}$ и делят на $m^{2/3} \cdot t^{1/3}$, где индекс «1» относится к новому капилляру, а индекс «2» — к тому, при котором составляли градуировочную кривую. В пределах исследованных конц-ий потенциал электровосстановления I постоянен и равен 0,96 в. Конц-ия I прямо пропорциональна высоте полярографич. волны. Для определения пектиновых в-в в свекле навеску обрабатывают 12%-ным р-ром HCl и отгоняют I, доводя отгон до объема 400 мл путем добавления 12%-ного р-ра HCl . Отбирают 5, 10 или 15 мл отгона, нейтрализуют конц. NH_4OH с метилоранжем, доводят дистилл. водой до 25 мл, продувают 10 мин. H_2 и снимают полярограмму при чувствительности гальванометра $1/100$. По высоте полярографич. кривой определяют, какому кол-ву I она соответствует по Вг-методу и умножают результат на 1,6. Учитывая конечную конц-ию р-ра I, степень разбавления и первоначальный объем отгона, рассчитывают кол-во I в навеске свеклы, а умножив его на 3,7 получают содержание пектиновых в-в.

М. П.

45359. Осветление растворов, окрашенных меланоидиновыми веществами. Забродский А. Г., Витковский В. А., Кордюкова Н. С., Тр. Киевск. фил. Всес. н.-и. ин-та спирт. пром-сти, 1955, № 2, 178—183.

Изучалась способность известных коагулянтов био-

логич. р-ров осветлять сахарные р-ры и бражки, окрашенные меланоидиновыми в-вами, с учетом колич. выражения эффекта осветления и определения изменения редуцирующей способности р-ров в результате осаждения коллоидов и разрушения красящих в-в. Опыты производились на меланоидиновом р-ре, для приготовления которого 4 ч. глюкозы и 1 ч. гликокола нагревали с 2,5 ч. воды при 140, 120 и 100°. После разбавления и фильтрования спектрофотометром определяли проницаемость р-ра, полученные значения выражали в процентах к проницаемости воды, принятой за 100. Затем к р-ру добавляли коагулянты, фильтровали и определяли редуцирующие в-ва по Бертрану. Показано, что применяемые в спиртовой пром-сти осветлители не оказывают заметного влияния на восстановительную способность сахаров. Исключением является $\text{Pb}(\text{NO}_3)_2$, в случае неудаления избытка которого происходит убыль инвертного сахара, тогда как глюкоза и мальтоза определяются полностью. Наилучший эффект осветления р-ров, окрашенных меланоидиновыми и гуминовыми в-вами, достигается при добавлении ZnSO_4 с $\text{K}_4\text{Fe}(\text{CN})_6$ и $\text{Pb}(\text{NO}_3)_2$ с NaOH .

В. Г.

45360. К теории и практике определения спирта. Хезелер (Zur Theorie und Praxis der Alkoholbestimmung. Haeseler), Branntweinwirtschaft, 1955, 77, № 11, 197—200 (нем.).

Определение спирта в р-рах производится в большинстве случаев путем перегонки, при которой не весь спирт отгоняется, что служит источником ошибок при анализе. Приведены таблицы из статьи Рокитанского, Форамитти и Шадена (РЖХим, 1955, 49247) для корректирования этих ошибок.

И. В.

45361. Специальные дифференциальные манометры для пьезометрических плотномеров. Глыбин И. П., Тр. Киевск. фил. Всес. н.-и. ин-та спирт. пром-сти, 1955, № 2, 115—122.

Для осуществления автоматич. контроля и регулирования плотности жидких продуктов и полупродуктов в непрерывной схеме переработки патоки на спирт изучена возможность применения пьезометрич. метода для измерения плотности, основанного на измерении перепада гидростатического давления, пропорционального плотности. Разработан ряд спец. дифференциальных манометров удобных в эксплуатации, простых по конструкции и обеспечивающих необходимую точность измерения. Разработан метод расчета автоматич. компенсации балластного перепада давления и температурных изменений плотности рабочей жидкости дифманометра. Установлено, что дифманометры с компенсацией балластного перепада давления и температурных влияний можно использовать не только в качестве измерителей перепада давлений для пьезометрич. плотномеров, но и в тех случаях, когда требуется точное измерение изменяющейся части общего перепада давления, являющегося определяющим моментом всего процесса, напр. для измерения расхода жидкостей, газов и паров дроссельными устройствами, вакуума, давления и т. п.

В. Г.

45362. О качестве водки. Коштал (Výroba vodky s hlediska jakosti. Košťál J.), Kvasný průmysl, 1955, 1, № 6, 134—135 (чеш.; рез. рус., нем., англ., франц.).

Описан технологич. процесс произ-ва водки в СССР и Польше. Приведены стандарты на спирт, применяемые для произ-ва водки, и качеств. показатели различных сортов водки в СССР. Полученная в Чехословакии водка опытного произ-ва из спирта, по качеству соответствующего советскому стандарту, с фильтрацией ее через активированный уголь, по запаху и вкусу мало отличалась от водки, полученной в аналогичных условиях без фильтрации через активированный уголь.

Е. Ш.

45363. Потери спирта с углекислотой при брожении.

Фремель В. Б., Рухлядева А. П., Тр. Всес. н.-и. ин-та спирт. пром-сти, 1955, № 5, 48—58
Переработан метод определения спирта в выделяющихся при брожении газах. Предложены новые конструкции поглотителей, уточнена методика колич. определения спирта в CO_2 брожения оксидиметрич. способом и путем ацетилирования. Проведены опыты по установлению потерь спирта с CO_2 в зависимости от т-ры, давления в бродильном сосуде и содержания спирта в бражке. Установлено, что при изменении крепости бражки с 3,5 до 7,7% содержание спирта в CO_2 увеличивается с 0,464 до 0,981%, т. е. прямо пропорционально крепости бражки. При увеличении т-ры брожения с 20 до 30° (крепость бражки 5,3—5,4%) потери спирта с CO_2 возрастают с 0,22 до 0,66%. При снижении давления в бродильном чане на 8—9 мм рт. ст. потери спирта в CO_2 возрастают от 0,59 до 1,33%. **В. Г.**

45364. Коллоидная стойкость пива и методы, применяемые для ее определения. **Хейер** (Die kolloide Stabilisierung des Bieres und die anzuwendenden Untersuchungsmethoden zu deren Bestimmung. **Heyer W.**), Brauwelt, 1953, № 101/102, Beilage Brauwissenschaft, № 12, 207—216 (нем.; рез. англ.)

Причиной помутнения пива является выпадение белково-дубильных соединений, ставших нерастворимыми под влиянием окисления. Кислород является главной, если не единственной причиной различных явлений, снижающих стойкость пива. Предлагается эмпирическая ф-ла определения стойкости пива по величинам окислительно-восстановительного потенциала, pH и окислительно-восстановительной емкости пива. Проведены опыты стабилизации пива ферментативным препаратом кристалазой, расщепляющим белковые в-ва. Установлено, что добавления 8 г кристалазы и 6 г аскорбиновой к-ты на 1 г пива совершенно достаточно, чтобы получить высокую стойкость. **Н. Л.**

45365. Исследования по определению коллоидной стабильности пива. **Шмид, Хубер** (Untersuchungen zur Bestimmung der kolloidalen Stabilität des Bieres. **Schmied O., Huber F.**), Mitt. Versuchsanstalt Gärungsgew., 1954, 8, № 5/6, 79—82 (нем.)

Биологическая стойкость пива, предназначенного для длительного хранения и на экспорт, достигается пастеризацией, по в таком пиве могут появиться небактериальные помутнения. Они могут быть разделены на две группы: 1. Помутнения, зависящие от технологич. процесса и появляющиеся даже при весьма тщательной работе (крахмально-декстриновое, металлч., помутнение, вызываемое смолами хмеля); 2. Чисто белковые, белково-дубильные (коллоидно-окислительное), металло-белковые помутнения. Колл. помутнения связаны со степенью расщепления белковых в-в сусла. Быстрее приводят к помутнению высокомолекулярные белки. Все в-ва, осаждающие высокомолекулярные белки (танины) или расщепляющие их (протеолитич. ферменты), повышают колл. стойкость пива, но отрицательно действуют на пенообразование. Рассматриваются причины и мероприятия по предотвращению появления помутнений. Кислород играет важную роль в появлении помутнений всех видов и необходимо следить за содержанием воздуха в пиве. Восстанавливающие в-ва повышают стабильность пива. Предлагается метод определения возможности помутнения пива. Пиво после измерения прозрачности нефелометром встряхивается 48 час. при 40°, затем помещается в тающий лед на 3 часа. Эти операции повторяются дважды, после каждой производится измерение степени мутности нефелометром. Метод дает хорошо воспроизводимые результаты, и может быть использован для оценки мероприятий по повышению биологич. стойкости пива. **Н. Л.**

45366. Сравнительные исследования коллоидной и биологической стойкости пива, профильтрованного через фильтромассу, пластинчатый и кизельгуровый фильтры. **Клебер** (Vergleichende Untersuchungen über die kolloide und biologische Stabilität von Masse-, Schichten- und Kieselgur-filtrierten Bieren. **Kleber W.**), Brauwissenschaft, 1953, № 11, 187—193 (нем.)

Изучалось качество и стойкость пива, отфильтрованного через кизельгур различных марок, пластины и фильтромассу. В профильтрованном пиве определялась степень мутности, цветность, коагулируемый азот, предел осаждения сульфатаммонием, помутнение при охлаждении, горькие в-ва хмеля, содержание дрожжевых клеток. Установлено, что фильтрация через кизельгур дает положительные результаты только при тщательном подборе марки кизельгура в соответствии со свойствами фильтруемого пива, при этом необходимо смешивать грубый и тонкий кизельгур. При фильтрации через кизельгур особенно важно, чтобы пиво поступало на фильтр при 0° и нагрузка на фильтр не превышала 2,5—3 г на 1 м² фильтрующей поверхности в 1 час, поэтому фильтр должен иметь не менее 20% запасной фильтрующей площади. **Н. Л.**

45367. Методы определения белковой стойкости пива.

Зильберейзен (Die Methoden zur Bestimmung der Eiweißstabilität des Bieres. **Silberreisen K.**), Wiss. Beilage Brauerei, 1953, 6, № 4, 37—41 (нем.)

Имеется два рода белковых помутнений — обратимое, появляющееся при охлаждении и исчезающее при нагревании, и помутнения необратимые, наступающие под действием металлов, кислорода воздуха, встряхивания, света. Стойкость при охлаждении по методу Хельма определяют выдерживанием пива в ледяной воде в течение 48 час. после чего помещают пробы охлажденного и неохлажденного пива в компаратор, добавляя во вторую пробу суспензию сульфата бария до получения одинаковой степени мутности. Для ускорения помутнения пиво помещают попеременно то в холод, то в тепло; по методу Хельма пиво выдерживают пять суток при 50°, а затем помещают в тающий лед, повторяя это, пока пиво не достигнет 100 ед. мутности. Единица — капля суспензии сульфата бария на 10 мл пива, умноженная на 10. Естественная стойкость пива в восемь раз больше, чем получаемая по этому методу. Предел осаждения сульфатаммонием определяется путем добавления возрастающих количеств насыщ. при 20° р-ра в ряд колбочек, содержащих по 10 мл пива. Через 15 мин. отмечают при каком кол-ве мл добавления наступило помутнение и это число пересчитывают на 100 мл пива. В пиве и р-ре должно быть точно 20°. Во всех методах одновременного определения стойкости требуется определять окислительно-восстановительное состояние пива. **Н. Л.**

45368. К статье Вельхёнера «Пастеризация пива воздухом». **Ферман.** — Ответ Вельхёнер (Die Luftpasteurisation von Bier. Zu dem Aufsatz von Dr. H. J. Wellhoener. **Fehrmann Karl.** Erwiderung von **Wellhoener H. J.**), Brauwelt, 1955, B95, № 1/2, 2—6 (нем.)

См. РЖХим, 1956, 27582. **И. Б.**

45369. Изучение сахаразы в пивоваренном ячмене. **Нольте, Кирхдорфер** (Zur Kenntnis der Saccharase in Braugersten. **Nolte Helmut, Kirchdorfer Anton M.**), Brauwissenschaft, 1954, № 8, 161—164 (нем.; рез. англ.)

Сахараза экстрагировалась 20%-ным р-ром глицерина из замоченного ячменя или зеленого солода, растертого с песком. Активность ее определялась по расщеплению сахаразы. Установлено, что оптимальный pH сахаразы лежит между pH 4,60—4,80. В неспоросшем зерне этот фермент находится в неактивном состоянии, активность его непрерывно нарастает со второго дня

проращивания. У трех сортов пивоваренного ячменя одно и то же удобрение даст различную активность сахарозы (сортовой признак). Возрастающая доза азота при равном РК имеет следствием повышение содержания сахарозы, только РК снижает величины активности фермента. Н. Л.

45370. Освобождение энергии прорастания ячменя. Урбон, Шапон (Releasing barley germination energy. U r b o n E., S h a p o n L.), Amer. Brewer, 1955, 88, № 3, 41—47, 84—85 (англ.)

Описаны опыты по определению прорастаемости ячменя с законченным и незаконченным периодом покоя, целых зерен и с удаленной оболочкой. Ячмень, прошедший период послеуборочного дозревания, проращивали в медленном и быстром токе N₂ в атмосфере с пониженным содержанием O₂, под давлением и при разрежении, после слабой интоксикации синильной к-той, при повышенной т-ре (33—39°). Найдено, что миксинная оболочка во всех случаях задерживает прорастание зерен вследствие ограничения доступа O₂ к зародышу. Оболочка в малой степени задерживает прорастание ячменя, прошедшего послеуборочное дозревание, но сильно препятствует прорастанию невылежавшегося ячменя. Отрицательное действие оболочки сильно сказывается при ненормальных условиях проращивания, когда потребность семян ячменя в O₂ повышена, или когда в результате неправильного хранения в них накопились продукты обмена в-в. С. С.

45371. Хозяйство цеха выдержки пивоваренного завода. Части I, II. Беркиншоу (Brewery cellar management-part I, II. B u r k i n s h a w H.), Brewers Guardian, 1954, 83, № 11, 51—61; № 12, 27—36 (англ.)

Изложение двух лекций по организации работ в цехе выдержки.

Часть I. Мероприятия по поддержанию надлежащей освещенности, т-ры и бактериологич. чистоты. Способы учета пива, находящегося в посуде разной емкости и назначения, для выявления необходимого наличия. Описание аппаратуры разных систем для наполнения бочек для продажи пива.

Часть II. Обработка пива после разлива: добавка хмелевого экстракта, разведенного, согласно инструкции, в 90%-ном спирте, или сухого хмеля; применение в качестве консервирующего средства SO₂; описание приготовления и добавления наполнителей (p-ров разного рода сахаров, карамели и т. п.) и средства для оклейки. Практика доставки пива потребителям. И. Б.

45372. Углекислота как отход пивоваренного производства. Хуммель (Kysličník uhlíčitý jako pivovarský odpadní produkt. H u m m e l J.), Kvasný průmysl, 1955, 1, № 4, 82—83 (чеш.; рез. рус., нем.)

Частичным улавливанием CO₂ при брожении пива можно получить с 1 гал 12° пива 1,2—1,5 кг CO₂. Кратковременное улавливание CO₂ с соблюдением низкого давления (70 мм вод. ст.) в бродительных чанах не сказывается на качестве пива. Очищ. и хранимый под давл. 7—10 ат CO₂ можно использовать в произ-ве и качестве антиокислителя. Описан технологич. процесс и оборудование, применяемое при улавливании CO₂. Е. Ш.

45373. Факторы, влияющие на величину pH пива. Берджер, Гленистер, Беккер (Factors affecting the pH of beer. B u r g e r M a r t i n, G l e n i s t e r P a u l R., B e c k e r K u r t), Brewers Digest, 1953, 28, № 6, 43—50 (англ.)

Основным фактором для получения пива с низким pH является обработка воды, применяемой для затирания. Карбонатная вода, имеющая pH 7,8, давала сусло и пиво с самым высоким значением pH. Дистилл. вода и водопроводная вода, подкисленная H₂SO₄ до pH 6,0, давали сусло с благоприятным значением pH.

Наиболее низкое значение pH было получено при подкислении водопроводной воды до pH 6,0 и добавлении гипса. На величину pH оказывает влияние раса дрожжей, т-ра затирания, добавление несоложных материалов и др. Одноосновные фосфаты солода создают кислотность сусла и являются питательными в-вами для дрожжей. Добавление несоложных материалов понижает величину pH. Затирание при 60° даст более низкую конечную величину pH, чем затирание при 38—48°, когда протеолиз протекает в направлении распада белковых в-в до аминокислот. Л. Ш.

45374. Короткие палочки как инфекция в пиве.

Гофман (Kurzstäbchen als Infektionsorganismen im Bier. H o f f m a n U r s u l a), Brauwissenschaft, 1954, № 11, 234—238 (нем.; рез. англ.)

Наряду с пивной сарциной и молочно-кислыми палочками в пиве в качестве вредителей наблюдаются короткие палочки. Эти палочки, повидимому, относятся не к одному виду, а к ряду дифференцированных штаммов, и среди них имеется исключительно опасный *Achromobacter anaerobium*, который может вызывать в пиве уже через 2 дня его роста сильное помутнение и очень плохой вкус. Необходим более серьезный контроль за микрофлорой пива, имеющей вид коротких палочек. Л. С.

45375. О новых методах обнаружения *B. coli* в пиве.

Гальперин (In lagatură cu noile metode de determinare a bacilului coli în bere. G a l p e r i n I.), Standardizarea, 1954, 6, № 3, 20 (рум.; рез. рус.)

Краткое изложение новых методов анализа пива при помощи фильтров с мембранами. Н. П.

45376. Брожение при низких температурах. Женовская, Женовский (Zagadnienie fermentacji win w niskich temperaturach. R z e d o w s k a H., R z e d o w s k i W.), Przem. spożywczy, 1955, 9, № 1, 9—12 (польск.)

Брожение при низких т-рах проводится с криофильными дрожжами, способными сбраживать сахар даже при 5°. Процесс проходит в 5 недель. Брожение можно вести при т-ре ~10°, не регулируя т-ру; Селером разработан метод брожения с приспособлениями для регулирования т-ры. Для охлаждения вина применяют холодильные установки закрытого типа. При этом способе качество вина повышается, крепость увеличивается, вино частично стерилизуется и хорошо осветляется. Изложены перспективы развития в Польше произ-ва вин по указанному методу для Польши. Л. Б.

45377. Опыты по внедрению брожения при низких температурах в промышленность. Женовский, Женовская (Badania nad wprowadzeniem do przemysłu fermentacji win w niskich temperaturach. R z e d o w s k i W., R z e d o w s k a H.), Przem. spożywczy, 1955, 9, № 1, 40 (польск.)

Выведены расы криофильных дрожжей для промышленного применения. Исследовалось влияние т-ры на процесс брожения. Дрожжи получены из Швейцарии, из ГДР. Выделены дрожжи криофильные яблочные и виноградные. Предполагается выпуск в полупроизводственном и производственном масштабах выведенных рас криофильных дрожжей. Л. Б.

45378. Сезонные заметки для винодела. Хиккинботам (Seasonal vineyard and cellar notes. H i c k i n b o t h a m A l a n R.), Austral. Brew. and Wine J., 1955, 73, № 7, 18, 22 (англ.)

Описываются метеорологич. условия (средняя т-ра и кол-во осадков) ряда виноградарских районов Австралии за январь — февраль 1955 г. Рассматривается проблема перепроизводства виноградарства и возможности перетонки вина. Продолжается (РЖХим, 1956, 38007.) обсуждение вопроса о роли CO₂ в вине. Явление пересыщения вина CO₂ объясняется образованием H₂CO₃, и за счет образования эмульсии. И. С.

45379. Применение чистых культур дрожжей при изготовлении вина из гибридов — прямых производителей. Череп Н. С., Тр. Кишиневск. с.-х. ин-та, 1955, 6, 119—122

Для улучшения вин и виноматериалов, изготовляемых из винограда Молдавских гибридов — прямых производителей, изучено влияние различных рас чистых культур винных дрожжей на брожение виноградного сусла. Испытаны 6 рас дрожжей: романешты, прикумская 80/9, пино 14, каберне 5, магарач 7, бордо 20. В качестве контроля брожение проводилось на естественных дрожжах. Вино из гибридов готовилось по белому способу. Результаты хим. анализа и дегустации показали, что лучшие по качеству вина получаются при применении дрожжей расы бордо 20 (средняя дегустационная оценка образцов 7,1—7,7 баллов), каберне 5 (средняя оценка 7,3) и прикумская (средняя оценка 6,9—7,2). Самые низкие по качеству вина давала раса романешты (средняя оценка 6,0—6,4). Вина на естественных дрожжах имели среднюю оценку 6,5—6,8. В. П.

45380. К пересмотру технологических инструкций по производству Советского шампанского. Родопуло А. К., Байлук В. В., Бурмистрова А. Г., Виноделие и виноградарство СССР, 1954, № 8, 14—20

45381. Действие на винные дрожжи дитиокарбаматов, применяемых в качестве фунгицидов и инсектицидов. Пиччи (Azione dei ditiocarbammati di uso antiparassitario sui lieviti della fermentazione vinaria. Picci G.), Agricoltura ital., 1955, 55, № 1, 32—36 (итал.)

Дитиокарбаматы в настоящее время применяются в качестве фунгицидов и инсектицидов и обращаются в торговле под разными наименованиями. При пресловании они могут попадать в сусло. В результате исследований найдено, что эти соединения могут угнетать брожение виноградного сусла лишь в относительно больших количествах, не встречающихся в практике виноделия. Н. С.

45382. Антисептики в виноделии. Вербина Н. М., Виноделие и виноградарство СССР, 1955, № 8, 8—10
Обзор по применению антисептиков в виноделии с целью предупреждения микробных заболеваний вин. Особенно подробно рассматривается SO_2 (необходимые дозы, адаптация дрожжей к SO_2 и т. д.). Библ. 24 назв. И. С.

45383. Вино «Болгарский пелин». Бакерджиев (Български пелин. Бакърджиев Никола Хр.), Лозарство и винарство, 1954, 3, № 5, 309—312 (болг.)

Вино «Болгарский пелин» отличается своеобразным, сладко-горьким вкусом и ароматом. Это аперитив, похожий на вермут, готовят из белых, сравнительно толстокожих сортов винограда с добавлением до 10% яблок и айвы, причем перед брожением добавляют полынь (*Artemisia absinthicum*) (не свыше 0,5 г/л) и душистые растительные в-ва (корица, гвоздика и др.). Полынное вино не выдерживает длительной перевозки (терять игристые свойства). По другому способу полынь добавляется в сусло во время брожения, но вино при этом получается худшего качества. З. Б.

45384. Процессы и изменения при образовании и формировании вина. Тимова (Процеси и изменения при образуване и формиране на виното. Тимова Л ю б а), Лозарство и винарство, 1955, 4, № 5, 297—304 (болг.)

Рассматриваются главным образом работы советских авторов по биохимии процессов, происходящих при раздвливании винограда, брожении сусла и выдержке вина. И. С.

45385. О пектинах виноградного сусла. Гайворонская З. И., Виноделие и виноградарство СССР, 1955, № 8, 12—16

В 26 сортах винограда содержание пектина (по методу Мелитца) колебалось 0,111—2,815 г/л, в среднем 2,705 г/л, причем в сусле красных сортов пектина наблюдалось больше, чем в белых. При термич. обработке и по мере созревания кол-во пектина увеличивается. Отмечается отсутствие прямой зависимости между мягкостью вина и содержанием пектина в сусле. Обычно наблюдается обратная зависимость. И. С.

45386. Определение альдегидов в сладких винах и подобных напитках. Марек-Кортес, Кампос-Сальседо (Le dosage de l'éthanal dans les vins doux et boissons analogues. Marges Cortes I., Campos Salcedo M. de), Ann. falsific. et fraudes, 1955, 48, № 563, 479—483 (франц.)

При определении альдегидов обычным методом в присутствии боратного буфера в сладких винах с содержанием сахара > 30% получают завышенные результаты из-за понижения рН р-ра до дистилляции и карамелизации сахара с образованием летучих продуктов с функциональной группой — CNO . Рекомендуется перегонку производить под вакуумом (45 см), нейтр-цию проводить 1 н. NaOH в присутствии фенолфталена и добавлять фосфатный буфер с рН 8, состав которого приводится. И. С.

45387. Усиление окраски красных вин. Печев, Никова (Повишаване боята на червените вина. Печев К., Никова З.), Лозарство и винарство, 1954, 3, № 6, 369—374 (болг.)

Для усиления окраски красных вин рекомендуются следующие приемы: выдерживание сусла на мезге 5—8 дней после того, как оно достигнет уд. в. 1 000; обработка сусла SO_2 , связывающим красящие и дубильные в-ва, защищая их от окисления; брожение с плавающей «шапкой»; подогревание материала перед брожением; внесение в массу ферментных препаратов, разрушающих кожу с освобождением красящих в-в; купажирование с сильноокрашенными сортами. З. Б.

45388. Факторы роста при брожении вина. Георгиев (За растежните фактори при винната ферментация. Георгиев И в.), Лозарство и винарство, 1955, 4, № 5, 305—306 (болг.)

Автор наблюдал ускорение брожения виноградного сусла в присутствии выжимки. Это объясняется повышенным содержанием в ней витамина B_1 . Указывается, что если в виноградном соке содержание B_1 0,2—0,5 мг/л, то в грозди 0,9 мг/кг. Кроме того, рассматривается ускоряющее действие на брожение витамина Н (биотина), препаратов из *Aspergillus niger* и *Botrytis cinerea*. И. С.

45389. О целесообразности замены сернистой кислоты. Кох (Ist die schweflige Säure zu ersetzen? Koch Julius), Dtsch. Weinbau, 1953, 8, № 13, 332 (нем.)

Показателями окислительно-восстановительного состояния вина являются окислительно-восстановительный потенциал и время обесцвечивания индикатора (ОИ). Для предохранения вина от окисления при помощи SO_2 содержание свободного газа должно быть равно 15 мг/л, величина ОИ при этом равна 100—120 сек. Витамин С сильнее снижает ОИ, чем SO_2 , но вкусовое влияние SO_2 лучше. Предполагается, что SO_2 вызывает образование специфически действующих на вкус редуктонов. Поэтому SO_2 нельзя заменить, а целесообразно применять ее в созревшем вине для предохранения его от окисления. Таких же результатов можно достичь инактивированием окислительных ферментов путем быстрого нагрева сусла (в течение 2 мин.) до 68° и охлаждения до исходной т-ры. Л. П.

45390. О мышином тоне в вине. Заславский А. С., Садоводство, виноградарство и виноделие, 1955, № 2, 43—44

Мышиный тон в вине образуется за счет в-в, возникающих в результате окислительно-восстановительной реакции при $H=0,46-0,55$ в. Он может быть вызван добавлением перекиси водорода, действием пероксидазы, или ферментативной деятельностью некоторых микроорганизмов. Образование этого тона не вызывает заметного изменения состава вина. Для предотвращения его появления необходимо тщательное отделение большого винограда от здорового, микробиологич. чистота оборудования и бочек.

Н. Л. 45391. Извлечение продукта центрифугированием отходов. Дохерти, Карл, Нойс (Centrifuges product from waste. Doherty Wm. E. Jr., Carl T. E., Noyes R. G.), Food Engng, 1954, 26, № 7, 62—63, 181, 182, 185 (англ.)

Предлагают применение центрифуги для извлечения вина из осадка в бродильных чанах. При фильтровании или декантировании потери вина с осадком значительны.

Л. М. 45392. Усовершенствованный способ в производстве вина. Фаркаш (Zdokonalený technický postup při výrobe vína. Farkaš Jan), Vinařství, 1955, 48, № 1, 12 (словац.)

Рекомендуется применение барабанного вакуум-фильтра для фильтрации виноградного сусла и вина. Приведено описание фильтра. Испытание модели его дало положительные результаты. Вакуум-фильтрация обеспечивает непрерывность процесса, большую производительность, увеличение выхода продукции (на 7—10%), миним. потери и улучшение качества вина.

Е. Ш. 45393. Определение крепости вин и коньяков. Фертман Г. И., Виноделие и виноградарство СССР, 1954, № 8, 51—55

45394. Определение аниона серной кислоты в винах после удаления сернистого ангидрида. Дейбнер, Бенар (Étude du dosage de l'ion sulfurique dans les vins après la séparation de l'anhydride sulfureux. Deibner Léonce, Bernard Pierre), Ind. agric. et aliment., 1954, 71, № 1, 23—30 (франц.)

Точному определению аниона серной к-ты в вине в виде $BaSO_4$ в остатке после удаления SO_2 из вина дистилляцией мешает применение H_3PO_4 . Точность определения зависит также от конц-ии H_2SO_4 и прибавляемой HCl , от способа приливания $BaCl_2$, наличия мешающих определению примесей и других факторов. Предлагается более точный и удобный способ определения аниона H_2SO_4 в остатке вина от дистилляции, основанный на применении H_3PO_4 вместо HCl и нейтр-ции перед осаждением $BaSO_4$.

Н. П. 45395. Изучение непрерывно действующего фракционного аппарата для перегонки вина на коньячный спирт. Нушев (Проучване колона за изваряване на вино в конячен спирт с непрекъснато и фракционно действие. Нушев Илия Христов), Лозарство и винарство, 1955, 4, № 5, 307—309 (болг.)

Предложенный автором аппарат обладает повышенной производительностью непрерывно-действующего и качества работы простых шарантских аппаратов, что обусловливается предварительным 6-часовым нагреванием вина в подогревателях. Аппарат состоит из 2 виноподогревателей, ректификационной колонны диам. 60 см, 2 дефлегматоров и холодильников. Производительность 25—30 т вина в сутки. Дана схема аппарата с объяснением принципа действия.

Н. С. 45396. О концентрации вина холодом. Фланзи (Remarques sur la concentration des vins par le froid. Flanz M.), Ann. Inst. nat. rech. agron., 1955, E4, № 2, 235—237 (франц.)

Согласно многочисленным исследованиям конц-ия вина холодом с последующим его разведением водой до первоначального объема дает продукт пониженного качества, поэтому к подобной конц-ии следует прибегать лишь в случаях крайней необходимости. Рациональнее концентрировать виноградный сок и из него готовить вино в местах потребления.

Н. П.

45397 К. Бродильная промышленность. Общие сведения. Хыбовский, Пенчак (Przemysł fermentacyjny. Wiadomości ogólne. Chybowski Z., Pęczak J. Warszawa, Wydawn. Przem. Lekkiego i Spożywczego, 1954, 41 str., 7 rys., 2 zł. 40 gr.) (польск.)

45398 К. Бродильное производство. Т. I. Андеркофлер, Хикки (Industrial fermentations V. I. Chemical Pub. Co., 1954, 565 p., doll. 12) (англ.)

45399 К. Виноделие и переработка плодов и овощей. Учебник по технологии для сельскохозяйственных школ мастеров виноградарства и плодоводства. Лаго, Минарик, Валентович, Филип, Пруха, Штепанек, Виган (Vinařství a zpracování ovoce a zeleniny Učební text pro vyučování technologií na zeměd. mistrovských školách oboru vinohradnicko-ovocářského. Laho L., Minárik E., Valentovič Š., Filip J., Průcha J., Štěpanek K., Vihan Z. Praha, SZN, 1955, 171 str.) (чеш.)

45400 К. Избранные работы по виноделию. 1925—1955 гг. Герасимов М. А. М., Пищепромиздат, 1955, 380 стр., илл., 14 р.

45401 Д. О влиянии давления углекислого газа на спиртовое брожение. Матзик (Über den Einfluss des Kohlendioxyd-Druckes auf die alkoholische Gärung. Matzik Bernhard.—Diss. T. U., F. f. Landbau, Berlin, 1954), Dtsch. Nationalbibliogr., 1955, B, № 17, 1236 (нем.)

45402 Д. Новый весовой метод определения глицерина в вине и винных напитках. Гшпан (Eine neue gravimetrische Bestimmungsmethode für Glycerin in Wein und weinähnlichen Getränken. Gspan Hans. Diss., Naturwiss. F. Würzburg, 1953), Dtsch. Nationalbibliogr., 1955, B, № 15, 1078 (нем.)

45403 П. Процессы одновременного производства дрожжей и спирта. Шнейдер (Processes for the simultaneous production of yeast and spirit. Schneider Karl) [Backhefe G. m. b. H.]. Пат. США 2676137, 20.04.54

Для одновременного получения спирта и дрожжей в мелассу вводят дрожжи и сбраживают ее до образования 4—9° спирта. Дрожжи отделяют и к ним добавляют сульфитный щелок при слабой аэрации и т-ре 12° с постепенным повышением ее до 21°, после чего прибавляют сравнительно большое кол-во мелассы, азота и фосфатов, что совместно с сильной аэрацией способствует высокому выходу дрожжей.

Н. С. 45404 П. Способ улучшения спиртовых дистиллятов. Мензис, Хендри, Грин (Treatment of alcoholic distillates. Menzies A. J., Hendry N. G. C., Green J.). Англ. пат. 713658, 18.8.54 [Chem. Zbl., 1955, 126, № 11, 2555 (нем.)]

Улучшение дистиллятов, содержащих спирт: водок, джина, рома и виски,— производится с помощью обработки синтетич. полимерными катионообменниками, содержащими свободные к-ты, кислотные группы (сульфо- или карбоксильные группы или обе вместе).

И. Г. 45405 П. Способ и приспособление для перевозки или хранения хмеля. Мейслер (Method and means for shipping or storing hops. Meisler Sidney S.) Пат. США 2674535, 06.04.54

Хме
сечени
торую
губким
в два
концо

45406

(Ver
te g
Eber
[Che
Пол
(пред
ствни
ности
ствени

45407

поср
gewi
L a
A.-G
1954
Пол
ном у
ной ж
несущ
понооб
держат
гут бы

45408

твер
lid,
Япо
№ 8
Смер
В, 5
вулир
зирова
в соста
100 г
45409

стро
(Kör
reife
terat
[Che
Пате
минер
больш
верхне
фикси
действ

См.
13475
14100

45410.

тель
Рей
stylt
go.
zyw
45411.
сам
ного
Р у

Хмель из одной или нескольких кип прямоугольного сечения прессуют в одну кипу круглого сечения, которую укрепляют в нескольких местах поперечными гибкими стрижками. Подготовленную кипу помещают в два стальных цилиндра с фланцами вокруг открытых концов, после чего фланцы скрепляют между собой.

С. С.
45406 П. Способ изготовления солода. Шпехт (Verfahren zur Herstellung von Malz. Specht Walter) [Walter Specht, Ludwigsstadt (Ofr.), Wilhelm Eberhard Schultheis]. Пат. ФРГ 893331, 15.10.53 [Chem. Zbl., 1954, 125, № 12, 2725 (нем.)]

Полученный обычным способом из зерновых злаков (предпочтительно из ячменя) зеленый солод в присутствии воды подвергают действию ультразвука мощностью 15—500 м в течение ~ 15—120 мин., непосредственно после этого отделяют от воды и высушивают.

В. Г.
45407 П. Способ получения воды для пивоварения посредством ионообмена. Лаут (Verfahren zur Gewinnung von Brauwasser durch Ionenaustausch. Lauth Hellmuth) [Farbenfabriken Bayer A.-G.]. Пат. ФРГ 894232, 22.10.53 [Chem. Zbl., 1954, 125, № 12, 2725 (нем.)]

Получение воды, свободной от Mg, при одновременном устранении карбонатной и сохранении постоянной жесткости ее, достигается применением обменников, иеющих Н-ион рядом с Са-ионом, причем используют ионообменник от слабой до средней кислотности, содержащий Са- и Н-ионы. Н- и Са-ионообменники могут быть включены также последовательно.

В. Г.
45408 П. Стойкий витаминизированный сидр в виде твердого препарата. Окамото (A stable and solid, vitaminized cider. Okamoto Toshio). Япон. пат. 1739, 22.04.53 [Chem. Abstrs, 1954, 48, № 8, 4726 (англ.)]

Смешивают 4865 г лимонной к-ты с витаминами (5 г В₁, 5 г В₂ и 100 г С), сушат при < 30° и получают гранулированный продукт. Зерна покрывают А витаминизированным маслом (25 г) и смешивают с зернами, в состав которых входят: 4800 г NaHCO₃, 100 г сахараина, 100 г дульцина, 2 г краски и 600 г воды.

Л. М.
45409 П. Зернистый контактный материал для быстрого созревания спиртосодержащих жидкостей (Körniges Kontaktmaterial, insbesondere zum Schnellreifen von alkoholhaltigen Flüssigkeiten) [«Era» Esterator G. m. b. H.]. Пат. ФРГ 893332, 15.10.53 [Chem. Zbl., 1954, 125, № 12, 2725 (нем.)]

Патентуется контактный зернистый материал из минералов мелкокристаллич. структуры относительно большой твердости зерен, как на телах носителях, фиксируется по меньшей мере один олигодинамически действующий металл.

В. Г.
См. также: 42536, 42595, 43815, 43819, 44158; 13245Бх, 13475Бх, 13521Бх, 13523Бх, 13553Бх, 13557Бх, 14100Бх, 14101Бх

ПИЩЕВАЯ ПРОМЫШЛЕННОСТЬ

45410. Обзор работы советских научно-исследовательских институтов пищевой промышленности. Рейнхерц (Kilka uwag o pracy radzieckich instytutów naukowo-badawczych przemysłu spożywczego. Reinhercs Alexander). Прем. spożywczy, 1955, 9, № 9, 261—264 (польск.)

45411. Международный научный конгресс по вопросам пищевой промышленности и сельскохозяйственного производства. Будансшт 1—3 декабря, 1954. Рутковский (Międzynarodowy naukowy kon-

gres przemysłu rolnego i spożywczego w Budapeszcie. Rutkowski A.). Прем. spożywczy, 1955, 9, № 3, 117—118 (польск.)

45412. Холодная стерилизация продуктов. Рейтер (The cold sterilization of foods. Reuter F. H.). Austral. Food Manufact., 1955, 25, № 3, 30, 32, 34 (англ.)

Краткий обзор проблемы стерилизации пищевых продуктов облучением.

И. Г.
45413. Проблема применения химикатов в пищевой промышленности. Толленар, Хартог (Chemicaliën in voedingsmiddelen, een brandend probleem. Tollenaar F. D., Hartog C. den), Voeding, 1955, 16, № 11, 923—932 (голл.)

45414. Содержание жирных кислот в некоторых пищевых продуктах. Уиллард, Энглерт, Ричарде (Fatty acid contents of certain processed foods. Willard Constance, Engler R. D., Richards L. M.), J. Amer. Oil Chemists' Soc., 1954, 31, № 4, 131—135 (англ.)

Проведено определение содержания ненасыщ. жирных к-т (I), имеющих важное значение для организма человека, в пищевых продуктах, подвергшихся различной обработке (в сыре, мясных продуктах, гидрогенизированных жирах). Спектрофотометрически определяли I в общем составе жирных к-т, выделенных из жира, а также определяли насыщ. и ненасыщ. компоненты в каждой фракции при дистилляции метиловых эфиров, приготовленных из жира. Установлено, что сравнительно жесткая обработка жира путем дистилляции имеет слабое влияние на I. Процессы обработки пищевых продуктов, кроме гидрогенизации, слабо влияют на содержание жизненно важных I. В гидрогенизированных жирах, остается значительное кол-во линолевой к-ты, но она частично находится в форме изо-кислоты, физиологич. значение которой не установлено. Дано процентное содержание I в исследованных пищевых продуктах.

А. Я.
45415. Использование сои в пищевой промышленности Чехословакии. Зайиц (Možnosti uplatnění soje v potravinářském průmyslu. Zajíc Boris), Průmysl potravin, 1955, 6, № 10, 478—480 (чеш.; рез. рус., англ., нем.)

Обзор отечественной литературы и сравнение достижений чехословацкой промышленности в этой области с опытом и достижениями СССР и капиталистич. стран.

Библ. 24 назв.
А. П.
45416. Отчет о 3-м Международном конгрессе по хлебопечению в Гамбурге. Бернфус (Bericht über den 3. Internationalen Brotkongress in Hamburg. Bernfus E.), Mitt. Versuchsstation Gärungsgew., 1955, 9, № 7—8, 112—114 (нем.)

45417. Глубокое замораживание булочных изделий. Рот, Тесмер (Tiefgefrieren von Backwaren. Rotsch A., Tesmer E.), Brot und Gebäck, 1954, 8, № 10, 149—152 (нем.)

Обзорная статья по способам замораживания и хранению замороженного хлеба и его употреблению в США и Швейцарии.

А. У.
45418. Развитие кондитерской промышленности за последние 10 лет [в Чехословакии].—(Rozvoj cukrovinkářského průmyslu v posledním desetiletí.—), Listy cukrovarn., 1955, 71, № 5, 108—110 (чеш.)

45419. Неферментативное потемнение плодов и продуктов переработки. Хорубала (Nieenzymatyczne brązowienie produktów żywnościowych. Horubala Adolf), Прем. spożywczy, 1955, 9, № 10, 402—405 (польск.; рез. рус., англ.)

Рассматриваются значение неферментативного потемнения плодов с технологич. точки зрения, механизм и характер изменения окраски, факторы, влияющие на

процесс потемнения плодов, и способы предохранения их от потемнения. Библ. 33 назв. А. П.

45420. Кулинарная пригодность квашеной капусты в зависимости от общей и летучей кислотности. Сичкувна (Przydatność kulinarna kapusty kwaszonej w zależności od stopnia kwasowości ogólnej i lotnej. Sićkówna J. A. D. W. i. G. A.), Roczn. Państw. zakł. hig., 1954, 5, № 4, 349—360 (польск.; рез. рус., англ.)

45421. Нахичеванские сорта винограда для сушки. Хонерия М. Д., Виноделие и виноградарство СССР, 1955, № 7, 53—55

Выявлены ценные для сушки сорта винограда: Мармари, Ак кишиши, Кырмызы кишиши, Аскери, Ханымы, Мехали, Сары алдара, Газиядан, Хачабаш, для которых выработана технология обработки. Примененная автором обработка винограда р-ром каустич. соды с последующим окуриванием серой в 4—5 раз быстрее, чем простая сушка на солнце. Для сушки может идти виноград с сахаристостью $\geq 20\%$. П. С.

45422. Результаты обследования по применению антиокислителей. Оценка стабилизирующего действия антиокислителей при производстве жареного картофеля ломтиками. Тернер (Results of survey on anti-oxidants. Evaluation of antioxidants in stabilizing potato chips. Turner Olen C.), Potato Chipper, 1955, 14, № 12, 82—84, 86 (англ.)

Проведенное в США обследование показало, что из 102 обследованных предприятий 42 применяют антиокислители (А). Из них 9 предприятий вводят А только в соль, 20 — только в жир и 13 — в соль и жир. Предприятия, применяющие А при приготовлении жареного картофеля ломтиками, отмечают положительный результат. Приведены марки А, применяемых при произ-ве жареного картофеля. Г. Н.

45423. Изучение факторов, обуславливающих вкус куриного мяса. Пиппен, Рембелл, Стрипер (Flavor studies. Origin of chicken flavor. Phippen Eldon L., Campbell Agnes A., Streeter Iva V.), J. Agric. and Food Chem., 1954, 2, № 7, 364—367 (англ.)

С целью выяснения хим. природы вкуса и аромата куриного мяса органолептически исследовали бульон из мяса, костей и кожи (в отдельности и в смеси), приготовленный без добавления специй на дистилл. воде, добавленной в кол-ве, равном половине веса пробы. Оценку вкуса и запаха бульона производили по 10-балльной шкале. Бульон из мяса получил оценку 7,6 и 7,0, из костей 3,9 и 3,9, из кожи 2,5 и 3,0, из смеси этих компонентов 6,3 и 5,9 балла. Бульон из мяса, подвергнутого 4-кратному вымачиванию в дистилл. воде при 2° в течение 2,5; 2,5; 15,8; 1,8 часа, получил оценку 3,2 и 4,5 по сравнению с оценкой контрольной пробы 7,0 и 5,3 балла. Добавление водн. экстракта к вымоченному мясу повышало оценку его вкуса и аромата до нормы. Не наблюдалось значительной разницы в оценках вкуса бульона из жирного и тощего мяса. Г. Н.

45424. Естественная убыль при замораживании и хранении мяса в холодильниках. Постольский (Ubytki naturalne przy mrozeniu i składowaniu chłodniczym mięsa. Postolski Jacek), Gospod. mięsna, 1954, 6, № 11, 331—333 (польск.)

45425. Установление количественного содержания соли в импортной солонине. Петерс (Die Prüfung des Salzgehaltes bei eingeführtem, zubereitetem Fleisch. Peters W.), Lebensmitteltierarzt, 1954, 5, № 1, 6—7 (нем.)

Обсуждается вопрос о необходимости установления официального метода колич. определения NaCl в импортной солонине. Аргентометрич. метод, дающий весьма приблизительные результаты, рекомендовано заменить

модификациями этого метода, предложенными ранее Нейвертом (Fleisch-und Milchhyg. 1932, № 6) и Грау (Die Fleischwirtschaft, 1953, № 5, 101). В. Г.

45426. Изучение факторов, влияющих на устойчивость окраски соленых мясных продуктов. Грау, Бём (Untersuchungen über die Beeinflussung der Farbbhaltung von Pökelfleischwaren. Grau R., Böhm A.), Dtsch. Lebensmitt.-Rundschau, 1955, 51, № 11, 259—267 (нем.)

Исследовано влияние на устойчивость окраски соленых мясных продуктов минер. и органич. к-т, солей и соединений, обладающих восстановительными свойствами, а также способность их регенерировать окраску обесцвеченного на свету соленого мяса. Найдено, что неорганич. к-ты (HCl , H_2PO_4) и органич. к-ты (молочная, уксусная, лимонная) положительно влияют на устойчивость пигментов и их регенерацию в солонине. Эффективность действия к-т тем значительнее, чем больше перепад pH, возникающий за счет конц-ции добавляемой к-ты. Соли (Na -цитрат и Na -аскорбинат) существенного влияния на устойчивость пигментов не оказывают. Соединения-восстановители (под, метиленовый синий, 2,6-дихлорфенолинолфенол и аскорбиновая к-та) активнее действуют на пигменты также в случае сдвига значения pH в кислую область. Недостаточно изучено воздействие нитрита на устойчивость пигментов. Наблюдения показывают, что образующийся в процессе посола мяса нитрит-метгемоглобин обладает авторегулирующими свойствами, однако это требует дальнейших подтверждений. В. Г.

45427. Новые методы консервирования скоропортящихся продуктов. Мольгора (Nuovi orizzonti nella conservazione dei prodotti organici deperibili. Molgora Ettore), Alimentazione, 1953, 3, № 8, 11—14 (итал.)

Подробно описан новый метод сушки скоропортящихся пищевых продуктов (мясо, рыба, плоды, овощи) сублимацией (замораживание при -78°C до -12°C и удаление воды в вакууме при 0,2—0,5 мм. рт. ст.). Указаны преимущества этого метода по сравнению с обычными способами консервирования (сохранение физ.-хим. свойств продуктов, продолжительность и условия хранения и др.). Установлено, что качество сушеного мяса с влажностью $\sim 2\%$, содержащего 20—30% жира (на сухое в-во), не изменилось после хранения при 26°C в течение 18 месяцев. При 49°C качество его незначительно изменилось через 3 недели, но мясо было вполне пригодно для питания в течение 3 месяцев. При 4°C срок хранения сушеного мяса не ограничен. Для хранения консервированных продуктов рекомендуется герметич. тара из стекла, жести, алюминия или пластмассы; продукты, чувствительные к процессам окисления, рекомендуется хранить в вакууме или в атмосфере инертных газов (N_2 , CO_2). А. М.

45428. Химические и гистологические свойства обезвоженного мяса. Дотт, Ван Си, Ауэрбах (Chemical and histological properties of dehydrated meat. Doty D. M., Wang Hsi, Auerbach Earl), J. Agric. and Food Chem., 1953, 1, № 10, 664—668 (англ.)

Обзор работ за 15 лет по обезвоживанию и восстановлению сухого мяса. Библ. 21 назв. В. Г.

45429. Удержание влаги мясным фаршем в зависимости от pH. Пальмин В. В., Тр. Всес. н.-и. ин-та мяс. пром-сти, 1955, № 7, 15—22

Исследовали мясо крупного рогатого скота, полученное через 1 час после убоя и помещенное в холодильник при $+4^\circ\text{C}$. При переходе мяса из парного состояния в охлажденное одновременно с понижением pH влагопоглощаемость фарша (Ф) уменьшается в 2 раза. При искусств. сдвиге pH до 7,2 влагопоглощаемость Ф из охлажд. мяса повышается до 80% к первоначаль-

ному весу по сравнению со 100% для Ф из парного мяса при том же рН. Ф из охлажд. мяса при варке удерживает меньше влаги, чем Ф из парного мяса, а при искусст. повышении рН удерживает тем больше влаги, чем выше рН и больше добавлено воды к Ф (в пределах 10—40% к весу Ф). Размороженное мясо при добавлении буферной смеси реагирует аналогично охлажд. в отношении сдвига рН и удерживания влаги при варке. Полученные данные позволяют исключить выдержку мяса в посоле при произ-ве вареных колбас.

45430. Факторы, влияющие на водопоглощательную способность мяса. Кёрменди (Milyen tényezők befolyásolják, a hús vízfelvevő és víztartókéességét IV. Foszfatok hatása. Kőrmendi László), Élelm. ipar, 1956, 10, № 1, 7—10 (венг.; рез. русс., нем. англ.)

Изучено влияние NaH_2PO_4 , Na_2HPO_4 , NaPO_3 , $\text{Na}_4\text{P}_2\text{O}_7$ и немецкого полифосфатного препарата «Plasmal» на набухаемость мяса. Изменение консистенции мяса контролировалось карнографич. методом. Установлено, что все эти соединения фосфора повышают водопоглощательную способность мяса, но эффективность действия ортофосфатов значительно отличается от действия пиро-, мета- и полифосфатов. Последние превращают структуру мясного фарша из рыхлой, крошливой в однородную, мягкую, тестообразную. Определено, что при добавлении АТФ и повышении рН мяса можно из говядины, хранившейся в течение 24 час. в холодильнике, получать такой же фарш, как из свежего неохлажд. мяса.

45431. Дрожжи в сырокопченых колбасах. Лерхе, Ламмерс (Die Hefen der Rohwurst. Lerche M., Lammer H.), Arch. Lebensmittelhyg., 1955, 6, № 9/10, 93—96 (нем.)

Изучались виды дрожжей, постоянно встречающихся в сырокопченых колбасах. При обследовании 4 сортов колбас с 18 ф-к выделено 63 штамма дрожжей. Наиболее часто встречаются дрожжи *Torulopsis candida* (в образцах с 17 ф-к). Дрожжи *Hansenula anomala* и *Candida* (три разных вида) обнаружены в колбасах 3 ф-к. Дрожжевой грибок *Debaryomyces* встречается редко. Приведены данные о морфологич. и культуральных признаках выделенных дрожжей. Доказано, что дрожжи попадают в колбасы из окружающей среды и ухудшают вкус колбасных изделий, вследствие расщепления белков и углеводов в процессе хранения.

45432. Заготовка, хранение и переработка яиц в США.— (The processing and preservation of eggs in the USA.—), Brit. Food J. and Hyg. Rev., 1953, 55, № 653, 32—33 (англ.)

Для сохранения качества яиц при хранении применяются три способа покрытия яиц пленкой минер. масла: 1) погружение яиц в масляную ванну при 40—60° во время от 15 сек. до 6 мин.; 2) опрыскивание яиц на ленточном конвейере в течение 15—16 мин. минер. маслом с т-рой 55—57°; 3) обработка яиц минер. маслом под вакуумом с последующим нагнетанием в камеру CO_2 . Последний метод дает наилучшие результаты. Оптимальная т-ра хранения яиц —1°, допустимое отклонение $\pm 0,5^\circ$. Начало см. РЖХим, 1954, 21088.

45433. Порча мяса и методы лабораторного исследования. Лауреску, Попа (Alterarea cărnii și metodele examenului ei de laborator. Laureescu C., Popa Gavrilă), Rev. igienă, microbiol. și epidemiol., 1954, № 1, 52—59 (рум.)

Дана классификация микроорганизмов, вызывающих порчу мяса. Описаны органолептич. показатели и лабор. методы определения свежести мяса, согласно Государственному стандарту РНР № 840/1951: р-ция

мяса на лакмус, обнаружение NH_3 в мясе реактивом Эбера и H_2S уксуснокислым свинцом, определение азота летучих оснований, оценка мясного экстракта по времени фильтрации, прозрачности и р-ция на лакмус, определение NH_3 в экстракте реактивом Несслера, р-ция на пероксидазу.

45434. Получение и использование крови убойного скота. Шарекый (Znaczenie, otrzymywanie i wykorzystanie krwi zwierzęcej. Szarski Paweł), Gospod. mięsna, 1954, 6, № 12, 355—358 (польск.) Описание способов сбора крови при убойе животных и переработки ее для пищевых и технич. целей. **А. П.**

45435. Предохранение молока от порчи по методу Гофийе-Рихтера. Ланг (The preservation of milk by the Hofius-Richter process. Lang F.), Food Inds. S. Africa, 1954, 6, № 12, 31—33 (англ.) Сущность процесса «гофизации» состоит в «промывке» молока кислородом для окисления и удаления летучих ароматич. в-в при нагревании до 55° и выдерживании под кислородным давл. 10—13 ат. Молочные продукты нагревают до 55°, разливают в 36-л контейнеры из нержавеющей стали, к которым подключают технически чистый O_2 , и поднимают давление до 4—5 ат. Контейнеры встряхивают и выпускают газообразную фазу. Снова подключают O_2 , поднимают давление до 10 ат, нагревают до 55° и выдерживают под давлением ~ 5 час. Затем продукт охлаждают и разливают. Исследования показали, что молоко обладает хорошим запахом и другими натуральными свойствами, содержание микроорганизмов в нем незначительно. В закрытых контейнерах под давлением O_2 10—13 ат молоко хорошо сохраняется более 6 недель. Возможна «гофизация» сливок, стуженного молока и кофе.

45436. Обнаружение, причины и меры предупреждения пороков молока. Эрлих (Über Erkennung, Ursachen und Vorkehrungsmaßnahmen von Milchfehlern. Ehrlich C.), Prakt. Tierarzt, 1955, № 11, 314—316 (нем.)

Рассматриваются пороки молока, вызываемые неблагоприятными условиями получения и обработки: загрязненность, повышенная кислотность, свертывание при нормальной кислотности, затхлый вкус, ослизевание, а также кормовые пороки: нечистый, кормовой, горький вкус. Указываются причины, вызывающие эти пороки в молоке, и мероприятия, предупреждающие появление их.

45437. Влияние гомогенизации молока в насосах на последующее сепарирование. Кратохвил (Vliv homogenisace mléka čerpadly na ostrost odstředění. Kratochvíl Lubomír), Průmysl potravin, 1955, 6, № 10, 488—490 (чеш.; рез. русс., англ., нем.)

Проведены производственные опыты по изучению качества сепарирования молока при подаче его (порциями по 1000 л) в сепаратор самотеком и через насосы. Продолжительность обработки молока в насосах изменяли путем повторной циркуляции молока через насос или последовательного прохождения через несколько насосов. Установлено, что обработка молока в насосах ухудшает качество сепарирования; дополнительным отрицательным фактором является повышенная т-ра молока. При 20° и применении 2 насосов сепарирование молока ухудшается на 0,03%, при 6 насосах — на 0,05%, при 8 — на 0,075%. Следует ограничить обработку молока в насосах и обеспечить предварительное охлаждение молока.

45438. Влияние смеси катион- и анионообменных смол на содержание солей в сыром обезжиренном молоке. Мерти, Уитни (The effect of cation and anion resin mixtures on the salt content of raw skim milk. Murthy G. K., Whitney R., MCL), J. Dairy Sci., 1954, 37, № 5, 571—582 (англ.)

В образцах сырого обезжиренного молока, обработанного смесью анион- и катионобменных смол, после фильтрования определяли рН, общий N, общий P, неорганич. P, Ca, Mg, Na, K, цитрат и хлорид. Даны объяснения полученных результатов. А. П.

45439. Химия йогурта. Сообщение I. Цветная реакция на ацетальдегид. Шульц, Хингст (Beiträge zur Chemie des Joghurts. I. Mitteilung. Acetaldehyd-Farbreaktionen zur Joghurt-Untersuchung. Schulz Max Erich, Hingst Georg), Milchwissenschaft, 1954, 9, № 10, 330—336 (нем.; рез. англ., исп.)

Предложена цветная р-ция для качеств. определения ацетальдегида в йогурте. Отмеривают 5 мл отделенной от белка сыворотки йогурта, нейтрализуют ее на холоду насыщ. р-ром соды, добавляют 3 капли насыщ. р-ра нитропруссиды натрия, 3 капли гексаметилен-амина или 5 капель пиперидина и хорошо перемешивают. В присутствии ацетальдегида через 35—40 сек. появляется синее окрашивание. Г. Т.

45440. О свойствах кумыса и его производстве. Попек (O vlastnostech a výrobě kumysu. Popěk Jan), Průmysl. potravin, 1954, 5, № 10, 447—448 (чеш.)

Описано опытное произ-во кумыса из смеси сыворотки и коровьего молока. Сыворотку от произ-ва сыра ромадур (68%) пастеризовали 30 мин. при 70° и заквашивали чистыми культурами (по 1,5% ацидофильной закваски и *Bact. Bulgaricum*) при 40°. Через 18 час. сыворотку охлаждали до 25°, добавляли 7% сахара в виде сиропа, 0,5% закваски пекарских дрожжей. После 20 час. молочнокислого и спиртового брожений сыворотку охлаждали до 18° и при перемешивании добавляли 28% пастеризованного, охлажденного до 10° цельного молока с содержанием жира 3,6%. По окончании спиртового брожения охлаждали до 10°, разливали в бутылки и хранили при 8—10°. Анализ свежего кумыса: кислотность 95°, спирта 1,8%; через 24 часа: кислотность 105°, спирта 1,4%; через 3 дня: кислотность 112°, спирта 2,2%. Кумыс после 3-недельного хранения при 5—7° сохранил отличные вкусовые свойства. Е. Ш.

45441. Образование аромата в заквасках для масла. Максимова (Tworzenie się aromatu w zakwasach maślarskich. Maksimowa A.), Przegl. mleczarski, 1955, 3, № 8, 21—23 (польск.)

Перевод. См. РЖХим, 1955, 25271. А. П.

45442. Окраска масла синтетическим β-каротином. Ауст (Die Färbung der Butter mit synthetischem β-carotin. Aust Hellmut), Milchwiss. Ber., 1955, 5, № 2, 85—92 (нем.)

Испытание коммерческих препаратов синтетич. каротина—β-каротин «кристаллизат», 20%-ный «эмульсион» и 20%-ный «дисперсион» в качестве красок для сливочного масла и маргарина показало, что применение синтетич. препаратов β-каротина в кол-ве 2 г на 1 м продукта дает нормально окрашенное масло или маргарин, без красноватых или зеленоватых оттенков, как это имеет место при применении красок из каменноугольной смолы и иногда аннато. Добавление указанных красителей к маслу не вызывает вкусовых пороков при его хранении. Приведены замечания по общему синтезу β-каротина. Е. Ж.

45443. Оценка питательной ценности сливочного масла, фальсифицированного рыбьим жиром. Д'Ало (Sul valore alimentare del burro sofisticato con i grassi di pesce. D'Alò Giuseppe), Nuovi ann. igiene e microbiol., 1953, 4, № 6, 435—439 (итал.)

Перечислены продукты гидрогенизации растительных масел и рыбьего жира, используемые для фальсификации сливочного масла. Отсутствие витаминов в гидрогенизированном рыбьем жире снижает питатель-

ную ценность фальсифицированного им сливочного масла. Указано, что продолжительное питание таким маслом вызывает серьезные расстройства в организме человека. А. М.

45444. Новый метод определения содержания жира. Керкконен (Uusi rasvamääritysmenetelmä Valion laboratoriossa. Kerkkonen Heikki K.), Karjantuote, 1955, 38, № 1, 45—47 (фин.)

В Финляндии в лаборатории Валио для определения процентного содержания жира в молоке и молочных продуктах применяют видоизмененный метод Можонье, являющийся усовершенствованием метода Розе-Готлиба. 10 г молока (t-ра 20—21°) взвешивают в склянку для экстрагирования, смешивают с 1,5 мл 28%-ного р-ра аммиака, прибавляют 10 мл спирта и встряхивают до образования мутного, но однородного р-ра. Прибавляют 25 мл этилового эфира, 25 мл петр. эфира и встряхивают 0,5 мин. Эфирный слой сливают во взвешенную алюминиевую чашку для выпаривания. Экстрагирование повторяют 3 раза. Эфир выпаривают, жир высушивают при 105° и взвешивают. М. Т.

45445. Открытие и количественное определение краски в масле и маргарине. Эспой, Барнетт (The detection and quantitative determination of coloring materials in butter and margarine. Espoy Henry M., Barnett Harold M.), Food Technol., 1955, 9, № 8, 367—372 (англ.)

Разработан метод открытия и колич. определения аннато и краски из каменноугольной смолы, применяемых для подкрашивания масла и маргарина в присутствии каротина и других каротиноидов без омыления жира. Каротин и аннато определяют методом хроматографии, краска из каменноугольной смолы выделяется экстрагированием к-той. Н. Б.

45446. Способы выделения, обнаружения и идентификации камедей, применяемых при производстве молочных продуктов. Бандесен, Мартинек (Procedure for the separation, detection, and identification of the more common vegetable gums in dairy products, with special reference to alginates. Bundesen Herman N., Martinek Mathew J.), J. Milk and Food Technol., 1954, 17, № 3, 79—81, 105 (англ.)

Описаны способы определения различных растительных камедей в молочных продуктах при содержании их $\geq 0,1$ г в 100 г. Альгинаты, осажденные в виде альгиновой к-ты, образуют растворимые соли с ионами Mg. Это позволяет отделять их от других камедей, обрабатывая белковый осадок насыщ. р-ром $MgSO_4$. Альгинаты идентифицируют цветной р-цией с подкисленным р-ром $Fe_2(SO_4)_3$. Г. Н.

45447. Производство бутирометров в Польше. Шиманский (Produkcja butyrometrów w Polsce. Szymanski Henryk), Przegl. techn., 1955, 76, № 4, Biul. glówn. urzędu miar, 3—4 (польск.)

45448. Производство молочных ареометров в Польше. Лер (Produkcja termolaktodensymetrów w Polsce. Leeg Waldemar), Przegl. techn., 1955, 76, № 4, Biul. glówn. urzędu miar, 4 (польск.)

45449. Состав некоторых видов пресноводных рыб. I Введение к определению вариаций состава рыбы. Станеби (Composition of certain species of freshwater fish. I. Introduction, the determination of the variation of composition of fish. Stansby M. E.), Food Res. (Chicago), 1954, 19, № 2, 231—234 (англ.)

Приводится обоснование необходимости изучения хим. состава рыбы, план и методы исследования. Г. Н.

45450. Порча трески на траулерах: определение степени порчи и показатели качества. Каstell, Триггс (Spoilage of haddock in the trawlers at sea: the measurement of spoilage and standards of quality. Castell C. H., Triggs Rosalie E.)

J. Fisheries Res. Board Canada, 1955, 12, № 3, 329—341 (англ.)

Опытами, проведенными в течение 8 месяцев на 850 экземплярах трески, установлено, что содержание триметиламина в мясе рыбы является более чувствительным показателем начала порчи рыбы, чем органолептическая оценка или значение pH. Развитие запаха в начальной стадии порчи близко коррелирует с повышением содержания триметиламина. Исключение составляет появление затхлого запаха, не сопровождающееся повышением содержания триметиламина или значения pH. Для установления качества филе трески предложены следующие показатели содержания триметиламина на 100 г филе: свежее 0—1 мг, сомнительное 1—5 мг, испорченное > 5 мг.

Г. Н. 45451. Некоторые результаты исследований, важные для рыбной промышленности. Лудорф (Einige für die fischindustrielle Praxis wichtige Forschungsergebnisse. Ludorff), Fischwirtschaft, 1955, 7, № 4, 108—109 (нем.)

Приведены данные из отчета эксперим. лаборатории рыбной пром-сти Дании о влиянии уксусной к-ты на сохранность закусочной сельди, затаренной в банки и в герметич. жестяные банки, о подавлении роста бактерий на поверхности закусочной сельди и в заливе, о бактерицидном действии органич. к-т (2%-ной уксусной к-ты или смеси 1%-ных уксусной, лимонной, молочной и виннокаменной к-т). Рекомендуется с целью приготовления малосольного продукта при консервировании икры часть соли заменить уксусной к-той.

Р. К. 45452. Об усовершенствовании производства консервов «Сардины балтийские» из салаки. Афанасьева Л. Н., Рыб. х-во, 1955, № 12, 17

На Балтийском комбинате с целью усовершенствования сардиносублики для повышения ее производительности и улучшения качества сардин сетки заменены рейками, на которые вешают разделанную на сардины салаку. Производительность сушилки увеличена почти вдвое, товарный вид рыбы улучшен. Необходима дальнейшая механизация процесса.

Е. Л. 45453. Новый способ предотвращения кристаллизации струвита. Мак-Фи, Суэйн (Stops struvite with new technique. Mc-Fee Earl P., Swaine Robert L.), Food Engng, 1953, 25, № 12, 67, 190, 192 (англ.)

Разработаны и запатентованы два способа предотвращения образования кристаллов струвита: выщелачивание рыбы для удаления Mg и повышение растворимости струвита путем снижения pH среды. В последнем случае изменяются физ. и органолептические свойства продукта. Установлена возможность повышения растворимости струвита при добавлении гексаметафосфата натрия, который может быть введен в продукт перед консервированием или непосредственно в банки в процессе их заполнения в небольших дозах в виде р-ра или в сухом виде. Консервы, содержавшие экспериментально установленные кол-ва гексаметафосфата, хранились в течение 3—4 лет без образования кристаллов струвита.

Г. Н. 45454. Консервирование крабов [США]. Дьюберри (Crab canning. Dewberry Elliot B.), Food, 1955, 24, № 290, 394—397 (англ.)

45455. Определение порчи рыбы путем подометрического титрования. Сообщение II. Трутвин (Bestimmung der Alterung des Fisches mittels jodometrischer Titration. II. Mitteilung. Truttwin H.), Z. Lebensmittel-Untersuch. und-forsch., 1954, 99, № 6, 461—464 (нем.)

Проверен ранее описанный подометрич. метод определения порчи рыбы. Результаты анализ. камбалы, лещи и мерлана 1—10-дневного хранения совпали с

данными, полученными при анализе трески. Предложено дальнейшее упрощение подометрич. определения, состоящее в том, что к навеске мяса рыбы в 1 г после суспендирования с 50 мл воды добавляют 10 мл иодного р-ра указанного титра или таблетку, заключающую соответствующее кол-во иода, и производят дотитрование по каплям. (Сообщение I см. РЖХИМ, 1956, 21229).

В. Г. 45456. Применение ротационной сушилки при производстве китайского чая в Малайе. Канагаратнам (The introduction of a rotary drier in the manufacture of China tea in Malaya. Kanagaratnam N.), Malayan Agric. J., 1955, 38, № 3, 174—176 (англ.)

45457. Синтетический заменитель перца. Даневский (Syntetyczny smak pieprzu. Daniewski W.), Przem. rolny i spozywczy, 1954, 8, № 7, 258 (польск.)

Описано получение пиперидина 2-стирилакриловой к-ты (I), обладающего вкусом перца, из бензальдегида (II) через коричный альдегид (III), получаемый конденсацией II с CH_3CHO , 2-стирилакриловую к-ту (IV), синтезируемую из III и малоновой к-ты в присутствии пиридина, и хлорангидрид IV (V), получаемый действием SOCl_2 на IV. Р-цией с пиперидином V переводит в I. Проведены опыты по приготовлению блюд из помидоров и горчицы с применением I. Польский ин-т пищевой пром-сти приступил к разработке синтеза I в крупно-лабор. масштабе.

Л. П. 45458. Производство соевого соуса «сёю» с применением раствора глутаминовой кислоты. Ивасита (グルタミン酸原液の醤油化. 第二報. 岩下晴七), 日本醸造協会雑誌, Нихон дзёдо кокай дзасси, J. Soc. Brewing, Japan, 1953, 48, № 11, 37—32 (япон.)

45459. Некоторые данные о новых эфирных маслах для применения в пищевой промышленности. Христьян А. Н., Минасян С. А., Изв. АН АрмССР Биол. и с.-х. н., 1955, 8, № 11, 131—135 (рез. арм.)

В целях изыскания новых вкусовых в-в для пищевой пром-сти изучены физ., хим. и физиологич. свойства 13 эфирных масел, выделенных из дикорастущих: длиннолистной мяты (линалоольной, сладко-линалоольной, бальзамитной и линалоольно-масляной), мяты кошачьей, эригерона, полыни (душистой и обыкновенной), чебреца (обычного и бергамотного) и культурных растений (мяты перечной, душистой герани и лаванды). Получены новые эфирные масла из четырех видов дикорастущей мяты — линалоольное, сладко-линалоольное, бальзамитное и линалоольно-масляное и из двух видов чебреца — чебрецное и бергамотное. Установлена их полная безвредность для организма. Эфирные масла высокого качества: линалоольное, сладко-линалоольное, бальзамитное, линалоольно-масляное, мятное, гераниевое, бергамотное, лавандное — рекомендованы для использования в ликеро-водочной и кондитерской пром-сти, а также для изготовления прохладительных напитков. Эфирные масла: эригероновое, мяты кошачьей и душистой полыни — уступают по качеству первым, но также могут быть использованы для этих же производственных целей. Эфирные масла обыкновенной полыни и тимусное могут применяться при изготовлении водочных изделий.

В. Г. 45460. Оборудование для культивирования микроорганизмов. Хеден, Мальмгрен (Equipment for cultivation of microorganisms. Hedén C.-G., Malmgren B.), Industr. and Engng Chem., 1954, 46, № 9, 1746—1751 (англ.)

45461 К. Методы исследования пищевых продуктов. Микловиц (Élelmiszeripari termékek szabványos vizsgálati módszerei. Miklovicz. András,

Budapest, Tervgazd. Kiadó, 1954, 555 л., 100 Ft) (венг.)

45462 К. Успехи в исследовании пищевых продуктов. Том 5. Мрак, Стюарт (Advances in food research. Vol. V. Mraz E. M., Stewart G. F. (Eds.), New York, N. Y., Acad. Press Inc., Publ., 1954, X, 538 pp.) (англ.)

Том 4 см. РИХХим, 1955, 4943

45463 К. Технология приготовления пищи. (Кулинария. Учебник для I и II курса техникумов общественного питания). Изд. 2-е переработ. Христова С. Я. (Технология на храната (Готварство. Учебник за I и II курс на техникумите по обществено хранене). 2-ое переработ. изд. Христова Стефана Якимова. София, Нар. просв., 1955, 15 стр. с илл., 3.80 лв.) (болг.)

45464 К. Хлеб высокого качества. Причины пороков хлеба. Верникке (Dobry chleb. Przyczyny wad chleba. Wernicke Walter. Tlum. z. niemieckiego, Warszawa, Wydawn. Przem. Lekkiego i Spozywcz., 1954, 93, 2 нб. стр., илл. 5.30 зл.) (польск.)

45465 К. Хранение и переработка плодов и овощей. Сабуров Н. В., Антонов М. В. Перев. с русс. (Съхранение и преработка на плодове и зеленчуци. Сабуров Н. В., Антонов М. В., София, Земиздат, 1954, 594 с. илл., 19—20 лв.) (болг.)

45466 К. Овощные и фруктовые консервы. Теишану (Conserve de legume si fructe. Teişanu Ecaterina, Ed. rev. si compl., Bucureşti, 1954, Comitetul femeilor democrate din R. P. R., 119 p., ил., lei 1.50) (рум.)

45467 К. Техника производства консервов. Банлье (Técnica de la fabricación de conservas alimenticias. Banlieu Jaime, 237 pp., con. grab., 18 cm., Edit. Sintes., Barcelona, 1953, 32,00) (исп.)

45468 К. Технология мяса и мясных продуктов. I т. (Technologie masného průmyslu. I. díl. Vyprac. Hl. správa masného a rybného prům. Praha, min. potravinářského prům., 1955, 263, [12] стр.) (чеш.)

45469 К. Технология птицеводства и промышленное птицеводство (Сб. статей) Под ред. канд. техн. н. Тихомирова А. Е. М., Пищепромиздат, 1954, 140 стр., илл., 9 руб.

45470 К. Техно-химический контроль в молочной промышленности. Букбард (Pienū rūpniecības tehniskā un ķīmiskā kontrole. (Sast.) B u k b ā r d s A., Valmieras sviesta rūpniecības trests, Riga, 1955, 116 lpp., Bezmaks) (лат.)

45471 К. Кисломолочный продукт из верблюжьего молока — чал. Киселева Н. Т., Ашхабад, изд-во АН Туркм. ССР, 1955, 54 стр., 2 р. 25 к.

45472 К. Чистые молочнокислые культуры. Макса Теплий, Ведлич (Čisté mlékařské kultury. Maxa Teply, Vedlich. Hradec Králové, Mlékařské závody, 1955, 96, [1] стр.) (чеш.)

45473 К. Рыбная кулинария. Бирд (Fish cookery. Beard James Andrews. London, Faber, 1955, xiii, 460 pp., илл., 21 sh.) (англ.)

45474 Д. Исследование процесса контактной сушки капилярино-пористых тел. Красников В. В. Автореф. дисс. канд. техн. н., Моск. технол. ин-т пищ. пром-сти, М., 1955

45475 Д. Исследование химических и товароведных особенностей яблок Прикарпатья. Соломийчук С. О. Автореф. дисс. канд. техн. н., Моск. ин-т нар. х-ва, М., 1955

45476 Д. Лактозображивающие дрожжи кефира и их значение для его качества. Буканова В. И. Автореф. дисс. канд. техн. н., Моск. ин-т нар. х-ва, М., 1955

45477 Д. Разработка количественного метода гидрогенизации; применение его и других методов в изучении процесса окисления молочного жира. Томас (The development of a quantitative hydrogenation method: the use of this and other methods in following the progress of oxidation in milk fat. Thomas Robert H. Abstr. doct. thes. Chem., Iowa State Coll., 1953—1954, Iowa State Coll. J. Sci., 1955, 29, № 3, 517—518 (англ.)

45478 П. Способ подготовки кукурузных зерен для поджаривания. Смит (Method of preparing corn for popping. Smith Howard C.) [American Pop Corn Co.]. Канад. пат. 500136, 23.02.54

Патентуется способ, включающий хранение массы свежесобранных початков кукурузы под прикрытием, но при доступе атмосферного воздуха ко всей массе початков в течение периода времени, включающего все время месяца. При этом происходит подсушивание початков под действием воздуха и выделяемого тепла. Массу початков ворошат для поддержания постоянной температуры, что обеспечивает однородную сушку всей массы. Початки хранят на воздухе до снижения влажности от 16—18% до 12,7—13,5% и затем продолжают хранение, поддерживая влажность початков на уровне 12,7—13,5% без потери способности зерен к поджариванию. Зерна высушивают из початков при этой пониженной, однородной влажности и упаковывают во влагонепроницаемую тару. Г. Н.

45479 П. Способ подсушивания муки. Густавсон (Process of partially dehydrating flour. Gustavson Elmer G.). Пат. США 2680303, 8.06.54

Патентуется способ подсушивания муки, содержащей > 12% влаги. Муку быстро пропускают через сушилку при атмосферном давлении. Т-ру теплообменных поверхностей последней поддерживают на уровне, соответствующем давлению пара ~ 0,07—0,35 ат. Затем муку быстро охлаждают и пропускают через вторую сушилку при атмосферном давлении с т-рой теплообменных поверхностей на уровне, соответствующем давлению пара 1,75—7 ат. Подсушенную муку быстро охлаждают. Г. Н.

45480 П. Метод и прибор для стерилизации и (или) витаминизации порошкообразных веществ, в частности муки, сухого молока и т. п. Лембке (Verfahren und Vorrichtung zur Entkeimung und/oder Vitaminisieren von pulverförmigem Gut, insbesondere Mehl, Trockenmilchpulver od. dgl. Lemcke Alfred G.) [Siemens-Schuckertwerke A.-G.]. Пат. ФРГ 891178, 24.09.53 [Chem. Zbl., 1954, 125, № 28, 637] (нем.)

Вещество подвергают действию УФ-лучей, большая часть которых имеет длину волны 2200—3000 Å. Е. Ж.

45481 П. Кокосовый орех. Кауфман, Майя (Coconut. Kaufmann Charles W., May Charles B. de) [General Foods Corp.]. Канад. пат. 500338, 2.03.54

Патентуется процесс обработки и получения кокосового ореха, мягкого и устойчивого к микробиологическому порче, содержащего 5—15% влаги и увлажнитель. Последний выбран из группы, включающей пропилен и бутил-глицерол с нормальным кол-вом примесей, содержащих группу = CO, которые удаляют фракционной дистилляцией при пониженном давлении или прибавлением SO₂. Увлажнитель предохраняет кокосовый орех от нежелательного пожелтения. А. П.

45482 П. Производство соленых орехов. Келли (Salted nuts and process for making the same. Kelly William W.). Канад. пат. 501394, 13.04.54

Очищенные сырые орехи обжаривают для быстрого удаления влаги. На поверхность горячих орехов медленно наносят влагонепроницаемое покрытие для

сохранения их свежести, вкуса и хруста. После охлаждения, внешнюю поверхность орехов обрабатывают пищевым покрытием, на которое наносят соль способом, обеспечивающим ее прилипание.

45483 П. Сушеная японская хурма. **Мори** (Dried persimmons. Mori K. Saku). Япон. пат. 4035, 19.08.53 [Chem. Abstrs, 1954, 44, № 15, 8987 (англ.)] Очищенные плоды выдерживают в атмосфере, содержащей 0,08 г/л окиси этилена, для образования пленки $(CH_2OH)_2$ на поверхности плодов.

45484 П. Сушеные пищевые продукты и способ их производства. **Ко** (Dried food product and method of producing same. Coe Mayne R.). [Rile-Coe Filter Process, Inc.]. Канад. пат. 500555, 9.03.54

Способ сушки плодов, овощей и подобных продуктов, содержащих к-ты, сахар и воду, состоит в удалении из них воды при сохранении естественного соотношения сахара и к-ты воздействием света с длиной волны $> 4900 \text{ \AA}$, при одновременной защите от волн длиной между 2700—4900 \AA и 6300—6700 \AA .

45485 П. Консервирование плодов. **Шафер** (Method for preserving fruits. Schaefer Anna). Канад. пат. 491076, 10.03.53

Патентуется способ консервирования плодов, содержащих большое кол-во пектина и к-т (напр., яблоки, лимоны), а также плодов с небольшим содержанием этих в-в (напр., груши) в комбинации с плодами, богатыми ими, без применения консервантов и использования контейнеров со сжатым воздухом. Плоды измельчают, не очищая от кожицы и сердцевин, добавляют к яблокам 15—20 вес %, к лимонам 100 вес. % воды, уваривают до удаления 20% (яблоки) или 55% (лимоны) содержащейся воды и до pH 2,7—3,3. Массу протирают через сито, добавляют 60—65% (яблоки) или 100% (лимоны) сахара к весу пюре, уваривают в течение 4 мин. (яблоки) — 5 мин. (лимоны), разливают в горячем состоянии в плоские сосуды и подсушивают при невысокой т-ре 30 мин. (яблоки) — 60 мин. (лимоны) до образования плотной массы. При консервировании смеси ананасов и лимонов к очищ. измельченным ананасам добавляют 100 вес. % воды и 40 вес. % сахара и уваривают до удаления примерно половины воды. Измельченные лимоны отдельно уваривают с двойным кол-вом воды до их размягчения и удаления примерно половины воды. Уваренную массу лимонов добавляют к сахаросодержащей ананасной массе в кол-ве 1/3 к весу последней, смесь протирают через сито, устанавливают pH смеси в пределах 2,7—3,1, добавляют ~65% сахара к весу ананасов, уваривают 5—10 мин., разливают в горячем состоянии в плоские сосуды и сушат 40—50 мин.

45486 П. Способ изготовления слоистого мясного продукта. **Майндер** (Method of making a composite meat product. Minder George A.). [Minder Bros., Inc.]. Пат. США 2673156, 23.03.54

Метод формовки слоистых кусков мяса отличается тем, что ломтики мяса толщиной 0,5—1,6 мм, уложенные один на другой стопкой, прорезают насквозь во многих местах одновременно с каждой стороны стопки, при этом последние уплотняются, а сделанные надрезы связывают между собой ломтики.

45487 П. Процесс консервирования мяса. **Звоста** (Meat curing process. Zwosta William M.). Канад. пат. 503386, 25.05.54

Патентуется метод консервирования мяса, состоящий в том, что свежее мясо шприцуют охлажд. рассолом, покрывают слоем охлажд. посолочной пасты и немедленно подвергают одновременному действию тепла и дыма. Копчение ведут при $63-77^\circ \leq 12$ час. до достижения т-ры внутри продукта $\sim 61^\circ$ и выдерживают при этой т-ре 2 часа. Затем продукт охлаждают. Весь процесс посола и термич. обработки, включая охла-

ждение, длится ≤ 24 час. Способ приготовления рассола: тростниковый сахар-песок, нитрат натрия, нитрат калия растворяют в воде, подогревают до 101° , охлаждают до 3° , добавляют соль и воду до получения плотности р-ра 16° Be . Способ приготовления пасты: р-р нитрата натрия и нитрата калия в воде подогревают до 101° и охлаждают до 3° , затем добавляют соль, сахар и пищевой кукурузный крахмал в кипящей воде, взятый в таком кол-ве, чтобы получить пасту, способную прилипать к мясу.

45488 П. Мясной продукт и способ его производства.

Офтедал (Meat product and process. Ofte dal Edwin N.). Канад. пат. 500610, 16.03.54

Для получения мясного фарша, обладающего способностью в условиях холодного хранения удерживать свежий цвет и противостоять распаду, вызываемому действием бактерий и ферментов, составляют смесь измельченного сырого мяса с добавкой яичного белка или смеси белка и желтка. Процесс произ-ва включает грубое измельчение мяса, смешивание с яичным белком (0,18—0,78% на сухое в-во) и желтком (0,12—0,63% на сухое в-во), измельчение смеси до желательного размера частиц.

45489 П. Способ обработки пищевого продукта.

Треслер (Method of treating food. Tressler Donald K.). [Paul T. Breithaupt]. Канад. пат. 501015, 23.03.54

Патентуется способ обработки белковых пищевых продуктов для предотвращения развития в них неприятных запахов при хранении и варке. Продукт погружают в воду. тонкодисперсный р-р пектинового в-ва, имеющий pH ≤ 6 , затем упаковывают, замораживают приблизительно при -26° и хранят при -18° .

45490 П. Белковые пищевые продукты. **Бойер** (Protein food products. Boyer R. A.). Англ. пат. 699692, 11.11.53 [Food Manufacture, 1954, 29, № 4, 169 (англ.)]

Патентуется процесс изготовления пищевых продуктов с пофазным описанием получения белковых волокон и применения в-в для их связи. Способ пригоден для изготовления продуктов, которые должны иметь запах, вкус, цвет и «разжевываемость» мяса, но не должны содержать последнее в своем составе. Любые белки могут быть использованы для получения пищевых волокон, напр. белки масличных семян, таких как соя, земляные орехи, а также казеин и белки из клейковины, рыбы или кукурузы.

45491 П. Пищевой продукт с высоким содержанием белка и процессе его производства. **Бойер** (High protein food product and process for its preparation. Boyer Robert A.). Пат. США 2682466, 29.06.54

Процесс произ-ва синтетич. мяса включает получение волокон белкового в-ва и нанесение на них пищевого связывающего в-ва, выбранного из группы связующих в-в зерна и пищевых белков.

45492 П. Удаление жира с кишок. **Эрнст, Гольдхаммер** (Removing fat from gut. Ernst R. L., Goldhammer H.). Австрал. пат. 150978, 7.05.53

Для обезжиривания кишки обрабатывают сперва протеолитич. ферментом или ферментами в водн. р-ре, а затем водн. р-ром «безвредных» поверхностноактивных в-в, или же их обрабатывают только водн. р-ром поверхностноактивного в-ва или в-в в течение 1—5 час., поддерживая т-ру р-ра $\sim 55-58^\circ$.

45493 П. Деионизированное молоко с высоким содержанием белка и способ приготовления его. **Стимпсон, Риггс** (High protein deionized milk and process of making the same. Stimpson Edwin G., Riggs Lloyd K.). [National Dairy Research Lab., Inc.]. Пат. США 2708633, 17.05.55

Способ приготовления деионизированного молока с высоким содержанием белка состоит в обработке молока смесью, содержащей 1 ч. анионообменной смолы и 0,8—1,33 ч. сильнокислот катионообменной смолы. Эти части определяют исходя из емкости ионообменных смол; соотношение этих смол подбирают внутри указанных пределов так, чтобы pH вытекающего молока поддерживать между 5,0—7,0. Регулируют содержание плотных в-в в молоке $\geq 30\%$ и pH молока в пределах 5,8—6,2 и вводят в молоко белок. А. О.

45494 П. **Способ и продукт переработки молока. Пиблс, Клэри** (Milk treatment process and product. Peebles David D., Clary Paul D., Jr) [Western Condensing Co.]. Канад. пат. 500413, 2.03.54

Патентуется частично лишенный лактозы молочный порошок и способ его произ-ва. Обезжиренное молоко, содержащее белки молока и лактозу, упаривают под вакуумом до образования относительно вязкого концентрата, содержащего 35—55% сухих в-в. К концентрату, чтобы сделать его относительно жидким при низких т-рах, добавляют смешивающийся с водой р-ритель (спирт и т. п.) до содержания его 5—25% (в жидкой фракции). Охлаждая концентрат, вызывают кристаллизацию лактозы. Удаляют кристаллы лактозы, а затем р-ритель и концентрат высушивают при распылении. Полученный молочный порошок содержит значительно меньше лактозы, чем обычное обезжиренное молоко. Отношение молочного альбумина к казеину и баланс минер. солей не меняются. Г. Н.

45495 П. **Пищевой продукт. Мид, Клэри** (Food product. Meade Reginald E., Clary Paul D., Jr) [Western Condensing Co.]. Канад. пат. 496392, 22.09.53

Занатентован способ произ-ва из коровьего молока концентрата для питания детей, не обладающего посторонним вкусом и запахом и выдерживающего продолжительное хранение без прогоркания, изменения окраски и выпадения осадка Са-фосфата или лактозы. Сливки выдерживают при 93—149° в течение времени, достаточного для стабилизации жира молока против прогоркания. Сыровотку, содержащую лактозу, зольные в-ва, к-ту, белок молока и продукты его распада, пропускают через катионит для замещения ионов металлов, содержащихся в сыровотке, ионами водорода, снижая значение pH до ≤ 2 , затем для удаления образовавшейся при этом к-ты пропускают сыровотку через анионит, повышая значение pH до 6—7,5. В результате обработки сыровотки ионообменными смолами снижается содержание в ней зольных в-в и продуктов распада белков, включающих пептиды и свободные аминокислоты, определяемые формальным титрованием, и повышается содержание белковых в-в, осаждаемых трихлоруксусной к-той. Обработанную сыровотку сушат при распылении, получая порошок, легко диспергируемый в воде. Порошок смешивают со стабилизированными сливками в кол-ве, обеспечивающем получение продукта с таким же соотношением жира, лактозы, казеина и других белков и золь, как в жеском молоке. Смесь упаривают и сушат, получая порошкообразный, негигроскопичный и легко диспергируемый в воде концентрат. Г. Н.

45496 П. **Пищевой продукт и способ его производства. Стюарт, Говард, Уотсон, Клинер, Соммер** (Food product and method of making. Stuart Gerald H., Howard Hartley, Watson John T., Clickner Forest H., Sommer William A.) [The Borden Co.]. Пат. США 2682469, 29.06.54

Патентуется способ произ-ва сухого пищевого продукта с высоким содержанием казеина, приятного на вкус и не имеющего привкуса казеина. Продукт обла-

дает водопоглощающей способностью $\geq 2,5$ и высокой водоудерживающей способностью и не обладает клейкостью. На частички свежеполученного невысушенного казеина наносят покрытие, состоящее из водн. р-ра молочного альбумина и молочной к-ты. Полученный полуфабрикат измельчают до получения текучей, однороднодисперсной смеси, которую высушивают путем распыления при т-ре ниже т-ры денатурации казеина и перехода молочного альбумина в нерастворимое состояние. Г. Н.

45497 П. **Смесь для желеобразных молочных продуктов (Blancmange compositions)** [American Home Foods, Inc.]. Англ. пат. 707233, 14.04.54 [Chem. Zbl., 1955, 126, № 8, 1869—1870 (нем.)]

Смесь крахмала, сахара, воды, если надо и желатирующих средств, напр. CaCl_2 , нагревают и сушат на горячих вальцах, затем тонко размалывают, смешивают с гидрофобным в-вом, напр. с гидрированным хлопковым маслом, вновь нагревают и сушат. Если необходимо, добавляют средства, коагулирующие казеин, напр. к-ту или протеолитич. фермент, антиокислители стабилизаторы и ароматич. в-ва. А. Т.

45498 П. **Способ консервирования рыбы и рыбных продуктов. Суэйи** (Process of canning fish and products thereof. Swaine Robert L.) [Gorton-Pew Fisheries Co., Ltd.]. Пат. США 2680076, 1.06.54

Патентуется способ консервирования рыбных продуктов, включающий введение в консервы (в кол-ве, достаточном для почти полного предотвращения кристаллизации струвита) производного аминокислотной к-ты $\text{XN}(\text{CH}_2\text{COOR})_2$, где R — член группы, включающей H, NH_2 , Na, K и Li, а X — член группы, включающей — CH_2COOR и — $\text{C}_2\text{H}_4\text{N}(\text{CH}_2\text{COOR})_2$. Г. Н.

45499 П. **Консервы из рыбы и крабов и способ производства их. Крейдл, Мак-Фи** (Process of canning fish and shell fish and resultant product. Kreidl Ekkehard L., McFee Earl P.) [Gorton-Pew Fisheries Co., Ltd.]. Канад. пат. 500718, 16.03.54

В консервы из рыбы и крабов перед закаткой добавляют водорастворимый стекловидный щел. фосфат в кол-ве, равном по крайней мере 50-кратному кол-ву магния, содержащегося в консервах, или гексаметафосфат натрия в кол-ве $\geq 0,25\%$ по весу от общего содержания влаги для предотвращения кристаллизации струвита. Г. Н.

45500 П. **Обжарка кофе. Олеников** (Coffee roasting. Olenikov Sahn y). Пат. США 2689795, 21.09.54

Способ включает диспергирование порошкообразного углеродистого катализатора в сыром кофе, повышение т-ры массы обычным путем, охлаждение и размол обжаренных зерен. Для увеличения массы до первоначального кол-ва прибавляют воду, причем часть ее используют для охлаждения зерен. Катализатор отделяют от зерен после подогревания перед размолом. М. А.

45501 П. **Способ облагораживания кофе. Ларсон** (Verfahren zur Veredlung von Kaffee. Larson Victor). Пат. ФРГ 893282, 15.10.53 [Chem. Zbl., 1954, 125, № 13, 2935 (нем.)]

Сырые бобы кофе обрабатывают водн. р-ром хлорида щел. металла, напр. NaCl , и сахаристого в-ва при повышенной т-ре, напр. при 70°, ~ 10 мин., извлекают из р-ра, сушат в токе воздуха при низкой т-ре и обжаривают при т-ре $\leq 250^\circ$. В. Г.

45502 П. **Продукт из кофе и способ получения его. Лемонье** (Coffee product and process thereof. Lemonnier Pierre). Пат. США 2680687, 8.06.54

Патентуется способ получения ароматич. фракции кофе. Обжаренные зерна нагревают при 25—80° под вакуумом (при остаточном давлении < 20 мм) для извлечения ароматич. в-в, после чего фракцию сгущают.

В. Г. 45503 П. Способ изготовления кофеинсодержащего кофе из зерновых злаков. Бейттер (Verfahren zur Herstellung von koffeinhaltigem Getreidekaffee. Beitter Helmut). Пат. ФРГ 881301, 29.06.53 [Chem. Zbl., 1953, 124, № 47, 8233 (нем.)]

Замоченное или распаренное зерно сильно обжаривают при ~ 170—190°, охлаждают при добавлении воды или сахарного р-ра и опрыскивают водн. р-ром кофеина при ~ 90—95°. После выпаривания воды из кофеинового р-ра на поверхности зерн их покрывают смоляной глазурью и вновь обжаривают.

В. Г. 45504 П. Табачные продукты. Франкенберг (Tobacco products. Frankenburg Walter G. [General Cigar Co., Inc.]. Канад. пат. 491335, 17.03.53)

Патентуются следующие табачные продукты, пригодные для курения: 1) продукт, состоящий в основном из измельченного сухого табака и ≤ 20 вес. % водорастворимого полисахарида, содержащего карбоксильную группу, водн. р-р которого при конц-ии ≤ 5% имеет вязкость при 25° ≥ 1500 спуаз, и 2) продукт, состоящий в основном из сухого измельченного табака и ≤ 10 вес. % щел. солей альгиновой к-ты, 2%-ный р-р которой при 25° имеет вязкость ≥ 1500 спуаз, и 2—15 вес. % глицерина. Эти добавки, тщательно смешанные с измельченным табаком, превращают его в вязкую однородную массу. Для получения такого табачного продукта сухой табак измельчают и смешивают с вязким водн. р-ром связующего в-ва, не влияющего на курительные свойства табака, в соотношении, позволяющем получить однородную пасту без отделения из нее этого р-ра. Пасту формуют и сушат до желаемой степени связности.

Г. Д. 45505 П. Способ улучшения и облагораживания табака. Кобер (Verfahren zum Verbessern und Veredeln von Tabak. Kober Bruno). Пат. ФРГ 886264, 13.08.53 [Chem. Zbl., 1954, 125, № 6, 1375 (нем.)]

Листья табака в течение короткого времени обрабатывают р-ром, содержащим SiO₂, который получают смешиванием эквивалентных кол-в разб. к-ты, напр., HCl, и р-ра щел. силиката.

П. Д. 45506 П. Способ облагораживания табака. Бачек (Verfahren zur Veredlung von Tabak. Bacek Michael). Швейц. пат. 293094, 1.12.53 [Chem. Zbl., 1954, 125, № 25, 5651 (нем.)]

Табак подвергают воздействию потока воздуха с т-рой 60—70° и относительной влажностью 70—95% до тех пор, пока содержание никотина в нем снизится до желаемого кол-ва.

П. Д. 45507 П. Методы обработки табака. Хейл (Methods of treating tobacco. Hale William J.) Verdun Co.]. Пат. США 2716411, 30.08.55

Патентуется сигарета, у которой табак и сигаретная бумага в большей части ее длины пропитаны активным водорастворимым хлорофиллом. Один конец сигареты не содержит хлорофила.

Г. Д. 45508 П. Дезодорация растворов, содержащих аминокислоты, и образование бродильного аромата в них. Хория (Deodorization of amino-acid solution and imparting fermented aromatic odor to it. Horii Akira, et al.). Япон. пат. 5787, 10.11.53 [Chem. Abstrs, 1954, 48, № 16, 9584 (англ.)]

К соевому соусу, имевшему плохой букет и содержащему 10% общего N и 12% NaCl, была добавлена глюкоза (10%) и споры *Aspergillus oryzae* (0,5%). Обработка производилась при пропускании воздуха со скоростью 3 л/мин в течение 40 час. при 25° и при

добавлении NaCl (18,5%). После выдержки р-р имел соответствующий бродильный аромат.

И. С. 45509 П. Новые пищевые продукты и способ приготовления их. Шовен (Procédé de préparation d'un produit alimentaire nouveau et produits obtenus par ce procédé. Chauvin Rémy) [Institut National de la Recherche Scientifique]. Франц. пат. 1067425, 15.06.54 [Chimie et industrie, 1954, 72, № 4, 729 (франц.)]

Патентуются новые пищевые продукты и способ приготовления их, состоящий в том, что пылью высушивают при т-ре < 40°, очищают проведением от сорной примеси и измельчают. После добавления сахара и ароматич. в-в продукт упаковывают в герметически закрытые железные коробки для предохранения от влаги.

А. У. 45510 П. Антисептики из масла рисовых отрубей. Кояма (Antiseptics from rice-bran oil. Koyama Ryosei). Япон. пат. 4250, 28.08.53 [Chem. Abstrs, 1954, 48, № 15, 9024 (англ.)]

Собирают, при прохождении через воздух, фракции рисового масла, отгоняющиеся при нагревании его в течение 2 час. при 150—240° и при 280—300°. Твердые жирные к-ты отделяют от жидких к-т, содержащих в молекуле 6—10 атомов С.

С. С. 45511 П. Консервирование пищевых веществ. Кастан (Procédé de conservation des substances d'origine organique. Castan J. F. R.). Англ. пат. 1032826, 6.07.53 [Chem. Zbl., 1954, 125, № 24, 5420 (нем.)]

В качестве нового консерванта для мясных, рыбных и плодовоовощных продуктов запатентованы в-ва, содержащие бисульфитные соединения альдегидов и их производные.

Т. С. 45512 П. Упаковка и способ хранения скоропортящихся продуктов. Айроне, Стантон (Container for and process of preserving perishable foodstuffs. Irons Carroll R., Stanton George W.). [The Dow Chemical Co.]. Канад. пат. 505949, 21.09.54

Гибкий пакет для упаковки пищевого продукта изготовлен из сополимера 90—92% винилиденхлорида и соответственно 10—8% акрилонитрила, в котором субмикроскопич. кристаллиты имеют плоскую ориентацию. Он характеризуется сохранением размеров при нагревании до 50° и усадкой не менее, чем на 30% при нагревании в воде при 85—100°.

Т. Ж. 45513 П. Упаковка продуктов. Парке (Packaging commodities. Parks Willis J.) [Owens-Illinois Glass Co.]. Пат. США 2667421, 26.01.54

Патентуется непроницаемый контейнер с герметич. закрывающейся крышкой для упаковки сушеных фруктов. Контейнер содержит окись пропилена под давлением ниже атмосферного.

А. К. 45514 П. Слоистый листовой материал для упаковки (Coated sheet material for packaging) [Marathon Corp.]. Австрал. пат. 157053, 1.07.54

Патентуется листовой материал, содержащий по крайней мере один основной лист и поверхностный слой воска. Восковой слой состоит или включает в себя воск, практически не реагирующий с мочевиной, получаемый из парафина или микрокристаллич. нефтяного парафина. Патентуются также изделия из этого материала, напр. ящики для молочных бутылок.

С. С. 45515 П. Посуда для приготовления пищи и покрытие ее изолирующим слоем. Эдгар (Food containers and coating therefor. Edgar Albert C.) [Wilson and Co., Inc.]. Пат. США 2685521, 3.08.54

Патентуется способ предупреждения прилипания мясных продуктов во время варки к внутренней поверхности посуды. Поверхность посуды до варки по-

крывают сплошным твердым слоем смеси свиного сала и $\geq 5\%$ неполиного глицерида жирной к-ты, содержащей в молекуле от 12 до 24 атомов С. С. С.

45516 П. Состав для смазывания консервных банок. Кук (Tin pot oil composition. Cook Willard O.) [United States Steel Corp.]. Пат. США 2710272, 7.06.55

Состав содержит в основном минер. масло с т. всп. $> 260^\circ \geq 5$ вес. % жирного масла из группы, включающей пальмовое и касторовое масла, жир животного происхождения, гидрированные кукурузное, хлопковое, кокосовое масла, гидрированный рыбий жир и $\geq 0,25$ вес. % SnCl_2 . Г. Н.

45517 П. Мойка оборудования пищевого производства (Cleansing food handling equipment) [Imperial Chemical Industries of Australia and New Zealand, Ltd.]. Австрал. пат. 155302, 4.03.54

Патентуется способ мойки и стерилизации оборудования в водн. р-ре, содержащем соль галоидоводородной к-ты и додецилтриметиламмония или соль галоидоводородной к-ты и тетрадецилтриметиламмония или их смесь. Г. Н.

См. также: 42560, 43819, 43822, 43831, 43833, 44281, 44531, 44579, 45240, 45241, 45807; 13147Бх, 13180Бх, 13187Бх, 13195Бх, 13217Бх, 13218Бх, 13312Бх, 13510Бх, 13533Бх, 13543Бх, 13640Бх, 13656Бх, 13688Бх, 14042Бх, 14043Бх, 14046—14049Бх, 14051Бх, 14052Бх, 14055Бх, 14072—14076Бх, 14093—14098Бх, 14102—14104Бх, 14108Бх, 14112Бх, 14114Бх

КОЖА. МЕХ. ЖЕЛАТИНА. ДУБИТЕЛИ. ТЕХНИЧЕСКИЕ БЕЛКИ

45518. Техническая литература и достижения в области кожевенной промышленности СССР в период 1945—1955 г. Цесельский (Literatura techniczna i osiągnięcia z zakresu przemysłu garbarskiego w ZSRR na przestrzeni lat 1945—1955. Ciesielski Jerzy), Przegl. skórzan., 1955, 10, № 9, 199—200 (польск.)

45519. Достижения кожевенной промышленности Советского Союза в области выработки кожи. Ласек (Osiągnięcia garbarstwa radzieckiego w technologii wyprawy skór. Lasek Wiktor), Przegl. skórzan., 1955, 10, № 10, 227—230 (польск.)

Отмечаются достижения советских кожевников в области широкого внедрения ускоренных методов дубления жестких кож, в строительстве оснащенных современным оборудованием кожзаводов, в использовании новых видов кожсырья (шкур морских животных), в использовании низкокачественного сырья для получения рядовой кожи, в новых методах хромового дубления и др. М. Л.

45520. Применение ультразвука в кожевенной промышленности. Грегусш, Вахтер (Az ultrahang alkalmazása a bőriparban. Greguss Pal, Vacher Janos), Bőr és cipőtechn., 1955, 5, № 4, 75—77 (венг.)

45521. Солевые пятна — бактериальные пятна. (Дискуссия о причинах образования пятен на кожевенном сырье). Хаузам (Salzflecken — Keimflecken. Diskussion über die Ursache der Fleckenbildungen). Hausam W.), Leder, 1954, 5, № 10, 247—251 (нем.; рез. англ., франц., исп.)

Критически рассмотрены основные положения статьи Кюнцеля и Штирца (РЖХим, 1956, 27700). На основе обзора литературы, лабор. опытов и практич. наблюдений делается вывод о том, что солевые пятна на лицевой и бахтармной стороне шкуры появляются в результате жизнедеятельности микроорганизмов. По-

этому предлагается называть эти пятна не солевыми, а бактериальными. И. Э.

45522. Ответ на статью Хаузама «Солевые пятна — бактериальные пятна». Кюнцель, Штирц (Entgung zu den vorstehenden Ausführungen von W. Hausam «Salzflecken — Keimflecken». Kuntzel A., Stirtz T.), Leder, 1954, 5, № 10, 251—254 (нем.)

Авторы возражают против утверждения Хаузама (см. пред. реф.) о бактериальном происхождении солевых пятен на кожевенном сырье и доказывают правильность своей гипотезы происхождения указанных пятен. Гистологич. исследование шкуры и голя на месте пятен показывает, что между волокнами коллагена находятся гранулированные, растворимые в к-тах включения, причем в этих местах отсутствуют бактерии. Встречающиеся на бахтарме бактерии не являются причиной появления пятен. По мнению авторов, указанные включения представляют собой продукты взаимодействия солей щел.-зем. металлов из консервирующих средств с продуктами автолитич. расщепления остатков крови, содержащей Fe и P. И. Э.

45523. Развитие химии коллагена за 50 лет. Хайбергер (A half century of progress in collagen chemistry. Hieberger John H.), J. Amer. Leather Chemists Assoc., 1953, 48, № 12, 704—719 (англ.)

Доклад на юбилейном заседании Американского общества химиков-кожевников, в котором приведен обзор исследований по аминокислотному составу коллагена, моделей, предложенных для объяснения строения коллагена, и электронномикроскопич. исследований коллагена и проколлагена. Разбирается значение исследования структуры для объяснения механизма дубления. Библ. 48 назв. С. Б.

45524. Теплота смачивания коллагена, кожи и других органических волокнистых материалов. Канаги (Heats of wetting of collagen, leather, and other organic and fibrous materials. Kanagy Joseph R.), J. Amer. Leather Chemists Assoc., 1954, 49, № 10, 646—658 (англ.)

Калориметрическим методом определяли теплоту смачивания ряда материалов. Интегральная теплота смачивания в кол.: коллагена 37,1, голяевого порошка, дубленого формальдегидом, 33,9, дезаминированного голяевого порошка 30,9, хромовой кожи 31,5, хромрастительной кожи 25,2, кожи растительного дубления 21,7, вискозного волокна 21,4, шерсти 20,8, шелка 13,7, хлопка 11,2, ацетатного волокна 8,6, найлона 6,6, стеклянного волокна 0,5. Было установлено, что интегральная теплота смачивания исследованных материалов пропорциональна кол-ву влаги, сорбируемой ими в атмосфере с относительной влажностью 65%. Были также рассчитаны дифференциальные теплоты смачивания при влажности материалов 0—16%. Высказываются соображения о механизме и причинах различия сорбции влаги различными волокнистыми материалами. И. Э.

45525. Изучение образования поперечных связей при реакции глиоксала с коллагеном. Слейхтер, Лоллар (A study of the glyoxal-collagen reaction as it contributes to cross-linking. Sleichter George M., Lollar Robert M.), J. Amer. Leather Chemists' Assoc., 1954, 49, № 6, 414—422 (англ.)

Исследовался процесс обработки коллагена глиоксалем, который известен как дубящее в-во, хотя механизм этой р-ции мало изучен. Показано, что обработка коллагена глиоксалем приводит к образованию новых и более прочных поперечных связей, благодаря чему увеличивается гидротермич. устойчивость коллагена и прочность волокна. С. Б.

45526. Регенерация тузлукного рассола сернокислым алюминием. А. Яфимов А., Кузьменко Л., Мясная индустрия СССР, 1955, № 4, 13—15

Проверена возможность регенерации тузлука р-ром $Al_2(SO_4)_3$. Установлено, что р-р $Al_2(SO_4)_3$ следует добавлять из расчета 0,1 г $Al_2(SO_4)_3$ на 1 л тузлука, при этом кол-во микроорганизмов в рассоле уменьшается до минимума, и он становится чистым и прозрачным. Регенерация тузлукных рассолов с помощью $Al_2(SO_4)_3$ приводит к значительной экономии и повышает качество шкур. Представлена схема расположения оборудования регенерационного отделения.

А. П. 45527. О взаимодействии дубящих солей с желатиной. Сообщение 1. О характере взаимодействия сульфатов алюминия, трехвалентного железа и хрома с желатиной и о связи его с дубящим эффектом. Арбузов Г. А., Шипков П. Ф., Науч. тр. Моск. технол. ин-та легкой пром-сти, 1954, сб. 4, 72—80

Изучено сравнительное действие р-ров сульфатов алюминия, трехвалентного железа и хрома на студни желатины и коллаген в зависимости от конц-ии р-ров солей и их основности. Применены 10,5 и 1%-ные р-ры солей, а также 1 и 10%-ные р-ры желатины. Показано, что коагулирующая способность всех трех солей сильно повышается с увеличением основности. Наибольшую коагулирующую способность имеет сульфат окисного железа, за ним следует сульфат хрома и наименьшую—сульфат алюминия. При работе с 1%-ным р-ром желатины коагуляция происходит при основности для соли железа 5—10%, для соли хрома 20%, для соли алюминия 30%. Взаимодействие солей различной основности с 10%-ными р-рами желатины проявляется в студнеобразовании с повышением т-ры плавления студня, студнеобразовании с одновременной коагуляцией и коагуляцией. Тип взаимодействия зависит от рода соли и от основности. Дубление голя указанными р-рами различной основности показало, что т-ра сваривания полученных кож при дублении сульфатом алюминия возрастает с увеличением основности, превращая, однако, т-ру сваривания голя только при высокой основности соли (40%). Величины кажущегося уд. веса и коэфф. сжимаемости, равные тем же величинам для голя, указывают на незначительный дубящий эффект. При дублении голя сульфатом окиси железа при основности выше 25%, т-ра сваривания падала, а коэфф. сжимаемости увеличивался. Дубление сульфатом хрома при всех исследованных основностях значительно повышало т-ру сваривания и коэфф. сжимаемости кожи. Автор считает повышение т-ры сваривания следствием скрепления частицами дубящей соли белковых частиц в трехмерные молекулы, а повышение коэфф. сжимаемости—явлением, не связанным со скреплением белковых молекул и обусловленным лишь оплохоением между белковыми частями каких-либо в-в, мешающих их взаимному склеиванию при высушивании.

С. Б. 45528. О взаимодействии дубящих солей с желатиной. Сообщение 2. Взаимодействие сульфатов трехвалентных хрома и железа со студнями желатины различной концентрации. Арбузов Г. А., Старосельский П. П., Курбатова Л. Г., Науч. тр. Моск. технол. ин-та легкой промышленности, 1954, сб. 4, 81—92

Эффективность молекулярного скрепления при взаимодействии минер. дубящей соли с белком может зависеть от: 1) кол-ва белковых цепей, взаимодействующих с одним атомом металла в его комплексной соли, и 2) кол-ва белковых цепей, вступающих во взаимодействие со всей частицей дубящей соли, т. е. от кол-ва атомов металла, образующих дубящую комплексную частицу. Влияние этих факторов изучалось по изменениям т-ры плавления студня при дублении р-ров же-

латины разных конц-ий хромовыми и железными солями (10,8, 6 и 4%). Т-ру плавления желатиновых студней определяли при помощи специально разработанного прибора. Приводится схема и описание этого прибора. Показано, что т-ра плавления 10%-ных студней, задубленных солями хрома различной основности, меняется в относительно малых пределах (110—124° при основностях от —50 до +40%), а при студнях меньшей конц-ии наступает резкое падение т-ры плавления при определенной основности. По точкам перегиба кривых т-ры плавления можно судить о размере дубящей частицы, способной к сшиванию белка. Изменение конц-ии студня рассматривается при этом как изменение расстояний между белковыми цепями. С увеличением основности хромовой соли размер частицы увеличивается (олификация). Строение частицы хромовой соли при укрупнении объемное, а не линейное. Разбавление р-ров хромовой соли влечет за собой укрупнение дубящей частицы в результате сдвига гидролиза. При значительном разбавлении, а следовательно при сильном гидролизе, т-ра плавления студня с увеличением основности сначала повышается, а затем понижается (8 и 6%-ные студни). Подъем т-ры плавления является следствием увеличения размера дубящих частиц, падение же объясняется понижением активности атома хрома в комплексе сверх оптимума при дальнейшем росте частицы. Изучение дубления студней солями железа показывает, что дубящие агрегаты соли железа непрочны, в них отдельные частицы укрупнены за счет агрегатных связей, разрушающихся при повышении т-ры.

С. Б. 45529. Замена хромирования хромсульфитцеллюлозной обработкой при производстве жестких кож. Овруцкий М. Ш., Пугачев Е. Д. Науч.-исслед. тр. Укр. п.-и. ин-та кож.-обув. пром-сти, 1955, № 7, 52—62

Излагаются результаты работы по замене хромирования хромсульфитцеллюлозной обработкой при произ-ве жестких кож хромрастворительного метода дубления. Установлено, что при такой замене повышается толщина и стойкость жестких кож, особенно пол и воротков, причем расход дубителей уменьшается. При дублении этим методом воротков выход из них рантовых стелек увеличивается.

И. Э. 45530. Основные правила дубления. Томишек (Základní pravidla pro tríslo. inění. T o m i š e k M i r o s l a v), Kožářství, 1955, 5, № 8, 144—146 (чеш.)

Описано влияние следующих основных факторов на качество кожи растительного дубления: плотности дубильного р-ра, содержания в нем солей, кислотности р-ра, доброкачественности экстракта, длительности дубления, типа дубителя и т-ры. Все эти факторы связаны между собой, и необходимо подбирать их так, чтобы они дали наилучший результат. Особое внимание нужно обратить на подбор смеси дубителей.

З. Б. 45531. Возможности использования синтетических продуктов в кожевенном производстве. Куарк (How tanners can use plastics to compete against plastics. Quarek Rolf), Leather and Shoes, 1954, 128, № 19, 41; Australas. Leather Trades Rev., 1955, 51, № 612, 8 (англ.)

Для успешной конкуренции с синтетич. материалами кожевники должны применять в произ-ве кожи синтетич. смолы. В настоящее время есть возможность, применяя синтетич. дубители, получать кожу с такой же носкостью как резина при меньшем весе (~ в 2 раза). Комбинируя растительные дубители с синтантами, можно в течение нескольких часов получать кожу со свойствами растительной, но с термостойкостью хромовой. Можно также комбинировать хромовые соли с синтантами, получая кожу, имеющую свойства кожи как растительного так и хромового дубления.

И. Э.

45532. Лаковые кожи. Здыбевский (Skóry lakierowe. Zdybiewski Marian), Przegl. skórzan., 1955, 10, № 2, 36—39 (польск.)

Для получения хороших результатов при изготовлении лаковых кож необходимо, наряду с тщательным выполнением операций по отделке, соблюдение следующих условий: подбор подходящего сырья, зольение с миним. кол-вом извести, дубление хромовыми солями средней основности, жиrowание кож эмульсиями, не содержащими минер. масел, умеренное обезжиривание полуфабриката, соответствующий метод приготовления лака и правильная сушка. Лаковые кожи выпускаются с гладким (обувные) или с тисненным (галантерейные) лицом. Приводятся методики варки и нанесения лака. М. Л.

45533. Замечание к статье Мауте: «Новое в производстве кожи». Раде (Bemerkung zu dem Artikel «Wandlungen des Leders» von G. Mauthe. Rade U.), Leder, 1955, 6, № 6, 133 (нем.)

На основании многочисленных совместных опытов кожевников з-дов и обувных ф-к удалось удовлетворительно решить проблему стойкости окраски кож к трению при повышенной т-ре и действию горячего утюга путем применения особых термостойких связующих материалов (Kasiplastbinders). При добавлении этих материалов к покрывным краскам получается отделка кожи, выдерживающая обработку при 180—200°. Другой материал (Cellsika-Glanztop) дает высокую устойчивость к действию ацетона, обеспечивающую чистку ацетоном на обувной ф-ке. Вклейка носков ацетоновым клеем также не вредит этой отделке. См. РЖХим, 1956, 21251. М. А.

45534. Отличие лака от лаковой эмульсии. Шур (What is a lacquer? How does it differ from a lacquer emulsion? Shoor Paul), Leather Manufact., 1955, 72, № 3, 53—56 (англ.)

Краткое сравнительное описание нитроцеллюлозных и эмульсионных нитроцеллюлозных (разбавляемых водой и разбавляемых органич. р-рителями) покрывных лаков и красок для кожи. И. Э.

45535. Методика измерения жестких кож. Овечкин Е. С., Град Н. Е., Кравченко А. Д., Прлинский Д. Н., Ципенюк А. Я., Науч.-исслед. тр. Укр. н.-и. ин-та кожевенно-обувной про-сти, 1954, № 6, 131—163

45536. Исследования в области анализа дубящих хромовых растворов при помощи ионообменных смол. I. Реакции между оксалатохроматами и анионообменными смолами. Иноуэ, Кавамура (Some fundamental studies on the analysis of chrome tanning liquors by means of ion-exchange resins. I. The reactions between oxalato-chromates and anion exchange resins. Inoue Y., Kawamura A.), J. Amer. Leather Chemists Assoc., 1954, 49, № 10, 678—694 (англ.)

Изучено взаимодействие между р-рами оксалатохроматов (диоксалатохромат калия и триоксалатохромат калия) и анионообменными смолами амберлит IR-4B и IRA-400, переведенными в соли при помощи различных к-т. Наиболее эффективно обмен происходит при применении слабоосновной смолы IR-4B в форме соли с одноосновной алифатич. к-той, особенно уксусной. Установлено, что способность к обмену меняется в зависимости от характера к-ты, примененной для образования соли смолы. На результаты ионообменного анализа оказывают влияние кол-во кислотных групп, связанных в комплексе, т-ра во время пропускания р-ра через смолу, различия в характере смолы. Делается вывод о том, что определять заряды хромовых комплексов при помощи анионообменных смол затруднительно. И. Э.

45537. Изучение танидов методом хроматографии на бумаге. Часть I. Изучение некоторых факторов хроматографии танидов. Осима, Накабаясэ, Хада, Мацуяма (タニンのペーパークロマトグラフィー. 其の1. 基礎的諸条件の検討. 大島康義, 中林敏郎, 渡田典正, 松山晋), 日本農藝化学会誌, Нихон ногай какаку кайси, J. Agric. Chem. Soc., Japan, 1954, 28, № 8, 618—621 (япон.; рез. англ.)

Для хроматографии на бумаге танидов рекомендуются применение FeCl_3 в качестве окрашивающего реагента и наблюдение в УФ-свете. Фильтровальную бумагу нужно промывать разб. р-ром HCl (для освобождения от влияния золы). Из многих испытанных систем р-рителей наиболее полезными для двухмерной хроматографии танидов оказались смеси: бутиловый спирт, уксусная к-та, 1%-ный р-р NaHSO_3 , фенол, насыщ. 1%-ным р-ром NaHSO_3 , и 1%-ный р-р NaHSO_3 , насыщ. фенолом. П. Ф.

45538. Дубильный экстракт из еловых шишек. Сюэсер, Александреску, Ганя (Extract tanant din conuri de molid. Suser A., Alexandrescu G., Ganea G.), Rev. chim., 1955, 6, № 9, 465—466 (рум.; рез. русс.)

Извлечение дубильных в-в из еловых шишек проводилось в полупроизводственных условиях. Полученный дубильный экстракт (ДЭ) после сульфитирования и добавления синтана не дает при стоянии осадков при любых конц-ях. Средний состав ДЭ (в %): влаги 62—64, танидов 24—25, нетанидов 11—12, нерастворимых 0,5—0,7. ДЭ из еловых шишек по качеству выдубленной кожи не уступает остальным растительным ДЭ, а стоимость его на 20—25% ниже стоимости экстракта из еловой коры. Еловые шишки содержат 10% танидов. Одно дерево дает в год 10—20 кг шишек. Подчеркиваются экономич. преимущества использования еловых шишек в качестве сырья для получения ДЭ. Г. М.

45539. Дубители. VI. Дальнейшее исследование фракций дубильного экстракта квебрахо. Керби, Уайт (Tannins VI. Further examination of fractions of quebracho tannin extract. Kirby K. S., White T.), J. Soc. Leather Trades' Chemists, 1954, 38, № 7, 215—222 (англ.)

Шесть ранее полученных фракций экстракта квебрахо были исследованы хроматографич. методом (при помощи колонки SiO_2), а также путем апетилирования. Оба способа показали возможность разделения фракций на многие компоненты, среди которых обнаружены сахара (рамноза, ксилоза, арабиноза и глюкоза). Исследование поглощения УФ-части спектра в апетилированных фракциях показало, что значительная часть кислорода находится в форме эфирных связей. Описаны методики хроматографии, исследования и апетилирования. Часть V см. РЖХим., 1956, 11606. П. Ф.

45540. Фильтрование растворов дубителей. Литтен (Note on the filtration of tannin solutions. Litten H. A.), J. Soc. Leather Trades' Chemists, 1955, 39, № 9, 300—301 (англ.)

Предложен прибор для фильтрования р-ров дубителей через фильтровальные свечи. Этот прибор предохраняет р-ры от окисления и испарения, особенно при медленном фильтровании. М. Л.

45541. Возможность оценки синтетических дубителей — заменителей танидов. II. Рейх, Вингеррот (Bewertungsmöglichkeiten synthetischer Austauschgerbstoffe (II). Reich G., Wingerroth R.), Dtsch. Schuh-und Lederzeitschrift, 1955, 9, № 3, 86—87 (нем.)

Рассматриваются способы фракционного высаливания, оценки поглощения и связывания дубящих веществ синтанов, значение условий опытного дубления. В порядке обсуждения предлагаются методики: опыт-

ного дубления при разных кол-вах дубителя и различных pH; определения кислотности (титрованием до pH 6); оценки поглощения и связывания по определению вымываемых; фракционного высаливания; оценки прочности кожи ситами (за 24 часа). Часть I см. РЖХим, 1956, 24398.

45542. Производство желатины. Руэло (Fabrication de la gélatine. Rousselot Albert), Chimie et industrie, 1955, 74, № 4, 669—680 (франц.). Краткое описание сырья, процессов произ-ва, технологич. контроля и областей применения желатины. И. Э.

45543 П. Способ обезволаживания и одновременного смягчения предварительно обработанных или необработанных щелочами шкур с помощью триптаза плесневых грибов (Verfahren zum Enthaaren und gleichzeitigen Beizen von gewechten, alk alkalisch oder nicht alkalisch vorbehandelten Häuten und Fellen mit Schimmelpilztryptase) [Röhm und Haas, G. m. b. H.]. Пат. ФРГ 896983, 16.11.53 [Leder, 1954, 5, № 9, 233 (нем.)]

К р-рам триптаза, кроме указанных в основном патенте ФРГ 888740 (РЖХим, 1956, 18047) окислителей, добавляют NaHSO_3 , Na_2SO_3 , $\text{Na}_2\text{S}_2\text{O}_3$ или другие серосодержащие соединения, а также смачивающие в-ва. Напр., шкуру яловки после отмоки обрабатывают в 200% воды с 1,5% триптаза, 0,5% NaNO_2 , 0,5% Na_2SO_3 и 6% соды при pH 9—10. И. Э.

45544 П. Способ получения устойчивых дубящих растворов. Екель (Verfahren zur Herstellung haltbarer gerbend wirkender Lösungen. Jokel Otto C. H.). Пат. ФРГ 901695, 14.01.54 [Chem. Zbl., 1954, 125, № 21, 4764—4765 (нем.)]

Способ получения устойчивых к старению дубящих р-ров состоит в растворении дубящих в-в в смеси р-телей, состоящей из эфира, соответствующих ему спирта и органич. к-ты и воды. Смесь содержит кол-ва компонентов, соответствующие установившемуся равновесию примененного эфира по закону действующих масс при данной т-ре, т. е. кол-ва компонентов, примененных для получения смеси, должны рассчитываться так, чтобы они соответствовали ур-нию: $(\text{мол. конц-ия к-ты}) \times (\text{мол. конц-ию спирта}) / (\text{мол. конц-ию эфира}) \times (\text{мол. конц-ию воды}) = K$ и так, чтобы сумма произведений из мол. конц-ии и мол. веса каждого из компонентов была равна 100. В качестве дубящих в-в применяют синтетич. дубители, растительные дубители или соединения дубителей с борной к-той. При получении устойчивого к старению р-ра можно применять при растворении отдельные составные части смеси р-телей и добавлять к охлажденным р-рам недостающие составные части смеси в требуемых для установления равновесия кол-вах. И. Ф.

45545 П. Метод модифицирования кислородсодержащих реакционноспособных продуктов конденсации. Химмен, Веглер (Verfahren zur Modifizierung von sauerstoffhaltigen, reaktionsfähigen Kondensationsprodukten. Himmen Eugen, Wegler Richard) [Farbenfabriken Bayer A.-G.]. Пат. ФРГ 906146, 11.03.54 [Chem. Zbl., 1954, 125, № 36, 8267 (нем.)]

Для получения продукта, пригодного для жирования кожи, предложен метод модифицирования кислородсодержащих, реакционноспособных продуктов конденсации ароматич. или ароматически-алифатич. углеводородов или их производных с CH_2O (реакционная способность которых основана на присутствии в них ацетальных и (или) эфирных групп) последующей обработкой этих продуктов конденсации фенолами, спиртами, кислотами или нейтр. сложными эфирами в при-

сутствии отбелочных земель, напр. фуллеровой земли, флоридина, инфузорной земли и т. п. Напр., нагревают 36 ч. кислородоформальдегидной смолы (содержание $\text{O}_2 \sim 10,5\%$), 25,7 ч. фракции с т. кип. 144—166° из смеси высших жирных спиртов и 0,9 ч. отбелочной земли до 185° при помешивании и через 3 часа отделяют отбелочную землю на нутч-филт্রে. Продукт р-ции представляет собой жидкость, растворимую в лигнине. При применении многоосновных к-т могут быть получены высокоплавкие трехмерные продукты, а также кислые смолы, содержащие карбоксильные группы. И. Ф.

45546 П. Переработка отработанного сульфитного щелока. Расселл, Крейг, Берд, Медер (Treatment of waste sulphite liquor and products thereof. Russell John K., Craig David, Byrd Gerald J., Maeder Richard L.) [Lignosol Chemical Ltd]. Канад. пат. 505355, 24.08.54 К отработанному сульфитному щелоку, содержащему SO_2 и CaO в отношении, равном 1,14 (или прибавлением SO_2 , доведенного до эквимольного соотношения), добавляют NH_4OH , $\text{Mg}(\text{OH})_2$ или NaOH до pH щелока не менее 6,5 (или при прибавлении $\text{Mg}(\text{OH})_2$ до pH не менее 6) и осаждают моносульфит Са. Осадок удаляют, а жидкость концентрируют до содержания 50% твердого в-ва. Концентрат содержит $\sim 60\%$ лигносульфоната NH_4 , Mg или Na и может быть использован в качестве дубящего в-ва или клея. Л. Р.

45547 П. Клей. Корнуэлл (Adhesives. Cornwell Earl D.) [Armour and Co.]. Канад. пат. 504106, 6.07.54

Способ получения термореактивного жидкого клея состоит в приготовлении сухой смеси порошкообразного гемоглобина, наполнителя (напр., муки из скорлупы грецких орехов), сырой смолы, перекиси бария и иногда небольших кол-в масла из нефти парафинового основания; отдельно готовится смесь этиленгликоля, этилендиамина, параформальдегида, этилмеркурсфата, трибутилфосфата; к сухой смеси добавляется вода и обе части клея перемешиваются. Б. К.

См. также: 44434, 44534, 44536, 45831; 13147Бх, 13154Бх, 13161—13163Бх, 13194Бх, 13235Бх, 13250Бх, 13252Бх, 13253Бх, 13257Бх, 13263Бх, 13265Бх, 13596Бх

ПРОЧИЕ ПРОИЗВОДСТВА

45548. Силикагель и его промышленное применение.

1. Свойства и методы получения силикагеля. Кастро-Рамос, Ности-Вега (El gel de sílice y sus aplicaciones industriales. I. Castro Ramos Rosalino, Nosti Vega Manuel), Rev. cienc. apl., 1954, 8, № 1, 11—17 (исп.). Обзор. Библ. 70 назв. С. С.

45549. Гидротермиты (тепзоразвивающие смеси). Тихменев М. Г., Сб. статей Моск. высш. техн. уч-ща, 1955, 36, 37—40

Описаны смеси, реагирующие с водой с выделением тепла. Приведены составы шести гидротермитов, напр. (в г): CuSO_4 480, Al -порошка 54, Al -стружки 54, NaCl 100 и H_2O 350, доливаемой постепенно. Описаны свойства гидротермитов, возможности их применения и устройство для них патронов. С. Т.

45550 П. Производство активированного угля (Production of activated carbon) [Metallgesellschaft A.-G.]. Австрал. пат. 160013, 16.12.54

Активированный уголь, применяемый как катализатор или носитель катализатора при частичной газификации углеродсодержащих в-в (УСВ), получают из порошкообразного или мелко гранулированного УСВ, смешанного с активирующими газами или парами. Смесь пропускают через один или несколько слоев

формованных (или неформованных) тел, в которых частично газифицированные УСВ отделяются от газа и используются как активированный уголь. Ю. Г.

45551 П. Способ повышения прочности и устойчивости катализаторов. Штеттер (Verfahren zur Erhöhung der Festigkeit und Beständigkeit katalysierender Körper. Stetter Georg). Пат. ФРГ 884350, 27.07.53 [Chem. Zbl., 1954, 125, № 24, 5368 (нем.)]

Катализаторы, особенно металл., получают (напр. посредством термич. обработки) в виде монокристаллов (МК). В данном случае МК может быть только ядро катализатора. МК может быть покрыт каталитически действующим слоем (напр., слой Pt или Pt-Rh на МК W). Так как рекристаллизация больше не может происходить то, проволоочки, состоящие из монокристаллич. катализаторов, остаются при повышенных т-рах в первоначальном состоянии и в первоначальном натяжении. Г. Р.

45552 П. Удаление сульфата из кремнеглиноземного катализатора. Барал, Вильсон (Sulfate removal from silica-alumina catalyst. Baral Leon L., Wilson Charles P., Jr) [The Davison Chemical Corp.]. Пат. США 2684340, 20.07.54

Катализатор, содержащий 20—24% Al_2O_3 и небольшое кол-во сульфата, получают осаждением силикагеля из р-ра силиката щел. металла. Осадок пропитывают р-ром $Al_2(SO_4)_3$ так, чтобы конц-ия Al_2O_3 составляла 20—24%. Пропитанный гель нейтрализуют для осаждения глинозема, сушат, промывают подкисленной водой и водн. р-ром аммиака (для удаления растворимых солей) и вновь сушат гель. И. Ф.

45553 П. Процесс улучшения каталитических свойств фтористого алюминия и продукта из него. Кафи, Миллер (Process of improving the catalytic properties of aluminum fluoride and product thereof. Calfee John D., Miller Charles B.) [Chemical and Dye Corp. Allied]. Пат. США 2681267, 15.06.54

AlF_3 в виде кристаллов размером радиуса $< 500 \text{ \AA}$ контактируют с газом, содержащим свободный O_2 при 400—600° в течение 0,5—8,5 час. К. К.

45554 П. Приготовление фосфорно-кислых кремнистых катализаторов, содержащих олово или свинец. Белявский, Мавити (Production of tinorlead containing phosphoric acid-siliceous catalyst. Bielawski Mitchell S., Mavity Julian M.) [Universal Oil Products Co.]. Пат. США 2692242, 19.10.54

Кремнистый адсорбент (≤ 50 вес. %) смешивают с H_3PO_4 и 0,5—10 вес. % окисей, гидроокисей и солей Sn и Pb. Полученную смесь гранулируют и прокалывают при 260—537° с образованием твердого катализатора. Ю. Г.

45555 П. Золи. Старк (Sols. Stark Henry M.) [E. I. du Pont de Nemours and Co.]. Канад. пат. 502322 11.05.54

Для приготовления водн. зольей $Al(OH)_3$ с повышенной устойчивостью к желатинизации и изменению вязкости пенцированную на вид однородную, водн. суспензию, содержащую 1—10% (лучше 2—6%) Al_2O_3 в виде колл. гидратированных частиц, подвергают быстрому замораживанию. Полученную твердую массу затем оттаивают. В. III.

45556 П. Люминесцентный продукт, содержащий индий и способ его производства. Миддлтон, Рейнольдс, Пит (Phosphor product containing indium and method of producing same. Middleton Arthur E., Reynolds Donald C., Peet Charles S.) [The Consolidated Mining and Smelting Co.]. Пат. США 2676112, 20.04.54

Люминофор, состоящий в основном из кристаллич. сульфида In в форме шпигеля и кристаллизующего агента из благородных металлов. Последний состоит из $MgCl_2$, $MgCl_2$ и $NaCl_2$, $MgCl_2$ и $NaBr$, MgF_2 и $NaCl$, MgF_2 и $NaBr$, $MgCl_2$ и KBr , $MgCl_2$ и KCl , MgF_2 и KBr и MgF_2 и KCl , и берется в кол-ве 0,01—10%, достаточном для образования кристаллич. решетки в сульфиде In и абсорбции активатора. Активатор содержит один из металлов: Cd, Cu, Au, Pb, Li, Mn, Ag, Zn, Sn, редкоземельные металлы и их галогениды, нитраты, нитриды, окислы, сульфаты, сульфиды, а также 0,001—0,1% активатора из благородных металлов, необходимого для образования основных флуоресцентных центров в кристалле. Ю. В.

45557 П. Метод образования люминесцентного экрана. Ларак (Method of forming a phosphor screen. Larach Simon) [Radio Corp. of America]. Пат. США 2710262, 7.06.55

Для образования люминесцентного экрана на подложку наносят слой смеси спирта с эфиром, причем спирт имеет плотность близкую к плотности метанола. На этот слой распределяется суспензия тонкодисперсного люминофора (сульфид магния, активированный Sb). Частицы люминофора осаждаются через этот слой, который затем удаляют с подложки. В. III.

45558 П. Способ получения металлических пленок на пластических основаниях. Херитидж (Provision of metallic films on plastic bases. Heritage R. J.) [National Research Development Corp.]. Англ. пат. 719779, 8.12.54 [Prod. Finishing, 1955, 8, № 1, 96 (англ.)]

Металлическое покрытие (П) осаждают на подложку, имеющую глазурованную поверхность (стекло, керамика и пластмасса). Способ нанесения П и подложку выбирают таким образом, чтобы получить слабую адгезию П к подложке. П покрывают лаком на основе полиметилметакрилата или полихлорвинила, растворенного в соответствующем органич. р-рителе. Слой лака имеет толщину, достаточную для получения (после сушки) пленки с достаточной прочностью. Затем систему пластмасса-металлич. П отделяют от подложки с получением необходимого материала. На подложку наносят П из Ag, Au или Pt. Е. 3.

45559 П. Производство ультрамарина. Бирдсли, Уайтинг (Manufacture of ultramarine. Beardsley Alling P., Whiting Stanley H.) [American Cyanamid Co.]. Канад. пат. 507116, 9.11.54

Предлагается осуществлять брикетирование (Б) сырой ультрамариновой массы до обжига, для чего к ней добавляется связующее в-во. Вода также может быть связующим в-вом, но при этом необходима быстрая сушка брикетов до того, как произойдет гидратация какого-либо компонента смеси. Процесс может быть осуществлен без введения добавок путем нагрева смеси до т-ры плавления заключающейся в ней S с последующим Б. Б может подвергаться масса также перед вторичным (окислительным) обжигом. Р. Ф.

45560 П. Производство вторичного ультрамарина из первичного. Бирдсли, Уайтинг (Production of secondary ultramarine from primary ultramarine. Beardsley Alling P., Whiting Stanley H.) [American Cyanamid Co.]. Канад. пат. 507117, 9.11.54

Патентуется применение SO_2 в качестве окисляющего агента во 2-й стадии обжига высокосернистого ультрамарина при отсутствии в газах заметных кол-в O_2 , паров H_2O или крепких к-т. Обработка при помощи SO_2 может быть осуществлена либо в конце окисли-

тельного процесса, либо в течение всей 2-й стадии обжига. Ультрамарин содержит в конце процесса 10% связанной S. Для удаления из процесса образующихся паров S к SO_2 добавляется инертный газ. Р. Ф.

45561 П. Производство ультрамарина. Бирдсли, Уайтинг (Manufacture of ultramarine. Beardslay Ailing P., Whiting Stanley H.) [American Cyanamid Co.]. Канад. пат. 507118, 9.11.54

Патентуется двухстадийный процесс произ-ва прочного высокосернистого «вторичного» ультрамарина (У), при котором в 1-й стадии обжига при $t \leq 750^\circ$ масса предохраняется от химически активных газов, затем охлаждается и во 2-й отдельной стадии подвергается окислительному обжигу при $200-550^\circ$ (лучше $400-550^\circ$). Охлаждение в начале 2-ой стадии при изменении процесса осуществляется до тех пор, пока сульфиды «первичного» У не будут полностью окис-

лены. При этом от 1/7 до 1/8 связанного натрия в «первичном» У должна превратиться в сульфат. Р. Ф.

45562 П. Производство ультрамарина. Круппа, Марлоу (Manufacture of ultramarine. Kруппа William J., Marlowe George J.) [American Cyanamid Co.]. Канад. пат. 507123, 9.11.54

Обжиг неспекающейся ультрамариновой смеси осуществляется в газонепроницаемой электрич. печи сопротивления с угольными электродами при t -ре первичного обжига вплоть до окончания р-ции, затем первичный ультрамарин охлаждают холодным инертным газом до t -ры, при которой производят частичное окисление его окислительным циркулирующим газом с образованием вторичного ультрамарина, далее его охлаждают и выгружают. S, улетучивающаяся в процессе обжига, улавливается. Угольные электроды покрываются тонким слоем Na_2SiO_3 . Р. Ф.

КОРРОЗИЯ. ЗАЩИТА ОТ КОРРОЗИИ

45563. Аэрированные элементы. Грубич (Über, Belüftungselemente. Grubitsch Heribert), Monatsh. Chem., 1955, 86, № 5, 752—764 (нем.)

Дискуссия по вопросам коррозии Fe в нейтр. аэрированных р-рах. Автор считает, что процесс происходит в диффузионной области. Ф-ла Фишера применима только тогда, когда рассматривается процесс с постоянными значениями электролитов, сопротивления и материала электродов, а изменяются поверхность, конца деполаризатора и толщина диффузионного слоя. Значение диффузионного тока подчиняется закону Ома и сильно зависит от степени обработки катода. При расчете потери веса катода в кулонах установлено, что она является суммой измеренного и рассчитанного коррозионного тока. С. К.

45564. Электрохимическое исследование механизма коррозии в присутствии сероводорода. Юнг (Electrochemical studies of the hydrogen sulfide corrosion mechanism, Ewing Scott P.), Corrosion, 1955, 11, № 11, 51—55 (англ.)

Указывается, что э. д. с. процесса коррозии Fe в р-ре H_2S , не содержащем кислорода, зависит только от активности H_2S в р-ре и парциального давления молекулярного водорода. Зная pH кислых солевых р-ров и содержание в них H_2S , легко можно определить защитный потенциал Fe в этих р-рах. Исследование показало хорошую сходимость между расчетными и практич. данными. С изменением pH р-ра при постоянстве содержания H_2S , при значениях $\text{pH} > 7$ наблюдается резкое уменьшение скорости коррозии Fe. В р-рах с высоким pH, где конц-ия ионов S^{2-} выше, чем Fe^{2+} , выделение FeS происходит близко от анодных участков, благодаря чему скорость коррозии Fe в таких р-рах падает. В отношении Cu_2S аналогичное явление наблюдается в слабых кислых р-рах. Лабор. испытания показали, что очень тонкий слой Cu на стали, быстро превращающийся в Cu_2S , заметно снижает коррозию стали. И. Л.

45565. Потенциал пробоя пассивных сплавов железо-хром в сульфатных растворах. Мазинг, Хейман, Еспер (Das Durchbruchpotential passiver Eisen-Chrom-Legierungen in Sulfatlösungen. Masing Georg, Heumann Theo, Jesper Heinz), Arch. Eisenhüttenwesen, 1954, 25, № 3/4, 169—180 (нем.)

Исследование поведения Fe-Cr-сплавов в области «потенциалов пробоя» E_d , соответствующих переходу

от пассивного состояния к активному анодному процессу, в р-рах 1,0 н. KCl, 0,1 и 1,0 н. H_2SO_4 в условиях свободного доступа воздуха и при 20,45 и 70° показало, что основным анодным процессом в указанной области поляризации для чистого Fe является выделение O_2 , в то время как чистый Cr количественно переходит в р-р в виде Cr^{6+} -ионов. У низколегированных Fe-Cr-сплавов анодный ток расходуется на выделение O_2 , при этом образуются Fe^{3+} - и Cr^{6+} -ионы. Доля последних процессов в общем балансе тока возрастает при увеличении содержания Cr. При малой плотности тока растворение таких сплавов происходит без одновременного выделения O_2 . Величина E_d при содержании Cr в сплаве $\sim 20\%$ снижается приблизительно на 0,5 в. В р-рах H_2SO_4 при всех t -рах и в 1 н. KCl при 70° установлено новое явление, которому авторы дают название «вторичной пассивации» (ВП). ВП выражается в скачкообразном увеличении потенциала примерно на 0,5 в после того, как i достигнет крит. значения, и обнаруживается в пределах определенной группы Fe-Cr-сплавов. Содержание в них Cr, зависящее от природы р-ра и t -ры, составляет 10—30%. Как показывают кривые ток-потенциал, обладающие гистерезисной петлей, эффект ВП необратим. На нижней ветви петли идет активное растворение Fe и Cr, на верхней ветви его сменяет выделение O_2 . Авторы приводят данные о зависимости ВП от содержания Cr в сплавах, условий t -ры и природы р-ра, не анализируя возможной причины этого эффекта. А. Ш.

45566. Скорость пассивирования и потенциал сплава X28T3 в растворах серной кислоты. Литвинова Е. П., Ж. прикл. химии, 1955, 28, № 12, 1285—1290

Исследование сплава X28T3 с 29% Cr, 3% Ti и 1% Si для сравнения такого же сплава (X28) без добавок Ti в 4 и 5 н. р-ре H_2SO_4 при комнатной t -ре в условиях неподвижного р-ра при перемешивании р-ра мешалкой (до 2000 об/мин), под струей, в р-ре под вакуумом и в р-ре с добавками H_2O_2 , хлорной и сернистой меди показало, что пассивация сплава X28T3 характеризуется полной хим. стойкостью и повышением потенциала до 0,24 в. Это состояние сохраняется в присутствии ионов Cl и Cu. Пассивность наступает тем быстрее, чем больше приток кислорода в р-р. На более грубой поверхности пассивация протекает быстрее, чем на полированной. Установлено, что чем больше скорость растворения сплава в начальный период, тем быстрее он переходит в пассивное состояние. Л. Г.

45567. Исследование кинетики роста окисных пленок на магневых сплавах методом электросопротивления. Маколкин И. А., Сб. статей Всес. заоч. политехн. ин-та, 1955, вып. 9, 43—51.

Исследована кинетика процесса окисления Mg и его сплава МЛ-5 при 460° в атмосфере воздуха. Толщина окисной пленки определялась методом измерения электросопротивления, причем для этой цели применялась ф-ла: $\sigma = (d/2)(1 - \sqrt{R/R_x})$, где σ — толщина пленки; d — исходный диаметр образца, а R и R_x — электросопротивление образца до и после окисления. Показано, что скорость роста пленки на Mg и сплава МЛ-5 при нагревании на воздухе при 460° подчиняется линейному закону. За 4 часа нагревания образуется окисная пленка толщиной ~ 3 м. Полученные результаты удовлетворительно согласуются с весовыми и металлографич. определениями толщины окисной пленки на сплаве МЛ-5. П. III.

45568. Удаление окалины со стали окисляющими пастами. Фраш (Décalaminage de l'acier à l'aide de pâtes oxydantes. F r a s c h J e a n), Métaux (Corros.-inds.), 1954, 29, № 351, 438—445 (франц.)

Принцип метода: электрохимич. окисление под окисной пленкой Fe толщиной в несколько м и механич. отслаивание окалины. Окислители — паста и кислород воздуха. Состав пасты: электролит и инертный минерал. Определены условия снятия окалины без разрушения металла: электролит должен иметь $pH < 4u/rH$ больше 41 (rH — величина, характеризующая окислительно-восстановительный потенциал), при этом Fe переходит в состояние между субпассивным и суббассивным, а Fe-ионы в $Fe_3O_4 \cdot xH_2O$. После снятия пасты кислород воздуха переводит Fe в суббассивное состояние, когда при rH 21,5—27,6 $Fe_3O_4 \cdot xH_2O$ превращается в $Fe(OH)_3$. Подобные условия создаются: 1) смесью бихромата или перманганата с сочетаниями Pb^{4+} или Co^{3+} с SO_4^{2-} или Cl^- ; 2) переносчиками кислорода HSO_3^- или $HS_2O_3^-$; 3) феррицианатами. Наполнитель должен хорошо смачиваться, поглощать воду, не комковаться, хорошо наклеиваться на поверхность. Пригодны бентонит и каолин. Пасту наносят щеткой, валиком или путем набрызгивания и до смыывания сохраняют влажной во избежание цементации. Метод применим к листовому Fe и смонтированным конструкциям. Т. III.

45569. К вопросу о методике исследования коррозии порошкового железа. Кротов Н. В., Ж. прикл. химии, 1955, 28, № 12, 1302—1307

Описываются 3 метода исследования коррозии порошкового Fe: 1) водородный, основанный на определении содержания в образце свободного металла по объему выделившегося водорода при растворении металла в 5%-ном р-ре H_2SO_4 при 100°; 2) метод катодной обработки в 2%-ном р-ре H_2SO_4 (D 0,025—0,05 а/см²) с последующим определением Fe объемным анализом; 3) весовой метод (по привесу). Установлено, что ржавчина, полученная после увлажнения дистилл. водой порошка Fe, имеет состав $FeO \cdot nH_2O$. С. К.

45570. Влияние примесей сурьмы в расплавах цинка на коррозию железа. Хоретман (Der Einfluss eines Antimongehalts in eisengesättigten Zinkschmelzen auf ihren Angriff auf Eisen. Horstmann Dietrich), Arch. Eisenhüttenwesen, 1954, 25, № 5/6, 207—213 (нем.)

Исследование коррозии (K) Fe расплавами Zn с примесями 0,0—5,0 вес. % Sb при 420—550° показало, что в зависимости от т-ры и кол-ва Sb в расплаве K может протекать по 2 различным кинетич. ур-ниям и с различной скоростью. Область интенсивной K ограничена пределами т-р 490—520° для чистого Zn и соответственно 460—525° для расплавов с 5% Sb. Таким

образом, влияние добавок Sb выражается в расширении границ опасной зоны. K протекает при этом с постоянной скоростью, согласно ур-нию $m = b \cdot t$ (1), между тем как вне пределов области интенсивной K справедливо иное кинетич. ур-ние: $m^2 = a \cdot t$ (2) (где m — коррозионные потери, t — время, а a и b — константы, значения которых для разных условий K различны). Установлено, что при т-ре $< 460^\circ$ скорость K в Fe лишь незначительно изменяется в зависимости от содержания Sb, достигая слабого максимума при 2,5% Sb. При более высоких т-рах при увеличении Sb в расплаве v возрастает. В пределах зоны интенсивной K при увеличении т-ры константа (1) b проходит через максимум. Его величина резко возрастает при увеличении Sb, а положение смещается от 500° к более высоким т-рам. В пределах зоны параболич. закона (2) константа a может быть найдена из ур-ния: $a = \Delta \exp(-\frac{B}{T})$

(3), в котором постоянные A и B зависят от содержания Sb в расплавах. Показано также, что на границе Fe—Zn (расплав) со временем образуется переходный слой сложной структуры, которую автор исследует металлографич. путем. В зоне параболич. закона (2) K протекает по диффузионному механизму в результате образования тонкого Г-слоя, к которому примыкает плотный слой волокнистых δ_1 -кристаллов. По мнению автора, наиболее медленной стадией является диффузия атомов Fe через Г-слой наружу, где они образуют кристаллы ξ -фазы. Последние могут постепенно отрываться от поверхности, уходя вглубь расплава. В присутствии Sb наружный слой образует кристаллы Sb-Zn-соединений. В зоне усиленной K по линейному закону Г-слой не был обнаружен, и переходный слой построен у обломков δ_1 -кристаллов и ξ -фазы, не образующих плотного защитного слоя, что приводит к беспрепятственному течению коррозионного процесса. А. III.

45571. Бактериальная коррозия металлов. Хикетир (Aspectos biológicos de la destrucción de los metales. Hickethier Carlos F.) Industria y química, 1953, 15, № 5—10, 179—181, 185 (исп.)

45572. К дискуссии по статье Еделану «Внутрикристаллитная коррозия под напряжением нержавеющей хромоникелевых сталей». Хигер, Дьюлине, Натхорст. Ответ автора (Further correspondence on the papertransgranular stress corrosion in chromium nickel stainless steels by C. Edeleanu. Heger J. J., Dulis E. J., Nathorst H. — Author's reply), J. Iron and Steel Inst. (London), 1953, 175, Part 4, 390—392 (англ.)

Высказанная Еделану теория о том, что внутрикристаллитное коррозионное растрескивание Cr-Ni нержавеющей сталей связано с образующимися в таких сталях квазимартенситом, противоречит случаям растрескивания сталей типов 25-20, 18-8 Mo-Cu и 25-12, в которых квазимартенсит не образуется, а также слишком низкие значения напряжений, вызывающих коррозионное растрескивание в $MgCl_2$ в сталях 18-8, по сравнению с миним. напряжениями, вызывающими в них мартенситное превращение. В своем ответе Еделану указал, что эти противоречия могут быть объяснены, с одной стороны, невысокой чувствительностью методов определения квазимартенсита (структурная составляющая может находиться в небольших кол-вах), а с другой — тем, что для коррозионного растрескивания не обязательно, чтобы превращение уже произошло, достаточно лишь наличия склонности к мартенситному превращению (по аналогии с коррозионным растрескиванием легких сплавов). См. также РЖХим, 1953, 7889. И. Л.

45573. Явления сходные с коррозией под напряжением, вызываемые действием диффундирующего водорода на механически напряженную сталь. Сообщение к вопросу о внутрикристаллитной коррозии под напряжением ферритных и аустенитных сталей. Класс (Spannungskorrosionsartige Erscheinungen an mechanisch beanspruchtem Stahl durch diffundierenden Wasserstoff. Beitrag zur Frage der transkristallinen Spannungskorrosion bei ferritischen und austenitischen Stählen. Class I.), Werkstoffe und Korrosion, 1955, 6, № 5, 237—245 (нем.)

В установках высокого давления и в аппаратуре нефтяной пром-сти наблюдаются повреждения стальных деталей, соприкасающихся с водн. фазой, преимущественно при кислой, но также и при щел. р-ции среды. Эти повреждения, имеющие признаки явлений коррозии под напряжением и наблюдаемые при действии H_2S , заключаются в образовании трещин (преимущественно внутрикристаллитных) и пузырей. Отмечено также, что CN-соединения действуют аналогично H_2S . Наблюдения показали, что повреждения вызываются диффузией в сталь атомарного водорода, образующегося в результате коррозионного процесса, и превращением его в молекулярный, что и приводит к созданию внутренних высоких напряжений. Отсутствие H_2S сильно задерживает, а добавка его усиливает появление этих повреждений. Кислая среда облегчает действие H_2S и препятствует образованию защитной пленки сульфида железа. В перечне защитных мероприятий указаны улучшения конструктивного порядка, улучшение качества металла, применение металлич., неметаллич. покрытий и электрохим. защита. Отмечена необходимость систематич. контроля состояния металла, в частности, с помощью ультразвуковых приборов, контроля наличия и диффузии атомарного водорода, с помощью спец. зондов. В качестве методов защиты указаны также повышение pH водн. фазы, перевод H_2S и других опасных в-в (цианиды и др.) в безвредные соединения, ввод полисульфидов аммония, а также применение масло- и водорастворимых органич. замедлителей коррозии. Рассмотрены вопросы терминологии; дан общий обзор состояния знаний в области межкристаллитной и внутрикристаллитной коррозии под напряжением. А. М.

45574. О коррозии металла под напряжением. Веденкин С. Г. В сб.: Коррозия металлов и методы борьбы с ней. Оборонгиз, М., 1955, 3—25

Обзор коррозии металлов под напряжением. Рассматриваются виды повреждений металлич. изделий (виды коррозий), влияние состава и состояния металлов, величины напряжений и характер среды на коррозию в напряженном состоянии, а также существующие теории коррозии металлов под напряжением. Указывается, что общепризнанной теории пока не существует. Описаны основные случаи коррозии под напряжением на ж.-д. транспорте и меры борьбы с ней. Приводятся некоторые результаты собственных работ автора, показывающие, что при введении поверхностно-активного в-ва в неактивную масляную среду предел усталости стали в этой среде снижается. Коррозионных повреждений при этом не наблюдается. Эти результаты можно объяснить на основе адсорбционной теории коррозионной усталости. Измерения электродных потенциалов стальных образцов при знакопеременном изгибе показали, что при образовании трещины в 30%-ном р-ре NaCl потенциал снижается; если же аналогичные опыты проводились в 3%-ном р-ре $NaNO_3$, то после разоблагораживания потенциала очень быстро происходит пассивация, и потенциал вновь приближается к первоначальному значению. И. Л.

45575. Коррозия стальной канатной проволоки в напряженном состоянии. Томашов Н. Д., Ти-

тов В. А. В сб.: Коррозия металлов и методы борьбы с ней. Оборонгиз, М., 1955, 26—51

Изучение коррозии стальной (0,55% С) канатной проволоки диам. 0,9—1 мм в напряженном состоянии в синтетич. рудичной воде, содержащей 3,9 г/л свободной H_2SO_4 , и в синтетич. морской воде показало, что коррозия проволоки в исследованных средах под напряжением заметно выше, чем без напряжения. В морской воде у нагруженных проволок величина коррозии во времени сильно возрастает; у ненагруженных проволок скорость коррозии остается постоянной. Цинкование и протекторная защита являются эффективными методами предохранения проволоки в напряженном состоянии от коррозии. Изучен вопрос коррозионной усталости проволоки на спец. машине. Подтвержден электрохим. механизм коррозионной усталости проволоки. С уменьшением частоты перемен напряжения сопротивление коррозионной усталости проволоки уменьшается. Наибольшая скорость разрушения достигается в последних стадиях процесса коррозионной усталости. Наименьшее сопротивление канатной проволоки коррозионной усталости наблюдается в р-рах 1 н. NaCl. $K_2Cr_2O_7$ может быть использован в качестве замедлителя коррозии для защиты проволочных канатов от коррозионной усталости. Zn-покрытия и Zn-протекторы значительно повышают выносливость проволоки. Азотирование понижает эту выносливость, а дробеструйная обработка увеличивает ее. Следовательно, метод поверхностного упрочнения весьма эффективен. И. Л.

45576. Адсорбционно-электрохимическая гипотеза механизма коррозионной усталости. Карпенко Г. В. В сб.: Коррозия металлов и методы борьбы с ней. М., Оборонгиз, 1955, 52—70

Выдвинутая автором гипотеза предполагает независимость коррозионноусталостного процесса от общей коррозии поверхности металла в агрессивной среде. Только коррозионные процессы, развивающиеся внутри трещин (ультрамикроскопич. и микроскопич. размеров), раскрывающихся под влиянием циклич. нагрузок, вызывают коррозионноусталостные явления. 2-е положение гипотезы заключается в первичности адсорбционных процессов перед коррозионными, в силу чего адсорбционные явления готовят почву для течения коррозионных процессов внутри трещин, раскрывшихся под влиянием циклич. нагрузок и адсорбционно-расклинивающего эффекта Ребиндера. Различие во времени начала течения адсорбционного и коррозионного процессов внутри трещин будет зависеть от коррозионной агрессивности среды и ее т-ры. Подавление коррозионного фактора изменяет форму усталостной кривой, превращая ее из коррозионной в адсорбционную. Подавление адсорбционного фактора поверхностными сжимающими напряжениями превращает кривые коррозионной и адсорбционной усталости в кривые обычной усталости, имеющей место в воздухе, если исключить фактор охлаждающего действия среды. Приводящиеся эксперим. данные автора находятся в соответствии с изложенной гипотезой. И. Л.

45577. О щелочной хрупкости котельной стали. Подгорный И. Г. В сб.: Коррозия металлов и методы борьбы с ней., М., Оборонгиз, 1955, 87—114

Статистическая обработка данных по щел. хрупкости показывает, что кривая зависимости миним. напряжений, вызывающих щел. хрупкие разрушения (ШХР) от соотношения конц-й $Na_2SiO_3/NaOH$ имеет перегиб, характерный для электрокапиллярных и адсорбционных явлений, хотя и обращена выпуклостью книзу. Изучение в специально сконструированной установке влияния поляризации от постороннего источника тока на сталь в щел. среде при равномерно распределенном напряжении показало, что разрушение

вследствие каустич. хрупкости наступает преимущественно при катодной поляризации. Анодная поляризация с плотностью тока $0,3 \text{ мА/см}^2$ предохраняет в этих условиях сталь от щел. разрушений. Сдвиг потенциала в щел. среде в отрицательную сторону создает благоприятные условия для адсорбирования водорода, преимущественно по границам зерен котельной стали. Опыты по определению содержания водорода в стали непосредственно после ЦХР показали, что чем больше содержание водорода в образцах, тем меньше время до их разрушения. Область ЦХР определяется не только значением механич. напряжения и поляризацией, но и характером напряженного состояния. Установлена прямолинейная зависимость в двойных логарифмич. координатах между механич. напряжением и временем до разрушения. Это обстоятельство показывает, что длительная прочность стали в щел. среде обуславливается не коррозионными, а физ.-хим. процессами, способствующими переходу стали в хрупкое состояние. Присадка NaNO_3 к щел. р-ру сдвигает окислительно-восстановительный потенциал р-ра в положительную сторону, что устраняет процессы, связанные с образованием водорода, и препятствует образованию ЦХР. Оптимальное защитное действие NaNO_3 отмечено при наличии 35% нитрата по отношению к содержанию в р-ре NaOH . В присутствии пассиватора возникает защитная пленка, изолирующая металл от воздействия водорода. Автор приходит к заключению, что ЦХР является результатом взаимодействия котельной стали в напряженном состоянии, обладающей достаточной потенциальной энергией с конц. котловой водой, не способствующей возникновению на поверхности стали устойчивых, естественных защитных пленок, препятствующих переходу водорода в сталь. Н. Л.

45578. Покрyтия. Рациональное конструирование помогает в борьбе против коррозии. Мангер (Coatings: good structural design aids battle against corrosion. M u n g e r C. G.), Iron Age, 1955, 176, № 2, 108—111 (англ.)

Продолжительность службы стальной конструкции тесно связана с правильным конструированием, учитывающим возможности защиты от коррозии. Наличие в конструкции острых углов, ребер, необработанных грубых сварных швов, заклепок затрудняет нанесение сплошного достаточного для защиты от коррозии покрытия; при эксплуатации стальной конструкции эти участки являются наиболее вероятными очагами возникновения коррозии. Острые углы и кромки необходимо по возможности избегать. При использовании заклепочных соединений следует обращать внимание на плотность прилегания заклепки к металлу. Наиболее приемлемыми являются «потайные» заклепки. Необходимо тщательно удалять неровности сварных швов и грунтовать их перед окраской. В коррозионноопасных участках нужно исключить применение несплошных сварных швов, а при сваривании внахлестку делать сварку с обеих сторон. Балочные конструкции должны собираться из предварительно окрашенных балок. Даются рекомендации по способам нанесения покрытий на неудобные для окраски места. Р. А.

45579. Новый сплав, стойкий к коррозии. Болоньези (Una nuova lega resistente alla corrosione. Bolognesi Giampaolo), Riv. mecc., 1954, 5, № 90, 28—29 (итал.)

Описаны свойства Cr-Ni-Mo-Fe-сплава, который противостоит действию окислительных и восстановительных к-т и не подвержен точечной коррозии, обычно наблюдаемой при действии р-ров хлоридов. Состав сплава (в %): Ni 45,5, Cr 22, Mo 6,5, Nb + Ta 2,0, Ta 0,5 (минимум), C 0,8 (максимум), Mn 1,5, W 1,0 (максимум), Co 2,5 (максимум), остальное Fe. З. С.

45580. Жаростойкие стали и сплавы. Коломбье (Les aciers et alliages résistant à la corrosion aux températures élevées. Colom b i e r L o u i s), Metaux (Corros.-inds.), 1955, № 359-360, 294—303 (франц.)

Рассматривается жаростойкость (Ж) Cr-сталей, сплавов Fe-Al и Fe-Cr-Al. Отмечается, что Si резко повышает Ж при содержании его в Fe-сплаве в кол-ве 2%. Увеличение содержания Si до 5% не приводит к дальнейшему повышению Ж. Приводятся данные по Ж сплавов Ni-Cr и Fe-Ni. Обсуждается газовая коррозия легированных сталей в атмосфере азота, водорода, сернистого ангидрида, сероводорода, продуктов сгорания топлива и коррозия в расплавленных солях. Указывается, что при контакте с огнеупорными материалами газовая коррозия металлов может усиливаться. Е. З.

45581. Необычный случай коррозии алюминиевых труб в бетоне. Райт (An unusual case of corrosion of aluminum conduit in concrete. Wright T. E.), Engng J., 1955, 38, № 10, 1357—1362 (англ.)

Исследование коррозии Al-трубок, применяемых для электропроводки, продолженных в бетонных строительных конструкциях, показало, что продукты коррозии имели значительный объем и розовый цвет. В продуктах коррозии было отмечено содержание хлоридов до 8%. Содержание в бетоне хлоридов достигало 4,5%. Присутствие хлоридов объяснялось добавлением в бетон при укладке CaCl_2 из-за холодной погоды. Спец. испытания Al-трубок в бетоне с различным содержанием CaCl_2 и при различном напряжении наложенного тока показали, что в то время как при напряжении до 1 в содержание хлоридов не оказывало вредного влияния на развитие коррозии, при больших напряжениях коррозия Al сильно увеличивалась (при возрастании содержания CaCl_2 до 5%). Так как при практич. замерах на конструкциях было установлено появление заметных потенциалов, были проведены испытания в бетоне гальванич. пар Fe—Al при отношении поверхностей от 1/2:1 до 12:1. Испытание показало увеличение скорости коррозии с увеличением отношения указанных поверхностей, особенно в присутствии CaCl_2 . Ток со временем уменьшался, однако и в этом случае коррозия протекала быстро в присутствии CaCl_2 . В результате работ было сделано заключение о недопустимости применения Al-трубок в бетоне, включающем в себя стальные конструкции (арматуру, трубопроводы) и имеющем добавки CaCl_2 . В. П.

45582. Нефтехимия и коррозия. Морен (Pétrochimie and corrosion. Maurin A. J.), Techn. et applic. pétrole, 1955, Usines pétrochimie, 23—41 (франц.)

Обзор применяемых черных и цветных металлов и сплавов, пластмасс и других синтетич. материалов для защиты от коррозии в нефтедобывающей и перерабатывающей пром-сти. Приведены таблица механич. и физ. свойств и пример решения вопроса защиты стали в Cu-сплавах в морской воде в условиях движения. Т. Ш.

45583. Применение различных металлов в нефтяной промышленности. Мортон (Research — as applied to some metallic materials for the petroleum industry. Morton B. B.), Mines Mag., 1955, 45, № 10, 115—118, 128 (англ.)

Указывается на значение правильного выбора металла при работе в различных условиях и в различных областях нефтяной пром-сти. Для заклепок морских танкеров успешно применяется сталь с 1% Ni. Наиболее опасная в коррозионном отношении зона попеременного смачивания и высыхания металла обеспечивается применением монель-металла (2/3 Ni и 1/3 Cu). Сильная коррозия в сборных линиях от скважины на одном промысле с бессернистыми нефтями была прекращена применением 9%-ной Ni-стали, в то время

как 9%-ная Cr-сталь не дала хороших результатов. Описано разрушающее действие водорода на сталь, проявляющееся в трех видах: возникновение пузырей, растрескивание под напряжением и декарбонизация. Хорошие результаты при $t_{\text{ре}} > 260^\circ$ дали покрытия на нержавеющей стали типа 410. При более низких $t_{\text{рах}}$ хорошие данные дает монель-металл. Для твердого воздуха — 190° хорошие результаты показали стали, содержащие Ni 8,5%. При действии NaOH хорошую стойкость дает монель-металл. При $t_{\text{рах}} > 260^\circ$ применяется инконель. Не разрешен еще вопрос подбора металла, стойкого к NaOH и к сернистым соединениям при $t_{\text{рах}} > 371^\circ$. Так как при $t_{\text{рах}} > 538^\circ$ металл подвержен ползучести, для него требуется спец. сплав. Приводится диаграмма стойкости для сплавов при различных $t_{\text{рах}}$ от 427° до 1093° . Даны кривые для сплавов нержавеющей стали 430, 446, 304, 309, 310, 316, сплава № 502, инконеля с указанием содержания в них C, Cr, Ni, Mo. Для аппарата с $t_{\text{рой}} 538^\circ$ и давл. 3510 кг/см^2 был применен инконель X.

В. П. 45584. Коррозия энергоустановок и защита от нее. Часть II. Мюллер (Korrosion und Korrosionsschutz an Energieanlagen. Teil II. Müller B.), *Energietechnik*, 1955, 5, № 10, 444—452 (исп.)

Обзор по вопросам коррозии (К) водо- и газопроводов, кабелей и турбоагрегатов. Указывается, что битумную изоляцию трубопроводов (ТИ) следует проверять электрич. методом с целью установления поврежденных слоев. Отмечается применение стеклотканей для защиты ТП в ответственных случаях. Автор отмечает преимущества защиты ТП Mg-анодами, указывая, что по литературным данным защита ТП в СССР развивается в том же направлении. Своеобразие К кабелей по сравнению с ТП объясняется исключительно применением Pb-оболочки. Новые кабели с Al-оболочкой защищают протекторами не полагаются. Поведение Al в почве, соединенного с минусом внешнего источника тока, изучается в настоящее время. Причинами К турбин являются «сползание» токов, пыль и загрязнение на щетках и индукторах, появление электростатич. зарядов в результате эффекта Ленарда, наличие блуждающих токов. Описана электрозащита, протекторная защита и подавление блуждающих токов в условиях электростанций. Часть I см. РЖХим, 1956, 27759. Г. Р. 45585. Коррозия металлов в водопроводах. Хаттон, Диллон (Corrosion des métaux dans les canalisations d'eau. Hutton William, Dillon Wendell M.), *Entrepreneur promb.-chauff.*, 1955, 19, № 6, 35—36 (франц.)

Рассматриваются причины и меры борьбы с коррозией водопроводов для горячей и холодной воды. Т. III. 45586. Материалы по борьбе с коррозией внутренних поверхностей танкеров. Часть I. Природа коррозии и ее контроль. Джапп (Symposium on control of internal corrosion of tankers. Part I. The nature of corrosion and its control. Jupp William B.), *Corrosion*, 1953, 9, № 11, 388—394 (англ.)

Рассматриваются вопросы коррозии грузового пространства нефтеналивных танкеров в зависимости от различных факторов. Так, в пресной воде срок службы танкеров без ремонта составил 14 лет, в соленой воде 6—7 лет. Распределение очагов коррозии в различных зонах секций неодинаково: наибольшая глубина коррозии имеет место в верхней части, поддерживающей воздействию не только влаги, но и кислорода. Схематично показаны также участки с конц-ией напряжений, где развивается местная коррозия. Природа перевозимых нефтяных продуктов оказывает различное воздействие (наиболее агрессивна сернистая нефть). После разгрузки цистерн тяжелые погоды нефти оставляют на стали защитный слой, в то время как бензин делает

поверхность уязвимой для влаги. Очистка морской водой повышает скорость коррозии. Для уменьшения коррозии применяются механич. и электрохим. методы. К числу первых относятся защитные покрытия, напр. полихлорвиниловые — в соленой воде. Из электрохим. методов рекомендуются: способ устранения доступа кислорода пропусканием в свободное пространство топочных газов, очищ. и прошедших через CaCO_3 для удаления S; устранение влаги с помощью вентиляции; добавка замедлителей коррозии в нефтепродукты (сантолин «С»); замедление коррозии повышением щелочности балластируемой воды и паров до $\text{pH} > 10$; обрызгивание пустых цистерн составами с замедлителями коррозии ($\text{Na}_2\text{Cr}_2\text{O}_7$ или Na_3PO_4), электрохим. защита или защита металл. анодными покрытиями. Указывается также, что конструирование не должно приводить к конц-ии напряжений и что применение легированных сталей с добавками Cu и Ni показало снижение коррозии на 30%. Н. О. 45587. Обзор современных промышленных методов отделки металлов. Тестро (A survey of modern industrial finishes for sheet-metal products. Testro H. J.), *Sheet Metal Inds.*, 1953, 30, № 316, 665—668, 680 (англ.)

Обзор коррозионностойких органич. покрытий: целлолозных, эмали, покрытий из алкидных смол, из винила, силикона и т. д. М. М. 45588. Защита от коррозии металлическими покрытиями. Мориссе (La protection contre la corrosion par les revêtements métalliques. Morisset P.), *Usine nouvelle*, 1955, Numéro spécial, printemps, 85, 87—89, 91, 93, 95—97, 99, 101 (франц.)

Подробно рассмотрены различные металл. покрытия, механизм защиты катодными и анодными покрытиями, толщина покрытия, как решающий фактор, применяемые для покрытий и рекомендации по применению покрытий в различных средах и для различных отраслей пром-сти. Т. III. 45589. Металлическое покрытие, наносимое на изделие распылением. Уотсон (Sprayed metal coatings in product design. Watson D. A.), *Mater. and Methods*, 1955, 42, № 6, 106—109 (англ.)

45590. Свойства металлизационного покрытия. И Чжи-куань, Цзоу Дин-кан, Тань Ся-шань (金屬噴鍍層的性質. 易志寬, 鄭定康, 譚震剛), *機械製造*, Цайсе чжицзао 1954, 5, № 10, 9—12, 40 (кит.)

Изложена сущность процесса металлизации распылением. Приводятся свойства Al-, Zn- и Sn-покрытий. Рассматриваются факторы, влияющие на прочность сцепления металлизационного покрытия с основным металлом и на твердость металлизационных покрытий. При распылении стали методом газовой металлизации может выгореть $> 7\%$ С. Установлено, что электрометаллизация тем сильнее сопровождается выгоранием С, чем выше сила тока. Максим. толщина металлизационного покрытия на горизонтальной поверхности составляет 2,5 мм. Отмечается возможность металлизации изделий из дерева, гипса, шелка и других материалов. Е. З. 45591. Успехи в области металлизации. Катодное и анодное распыление, высоковакуумное испарение и разложение газообразных соединений металлов. Шварц (Fortschritte auf dem Gebiet des Metallisierens. Kathodenzerstäubung, Anodenzerstäubung, Hochvakuumbedampfung und Zersetzen gasförmiger Metallverbindungen. Schwarz A.), *Z. Vereines dtsh. Ingr.*, 1954, 96, № 30, 1009—1013 (нем.)

Обзор. Показано растущее значение металлизации поверхностей катодным или анодным распылением и, в особенности высоковакуумным испарением и разложением газообразных соединений металлов, по сравне-

нию с известными механич., хим. и электрохим. методами нанесения покрытий. Библ. 24 назв. В. 3.

45592. Автоматическая распылительная камера. Киммел (Automatic spray booth. Kimmell J. R.), Plant Engng, 1955, 9, № 6, 78—79 (англ.)

Приведено описание конвейерной установки для металлизации алюминием стальных изделий (II). Конвейер включает ванны для протравливания и покрытия II тонким слоем фосфатов с целью предотвращения процессов окисления, устройство для удаления избытка влаги с II (обдувка воздухом), печь для подсушки ИК-лучами, камеру с распылителями, обеспечивающими равномерную металлизацию II, и печь для сушки II ИК-лучами. Линия конвейера полностью автоматизирована. Приведена схема автоматич. управления линии конвейера. Н. К.

45593. Коррозионная защита стали методом диффузионного хромирования. Кальперс (Korrosionsschutz von Stahl durch Chromdiffusion. Kalpers H.), Chemiker-Ztg., 1954, 78, № 4, 116—118 (нем.; рез. англ., франц., итал.)

Описан метод поверхностного легирования стали методом диффузионного хромирования (ДХ), который заключается в получении обогащенного Cr поверхностного слоя путем соответствующей обработки стали, при которой достигается диффузия в нее Cr извне. Этот слой сообщает стали исключительно высокую коррозионную стойкость. ДХ может быть осуществлено с помощью твердых, жидких или газообразных соединений Cr, в частности CrCl_2 . При работе с последним изделие из стали нагревается в керамич. массе, содержащей хлорид Cr, диффундирующий в сталь, образует на ее поверхности слой толщиной 0,1—0,5 мм, который содержит >30% Cr; свойства этого слоя соответствуют свойствам легированной стали, содержащей >30% Cr. Для ДХ пригодны только низкоуглеродистые стали. Расход Cr при ДХ не превышает 200 г/м². Хромированные изделия можно шлифовать, сваривать и паять. Они не окисляются при t-рах до 850°. Хромированные трубы имеют большую теплопроводность, чем трубы из обычной нержавеющей стали. Л. К.

45594. Новый цех горячего цинкования. — (New galvanizing plant.—), Metal Ind., 1955, 86, № 2, 28—29 (англ.)

Описан цех горячего цинкования в г. Джексоне шт. Мичиган. М. М.

45595. Непрерывное цинкование стальных лент по способу Сендимира. Олливе (La galvanisation continue des bandes en acier, selon le procédé M. T. Sendzimir. Ollivet A.), Rev. métallurgie, 1954, 51, № 1, 17—27; Usine nouvelle, 1953, 9, № 53, 49, 51, 53 (франц.)

Описывается установка горячего цинкования стальных лент непосредственно после прокатки. Лента сначала поступает в печь для химико-термической обработки, где происходит процессы обезжиривания и окисления поверхности. Дальнейшую обработку (отжиг или нормализацию) ведут в водородно-азотной атмосфере. Конструкция печи предусматривает ее герметичность, особенно в той части, где происходит охлаждение ленты. Из печи лента, охлажденная приблизительно до 500°, поступает непосредственно в ванну с расплавленным Zn. В результате химико-термической обработки на поверхности ленты образуется слой чистого Fe, что способствует хорошему сцеплению с Zn-покрытием. В структуре полученного покрытия совершенно отсутствуют хрупкие составляющие, а толщина переходного слоя не превышает 5% от общей толщины покрытия, что объясняется замедленной диффузией Zn в чистое Fe. Для предохранения поверхности расплавленного Zn от окисления в ванну добавляют 0,15% Al. Оцинкованную ленту охлаждают, после чего

смаывают в рулоны или режут на листы. По своим защитным свойствам и механич. качествам покрытие, полученное по способу Сендимира, значительно превосходит покрытие, получаемое обычным путем. Сталь, оцинкованная по этому способу, может подвергаться глубокой штамповке без повреждения покрытия. А. Ш.

45596. Особенности горячего лужения ленточной жести. Виткин А. И., Сталь, 1954, № 8, 752—755

С целью освоения горячего лужения (Л) широкой стальной ленты исследуется Л узкой ленты. В агрегате Л лента поступает через флюсовую коробку, содержащую ZnCl_2 , и ванну Л по направляющим в нижнюю, и затем в верхнюю пару «жировых валиков» (ЖВ), почти полностью погруженных в масло. Избыток Sn отжимается роликами, расположенными над нижней парой ЖВ. Для снятия избытка Sn с верхних ЖВ и их очистки под ЖВ были установлены ванночки с расплавленным Sn. Стальной ЖВ хорошо смачивается Sn и увлекает за собой при вращении часть Sn с поверхности ленты. Отрыв основной массы Sn происходит у верхней точки мениска Sn, вдоль тела ЖВ. Вследствие физ. неоднородности поверхности сцепления оловом — сталь отрыв Sn происходит от волнистой линии, напоминающей гребни. Такое же явление наблюдается в месте выхода ЖВ из ванночки, а также ленты из зева как нижней, так и верхней пары ЖВ. В автоматах листного Л за время контакта карточки и ЖВ, не превышающем 10 сек., процесс образования гребней не получает значительного развития. Включения кристаллитов FeSn_2 , ухудшающие качество покрытия (II), образуются при р-циях на границе флюс — Sn и взаимодействии ленты и стальных деталей агрегата с жидким Sn. На ЖВ, соприкасающихся с маслом, образуется промежуточный слой FeSn_2 , постепенно диффундирующий в слой Sn на ЖВ и в Sn-ванночки, что приводит к появлению в покрытии на жести так называемых «крупинки Sn», представляющих собой кристаллики FeSn_2 . Под действием потоков Sn, питающих острия мениска, кристаллики FeSn_2 переходят на гребни. При раздроблении FeSn_2 образуются выступающие наружу «лесточки». Вследствие различной смачиваемости Sn и сплава Fe-Sn лудильное масло задерживается на гребнях и лепестках с образованием масляных пятен. В результате повышения кон-ции FeSn_2 последний выступает на поверхность II. Полностью устранить этот эффект весьма трудно. Для предотвращения образования потеростей в II, вызываемыми FeSn_2 , при смаывании в рулоны и транспортировании Л жести прокладывают бумажной лентой, а рулоны помещают в жесткую деревянную тару. Для перехода на непрерывный процесс горячего Л ленточной жести необходимо устранить причины возникновения дефектов в II. Е. 3.

45597. Современный способ оцинковки стального листа и его применение. Смит (The modern galvanized sheet and its uses. Smith Francis H.), Sheet Metal Inds., 1955, 32, № 342, 735—740, 744 (англ.)

В отличие от старого метода цинкования — погружения листа в расплавленный Zn — новый метод не требует тщательной очистки покрываемой поверхности и применения флюса. Гладкая поверхность получается после окисления поверхности стального листа при термич. обработке и последующей ее обработке в восстановительной атмосфере. При таком способе нанесения покрытия на границе между Zn и Fe почти отсутствует слой сплава Fe-Zn. Оцинкованный по новому способу стальной лист хорошо штампуется и сваривается. И. Е.

45598. Новые плакированные металлы, получаемые пайкой в вакууме. Роз (New clad metals made by

vacuum brazing. Rose Kenneth), Mater. and Methods, 1955, 42, № 1, 100—102 (англ.)

Плакирование металлов путем пайки в вакууме позволяет покрывать ржавящую сталь серебром; при отсутствии деформаций толщину защитного слоя можно уменьшить. Плакированные металлы, полученные по способу «Хортонклед», применяют в течение ряда лет для изготовления сосудов высокого давления, работающих при t -ре $\approx 480^\circ$. Наиболее широкое применение получили углеродистые стали, плакированные Ni, Ni-сплавами, Cr- и Cr-Ni-сплавами, сплавами «Хастеллой» В, С или F. В лабор. условиях получены углеродистая и нержавеющая стали, плакированные Ti. Максимум размер плакированного материала $3 \times 11,6$ м, толщина сердцевин сплава 6—30 мм, плакирующего слоя 3—12 мм. Плакирование производится в печи с применением в качестве припоя фольги, прокладываемой между соединяемыми листами, изготовленной из Cu, латуни или другого сплава. После расплавления припоя между соединяемыми листами создают разрежение, равное 737—762 мм рт. ст., в результате чего листы под действием атмосферного давления плотно соединяются между собой. По сравнению с обычной пайкой при пайке в вакууме сопротивление срезу паяного шва увеличивается с 14—21 до 28 кг/мм². Предел прочности плакированной стали составляет $> 45,7$ кг/мм². При изгибе плакированных листов на 180° плакирующий слой не отслаивается. 5-кратный нагрев до 895° с выдержкой при этой t -ре в течение 30 мин. и последующей закалкой в холодной воде приводил лишь к незначительному снижению сопротивления срезу. Е. 3.

45599. Метод одновременного обезжиривания, очистки от ржавчины и фосфатирования (суперфосфатирование). Кротов И. В., Хацадурова Т. М., Тр. Моск. авиац. ин-та, 1955, № 52, 5—7

Описывается дешевый метод очистки поверхности металла от ржавчины путем обработки ее водн. р-ром вытяжки суперфосфата. Водн. р-р, содержащий 33% простого суперфосфата (ГОСТ 10918—40), кипятят в течение 2 час. После отстаивания с осадка сливают прозрачный р-р, содержащий монокальцийфосфат и свободную фосфорную к-ту. К кипящей вытяжке добавляют небольшое кол-во вышеуказанного осадка для легкого помутнения и погружают необезжиренные детали, покрытые ржавчиной. В результате фосфатирования, длящегося 30—40 мин., образуется светлосерое покрытие, обладающее высоким сцеплением. Предлагаемый процесс фосфатирования рекомендуется для обработки труднодоступных поверхностей баков, бидонов, цистерн и других изделий, имеющих сложную конфигурацию. Приводится методика осаждения из отработанного р-ра для фосфатирования монокальцийфосфата, используемого в качестве удобрения в с.-х. После использования 1 кг суперфосфата $\approx 2/3$ P_2O_5 , содержащегося в суперфосфате, регенерируется в виде преципитата. Е. 3.

45600. Исследование химической полировки стали в безводной фосфорной кислоте. Часть I. Основные черты процесса и полирующего действия ванны безводной фосфорной кислоты. Садаи, Мукаи (脫水磷酸による鋼の化学研磨に関する研究 (第1報) 脫水磷酸による鋼の化学研究磨法の概要・佐治孝, 向正夫), 電気化学, Дзюки какаку, J. Electrochem. Soc., Japan, 1954, 22, № 4, 158—162 (япон.; рез. англ.). Химическая полировка углеродистой и нержавеющей стали 18-8 проводится погружением их в ванну, содержащую безводн. H_3PO_4 (P_2O_5) (I), при 200° , время полировки от нескольких сек. до нескольких мин. P_2O_5 получается нагреванием H_3PO_4 при 250° . Полировка улучшается при добавлении в I небольшого

кол-ва H_2SO_4 и органич. в-в. Приводятся кривые зависимости блеска полированной поверхности от содержания С в сталях, Fe, H_2SO_4 в ванне, t -ры обезжиривания, процентного содержания P_2O_5 , t -ры ванны и времени полировки. По приведенным кривым определяют оптимальные условия полировки. Е. Д.

45601. Исследование химической полировки стали в безводной фосфорной кислоте. Часть 2. Относительно обезжиривания фосфорной кислоты (I). Садаи, Мукаи (脫水磷酸による鋼の化学研磨に関する研究 第2報 磷酸の脱水状態について・その1 佐治孝, 向正夫), 電気化学, Дзюки какаку, J. Electrochem. Soc., Japan, 1954, 22, № 5, 216—220 (япон.; рез. англ.). Приводятся исследования по обезжириванию H_3PO_4 (I). Указывается, что при нагревании I постепенно переходит в $H_4P_2O_7$ (I). t -ра перехода I в II не может быть точно установлена. Наибольшая эффективность ванны полировки проявляется при наличии в ней I и II. Оптимальный состав ванны полировки содержит I и II в пропорции 1 : 2 моль. Е. Д.

45602. Исследование химической полировки стали в безводной фосфорной кислоте. Часть 3. Относительно потенциала химического растворения стали в обезжиренной фосфорной кислоте. Садаи, Мукаи (脫水磷酸による鋼の化学研磨 第3報 脱水磷酸における鋼の腐蝕電位について・佐治孝, 向正夫), 電気化学, Дзюки какаку, J. Electrochem. Soc., Japan, 1954, 22, № 6, 296—299 (япон.; рез. англ.). Измерен потенциал растворения сталей в обезжиренной H_3PO_4 . Указывается, что потенциал растворения чистого Fe в ванне полировки становится положительным, скорость изменения потенциала особенно заметна в 1-ю мин. погружения стали в ванну; изменение потенциала вращающегося электрода (4) меньше, чем неподвижного электрода. Наибольшее изменение потенциала I наблюдается в области 150 — 200° , в которой успешно проходит хим. полировка. Приводятся кривые зависимости потенциала от числа оборотов I, t -ры и времени полировки. Высказаны предположения, что полировка может быть рассмотрена как анодное растворение местных элементов; и что при t -ре ниже 150° степень полировки может определяться концентрационной поляризацией. При t -ре выше 200° доминирующую роль в полировке может играть хим. поляризация. Е. Д.

45603. Защита алюминия от коррозии. Прокор (Korrosionsschutz für Aluminium. Prokor Erich). Mitt. Chem. Forschungsinst. Wirtsch. Österr. 1955, 9, № 5, 127—128 (нем.).

Сообщается о новых способах получения защитных пленок на Al и его сплавах (способы Alodine-100 и Alodine-1200), разработанных American Chemical Paint Co. Защитная пленка, полученная по способу Alodine-100, состоит из фосфатов Cr и Al и незначительных кол-в различных фторидов. Пленки имеют красивый внешний вид (светлозеленая, темнозеленая и золотисто-желтая), хорошее сцепление с металлом и не отслаиваются при изгибе и даже изломе образца. Сами по себе пленки обладают хорошими защитными свойствами и являются прекрасной основой для лаков и красок. Процесс Alodine-100 ведется при 40 — 50° , а Alodine-1200 при 20° , в течение нескольких минут. II. III.

45604. Анодное поведение свинца в растворах фосфорной кислоты. Камецкий, Зембурга, Трау (The anodic behavior of lead in phosphoric acid solutions. Kamecki J., Zembura Z., Trau J.), Bull. Acad. polon. sci., 1955, Cl. 3, 3, 37—40 (англ.).

Предыдущее сообщение см. РЖХим, 1956, 25278. 45605. Фосфатирование. Шульц (Rostumwandler auf Phosphorsäurebasis. Schultz Gerhart),

Metaloberfläche, 1955, 9, № 12, 177 (B) — 179(B) (нем.)

Указывается, что фосфатирование защищает от коррозии (K) не только очищ. стальную поверхность, но и покрытую продуктами K. Коррозионная стойкость такого покрытия зависит от толщины слоя ржавчины и кол-ва нанесенного фосфатирующего в-ва. Во избежание разъедания чистых мест фосфорная к-та должна содержать замедлитель K. Применение таких комбинированных препаратов обеспечивает получение равномерных защитных пленок. В случае неправильной дозировки препарат не только не защищает, но и ускоряет K. Если содержание фосфорной к-ты в препарате завышено, то возможна K под лаковой пленкой за счет остатков к-ты на поверхности металла. В случае нанесения лаковой пленки до полного высыхания препарата и отверждения покрытия, возможно отслаивание лаковой пленки. Если препарат содержит в-ва, реагирующие с пленкой, то последняя отвердевает слишком быстро и не дает возможности прореагировать всей к-те. Положительные результаты получаются при обработке поверхности с тонким слоем ржавчины. С. К. 45606. **Защитные покрытия повышенной эрозионной стойкости.** (Powłoki ochronne o dużej odporności na erozję. J. P.), Techn. lotnicza, 1954, 9, № 5, 148—150 (польск.)

Приводится описание проведенных в Ин-те физ. химии АН СССР исследований на эрозию анодных оксидных пленок на Al-сплавах и результаты исследования гладкости глубокоанодированных покрытий. См. РЖХим, 1954, 43631.

В. Л. 45607. **Чугунная колонна с тарелками из керамики для ректификации уксусной кислоты.** Ч а щ и н А. М., Кулаков П. И., Гидролизная и лесохим. пром-сть, 1955, № 8, 21—23

На Дмитриевском з-де смонтирована опытная чугунная ректификационная колонна вместо медной, футерованная диабазовыми плитками с керамич. тарелками. Уплотнение между тарелками осуществляли шнуром, покрытым графитом. Зазор между опорным кольцом тарелки и футеровкой колонны забивали сухим асбестовым шнуром, промазанным диабазовой замазкой. Опыт эксплуатации показал возможность замены Cu-колонны в уксуснокислотном произ-ве, работающих в условиях воздействия к-ты и при высокой т-ре. С. К.

45608. **Обработка поверхности бетона для предотвращения коррозии.** Часть I. Киситани (コンクリート表面の防蝕處理I. その材料と工法 岸谷孝一), 建築技術, Кэнтинку и гидзюцу, Build., Engng. 1955, № 49, 50—56 (япон.; рез. англ.)

Обзор. Материалы, предназначенные для предотвращения коррозии бетона в зданиях и сооружениях, и способы их применения. В. Л.

45609. **Испытание органических отделочных материалов и интерпретация результатов.** Хатчинсон (Testing organic finishes and interpretation of results. Hutchinson C. O.), Proc. Amer. Electroplaters' Soc., 1953, 40, 119—132 (англ.)

Описаны различные свойства органич. отделочных материалов, лежащие в основе оценки качества органич. покрытий, и перечислены стандартные методы контроля этих свойств в различных областях техники и хозяйства, а также приведена интерпретация результатов испытания. С. З.

45610. **Замедлители коррозии.** Исияма (防蝕剤使用法・石山 崇文), 電気試験所彙報. Дзэнки сэнсё хю, Bull. Electrotechn. Lab., 1954, 18, № 1, 62—72 (япон.)

Автор полагает, что основным свойством органич. замедлителей коррозии (ЗК) является их энергия адсорбции. Предложена следующая классификация:

1) ЗК, изменяющие состояние поверхности; 2) ЗК адсорбционного действия; 3) ЗК диффузионного действия. Неорганич. ЗК относятся в основном к 1-му классу, органич. — 2-му и 3-му. Л. К.

45611. **Использование гетероциклических и некоторых других органических соединений в качестве ингибиторов атмосферной коррозии.** Саверина Н. А., Сб. статей Моск. высш. техн. уч-ща, 1955, вып. 36, 49—54

С целью нахождения новых эффективных замедлителей атмосферной коррозии (ЗАК) и изучения влияния структуры органич. в-в на адсорбцию их на металле исследовались в-ва, принадлежащие к различным классам органич. соединений: пиридин, хинолин, α -пиколин (в-ва основного характера), оцетамид, бензамид, диметилформамид (нейтр. в-ва) и фенол (в-во кислотного характера). Исследовалось влияние указанных в-в на коррозию стали (1,26% С, 0,2% Cr), Cu, латуни и Al в атмосфере воздуха, насыщ. парами воды. Установлено, что пиридин, хинолин, α -пиколин и фенол являются активными замедлителями коррозии и по своей эффективности приближаются довольно близко к моноэтаноламину — ЗАК стали, прошедшему уже производственные испытания. Для Cu, Al и латуни не удалось подобрать подходящий ЗАК. На поверхности стали, находящейся в атмосфере с летучим замедлителем, образуется пленка, состав которой еще не изучен. Рекомендуется вести работы в направлении синтеза органич. в-в, которые, постепенно разлагаясь, выделяли бы активное в-во. П. Ш.

45612. **Оценка молибдатовых пигментов как ингибиторов коррозии.** Киллеффер (Evaluating molybdate pigments as corrosion inhibitors. Killeffer D. H.), Paint, Oil and Chem. Rev., 1954, 117, № 7, 24—25 (англ.)

Ионы молибдата (М) при достижении определенной концентрации в р-ре являются замедлителями коррозии (ЗК). Со временем конц-ия М падает, и, чтобы сохранить тормозящее действие М, в р-р добавляют М с низкой растворимостью. Метод был опробован для охлаждающей системы автомобиля и дал хорошие результаты при применении М цинка с избытком ZnO. Этот же ЗК добавлялся в пигмент для антикоррозионных покрытий в кол-ве 10%. Метод оценки тормозящих свойств М состоит в определении его растворимости и основан на положении, что свойства М проявляются при конц-ии его ионов в р-ре выше 10^{-3} моль/л. Второй метод оценки — это тормозящее действие воды. суспензия пигмента на коррозию гальванич. пары Fe-Cu. Скорость коррозии определяется измерением разности потенциалов пары. Т. Ф.

45613. **Предотвращение накипеобразования и коррозии в системах водяного охлаждения двигателей внутреннего сгорания.** Стритфилд (Prevention of s.a.e corrosion in the water cooling systems of internal combustion engines. Stritfield E. L.), Gas and Oil Power, 1955, 50, № 607, 315—316, 319 (англ.)

См. РЖХим, 1956, 11700.

45614. **Предотвращение коррозии под действием охлаждающей воды.** Калер, Джордж (Descaaling cooling water corrosion. Kahler H. Lewis, George Charles), Petrol. Refiner, 1955, 34, № 7, 144—148 (англ.)

Для устранения местной коррозии и наростов ржавчины в системах водяного охлаждения предлагается метод, получивший широкое применение в пром-сти, так называемой «диалодный», который сводится к обработке охлаждающей воды смесью 2 анодных замедлителей коррозии (ЗК) — хромата и полифосфата, при определенном соотношении их дозровок и регулируемом значении рН. Это устраняет основное свой-

ство индивидуально применяемых анодных ЗК — вызывать локализацию коррозии при недостаточной их дозировке. При более агрессивных водах обычную суммарную дозировку обоих ЗК (40—60 мг/л) приходится повышать, что вызывает повышение концентрации ортофосфата в воде и связанное с этим осаждение фосфата Са. Для повышения эффективности указанного метода при агрессивных водах и понижении расхода ЗК было исследовано сочетание его с присадкой солей Zn, рассчитанной на защитное действие ионов Zn или на образование нерастворимой защитной пленки на поверхности металла. Приведено описание лабораторных и промышленных наблюдений на 3 объектах, показавших положительные результаты. В большинстве случаев эффективны оба способа применения Zn. Хорошая защита металла достигается лишь при одновременной дозировке наряду с Zn хромата и полифосфата; эффективность одного Zn незначительна. А. М.

45615. Применение силикофосфатов для защиты от накипи и коррозии. Нальбах (Steinschutz und Korrosionsschutz durch das Silicaphosphat-Impfverfahren. N a l b a c h), Sanit. Technik, 1955, 20, № 12, 437—440 (нем.)

В зависимости от жесткости воды последняя может вызывать коррозию металла или накипеобразование. При прибавлении к воде полимеров фосфатов образуются растворимые комплексы и осаждение солей на поверхности металла не имеет места. Эти комплексы, абсорбируясь металлами, поверхность, защищают последнюю от коррозии. Для обеспечения такой защиты, а также предохранения от накипеобразования достаточно содержание фосфата в воде (даже при 90—95°) 2—4 мг/л. При нагреве воды часть полифосфатов подвергается гидролизу с образованием ортофосфатов, которые образуют на поверхности металлов защитную пленку. Эффективную защиту от коррозии дает также применение кремневой к-ты, поэтому рекомендуется применение комбинированных соединений, содержащих полифосфаты и эту к-ту. Для небольших емкостей и замкнутой системы применяют силикофосфаты в количестве 2—3 г/л. С. К.

45616. Влияние масляной пленки на стойкость латунной винтовой проволочки против коррозии. Полосухин Н. А., Сб. тр. Киевского технол. ин-та легкой пром-сти, 1954, № 6, 115—118

Указывается, что латунная винтовая проволока после отпуска при 300° является более стойкой против коррозионного растрескивания (КР), чем проволока без отпуска (после холодной обработки роликами). Для предохранения от КР рекомендуется при хранении и транспортировке смазывать латунную проволоку маслом. Исходя из этого, отпуск латунной проволоки после холодной обработки следует вести в масле, а не на воздухе. Е. Д.

45617. Катодная защита судов от коррозии морской водой. Картер, Креннелл (The cathodic protection of ships against sea water corrosion. Carter L. T., Crennell J. T.), Quart. Trans. Instn Naval Architects, 1955, 97, № 3, 413—424; Дискуссия 434—452 (англ.)

Приводится описание причин и природы морской коррозии корпуса судна, а также методы предупреждения подводной коррозии морских судов путем комплексного применения окраски и катодной защиты (КЗ). Дается оценка действия КЗ по величине потенциала стали в морской воде. Измеренный по хлорсеребряному электроду сравнения потенциал стали в морской воде равен $-0,75$ в; если сталь покрыта ржавчиной, то ее потенциал будет $-0,6$ в. Для обеспечения защиты необходимо выдерживать значение потен-

циала в пределах от $-0,80$ до $-0,90$ в. При увеличении значения потенциала $>0,95$ в начинается заметное выделение H_2 , опасное для сохранности краски. То же, требуемый для КЗ в морской воде, определяется в значительной степени скоростью подвода O_2 к катодным поверхностям, а это зависит от многих факторов. Поэтому, в частности, при движении судна для КЗ требуется примерно на 50% больше тока, чем при стоянке. Неокрашенная сталь в морской воде при медленном ее движении требует для КЗ $\sim 0,1075$ а на $1 м^2$ поверхности. Наличие окраски, однако, сильно снижает потребление тока для КЗ и расход тока составляет от 2,7 ма до 16,1 ма на $1 м^2$. Повышение т-ры вызывает увеличение потребляемого тока, примерно на 2% на 1° . Для гальванич. анодов применяется Mg-сплав с 6% Al и 3% Zn. Выход тока из такого анода в морской воде составляет ~ 5 ма. При подводе тока извне чаще всего применяют аноды из бросового Fe. 1000 $м^2$ поверхности, подлежащей КЗ, требует ~ 1360 кг стали, рассчитанной на работу в течение 2 лет при запасе, равном 2. Более стабильны графитовые аноды, однако они требуют большего напряжения источника тока примерно на 6в. Аноды желательно удалять от корпуса судна на расстояние 300—360 см. КЗ оказывает разрушающее действие на окраску и не предохраняет от образования. Зато защитная известковая пленка позволяет снизить первоначальный расход тока до $1/3$. Выделение H_2 при КЗ создает известную опасность для внутренних помещений, также как выделение Cl_2 из морской воды. В пресной воде КЗ считается нерентабельной. КЗ Al и Al-сплавов возможно при миним. защитном потенциале в $-0,8$ в по хлорсеребряному электроду сравнения. Хотя потенциал Al в морской воде равен $-1,6$ в, однако обычно металл находится в пассивном состоянии, что снижает его потенциал до $-0,7$. Близкие значения защитных потенциалов Fe и Al позволяют защищать их совместно. Для КЗ от биокоррозии стали в морской воде требуется дополнительное снижение потенциала сверх обычного еще на 0,1 в. Применение Zn для гальванич. анода имеет некоторые преимущества, а недостаток Zn в снижении его активности устраняется применением металла высокой чистоты и сплава Zn + 1% Mg. Приводятся схема КЗ группы судов при помощи наложенного тока, конструкции анодов, их установка на место, чертежи отдельных деталей установок и др. Помимо судов, КЗ была применена для пловучих доков, пристаней и шпунтовых рядов, трубопровода. Кроме Англии КЗ была широко использована в канадском военном флоте и для морских судов США различного назначения. В. П.

45618. Моделирование катодной защиты от коррозии в почве. Маркович (Modellversuche zur Untersuchung des kathodischen Korrosionsschutzes im Erdreich. Markovic T.), Werkstoffe und Korrosion, 1955, 6, № 12, 580—581 (нем.)

Исследования силы тока на модели элемента Fe/почва + вода/Zn по времени с измерением потерь веса обоих электродов. В качестве почвы были взяты песок, глина, гумус. Поверхность образцов была $4 \times 4 \times 4$ см. Zn имел чистоту 99,5%. Испытания проводились при влажности почвы 26% и при полном насыщении. Оказалось, что катодная защита в сильно насыщ. воздухом почве была менее эффективной, чем в менее насыщ. почве. Более полная защита достигается в насыщ. водой почве. В. П.

45619. Расчет тока для катодной защиты металлов. Везер (Die Berechnung der Ströme beim kathodischen Schutz von Metallen. W e s e r B.), Metall, 1955, 9, № 23-24, 1088—1089 (нем.)

Приведены основные положения и порядок расчета тока, необходимого для катодной защиты. По одному

предложению расчет должен вестись на основании дремируемого тока в 10 ма/м^2 , что может дать $6 \cdot 10^{15} \text{ ае.тронов/м}^2 \text{сек}$ и восстановить $1,6 \cdot 10^{15}$ молекул кислорода. Влияние толщины слоя диффузии ρ на плотность тока I_1 определяется ур-нием $I_d = 21,5/\rho \text{ ма/м}^2$. Практически для получения защитного потенциала — $0,85 \text{ в}$ по медносульфатному электроду необходимо от 30 до 50 ма/м^2 . Приводятся ф-лы Швердфегера и Судрабина для определения величины защитного тока. В. П.

45620. Непрерывный контроль величины защитного потенциала. Тули, Шангарье (Contrôle permanent des tensions d'anticorrosion. Touly, Chagnard J.), J. usines gaz, 1955, 79, № 3, 91—93 (франц.)

Общие принципы, схема и анализ работы установки катодной защиты подземного металлического кабеля от коррозии и блуждающих токов с непрерывным контролем величины защитного потенциала. Т. III.

45621. Электрохимический способ замедления коррозии анодами, находящимися под напряжением. Харви, Стривер (Electrolytic corrosion inhibiting and cleaning with energized anodes, Harvey H. Franklin, Jr., Streever Otis J.), Nautical Gaz., 1953, 148, № 12, 17, 21 (англ.)

Рассматривается электрохим. защита от коррозии и нанесение покрытия на металлические поверхности, находящиеся в соприкосновении с водой. Е. Д.

45622. Новые ускоренные методы испытания на коррозию. Пиннер (Progress report on development of a new accelerated corrosion test. Pinner W. L.), Proc. Amer. Electroplaters' Soc., 1953, 40, 148—152 (англ.)

45623. Оценка испытания травлением в павелевой кислоте на основании испытаний, проведенных по единой программе. Стрейкер (Results of cooperative testing program for the evaluation of the oxalic acid etching test. Streicher M. A.), ASTM Bull., 1954, № 195, 63—67 (англ.)

Стандартный метод испытания нержавеющей стали на межкристаллитную коррозию (МК) в кипящей 65%-ной HNO_3 сравнивается с электролитич. методом испытания в 10%-ной $\text{H}_2\text{C}_2\text{O}_4$. При травлении в $\text{H}_2\text{C}_2\text{O}_4$ (при 1 а/см^2 , 1,5 мин.) выявляются следующие структуры сталей: 1) «ступенчатая» (только по границам зерен); 2) двойная (образование по границам зерен отдельных канав и ступеней); 3) «канавчатая» (зерна полностью окружены канавками). Параллельными испытаниями установлено: а) стали, показавшие при травлении в $\text{H}_2\text{C}_2\text{O}_4$ 1-ю и 2-ю структуры, не склонны к МК и поэтому не требуют испытания в HNO_3 ; б) стали, показавшие 3-ю структуру, склонны к МК и для уточнения должны дополнительно испытываться в HNO_3 . Е. Д.

45624. Коррозионные испытания. Риккони, Папов, Веццози (Beitrag zur Durchführung von Korrosionsversuchen. Riccoboni Luigi, Papoff Paolo, Vezzosi Jda Maria), Werkstoffe und Korrosion, 1955, 6, № 12, 569—571 (нем.)

Описывается прибор для изучения скорости коррозии, позволяющий исследовать кинетику окислительных процессов. С. К.

45625. Простой воспроизводимый метод определения степени очистки металла. Миллер, Хедман (A simple reproducible method for determining metal cleaning efficiency. Miller Arnold, Hedman Edward A.), ASTM Bull., 1953, № 194, 51—52 (англ.)

Дано описание ускоренного испытания, позволяющего судить о качестве очистки, применяемой для латунных часовых деталей. Обезжиренные, промытые,

протравленные, высушенные и смазанные синтетич. смазкой испытываемые образцы помещаются в стеклянную камеру с 100%-ной относительной влажностью при 65° . После 12-часовой выдержки производится осмотр образцов. По состоянию испытываемой поверхности (изменение цвета, наличие протравления, пitting) судят о степени очистки. Установлена недостаточная эффективность керосино-эмульсных очистителей. Отмечается, что стандартные аммоний-олеатные р-ры не удаляют отпечатков рук, и поэтому требуется дополнительная промывка в метаноле. Приводятся р-р для обезжиривания, травления, хранения образцов и порядок подготовки их к испытанию. Е. Д.

45626. Сообщение о полярографическом методе контроля коррозии водопроводов. Новак (Beitrag zur polarographischen Kontrolle der Wasserleitungskorrosion. Nowak Zdenek), Wasserwirtschaft-Wassertechnik, 1955, 5, № 12, 388—392 (нем.)

Рассмотрены общие основы коррозии внутренней поверхности водопроводных стальных труб. Автор считает, что первоочередное значение для коррозии имеет содержание в воде растворенных газов и солей и что коррозия водопроводов сопровождается уменьшением содержания растворенного в воде O_2 . Это дает точное представление о коррозии водопроводов, подающих мягкую воду, богатую CO_2 и O_2 . Отбор проб, с последующим определением содержания кислорода, дает понятие о кинетике коррозионного процесса. Определение кол-ва кислорода в воде производится по Винклеру или полярографически по высоте волны кислорода. Полярографич. определения кислорода производят в таких электролитах, как 0,1 М NaOH , 0,1 М KCl , 0,1 М LiCl . В. П.

45627. Защитные покрытия для металлов. Изд. 2-е. Бернс, Шух (Protective coatings for metals. 2d ed. Burns Robert Martin, Schuh A. E.), (Monograph ser. Amer. chem. soc., № 129) Reinhold; Chapman, 1955, 643 p., ill., 12 doll (англ.)

45628. П. Способ пассивации. Лей, Штенгер, Вернер (Passivierungsmittel. Ley Hellmut, Stenger Walter, Werner Willy) [Metallgesellschaft A.-G.]. Пат. ГДР 3241, 15.06.53

Патентуется способ дополнительной обработки поверхности Fe и других металлов, подвергнутых фосфатированию в фосфорной к-те или в р-рах для фосфатирования, заключающийся в промывке фосфатированных деталей в р-ре, содержащем нитриты, хромовую к-ту или хроматы, а также добавки, предотвращающие образование шлама, так, напр. в-ва, применяемые в текстильной пром-сти при промывке и крашении, снижают жесткость воды: пирофосфаты, метафосфаты, полифосфаты или органич. в-ва типа карбоновой аминокислоты, напр., Trilon. Р-р для промывки может содержать (в г/л): соды с добавкой NaNO_2 4—10, а также Trilon 1—5 или нейтр. пирофосфата Na 1—10. Другой вариант предусматривает применение для промывки р-ра, содержащего 0,1—1,0 хромата Na и 0,1—10 нейтр. пирофосфата Na. Е. З.

45629. П. Способы нанесения защитных металлических покрытий на тантал. Винклер (Verfahren zur Herstellung von metallischen Schutzüberzügen auf Tantal. Winkler Otto) [W. C. Heraeus G. m. b. H.]. Пат. ФРГ 881892, 6.07.53 [Chem. Zbl., 1954, 125, № 21, 4714—4715 (нем.)]

На окисленную поверхность Ta наносится гальванич. способом, испарением или набрызгиванием тонкий слой металлов 6—8 групп периодич. системы, преимущественно Pt с последующим диффузионным прокаливанием в высоком вакууме или в атмосфере инертного газа

при t -рах выше 500° . При этом пленка Ta_2O_5 разлагается, и между Ta и покрытием возникает диффузионная зона, обеспечивающая прочное сцепление между ними.

45630 П. Полировка и глянецка меди и ее сплавов (Brightening and polishing copper and copper alloys) [Soc. Internationale de Brevets]. Австрал. пат. 159858, 2.12.54

Изделие из Cu и ее сплавов погружают в р-р состава (в вес. %): HNO_3 ($36^\circ B^e$) 60—99, CrO_3 40—1. Е. Д.

45631 П. Способ покрытия железных или стальных изделий оловянистой бронзой. Буркхардт (Verfahren zum Umkleiden von aus Eisen oder Stahl bestehenden Gegenständen mit Zinnbronze. Burkhardt Hans) [Vereinigte Deutsche Metallwerke A.-G.]. Пат. ФРГ 883385, 16.07.53 [Chem. Zbl., 1954, 125, № 7, 1585 (нем.)]

На покрываемые поверхности предварительно наносят слой Cu, затем изделие подвергают при высоких t -рах воздействию смеси газов, состоящей из паров, соединения Sn и восстановительных газов, и термич. обработке. Добавка соединения Sn производится при таких t -рах, при которых избегается образование расплавленной фазы.

45632 П. Способ нанесения коррозионностойких и особенно кислотостойких, твердых и износостойких кремне содержащих защитных покрытий на железной основе. Фитцер (Verfahren zur Erzeugung von korrosionsbeständigen und besonders säurefesten, harten und verschleißfesten Si-haltigen Schutzschichten auf Eisenmetallen. Fitzer Erich). Австр. пат. 179456, 10.09.54 [Metalloberfläche, 1955, 9, № 12, A 190 (нем.)]

Силицирование улучшает не только кислотостойкость Fe_2Si -пленки, но способствует также образованию плотноприлегающей и абсолютно кислотостойкой промежуточной зоны между этой пленкой и основным металлом. Этим слоем обеспечивается коррозионная стойкость, даже при пористости и механич. повреждениях поверхности. Содержание C в стали не должно превышать 0,4%, его, однако, можно изменить добавлением карбидобразующих элементов, как, напр., Ti, Nb, Ta, V и др. Возможно сплавление Fe с Mo и с W. Этим методом можно получать сплавы Fe-W-Mo, а также сплавлять Fe с другими элементами, как, напр., Cr, Ni, Co и др. при условии, чтобы Mo и W были в твердом р-ре, а не выделялись в виде интерметаллич. соединений (карбиды, нитриды и др.). Для силицирования Fe-Mo- или Fe-W-сплавов нужен незначительный до 0,1 мм внешний слой, содержащий W и (или) Mo. Слой легирующих элементов может быть нанесен металлизацией, плакировкой, цементацией, наплавлением или гальванич. способом. Силицирование может выполняться различными способами, напр., в парах $SiCl_4$ или же посредством газообразного HCl, взаимодействующего с соединениями Si.

45633 П. Способ получения фосфатных покрытий на металлах, в частности на железе, стали и цинке, с помощью растворов фосфатов (Verfahren zur Herstellung von Phosphatüberzügen auf Metallen, insbesondere Eisen, Stahl und Zink, mit Phosphatlösungen) [Metallgesellschaft A.-G.]. Швейц. пат. 294030, 4.01.54 [Electroplating and Metal Spraying, 1954, 7, № 4, 156 (англ.)]

Патентуется р-р для фосфатирования железа, стали и цинка с таким pH при 50° , что покрытие содержит по крайней мере 90% фосфата.

45634 П. Фосфатирование в растворе, применяемый для этой цели. Гибсон и Расселл (Verfahren zur Aufbringung eines Überzugs und Phosphatierungs-lösung zur Durchführung dieses Verfahrens. Gibson Robert C., Russell William S.)

[Parker Rust Proof Co.]. Австр. пат. 179941, 25.10.54 [Metalloberfläche, 1955, 9, № 12, 189B (нем.)]

Универсальным препаратом для фосфатирования Al, Fe и Zn служит р-р, содержащий (в. %): 75%-ной H_3PO_4 167,8; HNO_3 $42^\circ B^e$ 324,3; ZnO 192,8; H_3BO_3 81,6; 60%-ного HF $74,5^\circ$ и бифторида Na 77,1 в виде водн. р-ра крепостью 46,5° B^e при t -ре 27° . Если разбавить 60 г этого р-ра в 1000 мл воды, то для нейтрации 10 мл пробы потребуется 2,4—2,6 мл 0,1 н. NaOH по бромфенолблеу и 19,5—20,5 мл этой же щелочи по фенолфталеину. Для создания указанных условий добавляются в ванну ZnO или H_3PO_4 .

45635 П. Фосфатирование. Лей, Калленбак, Бедбур, Николсон, Уилкинсон (Verfahren zur Herstellung von Phosphatüberzügen auf Metallen. Ley Hellmut, Kallenbach Rudolf, Bedbur Peter, Nicholson Andrew, Wilkinson Cyril Frank). Пат. ГДР 3744, 18.07.53

Патентуется способ очистки и фосфатирования поверхности Fe и Zn, заключающийся в применении фосфатного р-ра (предпочтительно при pH 3,5—3,8). В качестве обезжиривающего в-ва и эмульгатора применяют полимер окиси этилена общей ф-лы $R-O(C_2H_4O)_n-R^1$ или органич. соединение, в молекуле которого находятся связанные азотом полиэфирные группы, имеющие общую ф-лу $RR_1N-(C_2H_4O)_n-R_2$, где R_1 — органич. радикал с цепью, содержащей по меньшей мере 8 атомов C, R_1 и R_2 — органич. радикал или водород, а n — равно по меньшей мере 4. Обработку проводят при t -ре $> 65^\circ$. В качестве эмульгатора используют спирт жирного ряда с добавкой окиси этилен.

45636 П. Состав для фосфатирования металлов. Миллер (Phosphatizing composition. Miller Daniel E.) [Kelite Products, Inc.]. Пат. США 2715059, 9.08.55

Сухой порошкообразный кислый ортофосфат $Na_2H_7(PO_4)_3$ или $NaH_6(PO_4)_2$ получают смешением при 60° 1 вес. ч. гранулированного безводн. $Na_2H_2P_2O_7$ с 1—2 вес. ч. 85%-ной H_3PO_4 . Водн. р-р продукта с pH 3—4 при низких конц-ях применяется для фосфатирования металлов.

45637 П. Покрытие меди и медных сплавов цинком. Миядзима (Plating of copper or copper alloys with zinc. Miyajima Takeyo) [Miyata Manufacturing Co.]. Япон. пат. 6261, 7.12.53 [Chem. Abstrs, 1954, 48, № 20, 11964 (англ.)]

Cu или Cu-сплав и Zn погружают в 1 л р-ра, содержащего 30—500 г Na_2ZnO_2 и 3—50 г NaCN. Эти металлы связывают проводником. Получается покрытие Cu-Zn (5—10 : 90—5), которое промывают водой и сушат.

45638 П. Повышение коррозионной стойкости бетона (Improving corrosion resistance of concrete) [Rocla Pipes Ltd.]. Австрал. пат. 164100, 28.07.55

Патентуется способ повышения коррозионной стойкости бетона, заключающийся в обработке бетона 3—7%-ным р-ром фторосиликата Mg или Zn, а затем конц. р-ром (12—20% или более) фторосиликата Al.

45639 П. Коррозионностойкий металлокерамический материал, содержащий смешанные карбиды. Редмонд, Грехэм (Corrosion resistant sintered stock containing mixed carbides. Redmond John C., Graham John W.) [Kennametal Inc.]. Пат. США 2711009, 21.06.55

Патентуется коррозионностойкий металлокерамич. твердый сплав, состоящий из 42—72% карбида титана, не содержащего свободный Ti, свободный C, окислы и нитраты, а также состоящий из 4—15% твердого р-ра

комплекса карбидов, содержащего Nb, Ta, Ti и C, и 20—50% Ni-Mo-сплава, играющего роль связующего, содержащего 5—25% Mo. Уд. вес сплава равен 5,6—5,8 г/см³, H_{RA} 83,5, предел прочности в поперечном направлении >105 кг/мм². Сплав не окисляется при нагревании до т-ры 980°.

Е. З.
45640 П. Способы получения постоянно сохраняющих свои свойства пластичных антикоррозионных и уплотняющих веществ на основе парафиновых углеводородов (Verfahren zur Herstellung plastisch bleibender Korrosionsschutz- und Abdichtungsmassen auf der Basis von Paraffinkohlenwasserstoffen) [Arobiga A.-G.]. Швейц. пат. 292808, 16.11.53 [Chem. Abstr., 1954, 48, № 12, 7225 (англ.)]

Патентуется защитное покрытие из парафиновых углеводородов, содержащих высокополимеры, напр., полиэтилен или полиизобутилен, добавляемых для повышения т-ры плавления углеводородов. Даже когда т-ра плавления состава высока (~85°), он сохраняет пластичные свойства и при низких т-рах. Если необходимо, то в массу могут быть введены замедлители коррозии и наполнители. Парафины могут быть смешаны также с битумами, но последние ухудшают свойства состава и препятствуют образованию хорошей пленки. Типичная смесь имеет состав, применяемый при защите кабелей в Америке, состоящий из (вес. ч.): 100, полиэтилен 2—5, полиизобутилен 1—4, каолин 35, тальк или другие наполнители 30. Другие смеси содержат искусств. воск. Патентуемые составы могут применяться для защиты металлов один или в комбинации с уплотняющими тканями и пленками.

Л. К.
45641 П. Способ нанесения металлических покрытий на зеркала, рефлекторы и т. п. (Procédé de fabrication d'objets recouverts d'une couche métallique à reflexion spéculaire) [N. V. Philips' Gloeilampenfabrieken]. Франц. пат. 1065768, 31.05.54 [Chem. Zbl., 1955, 126, № 28, 6615 (нем.)]

На внутреннюю поверхность металлич. изделия, которая не схватывается с лаком, напр. этилцеллюлозой, лаковое покрытие наносится посредством ипприцевания или распыления. Для повышения качества покрытия на металлич. поверхность перед покраской наносится склеивающее в-во, напр. эмульсия поливинилацетата.

Н. С.
45642 П. Антикоррозионная лента и способ ее получения. Траше (Anti-corrosive band and process of production. Trachet J.). Австрал. пат. 156420, 27.05.54

Патентуется антикоррозионное покрытие в виде ленты, изготовленной из синтетич. высокомолекулярного углеводорода с общей ф-лой $\text{CH}_2(\text{CH}_2)_n\cdot\text{CH}=\text{CH}_2$ с мол. в. 8000—20 000; лента покрыта с обеих сторон слоем низкомолекулярного парафинового углеводорода.

Л. К.
45643 П. Окрашенное коррозионностойкое покрытие. Хасс (Gefärbte korrosionsbeständige Deckschicht. Hass Georg). Пат. ФРГ 923706, 21.02.55 [Metalloberfläche, 1955, 9, № 7, B108 (нем.)]

Патентуется вакуумный способ получения тонких окрашенных слоев коррозионностойких покрытий на любом материале (напр., на металле) путем испарения кислородсодержащих соединений Ti. Получаемый при этом обедненный кислородом слой затем оксидируют до получения окраски требуемого тона. Наиболее целесообразно применение указанных покрытий для получения зеркальных поверхностей с максим. отражательной способностью в определенном диапазоне длин волн, напр. обладающих интенсивной отражательной способностью в УК-части спектра и очень слабой в видимой части спектра. Указанные покрытия

могут заменять керамич. глазури, обладая при этом более высокой эластичностью. При нанесении этих покрытий не требуется нагрева основного материала, и они могут наноситься на легкоплавкие материалы и пластмассы.

Я. Л.
45644 П. Процесс получения защитных покрытий, в частности для железа. Хамаи, Клейншмидт, Тило (Verfahren zur Herstellung die Korrosion insbesondere von Eisen verhütender Überzüge. Hamann Karl, Kleinschmidt Ernst, Thilo Fritz) [Farbenfabriken Bayer A.-G.]. Пат. ФРГ 920201, 15.11.54 [Dtsch. Farben-Z., 1955, 9, № 11, 436 (нем.)]

Патентуется способ получения покрытий с хорошими защитными свойствами на основе алкидных смол, содержащих нитрогруппы, с применением обычных пигментов для защиты от коррозии (окись Fe или сурик), а также и других известных пленкообразователей, напр. простого и сложного эфиров целлюлозы, поливиниловых соединений, хлоркаучука, фенольных или мочевино-альдегидных смол. Применяя красную окись Fe, получают лакокрасочное покрытие, пригодное для грунтовки железных листов.

Я. Л.
45645 П. Антикоррозионный состав. Коллен, Флакман (Rust preventive composition. Colleen Myron H., Flaxman Marcellus T.) [Union Oil Co.]. Канад. пат. 501522, 13.04.54

Патентуется антикоррозионный состав, содержащий 50—85% свинцового мыла таллового масла, 5—30% дегры свинцового мыла, 5—10% парафинового воска, 5—10% смазочного масла, 0,01—0,1% Со в форме маслорастворимой соли, летучий углеводородный р-ритель в кол-ве 30—70% от общего состава.

Л. К.
45646 П. Антикоррозионный состав (Rust-preventive compositions) [Standard Oil Development Co.]. Англ. пат. 707162, 14.04.54 [Prod. Finishing, 1954, 7, № 8, 113 (англ.)]

Патентуется антикоррозионное покрытие для защиты деталей машин после удаления смазок или охлаждающих агентов, состоящее из р-ра смачивающего агента (сульфоната) и жира (лаволина) в инертном летучем органич. р-рителе, небольшого кол-ва гидрофобного в-ва, напр. гидрированного фурана или спирта, содержащего фурановое ядро, и небольших кол-в алифатич. спирта и алкиламина.

Л. К.
45647 П. Антикоррозионные составы. Спивак (Rust-preventive compositions. Spivack John D.) [Tide Water Associated Oil Co.]. Пат. США 2687376, 24.08.54

Патентуется антикоррозионный состав, представляющий собой смесь некоррозионного в-ва и ди-N-карбоксилалкил-алканамидов, в котором алканойльный радикал алканамидной группы является алканойльным остатком длинноцепочечной жирной к-ты.

Л. К.
45648 П. Антикоррозионный состав. Дейвис, Райт (Corrosion preventive. Davis William S., Jr., Wright Donald L.) [Standard Oil Development Co.]. Канад. пат. 504509, 20.07.54

Патентуется следующий антикоррозионный состав: 1) минер. масло, полностью испаряющееся при т-ре ниже ~ 400°; 2) частично летучий замедлитель коррозии, состоящий из сульфонатов натрия и дегры в отношении 1 : 2, в кол-ве, достаточном для предотвращения коррозии, но взятый с таким расчетом, чтобы остаток после нагревания до ~ 400° не превышал 10 вес.% от общего состава; 3) полибутен с мол. в. 60 000—80 000 в кол-ве, достаточном для сообщения всему составу вязкости 350—1000 сек. по Сейболту при 100°.

Л. К.
45649 П. Антикоррозионный состав. Ширмейер (Corrosion preventive composition. Schiermeier

Knappel F.) [Shell Development Co.]. Пат. США 2687965, 31.08.54

Патентуется антикоррозионный состав, содержащий (в вес. %): нефтяной смолы 55, сурепного масла 15 и уайт-спирита 30. Л. К.

45650 П. Материал для окраски. Локридж (Impression material. Lochridge Edwin H.) [Dental Perfection Co.]. Пат. США 2657971, 3.11.53

Патентуется материал для окраски следующего состава: гелеобразующий агент с кислотным радикалом (альгиновой, пектиновой к-ты или карбоксиметилцеллюлозы); неорганич Са- или Pb-соль, которая при взаимодействии с кислотным радикалом гелеобразующего агента дает водонерастворимый гель; соль щел. металла и этилендиаминотетракарбонной к-ты как замедлители этой р-ции. Л. К.

45651 П. Талловое масло, получаемое сульфатным методом, в качестве замедлителя коррозии железа топливными нефтяными фракциями. Уайт, Ландис, Баккенсто (Sulfate process tall oil as a rust inhibitor for fuel fractions of mineral oil. White Ralph V., Landis Phillip S., Backensto Elwood B.) [Socony-Vacuum Oil Co., Inc.]. Пат. США 2686713, 20.08.54

В качестве замедлителя коррозии Fe жирными топливными нефтяными фракциями рекомендуется 0,00003—0,0008% (по весу) таллового масла, получаемого сульфатным методом. Л. К.

45652 П. Антикоррозионная добавка к аммиачным растворам. Вебер, Зорг (Korrosionshemmender Zusatz zu ammoniakalischen Lösungen. Weber Richard, Sorg Karl Wilhelm) [Ges. für Linde's Eismaschinen A.-G.]. Пат. ФРГ 909882, 26.04.54 [Metalloberfläche, 1954, 8, № 7, B110 (нем.)]

Патентуется антикоррозионная добавка к аммиачным р-рам, находящимся в железных открытых или закрытых сосудах, в частности к поглотительным р-рам для холодильных машин. Такими добавками могут являться металлы или их кислородсодержащие соединения, которые растворяются в избытке аммиака с образованием комплексных соединений. Особенно пригодны для этой цели Zn, Cd и Cu или их окислы в конц-ии ~ 2 вес. %. Они образуют на поверхности железа тонкие беспористые слои, прочно связанные с поверхностью. Л. К.

45653 П. Изоляционные покрытия для электрических изоляторов и материалы, наносимые распылением на такие покрытия. Захариасон (Insulating coatings for electrical insulators and spray material for such coatings. Zachariason Ri-

chard Howard) [Radio Corp. of America]. Пат. США 2708168, 10.05.55

Патентуется состав для получения стабильных покрытий на электрич. изоляторах с целью восстановления их электрич. сопротивления и твердости. Состав готовится из 600 вес. ч. воды как р-рителя, 72 вес. ч. низкощелочного силиката, связующего в-ва, содержащего силикаты Na и K, и окиси Al. Кол-во окиси Al зависит от размера частиц: при диам. 0,02 м требуется ~ 120 вес. ч. и соответственно 1200 вес. ч. при 4 м. Г. Р.

45654 П. Предотвращение коррозии. Гарднер (Corrosion prevention. Gardner F. T.) [Standard Oil Development Co.]. Авгл. пат. 705234, 10.03.54 [J. Appl. Chem., 1954, 4, № 8, ii 184 (англ.)]

Патентуется способ предотвращения коррозии в паровой фазе резервуаров, содержащих сырую нефть, из которой выделяются кислые сернистые пары совместно с O₂, разрушающие металл, путем впрыскивания NH₃ в кол-ве 3—20 мол. % по отношению к объему паровой фазы. Л. К.

45655 П. Способы коррозионной защиты внутренних поверхностей резервуаров и трубопроводов для моторного топлива. Байер (Rostschutzverfahren für die Innenflächen von Kraftstoffbehältern und -fernleitungen. Bayer Hermann) [Adam Opel A.-G.]. Пат. ФРГ 880834, 25.06.53 [Chem. Zbl., 1954, 125, № 2, 412 (нем.)]

Патентуется способ дополнительной обработки фосфатного слоя на внутренних поверхностях резервуаров и трубопроводов холодным р-ром жидкого стекла конц-ии ~ 10—20%. Получается стойкое антикоррозионное покрытие. Л. К.

45656 П. Способ измерения коррозионного действия жидкостей. Меттлер (Method for measuring corrosivity of fluids. Mettler Alvin V.) [Socony-Vacuum Oil Co., Inc.]. Пат. США 2679752, 1.06.54

Патентуется способ измерения агрессивного действия к-ты, который заключается в том, что металлич. мембрана выдерживается в испытуемой жидкости до начала видимого коррозионного разрушения и после этого подвергается механич. испытанию в условиях различного давления на каждую сторону мембраны. Сопоставление прочности мембраны до коррозионного испытания с прочностью после испытания служит критерием агрессивности к-ты. Л. К.

См. также: Теоретич. вопр. 42835—42837. Защита от коррозии 43697, 44868, 44878, 45024—45028, 45031

ПРОЦЕССЫ И ОБОРУДОВАНИЕ ХИМИЧЕСКИХ ПРОИЗВОДСТВ

ПРОЦЕССЫ И АППАРАТЫ ХИМИЧЕСКОЙ ТЕХНОЛОГИИ

45657. Введение в теорию подобия. Зимес (Einführung in die Ähnlichkeitslehre. Siemes W., Chemiker-Ztg, 1955, 79, № 3, 71—74 (нем.; рез. англ., франц., итал.)

Популярно изложены теории подобия и размерностей. Дан пример применения теории размерностей для вывода обобщенного ур-ния мощности, потребляемой мешалкой. Е. Х.

45658. Распределение скорости между параллельными стенками. Шлингер, Сейджер (Velocity distribution between parallel plates. Schlenger W. G., Sage B. H.), Industr. and Engng Chem., 1953, 45, № 12, 2636—2639 (англ.)

45659. Движение жидкостей сквозь тонкие пористые слои. Сантьерд (Miscarea lichidelor prin materiale poroase subtiri. Szentgyorgy P.), Rev. chim., 1955, 6, № 11, 616—618 (рум.; рез. русс.)

Изучалось движение жидкостей сквозь фильтровальную бумагу различной плотности на основе допущения, что бумага состоит из ряда капиллярных каналов одного радиуса. Высота l столба жидкости в капилляре определялась по ф-ле: $l^2 = R \sigma \cos \theta \cdot t(2\eta)^{-1}$, где R — радиус капилляра, σ — поверхностное натяжение жидкости, η — вязкость жидкости, θ — краевой угол и t — время. Зависимость l от $t/2$ выражается для различных жидкостей (H₂O, C₂H₅OH, CHCl₃, ацетон) и сортов бумаги различной плотности рядом прямых, проходящих через начало координат. Приве-

дены значения угловых коэфф. прямых и значения радиусов канилиров, рассчитанных по ф-ле $\operatorname{tg} \varphi = \frac{1}{\sqrt{R \sigma \cos \theta / (L \cdot I)}}$. Я. М.

45660. Некоторые вопросы теории течения вязко-пластичной среды. Во л а р о в и ч М. П., Г у т к и н А. М., Изв. АН СССР, Отд. техн. н., 1955, № 9, 37—42

Изложен приближенный метод решения задач стационарного течения вязкопластич. среды, заключающийся в следующем: 1) для области, где имеет место течение, решается задача о движении вязкой ньютоновской жидкости при данных внешних условиях; 2) форма ядра (т. е. области, где течения нет) определяется таким образом, чтобы на его поверхности могло соблюдаться условие постоянства интенсивностей скоростей сдвига; 3) величина ядра определяется из условия: сумма всех действующих сил (включая θS , где θ — предельное напряжение сдвига и S — поверхность ядра) равна нулю; 4) находятся два приближенных решения, из которых одно заведомо больше истинной величины, а второе меньше. Для этого в одном случае из суммы сил, вызывающих течение, вычитается θS_1 , а в другом случае — θS_2 , где S_1 и S_2 — экстремальные величины поверхностей, ограничивающих область течения; 5) лучшее приближение получается, если из суммы сил, вызывающих течение, вычитается произведение θ на некоторую среднюю величину поверхности. В. Р.

45661. Течение вязко-пластических жидких дисперсных систем в конической насадке и погружении конуса в дисперсные системы. Т я б и н Н. В., П у д о в к и н М. А., Тр. Казанск. хим.-технол. ин-та, 1953, № 47, 94—108

45662. Формы течения газожидкостных смесей и границы их устойчивости в вертикальных трубах. К о з л о в Б. К., Ж. техн. физики, 1954, 24, № 12, 2285—2288

Сообщаются результаты исследования, проведенного с помощью фото- и киносъемки, формы течения воздушно-водяной смеси в вертикальной трубе диам. 25 мм из органич. стекла. Форма течения газо-жидкостной смеси зависит от скорости движения смеси в трубе, объемного газосодержания в смеси, угла наклона трубы к горизонту, направления движения газа и жидкости и физ. свойств последних. Опыты велись при изменении объемного газосодержания в смеси 0:1 и скорости смеси 0,1÷20 м/сек при среднем давлении в трубе 1,5 атм. Наблюдалось 6 форм течения газожидкостных смесей: пузырьковая, пробковая, пробково-диспергированная, эмульсионная, пленочно-эмульсионная и капельная (в виде тумана). Для всех форм течения приведены ф-лы зависимости объемного газосодержания от определяющего критерия Фруда для смеси. Предполагается, что найденные закономерности для трубы диам. 25 мм можно с некоторым приближением распространить и на другие размеры труб до диам. 100 мм. Ю. С.

45663. Падение давления в двухфазном потоке. Б и г е л л Х у н с (Acceleration pressure drops in two-phase flow. B e g e l l W i l l i a m, H o o p e s J o h n W., Jr), U. S. Atomic Energy Comm. Rpts, 1954, CU-18-54-At-dP-Ch. E, 1—14. (англ.)

Наиболее распространенным методом расчета падения давления в 2-фазных системах, состоящих из жидкой и газообразной или паровой фаз, является метод, разработанный Мартинелли и Нельсоном. Этот метод может применяться для гидравлич. расчетов пневматич. подъемников (эрлифтов), паровых котлов, испарителей, конденсатных линий, атомных реакторов и др. В связи с изменением условий на пути движения потока в трубе расчет потери давления ведется ступенчато.

Описано применение указанного метода для расчета падения давления в движущейся по трубопроводу испаряющейся смеси. Е. Х.

45664. Турбулентность жидкости и осаждение суспензий. М а р р и с (Fluid turbulence and suspended sediment. M a r r i s A. W.), Canad. J. Technol., 1955, 33, № 6, 470—493 (англ.)

На основании аналогии между турбулентным переносом и переносом за счет осаждения выведено ур-ние, выражающее распределение концентрации суспендированного в-ва по высоте потока для случая, когда частицы бесконечно малого размера суспендированы в турбулентном потоке жидкости, движущейся над гладкой стенкой: $c_z / c_1 = [(a + b \ln \operatorname{Re}) \cdot \ln \{1/(1 - z)\} + \dots]$

$+ c \sum_{n=1}^{\infty} (z^n / n^2)] / [d (\ln \operatorname{Re})^2 + e \ln \operatorname{Re} + f]$, где c_z и c_1 — концентрации у основания и на высоте $z = 1 - y/h$ ниже поверхности уровня жидкости (h — высота потока жидкости, y — расстояние рассматриваемого сечения от основания потока); Re — критерий Рейнольдса, рассчитанный по составляющей скорости u_T , параллельной стенке ($u_T = \sqrt{\tau_0 / \rho}$, τ_0 — напряжение сдвига у стенки, ρ — плотность жидкости); a, b, c, d, e и f — константы, определяемые значениями констант в ур-нии поля скоростей. Результаты расчетов по этому ур-нию сравнены с расчетом по ф-ле, выведенной на основании предположения о том, что в турбулентном потоке устанавливается равновесие между переносом вверх за счет турбулентности и осаждением под действием силы тяжести (Anderson A. G., Trans. Am. Geophys. Union, 1942, 23, 678). Указано, что в этой ф-ле показатель степени должен быть уменьшен примерно вдвое. Сравнение расчетов с эксперим. данными показывает, что оба ур-ния дают более равномерное распределение концентрации по высоте потока, чем фактич. Выведено следующее ур-ние для определения кол-ва W_Q суспендированного в-ва на единицу высоты потока: $W_Q = c_m u_T \ln \operatorname{Re}$, где c_m — средняя конц-ия. В. К.

45665. Технические расчеты по движению суспензий в трубе. О г а в а (管内における浮游流砂の洗砂量について. 小川元), 土木學會誌, Добоку гаккайси, J. Japan Soc. Civil. Engrs, 1955, 40, № 9, 7—10 (япон.; рез. англ.)

Предложен метод расчета общего кол-ва твердого материала, протекающего по трубе в виде суспензии. А. Р.

45666. Применение диаграммы соотношения модифицированных коэффициента трения f и критерия Re при движении жидкости через насадочные колонны. М е н е, В и ш е н, Г е д а м (On the use of modified f versus Re plot for fluid flow through packed columns. M e n e P. S., V i s h e n P. N., G e d a m B. V.), Trans. Indian Inst. Chem. Engrs, 1953—1954, 6, 174—176 (англ.)

Предложен метод определения диаметра насадочных колонн по заданной характеристике насадки, величине потока и перепаду давления. По аналогии с ур-ниями, характеризующими протекание жидкостей по трубам, выведена зависимость между модифицированными коэфф. трения f и критерием Re , в которых учтено влияние диаметра, фактора формы элементов насадки и ее пористости. Приведена диаграмма зависимости $\lg f \cdot \operatorname{Re}^2$ от $\lg \operatorname{Re}$ и пример расчета. Л. Х.

45667. Применение радиоактивных изотопов для изучения распределения потоков жидкости в насадках. О я м а, А и б а (ラジオアイソトープ法應用した充填層中の液の流れの分布について. 大山義年, 合築修一) 化学工業, Karaku kogaku, Chem. Engng (Tokyo), 1954, 18, № 6, 289—291 (япон.)

45668. Псевдооживление твердых частиц. Хираи, Фукая, Симата, Мисеми (固体粒子の流動. 平井嘉吉, 深谷幸太郎, 島田明, 三島幸藏), 化学工学, Kagaiku kagaku, Chem. Engng (Tokyo), 1953, 17, № 11, 438—447 (япон.; рез. англ.)

На основании анализа обширного эксперим. материала, представленного в литературе, получены ур-ния, связывающие основные переменные, которые характеризуют псевдооживленное состояние гранулированных твердых частиц: перепад давления, высоту слоя, физ. свойства газа и твердых частиц. Предложенные ур-ния имеют в своей основе общее соотношение для случая течения жидкости или газа через трубу, заполненную насадкой, установленное в работах Лева (Leva M., Chem. Engng Progr., 1948, 44, № 7, 511; № 8, 619). Библ. 7 назв. Ю. П.

45669. Свойства псевдооживленных твердых частиц. III. Смешиваемость (квазирастворимость). Фурукава, Омаэ (流動粉體の性質. 第3報. 混和性 (準溶解性) について古川淳二, 大前劭), 工業化学雑誌, Kōgō Kagaku Zasshi, J. Chem. Soc. Japan. Industr. Chem. Sec., 1953, 56, № 8, 557—560 (япон.)

Исследовано распределение гранулированных твердых частиц, отличающихся размером зерен и уд. весом, в псевдооживленном слое. Опыты проводились с различными сортами песка в вертикальной колонии, снабженной рядом боковых отводов для отбора проб; псевдооживленное состояние поддерживалось водой, расход которой измерялся. Установлена аналогия со свойствами р-ров высокомолекулярных соединений. Получено ур-ние, описывающее распределение частиц в псевдооживленном слое, образованном двумя различными гранулированными материалами, каждый из которых содержит зерна одинакового размера (для данного материала). Ю. П.

45670. Механические способы обеспыливания. Эше (Mechanische Entstaubungsverfahren. E s c h e C.-G.), Technik, 1955, 10, № 11, 669—673 (нем.)

Приведен обзор применяемых в пром-сти центробежных пылеуловителей большой производительности и указаны возможности снижения их гидравлич. сопротивления путем применения различных дополнительных устройств (направляющих лопаток в газозолах и т. п.). Указаны достоинства и недостатки батарейных циклонов и даны характеристики циклонов с горизонтально расположенными элементами (фирмы Фейфель), а также центробежного барабанного пылеуловителя (фирмы Ротекс), отличающихся компактностью, высокими производительностями и к. п. д. Приведены краткие сведения о новейших способах обеспыливания с использованием ультразвука и ускорения Кориолиса. Промышленные ультразвуковые установки США имеют производительность до 120 000 м³/час, к. п. д. до 96% (при очистке газа от сажи) и работают при частоте колебаний 1—30 кгц (у одной установки до 200 кгц). Сила звука достигает 170 об. Пылеуловитель, работающий с использованием ускорения Кориолиса, представляет собой вентилятор особой конструкции с загнутыми вперед лопатками. Пылеуловители такого типа еще не получили промышленного применения. В. Р.

45671. Новые усовершенствования в очистке воздуха. Силверман (New developments in air cleaning. Silverman Leslie), Amer. Industr. Hyg. Assoc. Quart., 1954, 15, № 3, 183—192 (англ.)

Приведен обзор современных устройств для очистки воздуха от взвешенных в нем частиц, включая устройства, использующие дожигание, каталитич. сгорание, звуковую и термич. агломерацию. Термич. осаждение используется только для отбора проб воздуха, а звуковая агломерация хотя и проверялась в полупромышленных условиях, но не получила промышленного при-

менения. Наибольший прогресс достигнут в области фильтрации газов через слои новых синтетич. волокон: стеклянных, орлона и др. Слой стеклянных волокон диам. 0,5—1 м, толщиной 0,25 мм улавливает дым диоктилфталата с размером частиц 0,3 м на 99,98%. Такой фильтрующий слой стоек против большинства к-т (кроме HF), выдерживает т-ру до 540° и обладает большой прочностью. Выпускаемый фирмой Корбундум фильтрующий материал «фибрафракс» из волокон силиката Al диаметром до 1 м дает такую же эффективность пылеулавливания при т-рах, достигающих 1650°. Фильтр из стеклянных волокон общей толщиной слоя до 2 м успешно используется для очистки от радиоактивной пыли отходящих газов атомных установок. В центробежных скрубберах важным усовершенствованием явилось применение форсунок высокого давления, дающих при 28 атм очень тонкий водяной туман. Таким устройством удавалось улавливать на 70% пыль с частицами диам. 0,3 м из отходящих газов электрич. печей для ферросилиция при перепаде давления газа всего 25—50 мм вод. ст. Расход воды на этих форсунках мал, но требуется чистая, фильтрованная вода. Испытания нового фильтра воздухоочистителя «электрополар» со слоем из стеклянного волокна, помещенным между 2 металлич. сетками, на которые подается разность потенциалов в 15—20 кВ, показали, что степень пылеулавливания повышается с 85 до 95% сравнительно с работой фильтра без подачи напряжения. Каталитич. дожигание является эффективным средством борьбы с дурно пахнущими оторосными газами и ведется 2 способами: а) на керамич. насадке, покрытой тонким слоем Pt-катализатора; б) на фильтрующей рамке, собранной из лент Pt. Оба способа требуют предварительного разогрева до 260° или более, прежде чем катализатор возбudit самостоятельное горение газа. Библ. 17 назв. Ю. С.

45672. Воздухоструйный аппарат Вентури для агломерации промышленных аэрозолей. Вер (Le procédé «Aérojet-Venturi» pour l'agglomération des aérosols industriels. Vert M. G.), Techn. mod. 1955, 47, № 1, 11—12 (франц.)

Воздухоструйный аппарат Вентури (ВА) служит для создания вторичного аэрозоля (микротуман), который, соединяясь с частицами первичного аэрозоля (очень тонкие частицы, взвешенные в газе), увеличивает их и благодаря этому позволяет улавливать в обычных сепараторах. В ВА осуществляется пневматич. распыление, для чего струя жидкости с малой скоростью вводится в воздушную струю, движущуюся со сверхзвуковой скоростью. Характеристики полученного микротумана определяются как функции от давления сжатого газа на входе в распылитель, а также от расхода, вязкости и поверхностного натяжения распыляемой жидкости. Смешение первичного и вторичного аэрозолей происходит перед сепаратором, причем частицы первичного аэрозоля увеличиваются ~ в 10 раз. ВА могут применяться для очистки газов, содержащих капли к-т, частицы дыма, пыли и т. д. Указывается на возможность применения ВА для значительного улучшения работы установок, в которых агломерация осуществляется с помощью сверхзвуковых колебаний. С. Я.

45673. Исследование работы многополочного пенного пылеуловителя. Позин М. Е., Мухленов И. П., Демшин В. Я., Ж. прикл. химии, 1955, 28, № 11, 1231—1234

Сообщаются результаты опытов по улавливанию пыли из воздуха посредством небольшой стеклянной лаборатор. модели 4-полочного пенного газопромывателя. Концентрация пыли ~ 8 г/м³, скорость воздуха в сечении модели 1,5 м/сек, уд. расход воды 0,48 л/м³, размеры частиц 0—5 м (11%), 6—60 м (89%). Опытами установ-

лено, что повышение степени улавливания пыли при увеличении числа решеток происходит весьма незначительно. Так, на 1-й полке было уловлено (в %): 96,3 всей пыли, на 2-й—36,5 остатка, на 3-й—23,2 остатка, а на 4-й—13,1 остатка. Общая степень улавливания пыли увеличилась с 96,3% для однополочного до 98,4% для 4-полочного. Делается вывод о наибольшей экономичности однополочного пенного газопромывателя. Ю. С.

45674. Дисперсный состав различных порошков и эффективность некоторых циклонных пылеуловителей. Иноэ, Кимура (粉末粒度分布とサイロ集塵器の効率. 井伊谷鋼一, 木村典夫), 化学工学, Kagaku kogaku, Chem. Engng (Tokyo), 1954, 18, № 4, 154—159 (япон.; рез. англ.)

Дисперсный состав различных порошков (талька, углекислого Na, мела, зубного порошка, летучей золы, доломита и глины) определялся 2 методами седиментации в жидкости (Андреасена и Келли) и методом воздушной классификации. Измерялась также уд. поверхность порошков методом Блена. Улавливание тех же порошков производилось в 9 опытных циклонах diam. 98—300 мм, отличающихся формой и площадью сечения входного патрубка, углом наклона конич. части, общей длиной, типом ввода воздушно-пылевой смеси (тангенциальный, спиральный, угловой). Испытания проводились при входной скорости от 4 до 17 м/сек. Отмечаются частые расхождения результатов, полученных методами седиментации и воздушной классификации. При сопоставлении кривой распределения дисперсного состава, полученной методом воздушной классификации с кривой фракционной степени улавливания того же порошка циклоном, последняя ложится рядом или слегка ниже первой. Поэтому на основании кривой распределения дисперсного состава можно приблизительно установить эффективность циклона. Не удалось установить зависимость между поверхностью порошков и эффективностью их улавливания в циклоне. Ю. С.

45675. Электрическая газоочистка. Основы, принципы действия и опыт работы. Хейрих (Die elektrische Gasreinigung. Grundlagen, Arbeitsweise und Erfahrungen. Heinrich D. O.), Brennstoff-Wärme-Kraft, 1955, 7, № 8, 346—350 (нем.)

Приведены достоинства и недостатки трубчатых и пластинчатых электрофильтров для очистки газа от взвешенных в нем твердых или жидких частиц. Подробно рассмотрен механизм зарядки взвешенных в газе частиц, а также действие электрич. поля на заряженные частицы и извлечение последних из газопотока со скоростью, определяемой силой поля, сопротивлением среды и динамич. вязкостью движущегося газового потока. Ю. С.

45676. Исследование аппаратуры звуковой агломерации. Звуковой генератор и агломерационная башня. Иноуэ (音波集塵装置の一考察. 音波発生機と凝集塔. 井上一郎), 化学工学, Kagaku kogaku, Chem. Engng (Tokyo), 1954, 18, № 4, 180—186 (япон.; рез. англ.)

Описаны результаты опытов со звуковым генератором типа пневматич. сирены с вращающимся перфорированным ротором. Генератор устанавливался сверху вертикальной башни, в которой производилась агломерация звуковыми волнами аэрозоля, причём удаленные из газа твердые частицы улавливались в установленном за башней пылеуловителе типа циклона. В качестве аэрозолей применялись дымы хлористого аммония, 4-хлористого титана, табака с размерами частиц 1—10 м. Основное внимание в опытах было обращено на конструкцию и эффективность звукового генератора. В результате опытов найдена оптимальная форма отверстий в статоре и роторе звуковой

сирены. Предложены ф-лы для определения отдаваемой генератором акустич. мощности, акустич. интенсивности звукового поля в башне и степени агломерации частиц в этом поле. Ю. С.

45677. Предварительный расчет остаточной влажности при механическом влагоудалении. Бателъ (Vorausberechnung der Restfeuchtigkeit bei der mechanischen Flüssigkeitsabtrennung. Batel W.), Chem.-Ungr-Techn., 1955, 27, № 8/9, 497—501 (нем.; рез. англ., франц.)

Проведены исследования по определению остаточной влажности при механич. влагоудалении. Установлена функциональная зависимость остаточной влажности от формы и размера зерна влажного материала, от его смачиваемости, а также от пустот между зернами и от пористости материала. Результаты исследований позволяют оценивать эффективность действия (к. п. д.) аппаратов для влагоудаления в зависимости от свойств и структуры материала. И. С.

45678. Распределение давления жидкости в осадке при проведении опытов по определению его сжимаемости и проницаемости. Окамура, Сирато (膨火栓用泥の壓縮透過實驗に基づく P 分布. 岡村幸雄, 白戸紋平), 化学工学, Kagaku kogaku, Chem. Engng (Tokyo), 1955, 19, № 3, 111—118 (япон.; рез. англ.)

Описан консолидатор с диаметром поршня ~ 50 мм, применяемый для определения сжимаемости и проницаемости осадков, а также способ определения при помощи этого прибора распределения давления в жидкости P_x по толщине осадка (см. ГЖХим, 1955, 42127). На осадке, полученном путем фильтрации суспензий, применяемой для получения запальных свечей, при различных постоянных давлениях было исследовано изменение его пористости ϵ и величины P_x . Исследование проведено по 2 методам: при помощи консолидатора и путем обычной фильтрации при постоянном давлении. По первому способу средняя пористость осадка находилась по ур-нию $\epsilon_{cr} =$

$\int_0^x \frac{x/L}{L} = 0 \cdot \epsilon \cdot d(x/L)$, а по второму — по ур-нию $\epsilon_{cr} = \rho_s(m-1) [\rho_s(m-1) + \rho]^{-1}$, где x — расстояние данного слоя осадка от его границы с жидкостью, L — толщина осадка, ρ_s — уд. вес твердых частиц осадка, ρ — уд. вес фильтрата, m — отношение веса влажного осадка к весу сухого. Величина P_x по второму способу находилась путем непосредственных измерений. Установлено, что значения ϵ_{cr} , найденные по обоим методам, хорошо совпадают, а значения P_x , определенные по тем же методам при идентичных условиях, заметно различаются. Ю. Д.

45679. Распределение давления жидкости в осадке во время фильтрации при постоянном давлении. Окамура, Сирато (恒壓濾過における液壓分布. 岡村幸雄, 白戸紋平), 化学工学, Kagaku kogaku, Chem. Engng (Tokyo), 1955, 19, № 3, 104—110 (япон.; рез. англ.)

Исследовано распределение давления жидкости по толщине осадка при фильтрации при постоянном давлении суспензий кизельгура (I) и суспензий, применяемых для изготовления запальных свечей (II). Получено ур-ние: $x/L = [(P_0 - P_x)/P_0]v$, где x — расстояние данного слоя осадка от его границы с суспензией, L — толщина осадка, P_0 — давление жидкости на поверхности осадка на границе его с суспензией, P_x — давление жидкости на осадок на глубине x , v — экспериментально находимая постоянная, для I равная 0,83 и для II равная 0,48. Отмечено, что величина v может быть принята как мера несжимаемости

осадка. Указано, что η почти не зависит от объема полученного фильтрата, концентрации суспензии и разности давлений при фильтрации. Ю. Д.

45680. Фильтрация, фильтры и фильтрующие среды. I. II. III. Рефсон (Filtration filters and filtermedia I. II. III. Refson B. H.) Chem. Prod., 1955, 18, № 11, 411—414; № 12, 467—471; 1956, 19, № 1, 17—20 (англ.)

Даны принципы современной техники фильтрации в хим. пром-сти, установленные на основании работы в этой области в течение последних 5 лет. В особенности подробно рассмотрены свойства и структура фильтрующих сред. Ю. Д.

45681. Указания по промышленной фильтрации.

Прайт (A guide to industrial filtration. Pratt J., Industr. Chemist, 1955, 31, № 368, 452—454 (англ.)) Приведены краткие сведения о 6 методах предварительной обработки суспензий для улучшения условий фильтрации: осаждение и декантация или сгущение; классификация и отделение муты; уменьшение вязкости нагреванием; установление желательной величины pH; флокуляция и коагуляция; добавление вспомогательных фильтрующих в-в или нанесение вспомогательного фильтрующего слоя. Ю. Д.

45682. Фильтрация с применением вспомогательных фильтрующих веществ или предварительно осажденного вспомогательного фильтрующего слоя. Неф (Filter und Filtration unter besonderer Berücksichtigung des Anschwemmverfahrens und der Filterhilfsmittel. Näf P. L.), Chem. Rundschau, 1955, 8, № 22, 470—472 (нем.)

Обзор. Ю. Д.

45683. Применение минеральной ваты в качестве фильтрующей среды. Мак-Грегори (Mineral wool as a filtration medium. MacGregor), Export Rev. Brit. Drug and Chem. Ind., 1955, 16, № 187, 42, 45 (англ.)

Указаны области и условия применения минеральной ваты для очистки газов и жидкостей от взвешенных в них частиц. Ю. Д.

45684. Свойства фильтрующей массы и фильтрующих слоев для фильтров «Зейтц». Салах, Достал (Die Beurteilung der Filtermasse und der Filterschichten zum «Seitz-Filter. Salac V., Dostal V. Dtsch. Genussmitt.-Z., 1953, 5, № 8, 206—207 (нем.)) См. РЖХим, 1955, 5020.

45685. Центрифуги. Разделяющие устройства с высокой степенью разделения. Травинский (Zentrifugen. Trenngeräte mit höchster Abscheidungswirkung. Trawinski H.), Chem.-Ingr-Techn., 1954, 26, № 4, 189—201 (нем.)

Приведен обзор конструкций разделяющих и фильтрующих центрифуг и приводятся ф-лы для расчета их производительности и потребляемой мощности. Рассмотрен метод моделирования центрифуг и их применение для процессов экстракции. Указывается, что расчет расхода энергии на разделение в гидродинамических и воздушных циклонах аналогичен расчету для центрифуг. Приведены характеристики промышленных центрифуг и дана их классификация. Библ. 32 назв. И. С.

45686. Сверхцентрифуга «Шарплес». — (A super-centrifuga «sharples» a solucao para este caso. —), Rev. brasileira quim., 1955, 40, № 236, 202, 204 (порт.) Описана конструкция сверхцентрифуги, работающей со скоростью 13 200 об/мин; центрифуга очищает масла от примесей, имеющих размеры 1—2 μ . Е. С.

45687. Проектирование мешалок. Пек (The design of mixers. Pec William C.), Industr. Chemist, 1955, 31, № 371, 593—597 (англ.)

Рассматриваются вопросы, связанные с проектированием мешалок для различных сред. Приведены 2 принципиальные зависимости, которые должны лежать в основе проектирования: $\mu_a \sim 1/n$ и $1/\mu_a \sim D/d$, где μ_a — вязкость среды; D — диаметр сосуда; d — диаметр окружности, описываемой лопастью мешалки. Кратко описаны конструктивные особенности и области наиболее эффективного использования основных типов мешалок (лопастных, пропеллерных, турбинных), виды потоков, создаваемых мешалками, влияние формы сосудов, положения мешалок и наличия отражательных перегородок на характер потока, а также некоторые вопросы перемешивания паст и порошков. М. П.

45688. Проблема смешивания твердых материалов. Лист (Probleme der Misch- und Knettechnik. List H.), Chimia, 1954, 8, № 5, 129—132 (нем.)

Рассмотрен вопрос о выборе периодически или непрерывно действующих смесителей с точки зрения дозировки, качества продукта, расхода энергии, потребной площади помещения и обслуживания, а также потребной производительности. Отмечаются достоинства шнековых смесителей непрерывного действия фирмы Бусс (Швейцария) с одним шнеком и с пальцами на корпусе. Эти смесители могут также быть применены для проведения хим. р-ций, растворения и измельчения. Смеситель такого типа может быть успешно применен для обработки пастообразных или кашеобразных масс. Высокое внутреннее трение вязкой фазы может быть использовано для тонкого измельчения в смесителе пигментов, агломерированных в соответствующем связующем. Е. Х.

45689. Статистический метод оценки смесителей. Штанге (Beurteilung von Mischgeräten mit Hilfe statistischer Verfahren. Stange K.), Chem.-Ingr-Techn., 1954, 26, № 3, 150—155 (нем.)

Приведен метод сравнительной оценки смесителей различных типов для выбора оптимальной конструкции в каждом отдельном случае. Эта проблема рассматривается применительно к смешению 2 зернистых материалов в периодически работающем смесителе. Указывается, что для сравнения необходимо: 1) установить допустимые отклонения соотношения обоих компонентов в отдельных пробах смеси от идеального соотношения, определяемого кол-вами компонентов, вводимых в смесь; 2) установить, какая доля из всех проб должна удовлетворять первому требованию; это зависит от степени однородности, которую желательно получить; 3) провести эксперим. смешивание и отобрать определенное кол-во проб через различные промежутки времени; определить состав этих проб и отклонения этого состава от идеального; установить изменение указанных отклонений в зависимости от времени; 4) определить длительность процесса смешивания для получения смеси, которая удовлетворяла бы первому требованию; 5) определить расход энергии для получения этой смеси. На основе данных о длительности процесса смешивания и расхода энергии устанавливаются, какой смеситель является оптимальным. В основу определения положен статистич. метод. Приведен ряд ф-л и графиков, дающих зависимость между отдельными параметрами, характеризующими процесс смешения. Е. Х.

45690. Современные дозирующие насосы. Руссо (Solution moderne du dosage. Les pompes doseuses. Rousseau J.), Génie chim., 1955, 73, № 6, 163—169 (франц.)

Последним достижением в области дозировки жидкостей являются поршневые дозирующие насосы с переменной производительностью, которая регулируется автоматически под действием сервомотора.

Последний получает соответствующие импульсы от прибора, измеряющего значение того фактора (напр., pH), который определяет кол-во дозирочной жидкости, вводимой в процесс. Изложены основы работы поршневых насосов. Описано устройство уплотнений, клапанов и передач. Даны некоторые указания по эксплуатации дозирочных насосов и другого связанного с ним оборудования.

Е. Х.

45691. Исследование местной теплоотдачи при вязкостном движении жидкости в круглой трубе. Петухов Б. С., Краснощекоев Е. А., Нольде Л. Д., Тр. Моск. энерг. ин-та, 1955, № 25, 27—50

Измерения местных значений коэфф. теплоотдачи α при ламинарном течении в круглой трубе производились методом толстостенной трубы (внутренний диаметр $d = 12$ мм, толщина стенки 35 мм) путем измерения т-р на ее внутренней и внешней поверхностях и определения температурного поля в стенке. Опыты производились с охлаждением и нагреванием масла МС при начальных т-рах ($t_{ж1}$) 40—140°. Исследование охватывает широкую область изменения определяющих критериев: $\mu_c / \mu_1 = 0,08 - 1500$; $Pr = 130 - 3900$; $Re = 44 - 2100$; $Gr = 7 - 3300$ и $Gr \cdot Pr = (20 - 720) \cdot 10^3$, где μ_c и μ_1 — вязкости масла при $t_{ж1}$ и местной внутренней т-ре стенки t_c . Анализ опытных данных показал: 1) изменение вязкости масла μ с т-рой существенно влияет на теплообмен и это влияние может быть учтено одним симплексом μ_c / μ_1 (с уменьшением μ_c / μ_1 от 650 до 0,1 α возрастает в 3,5 раза); 2) значение Nu не зависит от Pr ; 3) α не зависит от $Gr \cdot Pr$, т. е. в исследованной области влияние естественной конвекции незначительно. Обобщение данных привело к критериальному ур-нию, справедливому как при нагревании, так и при охлаждении жидкости: $Nu = c (Re \cdot d / x)^{1/4} \cdot (\mu_1 / \mu_c)^{n \cdot \epsilon}$, где x — расстояние от начала трубы. При $0,08 \leq \mu_c / \mu_1 \leq 10$ величины $c = 1,03$ и $n = 1/6$, а при $10 \leq \mu_c / \mu_1 \leq 1500$ величины $c = 0,93$ и $n = 1/8$. Поправка на гидродинамич. начальный участок ϵ может быть вычислена по ур-нию $\epsilon = 0,61 (Re \cdot d / x)^{0,12}$, справедливому при $(Re \cdot d / x) \geq 61,6$. При $(Re \cdot d / x) < 61,6$ $\epsilon = 1$.

А. Р.

45692. График для определения коэффициентов теплоотдачи при конденсации. Венкатесварлу (Condensation film coefficients Plotted. Venkateswarlu D.), Chem. Engng, 1955, 62, № 9, 210, 212 (англ.)

Отмечается, что рассчитанные по ур-нию Нуссельта значения коэфф. теплоотдачи часто отличаются от найденных экспериментально более чем на 50—70%. Предлагается производить расчет на основании использования опытных значений коэфф. теплоотдачи, которые систематизированы и представлены в виде графика для случаев конденсации паров метанола, пропанола, бутанола, амиллового спирта, метил-, этил-, пропил- и бутилацетатов, ацетона, бензола, хлорбензола и воды на вертикальной стенке трубы. Коэфф. теплоотдачи α_1 приводятся для трубы высотой 0,307 м в зависимости от разности т-р. Коэфф. теплоотдачи α_2 для труб другой длины L рассчитываются с помощью ур-ния: $\alpha_1 = \alpha_2 L^{0,25}$. Аналогичным путем могут определяться коэфф. теплоотдачи для горизонтальных труб. В этом случае в основу расчета может быть положено ур-ние: $\alpha = \alpha_1 (ND)^{0,25}$, где α — коэфф. теплоотдачи для трубы, диаметр которой принят за единицу сравнения; α_1 — коэфф. теплоотдачи трубы диаметром D и N — число труб в вертикальном ряду.

В. К.

45693. Конденсация паров воды и несмешивающихся с ней жидкостей. Тобайас, Стоппел (Con-

densation of vapors of water and immiscible organic liquids. Tobias Melvin, Stoppel Arthur E.), Industr. and Engng. Chem., 1954, 46, № 7, 1450—1455 (англ.)

Исследована теплоотдача при конденсации паров воды и несмешивающихся с ней жидкостей на вертикальной цилиндрич. поверхности, в качестве которой использовалась полированная латунная трубка диам. 25,4 мм и высотой 1370 мм. Она помещалась в цилиндрч. кожух диам. 150 мм, куда вводилась смесь паров воды и органич. жидкостей. Для охлаждения трубки через нее пропускалась вода; для наблюдения за характером конденсации в кожухе выполнены 4 смотровые окна. Сама трубка использовалась в качестве термометра сопротивления, что значительно упрощает технику измерения (Tsao U., Baker E. M., Industr. and Engng. Chem., 1940, 32, 1115). Опыты проводились со следующими органич. жидкостями: бензолом, четыреххлористым углеродом, циклогексаном, н-гептаном и толуолом. Водяной пар поступал под давл. 2,8 атм. Кол-во конденсируемой паровой смеси составляло 16—32 кг/час, расход охлаждающей воды 380—2100 кг/час. Опытные данные удовлетворительно отображаются ур-нием: $h_c = h_{Nu} \{1 - (1/545) \times$

$\times [(4\gamma^3 \cdot \Delta p \cdot \mu^{-4} \cdot g^{-1}) (m_a \cdot \rho_b \cdot k_b \cdot m_b^{-1} \cdot \rho_a^{-1} \cdot k_a^{-1})^{1/2} \cdot 0,21]^{-1} \dots$ (1), где h_c (в ккал/м² час град) — коэфф. теплоотдачи при конденсации паров воды и несмешивающейся с ней жидкостей; $\Delta \gamma$ (в кг/час²) — разность в величине поверхностного натяжения воды и органич. жидкостей при т-ре кипения смеси этих жидкостей при заданном давлении; $\Delta p = (\rho_b - \rho_a)$ (в кг/м³); μ (в кг/час м) — вязкость органич. жидкостей; $g = 1,275 \times 10^8$ м/час²; m_a , m_b (в кг/час) — скорость конденсации (индекс «а» относится к органич. жидкостям, «б» — к воде); ρ_a , ρ_b (в кг/м³) — уд. веса жидкостей; k_a , k_b (в ккал/м час град) — коэфф. теплопроводности жидкостей. Значение h_{Nu} в ур-нии (1) определяется по ф-ле $h_{Nu} = (4/3) [k_a^2 \cdot \rho_a^2 \cdot \lambda_a' \cdot g / (4\mu_a \Delta t H)]^{1/4} \dots$ (2), где $\lambda_a' = (a\lambda_a + b\lambda_b) / a$; a , b (в вес. %) — содержание органич. жидкостей и воды в конденсате; λ_a , λ_b (в ккал/кг) — скрытые теплоты испарения; Δt — средний перепад т-р в пленке конденсата и H (в м) — высота поверхности конденсации. Ур-ние (2) выведено при тех же допущениях, что и ур-ние Нуссельта для конденсации чистого пара. Ур-ние (1) включает два безразмерных комплекса, учитывающие влияние капели воды, образующихся на поверхности сплошной пленки конденсата паров органич. жидкостей. Обсуждены причины отклонений опытных данных для некоторых систем от предложенного ур-ния.

Ю. П.

45694. Метод определения перепада температур в пленке конденсата. Голц (A method of evaluating the temperature drop across a condensate film. Goltz G. E.), J. Appl. Chem., 1955, 5, № 10, 567—568 (англ.)

Предложен упрощенный графич. метод определения перепада т-р в пленке конденсата $\Delta \theta$ при вычислении коэфф. теплоотдачи при конденсации. Так как значение комплекса $\phi = (\lambda^3 \gamma^2 \cdot r g / \mu)^{0,25}$ (здесь λ , γ , r и μ — теплопроводность, плотность, скрытая теплота испарения и вязкость конденсирующейся жидкостей, g — ускорение силы тяжести) для большинства в-в мало изменяется в широком диапазоне т-р, преобразование ф-лы Нуссельта получено ур-ние $1 / \Delta \theta - b / \Delta \theta^{0,25} = f(\Delta \theta) = a$, где $a = 1 / \Delta T$, $b = x / S \Delta T$. (Здесь x — суммарное термич. сопротивление со стороны воды охлаждающей поверхности конденсации, в стенке трубы и в слое накипи, ΔT — средняя логарифмич.

разность t -ры воды и конденсата, $S = 1/0,725 \cdot \phi d^{-0,25}$, причем d — диаметр трубы, на которой происходит конденсация.) Для нахождения $\Delta\theta$ строится график $f(\Delta\theta) - \Delta\theta$, который дает искомым перепад t -р в пленке конденсата при $f(\Delta\theta) = a$. Так как в большинстве случаев $\Delta\theta$ равно $\sim 2/3$ от ΔT , то необходимо вычислять $f(\Delta\theta)$ вблизи этого значения. А. Р. 45695.

Излучение дымовых газов. Гурвич А. М., Митер В. В., Теплоэнергетика, 1955, № 12, 28—31

Из опытных данных по излучению CO_2 и H_2O найдены значения степени черноты этих газов, по которым рассчитаны коэфф. ослабления луча k . Предложена расчетная формула: $k = [(0,78 + 1,6 p_{\text{H}_2\text{O}})(p \cdot l)^{-0,5} - 0,1] \times [1 - 0,37 \cdot 10^{-3} T]$, связывающая k с общим давлением p , парциальным давлением влаги $p_{\text{H}_2\text{O}}$, толщиной излучающего слоя l и t -рой T . Ф-ла позволяет рассчитывать излучение дымовых газов в следующих границах изменения основных параметров: p_{CO_2} от 0,008 до 1,64 м атм; $p_{\text{H}_2\text{O}}$ от 0,004 до 1,3 м атм; $p_{\text{CO}_2}/p_{\text{H}_2\text{O}}$ от 0,5 до 5,0; t -ра от 450 до 1650°. А. Р. 45696.

Графическое определение температур стекол и тепловых потерь плоскими стенками. Вальс (Graphische Ermittlung der Wandtemperaturen und Wärmeverluste von ebenen Wänden. Wahl Heinrich August), Tonind.-Ztg., 1955, 79, № 23-24, 369—371 (нем.)

Описано построение графика для определения тепловых потерь с 1 м² поверхности стекол печей в 1 час по заданной t -ре в печи, толщине и коэфф. теплопроводности изоляции при t -ре окружающего воздуха 15°. График позволяет одновременно определять t -ры наружной поверхности стекол печи, а также t -ры между 2 слоями изоляции из различных материалов. В основу построения графика положено эмпирич. ур-ние для определения коэфф. теплоотдачи α от вертикальной плоской стенки с t -рой t_a к окружающему воздуху: $\alpha = 6,8 + 0,046 t_a$ ккал/м² час град; при этом тепловое сопротивление между пространством печи и внутренней поверхностью стенки не учитывается. А. Н. 45697.

Теплоизоляционные материалы, используемые в химической промышленности. V. Лопес-Гомес (Los aislantes térmicos en la industria química (V). López Gómez Pedro), Ion, 1955, 15, № 170, 480—486 (исп.)

Предыдущее сообщение см. РЖХим, 1955, 2535.

Влияние кривизны труб на коэффициент теплопроводности и плотность изоляции из минерального волокна. Зейфферт (Einfluß der Rohrkrümmung auf Wärmeleitfähigkeit und Dichte von Mineralfasermatten. Seiffert K.), Allgem. Wärmetechnik, 1955, 6, № 10, 201—203 (нем.)

При наложении на трубы изоляции (И), выполненной в виде матов из минер. волокна, происходит изменение расположения волокон в тем большей степени, чем меньше диаметр (D) трубы. Лабор. измерения коэфф. теплопроводности λ и данные практики показывают, что при средних t -рах 0—400° λ и на кривой поверхности больше, чем на плоской. С увеличением D труб λ уменьшается, приближаясь к его значению для плоской стенки. Уд. вес матов, наложенных на поверхность трубы, выше, чем у плоских, и возрастает с уменьшением D трубы; для труб малого D увеличение уд. веса по сравнению с плоской И достигает 50%. Анализируя взаимное влияние уд. веса и λ , автор приходит к выводу, что можно λ И труб считать независимым от плотности изоляции. В. К. 45699.

О теплоизоляционном действии мелкодисперсных порошков в разреженных газах. Лейденфрост (Über die Wärmedämmwirkung fein-

körniger Pulver in verdünnten Gasen. Leiden-frost W.), VDI-Zeitschrift, 1955, 97, № 34, 1235—1242 (нем.)

При вакуумной изоляции сосудов (напр., в сосудах Дюара) требуется создание низкого остаточного давления, не превышающего 10^{-3} мм рт. ст. Опытами показано, что аналогичное изолирующее действие может быть достигнуто при больших остаточных давлениях (до 2 мм рт. ст.) при заполнении эвакуированного пространства мелкодисперсным порошком из различных материалов с размерами частиц порядка 0,1 μ . При эвакуации газа из изолирующего пространства происходит значительная усадка, так как свободный объем таких порошков составляет $\sim 96\%$. Приводятся результаты испытания различных способов уплотнения порошков: 1) вибрационное под вакуумом; 2) смачивание порошка с последующим испарением жидкости; 3) сжатие при высоком давлении; 4) откачка в сосуде с эластичными стенками, обеспечивающими сжатие за счет наружного давления. Наиболее приемлемым является 4-й способ; при его применении наружная оболочка изоляционного пространства должна изготовляться в виде силфона, обеспечивающего уплотнение порошка после создания вакуума. На основании выполненных исследований на моделях сделано заключение о целесообразности применения вакуумной изоляции с заполнением порошком, уплотненным указанным выше методом (термосы, танки для транспортировки жидкого воздуха и др.). Качество изоляции равноценно вакуумной изоляции сосудов Дюара. В. К.

Исследование регенератора рекуператора в стационарном тепловом потоке. Быстрова Т. А., Сб. статей Моск. высш. техн. уч-ща, 1955, 53, 21—46

Экспериментально исследованы процессы, происходящие в регенераторах-рекуператорах, для определения основных характеристик насадки. Найдено, что наиболее эффективными являются сетчатые насадки, сплетенные из толстой проволоки. Исследование процесса движения воздуха через сетчатую насадку выявило 3 режима течения: 1) в области $300 < Re < 1200$ имеет место переходный режим со слабо выраженной турбулентностью, при котором коэфф. гидравлич. сопротивления $\xi = 950 Re^{-1} + 2,4 Re^{-0,12}$; 2) при $1200 < Re < 5000$ поток вполне турбулентен и $\xi = 4,29 Re^{-0,12}$; 3) при $Re > 5000$ имеет место автомодельный режим и $\xi = 1,56$. Исследование теплоотдачи от потока к сетчатой насадке показало, что при турбулентном режиме имеет место критериальная зависимость $Nu = a Re^n$, причем a и n зависят от периода переключения потоков: при $\tau = 1$ мин. 20 сек. $a = 2,95$ и $n = 0,425$ и при $\tau = 2$ мин. 55 сек. $a = 1,31$ и $n = 0,498$. В приведенных выражениях при вычислении критериев в качестве определяющих параметров приняты средняя t -ра потока, скорость, отнесенная к среднему значению живого сечения канала, и эквивалентный диаметр канала с насадкой. Указаны достоинства и недостатки регенераторов-рекуператоров и проведена оценка их сравнительно с регенераторами. А. Р. 45701.

Тепловые насосы в Англии. П. Ш. Гриффит (The heat pump in Great Britain. P. H. Griffith Miriam V.), Industr. Heat. Engr., 1953, 15, № 87, 16—18; № 88, 38—40 (англ.)

Охлаждение при кондиционировании воздуха. 16. Регулирование процесса охлаждения. Юэнс (Refrigeration for air conditioning. 16. Refrigeration controls. Ewens F. G.), Heat., Plumb. and Air Condit., 1953, 32, № 8, 26, 50 (англ.)

Указано на особую важность регулирования потока жидкого хладагента при кондиционировании воздуха. Дано описание автоматич. регулятора давления для

испарителя, термостатич. клапана, поддерживающего постоянную т-ру хладагента на выходе из испарителя и поплавковых регуляторов уровня хладагента в конденсаторе и испарителе. Сообщение 15, см. РЖХим, 1954, 51045. С. К.

45703. Децентрализованное охлаждение камер холодильников. Гимпельевич С., Холодильн. техника, 1955, № 4, 16—20

Предлагается схема децентрализованного охлаждения холодильных камер, при которой каждый холодильный компрессорно-конденсаторный агрегат, работающий на аммиаке или фреоне, обслуживает, как правило, одного находящегося в непосредственной близости потребителя. При такой системе холодооборота упрощается автоматизация холодильников средней емкости, резко сокращаются коммуникации и холодопотери, повышаются надежность и безопасность, отпадает необходимость в спец. машинном зале. Рассмотрены схемы автоматизированных холодильных установок одно- и двухступенчатого сжатия. Б. С.

45704. Получение холода путем растворения льда в рассоле. Бенцлер (Kälteerzeugung durch Auflösen von Eis in Sole. Benzler H.), Kältetechnik, 1955, 7, № 3, 66—70 (нем.)

Изложены результаты теоретич. и эксперим. исследования теплообмена и массообмена при плавлении льда в водн. р-ре поваренной соли. Найдены разность т-р льда и рассола в процессе плавления, скорость плавления, изменение теплосодержания, коэфф. тепло- и массообмена, уд. теплота плавления льда в насыщ. р-ре поваренной соли. Рассчитана энтальпия льда, соли и р-ра в зависимости от т-ры (от $-21,1$ до $+25^\circ$) и конц-ии (от 0 до 26%). В. Я.

45705. Современные крупные холодильные компрессоры для химической промышленности. Бонитц (Nezeitliche Großkälteverdichter für die chemische Industrie. Bonitz Felix), Kälte, 1955, 8, № 9, 303—306 (нем.)

Описаны крупные вертикальные компрессоры двойного действия с устройством для автоматич. бесступенчатого регулирования производительности. Настройка регулятора делается как вручную, так и автоматически с помощью мембранного регулятора, поддерживающего заданное давление всасывания с точностью до 0,1 ат. Вместо регулятора давления может быть использован регулятор т-ры. Автоматизированный компрессор производительностью $1,5 \cdot 10^8$ ккал/час практически не требует наблюдения при работе. Рассматриваются конструкции некоторых деталей компрессора. В. Я.

45706. К оценке факторов массопередачи. Гамбилл (To estimate mass-transfer factors. Gambill W. R.), Chem. Engng, 1955, 62, № 12, 207—210 (англ.)

При расчете процессов массопередачи (сущка, абсорбция, экстракция, конденсация паров в присутствии неконденсирующихся газов) вычисление критерия Шмидта $Sc = \mu / (\rho D)$ часто затруднено, так как неизвестны значения вязкости μ и коэфф. диффузии D (при известной плотности ρ). Установлено, что с достаточным приближением для технич. расчетов D можно вычислить по ф-ле Джилленда (Ind. Engng Chem., 1934, 26, 681), а μ — по ф-ле Арнольда (Ind. Engng Chem., 1930, 22, 1091). На основе этих ф-л предложено выражение для вычисления Sc для бинарных газовых смесей $Sc = [0,099 \cdot T^{0,25} \cdot P^{0,47} (M_a M_b)^{0,5} (V_a^{0,33} + V_b^{0,33})^2] / [T_{rc} (M_a + M_b)^{0,5} (y_a M_a + y_b M_b)^{0,5}]$, где $P_{rc} = y_a \cdot P_{ca} + y_b \cdot P_{cb}$ и $T_{rc} = y_a \cdot T_{ca} + y_b \cdot T_{cb}$. В этих выражениях M_a, M_b — молекулярные веса; V_a, V_b — молекулярные объемы; P_{ca}, P_{cb} — критич. давления;

T_{ca}, T_{cb} — критич. т-ры компонентов a и b . y_a и y_b — их конц-ии в смеси. Ф-ла пригодна для давл. до 30 ат, так как учитывает сжимаемость газов. А. Р.

45707. Разделение эфирного масла и смеси метилированных сахаров методом термодиффузии. Болл, Батлер, Кук, Джоне (The separation of an essential oil and of methylated sugars by thermal diffusion. Ball D. H., Butler R. M., Cook W. H., Jones J. K. N.), Chemistry and Industry, 1955, № 52, 1740—1741 (англ.)

Приведены результаты 4 опытов по разделению методом термодиффузии эфирного масла и смеси метилированных сахаров. Ю. П.

45708. Процесс дистилляции. Симон-Ариас (La agenda de destilación. Simón Arias R.), Acero y energía, 1955, 12, № 71, 51—58, 61—64, 67—71, 73, 74, 77, 78 (исп.)

Обзор. Библ. 40 назв. Ю. П.

45709. О ректификации в тарельчатой колонне. Руккенштейн (Asupra rectificării în coloane cu talere. Ruckenstein E.), Rev. Univ. «C. I. Parhon» și Politehn., București. Ser. științ. natur., 1954, № 4-5, 199—207 (рум.; рец. русс., франц.)

При высоких значениях коэфф. турбулентной диффузии раздлительное действие ректификационной тарелки может быть значительно увеличено путем ограничения перемешивания жидкости на тарелке. Дано выражение к. п. д. тарелки, разбитой на ряд участков, для случая ректификации бинарной смеси в предположении, что линия равновесия — прямая, а пар, поступающий на тарелку снизу, имеет одинаковый состав по всему сечению колонны. Предложен метод расчета максим. обогащения при разделении многокомпонентных смесей, компоненты которых обладают постоянной относительной летучестью. Ю. П.

45710. Простой метод определения минимального числа тарелок. Батлер (Fast methods for minimum plates. Butler R. M.), Petrol. Refiner, 1955, 34, № 7, 109—110 (англ.)

Приведена номограмма для определения миним. числа теоретич. тарелок при ректификации смесей углеводородов. В. К.

45711. Рабочая высота прорезей колпачков. Уинн, Келлер (Slot openings in bubble caps. Winn Francis W., Keller George J.), Petrol. Refiner, 1955, 34, № 7, 111—113 (англ.)

Приводятся номограммы для определения рабочей высоты треугольных, прямоугольных и трапециoidalных прорезей в колпачках, через которые происходит истечение пара, в зависимости от размеров прорезей, скорости пара и плотностей жидкости и пара. Для всех 3 форм прорезей определение производится по одной и той же номограмме. Результаты расчетов по номограмме сопоставляются с эксперим. данными. Среднее отклонение составляет примерно $\pm 1,3$ мм. В. К.

45712. Предельные скорости для систем жидкость — жидкость при противотоке в насадочных колоннах. Фудзита, Кикудзава, Ватанабэ (異相逆流充填塔の限界速度. 藤田 實文, 菊澤 浩夫, 渡邊 昭三), 化学工学, Kagaku kōgaku, Chem. Engng, 1953, 17, № 6, 230—235 (япон.; рец. англ.)

Приведены опытные данные по определению скоростей захлебывания для систем жидкость — жидкость в противоточных насадочных колонках diam. 46 и 55 мм. В качестве насадок использовались фарфоровые кольца Рашига, алюминиевые кольца Лессинга и фарфоровые седла Берля. Исследования проводились на системах вода — масло, причем использовались 3 вида масел с различными физ. свойствами. Путем обработки в безразмерных комплексах результатов опытов и данных

других авторов для экстракционных колонн, а также опытов Фудзита и Ушида для систем воздух — жидкость получена обобщенная зависимость, пригодная для систем жидкость — жидкость и газ — жидкость: $y = 0,6 e^{-2x}$, где $x = (V_D / V_C)^{1/4} (\rho_D / \rho_C)^{1/4}$ и $y = [V_C^2 \sigma / (gF)]^{0,5} [\rho_C \rho_D / (\Delta \rho)^2]^{0,4} [a^3 \mu_D / (g \rho_D^2)]^{0,08}$; здесь V_C, V_D — линейные скорости сплошной и дисперсной фаз в м/сек; F — свободное сечение насадки в м²/м²; a — уд. поверхность насадки в м²/м³; ρ_C, ρ_D — уд. вес сплошной и дисперсной фаз в кг/м³; μ_D — вязкость дисперсной фазы в сг; g — ускорение силы тяжести в м/сек²; e — основание натуральных логарифмов. При обработке данных для систем газ — жидкость газ всегда рассматривался как сплошная фаза, а жидкость — дисперсная.

Ю. Д.
45713. Удерживающая способность насадки при отсутствии газового потока. Оtake, Окада (充填塔のホールドアップ。ガスを流さぬ場合。大竹傳雄, 岡田和夫), 化学工学, Kagaku kogyo, Chem. Engng, 1953, 17, № 5, 176—184 (япон.; рез. англ.)

Экспериментально определена удерживающая способность различных насадок при орошении их водой в отсутствие газового потока. Обобщение данных с использованием результатов, полученных другими исследователями, проводившими опыты с различными жидкостями, привело к следующим ур-ниям, определяющим удерживающую способность H (м³/м³ насадки). Для беспорядочно загруженных колец Рашига, шариков и седлообразной насадки Берли в области значений $Re = 10$ —2000 величина $H = 1,295 (dL / \mu)^{0,676} (d^3 g \rho^2 / \mu^2)^{-0,44} (ad)$. Для установленных рядами колец Рашига и дробленой кусковой насадки в области значений $Re = 10$ —2000 величина $H = 15,1 (dL / \mu)^{0,676} (d^3 g \rho^2 / \mu^2)^{-0,44} (ad)^{-0,60}$. Для такой же насадки в области $Re = 10^2$ — 10^3 величина $H = 21,1 (dL / \mu)^{0,51} (d^3 g \rho^2 / \mu^2)^{-0,44} (ad)^{-0,60}$. В ур-ниях d_m — определяющий линейный размер насадки; L кг/м² · час — весовая скорость жидкости; μ кг/м · час — вязкость жидкости; ρ кг/м³ — уд. вес жидкости; g — 9,81 м/сек²; a м²/м³ — уд. поверхность насадки. Показатели степени при L, μ и ρ практически не отличаются от полученных Джексоном и Элгинем (Jesser, Elgin, Trans. Am. Inst. Chem. Engrs, 1943, 39, 277). Библ. 15 назв.

Ю. П.
45714. О центробежных ректификаторах и методе расчета пленочной ректификации. Архаров А. М., Сб. статей Моск. высш. техн. уч-ща, 1955, 53, 86—99

Приводится расчет центробежного спирального ректификатора. Технология. расчет основывается на критерияльном ур-нии Гельгерина — Небалка (I) для бинарных смесей с близкими т-рами кипения компонентов. Необходимый для определения поверхности ректификатора коэфф. массопередачи определяется из ур-ния: $K = K'_i D (22,4 d_g)$, где K — коэфф. массопередачи в кг · моль/м² · час (моль/моль); K'_i — диффузионный критерий Кириичева, рассчитываемый из ур-ния I; D — коэфф. диффузии в м²/час; d_g — эквивалентный диаметр сечения спирального канала в м. Отмечается, что значения к. п. д. аппарата лежат в пределах 0,4—0,5. Конструктивный расчет аппарата сводится к определению числа витков спирали при известной ее длине. Отмечается, что приведенный метод технологич. расчета ректификатора является приближенным. Указывается, что для уточнения метода необходимо ввести в ур-ние I критерий Рейнольдса для жидкости (флегмы). Для этой цели приводится метод определения изменения средней скорости движения флегмы вдоль канала.

С. К.

45715. Исследование ректификации в колоннах с вращающимся ротором. Малюсов В. А., Умник Н. Н., Жаворонков Н. М., Докл. АН СССР, 1956, 106, № 1, 99—102

На 3 колоннах с вращающимся ротором, представляющим собой стержень с лестничками фольги, на системах бензол — дихлорэтан, бензол — четыреххлористый углерод, этилбензол — хлорбензол и этиловый спирт — вода проведено исследование влияния скорости вращения ротора, скоростей потоков, физ.-хим. свойств смеси и геометрии. размеров канала на скорость массообмена. Колонны имели высоту ректификационной секции 120, 80 и 94 см, внутренний диаметр колонны 15, 28 и 28 см, наружный диаметр ротора 6, 19 и 10 см и длину фольги в плане 2,7, 4 и 4 см соответственно. На всех колоннах и для всех систем эксперим. данные удовлетворяют ур-нию $h_{ог} = 1,6 d_g + 0,236 d_g Re \cdot Pr \cdot Re_{вр}^{-1/2}$, где $h_{ог}$ — общая высота единицы переноса в см, d_g — эквивалентный диаметр колонны в см, Re — критерий Рейнольдса для газа, Pr — критерий Прандтля, $Re_{вр}$ — критерий Рейнольдса вращения, учитывающий турбулизирующее действие вращающегося ротора. Указывается на желательность проверки данного ур-ния на других типах колонн с вращающимся ротором.

С. К.
45716. Массопередача в процессе пленочной абсорбции. Абсорбция аммиака водой и соляной кислотой. Малюсов В. А., Малафеев Н. А., Жаворонков Н. М., Хим. пром-сть, 1953, № 4, 14—19
Исследована абсорбция аммиака из воздуха водой и соляной к-той в трубке ($d = 15$ —45 мм) с орошаемыми стенками и колонне с плоско-параллельной насадкой. Установлено, что на кривой зависимости коэфф. массопередачи k_r от скорости газа $v_{абс}$ имеются переломы. k_r увеличивается с ростом скорости жидкости и зависит от отношения длины канала к его эквивалентному диаметру; сопротивление диффузии в жидкой пленке при больших $v_{абс}$ может достигать значительных величин и должно учитываться при расчете. Для круглых каналов и $1000 \leq Re \leq 15\,000$ предложено ур-ние $Nu_r = k_r d / D_r = C Re^{1,24} Pr^{0,5}$, где величина C зависит от диаметра трубки и изменяется от 0,00069 (при $d > 20$ мм) до 0,0015 (при $d = 10$ мм); D_r — коэфф. диффузии газа.

Г. С.
45717. Адиабатическая абсорбция хлористого водорода водой. Маевский (Adiabatyczna absorpcja chlorowodoru w wodzie. Majewski J.), Przem. chem., 1955, 11, № 9, 487—491 (польск.)

Приведены теоретич. рассуждения и описаны типы адиабатич. абсорберов (АА) для получения соляной к-ты. АА следует предпочесть изотермич. абсорберам (ИА) в том случае, если в сорбируемых газах содержится в-ва с достаточно высокой т-рой кипения. Тип АА зависит от концентрации производимой к-ты и содержания HCl в газе. При малых конц-ях HCl в газах и больших конц-ях соляной к-ты рекомендуется комбинация адиабатич. абсорбции с изотермич. АА экономичнее ИА при любых конц-ях получаемой HCl. Бесконденсаторные АА позволяют производить HCl с содержанием 32—33 вес.%. HCl из газов, содержащих 10—100% HCl. Содержание HCl в отходящих из АА газа $\sim 0,1$ — $0,01\%$. Эксперим. проверка распределения т-р и конц-й к-ты и их вычисление при использовании законов Дальтона, Генри и Рауля дали близкие результаты.

С. Я.
45718. Исследование процесса массопередачи в аппаратах газлифтного типа (физическая абсорбция). Григорян Г. О., Большаков А. Г., Науч. зап. Одеск. политехн. ин-та, 1955, 2, № 1, 27—35

Приведены результаты исследования процесса абсорбции CO_2 и SO_2 водой в аппарате газлифтного типа. Результаты обработаны на основе 2-плечной теории и получены критерийные уравнения, аналогичные уравнениям предыдущих исследователей. И. С.

45719. Ионобменники и их химико-техническое развитие. Гриебах (Ionenaustauscher und ihre chemisch — technische Weiterentwicklung. Griessbach R.), Chem.-Ingr-Techn., 1955, 27, № 10, 569—572 (нем.; рез. англ., франц.)

Рассматриваются задачи, связанные с дальнейшим развитием теории и техники ионобмена применительно к потребностям хим. технологии. Приводятся общие соображения о характеристике и выборе ионобменных смол, а также примеры практич. применения ионобмена для выделения меди из р-ров, разделения смесей сильных и слабых электролитов, очистки красителей от полупродуктов. В. К.

45720. Аппарат с вращающимися дисками для экстракции в системе жидкость — жидкость. Рима, Олли (The rotating — disc contactor — a new tool for liquid-liquid extraction. Riman G. H., Ollney R. B.), Chem. Engng Progr., 1955, 51, № 3, 141—146 (англ.)

Противоточный экстракционный аппарат состоит из нескольких секций, образованных рядом закрепленных колес. На вращающемся валу закреплены диски, которые служат мешалками в каждой секции. Секции отставания отделены решетками от зон ввода жидкости. Размер капель регулируется скоростью вращения дисков. В аппарате нет междусекционного отставания. Отшлифованные диски и кольца создают условия для достижения небольших колебаний в размерах капель. Опыты проводились на 2 системах: вода — метилизобутилкетон — уксусная к-та, вода — керосин — *n*-бутиламин. Было найдено: 1) с ростом скорости вращения дисков производительность (П) понижается, а эффективность (Э) увеличивается и проходит через максимум; 2) с ростом диаметра вращающегося диска П понижается, а Э увеличивается; 3) с увеличением отверстия в неподвижных кольцах П увеличивается, а Э снижается; 4) для небольших высот секций при увеличении высоты Э практически постоянна, а П растет, для больших высот — Э уменьшается; 5) при постоянном отношении диаметра диска к диаметру колонны изменение последнего мало влияет на Э и уд. нагрузку (УН); 6) с увеличением УН частично растет Э; 7) при увеличении скорости потока дисперсной фазы (при постоянной скорости сплошной) Э растет. При обработке эксперим. данных было замечено, что УН прямо пропорциональна комплексу $N^3 R^6 / (H D^2)$, где N — скорость вращения ротора, R — диаметр вращающегося диска, H — высота секции, D — диаметр колонны. Выводы, полученные на исследованных системах, в основном подтвердились при работе колонны для экстракции смазочных масел фурфуролом и на других системах. И. Ю.

45721. Применение ситчатых тарелок для экстракции в системе жидкость — жидкость. Система толуол — диэтиламин — вода. Гарнер, Эллис, Фосбери (Perforated plates in liquid-liquid extraction: toluene-diethylamine-water system. Garner F. H., Ellis S. R. M., Fosbury D. W.), Trans. Instn Chem. Engrs, 1953, 31, № 4, 348—362 (англ.)

Исследования проводились на стеклянной колонне диам. 10 см, составленной из 2 частей высотой 61 см каждая. В колонне находилось 9 ситчатых тарелок, укрепленных на общем центральном стальном стержне; расстояние между тарелками 15 см. Каждая тарелка имела 59 отверстий диам. 3,2 мм и одну переточную трубу диам. 25 мм. Исследование проводилось в таком интервале кон-ций, что коэфф. распределения

оставался примерно постоянным. Т-ра опыта поддерживалась циркуляцией воды через кожух колонны и во всех опытах была равной 20°. Дисперсная фаза — толуюл, непрерывная — вода. Уровень раздела фаз поддерживался с помощью регулирующего вентиля на линии спуска воды из нижней части колонны. Скорость толуюла L_D менялась от 72,3 до 374 кг-моль/м²·час, а скорость воды L_C — от 177,5 до 1372 кг-моль/м²·час. К. п. д. ступени оказался в пределах 5—17%.

Высота, эквивалентная теоретич. ступени, составляла 1,25—3,87 м. Высота единицы переноса (БЕП) для водн. фазы была равной 0,91—10 м. Изменение БЕП воды в пределах скоростей потоков в опыте описывается уравнем: $H_{тос} = 1,6 + (8,9 - 0,178 L_D) L_C (m L_D)^{-1}$, где m — наклон равновесной кривой. БЕП толуюла изменялась в пределах 1,2—3,1 м. К. С.

45722. Номограмма для определения относительной влажности. Окайеу (關係湿度の圖表. 岡安健一), 化學工學, Kakaiku kagaku, Chem. Engng, 1953, 47, № 11, 470 (япон.)

Приведена номограмма для определения относительной влажности воздуха по показаниям мокрого и сухого термометров. Б. Л.

45723. Значение скорости циркуляции при высокотемпературной сушке. Лейделл (The role of circulation rate in high temperature drying. Ladell J. L.), Brit. Columbia Lumber., 1955, 39, № 11, 42, 44, 68, 70 (англ.)

Опытным путем установлено, что при периодич. изменении направления движения (через 1—2 часа) и повышении скорости воздуха удается осуществить равномерную сушку пиломатериалов в штабеле. Для достижения хороших результатов необходимо, чтобы изменение т-ры воздуха при прохождении его через штабель не превышало 3°; т-ра на входе допускали до 125° при т-ре по влажному термометру 93°. Рекомендуемые скорости воздуха 150—275 м/мин. Повышение скорости воздуха со 120 до 275 м/мин связано с возрастанием расходуемой мощности на 20% и повышением теплотермий, что, однако, с избытком компенсируется значительным сокращением продолжительности сушки. Ю. П.

45724. Сушка током воздуха беспорядочно уложенного слоя спичек. Крёлль (Trocknung luftdurchströmter Streichholzschüttungen. Kröll K.), Chem.-Ingr-Techn., 1955, 27, № 8/9, 527—534 (нем.; рез. англ., франц.)

Описаны установка и методика проведения экспериментов по сушке спичек. Рассмотрено влияние различных факторов (свойства материала, скорость воздуха и т. д.) на скорость сушки. Приведена ф-ла для расчета времени сушки. И. С.

45725. Влияние различных факторов на размер частиц в распылительной сушилке диаметром 2,1 м. Мейер (Factors affecting particle size in a seven-foot spray dryer. Meyer F. M.), Chem. Engng Progr., 1955, 51, № 11, 528—530 (англ.)

Экспериментально определено влияние изменения окружной скорости распылительного диска V и производительности аппарата G на размер частиц d в распылительной сушилке диам. 2,1 м. Опыты производились с суспензиями, содержащими 18% и 50% твердых частиц с размером $< 1 \mu$; вязкость суспензий достигала 6800 спуаз. Установлено, что при низких V изменение d обратно пропорционально $V^{0,69}$, а при высоких обратно пропорционально V^2 . Увеличение G приводит к возрастанию d : при $G < 4,5$ кг/мин d пропорционально $G^{0,37}$ и при $G > 4,5$ кг/мин d пропорционально $G^{0,67}$. А. Р.

45726. Новый метод химического извлечения веществ из растворов путем диспергирования. Говей

(The atomized-suspension technique — a new method of chemical recovery from solutions. Gauvin W. H.), Chem. in Canada, 1955, 7, № 9, 48, 50, 52, 54, 56 (англ.)

Обработываемый р-р распыляется в верхней части башни, стенки которой нагреваются извне; на них происходит частичное испарение капель, вследствие чего в башне создается взвесь мелкодиспергированных капель в парах. Большая поверхность массообмена и отсутствие газовой пленки вокруг капель ускоряют как физ. обработку р-ра (испарение, сушка), так и проведение хим. р-ций (пиролиз.). После прохождения башни твердые в-ва отделяются, а пары конденсируются. Предлагаемый метод упрощает аппаратуру по сравнению с обычной распылительной сушкой (отпадают воздухоподогреватель или вентилятор, воздухоподогреватель, циклоны), а также уменьшает габариты всего оборудования. Для распыления р-ра рекомендуются насадки, работающие под давл. 70—700 ат, дающие средний диаметр капель $\leq 30 \mu$. Вследствие неблагоприятных условий теплоотдачи от стенки башни в паро-жидкостную смесь рекомендуется применять греющие устройства с высокой т-рой (600—800°), а башни — изготовлять из нержавеющей стали. Метод непригоден для обработки термолабильных в-в.

45727. Сушка инфракрасными лучами. Лекуа (Séchage par émetteurs électriques à rayonnement infrarouge court. Lecoq J.), Chaleur et ind., 1954, 35, № 343, 59—66 (франц.)

Элементарное изложение основ сушки ИК-лучами, излучаемыми лампами с т-рой накала нити 2400—2500° К. Достоинства этого метода сушки: возможность получения интенсивного облучения; гибкость регулировки включением или выключением отдельных ламп; легкость конструкций сушильных устройств, не требующих особых теплоизоляционных устройств; экономия рабочей силы; обеспечение высокого качества изделий; быстрота процесса. Приведен ряд практич. примеров применения радиационной сушки (сушка литейных форм, лакокрасочных покрытий, сыпучих материалов, напр. морской соли).

45728. К теории процессов размола. Бассе (Zur Theorie der Mahlvorgänge. Bass Ludwig), Z. angew. Math. und Phys., 1954, 5, № 4, 283—292 (нем.; рез. англ.)

Развита математич. теория процесса размола. Составлено ур-ние, описывающее изменение со временем распределения размалываемого материала по размерам частиц. Основное ур-ние содержит функцию, определяющую ход размола и зависящую от характеристики мельницы и размалываемого материала. Эту функцию можно определить экспериментально, пользуясь упрощенным выражением, полученным из общего ур-ния. Даны строгое решение основного ур-ния и ряд приближенных решений. Из общего ур-ния может быть также получена известная (Rosin P., Rammler E., Kolloid-Z., 1934, 67, 16) полуэмпирич. ф-ла для распределения размеров зерен.

45729. Соотношения между переменными факторами в процессе работы трехвалковых валцов (Исследование диспергирования). Мос, Уокер, Зеттлмейер (Correlation of roll mill variables (Dispersion studies). Maus Louis, Jr., Walker William C., Zettlemoyer Albert C.), Industr. and Engng Chem., 1955, 47, № 4, 696—701 (англ.)

Установление оптимальных условий работы 3-валковых валцов возможно лишь на основе исследования влияния переменных факторов на процессы диспергирования. Описаны исследования, проведенные в целях упрощения не на 3, а на 2 валках. В опытах изучалось влияние следующих переменных факторов:

вязкости, зазора между валками, расхода энергии, скорости вращения валков, соотношения скоростей валков, диаметра и длины валков. Плотность обрабатываемой жидкости при испытаниях не изменялась. Описаны методы измерения зазора между валками, расхода энергии, скоростей валков и вязкости, методика проведения экспериментов. Приведены в логарифмич. координатах опытные кривые, выражающие соотношения между безразмерными комплексами упомянутых переменных факторов: критериями Рейнольдса, Фруда и критерием мощности. На основе полученных опытных данных выведены ур-ния, характеризующие связь между указанными переменными факторами при постоянном и переменном соотношении скоростей 2-го и 3-го валков, а также при переменном соотношении скоростей 1-го и 2-го валков.

45730. Самоустанавливающиеся трехвалковые валцы. (Исследование диспергирования). Мос, Зеттлмейер, Гамбл (Floating roll mill (Dispersion studies). Maus Louis, Jr., Zettlemoyer Albert C., Gamble Ernest), Industr. and Engng Chem., 1955, 47, № 4, 701—703 (англ.)

Рассмотрены различные конструкции трехвалковых краскотерочных валцов и приведена их сравнительная характеристика. Отмечаются преимущества самоустанавливающихся валцов (с одним крайним неподвижным валком, средним валком, могущим свободно перемещаться, и вторым крайним валком, регулируемым посредством двух винтов) перед валцами других типов по легкости и точности регулировки, автоматич. поддержанию параллельности валков. Для переладки валцов различных типов в самоустанавливающиеся требуется очень немного времени, а в лаб. и производственных условиях они показали себя превосходящими валцы других типов по производительности и качеству конечного продукта.

45731. Соотношения между переменными факторами в процессе работы самоустанавливающихся трехвалковых валцов (Исследование диспергирования). Зеттлмейер, Тейлор, Мос (Correlation of floating roll mill variables.— Dispersion studies.— Zettlemoyer Albert C., Taylor James H., Maus Louis, Jr), Industr. and Engng Chem., 1955, 47, № 4, 703—706 (англ.)

На основе ур-ний, выражающих связь между переменными факторами для отдельных пар валков (реф. 45729), было получено теоретич. ур-ние, дающее зависимость между переменными факторами для самоустанавливающихся трехвалковых валцов (пред. реф.) в условиях, соответствующих производственным. Приведены полученные опытным путем кривые, выражающие соотношения между переменными факторами (зазор между валками, расход энергии, скорости вращения валков, соотношение скоростей валков, диаметр и длина валков, вязкость и плотность материала). Анализ этих кривых позволяет уточнить коэфф. теоретич. ур-ния и получить ур-ние, пригодное для практич. целей. Исследование показало, что к изучению работы самоустанавливающихся трехвалковых валцов могут быть применены принципы гидродинамики.

45732. Упрощение выбора грохота на основании новых показателей. Ридель (Vereinfachte Auswahl des richtigen Siebbodens durch neuartige Kennziffern. Riedel E.), Schlägel und Eisen, 1955, № 5, 150—151 (нем.)

Для технич. характеристики грохотов предложены: система буквенных обозначений; соответственные основным формам отверстий как в плоскости грохота, так и в его разрезе; отношение площади просветов к общей площади грохота.

45733. Машины для расфасовки порошков и суспензий. Бергман (Maschinen für das Abfüllen von Pulvern und Suspensionen. Bergmann E.), Technik, 1955, 10, № 9, 535—539 (нем.)

Обзор конструкций машин, выпускаемых в Германии, для механич. расфасовки порошкообразных, жидких и маслянистых препаратов, требующих точного дозирования.

Е. Р.

45734. Диаграммы, упрощающие расчеты реакторов. Жени (Charts simplify job of designing your reactor system. Jenney T. M.), Chem. Engng, 1955, 62, № 12, 198—202 (англ.)

Предложены диаграммы (Д) для расчета реакторов применительно к р-циям псевдопервого и второго порядков. Д позволяют определить необходимое время контактирования для получения заданной степени конверсии компонентов р-ции в зависимости от их соотношения в поступающей смеси и от характера процесса. Д охватывают периодич. процесс в одном реакторе, а также непрерывное прямоточное и противоточное движение реагентов в одном или нескольких реакторах при стехиометрич. соотношении реагентов и с избытком одного из них.

А. Р.

45735. Проектирование оборудования для проведения реакций. Часть I. П. Оtake (反応装置の設計, その 1, 2, 大竹傳雄), 化学と工業, Kagaku to kōgō, Chem. and Chem. Ind., 1953, 6, № 8, 386—39. № 9, 436—441 (япон.)

Обзор. Библ. 24 назв.

В. Ж.

45736. Реакторы непрерывного действия. Осима (連続式タンク型反応器, 大島善義), 化学工学, Kagaku kōgaku, Chem. Engng, 1953, 17, № 10, 396—402 (япон.)

Обзор. Библ. 11 назв.

В. Ж.

45737. Новая универсальная опытная установка. Кирберг (Eine neue Universal-Versuchsanlage. Kirberg Rudolf), Erdöl und Kohle, 1955, 8, № 10, 724—725 (нем.)

Описана опытная установка для изучения различных технологич. процессов, состоящая из реактора из хромоникельмолибденовой стали емк. 32 л для работы под вакуумом или под давл. 10 атм, трубчатого холодильника поверхностью 0,9 м², приемника объемом 15 л, промежуточной емкости объемом 4,5 л и вакуум-насоса. Вся установка смонтирована на плите. Реактор снабжен мешалкой с масляным приводом, позволяющим плавно регулировать число оборотов в пределах от 0 до 1000 об/мин, ртутным и регистрирующим термометрами, спускным вентилем, пробоборником, комбинированным дифференциально-электрич. подогревателем с автоматич. регулятором, позволяющими поддерживать т-ру до 350°, и приспособлением для поднимания и опускания реактора.

В. К.

45738. Способность к перекачиванию остаточного мазута. Гилл, Расселл (Pumpability of residual fuel oils. Gill F., Russell R. J.), Industr. and Engng Chem., 1954, 46, № 6, 1264—1278 (англ.)

В связи с тем, что из нефтей удаляется значительная доля легколетучих фракций, вязкость остаточного мазута (ОМ) сильно повышается; кроме того, из мазута, содержащего значительное кол-во восков, могут выпадать осадки — все это очень затрудняет транспортировку ОМ по трубопроводам. Отмечено, что способность к перекачиванию ОМ зависит от его тепловой обработки и содержания легких фракций. Разобраны методы, улучшающие способность к перекачиванию ОМ: нагрев с помощью змеевиков, устройство нефтеотводов, в которых предусматривается выпадение осадков, увеличение линейной скорости и добавка легких фракций к ОМ.

Е. Б.

45739 Д. Флюидизация и предотвращение оседания. Лофлер (Mechanism of hindered settling and fluidization. Loeffler Albert L., Jr. Abstr. doct. thes. Chem., Iowa State Coll., 1953—1954), Iowa State Coll. J. Sci., 1955, 29, № 3, 453—455 (англ.)

Движение агрегатов частиц по отношению к газообразной среде описывается ур-нием: $k_u = (1 + Z) K_u$, где $K_u = gD^3 (\delta - \rho) \rho (18 \mu^2)^{-1}$, $k_u = Du \rho (V \bar{V} \epsilon \mu)^{-1} (1 + F_s)$, $Z = 2K_e (1 + F_{ke}) \Psi^{-3/2} \Phi_1^{-1} (1 + F_s)^{-1}$, D — диаметр сферич. частицы, δ — плотность в-ва, образующего дисперсную фазу, ρ — плотность газа, μ — его вязкость, u — скорость оседания, ϵ — пористость агрегата частиц ($\epsilon = 1 - \gamma$, где γ — объемная конц-ия частиц), $K_e \approx 2,5$ — константа, $\Phi_1 = \epsilon^2 (1 - \epsilon)^{-1}$, Ψ — «сферичность» частиц (отношение площади поверхности сферы к площади поверхности частицы одинакового объема); F_s — отношение добавочного турбулентного сопротивления движению частицы к стоксову сопротивлению (определяется экспериментально в диапазоне $K_e = 0,01 \div 20\,000$); F_{ke} — фактор, учитывающий взаимодействие частиц и определяемый из эксперим. зависимости $K_e (1 + F_{ke}) = f [Du \rho (\gamma \mu)^{-1}]$.

В. Д.

45740 Д. Поглощательные свойства запыленных потоков. Блох А. Автореф. дисс. на соискание учен. степени кандидата техн. н., Центр. н.-и. котлотурбинный ин-т, Л., 1954

45741 П. Процесс псевдооживления (Fluidizing process) [Metallgesellschaft A.-G.] Австрал. пат. 163317, 30.06.55

Метод непрерывного проведения хим. или физ. процессов с твердым или жидким диспергированным материалом в восходящем потоке газа или пара характеризуется тем, что операция проводится в суживающейся камере, угол между стенками которой увеличивается от нижнего конца аппарата к верхнему не более чем до 45° таким образом, что идущий снизу поток газа или пара течет плавно вдоль стенок камеры, причем скорость газа отрегулирована так, что образуется псевдооживленный слой материала.

С. З.

45742 П. Аппараты для псевдооживления твердой фазы. Лоншамбон, Жекье (Appareil de fluidisation en phase dense. Longchambon L., Jequier L.), Франц. пат. 1079088, 21.11.54 [Génie chim., 1955, 73, № 3, 80 (франц.)]

Запатентован аппарат для псевдооживления твердой фазы, в котором имеется труба, куда вводится смесь зерен и порошка. Труба заканчивается в зоне, где восходящий поток газа имеет скорость, достаточную для увлечения порошка, но недостаточную для увлечения зерен больших определенной величины, которые падают вниз и могут быть извлечены.

Е. Х.

45743 П. Способ отделения тонких частиц, распределенных в газах или парах. Цирен (Procédé de séparation de particules finement réparties dans des gaz et des vapeurs. Zieren A.), Франц. пат. 1087987, 2.03.55 [Génie Chim., 1955, 74, № 1, 29 (франц.)]

Запатентован метод очистки газа от пыли посредством пропускания газа через фильтрующий слой, состоящий из гранул неправильной и правильной формы (напр., шариков), расположенных таким образом, что в свободном объеме между гранулами создается турбулентный газовый поток.

Ю. С.

45744 П. Электрофильтр. Андруе (Electrical precipitator. Andrews Glenn Ellis) [Raytheon Manufacturing Co.], Канад. пат. 491015, 3.03.53

2-стадийный электрофильтр с разделенными зонами зарядки и осаждения взвешенной в газе пыли состоит из ионизатора, осадителя и агрегата питания. Ионизатор представляет собой систему параллельных че-

редующихся тонких проволок, электрически изолированных от корпуса, и пустотелых заземленных трубок. На проволоки подается высокий потенциал пульсирующего напряжения, выпрямленного ламповым диодом переменного тока. Между проволоками и трубками образуется разряд, ионизирующий окружающее пространство. Осадитель состоит из большого числа параллельных пластин. Из каждой двух соседних пластин одна находится под высоким потенциалом, а вторая заземлена. Напряжение на пластины подается от того же агрегата питания, но вдвое пониженного потенциала (сравнительно с ионизатором) и сглаженное при помощи электрич. конденсатора.

Ю. С. 45745 П. Метод и прибор для электростатической обработки минералов и других веществ. Кюрт (Verfahren und Vorrichtung zur elektrostatischen Aufbereitung von Mineralien und anderen Stoffen. Kürth Rudolf). Пат. ФРГ 891383, 28.09.53 [Z. Erzbau und Metallhüttenwesen, 1954, 7, № 1, 28 (нем.)]

Перед электростатич. обработкой (обогащением) или в процессе ее загружаемый материал подвергается до-полнительному воздействию неомог. переменного электромагнитного поля, вследствие чего даже частицы пыли получают дифференцированный заряд в зависимости от их диэлектрич. постоянной и ведут себя в процессе электростатич. разделения как более грубые частицы.

Е. X. 45746 П. Метод уменьшения содержания соединений серы в дымовых газах. Бекман (Method for reducing sulfur compounds from flue gases. B e c k m a n J o h n W.). Пат. США 2718453, 20.09.55

В процессе удаления SO_2 и SO_3 из газообразных горячих продуктов сгорания углеводородов (природный газ, нефть) применяется усовершенствование, заключающееся в том, что в газ, имеющий $t_{\text{р}} > 175^\circ$, вдувают тонкодисперсный CaCO_3 .

В. Ш. 45747 П. Удаление кислотных примесей и влаги из газов. Мак-Картни (Extraction of acidic impurities and moisture from gases. M c C a r t n e y E d w a r d R.). [The Fluor Corp., Ltd]. Канад. пат. 502605, 18.05.54

Удаление кислотных примесей (KП) и влаги из газов осуществляется контактированием газа с р-рителем, содержащим абсорбент KП (амин) (I) и абсорбент влаги (гликоль) (II). Абсорбция проводится в две ступени. Сначала газ контактирует с I (или со смесью I и II), при этом часть I испаряется. После абсорбции насыщ. абсорбент 1-й ступени идет в 1-ую зону нагрева, где он освобождается от KП. Газ после 1-й ступени промывается II, который поглощает также пары I. Насыщ. абсорбент после 2-й ступени идет во 2-ую зону нагрева, где из него выпаривается влага и I, пары которых подаются в 1-ую зону нагрева, чем восполняются потери, а унесенные пары II конденсируются за счет частичного возвращения конденсата I из 1-й зоны в виде флегмы во 2-ую зону нагрева. Регенерированные р-ры опять идут на промывку газа.

Л. Ю. 45748 П. Фильтрующие элементы (Filter) [Filtro-Work A.-G.]. Англ. пат. 693568, 1.07.53

Фильтрующие элементы фильтра, работающего под давлением, состоят из пористых листов с пористым слоем. Листы изготавливаются из шерсти, хлопка, искусств. шелка, пайлона или стеклянных волокон тканью, плетением, валинием или прессованием. Материал листов до или после их изготовления пропитывается не растворимыми в фильтруемых жидкостях связующими материалами (ацетилацеллюлоза, искусств. смолы, жидкое стекло), которые придают волокнам жесткость, препятствуют размножению бактерий и грибов и не нарушают пористости. Листы выдерживают значительное давление жидкости и не дают усадки. В каче-

стве пористого слоя применяется кизельгур, песок или порошок древесного угля, наносимые на установленные в фильтре листы при фильтрации соответствующей суспензии.

Н. К. 45749 П. Фильтр для жидкостей. Мюллер, Дорнауф (Flüssigkeitsfilter. Müller Herbert Curt, Dornauf Arnold) [Faudt Feinbau G. m. b. H.]. Пат. ФРГ 934227, 13.10.55

Устройство для удаления осадка с поверхностей вертикальных фильтрующих элементов, размещенных в герметичном кожухе, отличается тем, что скребки, расположенные в одной плоскости, наклоненной под небольшим углом к горизонтали, и укрепленные на общем каркасе, перемещаются вдоль обеих фильтрующих поверхностей каждого элемента в направлении сверху вниз и счищают с них осадок, после чего скребки поднимаются вверх. Перемещение скребков производится вручную при помощи передаточного механизма, приводимого в действие вие аппарата. **Ю. Д. 45750 П. Сепарация смесей частиц различного удельного веса и размера** (Separation according to specific gravity of mixtures of particles differing in specific gravity and grain size) [Maatschappij Voor Kolonbewerking Stamcarborn N. V.]. Англ. пат. 699132, 699134, 28.10.53 [J. Appl. Chem., 1954, part 4, 306—307 (англ.)]

Подача разделяемых частиц в сепаратор, в котором процесс сепарации осуществляется в восходящем потоке жидкости, производится в расширенную верхнюю часть. Тяжелые частицы сползают по стенкам конич. корпуса, а легкие частицы уносятся жидкостью. Несколько сепараторов, имеющих устройства для поддержания одинакового уровня жидкости, нижней частью присоединяются к общему резервуару с сепарирующей жидкостью. За счет изменения скоростей движения жидкости производится выделение частиц различных размеров.

В. К. 45751 П. Аппарат для очистки суспензии. Уолтере (Pulp cleaner. Walters Theodore M.) [Lewis C. Walter]. Пат. США 2715860, 23.08.55

Аппарат для очистки водн. суспензии волокнистых в-в от твердых примесей состоит из группы эжекторов с распылительным устройством, выполненным в виде вертикальной щели, образующей плоскую вертикальную струю суспензии, продольного открытого сосуда для выпавших из струи посторонних примесей и сборника чистой суспензии.

Л. X. 45752 П. Получение суспензий с определенным удельным весом (Preparing sink- and float separating solutions) [Maatschappij voor Kolonbewerking Stamcarborn N. V.]. Австрал. пат. 157720, 5.08.54

Патентуется метод получения суспензий с постоянным уд. весом путем пропускания исходной суспензии через гидроклон, разгрузочные патрубки которого (один или оба) снабжены полым резиновым кольцом. При изменении уд. веса суспензии, выходящей из разгрузочного патрубка, диаметр резинового кольца соответствующим образом автоматическим уменьшается или увеличивается, что приводит к изменению уд. веса суспензии в нужном направлении.

К. Г. 45753 П. Аппарат для обезвоживания и осветления. Пагенкопф (Dehydrating and bleaching apparatus. Pagenkopf Walter H.) [Teletype Corp.]. Канад. пат. 498496, 15.12.53

Аппарат для отделения воды и других посторонних в-в от р-рителей представляет собой резервуар, разделенный вертикальной перегородкой на 2 камеры. В нижней части 1-й камеры имеются нагревательные устройства для нагревания жидкости, а над уровнем жидкости для предотвращения ее испарения помещен конденсатор. Через отверстие в перегородке жидкость из 1-й камеры стекает во 2-ю (сепарационную) камеру,

где происходит расслаивание. Эта камера снабжена приспособлениями для измерения уровней р-теля и отделенной от него воды. Нижний (водяной) слой из сепарационной камеры при помощи циркуляционного насоса возвращается в 1-ю камеру.

В. К. 45754 П. Способ разделения смесей веществ с различными точками плавления. Шютце, Зинн (Verfahren zum Zerlegen von Gemischen von Stoffen mit verschiedenem Schmelzpunkt. Schütze Max, Sinn Richard) [Badische Anilin- und Soda-Fabrik A.-G.]. Пат. ФРГ 924514, 3.03.55

Смесь в-в с различными т-рами плавления вводят в нагреваемый до различных т-р (по высоте) барабан центрифуги, откуда одновременно с различных уровней отбирают жидкие в-ва или фракции с различными т-рами плавления.

Н. А. 45755 П. Теплообменник (Heat exchanger apparatus) [The Heat-X-Changer Co. Inc.]. Австрал. пат. 155928, 15.04.54

Трубки теплообменника расположены параллельно в металлич. блоке; концы трубок выступают из блока и соединены между собою, образуя 2 системы каналов для теплообменивающихся жидкостей. Материал блока является теплопроводящей средой.

Ю. П. 45756 П. Аппарат для концентрирования растворов (Liquid concentrator) [Industrial and financial assn. Inc.]. Австрал. пат. 165158, 29.09.55

Аппарат для упаривания р-ров, способных образовывать липкие осадки или накипь (напр., р-р фосфорной к-ты), представляет собой вертикальную башню, разделенную решеткой на верхнюю и нижнюю части. Р-р спец. устройством распределяется по верхней поверхности решетки и стекает в нижнюю часть башни с относительно большой скоростью. Горячий газ подается снизу и отводится из верхней части башни вместе с парами, образующимися при упаривании р-ра на поверхности решетки.

А. Р. 45757 П. Способ и устройство для получения льда. Шмац (Verfahren und Vorrichtung zur Erzeugung von Eis. Schmatz Friedrich) [A. Ziemann A.-G.]. Пат. ФРГ 921872, 30.12.54 [Kälte, 1955, 8, № 6, 229 (нем.)]

Способ и устройство для получения льда отличаются тем, что образующийся в конич. охлаждаемой камере ледяной блок выталкивается при помощи поршня без прекращения процесса кристаллизации. Поршень приводится в движение циркулирующим хладагентом, который установлен соосно с конич. камерой и производит давление на меньшее основание ледяного блока.

В. К. 45758 П. Противоточные экстракционные центрифуги. Штейнаккер (Countercurrent extraction centrifuges. Steinacker Peter). Пат. США 2715994, 23.08.55

Многоступенчатая противоточная центрифуга для экстракции жидкостей состоит из 3 и более последовательно расположенных сепарационных устройств, насаженных на общий вращающийся вертикальный вал. Исходные жидкости при поступлении в среднюю ступень (С) смешиваются с обогащенной фракцией предыдущей С и обедненной фракцией последующей С. Жидкости вводятся совместно в нижнюю, периферийную часть, а выводятся раздельно из внутренней, верхней части каждой С сепарации.

Л. Х. 45759 П. Поршневой насос для подачи отмеренных количеств жидкости. Берик, Берик (Reciprocating pumps for dispensing measured quantities of liquid. Berwick W. R., Berwick A. G.) [Gaskell and Chambers, Ltd.]. Англ. пат. 711879, 14.07.54 [J. Appl. Chem., 1955, 5, № 2, 1148 (англ.)]

Насос поршневого типа установлен на резервуаре, внутрь которого вставлен патрубок, подающий жид-

кость во всасывающую трубу, снабженную регулирующим клапаном. Движение потока жидкости в направлении выходного отверстия насоса регулируется невозвратным выпускным клапаном. Небольшое кол-во жидкости, задерживающееся в отстойном канале вокруг выпускного клапана, выбрасывается обратно в выходное отверстие насоса в начале очередного хода всасывания.

Е. Р. 45760 П. Реакционный аппарат (Reaction vessels and their operation) [Imperial Chemical Industries, Ltd.]. Англ. пат. 702907, 27.01.54 [Industr. Chemist., 1954, 30, № 357, 507—508 (англ.)]

Аппарат представляет собой вертикальную колонну с плоскими днищем и крышкой. Внутри колонны, почти по всей ее высоте, расположен соосный проникаемый цилиндр, изготовленный из синтетич. смолы, силоса «стейбрит», меди. Внутри этого цилиндра находится инертный материал, напр. частицы кремнезема, шарики Al или муллита. В кольцевом пространстве между стенками колонны и проникаемым цилиндром помещен катализатор. Жидкость поступает в колонну сверху, стекает по частицам инертного материала и удаляется из колонны снизу. Газ движется сквозь слой катализатора противотоком и жидкости. Жидкость в небольшом кол-ве проникает в зону расположения катализатора и взаимодействует с газом, причем основная часть жидкости не соприкасается с катализатором. Аппарат применим для гидратации или гидрогенизации жидких олефинов.

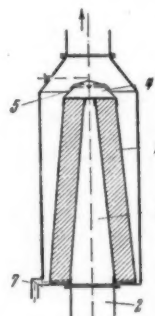
А. Б. 45761 П. Реакционная башня (Reaktionsturm) [Ingenieurbüro Bentz]. Пат. ФРГ 922944, 31.01.55

Патентуемая башня (см. рис.) для проведения р-ции между газообразными в-вами и жидкостями отличается тем, что пористый слой, обладающий большой уд. поверхностью, выполнен в виде пустотелого конуса 1. Газообразное в-во поступает снизу по трубопроводу 2, через внутреннюю камеру 3. Сверху 1 орошается жидкостью, которая проходит через распределитель 4, причем случайный избыток жидкости стекает через зазор 5. Жидкость после р-ции поступает в желоб 6 и удаляется из башни через трубу 7. Предусматриваются следующие варианты: установка нескольких пористых конусов, расположенных один в другом; установка в центре 4 форсунок для подачи части жидкости непосредственно в 3; подача части или всей реакционной жидкости в 1 снизу по 2 и 3 вместе с потоком газа.

В. К. 45762 П. Осуществление гомогенной реакции в паровой фазе. Китлеон, Арундейл, Джонс, Фенск (Procédé de conduite de réactions homogènes en phase-vapeur. Kittleson Allen R., Arundale Erving, Jones Jennings, Fenske Merrell R.) [Standard Oil Development Co.]. Франц. пат. 1087524, 24.02.55 [Genie chim., 1955, 74, № 2, 60 (франц.)]

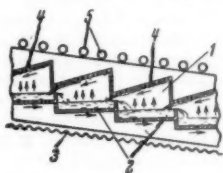
Парообразные реагенты вводятся в зону р-ции в состоянии, обеспечивающем ее протекание. Зона р-ции непосредственно связана с объемом, заполненным гранулированными твердыми частицами инертного в-ва, находящимися в псевдооживленном состоянии, которое поддерживается продуктами р-ции. Одновременно в этой массе частиц происходит фиксация образовавшихся продуктов р-ции.

Ю. П. 45763 П. Способ и аппарат для разделения изотопов. Бруэр, Мадорский (Process and apparatus for separating isotopes). Пат. США 2715994, 23.08.55



tus for the separation of isotopes etc. Brewer Aubrey K., Madorsky Samuel L.) [The U. S. Atomic Energy Commission]. Канад. пат. 490849, 24.02.53

Конструкция аппарата (см. рис.) для разделения жидких смесей, содержащих изотопы, представляет серию связанных друг с другом ячеек 1, расположенных наклонно к горизонтали. Нижние поверхности 2 ячеек обогреваются электрич. нагревателями 3, а верхние поверхности 4 охлаждаются холодильником 5. Образующиеся в данной ячейке пары конденсируются на холодной поверхности 4; конденсат течет вдоль нее и



попадает в вышележащую ячейку. Жидкая смесь движется сверху вниз, обогащаясь высококипящим компонентом. Разделение осуществляется при высоком вакууме. Ю. П.

См. также: Процессы: гидродинамич. 42875, 42885, 43913, 44192, 44263, 45162, 45173, 45298, 45306, 45307, 45310, 45540, 45011; тепловые 43764, 43766, 44076, 45474; механич. 44019, 44290; массопередачи 42593, 42601, 42602, 42609—42611, 42634, 42800, 42866, 43736, 43747, 45039, 44177. Реакционные аппараты 44286, 44287

КОНТРОЛЬНО-ИЗМЕРИТЕЛЬНЫЕ ПРИБОРЫ АВТОМАТИЧЕСКОЕ РЕГУЛИРОВАНИЕ

45764. Прогресс в области контрольно-измерительных и регулирующих приборов для химической промышленности. Вальтер (Progress in chemical plant instrumentation. Walter Leo), Rubber and Plast. Age, 1954, 35, № 8, 403; № 9, 451; № 10, 487—489; № 11, 547 (англ.)

Обзор достижений техники контроля и регулирования в хим. пром-сти. 1-я статья посвящена измерению т-ры. Во 2-й описан разработанный фирмой Evershed электронно-пневматический регулятор, позволяющий получать пропорциональное, изодромное регулирование и регулирование по производной отклонения параметра. От датчика сигнал постоянного тока с максим. значением 30 мА поступает через регистрирующий и интегрирующий приборы на регулятор, а затем на электро-пневматический преобразователь, превращающий этот сигнал в соответствующее давление сжатого воздуха. Регулирующий клапан управляется через позиционер. Действие системы не зависит от колебаний напряжения и частоты сети и от сопротивления линий связи. Узлы регулятора смонтированы на шасси со штепсельными разъемами, позволяющими их легко заменять. Настройки регулятора осуществляются электрически. Все настройки независимы друг от друга. Диапазон пропорциональности регулятора может устанавливаться в пределах от 2 до 600%, время издрома от 2 до 50 мин., время предварения от 0 до 20 мин. В 3-й статье описан измеритель влажности воздуха, разработанный фирмой Minneapolis Honeywell. Датчик этого прибора состоит из пластмассовой пластины, в которую запрессованы два золотых электрода. Электроды имеют форму входящих друг в друга гребенок. Все устройство покрыто тонким слоем р-ра солей. Изменение влажности воздуха вызывает изменение электропроводности датчика. Чувствительность прибора 0,002% относительной влажности. Прибор с успехом применяется для регулирования влажности в помещениях путем управления пода-

чей свежего воздуха. Для регулирования влажности в процессах сушки применяются также датчики с сухим и мокрым термометрами. В 4-й статье приведено описание измерителя влажности по т-ре точки росы (Elliot Dewpoint Hygrometer). Измеряемый газ при помощи сопла направляется на Al-зеркало, т-ра которого автоматически поддерживается равной т-ре точки росы газа. Появление росы контролируется устройством с фотоэлементами, которые через электронный и магнитный усилители управляют током нагрева зеркала, т-ра зеркала регистрируется миллиамперметром (5 мА). Ток измерительной термопары усиливается магнитным усилителем. Для обеспечения возможности получения низких т-р зеркала также охлаждается спец. холодильным устройством до т-ры -50° . Прибор может измерять т-ру точки росы от -40° до $+20^{\circ}$ с точностью $\pm 0,5^{\circ}$. И. И.

45765. Автоматическое регулирование в химической промышленности. Хенгст (Die automatische Regelung in der chemischen Industrie. Hengst K.), Umschau, 1955, 55, № 10, 289—292 (нем.).

Применение различных регуляторов в хим. пром-сти К. Ш.

45766. Автоматическое регулирование на химических заводах. I. Тоёма (化学工場における自動制御. その1. 遠山武), 化学工学, Kagaku kougaku, Chem. Engng (Tokyo), 1955, 19, № 11, 595—600 (япон.).

45767. Автоматизация в химической промышленности. Такэнака (化学工業におけるオートメーション. 竹中治夫), 科学, Kagaku, Chemistry (Kyoto), 1955, 25, № 10, 537—538 (япон.).

45768. Будущее автоматического управления в химической промышленности. Де-Карло (The future of automatic information handling in chemical engineering. De-Carlo), Chm. Engng Progr., 1955, 51, № 11, 487—491 (англ.).

Статья посвящена применению счетно-решающих устройств в хим. пром-сти для теоретич. исследований и при проектировании хим. объектов (напр., установок для дистилляции). Счетно-решающие устройства найдут также применение и как составные части систем автоматич. регулирования. Г. О.

45769. Проблемы и задачи техники регулирования. Шёнфельд (Aufgaben und Probleme der Regelungstechnik. Schönfeld H.), Feingerätetechnik, 1955, 4, № 12, 530—534 (нем.).

Разбираются составные элементы и принципы построения систем автоматич. регулирования. Приводятся классификация характерных возмущений и оценка их влияния на процесс регулирования. Определяются задачи теоретич. исследований для выяснения статич. и динамич. взаимосвязей между входными и выходными величинами регулятора, необходимых как для теоретич. расчетов оптимальной настройки регулятора в системе регулирования, так и для вывода практически полезных эмпирич. ф-л. На примере показан метод составления ур-ний движения передаточного звена. М. Л.

45770. Автоматическое регулирование. III. Теория и основные принципы. Линфорд (Automatic control — III. Theory and basic principles. Linford A.), Fluid Handling, 1953, № 40, 133—136 (англ.).

Излагаются принципы регулирования с предварением. Приводится восторная диаграмма этого типа регулирования. Разбираются динамич. свойства регулируемых участков первого и второго порядков с запаздыванием. Дан пример расчета оптимальных настроек регуляторов по Циглеру и Никольсу. Сообщение II см. РЖХим, 1954, 16868. И. И.

45771. Экономическая и техническая целесообразность автоматизации. Арносон (Automation and eco-

nomics — a counterattack on anti-automation propaganda. Aronson M. H.), Instruments and Automat., 1955, 28, № 6, 893—895 (англ.)

45772. Контрольно-измерительные и регулирующие приборы на XI выставке химической аппаратуры. Хаузен (Mess-, Prüf- und Regelgeräte an der Achema XI. Hausen Josef), Chem. Rundschau, 1955, 8, № 9, 181—183 (нем.)

Краткий обзор экспонированных на XI выставке хим. аппаратуры во Франкфурте-на-Майне приборов контроля и регулирования различных хим. процессов.

И. П.
45773. XI выставка химической аппаратуры. Кирш (Die vielseitige Achema XI. Kirsch Hans A.), Chem. Rundschau, 1955, 8, № 9, 184—187 (нем.)

Обзор приборов и хим. аппаратуры, показанных на XI выставке хим. аппаратуры во Франкфурте-на-Майне (май 1955 г.). Кратко описаны: ИК-спектрограф (Ernst Leitz G. m. b. H., Wetzlar) и его применение для анализа; микроскоп той же фирмы с возможностью проведения наблюдений при т-рах столика от -20 до $+350^\circ$; вакуумметр и термисторный теческатель (W. C. Heraeus); различная коррозионностойкая аппаратура и упаковочные машины.

И. П.
45774. Бесконтактный метод измерения малых толщин покрытий. Санин Т. А., Тр. Моск. авиац. ин-та, 1955, вып. 51, 106—113

Описан прибор для бесконтактного определения малых толщин покрытий (от долей μ до соти μ) по рассеянию β -излучения. Показано, что для проведения измерения при небольшой активности источника излучения (~ 20 мюри) достаточно разницы в атомных номерах покрытия и подложки в 2—3 ед. Этому условию удовлетворяют металлич. покрытия Zn, Cd, Sn, Cr, Ag, Pb, Au на Fe, Cu и Al, а также все изоляционные лакокрасочные и керамич. покрытия металлов. Прибор состоит из излучательной головки и радиосхемы, пространственно разделенных для удобства. Основной частью головки является ионизационная камера. Слабые токи, возникающие в ионизационной камере, измеряются простой электрометрич. схемой на одной лампе. Измерение производится компенсационным методом. Описанный метод определения толщины покрытий менее трудоемок, не связан с разрушением деталей, не требует контакта с поверхностью и дает большую точность по сравнению с другими методами. Кроме измерения толщин покрытий, разработанный прибор можно применять для измерения толщин листов, лент, пленок различных материалов, для определения процентного состава бинарных сплавов и процессов коррозии металлов.

З. С.
45775. Измерение уровня жидкости. Мерфи (Liquid level measurement. Murphy E. A.), Southern Pulp and Paper Manufacturer, 1954, 17, № 6, 78, 80—84, 86 (англ.)

Обзор различных методов измерения уровня жидкостей в открытых и находящихся под давлением резервуарах и приборов, применяемых для этих целей.

Н. Е.
45776. Применение поплавкового уровнемера. Уинг (Exploiting the displacement level principle. Wing Paul, Jr), ISA Journal, 1955, 2, № 5, 141—144 (англ.)

Подробно разобран принцип работы поплавкового уровнемера с торсионной трубкой. Описано его применение для измерения уровня сыпучих материалов (с решеткой вместо поплавка), а также для измерения плотности жидкостей. Поплавки для агрессивных сред изготавливаются из твердого тефлона.

Ю. П.
45777. Синхронные телеметрические передачи в системе автоматического регулирования уровня воды водохранилищ. — (Les transmissions synchrones dans la régulation automatique du niveau des bassins de

retenue.—) Mesures et controle industr., 1955, 20, № 214, 189—194

Описываются регуляторы, применяемые для измерения и регулирования уровня воды в водохранилищах гидроэлектр. станций. Телеметрич. передача показаний уровня осуществляется методом бесконтактной системы на переменном токе при помощи синхронных двигателей (сельсинов). Первичный импульс регулятор получает от поплавка. Регулирующая система электрическая. Она настраивается на заданный уровень. При снижении последнего исполнительный механизм закрывает, а при увеличении уровня открывает запорные устройства в плотине. Система регулирования может быть настроена для осуществления программы аккумуляирования масс воды по закону изменения суточного режима работы гидростанции. В статье приведены схемы и фото отдельных элементов регуляторов.

Р. Ш.
45778. Применение напорных клапанов и регуляторов давления. Энд (Application of altitude valves and pressure regulators. End William F.), Water and Sewage Works, 1955, 102, № 6, R-181, R-183—R-185

Рассматриваются вопросы регулирования манометрич. напора воды в системах городских водопроводов.

Р. Ш.
45779. Ареометр Хитати (日立気泡式比重計), 電気化学, Дэнки какаку, J. Electrochem. Soc., Japan, 1955, 23, № 9, 458 (япон.)

45780. Быстродействующий прибор для контроля переменного значения расхода. Стритер (A quick response variable flow control device. Streeter V. L.), ISA Journal, 1955, 2, № 2, 48—51 (англ.)
Дано теоретич. обоснование расходомера дросельного типа, имеющего отверстие истечения в виде сопла, профилированного согласно теории автора. В отверстии сопловодной головки расположен диск. Кольцевой зазор между поверхностью сопла и диском изменяется под действием гидродинамич. напора в зависимости от величины расхода и, с другой стороны, от величины противодействия контрбалансной пружины плоского типа, с нелинейной характеристикой. Принцип действия расходомера публикуется впервые. Прибор, построенный по описанной теории автора, отличается точностью и быстрым действием.

Р. Ш.
45781. Измерение количества жидкостей объемными счетчиками. Манкин (Measurement of liquid flow by positive-displacement meters. Mankin Paul A.), Instrum. and Automat., 1955, 28, № 3, 453—457 (англ.)

Описаны принцип действия счетчиков жидкостей объемного типа и методы их установки и испытаний. Приводятся данные о точности измерения ($\pm 0,2\%$) счетчиков «Ротоцикл», а также о влиянии т-ры жидкости на точность показаний.

Р. Ш.
45782. Жидкостные счетчики для лакокрасочной промышленности. Сиболд (Meters for the paint industry. Seibold Howard), Paint Ind. Mag., 1953, 68, № 11, 10—12 (англ.)

Обсуждаются вопросы применения объемных жидкостных счетчиков в произ-вах смол, лаков и красок, в частности для контроля и автоматич. дозировки жидких продуктов, составления смесей и расфасовки.

Н. Е.
45783. Быстродействующий расходомер. Баррер, Муте (Réalisation d'un débitmètre a court temps de réponse. Barrère, Moutet), Mesures et controle industr., 1955, 20, № 212, 9—17 (франц.)

Описан расходомер для агрессивных и огнеопасных жидкостей, основанный на принципе вертушки (крыльчатки), угловая скорость которой линейно зависит от скорости измеряемой среды. Прибор выполнен по

казывающим и самопишущим. Измерение может производиться при статич. давлении жидкости до 50 кг/см^2 . 2 модели прибора рассчитаны на пределы измерения $100-150$ и $20-2000 \text{ мл/сек}$. Точность показаний прибора $\pm 0,5\%$, постоянная времени 10^{-2} сек. К. Ш.

45784. Расходомер высокого давления. — (Schwebekörper-Durchflussmesser für höhere Drücke. —), Chemiker-Ztg, 1955, 79, № 13, 437 (нем.)

Описание ротаметра с применением защитного материала. Кожуха, предупреждающего разрушение конич. стеклянной трубки в условиях эксплуатации до 40 кг/см^2 . Наблюдение за положением поплавка в стеклянной трубке производится через толстое смотровое стекло, плотно закрывающее проем, предусмотренный в кожухе для отсчетов показаний. Особенность конструкции прибора заключается в том, что измеряемая среда (газ, жидкость) проходит через трубку и одновременно заполняет кольцевой зазор между внутренней и внешней поверхностью кожуха и трубки. При этом стеклянная трубка разгружается и опасность ее разрушения статич. давлением исключается. В случае необходимости зазор между трубкой и кожухом может быть использован для подачи охлаждающей или согревающей жидкости, для чего в кожухе предусмотрены входной и выходной штуцера, нормально закрытые пробками. Прибор выпускается для фланцевого крепления в трубопроводах на условные проходы 25, 40, 50 и 100 мм. К. Ш.

45785. Измерение расхода жидкости и автоматическое регулирование промышленных процессов. Малкин-Уайт (Algunas consideraciones sobre la medición de fluidos y el control automatico de procesos industriales. Malkin White Joseph), Acero y energia, 1954, 11, № 61, 35—40 (итал.)

Описаны стандартные расходомеры, правила их монтажа и эксплуатации. Описано также несколько конструкций пневматических регуляторов: регулятор pH, применяемый в сахароварении (pH регулируется подачей CO_2 в танк карбонизации), регуляторы т-ры и давления для металлургич. процессов и др. А. Н.

45786. Струнный генератор на полупроводниковом триоде. Брызжев Л. Д., Измерит. техника, 1955, № 6, 21—22

Приводятся результаты исследования струнного генератора, разработанного автором в Харьковском гос. ин-те мер и измерительных приборов. Применение для возбуждения колебаний струны полупроводниковых триодов позволяет осуществить простой и надежный измерительный генератор высокой стабильности. В качестве струны использована ленточка из фосфористой бронзы длиной 100 мм, шириной 0,7 мм и толщиной 0,1 мм. Для возбуждения колебаний вся струна помещена в магнитное поле постоянных магнитов с напряжением в зазоре 2500 эрстед. При частоте 500 гц растягивающая сила составляет $\sim 1 \text{ кг}$. Постоянное натяжение струны осуществляется с помощью груза. Во избежание возбуждения паразитных колебаний струна включена в схему моста. Изменением сопротивления одного из плеч моста можно вводить отрицательную обратную связь, что позволяет регулировать амплитуду колебаний струны. Приводится режим работы схемы. Указывается на целесообразность использования струнного генератора в качестве весов. Особенно рекомендуются струнные весы для автоматизации процесса взвешивания. Применяя дифференциальный мембранный манометр со струнным датчиком, можно получить линейную зависимость между частотой и расходом, т. е. кол-во протекшей жидкости будет пропорционально полному числу периодов и потому достаточно при помощи электронного

счетчика импульсов произвести определение числа периодов за заданное время. М. Л.

45787. Новые лабораторные и промышленные способы измерения температуры. Панхейзер (Ein modernes Temperatur-Meßverfahren für Labor und Betrieb. Panhäuser K.), Lab.-Praxis, 1954, 6, № 8, 86 (нем.)

Измерение т-ры поверхности тел с применением в качестве датчиков термпар и термометров сопротивления. Обосновываются преимущества данного метода измерения. Указываются пути устранения ошибок при измерении и способы повышения чувствительности вторичных приборов. М. Л.

45788. Фотографическая пирометрия. Лондри (Photographic pyrometry. Londree J. W., Jr), J. Amer. Ceram. Soc., 1954, 37, № 8, 354—360 (англ.)

В ряде случаев, когда невозможно использование известных способов измерения высоких т-р, применяется фотогр. метод, состоящий в том, что объект, т-ру которого необходимо измерить, непрерывно или периодически фотографируется и после проявления пленки (по плотности изображения объекта на пленке) определяется его т-ра. Предварительно пленка должна быть откалибрована по стандартному светящемуся телу, т-ра которого известна. В статье описаны фотогр. метод и аппарата, применяемая в фотогр. пирометрии, приведены эксперим. данные по калибровке пленок и измерениям т-ры фотогр. ч. и оптич. методами. Н. Е.

45789. Метод регулирования температуры. Синьор (Method of heating control. Senior D. A.), Engineer, 1955, 199, № 5173, 373—375 (англ.)

Описан оригинальный метод термостатирования горячего барабана (Б), применяемого для ускоренной обработки фотоанализа осциллографов. Б выполнен в виде плоского кольца, пропущенного через сердечник трансформатора, и играет роль короткозамкнутой вторичной обмотки. Таким образом, Б обогревается проходящим через него током, который уменьшается по мере повышения т-ры Б. При помощи электронной схемы ток питания трансформатора выключается на некоторое время при увеличении сопротивления Б, а следовательно, и его т-ры, выше заданной. Подобное устройство уменьшает время разогрева Б и позволяет сделать его легким при одновременном повышении качества обработки фотобумаги. Приведены данные по выбору материала Б (наилучшим материалом является Ag). При диаметре Б 250 мм и мощности 500 Вт можно обрабатывать бумагу шириной 70 мм со скоростью 25 мм/сек. Б поддерживается и вращается тремя роликами. Н. И.

45790. Автоматические регуляторы температуры для установок, работающих на твердом топливе. Хикмott (Controles automáticos de temperatura para instalaciones de combustible sólido. Hickmott J. Russell), Tecnica e industria, 1955, 33, № 489, 1032—1033 (исп.)

Описаны 2 схемы автоматич. регулирования т-ры воды в котельных установках, работающих на твердом топливе. И. С.

45791. Применение электрических регуляторов температуры в апертурном и красильном производствах. — (Die Verwendung elektrischer Temperaturregler in der Appretur und Färberei. —), Schweiz. Techn., 1955, № 1, 61—63 (нем.)

45792. Сплавы для температурной компенсации. Эберли (Temperature compensator alloys. Eberly Warren S.), Mach. Design, 1954, 26, № 5, 152—156 (англ.)

Описаны сплавы для компенсации изменения показаний приборов с постоянными магнитами при изме-

нении окружающей т-ры. Для компенсации применяются ферро-никелевые сплавы с содержанием Ni 28,5%—33%. Магнитная проницаемость этих сплавов приблизительно линейно уменьшается от отрицательных т-р до точки Кюри. Характер изменения магнитной проницаемости с т-рой зависит не только от содержания Ni, но и от напряженности магнитного поля. Из сплавов изготавливаются компенсирующие шунты, через которые проходит часть магнитного потока. В. К.

45793. Полярография в автоматизации химической промышленности. Новак (A polarográfia a vegyipari automatizálás szolgálatában. Novák Jiri V. A.), Magyar kémik. lapja, 1955, 10, № 12, 364—365 (венг.)

45794. Анализатор растворенного кислорода.— (Dissolved oxygen analyzer.—), Rev. Scient. Instrum., 1955, 26, № 1, 94 (англ.)

Прибор фирмы Arnold O. Beckman, Inc. для определения растворенного в воде O_2 работает по принципу окисления NO в NO_2 растворенным O_2 и измерения электропроводности воды, изменяющейся в результате образования азотной к-ты. Шкала прибора градуирована для определения O_2 и равна 0—0,02 мг/л с погрешностью до 0—0,2 мг/л. Точность замеров 5%. И. И.

45795. Индикатор содержания влаги в потоке жидкостей. Биверс, Шиманский, Тимпейн (A continuous—flow moisture detector. Beavers M. F., Shimanski E. F., Timpane E. F.), Commun. and Electronics (N. Y.), 1955, № 19, 361—367 (англ.)

Исследуемая жидкость проходит через измерительный элемент, состоящий из влагопоглощающей ткани, зажатой между перфорированными металлическими пластинами, служащими в качестве электродов. Содержание влаги в жидкости указывается изменением электрич. сопротивления между перфорированными пластинами. Описана установка для градуировки индикатора и применение индикатора для измерения содержания влаги в трансформаторном масле. И. С.

45796. Определение динамических характеристик систем автоматического регулирования при помощи промышленных приборов и регуляторов. Анисимов И. В., Хим. пром-сть, 1955, № 7, 24—30

Излагается разработанный автором метод эксперим. определения динамич. характеристик типичных для хим. пром-сти систем автоматич. регулирования при помощи промышленных приборов и регуляторов с увеличенным масштабом записи измеряемых параметров. Предлагается способ нанесения возмущений на входе в объект регулирования, при котором, независимо от величины возмущения, колебания регулируемого параметра остаются внутри заданной зоны. Расчет амплитудно-фазовых характеристик по кривым разгона и по частотным кривым для исследованной системы автоматич. регулирования показал хорошее совпадение результатов. Приводится расчет амплитудно-фазовой характеристики системы автоматич. регулирования т-ры в нижней секции окислительной колонны произ-ва уксусной к-ты. М. Л.

45797. Пневматические регуляторы с карданным компенсатором.— (Régulateurs pneumatiques avec compensateur a cardan.—), Mesures et contrôle indus., 1955, 20, № 213, 117—121 (франц.)

Пневматические регуляторы фирмы Вортингтон отличаются применением компенсатора по типу карданного вала. Регуляторы предназначены для поддержания постоянства давления, т-ры, расхода и уровня жидкостей. К. Ш.

45798. Двенадцатичастные электронные потенциометры и мосты.— (Betriebsüberwachung und Betriebskontrolle mit elektronischen Kompensatoren und

Meßbrücken als Zwölfkurven-Punktendrucker.—), Regelungstechnik, 1954, 2, № 12, 290—291 (нем.)

Приведено краткое описание электронного потенциометра PR 3200 A/00 и электронного моста PR 3200 B/00, выпущенных фирмой Фаллис. Данные приборов: точность 0,25% от шкалы (для диапазона в 1 мВ 1%), число точек 12, чувствительность — лучше 5 мВ, скорость прохождения пером диаграммы 1 сек., длина шкалы 250 мм, диммирование — критич., скорость движения бумаги (ленточной) 40, 80, 300 и 600 мм/час, переключение скоростей бумаги без смены шестерен, время между двумя точками 30, 15, 4 и 2 сек. И. И.

45799. Новые достижения в нелинейной серво-теории. Лёб (Recent advances in nonlinear servo theory. Loebl J. M.), Trans. ASME, 1954, 76, № 8, 1281—1289 (англ.)

45800. Система телеизмерения для трубопроводов. Вильсон (Pipe-line-system telemetering. Wilson Glen C.), Instruments and Automat., 1954, 27, № 2, 294—296 (англ.)

Кратко описана система телеизмерения и телеуправления распределительными станциями трубопроводов по время-импульсному методу. Приведены принципиальные кинематич. схемы датчика и присемника, а также общая схема размещения контрольных точек и их связи с пунктом управления. Цикл измерения длится 15 сек. В качестве линии связи может быть использована телефонная линия или непосредственно или с применением несущей частоты. Рекомендуется на правленную радиосвязь на частотах диапазонов 960 и 2000 Мгц. Для проверки и калибровки приборов телеизмерения разработан спец. переносный прибор, включающий в себя датчик, присемник и источник питания телесистемы. Испытание производится путем включения испытуемого элемента на место соответствующего элемента испытательного прибора. И. И.

45801. Регулирование периодических дистилляционных установок. Фрешуотер (Control of batch distillation units. Freshwater D. C.), Chem. Age, 1955, 73, № 1899, 639—643 (англ.)

В основу автоматич. контроля работы периодич. колонн положено условие неизменности нагрузки в течение всего процесса дистилляции вне зависимости от состава смеси и давления. Указывается, что разность давлений на входе и выходе из колонны может быть использована для автоматич. регулирования подвода тепла, т. е. для поддержания постоянной скорости кипения жидкости. Для регулирования флегмового числа рекомендуется на линии флегмы поставить расходомер, связав его определенным образом с приборами для измерения состава и отбора дистиллята. С. К.

45802. Регулирование производительности форсунок с механическим распылением. Морено-Баэс (La regulación de capacidad en quemadores de petróleo de atomización mecánica. Moreno Baéz M.), Ingeniería e ind., 1955, 23, № 257, 140, 142, 144, 152 (исп.)

Описываются недостатки ручного регулирования производительности форсунок с механич. распылением и рекомендуется автоматич. регулирование напора питательных насосов и введение регулирующего небольшого клапана на байпасе к основному. А. Н.

45803. Автоматизация и борьба с пылью.— (Automation and dust control.—), Nat. Safety News, 1954, 70, № 3, 34—35, 47 (англ.)

Описывается полностью автоматизированный з-д по переработке угля в порошок для литейного произ-ва дневной производительностью 140 т. Б. С.

45804. Пример автоматического регулирования отсоса газа в коксовой печи. Фудзита, Сиодава (コークス炉におけるガス吸引工程の自動制御の一例。藤

田成雄, 鹽澤潤), 自動制御, Даидо сэйрё, Automatic control, 1955, № 1, 13—23 (япон.; рез. англ.)

45805. Некоторые приборы для контроля качества продуктов нефтепереработки. Элтентон (Some instruments for quality control in petroleum refineries. Eltenton G. C.), J. Appl. Chem., 1954, 4, № 5, 245—256 (англ.)

Приведена схема установки, автоматически вычерчивающая кривую зависимости кол-ва получаемого конденсата от т-ры паровой фазы. Барабан с диаграммой вращается балансирующим мотором потенциометра, записывающего т-ру пара жидкости. Кол-во конденсата регистрируется на барабане пером, связанным с фотоэлементом. Системой, которая следит за уровнем конденсата в сборнике. Разработан вискозиметр, в котором измеряется ток в одной из обмоток взрывобезопасного конденсаторного мотора переменного тока, вращающего цилиндр или диск в вязкой среде. Описан прибор для определения т-ры вспышки паров углеводородов, в котором пары сгорают на каталитически активной нагретой Pt-нити, включенной в мостовую схему. Ток моста автоматически регулируется так, чтобы поддержать т-ру нити постоянной. Положение реохорда, регулирующего ток моста, является мерой т-ры вспышки. Приведена схема фотоэлектрич. колориметра, в котором уменьшение влияния загрязнения окон рабочей кюветы достигается тем, что измеряемая жидкость находится в оптич. трактах рабочего и сравнительного фотоэлементов с разной толщиной слоя. Фотоэлементы включены в схему, измеряющую отношение их токов. Для определения содержания воды в ацетоне применяют измерение диэлектрич. проницаемости. Прибор имеет шкалу 0—0,5% воды в ацетоне. Описан переносной прибор для измерения электропроводности масел в танках или цистернах. Прибор работает от батарей. Настройка по головному телефону. И. И.

45806. Из опыта автоматизации производственных процессов и контроля производства. Солодковский А. М., Сахарная пром-сть, 1955, № 7, 23—28. Описаны приборы и устройства, с успехом работающие на Карабалтинском сахарном з-де. 1. Пульсующая пульполовушка непрерывного действия для диффузионного сока, скребковое устройство для очистки поверхности сита, которое периодически приводится в движение от мотора мощностью 0,5 кВт через редуктор. 2. Автоматич. запуск резервного насосного агрегата при внезапной остановке основного насоса. 3. Полуавтоматич. устройство для подачи сиропа в вакуум-аппараты, позволяющее производить подкачку сиропа через установленные промежутки времени. 4. Контроль откачки диффузионного сока при помощи электронных приборов ДМ-3, состоящих из мембранных дифманометров с индукционным датчиком типа ДМ и вторичных приборов типа ВЭП. 5. Автоматич. сигнализация давления сока на фильтрпрессах 1-й и 2-й сатурации, построенная на схеме, предусматривающей использование в качестве датчика манометра первичного импульса, соединенного с 2-полюсными и ртутным контакторами для световой сигнализации. 6. Дистанционная автоматич. сигнализация плотности сиропа с выпарки. 7. Автоматич. устройство для отбора проб белого сахара, состоящее из диска с 2-мя ковшами емк. 0,5 см³, приводимого в движение слоем сахара, находящимся на движущейся ленте транспортера. 8. Главный график произ-ва, со светящейся шкалой большего размера, показывающей плановое задание кол-ва откаченных диффузоров и фактич. его выполнение. Г. Б.

45807. Автоматическое регулирование и его применение в установках для нагрева молока. Кронрафф (Selbsttätige Regelung allgemein und im Milcherhit zerbetrieb. Kronraff Karl), Osterr. Milchwirtsch., 1955, 10, № 24, 361—366 (нем.)

45808. Терморегуляторы для установок красочной промышленности. — (Thermoregulateur pour conduite automatique des températures de bains de teinture), Mesures et contrôle industr., 1955, 20, № 214, 203—207 (франц.)

Описаны терморегуляторы электр. и электропневматич. типа, применяющиеся при варке различных красок в текстильной пром-сти. Приведена схема электр. соединений 2-позиционного терморегулятора, в качестве исполнительного механизма использован соленоидный клапан. Одновременно дается вариант применения мембранного исполнительного механизма, действующего через электромагнитное реле. Последнее управляет подачей сжатого воздуха давл. 1,5—2,5 кг/см² на резиновую мембрану исполнительного механизма, который устанавливается на линии теплоносителя, поступающего в варочный бак. К. Ш.

45809 П. Прибор для измерения точек кипения. Шандс (Apparatus for determining boiling points. Shands Frederick L.) [E. I. du Pont de Nemours and Co.]. Пат. США 2639609, 26.05.53

Прибор для непрерывного определения точки кипения неочищ. продуктов в хим. процессе состоит из устройств: 1) для отбора пробы жидкости; 2) для сушки пробы; 3) для очистки ее от твердых частиц; 4) для понижения давления до заданной величины, что сопровождается частичным испарением; 5) для измерения точки кипения; 6) для понижения т-ры поступающей пробы охлажденным при частичном испарении продуктом; 7) для полного испарения остатка; 8) для измерения потока образовавшихся паров; 9) для регулирования давления и возврата пробы обратно в процесс. Ж. К.

45810 П. Приспособление для регулирования работы электролитической ячейки. Перре-Би (Anordning för reglering av en elektrolytisk cell. Perret-Bit R. J.) [Pechiney Cie de Produits Chimiques et Electrometallurgiques]. Швед. пат. 146170, 13.07.54

Для регулирования работы электролитич. ячеек с несколькими анодами (А) и одним катодом используется приспособление, дающее возможность поддерживать постоянным сопротивление в ячейке на заранее заданном значении и позволяющее также равномерно распределять ток между А. Отличительной чертой патентуемого приспособления является то, что против каждого А устанавливается прибор, служащий для измерения частичного сопротивления и катодом сопротивления в ячейке и реагирующий на отклонение от установленной заранее величины последнего путем подачи сигнала приспособлению, которое по мере надобности может поднимать и опускать А. М. Г.

45811 П. Прибор для определения содержания воды в газе. Кинселла (Apparatus for investigating the water content of a gas. Kinsella John) [D. Napier & Son Ltd]. Канад. пат. 497621, 10.11.53

Патентуется прибор для определения влажности газового потока, отличающийся конструкцией нагревателей и способом установки термопар. И. И.

См. также: Контроль состава 43477, 43644, 43645, 43649, 43674, 43685, 43703, 43908, 44243. Контроль общетехнических параметров 43728, 45126, 45143, 45146, 45318, 45319, 45592

ТЕХНИКА БЕЗОПАСНОСТИ. САНИТАРНАЯ ТЕХНИКА

45812. Состояние исследований по изучению профессиональной вредности ванадия. Симанский (Stand der Forschung über die gewerbliche Vanadinschädigung. Symanski H.), Archiv hig. rada, 1955, 6, № 3-4, 360—370 (нем.; рез. хорв.)

Обзор лекции, прочитанной в Югославской академии наук. Наиболее вредным соединением V является HVO_3 , пыль которой вызывает значительное раздражение глаз, дыхательных путей, легких (резорптивное действие отрицается). У промышленных рабочих наблюдаются аллергич. заболевания кожи, эмфизема со всеми ее последствиями. Предварительное увлажнение сырья, сплавление HVO_3 в металлоподобные куски почти исключают пылеобразование, однако ношение респираторов обязательно. Библ. 20 назв. И. С.

45813. Руть, ее вредное действие и метод быстрого определения ее содержания в воздухе. Грандецкая (Rtęć. Szkodliwości i szybka metoda oznaczania w powietrzu. Prandowska Barbara), Ochrona pracy, 1955, 9, № 3, 84—87 (польск.; рез. русс.)

Описаны симптомы отравления Hg и профилактич. мероприятия. Поверхности, загрязненные Hg, обезвреживают 4—5%-ным р-ром моно- или дихлорамина в CCl_4 (при изоляции помещения на 8—10 час.) и далее 4—5%-ным р-ром полисульфида натрия, после чего через 8—10 час. поверхности промываются водой. Металлич. Hg при такой обработке переходит в сернистую. Вначале образуются сульфамид и окислы Hg и далее Hg-сульфамид и каломель, взаимодействующие с Na_2S_2 по ур-нию: $2\text{RSO}_2\text{N} \cdot \text{Hg} + 4\text{HgCl} + 4\text{Na}_2\text{S}_2 + 2\text{H}_2\text{O} \rightarrow 2\text{RSO}_2\text{N} \cdot \text{HNa} + \text{S}_2 + 6\text{HgS} + 4\text{NaCl} + 2\text{NaOH}$. Хорошие результаты дает также обработка загрязненных поверхностей 1%-ным р-ром KMnO_4 , подкисленным HCl. Описывается модифицированный автором метод определения Hg по методу Яворской. Исследуемый воздух протягивается через индикаторные трубки с силикагелем, смоченным насыщ. р-ром CuSO_4 и KJ. И. С.

45814. Профессиональные дерматозы аллергического происхождения на химических производствах. Гатте, Пелльра (Les dermatoses professionnelles allergiques ou par sensibilisation dans les industries chimiques. Gaté J., Pellerat J.), Arch. malad. profess., 1955, 16, № 4, bis, S 91—S 101 (франц.)

Рассмотрены в-ва, вызывающие профессиональные аллергич. дерматозы (АД) в основной хим. промышленности при произ-ве пластмасс, синтетич. каучука, взрывчатых в-в, инсектицидов и фармацевтич. препаратов. Возникновение АД определяется возрастом работающих, временем года, р-цией кожи, составом и свойствами хим. продуктов. Для предохранения от АД рекомендуются изолированные рабочие места, спецодежда, спец. моющие средства и защитные пасты. АД обычно исчезают при 1—3-недельном перерыве в работе. С. Я.

45815. Окислы азота.— (The oxides of nitrogen.—), Nat. Safety News, 1953, 68, № 1, 38—39, 92—96 (англ.)

Кратко изложены свойства NO , NO_2 и N_2O_4 , причины их выделения на рабочих местах, действие на организм, симптомы отравления, меры защиты, первой помощи и методы определения в воздухе. Г. Р.

45816. Защита рабочих от ионизирующей радиации.— (La protection des travailleurs contre les radiations ionisantes.—), Mines, 1955, 10, № 4, 460—464 (франц.)

Приводится часть доклада на 1-й Международной конференции по мирному использованию атомной энергии, относящаяся к добыче и обработке урановых

руд, а также общие сведения об опасностях при работе с урановой рудой и профилактич. мероприятиях. Приведены результаты обследования здоровья рабочих урановых рудников в Шнееберге (Германия) и Иоахимстале (Чехословакия) с 1913 г. и исследования содержания Rn в воздухе урановых рудников разных стран с 1924 г.; содержание Rn оказалось в 20—230 раз больше предельно допустимого. Н. С.

45817. Здоровье рабочих, подвергавшихся действию ионизирующих излучений. Мак-Лейн (The health of workers exposed to ionizing radiations. McLean A. S.), Brit. J. Industr. Med., 1955, 12, № 2, 143—146 (англ.)

При длительном воздействии ионизирующей радиации наблюдались признаки поражения кроветворных органов (от легких изменений до необратимых), кожи (дерматиты, дистрофия ногтей, бородавки, злокачественные новообразования), хрусталика глаза, половых желез, костей (остеофит. дегенеративные процессы, злокачественные опухоли), легких (рак). Могут наблюдаться изменения наследственности. Обсуждаются меры профилактики. И. С.

45818. Результаты электрокардиографического исследования при силикозе. Сунтыч (Elektrokardiografický náález u plicní silikosis. Suntuč Frant.), Pracovní lékař., 1955, 7, № 4, 202—206 (чеш.; рез. русс., англ.)

У 162 рабочих, подвергавшихся воздействию SiO_2 , были произведены классич. электрокардиографич. исследования. При оценке результатов исследования были исключены 35 больных гипертонией. Среди остальных рабочих гипертрофия правого желудочка сердца была обнаружена: у больных начальными формами силикоза в 10% случаев, при неосложненном силикозе — в 16%, при осложненном — в 8% и при силикотуберкулезе — в 35%. Обнаружены случаи гипертрофии левого желудочка сердца. Дается оценка значения этих фактов для экспертизы трудоспособности. И. С.

45819. Петрографический анализ глинистых материалов. Очелла (Esami psammografici di alcuni materiali argillosi. Occeila E.), Med. lavoro, 1954, 45, № 12, 721—729 (итал.; рез. англ., нем.)

Исследованы образцы глинистых материалов, употребляемых для произ-ва обетельных глин, черепицы, гончарных изделий и строительных материалов. Минералогич. состав различных фракций и распределение в них частиц различных размеров показали большое разнообразие. Различное содержание свободной SiO_2 найдено в крупных и мелких частицах. Поскольку при анализе ряда образцов была обнаружена весьма высокая конц-я силикозогенных частиц, среднее содержание свободной SiO_2 в образце не достаточно для суждения о его силикозной опасности. Представление о последней может дать только гранулометрич. анализ пылей, образующихся при обработке глинистых материалов. З. Б.

45820. Борьба с силикозом в фарфоровой промышленности. Глейхман (Ein Vorschlag zur Silikosebekämpfung in der Porzellanindustrie. Gleichmann Alfred), Silikattechnik, 1955, 6, № 7, 306—308 (нем.)

Предлагается освободить фарфоровую массу от вызывающих силикоз частиц кварца диам. $< 5 \mu$ путем размалывания материалов, особенно полевого шпата, на несколько мельницах и последовательного отделения частиц, измельченных до необходимых размеров, во избежание их дальнейшего измельчения. И. С.

45821. К вопросу о трудоспособности и трудоустройстве пескоструйщиков, больных силикозом и сил-

клуберкулезом. Сосновик Н. Я., Сов. медицина, 1955, № 6, 15—21

Определение заболевания силикозом и стадии болезни производится на основании комплексного исследования больных с применением рентгенооскопии и функциональных проб. Пескоструйщики, больные силикозом, независимо от стадии и степени компенсации процесса подлежат переводу на работу с облегченными условиями труда. Больным противопоказано присутствие любой пыли, промышленных ядов, неблагоприятные метеорологич. условия. Больные силикозными заболеваниями обычно не пригодны к профессиональному труду.

И. С.
45822. Техника безопасности в обращении с пестицидами. Эллиотт (Safe handling techniques for pesticides. Elliott J. H.), Canad. Chem. Process., 1955, May, 52, 54, 56 (англ.)

Краткие сведения о мерах предохранения от воспалений, взрыва, корродирующего и токсич. действия.

Б. Т.
45823. Профессиональные дерматиты в металлургической промышленности. Бори, Негри (Les dermatoses professionnelles dans l'industrie des métaux. Bory R. L., Negri R.), Arch. malad. profess., 1955, 16, № 4 bis, S169—S171 (франц.)

У рабочих металлургич. произ-в заболевание дерматитом было вызвано действием смазочных масел, нефти и металлич. стружек.

С. Я.
45824. Профессиональные катаракты у рабочих-металлургов. Енш (Berufliche Linsentrübungen bei Metallarbeitern. Jaensch P. A.), Arch. Gewerbepathol. und Gewerbehyg., 1955, 13, № 7, 743—748 (нем.)

Законодательство о профессиональном характере катаракт должно быть расширено. Металлурги должны быть застрахованы против катаракта наравне с рабочими стекольных з-дов. Библ. 17 назв.

И. С.
45825. Охрана труда на коксохимических заводах. Дос (Accident prevention as a factor in the design of coking plants. Dawes W.), Brit. J. Industr. Safety, 1954, 3, № 29, 48—52 (англ.)

Рассматриваются мероприятия при проектировании коксохим. з-дов (совместно с углеподготовкой и эксплуатацией газопроводов), связанные с требованиями охраны труда и техники безопасности.

С. Я.
45826. Исследования хронических отравлений окисью углерода на газовых заводах города Цюриха. Борбелли (Untersuchungen im Gaswerk der Stadt Zürich in Schlieren über die chronische Kohlenoxydvergiftung. Borbély Franz), Monatsbull. Schweiz. Verein Gas- und Wasserfachmännern, 1955, 35, № 5, 103—119 (нем.)

Многочисленные определения содержания СО в атмосфере газовых з-дов показали кратковременные увеличения конц-ий СО, значительно превышающие предельно допустимые. Определение кол-ва СО-гемоглобина (СО-Нб) в крови рабочих показало зависимость последнего от привычки к курению табака. У курильщиков кол-во СО-Нб в крови поднималось выше 4%. Содержание СО-Нб до 10% не вызывало субъективных признаков отравления.

И. С.

45827. Значение и применение экспозиционных проб. I. Определение трихлоруксусной кислоты в моче рабочих как метод определения воздействия на них трихлорэтилена. Бардодей, Кривуцова (Hodnota a použití expozičních testů. I. Stanovení kyseliny trichloroetové v moči jako expoziční test u pracujících s trichlorethylenem. Bardoděj Zdeněk, Krivucová Marie), Pracovní lékař., 1955, 7, № 4, 217—220 (чеш.; рез. рус., англ.)

Рассмотрен вопрос об отношении кол-ва вредного в-ва в воздухе к кол-ву этого в-ва или его производ-

ных в отравлениях подверженного воздействию организма. Изучена зависимость между содержанием паров трихлорэтилена в воздухе рабочих помещений и содержанием трихлоруксусной к-ты в моче работающих. Результаты представлены в форме кривой. При предельно допустимой конц-ии трихлорэтилена в воздухе (0,4 мг/л) в моче рабочих обнаружено 160 мг/л трихлоруксусной к-ты.

И. С.
45828. О профессиональной вредности уксусной кислоты при выработке ацетилцеллюлозы. Пармеджани, Сасси (Sui danni per la salute provocati dall'acido acetico nella produzione degli acetati di cellulosa. Parmeggiani Luigi, Sassi Carlo), Med. lavoro, 1954, 45, № 5, 319—323 (итал.)

45829. Профилактика и терапия профессионального дерматоза в стекольной промышленности, вызванного керосином. Гоккель (Prophylaxe und Therapie einer durch Petroleum verursachten Berufsdermatose in der Glasindustrie. Gockell W.), Hautarzt, 1955, 6, № 7, 312—315 (нем.)

Керосин, применяемый в качестве охлаждающей жидкости при резке стекла, содержит стеклянную пыль, которая, внедряясь в кожу, способствует возникновению дерматозов. Для профилактики этих заболеваний применялись толстые фартуки, просушивание прозодежды в горячих камерах, очистка кожи мягкими волосяными венчиками, обмывание ядровым мылом, нанесение жирной мази, которая, однако, быстро смывается керосином во время работы. Предлагается заменить ядровое мыло свободным от щелочей моющим средством «Сатина», наносить на кожу свободное от жира желе (неорганич. коллоид, диспергированный в органич. среде, с добавлением средства для защиты кожи «О-48-Г»), для смягчения кожи после работы применять масляную эмульсию. Через 3 месяца после введения перечисленных мероприятий у 21 рабочего из 25 состояние кожи значительно улучшилось. У 4 развилась повышенная чувствительность к новой мази.

И. С.
45830. Результаты опытов по предупреждению дерматитов, возникающих при воздействии синтетических смол, с помощью аэрозолей силикатов. Сибулет (Dermatosen dues aux résines synthétiques. Résultats d'essais de prévention par les silicones en aérosols. Siboulet A.), Arch. malad. profess., 1955, 16, № 4 bis, S108—S109 (франц.)

Синтетические смолы и их отвердители, напр. алифатич. полиамины, при непосредственном контакте с кожей вызывают экзематозные дерматиты. Такое же действие оказывают их пары. Применение защитных силикатных паст для лица и силикатных аэрозолей, образующих на кожных покровах плотную, тонкую и безвредную пленку, предупреждает возникновение заболеваний. Испытание силикатных аэрозолей было проведено на 102 человеках.

С. Я.
45831. Дерматит, вызванный содержанием хромом, и другие стороны проблемы хрома. Моррис (Chromate dermatitis from chrome glue and other aspects of the chrome problem. Morris George E.), Arch. Industr. Health, 1955, 11, № 5, 368—371 (англ.)

Описывается несколько случаев дерматита у рабочих, имевших контакт с клеем, приготовленным из образков дубленой хромом кожи. Отмечено большое значение сенсibilизации. В 3 случаях из 4 заболевание хорошо поддавалось лечению.

И. С.
45832. Изучение экземы пекарей. Карье, Декен (Untersuchungen über das Bäckerekezem. Carrière C., Decken U., v. d.), Dtsch. med. Wochenschr., 1955, 80, № 15, 557—559 (нем.)

У 80 из 100 пекарей была установлена экзема, вызванная производственными факторами, главным образом

в-вами, улучшающими качество муки (персульфаты). Причиной появления экземы (56,25%) была повышенная чувствительность к муке и к $(\text{NH}_4)_2 \text{S}_2\text{O}_8$. Экзема развивалась преимущественно в молодом возрасте (42% больных было учениками). И. С.

45833. Литература по вопросам загрязнений атмосферного воздуха. Мерк (Sources of air pollution literature. Murk Janet B.), Industr. and Engng Chem., 1955, 47, № 5, 976—981 (англ.)

Библиографический обзор литературы по вопросам причин и борьбы с загрязнением атмосферного воздуха. Рассмотрены различные аспекты проблемы, перечислены ее основные разделы и перечень вопросов, охватываемых разделами. Дана современная терминология, принятая в указанной области. Приведены списки периодич. изданий, в которых освещается проблема и дан перечень организаций (США, Англия, Канада), занимающихся отдельными вопросами проблемы. Библ. 18 назв. В. С.

45834. Рассеяние двуокиси серы и дыма в воздухе. — (The dissipation of sulphur dioxide and smoke. —), Coke and Gas, 1955, 17, № 198, 443—449 (англ.)

Приведены результаты обследования загрязнений атмосферного воздуха SO_2 и твердыми частицами, выделяющимися при сжигании топлива в зависимости от метеорологич. условий и аэродинамич. характеристики дымовых труб. Дана сравнительная оценка загрязнений воздуха SO_2 , содержащихся в дымовых газах, не подвергнутых и подвергнутых водн. промывке в оросительных скрубберах. Н. К.

45835. Техника безопасности при работе с аэрозолями. Бранденбург (Aerosol safety record. Brandenburg J. F.), Soap and Chem. Specialties, 1954, 30, № 12, 191, 195 (англ.)

Некоторые статистич. данные о числе и характере несчастных случаев в хим. пром-сти при работе с аэрозолями с 1947 по 1953 г. Ю. С.

45836. Загрязнение воздуха в некоторых американских городах. Чолак, Шейфер, Янкер, Егер (Air pollution in a number of American cities. Cholak J., Schafer L. J., Younker W. J., Yeager D.), Arch. Industr. Health, 1955, 11, № 4, 280—289 (англ.)

В 10 крупных американских городах содержание O_3 в воздухе составляло 0,009—0,049 $\text{мл}/\text{м}^3$. Наивысшее содержание O_3 наблюдалось при густом тумане, низшее — в пасмурную погоду или после дождя. При этом содержание SO_2 было равно от 0,02—0,03 до 0,12—0,20 $\text{мл}/\text{м}^3$. Таким образом, содержание O_3 падает с увеличением кол-ва SO_2 в атмосфере и наоборот. И. С.

45837. Борьба с загрязнением воздуха в США. Маллетт (Air pollution control in the United States. Mallett Frederick S.), Consulting Engr., 1954, 10, № 7, 174—178 (англ.)

Описана техника отбора проб воздуха, а также приборы газового анализа для определения конц-ии SO_2 , основанные на принципе теплопроводности и электрохим. принципе. Дана сравнительная оценка газоанализаторов. Перечислены метеорологич. приборы для контроля за состоянием атмосферы. Дан анализ загрязнений атмосферного воздуха мартеновскими, коксовыми, доменными и другими печами. Приведена характеристика газоочистной установки типовой 250-т мартеновской печи, состоящей из 4 сухих электрофильтров. Освещены некоторые экономич. и общественные аспекты проблемы борьбы с загрязнением воздуха. Начало см. РИХХим, 1955, 30877. А. Л.

45838. Образцы индивидуальных защитных средств. — (Wzory ochron osobistych. B. S.), Ochrona pracy, 1955, 9, № 2, 61—63 (польск.)

Описаны утвержденные Польским центральным ин-том охраны труда образцы индивидуальных защит-

ных средств (щитки для сварщиков, текстолитовые шлемы для горняков, резиновые респираторы, ремни для верхолазов). Л. П.

45839. Техника безопасности при работе с поршневыми компрессорами. Линевич (Bezpieczeństwo pracy przy sprężarkach tokowych. Liniewicz Roman), Ochrona pracy, 1955, 9, № 8, 233—238 (польск.; рез. русск.)

Основными причинами аварий являются образование взрывчатых смесей паров смазочного масла с воздухом и чрезмерное повышение давления в ресиверах. Описано автоматич. регулирование давления и системы охлаждения. Т-ра воспламенения смазочного масла должна быть >220 — 240° , рабочая т-ра в цилиндрах компрессоров $<60^\circ$, смена масла должна производиться через 100—150 час. работы компрессора. Перечисляются особенности конструкции и эксплуатации кислородных, ацетиленовых и аммиачных компрессоров, приводятся правила обслуживания, периодич. осмотров (1 раз в год), требования к помещениям и вентиляции. И. С.

45840. Противопожарные мероприятия на нефтеперегонных заводах. Томсон (Fire protection built into refineries. Thomson A. G.), Chem. Age, 1954, 70, № 1804, 371—373 (англ.)

Мероприятия заключаются в рассредоточении производственных установок, прокладке дорог, снабжении глубокими кюветами, предупреждающими разлив нефти и нефтепродуктов на большой площади и препятствующими перебору пламени при его возникновении, и установке высоких дымовых труб, исключающих попадание пламени в атмосферу. При устройстве канализационной сети должно быть предусмотрено снабжение смотровых колодцев трапами, предупреждающими обратный удар пламени, заполнение сети водою во избежание образования взрывоопасных газо-воздушных смесей. Хранилища для нефтепродуктов должны снабжаться пловучими крышами также для предупреждения возникновения газо-воздушных смесей при частичном заполнении хранилищ. Трубчатые нагревательные устройства, соприкасающиеся с открытым пламенем, должны быть удалены от дистилляционных установок на расстояние 15—30 м. Предохранительные клапаны рассчитываются на спуск избыточного давления в возможно короткий срок при возникновении опасности пожара. Помимо использования обычных средств пожаротушения, рекомендовано устройство паровых завес для предупреждения взрыва в топочных камерах трубчатых установок при обнаружении течи в трубах. Рекомендованы меры по размещению и безопасной эксплуатации электрооборудования и кабельных сетей. Н. К.

45841. Заземление оборудования и грозозащита на нефтеперегонных и химических предприятиях. Бенджамин, Канделан (Grounding, bonding, and lightning protection in oil refineries and chemical plants. Benjamin E. C., Cundelan J. V.), Electr. Engng, 1955, 74, № 5, 400—403 (англ.)

Приводятся различные способы заземления аппаратуры и электрооборудования, предупреждающие искрение (заземляющие стержни, водопроводные магистрали и пр.), и даются схемы заземления. Описаны средства грозозащиты — применение цельнометаллич. емкостей для хранения огнеопасных жидкостей и газов, огнепреградители для емкостей и заземления последних. Указаны способы заземления неметаллич. дымовых труб. Заземлению подлежат также емкости и трубопроводы для хранения и транспорта диэлектрич. огнеопасных жидкостей в целях предохранения от действия статич. разрядов, образующихся при турбулентном движении жидкостей. Заземляющую проводку рекомендуется предохранять от коррозии, вызыв-

ваемой влагой и солями почвы, при помощи чехлов из неопрена. Б. Т.

45842. Борьба с пожарами минеральных масел. Брунсвиг (Die Bekämpfung von Mineralölbränden. Brunswig H.), Erdöl und Kohle, 1955, 8, № 4, 277—278 (нем.)

Пожаро- и взрывоопасные свойства минер. масел обусловлены их способностью к пенообразованию при нагреве до 100° и выше; при соприкосновении с водой средний объем пены почти в 1700 раз превышает объем масла. Для тушения пожаров масел наиболее часто применяются сухие и углекислотные огнетушители. Галоидозамещенные углеводороды (в том числе и CCl_4) используются для ручных огнетушителей и пока, несмотря на их опасные свойства, также рекомендуются для тушения горящих масел. Б. Т.

45843. Противопожарные мероприятия, предусматриваемые при проектировании заводов. Блэр (Fire prevention through design. Blair George G.), Farm Chemicals, 1953, 116, № 1, 56—57, 59—60 (англ.)

Изложены положения о проектировании новых и реконструкции старых тукоудобрительных заводов с учетом противопожарных мероприятий. Б. Т.

45844. Установки для кондиционирования воздуха в химической промышленности. Штудер (Die Luftkonditionierungsanlage in der chemischen Industrie. Studer P.), Chimia, 1955, 9, № 1, 7—17 (нем.)

Изложены условия кондиционирования воздуха рабочих помещений на предприятиях ряда отраслей хим. пром-сти. Описаны агрегаты для кондиционирования, включающие увлажнители, калориферы, рефрижераторы и фильтры различных систем. Дана сравнительная характеристика фильтров для очистки воздуха рабочих помещений от пыли, туманов и аэрозолей. Н. С.

45845. Инфракрасное лучистое отопление с гигиенической и технологической точек зрения. Кольмар, Лизе (Hygienische und technische Gesichtspunkte zur Infrarotheizung. Kollmar A., Liese W.), Gesundh.-Ingr, 1955, 76, № 1/2, 1—15 (нем.)

При ИК-облучении лба человека было установлено, что при поглощении 0,09 ккал/см² т-ра кожи повышается через 2 мин. на 10°. Это сопровождается ощущением непереносимой боли. Физиологич. границы поглощенного тепла лежат между 0,001 и 0,003 ккал/см². Т-ра кожи при этом повышается соответственно на 0,1—0,4° за 10—15 мин. и на 3° за 6—7 мин., что сопровождается ощущением тепла. Последние цифры служат основой для расчета отопления помещений ИК-лучами. Рассматриваются необходимые размеры излучателей и их установка. Библ. 33 назв. Н. С.

45846. Стационарная защитная установка в Лаборатории высокой активности в Сакле. Фабр, Гийо

(Installation de protection fixe du Laboratoire de Haute Activité de Saclay. Fabre R., Guyot C.), Onde électr., 1955, 35, № 343, 938—945 (франц.)

Описан опыт применения централизованной стационарной установки для контроля безопасности работы в отдельных помещениях Лаборатории высокой активности в Сакле. Расположение электронной аппаратуры на общем щите позволяет вести наблюдения с большой эффективностью при значительной экономии средств. Изучалась возможность непрерывного определения содержания радиоактивных газов и аэрозолей (последние задерживались бумажными фильтрами) в воздухе лабораторий и в вентиляционных выбросах, непрерывной его регистрации и сигнализации при наличии опасности. Приведены предельно допустимые дозы облучения разных органов и тканей, а также предельно допустимые концентрации радиоактивных изотопов Sr, Fe, Pu, J, Ca, Cs, C и U природного в организме и в воздухе. С. Я.

45847 П. Способ безопасного обращения и хранения ацетилена в присутствии растворителей и растворов ацетилена (Procédé pour la manipulation sûre et l'emmagasinage d'acétylène en présence de solvants, et des solutions d'acétylène) [Knapsack-Griesheim A.-G. für Stickstoff-Dünger und Autogentechnik]. Франц. пат. 1050745, 11.01.54 [Chimie et industrie, 1954, 71, № 5, 968 (франц.)]

Хранение C_2H_2 и манипуляции с ним производят при т-ре ниже -80° в присутствии $\geq 22\%$ р-рителей (от веса C_2H_2), смеси которых остаются жидкими при т-рах между -115° и -80° (спирты, альдегиды, кетоны, сложные эфиры, ацетали, углеводороды и т. п.). Я. К.

45848 П. Способ приготовления пены для тушения пожаров (Procédé de préparation de mousse destinée à combattre les incendies) [John Kerr & Co., Ltd]. Франц. пат. 1063902, 10.05.54 [Chimie et industrie, 1954, 72, № 3, 460 (франц.)]

В состав пены вводится одно или несколько в-в, увеличивающих ее устойчивость при соприкосновении с горючими жидкостями, полностью или частично растворимыми в воде. В качестве таких в-в можно использовать, напр., растворимые в воде производные альгиновой к-ты, агар-агар, производные целлюлозы (метил- и этилцеллюлозу), некоторые водорастворимые белки, которые денатурируются такими водорастворимыми р-рителями, как альбумин и крахмал. Н. С.

См. также: Промышл. токсикология 44667. Отравления и борьба с ними 43540, 43575; 13123Бх, 13727Бх, 13789Бх, 14150Бх. Борьба с загрязненностью 45670, 45671, 45674, 45803. Пожары и взрывы 42676, 42680, 44142

НОВЫЕ КНИГИ, ПОСТУПИВШИЕ В РЕДАКЦИЮ

XIV Международный конгресс чистой и прикладной химии. Доклады на пленарных и секционных заседаниях. Цюрих 21—27 июля 1955 г. (XIV-e Congrès internationale national de chimie pure et appliquée. Conférences principales et conférences de sections. Basel — Stuttgart, Birkhäuser, 1955, 287 p.)

В книгу включены 5 докладов на пленарных заседаниях конгресса и 9 докладов на секционных заседаниях, посвященных важнейшим проблемам органической химии. Пленарные заседания. 1) Дю-Виньо. Окситоцин, главный окситотический гормон задней доли гипофиза; выделение, строение и синтез окситоцина (англ.). 2) Дюфресс. Фотоокисление (франц.). 3) Несмеянов А. Н. (совместно с Кабачником М. И.). Двойственная реакционная способность и таутомерия (франц.). 4) Инголд. Развитие теории пространственных затруднений (англ.). 5) Альдер. Новые данные о диеновом синтезе (нем.). Секционные заседания. 1) Бартон. Новые успехи в конформационном анализе (англ.). 2) Уинстейн. Новые представления о поведении карбониевых ионов (англ.). 3) Эрдтман. Химия составных частей ядра древесины хвойных и их классификационное значение (англ.). 4) Фромажю (совместно с Жолле). Сравнительное исследование нескольких лизирующих белков, принадлежащих к группе лизоцимов (франц.). 5) Протежи. Природные вещества как отправной пункт в синтезе лекарственных веществ (англ.). 6) Вудфорд. Полный синтез стрихнина (англ.). 7) Брукер. Новые успехи в химии фотографических сенсibiliзирующих красителей (англ.). 8) Сешадри. Синтезы, воспроизводящие вероятные пути биогенеза (англ.). 9) Циглер. Алюминий в органической химии (нем.).

Я. К.

Химия и технология алифатических углеводородов. Азингер (Chemie und Technologie der Paraffinkohlenwasserstoffe. Asinger Friedrich. Akademie-Verlag, Berlin, 1956, 719 S.) (нем.)

Капитальный труд, рассчитанный в основном на химиков-исследователей. Книга дает полную картину разностороннего химического использования углеводородов алифатического ряда, главным образом в процессах, уже получивших технологич. оформление. В ней систематически рассмотрены: способы выделения углеводородов из природных газов, нефти, продуктов гидрирования бурых углей, а также синтеза углеводородов с прямой и разветвленной цепью, их свойства; каталитическое гидрирование окиси углерода над различными катализаторами, приготовление и регенерация катализаторов, химизм синтеза Фишера — Тропша; различные процессы химической переработки углеводородов алифатического ряда; процессы хлорирования, нитрования, сульфирования, окисления, сульфокисления (действия $\text{SO}_2 + \text{O}_2$ при облучении) и изомеризации. Заключительная глава содержит данные новых работ по изучению механизма указанных реакций, а также по исследованию получающихся продуктов. Г. М.

Распределительные методы в лаборатории. Хеккер (Verteilungsverfahren im Laboratorium. Hecker Erich. Weinheim, Verl. Chemie GmbH, 1955, 229 S., ill.) (нем.)

Монография. Подробно рассмотрены вопросы методики и теории различных вариантов метода распределения. Книга состоит из общей части, специальной части и приложения.

В общей части (125 стр.), состоящей из четырех глав, рассматриваются основы теории и практики экстракционных методов. В первой главе рассмотрены законы распределения, сформулированы причины отклонения изотерм распределения от прямолинейной формы, указаны общие принципы получения линейных изотерм распределения ассоциирующих и диссоциирующих веществ. Отмечено, что величина коэффициента распределения является однозначной физико-химической константой и, подобно температуре кипения или плавления, может служить для характеристики вещества. На примере модельного опыта излагается принцип многоступенчатого распределения и вводится понятие об индексе распределения, коэффициенте разделения и объемном факторе. Вторая глава содержит описание аппаратуры, методических и теоретических основ различных способов распределения путем смешения и последующего разделения определенных объемов несмешивающихся жидкостей (простое и многократное встряхивание, многоступенчатое распределение по Крэгу, метод О'Киффа, Ватанабе — Морикава и другие). Изложены основы расчета теоретических кривых распределения по Крэгу по известным значениям индексов распределения. Обсуждается влияние различных факторов на эффект разделения смесей. Подробно изложен вопрос о значении химического строения вещества и различных химических факторов для экстракционных методов. В этой же главе описаны аналитические применения распределения по Крэгу, в частности — испытание на чистоту, идентификация и распределение молекулярного веса веществ. Третья глава содержит различные сведения о распределении с равномерным движением фаз, получившем широкое распространение как метод промышленного разделения смесей. В четвертой главе кратко указаны ограничения при использовании многократного распределения и сформулирован общий принцип комбинирования различных методов фракционирования вещества друг с другом.

В специальной части (50 стр.), состоящей из двух глав, рассматривается очень важный вопрос о выборе растворителей для экстракционного разделения смесей и приводятся многочисленные случаи применения методов распределения к органическим (первая глава) и неорганическим (вторая глава) веществам.

В приложении (14—XII стр.) содержатся примеры расчета кривых распределения по Крэгу и таблицы. Наряду с таблицами математических величин, важных для расчетов и экстракционных методах, приводятся сводка ограниченно смешивающихся пар органиче-

ских растворителей и классификация способов распределения.

А. Б. Термомикрометоды идентификации органических веществ и их смесей. Кофлер, Кофлер (Thermo-Mikro-Methoden zur Kennzeichnung organischer Stoffe und Stoffmische. Kofler Ludwig, Kofler Adelheid. Weinheim, Verl. Chemie GmbH, 1954, 608 S., ill.) (нем.)

Подробная монография и практическое руководство по применению метода определения температуры плавления органических веществ под микроскопом в различных областях органической и физической химии. Детально разработанные методы и аппаратура дают возможность идентифицировать весьма малые количества многочисленных органических соединений по их температурам плавления, температурам плавления смесей их с другими веществами и по показателям преломления кристаллов, определенных под микроскопом. Приведены таблицы для идентификации свыше 1200 органических соединений. Рассматривается применение микроскопии для термохимического анализа и в кристаллографических исследованиях. **М. В.**

Химическое поведение алюминия. Данные и результаты исследований и практики. (Das chemische Verhalten von Aluminium. Erfahrungen und Ergebnisse aus Forschung und Praxis. Düsseldorf, Aluminium-Verlag GmbH, 1955, 333 S.) (нем.)

Фундаментальный справочник, изданный об-вом Aluminium-Zentrale. Содержит краткие сведения об основных видах коррозии алюминия, методах антикоррозионной защиты и важнейших методах испытаний. Основную часть книги составляют сведения об отношении алюминия к различным агентам и средам, систематизированные по следующим разделам: неорганические вещества (вода, воздух, атмосферные факторы, газы, галогены, кислоты, прочие неметаллы, щелочные и щелочно-земельные металлы и их соединения, прочие металлы), алифатические, карбоциклические и гетероциклические соединения, природные неорганические и органические вещества (ископаемые растительного и животного происхождения), химические продукты (строительные материалы, пластические массы, лекарственные вещества и др.), пищевые и вкусовые продукты. Сведения представлены также в виде сводной справочной таблицы (по алфавиту), в которой указано отношение к данному агенту алюминия различной чистоты, алюминиевых сплавов и алюминия с поверхностной защитой, а также приведены некоторые другие сведения. **М. М.**

Электролитическая и химическая полировка металлов в исследовательских работах и в промышленности. Теггарт (The electrolytic and chemical poli-

shing of metals in research and industry. Teggart W. J. McG. Pergamon Press Ltd, 1956, X, 129 pp., ill, 30 sh.) (англ.)

Монография, включающая следующие разделы: 1) Механизм электролитической полировки. 2) Теоретические характеристики процесса полировки. 3) Факторы, влияющие на условия полировки. 4) Применение электролитической полировки в лаборатории и в исследовательских работах. 5) Общие принципы лабораторных методов. 6) Применение хлорной кислоты и других реакционных растворов в электрополировке. 7) Лабораторные методы для отдельных металлов и их сплавов. 8) Промышленное применение электролитической полировки. 9) Промышленные методы для отдельных металлов и их сплавов. 10) Химическая полировка и ее применение в лаборатории. 11) Промышленные методы химической полировки отдельных металлов и их сплавов. Библ. 213 назв. **М. М.**

Ежегодник по технологии обработки поверхности металлов 1955 г. Видерхольт (Jahrbuch der oberflächentechnik 1955. 11 Aufl. Wiederholt W. Berlin — Grunewald, Metall-Verl. GmbH, 1955, 904 S.) (нем.)

Справочник по различным методам обработки поверхности металла. Приведены основные сведения о механизме коррозии и описаны методы борьбы с ней (органические и металлические защитные покрытия, катодная защита, окрашивание в электростатическом поле, эмалирование, фосфатирование). Приводятся рецептура ряда электролитов для нанесения различных гальванических покрытий. Отдельные главы посвящены электрополировке металлов, очистке металлических поверхностей щелочными растворами, конструкции гальванических ванн, вопросам вентиляции гальванических цехов. Имеются 2 обзора (статей и патентов) из области отделки поверхностей за 1953 и 1954 гг. **М. М.**

Руководство по лабораториям дорожного строительства. Изд. 2-е. Пельтье (Manuel du laboratoire routier. 2 éd. Peltier R. Paris, Dunod, 1955, 288 p., ill.) (франц.)

Руководство по выбору, применению и испытанию грунтов, а также строительных материалов и бетонов, используемых в строительстве дорог.

В главе V изложены вопросы, относящиеся к цементам и бетонам: характеристика цементов и бетонов, выбор цемента, методы испытания и контроля качества цемента, методы механических испытаний бетонов. В главе VI кратко описаны асфальто-битумные материалы и бетон, применяемые в дорожном строительстве; способы составления смесей и контроль их качества. **А. П.**

О

Оболескан О. И. 44281 Д
Овечкин Е. С. 45535
Овруцкий М. III. 45529
Огава 45665
Ока 43164
Ока 45175
Окавара 43092
Окада 45713
Окамото 42809
Окамура 45678, 45679
Окасу 45722
Окуи 45102
Окума 43567, 43595
Ольховский В. Ф.
44110
Омарова С. Р. 42725
Омао 45669
Омельченко С. И.
43255 Д
Орешкин П. Т. 43472
Ормонт В. Ф. 43657
Осима 45537
Осима 45736
Осинович Е. С. 42685
Осипенко И. Ф. 43246
Осинович Е. С. 42686
Осуни П. 42711
Ота 43205, 43206
Отака 45713
Отака 45735
Отомо 43157
Оути 42802
Оуис Ф. Э. 42635
Ошма 45667

П

Павлов Г. М. 45217
Павлов С. А. 44790
Павлова В. А. 44742
Павловская Л. Д. 44264
Павловская Н. Н.
42844
Павлушин Н. М. 44995
Павлюченко М. М. 42687,
42689
Пальмин В. В. 45429
Пани П. Э. 43616
Панченко Г. М. 42498
Пашаев П. А. 44277 Д
Пашинкин А. С. 42930
Пашенко П. Н. 45172
Пенькина В. С. 42257
Петровский Ю. В. 42596
Петухов С. С. 45691
Печев К. 45387
Печковская Е. А. 44795
Писаренко А. П. 43420
Писаренко П. П. 44240
Пиннаммазаде Б. Ф.
44222
Плато А. Ф. 42715
Плисов А. К. 43044
Поваренных А. С.
42373
Погожинка Н. И. 45218,
45223
Подгорный Н. Г. 45577
Подгородский Е. К.
43380
Полин М. Е. 45673

Попровская Н. Б.
43407
Политов Н. Г. 42410
Полковников Б. П.
43079
Полосухин Н. А. 45616
Подстайной В. И. 45236
Поляк Л. Я. 43552
Полякин Ю. Л. 42716
Полякова Н. Л. 43977
Полянский В. Н. 43494
Поляченко М. М. 45358
Попель А. А. 43456
Попов О. С. 42727
Попов П. П. 42914
Попов В. М. 43050
Потемкин К. Н. 43032
Потемкина Л. В. 43925
Потоловский Л. А.
44276 К
Прилежаева Е. Н.
43425
Пранцева З. В. 43244 Д
Приходцева В. П. 42233,
42242
Провинцев И. В. 44879
Протива М. 43104
Птицын О. Б. 43360
Пугач Е. Д. 45529
Пудовкин М. А. 45661
Пустовалов В. В. 43911
Пушин Н. А. 42631
Пшеницын Н. К. 43458
Пяткоп П. Д. 43003

Р

Рабинович Э. И. 42720
Рвачев А. Л. 42478
Рабиндер П. А. 42854
Резник Б. Э. 43039
Резнинов М. П. 44134
Резников А. Б. 44199
Рейтлингер С. А. 43399
Рекут М. Е. 44903
Резницинская К. А.
43364
Рихлин В. П. 45218,
45223, 45224
Ровинская Р. С. 43027
Родзевич В. И. 45355
Родопуло А. К. 45380
Розенталь А. Л. 44278 Д
Ростовцева И. В. 42699,
42714
Рубинштейн А. М.
42925
Рубцов М. В. 43172
Рузин Ф. В. 42575
Русанова Ю. А. 44629
Рустамов М. III. 43694
Рухлидева А. П. 45356,
45357, 45363
Рыс Н. Г. 42624

С

Сабуров Н. В. 45465 К
Саван 42276
Саверина Н. А. 45611
Савицкая В. А. 43380
Савич К. К. 43494
Садан 45600, 45602

Сайдаэ 43179
Сайкати 43149, 43151
Саканно 43902
Сакураба 43511
Салли И. В. 42512
Самедова Ф. И. 44282
Самеруков В. Р. 42188
Санина Т. А. 45774
Сарафанов В. 43636
Сатлаев К. И. 42161
Сауков А. А. 42956,
42961
Светник Р. Ю. 45352, 45356
Севбо П. С. 44127
Севрюгова Н. Н. 42597
Семенова Н. Г. 42906
Сеничкин М. 44256
Серебряный С. Б. 43236
Сисенов Ю. К. 42484
Сидельковская Ф. П.
43436
Сидорова Е. К. 45339 Д
Силин В. П. 42572
Силин П. М. 45318
Силина Н. П. 45318
Симада 45668
Симановиц Т. 42324
Симова П. Д. 42336
Симонов А. М. 43063
Синагава 43754
Синдеева Н. Д. 42970
Синькова С. Н. 42772
Сирато 45678, 45679
Синько М. Г. 42710
Слободин Я. М. 43361
Смирнов В. А. 45340 Д
Смирнова М. Г. 42815
Смирнова С. II. 44899
Снегирев М. М. 45126
Соколов А. В. 43787
Соколова Л. А. 42985
Соколовский Д. В. 42725,
42726, 42728
Соловьев Н. В. 44669 Д
Солодовковский А. М.
45806
Соломийчук С. О.
45475 Д
Соломин Н. В. 43994
Соминский М. С. 42172
Сомия 43514
Сосновик И. Я. 45821
Спирасов А. А. 43069
Ставрова В. II. 43178
Старосельский П. И.
45528
Степанов А. В. 42432
Степанов Б. II. 42320
Стефановиц Б. 43096,
43466
Стерин Х. Е. 43486 К
Стерлин Б. Я. 45226
Стерлин И. И. 44239
Стриганов А. Р. 42272
Стриженский П. И.
44110
Стромберг А. Г. 42818
Студин М. А. 42562
Стырикович М. А. 44134
Сугиура 43905
Судзун 43786
Судзун 44657

Сумин Н. Г. 42376
Сунь Шу-ман 43219
Суэхара 43021
Суюто 42862

Т

Тагер А. А. 43411
Такаги 43156
Такасэ 43202
Танатори 43120
Тани 43753
Танэи 43519
Танэнака 45767
Танэти 42568
Талаев М. В. 43681
Тамура 43179
Танака 43205
Танака 43506, 43525
Танака 43685
Тань Ся-Шань 45590
Тарасов Г. Я. 44232
Тарумов Э. З. 42257
Татаренко А. Н. 43232
Табуман А. Б. 44219
Теренин А. Н. 42321
Терентьев А. П. 43050
Тимова Л. 45384
Тирин И. С. 43096
Титов А. И. 43072
Титов В. А. 45575
Титов Е. М. 43026
Титову 43628
Тихменев М. Г. 45549
Тихомиров А. Е. 45469 К
Тойдзава 42488
Токуда 44000
Толеский Г. А. 45127
Томашов Н. Д. 45575
Томини 43786
Томита 43202, 43203
Топчиев А. В. 44234
Торри 43035
Торопов Н. А. 42615,
42899
Тояма 43179
Тояма 45766
Тресвятский С. Г. 43658
Трипольская Ф. Б. 43038
Туров П. П. 42832
Тютеева Н. Д. 42730
Тибин Н. В. 45661

У

Уваров О. В. 42597
Уварова Н. И. 43425
Укаи 43177
Усами 43573
Усний 42957
Успенская Л. П. 42621
Ушапова З. В. 43407
Удуги 42859
Уэхара 42447

Ф

Фаерман Г. И. 44742
Фандинов И. Г. 42474
Фальк Т. К. 43606
Фастов Н. С. 42417
Фастовский В. Г. 42596
Фатеева З. М. 43932
Федоров Г. Б. 42425

Фенькова Е. И. 43582
Фертман Г. И. 45354,
43393
Фесенкова Н. Г. 42995
Филалов А. С. 44232
Филалов Я. А. 42912
Филиппов Л. П. 42791
Филипповский В. В.
43681
Финкельштейн А. В.
43857
Флоринский Ф. С. 43238
Фокин Е. П. 43127
Фокина Е. А. 42695
Фортуноват А. В. 43857
Фремель В. Б. 45353,
45363
Фудзин 43156
Фудзин 44014
Фудзисэ 42189
Фудзисэ 43156, 43157
Фудзита 43179
Фудзита 43894
Фудзита 45712
Фукая 45668
Фукуи 42929
Фукусима 42929
Фурукава 45669
Фурунис 44188

Х

Хада 45537
Хакан Н. Г. 44239
Хазанова Н. Е. 42625
Хаймович А. И. 44261
Хамамура 42535
Ханада 43204
Ханмамедов К. М. 45095
Хархаров А. А. 42314
Хачадурова Т. М. 45599
Хигути 42859
Хидзава 43213
Хираи 43416
Хираи 45668
Хиракава 44227
Хиран 43185, 43187
Хирота 43628
Хлапова А. Н. 42606
Хольнов Ю. В. 42233,
42238, 42242
Ховерия М. Д. 45421
Хорошая Е. С. 44861
Хосида 43149—43151
Хримян А. И. 45459
Христов Е. И. 44218
Христова С. Я. 45463 К
Хромченко Л. М. 42256
Хуан Чжи-тан 43219

Ц

Цанин В. Д. 42785
Цанков В. 45280
Цзоу Дин-нан 45590
Цани Ин-линь 43218
Циммер К. Г. 42564
Црнојевић Р. 43466
Цукамото 43572
Цукамото 43185, 43186
Цукиерман И. П. 43104
Цунотом 44195
Цатада 42900, 42904,
42907, 42922, 42927

Цытович Н. Э. 44279
Цянь Жень-юан
43372, 43672

Ч

Частухина В. И. 43558 Д
Чачанидзе Г. Д. 43752
Чашин А. М. 45607
Червяковский Г. Ф.

43013
Череп И. С. 45379
Чернасов В. М. 43212
Черман Л. Л. 43906
Чернеева Л. 44109
Чернецкий В. П. 43236
Черников О. И. 42829
Чернова А. К. 43038,
43039
Чернышев А. С. 42906
Чесноков Л. И. 42528

Чжан Дэ-хэ 43372
Чмутов К. В. 43674
Чута Ф. 43473
Чунов П. Н. 45232
Чуфаров Г. И. 42681
Чэнь Кан 43372

Ш

Шабалин К. Н. 43736
Шанин Л. П. 43665
Шалиро Э. С. 43436
Шаповалова А. И. 43420
Шапочкин Б. А. 43611
Шафрановский И. И.
42168
Шашнов А. Н. 44110
Шварц Е. М. 42787
Швецов М. И. 43646
Шигорин Д. Н. 42332

Шинников П. Ф. 45527
Шипловский А. А.
42774

Шлынов А. В. 42610,
42611
Шмуляковский Я. Э.
43361

Шогам С. М. 42895,
43582

Шор М. И. 44741
Шостаковский М. Ф.

43425, 43426, 43436
Шполянский М. А.

42703
Штупер В. В. 42906

Шуйкин Н. И. 42718
Шульман А. Р. 42477

Шульман М. С. 43568,
45352

Шень Шоу-пен 43672

Щ

Щеглов О. Ф. 42710

Щербаков А. А. 45101

Щугал Я. Л. 44899

Щукина М. Н. 43241

Э

Эброхи Л. Л. 42793

Эйгенсон М. С. 42949

Эйслин И. Я. 45142

Эйдус И. М. 42432

Энда 43185

Эномото 44235

Эпельбаум В. А. 43657

Эривастан Д. И. 43483 К
Эттингер Н. Л. 44170

Ю

Юнусов С. Ю. 43311

Юрина Н. А. 43411

Юрьев Ю. К. 45101
Юсис А. П. 42262, 43361

Я

Яворовский А. А. 43107

Яги 42515

Ялупольский Л. М. 43236

Янушкина С. Е. 43079

Ямабе 42866

Ямада 42907

Ямада 43120

Ямамото 43583

Яно 43410

Яровицки В. И. 44266

Ярхо И. С. 43399

Ясников А. А. 43239,
43240

Ясногородский И. З.
43889

Яхонтов Л. Н. 43172

А

Abadie P. 42419
Abbey A. 44091 П
Abbey A. 45264 П
Abd-El-Moneim Abou-
El-Azm 43926
Abe Y. 43331, 44469 П
Abel E. 42654
Abell 43109
Abrahamson E. W.
43453

Abresch K. 43526
Ackroyd N. 44379 П
Adams E. N. 42503
Adams G. M. 44761 П
Adams J. W. 42973
Adams K. H. 44962 П
Adams O. 43993
Adams R. 43138
Adell B. 42740
Aebersold P. C. 43729
Aebi A. 43285

Agribiceanu I. 42302
Agnello E. J. 43138
Ahmad N. 43921
Ahmed Pathy Abbel Mau-
goud Shalaby 43113
Ahmed Mustafa 43113,
43140
Aho V. 43556 П
Alchnele E. O. 44927 П
Akasi H. 43148
Akerman K. 43733
Albareda J. M. 43011
Albers H. 44687 П
Alberti C. G. 43314,
43315

Albasetti C. J. 44948 П
Aldirfer S. W. 44807 П
Aleksiev V. N. 43481 К
Alexandre V. 43011
Alexandrescu G. 45538
Allemand C. 42494
Allen C. F. H. 44940 П
Allen E. J. 44128
Allen K. W. 43652
Allen R. A. 42217
Allerton R. 43262

Allgeuer K. 44008
Allison M. 42557
Almásey G. 43528
Almenningen A. 42361
Almond H. 43509
Almqvist E. 43652
Alpert D. 43648
Altenburg K. 43415
Amelinkx W. 42514
Amendola A. 43230
Amiard G. 43323
Amick C. A. 44611 П,
44616 П

Amiel J. 43579
Amis E. S. 42669,
42807, 43452
Amos J. L. 44472 П
Anand V. D. 43679
Anders H. 45025
Anderson A. B. 43279
Anderson A. W. 44116
Anderson R. C. 42554
Anderson R. V. 44143
Ando S. 45083 П
Andretichne R. 42499
Andrew K. R. 42399, 43392
Andrew P. 44568
Andrews A. C. 42362,
42920

Andrews G. E. 45744 П
Andrews K. J. M. 43102
Andrews R. S. 44191
Ang C. T. 42426
Anliker M. 42493
Anschütz L. 42228
Anselm W. 44020
Antal J. J. 42423
Anter H. 44260
Antikainen P. J. 42671
Antonaccl M. 44271
Antonoff G. 43638
Antzenberger P. 43390
Apel W. 45091 П
Aravamudan G. 43459

Arbit H. A. 45129
Arden D. B. 44290 П
Ardoin C. T. 44244
Arends W. 44659
Argoud S. 45220

Arich G. 42630
Arlov A. P. 45132
Armitage F. 45059 П
Armstrong G. P. 44473 П
Arnold H. 43097
Aronson M. H. 45771
Arundale E. 45762 П
Arvan P. G. 43791
Asada P. 44050 П
Asagoshi K. 44601 П
Asano S. 42436
Asaro F. 42249

Asboth K. 44393 П,
44404 П
Ashmead D. 44155
Ashton W. M. 43512
Asperer S. 42659
Aspergren B. D. 43171
Asundi R. K. 42307
Atamer S. 43737
Aten A. H. W. 42239,
42551, 42914
Atherton F. R. 44449 П
Auer L. 44604 П
Auerbach E. 45428
Aumüller W. 44716 П
Aust H. 45442
Austin H. C. 43698

Autenrieth H. 43760 П
Auterhoff H. 44647
Ayroud A. M. 45111
Azeem M. 43638

В

Baadsgaard H. 42917
Babbitt J. D. 44040
Babcock G. E. 43378
Babko A. K. 43485 К
Backensto E. B. 45651 П
Baczek M. 45506 П
Baddiley J. 43268
Baenziger N. C. 42405,
42406
Baier H. 45655 П
Baines S. 44146
Baldock C. R. 42230
Ball D. H. 45707
Ball R. M. 43626
Ball W. J. 44145

Ballauf A. 44610 П
Ballini R. 42232
Ballou C. E. 43266
Ballou E. V. 42876
Ballun A. T. 42794
Baltac A. 42578
Balters H. 42735
Balz E. H. 44059 П
Bandel G. 44493 П
Bandtel O. 43485 П
Bandyopadhyay K. G.
42953

Banerjee G. 43493
Banerjee J. C. 43990
Banks E. 42464
Bantieu J. 45467 К
Bannell R. H. 44458 П
Banus J. 43234
Bányai E. 43488 Д
Barall J. C. 44667
Baral L. L. 45552 П
Baranowski B. 42803
Barbey O. 44107
Barbieri G. A. 42908
Barceló J. R. 42326
Bardocz A. 43605
Bardoděj Z. 45827
Baret R. 43321

Bargallo M. 42178
Bargezi E. 44082 П
Barkas W. W. 45144
Barker C. H. 43846 П
Barker J. R. 42412
Barioutaud R. 42232
Barnard P. W. C. 43055
Barnes R. B. 44047 П
Barnoud F. 45123
Baroni A. 44791
Barr J. A. 43756
Barr M. 42861
Barre R. 43625
Barrère 45783
Barrett G. R. 44590 П
Barrow G. M. 42795
Barrow R. F. 42300
Barry A. J. 44456 П,
44502 П

Barthel J. 42777
Bartholomew R. M. 42258

Bartlett J. H. 44335 П
Bartlett P. D. 43108
Barton B. C. 44845 П
Barton D. H. R. 43285
Bartonek B. 44560
Baruch A. P. 45064 П
Basdekis C. H. 44945 П
Baskett A. C. 43432
Bass L. 45728
Bassett H. D. 44920 П
Bastiansen O. 42361
Basualdo W. H. 42651

Bate S. C. 45153 П
Batel W. 45677
Bather J. M. 43478
Batres E. 43298
Batts H. J. 44821 П,
44822 П
Baudoux P. 44784 П
Bauer O. W. 43837 П
Bauerschmitt A. 43442
Bavin P. M. G. 42312
Baxter G. 44557
Bayer O. 44552 П
Bayer R. 44112 П
Beal P. F. 43302
Beard J. 45473 К

Beardsley A. P. 45559 П,
45560 П, 45561 П
Beati E. 45348 П
Beavers M. F. 45795
Becher H. J. 42339
Bechtel R. J. 43747 П
Beck H. 43897 П
Beck H. R. 45019 П
Becker E. I. 42311,
43141
Becker K. 45373
Becker K. A. 42390
Becker K. W. 42182
Beckman J. W. 45746 П
Bedbur P. 45635 П
Beckman S. M. 44672 П
Beers R. F. 42660
Begell W. 45663
Beltzer H. 45503 П
Belamaric T. 44666
Belcher R. 43484 К,
43565

- Bell C. F. 43130
 Bell R. E. 42243
 Bell T. N. 42650
 Bellamy L. J. 42329
 Bellomo A. 43472
 Bellosa H. 44089 II
 Bellringer F. J. 44473 II
 Belmondi G. 42825, 42826
 Bendz G. 43087
 Bené R. 43442
 Beneke E. S. 43821
 Benesch W. 42943
 Benjamin D. G. 45345 II
 Benjamin E. C. 45841
 Bennelick E. L. 42559
 Bennett A. L. 42678
 Bennett C. F. 45114
 Bennett W. 42754
 Benoit G. J. 44339 II
 Benolton L. 43317
 Bentley K. W. 44646
 Benzinger J. R. 43159
 Benzer H. 45704
 Berak J. 42385
 Berencz F. 42282
 Berg O. 44375 II
 Berge G. 44075 II
 Bergel F. 43102
 Bergen R. L. 42778
 Bergmann E. 44397 II
 Bergmann E. 45733
 Beri R. M. 43270
 Berki R. 48309
 Berlenbach W. 43344 II
 Berlinguet L. 43316
 Berman J. 43001
 Bernard P. 45394
 Bernard R. A. 44411 II
 Bernardi L. 43315
 Berner E. 43144
 Bernfus E. 45416
 Bernhard P. 45039
 Bernstein I. M. 45034
 Bernstein R. B. 42691
 Berr A. 43814
 Berry C. R. 42422
 Berry M. G. 42743
 Bersohn R. 42279
 Bersworth F. C. 44724 II
 Bertaut E. F. 42379
 Bertocci U. 42837
 Bertoglio Riolo C. 43197, 43513
 Bertorelli O. L. 44831 II
 Berthold H. J. 42903
 Berwick A. G. 45759 II
 Berwick W. R. 45759 II
 Best F. S. 43647
 Betancourt A. F. 45312
 Bewley T. 44473 II
 Bhagavantam S. 42449
 Bhatnagar V. B. 43831
 Bhattacharyya S. K. 44372
 Biancani M. 42630
 Bianchi G. 42827
 Bilbard J. 44658
 Bieher B. 43491
 Bieher P. 42337
 Bielanski A. 42470
 Bielawski M. S. 45554 II
 Bieffeld J. P. 44979 II
 Bier G. 44924 II
 Biegon J. 44364
 Bighi C. 43530, 43543
 Bignell J. B. 44735 II
 Bijker J. J. B. 44124
 Bijl A. 42588
 Binda F. J. 45006 II
 Bircher L. J. 43060
 Biribauer F. A. 44409 II
 Birman J. L. 42415
 Biroš J. 42583
 Bischoff H. 42846
 Bisschop M. C. 43645
 Bitter J. H. 45044
 Bittker D. A. 42652
 Blach S. 44017
 Black R. H. 42381
 Blackwell R. Q. 42185
 Blackwood J. D. 44632 II
 Blair G. G. 45843
 Blair G. W. S. 45227
 Blair M. G. 43260
 Blanc D. 43624
 Blanc P. 43451
 Blander M. 42767
 Blankenberg A. 43803
 Blaser B. 44507 II
 Blasinski H. 45307
 Blättner H. 44963 II
 Blažek J. 43589
 Blieke F. F. 43160, 43161
 Bloch F. 42350
 Blois L. 43534
 Blois M. S. 43630
 Blok N. 43482 K
 Bloodgood D. E. 44150
 Blow C. M. 44815 II
 Bludau H. 43489 II
 Bobeth W. 45178
 Bobranski B. 43560, 44638
 Bock H. 44955 II
 Bockhoff F. J. 44863
 Bodea C. 43073—43076
 Bodin V. 42969
 Bodman J. W. 45234
 Boedecker F. 43842 II
 Boehringer A. 44520 II, 44524 II
 Boehringer E. 44520 II, 44524 II
 Boennecke O. 44462 II
 Boesler J. 42643
 Bognár R. 43154, 43277, 43330
 Böhm A. 45426
 Böhm H. 43098
 Boldo D. 45253
 Bokranz A. 43357 II
 Bold H. J. 42226
 Bolkowski J. 44016
 Bolognesi G. 45579
 Bollsinger O. 43661
 Bonduel M. 44176
 Bonhoeffer K. F. 42813
 Bonitz F. 45705
 Bonte A. 42987
 Borbély F. 45826
 Borchert W. 42401
 Bordonal P. G. 42576
 Bordwell F. G. 43067
 Borgioli N. 43034
 Borkowski B. 42894
 Borman H. 43656
 Bory R. L. 45823
 Bose P. C. 42619
 Boulant P. 44782 II
 Bousset R. 45176
 Bouthillier L. P. 43317
 Boux M. 42284
 Bovey L. F. H. 43604
 Bowden C. W. 42182
 Bowden F. P. 44632 II
 Bowes D. R. 42972
 Boyd G. E. 42230
 Boyd T. 44978 II
 Boyer R. A. 45490 II, 45491 II
 Boyer W. P. 44451 II
 Brachaczek W. 43549
 Bradley T. F. 44959 II
 Bradley W. 43170
 Brajter L. 45180
 Bramwyche P. L. 44473 II
 Brandenburg J. F. 45835
 Brandner J. D. 44990 II
 Brasche G. 43843 II
 Braude E. A. 43059
 Brauer E. 43951
 Brauer G. 42707
 Brautigam G. E. 43791
 Brearley C. S. 44911 II
 Brecht W. 45145
 Brederick H. 43197, 43198
 Bretter M. 42822
 Breitung 45310
 Bremner J. M. 43517
 Brendlein H. 44400 II, 44407 II
 Brennan E. W. 44331 II
 Brenner A. 43888
 Bresser J. 44202 II
 Brewer A. K. 45763 II
 Bridges J. F. 45103
 Brière M. 43668
 Briggs G. W. D. 42838
 Briggs J. C. 44735 II
 Brightbill E. N. 42934
 Briner E. 42664
 Britton S. C. 43879
 Brocard M. J. 44034
 Brodersen K. 42398
 Brodersen K. 44434 II
 Broeder J. J. 42701
 Broglie L. 42210
 Brookes H. E. 43501
 Brooks D. E. 45038
 Brooks J. W. 44301 II
 Brooks L. S. 43521
 Brooks M. C. 44457 II
 Broser J. 42437
 Brouckere L. 42798
 Brown B. 45096
 Brown C. P. 42796
 Brown D. A. 42322
 Brown F. 42258
 Brown H. C. 43051
 Brown R. H. J. 43641
 Brown W. E. 43997, 44820 II
 Brown W. F. 42479
 Brubach H. 43711
 Brückner R. 43908
 Brüggemann E. A. 44191
 Brügger H. R. 42493
 Bruins P. F. 44365
 Brunner H. 45048 II
 Brunswig H. 45842
 Bruyn H. 45272 II
 Bryan F. R. 43521
 Bryan J. H. 44902
 Bryan J. M. 43880
 Bryant A. J. 44680 II
 Bryce W. A. 42647
 Bubl E. C. 43820
 Buchanan G. S. 42840
 Buchanan J. G. 43268
 Buchta E. 43112, 43289
 Buckles R. E. 42744
 Buckmann J. P. 45269 II
 Budruss R. 42643
 Bueche A. M. 44976 II
 Bueche F. 43412
 Bühler A. 44537 II
 Buisson R. 43223
 Bukbards A. 45470 K
 Bullirsch R. 42865
 Bulkley W. L. 44035
 Bumm E. 44486 II
 Bundesen H. N. 45446
 Buntan C. A. 43055
 Burcham W. E. 42217
 Burchenal C. H. 44077 II
 Burger A. 43125
 Burger A. M. 44765
 Burger M. 45373
 Burgess B. M. 44341 II
 Burgstahler A. W. 43285
 Burke D. C. 43325
 Burkhardt H. 45631 II
 Burkinshaw H. 45371
 Burlew J. S. 42240
 Burman N. P. 44114
 Burns R. M. 45627 K
 Burson S. B. 42227
 Burstlein E. M. 44201 II
 Burton J. T. A. 42543
 Bury C. R. 44435 II
 Busby T. S. 43993
 Busch G. 42468
 Busch L. S. 44074 II
 Busch H. M. 42561
 Büssem W. R. 44062 II
 Bussetti G. 42214
 Butler D. 44806
 Butler R. M. 45707, 45710
 Butler S. T. 42573, 42574
 Buu-Hol N. P. 42309, 43167, 43237
 Buzágh A. 43381
 Buzniak M. 43654
 Byrd G. J. 45546 II
- C**
- Cadorin D. 43359
 Cagniant D. 43165
 Cagniant P. 43165
 Calavan P. C. 43822
 Calles J. D. 45553 II
 Callum M. 42923
 Camber B. 43577
 Cambronero J. 43290
 Camerino B. 43314
 Cammarata R. 43569
 Campbell A. 45423
 Campbell J. A. 43673, 44706 II
 Campbell I. G. M. 43233
 Campos Salcedo M. 45386
 Canapary R. C. 44365
 Canfield H. M. 45002 II
 Canonica L. 43121
 Capell R. G. 44186
 Capps W. 42616
 Carelli V. 43578
 Carey B. J. R. 45136
 Carl T. E. 45391
 Carlin G. T. 45238
 Carlin R. B. 43062
 Carlisle L. O. 45146
 Carlson C. S. 44409 II
 Carmen Sanchez-Calvo M. 43011
 Carolan R. J. 45317
 Carr K. 43999
 Carraroli D. 44844 II
 Carrié C. 45832
 Carriéri G. 43080
 Carroll F. E. 45278 II
 Carruthers A. 45325
 Carstens C. 44065 II
 Carte A. E. 42434
 Carter L. T. 45617
 Castan J. F. R. 45511 II
 Castell C. H. 45450
 Cassaday J. T. 43848 II
 Castro R. R. 45548
 Casty R. 44563
 Cavallito C. J. 44491 II
 Celet P. 42987
 Cepelewicz S. 43812
 Cerf R. 43377
 Cernia E. 44862
 Černý A. 43173
 Cesaire G. 43686
 Chackett K. F. 42217
 Chacravarti A. S. 45301
 Chadwick C. S. 42804
 Chakravarty A. K. 44175
 Challenger F. 44220
 Challis A. A. L. 44435 II
 Chalvet O. 42309
 Chanley J. D. 43278
 Changarnier J. 45620
 Chao T. S. 43217
 Chapman F. M. 45319
 Chapon L. 45370
 Charbonniere R. 42419
 Charlesby A. 43408
 Charrier J. 42388
 Chastonay P. 42664
 Chatt L. 42298
 Chatten L. G. 44655
 Chatterjee S. D. 42953
 Chauveau F. 42905
 Chauvin R. 45509 II
 Cheasley T. C. 44180
 Checchi S. 43191
 Chen W. T. 42932
 Chene M. 45111
 Chenticek J. A. 44302 II
 Chester G. V. 42603
 Cheutin A. 42309, 42333
 Cholak J. 45836
 Choppin G. R. 42252

- Choudhri R. S. 43831
Choudhury N. K. 42462
Chow E. 43278
Christensen R. 43057
Christian J. E. 43673
Christiansen D. W. 43822
Christiansen R. G. 44702 II
Christmann F. 44914 II
Christofzik P. 42623
Christopher P. 42910
Chrystal C. D. 45319,
Chrzeonowicz S. 45180
45181
Chu G. P. K. 43947
Chute W. J. 44630 II
Chybowski Z. 45397 K
Ciesielski J. 45518
Cieszewski M. 44009
Cilka S. 44115
Cines M. R. 44296 II,
44312 II
Cirja M. 43295
Claffy E. W. 42999
Clamroth R. 42845
Clanet F. 43580
Clark H. A. 44975 II
Clark H. C. 42915
Clark J. F. 45186
Clark N. O. 44045 II
Clark R. W. 44257
Clark T. J. 43701
Clarke D. M. 42769
Clarke F. H. 43283
Clary P. D. 45494 II,
45495 II
Class I. 45573
Claude R. 44713 II
Clausen H. 45032
Clay B. 43371
Clayton J. O. 44452 II
Cleerman K. J. 45170
Clegg N. A. 44270
Clements J. F. 44001
Cleverdon D. 43370
Clévy R. 45155 II
Clickner P. H. 45496
Clifford A. J. 44153
Clower J. I. 44250
Cluskey J. E. 43273
Cockbain E. G. 44806 II
Codell M. 43499
Coe M. R. 45484 II
Coffman D. D. 43441
Cole R. H. 42359, 42540
Cole R. M. 44414 II
Cole S. 42754
Cole W. E. 43061
Coleman R. J. 43428
Cologrove R. S. 43138
Collier H. O. J. 44684 II
Collier R. J. 43612
Collings W. R. 44824 II
Collongues R. 42395
Colombier L. 45580
Cone C. M. 45015 II
Conn P. K. 43701
Consolazio G. A. 43687
Constantinescu A. 42789
Conwell J. W. 43742 II
Cook M. A. 42694
Cook W. H. 45707
Cook W. O. 45516 II
Cooke G. M. 43699
Cookson R. C. 43292,
43293
Cooley G. 43299, 43300
Copenhaver J. W. 44494 II
Copet A. 44642
Coplans M. 44722 II
Corbellini A. 43294
Corbett W. M. 43269
Corcoran W. H. 42783
Cordovez Z. F. 45305
Corne R. 44103 II
Cornon R. 44769
Cornwell E. D. 45547 II
Corrodi H. 43305
Corson B. B. 43147
Corte H. 45119
Costanza A. J. 43428
Costich C. M. 42184
Cotman J. D. 43438
Cotton J. E. 43542
Cotton K. J. 42542
Cottrell A. H. 42489
Cottrell T. L. 42530
Cottschal A. J. 42594
Couchet G. 42523
Coulombier R. 44103 II
Cousens R. H. 42823
Cova D. R. 42800
Cowling R. W. 43991
Cox A. L. 42885
Craig D. 45546 II
Cram D. J. 43109
Cramer F. D. 42367
Cramer G. 43343 II
Crane J. 44174
Crank J. 43400
Craven R. L. 43068
Crawford J. H. 42502
Crawford W. 43708
Crawford W. H. 43502
Crennell J. T. 45617
Crombie L. 43085
Crouch W. W. 44446 II
Crowley J. H. 43082
Crowley M. S. 43913
Csajághy G. 43030
Cundelan J. V. 45841
Cunningham R. E. 42696
Currie D. G. 45121
Curtice J. S. 42732
Curtis C. E. 43965
Curtis R. G. 43288
Curtis R. M. 42407
Cvetanovic R. J. 42737,
42738
Czakis M. 43457
Czakow I. 43546
Czech K. 44870
Czike K. 42824
- D**
Dagron C. 42898
Dahlbom 43131
Dahlgren S. E. 42874
Dahm P. A. 43804
Dahme A. 44182
Dal P. H. 43939
Dalitz R. H. 42253
Dällenbach W. 43629
D'Alo G. 45443
Dalton M. R. 44950 II
Damokos T. 43631
Danby C. J. 42649
Dandegaonker S. H. 43292, 43293
Dangyu L. 42237
Daniel H. 42220
Daniels J. 43678 II
Danielson L. L. 43828
Daniewski W. 45457
Danilenko D. L. 45327
Danning J. W. 42182
Danon M. 43808
D'Ans J. 43084
Dantuma R. S. 43490
Darby R. A. 43125
Daries L. 44607 II
Darmois G. M. 42612
Darnell A. J. 42586
Datta S. K. 43463
Daudel R. 42284, 42309
Dautrebande L. 44726 II
Davey W. 43541
David-Cuny M. F. 44664
Davidson E. A. 43274
Davidson N. 42679
Davidson S. H. 44635 II
Davis E. C. 43817
Davis E. G. 45027
Davis H. M. 43947
Davis W. S. 45648 II
Dawes W. 45825
Dawirs R. 43526
Dean J. B. 44138
Dean R. S. 43779 II
Debicka K. 44665
De Boer N. H. 4272
De Carlo C. R. 45768
Decken U. 45832
Decker R. 44974 II
Decker R. W. 42495
De Cristoforis Z. 43569
Deeg E. 43915
De Felice D. 44780 II
Degeratu V. 43738
Degueidre L. 43910
Dehmelt H. G. 42348
Deibner L. 45394
Deinet J. 44549 II
Deisler P. F. 43477
Delang T. G. 44822 II
De Laporte A. V. 44154
Delarue M. J. 44034
Delbourgo R. 42676
De Leo E. 43569
De Long H. K. 43881
Delorme C. 42396
Demmig W. 43264
Dempsey J. N. 42405
Dengel F. 44688 II
Deo B. B. 42771
Deren J. 42470
Der Vichian D. G. 42872
Dervien M. F. 44034
Desch R. P. 44982 II
Desprets P. 44555
Detrich R. S. 45019 II
Dettner H. W. 43876
Deudon M. 42404
Deuel H. 43384
Dever D. F. 42595
DeVletter D. R. 42989
Dewar M. J. S. 42312
Dewberry E. B. 45454
DeWitt T. W. 43406
DeWolfe T. A. 43822
Diamond G. L. B. 44231
DiCiacomo V. 44772
Dicke R. H. 43613
Di Colbertaldo D. 43015
Dienes G. J. 42423
Dierichs A. 44328 II
Dierkes G. 44562
Dietz A. G. H. 44858
Dietzel A. 43908, 43915
Dijkstra R. 42670
Dijmărescu I. 42789
Dillon W. M. 45585
Dimler R. J. 43273
Dinerstein R. A. 44475 II
Dinsdale A. 43918
Discher C. A. 42820
Di Stefano F. 45191
Dittmar W. 42517
Djerassi C. 43286,
44704 II
Dobbs E. R. 42412
Dobrzycki J. 45284
Doelling G. L. 44962 II
Doherty W. E. 45391
Dohse H. 44963 II
Dole M. 42769
Dolinek A. 45295
Dollimore D. 43207,
43208
Domaniński W. 42584
Domanský R. 43544
Domin B. 45195 II
Dominé-Bergès M. 43917
Dondes S. 42751
Dongorosi S. 43295
Dorinson A. 44342 II
Dornauf A. 45749 II
Dornbusch P. 45008 II
Dossow K. 43084
Dostál V. 45684
Doty D. M. 45428
Dougherty E. L. 42763
Dowling M. A. C. 43809
Downarowicz J. 43551
Downing A. L. 43018
Downs C. D. 45069 II
Drapal O. 44610 II
Dresselhaus G. 42497
Drickamer H. G. 42763
Dropecky B. J. 42221
Dry L. J. 43089
Dubien M. 44939 II
Dubinin M. M. 42857,
42858
Dubois J. É. 42777
Dubravica M. 43036
Dubravkova L. 43310
Dubray J. 44083 II
Dubrisay R. 44173
Dubrznyska H. 44006
Dudley H. C. 42546
Duffin W. J. 42402
Duffs E. J. 45572
Dulou R. 43280
Dunn C. L. 44718 II
Dunne T. F. 44899
Dunster H. J. 42559
Dupeyrat R. 43601
Duplin V. J. 44084 II
Dupont G. 43280
Dupret L. 44177
Dupuy P. 43579
Dusinský G. 43593
Dutt P. K. 43214
Duus H. C. 42590
Dux E. F. W. 45330
Dyde J. H. 44189
Dyer E. F. 44101 II
Dykstra K. G. 44780 II
Dyrssen D. 43016
Dziankowski M. 43732 K
- E**
Eagleton S. D. 44884
Easterbrook E. R. 43053
Eastland C. J. 44684 II
Eaton J. R. 43673
Eaton S. L. 45267 II
Eberhardt P. 42236
Eberly W. S. 45792
Ebert R. 43843 II
Echard R. 42199 K
Echols L. S. 44338 II
Eckell J. 444984 II
Eckert B. 43237
Eckhardt F. 45091 II
Edgar A. C. 45515 II
Ediger W. 44311 II
Edimann L. 42992
Edwards F. C. 45068 II
Edwards J. D. 43209
Edwards T. H. 42369
Eggers D. F. 42356
Ehrhart G. 44673 II,
44716 II
Ehrlich C. 45436
Eicken (Estienne H.) 44589 II
Eldebenz E. 44489 II
Eigen M. 42775
Elrich F. R. 44871
Eisen J. B. 45005 II
Ekwall P. 42880
Elbrächter E. A. 44485 II
Eldridge W. J. 44157
Elemens G. F. 44482 II
Ellie E. L. 43048
Ellefsen Ø. 45115
Elliott A. 43991
Elliott I. W. 43175
Elliott J. T. 45822
Elliott R. 34816
Ellis B. 43299—43301
Ellis S. R. M. 45721
Elisd E. 45167, 45174
Elsner von Gronow H. 44030
Eltenton G. C. 45805
Emerson W. S. 44988 II
Emi K. 43522
Emmett P. H. 42697,
42731
Emmons W. D. 43139
End W. F. 45778
Ender W. 44561
Endres R. 44812 II,
44987 II, 44991 II
Engel H. 44333 II

- Engell H. J. 42835
Englert R. D. 45228, 45414
Enomoto S. 42713
Epelboin I. 43614
Epstein D. A. 43731 R
Erasmus H. W. 44093 II
Erdős E. 42583
Erickson J. G. 43276, 44427 II
Erikson E. 43023
Erlandsson G. 42341
Erlenmeyer H. 43176
Ernst J. L. 44915 II
Ernst R. L. 45492 II
Ervinck M. 45351
Esche C. G. 45670
Escher E. E. 43683
Esposito V. 44359 II
Espoy H. M. 45445
Essen L. 43639
Euler H. 43257
Evans J. C. 43666
Evans W. H. 42587
Evcin N. 42861
Everest D. A. 42896
Ewart R. H. 44457 II
Ewens P. G. 45702
Ewing S. P. 45564
- F**
- Faber E. M. 44459 II
Fabian F. W. 43821
Fabre R. 45846
Fairbank H. A. 42541
Fairburn E. I. 43319
Fairfull A. E. S. 43180
Faldner J. 45116
Falk R. A. 43094
Paragó L. 42208 R
Farber M. 42586
Farkaš J. 45392
Farran J. 42513
Farrington B. B. 44251
Faßbender H. 42941
Faucherre 42781
Federlin P. 42337
Fedoruk S. O. 43599
Fehér F. 42903
Fehnel E. A. 43137
Fehrmann K. 45368
Feigl F. 43570
Feldon M. 44792
Fellers C. R. 45332
Fennell T. R. F. V. 43545
Fenske M. R. 45762 II
Ferguson L. N. 42363
Ferrell J. K. 44142
Ferro A. 43574
Ferroni E. 42424
Ferry J. D. 43403, 43405
Fetterly L. C. 44295 II
Feuer H. 43095
Feuersenger M. 43819
Feyter G. D. 42239
Ficchi A. 43121
Fields P. R. 42250
Fiescher P. 44382 II
Fieser L. F. 43287
Fieser M. 43287
Fildes J. E. 43565
Filip J. 45399 R
Fillipescu M. 44363
Finch A. 42595
Fincher H. 42182
Fine M. E. 42429
Fischer A. 44645
Fischer D. 44248
Fischer E. W. 42421
Fischer H. O. L. 43266
Fisch r K. 42399, 43392
Fischer L. 44662
Fischer-Wasels H. 42291
Fisher J. 43973
Fishman M. M. 43371
Fitzer E. 45632 II
Fitzgerald D. 44181
Flammersfeld H. 44730 II
Flanagan W. F. 45053 II
Flanders P. L. 42508
Planzy M. 45396
Flaxman M. T. 45645 II
Fleck A. 44187
Flesch R. N. 43142
Flesch W. 44209 II
Fletcher A. C. 45030
Flores H. 44492 II
Florescu M. 43075, 43076
Floria V. D. 43678
Flörke O. W. 42389
Flory P. J. 43396
Fodor J. 42824
Fogg P. G. T. 42544
Földváriné Vogl M. 43010
Folkers R. 43143, 43312
Polman M. 42880
Forgeug W. D. 44093 II
Forlin J. E. 44636 II
Forkel W. 43912
Formwalt J. M. 43719 II
Forrester J. D. 44180
Förster T. 42749
Fort C. A. 45296
Fortess F. 44576
Fortuin J. P. 44477 II
Forsby D. W. 45721
Fosdick L. S. 42185
Foster A. B. 43261
Foster J. F. 43379
Foster N. G. 42807
Foster R. E. 44481 II, 44942 II
Fouche E. 44144
Foulon A. 45578
Foulon C. 44572
Fournneau J. P. 43303, 43304
Fournet G. 43390
Fox A. L. 43779 II
Fox T. G. 43419
Fragoso J. H. 45308
Framm P. 44889
Frame J. D. 44117
Franchi L. 42193 R
Francion 43618
Praneau J. 42237
Frank H. P. 43368
Franke E. A. 43944
Frank W. 44396 II
Frankenburg W. G. 45504 II
Franklin J. L. 42278
Franz K. 44898
Franzke C. 45216
Frasch J. 45568
Fraser W. A. 44047 II
Fravel W. H. F. 44811 II
Frechtling A. C. 45080 II
Freed B. 45297
Freeman J. P. 43139
Freifelder M. 44512 II
Freshwater D. C. 45801
Freyer G. 42403
Friederich E. O. H. 43715 II
Friedrich H. 44376 II, 44395 II
Friediger A. 43099
Friedman A. M. 42250
Friedman M. H. 42573, 42574
Frier R. 43254 II
Friestrom R. M. 42677
Fritz G. 42902
Fröhlich A. 44932 II
Fromandl G. 44830 II
Frondel C. 42976
Fronnmuller G. D. 43763 II
Frost D. U. 44733 II
Frötschner W. 44744
Fryling C. F. 44907 II
Fuchs A. 44591 II
Fuchs O. 43363, 44514 II, 44624 II
Fuchs W. 43671
Fuerstenau D. W. 42853
Fujita T. 45804
Fuks Z. 44666
Fuller J. H. 44257
Fulton C. O. 44720 II
Funt B. L. 43417
Fürth R. 42607
Furukawa J. 44384 II
- G**
- Gachowski Z. 44652
Gaertner G. W. 44413 II
Gailliot P. 44693 II
Gaid V. S. 43146
Galibert R. 44038
Gall R. 43176
Gallo N. 43308
Galotto C. P. 43574
Galperini L. 45375
Gambill W. R. 45706
Gamble E. 45730
Ganea G. 45538
Ganguly S. C. 42462
Gann P. W. 44450 II
Ganzhorn G. H. 44835 II
Garavelli C. L. 42977
Garbers C. F. 43351 II
Garcia-Rivera J. 43888
Gardais J. 44399 II
Gardner F. T. 45654 II
Gardner T. S. 43204
Garner P. H. 45721
Garnier P. A. 44949 II
Garratt D. C. 43487 R
Garrels R. M. 42960
Garrick P. 45331
Garrison W. M. 42754
Garton W. R. S. 42269
Gaté J. 45814
Gaudechon J. 44693 II
Gaudiano A. 43520
Gaudin A. M. 42853
Gaudry R. 43316
Gaulord N. G. 43082
Gauvin W. H. 45726
Gay P. J. 44813 II
Gaydasch A. 44479 II
Gaylor N. G. 43159
Gebert F. 44248
Gebert F. 45011 II
Gedam B. V. 45666
Gehm R. 43437
Geiss J. 42236
Gemassmer A. 44377 II
Gensel H. 44058 II, 44597 II
Genta V. 42826
Gentner W. 42948
George C. 45614
Georgian V. 43046
Gerb L. 43029
Gerber J. S. 44088 II
Gergely G. 43689
Gerischer H. 42816, 42817
Gerrard W. 43209
Gessler A. M. 44839 II
Ghe A. M. 43467
Ghlorso A. 42252
Ghiță C. 42302
Ghormley J. A. 42753
Ghosh N. N. 42953, 43464
Glaque W. F. 42589
Giberti E. 44171
Gibson I. A. S. 43823
Gibson J. D. 43697
Gibson R. C. 45634 II
Gibson W. E. 44234
Gidel A. 42419
Gier J. 44053 II
Giers S. 45253
Giger G. 44800
Giglio G. 43853
Gilbert L. O. 43878
Giles C. H. 44557
Gilkerson W. R. 42679
Gilkey J. W. 44456 II, 44502 II
Gill F. 45738
Gill J. W. 45018 II
Gillespie B. G. 44317 II
Gillett C. A. 43849 II
Gilliland E. R. 44113 II
Gilvarry J. J. 42260
Gindler J. E. 42250
Girard A. 45271 II
Girard P. 42419
Girelli A. 44214
Girifalko L. A. 42534
Givens J. H. 45204 II
Glaser D. V. 42300
Glass C. A. 43378
Glass J. J. 42959
Glass N. W. 42219
Gleason A. H. 45057 II
Gleber J. A. 44257
Gleichmann A. 45820
Glein W. K. T. 44479 II
Glenister P. R. 45373
Gleser F. 44355 II
Giersen J. G. 45115
Gloger W. A. 43693
Gnelse G. 43691
Gockell W. 45829
Goepfert G. J. 45002 II
Goetschmann H. 43988
Gokhale S. D. 42806
Gold L. W. 42518
Gold M. H. 44444 II
Goldfarb R. I. 45327
Goldhammer H. 45492 II
Goldschmidt B. 42893
Goller S. 43940
Gollmar H. A. 44213 II
Goltz G. E. 45694
Gommpper R. 43197, 43198
Gonda D. 44999 II
Good M. L. 42640
Goodman C. 42216
Goodman G. 43978
Goodman L. S. 42231
Goodman W. N. 44725 II
Goodyear G. 42402
Goodyear M. V. 45080 II
Gopala Rao G. 43459
Gordon H. 44748
Gordon W. 42548
Gore P. H. 43059
Gornick F. 43427
Görnitz K. 43843 II
Gorokhoff E. 44771
Gorzyńska J. 44184
Goss W. C. 45017 II
Gostea T. 44371
Götze K. 45174
Gouarné R. 42277
Goubeau J. 42339
Gould E. S. 43230
Gould J. V. 45134
Goulding C. E. 44099 II
Grace M. A. 42222
Graeser W. 44575
Graf O. 44041
Graham J. W. 45639 II
Graham R. L. 42243
Gramstad T. 43144
Grant D. D. 43769 II
Grard F. 42237
Graßmann H. 42979
Graul R. 45426
Gray P. 42897
Gray R. H. 44754 II
Green J. 45404 II
Greene J. 45078 II
Greene S. A. 43714
Greene-Kelly 43005
Greenwald H. L. 42883
Gregor H. P. 42909
Greguss P. 45520
Greider C. E. 44210 II
Griessbach R. 44417 II
Griessbach R. 45719
Griffith M. V. 45701
Grignard R. 45185
Grim J. M. 44919 II
Grimaud G. 45311
Grimme H. 44010
Grivel P. 43858
Grjothelm K. 42790
Groff F. 44920 II

- Groff J. 44252
Grogan C. H. 43169
Groot C. 44718 II
Groskopf M. 45070 II
Gross B. 44855 II
Gross G. 42525
Gross P. M. 42792
Grosskinsky O. 45084 II
Grossmann 44102 II
Grote H. W. 44911 II
Groves K. D. 44094 II
Grubb W. T. 43607
Grubel R. O. 44074 II
Grubitsch H. 45563
Grückel K. 45060 II
Grunbaum B. W. 43563
Grünbel R. 43352 II
Grunblaud I. 43304
Grundmann C. 43193,
43194, 44812 II
Grunewald A. 45283
Grunwald E. 42595
Gruschin G. G. 43002
Grussell E. A. 44996 II
Grüssner A. 44509 II
Gspahn H. 45402 II
Guenther H. W. 45214 II
Guggolz J. 43710
Guha Sircar S. S. 43461
Guidée C. 43421
Guilbot A. 42419
Gulld L. V. 43721 II
Guillemain-Gouvernel J.
43443
Guinot H. 44399 II
Gulati I. B. 44372
Gundersen L. O. 44164 II
Gürten T. 44961 II
Gustavson E. G. 45479 II
Guth E. P. 44654, 44656
Guthrie J. D. 44622 II
Guthrie V. B. 44224
Guyer A. 42600
Guyer A. Jr. 42600
Guyot C. 45846
Gwathmey A. T. 42696
Gwilt J. R. 43541
Gyer A. 44204 II
- H**
Haack E. 43307
Haack E. 44681 II,
44683 II
Haas A. B. 44725 II
Haase R. 42761
Häberli E. 43688
Habert R. 43250 II
Hach W. 45345 II
Hadáček J. 43189, 43190
Haehnel W. 44033 II,
44935 II
Haelmold E. 45010 II
Haeseler 45360
Hafliger F. 43845 II
Hag Z. 43921
Hagan A. G. 43371
Hagemann G. 44712 II,
44713 II
Hagenberg T. 44053 II
Häglund E. 45105
Häglund E. K. M.
45149 II
- Haines H. W. 45313
Halberstadt J. 42551
Hale F. 44158
Hale W. 45507 II
Hale W. T. 43991
Halff C. 44881
Hall A. J. 44567
Hall D. A. 44268
Hall G. E. 44841 II
Hall H. T. 42605
Hall N. A. 44662
Hallan R. 45144
Halls E. E. 44866,
44877
Halpern J. 42656
Ham G. E. 44569
Ham P. 43281
Hamann K. 45644 II
Hamill W. H. 42653
Hamilton L. A. 43227
Hamlin A. G. 43478
Hamm R. E. 42916
Hammel D. R. 44792
Hammond G. S. 43058
Hammond W. T. C.
44952 II
Hamon B. V. 42490
Hanabusa S. 43148
Hancock N. H. 43408
Handley T. H. 42218
Haney G. R. 43675
Hanley T. E. 43920
Hannah C. G. 44921 II
Hankin J. M. 44661
Hansard W. C. 43943
Hanshoff G. 44257
Hansmann J. 44872
Hanz A. R. 43302,
43318, 43319
Hapka T. 43535
Happe W. 44536 II
Hara R. 43527
Harbeck G. E. 43020
Harbeck C. 42457
Harbottle G. 42251
Harbourn C. L. A.
43709
Hardegger E. 43305
Harder H. 44960 II,
45161 II
Hardesty J. O. 43783
Hardy D. V. N. 43769 II
Harkness A. L. 42250
Harlen F. 43432
Harman M. W. 44840 II
Harned H. S. 42767,
42768
Harper S. H. 43085
Harris C. R. 44506 II
Harris E. E. 45097
Harris F. E. 43375,
43433
Harris R. C. 45546 II
Harris S. A. 43143
Harris W. D. 42182
Harrison E. R. 43713
Harrison S. A. 44820 II
Harrison W. W. 43957
Harrower G. A.
43647
Harry W. 44981 II
Harteck P. 42751
- Hartley A. M. 43500
Hartley G. S. 44453 II
Hartley J. H. 43996
Hartley F. 43299,
43300, 43301
Hartman J. A. 42993
Hartman L. 43566
Hartman P. 42371
Hartmann F. 45066 II
Hartmann G. 44764
Hartmann H. 42291
Hartog C. 45413
Hartshorn L. 43639
Harvey B. G. 42252,
43775 II, 43776 II
Harvey G. J. 42668
Harvey H. F. 45621
Harvey L. 43370
Harvey P. G. 44378 II,
44379 II
Harvey R. G. 43225
Harwood H. J. 43226
Hasegawa C. 43118 II
Hass G. 45643 II
Hassel K. 44283 II
Hasselquist H. 43257
Hassler F. X. 42540
Hatcher D. B. 44458 II
Hausam W. 45521
Hansen J. 43598, 45772
Hansen J. 44226
Hautot A. 42756, 42758
Haven Y. 42476
Hawkes H. A. 44146
Hawkins R. C. 42258
Hawthorne M. F. 43058
Hay J. K. 43836 II
Haymond H. R. 42754
Hayward J. W. 42182
Hazard J. J. 42794,
45250
Heden C. G. 45460
Hedges E. S. 44813 II
Hedlung R. 45028
Hedman E. A. 45625
Heer E. 42215
Heer J. 42280
Heeringa L. G. 43174
Heertjes P. M. 43162,
43163
Hegedüs B. 44509 II
Heger J. J. 45572
Heidenreich R. D.
Heider R. L. 44450 II
Heijmer G. B. 45063 II
Heikes R. R. 42480
Hellmann E. 45213 II
Hein D. W. 44678 II
Hein G. 43877
Hein R. E. 43701
Heine H. W. 44063 II
Heinemann H. 44443 II
Heinrich E. 43765 II
Heininger S. A. 43062
Heinrich D. O. 45675
Heintzelman W. J. 43147
Heintzelman F. C. 45230
Helsel P. 45056 II
Helbig W. A. 44136
Hellin M. 42642
Hellman N. N. 43378,
45241
- Hellwege A. M. 42460
Hellwege K. H. 42460,
42467
Helmholtz E. 45079 II
Helvey T. C. 45336
Hempel B. 44015
Henderson L. F. 45278 II
Henderson S. T. 42444
Hendry N. G. C. 45404 II
Hengst K. 45765
Henk B. 44039
Henkart C. E. 44887
Henkel R. L. 42259
Hennig B. 44385 II
Henrion E. 45171
Henson E. F. 42558
Henson W. A. 45068 II
Hentrich W. 44812 II
Herenguel J. F. G.
45077 II
Heritage C. C. 45148 II
Heritage R. J. 45558 II
Herr W. 42236
Herrlein F. 44938 II
Herrmann E. 43168
Herrmann K. 44433 II
Herrmann W. O. 44933 II,
44935 II
Hersh S. L. 44762 II
Herzberg H. 43249 II
Herzog S. 42913
Hese H. 44860
Heukelm W. 42701
Heumann T. 45565
Hewett D. F. 42959
Hewitt C. H. 44146
Heyer W. 45364
Heymes P. 44056 II
Heymes R. 43323
Heymons A. 43842 II
Heyn A. N. J. 43388
Heyna H. 45523
Heyroth F. F. 44131
Heyrovsky J. 42842
Hibbert D. 45297
Hickethier C. F. 45571
Hickey R. J. 45398 II
Hickinbotham A. R.
45378
Hickmott J. R. 45790
Hickox G. H. 42182
Hidalgo A. 42331
Higginbotham O. 45298
Higgins N. A. 44957 II
Higgins T. D. 43119
Higgs P. W. 42325
Highberger J. H. 45523
Higuchi T. 42368
Hildreth C. L. 42767
Hilgert H. 43245 II
Hill R. D. 42241
Hill R. W. 42604
Hiller J. E. 42400
Himmen E. 45545 II
Himmier W. A. 43082
Hinderling R. 43176
Hingst G. 43439
Hinshelwood C. 42649
Hintenberger K. 44076 II
Hirnsal J. 44024
Hirone T. 42427
Hirsch P. B. 44172
- Hirschmüller H. 45324
Hisatsune I. C. 42356
Hoatson J. R. 44478 II
Hoban N. 45335
Hobbs M. E. 42792
Hochanadel C. J. 42753
Hochberg J. 45058 II
Hochberg M. 44729 II
Hocking C. S. 42814
Hodge A. A. 44999 II
Hodge E. S. 43000
Hoehn H. H. 43441
Hoerren H. W. 45043
Hoffmann A. 42520
Hoffmann F. 43615
Hoffmann P. 43733
Hoffmann U. 45374
Hofmann W. 44789
Hoge H. J. 43669
Hogg J. A. 43302, 44495 II
Hohlstein G. 43235
Höhn W. 44460 II
Holden J. R. 42406
Holder B. E. 42346
Holdt G. 43495
Holdt M. M. 45215
Holl J. 42179
Holly F. W. 43143
Holser W. T. 42374
Holtan H. J. 42811
Holtshmidt U. 42707
Holtzberg F. 42614
Holz H. 44974 II
Holzrichter H. 44826 II
Honjo M. 44677 II
Hood R. S. 44588 II
Hoog H. 44216
Hoopes J. W. 45663
Hoov W. F. 44366,
44367
Hooton D. J. 42411
Hoff H. 44470 II
Höpfner K. 44336 II
Hopper R. P. 45238
Horli A. 45508 II
Horluti J. 42713
Horn D. H. S. 45215
Horner L. 43117
Horning E. C. 43242 II
Horst A. M. 43162, 43163
Horstmann D. 45570
Horubata A. 45419
Hoskins R. 42343
Hotten B. W. 44274
Hours R. 42884
Houston D. P. 43677
Houten S. 42387
Hove H. 44626 II
Hove J. E. 42414
Hovi V. 42592
Howard H. 45496 II
Howell K. M. 42275
Howell W. F. 44169
Hoyer H. 42364
Hoyer H. 44552 II
Hrubček J. 45292
Huang Tah-Ho 43788
Hubáček J. 42207 II
Hubbuck L. P. 45061 II
Huber F. 45365
Huck G. 42375
Huck J. L. 44483 II

- Hudson J. H. 43800 II Jacquignon P. 43237
Huer R. P. 44085 II Jaenicke J. 44817 II
Hueter R. 44727 II Jaensch P. A. 45824
Hughes J. P. 42182 Jaffe J. H. 43602
Hughes V. L. 42924 Jaffe P. M. 42464
Huizenga J. R. 42250 Jäger L. 42583
Hukki R. T. 45122 Jahn A. 44924 II
Hulanicki A. 43549 Jahn E. C. 45137
Hulbert G. C. 44890 Jahns R. H. 42984
Hultquist M. E. 44680 II Jäkel T. 43640
Hume H. F. 45207 II Jakobiec T. 44638
Hummel A. 44023 Jakobsen J. L. 45266 II
Hummel J. 45372 James R. G. 44809 II
Humphrey R. A. 43919 Jameson B. G. 43699
Hundhansen G. 45066 II Jammam M. 44642
Hunt H. 42601, 42780 Janák J. 43465
Hunt J. P. 42655 Janković S. 42986
Hunter D. N. 44894 Jannke P. 42133
Hunter R. H. 44990 II Jansen O. 45132
Hunter S. C. 42489 Janson H. 43540
Huntley H. E. 42954 Jaquin P. 44083 II
Huppert P. A. 43952 Järnfelds B. 43008
Huss R. 44536 II Jaupain M. 43914
Hutchins R. P. 42182 Jayer P. 45212 II
Hutchinson C. O. 45609 Jayme G. 43264
Hutchison A. C. 44633 II Jech Č. 42889
Hutton W. 45585 Jegorov A. P. 43731 K
Hyde J. F. 45046 II Jekel O. C. 45544 II
Hyman H. M. 43550 Jenckel E. 43397
Hyman M. 43716 II Jenkins S. H. 44146

I
Ierland J. F. A. A. 42588 Jennen J. J. 42296
Ishaya Y. 42281 Jenney T. M. 45734
Iida Y. 45289 Jensen A. 43057
Ikeda T. 42431 Jensen E. V. 43225
Iknayan A. 44821 II Jensen L. K. 42219
Iler R. K. 42888, 43773 II Jensen W. 44452 II
44344 II Jequier L. 45742 II
Illies R. 45282 Jesper H. 45565
Illingworth J. W. 44801, Ježo I. 43310
45201 II Jilek A. 42177
Ilshner B. 42942 Jirgensons B. 42886
Imhausen A. 44345 II, Jochmann F. 43931
44416 II, 44829 II Jogarao A. 43663
Imhausen K. H. 44345 II, Johansen R. J. 45154 II
44416 II, 44829 II Johansson A. J. 45150 II
Inatome M. 43258 Johansson C. H. 44628
Indovina R. 43569 Johns H. E. 43599
Ingold K. U. 42647 Johnsen B. R. 42600
Ingwalson R. W. 43199 Johnsen U. 42467
Inouye Y. 45536 Johnson B. A. 44706 II
Ionescu G. N. 44371 Johnson C. A. 43501
Irby G. S. 44793 Johnson H. B. 42362
Irons C. R. 45512 II Johnson J. A. 44848 II
Irving G. 44893 Johnson J. E. 44671 II
Irving H. 43130 Johnson J. R. 43965
Ishibashi M. 43522 Johnson K. C. 43275
Ishida E. 44929 II Johnson R. C. 43813
Ishikita K. 45009 II Johnson W. S. 44702 II
Ivash E. V. 42536 Johnston D. E. 42420
Ives D. J. G. 42823 Johnston E. L. 43143
Iwakiri K. 44989 II Jokela J. J. 43826
Iwakura Y. 45012 II Jones E. 42838

J
Jackson G. W. 44473 II Jones F. L. 45108
Jackson R. W. 43302 Jones D. G. 44471 II
Jacob R. M. 44690 II Jones J. 45762 II
Jacobs M. B. 44773 Jones J. K. N. 43271,
Jacobson H. I. 43225 43272, 45707
Jonges R. N. 42335
Jones S. C. 43811
Jones W. H. 42674
Jonge J. 42670
Jongerius H. M. 42268
Jonker G. H. 44070 II
Jorde W. 44211 II
Jordan W. C. 42227
Jörg O. 45104
Jørgensen C. K. 42319
Joshi C. G. 43155
Joshi D. V. 43111
Josien M. L. 42327,
42328
Jost W. 43801 II
Jouenne C. 43916
Joyner L. G. 45313
Joyner N. T. 42182
Judd G. F. 43217
Julian P. L. 44705 II
Julius Pintsch K. G.
44283
Jumpertz E. A. 42386
Jungers J. C. 42642,
42717
Junker H. J. 44182
Junod P. 42468
Jupp W. B. 45586
Jürges W. 44943 II
Jüttner B. 45084 II

K
Kacprzak F. 43586
Kaczmarek F. 44665
Kaess F. 44313 II
Kahler F. 44008
Kahler H. L. 45614
Kahlweit M. 42813,
42814
Kaiser D. W. 44520 II
Kaiser E. 43347 II
Kaku H. 45052 II
Kallinowski K. 43588
Kallenbach R.
45635 II
Kallmann S. 43529
Kalpers H. 45593
Kambara T. 42839
Kamecki J. 45604
Kanagaratnam N. 45456
Kanagy J. R. 45524
Kanamori J. 42413
Kaneke M. 43409
Kanhäuser P. 44018
Känzig W. 42493
Kapella G. E. 45250
Kaplan J. I. 42506
Karabinos J. V. 42794,
45250
Karam H. J. 45170
Karnojitzky V. 43083
Karpel W. J. 44705 II
Karr C. 44186
Karrholm E. M. 45187
Karwell J. 42375
Kasper K. 42749
Kataoka H. 43522
Kato N. 42516
Katz U. 42468
Kaufman C. W. 45481 II
Kaufmann H. P. 44659,
45222, 45244
Kaufmann S. 44704 II
Kaupmann W. 44488 II
Kautsky H. 42901,
42902
Kawamura A. 45536
Kawamura H. 42481
Kaye I. A. 43287
Keblich L. M. 45067 II
Keeler J. H. 43947
Keemann M. 44314 II
Keesom W. H. 42588
Keicher G. 45056 II
Keil A. 43598
Kelly H. J. 43690
Keith M. L. 43901
Keller A. 43394
Keller G. J. 45711
Keller W. D. 42975
Kellgren W. 45163 II
Kells L. F. 42582
Kelly W. W. 45482 II
Kemula W. 43448,
43549
Kendrick T. R. 44186
Keppel H. 42448
Keppler J. G. 42863
Keresztes M. 43745 K
Kerk G. J. M. 43220—
43223, 43435
Kerker M. 42885
Kerkkonen H. K. 45444
Kern R. J. 43067
Kern W. 43437
Kerstan W. 43938
Kertes S. 42784
Kessener H. 44151
Kesting E. 43778 II
Keuker H. 43471
Khanna K. L. 45301
Khorana H. G. 43324
Khundkar M. H. 42833
Khyrn F. P. 45265 II
Kiefer E. W. 43575
Kiesling H. J. 43358 II
Kihara T. 42531
Kilby W. 44595 II
Killeffer D. H. 45612
Killey M. 43273
Kimmel J. R. 45592
Kimura M. 42427
Kimura S. 44755 II
King C. 43428
King E. G. 42580
King J. C. 42541
Kinery W. D. 43904
Kinoshita T. 42211
Kinsella J. 45811 II
Kip A. F. 42497
Kirberg R. 45737
Kirby K. S. 45539
Kirmann A. 42337
Kirsch H. A. 45773
Kirschdorfer A. M. 45369
Kirschnick H. 45333,
45334
Kirschning H. J. 42637
Kirsten W. J. 43450,
43563
Kisdnasamy S. 42953
Kishi K. 43409
Kistiakowsky Fischer
V. 42234
Kita H. 45162 II
Kitadani S. 43522
Kitagaki T. 42427
Kittel C. 42497
Kittleson A. R. 44334 II
45762 II
Kittner R. H. 44925 II
Kiyama R. 43649
Klantschnigg P. 43642,
45233
Kleber W. 45366
Kleeberg U. 43340 II
Kleemann M. 44313 II
Klein A. 44098 II
Klein M. P. 42346
Kleinert T. N. 45106,
45188
Kleinrok Z. 44652
Kleinschmidt E. 45644 II
Klemer A. 43342 II
Klemm W. 42919
Klima J. 43518
Klinckowstroem C.
42164
Kline D. E. 43404
Klloze O. 44715 II
Klipping G. 42641
Klohs D. W. 44057 II
Kloholm E. 42508
Klose R. 45037
Klotz L. J. 43822
Klug J. 43971
Knabe J. 43349 II
Knappwost A. 42505,
42509
Knauff R. W. 44004
Knorr C. A. 42822
Knorr M. 44120
Knowlton K. F. 44192
Knust E. 44428 II
Kobayashi H. 42713
Kobe K. A. 44366, 44367,
44370
Kober B. 45505 II
Kobyczyk A. 43852
Koch J. 45389
Koch L. 43877
Kocięcki J. 45135
Koelsch C. F. 43142
Kohler A. S. 43854
Kohler K. 42401
Köhler R. 44522 II,
44960 II, 45161 II
Kohman T. P. 42947
Kolke H. 45346 II
Kokes R. J. 42697
Kokot F. 44652
Kolkmeier H. 43942
Kollen M. H. 45645 II
Koller J. E. 42765
Kollmar A. 45845
Kolobielski M. 43045
Komarewsky V. L.
44816 II
Konami T. 44931 II
Kondo M. 42759
Konopik N. 42828
Konow R. 43077
Konta J. 42980
Kool E. R. 45347 II
Kooreman J. A. 45281
Koppelman J. 43402
Korbelak A. 43883
Körbl J. 43561
Kordina E. 44582
Korejwa A. 45073 II

- Körmeny L. 45430
Korn T. M. 42742
Körner L. 45145
Körösy P. 42871
Korte F. 43335 — 43337
Kortüm G. 42805, 42806
Korveze A. E. 42594
Kost A. N. 43049
Košťal J. 45362
Kothari P. S. 45133
Kothe H. 45263 II
Kotlicka R. 44029
Kottler A. 44685 II
Koudela G. 44395 II
Kovács I. 42340
Kowalski W. 43538
Koyama R. 45510 II
Kozmál F. 45099
Kraemer J. 42903
Kraestrat W. 44688 II
Kratochvíl L. 45437
Krättsmar J. 42206 K
Kraus M. 43709
Krause H. J. 42939
Kraut F. 43720 II
Krchma I. J. 43672 II
Krebs E. T. 44731 II
Kreidl E. L. 45499 II
Krems I. J. 43094
Kreutzberger A. 43193
Kriegisch R. 44328 II
Krigbaum W. R. 43365
Krishnamurthy K. 45322
Krishnamurti D. 42430
Krishna Murty J. G. 43492
Krishna-Rao K. V. 42449
Kritchever M. F. 44912 II, 44913 II
Kritchevsky G. 43279
Krivucova M. 45827
Kroemer F. 44580
Kroepelin H. 44306 II
Kröger C. 42808
Kröger F. A. 42416
Krogh-Moe J. 42790
Kröll K. 45724
Kromhout R. A. 42344
Kron N. 42940
Kronraff K. 45807
Krüger O. 43945
Kruppa W. J. 45562 II
Krzikalla H. 44401 II
Kselik G. 45036
Kubu E. T. 43401
Kucera T. J. 43095
Kuczynski W. 44026
Kuehl F. A. 43312
Kühn E. 44089 II
Kühn W. 44904
Kühnemann R. 45066 II
Kulkarni A. B. 43155
Kümmel H. 42565
Kunsz S. 43907
Kunttomi N. 42427
Küntzel A. 45522
Kunz W. 43348 II
Kurjacose J. C. 42717
Kürth R. 45745 II
Kurtzmann F. 43792
Kutaček M. 42887
Kutepow N. 44420 II
Kuxmann U. 42639
L
Labiance T. 42908
Lacey R. N. 44508 II
Lada Z. 43449
Ladd E. C. 44442 II
Ladell J. L. 45723
Ladhabhoy A. E. 44875
Laets W. 44885
Laffitte P. 42676
LaForce R. C. 42347
Laforgue A. 42274
Lagarrique Mont J. 43863
Lagrange R. 43019
Lahiri A. 44175
Laho L. 45399 K
Laker D. 43370
Lakhanpal M. L. 43679
Lamb C. E. 44244
Lamb F. W. 43575
Lambert J. D. 42542, 42544
Lamberts B. L. 43378
Lammers H. 45431
Landé A. 42566
Landis P. S. 45651 II
Landi-Vittory R. 43200
Landolt P. E. 43749
Landsberg H. 43683
Lang A. R. 43619
Lang C. 42236
Lang F. 45435
Lange H. 43039
Lange K. 44079 II
Langen W. 45343 II
Langenbeck W. 42163
Langer R. M. 42723
Languth R. P. 43791
Langhammer G. 43367
Lanners F. T. 45255
Lapaix M. A. 44130
Lapierre C. 44661
Lapoujade P. 44007
Lappert M. F. 43209
Larach S. 42452, 45557 II
Larini G. 43315
Larson J. H. 43502
Larson Q. V. 42230
Larson V. 45501 II
Larsson E. 43216
Lascombe J. 42327, 42328
Lasek W. 45519
Lathe F. E. 44086 II, 44087 II
Latinák J. 43584
Laue W. 42903
Laundrie R. W. 44792
Laureseu C. 45433
Lautenschlager H. 43355 II
Lauth H. 44417 II, 45407 II
Lautz G. 42457
Laval J. 42380
Lawrence H. M. 43784
Lawson J. K. 44519 II
Lawson W. 43114
Lawson W. D. 45062 II
Laxton G. H. 44254
Lazrus A. 43371
LeBlanc J. M. 42227
LeBlanc M. 43886
Le Bras J. 44800
Lecomte J. 42327, 42334
Lecoy J. 45727
Lederer E. 43284
Ledford R. F. 43878
Leditschke H. 44673 II
Lee J. 43204
Lee P. 42303
Leeg W. 45448
Lees J. 42487
Lefebvre R. 42286, 42287
LeFevre C. G. 42352—42355
LeFevre R. J. W. 42352—42355
Löffler M. T. 44512 II
Lefort H. G. 43957
Legrand C. 43389
Lehnert W. 43098
Leidenfrost W. 45699
Leithe F. 44212 II
Leland A. 45398 K
Lelong M. P. 43000
Lembke A. 45480 II
Lemmer H. R. 42222
Lemonnier P. 45502 II
Lenoble A. 42955
Leonard P. 44889
Leoveanu O. 44371
Lepioskin I. P. 45293
Lerche M. 45431
Lerouge P. 44766
Lesbre M. 43223
Leshar G. Y. 43126
Lesslie J. N. 44152
LeStrat A. 44148
Leszczynska H. 43733
Letort M. 43431
Letsinger R. L. 43210, 43211
Leugering H. J. 45110
Lévy J. P. 44027
Lewicki W. 42201 K
Lewin S. Z. 42609
Lewis G. M. 42247
Lewis W. K. 44113 II
Ley H. 45628 II, 45635 II
Li J. C. M. 42536
Liakhoff L. 44690 II
Liberti A. 43757
Lidov R. E. 44465 II
Liebrecht I. 44520 II, 44524 II
Liebrecht J. 44520 II, 44524 II
Liehr B. 44336 II
Liese W. 45845
Lieseberg F. 45194 II
Liethen O. 44928 II
Ligthelm S. P. 45215
Liljegen B. 43984
Lincoln P. H. 43302
Lindberg J. J. 43362
Lindemann E. 43722
Lindsey A. S. 43285
Linford A. 45770
Lingane J. J. 43500
Lingelbach R. 42501
Liniewicz R. 45839
Linschitz H. 42742, 42743
Lipiec T. 43460
Lippert E. 42358, 42366
Lippert W. 44068 II
Lippmann F. 43004
Lipson H. 42392
Liquori A. M. 43578
Lisboa Ramos M. 43863
List H. 45688
Litten H. A. 45540
Little R. Q. 43068
Litzler C. A. 44802
Livingston C. E. 45332
Livingston R. 42746
Llacer A. J. 43504
Llewellyn D. R. 43055
Lloyd J. 42598
Loch W. 42935
Lochrige E. H. 45650 II
Lockhart M. C. 44734 II
Loeb J. M. 45799
Loeb E. M. 42909
Loeffler A. L. 45739 II
Loew G. 43112
Logan R. L. 44421 II
Lohmüller U. 42936
Lohr H. R. 42581
Lollar R. M. 45525
Lommatsch A. 44022
Londeree J. W. 45788
Long F. A. 42778
Long L. H. 43207, 43208
Long R. S. 44678 II
Longchambon L. 45742 II
Longley R. I. 44988 II
Longworth L. G. 42764
Lougnet-Higgins H. C. 42322
Lönnroth A. B. 44031
Looney C. W. 42288
López Gómez P. 45697
Lopez Viguera J. 42212
Lorentz G. 44924 II
Lorenz R. W. 43826
Lortie Y. 43651
Loshak S. 43419
Lotz A. 45091 II
Loughheed T. C. 43675
Love L. G. 43924
Lovell F. M. 42408
Lowden G. F. 43018
Lowe A. J. 44806 II
Lozach N. 43166
Lubińska J. 45041
Ludewig H. 45192
Ludorff 45451
Ludwig N. H. 43378
Ludwig R. 44826 II
Luft N. W. 42360, 42666
Lugli G. 44847 II
Luijten J. G. A. 43220—43222, 43223
Łukasiewicz K. 42393
Luner C. 42741
Lurie D. 44125
Luros G. O. 42192 K
Lutes O. S. 42471
Luttlinger L. B. 42909
Lynne R. R. 45065 II
Lynn S. 42783
Lyon W. S. 42218
Lyons P. A. 42766
Lyons T. D. 42362
M
McAllister C. H. 45302
McAllister R. F. 43946
Macaulay N. 44557
McBee E. T. 43217
McCall M. A. 44981 II
McCann H. 42562
McCarthy E. R. 45747 II
McClellan W. R. 45206 II
McCombie H. R. 43840 II
McCormick W. R. 43781 II
McCreight L. R. 43966
McCubbin K. 42182
MacDiarmid A. G. 42330
Macdonald A. G. 43565
McDonald D. L. 43266
MacDonald R. N. 44966 II, 44967 II
Mc Fee E. P. 45453, 45499 II
McGary C. W. 43051
McGookin A. 43597 K
MacGregor A. M. 45683
MacGregor R. R. 44973 II
Machalett A. C. 43647
Machemer H. 45257
Mc Henry K. W. 43477
MacIlwaine G. W. 45259 II
McIntire F. C. 44733 II
McIntosh J. D. 44042
McIntyre A. D. 43966
McKay A. F. 44681 II
McKee M. N. 44557
McKeen J. E. 44650
McKenzie R. M. 43510
McKeown M. 42251
Mackrie S. 44123
Mackrie V. 44123
MacLaurin D. J. 45100
McLean A. S. 45817
McLean D. H. 44337 II
McLean J. 43064
McLean S. 43064
McLellan K. M. 44623 II
McMahon W. 43687
McMickle R. H. 43401
McMillan M. J. 44729 II
Maddock A. G. 42330
Madge E. W. 45201 II
Madorsky S. L. 45763 II
Maeder R. L. 45546 II
Maennchen F. 44490 II
Magat E. A. 45193 II
Magerlein B. J. 43302, 43318, 43319, 44499 II
Magin A. 44423 II
Mahler E. 44777
Majewski J. 45717
Maksimova A. 45441
Maláková A. 43518
Malcolm W. G. 44734 II

Алфавитный указатель

- Malecki W. 43551
 Malik J. G. 43650
 Maliphant G. K. 44505 II
 Malkin P. 43918
 Malkin W. J. 45785
 Maliea O. S. 54315
 Mallette F. S. 45837
 Mallison H. 44196
 Mancera O. 43297
 Mandel M. 42776
 Mandeville C. E. 42240
 Mändl B. 43815
 Maugham J. R. 44451 II
 Mäntöjarvi E. 44363
 Mankin P. A. 45784
 Mantovani G. 45321
 Maragliano D. 43364
 Marathe E. V. 42229
 Marathay M. G. 43158
 Marchand A. 42500
 Mareca Cortes I. 45386
 Margasiński Z. 43591, 44644
 Marinangeli A. 42357
 Marlon A. P. 43667
 Markall J. 43621
 Märker R. 43950
 Markovic T. 45618
 Marlowe G. J. 45562 II
 Marószéki M. 44028
 Marquardt W. 43228
 Marris A. W. 45664
 Marshall F. 44496 II
 Marshall J. M. 45163 II
 Marsh N. H. 44432 II
 Marshall C. A. 43678
 Marshall P. 42780
 Martell A. E. 42924
 Martens K. H. 45251
 Martin J. 45069 II
 Martin R. H. 43296
 Martin Y. 43795 II
 Martinek M. J. 45446
 Martini O. 44010
 Marton J. 44373
 Marty N. 42235
 Martynoff M. 43129
 Marutake M. 42431
 Marvel C. S. 43428
 Marvin K. T. 43516
 Marx M. 43373
 Marzanasco V. 43975
 Mascarenhas S. 42854
 Masing G. 45565
 Mason D. M. 42783
 Massey H. S. W. 42267
 Massuet G. V. 43865
 Mastrangelo S. V. R. 43371
 Mateosian E. 42251
 Math F. 44069 II
 Mathias M. 44654
 Mathieson A. R. 42796
 Mathieu J. P. 42327, 42333
 Mathis P. 43431
 Mathys F. 43350 II
 Matossi P. 42440
 Matsuda H. 43382
 Matsukawa T. 43313
 Matt J. 43226
 Mattikow M. 42182
 Mattner J. 43084
 Mattox W. J. 44207 II
 Matzik B. 45401 II
 Maupas A. 43825
 Maurer E. S. 44770
 Mauri F. C. 44587
 Maurin A. J. 45582
 Maus L. 45729—45730
 Mavity J. M. 45554 II
 Maxa 45472 K
 Maxwell E. 42471
 Maya C. B. 45481 II
 Maynard J. T. 43441
 Mazenko J. J. 42453
 Mazingue G. 44555
 Mazza C. 44847 II
 Mazzocchi S. 44867
 Meade R. E. 45495 II
 Meakins R. J. 42490
 Mears R. B. 42836
 Mears W. H. 42582
 McCormey J. W. 44413 II
 Medalla A. I. 43454
 Medbery H. C. 44128
 Meen R. H. 43065
 Mehrling R. 44804
 Mehta T. N. 45245
 Meier J. 42918
 Meisel S. L. 44301 II
 Meisler S. S. 45405 II
 Mele A. 43578
 Melville H. W. 43424
 Mene P. S. 45666
 Menzies A. J. 45404 II
 Mercadov H. 43553
 Merchant J. R. 43111
 Merckel K. 44401 II
 Merewether J. W. T. 45117
 Merner R. R. 44411 II
 Merrill E. W. 42538
 Merritt W. F. 42258
 Mertzweiler J. K. 44390 II
 Merz E. 42236
 Mesnard P. 43580
 Messbauer J. 45092 II
 Messing R. R. 43802
 Metcalf W. S. 42748
 Metler A. V. 45656 II
 Meyer F. M. 45725
 Meyer K. 43274
 Meyer R. 44949 II
 Meyer S. 45189
 Meyer W. R. 43872
 Michalk E. R. 42453
 Mickel B. L. 42920
 Middleton A. E. 45556 II
 Miedel H. 44818 II
 Migeotte M. 42943
 Miklovicz A. 45461
 Mikula J. J. 43499
 Milan E. W. 44925
 Milbers A. 45260 II
 Mildenberg R. 43248 II
 Miles W. 42169
 Mille E. 43354 II
 Miller A. 45625
 Miller C. B. 455531 II
 Miller C. O. 43327
 Miller D. E. 45636 II
 Miller G. E. 44459 II
 Miller G. H. 43429
 Miller J. G. 43785
 Miller W. S. 44998 II
 Millidge A. F. 44619 II
 Minárik E. 45399 K
 Minden H. T. 42475
 Minder G. A. 45486 II
 Minet J. 43610
 Minn S. 43634
 Minok L. M. 44752 II
 Misener A. D. 42945
 Missenier J. 43818
 Mitchell L. 43961
 Mitgau R. 43116
 Mitra G. N. 43461
 Miura M. 42779
 Miyajima T. 45637 II
 Miyatake O. 42216
 Mizuno W. G. 45255
 Möbus G. 43042
 Mock R. A. 43678
 Modak G. 44248
 Modjeska S. R. 43873
 Moe O. A. 44511 II
 Moergell E. 44542 II
 Moffett R. B. 43171
 Mohamed Kamel 43140
 Mohanty S. R. 43492
 Mohler J. B. 43884
 Mol E. A. J. 44883
 Moldenhauer O. 44955 II
 Molgora E. 45427
 Moll W. L. H. 43376
 Möller H. 44012
 Mollica R. R. 44845 II
 Mondin C. 43980
 Mongodin G. 43625
 Monna G. 44105
 Monsimer H. 43286
 Montgomery R. S. 44368 II
 Monti-Chapuis A. 44100 II
 Monti-Sudan T. 44100 II
 Monvoisin J. 43886
 Moore J. E. 43820
 Moore N. H. 42182
 Moore R. W. 42557
 Moors J. W. 43758 II
 Morales E. J. 45304
 Moralli G. J. 44896
 Morana S. J. 43882
 Morawe K. 44167 II
 Moreau R. C. 43134, 43135
 Moreno Baer M. 45802
 Morey G. W. 42932
 Morgan I. G. 43666
 Morgan K. Z. 42560
 Morgner J. 42665
 Morgulis S. 44781 II
 Mori D. 43409
 Mori K. 45483 II
 Morisset P. 45588
 Morita H. 43422
 Mörtz P. 42644
 Moriya T. 42413
 Morrel C. E. 44409 II
 Morris C. E. 45265 II
 Morris G. E. 45831
 Morris G. O. 43775 II, 43776 II
 Morrison A. L. 43102, 44449
 Morrison J. A. 43633
 Morrisroe J. J. 45273 II
 Morton B. B. 45583
 Morway A. J. 44348 II
 Mosby W. L. 43145
 Moscovici R. 43570
 Moser C. M. 42285—42287
 Moser E. 44537 II
 Moss T. S. 42466
 Mößner V. 45188
 Mostowski I. 42579
 Motizuki K. 42413
 Motoyama T. 43430
 Moulton W. G. 42344
 Mouratoff 44309 II
 Mourgue M. 43321
 Moutet 45783
 Mrak E. M. 45462 K
 Mueller E. 44954 II
 Mueller W. A. 45112
 Mukerjee S. K. 43334
 Mukerji S. K. 42338
 Mukherji S. M. 43146
 Mulas G. 43903
 Mullady D. J. 44161 II
 Müller B. 45584
 Muller G. 43306
 Müller H. 45337 II
 Müller H. C. 45749 II
 Müller K. 43341 II
 Müller K. 44163 II
 Mulvany P. K. 44455 II
 Mund W. 43421
 Munday G. L. 42217
 Munro L. A. 42722
 Munson T. R. 42587
 Muntoni F. 45191
 Muraca R. F. 43872
 Mural R. 43409
 Murahashi S. 43078
 Murakaea T. 43867
 Murakami A. 42779
 Murk J. B. 45833
 Murphy E. A. 45775
 Murphy J. E. 44648
 Murray E. A. 44574
 Murray E. J. 45033
 Murray H. C. 44703 II
 Murthy G. K. 45438
 Mussell D. R. 44671 II
 Muszyński J. 44643
 Myatt D. O. 42190
 Myers D. R. 43318, 43319
 Myers R. H. 42792
 Myhill A. R. 44179
 N
 Nabarro F. R. N. 42489
 Nachtigall E. 43868
 Nadeau C. T. 44757 II
 Nadjakov G. 42499
 Nadler F. 44552 II
 Naf P. L. 45682
 Nagamiya T. 42413
 Nagar P. S. 44362
 Nagashima G. 44929 II
 Nagy Z. 43528
 Naik Y. G. 42877
 Nakagawa K. 45071 II
 Nakahara A. 42315—42318
 Nalbach 45615
 Nambu Y. 42211
 Nánási P. 43277
 Narayan V. A. 43468
 Narayanaswamy S. 43333
 Narracott E. S. 45029
 Näsänen R. 43213
 Nassenstein H. 42418
 Nath B. 43328
 Nathan A. H. 43302
 Nathansohn G. 43294
 Natta G. 45348 II
 Naumann A. 42183
 Naumenko V. G. 45327
 Naves Y. R. 43047
 Nazir C. M. 43921
 Neale S. M. 42804
 Nebbia G. 44531
 Nederveen G. 45118
 Negry R. 45823
 Nelson W. E. 44467 II
 Nerdel F. 43090
 Nesbitt G. B. 43946
 Neudert W. 43469
 Neumann J. A. 44863
 Neumann K. 42517
 Neunhoeffer O. 42465
 Neuweiler N. G. 42563
 Neven L. 42943
 Neverovsky E. 44013
 Newell A. D. 45042
 Newhall W. F. 43143
 Newman M. S. 43058
 Newsome O. 44570
 Nichols G. M. 44948 II
 Nicholson A. 45635 II
 Nickel E. H. 43695
 Nickels J. E. 43147
 Nicora E. 43073—43074
 Nicol A. 43917
 Nicolae M. 44743
 Niculescu V. 44371
 Niebyski L. M. 43575
 Niemiec J. 42384
 Nieminen A. 42673
 Nitta I. 43395
 Noble M. L. 44471 II
 Nojimoto E. 45052 II
 Nolte H. 45369
 Noriller G. 43928
 Norris W. C. 45033
 Norton C. 43054
 Norton C. L. 44084 II
 Nortz M. 43579
 Norwitz G. 43499
 Nostl V. M. 45548
 Novak J. 42162
 Novák J. V. A. 45793
 Novák V. 43470
 Nowak G. A. 44779
 Nowak Z. 45626
 Nowakowski A. 45180
 Noyes P. R. 43119
 Noyes R. G. 45391
 Nudelman S. 42440, 42529 II
 Null M. R. 44210 II
 Nussberger F. R. 44118

Nutten A. J. 43484 K
Nyman P. O. 43016
Nyrek S. 42550

O

Obenshain D. N. 45160 II
Obiad A. G. 42694
O'Brien J. L. 43427
O'Brien J. W. 44340 II
O'Brien M. C. M. 42456
Occella E. 45819
Ochiai T. 44067 II
Ochoa A. A. 44997 II
O'Connor R. T. 45230
Oda R. 43148
Odell A. L. 42915
Oehme F. 42532
Oertel A. C. 43510
Oesterlin M. 44402 II
Offner G. 43958
Offret S. 43634
Ofstedahl E. N. 45488 II
Ogawa T. 42773
Ogg C. L. 43088
Ogg R. A. 42646
Ohloff G. 44768, 45100
Okamoto T. 45408 II
Okamoto Y. 43051
Okamura S. 43430
Okuda M. 42839
Okumura F. S. 43327
Olcott H. S. 43322
Oldenburg A. 45090 II
Oldenroth O. 45247
Oldham K. G. 43055
Olenikov S. 45500 II
Oliver H. 43999
Oliver R. 44103 II
Ollivet A. 45595
Olney R. B. 45720
Oliszewski Z. 43586
Onuki M. 42481
Ooshika Y. 42295
Opfermann A. C. J.
44410 II, 44786 II
Orfeo S. R. 42582
Orgel L. E. 42292—42294
Orlick A. F. 42593, 43692
Ornhelm R. 43851
Orrick N. C. 43697
Ortmann H. 42451
Osborne D. W. 42581
Osborne K. W. 45138
Osburn J. O. 42602
Osten H. 44485 II
Oster H. 42183
Osterberg L. E. 43131
Osugi J. 43649
Osuni Y. 42712
Oswald J. W. 43875
Oswin H. G. 42648
Otero C. 42326
Otter F. A. 42508
Otto-Laupenmühlen E.
43386, 43387
Outer P. 44037
Overend W. G. 43262,
43263
Overmars H. G. J. 43435
Owe-Berg T. G. 42786
Owen B. D. 43224

Owen W. L. 45290
Oxley P. 44505 II
Oza G. T. 43515
Oza T. M. 42683, 43515
Oza V. T. 43515

P

Paasch K. 44313 II,
44314 II
Pabst A. 42377, 42994
Pacault A. 42500
Pack F. C. 45230
Packer J. 42627
Pagan-Carlo C. 45304
Pagenkopf W. H. 45753 II
Pages M. 42309
Paget M. 42830
Pailthorpe M. W. 42542
Paleologo T. 44869
Pandit N. 45332
Pandit P. N. 43170
Panhäuser K. 45787
Pantchenkoff G. M. 42721
Papa A. R. 43663
Papadakis P. E. 43265
Papadopoulos M. N.
42589
Papeach V. 44517 II
Papée D. 42388
Papini P. 43191
Papoff P. 42923, 45624
Papp T. 42208 K
Parchen F. R. 42658
Paris G. 43316
Paris R. 44664
Parker M. M. 43828
Parker W. E. 43088
Parks L. R. 43058
Parks W. J. 45513 II
Parmeggiani L. 45828
Parry J. V. L. 43639
Passinen K. 42880
Pasternak R. A. 42407
Pataki J. 44704 II
Patnalk D. 42657
Patridge J. H. 43992,
43993
Patridge M. W.
44431 II
Patterson E. M. 42988
Patton F. M. 45157 II
Patton W. G. 44156
Paul M. 43356 II
Paul W. B. 43998
Pauncz R. 42282
Pavlopoulos T. 42812
Pavlović D. 42659
Payens T. A. J. 42856
Payne J. H. 43791
Peach F. G. 45153 II
Peak D. A. 44505 II
Pearce C. A. R. 49469
Pearson D. E. 43060,
43061
Peat S. W. 42248
Pechukas A. 44832 II
Peck W. C. 45687
Pęczak J. 4397 K
Pęcznik J. 42197 K,
42198 K
Pedersen C. 43099
Peebles D. D. 45494 II

Peebles G. H. 42260
Peel G. N. 43964
Peerman D. E. 434339
Peet C. S. 45556 II
Peiser H. S. 42382
Pellerat J. 45814
Pelt J. G. 43471
Penau H. H. 44712 II,
44713 II
Pennington W. 43660
Pepe H. J. 43082
Pepinsky R. 42379
Perdok W. G. 42371
Peretjatkowicz B. 45285
Perizzolo A. F. 43429
Perkins R. H. 42916
Perlman I. 42249
Pernarowski M. 44655
Perret-Bit R. J. 45810 II
Perry J. E. 42259
Persijn J. M. 43162,
43163
Pesetz M. 43592
Pessel L. 44936 II
Peter M. 44565
Peters E. 42656
Peters H. W. 44618 II
Peters W. 45425
Petersen P. G. 45143
Peterson D. H. 44703 II
Peterson D. T. 42557
Peterson E. P. 45067 II
Peterson L. C. 44821 II
Pethica B. A. 42855
Petit G. 42612
Petitcolas P. 44500 II
Petroni P. 44851 II
Petrow V. 43180, 43299,
43301
Petrů A. 44160
Peyches I. 44060 II
Phelps A. V. 42301
Philipps T. E. 44979 II
Planka M. 43224
Picci G. 45381
Pichler H. 44382 II
Pichler O. 43727
Picinich D. G. 43960
Pickett C. F. 44436 II
Pickett E. E. 42975
Pickthall J. 44776,
44778
Picot L. 43795 II
Pier M. 44914 II
Pierson R. M. 43428
Pietsch H. 44398 II
Piganiol 43600
Pigman W. 43275
Pignot A. 44857
Pijanowski E. 45323
Piki J. 45158 II
Pilcher J. M. 42690
Pillar C. 43048
Plink W. 44767
Pilpel N. 42539
Pilpel N. 44147
Pinner W. L. 45622
Pinnock P. R. 42391
Pinten P. 44827 II
Piontelli R. 42810,
42831
Plot P. 44060 II

Pippen E. L. 45423
Pirelli S. p. A. 444847
Pirenne J. 42485
Pirost E. 45196 II
Pitman F. 44139
Pitzer K. S. 42536
Planck R. W. 45230
Plane R. 42655
Plati J. T. 44510 II
Plieth K. 42383, 42390
Plint C. A. 42365
Plumat E. 43914
Podhorecki J. 45286
Poethke W. 43596
Pogell B. M. 43267
Pöhm M. 43594
Polestra F. M. 42768
Pollinszky K. 43789
Pollard C. B. 43199
Pollard G. E. 43581
Polson A. 42873
Pomorski J. 44638
Pongratz A. 44487 II
Ponse F. G. J. 44852 II
Popa G. 45433
Pope C. L. 44268
Popek J. 45440
Popelak A. 43307
Popham F. J. W. 44815 II
Popkin A. H. 44330 II
Pople J. A. 42762
Porphyre J. A. 45098
Port W. S. 44340 II
Porter G. 42746
Porter W. L. 45335
Portnoy W. M. 42241
Porzer R. E. 45064 II
Postolski J. 45424
Potapow W. M. 43049
Potnis V. R. 42240
Pott A. F. D. 44337 II
Potter J. F. 43973
Pound D. W. 43847 II,
44453 II
Power B. A. 42518
Powles J. G. 42496
Prandecka B. 45813
Prane J. W. 43693
Pratt J. 45681
Pratt T. W. 42182
Pravdin S. N. 45140
Precopio F. M. 43091
Preston J. M. 45186
Prevot F. 43625
Prévot I. 42893
Price C. C. 43422
Price J. E. 44094 II
Pridal F. 44159
Priestley J. J. 44193
Prijs B. 43176
Prindle H. B. 44370
Prizeman A. 44341 II
Proell W. A. 44980 II
Prokeš V. 43622
Prokop E. 45603
Prot N. P. 42676
Prucha J. 45399 K
Puig J. B. 45182
Pukas T. 43546
Pullman A. 42283
Puri B. R. 43679
Pustowaloff L. M. 42983

Pütter R. 44507 II
Putzeys P. 43610
Pychal 43744

Q

Quack F. 45081 II
Quadt W. 43671
Quaedvlieg M. 44434 II,
44992 II
Quantle C. 42607
Quarck R. 45531
Quarles R. W. 45080 II
Quick Q. 43684
Quinlan J. E. 42669
Quinn P. 43885
Quitzsch K. 43367

R

Rabušić E. 43189, 43190
Ráček J. 45316
Racine J. 43451
Rae N. S. 44341 II
Rafalowska H. 43591
Rahde U. 45533
Rahman A. 42833
Rahn H. W. 43758 II
Railing W. E. 45054 II
Rait J. R. 42382
Rajaratnam A. 42269
Raman C. V. 42430
Raman P. S. 43326
Ramette R. W. 43532
Ramsey J. A. 43641
Ranby P. W. 42444
Rangaswami S. 43333
Rangaswami S. 44649
Rao M. R. A. 43668
Rao P. S. 43270
Pao V. S. 44649
Raszejowa W. 44663
Rath W. 44073 II
Rathgeber P. 44810 II
Ratner A. P. 42171
Rauch H. 43251 II
Rauch H. 45174
Ravenscroft P. H. 45252
Ráy P. 43462
Rayschich A. 42182
Reader L. J. 45073 II
Ream N. 42530
Reasbeck P. 42217
Rebbert R. 42648
Rechenberg H. P. 42968
Redfarn C. A. 44874
Redfield A. G. 42491
Redmond J. C. 45639 II
Redwanly C. S. 42554
Reed J. C. 42990
Reed R. H. 42602
Reed R. I. 43064
Rees J. T. 44153
Reese D. R. 44656
Reese H. J. 44577
Reeves A. M. 44449 II
Reeves W. A. 44622 II
Refson B. H. 45680
Reggia F. 43700
Regler H. 43927
Regnaut P. 42893
Reich G. 45541
Reid E. E. 43169

- Reid W. W. 43271, 43272
 Reif O. M. 44303 II
 Reijen L. L. 42701
 Rein E. 43644
 Rein H. 44994 II
 Reinhercs A. 45410
 Relsman A. 42614
 Reiss H. 42492
 Reman G. H. 45720
 Remes N. 43211
 Rempe G. 42903
 Remy H. 42933
 Renard G. A. 42223
 Renault P. 43972
 Rench J. 42182
 Rennert J. 42742
 Reppe W. 44376 II, 44415 II, 44420 II, 44423 II
 Resnick P. R. 43137
 Reuber C. 42437
 Reuber E. 42383
 Reuter F. H. 45412
 Reuter G. 44846 II
 Rey-Bellet G. 44686 II
 Reynolds D. C. 45556 II
 Rheinfruth H. 44129
 Ricca B. 43472
 Riccal R. A. 42245
 Ricciuti C. 43088
 Riccoboni L. 45624
 Rice D. W. 42392
 Rice L. M. 43169
 Richard A. 44500 II
 Richards A. W. 42585
 Richards L. M. 45228, 45414
 Richardson A. E. 42557
 Richardson C. N. 43746 II
 Richardson E. C. 42213
 Richardson J. R. 42219
 Richmond H. H. 44838 II
 Richmond J. C. 43957
 Richter D. E. 42399
 Richter H. 42421
 Richter H. 42902
 Richter J. W. 43142
 Richter K. 44247
 Richter M. 44584
 Ricketson B. W. 42604
 Rideal E. 43664
 Ridl M. 43191
 Ridley C. N. 45130
 Riedel E. 45732
 Riehl N. 42448, 42451
 Riemschneider R. 43805
 Rietjens L. H. T. 42226
 Rigby C. H. 44635
 Riggiero G. G. 42193 K
 Riggs L. K. 45493 II
 Riggs N. V. 42668
 Riley J. F. 42766
 Ringwood A. E. 42967
 Rinker E. C. 43870
 Rinne R. 45122
 Rio A. 44011
 Ripamonti A. 43578
 Ritchie T. 43982, 43983
 Ritschl R. 42266
 Ritzenthaler B. 44415 II
 Rius A. 43585
 Rivoira F. 44233
 Rivolta B. 42827
 Roberts C. W. 43217
 Roberts R. M. 43119
 Roberts V. 43608
 Robertson A. J. B. 43664
 Robertson L. F. 43936
 Robin J. 45155 II
 Robinson A. M. 42542
 Robinson B. F. 44081 II
 Robinson G. W. 42306
 Robinson P. L. 42650
 Robinson S. B. 44839 II, 44849 II, 44850 II
 Robley R. 42944
 Robson T. D. 44036
 Pockwood B. N. 45238
 Rocques G. 43508
 Rodney W. S. 42445
 Roe R. 44500 II
 Roelen O. 44323 II
 Roemer J. J. 44529
 Rogers L. B. 43690
 Rogers L. N. 45112
 Rogers M. T. 43650
 Rogerson W. A. 46153 II
 Roghinski S. Z. 42693
 Rogosa G. L. 42394
 Rogné J. 43390
 Roha M. 43108
 Rolfe J. 42770
 Rolison S. T. 43318, 43319, 44499 II
 Romain P. 43580
 Römer 43707
 Romer R. H. 43613
 Romilly L. E. 44441 II
 Romo J. 44704 II
 Ronaldson J. V. 44095 II
 Roof J. G. 43702
 Röpke H. 43469
 Rosahl D. 42465
 Rose G. S. 43633
 Rose K. 43954, 45598
 Rose L. 45204 II
 Rosen L. J. 45156 II
 Rosenberg G. 45056 II
 Rosenberg G. 45243
 Rosenblatt E. F. 44463 II
 Rosenfeld M. 44436 II
 Rosenkranz G. 43297, 43298, 44704 II
 Rosenwald R. H. 44478 II
 Rosinski K. 42342
 Rosner G. A. 44489 II
 Rosner T. 45166
 Ross J. A. 45014 II
 Ross M. 44864
 Ross M. A. S. 42248
 Rossel J. 42494
 Rossetti D. 44255
 Rössig L. 44356 II
 Rossi-Landi G. 43856
 Roth B. 44516 II
 Rothe J. 43090
 Rotsch A. 45417
 Rottig W. 44380 II, 44928 II
 Rottschaefer B. W. 44498 II
 Rougieux R. 43686
 Rousseau J. 45690
 Rousselot A. 45542
 Routlen J. B. 44707 II
 Roux M. 42309
 Rowland R. E. 42246
 Rowlinson J. S. 42774
 Roy J. C. 42653
 Royen A. H. H. 45118
 Royer R. 42309
 Rozman G. 44304 II
 Ruckenstein E. 45709
 Rudd H. W. 45035
 Rudel H. W. 44348 II
 Rüetschl R. 42215
 Rüetschl P. 42661
 Rugarcta E. 43725
 Rumpf P. 42782
 Runge E. F. 43521
 Ruosch S. 43766 II, 43767 II
 Ruschig H. 44673 II, 44716 II
 Ruske W. 43194
 Ruskin S. L. 44697 II
 Russell J. K. 45546 II
 Russell R. G. 44055 II
 Russell R. J. 45738
 Russell W. S. 45087 II, 45634 II
 Rutkowski A. 45411
 Rutkowski W. 43979
 Ruttle J. 44021
 Ruus L. 45124
 Ruziczka W. 44794
 Rydberg J. 42921
 Rydzewski E. 44579
 Ryker D. W. 43748 II
 Rzędowska H. 45376, 45377
 Rzędowski W. 45376, 45377
 S
 Saalfeld H. 42397
 Sabatka J. A. 42698
 Sabel P. 44208 II
 Sabi N. 45306
 Sabido J. H. 44121
 Sacra F. 44327 II
 Sadek H. 42797
 Saffer D. 43346 II
 Safford M. M. 44976 II
 Sage B. H. 45658
 Saint-Jacques C. 44019
 Saito N. 42947
 Sakae T. 44067 II
 Satac V. 45684
 Salditt F. 45016 II
 Salminen I. 44760 II
 Salmon-Legagneur F. 43122
 Saltman W. M. 43581
 Saltza M. H. 43327
 Saltzman B. E. 43603
 Salván H. 42955
 Salvato J. A. 44141
 Salzberg P. L. 44481 II
 Samec M. 45329
 Samochowiec K. 44652
 Sanchis J. M. 44128
 Sandell E. B. 43532
 Sandelowsky S. 44882
 Sanders 44859
 Sanders J. H. 43652
 Sanders J. W. 43678
 Sandford F. 43984
 Sands F. H. 42370
 Sangeris S. 45111
 Sanger E. 42680
 Sanita di Toppi N. 42801
 Santen J. H. 42476
 Sarapu E. 44180
 Sardinas J. L. 44707 II
 Saret L. H. 44710 II
 Sarkanen K. 43576
 Sartori M. F. 44518 II
 Sasaki K. 44310 II
 Sasaki Y. 43496
 Sassi C. 45828
 Sassi D. 44585
 Sato K. 44601 II
 Sato S. 42297
 Sauer J. A. 43404
 Sauer R. 42461
 Saunders B. C. 43847 II
 Saunders R. A. 44893
 Sauvenier H. 42443, 42756-42758
 Sawyer C. N. 44117
 Szavsky V. 45309
 Scarano E. 43706
 Schaeffer E. 44387 II
 Schaeffer R. E. 43181
 Schafer A. 45485 II
 Schäfer H. 43495
 Schafer L. J. 45836
 Schaffel G. S. 44941 II
 Schaffler H. 44032
 Schardt A. W. 42224
 Scharf A. 44732 II
 Scharf R. 45190
 Scharff-Goldhaber G. 42251
 Schauer H. K. 42865
 Schell K. 43797 II
 Schelauke H. 44202 II
 Schenk P. 44190, 44215, 44230
 Scherff W. 44507 II
 Schermer G. 43554
 Schermer K. 43554
 Scherrer P. 42215
 Scheuchenstuel J. 44211 II
 Schick O. 44419 II, 44470 II
 Schiermeier K. F. 45649 II
 Schillinger A. 45242
 Schilperoord P. B. A. 44070 II
 Schirm E. 44612 II
 Schlack P. 44438 II, 44965 II, 44972 II, 45209 II
 Schlenker E. 45231
 Schley U. 43615
 Schlinger W. G. 45658
 Schmatz F. 45757 II
 Schmauder K. 45213 II
 Schmerling L. 44910 II
 Schmid W. 44681 II-44683 II
 Schmidt H. W. 43810
 Schmidt I. 42760
 Schmidt W. J. 43393
 Schmied O. 45365
 Schmitz A. 44559
 Schneider A. 44293 II, 44434 II
 Schneider C. H. 44044 II
 Schneider K. 44485 II
 Schneider K. 45403 II
 Schneider P. 44830 II
 Schneider W. 45194 II
 Schneider W. P. 43302
 Schober B. 43622
 Schoeller H. 43017
 Schoeller M. 43353 II
 Schoen K. L. 43141
 Schoenberg W. 45139
 Schoene D. L. 44445 II
 Schoenfeld R. 43288
 Schoenthaler A. C. 43068
 Schoep A. 42401
 Schofield J. S. 44998 II
 Scholder R. 42919
 Schöller C. 45003 II
 Schöllkopf K. 43843 II
 Scholtz J. H. 44178
 Scholz G. 44192
 Scholz H. 42870
 Schönberg A. 43113
 Schönfeld H. 45769
 Schotte H. 43843 II
 Schreiber R. S. 44966 II
 Schreier W. 44386 II
 Schreuer E. 43413, 43414
 Schreyer J. M. 42622
 Schröder H. 43194
 Schroeder E. F. 44517 II
 Schröter G. 43704
 Schubert W. M. 42310
 Schuen W. 43986
 Schuerch C. 43576
 Schuh A. E. 45627 K
 Schuit G. C. A. 42702
 Schüller A. 42979
 Schüller W. 42734
 Schulte K. E. 45242
 Schultz G. 45605
 Schulz M. E. 45439
 Schulze K. 43842 II
 Schumacher H. J. 42651
 Schumacher J. N. 43259
 Schumacher W. 44523 II
 Schumann E. L. 43160, 43161
 Schuppan H. 45244
 Schuster K. 44581
 Schütze M. 45754 II
 Schwan G. 44586
 Schwartz H. M. 45215
 Schwarz A. 45591
 Schwarz G. 42394
 Schwarz W. 42834
 Schwarz-Bergkampff E. 43968
 Schwedler G. 44943 II
 Schweitzer O. 44351 II, 44817 II
 Schwen G. 44558 II
 Schwenk E. 44711 II
 Schwert F. A. 42453
 Schytil G. 43794 II
 Scott G. R. 43423

- Scott P. T. 43060
Scott R. L. 43374
Scrivins J. 42542
Sebestyen L. G. 43627
Seeger E. 44685 II
Sejčević P. 43310
Segaert O. J. A. 42222
Seibel M. 43437
Selbold H. 45782
Seifert H. 44480 II
Seiffert K. 45698
Seki S. 43395
Selmicu I. 44371
Selwood P. W. 42698
Semmler J. 42869
Semonsky M. 43173
Senda M. 42839
Senger F. 45128
Senior D. A. 45789
Senti P. R. 43378, 45241
Senzyu R. 45120
Serbia G. R. 45308
Seregue A. F. 44803
Serfass E. J. 43872
Serota L. 43869
Serpinsky V. V. 42857
Serra P. G. 45328
Seshadri T. R. 43333, 43334
Seymour D. C. 44922 II
Seymour G. W. 45156 II
Seymour R. B. 44603 II, 44982 II
Sffras J. 44774
Shafizadeh F. 43263
Shair R. C. 42582
Shands F. L. 45809 II
Shapiro E. L. 42311
Sharma S. L. 43829
Sharp T. M. 44674 II
Sharpless N. E. 42750
Shartsis L. 42616
Shatavsky M. 43054
Shaw K. 43517
Shellne R. K. 42221
Shepherd D. A. 44706 II
Sera B. L. 44128
Shereshfetsky J. L. 42860
Sherwood P. W. 44228, 44229, 44369
Shetty G. D. 45031
Shilo H. 42773
Shimanski E. J. 45795
Shimura Y. 42315
Shiozawa J. 45804
Shipley F. W. 43100
Shoenberg M. D. 42885
Shoer P. 45534
Short W. P. 43180, 44431 II
Shriner R. L. 43181
Shuey P. M. 43537
Shutler S. L. 43406
Shull G. M. 44707 II
Shull T. T. 42221
Shunk C. H. 43312
Shur E. G. 45024
Sibley R. L. 44840 II
Siboulet A. 45830
Siczakówna J. 45420
Sidel T. 42345
Siebert A. 44536 II
Siebert M. W. 43243 R
Stemes W. 45657
Sievers A. J. 44745
Silberberg M. 44871
Silberstein K. 45367
Silver B. L. 43055
Silverman L. 45671
Silvermann G. A. 42950
Silverstein R. M. 45228
Šimek J. 42867
Simon Arias R. 45708
Simon F. 42604
Simon W. 44333 II
Simon W. E. A. 44985 II
Simons L. 42263
Simonsen S. H. 42910
Simpson W. 43432
Simpson W. T. 42288
Sindlinger C. J. 43758 II
Singh C. 44653
Singh D. 43492
Singh L. 42338
Singh R. S. 42307, 42338
Singh S. 42982
Sinha M. P. 45299
Sinn F. 44493 II
Sinn R. 45754 II
Sippel A. 45177, 45183
Sister C. C. 43791
Sites J. R. 42230
Skarsvag K. 43609
Skinner C. G. 44370
Skinner G. S. 43132
Skinner H. A. 42299
Skita A. 44485 II, 44488 II
Skog F. 43327
Skog I. 43210
Slawson R. J. 44001
Sleighter G. M. 45525
Sleightholme J. J. 44952 II
Słowinski E. J. 42323
Sly G. 44515 II
Small P. A. 43369
Small R. M. B. 42365
Smiatek G. 44583
Smit C. 43476
Smit J. A. 42268
Smith A. W. 42439
Smith B. A. 45296
Smith E. H. 43383
Smith E. J. 45047 II
Smith E. W. 45021 II
Smith F. H. 45597
Smith H. C. 45478 II
Smith J. B. 43891
Smith J. M. 44516 II
Smith L. H. 44137
Smith N. O. 42184
Smith P. G. 43370
Smith R. K. 42259
Smith S. F. 44809 II
Smith W. C. 44849 II
Smith-Johannsen R. 44825 II
Smogrovic 42206 R
Smola A. 45246
Smolak G. 44101 II
Snyder E. C. 45347 II
Snyder P. E. 42591
Sobotka H. 43278
Soderquist F. J. 44472 II
Sohoni D. K. 42877
Sokoloff V. P. 43012
Soldi T. 43497
Soler A. 43290
Somers J. A. 45169
Sommer W. A. 45496 II
Sonder E. 42526
Sondermann K. 45260 II
Sondheimer F. 43297, 43298
Sorg K. W. 45652 II
Sosman R. B. 43997
Souch A. E. 42225
Souhay P. 42905
Souders M. 44718 II
Soutif-Guicherd J. 42351
Sowden J. C. 43260
Spall B. C. 42649
Sparatore F. 43195, 43196
Späth W. 44805
Spearin W. E. 45141
Specht W. 45406 II
Speiser C. T. 43866
Spingler H. 43307
Spinner S. 42616
Spivack J. D. 45647 II
Splitek R. 43533
Sprague C. R. 44803
Sprauer J. W. 44506 II
Squires A. T. B. P. 44921 II
Srere A. A. 45072 II
Srinivasan R. 42433
Srinivasan R. 43632
Srivastava D. P. 45301
Srivastava L. N. 42619
Srivastava R. C. 43829
Stacey M. 43261, 43263
Stadler W. 43700
Stager R. M. 43840 II
Stahl R. F. 42582
Stange K. 45689
Stanley W. E. 44475 II
Stannett V. 45137
Stansbury M. F. 45231
Stansby M. E. 45449
Stanton G. W. 45512 II
Starch C. B. 44757 II
Stark H. M. 45555 II
Staskiewicz B. A. 42591
Stausberg H. 44647
Stauss K. 42511
Stavrolakis J. A. 43967
Steacle E. W. R. 42648
Stebbins D. W. 42495
Stedehouder P. L. 44468 II
Steenken G. 42638
Stegemann W. 44846 II, 44853 II
Stein L. 44716 II
Steinberg M. A. 45332
Steinbrecher H. 44306 II
Steinacker P. 45758 II
Steinle H. 44269
Steinmann G. 44262
Stejskal Z. 43589
Stenger W. 45628 II
Stépanek K. 45389 R
Steppek Z. 44267
Stephenson C. C. 42392
Sterk M. J. 42239
Sternheim G. 42831
Stetter G. 45551 II
Stevens G. K. 42502
Stevens W. H. 44798
Stevenson H. B. 45206 II
Stewart G. F. 45462 R
Stewart W. T. 44474 II
Stiles M. R. 43108
Stimpson E. 45493 II
Stimson V. R. 42668
Stirtz T. 45522
Stock R. 42938
Stockman L. 45124
Stockman L. G. 45194 II
Stockmayer W. H. 42392
Stoffyn-Thomas A. 43296
Stokes B. J. 43085
Stolow N. 43705
Stone R. G. 43620
Stork G. 43283
Storks K. H. 42409
Straaten H. 42914
Strachan D. R. 45193 II
Straley J. M. 44546 II
Stranski I. N. 42390
Straub J. 43528
Straumanis M. E. 42886
Strauss U. P. 43383
Streatfield E. L. 45613
Streeter I. V. 45423
Streeter V. L. 45780
Streever O. J. 45621
Strehlow H. 42812—42814
Strehlow R. A. 42533
Streicher M. A. 45623
Streitwieser A. 43052
String P. 43670
Strohbach G. 44566
Strong F. M. 43327
Struble C. H. 45239
Stuart G. H. 45496
Stubbs F. J. 42649
Studer P. 45844
Studier M. H. 42250
Stühmer W. 44485 II, 44488 II
Stumpp K. 44166 II
Stupel H. 45256
Sturm K. 43117
Sturm zu Vehligen F. 42850
Stutz E. 43384
Subba Rao N. V. 43153
Subbakow Y. 44680 II
Subramanian S. 43329
Subrahmanya R. S. 42841
Such T. E. 43874
Suchow L. 44762 II
Suckfull F. 44597 II
Sugano S. 42290
Sugarman N. 45093 II
Sugita M. 42570, 42571
Sugita Y. 42427
Suijkerbuijk F. J. 44133
Sulzbacher M. 43081
Sumi M. 43331
Sundaramurthy V. 43153
Sunttych F. 45818
Surdet-Berthod 44309 II
Sureau R. 44500 II
Surrey A. R. 43126
Susse C. 42428
Süszler A. 45538
Sutherland T. H. 43417
Sutphen W. T. 42646
Sutton F. 43479 R
Suzuki I. 45012 II
Suzuki K. 43382
Svirbely W. J. 42750
Swaine D. J. 42988
Swaine R. L. 45453, 45498 II
Swaminathan M. 45322
Swan J. B. 42241
Swann G. 44876
Swaroop S. 42823
Sweeney W. A. 42310
Sweet H. T. 44845 II
Swenson O. J. 43748 II
Swenson R. W. 42359
Swern D. 43088, 44340 II
Świącki Z. 43976
Świętosławska J. 43446
Swinarski A. 43457
Swoope R. L. 44911 II
Sworski T. J. 42753
Symanski H. 45812
Symes E. L. 45279
Szabo L. 43268
Szabó V. 43390
Szadeczy-Kardos B. 42962
Szapiro A. J. 45291
Szarski P. 45434
Szentgyorgy P. 45659
Szwänenfeld M. 43538
Szwarc M. 42741
Szymańska A. 44644
Szymański H. 45447

T

- Tachi I. 42839
Tadokoro H. 43395
Tagliavini G. 42630
Takabayashi T. 44930 II
Takatani T. 44895
Takemori Y. 42839
Takuma T. 43291
Talenti M. 43034
Tamaru K. 42684
Tanabe K. 45205 II
Tanabe Y. 42290
Tanaka M. 43539
Tanford C. 42881
Tannenwald P. E. 42507
Tar I. 43381
Tatsuoka S. 44677 II
Tattersall H. J. 44964 II
Tavasci B. 43903
Tawakley M. S. 44530
Taylor A. W. C. 44378 II
Taylor A. W. J. 44471 II
Taylor E. P. 44684 II
Taylor J. 44633 II
Taylor J. B. 42774
Taylor J. H. 45731
Tehamer E. 45417
Teişanu E. 45466 R

- Tenenbaum L. I. 43830
 Teply 45472 K
 Teranishi H. 43649
 Terentjew A. P. 43049
 Terol S. 42463
 Terras M. E. 44854 II
 Terres E. 44248
 Tertian R. 42388
 Tesarik J. 44123
 Teste, J. 43166
 Testro H. J. 45587
 Thaker R. H. 42683
 Thetlacker W. 43118
 Thienpont R. A. J. 43534
 Thiers R. E. 43523
 Thilenius G. 44900
 Thilo E. 42461
 Thilo F. 45644 II
 Thinius K. 44466 II
 Thode H. G. 42258
 Thomas G. H. 43286
 Thomas H. J. 43840 II
 Thomas J. A. 44096 II
 Thomas J. F. 43542
 Thomas R. H. 45477 II
 Thomas R. M. 44915
 Thompson A. 43258
 Thompson F. W. 43633
 Thompson H. B. 43650
 Thompson R. B. 44447 II
 Thompson S. G. 42252
 Thompson W. 42582
 Thompson -W. L. 43813
 Thomsen A. M. 43796 II
 Thomsen H. 43040
 Thomson A. G. 45840
 Thomson A. L. 42667
 Thomson P. 42182
 Thorngren B. I. 42182
 Thornton D. P. 44225
 Thornton M. 44814 II
 Thürauf E. 45084 II
 Thurman B. H. 42182
 Tiberio U. 43662
 Tiefenthal H. E. 43147
 Tigaud J. 43696
 Tillwich M. 44272
 Timell T. E. 45114
 Timm T. 44853 II
 Timpane E. F. 45795
 Tobin H. 42697
 Tobin R. 43378
 Todaro M. 44011
 Toffoli F. 43520
 Tollberg W. 43439
 Tolbert B. M. 42347
 Tollenaar D. 43645
 Tollenaar F. D. 45413
 Tomisek M. 45530
 Tomiuk M. 44838 II
 Tomlin A. 44840 II
 Tommila E. 42671—
 42673
 Tompa H. 43440
 Tomuschat H. J. 43118
 Tong L. K. J. 42675
 Tooley T. V. 44055 II
 Tooper E. B. 43890
 Topa V. 42302
 Tordesillas I. M. 43385
 Touly 45620
 Tourret R. 44253
 Toyama Y. 44699 II
 Trabancill G. 43543
 Trabert H. 43596
 Trachet J. 45642 II
 Tramm H. 44329 II
 Trau J. 45604
 Trawinski H. 45685
 Treadwell W. D. 42917,
 42918
 Tree E. B. 42182
 Treibs A. 43168
 Trefny F. 44183
 Trenwith A. B. 42650
 Tressler D. K. 45489 II
 Tribolet P. 43345 II
 Triché H. 43508
 Tridot G. 42905
 Triebwasser S. 42614
 Triggs R. E. 45450
 Trivero G. 42245
 Tromel G. 44012
 Trouill Z. 43635
 Trowbridge J. R. 43094
 Trtilek J. 42202 K,
 42205 K
 Truesdale G. A. 43018
 Truttwin H. 45455
 Tryon P. F. 43838 II,
 43839 II
 Trzebiatowski W. 42384,
 42385, 43393
 Tsuchida R. 42315, 42316
 Tsunoda Y. 45197 II
 Tsuruta S. 44895
 Tucakov J. 44763
 Tucker J. R. 42591
 Tuller W. N. 43739 K
 Turkevich J. 42439,
 42452
 Turner E. S. 43391
 Turner O. C. 45422
 Turney M. E. 45252
 Twomey D. 43192
 Twynning R. V. 43855
 U
 Ubukata K. 45045 II
 Ueberreiter K. 43386,
 43387
 Uehara G. 44384 II
 Ufer H. 44429 II
 Uffen R. J. 42945
 Ulrich W. 44640
 Ulmann M. 43444
 Umstätter H. 43643
 Underkoffler 45398 K
 Unger P. 43571
 Unruh C. C. 44940 II
 Updegraff N. C. 44236
 Upson U. L. 43547
 Urbain M. P. 43019
 Urdang A. 43133
 Urion E. 45370
 Urquiza M. 43297
 Ushiyama S. 45346 II
 Uskert A. 43309
 Uusitalo E. 43213
 V
 Vacelet P. 44939 II
 Vachter J. 45520
 Valcavi U. 43121
 Vale W. R. F. 42542
 Valenta M. 42887
 Valentine L. 43424
 Valentović S. 45399 K
 Valic L. 45026
 Van Alten L. 42356
 Van Atta G. R. 43710
 Vancea M. 43755
 Vanci G. 42891
 Vanderauwera J. 43421
 Van Overbēke M. 44555
 Van Tiggele A. 42662,
 42663
 Váradi F. P. 43627,
 43689
 Vashist M. L. 43146
 Vasilos T. 43904
 Vastagh G. 44641
 Vasudeva Murthy A. R.
 43468
 Vaudémont R. 44556
 Vaughan G. 43263
 Vaughan J. 42667
 Vaughan L. D. 42555
 Vaughan W. R. 43068
 Vázquez E. A. 45300
 Veber R. 45652 II
 Veleza Z. 43491
 Vedlich 45472 K
 Veijola V. 43071
 Velluz L. 43306, 43323
 Venjakob J. 43097
 Venkateswarlu D. 45692
 Venkitasubramanian
 V. S. 42952
 Venturello G. 43467
 Vercellone A. 43314,
 43315
 Vercoc C. S. 42182
 Verley A. 44816 II
 Verlohr K. 44090 II
 Vernon C. A. 43055
 Verschaffelt J. E. 42567
 Vert G. 45672
 Verwimp J. 42662
 Vetter K. J. 42821
 Vezzosi I. M. 45624
 Viard M. J. 44437 II
 Vielstich W. 42661,
 42816
 Vieweg H. 44842 II
 Vihan Z. 45399 K
 Vilkas M. 43280
 Villar G. E. 42882
 Vilson C. P. 45552 II
 Vincent R. S. 44358 II
 Vink H. J. 42416
 Viro P. J. 43555
 Vishen P. N. 45666
 Visscher F. E. 43171
 Viste R. 43624
 Vister T. 43144
 Vodar B. 43634
 Vogel P. 44007
 Vogel R. 42733
 Vogt A. 43339 II
 Vogt C. N. 45000 II
 Vogt H. C. 43132
 Vogt R. A. 45141
 Volgt A. F. 42557
 Volders A. 42663
 Volkovic S. I. 43731 K
 Volkl W. 42822
 Vollmer W. 43798 II
 Voltz S. E. 42706
 Vos A. 42378
 Vos G. 42798
 Voss A. 44934 II
 Vosters H. L. 45173
 Voticky Z. 43310
 Vries G. 43136
 Vuillard G. 42788
 W
 Waard H. 42244
 Wachtel H. K. 44719 II
 Waddington F. B. 43432
 Waeser B. 45258
 Waeser B. 45619
 Wagman D. D. 42587
 Wagner G. 46660
 Wagner H. 44514 II
 Wagner S. 42273
 Wahls H. A. 45696
 Walbel H. 44564
 Walnd G. M. 42709
 Walte C. F. 43887
 Waldie M. A. 45076 II
 Waldron J. D. 43432
 Walker C. A. 42723
 Walker D. F. 43123
 Walker P. L. 42690
 Walker W. C. 45729
 Walter L. 44571, 45764
 Walters T. M. 45751 II
 Walters W. D. 42652
 Walton E. 43143
 Walton S. 42487
 Wang H. 45428
 Wannagat U. 43235
 Want G. M. 43435
 Waplenski S. 43009
 Wapstra A. H. 42239
 Ward R. 42463
 Waring J. R. S. 43394
 Warner D. T. 44511 II
 Warrick E. L. 44973 II
 Washburn R. E. 42765
 Washington R. A. 42722
 Wasilewska L. 44644
 Wasilewski I. 43852
 Wasserman H. H. 43091
 Watabe I. 44318 II
 Waterman H. I. 44477 II
 Watson D. A. 45589
 Watson J. T. 45496 II
 Watson T. A. 43599
 Weatherford W. D. 44186
 Weathers L. G. 43822
 Weaver H. E. 42347
 Weber G. 44223
 Weber G. M. 43559 II
 Webster K. C. 43836 II
 Webster T. J. 44111 II
 Weck H. I. 42601
 Wedaa H. W. 42678
 Wedekind K. 44856 II
 Wedlake D. 43301
 Weeks B. M. 42754
 Wegler R. 44610 II
 44961 II, 45545 II
 Wehrmeister H. L.
 44717 II
 Welchert K. 44316 II
 Weldinger H. 43289
 Weigand H. 45249
 Weihe A. 44351 II,
 44938 II, 45050 II
 Well H. 44241
 Well L. 42700
 Weller P. 44736 II
 Well J. 43668
 Weiner K. L. 42937
 Welner R. 42302
 Weinrotter F. 44382 II
 Weinstock K. V. 44941 II
 Weisberger S. 43550
 Weisblat D. I. 43318,
 43319, 44499 II
 Weise H. 44584
 Wels-Pogh O. 44651
 Weisgerber P. 42808
 Weiss R. J. 42423
 Weißbach K. 44396 II
 Weissberger A. 44760 II
 Weissert J. 44536 II
 Welch A. P. 43913
 Welcker H. 42890
 Welker H. 42442
 Welker J. P. 42224
 Weller A. 42745
 Weller S. W. 42706
 Wells F. W. 43702
 Wells R. F. 44868
 Welsh H. L. 42365
 Welte F. 43562
 Wemelle R. 42879
 Wendlandt R. 44313 II
 Wenger F. 45192
 Wenis E. 43204
 Wenk B. 44480 II
 Wenner W. 44510 II
 Werner W. 42608
 Werkman R. T. 44446 II
 Wernberg E. L. 44461 II
 Werner E. 42828
 Werner W. 45628 II
 Wernicke W. 45464 K
 Werth P. 44202 II
 Wesp G. L. 44945 II
 Wespiser F. 44316 II
 West P. W. 43527
 Weston B. M. 44080 II
 Westrum E. F. 42581
 Wexler S. 42231
 Weyde E. 44758 II
 Weygand F. 43116
 Whalen J. F. 45109
 Whistler R. L. 43269,
 43391
 White B. B. 45156 II
 White F. B. 42182
 White J. L. 43171
 White R. J. 43718 II
 White R. V. 45651 II
 White T. 45539
 White W. H. 44720 II
 Whiting L. R. 45080 II
 Whitting S. H. 45559 II—
 45561 II
 Whitney R. M. 45438
 Whittle J. 44269
 Wibaut J. P. 43174,
 43182
 Wicke E. 42775

Wickenden L. 45342 II
Wicker D. B. 43742 II
Wiebke G. 43557 II
Wieggers G. C. 42387
Wiemann J. 42830, 43045
Wilborn F. 42665
Wild H. 43198
Wildschut A. J. 44873
Wilhelm R. H. 43477
Wilke H. 43953
Wilke H. 44263
Wilke K. T. 42455
Wilkins P. J. 44473 II
Wilkinson C. F. 45635 II
Wilkinson J. R. 42221
Wilkinson R. A. 44482 II
Willard C. 45414
Williams F. 45082 II
Willems P. 43712
Willfroth E. 43743
Williams A. A. 42298
Williams A. E. 45131
Williams C. L. 42607
Williams C. N. 43957
Williams J. H. 43512, 43523
Williams J. L. 45170
Williams C. L. 43403, 43405
Williams N. D. 44331 II
Williams R. H. 43227
Williams R. R. 42653
Willits C. O. 45335

Wilski H. 42805, 42806
Wilson A. N. 43143
Wilson G. C. 45800
Wilson H. L. 44849 II, 44850 II
Wilson J. L. 45255
Wilson S. W. 44392 II
Windsor M. 42746
Wing P. 45776
Wingenroth R. 45541
Winkler F. 44209 II
Winkler O. 45629 II
Winkler U. 42468, 42483
Winn F. W. 45711
Winstein S. 43054
Winter H. 43985
Winthrop S. O. 43126
Witek T. 42928
Witekowa S. 42928
Witkowski C. J. 45125
Wittcoff H. 43439
Wogrinz A. 43871
Wohlleben G. 42799
Wold J. P. 44117
Wolf A. P. 42554
Wolf C. 44104 II
Wolf H. C. 42308
Wolf L. 42632
Wolff R. E. 43284
Wolfson M. L. 43258, 43259
Wolter F. J. 43773 II
Wolz H. 44826 II

Wood H. W. 44738
Woodward R. B. 43054
Woog T. 44354 II
Wootton A. E. 45325
Worden E. C. 43919
Wormell R. L. 44619 II
Woycieki W. 43654
Wranglin G. 42519
Wright C. C. 42690
Wright D. L. 45648 II
Wright G. F. 43065, 44630 II
Wright P. 43817
Wright T. E. 45581
Wucher J. 42504
Wurm G. 44068 II
Wurm P. 45106
Wyatt P. A. H. 42598
Wygant J. F. 44035
Wynn N. R. 43705
Wynne-Evans C. 44799
Wynne-Jones W. F. K. 42838

X

Xavier J. 43462
Xuong N. D. 43167

Y

Yaffe L. 42243, 42258
Yamada S. 42315, 42316
Yang Jen Tai 43379
Yankwich P. E. 42555

Yano S. 42345
Yeager C. C. 44578
Yeager D. 45836
Yerger E. A. 42795
Yin P. 42581
Yoe J. H. 43523
Yoffe A. D. 42897
Yoshihashi H. 42773
Young P. M. 42542
Yunker W. J. 45836
Yuasa T. 42223
Yumoto H. 43434

Z

Zabel M. 44434 II
Zachariason R. H. 45653 II
Zagar W. 43371
Zähringer J. 42948
Zajic B. 45415
Zanden J. M. 43136
Zapas L. J. 43406
Zaugg H. E. 43124
Zaverina E. D. 42857
Zawada J. 44723 II
Zawadzki A. 43934
Zdyblewski M. 45532
Zebrowska M. 45323
Zechmeister L. 43338 II
Zeeman P. B. 42300
Zeiger H. 42505
Zeiss H. H. 43043
Zemany P. D. 34607

Zembura Z. 45604
Zenftman H. 44636 II
Zerbe C. 44308 II, 44817 II, 44818 II, 44828 II
Zerbe R. O. 44840 II
Zervas P. 44597 II
Zettlemoyer A. C. 45729—45731
Ziebland H. 42543
Ziegler K. 44696 II
Ziegler V. 42955
Ziegler W. 44485 II
Zieren A. 45743 II
Zijp J. W. H. 42864
Zilske H. 45237
Zimmerman G. 42739
Zitter R. 42503
Zobel F. 44316 II
Zobel H. F. 45241
Zohn M. S. 42833
Zöllner E. 44641
Zorn H. 44356 II
Zuck D. A. 42368
Zu-kermann A. M. 43049
Zuleger W. A. 43939
Zuman P. 42842
Zutragen H. A. 42878
Zwart C. 43182
Zwicker B. M. G. 44788
Zwosta W. M. 45487 II
Zymny E. 43909, 44668

დავითილი ა. 43105,

ერისთავი დ. 43483

ლალბე რ. 43105

ლალბე რ. 43106

ლოლაძე ნ. 43106

ნაკიძე ი. 43824

პოლიტოვი ნ. 42410

上原康夫 42447
三井志郎 43410
三宅泰雄 43022
三島幸藏 45688
中川正澄 43110
中村昇太郎 43156
中村惠一 43902
中林敏郎 45537
中原昭次 42922
中島辰巳 43164
中島純 42929
丸山正武 44897
久保博司 43086
久慈光亮 43185
二ノ井襄 43201
井上一郎 45676
井上楢三郎 45102
井伊谷鋼一 45674
井本英二 43092
伊地知李隆 43572
佐治孝 45600, 45601, 45602
児玉忠重 45248

児玉信次郎 42929
八木三郎 42515
加藤信幸 43187
千徳一夫 43628
又賀昇 42289
古川淳二 45669
古西亮 44188
古賀豊城 42569
古賀満 43786
向正夫 45600, 45601, 45602
合葉修一 45667
吉田高年 44188
吉田善一 44880
品川陸明 43754
國近三吾 43164
國富稔 43753
塚本越夫 43572
塚本義 43185, 43186
境野照雄 43902
吉比正大 43086
大山義年 45667
大竹傳雄 45713, 45735

大内謙一 42802
大友義郎 43157
大田正樹 43205, 43206
大河原信 43092
大前劬 45669
大隅義男 42711
大島幹義 45736
大島康義 45735
大熊誠一 43567, 43595
奥井一義 45102
孫樹門 43219
宇佐美四郎 43573
宇津木弘 42859
安茂壽夫 43203
宗宮尚行 43514
宮崎治 43786
富木正英 43786
富田眞雄 43202, 43203
小川元 45665
小田良平 43148
小林正光 43754
小枝幾久雄 43587
小泉正夫 42289

小塚多吉 42535
山邊武郎 42866
山田保雄 43120
山田祥一郎 42907
山本茂 43583
山崎一雄 42161
岡本剛 42809
岡田利夫 45713
岡安健一 45722
岡村幸雄 45678, 45679
岡信三郎 43164
岡獻太郎 45175
岩下晴七 45458
岸谷孝一 45608
島内武彦 42324
島田明 45668
常富榮一 44105
平川芳彦 44227
平井西夫 43416
平井嘉吉 45668
渡邊鏡 43763
廣田鋼藏 43628
禮徳張 43372

徳田種樹 44000
恩田政行 43185
堀茹荷夫 A. O. 42187
新村陽一 42000, 42904, 42926
明石博吉 43148
易志寛 45590
星田晴彦 43149, 43150, 43151
木村作治郎 42180
木村典夫 45674
木村隆一 43149, 43152
木村健二郎 42553
李郁芥 43672
村上喜一郎 45248
村川孝男 43867
村田富二郎 43724
村橋俊介 43078
杉浦孝三 43905
松川泰三 43313
松山晋 45537
松井正直 43086

松井和夫 43188	池田長生 42553	矢野泰 43410	藤田榮一 43179, 43894	鍛冶健司 43201
桃木弘三 43514	池田龜三郎 42181	石川欣造 45184	藤田重文 45712	長島弘 43201
梶村工 43583	沈壽彭 43672	石川隆郎 42959	藤田威雄 45804	門五兵 44105
森川文樹 43506,	波田典正 45537	石山孝次 45610	藤居良助 43156	開誠治 43185, 43187
43525	河島磯志 43514	石坂哲夫 43185, 43186	瀬瀬新一郎 42189, 43156,	阿部久二 43184, 43185,
森谷太郎 43902	淺田幸作 45113	福井謙一 42929	43157	43186, 43187, 43188
堀田龍太郎 42900, 42904,	深谷幸太郎 45668	福島達 42929	西本明純 44796	陳康 43372
42907, 42922, 42927	渡邊昭三 45712	福宜田久男 42349	西海枝東雄 43140, 43150,	難波桂芳 44627
樋口泉 42859	澤井喜作 42276	竹中治夫 45767	43151	青木一郎 42981
榎本隆一郎 44235	浜村保次 42535	竹田愛郎 42568	西條利明 43179	高木邦彦 43156
樋澤格 43213	瀧貞男 43753	米田義章 43092	露露洞 45590	高谷通 44895
横内澤 45175	牛末正夫 42957	能勢伸治 42929	豊澤豊 42488	高取吉太郎 43128
横井正博 43164	王葆仁 43219	花田俊彦 43201	遠山武 45766	高瀬宗章 43202
横須賀繁 43506, 43507,	生田庄太郎 44796	英哲 43148	遠山陽子 43179	鳥居鉄也 43035
43525	生駒一郎 45179	前田壽弘 43156	郷定康 45590	鶴飼貞三 43777
櫻岡吉 43511	田中正雄 43506, 43525	前田祥三 43213	金友三郎 43177	鶴田四郎 44895
武井信典 43519	田中俊一 43685	菅原健 43021	金三郎 43177	鹽澤潤 45804
永井外志昭 42929	田中和雄 43205	菊澤偕夫 45712	鈴木明 43786	黃志鐘 43219
永茂 42276	田村ヤスコ 43179	薩摩如潤夫 B. P. 42188	鈴木周一 44657	黒田泰弘 43905
江英彦 43218	白戸敏平 45678, 45679	藤井光蔵 44014	錢入元 43372, 43672	

УКАЗАТЕЛЬ ДЕРЖАТЕЛЕЙ ПАТЕНТОВ

Abbott Lab. 44512, 44733	American Viscose Corp. 43742,	der Kohlentechnik G. m. b. H. 44339, 44373, 44452, 44455,
Adam Opel- Akt. Ges. 45655	44094, 44947, 44950	44963, 45084
Aerojet-General Corp. 44444	Anglo-Iranian Oil Co. Ltd 44520,	Cambridge Tile Manufacturing Co. 44077
Aerosol Corp. of America 44726	44297, 44300	Canadian Gypsum Co. Ltd 45018
Agfa Akt. Ges. für Photofabrikation 44758	Anneliese Leininger 45070	Canadian Kodak Co. Ltd 44757
Akt. Ges. Brown, Boveri and Cie. 44165	Aramour & Co. 45264, 45265, 45547	Canadian Refractories Ltd 44086, 44087
Aktiebolaget Celloplast 45202	Armstrong Cork Co. 44926	Carlborundum Co. 44091, 44096, 45002
Aktiebolaget Kamyr 45154	AROBIGA Akt. Ges. 45640	Cassella Farbwerke Mainkur Akt. Ges. 44540
Aktiebolaget kontrollinstrument 44996	Arvey Corp. 43844	Celanese Corp., of America 44393, 45064
Aktiebolaget Rosenblads Patent 44205	Asahi Chemical Industries Co. 45197	Chadeloid Corp. 45086
Aktieselskabet de Danske Sukkerfabrikker 45341	Asahi Glass Co. 44989	Chas Pfizer & Co., Inc 44707
Aladar Skita und Werner Stühmer 44485	Ashland Oil & Refining Co. 44304	Chemical and Dye Corp. 45553
Aladdin Industries, Inc. 44075	A/S Plumbol 45079	Chemical Elaborations, Inc. 44414
Albrecht & Wilson Ltd 44622	Associated Concentrates, Inc. 44732	Chemical Hormone Corp. 44719
Alexander Wacker Ges. für elektrochemische Industrie G. m. b. H. 45085	Atlas Mineral Products Co. 44982	Chemische Verwertungsges. Oberhausen 44320, 44375, 44377
Allen & Hanburys, Ltd 44684	Atlas Powder Co. 44990	Chemische Werke Albert 44166, 44489, 44983, 45060
Allied Chemical and Dye Corp. 44458	Babcock & Wilcox Co. 44084, 44200	Chemisch Werke Bergkamen Akt. Ges. 44462
Allmanna Svenska Elektriska Aktiebolaget 45089	Backhefe G. m. b. H. 45403	Chemische Werke Hüls G.m.b.H. 44316, 44396
American Cyanamid Co. 43848, 44427, 44432, 44516, 44529, 44553, 55611, 44616, 44678, 44680, 44734, 45559—45562	Badische Anilin- & Soda-Fabrik Akt. Ges. 44208, 44209, 44333, 44356, 44374, 44376, 44388, 44394, 44395, 44401, 44415, 44419, 44420, 44423, 44429, 44440, 44460, 44470, 44513, 44614, 44914, 44954, 44965, 44993, 45003, 45074, 45194, 45208, 45210, 45754	Chemstrand Corp. 44519, 44945
American Enka Corp. 45157	Bakelite, Ltd 45014	Christian Carstens, Tönieshof bei Fredelsloh 44065
American Home Foods, Inc. 45497	Benckiser T. A. G. m. b. H. 44163	Ciba Akt. Ges. 44204, 44484, 44537, 44538, 44542, 44548, 44554, 44593, 44594, 44608, 44608
American Home Products Corp. 44715	Berger and S'ons Ltd 44952, 44964, 44977	Ciba Ltd 44541, 45147
American Marietta Co. 45015	Bergwerksverband Lur Verwertund von Schutzrechten	Ciba Soc. Anon. 44526, 44708
American Optical Co. 44047		
American Pop Corn Co. 45478		

Cie Française des Matières Co- lorantes 44500	and Co. 43762, 43773, 44059	Glass Fibers Inc. 44059	Kodak (A/Asia) Pty Ltd 44753
Cilag Akt. Ges. 44675	43837, 44344, 44408, 44411, 44441, 44481, 44506, 44518, 44549, 44621, 44754, 44942, 44944, 44948, 44957, 44966, 44967, 45048, 45054, 45055, 45061, 45158, 45193, 45206, 45207, 45555, 45809	Glidden Co. 44705 Goodrich B. F. Co. 44820 Gorton-Pew Fisheries Co., Ltd 45498, 45499 Hamburg und Metallgesellschaft Akt. Ges. 44817, 44828 Hangers Paints Ltd 44813	Koninklijke Industriële Maatschappij voorheen Noury van der Lande N. V. 44468 Koppers Co., Inc. 44213, 44919, 45019 Koyo Chemical Industries Co. 45045
Colgate-Palmolive-Peet Co. 45270, 45274	Durand & Huguenin Akt. Ges. 44550, 44600	Hartford National Bank and Trust Co. 44070	Kurashiki Rayon Co. 44931, 45205
Collin F. J. Akt. Ges. zur Verwertung von Brennstoffen und Metallen 44211	Dynamit Akt. Ges. vormals Alfred Nobel & Co. 44827	Heinrich Gries 43900	Lab. du Dr. Roja 44787
Columbian Carbon Co. 44315, 45069	Eastman Kodak Co. 44543, 44544, 44546, 44940, 44981	Heinrich Koppers G. m. b. H. 44089	Lab. et Techniques Modernes (Soc. à r. l.) 44785
Columbia Southern Chemical Corp. 43758, 44832	Electrochemisches Kombinat Bitterfeld 44385	Henkel & Cie G. m. b. H. 44355, 44398, 44507, 44582, 44960, 45161	Lab. Français de Chimiothérapie 44701, 44712, 44713
Commercial Solvents Corp. 43838, 43839, 44717	Elektrochemische Werke München Akt. Ges. 44433	Heraeus W.C. G. m. b. H. 45629	Lachima, Lab. Marocains d'Etudes et de Recherches Chimiques 45271
Commonwealth Color & Chemical Co. 43763	English Clays Lovering Pochin Co., Ltd 44045	Hercules Powder Co. 43747, 44811	Lannacher Heilmittel G. m. b. H. 44487
Commonwealth Engineering Co. 45076	«Era» Estimator G. m. b. H. 45409	High Molecular Chemical Assoc. 44384	Lech-Chemie Gersthofen 45056
Commonwealth Scientific and Industrial Research Organization 44617	Eso Research and Engineering Co. 45057	Hoat-X-Changer Co. Inc. 45755	Lignosol Chemicals Ltd 45546
Consolidated Mining and Smelting Co. of Canada Ltd 45556	Eso Standard Soc. Anon. Française 44361	Hofmann-La Roche & Co. Akt. Ges. 44483, 44525, 44509, 44510, 44686	Lohmann K. G. 45016
Consortium für elektrochemische Industrie G. m. b. H. 44923	Explosive mixtures' 44632	Hollingshead R. M. Corp. 44359	Lonza Elektrizitätswerke und Chemische Fabriken Akt. Ges. 43767
Corn Products Refining Co. 44345, 45347	Farbenfabriken Bayer 43841, 44058, 44428, 44430, 44454, 44480, 44551, 44552, 44597, 44610, 44826, 44830, 44843, 44916, 44961, 44969, 44970, 44992, 45013, 45407, 45545, 45644	Holoplast, Ltd 44999	Lummas Co. 45262
Council of Scientific and Industrial Research 44078, 45164	Farbwerke Hoechst vormals Meister Lucius and Brüning 43850, 44490, 44493, 44523, 44536, 44591, 44613, 44673, 44716, 44924, 44934, 44938, 45050	Honorary Advisory Council for Scientific and Industrial Research 44630	Lungi Ges. für Wärmetechnik m. b. H. 44322, 44391
Courtaulds Ltd 44619, 44623, 45198, 45200, 45203, 45204	Fauld Feinbau G. m. b. H. 45749	Houdry Process Corp. 44290	Maatschappij Voor Kolenbewerking Stamicarbon N. V. 45750, 45752
Cowles Chemical Co. 44503	Ferro Corp. 44064	Huber J. M. Corp. 44831	Mallory P. R. & Co., Inc. 44074
Davison Chemical Corp. 45552	Filtrox-Werk Akt. Ges. 45748	Imhausen & Co. G. m. b. H. 44728	Marathen Corp. 45514
Dearborn Chemical Co. 44164	Fluor Corp. Ltd 45747	Imperial Chemical Industries of Aust and N. Z. Ltd 43770, 44953, 45276, 45517	Märkische Seifen-Industrie o. H. G. 44345, 44416, 44829
Dehdag Deutsche Hüttenwerke Akt. Ges. 44727	Frank W. Horner Ltd 44720	Imperial Chemical Industries Ltd 43759, 43775, 43776, 43836, 44378, 44379, 43800, 44435, 44448, 44464, 44471, 44482, 44534, 44633—44636, 44951, 45048, 45065, 45760	Maschinenfabrik Buckau R. Wolf Ekt. Ges. 45343
Dehydtag Deutsche Hydrierwerke G. m. b. H. 44612, 44812, 44987	Fritz Hellige & Co. G. m. b. H. 43720	Imperial Trust for the Encouragement of Scientific and Industrial Research 43769	Mathieson Chemical Corp. 43764
Dental Perfection Co. 45650	Fuji Photographic Films Co. 44755	Industrial and financial assn. Inc. 45756	Mathur, Mathur & Tawakley 45075
Deutsche Gold- und Silber-Scheideanstalt vormals Roessler 44351, 44407, 44439, 44400, 44514, 44626, 44909, 45348	Gaskell & Chambers, Ltd 45759	Installations - Unternehmung Franz Lex 44162	Merck and Co., Inc. 44405, 44710
Deutsche Hydrierwerke Akt. Ges. 44336, 44991	Gebert und Cie 45011	International Latex Processes Ltd 44809	Metallges. Akt. Ges. 43740, 43741, 43794, 44112, 44818, 44819, 44856, 45260, 45261, 45550, 45628, 45633, 45741
Deutsche Shell Akt. Ges. 44817—44819, 44828, 44308	Gebr Albrecht. 45263	Ionics Inc. 43717	Metal and Thermit Corp. 44461
Deutsche Werke Kiel Akt. Ges. 44985	Geigy J. R. Akt. Ges. 43845, 44609, 44692	Johns-Manville Corp. 44101	Metropolitan-Vickers Electrical Co., Ltd 44995
Distillers Co., Ltd 44467, 44473, 44476, 44698, 44918	Geisenkirchener Bergwerks Akt. Ges. 44203 II	Johnson A. Co., 44360	Metzeler Gummiwerke Akt. Ges. 44836, 44842
Dolomitwerke G. m. b. H. 44090	General Aniline and Film Corp. 44494, 44496, 44498, 44547	Kall-Chemie Akt. Ges. 43797, 44402, 44730	Minder Bros. Inc. 45486
Dominion Rubbe Co., Ltd 44445, 44922	General Cigar Co. Inc. 45504 II	Kallivertiebsstelle G. m. b. H. Abteilung Kallforschungsstelle 43760	Minerals & Chemicals Corp. of America 44044
Dornbusch und Co. 45008	General Electric Co. 44825, 44976	Kalman Lab. & Inc. 44098	Minister of national defence of her majesty's canadian government 44631
Dow Chemical Co. 44472, 44671, 44986, 45068, 45512	General Foods Corp. 45481	Kamiet Lab. 43761	Minnesota Mining & Manufacturing Co. 45163
Dow Corning Corp. 44456, 44502, 44823, 44824, 44973, 44975, 45047, 45049	General Mills, Inc. 44511, 45266	Kellite Products, Inc. 45636	Mississippi Valley Research Lab. 44962
Dreyfus Co. 45156	General Refractores Co. 44085	Kennametal Inc. 45639	Miyata Manufg. Co. 45637
Dr. Quehl & Co. G. m. b. H. 44620	General Tire and Rubber Co. 44941	Krer J. & Co. (Manchester) Ltd 45848	Mond Nickel Co., Ltd 43780
Dunlop Rubber Australia Ltd 44676, 44834	Gewerkschaft V. 43798	Kessler Chemical Co. Inc. 44421	Monsanto Chemical Co. 44450, 44492, 44588, 44590, 44603, 44615, 44840, 44946, 44978, 44988, 45005, 45275
Dunlop Rubber Co., Ltd 45201	Ges für Linde's Eismaschinen Akt. Ges. 45652	Knarsack-Griesheim Akt. Ges. für Stickstoffdünger und Autogentechnik 45847	Muster-Schmidt Berliner Musterkartenfabrik Christian Hansen-Schmidt 45081
Du Pont de Nemours E. I. 44600	Gillette Safety Razor Co. 44425	Knoll Akt. Ges., Chemische Fabriken 44687, 44688	Nagoya Industrial Science Re-
	G. & J. Weir Ltd 44168	Kodak Ltd 44752	
	Glacieries de St. Roch Soc. Anon. 44049	Kodak-Pathé 44756, 44760	
	Glacier Metal Co., Ltd 45023		

- search Institute, Inc. 44699, Photocolour Lab. Ltd. 44751
 Naphtol-Chemie Offenbach 44598, Phrix-Werke Akt. Ges. 44955
 44599, Polaroid Corp. 45006
 Napier D. & Son Ltd 45811, Poliet et Chausson 44103
 National Dairy Research Lab., Inc. 45493, Porocel Corp. 44443
 National Lead Co. 43718, Porzellanfabrik Kahla 44073
 43781, 43895, 45067, Procter & Gamble Co. 45267
 National Research Council 43777, Pure Oil Co. 42499, 44331
 National Research Development Corp. 45558, Purex Corp., Ltd 45273
 Nederlandse Organisatie Voor, Quaker Oats Co. 45479
 Toegepast - Natuurwetenschappelijk Onderzoek ten Behoeve van Nijverheid, Handel en verkeer in den Haag 44917, 44971, Radio Corp. of America 43774, 44936, 45557, 45653
 New Wrinkle, Inc. 45053, Rathgeber K. Fabrik orthopädischer Fußmittel 44810
 Nippon Petroleum Oil Co. 44318, Rayonier Inc. 45151
 Nippon Plate Flass Co. 44050, Raytheon Manufacturing Co. 45744
 Nopco Chemical Co. 44729, Rederaktiebolaget Nordstjernan 43764
 North Thames Gas Board 44206, Rehels Co. Inc. 44672
 N. V. de Bataafsche Petroleum, Reinische Schmirgel-Werke 44943
 44285, 44289, 44294, 44295, 44307, 44326, Beuel-Bonn G. m. b. H. 44504
 44327, 44347, 44349, 44350, Rhodiacta 45155
 44352, 44413, 44956, Riedel-de Haën Akt. Ges. 43835, 43842
 N. V. Handelsvereniging Holland 45277, Rille-Coe Filter Process Inc. 45484
 N. V. Koninklijke Pharmaceutische Fabrieken V/h Brocades-Stheeman & Pharmacia 44721, Roche Products Ltd 44449
 N. V. Liempf 45344, Rocla Pipes Ltd 45638
 N. V. Onderzoekingsinstituut Research 44968, Röhm und Haas G. m. b. H. 44422, 45543
 N. V. Philips' Gloeilampenfabrieken 43896, 44053, 44072, 44759, 45088, 45641, Rohr Alrcraft Corp. 44855
 Oesterreichische Stickstoffwerke Akt. Ges. 44679, Rolls-Royce, Ltd 44921
 Office Central de Chaurffe, Rosenthal-Porzellan, Akt. Ges. 44068
 Rationnelle 45159, Rubber-Stichting 44833
 Olin Industries, Inc. 43748, Ruhrchemie Akt. Ges. 44322, 44323, 44380, 44380, 44391, 44403, 44406, 44928
 Opfermann and Sohn J. G. W. 44410, Sandoz Soc. Anon. 44535, 44539, 44548, 44596
 Österreichisch - Amerikanische Magnesit Akt. Ges. 44082, Sayles Finishing Plants, Inc. 44625
 Otto O. & Co. G. m. b. H. 44212, Schering Adlershof 44711
 44329, Schering Akt. Ges. 44696
 Owens-Corning Fiberglass Corp. 44054, 44055, 44979, Schoenfeld-Reiner R. 544174
 Owens Fiberglass Corp. 44605, Searle G. D. and Co. 44517
 Owens-Illinois Glass Co. 44097, 45513, Sheetwood Products Co. 45017
 Oxirane Ltd 44806, Shell Development Co. 43840, 44338, 44477, 44718, 44959, 45272, 45649
 Parker Rust Proof Co. 45087, Slegfried Keller und Co. 45001
 «Pechiney» Cie de Produits Chimiques et Electrometallurgiques 44908, 45810, Siemens-Reiniger-Werke Akt. Ges. 45091
 Permutit Akt. Ges. 44167, Siemens-Schuckertwerke Akt. Ges. 44062, 45090, 45480
 Pest Control Ltd 43846, 43847, Sinclair Refining Co. 44342
 44453, Soc. des Acieries de Longwy 44201
 Petrocarbon Ltd 44908, Soc. Anon. d'exploitations Pétrolières Antar et Raffineries Transcalses de Petrole de l'Atlantique 44309
 Phillips Petroleum Co. 44081, 44296, 44312, 44446, 44907, Soc. Anon. de Machines Electrostatiques «S. A. M. E. S.» 44624
 Phoenix Gummiwerke Akt. Ges. 44846, 44853, Sedos Glaces et Produits Chl-
- miques de Saint Gobain, Treilleries et Laminotirs du Chauny & Cirey 44046, 44056, 44060, 44061, 44083, 44426, 44437, Tye & Son, Ltd 44735
 Soc. Centrale de Recherches et d'Applications Techniques 44939, Udyllite Research Corp. 43898
 Soc. Française de Peintures Bitumineuses A. E. Petit et Cie 45020, Unilever N. V. 45268, 45278
 Soc. Internationale de Brevets 45630, Unines de Melle, Melle, Deux-Sèvres 44399
 Soc. Ommi-Maghreb 44783, Union Carbide and Carbon Corp. 44093, 44210, 44920, 45007, 45080
 Socony-Vacuum Oil Co., Inc. 44301, 44303, 45651, Union Oil Co. of Calif 45269, 45645
 45651, 45656, Union Siderurgique du Nord de La France 43799
 Soc. P. Az. Giuseppe Olmo et Carraroli D. 44844, Unitrade Akt. Ges. 45051
 Soc. des Produits Azotés 44521, Universal Oil Products Co. 44302, 44447, 44478, 44479, 44910, 44911
 Soc. des Usines Chimiques Rhône-Poulenc 44412, 44528, 44690, Upjohn Co. 44495, 44499, 44703, 44706, 44709
 44693—44695, 44714, 44949, USA Secretary of Agriculture 44340
 Standard Française des Petroles 44343, USA Secretary of War 44450
 Standart Oil Development Co. 44207, 44113, 44236—44288, USA Secretary of the Army 44762
 44291, 44292, 44298, 44305, 44317, 44319, 44324, 44330, U. S. Atomic Energy Commission 45763
 44332, 44334, 44335, 44337, 44341, 44346, 44348, 44353, 44357, 44381, U. S. Rubber Co. 44442, 44457, 44389, 44390, 44392, 44409, 44527, 44821, 44822, 44835, 44418, 44475, 44839, 44849, 44850, 44915, 44980, 45093, U. S. Steel Corp. 45516
 45646, 45648, 45654, 45762, Vereinigte Deutsche Metallwerke Akt. Ges. 45631
 Standfast Duers & Printers, Ltd 44595, Vereinigte Glanzstoff-Fabriken A. G.—44424, 45196, 45199
 Statelite and Porcelain Products Ltd 44071, Virginia-Carolina Chemical Corp. 44451
 Sterling Drug Inc. 44491, Visking Corp. 44761
 Studien- und Verwertungs-Gm. b. H. 44382, Wacker-Chemie G. m. b. H. 44387, 44933, 44935, 44937
 Submarine Cables Ltd 45021, Süddeutsche Kalkstickstoff-Werke Akt. Ges. 44313, 44314, Walter Feld & Co. 44202
 Sumitomo Chemical Industries Co. 45052, Walter L. C. 45751
 Sun Chemical Corp. 44057, Sumitomo Chemical Industries Co. 45052, Walter Specht, Ludwigstadt, Wilhelm Eberhard Schultheis 45406
 Sun Oil Co. 44293, Svenska Cellulosaaffrenings Centrlaboratorium 45149, Wander Akt. Ges. 44700
 Takeda Pharmaceutical Industries Co. 44469, 44677, Wasag-Chemie Akt. ges. 45064
 Technical Assets, Inc. 44311, Wellcome Foundation Ltd 44674, 44689, 44691
 Technique du Verre Tisse 45004, Western Condensing Co. 45494, 45495
 Teletype Corp. 45753, Western Electric Co. Inc. 45023
 Theima G. Krumm 45092, Westinghouse Electric International Co. 44048
 Theo Petri 44079, West Virginia Pulp and Paper Co. 45160
 Thomae K. G. m. b. H. 44685, Weyerhaeuser Timber Co. 45148
 Thessco J. Industrial Research Ltd 44735, Wilson & Co., Inc. 45515
 Tide Water Associated Oil Co. 45647, Wingfoot Corp. 44814, 44837, 44958
 Titan Abrasives Co. 44092, Wisconsin Alumni Research Foundation 44702
 Titan Co. Inc. 43771, 43772, Wyandotte Chemicals Corp. 44841, 45073
 Tokyo Institute of Technology 45012, Yemasa Soy Sauce Co. 45508
 Traver Corp. 44913, Ziemann A. At. Ges. 45767

Технический редактор А. И. Румова

Подписано в печати 13/IX 1956 г. Формат бумаги 84×108¹/₁₆ Бум. л. 16¹/₂ Печ. л. 52,89
 Уч.-изд. л. 91 Тираж 4.875 Зак. 478

2-я тип. Издательства АН СССР, Москва, Шубинский пер., д. 10

u

o.

98

78

x-

on

0,

09,

ord

02,

10,

03,

ture

4450

rmny

ation

4457,

835,

ill-

riken

45190

Corp.

. H.

44937

stadt,

Schul-

45068

Ltd

45494,

45022

Inter-

Paple

45148

15

44837,

search

Corp.

45508

45767

ОТКРЫТ ПРИЕМ ПОДПИСКИ
на 1957 год
НА ЖУРНАЛЫ АКАДЕМИИ НАУК СССР

НАЗВАНИЕ ЖУРНАЛОВ	Количество номеров в год	Подписная цена	
		годовая	полугод- овая
Вестник Академии наук СССР	12	96	48
Доклады Академии наук СССР (без папок)	36	360	180
Доклады Академии наук СССР (с 6 папками, коленчатыми с тиснением)	36	384	192
Природа	12	84	42
ФИЗИКО-МАТЕМАТИЧЕСКИЕ НАУКИ			
Акустический журнал	4	36	18
Астрономический журнал	6	90	45
Журнал технической физики	12	225	112.50
Журнал экспериментальной и теоретической физики	12	216	108
Известия Академии наук СССР, серия геофизическая	12	144	72
Известия Академии наук СССР, серия математическая	6	81	40.50
Известия Академии наук СССР, серия физическая	12	144	72
Кристаллография	6	72	36
Математический сборник	12	144	72
Оптика и спектроскопия	12	144	72
Приборы и техника эксперимента	6	72	36
Радиотехника и электроника	12	144	72
Теория вероятностей и ее применения	4	45	22.50
Успехи математических наук	6	96	48
Успехи физических наук	12	120	60
Физика металлов и металловедение	6	90	45
ХИМИЧЕСКИЕ НАУКИ			
Геохимия	8	72	36
Журнал научной и прикладной фотографии и кинемато- графии	6	45	22.50
Журнал аналитической химии	6	72	36
Журнал неорганической химии	12	270	135
Журнал общей химии	12	270	135
Журнал прикладной химии	12	180	90
Журнал физической химии	12	270	135
Известия Академии наук СССР, Отделение химических наук	12	126	63
Коллоидный журнал	6	72	36
Успехи химии	12	96	48
ГЕОЛОГО-ГЕОГРАФИЧЕСКИЕ НАУКИ			
Записки Всесоюзного минералогического общества	6	72	36
Известия Академии наук СССР, серия географическая	6	90	45
Известия Академии наук СССР, серия геологическая	12	144	72
Известия Всесоюзного географического общества	6	54	27
БИОЛОГИЧЕСКИЕ НАУКИ			
Ботанический журнал	12	180	90
Биофизика	8	72	36
Блехимия	6	90	45
Журнал высшей нервной деятельности им. П. П. Павлова	6	90	45
Журнал общей биологии	6	45	22.50
Зоологический журнал	12	180	90
Известия Академии наук СССР, серия биологическая	6	72	36
Микробиология	6	72	36
Почвоведение	12	144	72

(См. продолжение)

Цена 22 руб. 50 коп.

(Продолжение)

ОТКРЫТ ПРИЕМ ПОДПИСКИ на 1957 год НА ЖУРНАЛЫ АКАДЕМИИ НАУК СССР

НАЗВАНИЕ ЖУРНАЛОВ	Количество номеров в год	Подписная цена	
		годовая	полугодо- вая
Успехи современной биологии	6	48	24
Физиологический журнал СССР им. И. М. Сеченова	12	108	54
Физиология растений	6	54	27
Энтомологическое обозрение	4	90	45
ТЕХНИЧЕСКИЕ НАУКИ			
Автоматика и телемеханика	12	108	54
Известия Академии наук СССР, Отделение технических наук	12	180	90
Прикладная математика и механика	6	81	40.50
ИСТОРИЧЕСКИЕ НАУКИ			
Вестник древней истории	4	96	48
Исторический архив	6	90	45
Советская археология	4	100	50
Советская этнография	4	72	36
Советское востоковедение	6	72	36
ПРАВОВЫЕ НАУКИ			
Советское государство и право	12	144	72
ЛИТЕРАТУРОВЕДЕНИЕ И ЯЗЫКОЗНАНИЕ			
Вопросы языкознания	6	72	36
Известия Академии наук СССР, Отделение литературы и языка	6	54	27
РЕФЕРАТИВНЫЙ ЖУРНАЛ, СЕРИИ:			
Астрономия и геодезия	12	115.20	57.60
Биология	24	691.20	345.60
География	12	244.80	122.40
Геология	12	244.80	122.40
Математика	12	172.80	86.40
Машиностроение	24	384	192
Металлургия	12	450	225
Механика	12	172.80	86.40
Физика	12	360	180
Геофизика	12	115.20	57.60
Химия	24	691.20	345.60
Биологическая химия	24	172.80	86.40
Электротехника	12	300	150

ПОДПИСКА ПРИНИМАЕТСЯ В ГОРОДСКИХ ОТДЕЛАХ «СОЮЗПЕЧАТЬ», КОНТОРАХ, ОТДЕЛЕНИЯХ И АГЕНТСТВАХ СВЯЗИ, В ПУНКТАХ ПОДПИСКИ И ОБЩЕСТВЕННЫМИ УПОЛНОМОЧЕННЫМИ НА ЗАВОДАХ И ФАБРИКАХ, В УЧЕБНЫХ ЗАВЕДЕНИЯХ, УЧРЕЖДЕНИЯХ И ОРГАНИЗАЦИЯХ.

ПОДПИСКА ТАКЖЕ ПРИНИМАЕТСЯ В МАГАЗИНАХ «АКАДЕМКНИГА» И В КОНТОРЕ «АКАДЕМКНИГА»: МОСКВА, ПУШКИНСКАЯ УЛ., 23.

Printed in the USSR

